

АКАДЕМИЯ НАУК СССР
ИНСТИТУТ НАУЧНОЙ ИНФОРМАЦИИ

РЕФЕРАТИВНЫЙ
ЖУРНАЛ

КАХИД
ХИМИЯ
РЕФЕРАТИВНЫЙ
31307—31307

U.S. DEPT. OF AGRICULTURE

AUG 15 1957

LIBRARY

№ 10

1957

ИЗДАТЕЛЬСТВО АКАДЕМИИ НАУК СССР
МОСКВА

РЕФЕРАТИВНЫЙ ЖУРНАЛ ХИМИИ

ГЛАВНЫЙ РЕДАКТОР В. В. Серпинский

ЧЛЕНЫ РЕДАККОЛЕГИИ: Д. А. Борсар, В. В. Кафаров, В. Л. Кретома,

Д. Н. Курсанов, Е. С. Топчиев, Н. А. Фунт

УЧЕНЫЙ СЕКРЕТАРЬ В. А. Терентьева

СОДЕРЖАНИЕ

ОБЩИЕ ВОПРОСЫ	1	Элементы. Окислы. Минеральные кислоты, основания, соли	289
ФИЗИЧЕСКАЯ ХИМИЯ	3	Удобрения	296
Общие вопросы	3	Люминесцентные материалы	297
Некоторые вопросы субатомного строения вещества	4	Производство катализаторов и сорбентов	298
Атом	4	Электрохимические производства. Электроосаждение. Химические источники тока	299
Молекула. Химическая связь	8	Керамика. Стекло. Вязущие вещества. Бетоны	308
Кристаллы	26	Получение и разделение газов	329
Жидкости. Аморфные тела. Газы	40	Промышленный органический синтез	331
Радиохимия. Изотопы	42	Промышленный синтез красителей	348
Термодинамика. Термохимия. Равновесия. Физико-химический анализ. Фазовые переходы	44	Лекарственные вещества. Витамины. Антибиотики	353
Кинетика. Горение. Взоры. Топохимия. Катализ	50	Пестициды	370
Радиационная химия. Фотохимия. Теория фотографического процесса	70	Душистые вещества. Эфирные масла. Парфюмерия и косметика	377
Растворы. Теория кислот и оснований	72	Фотографические материалы	380
Электрохимия	76	Взрывчатые вещества. Пиротехнические составы. Средства химической защиты	384
Поверхностные явления. Адсорбция. Хромотография. Ионный обмен	81	Переработка твердых горючих ископаемых	385
Химия коллоидов. Дисперсные системы	84	Переработка природных газов и нефти. Моторное и ракетное топливо. Смазки	394
НЕОРГАНИЧЕСКАЯ ХИМИЯ. КОМПЛЕКСНЫЕ СОЕДИНЕНИЯ	87	Лесохимические производства. Гидроливанная промышленность	414
Космохимия. Геохимия. Гидрохимия	95	Жиры и масла. Воски. Мыла. Моющие средства. Флотореагенты	419
АНАЛИТИЧЕСКАЯ ХИМИЯ	108	Углеводы и их переработка	431
Общие вопросы	108	Бродильная промышленность	435
Анализ неорганических веществ	111	Пищевая промышленность	443
Анализ органических веществ	122	Синтетические полимеры. Пластмассы	458
ОБОРУДОВАНИЕ ЛАБОРАТОРИИ. ПРИБОРЫ. ИХ ТЕОРИИ, КОНСТРУКЦИЯ, ПРИМЕНЕНИЕ	128	Лаки. Краски. Лакокрасочные покрытия	468
ОРГАНИЧЕСКАЯ ХИМИЯ	135	Каучук натуральный и синтетический. Резина	475
Общие и теоретические вопросы органической химии	135	Искусственные и синтетические волокна	483
Синтетическая органическая химия	144	Целлюлоза и ее производные. Вуага	488
Природные вещества и их синтетические аналоги	212	Крашение и химическая обработка текстильных материалов	504
ХИМИЧЕСКАЯ ТЕХНОЛОГИЯ. ХИМИЧЕСКИЕ ПРОДУКТЫ И ИХ ПРИМЕНЕНИЕ	247	Кожа. Мех. Желатина. Дубители. Тетрациклические белки	513
Общие вопросы	247	ХИМИЯ ВЫСОКОМОЛЕКУЛЯРНЫХ ВЕЩЕСТВ	516
Процессы и аппараты химической технологии	247	НОВЫЕ КНИГИ, ПОСТУПИВШИЕ В РЕДАКЦИЮ	—
Контрольно-измерительные приборы. Автоматическое регулирование	258	АВТОРСКИЙ УКАЗАТЕЛЬ	537
Коррозия. Защита от коррозии	262	УКАЗАТЕЛЬ ДЕРЖАТЕЛЕЙ ПАТЕНТОВ	555
Подготовка воды. Сточные воды	272		
Техника безопасности. Санитарная техника	282		
Химико-технологические вопросы ядерной техники	287		

Адрес редакции: Москва, Д-316, Балтийский поселок, д. 42-В

REFERATIVNYI ZHURNAL KHIMIYA

EDITOR: *V. V. Serpinsky*

EDITORIAL BOARD: *D. A. Bochvar, V. V. Kasarov, W. L. Kretovich,
D. N. Kursanov, K. S. Topchiev, N. A. Fuchs*

EXECUTIVE SECRETARY *E. A. Terentjeva*

CONTENTS

GENERAL

PHYSICAL CHEMISTRY

General

Some Subatomic Phenomena

Atom

Molecule Chemical Bond

Crystals

Liquids. Amorphous Substances. Gases

Radiochemistry. Isotopes

Thermodynamics. Thermochemistry. Equilibria

Physico-Chemical Analysis. Phase Transitions

Kinetics. Combustion. Explosions. Topochemistry.
Catalysis

Radiation Chemistry. Photochemistry. Theory of
Photographic Process

Solutions. Theory of Acids and Bases

Electrochemistry

Surface Phenomena. Adsorption. Chromatography.
Ion Exchange

Colloid Chemistry. Disperse Systems

INORGANIC CHEMISTRY. COMPLEX COMPOUNDS

COSMOCHEMISTRY. GEOCHEMISTRY. HYDROCHEMISTRY

ANALYTICAL CHEMISTRY

General

Analysis of Inorganic Substances

Analysis of Organic Substances

LABORATORY EQUIPMENT. INSTRUMENTATION

ORGANIC CHEMISTRY

Theoretical Organic Chemistry

Organic Synthesis

Natural Compounds and Their Synthetic Analogues

CHEMICAL TECHNOLOGY. CHEMICAL PRODUCTS AND THEIR APPLICATIONS

General

Chemical Engineering

Instruments and Automation

Corrosion. Corrosion Control

Water Treatment. Sewage

Safety and Sanitation

Chemical and Technological Aspects of the
Nuclear Industry

Elements. Oxydes. Mineral Acids, Bases, Salts

Fertilizers

Luminescent Materials

Catalysts and Sorbents

Electrochemical Industries. Electroplating. Galvanic
Cells

Ceramics. Glass. Binding Materials. Concrete

Production and Separation of Gases

Industrial Organic Synthesis

Industrial Synthesis of Dyes

Pharmaceuticals. Vitamines. Antibiotics

Pesticides

Perfumes and Cosmetics. Essential Oils

Photographic Materials

Explosives. Pyrotechnical Compounds. Chemical
Defence Agents

Chemical Processing of Solid Fossil Fuels

Chemical Processing of Natural Gases and Petroleum.

Motor and Rocket Fuels. Lubricants

Chemical Wood Products. Hydrolysis Industry

Fats and Oils. Waxes. Soaps and Detergents.

Flotation Agents

Carbohydrates and Their Processing

Fermentation Industry

Food Industry

Synthetic Polymers. Plastics

Lacquers. Paints. Coatings

Caoutchouc, Natural and Synthetic. Rubber

Artificial and Synthetic Fibres

Cellulose and Its Derivatives. Paper

Dyeing and Chemical Treatment of Textile Materials

Leather. Fur. Gelatine. Tanning Materials. Industrial
Proteins

HIGH POLYMER CHEMISTRY

NEW BOOKS

AUTHOR INDEX

INDEX OF PATENTERS

Editorial Office: Moscow, D-219, Baltiysky poselok, 42-B

Р

Реф

М

31307.
мыш-
ских
реши-
хозяй-
ЦК К
Пост-
варида

31308.
мыш-
ских
ния
злает
(1958
1958,
Докл

31309.
ской
véstis.
К 40-
револ

31310.
К 40-
ческой
ский
В. А.,

31311.
40 ле-
жир. 1

31312.
комби-
на с п
№ 12,

31313.
за год
Масло

31314.
го зав
1957, J
Очерк

31315.
маш-
К 40-л
революц
пром-сти

РЕФЕРАТИВНЫЙ ЖУРНАЛ ХИМИЯ

Рефераты 31307—34997

№ 10

25 мая 1958 г.

I

(Рефераты 31307—32312)

ОБЩИЕ ВОПРОСЫ

МЕТОДОЛОГИЯ. ИСТОРИЯ. НАУЧНЫЕ УЧРЕЖДЕНИЯ И КОНФЕРЕНЦИИ. ПРЕПОДАВАНИЕ.
ВОПРОСЫ БИБЛИОГРАФИИ И НАУЧНОЙ ДОКУМЕНТАЦИИ

Редактор Д. И. Тумаркин

31307. Об ускорении развития химической промышленности и особенно производства синтетических материалов и изделий из них для удовлетворения потребностей населения и нужд народного хозяйства. Материалы майского (1958 г.) Пленума ЦК КПСС. М., Госполитиздат, 1958, стр. 5—12
Постановление Пленума ЦК КПСС по докладу товарища Н. С. Хрущева, принятое 7 мая 1958 г.
31308. Об ускорении развития химической промышленности и особенно производства синтетических материалов и изделий из них для удовлетворения потребностей населения и нужд народного хозяйства. Хрущев Н. С., Материалы майского (1958 г.) Пленума ЦК КПСС. М., Госполитиздат, 1958, стр. 13—62
Доклад на Пленуме ЦК КПСС 6 мая 1958 г.
31309. Очерк развития химии древесины в Латвийской ССР. Одинцов П. Н., LatvPSR Ziņatņu Akad. vēstis, Изв. АН ЛатвССР, 1957, № 11, 53—64
К 40-летию Великой Октябрьской социалистической революции. Библ. 92 назв.
31310. Харьковский фармацевтический институт. К 40-й годовщине Великой Октябрьской социалистической революции. Борисюк Ю. Г., Казарновский Л. С., Красовский Н. П., Семинько В. А., Аптечн. дело, 1957, 6, № 6, 10—13
31311. [Парфюмерная] Фабрика «Новая заря» за 40 лет Советской власти. Балан И. З., Маслоб.-жир. пром-сть, 1957, № 12, 4—6
31312. Алексеевский эфиромаслоэкстракционный комбинат накануне 40-й годовщины Октября. Тапашенко Ф. С., Маслоб.-жир. пром-сть, 1957, № 12, 9—10
31313. Развитие Андиянского масложиркомбината за годы Советской власти. Иваненко К. П., Маслоб.-жир. пром-сть, 1957, № 12, 7—8
31314. 50-летие Миллеровского маслоэкстракционного завода. Потемкин В. В., Маслоб.-жир. пром-сть, 1957, № 12, 13—14
Очерк развития з-да за годы Советской власти.
31315. Растет мясоконсервное производство. Бармаш А., Мясная индустрия СССР, 1957, № 5, 11—12
К 40-летию Великой Октябрьской социалистической революции. Краткий очерк развития мясоконсервной пром-сти СССР. Д. Т.
31316. Орденоносный мясокомбинат. Геворгян Б., Мясная индустрия СССР, 1957, № 5, 13—16
К 40-летию Великой Октябрьской социалистической революции. Краткий очерк технич. развития Московского ордена Ленина мясокомбината им. Микояна.
31317. Московский ордена Ленина пищевой комбинат имени А. И. Микояна. Уварова Т. В., Салдунова В. М., Корф Я. А., Консервн. и овощесуш. пром-сть, 1957, № 11, 13—17
Краткий очерк технич. развития. Д. Т.
31318. Резиновая промышленность в первые годы Советской власти. Иванов А. А., Каучук и резина, 1957, № 11, 36—38
31319. Из истории Ярославского резино-асбестового комбината. Ершов В. Е., Каучук и резина, 1957, № 11, 34—35
31320. Древние бронзы Китая. Каштанов Л. И., Патушинская А. А., Байчорова Р. Я., Хим. наука и пром-сть, 1957, 2, № 4, 529—530
Приводятся результаты анализов бронз и обсуждается развитие техники изготовления зеркал. Д. Т.
31321. Сто лет польской цементной промышленности. Корнгут (Sto lat polskiego przemysłu cementowego. Korngut Józef), Przegl. techn., 1957, 78, № 8, 274—276 (польск.)
31322. Из истории научных встреч и сотрудничества немецких и русских химиков в XVIII столетии. Фигуровский Н. А. (Aus der Geschichte wissenschaftlicher Begegnung und Zusammenarbeit deutscher und russischer Chemiker in 18. Jahrhundert. Figurovskij N. A.), Wiss. Ann., 1957, 6, № 10, 674—685 (нем.)
31323. Что понимали под «химическим строением» русские химики — предшественники А. М. Бутлерова? Быков Г. В., В сб.: Вопр. истории естествозн. и техн. Вып. 4. М., АН СССР, 1957, 179—181
Обсуждаются взгляды Г. И. Гесса, А. И. Ходнева, Н. Н. Соколова, Д. И. Менделеева. Опровергается указание (РЖХим, 1955, 22977), что термин «хим. строение» имеется в магист. диссертации Н. Н. Бекетова.
31324. Развитие химии металло-органических соединений в Узбекистане. Манулкин З. М., УзССР Фанлар Акад. ахбороти. Химия фанлари сер., Изв. АН УзССР. Сер. хим. н., 1957, № 4, 73—78 (рез. узб.)
Краткий обзор. Библ. 37 назв. Д. Т.

31325. Развитие химии гетероциклических соединений и алкалоидов в России. Мусабек Ю. С., Уч. зап. Ярославск. техн. ин-та, 1957, 2, 241—234. Исторический очерк (от начала XIX в. до нашего времени). Используются некоторые архивные материалы (письма А. М. Бутлерова к В. В. Марковникову и А. Е. Чичибабину к А. Е. Фаворскому). Приведены 2 фото А. Е. Чичибабина. Библ. 64 назв. Д. Т.
31326. Первая радиологическая лаборатория в России. Зайцева Л. Л., Тр. Ин-та истории естествозн. и техн. АН СССР, 1957, 19, 197—218.
- Подробный очерк возникновения (1910 г.) и деятельности радиол. лаборатории при Хим. отделе Одесского отделения Русского технич. об-ва (организатор и руководитель Е. С. Бурксер, см. РЖХим, 1957, 73580). Используются архивные материалы. Библ. 73 назв.
31327. О научных связях русских и румынских химиков. Симонеску Кристофор, Калистру Константин. В сб.: Вопр. истории естествозн. и техн. Вып. 4. М., АН СССР, 1957, 172—178.
- Приводятся сведения, характеризующие взаимоотношения и сотрудничество ученых-химиков (Д. И. Менделеев, В. В. Марковников, П. Поин, К. Истрати) и научных обществ. Д. Т.
31328. Товий Егорович Ловиц (К двухсотлетию со дня рождения, 1757—1957). Фигуровский Н. А., Ж. физ. химии, 1957, 31, № 12, 2766—2770.
31329. Возникновение квантовой теории атома (Модель атома Резерфорда—Бора). Полак Л. С., Тр. Ин-та истории естествозн. и техн. АН СССР, 1957, 19, 431—449.
- Рассмотрено в хронологич. и логич. последовательности развитие работ в области теории атома, начиная с модели В. Томсона (Кельвина) 1902 г., завершившейся теорией, предложенной в 1913 г. Н. Бором. Библ. 45 назв. Д. Т.
31330. Памяти Пьера Кюри. Несмеянов А. Н., Тр. Ин-та истории естествозн. и техн. АН СССР, 1957, 19, 7—9.
- Вступительное слово на заседании, посвященном 50-летию со дня смерти П. Кюри (Москва, 19 апр. 1956 г.). Д. Т.
31331. Жизнь и творчество Пьера Кюри. Старосельская-Никитина О. А., Тр. Ин-та истории естествозн. и техн. АН СССР, 1957, 19, 13—69. Библ. 123 назв. Д. Т.
31332. Нобелевская речь, произнесенная Пьером Кюри в Стокгольме 6 июня 1905 г. перед Академией наук. [Кюри П.] Тр. Ин-та истории естествозн. и техн. АН СССР, 1957, 19, 161—169; 158—160.
- Перевод (по тексту издания «Les Prix Nobel 1903—1904») снабжен примечаниями, содержащими, в частности: 1) биографич. данные о Марии Кюри, помещенные в отчете о присуждении Нобелевской премии; 2) выписки из протоколов Петербургской АН 1907 г. в связи с избранием М. Кюри чл.-корр. АН; 3) отзыв Н. Н. Бекетова, представившего ее кандидатуру; 4) благодарственное письмо М. Кюри (по архивным материалам). На стр. 158—160 приведено фото и русский перевод нобелевского диплома П. и М. Кюри.
31333. Лабораторные записные книжки периода открытия полония и радия. Жолио-Кюри И. (Les carnets de laboratoire de la découverte du polonium et du radium. Joliot-Curie Irene), Тр. Ин-та истории естествозн. и техн. АН СССР, 1957, 19, 97—114 (франц.); 115—135 (русс.). Публикация, помещенная в книге М. Кюри (РЖФиз, 1956, 33566) в виде приложения на стр. 103—123. Русский перевод и примеч. к нему О. А. Старосельской-Никитиной под ред. С. А. Погодина. Д. Т.
31334. О новом свойстве материи, называемом радиоактивностью. Беккерель Анри. Тр. Ин-та исто-

рии естествозн. и техн. АН СССР, 1957, 19, 139—157; 136—138.

Речь (нобелевский доклад), произнесенная в Стокгольме 11 декабря 1903 г. Перевод (по тексту издания «Les Prix Nobel 1903—1904») снабжен примечаниями, содержащими, в частности, биографич. данные из отчета о присуждении Нобелевской премии, сообщенные самим А. Беккерелем. На стр. 136—138 приведены фото и русский перевод нобелевского диплома А. Беккереля. Д. Т.

31335. Исследование Ю. В. Лермонтовой в области пиролиза нефти. Мусабек Ю. С., Вороненков В. В., Уч. зап. Ярославск. техн. ин-та, 1957, 2, 235—247.

Ю. В. Лермонтова (1846—1919) — одна из первых женщин-химиков в России. Краткая биография; портрет. Очерк работы по пиролизу нефти, выполненной в лаборатории В. В. Марковникова в Московском ун-те в 1881—1882 гг. Библ. 27 назв. Д. Т.

31336. Роль профессора П. П. Орлова в изучении радиоактивности природных объектов Сибири и Алтая. Зайцева Л. Л., Фигуровский Н. А. В сб.: Вопр. истории естествозн. и техн. Вып. 4. М., АН СССР, 1957, 63—71.

П. П. Орлов (1859—1937) — проф. Томского ун-та; приведен портрет. Используются архивные материалы. Библ. 25 назв. Д. Т.

31337. Исследования акад. С. С. Наметкина в области химии и переработки нефти. (К 80-летию со дня рождения). Сергиенко С. Р., Тр. Ин-та нефти. АН СССР, 1957, 10, 5—15.

31338. Карл Фридрих Бонхёффер. Йост (Carl Friedrich Bonhoeffer. Jost W.), Naturwissenschaften, 1957, 44, № 24, 625—626 (нем.).

Некролог. См. также РЖХим, 1957, 70802; 1958, 6.

31339. Антон Скрабал. Некролог. Шмид. Список публикаций проф. Антона Скрабала. (Anton Skrabal. (Nachruf). Schmid Hermann. — Verzeichnis der Veröffentlichungen von Prof. Dr. Anton Skrabal), Österr. Chem.-Ztg, 1957, 58, № 23-24, 285—289 (нем.).

См. также РЖХим, 1957, 43603. Д. Т.

31340. Осип Маркович Аншелес. Франк-Каменецкий В. А., Татарский В. Б., Зап. Всес. минералог. о-ва, 1957, 86, № 6, 736—743.

Некролог проф. О. М. Аншелеса (1885—1957), крупного кристаллографа и кристаллохимика, зав. кафедрой кристаллографии Ленинградского ун-та. Приведен список научных трудов. Д. Т.

31341. Памяти Осипа Марковича Аншелеса. Франк-Каменецкий В. А., Кристаллография, 1957, 2, № 6, 749—721.

31342. Ирвинг Ленгмюр (1881—1957). Некролог. Пароди (Notice sur Irwing Langmuir (1881—1957), Correspondant pour les Divisions des Académiciens libres et des applications de la science à l'industrie. Parodi Hippolyte), C. r. Acad. sci., 1957, 245, № 18, 1481—1482 (франц.).

31343. Кончина крупного американского физико-химика (Zgon wielkiego fizykochemika amerykańskiego. J. H.), Problemy, 1957, 13, № 11, 831—832 (польск.).

Некролог И. Ленгмюра (1881—1957). Д. Т.

31344. Е. Ф. Гросс (К 60-летию со дня рождения). — Оптика и спектроскопия, 1957, 3, № 6, 674.

Профессор Е. Ф. Гросс (род. 1897) — чл.-корр. АН СССР, зав. кафедрой молек. физики Ленингр. ун-та и лабораторией физ.-технич. ин-та АН СССР, крупный специалист в области спектроскопии тв. тела.

31345. 60-летие со дня рождения академика Рудольфа Лукеша. Шорм. Список публикаций академика профессора Р. Лукеша. Шантавий (The six-

- tieth birthday of academician Rudolf Luceš. Sorm F.—Index of communications by the academician professor Dr R. Lukeš. Santavý F.), Сб. чехосл. хим. работ, 1957, 22, № 5, i—viii* (англ.)
См. также РЖХим, 1957, 62805, 73583. Д. Т.
31346. Фридрих Панет. Ган (Friedrich A. Paneth. Hahn Otto), Z. Elektrochem., 61, № 9, 1121—1122 (нем.)
См. также РЖХим, 1958, 13. Д. Т.
31347. Лауреат Нобелевской премии по химии Александр Тодд. Эр кама (Kemian Nobelin — palkinto sir Alexander Toddille. Еркама Jorma), Suomen kem., 1957, 30, № 12, A246—A248 (финск.)
См. также РЖХим, 1958, 27519. Д. Т.
31348. Краткий обзор научно-исследовательских работ Химического факультета Латвийского Государственного Университета за период с 1944 по 1957 г. Zināt. raksti. Latv. Univ., Уч. зап. Латв. ун-т, 1957, 15, 187—224
- Отмечены работы кафедр неорганич. и аналитич. химии, органич. химии, физич. химии, технологии силикатов, общей хим. технологии и быв. фармацевтич. отделения (до 1951 г.). Приведен список научных публикаций, 234 назв. Д. Т.
31349. Из деятельности и достижений химико-фармацевтического научно-исследовательского института [Румыния]. Хаваш (Din activitatea și realizările Institutului de cercetări chimico-farmaceutice. Havaș Gh.), Rev. chim., 1957, 8, № 9, 563—565 (рум.)
31350. О проведении лабораторных занятий по качественному анализу на основе безсероводородного метода. Платаш И. Т., Фельдман А. Е. (Про проведения лабораторных занять з якісного аналізу безсірководневим методом. Платаш І. Т., Фельдман О. Е.), Наук. зап. Херсонськ. держ. пед. ін-т, 1956, вип. 7, 121—177 (укр.)
На основе трехлетнего опыта на естественном факте пед. ин-та приводится подробная методич. разработка по бессероводородному (кислотно-щелочному) полумикрометоду. Д. Т.
31351. Термическая переработка древесины. Угрюмов П. Г., Химия в школе, 1957, № 3, 3—13
Статья для школьных учителей химии. Д. Т.
31352. Преподавание химии в нашем классе. Сербулов Н. К. (Таълим додани фанни химия дар мактабамон. Сербулов Н. К.), Мактаби совети, 1957, № 5, 52—56 (тадж.)
31353. Проведение практических занятий на уроках химии. Бурхонова М. (Химия дарсларида амалӣ машғулотлар ўтказиши. Бурхонова М.), Совет мактаби, 1957, № 4, 37—41 (узб.)
31354. Экзамен по химии. Бадалбоев М., Рахмонов А. (Имтиҳони фанни химия. Бадалбоев М., Раҳмонов А.), Мактаби совети, 1957, № 4, 65—69 (тадж.)
- 31355 К. Основные пути развития общей, неорганической и физической химии на Украине. (XIX ст. и

- первая половина XX ст.). Турченко Я. И. Киев, Киевск. ун-т, 1957, 434 стр., 15 р. 85 к.
- 31356 К. Керамическая мануфактура г. Тыргу-Жиу. 1832—1863 гг. Дикulescu (O manufactură de ceramică la Tirgu-Jiu. 1832—1863. Diculescu Vladimir Gh. I. P. 1. București, 1956, 107 p., il., 3 lei) (рум.)
- 31357 К. Вопросы преподавания химии в школе. 9. Тбилиси, 1956 (груз.)
Содержание (цифры указывают №№ страниц оригинала): 1) Изучение периодической системы элементов в курсе химии средней школы. Гиоргадзе Э. (3—25). 2) Экспериментальная демонстрация валентности элементов в VIII классе. Костава И. (26—33). 3) Производственная экскурсия на пивоваренный завод. Гегучадзе В. (34—59). 4) Проведение производственной экскурсии на Кутаисский литононовый завод. Сулава Э. (60—77). 5) Изучение темы «Растворы» в рамках политехнического обучения. Чочуа Т. (78—90). 6) Изучение естественных и искусственных удобрений в X классе. Берулава Н. (91—108). 7) Ознакомление с некоторыми вопросами сельскохозяйственного производства в курсе химии. Пагарейшвили Ш. (109—123). 8) Высококачественное приготовление уроков по химии. Гиоргадзе Э. (124—142). 9) Александр Клдншвили (1873—1905) (К пятидесятилетию со дня смерти). Гегучадзе В. (143—148). 10) Названия химических элементов.— (149—153). 11) Методические журналы и сборники на грузинском и русском языках. [Библиография] (154—157 груз.; 157—160 русск.). Д. Т.
- 31358 К. Учебник общей химии. [Для химических специальностей вузов]. Некрасов Б. В. М., Госхимиздат, 1957, 486 стр., илл., 12 р.

См. также: Опред. понятий 31359. Новые минералы 32053—32055. Период. система 31365, 31375, 31641. Классификация: метеориты 32018; угли 33728, 33729; винные дрожжи 34152. Систематика углеводородов 32354. Номенклатура: неорг. химия 31945. История: электронная микроскопия 32263; химия и хим. пром-сть Канады 32668; хим. источники тока 33130. Институты: углепереработка 33757; виноделие 34147; пищ. технология 34194; целл.-бум. произ-во 34604. Конференции: кристаллофосфоры 31601; радионуклиды 31620; неорг. химия 31946; сточные воды 32898, 32963; осах. древесины 33988; технол. пищ. продуктов 34195; лакокрас. произ-во 34435; хим. волокна 34560; структура белков и ферментов 11917Бх. Преподавание: кинет. теория газов 31604; лабор. оборуд. 32300; подготовка химиков 32664. Уч. лит-ра: физ. химия 31361, 31362; электрохимия 31897; неорг. химия 32013, 32014; комплексы. соед. 32016; проц. и аппар. хим. техн. 32761; технол. жиров 34060, 34061; хлебопечение и кондит. произ-во 34318; текст. химия 34593; кожев. произ-во 34834; биол. химия 11893Бх. Документация: ат. ядро 31363. Примен. сч.-реш. устройств 32135, 32784

ФИЗИЧЕСКАЯ ХИМИЯ

ОБЩИЕ ВОПРОСЫ

Редактор А. Б. Нейдинг

31350. О различиях между понятиями электрова-
лентности и числа окисления. Валанси (On the
distinctions between the concepts of electrovalency
and of oxidation number. Valensi G.), Proc. Meet.

Internat. Comm. Electrochem. Thermodyn. and Kinet.,
1954, London, 1955, 59—65. Discuss. 66 (англ.)
Автор предлагает систему определений понятий:
«валентность элемента», «электровалентность груп-
пы», «ковалентность», «таутомерия», «изомерия»,
«число окисления», для принятия ее в будущем комис-
сией Международного союза чистой и прикладной хи-
мии. И. Слоним

31360. Приближения непрерывными дробями к рядам теории возмущений Бриллюэна-Вигнера. Янг, Биденхарн, Финберг (Continued fraction approximants to the Brillouin-Wigner perturbation series. Young R. C., Biedenharn L. C., Feenberg E.), Phys. Rev., 1957, 106, № 6, 1151—1155 (англ.)

Устанавливается связь между видоизмененной теорией возмущений Голдхаммера и Финберга (РЖФиз, 1956, 33739) и рядом обычной теории возмущений Бриллюэна-Вигнера. Показано, что значения энергии, полученные по модифицированной теории возмущений, являются приближениями к непрерывным дробям, представляющим значения энергии, полученным по ф-лам обычной теории возмущений. Доказана инвариантность ф-л для энергии модифицированной теории возмущений по отношению к так называемому μ -преобразованию (РЖХим, 1957, 7120).

Б. Новожиллов

31361 К. Физическая химия. Изд. 3-е. Мур (Physical chemistry. 3rd ed. Moore Walter John. London, Longmans, Green, 1957, XII, 641 pp., ill., 30 sh.) (англ.)

31362 К. Курс неорганической и физической химии. Изд. 7-е. Прескотт (Intermediate chemistry: inorganic and physical. 7th ed. Prescott Frederick. London, Univ. Tutorial Press, 1957, VIII, 828 pp., ill., 23 sh.) (англ.)

НЕКОТОРЫЕ ВОПРОСЫ СУБАТОМНОГО СТРОЕНИЯ ВЕЩЕСТВА

Редактор Г. А. Соколик

31363. Литература, посвященная исследованиям в области атомного ядра. Вейгель (Die Literatur auf dem Gebiet der Kernforschung. Weigel F.), Angew. Chem., 1957, 69, № 23, 747—753 (нем.)

Автор приводит подробную информацию о периодич. и повторяющихся изданиях, посвященных исследованиям в области атомного ядра, а также применениям атомной энергии. Указаны издательства, издающие книги по указанным выше вопросам. Издания классифицируются по степени секретности и распространенности.

Г. Соколик

31364. Сверхтонкая структура K^{39} в $4P$ -состоянии. Бак, Раби (Hyperfine structure of K^{39} in the $4P$ state. Buck P., Rabi I. I.), Phys. Rev., 1957, 107, № 5, 1291—1294 (англ.)

Методом магнитного резонанса в атомном пучке исследовалась сверхтонкая структура $4P$ -состояния K^{39} . Резонансная частота $57,7 \pm 0,6$ Мгц приписана переходу $F = 2 \leftrightarrow F = 1$ ($4P_{1/2}$ -состояние). Постоянная магнитного взаимодействия $a_{1/2} = 28,85 \pm 0,3$ Мгц. Из независимых экспериментов найдено, что $a_{1/2} = 5,70 \pm 0,27$ Мгц. Резонансная частота, соответствующая переходу $F = 3 \leftrightarrow F = 2$ ($4P_{3/2}$ -состояние), равна $20,1 \pm 0,4$ Мгц; постоянная квадрупольного взаимодействия $b = 2,8 \pm 0,4$ Мгц. Квадрупольный момент рассчитан по ф-ле, выведенной Казимиром, и равен $(0,07 \pm 0,02)$ барн.

Н. Яшин

31365. О некоторых ядерных особенностях элементов второго периода. Ожигов Е. П., Сообщ. о научно-исслед. работах членов Приморск. отд. Всес. хим. о-ва им. Д. И. Менделеева, 1957, вып. 3, 41—53

Автор считает, что во 2-м и 3-м периодах следует различать полные и неполные элементы-аналоги. Под полными и неполными аналогами автор понимает элементы с близким и далеким уд. зарядом ядра A/Z

соответственно и сходными оболочками. Автор считает, что дефицитность элементов 2-го и 3-го периодов связана с наличием избыточных нейтронов.

Из выводов автора
31366. О соответствии между электронной оболочкой и ядерной структурой. Курлин (On some correspondences between envelopal and nuclear structure of the atoms. Corlin Axel), Naturwissenschaften, 1957, 44, № 22, 580 (англ.)

На основании графиков зависимости избытка нейтронов ($N-Z$) от A для различных стабильных ядер делается ряд выводов о связи электронной оболочки и ядерной структуры, подтверждающих некоторые выводы работ (РЖХим, 1956, 45937).

Г. Соколик
31367. Ядерная химия. Бур (Kernchemie. Boer J. H. de), Chem. weekbl., 1957, 53, № 48, 633—641 (гол.)

Популярная статья.

Г. С.
31368. Возбужденные уровни Bi^{206} , образующиеся при распаде Po^{206} . Арбман (Excited levels in Bi^{206} from the decay of Po^{206} . Arbman E.), Nucl. Phys., 1957, 3, № 5, 625—643 (англ.)

Энергии и интенсивности электронов конверсии, рождающиеся при распаде Po^{206} , измерялись с помощью β -спектрометров с двойной фокусировкой. Po^{206} с $T_{1/2}$ 9 дней получался с помощью р-ции Pi^{209} ($p, 4n$) Po^{206} . В продуктах распада содержались примеси Po^{207} и Po^{208} с $T_{1/2}$ 5,7 и 4 часа соответственно. Изучена схема распада Po^{206} . Найдены $T_{1/2}$ ряда переходов, ведущих на возбужденные и основные уровни Bi^{206} , образующиеся электронным захватом. $T_{1/2}$ перехода с E 59,4 кэв; найден равным $2 \cdot 10^{-9}$ сек. Найдены возбужденные уровни с E 59,9; 398,3; 867,5; 920,7; 1067,5; 1092,6; 1379,1; 230,7; 512,8 кэв и энергии 20 переходов. Г. С.

См. также раздел Изотопы

АТОМ

Редактор Н. М. Яшин

31369. Изучение корреляции между электронами. Одьо (Etude des corrélations entre les positions des électrons. Odier Simone, m-me), Cahiers phys., 1957, № 81, 181—202 (франц.)

В общем виде рассмотрена корреляция атомных и мол. электронов, связанная с принципом Паули и межэлектронным взаимодействием, а также приближенные волновые функции, в которых учитывается эта корреляция: функции Хартри (нет корреляции), антисимметричные функции (спиновая корреляция), учет взаимодействия конфигураций и введение в волновую функцию в явном виде относительных координат электронов r_{ij} (учет взаимодействия электронов). Теория прилагается к вычислению вероятности P ядерного захвата электрона. Отношение P_L/P_K (K, L — внутренние оболочки атома), пропорциональное отношению электронных плотностей L - и K -оболочек в начале координат, вычислено для He, Be и Ar с одноэлектронными, однотерминантными и содержащими в явном виде r_{ij} волновыми функциями. Учет корреляции увеличивает это отношение в 3—10 раз, хотя полная вероятность $P = P_L + P_K$ меняется незначительно.

Е. Никитин

31370. Адиабатическое приближение в квантовой теории атомов. Веселов М. Г., Берсуер И. Б., Вестн. Ленингр. ун-та, 1957, № 16, 55—56 (рез. англ.)

Многочастотную волновую функцию атома предполагается строить в виде произведения волновых функ-

ний остова и валентных электронов, учитывая при этом зависимость волновой функции остова от координат валентных электронов в адиабатич. приближении. Метод применен к атому Li. Для описания 1s-электронов принята волновая функция вида: $A(1 - \gamma ar \cos \theta) \exp(-ar)$, где θ — полярный угол, отсчитываемый от оси, связанной с 2s-электроном; $\gamma(r_e)$ и $\alpha(r_e)$ — вариационные параметры, зависящие от расстояния r_e между 2s-электроном и ядром. Максим. значение величины γ , характеризующей поляризацию остова валентным электроном, равно $\gamma = 0,15$ (при $r_e = 0,4$ ат. ед.); α меняется монотонно от 1,6875 при $r_e = 0$ до 2,6875 при $r_e \rightarrow \infty$. Ур-ния для валентного электрона интегрировались численно для состояний 2s, 2p и 3p. Найденные волновые функции заметно отличаются от функции Фока, особенно вблизи ядра. Хотя полученные значения полной энергии атома несколько лучше, чем в методе Хартри, они заметно расходятся с опытом. Указывается на возможность усовершенствования метода путем учета обмена. По мнению авторов, используемое ими адиабатич. приближение представляет особый интерес при расчете некоторых ядерных эффектов, зависящих от электронной плотности вблизи ядра.

Т. Ребане
31371. Вычисление потенциала взаимодействия атома. Фирсов О. Б., Ж. эксперим. и теор. физики, 1957, 33, № 3, 696—699 (рез. англ.)

Потенциал взаимодействия атомов рассматривается как сумма кулоновского взаимодействия атомов и изменения энергии электронов при сближении ядер, причем последнее вычисляется по статистич. модели Томаса — Ферми. Взаимодействие атомов имеет вид $U_0(R) = Z_1 Z_2 e^2 R^{-1} f_0(R)$, где функция экранирования $f_0(R)$ вычисляется из минимума гамильтониана системы. Результаты, приведенные в виде таблицы $f_0(R)$ как функции от $x = 3/7 (R/a) [(Z_1 + Z_2)^{1/3} - Z_1^{1/3} - Z_2^{1/3}]$ для $x \leq 10$ и при различных $\alpha = Z_2 / Z_1 \times \chi$ ($0 \leq \alpha \leq 1$), показывают, что функция экранирования $f_0(R)$ сильно отличается от функции Томаса — Ферми $\chi(x)$ уже при $\alpha = 1/4$ ($\chi(x)$ является предельным случаем $f_0(x)$ при $\alpha \rightarrow 0$). Это различие особенно велико при больших x . Введение нового масштаба $x' = (Z_1^{1/3} + Z_2^{1/3}) R/a$ приводит к различию $f_0(x')$ и $\chi(x)$ не более 20% (точность статистич. теории), так что с той же точностью взаимодействие атомов может быть описано потенциалом: $U_0(R) = Z_1 Z_2 e^2 R^{-1} \chi [(Z_1^{1/3} + Z_2^{1/3})^{1/3} R/a]$.

А. Зимин

31372. Вариационный расчет дипольной поляризуемости гелиеподобных ионов. Уикнер, Дас (Variational calculations of dipole polarizabilities of helium-like ions. Wilner E. G., Das T. P.), Phys. Rev., 1957, 107, № 2, 497—501 (англ.)

Рассчитана дипольная поляризуемость гелиеподобных ионов H^- , He, Li^+ , Be^{2+} , B^{3+} вариационным методом, с использованием аналитич. функций основного состояния этих ионов, найденных Гриноу, Мудделом, Льюисом и Уоллом (РЖФиз, 1956, 6528). Сравнение с эксперим. значениями дипольной поляризуемости дает удовлетворительные результаты для He (расхождение 7%) и очень хорошие результаты для ионов Li^+ , Be^{2+} , B^{3+} . Для определения степени точности волновых функций основного состояния вычислена диамагнитная восприимчивость. Согласно полученных результатов с эксперим. данными очень хорошее.

А. Осипов

31373. Продолжительность атомных столкновений. Олденберг (Duration of atomic collisions. Oldenberg Otto), Amer. J. Phys., 1957, 25, № 2, 94—97 (англ.)

Указывается на существование класса нецентральных атомных соударений, длительность которых значительно превосходит обычно принимаемые для оценки время пролета атомного расстояния или (для сил притяжения) период колебания атомов в молекуле. В качестве примера рассмотрен процесс соударения двух атомов N в состоянии 1Σ . Все выводы получены путем графич. анализа кривых эффективной потенциальной энергии $U(\text{эфф.})$.

Д. Гречухин
31374. Поляризационные и обменные эффекты при рассеянии электронов на атомах с применением к кислороду. Темкин (Polarization and exchange effects in the scattering of electrons from atoms with application to oxygen. Temkin Aaron), Phys. Rev., 1957, 107, № 4, 1004—1012 (англ.)

Исследовалось влияние поляризации атома налетающим электроном на эффективное сечение упругого рассеяния этого электрона. Поляризация атома вычисляется адиабатически, т. е. решаются ур-ния Хартри — Фока, дополненные возмущением от точного заряда, находящегося в данной точке. Для возмущения использовалось дипольное приближение. Получена система неоднородных интегро-дифференциальных ур-ний для поправки 1-го порядка к одноэлектронным функциям. Если пренебречь некоммутацией оператора обменного взаимодействия с волновыми функциями, эти ур-ния сводятся к системе независимых дифференциальных ур-ний Стернхаймера (РЖФиз, 1955, 16105). Поправки к одноэлектронным nl -функциям содержат сферич. гармоники порядка $l' = l + 1, l, l - 1$. Кроме того, неоднородное ур-ние включает учет взаимодействия с конфигурациями непрерывного спектра. Полученные с учетом поляризационного возмущения и параметрически зависящие от координат рассеиваемого электрона волновые ф-ции атома использовались в интегро-дифференциальном ур-нии рассеиваемого электрона. Дополнительные члены в ур-нии возникают как от обычного, так и от обменного взаимодействия. Первые асимптотически дают классич. поляризационный потенциал a/r^4 , где a — поляризуемость. Численные расчеты проведены для атома кислорода с учетом поправки к волновым функциям только с $l' = 2$. Это соответствует поляризуемости $3,6 \text{ а.е.}^3$; эксперим. значение $5,1 \text{ а.е.}^3$. Однако следует учитывать, что вклады от различных оболочек частично компенсируются и результирующий потенциал включает величину, которая меньше экспериментальной. Приводятся эффективные сечения рассеяния электрона при энергии до 5 эв в различных приближениях.

Л. Вайнштейн

31375. Устойчивость орбит типа 1s в атомах и химическая характеристика водорода. Новое местоположение водорода и гелия в периодической таблице. Торрес (La estabilidad de los orbitales tipo 1s en los átomos y el comportamiento químico del hidrógeno. Nuevas posiciones para el helio y el hidrógeno en la carta periódica. Torres O., Ramírez), Rev. brasileira quim., 1955, 40, № 236, 156—158, 160 (порт.)

Предлагается модифицированная длиннопериодная периодич. таблица с новыми положениями для H и He. Таблица состоит из 5 блоков (распределение элементов по блокам осуществляется по принципу заполнения их электронных оболочек): 1) начальные элементы H и He, 2) щел. и щел.-зем. металлы, 3) регулярные элементы (заполнение np -орбит), 4) переходные металлы, 5) лантаниды и актиниды. Обоснованность выделения H и He в отдельную группу подтверждается, в частности, рассмотрением в хим. р-циях поведения водорода в виде свободного газа, окислителя, иона гидрония H_3O^+ и протона.

К. Петров

31376. Связанные «неокисляющиеся» d-электроны. Бедряг (Electroni d neoxidabili-legati. Bedreag

C. G.), Bul. științ. Acad. RPR. Sec. mat. și fiz., 1956, 8, № 4, 829—838 (рум.; рез. русск., франц.)

Приведены таблицы и график ионизационных потенциалов ($3+ - 10+$) $3d$, $4d$, и $5d$ -элементов. Отмечено, что на кривой зависимости величины ионизационного потенциала от Z имеется характерный перегиб в середине ряда элементов. Дается квантовая интерпретация эффективных квантовых чисел n^* . Объясняется запаздывание в заполнении оболочки $5f$. Произведено сравнение эксперим. значений ионизационных потенциалов со значениями, даваемыми ф-лой Ферми—Зоммерфельда. Приведена «квантовая система элементов».

Из резюме автора
31377. Некоторые соотношения и изменения ионизационного потенциала. II. Аренс (Some ionization potential variations and relationships. II. Ahrens L. H.), J. Inorg. and Nucl. Chem., 1957, 4, № 5-6, 264—272 (англ.)

Рассматривается поведение ионизационных потенциалов I (степень ионизации $3-7$) у элементов переходной группы $3d$ (от Sc до Zn). Третий потенциал I_3 у Sc значительно меньше I_3 Ca, что связано с началом заполнения $3d$ -оболочки. От Sc до Mn величина I_3 возрастает с ростом Z . При переходе от Mn к Fe I_3 уменьшается на $\sim 3,5-4,0$ эв (заполнена половина оболочки $3d$). Далее от Fe до Ga наблюдается рост I_3 . У Ga в связи с появлением p -электрона величина I_3 сильно уменьшается. Аналогичным образом происходит изменение потенциалов I_4 , I_5 , I_6 и I_7 . Скорость изменения величины I увеличивается от I_3 к I_7 . Падение величины I после заполнения половины оболочки $3d$ во всех случаях \sim одинаково. Величина I после заполнения всей оболочки уменьшается значительно для более высоких степеней ионизации. Указанные изменения связываются со строением электронных оболочек. Разности величин I различных элементов сопоставлены с числом и устойчивостью валентных состояний. Показано, что изменения разностей ионизационных потенциалов как в вертикальном направлении (различные квантовые группы), так и в горизонтальном направлении (изменения внутри одной квантовой группы) связаны с изменением стабильности соответствующей валентности. На основе этого объясняется различие в проявлении валентностей у Ti и Zr, Hf и Th, Fe и Ru, Mn и Re. Часть I см. РЖХим, 1957, 29517.

Ю. Донцов
31378. Структура и Zeemanовское расщепление спектра атома иридия, Ir. I. Клеф (Structure and Zeeman effect in the spectrum of the iridium atom, Ir. I. Kleef Th. A. M.), Physica, 1957, 23, № 9, 843—897 (англ.)

На основе анализа существующих данных и новых измерений, включающих наблюдение эффекта Зеемана, исследован дуговой спектр Ir. Классифицировано 2110 линий и идентифицировано 235 уровней, принадлежащих основной и первым возбужденным конфигурациям. Подробно обсуждаются детали классификации. В приведенных таблицах даны волновые числа, спектральные обозначения и g -факторы уровней, а также длины волн, волновые числа, дуговые интенсивности и классификация переходов для линий.

Л. Вайнштейн
31379. Времена жизни состояний, обуславливающих флуоресцентные переходы, в солях редких земель и в рубине. Дике, Холл (Fluorescent lifetimes of rare earth salts and ruby. Dieke G. H., Hall L. A.), J. Chem. Phys., 1957, 27, № 2, 465—467 (англ.)

При помощи фотоэлектрич. регистрации света флуоресценции измерялись времена жизни резонансных уровней 3-валентных ионов Sm, Eu, Gd, Tb и Dy в чистых кристаллич. соединениях и 3-валентного хрома в рубине ($\sim 2\%$ Cr_2O_3 в Al_2O_3) при 77 и

293° К. Времена жизни для $\text{Gd}^{3+} \sim 10^{-3}$, $\text{Tb}^{3+} \sim 4 \cdot 10^{-4}$, $\text{Eu}^{3+} \sim 10^{-4}$, Dy^{3+} и $\text{Sm}^{3+} \sim 10^{-5}$ сек., для $\text{Cr}^{3+} \sim 10^{-3}$ сек. Различные соли одного и того же иона дают почти одинаковые времена. Изучена интенсивность флуоресценции.

Н. Яшпи
31380. Изменения заселенности метастабильных атомов и ионов неона в электрическом разряде постоянного тока. Блевис, Андерсон, Мак-Кей (The decay of the populations of metastable atoms and ions from the same d-c. discharge in neon. Blevins B. C., Anderson J. M., McKay R. W.), Canad. J. Phys., 1957, 35, № 8, 941—953 (англ.)

Исследовалось при идентичных условиях изменение числа положительных ионов и электронов вследствие рекомбинации и метастабильных атомов (состояние 3P_2) неона в период, последующий за прекращением постоянного электрич. разряда в неоне. Для измерения заселенности метастабильных состояний авторы использовали метод и аппаратуру, описанную в работе (РЖХим, 1955, 11073). Электронная плотность измерялась по методу, который разработан ранее (Biondi M. A., Rev. Sci. Instr., 1951, 22, 500). Получены кривые изменения электронных и метастабильных плотностей при различных давлениях (0,5—12,0 мм рт. ст.) в зависимости от времени. Изучена зависимость среднего времени жизни τ 3P_2 -состояния от давления, τ , которая описывается ф-лой $1/\tau = 280/p + 65p + 125$, где 1-й член обусловлен распадом метастабильных за счет диффузии на стенки, 2-й — столкновениями с невозбужденными атомами, а 3-й член связан, по-видимому, со спонтанными переходами. Распад 3P_2 -состояния при всех давлениях происходит по экспоненциальному закону. При малых давлениях в распаде 3P_2 -состояния основную роль играет диффузия на стенки, при больших — столкновения. При малых давлениях плотности электронов и положительных ионов изменяются по экспоненте, и благодаря амбиполярной диффузии на стенках происходит рекомбинация. Коэф. амбиполярной диффузии для этого процесса имеет такую же величину, как и для метастабильных атомов. При высоких давлениях электронная плотность уменьшается так, что обратная величина плотности в зависимости от времени изменяется по линейному закону. Вообще, связи между распадом метастабильных и ионов не наблюдается, однако при высоких давлениях в течение 1-й $\frac{1}{2}$ мсек обнаружено влияние рекомбинации на плотность метастабильных.

Н. Яшпи
31381. Распад триплетных P -состояний неона. Диксон, Грант (Decay of the triplet P levels of neon. Dixon J. R., Grant F. A.), Phys. Rev., 1957, 107, № 1, 118—124 (англ.)

Методом оптич. поглощения измерялось уменьшение со временем конц-ии атомов Ne в метастабильных 3P -состояниях после прекращения тока в разрядной трубке. Для интерпретации результатов измерения поглощения при различных длинах разрядной трубки необходимо ввести эффективное значение параметра α , соответствующего отношению ширины линий испускания и поглощения. Для разных линий этот параметр изменяется от 1,35 до 2,0. По этим данным определялся ход k_0L (k_0 — коэф. поглощения в центре линии поглощения, L — длина поглощающего свет столба) со временем и вычислялся ход конц-ии метастабильных атомов. При использовании теоретич. величин сечений поглощения для различных линий получающиеся значения конц-ии несколько различны. Однако для всех линий при достаточно низком импульсе тока (< 1 ма) наблюдается экспоненциальный ход конц-ии с одинаковым временем жизни для каждой компоненты триплета. При большей силе тока вначале наблюдается более быстрое убывание конц-ии

метастабильных атомов, что объясняется ролью заряженных частиц. Получена также зависимость времени жизни от давления. Для метастабильных состояний она хорошо согласуется с допущением, что распад обусловлен диффузией на стенки и парными тупыми столкновениями. Для двух компонент 3P_0 и 3P_2 получаются одинаковые сечения этих процессов: $42,7 \cdot 10^{-16}$ и $10,4 \cdot 10^{-20}$ см². Для объяснения зависимости от давления метастабильной компоненты 3P_1 необходимо учитывать пленение излучения. Исследовалось также время жизни тех же уровней в смеси Ne с He.

Л. Вайнштейн
31382. Отношение интенсивностей флуоресценции линий дублета натрия, наблюдаемого при оптической диссоциации паров йодистого натрия. Хансон (Fluorescence intensity ratio of sodium doublet observed in the optical dissociation of sodium iodide vapor. Hanson Howard G., J. Chem. Phys., 1957, 27, № 2, 491—494 (англ.))

Измерено отношение интенсивности D_2/D_1 линий флуоресценции дублета натрия, возникающих при фотодиссоциации паров NaI под действием света в области 2082—2500 Å. Отношение D_2/D_1 растет с уменьшением длины волны возбуждающего света от 0,98 при 2082 Å до 1,52 при 2500 Å. Добавление постороннего газа (Ar, пары воды) увеличивает отношение до 1,89, что близко к отношению статистич. весов состояний $^3P_{1/2}$ и $^3P_{3/2}$. Измерено поперечное сечение для перевода атомов Na из состояния $^3P_{1/2}$ в $^3P_{3/2}$ и обратно в зависимости от относительных скоростей возбужденных атомов Na и постороннего газа. Оно имеет тенденцию к уменьшению с ростом скоростей. Поперечное сечение для процесса $^3P_{1/2} \rightarrow ^3P_{3/2}$ при столкновении с парами воды или Ar в 1,89 раза меньше, чем для обратного процесса. Скорость атомов Na определялась по доплеровскому уширению линий флуоресценции.

В. Ермолаев
31383. Температуры возбуждения в искровом разряде. Кандалл, Крагс (Excitation temperatures in spark discharges. Cundall C. M., Craggs J. D., Spectrochim. acta, 1957, 9, № 1, 68—88 (англ.))
Описываются спектроскопич. измерения т-р возбуждения T_x в облаке паров Mg, Cd и Zn в искровом разряде от генератора импульсов прямоугольной формы при амплитуде импульсов 600 и 200 а и длительностью 3—3,5 мкс. Разряд между металлич. электродами протекал в атмосфере водорода ($p \sim 760$ мм рт. ст.). Измеренные значения T_x изменяются от 6000 до 40 000° K в зависимости от условий. Исследование временной зависимости T_x показало, что T_x достигает максим. значения через 1—2 мкс. после окончания импульса и далее постепенно падает. Падение T_x в послесвечении связано с уменьшением энергии электронов, столкновение с которыми, как показывает теоретич. расчет, играет в данном случае решающую роль. Максим. значение T_x является наибольшим для Mg (как при 600 а, так и при 200 а) и наименьшим для Zn (различие между T_x для Zn и Cd невелико). Изучение распределения по различным участкам разряда показало, что за время выброса струи паров металла T_x вблизи эмитирующего электрода практически постоянна и изменяется вдоль разрядного промежутка в соответствии с движением струи паров. Это изменение T_x вдоль разрядного промежутка является причиной флуктуации интенсивностей спектральных линий. Временное исследование излучения водорода в разных участках разряда между металлич. электродами (различные комбинации электродов из Mg и W) показало, что присутствие в разряде паров металлов увеличивает отношение интенсивностей

I_{H_α}/I_{H_β} . Наибольшее значение I_{H_α}/I_{H_β} наблюдается в послесвечении в присутствии паров Mg. Вычисленные из штарк-уширения линий H_β и H_γ концы ионов оказались наибольшими в начале импульса тока вблизи электродов. С развитием импульса концы ионов падает до постоянной величины $\sim 3,3 \cdot 10^{17}$.

К. Петров
31384. Рентгеновские спектры плутония и уровни энергии трансурановых элементов. Кошуа (Spectres X du plutonium et niveaux d'énergie des éléments transuraniens. Cauchois Y., m-lle), J. phys. et radium, 1955, 16, № 12, 81S—83S (франц.)

L-спектры поглощения Pu исследовались на рентгеновском спектрографе с кристаллом слюды (плоскости отражения (201)), изогнутым по радиусу 40 см. Реперными линиями служили K_{α_1, α_2} и $K_{\beta_{1,2}}$ линии Pd, Ru, Mo и Ag. Слой PuO_2 в тол-ве 12,5 мк наносился на поверхность тонкой кварцевой пластинки и покрывался фольгой из Al для поглощения α -частиц, возникающих при радиоактивном распаде Pu. Приведены микрофотограммы $L_{III, II, I}$ -краев поглощения Pu в PuO_2 . Обсуждена проблема энергетич. уровней трансурановых элементов.

Р. Баринский
31385. Новые измерения линий $L_{\alpha_{1,2}}$ лантана.

Расселл, Стюардсон (A re-measurement of the $L_{\alpha_{1,2}}$ lines of lanthanum. Russell P. C., Stewardson E. A., Proc. Phys. Soc., 1957, A70, № 1, 91—92 (англ.))

Измерены длины волн линий L_{α_1} и L_{α_2} в спектре лантана. В качестве линий отсчета использовались K_{α_1} Ni и Cu. Получено соответственно 2660,06 и 2669,71 Å, что на несколько десятых Å выше результатов ранних измерений. Однако, как и прежде, найденное отсюда расстояние между M_{IV} - и M_V -уровнями ($\nu/R = 1,24$) оказывается значительно меньше расстояния, получаемого по линиям M_{α} и M_{β} (1,56).

Л. Вайнштейн
31386. Определение спина и магнитного момента P^{32} с помощью двойного электронно-ядерного резонанса. Феэр, Фуллер, Гир (Spin and magnetic moment of P^{32} by the electron nuclear double-resonance technique. Feher G., Fuller C. S., Gere E. A.), Phys. Rev., 1957, 107, № 5, 1462—1464 (англ.).

Методом двойного электронно-ядерного резонанса измерен спин ядра P^{32} и определен знак магнитного момента. Спин $I(P^{32}) = 1$, а $\mu(P^{32})$ имеет отрицательный знак. Эксперименты подтвердили, что магнитный момент ядра P^{31} положителен.

Н. Яшин
31387. Расщепления в сверхтонкой структуре и магнитные моменты Rb^{81} , Rb^{82} , Rb^{83} и Rb^{84} . Хабс, Ниренберг, Шугарт, Силсби, Сандерленд (Hyperfine-structure separations and magnetic moments of Rb^{81} , Rb^{82} , Rb^{83} , and Rb^{84} . Hubbs J. C., Nierenberg W. A., Shugart H. A., Silsbee H. B., Sunderland R. J.), Phys. Rev., 1957, 107, № 3, 723—727 (англ.))

Методом магнитного резонанса в атомном пучке произведено измерение сверхтонкой структуры, радиоактивных изотопов Rb^{81} , Rb^{82} , Rb^{83} и Rb^{84} . Методика хим. выделения изотопов и техника получения пучка описаны ранее (РЖХим, 1957, 47013). Авторами для исследования резонансных линий малых кол-в в-ва была разработана спец. методика. Величина сверхтонкого расщепления $\Delta\nu$ находилась из ф-л $\Delta\nu = [(\nu + g_I \mu_0 H/h) \times (-g_J \mu_0 H/h - \nu)] / [\nu + g_J \mu_0 H/(2I+1)h + (2I/(2I+1))g_I \mu_0 H/h]$ и $|g_I| = |g'_I| (2I'+1)/(2I+1) (\Delta\nu/\Delta\nu')$, где I — спин ядра, g_I и g_J — соответственно ядерный и электронный g-факторы, μ_0 — ядерный магнетон и H — магнитное поле (штрихованные величины относятся к

стабильному изотопу Rb). Величина магнитного поля находилась по резонансу в Rb^{85} и Rb^{87} . Знак $\Delta\nu$ определялся по сходимости в различных полях результатов, получаемых для величины $\Delta\nu$. Получены следующие средние взвешенные величины для расщеплений (в Mc): $\Delta\nu(Rb^{81}) = 5097 \pm 13$; $\Delta\nu(Rb^{82}) = 3094,1 \pm 2,4$; $\Delta\nu(Rb^{83}) = 3183,3 \pm 5,8$; $\Delta\nu(Rb^{84}) \pm 3077,5 \pm 5,1$. Вычислены ядерные магнитные моменты (в единицах μ_0): $\mu(Rb^{81}) = +2,05 \pm 0,02$; $\mu(Rb^{82}) = +1,50 \pm 0,02$; $\mu(Rb^{83}) + 1,42 \pm 0,02$ и $\mu(Rb^{84}) = -1,32 \pm 0,02$. Величины магнитных моментов не исправлены на диамагнитное экранирование. Полученные результаты обсуждены с точки зрения модели ядерных оболочек.

Н. Яшин
31388. Спин и магнитный момент Zr^{91} . Брун, Эзер, Штауб (Spin und magnetisches Moment von Zr^{91} . Brun E., Oeser J., Staub H. N.), Helv. phys. acta, 1957, 30, № 4, 267 (нем.)

Методом ядерной индукции наблюдался ядерный резонанс Zr^{91} в 0,7 М р-ре $(NH_4)_2ZrF_6$ в D_2O без парамагнитных добавок. Отношение резонансных частот Zr^{91} и D^2 в одном и том же магнитном поле равно $\nu(Zr^{91})/\nu(D^2) = 0,60557 \pm 0,00001$. Значения спина и магнитного момента Zr^{91} равны $I = 5/2$, $\mu = -1,29802 \pm \pm 0,00002$ (яд.). Короткое время релаксации для Zr^{91} ($10^{-4} - 10^{-5}$ сек.) показывает, что ядро Zr^{91} должно обладать значительным электрич. квадрупольным моментом.

А. Ахматов

31389. Структура резонансной линии дугового спектра бария. Джексон (Structure of the resonance line of the arc spectrum of barium. Jackson D. A.), Phys. Rev., 1957, 106, № 5, 948—952 (англ.)

Исследовалась структура резонансной линии Ba I 5535 Å. Метод исследования — трехкратный пучок высокой коллимации (28:1) в поглощении. Прибором высокой разрешающей силы служил эталон Фабри — Перо. Обнаружено, что изучаемая линия имеет 4 компонента; определены интервалы между ними и их интенсивности. Автор делает попытку интерпретировать эту структуру на основе возможного изотопич. смещения и малой величины сверхтонкого расщепления.

Н. Яшин

31390. Сверхтонкая структура основного состояния европия. Кребе, Винклер (Die Hyperfeinstruktur des Grundzustandes des Europiums. Krebs K., Winkler R.), Ann. Physik, 1957, 20, № 1-6, 60—69 (нем.)

Оптическим методом, применяя источник света с полым катодом и интерферометр Фабри — Перо с семислойными покрытиями на пластинах, исследовалась сверхтонкая структура на линиях 6803, 7040, 5783, 7106 и 6865 Å спектра Eu I. Определение постоянных магнитного (A) и квадрупольного (B) взаимодействий производились графич. путем. Поскольку сверхтонкая структура измеряемых линий обусловлена расщеплением верхнего и нижнего уровней, авторы применили метод последовательного определения постоянных A и B для термов (вначале для верхних и в завершение для основных). Для Eu^{151} получены следующие результаты (в 10^3 см $^{-1}$): $A(e^{10}P_{1/2}) = -10,05 \pm 0,10$; $B(e^{10}P_{1/2}) = -0,008 \pm 0,002$; $A(e^{10}S_{1/2}^0) = 49,41 \pm 0,07$; $A(z^{10}P_{1/2}) = 33,89 \pm 0,04$; $B(z^{10}P_{1/2}) = -0,017 \pm 0,001$; $A(z^{10}P_{3/2}) = 32,04 \pm 0,08$; $B(z^{10}P_{3/2}) = 0,009 \pm 0,001$; $A(a^8S_{7/2}^0 - \text{основной терм}) = -0,93 \pm 0,05$.

Н. Яшин

31391. Спин U^{235} и отношения ядерных моментов U^{235} и U^{238} . Блез, Герстенкорн, Лувен (Spin de ^{235}U et rapports des moments nucléaires de ^{235}U et ^{238}U . Blaise Jean Gerstenkorn Simon, Louvegnies Michèle), J. phys. et radium, 1957, 18, № 5, 318—319 (франц.)

С помощью эталона Фабри — Перо с фотоэлектрич.

регистрацией спектра и в полем катод, охлаждаемом жидким азотом, исследована сверхтонкая структура U^{235} на линии 5915 Å ($5f^3 6d 7s^2 {}^6L_6^0 - 169$) (обогащение $U^{235} - 21\%$). На основании анализа интенсивностей компонент сверхтонкой структуры определен спин $I(U^{235}) = 7/2$. Для терма 169, определены постоянные магнитного и квадрупольного взаимодействия, которые соответственно равны (в см $^{-1}$): $(-3,93 \pm 0,1) \cdot 10^{-3}$ и $(-55,7 \pm 1,0) \cdot 10^{-3}$. Используя данные, опубликованные ранее для этого же терма изотопа U^{238} (РЖХим, 1955, 51226), авторы получили отношения для магнитных и квадрупольных моментов ядер U^{235} и U^{238} , $\mu^{235}/\mu^{238} = -0,65$ и $Q^{235}/Q^{238} = +1,4$. Изотопич. смещение на линии 5915 Å между изотопами U^{235} и U^{238} равно 0,2811 см $^{-1}$.

Н. Яшин

31392 К. Вычисление атомной структуры (The calculation of atomic structure; based on lectures given under the auspices of the William Pyle Phillips fund of Haverford College, 1955. Hartree Douglas Rayner. New York, Wiley, 1957, 194 pp., ill., 5 doll.) (англ.)

См. также: Расчет многоэлектронных систем 31360, 31394. Периодич. системы 31366. Ат. спектры 31364, 31419, 31432, 31452

МОЛЕКУЛА. ХИМИЧЕСКАЯ СВЯЗЬ

Редакторы Д. А. Бочвар, А. А. Мальцев

31393. К соотношению между методом электронного газа и методом молекулярных орбит. Бочвар Д. А., Станкевич Н. В., Чистяков А. Л., Изв. АН СССР. Отд. хим. н., 1957, № 11, 1414

Ур-ние электрона в потенциальном ящике с постоянным потенциалом при определенном типе граничных условиях есть частный случай формализма для нахождения коэф. при АО в простейшей форме метода МО ЛКАО в применении к задаче о π -электронах сопряженной системы n -атомов углерода. Д. Б. 31394. Решение уравнения Шредингера для атомов с двумя электронами. III. Дальнейшее развитие метода. Симметричные S-состояния. Мунши (Résolution de l'équation de Schrödinger des atomes à deux électrons. III. Suite de la méthode. Etats S symétriques. Munsch G.), J. phys. et radium, 1957, 18, № 10, 552—558, 606 (франц.; рез. англ.)

Путем использования замены переменных (несколько аналогичной хиллераасовской) и некоторых ортонормированных базисных функций (БФ) решение ур-ния Шредингера сводится к решению бесконечной системы линейных однородных алгебраич. ур-ний, а нахождение собственных значений оператора энергии — к решению векового ур-ния, получающегося приравниванием к нулю детерминанта, составленного из коэф. при неизвестных в указанной системе. Собственные значения в N -приближении находятся из векового ур-ния, получаемого при соответствующем образовании детерминанта, причем точные собственные значения являются предельными значениями приближенных при $N \rightarrow \infty$. Определяются коэф. вышеупомянутой системы, устанавливаются рекуррентные соотношения между используемым БФ, а также связь их с гипергеометрич. функциями Гаусса. Показано, что некоторая линейная комбинация этих БФ описывает симметричные S'-состояния двухэлектронных атомов. Утверждается, что метод может быть применен и для исследования других задач квантовой механики. См. РЖФиз, 1956, 25131. Часть II, РЖХим, 1958, 13454. Л. Борисоглебский

31395. О двух расчетах σ -электронных зарядов связей в пропане. Быков Г. В., Ж. физ. химии, 1957, 31, № 7, 1654—1655

Сравнение результатов расчетов σ -электронных зарядов связей в пропане по методу МО (РЖХим, 1956, 49813) и по методу автора (РЖХим, 1957, 68153). Отмечено хорошее согласие значений, полученных автором, и значений, найденных Сандорфи. Автор отмечает это подтверждением указанной им (РЖХим, 1958, 60) возможности разработки простых методов расчета электронных зарядов связей — методов, эквивалентных по результату квантовомеханическим, но в то же время доступных химикам, не имеющим спец. подготовки.

31396. Самосогласованное молекулярное поле и неэффективные связи. Спараторе (Campo molecolare self-consistent e legami ineffettivi. Sparatore Elio), Gazz. chim. ital., 1957, 87, № 9, 1025—1037 (итал.)

В простейшем полуэмпирич. методе ЛКАО МО расчета π -электронных систем обычно предполагается, что все обменные интегралы между атомами, не связанными σ -связями (неэффективными связями), равны нулю. Для того чтобы учесть взаимодействие электронов в полуэмпирич. методе МО ЛКАО, т. е. ввести самосогласованное молекулярное поле (СМП), необходимо воспользоваться каким-либо соотношением между обменным интегралом β_{rs} и величиной, характеризующей степень заселенности МО, напр. порядком связи P_{rs} . При этом величины всех обменных интегралов определяются из условия самосогласования. Автор предлагает соотношения вида $\beta_{rs}/\beta_0 = 1/2(1 + P_{rs})$ и $\beta_{rs}/\beta_0 = 1/2 \cdot P_{rs}$ в зависимости от того, связаны ли атомы r и s σ -связью или нет. Доказывается, что в случае альтернированных углеводородов коэф. разложения МО по АО, найденные в соответствии с простейшим методом МО (все соседние обменные интегралы β_{rs} одинаковы, все несоседние равны нулю), уже являются решением задачи самосогласованного поля. Уровни же энергии изменяются в соответствии с равенством $k_i = 1/2(k_{i0} - n_i - 1)$, в котором $k_{i0} = (\alpha - \epsilon_{i0})/\beta_0$, α — кулоновский интеграл, ϵ_{i0} — i -тый уровень без учета самосогласования, $k_i = (\alpha - \epsilon_i)/\beta_0$, ϵ_i — i -тый уровень в СМП и n_i — число заполнения i -того уровня. В частности, энергия резонанса в СМП поле оказывается в 2 раза меньше, чем без учета СМП. Указывается, что кратность вырождения уровней и энергия 1-го электронного перехода ($N \rightarrow V_1$) одинакова при учете и без учета СМП. В качестве примеров рассмотрен бутadiен (альтернированный углеводород) и фульвен (неальтернированный углеводород), для которого найдено, что энергия резонанса с учетом СМП меньше половины энергии резонанса, вычисленной без учета СМП.

31397. Исследование пирена по методу Паризера и Парра. Боде (Etude du pyrene par la methode de Pariser et Parr. Baudet Jeanne), C. r. Acad. sci., 1957, 245, № 20, 1730—1732 (франц.)

Приводятся следующие результаты расчета энергий возбуждения первых электронных переходов в молекуле пирена, полученные по методу Паризера и Парра: а) $A_{1g}^+ - {}^3B_{2u}^+$: 2,02; 2,00; 2,08; б) $A_{1g}^- - {}^1B_{3u}^-$: 3,79; 3,76; 3,35; в) $A_{1g}^- - {}^1B_{2u}^+$: 4,12; 3,89; 3,75 (цифры, следующие за символом термина, последовательно означают значения энергии возбуждения в эв, вычисленные в одноконфигурационном приближении; вычисленные с учетом взаимодействия конфигураций; эксперим. значение). Низшие возбужденные триплетное и синглетное состояния обладают различной симметрией. Низший триплетный

терм ${}^3B_{2u}^+$ соответствует переводу электрона с высшей занятой МО на вторую из свободных МО. Теоретич. значение интенсивностей электронного перехода в основное состояние для термина ${}^1B_{2u}^-$ равно нулю (эксперимент: 0,003), для термина ${}^1B_{2u}^+$ оно равно 1,50 или 0,20 (соответственно без учета или с учетом взаимодействия конфигураций), эксперим. значение: 0,43.

31398. Исследование Li_2 методом ЛКАО МО самосогласованного поля. Фолкнер (SCF LCAO MO study of Li_2 . Faulkner James E.), J. Chem. Phys., 1957, 27, № 2, 369—373 (англ.)

Метод самосогласованных МО в форме ЛКАО, использующий полный шестизлектронный гамильтониан, применяется к исследованию основного состояния Li_2 с расщеплением между ядрами, равным 5,05 ат. ед. МО записываются $m\sigma_{g,u} = C_{m1g,u}\sigma_{g,u}^{1s} + C_{m2g,u}\sigma_{g,u}^{2s} + C_{m3g,u}\sigma_{g,u}^{2p}$ ($m = 1, 2, 3$), где $\sigma_{g,u}^{1s}$, $\sigma_{g,u}^{2s}$, $\sigma_{g,u}^{2p}$ — элементарные симметрич. орбиты, построенные из $1s$, $2s$, $2p$ АО слейтеровского типа с постоянными экранирования, соответственно равными 2,69; 0,64; 0,53. Наряду с полным исследованием, рассматриваются два упрощенных расчета, использующих МО следующих видов: 1) $1\sigma_g$ и $1\sigma_u$ МО образуются только из $1s$ АО; $2\sigma_g$ образуется из $2s$ АО с добавлением $1s$; 2) $1\sigma_g$ и $1\sigma_u$ образуются только из $1s$ АО, $2\sigma_g$ образуется из $2s$ и $2p_g$ с добавлением $1s$. Приводятся найденные значения коэф. ЛКАО, энергии диссоциации, мол. квадрупольного момента, первого потенциала ионизации и вертикального возбуждения в первое синглетное возбужденное состояние ${}^1\Sigma_u^+$. Эти величины сравниваются с имеющимися эксперим. данными. Автор проводит анализ электронного распределения и дает значения величин, определяющих заселенности атомов и связей. Приводится сравнительная таблица результатов расчетов энергии основного состояния Li_2 различными методами. Настоящий расчет, за исключением используемых параметров, аналогичен расчету Котани (РЖХим, 1957, 3459).

31399. Сокращение d -орбит при образовании химической связи. Крейг, Магнуссон (d -Orbital contraction in chemical bonding. Craig D. P., Magnusson E. A.), J. Chem. Soc., 1956, Dec., 4895—4909 (англ.)

Оценка интегралов перекрывания показывает, что участие весьма размытых $3d$ -орбит свободного центрального атома А в молекуле $AX_n/A-P$ или S ($n = 5$ или 6) в гибридных ковалентных связях с атомами Х ($X-Cl$ или F) энергетически невыгодно. Положение существенно меняется, если учесть возмущение присоединенными электроотрицательными атомами Х, приводящее к значительному сжатию d -орбит центрального атома. Для колич. расчета эффекта исследуется поведение $3d$ -электрона в электростатич. поле ядра центрального атома с эффективным зарядом Z_a и шести положительных точечных зарядов Z_s , находящихся в вершинах тетраэдра (на расстоянии σ от центрального атома). Вариационный расчет (с учетом только сферически симметричной части потенциала) показывает, что действие положительных зарядов Z_s сводится главным образом к увеличению эффективного заряда $3d$ -орбиты в молекуле по сравнению с его значением для свободного атома А. Заметное сжатие $3d$ -орбит имеет место только в том случае, когда значительная часть электронного облака невозмущенной орбиты лежит вне сферы радиуса σ . Напр., если радиальный максимум $3d$ -орбиты в свободном атоме Р (в конфигурации $3s 3p^3 3d$) лежит при $r(\text{макс.}) = 9$ ат. ед., то в октаэдрич. поле единичных положительных зарядов (при $\sigma =$

— 3 ат. ед.) $r(\text{макс.}) = 2,8$ ат. ед. Приводятся также результаты аналогичных расчетов сжатия $4f$ -орбит. Рассматривается ряд других вопросов: изменение (обычно повышение) энергии перевода атома А в валентное состояние в молекуле по сравнению со свободным атомом А; влияние взаимодействия двух эквивалентных $3d$ -электронов в конфигурации $3s\ 3p^3\ 3d^2$ на сжатие $3d$ -орбиты; учет высших сферич. гармоник в разложении возмущающего потенциала, создаваемого октаэдрич. расположением точечных зарядов; учет отклонений этого потенциала от октаэдрич. симметрии (в молекулах типа AX_2Y_2); взаимодействие $3d$ -орбит с другими орбитами центрального атома. Приведен расчет сжатия водородоподобных валентных орбит центрального атома в молекулах PX_3 и SX_6 . Влияние атомов Х учитывается в приближении точечных зарядов. Как в случае фосфора, так и в случае серы, интегралы перекрывания «сжатых» $3d$ -орбит атома А с валентными орбитами атомов Х оказываются сравнимыми с соответствующими интегралами для $3s$ - и $3p$ -орбит центрального атома. В заключение отмечается, что в результате сжатия $3d$ -орбит атома S в молекуле SO_3 наиболее выгодным является валентное состояние sp^3d^2 атома S, соответствующее трем двойным связям $S=O$. Т. Ребане

31400. Исследование электронной структуры молекулы этилена. Нагахара, Буссейрон кэнкю, 1957, № 107, 70—86 (японск.; рез. англ.)

Сравнительное исследование устойчивости для двух моделей молекулы этилена — модели Пенни (α -структура) и модели Слейтера — Паулинга (β -структура), на основе теории, предложенной автором (РЖХим, 1957, 53651) для энергии и длины связи. Автор приходит к выводу, что α -модель более устойчива. Д. Б.

31401. Теория поля лигандов. Гриффит, Оргел (Ligand-field theory. Griffith J. S., Orgel L. E.), Quart. Revs. London Chem. Soc., 1957, 11, № 4, 381—393 (англ.)

Обзор. Библ. 41 назв.

31402. Электронная структура линейной конфигурации молекулы воды. Бюрнелль (La structure électronique de l'eau dans sa configuration linéaire. Burnelle Louis), Bull. cl. sci. Acad. roy. Belgique, 1957, 43, № 9, 647—652 (франц.; рез. англ.)

Уточнена электронная волновая функция Эллисона и Шалла (РЖХим, 1956, 70892) для линейной конфигурации молекулы воды, посредством суперпозиции четырех конфигураций ψ_k ($K = I, II, III$ и IV), содержащих «искривленные» связи $O-H$. Конфигурации ψ_k отличаются друг от друга только поворотами на 90° вокруг оси $H-O-H$. Соотв. вариационный расчет показывает, что учет искривления связей $O-H$ приводит к уменьшению теоретич. продольных дипольных моментов связей $O-H$ на 5% (по сравнению с результатами Эллисона и Шалла) и устраняет нерегулярности в зависимости теоретич. значения поперечного дипольного момента связи $O-H$ от валентного угла $\alpha = \angle HOH$, имевшиеся в промежутке $120^\circ \leq \alpha \leq 180^\circ$. Т. Ребане

31403. Корреляция электронов и ее химические следствия. Диккенс, Линнетт (Electron correlation and chemical consequences. Dickens P. G., Linnett J. W.), Quart. Revs. London Chem. Soc., 1957, 11, № 4, 291—312 (англ.)

Обзор. Библ. 14 назв.

31404. О магнитных моментах и величинах q комплексных ионов. Камимуро (On the magnetic moment and q -value of complex ions. Kamimura Hiroshi), J. Phys. Soc. Japan, 1956, 11, № 11, 1171—1181 (англ.)

Рассмотрены магнитные свойства ионов (MX_6)

в соответствии с теорией кристаллич. поля без учета ковалентных связей MX . Предполагается, что куб. симметрия поля мало нарушена, так что члены потенциальной энергии тригональной и тетрагональной симметрии могут учитываться как добавочное возмущение вместе со спин-орбитальным взаимодействием. Найдены уровни энергии, величины g и g_1 , а также

магнитные восприимчивости конфигурации $(de)^n$ (de — триплетный уровень d -орбит в куб. поле) при $1 \leq n \leq 5$ в зависимости от двух параметров — энергии спин-орбитального взаимодействия и силы поля более низкой симметрии. Сравнение вычисленной и опытной зависимости магнитной восприимчивости от n в случаях $K_2Fe(CN)_6$ и $K_3Mn(CN)_6$ приводит к качественному совпадению. Возможные неточности связаны с учетом конфигураций с участием du (дублетный уровень d -орбит в куб. поле) и игнорированием зависимости искажения куб. симметрии поля от n -ры. Е. Никитин

31405. Магнитное проявление переноса заряда в октаэдрических комплексах. Оуэн (The magnetic evidence for charge transfer in octahedral complexes. Owen J.), Disc. Faraday Soc., 1955, № 19, 127—134. Discuss. 173—186 (англ.)

При помощи метода ЛКАО МО без учета перекрывания обсуждаются магнитные свойства октаэдрич. комплексов MX_6 , в которых М является положительным ионом с незаполненной $3d$ -, $4d$ - или $5d$ -оболочкой. Квинтет d -орбит распадается под действием поля лигандов на дублет d_{xy} и триплет $de(E_{xy} > E_g)$, из которых в комбинации с p -орбитами атомов Х могут быть образованы σ - (2 связывающие и 2 разрыхляющие) и π - (3 связывающие и 3 разрыхляющие) МО. Магнитные свойства и спектр парамагнитного резонанса (СПР) комплекса определяются величиной энергии расщепления $\Delta = E_{xy} - E_g$ и весами АО в МО. Если Δ мало по сравнению с энергией расщепления саундерсовской связи, то спин основного состояния определяется правилом Гунда; в противном случае уровни de и du заполняются последовательно. Из сверхтонкой структуры СПР ядра Х и уменьшения магнитного момента d -электронов иона М оцениваются величины переносов зарядов типов $X \rightarrow M$ и $M \rightarrow X$. Для гидратированных комплексов с $3d$ -оболочкой ковалентные π -связи очень слабы, а в комплексах $[M(CN)_6]^{3-}$ с $3d$ -оболочкой и комплексах с $4d$ - и $5d$ -оболочками проявляются сильные σ -связи и существенные π -связи. Е. Никитин

31406. Электронная заселенность атомов и связей в ненасыщенных молекулах. Маслен, Коулсон (Electronic atom and bond populations in unsaturated molecules. Maslen V. W., Coulson C. A.), J. Chem. Soc., 1957, Sept., 4041—4049 (англ.)

Дана общая теория сопряженных систем с учетом перекрывания соседних π -орбит. Вместо введенного ранее понятия порядка связи P_{rs} , не зависящего от перекрывания S_{rs} соседних АО (Coulson, Longuet-Higgins, Proc. Roy. Soc., 1947, A191, 39), вводится понятие заселенности (заряда) связи rs : $q_{rs} = 2\sum_j C_r(j) C_s(j) S_{rs}/N_j^2$, где индекс j нумерует заполненные МО, $C_r(j)$ — коэф. при r -й АО в МО с номером j и нормальным множителем N_j . Заряд атома определен, как и раньше; $q_r = \sum_j C_r^2(j)/N_j^2$. Сумма зарядов (полная заселенность) всех атомов и связей молекулы равна числу π -электронов. Это очевидное условие нормировки не выполняется в недавно развитой теории сопряженных систем (РЖХим, 1957, 65470, 73659). В соответствии с указанной работой Коулсона и Лонгет-Хиггинса дано выражение для q_r и q_{rs} через контурные интегралы. Установлены общие теоремы о поляризуемостях и рассмотрено приближение Уэланда — пропорциональность обменного интеграла и

интеграла перекрытия. Показано, что в этом приближении учет перекрытия почти не сказывается на расположении уровней энергии. Качеств. зависимость индекса свободной валентности от энергии локализации, а также заряда связи (порядка связи — в старой теории) от длины связи остается одинаковой в старой (без учета перекрытия) и развитой теории. Поляризуемости $\pi_r, \pi_{rs}, \pi_{rs}, \pi_{rs}, \pi_{rs}, \pi_{rs}$ атомов и особенно связей существенно зависят от отношения S_{rs}/β_{rs} . В качестве примера рассмотрены поляризуемости бензола и нафталина с учетом и без учета перекрытия. Е. Никитин 31407. Определение энергии электронного сродства атомов серы методом поверхностной ионизации. Бакулина И. Н., Ионов Н. И., Докл. АН СССР, 1957, 116, № 1, 41—44

Ток отрицательных ионов с горячей ионизирующей поверхности определяется ф-лой $I = n e / [1 + (g_a/g_p) \times \chi \exp \{(\phi - S) / kT\}]$, где n — поток атомов к поверхности, S — энергия электронного сродства атомов, ϕ — работа выхода поверхности, g_p и g_a — статистич. веса элемента и ионном и соответственно в атомном состояниях. Авторами произведено сравнение токов отрицательных ионов двух элементов — Br и S, которое позволяет определить разность $S_{Br} - S_S = T/5040 [\lg (I_{Br}/I_S) + \lg (n_S g_a Br g_p S / n_{Br} g_p Br g_a S)]$ и, следовательно, если известны S_{Br} , статистич. веса и потоки атомов — величину S_S . Мол. пучки NaBr и Na₂S поочередно направлялись на вольфрамовую нить, нагретую до $T = 1800-2300^\circ$. Исследование продуктов поверхностной ионизации производилось на масс-спектрометре с высокой чувствительностью, позволяющем установить: I_{Br}/I_S — по ионным токам Br⁻ и S⁻; n_{Br}/n_S — по ионным токам Na⁺ из обоих в-в при предположении, что на поверхности происходит полная диссоциация молекул NaBr и Na₂S. Считая, что $g_{aBr} = 4$, $g_{pBr} = 1$, $g_{aS} = 8$, $g_{pS} = 4$, авторы нашли $S_{Br} - S_S = 1,23 \pm 0,1$ эв, и, так как $S_{Br} = 3,6$ эв, $S_S = 2,37$ эв. Е. Франкевич

31408. Фотоионизация паров некоторых органических соединений. Вилесов Ф. И., Теренин А. Н., Докл. АН СССР, 1957, 115, № 4, 744—746

Измерялись первые потенциалы ионизации ряда органич. соединений. Ионизация производилась светом Н-ламп, монохроматизированным дифракционной решеткой (600 штрихов на 1 мм). Для регистрации ионов использовались следующие методы: 1) конденсатора — измерение тока электрометрич. усилителем, 2) ионизационной камеры с газовым усилением и 3) счетчика Гейгера. Получены следующие потенциалы ионизации (в эв; точность 0,02—0,03 эв): C₆H₆ 9,24; C₆H₅CH₃ 8,81; o-C₆H₄(CH₃)₂ 8,56; m-C₆H₄(CH₃)₂ 8,59; p-C₆H₄(CH₃)₂ 8,44; C₆H₅(CH₃)₃ 8,41; C₆H₅(CH₃)₄ 8,05; C₆H(CH₃)₅ 7,92; C₆H₅-NH₂ 7,69; C₆H₅-NH-NH₂ 7,64; m-толуидин 7,50; C₆H₅-NH-CH₃ 7,34; C₆H₅-N(CH₃)₂ 7,14; C₆H₅CH₂-NH₂ 8,64; C₆H₅-OH 8,52; нафталин 8,14; C₆H₅-HCO 9,60; хинон 9,67; NH₂-NH₂ 9,56; (H₂CO) мономер 10,90; (H₂CO) димер 10,51; (CH₃)₂C=O 9,71; CH₃NC=O 10,20; CH₃C₂H₅C=O 9,55; CH₃C₂H₅C=O 9,47; (C₂H₅)₂O 9,65; CH₃C₂H₅OC=O 9,56. Е. Франкевич

31409. Потенциалы ионизации некоторых органических молекул. V. Гетероциклические соединения, содержащие азот. Омуга, Баба, Хигаши, Канаока (Ionization potentials of some organic molecules. V. Heterocyclic compounds containing nitrogen. Omura Ito, Baba Hiroaki, Higashi Keniti, Kanoaka Yuichi), Bull. Chem. Soc. Japan, 1957, 30, № 6, 633—637 (англ.)

Изучалось влияние заместителей на потенциалы ионизации гетероциклич. соединений. На масс-спек-

трометре методом крит. наклона измерены первые потенциалы ионизации пиридазина (o-C₄H₄N₂) (9,86 ± 0,05 эв), пиримидина (m-C₄H₄N₂) (9,91 ± 0,05 эв), пиазина (n-C₄H₄N₂) (10,01 ± 0,02 эв), s-триазина (C₃H₃N₃) (10,07 ± 0,05 эв), 2,3-лутидина (2,3-диметилпиридин, C₇H₇N) (9,68 ± 0,02 эв), 2,4-лутидина (9,43 ± 0,02 эв) и 2,6-лутидина (9,57 ± 0,02 эв). Дана качествен. интерпретация изменений потенциалов ионизации в изученных соединениях при предположении, что эти потенциалы определяются несвязывающими электронами атомов N. Сообщение IV см. РЖХим, 1958, 16765. Е. Франкевич

31410. Молекулярные колебания и стандартное отклонение межатомных расстояний в бензоле. Бастиянсен, Цывин (Molecular vibrations and standard deviation of interatomic distances in benzene. Bastiansen O., Cyvin S. J.), Nature, 1957, 180, № 4593, 980—981 (англ.)

Электроннографически сектор-микрофотометрич. методом определены среднеквадратичные отклонения атомов из положения равновесия в молекуле бензола, предполагая колебания гармоническими. Полученные значения хорошо согласуются со значениями, найденными ранее (Karle J., J. Chem. Phys., 1952, 20, 65), а также со значениями, вычисленными из частот колебаний молекулы бензола (РЖХим, 1957, 59934).

В. Спиридонов 31411. Исследование, применимости закона Беера при поглощении света в дальней ультрафиолетовой области в O₂ и N₂. Грейнер (Untersuchungen über die Gültigkeit des Beerschen Gesetzes bei der Absorption von extrem ultraviolettem Licht in O₂ und N₂. Greiner Horst), Z. angew. Phys., 1957, 9, № 9, 434—437 (нем.)

В связи с возможностью хим. изменений в газах при поглощении света (напр., диссоциация) исследовалась применимость закона Беера в вакуумной УФ-области для O₂ и N₂. Приведенный к нормальным условиям коэф. поглощения k для O₂ практически не зависит от p в области континуума Шуманна — Рунге. Зависимость k от p для O₂ и N₂ при $\lambda = 835$ А и для N₂ при $\lambda = 760$ А объясняется недостаточной разрешающей силой использованного спектрографа. Приведены измеренные значения k (см⁻¹) для O₂ (1-я цифра — λ (А), 2-я — k): 1550—200,5; 1402,73—331; 1393,73—343; 1371,29—299; 760—464. Критически рассмотрены результаты предшествовавших исследователей. В. Корякин

31412. О теоретическом выводе закона затухания люминесценции при резонансном тушении. Антонов-Романовский В. В., Галанин М. Д., Оптика и спектроскопия, 1957, 3, № 4, 389—391

Дан более подробный вывод закона затухания люминесценции при резонансном тушении в конц. р-рах люминесцирующих в-в (РЖХим, 1956, 12469). Авторы считают неправильными возражения Б. Я. Свешникова (РЖХим, 1957, 47485) против справедливости этого закона. В. Ермолаев

31413. Выход фотолюминесценции растворов. Яблонский (Yield of photoluminescence of solutions. Jablonski A.), Bull. Acad. polon. sci., 1957, Cl. 3, № 5, 513—517 (англ.; рез. русск.)

Доказано, что выход фотолюминесценции р-ра η , содержащего n -групп центров люминесценции, может быть выражен следующим образом: $\eta = \sum_{i=1}^n P_i \eta_i$, где P_i ($i = 1, 2, \dots, n$; $\sum_{i=1}^n P_i = 1$) — распределение возбуждающей энергии, поглощаемой р-ром в единицу времени между n -группами, а η_i — выход фотолюминесценции центров i -той группы. В случае, когда вероятность возбуждения одинакова для центров всех групп, как это в общем можно принять для центров, различающихся

единственно конфигурацией тушителей, окружающих идентичные люминесцентные молекулы, P_i обозначает относительную численность центров группы i в данном р-ре. Для самой простой модели центра, состоящей из люминесцентной молекулы с активной сферой, можно для P_i принять распределение Смолуховского $P_i = \exp(-v)(v^i/i!)$ ($i = 0, 1, 2, \dots$), где i — число тушителей, находящихся в активной сфере центров i -той группы, а $v = Nv$ (N — конц-ия р-ра, v — объем активной сферы). Если объем активной сферы подобран так, что вероятность тушения одним тушителем, находящимся в активной сфере, является в среднем равной обратному времени жизни молекулы в возбужденном состоянии в группе $i = 0$, а также, если примем, что вероятность тушения пропорциональна числу тушителей в активной сфере, то получим следующую зависимость относительного выхода от конц-ии тушителя $\eta/\eta_0 = \exp(-v) \sum_{i=0}^{\infty} v^i/(i+1)!$, где η_0 обозначает выход для $v = 0$. Несмотря на то, что эта ф-ла была получена при далеко идущих упрощениях, она согласуется весьма хорошо с результатами опытов. Используя последнюю ф-лу, можно вычислить, на основании результатов опытов, радиус активной сферы для конкретных случаев. Необходимо заметить, что также хорошо согласуется с опытами кривая, основанная на теории Фёрстера (Z. f. Naturforsch., 1949, 4a, 321). Более значительная разница выступает лишь в области наибольших конц-ий, для которых, однако, экспериментальные точки отсутствуют. См. также РЖХим, 1956, 64544. Резюме автора

31414. Спектры флуоресценции водных растворов уранилнитрата при комнатной температуре. Пант, Кханделвал (Fluorescence spectra of aqueous solutions of uranyl nitrate at room temperature. Pant D. D., Khandelwal D. P.), Current Sci., 1957, 26, № 9, 282—283 (англ.)

Исследовались спектры флуоресценции водн. р-ров уранилнитрата (I) при 10° . Показано, что при большой конц-ии I (1,97 M) или при добавлении к разб. р-ру I (0,085 M) большого кол-ва конц. HNO_3 (30 об. %) вместо известных прежде α -полос в спектре флуоресценции I появляются новые β -полосы, а при разбавлении р-ров до 0,025 M или при добавлении NaOH — γ -полосы, сдвинутые в УФ-область по отношению к β -, α -, β - и γ -полосы обратно переходят друг в друга при изменении pH р-ра. Появление β -полос авторы связывают с образованием анионных комплексов, а γ -полос — с гидролизом иона уранила. Сходные явления наблюдаются и при низкой т-ре. В. Ермолаев

31415. Поглощение и люминесценция кристаллов бензола и дейтеробензола при 20°K . Змерли, Пуле, Пестей (Absorption et luminescence des cristaux de benzène et de deutérobenzène à 20°K . Zmerli Adnan, Poulet Henri, Pestel Paul), C. r. Acad. sci., 1957, 245, № 5, 517—520 (франц.)

С помощью кварцевого компенсатора было установлено, что орторомбич. кристалл бензола (I) и бензола- d_6 (II) оптически положительны и хорошо кристаллизуются в виде пластинок, поверхность которых перпендикулярна оси b решетки. Чисто электронный переход $0 \rightarrow 0$ в спектре поглощения таких пластинок состоит из двух полос, поляризованных вдоль осей a и c решетки: I 37798 и 37842 cm^{-1} и II 3800 и 38040 cm^{-1} . Эти полосы, соответствующие экситонному поглощению, сопровождаются семью более слабыми линиями, которые относятся к вращательным качаниям молекулы. В исследованных спектрах поглощения авторы не обнаружили регулярной структуры, которую можно было бы приписать колебаниям молекулы. При исследовании спектров люминесценции (СЛ) этих же кристаллов была обнаружена изменчи-

вость для различных образцов. В СЛ монокристаллов начальными являются полосы, положение которых может быть получено вычитанием из частоты переходов $0 \rightarrow 0$ колебательных частот основного состояния I 608 и 992 и II 577 и 943 cm^{-1} . СЛ быстрозамороженных поликристаллов начинаются с полос I 37112 и II 37304 cm^{-1} и очень сложны. С другой стороны, СЛ поликристаллов, выращенных без доступа воздуха, идентичны спектрам монокристаллов. Авторы считают, что спектры быстрозамороженных поликристаллов связаны с адсорбированным ими воздухом.

31416. Прозрачность смешанных солей. 1. Харада, Масудзава (Harada Takeo, Masuzawa Tsutomu), Нихон сию гаккайси, Bull. Soc. Salt Sci., Japan, 1956, 10, № 5, 234—239 (японск.; рез. англ.)

На фотоэлектрич. спектрофотометре была измерена преломляющая способность (ПС) в области 400—720 мк смешанных солей и рассчитана прозрачность по Диадду. W_j ПС: R и B тех же образцов была измерена также с использованием более простой аппаратуры (АЕМ-1) соответственно с красным и синим фильтрами. По ур-ню $W_A = 50 + (R + B)/4 - k(R - B)$ были определены значения прозрачности по Сперману W_A . Эти значения согласуются со значениями W_j и визуальными наблюдениями.

31417. Оптическое исследование гидратов молекулярного кислорода в воде. Хейдт, Джонсон (Optical study of the hydrates of molecular oxygen in water. Heidt Lawrence J., Johnson Ann Marie), J. Amer. Chem. Soc., 1957, 79, № 21, 5587—5593 (англ.)

В продолжение предыдущей работы (РЖХим, 1957, 60203) измерены молярные коэф. поглощения O_2 растворенного в воде в области 2000—2150 Å в интервале $10 \rightarrow 65^\circ$. Проведенные для сравнения измерения поглощения воды, насыщенной O_2 , показали наличие слабого поглощения в области 2000—2300 Å, возрастающего при уменьшении λ и повышении т-ры, отмеченного к уширению 1-го электронного перехода H_2O . При насыщении воды O_2 обнаружено обратное усиление поглощения с уменьшением λ и ростом т-ры, значительно большее, чем при насыщении Ne и независимое от конц-ии O_2 . Наблюдаемые закономерности объясняются образованием гидратов O_2 двух типов, которые при т-ре 37° присутствуют в одинаковых кол-вах. Изменение соотношения этих двух гидратов объясняет изменение ΔH образования гидрата с т-рой ($-3,73$ ккал при 10° и $-1,29$ при 65°). Авторы приходят к выводу, что один из гидратов имеет состав $O_2 \cdot H_2O \cdot aq$, а 2-й — $O_2 \cdot 2H_2O \cdot aq$. Найденны ΔH , ΔF и ΔS образования обоих гидратов. Авторы предлагают для моногидрата структуру в виде пятичленного кольца, а для дигидрата — цепочечную структуру с водородными связями, причем энергия водородной связи оценивается на основании ΔH образования гидратов 7,2 ккал. Авторы указывают на возможность образования аналогичных солятов при растворении галогенов в H_2O или парафиновых углеводородах. М. Дяткина

31418. Спектры поглощения $Co(3+)$. Аммино-комплексы, содержащие в качестве лигандов остатки двухосновных кислот. Энэда, Кобаяши (Yoneda Naoyuki, Kobayashi Masahisa), Нихон какаку дзасси, J. Chem. Soc. Japan. Pure Chem. Sec., 1954, 75, № 11, 1192—1195 (японск.)

31419. Ультрафиолетовые спектры поглощения иона Fe^{3+} и первого продукта его гидролиза в водных растворах. Тернер, Майлс (The ultraviolet absorption spectra of the ferric ion and its first

hydrolysis product in aqueous solutions. Turner R. C., Miles Kathleen E., Canad. J. Chem., 1957, 35, № 9, 1002—1009 (англ.)

Получены УФ-спектры Fe^{3+} и FeOH^{2+} в водн. р-ре HClO_4 при разных конц-ях Fe^{3+} . У Fe^{3+} имеются 2 полосы поглощения при 240 и < 200 мк, а у FeOH^{2+} — при 300 и 205 мк. Определена K_c гидролиза Fe^{3+} при 25°, равная $3,40 \cdot 10^{-3}$. М. Дяткина

31420. Спектр поглощения комплексов двухвалентных металлов. 1. Спектр поглощения комплексов Ni с координационным числом 6. 2. Спектр поглощения комплексов Ni с координационным числом 6 (продолжение). 3. Нарушение порядка в спектрохимических рядах комплексов меди. 4. Спектр поглощения различных комплексов металлов с α^1 -дипиридиллом. Ито (Ito Hisao), Нихон кагаку дзасси, J. Chem. Soc. Japan. Pure Chem. Sec., 1956, 77, № 6, 1383—1402 (японск.)

31421. Заметка о полимеризации красителей в растворе. Матага (Note on the polymerization of dyes in solution. Mataga Noboru), Bull. Chem. Soc. Japan, 1957, 30, № 4, 375—379 (англ.)

Исследованы спектры поглощения р-ров 2,8-диаминоакридина (I) и 2,8-бис-диметиламиноакридина (II) в пиридине, этаноле, бутаноле и акрилонитриле, в диапазоне 300—500 мк. Конц-ия р-ров варьировала в пределах 10^{-6} — 10^{-2} моль/л. Установлено, что эти красители полимеризуются в органич. р-рителях; степень полимеризации заметно зависит от структуры красителей и р-рителей. Тенденция к ассоциации выражена у I сильнее, чем у II; она не коррелирует (также как и гипсохромный сдвиг спектральных полос поглощения полимеров) с силами осцилляторов полос соответствующих мономеров. Это справедливо также по отношению к различным ионам красителей в водн. р-рах. Л. Бельский

31422. Спектр поглощения 2,5-диметилфурана в близкой ультрафиолетовой области. Сантхамма (The near ultra-violet absorption spectrum of 2:5-dimethyl furan. Santhamma V.), Trans. Faraday Soc., 1957, 53, № 8, 1061—1064 (англ.)

Исследованы спектры паров 2,5-диметилфурана (I) в слоях 2, 5, 30, 50 см при т-рах —15, 0, 28, 30, 60, 80°. В области 2500—2250 Å выделено 6 групп полос поглощения. Полоса перехода 0—0 лежит при 40541 см^{-1} . С длинноволновой стороны от полосы 0—0 найдено несколько полос, отвечающих колебаниям в основном состоянии и согласующихся с частотами комб. расс. Найдены 4 частоты полносимметричных колебаний кольца фурана (II) в основном и возбужденном состояниях, которые близки к соответствующим частотам других замест. II. Частота 784 см^{-1} связывается с группой $\text{C}-\text{CH}_3$, о чем свидетельствует близость ее к таким же частотам колебаний в молекулах толуола и ксилолов. Частоты 1571 и 1532 см^{-1} приписываются колебаниям $\text{C}-\text{H}$. Наблюдаемые интервалы в 60—190 см^{-1} между полосами внутри отдельных групп могут быть частично интерпретированы как разности частот основного и возбужденного состояний. Интервалы в 40—13 см^{-1} , по-видимому, связаны с вращательной структурой. В. Броуде

31423. Спектры поглощения ароматических производных метана. Валишко Н. А., Лаврушин В. Ф., Уч. зап. Харьковск. ун-та, 1946, 76, 97—104

Для установления факта взаимодействия между бензольными циклами в ароматич. производных метана исследованы УФ-спектры толуола, этил-, изопропил- и трет-бутилбензола, дифенилметана, метил- (I) и диметилдифенилметана (II), трифенилметана, тетрафенилметана (III), метилдифенил- (IV) и трифенилкарбинола (V) в $\text{C}_2\text{H}_5\text{OH}$ и $\text{C}_2\text{H}_5\text{OH} + \text{C}_2\text{H}_5\text{ONa}$, причем найдено избирательное поглощение в средней

УФ-области. Сравнение интенсивностей полос поглощения всех изученных в-в и полосы толуола обнаружило отклонение от аддитивности тем больше, чем больше ароматич. ядер в молекуле, на основании чего сделано предположение о взаимодействии бензольных циклов через посредство алифатич. атома С. I синтезирован из C_6H_6 и $(\text{CH}_3\text{CO})_2\text{O}$ по Фриделю — Крафтсу, т. кип. $136^\circ/12 \text{ мм}$, $270^\circ/760 \text{ мм}$. II получен аналогичной конденсацией C_6H_6 и 2,2-дихлорпропана, т. кип. 282° . III получен конденсацией V и анилина, т. пл. 282° (из дихлорэтана). IV синтезирован по Гриньяру из $\text{C}_6\text{H}_5\text{MgBr}$ и $\text{CH}_3\text{COOC}_2\text{H}_5$, т. пл. 83° (из сп.). А. Сергеев

31424. Изучение поглощения света. Часть II. Ультрафиолетовые спектры поглощения замещенных бензойных кислот и фенолбензоатов. Форбес, Шератт. Часть III. Строение и светопоглощение тризамещенных производных бензола. Часть IV. Влияние пространственных конформаций на электронные спектры (полосы В) сопряженных систем. Форбес, Мюллер. Часть V. Связь мезомерного эффекта и ультрафиолетовых спектров поглощения. Форбес, Ралф. Часть VI. Значения эффективных радиусов несвязанных атомов в растворе. 1. Некоторые предварительные наблюдения. Форбес, Мюллер (Light absorption studies. Part II. Ultraviolet absorption spectra of substituted benzoic acids and phenyl benzoates. Forbes W. F., Sheratte M. B. Part III. Structure and light absorption of trisubstituted benzene derivatives. Part IV. The effect of sterically hindered conformations on the electronic spectra (B-bands) of conjugated systems. Forbes W. F., Mueller W. A. Part V. The relation of mesomeric effects and ultraviolet light absorption spectra. Forbes W. F., Ralph Audrey S. Part VI. The effective interference values of non-bonded atoms in solution. 1. Some preliminary observations. Forbes W. F., Mueller W. A.), Canad. J. Chem., 1955, 33, № 12, 1829—1839; 1956, 34, № 9, 1340—1346, 1347—1355; № 10, 1447—1456; № 11, 1542—1552 (англ.)

II. Получены и рассмотрены с точки зрения электронного и стерич. влияния заместителей УФ-спектры n -, m -, o -замещ. бензойных к-т (I), ацетанилидов (II) и сложных эфиров (III) вида ASOOb , где А и В — бензольные кольца, содержащие заместители. Рассмотрение УФ-спектров I обнаруживает bathochromный сдвиг В-полосы ($\sim 230 \text{ мк}$) и увеличение ее интенсивности соответственно мезомерному эффекту заместителя ($\text{J} > \text{Br} > \text{Cl} > \text{F}$). Вследствие отрицательного мезомерного эффекта нитрогруппы, $\text{NO}_2\text{C}_6\text{H}_4\text{OON}$ не обнаруживает увеличения интенсивности В-полосы. Для m -I и o -I характерно, как правило, гипсохромное смещение и снижение интенсивности В-полосы. У первых это связано с увеличением индуктивного эффекта, а у вторых — как электронным влиянием заместителей, так и стерич. препятствиями в случае громоздких заместителей. Спектры m -II очень похожи на спектр незамещ. ацетанилида. Исключением является $\text{NO}_2\text{C}_6\text{H}_4\text{NNHCOCH}_3$. Повышение интенсивности В-полосы в этом случае объясняется отрицательными индуктивным и мезомерным эффектами нитрогруппы. В случае o -II вид спектров зависит как от электронного, так и от стерич. эффектов. В спектрах III рассматриваются две полосы, обусловленные электронными переходами в кольцах А и В. Эти спектры обсуждаются подобно I и II. Е. Переслени

III. Ранее установлено, что спектральные свойства ряда однозамещ. ацетофенонов и I могут быть объяснены стерич. взаимодействием обоих заместителей; это толкование распространено на УФ-спектры поглощения тризамещ. производных бензола. Авторы по-

лагают, что: в отсутствие пространственных затруднений *o*- и *n*-двузамещ. производные имеют приблизительно одинаковые спектры; УФ-спектры очень чувствительны к стерич. факторам: 1) слабые влияния изменяют только ϵ ; 2) более сильные, наряду с этим, вызывают сдвиг $\lambda(\text{макс.})$ (наиболее частый тип); 3) очень сильные почти полностью исключают сопряжение, и отдельные части молекул поглощают независимо друг от друга; для иллюстрации приведены $\lambda(\text{макс.})$ ряда двузамещ. производных. Следовательно, характер изменений спектров позволяет судить о характере пространственных влияний; объяснение на основании только электронного взаимодействия недостаточно. Так как первая первичная полоса поглощения (*B*) β -резорциловой к-ты близка к соответствующей полосе *n*-оксибензойной к-ты, *o*-ОН не влияет существенно на спектр. Вторичная полоса (*C*) сравнительно мало чувствительна к слабым стерич. влияниям и сильно чувствительна к образованию Н-связей.

IV. Найдено, что предложенное ранее ур-ние для расчета межплоскостного угла соединений, в которых наблюдаются пространственные затруднения, из спектральных данных $\epsilon/\epsilon_0 = \cos^2(\Theta_1 - \Theta_2)$ пригодно для тех соединений, у которых *z*-цис- и *z*-транс-формы энергетически равноценны (симметричные замещ. ацетофеноны и бензальдегиды, *o*-замещ. дифенилы). Для соединений с энергетич. неравноценными *z*-изомерами предложено ур-ние $\epsilon/\epsilon_0 = 1/2[\cos^2(\Theta_1 - \Theta_2) - \cos^2(\Theta_3 - \Theta_4)]$ и рассчитаны межплоскостные углы для 2- (IV) и 4-метил-, 2,4- и 2,6-диметилбензальдегидов, 2- (V) и 4-метил-, 2,4- и 2,6-диметил- и 2,4,6-триметилацетофенонов; даны схемы электронных переходов между основным и возбужденным состояниями IV и V. Ур-ние позволяет установить связь между относительными значениями ϵ и числом возможных плоских конформаций. Результаты, полученные при помощи нового ур-ния, привели к значению эффективного радиуса Н, согласующемуся с полученным из спектральных данных независимым путем.

V. Предложено электронные взаимодействия (ЭВ), пропорциональные электроотрицательностям участвующих атомов и уменьшающиеся с расстоянием между взаимодействующими центрами обозначать как индуктивный эффект (ИЭ), а ЭВ, вызывающие резонансные формы — как мезомерный эффект (МЭ). ИЭ и МЭ влияют на основное и возбужденное состояния. Поскольку для галогенпроизводных бензола найдено, что легкость появления полярных структур следует порядку $J > \text{Br} > \text{Cl} > \text{F}$ (порядок понижения энергии возбужденных состояний), а ИЭ следует обратному порядку, по-видимому, характер спектральных изменений определяется преимущественно МЭ. Исследование УФ-спектров поглощения (*B*-полос) в-в общей ф-лы $n\text{-RC}_6\text{H}_4\text{X}$ ($\text{R} = \text{COOH}$, H , NHCOCH_3 , $\text{N}(\text{CH}_3)_2$, SOCH_3 , CHO ; $\text{X} = \text{N}$, F , Cl , Br , J) (VI) в абс. спирте подтвердило возможность определения МЭ из спектральных данных, а также преобладание его влияния в VI (см. часть IV). Вследствие ряда причин оценка МЭ по ДМ, ρ^2_{H} или скорости р-ции менее надежна, чем спектральным методом. Авторы делают вывод, что МЭ в основных состояниях VI играет малую роль, вследствие же приближительного равенства уровней энергии VI в этих состояниях он необходимо должен иметь преобладающее значение в возбужденных состояниях. Приведены $\lambda(\text{макс.})$ и ϵ VI.

VI. Определение миним. эффективных радиусов Н, О (в СО-группе) и CH_3 -группы из спектральных данных произведено несколькими независимыми способами; на примере производных бензальдегида, ацетофенона и дифенила в нейтр. р-ре найдено: $\text{H} = 0,95 \pm 0,1$; O (в СО-группе) $= 1,0 \pm 0,15$; $\text{CH}_3 = 1,7 \pm 0,2$ А.

Подробно обсуждается вопрос зависимости величин эффективных радиусов от типа ковалентной связи, природы партнера, т-ры, ассоциации с молекулами р-рителя, рН и др., а также зависимости между потенциальной энергией и расстоянием между двумя несвязанными атомами. Часть I см. РЖХим, 1957, 76408.

31425. Теория ангармонического осциллятора. В. ванатхан (The theory of the anharmonic oscillator. Viswanathan K. S.), Proc. Indian Acad. Sci., 1957, A46, № 3, 203—217 (англ.)

В 1-й части решена задача классич. механики о колебании системы с потенциальной функцией $V = (1/2)k_1x^2 + (1/6)k_2x^3$. Составление и интегрирование ур-ния движения приводит к ф-ле для смещения x . x выражено через эллиптич. функцию Якоби, разложенную в ряд Фурье. Получены ф-лы для циклич. частоты ω , отличающейся от $(k_1/m)^{1/2}$, и для среднего отклонения $\langle x \rangle$ от положения равновесия. ω и $\langle x \rangle$ являются соответственно убывающей и возрастающей функциями от полной энергии. Во 2-й части функция V подставлена в ур-ние Шредингера, решаемое по методу Вентцеля, Крамерса, Бриллюэна. Выражение $(n + 1/2)\hbar$ связано с собственными значениями ϵ трансцендентным ур-нием, решение которого дает значение ϵ для каждого n . После некоторых упрощений получена ф-ла $\epsilon = (n + 1/2)\hbar\nu - (5/96)k_2^2\hbar^2\nu/(n + 1/2)^2/\pi(mk_1^5)^{1/2}$. Составлено и решено классич. ур-ние движения системы с потенциальной функцией Морзе. Выведены ф-лы для зависимости смещения от времени, частоты колебаний и зависимости амплитуд гармоник от полной энергии. Сопоставлены ф-лы для частот колебательных переходов квантового осциллятора Морзе и частот классич. колебаний. М. Ковнер

31426. Расчет и интерпретация колебательных спектров циклогексана и некоторых его дейтерозамещенных. Александров Г. А., Оптика и спектроскопия, 1957, 3, № 3, 202—210

Для молекулы циклогексана принята «кредлообразная» модель с симметрией D_{3d} и частотами типов $6A_{1g} + 5A_{2u} + 8E_g + 3A_{1u} + 2A_{1g} + 8E_u$. После введения координат симметрии функция потенциальной энергии содержит 450 силовых постоянных, для определения которых имеется всего 38 частот. Поэтому многие силовые постоянные приняты равными нулю, а другие найдены по методу вариации. На основании расчета дана полная интерпретация ИК-спектров и спектров комб. рас. C_6H_{12} , C_6D_{12} , $\text{C}_6\text{H}_5\text{D}$, отличающаяся от предложенной в работах Ларноди (Larnaudie M., C. r. Acad. sci., 1950, 231, 1292; 1951, 232, 316; РЖХим, 1955, 9020) и хорошо согласующаяся с правилом произведений. М. Ковнер

31427. О кривых потенциальной энергии карбоновых кислот. Кукурезяну (Asupra curbilor de energie potențială ale acizilor carboxilici. Cucurezeanu I.), Studii și cercetări fiz. Acad. RPR, 1957, 8, № 2, 163—169 (рум.; рез. русск., франц.)

Доказывается, что теория обратного разделения по применима к циклич. димерам карбоновых к-т (ДКК), и ДКК не имеют кривых с двумя минимумами потенциала. На основании интерпретации, данной автором (РЖХим, 1958, 20399) дублету частот 2990 и 3020 см^{-1} , как принадлежащему группе CH_2 , а не группе ОН уксусной к-ты, и на основании спектроскопич. проявлений группы ОН в виде структурной широкой полосы, включенной в водородную связь, показывается, что ДКК не присущи кривые с двумя потенциальными минимумами, и, следовательно, атом Н, включенный в группу О—Н...О этих димеров, не имеет двух положений равновесия. Автор принимает гипотезу (РЖХим, 1954, 32025) относительно существования нескольких положений равновесия атома

И в этом основании допускает существование кривой потенциальной энергии с несколькими неидентичными и различной глубины минимумами.

Из резюме автора
31428. «Чувствительные» колебательные частоты. Часть 2. Частоты метиленовой и метиновой групп и их связь с электроотрицательностью. Уилмшерст («Sensitive» vibrational frequencies. Part 2. The methylene and methine frequencies and their relation to electronegativity. Wilmschurst J. K.), Canad. J. Chem., 1957, 35, № 8, 937—941 (англ.)

Для каждого из четырех типов деформационных колебаний метиленовой группы в дигалогидометиленах зависимость частоты колебаний от суммы электроотрицательностей двух атомов галогенов описывается одной кривой для различных молекул. В случае других метиленовых соединений, как напр. $\text{CH}_2(\text{CN})_2$, частоты соответствующих колебаний ложатся на те же кривые, если использовать «электроотрицательности групп» (CN и др.), полученные ранее (часть 1, РЖХим, 1957, 68186) по частотам метиленовых групп. В диметиленовых соединениях взаимодействуют лишь колебания одного типа, что приводит к удвоению колебаний, причем среднее значение частоты приблизительно сохраняется. Аналогичная зависимость частоты от суммы электроотрицательностей заместителей наблюдается также для деформационных колебаний CN в соединениях типа HCXYZ , где XYZ — атомы галогенов или другие группы, тогда электроотрицательность атомов берется такой же, как для метиленовых и метиленовых соединений.

Т. Бирштейн
31429. Колебательный спектр и строение тетраметилдифосфина. Губо, Рейнхардт, Бьянки (Das Schwingungsspektrum und die Struktur des Tetramethyldithio-diphosphins. Goubeau J., Reinhardt H., Bianchi D.), Z. phys. Chem. (BRD), 1957, 12, № 5-6, 387—392 (нем.)

Строение тетраметилдифосфина может быть представлено в двух формах: 1) группы $\text{P}-\text{P}$ и $\text{P}=\text{S}$; 2) группы $-\text{P}-\text{S}-\text{S}-\text{P}$. У каждой структуры возможны поворотные изомеры. С целью установления строения данного в-ва получены спектр. комб. рас. и ИК-спектр. Спектры согласуются с транс-формой 1, которая относится к точечной группе D_{2h} . Е. Попов

31430. Колебательный спектр и силовые постоянные P_2S_3 . Гердинг, Марсен, Нобел (The vibrational spectrum and force constants of P_2S_3 . Gerding H., Maarsen J. W., Nobel P. Chr.), Recueil trav. chim., 1957, 76, № 9-10, 757—768 (англ.)

Исследованы спектр. комб. рас. P_2S_3 в твердом и жидком состояниях и в р-ре CS_2 и ИК-спектр. На основе визуальной оценки поляризации линий наблюдаемые частоты отнесены к представлениям группы $C_{2v}(\text{см}^{-1})$: A_1 442, 420, 290 и 87; E 486, 384, 341, 221 и 154. По методу Вильсона вычислены основные постоянные, которые значительно меньше полученных во ф-лам Бэдджера и Горди. Вычисленные частоты удовлетворительно совпадают с экспериментальными.

Е. Попов
31431. Инфракрасный спектр и спектр комбинационного рассеяния пятихлористого фосфора. Уилмшерст, Бернштейн (Infrared and raman spectra of phosphorus pentachloride. Wilmschurst J. K., Bernstein H. J.), J. Chem. Phys., 1957, 27, № 3, 661—664 (англ.)

Получены ИК-спектры газообразного PCl_5 (I) в области 8—33 μ и р-ра I в CS_2 в области 5—24 μ и спектр комб. рас. насыщ. р-ра I в бензоле и определены степени деполаризации линий. Наблюдаемые частоты отнесены к представлениям группы D_{3h} и к основным колебаниям связей и углов (в см^{-1} , Cl и Cl' — экваториально и ак-

сиально расположенные атомы хлора): a_1' 394 вал. кол. $\text{P}-\text{Cl}$ и $\text{P}-\text{Cl}'$; a_2'' 465 асимм. вал. кол. PCl_2' (176 расщепленных неплоск. деф. кол. PCl_2 , активных только в ИК-спектре); e' 592 асимм. вал. кол. $\text{P}-\text{Cl}$, 335 линейных деф. кол. PCl_2' , 100 плоск. деф. кол. PCl_2 , 280 деф. кол. $\text{Cl}'\text{PCl}$. Идентифицированы также обертоны и составные частоты. Вычислены следующие силовые постоянные (в 10^6 дин/см): $K_r(\text{P}-\text{Cl})$ 2,892, $K_r'(\text{P}-\text{Cl}')$ 1,805, $K_s(\text{Cl}-\text{Cl}-\text{Cl})$ 0,111, $K_\beta(\text{Cl}'-\text{P}-\text{Cl})$ 0,449, g_r 0,236 и g_r' 1,440. В интервале т-р 298—1500°K вычислены термодинам. функции: $H^\circ-E_0^\circ/T$, $F^\circ-E_0^\circ/T$, S° и C_p° . Для р-ции $\text{PCl}_2(\text{газ}) + \text{Cl}_2(\text{газ}) = \text{PCl}_4(\text{газ})$ определена $\Delta E_0^\circ = -20525 \pm 160 \text{ кал/моль}$. Независимость ΔE_0° от т-ры подтверждает сделанные авторами отнесения частот.

Е. Попов
31432. Измерение вторичных интерферометрических стандартов длин волн в ближней инфракрасной области. Ранк, Беннетт, Беннетт (Measurement of interferometric secondary wavelength standards in the near infrared. Rank D. H., Bennett J. M., Bennett H. E.), J. Opt. Soc. America, 1956, 46, № 7, 477—484 (англ.)

Проведено точное интерферометрич. определение длин волн ряда линий Hg и HCN в ближней ИК-области спектра. Измерения проведены «методом стадий», заключающимся в определении давления воздуха между эталонными пластинками, при котором достигается максимум или минимум регистрируемого излучения. При применении интегрального детектора точность измерений длин волн была такой же, как в фотографич. области при использовании пленок с большим отражением. Разработан метод, позволяющий измерять линии поглощения интерферометрически относительно линии испускания. Измерены 3 линии Hg¹⁹⁸ в испускании (в см^{-1}): 9859, $4342 \pm 0,002$, 7366, $866 \pm 0,005$; 6535, $8855 \pm 0,002$; длины волн линий: P (16), P (10), P (1), R (7), R (14), R (17); полосы (002) HCN в поглощении относительно линии Hg¹⁹⁸ λ 5460 Å. По результатам измерений в HCN, при использовании значений B' и B'', определенных ранее путем измерения линий с высокими J (РЖХим, 1956, 21888, 36258), найдено значение частоты ν_0 начала полосы (002) HCN, после чего с новым значением ν_0 пересчитаны $\nu_0 = 6519,614 \pm 0,003$, B' = 1,45706; B'' = 1,47822 см^{-1} .

Т. Бирштейн
31433. Инфракрасный спектр твердого сернистого ангидрида. Жигер, Фок (Infrared spectrum of solid sulphur dioxide. Giguère Paul A., Falk M.), Canad. J. Chem., 1956, 34, № 12, 1833—1835 (англ.)

Получен ИК-спектр твердого SO_2 при т-ре жидкого воздуха в области 2—25 μ . Основные частоты (в см^{-1}): ν_1 1444 симм. вал. кол., ν_2 1310—1322 несимм. вал. кол., ν_3 528 деф. кол., смещены по сравнению со спектром газа: ν_1 и ν_3 понижаются на 7 и 46 см^{-1} соответственно, а ν_2 повышается на 10 см^{-1} . Сложная структура основных полос объясняется влиянием решетки и наличием молекул S^{34}O_2 .

Ю. Егоров
31434. Основное колебание N^{15}O . Флетчер, Биган (Fundamental of N^{15}O . Fletcher W. H., Bigan G. M.), J. Chem. Phys., 1957, 27, № 2, 579—582 (англ.)

Исследована основная колебательно-вращательная полоса N^{15}O (в области 1740—1930 см^{-1}) на спектрометре с большим разрешением. Вычисленные мол. постоянные находятся в согласии с данными, полученными из микроволнового спектра и изотопного соотношения.

Б. Головнер
31435. Инфракрасные спектры N^{15}H_3 и $\text{N}^{15}\text{H}_4^+$. Морган, Статс, Голдстейн (Infrared spectra of N^{15}H_3 and $\text{N}^{15}\text{H}_4^+$. Morgan H. W., Staats P. A.,

Goldstein J. H.), J. Chem. Phys., 1957, 27, № 5, 1212—1213 (англ.)

Получены ИК-спектры $N^{15}H_3$ (газ, давл. ~ 200 мм рт. ст.) и иона $N^{15}H_4^+$ (пленка NH_4Cl получена возгонкой в вакууме и исследовалась при 22 и -190°) на двухлучевом спектрометре с призмами из $NaCl$ и LiF . Приведены колебательные частоты для $N^{15}H_3$, $N^{15}H_4^+$, $N^{14}H_3$ и $N^{14}H_4^+$ в области 3350—900 cm^{-1} и вычисленные и наблюдаемые значения изотопных сдвигов для этих частот. Найдено, что частота симм. изгибающего колебания NH_4^+ (1657 cm^{-1}) не зависит от изменения массы центрального атома.

Б. Головнер

31436. Некоторые инфракрасные полосы D_2S . Аллен, Плайлер, Блейн (Some infrared bands of deuterium sulfide. Allen Harry C., Jr, Plyler Earle K., Blaine L. R.), J. Res. Nat. Bur. Standards, 1957, 59, № 3, 211—214 (англ.)

С помощью спектрометра с дифракционной решеткой получен ИК-спектр D_2S в области 3,6 и 5 μ . Поглощение вблизи 5 μ обусловлено полосой (0, 0, 1) с центром при ~ 1906 cm^{-1} , детальному исследованию которой мешает поглощение атмосферной влаги. Поглощение в области 3,6 μ отнесено к двум перекрывающимся полосам с центрами при 2742,77 (полоса 1, 1, 0) и 2754,44 cm^{-1} (полоса 0, 1, 1). Рассчитаны константы возбужденного состояния полосы (1, 1, 0): $A^x = 5,478$; $B^x = 4,512$; $C^x = 2,395$; и полосы (0, 1, 1): $A^x = 5,531$; $B^x = 4,521$; $C^x = 2,405$.

Б. Головнер

31437. Инфракрасные спектры некоторых соединений, содержащих связи Ti—O—Si, Ti—O—Ti и Si—O—Si. Зейтлер, Браун (The infrared spectra of some Ti—O—Si, Ti—O—Ti and Si—O—Si compounds. Zeitler Vernon A., Brown Charles A.), J. Phys. Chem., 1957, 61, № 9, 1174—1177 (англ.)

Получены ИК-спектры $[(C_6H_5)_3SiO]_4Ti$, $[(CH_3)_3SiO]_4Ti$, $[(C_6H_5)_3SiO]_4Si$, $(n-C_4H_9O)_4Ti$, $(iso-C_3H_7O)_4Ti$, конденсированного буюксититанового эфира и $TiO_5Si_4(C_6H_5)_8$ (I). Произведено отнесение частот для связей Ti—O—Si (919—926 cm^{-1}) и Ti—O—Ti (763—820 cm^{-1}). На основании ИК-спектра I высказано предположение о возможной структуре этого соединения.

Б. Головнер

31438. Инфракрасный спектр NT_4Cl . Морган, Статс, Голдштейн (Infrared spectrum of NT_4Cl . Morgan A. W., Staats P. A., Goldstein J. H.), J. Chem. Phys., 1957, 27, № 5, 1242 (англ.)

Исследовались ИК-спектры ионов NH_4^+ , ND_4^+ , NT_4^+ , NHT_3^+ и NDT_3^+ , полученных при р-ции аммиака, содержащего соответствующий изотоп водорода, с $AgCl$ в газовом разделе (для NH_3) или при действии β -излучения (для NT_3). Приведены наблюдаемые и вычисленные значения колебательных частот в области 900—3150 cm^{-1} (призмы $NaCl$ и LiF).

Б. Головнер

31439. Инфракрасные спектры ацетатов хрома и меди. Коста, Паулуцци, Пукседду (Spetttri I. R. degli acetati cromoso e rameico. Costa Giacomo, Pauluzzi Ego, Puxeddu Anna), Gazz. chim. ital., 1957, 87, № 7-8, 885—895 (итал.)

Измерены ИК-спектры водн. и безводн. ацетатов хрома и меди. В предположении, что в-ва существуют в виде комплексов $[M(C_2H_3O_2)_2 \cdot H_2O]_2$, произведено отнесение частот, в частности полоса 3272 cm^{-1} отнесена к колебаниям ацетат—координационная вода, а полосы в области 1500—1300 cm^{-1} — к деф. кол. метильной группы. В спектрах не была обнаружена полоса 1640 cm^{-1} , соответствующая деф. кол. H_2O . С использованием ранее определенного спектра ацетата натрия на основе валентно-силовой модели рассчитаны силовые коэф. f_R и $f_r + f_r'$ (f_R — силовой коэф. связи C—C, f_r — связи C—O,

f_r' — константа взаимодействия двух связей CO): $f_R = 3,5$ и $3,5$, $f_r + f_r' = 8,85 \cdot 10^5$ и $8,65 \cdot 10^5$ dyn/cm для ацетата хрома и меди соответственно.

Е. Никитин

31440. ИК-спектр монофторуглерода. Рюдорф, Бродерсен (IR-Spektrum des Kohlenstoffmonofluorids. Rüdorff W., Brodersen K.), Z. Naturforsch., 1957, 12b, № 8-9, 595 (нем.)

В ИК-спектре монофторуглерода (CF)_x в области 2—25 μ наблюдается одна интенсивная полоса при 1215 cm^{-1} , отнесенная к асимм. вал. кол. C—F. Частоты деф. кол. C—F лежат в более далекой ИК-области.

Б. Головнер

31441. Ифракрасный спектр брома в бензоле. Персон, Эрикссон, Бакле (Infrared spectrum of bromine in benzene. Person Willis B., Erickson Ronald E., Buckles Robert E.), J. Chem. Phys., 1957, 27, № 5, 1211—1212 (англ.)

С целью изучения межмолекулярного взаимодействия брома с бензолом получены ИК-спектры 5%-ного р-ра брома в бензоле и р-ра эквимольных количеств брома и бензола в дихлорэтилене (с призмой из $CsBr$). В спектре р-ра брома в бензоле наблюдается полоса с максимумом ~ 305 cm^{-1} и с полупириной 22 cm^{-1} , отнесенная к комплексу, образованному переносом заряда. Используя константу равновесия для этого комплекса, авторы вычислили интегральный моляр. коэф. поглощения $B = 425$ $cm^{-1} cm^2/mole$. Вычисленное с помощью этого значения B и константы равновесия интегральное поглощение комплекса в дихлорэтилене совпадает с наблюдаемым, что подтверждает отнесение этого поглощения к комплексу, образованному переносом заряда.

Б. Головнер

31442. Об изомерии оксимочевин. IX. Инфракрасные спектры поглощения Кофод (On the isomerism of hydroxyurea. IX. Absorption spectra in the infrared. Kofod Helmer), Acta chem. scand., 1957, 11, № 7, 1276—1277 (англ.)

Получены ИК-спектры двух изомеров оксимочевин с т. пл. $\sim 140^\circ$ (I) и $\sim 72^\circ$ (II) и сравнены со спектром мочевины (III). Спектры всех трех в-в показывают полосы поглощения в области 3300—3400 cm^{-1} , отнесенные к вал. кол. N—H, и полосы в области 1650—1700 cm^{-1} , отнесенные к вал. кол. C=O. В спектре I наблюдается интенсивная полоса ~ 2800 cm^{-1} , отсутствующая у двух других соединений, и приписываемая ассоциированной группе N—OH. Спектр II в области 600—1500 cm^{-1} значительно сложнее, чем спектр III. При более высоких частотах он подобен последнему. На основании наблюдаемых частот и их отнесений, а также ряда хим. и физ. свойств I и II предложены возможные ф-лы двух изомеров оксимочевин: $OC(NH_2)NHOH$ (I) и $OC(NH_2)ONH_2$ (II), которые, однако, требуют дополнительного подтверждения. Часть VIII см. РЖХим, 1957, 60243.

Б. Головнер

31443. Исследование строения гидроксамовых кислот и некоторых их производных методом инфракрасной спектрографии. Усова Е. М., Воронин Е. М., Докл. АН СССР, 1957, 113, № 6, 1306—1309

Получены ИК-спектры в области 2,5—13 μ моно- (I) и дибензгидроксамовой к-ты (II) (известные в виде гидроксимовых форм) и трибензгидроксилamina, имеющего кристаллич. α - (III) и β -модификации (IV) неизвестного строения. Спектры I и II имеют частоты 1661 и 1650 cm^{-1} , соответствующие монозамещенным амидам (группа $C_6H_5-CO-NH-$); а частоты (I) и 3120 cm^{-1} (II) отнесены к колебаниям группы NH; 2730 cm^{-1} (I) относится к колебаниям группы OH и 1772 cm^{-1} (II) к эфирной карбонильной группировке. На основании этих данных соединениям I, II в кристаллич. состоянии приписывается строение, соответствующее гидроксамовой форме. Исследование

условий взаимопревращений III и IV и криоскопич. понижения их точек плавления по методу Сиджвика позволило сделать вывод, что эти формы являются изомерами. Это подтверждается данными по определению дипольных моментов. Анализ ИК-спектров приводит к выводу о гидроксамовой форме III и гидроксимовой форме IV.

В. Винокуров

31444. Сходство между спектрами фуруксанов и нитрозосоединений. Бойер, Тоггуэйлер, Стонер (Spectrophotometric relationships between furanones and nitroso compounds. Boyer J. H., Toggweiler U., Stoner G. A.), J. Amer. Chem. Soc., 1957, 79, № 7, 1748—1751 (англ.)

Показано, что между ИК-спектрами поглощения фуруксанов, Ψ - и нормальных ароматич. нитрозосоединений в области 2—25 μ имеется большое сходство. Отнесение, предложенное ранее для фуруксанов (РЖХим, 1956, 54403), подтверждено для циклогексафуруксана, окталин-2,3-фуруксана, тетрабром-3,4,5,6-циклогексенфуруксана и дифенилфуруксана. В Ψ -о (I) и Ψ -л-динитрообензоле (II), дибром-3,6- Ψ -1,2-динитрообензоле (III) и Ψ -9,10-динитрозофенантрене (IV) и Ψ -л-динитрообензоле (V) отнесение полос поглощения 1613 (II и III), 1616 (I), 1634 IV и V к азометинной группе не совсем определено из-за наложения полос поглощения в области 1625—1575 см^{-1} . Полоса 1540—1475 см^{-1} в Ψ -о-динитроароматич. соединениях отнесена к вал. кол. связи C=C, конъюгированной с нитрогруппами: при сильной конъюгации II эта полоса поглощения смещается к 1450 см^{-1} . Двойная полоса у 1470—1420 см^{-1} наблюдается в спектрах всех, кроме III, о-динитроароматич. соединений. Полосы поглощения вал. кол. N=O у 1395—1355 см^{-1} и вал. кол. C—NO у 1310—1275 см^{-1} , за исключением спектра нитробензола (VI), наблюдаются в спектрах I, II, III, Ψ -1,2-динитрозофталина, IV, V и м-динитробензола (VI). Поглощение 1225—950 и 860—730 см^{-1} , найденное в спектрах дифенилфуруксана, I, II, V и VI, характерно для замещ. бензольных колец. УФ-спектры имеют больше различий между фуруксанами, Ψ - и нормальными нитрозосоединениями. Характеристич. поглощение фуруксана находится в области 255—285 м μ , в ароматич. Ψ -динитрозосоединениях в области 350—410 м μ .

Е. Покровский

31445. Инфракрасные спектры поглощения депсидов. Сообщение I. Поликаффеиловые эфиры хинной кислоты и ее производных. Меда, Валентини (Spettri di assorbimento infrarossi di depsidi. Nota I. Poliesteri caffeici dell'acido chinico e loro derivati. Meda Francesco, Valentini Luigi), Ann. chimica, 1956, 46, № 9, 703—716 (итал.)

Ввиду того, что элементарный анализ каффеиловых эфиров хинной к-ты (I) и ее лактона — хинида (Ia), из-за наличия кристаллизационной воды не позволил точно различить производные I и Ia (РЖХим, 1957, 23216), проведено исследование ИК-спектров поглощения I, Ia, ацетонхинида, каффеиловой к-ты (II), 1-каффеилхинида, 1,4-ди- (III) и 1,4,5-трикаффеилхининой к-ты, 1,4-ди- и 1,4,5-трикаффеилхинамида. Установлено, что спектры производных аддитивно складываются из спектров исходных I (или Ia) и II, что позволяет различать 2- и 3-замещ. I и их амиды. Для производных Ia найдена характеристич. частота $\nu \sim 5,6 \mu$. На основании полученных данных выделено ранее (РЖХим, 1955, 23859, 26360) цинарину, действующему на начало артериального давления, приписано строение свободной III, а не ее лактона.

А. Сергеев

31446. Микроволновой спектр и структура молекул трифторбромидов. Магнусон (Microwave spectrum and molecular structure of bromine trifluoride. Mag-

nuson D. W.), J. Chem. Phys., 1957, 27, № 1, 223—226 (англ.)

С помощью описанной ранее методики (РЖХим, 1954, 49418) в диапазоне 7,7—19,8 кМгц исследован микроволновой спектр BrF_3 . Идентифицировано 13 линий сверхтонкой структуры переходов $1_{01} \rightarrow 1_{10}$, $2_{02} \rightarrow 2_{11}$, $3_{03} \rightarrow 3_{12}$, $1_{01} \rightarrow 2_{12}$ в Br^{79}F_3 (I) и Br^{81}F_3 (II). Найдено: $x = -0,71609$ и $-0,71438$; I_a 46,626; 46,744; I_b 123,966; 123,977; I_c 170,852; 171,001; Δ 0,260, 0,250 ат. ед. массы $\times A$; eQV_{aa} 607,57; 506,13; eQV_{bb} 501,78; 419,21; eQV_{cc} —1109,35; —925,34 Мгц , I и II соответственно. Полученным моментам инерции соответствует плоская структура молекулы (искаженное T) с одной короткой связью BrF' 1,721 Å и двумя длинными BrF 1,810 Å и $\angle \text{FBrF}'$ 86° 12,6'. Отношение постоянных квадратурного взаимодействия для I и II равно отношению квадратурных моментов Br^{79} и Br^{81} , определенному в других молекулах. По эффекту Штарка на линиях $1_{01} \rightarrow 1_{10}$ и $1_{01} \rightarrow 2_{12}$ оценен дипольный момент $\mu \approx 1D$.

Т. Бирштейн

31447. Эквивалентность между шириной линии и скоростью релаксации энергии для инверсионного спектра аммиака. Тамита (Equivalence between the line width and the rate of energy relaxation in the inversion spectrum of ammonia. Tomita Kazuhisa), Progr. Theoret. Phys., 1957, 17, № 3, 513—515 (англ.)

Используя метод функции релаксации (РЖХим, 1956, 46055), автор показывает, что при небольших давлениях (≤ 10 мм рт. ст.) ширина линии инверсионного спектра аммиака равна скорости релаксации энергии, т. е. числу квантов энергии, переносимых в единицу времени.

Н. Померанцев

31448. О поляризации молекулярного пучка переменным полем с изменяющимися амплитудой и фазой. Любимов Г. П., Хохлов Р. В., Ж. эксперим. и теор. физ., 1957, 33, № 6, 1396—1402 (рез. англ.)

31449. Ядерное квадрупольное резонансное поглощение. Кубо, Курига, Кагаку, Chemistry (Japan), 1957, 12, № 8, 564—567 (японск.)

Обзор за 1956 год. См. РЖХим, 1958, 7197.

А. М.

31450. Определение квадрупольных моментов молекул по ширине линий микроволнового спектра. II. Экспериментальная часть. Фини, Мадигоски, Уинтере (Evaluation of molecular quadrupole moments from microwave line breadths. II. Experimental: Feeny Harold, Madigosky Walter, Winters B.), J. Chem. Phys., 1957, 27, № 4, 898—900 (англ.)

Исследовано влияние O_2 , N_2 , CO_2 и H_2 на уширение инверсионной линии аммиака $J=3 \rightarrow 3$ в диапазоне давл. 100—400 μ рт. ст. при парц. давлении аммиака, не превышающем 10% от полного. Наблюдаемая ширина линий $2\Delta\nu = V^2 N_A V_A b_A^2 + N_A V_{A'} b_{A'}^2$, где N_A и $N_{A'}$ — мол. плотность аммиака и непоглощающего газа в смеси, V_A и $V_{A'}$ — их средние скорости, b_A и $b_{A'}$ — их диаметры столкновений для собственного уширения и уширения от постороннего газа соответственно. Вклад в ширину линий, обусловленный столкновениями с посторонним газом $2\Delta\nu_s = 2\Delta\nu(1-f)$, где f — отношение интенсивностей поглощения линий одинаковой ширины в смеси и в чистом аммиаке. Наблюдалась линейная зависимость $\Delta\nu$ от давления газа примеси. Найденны значения $b_{A'}$: $7,45 \pm 0,28$; $5,64 \pm 0,04$; $4,32 \pm 0,09$; $3,28 \pm 0,06$ Å для CO_2 , N_2 , O_2 и H_2 соответственно. В случае CO_2 и N_2 вычисленные $b_{A'}$ превышают газокинетич. диаметры на 70 и 40% соответственно. Для O_2 $b_{A'}$ лишь на 8% превышает газокинетич. диаметр, а для H_2 на 10% меньше, так что для этих газов нельзя считать, что

они уширяют линию NH_3 полностью благодаря взаимодействию NH_3 — диполь — H_2 , O_2 — квадруполь, и можно вычислить лишь верхний предел квадрупольного момента Q молекулы. Найдено (в CGSE-10²⁰): CO_2 $Q = 3,43 \pm 0,27$; N_2 $Q = 1,60 \pm 0,03$; O_2 $Q < 0,70 \pm 0,06$; H_2 $Q < 0,76 \pm 0,04$. Часть I см. РЖХим, 1955, 7025.

Т. Бирштейн

31451. Упрощенная молекулярно-орбитальная теория сопряжения в бромистом виниле и бромбензоле. Хау, Голдстейн (Simple molecular orbital theory of conjugation in vinyl bromide and bromobenzene. Howe John A., Goldstein J. H.), J. Chem. Phys., 1957, 27, № 4, 831—834 (англ.)

С помощью метода, описанного ранее (РЖХим, 1956, 77291), величина резонансного интеграла β_{CBr} в упрощенной теории МО определена по спектроскопически найденным постоянным квадрупольного взаимодействия $\chi_{\text{C}_2\text{H}_5\text{Br}^{81}}(\text{I})$ и $\chi_{\text{C}_2\text{H}_5\text{Br}^{79}}(\text{II})$. Для перехода от χ_{aa} и χ_{bb} к значениям постоянных в направлениях, определяемых связью CBr (ось z), по моментам инерции определена структура молекул CBr = 1,853 Å; $\angle \text{CCBr} = 123,2^\circ$ при предположении, что $\angle \text{HCH} = 120^\circ$; $\text{CH} = 1,08$ Å; $\text{CC} = 1,38$ Å. Тогда $\delta = (\chi_{\text{xx}} - \chi_{\text{yy}}) / -\frac{1}{2}(eQq)$ (атомн.) = 0,039 и 0,044 для I и II соответственно. При расчете использованы значения матричных элементов гамильтониана H для хлористого винила. Учтывались также интеграл перекрытия. Найдено $\beta_{\text{CBr}} = 1,89$ эв и определена матрица распределения, с помощью которой вычислен «резонансный» дипольный момент (составляющая μ , обусловленная сопряжением) $\mu_x = 0,503$ D; $\mu_y = -0,272$ D; μ (рез.) = 0,572 D в хорошем соответствии с опытными данными. По значениям β_{CBr} вычислены уровни энергии системы π -электронов в I и II: -3,98; -9,33; -10,55 эв. В случае бромбензола с помощью найденного значения β_{CBr} и также параметров, определенных для хлорбензола, вычислены уровни энергии, определена матрица распределения и вычислен μ (рез.) = 0,509 D, момент направлен параллельно связи C—Br. Проведен анализ всех предположений и приближений, использованных при расчете.

Т. Бирштейн

31452. Сверхтонкая структура парамагнитных ионов. Хейне (Hyperfine structure of paramagnetic ions. Heine V.), Phys. Rev., 1957, 107, № 4, 1002—1003 (англ.)

Теория сверхтонкой структуры спектров парамагнитного резонанса, развитая ранее (Abragam A., Pryce M. H. L., Proc. Roy. Soc., 1951, A205, 135), не объясняет аномалий, имеющих место в сверхтонкой структуре ряда парамагнитных атомов и ионов (напр., Mn^{2+}). Эти аномалии были приписаны вкладу неспаренных s -электронов в волновые функции атомов и ионов. Автор объясняет указанные аномалии обменом $3d$ -электронов с $2s$ - и $3s$ -неспаренными электронами. Обмен оказывает различное воздействие на $2s$ - и $3s$ -электроны с параллельным и антипараллельным спином, и поэтому $2s^2$ и $3s^2$ электроны неточно спариваются. Грубая предварительная оценка дает хорошее согласие с эксперим. результатами.

В. Авакумов

31453. Разрушения при облучении кристаллов лантанических нитратов, содержащих радиоактивные изотопы. Блани, Хейс, Ллуэллин (Radiation damage in lanthanum magnesium nitrate crystals containing radioactive isotopes. Bleaney B., Hayes W., Llewellyn P. M.), Nature, 1957, 179, 4551, 140—142 (англ.)

Изучены спектры электронного парамагнитного резонанса в монокристаллах (La , 10% Ce) $\text{Mg}_3(\text{NO}_3)_2 \cdot 24\text{H}_2\text{O}$, подвергнутых γ -облучению от Co^{60} в 110 М рентген. Когда магнитное поле параллельно оси c

кристалла, спектр состоит из трех линий сверхтонкой структуры, обязанных, по-видимому, ядрам N^{14} ($I = 1$). Ширина линии равна 10 эс при 290° К и 4 эс при 90° К. При измерениях в других направлениях обнаруживаются 3 вида различно ориентированных магнитных центров, с константой сверхтонкой структуры, имеющей анизотропию тензорного вида, с главными значениями ($A_x = 63 \pm 1$, $A_y = 57 \pm 1$, $A_z = 50 \pm 2$) $\cdot 10^{-4}$ см⁻¹. Сходные же спектры наблюдались в монокристаллах $\text{La}_2\text{Mg}_2(\text{NO}_3)_{12} \cdot 24\text{H}_2\text{O}$, содержащих 3 мюри Am^{241} (α -излучение с энергией 5,5 Мэв) или 3 мюри Pm^{147} (β -излучение с энергией 0,22 Мэв), причем в первом спектр наблюдался сразу, во втором — только спустя 3 недели после извлечения из ρ -ра. Проанализировав виды парамагнитных центров, которые могли возникнуть при облучении кристалла, авторы считают наиболее вероятным, что наблюдаемые линии парамагнитного резонанса обусловлены молекулами NO_2 . Интенсивность спектров (число парамагнитных центров) возрастала в некоторых случаях в течение продолжительного времени. В кристалле, содержащем 10^{-7} г Sm^{62} (α -излучение с энергией 6 Мэв), интенсивный спектр наблюдался сразу после роста кристалла. Возможно, что парамагнитные центры внедрялись в кристалл во время его выращивания из ρ -ра, содержащего образовавшиеся в результате сильной α -бомбардировки свободные радикалы. Интенсивность спектра кристалла, содержащего Pm , невелика: β -излучение мало эффективно в образовании парамагнитных центров. В рентгенооблученных кристаллах нитратов натрия обнаружен довольно сложный спектр, но без следов сверхтонкой структуры от N^{14} . Дается объяснение тому факту, что спектры самих ионов Am^{3+} , Pm^{3+} , Sm^{3+} не были наблюдаемы.

К. Валиев

31454. Изучение электронной структуры натрий-аммиачных растворов методом ядерного магнитного резонанса. Мак-Коннелл, Холм (Electronic structure of sodium-ammonia solutions by nuclear magnetic resonance. McConnell Harden M., Holm C. H.), J. Chem. Phys., 1957, 26, № 6, 1517—1522 (англ.)

Путем измерений найтовского смещения ΔH ядерного магнитного резонанса в натрий-аммиачных ρ -рах авторы доказывают, что неспаренный электрон (H_2) щел. металла в этих ρ -рах находится на слабо связанной с ионом Na^+ орбите, что аналогично состоянию электрона доноров пятой группы в кремнии. Измерения проведены в поле 7000 эс на частотах 2,154; 7,887 Мгц, для N^{14} , Na^{23} соответственно. Результаты измерений для N^{14} и Na^{23} представлены в виде графика $A = \Delta H(X)/H(X) \cdot N(X)N(\text{Na})$ относительно R , где $R = (\text{конц. } \text{NH}_3)/(\text{конц. } \text{Na})$ (в молях), $X = \text{N}^{14}$, Na^{23} , $N(x)$ число ядер X в 1 см³. $\Delta H(\text{N}^{14})$ было измерено относительно жидкого NH_3 при комнатной т-ре. $A(\text{N}^{14})$ линейно возрастает с R , тогда как $A(\text{Na}^{23})$ уменьшается с ростом R в интервале $R = 0,1-50$, а затем возрастает. $\Delta H(H)$ настолько мало, что не поддается измерению. Авторы пришли к выводу, что главный вклад в смещение резонансного поля вносится изменением плотности H_2 на ядре X при изменении R ; влиянием эффектов экранирования, возникающих напр., из-за объемного намагничивания, можно пренебречь. Смещение $\Delta H(X)$ авторы вычислили как среднее значение оператора контактного сверхтонкого взаимодействия $-\frac{8\pi}{3} \sum_i \mu_i \delta(r_{iX})$, μ_i — магнитный момент i -го электрона, r_{iX} — расстояние между ядром X и электроном i , $\delta(r_{iX})$ — функция Дирака. Получен результат $A = -8\pi/3 \chi_{\text{Na}}^{\text{sp}} P(X)/L_0$, $P(X)$ — плотность ядра X в H_2 , $\chi_{\text{Na}}^{\text{sp}}$ — спиновая восприимчивость атома металла.

На в p -ре, L_0 — число Авогадро. A измерено в данных опытах, а χ_{Na}^{sp} удалось оценить косвенным образом; в результате для $P(X)$ получены следующие числа: $P(Na)/P^0(Na) = (0,5 \div 0,3) \cdot 10^{-2}$ соответственно для значений $R = 50-400$, $P(N) = 0,13 P^0(N)$, причем остается постоянным в интервале $R = 50-700$; $P^0(X)$ — плотность P для изолированного атома. По мнению авторов, полученные результаты показывают, что НЭ щел. металла находится на сильно растянутой s -подобной орбите, центрированной на ионе Na^+ . Расстояние между электроном и ионом Na^+ возрастает из-за того, что силы притяжения к иону Na^+ уменьшены за счет диэлектрич. поляризации окружающих ион Na^+ молекул NH_3 . Кроме того, более слабые атомные $3s$ -орбиты иона Na^+ уже используются при образовании ковалентных связей с молекулами NH_3 и потому не могут быть заняты электроном. Аналогичная ситуация возникает в кремнии, содержащем фосфор: 4 валентные орбиты иона P^+ образуют связи с соседними атомами Si , а пятый электрон занимает сильно растянутую (до 10 Å) орбиту с центром в P^+ . Изменение характера зависимости $A(Na) \sim R$ при $R \approx 50$, сопровождающееся одновременным резким возрастанием диэлектрич. проводимости, также удалось объяснить: при $R \approx 50$ расстояние $Na-Na$ равно 10 Å, так что орбиты электронов двух соседних атомов начинают перекрываться, образуя металлородную полосу проводимости. Природа сверхтонкого взаимодействия N^{14} неясна; видимо, это взаимодействие не создается НЭ, центрированным около иона Na^+ , поскольку $P(N)$ не зависит от R , тогда как $P(Na)$ от R зависит. Возможно, здесь образуются ионы вида NH_2^- или NH_4^+ , обладающие НЭ с орбитом, центрированной на ядре N^{14} . Отсутствие найтовского смещения для протонов показывает, что НЭ не может находиться на орбите с центром в H^+ .

К. Валнев

31455. Опыты по ядерному магнитному резонансу в металлическом кадмии. Масуда (Nuclear magnetic resonance experiment on metal cadmium. Masuda Yoshika), J. Phys. Soc. Japan, 1957, 12, № 5, 523—528 (англ.)

Наблюдалось резонансное поглощение на ядрах Cd^{111} и Cd^{113} ($I = 1/2$) в металлич. частицах (размером меньше скин-слоя), взвешенных в парафиновом масле, или в раскатынных пластинках толщиной ~ 15 м. Опыты проделаны при значениях поля 3900, 6200, 8350 гс. Наблюдавшиеся линии были резко асимметричны, причем более быстрый спад был со стороны больших полей. Ширина линий изменялась пропорционально полю при резонансе на ядрах Cd^{113} $1,9 \pm 0,2$; $2,4 \pm 0,2$; $2,9 \pm 0,3$ гс для указанных выше значений поля. Это показывает, что ширина линии, а также ее асимметричность связаны в основном с анизотропией найтовского смещения (НС) резонансного поля. Анизотропная часть НС вычислена путем усреднения дипольного взаимодействия спинов ядра и электрона по состояниям электронов на поверхности Ферми; это среднее значение отлично от нуля, если волновая функция свободных электронов имеет p -характер. Изотропная часть НС получается путем усреднения фермиевского сверхтонкого взаимодействия по s -состоянию свободных электронов. Кристалл металлич. Cd имеет гексагон. решетку. Допуская, что волновая функция электрона имеет вид $\Psi = \exp(ikr)[a_s\varphi_s + a_1(\varphi_{px} + \varphi_{py}) + a_2\varphi_{pz}]$, где z — ось симметрии кристалла, путем сравнения результатов теории и эксперимента получены следующие числа: $|a_s|^2 = 0,20$, $|a_1|^2 = 0,20$, $|a_2|^2 = 0,40$. Это означает, что свободные электроны концентрируются вдоль оси симметрии кристалла, воз-

можно однороднее заполняя атомный многогранник, а их волновая функция на 80% имеет p -характер. Величина второго момента симметричной части линии показывает, что в эту часть дают вклады как связи ядер типа $A_{ij}I_jI_j$, так и псевдодипольные обменные взаимодействия ядер. Измеренное методом насыщения время релаксации T_1 ядер Cd^{113} равно $0,5 \cdot 10^{-3}$ сек., что в два раза меньше времени, вычисленного из соотношения Корринга, содержащего в качестве параметра НС ядер. Это объясняется тем, что соотношение Корринга вычислено без учета p -части волновой функции электронов проводимости; очевидно, что p -электроны также дают вклад в релаксацию. Обсуждается вопрос о влиянии скин-эффекта на форму линии.

К. Валнев

31456. Опыты по ядерному магнитному резонансу в твердом гексаметилдисилане. Юкитоси, Суга, Сэки, Ито (Nuclear magnetic resonance experiment on solid hexamethyldisilane. Yukitoshi Teruo, Suga Hiroshi, Seki Syuzo, Itoh Junkichi), J. Phys. Soc. Japan, 1957, 12, № 5, 506—515 (англ.)

На частоте 5,35 Мгц изучалось температурное изменение ширины линии и времени решеточной релаксации T_1 протонного резонанса в гексаметилдисилане. В молекуле гексаметилдисилана 3 метиловых группы связаны с атомом Si ; 2 атома Si соединены друг с другом. Возможными движениями протонов являются переходы между эквивалентными положениями метиловых групп, путем заторможенного вращения вокруг ее оси симметрии C_3 , и заторможенного вращения всей метиловой группы вокруг оси $Si-Si$ (C_2). Вычисленный в предположении твердой решетки второй момент (ВМ) протонной линии, при учете дипольных взаимодействий протонов в данной метиловой группе между метиловыми группами в молекуле и межмолекулярных взаимодействий, равен $24,3$ э². Между тем ВМ линии при наиболее низкой t -ре, использованной в опытах (-180°), равен $9,0$ э². Следовательно, при этой t -ре какое-то движение протонов возбуждено, что и сужает линию, всего вероятнее, вращение вокруг оси C_3 . Вычисленный, при допущении этого вращения, ВМ линии равен $7,9$ э². ВМ линии не изменяется в интервале t -р от -180 до -140° , затем постепенно уменьшается, до $2,0$ э² при -90° ; последнее значение остается постоянным до -55° . Видимо, между -140 и -90° возбуждается вращение метиловых групп вокруг оси C_2 ; вычисленный, при учете этого вращения, ВМ равен $1,8$ э². При t -ре около -55° линия резко сужается, что связано, по-видимому, с известным для гексаметилдисилана изменением структуры кристалла при этой t -ре. Температурные изменения T_1 в основном следуют изменениям в ширине линии. По теории, $1/T_1 \sim \tau_c' = \tau_0' \exp(E/RT)$, где τ_c' — время корреляции теплового движения, E — энергия возбуждения этого движения. Поэтому из измерений T_1 легко определить E : $2,6 \pm 0,2$ ккал/моль для вращения вокруг оси C_3 и $5,7 \pm 0,5$ ккал/моль для вращения вокруг C_2 . Константа τ_0' в обоих случаях имеет порядок 10^{-14} сек. При t -ре выше -55° время T_1 довольно быстро возрастает, и при 46° равно 2,5 сек. Если допустить, что в этих условиях релаксация протонов происходит за счет изменения межмолекулярных взаимодействий при переносной диффузии, расчет дает $T_1 = 20$ сек. По-видимому, на деле главный вклад в релаксацию дают изменения межмолекулярных взаимодействий при диффузном вращении молекул.

К. Валнев

31457. Влияние атомных квадрупольных моментов на показатель преломления. Саттен (Effects of atomic quadrupole moments upon the index of refraction. Satten Robert A.), J. Chem. Phys., 1957, 26, № 4, 766—772 (англ.)

Рассматривается влияние индуцированного квадрупольного момента Q и других эффектов того же порядка малости на показатель преломления однородного изотропного диэлектрика (при отсутствии вращения плоскости поляризации). Проводится расчет показателя преломления на основе максвелловских уравнений макроскопич. электромагнитного поля в диэлектрике $n^2 = \mu\epsilon + 4\pi k^2(\delta - \gamma)$, где k — волновой вектор падающей плоской волны в диэлектрике, а два новых параметра γ и δ определяют соответственно величины добавочного дипольного момента P' и квадрупольного момента Q , $P'_z = \gamma \partial^2 E_z / \partial x^2 = -k^2 \gamma E_z$, $Q_{13} = -\delta \partial E_z / \partial x = ik \delta E_z$. Плоская волна распространяется вдоль оси X , электрич. поле E поляризовано вдоль оси Z . Величина δ/N , где N — число атомов в единичном объеме, может быть названа квадрупольностью атома. Порядок величины поправки к обычному выражению показателя преломления $n_0 = \sqrt{\epsilon}$ определяется величиной отношения $Q_{13}/\lambda \approx Pr/\lambda$, где r — радиус атома, λ — длина электромагнитной волны в диэлектрике, P — дипольный момент единичного объема. Для $r = 10^{-8}$ см, $\lambda = 5 \cdot 10^{-5}$ см, $n_0 = 1.5$ поправка примерно равна $5 \cdot 10^{-4}$. Физ. смысл γ/N и δ/N выясняется посредством квантовомеханич. расчета ф-лы дисперсии с учетом членов высших порядков малости. В последнем разделе введенные представления используются для обсуждения вопроса о распространении в кристалле плоско-поляризованной волны, перпендикулярной к направлению распространения. Э. Фрадкин

31458. Новые методы количественного изучения водородной связи. П. Моляриные рефракции. Баанов С. С., Пахомов В. И., Ж. физ. химии, 1957, 31, № 1, 170—180 (рез. англ.)

Вычислены рефракции R (см³) водородных связей (ВС) в различных неорганич. и органич. соединениях и полученные значения использованы для суждения о прочности ВС. В случае неорганич. соединений R ВС типа $\text{OH} \dots \text{O}$ вычислялась из экзальтации R молекул H_2O и равна 0,08—0,13. Величины R ВС типа $\text{NH} \dots \text{O}$ в аммониевых солях с кислородсодержащим анионом вычислялись сравнением с R аналогичных калиевых солей. Расчеты показали, что R ВС $\text{NH} \dots \text{O}$ изменяется в пределах от 0,13 до 0,04, закономерно снижаясь по мере увеличения силы поля и, следовательно, увеличения поляризующего действия центрального атома (и электроотрицательности по Паулингу). Вычислены R для большого числа органич. соединений: аминов, спиртов, амидов к-т, эфиров и т. д. путем сравнения R соседних членов гомологич. рядов с учетом изменения R от изменения характера связи. Выяснено, что R ВС $\text{NH} \dots \text{N}$ зависит от основности азота и меняется от 0,08 до 0,47. R ВС типа $\text{OH} \dots \text{O}$ в спиртах растет с введением в их скелет электрофильных групп, в к-тах уменьшается по мере роста углеродного скелета. Внутримолекулярные ВС имеют тот же порядок величин, что и межмолекулярные. Замечено, что общий характер R ВС совпадает с характером изменений их энергий. Часть I см. РЖХим, 1956, 57307. В. Казакова

31459. Изучение оптической вращательной дисперсии. X. Определение абсолютной конфигурации α -галогеноциклогексанонов. Дьерасси, Клайн (Optical rotatory dispersion studies. X. Determination of absolute configuration of α -halocyclohexanones. Djerassi Carl, Klyne W.), J. Amer. Chem. Soc., 1957, 79, № 6, 1506—1507 (англ.)

Излагается метод определения абс. конфигурации циклогексанонов (I), не требующий сравнения кривой вращательной дисперсии с соответствующей кривой кетона известного строения. Основной вклад во вращательную способность вносит взаимодействие ак-

сиального Cl или Br в α -положении с C=O-группой. На примере ряда I известного строения показывается, что если атом галогена (Cl или Br) расположен справа от линии, проходящей через карбонильную группу и направленной от O и C (положение α), то эффект Коттона имеет положительный знак, если слева — отрицательный (положение α'). Расположение галогена — α или α' предлагается определять дегидрогалогенизацией, ориентацию кольца — при помощи УФ- и ИК-спектроскопии. После этого абс. конфигурация I определяется по измеренной кривой вращательной дисперсии. При наличии кривой вращательной дисперсии исходного кетона известной абс. конфигурации можно решать обратную задачу — определить расположение галогена. Часть IX см. РЖХим, 1957, 71750. Э. Бютнер

31460. К вопросу о связи между стерической структурой молекул органических соединений и константами диссоциации. I. Основания. Этвёш, Широман (Contribution to the correlation of steric structure with dissociation constants in organic compounds. I. Bases. Ötvös L., Sirokmán F.), Acta phys. et chem. Szeged, 1956, 2, № 1—4, 118—126 (англ.)

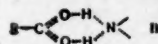
Дан анализ литературных данных по константам диссоциации α -замещенных ароматич., а также α - и β -замещенных алифатич. аминов в связи с вопросом о корреляции между этими величинами и особенностями стереохимии этих соединений. Ортозамещенные амины являются более слабыми основаниями, чем анилин и его мета- и парапроизводные, что объясняется стерич. препятствиями 1-го рода по Ингольду (Ingold C. K., Structure and Mechanism in Organic Chemistry, London, 1953, 743). При рассмотрении роли р-рителя подчеркивается, что с ростом размеров сольватной оболочки увеличиваются стерич. препятствия, что приводит к уменьшению основности аминов. Таким образом, влияние р-рителя проявляется в стерич. препятствиях 1-го рода. Значения K_b зависят также от возможности образования внутримолекулярной водородной связи. В этом отношении измерения K_b соединения в различных р-рителях (учитывая, что прочность внутримолекулярной водородной связи растет с полярностью р-рителя), могут являться хорошим методом выявления внутримолекулярной водородной связи. Показано, что влияние стереохимии на K_b наиболее отчетливо проявляется у β -замещенных алкиламинов, когда индуктивный эффект заместителей слабее по сравнению с α -замещенными алкиламинами. Наличие стерич. препятствий приводит к уменьшению основности алкиламинов. Найденные закономерности использованы при конформационном анализе изобутиламина и аминоциклогексанола. В. Алексанин

31461. Измерения диэлектрических постоянных и структура термочромных производных этилена. Кортюм, Бук (Dielektrische Messungen zur Struktur der thermochromen Äthylene. Kortüm G., Buck M.), Z. Elektrochem., 1956, 60, № 1, 53—58 (нем.)

Произведены тщательные измерения концентрации зависимости плотности, рефракции и диэлектрич. постоянной р-ров дифенила, антрахилона, дисантлена и дегидродантрона в бензоле. Ввиду малых конц-ий растворенных в-в для получения надежных и воспроизводимых данных применялась спец. прецизионная методика. Найдено, что дипольные моменты всех исследованных в-в равны нулю, что не сходится в соответствии с имеющимися в литературе представлениями об их пространственном строении. Результаты измерений для дисантлена расходятся с данными Бергмана и Фишера (Bergmann E. D., Fischer E., Bull. Soc. chim. France, 1950, 5, № 17, 1084),

согласно которым дипольный момент указанного соединения равен 1,01 D. В. Александрия

31462. Диелектрическая поляризация систем с водородной связью. III. Комплексы органических кислот с пиперидином. Собчик, Сыркин Я. К. (Polaryzacja dielektryczna układów z wiązaniem wodorowym. III. Kompleksy kwasów organicznych z piperydyną. Sobczyk Lucjan, Syркин Jakow K.), Roczn. chem., 1957, 31, № 1, 197—204 (польск.; рез. русск.)
На основании измерений диелектрической поляризации трехкомпонентных систем бензол (растворитель) — органическая к-та (бензойная, хлоруксусная, трихлоруксусная, пикриновая) — пиперидин (I) установлено, что карбоновые к-ты (K) образуют с I сравнительно слабополярные комплексы. Пикрат I имеет дипольный момент 12,4 D. Разность μ комплекса и



исходной K не зависит от природы K. Комплексам K с I приписывается строение II. Пикрат I, в отличие от пикратов третичных аминов сильно ассоциирован в бензольном р-ре. Библ. 15 назв. Часть II см. РЖХим, 1958, 27665. Н. Wróblowa

31463. Избежание измерений плотности раствора при измерениях электрических моментов. Эсток (Obviation of solution density measurements in electric moment determinations. Estok George K.), J. Phys. Chem., 1956, 60, № 9, 1336—1338 (англ.)

Автор считает, что в случаях, когда известны плотности или уд. объемы ν р-рителя и растворенного в-ва, можно не измерять ν_{12} р-ров и заменить в экстраполяционной ф-ле (Halverstadt I. F., Kumler W. D., J. Amer. Chem. Soc., 1942, 64, 2988) величину $\Delta\nu_{12}/\Delta\nu_{2\infty}$, где ω_2 — весовая доля (индексы 1, 2 и 12 относятся к р-рителю, растворяемому в-ву и р-ру соответственно), на $\nu_2 - \nu_1$. Приведены данные для более чем 50 соединений и показано, что для большинства из них сравниваемые величины отличаются не более чем на 0,01 и лишь для уксусной к-ты и формамида на 0,04. Вычисление дипольных моментов для некоторых соединений предлагаемым методом показало, что для ν с $\mu \geq 1$ D ошибка составляет не более 0,01 по сравнению с эксперим. значением. В. Казакова

31464. Исследования в области электрических моментов органических молекул. Сперони (Ricerche nel campo dei momenti elettrici di molecole organiche. Spegoni Giovanni), Ricerca scient., 1957, 27, № 4, 1199—1203 (итал.; рез. англ., нем., франц.)
Сообщение об исследованиях, проведенных в 1954—1956 гг. в Институте органической химии Неапольского университета. Из резюме автора

31465. Вычисление дипольных моментов H_2S и PH_3 . Нарасимха-Рао (Calculations of dipole moments of H_2S and PH_3 . Narasimha Rao D. V. G. L.), Trans. Faraday Soc., 1957, 53, № 9, 1160—1164 (англ.)

Теоретические исследования дипольных моментов двух изоэлектронных молекул H_2S и PH_3 . Автор показывает, что дипольные моменты, наблюдаемые экспериментально, не могут быть объяснены методом АО из предположения чисто ковалентных связей с орбитами чистого p -типа для атомов S и P. Поэтому он вводит в рассмотрение sp -гибридизацию. Так, напр., для молекулы H_2S волновые функции, представляющие связи и неподеленную пару, определяются так: $\psi(b_1) = \psi_1(1)H_1(2) + \psi_1(2)H_1(1) + \lambda_a\psi_1(1)\psi_1(2)$; $\psi(b_2) = \psi_2(1)H_2(2) + \psi_2(2)H_2(1) + \lambda_a\psi_2(1)\psi_2(2)$; $\psi(L) = \psi_3(1)\psi_3(2)$, где H_1 и H_2 — ортогональные орбиты, имеющие вид $Ah_1 + Bh_2$, $Bh_1 + Ah_2$ с h_1, h_2 , являющимися $1s$ АО двух атомов H, и λ_a — ионный характер связи; ψ_1, ψ_2 и ψ_3 — гибридные АО атома S. Параметры

гибридизации определяются из условий ортогональности волновых функций связи $\psi(b_1)$ и $\psi(b_2)$ и неподеленной пары $\psi(L)$. При вычислениях использовались водородоподобные орбиты с постоянной экранирования 10,02 для $3p, 3s$ АО атома S; длина связи S—H равна 1,327 Å; угол связи $92^\circ 6'$. Результаты вычислений при различных значениях λ_a сведены в таблицу. Подобный анализ применяется и в молекуле PH_3 . Для молекулы H_2S дается также вычисление дипольного момента методом локализованных орбит, который использовался в работе Дункана и Поппа (РЖХим, 1955, 51233). И. Станкевич

31466. Дипольные моменты производных глюкозы, галактозы и лактозы. Часть III. Хлороформ как растворитель. Рамакришна (Dipole moments of derivatives of glucose, galactose and lactose. Part III. Chloroform as solvent. Ramakrishna V.), Kolloid-Z., 1957, 154, № 2, 152—153 (англ.; рез. нем.)

В продолжение предыдущей работы (часть II, РЖХим, 1954, 30247) определены при 25 и 35° в хлороформе дипольные моменты (μ) в D следующих соединений: 2,3,4,6-тетраацетил α -ацетил d -глюкозы 3,05—3,07; 2,3,4,6-тетраацетил β -ацетил d -глюкозы 2,50—2,56; 2,3,4,6-тетраацетил α -метил d -глюкозы 2,45—2,37; 2,3,4,6-тетраацетил β -метил d -глюкозы 3,24—3,37; 2,3,4,6-тетраметил α -метил d -глюкозы 2,29; 2,3,4,6-тетраацетил β -ацетил d -галактозы 2,94. Найденные μ близки к величинам, полученным в бензоле. М. Луферова

31467. Расчет магнитной восприимчивости аминов, спиртов, эфиров, аммиака и воды. Боде, Тийё, Ги (Calcul de la susceptibilité magnétique des amines, des alcools, des éthers de l'ammoniac et de l'eau. Baudet Jean, Tillieu Jacques, Guy Jean), C. r. Acad. sci., 1957, 244, № 24, 2920—2922 (франц.)

Произведен теоретич. расчет диамагнитной восприимчивости (χ) ряда молекул аминов, спиртов и эфиров, а также молекул аммиака и воды. Используется аддитивная схема: значение χ для молекулы разлагается на сумму вкладов, вносимых отдельными связями и несвязывающими электронами. Метод расчета таких вкладов, а также теоретич. значения χ для связей C—C и C—H приведены ранее (РЖХим, 1956, 28228). По указанному методу вычислены вклады следующих несвязывающих электронных пар и связей в диамагнитную восприимчивость молекулы. К-электроны атома N: $\chi = -0,11$. Неподеленные L-электроны атома N: $\chi = -2,43$. Связь C—N (1,47 Å): $\chi = -3,15$. Связь N—H (1,01 Å): $\chi = -3,63$. К-электроны атома O: $\chi = -0,08$. Неподеленные L-электроны атома O: $\chi = -1,78$. Связь C—O (1,43 Å): $\chi = -2,73$. Связь O—H: $\chi = -3,34$ (все значения χ — в единицах 10^{-6} см³/моль; в скобках — принятая в расчете длина связи; предполагается тетраэдрич. гибридизация АО, участвующих в образовании связи; ионным характером связи пренебрегается). Значения χ для 20 молекул аминов, спиртов и эфиров, вычисленные с помощью этих вкладов отдельных связей и электронных пар, находятся в удовлетворительном согласии с экспериментом: для 14 молекул относительная погрешность расчета не превосходит 2%, для пяти — 5%, и только в одном случае составляет 7%. Произведен также расчет χ для молекул аммиака и воды. Состояние гибридизации центрального атома выбрано в точном соответствии с наблюдаемым значением валентного угла. Использованы: а) АО Слейтера и б) более точные АО Дункансона и Коулсона (Duncanson W. E., Coulson C. A., Proc. Roy. Soc. (Edinb.), 1944, 62, 37). В случае молекулы аммиака относительная погрешность расчета χ составляет в случае а) 26%, в случае б) 14%. Для молекулы воды соответственно значения равны: а) 20%, б) 4%.

Т. Ребане

31468. Магнитная восприимчивость некоторых соединений Pu^{4+} . Льюис, Эллиот (Magnetic susceptibilities of some Pu^{4+} compounds. Lewis W. Burton, Elliott Norman), J. Chem. Phys., 1957, 27, № 4, 904—908 (англ.)

Методом Фарадея при восьми различных t -рах в интервале 77—334° К измерена магнитная восприимчивость образцов соединений $Pu(SO_4)_2 \cdot 4H_2O$ (I), $Rb_2Pu(SO_4)_4 \cdot 2H_2O$ (II), $Pu(C_2O_4)_2 \cdot 6H_2O$ (III), $[(CH_3)_4N]_2PuCl_6$ (IV) и PuF_4 (V). Результаты измерений представлены в форме графиков, отражающих зависимость χ_m (Pu^{4+}) (в $mol\text{-}cm^{-3}$) от абс. t -ры. Восприимчивость χ_m иона Pu^{4+} получена вычитанием из молярной восприимчивости диамагнитных составляющих. Для иона Pu^{4+} диамагнитная составляющая равна $-31 \cdot 10^{-6}$. Из прямолинейных участков кривых выше 200° К вычислены магнитный момент μ и постоянная Δ для всех изученных соединений. Получены следующие данные в магнетонах Бора и градусах соответственно: I 2,98 и 830°; II 2,96 и 290°; III 2,99 и 610°; IV 1,99 и 75°; V 2,90 и 270°. Аналогия в магнитных свойствах соединений Pu^{4+} и U^{4+} (Hutchinson C. A., Elliott N., J. Chem. Phys., 1948, 16, 920; РЖХим, 1956, 53693) проявляется в больших значениях Δ и отклонениях от закона Кюри — Вейсса при t -рах ниже 200° К. Для изученных соединений Pu^{4+} это объясняется большим влиянием кристаллич. поля на электронные уровни Pu^{4+} . Авторы приходят к выводу, что только в IV сохраняется вырождение основного электронного уровня Pu^{4+} , во всех остальных соединениях вырождение полностью снимается кристаллич. полем. Найденные значения μ лучше согласуются с теоретически вычисленным моментом для свободного иона Pu^{4+} в предположении Расселя-Саундерсовской 5 f -электронной конфигурации 5I_4 ($\mu = 2,68 \mu_B$), а не с чисто спиновым значением момента ($\mu = 4,90 \mu_B$). Наблюдаемое различие в значениях восприимчивости отдельных образцов I объясняется наличием двух орторомбич. форм: одной изоморфной с $Ce(SO_4)_2 \cdot 4H_2O$ и другой изоморфной с $Zr(SO_4)_2 \cdot 4H_2O$.

В. Белова

31469. Магнитная восприимчивость ионов $U(4+)$ в кристаллических полях кубической симметрии. Хатчисон, Кандела (Magnetic susceptibilities of uranium (IV) ions in cubic crystalline fields. Hutchison Clyde A., Jr, Candela George A.), J. Chem. Phys., 1957, 27, № 3, 707—710 (англ.)

Измерена магнитная восприимчивость $[(CH_3)_4N]_2UCl_6$ (I), в интервале t -р 14—300° К. Найдено, что в указанном интервале восприимчивость I не зависит от t -ры и составляет $19,31 \pm 0,26 \cdot 10^{-4} \text{ см}^3 \text{ моль}^{-1}$. Установлено также, что монокристаллы I не обнаруживают парамагнитного резонансного поглощения в интервале t -р 4,2—300° К. Это показывает, что основное состояние $U(4+)$ немагнитно. Для интерпретации эксперим. данных произведен расчет энергий подуровней основного состояния иона $U(4+)$ в кристаллич. поле куб. симметрии. Показано, что если окружение иона $U(4+)$ в кристалле I октаэдрическое, низший подуровень терма 3H_4 независимо от отношений параметров a и b принадлежит представлению Γ_1 и парамагнетизм соединения определяется вкладом триплетного уровня Γ_4 , по расчету расположенного на высоте $\sim 1150 \text{ см}^{-1}$. Термич. возбуждение на этот уровень незначительно даже при t -ре 300° К, что и объясняет экспериментально найденное отсутствие влияния t -ры на парамагнетизм. В тех случаях, когда ближайшее окружение иона $U(4+)$ кубическое, при некоторых значениях отношения a/b низший подуровень терма 3H_4 принадлежит представлению Γ_5 , что обуславливает

зависимый от t -ры парамагнетизм у соответствующих соединений.

31470. Магнитная восприимчивость некоторых двойных органических смесей — систем из нитробензола (I), бензальдегида (II), хлорбензола (III) и бромбензола (IV) с бензолом, толуолом и p -ксиолом. Даттар, Кханолкар (Magnetic susceptibilities of some organic binary mixtures — systems of (I) nitrobenzene, (II) benzaldehyde, (III) chlorobenzene and (IV) bromobenzene with benzene, toluene and p -xylene. Dattar M. G., Khanolkar D. D.), J. Univ. Bombay, 1957, AB25, № 5, A25—A27 (англ.)

Видоизмененным методом Гун (Prasad и др., Proc. Indian Acad. Sci., 1944, A20, 224) производились измерения уд. магнитной восприимчивости χ . Зависимость χ от конц-ии I, II, III и IV имеет линейный характер и подтверждает правильность закона Видемана для указанных случаев.

31471. π -Комплексы между органическими свободными радикалами. Хауссер, Меррелл (Pi complexes between organic free radicals. Hausser K. H., Murrell J. N.), J. Chem. Phys., 1957, 27, № 2, 500—504 (англ.)

Исследованы магнитная восприимчивость и спектры поглощения p -ров N -этилфенила и перхлората сего красителя Вурстера. Найдено, что восприимчивость указанных соединений при низких t -рах не подчиняется закону Кюри. В спектрах поглощения появляется полоса в длинноволновой области, интенсивность которой растет с ростом парамагнитной восприимчивости. Высказано предположение, что в исследованных соединениях образуются π -комплексы, в которых молекулы расположены одна над другой. В результате взаимодействия облаков холостых π -электронов происходит понижение энергии основного singletного состояния молекул димера. Расчеты показывают, что интеграл перекрывания функций $2p_z$ имеет максимум при $R \approx 2A$. Реальное расстояние между молекулами, образующими комплекс, больше π , по-видимому, равно 3—3,5A. Появление длинноволнового максимума в спектрах приписывается переходу из состояния $a^1\psi_0(R_1-, R_2-)$ в $b^1[\psi_1(R_1+, R_2-) + \psi_1(R_1-, R_2+)]$ образующегося комплекса в состоянии $(1/V_2)[\psi_1(R_1+, R_2-) - \psi_1(R_1-, R_2+)]$. Различные представления использованы при рассмотрении свойств бирадикалов, образующихся из углеводорода Чикабина.

В. Александрия

31472. Расчет уровней энергии внутреннего вращения и вращения молекулы как целого. II. Молекулы типа CH_3CHO ; спектры ацетальдегида. Килб, Линь Чжун-дзя, Вильсон (Calculation of energy levels for internal torsion and over-all rotation. II. CH_3CHO type molecules; acetaldehyde spectra. Kilb R. W., Lin Chun Chia, Wilson E. B., Jr), J. Chem. Phys., 1957, 26, № 6, 1695—1703 (англ.)

Разработана теория внутреннего вращения и вращения как целого класса молекул типа CH_3CHO , состоящих из двух жестких волчков; ось симметричного волчка CH_3 лежит в плоскости симметрии асимметричного CHO . Если центр системы координат x, y, z лежит в центре тяжести молекулы, оси направлены по главным осям инерции, xx — плоскость симметрии, I_x, I_y, I_z — главные моменты инерции молекулы, $\lambda_x, \lambda_y, \lambda_z$ — направляющие косинусы оси симметрии симметричного волчка, α — угол внутреннего вращения, $\omega_x, \omega_y, \omega_z$ — угловая скорость асимметричного волчка, то гамильтониан можно представить в виде $H = H_0 + H_1 + H_2$; $H_0 = \frac{1}{2}(A+B)(P_x^2 + P_y^2 + P_z^2) + [C - \frac{1}{2}(A+B)] \times P_z^2 + Fp^2 + \frac{1}{2}V_3(1 - \cos 3\alpha)$; $H_1 = 2(QP_z + NP_x)P$

$H_2 = 1/2 (A - B) (P_x^2 - P_y^2) + G (P_x P_z + P_z P_x)$, где $P_x = \partial T / \partial \alpha x$; $P = \partial T / \partial \alpha$; $A = 1/2 h^2 (I_z^2 - I_x \lambda_z^2) / d$; $B = 1/2 h^2 / I_y$; $C = 1/2 h^2 (I_x - I_x \lambda_x^2) / d$; $G = 1/2 h^2 I_x \lambda_x \lambda_z / d$; $F = 1/2 h^2 I_x I_z / d I_a$; $N = 1/2 h^2 I_z \lambda_x / d$; $Q = 1/2 h^2 I_x \lambda_z / d$; $d = I_x (I_x - I_x \lambda_x^2) - I_x \lambda_x^2 I_z$. Предполагается $V_a = 1/2 V_a (1 - \cos 3\alpha)$. Собственными функциями H_0

является произведение функций симметричного волчка S_{JKM} на решение уравнения Матье $U_{\nu\kappa}(\alpha)$ ($\kappa = 0, \pm 1$ нумерует тип решения). H_2 также диагонально по $U_{\nu\kappa}$.

Если расстояние между вращательными уровнями мало сравнительно с расстоянием между уровнями крутильных колебаний, то при рассмотрении H_1 может быть применен метод Ван-Флека. Этому соответствует условие $4V_a / 5F \geq 5$, нижнему пределу которого удовлетворяют молекулы CH_3SH и CH_3OH . Энергетич. спектр молекулы в низшем состоянии крутильных колебаний $\nu = 0$ состоит из невырожденного уровня $A \kappa = 0$ и вырожденного уровня $E \kappa = \pm 1$. Состояние A соответствует спектру псевдожесткого волчка $H_A = A' P_x^2 + B P_y^2 + C' P_z^2$ с неизменным значением B и переменными A и C . Состояние E энергетически несколько выше состояния A и не совпадает со спектром псевдожесткого волчка, $H_E = A'' P_x^2 + B P_y^2 + C'' P_z^2 - 2N P_{00} P_x - 2Q P_{00} P_z$; $P_{\nu\nu'} = -i \int_0^{2\pi} U_{\nu\kappa} d\alpha / \partial \alpha$.

$U_{\nu\kappa}$ однако переходит в него, если барьер $V_a > 1000$ кал. Правила отбора, помимо правил отбора симметричного волчка, содержат также $\Delta \kappa = 0$. Следующий член разложения потенциальной энергии внутреннего вращения $1/2 V_a (1 - \cos 6\alpha)$ сказывается лишь на коэф. при P_x и P_z в выражении H_E , что затрудняет его оценку, так как роль этих членов мала.

Произведены измерения спектра CH_3CHO (I), CD_3CDO (II) и CD_3CHO (III) в диапазоне 8–40 см^{-1} . По расширению линии $\nu_E - \nu_A$, обусловленному внутренним вращением, определялся барьер внутреннего вращения. Найден $V_a = 1162, 1151, 1143 \pm 30$ кал; $V_a \sim 50, \sim 58, \sim 36$ кал для I–III соответственно. Для $C^{12}H_5C^{18}O$ (IV), $CH_3C^{18}O$ (V), $C^{13}H_5C^{18}O$ (VI) и $CH_3C^{18}O^{18}$ (VII) $V_a \approx 1160$ кал; $V_a \sim 50$ кал. Наблюдались также переходы $0_{00} \rightarrow 1_{01}$ в спектрах асимметричных молекул CH_3DCNO (VIII) и CH_3DCHO (IX), по частотам которых установлено, что кислород альдегидной группы противостоит водороду метильной группы при равновесной ориентации метильной группы. По спектрам I–IX найдены моменты инерции (в ат. ед. массы $\times A^2$): I_a 8,933; 14,456; 12,114 (I–III соответственно); I_b 49,741; 58,936; 58,853; 51,313, 51,292; 49,752; 52,245; 51,246; 57,581 (I–IX соответственно); I_c 55,553; 67,123; 64,672; 57,325; 57,130; 55,739; 58,157; 58,530; 61,844 (I–IX соответственно). Определена следующая структура молекул (при предположении $CD = CH$; $\angle CCD = \angle CCH$ в альдегидной группе): CC $1,5005 \pm 0,0050$ А; CO $1,2155 \pm 0,0020$ А; $\angle CCO$ $123^\circ 55' \pm 6'$; метильная группа: CH $1,086 \pm 0,005$ А; $\angle HCN$ $108^\circ 16' \pm 15'$; CD $1,088 \pm 0,005$ А; $\angle DCD$ $108^\circ 32'$; альдегидная группа CH $1,114 \pm 0,015$ А; $\angle CCH$ $117^\circ 29' \pm 45'$. Эффект Штарка на переходах псевдожесткого волчка эквивалентен эффекту Штарка в случае волчка без внутреннего вращения. Найден $\mu_a = 2,55$ D; $\mu_b = 0,87$ D; $\mu = 2,69$ D. Дипольный момент лежит в плоскости альдегидной группы под углом $18^\circ 52'$ к оси a . Часть I см. РЖХим, 1956, 12147.

Т. Бирштейн

31473. Исследование внутреннего вращения с помощью измерения дипольных моментов. V. Разности энергий поворотных изомеров галоидопроизводных углеводородов. Миягава (Miyagawa Ichiro),

Нихон кагаку дзасси, J. Chem. Soc. Japan. Pure Chem. Sec., 1954, 75, № 11, 1165–1169 (японск.)

Часть IV см. РЖХим, 1956, 60814.

31474. О происхождении потенциальных барьеров внутреннего вращения в молекулах. Вильсон (On the origin of potential barriers to internal rotation in molecules. Wilson E. Bright, Jr), Proc. Nat. Acad. Sci. U. S. A., 1957, 43, № 9, 816–820 (англ.)

Обсуждается природа потенциальных барьеров, тормозящих внутреннее вращение в молекулах типа этана. На основе рассмотрения эксперим. данных по потенциальным барьерам в простейших молекулах, полученных с помощью микроволновых спектров, автор приходит к выводу, что основной причиной торможения внутреннего вращения является не ван-дер-ваальсово отталкивание между не связанными друг с другом атомами, а отсутствие цилиндрич. симметрии у связи, вокруг которой осуществляется вращение. В качестве аргумента приводится, в частности, тот факт, что замена атома Н на атом F в ряде случаев не увеличивает, а уменьшает барьер. Указывается также, что попытки объяснить наблюдаемые барьеры электростатич. взаимодействием между несвязанными атомами приводят к неоправданно большим дипольным моментам взаимодействующих связей. Кроме того, приведенные автором вычисления для вращательных переходов ряда простых молекул в основном и первом возбужденном состояниях показывают, что движение протонов влияет на барьер меньше, чем изменение длины связи, вокруг которой осуществляется вращение. Это показывает, что прямое взаимодействие между атомами Н мало влияет на барьер.

О. Птицын

31475. Определение барьера внутреннего вращения пропиленоксида по микроволновому спектру. I. Суэйлен, Хершбак (Internal barrier of propylene oxide from the microwave spectrum. I. Swalen Jerome D., Herschbach Dudley R.), J. Chem. Phys., 1957, 27, № 1, 100–108 (англ.)

Для определения высоты барьера внутреннего вращения V метильной группы в C_3H_6O (I) исследован микроволновый спектр I в диапазоне 11–38 см^{-1} . Так как барьер в I высокий, расщепление уровней крутильных колебаний вследствие туннельного эффекта мало и может наблюдаться лишь в случае высоких J или для возбужденных состояний крутильных колебаний. Ранее разработанная теория взаимодействия внутреннего вращения с вращением молекулы как целого (РЖХим, 1956, 12147) распространена на случай молекул, не обладающих симметрией (кроме симметрии метильной группы) при высоком барьере внутреннего вращения. Если $V \geq [(9/4) 50 (h/8\pi^2 I_a)]$

$[(1 - \lambda_x^2 I_a) / I_x - (\lambda_y^2 I_a) / I_y - (\lambda_z^2 I_a) / I_z]^{-1}$, где I_a — момент инерции симметричного волчка CH_3 относительно его оси симметрии, I_x, I_y, I_z — главные моменты инерции всей молекулы, $\lambda_x, \lambda_y, \lambda_z$ — направляющие косинусы оси CH_3 , то подуровни A - и E -типов описываются гамильтонианами псевдожесткого волчка со слегка отличными вращательными постоянными. Величина дублетного расщепления является функцией высоты барьера. Идентифицированы вращательные переходы $\Delta J = 1$ в I (в основном b -типа), в основном колебательном состоянии до $J = 30$ и в первом возбужденном состоянии крутильных колебаний до $J = 10$. Расщепление линий основного состояния при $J < 14$ не разрешено. Найденны значения моментов инерции (в ат. ед. массы $\times A^2$): 28,048; 75,654, 84,944. Полагая, что структура I соответствует структуре этиленоксида, т. е. принимая $C-C$ (цикл) 1,471 А; $C-O$ 1,436 А; $C-H$ (цикл) 1,082 А; $\angle H_2CC$ $158^\circ 6'$; $\angle HCN$ $116^\circ 15'$, а также полагая для метильной группы $\angle HCN$ $109^\circ 28'$; $C-H$

1,09 А, авторы находят $C-C$ $1,513 \pm 0,020$ А; $\angle CCC$ $120^\circ 57' \pm 1^\circ$; угол между осью $C-CH_3$ и перпендикуляром к кольцу $33^\circ 47' \pm 1^\circ$. По эффекту Штарка найдено, что $\mu = 2,00 \pm 0,02$ D и лежит в основном в плоскости кольца. Высота барьера внутреннего вращения, определенная по дублетному расщеплению 12 линий основного состояния с J от 15 до 27, оказалась равной $V_3 = 2710$ кал/моль (948 см $^{-1}$). По расщеплению линий в первом возбужденном состоянии крутильных колебаний $\nu = 1$ ($\nu \approx 205$ см $^{-1}$) найдено $V_3' = 2560$ кал/моль (895 см $^{-1}$). Расхождение $\sim 6\%$ между указанными величинами превышает погрешность эксперимента, хотя вследствие неопределенности структуры точность определения V_3 составляет ± 200 кал/моль. Наблюдались также переходы в состоянии $\nu = 2$, хорошо согласующиеся с величиной $V_3' = 0$. Авторы указывают, что наблюдаемое расхождение между V_3' и V_3 объясняется неточностью теории для высоких k в основном состоянии крутильных колебаний.

Т. Бирштейн
31476. Микроволновый спектр и барьер внутреннего вращения в транс-фторпропилене. Сигел (Microwave spectrum and barrier to internal rotation for trans-fluoropropylene. Siegel Seymour, J. Chem. Phys., 1957, 27, № 4, 989-990 (англ.))

Исследован микроволновый спектр транс- $CH_3CH=CHF$ в диапазоне 8-37 кМгц. Каждый из уровней асимметричного волчка расщеплен на два подуровня А и Е вследствие внутреннего вращения, что приводит к дублетному расщеплению линий. В основном состоянии эти дублеты в ряде случаев были разрешены, расстояния между линиями 0,5-5,5 Мгц; в возбужденном состоянии крутильных колебаний 100-180 Мгц. Определены вращательные постоянные для линий А и Е, для этого решалось вековое уравнение для $H_{\nu E}$. Найдена структура молекул, согласующаяся со значениями вращательных постоянных (в А): $C-F$ 1,33; $C=C$ 1,35; $C-C$ 1,50; $C-H$ 1,07; $\angle CCH$ $124^\circ 45'$; $\angle CCF$ $120^\circ 00'$; $\angle CCH$ $120^\circ 00'$; $\angle CCF$ $124^\circ 45'$. Не представлялось возможным точно разделить члены V_3 и V_3' в потенциальном барьере. Найдено $V_0 \leq 15$ кал, $V_3 = 2200 \pm 100$ кал. Исследован эффект Штарка линий $1_{10} \rightarrow 2_{11}$; $1_{01} \rightarrow 2_{02}$; $2_{13} \rightarrow 3_{13}$ и найдено $\mu_a = 1,85 \pm 0,02$ D. Оценено $\mu_b < 0,02$ D.

Т. Бирштейн
31477. Микроволновые спектры молекул, обладающих внутренним вращением. I. Пропилен. II. Метилаллен. Лайд, Мани (Microwave spectra of molecules exhibiting internal rotation. I. Propylene. II. Methylallene. Lide David R., Jr., Mann D. E., J. Chem. Phys., 1957, 27, № 4, 868-873, 874-877 (англ.))
I. С помощью спектрометра со штарковской модуляцией в диапазоне 17-36 кМгц исследован спектр $H_3CCN = CH_2$ (I) и $H_3CC^{13}N = CH_2$ (II). Наблюдались переходы $J = 0 \rightarrow 1$, $1 \rightarrow 2$. $\Delta K_{-1} = 0$, $\Delta K_{+1} = 1$ в основном и возбужденных состояниях крутильных колебаний. Каждая из линий $J = 1 \rightarrow 2$ является дублетом вследствие внутреннего вращения. Расщепление в основном колебательном состоянии $\sim 0,3-1,0$ Мгц. Анализ спектра произведен на основе ранее предложенной теории (РЖХим, 1957, 76449), хорошо описывающей наблюдаемый спектр. По частотам компонент ν_A на основе теории жесткого волчка найдены моменты инерции (в ат. ед. массы $\times A^3$): I 10,973 \pm 0,015; 54,313 \pm 0,001; 62,175 \pm 0,001; II 11,160 \pm 0,015; 54,318 \pm 0,001; 62,382 \pm 0,001. Величина $I_a + I_b - I_c$, равна 3,110 \pm 0,015 и 3,096 \pm 0,015 ат. ед. массы $\times A^3$ для I и II, соответственно, совпадает с моментом инерции группы CH_3 , относительно ее оси симметрии 3,103 ат. ед. массы $\times A^3$, что свидетельствует о плоской структуре молекулы пропилена (кроме атомов Н метильной груп-

пы). По дублетному расщеплению линий к линейному эффекту Штарка определен барьер внутреннего вращения $V_0 = 692,4 \pm 6$ см $^{-1} = 1978 \pm 17$ кал/моль, что согласуется с результатами калориметрич. измерений. По эффекту Штарка найдено $\mu_a = 0,360 \pm 0,001$ D; $\mu_b = 0,05 \pm 0,02$ D, полный момент $\mu = 0,364 \pm 0,003$ D направлен под углом $8^\circ \pm 3^\circ$ к главной оси инерции а, составляющей угол $24^\circ 36'$ с осью симметрии группы CH_3 для I. Полагая $\angle HCN$ $107^\circ 41'$ и CH 1,090 А (метильная группа), CH 1,070 А, $\angle C = CH = \angle C = CH$ 120° , авторы находят: CC 1,488 А; $C = C$ 1,353 А; $\angle CCC = 124^\circ 45'$.

II. Исследован спектр $CH_3CH = C = CH_2$ в диапазоне 16-33 кМгц. Наблюдались переходы $J = 1 \rightarrow 2$, $2 \rightarrow 3$, $3 \rightarrow 4$. $\Delta K_{-1} = 0$, $\Delta K_{+1} = 1$, большинство линий вследствие внутреннего вращения являются дублетами с расщеплением < 3 Мгц. Анализ спектра произведен на основе предложенной выше теории, хорошо описывающей наблюдаемый спектр. При расчете эффективных вращательных постоянных по частотам компонент ν_A учтена поправка на центробежное возмущение в виде $-D_J J^2 (J+1)^2 - D_{JK} K^2 J (J+1)$ при $D_J = 1,2$ кал, $D_{JK} = -54$ кал. Найдены моменты инерции (в ат. ед. массы $\times A^3$): 14,93 \pm 0,08; 120,321 \pm 0,001; 128,713 \pm 0,001. По дублетному расщеплению линий найдена высота барьера внутреннего вращения $V_0 = 556,0 \pm 2$ см $^{-1} = 1589 \pm 6$ кал/моль, что согласуется с калориметрич. данными. По эффекту Штарка найдено $\mu_a = 0,394 \pm 0,002$ D; $\mu_b = 0,070 \pm 0,001$ D; полный момент $\mu = 0,401 \pm 0,002$ D направлен под углом $10^\circ 8' \pm 11'$ к главной оси инерции а, составляющей угол $38^\circ 10'$ с осью симметрии группы CH_3 . При тех же предположениях относительно положения атомов Н, что и в части I, авторы находят $C-C$ 1,48 А, $C = C$ 1,33 А, $\angle C = C = C$ 123° .

Т. Бирштейн

31478. Инфракрасные спектры клатратных соединений гидрохинона. Хекстер, Голдфарб (Infra-red spectra of quinol clathrate compounds. Hexter R. M., Goldfarb T. D., J. Inorg. and Nucl. Chem., 1957, 4, № 3-4, 171-178 (англ.))

Исследованы ИК-спектры в области 1-15 мкм гидрохинона, β -гидрохинона и клатратов последнего с молекулами HCl , H_2S , SO_2 , CO_2 . Спектры подтверждают ранее сделанные предположения (Palin D. E., Powell H. M., J. Chem. Soc., 1947, 208-221) о различии кристаллич. структур α - и β -гидрохинона. Предположение о столкновениях включенных молекул со стенками «ячейки» в CO_2 подтвердилось значением вычисленной из кинетич. теории полуширины линии $\sim 15,9$ см $^{-1}$, порядок которой совпал с экспериментом. Отсюда авторы заключили о степени свободы вращательного движения включенной молекулы.

И. Качукова

31479. Молекулярные соединения. VIII. Доказательство существования 2:1- и 1:2-комплексов 1,3,5-тринитробензола и N,N-диметиланилина в растворах хлороформа. Росс, Лейбс (Molecular compounds. VIII. Evidence for the existence of 2:1 and 1:2-complexes in chloroform solutions of 1,3,5-trinitrobenzene and N,N-dimethylaniline. Ross Sidney D., Labes Mortimer M., J. Amer. Chem. Soc., 1957, 79, № 1, 76-80 (англ.))

Спектроскопическим путем определены константы равновесия K для образования комплексов 1,3,5-тринитробензола (I) с N,N-диметиланилином (II) в $CHCl_3$ при $24,8 \pm 0,1^\circ$. Определены коэф. поглощения в области 440-560 мкм и значения K в большом интервале отношений конц-ий $C_I : C_{II}$. Для интервалов отношений $C_I : C_{II}$ $5,8 \cdot 10^{-4} - 7,0 \cdot 10^{-3}$, $8,0 \cdot 10^{-1}$

22-10⁻², 11-64, а также для $C_I : C_{II} = 1$ величины K найдены в пределах 0,60—0,70, 0,79—1,06, 1,12—1,23 и 1,70—1,91 л/моль соответственно. Подробное обсуждение результатов приводит к выводу о наличии в р-ре комплексов I с II в соотношениях 1:2, 1:1 и 2:1. Изучено влияние присутствия комплексов 1:2 и 2:1 на значение K , определяемое для комплекса 1:1. Найдены правильные значения K для комплексов 1:1 и 1:2. Проведено обсуждение прежних работ, где предполагалось образование только комплекса 1:1 и поэтому были получены неправильные значения K . Часть VII см. РЖХим, 1957, 25827.

Е. Шусторович

31480. Межмолекулярные соединения пиридина и уксусной кислоты. Гурвиц, Михальчик, Погorejская (Związki międzycząsteczkowe pirydyny i kwasu octowego. Hurwic Jozef, Michalska Jerzy, Pogorzelska Krystyna), Rosk. chem., 1957, 31, № 1, 265—275 (польск.; рез. русск.).

Определена диэлектрич. поляризация (ДП) смесей пиридина (I) и уксусной к-ты (II) в соотношениях, соответствующих 1:4 II и 24:3 II, в разб. бензольных р-рах. Разность между эксперим. значением ДП и суммой ДП составных частей смеси равна в случае первого р-ра 0,87 см³, а в случае второго 1,04 см³. Таким образом ДП проявляет большие отклонения от аддитивности, так же как и другие физ. величины, относящиеся к исследуемым смесям. Предполагается наличие ряда комплексов состава, зависящего от концентрации. Предложен вероятный механизм образования этих комплексов. Библ. 21 назв. Н. Wróblowa

31481. Природа водородной связи. III. Измерение интенсивности инфракрасного поглощения гидроксидов и гидроксил, участвующего в образовании водородной связи. Теория повышения интенсивности поглощения при образовании водородной связи. Цубокура (Nature of the hydrogen bond. III. The measurement of the infrared absorption intensities of free and hydrogen-bonded OH bands. Theory of the increase of the intensity due to the hydrogen bond. Tsubokura Hiroshi), J. Chem. Phys., 1956, 24, № 5, 927—931 (англ.).

Измерена интенсивность ИК-полосы ОН р-ров фен-ола в м-тентане и CCl₄ в присутствии акцепторов протона. Показано, что с увеличением смещения полосы ОН в сторону меньших частот, обусловленного образованием водородной связи (ВС), ее интегральная интенсивность монотонно растет. Наблюдаемое увеличение $\frac{d\mu}{d\nu}$ при образовании ВС объясняется тем, что имеет место резонансное взаимодействие между нормальной структурой ВС О—Н...Х и полярной структурой, возникающей при переносе электрона от Х к атому кислорода группы ОН. Величина $\frac{d\mu}{d\nu}$ представляется в виде суммы $\frac{d\mu_0}{d\nu}$ и $\frac{d\mu_T}{d\nu}$, где $\frac{d\mu_0}{d\nu}$ — производная дипольного момента связи ОН, а μ_0 — дипольный момент свободной молекулы. С увеличением прочности ВС вес полярной структуры возрастает, что приводит к общему росту величины $\frac{d\mu}{d\nu}$. На основании сравнения теоретич. кривой $I/\Delta\nu$ с экспериментально найденной, автор высказывает предположение, что знак $\frac{d\mu_0}{d\nu}$ положительный. Особо рассмотрен случай образования внутримолекулярной ВС, напр. в салициловой к-те, когда несмотря на значительную прочность ВС, интенсивность полосы ОН мала. Это исключение из данной общей теории автор объясняет участием в резонансе очень устойчивых резонансных структур хиноидного типа, в результате чего перенос электрона от Х к кислороду ОН в анионной степени компенсируется обратным переносом π -электронного заряда. Часть II см. РЖХим, 1956, 77333.

В. Алексанян

31482. Аномальный эффект, наблюдаемый при исследовании межмолекулярной водородной связи метанола в неполярном растворителе. Сансьер (Anomalous effect observed in the study of intermolecular hydrogen bonding of methanol in a nonpolar solvent. Sancier Kenneth M.), J. Phys. Chem., 1957, 61, № 8, 1127—1128 (англ.).

Для изучения водородной связи (ВС) исследовано равновесие системы жидкость — пар для метанола (I) в CCl₄ в интервале концентраций от 1,00 до 0,0002 мол. долей и т-р от 10 до 50°. Обнаружено, что при концентрациях ниже 0,004 наблюдается резкое снижение упругости пара I над р-ром. С применением метода меченых атомов это аномальное явление было объяснено тем, что при низких конц-ях становится заметной адсорбция I на стекле. В связи с этим примененный метод оказался непригодным для изучения природы ВС. Полученные результаты демонстрируют возможные ошибки при исследованиях в стеклянной аппаратуре.

В. Казакова

31483. Исследование водородной связи в метаноле по инфракрасным спектрам методом изоляции матрицы. Ван-Тил, Беккер, Пиментел (Infrared studies of hydrogen bonding of methanol by the matrix isolation technique. Van Thiel Matthias, Becker Edwin D, Pimentel George C.), J. Chem. Phys., 1957, 27, № 1, 95—99 (англ.).

Ранее описанным методом изоляции матриц (РЖХим, 1957, 33956) в области вал. кол. ОН и СН исследованы ИК-спектры метанола (I), сублимированного в твердом азоте (II). Изучались образцы с различным отношением содержания II к I (II/I). В исследованных спектрах в области вал. кол. ОН найдено 5 полос поглощения: 3660, 3490, 3445, 3290 и 3250 см⁻¹, интенсивность которых существенно зависит от II/I. Из рассмотрения хода зависимости интенсивности указанных полос (измеренных относительно интенсивности полосы СН 2965 см⁻¹) от II/I авторы заключают, что полоса 3660 см⁻¹ относится к мономеру, полосы 3490 и 3445 см⁻¹ — соответственно к димеру и тримеру, а полоса 3290 см⁻¹ — к тетрамеру. Зависимость интенсивности полосы 3250 см⁻¹ от II/I приблизительно такая же, как и для полосы 3290 см⁻¹, но несколько отличается в области малых значений II/I, поэтому ее интерпретация неопределенна. Опираясь на заметное различие смещений полос димера и тримера от смещения полос тетрамера, авторы высказывают предположение, что первые два ассоциата имеют циклич. плоскую структуру, а более высокие — цепочечную; различие частот объясняется тем, что в циклич. структуре углы О—Н...О малы и взаимодействие О—Н и О менее сильно (соответственно смещение меньше) по сравнению с цепочечными структурами, где углы О—Н...О велики. В. Алексанян

31484. Водородная связь тиоловой группы в дитиофосфинатных кислотах. Аллен, Колклаф (Hydrogen bonding of the thiol group in phosphinodithioic acids. Allen Geoffrey, Colclough R. O.), J. Chem. Soc., 1957, Sept., 3912—3915 (англ.).

Исследованы ИК-спектры в области частот вал. кол. SH-дифенил-(I) и дитиалдитиофосфиновой (II) к-т. В спектрах твердых, жидких и конц. р-ров I в инертных р-рителях наблюдаются полосы 2420 и 2560 см⁻¹. При разбавлении р-ров или повышении т-ры интенсивность диффузной полосы 2420 см⁻¹ значительно уменьшается. Подобная картина наблюдается в спектре II. Авторы объясняют диффузность полосы 2420 см⁻¹ наличием ассоциированных через водородные связи (ВС) SH...S полимерных комплексов (R₂PS·SH)_n. Удвоение полосы 2420 см⁻¹ в спектрах эфирных р-ров I объяснено наличием двух видов ВС SH...S и SH...O. Из сравнения спектров I, II и тио-

бензойной и тиоуксусной к-т авторы делают вывод о большей полярности связей $P=S$ и $S-H$ в дитиофосфиновых к-тах, чем $C=S$ и $S-H$ в тиакарбокислых к-тах. Энергия ВС в I и II составляет ~ 1 ккал/мол. Е. Попов

См. также: Структура молекул: органич. 31524; 11903Бх; по рентген. данным 31485, 31486, 31507, 31508, 31510, 31511, 31518, 31520, 31522, 31523, 31526, 31612. Теория твердого состояния 31537, 31538, 31555. Энергия связей 31749. Спектры 32023; 11915Бх. Дипольные моменты и диэлектрич. св-ва 31563, 31564. Магнитные св-ва 31387, 31568—31576, 31608, 31615, 31841, 31957, 31961. Реакционная способность 31770. Межмол. взаимодействие и водородная связь 31724, 32316. Связь металлов 31487. Центросим. молекулы 31491

КРИСТАЛЛЫ

Редакторы Э. А. Гилинская, А. Б. Нейдинг, А. Б. Шехтер

31485. Кристаллохимические исследования природы донорно-акцепторной связи в комплексных соединениях. Звонкова З. В., Ж. неорганич. химии, 1957, 2, № 10, 2334—2345

Дан кристаллохим. анализ природы хим. связи в соединениях металлов с незаполненными s, p -орбитами: Hg, Tl, Pb. В рядах аддендов Cl, Br, J и O, S установлено увеличение степени использования p -состояния атома M в связях M—X. Рассмотрен вопрос о транс-влиянии в комплексных соединениях Pt. По кристаллохим. данным автора, различие в реакционной способности соединений Pt обусловлено преимущественным участием разных $d-s-p$ -состояний атома металла в связях с различными аддендами. Произведен анализ рентгеноструктурных данных для установления распределения зарядов атомов в комплексных соединениях В с донорно-акцепторной связью. Утверждается, что хим. связь в комплексах $[(F^{2-})_3V^{5+} - N^{3-}]$ является полярной донорно-акцепторной связью с недостаточным числом электронов у атома В и использованием sp^3 -гибридных орбит атома В для перекрытия с асимметричной свободной парой электронов атома N. Л. Воронцова 31486. О природе химической связи в комплексных роданидах металлов. Звонкова З. В., Ж. физ. химии, 1957, 31, № 9, 2074—2077 (рез. англ.)

В литературных данных приводятся две структурные ф-лы иона родана: $S-C \equiv N$ (спектроскопич. определение (Langseth A. и др., Z. phys. Chem. Abt., 1934, B27, 100)) и $S=C=N^-$ (измерение эффекта Фарадея (Voigt D. Acad. Sci., 1947, 225, 1151)). На основании рентгенографич. измерений межатомных расстояний $S-C$ (1,58 Å) и $C-N$ (1,24 Å) в ионе родана (Звонкова З. В., Жданов Г. С., Ж. физ. химии, 1949, 23, 1495) и сильной водородной связи $N-H \cdots N$ в NH_4SCN установлено распределение электронной плотности в ионе $S=C=N^-$. Близость межатомных расстояний в ионе и ковалентной группе родана объясняется автором изменением валентного состояния атома S в ковалентной группе $-S^{2+}=C=N^{2-}$. Отмечается уменьшение расстояния $C=N$ в ковалентной изороданогруппе $-N=C=S$ по сравнению с изолированной двойной связью: возрастание π -взаимодействия в связях $S=C$ увеличивает π -взаимодействие свободной пары электронов атома N с атомом C.

Л. Воронцова 31487. Участие ковалентных связей в структуре металлических A_3B -фаз типа β -W. Мильнер (Die Beteiligung von kovalenten Bindungen an der β -W-

Struktur der metallischen A_3B -Phasen. Millner Theodor, Z. anorgan. und allgem. Chem., 1957, 292, № 1-3, 25—27 (нем.)

Высказано предположение, что в структурах фаз A_3B типа β -W атомы, образующие бесконечные цепи $-A-A-A-$, связаны друг с другом ковалентной связью. Условием образования этих фаз автор считает наличие у А-атома по крайней мере двух валентных d -электронов, участвующих в ковалентной связи (кроме s -электронов, участвующих в металл. связи). Показано, что это условие выполняется для всех известных A_3B -фаз типа β -W, так как общее число валентных электронов А-компонентов (Ti, V, Cr, Zr, Nb, Mo, Ta) равно 4—6.

П. Крипьякевич 31488. Общий алгебраический подход к фазовой проблеме. I. Пространственная группа $P\bar{1}$. Хауптман, Карл (A unified algebraic approach to the phase problem. I. Space group $P\bar{1}$. Hauptman H., Karle J.), Acta crystallogr., 1957, 10, № 4, 267—270 (англ.)

Предложенный метод основан на выражении произведения произвольного числа (здесь до 6) нормированных структурных факторов $P_{i-1}^* E_{h_i}$ для центросимметричных структур. Выведены ф-лы для определения знаков структурных факторов, и в частности типа E_{2h} только на основании интенсивностей. Часть этих ф-л подтверждает ранее полученные, другая — является их важным дополнением, но, в отличие от вероятностных, ф-лы имеют истинный характер. Указано на возможность использования ф-л произведения высших порядков. Полученные ф-лы справедливы для структуры, состоящей из N идентичных точечных атомов в общих положениях. Т. Тархова

31489. О применении статистических методов к изучению кристаллического строения белков. Лудзати (Sur l'emploi des méthodes statistiques dans l'étude de la structure cristalline des protéines. Luzzati V.), Acta crystallogr., 1955, 8, № 12, 795—806 (франц.; рез. англ.)

Рассматриваются 4 возможные статистич. схемы (модели) расположения атомов в элементарных ячейках объектов со сложной мол. структурой: 1) вероятность нахождения любого атома в объеме dv элементарной ячейки определяется, как dv/v ; 2) предположено, что эта вероятность является некоторой функцией $q(r)$ положения объема dv ; 3) элементарная ячейка разбивается на ряд областей, содержащих достаточно много атомов; в каждой из них положение атома в любом элементе объема dv мыслится равновероятным; 4) элементарная ячейка разбивается также на отдельные области, однако эти области малы и могут вмещать не более одного атома. Вводится функция вероятности заполнения такой области, она зависит от расположения области в элементарной ячейке. Последняя модель учитывает корреляцию в положениях атомов, возникающую вследствие ограничений, накладываемых хим. связями и стерич. препятствиями. Для схемы 1 вероятность определенного значения интенсивности $p(I) \cdot dI$, а также среднее значение интенсивности I были определены ранее (Wilson A. J. C., Acta crystallogr., 1949, 2, 318). В настоящей работе проведен расчет этих величин для всех четырех схем. Анализ полученных соотношений показывает, что для схемы 2 \bar{I} должна быть или больше, или равна (при больших s) \bar{I} , рассчитанной для схемы 1. Кривая \bar{I} для схемы 3 должна идти ниже кривой интенсивности схемы 2, совпадая с ней при больших s . Промежуточное между ними положение должна занимать кривая для схемы 4. Все кри-

illner
1957,
ах фаз
не цеп
лентной
ор счи
вух ва
лентной
сталлич
гся для
днее чис
V, Сг,
тяжелой
фазовой
аунт-
to the
an H,
657—270

и про
норми
и цент
и опре
частно
ностей.
е, дру
з отля
харан
л про
и сира
гичных
тархова
и на
Пуд
s дав
Luz
95—806

схемы
к ячей
вероят
и эле
пред
оторой
центар
жащих
оложе
слится
ивает
бласти
и. Вво
обла
элемен
корре
следст
и сте
опре
также
делени
318).
личии
отно
быть
нिति
идти
с ней
ложно
кри-

ные при больших s совпадают. Эксперим. кривые построенные для кристаллов рибонуклеазы II и метгемоглобина лошади, не совпадают с вильсоновской кривой, рассчитанной для схемы 1. Сделана попытка определить ход кривой $\Phi_2 = \sum_j^N f_j^2$ для рибонуклеазы относительно кривой \bar{I} . Показано, что относительный ход этих кривых не согласуется со схемой 2. Построенные для эксперим. данных кривые моментов нулевого и 1-го порядка (соответственно $\mu(x) = \int_{-x}^x p(x)dx$ и $v(x) = \int_{-x}^x xp(x)dx$), $x = I/I^0$, близки к теоретич. кривым для схем 2, 3 и 4 и не согласуются с расчетами для схемы 1. Н. Андреева

31490. Изоморфное замещение и определение фазы в нецентросимметричных пространственных группах. Перуц (Isomorphous replacement and phase determination in non-centrosymmetric space groups. Perutz M. F.), Acta crystallogr., 1956, 9, № 11, 867—873 (англ.)

Предложен метод прямого решения фазовой проблемы в блоках (Б), кристаллизующихся в нецентросимметричных группах с помощью изоморфных рядов из трех (или более) членов: Б без тяжелого атома и двух Б с тяжелыми атомами H_1 и H_2 в различных положениях. Для Б с большими элементарными ячейками роль тяжелого атома играет асимметричная группа из тяжелых атомов. Первый этап состоит в нахождении положений тяжелого атома (или группы атомов) в каждом из двух Б относительно произвольного начала координат в каждом Б; второй — в нахождении относительного положения этих начал координат. Показано, что если в центросимметричных группах (или их проекциях) первая задача решается с помощью разностного синтета Паттерсона с коэф. $(|F_H| - |F|)^2$, то в нецентросимметричных группах возможен синтез Паттерсона только с коэф. $|F_H| - |F|^2$. Последний дает 2 сорта синтет: $H-H$ и $H-P$ (P — пик электронной плотности Б). Выведены 2 сорта функций для нахождения относительных координат тяжелых атомов с высокой степенью точности: первая — ряд Фурье вида $C(u, v, w) = (1/V) \sum_h \sum_k \sum_l (A_1 A_2)_{hkl} \cos 2\pi(hu + kv + lw)$, где A_1 и A_2 — действительные части структурного фактора Б без тяжелого атома, вычисленные относительно начал координат, взятых в положениях тяжелых атомов H_1 и H_2 , и вторая — ряд Фурье вида $C(u, v, w) = (1/V) \sum_h \sum_k \sum_l (|F_{H_1}|^2 - |F|^2)(|F_{H_2}|^2 - |F|^2)_{hkl} \times \times \cos 2\pi(hu + kv + lw)$, где F, F_{H_1}, F_{H_2} — структурные факторы Б без тяжелого и с тяжелыми атомами соответственно. Рассмотрено применение метода к ф. гр. P_2 и P_3 . Метод проверен на гипотетич. случае (близком к реальному) с использованием эксперим. данных $F^2(0kl)$ метгемоглобина лошади и расчетных значений $F_{H_1}^2$ и $F_{H_2}^2$ для заданных параметров тяжелых атомов H_1 и H_2 . Т. Тархова

31491. О центросимметричных молекулах в нецентросимметричных пространственных группах. Хербштейн, Шойнинг (On centrosymmetric molecules in non-centrosymmetric space groups. Herbststein F. N., Schoening F. R. L.), Acta crystallogr., 1957, 10, № 10, 657—663 (англ.)

Обосновывается возможность для соединений с центросимметричной молекулой давать нецентросимметричные кристаллы. Подтверждена для 4,4'-динитродифенила (Niekerk J. N. van, Proc. Roy. Soc., 1943, A181, 314) ф. гр. P_6 . Исследование на пьезоэлектричество подтвердило правильность этого определения. Проведено теоретич. исследование распределения интенсивностей от нецентросимметричных кристаллов с центросимметричными молекулами 4,4'-динитродифенила и 1,2,5,6-дибензантрацена (РЖХим, 1957, 18273). Показано, что влияние мол. симметрии на

распределение интенсивностей является значительным. Теоретич. данные хорошо подтверждаются сравнением с экспериментальными. Предложена новая номенклатура и символы для функций распределения. Т. Полынова

31492. Метод изоморфных замещений, примененный к молекулам, содержащим сходные атомы. Сьютор (The isomorphous-replacement method applied to molecules containing like atoms. Sutor D. June), Acta crystallogr., 1956, 9, № 11, 969—970 (англ.)

Введение тяжелого атома в соединения часто является удобным методом анализа, однако сказывается на точности определения координат более легких атомов. В связи с этим предложен метод введения атома, близкого по атомному номеру ко всем остальным атомам. Выбираются 2 соединения с близкими параметрами решетки и аналогичными по строению молекулами, одна из которых содержит замещенный атом. Подсчет разностной проекции Паттерсона с коэф. $F_1^2 - F_2^2$ позволяет определить параметры атомов. Точность определения параметров проверяется с помощью построения разностной проекции Паттерсона с коэф. $(F_1 - F_2)^2$. С помощью предложенного метода одновременно определены 2 неизвестные структуры: кофеина и теофиллина, которые не удавалось решить другими методами. Т. Тархова

31493. Диаграмма изменений структурного фактора для определения кристаллической структуры. Морли, Тейлор (A variable structure-factor graph for use in crystal-structure determination. Morley K. A., Taylor C. A.), J. Scient. Instrum., 1957, 34, № 2, 54—58 (англ.)

Принцип предложенного номографа основан на графич. методах Брэгга и Липсона (Bragg W. L., Lipson H., Z. Kristallogr., 1936, 95, 323) обнаружения с помощью контурных кривых структурного фактора структурно-чувствительных положений атомов. Недостаток этого метода — трудоемкость построения большого числа графиков — устраняется в описываемом приборе созданием переменных графиков структурного фактора с помощью системы параллельных проволок, которые быстро можно установить перпендикулярно рассматриваемому вектору обратной решетки с взаимными расстояниями, обратно пропорциональными модулю этого вектора. Приведена принципиальная механич. схема прибора, связывающая прямую и обратную решетки, описано пользование этим прибором. Указывается, что с помощью этого прибора удалось решить целый ряд структурных проблем для органич. соединений. Т. Тархова

31494. Определение углов отражения, ширины линий и интенсивностей рентгеновских интерференций на гониометре со счетчиком Гейгера, работающим по принципу Зеемана — Болина. Зегмюллер (Die Bestimmung von Glanzwinkeln, Linienbreiten und Intensitäten der Röntgen-Interferenzen mit einem Geiger-Zählrohr-Goniometer nach dem Seemann-Bohlin-Prinzip. Segmüller Armin), Z. Metallkunde, 1957, 48, № 8, 448—454 (нем.; рез. англ.)

Исследовалась точность измерений на рентгеногониометре с Г.—М.-счетчиком в установке «на отражение». Приводятся теоретич. ф-лы для расчета угла Θ и ширины линий. Применение острофокусной трубки с Cu-анодом и кристалла-монокроматора позволило измерять угол Θ с ошибкой $< 0,01^\circ$. Для получения высокой разрешающей способности изогнутые образцы помещали на фокусирующую окружность. Это позволяло хорошо разделять $K_{\alpha 1,2}$ -дублет, а облучение большой поверхности образца давало возможность производить исследование крупнозернистых и текстурованных образцов. В. III.

31495. Рентгенографическое определение двойников деформации в меди. Шеррилл, Уиттелс, Блуитт (X-ray determination of conjugate deformation twins in copper. Sherrill F. A., Wittels M. C., Blewitt T. H.), J. Appl. Phys., 1957, 28, № 5, 526—529 (англ.)

Однозначное определение ориентировки двойников производилось с помощью уникального рентгеновского метода с использованием спец. приставки к дифрактометру Норелко с широким диапазоном углов. Приставка дает возможность осуществлять 2 дополнительных движения: повороты образца вокруг нормали к его поверхности и вокруг оси дифрактометра. Деформация монокристалла Cu квадратного сечения, подвергнутого растяжению при 4,2° K, привела к образованию двойников, относящихся к двум различным ориентировкам (111), связанным с первоначальной ориентировкой образца. М. Бородин

31496. Рентгенографическое изучение тонкой структуры измельченных порошков никеля. Кохановская (Roentgenografické studium jemné struktury mletého práškového niklu. Kochanovská A. Adéla), Českosl. časop. fys., 1957, 7, № 2, 150—161 (чешск.); Чехосл. физ. ж., 1957, 7, № 4, 455—467 (рез. англ.)

Проведено исследование изменения тонкой структуры (по изменению ширины, интенсивности и положению дифракционных колец) Ni в процессе длительного измельчения. На основе этих данных изучались искажения I и II рода, появляющиеся при послойных деформационных сдвигах и в результате пластич. анизотропии. Найденные изменения междоузельных расстояний интерпретируются как объемные изменения кристаллич. решетки. Т. Гольдер

31497. Структура δ -фазы в системе уран-цирконий. Бойко (The structure of the δ phase in the uranium-zirconium system. Boyko E. R.), Acta crystallogr., 1957, 10, № 11, 712—713 (англ.)

Рентгенографически исследована δ -фаза в системе U—Zr (UZr₂). Найдено, что она имеет гексагон. структуру (a 5,03, c 3,08 Å) со следующими положениями атомов: 1 Zr в 000, 1 Zr + 1 U неупорядоченно в $2/3, 1/2$ и $1/3, 1/2$; тип AlB₂, ф. гр. C6/mmm. П. К.

31498. Температурная зависимость параметров решетки никельарсенидных фаз. Шнейдер, Имхаген (Die Temperaturabhängigkeit der Gitterkonstanten von NiAs-Phasen. Schneider A., Imhagen K. H.), Naturwissenschaften, 1957, 44, № 11, 324 (нем.)

Рентгенографически исследована температурная зависимость параметров решетки и межатомных расстояний в соединениях со структурой типа NiAs. Расстояние между атомами металла (d_A), параллельное оси c , возрастает при повышении t -ры от 20 до 800° у NiSe на 3,2%, NiTe 2,8%, NiAs 2,7%, NiSb 1,6%; NiSn (20—750°) 1,8%, NiBi (20—640°) 1,8%; TiSe 1,3%, FeSe 0,8%. Отношение c/a возрастает с увеличением t -ры значительно лишь в том случае, когда оно при 20° < 1,63. Расстояние d_{AB} также возрастает с увеличением t -ры от 20 до 800° (NiAs 2,0%, NiSb 1,54%, NiSe 1,8%, NiTe 1,6%). Найденные закономерности объясняются характером хим. связи в рядах исследованных соединений. П. Крипякевич

31499. Частичное упорядочение в нестехиометрической фазе $Ti_{2+x}S_4$ ($0,2 < x < 1$). Уодсли (Partial order in the non-stoichiometric phase $Ti_{2+x}S_4$ ($0,2 < x < 1$). Wadsley A. D.), Acta crystallogr., 1957, 10, № 11, 715—716 (англ.)

Рентгенографически (метод порошка, λ Cu) изучены кристаллы состава $Ti_{2+x}S_4$, где $0,2 < x < 1$. Параметры гексагон. решетки: $Ti_{2,22}S_4$ a 3,41 Å, c 11,46, ρ (эксп.) 3,35, ρ (выч.) 3,37; $Ti_{2,67}S_4$ 3,42, 11,41, 3,64, 3,71;

Ti_3S_4 3,44, 11,45, 3,74, 3,84; ф. гр. $R\bar{6}_3mc$. На основании изучения кристаллов $Ti_{2,67}S_4$ методом проб найдено ($R = 0,16$), что структуру $Ti_{2+x}S_4$ можно описать с помощью следующих координат атомов: $2Ti_{(1)}^{1/8, 2/8, z_1}$; $xTi_{(2)}^{1/8, 2/8, z_2}$; $2S_{(1)}^{1/8, 2/8, z_3}$; $2S_{(2)}^{0, 0, z_4}$, где $z_1 = 3/4$, $z_2 = 0$, $z_3 = 3/8$, $z_4 = 1/8$. Атомы S образуют искаженную плотнейшую упаковку, атомы $Ti_{(1)}$ занимают октаэдрич. пустоты так, что образуются заполненные слои Ti—S, которые располагаются в соответствии со структурным типом C27; атомы $Ti_{(2)}$ занимают октаэдрич. пустоты между слоями. Межатомные расстояния: Ti—S 2,45 Å, Ti—Ti 2,86, S—S 3,43 и 3,48. Структура изученной фазы может рассматриваться как промежуточная между структурами TiS_2 (тип C6) и TiS (тип B8). По мнению автора, структуры многих селенидов и теллуридов переходных металлов могут являться промежуточными между структурными типами C6 и B8. Результаты работы отличаются от ранее полученных данных (РЖХим, 1957, 53742).

31500. Обнаружение χ -фазы в сплаве 16% Cr, 15% Ni, 7% Mn, 6% Mo. Берталан, Блум (Occurrence of χ phase in a 16 pct Cr-15 pct Ni-7 pct Mn-6 pct Mo alloy. Birtalan John, Bloom R. A.), Metals, 1956, 8, № 2, Sec. 2, 210—211 (англ.)

31501. О структуре фаз, образующихся в системе Zr—Te. Хан, Несс (Zur Struktur der im System Zirkon/Tellur auftretenden Phasen. Hahn Harry, Ness Peter), Naturwissenschaften, 1957, 44, № 20, 534 (нем.)

В системе Zr—Te обнаружены фазы $ZrTe_3$ (I), $ZrTe_2$ (II), $ZrTe$ (III), Zr_4Te_3 (IV) и Zr_3Te (V). Образцы с малым содержанием Te (вплоть до состава III) диффракторны и сгорают на воздухе с большим выделением тепла. I кристаллизуется в монокл. сингонии, подобно ZrS_3 и $ZrSe_3$; II — по типу CdJ_2 , III — по типу $NiAs$. IV кристаллизуется в тетрагон. сингонии, как и соответствующие соединения S и Se; V — по типу WC. Параметры решеток (в кX): I a 5,95, b 3,92, c 20,8, β 97,7°; II a 3,94, c 6,61; III 3,94, 6,63; IV 3,68, 9,54; V 3,75, 3,85.

31502. О структуре фаз, образующихся в системе Zr—Se. Хан, Несс (Zur Struktur der im System Zirkon/Selen auftretenden Phasen. Hahn Harry, Ness Peter), Naturwissenschaften, 1957, 44, № 20, 534 (нем.)

В системе Zr—Se обнаружены фазы $ZrSe_3$ (I), $ZrSe_2$ (II), $ZrSe$ (III) и Zr_3Se_2 (IV). Фазовая область $ZrSe_3$ (V), найденного ранее (Arkel A. E. van, Physica, 1924, 4, 286), простирается на состав $ZrSe_{1,7-2,0}$. I кристаллизуется в монокл. сингонии, подобно ZrS_3 ; II — в ромбоэдрич. (искаженный тип NaCl); III — в тетрагон., как Zr_4S_3 , IV — структурный тип WC. Параметры решетки (в кX): I a 5,42, b 3,75, c 19,5, β 97,6°; V a 3,76, c 6,13; II 7,49, 9,33; III 3,61, 8,44; IV 3,54, 3,60.

31503. О кристаллической структуре In_2Se_3 . Хан, Франк (Zur Kristallstruktur des In_2Se_3 . Hahn Harry, Frank Günter), Naturwissenschaften, 1957, 44, № 20, 533—534 (нем.)

Изучена структура 2 модификаций In_2Se_3 . Высоко-температурная форма кристаллизуется в виде больших графитоподобных табличатых кристаллов гексагон. симметрии; структура их слоистая. Параметры решетки: a 3,99, c 19,0 кX, c/a 4,76, ρ 5,91, $Z = 2$. Низкотемпературная модификация твердая и хрупкая; порошкограмма ее богата линиями, которые не удалось идентифицировать.

31504. О влиянии выбора компонентов на структуру тройных и четверных фаз или соединений. Сообще-

основания
найденно
сать с по
2, 3, 4;
0, 2, 4, 6;
образуют
(1) зани
заполн
в соот
(2) зани
атомные
S 3,43 и
риваться
(тип C6)
и много
ов могут
тым т
3742).
и Зоркий
Cr, 15%
Осциллет
pet Mn-6
R. A.),
системе
System
Haggu,
4, № 20,
I), ZrTe₂
образцы с
III) выде
нигонии,
по типу
ни, как
по типу
b 3,82,
6,63; IV
исинская
системе
System
Haggu,
4, № 20,
I), ZrSe₂
сть ZrSe₂
ica, 1924,
кристал
; II — в
в тетра
аметры
7,8; V а
IV 3,54,
исинская
е. Хан,
Hahn
schaften,
Высоко
де боль
ров ген
аметры
I, Z = 2,
и круп
орые не
исинская
структуру
Сообше

ние I. О структуре смешанных кристаллов InAs с InSe, In₂Se₃ и InTe. Хан (Über die Beeinflussung der Struktur ternärer und quaternärer Phasen bzw. Verbindungen durch die Wahl geeigneter Komponenten. Über die Struktur von Mischkristallen des InAs mit InSe, In₂Se₃ und InTe. Hahn Harry), Naturwissenschaften, 1957, 44, № 20, 534 (нем.)

InSe, InSe и In₂Te совместно с As нагревались в бомбе в течение многих дней при 600—700°. Образующиеся кристаллы имели структуру цинковой обманки. Параметры решетки (в кХ): In₂SeAs a 5,90, In₂SeAs 5,81, In₂TeAs 6,075. О. Гайсинская

31505. Кристаллическая структура PuAl₃. Ларсон, Кромер, Стамбо (The crystal structure of PuAl₃. Larson Allen C., Cromer Don T., Stambaugh C. K.), Acta crystallogr., 1957, 10, № 7, 443—446 (англ.)

Рентгеноструктурное (метод Вейсберга) исследование монокристалла показало, что PuAl₃ имеет гексагон. структуру (ф. гр. $P6_3/mmc$) с параметрами решетки: a 6,10 ± 0,02, c 14,47 ± 0,04 Å и следующими положениями атомов: Pu(1) в 2(b) 0,01/4; Pu(2) в 4(f) 1/2, 1/2, z ; z 0,0892; Al(1) в 6(h) x , 2 x , 1/4; x 0,5156; Al(2) в 12(k); x 0,0816. Структура представляет собой новый тип, характеризующийся 6-слойной плотнейшей упаковкой (ABCACB) и упорядоченным распределением атомов. Координационные числа: у Pu 12(Al), у Al 12 (4Pu, 8Al). Расстояния между центральными и периферич. атомами не равны между собой вследствие смещения атомов с идеальных положений. Ранее опубликованная структура (РЖФиз, 1957, 1116) является приближенной идеализированной структурой по сравнению с уточненной авторами. П. Крипкевич

31506. О структуре окиси PtO₂. Шишаков Н. А., Кристаллография, 1957, 2, № 5, 689—690

Электроннографически изучены кристаллы PtO₂. Проецированы определенные ранее (Finch G. J. и др., Proc. Roy. Soc., 1933, 141A, 414) межплоскостные расстояния, откуда параметр решетки найден равным 3,10 Å. С помощью метода радиального распределения (РЖХим, 1957, 53768) определено расстояние Pt—O 1,9 Å. Упаковка в структуре является плотнейшей. Для построения кривой радиального распределения использовались только рефлексы $hk0$, так как другие отражения не наблюдались. Последнее автор объясняет отсутствием периодичности вдоль оси c , что указывает на дефектность решетки. Н. Зоркий

31507. Кристаллическая структура хлоргидрата амингуанидина. Брайден (The crystal structure of aminoguanidine hydrochloride. Bryden John H.), Acta crystallogr., 1957, 10, № 11, 677—680 (англ.)

Проведено рентгенографич. определение структуры C(NH₂)₃NHNH₂Cl (методы вращения и рентгенгонометра). Параметры решетки: a 7,78, b 11,07, c 6,00 Å, β 103°5', ρ (выч.) 1,457, Z = 4, ф. гр. $P2_1/n$. Положения атомов, определенные по проекциям $P(uv0)$, $P(0vw)$ и $\rho(x0y)$ (знаки $Fhk0$ вычислены по координатам Cl⁻), уточнялись методом наименьших квадратов. Установлено плоское строение гуанидиновой части иона амингуанидина. Группа NH₂ отклонена от плоскости на 0,093 Å. Найдена одна водородная связь Cl...N (3,13 Å). Межатомные расстояния (в Å): C—N₍₁₎ 1,32, C—N₍₂₎ 1,32; C—N₍₃₎ 1,35, N₍₃₎—N₍₄₎ 1,42 N₍₁₎—N₍₄₎ 2,71. Валентные углы: N₍₁₎—C—N₍₂₎ 122,1°; N₍₂₎—C—N₍₃₎ 115,0°; N₍₁₎—C—N₍₃₎ 122,9°, C—N₍₃₎—N₍₄₎ 116,5°. Л. Воронцова

31508. Структура хлорида диацетамид кадмия. Кавалька, Нарделли, Когн (La struttura del cloruro di (di)acetamide-cadmio. Cavalca L., Nar-

delli M., Coghi L.), Nuovo cemento, 1957, 6, № 2, 278—285 (итал.; рез. англ.)

Продолжено (РЖХим, 1958, 23946) рентгенографич. исследование Cd(CH₃CONH₂)₂Cl₂. По проекциям Паттерсона и Фурье найдены координаты атомов. Комплексная молекула плоская, координация атома Cd — несколько искаженный квадрат, образованный 2 атомами Cl и 2 молекулами CH₃CONH₂. Так как атом Cl расположен почти на равных расстояниях от двух соседних атомов Cd, то координацию атома Cd можно считать близкой к октаэдру. З. Г.

31509. Упорядоченная и неупорядоченная структура амезита. Аутон (Order—disorder structures in amesite. Oughton Beryl M.), Acta crystallogr., 1957, 10, № 11, 692—694 (англ.)

Дано более подробное, чем ранее (Brindley G. W. и др., Acta crystallogr., 1951, 4, 552), описание неупорядоченной структуры (НС) амезита, причем использована недавно предложенная для кристаллов с НС терминология (РЖХим, 1957, 43780). Рассмотрена связь упорядоченной структуры (УС) (РЖХим, 1957, 10958) и НС амезита; первая оказывается одним из многих возможных случаев УС, которые могут быть выведены из НС. П. Зоркий

31510. Кристаллическая структура моноклинной формы нафтазарина. Ватаса, Осакки, Нитта (Crystal structure of a monoclinic form of naphthazarin. Watase Hideo, Osaki Kenji, Nitta Isamu), Bull. Chem. Soc. Japan, 1957, 30, № 5, 532—536 (англ.)

Проведено рентгенографич. определение (методы колебания и рентгенгонометра) одной из трех модификаций нафтазарина C₁₀H₆O₂(OH)₂, полученной в виде красных кристаллов из р-ра в уксусной к-те. Параметры решетки: a 3,74, b 7,63, c 14,53 Å, β 97,1°, Z = 2, ф. гр. $P2_1$, а не $P2_1/c$ (см. РЖХим, 1957, 29676). Для определения положения атомов применен метод трансформаций Фурье (Knott G., Proc. Phys. Soc., 1940, 52, 229) и проекций $\rho(0kl)$ и $\rho(h0l)$. Молекулы расположены под углом 28° к плоскости (100). Расстояние между плоскостями молекул 3,4 Å. Внутримолекулярное ОН...О расстояние ~2,5 Å. Водородные связи замыкают 6-членные кольца, что согласуется с данными по ИК-спектрам (РЖХим, 1955, 25627). Л. Воронцова

31511. Структуры соединений галогенов друг с другом. II. Гептафторид йода при —110° и при —145°.

III. Заключительное сообщение о трифториде брома, пентафториде брома и пентафториде йода. Бербанк, Бенсей (Structure of the interhalogen compounds. II. Iodine heptafluoride at —110°C and at —145°C. III. Concluding note on bromine trifluoride, bromine pentafluoride, and iodine pentafluoride. Burbank Robinson D., Bensey Frank N., Jr.), J. Chem. Phys., 1957, 27, № 4, 981—982; 982—983 (англ.)

II. Проведено рентгенографич. исследование кристаллич. структуры двух модификаций IF_7 . Для куб. модификации (от 0° до —120°) получено при —110°: параметр решетки a 6,28 Å, Z = 2, вероятная ф. гр. $Im\bar{3}m$. Методом проекции и трехмерных сечений электронной плотности подтверждено предположение о свободном вращении или неупорядоченном расположении осей молекул статистически с равной вероятностью вокруг каждой из трех осей куба. Ромбич. модификация (ниже —120°) исследована при —145°. Параметры решетки: a 8,74, b 8,87, c 6,14 Å, Z = 4, ф. гр. $Aba2$; симметрия молекулы 2. Путем расчета серии трехмерных разностных синтезов электронной плотности найдены следующие положения атомов: J 000, F₍₁₎ 00 02777, F₍₂₎ 0,0862, 0,0974, —0,2361, F₍₃₎ 0,1235, 0,1566, 0,0585, F₍₄₎ 0,1695, —0,1189, 0,0310. Межатомные расстояния и валентные

Кристаллы $(\text{NH}_4)_2\text{HPO}_4$ монокл. сингонии, простые формы {001}, {110} и {101}. Методом вращения и Вейсберга (Cu-K_α) определены параметры решетки: a 8,03, b 6,68, c 11,02 Å, β 113°38', ρ 1,61, $Z=4$. Показатели преломления: $n_p=1,508$, $n_m=1,518$, $n_g=1,530$. О. Гайсинская

31517. Кристаллографические, упругие и пьезоэлектрические свойства пентаборатов аммония и калия. Кук, Яффе (The crystallographic, elastic, and piezoelectric properties of ammonium pentaborate and potassium pentaborate. Cook W. R., Jr, Jaffe H. A., Acta crystallogr., 1957, 10, № 11, 705—707 (англ.))

Оптически и рентгенографически изучены изоморфные кристаллы $\text{KB}_5\text{O}_8 \cdot 4\text{H}_2\text{O}$ (I) и $\text{NH}_4\text{B}_5\text{O}_8 \cdot 4\text{H}_2\text{O}$ (II). Для I, и для II наиболее развитые грани: {111}, {100} и {0}; наблюдается спайность по {010} и {100}, кристаллы обычно двойнируются по {011}, иногда по {001}. Твердость кристаллов I и II 2,5. I и II оптически отрицательны, плоскостью оптич. осей является {010}. Показатели преломления: I n_p 1,422, n_m 1,436, n_g 1,480; II 1,427, 1,431, 1,486. Ориентация оптич. индикатрисы: $n_p \parallel c$, $n_m \parallel b$, $n_g \parallel a$. Параметры ромбич. решетки: a 11,065 Å, b 11,171, c 9,054, ρ 1,740; II 11,324, 11,029, 9,235, 1,57. Причину расхождения в результатах предыдущих работ по кристаллографии, изучению I и II (Groth P. Chemische Krystallographie, Leipzig, 1908, 2, 733) авторы видят в близости параметров a и b . Приведены значения диэлектрич. и пьезоэлектрич. констант I и II. Наличие пьезоэффекта подтверждает определенную ранее (Zachariasen W. H., Z. Kristallogr., 1937, 98, 266) нецентросимметричную ф. гр. Aba . Изучены упругие свойства кристаллов I и II. Получен также пентаборат K, содержащий дейтерий, и быстро разлагающийся пентаборат Те. Н. Зоркий

31518. Кристаллическая структура пинноита. Пейтон, Мак-Дональд (The crystal structure of pinnoite. Paton F., MacDonald S. G. G., Acta crystallogr., 1957, 10, № 10, 653—656 (англ.))

Рентгенографически (методы колебания и рентгенонометра) исследован кристалл пинноита. Параметры решетки: a 7,62, c 8,19 Å, $Z=4$, ф. гр. $P4_2$. Структура получена при использовании псевдосимметрии и применения сечений и проекций Паттерсона, уточнена последовательными двумерными синтезами Фурье. В структуре имеются группы $(\text{OH})_3\text{B}-\text{O}-\text{B}(\text{OH})_3$, в которых атомы В тетраэдрически окружены атомами О. Одновременно группы ОН образуют октаэдр вокруг атома Mg. Из структуры следует, что хим. ф-ла не $\text{MgO} \cdot \text{B}_2\text{O}_3 \cdot 3\text{H}_2\text{O}$, как ранее предполагалось, а $\text{MgB}_2\text{O}(\text{OH})_4$. Особенностью структуры является наличие длинных трубчатых пустот, параллельных оси c . Межатомные расстояния (в Å): в октаэдре $\text{Mg}-\text{O}$ 2,04—2,12; $\text{O}-\text{O}$ 2,76—3,11; в тетраэдре $\text{B}-\text{O}$ ($\text{O}_{(3)}$) 1,42—1,46; $\text{B}-\text{O}_{(2)}$ ($\text{O}_{(4)}$) 1,54—1,56, $\text{O}-\text{O}$ 2,35—2,53. Валентные углы $\text{O}-\text{Mg}-\text{O}$ 89—97°; $\text{O}-\text{B}-\text{O}$ 103—113°. Расстояния $\text{B}-\text{O}_{(1)}$ ($\text{O}_{(3)}$) соответствуют связям $\text{B}-\text{O}$, а $\text{B}-\text{O}_{(2)}$ ($\text{O}_{(4)}$) — связям $\text{B}-\text{OH}$. Это наряду с коротким расстоянием $\text{O}_{(1)} \dots \text{O}_{(3)}$ свидетельствует, по мнению автора, о водородной связи между этими атомами. Т. Полынова

31519. Рентгеноструктурное исследование кристаллов $[\text{Ru}(\text{NH}_3)_4(\text{NO})(\text{OH})]\text{Cl}_2$. Бокий Г. Б., Парниев Н. А., Кристаллография, 1957, 2, № 5, 691—693

Гониометрически установлено, что кристаллы $[\text{Ru}(\text{NH}_3)_4(\text{NO})(\text{OH})]\text{Cl}_2$ принадлежат к диэдрич. осевому виду симметрии монокл. сингонии, $a:b:c=1,535:1:0,722$, β 101°15'. Показатели преломления:

n_d 1,830, n_m 1,708, n_p 1,661. Рентгенографически определены параметры решетки (метод колебания и КФОР): a 11,48, b 7,44, c 10,75 Å, ρ (эксп.) 2,112, $Z=4$, ф. гр. $C2$. Координаты тяжелых атомов получены из проекций $P(u0w)$, $P(00w)$, $P(uv0)$. Положения легких атомов и точные координаты Ru и Cl определены по проекциям $\rho(x0y)$ и $\rho(0yz)$, R 0,224 для $(h0l)$ и R 0,207 для $(0kl)$. Атом Ru занимает в комплексном ионе центр октаэдра, вершины которого заняты четырьмя группами NH_3 , расположенными по квадрату, и группами (OH) и (NO) в транс-положении (угол $\text{Ru}-\text{N}-\text{O} \approx 150^\circ$). Ионы Cl^- имеют к. ч. = 12: 8 групп NH_3 и 4 (NO и OH). Межатомные расстояния (в Å): $\text{Ru}-\text{NH}_3$ 2,23; $\text{Ru}-\text{NO}$ 2,07, $\text{Ru}-\text{OH}$ 1,98; NH_3-NH_3 3,15, NH_3-NO 3,06, NH_3-OH 3,07, $\text{N}-\text{O}$ (в NO) 1,14.

Л. Воронцова
31520. Димер циклооктатетраена с температурой плавления 38,5°. Кристаллическая и молекулярная структура комплексного соединения с нитратом серебра. Найберг, Хилтон (Cyclooctatetraene dimer, M. Pt. 38.5°: crystal molecular structure of the silver nitrate adduct. Nyburg S. C., Hilton J., Chemistry and Industry, 1957, № 31, 1072—1073 (англ.))

Рентгенографически определена структура комплекса $\text{C}_{16}\text{H}_{16} \cdot 2\text{AgNO}_3$ (I) с целью установления строения молекулы димера циклооктатетраена. Кристаллы I обладают монокл. симметрией. Параметры решетки:



a 10,9, b 7,4, c 18,1 Å, β 114°, $Z=4$, ф. гр. $P2_1/c$. Методом построения трехмерных синтезов Фурье показано, что ранее предполагавшиеся структурные ф-лы (Rerpe W., Liebigs Ann., 1948, 560, 1) неверны и что молекула имеет строение, указанное на рис. Е. Шугам

31521. Анизотропные температурные колебания в кристаллах. I. Непосредственные измерения дебаевского фактора для мочевины. Гилберт, Лонсдейл (Anisotropic temperature vibrations in crystals. I. Direct measurements of debye factors for urea. Gilbert R. E., Lonsdale K., Acta crystallogr., 1956, 9, № 9, 697—709 (англ.))

Проведено измерение дебаевского фактора B по рентгенограммам вращения мочевины. Значения B рассчитаны по 12 рефлексам, полученным при 90, 293 и 370° К. Эксперим. величины B_{hkl} ложатся в зависимости от угла ϕ между направлениями $[hkl]$ и $[001]$ на кривую типа $B_T - B^0 = A + B \cos^2 \phi$, где B_T — дебаевский фактор при комнатной т-ре и B^0 — поправка, учитывающая энергию атомов при 0° К. Ход кривой $B(\text{Cl})$, рассчитанной (Vaughan P., Donohue J., Acta crystallogr., 1952, 5, 530) и эксперим., аналогичен. Не величины B_T , рассчитанные и экспериментально определенные, не обязательно совпадают. Авторы объясняют это явление тем, что координаты атомов, находящихся «в покое», при комнатной т-ре и 0° К, различны. При этом они указывают, что неточности в определении координат атомов могут привести к аналогичному эффекту. Установлено изменение длины связи $\text{C}-\text{N}$ на 1,2% и $\text{C}=\text{O}$ на 0,3—0,4% при изменении т-ры на 200°. А. Кацнельсон

31522. Рентгенографическое исследование кристаллической структуры 2-хлор-2,3,3-триметилбутана. Коидэ, Такэути, Ода, Ямада, Тагута (An X-ray study on the crystal structure of 2-chloro-2,3,3-trimethylbutane. Koide Tsutomu, Takeuchi Satoshi, Oda Tsutomu, Yamada Yasusada,

Taguchi Inao, Bull. Chem. Soc. Japan, 1957, 30, № 6, 680—681 (англ.)

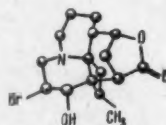
Проведено исследование структуры $\text{Cl}(\text{CH}_3)_2\text{C}-\text{C}(\text{CH}_3)_2$. Кристаллы кубические с параметрами решетки: a 7,62 Å, ρ (изм.) 0,999, $Z = 2$, вероятные ф. гр. $\bar{4}3m$, $I432$ и $Im3m$. Высокая симметрия кристаллов обусловлена либо статистич. неупорядоченностью (ось молекулы C—C ориентирована в соответствии с симметрией федоровской группы), либо свободным вращением молекул вокруг осей C—C. Структура статистически изоморфна со структурой высокотемпературной модификации $\text{C}_2(\text{CH}_3)_4$ (West C. D., Z. Kristallogr., 1934, 88, 195).

Л. Школьников
31523. Рентгеноструктурное исследование хлоргидрата окиси триметиламина. Péra (Etude radiocristallographique du chlorhydrate de triméthylaminoxide. Rérat Claude), C. r. Acad. sci., 1957, 245, № 6, 704—705 (франц.)

Проведено рентгенографич. (метод Вейсберга, λCu) исследование структуры $(\text{CH}_3)_3\text{NO} \cdot \text{HCl}$. Кристаллы получены из р-ра в глицероле в форме ромбич. пластинок. Параметры решетки: a 14,27, b 5,40, c 7,61 Å, ρ (изм.) 1,2, $Z = 4$, ф. гр. $Pnam$. Структура определена методом изоморфного замещения с использованием бромгидрата окиси триметиламина и расчетом проекций Паттерсона и электронной плотности. Молекула $(\text{CH}_3)_3\text{NO}$ имеет форму тетраэдра. 4 атома молекулы (Cl, O, N и C) лежат в плоскости симметрии $z = 1/4$, 2 остальных атома C расположены симметрично относительно этой плоскости.

Л. Школьников
31524. Кристаллическая и молекулярная структура бромгидрина аннотинина. Пшибыльская, Марион (The crystal and molecular structure of annotinine bromohydrin. Przybylska Maria, Marion Léo), Canad. J. Chem., 1957, 35, № 9, 1075—1077 (англ.)

Бромгидрин аннотинина $\text{C}_{16}\text{H}_{29}\text{O}_3\text{NBr}$ кристаллизуется в ромбич. системе. Параметры решетки: a 11,89, b 13,40, c 9,68 Å, $Z = 4$, ф. гр. $P2_12_1$. Координаты атома брома найдены по двумерным синтезам Паттерсона. Определение структуры проведено с помощью трехмерных синтезов Паттерсона с применением ме-



тода наложения векторов. Форма молекулы представлена на рис. Атом Br занимает транс-положение относительно OH-группы. Расстояние между атомом C группы CH_3 и атомом O группы CO равно сумме ван-дер-ваальсовых радиусов. Некоторые углы между связями значительно отличаются от $109,5^\circ$, что уменьшает стабильность молекулы.

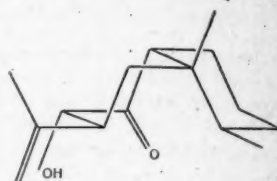
Е. Шугам
31525. Предварительное рентгенографическое и оптическое изучение норгармана, $\text{C}_{11}\text{H}_8\text{N}_2$. Рай (Preliminary single-crystal X-ray and optical study of nor-harman, $\text{C}_{11}\text{H}_8\text{N}_2$. Ray Lilabati), Acta crystallogr., 1957, 10, № 11, 707 (англ.)

Кристаллы $\text{C}_{11}\text{H}_8\text{N}_2$ выделяли из смеси спирта с ацетоном в виде тонких пластинок и стерженьков (т. пл. $198-199^\circ$), простые формы $\{011\}$, $\{110\}$ и $\{110\}$. Методом вращения и Вейсберга ($\lambda\text{Cu}-K_\alpha$) найдено: a 5,9, b 9,8, c 14,6 Å, ρ (эксп.) 1,32, ρ (рент.) 1,319, $Z = 4$, ф. гр. $P 2_12_12_1$; показатели преломления: $n_p = 1,758$, $n_m = 1,759$, $n_g = 1,806$.

О. Гайсинская
31526. Кристаллическая структура оксидгидроэремифилона. Грант (The crystal structure of hydro-

xydihydroeremophilone. Grant D. F.), Acta crystallogr., 1957, 10, № 8, 498—504 (англ.)

Рентгенографически исследован оксидгидроэремифилон $\text{C}_{15}\text{H}_{24}\text{O}_2$, представляющий интерес для химии. Параметры решетки: a 7,526, b 10,086, c 19,699 Å, ρ (изм.) 1,049, $Z = 4$, ф. гр. $P 2_12_12_1$. Знаки структурных амплитуд для проекций Фурье (100) и (010) определены по методу, предложенному ранее (РЖХим, 1958, 20432). Для определения структуры применен также метод преобразования Фурье (РЖХим, 1956, 49050). После нескольких уточнений получены координаты



всех атомов, кроме атомов H. Длины связей и валентные углы значительно отклоняются от обычных (длины C—C 1,43—1,72 Å, $\angle \text{C}-\text{C}-\text{C}$ $104^\circ-128^\circ$). Аномальных межмолекулярных расстояний не наблюдается. Найденное хим. строение соединения не подчиняется «изопреновому правилу» (РЖХим, 1954, 35914). В основе пространственного строения молекулы лежит *цис*-декалиновое кольцо с заместителями в экваториальных положениях.

В. Пахомов
31527. Результаты электронографического исследования структуры продуктов реакции и их отношений с носителем. Уилман (Résultats de la diffraction électronique sur la structure des produits de réaction et leur relation avec le substrat. Wilman H.), J. chim. phys. et phys.-chim. biol., 1956, 53, № 7-8, 607—619. Discuss., 619, 632 (франц.)

Обзор работ, выполненных под руководством автора, в которых методом дифракции электронов изучались образование и рост тонких слоев окислов и сульфидов на поверхности металлов. Библ. 43 назв. Л. Л. 31528. Простой метод определения констант кристаллических решеток по электронограммам от поверхности объекта. Шишаков Н. А., Кристаллография, 1957, 2, № 5, 690—691

На основании промера электронограммы (съемка на отражение, в качестве стандарта использовалось NaCl), полученной для NiO, автор утверждает, что точность при съемке на отражение не ниже, чем при съемке на прохождение.

П. Зоркий
31529. Многократное рассеяние при интерференции электронов в кристаллах дисульфида молибдена. Штабен (Mehrfachbeugung bei Elektroneninterferenzen in Molybdändisulfidkristallen. Stabenow Joachim), Naturwissenschaften, 1957, 44, № 12, 360 (нем.)

Пластиновый монокристалл MoS_2 с обеих сторон ограничен слоями из атомов S. При соприкосновении двух кристалликов минимумы потенциальной энергии сил сцепления могут быть обусловлены тем, что многие атомы S одной решетки попадают в атомы углубления поверхностной сетки другой. Абс. минимум соответствует одинаковой ориентации обоих слоев. Взаимное вращение слоев на угол $\varphi \neq 0, \pm \pi/3$ соответствует метастабильной ориентации, при которой только определенная часть атомов попадает в углубления. Эти атомы распределены равномерно по поверхности касания и образуют гексагон. сетку, повернутую относительно кристаллич. решетки на угол $\pi/6 \pm \varphi/2$. Дифракционная картина этой пары кристаллов содержит много дополнительных рефлексов. В одних случаях рефлексы равномерно покрывают

ство поверхности фотоластинки, в других — расположением группами. Явление объясняется вторичным и многократным рассеянием дифрагированного луча. Положение рефлексов дается линейной комбинацией векторов обратной решетки обоих кристаллов. Если ограничиться только положениями рефлексов, можно представить себе «сверхрешетку», в которой правильными будут те ряды, которые оканчиваются атомами, сидящими в углублениях повернутого кристалла. Можно построить модель, дающую представление о разнообразии ориентаций и дифракционных картин. При отношении базисных векторов основной решетки к сверхрешетки 1:11,36 из 17 возможных ориентаций наблюдалось 12.

Л. Татарина

31530. Эпитаксическое нарастание на гранях куба и октаэдра пирита (FeS_2). Часть II. Рост на грани октаэдра пирита. Гхарпури (Epitaxial crystal growth on iron pyrites (FeS_2) cube and octahedral faces: Part II. Growth on octahedral face of pyrites. Gharpurey M. K., J. Scient. and Industr. Res., 1956, (B—C) 15, № 6, B272—B276 (англ.)

Проведено электронографич. исследование ориентации тонких пленок NaCl , KCl , PbS и As_2O_3 , полученных путем конденсации в вакууме на грани октаэдра пирита (I). Кристаллы NaCl и KCl отлагаются гранями {001} и {111} параллельно грани {111} I. Для октаэдрич. сростков характерно преобладание ориентировки {110} || {112} над парал. и антипарал. ориентировками, что связано с ориентирующим влиянием цепочек серы в структуре I. Для PbS характерно отложение гранями {111} с {110} || {112}, причем здесь преобладал один из двух возможных случаев. Парал. и антипарал. рост в этом случае отсутствовал. Кристаллы As_2O_3 росли в парал. и антипарал. положениях, а также в положении совмещения {110} As_2O_3 с {112} I. Отмечается преобладание антипарал. ориентировки. Делается вывод, что поверхностная структура грани подложки оказывает большее влияние на ориентировку осадка, чем совпадение в размерах параметров решетки. По мнению автора, первич. ядро, которое определяет эпитаксич. ориентацию осадка на подложке, чрезвычайно мало и состоит из небольшого числа отложившихся молекул или атомов, которые определяют ориентировку осадка. Часть I см. РЖХим, 1957, 50607.

В. Ф.-К.

31531. Микроструктура анодных слоев на олове. Сангхи (Micro-structure of anodic layers on tin. Sanghi Indra), Current Sci., 1957, 26, № 6, 175—176 (англ.)

Получены электронномикроскопич. снимки с пяти образцов чистого Sn , анодированных в 0,1 н. NaOH при плотностях тока 1,5—5 мА/см^2 в течение 1/4—5 мин. Окисные пленки укреплялись слоем коллодия, отделялись от металла растворением последнего в Hg и наносились на формваровую пленку. Анодный слой, образованный на необработанном металле, не обладает собственной структурой. Предварительная механич. обработка вызывает появление двухслойной окисной пленки. Анодный слой, полученный на образце, подвергнутом рекристаллизации и травлению, обнаруживает сгущение тончайших нитей. Образец, предварительно протравленный в соляной к-те, дает пористый анодный слой.

И. Третьяков

31532. Дискуссия по статье: Азиз, Скотт «Зависимость структуры испаренных пленок серебра от скорости движения конденсирующихся атомов при ударе о подложку». Холланд (The effect of incident atomic velocity on the structure of evaporated silver films. Holland L.), Canad. J. Phys., 1957, 35, № 5, 697 (англ.)

Р ЖХим, 1957, 60005.

А. Ш.

31533. Современное состояние проблем, связанных с исследованием электрических и магнитных свойств тонких металлических слоев в связи с их структурой. (L'état actuel des connaissances sur les propriétés électriques et magnétiques des couches métalliques minces en liaison avec leur structure. Alger. 25—30 avr. 1955. Colloq. internat. Centre nat. rech. scient., 61, Paris, 1956, 137 p.) (франц.)

Сообщение о международном совещании, состоявшемся в Алжире 25—30 апреля 1955 года. А. Х.

31534. Экспериментирование в ионном проекторе с отдельными атомами, входящими в состав кристаллов. Мюллер (Experimentieren mit atomaren Kristallbausteinen im Feldionenmikroskop. Müller Erwin W.), Z. Elektrochem., 1957, 61, № 1, 43—47 (нем.)

Охлаждение металлич. острия ионного проектора жидким водородом и замена газообр. H_2 в проекторе на He или Ne при давл. $1 \cdot 10^{-2}$ мм рт. ст. позволяют довести разрешение прибора до 2,7 Å; при этом можно наблюдать за осаждением отдельных испаренных посторонних атомов металла на поверхности острия и за срывом их с острия при воздействии поля или ионного удара. При охлаждении острия жидким He разрешение ухудшается. Автору удалось получить вполне устойчивые изображения с W- и Re-острия. Менее тугоплавкие металлы (Mo , Ta) дают менее устойчивую картину из-за вырывания поверхностных атомов электрич. полем. Предложено объяснение влияния т-ры острия и рода газа, присутствующего в приборе, на разрешающую способность. Увеличение массы ионов улучшает разрешение за счет уменьшения дебройлевской длины волны.

И. Третьяков

31535. Коническая спиральная структура и слоистая спайность графита. Цудзук (Conical spiral structure and laminar cleavage of graphite. Tsuzuku Takuro), J. Phys. Soc. Japan, 1957, 12, № 7, 778—788 (англ.)

На электронномикроскопич. снимках сажи, прокаленной до 2500°, наряду с гексагон. кристаллами наблюдаются также кристаллы округлой формы, имеющие слоистое строение. Некоторые из округлых кристаллов сложены пополам, причем линия перегиба состоит из двух отрезков прямой, образующих между собой угол $< 180^\circ$. Электронограммы этих кристаллов состоят из точечных колец, а также из эллипсов и диффузных полос. На основе этих данных сделан вывод, что округлые кристаллы на самом деле представляют собою полигональные слоистые когусы. Предложена схема образования подобных кристаллов, основанная на спиральном механизме роста с участием винтовых дислокаций.

И. Третьяков

31536. Наблюдение $p-n$ -переходов в полупроводниках с помощью электронного микроскопа с электронным зеркалом. Барц, Вейсенберг (Abbildung von $p-n$ -Übergängen in Halbleitern mit dem Auflichtelektronenmikroskop. Bartz G., Weissenberg G.), Naturwissenschaften, 1957, 44, № 7, 229 (нем.)

Показано, что с помощью электронного микроскопа, в котором изображение поверхности объекта получается либо путем отражения электронов, либо путем вырывания вторичных электронов (РЖХим, 1957, 48393), на поверхности полированных монокристаллов Si визуальнo можно обнаружить область $p-n$ -переходов.

А. Ш.

31537. О структуре металлического урана. Фридель (Sur la structure de l'uranium métallique. Friedel J.), Phys. and Chem. Solids, 1956, 1, № 3, 175—187 (франц.; рез. англ.)

Для металлич. U в его α -, β - и γ -фазах приведены данные по парамагнитной восприимчивости, уд. тепло-

емкости, термо-э.д.с., электросопротивлению, рентгеновским спектрам и линейному расширению, характерные для переходных металлов. Сделана попытка построения схемы энергетич. полос и выяснения характера сил связи. По мнению автора, наиболее вероятно существование в U двух узких энергетич. полос и одной широкой, являющейся полосой проводимости с нормальной электронной массой. Возбуждением электронов в последнюю автор объясняет наблюдаемые аномалии электросопротивления при высоких т-рах.

Ю. Ирхин
31538. К теории ориентационного упорядочения молекулярных кристаллов. Клячкин В. И., Изв. АН СССР. Сер. физ., 1957, 21, № 3, 359—367

Получены общие у-ры для частных функций распределения системы молекул, обладающих вращательными степенями свободы. Исследован переход из ориентационно-упорядоченного состояния в ориентационно-неупорядоченное внутри кристаллич. фазы. Указано, что приближения, используемые Кирквудом в теории ориентационного плавления (Kirkwood I., J. Chem. Phys., 1940, 8, 205) и Такаги в теории разупорядочения сегнетоактивной фазы (Takagi Y., Phys. Rev., 1952, 85, 315), сводятся к пренебрежению корреляций в ориентациях молекул.

Ш. Коган
31539. Энергия решетки и другие свойства кристаллов халькогенидов щелочноземельных металлов. Хаггинс, Сакамото (Lattice energies and other properties of crystals of alkaline earth chalcogenides. Huggins Maurice L., Sakamoto Yosio), J. Phys. Soc. Japan, 1957, 12, № 3, 241—251 (англ.)

Методом, примененным ранее к галогенидам щел. металлов (Huggins M. L., Mayer J. E., J. Chem. Phys., 1933, 1, 643; Huggins M. L., J. Chem. Phys., 1937, 5, 443), рассчитаны энергии решетки 20 бинарных соединений, содержащих Be^{2+} , Mg^{2+} , Ca^{2+} , Sr^{2+} , Ba^{2+} , O^{2-} , S^{2-} , Se^{2-} , Te^{2-} . Ввиду отсутствия надежных данных о сжимаемостях расчеты произведены для двух значений константы α в показателе отталкивательного члена в выражении для энергии: $\alpha = 3,00 \cdot 10^8$ и $\alpha = 2,50 \cdot 10^8 \text{ см}^{-1}$; полученные значения энергии решетки при этом отличаются на $\sim 20 \text{ ккал}$. При выборе «радиусов постоянной энергии», постоянных для каждого иона во всех его соединениях, получено удовлетворительное согласие с эксперим. данными. Только для радиуса иона Be^{2+} необходимо пользоваться различными значениями для различных соединений и для MgTe требуется несколько иное значение радиуса Mg^{2+} , чем для других соединений Mg . Вычисленные для этих кристаллов межионные расстояния, сжимаемости и частоты ИК-колебаний решетки удовлетворительно согласуются с эксперим. данными. Комбинируя вычисленные значения энергии решеток с термодим. данными, авторы считают наиболее достоверными следующие значения электронного сродства для случая прибавления двух электронов к каждому из электроотрицательных атомов (в ккал/моль): O (-162 ± 15), S (-99 ± 15), Se (-117 ± 15), Te (-97 ± 20).

В. Урбах
31540. Природа радиационных повреждений в кристаллических телах. Крофорд (Nature of radiation damage in crystalline solids. Crawford J. H., Jr), Amer. Ceram. Soc. Bull., 1957, 36, № 3, 95—98 (англ.)

Обзор работ по исследованию радиационных повреждений неметаллич. твердых тел. Действие излучения и возникающие дефекты показаны на примере SiO_2 и KCl.

В. Кушаковский
31541. К вопросу о диффузии сурьмы в серебро. Веллер (Zur Diffusion von Antimon in Silber. Weller W.), Ann. Physik, 1957, 20, № 1-6, 42—44 (нем.)

Электроннографически изучено образование промежуточной ϵ -фазы в системе Ag—Sb , гомогенной в области 10—17% Sb. На подложку из окиси алюминия напылялись последовательно слои Ag и Sb толщиной $\sim 20 \text{ мк}$; при нагревании образцов в вакууме до $150\text{—}175^\circ$ на электронограмме наблюдается расширение линий Ag, а система линий Sb остается без заметных изменений. На основании этого автор делает вывод о преобладающей диффузии Sb в Ag. При нагревании образцов в течение 15 мин. при 230° появляются новые рефлексы, хорошо согласующиеся с картиной отражений от гексагон. решетки с наиболее плотной упаковкой. Определены параметры решетки: $a = 2,95 \pm 0,01$ и $c = 4,78 \pm 0,02 \text{ \AA}$. Эти значения хорошо согласуются с рентгенографич. данными, полученными на сплавах для ϵ -фазы.

А. Тимофеев
31542. Диффузия растворенных веществ в металлах. Альфред, Марч (Solute diffusion in metals. Alfred L. C. R., March N. H.), Phys. Rev., 1956, 103, № 4, 877—878 (англ.)

См. РЖФиз, 1957, 22757.
31543. Влияние адсорбированных газов на поверхностную рекристаллизацию цинка. Фриц (Influence des gaz adsorbés sur la recristallisation superficielle du zinc. Fritz Mireille), C. r. Acad. sci., 1957, 244, № 13, 1769—1771 (франц.)

Полоски холоднокатаного и обезгаженного в вакууме Zn отжигали при $65, 74$ и 80° в атмосфере различных газов, и по рентгенограммам определяли время отжига t , необходимое для появления первых признаков рекристаллизации. Установлено, что t растет в ряду $\text{He, H}_2, \text{Ne, N}_2, \text{Ar, CH}_4, \text{CO}_2$ и $\text{C}_2\text{H}_5\text{Cl}$, т.е. с увеличением т-ры кипения газов и, следовательно, с увеличением кол-ва адсорбированного газа. Тот факт, что благородные газы укладываются на общую кривую, указывает, по мнению автора, на отсутствие хим. адсорбции.

А. Хейнман
31544. Теплопроводность антимолида индия. Стакс (Thermal conductivity of indium antimonide. Stuckes Audrey D.), Phys. Rev., 1957, 107, № 2, 427—428 (англ.)

31545. О теплопроводности InSb . Касун, Буссайрон канко, 1957, 2, № 4, 474—481 (японск.)

31546. Термическое сопротивление, обусловленное изменением изотопного состава. Клеменс (Thermal resistance due to isotopic mass variation. Klemons P. G.), Proc. Phys. Soc., 1957, A70, № 11, 833—836 (англ.)

31547. Термическое расширение редкоземельных металлов. Барсон, Легволд, Спеддинг (Thermal expansion of rare earth metals. Barson F., Legvold S., Spedding F. H.), Phys. Rev., 1957, 105, № 2, 418—424 (англ.)

31548. Показатели преломления Si, Ge и модифицированного Se-стекла в ИК-области спектра. Салзберг, Вильям (Infrared refractive indexes of silicon germanium and modified selenium glass. Salzberg Calvin D., Villa John J.), J. Opt. Soc. America, 1957, 47, № 3, 244—246 (англ.)

Автоколлимационным методом (РЖХим, 1957, 54806) измерены показатели преломления монокристаллов Ge в области $2,0581\text{—}16 \text{ м}$, Si в области $1,357\text{—}11,04 \text{ м}$ и Se-стекла с примесью As в области $1,014\text{—}14 \text{ м}$ при 27° .

А. Хейнман
31549. Радиоактивные фосфоры. Коблиц (O radioaktivnich fosforech. Koblic O.), Chem. průmysl, 1957, 7, № 7, 364—365 (чешск.)

Краткий обзор. И. Елинек
31550. Химия люминофоров. Кодэра, Кагаку нобэ сирё, Chem. Engr's Digest, 1957, 25, № 2, 42—52 (японск.)

Обзор. Библ. 61 назв.

31551. О диффузионной теории фосфоресценции. Антонов-Романовский В. В., Оптика и спектроскопия, 1957, 3, № 6, 592—601

Показано, что скорость затухания фосфоресценции определяется главным образом притяжением электронов ионизованными центрами свечения, а не их диффузионными перемещениями. Дано обоснование диффузионного ур-ния затухания, выведенного ранее. Проведена оценка эффективного сечения рекомбинации тепловых электронов с ионизованными центрами.

Резюме автора

31552. Исследование температурного высвечивания кристаллического кварца, возбужденного рентгеновыми лучами. Ченцова Л. Г., Гречушников Б. Н., Батрак Е. Н., Оптика и спектроскопия, 1957, 3, № 6, 619—623

Найдено, что кривые температурного высвечивания рентгенизированных кристаллов кварца из разных месторождений различаются по кол-ву, положению и относительной величине максимумов. Введение в структурные каналы кварца щел. ионов методом электродиффузии вызывает изменение кривых температурного высвечивания. Полученные данные подтверждают предположение о роли ионов примеси в образовании центров захвата в кварце.

Резюме авторов

31553. К вопросу о влиянии реабсорбции на длительность флуоресценции молекулярных кристаллов. Агранович В. М., Оптика и спектроскопия, 1957, 3, № 1, 84—87

31554. Использование в дозиметрии изменений фотолуминесценции твердых органических тел. Шульман, Эцел, Аллард (Application of luminescence changes in organic solids to dosimetry. Schulman James H., Etzel Howard W., Allard James K.), J. Appl. Phys., 1957, 28, № 7, 792—795 (англ.)

Предложено использовать для измерений дозы γ -лучей и электронов изменение фотолуминесценции твердых органич. в-в (антрацен, нафталин), вызванное УФ-лучами.

К. Аглинцев

31555. Поглощение света и люминесценция в молекулярных кристаллах при сильной связи внутри-молекулярных возбуждений с фононами. Рашба Э. И., Оптика и спектроскопия, 1957, 3, № 6, 568—578

Проведено исследование зонной структуры энергетич. спектра возбужденных состояний мол. кристаллов при сильном взаимодействии внутримолекулярных возбуждений с фононами; оценены эффективные массы деформирующих и локализованных возбуждений. Рассмотрены поглощение света и люминесценция при сильной экситон-фононной связи. Интегральное поглощение в каждой из компонент спектра определяется ориентацией диполя внутримолекулярного перехода и не зависит от силы экситон-фононной связи и характера возникающих возбужденных состояний. Напротив, поляризация интегральной люминесценции зависит от характера возбужденных состояний в кристалле; в частности, поляризация люминесценции деформирующих возбуждений может отличаться от следующей из модели ориентированного газа. Рассмотрена форма края поглощения, обязанного образованию деформирующих возбуждений, и форма кривой их люминесценции.

Резюме автора

31556. Фотоэлектрическая эмиссия монокристалла КJ. Филипп, Тафт (Photoelectric emission from single crystal KJ. Philipp H. R., Taft E. A.), Phys. Rev., 1957, 106, № 4, 671—673 (англ.)

31557. Некоторые фотоэлектрические свойства CdSe и CdTe-монокристаллов. Свечников С. В., Александров В. Т., Ж. техн. физики, 1957, 27, № 5, 919—920

Монокристаллы CdSe и CdTe получены путем вза-

имодействия паров Se и Te с Cd при высокой т-ре в нейтр. среде и последующей кристаллизации из газовой фазы. В ряду CdS, CdSe и CdTe максимумы спектральных кривых фотоэлектрич. чувствительности расширяются и смещаются в сторону длинных волн. Для CdSe $\lambda_{\text{макс}} \approx 0,76 \mu$, для CdTe $\sim 1 \mu$. Соответствующие энергии термич. ионизации равны 0,53 и 0,47 эв. Исследованы люксамперные и вольтамперные характеристики кристаллов и кривые возбуждения и затухания фототока.

А. Хейнман

31558. Технологии монокристаллических полупроводников. Бриссо (La technologie des semi-conducteurs monocristallins. Brissot J.-J.), Acta electron., 1956, 1, № 4, 187—200 (франц.)

Обзор методов очистки Ge и Si и получения монокристаллов Ge и Si с заданным типом проводимости. Библ. 9 назв.

А. Ш.

31559. Распознавание и классификация полупроводниковых соединений с тетраэдрическими sp^3 -связями. Мозер, Пирсон (Recognition and classification of semiconducting compounds with tetrahedral sp^3 bonds. Mooser E., Pearson W. B.), J. Chem. Phys., 1957, 26, № 4, 893—899 (англ.)

Рассмотрены полупроводниковые соединения с тетраэдрич. sp^3 -связями, которые могут быть получены из соединений со структурой цинковой обманки и вюрцита путем замены некоторых атомов этих структур атомами с другой валентностью. В основу классификации положена валентность атомов, входящих в хим. соединение; рассматриваются как бинарные соединения типов I—VII, II—VI, III—V, IV—IV, так и многочисленные тройные соединения со сходными решетками. Все рассмотренные в-ва сведены в таблицы с указанием соответствующей им кристаллич. структур. Отмечается, что проведенный анализ указывает на полупроводниковые свойства многих в-в, электрич. свойства которых еще не изучены.

Э. Рашба

31560. Синтез сурьмянистого алюминия (AlSb) и некоторые его свойства. Николаенко Г. Н. В сб.: Вопр. металлургии и физ. полупроводников. М., АН СССР, 1957, 80—90

В первом приближении определена технология получения AlSb. Изучены его полупроводниковые свойства и его поведение в различных жидких средах. Показано, что устойчивость AlSb зависит от его чистоты.

Из резюме автора

31561. Теория сегнетовой соли. Девоншир (Theory of Rochelle salt. Devonshire A. F.), Philos. Mag., 1957, 2, № 20, 1027—1039 (англ.)

В связи с измерениями диэлектрич. проницаемости сегнетовой соли при высоких давлениях (Bancroft D., Phys. Rev., 1938, 53, 587) произведен критич. анализ теории электрич. свойств сегнетовой соли Мэсона (Mason W. P., Piezoelectric Crystals. New York, 1950). Указано, что хотя эта теория в несколько модифицированном виде удовлетворительно объясняет эксперим. результаты, она еще нуждается в дальнейшей доработке.

А. Хейнман

31562. Сегнетоэлектрические материалы. Нильсен (Ferroelektriske stoffer. Nielsen Asger), Fys. tidsskr., 1957, 55, № 1, 2—44 (датск.)

31563. Изучение диэлектрических и термических свойств триглицинульфата и триглицинфторобериллата. Хосино, Мицуи, Йона, Пеппинский (Dielectric and thermal study of tri-glycine sulfate and tri-glycine fluoberyllate. Hoshino S., Mitsui T., Jona F., Pepinsky R.), Phys. Rev., 1957, 107, № 5, 1255—1258 (англ.)

Триглицинульфат $(\text{CH}_2\text{NH}_2\text{COOH})_3 \cdot \text{H}_2\text{SO}_4$ и триглицинфторобериллат $(\text{CH}_2\text{NH}_2\text{COOH})_3 \cdot \text{H}_2\text{BeF}_4$ являются сегнетоэлектриками с т-рами Кюри соответственно

48 и 70° и с монокл. кристаллич. решетками. Диэлектрич. проницаемость вдоль оси b проходит через острый максимум в точке Кюри, а вдоль осей a и c практически не зависит от т-ры. Вблизи т-ры Кюри квадрат спонтанной поляризации линейно зависит от т-ры. Выше т-ры Кюри для обеих солей удовлетворяется закон Кюри — Вейсса. Уд. теплоемкость вблизи точки Кюри имеет аномалию, которая не относится к обычному λ -типу. Изменения энтропии при переходе равны $\Delta S = 0,48$ для триглицинсульфата и $\Delta S = 1,17$ энтр. ед. для триглицинфлюобериллата.

В. Исупов
31564. Диэлектрическая проницаемость ниобатов и танталатов двухвалентных металлов. Исупов В. А., Изв. АН СССР. Сер. физ., 1957, 21, № 3, 402—410

Исследованы диэлектрич. свойства мета- и пирониобатов и мета- и пиротанталатов Ca, Sr, Ba, Cd и Pb и систем $Sr_2Ta_2O_7$ — $Sr_2Nb_2O_7$, $Sr_2Ta_2O_7$ — $Ba_2Ta_2O_7$ и $Sr_2Ta_2O_7$ — $Ca_2Ta_2O_7$. А. Хейнман

31565. Термоэлектродвижущая сила неполярных полупроводников. Анпель (Die Thermokraft von nichtpolaren Halbleitern. Appel J.), Z. Naturforsch., 1957, 12a, № 5, 410—424 (нем.)

31566. Термо-э.д.с. и удельное сопротивление германия в твердой и жидкой фазе при температурах, близких к точке плавления. Доменикали (Thermoelectric power and resistivity of solid and liquid germanium in the vicinity of its melting point. Domenicali C. A.), J. Appl. Phys., 1957, 28, № 7, 749—753 (англ.)

Показано, что абс. значение термо-э.д.с. (Q) чистого Ge (уд. сопротивление которого при комнатной т-ре 50—70 ом см) в интервале 400—937° изменяется приблизительно по закону: $Q = +140-280$ (1000/Т) $\mu\text{в/град}$.

М. Аверьянов
31567. Наменение знака эффекта Холла в родии. Колс, Тейлор (Sign reversal of the Hall effect in rhodium. Coles B. R., Taylor J. C.), Phys. and Chem. Solids, 1957, 1, № 4, 270—274 (англ.)

Измерения эффекта Холла в Rh выполнены в температурном интервале 4,2—300° К в магнитных полях от слабых до 22 000 гс. При 20,4° К и 4,2° К холловское напряжение проходит через максимум вблизи 8000 гс, падает при дальнейшем возрастании поля, а вблизи 18 000 гс изменяет знак. Значение коэф. Холла в слабых полях слабо зависит от т-ры и имеет пологий минимум вблизи 60° К.

Э. Рамба
31568. Магнитная восприимчивость трехвалентного титана в смешанных оксидах лантана и титана. Мёллер (Magnetic susceptibility of titanium (III) in lanthanum titanium oxides. Moeller Carl W.), J. Chem. Phys., 1957, 27, № 4, 983—984 (англ.)

Определена магнитная восприимчивость при 20° фазы $La_{2/3+y}TiO_3$ (I), кристаллизующейся в структуре перовскита. Приняв, что I содержит Ti (3+) и Ti (4+), что его состав может быть выражен ф-лой $La_{2/3+y}Ti(3+)_{3y}Ti(4+)_{1-3y}O_3$ и что парамагнетизм I связан с наличием Ti (3+), автор вычислил эффективные магнитные моменты μ для Ti (3+). При $2/3 + y$, равных 0,92; 0,76 и 0,70, μ равны соответственно 0,83; 1,22 и 1,65. Рост μ с увеличением разбавления Ti (3+) указывает на наличие обменных эффектов.

И. Рысс
31569. Магнитная восприимчивость бромидов и йодидов железа по главным кристаллографическим направлениям. Бизетт, Терье, Цзай (Susceptibilités magnétiques principales du bromure et de l'iodure ferreux. Bizette Henri, Terrier Claude, Tsai Belling), C. r. Acad. sci., 1957, 245, № 5, 507—509 (франц.)

Магнитные измерения показывают, что $FeBr_2$ и FeI_2

становятся антиферромагнитными при т-рах ниже T_c , равных 11 и 10° К соответственно для $FeBr_2$ и FeI_2 . Восприимчивость χ_1 в поле, параллельном оси, не зависит от поля; будучи равной нулю при $T = 0^\circ$ К, она имеет очень острый максимум при T_c . Восприимчивость χ_{\perp} в поле, перпендикулярном оси, также не зависит от поля и при т-рах ниже T_c почти не зависит от т-ры. В каждой подрешетке ион Fe^{2+} окружен шестью ионами Fe^{2+} , моменты которых ниже T_c ориентируются вдоль главной оси кристалла антипараллельно моменту окруженного иона. Косвенное взаимодействие соседних ионов осуществляется через посредство двух анионов. Антиферромагнитная структура $FeBr_2$ и FeI_2 , определенная авторами, идентична со структурой $FeBr_2$, найденной нейтронографич. методом.

А. Пахомов
31570. Магнитные свойства фторида кобальта в антиферромагнитном состоянии. Астров Д. Н., Боровик-Романов А. С., Орлова М. П., Ж. эксперим. и теор. физики, 1957, 33, № 3, 812—815

Исследованы магнитные свойства CoF_2 . Измерения восприимчивости производились методом Фарадея с точностью до $\pm 5\%$. Погрешность измерения т-ры составляла не более $\pm 0,5^\circ$ при водородных и $\pm 0,1^\circ$ при более высоких т-рах. Построены кривые температурной зависимости обратной молярной восприимчивости $1/\chi_m$ молярной восприимчивости χ_m и главных магнитных восприимчивостей χ_1 и χ_{\perp} . Найдено, что т-ра перехода из парамагнитного в антиферромагнитное состояние равна 38° К. Выше 55° К восприимчивость подчиняется закону Кюри — Вейсса $\chi_m = C_m / (T - \theta)$ со значениями $\theta = -50^\circ$ и $C_m = 0,875$ (на моль). В интервале применявшихся полей (900—4000 э) восприимчивость не зависит от поля. Показано, что для CoF_2 температурная зависимость χ_1 и χ_{\perp} ниже точки перехода имеет в общих чертах тот же характер, что и в других антиферромагнетиках. Особенность CoF_2 — это сильная анизотропия иона Co^{2+} в парамагнитном состоянии, приводящая к тому, что в точке перехода χ_{\perp} намного больше χ_1 .

С. Пахомов
31571. К теории ферромагнетизма. I. Модель коллективизированных электронов. II. Гейзенберговская модель. Мейер (Zur Theorie des Ferromagnetismus. I. Das Kollektivelektronenmodell. II. Das Heisenberg-Modell. Meyer Klaus), Z. Naturforsch., 1957, 12a, № 10, 786—797; 797—804 (нем.)

I. Дается обоснование содержащемуся в модели коллективизированных электронов приближению, заключающемуся в том, что собственные значения энергии системы электронов ферромагнетика предполагаются зависящими от т-ры. Результаты, получаемые на основе модели коллективизированных электронов, сравниваются с результатами, которые получаются в том случае, когда система взаимодействующих электронов приближенно рассматривается как совокупность не взаимодействующих квазичастиц.

II. Указывается, что энергетич. спектр гейзенберговской модели ферромагнетика (каждый атом обладает спин. 1/2) может быть заменен набором квазичастиц, подчиняющихся статистике Ферми. Термодинамич. параметры состояния системы будут вычисляться при этом путем учета взаимодействия этих квазичастиц. Результаты этого метода сравниваются с результатами, которые получаются в случае, когда система взаимодействующих электронов с положительным интегралом обмена приближенно заменяется системой не взаимодействующих квазичастиц. Кроме того указано, возникновения какого типа квазичастиц

следует ожидать, если каждый атом обладает несколькими «ферромагнитными» электронами и при этом учитываются также орбитальные моменты электронов.

Резюме автора

31572. Электронная структура никеля и его сплавов. Криччик Г. С., Физ. металлов и металловедение, 1957, 4, № 1, 36—40.

На основе предложенной автором модели ферромагнетизма переходных металлов, согласно которой электроны проводимости принимают существенное участие в создании спонтанной намагниченности, произведен анализ электронной структуры Ni и его сплавов с Cu, Zn, Al, Sn, V и Mo. Путем эмпирического подбора значений концы-и электронов в *s*- и *d*-зонах Ni объяснены опытные данные о величине намагниченности насыщения Ni и его сплавов и о величине константы Кюри для Ni. Исходя из этих подобранных значений концы-и электронов по *s*- и *d*-состояниям, автор объясняет изменение константы Кюри бинарных сплавов Ni в зависимости от концы-и растворимых агентов и числа валентных электронов у них, а также поведение части парамагнитной восприимчивости, не зависящей от *T*-ры. Рассматривается вопрос о влиянии спонтанной намагниченности *s*-электронов Ni и его сплавов на величину фактора спектроскопического расщепления.

31573. Измерения электронного, спинового резонанса и восприимчивости разбавленных сплавов Mn в Cu, Ag и Mg. Оуэн, Браун, Арп, Кип (Electron spin resonance and magnetic susceptibility measurements on dilute alloys of Mn in Cu, Ag and Mg, Owen J., Browne M. E., Arp V., Kip A. F.), Phys. and Chem. Solids, 1957, 2, № 2, 85—99 (англ.).

Изложены результаты измерений магнитной восприимчивости и электронного резонанса в разб. сплавах Mn с Cu, Ag и Mg. Измерения проведены в интервале *T*-р 2—400° K. Обнаружено, что восприимчивость χ подчиняется закону Кюри—Вейсса: $\chi = c/(T - \Theta)$, причем Θ зависит от концы-и Mn в сплаве. При низких *T*-рах обнаруживается антиферромагнетизм, а наблюдаемое поглощение имеет черты антиферромагнитного резонанса. При низких *T*-рах появляется также остаточный ферромагнетизм. Считается, что ферромагнетизм может быть объяснен дальнедействующими обменными взаимодействиями Mn—Mn, возникающими благодаря *s*-*d*-связи электронов проводимости с *d*-электронами ионного остова Mn. Электронный резонанс с *g*-фактором, равным 2, может быть приписан ионам Mn^{2+} в s -состоянии; однако эффективный момент отличается от $S = 5/2$. Ширина линии зависит от *T*-ры, что свидетельствует о большом вкладе спин-решеточных взаимодействий в ширину линии, кроме того, видно, что спин-решеточное время релаксации гораздо короче, чем в кристаллах солей иона Mn^{2+} . Перечисленные эффекты обнаруживаются также в сплавах Mn с Ag и Mg, но в этом случае выражены менее четко.

К. Ватнев

31574. Антиферромагнитный резонанс в MnF_2 . Джонсон, Нетеркот (Antiferromagnetic resonance in MnF_2 , Johnson F. M., Nethercot A. H., Jr.), Phys. Rev., 1956, 104, № 3, 847—848 (англ.).

Антиферромагнитный резонанс в MnF_2 исследован на частотах 96, 117, 146 и 213,3 μ Mc при *T*-рах 36—65° K. Монокристаллы MnF_2 в виде пластинок толщиной 0,4 и 0,8 мм помещали в волновод сечением $3,1 \times 1,55$ мм. Для получения микроволн использовали кремниевый кристаллич. генератор и 4,219-мм импульсный магнетрон на 3-й гармонике. Постоянное магнитное поле было параллельно тетрагон. оси кристалла и достигало 9000 гс. Образец толщиной 0,4 мм поглощал 15—95% падающей энергии. Полученные результаты хорошо описываются общими теоретич.

ф-лами (Keffe F., Kittel C., Phys. Rev., 1952, 85, 329; Keffe F., Phys. Rev., 1952, 87, 608). Определены константы, входящие в эти ф-лы; полученные значения хорошо совпадают с оценками других авторов, исследовавших MnF_2 . Однако авторы отмечают, что если считать, что наблюдаемые частоты пропорциональны намагниченности решетки, то получается расхождение с прямыми измерениями намагниченности методом рассеяния нейтронов (РЖХим, 1955, 33968).

Л. Шекун

31575. Наблюдение ядерного магнитного резонанса в антиферромагнитном $Mn(F^{19})_2$. Яккарини, Шулман (Observation of nuclear magnetic resonance in antiferromagnetic $Mn(F^{19})_2$, Jaccarino V., Shulman R. G.), Phys. Rev., 1957, 107, № 4, 1196—1197 (англ.).

Исследован магнитный резонанс ядер F^{19} в монокристалле MnF_2 , находящемся в антиферромагнитном состоянии, в интервале *T*-р 1,3—20,4° K. Резонанс наблюдался в диапазоне частот 152—168 Mc в поле 300—3000 э. Резонансная частота вычислена как сумма двух частот: частоты ν_0 , обусловленной наличием ориентированных спинов Mn^{2+} , и обычной частоты магнитного резонанса ядер фтора. Величина ν_0 изменяется от 159,985 Mc при 1,3° K до 156,100 Mc при 20,4° K. Эксперим. зависимость напряженности внешнего поля при резонансе от угла между направлением ориентации спинов Mn^{2+} и внешним полем хорошо совпадает с теоретической.

Н. Померанцев

31576. Циклотронный резонанс в олове и меди. Фосетт (Cyclotron resonance in tin and copper, Fawcett E.), Phys. Rev., 1956, 103, № 5, 1582—1583 (англ.).

Сообщение о наблюдении циклотронного резонанса в металлах. Согласно теории, развитой Азбелем и Канером (РЖХим, 1956, 77447) для случая магнитного поля, параллельного поверхности металла, находящегося в области аномального скин-эффекта, должен наблюдаться циклотронный резонанс, если выполняется условие $\omega t \gg 1$ (ω — круговая частота, t — время релаксации электронов). Для опытов использовались электрополированные монокристаллы Sn и Cu в форме дисков. Эксперимент проводился при *T*-ре 4,2° K на частоте 24 000 Mc. Магнитное поле, параллельное поверхности образца, менялось от 0 до 17 000 гс. В зависимости от типа колебаний в прямоугольном волноводе ток, возбуждаемый в образце, был параллелен или перпендикулярен магнитному полю. Кратко описывается калориметрич. метод измерения сопротивления, примененный автором. Величина ωt определялась по измерениям постоянного сопротивления образцов при 4,2° K и значению эффективного числа свободных электронов на атом для Sn и Cu. Приводятся кривые, показывающие зависимость относительной величины сопротивления от напряженности магнитного поля для образцов из Sn и Cu. Для Sn, у которого $\omega t = 27$ и 20, наблюдается хорошо выраженный пик. По величине резонансного поля определено значение эффективной массы m^* . Ее значение лежит в районе 0,23—0,43 m_0 . Изменение сопротивления при больших магнитных полях не соответствуют ф-ле Азбеля (РЖФиз, 1956, 7523). Для Cu $\omega t \sim 1$ и резонансных пиков не наблюдалось. Уменьшение сопротивления в больших полях описывается ф-лой Азбеля, если эффективную массу считать равной 1,5 m_0 . Наблюдаемый эффект анизотропен, что удивительно, так как Cu — одновалентный металл с куб. решеткой.

К. А.

31577. Успехи приготовления искусственных минералов и монокристаллов. Ватанабэ, Кагаку, 1957, 27, № 8, 401—407 (японск.).

Обзор.

34578. Макроскопическая теория образования дислокаций при росте кристаллов. Инденбом В. Л., Кристаллография, 1957, 2, № 5, 594—603

Образование дислокаций в процессе роста кристаллов рассматривается не как случайный акт, связанный с теми или иными ошибками роста, а как необходимое следствие неравномерности распределения т-р в растущем кристалле: несовместные температурные деформации лишь благодаря образованию дислокаций не приводят к возникновению термоупругих напряжений. Макроскопич. плотность дислокаций, вызванных температурным полем $T = T(r)$, характеризуется тензором $\beta = -\text{grad} T \alpha$, где α — тензор коэф. температурного расширения кристалла. В простой куб. решетке диагональные члены β соответствуют плотности винтовых, а недиагональные — плотности краевых дислокаций. Развита теория применима к дислокациям, образующимся не только при росте кристалла, но и при зонной очистке, закалке и даже в процессе охлаждения кристалла после отжига. В последних двух случаях дислокации образуются не из-за обрыва растущих атомных плоскостей, а вследствие несовместности пластич. деформаций.

34579. Получение монокристаллов в центробежной печи, обогреваемой солнечной радиацией. Тромб, Фоксе (Préparation de monocristaux au moyen de fours centrifuges chauffés par le rayonnement solaire. Trombe Félix, Foëx Marc), C. r. Acad. sci., 1957, 244, № 21, 2605—2607 (франц.)

Полый металлич. цилиндр, частично заполненный порошком тугоплавкого в-ва, вращается равномерно относительно оси симметрии. Сходящийся пучок солнечных лучей проникает внутрь цилиндра вдоль его оси через отверстие. Наружная поверхность цилиндра поддерживается при достаточно низкой т-ре. Монокристаллы образуются в слое расплава ближе к оси цилиндра, куда не могут проникать более мелкие кристаллики, удаляемые силой инерции. Последующее охлаждение кристаллич. массы проводится медленно для избежания поломки монокристаллов. Последние оказываются свободными от существенных натяжений. Описанным методом получены кристаллы $\text{Al}_2\text{O}_3 \cdot \text{MgO}$ длиной ~ 5 см и толщиной 1 мм — 1 см, с коэф. прозрачности $> 70\%$ в видимой области и достаточно большим вплоть до $\lambda = 6 \mu$.

34580. О росте искусственных пьезоэлектрических кристаллов. Фуруя (Furuя Naomii), Яманаси дайгаку когакубу канкю хококу, Repts Fac. Engng Yamaguchi Univ., 1956, № 7, 5—9 (японск.; рез. англ.)

Исследован рост кристаллов сегнетовой соли (I) и тартрата калия (II). Приведены микрофотографии кристаллов. Отмечается зависимость габитуса кристаллов II от условий кристаллизации: образуются лучшие кристаллы при статич. выращивании и кристаллы с обычной для II формой при динамич. выращивании. Для I такой закономерности не обнаружено. Установлено, что скорость роста пропорциональна т-ре.

34581. Получение тонких монокристаллов титаната бария. Ласт (Preparation of thin single crystals of barium titanate. Last J. T.), Rev. Scient. Instrum., 1957, 28, № 9, 720—721 (англ.)

Описана методика получения очень тонких (до 15 μ) кристаллов BaTiO_3 площадью $(1 \times 2) \text{ мм}^2$. Кристаллы толщиной до 100 μ и площадью 4 мм^2 травились в фосфорной к-те при т-ре выше точки Кюри BaTiO_3 , при этом они помещались в травитель приклеенными между двумя лентами из тефлон-силикона с отверстиями в тех местах, где должны травиться кристаллы. Травление происходило очень медленно — в сред-

нем со скоростью 1 $\mu/\text{мин.}$ при 130°. Толщина кристалла контролировалась наблюдением интерференционных полос в близкой ИК-области при известном показателе преломления кристалла. Пластины получались достаточно плоскопараллельными.

34582. О выращивании больших кристаллов нафталина. Мохорчич (Ueber die Zuechtung grosser Naphtalinkristalle. Mohorčič G.), Repts. J. Stefana Inst., 1953, 1, 77—82 (нем.)

Более подробное описание прибора и работы на нем. См. РЖХим, 1958, 13659.

34583. О выращивании монокристаллов BaTiO_3 . Черепанов А. М., Ж. техн. физики, 1957, 27, № 10, 2280—2284

Рассмотрен принцип получения кристаллов BaTiO_3 из его р-ра в расплавленных солях. Описано получение монокристаллов BaTiO_3 на основе состава $1\text{BaCl}_2 - 1,4\text{BaCO}_3 - 1\text{TiO}_2$. Опыты проводились в закрытых корундовых тиглях при нагревании до 1300—1450°, выдержке при этой т-ре 0,5—3 часа и охлаждении со скоростью 20—100° в час до 850°. При извлечении монокристаллов из затвердевшего расплава они растрескивались. Во избежание этого предложено выливать расплав из тигля при 1000—1200°. Толщина кристаллов (0,1—0,5 мм) тем меньше, чем меньше выдержка расплава при максим. т-ре и больше скорость охлаждения. Этим методом получены треугольные кристаллы с гипотенузой до 15—20 мм. Параметры решетки: a 3,986, b 4,0263 Å, $c/a = 1,0101$. Диэлектрич. проницаемость ϵ при комнатной т-ре 800—1750. Т-ра Кюри 122—123°, максим. ϵ при этой т-ре 10 000—14 500.

34584. Очистка веществ путем выращивания монокристаллов из расплава и распределение примесей в кристалле. Шрейбер, Шуберт (Zur Reinigung von Stoffen durch Züchtung von Einkristallen aus der Schmelze und zur Verteilung der Beimengungen im Kristall. Schreiber Günter, Schubert Rolf), Z. phys. Chem. (DDR), 1957, 206, № 12, 402—423 (нем.)

Сравниваются 2 способа очистки: обычный с затравкой, вырастающей в монокристалл из расплава, и зональный, в котором пластина поликристалла плавится в узкой зоне длины d , перемещающейся вдоль пластины. Вычисляется конц-ия примесей после однократной и n -кратной кристаллизации. В 1-м способе в конце одной операции отбрасывается последняя р-я доля объема, во 2-м — конечный отрезок длины nd монокристалла, содержащие накопившуюся массу примесей. Распределение примесей характеризуется величинами: 1) наименьшей конц-ией, определяемой коэф. очистки A и долей p в 1-м методе, шириной d расплавляемого участка — во 2-м. В зональном методе она меньше, 2) равномерностью распределения, зависящей от величины A и тем большей, чем соответственно меньше p и больше d . В 1-м способе равномерность распределения больше. 3) средней конц-ией, которая минимальна для одинаковых значений долей p . Для зонального метода она определяется отношением длины d к общей длине поликристалла. В 1-м способе она меньше. В целом, 1-й способ дает для заданного исходного объема более крупные и чистые монокристаллы. Обсуждаются оптимальные условия кристаллизации в промышленных условиях. Расчет дает для $n = 4$ и $A = 0,05$ монокристалл с объемом 0,5 исходного объема и конц-ией примесей $C = 10 \cdot C_0$. Выводы распространяются на очистку поликристаллов.

34585. О спиральных ямках травления на германии и кремнии. Эллис (On spiral etchpits in germanium and silicon. Ellis S. G.), Philos. Mag., 1957, 2, № 22, 1285 (англ.)

На основе наблюдений роста кристаллов германия и кремния обсуждается механизм образования винтовых дислокаций в кристаллах. Указывается, что дислокации образуют спирали, если сложная дислокация начинает закручиваться при конденсации на ней вакансий.

И. Аникин
31586. Дислокации в монокристаллах кварца и рутила. Кеймёлен (Dislocations in Quartz and Rutile Single Crystals. Keumeulen J. van), Naturwissenschaften, 1957, 44, № 18, 489 (нем.)

Описан способ обнаружения дислокаций в кристаллах кварца и рутила. Образцы кварца представляли дископараллельные пластинки, вырезанные перпендикулярно оси с. На одну сторону пластинки наносился слой Ag. После пропускания тока при 550° и охлаждении выявлялись группы дислокаций: дендриты, концентрич. кольца, ряды линий. На образец рутила наносился слой Al и Fe, диффундировавший в кристалл при 900—1000° в атмосфере O₂. Наблюдались параллельные линии, сетки, спирали и группы микроскопич. «негативных кристаллов». **И. Аникин**
31587. Об образовании и свойствах винтовых дислокаций. Амелинкс, Бонтинк, Декейзер, Зейц (On the formation and properties of helical dislocations. Amelinckx S., Bontinck W., Dekeyser W., Seitz F.), Philos. Mag., 1957, 2, № 15, 355—378 (англ.)

Рассмотрены условия образования винтовых дислокаций (ВД) в CaF₂. Аддитивное окрашивание производилось нагреванием CaF₂ с Ca или в присутствии H₂ или Na. Декорированные дислокации наблюдаются в образцах, окрашенных при 700°, но ВД наблюдались только в кристаллах, темнеющих около 1200°. Около 1000° можно получить ~1% избыточного Ca в CaF₂, причем образуется соответствующее число F-вакансий с захваченными в них электронами. Обсуждается механизм образования ВД и механизм образования усов на поверхности кристалла в случае, когда усы растут не за счет конденсации из внешней фазы. **А. Орлов**
31588. Новые данные о структуре дендритов германия. Биллинг, Холмс (New observations on the structure of germanium dendrites. Billig E., Holmes P. J.), Acta metallurgica, 1957, 5, № 1, 53—54 (англ.)

Исследованием поперечных и продольных сечений дендритов Ge установлено, что вопреки существующему представлению о дендритах, как о монокристаллах высокой степени совершенства, они состоят из пластинчатых двойников, параллельных главным внешним граням и включенных в основную матрицу. Толщина их составляет 6—26 м, т. е. $1/10$ — $1/100$ от общей толщины пластинки, а ширина $1/8$ средней ширины дендрита. **Н. Глики**
31589. Дислокации в кристаллах хлористого серебра. Касл (Dislocations observed in a silver chloride crystal. Castle J. W.), J. Appl. Phys., 1957, 28, № 6, 743 (англ.)

Описан способ наблюдения дислокаций в кристаллах AgCl посредством выделения по рядам дислокаций фотолитич. Ag. Метод позволяет обнаружить линейные дислокации, плоскости скольжения, границы зерен. Подсчитано, что число дислокаций на 1 см² равно 105, их величина < 100 м. **И. Каменцев**
31590. Спиральные кристаллы меконина. Логан (Spiral crystals of meconin. Logan W. R.), Nature, 1956, 180, № 4599, 1412 (англ.)

Кристаллы меконина (6,7-диметоксифталид) спиральной формы (т. пл. 101—101,5°) выделены из смеси вода-пропанол, насыщ. хлороформом. Только 6 спиралей (длиной 2—3,3 мм) образовались одновременно с кристаллами правильной игольчатой формы. Повторно получить кристаллы спиральной формы не удалось. **О. Г.**

31591. О зародышевых формах сферолитов. Шубников А. В., Кристаллография, 1957, 2, № 5, 584—589

Описаны различные формы сферолитов в начальный период их образования из многих зародышей, сосредоточенных в одной «точке», или из одного монокристалльного (столбчатого или пластинчатого) зародыша путем его расщепления. Выясняются условия, при которых возникает та или иная зародышевая форма сферолита. **Резюме автора**

31592. Гексагональная микроструктура кристаллов льда, выращенных из расплава. Труби (Hexagonal microstructure of ice crystals grown from the melt. Truby Frank K.), J. Appl. Phys., 1955, 26, № 12, 1416—1420; Исправление (Erratum), J. Appl. Phys., 1956, 27, № 5, 555 (англ.)

Электронномикроскопическим исследованием травленной и свежей поверхности монокристаллов льда на ней обнаружена микроструктура в виде вытянутых гексагон. призм шириной 3 м и длиной 6 м. Размер микроструктурных единиц, по-видимому, не зависит от скорости заморозания. Отмечается, что центры гексагон. призм травятся сильнее, чем их границы. Это, по мнению автора, указывает на большую неупорядоченность кристалла вдоль оси симметрии. Поверхность льда, выросшего из расплава, также, по-видимому, состоит из гексагон. пирамидальных ямок, образованных концентрич. уступами вдоль оси с. Наблюдая поверхность льда, выросшего из р-ра CsF, автор отмечает, что примеси F понижают проявление пирамидальной микроструктуры, исчезающей совсем при концентрации F > 10⁻³ M. **Резюме авторов**

31593. Микроструктура поверхности булей искусственного корунда. Гумилевский А. А., Зап. Всес. минералог. о-ва, 1957, 86, № 6, 731—735

31594. О некоторых дефектах кристаллов флюорита. Монозон М. А., В. сб.: Пьезооптич. кристалло-сырье. № 1, М., 1956, 117—123

Описаны мозаичное строение кристаллов флюорита и связанная с ним окраска, фигуры естественного травления, а также включения маточного р-ра и трещины по необычному для флюорита направлению (100). **Резюме автора**

31595. Теория главного направления двойников и ее применение при исследовании плагиноклазов федоровским методом. Варданин Л. А., Зап. Всес. минералог. о-ва, 1957, 86, № 6, 645—656

31596. Неоднородность толщины тонких медных пленок, полученных испарением, определенная по полному внутреннему отражению рентгеновских лучей. Парратт (Densité non uniforme de films minces de cuivre, obtenus par évaporation, d'après la réflexion totale des rayons X. Parratt L. G.), J. chim. phys. et phys.-chim. biol., 1956, 53, № 7-8, 597—603. Discuss., 603—604, 605—606 (франц.)

31597. Наблюдение над кристаллами поваренной соли. Харада (Harada Takeo), Нихон сию гаккайси, Bull. Soc. Salt. Sci., Japan, 1956, 10, № 3, 122—130 (японск.; рез. англ.)

Микроскопическое исследование кристаллов NaCl дало следующие результаты. Кристаллы соли классифицированы на 3 типа согласно направлениям роста кристалла. Рассмотрено соотношение между скоростью выпаривания и образованием включений (содержащих маточный р-р), кол-во которых увеличивается с увеличением скорости испарения. Содержание H₂O в соли, оцененное из объема включений по наблюдению под микроскопом, совпадает с кол-вом H₂O, определенным методом высушивания. По резюме автора

31598. Образование жидких включений в минералах и их применение в геологической термометрии. Леммлейн Г. Г., Геохимия, 1956, № 6, 84—94

Экспериментально изучались на кристаллах галита и натриевой селитры процессы заживления трещин в минералах, сопровождающиеся образованием вторичных жидких включений; содержимое последних может отвечать среде, из которой рос минерал. Установлено, что трещины заживаются в основном без привноса материала, только переносом его с одних поверхностей на другие. Механизм заживления трещин основан на явлении капиллярной конденсации и стремлении границы раздела фаз самопроизвольно принимать форму, обладающую минимумом свободной поверхностной энергии. Растворенное в-во в изотермич. условиях отлагается на стенках трещины в виде дендритов, ветви которых, смыкаясь по мере роста, создают замкнутые полости включений, распающиеся затем на более мелкие части. Форма включений постепенно изменяется в направлении к равновесной, что приводит к образованию «отрицательного кристалла». В условиях снижающейся т-ры заживление трещин ведет к образованию включений с весьма разнообразными и иногда аномальными соотношениями жидкой, твердой и газовой фаз. Повышение т-ры вызывает образование сети трещин вокруг включений и образование в них аномально крупных пузырьков газа после охлаждения. Изучена эксперим. зависимость т-ры гомогенизации содержимого включений от степени их заполнения жидкой фазой для р-ров NaCl различной конц-ии. Построена диаграмма, позволяющая при известной степени заполнения и конц-ии солей в-во включенном р-ре, определить т-ру гомогенизации. Составлена также диаграмма поправки т-ры гомогенизации на давление для 30%-ных р-ров NaCl.

Л. Листова
31599. Исправление к статье: Самсонов Г. В., Журавлев Н. Н., Амнуэль И. Г. «К вопросу о физико-химических свойствах сплавов бора с углеродом», Физ. металлов и металловедение, 1956, 3, № 3, См. РЖХим, 1957, 18248.

31600. Висмут по границам зерен меди. Спенсер, Раммел, Райнс (Bismuth in copper grain boundaries. Spencer C. W., Rummel R. A., Rhines F. N.), J. Metals, 1957, 9, № 6, 793—794 (англ.)

Исследовались причины возникновения хрупкости электролитич. Cu при наличии в ней малых кол-в Bi. Исследованию подвергались образцы чистой Cu и Cu, содержащей Bi в кол-ве 0,0025; 0,0064; 0,043; 0,53 и 4,68%. Характер распределения Bi в Cu устанавливался металлографически. С возрастанием содержания Bi в Cu наблюдалось резкое повышение ее хрупкости. Показано, что при малом содержании Bi охрупчивание Cu связано не с образованием тонкой пленки Bi по границам зерен Cu, а с наличием мелких частиц 2-й Bi-содержащей фазы по границам зерен. Э. С.

31601 К. Материалы 5-го Совещания по люминесценции. (Кристаллофосфоры). Тарту, 25—30 июня 1956 г. АН ЭССР, Тарту, 1957, 391 стр., илл., 16 р. 90 к.

31602 Д. Распространение упругих волн по особым направлениям в кристаллах. Александров К. С. Автореф. дисс. канд. физ.-матем. н., Ин-т кристаллогр. АН СССР, М., 1957

31603 Д. Влияние примеси йода на физические свойства селена. Алиев М. И. Автореф. дисс. канд. физ.-матем. н., Азерб. ун-т, Баку, 1957

См. также: Рентгеногр. исслед. 31703—31706, 31929, 31965, 31973, 34908, 34911. Электронogr. исслед. 34910. Электронномикроскопич. исслед. 31908, 34909. Магнитный резонанс 31453, 31456, 31957, 31961. Фазовые пре-

вращения 31677—31686, 31697, 31712, 31962. Термодинамика 31642—31644, 31674—31675, 31695, 31696, 34012. Магнитные св-ва 31405, 31468, 31469, 31901. Спектры и др. оптич. св-ва 31415, 31416, 31433, 31443, 31478, 31902. Рост 31689, 31690, 31708. Приборы и оборудование 31783, 32257, 32258. Др. вопр. 31788

ЖИДКОСТИ. АМОРФНЫЕ ТЕЛА. ГАЗЫ

Редактор А. Б. Алмазов

31604. Некоторые практические расчетные формулы кинетической теории газов. Мельхер (Einige praktische Abschätzungsformeln aus der kinetischen Gastheorie. Melcher Horst), Wiss. Z. Pädagog. Hochschule Potsdam. Math.—naturwiss. Reihe, 1957, 3, № 1, 47—56 (нем.)

Элементарными методами выводятся ф-лы для расчета следующих характеристик газа: числа частиц в см³, среднего расстояния между двумя молекулами, среднего числа частиц, пересекающих площадку в 1 см² за 1 сек., средней длины свободного пробега (для нейтр. частиц, для смесей, для ионов и электронов в газе), среднего числа столкновений (числа столкновений в 1 сек., числа столкновений в 1 см³, в частности, в смесях), среднего промежутка времени между двумя столкновениями, плотности и вязкости.

В. Цукерман
31605. О некоторых методах расчета удельного веса в зоне насыщения. Трестьяну (Asupra unor metode de calcul al greutăților specifice în zona de saturație. Treştianu S.), Lucrările inst. petrol. și gaze București, 1957, 2, № 2, 171—188 (рум.; русск., англ.)

Рассматривается изменение уд. веса жидкости и ее насыщ. пара в зависимости от давления. Приводятся ряд диаграмм и номограмм, построенных на основе закона соответственных состояний. Предлагается метод графич. интегрирования ур-ния Клаузиуса—Клапейрона.

В. Цукерман
31606. К вопросу о теории жидкости. Евсеев А. М., Ж. физ. химии, 1957, 31, № 11, 2444—2422 (рез. англ.)

С целью выражения потенциальной энергии одной молекулы в поле остальных молекул предлагается выбирать начало координат в точке, соответствующей минимуму потенциальной энергии этой молекулы (в данный момент времени). Тогда, как показано, потенциал $u(R)$ в точке R связан с плотностью вероятности $f(r)$ и межмолекулярным потенциалом двух молекул $\phi(r)$ соотношением: $u(R) = (N/v) \times \int \phi(r) f(r) dv$. Поскольку потенциальная энергия системы есть сумма потенциальных энергий составляющих ее молекул, расчет суммы состояний сводится к вычислению $u(R)$. Распределение молекул по точкам пространства, где их потенциальная энергия минимальна, эквивалентно, до некоторой степени, распределению молекул по ячейкам, как это принято в модели свободного объема. Однако предлагаемый метод, в отличие от метода ячеек, позволяет учесть миграцию молекулы по всему объему. Считая $f(r) = 0$ при $r < a$ и $f(r) = 1$ при $r \geq a$ и принимая для межмолекулярного потенциала потенциал 12—6 Леннард—Джонса, автор вычисляет сумму состояний для жидкости, содержащую только один неопределенный параметр — энергетический; приближенность этого параметра определяется приближенностью принятого потенциала Леннард—Джонса. Общие результаты применены к теории жидких металлов, систем (Au—Pb, Pb—Sb, Zn—Sn); показано, что можно практически рассчитать термодинамич. функции р-р,

Термодинамика
606, 3442
Спектры
1478, 31992
рудование

ЗЫ

формулы
р (Einige
kinetischen
Pädagog.
he, 1967,

для рас-
части
олекулам,
площадку
го пробора
и электр-
ий (числа
в 1 сек.
ромежута
тотности и
Цукерман
ного веса
а uncot ме-
она de за-
petrol. si
(рум.; ре-

кости и ее
приводится
на основе
гается ме-
тауануса —
Цукерман
Евсеев
2414—2422

ти одной
предлагается
ствующей
молекулы
показано,
состоит ве-
тенциалом
= $(N/v) \times$
энергия си-
составляю-
сводится к
по точкам
тиги мини-
ти, распре-
нато в ми-
ный метод,
сть митра-
r) = 0 при
межмоле-
Леннард-
аний для
деленный
сть этого
принятого
результаты
ч. систем
ито можно
иции р-ра,

имен в качестве параметра только константы, входящие в потенциал парного межмолекулярного взаимодействия.

В. Цукерман
31607. Решеточная теория жидкого состояния. Аракава (Aragawa Kiyoshi), Сидзуока дайгаку когакубу кэнко хококу, Repts Fac. Engng Shizuoka Univ., 1956, № 7, 76—79 (японск.; рец. англ.)

Предполагается, что ячейка может быть занята более чем одной молекулой и что молекулы взаимодействуют с потенциалом Леннард—Джонса, а потенциальная энергия внутри ячейки сферически симметрична. Считается, что обобщенный свободный объем $j(\omega)$ (РЖХим, 1956, 9197) приближенно подчиняется ур-нию: $\ln j(\omega) = \ln j(\omega) + \omega(\partial \ln j(\omega)/\partial \omega)$.

По сравнению с теорией, дающей нулевое приближение (Cernuschi F., Eyring H., J. Chem. Phys., 1939, 7, 547), эта аппроксимация является первым приближением. Ур-ние состояния получено квазиклассическим методом (Rowlinson J. S., Curtiss C. F., J. Chem. Phys., 1951, 19, 4519). Рассчитаны в удовлетворительном согласии с наблюдениями ур-ние состояния и 2-й вириальный коэф. для водорода; критич. константы отличаются от наблюдаемых.

В. Цукерман
31608. Теория магнитного двойного лучепреломления и других явлений молекулярной ориентации в диамагнитных жидкостях. Пекара, Келич (Théorie de la biréfringence magnétique et des autres phénomènes d'orientation moléculaire dans les liquides diamagnétiques. Piekara A., Kielich S., J. phys. et radium, 1957, 18, № 8—9, 490—497 (франц.))

Работе предпослан крит. обзор существующих теорий, основанных на гипотезе об ориентации молекул жидкости во внешнем поле, вызванной их магнитной, оптич. или электр. анизотропией. Авторы отмечают, что, во-первых, все предшествующие теории исходят из какого-либо спец. представления о взаимодействии молекул. Во-вторых, большая часть теорий не дает удовлетворительного объяснения инверсии знака диэлектрич. насыщения, наблюдаемой (Piekara A., Piekara B., C. r. Acad. sci., 1936, 203, 852, 1068; РЖХим, 1957, 29806) у многих полярных жидкостей. Данная теория исходит из предположения, что молекулы полярны и анизотропны. Их магнитная, электр. или оптич. анизотропия характеризуется симметричными тензорами. Вводится энергия взаимодействия между молекулами. Статистически вычисляются константы, характеризующие электр. поляризацию, а также электр. или магнитное насыщение и константы эффектов Коттона—Мутона и Керра. Вычисляется соотношение между магнитным и электр. двойным лучепреломлением и изменение диэлектрич. постоянной под влиянием магнитного поля. Расчет показывает, что эксперим. исследование обоих двойных лучепреломляемостей, а также магнитного насыщения диэлектрич. поляризации может дать сведения о характере внутреннего поля в жидкостях. Полученные теоретич. результаты сравниваются с опытными данными. Единственным в-вом, о котором в настоящий момент имеются все необходимые опытные данные для подробного теоретич. расчета, является нитробензол.

Я. Дорфман
31609. Использование теории подобия для описания свойств жидкостей. IV. Вязкость. Филиппов Л. П., Ж. физ. химии, 1957, 31, № 11, 2435—2437 (реп. англ.)

На основе результатов предыдущих исследований (часть III, РЖХим, 1958, 24048) автор рассматривает безразмерные соотношения вида: $L = f(K)$, где $L = \eta M^{1/2} \rho^{-1/2} T^{-1/2}$ и $K = T \rho / p M$, M — мол. вес, ρ — плотность, η — вязкость, p — давление насыщен-

ных паров. Как показал анализ эксперим. материала, семейство кривых $L = f(K, B)$ является однопараметрическим, причем для подавляющего большинства в-в определяющий критерий B лежит в довольно узких пределах. Предлагается 2 метода вычисления температурной зависимости η , пригодных вплоть до крит. точки, в одном из которых исходными данными являются т-ра кипения и по одному значению p , ρ и η при меньших т-рах, а в другом, кроме т-ры кипения — 2 значения плотности и 1 значение η при меньших т-рах.

В. Цукерман
31610. Вычисление коэффициентов диффузии методом Матано—Больцмана. Баруди (Calculation of diffusion coefficients by the Matano—Boltzmann method. Baroudy E. M., J. Metals, 1957, 9, № 7, Sec. 2, 819—822 (англ.))

Рассматриваются основы метода Матано—Больцмана при решении ур-ния Фика для случая, когда коэф. диффузии D зависит от конц-ии. Предлагается способ определения D при помощи полиномов, что позволяет легче оценить ошибку в измерении конц-ии, чем графич. методом.

Г. Ф.
31611. О внутреннем и внешнем трении жидкостей. Бахарев В. А., Научн. тр. Казанск. ин-та инж.-строит. нефт. пром-сти, 1957, вып. 5, 75—87

31612. Рентгенографическое исследование ближнего порядка в расплавленных солях NaCl и KCl. Романова А. В., Сб. научн. работ Ин-та металлофиз. АН УССР, 1957, № 8, 170—181

Для съемки использовались высокотемпературные цилиндрич. вакуумные камеры спец. конструкции. Печки для образцов помещались внутри цилиндрич. тела камеры, а кассета с пленкой одевалась на камеру снаружи. Рентгенограммы получались в монохроматич. Mo-K α -излучении при т-рах, близких к точкам плавления. Первый максимум на кривых радиального распределения для NaCl обнаружен при $r = 2.85 \pm 0.05$ А при координационном числе $n = 6.1 \pm 0.2$ (соответствующие числа для I координационной сферы кристалла 2.82 и 6). Аналогично для KCl $r = 3.12 \pm 0.05$ А и $n = 5.8 \pm 0.2$ (соответственно для кристалла 3.14 и 6). Ближайшие значения получены также для r и n для второго максимума и характеристик II координационной сферы кристаллов, однако со значительным разбросом. Таким образом, в расплавленных солях при т-рах, близких к точке плавления, наблюдается ближний порядок, аналогичный ближнему порядку в кристаллич. состоянии. Поскольку мол. взаимодействие в расплавленных солях определяется теми же силами, что и в кристаллич. решетке, расплавленные соли NaCl и KCl можно представить как ионные жидкости, в которых, по-видимому, нет оснований предполагать образования молекул.

В. Цукерман
31613. Дискуссия по статье: Ротман, Холл «Диффузия в жидком свинце». Рейнольдс. Ответ авторов (Diffusion in liquid lead by S. J. Rothman and L. D. Hall. Discussion. Authors' reply. Reynolds J. E.), J. Metals, 1956, 8, № 10, Sec. 2, 1408—1409 (англ.)

К РЖХим, 1957, 76539.

31614. Определение плотности воды с интервалами в 5° между 45 и 85°. Оуэн, Уайт, Смит (An evaluation of the density of water at 5° intervals between 45 and 85°. Owen Benton B., White James R., Smith James S.), J. Amer. Chem. Soc., 1956, 78, № 15, 3561—3564 (англ.)

Описано два типа прецизионных dilatометров; применение спец. трубки с Pt-наконечником позволило воспроизводить мениск ртути (по которому определялось расширение воды) с точностью, соответствующей незначительным отклонениям в плотности воды.

Были обеспечены условия точного поддержания постоянной т-ры (до $0,01^\circ$) и перемешивания воды. Приводится таблица для т-р t от 40 до 85° с интервалом 5° : а) усредненных (по результатам измерений с помощью 10 экземпляров dilatометров) значений плотности воды d с 7 десятичными знаками; б) значений dd/dt (они имеют порядок 10^{-6}), где $\delta = d - d(\text{расч.})$, причем d (расч.) взяты из эмпирич. ур-ния $1 - d = (t - 3,9863)^2(t + 288,9414)/508\,929,2(t + 68,12963)$; в) значений коэф. расширения α , а также $d\alpha/dt$. Емкость dilatометра (пирекс) может быть представлена ур-нием $V_t = V_{25}[1 + A(t - 25) + B(t - 25)^2]$, где $A \sim 10^{-5}$, $B \sim 5 \cdot 10^{-9}$ (значения $B \cdot 10^9$ для разных экземпляров dilatометров заметно различаются — от 3 до 8,8). Авторы считают, что использование соотношения $\beta \approx 3\alpha$ для цилиндрич. сосудов может привести к существенным ошибкам. В. Урбах

31615. Магнитная восприимчивость жидких селена и теллура. Буш, Фогт (Magnetische Suszeptibilität vom flüssigen Selen und Tellur. Busch G., Vogt O.), *Helv. phys. acta*, 1957, 30, № 4, 224—227 (нем.)

Методом цилиндра измерена объемная магнитная восприимчивость (χ) Se при $80-1000^\circ\text{K}$ и Te при $80-1290^\circ\text{K}$. При комнатной т-ре уд. восприимчивость $\chi = -2,80 \cdot 10^{-7}$ для гексагона. Se, $-3,26 \cdot 10^{-7}$ для стекловидного Se и $-2,90 \cdot 10^{-7}$ для Te. В точке плавления χ меняется скачком: для Se $\chi(\text{тверд.}) = -12,53 \cdot 10^{-7}$ и $\chi(\text{жидк.}) = -13,47 \cdot 10^{-7}$; для Te $\chi(\text{тверд.}) = -15,20 \cdot 10^{-7}$ и $\chi(\text{жидк.}) = -7,67 \cdot 10^{-7}$. В дальнейшем при повышении т-ры диамагнитная восприимчивость обоих в-в уменьшается. Данные по магнитной восприимчивости Te показывают, что при плавлении характер связей в Te становится более металлическим, и этот процесс продолжается с ростом т-ры. Для Se изменение магнитных свойств с т-рой гораздо меньше. А. Боровик-Романов

31616. Температура перехода жидкого гелия. Бреш (The transition temperature in liquid helium. Brush S. G.), *Proc. Roy. Soc.*, 1957, A242, № 1231, 544—557 (англ.)

Функция распределения неидеального бозе-эйнштейновского газа оценена методом Фейнмана — Киркучи (РЖХим, 1955, 36812; 1958, 269). Не используя метода эффективной массы, автор вводит фактор, зависящий от характера межатомных сил. Этот фактор оценивается в предположении, что атомы взаимодействуют парно с потенциалом типа Леннард-Джонса. В вычислениях используются только свойства индивидуальных атомов He и не учитываются коллективные возбуждения. Никаких подборочных параметров не вводится. Пик теплоемкости получен при $2,0^\circ$ (эксперимент $2,2^\circ$), эта т-ра перехода уменьшается с плотностью. Другой переход при 3° представляет собой, вероятно, переход жидкость — газ. В. Цукерман

31617. Формфактор жидкого He⁴ при 0°K . 2. Абэ, Буссейрон кэнкю, 1957, 2, № 3, 347—361 (японск.) Часть 1 см. РЖХим, 1958, 24054.

31618. Влияние окислительно-восстановительных условий на спектры поглощения и люминесценции ионов церия в стекле. Карапетян Г. О., Оптика и спектроскопия, 1957, 3, № 6, 641—645

Исследовались спектры поглощения и спектры люминесценции Се в силикатных, боратных и фосфатных стеклах. Для получения стекол, содержащих Се в 3-валентном состоянии, варка производилась в сильно восстановительных условиях, созданных путем добавления к шихте угля или аммонийных солей. Окислительные условия варки создавались за счет введения азотнокислых солей. Се вводился в конц-ии 0,05 или 0,1% к весу шихты. Установлено,

что спектры поглощения цериевых стекол обусловлены одновременным присутствием 3- и 4-валентного Се, причем ионы Се^{+IV} поглощают значительно сильнее, чем ионы Се^{+III}. Условия варки сильно влияют на соотношение между 3- и 4-валентным Се. При сильном восстановлении можно получить весь Се в 3-валентном состоянии в стекле всех составов. Полное окисление Се было достигнуто только в борных стеклах. Активатором люминесценции является только Се^{+III}. Интенсивность люминесценции ионов 3-валентного Се в фосфатных стеклах в 3—4 раза выше, чем в силикатных. Спектр люминесценции Се зависит от длины волны возбуждающего света. В связи с этим максимум люминесценции может перемещаться в борных и силикатных стеклах в область 380—440 мμ, а в фосфатных стеклах — в область 320—345 мμ. В. Цукерман

См. также: Термодинамика 31637, 31638. Межмол. взаимодействие 31371—31374, 31461—31474, 31478, 31480—31484

РАДИОХИМИЯ. ИЗОТОПЫ

Редакторы В. И. Левин, В. В. Лосев, Г. А. Соколов

31619. Вопросы определения возраста материалов при помощи радиоуглерода. Дивни (Problems of radiocarbon dating. Devey Edward S., Jr), *Yale Scient. Mag.*, 1957, 31, № 7, 42—44, 47—48, 50, 52 (англ.)

Изложены принципы метода определения возраста ископаемых материалов по содержанию в них изотопа C^{14} . Рассмотрены затруднения, связанные с хим. обогащением изотопов С при образовании органич. в-в, с изотопным обменом последних с воздухом, водой и минералами. Приведены примеры применения радиоуглеродного метода. В. Левин

31620. Международная конференция по радиоизотопам. Лозен (La conférence internationale sur les radio-isotopes. Lauzun Gérard), *Usine nouvelle*, Ed. mens., 1957, nov., 59—60- (франц.)

Сообщение Международной конференции по применению радиоизотопов (РИ) в Париже в сентябре 1957 г. Кратко изложены некоторые сообщения, касающиеся применения РИ в пром-сти. Упомянуто использование стекол для целей дозиметрии, исследование влияния излучения на свойства полимеров, применение РИ для изучения процессов, протекающих в металлах, для исследования доменного процесса, для измерения плотности жидкостей, определения пористости покрытий, измерения зазоров в паровых турбинах. В докладе Либби (США) подчеркивается высокая рентабельность применения РИ в пром-сти. В. Левин

31621. Применение радиоизотопов. Либби (Radioisotopes. Libby Willard F.), *Nucleonics*, 1957, 15, № 9, 118—121 (англ.)

31622. Масс-спектрометрическое исследование редкоземельных элементов с целью обнаружения новых стабильных изотопов. Коллинс, Рорк, Уайт (Mass spectrometric investigation of the rare earth elements for the existence of new stable isotopes. Collins T. L., Rourke F. M., White F. A.), *Phys. Rev.*, 1957, 105, № 1, 196—197 (англ.)

Проведены масс-спектрометрические исследования изотопов иттрия и редкоземельных элементов. Новых изотопов не обнаружено. В большинстве случаев установлены более точные значения верхних пределов распространенностей изотопов. Резюме авторов

31623. Различия в давлениях паров между некоторыми изотопными разновидностями окиси углерода, метана и кислорода. I. Экспериментальная часть. Джоне (Vapour pressure differences between some of the isotopic species of carbon monoxide, methane and oxygen. Part I. Experimental. Johns T. F. Repts. Atomic Energy Res. Establ., 1957, № GP/B 2166, VI, 53 pp., ill.) (англ.)

Изучались различия в давлениях паров над твердой и жидкой фазами изотопных разновидностей $C^{12}O^{16}$ (I), $C^{12}O^{18}$ (II) и $C^{13}O^{18}$ (III); $C^{12}H_4$ (IV) и $C^{13}H_4$ (V); $O^{14}O^{16}$ (VI) и $O^{16}O^{18}$ (VII). С помощью дифференциального манометра (East H. G., Kuhn H., J. Sci. Instrum., 1946, 23, 485) определяли разность давлений рабочих смесей и эталонных смесей с естественным содержанием изотопов. Показана линейная зависимость p_{CO}, CH_4 и O_2 от мол. доли тяжелых изотопов при постоянной т-ре. Система I—II описывается ур-нием $(p_0 - p_1)/p_0 = 78,2 \cdot T^{-2} - 0,394 \cdot T^{-1}$ при т-рах 68,2—81,2° K (p_0 — давление пара I, а p_1 — II) и ур-нием $\ln(p_0/p_1) = 82 \cdot T^{-2} - 0,36 \cdot T^{-1}$ при т-рах 61,6—68,1° K; система I—III описывается ур-нием $(p_0 - p_2)/p_0 = 58,5 \cdot T^{-2} - 0,304 \cdot T^{-1}$ при 69—77° K и ур-нием $\ln(p_0/p_2) = 63 \cdot T^{-2} - 0,31 \cdot T^{-1}$ для твердой β -фазы CO ; т. пл. и т-ра перехода α -CO в β -CO для II выше, чем для I, соответственно на 0,0615° и 0,112°, для III выше, чем для I, соответственно на 0,047° и 0,11°; давление CO в тройной точке $11,535 \pm 0,007$ см рт. ст. Система IV—V описывается ур-нием $(p_0 - p_1)/p_0 = 85,0 \cdot T^{-2} - 0,442 \cdot T^{-1}$ при 91—104,8° K и ур-нием $\ln(p_0/p_1) = 70,0 \cdot T^{-2} - 0,24 \cdot T^{-1}$ для твердой фазы; т. пл. V на 0,032° выше, чем т. пл. IV, давление CH_4 в тройной точке $8,732 \pm 0,005$ см рт. ст. Система VI—VII описывается ур-нием $\ln(p_0/p_1) = 70 \cdot T^{-2} - 0,285 \cdot T^{-1}$ при ~ 74 —91° K. В. Любимов

31624. Химический метод разделения изотопов бора. Панченков Г. М., Моисеев В. Д., Макаров А. В., Ж. физ. химии, 1957, 31, № 8, 1851—1860 (рез. англ.)

Предложен метод разделения B^{10} и B^{11} с помощью хим. обмена между газообразным BF_3 (I) и жидким комплексом BF_3 с анизолом (II). Предварительно в «ступенчатом» опыте определен коэф. однократного разделения $\alpha = 1,013 \pm 0,005$, равный константе равновесия р-ции $I + C_6H_5OCH_3$ (III) \rightleftharpoons II. Из верхнего бака емк. 15 л II подается в стеклянную колонку (K) длиной 205 см, внутренним диам. 2,1 см с насадкой из стеклянных колец типа колец Фенске диам. 2,5 мм (общая поверхность насадки в K составляет 1,38 м²). По выходе из K II разлагается в 2 последовательно расположенных печах (стеклянные трубки длиной 25 см, внутренним диам. 2 см с насадкой из кусочков стеклянных капилляров), I проходит снизу вверх через K навстречу II и снова насыщает III, собранный после разложения II в печах и перекачанный в верхний бак. Максим. коэф. разделения $S_f = 1,223$, что соответствует 15,5 теоретич. тарелки в K. Время достижения равновесия $t = 6$ —8 час. при скорости подачи II в K $v = 28$ мл/мин и $t = 22$ час. при $v = 1$ мл/мин. Предложенный метод пригоден для разделения B^{10} и B^{11} в промышленных масштабах. В. Любимов

31625. К вопросу о приближенном представлении идеального каскада для разделения изотопов ступенчатым каскадом без учета и с учетом потерь вещества. Барвих (Zur Frage der Annäherung einer idealen Isotopentrennungskaskade durch eine treppenförmig abgestufte Kaskade im verlustfreien Fall und bei Berücksichtigung stofflicher Verluste. Barwich Heinz), Ann. Physik, 1957, 20, № 1—6, 70—79 (нем.)

В качестве меры полезной разделительной способности разделительной ступени реального каскада вве-

ден коэф. использования η , характеризующий долю разделительной способности, которая не теряется вследствие потерь на смешивание. При приближенном представлении идеального каскада без потерь в-ва ступенчатым реальным каскадом минимум потерь на смешивание имеет место в том случае, когда в месте перехода от ступени одной величины к другой η постоянно. Использование этого условия приводит к простому методу расчета конструкции оптимального реального каскада. Этот метод можно применить к каскаду с учетом потерь в-ва, лишь если отнесенная к пропусканию величина потерь ω меньше некой крит. величины ω_k , которая определяется функцией ценности Φ (K, c_0) конечного продукта и коэф. обогащения ε элементарного процесса обогащения ступени. Для разделительного каскада с $\omega > \omega_k$ дан приближенный метод расчета. Резюме автора

31626. Получение и свойства Se^{71} . Атен, Питерсе (Formation and properties of selenium 71. Aten A. H. W., Jr, Pieterse A. C.), Physica, 1957, 23, № 8, 799—800 (англ.)

Se^{71} был получен по р-ции $Ge^{70}(\alpha, 3n)Se^{71}$ при бомбардировке GeO_2 α -частицами с энергией 52 Мэв. Для выделения Se^{71} облученную GeO_2 растворяли в NaOH, содержащей носители SeO_3^{2-} , SeO_4^{2-} , AsO_3^{3-} , AsO_4^{3-} ; р-р подкисляли HCl в присутствии тех же носителей, а также Ga, Fe и др. Добавляли H_2O_2 и осаждали $Fe(OH)_3$ аммиаком. Фильтрат подкисляли HCl, вводили носители SO_3^{2-} , J^- , AsO_3^{3-} , AsO_4^{3-} , добавляли $N_2H_4 \cdot SO_4$ и осаждали Se кипячением. Обнаружена β^+ -активность с $T_{1/2}$ $4,5 \pm 0,5$ мин. С помощью Al-поглощителей максим. энергия β^+ -спектра найдена равной $3,4 \pm 0,3$ Мэв. γ -Излучение с 0,16 Мэв, о котором сообщалось ранее (РЖХим, 1957, 56955), не наблюдалось.

31627. Разделение Sr-90 и Y-90 и приготовление Y-90 без носителя. Дюрсен (Separation of strontium-90 and yttrium-90 and the preparation of carrier-free yttrium-90. Dyrssen David), Acta chem. scand., 1957, 11, № 7, 1277—1278 (англ.)

Описан метод разделения Sr^{90} и Y^{90} при помощи экстракции р-ром дибутилфосфорной к-ты (ДК) в $CHCl_3$ (I). Измерены коэф. распределения $(q) Y^{90}$ между HNO_3 с конц-ией 0,1—10 М и р-ром ДК в I с конц-ией 0,003—1 М. При изменении конц-ии HNO_3 от 0,1 до 10 М $\lg q$ изменялся от +2,17 до -1,90 (конц-ия HA в I 0,1 М). При экстракции 0,1 М HA из 0,1 М HNO_3 Y^{90} извлекался $> 99\%$, а $Sr^{90} < 10^{-2}\%$. По данным автора, ДК сильно димеризуется в органич. фазе. Процесс экстракции выражается ур-нием $Y^{3+}(\text{водн.}) + 3H_2A_2 \rightleftharpoons Y(HA_2)_3(\text{орг.}) + 3H^+(\text{водн.})$. Логарифм константы равновесия этого процесса равен $\sim 3,26 \pm 0,12$. Для отделения Sr^{90} от Y^{90} автор рекомендует экстрагировать Y^{90} из 0,1 М HNO_3 (HCl, $HClO_4$) равным объемом р-ра HA в I. Для получения Y^{90} без носителя экстракт обрабатывают 5 М HNO_3 (Y^{90} переходит в фазу к-ты). Для удаления остатков ДК реакстракт промывают один раз I и дважды метил-изобутилкетонем. В. Левин

31628. Получение четыреххлористого углерода меченного C^{14} нейтронным облучением растворов анилина и пиридина в CCl_4 . Хейн, Сетсер, Терхар, Чжан, Мак-Фарланд, Хансен (Carbon-14 tetrachloride produced by neutron irradiation of aniline- and pyridine- CCl_4 solutions. Hein R. E., Setser D. W., Terhaar C. J., Chang S. C., McFarland R. H., Hansen M. F.), Science, 1957, 125, № 3240, 195—196 (англ.)

Р-ры, содержащие 5 мол. % $C_6H_5NH_2$ (I) или C_5H_5N (II) в CCl_4 облучали в ядерном реакторе ($3 \cdot 10^{11}$ нейтрон/см² сек) при интенсивности γ -излуче-

ния $5 \cdot 10^5$ рентген/час в течение 1 месяца. После облучения р-р I имел темный цвет и содержал твердые частицы; давление в ампуле незначительное. Р-р II был в твердом состоянии и почти непрозрачен; в ампуле было значительное давление, после снижения которого в-во перешло в жидкое состояние. Амины были удалены промывкой к-той и водой; соединения, содержащие S, окислены нагреванием с р-ром NaBrO и CCl_4 подвергнут дистилляции. ~31% общей активности C^{14} содержалось в CCl_4 в обоих пробах; это подтверждает положение (РЖХим, 1957, 3883), что характер р-ций горячих атомов C^{14} определяется природой р-рителя. Остаток от перегонки имел высокую активность. По мнению авторов, этим путем можно получать CCl_4 , меченный C^{14} , низкой уд. активности.

В. Левин

31629. Приготовление радиоактивных образцов путем разделения изотопов электромагнитным способом. Андерссон (On the preparation of radioactive samples by means of electromagnetic isotope separation. Andersson Göran), Arkiv fys., 1957, 12, № 4, 331—351 (англ.)

Описана конструкция лабор. магнитного изотопного сепаратора, сочетающая высокую разрешающую способность с достаточной производительностью. Разделенные ионы собирают на тонкой алюминиевой или органич. пленке. Прибор применяется (в сочетании с хим. разделением или независимо от него) для разделения радиоактивных продуктов ядерных р-ций и приготовления образцов при исследовании спектра излучения, для определения периодов полураспада < 1 мсек., для нахождения распределения выходов р-ций скалывания и деления при высоких энергиях. При помощи этого прибора можно получать пучки ионов радиоуглерода и изучать хим. р-ции, идущие под действием этих ионов на различные органич. и неорганич. мишени.

В. Левин

31630. Использование радиоактивных изотопов для определения давления насыщенного пара. Несмеянов А. Н., Атом. энергия, 1957, 3, № 9, 227—237. Обзор 6 методов измерения давления пара с помощью радиоактивных изотопов. Приводятся схемы аппаратуры и таблица сравнительной чувствительности различных методов измерения давления пара. Библ. 46 назв.

Э. Чудинов

31631 Д. Разделение изотопов гелия (He_3 — He_4) ректификацией и термоосмосом. Кузнецов В. М. Автореф. дисс. канд. техн. н., Ин-т физ. проблем АН СССР, М., 1957

31632 Д. Конверсионные электроны нейтрондефицитных изотопов лютеция и туля. Громов К. Я. Автореф. дисс. канд. физ.-матем. н., Радиовый ин-т АН СССР, Л., 1957

См. также: Изотопные эффекты 31386, 31387, 31391, 31435, 31546, 31773. Изотопный обмен 32001. Измерение активности 31368. Приборы с радиоактивными датчиками 33839. Применения в исслед.: кинетики и механизма р-ций 31746, 31750, 31754, 31853, 31886, 31968, 31989, 32344, 32353, 32361; строения хим. соед. 31434, 31438, 31451, 31453; в физ. процессах 31851; в биохимии C^{14} 11961Бх, 11967Бх, 11984Бх, 12394Бх, 12398Бх, 12527Бх, 12528Бх, 12536Бх, 12540Бх, 12551Бх, 12665Бх, 12667—12669Бх, 12674Бх, 13144Бх; N^{15} 12951Бх; F^{18} 12751Бх; Na^{22} 12600Бх, 12709Бх; S^{32} 12065Бх, 12498Бх, 12533Бх, 12595Бх, 12630Бх, 12680Бх, 12966Бх, 13178Бх; S^{35} 12384Бх, 12387Бх, 12544Бх, 12619Бх; Ca^{45} 11856Бх, 12150—12152Бх; Cr^{51} 12629Бх; Fe^{59} 12108Бх, 12148Бх; Co^{60} 12250Бх, Cu^{64} 12711Бх; Sr^{90} 11879Бх; J^{131} 11880Бх, 12067Бх, 12088Бх, 12104—12106Бх, 12117Бх, 12120Бх, 12633Бх, 12746Бх, 12748Бх, 12768Бх, 13124Бх, 13128Бх, 13136Бх; общие вопр.

11896Бх, 11920Бх, 12593Бх, 12659Бх, 12673Бх, 12682Бх, 12948—12950Бх. Хим. технол. вопр. ядерной техники 32787, 33037, 33045. Изотопы в геохимии 32019, 32024, 32039, 32041, 32044. Защита от излучений 32984—32987. Радиоакт. отходы 32938. Влияние излучения на различные материалы 31828, 33046

ТЕРМОДИНАМИКА. ТЕРМОХИМИЯ. РАВНОВЕСИЯ. ФИЗИКО-ХИМИЧЕСКИЙ АНАЛИЗ. ФАЗОВЫЕ ПЕРЕХОДЫ

Редактор В. А. Соколов

31633. Связь между теоремами обратимости Онсагера и Каллена-Грина. Каплан (Relationship between the reciprocity theorems of Onsager and of Callen-Green. Kaplan Thomas A.), Phys. Rev., 1956, 102, № 6, 1447—1450 (англ.)

Основу современной теории необратимых процессов составляет теорема взаимности Онсагера. Позднее Каллен и Грин (Callen H. B., Green R. F., Phys. Rev., 1952, 86, 702; 88, 1387) вывели так называемую теорему о диссипации флуктуаций и показали, что ее распространение на одновременно протекающие процессы вновь приводит к соотношениям взаимности иного рода. Автор производит обобщение теоремы Онсагера на линейные процессы немарковского типа; кинетич. коэф. рассматриваются при этом уже не как константы, а как функции времени. Подобным же образом производится обобщение соотношений взаимности, следующих из теоремы о диссипации флуктуаций; показано, что как мнимая, так и действительная части матрицы допустимости (admittance matrix) являются симметричными. Наконец, показано, что обе теоремы взаимности с указанными обобщениями имеют одни и те же границы применимости и фактически полностью эквивалентны.

Р. Ч.

31634. Термодиффузия вблизи критической температуры растворения. Тихачек, Дрикаммер (Thermal diffusion near the critical solution temperature. Tichacek L. J., Drickamer H. G.), J. Phys. Chem., 1956, 60, № 6, 820—821 (англ.)

Измерен коэф. термодиффузии α в бинарной жидкой системе изооктан (2,2,4-триметилпентан) — перфторгептан (C_7F_{16}); измерения выполнены вблизи крит. т-ры растворения для нескольких кон-ций α . Результат приведен в виде графика зависимости α от n для 25, 30 и 45°; кривые имеют явные максимумы при $n \approx 0,45$ мол. долей C_7F_{16} . Это согласуется с теоретич. выводами термодинамики необратимых процессов (РЖХим, 1958, 10518), хотя строгого колич. совпадения нет.

В. Урбах

31635. Процессы переноса в многокомпонентных жидкостях. Сандхейм (Transport processes in multicomponent liquids. Sundheim Benson R.), J. Chem. Phys., 1957, 27, № 3, 791—795; Исправление (Errata), № 6, 1424—1425 (англ.)

В общей форме выведены феноменологич. ур-ния движения потоков в-ва, тепла и электричества и соответствующие дифференциальные ур-ния. Предложен метод решения этих ур-ний путем разделения переменных.

В. Цукерман

31636. К задаче о переносе энергии в плазмах, в которых происходят химические реакции. Кепелер (Zum Problem des Energietransports in chemisch reagierenden Plasmen. Kaeppler H. J.), Z. Phys., 1957, 148, № 4, 425—434 (нем.)

Принимается во внимание, что в стационарных состояниях в плазмах существует не только отдельная ионная и электронная т-ра, но и различные «т-ры»

для различных степеней свободы. На основании комбинированного рассмотрения — макроскопического и статистического — автор составляет дифференциальные ур-ния для средних величин в плазме не только для отдельных видов частиц, но и для отдельных координат этих частиц (напр., вращение, перенос, внутренние движения, причем внутри каждого вида движения считается, что имеет место максвеллово распределение) и ур-ния, выражающие обмен т-рами между отдельными видами движения. Подробнее рассматривается случай бинарной р-ции типа: $A + B = C + D$. Работа дает возможность получить температурный разрез, теплопередачу и аналогичные величины для плазмы, в которой имеют место хим. р-ции.

И. Обреимов

31637. Эргодическая теорема для взаимодействующих систем. Экштейн (Ergodic theorem for interacting systems. Ekstein H.), Phys. Rev., 1957, 107, № 2, 333—336 (англ.)

С целью обойти идеальную изоляцию, введенную для доказательства эргодич. теоремы Нейманом (J. von Neumann, Z. Physik, 1929, 57, 30), вводится представление о термостате, представляющем собой ансамбль из N одинаковых систем, гамильтониан которого имеет вид

$$H = H_0 + \lambda V = \sum_{i=1}^N K(p_i, q_i) + \lambda V(p_1, q, \dots, p_N, q_N), \text{ где}$$

$K(p, q)$ — гамильтониан i -й системы, а V — энергия взаимодействия. Изучаемая система рассматривается как одна из систем ансамбля (напр. $i = 1$) и выделяется благодаря рассмотрению только таких операторов, которые действуют на динамич. переменные системы $i = 1$ и являются единичными по отношению ко всем остальным. Предполагается, что H не имеет вырождений и что в потенциале V исключены взаимодействия, лишające H смысла термостата. При указанных условиях доказываем, что в пределе ($N \rightarrow \infty$, $\lambda \rightarrow 0$) система $i = 1$ подчиняется эргодич. теореме. Л. Гинзбург

31638. Применение основных динамических уравнений классической статистики. Пюттер (Anwendung der dynamischen Grundgleichungen der klassischen Statistik. Pütter Paul Stefan), Ann. Physik, 1957, 19, № 3—5, 247—256 (нем.)

На основе теоремы Лиувилля дается обоснование основных ур-ний динамики классич. статистич. системы, состоящей из одинаковых сферических симметричных частиц. Из этих ур-ний при некоторых ограничениях получено для простых столкновений ур-ние столкновений Максвелла — Больцмана. Для стационарного состояния получена функция распределения; без предположения о простых столкновениях получено максвелловское распределение скоростей. Плотность частиц вблизи некоторой частицы описывается барометрич. ф-лой, в которой учитывается влияние всей системы путем введения некоторого дополнительного потенциала.

Из резюме авторов

31639. О химии низких температур. Развитие техники сверхнизких температур. Канда, Нацу-канри, Heat Engng, 1957, 9, № 2, 18—21 (японск.)

Обзорная статья. Описываются структуры в-в и движения частиц (атомов и молекул) при т-ре, близкой к абс. нулю. Подробно описаны аппаратура для получения жидкого гелия и способы приближения к абс. нулю.

Ким Су Эн

31640. О принципах энергетики. Жийо (Quelques réflexions sur les principes de l'énergétique. Gillot Frédéric), Chimie et industrie, 1957, 78, № 2, 153—160 (франц.)

Рассматривается обобщение классич. термодинамики, названное энергетикой, которое дает возможность

конкретизации и систематич. сравнения различных форм энергии.

А. Лихтер

31641. Периодичность термодинамических свойств химических элементов. Лакатос (A vegyületek termodinamikai sajátosságainak periodicitása. Lakatos Béla), Magyar tud. akad. Kém. tud. oszt. közl., 1956, 7, № 2, 119—140 (венг.)

31642. Характеристические температуры кубических металлов. Будзинский, Шифф (Characteristic temperatures of cubic metals. Budzinski E. E., Schiff H.), Canad. J. Phys., 1957, 35, № 5, 507—511 (англ.)

Предлагается метод приближенной оценки характеристик. т-ры Дебая для куб. кристаллов, дающий лучшие результаты, чем некоторые другие методы (Houston W. V., Revs Mod. Phys., 1948, 20, 162; РЖФиз., 1955, 18787; 1957, 22555).

Из резюме авторов

31643. Теплоемкость некоторых металлических элементов. Часть III. Характеристические частоты. Часть IV. Остаточный спектр. Раман (The specific heats of some metallic elements. Part III. The characteristic frequencies. Part IV. The residual spectrum. Raman C. V.), Proc. Indian Acad. Sci., 1957, A45, № 2, 59—64; № 3, 139—146 (англ.)

III. С помощью данных по теплоемкостям металлов более точно рассчитаны 4 характеристич. частоты Al, Cu, Ag и Pb, определенные приближенно ранее (часть II, РЖХим, 1957, 73850) из упругих констант. Используя эти новые величины, автор вывел теоретически полную кривую теплоемкости; показано хорошее совпадение с опытом для области низких т-р. Отклонения наблюдались в верхней части кривой, что согласуется с неперывным падением частоты атомных осцилляторов с повышением т-ры (часть I, РЖХим, 1957, 73850). Это понижение частоты является следствием ангармоничности осцилляторов, что также обуславливает термич. расширение металлов. Cu, Al, Ag и Pb образуют ряд с возрастающим коэф. термич. расширения и возрастающим значением коэф. атомных колебательных частот, как на это указывают значения теплоемкости.

Резюме авторов

IV. «Остаточным спектром» назван вибрационный спектр, соответствующий трансляциям групп из 8р атомов (см. РЖХим, 1957, 37850). Методы цитированных работ применены к металлич. элементам, где $p = 1$. Расчет теплоемкости Al, Cu, Ag и Pb и сравнение с эксперим. данными, полученными ранее (см. часть III) для т-р 15—300° K, распространены на область более низких т-р. Имеется хорошее согласие для Cu, Ag и Pb и несколько худшее — для Al.

В. Урбах

31644. О температурной зависимости теплоемкости твердых тел. Сирота Н. Н., Докл. АН СССР, 1957, 115, № 5, 901—903

Вместо параболич. распределения частот колебаний в спектре твердого тела, принятого в теории Дебая, предлагается описывать это распределение законом, близким к гауссовскому $dz/dv = Av^p \exp(-av)$, где z — полное число колебаний в z -атоме твердого тела, dz — число колебаний, частоты которых находятся в интервале между v и $v + dv$, A , p , a — константы. Для изотропного твердого тела при $p = 2$ $C = 3R(T/\theta)^{3/2} \cdot (27/\theta + 4) / (T/\theta + 1/2)^{3/2}$.

А. Лихтер

31645. Циклогептан, циклооктан и 1,3,5-циклогептатриен. Тепловые свойства при низкой температуре, давление пара и производные термодинамические свойства. Финк, Скотт, Гросс, Мессерли, Уоддингтон (Cycloheptane, cyclooctane and 1,3,5-cycloheptatriene. Low temperature thermal properties, vapor pressure and derived chemical thermodynamic properties. Finke H. L., Scott D. W., Gross M. E., Messerly J. F., Waddington

Guay), J. Amer. Chem. Soc., 1956, 78, № 21, 5469—5476 (англ.)

Измерены теплоемкости C (насыщ.) циклогептана (I) (11—300° K), циклооктана (II) (11—322° K) и 1,3,5-циклогептатриена (III) (11—312° K). Определены t -ры и теплоты превращений в твердом состоянии, t -ры тройной точки и теплоты плавления. Измерено давление пара I и II в интервале 150—2026 мм рт. ст. и III в интервале 5—144 мм рт. ст. Рассчитаны теплоемкости H (насыщ.) — H_0° , энтропии S (насыщ.) и функции $(F \text{ (насыщ.)} - H_0^\circ)/T$ и $(H \text{ (насыщ.)} - H_0^\circ)/T$ через 10°, криоскопич. постоянные, теплоты испарения, энтропии паров при 298,16° K, стандартные теплоты, свободные энергии и энтропии образования жидких и газообразных I—III при 298,16° K, а также константы равновесия p -ций образования I—III из элементов. Теплоемкость жидких I—III и давление их паров выражены эмпирич. ур-ниями. Ю. Кесслер

31646. Термодинамические функции циклобутена. Данти (Thermodynamic functions of cyclobutene. Danti Alfred), J. Chem. Phys., 1957, 27, № 5, 1227 (англ.)

Методами статистич. термодинамики в приближении жесткого ротатора с гармонич. колебаниями рассчитаны и табулированы термодинамич. функции циклобутена в интервале 275,51—1500° K. При расчете пренебрегали колебательно-вращательными взаимодействиями, изменением моментов инерции при колебаниях и долей энтропии, обусловленной ядерными спинами. Ю. Кесслер

31647. Термодинамические функции хлористого карбонила. Гордон, Голанд (Thermodynamic functions of carbonyl chloride. Gordon John S., Golland David), J. Chem. Phys., 1957, 27, № 5, 1223—1224 (англ.)

Методами статистич. термодинамики в приближении жесткий ротатор — гармонич. осциллятор рассчитаны термодинамич. функции COCl_2 при 900, 1100, 1200° K и через 200° до 4000° K. В таблице приведены данные с шагом 100°, полученные интерполяцией по расчетным кривым. Константа равновесия p -ции $\text{COCl}_2 \rightleftharpoons \text{CO} + 2\text{Cl}$ рассчитана через каждые 100°. COCl_2 менее устойчив, чем COF_2 . Ю. Кесслер

31648. Зависимости давление — температура — плотность жидкости для чистых углеводородов. Франсис (Pressure — temperature — liquid density relations of pure hydrocarbons. Francis Alfred W.), Industr. and Engng Chem., 1957, 49, № 10, 1779—1786 (англ.)

Измерена плотность жидких n -декана, n -додекана, o -, m - и p -ксилола, 2,3- и 2,4-диметилпентана, 2,2,5-триметилгексана, метилциклогексана и толуола в интервале от 60° до t -ры, близкой к критической. Предложены эмпирич. ур-ния, связывающие плотность жидкости с t -рой, пригодные до крит. t -ры. Константы ур-ний вычислены для 44 в-в. Предложено эмпирич. ур-ние, связывающее плотность жидкости с угловым коэф. изохор; константы ур-ния вычислены для 27 в-в. Аналогичное ур-ние (в нескольких модификациях) предложено для H_2 . Ю. Кесслер

31649. Сжимаемости газообразных смесей пропан-пропен. Гунь Ли, Канджар (Compressibility of gaseous propane-propene mixtures. Li Kun, Sanjar Lawrence N.), A. I. Ch. E. Journal., 1956, 2, № 4, 448—450 (англ.)

Измерены и табулированы величины фактора сжимаемости $Z = MPV/mRT$ (M — мол. вес смеси, m — масса образца, V — его объем) для смесей пропан-пропен при t -рах 100; 125; 150; 175; 200; 225; 250° и мол. долях пропана 0,1662; 0,4386; 0,5814; 0,8131; 0,1655. Результаты согласуются с литературными данными. В. Цукерман

31650. Термодинамические свойства PbCl_2 , CaCl_2 и ZnCl_2 в растворах их с хлоридами калия, натрия, лития и бария. Алабышев А. Ф., Лангстрот М. Ф., Тр. Ленингр. политехн. ин-та, 1957, № 188, 93—105

Измерены э. д. с. и зависимость э. д. с. от t -ры цепей: $\text{M}_1|\text{M}_1\text{Cl}_2 + \text{M}_{11}\text{Cl}_n|\text{Cl}_2$ и $\text{M}_1|\text{M}_1\text{Cl}_2|\text{Cl}_2$, где M_1Cl_2 — PbCl_2 , CdCl_2 , ZnCl_2 , а M_{11}Cl_n — KCl , NaCl , LiCl , BaCl_2 . Рассчитаны значения ΔH , ΔZ , ΔS для M_1Cl_2 в p -рах и расплавах при 400—700° и соответствующие избыточные величины, характеризующие отклонение p -ра от идеального поведения. Отрицательные отклонения парц. изобарного потенциала зависят от комплексобразования в p -ре и увеличиваются с уменьшением радиуса M_1^{2+} , уменьшением заряда M_{11}^{n+} и с понижением t -ры. В. Гейдех

31651. Термодинамические свойства хлористого цинка в расплавах ZnCl_2 — RbCl . Марков Б. Ф., Ж. физ. химии, 1957, 31, № 10, 2288—2294 (рез. англ.)

Измерена э. д. с. цепей в расплавах $\text{Zn}|\text{ZnCl}_2|\text{Cl}_2$ (I) в интервале t -р 426—563° и $\text{Zn}|\text{ZnCl}_2(x_1) + \text{RbCl}(1-x_1)|\text{Cl}_2$ (II) в интервале 500—570°. Для $E = 1,5885 - 0,71 \cdot 10^{-3}(t - 500)$ в. Для образования жидкого ZnCl_2 (III) при 419,5° найдено: $\Delta Z^\circ = -75\,930$ кал/моль, $\Delta S^\circ = -32,76$ энтр. ед., $\Delta H^\circ = -98\,600$ кал/моль. Из э. д. с. II вычислены парц. молярные и избыточные изобарные потенциалы Z_1^E , энтропии S_1^E и энтальпии H_1^E в расплавах III — RbCl (IV) при 500 и 550° в интервале составов $0,442 \leq x_1 \leq 1$. При всех составах $Z_1^E < 0$ и $(Z_1^E)_{\text{max}} < (Z_1^E)_{500}$, а $S_1^E > 0$. Теплоты растворения III эндотермичны и убывают с уменьшением x_1 . Эти факты находятся в согласии с предположением об ассоциации III в жидком состоянии и с фактом существования в системе IV (РЖХим, 1957, 22325) конгруэнтно плающихся соединений. По величине Z_1 можно заключить, что они устойчивы и в расплаве. Ю. Кесслер

31652. Физико-химические исследования выплавки меди. Сано, Сакао (Physico-chemical investigations on copper smelting. Sano Kokiti, Sakao Hiroshi), Mem. Fac. Engng Nagoya Univ., 1956, 8, № 2, 137—163 (англ.)

Исследованы при 1155, 1206 и 1256° активности O и S в чистой Cu , а также в Cu , содержащей Sn , путем изучения равновесия между расплавом и газовыми смесями CO-CO_2 или $\text{CO-CO}_2\text{-SO}_2$. Содержание O и S в металле определялось отжигом в H_2 и по поглощению H_2O и H_2S жидким воздухом или петр. эфиром (—105°). Влияние C , растворенного в Cu , на активность O не учитывалось. Для активности O в чистой расплавленной Cu получена ф-ла $\lg a_O = \lg [O\%] - (311,3/T)[O\%]$, где $[O\%]$ — вес. % O . Константа равновесия $\lg K'_O = P_{\text{CO}_2}/P_{\text{CO}} \cdot a_O = (10\,600/T) - 3,820$. Для Cu , содержащей O и S , $\lg a_O = \lg [O\%] - (311,3/T)[O\%] - (242,6/T) \times [S\%]$. Активность S $\lg a_S = \lg [S\%] - (485,2/T)[O\%] - (281,6/T)[S\%]$. Для p -ций в сплаве Cu-O-S $O + \text{CO} \rightleftharpoons \text{CO}_2$, $S + 2\text{CO}_2 \rightleftharpoons \text{SO}_2 + 2\text{CO}$, $S + 2O \rightleftharpoons \text{SO}_2$ записываются соответственно «условные константы»: $K'_O = P_{\text{CO}_2}/P_{\text{CO}}[O\%]$, $K'_S = P_{\text{SO}_2} \cdot P_{\text{CO}}^2/P_{\text{CO}_2}^2[S\%]$, $K'_{O-S} = P_{\text{SO}_2}/[S\%][O\%]^2$. Для них получены ур-ния: $\lg K'_O = 10\,600/T - 3,820 - (311,3/T)[O\%] - (242,6/T) \times [S\%]$, $\lg K'_S = -15\,600/T + 5,839 - (485,2/T)[O\%] - (281,6/T)[S\%]$, $\lg K'_{O-S} = 5600/T - 1,801 - (1107,8/T) \times [O\%] - (766,8/T)[S\%]$. Для жидких сплавов Cu-O-Sn

определена величина $K_O'' = P_{CO_2}/P_{CO} [O\%]$ из уравнения $\lg K_O'' = (10\,600/T) - 3,820 - (311,3/T) [O\%] - (9,6/T) \times [Sn\%]$. Для активности O получена формула $\lg a_O = \lg [O\%] - (311,3/T) [O\%] - (9,6/T) [Sn\%]$. Коэф. активности O , растворенного в жидкой Cu , уменьшается при увеличении содержания O и Sn влияет в том же направлении, но значительно слабее. Д. Белащенко

31653. Равновесие между три- n -октиламином и серной кислотой. Аллен (The equilibria between tri- n -octylamine and sulfuric acid. Allen Kenneth A.), J. Phys. Chem., 1956, 60, № 2, 239—245 (англ.).

Изучены условия равновесия при 25° бензольных р-ров три- n -октиламина R (0,5—0,05 M) с водн. р-рами H_2SO_4 путем определения ее содержания в обоих р-вах. Равновесие устанавливалось после продолжительного отстаивания двух р-ров известной конц-ии. Сульфат- и бисульфат амина полностью присутствуют в бензольной фазе. Из полученных данных вытекает, что при конц-ии сульфата амина $(I) > 0,02 M$ происходит частичная полимеризация I , при этом в полимере имеет место р-ция обмена сульфат — бисульфат, для которой определена константа равновесия: $K_2 = 1,49 \cdot 10^3$ (моль/л)⁻³. При конц-ии $I < 0,02 M$ наблюдается р-ция $H_2SO_4 + 2R = R_2H_2SO_4$, константа равновесия которой $K_1 = 1,90 \cdot 10^8$ (моль/л)⁻⁴. Определена также константа равновесия р-ции образования коллоидно-диспергированного сульфата амина $K_3 = a_{H_2SO_4} [aR]^2 = 1,01 \cdot 10^{-10}$ моль/л, где $a_{H_2SO_4}$ — активность H_2SO_4 в водной фазе, a — доля свободного амина в р-р-теле. По мнению автора, происходит распределение свободного амина между бензолом и коллоидом, которое характеризуется константой распределения $D = [z(1-\alpha)R]/[aR] = 2,50$ (моль/л)⁻¹, где $[z(1-\alpha)R]$ — эквивалентная доля амина, распределенного в коллоиде. Н. Хомутов

31654. Равновесие между ди- n -дециламином и серной кислотой. Аллен (The equilibria between di- n -decylamine and sulfuric acid. Allen Kenneth A.), J. Phys. Chem., 1956, 60, № 7, 943—946 (англ.).

Изучено тем же методом (см. пред. реф.) при 25° равновесие бензольных р-ров ди- n -дециламина (R) с водн. р-рами H_2SO_4 . Соли амина содержатся полностью в бензольной фазе. Вычислены константы образования коллоидно-диспергированного сульфата амина K_1 и константа равновесия р-ции обмена сульфат — бисульфат внутри коллоида K_2 , которые соответственно равны: $6 \cdot 10^{-18}$ (моль/л)⁶; 2600 ± 400 (моль/л)⁻³. Установлено, что осаждение бисульфата амина при данной активности K -ты не зависит от суммарной конц-ии R . По мнению автора, для получения устойчивого коллоида содержание бисульфата должно отвечать составу $(R_2H_2SO_4 \cdot RH_2SO_4)_n$. Н. Хомутов

31655. Теплоты образования кристаллических $CaO \cdot Al_2O_3$, $12CaO \cdot 7Al_2O_3$ и $3CaO \cdot Al_2O_3$. Кофлин (Heats of formation of crystalline $CaO \cdot Al_2O_3$, $12CaO \cdot 7Al_2O_3$, and $3CaO \cdot Al_2O_3$. Coughlin James P.), J. Amer. Chem. Soc., 1956, 78, № 21, 5479—5482 (англ.).

Измерены теплоты растворения кристаллич. $CaO \cdot Al_2O_3$ (I), $12CaO \cdot 7Al_2O_3$ (II), $3CaO \cdot Al_2O_3$ (III), CaO и Al в 4,36 M р-ре HCl и теплоты разбавления р-ра HCl при 30°. Отсюда найдены соответственно теплоты образования I, II и III при 298,15° K из окислов: -3690 ± 350 , -2710 ± 380 и -1590 ± 330 кал на 1 моль Al_2O_3 . Показано, что II и III при комнатной т-ре метастабильны. Рассчитаны теплоты образования I—III из элементов и из Al , CaO и H_2O . Ю. Кесслер

31656. Термохимия комплексных соединений. V. Микрокалориметрические исследования по термохимии соединений рения. Капустинский А. Ф.,

Василевский К. И., Ж. неорг. химии, 1957, 2, № 9, 2031—2038

Описан микрокалориметр для измерения тепловых эффектов дилатометрич. методом. Измерены теплоты (Q) следующих р-ций (в ккал/моль): H_2ReCl_4 (крист.) с H_2O_2 (aq), +149,5; $HReO_4$ (aq) (HCl) с NH_4OH (aq), +59,2; Re (металлич.) с HNO_3 (aq), +92,2; $(NH_4)_2ReCl_6$ (aq) с $AgNO_3$ (aq), +14,5; $(NH_4)_2ReCl_6$ (aq) с $CsCl$ (aq), +17,6 и теплота растворения $(NH_4)_2ReCl_6$ (крист.) в воде, —4,4 ккал/моль. Из эксперим. данных вычислены при 298° K ΔH° (обр.) H_2ReCl_4 (крист.), —152,1; NH_4ReO_4 (aq), —218,4 и $HReO_4$ (aq) (HNO_3), —161,7 ккал/моль. Методом постоянных разностей оценены ΔH° (образ) H_2ReCl_6 (aq), —282,1 и $(NH_4)_2ReCl_6$ (aq), —330,4 ккал/моль, из которых с учетом эксперим. данных вычислены ΔH° (обр.) Ag_2ReCl_6 (крист.), —231,5 и Cs_2ReCl_6 (крист.), —409,1 ккал/моль. Часть IV см. РЖХим, 1956, 35271. В. Колесов

31657. К термохимии нитратных стекол. Крэггер, Янецко (Zur Thermochemie der Nitratgläser. Kröger Carl, Janetzkow Wilhelm), Z. anorgan. und allgem. Chem., 1956, 287, № 1-2, 28—32 (нем.).

В системе $KNO_3 - Ca(NO_3)_2$ (I) измерены (метод см. РЖХим, 1957, 42270) теплоты образования стекол по р-ции $mKNO_3 + nCa(NO_3)_2 = (m/4)[4KNO_3 \cdot Ca(NO_3)_2] + (n - m/4)Ca(NO_3)_2$ и теплоты раскисловывания смесей $a[4KNO_3 \cdot Ca(NO_3)_2] + bCa(NO_3)_2$ в интервале составов 44—55 вес. % I. Вычислена теплота образования инконгруэнтно плавящегося соединения $4KNO_3 \cdot Ca(NO_3)_2$ (II), —13,25 ккал/моль. Ю. Кесслер

31658. Теплоты кристаллизации гексагидрата сульфата магния и гексагидрата хлорида кобальта, дегидратированных в вакууме. Джеймисон, Фрост (The heats of crystallization of vacuum dehydrated magnesium sulphate heptahydrate and cobaltous chloride hexahydrate. Jamieson J. W. S., Frost G. B.), Canad. J. Chem., 1956, 34, № 5, 583—590 (англ.).

По разности теплот растворения в H_2O $MgSO_4 \cdot H_2O$ (I) и $MgSO_4 \cdot 7H_2O$ (II), $CoCl_2 \cdot H_2O$ (III) и $CoCl_2 \cdot 6H_2O$ (IV) определены теплоты перехода мелкодисперсных I и III, полученных дегидратацией в вакууме II и IV, в нормальное кристаллич. состояние. Найденные теплоты перехода составляют соответственно —6550 \pm 100 и —1390 кал/моль (с большей ошибкой) при 300° K. Ю. Кесслер

31659. Термохимия замещения в ароматическом ядре. I. О тепловом эффекте сульфирования резорцина. Кисельников В. Н., Казас Т. С., Ж. общ. химии, 1957, 27, № 10, 2877—2884

В изотермич. калориметре с дифенилоксидом при 26,75° определена теплота сульфирования резорцина (I) конц. серной к-той, взятой в избытке, до дисульфокислоты (II). Показано, что при 20° и выше I количественно сульфруется до II. Для р-ций I (тв.) + $2H_2SO_4 = II$ (р-р) + $2H_2O$ и I (тв.) + $2H_2SO_4 = II$ (тв.) + $2H_2O$ — ΔH составляют соответственно $5,2 \pm 1,1$ и $3,6 \pm 1,1$ ккал/моль. Из этих данных оценена теплота кристаллизации II (в конц. серной к-те) 1,8 ккал/моль. Определены ΔH р-ций I (тв.) и I (р-р) с р-ром $NaOH$ и вычислена ΔH растворения I, 4,7 ккал/моль. Теплоты р-ций: I (р-р) + $2H_2SO_4 = II$ (р-р) + $2H_2O$, — $\Delta H = 9,9$ ккал/моль; I (р-р) + $2H_2SO_4 = II$ (тв.) + $2H_2O$, — $\Delta H = 8,3$ ккал/моль. В. Колесов

31660. Теплоты гидрирования. I. Аппаратура и теплоты гидрирования бицикло-[2,2,1]-гептена, бицикло-[2,2,1]-гептадиена, бицикло-[2,2,2]-октена и бицикло-[2,2,2]-октадиена. II. Теплоты гидрирования и кислотно-каталитическая изомеризация некоторых ненасыщенных стероидов. Тернер, Мидор, Уинклер. II. Гидрирование циклооктатетраена и неко-

торых семичленных небензеноидных ароматических соединений. Тернер, Мидор, Деринг, Нокс, Мейер, Уайли. IV. Гидрирование некоторых *cis*- и *trans*-циклоолефинов. Тернер, Мидор (Heats of hydrogenation. I. Apparatus and the heats of hydrogenation of bicyclo [2,2,1]heptene, bicyclo [2,2,1]heptadiene, bicyclo [2,2,2]octene and bicyclo [2,2,2]octadiene. II. Heats of hydrogenation and the acid-catalyzed isomerization of some unsaturated steroids. Turner Richard B., Meador W. R., Winkler R. E. III. Hydrogenation of cyclooctatetraene and of some seven-membered non-benzenoid aromatic compounds. Turner Richard B., Meador W. R., Doering W. von E., Knox L. H., Mayer J. R., Wiley D. W. IV. Hydrogenation of some *cis*- and *trans*-циклоолефинов. Turner Richard B., Meador W. R.), J. Amer. Chem. Soc., 1957, 79, № 15, 4116–4121; 4122–4127; 4127–4133; 4133–4136 (англ.)

I. Измерены теплоты каталитич. (с PtO_2) гидрирования в р-ре CH_3COOH при 25° (значения $-\Delta H$ в ккал/моль): бицикло-[2,2,1]-гептена (33,1), бицикло-[2,2,1]-гептадиена (68,1), бицикло-[2,2,2]-октена (28,3) и бицикло-[2,2,2]-октадиена (56,2). Оценена величина «гомоаллильной резонансной энергии» (РЖХим, 1956, 64198, 71577; 1957, 22919) для изученных диеновых соединений. Приведен чертеж калориметра и описана методика измерений.

II. Измерены теплоты гидрирования с катализатором PtO_2 в р-ре CH_3COOH при 25° (значения $-\Delta H$ в ккал/моль): холестена-1 ($27,30 \pm 0,24$), холестена-2 ($25,85 \pm 0,17$), холестена-3 ($27,97 \pm 0,14$), холестена-5 ($25,85 \pm 0,13$), холестена-6 ($27,36 \pm 0,10$) и 3 α -оксид-холеновой к-ты ($28,93 \pm 0,15$). Наблюдаемый порядок устойчивости $\Delta^2 \approx \Delta^5 > \Delta^1 \approx \Delta^6 > \Delta^3 > \Delta^4$ согласуется с различными наблюдениями в связи с изучением миграции двойных связей в этих системах. Результаты сопоставлены с данными, сообщавшимися ранее (РЖХим, 1956, 61637).

III. Измерены теплоты гидрирования (ΔH) с катализатором PtO_2 в р-ре CH_3COOH и вычислены резонансные энергии (РЭ) (в скобках значения $-\Delta H$ и РЭ соответственно, в ккал/моль): циклооктатетраена ($97,96 \pm 0,05$; 2,4), 1,3,5-циклооктатриена ($72,36 \pm 0,26$; 0,9), азулена ($98,98 \pm 0,13$; 28), гептафульвена ($92,63 \pm 0,41$; 43, в р-ре диэтилкарбитола), гептафульвалена ($130,77 \pm 0,31$; 28; в р-ре диэтилкарбитола), дигидро-гептафульвалена ($138,81 \pm 0,20$) и тропона ($67,58 \pm 0,30$; катализатор $\text{Pd}-\text{BaSO}_4$).

IV. Измерены теплоты гидрирования с катализатором PtO_2 в р-ре CH_3COOH при 25° ($-\Delta H$ в ккал/моль): *cis*-циклооктена ($22,98 \pm 0,10$), *trans*-циклооктена ($32,24 \pm 0,21$), *cis*-циклононена ($23,62 \pm 0,07$), *trans*-циклононена ($26,49 \pm 0,14$), *cis*-циклодецена ($20,67 \pm 0,08$) и *trans*-циклодецена ($24,01 \pm 0,09$).

А. Золотаревский

31661. Быстрое определение теплоты испарения. Унбер, Инбоди, Хобсон (Estimate heats of vaporization quickly. Weber James H., Inbody Gerald W., Hobson Merck), Petrol. Refiner, 1957, 36, № 3, 221–223 (англ.)

Предлагается способ расчета скрытой молярной теплоты испарения при разных давлениях, основанный на использовании предложенного ранее (РЖХим, 1956, 12288) уравнения $L = C(d_{\text{ж}} - d_{\text{п}})^n$ где $d_{\text{ж}}$ и $d_{\text{п}}$ — плотности жидкости и пара кг-моль/м³, а C и n — константы, разные для различных в-в. Для 12 углеводородов (метана, этилена, этана, пропилена, пропана, 1,3-бутадиена, 1-бутена, изобутана, *n*-бутана, бензола, *n*-пентана и *n*-гептана) опытные данные описываются этим уравнением со средним отклонением 0,85% при значении $n = 1,165$. Дан график зависимости C от t -ры кипения. При $T <$

$< 0,6 T_{\text{кр.}}$ плотностью газа по сравнению с плотностью жидкости можно пренебречь, так как связанная с этим погрешность $< 1\%$. По известным $P-V-T$ данным скрытая теплота испарения может быть рассчитана по уравнению $L = C[(P/RT)(1/z_{\text{ж}} - 1/z_{\text{п}})]^n$, где P — давление, T — т-ра, R — универсальная газовая постоянная и $z_{\text{ж}}$ и $z_{\text{п}}$ — коэф. сжимаемости жидкости и пара.

31662. Изучение калориметрии в бомбе. VII. Принципы конструирования калориметрических систем. Мотт (Studies in bomb calorimetry. VII. Principles for the design of calorimeter systems. Mott R. A.), Fuel, 1957, 36, № 4, 447–468 (англ.)

На эксперим. материале рассмотрены вопросы, связанные с перемешиванием калориметрич. жидкости и вычислением поправки на теплообмен. Для достижения теплового равновесия в калориметре при коротком главном периоде наиболее целесообразно применение широких однолопастных мешалок с малым числом оборотов, обеспечивающих хорошее перемешивание жидкости при небольшой теплоте перемешивания. Рассмотрены факторы, влияющие на точность расчета поправки на теплообмен, особенно испарение калориметрич. жидкости и конвекция. Даны рекомендации для снижения теплообмена, происходящего не по закону Ньютона. Описаны методы контроля теплообмена, обусловленного испарением калориметрич. жидкости. Сообщение VI см. РЖХим, 1957, 38126.

В. Колесов

31663. Гетероазеотропные двойные системы. III. Руды (A, H₂) систем, образованных регулярными растворами. Стецкий (Heteroazeotropic binary systems. III. Series of (A, H₂) systems formed by regular solutions. Stecki J.), Bull. Acad. polon. sci., 1957, Cl. 3, 5, № 2, 161–169 XV (англ.; рез. русск.)

В приближении регулярных р-ров обсуждена предложенная ранее (часть II см. РЖХим, 1958, 3769) идеальная схема для изобар $T(T - t_{\text{ра}} \text{ кип.})$ — состав ряда двойных систем с расслоением в жидкой фазе и верхней крит. т-рой, образованных компонентом А с компонентами-гомологами H₂. Для упрощения предложено, что величина w_{A, H_2} в уравнениях $RT \log f_A = w_{A, H_2} x_{H_2}^2$, $RT \log f_{H_2} = w_{A, H_2} x_A^2$ и f_{H_2} — коэф.

активности, x_{H_2} и x_A — мольные доли, характеризующая данную двойную систему, одинакова для всех систем (A, H₂) и не зависит от т-ры. Принято также, что $p_i^0/P = \exp[(\Delta S/R)(1 - T_i/T)]$ (p_i^0 — давление пара i -го компонента в индивидуальном состоянии, P — общее давление пара насыщ. р-ра при т-ре T) и что все энтропии испарения ΔS равны между собой. Выведены возможные типы диаграмм равновесия T — состав для случая $0 < T_A \leq T_c$ (T_c — крит. т-ра смешения) и $0 \leq T_{H_2} \leq \infty$. Получена зависимость состава гетероазеотропа y от гетероазеотропного понижения $T_A - T$ и активности a в насыщ. р-ре: $1 - y = \exp[-(\Delta S/RT) \times (T_A - T)] a$ (x^* , T) (x^* — растворимость). Если для одного из компонентов $T_{\text{ниж.}} < T_c$, то отсутствие пересечения изобары кипения с областью расслоения маловероятно. Ю. Кесслер

31664. Изучение кривых критических температур смесей. I. Азеотропный предел. II. Двойные и тройные системы из уксусной кислоты, пиридина и *n*-парафинов. III. Влияние изменений объема при смешивании. Кренглевский (Studies on the critical temperature curves of mixtures. I. The azeotropic

range. II. The binary and ternary systems of acetic acid-pyridine-*n*-paraffins. III. The effect of volume changes by mixing. Kreglewski A., Bull. Acad. polon. sci., 1957, Cl. 3, 5, № 3, 323—327, XXVI; 329—333, XXVII; № 4, 431—436, XXXIV (англ.; рез. русск.)

I. Ур-ния Малесинского (РЖХим, 1957, 76583), связывающие азеотропный предел с азеотропными понижениями, выведены из ур-ний для кривых крит. т-р. Если кривые крит. т-р систем (i, j) и (j, k) известны, то кривая системы (i, k) также определена. Отмечено большое влияние, которое оказывают изменения объема при смешивании.

A. Золотаревский
II. Изучены кривые и поверхности крит. т-р двойных и тройных смесей уксусной к-ты (I) с гексаном, октаном (II), деканом (III) и додеканом (IV) и пиридина с I + II, I + III и I + IV. Для двойных смесей сопоставлены величины азеотропного предела, вычисленного из крит. т-р и экспериментально найденного при атмосферном давлении. Крит. кривые и поверхности сопоставлены с изобарными кривыми и поверхностями т-р кипения при атмосферном давлении.

Ю. Кесслер
III. Выведено ур-ние кривой (T, x) крит. т-ры смеси $T^c V^c = T_1^c V_1^c x_1^2 + 2T_{12}^c V_1^c x_1 x_2 + T_2^c V_2^c x_2^2$, где T и V — крит. т-ры и мол. крит. объемы, x — мол. доли, θ — постоянная, характеризующая отклонение системы от идеального р-ра. Ур-ние для азеотропных пределов трех бинарных систем $1/2 Z_{12} + 1/2 Z_{23} = 1/2 Z_{13}$ (РЖХим, 1957, 76583) выполняется для кривых (T^c, x) даже в случае сильного межмолекулярного взаимодействия (водородная связь) при условии учета влияния изменений объема при смешивании компонентов. Вычислены кривые (T^c, x) для бинарных смесей $\text{CO}_2\text{-N}_2\text{O}$, $\text{N}_2\text{O-C}_2\text{H}_6$, $\text{CO}_2\text{-C}_2\text{H}_6$, $\text{H}_2\text{S-CO}_2$, $\text{H}_2\text{S-C}_2\text{H}_6$.

A. Золотаревский
31665. Равновесие жидкость — пар бинарных систем. Уравнения для коэффициентов активности. Брату (Echilibrul lichid — vapori al sistemelor binare ecuate pentru coeficientii de activitate. Bratu E. M. A.), Bul. Inst. politehn. Bucuresti, 1956, 18, № 1-2, 17—34 (рум.; рез. русск., франц.)

Выведено ур-ние Ван-Лаара из выражения для разности энергий ближайших соседей в чистой жидкости и двойном р-ре, которая считается равной избыточной свободной энергии. Полагая, что распределение флуктуаций конц-н следует закону распределения Гаусса, автор получил выражения для коэф. активности с четырьмя константами. Эти выражения удовлетворяют ур-нию Гиббса — Дюгема. На примере системы метилэтилкетон — *n*-гептан показано, что полученные ур-ния лучше описывают эксперим. данные, чем ур-ния Ван-Лаара; автор рассматривает это как подтверждение гипотезы флуктуаций конц-н.

Резюме автора
31666. Природа азеотропа метилового спирта — борно-метилового эфира. Талли, Кристофер (Nature of the methanol-methyl borate azeotrope. Tully Thomas J., Christopher Phoebeus M.), J. Phys. Chem., 1957, 61, № 11, 1578—1579 (англ.)

Состав азеотропа в системе $\text{CH}_3\text{OH} - (\text{CH}_3\text{O})_2\text{B}$ близок к эквимолекулярному. Для выяснения природы азеотропа определены мол. вес азеотропа, содержание бора в твердой фазе, образующейся при вымораживании смеси, и мол. рефракция. Найденно, что мол. вес приблизительно равен среднему арифметич. значению, содержание В не отвечает составу соединения 1:1, рефракция близка к аддитивной. Отмечено, что р-ция смеси кислая. По мнению авторов, азеотроп является смесью исходных компонентов с небольшим содержанием $(\text{CH}_3\text{O})_2\text{BH}$.

Ю. Кесслер
31667. Азеотропные депрессии как функция состава серий трехкомпонентных положительных азеотропов. Свентославский В., Малесин-

ский В., Бюл. Польской АН, 1956, отд. 3, 4, № 10, 685—692

На основании выведенного ранее (РЖХим, 1957, 76584) ур-ния получена ф-ла, связывающая т-ры кипения серий трехкомпонентных азеотропов с их составом: $T_{AZ}^{(2,3)} - T_{AZ}^{(1,2,3)} = Z_{d_1} x_{1i}^2$, где $T_{AZ}^{(2,3)}$ и $T_{AZ}^{(1,2,3)}$ —

точки кипения двухкомпонентных (2,3) и трехкомпонентных (1,2,3) азеотропов, образованных из представителей $1_i'$ насыщ. углеводородов гомологич. ряда; Z_{d_1} — нижняя часть азеотропного предела главного компонента 2 по отношению к ряду 1_i ; x_{1i} — мол. доля 1_i в азеотропе (1,2,3). Ф-ла проверена по эксперим. данным для систем, состоящих из бензола, метанола (изобутанола, изопропанола) и ряда алифатич. углеводородов. С. Бык

31668. Применение правила о линейности функций при расчетах азеотропных систем. Пиларж (Použití pravidla o lineární chemicko-inženýrských funkcí při výpočtech azeotropních soustav. Pilař Antonín), Chem. průmysl, 1957, 7, № 2, 75—77 (чешск.)

Высказаны соображения о методах графич. определения давления паров и скрытых теплот испарения двух- и трехкомпонентных азеотропных смесей.

Е. Стефановский
31669. Некоторые данные о сжимаемости 1,2-дихлор-1,1-дифторэтана. Дивайни, Фелсинг (Some compressibility relations of 1,2-dichloro-1,1-difluoroethane. Deyiney Marvin Lee, Jr., Felsing W. A.), J. Amer. Chem. Soc., 1957, 79, № 18, 4915—4917 (англ.)

Измерены давление пара и сжимаемость $\text{CH}_2\text{ClCF}_2\text{Cl}$ (I) в аппаратуре, описанной ранее (Kelso E. A., Felsing W. A., J. Amer. Chem. Soc., 1940, 62, 3132). Приведены таблица и график изотерм сжимаемости жидкого I в интервале 80—225° в координатах P (атм) — v (мл/г). Эксперим. данные о давлении пара I в интервале 110—220°, приведенные в таблице, с максим. отклонением 0,3% подчиняются ур-нию $\lg p(\text{атм}) = 4,3609386 - 1409,0428/(t + 273,16) + 0,000244348(t + 273,16)$, где t — в °C. Вычислена крит. т-ра I, равная 222,0°.

A. Золотаревский
31670. Давление паров растворов в азотной кислоте.

Часть II. Поведение веществ, растворенных в азотной кислоте. Ллойд, Уайатт (The vapour pressures of nitric acid solutions. Part II. The behaviour of solutes in nitric acid. Lloyd L., Wyatt P. A. H.), J. Chem. Soc., 1957, Oct., 4268—4274 (англ.)

Методом, описанным ранее (часть I, РЖХим, 1956, 42598), измерены давления паров р-ров NH_4NO_3 (I), NaNO_3 (II), H_3PO_4 (III), KH_2PO_4 (IV), H_2SO_4 (V), K_2SO_4 (VI), HClO_4 (VII), NH_4ClO_4 (VIII), CH_3COOH (IX), H_3BO_3 (X), $(\text{CH}_3\text{CO})_2\text{O}$ (XI), $\text{CH}_3\text{COONO}_2$ (XII) при 0° и KNO_3 (XIII) при 0,10 и 20° в чистой (100%) HNO_3 . Из графика $p = f(m_2/m_1)$ (p — давление пара, m_2 и m_1 — числа молей растворенного в-ва и р-рителя) определена растворимость I, II, IV, VI, VIII, X и N_2O_5 при 0° и XIII при 0°, 10 и 20°. В паровой фазе над р-рами I—IX и XIII не обнаружены H_2O и N_2O_5 . В парах над р-рами X содержится H_2O , а над р-рами XI и XII — N_2O_5 . В предположении, что р-ры подчиняются закону Рауля, из графика $x/(1-x) = (1/v)(m_1/m_2) - s/v$ (x — мольная доля HNO_3 в р-ре, v — число частиц, образуемых в р-ре одной молекулой растворенного в-ва, s — число сольватации) определены v , принимая $v=2$ для I и XIII. Определена конц-ия продуктов диссоциации чистой HNO_3 при 0°, 10 и 20°. Кратко обсуждено взаимодействие III — VI и IX — XII с HNO_3 .

Ю. Кесслер
31671. Законы Линдемана и Грюнэйзена. Гилварри (The Lindemann and Grüneisen laws. Gilvarry J. J.), Phys. Rev., 1956, 102, № 2, 308—316 (англ.)

В теории Линдемана (Lindeman F. A., Physik Z. 1910, 11, 69) предполагается, что в точке плавления атомы кристалла, совершающие гармонич. колебания, соприкасаются с соседними атомами, так что плавление наступает тогда, когда амплитуда u колебаний атомов равна половине расстояния r между ближайшими соседями. Автор изменяет эту предпосылку предположением $\langle u^2 \rangle_{\text{пл}} = r^2 \rho_{\text{пл}}$, где ломаные скобки означают усреднение, а ρ — дробь. Используя теорию рассеяния рентгеновских лучей кристаллом (Waller J., Z. Physik, 1923, 51, 213), автор получает ур-ние: $Q(\text{пл.}) RT(\text{пл.}) = \Omega x(\text{пл.}) V(\text{пл.})$, (1) связывающее величины, характеризующие изотропный одноатомный кристалл в точке плавления. Здесь $Q(x) = \Phi(x) + x/4$, $\Phi(x) = x^{-1} \times \int_0^x y(e^y - 1)^{-1} dy$ — функция Дебая, $x = \hbar v / kT$, $\Omega = (s(\text{пл.}) / c)^2$, $s(\text{пл.}) = [s/2 (1 + \sigma(\text{пл.}))]^{1/2} \{ \pi/4 \pi / [2 (1 - \sigma(\text{пл.}))] \}^{1/2} + 2 [1 - 2\sigma(\text{пл.})]^{-1/2} \}^{1/2}$, $c = 3^{1/2} (2^{1/2} \pi r)^{-1}$, $\sigma(\text{пл.})$ — отношение Пуассона в точке плавления, $\kappa(\text{пл.})$ — объемная упругость (сопротивление сжатию). При $x(\text{пл.}) \ll 1$ или $x(\text{пл.}) \sim 1$ ур-ние (1) формально аналогично ур-нию состояния идеального газа $RT(\text{пл.}) = \Omega x(\text{пл.}) V(\text{пл.})$. Ур-ние (1) в сочетании с ур-нием состояния $P = P(V, T)$ твердого тела дает зависимость $T(\text{пл.})$ от уд. объема V . Изложенные представления использованы вместе с ур-нием Клапейрона для получения ф-лм: $\gamma(\text{пл.}) = (s/2) (2 - O(\text{пл.}) / Q(\text{пл.}))^{-1} + [1 - O(\text{пл.}) / Q(\text{пл.})] / (2 - O(\text{пл.}) / Q(\text{пл.})) (q\kappa(\text{пл.}) \Delta V / L)$. Здесь $\gamma = -d \ln v / d \ln V$ — константа Грюнэизена (предполагается, что дебаевская частота зависит только от объема), $O(\text{пл.}) = -\Phi(x(\text{пл.})) + x(\text{пл.}) (\exp x(\text{пл.}) - 1)^{-1} + x/4$, L — теплота плавления, ΔV — изменение объема при плавлении, α — объемный коэф. термич. расширения. При $x(\text{пл.}) \ll 1$ или $x(\text{пл.}) \sim 1$ $\gamma(\text{пл.}) = 1/2 + (1/2) (qR / \Omega) \times (T(\text{пл.}) \Delta V / LV(\text{пл.}))$ при этом $q = 1 + \gamma_{\text{пл}} C_V(\text{пл.}) T(\text{пл.}) \times \Delta V / LV(\text{пл.})$ (C_V — теплоемкость). Написанные соотношения выражают связь между законами Линдемана и Грюнэизена (Grüneisen E., Ann. Physik, 1912, 39, 258) являются обобщением последнего и позволяют оценить наклон и кривизну кривой плавления как функцию $\gamma(\text{пл.})$. При $\gamma > 1/2$, $x(\text{пл.}) \ll 1$ кривая плавления нормальна в смысле Бриджмена (Brigmann P. W., Revs. Mod. Phys., 1935, 7, 1). Ур-ние наклона кривой имеет вид: $dT(\text{пл.}) / dP(\text{пл.}) = 2 (\gamma(\text{пл.}) - 1/2) T(\text{пл.}) / q\kappa(\text{пл.})$. Эксперим. данные для 14 элементов хорошо согласуются с вычисленной константой Грюнэизена; для Ga, Bi и Sb теория не согласуется с опытом. Е. Бабенков

31672. Закон Грюнэизена и кривая плавления при высоких давлениях. Гилварри (Grüneisen's law and the fusion curve at high pressure. Gilvarry J. J.), Phys. Rev., 1956, 102, № 2, 317—325 (англ.)
Используя результаты своих работ (РЖХим, 1955, 48240, 48241; 1956, 42260; см. пред. реф., там же см. обозначения), автор рассчитывает для высоких давлений поправку $\gamma(\text{пл.})$ к закону Грюнэизена, обусловленную электронами, а также часть $\gamma(\text{реш.})$, связанную с решеткой. Давление решетки считается пренебрежимо малым; предполагается, что поведение электронов описывается статистич. моделью Томаса — Ферми для твердого тела. Соответствующие вклады в константу Грюнэизена даются ф-лами: $\gamma(\text{реш.}) = (1/6) (3\epsilon_0 - 1 - 3d \ln \epsilon_0 / d \ln v)$, где $\epsilon_0 = (v/v_0) (1 - d \ln \Phi_0 / d \ln x_0)$ и $\gamma(\text{эл.}) = 1/2 - \omega / (\sigma + 2\tau + 3\omega)$. Для т-р $T_1 \ll T_0$ получена ф-ла $\kappa\alpha = \epsilon_0 \rho \alpha(\text{эл.}) = \gamma(\text{эл.}) C_V(\text{эл.})$; здесь T_0 — т-ра. определяющаяся из ур-ния: $Z^{-1} k T_0 / \epsilon = 4 (2/\pi^2) \Phi_0 / x_0$ (ϵ — энер-

гия в атомных единицах, Z — атомный номер.), так что при $T \ll T_0$ применима модель Томаса — Ферми для т-ры абс. нуля, а T_1 — т-ра, удовлетворяющая условию $C_V(\text{эл.}) \gg C_V(\text{реш.})$ при $T \gg T_1$; она определяется из требования $Z^{-1} k T_1 / \epsilon = (48/\pi^2) (v_0/\pi^2)^{1/2} / (\sigma + 2\tau + 3\omega) x_0^{1/2} \Phi_0^{1/2}$. В предположении, что величина ϵ при высоких давлениях имеет то же значение, что и при низких, и что отношение Пуассона не зависит от т-ры и давления, получено следующее ур-ние для кривой плавления $kT(\text{пл.}) = (s/2) \Omega Z \eta' [1 + (\pi^2/27) (\Omega Z)^2 + (37\pi^4/3645) (\Omega Z)^4 + \dots]$. Здесь $\Omega = [2^{1/2} \pi s(\text{пл.})] \times \rho / 3^{1/2}$. Показано, что метод температурных возмущений для модели Томаса — Ферми применим для расчета кривой плавления всюду за исключением области больших атомных номеров и для сравнительно не очень больших отношений Пуассона. За исключением этой области кривая плавления нормальна в смысле Бриджмена, но не согласуется с высказывавшимися ранее предположениями (Tammann G., Kristallisieren und Schmelzen, Verlag von J. A. Barth, Leipzig, 1903, 90; Aggregatzustände, Verlag von L. Voss, Leipzig, 1923, 94; Schames L., Ann. Phys., 1912, 38, 830; 1912, 29, 887). Для щел. элементов кривая плавления согласуется с опытами и предположениями Бриджмена. Даны оценки величин связанных с решеткой, в частности, давления. Е. Бабенков

31673. Уравнение кривой плавления. Гилварри (Equation of the fusion curve. Gilvarry J. J.), Phys. Rev., 1956, 102, № 2, 325—331 (англ.)

Обобщенный закон Линдемана, сформулированный автором ранее (см. пред. реф., там же см. обозначения), вместе с ур-нием состояния твердого тела (Murnaghan F. D. Finite deformation of an elastic solid. New York, John Wiley and Sons, Inc. 1951, 70); $P = (x_0/\eta) [(V_0/V)^\eta - 1]$, где индексом нуль отмечены нормальные величины, позволяет получить приведенное ур-ние плавления. Получены след. соотношения:

$$\begin{aligned} \kappa(\text{пл.}) / \kappa(\text{пл.})_0 &= (T(\text{пл.}) / T(\text{пл.})_0)^b, \text{ где } b = \eta / (\eta - 1); \\ (L / \Delta V) / a &= (V(\text{пл.})_0 / V(\text{пл.}))^{\eta+\mu}, \text{ где } a = q\kappa(\text{пл.})_0 / 2 \times (\gamma(\text{пл.})_0 - 1/2), \text{ и } \mu = d \ln (\gamma(\text{пл.}) - 1/2) / d \ln V. \text{ Кроме того, пока-} \\ &\text{зано, что } (\gamma(\text{пл.}) - 1/2) / (\gamma(\text{пл.})_0 - 1/2) = (V(\text{пл.}) / V(\text{пл.})_0)^{\mu} = \\ &= T(\text{пл.})_0 / T(\text{пл.})^\beta, \text{ где } \beta = \mu / (\eta - 2), \text{ так что } (L / \Delta V) / a = \\ &= (T(\text{пл.}) / T(\text{пл.})_0)^B \text{ при } B = b + \beta = (\eta + \mu) / (\eta - 1). \end{aligned}$$

У начала кривой плавления в небольшой области давлений $\eta_0 = 2\gamma(\text{пл.})_0 + 1/2$ и соответственно упрощаются написанные выше соотношения: $\kappa(\text{пл.}) = \kappa(\text{пл.})_0 \times$

$$\begin{aligned} &\times (V(\text{пл.})_0 / V(\text{пл.}))^{2\gamma(\text{пл.})_0 + 1/2}, T(\text{пл.})_0 = \\ &= (V(\text{пл.})_0 / V(\text{пл.}))^{2\gamma(\text{пл.})_0 - 1/2} \text{ и } \kappa(\text{пл.}) = \\ &= \kappa(\text{пл.})_0 (T(\text{пл.}) / T(\text{пл.})_0)^{b'} \text{ при } b' = (6\gamma(\text{пл.})_0 + 1) / [2 (3\gamma(\text{пл.})_0 - 1)]. \end{aligned}$$

Результаты связаны с предположением Грюнэизена о том, что дебаевская частота есть степенная функция только объема. Из излагаемой теории, как показано, непосредственно вытекает ур-ние Симона $P(\text{пл.}) - P(\text{пл.})_0 = (a/B) [(T(\text{пл.}) / T(\text{пл.})_0)^B - 1]$. Вычисленные значения показателя степени при T в этом ур-нии количественно согласуются с данными Бриджмена для щел. металлов. См. также РЖФиз, 1957, 3429.

Е. Бабенков

31674. Амплитуды тепловых колебаний при плавлении. Гилварри (Amplitudes of thermal vibration at fusion. Gilvargy J. J.), Phys. Rev., 1956, 103, № 6, 1700—1704 (англ.)

На основе предыдущей работы автора (см. пред. реф.) определены сравнительно точные значения константы Линдемана для металлов: Na и Fe (объемно-центр. куб. решетка) Pb, Al, Ag, Cu, Ni и Pt (гранецентр. куб. решетка), Zn и Mg (гексагон. решетка); приведены также значения коэф. Пуассона для этих металлов при т-ре плавления и при нормальной т-ре. По развитию в предыдущей работе методу, исходя из данных по рассеянию рентгеновских лучей и используя пятые из литературы значения упругих констант, вычислены (для Al и Cu) крит. отношения $\sigma = \bar{u}/r_m$, где \bar{u} — среднеквадратичные амплитуды тепловых колебаний, r_m — расстояние между ближайшими соседними атомами при плавлении. Эти значения σ хорошо согласуются со значениями σ полученными из данных по плавлению (по закону Линдемана). Усредненные σ для исследованных типов решеток (объемно-центр., гранецентр. и гексагон.) равны соответственно 0,13; 0,11 и 0,09, в хорошем согласии со значением 0,10, даваемым Грюнайзеном. Из сравнительно точных значений константы Линдемана для Pb и Al следует, что σ не может быть строго одинаковым для разных элементов с решеткой одинакового типа; однако введение усредненного σ является хорошим приближением для элементов с гранецентр. куб. решеткой.

В. Урбах
31675. Изменение амплитуды тепловых колебаний вдоль кривой плавления. Гилварри (Variation of the amplitude of thermal vibration on the fusion curve. Gilvargy J. J.), Phys. Rev., 1956, 104, № 4, 908—913 (англ.)

Уточняются развитые ранее автором (см. пред. реф.) представления, что при определенных предположениях из теории Дебая — Валлера для температурной зависимости интенсивности брэгговского отражения рентгеновских лучей в твердых телах можно получить соотношение Линдемана, связывающее т-ру плавления с отношением среднеквадратичной амплитуды тепловых колебаний к постоянной решетки. В частности, уточняется определение константы Грюнайзена. Соотношение Линдемана расчетом проверено для 16 в-в. Получены удовлетворительные результаты.

В. Н. Ж.
31676. К вопросу о силах, действующих в решетках из органических молекул. Пирш (Beitrag zur Frage der Gitterkräfte organischer Moleküle. Pirsch J.), Mikrochim. acta, 1956, № 4-6, 992—1004 (нем.; рез. англ., франц.)

Пользуясь некоторыми критериями и учитывая форму органич. молекул, можно получить зависимость между т-рой плавления T_e и мол. теплотой плавления ΔH органич. соединений. Для каждого класса соединений, характеризующегося определенной пространственной формой (для сферич. молекул — ациклические и циклические, различаемые по числу циклов), выполняется зависимость $\Delta H_E = k(T_e - a)$, где k и a — константы, характерные для каждого пространственного типа (для сферич. молекул типа (2,1,2)-гептана, включая группу камфоры, и типа (2,2,2)-октана, исключая углеводороды). Константы k и a составляют соответственно 8,1 и 260; для производных α -дициклопентадиена $k=7,7$, $a=282$. Энтропия плавления S_e для органич. соединений возрастает с увеличением т-ры плавления и для сферич. молекул стремится к значению энтропии плавления благородных газов. Для сферич. молекул, с повышением т-ры плавления, мол. депрессия, приведенная к мол. в. 100, $100 E_g / M$ (M — мол. вес р-рителя), имеет постоян-

ное значение для дискообразных молекул (ароматич. соединения) и возрастает с повышением T_e . Указанная зависимость может быть использована для определения теплоты полиморфных превращений вблизи точки плавления.

Т. Левин
31677. К термодинамической теории сегнетоэлектрических свойств титаната бария. Холоденко Л. П., Ж. эксперим. и теор. физики, 1956, 31, № 2, 244—253 (рез. англ.)

Вопрос о характере фазового перехода из несегнетоэлектрич. фазы в сегнетоэлектрическую подвергнут колич. рассмотрению, а также дан критич. анализ опубликованных работ. Вычислен сдвиг точки превращения в присутствии электрич. поля (в случае фазового перехода 1-го рода). Для BaTiO_3 точка превращения смещается полем в сторону высоких т-р. Вычислен скачок диэлектрич. восприимчивости χ , который оказывается уменьшенным в присутствии поля. В случае фазового перехода 2-го рода должен существовать «индуцированный пьезоэффект», а также обратный эффект. Вычислены «индуцированные пьезомодули».

Ю. Ч.
31678. Влияние электрического поля на фазовый переход в сульфате аммония. Камийоси (Effect of electric field on the phase transition of ammonium sulfate. Kamiyoshi Kan-ichi), J. Chem. Phys., 1957, 26, № 1, 218—219 (англ.)

Фазовый переход в $(\text{NH}_4)_2\text{SO}_4$, наблюдающийся по пику диэлектрич. проницаемости ϵ , измеренной при частоте 6 МГц, в отсутствие смещающего постоянного электрич. поля происходит при -36° . Измерения проводились на пластине, вырезанной из монокристалла в плоскости [110]. При наложении постоянного поля по направлению [110] т-ра фазового перехода смещалась; знак смещения зависел от направления поля. Величина и знак смещения температуры фазового перехода зависит от предыдущей обработки образца. Наложение постоянного поля вдоль оси c не смещает т-ры фазового перехода. Наложение постоянного поля поперек образца может в некоторой степени подавлять либо ускорять фазовый переход, о чем свидетельствуют форма и высота пиков на кривых $\epsilon = f(t)$.

И. Рез
31679. Изучение фазовых переходов в безводном стеарате натрия методом ядерного магнитного резонанса. Грант, Хеджкок, Дьюнелл (Nuclear magnetic resonance study of phase transitions in anhydrous sodium stearate. Grant R. F., Hedgecock N., Dunell B. A.), Canad. J. Chem., 1956, 34, № 10, 1514—1517 (англ.)

Исследовано ядерное магнитное резонансное поглощение стеарата натрия (I) в интервале 20—200°. Откладывая ширину линии поглощения (в гауссах) в функции т-ры, авторы нашли четко выраженные изломы при 114, 130 и 165°, соответствующие фазовым переходам в I. Результаты хорошо согласуются с литературными данными, полученными другими методами.

Ю. Кесслер
31680. Твердый метан. Фазовые переходы под давлением. Стивенсон (Solid methane — changes in phase under pressure. Stevenson Richard), J. Chem. Phys., 1957, 27, № 3, 656—658 (англ.)

Методом смещения поршня исследована p - T диаграмма метана в интервале т-р 4—70° К и давлений до 10 000 атм. У CH_3D и CD_4 при атмосферном давлении наблюдаются два перехода α - β и β - γ , у CH_4 — только один переход α - β ; переход β - γ происходит только под давлением. Ниже 18° К давление этого пе-

перехода почти постоянно и стремится к 900 атм при абс. нуле. Это единственный известный до сих пор случай, когда замена изотопа вызывает такое существенное изменение параметров перехода. Кроме того, ниже 30° К и выше 2000 атм найден переход из γ -фазы в новую δ -фазу.

А. Лихтер
31681. Фазовая диаграмма церия. Лихтер А. И., Рябинин Ю. Н., Верецагин Л. Ф., Ж. эксперим. и теор. физики, 1957, 33, № 3, 610—613

В установке для измерения объемных изменений методом смещения поршня пьезометр окружен латунным сосудом, в который помещается охлаждающая либо нагревающая жидкость. Проведены измерения давления перехода в церии при т-рах от —185 до +100°. p — T диаграмма для церия представляет собою прямую линию с наклоном 43 атм/град и пересекает ось т-р около —150°, т. е. в области, где наблюдается переход в церии при атмосферном давлении. Показано, что этот низкотемпературный переход и переход, наблюдаемый Бриджменом около 7000 атм при комнатной т-ре, идентичны. Теплота перехода 0,023 эв.

А. Лихтер

31682. $\alpha \rightarrow \beta$ -Превращение кварца. Силверман ($\alpha \rightarrow \beta$ Transformation of quartz. Silvermann S. M.), J. Chem. Phys., 1956, 25, № 5, 1081 (англ.)

Предположено, что более быстрое, чем это можно ожидать, возрастание теплоемкости кварца в области т-р, начинающейся примерно на 120° ниже т-ры превращения, связано с переходом небольшого кол-ва атомов в положения, соответствующие решетке β -кварца. Рассматривая такие атомы как дефекты решетки и применяя теорию переходов порядок—беспорядок, автор получил выражение для избыточной теплоемкости $\Delta c_p: \lg(T^2 \Delta c_p) = \lg(AW_0^2/R) - W_0/RT$ (1) (T —т-ра, A —постоянная, W_0 —разность энергий полностью упорядоченного и полностью разупорядоченного состояний, R —газовая постоянная). Δc_p была рассчитана в интервале т-р 459—548° на основе данных Мозера (Moser H., Physik. Z., 1936, 37, 737) и экстраполяция по ур-нию $c_p = 0,1658 + 1,52 \cdot 10^{-4}T$, описывающему эти данные в интервале т-р 290—430°. График $\lg(T^2 \Delta c_p) = f(1/T)$ является прямой. От 548 до 573° (т-ра превращения) Δc_p растет более быстро, чем это следует из ур-ния (1), что указывает на то, что число дефектов решетки становится значительным. При 547,5° число дефектов составляет 0,0025%. Из графика найдено $W_0 = 32,2$ ккал/моль.

Ю. Кесслер

31683. Калориметрическое исследование $\alpha \rightleftharpoons \beta$ превращения кристобалита. Кризement, Шедлер, Трёмель, Обст (Kalorimetrische Untersuchungen zur $\alpha \rightleftharpoons \beta$ -Umwandlung des Cristobalits. Krisement Otto, Schädler Hanna, Trömel Gerhard, Obst Karl-Heinz), Arch. Eisenhüttenwesen, 1957, 28, № 9, 523—530 (нем.)

Исследовано $\alpha \rightleftharpoons \beta$ -превращение спектрально чистого порошка кристобалита (I) с диаметром зерен < 60 μ . Кристаллизация I в форме β осуществлялась путем обжига осажденного геля SiO_2 в течение 10—240 час. при 1400°, или 1—240 час. при 1600° с последующим охлаждением до комнатной т-ры. $\alpha \rightleftharpoons \beta$ -Превращение I исследовано в микрокалориметре. Ход $\alpha \rightleftharpoons \beta$ -превращения I зависит только от т-ры, но не от длительности нагревания. При превращении наблюдается температурный гистерезис с интервалом 27,2—35,8°, величина которого несколько расширяется при повышении т-ры кристаллизации I. Кривые кол-ва превращенного I описываются функциями Гаусса, не зависящими от т-ры обжига I. Вероятной причиной гистерезиса является адиабатич., а не изотермич. течение процесса $\alpha \rightleftharpoons \beta$ -превращения I.

С. Г.

31684. Сжимаемость и твердые фазы CO_2 , CS_2 , COS , O_2 и CO . Стивенсон (Compressions and solid phases of CO_2 , CS_2 , COS , O_2 , and CO . Stevenson Richard), J. Chem. Phys., 1957, 27, № 3, 673—675 (англ.)

Методом смещения поршня исследованы объемные изменения в CO_2 , CS_2 , COS , O_2 и CO при низких т-рах и давлениях до 10 000 атм. У CO_2 и CS_2 фазовых переходов не найдено и приводятся только данные по сжимаемости. У COS найден фазовый переход ниже 100° К при давлениях выше 3000 атм. Для O_2 определена диаграмма p — T для обоих фазовых переходов и найдено, что при атмосферном давлении скачок объема составляет для перехода $\alpha \rightarrow \beta$ при 27,7° К 0,117 мл/моль, а для перехода $\beta \rightarrow \gamma$ при 43,8° К 0,759 мл/моль. Такой большой скачок объема заставляет предположить, что переход $\beta \rightarrow \gamma$ есть обычный полиморфный переход, а не переход от порядка к беспорядку. Для CO определена p — T -диаграмма для перехода $\alpha \rightarrow \beta$; новой фазы, соответствующей найденной Суэнсоном для азота (РЖХим, 1957, 3716), под давлением не найдено.

А. Лихтер

31685. Экспериментальные данные о фазовом переходе $\delta\gamma$ - Na_2SO_4 в δ - Na_2SO_4 . Хлапова А. М., Ж. неорганической химии, 1956, 1, № 11, 2561—2566

Термографически и рентгенографически исследован фазовый переход $\gamma \rightarrow \delta$ - Na_2SO_4 (I). На термограммах переплавленного I имеются 2 эндотермич. эффекта: при 240° (полиморфное превращение) и 884° (плавление). На термограмме, полученной с отожженного при 120° в течение 267 час. I, имеются еще 2 пика: 1) при 200° отвечает превращению $\alpha \rightarrow \beta$ -I; 2) между 520 и 600° отвечает, по-видимому, $\gamma \rightarrow \delta$ -переходу. На рентгенограммах порошков, полученных при 450, 500 и 540°, отражены обе модификации, причем колич. соотношение этих фаз менялось в зависимости от т-ры. Периоды ячейки менялись: a от 5,390 до 8,253, c 7,305—9,573 кХ. Фазовый переход I является моновариантным процессом, наблюдаемым при фазовых превращениях 2-го рода.

О. Г.

31686. Структурные и фазовые переходы в сегнетоэлектрических ниобатах натрия и кадмия. Льюис, Уайт (Structure and phase transitions of ferroelectric sodium-cadmium niobates. Lewis B., White E. A. D.), J. Electronics, 1956, 1, № 6, 646—664 (англ.)

Более подробное изложение ранее опубликованных результатов (РЖХим, 1956, 64310).

И. Ижак

31687. Мезоморфное поведение эфиров жирных кислот и холестерина. Грей (The mesomorphic behaviour of the fatty esters of cholesterol. Gray G. W.), J. Chem. Soc., 1956, Oct., 3733—3739 (англ.)

Синтезированы 14 сложных эфиров (I) и определены их т-ры плавления и т-ры мезоморфных переходов. Полученные данные сравнены с литературными, разница обсуждена с точки зрения чистоты в-в и метода определения точек переходов. Рассмотрено число фаз у I, которое отличается от числа, найденного ранее (РЖХим, 1955, 9792; 1956, 78565; 1957, 11164). Расхождение обсуждается. Делается вывод, что холестерининовая фаза скорее смектического, чем нематического типа, хотя ее можно рассматривать как индивидуальную фазу.

Резюме автора

31688. Мезоморфизм и химическое строение. Часть IX. Получение и мезоморфные свойства 7- n -алкокси-флуорен- и флуоренон-2-карбоновых кислот и их n -пропиловых эфиров. Грей, Ибботсон (Mesomorphism and chemical constitution. Part IX. The preparation and mesomorphic behaviour of the 7- n -alkoxyfluorene- und -fluorenone-2-carboxylic acids and their n -propyl esters. Gray G. W., Ibbotson A.), J. Chem. Soc., 1957, July, 3228—3235 (англ.)

Синтезированы 4 n -алкильных (гептил—децил)

простых эфира 7-оксифлуорен- и флуоренон-2-карбоновых к-т, а также их сложные *n*-пропиловые эфиры. Как и в случае 4-*n*-алкоксидифенил-4-карбоновых к-т и их *n*-пропиловых эфиров (РЖХим, 1957, 26120), указанные выше флуореновые производные мезоморфны в отличие от флуореновых производных. Обсуждены сравнительные мезоморфные свойства к-т и эфиров дифенила, флуорена и флуоренона. Найдено согласие между результатами, полученными для этих соединений, и общей тенденцией (РЖХим, 1957, 53905) мезоморфных моно- и дианисов 4-аминодифенила, 2-аминофлуорена и -флуоренона, бензидина и 2,7-диаминофлуорена и -флуоренона. Низкая мезоморфная термич. устойчивость, ожидаемая для флуореновых к-т и эфиров, а также их высокие точки плавления объясняет отсутствие мезофаз у этих соединений. Данные о мезоморфизме указывают, что в мезоморфных состояниях этих соединений дифенильная кольцевая система является плоской. Часть VIII см. РЖХим, 1957, 76594. А. Золотаревский

31689. Изучение линейной скорости кристаллизации систем с тринитротолуолом. Гей, Далби, Ван-Дола (Studies on the linear crystallization of TNT systems. Gey W. A., Dalbey E. R., Van Dolan R. W.), J. Amer. Chem. Soc., 1956, 78, № 9, 1803—1810 (англ.)

Исследовано влияние добавок на линейную скорость кристаллизации (СК) нитротолуолов. Определена СК смесей нитротолуола с более чем 40 ароматич. нитро-соединениями. 2,4,6-тринитростильбен и его производные особенно сильно понижали СК. Поведение добавок рассмотрено с точки зрения теории адсорбции; выведены 2 ур-ния изотермы адсорбции: одна относится к обратимым процессам, вторая — к необратимым (для добавок, сильно снижающих СК). Относительная активность изученных соединений рассмотрена с точки зрения их строения. Тринитрофенильная группа всегда понижала СК. Этиленовый мостик в молекуле оказывал более сильное действие, чем другие ее звенья. Резюме авторов

31690. Исследование линейной скорости кристаллизации систем с тринитротолуолом. Далби, Гей (Studies on the linear crystallization of nitrotoluene systems. Dalbey E. R., Gey W. A.), J. Phys. Chem., 1957, 61, № 4, 507—509 (англ.)

Продолжая исследование зависимости линейной скорости кристаллизации (ЛСК) нитроароматич. соединений от различных добавок (см. пред. реф.), авторы изучили кристаллизацию 4-нитротолуола, 2,4- и 2,6-динитротолуола (I) и 2,4-динитромезитилена в присутствии различных органич. в-в (антрацен, галоген- и алкилпроизводные 2,4-динитростильбена и др.). Построены кривые ЛСК — мол. доля добавки. Изучена также зависимость ЛСК от т-ры. На примере кристаллизации I в присутствии 2% 2,4,4'-тринитростильбена рентгенографически установлено, что уменьшение ЛСК под влиянием добавки объясняется уменьшением числа растущих кристаллов и увеличением степени их взаимной ориентации. Наибольшее влияние на ЛСК в-ва оказывают добавки, молекулы которых содержат группу атомов, аналогичную соответствующей группе в молекуле в-ва. Адсорбция добавки на растущих кристаллах может иметь в различных случаях различных механизм, и ур-ние Фрейндлиха и преобразованное ур-ние Ленгмюра лишь приблизительно описывают наблюдаемые явления. П. Зоркий

31691. Пересыщение в углеводородных системах. *n*-Пентан в жидкой фазе. Николс, Карми-кед, Сейдж (Supersaturation in hydrocarbon systems. *n*-Pentane in the liquid phase. Nichols W. B., Carmichael L. T., Sage B. H.), Industr. and Engng Chem., 1957, 49, № 7, 1165—1172 (англ.)

Для изучения перегрева жидких углеводородов использован метод подсчета пузырьков при пересыщении. Выведены ур-ния скорости образования пузырьков на основе рассмотрения вероятности *W* образования их в интервале времени 0— θ . Эксперим. данные получены с применением *n*-пентана, имеющего <1 мол.% примесей. Подробно описаны методика эксперимента и аппаратура. Результаты представлены в таблицах и на графиках *P*— θ и *W*— θ . Показана применимость выведенных ур-ний для характеристики рассматриваемого процесса. Н. Лапидес

31692. Разделение фаз в четверных регулярных растворах. Харди, Мейеринг (Phase separation in quaternary regular solutions. Hardy H. K., Meijering J. L.), Philips Res. Repts, 1955, 10, № 5, 358—400 (англ.)

Для четырехкомпонентной фазы, являющейся регулярным р-ром, поверхность спинодали описывается ур-нием, кубическим относительно *T*. Наибольшее значение на поверхности спинодали соответствует т-ре, при которой поверхность свободной энергии перестает быть во всех направлениях выпуклой книзу при понижении т-ры. Псевдобинарные (регулярные) сечения появляются, если в тетраэдре состава продолжения коннод проходят: 1) через вершину; 2) через два противоположных ребра; 3) через одно ребро, будучи параллельны одной из граней; 4) параллельно одному из ребер. Случаи 1 и 2 связаны с появлением крит. точек 2-го порядка, появляющихся на плоскостях $x = 1/2$ и $x + y = 1/2$. Характер этих крит. точек определяется с помощью поверхности спинодали. Если эта поверхность имеет максимум т-ры в трех главных направлениях, то появляется четверная крит. точка. Минимум т-ры в одном направлении соответствует слиянию двух разрывов смешиваемости при понижении т-ры. Минимум т-ры в двух направлениях соответствует слиянию двух областей гомогенности с повышением т-ры. Для данной комбинации шести параметров парного взаимодействия можно установить, будет ли отсутствовать или существовать крит. точка 2-го рода, и указать ее характер; ее координаты количественно связаны с этими параметрами. В данной системе может существовать только одна четверная крит. точка; она должна лежать при т-ре более высокой, чем тройные крит. точки, если они существуют. Выведены условия, при которых тройная крит. т-ра возрастает при добавлении малых кол-в четвертого компонента. Резюме авторов

31693. Замкнутые области расслоения в тройных и четверных регулярных растворах. Мейеринг, Харди (Closed miscibility gaps in ternary and quaternary regular alloy solutions. Meijering J. L., Hardy H. K.), Acta metallurgica, 1956, 4, № 3, 249—256 (англ.; рез. франц., нем.)

Обсуждается в рамках приближения регулярных р-ров форма поверхностей расслоения и положение соответствующих крит. точек в тройных системах; свободная энергия смещения представлена в форме (Meijering J. L., Philips Res. Rep., 1950, 5, 333; 1951, 6, 183): $F = axy + bzz + cyz + RT(z \ln x + y \ln y + z \ln z)$. В случае четверного регулярного р-ра $F = axy + bzz + cyz + dxw + eyw + fzw + RT(z \ln x + y \ln y + z \ln z + w \ln w)$. Здесь *x*, *y*, *z*, *w* — мол. доли компонентов, *a*, *b*, *c*, *d*, *e*, *f* — характеристич. параметры соответствующих двойных систем. Получено ур-ние спинодали и определены положения крит. точек 2-го порядка в зависимости от параметров *a*, *b*, ..., *f*. При наличии четверных крит. точек в соответствующей системе, по-видимому, не должно существовать трехфазного равновесия. Обсуждается влияние 4-го компонента на положение тройной крит. точки в тройной системе. Результаты применены к замкнутым

областям расслоения в жидких сплавах и к границецентрированным фазам тройных систем Ni—Au—Cu с добавками Co или Ag, Pb—Zn—Ag с добавками Bi или Al, Bi—Zn—Ag с добавками Pb, Al—Mg—Sb с добавками Fe, Bi—Cu—Sb с добавками Al или Zn. См. также РЖХим, 1955, 38021; РЖМет, 1956, 1561; см. пред. реф.

Д. Белащенко

31694. Новейшие успехи в термодинамике многокомпонентных гетерогенных систем. 1. Дифференциальные уравнения равновесия многофазных и многокомпонентных систем. Берец, Кишш (Néhány újabb eredmény a többkomponensű heterogén rendszerek termodinamikájában. I. Többfázisú, többkomponensű rendszerek egyensúlyi differenciálegyenlete. Berecz Endre, Kiss István), Magyar tud. akad. Kém. tud. oszt. közl., 1956, 7, № 2, 251—267 (венг.)

31695. Физические свойства сплавов и молекулярная концентрация. Савинцев П. А., Ж. техн. физики, 1957, 27, № 6, 1257—1260

Эмпирически установлена (на ограниченном числе примеров) зависимость физ. свойств (ФС) металлов от их мол. конц-ий $\alpha = D/M$ (D — плотность, M — мол. вес кристалла). Установлена (тоже на ограниченном числе примеров) связь ФС сплавов с $\alpha_1 + \alpha_2$ (α_1 — мол. конц-ия основного компонента, α_2 — примеси).

В. Аносов

31696. Некоторые закономерности при образовании аномальных смешанных кристаллов. Киргинцев А. Н., Ж. неорганической химии, 1956, 1, № 10, 2390—2402

Считая, что в случае отсутствия нижней границы смешиваемости (НГС) образуются однородные аномальные смешанные кристаллы (АСК), автор термодинамич. путем вывел ф-лу, связывающую коэф. равновесной кристаллизации с активностью микро- и макроэлементов в их насыщ. р-рах и с конц-ей макроэлемента в маточном р-ре, а также вывел ф-лу для константы Хлопина и коэф. распределения. Для случая образования АСК выведено ур-ние изотермы изоморфного соосаждения, позволяющее объяснить наличие НГС. Коэф. равновесной кристаллизации как для АСК с наличием НГС, так и для АСК без наличия НГС зависит от конц-ий макроэлемента в маточном р-ре. Сравнение с литературными данными качественно или количественно подтверждает полученные соотношения.

Н. Афонский

31697. О поведении смешанных кристаллов при плавлении и кристаллизации. Кофлер (Über das Verhalten von Mischkristallen beim Schmelzen und Kristallisieren. Kofler A.), Mikroskopie, 1956, 11, № 5—6, 140—155 (нем.; рез. англ.)

Из анализа результатов своих прежних работ (Chem. Ber., 1952, 85, 447; РЖХим, 1955, 48408; 1956, 53895; 1957, 3727) и литературных данных автор делает вывод, что выравнивание конц-ий в твердой фазе между кривыми солидуса и ликвидуса достигается не только диффузией, как принимается, но также за счет явления периодич. перегруппировки (в некоторых случаях, только и возможного). Последнее предполагает фазовых переходов, имеющих место при кристаллизации или плавлении, в том случае, когда диффузия в твердой фазе недостаточна для выравнивания конц-ий.

Из резюме авторов

31698. Теоретическое рассмотрение и практические сведения по окисляемости металлов и сплавов в жидком состоянии. Спинеди (Considerazioni teoriche e riferimenti pratici intorno alla ossidabilità dei metalli e delle leghe allo stato fuso. Spinedi P.), Metallurgia ital., 1957, 49, № 5, 363—370 (итал.; рез. франц., англ., нем.)

Исследована кинетика процессов окисления некоторых легкоплавких металлов (Pb, Cd, Sn, Zn) в твердом

и главным образом в жидком состояниях. Исследованы также некоторые бинарные системы на основе указанных металлов: эвтектич. типа (Pb—Sn, Pb—Cd, Sn—Cd, Zn—Cd, Zn—Sn), с интерметаллич. соединениями (Cd—Cu) и со сверхрешетками (Cd—Mg) и обсуждены полученные результаты. Обнаружена аналогия между видом кривых концентрационной зависимости окисляемости, с одной стороны, и других физ.-хим. свойств (вязкость, жидкотекучесть) — с другой.

Д. Белащенко

31699. Очистка с помощью зонального плавления. Хэндли (Purification by zone melting. Handley R.), Industr. Chemist, 1955, 31, № 370, 535—537 (англ.)

Краткое изложение принципов и приложений метода. См. также РЖХим, 1957, 59775

В. Коган

31700. Избыточные объемы в бинарных жидких смесях из простых молекул. Пул, Стейвли (Excess volumes in binary liquid mixtures of simple molecules. Pool R. A. H., Staveley L. A. K.), Nature, 1957, 180, № 4595, 1119—1120 (англ.)

Методом, описанным ранее (РЖХим, 1957, 60073), измерены изменения объема при смешении в жидких смесях Ag—N₂ (I) при т-ре тройной точки Ag 83,78° К и Ag—O₂ (II) при 83,78 и 90,00° К. Точность метода значительно повышена работой с большими объемами жидкостей и увеличением точности измерений давления.

Избыточный объем V^E в мл/моль выражается эмпирич. ур-нием: $V^E / x_1 \cdot x_2 = A + B(2x_1 - 1)$, где x_1 — мол. доля Ag, x_2 — мол. доля N₂ или O₂, A и B — постоянные.

При $x = 0,5$ для смесей I $V^E = -0,180$ мл/моль. Теория «свободного объема» (Prigogine I., Mathot V., J. Chem. Phys., 1952, 20, 249; РЖХим, 1955, 3480; 1956, 15687) дает $V^E > 0$. Теория, основывающаяся на теории соответственных состояний (РЖХим, 1957, 18668, 71212), также дает $V^E > 0$, если за эталон принять Ag, $U V^E = -0,29$ или $-0,32$ мл/моль, если за эталон принять N₂. Для смесей II обе теории предсказывают правильный порядок величины V^E , если только r (межмолекулярное расстояние, соответствующее минимуму потенциальной энергии парного взаимодействия) вычислены из 2-го вириального коэф., но не из крит. констант или мол. объемов при температуре опыта.

Ю. Кесслер

31701. Диаграммы состояния систем Na—Sr и Na—Ba. Ремп, Вольфрум, Хазе (Zustandsdiagramm der Systeme Na/Sr und Na/Ba. Remy H., Wolfm G., Haase H.-W.), Naturwissenschaften, 1957, 44, № 20, 534—535 (нем.)

Методами термич. анализа исследованы диаграммы плавления систем Na—Sr (I) и Na—Ba (II). В обеих системах имеет место неограниченная растворимость в жидком состоянии и отсутствует растворимость в твердом состоянии. Система I простого эвтектич. типа, координаты эвтектики: 92,5° 3,2 ат. % Sr. В системе II обнаружены соединения Na₁₂Ba, Na₆Ba и NaBa эвтектич. т-ры 85, 77, 58 и 180° соответственно.

Ю. Кесслер

31702. О системе висмут — медь — магний. Дobbенер (Über das System Wismut — Kupfer — Magnesium. Dobbener Raumdung), Z. Metallkunde, 1957, 48, № 7, 413—417 (нем.; рез. англ.)

Проведено термич. и металлографич. исследование диаграммы состояния Bi—Cu—Mg. Диаграмма тройной системы 6-ю прямыми, идущими от Bi₂Mg₃ и BiCuMg, Cu, Cu₂Mg и CuMg₂ и от BiCuMg и Bi, разбивается на 6 областей. 5 из 6 этих прямых являются квазидинарными сечениями эвтектич. типа. Общий вид диаграммы Bi—Cu—Mg аналогичен виду диаграммы Sb—Cu—Mg. Т-ра плавления соединения

ВсCuMg равна 735°. Приведен общий вид диаграммы, 2 вертикальных сечения ее и фотография микроструктуры отдельных сплавов.

Е. П. 31703. Тройная система кобальт — никель — ванадий. Кёстер, Шпернер (Das Dreistoffsystem Kobalt-Nickel-Vanadin. Köster Werner, Sperner Franz), Z. Metallkunde, 1957, 48, № 10, 540—543 (нем.; рез. англ.)

Термическим, дилатометрич., магнитным микроскопич. и рентгенографич. методами исследована система Co—Ni—V с содержанием V до 55%. σ -фазы систем Co—V и Ni—V образуют в тройной системе непрерывный ряд твердых р-ров. Упорядоченные фазы Co_3V и Ni_3V также образуют в твердом состоянии непрерывный ряд твердых р-ров. Периоды кубич. гранецентр. решеток этих р-ров, закаленных с 1200°, изменяются линейно от 3,57 Å для Co_3V до 3,56 Å для Ni_3V . Эвтектичные превращения двойных систем сливаются в тройной эвтектике в системе Co—Ni—V. Твердый у-раствор распадается на фазы γ , δ и σ .

Л. Р. 31704. О системе Fe—Si—Sb. Цвингман, Фогель (Über das System Eisen—Silizium—Antimon. Zwingmann Gerhard, Vogel Rudolf), Arch. Eisenhüttenwesen, 1957, 28, № 9, 591—595 (нем.)

Построена диаграмма состояния системы Fe—Si—Sb на основе данных термич., микроструктурного и хим. анализов системы по разрезам при 6 и 90% Sb, псевдобинарным разрезам FeSi—Sb и FeSi— η -фаза: тн. р-р Fe + 60 вес.% Sb, также лучевым разрезам при отношении Si:Sb = 1:1 и Fe:Sb = 1:1. Сплавление чистых металлов проводилось под расплавленным BaCl_2 , в который последовательно вводились Sb, Fe и Si. Для достижения равновесия в процессе кристаллизации сплавы встряхивались, а затем гомогенизировались при 600° в течение 30 час. В системе Fe—Si—Sb установлена область расслаивания в жидком состоянии (при t -рах > 1200°), простирающаяся от 3 до 96% Sb и от 2 до 75% Si.

Р. М. 31705. Термическое разложение двуокиси свинца на воздухе. Батлер, Копп (The thermal decomposition of lead dioxide in air. Butler George, Copp J. L.), J. Chem. Soc., 1956, March, 725—735 (англ.)

Термографически и рентгенографически, а также хим. анализом установлено, что PbO_2 при t -рах $280 \pm 10^\circ$ разлагается, переходя в фазу α - PbO_x , близкую по составу к Pb_2O_{11} , с тетраг. ячейкой, a 5,41, c 5,49 Å. При t -ре $351 \pm 8^\circ$ α - PbO_x начинает разлагаться с образованием фазы β - PbO_x , близкой по составу к Pb_2O_9 (куб. ячейка, a 5,48 Å). Предполагается следующий нижний предел устойчивости фаз: PbO_2 до $\text{PbO}_{1.95}$, α - PbO_x до $\text{PbO}_{1.62}$ и β - PbO_x до $\text{PbO}_{1.42}$.

Н. Афонский 31706. Изучение шлаков с большим содержанием титана. Часть 3. Фазовые диаграммы систем FeO— TiO_2 и Fe_2O_3 — TiO_2 . Йосида, Такэи (Yoshida Teisuro, Sakel Takeshi), Дэнни кагаку, J. Electrochem Soc. Japan, 1957, 25, № 8, 423—427 (японск.; рез. англ.)

Система FeO— TiO_2 исследована рентгенографически и микроскопически. Обнаружены (при быстром охлаждении образцов) фазы θ , η , ζ , ϵ и α , соответствующие соединениям FeO, $2\text{FeO} \cdot \text{TiO}_2$, $\text{FeO} \cdot \text{TiO}_2$, $\text{FeO} \cdot 2\text{TiO}_2$ и TiO_2 . ϵ -фаза, по-видимому, образуется при перитектич. р-ции α -фазы с плавом. Две эвтектики, соответствующие $\eta + \zeta$ и $\zeta + \epsilon$ -фазам, содержали 47 и 55 вес.% TiO_2 соответственно. Рентгенограмма η -фазы почти такая же, как Fe_2O_3 . ϵ -фаза — тетрагон. симметрии. Рассчитанные величины d/n хорошо согласуются с наблюдаемыми. В системе Fe_2O_3 — TiO_2

обнаружено только одно соединение $\text{Fe}_2\text{O}_3 \cdot \text{TiO}_2$. Непрерывные твердые р-ры образуются между Fe_2O_3 — TiO_2 и $\text{FeO} \cdot 2\text{TiO}_2$ при ионном обмене, происходящем по схеме: $2\text{Fe}^{III} = \text{Fe}^{II} + \text{Ti}^{IV}$. Такое же соотношение имеет место между $2\text{FeO} \cdot \text{TiO}_2$ и Fe_2O_3 . Часть 2 см. РЖХим, 1958, 17031.

Из резюме авторов 31707. Исследования в системе окись кальция — окись хрома — металлический хром. Ольшанский Я. И., Цветков А. И., Шлепов В. К., Тр. Ин-та геол. руд. месторожд. петрогр., минералогии и геохимии АН СССР, 1956, вып. 6, 3—25

Исследована система Cr— Cr_2O_3 , которая характеризуется эвтектикой Cr + Cr_2O_3 + жидкость (1660°, состав жидкости: 20% Cr) и областью равновесия двух жидких фаз с твердым хромом (1810°, составы жидкостей: 99% Cr + 1% Cr_2O_3 и 25% Cr + 75% Cr_2O_3). Твердой фазы, близкой по составу к CrO, в системе не обнаружено. Дана диаграмма состояния тройной системы Cr— Cr_2O_3 —CaO, в которой найдены эвтектика Cr + CaO + CaO· Cr_2O_3 + жидкость (1750°, состав жидкости: 13% Cr + 57% Cr_2O_3 + 30% CaO) и эвтектика Cr + Cr_2O_3 + CaO· Cr_2O_3 + жидкость (1650°, состав жидкости 20% Cr + 80% Cr_2O_3). Вторая практически совпадает с составом жидкости для двойной эвтектики в системе Cr— Cr_2O_3 . Определена т-ра α — β -превращения CaO· Cr_2O_3 , 1570°. Установлена значительная растворимость металлич. хрома в расплавах, содержащих CaO и Cr_2O_3 .

Резюме авторов 31708. К вопросу изучения системы Al_2O_3 — SiO_2 . Барта Рудольф, Барта Честмир, Ж. прикл. химии, 1956, 29, № 3, 341—353

Методом выращивания монокристалла изучено образование ряда соединений в системе Al_2O_3 — SiO_2 . Получен муллит состава $5\text{Al}_2\text{O}_3 \cdot 4\text{SiO}_2$ и монокристалл состава $2\text{Al}_2\text{O}_3 \cdot \text{SiO}_2$, по мнению авторов, представляющий собой новый минерал «прагит». Авторы считают, что в системе Al_2O_3 — SiO_2 имеет место образование ряда муллитов. Предполагается, что в зависимости от состава исходного сырья и условий опыта (т-ра, конц-ия, давление) область устойчивости в ряду муллитов изменяется, и может иметь место образование смешанных кристаллов, аналогичное таковому в ряду плагиноклазов. Авторы считают, что при синтезе образцов вследствие испарения SiO_2 происходит сдвиг равновесия от силлиманита к корунду. Однако испарение SiO_2 происходит только после предварительного восстановления до SiO. Приводятся дебаграммы и лауэграмма прагита.

Н. Афонский 31709. Система Mg_2SiO_4 — Mg_2GeO_4 . Рингвуд (The system Mg_2SiO_4 — Mg_2GeO_4 . Ringwood A. E.), Amer. J. Sci., 1956, 254, № 11, 707—711 (англ.)

В системе образуется непрерывный ряд твердых р-ров 1-го типа по Розебуму. Близость т-р плавления Mg_2SiO_4 (1890°) и Mg_2GeO_4 (1855°) указывает на сходство структур. Получить шпинелевую модификацию Mg_2GeO_4 не удалось, так как она, вероятно, монотропна и образуется в спец. условиях.

Резюме автора 31710. К вопросу о диаграмме состояния системы CoO— B_2O_3 . Беллев И. Н., Ж. физ. химии, 1956, 30, № 6, 1419

Автор считает неверным истолкование Коноваловым (Докл. АН СССР, 1950, 70, 847) части диаграммы состояния системы CoO— B_2O_3 в области расслаивания и предлагает считать, что в равновесии с двумя жидкими фазами при 1050° находится соединение $x\text{CoO} \cdot y\text{B}_2\text{O}_3$, плавящееся с разложением при 1050° на B_2O_3 и $2\text{CoO} \cdot \text{B}_2\text{O}_3$, не смешивающиеся в жидком состоянии. Приводится построенная в соответствии с этим истолкованием часть диаграммы состояния системы.

Н. Афонский 31711. Свойства расплавов системы MnO— SiO_2 — Al_2O_3 . Микшашивили Ш. М., Цылев Л. М., Са-

марин А. М. В сб.: Физ.-хим. основы произ-ва стали. М., АН СССР, 1957, 423—432. Дискус. 505—512. Исследованы вязкость (η), минералогич. состав и поверхностное натяжение (σ) расплавов (Р) системы $MnO-SiO_2-Al_2O_3$. Значение межфазного натяжения σ (ж-р) на границе Р с жидким железом (I) получено из σ Р (280—670 дн/см), σ технически чистого I (1306—1310 дн/см при 1500—1590°) и краевого угла контакта (32—59°), найденных экспериментально. σ (ж-р) (800—1160 дн/см при 1510—1540°) близко к σ I из-за малой растворимости окислов в I. SiO_2 поверхностноактивен на границе Р—газ, а MnO —на границе I—Р. Вязкость Р определяется размерами кремнекислородных и алюмокислородных анионов. Найден законности изменения η с изменением состава. Петрографич. исследование застывших шлаков выявило наличие в них тефрита, родонита, спессартина, манганозита, галаксита, кристобалита и стекла.

В. Гейдерих

31712. О триполифосфате натрия. Памфилов А. В., Домбровский Н. М., Уч. зап. Черновицк. ун-т, 1956, 21, 36—44

При охлаждении плава состава $5Na_2O \cdot 3P_2O_5$ образуется трифосфат I. При медленном охлаждении твердая масса ниже 250° рассыпается в порошок. При этом трифосфат I переходит в трифосфат II. Для получения трифосфата натрия II необходимо выдержать плава при 550° ~ 8 час. После охлаждения продукт содержит до 95% трифосфата. Переход фазы I в фазу II происходит не полностью. Для получения чистого трифосфата I необходимо повторное нагревание фазы II выше 500°. Скорость перехода фазы I в фазу II очень мала, даже в присутствии затравки. Термографически показано, что четырехзамещенный пиррофосфат натрия может существовать в шести полиморфных модификациях.

Резюме авторов

31713. Реакции солей с металлами в расплавленном состоянии. О взаимодействии в системе из хлоридов свинца и кадмия с металлическим цинком. Елагина Е. И., Палкин А. П., Ж. неорган. химии, 1956, 1, № 11, 2590—2595

Построена диаграмма четверной взаимной системы, отвечающей р-ции $PbCl_2 + CdCl_2 + 2Zn \rightarrow 2ZnCl_2 + Pb + Cd$. Pb и Cd вытесняются из смеси расплавленных хлоридов. Pb вытесняется легче, чем Cd. Вытеснение Pb проходит полностью, если в исходной смеси преобладает $PbCl_2$.

В. Гейдерих

31714. Растворимость металлического Na в расплавленной смеси NaOH, NaBr, NaJ. Окада, Ватанабэ, Омота, Иосикава (Okada Shinzo, Watanabe Nobuatsu, Omote Yuichi, Yoshikawa Shimpei), Korō kagaku dzasshi, J. Chem. Soc. Japan. Industr. Chem. Sec. 1957, 60, № 6, 677—680 (японск.)

При увеличении содержания NaJ в расплаве ($NaJ + NaBr + NaOH$) уменьшается переход металла. Na в электролит из этих солей, благодаря увеличению поверхностного натяжения расплавленных солей, что приводит к увеличению выхода по току. При повышении т-ры «растворимость» метал. Na «растворимость» метал. Na увеличивается благодаря уменьшению поверхностного натяжения Na. Выше 280° резко увеличивается растворимость за счет образования хим. соединения с Na. Диффузия метал. Na в Hg в 10 раз больше, чем диффузия Hg в Na. Для уменьшения примеси Hg в метал. Na желательно вести электролиз при низкой т-ре, т. е. пользуясь эвтектич. смесью солей, и быстро удалить метал. Na из ванны.

Ли Мен Юн

31715. Двойные системы из нитратов металлов первой и второй группы с нитратом кальция. Процен-

ко П. И., Белова З. И., Ж. неорган. химии, 1957, 2, № 11, 2617—2620

Визуально-политермич. методом исследованы двойные системы $Ca(NO_3)_2$ (I) с $LiNO_3$, $NaNO_3$, $AgNO_3$, $TiNO_3$ (системы простого эвтектич. типа), $Sr(NO_3)_2$ (II) $Ba(NO_3)_2$ (III), II—III (непрерывные твердые р-ры с минимумом), KNO_3 (соединение 1:4 KNO_3), $RbNO_3$, $CsNO_3$ (соединения 1:1) и нестабильные диагональные сечения I— $NaNO_3$ и I— KNO_3 тройных взаимных систем Na, $Ca||NO_3$, NO_3 и K, $Ca||NO_3$, NO_3 . Кривая ликвидуса диагональных сечений состоит из 3 ветвей: 2 ветви кристаллизации исходных компонентов и ветвь кристаллизации продуктов обмена. Полученные результаты кратко обсуждены с точки зрения межкомпонентного взаимодействия.

Ю. Кесслер

31716. Взаимодействие титанатов и молибдатов калия и свинца в расплавах. Беляев Н. П., Шолохович М. Л., Баркова Г. В., Ж. неорган. химии, 1956, 1, № 5, 1026—1034

Визуально-политермическим методом изучена взаимная система K, $Pb||TiO_3$, MoO_4 , являющаяся квазистабильным сечением системы $PbO-K_2O-TiO_2-MoO_3$. При содержании $PbTiO_3 > 3\%$ происходит р-ция $PbTiO_3 + PbMoO_4 \rightarrow PbO \cdot PbMoO_4 + TiO_2$. Расхождение, имеющееся на стороне K_2TiO_3 (I)— K_2MoO_4 (II), простирается далеко внутри квадрата составов, покрывая большую часть поверхности кристаллизации. Обнаружены следующие характерные точки: тройная эвтектич. E_1 760° при 69% I, 4% II, 27% $PbTiO_3$ (III); эвтектич. E_2 802° при 59% I, 35% II, 37,5% III; двойная эвтектич. 810° при 63,5% I, 4,5% II, 32% III; 2 точки двойного спуска R_1 917° при 2% I, 97% II, 1% III и R_2 924° при 24,5% II, 3% III, 72,5% $PbMoO_4$ (IV); 2 миним. точки M_1 765° при 69% II, 1% III, 30% IV и M_2 800° при 37,5% II, 1% III, 61,5% IV. Впервые обнаружено соединение $2K_2TiO_3 \cdot PbTiO_3$ с т. пл. 830°. I действует стабилизирующе на III, а IV, $K_2MoO_4 \cdot PbMoO_4$ и II уменьшают стабильность III.

Ю. Третьяков

31717. Поверхностное натяжение расплавов системы $KCl-NaCl-MgCl_2$. Десятников О. Г., Тр. Всес. аллюмин.-магн. ин-та, 1957, № 39, 452—465. См. РЖХим, 1957, 18515.

31718. О замедлителях старения натрий-цинкатных растворов. Флёров В. Н., Ж. прикл. химии, 1956, 29, № 12, 1779—1785

Присутствие в «пересыщенном» натрий-цинкатном р-ре относительно небольших кол-в кремнекислых (I) или литиевых (II) соединений вызывает значительное замедление процесса старения р-ра. Наиболее эффективно действие этих присадок проявляется при повышенных т-рах. При оптимальном кол-ве присадки I или II изменяется состав равновесной твердой фазы. В присутствии этих присадок из стареющего р-ра выпадает только ромбич. гидроокись цинка (при средних конц-ях щелочи), тогда как без них стабильной формой является окись цинка.

Резюме автора

31719. Криоскопия водных растворов солей. III. Системы $LiCl-CaCl_2-H_2O$ и $LiCl-MgCl_2-H_2O$. Мун А. И., Дарер Р. С., Ж. неорган. химии, 1957, 2, № 10, 2483—2485

Измерены т-ры замерзания систем $LiCl-CaCl_2-H_2O$ и $LiCl-MgCl_2-H_2O$ при 2 изоконцентрах: 1,80 и 1,11 моля на 1000 г H_2O . Для изоконцентрат 1,80 у обеих систем зависимость депрессии от состава описывается кривыми, выпуклыми к оси абсцисс; при изоконцентрате 1,11 моля на 1000 г H_2O эта зависимость практически прямолинейна. При смешении р-ров солей с одинаковыми значениями депрессии отклонения от аддитивности не наблюдается. Высказано предположение, что при изучении комплексобразования в водн. р-рах солей удобнее пользоваться

изоконцентрационными разрезами, а р-рами, отвечающими одинаковым значениям депрессии. Сообщение П см. РЖХим, 1958, 7170. С. Бык

31720. Исследование растворимости в системе $K_2SO_4 - MgSO_4 - CaSO_4 - H_2O$ при 55°. Бодалева Н. В., Лепешков И. Н., Ж. неорганической химии, 1956, 1, № 5, 995—1007

Исследована растворимость при 55° в четверной системе K_2SO_4 (I) — $MgSO_4$ (II) — $CaSO_4$ (III) — H_2O (IV) и в тройных системах I — II — IV, I — III — IV, II — III — IV. Изотерма растворимости системы I — II — IV состоит из трех ветвей, отвечающих кристаллизации I, леонита ($K_2SO_4 \cdot MgSO_4 \cdot 4H_2O$) (V) и $MgSO_4 \cdot 6H_2O$ (VI). Изотерма системы I — III — IV имеет 4 ветви, отвечающие кристаллизации I, ангидрита ($CaSO_4$) (VII), сингенита ($K_2SO_4 \cdot CaSO_4 \cdot H_2O$) (VIII) и пентасоли ($K_2SO_4 \cdot 5CaSO_4 \cdot H_2O$) (IX). Изотерма растворимости системы II — III — IV состоит из двух ветвей, отвечающих кристаллизации VI и VII. В системе I — II — III — IV установлено 7 полей кристаллизации: полигидрата ($K_2SO_4 \cdot MgSO_4 \cdot 2CaSO_4 \cdot 2H_2O$) (X), VIII, IX, V, VI, I и VII; X растворяется в воде incongruently; с повышением т-ры растворимость его уменьшается. Н. Кранчевич

31721. Полимеры кипения растворов тройных систем в четверной системе $Na_2SO_4 - Na_2CO_3 - NaCl - H_2O$. Макаров С. З., Красников С. Н., Изв. Сектора физ.-хим. анализа ИОНХ АН СССР, 1956, 27, 367—379

Изучена растворимость при т-рах кипения в тройных системах Na_2SO_4 (I) — $NaCl$ (II) — H_2O (III), Na_2CO_3 (IV) — II — III и I — IV — III. Полимерная растворимости системы I — II — III состоит из двух ветвей кристаллизации — безводн. e-I и безводн. II. Точка пересечения ветвей соответствует р-ру с т. кип. 109,08° состава 4,61% I и 26,52% II. Полимерная растворимости системы IV — II — III состоит из ветви кристаллизации II и ветви IV, которая распадается на 3 части, соответствующие кристаллизации одноводной IV, e-IV и δ-IV. Узловая точка соответствует насыщ. р-ру с т. кип. 109,67° состава 8,47% I и 23,88% II. Полимерная растворимости системы I — IV — III распадается на 3 ветви кристаллизации, соответствующие трем стабильным твердым фазам: твердым р-рам I, γ-твердым р-рам (беркентового типа) и моногидрату IV. Исследованы метастабильные равновесия в области кристаллизации I; твердые фазы в метастабильной и стабильной областях с γ-твердыми р-рами (беркентового типа) образуют непрерывные твердые р-ры. К. Кранчевич

31722. Растворимость смесей сульфамидов в концентрированных (2,5 н.) растворах NaOH. Хольц, Гарсиа-Осандия (La solubilidad de mezclas sulfonamidicas en solución concentrada de hidróxido de sodio. Holz Elly, Holz Siegbert, García Onandia Alberto), Acta cient. venezolana, 1955, 6, № 4, 164—171 (исп.)

Определялась растворимость смесей сульфодиазина (I), сульфомеразина (II) и сульфотиазола (III). Смесей II — III при отношениях от 1:1 до 5:1 практически не растворялись или растворялись с большим трудом и после обработки 2,5 н. р-ром NaOH давали аморфный или кристаллич. осадок. Смесей I — II и I — III при отношениях 1:1 также почти не растворялись, но при переходе к отношениям 5:1 растворимость резко возрастала. Таким образом, I ведет себя как солибилизирующий агент по отношению к двум другим сульфамидам (если применять в качестве р-рителя 2,5 н. NaOH). Такое же действие I наблюдается и при обработке 2,5 н. р-ром NaOH тройных смесей. Г. Левина

31723. Растворимость сульфамидных соединений в 1,5 н. NaOH. Гарсиа-Осандия, Хольц, Хольц (Solubilidad de asociaciones sulfonamidicas en solución 1,5 normal de hidróxido de sodio. García Onandia Alberto, Holz Elly, Holz Siegbert), Acta cient. venezolana, 1955, 6, № 4, 157—163 (исп.)

При обработке сульфамидов водн. р-ром NaOH последний связывается сульфамидами с образованием соответствующих натриевых солей, а остающаяся вода потребляется на растворение этих солей. Если применять 1 н. NaOH, то по окончании опытов может наблюдаться повышение титра NaOH из-за потребления значительного кол-ва воды. Поэтому в данной работе применялся более конц. р-р, т. е. 1,5 н. NaOH. Оценка растворимости производилась как по убыванию титра NaOH, так и на основании данных о миним. объеме 1,5 н. NaOH, необходимом для растворения 1 г сульфамида. Определялась растворимость двойных и тройных смесей сульфодиазина, сульфомеразина и сульфотиазола. Во всех случаях потребление NaOH соответствовало стехиометрич. кол-ву, необходимому для образования натриевых солей. По потреблению воды при растворении смесей наблюдались небольшие отклонения от аддитивности. Г. Левина

31724. Растворимость и водородная связь. Эме (Löslichkeit und Wasserstoffbrücken — Bindung. Oehme F.), Z. Naturforsch., 1957, 12b, № 10, 660 (нем.)

Измерена растворимость ряда органич. в-в при 20° в смесях H_2O -диоксан (I) и $C_6H_5NO_2 - C_6H_6$ (II). Растворимость в зависимости от состава смешанного р-рителя для в-в, способных к образованию Н-связей, проходит через максимум, лежащий во всех изученных случаях вблизи 50 мол.% H_2O в смесях I, компоненты которой также способны образовывать Н-связи между собой. В смесях II растворимость является монотонной функцией состава независимо от способности растворенного в-ва к образованию Н-связей. В качестве примера приведена растворимость $n-C_6H_4(NO_2)(COOH)$ и глицина в смесях I и II. Ю. Кесслер

31725. Изучение жидких систем по отклонению логарифма вязкости от аддитивности. Дейч А. Я., Ж. физ. химии, 1957, 31, № 10, 2336—2339 (рез. англ.)

При 20° измерена вязкость систем $C_6H_5NH_2 - C_6H_5N$ (I), $ZnSO_4 - (NH_4)_2SO_4 - H_2O$ (II) и $BaJ_2 - NaJ - CH_3OH$ (III) при одной постоянной суммарной конц-ии солей. Во всех 3 случаях кривая отклонения логарифма вязкости от аддитивного значения $lg \eta = x lg \eta_1 + (1-x) lg \eta_2$ для системы I и $lg \eta = (\alpha lg \eta_1 + \beta lg \eta_2)/(\alpha + \beta)$ для систем II и III (x — мольная доля, α и β — вес исходных р-ров в г) проходит через максимум, лежащий вблизи состава 1:1. В системах I и II максимум сдвинут в сторону компонента с большей вязкостью; его наличие согласуется с литературными данными об образовании в этих системах соединений 1:1. В системе III максимум сдвинут в сторону компонента с меньшей вязкостью; его наличие указывает на образование соединения, состав которого следует уточнить другими методами. Сделан вывод о пригодности предложенного метода для целей физ.-хим. анализа. Ю. Кесслер

31726. Исследования термических свойств фенилендиаминатов кадмия. Федоров И. А., Зайцев Л. М., Ж. неорганической химии, 1957, 2, № 8, 1812—1828

Дифференциально-термическим методом исследованы процессы, происходящие при нагревании комплексных соединений, образованных галогенидами кадмия с м-, о- и п-фенилендиаминном (Phen). На кривых нагревания соединений типа $CdO-PhenX_2$ (где X — Cl, Br, J) имеются эндотермич. эффекты, соответствующие плавлению (265—200°), распаду на CdX_2 и про-

дукты разложения o -Phen (390—320°), а также плавлению CdX_2 ; для $Cd(o\text{-Phen})_2X_2$, кроме плавления (150—180°), имеются эндотермич. эффекты, соответствующие р-ции $Cd(o\text{-Phen})_2X_2 \rightarrow Cdo\text{-Phen}X_2 + o\text{-Phen}$ (225—315°) и разложению $Cdo\text{-Phen}X_2$ (385—395°). У соединения с $X = J$ 2-й и 3-й эффекты сливаются. Для $Cdm\text{-Phen}Cl_2$ имеется эндотермич. эффект при 180°, связанный с р-цией $Cd_2PhenCl_4 \rightarrow 2Cdm\text{-Phen}Cl_2$; аналогичная р-ция имеет место при 200—230° у $Cdm\text{-Phen}SO_4$; для $Cdn\text{-Phen}Cl_2$ имеется эффект при 350—360°, сопровождающийся выделением части $CdCl_2$ и при 420—430° связанный с дальнейшим выделением $CdCl_2$, по предполагаемой схеме: $Cd_2PhenCl_4 \rightarrow CdCl_2 + Cd_2PhenCl_2 \rightarrow CdCl_2 + 2Phen$. Н. Афонский

31727. Диаграммы плавления систем, содержащих гексахлорэтан. Сумарокова Т., Шефер Л., Ж. общ. химии, 1956, 26, № 12, 3247—3255

Методом термич. анализа изучены диаграммы плавления систем простого эвтектич. типа (цифры в скобках — координаты эвтектик: т-ра и мол. % гексахлорэтана (I): 1-антрацен (II) (139, 74), 1-нафталин (III) (56,2; 65), 1-дихлорбензол (IV) (38; 25,3), 1-бензол (—0,9; 10,0), 1-этиловый эфир трихлоруксусной к-ты (область эвтектики не исследовалась). На всех диаграммах проявляются превращения $1\alpha \rightleftharpoons \beta$ (около 70°) и $\beta \rightleftharpoons \gamma$ (около 42°). Нанесение полученных данных для всех пяти систем на один график показывает, что точки, отвечающие т-ре начала кристаллизации I, ложатся на одну кривую, состоящую из трех ветвей, соответствующих кристаллизации α -, β - и γ -модификаций. Для каждой из ветвей зависимость $\lg x$ от $1/T$ является линейной (x — мольная доля). Экстраполяцией прямых $\lg x - 1/T$ до $x = 0$ определены т-ра плавления модификаций: T_α 187°, T_β 126,8° и T_γ 114,8°. Экстраполяцией ветвей кристаллизации β - и γ -модификаций до T_β и T_γ получены участки метастабильных равновесий. Экспериментально на этих участках получено несколько точек в системах I—II, I—III и I—IV, в том числе одна точка на метастабильном участке кривой ликвидуса II. Все точки хорошо ложатся на экстраполированные кривые. По ур-нию Шредера вычислены теплоты плавления модификаций I: ΔH_α 2,10, ΔH_β 3,8, ΔH_γ 4,2 ккал/моль, а из них теплоты превращения $\Delta H_{\beta \rightarrow \alpha}$ 1,75 и $\Delta H_{\gamma \rightarrow \beta}$ 0,38 ккал/моль. Ю. Кесслер

31728. Аналитические исследования частичного изоморфизма смешанных систем. Системы из фталевой кислоты и бихроматов Na, K и NH_4 . Линденберг (Analytische Untersuchungen an partiell-isomorphen Mischsystemen. Systeme aus Phthalsäure und Na-, K- oder NH_4 -Dichromat. Lindenberg Werner), Z. Naturforsch., 1956, 11b, № 8, 439—447 (нем.)

Аналитич. и рентгенографич. методами показано, что в смешанных системах фталевая к-та (I) — $Na_2Cr_2O_7$ (II), I — $K_2Cr_2O_7$ (III) I — $(NH_4)_2Cr_2O_7$ (IV) II, III и IV являются внедряемыми компонентами. Кол-во внедренного в-ва зависит от конц-ии I в спокойно стоящих р-рах до кристаллизации. Дано качеств. объяснение хода кривых зависимости среднего содержания бихромата в твердом р-ре от конц-ии I в исходных р-рах. И. Верещетина

31729. Удельный вес и вязкость системы бромистый алюминий — бензол в индифферентном р-рителе. Рабинович Б. Я., Ноткин Я. С., Изв. Киевск. политехн. ин-та, 1957, 20, 127—133

Измерены уд. вес d и вязкость η системы бромистый алюминий — бензол в индифферентном р-рителе при 18 и 25° по методу изомол. конц-ий Остроумовского. d и η находятся в линейной зависимости от состава системы. Изотермы d и η не дают каких-либо указа-

ний на образование мол. соединения бромистого алюминия с бензолом.

31730. Свойства системы тетрагидрофуран — йода и тетрагидрофурана. Йосиока, Танияма (Yoshioka Tamio, Tanijama Masakazu), Kogei Kagaku dzasshi, J. Chem. Soc. Japan, Industr. Chem. Sec., 1954, 57, № 10, 747—749 (японск.)

31731. Удельный вес, вязкость и электропроводность системы хлористый алюминий — мочевины — вода. Рабинович Б. Я., Изв. Киевск. политехн. ин-та, 1957, 20, 134—139

С целью выяснения возможности комплексобразования в системе $AlCl_3$ (I) — $CO(NH_2)_2$ (II) — H_2O измерены при 15 и 25° уд. вес (d), вязкость (η) и уд. электропроводность (χ). Р-ры для измерения готовились по методу изомольярных конц-ий Остроумовского. d линейно зависит от мол. состава в области малых конц-ий II. Температурный коэф. η имеет постоянное значение $\sim 0,021$. Изотермы χ имеют перегиб при мол. соотношении I:II = 1:1. Этому же составу соответствует минимум температурного коэф. χ и максимум на кривой отклонений от аддитивности χ . А. Золотаревский

31732. Номограмма: растворимость воды в углеводородах. Дейвис (Nomogram: solubility of water in hydrocarbons. Davis D. S.), Chem. and Process Engng, 1957, 38, № 8, 341 (англ.)

Опубликованные ранее (РЖХим, 1957, 78014) данные по растворимости воды в углеводородах показывают, что логарифм растворимости в мол. % линейно зависит от величины $(1/T)$, где T в °K. Построена номограмма, позволяющая определять растворимость воды для интервала 10—200° в гептане, гексанине-1,5, стироле, бутадиине-1,3, бензоле, бутене-2, изобутене, бутене-1, n -октане, n -гептане, n -гексане, циклогексане, изопентане, пропане, изобутане, n -бутане, смазочном масле (мол. в. 400), керосине (мол. в. 150 и 170) С. Б.

31733. Обмен вещества между фазами. Хеланинг (Echange de matière entre phases. Helling M. L.), Ind. chim. belge, 1957, 22, № 8, 907—918 (франц.; рез. флам., англ., нем.)

Рассматриваются в общем виде процессы разделения, применяемые в хим. технологии, которые представляют собою перенос в-ва между фазами, происходящий без хим. р-ций. Выведены общие ф-лы для таких, по терминологии автора, диффузионных процессов. А. Лихтер

31734. Библиография по равновесию трехкомпонентных смесей при экстракции в системе жидкостно-жидкость. Хаяси. Кагаку когаку, Chem. Engng (Japan), 1957, 21, № 4, 249—254 (японск.)

Библ. 185 назв. М. Гун

31735 К. Изменения состояния. Физико-математическая трактовка. Темперли (Changes of state. A mathematical-physical assessment. Temperley H. N. V. London, Cleaver — Hume Press Ltd, 1956, 324 pp., ill., 50 sh.) (англ.)

Подробно см. РЖХим, 1956, № 18, стр. 489.

31736 К. Микрокалориметрия. Приложение физической химии к биологии. Кальве, Пра (Microcalorimétrie. Applications physico-chimiques et biologiques. Calvet E., Prât H. Paris, Masson et Co, 1956, 396 p., ill., 5.200 fr.) (франц.)

31737 Д. Упругость паров йода над водными соевыми растворами, изученная в связи с получением йода методом воздушной десорции. Стрелькова А. Н. Автореф. дисс. канд. хим. н., Ленинград. хим.-фармацевт. ин-т, Л., 1956

31738 Д. Свободная энергия и энтропия образования твердых растворов KCl-KBr и поведение водных смесей KCl-KBr относительно правила Харди

Мак-Кой (The free energies and entropies of formation of potassium chloride-potassium bromide solid solutions and the behavior of aqueous potassium chloride-potassium bromide mixtures relevant to the Harned rule. McCoy William H. Doct. diss. Univ. Pittsburgh, 1955) (англ.)

См. также: Фазовые переходы 31499, 31501—31504, 31509—31511, 31538, 31579, 31582, 31583, 31591, 31962. Термодинамика 34864, 34913. Термодинамика: кристаллов 31537, 31538, 31545, 31563, 34912; жидкостей и р-ров 31607. Равновесия 31848—31850, 31852, 31971, 31977, 31986, 31616, 31845, 31847. Ур-ния состояния 31605, 31985, 32002. Физ.-хим. анализ систем: металл. 31497, 31500, 31515, 31541, 31572; неорганич. 31564, 31856, 31954, 31963, 31974, 31979, 31982, 33190, 33191; органич. 31470, 31839, 31840, 31854. Приборы и методы 32273. Др. вopr. 31546, 31547, 34865—34869

КИНЕТИКА.

ГОРЕНИЕ. ВЗРЫВЫ. ТОПОХИМИЯ. КАТАЛИЗ

Редакторы **Х. С. Багдасарьян, А. С. Соколик, А. Б. Шехтер**

31739. О некоторых проблемах цепных реакций и теории горения. Семенов Н. Н. (Einige Probleme der Verbrennungstheorie. Semenov N. N.), *Angew. Chem.*, 1957, 69, № 24, 767—777; Prix Nobel 1956. Stockholm, 1957, 148—176 (нем.)

Перевод. См. РЖХим, 1957, 60711.

31740. Локализация π -электронов и механизм реакций со свободными радикалами. Гринвуд (Localization of π -electrons and the mechanism of free radical reactions. Greenwood H. N.), *J. Amer. Chem. Soc.*, 1957, 79, № 20, 5365—5367 (англ.)

Первой стадией р-ции молекул с ароматич. кольцами со свободными радикалами является присоединение радикала к одному из атомов (C_r) кольца. При этом для образования связи СХ р-электрон атома C_r должен локализоваться по отношению ко всей π -электронной системе, что возможно, если в момент столкновения радикала с молекулой связь C_r —Н выходит из плоскости кольца. В простейшем методе МО это соответствует уменьшению обменных интегралов β_{rm} связей, исходящих из C_r . Построена качественная корреляционная диаграмма уровней энергии в зависимости от $k = \beta_{rm} / \beta$, из которой, в частности, следует, что при $k \rightarrow 0$ происходит сближение (вплоть до полного вырождения) последнего заполненного и первого незаполненного уровней энергии π -электронов. Е. Никитин

31741. К теории предэкспоненциального множителя константы скорости мономолекулярных реакций. Зено (Contribuțiuni la teoria coeficientului preexponential al reacțiilor monomoleculare. Zeno Simon), *An. Univ. «С. I. Parhon». Ser. științ. natur.*, 1957, № 14, 113—128 (рум.; рез. русск., франц.)

Вычисляется предэкспоненциальный множитель константы скорости мономолекулярного распада сложных молекул. В тесной связи с теорией Слейтера (РЖХим, 1955, 25793) для A получено следующее выражение $A = k\gamma v$, в котором γ — «средняя» частота р-рующей связи, v — вычисляемый полумпирически вклад внутренних степеней свободы, а k — коэф. прохождения изображающей точки над потенциальным барьером. Из качеств. квантовомеханич. рассуждений автор заключает, что $k = 1/(1 + \gamma v)$. Величина γ является некоторым средним периодом колебаний коэф. C_1 (теория возмущения Дирака). При наличии в распадающейся молекуле групп со свободным вращением необходимо учитывать изменение энтропии. Рассчи-

танные и эксперим. множители A сравнены для 47 р-ций. Большие отклонения (на 3—4 порядка) объясняются неучетом изменения потенциальной поверхности во время р-ции. Е. Никитин

31742. Изучение неравновесных скоростных процессов. II. Релаксация колебательных неравновесных распределений в химических реакциях и ударных волнах. Шулер (Studies in non-equilibrium rate processes. II. The relaxation of vibrational non-equilibrium distributions in chemical reactions and shock waves. Shuler Kurt E.), *J. Phys. Chem.*, 1957, 61, № 7, 849—856 (англ.)

Рассмотрено приложение теоретич. выводов (часть I, РЖХим, 1957, 63071) к релаксации колебательного распределения молекул O_2^* , возникающих при импульсном фотолизе ClO_2 по схеме: $ClO_2 + h\nu \rightarrow ClO + O$ и $O + ClO_2 \rightarrow ClO + O_2^*$ (РЖХим, 1956, 57219). Деактивация колебательно-возбужденных молекул O_2^* происходит в результате двух параллельно протекающих р-ций: $O_2^* + N_2 \rightarrow O_2 + N_2$ (1) и $O_2^* + ClO \rightarrow O_2 + ClO$ (2). Релаксационное поведение функции распределения не может характеризоваться одним временем релаксации, а должно быть связано со спектром таких характеристик. При учете только р-ции (1) вычисленное среднее время релаксации на порядок больше эксперим. величины. Учет р-ции (2) (вероятность деактивации $\sim 1/200$) приводит к совпадению с опытом. Рассмотрен вопрос о релаксации колебательной энергии в ударных волнах и о понятии «колебательной» т-ры неравновесных состояний. Е. Н. 31743. Реакции атомов азота. I. Кислород и окислы азота. Кистяковский, Вольни (Reactions of nitrogen atoms. I. Oxygen and oxides of nitrogen. Kistiakowsky G. B., Volpi G. G.), *J. Chem. Phys.*, 1957, 27, № 5, 1141—1149 (англ.)

В струе при низких давлениях (~ 2 мм рт. ст.) в стеклянных реакционных сосудах, промытых 10%-ным р-ром H_3PO_4 , масс-спектрометрически изучены р-ции атомов N, получавшихся в электроразряде, с N_2O , NO и O_2 . Определены константы скоростей (k , $cm^3 / mole \cdot sec$) элементарных процессов при 25°: $N + NO \rightarrow N_2 + O$ ($k_1 \geq 4 \cdot 10^{11}$) (1); $N + O_2 \rightarrow NO + O$ ($k_2 = 2 \cdot 10^{12} \exp(-6200/RT)$) (2); $N + NO_2 \rightarrow N_2O + O$ ($10^{-2} k_1 < k_2^{25} < 10 k_1$) (1); $O + NO \rightarrow NO_2$ ($k_3 \geq 10^{13}$); $O + NO_2 \rightarrow O_2 + NO$ ($k_4 \geq 10^{12}$); $N + N_2O$ при 280° ($k_5 < 10^9$); $O + N_2O$ ($k_7 < 2 \cdot 10^6$). Показано, что с р-цией (1) конкурирует р-ция $N + NO_2 \rightarrow 2NO$ и (или) $N + NO_2 \rightarrow N_2 + O_2$. Авторы считают, что в реакционной системе $N + NO_2$ образование N_2O идет не только путем р-ции (1), но и по схеме $O + NO_2 \rightarrow NO^* + O_2$; $NO^* + NO_2 \rightarrow N_2O + O_2$, где NO^* — молекула с возбужденными колебательными уровнями. Эффективность гетерог. рекомбинации атомов O равна 10^{-4} для одного реакционного сосуда и значительно выше для другого. Г. Королев

31744. Природа конденсирующегося при низких температурах продукта диссоциации паров перекиси. Аллен, Стоун (Nature of the product condensed at low temperatures from dissociated peroxide vapour. Allen R. L., Stone F. S.), *Nature*, 1957, 180, № 4589, 752—753 (англ.)

Продукты (II), вытягиваемые из разряда в парах H_2O_2 , конденсировались в ловушке, охлажденной до -78° — -195° . После нагревания до комнатной т-ры II, конденсировавшиеся при -78° , состоят практически из чистой H_2O ; II, конденсировавшиеся при -183° и -195° , содержат H_2O_2 , и при размораживании их выделяется O_2 . Выхода H_2O_2 и O_2 уменьшаются с увеличением расстояния между разрядником и ловушкой и возрастают при таком изменении условий (сила тока разряда, скорость струи), которое приводит к увеличению концентрации радикалов; отношение выходов H_2O_2 и O_2 при этом не изменяется. Авторы предполагают,

что содержащиеся в II, вытягиваемых из разряда, радикалы OH и NO_2 фиксируются при вымораживании в лонжике вместе с парами H_2O . При -120° аморфная модификация льда переходит в кубично-кристаллическую (РЖХим, 1957, 56888), что сопровождается, по мнению авторов, перестройкой водородных связей, в результате чего некоторая часть фиксированных в твердом р-ре радикалов становится подвижной и реагирует по схеме: $\text{OH} + \text{NO}_2 = \text{H}_2\text{O} + \text{O}_2$; $\text{OH} + \text{OH} = \text{H}_2\text{O}_2$; $\text{NO}_2 + \text{NO}_2 = \text{N}_2\text{O}_4 + \text{O}_2$. Г. Королев

31745. Кинетика реакции диборана с фосфином. Брумбергер, Маркус (Kinetic study of the reaction of diborane with phosphine. Brumberger H., Marcus R. A.), J. Chem. Phys., 1956, 24, № 4, 741—746 (англ.)

Изучена кинетика р-ции $\text{B}_2\text{H}_6 + 2\text{PH}_3 \rightarrow 2\text{BHNH}_3$ (I) (белый кристаллич. продукт) при т-рах от $-23,7$ до 0° . Начальная скорость р-ции линейно зависит от исходной конц-ии каждого реагента и практически не зависит от отношения поверхности реакционного сосуда к объему, а также от присутствия I в реакционной смеси. Константа скорости $k = 3 \cdot 10^9 \exp(-11400/RT)$ см³/моль сек. Предложен следующий механизм р-ции: $\text{B}_2\text{H}_6 + \text{PH}_3 \rightleftharpoons \text{I}$ (газ) + BH_3 (медленно); $\text{BH}_3 + \text{PH}_3 \rightleftharpoons \text{I}$ (газ); I (газ) \rightarrow I (тв.). Г. Королев

31746. Кинетический метод применения меченых атомов при исследовании крекинга пропана. Нейман М. Б., Медведова Н. И., Торсуева Е. С., Докл. АН СССР, 1957, 115, № 2, 347—350

С помощью кинетич. метода применения меченых атомов изучалось поведение C_2H_4 , образующегося при крекинге C_3H_8 . Крекинг C_3H_8 проводился в статич. условиях в кварцевом реакционном сосуде объемом 725 мл при 532, 554 и 580° . К C_3H_8 добавлялся в кол-ве 1% $\text{C}_2^{14}\text{H}_4$. Продукты крекинга разделялись методом хроматоматграфии и сжигались до CO_2 , которая улавливалась $\text{Ba}(\text{OH})_2$. Исследование показало, что при крекинге C_3H_8 этан образуется главным образом из C_2H_4 , а не путем рекомбинации радикалов CH_3 . На более глубоких стадиях крекинга возможно образование C_2H_6 из C_2H_4 других продуктов. Предложен механизм образования C_2H_6 из C_2H_4 на основании радикально-цепной схемы крекинга углеводородов. С помощью кинетич. метода подсчитаны конц-ии атомов H и радикалов $n\text{-C}_3\text{H}_7$ для различной степени превращения C_3H_8 . Б. Энглия

31747. Влияние добавок тяжелых посторонних газов на образование и разложение этана. Парсонс, Данби, Хиншелвуд (The influence of heavy foreign gases on the formation and decomposition of ethane. Parsons B. N., Danby C. J., Hinshelwood Cyril), Proc. Roy. Soc., 1957, A240, № 1222, 333—339 (англ.)

В статистич. условиях изучалось влияние SF_6 , CF_4 и CO_2 на разложение C_2H_6 и на обратную р-цию его образования из H_2 и C_2H_4 . В обоих случаях в исходные газы добавлялось 20 мм рт. ст. NO , для уменьшения начальной скорости до ее предельного значения. Скорость р-ции определялась по изменению давления и по анализу продуктов масс-спектрометром с применением специально разработанной методики для разделения совпадающих пиков C_2H_6 и NO . Разложение проводилось при 600 и 630° , начальном давлении C_2H_6 100 мм рт. ст. Возможны 2 пути разложения этана: $\text{C}_2\text{H}_6 \rightleftharpoons \text{C}_2\text{H}_4 + \text{H}_2$ (1) и $\text{C}_2\text{H}_6 \rightarrow \text{CH}_4 + \text{CH}_2 \rightarrow$ другие продукты (2). NO подавляет только р-цию (1). Добавление 300 мм рт. ст. SF_6 ускоряет обе р-ции, причем р-цию (1) больше, чем р-цию (2). Аналогично, хотя и слабее, действуют CF_4 и CO_2 . Добавление 500 мм рт. ст. CF_4 при 630° увеличивает скорость неингибированной р-ции (2) на 42%, а ингибированной р-ции (1) — на 79%. Р-ция (2) обычно сопровождается потреблением

NO и добавление SF_6 увеличивает это потребление также приблизительно вдвое. При увеличении давления CF_4 и CO_2 скорость разложения C_2H_6 так же, как высших углеводородов, стремится к пределу, устанавливаемому при 500 мм рт. ст. (для CF_4). При увеличении давления SF_6 от 100 до 800 мм рт. ст. скорость разложения C_2H_6 растет прямолинейно и по абсолютной величине значительно больше, чем при добавках CF_4 и CO_2 . Исследование влияния SF_6 на обратную р-цию образования C_2H_6 проводилось при парц. давлениях H_2 и C_2H_4 , отвечающих равновесным (76 мм рт. ст. каждого) и в присутствии 15 мм рт. ст. NO . Скорость обратной р-ции также линейно зависит от давления SF_6 и численно равна скорости прямой р-ции, как это и следует из условий равновесия. В. Маркович

31748. Интерпретация кинетики пиролиза ртутиалкилов. Притчард (Interpretation of the kinetics of mercury alkyl pyrolysis. Pritchard H. O.), J. Chem. Phys., 1956, 25, № 2, 267—270 (англ.)

По мнению автора, аномально высокие предэкспоненциальные множители наблюдающиеся при пиролизе ртутиалкилов (HgR_2), обусловлены тем, что разложение протекает в основном путем одновременного разрыва двух связей $\text{HgR}_2 \rightarrow \text{R} + \text{R} + \text{Hg}$ (I), а не через промежуточное образование RHg по р-ции $\text{HgR}_2 \rightarrow \text{R} + \text{RHg}$. В предположении, что крит. энергия активации (Fowler R. H., Guggenheim E. A., Statistical thermodynamics. 1939; Thompson H. W., Linnett J. W., Proc. Roy. Soc. (London), 1937, A160, 139) р-ции (I) равна сумме энергий диссоциации связей $\text{R}-\text{HgR}$ и $\text{Hg}-\text{R}$, оценены стерич. факторы S для ряда HgR_2 ($\text{R}=\text{CH}_3$, C_2H_5 , C_3H_7 , C_6H_5) и получено удовлетворительное согласие с эксперим. данными ($1 \leq S \leq 4$). Автор считает, что аналогичная интерпретация пригодна для объяснения $S > 1$ в случае пиролиза цикло- C_3H_6 (I), цикло- C_4H_8 (II) и ди-трет-бутилперекиси (III), если считать, что I и II распадаются с образованием 3, а III — сразу 4 частиц. Г. Королев

31749. Связи металл-углерод. Часть 1. Пиролиз диметилртути и диметилкадмия. Прайс, Тротман-Диккенсон (Metal-carbon bonds. Part 1. The pyrolyses of dimethyl mercury and dimethyl cadmium. Price S. J. W., Trotman-Dickenson A. F.), Trans. Faraday Soc., 1957, 53, № 7, 939—944 (англ.)

Газовыми продуктами термич. распада $(\text{CH}_3)_2\text{Hg}$ при $465-608^\circ$ и $(\text{CH}_3)_2\text{Cd}$ при $469-571^\circ$ в струе толуола являются CH_4 , C_2H_6 , а также небольшие кол-ва H_2 и C_2H_4 . Константа скорости распада k_1 (сек.⁻¹) сильно зависит от общего давления струи, для $(\text{CH}_3)_2\text{Hg}$ при 16 мм рт. ст. $k_1 = 10^{13.1} \exp(-50100/RT)$, для $(\text{CH}_3)_2\text{Cd}$ при 18 мм рт. ст. $k_1 = 10^{11.9} \exp(-45800/RT)$. Предполагается механизм р-ции $(\text{CH}_3)_2\text{X} \rightarrow \text{CH}_3\text{X} + \text{CH}_3$ (1); $\text{CH}_3\text{X} \rightarrow \text{CH}_3 + \text{X}$; $\text{CH}_3 + \text{C}_6\text{H}_5\text{CH}_2 \rightarrow \text{CH}_4 + \text{C}_6\text{H}_5\text{CH}_2$; $2\text{CH}_3 \rightarrow \text{C}_2\text{H}_6$; $2\text{C}_6\text{H}_5\text{CH}_2 \rightarrow (\text{C}_6\text{H}_5\text{CH}_2)_2$. Полученные энергии активации соответствуют р-ции (1) и являются энергиями связей $\text{C}-\text{Hg}$ и $\text{C}-\text{Cd}$ в $(\text{CH}_3)_2\text{Hg}$ и $(\text{CH}_3)_2\text{Cd}$. Из этих значений рассчитаны энергии связи $\text{C}-\text{Hg}$ в CH_3Hg (7,2 ккал/моль) и $\text{C}-\text{Cd}$ в CH_3Cd (21 ккал/моль). А. Шиллов

31750. Относительные скорости изомеризации циклопропана и циклопропана-третий-1. Линдквист, Реллефсон (Relative rates of isomerization of cyclopropane and cyclopropane-1, Lindquist R. H., Rollefson G. K.), J. Chem. Phys., 1956, 24, № 4, 725—731 (англ.)

При $447-555^\circ$ измерены константы скорости k изомеризации цикло- C_3H_6 (I) и $\text{C}_3\text{H}_5\text{T}$ (II) в пропиле. Конц-ия I по ходу превращения определялась методом ИК-спектров и путем хим. анализа, конц-ия II — при помощи сцинтилляционного счетчика. При давл. 160—200 мм рт. ст. $k_I/k_{II} = 0,63 \cdot \exp(825/RT)$. Наблю-

даемое увеличение предэкспонента при замещении одного атома Н в I на Т обсуждено с точки зрения теории мономолекулярных р-ций и теории абс. скоростей р-ции. Г. Королев

31751. Роль пропилена при неполном окислении пропана. Саттерфилд, Рид (The role of propylene in the partial oxidation of propane. Satterfield Charles N., Reid Robert C.), 5th Sympos. (Internat.) Combust. 1954. New York, Reinhold Publ. Corp., 1955, 511—520 (англ.)

Добавки C_3H_6 к смеси $C_3H_8-O_2$ уменьшают период индукции окисления, увеличивают кол-во образующихся CH_3CHO , CH_2O , CH_3OH и H_2O и уменьшают выход H_2O_2 . Наблюдается образование полипропилена. При обсуждении механизма окисления C_3H_8 авторы на основании полученных данных учитывают роль C_3H_6 , образующегося в процессе окисления C_3H_8 . З. М.

31752. Кинетика окисления некоторых третичных алифатических аминов. Каллис, Уоддингтон (The kinetics of the oxidation of some tertiary aliphatic amines. Cullis C. F., Waddington D. J.), 5th Sympos. (Internat.) Combust. 1954. New York, Reinhold Publ. Corp., 1955, 545—553 (англ.)

Окисление $(C_2H_5)_3N$ идет с заметной скоростью, начиная с 200° ; главными продуктами р-ции являются CH_3CHO , $C_2H_5NH_2$ и $(C_2H_5)_2NH$, в небольших кол-вах образуются NH_3 и CH_2O . Основной р-цией в системе авторы считают р-цию $(C_2H_5)_3N + O_2 \rightarrow C_2H_5NH_2 + 2CH_3CHO$ (1) с промежуточным образованием радикала $(C_2H_5)_2\dot{N}$. Окисление $(CH_3)_3N$ начинается при более низкой т-ре (150°); в продуктах р-ции обнаружены CH_2O и малые кол-ва $(CH_3)_2NH$. Несоответствие между кол-вами CH_2O и аминов в этом случае авторы объясняют совместной конденсацией этих в-в и гидролизом продукта конденсации в условиях анализа, приводящим к регенерации CH_2O . Остановку р-ции по достижении 40% превращения исходного амина авторы связывают с ингибирующим действием неизвестных продуктов р-ции. З. Майзус

31753. Газофазное окисление алифатических спиртов. II. Этиловый спирт; продукты, образующиеся на поздних стадиях реакции. Каллис, Ньюитт (The gaseous oxidation of aliphatic alcohols. II. Ethyl alcohol: the products formed in the later stages of reaction. Cullis C. F., Newitt E. J.), Proc. Roy. Soc., 1957, A242, № 1231, 516—533 (англ.)

Продуктами окисления C_2H_5OH при 275 и 370° являются CH_3CHO , H_2O_2 , CH_3OH , CH_2O , H_2O и в небольших кол-вах CH_4 , H_2 и CO_2 . В смесях, богатых C_2H_5OH , потребление O_2 прекращается после максимума скорости роста давления и заменяется на пиролизитич. р-цию с образованием эквивалентных кол-в в CO и CH_4 . Максим. конц-ия CH_3CHO пропорциональна начальной конц-ии C_2H_5OH и не зависит от конц-ии O_2 . Небольшие добавки CH_3CHO уменьшают период индукции и не влияют на скорость р-ции w ; большие добавки увеличивают w . Конц-ия CH_3CHO при максимуме w экспоненциально зависит от т-ры; температурный коэф. 4 ккал/моль. Увеличение т-ры снижает конц-ию H_2O_2 и не влияет на выход CH_3CHO и $HCNO$. Промывка сосуда р-ром KCl резко уменьшает w ; образования H_2O_2 не наблюдается. Добавки CH_3OH не влияют на период индукции, но уменьшают w . Авторы предлагают механизм р-ции, по которому CH_3CHO и H_2O_2 образуются как первичные продукты в неразветвленных цепях: $CH_3CH_2OH + HO_2 \rightarrow CH_3CHON + H_2O_2$, $CH_3CHON + O_2 \rightarrow CH_3CHO + HO_2$; CH_3CHO окисляется по разветвленному механизму, приводящему к образованию продуктов, содержащих 1 атом С. Часть I см. РЖХим, 1957, 33968. А. Гагарина

31754. Скорости рекомбинации замещенных нонов фенилглиоксидата с ионами гидроксония и дейтеро-

ния. Унтли (Recombination rates of substituted phenylglyoxylate ions with hydronium and deuterium ions. Wheatley Mary S.), Experientia, 1956, 12, № 9, 339—340 (англ.; рез. нем.)

Исправлены найденные ранее (РЖХим, 1956, 57538) константы скорости рекомбинации аниона фенилглиоксидата с донорами протонов H_3O^+ , H_2O и H_2BO_3 . Получены следующие значения констант: $3.9 \cdot 10^{11}$ л/моль-сек, $150/[H_2O]$ сек $^{-1}$, $4.41 \cdot 10^3$ л/моль-сек. Измерены скорости рекомбинации фенилглиоксидат-ионов с H_3O^+ и D_3O^+ в нейтр. среде. Величина k_H совпадает с величиной, найденной ранее в сильно щел. среде. Отношение $k_H/k_D = 4.7$. Определены константы скорости рекомбинации моно- и дизамещенных фенилглиоксидовых к-т (заместители — группы CH_3 и CH_3O). Влияние заместителей подчиняется правилу Гаммета.

В. Пикаева

31755. Изучение механизма и кинетики восстановления меди из аммиачных растворов под давлением водорода. Соболев С. И., Спиридонова В. И., Сб. научн. тр. Гос. н.-и. ин-т цветн. мет., 1957, № 13, 102—114

Скорость восстановления Cu из медно-аммиачных р-ров под давлением H_2 25—125 атм исследовалась в автоклаве при скорости вращения мешалки 1050—2250 об/мин. и 100—220°. Предшествующие восстановлению р-ции гидролиза осложняют процесс; авторы нашли, что уменьшению гидролиза способствуют повышение конц-ий NH_4OH в р-ре и добавки сульфата NH_4 и других солей. Порошок металлич. Cu , добавленный в реакционную смесь, служит катализатором восстановления. Л. Обухова

31756. Замечания к новым литературным данным об автоокислении. Абель (Bemerkungen zu neuerer Literatur über Autoxydation. Abel E.), Monatsh. Chem., 1957, 88, № 4, 708—711 (нем.)

Экспериментальные данные двух новых работ (РЖХим, 1957, 33977, 33978) подтверждают механизм р-ции автоокисления, предложенный автором ранее (РЖХим, 1956, 67887). Критикуется цепной механизм р-ции автоокисления U^{4+} , предложенный во второй работе. А. Ревзин

31757. Дискуссия по статье: Абель «О механизме автоокисления гипохлорита до хлората». Д'Ансе, Фрейнд (Erwiderung zu der voranstehenden Bemerkung. D'Ans J., Freund N. B.), Z. Elektrochem., 1957, 61, № 7, 852—853 (нем.)

На основании эксперим. результатов, полученных авторами, высказан ряд замечаний, касающихся механизма р-ции $3ClO^- \rightarrow ClO_3^- + 2Cl^-$, предложенного Абелем (РЖХим, 1958, 20668). Г. Королев

31758. Кинетика реакции сульфита и бромата. Вильямсон, Кинг (The kinetics of the reaction of sulfite and bromate. Williamson Frank S., King Edward L.), J. Amer. Chem. Soc., 1957, 79, № 20, 5397—5400 (англ.)

Кинетика окисления H_2SO_3 до H_2SO_4 с помощью BrO_3^- изучалась в интервалах рН 3,4—7,4 при 25° и 1,7—4,5 при 0° в ацетатном и фосфатном буферных р-рах. Скорость р-ции следует 1-му порядку относительно конц-ий $S(4+)$ и BrO_3^- , не зависит от конц-ии буферного в-ва, приблизительно пропорциональна конц-ии H^+ при $4,4 > рН > 6,4$, а с ростом ионной силы р-ра уменьшается при рН 4,0 и увеличивается при рН 5,6. В р-ции образуется некоторое ($< 10\%$) кол-во $S(5+)$, вероятно, $S_2O_6^{2-}$. Авторы считают, что в разных областях рН р-ция протекает через два различных активированных комплекса строения $[HSO_3 + BrO_3^{2-} + nH_2O]^+$ и $[SO_2 \cdot BrO_3^{2-} + mH_2O]^+$, которые образуются в 1-й стадии, лимитирующей скоростью р-ции. А. Ревзин

31759. Кинетика реакций обмена между ионами $Fe(2+)$ и роданидными комплексами $Fe(3+)$. Лоренс (The kinetics of the exchange reactions between ferrous ions and the ferric thiocyanate complexes. Laurence G. S.), Trans. Faraday Soc., 1957, 53, № 10, 1326—1333 (англ.)

Исследован изотопный обмен (ИО) между Fe^{2+} и роданидными комплексами $Fe(3+)$, меченными Fe^{55} , при t -рах 9,8 и 25°, ионной силе μ -ров 0,5 и конц-ии H^+ , 0,0967 моль/л. Рассчитаны константы бимолекулярных р-ций ИО (л/моль сек): А) между Fe^{2+} и $Fe(SCN)^{2+}$, 12,2 при 0° и 41,5 при 25°, Б) между Fe^{2+} и $Fe(SCN)_2^+$, 2,0 при 0° и 7,6 при 25°, В) между Fe^{2+} и между свободными и гидролизованнми ионами Fe^{3+} , 3,15 при 0° и 34,6 при 25°. Определены энергии активации р-ций: А) 7,9 и Б) 8,6 ккал/моль. При расчетах использовались ранее определенные константы образования роданидных комплексов железа (РЖХим, 1956, 68098). Метод разделения $Fe(3+)$ и $Fe(2+)$ опубликован ранее (РЖХим, 1955, 15962). Свет не влияет на скорость ИО. Малая зависимость кинетики ИО от характера комплексообразующих анионов подтверждает предположение об определяющем влиянии р-ции переноса атома Н на скорость ИО (РЖХим, 1956, 57537).

31760. К вопросу о механизме каталитического действия аммиаката меди. Николаев Л. А., Ж. физ. химии, 1957, 31, № 6, 1387—1394 (рез. англ.)

Обнаружено, что в присутствии аммиаката меди наблюдается каталитич. разложение H_2O_2 , за ходом которого наблюдали титрованием непрореагировавшей H_2O_2 р-ром $KMnO_4$. Скорость р-ции растет с ростом конц-ии H_2O_2 до 0,2 М и далее остается постоянной. Кривая зависимости скорости от рН имеет максимум при рН 12. Зависимость константы скорости от t -ры выражается ур-нием Аррениуса с энергией активации 14 800 кал/моль. Р-ция не замедляется при добавлении метилметакрилата, что указывает на цепной механизм разложения в отличие от цепного разложения H_2O_2 добавками $CuSO_4$. На основании полученных данных автор предполагает, что р-ция идет через образование промежуточного комплекса $(NH_3)_4Cu^{2+} \cdot HO_2^- \cdot H_2O_2$.

31761. Кинетика гидролиза аденозинтрифосфата в щелочном растворе. Кутюр, Уэллс (Cinétique de l'hydrolyse de l'adénosine triphosphate en solution alcaline. Couture A. M., Ouellet Ludovic), Canad. J. Chem., 1957, 35, № 11, 1248—1253 (франц.)

Путем колориметрич. определения выделяющегося фосфата изучалась кинетика гидролиза аденозинтрифосфата в р-ре с рН 8,3—9 и ионной силой 0,106. Скорость р-ции пропорциональна $[H^+]$. Энтропия активации равна 39,2 энтр. ед., энтальпия активации 29 200 кал/моль.

31762. О механизме и кинетике цветного сочетания n -амино- N -диалкиланилинов в водном растворе. Эггерс (Über den Mechanismus und die Kinetik der Farbkupplung von p -Amino- N -dialkylanilinen in wässriger Lösung. Eggers J.), Z. Elektrochem., 1956, 60, № 9—10, 987—998 (нем.)

Спектрофотометрически исследована кинетика окисления $K_2S_2O_8$ цветного проявителя n -амино- N,N -диэтиланилина (I) в водн. р-ре при рН 7,5 и 20° как в присутствии цветообразующих компонент (К) (1-нафтол, 1-нафтол-2-сульфокислота и 4-хлор-(4-бром)-окси-2-нафтольные к-ты), так и без них. Краситель начинает образовываться, когда появляется заметное кол-во конечного продукта окисления I — хинондиимина (II), а кол-во промежуточного продукта (семихинондиимина) уже заметно уменьшается. В дальнейшем кол-во красителя растет симбатно кол-ву II. Следовательно, образование красителя идет с II, без образования про-

межуточного продукта окисления К, причем в случае К, содержащих в положении 4 подвижные заместители (Cl, Br, SO_3 , H), образуются непосредственно (с выделением молекулы к-ты) красители, тогда как с незамещ. К получают лейкооснования, которые дальше окисляются до красителей. Н. Спасокукоцкий 31763. К вопросу о механизме каталитической димеризации ацетилена. I, II. Хажакян Л. В., Докл. АН АрмССР, 1957, 24, № 2, 67—72; Изв. АН АрмССР. Сер. хим. н., 1957, 10, 77—81 (рез. арм.)

I. Газоволюмометрически при постоянном давлении исследована скорость абсорбции C_2H_2 (I) в статич. условиях в установке, содержащей концентрически расположенные круги фильтровальной бумаги, смоченной р-рами $CuCl$ (1,94—5,34 моль/л) + NH_4Cl (4,86—6,86 моль/л) + HCl (0,11 моль/л). Найдено, что 1-я быстрая стадия процесса — комплекссообразование, а 2-я, медленная — димеризация. Анализ кинетич. яв-ых приводит автора к выводу, что активный купроацетиленовый комплекс содержит 2 иона Cu на 1 молекулу I и что при образовании этого комплекса вытесняются 2 иона Cl^- . Конц-ия этого комплекса в р-ре весьма невелика, а большая часть растворенного I находится в относительно устойчивом комплексе, в котором на одну молекулу I приходится 1 ион Cu. По мнению автора, именно вступление 2-го иона Cu приводит к ослаблению и разрыву одной из тройных связей в этом комплексе.

II. Кинетика каталитич. р-ции димеризации I в присутствии $CuCl$, NH_4Cl и HCl изучалась при 50—65°. Энергия активации р-ции 15,5 ккал/моль. При замене 10% NH_4Cl на эквивалентное кол-во $CaCl_2$ или $MgCl_2$ уменьшается растворимость I и скорость р-ции. Автор считает, что при этом падает конц-ия кинетич. активного комплекса I вследствие затруднения доступа I к купрохлоридному иону и что в присутствии иона с большой плотностью заряда затрудняется доступ 2-го иона Cu^+ , расслабляющего одну из П-связей в I. Полученные данные указывают на ионный механизм активации и димеризации I.

31764. Электрофильные реакции замещения. IX. Влияние заместителей на скорость реакций между перекисью водорода и бензолборной кислотой. Кувила, Армор (Electrophilic displacement reactions. IX. Effects of substituents on rates of reactions between hydrogen peroxide and benzeneboronic acid. Kuivila Henry G., Armour Albert G.), J. Amer. Chem. Soc., 1957, 79, № 21, 5659—5662 (англ.)

Изучена кинетика р-ции $C_6H_5B(OH)_2$ (I) и n - CH_3O , n - CH_3 , n -F-, n -Cl-, m - CH_3O -, m -F-, m -Cl-, m -Br- и m - NO_2 - $C_6H_4B(OH)_2$ с H_2O_2 в 25%-ном спирт. р-ре при 25°. Предложен механизм р-ции из 5 стадий: $I + H_2O_2 \rightleftharpoons H_2O + C_6H_5B(OH)OON$ (II) $\rightleftharpoons H^+ + [C_6H_5B(OH)_2OON]^-$

(III) (1); $III + H^+ \xrightarrow{k_1} H_2O + [C_6H_5B^-(OH)_2O^+]$ (IV) $\rightarrow C_6H_5OB(OH)_2$ (V) (2); $III \xrightarrow{k_2} HO^- + IV$ (3); $III + I \rightleftharpoons H_2O + [C_6H_5B^-(OH)_2O^+O^+B(OH)_2C_6H_5]$ $\xrightarrow{k_3} IV + O^-B(OH)_2C_6H_5$ (4); $II \rightarrow V$ (5). V быстро гидролизуеться в C_6H_5OH и борную к-ту; это преобладающая р-ция при рН 1—3. Р-ция (5) является кислотно-катализированной. Величины ρ в ур-нии Гамметта для k_1 0,071, для k_2 0,28. Авторы считают, что в этих р-циях лимитирующей стадией является разрыв перекисной связи. Для k_1 $\rho = -0,044$, т. е. эта р-ция не зависит от природы заместителя. Это означает, что электронные эффекты в равновесии (1) и р-ции (2) почти полностью уравновешивают друг друга. В присутствии $H_2PO_4^-$ и $HClO_4$ для р-ции (5) $\rho = -1,12$ и $-1,27$ соответственно. Смещение электронов от заместителя к бензольному

тем в случае
заместитель-
но (с вы-
ода как с
и, которые
асокующей
ческой диме-
Л. В., Докл.
АН АрмССР.

ом давлении
(I) в статич.
центрически
умаги, смо-
NH₄Cl (4,80—
но, что 1-я
азование, а
инетич. кри-
Су на 1 мо-
миллона вы-
комплонса в
створенного
комплонса,
я 1 нон Су
го нона Су
из тройных
Вассерберг
ции I в при-
при 50—65°.
При замене
или MgCl₂
-ции. Автор
етич. актив-
дупста I
гви нона с
дупст 2-го
ей в I. По-
ий механизм
А. Ревзин
дания, IX
ций между
той. Ку-
nt-reaction.
actions bet-
ronic acid.
bert G.),
5659—5662

и n-CH₃O-
-, m-Br- и
ре при 25°.
I + H₂O₂ →
(OH)₂COOH]
O+ (IV) →
III + I →

O-V (OH)-
в C₂H₅OH
ри pH 1—3.
ной. Вели-
для k₂ 0,28.
тирующей
и. Для k₃
т природы
е эффекты
уравно-
и HClO₄
етственно.
нзольному

полуду является доминирующим фактором в стадии, лимитирующей скорость всей р-ции, но электромерное смещение электронов не играет значительной роли в переходном состоянии лимитирующей стадии. Сообщение VIII см. РЖХим, 1957, 22386. А. Ревзин

31765. Этерификация серной кислотой. Часть II. Этиловый спирт. Кларк, Вильямс (Esterification by sulphuric acid. Part II. Ethyl alcohol. Clark D. J., Williams Gwyn, J. Chem. Soc., 1957, Oct., 4218—4221 (англ.))

Кинетика этерификации C₂H₅OH (I) изучалась в р-рах H₂SO₄ (60—82%) при 25° и 70—93% при 0° по изменению конц-ии I. Р-ции этерификации и гидролиза следуют 1-му порядку относительно конц-ий I и C₂H₅HSO₄. Зависимость константы скорости этерификации k от кислотной функции Гаммета H₀ при 25° по 80%-ной H₂SO₄ выражается ур-нием lg k = -0,955 H₀ - 7,832; при конц-иях H₂SO₄ выше 80% наблюдаются небольшие отклонения от этой прямой. Константа равновесия р-ции почти не зависит от начальной конц-ии I, но изменяется в ~ 10 раз в изученном интервале конц-ий H₂SO₄. Энергия активации этерификации в 69,7—80,7%-ной H₂SO₄ составляет 22,3—20,7, гидролиза 22,7—21,5 ккал/моль. Полученные результаты подтверждают механизм, предложенный ранее (часть I, РЖХим, 1957, 30004). А. Ревзин

31766. Термическое разложение нитрата аммония. Роль азотной кислоты и воды. Смит (The thermal decomposition of ammonium nitrate: the roles of nitric acid and water. Smith R. D.), Trans. Faraday Soc., 1957, 53, № 10, 1341—1345 (англ.)

Измерены конц-ии HNO₃ и H₂O при разложении NH₄NO₃ под атмосферным давлением при 229—282°. В среде расплавленного NH₄NO₃ устанавливаются стационарные конц-ии HNO₃ и H₂O. Получено ур-ние [HNO₃] = 10^{0,004} exp(-6900/RT), где [HNO₃] — мол. отношение HNO₃ к NH₄NO₃. С использованием литературных данных (РЖХим, 1958, 453) вычислена константа скорости k ур-ния кислотного катализа — (1/v)(da/dt) = k(a/v)[HNO₃], где a — вес NH₄NO₃ в объеме v. Рассчитаны растворимости S_{HNO₃} и S_{H₂O} в расплавленном NH₄NO₃. S_{HNO₃} = 10^{-8,197} exp(11900/RT) и S_{H₂O} = 10^{-5,357} exp(5200/RT) моль моль⁻¹ (см. рт.ст.)⁻¹.

Предполагается, что в расплавленном NH₄NO₃ азотная к-та полностью диссоциирована в избытке воды и катализатором является H₃O⁺. А. Гагарина

31767. Абсолютные скорости термического распада твердых веществ. Часть I. Пиролиз хлористого аммония на горячей пластине и пиролиз полиметилметакрилата (плексигласа) от горячей проволоки. Шульц, Деккер (The absolute thermal decomposition rates of solids. Part I. The hot-plate pyrolysis of ammonium chloride and the hot-wire pyrolysis of polymethylmethacrylate (plexiglas IA). Schultz Robert, Dekker Albert O.), 5th Sympos. (Internat.) Combust. 1954. New York, Reinhold Publ. Corp., 1955, 260—267 (англ.)

По изменению размеров образца измерены линейные скорости пиролиза при разных т-рах керамич. пластины. Считается, что измеренная т-ра выше истинной, так как образец имеет меньшую т-ру за счет эндотермич. р-ции NH₄Cl(тв.) → NH₃(газ) + HCl(газ) — 39,4 ккал, идущей между нагретой пластиной и образцом. Предложена трехстадийная схема разложения: 1) NH₄Cl → H₂N — H + Cl; 2) H₂N — H + Cl → H₂N — H — Cl; 3) NH₃(газ) → H₂N — H — Cl → HCl(газ). 1 стадия: нормальная кристаллич. решетка. 2 стадия: переориентировка ионных пар на поверхности до структуры с наименьшей энергией активации для последующего испарения. 3 стадия: состоя-

ние с законченными внутриионными переходами электронов; сообщение энергии, равной приблизительно энергии адсорбции, снимает эти комплексы с поверхности. Дальнейшие р-ции не влияют на скорость разложения. Вычисленная энергия активации (11,2 ккал/моль) согласуется с эксперим. данными (10,2 ккал/моль — метод горячей пластины и 13,5 ккал/моль — метод сублимации в вакууме). Скорость линейного разложения, вычисленная по теории абс. скоростей р-ции из этой схемы в предположении, что разложение идет в мономолекулярном слое на поверхности, без учета обратных р-ций хорошо согласуется с экспериментом. Полученное экспериментальное выражение для линейной скорости деполимеризации плексигласа сравнивается с вычисленными по теории абс. скоростей р-ции по трем схемам (Taylor H. S., Tobolsky A. V., J. Amer. Chem. Soc., 1945, 45, 2063—2067; Grassie N., Melville H. W., Proc. Roy. Soc., 1949, A199, 1—55; РЖХим, 1955, 1934; Grassie N., Melville H. W., Bull. Soc. Chim. Belges, 1948, 57, 142—153) и довольно хорошо согласуется с ними. А. Борисов

31768. Изучение механизма реакции Зандмейера. Нонхейбел, Уотерс (A study of the mechanism of the Sandmeyer reaction. Nonhebel D. C., Waters W. A.), Proc. Roy. Soc., 1957, A242, № 1228, 16—27 (англ.)

С целью подтверждения радикального механизма р-ции Зандмейера, (Waters W. A., J. Chem. Soc., 1942, 266) изучена полимеризация (II) акрилонитрила и метилметакрилата в присутствии солей диазония RC₆H₄·N₂·BF₄, где R — n-NO₂, n-Cl, H и n-CH₃O. При добавлении CuCl или порошка Cu в к-тах HCl или H₂SO₄ происходит немедленная II; в присутствии FeSO₄ или NaH₂PO₄ II идет медленнее; прибавление C₂H₅OH или (CH₃)₂CO к этим смесям полностью подавляет II. Эти данные указывают на образование свободных ароматич. радикалов из солей диазония в ходе р-ции Зандмейера. Медленная II идет также в присутствии солей с электрофильными заместителями (NO₂, Cl) без добавок восстановительных катализаторов. Определены мол. веса полимеров, образующихся при добавлении CuCl₂ и содержания ароматич. групп в них показывают, что образование свободных радикалов идет в значительной степени и максимально для R-n-Cl. Добавление CuCl₂ уменьшает мол. вес полимера. Изучение конечных продуктов р-ции Зандмейера показывает, что при малых конц-иях ди-азо-соединений (≈ 0,01 M) избыток Cu²⁺ над Cu¹⁺ благоприятствует образованию ароматич. хлоридов, в то время как в отсутствие Cu²⁺ главными продуктами являются ди-арилы и азо-соединения. Увеличение конц-ии ди-азо-соединения до ~ 0,1 M ведет к увеличению выхода ароматич. хлоридов даже в отсутствие Cu²⁺. Авторы считают, что опытные данные полностью подтверждают механизм, в котором 1-я стадия протекает по ур-нию Ar·N₂ + Cu → Ar· + N₂ + Cu²⁺, после чего следует Ar· + CuCl₂ → ArCl + CuCl.

А. Ревзин
31769. Окисление олефинов. Бен, Скерроу (The oxidation of olefins. Bawn C. E., Skirrow G.), 5th Sympos. (Internat.) Combust. 1954. New York, Reinhold Publ. Corp., 1955, 521—529 (англ.)

31770. Относительная реакционная способность многоядерных ароматических систем. Сольволиз α-арилэтилхлоридов. Берлинер, Ши Нань (Relative reactivities of polynuclear aromatic systems. The solvolysis of α-arylethyl chlorides. Berliner Ernst, Shieh Nan), J. Amer. Chem. Soc., 1957, 79, № 14, 3849—3854 (англ.)

Изучена кинетика сольволиза 13 α-арилэтилхлоридов ArCHClCH₃ в 80 или 90%-ном воде. ацетоне при разных т-рах. Константа скорости k · 10⁵ (сек.⁻¹), отнесенная к 25° и 80%-ному ацетону, изменяется от

0,0679 до 1640 в следующем ряду арилов: фенил, 2-фенантрил, 2-нафтил, 9-фенантрил, 4-бифенилил, 3-фенантрил, 1-нафтил, 2-кризенил, 2-антрил, 1-антрил, 2-флуоренил, 3-пиренил, 9-антрил (I). Р-ция хорошо следует 1-му порядку, но на скорость р-ции I влияет кон-ция Cl⁻. Энергии активации лежат в интервале 17,0—22,9 ккал/моль, энтропии активации отрицательны и уменьшаются в менее водн. р-рителе. По зависимости $\lg(k/k_0)$ от разности энергии локализации ($E - E_0$), где k_0 и E_0 — константа скорости и энергия локализации для C₆H₆, изученные в-ва образуют две параллельные прямые с наклоном 4,82, причем прямую с меньшей реакционной способностью составляют в-ва с α -нафталиноподобной структурой. Константы скорости сопоставлены также с другими теоретич. параметрами.

31771. Сольволиз алкилборатов. Катализ аминами и фенолами. Денсон, Кроуэлл (Solvolysis of alkyl borates. Catalysis by amines and phenols. Denson Clinton L., Crowell Thomas I.), J. Amer. Chem. Soc., 1957, 79, № 21, 5656—5658 (англ.)

Кинетика сольволиза втор-бутилбората с образованием этилбората изучалась в р-рах C₂H₅OH в присутствии разных аминов и фенолов при 25° (РЖХим, 1957, 47797). Константа скорости р-ции k следует уравнению $k = k_0 + k_c (C)$; $k_0 = 0,0226$ мин.⁻¹ (C — кон-ция катализатора). Катализаторы по величине k_c (517—0 л/моль мин) располагаются в ряд: $n\text{-C}_4\text{H}_9\text{NH}_2 > \text{трет-C}_4\text{H}_9\text{NH}_2 > (\text{C}_2\text{H}_5)_3\text{N} > \text{CH}_3\text{CO}_2\text{H} > n\text{-толуидин} > \text{C}_6\text{H}_5\text{NH}_2 > \text{пиридин} > 2,6\text{-диметилпиридин} > n\text{-ClC}_6\text{H}_4\text{NH}_2 > n\text{-NO}_2\text{C}_6\text{H}_4\text{OH} > \text{C}_6\text{H}_5\text{OH} > \text{H}_2\text{O} > n\text{-NO}_2\text{C}_6\text{H}_4\text{NH}_2 > \text{C}_2\text{H}_5\text{OH} > \text{KSCN}$. При совместном присутствии C₂H₅OH и C₆H₅NH₂ они аддитивно катализуют р-цию. $\lg k_c$ линейно зависит от pK_b H₂O и pK_b C₂H₅OH, т. е. катализ следует закону Бренстеда. Наибольшие отклонения от этой зависимости проявляют (C₂H₅)₃N и 2,6-диметилпиридин, что объясняется стерич. затруднениями.

31772. Гидролиз N-ацетил- и N-диизопропилфосфоримидазола. Аткинсон, Грин (The hydrolysis of N-acetyl- and N-di-isopropylphosphorylimidazoles. Atkinson V., Green A. L.), Trans. Faraday Soc., 1957, 53, № 10, 1334—1340 (англ.)

Кинетика гидролиза N-ацетил- (I) и N-диизопропилфосфоримидазола (II), имеющих группы, сходные с группами в ацилированных гидролитич. энзимах, изучалась при разных рН и т-рах манометрически (по выделению CO₂ из карбонатных буферных р-ров), спектрофотометрически и колориметрически. Скорость гидролиза следует 1-му порядку относительно кон-ций I и II. Энергия активации гидролиза I в разных буферных р-рах в интервале 20—38° при рН 7,6 составляет 11,6—10,2 ккал/моль. Гидролиз II сильно ускоряется в присутствии пиколонгидроксамовой к-ты и дигидроксиаминацетона (каталитич. константы при 38° 1,8 и 5,0 л/моль мин соответственно), а с увеличением рН в основном замедляется. Скорость гидролиза не меняется в присутствии вероната, в то время как буферные р-ры на основе фталата, бората и глицина ускоряют р-цию. Свойства изолированных I и II не полностью соответствуют свойствам ацилированных диалкилфосфорилированных активных центров холин-эстеразы.

31773. Кинетические изотопные эффекты C¹⁴ в реакциях нуклеофильного замещения. Бендер, Хог (Carbon-14. kinetic isotope effects in nucleophilic substitution reactions. Bender Myron L., Hoeg Donald F.), J. Amer. Chem. Soc., 1957, 79, № 21, 5649—5654 (англ.)

При 25° константы скоростей равны (л/моль/сек) для р-ций C¹⁴H₃J с триэтиламином (I) в бензольном р-ре 0,00145, с OH⁻ в 50%-ном водн. р-ре диоксана

0,000238, с пиридином (II) в бензольном р-ре 0,0000175 и с Ag⁺ в водн. р-ре этанола 0,013; изотопные эффекты углерода (k_{12}/k_{14}) для тех же р-ций: с I 1,102, с OH⁻ 1,088, с II 1,142, с Ag⁺ 1,086. Теоретич. расчет изотопных эффектов для обоих механизмов нуклеофильного замещения: с разрывом (S_N1) и без разрыва (S_N2) связей в переходном состоянии, дает результаты, различающиеся на $\leq 3\%$.

31774. Кинетика некоторых органических реакций, проводимых при повышенных давлениях. Хаман, Теплицкий (The kinetics of some organic reactions under pressure. Hamann S. D., Teplitzky D. R.), Disc. Faraday Soc., 1956, № 22, 114—121 (англ.)

Изучено влияние давления p на скорость р-ций присоединения йода к аллиловому спирту (1), брома к стильбену (2) и на скорость трех р-ций Меншуткина C₆H₅N(CH₃)₂ + CH₃J (или C₂H₅Br, или C₂H₅I). Предполагается, что р-ции (1) и (2) протекают через образование ионного переходного состояния и поэтому увеличение p должно их ускорять. Р-ция (1) проводилась в р-рителях H₂O и CH₃NO₂ при 0°. В водн. — $-d[I_2]/dt = k_1[I_2][A]$, где $[A]$ — кон-ция спирта. k_1 увеличивается в 4,5 раза при изменении p от 1 до 3000 атм. В CH₃NO₂ — $-d[I_2]/dt = k_1'[I_2][A]$, k_1' увеличивается в ~ 9 раз при увеличении p от 1 до ~ 2500 атм. Р-ция (2) проводилась в CH₃OH при 0°. Найдено — $-d[Br_2]/dt = k_2 \cdot [Br_2][\text{стильбен}]$ и растет в ~ 6 раз при увеличении p от 1 до 3000 атм. Р-ции Меншуткина (25°) ускоряются в сотни раз при увеличении p от 1 до 15 000 атм. Замена CH₃J на C₂H₅J еще больше увеличивает влияние p на скорость р-ций. С. Полин

31775. Термическое изучение реакции между фенолом и формальдегидом. Влк (Eine thermochemische Studie der Reaktionen zwischen Phenol und Formaldehyd. Vlk Oldřich), Plaste und Kautschuk, 1957, 4, № 4, 127—129, 163 (нем.)

Значения энергии активации (ккал/моль) р-ции фенола (I) с формальдегидом (II) при мол. отношениях I:II 1:0,8; 1:1,25; 1:1,5 и 1:2 равны соответственно при катализаторе HCl и т-ре 76—86°, 20; 20,4; 23,7; 23,5; при катализаторе NH₃ и т-ре 80—86° 16,9; 17,5; 18,5; 18,2. Теоретич. значение теплового эффекта р-ции I с II равно 23,5 ккал/моль и складывается из теплоты присоединения (4,8 ккал/моль) и теплоты конденсации (18,7 ккал/моль). Максим. значение теплового эффекта р-ции I с II наблюдается при мол. отношении I:II = 1:0,84, что совпадает с данными других авторов (РЖХим, 1954, 21385).

31776. Холодные пламена при окислении бутана. Бардуэлл (Cool flames in butane oxidation. Bardwell J.), 5th Sympos. (Internat.) Combust. 1954. New York, Reinhold Publ. Corp., 1955, 529—534 (англ.)

Определены области медленного окисления, воспламенения и холодных пламен (одного или нескольких) (XII) при окислении n -бутана. В области 5 XII частота возникновения XII экспоненциально зависит от т-ры и изменяется при изменении давления бутана и O₂. Кон-ция перекисей сильно увеличивается в 1-м XII и падает во 2-м XII. Альдегиды накапливаются на протяжении всей р-ции. Добавки CH₃CNO снижают период индукции τ и не меняют последующую скорость окисления w , добавки CH₃O увеличивают τ и w . При добавках инертных газов 2-е XII не наблюдается.

31777. Воздействие добавок углеводородов на кон-центрационные пределы распространения пламени в газовых смесях, содержащих водород. Блюмберг Э. А., Васильев В. И., Эмануэль Н. М.

Изв. АН СССР. Отд. хим. н., 1957, № 10, 1172—1180
Изучено действие различных ингибиторов на кон-центрационные пределы распространения пламени

(РП) в горючих смесях (комнатная т-ра, давл. 760 мм рт. ст.) в стеклянных сферич. сосудах диам. 8 см при поджигании смесей высоковольтной искрой. По мере разбавления смесей H_2 -воздух азотом область РП сужается, и при добавке 65% N_2 РП прекращается независимо от соотношения между H_2 и воздухом. Добавка 10% CCl_4 сужает область РП и снижает кол-во N_2 , необходимое для полного пассивирования смесей H_2 -воздух, с 62 до 42%. Добавки CH_4 , C_2H_6 , $n-C_4H_{10}$, $iso-C_4H_{10}$ и C_6H_6 значительно снижают величину верхнего концентрационного предела РП смесей H_2 -воздух. Ингибирующее действие C_2H_6 на смеси H_2-Cl_2 и H_2-NO одинаково и значительно слабее, чем на смеси H_2 -воздух. При ингибировании смесей H_2 -воздух добавками углеводородов ингибирующее действие добавок возрастает с конц-ией ее лишь до некоторой предельной величины. Такая предельно ингибированная смесь H_2 -воздух, по мнению авторов, адрикатна смеси воздух углеводород, пассивированной H_2 ; обнаружено, что смеси углеводород-воздух полностью пассивируются одинаковыми добавками H_2 и N_2 . По мнению авторов, ингибирующее действие углеводородов обусловлено не изменением тепловых параметров системы, а взаимодействием молекул углеводорода с активными центрами (H, OH) цепной р-ции в зоне пламени; при больших добавках углеводородов цепная разветвленная р-ция окисления H_2 практически полностью заторможена; по мере дальнейшего увеличения добавок решающую роль начинает играть прение добавленного углеводорода, а H_2 в этом случае выступает в качестве инертного разбавителя.

Г. Королев

31778. Исследование диффузионных пламен. I. Диффузионное пламя метана. II. Диффузионные пламена некоторых простых спиртов. Смит, Гордон. III. Диффузионные пламена бутанолов. Смит, Гордон, Хант (Studies of diffusion flames. I. The methane diffusion flame. II. Diffusion flames of some simple alcohols. Smith S. Ruven, Gordon Alvin S. III. The diffusion flames of the butanols. Smith S. Ruven, Gordon Alvin S., Hunt Maynard H.), J. Phys. Chem., 1956, 60, № 6, 769—763; № 8, 1059—1062; 1957, 61, № 5, 553—558 (англ.)

I. Масс-спектрометрически определялся состав продуктов диффузионного пламени (ДП) CH_4 . Распределение т-ры в ДП измерялось с помощью Pt—Pt—Rh-термопар — без покрытия и с кварцевым покрытием. По мере удаления от оси ДП к его краю снижаются конц-ии углеводородных компонентов — CH_4 , C_2H_6 , C_4H_{10} и метилацетилена; конц-ии C_2H_2 и CO проходят через максимум; конц-ии CO_2 и N_2 возрастают. Данные анализы указывают на быстрый пиролиз CH_4 во внутренней зоне ДП. Низкая конц-ия H_2 , не соответствующая убыли CH_4 , объясняется диффузией H_2 из зоны пиролиза в зоны с избытком O_2 . Константы равновесия водяного газа, рассчитанные по составу продуктов, соответствуют т-рам, превышающим непосредственно измеренные на 300—400° по оси ДП и на 125—200° у края, что указывает на отсутствие полного равновесия в ДП. Следы CH_2O , обнаруженные в ДП, не оказывают влияния на превращение CH_4 ; авторы предполагают, что оно происходит с участием O_2 и свободных радикалов.

II. Исследовались пламена CH_3OH , C_2H_5OH , $n-C_4H_9OH$ и $iso-C_4H_9OH$. Так же, как в пламенах углеводородов, сгорание начинается с пиролиза, первичными продуктами которого в данном случае являются альдегиды, кетоны и углеводороды. Далее происходит распад этих в-в до CO , H_2 и C и окисление последних до конечных продуктов. В пламени CH_3OH не образуется C. Авторы предполагают, что инициирование осу-

ществляется радикалами, диффундирующими из более горячих зон пламени.

III. Исследовались ДП жервичного, вторичного, третичного и изо-бутанолов. Наблюдаемая последовательность образования различных продуктов рассматривается как подтверждение того, что горение в ДП инициируется окислительным крекингом спирта с последующим пиролизом продуктов и образованием CH_2O и свободных радикалов H, OH и CH_3 . А. Соколик 31779. Гашение пламен пылеобразными веществами. Буше, Дельбурго, Лаффитт (Sur l'extinction des flammes par les substances pulvérisées. Bouchet Robert, Delbourgo Ralph, Laffitte Paul), C. r. Acad. sci., 1956, 242, № 17, 2152—2154 (франц.)

Исследовалось тушащее действие (ТД) солей Na и K на пламена смесей CH_4 и C_2H_6 с воздухом. ТД солей Na при больших размерах частиц (100—75 μ) меньше, чем ТД солей K; с уменьшением размеров частиц разница в ТД уменьшается. Для частиц < 25 μ ТД обеих солей почти одинаково. ТД оксалатов даже при крупных частицах гораздо сильнее, чем ТД других солей с самыми мелкими частицами. А. Борисов

31780. Измерение давления в точке Жуге для взрывчатых веществ. Дил (Measurement of Chapman—Jouguet pressure for explosives. Deal W. E.), J. Chem. Phys., 1957, 27, № 3, 796—800 (англ.)

Путем измерения скорости алюминиевых пластин, отлетающих от свободной поверхности ВВ, определены давления в точке Жуге (10^3 атм): для гексогена (плотность 98% от плотности кристалла) 338, для ТНТ (плотность 99% от плотности кристалла) 189, для состава Б (64% гексогена и 36% ТНТ) 292. А. Борисов 31781. Фронт детонационной волны при идеальной и неидеальной детонациях. Кук, Хорсли, Киз, Партридж, Урзенбах (Detonation wave fronts in ideal and nonideal detonation. Cook Melvin A., Horsley G. Smoot, Keyes Robert T., Partridge William S., Urzenbach Wayne O.), J. Appl. Phys., 1956, 27, № 3, 269—277 (англ.)

Получены формы фронта детонационных волн для большого кол-ва детонирующих зарядов твердых ВВ (насыщенных, прессованных и плавящихся, без оболочек или в тонких бумажных и целлофановых оболочках) при различных диаметрах d , длинах L и плотностях зарядов. Фронт оказался частью сферы, радиус которой (при малых L) равен L ; детонационная волна в этом случае нестационарна. При увеличении радиуса происходит переход от сферич. распространения волны к стационарному с искривленным фронтом и постоянным радиусом кривизны. А. Борисов

31782. Чувствительность ВВ к чистым ударным волнам. Гей, Беннет (Sensitivity of explosives to pure shocks. Gey William A., Bennet Arthur L.), J. Chem. Phys., 1955, 23, № 10, 1979—1980 (англ.) Взрыв ВВ, помещенного в торце ударной трубки, инициировался отраженными ударными волнами. Время от момента прихода на торец ударной волны до прихода волны разрежения изменялось от 60 до 120 мсек, для чисел Маха 5—7. Исследованы стифнат свинца (I), 4,6-динитробензол-2-диазо-1-оксид (II), тетрацен, нитрозогуанидин, азид свинца, нитроглицерин; наиболее чувствительны I и II. Чувствительность не зависит от площади ВВ, воспринимающей волну, но зависит от плотности ВВ. Иницирование всегда происходило в момент прихода ударной волны на торец. А. Борисов

31783. Мгновенная рентгеновская съемка для исследования передачи детонации предохранительных взрывчатых веществ. Аренс, Эйц (Röntgenblitzaufnahmen zur Untersuchung der Detonationsübertragung bei Wettersprengstoffen. Ahrens Hans,

Eitz Ernst), Z. Elektrochem., 1957, 61, № 5, 635—642. Diskuss., 642 (нем.)

Описана методика съемки явлений, происходящих при передаче детонации от стандартных зарядов в смеси порошкообразных ВВ состава NH_4Cl -нитроглицерин. Авторы считают, что энергия инициирующего заряда расходуется на сжатие слоя в-ва, на отражение волны от этого слоя в продукты детонации инициатора и на возбуждение новой детонационной волны в исследуемом в-ве.

31784. Измерение скоростей и формы детонационных волн при разных диаметрах зарядов и определение скоростей реакции в ТНТ. Кук, Хорсли, Партридж, Урзенбах (Velocity-diameter and wave shape measurements and the determination of reaction rates in TNT. Cook Melvin A., Horsley G. Smoot, Partridge W. S., Urzenbach W. O.), J. Chem. Phys., 1956, 24, № 1, 60—67 (англ.)

Для зарядов насыпного ТНТ низкой плотности с различными размерами зерен получены зависимости скорости детонации D и формы волны или радиуса кривизны от диаметра заряда d (в пределах от крит. $d_{\text{кр}}$ до миним. d , при котором возможна детонация с максим. теоретич. скоростью). Радиус кривизны изменялся от $0,7 d$ при $d_{\text{кр}}$ до $1,9 d$ при $d = 20$ см для самого крупнозернистого ТНТ. Авторы считают, что р-ция в детонационной волне протекает по модели поверхностного выгорания зерен ВВ (Eyring и др., Chem. Revs., 1949, 45, 16). Зоны р-ции, вычисленные по модели сошла и искривленного фронта, в 10—20 раз меньше величин, измеренных по изменению давления и вычисленным из экстраполяции данных по изотермич. разложению. Авторы предлагают геометр. модель детонации, согласующуюся с эксперим. данными по определению длины зоны р-ции и зависимости D от d . Константа скорости р-ции, полученная из геометр. модели и коволюмного ур-ния состояния, совпадает с константой, полученной экстраполяцией данных по изотермич. разложению ТНТ.

31785. Кинетика окисления пиролитического углерода. Чжэн Мэй-цзюэ, Кристенсен, Эйринг (Kinetics of the oxidation of pyrolytic carbon. Chen Mei Chio, Christensen Carl J., Eyring Henry), J. Phys. Chem., 1955, 59, № 11, 1146—1148 (англ.)

Слой пиролитич. углерода толщиной $2 \cdot 10^{-4}$ см, нанесенный на керамич. цилиндр, нагревали в струе O_2 при 350—550°. Скорость окисления углерода регистрировалась по изменению электропроводности углеродного покрытия. Окисление следует 1-му порядку по давлению O_2 ; энергия активации 21 ккал/моль, энтропия активации равна —28 энтр. ед. Авторы предполагают, что адсорбированный на поверхности углерода O_2 образует промежуточные комплексы с активными центрами поверхности, или находящиеся в равновесии с исходными в-вами, или мгновенно превращающиеся в конечные продукты (CO и CO_2).

31786. Неисследованная область: поверхность реагирующего твердого тела. Андерсон (Terra incognita: the surface of a reacting solid. Anderson J. S.), Austral. J. Sci., 1957, 19, № 3a, p27—p33 (англ.) Вступительный доклад на секции химии XXXII собрания Австралийской и Новозеландской ассоциации по развитию науки 16—23 января 1957 г.

31787. Термическое разложение гексагидрата трифосфата натрия. Зеттлмейер, Шнейдер, Андерсон, Фукс (The thermal decomposition of sodium triphosphate hexahydrate. Zettlemoyer A. C., Schneider C. H., Anderson H. V., Fuchs R. J.), J. Phys. Chem., 1957, 61, № 7, 991—994 (англ.)

При 85—120° изучена кинетика термич. разложе-

ния порошка $\text{Na}_5\text{P}_3\text{O}_{10} \cdot 6\text{H}_2\text{O}$ с диаметрами частиц $< 0,05$ мм. Состав продуктов р-ции определялся химически и рентгенографически. Р-ция следует 1-му порядку. При 95—105° образуется $\text{Na}_2\text{P}_2\text{O}_7$, при 110—120° — $\text{Na}_3\text{HP}_2\text{O}_7 \cdot \text{H}_2\text{O}$. Энергия активации E при т-рат < 105 —110° 41,5, при более высоких т-рат 18,4 ккал/моль. Изменение скорости р-ции при 110° по мнению авторов, может быть связано с изменением скорости диффузии выделяющихся молекул воды через кристалл.

31788. Структура и стабильность неорганических азидов. Эванс, Иоффе (Structure and stability of inorganic azides. Evans B. L., Yoffe A. D.), Proc. Roy. Soc., 1957, A238, № 1215, 568—574 (англ.)

Проведено качеств. сопоставление термич. стабильности и кристаллич. структуры азидов и изоэлектронных с ними цианатов, тиоцианатов и фульминатов К, Mg и Ag. Для всех исследованных соединений стабильность убывает по мере возрастания ионизационного потенциала металла.

31789. О механизме окисления металлов. Вермилли (On the mechanism of the oxidation of metals. Vermilyea D. A.), Acta metallurgica, 1957, 5, № 9, 492—495 (англ.; рез. франц., нем.)

Автор предполагает, что при низкотемпературном окислении металла образование катионнопроводящего окисла происходит только на поверхности раздела окисел — атмосфера. Показано, что в пленках окисла с преобладающей катионной проводимостью почти не должны появляться напряжения, т. е. не должно выполняться правило Пиллинга—Бедворса, а в металл. основе не должны возникать поры и вакансии. Скорости окисления на различных гранях кристаллов различны. Аналогичные заключения автор делает и относительно металлов, образующих окислы с преобладающей анионной проводимостью, для которых, по его мнению, тоже не должно выполняться правило Пиллинга — Бедворса.

31790. Окисление сульфида таллия (1+). VI. Химизм и кинетика окисления при повышенных температурах. Рёйтер, Леви (Über die Oxidation des Thallium(1)-sulfids. VI. Chemismus und Kinetik der Oxidation bei höheren Temperaturen. Reuter Bertold, Levi Hans Wolfgang), Z. anorgan. und allgem. Chem., 1957, 291, № 5-6, 239—253 (нем.)

Изучено окисление Tl_2S (I) кислородом при 250° и давлении O_2 100—200 мм рт. ст. Окисление протекает в первые 10—30 мин. с большой скоростью, затем скорость резко уменьшается и процесс практически останавливается задолго до полного окисления I. Продолжительность периода быстрого окисления и кол-во поглощенного при этом O_2 для различных образцов I различны. Конечным продуктом окисления I является Tl_2SO_4 (II). Рентгенографически установлено, что в начальный период окисления образуются заметные кол-ва Tl_2SO_2 (III); одновременно аналитически обнаружено значительное содержание в продукте ионов SO_3^{2-} , образование которых следует приписать, по мнению авторов, взаимодействию III с H_2O в условиях анализа. При кратковременном окислении I при 200° установлено образование Tl_2O (IV) и Tl_2SO_3 (V). На основании полученных результатов сделан вывод, что окисление I при 250° в основном происходит через промежуточное образование IV и V, которые, взаимодействуя между собой с большой скоростью, дают III, окисляющийся более медленно в II. Авторы приходят к выводу, что лимитирующей стадией окисления I при 250° является адсорбция O_2 на его поверхности. Предыдущее сообщение см. РЖХим. 1955, 5300.

31791. Реакция кислотных газов со стеклом пирекс. Богс, Райан, Пик (The reaction of acid gases

with pyrex glass. Boggs James E., Ryan Lynda L., Peek Laurel, J. Phys. Chem., 1957, 61, № 6, 825—827 (англ.)

Найдено, что газообразный HBr реагирует со стеклом сорта пирекс 7220 с образованием слоя NaBr на поверхности стекла. При давлении HBr 50 мм рт. ст. измерены константы скорости при 300—400°. Энергия активации этой р-ции 17 ккал/моль. При тех же условиях не удалось обнаружить заметной р-ции H₂S, SO₂ или CH₃Cl со стеклом указанного сорта. Авторы предлагают следующий механизм р-ции HГ (Г — галогид) со стеклом. HГ растворяется в слое воды, прочно адсорбированной стеклом, с образованием ионов H₃O⁺ и Г⁻. Протоны из ионов H₃O⁺ диффундируют в глубь стекла, с той же скоростью в противоположном направлении диффундируют ионы Na⁺. При достаточно высоком содержании ионов H₃O⁺ скорость р-ции лимитируется скоростью диффузии ионов Na⁺ и, следовательно, не должна зависеть от давления HГ. Эксперимент подтвердил этот вывод. По мнению авторов, проведенные ими опыты по изотопному обмену Cl между HCl и CH₃Cl показывают, что эта р-ция идет через образование слоя NaCl на стенках сосуда. См. также РЖХим, 1958, 7195.

31792. Кинетика пирогидролиза фторида кальция и флюорита в динамических условиях. Михайлов М. А., Изв. вост. фил. АН СССР, 1957, № 9, 64—68
Изучена кинетика пирогидролиза фтористого кальция и флюорита в динамич. условиях при 1050—1250°. При 1250° р-ция пирогидролиза флюорита описывается кинетич. ур-нием Колмогорова — Ерофеева со значением n , близким к единице. С понижением t -ры сокращается область применимости этого ур-ния, причём для конечной части процесса наблюдаются отклонения в сторону возрастания величины n . Последнее вызвано влиянием твёрдого продукта р-ции, которое особенно сказывается при низких t -рах.

Резюме автора

31793. Адсорбция газов на смешанном Cu — MgO-катализаторе. Поттер, Сасман (Gas adsorption on a copper-magnesia catalyst. Potter Charles, Susman M. V.), Industr. and Engng Chem., 1957, 49, № 10, 1763—1768 (англ.)

При 0°; 56; 100° и давл. 28—793 мм рт. ст. объёмным методом изучена адсорбция C₂H₆, C₃H₈, C₃H₆, C₂H₄, n-C₄H₁₀ и H₂ на смешанном катализаторе Cu—MgO (в восстановленном (активном) и окисленном (неактивном) состояниях). Адсорбционная способность снижается с уменьшением числа атомов C; менее всех адсорбируется H₂. Результаты соответствуют физ. адсорбции. Хим. адсорбция непредельных углеводородов не наблюдалась. Почти все эксперим. данные лучше всего укладываются в ур-ние изотермы Фрейндлиха, но удовлетворительно согласуются также с ур-ниями Поляни, Лангмюра и Брунауэра — Эммета — Теллера. Изотермы адсорбции углеводородов и вычисленные из них величины уд. поверхности мало изменяются при переходе от восстановленного к окисленному состоянию катализатора; адсорбция H₂ при этом уменьшается на 95%. Изотермные теплоты адсорбции не согласуются с величинами, вычисленными ранее из кинетич. данных. Авторы указывают, что адсорбционная ёмкость и уд. поверхность не могут служить для характеристики активности катализаторов. С. Киперман

31794. Активирование молекул на поверхности катализаторов. I. Хемосорбция простых молекул. Зурман, Ведлер (Die Aktivierung von Molekeln an Katalysator-Oberflächen. I. Chemisorption einfacher Molekeln. Suhrmann R., Wedler G.), Umschau, 1957, 57, № 19, 583—585 (нем.)

Кратко изложены результаты измерений изменения сопротивления тонких Ni-пленок при адсорбции на

них H₂, O₂, CO, H₂O и CO₂. Полученные данные позволяют, по мнению авторов, сделать вывод, что в основе активирования молекул при гетерог. катализе лежит электронное взаимодействие между адсорбированными молекулами и поверхностью катализатора; в каждом частном случае можно установить направление смещения электронов, обусловленного этим взаимодействием.

М. Сахаров

31795. Исследование связи между электропроводностью, адсорбционными и сенсibiliзирующими свойствами окиси цинка. I. Электронные явления в ZnO при адсорбции кислорода. II. Электронные явления в ZnO при каталитических и фотокаталитических процессах в газовой фазе. Мясников И. А., Ж. физ. химии, 1957, 31, № 8, 1721—1731; № 9, 2005—2011 (рез. англ.)

I. Изучена связь между электропроводностью (σ) тонких поликристаллич. плёнок ZnO (I) и адсорбцией на них O₂ при 250—600° и давлениях O₂ (P_{O_2}) 10⁻³—1 мм рт. ст. Показано, что зависимость между равновесной σ и P_{O_2} имеет вид $(\sigma/\sigma_0)^2 = k/P_{O_2}$, где k — константа, σ_0 — электропроводность образца I до впуска O₂. σ изменяется со временем (t) при адсорбции O₂ по закону $\sigma_0/\sigma = k_1 t + \text{const}$, при десорбции — по закону $\ln(1 - \sigma/\sigma_0) = -k_2 t + \text{const}$, где k_1 и k_2 — соответственно кинетич. постоянные адсорбции и десорбции. Энергии активации адсорбции и десорбции O₂, по данным измерений σ , равны соответственно 8 и 23 ккал. Теплота адсорбции, рассчитанная из кинетич. данных, равна 15 ккал/моль, рассчитанная из данных по равновесию, 12—14 ккал/моль. Автор предполагает, что элементарный акт хемосорбции O₂ состоит в связывании молекулами O₂ свободных электронов I и ионов Zn²⁺ с образованием нестойкого поверхностного соединения (Zn+O₂-) и что при хемосорбции O₂ на ZnO адсорбционные силы имеют электростатич. характер.

II. Показано, что при фотодесорбции O₂ с I закономерности для зависимости электропроводности (σ) от интенсивности освещения и для кинетики фотопроводимости I аналогичны закономерностям, найденным ранее (Mollwo A., Ann. Phys., 1948, 3, 223, 240) для собственной фотопроводимости I. По мнению автора, в основе фотодесорбции O₂ с I и собственного фотоэффекта I лежит один и тот же механизм (возможно, экситонный) передачи световой энергии к примесным донорным центрам Zn²⁺ и (Zn+O₂-). Линейная зависимость между относительным изменением σ и относительным изменением каталитич. активности I при дегидрировании *изо*-C₃H₇OH в смеси с малыми добавками O₂, а также результаты, приведенные в части I, по мнению автора, указывают, что и хемосорбция, и катализ на I происходят на центрах, ответственных за электропроводность. Высказано предположение, что такими центрами являются свободные электроны и ионы Zn²⁺, образующиеся при диссоциации примесных атомов Zn.

М. Сахаров

31796. Стехиометрическое число и теория стационарных реакций. Хориути, Накамура (Stoichiometric number and the theory of steady reaction. Horiuti Juro, Nakamura Takashi), Z. phys. Chem. (BRD), 1957, 11, № 5-6, 358—365 (англ.)

В общем виде рассмотрены условия протекания р-ций, состоящих из S стадий, в которых образуются I независимых друг от друга промежуточных соединений. Условие осуществления P направлений р-ции выражается соотношением $P = S - I$, аналогичным, как отмечают авторы, правилу фаз. Авторы обобщают введенное ранее (Horiuti, Ikusima, Proc. Imp. Acad. Japan, 1939, 15, 39; Horiuti, J. Res. Inst. Catalysis, Hokkaido Univ., 1948, 1, 8) понятие стехиометрич. числа р-ции, определяя его как геометрич. сумму векторов — стехиометрич. чисел, относящихся к отдельным воз-

можным направлениям р-ции. Линейная комбинация R таких векторов дает вектор, компонентами которого являются скорости S стадий в стационарном состоянии. В качестве примера рассмотрены р-ции разряда ионов водорода на электродах, каталитич. синтеза NH_3 , разложения ацетальдегида, катализируемого J_2 , взаимодействия H_2 с Cl_2 и O_2 . С. Киперман

31797. Точный метод определения относительных адсорбционных коэффициентов. Баландин А. А., Изв. АН СССР. Отд. хим. н., 1957, № 7, 882—883. Письмо редактору

31798. Определение числа свободных мест на поверхности носителя $Al(OH)_3$. Краузе, Зелинский, Возничек (O oznaczaniu liczby miejsc aktywnych na powierzchni nosnika $Al(OH)_3$. Krause Alfons, Zielinski Stanislaw, Wozniczek Henryk), Roczn. chem., 1956, 30, № 4, 1103—1110 (польск.; рез. нем.)

Найдено, что катализатор $Al(OH)_3-Co^{2+}$ очень активен при окислении индигокармина перекисью водорода при 37°. Активность ионов Co^{2+} возрастает с увеличением массы носителя $Al(OH)_3$. Определены максимум активности и величина поверхности и вычислено число активных мест на поверхности. Резюме авторов

31799. О реакционной способности поверхностных активных центров. Иодко (O reaktywności miejsca czynnego powierzchni. Iodko Czesław), Roczn. chem., 1956, 30, № 4, 1207—1212 (польск.; рез. англ.) Обсуждаются вопросы реакционной способности активных центров на поверхности; приведены примеры. Резюме авторов

31800. Разложение перекиси водорода в паровой фазе на относительно инертных поверхностях. Саттерфилд, Стейн (Decomposition of hydrogen peroxide vapor on relatively inert surfaces. Satterfield Charles N., Stein Theodore W.), Industr. and Engng Chem., 1957, 49, № 7, 1173—1180 (англ.)

Изучено разложение пара H_2O_2 в смеси с водяным паром при парц. давлении пара H_2O_2 0,02—0,04 атм в струевой установке на инертных поверхностях: стеклах разных сортов, различных полимерах (тефлон, метилтрихлорсилан и др.), некоторых металлах (M) (Al, Ta, Sn) и различных сталях. М при 150° на 1—2 порядка активнее стекла или полимеров при 215°. Кварц, окисл. бора и боросиликатное стекло наименее активны. Значительно активнее сорта стекол, содержащие Na, K, Ca и, особенно, Pb. Введение в поверхностный слой боросиликатного стекла ионов Na^+ повышает их активность, и, наоборот, обработка стекол, содержащих ионы M, к-тами (для удаления ионов M из поверхностного слоя) приводит к снижению каталитич. активности. Величины энергий активации, найденные для ряда стекол при 180—250°, изменяются от 3,5 до 10 ккал/моль. При т-рах < 150° скорость р-ции возрастает с уменьшением т-ры, что авторы объясняют многослойной адсорбцией H_2O_2 при низких т-рах. По мнению авторов, разложение H_2O_2 протекает по одному из следующих двух возможных механизмов: 1) взаимодействие адсорбированных радикалов OH с молекулярно адсорбированной H_2O_2 ; 2) взаимодействие адсорбированных радикалов OH с молекулами H_2O_2 в газовой фазе. В. Фролов

31801. О каталитическом разложении перекиси водорода под действием твердых катализаторов. П. Коларов (Върху каталитичното разпадане на водородния прекис посредством твърд катализатор. П. Коларов Н.), Изв. Хим. ин-т. Българ. АН, 1956, 4, 79—93 (болг.; рез. русск., нем.)

Изучено влияние посторонних ионов и рН р-ра на скорость разложения H_2O_2 (v) под действием Ag- и MnO_2 -катализаторов при начальных конц-ях H_2O_2 0,08—0,32%. Тормозящее действие анионов, добавлен-

ных в виде калиевых солей, на (v) в присутствии Ag падает в ряду $Br^- > CNS^- > Cl^-$. Катионы по величине тормозящего действия располагаются в ряд $K^+ < Ba^{2+} < Ca^{2+} < Mg^{2+}$ для Ag и в ряд $K^+ < Mg^{2+} < Ba^{2+} < Ca^{2+}$ для MnO_2 . С увеличением рН возрастает в интервале рН 4—5 и достигает максимума при рН 11,7; в присутствии MnO_2 v проходит через максимум при рН 0,5, достигает минимума при рН 4,2 и затем монотонно растет с увеличением рН. Полученные результаты обсуждаются с точки зрения электрич. состояния поверхности катализатора и изменения ее под действием к-т и щелочей. Предыдущее сообщение см. Изв. Хим. ин-т. Българ. АН, 1954, 1, 185. М. Сахаров

31802. Кинетика термической активации и дезактивации платиновых катализаторов. Лопаткин А. А., Стрельникова Ж. В., Лебедев В. П., Ж. физ. химии, 1957, 31, № 8, 1820—1824 (рез. англ.)

На примере разложения H_2O_2 изучено изменение каталитич. активности (KA) Pt-черни (K_1) и Pt на силикателе (K_2) в зависимости от времени (t) предварительного прокаливания их при постоянной т-ре. Изотерма KA для K_1 , прокаленного при 200°, с изменением t от 0 до 8 час. проходит через ряд максимумов и минимумов, обнаруживая нестационарное состояние K_1 при этой т-ре, причем в точках максимумов KA выше KA исходного K_1 . При т-рах прокаливания 350 и 400° KA K_1 , резко уменьшаясь с увеличением t, уже после 1 часа прокаливания достигает стационарного значения. Изотермы KA для K_2 различных степеней заполнения (0,0038—0,04) в интервале т-р прокаливания 350—590° при t ≤ 12 час. имеют характер, аналогичный характеру изотермы KA для K_1 , снятой при 200°. Лишь для K_2 со степенью заполнения 0,001 KA не изменяется с увеличением t. При t 48—80 час. KA K_2 , по-видимому, достигает постоянного значения, равного KA исходного K_2 , не подвергавшегося прокаливанию. Из полученных результатов авторы делают вывод, что носитель препятствует термич. дезактивации катализатора. М. Сахаров

31803. Смешанные гидроокисные катализаторы. I. Двухкомпонентные гидроокисные катализаторы разложения гипохлорита кальция. Прокопчик А. Ю., Норкус П. К., Лунецкас А. М., Ж. физ. химии, 1957, 31, № 7, 1547—1554 (рез. англ.)

Изучена р-ция $Ca(ClO)_2 = CaCl_2 + O_2$ в водн. р-ра при 20—80° и рН 12,5 в присутствии смешанных катализаторов $Ni(OH)_2-Fe(OH)_2$ (K—I) и $Co(OH)_2-Cu(OH)_2$ (K—II) с соотношениями компонентов от 100:0 до 20:80. Активность катализаторов превышает аддитивную активность компонентов и проходит через максимум при соотношениях $Ni(OH)_2:Fe(OH)_2 = 85:15$ и $Co(OH)_2:Cu(OH)_2 = 2:3$. Р-ция протекает по 1-му порядку, энергия активации мало зависит от состава катализаторов и равна (в кал/моль) 17 030—19 060 для K—I и 16 430—17 360 для K—II. Авторы считают, что механизм р-ции не зависит от состава K—I и K—II. С. Киперман

31804. Окислительное хлорирование метана. Крепцель Б. А., Топчиев А. В., Андреев Л. Н., Докл. АН СССР, 1957, 112, № 1, 73—76

В проточной системе при 360—500° в присутствии хлорной меди, нанесенной на пемзу (5—20% $CuCl_2$), изучено окислительное хлорирование CH_4 смесью HCl + воздух, а также смесью Cl_2 + воздух. Катализатор оказался активным уже при содержании $CuCl_2$ 5%. Р-ция начинается при 350°, при 420—440° кол-во прохлорированного CH_4 проходит через максимум (~ 50—60%), часть CH_4 окисляется до CO_2 . Характер процесса не изменяется при замене хлора хлористым водородом; продукт хлорирования содержит ~ 65%

CCl₄. Изучено также окисление HCl в хлор в аналогичных условиях. При изменении объемной скорости от 82 до 215 час.⁻¹ глубина окисления HCl снижается от 98 до 86%; активность катализатора со временем несколько падает, что, по мнению авторов, связано с вымыванием CuCl₂.

31805. Гидрирование бензола в проточной системе под давлением на сплавном скелетном никелевом катализаторе, промотированном железом. Васильева Н. В., Султанов А. С., Алиев Я. Ю., Инаметдинов А. И., УзССР Фанлар Акад. ахбороти. Химия фанлари сер., Изв. АН УзССР. Сер. хим. н., 1957, № 3, 85—88 (рез. узб.)

Найдено, что оптимальными условиями для гидрирования C₆H₆ в C₆H₁₂ в проточной системе на скелетном Ni-катализаторе, промотированном железом (Султанов А. С., Леваневский О. Е., Докл. АН УзССР, 1952, 9, 29), являются: давление H₂ 50 атм, т-ра 120°, скорость подачи C₆H₆ 400 мл/час на 1 л катализатора. Выход C₆H₁₂ достигает 99,44%. Для предотвращения перегрева катализатора рекомендуется работать с 50%-ными смесями C₆H₆ с циклогексаном. В испытанных условиях изомеризации C₆H₁₂ в метилциклопентан практически не наблюдается.

31806. Гидрирование толуола на никель-алюминиевом сплавном скелетном контакте проточным методом. Алиев Я. Ю., Романова И. Б., Монаков М. И., УзССР Фанлар Акад. ахбороти. Химия фанлари сер., Изв. АН УзССР. Сер. хим. н., 1957, № 3, 81—84 (рез. узб.)

Найдены оптимальные условия для гидрирования толуола в проточной системе на скелетном Ni-катализаторе, промотированном железом (Султанов А. С., Леваневский О. Е., Докл. АН УзССР, 1952, 9, 29): давление H₂ 50 атм, т-ра 160°, скорость подачи толуола 200 мл/час на 1 л катализатора. Первоначальная активность катализатора сохранилась после 32 час. работы. Выход метилциклогексана достигал 100%; повышение т-ры до 174—182°, а также снижение т-ры до 118—138°, даме при повышении давления до 120 атм, уменьшали выход до 90%. Снижение давления до 30 атм уменьшало выход до 80%. Авторы рекомендуют вести процесс с 50%-ными смесями толуола и метилциклогексана, во избежание значительных перегревов катализатора.

31807. Кинетика каталитической дегидрогенизации изопропилового спирта в присутствии переходных металлов IV периода. Баландин А. А., Тетени П., Докл. АН СССР, 1957, 115, № 4, 727—730

Изучена кинетика дегидрогенизации изопропилового спирта в присутствии осажденных металлич. Fe, Co и Ni в проточной системе при атмосферном давлении и т-рах 166—247°. Отношения адсорбционных коэф. ацетона и исходного спирта z_2 , а также H₂ и спирта z_3 мало зависят от т-ры в случае Fe и Co (z_2 и z_3 на Fe равны соответственно 0,66—0,71 и 0,05—0,20, на Co 0,45—0,48 и 1,02—1,04); в случае Ni z_2 и z_3 уменьшаются с повышением т-ры: z_2 от 1,51 до 1,00 и z_3 от 0,39 до 0,11. Из зависимости $\lg z_2$ и $\lg z_3$ от $1/T$ на Ni вычислены разности теплот адсорбции ацетона и спирта 3,7 ккал/моль, а также H₂ и спирта 14,5 ккал/моль. С помощью найденных значений z_2 и z_3 вычислены константы скорости р-ции (Баландин А. А., Ж. общ. химии, 1942, 12, 153) и истинные энергии активации, равные в присутствии Fe, Co и Ni соответственно 20 000, 12 400 и 8900 кал/моль.

31808. Влияние строения молекул спиртов на кинетику их дегидрогенизации. Сообщение 1. Спирты C₂—C₃. Сообщение 2. Спирты C₄—C₅. Богданова О. К., Баландин А. А., Щеглова А. П., Изв. АН СССР Отд. хим. н., 1957, № 7, 787—794; 795—800

1. По выделению H₂ определена скорость дегидрогенизации этилового, аллилового, *n*- и изопропилового спиртов на окисном катализаторе (K) при 322—425°. K действует селективно, дегидратации изученных спиртов практически не происходит. Показано, что относительные адсорбционные коэф. альдегидов (и ацетона) уменьшаются при повышении т-ры. Определены изменения свободной энергии, теплосодержания и энтропии при адсорбционном вытеснении реагентов с активной поверхности K.

2. Исследована кинетика дегидрогенизации *n*-бутилового, изоамилового и β-фенилэтилового спиртов на K. Дегидратации этих в-в на K не происходит. Определены энергии активации (в ккал/моль) дегидрогенизации спиртов: этилового 17,7, *n*-пропилового 15,6, аллилового 17,5, изопропилового 12,8, *n*-бутилового 16,3, изоамилового 12,9, β-фенилэтилового 18,00. Л. Обухова

31809. Усовершенствование установки для проведения каталитических исследований с микроколичествами. Холл, Эмметт (An improved microcatalytic technique. Hall Keith W., Emmett P. H.), J. Amer. Chem. Soc., 1957, 79, № 9, 2091—2093 (англ.)

Приведены краткое описание и принципиальная схема усовершенствованной «микрокаталитической» установки (РЖХим, 1956, 42697). Данные по изучению кинетики гидрогенизации этилена в такой установке, по мнению авторов, показывают, что этот метод имеет ряд существенных преимуществ перед обычными методами изучения каталитич. процессов.

31810. Экспериментальное обоснование цепного механизма гетерогенно-каталитической реакции гидрополимеризации олефинов, протекающей под влиянием окиси углерода и водорода. Ершов Н. И., Эйдус Я. Т., Докл. АН СССР, 1957, 115, № 6, 1126—1128

Для гидрополимеризации олефинов (C₂H₄, C₃H₆, C₄H₈ и C₆H₁₂) в присутствии малых кол-в СО установлено, что число заподимеризованных молекул олефинов на одну прореагировавшую молекулу СО растет с уменьшением конц-ии СО, достигая для C₂H₄ ~ 45 при конц-ии СО 0,1%. С увеличением конц-ии СО скорость р-ции проходит через максимум при 5—6% СО в исходном газе. При значительной конц-ии СО (напр., для смеси 50% C₃H₆ + 25% H₂ + 25% СО) гидрополимеризация олефинов C₃—C₄, так же как и гидрирование их, прекращается. Указанное действие СО, аналогичное действию инициаторов гомог. цепных р-ций, свидетельствует, по мнению авторов, о радикально-цепном механизме р-ции. Прекращение гидрополимеризации при значительной конц-ии СО в реагирующей смеси, так же как и получение постоянных выходов углеводородов, отнесенных к единице объема исходного активного газа при разбавлении его азотом, указывает, по мнению авторов, на гетерогенно-каталитич. характер этой р-ции.

31811. Использование раман-эффекта для измерения скоростей реакций. Шваб, Лоренсен (Anwendung des Raman-Effektes zur Messung von Reaktionsgeschwindigkeiten. Schwab Georg-Maria, Lorenzen Knut), Liebigs Ann. Chem., 1957, 607, № 1-3, 1—9 (нем.)

В циркуляционной установке, сконструированной для измерения с помощью раман-спектров скоростей гетерог. каталитич. р-ций между жидкими реагентами, изучена кинетика р-ции диспропорционирования циклогексена (I) в циклогексан (II) и C₆H₆ на Pd-катализаторе. Конц-ия I в ходе р-ции определялась из отношений интенсивностей наиболее интенсивных рамановских линий I, II и C₆H₆. Установлено тормозящее действие C₆H₆ на скорость р-ции. При 80—70° порядок р-ции близок к 1,5. Энергия активации 35,2 ккал.

М. Сахаров

31812. К теории кипящего слоя. Солчаньи (A fluidizált ágyak elméletéhez. Szolcsányi Pál) Magyar kém. folyóirat, 1957, 63, № 1, 38—39 (венг.; рез. англ.); helyesbítés [поправка], 1957, 63, № 6-7, 200. Предварительное сообщение

31813 Д. Радикальные реакции перекиси бензоила в растворах. Милютинская Р. И. Автореф. дисс. канд. хим. н., Н.-и. физ.-хим. ин-т им. Л. Я. Карпова, М., 1957

См. также раздел Производство катализатора и сорбентов и рефераты: Реакционная способность и строение 32314, 32327, 32336. Кинетика и механизмы р-ций 32333—32335, 32337—32339, 32341, 32342, 32345—32350. Гетерогенный катализ: неорганич. 31964; органич. 32347, 32351, 32352, 32364, 32365, 32373, 32385, 32403. Произ-во и св-ва катализатора 33063, 33402, 33826, 33889, 33891, 33892, 33894. Каталитические процессы 33406, 33425, 33895—33897, 33900, 33901, 33905

РАДИАЦИОННАЯ ХИМИЯ. ФОТОХИМИЯ. ТЕОРИЯ ФОТОГРАФИЧЕСКОГО ПРОЦЕССА

Редактор Х. С. Багдасарьян

31814. Техника исследований фотохимических реакций. Дейвис, Маннинг (Photochemical technique. Davies J. A., Manning P. P.), J. Amer. Chem. Soc., 1957, 79, № 19, 5148—5151 (англ.)

Область конц-ий и длин волн, в которых обычно исследуют фотохим. р-ции, можно увеличить применением зеркал для отражения прошедшего света обратно в реакционную систему. Распределение интенсивности при этом становится более однородным, что позволяет исследовать при более высоких конц-ях р-ции, скорость которых не пропорциональна 1-й степени интенсивности света. Даны теория метода и метод эксперим. определения коэф. отражения зеркала.

Резюме авторов

31815. Фотохимическое образование закиси азота. Грот, Ширхольц (Photochemical formation of nitrous oxide. Groth W. E., Schierholz H.), J. Chem. Phys., 1957, 27, № 4, 973—974 (англ.)

При действии резонансного излучения Хе 1470 и 1295 А на циркулирующую смесь 419 мм рт. ст. N_2 и 7 мм рт. ст. O_2 образуется N_2O . Примерно 0,01% атомов O_2 образующихся по р-ции $O_2 + h\nu \rightarrow O(^1D) + O(^3P)$, реагирует с азотом: $O + N_2 + M \rightarrow N_2O + M$. Полученные результаты важны для истолкования природы возникновения N_2O в атмосфере. Наряду с взаимодействием образующегося O_3 с N_2 в р-цию с последним вступает атомарный O в основном и (или) возбужденном состоянии.

И. Верещинский

31816. Фотохимическое образование аминокислот из смесей простых газов. Грот, Вейссенхофф (Photochemische Bildung von Aminosäuren aus Mischungen einfacher Gase. Groth Wilhelm, Weyssenhoff Hans von), Naturwissenschaften, 1957, 44, № 19, 510—511 (нем.)

При освещении резонансной линией Hg смесей CH_4 , NH_3 , H_2 и паров H_2O в присутствии паров Hg не образуется продуктов р-ции. Если в смеси вместо CH_4 содержится C_2H_6 , то как в присутствии, так и в отсутствие паров Hg образуются большие кол-ва органич. в-в: аминов и аминокислот (гликоколл, аланин и высшие аминокислоты). При действии резонансного излучения Хе (1470 и 1295 А) или Kr (1235 и 1165 А) на смесь 400 мм рт. ст. CH_4 , 150 мм рт. ст. NH_3 и 100 мм рт. ст. H_2O в течение суток при световом потоке $(1-2) \cdot 10^{16}$ квант/сек и т-ре 55° образуются очень малые кол-ва продуктов р-ции.

И. Верещинский

31817. Действие ультрафиолетовых лучей на водные растворы солей железа и хрома. Иванчикова Л. В., Нанобашвили Е. М., Тр. Ин-та химии. АН ГрузССР, 1957, 13, 119—127 (груз.; рез. русск.) Действие УФ-излучения на 0,014 и 0,0012 М р-ры $FeSO_4$ в 0,8 н. H_2SO_4 и на 0,0014 М р-р $FeSO_4$ в 0,08 н. H_2SO_4 приводит к окислению Fe^{2+} . Процесс окисления протекает тем с большим выходом, чем больше разбавлен исходный р-р и чем выше его pH. Действие УФ-лучей на 0,1—0,001 М р-ры $Cr(NO_3)_3$ вызывает окисление $Cr(3+)$ до $Cr(6+)$. pH облучаемых р-ров понижается, уд. электропроводность возрастает, цвет исходного р-ра из зеленого вначале изменяется в синеваато-желтый, а затем в желтовато-оранжевый.

И. Верещинский

31818. Фотоницированное присоединение меркаптанов к олефинам. III. Кинетика присоединения тиофенола к стиролу и октену-1. Паллен, Сивертс (The photoinitiated addition of mercaptans to olefins. III. The kinetics of the addition of thiophenol to styrene and to 1-octene. Pallen R. H., Siverts C.), Canad. J. Chem., 1957, 35, № 7, 723—733 (англ.) Исследовано фотоницированное присоединение тиофенола (I) к октену-1 (II) в р-ре бензола (III) и к стиролу (IV) в р-ре III и циклогексана (V) при 25°. Присоединение I к II является р-цией 1-го порядка как относительно конц-ии I, так и относительно конц-ии II. Р-ция между I и IV протекает по 1-му порядку относительно I и по нулевому относительно IV. Полная энергия активации р-ции I—II в III 1,2 ккал/моль, р-ции I—IV в III 6,3 и в V 2,4 ккал/моль. Указывается, что при аналогичной р-ции I с каким-либо изомером бутена-2 наблюдается *цис-транс*-изомеризация. На основании данных о средней продолжительности жизни свободных радикалов, полученных методом перемежающегося освещения, для системы I—IV рассчитаны константа скорости р-ции $M + SH \rightarrow MH + S \cdot (3 \cdot 10^3 \text{ л/моль сек})$ и константа обрыва реакционных цепей $2 \cdot 10^7 \text{ л/моль сек}$ (M —стирольный радикал, SH—тиофенол. Часть II см. РЖХим, 1956, 64506.

А. Праведников

31819. Исследования *цис-транс*-изомеров шифровых оснований с помощью спектров поглощения. Хиреш, Балог (Untersuchungen über die *cis-trans*-Isomeren von Schiff-Basen auf Grund des Absorptionsspektrums. Hires J., Balog J.), Acta phys. et chem. Szeged, 1956, 2, № 1-4, 87—94 (нем.)

Для выяснения возможности протекания *цис-транс*-изомеризации шифровых оснований при действии УФ-света измерены спектры поглощения р-ров бутилиденбутиламина, изобутилиденбутиламина, бутилиденанилина, бензилиденбутиламина, фенилацетиленбутиламина, бензальанилина, ацетофенонанила, *о*-оксибензальанилина, *п*-нитробензол-*п'*-нитроанилина, *о*-оксибензаль-*п'*-аминобензойного этилового эфира в этаноле и *п*-гексане. Различия в спектрах поглощения р-ров, сохраняемых в темноте, и облученных р-ров не наблюдалось. Изменения, происходящие при длительном стоянии р-ров алифатич. шифровых оснований, связаны с полимеризацией.

И. Верещинский

31820. Необратимое фотовыветание растворов флуоресцирующих красителей. IV. Фотореакция в метаноле, изопропанол-е и кетонах и общий вывод о фотовыветании эозина. Имамюра (Irreversible photobleaching of the solutions of fluorescent dyes. IV. Photoreactions in methanol, isopropanol and ketones, and the general conclusion for the photobleaching of eosine. Imamura Masashi), Bull. Chem. Soc. Japan, 1957, 30, № 3, 249—254 (англ.) Исследовано фотовыветание эозина, происходящее в смесях вода-спирт (метанол, этанол, изопропанол,

и-бутанол) и вода-кетон (ацетон, метилэтилкетон) в присутствии и в отсутствие O_2 . Анализ кинетич. ур-ний, получаемых из зависимостей квантового выхода от молярных долей компонентов в смесях, показывает, что первоначально молекула озона в триплетном состоянии реагирует с O_2 , после чего образующийся комплекс вступает в р-ции с водой. Часть III см. РЖХим, 1958, 20730.

И. Вережинский
31821. К темновой реакции в первичном процессе фотосинтеза. Витт, Морав, Мюллер (Zur Dunkelreaktion im Primärprozeß der Photosynthese. Witt H. T., Moraw R., Müller A.), J. phys. Chem. (BRD), 1957, 13, № 1-2, 113—118 (нем.).

При освещении суспензий *Chlorella* или хлоропластов образуется в-во, имеющее полосу поглощения при 515 мμ (РЖХим, 1956, 50301). В качестве критерия изменения конц-ии этого в-ва принято $\tau_{1/2}$ — время, за которое после прекращения облучения оптич. плотность при 515 мμ уменьшается наполовину. Установлено, что $\tau_{1/2}$ увеличивается при понижении т-ры. $\tau_{1/2}$ уменьшается при более интенсивном первоначальном освещении суспензий. $\tau_{1/2}$ увеличивается при удалении из хлоропластов путем экстракции дистил. водой в-в, способных вступать в темновые р-ции. При добавлении 2,6-дихлорфенолиндифенола $\tau_{1/2}$ уменьшается. После прекращения облучения возрастает поглощение при 420 мμ, что может быть связано с регенерацией психохрома в темновой р-ции.

И. Вережинский
31822. Обратимые фотохимические превращения геммина. Ашкинази М. С., Крюков А. И. (Оборотні фотохімічні перетворення геміну. Ашкіназі М. С., Крюков А. І.), Доповід АН УРСР, 1957, № 4, 368—370 (укр.; рез. русск., англ.).

Освещение светом лампы накаливания спиртового р-ра хлоргемина и р-ра гематина в 1 н. водно-спирт. щелочи приводит к восстановлению гемина. При выпуске воздуха после освещения исходный спектр почти полностью регенерируется. В водн. щел. р-рах гематина восстановления не происходит. Предположено, что в р-ции фотовосстановления железосодержащих производных хлорофилла (РЖХим, 1956, 25216) некоторую роль играют лабильные атомы водорода группы СН в положении 7—8 порфиринового ядра молекулы.

И. Вережинский
31823. Действие видимого света на растворы хлоридов железа. Ашкинази М. С., Крюков А. И., Укр. хим. ж., 1957, 23, № 4, 448—453

Синтезированный хлорид железа, существующий в окисленной (I) и восстановленной (II) формах. В красной области спектра р-ры I и II имеют соответственно максимумы поглощения (в мμ) в спирте 605 и 630, ацетоне 615 и 635, $CHCl_3$ 620 и 638, бензоле 615 и 635. При действии света лампы накаливания на предварительно эвакуированные р-ры I происходит образование II. При выпуске воздуха частично регенерируется исходная форма I. Добавка воды к неводн. р-рам I вызывает значительное изменение спектров поглощения — красный максимум снижается, а в длинноволновом участке появляется дополнительное поглощение. При значительной добавке воды в области 675—680 мμ появляется максимум поглощения вследствие образования мол. соединения. В водн. щел. р-рах, как и в сухих ацетоновых р-рах, содержащих щелочь, имеется полоса поглощения с максимумом при 675 мμ, принадлежащая комплексу I со щелочью. При освещении этого комплекса образуется продукт восстановления с максимумом при 635 мμ. Выпуск воздуха вызывает окисление. Подобие фотореакций с феофорбидом $Fe(3+)$, имеющим циклопентановое кольцо (РЖХим, 1956, 25216), и с I указывает на то, что наличия циклопентанового

кольца не существенно для протекания фотовосстановления.

И. Вережинский
31824. Влияние среды и катализатора на окраску хемилюминесценции люминола. Крох, Калиновская (Wpływ ośrodka i katalizatora na barwę chemiluminescencji luminolu. Kroh Jerzy, Kalinowska Anna), Roczn. chem., 1956, 30, № 4, 1213—1220 (польск.; рез. англ.).

Исследована хемилюминесценция (ХЛ) люминола при окислении H_2O_2 в присутствии гемоглобина (I) или $K_3Fe(CN)_6 + NaClO_4$. Найдено, что максимум ХЛ в присутствии I сдвинут на 6 мμ в сторону коротких волн относительно максимума ХЛ в присутствии $K_3Fe(CN)_6 + NaClO_4$ (собственное поглощение среды исключено). Эти результаты подтверждают выводы, сделанные при исследовании ХЛ люцигенина (РЖХим, 1954, 37463) о влиянии катализатора на длину волны ХЛ и механизм процесса. В обоих случаях катализаторы сдвигают спектр ХЛ в сторону коротких волн.

Н. Wróblowa
31825. О действии длинноволнового УФ-света на флуоресценцию канцерогенных углеводородов в различных растворителях. II. Флуоресценция растворов при различных интенсивностях облучения. Кригель, Херфорт (Über die Einwirkung von langwelligem UV-Licht auf die Fluoreszenz cancerogener Kohlenwasserstoffe in verschiedenen Lösungsmitteln. II. Das Fluoreszenzverhalten der Lösungen bei verschiedenen Bestrahlungsintensitäten. Kriegel Heinz, Herforth Lieselott), Z. Naturforsch., 1957, 12b, № 1, 41—45 (нем.).

При длительном действии УФ-света на 6 μ/cm^3 р-ры канцерогенных в-в, 9,10-диметил-1,2-бензантрацена и 3,4-бензпирена, в бензоле и ацетоне, флуоресценция этих р-ров уменьшается. При интенсивностях УФ-света $1 \cdot 10^3$ и $6,6 \cdot 10^3$ эрг/см² сек уменьшение флуоресценции не зависит от интенсивности и определяется общей дозой. Так как р-ры исследуемых канцерогенных углеводородов, подвергнутые облучению в сухом состоянии, не обнаруживают пониженной флуоресценции, то авторы заключают, что р-ритель принимает участие в фотохим. разложении молекул растворенных в-в. Часть I см. РЖХим, 1958, 7680.

В. Кронгауз
31826. Исследования флуоресцирующих продуктов присоединения инсулина. Стейнер, Мак-Алистер (Studies upon fluorescent insulin conjugates. Steiner R. F., McAlister Archie), J. Colloid Sci., 1957, 12, № 1, 80—98 (англ.).

Измерены длительность жизни в возбужденном состоянии и степень поляризации флуоресцирующих продуктов присоединения инсулина к 1-диметиламинафталин-5-сульфокислоте. Сопоставлены времена релаксации в разных средах.

И. Вережинский
31827. Действие электронного удара на некоторые производные нормального пентана. Д'Ор, Хейнс, Моминьи (Comportement de quelques dérivés du pentane normal sous l'impact électronique. D'Or L., Heyns H., Mominji J.), Bull. Soc. chim. belges, 1957, 66, № 7-8, 512—524 (франц.; рез. англ.).

Для сравнения влияния природы заместителей на поведение нормальной алифатич. цепи при электронном ударе исследованы масс-спектры 1-хлор-, 1-бром-, 1-йодпентана, 1-пентанола и 1-пентиламина при различных ускоряющих потенциалах электронов (8,7—70 в). Для изучения влияния положения заместителя на характер разрыва при электронном ударе измерены масс-спектры 2-бром- и 3-бромпентана. Приведены масс-спектры перечисленных соединений, а также бромциклопентана, измеренные при 70 в, для m/e от 12 до 198 и дана таблица метастабильных ионов. На примере 3-бромпентана выяснена зависимость отно-

сительной распространенности ионов от величины ускоряющего потенциала электронов. В случаях 1-бром- или 3-бромпентана и 1-йодпентана образуется ион $C_5H_5^{+}$. в случаях 2-бром- или 1-хлорпентана и 1-пентанола образуется $C_5H_5^{+}$. И. Верещинский

31828. О радиоллизе в гелях. Ауэрбах (Über Radiolysen in Gallerten. Auerbach Rudolf), Kolloid-Z., 1957, 152, № 2, 148 (нем.)

Действие γ -излучения Co^{60} (3 кюри, доза $\sim 10^6$ рентген) на 5%-ный гель кремневой к-ты сопровождается образованием пузырей газа, которые имеют линзообразную форму. При облучении гелей желатины образования пузырей газа не происходит. И. Верещинский

31829. Коллоидный йодистый свинец как основной компонент светочувствительных эмульсий. Вуйтяк (Koloidowy jodek ołowiany jako podstawowy składnik światłoczułych emulsji. Wójcicki Wacław), Roczn. chem., 1956, 30, № 3, 989—990 (польск.; рез. англ.)

Исследована светочувствительность колл. PbI_2 и влияние на нее желатины и $Na_2S_2O_3$. Электрохим. и колориметрич. методами установлено, что добавка $Na_2S_2O_3$ влияет на повышение светочувствительности колл. PbI_2 , особенно когда $Na_2S_2O_3$ применяется совместно с желатиной. На светочувствительном материале, полученном из этих эмульсий, получены прочные изображения, не требующие процесса проявления. Рассмотрены хим. процессы, происходящие под влиянием света в исследуемых эмульсиях.

Н. Wróblowa

31830. К вопросу о почернении $AgCl$. Мозер, Нейл, Урбах (Note on the darkening of silver chloride. Moser F., Nail N. R., Urbach F.), Phys. and Chem. Solids, 1957, 3, № 1-2, 153—155 (англ.)

Кристаллы $AgCl$, содержащие $3 \cdot 10^{-4}$ — 10^{-2} вес. % Cu и выращенные из расплава или отожженные при 400° в атмосфере N_2 ($p = 1$ атм), имеют едва заметную окраску. Край полосы собственного поглощения этих кристаллов смещен в длинноволновую область. Свет с λ 436 м μ вызывает сильное почернение, сначала пропорциональное экспозиции, а затем достигающее насыщения, уровень которого пропорционален содержанию Cu . Сделан вывод, что эти кристаллы содержат ионы Cu^+ , служащие акцепторами дырок (т. е. атомов Cl внутри кристалла) и поэтому стабилизирующие продукт фотолиза — Ag . Кристаллы $AgCl-Cu$, выращенные или отожженные в атмосфере Cl_2 в тех же условиях, имеют интенсивную желто-коричневую окраску, обнаруживают сильное поглощение в области 450—700 м μ , не чернеют на свету и, по-видимому, содержат ионы Cu^{2+} . Способность к фотолизу кристаллов $AgCl$ высокой чистоты, выращенных в N_2 , приписана следам Cu^+ . Ионы Cu^+ не влияют на темновую проводимость, ионы Cu^{2+} повышают ее. Освещение непрерывно повышает проводимость $AgCl-Cu^+$. Ионы Cu^{2+} менее устойчивы, чем Cu^+ , и находятся в двух состояниях, отличающихся дисперсностью и ассоциацией с вакансиями или V -центрами. А. Хейнман

31831. Спектральный состав и интенсивность люминесценции фотоземли. Новакова (Spektrální složení a intenzita luminiscenčního záření fotografické emulze. Nováková Olga), Českosl. časop. fys., 1957, 7, № 3, 279—282 (чешск.); Чехосл. физ. ж., 1957, 7, № 4, 476—480 (русс.; рез. англ.)

Исследовано влияние предварительного освещения и давления на спектр и интенсивность люминесценции (возбуждение λ 4358 Å) фотослоев при т-ре жидкого воздуха. В спектре излучения пяти негативных слоев имеются две полосы: зеленая при 536—559 м μ и красная при 626—645 м μ . В спектре излучения трех позитивных слоев имеется полоса при 485 м μ . Предварительное освещение уменьшает интенсивность

свечения I по всему спектру, но не влияет на положение полос. С увеличением т-ры при предварительной засветке эффект возрастает. Падение I при уменьшении концентрации центров свечения и фильтрующему действию слоя фотолитич. Аг. Предварительное сжатие слоя при давл. 500—3000 кг/см 2 и ударная нагрузка уменьшают I , не влияя на спектр излучения. А. Хейнман

31832. Сенситометрические исследования в широком интервале освещенностей. IV. Сенситометрические исследования на трехслойных цветных пленках. Вартбург. V. Незамосаменность и контрастность при длительном проявлении. Эмulsion (R + H). Эггерт, Окамото (Sensitometrische Studien in weiten Belichtungsbereichen. IV. Sensitometrische Studien an Dreischichten-Farbfilm. Wartburg Rene von. V. Reziprozitätsfehler und Gradationen bei langen Entwicklungszeiten. — Die Emulsion (R + H). Eggert J., Okamoto Y.), Z. Elektrochem., 1956, 60, № 5, 487—500; 500—507 (англ.)

IV. Исследована незамосаменность (НВЗ) 3-х трехслойных цветных пленок различного типа в интервале $6,3 \cdot 10^{-5}$ — $6,3 \cdot 10^2$ сек. V. Исследование НВЗ эмульсий с различными условиями созревания показало, что длительное проявление значительно уменьшает НВЗ в области малых времен освещения и увеличивает гамму для всех времен освещения. Одновременное действие хим. сенсibilизаторов и в-в, тормозящих хим. созревание, в известных условиях может оказать взаимно компенсирующее влияние на НВЗ. Если такой компенсации нет, то существуют возможности обнаружить действие обоих компонентов по их влиянию на кинетику проявления. Часть III см. РМХим, 1957, 3888.

А. Картужанский

31833. К вопросу о влиянии старения на чувствительность и вуаль фотослоев. Заветова (Přispěvek ke vlivu stárnutí na průběh citlivosti a závoje fotografické citlivé vrstvy. Závětová Milena), Českosl. časop. fys., 1957, 7, № 4, 449—451 (чешск.); Чехосл. физ. ж., 1957, 7, № 4, 506—508

Исследовано влияние старения при 60° и относительной влажности 5% на чувствительность S_i и вуаль D_0 материалов Панхро-Супер, приготовленных без стабилизатора и сенсibilизатора. Кривая S_i имеет максимум, кривая роста D_0 имеет излом в максимуме S_i . Предварительная засветка слоя не влияет на кривую D_0 и сильно изменяет кривую S_i : максимум S_i понижается, а падение S_i после максимума ускоряется.

А. Хейнман

31834. Об использовании термохромных свойств Ag_2HgI_4 для обнаружения ультразвука. Теддешини, Ковач (Využitie termochromických vlastností Ag_2HgI_4 na zviditeľnenie ultrazvuku. Tédgyessy J., Kovács P.), Chem. zvesti, 1955, 9, № 5, 306—309 (словацк.; рез. русск., нем.)

Описаны новые способы приготовления УЗ-индикаторов, основанных на изменении цвета Ag_2HgI_4 . Наилучшие результаты получены при применении метилметакрилата в качестве дисперсионной среды на ацетилцеллюлозной пленке. Резюме авторов

См. также: Реакции в факельных разрядах 31896

РАСТВОРЫ. ТЕОРИЯ КИСЛОТ И ОСНОВАНИЙ

Редактор М. Д. Сурова

31835. Температурная зависимость коэффициента диффузии некоторых веществ в воде. Марини В. А. Вестн. Ленингр. ун-та, 1957, № 16, 44—48

Поляризационно-оптическим методом (РЖХим, 1954, 30353) показано, что коэф. диффузии связан с абс. т-рой ф-лой: $D = A_1 \exp(-U_1/RT)$ со следующими значениями U_1 (в кал/моль; в скобках — интервалы т-р в которых производились измерения): метиловый спирт 4300 (14,3—50,0), ацетамид 4200 (12,2—50,0), глицерин 4200 (12,2—50,0), сахар 4200 (12,2—50,0), танин 4300 (12,2—50,0), декстран 4200 (21,0—50,0), поливиниловый спирт 4300 (21,0—54,3). Во всех случаях U_1 близка к U_2 из ф-лы: $\eta = A_2 \exp(U_2/RT)$, где η — вязкость, измеренная на вискозиметре Остальда, что противоречит теории (Френкель Я. И., Кинетическая теория жидкостей, М.—Л., 1945).

В. Цукерман

31836. Рефрактометрическое определение констант диффузии в критической области для жидкостей с частичной взаимной растворимостью. Лоренцен, Хансен (Refractometric determination of diffusion constants in the critical region of partly miscible liquids. Lorentzen Hans Ludvig, Hansen Bjørn Bergsnov). Acta chem. scand., 1957, 11, № 5, 893—895 (англ.); Исправление (Errata), № 9, 1607. В вертикальную призму с углом 60° и высотой 10 мм заливается 0,05 мл исследуемой жидкой смеси. Оптич. система дает на фотобумаге распределение по высоте показателя преломления жидкости, откуда определяется ее состав в различных точках. Ниже крит. т-ры $T_{кр}$ в жидкости возникают две фазы. После подъема т-ры выше $T_{кр}$ через прежнюю поверхность раздела происходит диффузия, и коэф. диффузии D может быть вычислен из кривой показателей преломления. $D = 0$ при $T_{кр}$ и возрастает линейно с $T \rightarrow T_{кр}$. Приведены результаты измерений для системы этиловый спирт — нитрил янтарной к-ты.

А. Лихтер

31837. Электрогравитационное разделение двухкомпонентных растворов электролитов при малом расстоянии между электродами. Барановский, Фулинский (Electrogravitational separation of binary solutions of electrolytes at a small distance between the electrodes. Baranowski B., Fuliniski A.). Bull. Acad. polon. sci., 1957, cl. 3, 5, № 8, 821—825 (англ.; рез. русск.).

Предложена теория электрогравитационного разделения (Murphy G. W., J. Electrochem. Soc., 1950, 97, 405) двухкомпонентных р-ров электролитов. Приведены выражения для хода электр. потенциала, конц-ий и конвекционного тока в межэлектродном пространстве, а также для соотношения конц-ий в верхнем и нижнем запасных сосудах в зависимости от макропараметров процесса. Проверка теории на водн. р-рах CuSO_4 показала ее применимость для начальных стадий электролиза ($t < 2$ час.), малых конц-ий (0,01—0,05 н.) и малых расстояний между электродами ($a < 0,08$ см).

В. Любимов

31838. Ультразвуковое исследование электролитов. Кришнамурти (Ultrasonic studies in electrolytes. Krishnamurty B. H.). J. Scient. and Industr. Res., 1957, BC16, № 8, B-337—B-339 (англ.).

Измерена скорость ультразвука при 25° в р-рах KCl , NaCl , NH_4Cl , NH_4NO_3 , $(\text{NH}_4)_2\text{SO}_4$, MnSO_4 , $\text{MgSO}_4 \cdot 7\text{H}_2\text{O}$, $\text{ZnSO}_4 \cdot 7\text{H}_2\text{O}$ в интервале конц-ий 0,1—1,0 М. Вычислены адиабатич. сжимаемости и кажущиеся мол. сжимаемости. Скорость звука возрастает линейно с увеличением конц-ий р-ра. Изменение с конц-ией адиабатич. сжимаемости согласуется с выводами теории сильных электролитов. В случае кажущихся мол. сжимаемостей предельные законы теории сильных электролитов выполняются только для конц-ий $> 0,25$ М, что объясняется особенностями ионных взаимодействий.

Б. Кудрявцев

31839. Зависимость скорости ультразвука от структуры и молекулярного веса жидких систем. Мелконян Л. Г., Сб. научн. тр. Ереванск. политех. ин-та, 1957, № 16, 19—31.

На основании литературных данных и собственных измерений исследуется зависимость скорости ультразвука и плотности жидкой системы от среднего мол. веса и от структуры компонентов системы. Рассматриваются предельные углеводороды, непредельные углеводороды ряда этилена, непредельные углеводороды ряда ацетиленов, одноатомные спирты, одноосновные к-ты, изомеры одноатомных спиртов, ароматич. углеводороды и хлорзамещенные метана, а также близкие к идеальным бинарные смеси, компоненты которых не образуют хим. соединений: C_6H_6 — CCl_4 , толуол— CCl_4 , о-ксилол— CCl_4 , хлороформ— CCl_4 , дифенилметан—гексан, хлористый метил— C_2H_6 , этиленгликоль— $\text{CH}_3(\text{CH}_2)_2(\text{C}_2\text{H}_4\text{O})_n\text{OH}$, метанол—поливинилацетат низкого мол. веса ~ 1200 . Для характеристики межмолекулярных сил притяжения автор пользуется функцией $a = a^2 v/2$, где a — скорость звука, v — уд. объем системы. Функция a зависит от среднего мол. веса системы и от природы компонентов (полярность, форма молекулы, разветвленность и расположение радикалов в молекуле) так, что $\bar{M} = M_0 + K(a - a_0)/a_0$, где \bar{M} — средний мол. вес, K — эмпирич. постоянная, в основном зависящая от полярности и разветвленности цепи молекул компонентов; индекс 0 относится к р-рителю. Для всех исследованных изомеров адиабатич. сжимаемость β больше, а a меньше по сравнению с соответствующими величинами для нормальной цепи. Изменения колеблются в пределах 3—16% для a и 5—28% для β и связаны, по-видимому, с изменениями поверхности молекул при изомеризации. Предполагается, что силы межмолекулярных притяжений в жидкостях в основном зависят от величины поверхности молекул, от их веса, от симметричности расположения полярных групп в молекуле и от межмолекулярного расстояния.

В. Цукерман

31840. Диэлектрическая поляризация системы $\text{C}_6\text{H}_5\text{COOH}$ — $\text{C}_6\text{H}_5\text{N}$ в диэтиловом эфире. Собчик (Polarizacja dielektryczna układu $\text{C}_6\text{H}_5\text{COOH}$ —pirydyna w eterze. Sobczyk Lucjan), Roczn. chem., 1957, 31, № 1, 349—350 (польск.; рез. русск.).

Измерения диэлектрич. поляризации системы пропионон-к-та — пиридин в эфире показали, что эфир отрицательно влияет на образование комплексов (РЖХим, 1958, 23912). Таким образом, увеличение полярности р-рителя не благоприятствует кислотно-основному взаимодействию. Значительное повышение протон-дonoрных и протон-акцепторных свойств р-рителя может, однако, привести к ионизации, особенно тогда, когда р-ритель охотно образует с возникающими ионами устойчивые сольваты, как это наблюдается в случае воды.

Н. Wróblowa

31841. Электронный парамагнитный резонанс в растворах электролитов. Козырев В. М., Изв. АН СССР. Сер. физ., 1957, 21, № 6, 828—832.

Методом сеточного тока с модуляцией магнитного поля на частоте $1,27 \cdot 10^7$ гц изучена зависимость от т-ры ширины линии электронного резонанса в р-рах солей ионов Cr^{3+} , VO^{2+} , Cu^{2+} , Mn^{2+} . Измерения проведены в интервале т-р 20—100°. В водн. 0,005; 0,5; 1; 2 М р-рах MnCl_2 ширина линии ΔH возрастает с конц-ией р-ра, а температурная зависимость не изменяется при всех конц-иях. $\Delta H \sim$ линейно падает от 20 до 80°, а затем возрастает. По мнению автора, при 80° происходит частичное разрушение гидратной оболочки иона Mn^{2+} , что приводит к понижению симметрии электр. поля и соответственно к уширению линии. При введении в р-р соли LiCl излом кривой

ΔH наблюдается при 60°, по-видимому, ионы Li^+ , обладающие большой склонностью к гидратации, быстрее разрушают гидратную оболочку иона Mn^{2+} . В зеленых и фиолетовых ρ -рах иона Cr^{3+} наблюдаются различия как в величине ΔH , так и в зависимости ΔH от t -ры. Таким образом, на основании изучения температурной зависимости ширины линии можно получить сведения о комплексообразовании в ρ -рах. В воде ρ -рах солей $\text{Cu}(\text{NO}_3)_2$ ΔH возрастает пропорционально квадрату абс. t -ры и не зависит от конц-ии ρ -ра. Для ρ -ров солей ионов Fe^{3+} , Fe^{2+} , V^{2+} , Cr^{2+} , Ni^{2+} в воде, спирте, глицерине, а также неводн. ρ -рах иона Mn^{2+} поглощение не обнаружено даже при больших разбавлениях, что вызвано, по мнению автора, большой шириной резонансной линии.

К. Валиев
31842. Об ассоциации ионов в растворах. 1. Образование ионных пар. Сухотин А. М., Ж. физ. химии, 1957, 31, № 4, 792—801 (рез. англ.)

При помощи теории активированного комплекса для константы диссоциации K ионных пар на ионы выведено ур-ние $K = (10^3/N) (M/8\pi kT)^{1/2} (v/r_0^2) \exp(-U(\text{дисс.})/kT)$. Энергия диссоциации ионной пары на ионы $(-U(\text{дисс.}))$ для ρ -ров с низкой диэлектрич. проницаемостью D в первом приближении отождествляется с энергией кулоновского взаимодействия ионов $U(\text{дисс.}) = e/Dr_0$, где r_0 — равновесное расстояние между ионами, e — заряд иона. Предложено ур-ние для вычисления частоты колебаний ν ионов в ионных парах. Найдено удовлетворительное согласие вычисленных и опытных (Kraus Ch., Fuoss R., J. Amer. Chem. Soc., 1933, 55, 21), значений K для ρ -ров нитрата тетраизоамиламмония в смесях диоксиана с водой. Разработан способ теоретич. расчета K ионных пар в ρ -рах с различной D , основанный на использовании закона Кулона и статистич. выражения для констант равновесия.

Н. Хомутов

31843. Применение метода спектров поглощения спирто-водных растворов электролитов для изучения сольватации ионов. Поминов И. С., Ж. физ. химии, 1957, 31, № 10, 2184—2190 (рез. англ.)

Определены координационные числа гидратации ионов с помощью спектров поглощения из конц-ий сольватированных ионов по интенсивности соответствующих линий при длине волны 3925 и 4419 Å. Предложено ур-ние $\lg[y/(1-y)] = -n\lg[H_2O] + \lg A$, где y — доля сольватированных ионов, равная отношению оптич. плотностей D/D_0 (D_0 — чисто спирт. ρ -ра, D — спирто-води. ρ -ра), $[H_2O]$ — молярная конц-ия воды в ρ -ре, n — число молекул воды, входящих в состав смешанной спирто-води. оболочки иона, A — постоянная величина. Показано, что при отсутствии в спектрах спирто-води. ρ -ров электролитов максимума поглощения величина n не зависит от того, при какой длине волны определяются оптич. плотности ρ -ров. Для CuCl_2 в 0,01784 M спирто-води. ρ -ре $n = 2$. См. РЖХим, 1957, 495.

М. Сурова

31844. К вопросу о сольватации ионов неодима в спирто-водных растворах. Поминов И. С., Ж. физ. химии, 1957, 31, № 9, 1926—1929

Изучены спектры поглощения ρ -ров NdCl_3 (конц-ия 0,07—0,6 M) в метиловом и этиловом спиртах с добавками различных кол-в воды. Обнаружено, что перестройка спектра поглощения при добавлении к спирту ρ -ру воды происходит постепенно, причем даже при содержании 20—30 молей воды на 1 моль соли спектр поглощения не совпадает со спектром поглощения чисто водн. ρ -ра NdCl_3 . Эти факты опровергают вывод А. Зайделя и В. Ротштейна (Докл. АН СССР, 1947, 57, 587) о невозможности существования смешанных водно-спирт. сольватов иона неодима.

С. Дракин

31845. Спектрофотометрическое исследование гидролиза иона $\text{Fe} (3+)$. III. Теплоты и энтропии гидролиза. Милберн (A spectrophotometric study of the hydrolysis of iron (III) ion. III. Heats and entropies of hydrolysis. Milburn Ronald M.), J. Amer. Chem. Soc., 1957, 79, № 3, 537—540 (англ.)

Исследован гидролиз иона $\text{Fe} (3+)$ в интервале ионных сил до 1,00 при 18, 25 и 32°. Для основных ρ -рай: гидролиза $\text{Fe}^{3+} + \text{H}_2\text{O} \rightleftharpoons \text{FeOH}^{2+} + \text{H}^+$ и димеризации $2\text{FeOH}^{2+} \rightleftharpoons \text{Fe}(\text{OH})_2\text{Fe}^{4+}$, а также для побочной ρ -ции $2\text{Fe}^{3+} + 2\text{H}_2\text{O} \rightleftharpoons \text{Fe}(\text{OH})_2\text{Fe}^{4+} + 2\text{H}^+$ рассчитана величина изменения свободной энергии, теплоты и энтропии. Для сравнения ΔF , ΔH и ΔS вычислены для другой побочной ρ -ции $\text{Fe}^{3+} + \text{OH}^- \rightleftharpoons \text{FeOH}^{2+}$. Для ρ -ции димеризации иона FeOH^{2+} получены отрицательные значения величин ΔF° , ΔH° и ΔS° соответственно равные —2,0; —7,3 и —18, что согласуется с результатами ранее изученной ρ -ции димеризации иона CeOH^{3+} (Hardwick T. J., Robertson E., Canad. J. Chem., 1951, 29, 818). Повышение t -ры или уменьшение ионной силы сдвигает равновесие ρ -ции гидролиза влево, а ρ -ции димеризации — влево. Сообщение II см. РЖХим, 1955, 48550.

Э. Тетерин

31846. Изучение химии галогенов и полигалогенидов. VIII. О реакции галогенидов йода с галогенидами алюминия. Попов, Стьют (Studies on the chemistry of halogens and of polyhalides. VIII. On the reaction of iodine halides with aluminum halides. Popov Alexander I., Stute Francis B.), J. Amer. Chem. Soc., 1956, 78, № 20, 5737—5740 (англ.)

Проведено спектрофотометрич. и электролитич. исследование систем $\text{AlCl}_3\text{—JCl}$, $\text{AlCl}_3\text{—JBr}$, $\text{AlBr}_3\text{—JBr}$, $\text{AlBr}_3\text{—JCl}$ в ρ -рах в ацетонитриле (CH_3CN). Оба метода привели к аналогичным результатам, подтвердившим мнение авторов, что галогенид алюминия, сильно сольватированный ацетонитрилом, частично диссоциирует по схеме $\text{AlX}_3 \cdot n\text{CH}_3\text{CN} \rightleftharpoons \text{AlX}_m \cdot n\text{CH}_3\text{CN}^{3-m} + (3-m)\text{X}^-$, где $m = 2,1$ или 0. Отмечено, что добавление JCl или JBr приводит к образованию соответствующего полигалогенидного аниона JClX^- или JBrX^- . Показано, что AlBr_3 реагирует с ацетонитрилом подобно AlCl_3 . Авторы впервые получили ранее не описанное твердое соединение $\text{AlBr}_3 \cdot 2\text{CH}_3\text{CN}$. Приведен также метод получения и некоторые свойства $\text{AlCl}_3 \cdot 2\text{CH}_3\text{CN}$. Сообщение VII см. РЖХим, 1957, 7775.

Э. Тетерин

31847. Определение констант диссоциации метионина при различных температурах. Расчет изменения энтальпии, свободной энергии и энтропии. Пеллетье, Кентен (Détermination des constantes de dissociation de la méthionine à différentes températures. Calcul des variations d'enthalpie, d'énergie libre et d'entropie. Pelletier Simonne, Quintin Marguerite), C. r. Acad. sci., 1957, 244, № 7, 894—896 (франц.)

При помощи цепи $\text{Ag}|\text{AgCl}, \text{HCl}|\text{стекло}|\rho$ -р аминокислоты + HCl (или NaOH) $|\text{KCl}$ (насыщ. ρ -р) $|\text{Hg}_2\text{Cl}_2|$ $|\text{Hg}$ измерены рН метионина в атмосфере N_2 в термостате, с точностью регулировки t -ры до 0,01°. В качестве стандартного в-ва применялся гликоколь; ионная сила ρ -ра рассчитывалась по ур-нию Хьюкеля. Определены кажущиеся константы диссоциации для 10, 25, 30 и 40°. При 25° pK_A 9,28; pK_B 2,125. На основании зависимости K от t -ры рассчитаны ΔH ; ΔF (ккал/моль); ΔS (энтр. ед.) для ρ -ции $\text{NH}_3\text{RCOO}^- \rightleftharpoons \text{NH}_2\text{RCOO}^- + \text{H}^+$: 10,40; 12,66; —7,5; для ρ -ции $\text{NH}_3 + \text{RCOOH} \rightleftharpoons \text{NH}_3 + \text{RCOO}^- + \text{H}^+$: $\sim 0,14$; $\sim 2,90$; (—9,3).

Б. Анвар

31848. Равновесие переноса протона в смесях метиловый спирт-вода. Часть 4. Изменение ионного произведения метанола с температурой. Коскинал

мие (Proton transfer equilibria in methanol-water mixtures. Part 4. Variation of the ionic product of methanol with temperature. Koskikallio Jouko), Suomen kem., 1957, 30, № 9, B155—B156 (англ.)

В продолжение предыдущих исследований (РЖХим, 1958, 7277; 1957, 76738) изучено изменение ионного произведения метанола с т-рой в интервале 0°—45°; в этом интервале т-р рК не является линейной функцией от 1/T. С ростом т-ры на 1° теплота ионизации метанола ΔH возрастает ~60 ккал/моль. Для метанола при 25° $\Delta H = 10,8$ ккал/моль, рК 16,73. Часть 3 см. РЖХим, 1958, 7277.

О. Коновалов
31849. Термодинамические константы диссоциации метиламидиуксусной и диметилэтилендиамидиуксусной кислот. Оккерблум, Мартелл (Thermodynamic dissociation constants of methylaminodiacetic acid and dimethylethylenediaminediacetic acid. Ockerbloom Nelson E., Martell Arthur E.), J. Amer. Chem. Soc., 1956, 78, № 2, 267—270 (англ.)

С помощью $H_2|AgCl|Ag$ элемента измерена э. д. с. в буферных р-рах диметилэтилендиамидиуксусной к-ты (I) и метиламидиуксусной к-ты (II). Полученные величины э. д. с. экстраполированы к бесконечному разбавлению. Отмечены 2 ступени диссоциации. На основании полученных данных определены термодинамич. константы диссоциации I и II в интервале 0°—40° в термодинамич. функции ΔF° , ΔH° (ккал/моль) и ΔS° (энтр. ед.), которые для I соответственно равны: 6,294; 7,87; 3,68 и 15,3 (первая ступень) и 10,446; 13,08, 6,78 и 23,1 (вторая ступень); для II рК; ΔF° , ΔH° и ΔS° соответственно равны: 2,138; 2,66; 0 и -9,5 (первая ступень) и 10,474; 13,09; 6,8 и -23 (вторая ступень).

Н. Афонский
31850. Растворы в серной кислоте. Часть XXIII. Криоскопические измерения нитробензола и нитротолуолов. Гиллеспи Робинсон (Solutions in sulphuric acid. Part XXIII. Cryoscopic measurements on nitrobenzene and the nitrotoluenes. Gillespie R. J., Robinson E. A.), J. Chem. Soc., 1957, Oct., 4233—4234 (англ.)

На основании криоскопич. измерений определены значения констант основной диссоциации нитробензола, о-, м-, п-нитротолуолов и п-хлорнитробензола, соответственно равные: 0,011, 0,062, 0,020, 0,094 и 0,003. Эти данные хорошо согласуются с результатами, полученными другими методами. При измерениях в разб. серной к-те для монокислот соединений получены более завышенные значения констант основной диссоциации, по мнению авторов, вследствие того, что неионизованная часть нитросоединений высаливается электролитом H_3O^+ , HSO_4^- . Часть XXII см. РЖХим, 1957, 76732.

М. Сурова
31851. Определение плотностей водных растворов NaCl по методу поглощения гамма лучей. Мумилов М., Докл. АН УзССР, 1956, № 10, 9—12 (рез. узб.); Тр. Узб. ун-та, 1955, вып. 59, 55—61

Интенсивность γ -лучей I, прошедших через слой р-ра NaCl, выражается ф-лой $I = a \rho^b$ (ρ — плотность р-ра, а и b — константы), которая может быть использована для эксперим. определения ρ .

С. Дракин
31852. Спектры поглощения и константы диссоциации дифенилтиокарбазона (дитизона). Пилипенко, Дрокова (Спектри поглинання і константи дисоціації дифенілтіокарбазону (дитизону). Пилипенко А. Т., Дрокова І. Г.), Наук. зап. Київськ. ун-т, 1957, 16, № 15, 113—116 (вкр.; рез. русск.)

Изучены спектры поглощения дитизона в дихлорэтане и хлороформе. Определены максимумы поглощения в хлороформе при 605 и 440 мμ, в дихлорэтано — при 625 и 425 мμ. Исследовано распределение дитизона между водн. фазой и хлороформом и водн.

фазой и дихлорэтаном при изменении рН водн. фазы. На основании полученных данных рассчитаны константы диссоциации дитизона для систем: хлороформ — вода и дихлорэтан — вода, соответственно равные $1,76 \cdot 10^{-11}$ и $0,76 \cdot 10^{-10}$.

По резюме авторов
31853. Коэффициент распределения хлорида железа, меченого Fe^{55} , между органическими растворителями и соляной кислотой. Мори, Цутия (Mori Motohichi, Tsuchiya Ryokichi), Нихон какаку дзасси, J. Chem. Soc. Japan, Pure, Chem. Sec., 1956, 77, № 10, 1525—1528 (японск.)

Распределение $FeCl_3$ между HCl и каждым из соединений: C_6H_6 , CCl_4 , CS_2 , $CHCl_3$, $CH_2Cl \cdot CH_2Cl$, $C_6H_5 \cdot CH_2OH$ и $C_2H_5 \cdot OC_2H_5$ определено с помощью меченого Fe^{55} , время полураспада 4 года. Результаты представлены в виде таблиц.

Chem. Abstrs, 1957, 51, № 14, 10195. T. Katsurai

31854. Влияние растворителей на ионизацию органических галоидопроизводных. Часть V. Ионизация в смеси растворителей. Эванс, Мак-Юан, Томас (The effect of solvents on the ionisation of organic halides. Part V. Ionisation in mixed solvents. Evans Alwyn G., McEwan I. H., Thomas J. H.), J. Chem. Soc., 1957, Nov. 4644—4649 (англ.)

Изучена с помощью спектров поглощения ионизация трифенилметилхлорида (I) в смесях м-крезол + бензол (II) и м-крезол + гексан (III) и три-п-толилметилхлорида (IV) в смесях II, III и в м-крезол + уксусная к-та (V). Показано, что в случае I прибавление м-крезола к бензолу или гексану заметно увеличивает ионизацию по сравнению с чистым м-крезолом. Для II добавление м-крезола к бензолу или к р-ру уксусной к-ты увеличивает ионизацию при мол. доле (МД) м-крезола < 0,7, после чего степень ионизации остается постоянной. Таким образом, при МД м-крезола > 0,7 II полностью ионизирован. Найдена линейная зависимость конц-ии иона карбония от конц-ии неионизированного галоидопроизводного. Указано, что ионизация приводит к образованию ионных пар. Криоскопич. методом определен мол. вес. м-крезола в уксусной к-те, равный 108. В смеси V м-крезол существует в виде мономера. Термодинамич. константа ионизации при 21° для р-ра IV в V (МД-1) равна 8,9, свободная энергия для р-ра IV в V — $1,3 \pm 0,2$ ккал/моль. Часть IV см. РЖХим, 1957, 499.

М. Сурова
31855. Взаимодействие четыреххлористого углерода с основными соединениями азота. Коллинс (The interaction of carbon tetrachloride with basic nitrogen compounds. Collins R. F.), Chemistry and Industry, 1957, № 22, 704 (англ.)

Р-ры триэтиламина (I), 2-диэтиламиноэтанола (II), бензиламина (III), циклогексиламина (IV) и диметиланилина (V) в CCl_4 выдерживались в закрытых колбах, и через 72 часа продукты р-ции собирались, не дожидаясь конца р-ции, промывались CCl_4 и сушились в эксикаторе. Из р-ров I, II, III и IV через час после растворения выпадали бесцветные кристаллы, которые являются гидрохлоридами соответствующих соединений. Для р-ра V выделить в-во не удалось. Сделан вывод, что к CCl_4 следует относиться с осторожностью, как к р-рителю, в случае соединений, содержащих основной атом азота.

А. Попов
31856. Диффузия фосфора и кальция в расплавах $CaO-Al_2O_3-SiO_2$ и $CaO-P_2O_5$. Есени О. А., Воронцов Е. С., Чучмарев С. К. Ж. физ. химии, 1957, 31, № 10, 2322—2327

Методом радиоактивных индикаторов исследовалась одновременная диффузия Р и Са в расплавах, содержащих или 39,4% CaO , 21,2% Al_2O_3 и 38,8% SiO_2 или 30% CaO и 69,5% P_2O_5 при т-рах 1000—1500°. Установлено, что при плохой смачиваемости стенок тигля (графит) скорость перемещения Р и Са значительно

выше, чем при хорошей смачиваемости (корундиз): условные коэф. диффузии различаются в этих случаях почти на 2 порядка. Этот эффект объясняется поверхностной диффузией. Условные коэф. диффузии Р и Са близки между собой во всех исследованных случаях: при наличии и отсутствии поверхностной диффузии, а также при совместном и раздельном движении Р и Са. Относительно большая скорость перемещения Р в отсутствие внешнего электрич. поля и литературные данные о практически полной неподвижности его при прохождении тока через расплав позволяют сделать вывод, что Р в противоположность Са диффундирует в незаряженной форме. В. Цукерман 31857. Теория дискретных ионов и вязкое течение жидких силикатов. Маккензи (The discrete ion theory and viscous flow in liquid silicates. Mackenzie J. D.), Trans. Faraday Soc., 1957, 53, № 11, 1488—1493 (англ.).

На описанной ранее аппаратуре (РЖХим, 1957 43922) измерены вязкости η некоторых систем при t -рах 900—1400°. Точность измерений 8%, воспроизводимость 5%. Во всех исследованных случаях $\ln \eta$ линейно зависит от $1/T$; энергии активации вязкости E_η равны (перед каждым в-вом указана его конц-ия в мол. %): 74,3 SiO₂, 7,2 Na₂O, 18,5 K₂O, 41,5 ккал/моль; 66,8 SiO₂, 11,4 Li₂O, 21,8 Na₂O, 37,6 ккал/моль; 71,0 SiO₂, 23,4 Na₂O, 5,6 CaO, 42,2 ккал/моль; 66,7 SiO₂, 25,0 Na₂O, 8,3 BaO, 40,3 ккал/моль. Эти величины близки к рассчитанным по ф-ле: $E_\eta = n_A(E_A)_x + n_B(E_B)_x$, где n_A и n_B — мол. доли двух окислов металлов, а $(E_A)_x$ и $(E_B)_x$ — соответственно энергии активации для двух групп периодической системы при полной конц-ии оксида металла, равной x . Таким образом, представление о существовании в расплаве дискретных агрегатов анионов, образующихся в результате разрывов кремниево-кислородного каркаса при добавлении оксида металла, оправдано не только в случае бинарных расплавов (РЖХим, 1956, 64562), но и для тройных систем; предлагается следующая ф-ла, основанная на этом представлении и на линейной зависимости предэкспоненциального множителя в ф-ле вязкости от состава: $\ln \eta = (\alpha + \beta C) + (\gamma + \delta C) / 2,303RT$ (C — полная мол. конц-ия окислов металла). Константы α , β , γ , δ для I группы равны соответственно: —4,02; 0,0210; 60,52·10³; —0,752·10³ и для II группы: —4,99; 0,0195; 71,04·10³; —0,675·10³.

В. Цукерман 31858 К. Физическая химия расплавленных солей. Беллев А. И., Жемчужина Е. А., Фирсанова Л. А. М., Металлургиздат, 1957, 359 стр., илл., 12 р. 80 к.

См. также: Растворимость 31714, 31720—31724. Термодинамика р-ров 31650, 31651, 31665. Термохимия р-ров 31655, 31656, 31658, 31659. Диффузия 31610, 31634. Структура и исслед. состояния в-в в р-рах 31419, 31454, 31460—31463, 31480, 31606. Гидролиз 31755, 31761, 31772, 32004; 11862Бх. Твердые р-ры 31738. Расплавы 31612, 31651, 31711, 31717

ЭЛЕКТРОХИМИЯ

Редакторы О. А. Есин, В. В. Лосев

31859. Числа переноса свинца и кадмия в нитратах, определенные аналитическим методом подвижной границы. Мангарадж, Адитья (Transport number of lead and cadmium in their nitrates by analytical boundary method. Mangaraj D., Aditya S.), J. Indian Chem. Soc., 1957, 34, № 7, 539—542 (англ.)

В продолжение работы (РЖХим, 1955, 5332) показано, что число переноса (ЧП) Cd с увеличением конц-ии Cd(NO₃)₂ от 0,01 до 0,50 М уменьшается с 0,426 до 0,403, а ЧП Pb в 0,015—0,50 М Pb(NO₃)₂ увеличивается с 0,46 до 0,49. По мнению авторов, характер изменения ЧП с ростом конц-ии нитрата определяется влиянием двух факторов: силы межмолекулярного притяжения вызывают уменьшение ЧП, а присутствие ионов PbNO₃⁺ и CdNO₃⁺ ведет к увеличению ЧП.

А. Чемаданов 31860. Установка для измерения электропроводности на промышленной частоте без применения платинированных электродов. Кричмар С. И., Ж. физ. хим., 1957, 31, № 10, 2361—2363 (рез. англ.).

Описана установка для измерения электропроводности электролитов с применением любых некорродирующих электродов с незначительной поверхностью и переменного тока 50 гц. Увеличение доли омич. сопротивления электролита в общем сопротивлении цепи достигнуто за счет уменьшения диаметра трубки между электродами (сечение капилляра 3·10⁻³—1·10⁻³ см², длина 20—25 см; поверхность электродов 5 см²). Измерения проводились на мосте Уитстона с катодным осциллографом в качестве нуль-инструмента. Точность метода 0,05—0,1%.

А. Чемаданов 31861. Окислительно-восстановительные потенциалы и структура молекул. Коидэ (Redox potentials and molecular structures. Koide Shinji), Kagaku no Rikishi, J. Japan. Chem., 1957, 11, № 8, 572—578 (японск.).

Обзор.

31862. Изучение влияния растворенного Ag₂SO₄ на активность растворов H₂SO₄ методом измерения э.д.с. Боген, Липке (A study of the effect of dissolved Ag₂SO₄ on the activity of H₂SO₄ solutions by means of E. M. F. Measurements. Vaughan J. V., Lietzke M. H.), J. Amer. Chem. Soc., 1957, 79, № 16, 4266—4268 (англ.).

В продолжение работы (РЖХим, 1957, 11334) в интервале t -р 0°—140° измерена э.д.с. цепи: Pt|PbO₂, PbSO₄, H₂SO₄ (m), Ag₂SO₄|Ag, где m равна 0,3; 0,5; 1,0 и 2,0 М. PbO₂|PbSO₄-электроды (Э) получали нанесением прочного гальванич. осадка PbO₂ на Pt-анод из 35%-ной HNO₃, насыщ. Pb(NO₃)₂, с последующим погружением его в H₂SO₄, насыщ. PbSO₄ и Ag₂SO₄. Ag/Ag₂SO₄ — Э состояли из Pt-спирали с нанесенными на нее кристаллами Ag₂SO₄, помещенную в H₂SO₄, насыщ. Ag₂SO₄. Исследована зависимость E от для указанных конц-ий H₂SO₄ и найдены температурная зависимость активности (А) р-ров H₂SO₄, насыщенных Ag₂SO₄ и без Ag₂SO₄. В отсутствие Ag₂SO₄ А падает с ростом m и t ; в присутствии Ag₂SO₄ А растет с увеличением t . Этот эффект следует учитывать при истолковании результатов, полученных при помощи Э Ag/Ag₂SO₄ в р-рах H₂SO₄.

И. Киселева 31863. К теории хингидронного электрода. Крацов Е. Е., Карницкий В. А. Тр. Отчетн. науч. конференции (Ростовск.-н/Д. мед. ин-т) за 1956 г. Ростов-на-Дону, 1957, 849—851

Измерены потенциалы E 6 образцов угольных электродов в р-рах хингидрона (I) (от 10⁻⁵ М до насыщ. р-ра) (ацетатный буфер; рН 3,0; 4,2; 5,8; атмосфера Н₂). При достаточно большой конц-ии I E определяется только рН. При промежуточных конц-иях I E изменяется в соответствии с адсорбционной изотермой Ленгмюра. Адсорбция I из р-ра доказана прямыми потенциометрич. измерениями.

А. Чемаданов 31864. Применение платинированных угольных электродов при электрохимических измерениях. Завгородний С. Ф., Камышников Н. Ф. Тр. Отчетн. науч. конференции (Ростовск.-н/Д. мед. ин-т) за 1956 г. Ростов-на-Дону, 1957, 841—842

На примерах определения констант диссоциации муравьиной и уксусной к-т кондуктометрич. методом, кондуктометрич. титрования HCl и CH_3COOH р-ром NaOH , а также титрования манганата ацетатом Ba показана возможность применения платинированных угольных электродов вместо платиновых. Л. Кабанец 31865. Каломельный электрод без платинового контакта. Камышников И. Ф., Карницкий В. А. Тр. Отчетн. научн. конференции (Ростовск.-н/Д. мед. ин-т) за 1956 г. Ростов-на-Дону, 1957, 853—854. Показана возможность применения каломельного электрода с угольным контактом (графитовый стержень) вместо Pt -контакта. Описанный электрод стабилен и измеренные с ним рН согласуются с результатами обычных измерений. Л. Кабанец 31866. Нестационарные характеристики стеклянных электродов. Окада, Ниси, Такахаси, Кёто дай-гаку когаку кэнкюсё ихо, Bull. Engng Res. Inst. Kyoto Univ., 1955, 8, сент., 50 (японск.). С целью автоматич. регулирования рН исследованы характеристики стеклянных электродов (Cg) при быстром изменении рН. Cg погружали в р-р, который затем с определенной скоростью замещали другим р-ром. Скорость изменения показаний Cg зависит от длины и буферных свойств р-ра, а также от скорости замены р-ра. Отставание показаний Cg объяснено диффузией ионов водорода. Л. Левин 31867. Электрохимические свойства глин. Дейвис (Electrochemical properties of clays. Davis Lannes E.), Bull. Div. Mines. Dept Natur. Resources. State Calif., 1955, № 169, 47—53 (англ.). Электрохимические свойства глин рассматриваются как результат взаимодействия электрически заряженных частиц, обычных ионов и молекул р-рителя. На основании критич. рассмотрения теорий мембранных потенциалов сделан вывод, что теория Теорелла — Майерса — Сиверса наиболее точно описывает мембранный потенциал глин. Е. Вайль 31868. Электрохимическая адсорбция ионов углем из неводных растворов при различных концентрациях электролитов. Луненок-Бурмакина В. А., Укр. хим. ж., 1957, 23, № 4, 431—436. Описанным ранее методом (РЖХим, 1957, 14888) изучено влияние ацетона (I) и уксусноэтилового эфира (II) на адсорбцию Li^+ , Ca^{2+} , Sr^{2+} и Cl^- платинированным углем в атмосфере H_2 . I сильно повышает адсорбцию Li^+ из 0,1 н. и слабее из 0,001 н. LiCl и оказывает такое же, но более слабое действие на адсорбцию двувалентных катионов из р-ров их хлоридов. I и II уменьшают адсорбцию Sr^{2+} из р-ра $5 \cdot 10^{-5}$ н. SrCl_2 . А. Городецкая 31869. О зависимости точек нулевого заряда некоторых металлов от рН. Хейфец В. Л., Краснов Б. С., Ж. физ. химии, 1957, 31, № 9, 1992—1998 (рез. англ.). При изучении зависимости емкости C двойного электр. слоя от потенциала ϕ (РЖХим, 1954, 35687, 35688) в H_2SO_4 , Na_2SO_4 и KNO_3 разных конц-ий при разных рН установлено, что в случае Pt , Pd и Co миним. значение емкости (C_m) в разб. р-рах и точка перегиба на кривых (C , ϕ) в конц. р-рах с понижением рН сдвигаются в положительную сторону. В р-рах разных конц-ий, но с постоянным рН ϕ C_m не меняется. Если увеличивается степень предварительного насыщения Pt водородом, то C_m сдвигается в положительную сторону. В случае Ag , Cd , Zn , Cu и Hg , не адсорбирующих водород, C_m не зависит от рН. Предполагается, что смещение C_m с изменением рН на Pt , Pd и Co связано с изменением ϕ нулевого заряда в результате изменения кол-ва адсорбированного водорода. И. Киселева

31870. Исследование взаимодействия кислорода с никелем методом контактной разности потенциалов. Шурмовская Н. А., Бурштейн Р. Х., Ж. физ. химии, 1957, 31, № 5, 1150—1153 (рез. англ.).

Исследование зависимости контактной разности потенциалов от т-ры поглощения кислорода (I) на Ni показало, что I, поглощенный в кол-ве $1,3 \cdot 10^{15}$ молекул O_2 на 1 см^2 истинной поверхности, вызывает при 35° увеличение работы выхода электрона (РВЭ) на 0,08 в, а при 100° — уменьшение РВЭ на 0,37—0,4 в. Уменьшение РВЭ объяснено подползанием I под верхний слой атомов Ni . Н. Шурмовская

31871. Катализ и индукция. Х. Новая теория электролиза и окислительно-восстановительных процессов. Шлейхер (Katalyse und Induktion. X. Neue Theorie der Elektrolyse und der Redoxydationen. Schleicher Alwin), Z. analyt. Chem., 1957, 157, № 5, 348—352 (нем.).

Дальнейшее развитие взглядов автора на электрохим. процессы как явления, относящиеся к электромагнитной индукции токов. Сообщение IX см. РЖХим, 1957, 57183. И. Зайденман

31872. Цементация металлов из растворов при помощи газообразных восстановителей. Петегем (Cementatie van metalen uit oplossingen door gasvormige reductoren. Peteghem A. P. van), Techn.—Wet. tijdschr., 1956, 25, № 10, 227—233 (голл.; рез. нем., франц., англ.).

Обзор. Рассмотрены теоретич. основы и практич. применение восстановления ионов металлов из р-ров при помощи газообразных восстановителей (CO , H_2). И. Левин

31873. Применение метода безразмерных параметров при решении задач переноса при электролизе с постоянным током на плоском и шарообразном электродах. Коутецкий, Чижек (Použití metody bezrozměrných parametrů na řešení transportních problémů při elektrolyse s konstantním proudem na rovinné a kulové elektrodě. Koutecký Jaroslav, Čížek Jiří), Chem. listy, 1957, 51, № 5, 827—838 (чешск.); Сб. чехосл. хим. работ, 1957, 22, № 3, 914—928 (нем.; рез. русск.).

Показано, что решение задачи переноса при электролизе с постоянной плотностью тока на плоском электроде можно существенно упростить применением метода безразмерных параметров. Обобщены некоторые решенные раньше задачи. Применение преобразований позволяет решать мономолекулярные кинетич. задачи на шарообразном электроде совершенно аналогично случаю плоского электрода. Вычислена конц-я электрохимически активных в-в на поверхности неподвижного шарообразного электрода при электролизе с постоянной плотностью тока для разнообразных схем деполяризации, содержащих, в частности, мономолекулярную р-цию в р-ре. L. Matousek

31874. Влияние добавок на температурный эффект на катоде и на катодную поляризацию при электроосаждении порошкообразного кадмия. Грицан Д. Н., Булгакова А. М., Ж. физ. химии, 1957, 31, № 9, 1943—1948 (рез. англ.).

В продолжение работ авторов (РЖХим, 1955, 13668, 13669; 1956, 15708, 15711) изучено влияние добавок поверхностно-активных в-в на температурный эффект Δt_m (максим. разница т-р между катодом и р-ром) и катодную поляризацию (КП) при электроосаждении порошкообразного Cd из 0,1 М CdSO_4 . Спирты жирного ряда, тимол, нафтолы, дифениламин, ацетофенон и йодистый тетраэтиламмоний не влияли на Δt_m и КП. Отсутствие адсорбции этих добавок объясняется отрицательным зарядом поверхности Cd -катада, а также значительной окисленностью Cd -порошка и локальным

повышением т-ры у катода. Добавки желатины (I) увеличивают КП и Δt_m уже при малых конц-ях I (до 0,1%); в области конц-ий I 0,1—0,4% Δt_m и КП почти не меняются, а свыше 0,4% снова возрастают. Влияние I объясняется ее лучшей адсорбируемостью, а также возможностью образования ионно-коллоидных комплексов. Показано, что увеличение вязкости р-ра в присутствии I не является причиной повышения КП и Δt_m .

З. Соловьева

31875. Нитевой рост на медных катодах. Овенстон, Паркер, Робинсон (Filamentary growths on copper cathodes. Ovenston T. C. J., Parker C. A., Robinson A. E.), J. Electrochem. Soc., 1957, 104, № 10, 607—611 (англ.)

Установлено, что возникновение нитевидных осадков при электроосаждении Cu происходит в тех случаях, когда разность потенциалов между катодом и анодом превышает 150 мВ, и обусловлено загрязнениями, попадающими в электролит вследствие выщелачивания лака. Добавление анионных поверхностноактивных в-в к такому электролиту вызывает осаждение некачеств. осадков, но препятствует росту нитей, а в отсутствие лака анионные и неионные добавки не ухудшают нормального электроосаждения Cu. Указанные загрязнения имеют катионный характер, их действие нейтрализуется анионными поверхностноактивными в-вами. Описаны 2 типа нитевидных осадков Cu и обсуждается возможный механизм их образования.

З. Соловьева

31876. К исследованию механизма электролиза. Балканский (Contribution à l'étude du mécanisme de l'électrolyse. Balkanski M.), Ann. phys., 1956, 1, mai-juin, 546—610 (франц.)

Изучалась поляризация (П) при выделении Cu из р-ров 0,1—0,001M CuSO₄, 0,1M Cu(NO₃)₂, 0,1M Cu₂(PO₄)₂ + H₃PO₄, 0,1M Cu(CH₃COO)₂ на Cu-электрод и на капельном Hg-электрод при 10—50°. П зависит от природы аниона, что автор объясняет влиянием анионов на гидратацию иона Cu²⁺. Добавки посторонних электролитов (H₂SO₄, HCl, KCl, CsCl), как правило, уменьшают П при осаждении Cu на Cu-катод, на Hg и амальгаме Cu. Исследовано также влияние на П добавок высокомолекулярных в-в (поливинилового спирта и некоторых патентованных препаратов) и определена вязкость р-ров CuSO₄, Cu(NO₃)₂ и Cu(CH₃COO)₂ различных конц-ий. См. также РЖХим, 1953, 2876; 1954, 17868, 47879; 1955, 9252.

В. Михайлов

31877. К механизму электроосаждения металлов; осаждение цинка. Балканский (Zum Mechanismus der elektrolytischen Metallabscheidung. Insbesondere zur Abscheidung des Zinks. Balkanski M.), Z. Elektrochem., 1957, 61, № 1, 141—150 (нем.)

Снимались поляризационные кривые (ПК) при электроосаждении Zn из р-ров 0,01—0,1 M ZnSO₄ на капельном Hg- и амальгамном (1% Zn) электродах при различных pH (0,3—3,6) и т-рах (25—50°). Путем экстраполяции ПК (после внесения поправки на концентрационную поляризацию) определялись величины токов обмена i_0 и из температурной зависимости i_0 вычислялась энергия активации W электродного процесса. При осаждении Zn на Hg W значительно выше, чем для амальгамы (соответственно 4000 и 700 кал для 0,1M ZnSO₄); W возрастает с уменьшением конц-ии ZnSO₄. Поляризация уменьшается с ростом конц-ии ZnSO₄, с понижением pH и при увеличении конц-ии KCl от 0,02 до 0,1 M.

В. Лосев

31878. Электрохимическая поляризация. II. Кинетика электрода Fe²⁺/Fe³⁺ на нержавеющей стали. Стерн (Electrochemical polarization. II. Ferrous-

ferric electrode kinetics on stainless steel. Stern Milton), J. Electrochem. Soc., 1957, 104, № 2, 559—563 (англ.)

В продолжение работы, опубликованной ранее (сообщение I, РЖХим, 1958, 10703) исследовалась система Fe²⁺/Fe³⁺ на нержавеющей стали типа 304 (18,36% Cr, 9,06% Ni и 0,94% Mn) в атмосфере N₂. Стационарный потенциал $E_{ст}$ стального электрода в р-ре сульфатов ионов Fe²⁺ и Fe³⁺ сдвигается во времени в положительную сторону и через 400 час. достигает постоянного значения, близкого к обратному потенциалу этой системы. Катодные и анодные (η , $lg i$) кривые в области как малых, так и больших i хорошо согласуются с теоретич.; их наклона соответственно равны 0,123 и 0,102; ток обмена $i_0 = 0,045 \text{ } \mu\text{a/cm}^2$ и $[d\eta/di]_{\eta=0} = 0,52$. В присутствии 0,4 н. NaNO₃ несколько снижается наклон анодной кривой и вдвое уменьшается i_0 .

Г. Флоринанович

31879. Анодное окисление алюминия, хрома, гафния, ниобия, тантала, титана, ванадия и циркония при очень низких плотностях тока. Джонсен, Адамс, Ван-Риссельберг (Anodic oxidation of aluminum, chromium, hafnium, niobium, tantalum, titanium, vanadium, and zirconium at very low current densities. Johansen Herman A., Adams George B., Van Rysselberghe Pierre), J. Electrochem. Soc., 1957, 104, № 6, 339—346 (англ.)

В области потенциалов E , более низких, чем E выделения O₂, при 25° изучались процессы анодного образования оксидных пленок на Al, Hf, V, Nb, Ta, Cr, Ti в р-рах бората аммония при перемешивании воздухом. Зг исследован ранее (РЖХим, 1955, 28566). Снимались кривые (E , t) при различных плотностях тока i (до 100 $\mu\text{a/cm}^2$). На основании опытных данных построены зависимости $\Delta E/i\Delta t$ от $lg i$, которые оказались линейными. Из величин $\Delta E/i\Delta t$ вычислены и приведены в таблице электролитич. параметры и градиенты потенциалов электр. полей в оксидных пленках, а также вычислены локальные токи, протекающие между микроанодами и микрокатодами на поверхности электрода.

Н. Хомутов

31880. Адсорбция и поглощение ионов сульфата пленкой окиси циркония. Марагини, Серра (Adsorbimento ed inglobamento di ioni solforici nel film di ossido di zirconio. Maraghini Mario, Serra Maria), Ricerca scient., 1957, 27, № 8, 2468—2474 (итал.; рез. англ., нем., франц.)

С применением радиоактивного изотопа S³⁵ исследовалась адсорбция (А) SO₄²⁻ на Zr в 0,0001—0,02 M Na₂SO₄ (I). Показано, что во времени t А SO₄²⁻ возрастает линейно с $lg t$ и тем сильнее, чем выше конц-ия I, достигая в случае 0,02 M I через 48 час. $\sim 4 \cdot 10^{14}$ ионов SO₄²⁻ на 1 см². В присутствии NaCl А SO₄²⁻ уменьшается. При анодной пассивации Zr в I током до 3 ма/см² А SO₄²⁻ линейно растет с потенциалом (в области 20—80 в), т. е. в пассивную пленку включается значительное кол-во ионов SO₄²⁻. Предполагается, что причиной нарушения пассивности Zr в присутствии ионов Cl⁻ является замещение ими ионов SO₄²⁻, адсорбированных в поверхностном слое.

Г. Флоринанович

31881. Изучение анодов для электролиза. Часть I. О состоянии поверхности платинового анода. (I). О синтезе гидратированных платиновых оксидов в их исследовании с помощью рентгеновских лучей. Иноуэ (Inoue Toshio), Дэнки кагаку, J. Electrochem. Soc. Japan., 1957, 25, № 7, 381—385, E-83—E-84 (японск.; рез. англ.)

В целях применения метода дифракции рентгеновских лучей для хим. анализа поверхностных окислов на Pt-аноде исследована кристаллич. структура обра-

пов $PtO_2 \cdot nH_2O$, полученных двумя различными методами (Vorhees, Adams, J. Amer. Chem. Soc., 1922, 44, 1397; Woeller, Z. anorgan. und allgem. Chem., 1904, 40, 422). Образцы содержали соответственно примесь Na и K. В первом случае обнаружена структура типа PtS_2 (гексагон. симметрия, константы решетки a_0 3,08, c_0 4,1 Å). Атомы Pt и O располагаются в последовательности ...Pt O O Pt O O Pt... Структура образцов, полученных по второму методу, обладает тетрагон. симметрией, константы a_0 4,85 и c_0 = 5,61 Å.

А. Чемоданов

31882. Электродные потенциалы и скорость окисления меди в растворах серной и соляной кислот. Кадек В. М., Ленин Л. К., LatvPSR Zinātņu Akad. vēstis, Изв. АН ЛатвССР, 1957, № 8, 129—136 (рез. лат.)

Скорость растворения v и потенциал E Cu в 0,01—2 н. HCl (I) и H_2SO_4 (II) изменяются во времени, проходя через минимум, причем E сначала сдвигается в отрицательном, а затем в положительном направлении. Предполагается, что причиной такого изменения v является замена кислородной деполяризации на деполяризацию ионами Cu^{2+} , так как скорость первой падает из-за истощения O_2 , а скорость второй возрастает с ростом концентрации ионов Cu^{2+} . В случае II E определяется C по уравнению Нернста, что приводит к линейной зависимости E от $lg v$. В случае I расчет осложнен возможным комплексообразованием. При низких концентрациях H^+ наблюдается повторное уменьшение v во времени, что связано с уменьшением растворимости продуктов коррозии из-за увеличения pH со временем. Г. Флорианович

31883. Стехиометрическое число реакции выделения водорода на никеле в щелочных растворах: дальнейшие замечания по поводу статьи Хориути и Сугавары. Бокрис, Поттер (The stoichiometric number for the hydrogen evolution reaction on nickel in alkaline solution: further comments on the work of Horiuti and Sugawara. Bockris J. O. M., Potter E. C.), Хоккайдо дайгаку сёкьюдай кэнкюдаё кёб, J. Res. Inst. Catalysis, Hokkaido Univ., 1957, 4, № 3, 256—258 (англ.)

Дискуссионная статья (РЖХим, 1957, 523, 524). Рассмотрен вопрос о возможной ошибке определения стехиометрич. числа $v = 2(\partial \eta / \partial i)_{\eta=0} (F i_0 / RT)$ из эксперим. данных. Для Ni-электрода в 0,18; 0,06 и 0,006 н. NaOH получены значения v , равные соответственно 1,7; 2,3 и 1,6.

П. Луковцев

31884. О характере действия некоторых неорганических катионов при электровыделении водорода на цинке и никеле из кислых растворов. Вишопские Р. М., Матулис Ю. Ю. LietTSR Mokslų akad. darbai, тр. АН ЛитССР, 1957, Б, № 4, 65—94 (рез. лит.)

Исследовано влияние добавок Na_2SO_4 , $MgSO_4$ и $Al_2(SO_4)_3$ (0,2 М) на перенапряжение η выделения H_2 из $5 \cdot 10^{-3}$ М H_2SO_4 на вращающихся Zn- и Ni-катадах ($3,3$ — 400 об/сек) при 18° и i $4 \cdot 10^{-5}$ — $4 \cdot 10^{-2}$ а/см². Показано, что при добавлении ионов Na^+ к р-ру H_2SO_4 η возрастает на 0,1 в при малых i и, в результате появления предельного тока, еще на 0,55—0,60 в при больших i . Сравнение с данными для катодов из Cr, Al и Cu показывает, что рост η является следствием резкого изменения pH р-ра в прикатодном слое (вытеснение H^+ ионами Na^+) и не зависит от природы металла катода. Влияние ионов Mg^{2+} и Al^{3+} имеет тот же характер, но значительно слабее, что связано с меньшей растворимостью соответствующих гидроксидов.

А. Чемоданов

31885. Поведение металлокерамического железного электрода в растворах щелочи. Турапов М. К.,

Муртазаев А. М., Докл. АН УзССР, 1957, № 5, 27—31 (рез. узб.)

Металлокерамический Fe-электрод изготовлялся прессованием (1000 кг/см²) Fe-порошка, полученного разложением $Fe(CO)_5$ и спеканием при 400° в атмосфере H_2 . Перенапряжение (η) водорода измерялось после 8—10-часовой поляризации от высоких плотностей тока к низким. Для всех исследованных р-ров (0,001 н.—10 н. КОН), в отличие от гладкого электрода, тафелевская постоянная $b = 0,10$ — $0,11$ в. Повышение концентрации КОН снижает η : $\Delta \eta / \Delta pH$ составляет в 0,001—0,01 н. КОН ~ 20 мв, в 0,01—0,1 н. КОН ~ 30 мв, в 0,1—10 н. КОН ~ 60 мв. Путем сравнения поляризационных кривых гладкого и металлокерамич. Fe-электродов в 10 н. КОН оценена поверхность последнего (~ 2540 см²/г).

Л. Кришталек

31886. Применение метода меченых атомов к изучению механизма анодного выделения кислорода. Герович М. А., Каганович Р. И., Вергелесов В. А., Горохов Л. Н., Докл. АН СССР, 1957, 114, № 5, 1049—1052

Изучался электролиз водн. р-ров 1—10 н. $HClO_4$ меченой изотопом O^{18} , при 20 и -30° (только для 10 н. $HClO_4$) с Pt-электродами. Измерялось анодное перенапряжение η , масс-спектроскопически определялся изотопный состав анодного O_2 для значительного интервала плотностей тока i и определялось содержание ClO_2 и ClO_3^- в анолите. При $\eta < 0,8$ в выделяющийся O_2 не содержит избыточного кол-ва O^{18} , а при более высоких η O_2 обогащен изотопом O^{18} , содержание которого растет с возрастанием η и с увеличением концентрации $HClO_4$. Кривые ($\eta, lg i$) имеют 2 точки перегиба. Появление ClO_2 и ClO_3^- в анолите наблюдается только для верхнего участка кривой ($\eta, lg i$). Рассчитана доля участия анионов ClO_4^- в выделении O_2 , равная нулю при малых η и достигающая больших значений (82—85%) при высоких η . Авторы полагают, что при низких η выделение O_2 происходит без участия ионов ClO_4^- за счет разложения поверхностных окислов и разряда воды (РЖХим, 1957, 526). Лишь при высоких η , при которых обнаруживается ClO_2 в анолите, O_2 образуется частично за счет разряда ClO_4^- . Предполагается, что источником повышенного содержания в O_2 изотопа O^{18} при умеренных и высоких η является распад поверхностных окислов платины, обогащенных O^{18} за счет р-ции их обмена кислородом с адсорбированными анионами ClO_4^- .

Н. Хомутов

31887. Периодический процесс при электролитическом окислении метанола на платиновом аноде. Павела (A periodic process in the electrolytic oxidation of methanol at platinum anode. Pavela T. O.), Suomen kem., 1957, 30, № 7-8, B138—B139 (англ.)

Осциллографич. методом изучались открытые ранее (РЖХим, 1956, 12532) явления колебания потенциала при электролитич. окислении (О) метанола (I) на платинированном Pt-микроэлектроде в р-рах 1 н. H_2SO_4 —1 М CH_3OH при i 80, 160 и 320 ма/см² при 20° . Потенциал О I составляет $\sim 0,55$ в (н. в. э.) и медленно возрастает с увеличением кол-ва прошедшего электричества. При $i = 320$ ма/см² наблюдаются периодич. изменения потенциала в интервале 0,69—0,87 в, которые рассматриваются как результат периодич. образования и последующего О мономолекулярного слоя I.

Н. Хомутов

31888. Электролиз четыреххлористого титана в расплавленных хлористых солях. Иванов А. И., Гоппенко В. Г., Тр. Всес. н.-и. алюмин.-магн. ин-та, 1957, № 40, 388—398

Исследовались условия электролиза TiCl_4 в расплавах I KCl-LiCl (эвт.); II KCl-NaCl-MgCl_2 ; III KCl-MgCl_2 (4:1); IV $\text{CaCl}_2\text{-BaCl}_2\text{-NaCl}$ и V $\text{AlCl}_3\text{-NaCl}$ в зависимости от плотности тока и т-ры. Опыты проводились в фарфоровых, кварцевых, корундовых и графитовых стаканах с графитовым анодом и с Mo-, W- или стальным катодом. При электролизе TiCl_4 в I выход по току (η) при 500° составлял 27%, а использование TiCl_4 25%. Катодный осадок имел состав (%): Ti 92,5, Fe 0,77, C 2,5 и Si 3; в расплаве II η достигал 44,5%, использование TiCl_4 54,4%. В III—IV катодный осадок содержал (в %) Ti 90—100, а в V Ti 80 и Al 13. С повышением т-ры во всех случаях увеличивалось загрязнение катодного продукта.

Б. Ленинских 31889. Изучение свойств водорода, растворенного в жидких шлаках, методом электродвижущих сил. Бармин Л. Н., Есин О. А., Чучмарев С. К., Изв. АН СССР. Отд. техн. н., 1957, № 9, 114—118

Для изучения поведения водорода в жидких шлаках при $1400\text{--}1600^\circ\text{K}$ использовались 3 типа гальванических цепей: а) водородный концентрационный элемент H_2O , $\text{H}_2|\text{Pt}|\text{CaO}, \text{Al}_2\text{O}_3, \text{SiO}_2, \text{MgO}|\text{MgO}|\text{MgO}, \text{CaO}, \text{Al}_2\text{O}_3, \text{SiO}_2|\text{Pt}, \text{H}_2, \text{H}_2\text{O}$; б) водородно-кислородный элемент $(\text{H}_2, \text{N}_2, \text{H}_2\text{O})|\text{Pt}|\text{CaO}, \text{Al}_2\text{O}_3, \text{SiO}_2, \text{MgO}|\text{MgO}, \text{CaO}, \text{Al}_2\text{O}_3, \text{SiO}_2|\text{Pt}|\text{O}_2, \text{N}_2, \text{H}_2\text{O}$ с перегородкой из MgO , э. д. с. которого обусловлена р-цией образования р-ра H_2O в шлаке при заданных значениях $P_{\text{H}_2\text{O}}, P_{\text{H}_2}$ и P_{O_2} ; в) водородно-кислородный элемент с одним шлаком $(\text{H}_2, \text{N}_2, \text{H}_2\text{O})|\text{Pt}|\text{CaO}, \text{Al}_2\text{O}_3, \text{SiO}_2|\text{Pt}|\text{O}_2, \text{N}_2, \text{H}_2\text{O}$, э. д. с. которого определяется следующим выражением: $E = E_{\text{O}_2}^0 - E_{\text{H}_2}^0 - (RT/2F) \ln [(a_{\text{H}_2})^2 \cdot a_{\text{O}_2}^2 / P_{\text{H}_2} \cdot P_{\text{O}_2}]$. Полученные значения э. д. с., пропорциональные $\lg P_{\text{H}_2}$, позволили вычислить величину относительной активности H_2O , которая оказалась пропорциональной V_{CaO} . Это подтверждает ранее высказанное предположение (Есин О. А. Электролитич. природа жидких шлаков. Изд. Дома техники Уральск. индустр. ин-та), что H_2O находится в шлаке в форме анионов OH^- . Б. Ленинских 31890. Железный электрод гальванического элемента. Шурмовская Н. А., Бурштейн Р. Х., Ж. прикл. химии, 1957, 30, № 8, 1176—1184

Наличие на порошкообразном Fe-электроде окисной пленки, соответствующей $2 \cdot 10^{15}$ молекул $\text{O}_2/\text{см}^2$ истинной поверхности, не изменяет стационарный потенциал Fe-электрода и его технологич. емкость в р-ре щелочи, но уменьшает скорость саморастворения (СС) Fe вследствие повышения перенапряжения водорода. СС Fe, покрытого окисной пленкой, при комнатной т-ре в 10 раз меньше СС чистого Fe. С повышением т-ры это соотношение уменьшается.

Н. Шурмовская 31891. Полярографические методы изучения механизма выделения металлов из некоторых комплексов. Короты (Polarografické metody k zjištění mechanismu vylučování kovů z některých komplexů. Koryta Jifi), Chem. listy, 1957, 51, № 8, 1544—1546 (чешск.)

Для случая комплексных соединений, в р-рах которых равновесия устанавливаются относительно медленно, выведены соотношения, позволяющие определять состав электрохимически восстанавливающихся частиц по зависимости тока при постоянном потенциале от конц-ии комплексобразователя или от конц-ии H^+ -ионов. Если величина предельного тока определяется скоростью диссоциации комплекса, то можно показать, какая из р-ций протекает наиболее медленно. Предложен метод вычисления констант устойчивости из разности $E_{1/2}$ кинетич. токов, отвечающих диссоциации комплекса, и $E_{1/2}$ свободных ионов.

Р. Zuman

31892. К катализу выделения водорода на ртутном капельном электроде под действием аминов. Нюрнберг, Штаккельберг (Zur Katalyse der Wasserstoffabscheidung an der Quecksilbertropfkathode durch Amine. Nürnberg H. W., Stackelberg M. v.), Levbold polarogr. Ber., 1956, 4, № 4, 199—200 (нем.)

Изучено каталитич. выделение водорода (КВВ) на ацетатных буферных р-ров под действием α, α' -дипиридила (I) и 8-оксихинолина (II). Судя по снижению высоты волны КВВ в присутствии адсорбирующихся в-в (изо-пропанол) и по характеру электрокапиллярных кривых и кривых (i , t), катализаторы (K), представляющие собой продукты восстановления I и II, адсорбируются на ртутном электроде (РЭ). Предполагается, что адсорбированный на РЭ К, присоединяя протон, образующийся за счет диссоциации и-т в р-ре вблизи РЭ, превращается в олеиный ион; последний разряжается на РЭ и после этого распадается на атомы H, которые попарно димеризуются, и адсорбированную частицу К. На полярограммах между волной КВВ, возникающей в присутствии I, и разрядом фона наблюдается волна, приписанная разряду протонов, образующихся за счет диссоциации воды. С. М.

31893. О полярографировании производных антрахинона в ледяной уксусной кислоте. Старка, Выстрчил, Старкова (Polarografie anthrachinonových derivátů v ledové kyselině octové. Stárka Luboš, Vystrčil Alois, Stárková Běla), Chem. listy, 1957, 51, № 8, 1440—1448 (чешск.); Collect. czechosl. chem. commun., 1958, 23, № 2, 206—215 (нем.; рез. русск.)

Исследовано полярографич. поведение некоторых замещенных производных антрахинона (I) и геллантрина (II) в лед. CH_3COOH с 10%-ной H_2SO_4 в качестве фона. Для всех 40 исследованных производных I и II наблюдаются двухэлектронные диффузионные волны восстановления, сопровождаемые обычно явлениями адсорбции. Для исследования обратимости электронного процесса использован переключатель Калоусека. Наклон кривых меньше, чем соответствует обратимому процессу, что объяснено образованием семихинонов. $E_{1/2}$ производных I (измерены по отношению к $E_{1/2}$ 2-метилнафтохинона): I — 0,27 в; 2-метил-I — 0,29 в; 1-окси-I — 0,32 в; 2-окси-I — 0,32 в; 1,2-диокси-I — 0,40 в; 1,4-диокси-I — 0,39 в; 1,8-диокси-I — 0,37 в; 1,2,3-триокси-I — 0,36 в; 1,2,4-триокси-I — 0,47 в; 1,2,7-триокси-I — 0,41 в; 1,2,5,8-тетраокси-I — 0,49 в; 3-метил-1,6,8-триокси-I — 0,28 в; 1,5-диокси-4,8-диаминов-I — 0,43 в; 1-окси-2-амино-I — 0,26 в; 1-метокси-I — 0,21 в; 2-метокси-I — 0,29 в; 1-окси-2-метокси-I — 0,40 в; 1,2-диметокси-I — 0,35 в; 1,8-диметокси-I — 0,21 в; 1-ацетокси-I — 0,25 в; 2-ацетокси-I — 0,27 в; 1,2-диацетокси-I — 0,31 в; 1,4-диацетокси-I — 0,24 в; 1-амино-I — 0,22 в; 2-амино-I — 0,22 в; 1,4-диамино-I — 0,26 в; 2,6-диамино-I — 0,12 в; 2,7-диамино-I — 0,12 в; 1-амино-2-метил-I — 0,26 в; 1-бензоиламино-2-хлор-I — 0,23 в; 1-амино-2,4-дихлор-I — 0,22 в; 1-амино-2-метил-4-хлор-I — 0,22 в; 1-амино-2-метил-4-бром-I — 0,23 в; 1-ацетиламино-2-метил-4-бром-I — 0,23 в; 1-сульфоновый к-та-I — 0,20 в; 1-хлор-I — 0,23 в; 2-хлор-I — 0,28 в; 1,5-дихлор-I — 0,24 в; 2,6-дихлор-I — 0,26 в; 1-хлор-2-карбоксии-I — 0,24 в; фенантрехинон + 0,05 в; геллантрин (II) — 0,18 в; 4,4'-диокси-2,2'-диметил-II — 0,20 в; 4,4'-диокси-3,3'-диметокси-II — 0,25 в. Замещение —OH группой в α - или β -положениях вызывает сдвиг $E_{1/2}$ на 50 мв в отрицательную сторону. Замещение группами —Cl, — OCH_3 , — OCOCN_3 и — CN в β -положении вызывает сдвиг $E_{1/2}$ на 15 мв в отрицательную сторону, но те же группы в α -положении вызывают сдвиг в положительную сторону. При замещении в α -положении преобладают индуктивные, а при замещении в β -поло-

линии — таутомерные эффекты. Исследована также кинетика фотодегидрогенизации II. P. Zuman 31894. О полярографии производных антраона в ледяной уксусной кислоте. Старка, Вустрич (Polarografie derivátů anthronu v ledové kyselině octové. Stárka Luboš, Vustrčil Alois), Chem. listy, 1957, 51, № 8, 1449—1452 (чешск.); Collect. Czechosl. chem. commun., 1958, 23, № 2, 216—220 (нем.; рез. русск.)

В лед. CH_3COOH с добавкой 10%-ной H_2SO_4 антрон (I) и бензантрон вызывают образование необратимой двухэлектронной волны, высота которой лимитируется скоростью диффузии. Более затруднительное восстановление I объяснено возможностью енолизации. Замещение —ОН группой в положениях 2, 3, 6 или 7 стабилизирует енольную форму, на что указывает сдвиг $E_{1/2}$ на ~ 100 мВ в отрицательную сторону. Найдены $E_{1/2}$ (в см. э.): I — 1,01 в; 1-окси-I — 1,02 в; 3-окси-I — 1,06 в; 4-окси-I — 0,98 в; 1,2-диокси-I — 1,12 в; 1-окси-2-метокси-I — 1,01 в; 1,8-диокси-I — 1,20 в; 3,4-диокси-I — 1,07 в; 4,5-диокси-I — 1,01 в; 1,2,3-триокси-I — 1,18 в; 3,4,6-триокси-I — 1,27 в; 4-хлор-I — 0,99 в; 1,5-дихлор-I — 0,99 в; 1,8-дихлор-I — 1,08 в; бензантрон — 0,89 в. При замещении —ОН группой в положениях 1,4,5 или 8 наблюдаются только небольшие сдвиги $E_{1/2}$, что объяснено образованием водородных связей или стерич. влияниями. Биантронилы восстанавливаются с образованием двух волн; $E_{1/2}$ 1-й волны: биантронил (II) — 0,62 в; 4,4'-диокси-II — 0,61 в; 1,1'-диокси-2,2'-диметокси-II — 0,69 в; 1,1'-диокси-8,8'-диметокси-II — 0,81 в; 3,3',4,4'-тетраокси-II — 0,58 в; 1,1'-дихлор-II — 0,77 в; 1,1',5,5'-тетрахлор-II — 0,70 в. $E_{1/2}$ 2-й волны на ~ 400 мВ более отрицательны.

P. Zuman 31895. Полярография производных мочевины и тиомочевины. X. Анодная деполаризация в растворах 3-замещенных 2-тиоксо-4-оксо-1,2,3,4,5,6,7,8-октагидрохиноазинов. Паркányи (Polarografie derivátů thiomocoviny a thiomocoviny. X. Anodická depolarizace v roztocích 3-substituovaných 2-thioxo-4-oxo-1,2,3,4,5,6,7,8-oktahydrochinazolinů. Párkányi Cyril), Chem. listy, 1957, 51, № 4, 709—715 (чешск.); Collect. Czechosl. chem. commun., 1958, 23, № 1, 63—70 (русск.; рез. нем.)

Исследовано полярографич. поведение 2-тиоксо-3-фенил-4-оксо-1,2,3,4,5,6,7,8-октагидрохиноазолина (I), 2-тиоксо-3-*n*-метилфенил-4-оксо-1,2,3,4,5,6,7,8-октагидрохиноазолина (II) и 2-тиоксо-3-*n*-метоксифенил-4-оксо-1,2,3,4,5,6,7,8-октагидрохиноазолина (III) в щел. буферных р-рах и в р-рах гидроокисей щел. металлов. Анодные волны, соответствующие образованию солей Hg, осложнены адсорбционными явлениями. Установлено, что поведение I существенно отличается от поведения II и III. Это может быть вызвано, с одной стороны, пространственным затруднением, с другой — плоскостностью молекулы. Сравнением полярографич. поведения I и 2-меркапто-3-фенилхиноазолина (4) установлено, что гидрирование бензольного кольца оказывает влияние на общее полярографич. поведение в-ва. II и III ведут себя очень сходно и аналогично тиабарбитуровым к-там и 4-метил-2-тиоурацилу. Сообщение IX см. РЖХим, 1957, 4872; см. также РЖХим, 1957, 34415.

L. Matousek 31896. Исследование химических процессов в факельных разрядах. I. Миядзак, Такахаси (Miyazaki Shozo, Takahashi Saku), Nihon Kagaku daisei, J. Chem. Soc. Japan, Pure Chem. Sec., 1956, 77, № 11, 1647—1651 (японск.)

Изучался синтез HCN из смесей паров метилового спирта (I) с N_2H_2 и NH_3 в факельном разряде с частотой 40 МГц при атмосферном давлении. Проведены 4 серии опытов; в первой серии концы паров I в N_2

изменялась от 0,5 до 10%; во второй серии 10%-ная смесь I с N_2 разбавлялась различным кол-вом H_2 (от 10 до 80% H_2); в третьей серии 10%-ная смесь I с N_2 разбавлялись NH_3 (от 30 до 90%); в четвертой серии 10%-ная смесь паров I с H_2 разбавлялась NH_3 (от 20 до 80%). Все опыты проводились при расходе смеси 500 и 1000 см³/мин. В продуктах р-ции, поглощенных 3%-ным р-ром NH_3 , определялась HCN. Максим. выход (18%) получен в третьей серии опытов, несколько меньший выход (до 11%) — в четвертой серии. Предложены возможные схемы механизма р-ций, протекающих в разряде, и соответствующие кинетич. ур-ния. Ю. Емельянов

31897 К. Электрохимия с введением в неорганическую химию. Изд. 4-е, перераб. и доп. Шмитт (Elektrochemie mit Einführung in die anorganische Chemie. 4. verb. und erw. Aufl. Schmitt Karl. Leipzig, Fachbuchverl., 1957, 343 S., ill., 9.80 DM) (нем.)

31898 Д. Изучение механизма электровосстановления нитробензола и некоторых его производных. Мартинюк Г. А., Автореф. дисс. канд. хим. н., МГУ, М., 1957

См. также: Электроосаждение металлов 33142, 33143, 33147—33149, 33155, 33157, 33170, 33186. Коррозия 32815—32817, 32825, 32863. Полярография 32141, 32166, 32167, 32171, 32176, 32179, 32186, 32235. Хим. источники тока 33130, 33175. Электропроводность 31795, 31926, 31931. Методика электрохим. измерений 32191. Электрохимия расплавов 31858

ПОВЕРХНОСТНЫЕ ЯВЛЕНИЯ. АДСОРБЦИЯ. ХРОМАТОГРАФИЯ. ИОННЫЙ ОБМЕН

Редактор Н. А. Фукс

31899. Принципы адгезии. I, II, III. Хаувинк (The principles of adhesion. I, II, III. Houwink R.), Metalen, 1957, 12, № 13, 224—233, № 13, 248—253 (англ.; рез. гол.)

31900. Поверхностная энергия галогенидов щелочных металлов. Зеггерен (Oppervlakte-energieën van alkalihalogeniden. Zeggeren F. van), Chem. weekbl., 1957, 53, № 37, 497—500 (гол.; рез. англ.) См. РЖХим, 1957, 25885, 26349, 54062.

31901. Предельные законы для поверхностного натяжения растворов сильных электролитов. Бранина В. Е., Ж. эксперим. и теор. физ., 1957, 33, № 4, 1065—1067

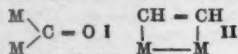
Рассчитано изменение поверхностного натяжения в р-рах сильных электролитов, причем приняты во внимание некоторые ранее не учтывавшиеся эффекты.

1. В случае многовалентных электролитов несимметричного типа нарушается электронейтральность каждого элемента объема; поэтому при расчетах, кроме потенциала, обусловленного электростатич. изображением иона с учетом экранирующего действия окружающих ионов, следует учитывать дополнительное поле, вызванное асимметрией электростатич. картины. 2. Для 1:1-электролитов учтена диэлектрич. постоянная внешней среды. Предельный закон Онзагера — Самараса (Onsager L., Samaras N. T., J. Chem. Phys., 1934, 2, 528) оказывается частным случаем полученных общих ур-ний. С. Френкель

31902. Электроотрицательность и влияние поверхностности. Гайсинский (Electronegativités et phénomènes de surface. Haissinsky M.), J. chim. phys. et phys.-chim. biol., 1957, 54, № 9, 655—658 (франц.)

Исходя из численных значений электроотрицательности χ , рассчитанных по термохим. данным и ф-лам, выведенным из известного ур-ния Паулинга для энергии ковалентной связи, вычислены начальные тепло-

ты хемосорбции Q H_2 на металлах (M): Ta, W, Cr, Ni, Fe, Rh, Pt, Cu, Co, Mo, Ru, Pd, Ir; CO на Ni и Fe и C_2H_4 на Ta, W, Cr, Fe, Ni, Rh. В случае CO и C_2H_4 приняты модели (I) и (II) соответственно. Вычислен-



ные этим способом Q гораздо лучше согласуются с эксперим. Q , чем вычисленные по x . Последние рассчитаны из дипольных моментов связей. Ф-ла Стивенса $x = 0,355 \varphi$ (φ — работа выхода электронов) справедлива для щел. и (за возможным исключением Be) щел.-зем. M, приблизительно справедлива для переходных (кроме благородных) M и неверна для всех M с $x \geq 2$. Простых соотношений между x и электр. моментами или потенциалами поверхностей M, на которых хемосорбирован слой газа, не наблюдается.

З. Высоцкий

31903. Об искажениях в спектре поглощения адсорбированных веществ при измерениях в диффузно отраженном свете. Котов Е. И., Оптика и спектроскопия, 1957, 3, № 4, 368—371

Изучено влияние на спектр диффузного отражения величины адсорбции бензальдегида (I) на поверхности силикагеля (II) и алюмосиликагеля (III) ($S \approx 400 \text{ м}^2/\text{г}$). Спектры поглощения (СП) адсорбированного I сняты в области мономолекулярного заполнения поверхности до начала капиллярной конденсации. При малых степенях заполнения ($\theta \approx 0,001$) эти СП мало отличаются от СП I, растворенного в этаноле, так как молекулы I в адсорбированном состоянии изолированы друг от друга. С увеличением θ (начиная с $\theta = 0,01$) происходит сильное искажение спектра I, обусловленное изменением коэф. отражения от граней частиц адсорбента, покрытых адсорбированным I. Поскольку подобные искажения не наблюдаются при адсорбции I на непористом измельченном кварце, авторы приходят к выводу, что адсорбция I на II и III происходит неравномерно — в виде микрокапель в микропорах.

В. Афанасьева

31904. О применении активированного угля в практике работы с дихлоридом и треххлористым бором. Михеева В. И., Дымова Т. Н., Ж. неорганической химии, 1957, 2, № 11, 2539—2542

Весовым методом определена поглотительная способность (ПС) активированного угля (АУ), высушенного до постоянного веса при 105° , по отношению к газообразным BCl_3 и B_2H_6 при 0° . Для BCl_3 ПС равна 55%, а для B_2H_6 6% от веса АУ. Авторы предлагают использовать АУ в качестве ловушки, препятствующей попаданию BCl_3 и B_2H_6 в воздух лаборатории, и в качестве дозера этих в-в путем их десорбции с АУ при нагревании.

Ю. Эльтеков

31905. Равновесная адсорбция из водных растворов глицерина на активированных угле и глине. Юкава (Yukawa Masafumi), Kōrō kagaku zasshi, J. Chem. Soc. Japan. Industr. Chem. Sec., 1956, 59, № 9, 1012—1014 (японск.)

31906. Метод определения удельной поверхности по адсорбции газов в мономолекулярной области. Каганер М. Г., Докл. АН СССР, 1957, 116, № 2, 251—254

Измерена адсорбция N_2 на силикагеле и алюмогеле при $77,4^\circ \text{K}$ и $p/p_s 1 \cdot 10^{-8} - 0,5$. Используя ур-ние изотермы адсорбции Дубинина — Радускевича и предполагая, что для любого адсорбента величина адсорбции a_m , соответствующая заполнению поверхности мономолекулярным слоем, получается экстраполяцией прямолинейного участка изотермы в координатах $[\lg a, \lg (p/p_s)]$, авторы предполагают новый метод расчета уд. поверхности S . Для 8 адсорбентов (углей,

силикагелей, сажи графит, Al_2O_3 , $BaSO_4$) проведено сопоставление значений S , рассчитанных данным методом и по БЭТ. Расхождение составляет $\sim \pm 4\%$. Для определения S ур-ние Дубинина — Радускевича придает вид $\lg a/a_m = -D (\lg p/p_s)^2$, где коэф. D для низкотемпературной адсорбции N_2 на крупнопористых силикагелях $\approx 0,040 - 0,045$.

Ю. Эльтеков

31907. Измерение удельной поверхности тонких порошков. Сравнение методов адсорбции газов и воздухопроницаемости. Мэтьюс (Measurement of the specific surface area of fine powders. A comparison of the «gas-adsorption» and «air-permeability» methods. Matthews D. H.), J. Appl. Chem., 1957, 7, № 11, 610—613 (англ.)

Уд. поверхности (S) 19 порошков с различными хим. и физ. свойствами определены методом адсорбции N_2 при -196° (по БЭТ) и методом воздухопроницаемости, описанным Ригденом (Rigden P. J., J. Soc. Chem. Ind., 1947, 66, 130). Во всех случаях S по БЭТ (S_A) значительно больше S по воздухопроницаемости (S_B); отношение S_A/S_B изменяется от 2 до 13. Столь большое отличие S_A от S_B объясняется тем, что методом воздухопроницаемости измеряется только S сквозных каналов в плотном слое порошка, а адсорбцией N_2 измеряется также и внутренняя S пор, трещин и тупиков между частицами. Для очень тонких порошков S_B зависит от уплотнения слоя порошка.

А. Клячко

31908. Структура искусственных графитов по данным рентгенографических, электрономикроскопических и адсорбционных исследований. Вильсон, Мак-Дермот (The structure of artificial graphites as revealed by X-ray, electron microscope, and adsorption studies. Wilson L. G., McDermot H. L.), Canad. J. Chem., 1957, 35, № 1, 15—20 (англ.)

Сравнены методами рентгенографии, электронной микроскопии и адсорбции 3 искусственных графита (I) с различной пористостью: I с внутренней поверхностью $S = 18 \text{ м}^2/\text{г}$ (РЖХим, 1956, 18923; 1957, 18747) и высокопористый ачесоновский I до и после обеззоливания плазмовой к-той. По изотермам адсорбции S ачесоновского I до и после обеззоливания равна соответственно 380 и 385 $\text{м}^2/\text{г}$. По рентгенограммам I с NaCl в качестве стандартного в-ва определены размеры кристаллитов, и без учета распределения кристаллитов по размерам, их S , равная для трех упомянутых образцов I соответственно 55, 220, и 230 $\text{м}^2/\text{г}$. Электрономикроскопич. снимки качественно подтверждают эти данные.

Л. Разумова

31909. Хроматография газов и паров. Каллисен (Fractografia de gases y vapores. Callisen Federico I.), Industria y quimica, 1957, 18, № 4, 228—229 (исп.)

Обзор. Библ. 9 назв.

31910. Газовая хроматография. Гальбек (Gaschromatografie. En oversigt. Gjaldbæk J. Chr.), Dansk tidsskr. farmaci, 1957, 31, № 11, 225—235 (датск.)

Обзор.

31911. Практическое применение теории хроматографии, основанной на теории противоточного распределения. Верзеле, Алдервейредт, Вандевалле (The practical application of chromatographic theory based on the theory of CCD. Verzele M., Alderweireldt F., Vandewalle M.), Bull. Soc. chim. belges, 1957, 66, № 9—10, 570—589 (англ.)

Теория хроматографии (РЖХим, 1956, 46594) позволяет установить зависимость числа теоретич. тарелок n от отношения β между коэф. распределения (K) двух разделяемых в-в между подвижной и неподвижной фазами (ПФ). Пользуясь графиком, на который нанесены значения n , вычисленные для различных

проведено
ным мето-
4%. Для
ча прида-
для нано-
тых сили-
Эльтонов
онных по-
в в воду
t of the
parison of
methods.
7, № 11,
ным хим.
орбции N₂
цаемости,
nem. Ind.,
F.A.) значе-
S_в); отно-
е большое
одом воз-
сквозных
рбцией N₂
и тупи-
ионов S_в
А. Ключко
по диа-
оскопиче-
л с ос.
sical gra-
score, and
Der mot
0 (англ.)
ктронной
графита
й поверх-
57, 18747)
е обезо-
орбции S
вна соот-
мам I с
ты разме-
кристал-
упомяну-
230 м²/г,
по под-
Разумова
дл сес в
Fede-
4, 226—

А определяют λ , необходимое для разделения данных компонентов. Рассмотрены методы определения высоты теоретич. тарелок и K из эксперим. данных. Препаративное значение β , при котором еще возможно разделение, равно 1,1. Опыты хроматографич. разделения на силикагеле подтвердили, что для смеси нафталина и фенантрена (I) ($\beta = 2,7$) получается хорошее разделение при применении изеооктана (II) в качестве ПФ; для смеси I и антрацена ($\beta = 1,1$) разделение невозможно. Разделение продуктов гидролиза ксантогумола со смесью бензол-эфир в качестве ПФ также доказывает правильность теории. Для смеси лупулонов с фосфатным буферным р-ром в 25%-ном CH₃OH в качестве неподвижной и II в качестве ПФ при длине колонки 78 см разделение неполное, при длине 125 см — полное. Б. Анваер

31912. Распределительный хроматографический метод разделения и анализа углеводородных газов. Туркельштауб Н. М., Ж. физ. химии, 1957, 31, № 9, 2102—2109 (рез. англ.)

Дан анализ роли носителя и природы неподвижной фазы (НФ) в распределительной хроматографии (РХ). Показано, что наличие микропор в сорбенте играет лишь отрицательную роль, тогда как присутствие микропор увеличивает скорость сорбции и улучшает разделительную способность колонки. Исследовано разделение смесей углеводородов (У) с применением различных носителей (прокаленный силикагель, крупнопористый кирпич, диатомит, крупнопористый силикагель АСК). Наилучшие результаты получены на диатомите. Для разделения предельных У можно применять неполярные р-рители типа вазелинового масла. Для отделения предельных У от непредельных следует применять полярные р-рители, как напр., дибутилфталат и нитробензол. Экспериментально установлено оптимальное соотношение между кол-вами носителя и НФ, рассмотрено влияние длины слоя сорбента, т-ры колонки и ср. скорости газа на разделение двойных смесей У. Показано существенное значение внутренней диффузии и стенового эффекта. C₂H₆ не отделяется полностью от C₂H₄ и C₂H₂ от C₂H₆ посредством РХ; целесообразно сочетание РХ с хроматермографией, при этом удается разделить 11-компонентную смесь У от C₁ до C₆. Из данных РХ вычислены теплоты растворения *n*- и *изо*-бутана и *n*- и *изо*-пентана в вазелиновом масле. Б. Анваер

31913. Разделение гелио-неоно-азотных смесей путем комбинированной адсорбции и десорбции. Зелинский (Rozdzielanie mieszanin helowo — neonowo — azotowych metodą kombinowanej adsorpcji i desorpcji. Zieliński E.), Przem. chem., 1957, 13, № 11, 642—646 (польск.; рез. русск., англ.)

Исследована сорбция He, Ne и N₂ активными углями (АУ): карбопол Н2, карбопол-экстра, активированным углем Мерка, силикагелем и глиноземом при низких т-рах. Описан аппарат для разделения смесей He-Ne-N₂ путем комбинированной адсорбции и десорбции на АУ и приведены примеры практич. использования этого аппарата. Резюме автора

31914. Электрофорез на инертном носителе. Мюнье Роже, Успехи химии, 1957, 26, № 5, 568—607 См. РЖХим, 1958, 18948

31915. К вопросу о механизме ионного обмена. Горшков В. И., Панченко Г. М., Докл. АН СССР, 1957, 114, № 3, 575—578

Предлагается следующая схема механизма обмена катионов на сульфосолах: катионит, являющийся высокомолекулярной поликислотой, при погружении в полярный р-ритель ионизируется, но благодаря неподвижности анионных групп и наличию электростатич. сил катионы также ограничены в своей подвижности и около поверхности раздела зерна с р-ром об-

разуется ионное облако с довольно высокой конц-ией катионов. Наряду с этим происходит и ассоциация катионов с анионами смолы подобно тому, как это происходит и в свободных р-рах электролитов при конц-иях > 0,05 н. Диффузный ионный слой проникает в фазу р-ра достаточно глубоко, но с внутренней стороны, в толще зерна, глубина его проникновения значительно меньше. Равновесие ионизации катионита АBR может быть записано в форме: $ABR \rightleftharpoons A^+ + B^- + R^- \rightleftharpoons A^+ + B^- + R$, где A^+ — катион, $B^- + R^-$ — анионная группа смолы, $A^+ + B^- + R$ — ассоциация катиона с анионом. Стандартная свободная энергия ΔF обмена $Me^+ + H^+ + SO_3^- R^- \rightleftharpoons H^+ + Me^+ + SO_3^- R^-$ состоит из двух слагаемых: $\Delta F(эл.)$ (разности энергий электростатич. взаимодействия H^+ и Me^+ в ионной паре с $SO_3^- R^-$) и $\Delta F(не\ эл.)$, определяемой неэлектростатич. силами взаимодействия молекул р-рителя с ионами. Для константы равновесия обмена K предлагается ур-ние: $-\lg K = \Delta F(не\ эл.) / 2,3RT + (Ne^2/4,6 DRT) (1/a_{H^+} - 1/a_{Me^+})$, где e — заряд иона H^+ , D — диэлектрич. проницаемость, a_{H^+} и a_{Me^+} — дебаевские параметры, выражающие расстояния максим. сближения катионов с анионами смолы. Исследование равновесия обмена катионов щел. металлов M^+ на сульфосолах в водно-спирт. р-рах с конц-ией спирта до 60% подтверждает наличие линейной зависимости $-\lg K$ от $1/D$. При конц-иях спирта > 60% эта линейная зависимость нарушается и кривые проходят через минимум. Линейной зависимости не наблюдается и в водно-ацетоновых р-рах. Эти отклонения от линейности обусловлены специфич. взаимодействием ионов H^+ с р-рителем. В. Анохин

31916. О прочности связи ионов с функциональной группой нонита. Головатый Р. Н., Доповіді та повідомлення. Львівськ. ун-т, 1957, вып. 7, ч. 3, 187—190

При стандартных условиях опыта (навески вофатита Р по 5 г, в одинаковых колонках, заряженные пропусканием по 40 мл 0,05 н. р-ров солей различных катионов, с последующей промывкой водой), определялась пороговая конц-ия HCl, при которой наблюдается появление аналитически открываемых кол-в катиона, после пропускания по 100 мл р-ров HCl заданных конц-ий. Установлены 3 группы катионов, характеризующиеся относительной легкостью отмывания: 1) 1-зарядные катионы, отмываемые 0,0005—0,001 н. HCl (щел. металлы и NH₄⁺); 2) катионы Mg²⁺, Cd²⁺, Sr²⁺, Ba²⁺, Pb²⁺, Mn²⁺, Co²⁺, Ni²⁺, Cu²⁺, отмываемые 0,01 н. HCl; 3) Zn²⁺, Hg²⁺, Sn²⁺ (ионный потенциал $z^2/r < 5$), Fe³⁺, Cr³⁺, Bi³⁺, Al³⁺ ($z^2/r > 8$), отмываемые 0,05 н. HCl. Относительную легкость отмывания автор связывает с энергией выхода иона из смолы, характеризуемой величиной z^2/r (у 1-й группы < 2, у 2-й группы < 6) и величиной электростатич. (разность между потенциалом ионизации и теплотой гидратации), которая для 1-й группы < 23, для 2-й группы ≤ 100 (кроме Cu²⁺, Pb²⁺ и Cd²⁺), для 3-й группы > 100. Явления комплексобразования вносят некоторое осложнение в эту схему относительной прочности связи катионов с катионитом. В. Анохин

31917. Селективные нониты и селективные нонитовые мембраны. Ключко В. А., Заводск. лаборатория, 1957, 23, № 9, 1049—1051

При использовании соответственно подобранных (селективных) катионо- и анионообменных мембран в качестве перегородок в аппарате для электролиза получены Na⁺ и P⁺O₄³⁻ радиохим. чистоты. При варьировании pH р-ра в средней ячейке удается разделять смесь W и Mo, Na⁺, K⁺ и Li⁺, Ca²⁺ и Mg²⁺ и др., а также смесь органич. к-т и смесь органич. с неорга-

нич. к-тамп. Показана возможность использования такой ячейки для изучения состава комплексных соединений. Значительно повышается эффективность разделения ионов по их подвижности при использовании столбика ионитовых мембран в качестве насадки, ибо при этом практически полностью устраняется влияние конвективного перемешивания и обратного диффузионного переноса.

Л. Дмитриенко
31918. Химия четырехвалентного германия. Часть V. Ионнообменные исследования растворов германатов, содержащих многоатомные спирты. Эверест, Гаррисон (The chemistry of quadrivalent germanium. Part V. Ion-exchange studies of germanate solutions containing polyhydric alcohols. Everest D. A., Harrison J. C.), J. Chem. Soc., 1957, Oct., 4319—4323 (англ.)

Методом определения равновесного распределения германатов и хлоридов между р-ром и анионитом IRA-400 в Cl⁻-форме исследовано комплексобразование германатов с многоатомными спиртами, добавляемыми в фазу воды. р-ра, при pH 6—12. В этих р-рах германаты обладают свойствами сильных к-т. В присутствии этиленгликоля германаты и Cl⁻ сорбируются во всем исследованном интервале pH. В присутствии глицерина сорбция обоих анионов и 2-зарядного комплекса с соотношением Ge:глицерин = 1:1 наблюдается только при pH > 9. Из р-ров с соотношением Ge:маннит = 1:5 и 1:7 извлекается однозарядный комплекс состава Ge:маннит = 1:1 при pH > 8. При pH > 10,6 сорбируется 2-зарядный комплекс Ge:маннит = 1:2. В интервале pH 8—10,6 сорбируется смесь этих комплексов и Cl⁻. Из р-ров с соотношением Ge:маннит = 1:1 сорбируется однозарядный комплекс с соотношением компонентов 1:1 при всех значениях pH. Часть IV см. РЖХим, 1957, 68486.

В. Анохин
31919. Изучение хроматографии многовалентных ионов с помощью меченых атомов. II. Вытеснительная хроматография Sr²⁺ и Ce³⁺ при значительных заполнениях адсорбента. Елочив С. Ю., Прусаков В. Н., Ж. физ. химии, 1957, 31, № 8, 1784—1791 (реаб. англ.)

По описанному ранее методу (часть I, РЖХим, 1958, 13938) исследованы закономерности вытеснения радиоактивно меченных катионов Sr²⁺ и Ce³⁺ р-рами HCl различной конц-ии и при степени начального заполнения колонки с катионитом КУ-2 в пределах 40—50% полной емкости. Получены кривые распределения конц-ий катионов в зависимости от времени и от расстояния от верха колонки. Семейства эксп-рим. кривых хорошо согласуются с теоретич. ур-ниями, выведенными на основе классич. теории равновесной хроматографии, с использованием изотермы обмена ионов различной валентности Б. П. Никольского. При преобладающей конц-ии вытесняющей к-ты (0,3—0,5 н. в случае Sr²⁺ и 1,2—1,4 н. в случае Ce³⁺) ионная сила принимается постоянной, а отношения коэф. активности $\gamma_{M^{1/2}}/\gamma_{H^+} = \text{const}$ определялись в спец. статич. опытах, на основании ранее определенных значений термодинамич. констант обмена. Часть I см. РЖХим, 1958, 13938.

В. Анохин
31920. Изучение взаимодействия между гомононными глинами и электролитами при помощи измерений активности. Бос (Study of interaction between homoionic clays and electrolytes by means of activity measurements. Bose Saroj Kumar), J. Indian Soc. Soil Sci., 1957, 5, № 3, 141—145 (англ.)

Активность α отдельных ионов в бинарной смеси определялась для изучения прямой и обратной р-ции Na-глина + KCl \rightleftharpoons K-глина + NaCl. α определялась при добавлении вычисленных кол-в NaCl или KCl к соответствующим глинам. Для этой цели применялись

мембрана из смолы и глиняный мембранный электрод с отношениями подвижности K⁺ и Na⁺, равными соответственно 1,62 и 5,87. Ход кривых α_{Na} и α_K в функции конц-ии добавленного электролита при прямой и обратной р-ции более или менее одинаков, и значения α_{Na} и α_K в прямой и обратной р-циях соответствуют друг другу. Это показывает, что гистерезисный эффект имеет место, даже в случае двух ионов с одинаковой валентностью.

Резюме автора
31921. Ионнообменные реакции искусственных цеолитов бария и серебра. Анад, Пури (Ion exchange reaction of artificial barium and silver zeolites. Anand V. D., Puri Balwant Rai), J. Indian Soc. Soil Sci., 1957, 5, № 3, 163—167 (англ.)

Изучена способность препаратов цеолитов (Ц) Ba и Ag различного состава к извлечению ионов SO₄²⁻ и Cl⁻ из р-ра. Обсуждена роль глинозема в силикатных ионнообменниках. Замена части Ba в бариевых Ц на Na значительно увеличивает диспергируемость Ц в воде. Это явление близко к диспергированию почв и указывает на сходство между искусств. и естественными силикатными материалами. Предложено использование Na-Ba-Ц для одновременного устранения жесткости и ионов SO₄²⁻ из воды.

Резюме авторов
31922. Влияние температуры на ионнообменное равновесие. I. Обмен натрий — водород и медь — водород. Боннер, Смит (The effect of temperature on ion-exchange equilibria. I. The sodium hydrogen and cupric-hydrogen exchanges. Bonner O. D., Smith Linda Lou), J. Phys. Chem., 1957, 61, № 12, 1614—1617 (англ.)

Методом, описанным ранее (РЖХим, 1956, 77784), определены константы (K) обмена Na⁺ — H⁺ и Cu²⁺ — H⁺ между водн. р-рами нитратов Na и Cu в смеси с HNO₃ при ионной силе 0,1 и катионитом даякс-50 в температурном интервале 0—97,5°. Значения K_{Na} уменьшаются с повышением т-ры, оставаясь, однако, > 1. Ход значений K_{Cu} — обратный предыдущему. Соответственно этому значения энтальпии ΔH° и энтропии ΔS° при обмене Na⁺ — H⁺ отрицательны, а при обмене Cu²⁺ — H⁺ — положительны. Причиной указанных особенностей являются, очевидно, изменения с т-рой коэф. активности ионов в фазе катионита.

В. Анохин
31923. О применении диафрагм из ионнообменных смол. Кувата, Иосикава, Караку корё, Chem. Ind. (Japan), 1956, 7, № 3, 41—45 (японск.)

См. также: Адсорбция 31793—31795, 31797, 31868, 31880, 32280, 32743, 32745, 33734. Поверхн. натяжение 31717. Исслед. поверхностей 31794, 31799. Хроматография 32145—32147, 32281, 11822Бх. Ионный обмен 32143, 32165, 32772, 33038. Электрофорез 32237; 11826Бх, 11889Бх. Тонкие пленки 32268

ХИМИЯ КОЛЛОИДОВ. ДИСПЕРСНЫЕ СИСТЕМЫ

Редактор Н. А. Фукс

31924. Влияние замораживания на свойства коллоидов. Бузар (Fagyaszítás befolyása a kolloidok tulajdonságaira. Buzágh Aladár), Magyar tud. akad. Kém. tud. oszt. közl., 1957, 9, № 1, 61—75 (венг.)

См. РЖХим, 1957, 74119.
31925. Некоторые итоги развития физико-химической механики. Ребиндер П. А., Изв. АН СССР. Отд. хим. н., 1957, № 11, 1284—1297

Обзор работ школы автора (РЖХим, 1955, 7897, 28603; 1956, 15795, 22151, 71368; 1957, 34112, 34113, 47574, 65826; 1958, 4045, 7146).

31926. Влияние обменных катионов на осмотическое давление и электропроводность суспензий бентонита. Ойосе-де-Кастро, Томас (Influencia del cambio en la presión osmótica y conductividad de suspensiones de bentonita. Hoyos de Castro Angel, Thomas Jesús), An. edafol. y fisiol. veget., 1956, 15, № 12, 789-863 (исп.; рез. англ.).

Измерено осмотич. давление π гомоонной 1%-ной бентонитовой суспензии (С) в коллоидной мембране (М) и найдено, что π зависит от природы катиона и уменьшается в последовательности: $\text{Li} > \text{Na} > \text{K} > \text{Mg} > \text{Ca} > \text{Ba}$. Вычислена кажущаяся степень диссоциации, убывающая в последовательности: $\text{Li} > \text{Na} > \text{Mg} > \text{Ca} > \text{K} > \text{Ba}$. К тем же выводам приводит и измерения электропроводности λ ; степень кажущейся диссоциации пропорциональна поляризации одной емкости катиона. Из сопоставления результатов измерения π и λ одних и тех же С делается вывод, что катионы Li^+ и Na^+ диффундируют через М медленнее, чем остальные из исследованных катионов. Измерены также изменения π и λ гомоонных бентонитовых С в р-рах хлоридов соответствующих катионов, разделенных М. Резюме авторов

31927. Медленная коагуляция коллоидного серебра. Рай, Гхон (Slow coagulation of colloidal silver. Rai Rama Shanker, Ghosh Satyeshwar), Kolloid-Z., 1957, 154, № 2, 146-149 (англ.; рез. нем.).

Медленная коагуляция золя Ag при добавлении различных кол-в NaNO_3 , KNO_3 , $\text{Ba(NO}_3)_2$ и $\text{Mg(NO}_3)_2$ изучена по поглощению света с длиной волны 620-680 м μ . Отношение времен, в течение которых достигалась одинаковая степень агрегации (одинаковое ослабление света) при двух различных конц-ях электролита, не было постоянным (как это следует из ур-ния Смолуховского), но изменялось по мере возрастания степени агрегации: вначале убывало, затем возрастало. Предположено, что наблюдаемые отклонения вызваны двумя факторами, действующими в противоположных направлениях: повышением плотности заряда частиц по мере их агрегации и медленностью процесса нейтрализации заряда кол. частиц. И. Влодавец

31928. Исследование седиментации глинистых минералов. Сообщение 2. Влияние ионов OH на коагуляцию суспензий. Ояма, Усуи (Oyama Tadashi, Usui Shin-nosuke), Нихон корё кайси, J. Mining and Metallurg. Inst. Japan, 1957, 73, № 831, 551-555 (японск.; рез. англ.).

Показано, что Ca(OH)_2 или Ba(OH)_2 сильнее коагулируют воды суспензий каолина или кварца, чем CaCl_2 или BaCl_2 соответственно. Исследовано влияние pH на коагулирующее действие ионов Ba в кварцевых суспензиях. В щел. среде коагуляция (К) проходит очень интенсивно, в то время как в кислой К не наблюдается. Сопоставляя явление К и значения ζ -потенциала, найденные измерением потенциала течения, авторы полагают, что в щел. среде помимо ван-дер-ваальсовых сил существуют какие-то силы притяжения, более прочно сцепляющие взвешенные частицы. Сообщение 1 см. РЖХим, 1956, 18958. Резюме авторов

31929. Рассеяние рентгеновских лучей под малыми углами в водных растворах дезоксихолата натрия, содержащих деканол-1. Экваль, Фонтелль (Small-angle scattering of X-rays in aqueous sodium desoxycholate solutions containing decanol-1. Ekwall Per, Fontell Krister), Acta chem. scand., 1957, 11, № 3, 568-569 (англ.).

В связи с тем, что растворимость n -ксилола в р-рах дезоксихолата Na (I) резко убывает при содержании деканола (II) $m \geq 40$ мл в 1000 г р-ра, исследовано рассеяние рентгеновских лучей под малыми углами 0,35 М водн. р-рами I, с $m = 0-100$ мл. Показано, что при $m \leq 40$ мл кривые рассеяния имеют практически

тот же вид, что и для чистого I; с ростом конц-ии II максимум I на кривых размывается и сливается с фоном; одновременно появляется новое диффузное кольцо, регистрируемое под большим углом, нежели исходный максимум интенсивности. Эти изменения кривой рассеяния, по мнению авторов, указывают на радикальную перестройку мицелл I под действием II. Вначале мицеллы поглощают некоторое кол-во II, не претерпевая структурных изменений; при достижении крит. конц-ии II образуются новые, смешанные мицеллы I-II, неспособные сольбилизовать n -ксилол (мол. отношения II:I при этом равны 1:1 или 2:1). По-видимому, первичная структура этих новых мицелл определяется длинными парафиновыми цепями молекул II, которые ориентируются как в ассоциативных коллоидах парафинового типа. С. Френкель

31930. Титрование и желатинизация водных растворов полиакриловой кислоты аминами. Ито, Судзук, Корё кагаку даисси, J. Chem. Soc. Japan. Industr. Chem. Sec., 1956, 59, № 3, 387-389 (японск.). Сняты кривые титрования водн. р-ров полиакриловой к-ты (I) $\text{C}_2\text{H}_5\text{NH}_2$, $(\text{C}_2\text{H}_5)_2\text{NH}$, $(\text{C}_2\text{H}_5)_3\text{N}$, NaOH и NH_4OH . Результаты обсуждены с точки зрения теории полиэлектролитов. Точка желатинизации (ТЖ) р-ров I при добавлении $\text{C}_2\text{H}_5\text{NH}_2$, определена по изменению мутности. Установлена и обсуждена зависимость между степенью нейтр-ции I NaOH и соотношением амин:I в ТЖ. Показано, что помимо общеизвестной ТЖ имеется другая ТЖ при более высокой конц-ии амина.

Chem. Abstrs, 1957, 51, № 14, 10194. Katsuya Inouye 31931. Образование мицелл из некоторых азокрасителей. Франк (The formation of micelles of some azo dyes. Frank H. P.), J. Colloid Sci., 1957, 12, № 5, 480-495 (англ.).

С помощью измерений электропроводности, вязкости (η) и интенсивности рассеяния света (H) исследован процесс мицеллообразования в р-рах оранжевого II (I) и бензопурпурина 4В (II) в воде и в водн. р-рах KCl. Низкие значения η и H в водн. р-рах и резкое возрастание их в присутствии KCl показывает, что в воде I и II образуют сферич. мицеллы (М) очень малых размеров, превращающиеся под влиянием электролита в большие стержневидные М с мол. весом $W \approx 3 \cdot 10^4$ у I в 0,4 М KCl при 5° и $\sim 1,9 \cdot 10^6$ у II в 0,04 М KCl при 25°. У II образование таких М, напр., при охлаждении ранее нагретого р-ра, происходит крайне медленно (в течение нескольких дней), а распад — очень быстро, практически сразу же после нагревания р-ра. На основании полученных результатов детально рассмотрены возможные структурные модели М I и II и рассчитаны их размеры. А. Таубман

31932. Влияние катионов на образование мицелл сульфонатов в бензоле. Кауфман, Синглетер-ри (Effect of the cation on micelle formation by sulfonates in benzene. Kaufman Samuel, Singleterry C. R.), J. Colloid Sci., 1957, 12, № 5, 465-479 (англ.). Методами деполаризации флуоресценции (1), вискозиметрии (2) и денсиметрии (3) исследован процесс образования мицелл (М) в бензольных р-рах динонил-нафталинсульфонатов 10 катионов (Li , Cs , Ca , Al и др.) в присутствии небольших кол-в воды. Методом (1) показано, что объем М (V) быстро возрастает с конц-ией р-ров до некоторых постоянных значений, не изменяющихся далее в широкой области конц-ий. Эта область не зависит от содержания в М воды и соответствует для всех исследованных мыл 9-14 кислотным остаткам на каждую М. С помощью метода (2) установлено, что форма М отлична от сферической и асимметрия их характеризуется отношением осей ~ 2 . Рассчитанные методом (3) по данным для V кажущиеся объемы динонилнафталинсульфонатных

ионов имеют одну и ту же величину для всех мыл, откуда следует, что различия в величине V связаны только с различными размерами катионов. А. Таубман 31933. Влияние очистки на поверхностные свойства алкилсульфосукцинатов натрия. Вильямс, Вудберри, Диксон (Purification and surface tension properties alkyl sodium sulfosuccinates. Williams E. F., Woodberry N. T., Dixon J. K.), J. Colloid Sci., 1957, 12, № 5, 452—459 (англ.)

С помощью специально разработанной методики проведена тщательная очистка продажных стандартных препаратов ряда диалкилсульфосукцинатов Na (аэрозоли OT, IB и др.) и показано, что по мере удаления из них загрязнений на разных стадиях очистки поверхностная активность их постепенно снижается, а положение минимума на кривых поверхностное натяжение — конц-ия смещается в сторону больших конц-ий. Из хода этих кривых авторы делают вывод об образовании мицелл и поверхностном гидролизе в р-рах исследованных в-в ниже крит. конц-ий мицеллообразования. А. Таубман

31934. Влияние низших жирных кислот на солилизацию бутанола-1 в водных растворах натриевых солей жирных кислот. I, II. Бос, Мехротра (Effect of lower fatty acids on the solubilization of butanol-1 in aqueous solutions of sodium salts of fatty acids. I, II. Bose A. N., Mehrotra K. N.), J. prakt. Chem., 1957, 5, № 1-2, 1—7, 8—13 (англ.; рец. нем.) I. В продолжение работы, опубликованной ранее (РЖХим, 1957, 11423), исследована солибилизирующая способность (СС) водн. р-ров каприлата (I), каприната (II) и лаурата Na (III) по отношению к бутанолу-1 в присутствии добавок жирных к-т (от пропионовой до каприловой). СС мыл возрастает от I к III по мере удлинения углеводородных цепей, добавки к-т понижают СС и в тем большей степени, чем короче цепь к-ты и чем выше ее конц-ия. Отсюда следует, что тенденция к образованию гидрофильных олеомицелл убывает с ростом содержания свободных к-т в р-ре, тогда как тенденция к образованию липофильных гидромицелл не зависит от наличия к-т. Измерения вязкости исследованных систем позволяют сделать ряд заключений о характере образующихся мицелл и о нахождении молекул к-т и соответственно молекул бутанола в свободном виде в р-ре или в мицеллах мыл.

II. Совершенно аналогичные результаты получены с водн. р-рами миристиата, пальмитата и стеарата Na. Т-ра желатинизации возрастает с ростом углеводородной цепи как мыла, так и добавляемых к-т. СС также увеличивается с ростом мол. веса мыла. А. Таубман

31935. Рассеяние света в системах мыло — растворитель. Часть II. Стеарат натрия в октиловом и дециловом спирте. Измерения интенсивности. Бак (Light scattering in soap-solvent systems. Part II. Sodium stearate in octyl and in decyl alcohol: intensity measurements. B u c h K. P.), J. Indian Chem. Soc., 1957, 34, № 9, 650—652 (англ.)

Измерения интенсивности и асимметрии светорассеяния в указанных в заголовке системах показывают, что в процессе желатинизации число рассеивающих частиц быстро увеличивается, а размеры их слегка убывают. Предельное значение асимметрии рассеяния (при 45 и 135°) ~2,3, что характерно для стержневидных частиц. Часть I см. РЖХим, 1958, 24403.

С. Френкель 31936. Определение водоотдачи глинистых суспензий при помощи фильтровальной бумаги. Ло Цзэ-дун, Дяжи чжиши, 1956, 10, 26 (кит.)

2 см³ суспензии наливают на круг diam. 2,5—3 см, нарисованный в середине бумажного диска, и спустя 30 мин. измеряют расстояние от края осадка глины до

края влажной зоны, характеризующее водоудерживающую способность глины.

31937. Коагуляция суспензий полиэлектрוליтами. Судзуки, Симидзу, Ито (Suzuki Shigeru, Shimizu Kazuro, Ito Hiroo), Koré kagaku dzasshi, J. Chem. Soc. Japan. Industr. Chem. Sec., 1955, 58, № 10, 742—744 (японск.)

31938. Коллоидные свойства бентонита. VII. Скорость тиксотропной желатинизации. Ватанабе, Мацумото (Watanabe Takehiko, Matsumoto Sachio), Nihon kagaku dzasshi, J. Chem. Soc. Japan. Pure Chem. Sec., 1955, 76, № 11, 1215—1220 (японск.)

Часть VI см. РЖХим, 1956, 9546.

31939. Исследование полярных саж. I. Сажа, способная диспергироваться в воде. Охита, Отани (Ohkita K., Ohtani H.), Nihon gomu kёкаishi, J. Soc. Rubber Ind., 1957, 30, № 1, 14—17, 77 (японск.; рец. англ.)

Сажа, окисленная обработкой смесью 35%-ной H₂O₂ уксусной и серной к-т, приобретает способность давать устойчивые дисперсии в 0,01—1 н. р-ре NH₄OH или 0,01 н. р-ре КОН или NaOH. Несмотря на выделение при этом некоторого кол-ва CO₂, потери в весе сажи не наблюдаются. При соответствующих условиях можно до 98% обработанной сажи диспергировать в воде или 0,01 н. NH₄OH, получая устойчивый колд. р-р любой конц-ии, способный флокулировать при его подкислении или добавлении электролита (напр. NaCl или MgSO₄). Способность к диспергированию зависит от типа сажи, условий окисления и конц-ии NH₄OH. В. Кулезов

31940. Исследование дисперсности и структуры промышленных и графитизированных саж методом рассеяния рентгеновских лучей под малыми углами и коллоиднохимическими методами. Иноуэ (Size and structure of commercial and graphitized carbon blacks by low-angle X-ray scattering and colloid-chemical methods. Inouye Katsuya), Bull. Chem. Soc. Japan, 1957, 30, № 5, 525—531 (англ.)

При помощи рассеяния рентгеновских лучей под малыми углами (PMU) и электронной микроскопии, по адсорбции йода и метиленовой сини из р-ров по теплоте смачивания метанолом вычислены средние размеры d частиц 14 образцов промышленных саж (ацетиленовой, термических, печных и каналовых). Значения d , определенные электронномикроскопически и методом PMU, довольно близки, хотя метод PMU всегда приводит к более высоким результатам. Автор объясняет это различие тем, что отдельные частицы сажи могут быть связаны между собой углеродными мостиками, образуя гантели. На возможность образования подобных частиц указывают также измерения уд. сопротивления л саж. Сравнение данных по адсорбции и теплоте смачивания показывает, что эти методы пригодны лишь для качеств. исследований. Для всех образцов саж, за исключением ацетиленовой, размеры кристаллитов, определенные по Дебаю — Шефферу, лежат в пределах 10—20 А. Для образца термич. сажи, подвергнутого графитированию в муфельной печи при 420, 620 и 990° и в печи Таммана при 1300, 1700, 2100, 2420, 2630 и 3170°, обнаружен рост кристаллитов в процессе графитирования; между тем d и λ достигают максимума при 620°. Параллелизм в зависимости d и λ от т-ры графитирования объясняется изменением состояния в сажевых агломератах — образованием слипшихся частиц, создающих более плотную упаковку, а не удалением газообразных в-в и ростом кристаллитов, как считают Шеффер и сотрудники (РЖХим, 1957, 12951).

31941. О воздействии газов на флотируемость флюорита и барита. Бакакин В. В., Плаксин И. П.,

держива-
и Ин-ти
роллита.
higene-
го катку
Sec., 1955,
VII. Со-
ганаба,
Matsu-
J. Chem.
11, 1215-
ажа, спо-
Огана
кёнайси,
(японск.)
ной H₂O
е NH₄OH
выделе-
в весе
условиях
и колл.
ать при
и (напр.,
данно се-
конц-ии
туленев
тры про-
дом ре-
лами и
Size and
black
Chemical
m. Soc.

Чепыгина Е. М., Изв. АН СССР. Отд. техн. н., 1957, № 9, 96—100
В герметически закрытой флотационной машине изучено взаимодействие газов на флотиреомость флюорита (I) и барита (II) олеатом Na. Вся подготовительная работа проводилась в токе Ar или N₂ высокой степени очистки. Флотиреомость II почти не снижается в среде N₂ или Ar: извлечение II в концентрат остается равным 97—95,8%. Для II характерна способность устойчиво сохранять первоначально приобретенную флотиреомость. Даже при большой конц-ии O₂ в пульпе флотация II возможна только в присутствии собирателя. Флотационные свойства I, в отличие от II, в значительной степени зависят от насыщенности пульпы O₂: они снижаются при недостатке O₂ и резко возрастают с увеличением конц-ии O₂. При высоком содержании O₂ в пульпе I флотируется и в отсутствие собирателя. Авторами сделана попытка объяснить указанные наблюдения на основании особенностей тонкой кристаллич. структуры I и II.
М. Липец
31942. О возможности поверхностной активации и пассивации ядер при конденсации паров воды. Измайлова Г. И., Прохоров П. С., Дерягин Б. В., Коллоид. ж., 1957, 19, № 5, 556—561 (рез. англ.)
Исследована возможность изменения активности ядер конденсации NaCl и SiO₂ для паров воды. В качестве критерия активности принято номинальное крит. пересыщение S_c, при котором визуально наблюдается образование тумана. Значения S_c изменялись в кювете поточного устройства; пересыщение обеспечивалось смешиванием двух встречных пароводушных струй. Изменение активности достигалось адсорбцией на ядрах паров поверхностноактивных в-в для NaCl или дегидратацией для SiO₂ и приводило к уменьшению или увеличению значений S_c. Механизм явления, очевидно, заключается в изменении

свойств поверхности ядер, что влечет за собой изменение скорости конденсации вследствие изменения коэф. аккомодации.
В. Дуянский
31943. Исследования в области аэрозолей. VIII—IX. Фудзитани, Нихон кагаку дзасси. J. Chem. Soc. Japan. Pure Chem. Sec., 1956, 77, № 6, 910—917 (японск.)
Сообщение VII см. РЖХим, 1957, 65848.

31944 П. Метод получения золей кремнекислоты с частицами 5—8 м и получаемый по этому методу продукт. Александр (Process for producing sols of 5—8 Millimicron silica particles and product. Alexander Guy B.), [E. I. du Pont de Nemours and Co.], Пат. США 2750345, 12.06.56
Раствор силиката щел. металла пропускают через колонну с катионообменной смолой в H-форме. Образовавшийся золь кремнекислоты с частицами < 5 м подщелачивают до отношения SiO₂:щел. окисел, равного 30:1—150:1 и выдерживают при 50—125°. Получаются золи кремнекислоты с частицами диам. 5—8 м и уд. поверхностью A = 350—600 м²/г. Скорость роста частиц увеличивается с уменьшением отношения SiO₂:Na₂O и ростом т-ры выдержки. Посторонние электролиты удаляются из золи с помощью ионообменников. Для стабилизации подщелачивают золь, доводя отношение SiO₂:щел. окисел до 1,2 × 10⁴/A — 12 · 10⁴/A, и упаривают в вакууме до конц-ии от 15% до (12 000/A)%. Полученные золи прозрачны и содержат ≤ 0,05% солей. Описаны методы определения A и анализа высокодисперсных золей кремнекислоты.
И. Слоним

См. также раздел Химия высокомолекулярных веществ и рефераты: Эмульсии 31829, 31831, 33701, 33704. 33822. Коллоиды 32096. Суспензии 32677. Аэрозоли 33509

НЕОРГАНИЧЕСКАЯ ХИМИЯ. КОМПЛЕКСНЫЕ СОЕДИНЕНИЯ

Редактор А. В. Нейдина

31945. Проект пересмотра номенклатуры неорганических соединений. Зикмунд (Návrh na úpravu názvoslovia anorganických látok. Zikmund M.), Chem. zvesti, 1957, 11, № 7, 446—448 (словацк.)
31946. Конференция по неорганической химии, 2—4 мая 1957 г. [организованная Словацкой Академией Наук]. Зикмунд (Celoštátna konferencia anorganickej chémie 2—4 mája 1957. Zikmund M.), Chem. zvesti, 1957, 11, № 7, 449—453 (словацк.)
31947. Исследования механизма неорганических реакций и строения неорганических веществ с применением меченых атомов. Странк, Уилкинс (Isotopic tracer investigations of mechanism and structure in inorganic chemistry. Stranks D. R., Wilkins R. G.), Chem. Revs, 1957, 57, № 5, 743—866 (англ.)
Обзор. Библ. 503 назв.
В. III.
31948. Редкие металлы. Савицкий Е. М. (Die seltenen Metalle. Sawickij J. M.), Z. angew. Geol., 1957, 3, № 8—9, 388—392 (нем.)
Перевод. См. РЖХим, 1956, 61246.
31949. Разделение некоторых редкоземельных элементов сухим способом. Применение к самарию и европию. Ашар (Séparation de certains éléments des terres rares par voie sèche. Application au samarium et à l'euporium. Achard Jean-Claude), C. r. Acad. sci., 1957, 245, № 13, 1064—1066 (франц.)

Для отделения Sm и Eu от других редкоземельных элементов (РЗЭ) использован описанный ранее метод (РЖХим, 1958, 10781), основанный на взаимодействии окислов РЗЭ с углеродом при высокой т-ре и в вакууме. Смесь РЗЭ иттриевой группы с углеродом нагревают до 1600° в колонке с тремя графитовыми тарелками, т-ра которых изменяется от 1100 до 600°. Осадок на 1-й тарелке состоит почти целиком из Sm, загрязненного следами Fu, Yb и Dy. На 2-й тарелке находится Sm с большой примесью Yb и следовым кол-вом Eu, на 3-й тарелке — Yb с примесью Eu. Если очистка Sm, содержащего 0,7% Eu и следы Gd, производится при не очень высокой т-ре, то первые фракции содержат чистый Eu. Этим способом удается выделить 50% Eu в виде концентрата, содержащего 80% Eu и 20% Sm. При более высокой т-ре весь Eu удаляется быстрее, но полученный продукт содержит всего 4—5% Eu. Если исходная смесь содержит Gd, то для получения чистого Sm нужно отогнать большую часть Sm; остаток обогащается Gd. Для получения металлич. Sm выделенный продукт, содержащий, помимо Sm, 1—2% C и SmO, нагревают в вакууме (давл. ≤ 10⁻⁴ мм рт. ст.) до 1300—1400°. Для очистки Eu окислы смешивают с углеродом и нагревают до 1300° в течение 4 час.; в конденсат переходит 80% Eu без примесей Sm и Gd. Полученный Eu содержит 1% C и EuO и подвергается дополнительной дистилляции

в вакууме при 1200°. Очищ. Eu содержит небольшое кол-во EuO.

Н. Полянский

31950. Кремний. Исицука, Кагаку когё, Chem. Ind. (Japan), 1956, 7, № 7, 47—49 (японск.)

31951. О выделении урана и тория при помощи органических растворителей. 1. Коэффициент распределения растворов нитратов уранила и тория для сложных диэтиловых эфиров. Окада, Нисе, Асаи о, Кёто дайгаку когаку кэнкюсё ихо, 1956, 9, март, 33 (японск.)

31952. Получение безводной окиси лития. Обри, Глейтцер (Préparation d'oxyde de lithium anhydre. Aubry Jacques, Gleitzer Charles), Bull. Soc. chim. France, 1957, № 6, 809—840 (франц.)

Окись лития образуется при диссоциации Li_2O_2 , полученной действием конц. H_2O_2 на р-р CH_3OLi в CH_3OH .

Резюме авторов

31953. Получение хлоратов кальция и натрия электролизом дистиллерной жидкости. Воронин Н. Н., Шахова М. А., Изв. Киевск. политехн. ин-та, 1957, 20, 20—36

Электролизом дистиллерной жидкости без диафрагмы с хорошими технич. показателями получен р-р хлоратов как при электролизе с Pt-электродами, так и при электролизе с графитовыми анодами и Fe-катодами. Условием для получения хороших выходов по току является применение катодной плотности тока в пределах 0,02—0,03 а/см². Т-ра электролиза при Pt-анодах 70—80°, а при графитовых 25—35°.

Из резюме авторов

31954. Цирконат калия $\text{K}_2\text{Zr}_2\text{O}_5$. Леман, Эрцбергер (Kaliumdizirkonat $\text{K}_2\text{Zr}_2\text{O}_5$. Lehmann Hans-Albert, Erzberger Peter), Chem. Technik, 1957, 9, № 10, 599 (нем.)

В системе $\text{K}_2\text{O}-\text{ZrO}_2$ обнаружено единственное соединение $\text{K}_2\text{Zr}_2\text{O}_5$ (I), образующееся при спекании КОН и ZrO_2 при ~800°. Т-ра плавления I не определена вследствие испарения K_2O . I гидролизуетсся кипящей водой, растворяется в конц. HCl. Плотность I равна 4,2. Приведены данные дебаграммы I. И. Рысс

31955. К вопросу очистки двуокиси теллура от меди и свинца. Воробьева А. И., Меньков А. А., Ж. неорган. химии, 1957, 2, № 11, 2526—2529

Предложен хим. способ отделения примесей Cu и Pb, дающий возможность получить двуокись теллура с содержанием < 0,001% Cu и 0,004% Pb из исходного теллура, содержащего единицы или десятые доли процента Cu и Pb. Найдено, что атомное отношение Cu:Te в осадке, в виде которого производится удаление Cu, равно 4:3, а атомное отношение Pb:Te в аналогичном осадке 1:1. Показано, что соосаждение $\text{Cu}(2+)$ и $\text{Pb}(2+)$ с теллуристой к-той, осаждаемой при pH 3—4, очень велико. Показано, что $\text{Cu}(2+)$ и $\text{Pb}(2+)$ не мешают периодометрич. определению Te.

Резюме авторов

31956. Исследование карбида бериллия. Часть I. Получение карбида бериллия. Оиси, Хамано (Oishi Yasumichi, Hamano Yoshiteru), Осака когё гидзюцу сикэнсё кихо, Bull. Osaka Industr. Res. Inst., 1957, 8, № 2, 89—93 (японск.; рез. англ.)

Be_2C получали из металлич. Be и сахарного угля при нагревании в индукционной печи в вакууме или атмосфере Ar. В вакууме р-ция протекала уже при 1000°. При 1500° получали очень чистый Be_2C , выше 1600° было обнаружено разложение Be_2C . В атмосфере Ar выход Be_2C возрастал со временем и с т-рой до 1800°.

Резюме авторов

31957. Магнитная восприимчивость субнитрида стронция. Ария С. М., Ерофеева М. С., Мочалов Г. П., Ж. общ. химии, 1957, 27, № 7, 1740—1743

Для выяснения валентного состояния Sr в Sr_2N (РЖХим, 1955, 48708) определена магнитная восприимчивость Sr_2N . Измерения проводились методом Гук с использованием кварцевых торсионных микровесов с электродинамич. компенсацией. Для молярной магнитности $155 \cdot 10^{-6}$, на основании чего авторы заключают, что Sr_2N не содержит одновалентного Sr. По мнению авторов, так как в Sr_2N атом N трехвалентен, то три валентных электрона двух атомов Sr обеспечивают связь с этим атомом N, а четвертый валентный электрон образует связь между атомами Sr, подобную металлич. связи. Отсюда следует: Sr_2N является металлообразным соединением. Обсуждены некоторые причины наличия у изотома анталий образования одного минимума и монотонного хода их в обе стороны от него.

А. Пахомов

31958. Получение арсената марганца. Такахака, Сакураи, Като, Сасаки (Takahashi Takehiko, Sakurai Mitsuru, Katô Kazuko, Sasaki Kumazô), Когё кагаку дзасси, J. Chem. Soc. Japan. Industr. Chem. Sec., 1956, 59, № 9, 1014—1017 (японск.)

31959. Получение ацетата уранила, применяемого в качестве аналитического реактива. Гу Чэнь-и, Фэй Дин-юань, Хуасюэ шипцзе, 1956, № 9, 481 (кит.)

31960. Получение и свойства ацетата трехвалентного кобальта. Мори, Кюно, Сибата (Mori Motohichi, Kyono Eishia, Shibata Muraï), Нихон кагаку дзасси, J. Chem. Soc. Japan. Pure Chem. Sec., 1956, 77, № 9, 1434—1437 (японск.)

31961. Химические связи и магнитные свойства Fe_3O_4 и Fe_2O_3 и некоторые соображения о механизме окисления. Икэда, Кагаку, 1956, 26, № 7, 360—361 (японск.)

31962. Термогравиметрическое исследование простых и двойных сульфатов калия, рубидия и цезия. Демассье, Малар (Etude thermogravimétrique des sulfates simples et doubles de cobalt et de potassium, rubidium et césium. Demassieux Nathalie, Malard Colette), C. r. Acad. sci., 1957, 245, № 17, 1429—1432 (франц.)

Изучено поведение ряда сульфатов на термовесах при навесах 0,5 г и скорости нагревания 150 град/час. M_2SO_4 , где M — K, Rb и Cs, начинают медленно испаряться выше 900°. $\text{CoSO}_4 \cdot 7\text{H}_2\text{O}$ теряет 6 молекул H_2O между 40 и 170°; образующийся $\text{CoSO}_4 \cdot \text{H}_2\text{O}$ обезвоживается между 280 и 320°; выше 730° начинает образовываться Co_2O_3 , разлагающийся при 900° до CoO. $\text{M}_2\text{Co}(\text{SO}_4)_2 \cdot 6\text{H}_2\text{O}$, где M — K, Rb и Cs, начинают терять воду при 100°, переходя в дигидраты, устойчивые при 140—190°, и полностью обезвоживающиеся при 230°; выше 900° начинается медленное испарение солей.

И. Рысс

31963. Боротартраты щелочноземельных металлов. I. Боротартрат калия-стронция. Шварц Е. М., Иевиньш А. Ф., Ж. неорган. химии, 1957, 2, № 7, 1494—1496

Боротартрат $\text{K}_2\text{O} \cdot 2\text{SrO} \cdot \text{B}_2\text{O}_3 \cdot 2\text{C}_4\text{H}_4\text{O}_6 \cdot 10\text{H}_2\text{O}$ (I) синтезирован двумя методами. 1. Сливанием вод. р-ров винной к-ты, SrCl_2 и H_3BO_3 . При подщелачивании р-ра, едким кали выпадает объемистый аморфный осадок, кристаллизующийся в течение суток. Кристаллы имеют форму пирамид. 2. При растворении $\text{KNC}_4\text{H}_4\text{O}_6 \cdot \text{H}_2\text{O}$ и H_3BO_3 в 20%-ном р-ре КОН и прибавлении водн. р-ра SrCl_2 выпадает осадок, кристаллизующийся через 2—3 часа. Уд. вес I равен 2,05 при 25°. I разлагается к-тами, в воде растворим слабо (2,71 г/л при 15—16°). При нагревании I до 250—280° постепенно выделяется вся кристаллизационная вода. При нагревании до 300° препарат I приобретает светло-

желтый цвет. Выше 350° I начинает терять CO_2 и окрашивается сначала в серый, затем в черный цвет, а при прокаливании до 800° остается белый остаток — смесь K_2CO_3 с боратом Sr. Снята кривая нагревания I. На термограмме в интервале t -р 96—249° обнаруживается эндотермич. эффект, соответствующий потере кристаллизационной воды, а в интервале 486—566° — экзотермич. эффект, сущность которого неясна. Предполагается, что разложение I идет в 2 стадии, так как боратовая перегруппировка у диборатов щел.-зем. металлов не наблюдается. Третий экзотермич. эффект в интервале 770—799°, по-видимому, связан с выгоранием углерода. При 942° начинается плавление.

31964. Применение солей гидразина и влияние катализаторов при получении производных боразола. Эмелеус, Видела (The use of hydrazine salts and the influence of catalysts in the preparation of borazole derivatives. Emeléeus H. J., Videla G. J.), Proc. Chem. Soc., 1957, Oct., 288 (англ.)

При синтезе БВВ-трихлорборазола описанным ранее (РЖХим, 1956, 15809) методом из BCl_3 и NH_4Cl увеличивается выход и уменьшается кол-во побочных продуктов при введении катализатора. Катализатор представляет собой металлич. Fe, Ni или Co, нанесенные на пемзу, и получается пропиткой пемзы нитратом металла с последующим прокаливанием и восстановлением оксида водородом. Кол-во катализатора порядка 10% от веса соли; в ходе р-ции катализатор частично превращается в галогенид. Р-ция BCl_3 с NH_4Cl в присутствии катализатора завершается при t -ре < 120°, выход 50—60%; с $\text{CH}_3\text{NH}_2 \cdot \text{HCl}$ BCl_3 взаимодействует ниже 180°, выход 60%. Лучшие выходы дает также применение вместо NH_4 -солей производных N_2H_4 . Р-ция $9\text{N}_2\text{H}_4 \cdot 2\text{HBr} + 12\text{BBr}_3 \rightarrow 4\text{B}_3\text{N}_3\text{H}_3\text{Br}_3 + 42\text{HBr} + 3\text{N}_2$ в присутствии катализатора идет при t -ре < 200°, выход очищ. $\text{B}_3\text{N}_3\text{H}_3\text{Br}_3$ 40—45%.

И. Слоним

31965. Новые бориды редкоземельных элементов. Нешпор В. С., Самсонов Г. В. (Нові бориди рідкоземельних елементів. Нешпор В. С., Самсонов Г. В.), Доповіді АН УРСР, 1957, № 5, 478—479 (укр.; рез. русск., англ.)

Впервые получены и рентгенографически идентифицированы бориды диспрозия, гольмия и лютеция: DyB_3 (куб., a 4,13 Å); DyB_4 (тетрагон., a 7,23; c 4,09 Å); HoB_3 (куб., a 4,12 Å); HoB_4 (тетрагон., a 7,15; c 4,09 Å) и LuB_3 (куб., a 4,11 Å); LuB_4 (тетрагон., a 7,15; c 4,04 Å).

Резюме авторов

31966. Исследование нитридов, ацетиленидов и силицидов. Доказательство существования иона N^{3-} . Изучение вопроса о существовании иона HC_2^{3-} . Масдюприу (Contribution à l'étude des nitrures, des acétylures et des siliciures. Mise en évidence de l'ion N^{3-} . Recherches sur l'existence d'un ion carbone. Masduriu E.), Ann. chimie, 1957, 2, № 7-8, 527—586 (франц.)

Измерена уд. электропроводность γ кристаллич. нитрида Li, полученного взаимодействием металлич. Li с N_2 при 450° и имеющего состав Li_3N . В пределах t -р 350—549° С график зависимости γ от обратной величины абс. t -ры T состоит из двух отрезков прямых, пересекающихся при $T = 719^\circ \text{K}$ и $\gamma = 12,3 \cdot 10^{-8} \text{ ом}^{-1} \text{ см}^{-1}$. Температурная зависимость γ может быть представлена ур-нием типа Смекала $\gamma = 5,28 \cdot 10^{-2} \exp(-6196/T) + 4,3 \cdot 10^7 \exp(-21700/T)$, характерным для ионной электропроводности. При электролизе Li_3N при 480—550° выделяется Li на катоде и N_2 на аноде, и на электродах появляется э. д. с. поляризации. Автор считает доказанным наличие в Li_3N иона N^{3-} . Мол. электропроводность Λ ацетилена в насыщ. р-рах его в воде, ацетоне и жидком NH_3 рав-

на соответственно 0,023; 0,003 и 0,00073; диссоциация C_2H_2 в этих р-рителях незначительна, и электролиз не идет. Для р-ра NaNH_2 в жидком NH_3 $\Lambda = 3,2$ при разбавлении 10 650 л/моль. При электролизе р-ров NaNH_2 и аммиаката ацетиленида лития $\text{LiHC}_2 \cdot \text{NH}_3$ в жидком NH_3 на катоде выделяется металл, а на аноде — углерод, что указывает на наличие в р-рах иона HC_2^{3-} . При попытке выделения $\text{LiHC}_2 \cdot \text{NH}_3$ из р-ра в жидком NH_3 выделяется C_2H_2 и NH_3 , но разложение не доходит до образования Li_2C_2 . Аналогично идет разложение аммиаката ацетиленида кальция $\text{Ca}(\text{HC}_2)_2 \cdot 4\text{NH}_3$. Аммиакат ацетиленида бария в жидком аммиаке имеет состав $\text{Ba}(\text{HC}_2)_2 \cdot 4\text{NH}_3$ и также разлагается при комнатной t -ре. При 120° в вакууме получается остаток, содержащий до 97% BaC_2 ; при 150° карбид бария разлагается. При нагревании Li с Si при 400—500° получается смесь, содержащая силициды Li_2Si_2 и Li_4Si_2 и непрореагировавшие Li и Si. Вода или разб. HCl выделяют из смеси H_2 и некоторое кол-во Si_2H_6 . Отсутствие силикоэтлена в выделяющихся газах объясняется гидрированием его до силикоэтана водородом в момент образования.

И. Слоним

31967. Три-*n*-бутилфосфат как экстрагент для неорганических нитратов. II. Нитраты иттрия и низших лантанидов. Скаржилл, Оллок, Флетчер, Хесфорд, Мак-Кей. III. Нитраты плутония. Бест, Мак-Кей, Вудгейт. IV. Нитрат тория. Хесфорд, Мак-Кей, Скаржилл (Tri-*n*-butyl phosphate as an extracting solvent for inorganic nitrates. II. Yttrium and the lower lanthanide nitrates. Scargill D., Alcock K., Fletcher J. M., Hesford E., McKay H. A. C. III. The plutonium nitrates. Best G. F., McKay H. A. C., Woodgate P. R. IV. Thorium nitrate. Hesford E., McKay H. A. C., Scargill D., J. Inorg. and Nucl. Chem., 1957, 4, № 5-6, 304—314; 315—320; 321—325 (англ.)

II. Три-*n*-бутилфосфат (ТБФ) использован для разделения Y и низших лантанидов (La—Gd). Экстракция (Э) из р-ров HNO_3 возрастает с кислотностью, но в области 4—7 *M* HNO_3 коэф. распределения часто уменьшается. Э при низкой кислотности и высокой конц-ии NO_3^- обычно высока. Э возрастает с увеличением порядкового номера в ряду лантанидов и для Y больше, чем для любого из лантанидов при кислотности > 5 *M* HNO_3 , но меньше при более низкой кислотности. Факторы разделения для последовательно расположенных лантанидов возрастают с кислотностью и достигают значения 2; факторы разделения высоки в системах с низкой кислотностью, но высокой конц-ией нитрата, и в присутствии теноилтрифтороакетона в органич. фазе. Установлено образование $\text{Y}(\text{NO}_3)_3 \cdot 3 \text{ТБФ}$ и $\text{Ce}(\text{NO}_3)_3 \cdot 3 \text{ТБФ}$.

III. $\text{Pu}(\text{NO}_3)_3$ практически не экстрагируется ТБФ, а $\text{Pu}(\text{NO}_3)_4$ и $\text{PuO}_2(\text{NO}_3)_2$ легко экстрагируются. $\text{PuO}_2(\text{NO}_3)_2$ менее способен к Э, чем $\text{UO}_2(\text{NO}_3)_2$. Установлено образование $\text{Pu}(\text{NO}_3)_4 \cdot 2 \text{ТБФ}$ и $\text{PuO}_2(\text{NO}_3)_2 \cdot 2 \text{ТБФ}$. Показано, что в случае $\text{Pu}(\text{NO}_3)_4$ температурный коэф. Э мал и что $\text{UO}_2(\text{NO}_3)_2$ понижает Э. Повышение конц-ии $\text{Pu}(\text{NO}_3)_3$ может или повышать, или понижать коэф. распределения в зависимости от условий.

IV. $\text{Th}(\text{NO}_3)_4$ быстрее экстрагируется ТБФ, чем редкоземельные элементы, но хуже, чем $\text{Pu}(\text{NO}_3)_4$. Установлено образование $\text{Th}(\text{NO}_3)_4 \cdot 2 \text{ТБФ}$. $\text{Th}(\text{NO}_3)_4$ легче экстрагируется из слабых р-ров NaNO_3 , чем из р-ров HNO_3 той же конц-ии, но при $\text{pH} > 3$ коэф. распределения уменьшается в результате гидролиза. Часть I см. РЖХим, 1957, 63265.

Резюме авторов

31968. Исследование структуры неорганических соединений при помощи радиоактивных изотопов.

I. Исследование структуры гексаметафосфатов при

помощи Sr^{90} . Рипан, Марку (Studiul structurii combinațiilor anorganice cu ajutorul izotopilor radioactivi. I. Studiul asupra structurii hexametafosfaților cu ajutorul strontiului radioactiv-90. Ripan Raluca, Marcu Gheorghe), Comun. Acad. RPR, 1957, 7, № 3, 323—327 (рум.; рез. русск., франц.)

Для определения структуры гексаметафосфатов приготовлен гексаметафосфат Sr. Путем синтеза, за которым следовало разложение, исследовано распределение активности и установлено, что в SrSO_4 , полученном растворением гексаметафосфата в HCl и обработкой Na_2SO_4 , появляется ~ 4% общей активности. Это распределение активности свидетельствует о различном способе образования связи атомами стронция в исследованном соединении.

Резюме авторов
31969. Строение и свойства полифосфатов. XI. Гидролитическое разложение соли Грэма. Мак-Каллох, Ван-Уэйзер, Гриффит (Structure and properties of the condensed phosphates. XI. Hydrolytic degradation of Graham's salt. McCullough J. F., Van Wazer J. R., Griffith E. J.), J. Amer. Chem. Soc., 1956, 78, № 18, 4528—4533 (англ.)

Нагреванием NaH_2PO_4 в течение 1,5 суток при 700° и быстрым охлаждением расплава между двумя Cu-блоками получены препараты соли Грэма (I) со средней длиной полифосфатной цепи $n = 110-145$, содержащие 8—11% P_2O_5 в форме циклич. фосфатов. Методами хим. и хроматографич. анализа изучен гидролиз 1%-ного р-ра I при 30, 60 и 90° и pH 4, 7 и 10. На 1-й стадии процесса, пока прореагирует < 10% средних групп полифосфатных цепей, ход гидролиза можно охарактеризовать константами нулевого порядка: для суммарной р-ции гидролиза k_M , для образования конечных групп k_e , для образования ортофосфата k_o . Величина k_M растет при подкислении, до pH 4 и мало меняется при подщелачивании до pH 10. Энергия активации гидролиза равна ~ 26 ккал/моль связей P—O—P. Значение k_o уменьшается с ростом pH, добавление 0,5 M NaBr уменьшает k_o в кислых р-рах. k_e проходит через минимум при pH 7, NaBr уменьшает k_e в кислой среде и увеличивает в щелочной. Гидролиз I может идти тремя путями: 1) последовательным отщеплением конечных групп в цепях; 2) расщеплением длинных цепей на 2 примерно равные части; 3) отщеплением циклич. триметафосфата с последующим размыканием цикла. В нейтр. среде гидролиз идет по путям 1 и 3, в щел.-преимущественно по пути 3, в кислых р-рах одинаково вероятны все 3 направления гидролиза. Часть X см. РЖХим, 1958, 13981.

И. Слоним
31970. Химия урана. Кигоз, Кагаку-но реики, J. Japan. Chem., 1956, 10, № 6, 74—78 (японск.)

31971. Константы ионизации янтарной кислоты и константы устойчивости комплексов ионов щелочных и щелочноземельных металлов с янтарной кислотой. Сюй-Гаун-сянь, У Цзинь-гуан, Янь Цзю-ань-цуй (Hsu Kwang-hsien, Wu Chin-kwang, Yen Tsun-tsui), Бэйцзин дасюэ, сюэбао. Цзянхэнь кэсюэ, Acta Scient. natur. Univ. pekinensis, 1957, 3, № 3, 357—373 (кит.; рез. англ.)

Найдены значения констант диссоциации янтарной к-ты (I) и констант устойчивости комплексов I с ионами щел. и щел.-зем. металлов. Установлено соотношение между полученными и прежними (Cannan R. K., Kibrick A., J. Amer. Chem. Soc., 1938, 60, 2314) данными.

По резюме авторов
31972. Состав комплексов меди в растворах цианида одновалентной меди. Ротбаум (The composition of copper complexes in cuprocyanide solutions. Roth-

baum H. P.), J. Electrochem. Soc., 1957, 104, № 11, 682—686 (англ.)

Измерен потенциал Cu в р-рах CuCN. Полученные значения согласуются с вычисленными в предположении о наличии в р-ре ионов $\text{Cu}(\text{CN})_3^{3-}$, $\text{Cu}(\text{CN})_4^{4-}$ и $\text{Cu}(\text{CN})_5^{5-}$; вычислены константы ассоциации этих комплексов. Существование $\text{Cu}(\text{CN})_4^{3-}$ установлено по УФ-спектру поглощения.

Резюме автора
31973. К вопросу о существовании молекулярных соединений трихлорида и трибромиды мышьяка с серебром и медью. Рюдорф, Гелинек (Zur Frage der Existenz der Anlagerungsverbindungen von Arsenrichlorid und-tribromid an Silber und Kupfer. Rüdorff Walter, Gelinek Jürgen), Chem. Ber., 1957, 90, № 11, 2654—2659 (нем.)

По литературным данным (Helpert S., Hermann F., Ber. dtsch. Chem. Ges., 1913, 46, 2218) при нагревании смеси Ag или активного порошка Cu с AsCl_3 или AsBr_3 в запаянной трубке при 100° образуется ряд «молекулярных соединений». Рентгенографич. и хим. анализом авторы показали, что в этих условиях в действительности получаются смеси галогенидов $\text{Ag}(1+)$ и $\text{Cu}(1+)$ с аморфным мышьяком, образующиеся по р-ции $3\text{M} + \text{AsX}_3 = 3\text{MX} + \text{As}$. В препаратах, образующихся с порошком Cu, содержится также примесь CuAs_2 . Все физ. и хим. свойства, приписываемые ранее «молекулярным соединениям», объясняются, исходя из состава смесей.

И. Слоним
31974. Образование комплексных соединений хлорида кальция с мочевиной в водных растворах. Баранский, Барановский, Сарновский (Występowanie związków kompleksowych chlorku wapnia z moczniakiem w roztworach wodnych. Barański A., Baranowski B., Sarnowski M.), Przem. chem., 1957, 13, № 9, 505—506 (польск.; рез. русск., англ.)

Вискозиметрическими исследованиями установлено наличие в системе $\text{H}_2\text{O} - \text{CaCl}_2 - \text{CO}(\text{NH}_2)_2$ комплексных соединений. При более высоких т-рах наблюдается меньшая способность к образованию комплексов: $\text{CO}(\text{NH}_2)_2 \cdot 2\text{CaCl}_2$, $\text{CO}(\text{NH}_2)_2 \cdot \text{CaCl}_2$, $3\text{CO}(\text{NH}_2)_2 \cdot 2\text{CaCl}_2$, $2\text{CO}(\text{NH}_2)_2 \cdot \text{CaCl}_2$, $5\text{CO}(\text{NH}_2)_2 \cdot 2\text{CaCl}_2$, $3\text{CO}(\text{NH}_2)_2 \cdot \text{CaCl}_2$, $4\text{CO}(\text{NH}_2)_2 \cdot \text{CaCl}_2$.

Резюме авторов
31975. Исследование гидроксогоалогенокислот $\text{H}(\text{MX}_2\text{OH})$ элементов третьей группы периодической системы. Милиотис (Recherches sur les acides hydroxohalogénés. H(MX₂OH) du troisième groupe du système périodique. Moliotis Jean), C. r. Acad. sci., 1957, 245, № 16, 1314—1317 (франц.)

$\text{H}[\text{AlCl}_2\text{OH}] \cdot 2(\text{C}_2\text{H}_5)_2\text{O}$ (I) получается смешением при 0° теоретич. кол-ва AlCl_3 , эфира и воды. I — коричневая вязкая жидкость, застывающая в смеси с солью, растворимая в $\text{C}_6\text{H}_5\text{NO}_2$ и в CHCl_3 , нерастворимая в эфире, C_6H_6 , толуоле и ксилоле. I является столь же энергичным этерифицирующим и полимеризующим агентом, как и $\text{HAlCl}_4 \cdot 2(\text{C}_2\text{H}_5)_2\text{O}$ (II). I образуется и при действии 1 моля H_2O на 1 моль II или на 1 моль эфира AlCl_3 .

И. Рысс
31976. Синтез борвольфрамованадиевой кислоты. Полотенбинова Н. А., Уч. зап. Кишиневск. ун-т, 1957, 27, 83—86

Борвольфрамованадиевая к-та (I) в виде оранжево-красных кристаллов куб. формы (иногда образуются игольчатые кристаллы) синтезирована из $\text{Na}_2\text{WO}_4 \cdot 2\text{H}_2\text{O}$, NaVO_3 и $\text{Na}_2\text{B}_4\text{O}_7 \cdot 10\text{H}_2\text{O}$ при отношении В:W:V = 1:10:4. Вольфрамат растворяли в дистил. воде, нагревали р-р до кипения и прибавляли по каплям H_2SO_4 (1:1). Буру и ванадат растворяли в воде при нагревании. Полученные горячие р-ры сливали, постепенно прибавляли H_2SO_4 (1:1), кипятили 1,5 часа, прибавляли воду. Затем добавляли небольшим порциями еще H_2SO_4 (1:1) при энергичном поме-

нивании, осторожно и без избытка, чтобы не произошло частичного разрушения комплекса. К охлаждению р-ра, содержащему комплекс, прибавляли эфир. Эфирный слой имел красно-оранжевый цвет, водн. р-р по мере выпадения комплекса становился зеленым. Образовавшийся эфират сливали в кристаллизатор, разрушили водой и оставляли кристаллизатор на воздухе. Выпавшие красно-оранжевые кристаллы отсылали и высушивали на воздухе. Выход I 70—80%. I имеет состав $\frac{1}{2} \text{B}_2\text{O}_3 \cdot 10\text{WO}_3 \cdot \text{V}_2\text{O}_5$. I устойчива к щелочам на холоду. При нагревании со щелочью и прибавлении HCl в осадок выпадает WO_3 . I дает осадок с Ca^{2+} , Rb^{+} , Hg_2^{2+} и Tl^{+} . Соль TI имеет состав $5\text{Ti}_2\text{O} \cdot \text{B}_2\text{O}_3 \cdot 20\text{WO}_3 \cdot 4\text{V}_2\text{O}_5$. I не разрушается при кипячении со смесью серной и фосфорной к-т; Sn^{2+} , Ti^{4+} , Sb^{3+} восстанавливают I с образованием в-ва фиолетового цвета. I осаждается пирамидоном, о-окси-хлоридом и уротропином. Б. Видершайн

31977. Комплексы лантанидов с β -дикетонами. П. Датт, Бандопадхьяй (β -diketone complexes of lanthanons. II. Dutt N. K., Bandyopadhyay P.), Sci. and Culture, 1957, 23, № 2, 105—106 (англ.).

Определены ступенчатые и полные константы нестойкости ацетилацетатных комплексов Pr и Nd. Значения соответствующих констант для комплексов Pr ($pK_1 = 6,91$; $pK_2 = 5,63$; $pK_3 = 4,51$; $pK = 17,05$) и Nd ($pK_1 = 6,91$; $pK_2 = 5,65$; $pK_3 = 4,54$; $pK = 17,10$) близки между собой и являются промежуточными между $pK = 14,50$ для комплексов La и $pK = 18,50$ для комплексов Y. Часть I см. РЖХим, 1958, 7380.

Л. Драбкина

31978. Некоторые свойства кремнемолибденовой кислоты. Тарутани, Нихон кагаку дзасси, J. Chem. Soc. Japan. Pure Chem. Sec., 1956, 77, № 5, 743—746 (японск.).

31979. Хромато-фосфорные кислоты. Жако (Acizii cromato-fosforici. Zsako I.), Studii si cercetari chim. Acad. RPR Fil. Cluj, 1956, 7, № 1—4, 53—59 (рум.; рез. русск., франц.).

Кондуктометрическое исследование системы H_3PO_4 — H_2CrO_4 — H_2O показало существование трех родов сложных ионов, в которых отношение Cr:P равно 1:1, 2:1 и 4:1. Установлено, что устойчивость гетерополиоксидов ортофосфорной к-ты растет в порядке $\text{Cr} - \text{Mo} - \text{W}$.

Из резюме автора

31980. Получение гексаминхром- и трис-этиленди-аминхром-гидросульфидов. Такамото, Нихон кагаку дзасси, J. Chem. Soc. Japan. Pure Chem. Sec., 1956, 77, № 4, 653—655 (японск.).

31981. Исследование комплексных соединений с ароматическими аминами. VII. Комплексные соединения никеля ряда хроматов и бихроматов. VIII. Комплексные соединения меди ряда хроматов и бихроматов. Генчев, Пожарлиев (Studies on complex compounds with aromatic amines. VII. Complex nickel compounds of the chromate and bichromate order. VIII. Complex copper compounds of the chromate and bichromate order. Genchev Mladen, Pojarlieff Lyan), Докл. Болг. АН, 1956, 9, № 4, 20—32; 33—36 (англ., рез. русск.).

VII. Р-циями водн. р-ра $\text{Ni}(\text{NO}_3)_2$ со спирт. р-рами ароматич. аминов в присутствии 1%-ного р-ра $\text{K}_2\text{Cr}_2\text{O}_7$ или K_2CrO_4 получены твердые коричневые комплексные соединения. В соединениях ряда бихроматов $[\text{Ni}(\text{ArNH}_2)_4]\text{Cr}_2\text{O}_7$ координационное число Ni равно 4, в ряду хроматов $[\text{Ni}(\text{ArNH}_2)_2]\text{CrO}_2$ никель координирован 2-валентен. Синтезированы комплексы: с анилином $[\text{Ni}(\text{C}_6\text{H}_5\text{NH}_2)_2]\text{CrO}_4$ (I), с *n*-толуидином $[\text{Ni}(\text{n-CH}_3\text{C}_6\text{H}_4\text{NH}_2)_2]\text{Cr}_2\text{O}_7$, $[\text{Ni}(\text{n-CH}_3\text{C}_6\text{H}_4\text{NH}_2)_2]\text{CrO}_4$ и с *n*-анизидином $[\text{Ni}(\text{n-CH}_3\text{OC}_6\text{H}_4\text{NH}_2)_2]\text{Cr}_2\text{O}_7$, $[\text{Ni}(\text{n-CH}_3\text{OC}_6\text{H}_4\text{NH}_2)_2]\text{CrO}_4$. Электропроводность $[\text{Ni}(\text{C}_6\text{H}_5\text{NH}_2)_4]\text{Cr}_2\text{O}_7$ в

0,0001 M р-ре равна 142 ом^{-1} , электропроводность I в 0,001 M р-ре 106 ом^{-1} , что указывает на диссоциацию на два 2-зарядных иона.

VIII. При взаимодействии спирт. или спиртово-ацетоновых р-ров анилина, *n*- и *m*-толуидинов, *n*-анизидина и бензидина с водн. р-ром CuSO_4 и в присутствии $\text{K}_2\text{Cr}_2\text{O}_7$ с K_2CrO_4 получаются комплексные соединения лишь ряда хроматов с координационно 2-валентной Cu. Синтезированы: $[\text{Cu}(\text{C}_6\text{H}_5\text{NH}_2)_2]\text{CrO}_4$ — игловидные оливково-коричневые кристаллы; экв. электропроводность 0,0002 M р-ра 69 ом^{-1} ; $[\text{Cu}(\text{n-CH}_3\text{C}_6\text{H}_4\text{NH}_2)_2]\text{CrO}_4$ — светло-коричневые игловидные кристаллы; $[\text{Cu}(\text{m-CH}_3\text{C}_6\text{H}_4\text{NH}_2)_2]\text{CrO}_4$ — оливково-зеленые, собранные в друзы кристаллы; $[\text{Cu}(\text{n-CH}_3\text{OC}_6\text{H}_4\text{NH}_2)_2]\text{CrO}_4$ — оливково-зеленые кристаллы; $[\text{Cu}(\text{H}_2\text{NC}_6\text{H}_4\text{C}_6\text{H}_4\text{NH}_2)_2]\text{CrO}_4$ — красные друзы. С β -нафтиламином в зависимости от условий образуется красный комплекс бихроматного ряда $[\text{Cu}(\text{C}_{10}\text{H}_7\text{NH}_2)_4]\text{Cr}_2\text{O}_7$ или оливково-зеленый хроматный $[\text{Cu}(\text{C}_{10}\text{H}_7\text{NH}_2)_2(\text{H}_2\text{O})_2]\text{CrO}_4$. Часть VI см. РЖХим, 1958, 10305.

И. Слоним

31982. Физико-химическое исследование образования молибдато-фосфатов в водных растворах. Рипан, Жако (Studiul fizico-chimic al formarii molibdato-fosfatilor in solutii apoase. Ripan R., Zsako I.), Studii si cercetari chim. Acad. RPR Fil. Cluj, 1956, 7, № 1—4, 23—43 (рум.; рез. русск., франц.).

Кондуктометрическим, фотоколориметрич. и потенциометрич. исследованием систем NaH_2PO_4 — $(\text{NH}_4)_6\text{Mo}_7\text{O}_{24}$ — H_2O ; H_3PO_4 — $(\text{NH}_4)_6\text{Mo}_7\text{O}_{24}$ — H_2O и H_3PO_4 — H_2MoO_4 — H_2O установлено присутствие в них ряда комплексных молибдато-фосфатных ионов.

Из резюме авторов

31983. Исправление к статье: Хибер «Поведение хлоропентакарбонила рения при реакциях». (Berichtigung. Hieber W.), Z. anorgan. und allgem. Chem., 1957, 290, № 5-6, 302 (нем.).

Исправляется ошибка, допущенная в работе автора (РЖХим, 1957, 47673). Автор отмечает, что при взаимодействии карбонила Co с диметиламином образуется не ацетамид, а диметилформамид, в соответствии с предложенной ранее схемой (РЖХим, 1955, 7351).

И. Рыс

31984. Спектрофотометрическое исследование комплексов трехвалентного железа с мореллином. Тандон, Пател (Spectrophotometric investigations on the iron (III)-morellin complex. Tandon S. G., Patel C. C.), J. Indian Inst. Sci., 1957, AB39, № 2, A129—A137 (англ.).

Спектрофотометрически исследованы р-ры FeCl_3 и комплекса $\text{Fe}(3+)$ с мореллином (R) (Rao B. S., J. Chem. Soc., 1937, 853) в абс. спирте. Установлен непрерывный сдвиг максимума поглощения $\mu(\text{макс.})$ р-ра FeCl_3 от 410 до 490 мμ при изменении конц-ии от $2,24 \cdot 10^{-4}$ до $2,30 \cdot 10^{-1}$ M. Образующийся комплекс с R имеет состав Fe_2R_3 с $\mu(\text{макс.})$ 550 мμ. Комплекс диссоциирует в абс. спирте; константа равновесия, определенная спектрофотометрически, равна $4,95 \cdot 10^{-17}$ при 25°. Свободная энергия образования комплекса составляет — 22,15 ккал/моль.

Резюме авторов

31985. Спектрофотометрическое исследование комплекса трехвалентного железа с тиосульфатом. Часть III. Маханатра, Нанда, Патнаик (Spectrophotometric study of the ferric thiosulphate complex. Part III. Mahapatra G., Nanda C., Patnaik D.), J. Indian Chem. Soc., 1957, 34, № 6, 457—460 (англ.).

Измерена оптич. плотность при 500 мμ р-ров неустойчивого комплекса $[\text{FeS}_2\text{O}_3]^+$, образующегося при взаимодействии водн. р-ра $\text{Na}_2\text{S}_2\text{O}_3$ с р-ром $\text{Fe}(\text{ClO}_4)_3$ в HClO_4 . Измерения производились через 5—100 сек. после сливания р-ров при конц-ии H^+ 0,05 н. и полной силе 0,12; полученные значения оптич. плотности

экстраполировались к нулевому времени. Рассчитаны величины коэф. экстинкции комплекса $\epsilon = 500$ и константы нестойкости $K = [\text{Fe}^{3+}][\text{S}_2\text{O}_3^{2-}]/[\text{FeS}_2\text{O}_3^+] = 1,057 \cdot 10^{-12}$ при 25°. Авторы считают полученные значения достаточно достоверными, так как в р-ре не было посторонних электролитов и конц-я свободных сульфат-ионов могла быть определена с большой точностью. Часть II см. РЖХим, 1957, 44294.

И. Слоним

31986. Исследование внутрикислотных соединений железа с цистеином. I. Образование внутрикислотных соединений солей двухвалентного железа с цистеином. II. О каталитическом восстановлении внутрикислотных соединений двухвалентного железа с бис-цистеином. Сакакибара (Sakakibara Eiichi), Сайкагаку, J. Japan. Biochem. Soc., 1956, 28, № 4, 246—248; 249—252 (японск.)

31987. К химии ферратов. II. Получение феррата калия. Тоушек, Тоушкова (K chemii železanov. II. Příprava železanu draselného. Toušek J., Toušková A.), Chem. zvesti, 1957, 11, № 2, 113—118 (словацк.; рез. русск., нем.)

Предложен способ получения K_2FeO_4 окислением FeCl_3 действием KOCi в насыщ. р-ре КОН. Максим. выход K_2FeO_4 достигается при 30°, тройном избытке KOCi и длительности р-ции 15 мин.

Из резюме авторов
31988. О составе и устойчивости комплексов железа с лимонной, винной и триоксиглутаровой кислотами в щелочной среде. Пятицкий И. В., Укр. хим. ж., 1957, 23, № 5, 593—598

Изучена относительная устойчивость триоксиглутаровых кислот (I), винных кислот (II) и лимонных кислот (III) комплексов $\text{Fe}(3+)$ и определен состав комплексов $\text{Fe}(3+)$ с винной и лимонной (IV) к-тами в щел. среде. Установлено, что $\text{Fe}(3+)$ образует наиболее устойчивый комплекс с триоксиглутаровой к-той, а наименее устойчивый — с IV. Состав III соответствует отношению $\text{Fe}:\text{H}_2\text{A} = 1:3$, а II — отношению 1:2.

Большая устойчивость II и I по сравнению с III объяснена наличием 5-членных циклов, образованных за счет вытеснения водородных атомов оксигрупп катиона металла в 1-м случае и отсутствием таких циклов — во 2-м.

Из резюме автора

31989. Исследование реакций обмена кобальта во внутрикислотных соединениях кобальта с о-оксалимидином с применением радиоактивного кобальта. Эндо, Масима (Endō Juitsu, Mashima Michio), Нихон кагаку даасси, J. Chem. Soc. Japan. Pure Chem. Sec., 1956, 77, № 7, 1005—1008 (японск.)

31990. О соединении трехвалентного кобальта с гидразинном. Гогоришвили П. В., Цицишвили Л. Д., Каркашвили М. В., Ж. неорган. химии, 1957, 2, № 5, 1040—1045

Описан метод получения соединения $\text{Co}(3+)$ с N_2H_4 , состав и свойства которого отвечают ф-ле $[\text{Co}(\text{NH}_3)_4(\text{N}_2\text{H}_4)\text{NO}_2]\text{CO}_3 \cdot 1\frac{1}{2}\text{H}_2\text{O}$ (I). Исходным соединением для получения I служил транс-изомер $[\text{Co}(\text{NH}_3)_4(\text{NO}_2)_2]\text{NO}_3$ (II). Игольчатые желтые кристаллы I выпадали из свежеприготовленного р-ра II и N_2H_4 после насыщения его CO_2 . Кристаллы I слабо парамагнитны ($\mu = 0,081 \mu_B$), что, по мнению авторов, подтверждает 3-валентность Co в этом соединении. Электропроводность водн. р-ров I равна $110\text{—}134 \text{ ом}^{-1}$, что указывает на диссоциацию I на 2 иона. При действии на I HCl и H_2SO_4 гидразин легко замещается на Cl^- и SO_4^{2-} , причем I переходит соответственно в $[\text{Co}(\text{NH}_3)_4\text{NO}_2\text{Cl}]\text{Cl}$ и $[\text{Co}(\text{NH}_3)_4\text{NO}_2\text{SO}_4]$. При нагревании или длительном стоянии водн. р-ра I N_2H_4 вытесняется из внутрешней сферы водой. При добавлении $\text{C}_2\text{H}_5\text{OH}$ к водн. р-ру I получен мелкокристаллич. желтый осадок, состав и свойства которого отвечают ф-ле $[\text{Co}(\text{NH}_3)_4\text{NO}_2\text{OH}]\text{HCO}_3$. На основании полученных результатов авторы делают вывод, что I является транс-изомером, а легкое замещение N_2H_4 на координатное $\text{NO}_2\text{—Co—N}_2\text{H}_4$ хлором, SO_4^{2-} и H_2O объясняют слабым транс-влиянием N_2H_4 по сравнению с этими аддендами. Получено также малоустойчивое соединение состава $[\text{Co}(\text{NH}_3)_4\text{N}_2\text{H}_4\text{NO}_3]\text{SO}_4$.

В. Шмидт

31991. О возможном существовании тетраэдрических комплексов двухвалентного никеля. Асмуссен, Боструп (On the possible existence of tetrahedral nickel (II) complexes. Asmussen R. W., Bostrop Ole), Acta chem. scand., 1957, 11, № 7, 1097—1102 (англ.)

Эффективные магнитные моменты ($\mu(\text{эф.})$) $\text{Ni}(\text{SCN})_2 \cdot \text{H}_2\text{O}$ (I), $\text{Ni}(\text{Et}_3\text{SO}_4)_2$ (II), $\text{Ni}(\text{NH}_3)_4\text{Br}_2$ (III), $\text{Ni}(\text{tren})(\text{SCN})_2$ (IV), $\text{Ni}(\text{tren})\text{SO}_4$ (V), $\text{Ni}(\text{tren})\text{SO}_4 \cdot 7\text{H}_2\text{O}$ (VI), $\text{Ni}(\text{NH}_3)_4(\text{SCN})_2$ (VII), $\text{Ni}(\text{DH}_2)_2\text{Cl}_2$ (VIII) и $\text{Ni}(\text{Py})_4(\text{SCN})_2$ (IX), где tren — β, β', β'' -триаминотриэтиламин, DH_2 — диметилглиоксим, соответственно равны 3,06, 3,16, 3,16, 3,19, 3,22, 3,23, 3,23, 3,23 и 3,32 μ_B . Так как орбитальная составляющая $\mu(\text{эф.})$ должна быть для октаэдрич. комплексов Ni меньше, чем для тетраэдрич., и так как измеренные авторы спектры отражения I—VI, VIII и IX и $\text{NiSO}_4 \cdot 7\text{H}_2\text{O}$ (X), NiPy_4Cl_2 , $\text{Ni}(\text{tren})\text{Br}_2$ и $\text{Ni}(\text{ptn})\text{SO}_4$ (ptn — 1,2,3-триаминопропан) обладают значительным сходством, авторы заключают, что многие считающиеся тетраэдрич. комплексы Ni на самом деле являются октаэдрич. В частности, IV приписана структура цис-октаэдра, VI — структура октаэдра, цис-диакто-комплекса. Сравнение оптич. и магнитных свойств $\text{Ni}(\text{P}(\text{C}_2\text{H}_5)_3)_2\text{X}_2$, где X — NO_3 (XI) или Cl (XII), не дает однозначного ответа о пространственном строении XI, мономерного в р-ре и в кристалле, но парамагнитного в отличие от диамагнитного XII. И. Ряс

31992. Спектральное изучение микроскопических кристаллов. XIII. Строение красной соли Вольфрама $\text{Pt}(\text{NH}_2 \cdot \text{C}_2\text{H}_5)_4\text{Cl}_3 \cdot 2\text{H}_2\text{O}$ и родственного ей соединения. Ямада, Цутида (Spectrochemical study of microscopic crystals. XIII. The structure of Wolfram's red salt, $\text{Pt}(\text{NH}_2 \cdot \text{C}_2\text{H}_5)_4\text{Cl}_3 \cdot 2\text{H}_2\text{O}$ and a related compound. Yamada Shoichiro, Tsuchida Ryutaro), Bull. Chem. Soc. Japan, 1956, 29, № 8, 894—898 (англ.)

С применением микроскопич. метода исследованы в поляризованном свете спектры поглощения (в области 2400—7500 Å) игольчатых кристаллов $\text{PtR}_4\text{X}_3 \cdot 2\text{H}_2\text{O}$, где $\text{R} = \text{C}_2\text{H}_5\text{NH}_2$, X — Cl (I), Br (II). Для сравнения снимались также спектры поглощения водн. р-ров солей $[\text{PtR}_4\text{X}_2]$ и $[\text{PtR}_4\text{X}_2]\text{X}_2$. Для I и II обнаружен дихроизм: когда электр. вектор E параллелен оси иголки, кристаллы I темно-красные, а II — темно-зеленые; при E, нормальном с, I почти бесцветны, II — бледно-желтые. На основании изученных спектров авторы считают, что строение I и II должно быть выражено ф-лой $[\text{PtR}_4][\text{PtR}_4\text{X}_2]\text{X}_4 \cdot 4\text{H}_2\text{O}$, причем кристаллы содержат бесконечные цепи $\text{—X—Pt(4+)—X—Pt(2+)—X—Pt(4+)—X—}$, параллельные оси с. Отмечено разложение кристаллов $[\text{PtR}_4\text{Cl}_2]\text{Cl}_3 \cdot 2\text{H}_2\text{O}$ под действием УФ-света с образованием I; предполагается р-ция $[\text{PtR}_4\text{Cl}_2]^{2+} \xrightarrow{h\nu} [\text{PtR}_4]^{2+} + \text{Cl}_2$. Часть XII см. РЖХим, 1957, 25777.

П. Зоркий

31993. III. β -Пиколинипиридиновые комплексные соединения двухвалентной платины. Иванова М. И., Ж. неорган. химии, 1957, 2, № 8, 1775—1784

Смешанные тетрамины общей ф-лы $[\text{PtA}_n\text{B}_{4-n}]\text{X}_4 \cdot 3\text{H}_2\text{O}$ (A — β -пиколин, B — пиридин) получены следующим образом: транс- $[\text{PtA}_2\text{B}_2]\text{Cl}_2$ (I) из транс- $[\text{PtA}_2\text{Cl}_2]$ (II) действием B или из транс- $[\text{PtB}_2\text{Cl}_2]$ (III) действием A; цис- $[\text{PtA}_2\text{B}_2]\text{Cl}_2$ (IV) из цис- $[\text{PtA}_2\text{Cl}_2]$ дей-

ствием В или из *cis*-[PtB₂Cl₂] действием А; [PtA₃B]Cl₂ (V) из *trans*-[PtABCl₂] (VI) действием А; [PtAB₃]Cl₂ (VII) из VI действием В. При нагревании с конц. HCl, в соответствии с правилом Иергенсена, из I образуется смесь II и III, а из IV получается VI. Действие тиомочевны (Thio) на VI подтвердило его *trans*-конфигурацию; при этом образуется [PtAB(Thio)₂Cl₂] (VIII). Соединения I, IV, V, VII и VIII белого цвета, VI — желто-зеленоватое; их мол. электропроводность отвечает 3-ионным электролитам. Катионы соединений I, IV, V и VII выделены также в виде нерастворимых в воде розовых хлорплатинатов. Часть II см. РЖХим, 1958, 10831. Л. Волштейн

31994. Изомерные соединения двухвалентной платины с ϵ -аминокапроновой кислотой. Волштейн Л. М., Могилевкина М. Ф., Ж. неорганич. химии, 1957, 2, № 6, 1275—1280

Описано получение и разделение *cis*-*trans*-изомеров соединений [Pt(ϵ H)₂Cl₂], где ϵ H — ϵ -аминокапроновая к-та (РЖХим, 1958, 14003). В результате нагревания на водяной бане K₂PtCl₄ (I) с ϵ H и КОН (мол. отношение 1:4:4) получается бледно-желтый прозрачный р-р, содержащий комплексные анионы *cis*-[Pt₂Cl₂]²⁻ (II) и [Pt₂]²⁻ (III). К полученному р-ру добавляли разб. HCl на холоду или конц. HCl при нагревании. В 1-м случае II и III превращались соответственно в *cis*-[Pt(ϵ H)₂Cl₂] (IV) и [Pt(ϵ H)₂Cl₂] (V), выпадавшие в осадок. Во 2-м случае первоначально происходило то же самое, но при нагревании V подвергался иергенсеновскому расщеплению с образованием *trans*-[Pt(ϵ H)₂Cl₂] (VI), выпадавшего в осадок вместе с IV. Из смеси IV и V получали чистый IV, извлекаемый лучше растворимый V горячей водой. На смесь IV и VI действовали конц. NH₃; при этом VI превращался в очень плохо растворимый *trans*-[Pt₂(NH₃)₂] (VII), а IV — в хорошо растворимый *cis*-[Pt₂(NH₃)₂] (VIII). Осадок VII отфильтровывали и подвергали иергенсеновскому расщеплению (кипячение с конц. HCl), приводящему к смеси *trans*-[PtCl₂(NH₃)₂] (IX) с VI. Смесь VIII и VI оттитровывали щелочью; при этом VI превращался в растворимую соль K₂[Pt₂Cl₂] (IX), а VIII оставался в осадке и отфильтровывался. К фильтрату добавляли HCl; при этом из IX образовывался вполне чистый VI. Конфигурацию каждого из изомеров доказывали несколькими хим. методами. Показано, что относительные кол-ва IV и VI, содержащиеся в смеси, полученной в 2-м случае, зависят от величины мол. отношения ϵ H:I(n). При n = 2,5; 4 и 8 в смеси содержится соответственно <15; ~50 и ~72% VI. Это подтверждает, что VI образуется из III, а IV — из II, так как при взаимодействии I с ϵ H возрастание n должно увеличивать выход III и уменьшать выход II. Л. Волштейн

31995. Новые представители ряда тетрахлордисульфитофторидов. Лебединский В. В., Новожелюк З. М., Ж. неорганич. химии, 1957, 2, № 10, 2490—2491

При действии избытка нейтр. свежеприготовленного сульфата натрия на кристаллич. хлоридат аммония образуется темно-красный р-р, из которого выпадают красные четырехугольные таблички смешанного аммонийнатриевого тетрахлордисульфитофторидата Na₂(NH₄)₂[Ir(SO₃)₂Cl₄]·4H₂O (I). Выход I 50%. При р-ции сначала происходит восстановление Ir (4+) до Ir (3+), а затем образование смешанной соли. Перекристаллизация I не удается, так как при нагревании р-ра происходит гидратация и изменение окраски до светло-желтой. Мол. электропроводность μ I при 25° равна 541,5; 584 и 610 ом⁻¹ см² при разбавлении V 1000, 2000 и 4000 л/моль, что отвечает 6-ионному электролиту. Показатели преломления I: n =

= 1,650, n_m = 1,627, n_p = 1,600. Аналогично I из р-ра сульфата аммония и хлоридата аммония получены с выходом 60—75% оранжевые шестиугольные таблички аммонийного тетрахлордисульфитофторидата (NH₄)₂[Ir(SO₃)₂Cl₄] (II). Для II при 25° и V 1000, 2000, и 4000 л/моль μ соответственно 482,9; 513,4 и 514,3 ом⁻¹ см². Показатели преломления II: n = 1,754, n_m = 1,730, n_p = 1,682.

И. Слоним

31996. Способность 1,3-диоксанацетона и родственных соединений к комплексообразованию. Бернауэр, Фаллаб (Über das Komplexbildungsvermögen von 1,3-Dihydroxy-aceton und ähnlichen Verbindungen. Bernauer Klaus, Fallab S.), Helv. chim. acta, 1957, 40, № 6, 1690—1694 (нем.; рез. англ.)

Способность ряда соединений образовывать комплексы с Fe(3+) сравнена путем колориметрич. титрования при pH 2 (в смесях HClO₄ и NaClO₄) с использованием роданида Fe в качестве индикатора. Способность связывать Fe(3+) падает в ряду лимонная к-та > винная к-та > пирувиновая к-та (I) > гепарин > молочная к-та (II) > галактуроновая к-та > хондротинсерная к-та > мальтоза > диоксанацетон (III) ~ лактоза. d-Ксилоза, d-рибоза, d-манноза, d-сорбоза, d-галактоза, d-арабиноза, d-фруктоза и d-раффиноза не образуют комплексов с Fe(3+). По мнению авторов, I, II и III образуют с Fe(3+) внутрикомплексные соединения. И. Рыс

31997. Комплексные соли аминокислот и этилендиаминтетраацетаты. Цутида, Нимкура, Кагакү Chemistry (Japan), 1957, 12, № 9, 634—638 (японск.) Обзор за 1956 г. Библ. 30 назв. В. Ш.

31998. Новый класс комплексных соединений. Комплексные пиридазинроданиды и пиридазингалогениды металлов. Спаку, Спаку, Рэдулеску (O nouă clasă de combinațiuni complexe. Piridazinotiocianati și piridazinhalogenuri metalice. Spacu G., Spacu P., Rădulescu E. L.), An. Univ. «C. I. Parhon». Ser. științ. natur., 1957, № 13, 65—74 (рум.; рез. русск., франц.)

Добавлением пиридазина (Pdз) и NH₄SCN к водн. р-рам солей Cu(2+), Cu(1+), Co, Ni, Cd, Fe и Zn или к водн. р-рам галогенидов Cd, Hg, Cu и Mn получены MPd₂(SCN)₂, где M — Cu(2+), Co, Ni, Cd, Fe, Zn, и CuPd₂(SCN), а также MPd₂Cl₂, где M — Cd, Hg, Cu, Mn; CdPdBr₂ и CdPdJ₂ ≠ [CdJ]₂[CdJd₂].

Из резюме авторов

31999. Комплексы металлов с шиффовыми основаниями о-аминофенола и дикарбонильных соединений. Байер (Metallkomplexe Schiffscher Basen aus o-Amino-phenol und Dicarboxylverbindungen. Bayer Ernst), Chem. Ber., 1957, 90, № 10, 2325—2338 (нем.) Глиоксаль-бис-[2-оксанил] (H₂G), т. пл. 204°, синтезирован конденсацией о-аминофенола (I) и глиоксаля в водн. р-рах при 80°. При нагревании р-ров H₂G и ацетатов металлов в CH₃OH образуются интенсивно окрашенные внутрикомплексные соединения MG·2H₂O, где M — Cu (II), Ni (III), Co (IV), Zn (V), Mn (VI) и Cd; комплексы II—VI растворимы в пиридине (Py) и малорастворимы в других органич. р-рителях и в воде. Так как вода очень прочно связана в комплексах (III) обезвоживается над P₂O₅ при 120° и 2 мм рт. ст. в течение 12 час., а IV — в течение 24 час.), то авторы считают, что H₂O входит во внутреннюю сферу. Из нагретых р-ров H₂G и уранилацетата в CH₃OH при охлаждении выделяется UO₂G, легко растворимый в Py, растворимый в воде, спиртах, и CHCl₃, умеренно растворимый в эфире, устойчивый при pH 2—11. Магнитные моменты III и IV соответственно равны 2,97 и 4,55 мв («нормальные» комплексы, с участием орбитальных моментов). Комплексы H₂G с V и Fe крайне неустойчивы; щел.-зем.

металлы не образуют комплексов с H_2G . Устойчивость комплексов H_2G с разными M падает в ряду $Cu > UO_2 > Ni > Co > Mn > Zn > Cd$; каждый предыдущий M способен в р-рах в Pu полностью замещать в комплексах последующие. В том же порядке падает устойчивость комплексов к действию к-т. Измерены спектры поглощения комплексов и обсуждены их пространственная структура. По мнению автора, связи $M-N$ ковалентные, а связи $M-O$ электростатические (ковалентность связей $M-O$ исключается пространственными условиями). Комплексы с H_2G менее устойчивы, чем образуемые дисалицилалкилендиаминными. Диацетил-бис-[2-оксанил], т. пл. 277°, получен конденсацией I и диацетила в р-рах в CH_3OH ; он не образует комплексов с металлами вследствие вызываемых наличием групп CH_3 стерич. препятствий.

И. Рысс
32000. О сравнительной устойчивости лимоннокислых и триоксиглutarовокислых комплексов марганца, кобальта, никеля и меди в щелочных растворах. Пятницкий, Малоштан (Про порівняльну стійкість лимоннокислих і триоксиглutarовокислих комплексів марганцю, кобальту, нікелю та міді в лужних розчинах. П'ятницький І. В., Малоштан О. Р.), Наук. зап. Київськ. ун-т, 1957, 16, № 15, 125—128 (укр.; рез. русск.)

Ранее предложенным методом (РЖХим, 1957, 40877) изучена сравнительная устойчивость лимоннокислых и триоксиглutarовокислых комплексов Mn , Co , Ni и Cu в щел. среде. Показано, что наименее устойчивые комплексы образует Mn , а наиболее устойчивые — Cu . Увеличение устойчивости комплексов в ряду от Mn к Cu происходит параллельно с уменьшением растворимости гидроокисей этих металлов. Резюме авторов

32001. О явлениях обмена тиомочевны в комплексных соединениях двухвалентной платины. Гринберг А. А., Борзакова С. С., Ж. неоган. химии, 1957, 2, № 10, 2368—2370

С помощью тиомочевны ($Thio$), содержащей S^{35} или радиоактивный C , доказано наличие обмена между $[PtThio]^{2+}$ и $Thio$ в водн. р-рах. Наличие обмена приписано высокому транс-влиянию $Thio$. **И. Рысс**

32002. О применении метода растворимости для определения состава комплексов в растворах. Пятницкий (Про застосування методу розчинності для визначення складу комплексів у розчинах. П'ятницький І. В.), Наук. зап. Київськ. ун-т, 1957, 16, № 15, 117—124 (укр.; рез. русск.)

Рассмотрены границы применимости метода титрования для определения состава комплексов в р-рах; показано, что метод может применяться только при определенном соотношении между константой нестойкости комплекса и произведением растворимости индикаторного осадка, в соответствии с уравнением $K/L = ([X^{-b}]^{p-1} [0,05]^p / [A^{-n}]^{n \cdot 0,95})^p$, где K — константа нестойкости комплекса, L — произведение растворимости индикаторного осадка, $[X^{-b}]$ — исходная конц-ия адденда в р-ре, $[A^{-n}]$ — конц-ия аниона, образующего с катионом металла индикаторный осадок, p — кол-во координированных аддендов, n — валентность катиона. Показано, что при отсутствии данных об устойчивости комплексов метод может дать правильные результаты только в том случае, если найденное из опыта мол. отношение адденд: катион близко к единице. Установлен состав простейших тартратных и цитратных комплексов Fe , Cu , Ni и Bi в аммиачных и щел. р-рах; во всех случаях мол. соотношение металл:оксикислота в комплексах равно 1:1.

Резюме автора
32003. Окислительное действие растворов хлоратов щелочных металлов на гидроокиси и окислы $Cr(3+)$; сравнение с действием растворов хлоратов. Рес-

Гаррини (Azione ossidante delle soluzioni di clorito alcalino su idrossidi ed ossidi di $Cr(III)$ e studio comparativo con soluzioni di clorato. Res Garrini Ermilia), Ann. chimica, 1957, 47, № 10, 1095—1099 (итал.)

Трехвалентный хром в виде $Cr(OH)_3$, $CrO(OH)$, $2Cr_2O_3 \cdot 3H_2O$ и Cr_2O_3 окисляется до CrO_4^{2-} р-ром хлорита щел. металла при 70—80°. Повышение степени гидратации Cr_2O_3 уменьшает время, необходимое для полного окисления. Выделен промежуточный продукт окисления — коричневый порошок с эмпирич. ф-лой $Cr_{11}O_{18} \cdot xH_2O$. Хлораты щел. металлов частично реагируют с изученными соединениями Cr только в присутствии катализатора — следов перекисных соединений Cr .

32004. Исследования гидролиза раствора алюмината натрия, проведенные Сато, Karaku to koge. Chem. and Chem. Ind., 1956, 9, № 5, 197—199 (японск.)

32005. Продукты разложения хлорита натрия в щел. растворах. Накамури, Такасаки, Хираи, Koge karaku dzasshi, J. Chem. Soc. Japan. Industr. Chem. Sec., 1956, 59, № 6, 604—606 (японск.)

32006. О разложении фосфата кальция в воде. Кауко, Эйюби (Zur Kenntnis der Zersetzung des Calciumtriphosphates im Wasser. Kauko Yrjö, Eyyubi Selmin), Osterr. Chem.-Ztg, 1957, 58, № 21—22, 259—262 (нем.)

Потенциометрическим и кондуктометрич. методами изучены процессы, происходящие при длительном (до 6 месяцев) стоянии водн. р-ров $Ca_3(PO_4)_2$ при 25°. В свежеприготовленном р-ре произведение растворимости $L = (Ca^{2+})^3 (PO_4^{3-})^2 \approx 10^{-26}$ моль⁵ л⁻⁷. Со временем происходит постепенное превращение трифосфата в гидроксилapatит и дифосфат по ур-нию $4Ca_3(PO_4)_2 + 2H_2O \rightarrow 3Ca_3(PO_4)_2 \cdot Ca(OH)_2 + 2CaHPO_4$. Устанавливается равновесие между р-ром и двумя твердыми фазами, $CaHPO_4$ и $3Ca_3(PO_4)_2 \cdot Ca(OH)_2$, которые также могут превращаться друг в друга: $10CaHPO_4 + 2H_2O \rightleftharpoons 3Ca_3(PO_4)_2 \cdot Ca(OH)_2 + 4H^+ + 4H_2PO_4^-$. В равновесном р-ре pH 5,8 для дифосфата $L = (Ca^{2+})^3 (HPO_4^{2-})^2 \approx 10^{-17}$ и для трифосфата $L = (Ca^{2+})^3 (PO_4^{3-})^2 \approx 10^{-21}$. Это же равновесное состояние достигается и при длительном стоянии р-ра, приготовленного из $CaHPO_4 \cdot 2H_2O$.

Н. Флонин
32007. О графитизации аморфных углей. Платцер (Sur la graphitisation des charbons amorphes. P. Latzer Nicole), C. r. Acad. sci., 1957, 244, № 24, 2932—2935 (франц.)

Взаимодействием $CaCl_2$ со скелетным никелем при t -рах $< 500^\circ$ и давлениях от атмосферного до 6000 кг/см² получены угли. Даже после обеззоливания к-тами полученные угли имели зольность $\sim 10\%$ и не давали рентгенограмм. После обработки образцов хлором при 1000° их рентгенограммы содержали линию 002; $d_{002} = 3,40$ А. Образцы устойчивы к действию смеси $K_2Cr_2O_7$ с H_2SO_4 . **Л. Разумова**

32008. Реакции кремния с тетрагалогенидами кремния. Кемитер, Альварес-Тостадо (Reactions of silicon with the silicon tetrahalides. Kempter Charles P., Alvarez-Tostado C.), Z. anorgan. und allgem. Chem., 1957, 290, № 5—6, 238—250 (англ.)

При нагревании Si с SiX_4 ($X = F, Cl, Br$) протекает обратимая р-ция $Si + SiX_4 \rightleftharpoons 2SiX_2$, позволяющая получить особо чистый Si . Описаны условия получения монокристаллов Si , имеющих структуру алмаза (a 5,4301 А при 26°), ориентированных вдоль оси игол; 2-я форма Si имеет объемноцентр. тетрагон. решетку, a 3,99, c 7,22 А, ρ 1,67. Сопротивление полученного порошка Si равно 40—50 ом·см при 23°. **И. Рысс**

32009. Действие водного раствора двуокиси серы на перманганаты бария и серебра. Лал, Мехра (Ac-

tion of sulphur dioxide water on permanganates of barium and silver. Lal Kundan, Mehra Chandar, J. Indian Chem. Soc., 1957, 34, № 2, 131—134 (англ.)

Установлено, что при добавлении водн. р-ра SO_2 к 1%-ному р-ру $\text{Ba}(\text{MnO}_4)_2$ или 0,5%-ному р-ру AgMnO_4 происходит окисление SO_3^{2-} в SO_4^{2-} и $\text{S}_2\text{O}_8^{2-}$, причем в процессе р-ции выпадает осадок, состав которого выражается ф-лой $x\text{RO} \cdot y\text{MnO} \cdot z\text{MnO}_2$ (I). С увеличением добавленного объема H_2SO_4 кол-во осадка I уменьшается до тех пор, пока он не исчезнет полностью. При длительном пропускании SO_2 в р-р $\text{Ba}(\text{MnO}_4)_2$ осадок содержит только BaSO_4 .

Н. Красовская
32010. Электролитическое восстановление соединений $\text{Cr}(6+)$ в кислом р-ре $\text{NH}_4\text{SO}_4\text{H}$ и дубильные свойства восстановленного раствора. Утида, Ко-муро (Uchida Takashi, Komuro Toshimitsu), Kore kagaku daasshi, J. Chem. Soc. Japan. Industr. Chem. Soc., 1956, 59, № 8, 953—956 (японск.)

32011. Реакции вольфрамового ангидрида с сульфатами щелочноземельных металлов при нагревании. Ламюр, Жели (Sur la réaction par voie sèche entre l'anhydride tungstique et les sulfates alcalino-terreux. Lamure Jules, Gelis Pierre de), C. r. Acad. sci., 1957, 245, № 17, 1436—1439 (франц.)
Р-ции $\text{MSO}_4 + \text{WO}_3 = \text{MWO}_4 + \text{SO}_3$, где $\text{M} = \text{Ca}$ (I), Sr (II) и Ba (III), изучены с помощью термовесов при скоростях нагревания v 25, 50, 150 и 300 град/час. В случаях I и II р-ции протекают полностью, без плавления массы. В случае III р-ция протекает полностью при $v = 25$, но испытывает резкие торможения выше 980° при $v \geq 100$; при изотермич. проведении р-ции она протекает полностью при 950° , но испытывает торможения при более высоких т-рах. По мнению авторов, причиной торможения является плавление эвтектической смеси WO_3 и BaSO_4 при $940 \pm 2^\circ$, затрудняющее удаление газообразных продуктов р-ции.

И. Рысс
32012. Исследование взаимодействия хлористого аммония с хлористым йодом. Шевченко (Дослідження взаємодії хлористого амонію з хлористим йодом. Шевченко Ф. Д.), Наук. зап. Київськ. ун-т, 1957, 16, № 15, 79—85 (укр.; рез. русск.)

Изучалось взаимодействие NH_4Cl с JCl с целью изучения состава и свойств образующегося комплексного соединения. Результаты измерения электропроводности системы $\text{NH}_4\text{Cl}-\text{JCl}$ и ее р-ров в нитробензоле свидетельствуют об образовании в этих системах комплексного соединения NH_4Cl с JCl , обладающего свойствами довольно сильного электролита. Криоскопич. измерения указывают на образование в нитробензольных р-рах соединения, в котором на 1 молекулу NH_4Cl приходится 4 молекулы JCl .

Из резюме автора

32013 К. Теоретическая и экспериментальная химия (электронная химия). Руководство повышенного типа. Галле (Chimie minérale théorique et expérimentale (chimie électronique), à l'usage de l'enseignement supérieur. Gallais Fernand. Paris, Masson et Cie, 1957, 810 p., ill., 3 600 fr.) (франц.)

32014 К. Руководство по неорганическому синтезу. Ключников Н. Г., Перев. с русск. (Průrůčka anorganických syntéz. Klučnikov N. G., Překl. z ruš. Bratislava, SVTL, 1957, 289 s., il., 25.10 Kčs) (словацк.)

32015 К. Физическая химия и химия кремния. Изд. 2-е, перераб. и доп. Ключковский Г. И., Мануйлов Л. А. М., Промстройиздат, 1957, 264 стр., ил., 7 руб.

32016 К. Введение в химию комплексных соединений. Гринберг А. А. Перев. с русск. Изд. 2-е, перераб. и доп. (Introducere în chimia combinațiilor complexe. Grinberg A. A. Trad. din limba rusă. După ed. a doua revizuită și completată. București, Ed. tehn., 1957, 535 p., 23, 50 lei) (рум.)

32017 Д. Исследование паравольфрамов. Пирогова Г. Н. Автореф. дисс. канд. хим. н., МГУ, М., 1957

См. также: Элементы и простые в-ва 33097. Строение и св-ва молекул и кристаллов 31487, 31506, 31511, 31519, 31788. Кинетика и механизм неорганич. р-ций 31745, 31757—31759, 31790. Комплексные соед. 31404, 31405, 31418, 31420, 31437, 31485, 31486, 31520, 32353, 33109

КОСМОХИМИЯ. ГЕОХИМИЯ. ГИДРОХИМИЯ

Редакторы Г. Г. Воробьев, М. С. Яншина

32018. Классификация метеоритов. Леонард (The classification of meteorites. Leonard Frederick C.), Sky and Telescope, 1957, 16, № 8, 370—373 (англ.)

Предлагается классификация метеоритов по структуре и минер. составу, согласно которой все метеориты разделяются на 3 части: аэролиты (каменные), сидеролиты (железо-каменные) и сидериты (железные). Каждая часть делится на классы: аэролиты — на ахондриты и хондриты, сидеролиты — на сидероаэролиты и литосидериты, и сидериты — на гексаэдри-ты, октаэдри-ты и атакситы. Затем производится разделение метеоритов на 30 подклассов. Основные минералы сидеритов — камасит, тэнит и плессит. Минералы аэролитов принадлежат к четырем группам: оливин, 10 пироксенов, 6 плагиоклазовых полевых шпатов и тридимит.

А. Явнелъ
32019. Уран, гелий и возраст метеоритов. Рид, Туркевич (Uranium, helium and the ages of meteorites. Reed George W., Turkevich Anthony), Nature, 1957, 180, № 4586, 594—596 (англ.)

Содержание U в 4 исследованных хондритах постоянно и составляет $\sim 1,1 \cdot 10^{-8}$ г/г. Для определения возраста каменных метеоритов делаются следующие допущения: среднее содержание U во всех исследованных хондритах также равно $1,1 \cdot 10^{-8}$ г/г, отношение изотопов нерадиоактивного гелия ($\text{He}^3 : \text{He}^4$) составляет 0,25, отношения $\text{Th} : \text{U}$ и $\text{U}^{238} : \text{U}^{235}$ в метеоритах и земных породах одинаковы (3,6 и 137,8 соответственно), скорость образования космогенного He^3 (г/год) в каменных метеоритах составляет $8,2 \cdot 10^{-15}$ см³. Вычисленный радиоактивный возраст 11 каменных метеоритов находится в пределах $0,5-4,5 \cdot 10^9$ лет и в 8 случаях совпадает (с точностью до 15%) с возрастом этих метеоритов, определенным K/Ar -методом. Космич. возраст метеоритов, вычисленный по содержанию He^3 , значительно ниже и составляет от нескольких млн. до 300 млн. лет. Каменные метеориты разделяются на две группы — с радиоактивным возрастом $\sim 1 \cdot 10^9$ и $4 \cdot 10^9$ лет. Предполагается, что метеоритная материя аккумуляровалась и разделилась 4,5 млрд. лет тому назад.

а часть ее потеряла 1 млрд. лет тому назад радиогенный He. Это иногда сопровождалось потерей радиогенного Ar, возможно, при распаде родительского тела. Низкий космич. возраст метеоритов может объясняться самоэкранированием внутренних частей метеоритов от космич. лучей, а также меньшей интенсивностью космич. облучения в той области пространства, где находились метеориты. Библ. 30 назв. А. Явнел

32020. Решающий эксперимент относительно происхождения метеоритов. Сингер (Crucial experiment concerning the origin of meteorites. Singer S. F.), Phys. Rev., 1957, 105, № 3, 765—766 (англ.)

Относительно малый возраст железных метеоритов, определенный по U — He-методу, объясняется уткой радиогенного гелия (He⁴), образованного в местах нахождения U — по границам зерен кристаллов. «Космогенный» He, образованный в итоге ядерных р-ций в метеоритном в-ве под действием космич. лучей и содержащий значительное кол-во He³, находится в плотной кристаллич. решетке и поэтому лучше сохраняется, чем радиогенный He. Это предположение может быть подтверждено, если после нагрева до 500—1000° метеорита, имеющего низкое отношение He³:He⁴ (т. е. значительное содержание радиогенного He), указанное отношение в нем увеличится. А. Явнел

32021. Вопрос о метеоритной пыли в атмосфере. Шефер (The question of meteoritic dust in the atmosphere. Schaefer Vincent J.), Artific. Stimulat. Rain. London — New York — Paris, 1957, 18—23, Discuss., 23 (англ.)

Произведены попытки получения метеоритной пыли для изучения ее свойств в качестве ядер кристаллизации льда. Пыль отбиралась с помощью магнита из расплавленного снега. С помощью рентгеноспектрального анализа установлено, что пыль по составу близка к Fe земного происхождения. Трудной проблемой является разделение малых кол-в внеземной пыли, которая может присутствовать в пробах, от земного материала. Попытки использовать собранную магнитом пыль, а также расплавленное в-во железного метеорита для образования кристалликов льда при т-ре —25° оказались неудачными. Делается вывод, что металлич. пыль не могла способствовать изменению облаков и увеличению осадков. Приводится дискуссия.

А. Явнел

32022. Содержание олова в железных метеоритах. Уинчестер, Атен (The content of tin in iron meteorites. Winchester John W., Aten A. H. W., Jr.), Geochim. et cosmochim. acta, 1957, 12, № 1-2, 57—60 (англ.)

Определено содержание Sn в восьми железных метеоритах колориметрич. методом с введением поправок путем разбавления радиоактивными изотопами. Конц-ия Sn находится в пределах от < 0,8 до 20,2 г/т, средневзвешенное значение 6,7 г/т. Зависимости между содержанием Sn, с одной стороны, и конц-ией Ga, кол-вом титана и структурой метеоритов, с другой, не найдено. Сравнение полученных данных с содержанием Pd в железных метеоритах (4,0 г/т) показывает, что космич. распространенность изотопов Sn не является слишком высокой. А. Явнел

32023. Точное измерение инфракрасных спектров молекул в атмосфере. Плайлер, Тидуэлл (The precise measurement of the infrared spectra of molecules of the atmosphere. Plyler Earle K., Tidwell Eugene D.), Mém. Soc. roy. sci. Liège, 1957, 18, Fasc. univ., 426—449 (англ.)

Описан метод измерения ИК-спектров с помощью источника света интерферометра и оптич. системы спектрометра, позволяющий снизить ошибку измерения до $1 \cdot 10^{-3}\%$, а в некоторых случаях до $2 \cdot 10^{-4}\%$ и даже меньше. Измерено атмосферное поглощение

(толщина слоя 6 м) в области 1,8—2; 2,5—3,4 и 4,4—4,6 м. Идентифицирован ряд полос CO₂ и H₂O. Приведенные результаты находятся в хорошем согласии с литературными данными. А. Чомоданов

32024. Эмиссионный спектр земной атмосферы от 4 до 22 м. Шоу, Берч, Слон, Вильямс (The emission spectrum of the earth's atmosphere from 4 m to 22 m. Shaw J. H., Burch D. E., Sloan R. W., Williams Dudley), Mém. Soc. roy. sci. Liège, 1957, 18, Fasc. univ., 42—47 (англ.)

Исследован спектр неба над пиком Сакраменто, Нью-Мексико (область 4—22 м) и Колумбусом, Огайо (4—15 м). Идентифицированы полосы CO₂ (4,3; 10,4; 12,6; 15 м), O₃ (9,6 м), H₂O (6,3; 8—13 м). Эмиссионные спектры неба в зените указывают, что: 1) излучение с длиной волны > 4 м в основном связано с термич. радиацией из атмосферы; 2) излучение зависит от т-ры воздуха и атмосферной влажности; 3) излучение облачного неба приближается к излучению черного тела при т-ре нижних слоев воздуха. При изменении угла наблюдения излучение растёт, особенно в области 8—13 и 16—20 м. Особое внимание уделено исследованию полосы O₃. А. Чомоданов

32025. RaD, RaE и Po в атмосфере. Кинг, Локхарт, Бос, Паттерсон, Фридман, Блэффорд (RaD, RaE, and Po in the atmosphere. King R., Lockhart L. B., Jr., Baus R. A., Patterson R. L., Jr., Friedman H., Blifford I. H., Jr.), Nucleonics, 1958, 14, № 6, 78, 80—82, 84 (англ.)

Исследовано содержание RaD, RaE и Po в атмосфере из различных районов земного шара. Образцы активности собирались из воздуха просасыванием его через фильтровальную бумагу и из дождевой воды. Результаты обоих методов совпадали. Содержание RaD варьировалось в пределах 10 раз в зависимости от местности: в глубине материка оно было максимальным (Вашингтон), вдоль береговой линии и на крупных островах (Филиппины) оно уменьшалось и было минимальным на малых островах (Самоа). Зафиксированы вариации от времени выпадения и характера осадков, но корреляция не установлена. Присутствие в образцах Po²¹⁰ наблюдалось только качественно.

И. Задорожный

32026. О распространении радиоактивных продуктов расщепления в результате взрывов ядерного оружия. Шпode (Über die Möglichkeiten einer Verbreitung radioaktiver Spaltprodukte durch Kernwaffenversuche. Spode E.), Technik, 1957, 12, № 10, 696—699 (нем.)

Наблюдения за радиоактивностью воздуха, почвы и дождевой воды показывают быстрое ее повсеместное распространение от места взрыва. В Европе радиоактивные аэрозоли наблюдались через 10—20 дней после взрыва бомбы в Неваде и на Маршалльских островах и через 30 дней после взрыва в СССР. В США повышенное содержание J¹³¹ в питьевой воде, железе человека и животных наблюдалось через 5 дней, а в Англии и Германии через 2—4 недели после взрыва бомбы. Содержание Sr⁹⁰ довольно равномерно распространено по всему земному шару и достигает 1,9—3,0 мкюри/км². В Нью-Йорке зарегистрировано непрерывное повышение содержания Sr⁹⁰ в молоке от $0,4 \cdot 10^{-6}$ до $5,2 \cdot 10^{-6}$ мкюри/г Ca с апреля 1954 г. по сентябрь 1957 г. Общее повышение активности на 1—2 порядка ниже допустимой дозы, однако пока невозможно предвидеть все вредные последствия воздействия на человека даже незначительного повышения активности над естественным уровнем.

И. Задорожный

32027. Изотопный состав аммиака и нитрат-иона в дожде. Хорнинг (The isotopic composition of the ammonia and the nitrate ion in rain. Hoering

Thomas), *Geochim. et cosmochim. acta*, 1957, 12, № 1-2, 97—102 (англ.)

Исследовано 9 образцов дождевой воды, собранных в июне—августе 1956 г. В пробах NH_3 и NO_3^- определено отношение $\text{N}^{15}:\text{N}^{14}$; в качестве стандарта служил N_2 из атмосферы. Величины отклонения от стандарта лежат в пределах: δ_{NH_3} от $-0,1$ до $+9,0$, $\delta_{\text{NO}_3^-}$ от $-7,2$ до $+3,4$. На основании постоянства кинетич. изотопного эффекта NH_3 и NO_3^- ($1,004 \pm 0,001$) сделан вывод, что NO_3^- появляется в атмосфере при окислении NH_3 . Р. Хмельницкий

32028. Координаты новых станций по исследованию атмосферных осадков и CO_2 на 1 ноября 1956 г.— (Coordinates of new sampling stations for air precipitation and CO_2 from 1 Nov. 1956.—), *Tellus*, 1957, 9, № 3, 427 (англ.)

Таблицы координат для 10 станций. Т. Ионас
32029. Содержание CO_2 в [воздухе] Скандинавии в феврале—апреле 1957 г.— (CO_2 —values in Scandinavia Febr.—April 1957.—), *Tellus*, 1957, 9, № 3, 427—428 (англ.)

Приведен табличный материал. См. также РЖХим, 1957, 76832. И. Ионас

32030. Обсуждение эффекта Меландера. Мукхерджи (Theoretical considerations on the Melander effect Mukherjee A. K.), *Indian J. Meteorol. and Geophys.*, 1957, 8, № 4, 435—438 (англ.)

Обсуждается возможность попадания в атмосферу из морской воды частиц NaCl , которые, по мнению ряда авторов, служат ядрами конденсации при образовании тум. В основу этой гипотезы положено наблюдение Меландера над образованием пятен соли на поверхности стекла, расположенного над теплым р-ром NaCl (Imprimerie des Heritiers de Simeluis, 1897, Helsingfors). Расчет кол-ва энергии, необходимой для удаления ионов NaCl из р-ра, подобных морской воде, показал, что для выделения в атмосферу 1 г-ион Na^+ и 1 г-ион Cl^- необходимо $163,614$ кал или $\sim 2,8 \cdot 10^3$ кал на 1 г NaCl . Такой высокий уровень затраты энергии заставляет считать обсуждаемую гипотезу несостоятельной. Т. Попова

32031. Океаны как источник образования облаков вокруг твердых частиц. Мейсон (The oceans as source of cloudforming nuclei. Mason B. J.), *Geophys. et appl.*, 1957, 36, № 1, 148—155 (англ.)

Проведено опытное исследование солевых частиц, определяемых при баллоблации морской воды. Диаметры пузырьков воздуха на поверхности морской воды $\sim 0,5$ — 2 мм. При лопании пузырьков образуются до 300 частиц, размеры которых при исследовании под электронным микроскопом составляют $0,1$ — $0,5$ м в диаметре. Эти частицы состоят главным образом из HCl , самые маленькие содержат 10^{-5} г соли. Морские брызги, вероятно, только на 1,5 участвуют в образовании облаков. О. Шишкина

32032. Новые измерения концентрации ядер оледенения в воздухе над Южной Англией. Мергтройд, Гаррод (Some recent airborne measurements of freezing nuclei over southern England. Murgatroyd R. J., Garrod M. P.), *Quart. J. Roy. Meteorol. Soc.*, 1957, 83, № 358, 328—533 (англ.)

В течение января 1956 г. производились измерения концентрации ядер оледенения на высоте 3 км над территорией Южной Англии с целью проверки предположения об увеличении осадков в течение 30 дней после выпадения метеорного ливня. Такая зависимость не подтвердилась. И. Задорожный

32033. Геохимические свойства редких металлов, необходимых для современной техники. Ре, Рёслер (Geochemische Eigenschaften der für die neuzeitliche Technik wichtigen, weniger häufigen Metalle. Reh H.,

Rösler H. J.), *Technik*, 1957, 12, № 11, 741—745 (нем.)

Рассматривается распространенность, некоторые физ.-хим. свойства и источники добычи металлов: Pb, Cs, Be, Ti, Zr, Hf, Th, V, Re, Pt, Pd, Ga, In, Tl, Ge, Se, Te.

Р. Хмельницкий
32034. Спектрограф в геохимии и космохимии. Аренс (The spectrograph in geochemistry and cosmochemistry. Ahrens L. H.), *Soil Sci.*, 1957, 83, № 1, 33—41 (англ.)

На основании литературных данных рассматриваются результаты исследований, проведенных с помощью спектрографич. анализа. Обсуждаются вопросы геохим. ассоциаций, колебания конц-ий микроэлементов в изверженных породах, возраста древнейших минералов Земли, радиоактивности и тепла Земли, обогащения хитиновых окаменелостей цезием. Библ. 37 назв. Р. Хмельницкий

32035. Передвижная спектрографическая лаборатория для геохимической разведки. Канин, Майерс, Уорд (A truck-mounted spectrographic laboratory for use in geochemical exploration. Canney F. C., Myers A. T., Ward F. N.), *Econ. Geol.*, 1957, 52, № 3, 289—306 (англ.)

Описана передвижная лаборатория со спектрографом типа Бэдфорд (рабочая область 2063—4837 Å). Лаборатория снабжена всем необходимым для проведения колич., полукочич. и качеств. анализов, к которым можно приступать через 2 часа после прибытия на место. Со времени изготовления (май 1955 г.) лаборатория прошла свыше 6000 км, и это не сказалось на работе приборов. Р. Хмельницкий

32036. Полярнографические методы в геохимических поисках. Пацал (Polarografické metody v geochemické prospekci. Pácal Zdeněk), *Geol. práce. SAV. Zprávy*, 1957, № 10, 180—183 (чешск.; рез. русск., нем.)

Рассмотрено применение видоизмененного гидроксидного метода Штрумбля при поисковых и разведочных работах на Zn и Pb. Г. Воробьев

32037. Геохимические основы методов поисков. Перельман А. И., Сауков А. А. В сб.: Материалы совещания геол. Вост. Сибири и Дальн. Востока по методике геол.-съемочн. и поиск. работ. Чита, 1956, 39—58

Авторы различают следующие методы поисков: металлометрич. (опробование коренных пород, элювия, делювия или аллювия), гидрогеохим. (анализы вод, дренающих мест-ние), биогеохим. (учет роли живых организмов в концентрировании и миграции элементов) и поисков по газовым ореолам рассеяния. Рассмотрена группа элементов-указателей. В конкретных случаях применимость того или иного метода определяется свойствами самого элемента и внешними условиями (внутренние и внешние факторы миграции). Правильная оценка повышенного содержания элементов в опробуемых объектах по сравнению с «фоновым» указывает на наличие мест-ния. Ю. Трусов

32038. Геохимические поиски руд. Ландергрэн (Om geokemisk prospektering av malmer. Landergrén Sture), *IV^A*, 1957, 28, № 7, 305—317, III (шведск.; рез. англ.)

Обзор теории и техники методов геохим. поисков применительно к рудным образованиям. Рассмотрены особенности поисков Cu, Zn и Pb в условиях гляциальных отложений скандинавских стран. Г. Воробьев

32039. Возможное геохимическое применение криптона-85. Амизл, Уинсберг (A possible geochemical application of krypton-85. Amiel Saadia, Winsberg Lester), *J. Nucl. Energy incl. Sov. J. Atom. Energy*, 1957, 5, № 1, 50—52 (англ.)

Предлагается новый метод оценки размеров месторождений U с помощью определения Kr^{85} в естественном газе и воде источников, находящихся вблизи этого месторождения. Газы из источника обрабатываются нагретым Са для удаления всех инертных компонентов. Kr^{85} после окончания распада Rn вместе с добавленным неактивным Kг выделяется с помощью активированного угля и затем измеряется на Г.—М.—счетчике. Содержание Kг в воде определяется на основании величины распределения этого элемента в газовой и водной фазах. С помощью данной методики запасы U-руд месторождения в Израиле оценены в 10^4 — 10^5 т, тогда как по Rn и He они составляют 10^8 т.

Р. Хмельницкий

32040. Радиоактивность калия и геологическое время. Уэтерилл (Radioactivity of potassium and geologic time. Wetherill G. W.), Science, 1957, 126, № 3273, 545—549 (англ.)

С помощью новой методики и аппаратуры определена величина уд. γ -активности природного калия, равная $3,39 \pm 0,12$ $\gamma/\text{сек}$. Используя эту величину и величину β -активности, равную 27,6 $\beta/\text{сек}$, автор определил кол-во сохранившегося Ar, которое для 11 образцов лежит в пределах 80—99%, а для 14 образцов полевых шпатов 60—81%. На основании полученных результатов сделан вывод, что истинный возраст минерала может быть определен лишь в том случае, когда разница возрастов по Ar-методу и Sr-методу не превышает 5—10%.

Р. Хмельницкий

32041. Изотопы серы и парагенезис минералов. Дженсен (Sulfur isotopes and mineral paragenesis. Jensen M. L.), Econ. Geol., 1957, 52, № 3, 269—281 (англ.)

С помощью масс-спектрометрич. анализа SO_2 изучен 21 минерал (большинство которых находится в тесном парагенезисе) из коллекции Иельского ун-та. Величины изотопных отношений $S^{32}:S^{34}$: 1) рудник Макино, Вашингтон — кубанит 22,10, халькопирит 22,10; 2) рудник Фруд, Онтарио — ленточный халькопирит 22,18, ленточный пирротин 22,18; 3) Бристоль, Коннектикут — борнит 22,27, халькопирит 22,28; 4) Бристоль, Коннектикут — халькозин 22,9 \pm 0,1; 5) рудник Икуно, Япония — ранние сфалеритовые выделения 22,25, поздние пиритовые 22,26; 6) рудник Марсен, Иллинойс — галенит 22,09, марказит 22,39; 7) Вигнес, Норвегия — пирит 22,11, сфалерит 22,11; 8) месторождение неизвестно — галенит 22,39, сфалерит 22,21, галенит 22,19; 9) Кенникот, Аляска — дигенит 22,64, ковеллин 21,91, жила, состоящая из смеси дигенита и ковеллина, 22,88; 10) Кенникот, Аляска — жильный ковеллин 21,85, массивный ковеллин 22,37. Автор считает, что изотопные отношения свидетельствуют о различии между процессами обособления и замещения сульфидов. Механизм замещения одного сульфида другим не всегда представляет только процесс диффузии катионов с небольшим R_p , но также включает в себя и обмен больших анионов S. Первичные гипогенные рудные р-ры могут быть различными по изотопному составу. На основе изотопного анализа S можно различать гипергенные и гипогенные минералы.

Р. Хмельницкий

32042. Измерение геологического времени. Кнофф (Measuring geologic time. Knopf Adolph), Scient. Monthly, 1957, 85, № 5, 225—236 (англ.)

На основании литературных данных рассмотрены методы определения абс. возраста и полученные результаты. Длительность кайнозойской эры оценена ~ 70 млн. лет, мезозойской 130, а палеозойской 300. Последней предшествовало ~ 4000 млн. лет. Библиограф. 56 назв.

Р. Хмельницкий

32043. Определение абсолютного возраста двух гранитов Вогезских гор. Э, Кош, Яровой, Кремер

(Détermination de l'âge absolu de deux granites de la chaîne des Vosges. Hée A., M-me, Coche A., Jarrow M., Kraemer R.), Ann. géophys., 1957, 13, № 2, 135—152 (франц.; рез. англ.)

С помощью описанной методики и аппаратуры определялся абс. возраст 12 образцов циркона из гранитов двух районов. Использовалась ф-ла: $t = 2660 \cdot m_{Pb} / (N_{U} + 1,35 N_{Th})^{-1}$, где t — возраст в млн. лет, m_{Pb} — содержание радиогенного Pb в цирконе в 10^{-4} , N_U и N_{Th} — кол-во α -частиц, излучаемых в час за счет U и Th, содержащихся в 1 мг циркона в равновесии с продуктами их распада. Возраст гранитов равен 300 ± 20 и 240 ± 25 млн. лет.

Р. Хмельницкий

32044. О возрасте геологических формаций юго-западной части украинского докембрия. Комаев Л. В., Данилевич С. И., Иванова К. С., Михалевская А. Д., Савоненков В. Г., Филиппов М. С., Геохимия, 1957, № 7, 566—572 (рез. англ.)

Исследовано 13 образцов монацитов чудново-бердич. серии (I), чарнокитовых пород Побужья (II) и собитов (III). Пределы содержания (в %): I Th 3,80—5,47, U 0,46—0,95, Pb 0,67—0,87; II Th 8,45—11,26, U 0,068—0,130, Pb 0,86—1,03; III Th 6,69—10,10, U 0,148—0,230, Pb 0,77—0,96. Приводятся изотопный состав Pb и радиогенного Pb из этих монацитов. Для каждого образца определен возраст по Pb — U + Th, $Pb^{206} - Th^{232}$, $Pb^{206} - U^{238}$, $Pb^{207} - U^{235}$, $Pb^{207} - Pb^{208}$. Средние значения (в млн. лет): I 2400 ± 50 , II 2100 ± 50 , III 1950 ± 50 .

Р. Хмельницкий

32045. Обзор по геохимии галлия, индия и таллия. Шоу (The geochemistry of gallium, indium, thallium — A review. Shaw Denis M.), Physics and Chemistry of the Earth. Vol. 2. London — New-York — Paris, Pergamon Press, 1957, 164—211 (англ.)

Галлий. В процессе дифференциации магмы Ga имеет одинаковую геохим. историю с Fe^{3+} и Al^{3+} . При этом происходит частичное обогащение им в 1,5 раза (до $2,2 \cdot 10^{-3}\%$) средних пород, по сравнению с основными и кислыми. Кол-во Ga в морских глубоководных осадках незначительно ($0-4 \cdot 10^{-4}\%$) и несколько повышается в более мелководных осадках. Столь же невелико кол-во Ga в морских водах ($5 \cdot 10^{-8}$ г/л). Сильно обогащены Ga угли (в золе $3,7 \cdot 10^{-2}\%$). В процессах почвообразования происходит обогащение им поверхностных горизонтов, особенно глинистой фракции. При рудообразовании Ga концентрируется в минералах низкотемпературной фазы ($1 \cdot 10^{-2}$ — $1,85\%$). Индий. Никакой зависимости в распределении In в магматич. породах не наблюдается ($1,3 \cdot 10^{-4}$ — $2 \cdot 10^{-6}\%$). По сравнению с морскими глубоководными и карбонатными породами ($5,4-7,3 \cdot 10^{-6}\%$), в песчанниках, глинах и сланцах происходит некоторое обогащение ($3-5 \cdot 10^{-5}\%$). Такие же кол-ва In обнаружены и в метаморфич. породах. Повышенные содержания In найдены в сульфосолях Cu и Sn, сфалеритах, причем максим. кол-ва характерны для более темных разновидностей. Установлена связь между высокими содержаниями Sn и In. Таллий. Распределение Tl в магматич. породах связано с величиной их кислотности от $1,5 \cdot 10^{-6}\%$ (в основных) до $3,6 \cdot 10^{-4}\%$ (в кислых). Еще сильнее происходит обогащение в пегматитовом процессе, где K- и Li-минералы (слюды, полевые шпаты) содержат до $2-3,8 \cdot 10^{-2}\%$ Tl. Морские осадочные породы в общем бедны им (сл. — $1 \cdot 10^{-4}\%$), но отмечаются значительные конц-ии в морских железистых и марганцовистых осадках ($3 \cdot 10^{-3}$ — $3 \cdot 10^{-2}\%$). При метаморфич. процессах происходит некоторое обеднение ($2,6 \cdot 10^{-6}$ — $1,1 \cdot 10^{-4}\%$). Полиметаллич. руды европейских мест-ний содержат до $1 \cdot 10^{-2}$ — $1 \cdot 10^{-1}\%$ Tl, что не отмечается для руд из других регионов. Ряд исследователей указывает на увеличение кол-ва Tl

(1–3,40–1%) в сульфиде Fe. В процессах почвообразования происходит обеднение Ti почвенных горизонтов. Библиография. Г. Волков

32046. К проблеме геохимии углерода. Фурман И. Я., Тр. Воронежск. ун-та, 1957, 58, 59–65

На основании расчетной обработки литературных данных построены 3 диаграммы стратиграфич. распределения мировых запасов важнейших и наиболее распространенных каустобилитов — угля и нефти — и известняков различных генетич. типов. «Угольные» и «известняковые» максимумы стратиграфически коррелируются совершенно точно. Превалирование известных запасов девона над запасами каменноугольной системы и запасов неогена над запасами палеогена не может нарушить общей приуроченности максимумов нефтенакпления к верхам палеозоя и кайнозоя. В тектонич. истории развития Земли один коррелирующийся максимум представленной схемы отвечает первой половине герцинского цикла, а другой — второй половине альпийского цикла. В вещественной природе нефти, угля и большинства известняков несомненно устанавливается результат проявления биогенных факторов стратосферы, в то время как общая для всех проявлений жизни стадия подготовительных процессов имеет неорганич. природу.

Р. Хмельницкий
32047. Результаты и задачи минералогического исследования (1). Распространенность и распределение химических элементов в земной коре. Байер (Ergebnisse und Aufgaben der mineralogischen Forschung (I). Die Häufigkeit und Verteilung der chemischen Elemente in der Erdkruste. Baier Ernst), Umschau, 1957, 57, № 20, 627–630 (нем.)
В популярной форме рассматривается распространенность всех хим. элементов, степень и пути обогащения, возможности использования элементов в хозяйстве.

Р. Хмельницкий
32048. Металлургическая характеристика дашкесанских железных руд. Хвичия А. Т., Тр. Ин-та металлургии и горн. дела АН ГрузССР, 1957, 8, 5–14

32049. Реакционные взаимоотношения и их роль в познании последовательности выделения минералов. Баласания С. И., Научн. тр. Ереванск. ун-та, 1957, 59, 41–70 (рез. арм.)

Петрографическое изучение интрузивных пород Центральной Армении, составляющих серию от габбро-периодитов и габбро до гранитоидов и щел. пород, позволило установить, что реакционные взаимоотношения наблюдаются повсеместно. Интенсивность и характер реакционных превращений зависят от внешних условий, хим. природы магмы и содержания в ней летучих компонентов. Наиболее сильно они развиты в породах средней кислотности. По форме и степени идоморфизма минералов не всегда можно судить о порядке их кристаллизации. Реакционные взаимоотношения двух срастающихся минералов показывают, что ранним является тот, который содержит в себе незамещенные реликты минералов начальных стадий кристаллизации магмы.

В. Кудряшова
32050. Дифференциальный термический анализ сульфидов и арсенидов. Копп, Керр (Differential thermal analysis of sulfides and arsenides. Kopp Otto C., Kerr Paul F.), Amer. Mineralogist, 1957, 42, № 7-8, 445–454 (англ.)

С помощью разработанной методики анализа получены термич. кривые для кварца, каолинита, мышьяка, арсениопирита, халькопирита, серы, сфалерита и 8 образцов пирита из 6 разных мест-ний. В качестве эталона применялся прокаленный глинозем, которым предварительно разбавляли образец. Р. Хмельницкий
32051. Метод быстрого определения окиси кальция применительно к магнезитам и доломитам. Эрре-

рос (Determinación rápida del óxido cálcico por compleción aplicada a las magnesitas y dolomías. Herreros Oscar), Cemento-hormigón, 1957, 23, № 278, 211–213 (исп.)

32052. Соотношения стабильностей некоторых минералов в системе $\text{Na}_2\text{O} - \text{Al}_2\text{O}_3 - \text{SiO}_2 - \text{H}_2\text{O}$. Санд, Рой, Осборн (Stability relations of some minerals in the $\text{Na}_2\text{O} - \text{Al}_2\text{O}_3 - \text{SiO}_2 - \text{H}_2\text{O}$ system. Sand L. B., Roy Rustum, Osborn E. F.), Econ. Geol., 1957, 52, № 3, 169–179 (англ.)

С помощью описанной ранее аппаратуры (Roy R., Osborn E. F., Econ. Geol., 1952, 47, 717–721) исследованы фазовые равновесия в интервале давл. 700–2000 атм и т-р 250–700°. При давл. ~1000 атм температурные условия равновесия кристаллич. минералов с водн. фазой следующие: альбит — нижний предел 290°; анальцит — верхний предел 525° (минерал стабилен при более низкой температуре и давлении); оксиканкринит — верхний предел ~460°; оксисодалит стабилен во всем интервале рассмотренных т-р; Намонтмориллонит — верхний предел 480°; натролит и морденит — верхний предел ~290°; нефелин — нижний предел 460°; гидратированный нефелин — верхний предел 460° и парагонит 250–625°.

Р. Хмельницкий
32053. Пейнит — новый минерал из Могок, Бирма. Кларингбулл, Хей, Пейн (Painite, a new mineral from Mogok, Burma. Claringbull G. F., Hey Max H., Payne C. J.), Mineral. Mag., 1957, 31, № 236, 420–425 (англ.)

Кристалл нового минерала весом 1,7 г обнаружен в россыпи маленького рубинового рудника близ деревни Онтайнг (Верхняя Бирма). Цвет густогранатово-красный. Твердость ~8. Коэф. преломления в Na-свете $\omega = 1,8159$, $\epsilon = 1,7875$. Одноосный (—). Плеохроизм. Уд. вес. $4,00 \pm 0,02$. Гексаг. ячейка: a_0 8,725, c_0 8,48 Å; группа $P6_3$, $P6_3/m$ или $P6_32$. Хим. состав (в %): Al_2O_3 76,2, SiO_2 5,6, B_2O_3 2,2, CaO 15,7, H_2O 0,7, сумма 100,4. Приведены результаты рентгеноструктурного анализа. Минерал более всего отвечает типу $3\text{CaO} \cdot 16\text{Al}_2\text{O}_3$. По структуре он не может иметь отношения ни к корунду, ни к шпинели. Назван пейнитом в честь Пейна, который установил необычную природу кристалла.

Р. Хмельницкий
32054. Новый минерал из борсодержащих продуктов близ Лардерелло [Италия]. Чиприани (Un nuovo minerale fra i prodotti boriferi di Larderello. Cipriani Curzio), Atti Accad. naz. Lincei. Rend. Cl. sci. fis., mat. e natur., 1957, 22, № 4, 519–525 (итал.)

В сел. Лардерелло (провинция Пиза, Тоскана) исследованы 2 образца из отложений на трубах буровых скважин после извержения, давшего 51 000 кг/час пара при давл. 5 атм и т-ре 180–200°. Результаты хим. анализа (в %): SiO_2 7,03; 2,88; Al_2O_3 0,62; не опр.; Fe_2O_3 2,82; не опр. R_2O_3 —; 0,51; CaO 5,21; 1,97, MgO 0,16; следы; Na_2O 17,55; 16,30; K_2O 0,83; 0,46; SO_3 17,64; 10,61; R_2O 25,15; 38,83; Cl 0,94; 1,60; H_2O — 18,03; 21,87; $\text{H}_2\text{O} + 5,05$; 5,08; сумма ($\text{O} = \text{Cl}_2$) 100,82; 99,75. Микроскопич. анализ показал, что, кроме буре и тенардита, в образцах присутствуют гранулы пентабората натрия $\text{Na}_2\text{O} \cdot 5\text{B}_2\text{O}_3 \cdot 10\text{H}_2\text{O}$, не известного до сих пор в природе. Эти данные подтверждены с помощью дифрактометра и рентгеноструктурным методом. Физ. свойства определены на искусственно приготовленном материале, так как естественный минерал не удалось выделить в чистом виде. Кристаллы оптически (+). Предполагается, что отложения на трубах образовались в период, следовавший за сильным извержением пара. Отмеченный парагенезис минералов указывает на т-ру образования между 32 и 60°, если можно доказать одновременность их происхождения. Новый минерал назван зборджитом (sborgit) в честь профессора

химии Умберто Зборджи (1885—1955), изучавшего шел. бораты. Н. Халатова

32055. Новые минералы. Шюллер (Neue Minerale. Schüller A.), *Geologie*, 1956, 5, № 2, 116—120; 1957, 6, № 3, 338—343 (нем.)

9-е сообщение по литературе 1951—1957 гг. Кратко описаны с приведением библиографии: авелиноит, бериллит, бета-розелит, бетехтинит, борнардтит, цириловит, фараллонит, гоньерит, хастит, искоит, истисунит (разновидность амфибола), кургантаит, лабунцовит, магнезио-каолинит, ненадквичит, неомесселит, шербаконит, севергинит, трогталит, везиньит, вайрацит.

Т. Ионас
10-е сообщение по литературе 1951—1957 гг. Кратко описаны с приведением библиографии: абернатит, абсит, бирнессит, бурсаит, кальциборит, давидит, доверит, эйтелит, эрикаит (Mn-борацит), ферроселит, галейт, гаррелсит, геарксит, гоньерит, хейдорнит, лиманит, масуйит, меланолит, мингуццит, некоит, ниокалит, псевдолауанит, ридмергнерит, стилвеллит, устарасит, вандендриштит, висмут-джермсонит. Сообщение 8 см. РЖХим, 1956, 35703. Г. Воробьев

32056. О свойствах поверхности алмаза в связи с извлечением из руд. Куренков И. И., Тр. Ин-та горн. дела АН СССР, 1957, 4, 241—251.

На основании литературных данных показано, что в различных типах алмазов из разных мест-ний, вне зависимости от совершенства формы кристаллов, входят примеси Ba, Sr, Fe, Cr, Ti, P, Pb, Ag, Cu, Al, Si, Ca, Mg, причем последние 4 встречаются почти всегда. Кол-во золы колеблется от 0,02—0,05 до 20% (борт). Сопутствуя росту кристалла, некоторые хим. элементы входят в кристаллич. решетку. Другие элементы встречаются также в форме простых включений посторонних в-в, в виде разных поверхностных пленок и т. д. Вследствие содержания посторонних в-в с другими свойствами поверхность алмаза может обладать гидрофобными и гидрофильными свойствами, несколько различными для каждого мест-ния. Библ. 23 назв.

Т. Ионас
32057. Химическая формула эмпрессита. Донне, Крачек, Роулэнд (The chemical formula of empressite. Donnay Gabrielle, Kracek F. C., Rowland W. R., Jr), *Amer. Mineralogist*, 1956, 41, № 9-10, 722—723 (англ.)

Опираясь на литературные данные и собственные рентгеноструктурные измерения, автор приходит к выводу, что эмпрессит представляет собой твердый p-p и состав его может быть выражен ф-лой $Ag_{5-k}Te_3$. Такой вывод сделан на основании того, что рентгенограмма порошка эмпрессита идентична с таковой синтетич. продукта состава Ag_5Te_3 ; и плотность, рассчитанная по вышеприведенной ф-ле, согласуется с найденной для природного продукта. Ю. Трусов

32058. Изучение скабрита рентгеновскими лучами. Даффин, Гудьер (X-ray study of scarbroite. Duffin W. J., Goodyear J.), *Nature*, 1957, 180, № 4593, 977 (англ.)

32059. Измерение показателей преломления свободных жидкостей и маточных растворов, заключенных в минералах, на статочке Федорова. Калужный В. А., *Минералог. сб. Львовск. геол. о-ва*, 1954, № 8, 315—344

32060. Черный хризотил-асбест и его превращение в хризотил-асбест светлой окраски. Вертушков Г. Н., Ярош П. Я., *Зап. Всес. Минералог. о-ва*, 1956, 85, № 2, 224—228

Показано, что хризотил-асбест легко изменяет свои свойства в зависимости от т-ры и окислительно-восстановительных условий. При обработке окислителями (H_2O_2 , HNO_3 , $(NH_4)_2S_2O_7$) черная разновидность минерала постепенно переходит в белую. При обработке $NaNO_3$,

$K_2Cr_2O_7$ и $KMnO_4$ изменения окраски не наблюдалось в течение 2—3 недель. Замечено, что в белой разновидности содержание Fe^{2+} меньше, чем в черной. При нагревании до 600° светлая разновидность переходит в черную, затем при $650—700^\circ$ начинает светлеть и при 750° бурет и становится хрупкой. Изменчивы также и другие свойства: показатель преломления, плеохроизм. Проведенные опыты хорошо объясняют наличие в природе хризотила-асбеста разной окраски и с различными свойствами.

Ю. Трусов
32061. Обработка результатов химических анализов силикатных пород. Чалмерс, Пейдж (The reporting of chemical analyses of silicate rocks. Chalmers Robert A., Page E. S.), *Geochim. et cosmochim. acta*, 1957, 11, № 4, 247—251 (англ.)

Предлагается при изложении результатов анализа учитывать определенным образом степень точности определения. Приводятся примеры вычисления статистич. ошибок и излагается метод оценки результатов.

Р. Хмельницкий
32062. О некоторых геологических проблемах петрологии. Афанасьев Г. Д., *Изв. АН СССР. Сер. геол.*, 1957, № 11, 32—49

32063. К вопросу классификации и генезиса кислых жильных пород южной части Украинской кристаллической полосы. Доморацкий Н. А., *Изв. Днепропетр. горн. ин-та*, 1957, 29, 163—178

32064. О вулканических трубках южной части Сибирской платформы и о происхождении железных руд, приуроченных к этим трубкам. Оффман П. Е., *Изв. АН СССР. Сер. геол.*, 1957, № 10, 15—24

На основе новых материалов детальной разведки Ангаро-Илимских железорудных месторождений автор показывает, что они приурочены к структурам типа вулканич. трубок. Трубки выполнены разнообразными брекчиевидными туфами, с наложенными процессами скарнирования и магнетитового оруденения.

В. Кудряшова
32065. Дополнения к петрологии гавайских базальтов. I. Пикрито-базальты Килауэа. Мьюр, Тилли (Contributions to the petrology of Hawaiian basalts. I. The picrite-basalts of Kilauea. Muir I. D., Tilley C. E.), *Amer. J. Sci.*, 1957, 255, № 4, 241—253 (англ.)

Приведено подробное петрографич. описание современных базальтовых потоков вулкана Килауэа, с детальными замерами оптич. констант порообразующих минералов. Хим. анализы пород и минералов в основной части заимствованы из литературных источников. Среди пикрито-базальтов выделены метаморфизованные разновидности, которые характеризуются присутствием вторичного гиперстена и магнетита вокруг вкрапленников оливина и лейст псевдобрукита. Приведен новый хим. анализ этой породы (в %): SiO_2 47,33, Al_2O_3 9,85, Fe_2O_3 4,58, FeO 7,28, MnO 0,17, MgO 19,14, CaO 8,04, Na_2O 1,62, K_2O 0,28, H_2O+ 0,03, TiO_2 1,75, P_2O_5 0,12, Cr_2O_3 0,18, сумма 100,34. Автор приходит к заключению, что пикрито-базальты являются результатом гравитационной дифференциации базальтовой магмы. Метаморфизованные разновидности, вероятно, возникают в процессе воздействия на них водяных паров.

В. Кудряшова
32066. Гранит и гранит-порфир из Фонт-д'Ас-нуш (близ Дуаз-Игрежаш-Миранда-ду-Дору) [Португалия]. Котелу-Нейва (Granito e pórfiro granítico da Fonte dos Asnos (Duss Igrejas — Miranda do Douro). Cotelou Neiva J. M.), *Rev. Fac. cienc. Univ. Coimbra*, 1954, 23, 60—71; *Mem. e notic. Museu e lab. mineral. e geol. Univ. Coimbra e Centro estud. geol.*, 1955, № 39, 1—12 (порт.; реф. франц., англ.)

Петрографическое описание и хим. анализы названных пород с приведением вариационных диаграмм и микрофотографий шлифов. Г. Воробьев

32067. О распределении ниобия и тантала в гранитах. Знаменский Е. Б., Родионова Л. М., Казанка М. М., Геохимия, 1957, № 3, 222—225 (рез. англ.)

В продолжение предыдущих работ (РЖХим, 1957, 54202; 1958, 17373) авторы исследовали формы распределения Nb и Ta на материале гранитов Калбинского массива (Казахстан). Применялся рентгеноспектральный метод с предварительным измельчением и очисткой центрифугированием в тяжелых жидкостях. Установлено, что главными носителями названных элементов являются биотит (60—86% Nb и 50—72% Ta) и альбит (12—17% Nb и 16—20% Ta). На единичный исследованный обр. циркона приходится 15% Ta. Предполагается, что в первых двух минералах Nb и Ta изоморфно связаны с титаном. Г. Воробьев

32068. Комплекс нефелин-кальситовых фенокристаллов в лава Кабфуму, вулкан Ньярагонго, северная часть провинции Киву, Бельгийское Конго. Сахама (Complex nepheline-kalsilite phenocrysts in Kabfumu lava, Nyiragongo area, North Vivu in Belgian Congo. Sahama Th. G.), J. Geol., 1957, 65, № 5, 515—526 (англ.)

32069. Роговая обманка из амфиболитов района Южного Буга (близ села Завалля). Хмарук Т. Г. (Рогова обманка амфиболитів з р. Паденного Бугу (околиці с. Завалля). Хмарук Т. Г.), Геологічний ж., 1957, 17, № 2, 77—80 (укр.)

Приведены данные микроскопич., хим., спектрального и рентгеноструктурного анализов. Хим. состав (в %): SiO₂ 39,28, TiO₂ 1,64, Al₂O₃ 15,08, Fe₂O₃ 4,92, FeO 10,05, MgO 11,29, CaO 12,32, Na₂O 2,43, K₂O 1,36, P₂O₅ 0,11, H₂O⁺ 1,64, H₂O⁻ 0,12, сумма 100,52. Анализ показал уменьшенное кол-во SiO₂ и повышенное TiO₂ и Al₂O₃ по сравнению с амфиболами из других районов. Кристаллохим. ф-ла (Na_{0,7}K_{0,26}Ca_{1,93})_{2,89}(Mg_{2,47}Fe_{1,26}²⁺Fe_{0,53}³⁺Al_{0,546})_{4,806}[Al_{2,06}Ti_{0,175}Si_{5,765}O₂₂](OH)_{2,54}. Спектральный анализ дополнительно открыл малые кол-ва Ni, CO, Cr, V, Zr и следы Sc, Cu и Ga. Л. Флерова

32070. Солевые ореолы рассеяния редкометаллов пегматитов Кольского полуострова. Миллер А. Д., Данилов В. Я., Геохимия, 1957, № 6, 529—537 (рез. англ.)

Для поисков редкометаллов руд пегматитовых месторождений Кольского полуострова применен гидрохим. метод, основанный на ионообменном концентрировании и последующем полуколич. спектральном и частично колориметрич. (Mn) определении элементов-индикаторов (Li, Rb и Mn) в природных водах и водн. вытяжках из наносов. Чувствительность метода (в γ/л): 0,02 Li, 0,02 Rb и 2—3 Mn. На указанных месторождениях содержания Li 5,0—15,0, Rb 1,0—5,0 и Mn 50,0—150,0. Намечены четкие локальные воды. (по природным водам) и солевые (по водн. вытяжкам) ореолы рассеяния редких металлов. В. Кудряшова

32071. Изменение структуры и свойств в бериллах с повышенным содержанием щелочей. Соседко Т. А., Зап. Всес. минералог. о-ва, 1957, 86, № 4, 495—499

Исследовано 3 обр. берилла из приконтактной, промежуточной и центральной частей пегматитовой жилы (мест-ние не указано). Результаты хим. анализов соответственно (в %): SiO₂ 65,32; 64,17; 61,88; BeO 12,60; 11,82; 10,54; (Li, Cs, Na₂O) 1,84; 3,29; 7,23; Fe₂O₃ 0,13; 0,12; 0,08; TiO₂ 0,01; 0,01; 0,01; Al₂O₃ 17,77; 17,42; 17,10; CaO 0,26; 0,44; 0,44; MgO 0,25; 0,21; 0,22; MnO следы; —; следы; п. п. п. 1,76; 1,88; 2,26; H₂O (гипр.) 0,08; 0,60; 0,16; сумма 100,02; 99,96; 99,92. Уд. в. 2,72; 2,75; 2,78. Иммерсионным методом определены показатели преломления. Из увеличения кол-ва катионов щелочей и уменьшения кол-ва Be²⁺ сделан вывод о на-

личии изоморфного замещения Be щелочами. Рентгенометрич. исследование порошковым методом показало, что параметр *a* у всех обр. остается постоянным (9,202), а щелочи раздвигают кристаллич. решетку по осц *c*, т. е. в направлении наиболее слабых связей.

А. Чемоданов

32072. Минеральный состав и геохимия пегматитов у села Калково, Самоковской околии. Вергилов Васил (Минерален състав и геохимия на пегматитите около с. Калково. Самоковско, Вергилов Васил), Изв. Геол. ин-т. Българ. АН, 1955, 3, 26—56 (болг.; рез. русск., англ.)

По схеме А. Е. Ферсмана произведен геохим. анализ минералов пегматитовых жил, расположенных в мас-се габбродиоритового плутона: ортита, кварца, олигоклаза, альбита, микроклина, биотита, циркона, апатита, титанита, турмалина, магнетита, халькопирита, молибденита, пирита, пеннина, жильбертита и эпидота. Пегматитовый р-р богат SiO₂, Al₂O₃, K₂O, Na₂O, TR и беден B, P, Ti, Ca, Mg, Fe, Cu, Mo. Приведены качеств. диаграмма распространения Si, Al, K, Na, Ca, TP, Fe и Mg в пегматитовом р-ре и таблица образования минералов по геофазам. Т. Ионас

32073. Чилдрозефорит, таворит и фэйрфильдит из Хаяндорфа [Германия]. Штрунц, Фишер (Childro-Eosphorit, Tavorit und Fairfieldit von Hagendorf. Strunz H., Fischer Margaretete), Neues Jahrb. Mineral. Monatsch., 1957, № 4, 78—88 (нем.)

В пегматите, в миаролах полевых шпатов обнаружен минерал, занимающий промежуточное положение между чилдренитом и эосфоритом. Кристаллы игольчатого габитуса имеют длину до 15 мм, цвет от бледного красновато-желтого до светлого коричневатого. Оптически (—); *n*_g = 1,644, *n*_m = 1,662, *n* = 1,671. Уд. в. 3,11—3,15. Параметры решетки: *a* 10,41, *b* 13,42, *c* 6,92 Å. Хим. состав (в %): FeO 14,86, MnO 15,17, MgO 0,12, CaO 3,58, Al₂O₃ 19,13, Fe₂O₃ 0,02, P₂O₅ 30,29, H₂O 14,94, неуст. остаток 1,34, сумма 99,85. Минерал встречается независимо от прочего парагенезиса фосфатов. Образование — после альбита и кварца, но ранее сидерита. Таворит обнаружен в виде зелено-желтых включений в рокбридженте. Идентифицирован рентгенографически. Уд. в. ~3,3. Спектрографически найдены Li и Fe. Фэйрфильдит найден в пустотах, образовавшихся при выщелачивании, в апатитовых жилах. Хим. состав (в %): MgO 0,65, FeO 6,03, MnO 14,87, CaO 30,71, P₂O₅ 37,91, H₂O 10,48, сумма 100,65. Уд. в. 3,08. Л. Афанасьева

32074. О структуре рудного поля и генезисе золоторудного Токоланского месторождения в Приморье. Тимофеевский Д. А., Сб. материалов по геол. цветн., редких и благородн. металлов, 1957, вып. 1, 53—77

Исследуемый район представляет собой антиклинальную структуру, сложенную метаморфизованными толщами протерозоя: филлитами, филлитизированными сланцами и слюдястыми сланцами, смятыми в складки и прорванными интрузивными телами. Образование золотоносных жил связано с гидротермальной деятельностью после внедрения диоритовых пород на границе юры и мела. Наиболее ранняя стадия рудного процесса характеризуется отложением основной массы кварца и боковым изменением пород. В следующую стадию образовались кварц I, арсенопирит, пирит, халькопирит, сфалерит, галенит, золото. В 3-ю стадию: арсенопирит, кварц II, пирит, халькопирит, сфалерит, галенит и золото. В зоне окисления обнаружены гидраты окиси Fe, скородит, малахит, азурит, ковеллин, халькозин, свинцовая охра. Автор предполагает, что формирование мест-ния произошло на глубинах не ме-

нее 3000—3500 м, а поднимавшиеся р-ры локализовались в крутопадающих системах трещин. Л. Флерова

32075. О разложении скарных карбонатных термалми. Корель В. Г., Сб. тр. научн. конференции.

Вып. I. Кемерово, 1957, 55—64

В мест-ниях Кондомской и Ташелгинской групп (Горная Шория) гидротермальные р-ры, насыщенные CO_2 , вызывают разложение пироксена и граната скарных и скарированных пород в местах наибольшего сосредоточения карбонатных жил и наиболее интенсивной циркуляции р-ров. При равных температурных условиях этот процесс связан с различной конц-ией CO_2 в р-рах. По степени увеличения конц-ии CO_2 р-ции происходят по следующим ур-ниям: 1) $5\text{Ca}(\text{Mg, Fe})[\text{Si}_2\text{O}_6] + \text{H}_2\text{O} + 3\text{CO}_2 \rightarrow \text{Ca}_2(\text{Mg, Fe})_3[\text{Si}_4\text{O}_{11}][\text{OH}] + 3\text{CaCO}_3 + \text{SiO}_2$; 2) $2\text{Ca}_2(\text{Mg, Fe})_3[\text{Si}_4\text{O}_{11}][\text{OH}] + 4\text{CO}_2 + 2\text{H}_2\text{O} + \text{O}_2 \rightarrow \text{Mg}_2[\text{Si}_2\text{O}_6] + 4\text{CaCO}_3 + 12\text{SiO}_2 + 2\text{Fe}_2\text{O}_3$; 3) $3\text{Ca}_3(\text{Al, Fe})_2[\text{SiO}_4] + \text{H}_2\text{O} + 5\text{CO}_2 \rightarrow 2\text{Ca}_2(\text{Al, Fe})_3\text{Si}_3\text{O}_{12}[\text{OH}] + 5\text{CaCO}_3 + 3\text{SiO}_2$; 4) $2\text{Ca}_3(\text{Al, Fe})_2[\text{SiO}_4] + 3\text{H}_2\text{O} + 4\text{MgO} + 6\text{CO}_2 \rightarrow \text{H}_2\text{Mg}_2\text{Al}_2\text{Si}_2\text{O}_{10} + \text{Fe}_2\text{O}_3 + 6\text{CaCO}_3 + 3\text{SiO}_2$; 5) $4\text{Ca}_3(\text{Al, Fe})_2[\text{SiO}_4] + 2\text{H}_2\text{O} + \text{K}_2\text{CO}_3 + 11\text{CO}_2 \rightarrow 2\text{KAl}_3\text{Si}_3\text{O}_{10}[\text{OH}] + \text{Fe}_2\text{O}_3 + 12\text{CaCO}_3 + 6\text{SiO}_2$.

Т. Ионас

32076. Свинцовые и цинковые месторождения Крвени Брег в Авалаверге близ Белграда. Циссарз, Ракнич (Die Blei- und Zinklagerstätte des Crveni Breg am Avalaverge bei Belgrad. Cissarz Arnold, Raknić Slobodan), Neues Jahrb. Mineral. Abhandl., 1957, 90, № 1, 91—111 (нем.).

Названные месторождения располагаются по разломам, поперечно секущим структуру района. Там, где разломы пересекают известняки, наблюдается образование метасоматич. тел замещения. Образование месторождений предположительно относится к началу третьего периода. Оно протекало в несколько фаз. I фаза — пневматолитовая или контактово-пневматолитовая — гранат, аксинит, флогопит, касситерит, шеелит, пирротин, халькопирит и сфалерит, с примесями кубанита и валлериита. В ходе I — чисто гидротермальной фазы — в первую очередь образуется кварц с более молодыми генерациями пирротина, халькопирита и сфалерита; позднее сфалерит вытесняется станнином, а халькопирит в краевых частях превращается в борнит, различные виды халькозина, блеклую руду и ковеллин; далее следует образование раннего галенита, который местами вытесняется арсенопиритом; и, наконец, происходит выделение основной массы галенита. За главной гидротермальной фазой в кварцевых и Са-полевошпатовых жилах следует еще одна небольшая фаза, в ходе которой образуются небольшие кол-ва пирита, арсенопирита, лёллингита, сфалерита и галенита. Самым молодым образованием является волосовидный буланжерит. В противоположность большинству Pb-Zn-месторождений Югославии, исследованные месторождения не являются субвулканическими, а связаны с гипабиссальными интрузиями.

Л. Афанасьева

32077. О натровом метасоматозе в железорудных месторождениях Кондомской группы. Корель В. Г., Сб. тр. научн. конференции. Вып. I. Кемерово, 1957, 43—54

На-метасоматоз генетически связан с древним магматич. комплексом (ряд порфириды — кератофиры — сиениты — канкринито-содалиты) и проявляется в альбитизации сиенитов и компонентов эффузивно-осадочной толщи, в результате чего возникают метасоматич. образования — альбититы и альбитит-порфиры. Освобождающийся при этом К уносится постамагматич. р-рами по трещинам и контактовым зонам в другие участки пород, где отлагается, входя в состав серицита. Альбитизация и серитизация предше-

ствовала процессу скарно- и рудообразования. Приведено 17 хим. анализов названных пород. Т. Ионас

32078. Новые проявления шеелита в рудном месторождении Бай-Сприс (Фелшебанья), северная Трансильвания [Румыния]. Суперчану (Neue Scheelitvorkommen in der Erzlagerstätte von Baia Sprie (Felsöbanya), Nordsiebenbürgen. Superschan C.), Neues Jahrb. Mineral. Monatsh., 1957, № 7-8, 165—173 (нем.).

Описаны проявления шеелита в мезотермальной глубинной зоне одной из крупнейших Pb-Ag-Zn-жил в металлогенич. провинции внутренних Карпат. Мест-ние тесно связано с излияниями молодого риолита. Имеет место 3 главных парагенезиса (в порядке последовательности кристаллизации): 1) шеелит — кварц — пирит — халькопирит; 2) шеелит — кварц — вольфрамит — халькопирит; 3) пирит — халькопирит — шеелит — кварц — флюорит — доломит — гюбнерит — сидерит. Приведено описание отдельных минералов.

В. Юдина

32079. О теоретической литологии и ее проблемах. Страхов Н. М., Изв. АН СССР. Сер. геол., 1957, № 11, 15—31

32080. Вторичные изменения осадочных горных пород и их геологическое значение. Пустовалов Л. В., Тр. Геол. ин-та АН СССР, 1956, вып. 5, 3—52

По литературным данным рассмотрены минер. новообразования в осадочных породах, ранее относимые только к высокотемпературным фазам метаморфизма и магматизма: самородные железо, медь и золото, гематит, шпинель, полевые шпаты, цеолиты, гранаты, турмалин, циркон, ставролит, эпидот, хлориты, слюды, карбонаты, галоиды, сульфаты, сульфиды. Осадочный процесс определяет, по-видимому, в значительной мере энергетич., газовый и гидрогеологич. режимы земной коры, а также основные процессы минералообразования и конц-ии в земной коре хим. элементов, тектонич. процессы, явления метаморфизма и магматизма. Библи. 96 назв.

Т. Ионас

32081. О минералогическо-геохимических фациях и некоторых других вопросах древнего осадочного образования. Теодорович Г. И., Бюл. Моск. о-ва испыт. природы. Отд. геол., 1957, 32, № 4, 35—60

Показана целесообразность выделения геохим. фаций для поисков осадочных полезных ископаемых. Выделен ряд геохим. фаций с устойчивым положением окислительно-восстановительного раздела. Освещена проблема генезиса доломита, разобраны крит. замечания Н. М. Страхова по этому вопросу и обосновано положение о том, что условия образования доломита в геологич. прошлом резко или значительно отличались от современных. См. также РЖХим, 1956, 28813, 71416; 1957, 63357.

Резюме автора

32082. Геохимия титана в процессе выветривания вулканических горных пород. Жемличка (Geochimie titanu při větrání vulkanických hornin. Zemlička Jan), Věst. Ústřed. ústavu geol., 1956, 31, № 4, 180—193 (чешск.; рез. русск., англ.)

Исследована зона гипергенеза вулканогенных детритовых пород (севернее села Скришны в Мосту). Среднее содержание TiO_2 7,5%. Максим. кол-во TiO_2 связано с наиболее тонкими фракциями (7,85%). Приведены графики зависимости между содержанием TiO_2 и Fe_2O_3 . Ti встречается в трех формах: 1) метастабильной — в виде $\text{TiO}_2 \cdot n\text{H}_2\text{O}$, растворимого в разб. неорг. к-тах, 2) стабильной — в виде анатаза, определяемого только рентгенографически, и 3) в форме минералов (рутил, ильменит, анатаз, лейкоксен), определяемых под микроскопом.

Т. Ионас

32083. Выветривание гранита и связанные эрозивные особенности в Гонконге. Ракстон, Берри

(Weathering of granite and associated erosional features in Hong Kong. Ruxton Bryan P., Berry Leonard), Bull. Geol. Soc. America, 1957, 68, № 10, 1263—1291 (англ.)

32084. Предварительное исследование изменений химического состава окаменелостей в зависимости от стратиграфического положения. Бороушек, Гемала, Марек (Orientální studie o využití změn v chemickém složení fosilií ve stratigrafii. Beroúšek J., Hemala M., Marek J.), Šbirka prací výzkumn. úst., 1956, E, № 9-13, 25—37 (чешск.; рез. русск., нем.)

Разработанный авторами спектрографич. метод позволяет определять Mg, Sr, Al, Fe, Mn, Na в 0,5—0,6 мг обр. в пределах конц-ий 0,1—10% (для Mn 0,02—1%) с точностью $\pm 6\%$. Результаты анализов (в %): 1) тортоя — остракоды (2 обр.) Mg 0,33—0,40, Sr 0,38—0,41, Al 0,029—0,030, Fe 0,25—0,27, Mn 0,05—0,013; фораминиферы (1 обр.) Mg 0,19, Sr 0,15, Al 0,026, Fe 0,23, Mn 0,01; 2) сармат — остракоды (4 обр.) Mg 0,36—0,44, Sr 0,28—0,42, Al 0,029—0,048, Fe 0,30—0,36, Mn 0,07—0,13; фораминиферы (4 обр.) Mg 0,20—0,50, Sr 0,12—0,18, Al 0,046—0,054, Fe 0,43—0,74, Mn 0,042—0,07. В сарматских образцах, независимо от вида окаменелостей, соотношение Sr:Mg и Sr:Al выше, чем в тортояских. Остракоды содержат больше Sr, чем фораминиферы. На величины содержания рассмотренных элементов местные факторы оказывают меньшее влияние, чем стратиграфические и генетические.

Р. Хмельницкий
32085. Оценка структуры некоторых опок Приволжья по сорбции паров воды и бензола. Слисаренко Ф. А., Тимофеева Е. М., Сорокин С. И., Забелин В. Н., Ж. прикл. химии, 1957, 30, № 8, 1127—1135

В целях объективной оценки качества сорбентов при использовании их в пром-сти, адсорбционные структурным методом (Быков В. Т., Изв. АН СССР. Отд. хим. н., 1952, 4, 585) изучена сорбция паров воды и бензола на зернах и порошке опок из 5 мест-ний Поволжья. Различными методами оценена величина уд. поверхности образцов. Показано, что процесс сорбции сопровождается капиллярной конденсацией. При этом в случае воды ширина микропор увеличивается. Распределение объема пор по радиусам позволяет отнести большинство исследованных опок к однороднопористым сорбентам 2-го типа по А. В. Киселеву (Ж. физ. химии, 1948, 23, 466). Оценка поверхности скелета подтвердила положение о том, что близость ее к величине адсорбционной пленки определяет высокие сорбционные качества природного сорбента. Во избежание капиллярной конденсации в порах между крупинками авторы рекомендуют работать на зернах пористого сорбента. А. Чемоданов

32086. О стадиях формирования и изменения терригенных пород. Коссовская А. Г., Логвиненко Н. В., Шугтов В. Д., Докл. АН СССР, 1957, 116, № 2, 293—296

Описаны этапы развития осадочных пород, образующих непрерывный и направленный во времени процесс. I этап — диагенез, сущность которого подробно рассмотрена в работах Н. М. Страхова. II этап — эпигенез (т-ра 50—200°, давл. 500—1500 атм, об. вес пород 1,4—2,55, пористость уменьшается от 40 до 5%); в песчаных породах наблюдается переход с глубиной от песков и слабо сцементированных песчаников к плотным сцементированным песчаникам; в глинистых породах — уплотнение глини, переход в аргиллиты; для подземных вод отмечен соответственно переход от гидрокарбонатных к сульфатным и хлоридным с нарастанием минерализации. III — метатенез, или начальный метаморфизм (т-ра > 200°, давл. > 2500 атм, об. вес пород 2,55—2,7, пористость уменьшается до 2%); образуются кварцевидные песчаники, сланцеватые аргиллиты, филлитоподобные сланцы; породы приобретают полосчатую текстуру. IV, конечная стадия — региональный метаморфизм (отсутствие первичных структур и текстур, развиты филлиты, кристаллич. сланцы, кварциты; воды гидротермальные с высокой минерализацией).

Л. Флерова

32087. Месторождение калийных солей Гатторф (Федеративная Республика Германия). Пустовалов Л. В., Изв. АН СССР. Сер. геол., 1957, № 5, 92—98

Месторождение Гатторф из группы калийных месторождений бассейна р. Верра относится к месторождениям Гессен-Тюрингского бассейна, отличающимся спокойным, мало нарушенным залеганием. Возраст соляных месторождений — средний палеоген, но точно не установлен. Промышленно разрабатывается верхний пласт, содержащий 15—20% сильвина, 30—40% кизерита; остальная часть — NaCl. Этот пласт оконтурен сверху и снизу тонкими прослоями глини. Характерными особенностями месторождения является наличие в соленосном теле жил базальтов мощностью от 0,25 до 1 м, миоценового возраста, не имеющих ясно выраженной контактной зоны, а также наличие в солях малых и больших включений CO₂, находящихся под давл. 70 атм и более. В образовании современного парагенезиса солей наибольшая роль приписывается в настоящее время вторичным процессам (перераспределение, перекристаллизация солей, образование одних за счет других и т. д.).

Л. Листова

32088. Об измерении pH суспензий карбоната кальция с помощью цветных индикаторов. Разумная (Sur la mesure du pH de suspensions de carbonate de calcium par le moyen des indicateurs colorés. Razumny Janine), Ann. Inst. hydrol. et climatol., 1955, 26, № 1-2, 38—39 (франц.)

При титровании суспензий известняка 0,1 н. р-ром H₂SO₄ в присутствии различных индикаторов установлено, что суспензии, содержащие еще значительные кол-ва CaCO₃, дают кислую р-цию. Переход окраски в желтую (индикатор, pH, содержание CaCO₃ (в %) в суспензии): фенолрот, 7, 15; бромтимолблау, 6,2, 25; бромкрезолгрюн, 5,6, 10; метилрот, 6,0, 35. Для гелиантина Пуаррье переход в красную окраску наблюдается при pH 3,1, причем CaCO₃ исчезает полностью. Первоначальная окраска иногда появляется вновь через большее или меньшее время (для фенолрота через 1/2 часа). Для определения pH почв, содержащих CaCO₃, цветные индикаторы непригодны; лишь гелиантином можно пользоваться для ацидиметрич. титрования.

Б. Анчаев

32089. Случай замещения монтмориллонита гидрослюда в глинах среднекаменноугольных отложений Саратовского Поволжья. Шабеева Е. А., Горбунова Л. И., Докл. АН СССР, 1957, 116, № 3, 484—487

Изучено 5 обр. тонких фракций глин из башкирского яруса и верейского горизонта. На основании результатов электронномикроскопич., термич., рентгено-скопич. и хим. исследований и идентификации минералов с помощью красителя (метиленовый голубой) показано, что основными породообразующими минералами являются гидрослюда (I) и минерал монтмориллонитовой группы (II). II является более ранним образованием, по которому в процессе диагенеза развивается I. Диагенетич. образование I происходило в результате взаимодействия II с ионами калия, адсорбированного осадкам из морской воды.

Р. Хмельницкий

32090. О генезисе основных типов угля на примере отдельного региона. Любер (Sur les types principaux de formation de la houille dans une région déterminée. Luber A. A.), Proc. Internat. Comm. Coal Petrol., 1956, № 2, 59—60. Discuss., 61 (франц.)

Изучены палеозойские угленосные отложения Казахстана, относящиеся к среднему девону, нижнему карбону и перми. Параллельно с литолого-петрографич. исследованием велось изучение спор и других растительных остатков. Показано, что каждому этапу углеобразования рассматриваемой области в пределах палеозоя свойственно преобладание своих основных типов угля с характерными особенностями макро- и микроструктуры. При этом обнаруживается известная закономерность в последовательном чередовании периодов преобладания в углях гемифицированного или физенизированного в-ва. Наблюдающаяся периодичность отражает общие закономерности формирования угленосных отложений и палеогеографии. Л. Афанасьева

32091. Изучение химии и биологии бурых углей на различных глубинах Рейнского буроугольного бассейна. Фукс (Untersuchungen über die Chemie und Biologie der Braunkohle in verschiedenen Tiefen des Rheinischen Braunkohlenflözes. Fuchs Walter), Freiburger Forschungh., 1956, C, № 23, 84—96 (нем.)

Исследовались 4 пробы углей, взятых на глубине 5—10 и 300 м. Результаты определения содержания воды, зольности, элементного состава, группового состава выделенных гуминовых к-т и свойств углей как биологич. среды показали одинаковую степень обуглероживания этих углей. Элементарный состав угольной массы практически не зависит от давления кровли и определяется биологич. условиями в период отложения: при господстве аэробных факторов образуются бурые угли, при наличии анаэробных условий микроорганизмы восстанавливают первичную субстанцию с образованием углей типа аахенских меловых и далее приводят к образованию каменных углей. Р. Хмельницкий

32092. Опыт химического исследования углеводородной части битуменов. Успенский В. А., Инденбом Ф. Б., Чернышева А. С., Тр. Всес. нефт. н.-н. геологоразвед. ин-та, 1957, вып. 105, 224—227

В целях сопоставления рассеянных углеводородов с углеводородами нефти исследованы битуминозные в-ва кумского мергеля с р. Аргун (Сев. Кавказ). Порода обрабатывалась HCl, нерастворимый остаток экстрагировался CHCl₃. Из масел, полученных после омыления экстракта, выделено некоторое кол-во твердых углеводородов. Групповой состав масел, определенный методом анилиновых точек, во фракциях от 220—300° до 500—550°, близок к составу нефтей ароматич. типа, отличающ. от них заметным кол-вом твердых углеводородов. Е. Покровская

32093. Микроорганизмы и геохимические методы поисков нефти. Соли (Microorganisms and geochemical methods of oil prospecting. Soli Giorgio G.), Bull. Amer. Assoc. Petrol. Geologists, 1957, 41, № 1, 134—140 (англ.)

Обзор. Библ. 15 назв. Р. Хмельницкий

32094. Фосфаты кальция фосфоритов. Бушинский Г. И. В сб.: Вопр. геол. агроп. руд. М., АН СССР, 1956, 49—64

Обзор. Библ. 64 назв. Г. Воробьев

32095. Химия и физико-химия почв в СССР. Антипов-Каратаев И. Н., Почвоведение, 1957, № 11, 28—42

Обзор исследований советских ученых по проблемам химии и физико-химии почв имеет следующие разделы: исследования минералогич. и хим. состава

почвообразующих пород; хим. состав и исследование газовой фазы почв; почвенные р-ры; газовая поглотительная способность почв; методы исследования.

32096. Электронномикроскопическое исследование почвенных коллоидов. Горбунов Н. И., Почвоведение, 1957, № 8, 73—79

При исследовании почвенных коллоидов (ПК) электронный микроскоп (ЭМ) дает возможность определять размер и форму колл. частиц, бактерий, вирусов и спор растений, причем наиболее целесообразно применение увеличения в 5000—10 000 раз. С помощью ЭМ удается различать высокодисперсные минералы по форме их частиц (каолинит и галлуант), выяснить скорость и механизм выветривания первичных минералов. Кроме того, удается выяснить природу связи минер. ПК между собой и минер. и органич. ПК, а также визуально наблюдать адсорбцию ПК. Большое внимание должно уделяться методике приготовления и взятию пробы для исследования полиминеральных и полидисперсных объектов. Изучение глинистых высокодисперсных минералов почв при помощи ЭМ в сочетании с другими методами дало возможность установить, что в подзолистых почвах преобладают минералы монтмориллонитовой группы, в частности бейделлит, а также аморфные в-ва. Подчиненную роль играют слюды, гидрослюды, кварц, редко каолинит. ПК черноземов имеют много общего с ПК подзолистых почв. Для желтоземов и желтоземно-подзолистых почв характерны смеси минералов каолинитовой и монтмориллонитовой групп, гидрагилита и гетита. В красноземах, в отличие от подзолистых почв, преобладают минералы каолинитовой группы и минералы полуторных окислов, в почвах пустынь и полупустынь — гидрослюды и аморфные в-ва, а минералами-спутниками являются бейделлит, слюды и др. Приводятся сравнение снимков, полученных с помощью ЭМ для фракций < 1 м стандартных и почвенных минералов с такими же снимками ПК. Л. Листова

32097. Динамика азота на пловато-болотных и среднеподзолистых почвах Ленкоранского района. Момсумов (Ленкоран районунун орта подзолу ваццили батагылыг торпагында азотун динамикасы. Момсумов З. Р.), Мәрузәләр. АзәрбәССР Әлимләр Акад. Докл. АН АзәрбәССР, 1957, 13, № 11, 1199—1204 (азерб.; реф. русск.)

32098. Об озерных отложениях и новейших вулканических продуктах Агинского района. Лейе Я. Б., Ширинян К. Г., Тр. Арм. геол. упр. М-во геол. и охраны недр СССР, 1957, № 1, 125—132

Исследования озерных отложений позволили уточнить возраст и условия их образования, а также решить вопрос о возрасте вулканич. образований Агинского района (Армения). Изучение диатомовой флоры показало, что возраст озерных отложений — раннечетвертичный; наличие среди пресноводных диатомей морских форм позволяет говорить о существовании водоемов, отшнуровавшихся от палеогенового моря, опреснение которых происходило за счет ручьев и атмосферных осадков; кроме того, пресные водоемы образовывались в результате подпруды рек мощными излияниями постплиоценовых лав. Детальное геологич. изучение вулканогенных пород района позволило установить следующую последовательность их образования: 1) андезито-базальты верхнего плиоцена; 2) андезито-базальты верхнего плиоцена-постплиоцена; 3) озерные отложения — нижнечетвертичные; 4) пемзы и пемзовые туфы — нижнечетвертичные; 5) андезито-базальты с глинистым прослоем — среднечетвертичные; 6) туфобрекчии и туфоконгломераты; дацитовые лавы и черно-красные

исследование
агло-
вания.
Г. Попова
исследование
Почво-

в (ПК)

сть опре-

ий, виру-

образно

С по-

ные ми-

студант),

первич-

приро-

органич.

ию ПК.

ике при-

я поли-

зучение

чв при

и дано

почвах

группы.

а. Под-

кварц,

о обще-

желто-

нералов

гидрат-

под-

титовой

почвах

орфные

делит,

олучен-

артных

и ПК.

истова

и сред-

Мо в

вазид-

Ме в

Акад.,

—1204

вулка-

Я. В.

геол. в

уточ-

ке ре-

Агни-

и фло-

—ран-

диато-

твенно-

нового

ет ру-

есные

ы рек

и метал-

айона

атель-

хного

цена-

етвер-

етвер-

про-

гидро-

асные

туфы — рисс-вюрмское время. Приведен средний хим. состав (в %) дацитовых лав, ранее описывавшихся как андезит-базальты: SiO_2 65,6; TiO_2 0,96; Al_2O_3 16,99; Fe_2O_3 2,55; FeO 1,77; MnO 0,07; MgO 1,28; CaO 2,27; Na_2O 3,95; K_2O 4,5; H_2O 0,16. Л. Флерова

32099. Химический состав донных отложений лагуны. Пиллай (Chemical composition of lagoon muds. Pillai V. Krishna), Proc. Indian Acad. Sci., 1956, B44, № 2, 130—136 (англ.)

32100. Биологические процессы в окрестностях речной дельты. VI. Формы железа в сульфиде речного ила дельты. Бас-Беккинг (Biological processes in the estuarine environment. VI. The state of the iron in the estuarine mud iron sulphides. Baas Beeking L. G. M.), Proc. Koninkl. Nederl. akad. wet., 1956, B59, № 3, 181—189 (англ.)

На основании анализа литературных данных и собственных эксперим. и термодинамич. расчетов автор приходит к следующим основным выводам. Неорганич. Fe речных илов (РИ) обычно находится в форме окиси или закись-окиси. Эти соединения практически нерастворимы. Fe^{2+} может встречаться только тогда, когда pH среды оказывается $\leq 6,8$. Предполагается, что в РИ встречаются следующие биогенные сульфиды Fe: гидротроилит, дисульфогидрид железа, сульфомарказит и пирит. Марказит в РИ отсутствует. Не установлено также наличие пиритинов и сульфидов 3-валентного железа. Автор считает также, что ни Fe_3S_4 (сульфид закись-окиси) или FeS (мельниковит) не встречаются в природных условиях. Часть V см. РЖХимВх, 1957, 15268.

С. Тукачинский
32101. Исследование наличия радия в отлагаемых минеральными водами осадках. Часть II. Атанасиу (Cercetări în legătură cu prezența radiului în sedimentele depuse de apele minerale. II. Atanasiu G.), Bul. științ. Acad. RPR. Sec. mat. și fiz., 1957, 9, № 1, 145—158 (рум.; рез. русск., франц.)

Обогащение радием отлагаемых минер. водами осадков объясняется тем, что дождевые воды растворяют карбонаты Са и Mg. Эти туфы содержат только Ra и продукты его распада. У отсутствует; эта особенность использована для определения возраста туфов (напр. возраст одного ~8270 лет). Некоторые туфы перадиоактивны по возрасту. Повышенная радиоактивность некоторых туфов объясняется тем, что вода до выхода проходит через туфы с повышенной конц-ией. Ra. Часть I см. РЖХим, 1955, 26048.

М. Яншина
32102. Емкость обмена катионов донных отложений северо-западной части Тихого океана. Зайцева Е. Д., Докл. АН СССР, 1957, 113, № 5, 1106—1109

Определение емкости обмена катионов производилось методом Б. П. Никольского (Современные методы исследования физ.-хим. свойств почвы. 1948, 4, вып. 3) после удаления карбонатов действием 0,2 н. HCl, причем ранее было установлено, что такая обработка на величину емкости обмена не влияет. После удаления карбонатов осадки насыщали 0,1 н. BaCl_2 , забуференным малеиновым ангидридом и $\text{Ba}(\text{OH})_2$ при pH 6,8. Избыток р-ра вымывали дистил. водой и 80% спиртом. Обменный Ва вытесняли 1 н. р-ром NH_4Cl и определяли весовым методом. Емкость обмена всего осадка вычисляли по величине емкости фракции $< 0,001$ мм и ее кол-ву. Величины емкости обмена катионов осадка в целом колеблются 12,8—29,6 мг-экв на 100 г и зависят от содержания фракции $< 0,001$ мм. Емкость обмена фракции $< 0,001$ мм, выделенной из осадков, колеблется (в мг-экв на 100 г): для Охотского моря 44,6—59,4, Тихого океана 42,2—58,2, Берингова моря 49,7 и Японского 40,9—48,7. Сопоставляя полученные емкости глинистых фракций морских осадков с известными емкостями глинистых

минералов, автор пришел к выводу о преобладании в осадках дальневосточных морей и Тихого океана минералов группы гидрослюд. Минералогич. состав глинистых фракций всех исследованных осадков однороден в силу сходства условий осадкообразования. Малые кол-ва органич. в-в в осадках на величину емкости обмена не влияют. О. Шишкина

32103. Об особенностях химического состава почвенно-грунтовых вод поймы и определяющих его факторах. Тюрюканов А. Н., Почвоведение, 1957, № 9, 79—88 (рез. англ.)

При исследовании сезонных изменений хим. состава почвенно-грунтовых (ПГ) вод в нижнем течении р. Москвы в различных типах почв установлено, что наибольшие конц-ии ряда элементов в водах бывают во время паводков. Данные анализов для супесчаных почв I надпойменной террасы (мг экв/л): Са 2,33; Fe^{2+} 1,04; Na + K 1,21; SO_4 5,0; растворенный O_2 (мг/л) 9,7. В иловом р-ре луговых почв Fe^{2+} 7,85, в отдельных случаях до 29,0; СаО 20,2; Mg 5,5; NH_4 до 8,6. Повышенное содержание Mg, Са, Fe^{2+} и аммония связано с повышенной биологич. активностью илов в этот период. Кол-во этих элементов летом и осенью резко снижается. Отмечено, что в период прохождения иловой стадии происходит окисление сульфидных форм хим. и биологич. путем (при pH 7 и Eh 200 мв) до сульфатов; повышенная интенсивность этого процесса также приурочена к весеннему периоду. Наблюдения показали, что в ПГ водах дерново-луговой почвы по сравнению с водами луговой почвы pH имеет более низкие значения: 6,0—6,4 и соответственно 6,7—7,0, а Eh — более высокие: 310—360 и соответственно 190—278. Содержание растворенного O_2 большой абс. величины (6,8—8,25 мг/л) достигает в ПГ водах надпойменных песчаных террас; pH этих вод 5,2—5,5; Eh более 385. В местах контакта террасы и поймы, характеризующейся развитием болотной растительности, кол-во O_2 резко снижается: 0,1—0,2 мг/л. Для прирусловой и центральной поймы кол-во O_2 достигает 3,0 мг/л; pH 6,1—6,4; Eh 320—350. Л. Флерова

32104. Влияние гидрофлоры на химический режим кубанских дельтовых лиманов. Бишев Л. Л., Тр. Рыбоводно-биол. лабор. Азчергосрыбвода, 1957, вып. 2, 53—68

Работы производились в лиманах Жестерской и отчасти Черноерковско-Сладковской группы. В зоне тростниковых зарослей дно заболочено, разложение отмершей растительности происходит в анаэробных условиях (наличие CH_4); в воде имеется резкая вертикальная кислородная стратификация. В эту зону рыба избегает заходить, вероятно вследствие присутствия в воде токсич. продуктов разложения тростника. В береговой окраине, где происходит нерест судака, гидрохим. условия лучше, но при ветрах со стороны тростника поступающая из зарослей вода может вызвать гибель икры, личинок и даже замор взрослой рыбы в некоторых частях лиманов. Частичной борьбой с этим явлением должно быть ежегодное осенне-зимнее снижение горизонтов воды, при котором органич. в-ва в грунтах будут быстро окисляться. В зоне подводной растительности в зарослях роголистника хим. режим почти не отличается от режима тростниковых зарослей, но в зарослях рдестов кислородная стратификация почти не выражена и рыба охотно заходит сюда в дневные часы. Установлены миграции рыб в дневные часы в заросли, в ночные часы — в открытую часть лиманов. Заращенность до 60% акватории лиманов допустима. В. Коншин

32105. Соленость грунтовых растворов Охотского моря. Бруевич С. В., Докл. АН СССР, 1957, 113, № 2, 387—390

Приведены данные горизонтального и вертикального распределения хлорности (Cl г/кг) вод, пропитывающих морские осадки. Для Охотского и Берингова морей отмечается аномалия хлорностей, заключающаяся в том, что на преобладающей части центрального района моря Cl грунтового р-ра (ГР) меньше Cl придонных морских вод. Это явление связано с усилением процессов вымораживания вод, обусловленных экстремально суровыми зимами 1943—1949 гг. Нормальные случаи, т. е. превышение Cl ГР над Cl придонных вод, наблюдались в заливе Шелехова. Вертикальное распределение Cl , наблюдаемое в монолитах длиной 18—27 м, позволило установить более высокие величины Cl (от нескольких десятых до 1%) по сравнению с современными водами. Это повышение Cl осадков Охотского моря в геологич. прошлом связано с физико-географич. условиями самого моря, т. е. осолонением в результате более сурового климата и резко выраженного процесса зимнего вымораживания вод.

О. Шишкина

32106. О гидрохимических особенностях прибрежной зоны восточного Мурмана. Черновская Е. Н., Тр. Мурманской биол. ст., 1957, 3, 33—52. Проведены гидрохим. наблюдения на 26 станциях в 20-мильной полосе между о. Кильдин и мысом Св. Нос. Установлено, что изменения содержания P , N , O_2 и pH по сезонам такие же, как и для всего Баренцева моря; наблюдаемые отклонения связаны со спецификой прибрежной зоны. Результаты измерений представлены в таблицах. Солевой режим однообразен, соленость (в ‰) 34, на глубинах достигает 34,6—34,8, весной и летом за счет разбавления пресных вод наблюдается уменьшение солености иногда до 30.

Л. Флерова

32107. Конкреции сульфида железа в отложениях Черного моря. Волков П. И., Остроумов Э. А., Докл. АН СССР, 1957, 116, № 4, 645—648.

Исследованы конкреции, находящиеся в виде включений в колонке грунта, взятого из донных отложений Черного моря близ мыса Кодор. Анализ произведен по схеме Э. А. Остроумова (РЖХим, 1954, 25126). Результаты анализа показывают, что конкреции состоят в основном из FeS , содержащего значительные кол-ва FeS_2 , разлагаемого HCl (очевидно, мельниковит), и небольшие кол-ва пирита (марказит); можно предполагать, что конкреции являются переходной формой превращения гидротроилита в пирит.

Т. Попова

32108. Опыт круглогодичного использования такырных вод в пустыне Бетпак-Дале. Константинов Б. В., Тр. Бетпак-Далинск. комплексн. опытн. ст. животноводства. Алма-Ата, Казахск. гос. изд-во, 1957, 83—98.

Такырные воды бассейнов закрытого и открытого типов (гидрокарбонатно-хлоридно-натриевые, щелочные (pH 8), мутные, без запаха, с т-рой 12—24° и минерализацией 1—3,5 г/л) могут быть использованы для водопоя скота. Качество их меняется в зависимости от времени года. Летом вследствие испарения в водах увеличивается содержание хлоридов, сульфатов, бикарбонатов, щел. и щел.-зем. солей. Для того чтобы вода была пригодна для питья, необходимо коагулировать большое кол-во взвешенных глинистых частиц и провести ее обеззараживание путем хлорирования. В качестве коагулянта используется сернокислый алюминий (125 мг/л), а для дезинфекции — хлорная известь (5 мг/л).

В. Кононов

32109. Гидрохимические условия реки Моравицы и ее притоков Подольского и Черного ручьев. Вострчил (Hydrochemické poměry řeky Moravice a jejích přítoku Podolského a Černého potoka. V ostr-

čil J.), Sbor. Vysoké školy zeměd. a lesn. Brně, 1957, A, № 1, 15—31 (чешск.; рез. русск., нем.)

Проведенные исследования в период с мая 1953 г. по ноябрь 1954 г. реки Моравицы показали (данные 8 таблиц), что до впадения в нее Подольского ручья, качество ее воды хорошее: pH 6,25—7,15; содержание (в мг/л): NH_3 0,1; NO_2 0,02—0,03; NO_3 0,3—4,5; Cl 4,5—13,6; SO_4 6,2—14,4; окисляемость (мг/л O_2) 8,9—12,8; после впадения в нее притоков — ручьев Черного и Подольского — качество воды ухудшается, так как эти ручьи протекают через промышленные города. Хим. анализы воды Черного ручья: pH 6,6—7,7; NH_3 0,1—1,8; NO_2 0,11—0,48; NO_3 1,0—23,0; Cl 10,0—52,0; SO_4^{2-} 11,9—34,9; O_2 7,3—11,0. Хим. анализы воды Подольского ручья: pH 5,85—7,3; NH_3 0,1—1,2; NO_2 0,1; NO_3 до 13,8; Cl 2,9—17,3; SO_4^{2-} 10,3—17,3; O_2 7,9—12,4.

Л. Флерова

32110. Зимний гидрохимический режим р. Волги в районе г. Куйбышева. Зимина О. Н., Колосова Нат. Н., Стяжкина Е. Г., Колосова Н. Н., Тр. Куйбышевск. мед. ин-та, 1957, 7, 22—27.

В воде р. Волги на створе у Поляны им. Фрунзе в зимний период 1951—1955 гг. содержание (в мг/л) O_2 после дедоставы 7,0—14 (64,6—95,9% насыщения), к концу марта 4,4—4,8; в подледный период содержание CO_2 3,6—18,5; окисляемость 8,1—14,5, N/NO_3 0,16—0,37, N/NH_4 0,008—0,065. К концу подледного периода окисляемость, нитратный и аммонийный азот несколько снижаются; для органич. азота к концу подледного периода в 1952 г. наблюдалось понижение, в 1953 г. — повышение содержания биогенных элементов.

В. Кошкин

32111. Гидробиологическая и гидрохимическая характеристика озер Орлово, Бестолкового и Ерыклы. Колосова Н. Н., Тр. Куйбышевск. мед. ин-та, 1957, 7, 86—100.

Исследованные озера расположены на 2-й надпойменной террасе в Приволжском районе Куйбышевской обл. и имеют максим. глубину в межень до 2,15 м. В летние штилевые дни в озерах наблюдается разность т-р поверхностного и придонного слоев до 7°. Летом O_2 112—255% насыщения днем и 44,9—51,8% насыщения ночью, CO_2 отсутствует; в подледный период O_2 1,9—11,1% насыщения, pH 7,6—8,9; содержится (в мг/л): CO_2 ~51,5, органич. N 1,6—9,8, аммонийного N 0,1—1,5, нитритов и нитратов незначительные кол-ва. Растворенного минер. P в подледный период 0,036—0,065 мг/л в оз. Орлово и Ерыклы и 0,142—0,192 в оз. Бестолковом, растворенного органич. P 0,23—0,40 мг/л. Fe^{2+} в подледный период 0,05—0,06 мг/л. Fe^{3+} в верхних слоях воды в период летней стагнации 0,05—0,23 мг/л, SiO_2 2,0—16,3 мг/л. Общая минерализация 0,22—1,02 г/л, жесткость 2,47—8,44 мг-экв/л, щел. металлов в подледный период 41—46% от сумм катионов в мг, в паводок 1947 г. 23—24%. В. Кошкин

32112. К вопросу о формировании вод андезитобазальтовых лав Армении. Аветисян В. А. В сб.: Вopr. геол. и гидрогеол. АрмССР. Ереван, АН АрмССР, 1956, 191—195.

Отмечено, что часть вод андезитобазальтовых лав (АБЛ) имеет региональное распространение. Воды хлоркальциевого и хлормagneйного типов с незначительной минерализацией (0,8—17 мг/л) и отсутствием SO_4^{2-} . Эти воды обычно тяготеют к возвышенным участкам водораздела, покрытым АБЛ. Существующие понятия о происхождении природных хлоркальциевых вод не объясняют генезис таких вод в обстановке АБЛ. Делается предположение, что в обстановке АБЛ формирование малосульфатных и бессульфатных вод хлоркальциевого и хлормagneйного типов происходит за счет выпелачивания щел.-зем. полевошпатных составляющих андезитобазальтовых пород. А. Фихман

Brně, 1957.

1953 г. по

(данные

ого ручья,

содержание

B; Cl 4,5—

8,0—12,8;

Черного и

так как

е города

7,7; NH₄—

10,0—52,0;

воды По-

2; NO₂ до—17,3; O₂

Флерова

Волги в

досова

ва Н. П.

7

и. Фрунзе

(в м/л)

выщелачи-

содержа-

NO₃ 0,16—

перво

несколь-

у подде-

жение, в

элемен-

Коншин

ска ха-

Ермлы.

д. ин-та,

надпой-

левской

о 2,15 м.

ется раз-

ев до 7.

9—51,8%

дний по-

одержит-

аймовий-

ительное

й период

32113. К вопросу формирования подземных вод гидрокарбонатнонатриевого типа (на примере Ферганской депрессии). Равикович Е. А., Геол. нефти, 1957, № 4, 50—55

Описываются факторы, влияющие на химизм образования вод исследуемого района. I. Процессы десульфатизации при контакте с нефтью и газом. Хим. анализы вод: гидрокарбонатнонатриевого типа (ГКНТ): pH 8,0—8,4; $r_{Na/rCl}$ 1,08—2,39; минерализация (М) (мг/л) 2,8—8,2; H₂S 2,0—188,8; хлоркальциевого типа (ХКТ): pH 7,8—8,4; $r_{Na/rCl}$ 0,5—0,69; М 15,4—68,7; H₂S 4,05—2592,2; сульфатнонатриевого типа: pH 8,4; $r_{Na/rCl}$ 1,08—4,6; М 4,0; H₂S 51,4—57,8. II. Процессы выщелачивания K—Na полевых шпатов: pH 7,6—8,4; $r_{Na/rCl}$ 1,59—2,87; М 0,65—1,13. III. По мнению автора, на ряде хим. анализов воды сказывается воздействие выщелачивания цемента в буровых скважинах: ГКНТ pH 8,4; $r_{Na/rCl}$ 1,37—8,41; М 1,2—4,3; резко увеличены $r_{Ca/rMg}$ 13,18—54,1; ХКТ pH > 8,4; $r_{Na/rCl}$ 0,79—0,86; $r_{Ca/rMg}$ 15,51—51,2; М 12,7—180,4. Л. Флерова

32114. О гидрогеологических скважинах в Рисе, ФРГ. Натан (Wasserbohrungen im Ries. Nathan Hans, Geol. Jahrb., 1957, 74, 135—145 (нем.))

Описано 5 буровых скважин, приведены их подробные геологич. разрезы. I. Валлерштайн: отмечены 2 водоносных горизонта (ВГ), статич. уровень (СУ) 5 м абс. и 15,3 м абс. Для 2-го ВГ дебит 8 л/сек при понижении (П) 14,7 м и 5 л/сек при П 3,25 м. II. Нордлинген: ВГ с глубиной ~140 м, СУ 1,3 м от дневной поверхности, дебит 2,5 л/сек при П 25 м; т-ра воды 19°, геотермич. ступень для данной скважины 11,8—15,8; литологически ВГ представлен песками; минер. состав (в %): кварц 36; полевые шпаты 30; биотит 19; карбонаты 15. Хим. состав воды (мг/л): Na⁺ 222,7; Ca²⁺ 8,576; Mg²⁺ 9,41; Cl⁻ 34; SO₄²⁻ 59; HCO₃⁻ 530,7; общая минерализация 864,4. III. Нордлинген, фабрика: дебит 0,4 л/сек, СУ 8,25 м, т-ра 17—17,5°. IV. Оффинген, скважина 2: артезианская вода с глубины 55,5; самоналив с дебитом 20 л/мин, т-ра 9—10°. Л. Флерова

32115. Физико-химическая характеристика минеральных источников районов Олеско и Красне. Горбенко Ф. П., Ковалева А. Г. (Фізико-хімічна характеристика мінеральних джерел районів Олеско і Красне. Горбенко Ф. П., Ковалева А. Г.), Доповіді повідомлення. Львівськ. держ. пед. ін-т, 1957, вип. 2, 33—35 (укр.)

Минеральную воду дает скважина с глубины 500 м (ниже зацементирована). По-видимому, вода является продуктом смешения нескольких водоносных горизонтов. Ф-ла воды с Олеско на 19/X—1955 г.: Fe_{0,002}, H₂S_{0,002}, M_{1,4}SO₆₉HCO₃⁴⁰: Ca₆₁Na₂₈. В сравнении с 1952 г. содержание ионов, кроме Ca²⁺ и HCO₃⁻, уменьшилось почти вдвое, а общая минерализация — с 2,14 до 1,4 г/л, что свидетельствует о разбавлении минер. вод пресными. Ф-ла воды с. Красне на 6/X—1955 г.: H₂S_{0,003} M_(?)SO₇₇HCO₂₁³: Ca₄₂Mg₃₃. А. Малахов

32116. Сернистый источник в Мальжице. Лычевская (Zródło siarczane w Malżycach. Łyczewska Janina), Przegl. geol., 1957, 5, № 9, 431 (польск.) В деревне Мальжице около Буска (южная Польша) обнаружен сернистый источник. Состав в мг/л: общая жесткость 1632 CaCO₃ (91,4 нем. град.), щелочность 310 CaCO₃, Cl⁻ 81,7, NH₃ 1,60; NO₂⁻ и NO₃⁻ отсутствуют, SO₄²⁻ 1540,2, сухой остаток 2874, H₂S количественно не определялся. Н. Лобанов

32117. Исследование степени концентрации радона, радия и урана в минеральных водах и в известковых туфах Сынджорза-Бэй (Клузская область). Сабо, Шоо (Studii concentrării în radon, radii și uraniu a apelor minerale și a tufurilor calcaroase de la

Singeorz — Băi (regiunea Cluj). Szabó A., Soó A.), Bul. științ. Acad. RPR. Sec. mat. și fiz., 1957, 9, № 1, 159—163 (рум.; рез. русск., франц.)

Приводятся результаты измерений концентрации Rn в углекислых водах курорта Сынджорза-Бэй (от 0,63 до 29,9 ед. махе); за последние 30 лет содержание Rn заметно не изменилось. Содержание металлич. Ra в водах составляет 8—20 · 10⁻¹² г/л, а в отложенных ими известковых туфах 12—15 · 10⁻¹² г/л. Ни воды, ни туфы не содержат U в кол-вах, поддающихся определению. В. Юдина

32118. Подобромные воды Челекена. Кравчинский З. Я., Изв. АН ТуркмССР, 1957, № 5, 126—128

Дана краткая характеристика 10 водоносных горизонтов верхней красноцветной толщ с описанием литологич. состава, мощности горизонтов, физ.-мех. свойств: пористости, водонасыщенности, проницаемости, а также дебита скважин. Приведены данные по хим. составу вод: минерализация (в °Be) колеблется в пределах 19—22, щелочность (в мг-экв/л) 0,2—0,9, содержание (в мг/л) J 24,3—32,9; Br 280—550. Т-ра воды 48—73°. Л. Матвеева

32119. Подземные воды Вологодской области. Лебедев В. В., Тр. научн. конференции по изуч. Вологодск. обл. Вологда, 1956, 84—113

Приведены данные по геологич. условиям, дебиту, хим. составу и загрязненности различных водоносных горизонтов области. Приводятся краткие анализы соленых вод из скважин в г. Вологде и деревне Новое и указано их большое бальнеологич. значение, необходимость открыть на их базе водолечебницы. М. Яншина

32120. О новом бурении на термальную воду у города Цурцах, кантон Ааргау (северная Швейцария). Кадиш (Über die Wiedererbohrung der Therme von Zuzach (Kt. Argau). Cadisch Joos), Eclogae geol. helv., 1956, 49, № 2, 343—346 (нем.)

Приведены результаты геологич., термометрич. и хим. исследований при последнем бурении у источника термальных вод. Т-ра воды на глубине ~1000 м +40°. Хим. состав (в мг/л): Na⁺ 287,0; K⁺ 7,23; Ca²⁺ 20,55; Mg²⁺ 0,66; Fe²⁺ 0,56; Cl⁻ 136,9; SO₄²⁻ 276,2; HCO₃⁻ 251,4; общая минерализация 1003,4. Сообщена история исследования источника. Библ. 11 назв. Т. Ионас

32121. К вопросу геохимии бора соляных водоемов Крыма. Понизовский А. М., Мелешко Е. П., Геохимия, 1957, № 7, 642—644

На примере соляных водоемов Крыма авторы изучали накопление В при концентрировании морской воды в природных условиях и его содержание в рассолах озер II класса. Объектами служили рассолы Сиваша (морского типа), Перекопских озер (II класса), воды Азовского моря (у мыса Зюк), Черного моря (у Гурзуфа и Ялты) и рапа Чокракского озера. По мере концентрирования морской воды в Сиваше абс. содержание В (в %) постепенно увеличивается от 12,96 · 10⁻⁴, при солёности 9,039, до 24,52 · 10⁻⁴, при солёности 17,01 (в Восточном Сиваше), и до 35,34 · 10⁻⁴, при солёности 23,60, (в Западном Сиваше). В садочном бассейне (после садки NaCl), содержание В 76,74 · 10⁻⁴, при солёности 23,25. В воде Азовского моря — 1,70 · 10⁻⁴, при солёности 1,08, Черного — 2,26—2,76 · 10⁻⁴, при солёности 1,806—1,824. Отношение В · 10⁴/Cl в рассолах Сиваша (2,60—2,86) практически такое же, как и в водах океана и морей (2,5—2,7). В упомянутых рассолах и водах В находится в форме борной к-ты и иона H₂BO₃. Перекопские озера (Старое, Красное, Керлеутское), солёнок, в которых идет за счет выщелачивания глинистых толщ материка, характеризуются пониженной концентрацией В, абс. содержание которого в 3—5 раз ниже,

чем в рапе Сиваша равной конц-ии, что авторы объясняют отсутствием связи их с морем. Высокая конц-ия В в Чокракском озере (76,3—81,3·10⁻⁴, примерно в 8 раз больше, чем в рассолах Перекопских озер той же конц-ии) связывается с грязевыми сопками Керченского п-ва.

Л. Балашов
32122. О хлорбромном коэффициенте подземных вод. Кротова В. А., Тр. Всес. нефт. н.-и. геологоразвед. ин-та, 1956, вып. 95, 254—265

На основе материалов изучения химизма глубинных вод нефтеносных районов СССР и, в частности, Волго-Уральской нефтеносной провинции намечается ряд закономерностей в изменении величины хлорбромного коэф. (ХБК) в водах платформенных структур. Чем больше глубина залегания водоносного горизонта, лучше условия закрытости включающей его структуры, чем древнее этот горизонт, т. е. чем больше был период концентрирования в водах солей, тем больше конц-ия в водах Вг и меньше величина ХБК. При рассмотрении раскрытых структур следует учитывать, что наличие на небольших глубинах вод с низким значением ХБК говорит о наличии путей вертикальной миграции, дающих возможность внедрения вод по трещинам из нижележащих горизонтов. В условиях определенной глубины литолого-фациальный характер пород не оказывает влияния на величину ХБК; по площади водоносного горизонта уменьшение величины ХБК в водах данного стратиграфич. комплекса пород происходит в сторону погружения последнего на большие глубины. В платформенных условиях Волго-Уральской провинции на глубинах > 1000—1500 м повсеместно распространены воды со значением ХБК < 300, а на глубинах < 1000—1500 м — со значением > 300, при этом для верхней перми наиболее характерны значения ХБК от нескольких тысяч до 1300, для нижней перми — от 1450 до 500, для карбона 500—200, для девона < 300. Процессы накопления в водах хлоридов Са и Вг связаны между собой, поэтому низким значениям ХБК всегда соответствуют низкие величины отношения Na : Cl, отражающего степень обогащения воды хлоридами Са. Графич. построение зависимости ХБК от глубины играет значительную роль при установлении общих гидрохим. закономерностей, при выяснении преобладающих направлений миграции вод в отдельных районах и выявлении гидрохим. аномалий.

Л. Листова
32123. Методы количественного определения серы в отечественных лечебных водах при совместном присутствии в различных соединениях. Лоренц (A hazai gyógyvizeinkben egymás mellett különféle kötésben jelenlevő kén mennyiségi meghatározásának módszerei. Lorenz Judit), Hidrol. közlöny, 1957, 37, № 1, 69—73 (венг.; реф. русск., нем.)

В лечебных водах S обнаружена в виде ряда соединений, находящихся в динамич. равновесии. Автор разработал метод определения указанных совместно присутствующих соединений, используя для этого от-

дельные известные способы. Активная сера (S, S₂O₃²⁻ и CoS) определяется йодометрически по Шулеку-Рожа (Schulek, Rózsa, Hidrol. közlöny, 1947, 17, 8). Йодометрич. титрование основано на том, что S²⁻ окисляется йодом до S, а тиосульфат до тетрагидратона. В щел. среде сероокись углерода гидролизует в H₂S. В присутствии борной к-ты сульфиды разлагаются, образующийся H₂S удаляют кипячением и определяют оставшийся тиосульфат. Колл. S определяется бромцианистым методом: цианиды щел. металлов с серой переводятся в роданиды. При кипячении с борной к-той цианиды и сульфиды щел. металлов разлагаются, а оставшийся роданид может быть переведен бромной водой в бромистый циан, определяющийся йодометрически. Приводятся результаты анализа источника Уйкут (Венгрия). И. Криштофори

32124. Определение органических веществ в некоторых минеральных источниках Прикарпаття различными методами окисления. Борода Т. А., Горбенко Ф. П. (Визначення органічних речовин в деяких мінеральних джерелах Прикарпаття різними методами окислення. Борода Т. А., Горбенко Ф. П.), Доповіді та повідомлення, Львівськ. держ. пед. ін-т, 1957, вип. 2, 26—30 (укр.)

Изучалась окисляемость воды 16 источников с минерализацией 0,7—300 г/л и с содержанием Cl⁻ от очень малых кол-в до 189,36 г/л. Определение велось по Кубелю — Тиману (окисление 0,01 н. р-ром KMnO₄ в строго определенных условиях) и сжиганием хромовой смесью. Метод Кубеля показал значительно меньшую окисляемость (7,2—52,7%) по отношению окисляемости, найденной хромовым методом. С увеличением минерализации хромовый метод дает повышенные показатели окисляемости, что может быть объяснено окислением некоторых минер. в-в природных вод. Хромовый метод можно рекомендовать только для маломинерализованных вод. Необходимо разработать более эффективных методов.

А. Малахов

32125 К. Минералогические факты и проблемы (Mineral facts and problems. (Bull. Bur. Mines, № 556). Washington, U. S. Govt Printing Office, 1956, 1042 pp., ill., 5.75 doll.) (англ.)

32126 К. Уран. Элементарный справочник для разработки природных радиоактивных веществ. Пучфарди (L'uranio. Che cos'è. Dov'è. Come lo si cerca. Guida elementare alla prospezione delle sostanze radioattive naturali. Zuffardi Piero. Milano, U. Hoepli, 1956, xvi, 219 p., ill., 1500 L.) (итал.)

См. также: Физ. и хим. методы анализа минералов 32171, 32188. Радиоактивность 31619. Структура, состав и св-ва минералов 31512, 31588, 31591, 31594, 31598, 31619, 33203. Состав и св-ва руд, почв, природных вод и углей 32123, 32124, 32181, 32188, 32193, 33731. Распределение элементов в природных объектах 11856Бх. Микроэлементы и минералы в живых организмах 11855Бх, 11863Бх. Синтез минералов 31577, 31908, 33219.

АНАЛИТИЧЕСКАЯ ХИМИЯ

ОБЩИЕ ВОПРОСЫ

Редактор А. И. Бусев

32127. Химический анализ и приборы. Муро (Muto Giichi), Кайсоку, J. Soc. Instrum. Technol., Japan, 1957, 7, № 7, 367—371 (японск.)

32128. Применение экстракции органическими растворителями в химическом анализе. Алимарин

И. П., Полянский В. Н., Научн. тр. Моск. ин-та. 1957, сб. 5-6, 229—294

Обзор. Библ. 516 назв.

32129. Вычисление кривых титрования. Баркхузен (Berekening van titratiecurven. Barkhuysen F. H. Ch.), Chem. weekbl., 1957, 53, № 44, 590—596 (гол.)

Приведены способы вычислений кривых титрования многоосновных к-т сильными и слабыми основаниями.

сера (S-
по Шу-
бну, 1947,
а том, что
до тетра-
а гидроли-
сульфиды
кипячением
л. S опре-
щел. ме-
ри кипяче-
щел. метал-
может быть
н, опреде-
результаты
ришитофори-
в некото-
ья разны-
Горбен-
в десяти-
ими мето-
ко Ф. П.),
пед. ин-

ков с мн-
м Cl^- от
не велось
ом KMnO_4
нием хро-
ачительно
тношению
м. С уве-
ает повы-
жет быть
в природ-
ать толь-
дима раз-
Малахов

для раз-
в. Пуф-
o si cerca.
stanze ra-
no, U. Ho-
)

инералов
тура, со-
94, 31598,
дных вод
. Распре-
11856БЛ
ганиями
08, 33219.

А. Бусе
p k x e f
u y s e n
590—596

трования
ваниями.

Рассмотрен также вопрос титрования смеси многоосновных к-т и вычисления констант диссоциации из титрования. Н. Туркевич

32130. Автоматическое титрование. Шрёдер (Automatic titring. Schrøder Sv.), Nord. mejerieriet 1957. 23, № 5, 77—78 (датск.)

32131. Сивалан — стандартное вещество. Сакс, Стросс (Squalane: a standard. Sax Karl J., Stross Fred H.), *Analyt. Chem.*, 1957, 29, № 11, 1700—1702 (англ.).

Благодаря своему ветвистому строению и ряду диастереомеров сквалан $C_{30}H_{62}$ (мол. в. 422,80) является одним из немногих легко получаемых с высокой воспроизводимостью свойств, устойчивых жидких углеводородов для области мол. весов, близких к его мол. весу. По своим физ. свойствам $C_{30}H_{62}$ является хорошим, а во многих случаях превосходящим стандартным и калибровочным в-вом для определения мол. весов, вязкости, показателя преломления, С и Н методом окисления, а также как стационарная жидкая фаза в газо-жидкостной хроматографии. Сквалан нелетуч, не адсорбирует паров H_2O из воздуха и не имеет тенденции к неполному сгоранию: $n_D^{20} = 1,4516 \pm 0,0001$, $d_4^{20} = 0,80785 \pm 0,00003$ г/мл, вязкость при $100^\circ F$ ($37,8^\circ C$) и $210^\circ F$ ($98,9^\circ C$) равна $20,48 \pm 0,02$ и $4,197 \pm 0,004$ сст соответственно. Сквалан легко получается. Приведена методика. А. Горюнов

32132. Физико-химический анализ состава осадков. Ахмедли, Эфендиев (Чөкүнтү түркиянин физико-химийви анализи. Э.Һмәдлі М.Г., Эфендиев Ч.А.), Элми асарләр. Азәрб. унив., Уч. зап. Азәрб. ун-т, 1957, № 3, 25—41 (азерб.; рез. русск.) Исследованы 3 разреза системы $\text{BaCl}_2 - \text{Na}_2\text{SO}_4 - \text{H}_2\text{O}$ методом Остромысленского; менялись конц-я р-ра, т-ра и время отстаивания осадков. Определение состава осадка по всем трем разрезам показало, что во всех случаях $\text{Ba}^{2+} : \text{SO}_4^{2-} = 1 : 1$. Анализ длится ~2 час. и по точности не уступает весовому анализу.

32133. Определение произведений растворимости оксихинолатов галлия, индия и таллия. Пятницкий Н. В., Костышина А. П., Укр. хим. ж., 1957, 23, № 5, 599—601

С целью разработки оптимальных условий разделения металлов посредством осаждения оксихинолином изучена растворимость оксихинолятов Ga, In и Tl в ацетатных буферных р-рах с различными значениями pH и в уксуснокислых р-рах оксихинолина. Из эксперим. данных вычислены величины произведений растворимости, равные для Ga $8,7 \cdot 10^{-33}$, для In $4,6 \cdot 10^{-32}$ и для Tl $4 \cdot 10^{-33}$. А. Золотаревский

32134. Влияние бромида при броматометрических титрованиях. Цёльнер, Варга (Beeinflussung der Bromatometrie durch die Menge der Bromide. Zöllner E., Varga E.), Acta chim. Acad. sci. hung., 1957, 12, № 1, 1—13 (нем.; рез. англ., русск.)

Исследовано влияние бромида (I) на результаты определения различных органич. соединений броматометрич. методом. Установлено, что присутствие I независимо от типа сопоставляющего катиона) часто заметно влияет на ход р-ции (бромирование, окисление, замещение или присоединение) особенно в случае соединений, содержащих способный к окислению атом S, вызывая заниженные результаты. Степень занижения результатов зависит от типа органич. соединения и абс. кол-ва присутствующего I, но всегда приближается к некоторой определенной предельной величине (напр., 85,21% у базетерина, 52,90% у мотонина при 5,0 г KBr), хотя избыток I вообще дает заниженные результаты, независимо от изменения других влияющих на р-цию факторов, таких как т-ра, избыток бромата и т. п. Для получения опти-

мальных результатов следует строго придерживаться рекомендуемых по прописи кол-в I (0,15—0,50 г KBr).

А. Горюнов

32135. Использование кривых застывания и плавления для вычисления степени чистоты с помощью механического счетного устройства. Киниц (Auswertung von Erstarrungs- und Schmelzkurven zur Berechnung des Reinheitsgrades mittels Maschinenlochkarten. Kienitz Hermann), *Analyst. chim. acta*, 1957, 17, № 1, 43—48 (нем.; рез. англ., франц.).

Функция т-ры застывания соответственно т. пл. 2-фазной системы жидкость — твердое в-во, зависящая от времени, в условиях термич. равновесия при постоянном коэф. теплоотдачи (теплоподвода) является показательной функцией, графически довольно хорошо представляющей гиперболич. кривой (ГК). ГК т-ра — время наносились на график самозаписывающим приспособлением с чувствительностью 0,01%. Из полученных ГК определяют константы гиперболич. функции (ГФ): $T = T_f - b/(1 - cZ)$, где T и Z — переменные значения т-ры и времени, T_f — T_3 совершенно чистого в-ва, b и c — постоянные, определяющие форму ГК. С помощью найденных ГФ рассчитывают T_3 (т. пл.) данного в-ва в момент, когда первый (или соответственно последний) кристаллик вступает в равновесие с жидкой фазой, а также степень чистоты исследуемого в-ва. Геометрич. и аналитич. методы определения констант ГФ по трем точкам (Glasgow A. R. и др., J. Res. Nat. Bur. Standards, 1945, 35, 355; Kienitz, J. Res. Nat. Bur. Standards, 1945, 35, 812) имеют тот недостаток, что выбор этих трех точек весьма затруднителен, так как не все участки ГК являются одинаково полноценными. Во избежание этого недостатка константы ГФ определяют из большого числа пар значений т-ры и времени (~ 40), и если сумма квадратов отклонений экспериментально найденных т-р от рассчитанных из ГФ будет минимальной, то применение найденной ГФ обеспечивает получение точных результатов. Многочисленные расчеты вследствие их большой трудоемкости выполняются с помощью механич. электронно-счетного устройства.

А. Немодур

32136. Трибутилфосфат. Кибэ (ТВР (Tributyl phosphate). Kiba Toshiyasu). Бунсэки кагаку, Japan Analyst, 1957, 6, № 9, 597—603 (японск.)
Обзор. А. Бусев

32137. Термическое разложение внутрикомплексных соединений редкоземельных металлов с 5,7-дигалогено-8-оксихинолином. Уэндландт (The thermal decomposition of the 5,7-dihalo-8-quinolinol rare earth metal chelates. Wendlandt Wesley W.), *Anal. chim. acta*, 1957, 17, № 4, 428—433 (франц.).

Описаны результаты термогравиметрич. изучения внутрикомплексных соединений La, Ce, Pr, Nd, Sm, Y с производными оксианилина (I): 5,7-дихлор- (II), 5,7-дибром- (III), 5,7-диод- и 2-метил-8-оксианилином (V). Исследование велось на термовесах при скорости повышения т-ры 4,5° в минуту и максимально достигаемой т-ре 900°. Установлено, что разложение комплексов начинается в пределах 65–125°; термич. устойчивость комплексов уменьшается в следующей последовательности: $I \geq II \geq IV > III > V$. Устойчивость комплексов редкоземельных элементов в зависимости от элемента изменяется следующим образом: $La > Ce > Pr > Nd > Sm > Y$ (во всех случаях, кроме III и IV, для которых более устойчивы комплексы с Y, чем с Sm). Полное превращение комплексов в окислы происходит в температурном интервале 395–805° в следующем порядке: $III > I > II > V > IV$. Наиболее высокой т-рой превращения комплекса в окисел характеризуются соединения La, наиболее низкой — соединения Ce. Р. Моторкина

32138. Применение комплексонов. Доманж (Utilisation des complexons. Domange L.), Ann. falsific. et fraudes, 1957, 50, № 581—582, 229—239 (франц.) Обзор.

32139. Комплексометрическое титрование (хелатометрия). XXV. Ксиленоловый оранжевый в качестве нового специфического индикатора. Кёрбл, Пришибил, Эмр (Komplexometrische Titraktionen (Chelatometrie). XXV. Xylenolorange als neuer spezifischer Indikator. Körbl J., Pribil R., Emr A.), Сб. чехосл. хим. работ, 1957, 22, № 3, 961—966 (нем.; рез. русск.) См. РЖХим, 1957, 44807.

32140. Новые кислотно-щелочные индикаторы для малых значений pH. Кузнецов В. И., Кошелева Г. Н., Kagaaku kogō sirō, Chem. Eng'r Digest, 1957, 25, № 2, 75—76 (японск.) Перевод. См. РЖХим, 1956, 71908.

32141. О некоторых вопросах техники полярографического анализа. Лях А. И., Сб. тр. Всес. н.-и. ин-та цветн. мет., 1956, № 1, 175—180.

Практические указания относительно работы с полярографами для обеспечения достаточной точности и воспроизводимости анализов. В. Анохин

32142. Замечания к работам М. Сваха «О применении протектатехинсульфоталена в фотометрическом анализе. I, II и III». Малат, Сук (Bemerkungen zu den Arbeiten von M. Svach: über die Anwendung des Brenzcatechinsulfotaleins in der kolorimetrischen Analyse I, II und III. Malát M., Suk V.), Сб. чехосл. хим. работ, 1957, 22, № 3, 1055—1057 (нем.; рез. русск.) К РЖХим, 1957, 77304.

32143. Применение комплексонометрии в сочетании с применением ионообменных смол. Вюнш (Kombinované použití chelatometrie a měničů iontů. Přeběžné sdělení. Wünsch Luděk), Chem. listy, 1957, 51, № 2, 376—378 (чешск.); Сб. чехосл. хим. работ, 1957, 22, № 4, 1339—1341 (нем.; рез. русск.)

Избирательное разделение катионов путем их вымывания из хроматографич. колонки при помощи комплексообразующих реактивов весьма эффективно, однако аналитич. обработка сильно разб. элюата затруднительна. Новый прием заключается в избирательном вымывании катионов при помощи титрованных р-ров этилендиаминтетрауксусной к-ты или реактива Хента, иногда в сочетании с другими комплексообразующими реактивами, и в обратном титровании элюата обычными комплексометрич. методами. Высокая избирательность для определенного катиона или для группы катионов может быть достигнута путем применения соответствующего элюента. В качестве примера приведено отделение Ca от Mg. При разделении более сложных смесей катионов применяют избирательное вымывание при помощи комплексонов с разным pH или же вымывание катионов при помощи избирательных комплексообразующих реактивов, напр., триэтанолamina (разделение Sc, Al), яблочная к-та (отделение Sc от Ca, Mg, Ba, Sr и других катионов), тирон (отделение Fe, Ti, Al от Ca, Mg) и цианид. K. Mayer

32144. Обнаружение хроматографических пятен на бумаге. Сент-Дрёрдьи (Detection of chromatographic spots in paper. Szent-Györgyi Albert), Science, 1957, 126, № 3277, 751 (англ.)

При отсутствии окраски, флуоресценции или фосфоресценции при комнатной т-ре можно обнаружить многие в-ва на бумажных хроматограммах, помещая бумагу на некоторое время в жидкий азот и затем рассматривая ее в темноте в УФ-свете. Так как в этих условиях сама бумага дает слабую фосфоресценцию, то некоторые в-ва, если они подавляют последнюю,

видны в виде темных пятен. Можно применять охлаждение сухим льдом, тогда бумага помещается в стеклянный цилиндр, прижимается к стенке и цилиндр заполняется измельченным льдом. Наблюдение ведется прямо через стенку цилиндра. Существенно, что при таком методе определения пятен не происходит хим. изменения разделяемых в-в.

32145. Количественный метод автоматического нанесения миллилитровых количеств раствора на бумажные хроматограммы. Левенбук (Quantitative method for the automatic application of milliliter quantities onto paper chromatograms. Levenbuck Leo), Analyt. Chem., 1957, 29, № 11, 1719—1720 (англ.)

В целях преодоления затруднений при нанесении на бумажные хроматограммы миллилитровых малокоцентрированных исследуемых р-ров (ИР) в виде ряда последовательных мелких порций с промежуточной сушкой бумаги, автор разработал автоматич. приспособление, позволяющее наносить на бумагу до 0,5 мл ИР в виде компактного пятна diam. 3—4 мм. ИР непрерывно подается на бумагу с малой и постоянной скоростью с помощью цельностеклянного шприца, управляемого через микрометрич. винт моторчиком Уоррена (скорость 2 об/мин) с одновременным непрерывным подсушиванием образующегося пятна струей подогретого электрич. нагревателем воздуха, направляемого под небольшим давлением (0,30—0,35 кг/см²) и через сопло в район нанесения пятна. Шаг микрометрич. винта равен 0,5 мм, объем шприца 0,5 мл при длине 25 мм. Один оборот микрометрич. винта соответствует подаче 0,01 мл ИР. Расход времени на нанесение на бумагу 0,5 мл ИР составляет 50 мин. А. Горюнов

32146. Простой способ фотографирования хроматограмм и электрофореграмм флуоресцентных веществ. Фазелла, Бальони (Semplice procedimento per fotografare cromatogrammi ed elettrogrammi di sostanze fluorescenti. Fasella P., Baglioni C.), Boll. Soc. ital. biol. sperim., 1955, 31, № 5, 554—557 (итал.)

Для фотографирования хроматограмм и электрофореграмм флуоресцентных в-в применяют пленки Grafoflex Fertania, практически нечувствительные к красному свету, и Hg-лампу Филлипса, тип 57202 E70. Проявитель содержит в 1000 мл 1,5 г метола, 27 г безводн. Na₂SO₃ (I), 6 г гидрохинона, 42 г безводн. Na₂CO₃, 0,3 г KBr. Фиксаж содержит 240 г Na₂S₂O₄ · 5H₂O (II), 8 г I и 12 мл лед. уксусной к-ты в 1000 мл или 300 г II и 30 г H₃BO₃ в 1000 мл. При фотографировании пятен тioxрома, рибофлавина или соответственно витамина B₆ (также пиридоксала и пиридоксамин) экспозиция составляет 10, 10 и 15 мин.; продолжительность проявления 30, 30 и 60 мин.; желатиновые фильтры (толщиной 0,2 мм): 2 желтых и 4 зеленых, 4 желтых и 2 зеленых, 4 зеленых. Могут быть также применены стеклянные фильтры зеленого цвета толщиной в 2 мм. Расстояние УФ-ламп от хроматограмм во всех случаях 25 см. Н. Турневич

32147. Точность эксперимента при количественном анализе методом газовой хроматографии. Морель (Précision expérimentale dans l'analyse quantitative par chromatographie de gaz. Maurel Raymond), C. r. Acad. sci., 1957, 244, № 26, 3157—3159 (франц.)

Анализ смеси триметил-1,1,3-циклогексана (I), метаксилола (II) и псевдокумола (III) выполнен на 2-м колонке, заполненной нонилфталатом на целите в качестве носителя и нагретой до 160°. При скорости N₂ 2 л/час I, II и III проходят через колонку соответственно через 3,25 и 10,5 мин. Кол-ва I, II и III определялись по кривым теплопроводности выходящих фракций. Площадь получающихся максимумов

(ПМ) пропорциональна кол-ву определяемого в-ва. Однако коэф. пропорциональности зависит не только от природы в-ва, но и от величины ПМ. Для повышения точности результатов предлагается ввести поправочный член и пользоваться исправленными значениями ПМ. Введение поправочного члена необходимо из-за неспособности милливольтметра точно следовать изменению напряжения на выходе прибора. Скорость смещения стрелки, по-видимому, определяет величину ошибки показаний милливольтметра. Н. Полянский

32148. О хроматографическом методе анализа газов и его применении в промышленности. Завиша (O chromatograficznej metodzie analizy gazów i jej zastosowaniu przemysłowym. Zawisza Andrzej), Koks, smoła, gaz, 1957, 2, № 4, 157—165 (польск.; рез. русск., англ., нем.)

Описаны принципы, методика и аппаратура для хроматографич. анализа газов органич. и неорганич. происхождения. Обсуждаются возможности хроматографич. анализа промышленных газов — коксового, доменного и др. Резюме автора

32149. Заметки к спектрально-аналитической литературе. I. Спектр железа в таблицах Броде. II. Длина волн линий калия в таблицах Гаррисона. Кнорп (Poznámky ke spektrálně analytické literatuře. I. Spektrum železa v Brodeho tabulkách. II. Vlnové délky draslíkových čar v Harrisonových tabulkách. Knor J.), Chem. listy, 1956, 50, № 12, 2040—2041; 1957, 51, № 1, 182—185 (чешск.); Сб. чехосл. хим. работ, 1957, 22, № 2, 603—605; № 5, 1709—1712 (нем.; рез. русск.)

I. Приведены исправления числовых значений длин волн 102 линий в спектре Fe в таблицах Броде в работах 2313,65—5051,04 Å (Brode W. R., Chemical spectroscopy. II. vyd. New York, Wiley; London, Chapman and Hall, 1945). Исправления произведены в результате сравнения с таблицами других авторов, а также измерения репродукции спектров измерителем Пейсса с точностью до 0,1 мμ, причем деление в 1 мμ соответствовало в репродукции 0,15—2,05 Å в зависимости от области спектра.

II. Произведена проверка длин волн К. Н. Т. **32150. Спектральный анализ по единому градуировочному графику методом независимого испарения в атмосфере хлора. Кустанович И. М.,** Заводск. лаборатория, 1957, 23, № 11, 1332—1335

Проведено исследование с целью устранения влияния состава и структуры пробы на результаты анализа. Угольный нижний электрод длиной 47 мм имеет сквозной канал диам. 2 мм. На расстоянии 15 и 5 мм от концов внешний диам. электрода 9 мм, в утоненной части 4 мм. В канал утоненной части электрода помещают 20 мг пробы, а ниже и выше пробы крупный угольный порошок. Через электрод пропускают ток 100—180 а. Т-ра внутри электрода 2900°. В электрод пропускают хлор со скоростью до 1,3 л/мин, при этом образуются хлориды, которые, поднимаясь по каналу вверх, попадают в межэлектродный промежуток, образуемый описанным выше электродом и угольным стержнем. Штатив с электродами заключен в камеру. Спектр возбуждают в дуговом разряде переменного тока при 7 а. При медленном испарении пробы устраняется почти полностью влияние состава пробы на т-ру дуги и становится возможным определять по единому градуировочному графику тот или иной элемент в пробах различного валового состава с ошибкой 3—5%. Метод испытан при определении Mn, Ca и Si (внутренний стандарт — кобальт) в марганцевой руде, шлаке, ферросилиции, чугуна, стали, динасе и кирпиче. Г. Кибисов

32151. Влияние азотизации на результаты спектрального анализа и способ устранения наблюдаемого эффекта. Грикит И. А., Заводск. лаборатория, 1957, 23, № 11, 1347—1351

При возбуждении спектра стали в высоковольтной конденсированной искре с угольным электродом для азотированных образцов по сравнению с неазотированными получают пониженные концентрации Si, Cr, Mn, Mo и Al и повышенные Ni. Влияние деформации и термич. обработки на результаты анализа незаметно. Влияние азотизации устраняется, если угольный электрод заменяется медным, заточенным на конус, со сферич. вершиной с радиусом кривизны 1 мм. В дуговом разряде с угольным электродом азотизация на результаты анализа не влияет. Причину влияния азотизации объясняют образованием нитридов Fe, Al, Cr, Mn, Mo, Si и степенью их устойчивости. Нитрид Ni очень неустойчив. Г. Кибисов

32152. Об одном методе микроспектрального анализа. Миркин И. Л., Рикман Э. П., Заводск. лаборатория, 1957, 23, № 11, 1338—1341

Описан метод локального спектрального анализа с точечным источником выпрямленного ВЧ-тока от генератора дуги переменного тока ПС-39, входящего в комплект спектрографа ИСП-22. Ток выпрямляют кенотронным выпрямителем, собранным по схеме Латура. Напряжение 6 кВ, сила тока в цепи искры 0,007 а, образец включают катодом. Стальная игла, располагаемая перпендикулярно или параллельно щели спектрографа, служит анодом. Искровой рабочий промежуток 0,1—0,3 мм, время экспозиции при анализе стали 1—2 мин. Искру резко фокусируют на щель среднего спектрографа. Разряд оставляет на шлифе образца кратер диам. 0,1 мм, глубиной несколько микрон. Исследовано распределение магния в чугуне с шаровидным графитом. Для лучшего выбора анализируемого участка пробы применяют металлографич. микроскоп с увеличением в 100 раз. Метод позволяет оценить содержание ряда элементов в теле и на границе зерен в образцах сложнотемпированной аустенитной стали. Г. Кибисов

32153. Пламенная фотометрия. Фукусима (Fukushima Shou-zou), Кагаку но рёйки, J. Japan Chem., 1957, 11, № 9, 669—675 (японск.)

Обзор. Библ. 118 назв.

32154 К. Органические осадители в количественном анализе. Изд. 4-е, перераб. Продингер (Organische Fällungsmittel in der quantitativen Analyse. 4. umgearb. Aufl. Prodinger Wilhelm. Stuttgart, Enke, 1957, XV, 246 S., ill., 35.60 DM) (нем.)

АНАЛИЗ НЕОРГАНИЧЕСКИХ ВЕЩЕСТВ

Редактор Ф. П. Судakov

32155. Применение тетрафенилборнатрия (калингоста) в аналитической химии. Тейгелер (De toepassing van tetrafenylboraat-natrium (kalignost). Teijgeler C. A.), Chem. en pharm. techn., 1957, 13, № 3, 48; № 4, 57—58; № 5, 75—76; № 6, 90—92 (гол.)

Обзор. Библ. 45 назв.

Ф. Судakov

32156. Применение органических реактивов в неорганическом анализе. Часть V. Хроматография на бумаге комплексных соединений некоторых металлов с 1-нитрозо-2-оксид-3-нафтойной кислотой. Датта, Гхош (Use of organic reagents in inorganic analysis. Part V. Paperchromatography of some metal complexes of 1-nitroso-2-hydroxy-3-naphthoic acid. Datta Sachindra Kumar, Ghose Prafullanath), Z. analyt. Chem., 1957, 158, № 5, 347—355 (англ.)

Изучена возможность использования окрашенных комплексных соединений Co, Pd, U, Th и Zr с 1-нитро-

зо-2-окси-3-нафтойной к-той (I) для хроматографич. разделения этих металлов. Комплексы количественно осаждали из горячих р-ров хлоридов, сульфатов или нитратов соответствующих металлов при добавлении 1%-ного р-ра I, отфильтровывали и промывали водой. 0,1 г высушенного осадка растворяли в 10 мл 2 н. HCl (Th, Zn) или 2 н. NH₄OH (Co, Pd, U) и полученные р-ры последовательно наносили на полоску (6,25 × 40 см) бумаги ватман № 1 в виде общего пятна diam. ~ 3,5 мм, в кол-вах, соответствующих 50 γ каждого элемента. Следы Fe и других элементов, загрязняющие бумагу, удаляли промыванием бумаги смесью CH₃COOH, пиридина, HCl и воды (15:5:2:78). Применяли полоски как чистой бумаги, так и пропитанной 3%-ными р-рами солей: NaCl, KCl, MgSO₄, Zn(NO₃)₂, Na₂SiO₃ и др. В качестве подвижной фазы испытывали смеси, составленные в различных комбинациях из н-, изо-, тетра-С₄H₉OH, С₂H₅OH, пиридина, диоксана, ацетона, метилизобутилового спирта, метилэтилкетона, этилацетата, СН₃ОН, бензола, толуола, фенола, амиллового спирта, воды и др. Хроматограммы проявляли в течение 3—4 час. Для обнаружения пятен Co, Pd и U хроматограммы обрабатывали газообразными NH₃ и H₂S или опрыскивали р-ром резорцина в С₂H₅OH, а для обнаружения пятен Th и Zr — опрыскивали 0,5%-ным р-ром ализарина в С₂H₅OH, обработанным газообразным NH₃, с последующим рассмотрением хроматограмм в УФ- или дневном свете. Наилучшие результаты при разделении комплексов Co, Pd и U с I получены на чистой бумаге с р-рителем, состоящим из смеси ацетона, изо-С₄H₉OH и 12 н. HCl (60:38:2). Величины R_f равны 0,45; 0,29 и 0,53 соответственно. Th и Zr имеют во всех испытанных р-рителях R_f = 0. Часть IV см. РЖХим, 1958, 840.

А. Горюнов
32157. о-Дитиолы в анализе. Часть V. Комплекс цинка с толуол-3,4-дитиолом в качестве реактива для мышьяка и германия. Кларк (o-Dithiols in analysis. Part V. The zinc complex of toluene-3:4-dithiol as a reagent for arsenic and germanium. Clark Robert E. D.), Analyst, 1957, 82, № 980, 760—763 (англ.).

Описано хим. поведение комплекса Zn с толуол-3,4-дитиолом (I) и изучена возможность применения I в анализе, в частности для открытия As(5+) и Ge по образованию белой мути при взаимодействии I с этими элементами. При открытии As к 1 мл анализируемого р-ра прибавляют 0,5 мл конц. HCl, 50—150 мг SnCl₂ · 2H₂O, кипятят 3—5 сек., насыпают I на поверхность жидкости, встряхивают и снова кипятят 10—20 сек. Помутнение р-ра свидетельствует о присутствии As. Чувствительность метода 0,2 γ/мл. Присутствие BO₃³⁻, Br⁻, F⁻, J⁻, ClO₄⁻, PO₄³⁻, SO₄²⁻ и SCN⁻ не мешает открытию. Ge, Re и Os удаляют упариванием с HCl в присутствии хлората. В присутствии V(5+), Sb(5+) или U в качестве восстановителя вместо SnCl₂ · 2H₂O применяют гипофосфит Na. В присутствии многих органич. соединений чувствительность метода понижается. При открытии Ge к анализируемому р-ру в колбе с пористой крышечкой прибавляют HCl до конц-ии 2,5—3,5 н., немного KClO₃, кипятят и с помощью газовой пипетки отбирают 50 мл пара. К конденсату добавляют половинный объем конц. HCl и 50—100 мг SnCl₂ · 2H₂O, кипятят, насыпают I на поверхность р-ра и снова кипятят. В присутствии Ge образуется исчезающая белая муть. Присутствие Au, Ce, Ga, In, U, V(5+), Se(4+), Mo(6+), W(6+), Ru(3+), Rh(2+), Rh(4+), Pd, Ir, Pt(2+), Ag и As не мешает определению. В присутствии Re(8+) и Os(8+) после стадии восстановления анализируемый р-р нагревают 4—5 мин. для коагуляции коллоидов металлов. Часть IV см. РЖХим, 1957, 60814.

Р. Моторкина

32158. Одновременное микроопределение меди и железа с применением смеси фенантролинов. Зам. Ресслер (Simultaneous microdetermination of copper and iron using mixed phenanthrolines. Zak Bencie, Ressler Newton), Analyst. Chem., 1958, 28, № 7, 1158—1161 (англ.).

Гаммовые кол-ва Fe и Cu определяют спектрофотометрированием при 454 и 510 мμ окрашенных р-ров комплексов Fe с I, 10-фенантролином (I) и Cu с 2,9-диметил-1,10-фенантролином (неокуптроном) (II) в присутствии восстановителя аскорбиновой к-ты или спектрофотометрированием при 535 и 454 мμ окрашенных р-ров комплексов Fe с 4,7-дифенил-1,10-фенантролином и Cu с II. Искомые конц-ии Fe и Cu находят по ур-ниям для системы из двух компонентов. Более точные результаты получаются при определении Cu в форме комплекса с II после экстрагирования изомилловым спиртом, а Fe в форме комплекса с I, остающегося в водн. фазе.

Н. Чудинова

32159. Комплексометрическое титрование (хелатометрия). XXX. Метилтимоловый синий — новый металлохромный индикатор типа комплексона. Кэрбл, Пришибил (Komplexometrické titrace (chelatometrie). XXX. Methylthymolová modř, nový metalochromní indikátor komplexonového typu. Křibíl Jiří, Příbil Rudolf), Chem. listy, 1957, 51, № 6, 1061—1067 (чешск.).

В качестве нового металлохромного индикатора предложен 3,3'-бис-N,N-ди(карбоксиметил)аминометилтимолсульфоталеин (I), названный авторами «метилтимоловый синий». Na-соль I легко растворяется в воде с образованием достаточно устойчивого р-ра; в С₂H₅OH не растворяется. Как кислотно-основной индикатор I имеет 4 области pH перехода окраски: pH < 0 (красная — желтая), pH 6,5—8,5 (желтая — светло-синяя), pH 10,7—11,5 (светло-синяя — серая) и pH > 12,7 (серая — темно-синяя). Со многими катионами I образует в широких пределах pH комплексы, окраска которых варьирует от интенсивно синей до сине-фиолетовой. Большинство из этих комплексов можно прямо титровать р-ром комплексона III. При этом I дает наиболее резкий переход окраски при pH 0—6,5 (синяя — желтая) и 11,5—12,7 (синяя — серо-желтая). В кислой среде области существования комплексов I с отдельными катионами и условия титрования Bi, Th, Sc, La, Pb, Zn и Cd совпадают с таковыми для кислого оранжевого (II) (РЖХим, 1957, 44807). Титрованию не мешает присутствие NH₄-солей. В кислом р-ре, сильно забуференном уротропином, с применением I можно определить также Hg и Co; определению Hg мешает присутствие больших кол-в NH₄⁺ и Cl⁻; определение Co производят при 80°. Для прямого определения Al, Ni, Cu, Zr и Fe(3+) I непригоден. В щел. среде (NH₄OH или NaOH) можно с применением I определить Zn, Cd, Pb (в присутствии тартрата), Ca, Sr, Ba, Mg, Mn и небольшие кол-ва Co и Cu. Среда NaOH является особенно подходящей при титрованиях Ca, Sr и Ba; конц-ия NaOH должна быть ≤ 0,05—0,06 M. Ca можно определить и в присутствии небольших кол-в Al и Fe. I по сравнению с II имеет более резкий переход окраски в щел. среде; в этой среде, кроме того, I менее подвержен окислению, чем эриохромовый черный Т. Сообщение XXIX см. РЖХим, 1958, 24756.

Karel Káňa

32160. Применение комплексонов в химическом анализе. LII. Открытие бора, германия, ниобия и тантала при помощи пирокатехинового фиолетового. Патровский (Proužití komplexonu v chemické analýze LII. Důkaz boru, germania, niobu a tantalu pyrokatechinovou violetí. Patrovský Věnceslav), Chem. listy, 1957, 51, № 5, 968—969 (чешск.). Установлено, что в нейтр. или очень слабощелочн.

медь и
ионов. За
tion of co
lines. Zak
Chem., 1956.

спектрофото
и Cu с 2,9
м) (II) в
к-ты как
и окр
и 1,10-фе
Fe и Cu
комплес
при опр
экстрагиро
комплес
Чудина

индикатора
гидрометал
и смес
орается в
ого р-ра;
о-основной
окраски:
желтая —
серая) и
и катодн
омплеск
синей до
омплесков
III. При
аски при
(синий —
ствования
овия тит
от с тако
(РЖХим,
исутствие
ном уро
ть такие
е боль
оизводит
и, Zn и
и NaOH)
о (в при
большие
но под
NaOH
делить и
сравне
и в цел
двержен
общение
Kámen
ром ана
и та
етового.
hemické
tantalu
Věd se
чешск.)
окислой

среде (рН 6—7) пирокатехиновый фиолетовый дает с В светло-красную, с Ge пурпурно-фиолетовую, с Nb и Ta темно-фиолетовую окраску. Эти цветные р-ции можно использовать для открытия указанных элементов. Мешающее влияние Sn(4+), W, Ti, As, Se и других элементов устраняют прибавлением 0,1 M р-ра комплексона III и насыщ. р-ра (NH₄)₂C₂O₄. В присутствии F⁻ и тартратов окраска не появляется. Открытие отдельных элементов возможно только после их разделения; каждый раз необходимо провести одновременно контрольный опыт. Чувствительность открытия рД для Ge 6,4, для В 4,5, для Nb и Ta 4,8. В-ва, сопутствующие указанным элементам в минер. сырье, даже в больших кол-вах практически не оказывают мешающего влияния. Сообщение LI см. РЖХим, 1957, 41453.

Karel Kámen

32161. Комплексометрическое титрование (хелатометрия). XXXI. Анализ кальций-динатриевой соли этилендиаминтетрауксусной кислоты. Бубен, Кербль, Пришибил (Komplexometrické titrace (chelatometrie). XXXI. Hodnocení chelatonátu vápenatého. Buben František, Kőrbl Jiří, Příšibíl Rudolf), Chem. listy, 1957, 51, № 7, 1307—1311 (чешск.)

Разработан быстрый комплексометрич. метод определения свободного и общего Са в комплексона III (I) и Са-Na₂-соли этилендиаминтетрауксусной к-ты (II) и фармацевтич. препаратах. Применение метил-метилового синего (III) в качестве индикатора в кислой и щел. среде позволяет определить все компоненты в одной навеске пробы. Анализируемую пробу, содержащую 200—300 мг II, растворяют в 100 мл воды, прибавляют 3—5 капель 0,1%-ного водн. р-ра III и подщелачивают 0,1 н. р-ром NaOH (5 мл). Если в анализируемом р-ре присутствуют свободные ионы Са²⁺, желтая окраска р-ра переходит в синюю; в этом случае свободный Са оттитровывают 0,01 M р-ром I. Если в р-ре отсутствуют ионы Са²⁺, то р-р после отщелачивания приобретает дымчатую окраску; в этом случае оттитровывают присутствующий свободный I 0,01 M р-ром СаCl₂. Затем к этому же р-ру прибавляют 0,8 мл 1 н. HNO₃ и 0,25 г твердого гексаметилен-тетрамина (до рН ~ 5) и титрованием 0,05 M р-ром Pb(NO₃)₂ определяют весь присутствующий I. Незначительный избыток Pb удаляют добавлением 4 капли 0,05 M р-ра I, р-р подщелачивают 25%-ным NH₄OH до рН 11,5—12,5 (10 мл) и титрованием тем же р-ром I определяют общее содержание Са. Для определения содержания воды в II метод высушивания неприменим, так как при этом необходима высокая т-ра (>200°); для этой цели пригоден метод К. Фишера или термометрич. метод. Сообщение XXX см. РЖХим, 1958, 32159.

Karel Kámen

32162. Титрование раствором цианида калия. Долежал, Симон, Зыка (Titrace kyanidem draselným. Doležal Jan, Simon Vladimír, Zýka Jaroslav), Chem. listy, 1957, 51, № 5, 880—883 (чешск.); Сб. чехосл. хим. работ, 1957, 22, № 6, 1805—1808 (нем.; рез. русск.)

Описано комплексометрич. титрование Cu²⁺ и Ni²⁺ 0,1—0,01 M р-ром KCN в среде NH₄OH с использованием мурексиды в качестве индикатора. Ni²⁺, Hg²⁺, Ag⁺, Au³⁺ и Pd²⁺ определяют даже в очень низких конц-ях косвенным методом — титрованием избытка KCN 0,1—0,01 M р-ром NiSO₄ в присутствии того же индикатора. Этот метод титрования очень точен и пригоден также для определения цианидов. Прямое определение Ni в конц-ях ≤ 0,01 M, так же как и косвенное определение Cu, уже не является столь выгодным. Pd определяют в присутствии Ir и Rh (но не Pt), а Hg или Ni — в присутствии Zn до соотношения Hg(Ni) : Zn = 2 : 1. Возможно одновременное опреде-

ление Ag⁺ и Cu²⁺ в смесях, причем сначала определяют Cu титрованием р-ром комплексона III в слабо-аммиачной среде, а затем Ag косвенным титрованием, как указано выше; в обоих случаях в качестве индикатора используют мурексид.

Karel Kámen

32163. Меркуриметрическое титрование с помощью окислительно-восстановительных индикаторов. I. Определение галонидов двухвалентной ртути. Богнар, Еллинек (Merkurimetriás titrálások — redoxi indikátorokkal. I. Halogének, illetve a higany (II)-ion meghatározása. Bognár János, Jellinek Olga), Magyar kém. folyóirat, 1957, 63, № 11, 309—313 (венг.; рез. нем.)

Установлено, что окислительный потенциал иона Fe(CN)₆³⁻ в присутствии небольших кол-в Hg²⁺ чрезвычайно возрастает, достигая окислительного потенциала MnO₄⁻ или Ce⁴⁺. Это, по мнению авторов, объясняется тем, что присутствующий в небольшой конц-ии Fe(CN)₆⁴⁻ образует нерастворимый ферроцианид Hg, что в свою очередь приводит к увеличению потенциала Fe(CN)₆³⁻. Это явление использовано авторами для разработки нового метода установления конечной точки меркуриметрич. титрования: в присутствии Hg²⁺ феррицианид может окислять окислительно-восстановительные индикаторы с высоким потенциалом перехода. В процессе титрования, пока в титруемом р-ре имеется ион, связывающий Hg²⁺ в плохо диссоциирующее соединение, Hg²⁺ не влияет на окислительный потенциал Fe(CN)₆³⁻; 1-я лишняя капля р-ра Hg²⁺ вблизи точки эквивалентности вызывает описанный эффект. В качестве индикаторов особенно пригодны трифенилметановые красители: ксиленовый синий VS, эриоглауцин А, цианин В, ксиленилазол FF и др. Разработан метод определения Cl⁻, Br⁻ и J⁻. Во всех случаях титрование проводят в сильно серноокислой среде (4—10 н.). Переход окраски индикатора реаккий, но не мгновенный. Для титрования Cl⁻ пригоден лишь индикатор астра-синий G (0,3 мл 0,1%-ного р-ра). Кол-во вводимого Fe(CN)₆³⁻ составляет 1 капля 1/30 M р-ра. Ошибка определения 0,2%. Для определения Br⁻ пригоден любой из указанных индикаторов. Титрование J⁻ выполняют только в разб. р-рах с использованием дифениламинсульфокислоты в качестве индикатора. Определению Cl⁻, Br⁻ и J⁻ мешают Cu²⁺, Co²⁺, Ni²⁺, Cr³⁺, Fe²⁺, NO₂⁻, Ce⁴⁺, MnO₄⁻, V(5+) и BrO₃⁻. Отмечается также возможность определения Hg²⁺ обратным титрованием избытка Br⁻; прямое титрование Hg²⁺ невозможно.

И. Криштофови

32164. Кондуктометрический анализ окислительно-восстановительных систем. Загородний С. Ф. Тр. Отчетн. научн. конференции (Ростовск.-н/Д. мед. ин-т) за 1956 г. Ростов-на-Дону, 1957, 855—857

Показана возможность кондуктометрич. титрования 0,1 н. KMnO₄, 0,55 н. р-ром K₂Fe(CN)₆ и 0,1 н. K₂MnO₄, 1,2 н. р-ром Ba(CH₃COO)₂. Определение MnO₄²⁻ производится на основе р-ции гидролиза MnO₄²⁻. На кривой титрования 1 н. р-ром HCl наблюдается два изгиба: 1-й соответствует окончанию нейтр-ции свободной щелочи, 2-й — окончанию нейтр-ции щелочи, образующейся при гидролизе MnO₄²⁻. При низких конц-ях KMnO₄ и K₂MnO₄ ошибка их определения достигает 10%.

В. Тишкова

32165. Применение анионообменников в аналитической химии. I. Сорбция хлоридных комплексов некоторых металлов на анионообменнике OAL. II. Отделение небольших количеств кобальта от никеля. III. Отделение небольших количеств Pb, Zn, Cd, Sn и Bi от Cu, Co и Fe. Липка, Клар (Použití měničů aniontů v analytické chemii. I. Sorpce chloridových komplexů některých kovů na měničích aniontů OAL. II. Dělení malých množství kobaltu od niklu.

III. Dělení malých množství Pb, Zn, Cd, Sn a Bi od Cu, Co a Fe. Liška Karel, Klír Ladislav), Chem. listy, 1957, 51, № 8, 1467—1470; 1547—1548; 1549—1550 (чешск.)

I. Исследована применимость сильнощел. анионообменника OAL (I) чехословацкого произ-ва, функциональной группой которого является четвертично связанный N, для аналитич. разделения катионов металлов. Определены константы элюирования (KЭ) I для Ni^{2+} , Mn^{2+} , As^{5+} , Co^{2+} , Cu^{2+} , Zn^{2+} , Fe^{3+} , Pb^{2+} , Cd^{2+} , Bi^{3+} и Sn^{4+} в 0,1—12 M HCl. Для этого измеряли объем элюента (HCl), который необходимо пропустить через I до появления в элюате первых следов соответствующего металла и относили этот объем к 1 мл I. Полученные таким образом KЭ для различных металлов существенно различаются между собой, что дает возможность, напр., отделить Co от Ni или Pb, Zn, Cd, Sn и Bi от Cu, Fe и Co. Если различия между значениями KЭ у разделяемых металлов малы, то разделение проводят несколько раз. Величины KЭ I в некоторых случаях значительно отличаются от соответствующих величин KЭ других ионообменников, напр. дауэкс-1, вофатит L 150. Недостатком I является сравнительно небольшая механич. прочность I.

II. Изучена возможность отделения Co от Ni при помощи I. Наибольшее различие между KЭ для Co (0,045—0,039) и Ni (1,10—1,29) наблюдается в 9—12 M HCl. Разработанный авторами метод пригоден для отделения небольших кол-в Co от Ni; отделению мешают многие катионы, которые сорбируются на I совместно с Co (Fe^{3+} , Cu^{2+} , Pb^{2+} , Zn^{2+} , Cd^{2+} , Sn^{4+} и др.). Анализируемую пробу в форме хлоридов с наибольшим содержанием (—10 мг) Ni растворяют в 1 мл конц. HCl и полученный р-р пропускают со скоростью ~1 мл/мин через микроколону емк. ~2 мл с I, предварительно промытым конц. соляной к-той. Затем промывают колону конц. р-ром HCl (10 мл) до отрицательной р-ции на Ni^{2+} с диметилглиоксимом и вымывают Co^{2+} из I с помощью 10 мл воды. Содержание Co в элюате определяют фотометрически при помощи α -фурилмонооксида или α -нитрозо- β -нафтаола.

III. Разработан метод отделения небольших кол-в Pb^{2+} , Zn^{2+} , Cd^{2+} , Sn^{4+} и Bi^{3+} от избытка Cu^{2+} , Co^{2+} или Fe^{3+} с применением I. Подходящей средой для отделения является 0,5—3 M HCl, в которой ни Cu^{2+} , ни Co^{2+} , ни Fe^{3+} не сорбируется на I. Р-р хлоридов разделяемых металлов в 1 M HCl пропускают через колону с 20 см³ I, предварительно промытым 1 M р-ром HCl, и I промывают 1 M р-ром HCl до отрицательной р-ции на Cu^{2+} (с бензоиноксимом), на Co^{2+} (с мурексидом) и Fe^{3+} (с KSCN). Затем катионы, сорбированные на I, последовательно вымывают с помощью 100 мл соответствующего реактива, а именно: Pb^{2+} , Zn^{2+} и Sn^{4+} 0,1 M р-ром HCl, Cd^{2+} водой, Bi^{3+} 5%-ной HNO_3 . В элюатах определяют Zn^{2+} , Cd^{2+} и Pb^{2+} комплексометрически, Sn^{4+} фотометрически при помощи кверцетина и Bi^{3+} фотометрически при помощи тиомочевины. Метод особенно пригоден для простого отделения Zn от Cd и позволяет определить следовые кол-ва Cd (0,0006%) в металлич. Cu.

Karel Kámen

32166. Применение аминсоединений в полярографии неорганических веществ. IV. Полярографическое поведение цинка, кобальта и никеля в растворах глицина. Копаница, Долежал. V. Одновременное определение таллия, меди, свинца и кадмия в индии. Долежал (Užití aminosloučenin v polarografii anorganických látek. IV. Polarografické chování zinku, kobaltu a niklu v roztocích glycinu. Kopanica Miloslav, Doležal Jan. V. Současné stanovení thallia, mědi, olova a kadmia v indiu. Doležal Jan), Chem. listy, 1957, 51, № 6,

1052—1057; 1058—1060 (чешск.); Collect. Czechoslov. chem. commun., 1958, 23, № 1, 50—56; № 2, 253—258 (нем.; рез. русск.)

IV. Zn^{2+} в среде буферного р-ра Бриттона — Робинсона с pH 7,3 восстанавливается при —0,04 в. При прибавлении глицина эта волна подавляется и одновременно появляется новая волна, смещенная на ~200 мв в сторону отрицательных значений. Сумма высот обеих волн остается постоянной. Аналогичное понижение высоты 1-й волны наблюдается также с увеличением pH при условии сохранения постоянной аналитич. конц-ии. По предположению авторов 1-я волна соответствует восстановлению простого иона Zn^{2+} плюс восстановлению иона MG^+ (где M — металл, а G — остаток глицина). При достаточной конц-ии глицина высота 1-й волны определяется скоростью р-ции: $MG_2 + H^+ \rightarrow MG^+ + HG$; константа скорости этой р-ции $lg k_1 = 5,0$. 2-я волна соответствует восстановлению MG_2 . Все сказанное относительно Zn действительно и для Co; в этом случае $lg k_1 = 7,4$. В случае Ni наблюдается понижение высоты 2-й волны MG_2 и образование 3-й волны, возрастающей, как и в случае 2-й волны Zn в форме растянутой кривой диссоциации. В р-ре 0,1 M по глицину и 0,1 M по KCl, при pH 8,9 не восстанавливаются UO_2^{2+} , Co^{4+} , $Mo(6+)$, VO_2^{2+} , $W(6+)$, $Te(4+)$ и $As(5+)$; $Bi(3+)$, $Sb(3+)$, $Sb(5+)$, Fe^{3+} , Al^{3+} и Cr^{3+} в этих условиях осаждаются. Приведены $\epsilon_{1/2}$ в в (по отношению к насыщ. Hg_2Cl_2 -электроду) для следующих элементов: $Pb^{2+} - 0,23$ (pH 4,5), $Cu^{2+} - 0,29$, $Cd^{2+} - 0,66$, $Tl^+ - 0,45$, $In^{3+} - 0,90$; $CrO_4^{2-} - 0,19$, $-1,59$; $Mn^{2+} - 1,45$, $V^{5+} - 1,21$. Se^{4+} (—1,6 в) и Ga^{3+} (—1,2 в) дают растянутые волны.

V. В р-ре, 1—2 M по этилендиамину и 1 M по КОН, одновременно определяют $>0,1\%$ Tl , $>0,02\%$ Cd , $>0,07\%$ Pb и $>0,33\%$ Cd . Мешает присутствие больших кол-в Ag и Co. 250 мг анализируемого образца индия растворяют в 3—5 мл 30%-ной $HClO_4$; в процессе растворения прибавляют 2—4 капли конц. HNO_3 . Полученный р-р упаривают до 1—2 мл, разбавляют водой до 25 мл и во избежание гидролиза подкисляют хлорной к-той. К 2,5 мл этого р-ра прибавляют 5 мл 4 M р-ра этилендиамина и после растворения осадки 1,25 мл 8 M КОН, разбавляют водой до 10 мл, быстро переносят в полярографич. ячейку и не позже 15 мин. полярографируют. Метод проверен при анализе синтетич. образцов. Сообщение III см. РЖХим, 1956, 71969. Peter Zuman

32167. К полярографическому определению меди в сталях. Мануэле, Миниусси (Contribucion a la determinacion polarografica del cobre en aceros. Manuele Raul J., Miniussi Claudio L., Industria y quimica, 1957, 18, № 3, 166—168 (исп.))

Изучено соосаждение Cu при выделении Fe в форме $Fe(OH)_3$ с помощью пиридина при pH 5,5, а также с помощью NH_4OH в присутствии NH_4Cl при pH 10. Р-р $FeCl_3$, содержащий 0,5 г Fe и 0,5—4 мг Cu, выпаривали досуха, остаток растворяли в 2 мл конц. HCl, р-р разбавляли тремя порциями по 25 мл воды, прибавляли 5 мл пиридина и воду до 100 мл. Одновременно выпаривали досуха другую такую же порцию р-ра $FeCl_3$, остаток растворяли в 1 мл конц. HCl, р-р разбавляли сначала водой (30 мл), а затем смесью 2 н. NH_4OH и 2 н. NH_4Cl до 100 мл. Оба р-ра фильтровали и в фильтратах определяли Cu полярографически. Потери Cu при осаждении Fe составляли обычно <10%. Оценка 2 метода определения Cu в сталях. При полярографич. определении Cu 0,5 г стали растворяют в 10 мл HCl (1:4) в присутствии нескольких капель конц. HNO_3 и р-р выпаривают досуха. Остаток растворяют в 1 мл HCl, осаждают Fe смесью $NH_4OH + NH_4Cl$, как описано выше, и в фильтрате определяют Cu поляро-

графически. При фотометрич. определении Cu 0,1–0,2 г стали растворяют в 10 мл HNO_3 (1:2), к р-ру прибавляют 15 мл 4%-ного р-ра $(\text{NH}_4)_2\text{S}_2\text{O}_8$ и 1–2 кристаллика карборунда, нагревают 2–3 мин., охлаждают, прибавляют 10 мл 35%-ного р-ра лимонной к-ты, 15 мл конц. NH_4OH , 10–15 мл 4%-ного р-ра комплексона III, переносят в делительную воронку с помощью 10 мл воды, прибавляют 10 мл свежеприготовленного р-ра диэтилдитиокарбамината Na , встряхивают 10 сек., прибавляют 40 мл бутилацетата, взбалтывают 45 мин., отделяют органич. слой и измеряют оптич. плотность органич. слоя при 440–470 мμ.

Н. Туркевич.

32168. Точный ацидиметрический метод определения серебра. Датта (An alkalimetric method for accurate estimation of silver. Dutta Anil Behari), J. Indian Chem. Soc., Industr. and News Ed., 1957, 20, № 4, 38–39 (англ.)

Описан метод, основанный на титровании р-ром HCl соды или щелочи, освобождающихся в эквивалентных Ag кол-вах в результате взаимодействия Ag_2CO_3 (или AgOH) с $\text{Na}_2\text{S}_2\text{O}_3$ с образованием растворимых тиосульфатных комплексов Ag . К анализируемой пробе, содержащей 50–100 мг Ag , прибавляют при постоянном перемешивании 10%-ный р-р Na_2CO_3 до полноты осаждения карбонатов, осадок отфильтровывают, отмывают от избытка Na_2CO_3 , растворяют в 10 мл нейтрализованного 10%-ного р-ра $\text{Na}_2\text{S}_2\text{O}_3$ и образующуюся щелочь оттитровывают 0,1 н. р-ром HCl в присутствии метилового оранжевого в качестве индикатора. Определению мешает присутствие Au , Hg и Mn .

Р. Моторкина

32169. Количественное определение серебра в мало-минерализованных водах методом спектрального анализа. Логинова Л. Г., Заводск. лаборатория, 1956 22, № 11, 1315–1318

Несовпадение градуировочных графиков для определения Ag в случае сильных колебаний конц-ий Ca , Mg и Na устраняют добавлением к анализируемым пробам и эталонам Li_2CO_3 в соотношении 1:1. Сухой остаток, остающийся после выпаривания анализируемой воды, растирают в агатовой ступке в присутствии $\text{C}_2\text{H}_5\text{OH}$ и 15 мг полученного в-ва помещают в отверстие угольного электрода. Спектр возбуждают в дуге переменного тока при 15 а, при дуговом промежутке 2 мм и фотографируют на среднем спектрографе при щели 0,01 мм. Фотопластинки «спектральные», тип I. График строят в координатах $\lg I_{\text{Ag}}/\lg c$, по линии Ag 3280,7 А. Порошки эталонов готовят на основе, состоящей из смеси CaSO_4 , MgSO_4 и Na_2SO_4 (1:1:1). В основу вводят $4 \cdot 10^{-4}$ – $1 \cdot 10^{-1}$ % AgNO_3 . Вероятная ошибка анализа ± 12 %. Абс. чувствительность анализа для вод, имеющих 100 мг/л, 1 г/л и 10 г/л сухого остатка, составляет 0,02–0,2 и 2 γ соответственно.

Г. Кибисо

32170. Открытие магния при помощи некоторых простых моноазокрасителей. Сообщение II. Гальарди, Теисе (Qualitativer Nachweis von Magnesium mittels einiger einfacher Monoazofarbstoffe. II. Mitt. Gagliardi E., Theis M.), Z. analyt. Chem., 1955, 144, № 4, 264–272 (нем.)

Изучен ряд других азокрасителей (см. сообщение I, РЖХим, 1955, 55329) как реактивов для открытия Mg . Достигнут открываемый минимум 0,1 γ Mg при предельном разбавлении 1:1500000. Цветную р-цию на Mg (связанную с изменением окраски реактива) дают только азокрасители, имеющие определенное строение.

А. Бусев

32171. Возможности полярографического определения магния. Ференци, Алмаши, Садецки-Кардошш (Die polarographischen Bestimmungsmöglichkeiten des Magnesiums. Ferenczy Z., Al-

másy A., Szádeczky-Kardoss G.), Acta chim. Acad. sci. hung., 1956, 9, № 1–4, 179–184 (нем.; рез. англ.)

Описаны 2 метода определения Mg . По 1-му методу Mg осаждают в форме $\text{MgJ}_2 \cdot 2(\text{CH}_2)_6\text{N}_4 \cdot 10\text{H}_2\text{O}$ и в полученном осадке полярографически определяют эквивалентное Mg кол-во J^- . По 2-му методу Mg осаждают в форме $3\text{MgCa}[\text{Fe}(\text{CN})_6] \cdot 4(\text{CH}_2)_6\text{N}_4 \cdot 40\text{H}_2\text{O}$ в полученном осадке определяют ферроцианид амперометрич. титрованием р-ром $\text{Pb}(\text{NO}_3)_2$. Оба метода применимы для определения Mg в смесях. Относительная ошибка определения $\pm 3\%$. И. Ефимов

32172. Определение малых количеств кальция при помощи полуэфира йоданиловой кислоты. Янкович (Kis mennyiségű kalcium meghatározása jodanilsavhemiéterrel. Jankovits László), Magyar tud. akad. kém. tud. oszt. közl., 1956, 7, № 2, 141–152 (венг.)

См. РЖХим, 1957, 19536.

32173. Определение кальция в кристаллах щелочных галогенидов. Трнка (Stanovení vápníku jako aktívního v krystalech alkalických halogenidů. Trnka Jaroslav), Chem. listy, 1957, 51, № 7, 1378 (чешск.)

Для определения Ca применен ранее описанный метод (Přibíl R., Vicensová E., Chem. listy, 1952, 46, 535), согласно которому из комплекса Zn с комплексоном III в среде NH_4OH вытесняется ионами Ca^{2+} эквивалентное кол-во Zn^{2+} , определяемого затем полярографически. Высота полярографич. волны определяется суммарной конц-ией Zn^{2+} , складывающейся из кол-ва Zn^{2+} , вытесненного ионами Ca^{2+} , избытка Zn^{2+} в р-е комплексоната Zn и кол-ва Zn^{2+} , освобожденного из комплексоната Zn хлоридом Na . При точном соблюдении методики, однако, конц-ия избыточных ионов Zn^{2+} в полярографич. р-ре постоянна, и поэтому высота волны прямо пропорциональна конц-ии Ca^{2+} . При определении Ca ($3 \cdot 10^{-5}$ – $5 \cdot 10^{-3}$ М) в кристаллах NaCl ошибка составляла $< 10\%$. Метод применим также для определения Ca в кристаллах KCl .

Vlastimil Růžička

32174. Быстрое комплексометрическое определение цинка в медных сплавах. Берак (Rychlé komplekometrické stanovení zinku ve slitinách mědi. Berák Lubomír), Hutnické listy, 1957, 12, № 9, 817–818 (чешск.)

Описан метод определения Zn , основанный на связывании Zn (а также Cu и Ni) в цианидные комплексы (другие мешающие элементы переводят в комплексолаты), последующем разрушении цианидного комплекса Zn формальдегидом и титровании выделенного Zn^{2+} р-ром комплексона III (I). 0,5 г сплава растворяют в 10 мл конц. HNO_3 , р-р упаривают до удаления окислов N , разбавляют водой до 100 мл и фильтруют. 20 мл фильтрата разбавляют водой до 300 мл, прибавляют 0,25 г $\text{NH}_4\text{OH} \cdot \text{HCl}$, перемешивают (при $< 0,5\%$ Fe прибавляют 2 г тартрата K-Na), вводят 30 мл буферного р-ра (54 г NH_4Cl растворяют в воде, смешивают с 350 мл конц. NH_4OH и разбавляют водой до 1 л) и 30 мл 2%-ного р-ра KCN ; охлаждают до 15° , добавляют эриохромовый черный Т (смесь с NaCl , 1:100) до фиолетовой или винно-красной окраски и титруют 0,01 М р-ром I до перехода окраски р-ра в синюю. К оттитрованному р-ру прибавляют 10%-ный р-р CH_2O (1–3 мл) до перехода окраски р-ра в винно-красную + избыток 2–3 капли и продолжают титрование 0,01 М р-ром I, одновременно прибавляя р-р CH_2O до тех пор, пока окраска р-ра не останется отчетливо синей. Ошибка определения Zn $\pm 0,1\%$. Метод применен для анализа ряда сплавов, содержащих Ag , As , Bi , Mn , Ni , P , S , Sb и Sn .

Т. Леви

32175. Применение диэтилдитиокарбамината в качестве титриметрического реактива. II. Титриметрическое определение ртути. Шедивец (Diethylthiocarbamidán jako odměrné činidlo. II. Odměrné stanovení rtuťi. Šedivec Václav), Chem. listy, 1957, 51, № 8, 1471—1474 (чешск.)

Определение тяжелых металлов титрованием р-ром диэтилдитиокарбамината Na (I), описанное в сообщении I (Chem. listy, 1949, 43, 269), упрощено прибавлением пиридина (II) к титруемым р-рам. Диэтилдитиокарбаминаты большинства металлов, хотя в II практически не диссоциированы, но легко растворимы в II, так что необходимость экстрагирования осадков в этом случае отпадает и создается возможность проведения титрования определяемого металла в гомог. среде без опасения совместного осаждения диэтилдитиокарбаминатов других металлов. На этой основе разработан метод определения Hg, при котором возможное выделение гидроокисей других металлов устраняют прибавлением 0,1 н. р-ра комплексона III. При титровании Hg ~ 0,01 н. р-ром I в среде II (20—50%) образуется бесцветный растворимый диэтилдитиокарбаминат Hg. В качестве индикатора приложен 0,1 н. р-р CuSO₄; при незначительном избытке I возникает устойчивая желто-коричневая окраска диэтилдитиокарбамината Cu. Прибавление III к титруемым р-рам выгодно также тем, что при этом понижается конц-ия Cu²⁺ и устраняется возможность преждевременной индикации точки эквивалентности; кроме того в присутствии III ослабляется интенсивность мешающей синей окраски комплексного иона Cu с II. Co²⁺ надежно маскируется III, так что образование зеленого диэтилдитиокарбамината Co полностью предотвращается. Если присутствуют металлы, не образующие комплексов с III, для маскирования применяют винную к-ту. Определению Hg мешают Ag⁺, CN⁻, J⁻, S₂O₃²⁻, SCN⁻, Br⁻ и большие кол-ва Bi³⁺. Титр р-ров I следует периодически проверять по стандартному р-ру HgCl₂. Отмечается также возможность определения аниона I титрованием р-ром HgCl₂. Karel Kámen

32176. Полярографическое и осциллополюрографическое определение индия в присутствии кадмия. Трейндал, Сб. чехосл. хим. работ, 1957, 22, № 5, 1574—1578 (рез. нем.)
См. РЖХим, 1957, 12064.

32177. Амперометрическое титрование индия комплексом. Владимирова В. М., Заводск. лаборатория, 1957, 23, № 11, 1286—1289

Описан метод определения In амперометрич. титрованием р-ром комплексона III в кислой среде (рН 1); при этом рН метод обладает наибольшей избирательностью. К анализируемому р-ру прибавляют 10—15 мл HCl (уд. в. 1,19), 5 мл H₂SO₄ (уд. в. 1,84), упаривают до появления паров SO₃, охлаждают, разбавляют водой до 100 мл и нагревают до кипения. Через 2 часа отфильтровывают осадок PbSO₄ и промывают 1%-ной H₂SO₄. Фильтрат и промывные воды нагревают до 60—80°, прибавляют 5 г NH₄Cl и осаждают полутонные окислы избытком NH₄OH. Осадок отфильтровывают, промывают на фильтре 4—5 раз (при большом содержании Cu 8—10 раз) 2%-ным р-ром NH₄Cl, содержащим 2—3 капли NH₄OH, растворяют в HCl (1:3), фильтр промывают водой, фильтрат и промывные воды разбавляют до 100 мл. К 5—10 мл полученного р-ра прибавляют 0,5—1 г винной к-ты, 1—2 мл 4%-ного р-ра аскорбиновой к-ты, 0,2 мл 5%-ного р-ра тиомочевинны, нейтрализуют по тропеолину ОО, добавляют 15—20 мл буферного р-ра с рН 4 (50 мл 0,2 М KCl + + 97 мл 0,2 н. HCl + вода до 200 мл) и титруют 0,005 М р-ром комплексона III при —0,76 в (применяют Hg- и насыщ. Hg₂Cl₂-электроды). Определению In

мешает присутствие Cu (> 0,5 мг), Pb (> 2 мг), Bi, Sb, Zr и Th. Влияние < 0,5 мг Cu устраняется тиомочевинной, Sn и Sb — винной к-той, а Fe³⁺ — аскорбиновой к-той. Mg, Ca, Sr, Ba, Zn, Cd, Co, Mn, Fe²⁺, Al и Cr не мешают. Относительная ошибка определения ≤ 1,3%. При определении In в многокомпонентных смесях близких по составу к In-концентрациям, получены удовлетворительные результаты. Р. Моторина

32178. Отделение и определение непутия методом жидкостной экстракции. Мур (Separation and determination of neptunium by liquid-liquid extraction. Moore Fletcher L.), Analyt. Chem., 1957, 29, № 6, 941—944 (англ.)

При отделении Np от Pu, мешающего определению α-радиоактивного Np, Pu восстанавливают до 3-валентного состояния при помощи 2—2,5 М KJ в 1 М HCl и Np(4+) экстрагируют 0,5 М р-ром теноилтрифтороацетона (I) в ксилоле. Восстановление Pu возможно также р-ром, содержащим HCl, NH₂OH·HCl и FeCl₃. Выделенный Np извлекают из ксилолового р-ра I при помощи 10 М HNO₃, при этом Np отделяется также от небольших кол-в Fe, попавших в органич. р-ритель. Остаточные в р-ре небольшие кол-ва Zr (и Pa) удаляют повторным экстрагированием р-ром I. Экстрагированию мешает присутствие SO₄²⁻, PO₄³⁻, F⁻ и C₂O₄²⁻. K. Яцимирский

32179. Полярографические методы анализа неорганических соединений. Полярография германия. Исибаси, Сато. Chemistry (Japan), Kagaku, 1957, 12, № 10, 712—716 (японск.)
Обзор за 1956 г. Библ. 15 назв. Ф. Суданов

32180. Фотометрическое определение титана в сталях при помощи хроматроновой, галловой и пирогаллокарбонистой кислот. Зоммер (Fotometrické stanovení titanu kyselinnou chromotropovou, gallovou a pyrogallolkarbonovou v ocelích. Sommer Lumir), Chem. listy, 1957, 51, № 5, 875—879 (чешск.); Сб. чехосл. хим. работ, 1957, 22, № 6, 1793—1796 (нем.; рез. русск.)

Спектрофотометрически изучены цветные р-ции Ti⁴⁺ с о- и peri-дифенолами и разработан быстрый метод фотометрич. определения Ti в легированных сталях, содержащих 0,1—1% Ti, ≤ 9,8% Ni и ≤ 19,5% Cr. В качестве реактивов применяют хроматроновую (I), галловую (II) или пирогаллокарбонистую (III) к-ты. Удаление легирующих элементов необязательно. Мешающее влияние Fe³⁺ устраняют восстановлением аскорбиновой к-ты в кислой среде при 60—70°. Если присутствуют большие кол-ва Mo и W, то Ti (вместе с Fe) выделяют после окисления хлорной к-той в виде гидроокиси. Для определения Ti наиболее пригодной оказалась I. Цветную р-цию Ti с I производят в форминатном буферном р-ре при рН 3,1—3,4. Наряду с красным комплексом TiR₃ (R — анион I) образуется при этом оранжевый комплекс Ti(OH)R₂ в кол-ве, зависящем от ряда факторов. Поэтому фотометрирование следует производить в изобестич. точке (466—470 мμ; светофильтр S 47), где оба комплекса обладают одинаковым коэф. экстинкции. Закон Бера соблюдается при 0,23—3,43 γ/мл Ti. 0,2 γ/мл Ti определяют с максим. ошибкой 2% (Ti:Fe = 1:10 600). При применении II или же III фотометрируют при рН 3,5—5,8; в присутствии Fe рН должен быть ≤ 3,6. Закон Бера соблюдается при 0,6—4 γ/мл Ti. Максимумы светопоглощения находятся в УФ-области спектра; для фотометрирования в видимой области спектра подходят длины волн 420—430 мμ (светофильтры S 43 или S 42). Приведены подробные методики определения Ti. Karel Kámen

32181. Спектрохимические определения малых количеств ниобия в рудах и продуктах их перера-

Ботки. Недлер В. В., Заводск. лаборатория, 1957, 23, № 11, 1336—1337

Пробу 3—5 г обрабатывают плавиковой к-той с избытком H_2SO_4 . Nb осаждают 1%-ным р-ром таннина с использованием SnCl_4 (5—6 мг) в качестве коллектора; осадок с фильтром прокалывают при 1000°. К полученной смеси окислов 30—50 мг с повышенной мощностью Nb_2O_5 прибавляют 500 мг кварца, содержащего 1% ThO_2 (внутренний стандарт), и измельченный порошок просеивают из вибрирующего лоточка в пламя дуги переменного тока. Используют горизонтально расположенные угольные электроды с промежутком 5 мм. Под дугой помещают патрубок вытяжной вентиляции. Сила тока 16 а, экспозиция 30 сек. Спектры фотографируют на спектрографе Хильтера Е-384 с 3-линзовым освещением. Градуировочные графики строят в координатах ΔS , $\lg C$ по линиям Nb 3163,4—Th 3154,7 А при 0,02—0,4% Nb и Nb 2927,8—Th 2942,8 А при 0,08—1,0% Nb. Воспроизводимость результатов анализа характеризуется квадратичной ошибкой $\pm 13,4\%$; ошибка только спектрального анализа $\pm 4,5\%$. При испарении проб из канала электрода ошибки анализа возрастает в 2,5 раза. Т. К. 32182

Анализ чистых металлов. Определение примесей тантала в цирконии и ниобии. Назаренко В. А., Шустова М. Б., Заводск. лаборатория, 1957, 23, № 11, 1283—1286

Описан метод фотометрич. определения Та в металлах, Zr и Nb, основанный на измерении светопоглощения стабилизированного желатиной колл. р-ра комплексного соединения Та с 9-(*n*-диметиламинофенил)-2,3,7-триокси-6-флуороном (I). При определении Та в цирконии навеску ~ 1 г растворяют в HF (1:1), р-р выпаривают досуха, остаток растворяют в 20 мл смеси 4 М HNO_3 и 1 М HF при нагревании, переносят в делительную воронку и экстрагируют 2 раза порциями по 10 мл смеси ацетона и изобутанола, добавляя для расслаивания жидкости 10 мл насыщ. р-ра $(\text{NH}_4)_2\text{SO}_4$. Соединенные экстракты 2 раза промывают порциями по 15 мл промывной жидкости (смешивают 30 мл смеси 4 М HNO_3 и 2 М HF, 20 мл насыщ. р-ра $(\text{NH}_4)_2\text{SO}_4$, 20 мл изобутанола и 20 мл ацетона, взбалтывают 1 мин., отстаивают, разделяют слои и водн. слой используют в качестве промывной жидкости), выпаривают с 10 мл 5%-ного р-ра H_2BO_3 и 1 мл конц. H_2SO_4 , остаток сплавляют с 0,5 г $\text{K}_2\text{S}_2\text{O}_7$, плав растворяют в 5 мл 4%-ного р-ра $(\text{NH}_4)_2\text{C}_2\text{O}_4$, прибавляют 2 капли 0,2%-ного р-ра α -динитрофенола, нейтрализуют 1 н. р-ром КОН до бледно-желтой окраски, добавляют 2,5 мл 2 н. HCl и разбавляют водой до 50 мл. К 10—20 мл полученного р-ра прибавляют 1 мл 1%-ного р-ра желатин, 1 мл 0,05%-ного спирт. р-ра I и разбавляют спец. р-ром (10 г $\text{K}_2\text{S}_2\text{O}_7$ плавят, охлаждают, растворяют при нагревании в 100 мл 4%-ного р-ра $(\text{NH}_4)_2\text{C}_2\text{O}_4$, разбавляют водой до 250 мл, нейтрализуют 1 н. р-ром КОН по α -динитрофенолу, добавляют 50 мл 2 н. HCl и разбавляют водой до 1 л до ~ 25 мл, выдерживают 5 мин. в кипящей водяной бане, охлаждают на воздухе, через 3 часа добавляют 1 мл 3%-ной H_2O_2 , объем р-ра доводят р-ром для разбавления точно до 25 мл, перемешивают и фотометрируют через 10 мин. со светофильтром S-53 (530 мμ), используя в качестве р-ра сравнения смесь 23 мл р-ра для разбавления, 1 мл р-ра желатин и 1 мл р-ра I. При определении Та в ниобии Та предварительно отделяют осадком в форме соединения с I, затем прокалывают до Ta_2O_5 , сплавляют с $\text{K}_2\text{S}_2\text{O}_7$, растворяют в р-ре $(\text{NH}_4)_2\text{C}_2\text{O}_4$ и далее продолжают, как описано выше. Определяют 0,002% Та в ниобии и цирконии при навеске 1 г.

Р. Моторкина 32183. Новые возможности отделения и определения рения. Петровский (Nová možnost dělení a sta-

novení rhenia. Patrovský Věnceslav), Chem. listy, 1957, 51, № 7, 1295—1299 (чешск.); Collect. czechosl. chem. commun., 1958, 23, № 1, 91—96 (нем.; реза. русск.)

Изучен и модифицирован фотометрич. роданидный метод определения Re(7+) (Hoffman J. H., Lundell G. E. F., J. Research Natl. Bur. Standards, 1937, 18, 629; 1939, 22, 465; 23, 497). Оптит. плотность р-ра окрашенного комплекса Re с SCN⁻ (0,2 мг Re, 6—10 мл конц. HCl, 5—15 мл 20%-ного р-ра KSCN и 0,4—1 мл 20%-ного р-ра SnCl_2 в HCl, 1:1, в 50 мл конечного р-ра) в отличие от р-ров подобных комплексов U, Bi, Nb и др. постоянна во времени. Максимум светопоглощения комплекса находится при 435 мμ. Водн. р-ры комплекса окрашены слабее, чем эфирные. Мешающее влияние элементов, дающих с SCN⁻ цветные р-ции, можно устранить или отделением соответствующих окрашенных продуктов р-ции на основе их нерастворимости в эфире (Bi, U, Pt), или обесцвечиванием при помощи F⁻ (Ti, Nb, Ta и частично Fe), или восстановлением с помощью SnCl_2 (Fe, Cu, Au). Роданидные комплексы Ta, Nb, Ti, Mo, Cu, Au, Se, Te и частично Fe, Co и W можно извлекать эфиром без предварительного восстановления, но подобные комплексы Re, Pt, (W, Mo) и Co — только после восстановления. Из сказанного следует, что практически единственным элементом, мешающее влияние которого нельзя устранить, является Pt. Предварительное избирательное восстановление Mo(6+) при помощи Hg перед экстрагированием эфиром мешающего роданидного комплекса Mo не является необходимым. Мо от Re выплывает до соотношения 0,1 мг Re:100 мг Мо можно отделить экстрагированием Mo(6+) эфиром; для предотвращения потерь Re необходимо присутствие небольшого кол-ва Fe³⁺. Большой избыток H_2PO_4 мешает экстрагированию. При очень большом кол-ве Мо определяют Re осаджением сероводородом в среде NH_4OH ; для выделения следов ReS_7 прибавляют небольшое кол-во Zn^{2+} в качестве коллектора. Cu и Sb удаляют порошкообразным Fe. Приведены подробные методики определения Re в молибдените, пиролюзите, силикатах, Fe-рудах и других материалах.

Karel Kámen 32184. Определение железа в форме хлорокомплекса методом УФ-спектрофотометрии. Исибаси, Сигамачу, Ямамото, Табуси, Китагава (Ultraviolet spectrophotometric determination of iron (III) as chloro-complex. Ishibashi Masayoshi, Shigematsu Tsunenobu, Yamamoto Yuuroku, Tabushi Masayuki, Kitagawa Toyokichi), Bull. Chem. Soc. Japan, 1957, 30, № 5, 433—437 (англ.)

150—200 мг анализируемого сплава растворяют в 4 М HClO_4 при нагревании на песчаной бане, охлаждают, добавляют несколько капель 30%-ной H_2O_2 и выпаривают почти досуха. Выпаривание повторяют несколько раз, остаток растворяют в воде и разбавляют водой до 250 мл. К 20 мл полученного р-ра прибавляют 50 мл 6 М HCl, разбавляют водой до 100 мл и спектрофотометрируют при 340 мμ, используя в качестве р-ра сравнения р-р, содержащий 40 ч. Fe на 1 млн. Абс. ошибка определения $\leq 0,4\%$. Метод непригоден в присутствии V (при анализе феррованадия ошибка определения Fe составляет 27%). Изучено влияние на определение Fe т-ры, конц-ий H^+ , Cl^- , Fe^{3+} и посторонних ионов. Присутствие Na^+ , K^+ , NH_4^+ , Co^{2+} , Zn^{2+} , Mn^{2+} и Al^{3+} не мешает определению Fe^{3+} , присутствие Cu^{2+} , Ti^{4+} , Bi^{3+} , $\text{V}(5+)$ мешает. Детально изучено светопоглощение Fe^{3+} в р-рах HCl. Установлено, что влияние конц-ий H^+ на светопоглощение этих р-ров незначительно при конц-ии $\text{Cl}^- > 4,8$ М. Изменение характера светопоглощения

Fe^{3+} в р-рах HCl связано с образованием хлорокомплексов Fe^{3+} различного состава от $[\text{FeCl}_2]^+$ до $[\text{FeCl}_4]^-$. Р. Моторкина

32185. Определение железа с помощью этилендиаминтетрауксусной кислоты методом УФ-спектрофотометрии. Удазума, Нисимура, Сэо (Ultraviolet spectrophotometric determination of iron with ethylenediaminetetraacetic acid. Uzumasa Yasumitsu, Nishimura Masakichi, Seo Toshiko, Bull. Chem. Soc. Japan, 1957, 30, № 5, 438—442 (англ.))

К анализируемому р-ру, 0,1 М по HCl , прибавляют 0,001 М избыток комплексона III (I) и спектрофотометрируют при 260 мμ, используя в качестве р-ра сравнения дистил. воду. Чувствительность метода 0,0065 γ/мл Fe^{3+} . Закон Бера соблюдается до конц-ии Fe^{3+} 17 ч. на 1 млн. Изучено светопоглощение комплекса Fe^{3+} с I, влияние минер. к-т и посторонних ионов. Оптич. плотность р-ров комплекса Fe^{3+} с I уменьшается на свету (вероятно, вследствие частичного превращения Fe^{3+} в Fe^{2+}) и восстанавливается до первоначальной величины в темноте. Определение Fe^{3+} мешает присутствие HNO_3 , Cu^{2+} , Hg^{2+} и Ti^{4+} . Спектрофотометрически подтвержден состав комплекса Fe^{3+} с I (соотношение Fe^{3+} :I = 1:1). Р. Моторкина

32186. Полярографическое определение железа с применением сахарозы в качестве комплексобразующего реактива. Маноушек (Polarografické stanovení železa za použití sacharosu jako komplexotvorného činidla. Manoušek Osvald, Chem. listy, 1957, 51, № 5, 854—860 (чешск.))

В р-ре, 1 М по КОН и 0,175 М по сахарозе, Fe обнаруживает хорошо выраженную полярографич. волну при $-0,95$ в, пригодную для аналитич. целей. Небольшие изменения конц-ии КОН и сахарозы не влияют ни на $E_{1/2}$, ни на высоту волны Fe. В присутствии комплексона III (I) $E_{1/2}$ Fe становится равным $-0,86$ в. В присутствии Са в конц-иях $> 1 \cdot 10^{-3}$ М наблюдается понижение предельного тока и постепенное образование новой волны при $-1,17$ в, по-видимому, принадлежащей комплексу, в составе которого содержится также и Са. При прибавлении Mg-солей высота этой волны уменьшается и из р-ра выделяется осадок. Влияние Са и Mg можно устранить прибавлением I. Mn^{3+} восстанавливается при $-0,49$ в. При окислении Mn^{2+} до Mn^{3+} действием О образуется H_2O_2 , волна которой повышает предельный ток Fe. Через некоторое время H_2O_2 в присутствии Fe разлагается, но высота волны Fe в результате этой р-ции понижается до значения, более низкого, чем в отсутствие Mn. Для устранения Mn и H_2O_2 в р-ру, содержащему Mn, Fe и сахарозу, предварительно прибавляют I, удаляют О и р-р подщелачивают. Zn^{2+} и PO_4^{3-} не мешают. Cu и Pb не мешают при низких конц-иях. Однако в р-рах, содержащих I, Cu и Pb мешают, так как их волны в этом случае сливаются с волной Fe. К 3 мл пробы, содержащей Са, Mg и Mn ($\sim 1 \cdot 10^{-3}$ М Fe), прибавляют 2 мл 0,875 М сахарозы, 1—2 мл 0,45 М р-ра I, 1 мл 10 М КОН, 0,5 мл 0,1%-ного р-ра декстрана (для добавления максимумов) и воду до 10 мл, удаляют О и полярографируют. Если отсутствуют Pb и Cu, то сначала р-р обрабатывают порошкообразным Zn в слабокислой среде. Petr Zuman

32187. Определение гелия и водорода в природном газе методом газовой хроматографии. Тот, Граф (Földgázok hélium- és hidrogéntartalmának meghatározása elúciós kromatográfiával. Tóth József, Gráf László, Magyar kém. folyóirat, 1957, 63, № 8, 216—221 (венг.; рез. нем.))

При определении He и H₂ в природном газе приме-

няют установку, состоящую из охлаждаемой сухим льдом (до -70°) сорбционной колонки в виде ряда колеи общей длиной 310 см и диам. 7 мм с Nuxit — Al на угле (размер зерен 0,75 мм), интерферометра и бюретки для измерения объема уходящего газа. После промывания установки сухим CO_2 500—1000 мл исследуемого газа пропускают через колонку. При этом сорбируется 700—200 мл газа в зависимости от содержания в нем углеводородов. После окончания сорбции через колонку пропускают сухой CO_2 и одновременно снимают хроматограмму. Если в исходном газе содержится $\leq 25\%$ N_2 , то He количественно отделяется от N_2 и количественно определяется по полученной хроматограмме. Определена зависимость между площадью под выходной кривой He и содержанием He в газе. Если содержание N_2 в газе $> 25\%$, то He отделяется не полностью. При анализе искусств. смеси $\text{CO}_2 + \text{He} + \text{N}_2$ первые 300 мл газовой смеси, выходящей из колонки, содержат весь He. Поэтому эту фракцию пропускают через КОН для поглощения CO_2 , а оставшуюся часть (5—10 мл) смеси, содержащей He и N_2 , после осушки пропускают через колонку и определяют He, как описано выше. Определение N_2 производят аналогичным образом. Первые 900 мл уходящего газа содержат, кроме He, все кол-во N_2 . Смесь He + N_2 + N_2 , полученную после поглощения CO_2 , пропускают через колонку и промыванием воздухом удаляют He и N_2 . А. Хаусман

32188. Спектральное полуколичественное определение бора в рудах и минералах. Маслеников Б. М., Романова Л. В., Заводск. лаборатории, 1957, 23, № 11, 1327—1328

Анализ производят визуальным сравнением плотности почернений линий В на спектрограммах проб и эталонов. Спектры возбуждают в дуге переменного тока между Cu-электродами. В отверстие одного из электродов глубиной 3 мм помещают пробу. Чувствительность определения В по линиям 2496,7 и 2497,7 Å равна 0,001%. Присутствие $> 5\%$ Fe мешает определению В. Щел. металлы при конц-иях $> 2\%$ снижают интенсивность линий В. Г. Кибисов

32189. Количественное определение следовых количеств двуокиси углерода в воде. Дженнингс, Осборн (Quantitative determination of traces of carbon dioxide in water. Jennings P. P., Osborn E. M., Analyst, 1957, 82, № 979, 671—676 (англ.))

Пробу воды 10 л, содержащую 0,01—0,10 мг/л CO_2 и подкисленную 50 мл H_2SO_4 (1:1), продувают в течение 1 часа нагретым до 40° воздухом, не содержащим CO_2 и непрерывно циркулирующим под действием диафрагмового насоса через титрационную ячейку (ТЯ), в которой содержится ~ 100 мл свободной от CO_2 воды и 1 мл 0,1 н. NaOH. По истечении указанного времени циркуляцию воздуха прекращают и pH р-ра в ТЯ, первоначально имевшего pH ~ 11 , добавлением 0,01 н. H_2SO_4 устанавливают на уровне 8,3 (при этом значении pH CO_2 находится в р-ре в форме иона HCO_3^-). Дальнейшее титрование 0,01 н. р-ром H_2SO_4 до pH 5,0, при котором весь HCO_3^- разлагается с выделением CO_2 , проводят снова в токе свободного от CO_2 воздуха, выпускаемая его теперь в атмосферу. В заключение проводят контрольное титрование, вводя в ТЯ еще 1 мл 0,1 н. NaOH: По суммарному кол-ву 0,01 н. р-ра H_2SO_4 , затраченного на титрование между значениями pH 8,3 и 5,0, вычисляют содержание CO_2 в пробе воды; 1 мл 0,01 н. H_2SO_4 соответствует 0,44 мг CO_2 . При проверке метода по стандартным р-рам Na_2CO_3 получены хорошие результаты; стандартное отклонение результатов составляет 0,0016 мг/л (стандартное отклонение для аппаратуры при контрольных опытах 0,0009 мг/л). Продолжительность одного определения 3 часа. Описанным

методом. CO_2 в котловой воде определяют с ошибкой $\pm 0,003 \text{ мг/л}$ при содержании в 10 мл пробы $\leq 1 \text{ мг}$ CO_2 . Для больших кол-в CO_2 метод непригоден.

32190. Определение фосфорной кислоты. Наканиси, Сэкино, Нагура (Nakanishi S., Sekino K., Nagura K.), Сайкатаку, J. Japan. Biochem. Soc., 1956, 28, № 9, 574—576 (японск.)

Описан метод, основанный на фотометрировании желтой формы фосфомолибденовой гетерополиоксидной, экстрагированной изобутиловым спиртом (I). В пробирку с пробой наливают 1 мл 10%-ного р-ра $(\text{NH}_4)_2\text{MoO}_4$, 1 мл 5 н. H_2SO_4 и 4 мл I, охлаждают в ледяной бане, в пробирку вводят 1 мл анализируемого р-ра и энергично взбалтывают в течение 10—15 сек. Окрашенный слой I отделяют и фотометрируют при 380—430 мμ. Кол-во P находят по калибровочному графику.

Ким Су Ен

32191. Электрохимическое определение кислорода в спиртовых растворах и смесях органических растворителей. Тёдт, Питрулла (Über die Durchführung elektrochemischer O_2 -Messungen in alkoholischen Lösungen und organischen Lösungsgemischen. Tödt F., Pietrulla W.), Z. Naturforsch., 1957, 12b, № 8-9, 593—594 (нем.)

Ранее описанный электрохим. метод (РЖХим, 1956, 16400) применен для определения O в р-рах CH_3OH и $\text{C}_2\text{H}_5\text{OH}$. Необходимую электропроводность р-ров создавали введением LiCl. При применении в качестве электродов Pt—Cd, Au—Zn, Au—Cd и Au(Hg)—Zn получены примерно одинаковые калибровочные графики. Установлена также возможность электрохим. определения O в смесях органич. р-рителей (CH_3OH с бензолом, ацетоном).

Е. Гальперин

32192. Простой метод микроопределения сульфата. Эгами, Такахаси (A simple method of sulfate microdetermination. Egami Fujio, Takahashi Noriko), Bull. Chem. Soc. Japan, 1957, 30, № 5, 442—444 (англ.)

Описан быстрый и простой косвенный метод определения SO_4^{2-} , основанный на последовательном осаждении SO_4^{2-} в форме BaSO_4 , а избытка BaCl_2 в форме BaCrO_4 и фотометрировании избытка CrO_4^{2-} . К ~ 6 мл нейтрализованного анализируемого р-ра, содержащего 10—300 γ S в форме SO_4^{2-} , прибавляют 1 мл 0,01 M $\text{BaCl}_2 \cdot 2\text{H}_2\text{O}$ и через 1 час 2 мл 20%-ного р-ра CH_3COONa , выдерживают 20 мин. в ледяной бане, прибавляют 1 мл 0,005 M $\text{K}_2\text{Cr}_2\text{O}_7$, перемешивают, разбавляют водой до 10 мл, снова охлаждают 20 мин. и центрифугируют. К 2 мл центрифугата прибавляют 1 мл 1 н. NaOH, разбавляют водой до 10 мл и фотометрируют при 375 мμ. Изучено светопоглощение кислот и щел. р-ров хромата. Метод применен к определению SO_4^{2-} в природных водах и некоторых органич. сульфатах.

Р. Моторкина

32193. Влияние коллоидного органического вещества на осаждение сульфата бария. Модифицированный метод определения растворимого сульфата в почвах. Хессе (The effect of colloidal organic matter on the precipitation of barium sulphate and a modified method for determining soluble sulphate in soils. Hesse P. R.), Analyst, 1957, 82, № 979, 710—712 (англ.)

Из числа известных методов для серийного определения растворимого сульфата (I) в почвах автор считает наиболее подходящим метод Чезнина и Йена (Chesnin L., Yien C. H., Proc. Soil Sci. Soc. Amer., 1950, 15, 149), в котором I из почвенных проб извлекают с помощью ацетатного буферного р-ра. Однако существенным недостатком этого метода является то, что извлечение I сопровождается экстракцией значительных кол-в органич. в-ва (ОВ), приводящей к получению ошибочных результатов. При малых кол-вах I

(0—10 мг/л S в р-ре) ОВ действует как защитный коллоид и приводит к заниженным результатам, а при больших кол-вах I ОВ соосаждается с BaSO_4 , и вызывает получение завышенных результатов, причем тем более, чем выше конц-ия I. Последнее обстоятельство имеет особенно важное значение при анализе удобренных I верхних слоев почвы. Попытки удаления ОВ из ацетатного экстракта встряхиванием с активированным углем или разрушением сильными окислителями не достигают цели; применение метода анионного обмена, хотя и эффективно, но крайне трудоемко. Автор предлагает удалить ОВ из ацетатного экстракта соосаждением с $\text{Fe}(\text{OH})_3$. В результате этой операции, отнимающей очень мало времени, не только устраняется влияние мешающих коллоидов, но одновременно удаляются также другие мешающие в-ва, в том числе и ионы Fe, присутствующие в почвах. Получаемые результаты весьма удовлетворительны.

А. Горюнов

32194. Быстрое определение селенита с помощью ферроцианида калия. Шоймоши (Szelenit gyors meghatározása káliumferrocianid mérőoldattal. Solyomosi Frigyes), Magyar kém. folyóirat, 1957, 63, № 11, 313—316 (венг.; рез. англ.)

Разработан новый простой метод определения SeO_3^{2-} , основанный на окислении SeO_3^{2-} до SeO_4^{2-} ферроцианидом K. Р-ция окисления идет с заметной скоростью в сильно щел. среде (3,5—5 н. по NaOH или 2,3 н. по KOH) при нагревании (55—65°), но пригодной для титрования она становится лишь в присутствии катализатора, OsO_4 . Анализируемый р-р нагревают до 55—65°, прибавляют 3 капли 0,01 M р-ра OsO_4 и титруют 0, M р-ром $\text{K}_3\text{Fe}(\text{CN})_6$. Конечную точку титрования определяют или методом с резкой конечной точкой или потенциометрически. Ошибка определения 0,15—0,2%. Подробно изучено влияние посторонних ионов. Мешают все ионы, окислительные потенциалы которых ниже, чем окислительный потенциал реактива. Аммиак (> 0,02 н.), теллуриды и теллуриды связывают катализатор. В присутствии Hg^{2+} и Tl конечную точку титрования можно определить только потенциометрически.

И. Криштофори

32195. Хроматографический полумикроанализ газов. XIII. Разделение хлора, брома и йода. Янак, Недорост, Бубеникова (Chromatografická semi-mikroanalýza plynu. XIII. Dělení chloru, bromu a jodu. Janák Jaroslav, Nedorost Miroslav, Bubeniková Věra), Chem. listy, 1957, 51, № 5, 890—894 (чешск.); Сб. чехосл. хим. работ, 1957, 22, № 6, 1799—1804 (нем.; рез. русск.)

Определены характеристич. элюционные объемы (хроматографич. спектры) Cl_2 , Br_2 и I_2 на силикагеле при 15—140°. Разработан полирография. метод индикации галогенов после их хроматографич. разделения, основанный на повышении высоты волны Ti^{3+} после поглощения галогена в р-ре Ti^{3+} . Применяли термостатизованную колонку и микрополирограф Гейровского с капельным Hg-электродом. В качестве газа-носителя использовали N_2 или CO_2 . Изучено влияние длины колонки и т-ры на разделение отдельные галогенов. Установлено, что наилучшие результаты получаются при применении подвижной пены, позволяющей удалить остатки отдельные галогенов, сильно задерживаемых адсорбентом. Описанный метод особенно пригоден для разделения смесей галогенов, содержащих небольшое кол-во одного галогена наряду с большим кол-вом другого. Сообщение XII см. РЖХим, 1956, 68611.

Karel Setinek

32196. Амперометрическое титрование и автоматическая регистрация количества остаточного хлора. Уир (Amperometric titration and chlorine residual recording. Weir F. Morley), Water and Sewage

Works, 1957, 104, Refer. and Data Number, 213—215 (англ.)

См. РЖХим, 1956, 75343.

32197. Йодометрия. IV. Определение йодидов в присутствии бромидов. Секереш (Jodometriás vizsgálatok. IV. Jodidok meghatározása bromidionok mellett. Szekeres László), Magyar kém folyóirat, 1957, 63, № 11, 320—321 (венг.; рез. нем.)

При йодометрич. определении I^- в присутствии Br^- (РЖХим, 1955, 11895) I^- окисляют до IO_3^- хлорной водой, р-р подщелачивают твердым $NaHCO_3$ (5—6 г), образующиеся при этом ClO^- и BrO^- избирательно восстанавливают действием 15—20 мл 3%-ной H_2O_2 при нагревании на водяной бане в течение 10—15 мин. и IO_3^- определяют йодометрически. Вместо H_2O_2 можно применять также $Na_2C_2O_4$ (0,2 н. р-р). Точность определения I^- достаточно высокая даже при сильных конц-ях Br^- . Сообщение III см. РЖХим, 1958, 24853.

И. Криштофори
32198. Потенциометрическое определение феррицианидов при помощи солей Cr^{3+} . Балеи, Роушар (Příspevek k potenciometrickému stanovení ferrikyanidu solemi Cr^{3+} . Balej Jan, Roušar Ivo), Chem listy, 1957, 51, № 5, 965—967 (чешск.)

Описан метод, основанный на восстановлении $Fe(CN)_6^{3-}$ до $Fe(CN)_6^{4-}$ при помощи Cr^{3+} . Титрование проводят 0,1 н. р-ром $KCr(SO_4)_2$ в сильнощел. среде (3—4 н. по КОН) и повышенной т-ре (50°). В этих условиях происходит быстрое и колич. восстановление $Fe(CN)_6^{3-}$, но одновременно наблюдается также и частичное разложение $Fe(CN)_6^{3-}$ под действием OH^- . Для устранения ошибки, связанной с разложением $Fe(CN)_6^{3-}$, необходимо установить титр рабочего р-ра Cr^{3+} по чистому $K_3Fe(CN)_6$ и при этом соблюдать такие же условия титрования, как и при анализах. Точка перегиба на кривой титрования лежит при 0 мв (относительно насыщ. Hg_2Cl_2 -электрода); изменение потенциала вблизи точки эквивалентности составляет ~ 120 мв на 0,1 мл титрующего р-ра. При расходе 5—25 мл титрующего р-ра ошибка определения $\pm 0,2\%$, а при расходе 1—5 мл титрующего р-ра $\pm 0,8\%$. Присутствие $Fe(CN)_6^{4-}$ не мешает.

Карел Кáмен
32199. Методы определения гидросульфата натрия. Гёбель, Розейра (Considerações em torno dos métodos de análise do hidrossulfato de sódio. Goebel E.-F., Roseira A.), Rev. quim. industr., 1957, 26, № 303, 20—22 (порт.)

Описан метод определения $Na_2S_2O_4$, основанный на превращении некоторых азо-красителей (азокрасного, прямого синего 2 В, амаранта) в присутствии $Na_2S_2O_4$ в щел. среде в бесцветные продукты (соответственно Na -соль 2-амино-2-нафтол-3,6-дисульфокислоты, Na -соль амино-Н-кислоты и Na -соль 1-амино-2-нафтол-3,6-дисульфокислоты). Кол-во $Na_2S_2O_4$ определяют фотометрированием избытка указанных красителей, остающегося после восстановления гидросульфатом Na . Установлено, что 1 М $Na_2S_2O_4$ обесцвечивает равные объемы 0,5 М р-ров азокрасного и амаранта и 0,25 М р-ра прямого синего 2В.

Т. Леви
32200. Количественное определение легирующих элементов в стали рентгено-флуоресцентным методом. Крехтер, Егер (Quantitative Ermittlung von Legierungselementen im Stahl mit der Röntgen-Fluoreszenz-Spektralanalyse. Krächter Hans, Jäger Willi), Arch. Eisenhüttenwesen, 1957, 28, № 10, 633—639 (нем.)

Изучено влияние толщины образца и продолжительности измерения интенсивности линий на точность рентгено-флуоресцентного анализа легируемых сталей; толщина образца должна быть ≤ 1 мм. Установлено наличие линейной зависимости интен-

сивности аналитич. линий легирующих элементов от их содержания в стали. Зависимость относительной интенсивности линий $Cr-K\alpha$ от содержания Ni и Mo изучена количественно. На основе качеств. исследования взаимного влияния Mo , Mn , V , Nb , Ta , Cr и Ni , сделан вывод, что точный учет этого влияния практически невозможен. Рекомендуется поэтому иметь набор эталонных сталей точно известного состава (приведена таблица хим. состава легируемых сталей, используемых в качестве эталонов). При содержании в стали $> 1\%$ определяемого элемента в небольшом отклонении состава анализируемой стали от состава эталона ошибка составляет ~ 2%. При анализе обычных торговых сталей получены результаты, совпадающие с данными хим. анализа. Подробно описаны примененные для анализа спектрометр и держатель образцов.

Л. Смирнов
32201. Опыт применения метода расчетных графиков при спектральном анализе быстрорежущей стали и бронз АЖ-9-4. Кушаева Р. И., Кунгурова А. В., Заводск. лаборатория, 1957, 23, № 11, 1357—1360

Вследствие отсутствия комплекта эталонов для спектрального анализа быстрорежущих сталей применен метод расчетных графиков (РЖХим, 1956, 65218). Анализ производили на среднем кварцевом спектрографе при возбуждении спектров в высоковольтной конденсированной искре. Наклон градуировочных графиков в координатах ΔS , $lg C$ определяли расчетным путем. Приведены примеры подробного расчета наклона графиков, аналитич. линии и прочие условия анализа. Средняя ошибка анализа колеблется в пределах 0,9—5% в зависимости от элемента, причем данные хим. анализа условно приняты за достоверные. Проверка наклона расчетных графиков и графиков, построенных по эталонам, показала расхождение в значениях углового коэф. в пределах 0,5°—2,5°.

Г. Кибисов
32202. Анализ карбидов, экстрагируемых из стали. Хобсон (Analysis of carbides extracted from steel. Hobson J. D.), Analyst, 1957, 82, № 979, 706—710 (англ.)

При анализе карбидов (K), извлекаемых из стали электролитич. методом, часто наблюдаются расхождения при сбалансировании результатов, значительно превосходящие ошибки опыта и иногда достигающие почти 30%. Произведенный автором анализ возможных источников ошибок: 1) неполнота определения всех компонентов стали, 2) окисление остатка K в духом после их получения и 3) окисление K в процессе электролитич. выделения показал, что первые 2 источника не могут по порядку величины объяснить наблюдающиеся расхождения и что ответственным за последние является 3-й источник ошибок. Предпринятые автором попытки прямого обнаружения присутствия окисных пленок на поверхности частичек K рентгенографич. анализом не дали положительных результатов, но электронномикрографич. анализом удалось установить, что частички K имеют diam. 160 Å (т. е. состоят всего из ~ 70 атомов), и показать, что при таких размерах сферич. частички, покрытые даже мономолекулярной пленкой окисла, содержат уже 3—5% O , а плоские или дендритообразные — намного больше. Прямое определение O в ряде экстрактов K подтвердило эти заключения. Для уменьшения ошибок автор рекомендует вместо обычно применяемого для выделения K электролита, состоящего из 10%-ного спирт. р-ра HCl , использовать аналитич. р-р NH_4Cl или NH_3 . В этих электролитах значительно меньше вероятность взаимодействия атомарного O с K , и результаты анализа становятся ближе к теоретическим.

А. Горюнов

32203. К вопросу о воспроизводимости спектрального анализа шлаков при работе с фугураторами разных конструкций. Нахимов В. В., Заводск. лаборатория, 1957, 23, № 11, 1351—1355.

С целью испытания различных способов введения р-ров в разряд исследована величина ошибки, характеризующая воспроизводимость результатов определения Ca , Si , Al , Mn , Mg и Fe в р-рах шлаков. Плавень, состоящий из 2 ч. соды и 3 ч. буры, смешивают с 0,1 г шлака в соотношении 5:1, смесь выплавляют в соляной к-те (1:3) и разбавляют водой до 100 мл. В полученный р-р вводят $\text{K}_2\text{Cr}_2\text{O}_7$ (внутренний стандарт) и возбуждают спектр в разряде конденсированной искры от генератора, работающего по сложной схеме. При различных способах введения р-ров в разряд величина ошибки может варьировать более чем на 1 порядок величины. Лучшие результаты получены с капиллярным фугуратором из угля при диаметре притупленного конца верхнего угольного электрода, равном 3,0 мм (диам. нижнего электрода 2,5 мм, диам. капилляра 1,5 мм). Нижний электрод опущен в жидкость, его рабочий конец выступает над р-ром на 8,0 мм. Сходные результаты получены также с угольным шттырковым электродом в виде сплошного цилиндра диам. 3,1 мм, выступающего из р-ра на 0,5 мм. Сосуд диам. 3 см сделан из эбонита, электрод в сосуде укреплен с помощью резиновой муфты. Эффект обсыхания выражен слабо. Установлено, что вращающийся Cu -электрод дает низкую воспроизводимость анализа. Отрицательный результат получен с чашечным угольным электродом.

Г. Кибисов

32204. Спектральный анализ бериллия. Поляков П. М., Русанов А. К., Блох И. М., Заводск. лаборатория, 1957, 23, № 11, 1320—1323.

Описаны методы определения малых кол-в примесей в бериллии после перевода металла в окись без спец. предварительной хим. подготовки пробы. Назвеску бериллия сжигают в кварцевой лодочке в печи Марса в токе влажного O_2 при 900° . Готовят серии эталонов для полуколич. определения 28 элементов и для колич. определения: а) B , Cr , Sn ; б) Al , Mg , Mn , Fe , Si , Pb , Cu , Ni ; в) W , Zn , Mo ; г) Ca , K , Li , Na , Ba — смешением основы (специально отпущ. окись Be) с окислами соответствующих элементов. Для каждой серии эталонов подобраны условия испарения с учетом летучести элементов. При полуколич. анализе с визуальной оценкой почернения линий спектры эталонов и проб фотографируют сначала для легколетучих элементов, затем, не прерывая экспозиции, для остальных элементов. При колич. анализе спектры возбуждают в аноде при 10 а и фотографируют на среднем спектрографе ИСП-22 на пластинках «спектральные», тип II (для серии в тип III). Спектры для серии г фотографируют на стеклянном спектрографе ИСП-51, пластинки «панхром» (для «К» инфракром). При определении элементов серий (а) и (в) в пробу добавляют 1% окиси Ga как носителя, а при определении элементов серии (б) пробу смешивают в соотношении 1:1 со смесью 25% BaO , 73% угольного порошка и 2% SnO_2 . При определении Li пробу смешивают с 20% Na_2CO_3 , а при определении K — с 5% Na_2CO_3 . Для серии а изготовляют угольный безборный электрод с угоненной шейкой. Градуировочные графики строят в координатах S , $\lg C$. Вероятная ошибка анализа 7—18% (в зависимости от элемента). Г. Кибисов

32205. Спектральный анализ сплавов на основе свинца и олова при искровом возбуждении спектров. Наусестер (The spectrochemical analysis of white metals by the point to plane spark technique. Nausester Henry K.), Appl. Spectroscopy, 1957, 11, № 3, 115—119 (англ.)

Описана методика анализа чуткового свинца и олова, сплавов Pb с Ca , Ag и Sb , типографских сплавов, баббитов и припоев. Спектры возбуждают в конденсированной искре при емкости 0,006 мкф и индуктивности 1,5 мн. Вспомогательный промежуток 2 мм, число разрядных цугов 120 в 1 сек. Спектры фотографируют на 1,5-метровом дифракционном спектрографе с 960 штрихами на 1 мм. Дисперсия в области 2150—4350 Å составляет 6,95 Å/мм (1-й порядок). Пробу в виде готового сплава предварительно расплавляют в стальном тигле при $370\text{--}480^\circ$ в течение 15 мин. при периодич. перемешивании (поверхность пробы засыпают древесным углем) и выливают в стальную форму. Отливки в форме дисков диам. 63,5 мм и толщиной 6,35 мм охлаждают, разрезают по диаметру пополам и поверхность разреза полируют. Контрэлктродом служит угольный стержень диам. 6,35 мм, заточенный на конус с углом 60° . Аналитич. промежуток 2 мм; экспозиция 10—15 сек. без обжига. Эталоны служат хим. анализированные образцы. Графики строят в координатах $\lg(I(\text{ан.})/I(\text{сп.}))$, $\lg C$ с учетом фона. Описанная методика подготовки проб и выбранные условия анализа обеспечивают почти полное исключение влияния неоднородности образцов. Получаемые результаты хорошо совпадают с данными хим. анализа. Приведены подробные таблицы аналитич. линий и определяемых конц-ий элементов по всем анализируемым сплавам.

Л. Капорский

32206. Количественный спектральный анализ песков на железо и титан. Лиходед Л. С., Рындич Н. А., Изв. Киевск. политехн. ин-та, 1957, 20, 186—193.

Пробу измельчают, смешивают с порошком меди (до получения смеси с 5% Cu), насыпают слоем в 2 мм на Cu -пластинку и зажигают дугу переменного тока с верхним Cu -электродом. Анализ производят по методу фотометрич. интерполирования или строят график в координатах ΔS , $\lg C$ по линиям $\text{Fe}3021\text{--Cu}3011$ и $\text{Ti}3068\text{--Cu}3094$ Å.

Г. Кибисов

32207. Быстрый метод анализа технического сульфата натрия. Борин, Сикурелла (Metodo rapido per l'analisi del solfato di sodio commerciale. Borin Giorgio, Sicurella Nicolo), Vetro e silic., 1957, 2, № 5, 28—30 (итал.)

При анализе технич. сульфата Na влажностью и неустойчивым в HCl остаток определяют весовыми методами, свободную к-ту (в пересчете на SO_4^{2-}) — титрованием 1 н. р-ром NaOH , NaCl — титрованием 0,1 н. р-ром AgNO_3 , CaSO_4 и MgSO_4 комплексометрически, $\text{Fe}_2(\text{SO}_4)_3$ — фотометрически салицилатным методом при pH 2—3 и $\text{Al}_2(\text{SO}_4)_3$ — фотометрически с помощью алюминона. Содержание Na_2SO_4 вычисляют по разности между общим кол-вом сульфатов (общее кол-во сульфатов определяют осажждением солянокислым р-ром BaCrO_4 с последующим титрованием избытка CrO_4^{2-} р-ром $\text{Na}_2\text{S}_2\text{O}_3$ после подкисления фильтрата и прибавления KJ) и суммарным кол-вом свободной к-ты (в пересчете на SO_4^{2-}) и сульфатов, присутствующих в форме CaSO_4 , MgSO_4 , $\text{Fe}_2(\text{SO}_4)_3$ и $\text{Al}_2(\text{SO}_4)_3$. Продолжительность анализа ≤ 4 часа. Описанная методика применима для анализа объектов стенольной пром-сти.

Т. Леви

32208. Способы определения ионов водорода и нитрата (Усовершенствование метода Мауха для полумикроопределения pH и метода Винклера для определения нитрата с помощью брупина). Энц (Hidrogénion és nitrátion meghatározási módszerek (A Maucha-féle félmikro pH meghatározási, valamint a Winkler-féle brucinos nitrátmeghatározási módszerek módosítása). Entz Béla), Magyar tud. akad. Tiha-nyi biol. kutatóintézet. évk., 1955—1956 (1957), 24, 67—70 (венг.; рез. русск., нем.)

Метод Мауха (Maucha R., Winkler Lajos vizsgáló módszereinek alkalmazása a limnológiában. Budapest, 1930, 1—247), заключающийся в сравнении окраски исследуемой воды с окраской стандартного р-ра после прибавления определенного кол-ва фенолфталеина (I), не дает точных результатов в области pH 8,3—8,8. Установлено, что точность определения pH этим методом значительно повышается при изменении концентрации I. К исследуемой природной воде прибавляют 20 капель 0,25%-ного спирт. р-ра I, а к стандартному р-ру $(\text{Na}_2\text{CO}_3 + \text{сегнетова соль} + \text{вода})$ 0,05%-ный спирт. р-р I до сравнения окрасок. Искомое значение pH находят по таблице, зная кол-во прибавленных капель р-ра I к стандартному р-ру. При определении NO_3^- методом Винклера к 2,5 мл анализируемой пробы прибавляют бруцин в виде р-ра в CHCl_3 (6 капель) и 2 капли конц. H_2SO_4 , подслаивают с помощью 7,5 мл конц. H_2SO_4 , осторожно перемешивают и возникающую окраску сравнивают со шкалой стандартов. Определение NO_3^- можно заканчивать также колориметрич. титрованием; для этого в пробирку для сравнения вводят по каплям р-р KNO_3 (0,5 мг/мл NO_3^-) до одинаковой окраски. Определяют 1—60 мг/л NO_3^- ; ионы NO_2^- мешают.

И. Криштофори
32209 К. Анализ газов в химической промышленности. Блаженнова А. Н., Ильинская А. А., Рапопорт Ф. М. Перев. с русск. (Analiza gazelor în industria chimică. Blajenova A. N., Ilinskaia A. A., Rapoport F. M. Trad. din limba rusa. București, Ed. tehn., 1957, 376 p., il.) (рум.)

АНАЛИЗ ОРГАНИЧЕСКИХ ВЕЩЕСТВ

Редактор А. А. Черкасский

32210. Применение хлористого йода в аналитической химии. VIII. Определение некоторых аналитически важных органических веществ. Чигалик, Терехова (Použití chloridu jodného v analytické chemii. VIII. Stanovení některých analytický významných organických látek. Čihálík Jaroslav, Terехова Květa), Chem. listy, 1957, 51, № 2, 272—277 (чешск.); Collect. czechosl. chem. commun., 1958, 23, № 1, 110—115 (нем.; рез. русск.)

Потенциометрическое титрование р-ром JCl , описанное в предыдущих сообщениях, использовано для определения меркаптобензотиазола (I), 8-оксихинолина (II) и антрапиновой к-ты (III). I реагирует по ур-нию $2\text{C}_7\text{H}_4\text{SN} \cdot \text{SH} + \text{J}^+ \rightarrow \text{C}_7\text{H}_4\text{SN} \cdot \text{S} \cdot \text{S} \cdot \text{NSH} \cdot \text{C}_7 + \text{J}^- + 2\text{H}^+$. Во второй стадии р-ции JCl окисляет J^- до J_2 . Соответственно кривая титрования имеет 2 скачка потенциала; для аналитич. определения можно пользоваться обеими точками титрования. Образование J_2 позволяет титровать в присутствии крахмала. Титруют в нейтр. или слабнокислой среде. II реагирует по ур-нию $\text{C}_9\text{H}_7\text{ON} + 2\text{J}^+ \rightarrow \text{C}_9\text{H}_5\text{ONJ}_2 + 2\text{H}^+$ (йодирование II до 5,7-дийодпроизводного) и непосредственно потенциометрически титруется р-ром JCl в очень разб. ($\sim 5 \cdot 10^{-4} M$) р-ре при $\text{pH} > 2$, регулируемом прибавлением NH_4OH . Титрование III протекает по ур-нию $\text{C}_7\text{H}_7\text{O}_2\text{N} + 2\text{J}^+ \rightarrow \text{C}_7\text{H}_5\text{O}_2\text{NJ}_2 + 2\text{H}^+$ (р-ция йодирования), лучше всего в очень разб. ($2 \cdot 10^{-4}$ — $5 \cdot 10^{-4} M$) слабнокислом р-ре. I—III образуют нерастворимые осадки с катионами многих двух- и трехвалентных металлов, что можно использовать для колич. определения последних. Сообщение VII см. РЖХИ, 1958, 32232.

К. Капен
32211. Капельные реакции, основанные на синтезе роданина (родановой кислоты) Ненки. Фейгль, Жентил (Spot tests based on Nencki synthesis of

rhodanine (rhodanic acid). Feigl Fritz, Gentil Vicente), Analyt. Chem., 1957, 29, № 11, 1745—1746 (англ.)

Цветная р-ция (фиолетовое или синее окрашивание) роданина (I) с 1,2-нафтохинон-4-сульфокислотой (II) применена для открытия соединений, которые могут участвовать в образовании I и некоторых его аналогов, содержащих активную метиленовую группу, напр. монохлор(бром)уксусной к-ты (III); тиоцианатов, тиомочевин (IV) и ее N-моноалкилированных и арилированных производных, а также цианида и его солей, легко превращающихся в тиомочевину. Для определения III к капле нещелочного р-ра прибавляют 1 каплю 1%-ного р-ра NH_4SCN и выпаривают при 120° (щел. р-р предварительно подкисляют разб. HCl и выпаривают). После охлаждения добавляют 1 мл 0,05%-ного водн. р-ра Na -соли II и 1 каплю 2 н. р-ра NaOH . Открываемый минимум 5 γ. Для открытия тиоцианатов щел. металлов к капле нейтр. или слабощел. р-ра прибавляют 1 каплю III и ведут определение, как описано выше; открываемый минимум 10 γ. Для определения IV и ее производных к крупинке в-ва или остатку после выпаривания прибавляют 1 каплю 10%-ного спирт. р-ра III и выпаривают, остаток нагревают в глицериновой бане, т-ру которой постепенно поднимают до 180° , охлаждают и заканчивают анализ, как при определении III, но добавляя 0,5%-ный р-р II; открываемый минимум 2,5—50 γ (в зависимости от производного IV). При определении солей дицианамидов к крупинке в-ва прибавляют 1 каплю р-ра $(\text{NH}_4)_2\text{S}_n$, выпаривают и полученную IV открывают, как указано выше. Открываемый минимум 6 γ. Метод может быть использован при анализе удобрений.

М. Пасмани

32212. Микроанализ фторсодержащих органических соединений. Мазор (Fluortartalmú szénvegyületek mikroanalízise. Mázor László), Magyar tud. akad. Kém. tud. oszt. közl., 1957, 9, № 2, 143—150 (венг.)
Обзор. Библ. 11 назв.

32213. Микроопределение галоидов. Метод поглощения цинком. Кирстен (Microdetermination of halogens. A zinc absorption method. Kirsten W. J.), Mikrochim. acta, 1957, № 3-4, 289—295 (англ.; рез. нем., франц.)

В-во сжигают в токе влажного O_2 . Галоиды, а также их водородные и кислородные соединения, образовавшиеся при сжигании, количественно поглощаются гранулированным Zn ; получающиеся при этом галоидные соединения Zn растворяют в разб. уксусной к-те и титруют р-ром AgNO_3 . Кварцевую капсулю с Рт-подложкой, содержащей микронавеску в-ва, помещают в кварцевую трубку для сжигания. При анализе в-в, образующих золу, навеску смешивают с V_2O_5 и сжигание ведут при 1000 — 1100° . Обычно сжигание проводят при 800° в очищ. O_2 , увлажненном пропусканием через промывалку с водой и проходящем по трубке со скоростью 50 мл/мин. Разложение навески заканчивается за 7—8 мин. Газы сжигания проходят через зону трубки, накаливаемую до 1000° , а затем через аппарат, наполненный гранулированным Zn , нагретым до 50° ; в аппарат предварительно вводят каплю воды. По окончании сжигания Zn в поглощ. аппарат трижды промывают 25%-ным р-ром CH_3COOH и водой и определяют галоид в полученном р-ре потенциометрич. титрованием 0,1 н. р-ром AgNO_3 . В случае присутствия в в-ве S последняя поглощается цинком в виде Zn -солей различных к-т, содержащих S. Для устранения влияния S на результаты титрования, через полученный при промывании Zn р-р продувают O_2 , уносящий летучие сернистые соединения и окисляющий остальные до SO_4^{2-} . Если в-во содержит J, то перед продувкой к р-ру прибавляют

H_2SO_4 для предотвращения окисления йодида. Азот и фосфор не мешают. Точность определения $\pm 0,2$ абс. %.

Е. Терентьева

32214. Микроопределение азота по Дюма. Кирстен (Dumas microdetermination of nitrogen. Kirsten Wolfgang J.), *Analyt. Chem.*, 1957, 29, № 7, 1084—1086 (англ.)

Разработан быстрый и точный метод микроопределения N, основанный на пиролизе в-ва в токе CO_2 и последующем сжигании образующихся газов, проходящих через капсулю из Pt-сетки, наполненной окисью никеля, слой гранулированной окиси никеля и слой гошккалита. Навеска в-ва быстро и легко вводится в трубку для сжигания с помощью спец. приспособления. Применение продувки системы CO_2 в обратном направлении позволяет использовать гошккалитовое наполнение для большого кол-ва анализов газообразующих в-в, так как обратный ток CO_2 препятствует соприкосновению галоидов с гошккалитом и отравлению последнего. Помещение окиси никеля в капсулю из Pt-сетки позволяет легко заменять отработанную окисью никеля свежей. Азотметр снабжен спец. головкой, позволяющей измерять объем N_2 сразу после сжигания. Приведены подробная схема прибора и ход анализа для твердых в-в, водн. р-ров и биологич. жидкостей. Продолжительность одного анализа 15 мин. Стандартное отклонение результатов 21 анализа $\pm 0,037\%$ N (абс.).

М. Виталина

32215. Метод определения нитрата титрованием сульфатом двухвалентного железа. Крейчи, Касетт (Method for the determination of nitrate by titration with ferrous sulphate. Krejčí F., Kacetl L.), *Chemistry and Industry*, 1957, № 19, 598, (англ.)

Для потенциометрич. титрования NO_3^- и азотнокислых эфиров многоатомных спиртов (тринитроглицерина, нитроцеллюлозы, динитрогликоля и т. п.) р-ром FeSO_4 в 96%-ной H_2SO_4 предложено пользоваться в качестве электрода (Э) сравнения угольным Э, изготовленным из графитового стержня длиной ~ 15 см, диам. 7 мм, покрытым стеклянной рубашкой; дна нижнего, выступающего из рубашки конца Э ~ 15 мм. В качестве индикаторного Э употребляют платиновый Э. Потенциал пары Pt—C мало зависит от конц-ии Fe^{2+} .

Т. Левин

32216. Определение перекисной группы (активного кислорода). Рот, Шустер (Bestimmung der Peroxygruppe (aktiver Sauerstoff). Roth H., Schuster P.H.), *Mikrochim. acta*, 1957, № 6, 840—843 (нем.; рез. англ., франц.)

Для определения перекисей рекомендуется обрабатывать их KJ в среде лед. CH_3COOH ; в указанных условиях каждая перекисная группа выделяет 2 атома J. К навеске анализируемого в-ва (5—10 мг) в атмосфере CO_2 (или N_2) добавляют 2 мл восстанавливающего р-ра (1,5 г KJ растворяют в атмосфере CO_2 в 10 мл лед. CH_3COOH) и выдерживают 15 час. в темноте. Затем добавляют сухой крахмал и титруют выделившийся J_2 0,01 н. р-ром $\text{Na}_2\text{S}_2\text{O}_3$. 1 мл 0,01 н. р-ра $\text{Na}_2\text{S}_2\text{O}_3$ эквивалентен 0,08 мг O. При выполнении восстановлений в описанных условиях результат контрольного опыта равен нулю, при слабом доступе кислорода он равен $\sim 0,1$ мл 0,01 н. р-ра $\text{Na}_2\text{S}_2\text{O}_3$. Описанный метод применим для определения надкислот, гидроперекисей, окси- и диоксидалкилперекисей, диацилперекисей, эфиров гидроперекисей и озонидов. Для определения диалкилперекисей и димерных кетоперекисей восстановление ведут при нагревании в атмосфере N_2 ; тримерные кетоперекиси даже при нагревании полностью не расщепляются.

Т. Левин

32217. Определение числа свободных орто- и пара-положений в фенолах. Смит (Determination of the

number of free ortho and para positions in phenols. Smith Bengt), *Acta chem. scand.*, 1957, 11, № 5, 839—845 (англ.)

Для определения числа свободных орто- и пара-положений в фенолах (I) предложено проводить параллельно броматометрич. титрование в среде лед. CH_3COOH с целью определения числа эквивалентов Br, расходуемого на 1 г I, и кондуктометрич. титрование р-ром NaOH, позволяющее вычислить мол. вес. I. 50 мг I растворяют в 20 мл лед. CH_3COOH , добавляют 5 мл конц. HCl и 0,1 н. р-р $\text{KBrO}_3 + \text{KBr}$ до желтой окраски, вводят 5 мл 10%-ного р-ра KJ и титруют J_2 0,1 н. р-ром $\text{Na}_2\text{S}_2\text{O}_3$. Для кондуктометрич. титрования 300—500 мг I растворяют в 25 мл 96%-ного $\text{C}_2\text{H}_5\text{OH}$, разбавляют ~ 25 мл воды и титруют 0,5 н. р-ром NaOH, снимая показания прибора после добавления каждого миллилитра титранта и прибавляя избыток NaOH. Вводят поправку на разбавление и определяют точку эквивалентности графич. методом. Кондуктометрич. титрование дает точные результаты при конц-иях I 0,04—0,05 н. На основании анализа 57 I установлено, что метод дает точные результаты, если в ядре фенола нет большого числа алкильных групп, тяжелых алкильных групп или отрицательных групп в мета-положении к группе OH. Форма кривых кондуктометрич. титрования дает возможность разбить изученные I на 9 групп; ею можно руководствоваться при определении структуры I.

Т. Левин

32218. Анализ алкилбензолов методом спектроскопии в инфракрасной области. Ледвух (Ultraspektroskopische Analyse von Alkylbenzolen. Ledwoch Klaus-Dietrich), *Erdöl und Kohle*, 1957, 10, № 9, 595—596 (нем.)

Для определения алкилбензолов (I), образующихся при алкилировании C_6H_6 по методу Фриделя—Крафуса, применяют ИК-спектроскопию. Измеряют на спектрометре Перкина—Эльмера, модель 21, полосу поглощения при 1605 см^{-1} , соответствующую колебаниям связи C—C. Измерены коэф. поглощения по Бунзену α' и мол. коэф. поглощения ϵ и установлено, что между α'_{1605} и содержанием фенильных групп для исследованных моно-н-алкилбензолов (до n-додецилбензола) существует линейная зависимость. Значение ϵ для гомологич. ряда I от n-бутил- до n-додецилбензола постоянно. Приведены уравнения, применимые для расчета средней длины цепи алкильного радикала и мол. веса смесей моно-н-алкилбензолов.

Т. Левин

32219. О новом хроматографическом методе разделения полициклических ароматических и гетероциклических соединений. Буу Хой, Жаккиньон (Sur une nouvelle méthode chromatographique pour la séparation de composés polycycliques aromatiques ou hétérocycliques. Buu-Hoi N. P., Jacquignon P.), *Experientia*, 1957, 13, № 9, 375—376 (франц.; рез. англ.)

Ангидрид (I) и имид (II) тетрахлорфталевого к-ты в р-ре и в твердом состоянии, образуют обладающие разными окрасками и различной стабильностью мол. соединения с полициклич. ароматич. углеводородами (III) и производными индола (IV), карбазола (V) и т. п. Поэтому оказалось возможным использовать порошкообразные I и II в качестве адсорбентов для хроматографич. разделения III—V, растворенных в петр. эфире или циклогексанол. На колонке из I разделены смеси 20-метилхолантрена (VI) и его гексагидропроизводного (VII) (VI адсорбируется в виде красного в-ва, VII — в бесцветной жидкой фазе), пирена и гидропиренов, 1,2:7,8-дибензокарбазола и α,α' -динафтиламина или 3,4:5,6-дибензофенотиазина. Метод рекомендуется применять для разделения и определения малых кол-в канцерогенных углеводородов.

Аналогично I и II ведут себя их тетрабром- и тетра-йоданалоги.

Р. Тартаковская

32220. Идентификация органических веществ. XVI.

Идентификация сульфидов. Гаспариш, Вечержа, Юречек (Identifikace organických látek. XVI. Identifikace sulfidů. Gaspariř Jifi, Večera Miroslav, Jureček Miroslav), Chem. listy, 1957, 51, № 4, 660—666 (чешск.); Collect. czechosl. chem. commun., 1958, 23, № 1, 97—104 (нем.; рез. русск.)

В продолжение аналогичного исследования диалкилсульфидов (ДАС), содержащих алкилы $C_1—C_4$ с прямыми цепями (РЖХим, 1955, 5844), получены бромиды, пикраты и перхлораты диалкил-*n*-бромфенацилсульфониев (I) из 17 ДАС, содержащих один или два алкила $C_2—C_4$ с разветвленной цепью (за исключением трет-бутиля), и определены их т. пл., по которым рекомендуется идентифицировать соотв. ДАС (т. пл. перхлоратов 69—170°, пикратов 80—150°). I получают взаимодействием ДАС с *n*-бромфенацилбромидом, которое продолжается от 20 мин. до 8 час.; ДАС с разветвленными цепями реагируют медленнее ДАС с прямыми цепями. Пикраты и перхлораты высших гомологов ДАС получают из бромидов без выделения последних из реакционной смеси. Для более полной идентификации ДАС рекомендуется использовать рентгенограммы перхлоратов I в порошке и эвтектич. т-ры их смесей с некоторыми эталонными препаратами. Приведены т. пл. бромидов, перхлоратов и пикратов I, а также характеристика рентгенограмм и эвтектич. т-ры перхлоратов I из упомянутых выше ДАС. Сообщение XV см. РЖХим, 1957, 32229.

Karel Kámen

32221. Хроматография на бумаге спиртов в виде ксантогенатов. Поглоудек-Фабини, Бейрих (Beitrag zur Papierchromatographie von Alkoholen als Xanthogenate. Pohloudek-Fabini R., Beyrich Th.), Naturwissenschaften, 1957, 44, № 19, 512—513 (нем.)

Хроматографическое разделение на бумаге в виде ксантогенатов особенно рекомендуется для низших спиртов. Для получения ксантогенатов несколько капель смеси, содержащих 5—10 мг спирта, смешивают с 3 каплями 60%-ного р-ра КОН и 4 каплями CS_2 и несколько минут энергично встряхивают. Прибавляют 0,5 мл воды и 0,5 мл пентана или CCl_4 и 50 мл водн. фазы наносят на бумагу, предварительно пропитанную фосфатным буферным р-ром (рН 12). После 5—6-часового насыщения в камере хроматографируют восходящим методом бутанолом, насыщ. водой. Ксантогенаты разных спиртов идентифицируют по величинам R_f в УФ-свете, либо опрыскивая хроматограмму 1%-ным р-ром молибдата аммония, содержащим 2% H_2SO_4 (красно-фиолетовое окрашивание, быстро исчезающее, и переходящее в голубое), 7,5%-ным р-ром $CuSO_4$ (желтое окрашивание) или 10%-ным р-ром $NiSO_4$ (желто-оранжевое окрашивание). Метод позволяет определять 1 ч. одного спирта в присутствии 100 ч. другого.

М. Пасманик

32222. Хроматографическое разделение фенолов на бумаге. Лютрингхаус, Амброс (Zur papierchromatographischen Trennung von Phenolen. Luttringhaus Arthur, Ambros Dieter), Angew. Chemie, 1955, 67, № 11, 305 (нем.)

Для хроматографич. разделения фенолов, в частности фенилфенолов, применялся р-ритель, состоящий из смеси метанола, муравьиной к-ты и воды в соотношении 5:1:5. Для разделения (при 18°) наиболее подходит бумага Шлейхер и Шюль № 2043а, имеющая в случае фенолов меньшую склонность к «вытягиванию» пятен. Приводятся значения R_f и окраска пятен при обработке диазотированной сульфаниловой

к-той для *o*- и *p*-фенилфенолов, 2,6-, 2,5- и 2,4-дифенилфенолов, *o*- β -нафтилфенола и *o*-фенил- α -нафтола.

Б. Энгели

32223. Хроматография на бумаге некоторых альдегидов, кетонов и кетокислот. Сато, Окума, Кикучи, Накамура, Итикава (Sato W., Okuma S., Kikuchi Raizo, Nakamura Shingo, Ichikawa Goro), Tokai daiigaku zasshi, J. Tokyo Med. Coll., 1957, 15, № 3, 751—762 (японск.; рез. англ.)

Изучены изменения значений R_f при хроматографировании на бумаге ряда альдегидов, кетонов и кетокислот, с помощью смесей алифатич. углеводородов с пиридином. Обсуждена связь между значениями R_f и структурой изученных соединений. Авторы предлагают этот метод для быстрого разделения и идентификации карбонильных соединений в моче.

Т. Левин

32224. Об аналитическом разделении салициловой и сульфосалициловой кислот. Вьетти-Микелли (Über die analytische Trennung der Salicylsäure von der Sulfosalicylsäure. Vietti-Micheli Maria), Z. analyt. Chem., 1957, 157, № 5, 346—347 (нем.)

Метод основан на разделении компонентов столбцами хроматографии или электрофореза на бумаге. Разделение ведется на полосках бумаги Ватман № 1 длиной 50 см, шириной 10 см при содержании обеих к-т ≥ 5 у при помощи 50 мл жидкости состава *n*-бутиловый спирт — NH_4OH (80:20) или *n*-бутиловый спирт — уксусная к-та — вода (50:40:10). Через 5 час., когда фронт жидкости передвинется на 7 см, полоску высушивают и положение пятен определяют по флуоресценции их в УФ-свете. Электрофорез ведется на полосках длиной 34 см, шириной 5 см, предварительно погруженных в 10%-ный (по объему) р-р уксусной к-ты и отжатых между листами фильтровальной бумаги. На расстоянии 13 см от обоих концов наносит по небольшому кол-ву исследуемого р-ра и в течение получаса пропускают электрич. ток 0,2 ма.

Д. Васкович

32225. Колориметрическое определение 2,6-, 2,7-нафталидисульфокислоты в никелевом электролите. Персаянцев В. П., Шнейдер В. А.; Заводская лаборатория, 1957, 23, № 11, 1298

2,6- и 2,7-нафталидисульфокислоты определяют в никелевом электролите после отделения Ni хроматографич. методом на катионите СДВ-3 (диаметр колонки 15 мм, высота слоя катионита 200 мм). Электролит (5 мл) разбавляют (до 20—25 мл) и фильтруют со скоростью 5 мл/мин., затем колонку промывают 10 мин. водой. Вытекающий р-р (+ промывные воды) упаривают с 30%-ным р-ром NaOH (10 мл), сухой остаток сплавляют 10—15 мин. при $320 \pm 2^\circ$, охлаждают, нитруют (35 мл р-ра 10 г NH_4NO_3 в 100 мл H_2SO_4 , уд. в. 1,84—1,82), разбавляют до 100 мл и фотометрируют с синим светофильтром. Точность метода удовлетворительная.

Т. Левин

32226. Фотометрическое определение глюкуроновой кислоты. Кавабата, Томиока, Умэно (Kawabata Hidenobu, Tomioka Suieichi, Uméno K. Kan), Yakutaku zasshi, J. Pharm. Soc. Japan, 1957, 77, № 7, 767—770 (японск.; рез. англ.)

Для определения глюкуроновой к-ты (I) на каждый миллилитр анализируемого $\sim 0,1$ %-ного р-ра I добавляют по 10 мл 40%-ного р-ра H_2SO_4 и р-ра, полученного растворением 10 г $CO(NH_2)_2$ в 40%-ной H_2SO_4 и разбавлением до 100 мл. Смесь нагревают 10 мин. в водяной бане, охлаждают 1 мин. во льду и через 10—20 мин. фотометрируют при 430 м μ , употребляя в качестве р-ра сравнения смесь р-ра I с р-ром H_2SO_4 . Для построения калибровочной кривой употребляют глю-

и 2,4-дифенил-
нафта.

Б. Энгельс

оторых алки-

Окума, К.

Sato, B.

Raizo, N.

Gorokuro,

d. Coll., 1957,

хроматогра-

фетон и по-

т. углевод-

между эфир-

ниний. Авто-

ро разделения

ений в мочи.

Т. Леви

лициловой и

М. Микель-

Salicylsäure

Micheline

46-347 (нем.)

ентов спосо-

на бумаге.

Ватман № 1

канин объект

ва н-бутило-

вый спирт—

б час., когда

лодку высу-

ши флуорес-

цется на по-

дварительно

р уксусной

важной буд-

дны наносят

и в течение

а.

Т. Васнец

6-, 2,7-наф-

электролит.

А. Заводж.

деляют в

и хромато-

метр коло-

Электродит

взвешивают

ные воды)

(мл), сухой

охлажде-

мл H_2SO_4

фотометри-

года удов-

Т. Леви

куроноид

но (Ka-

hi, Ume-

os. Jap.

на каж-

го р-ра I

ра, полу-

той H_2SO_4

10 мин.

взвешива-

ют в на-

SO₄. Для

туют гав-

куроноид. Присутствие сахаров почти не мешает. Метод достаточно точен и пригоден для анализа препаратов I.

Т. Леви

32227. Количественное определение и спектр поглощения в ультрафиолетовой области 3-метил-3-этил-глутаримид. Ното, Цудзи, Сато, Симидзу, Фурусак (Noto Takeji, Tsuji Masao, Sato Yoshishige, Shimizu Reiji, Furusaki Kiichiro), Якутаку канкю, Japan. J. Pharmacy and Chem., 1957, 29, № 4, 445—448 (японск.; рез. англ.)

3-метил-3-этил-глутаримид (I), ведущий себя как очень слабая к-та, легко может быть определен методом ВЧ-титрования в неводн. среде с использованием в качестве р-рителя смеси диметилформамид-пиридин (1:3). При изучении спектра поглощения в УФ-области и использовании в качестве р-рителя CCl_4 обнаружен максимум при ~ 265 мμ, сдвигающийся в сторону более коротких длин волн при переходе к более полярным р-рителям ($CHCl_3$ и C_2H_5OH , максимум I 0,5 мг/мл) и становящийся менее отчетливым. Это смещение максимума приписывается полярности. Т. Леви

32228. Об анализе смесей этилендиамина и полиаминов. Неббия, Пагани (Sulla analisi di miscele di etilendiammina e poliammine. Nebbia Luisa, Pagani Basilio), Chimica e industria, 1957, 39, № 11, 913—915 (итал.; рез. англ., нем., франц.)

Описаны фотометрич. метод определения 0,1—0,2% полиаминов (I) в этилендиамина (II), основанный на развитии в окраске комплексов I и II с $Cu(2+)$ и хроматографич. метод определения $\geq 1\%$ II в I, основанный на различии в растворимости комплексов I и II с $Cu(2+)$. Водн. анализируемый р-р прибавляют по каплям к 5%-ному р-ру $CuSO_4$ до начала появления фиолетовой окраски и смесь разбавляют до 100 мл. Фотометрируют в фотометре Пульфриха в 2-см кювете, при 750 мμ (при указанной длине волны поглощение комплекса II с $Cu(2+)$ равно нулю). Анализируемый р-р (1 каплю) вносят в смесь, приготовленную из смеси Al_2O_3 и $CuSO_4$ (98 ч. Al_2O_3 и 2 ч. $CuSO_4 \cdot 5H_2O$), в форме р-ра в 20 мл H_2O , растаивают до получения гомог. массы и заполняют этой массой на $\frac{1}{2}$ колонку длиной 20—25 см, диам. 3—4 мм. Элюируют смесью ацетон-вода (9:1); через 1—2 часа появляется отчетливая полоса II. Т. Леви

32229. Идентификация органических веществ. XV.

Идентификация бензидина и его изомеров. Вечержа (Identifikace organických látek. XV. Identifikace benzidinu a jeho isomerů. Večeřa Miroslav), Chem. listy, 1958, 51, № 2, 292—301 (чешск.); Сб. чехосл. хм. работ, 1957, 22, № 5, 1584—1595 (нем.; рез. русск.). Для идентификации бензидина (I), дифенилина (II), о-бензидина (III), о-семиидина (IV) и п-семиидина (V) наиболее пригодны их бензоильные производные (ВП). Идентификацию осуществляют, определяя т-ры плавления, эвтектич. т-ры смесей с подходящими эталонными препаратами и показатели преломления расплавов ВП. Азокрасители, полученные сочетанием диазотированных I—III и V с N-α-нафтил-этилендиаминном, дают характерные кривые поглощения в видимой части спектра, позволяющие открывать прежде всего V и, косвенным способом, IV. Спектры поглощения в УФ-области позволяют идентифицировать I—III в виде оснований и хлоргидратов в р-рах. Рентгенограммы порошков хлоргидратов I—V и анилина можно использовать для идентификации этих в-в. I—V можно идентифицировать по полярографич. кривым продуктов их взаимодействия с HNO_3 -солей бензидина из I—III, 1-фенилбензотриазола из IV и соли нитрозодиазона из V. Сообщение XIV см. РЖХим, 1958, 24904. К. Катен

32230. Титрование нитропроизводных ароматических аминов, как кислот. Фриц, Мой, Ричард (Titration of nitroaromatic amines as acids. Fritz James S., Moye Anthony J., Richard Marlene Johnson), Analyt. Chem., 1957, 29, № 11, 1685—1688 (англ.)

Нитропроизводные анилина, замещенные в положениях 2,4 или 2,4,6 двумя группами NO_2 или одной группой NO_2 и одним или несколькими атомами Cl, производные дифениламина, содержащие NO_2 в положении 4, тринитротолуол и тринитробензол титруются в среде пиридина (I) гидроокисью триэтил-н-бутиламмония (II), как кислоты. 0,4—0,8 экв в-ва растворяют в 40 мл I и потенциометрически титруют 0,1 н. р-ром II в безводн. бензоле со стеклянным электродом (титр этого р-ра проверяют по р-ру бензойной к-ты в I). Одновременно проводят контрольное титрование р-рителя. Результаты титрования точны или незначительно выше истинных. Возможно также колич. определение смесей некоторых нитросоединений.

М. Пасманик

32231. Исследования в области аналитической химии мочевинных смол. IV. Количественное определение моно- и диметилмочевин при начальной реакции конденсации методом спектрометрии в инфракрасной области. Танака, Огава, Миямото, Носими (Tanaka Shigeyuki, Ogawa Masayuki, Miyamoto Yasuo, Yoshimi Naoyoshi), Бунсаки кагаку, Japan Analyst, 1957, 6, № 9, 562—564 (японск.; рез. англ.)

Для определения моно- и диметилмочевин в начальных продуктах, образующихся при получении карбамидных смол, предложен метод спектрометрии в ИК-области (таблетки из смеси KBr с анализируемым продуктом) при 9,87 и 9,53 м. Среднеквадратичная погрешность при опытах со стандартным образцом составляет $\sim 1,7\%$. Описанный метод применен для определения соотношения между моно- и диметилмочевинами в упомянутых продуктах. Часть I см. РЖХим, 1956, 65383.

Т. Леви

32232. Применение хлористого йода в аналитической химии. VII. Определение тиосемикарбазида, бисмута и димеркаптопропанола. Чигаши, Ружичка (Použití chloridu jodného v analytické chemii. VII. Stanovení thiosemikarbazidu, bismutonu a dimerkaptopropanolu. Čihálik Jaroslav, Růžička Jaromír), Chem. listy, 1957, 51, № 2, 264—271 (чешск.); Сб. чехосл. хм. работ, 1957, 22, № 3, 764—772 (нем.; рез. русск.)

Производные тиомочевинны (напр., тиосемикарбазид (I) и в-ва, содержащие группу —SH напр., бисмутон (K-соль 5-меркапто-3-фенил-2-тио-1,3,4-тиадиазолона-2) (II) и димеркаптопропанол (III), легко окисляются хлористым йодом (IV) и определяются потенциометрич. титрованием р-ром IV с Pt-электродом. Титрование I протекает по суммарному ур-нию $HN = C(SH)NH \cdot NH_2 + 10I^+ + 4H_2O \rightarrow N_2 + HCN + H_2SO_4 + 5I_2 + 10H^+$. Кривая титрования имеет 3 скачка потенциала, соответствующих образованию отдельных промежуточных продуктов. Титрование заканчивают при 3-м скачке. 1—10 мг I растворяют в малом объеме C_2H_5OH , разбавляют водой до 100 мл, прибавляют немного $NaHCO_3$ или HCl и титруют потенциометрически 0,1 н. р-ром IV в нейтр. или слабокислой среде по ур-нию $2RS^- + J^+ \rightarrow RSSH + J^-$, а затем J^- окисляется до J_2 . Кривая титрования имеет 2 скачка потенциала; титрование ведут до 1-го скачка. Выделение J_2 во 2-й стадии р-ции позволяет титровать также с индикатором крахмалом. 25—100 мг II растворяют в 100 мл H_2O , не содержащей O_2 , доводят pH р-ра до 4—5 и титруют 0,1—0,05 н. р-ром IV. Ти-

трование III протекает по ур-нию $2C_3H_5OS_2 + 2J^+ \rightarrow C_6H_{12}O_2S_4 + 2J^- + 4H^+$. 0,2–0,3 г III растворяют в воде, не содержащей O_2 , и разбавляют до 50 мл; 2–3 мл этого р-ра разбавляют водой до 100 мл, прибавляют CH_3COONa до pH 4–5 и титруют 0,1–0,05 н. р-ром IV. Сообщение VI см. РЖХим, 1957, 51545.

К. Камен

32233. Определение дитиокарбаминатов и тиурамдисульфидов. Rot, Bek (Bestimmung der Dithiocarbaminat- und Thiuramdisulfidgruppe. Roth H., Beck W.), *Mikrochim. acta*, 1957, № 6, 844–848 (нем.; реф. англ., франц.)

Метод определения дитиокарбаминатов (I) и тиурамдисульфидов (II) основан на отщеплении из них S при воздействии пиридина и H_3PO_4 . S выделяется в форме CS_2 , превращаемого в ксантогенат и титруемого р-ром J_2 . В реакционную колбу (емк. ~30 мл), снабженную капельной воронкой (с доходящей до дна колбы трубкой) и шариковым холодильником, вводят 3–8 мг анализируемого в-ва, помещают в присоединенную к холодильнику промывалку 1 мл 5%-ного р-ра $(CH_3COO)_2Cd$, а в присоединенный к промывалке абсорбер 4 мл 2 н. р-ра КОН в CH_3OH . Через воронку вводят 0,5 мл пиридина и 5 мл 85%-ной H_3PO_4 , пропускают N_2 и нагревают колбу до кипения. Через 20 мин. колбу отсоединяют, переносят содержимое абсорбера в колбу для титрования, добавляют 1 каплю 0,1%-ного р-ра фенолфталеина, 30%-ную CH_3COOH до обесцвечивания, вводят 3 капли 10%-ного р-ра KJ, крахмал и титруют 0,01 н. р-ром J_2 в CH_3OH . 1 мл 0,01 н. р-ра J_2 эквивалентен 0,7613 мг CS_2 . Очень малые кол-ва I ($\geq 15 \gamma CS_2$) определяют фотометрически в форме диэтилдитиокарбамината $Cu(2+)$. Описанный метод дает очень точные результаты, требует малой затраты времени и применим для определения степени чистоты употребляемых в аналитич. химии I и II и в-в, выделяющих CS_2 в описанных условиях.

Т. Леви

32234. Цветная реакция антрона со смесями моносахаридов, а также с олиго- и полисахаридами, содержащими гекеуроновые кислоты. Хельберт, Браун (Color reaction of anthrone with monosaccharide mixtures and oligo- and polysaccharides containing hexuronic acids. Helbert J. R., Brown K. D.), *Analyt. Chem.*, 1957, 29, № 10, 1464–1466 (англ.)

Продолжение исследования цветной р-ции антрона (I) с глюконовой, галактоновой к-тами, метилпентозами и кетогексозами для колич. определения указанных соединений нагреванием их р-ров в 27,5 н. H_2SO_4 с I и измерением оптич. плотности окрашенных р-ров (РЖХим, 1957, 12182, 15945). В настоящей работе методика применена к анализам смесей моно- и полисахаридов. Реактив готовится растворением 0,160 г I в 100 мл 27,5 н. H_2SO_4 ; пользоваться им можно через 60 мин., но не позже 24 час. после приготовления. Углевод растворяют в 27,5 н. H_2SO_4 в течение 30 мин. для мономера и до 60 мин. для полимера; р-р должен быть свежеприготовленным. В пробирку боросиликатного стекла вносят 4 мл р-ра I, тотчас прибавляют 2 мл р-ра пробы и нагревают при $70^\circ 13$ – 28 мин., в зависимости от углевода. Затем р-р быстро переносят на 3 мин. в холодную воду ($4 \pm 1^\circ$); время нагревания и охлаждения выдерживают с точностью ± 2 сек. Р-ры фотометрируют через 20 час. при комнатной т-ре при 540 и 625 мμ. Количественно определены смеси галактоновой к-ты, галактозы и рамнозы при общей конц-ии $< 21 \gamma/мл$. Окраска, образующаяся при р-ции ди-, три- и тетрагалактоновой к-т с I, подчиняется закону Беера до конц-ии $\sim 200 \gamma/6$ мл. Рассматриваемым методом можно также определить гепаринат Na.

Д. Васкевич

32235. Полярографическое изучение некоторых органических соединений. V. Полярография куркумина. VI. Полярография душистых альдегидов. Сато (Sato Hisashi), Бунсэки катаку, *Japan Analyt.*, 1957, 6, № 9, 549–551 (японск.; реф. англ.)

V. Изучено полярографич. поведение куркумина (I) и показано, что в среде индифферентного электролита, состоящего из 80%-ного C_2H_5OH , содержащего 0,25 M NaBr, 0,04 M буфера Бриттона — Робинсона и 0,028% желатин, I дает отчетливую волну восстановления $E_{1/2}$ в интервале pH 2,3–10,7 сдвигались в сторону отрицательных значений с увеличением pH. При pH 7,6–10,6 высота волны быстро понижается во времени. При pH 5,2 и 2,3 и конц-ии I 0,1–1,0 M высота волны восстановления I прямо пропорциональна его конц-ии. Рекомендуется вести определение при pH 5,2. Для вычисления числа электронов, участвующих в процессе восстановления, применено ур-ие Ильковича, в котором использован коэф. диффузии, рассчитанный по ур-ию Стокса — Эйнштейна. Показано, что восстановление I является одноэлектронным процессом.

VI. Изучено полярографич. поведение бурбонала, пиперонала, цикламеного, салицилового, протонитового альдегидов (A) и установлено, что высота волны восстановления перечисленных A пропорциональна их конц-ии в интервале 0,1–1,0 мМ. Ванилин, имеющий группу OH в п-положении и группу OR в м-положении по отношению к карбонильной группе, не дает волны восстановления при конц-ии 1 мМ в среде индифферентного электролита, содержащего 0,25 M NaBr, 0,04 M буфера Бриттона — Робинсона и 0,014% желатин. В сильнощел. среде для бурбонала не обнаружено волны восстановления; для изо-ванилина (группа OH в м-, группа OR в л-положении к карбонильной группе) обнаружена волна восстановления и в щел. среде. Установлено, что механизмы восстановления всех перечисленных A, кроме цикламеного, подтверждает приведенные ранее данные (Pasternak R., *Helv. chim. acta*, 1948, 31, 753). Части III и IV, см. РЖХим, 1958, 591.

32236. Хроматография флавонов на полиамиде. Хёрхаммер, Вагнер, Леб (Chromatographie von Flavonon an Polyamid. Hörhammer L., Wagner H., Leeb W.), *Naturwissenschaften*, 1957, 44, № 19, 513 (нем.)

Осуществлено колич. разделение гликозидов водных флавонов и их аглюконов (напр. кверцетина, гиперозид и рутина от кверцетина) на порошке перлона с помощью метанола. Аглюконы удаётся адсорбировать на перлоне непосредственно из гидролизной жидкости, не прибегая к извлечению их эфиром; затем они могут быть элюированы метанолом. Флавоны количественно отделяются от дубильных в-в таким же способом. По сравнению с другими адсорбентами перлон обеспечивает меньшую потерю в-ва, меньшую затрату времени и возможность использования метанола вместо сложной системы р-рителей.

Р. Т.

32237. Выделение алкалоидов методом электрофореза. Браун, Керк (Electrophoretic isolation of alkaloids. Brown Charlotte L., Kirk Paul L.), *Mikrochim. acta*, 1957, № 5, 720–723 (англ.; реф. нем., франц.)

Описано выделение очень малых кол-в стрихнина, морфина и хинина методом непрерывного микроэлектрофореза на бумаге (РЖХим, 1957, 27367) при 75 в и 1,5 ма; буферный р-р — 0,05 M CH_3COONH_4 . Элюаты, содержащие алкалоиды (A), выпаривают под ИК-лампой для получения кристаллов A (при этом CH_3COONH_4 полностью удалялся). Для наблюдения за перемещением A применяют 2 способа. 1. Бумагу сушат под ИК-лампой и через 24 часа на нее наносят спирт. Р. Т.

которых сфа-
куркумина
идов. Сато
арап Analus
д.)

куркумина (I)
электролита,
ающего 0,25 м
она и 0,028%
установленн
сь в сторону
рН. При рН
а в во вре-
1—1,0 м. В
порциональн
деление при
в, участию
но ур-ние
р. диффузи
тейна. Пока-
электронным

бурбонал,
протоны,
что выско-
А пропор-
1,0 м. Ва-
ни и групп
карбонильной
при концен-
на, содержа-
она — Роби-
среде для
вления; для
R в п-поло-
жежа вода
ено, что ме-
х А, кроме
ные ранее
48, 31, 73).
Т. Леви

полнмиде,
матографич
r L. Wa g-
n, 1957, 44,

идов прои-
верцитрина,
ороще при-
ется адсор-
гидролизной
эфиром; ва-
ом. Флаво-
в таким же
ентами пер-
меньшу
вания мета-
Р. Т.

электрофорет
irk Paul
(англ.; реи.

стрихнин,
микроэле-
при 75 м
4. Элюаты,
од ИК-лак-
м CH_3COO -
за переи-
супат ил
спирт. р-р

бромкрезолового зеленого или, лучше, спирт. р-р бром-
феволового синего. 2. При выполнении электрофореза
через полосу бумаги одновременно с р-ром А, но с
другого конца, пропускают р-р пикриновой к-ты (ПК);
на участке пересечения полос А и ПК осаждается
соответствующий пикрат. Избыток ПК продолжает
перемещаться в первоначальном направлении до
встречи с полосой следующего А. Способ 2 неприме-
ним для получения чистых А. Перед анализом разб.
р-ров А последние концентрируют путем экстракции.
Метод микроэлектрофореза применим для выделения
А из биол. жидкостей с целью их идентификации
и для препаративных целей. Т. Леви

32238. Титрование производных аконитина и дель-
фонина йодной кислотой и тетраацетатом свинца.
Шнейдер (Titration von Aconitin- und Delphinin-
Derivaten mit Periodsäure und Bleitetraacetat.
Schneider Woldemar), Naturwissenschaften,
1957, 44, № 18, 492—493 (нем.)

Описаны методы определения производных дите-
рпеналяконидов аконитина, $\text{C}_{34}\text{H}_{47}\text{O}_{11}\text{N}$, и дельфонина,
 $\text{C}_{35}\text{H}_{49}\text{O}_{12}\text{N}$ (аконина, дельфонина, бензоилаконина, пи-
раконитина, пираконина), основанные на окислении
их HJO_4 и $\text{Pb}(\text{CH}_3\text{COO})_4$. ~0,0001 моля исследуемого
в-ва смешивают с 2 мл 0,2 н. HJO_4 , 8 мл H_2O и 10 мл
абс. спирта и выдерживают смесь в темноте опреде-
ленное время. 1 мл выдержанного в темноте р-ра вно-
сят в смесь 5 мл насыщ. р-ра NaHSO_3 , 1 мл 0,1 н.
 Na_2AsO_3 и 0,5 мл 20%-ного р-ра КJ. Через 10 мин. из-
быток арсенита титруют 0,2 н. р-ром J_2 . Для определе-
ния потребления $\text{Pb}(\text{CH}_3\text{COO})_4$ 20—40 мг в-ва смеши-
вают с р-ром $\text{Pb}(\text{CH}_3\text{COO})_4$ (2,5 моля, при анализе а-
конина и пираконина соответственно 5 и 6 молей) в
10 мл лед. уксусной к-ты, выдерживают определенное
время в темноте и 2 мл смеси прибавляют к 2 мл
3%-ного р-ра КJ, насыщенного CH_3COONa ; через 15 мин.
титруют выделившийся йод 0,01 н. р-ром $\text{Na}_2\text{S}_2\text{O}_3$.
В обоих случаях параллельно проводят холостые опы-
ты. Приведены значения мол. потребления HJO_4 и
 $\text{Pb}(\text{CH}_3\text{COO})_4$ перечисленными выше в-вами в течение
разных промежутков времени. М. Гладышева

32239. Определение органических соединений в су-
дебной химии. Часть 4. Новый метод открытия фено-
лов. Сато, Окума, Хатори, Линь Чжоу-
тянь. Часть 5. Новый метод открытия м-нитроани-
линов. Сато, Окума, Нисимура, Накамюра
4. Satoo Bun-iti, Ohkuma Seiichi, Hato-
ri Masakuni, Rin Chu-den. 5. Satoo Bun-
iti, Ohkuma Seiichi, Nishimura Yukio,
Nakamura Shingo), Toki iка дайгаку дзасси,
J. Tokyo Med. Coll., 1957, 15, № 2, 555—560; № 3,
745—750 (японск.; рез. англ.)

4. При взаимодействии незамещенных в п-положе-
нии фенолов (за исключением нитрофенолов и окси-
бензальдегидов) с п-аминофенолом в р-ре NH_4OH раз-
вивается синяя или фиолетовая (реже зеленая) окрас-
ка, обусловленная образованием красящих в-в ряда
хидофенола. Полученные красящие в-ва экстрагируют
из реакционной смеси при помощи $\text{m-C}_4\text{H}_9\text{OH}$. Откры-
ваемый минимум для фенола, о-крезола, тимола,
м-аминофенола, α-нафтола и 8-оксихинолина состав-
ляет соответственно 10; 1; 1,4; 0,8; 0,8 и 0,7 γ.

5. м-Нитроанилины и м-полинитробензолы восста-
навливают до м-фенилендиамина водородом, выделяю-
щимся при взаимодействии цинковой пыли и разб.
 HCl или NH_4OH . Окраска реакционной смеси зависит
от среды (кислая или щел.), в которой происходит вос-
становление. м-Фенилендиамины обнаруживают пробой
с л-аминофенолом в среде NH_4OH . Часть 3 см. РЯХХим,
1958, 7735. Т. Леви

32240. Новые судебно-химические данные о хлор-
пикрине. Иоанид, Борш, Попа (Contribuții de

ordin chimico-judiciar asupra cloropicrinei. Ioanid
N., Borș G.h., Popa I.), Farmacia (Român.), 1957,
5, № 4, 295—299 (рум.; рез. русск., франц., англ.,
нем.)

Для извлечения хлорпикрина (I) из органов смер-
тельно отравившегося человека, использованы методы
1) обработки органов водным паром и 2) экстракции
этиловым спиртом с последующей обработкой водя-
ным паром. Приведенные результаты показывают, что
первый метод дает лучшие результаты. В мозгу и
селезенке яд не был обнаружен. Наибольшее кол-во I
было обнаружено в желудке и его содержимом и за-
тем, в убывающем порядке, в почках, печени, кишеч-
нике и его содержимом, крови и легких. Одновременно
установлено, что колориметрич. метод определения I
по р-ции Фуживара дает худшие результаты по срав-
нению с объемным методом. Я. Матлис

32241. Определение 3,4-бензпирена в выхлопных га-
зах дизель-моторов. Йоне, Клейсс, Рёйтер
(Bestimmung von 3,4-Benzpyren in den Abgasen von
Dieselmotoren. John K., Kleiss I., Reuter A.),
Angew. Chem., 1957, 69, № 21, 675 (нем.)

Разработан метод разделения и колич. определения
3,4-бензпирена (I) и 1,12-бензперилена (II), содержа-
щихся в выхлопных газах дизель-моторов. Для этого
выхлопной фильтр экстрагируют бензолом (III) и
экстракт упаривают. Остаток (~300 мг) растворяют в
циклогексане (IV) и для предварительной очистки
р-р пропускают через колонку ($l = 5 \text{ см}$) с Al_2O_3 , про-
мывают ее III, затем эфиром (V) и после упаривания
элюата остаток растворяют в IV. Р-р разделяют на
колонке ($l = 15 \text{ см}$) с Al_2O_3 и элюируют смесь петр.
эфира и V (10:1). Элюат делят на фракции по цвету
флуоресценции в УФ-свете, собирают третью фракцию
с сильной фиолетовой флуоресценцией, выпаривают и
извлекают V для дальнейшего разделения I и II хро-
матографией на ацилированной бумаге восходящим
методом в р-рителе $\text{CH}_3\text{OH}:\text{V}:\text{H}_2\text{O} = 4:4:1$. Для
колич. определения I экстрагируют его флуоресцирую-
щие пятна кипящим V, затем метанол-пиридином
(10:1), экстракт упаривают, остаток растворяют в IV
и снимают УФ-спектры при 270—390 мμ. чувстви-
тельность метода 0,1 γ. Н. Безингер

См. также: Общие вопросы: спектральные методы
анализа 31445; разделение изотопов бора 31624;
экстракция 31627, 32746, 33409, 33914; кондуктометрич.
титрование 31864; хроматографич. методы анализа
31911, 31912; 1822Бх; разделение некоторых редкозе-
мельных элементов сухим способом 31949; очистка
двуокиси теллура от меди и свинца 31955; метод р-ри-
мости для опред. состава комплексов в р-рах 32002;
автоматич. аппаратура для экстракции и метод извле-
чения урана 32267; приборы для потенциометрич. полу-
микротитрования 32215; автоматич. титр. 32286; систе-
ма монохроматора для спектрохимич. анализа 32301,
32302; метод и прибор для колич. измерения содержа-
ния газа в смеси 32304; метод и аппаратура для авто-
матич. титрования и контроля изменяющихся систем
32305. Анализ неорганич. в-в: опред. окиси Са в магне-
зитах и доломитах 32051; об изменении рН суспензии
карбоната Са с помощью цветных индикаторов 32088;
методы колич. опред. серы в лечебных водах 32123;
опред. органич. в-в в водах 32124; применение цвето-
метра для опред. йода в воздухе 32988; методы опред.
аналиты в воздухе 32992; индикатор окиси углерода
32996; опред. соед. свинца в воздухе методом амперо-
метрич. титрования 33000; опред. свободной двуокиси
кремния в присутствии силикатов 33017; анализ кера-
мич. сырья 33207, 33208; анализ минералов 33329; ана-
лиз цемента 33331, 33332, 33341. Анализ органич. в-в:
определение: дубильных в-в 33513, антибиотиков 33518,

фенилсманкарбозид 33534, глюконата кальция 33536, цинеола в эфирных маслах 33679, нафталина в городском газе 33799, цистина 11818Бх, аргинина 11820Бх, тирамина 11823Бх, аминокислот 11824Бх, концевых аминокислот различных гемоглобинов 11827Бх, тироксидной к-ты 11835Бх, витамина D 11839Бх, витамина E 11840Бх, 3-кетостероида 11845Бх, этилового спирта 11854Бх, субмикrogramмных колич. Ni в крови человека 11855Бх, Са в биологич. жидкостях 11856Бх, Fe в плазме или сыворотке крови 11853Бх, таурина в моче 11870Бх, 17-ОН-кортикостероидов в моче 11873Бх, моче-

вой к-ты в биологич. жидкостях 11876Бх, гидрамина изоникотиновой к-ты в сыворотке крови 11884Бх, лекарственных в-в 11886Бх; анализы: жиров и масел, выделяемых из сточных вод 32896, лекарственных в-в 33539, элексира аминоексусной к-ты 33540, мочевых камней 11877Бх; полярографич. р-ции на альбумины 11868Бх; микроопред. пиридиннуклеотидов 11838Бх; колориметрич. микроопред. меди, связанной с белками 11866Бх; микроопред. гиппуровой к-ты в моче 11871Бх; применение электрофореза для разделения алкалоидов 11889Бх

ОБОРУДОВАНИЕ ЛАБОРАТОРИЙ ПРИБОРЫ, ИХ ТЕОРИЯ, КОНСТРУКЦИЯ, ПРИМЕНЕНИЕ

Редактор А. И. Сарахов

32242. He^3 -камера для спектрометрирования нейтронов. Глазков Н. П., Приборы и техн. эксперимен-та, 1957, № 4, 96

Описана шаровая камера, используемая для регистрации и спектрометрирования нейтронов по р-ции $\text{He}^3 (n, p)T + 770 \text{ кэВ}$. Камера имеет относительно простую конструкцию и обеспечивает разрешение по энергиям с точностью $\pm 4\%$.

Г. Радзиевский
32243. Установка для спин эхо. Шварц (Spin echo apparatus. Schwartz J.), Rev. Scient. Instrum., 1957, 28, № 10, 780—789 (англ.)

Подробно описана установка для исследования методом спин эхо ядерного магнитного резонанса: ядерной релаксации узких резонансных линий, конвекции и диффузии в жидкостях и газах и в некоторых случаях хим. расщепления (хим. сдвиг и спин-спин-расщепления) в жидкостях. Установка собрана из типовой аппаратуры, выпускаемой различными фирмами, и примененные приборы могут быть заменены аналогичными приборами других фирм. Рассмотрены вопросы настройки и стабильности установки. Магнит может быть применен постоянный или электромагнит с неоднородностью поля 0,5 гс. Особое внимание уделено работе контура отсчета времени, который определяет точность работы всей установки. Приведена блок-схема всей установки с указанием формы и длительности импульсов в каждом контуре установки и схемы генератора импульсов и усилителя.

В. Глазков
32244. Автоматический спектрограф на фильтрах «спектромат». Кёниг (Der automatische Filterspektrograph «Spectromat». König Helen), Chem. Rundschau, 1957, 10, № 18, 405—406 (нем.)

Описан спектрограф для исследования спектров отражения и пропускания окрашенных в-в в области 300—720 мμ. Источником света служит лампа накаливания, излучение которой разлагается интерференционными фильтрами, укрепленными на колесе, вращающемся со скоростью 380 об/мин. Излучение регистрируется фотоумножителем. Сигналы с фотоумножителя подаются на катодный осциллограф. В электрич. схеме предусмотрена автоматич. регулировка распределения энергии излучения источника по спектру. В. Лыгин

32245. Спектрофотометрия в области длин волн от 2100 до 50 000 Å. Люшер (Zur Spektralphotometrie im Wellenlängenbereich von 2100 Å bis 50 000 Å. Lüscher E.), Chem. Rundschau, 1957, 10, № 18, 399—401 (нем.)

Приведены краткие характеристики источников излучения, диспергирующих элементов и приемников излучения. В. Лыгин

32246. О некоторых специальных применениях эмиссионной спектрографии. Лей (De quelques applications particulières de la spectrographie d'emis-

sion. Loeuille Edmond), Metallurgia ital., 1957, 49, № 6, 409—410 (франц.)

Кратко описан метод определения т-ры в пламени электрич. дуги по излучению сплошного спектра, возникающего вместе с линейчатым спектром электро-дов. Найдена т-ра разряда между латунными, Mg- и Al-электродами, которая равна соответственно 5000, 6350 и 4850° K. Предложено этим методом измерять т-ру различных пламен и некоторых излучающих ламп. М. Свентицкий

32247. Использование кварцевого спектрографа в качестве монохроматора. Шульга С. З., Заводск. лаборатория, 1957, 23, № 11, 1385—1386

Описано два способа преобразования спектрографа ИСП-22 (или Хильгер Е-2) в монохроматор с неподвижной выходной щелью: 1) фокусировка пучков одной и той же длины волны на выходную щель осуществляется плоским зеркалом, укрепленным на салазках между фокальной плоскостью и объективом спектрографа; 2) зеркало, отклоняющее лучи, перемещается по линейным направляющим за фокальной плоскостью спектрографа. В. Лыгин

32248. Оптический прерыватель и 45° отражательная приставка для спектрофотометра Бекмана DK-I и DK-II. Гофман (Optischer Unterbrecher und 45°-Reflexionszusatz für die Beckman-Spektralphotometer DK I und DK II. Hoffmann K.), Chem. Ingr.-Techn., 1957, 29, № 10, 652—656 (нем.; реангл., франц.)

С целью выбора оптимальных условий работы (постоянной времени, усиления) в оптич. систему введен прерыватель с неравномерным расположением отверстий, вращающийся со скоростью 1500 об/мин. Рассеянный свет под углом 45° регистрируется в области 0,38—0,8 м фотоумножителем и в области 0,6—2,8 Å фотоэлементом с покрытием из PbS. В. Лыгин

32249. Упрощенные «спектральные» светофильтры к фотоколориметру ФЭК-М. Щербов Д. П. В сб.: Опыт работы геологов-разведчиков Казахстана. Алма-Ата, АН КазССР, 1957, 144—148

Предложен набор светофильтров с узкими полосами пропускания, получаемых комбинированием стеклинных светофильтров фотоколориметра ФЭК-М с жидкими светофильтрами из солей CuSO_4 , KMnO_4 , $\text{K}_2\text{Cr}_2\text{O}_4$, $\text{K}_2\text{Cr}_2\text{O}_7$ и CoSO_4 . В. Лыгин

32250. Исследование источников света для спектрального анализа. XII. Прецизионный искровой генератор с электронным управлением и высоким напряжением 40 000 в Бардоц (Untersuchungen über Lichtquellen für Spektralanalyse. XII. Ein elektronisch gesteuerter Präzisions-Funkenerzeuger mit einer Höchstspannung von 40 000 Volt. Bar-

дбсх А.), Z. angew. Phys., 1957, 9, № 2, 82—88 (нем.)

Искровой генератор состоит из рабочей цепи высокой мощности и управляющей цепи малой мощности, включающей в себя двоякий искровой промежуток с тиратронным управлением. Сетка тиратрона питается от фотоэлемента, регистрирующего излучение источника, или от импульсного генератора. С помощью вращающегося перед щелью спектрографа зеркала генератор позволяет получать спектры через интервалы в 1 мсек. Разрешение спектра во времени позволяет исследовать процессы в искре в течение всего времени разряда. Приведены разрешенные во времени спектры Zn из различных частей искрового промежутка. Генератор пригоден для раздельного исследования непрерывного спектра в начале разряда и спектра дуговых и искровых линий. Приведен пример применения разрешенных во времени спектров для колич. анализа Cu и Al. В. Лыгин

32251. Разрешение и отношение интенсивности близких спектральных линий. Чатурведи (Apparent separation and intensity ratio of close spectral lines. Chaturvedi K. C.), Indian J. Phys., 1957, 31, № 5, 247—255 (англ.)

Рассмотрена связь между истинным разрешением и отношением интенсивности, а также между кажущимся разрешением и отношением интенсивности перекрывающихся линий для случая пренебрежения инструментальной шириной линии и для случая пренебрежения естественной шириной линии. Приведены поправочные таблицы для эталона Фабри—Перо. В. Лыгин

32252. Испытания спектральной установки «Фан» для определения фосфора в стали. Иванцов Л. М., Константинов И. И., Суховалова В. В., Шурмыгин А. И., Заводск. лаборатория, 1957, 23, № 11, 1329—1332

Наилучшие результаты анализа получены при использовании пробы в виде конич. пальца диам. 6 мм. Форма противозащита мало влияет на результаты анализа. Концентрационная чувствительность линии Р 2136,2 А удовлетворительна в интервале 0,01—0,25%. Кривые распределения ошибок спектрального и хим. анализов показывают, что распределение ошибок более благоприятно в случае спектрального анализа. Однократный спектральный анализ длится 3,5—4 мин. В. Лыгин

32253. Флуориметр с прямым отсчетом. Брилли, Росс (A direct-reading fluorimeter. Brealey L., Ross R. E.), Analyst, 1957, 82, № 980, 769—773 (англ.)

Предложена схема простого флуориметра с чувствительностью 0,0002 γ /мл рибофлавина. Свет от дуговой Hg-лампы (125 Вт) попадает на линзу, после прохождения которой выходит параллельным пучком, и, пройдя через светофильтр, разделяется на 2 части. Одна часть освещает кювету с анализируемым р-ром, вызывая его флуоресценцию. Флуоресцентный световой поток, отбираемый под прямым углом к световому потоку возбуждения, выходит из щели и после светофильтра попадает на фотоумножитель; фототок последнего усиливается и поступает в измерительное устройство. 2-я часть используется для регулирования интенсивности света Hg-лампы. Для устранения влияния процессов фоторазложения можно во время измерения создать через кювету медленный ток анализируемого р-ра. А. Немодрук

32254. Применение двойного зеркала для точного изображения источника света при спектральном анализе. Маннкопф (Der Doppelspiegel als Hilfsmittel zur genauen Abbildung von Lichtquellen für

Spektralanalyse. Mannkopff R.), Optik, 1957, 14, № 7-8, 303—306 (нем.; рез. англ.)

Контроль положения изображения источника света на щели спектрографа осуществляется визуально с помощью отражательной призмы и алюминированного зеркала. Проекционная система расположена за источником излучения и позволяет вести наблюдение изображения источника света на щели спектрографа со стороны касетной части и устанавливать положение изображения разрядного промежутка искры на щели с точностью до 0,1 мм. В. Лыгин

32255. Интерполяционные формулы в фотографической спектрофотометрии. Бейкер (Interpolation formulae in photographic spectrophotometry. Baker E. A.), J. Photogr. Sci., 1957, 5, № 4, 94—95 (англ.)

32256. О фотографической фотометрии. Джанкс, Салпетер (Intorno alla fotometria fotografica. Junkes S. J. Joseph, Salpeter S. J. Ernest W.), Metallurgia ital., 1957, 49, № 6, 425—430. Discuss., 430 (итал.; рез. англ., нем., франц.)

Для повышения измеряемой величины интенсивности спектральных линий с высокими интенсивностями, соответствующих участку насыщения характеристики, предлагается при фотометрировании пользоваться переменной диафрагмой при постоянной интенсивности проходящего света. Л. Розенштейн

32257. Применение грубых решеток для определения показателя преломления веществ. Срткантатх, Вергхесе (Use of coarse gratings to find the refractive index of materials. Sreekanthath Gopala Menon, Verghese C. A.), J. Scient. Instrum., 1957, 34, № 11, 464 (англ.)

Описан метод определения показателя преломления μ в-в в оптич. ячейках. Приборы: спектрометр Na-источник света и 2 совершенно одинаковых прозрачных решетки (~ 150 —200 линий на 1 см), которые помещаются между телескопом и коллиматором. μ определяется по ф-ле $r\Delta = \lambda \sin^2 i [1(1 - \sin^2 i / \mu^2 - \sin^2 i)^{1/2}]$, где r — число полос, дающих смещение; i — угол падения пучка лучей на пластинку; t — толщина пластинки; Δ — ширина элемента решетки. Точность определения $\mu \sim 0,002$. В. Глазков

32258. Электронный микроанализатор и его применение в черной металлургии. Кастен, Филибер, Крюссар (Electron probe microanalyzer and its application to ferrous metallurgy. Castaing R., Philibert J., Crussard C.), J. Metals, 1957, 9, № 4, Sec. 2, 389—394 (англ.)

Описан рентгеновский спектрометр, предназначенный для анализа в точке. Колич. определение какого-либо элемента на анализируемом участке диам. $\sim 1 \mu$ и глубиной $\sim 2 \mu$ осуществляется путем сравнения интенсивностей его сильной характеристич. линии, испускаемой исследуемым участком и образцом чистого элемента. Точность анализа $\geq 1\%$. А. Штейнберг

32259. Газовый анализ в отпаянных электроннолучевых трубках с помощью омегатрона. Пепер (Gasanalyse aan afgesmolten katodestraalbuizen met behulp van het omegatron. Peeper J.), Philips techn. tijdschr., 1957, 19, № 9, 266—268 (гол.)

Кратко изложен принцип работы омегатрона и описано его применение для анализа остаточных газов в отпаянных электроннолучевых трубках. Измерения показали, что главную часть этих газов составляют CH_4 , Ar; меньше содержание водорода, CO, CO_2 и других углеводородов. Приведены некоторые конструктивные показатели установки для анализа. В. Дианов-Клоков

32260. Техника получения абсорбционных и эмиссионных рентгеновских спектров. Курликенко (Technique d'obtention des spectres d'absorption et

d'émission des rayons X. Kurylenko Constantin), Cahiers phys., 1957, № 82, 223—237 (франц.)
Исторический обзор развития техники получения лучей. В основном рассмотрена эволюция рентгеновских трубок.

А. Бабад-Захридин
32261. Флюороскопия с увеличением изображения. Хамшоу, Хант (Fluoroscopy with an enlarged image. Halmshaw R., Hunt C.), Brit. J. Appl. Phys., 1957, 8, № 7, 282—288 (англ.)

Проведено сравнение чувствительности флюороскопа с короткофокусной рентгеновской трубкой и проектируемым на экран изображением и флюороскопа с рентгеновской трубкой среднего фокуса с расположением исследуемого образца непосредственно перед экраном. Показано, что использование флюороскопа первого типа позволяет получать на экране большую чувствительность и большую резкость изображения, чем в случае флюороскопа второго типа.

В. Лыгин
32262. Способы и аппаратура для определения отдельных компонент газовых смесей на основе инфракрасной абсорбции. Картхаус (Verfahren und Geräte zur Bestimmung einzelner Komponenten in Gasgemischen auf Grund der Infrarotabsorption. Karthaus H.), Gaswärme, 1957, 6, № 4, 148—159 (нем.)

Обзор. Библ. 17 назв. Б. Энглин
32263. 25 лет электронной микроскопии. Брюхе (25 Jahre Elektronenmikroskop. Brüche E.), Naturwissenschaften, 1957, 44, № 23, 601—610 (нем.)

Обзор. Библ. 6 назв. А. Сарахов
32264. Записывающий ложечковый манометр. Хули (A recording spoon gauge. Hooley J. G.), Canad. J. Chem., 1957, 35, № 12, 1414—1416 (англ.)

Кратко описан стеклянный манометр Бурдона с упругим элементом в виде полой ложки (манометр типа Фурда). К горизонтально расположенному стержню, которым оканчивается «ложка», подвешен ферромагнитный цилиндр, служащий сердечником дифференциального трансформатора. Изменение положения сердечника вызывает изменение напряжения на выходе дифференциального трансформатора, которое после усиления записывается самописцем. Показания манометра линейны в области 0—760 мм рт. ст. Точность показаний 0,2 мм рт. ст.

А. Сарахов
32265. Дифференциальный теческатель типа манометра Пирани. Исии, Акияма, Синку когэ, Vacuum Engng, 1957, 4, № 6, 177—180 (японск.)

32266. Измерения и регулирование различных физических величин при помощи экстензометрической техники. Гуренс (Mesures et régulation de grandeurs physiques diverses par les techniques d'extensométrie. Goerens P.), Génie chim., 1957, 77, № 3, 57—69 (франц.; рез. англ., исп.)

Обзор аппаратуры для непрерывного измерения физ. величин (давления, веса и пр.), основанной на превращении измеряемых величин в электрич. величины вследствие измерения сопротивления металлич. нитей с изменением их длины.

Б. Анваер
32267. Автоматическая аппаратура для экстракции и метод извлечения урана. Кинбергер (Automatic solvent extraction apparatus and method for uranium. Kienberger C. A.), Analyt. Chem., 1957, 29, № 11, 1721—1722 (англ.)

Экстрактор состоит из двух стеклянных ячеек, соединенных в верхней части двумя перекрещивающимися трубками. Одна ячейка заполняется исследуемым р-ром, другая — извлекающим. Верхние части обеих наполняются р-рителем. Каждая ячейка снабжена механич. мешалкой особого устройства, действующей одновременно и как центрифужный насос. К верхней части мешалки присоединяется хлортрифторэтиленовая лопатка с двумя лопастями, которые

заставляют циркулировать р-ритель через трубки, соединяющие ячейку, а мешалки накачивают его в нижнюю часть ячеек, где он тщательно перемешивается с водн. р-рами. Работа экстрактора иллюстрируется на примере извлечения U из загрязненных нитратных р-ров дибутилкарбитолом в р-ре сульфата аммония. Продолжительность операции 60 мин. Чистота выделенной окиси урана 99,7%. Указываются перспективы промышленного использования.

З. Соколова
32268. Измерение распределения плотности тонких пленок методом поглощения α -частиц. Дейвисон (Measurement of thickness distribution of thin films by α -particle absorption. Davison W. H. T.), J. Scient. Instrum., 1957, 34, № 10, 418—419 (англ.)

Предложен метод более простой, чем весовой, и более чувствительный, чем метод, основанный на поглощении β -частиц. Он позволяет определять как распределение толщины пленок по площади, так и плотность пленок в мг/см^2 . Прибор для измерений состоит из Г.-М.-счетчика и камеры, куда помещается изучаемый образец пленки и источник α -частиц (Po^{210} 1 $\mu\text{кюри}$). Вместо изменения расстояния между источником α -частиц и счетчиком (как это обычно делается), меняется давление газа в камере (сухой воздух, H_2 или He). Точность измерений зависит от толщины пленки и составляет 1—4% для пленок $\leq 5 \mu$. С Po^{210} могут измеряться пленки плотностью до 4 мг/см^2 .

В. Громов
32269. Интегрирующие устройства для дозирования лучистой энергии. Чматов К. В., Прохоров В. А., Алексеев Н. Г., Ж. физ. химии, 1957, 31, № 8, 1898—1899 (рез. англ.)

Приведена простая интегрирующая схема, автоматически выключающая источник излучения (видимого света, ИК- или рентгеновского излучения) по получению объектом фиксированной дозы.

Г. Радзиевский
32270. Требования к стабильности сцинтилляционных счетчиков, применяемых для радиоактивного карротажка. Юманс, Монахан (Stability requirements for scintillation counters used in radioactivity logging. Youmans Arthur, Monaghan Ralph), J. Petrol. Technol., 1957, 9, № 8, 231—234 (англ.)

Обсуждаются вопросы, связанные с использованием сцинтилляционных приборов для радиоактивного карротажка, в частности способы повышения точности регистрации (ликвидация влияния меняющихся магнитных полей и т-ры внутри скважины, учет активности детекторов и усталости фотоумножителя).

Г. Радзиевский
32271. Простой жидкостный сцинтилляционный счетчик для химического анализа с радиоактивными индикаторами. Симман (Simple liquid scintillation counter for chemical analysis with radioactive tracers. Seaman William), Analyt. Chem., 1957, 29, № 11, 1570—1573 (англ.)

Описан компактный жидкостный сцинтилляционный счетчик с одним фотоумножителем, работающий без охлаждения. Счетчик пригоден для счета относительно больших активностей. Приведены примеры использования его для анализов.

Г. Радзиевский
32272. Производство счетчиков Гейгера — Мюллера в Польше. Яникровский (Stan produkcji liczników Geigera-Müllera w Polsce. Janikowski Andrzej), Nukleonika, 1957, 2, № 3, 489—505 (польск.; рез. русск., англ.)

Обзор конструкций и технич. характеристики 32 Г.-М.-счетчиков, выпускаемых польской пром-стью.

А. Сарахов

32273. Дифференциальные термовесы. Берд (The differential thermobalance. Bird R. T. H.), Claycraft, 1957, 30, № 6, 340—343 (англ.)

Описаны принцип действия и область применения автоматич. дифференциальных термовесов (ДТВ), выпускаемых фирмой Сарториус. ДТВ применяются для дифференциального термогравиметрич. анализа силикатных материалов и состоят из двух параллельно расположенных нагревательных вертикальных трубчатых электропечей (Э). Над Э расположены чашки ДТВ, к которым подвешены тигли с одинаковыми навесками исследуемого в-ва; тигли опущены в Э. Т-ра в каждой Э повышается автоматически с постоянной одинаковой скоростью, но в одной из них т-ра опережает т-ру другой на 4°. Неодинаковая потеря веса в-ва в тиглях записывается на фотобумаге при помощи зеркала, прикрепленного к коромыслу, к осветителю. Таким образом ДТВ автоматически дают кривую $dp/dt = f(t)$.

М. Злочевский

32274. Новые сопротивления с окисным проводящим слоем с отрицательным температурным коэффициентом. Вальтер (Über einen neuartigen Oxydschichtwiderstand mit negativem Temperaturkoeffizienten. Walter Paul), Elektrotechn. Z., 1957, A78, № 14, 500—504 (нем.)

Сообщается о новых сопротивлениях со слоем, состоящим из смеси окислов Zn и Sb, нанесенных на стеклянную или керамич. поверхность. Температурный коэф. сопротивления колеблется от +0,1 до -1,6% на 1°, а уд. сопротивление от $5 \cdot 10^{-4}$ до 30 ом см, в зависимости от условий изготовления. Г. Г.

32275. Аппарат для весового определения растворимости твердых тел в жидких растворителях. Шуба, Гаевский, Ляковская (Aparatura do wagowej metody oznaczania rozpuszczalności ciał stałych w cieczach. Szuba J., Gajewski Z., Laskowska H.), Koks, smoła, gaz, 1957, 2, № 2, 75—77 (польск.; рез. русск., англ., нем.)

Предложен лабор. аппарат для определения весовым методом растворимости твердых органич. в-в в жидких органич. р-рителях. Точность анализа $\leq 0,02\%$.

К. Зарембо

32276. Измерение толщины анодных пленок при помощи интерференционного микроскопа без разрушения объекта. Сор (Nondestructive thickness measurement of anodizing using the interference microscope. Saur Roger L.), Plating, 1957, 44, № 10, 1079—1082 (англ.)

Подробно описан метод определения толщин прозрачных анодных пленок на Al и Al-сплавах с помощью интерференционного микроскопа. Метод позволяет без разрушения детали быстро определять толщину пленок в области 200—3000 Å с точностью ± 80 Å.

А. Бабад-Захрияни

32277. Прибор для определения электропроводности электролитов. Дуччи (Un interessante apparecchio per la misura della conduttività di elettroliti. Ducci R.), Elettificazione, 1956, № 11, Suppl. Elettrochimica, 81—84 (итал.)

Описан мост переменного тока для измерения электропроводности электролитов, выпускаемый фирмой Industrial Instruments Inc. Индикатором равновесия моста служит усилитель с оптич. индикатором настройки типа 6Е5. Диапазон измерений 0,2—2 500 000 ом с точностью 1%.

Я. Лапин

32278. Счетная линейка для вычисления результатов полярографических определений. Щербов Д. П. В сб.: Опыт работы геологов-разведчиков Казахстана. Алма-Ата, АН КазССР, 1957, 149—151

Описана счетная линейка (типа логарифмической), позволяющая быстро обрабатывать результаты поля-

рографич. измерений, проводимых при различной чувствительности гальванометра.

Ю. Плесков

32279. Электрохимическое исследование угольного электрода с газовым пузырьком. Карницкий В. А., Камышников И. Ф., Богомаз Н. К., Тр. Отчет. научн. конференции (Ростовск.-н/Д. мед ин-т) за 1956 г. Ростов-на-Дону, 1957, 843—847

Графитовый электрод, покрытый Pt-чернью, может быть применен вместо платинированного Pt-электрода при определении рН. Точность измерений $\sim 0,05$ ед. рН.

Ю. Плесков

32280. Простой метод определения изотермы адсорбции паров на твердом веществе. Хшонцевский, Вронский (Prosta metoda wyznaczania izotermu adsorpcji w układzie gaz—ciało stałe. Chrzaszewski Józef, Wronski Mieczysław), Roczn. chem., 1957, 31, № 1, 297—299 (польск.; рез. англ.)

Описан простой объемный прибор для измерения изотерм адсорбции паров. Прибор состоит из газовой бюретки, соединенной с Hg-манометром, вакуумной установкой и двумя сосудами с кранами для адсорбента и адсорбируемого в-ва. Приведены расчетные ф-лы.

А. Сарахов

32281. Новые вспомогательные приспособления для хроматографических и электрофоретических методов. Гоша (Moderne Hilfsmittel für chromatographische und elektrophoretische Arbeitsmethoden. Gauchat Charles L.), Chem. Rundschau, 1957, 10, № 18, 414 (нем.)

Кратко описаны новые, выпускаемые в Швеции приборы. 1. Колонка для препаративной хроматографии на бумаге, свернутой в рулон, с полиэтиленовой прокладкой, позволяющая разделить до 1 г аминокислот в образце. 2. Составные хроматографич. колонки из ряда прогрессивно увеличивающихся полиэтиленовых звеньев, соединенных между собой канильными отверстиями и заключенных в общую оболочку из нержавеющей стали. Прибор позволяет производить хроматографирование по методу вытеснения под большим гидростатич. напором. 3. Колонка для электрофореза без носителя, с отбором разделенных фракций. 4. Карусельный фракционный коллектор, составленный из разъемных секторов с приемниками, расположенными в несколько концентрич. рядов; последовательно заполняются приемники очередного сектора, который после этого может быть снят с аппарата для дальнейшей обработки фракций, не ожидая окончания всего хроматографич. опыта. Отбор проб, по желанию, может производиться по времени, по числу капель или по объему. 5. Аппарат для микроэлектрофореза на бумаге улучшенной конструкции.

В. Анохин

32282. Пипетка для ввода вещества в газовую хроматографическую колонку. Расселл, Беднас (Transfer cell for gas chromatography. Russell Douglas S., Bednas Marven E.), Analyst. Chem., 1957, 29, № 10, 1562 (англ.)

Для ввода в-ва в среду разреженного газа в колонке предлагается конструкция газовой пипетки с двумя вакуумными 3-ходовыми кранами, с охлаждающей рубашкой для жидкого азота. Газ вводит в колонку через иглу для шприца, азотой прокалывается резиновая пробка на входном конце хроматографич. колонки. Вытеснение пробы из пипетки в колонку производится током инертного газа-носителя.

В. Анохин

32283. Кювета для хроматографии на бумаге под прямоугольным стеклинным колпаком. Симс (A reservoir for paper chromatography for use inside a rectangular glass container. Sims A. L.), J. Scient. Instrum., 1957, 34, № 11, 461 (англ.)

Кювета для проявляющего р-ра (при нисходящей хроматографии на бумаге) изготавливается из полисти-

ленового стержня диам. 5 см, в котором перпендикулярно оси сделано 5 сверлений диам. 1,8 и глубиной 4,5 см. Сверления соединяются щелью $0,3 \times 4$ см. После заполнения проявляющим р-ром в щель вставляется полоса хроматографич. бумаги и кювета помещается под стеклянный колпак для проявления. Никакого дополнительного крепления бумаги не требуется.

Л. Дмитренко

32284. Прибор для измерения концентрации ядер сублимации. Варнер (An instrument for the measurement of freezing nucleus concentration. Warner J.), Bull. Observ. Puy-de-Dôme, 1957, № 2, 33—46 (англ.; рез. франц.)

Приведена теория и описание прибора, состоящего из термостатируемого при -12° баллона, в котором исследуемая порция воздуха сначала сжимается с помощью ножной помпы, а затем резко охлаждается в результате мгновенного падения давления при сообщении баллона с атмосферой. В результате перенасыщения в баллоне образуется туман, в котором ядра сублимации становятся активными. Образующиеся на этих ядрах кристаллы льда падают в сменную тарелку с переохлажд. (на $2-3^\circ$) р-ром сахара, где они быстро растут и могут быть сосчитаны визуально.

Ю. Топоров

32285. Прибор для потенциометрического полумикротитрования. Робинсон (Apparatus for semi-micro potentiometric titrations. Robinson B. K. Repts. Atomic Energy Res. Establ., 1957, № C/M 316. 5 pp., ill.) (англ.)

Прибор состоит из рН-метра и микропипетки на 0,005 мл, соединенной со шприцем, поршень которого движется электромотором. Точность измерения $\sim 2\%$. Прибор особенно удобен для определения констант устойчивости комплексных соединений металлов.

Ю. Плесков

32286. Автоматический титратор. Гаванда (Automatischer Titrator. Gavanda Ludwig), Mitt. Chem. Forschungsinstit. Wirtsch. Österr., 1957, 11, № 3, 77—78 (нем.)

Описываемый прибор для автоматич. титрования состоит из электронной схемы, связанной с двумя электромагнитными кранами, регулирующими поток титрующей жидкости, и рН-метра. рН-метр управляет схемой в зависимости от разности потенциалов на электродах, погруженных в титруемый р-р. Титрующий р-р подается сначала через клапан с большим проходным сечением, а при приближении рН в измерительной кювете к нейтр-ции реле автоматически переключает поток на второй клапан с малым проходным сечением. Кроме этого, общая скорость потока может регулироваться дополнительно вручную. Точность титрования составляет ± 1 каплю титрующего р-ра. Прибор имеет 3 диапазона измерения: 0—10, 4—14 рН и 5 единиц рН в любой области.

М. Людмирский

32287. Аппарат для измерения поглощения водорода металлами. Котык, Мейгор, Дейвис (An apparatus for measurement of the occlusion of hydrogen by metals. Kotyk M., Magor J. K., Davis H. M.), Metallurgia, 1957, 56, № 335, 153—155 (англ.)

Описан прибор для измерения поглощения металлом водорода, полученного при термич. диссоциации. Действие прибора заключается в том, что металлич. образец нагревается в герметичном сосуде в атмосфере водорода и при нескольких т-рах измеряется равновесное давление между водородом и металлом. Сравнение с данными, полученными в результате аналогичных экспериментов со стеклянным образцом, не удерживающим водорода, дает кол-во водорода, удержанное металлом при данной т-ре.

Г. Людмирская

32288. Установка для восстановления посредством гидрида лития и алюминия. Прони (Assembly for lithium aluminum hydride reductions. Pronay Andrew C.), Chemist Analyst, 1956, 45, № 1, 23—24 (англ.)

При проведении р-ций восстановления посредством LiAlH_4 (I) для очистки продажного I применен прибор, являющийся модификацией аппарата Сокслета. В одно из горлышек трехгорлой склянки вставлена делительная воронка (B); к ней сверху присоединен стеклянный патрон, в котором находится I, нанесенный на стеклянную вату; сверху к патрону присоединен обратный холодильник. В другое горлышко входит стеклянная трубка, присоединенная к тому же холодильнику. Среднее горлышко служит для введения в склянку эфирного р-ра восстанавливаемого в-ва. Кран, присоединенный к B, позволяет выпускать воздух при приливании р-ра I в B.

Б. Аванс

32289. Лабораторный метод получения из воздуха азота без следов кислорода. Фархат, Азия, Дьюбаш (Laboratory method for obtaining oxygen-free nitrogen from air. Farhat Aziz, Dubash Elias), Pakistan J. Scient. Res., 1957, 9, № 2, 83—84 (англ.)

Описан прибор для получения из воздуха потока инертного газа, свободного от O_2 . Воздух пропускают через р-р NH_3 ; полученная смесь реагирует в колонке с Cu-стружками, нагретыми до $600-800^\circ$: $3\text{CuO} + 2\text{NH}_3 = 3\text{Cu} + 3\text{H}_2\text{O} + \text{N}_2$. Остатки O_2 удаляются описанным ранее методом (Badger W. L., J. Indust. and Engng Chem., 1919, 11, 1052). Избыток NH_3 и пары H_2O удаляются пропусканием смеси через H_2SO_4 .

А. Бабад-Захриши

32290. Прибор для непрерывного количественного поглощения хлористого водорода водой и метод вычисления количества поглощенного газа. Зелинский (Laboratoryjna ciągła absorpcja pomiarowa chlorowodoru w wodzie oraz sposób jej obliczania. Zieliński Zb.), Przem. chem., 1957, 13, № 9, 506—508 (польск.; рез. русск., англ.)

Описан абсорбер для колич. определения HCl в газах, выделяющихся в результате проведения непрерывной р-ции. Приведен метод вычисления абсорбированного HCl .

Резюме автора

32291. О работе со щелочными металлами. Пугачевич П. П., Ж. физ. химии, 1957, 31, № 9, 2140—2142 (рез. англ.)

Описаны приемы очистки Na, K и Li перегонкой в вакууме, получения в вакууме их амальгам и приведены эскизы применяемых для этих работ приборов. Приготовленные по методу автора амальгамы щел. металлов хранятся годами, не изменяя своих свойств.

И. Слоним

32292. Приборы — анализаторы продуктов сгорания и газов. Монден (Appareils analyseurs de fumées et de gaz. Mondin Ch), Chaud-froid-plomberie, 1957, 11, № 130, 37—48 (франц.)

Обзор газоанализаторов, выпускаемых французскими фирмами.

Б. Аванс

32293. Лабораторное приспособление для работы с твердыми веществами. Нап (Laboratory-scale solids metering device. Knap James E.), Rev. Scient. Instrum., 1957, 28, № 10, 837—838 (англ.)

Описано шнековое приспособление для ввода твердых продуктов в реакционный сосуд, изолированный от атмосферы. Приспособление допускает как непрерывную, так и ступенчатую подачу продукта и управляется от руки или с помощью моторного привода.

Э. Финкель

32294. Стабильность эталонов частоты на NH_3 . Бонаном, Принс, Герман, Карташов (Stabilité d'étalons de fréquence à NH_3 . Bonano-

посредством
Assembly for
s. Pronay
№ 1, 23—24

посредством
именен пра
га Сокслета
и вставлена
присоединен
1, нанесен
ту присоеди
льшю вло
к тому же
для введ
аемого в-ва
пускать воз
из воздуха
ат, Азия
ing oxygen
Dubash
№ 2, 83—84

духа потока
пропускают
г в колонне
р: $3\text{CuO} +$
удаляются
J. Industr.
 NH_3 и пары
рез H_2SO_4
д-Захранин
нственного
метод вы
а. Зелля
romiagowa
obliczenia.
№ 9, 506—

НСI в га
и непря
абсорбиро
оме автора
и. Пуга
№ 9, 2140—

регонкой в
и привле
прибор.
амы пел
х свойств.
И. Слонин
сгорания
de fumées
plomberie.

француз
Б. Анвар
работы е
cale solids
iv. Scient.

ода твер
рованных
к внепр
и управ
привода.
Финкель
 NH_3 . Бо
ташов
опано

mi J., Prins J. de, Hergmann J., Kartaschoff P.), *Helv. phys. acta*, 1957, 30, № 4, 288—290 (франц.)

Исследовалась стабильность частоты мол. генератора на NH_3 . Стабильность частоты за длительный промежуток времени оказалась $\sim 2 \cdot 10^{-10}$. Отмечается важность применения прибора для хранения времени.

В. Квливидзе

32295. Стекланные приборы с оптимальной эффективностью на основе применения современной техники процессов и конструкций. Хельмрих (Glasapparate mit optimalem Arbeitseffekt als Folge neuzeitlicher Verfahrens- und Konstruktionstechnik. Helmrich H. P.), *Technik*, 1957, 12, № 9, 603-605 (нем.)

Обсуждаются общие принципы проектирования и конструирования стекланных лабор. аппаратуры. В качестве примера рассматривается разработка лабор. установок для перегонки воды и регенерации р-рителей.

Б. Анвар

32296. Приспособление для дистилляционных аппаратов. Шимек (Destilační mezinástavce. Simek Jaroslav), *Chem. průmysl*, 1957, 7, № 8, 416—417 (чешск.; рез. русск., англ., нем., франц.)

Описано приспособление для дистил. аппаратов на шлифах, которое включается между колбой и обратным холодильником. Приспособление позволяет, не прерывая дистилляции, подключать нисходящий холодильник или колбу-приёмник и контролировать т-ру поступающего пара с помощью термометра, вставляемого в спец. шлиф.

Н. Туркевич

32297. Дифференциальный гидрометр с подвижными острями. Рампони (Idrometro differenziale a punte mobili. Ramponi Francesco), *Tecn. ital.*, 1957, 12, № 1, 17—20 (итал.; рез. франц.)

Описан переносный прибор для определения малых разностей уровней жидкости в сосудах.

В. Шекин

32298. О лабораторных центрифугах и ультрацентрифугах. 4. Упрощенная оптическая система для воспроизведения градиента показателя преломления при измерениях диффузии и седиментации. 5. Прямое получение линейных диаграмм с базовой линией в седиментационных опытах. Видеман (Über Laboratoriums und Ultrazentrifugen. Ein vereinfachtes optisches System zur Aufzeichnung von Brechungsindexgradienten bei Diffusions- und Sedimentations-Messungen. 4. Mitt. Die Aufnahme direkter Liniendiagramme mit Basis von Sedimentations-Versuchen. 5. Mitt. Wiedemann E.), *Helv. chim. acta*, 1957, 40, № 6, 1831—1834; 1834—1836 (нем.)

4. Двухколлиматорная оптич. система типа Фильшота—Свенссона упрощена за счет замены второй коллиматорной линзы и объектива одним объективом, полностью принимающим на себя их функции. В дополнение к известным преимуществам обычной схемы, новая схема обеспечивает лучшую освещенность и снабжена спец. коррекционной насадкой.

5. Ранее описанный (Helv. chim. acta, 1947, 30, 648; 1948, 31, 40; *Experientia*, 1947, 3, 341) метод прямого получения электрофореграмм с базовой линией применен для получения аналогичных диаграмм при седиментации в ультрацентрифуге. Принцип метода состоит в том, что противовес заменяется такой же кюветой, как основная (с р-ром), но заполненной чистым р-рителем. Предыдущее сообщение см. РЖХим, 1957, 70655.

С. Френкель

32299. Химическое матирование метакрилатовых пластинок. Биккер, Уинтер (Chemical frosting of methacrylate plastics. Bicker Robert H., Winter Rolf G.), *Rev. Scient. Instrum.*, 1957, 28, № 10, 843 (англ.)

Предложено для создания матовой поверхности ме-

такрилатовых пластинок (люцит, плексиглас) погружать их в конц. HNO_3 . Матирование поверхности определяется длительностью пребывания в к-те.

Э. Финкель

32300. Самодельная высокотемпературная керосиновая горелка. Тэмп А. Н., Уч. зап. Гомельск. гос. пед. ин-т, 1956, вып. 3, 229—232

Описана конструкция и способ изготовления высокотемпературной керосиновой горелки, предназначенной для демонстрационных опытов и стеклодувных работ.

Э. Финкель

32301 П. Система монохроматора для спектрохимического анализа. Фасти (Monochromator system for spectrochemical analysis. Fastie William G.) [Leeds and Northrup Co.]. Пат. США 2757568, 7.08.56

Оптическая система монохроматора смонтирована в корпусе цилиндрич. формы. В одном конце корпуса закреплено сферич. зеркало, а в другом — плоская решетка и щели монохроматора. Фокусировка падающего через входную щель света на решетку и разложенного излучения на выходную щель осуществляется двумя половинами одного и того же сферич. зеркала. Использование одного и того же зеркала упрощает конструкцию прибора, устраняет необходимость дополнительной юстировки зеркала и делает оптич. систему менее чувствительной к вибрациям. Оптич. система свободна от внеосевого астигматизма. Спектральная линия выводится на щель поворотом решетки. Монохроматор имеет задающий механизм, позволяющий выводить на щель наперед заданные спектральные линии и производить исследование различных участков спектра с заданной скоростью. В. Лыгин

32302 П. Система монохроматора для спектрохимического анализа. Фасти (Monochromator system for spectrochemical analysis. Fastie William G., [Leeds and Northrup Co.]. Пат. США 2750836, 19.06.56

Предлагается оптич. система светосильного монохроматора высокого разрешения. Коллиматором и объективом спектрометра служат две части сферич. вогнутого зеркала, расположенные симметрично относительно оптич. оси зеркала. Диспергирующим элементом является плоская отражательная решетка. Входная и выходная щели расположены в одной плоскости, перпендикулярной к оптич. оси. Одной из щечек входной и выходной щели является край круглого отверстия, а подвижные щечки имеют радиус кривизны отверстия. В другой конструкции щели подвижными щечками служит край кольца из упругого материала. Регулировка ширины щели осуществляется путем деформации кольца.

В. Лыгин

32303 П. Щелочно-земельные фториды, чувствительные к радиации, и их использование в качестве дозиметров. Шульман, Гинтер (Radiation sensitive alkaline earth fluorides and dosimeters employing same. Schulman James H., Ginther Robert J.) [The United States of America as represented by the Secretary of the Navy]. Пат. США 2757292, 31.07.56

Свойство фторидов щел.-зем. элементов изменять окраску под воздействием ионизирующего излучения использовано для дозиметрии рентгеновского и γ -излучения. Предлагается 4 типа дозиметров для мягкого и жесткого излучения. Определение дозы производится визуально путем сравнения окраски чувствительного элемента с эталоном.

Э. Финкель

32304 П. Методы и прибор для количественного измерения содержания газа в смеси. Обермайер, Ритцентагер (Methods and apparatus for measuring quantitatively the amount of gas in a mixture. Obermaier Alfred A., Ritzenthaler Bruce A.) [Illinois Testing Labs, Inc.]. Пат. США 2761976, 4.09.56

Метод определения газа основан на измерении разности в токе ионизации, возникающем под действием источника Ra в 2 камерах, в одной из которых помещается некоторый стандартный газ, а в другой — исследуемая газовая смесь. Ток через усилитель подается к мотору, регулирующему положение движущегося электрода, на котором помещен источник Ra. В соответствии с положением этого источника изменяется ток ионизации. Точное измерение положения источника позволяет определять содержание газа, а также точку росы. Б. Анваер

32305 П. Метод и аппаратура для автоматического титрования и контроля изменяющихся систем. Хоз, Стриклер (Method and apparatus for automatic titration and control of variables. Hawes Roland C., Strickler Allen) [Beckman Instruments Inc.]. Пат. США 2770531, 13.11.56

Описан автоматич. электронный прибор для потенциометрич. титрования, пригодный для систем с быстро меняющимся составом. По мере приближения к конечной точке титрования скорость прибавления титрующего агента уменьшается, что устраняет возможность получения завышенных результатов. Прибор включается автоматически, когда электроды погружаются в исследуемый р-р; он может быть использован как рН-метр или милливольтметр с большим входным сопротивлением. Ю. Плесков

32306 П. Прибор для выращивания монокристаллов и очистки веществ. Хортон (Apparatus for growing single crystals and purifying substances. Horton Avery T.) [United States of America as represented by the Secretary of Commerce]. Пат. США 2754180, 10.07.56

Две несмешивающиеся жидкости помещены в вертикальной стеклянной трубке; верхняя жидкость поддерживается при т-ре выше т-ры плавления кристаллизующего в-ва, нижняя — ниже т-ры плавления. Сосуд для кристаллизации, подвешенный на нити к оси мотора, при медленном опускании попадает в плоский пограничный слой между жидкостями, в котором создается высокий градиент т-ры и происходит кристаллизация. Положение этого слоя регулируется уравнительным сосудом. Б. Анваер

32307 П. Прибор для определения влажности материалов. Саломон, Тетар (Appareil de mesure du degré d'humidité de toutes matières. Salomon René, Tetard Charles), Франц. пат. 1117471, 23.05.56

Предложен спец. одностепенные весы, которые позволяют по спец. шкале непосредственно определять влажность исследуемого образца. Для этого образец взвешивается на этих весах во влажном состоянии. При этом шкала весов устанавливается в нулевое положение, затем образец на весах высушивается с помощью ИК-ламп и взвешивается снова. Второе взвешивание позволяет считать непосредственно по шкале влажность образца. З. Ханмский

32308 П. Прибор для отбора проб. Уотсон, Брески (Sampling apparatus. Watson Emmett S., Bresky Donald R.) [The Perkin-Elmer Corp.]. Пат. США 2757541, 7.08.56

Предложено 3 конструкции кранов-переключателей, позволяющих попарно соединять несколько трубопроводов, соединять поочередно один трубопровод с несколькими другими и дозировать поток газа или жидкости введением на пути потока калиброванных отверстий различного диаметра. Конструктивно краны-переключатели представляют собой 2—3 шлифованных диска, плотно прижатых друг к другу своими плоскостями. В дисках имеются соответствующие каналы, которые в неподвижных дисках соединены с трубопроводами аппаратуры. При повороте

подвижного диска отверстия совпадающих каналов изменяют свое положение и соответствующий поток газа или жидкости либо направляется в другой канал, либо на его пути вводится калиброванное отверстие. Б. Анваер

32309 П. Измерение объемов. Джордан, Линуский (Measurement of volumes. Jordan Merrill E., Lipousky Marvin D.) [Godfrey L. Cabot, Inc.]. Пат. США 2757534, 7.08.56

Предлагается метод точного определения объема отфильтрованного осадка, основанный на измерении разности уровней одной и той же порции Hg, наливаемой в тигель с пористым дном, до и после фильтрования. Уровень Hg измеряется электроконтактным способом; положение контакта определяется микрометром. Э. Финкель

32310 П. Сосуд для растворов. Люсьен (Blandingsbehallare. Lucien P.) [I. R. C. O. Soc. d'Applications et de Recherches Industrielles et Commerciales]. Шведск. пат. 155909, 4.09.56

Предложен сосуд для одновременного хранения двух разных в-в, которые можно держать изолированными друг от друга неограниченно долго и в любое время привести в контакт друг с другом. Сосуд для р-ров состоит из широкогорлой склянки, в горловине которой с помощью эластичной пробки укреплен стакан со 2-м в-вом. Пробка закрывает одновременно склянку и стакан. При необходимости смешать р-ры достаточно (не открывая склянку) оттянуть колпачок пробки и стакан, освободившись, упадет в склянку. М. Тойкка

32311 П. Камера влажности. Миллер (Humidity chamber. Miller Norman R.) [The United States of America as represented by the Secretary of the Navy]. Пат. США 2753164, 3.07.56

Описана конструкция камеры влажности, предназначенной для испытания электротехнич. приборов и материалов. Предусмотрена возможность испытания их при периодически изменяющихся относительной влажности и т-ре. Э. Финкель

32312 П. Предметодержатель к бунзеновской горелке. Ройбал (Bunsen burner attachment. Roybal Max J.), [Max M. Sanchez]. Пат. США 2764146, 25.09.56

Предлагается конструкция съемного приспособления для поддержания в пламени бунзеновской горелки различных инструментов, приборов и материалов. Приспособление состоит из спец. пружинящей скобы, одеваемой на корпус горелки. Э. Финкель

См. также: Кварцевый компенсатор для исслед. поглощения и люминесценции кристаллов бензола и дейтеробензола 31415. Фотоэлектрич. спектрофотометр для исслед. прозрачности смешанных солей 31416. Двухлучевой спектрометр для изучения инфракрасных спектров 31435. Спектрометр со штарковской модуляцией 31477. Прибор для исслед. кристаллич. структуры органич. соед. 31493. Гониометр со счетчиком Гейгера 31494. Спец. приставка к дифрактометру Норелло 31495. Электронный микроскоп с электронным зеркалом 31536. Высокотемпературные цилиндрич. вакуумные камеры спец. конструкции 31612. Прецизионные дилатометры 31614. Магнитный изотопный сепаратор 31629. Микрокалориметр для измерения тепловых эффектов дилатометрич. методом 31656. Изотермич. калориметр 31659. Аппаратура для измерения теплот гидрирования 31660. Принципы конструирования калориметрич. систем 31662. Усовершенствованные установки для проведения каталитич. исслед. с микроличествами 31809. Установка для измерения электропроводности 31860. Механич. счетное устройство для вычисления степени чистоты 32136. Прибор для микроопределения свободных SH-групп сывороточных белков 11891Бх.

РЕФЕРАТИВНЫЙ ЖУРНАЛ ХИМИЯ

Рефераты 32313—32661

№ 10

25 мая 1958 г.

II

ОРГАНИЧЕСКАЯ ХИМИЯ

ОБЩИЕ ТЕОРЕТИЧЕСКИЕ ВОПРОСЫ

ОРГАНИЧЕСКОЙ ХИМИИ

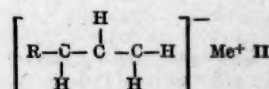
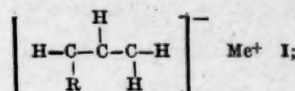
Редактор М. Е. Вольвич

32313. Исследования в области таутомерии. Кабачник М. И., *Zinātn. raksti. Latv. Univ.*, Уч. зап. Латв. ун-т, 1957, 15, 9—28
Доклад. Библ. 18 назв.
32314. Новый метод изучения двойственной реакционной способности и таутомерии. Шемякин М. М., *Zinātn. raksti. Latv. Univ.*, Уч. зап. Латв. ун-т, 1957, 15, 73—79
Доклад. Ср. РЖХим, 1958, 17756.
32315. О таутомерии и двойственной реакционной способности бензимидазола. Эфрос Л. С., Ельцов А. В., *Zinātn. raksti. Latv. Univ.*, Уч. зап. Латв. ун-т, 1957, 15, 81—94
Доклад. Библ. 34 назв. Ср. РЖХим, 1957, 65980.
32316. Физические свойства аминозокрасителей. VI. Внутримолекулярная водородная связь и таутомерия производных 4-оксазобензола и высших гомологов. Савицкий (Physical properties of aminoazobenzene dyes. VI. Intramolecular hydrogen bonding and tautomerism in 4-hydroxyazobenzene derivatives and higher homologs. Sawicki Eugene), *J. Organ. Chem.*, 1957, 22, № 7, 743—745 (англ.)
С помощью спектров поглощения исследована фенилгидразон-фенилазотаутомерия в спирт. р-рах 4-фенилазо-1-нафтола (I), 5-фенилазо-8-оксихинолина (II), а также 2'-CH₃-I (Ia) и 2'-CH₃-II (IIa), 4'-CH₃-I (Ib) и 4'-CH₃-II (IIb), 2'-CH₃ООС-I (Iв) и 2'-CH₃ООС-II (IIв) и 4'-C₂H₅ООС-I (Iг) и 4'-C₂H₅ООС-II (IIг) (штрихами обозначены заместители в фенильной группе). Отношение Σ'/Σ'', где Σ' — молярный коэф. поглощения фенилгидразонной формы и Σ'' — то же для азозоформы, характеризует положение равновесия. Σ'/Σ'' для Ia, IIa, а также для Ib и IIb, обладающих электронодонорными заместителями <, чем у I. Для Iг, имеющего электроноакцепторный заместитель Σ'/Σ'' >, чем у I. Для IIг этот эффект выражен слабее. В наибольшей степени Σ'/Σ'' увеличивается для Ib и IIв. Влияние заместителей на положение равновесия у I сходно с влиянием заместителей на таутомерию 4-диметиламиноазобензола, для которого введение 2'-CH₃ООС-группы также резко увеличивает содержание гидразонной формы. В случае II внутримолекулярная водородная связь 5-членного цикла в азозоформе сравнивается с таковой для 6-членного цикла гидразонной формы, причем интенсивность полосы последней в

видимой части спектра несколько более сильная. Сообщение V см. РЖХим, 1958, 27611. С. Иоффе

32317. Строение аллильных анионов. Ланфер (Structure of allylic anions. Lanpher Edward J.), *J. Amer. Chem. Soc.*, 1957, 79, № 20, 5578 (англ.)

Исследованы ИК-спектры ионных металлоорганических соединений Me⁺R⁻, где Me = K, Na, Li, Mg, R⁻ — анион аллильного типа. Показано, что R⁻ имеет плоское строение; вращение вокруг связей сопряженной системы в значительной мере затруднено. В спектрах несимметричных R⁻ обнаружены две интенсивные полосы вблизи 1525 и 1560 см⁻¹, относящиеся к поворотным изомерам (I) и (II). Вторая полоса отсут-



ствует в спектрах анионов аллила, изобутирила и циклогексенила, для которых образование изомеров невозможно. В изученных анионах сопряженная система занимает крайнее положение в цепи. Соединения типа (RCH⁻CH⁻CH⁻CH₃)-Me⁺ получить не удалось, так как происходит изомеризация молекулы.

А. Савицкий

32318. Стереохимия. II. Конформация алициклических соединений. Инубуси (Inubushi Yasuo) Якугаку кэнкю, *Japan. J. Pharmacy and Chem.*, 1957, 29, № 4, 378—388 (японск.)
Сообщение I см. РЖХим, 1958, 4464.

32319. Ряд устойчивости стереоизомерных гидридановых и гидридановых систем. Квинкерт (Die Stabilitätenreihenfolge der stereoisomeren Hydrindan und Hydrindanon-Verbindungen. Quinkert G.), *Experientia*, 1957, 13, № 10, 381—389 (нем.; рез. англ.)

С помощью конформационного анализа оценивается запас энергии и устойчивость *цис-транс*-эпимеров различных соединений ряда гидриндана и гидриданона, включая стероидные системы. Рассмотрено влияние угловых CH₃-групп (Turner R. B., *J. Amer. Chem. Soc.*, 1952, 74, 2118) и двух новых конформационных эффектов (алкилкетонные эффекты), вызванных заменой метиленовой группы на карбонильную.

В. Потапов

32320. О взаимоотношении знака вращения моносахаров и принадлежности их к D- или L-ряду. Резниченко М. С., Сб. научн. работ. Ленингр. ин-т сов. торговли, 1957, вып. 11, 111—115

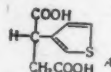
Предлагается правило, связывающее знак вращения альдоз и кетоз (в альдегидной форме) с их стереоконфигурацией: если гидроксил у верхнего (соседнего с СНО-группой) асимметрич. атома С стоит в проекционной ф-ле по Фишеру справа — знак вращения положителен, если слева — вращение отрицательно. Правое или левое расположение гидроксила у нижнего (соседнего с СН₂ОН-группой) асимметрич. атома С определяет принадлежность соответственно к D- или L-ряду. В. Потапов

32321. Методы расщепления рацематов. Терентьев А. П., Потапов В. М., Успехи химии, 1957, 26, № 10, 1152—1179

Обзор способов расщепления рацематов на оптич. антиподы. Описаны методы: 1) механич. отбора кристаллов, 2) хим. метод (через диастереомеры) расщепления к-т, аминов, аминокислот, спиртов, карбонильных соединений, галогенных алкилов; разделение диастереомеров путем перегонки, 3) расщепление в форме мол. соединений. Библ. 464 назв. И. Ц.

32322. Разделение на оптические антиподы и установление конфигурации 3-тиенилтантарной кислоты. Гроновиц (Resolution and configuration of 3-thienylsuccinic acid. Gronowitz Salo), Arkiv kemi, 1957, 11, № 4, 361—371 (англ.)

3-тиенилтантарная к-та (I) разделена на оптич. антиподы. Для установления абс. конфигураций (АК) оптически активных I исследована их способность к образованию квази-рацематов (КР) с 2-тиенил- (II) и фенилтантарными к-тами (III). Применить для этого термич. анализ не удалось, так как I плавится



с разложением. Исследованием рентгенограмм (в порошке) и ИК-спектров эквимолекулярных смесей (+)-II с (+)-I и (-)-II с (+)-I показано, что I не образует КР с II, что объяснено близостью строения, ведущей к образованию твердых р-ров вместо КР. Показано, что сама (+)-I является не рацематом, а твердым р-ром (+)- и (-)-I (идентичность т-ры плавления, близость рентгенограмм и ИК-спектров). Показано, что I и II изоморфны. Сравнением рентгенограмм смесей (+)-I-(-)-III и (+)-I-(+)-III доказано, что (+)-I и (-)-III образуют КР. Этот вывод подтвержден исследованием ИК-спектров смесей: а) (+)-I-(-)-III и б) (+)-I-(+)-III: в спектре а отмечены существенные отличия от ИК-спектров компонентов (в области 7—9 м), в спектре б отличия несущественны. Этот метод проверен также на смеси (-)-2- и (+)-3-тиенилтантарных к-т, которые заведомо образуют КР. Из полученных данных сделан вывод, что I и III с одинаковым знаком вращения имеют одинаковую АК; так, АК (+)-I выражается ф-лой (A). Таким образом I через III и II связана с системой глициринового альдегида. Показано, что в различных р-рителях (+)-I и (+)-II вращают почти одинаково; а при уменьшении длины волны (6438—5086 Å) значение вращения для II возрастает быстрее, чем для I. Показано, что (-)-I рацемизуется примерно на 20% при кипячении (135 мин.) с 2 н. NaOH, т. е. в условиях, в которых по литературным данным II рацемизуется полностью, а III не рацемизуется. Из этого сделан вывод, что электроподонорные свойства заместителей возрастают в ряду C₆H₅ < 3-C₄H₉S < 2-C₄H₉S.

(+)-I выделяют в виде соли с цинхонидином, которую разлагают 2 н. H₂SO₄ до (+)-I, т. пл. 170—173° (разл.; из воды), [α]_D²⁵ +102,3° (с 97 мг/10 мл; сп.). Из маточного р-ра выделяют (-)-I, которую очищают в виде соли с (-)-α-фенилэтиламином. Последнюю разлагают 2 н. H₂SO₄ до (-)-I, т. пл. 170—173° (из H₂O), [α]_D²⁵ -102,5° (с 0,10363 г/10 мл; сп.). Н. Волькенгау

32323. Изучение синтетических пиретроидов. Часть IX. Определение конфигурации α,δ-диметилсорбиной кислоты. Иноуэ, Сугита, Оно (Studies on synthetic pyrethroids. Part IX. Assignment of the geometrical configuration to α,δ-dimethylsorbic acid. Inoue Yuzo, Sugita Toshio, Ohno Minoru), Bull. Agric. Chem. Soc. Japan, 1957, 21, № 4, 5—10 (англ.)
См. РЖХим, 1957, 47790.

32324. Исследование в области синтеза этиловых производных. Сообщение. X. Стереоспецифичный синтез *цис*- и *транс*-1,2-дихлор-2-арилмеркаптоэтиленов. Монтанари, Негрини (Ricerche sulla etilenazione. Nota X. Sintesi stereospecifica dei *cis* e *trans* 1-2-dicloro-2-arilmercapto-etileni. Montanari Fernando, Negrini Adriana), Gazz. chim. ital., 1957, 87, № 10, 1061—1067 (итал.)

При нуклеофильной конденсации ArSH (I) с ClC≡CCl (II) получается *транс*-ArSCl(Cl)=CHCl (III) и в качестве побочного продукта *транс*-C₂H₅OC(Cl)=CHCl (IV). Поскольку III образуются также при взаимодействии I с ClCH=CCl₂ (см. РЖХим., 1957, 26792). II должен быть промежуточным продуктом этой р-ции. Конденсация ArSCl (V) с ClC≡CH (VI) приводит к *цис*-ArSCl(Cl)=CHCl (VII). Конфигурация III и VII доказана путем сравнения скоростей их дегалогонирования: 0,5 моля VII (Ar=C₆H₅) дегалогонизируется при 45° за 2 часа в присутствии 10 молей спирта. KOH, тогда как III остается в этих условиях без изменения. К 40 г кипящего эфирного р-ра 0,25 моля II за 1 час добавляют р-р 0,1 моля ArSNa в 40 мл спирта, разгонкой выделяют IV и III (приведены Ar, выход в %, т. кип. в °C/мм): C₆H₅, 90, 133/17; *o*-CH₃C₆H₄, 79, 141—142/16; *n*-CH₃C₆H₄, 77, 146/15. К 0,5 г Na в 30 мл спирта добавляют 20 г эфирного р-ра ~12 г II, кипятят 90 мин., выделяют IV. В охлажд. льдом р-р 0,05 моля V в 100 мл этилацетата пропускают ~2,5 часа VI (из 32 г ClC≡CCl₂Hg, 96 г KCN и 19,2 г KOH в 320 мл воды), через 12 час. выделяют VII (приведены Ar, выход в %, т. кип. в °C/мм): C₆H₅, 38, 140—142/23; *o*-CH₃C₆H₄, 26, 141—143/15; *n*-CH₃C₆H₄, 22, 142—144/15. Смесь 1 г VII (Ar=C₆H₅), 7,5 мл CH₂COOH, 1 мл 36%-ной H₂O₂ и 1 капли конц. H₂SO₄ нагревают на водяной бане 1—2 часа, получают *цис*-C₆H₅SO₂(Cl)C=CHCl. Аналогично из VII и III образуются другие сульфоны (приведены Ar, конфигурация, т. пл. в °C): C₆H₅, *транс*, 70—72 (из лигр.); *o*-CH₃C₆H₄, *цис*, 77—78 (из сп.). *транс*, 52—53 (из петр. эф.); *n*-CH₃C₆H₄, *цис*, 67—68 (из петр. эф.), *транс*, 79—80 (из лигр.). Сообщение IX см. РЖХим, 1958, 25132. С. Завьялов

32325. Эпимеризация некоторых циклогексанолов под действием натрия. Корнубер, Кондратов (Epimérisation de certains cyclohexanols sous l'influence du sodium. Cornubert Raymond, Kondrachoff Wladimir), C. r. Acad. sci., 1957, 245, № 17, 1362—1366 (франц.)

Показано, что 2,9-метилциклогексанол-1А (I) [87—88%-ный; получен гидрированием α-метилциклогексанона (II) на Pt в CH₃COOH-HCl] не претерпевает инверсии в присутствии Na в эфире (15—20°, 90 час.) даже в атмосфере O₂. Но в присутствии смесей флуорен-флуоренол или бензофенон (III) бензгидро-

(IV) в O_2 или на воздухе (15–20°, 48 час.; 1 моль I 5 а-атома Na в 110 мл эфира) I частично превращается в II и в 2,9-метилциклогексанол-13 (V). В N_2 эспимеризация не идет. Отмечены следующие обстоятельства. а) Инверсия по существу зависит только от присутствия III; можно употреблять один III (16,2 г) (или один IV, так как последний под действием Na и O_2 превращается в III). б) Согласно предположению Шленка III присоединяет 2Na, образуя $(C_6H_5)_2CHNa(ONa)$ (VI). в) Сделан вывод, что металлирующим (и следовательно эспимеризующим) агентом является Na у C-атома в VI. $(C_6H_5)_2CHONa$ не вызывает эспимеризации; IV в присутствии 1 а-атома Na не вызывает эспимеризации, хотя превращается на 90% в III. г) Действие Na и циклогексанолом (или I) на III можно превратить его на 80% в IV, но через некоторое время в присутствии O_2 начинается окисление IV → III (последняя р-ция медленнее металлирования III и передачи им Na-атома на I). д) Из всего вышесказанного сделан вывод, что эспимеризация I идет через II. Предложена приближительная схема р-ции, которая требует дальнейшего уточнения:

$$IV + (C_6H_5)_2CH(ONa) \rightarrow III \rightarrow VI \xrightarrow{I} (C_6H_5)_2CH(ONa) + >CHONa; >CHO- + Na+ \rightarrow \overset{O}{\parallel} O- \rightarrow CH-O-O-O- \rightarrow$$

$\rightarrow H- + -O-O- + >C=O; II + (C_6H_5)_2CH(ONa) \rightarrow >CHONa \xrightarrow{2H_2O} V + IV + 2NaOH$. В пользу этой схемы говорят следующие данные. 1) Отдельно приготовленный $(C_6H_5)_2CH(ONa)$ при взаимодействии с II на воздухе образует 95% V. 2) Взаимодействие $(C_6H_5)_2CH(ONa)$ с II в N_2 приводит к IV и V с примесью 2% I. 3) Приготовленный в N_2 VI не реагирует на воздухе с II, хотя сам частично переходит в IV. Таким образом, кроме механизма, изображенного схемой, возможно еще только прямое действие Na на образовавшийся II. 4) VI присоединяет атом O, окрашенный р-р обесцвечивается и образуется III.

Н. Волькенану

32326. Стереохимия и механизм бромдекарбоксилирования ненасыщенных карбоксилат-ионов. Берман, Прайс (The stereochemistry and mechanism of the bromodecarboxylation of unsaturated carboxylate ions. Berman Joseph D., Price Charles C.), J. Amer. Chem. Soc., 1957, 79, № 20, 5474–5476 (англ.)

Показано, что при прибавлении Br_2 к водн. р-рам Na-солей *n*-анисовой (I), α-тиофенкарбоновой (II), фенилуксусной (III), *m*-метоксифенилуксусной (IV), *цис*- и *транс*-коричной (*цис*-V, *транс*-V), *цис*- и *транс*-стильбен-α-карбоновой (*цис*-VI, *транс*-VI), *d*, *l*- и *d*-гидратроповой (*d,l*-VII, *d*-VII) к-т происходит замещение COO^- -группы на Br. Из полученных результатов сделан вывод, что с Br_2 легко реагируют такие α,β- и β,γ-ненасыщ. к-ты, у которых при α- или при γ-С-атоме имеется легко доступная пара π-электронов (входящая в ароматич. систему или двойную связь), к которой присоединяется Br^+ . Образующийся при этом катион (положительный заряд на β-С-атоме) недолговечен или является переходным состоянием. Это доказывается тем, что из *цис*-VI образуется только *цис*-α-бромстильбен (*цис*-VIII), а из *транс*-VI образуется *транс*-VIII. Найдено, что из *цис*-V образуется 60% *транс*-β-бромстирола (*транс*-IX), причем изомеризация происходит в процессе декарбоксилирования или после него, так как выделено 17% исходной *цис*-V. Для III принят тот же механизм с присоединением Br^+ к о-углероду и возникновением положительного заряда в β-положении к COO^- -группе. При выделении CO_2 в этом случае образуется промежуточ-

ный продукт с экзациклич. двойной связью, который в результате аллильной перегруппировки переходит в бензилбромид (X). Высказано предположение, что бромдекарбоксилирование *d*-VII происходит без потери оптич. активности, но образовавшийся *d*-α-бром-этилбензол (XI) рацемизируется в присутствии брома в условиях опыта. Показано, что C_6H_5COOH , *n*- $CH_2OC_6H_4CH_2COOH$ (XII), *n*- $NO_2C_6H_4CH_2COOH$ (XIII), гидрокоричная к-та и $(CH_3)_3COOH$ не реагируют в описанных условиях. Для XII это объяснено тем, что CH_2O -группа неблагоприятно ориентирует атаку Br^+ ; для XIII — тем, что π-электронная система бензольного кольца дезактивирована. IV реагирует с Br_2 , но образует главным образом 2-бром-3-метоксифенилуксусную к-ту (XIV) и очень мало продукта декарбоксилирования [выделен в виде *m*-метоксифенилуксусной спирта (XV)]. К р-ру 15,4 г I и 4 г NaOH в 150 мл воды прибавляют 16 г Br_2 (55°), причем получают *l*-броманизол, выход 82%, т. кип. 101–103°/15 мм, n_D^{22} 1,5609. Тем же методом из II получают 20% α-бромтиофена, т. кип. 48–50°/15 мм, n_D^{25} 1,5804, и 72% II; из III — 51% X, т. кип. 85–87°/16 мм, и 29% III; из IV — 74% XIV, т. пл. 114–115°, и 9% XV, т. кип. 110°/0,7 мм, n_D^{20} 1,5405; фенилуретан, т. пл. 72–74°; из *цис*-VI — 53% *цис*-VIII, т. пл. 19° (из сп.), и 18% *цис*-VI, т. пл. 170°; из *транс*-VI — 30% *транс*-VIII, т. пл. 31° (из эф.), 21% *транс*-VI, т. пл. 137–138°, и 20% толана, т. кип. 59–60° (из сп.); из *транс*-V — 27% *транс*-IX, т. кип. 71–74°/1,3 мм n_D^{20} 1,6084, т. пл. 5–6°, 13% α,β,γ-трибромэтилбензола (XVI) т. кип. 110–113°/1,5 мм, т. пл. 35–36° (из петр. эф.), и 26% *транс*-V; из *цис*-V — 32% смеси *транс*- и *цис*-IX (60 и 40% соответственно), т. кип. 58,5°/0,8 мм, n_D^{22} 1,6060, 26% XVI и 17% *цис*-V, т. пл. 55–56°; из *d,l*-VII — 7,6% *d,l*-XI, т. кип. 49–50°/0,6 мм (превращен в α-фенилэтиловый спирт, т. кип. 65–67°/0,5 мм), 67% *d,l*-VII и 10% ацетофенона, т. кип. 38–40°/0,5 мм; из *d*-VII — 8,5% *d,l*-XI и 65% *d*-VII, $[α]_D^{25} +46,1^\circ$.

Н. Волькенану

32327. Исследования в области стереохимии. XXII.

Приготовление и реакции тримезитилбора. Доказательство делокализации неспаренного электрона в радикал-ионах триарилбора и родственных ему свободных радикалах. Браун, Додсон (Studies in stereochemistry. XXII. The preparation and reactions of trimesitylborane. Evidence for the non-localized nature of the odd electron in triarylborane radical ions and related free radicals. Brown Herbert C., Dodson Vance H.), J. Amer. Chem. Soc., 1957, 79, № 9, 2302–2306 (англ.)

При действии NH_3 на R_3B (R = фенил (I), R = α-нафтил (II)) образуются комплексы $R_3B \cdot NH_3$; $(CH_3)_3B$ присоединяется лишь к I. I и II реагируют количественно с CH_3ONa с образованием $Na^+(R_3BOCH_3)^-$, с трет- C_4H_9ONa р-ция не доходит до конца. I окисляется значительно быстрее и гидролизруется легче, чем II. Тримезитилбор (III) является инертным в указанных р-циях. По мнению авторов, различия в реакционной способности соединений R_3B объясняются пространственными факторами. Присоединение Na к I, II и III ($Na + R_3B \rightarrow Na^+(R_3B^-)$) происходит с одинаковой легкостью, вероятно, вследствие делокализации неспаренного электрона в радикал-ионе (R_3B^-) . К кипящему р-ру $(CH_3)_3C_6H_4MgBr$ (IV) в 150 мл толуола [из 0,24 моля $(CH_3)_3C_6H_4Br$ и 0,29 моля Mg, кипячение 4–5 час.] добавляют р-р 0,036 моля $BF_3 \cdot (C_2H_5)_2O$ (V) в 50 мл эфира, отгоняют эфир, добавляют 50 мл толуола, кипятят 4 часа, разлагают в 300 г льда и воды и 55 мл конц. HCl, к упаренному органич. слою добавляют 150 мл спирта, получают 6,5 г III с т. пл. 190,5–191,5° (из 300 мл сп.). Из 0,228 моля IV и 0,073 моля V получают димезитилборфторид, т. кип. 127–129°/0,5 мм, т. пл. 75,5–76,0° (запаянный

капилляр). При его гидролизе получают димезитилборную к-ту, т. пл. 140–141° (из петр. эф.).

А. Савицкий

32328. В порядке дискуссии. Некоторые замечания к вопросу о σ -сопряжении. Минкин В. И., Ж. общ. химии, 1957, 27, № 11, 3173–3175

С точки зрения влияния σ -сопряжения рассматривается вопрос об отличии в хим. поведении, с одной стороны, метиловых эфиров фенолов и N-метиланилинов и, с другой стороны, этиловых эфиров фенолов и N-этиланилинов.

М. Вольпин

32329. Взаимодействие заместителей в бензольном ядре. Замещенные орто-толуиловые кислоты и их эфиры. Пельтье (Interaction des substituants du noyau benzénique. Les acides o-toluïques substitués et leurs esters). Peltier Daniel. Bull. Soc. scient. Bretagne. Sci. math., phys. et natur., 1956, (1957), 31, Fasc. hors sér., 1–92) (франц.)

С целью исследования возможности применения обобщенного ур-ния Хамметта к соединениям, содержащим несколько заместителей в ядре, измерена константа диссоциации (pK) замещ. о-толуиловых к-т, $o\text{-CH}_3\text{RC}_6\text{H}_4\text{COOH}$ (I) и скорость гидролиза их метиловых эфиров, $o\text{-CH}_3\text{RC}_6\text{H}_4\text{COOCH}_3$ (II). Ниже для I приведены R, т. пл. в °C (для новых или полученных новыми методами I), pK (в воде при 20°): H, —, 3,98; 3-NO_2 , —, 2,98; 4-NO_2 , —, 2,95; 5-NO_2 , —, 3,23; 6-NO_2 , —, 2,40; 3-CN , 209 (из воды), 3,16; 4-CN , 195 (из 50%-ного водн. сп.), 3,14; 5-CN , 149 (из воды), 3,31; 3-Cl , 163, 3,43; 4-Cl , 170 (из бэл.), 3,75; 5-Cl , 173 (из сп.), 3,63; 6-Cl , —, 2,75; 3-Br , 153 (из сп.), 3,36; 4-Br , 182 (из сп.), 3,77; 5-Br , 170 (из сп.), 3,58; 6-Br , 108 (из бэл.), 2,71; 3-J , 124 (из водн. сп.), 3,26; 4-J , 172 (из водн. сп.), 3,79; 5-J , 180 (из водн. сп.), 3,62; 6-J , 115 (из бэл.), 2,70; 3-OH , 143, 3,83; 4-OH , —, 4,71; 5-OH , 185, 3,92; 6-OH , —, 3,53; $3\text{-CH}_3\text{O}$, 145, 3,72; $4\text{-CH}_3\text{O}$, 177, 4,54; $5\text{-CH}_3\text{O}$, 147, 3,84; $6\text{-CH}_3\text{O}$, 141, 3,46; $3\text{-C}_2\text{H}_5\text{O}$, 125 (из водн. сп.), 3,73; $4\text{-C}_2\text{H}_5\text{O}$, 146 (из водн. сп.), 4,54; $5\text{-C}_2\text{H}_5\text{O}$, 95 (из водн. сп.), 3,86; $6\text{-C}_2\text{H}_5\text{O}$, 93 (из водн. сп.), 3,51; 3-NH_2 , 187, 3,92; 4-NH_2 , 165 (разл.), 5,15; 5-NH_2 , 196 (из воды), 4,14; 6-NH_2 , з. 3,73; $3\text{-CH}_3\text{CONH}$, 213 (из 50% водн. сп.), 3,55; $4\text{-CH}_3\text{CONH}$, 247, разл.; из 50%-ного водн. сп.), 4,12; $5\text{-CH}_3\text{CONH}$, 223 (из 50%-ного водн. сп.), 4,12; $6\text{-CH}_3\text{CONH}$, 189 (разл., из 50%-ного водн. сп.), 3,28. Предложен метод расчета pK I ($R = \text{NH}_2$), в котором учтено влияние эффекта сверхсопряжения с группой NH_2^+ . Полученные результаты трактуются с точки зрения подавления резонанса. Автор делит пространственные влияния на две группы: первичный эффект (SI), изменяющийся с накоплением заместителей в молекуле и вызывающий их отклонение от плоскости ядра, и вторичный эффект (SII) — пространственные препятствия действию реагента. Рассмотрены соотношения эффектов SI и SII при различных положениях заместителей, а также условия, при которых соблюдается обобщенное ур-ние Хамметта $\lg(k_{xy}/k_n) = \rho_0 + \rho_{\Sigma} \sigma_{\Sigma}$. Полное соответствие этому ур-нию найдено лишь для заместителей в положении 5. I синтезированы следующими методами. Нитрование I ($R = \text{H}$) дает I ($R = 3\text{-NO}_2$ и 5-NO_2), выход 24 и 46%. I ($R = 4\text{-NO}_2$) получен из соответствующего амида, т. пл. 167° (из сп.), синтезированного из нитрила с выходом 63%. Восстановление I ($R = \text{NO}_2$) H_2S приводит к соответствующим I ($R = \text{NH}_2$). Большинство новых I синтезировано, исходя из I ($R = \text{NH}_2$), диазотирование дает I ($R = 3\text{-CN}$, 4-CN или 5-CN), выход 23, 48 и 58%; диазотирование с последующей р-цией с Cu_2Cl_2 или Cu_2Br_2 или KJ соответственно дает I ($R = 3\text{-Cl}$, 4-Cl , 5-Cl), выход 65–70%, или I ($R = 3\text{-Br}$, 4-Br , 5-Br), выход ~65%, или I ($R = 3\text{-J}$, 4-J , 5-J), выход ~23%. Диазотирование I ($R = \text{NH}_2$) с последующим нагреванием приводит к I

($R = 3\text{-OH}$ и 5-OH), выход ~60%. Для синтеза I ($R = \text{NHCOCH}_3$) соответствующие I ($R = \text{NH}_2$) нагревались с уксусным ангидридом, выход колич. Остальные новые I получены омылением соответствующих II. Впервые получены II (указаны R, метод синтеза, выход в %, т. пл. в °C, т. кип. в °C/мм): 4-NO_2 из I, —, 74, —; 3-NH_2 , восстановление II ($R = 3\text{-NO}_2$) SnCl_2 , 54, —, 158–160/14; 4-NH_2 , также, 71, 70 (из разб. сп.), —; 5-NH_2 , так же, 82, 40, 169/18; 6-NH_2 , так же, 81, 15, 147/17; 3-NHCOCH_3 , из I, —, 107 (из сп.), —; 4-NHCOCH_3 , из I, —, 108, —; 5-NHCOCH_3 , из I, —, 120, —; 6-NHCOCH_3 , из II ($R = 6\text{-NH}_2$), —, 80, —; 3-Cl , из I, 16,5, —, 128/21; 4-Cl , из I, —, 16, 131/21; 5-Cl , из I, 30, —, 130/21; 6-Cl , из II ($R = 6\text{-NH}_2$), 74, —, 120/24; 3-Br , из I, —, 29, 140/21; 4-Br , из I, —, 9, 145/23; 5-Br , из I, —, 47, —; 6-Br , из II ($R = 6\text{-NH}_2$), 70, —, 141/24; 3-J , из I, —, 152/14; 4-J , из I, —, 155/17; 5-J , из I, —, 60, —; 6-J , из II ($R = 6\text{-NH}_2$), 44, —, 150/15; 4-OH , из I, —, 109 (из сп.), —; 6-OH , из II ($R = \text{NH}_2$), —, 32, 125/20; $3\text{-CH}_3\text{O}$, из I ($R = \text{OH}$), 60–65, 27, 138/16; $4\text{-CH}_3\text{O}$, так же, 60–65, —, 143/16; $5\text{-CH}_3\text{O}$, так же, 60–65, —, 137/20; $6\text{-CH}_3\text{O}$, так же, 60–65, —, 140/18; $3\text{-C}_2\text{H}_5\text{O}$, из I ($R = \text{OH}$), 60–70, —, 138/17; $4\text{-C}_2\text{H}_5\text{O}$, так же, 60–70, 25, 150/16; $5\text{-C}_2\text{H}_5\text{O}$, так же, 60–70, 24, 148/18; $6\text{-C}_2\text{H}_5\text{O}$, так же, 60–70, —, 139/16; 3-CN , из I, —, 78, —; 4-CN , из I, —, 91, —; 5-CN , из I, —, 45 (из CH_3OH), —; 6-CN , из II ($R = \text{OH}$), 42, 153/17. При кипячении со спирт. щелочью II ($R = 6\text{-CN}$) дает 3-метилфталевую к-ту, т. пл. 180–182°. Из I ($R = 3\text{-CN}$) получена 2-метилбензодикарбоновая-1,3- к-та, т. пл. 241°, диметиловый эфир, т. пл. 53°. Впервые синтезированы также 4-амидо-2-метилбензойная к-та, т. пл. 240–242°, и 5-амидо-2-метилбензойная к-та, т. пл. 255–258° (метиловый эфир, т. пл. 173°).

Г. Балдуева

32330. Исследование производных ацетилена. Часть LIII. Относительная сила некоторых ненасыщенных карбоновых кислот. Мансфилд, Уайтинг (Researches on acetylenic compounds. Part LIII. The relative strengths of some unsaturated carboxylic acids. Mansfield G. H., Whiting M. C.), J. Chem. Soc., 1956, Dec., 4761–4764 (англ.)

С целью исследования относительной величины эффектов сопряжения, сверхсопряжения и индуктивных влияний в α -ацетиленовых к-тах, потенциометрич. методом определены значения pK_a ряда к-т общей ф-лы $\text{RC}\equiv\text{CCOOH}$ (I), $\text{RC}\equiv\text{CCH}_2\text{COOH}$ (II) и $\text{HC}\equiv\text{C}[\text{CH}_2]_n\text{COOH}$ (III) в 0,1 M водн. NaCl при 25° (указано R или n, pK_a). Для I: H (Ia), 1,84; CH_3 , 2,60; C_2H_5 , 2,61; C_4H_9 , 2,59; трет- C_4H_9 (Ib), 2,66; $(\text{CH}_3)_3\text{CCCH}_2$ (Ic), 2,52; $\text{CH}_3\text{C}\equiv\text{C}$ (Ir), 1,94; $\text{C}_2\text{H}_5\text{C}\equiv\text{C}$, 1,89; $\text{C}_4\text{H}_9\text{C}\equiv\text{C}$, 1,89; $\text{C}_6\text{H}_5\text{C}\equiv\text{C}$, 1,67; транс- $\text{CH}_3\text{CH}=\text{CH}$, 2,66; C_6H_5 , 2,23. Для II: H, 3,31; CH_3 , 3,00; $\text{CH}_3\text{C}\equiv\text{C}$, 3,23; $\text{CH}_2=\text{CH}$ (IIa), 3,37; C_6H_5 (IIb), 3,44. Для III: 2, 4,20; 3, 4,59; 4, 4,57. Определены также pK_a к-т: $\text{CH}_2=\text{C}=\text{CHCOOH}$, 3,69; $\text{C}_6\text{H}_5\text{CH}=\text{C}=\text{CHCOOH}$ (IV), 3,68; транс- $\text{HC}\equiv\text{CCH}=\text{CHCOOH}$, 3,74; транс- $\text{CH}_3\text{C}\equiv\text{CCH}=\text{CHCOOH}$, 4,20; транс-транс- $\text{CH}_3\text{CH}=\text{CHCH}=\text{CHCOOH}$ (V), 4,48; цис-цис- $\text{CH}_3\text{CH}=\text{CHCH}=\text{CHCOOH}$ (VI), 4,51. Близость значений pK_a для I с различными алкильными заместителями показывает, что сверхсопряжение $\text{C}\equiv\text{N}$ не играет роли в наблюдаемом возрастании pK_a при переходе от Ia к замещ. к-там. Введение второй ацетиленовой связи повышает диссоциацию, но эффект дальнейшего увеличения полиацетиленовой цепи незначителен. Аналогичные закономерности имеют место и для II. Для к-т типа III диссоциация постепенно уменьшается при возрастании n от 0 до 3; при n = 4 дальнейшему уменьшению, по-видимому, препятствует взаимодействие между тройной связью и группой COOH с обра-

синтеза I нагре-
Осталь-
ующих
синтеза
O₂ из I,
O₂SnCl₂,
аб. сп.),
81, 15,5,
4-NHCO-
120, —,
I, из I,
из I, 30,
24; 3-Br,
Br, из I,
24; 3-I,
J, из I,
из I, 4-ON,
H₂), —,
138/16;
ак же,
60—85,
16783.

32331. Гидролиз некоторых ацилированных эфиров α-аминокислот, катализируемый хлористым кальцием и гидроксильным ионом. Мартин, Ниман (The calcium chloride and hydroxyl ion catalyzed hydrolysis of several acylated α-amino acid esters. Marthin R. Bruce, Neimann Carl), J. Amer. Chem. Soc., 1957, 79, № 21, 5828 (англ.).

При изучении в установке с постоянным рН (РЖХим, 1956, 4310) катализируемого основаниями гидролиза метилового эфира бензоилглицина (I) и метилового эфира ацетил-L-валина (II) до соответствующих ацилированных α-аминокислот и спиртов в присутствии CaCl₂ без

буфера, исходя из схемы: $I + CaCl_2 \xrightleftharpoons[k_2]{k_1} I \cdot CaCl_2; I \cdot CaCl_2 + OH^- \xrightarrow{k_3} CaCl_2 + \text{продукты гидролиза}$; найдено, что при 25° при конц-ях эфиров от 5 до 40·10⁻³ M и CaCl₂ от 0,6 до 3,0 M $K = k_2/k_1$ для I равно 25 при рН 7,9–8,4 и для II 2,8 при рН 7,90; соответственно k_3 равно 680–670 и 7,2 моль⁻¹сек⁻¹. В. Антоновский

32332. Доказательство общего щелочного катализа в реакции гидролиза сложных эфиров. 1. Гидролиз алкиламиноацетилсалицилата. Гарретт (Evidence for general base catalysis in an ester hydrolysis. I. Hydrolysis of an alkyl aminoacetylsalicylate. Garrett Edward R.), J. Amer. Chem. Soc., 1957, 79, № 19, 5206–5209 (англ.).

Измерена скорость гидролиза хлоргидрата метилового эфира пирролидилацетилсалициловой к-ты (I) при 30,3° в интервале рН 0,90–6,25. Продуктом р-ции является метиловый эфир салициловой к-ты. Возрастание псевдомомолекулярной константы скорости k при повышении рН указывает на отсутствие катализа ионами H⁺. При постоянном рН значение k меняется в зависимости от конц-ии ацетатного буфера, что свидетельствует об общем катализе р-ции ионами CH₃COO⁻. Катализаторами могут являться также молекулы воды или ионы OH⁻. Рассмотрены возможные механизмы р-ции гидролиза I. Г. Балуева

32333. Влияние 9(11)-двойной связи на направленность и механизм реакций, сопровождающихся разрывом связи алкил-кислород в ряду непредельных стероидов. Нес, Стил (Influence of a 9(11)-double bond on the course and mechanism of alkyl-oxygen cleavage reactions of unsaturated steroid. Nes William R., Steele John A.), J. Organ. Chem., 1957, 22, № 11, 1457–1465 (англ.).

В спирте в присутствии CH₃COOK тозилат (I) де-гидроэргостерина (II) вступает в сольволиз лишь немного медленнее, чем тозилат (III) эргостерина (IV); полупериод продолжительности р-ции (ПР) при

30° 1,64 часа для III и 2,16 часа для I. Продуктами сольволиза I и III являются соответственно 3,5-цикло-Δ^{7,9(11)22}-эргостатриенол-6β (V) и 3,5-цикло-Δ^{7,22}-эргостатриенол-6β (VI), который был выделен при кипячении III в водн. ацетоне в присутствии KHSO₄. Судя по УФ-спектру продукта сольволиза, наряду с VI образуются 3% 3,5-цикло-Δ^{6,8(14),22}-эргостатриена (VII). Эти факты указывают на «гомоеаллильное участие» (ГУ) (взаимодействие между π-электронами двойной связи и реакционным центром в положении 3 (см. РЖХим, 1956, 64198; 1957, 44665, 76978) двойной связи 5(6) и на отсутствие ГУ двойной связи 9(11) в р-циях сольволиза при C₃. При р-ции с 0,0002 M (COOH)₂ в спирте, содержащем 0,4% воды, VI дает 70% VII и ~30% этилового эфира IV (VIII), тогда как V образует ~85% этилового эфира II (IX) и 15% 3,5-цикло-Δ^{6,8(14),9(11),22}-эргостатетраена (X). При этом V реагирует лишь не на много быстрее VI (ПР V 2,2 часа, ПР VI 3,3 часа), что также указывает на небольшую степень ГУ 9(11)-двойной связи. Однако, введение Δ⁹⁽¹¹⁾-связи подавляет р-цию отщепления по сравнению с ретро-изо-стероидной перегруппировкой, что по мнению авторов можно объяснить уменьшением числа третичных H-атомов в молекуле при введении Δ⁹⁽¹¹⁾-связи или влиянием конформационных факторов. Роль последних подтверждается тем обстоятельством, что III при нагревании с пиридином за 17 мин. переходит в VII, тогда как I в тех же условиях за 4 часа дает лишь следы X. Авторы предполагают, что дегидратация II и IV в кислой среде представляет собой не гомоеаллильную, а аллильную р-цию с предварительной миграцией Δ⁵-связи в сопряженное положение с C=O-связью при C₃. Препаративный метод получения X состоит в обработке V CCl₄COCl в пиридине при 20°. 10 г II или IV (высушены азотной перегонкой с CaH₂) и 12 г n-CH₃C₆H₄SO₂Cl в пиридине выдерживают 12 час. при 20° в темноте, выливают в 1 л холодной 4%-ного р-ра NaHCO₃ и отфильтровывают II (11 г), т. пл. 112–113° (из ацетона), или неочищ. III (13,6 г, содержит VII). Для очистки III его перемешивают 1 час при 0° с эфиром и выдерживают 12 час. при –20°, получают 8 г III, т. пл. 110–112° (из ацетона). К кипящему р-ру 1 г KHSO₄ в 125 мл воды и 500 мл ацетона добавляют 2 г III, кипятят 5 мин. и отгоняют часть р-рителя, выход VI 1,1 г (неочищ.), т. пл. 131–133° (из ацетона). В тех же условиях I переходит в V, выход 60%, т. пл. 127–128° (из ацетона). При перекристаллизации VI из горячего спирта (возможно, содержащего следы к-ты) получают VIII, т. пл. 75–76°. Р-р 500 мг VI и 1 мг (COOH)₂ в 50 мл спирта кипятят 45 мин., упаривают, остаток хроматографируют на Al₂O₃. Петр. эфиром вымывают VII, выход 64%, т. пл. 103–104° (из ацетона), [α]_D²⁵ 95°. CHCl₃ вымывают 132 мл VIII, т. пл. 123–124° (из сп.). Аналогично (кипчение 1 час) из 443 мг V получают IX, выход 65% (вымывают эфиром), т. пл. 86–87° (из сп.), [α]_D²⁵ 197°, и смесь углеводов (выход 11%), содержащую в основном X (судя по УФ-спектру). 200 мг I в 20 мл спирта кипятят 10 мин., добавляют 146 мг KHSO₄, выделяют смесь, содержащую 73% IX. При проведении р-ции в водн. ацетоне вместо спирта из 200 мг I получают 110 мг II (чистота 77%). Р-р 2 г III в 20 мл пиридина выдерживают 17 мин. при 100°, упаривают, кипящим петр. эфиром извлекают VII, выход 56% (очищают хроматографированием на Al₂O₃). Аналогично (30 мин.) из 2 г I получают X, выход 3%. Р-р 1 г V и 1 мл CCl₄COCl в 20 мл пиридина выдерживают 12 час. при 20°, продукт р-ции хроматографируют на Al₂O₃. Петр. эфиром вымывают

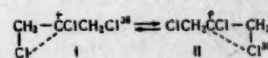
не отмечено. Изо-олефины реагируют быстрее нормальных, причем разница в скоростях р-ции тем больше, чем ближе разветвление к двойной связи. Р-ция может быть применена для выделения олефинов из смесей, напр., для разделения пропан-пропиленовой смеси. Н. Кельцев

32338. Скорость гидратации метилениклубутана и влияние структуры на термодинамические свойства реакции гидратации циклических олефинов с циклами малых размеров. Рис, Тафт, Бойд (The rate of hydration of methylenecyclobutane and the effect of structure on thermodynamic properties for the hydration of small ring olefins. Riesz Peter, Taft Robert W., Jr, Boyd Robert H.), J. Amer. Chem. Soc., 1957, 79, № 14, 3724—3729 (англ.)

Исследована кинетика гидратации метилениклубутана (I) в 1—3 M р-рах HNO_3 в интервале 25—45° и скорость р-ции смеси I и 1-метилциклобутана-1 (II) в 2,52 M р-ре HNO_3 при 25°. Значения $\Delta H_{\text{акт}}$ и $\Delta S_{\text{акт}}$ для газообразного I в 0,972 M HNO_3 составляют 15,83 ккал/моль и -28,81 энтр. ед. Значения констант скорости k_p в 2,52 M HNO_3 составляют при 25° для II $4,69 \cdot 10^{-4}$ и I $3,2 \cdot 10^{-3}$ мол. л⁻¹ атм.⁻¹ мин⁻¹. Значения ΔH и ΔS растворения I в воде, вычисленные по изменению растворимости в интервале 15—45° составляют -6,43 ккал/моль и -29,5 энтр.ед. При кипячении р-ра 0,9 M 1-метилциклобутанола-1 (III) в 0,3 M HClO_4 в течение нескольких дней получена смесь, содержащая 45% II, 20% I и 35% изопрена. Из этих данных и значения равновесного давления олефинов над 1 M р-ром III в 0,0973 M HClO_4 при 70° получено значение константы равновесия K_p 500 мол.л⁻¹ атм.⁻¹ для р-ции $\text{I} + \text{H}_2\text{O} \rightarrow \text{III}$, а также вычислено, что свободная энергия образования газообразного II более отрицательна, чем I на величину, лежащую между 500 и 2000 кал/моль. Сравнением данных, полученных для I, II и III, а также полученных ранее данных для изобутилена (IV) и трет-бутилового спирта, 1-метилциклопентана-1 (V) и 1-метилциклопентанола-1 (VI) установлено, что относительная константа равновесия (ОКР) гидратации олефина (по отношению к IV) в случае I и II составляет 200 и 30, а в случае V 0,073. Это объясняется уменьшением напряжения в четырехчленном цикле при превращении $\text{I} \rightarrow \text{III}$ и $\text{II} \rightarrow \text{III}$ и увеличением отталкивания между водородными атомами пятичленного цикла при р-ции $\text{V} \rightarrow \text{VI}$. Относительные константы скорости (ОКС) гидратации в случае I и II равны 0,6 и 0,2, а в случае V 2,29. Значения ΔH и ΔS равновесия гидратации и $\Delta H_{\text{акт}}$ и $\Delta S_{\text{акт}}$ для V имеют разные знаки. В противоположность этим результатам ОКР дегидратации, значения ΔH и ΔS изменяются при переходе от VI к III симбатно с значениями ОКС и $\Delta H_{\text{акт}}$ и $\Delta S_{\text{акт}}$. Эти результаты свидетельствуют, по мнению авторов, о том, что переходное состояние гидратации не содержит ковалентно-связанной воды, а при дегидратации молекула воды отщепляется от сопряженной к-ты карбинола с образованием олефина или переходного состояния. На этом основании отвергаются механизмы, включающие в переходном состоянии (ПС) шестичленный и четырехчленный циклы, классич. карбониевый ион или механизмы, полагающие лимитирующей стадией взаимодействие π -комплекса с молекулой воды. Предполагается, что р-ция лимитируется изомеризацией π -комплекса в карбониевый ион через ПС, которое в отношении распределения электронной плотности аналогично классич. карбониевому иону, а по расположению ядер ближе к π -комплексу, образование которого из олефина и протона не требует заметных изменений в конфигурации ядер олефина. И. Моисеев

32339. Несимметричное элиминирование от формально симметричного карбониевого иона. Баллингер, Мар (Unsymmetrical elimination from a formally symmetrical carbonium ion. Ballinger P., Mare P. B. D. de la), Chemistry and Industry, 1957, № 47, 1545 (англ.)

При взаимодействии HOCl с $\text{CH}_2\text{Cl}^+\text{CCl}=\text{CH}_2$ образуется карбониевый ион (I), в котором взаимодействие атома Cl с карбониевым центром закрепляет такую конформацию, которая неблагоприятна для от-



щепления протона от CH_2 -группы, соседней с этим атомом Cl. Ион I не успевает перейти в ион (II) и быстро отщепляет H^+ с образованием главным образом $\text{ClCH}_2\text{CCl}=\text{CHCl}$ (в основном транс).

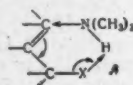
32340. О действии карбониевых ионов на трифторфосфористой кислоты и образовании эфиров фосфорных кислот. Димрот, Нюрренбах (Zur Entwicklung von Carbonium-Ionen auf Phosphorsäuretriester und Bildung von Phosphorsäureestern. Dimroth K., Nürrenbach A.), Angew. Chem., 1958, 70, № 1, 26—27 (нем.)

В поисках аналогии с действием H^+ на триалкилфосфиты (I) изучено действие различных ионов карбония на I. При действии фторбората триэтилоксиония, трифенилметилфторбората и ди-(4-диметиламинофенил)-метилперхлората в CH_2Cl_2 или CH_3CN на I (триметил-, триэтил-, трибутил- и три- β -фенетилфосфиты) легко образуются квази-фосфониевые соли (II), которые при действии воды, р-ра NaHCO_3 или алкоголята Na легко превращаются в диалкилфосфиты: $\text{P}(\text{OR})_3 + \text{R}'\text{X} \rightarrow [\text{RP}(\text{OR})_3]^+\text{X}^- + \text{H}_2\text{O}$ $\text{RPO}(\text{OR})_2$. Получены следующие II (перечисляются R, R', т. пл. в °C): C_2H_5 , C_6H_5 , -14; C_2H_5 , CH_3 , жидкий; C_2H_5 , $\text{CH}_2\text{CH}_2\text{C}_6\text{H}_5$, 35; $(\text{C}_6\text{H}_5)_3\text{CH}$, C_2H_5 , 145; $(\text{C}_6\text{H}_5)_3\text{CH}$, C_6H_5 , - (всюду X = BF_4). Трифенилфосфит и диалкилфосфиты не реагируют с изученными ионами карбония. М. Вольпин

32341. Аллильные перегруппировки. XXXVI. Реакция диметиламина с α -метилаллилхлоридом. Янг, Уилк (Allylic rearrangements. XXXVI. The reaction of dimethylamine with α -methylallyl chloride. Young William G., Wilk I. J.), J. Amer. Chem. Soc., 1957, 79, № 17, 4793—4795 (англ.)

Бимолекулярная р-ция замещения между диметиламином (I) и α -метилаллилхлоридом (II) в C_6H_6 при 49,6—69,6° протекает аномально по $\text{S}_\text{N} 2'$ механизму. I с II дает не N,N-диметил- γ -метилаллиламин, как следовало ожидать по $\text{S}_\text{N} 2$ механизму, а транс-N,N-диметил- γ -метилаллиламин (III). Транс-конфигурация III определена по ИК-спектрам, III идентифицирован встречным синтезом из I и транс- γ -метилаллилхлорида (IV). Взаимодействие I с II подчиняется ур-нию первого порядка относительно I и II в отдельности и ур-нию второго порядка по отношению к общему изменению конц-ии I и II; $E_{\text{акт}}$ 18,3 ккал/моль, $\Delta H_{\text{акт}}$ 17,6 ккал/моль, $\Delta S_{\text{акт}}$ -26,2 энтр. ед. Сравнивая полученные факты с известными ранее данными по взаимодействию триметиламина (V) с II в ацетоне ($E_{\text{акт}}$ 14,5; $\Delta S_{\text{акт}}$ -38; $\Delta H_{\text{акт}}$ -13,9) (РЖХим, 1956, 32341), авторы приходят к выводу, что в то время как I атакует только γ -углерод в II, V атакует α - и γ -углероды. Различие во взаимодействии I с II и V с II авторы объясняют тем, что а) в случае V нуклеофильная атака затруднена наличием добавочной CH_3 -группы; б) основность I больше, чем V; в) Н при N-атоме

в I может образовывать водородную связь, способствуя нуклеофильной атаке γ -углерода (см. А). Сравнение $\Delta S_{\text{ант}}$ для р-ции I с II и II с V невозможно из-за разной природы р-рителя и разных конечных



продуктов (в случае V получаются *цис*- и *транс*-изомеры, в случае I только *транс*-изомеры). К р-ру I в C_6H_6 прибавляют IV (50°, 10 мин.; 20°, 3 дня), получают III, т. кип. 97—98°, n_D^{25} 1,4138, пикрат, т. пл. 78,5—79,5°. III получен также из р-ра I в C_6H_6 и II (20°, 1 день; 50°, 7 дней). Сообщение XXXV см. РЖХим, 1957, 26643.

В. Якерсон
32342. Аллильная перегруппировка в ряду дизамещенных гексадиенов. Мартин (Transposition allylique dans la série des hexadiènes disubstitués. Martinet Pierre), C. r. Acad. sci., 1957, 245, № 2, 181—183 (франц.)

Предложен механизм р-ции двойного обмена дизамещ. гексадиенов типа $CH_2 = SNCHXCHNCH = CH_2$ (I) с AY (Y — галоид). В результате псевдомономолекулярной р-ции I с AY в промежуточной стадии образуется три-

полярный ион $CH_2 = SNCHXCHNCH = CH_2$, который в дальнейшем дает $CH_2 = SNCHXCHNCH = CH_2$ (II) и $CH_2 = SNCHXCHNCH = CH_2Y$ (III). II и III реагируют дальше с AX независимо друг от друга: II с AX

дает в промежуточной стадии ион $CH_2 = SNCHXCHNCH = CH_2$, который затем образует $CH_2 = SNCHXCHNCH = CH_2$ (IV) и $CH_2YCHNCH = SNCHXCHNCH = CH_2$ (V); а III реагирует с AX с образованием в промежу-

точной ступени пентаполярного иона $CH_2 = SNCHXCHNCH = CH_2$, который в дальнейшем дает V, $CH_2 = SNCH = SNCHXCHNCHY$ (VI) и $CH_2YCHNCH = SNCH = SNCHXCHNCHY$ (VII). Таким образом, в результате р-ции можно ожидать получения 4 изомеров (IV—VII), каждый из которых имеет от 2 до 3 стереоизомеров.

На практике же при действии PBr_3 на I (X = OH) получен *транс-транс*-изомер VII в небольшие кол-ва IV (Y = Br), а при действии PCl_5 на I (X = OH) выделены только *транс*-изомер VI и *транс-транс*-изомер VII (Y = Cl).

В. Райгородская

32343. Изучение перегруппировки А. Е. Арбузова методом термографии. Арбузов Б. А., Фуженкова А. В., Докл. АН СССР, 1957, 114, № 1, 89—92

Методом термографии подтверждено промежуточное образование очень нестойких продуктов присоединения (ПП) $(RO)_3P$ (Ia, б) (а R = CH_3 , б R = C_2H_5) и $R'X$ (X — галоид) при арбузовской перегруппировке. Для системы $(C_6H_5O)_3P$ (II) и CH_3J при скорости нагревания (CH) 6—7° в 1 мин. в термограмме обнаружены 2 экзотермич. эффекта (ЭЭ) при 227 и 370°, при CH 3° в 1 мин. второй ЭЭ наблюдается при 292°. В случае ПП II и CH_3J ЭЭ (3° в 1 мин.) лежит при 293°. 2 ЭЭ найдены также на термограмме смесей II с $C_6H_5CH_2J$ (III), CH_3Br , C_2H_5Br , C_3H_7Br , $ClCH_2ClCHNO-C_2H_5$ (IV) и $BrCH_2BrCHNO-C_2H_5$ (V). Для смесей Ia, б с CH_3J , C_2H_5J , *изо*- C_3H_7J , *н*- C_4H_9J , *изо*- C_4H_9J , III, CH_3Br , C_2H_5Br , *н*- C_3H_7Br , *н*- C_4H_9Br , $C_6H_5CH_2Br$ (VI) и $C_6H_5CH_2Cl$ найден один ЭЭ (CH 4—5° в 1 мин.), что объясняется сливанием в этих условиях обоих ЭЭ в один общий. Для систем Ib и III или CH_3Br имеется 2 ЭЭ (с III при 97—99° и 150—152°, CH 4—5° в 1 мин.). При уменьшении CH и для других RX найдены 2 ЭЭ (для Ib с

VI имеется 2 ЭЭ при CH 0,4° в 1 мин.). Для Ib и IV найдены 2 ЭЭ при 155 и 200—212° (CH 5° в 1 мин.). Второй ЭЭ при 117—125° найден для смеси Ib и V, нагреваемой сразу после смешения при 25° и через 6 дней.

В. Гиларов
32344. О механизме перегруппировки α -нафталинсульфокислоты в β -нафталинсульфокислоту. Вайштейн Ф. М., Шолов Е. А., Ж. общ. химии, 1957, 27, № 9, 2559—2566

С помощью изотопа S^{35} установлено, что перегруппировка (ПГ) α -нафталинсульфокислоты (α -I) в β -I в конц. H_2SO_4 проходит на 70—80% с обменом и на 30—20% без обмена со средой. ПГ с обменом состоит из стадии гидролиза α -I и сульфирования образующегося нафталина. ПГ без обмена может быть или внутримолекулярной ПГ, или результатом недостаточной быстрой диффузии комплекса, составленного из отделившейся сульфогруппы и ее акцептора. Установлено, что известные аналитич. методы определения β -I в смесях с α -I не могут служить для точного разделения изомеров, так как получаемые осадки солей β -I всегда содержат примесь α -I. Для освобождения β -I от α -I применен кислый гидролиз смеси.

А. Ясников

32345. Механизм превращения оксима α -тетралона в α -нафталин. Ворожцов Н. Н., мл., Коптук В. А., Хим. наука и пром-сть, 1957, 2, № 5, 657

Оксим α -тетралона (I) при нагревании с $(CH_3CO)_2O$ в лед. CH_3COOH в токе HCl при 100° превращается в α -нафталин (II). В продуктах р-ции обнаружено 31% II, 3,3% N-ацетил-II, 10,2% α -тетралона, 2% 2-хлор-1-кето-1,2,3,4-тетрагидронафталина (III) и 8,6% 2-метил-3,4'-дигидронафт-1,2':4,5-оксазола (IV), строение которого подтверждено дегидрированием и встречным синтезом. Установлено, что первым продуктом превращения I является O-ацетил-I (V). Предложена схема р-ции с участием карбониевого иона 1-(=NH)-2-(H+)- $C_{10}H_8$; HCl в данном случае является донором протонов; в отсутствие HCl V не превращается в II. При кипячении с HCl IV расщепляется с образованием β -нафтола (91%). Предлагается схема этого превращения. Если расщепление IV проводить в присутствии хлоргидрата 2,4-динитрофенилгидразина при 20°, то р-ция останавливается на стадии образования 2-ацетокси-1-кето-1,2,3,4-тетрагидронафталина (VI). Получены в-ва: оксим, III, т. пл. 120—120,5°; IV, т. кип. 104°/0,5 мм, n_D^{16} 1,5948, d_4^{16} 1,1855, пикрат IV, т. пл. 145,5—146°; йодметилат IV, т. пл. 210—211,5°; хлоргидрат IV, т. пл. 222—224°; 2,4-динитрофенилгидразон VI, т. пл. 185—186°.

К. Вадура

32346. О предполагаемом механизме алкилирования нафталина и дифенила спиртами с катализатором BF_3 . Ромадан И. А., Zinātn. raksti. Latv. Univ. Уч. зап. Латв. ун-т, 1957, 14, 49—61

Предполагается, что при алкилировании нафталина (I), и дифенила (II) спиртами RON нормального строения в присутствии BF_3 алкилирующим агентом является алкилкатинион R^+ : $RON \cdot BF_3$ (III) $\rightarrow R^+ + (NOBF_3)^-$. При этом получены в-ва с неразветвленными радикалами без примеси полиморфных продуктов. Алкилирование *н*-спиртами протекает быстрее; вероятно, III распадается по схеме: $III \rightleftharpoons (RO \cdot BF_3) \cdot H^+ \rightleftharpoons C_nH_{2n+1} + H_2O \cdot BF_3$. C_nH_{2n+1} алкилирует I и II, давая в-ва с третичными и нормальными радикалами и полимеры олефинов. К I или II прибавляют при 165—170° RON , насыщ. BF_3 , нагревают 1—6 час., из органич. слоя перегонкой с водяным паром отделяют полимеры, разгонкой остатка в вакууме 0,7—0,1 мм выделяют продукты алкилирования. Получены замещ. I (указан заместитель): 1- C_3H_7 , 2- C_3H_7 , (C_3H_7)₂, 1- C_4H_9 , 2- C_4H_9 , 1,4-(C_4H_9)₂, 1- C_5H_{11} , 2- C_5H_{11} , 1- C_6H_{13} , 2- C_6H_{13} , (C_6H_{13})₂, 1-*изо*- C_3H_7 , 2-*изо*- C_3H_7 , (*изо*- C_3H_7)₂, 1-*трет*- C_4H_9 , 2-*трет*- C_4H_9 , 1,4-(*трет*- C_4H_9)₂.

1,4-(*изо*-C₄H₉)₂, 1-*трет*-C₅H₁₁, 2-*трет*-C₅H₁₁, 1,4-(*трет*-C₅H₁₁)₂, (C₆H₁₁)₂. Получены замещ. II (приведен замещ. стью), *n*-C₈H₁₇, *n*, *n'*-(C₈H₁₇)₂, *n*-C₉H₁₉, *n*, *n'*-(C₉H₁₉)₂, *n*-C₁₀H₂₁, *n*, *n'*-(C₁₀H₂₁)₂, *n*-(*изо*-C₈H₁₇), *n*-(*трет*-C₄H₉), *n*, *n'*-(*трет*-C₄H₉)₂, *n*-*трет*-C₅H₁₁, *n*-*изо*-C₅H₁₁, *n*, *n'*-(*трет*-C₄H₉)₂. И. Цветкова

32347. Деалкилирование алкилароматических углеводородов и их производных в присутствии алюмосиликатного катализатора. Казанский Б. А., Георгиев Х. Д., Докл. АН СССР, 1957, 116, № 1, 85—88

Изучено деалкилирование этилбензола (I), *n*-пропилбензола (II), изопропилбензола (III), *n*-, *втор*-, *трет*-бутилбензола (IV, V и VI), *о*-, *м*- и *п*-цимола (VII, VIII и IX), *о*- и *п*-хлоркумола (X и XI) на промышленном алюмосиликатном катализаторе при 370—490° и объемных скоростях 0,8—4 час⁻¹. Кажущаяся энергия активации ($E_{\text{каж}}$) падает в ряду: I > II > > IV > XI > X > V > III > VIII > IX > VI > VII. Большая величина $E_{\text{каж}}$ I свидетельствует о том, что р-ция идет как каталитич., так и термич. путем. Это подтверждается также составом газообразных продуктов. В случае разветвленной алкильной группы $E_{\text{каж}}$ снижается в 2—2,5 раза. CH₃-группа оказывает активирующее, а Cl дезактивирующее влияние. Предполагая, что алкилы, обладающие третичным атомом C, в наибольшей степени способны к промежуточному образованию иона карбония, а алкилы с первичными C-атомами — в наименьшей, учитывая влияние заместителей, авторы считают, что каталитич. деалкилирование алкилбензолов идет по ионному механизму. В. Якерсон

32348. О реакции перегидразонирования. Арбузов А. Е., Китаев Ю. П., Тр. Казанск. хим.-технол. ин-та, 1957, вып. 23, 60—64

Для выяснения механизма р-ции Фишера изучено взаимодействие фенилгидразона ацетона (I) с 2,4-динитрофенилгидразином (II) и с C₆H₅CHO (III). Показано, что арилгидразоны способны вступать в р-цию перегидразонирования, аналогичную переэтерификации, по схеме: ArNHN=CR₂ (IV) + R₂'CO ⇌ ArNHN=CR₂' (V) + R₂CO; IV + ArNHNH₂ ⇌ ArNHN=CR₂ (VI) + ArNHNH₂; IV + ArNHN=CR₂' ⇌ V + VI. 8 г I и 10 г II в 100 мл лед. CH₃COOH нагревают до кипения (25 мин.), при охлаждении выпадает 2,4-динитрофенилгидразон ацетона, выход 90%. Аналогично 7,4 г I с 5,5 г III в 50 мл лед. CH₃COOH дают 7,8 г фенилгидразона III. И. Цветкова

32349. Нитрамини и нитрамиды. Часть XI. Катализируемое кислотами разложение ON-диалкилнитрамин. Брак, Ламбертон (Nitramines and nitramides. Part XI. The acid-catalysed decomposition of various ON-dialkyl nitramines. Bruck Peter, Lamberton Alex. H., J. Chem. Soc., 1957, Oct., 4198—4206 (англ.))

Манометрически и спектрофотометрически исследована кинетика кислотного гидролиза: RN=NOOR' + H₂O $\xrightarrow{H^+}$ RON + R'OH, где R = CH₃, C₂H₅, (CH₃)₂CH, (CH₃)₂C, (CH₃)₂CCCH₃; R' = CH₃, C₂H₅, (CH₃)₂CH, C₂H₅CHCH₃, при 25—50° в водн. и 20%-ных водно-метанольных (80%) р-рах HCl. Разложение идет как р-ция первого порядка с константой скорости, пропорциональной конц-ии к-ты в разб. р-рах HCl и функции кислотности λ_0 в более конц. р-рах HCl. Строение R сильно влияет на скорость гидролиза. По ускоряющему действию исследованные R располагаются в ряд CH₃ < C₂H₅ < (CH₃)₂CCCH₃ < (CH₃)₂CH < (CH₃)₂C, соответствующий легкости отщепления R⁺. Изменение структуры R' влияет на скорость гидролиза значительно слабее и в обратном направлении. Найдены параметры ур-ния Аррениуса. Наибольшая

величина энергии активации (23 ккал/моль) найдена для R и R' = CH₃, наименьшая (15 ккал/моль) для R = (CH₃)₂C и R' = CH₃. Соответствующие значения lg A 12,6 и 11,0 л. моль⁻¹ сек⁻¹. Полученные данные согласуются с представлением о разрыве связи R—N и образовании ионов карбония R⁺ в стадии, определяющей скорость. В пользу представления об образовании R⁺, а не R'⁺, говорят также результаты опыта получения и разложения CH₃N=NOOCH(CH₃)C₂H₅ (I) по схеме: (+)-C₂H₅(CH₃)CHOH (II) → (-)-C₂H₅(CH₃)CHBr (III) → (+)-I → (+)-C₂H₅(CH₃)CHOH (IIa), причем IIa сохраняет 56% оптич. активности (ОА) — II. Так как превращение II в III происходит со значительной рацемизацией, то сохранение 56% ОА свидетельствует о стереоспецифичности разложения I относительно R'. Механизм гидролиза диалкилнитрамин авторы пред-

ставляют схемой: RN=NOOR' + H⁺ $\xrightarrow{\text{медленно}}$ R⁺ + N₂O + R'OH, отмечая, что разрыв связей R—N и N—OR' может происходить одновременно или последовательно, но скорость р-ции определяется первым разрывом. Часть X см. РЖХим, 1956, 77954. А. Рекашева

32350. О механизме образования карбоната гуанидина из циангуанидина, бикарбоната аммония и аммиака в водном растворе. Казариновский С. Н., Мощанская Н. И., Ж. общ. химии, 1957, 27, № 12, 3386—3390

Исследована кинетика и механизм образования карбоната гуанидина из циангуанидина (I), NH₄HCO₃ (II) (I:II = 1:1,66) и жидкого NH₃ нагреванием в водн. р-ре при 100—150° 4 часа. В продуктах р-ции определялись бигуанид (III), гуанилмочевина, гуанидин (IV), меламин (V). Содержание IV в продуктах синтеза возрастает с увеличением продолжительности нагревания, скорость образования IV при этом уменьшается. С повышением т-ры скорость образования IV увеличивается. Максим. выход IV 40% получен при 140° (4 часа). IV образуется через промежуточный III. Скорость образования III меньше скорости превращения его в IV. III и гуанилмочевина в продуктах не обнаружены. Наряду с основной р-цией побочно получают оксиминопроизводные 1,3,5-триамина, V и мочевины. Мочевина образуется из NH₃ и CO₂, кол-во ее с увеличением продолжительности нагревания уменьшается вследствие гидролиза.

И. Цветкова
32351. Изучение механизма поликонденсации 1,3-дихлорбутена-2 под влиянием катализаторов Фриделя — Крафта. Бархударян М. Г., Клебанский А. Л., Сб. научн. тр. Ереванск. политех. ин-т, 1957, № 16, 47—53

Изучена р-ция поликонденсации 1,3-дихлорбутена-2 (I) в присутствии катализаторов Фриделя — Крафта. Найдено, что в процессе р-ции происходит присоединение двух молекул I с образованием CH₃CCl₂C(CH₂Cl)CH₂CH=CClCH₃ (II). Из II путем отщепления HCl образуется CH₃CCl=C(CH₂Cl)CH₂CH=CClCH₃. При сочетании последнего с молекулой I происходит дальнейшая поликонденсация. Наряду с указанными соединениями происходит образование полимеров большего мол. веса, которые по данным испытаний могут применяться для получения пленкообразующих в-в.

К. Вацуро
32352. Взаимодействие 1,3-дихлорбутена-2 с хлоропреном под влиянием катализаторов Фриделя — Крафта. Бархударян М. Г., Клебанский А. Л., Сб. научн. тр. Ереванск. политех. ин-т, 1957, № 16, 55—60

Изучалось взаимодействие 1,3-дихлорбутена-2 (I) с хлоропреном (II) в присутствии FeCl₃ и AlCl₃. Найдено, что первичным продуктом р-ции является 1,3,7-

трихлороктадиен-2,6 (III), образующийся путем присоединения I к II в положение 1—4. Полимеры образуются в результате ступенчатого присоединения молекул II к III.

К. Вацуро
32353. О возможном существовании комплексов переходных металлов с циклобутadiеном как промежуточных продуктов реакции. Бибер (On the possible existence of transition-metal complexes of cyclobutadienes as reaction intermediates. Bieber T. H. I., Chemistry and Industry, 1957, № 33, 1126 (англ.))

Обсуждается механизм р-ций сополимеризации C_2H_2 с $CH_3C\equiv CCH_3$ и $CH_2=CHCN$, в которых ранее предполагалось образование комплекса Ni с циклобутadiеном как промежуточного продукта (РЖХим, 1957, 71492). Автор предлагает пути более строгого доказательства образования комплексов, в том числе с применением C_2H_2 , меченного C^{14} .

В. Глазков
32354. Принципы систематики органических соединений на основе правильной системы углеводородов. Часть 1. Общие принципы и введение в систематику углеводородов. Юркевич (Zasady systematyki związków organicznych na podstawie prawidłowego układu węglowodorów. Część I. Zasady ogólne oraz wstęp do systematyki węglowodorów. Jurkiewicz J. A., Koks, smoła, gaz, 1956, 1, № 4, 143—152 (польск.; рез. русск., англ.))

Предложен новый принцип систематики углеводородов (УВ), основанный на введении параметра N , который характеризует степень насыщения УВ состава C_nH_m водородом ($N = 4n/m$). Все УВ могут быть выражены общей ф-лой $(C_N H_4)_x$, где N и x могут принимать как целые, так и дробные значения. Взаимосвязь гомологич. рядов УВ наглядно выражается в системе ортогональных координат $n-N$. Приводятся кривые, показывающие закономерное изменение т-р кипения в зависимости от N .

В. Потапов
См. также. Строение органич. соед. 31429, 31442, 31443, 31459, 31460, 31461, 31471, 31474, 31688, 31819

СИНТЕТИЧЕСКАЯ ОРГАНИЧЕСКАЯ ХИМИЯ

Редакторы М. А. Агабекова, Н. С. Вульфсон, Б. М. Дубинин, В. А. Загоревский, Я. Ф. Комиссаров, Г. Я. Кондратьева, Л. А. Хейфиц

32355. Применение трифторуксусного ангидрида и аналогичных соединений в органическом синтезе. I. 2. Акабоси, Karaky, Chemistry (Japan), 1957, 12, № 8, 567—570; № 9, 647—651 (японск.)

Обзор за 1956 г. Библ. 14 и 24 назв.

32356. Синтез углеводородов. 62. Метод синтеза алкенов и алканов разветвленного строения. Левина Р. Я., Кайнарис П. А., Трещова Е. Г., Вестн. Моск. ун-та. Сер. матем., механ., астрон., физ., хим., 1957, № 3, 165—168

Разветвленные этиленовые углеводороды (ЭУ) синтезированы р-цией аллильных галогенидов $(CH_3)_2C=CHCH_2X$ (I) (а $R=H$, $X=Br$; б $R=CH_3$, $X=Cl$) с $(CH_3)_2RCMgCl$ (II) (а $R=CH_3$, б $R=C_2H_5$). К IIa (из 1,4 г-атома Mg, 1,4 моля $(CH_3)_2CCl$ и 500 мл эфира, выход 70%) прибавляют при т-ре от -70 до -60° эфирный р-р (1:1) 1 моля Ia, перемешивают 2 часа при той же т-ре, 2 часа при 20° и 5 час. при нагревании, смесь выливают на лед с 10%-ной CH_3COOH , продукт кипятят с Na, перегонкой выделяют 2,2,5-триметилгексен-4 (III). Аналогично (охлаждение до т-ры -40°) из Ia и IIб получают 3,3,6-триметилгептен-5 (IV); из Ib и IIа — 2,2,4,5-тетраметилгексен-4 (V), из Ib и IIб — 3,3,5,6-тетраметилгептен-5 (VI). Получены

ЭУ (приведены ЭУ, выход в %, т. кип. в $^\circ C/mm$, n_D^{20} , d_4^{20}): III, 12, 126,5—127/726, 1,4218, 0,7370; IV, 10, 155—155,5/744, 1,4339, 0,7647; V, 17, 152,5—153/744, 1,4384, 0,7679; VI, 12, 182,5—183/750, 1,4487, 0,7910. В спектрах комб. расс. V и VI интенсивная частота 1662 cm^{-1} . ЭУ гидрированием над Ni/Al_2O_3 при $160-170^\circ$ превращены в парафиновые углеводороды (ПУ) (приведены ПУ, т. кип. в $^\circ C/mm$, n_D^{20} , d_4^{20}): 2,2,5-триметилгексан, 123,5/750, 1,4001, 0,7095; 3,3,6-триметилгептан, 150,5/742, 1,4132, 0,7347; 2,2,4,5-тетраметилгексан, 147/748, 1,4130, 0,7352; 3,3,5,6-тетраметилгептан, 170,5—171/750, 1,4252, 0,7585. Для ПУ приведены спектры комб. рассеяния. Сообщение 61 см. РЖХим, 1957, 71507.

И. Цветкова

32357. Исследование производных ацетилена. Часть LIV. Получение и применение для синтезов этилмагницийбромида. Джонс, Скаттебель, Уайтинг (Researches on acetylenic compounds. Part LIV. The preparation and synthetic applications of ethylmagnesium bromide. Jones E. R. H., Skatteböl L., Whiting M. C.), J. Chem. Soc., 1956, Dec, 4765—4768 (англ.)

Действием р-ра $HC\equiv CMgBr$ (I) в тетрагидрофуране (II) на карбонильные соединения получены этилкарбинолы с выходом 35—85%. Р-р C_2H_5MgBr (4,8 г Mg, 140 мл II, ток N_2) прибавляют в струе N_2 порциями в 3—5 мл к 80 мл II (насыщ. C_2H_2), пропуская C_2H_2 через реакционный р-р. К полученному р-ру I прибавляют 0,14 моля карбонильного соединения в равном объеме II, через 12 час. разлагают р-ром NH_4Cl . Из ацетофенона получен $C_6H_5C(CH_3)(OH)C\equiv CH$, выход 35%, т. пл. 49° (из петр. эф.), из коричневого альдегида образуется $C_6H_5CH=CHCH(OH)C\equiv CH$, выход 60%, т. кип. $90^\circ/1$ мм, т. пл. $67-68^\circ$ (из петр. эф.), из дифенилацетальдегида получен 1,1-дифенилбутин-3-ол-2, выход 75%, т. пл. $73-74^\circ$ (из петр. эф.). 6 г этилформата в 10 мл II прибавляют при 0° к р-ру I (из 6 г Mg). Выход пентадин-1,4-ола-3 40%, т. кип. $80^\circ/0,05$ мм, т. пл. $51-52^\circ$ (из петр. эф.). Р-р C_2H_5MgBr в 125 мл II (из 4,8 г Mg) прибавляют при 0° за 1,5 часа к р-ру 12,5 г диацетилена в 100 мл II. Через 30 мин. добавляют 8 г ацетона в 10 мл II и оставляют на 12 час., выход 2-метилгексадин-3,5-ола-2 45%, т. кип. $36^\circ/0,5$ мм, n_D^{20} 1,4935. Из остатка после перегонки выделяют 2,7-диметилгексадин-3,5-диол-2,7, т. пл. $130-131^\circ$. Получены также (выход в %): 3-метилпентин-1-ол-2, 70; 1-хлор-2-метилбутин-3-ол-2, 60; пентен-1-ин-4-ол-3, 45; гексен-4-ин-1-ол-2, 85; ноадин-1,4-ол-2, 85. Часть LIV см. РЖХим, 1957, 32330.

К. Пузичкий

32358. Исследование производных ацетилена. Часть LV. Получение и свойства некоторых полиацетиленовых кислот и их производных. Джонс, Томпсон, Уайтинг (Researches on acetylenic compounds. Part LV. The preparation and properties of some polyacetylenic acids and their derivatives. Jones E. R. H., Thompson J. M., Whiting M. C.), J. Chem. Soc., 1957, May, 2012—2017 (англ.)

Описан синтез полиацетиленовых к-т, их производных, приведены и проанализированы УФ-спектры полученных соединений. Гептадин-2,4-овая к-та (I) и ноадин-2,4-овая к-та (II) получены карбоксилированием $MgBr$ -производных соответствующих диацетиленовых углеводородов. Триацетиленовые к-ты синтезируются по схеме: $RCH(OH)C\equiv CC\equiv CCH_2OH \rightarrow RCHClC\equiv CC\equiv CCH_2Cl \rightarrow RC\equiv CC\equiv CC\equiv CH$ ($R=CH_3, C_2H_5$); далее, как при синтезе I и II, 17,5 г гексадина-1,3 в 35 мл эфира прибавляют к C_2H_5MgBr (III) (из 10 г Mg), кипятят 1 час и приливают к избытку твердого CO_2 (автоклав). Через 18 час. выделяют I, выход 50%, т. пл. $73-75^\circ$ (из петр. эф.); Метиловый эфир I (Ia) (действием CH_2N_2), т. кип. $50^\circ/0,01$ мм, $n_D^{17,5}$

1,5131. Аналогично из 21 г октадина-1,3 и 6 г Mg синтезируют II, выход 40%, т. пл. 32–37° (из C_8H_{12}). К 74 г 1,4-дихлорбутина-2 прибавляют $NaNH_2$ (из 41 г Na и 1 л жидкого NH_3), 100 мл эфира и за 10 мин. 8 г безводн. параформа в 100 мл эфира. Через 1 час обрабатывают NH_4Cl , фильтруют, фильтрат выпаривают в вакууме при $\sim 20^\circ$. Остаток извлекают петр. эфиром, выпаривают при $\sim 20^\circ/0,01$ мм, в остатке — пентадин-2,4-ол-1 (IV), выход (неочищ.) 65%, n_D^{20} 1,521. В р-ре III (из 17 г Mg) заменяют эфир 320 мл C_6H_6 , прибавляют 21 г IV в 170 мл C_6H_6 (охлаждение). Через 40 мин. вводят 18 г CH_3CHO в 50 мл C_6H_6 и перемешивают еще 18 час. Выделяют гептадин-2,4-диол-1,6 (V), выход 33%, после хроматографирования на Al_2O_3 и перегонки при 85° (т-ра бани)/ $5 \cdot 10^{-4}$ мм, т. пл. 50–53° (из эф.). Аналогично из 26 г IV, 20 г Mg и 30 г CH_3CH_2CHO синтезируют октадин-2,4-диол-1,6 (VI), выход 56%, т. кип. 100° (т-ра бани)/0,02 мм, n_D^{20} 1,5370. К 10 г V и 13,5 мл C_6H_5N прибавляют при $< 30^\circ$ 14,7 мл $SOCl_2$. Перемешивают 18 час., выливают в лед, выделяют 1,6-дихлоргептадин-2,4 (VII), выход 55%, т. кип. 31°/0,01 мм, n_D^{19} 1,5530. Аналогично из 23 г VI получают 1,6-дихлороктадин-2,4 (VIII), выход (неочищ.) 16 г, т. кип. 60°/0,01 мм, n_D^{20} 1,5457. Начальная фракция содержит $\sim 30\%$ 1-хлороктен-6-дина-2,4. К $NaNH_2$ (из 0,6 г Na , 30 мл NH_3) при -77° прибавляют 2 г VIII в 3 мл эфира и через 20 мин. избыток NH_4Cl . Извлекают изобутаном, экстракт выпаривают в вакууме до 50 мл (в присутствии $MgSO_4$), прибавляют 50 мл тетрагидрофурана, выпаривают до 15 мл; р-р октадина-1,3,5 прибавляют при 0° к III (из 0,5 г Mg) в тетрагидрофуране. Через 30 мин. (15°) смесь выливают в избыток твердого CO_2 (автоклав). Через 18 час. смесь разлагают, эфирный экстракт после осаждения смолы пентаном выпаривают, кристаллизуют из CH_2Cl_2 при -70° нона-2,4,6-трииновую к-ту (IX), выход 10%, т. разл. 95° (из CH_2Cl_2). Аналогично IX из 2 г VII получают (через гептадин-1,3,5) моногидрат октадин-2,4,6-овой к-ты (X к-та), выход 0,2 г. Метиловый эфир X (получают действием 3%-ной H_2SO_4 в CH_3OH , 4 дня, 15°), т. пл. 53–56° (из петр. эф.). Из 1,1 г Ia и 10 мл NH_4OH (3,5 часа, 15°) получают 0,6 г амида I (XI), т. пл. 148° (из сп. + бzl.). 0,17 г метилового эфира X смешивают при -5° с 2,5 мл NH_4OH , через 2 часа (15°, в темноте) извлекают эфиром 0,07 г амида X. 1 г XI, 1,5 г песка и 2 г P_2O_5 нагревают при 100–130°/0,01 мм, сублимат растворяют в 5 мл C_6H_{12} , промывают р-ром K_2CO_3 , выпаривают при -5° , перегоняют при 20°/0,01 мм, получают 0,4 г нитрила I, т. пл. $\sim -5^\circ$, n_D^{20} 1,5387. Аналогичным путем 0,09 г IX превращают в нитрил IX. Ia с избытком CH_3N_2 (24 часа, $\sim 20^\circ$) дает метиловый эфир 4-(бутин-1-ил)-пирозолкарбоновой-3 к-ты (XII), т. пл. 92–94° (из бzl. + петр. эф.). 1,33 г пиперидина в 11 мл спирта прибавляют к 2 г Ia в 11 мл спирта, через 18 час. выделяют метиловый эфир 3-(1'-пиперидил)-гептен-2-ин-4-овой к-ты (XIII), т. кип. 140° (т-ра бани)/ 10^{-4} мм, n_D^{17} 1,5551. 2,3 г Ia и 2,3 г циклопентадена нагревают в запаянной трубке 3 часа при 95°. Через 18 час. извлекают петр. эфиром, выделяют 0,7 г метилового эфира 2,5-дигидро-2,5-эндометилен-6-(бутин-1-ил)-бензойной к-ты (XIV), т. кип. 71° (т-ра бани)/0,01 мм, n_D^{20} 1,5335. Приведены данные УФ-спектра для I, II, Ia, XI, X, IX, метилового эфира X, метилового эфира IX, амида X, нитрила пентин-2-овой к-ты, нитрила I, нитрила IX, VI, VII, VIII, XII, XIII и XIV и ИК-спектры XII, XIII и XIV. Е. Караулова

32359. Изучение ацетиленов. Часть II. Некоторые реакции Гриньяровских реагентов с галогидными пропаргилами. Модели линолевой и линоленовой кислот. Нигам, Уидон (Studies with acetylenes. Part II. Some reactions of grignard reagents with

propargylic halides. Model linoleic and linolenic acid systems. Nigam S. S., Weedon B. C. L., J. Chem. Soc., 1957, Sept., 3868–3873 (англ.).

Реакцией гексин-1-илмагнийбромида (I) с 1-бромгептином-2 (II) и 1,4-дихлорбутином-2 (III) в присутствии Cu_2Cl_2 получены соответственно тридекадин-5,8 (IV) и гексадекатрин-5,8,11 (V) (через промежуточный 1-хлордекадин-2,5 (VI)). При частичном гидрировании IV и V образуются *цис*-формы тридекадина-5,8 (VII) и гексадекатриена-5,8,11 (VIII). III при взаимодействии с $n-C_4H_9MgBr$ дает смесь додецина-6 (IX), $CH_2=C(C_4H_9)C(C_4H_9)=CH_2$ (X) и *n*-октана. Предполагается, что $RMgX$ аномально реагирует с III, атакуя оба конца молекулы III. Аномальная атака у одного конца должна приводить к $CH_2=C=CRCH_2R$, который может изомеризоваться в $CH_2=CHCR=CH(R)=C_4H_9$; судя по ИК-спектру, в продуктах р-ции содержится аллен. К I [из 5,14 г гексина-1 (XI) в 70 мл эфира] добавляют 0,25 г Cu_2Cl_2 и через 15 мин. 10 г II, через 3 часа кипятят 16 час., выход IV 48%, т. кип. 60–62°/10 $^{-4}$ мм, n_D^{20} 1,4640 (содержит примесь 1–2% диена, λ_{max} 270 мμ). IV получен также р-цией I с $CH_3(CH_2)_2C\equiv CCH_2OSO_2CH_3$ (выход 78%). Гидрирование 4,2 г IV в 50 мл гексана над 4 г $Pd-Pb/CaCO_3$ приводит к ди-*цис*-VII, выход 55%, т. кип. 44–46°/10 $^{-4}$ мм, n_D^{20} 1,4470 (содержит $\sim 3\%$ сопряженного диена, λ_{max} 227 мμ). Из 0,2 г VII и Br_2 в эфире (12 час. при 0°) получен тетрабромид $C_{13}H_{22}Br_4$ (65 мμ), т. пл. 101°. Гидрирование VII в этилацетате над Pt (из PtO_2) приводит к *n*- $C_{13}H_{26}$, т. кип. 118–120°/17 мм, n_D^{20} 1,4255. 11,1 г III в 10 мл эфира медленно прибавляют к C_4H_9MgBr (из 8 г Mg в 150 мл эф.) и 0,75 г Cu_2Cl_2 , через 12 час. кипятят 8 час., выделяют 25% *n*- C_8H_{18} и 65% смеси IX и X, содержание X 18%. Без Cu_2Cl_2 выход C_8H_{18} 27%, IX + X 28%. 11,3 г III в 25 мл эфира прибавляют к I (из 25 г XI) в 150 мл эфира (0,75 г Cu_2Cl_2), через 12 час. кипятят 24 часа, выход V 55%, т. кип. 98–102°/10 $^{-3}$ мм, n_D^{19} 1,4860 (судя по УФ-спектру, содержит примесь аллена, диена или енина). Гидрированием 1,8 г V над Pt (из PtO_2) в 50 мл этилацетата получают 1,4 г *n*- $C_{16}H_{34}$, т. кип. 88°/0,2 мм, n_D^{20} 1,4345. Из III и $C_6H_5C\equiv CMgBr$ образуются лишь 1% дифенилбутадины, т. пл. 86–87°; выделить триен из III и $MgBr$ -производного 2-нонин-8'-ил-1,3-диоксолана не удалось, но восстановлением продуктов р-ции получено 25% 1,48-бис-1',3'-диоксолан-2'-илоктадекана, т. кип. 155–156° (т-ра бани)/10 $^{-4}$ мм, т. пл. 79°. При гидрировании 5,1 г V в 100 мл гексана над 5 г $Pd-Pb/CaCO_3$ образуются 76% три-*цис*-VIII, т. кип. 74–78°/10 $^{-2}$ мм, n_D^{17} 1,4660 (содержит следы сопряженного диена, λ_{max} 229 мμ). Р-цией 3,4 г VIII с Br_2 в эфире получают 0,75 г гексабромида $C_{16}H_{22}Br_6$, т. пл. 190,5°. При взаимодействии I (из 20 г XI) с избытком III (88,6 г) в присутствии 0,5 г Cu_2Cl_2 образуются 40% VI, т. кип. 66–70°/10 $^{-4}$ мм, n_D^{22} 1,4920. 5,6 г VI и *N*-малоновый эфир (из 6,1 г малонового эфира) в 65 мл спирта (12 час., 20° + 4 часа, $\sim 100^\circ$) после гидрирования продуктов р-ции над Pt (из PtO_2) дают 1,2 г децилмалонового эфира, т. кип. 80–82°/10 $^{-4}$ мм, n_D^{22} 1,4360. Ч. I см. РЖХим, 1955, 31528. А. Файнзилберг

32360. Синтез разветвленных триацетиленовых углеводородов. II. Получение 4,4,7,7-тетраметилдекатрина-2,5,8 и 3,3,6,6-тетраметил-1,8-дифенилоктатрина-1,4,7. Захарова А. И., Ильина Г. Д., Ж. общ. химии, 1957, 27, № 12, 3201–3203

4,4,7,7-тетраметилдекатрин-2,5,8 (I) и 3,3,6,6-тетраметил-1,8-дифенилоктатрин-1,4,7 (II) синтезированы р-цией $RC\equiv CMgBr$ (III) с $(CH_3)_2CClC\equiv CCl(CH_3)_2$ (IV). I при озонировании дает CH_3COOH и $(CH_3)_2C(COOH)_2$; II дает $(CH_3)_2C(COOH)_2$ и C_6H_5COOH , что подтверждает строение I и II. 45 л метилацетилена медленно (40–45 час.) пропускали при охлаждении

через C_6H_5MgBr (на 24 г Mg и 124 г C_6H_5Br в 700 мл эфира), смесь нагревали при 30–35° до прекращения выделения этана, к полученному III ($R = CH_3$) добавляли 2 г Cu_2Cl_2 , 1 г $HgCl_2$ и по каплям IV, перемешивали 3 дня при 20°, кипятили 6 час., разлагали разб. HCl , выход I 45%, т. кип. 57–61°/3 мм, т. пл. 29°. Аналогично из III ($R = C_6H_5$) и IV (выдержка 8 час., 35°, и 12 час., 20°; разложение NH_4Cl , затем разб. HCl) получен II, выход 35%, т. пл. 142,5–143,5° (из бан. + петр. эф.). Сообщение I см. РЖХим, 1956, 78069.

И. Цветкова

32361. Реакции, вызываемые γ -излучением. I. Присоединение бромтрихлорметана к алкенам. Хейба, Андерсон (γ -ray initiated reactions. I. The addition of bromotrichloromethane to alkenes. Heiba El-Ahmadi I., Anderson Leigh C.), J. Amer. Chem. Soc., 1957, 79, № 18, 4940–4944 (англ.).

Изучено взаимодействие бромтрихлорметана (I) с непредельными соединениями (HC) под действием γ -излучения (3,5-кюри, Co^{60}). 0,25 моля HC и 1 моль I облучались (81 000 ф. в. р. в час) в ампуле под N_2 при t -ре 8–15°. Ниже приводятся: HC, время ρ -ции в часах, в-ва, полученные при ρ -ции, и соответственно их выход в %, т. кип. в °C/мм, т. пл. в °C: 1) циклогексен (II), 48, 3-бромциклогексен, 12,3, 64–65/15, —; *цис*-1,2-дибромциклогексан, 8,3, 52–53/1,5, —; 1,2-ди-(трихлорметил)-циклогексан (III), 2,5, 62–63/0,2, 102; 2-бром-1-трихлорметилциклогексан (IV), 63,5, 71–73/0,2, —; 2) циклопентен (V), 48, 1,2-дибромциклопентан, 9,8, 72–73/14, —; гексахлорэтан, —, —, 187; 2-бром-1-трихлорметилциклопентан (VI), 61,8, 60–63/0,8, —; 3) инден (VII), 48, 3-бром-2-трихлорметилиндан, 78,5, 112–113/0,5, 33; 4) октен-1 (VIII), 48, 1,1,1-трихлор-3-бромнон, 86, 74/1,2, —; 5) этиловый эфир коричной к-ты (IX), 116, этиловый эфир β -бром- α -трихлорметилгидрокориновой к-ты, 4,7, 110/0,1, 67; 6) 1,2-дихлорэтилен (X), 65, 1-бром-1,2,3,3,3-пентахлорпропан, 13,8, 51/0,1, —; 7) стирол (XI), 40, 1-бром-1-фенил-3,3,3-трихлорпропан, 39,1, 92–94/0,4, 55; 8) α -метилстирол (XII), 65, 2-фенил-4,4,4-трихлорбутен-1 (XIII), 15,1, 80/0,6, —; 3,4-диметил-4,4-дифенил-1,1,1,6,6,6-гексахлоргексан (XIV), 0,8, —, 172; 9) хлористый аллил (XV), 65, 2-бром-1,4,4,4-тетрахлорбутан, 82, 56–57/0,5, —; 10) дианисый аллил (XVI), 42, нитрил 3-бром-5,5,5-трихлорвалериановой к-ты (XVII), 82, 87/0,5, 15; 11) бромистый аллил, 48, 1,2,3-трибромпропан, 48, 46/0,6, 16; 3-бром-1,1,1,5,5,5-гексахлорпентан, 44, 85/0,5, —; 12) 1,2-дибромэтилен, 65, 1-бром-3,3,3-трихлорпропан, 45,5, 75/25, —; *симм*-тетрабромэтан, 17, 51/0,3, —. Поведение бутена-2, а также VII–X, XV и XVI аналогично их поведению в ρ -циях с I под действием УФ-излучения и перекисей. XI легче реагирует под действием γ -лучей, XII в этих условиях менее реакционноспособен и дает небольшие выходы XIII и XIV, а *транс*-стильбен не реагирует с I вовсе. По реакционной способности все исследованные HC можно расположить в ряд: XVI > VIII > VII > II > V > XV > XI > XII > X > IX. Гидролиз 5 г IV с 15 г 95%-ной H_2SO_4 при 105–110° приводит к *транс*-2-бром-1-циклогексанкарбоновой к-те, т. пл. 110–111° (из петр. эф.). Взаимодействие 28 г IV с C_6H_5ONa (4,6 г Na в 50 мл спирта) при 40° дает 6,3 г 3-дихлорметиленилциклогексена (XVIII), т. кип. 56–57°/1,8 мм, n_D^{20} 1,5320, и 4,8 г 7,7-дихлор-[4,1,0]- Δ^2 -бициклогептена (?), т. кип. 64–65°/1,8 мм, n_D^{20} 1,5068; приведен ИК-спектр. При кипячении 36 г IV с $(C_6H_5)_3N$ (10 час.), получено 5,2 г XVIII. При 2-часовом нагревании 2 г III с 10 г 95%-ной H_2SO_4 при 110° получено 0,6 г *транс*-1,2-циклогексанкарбоновой к-ты. Гидролиз 12 г VI 40 г 95%-ной H_2SO_4 при 100° дает *транс*-2-бромциклопентанкарбоновую к-ту, т. пл. 58° (из петр. эф.). Аналогично из 2 г XVII и 30 г H_2SO_4 получен амид 3-бром-

5,5,5-трихлорвалериановой к-ты (XIX), т. пл. 116–117° (из воды). Кипячением 1 г XIX с 50%-ной HCl (п-той) получено 0,6 г соответствующей к-ты, т. пл. 86° (из петр. эф.). Кипячение 13,2 г XVII в 150 мл абс. спирта, насыщ. HCl (газ), привело к получению 9,8 г этилового эфира γ -трихлорметилхлортоновой к-ты, т. кип. 74°/1,5 мм, n_D^{24} 1,4925, омылением которой 50%-ной HCl получена соответствующая к-та, т. пл. 83°; приведен ИК-спектр. При нагревании 27 г XVII при 180° (2 часа) получено 11,8 г нитрила 5,5-дихлорпентадиен-2,4-овой к-ты, т. кип. 41–42°/0,2 мм, n_D^{24} 1,5590, т. пл. 16°, из которого кипячением с 50%-ной HCl получена 5,5-дихлорпентадиен-2,4-овая к-та, т. пл. 128° (из петр. эф.). Приведены УФ-спектры нитрила и к-ты, а также XVIII и XIX.

А. Семеновский

32362. К биосинтезу полиизопреноидов. I. Получение β -окси- β -метилглутаровой альдегидокислоты. Эггерер, Линен (Zur Biosynthese der Polyisoprenoide. I. Darstellung von β -Hydroxy- β -methyl-glutaraldehydsäure. Eggerer Hermann, Lynen Feodor), Liebigs Ann. Chem., 1957, 608, № 3, 71–81 (нем.).

d,l- β -Окси- β -метилглутаровая альдегидокислота (I) получена по схеме: $CH_3COCH_2CH(OCH_3)_2$ (II) + $Zn + H_2CH_2COOC_2H_5$ (III) \rightarrow $C_2H_5OOCCH_2C(OH)(CH_3)CH_2CH(OCH_3)_2$ (IV) \rightarrow $Ba[OOCCH_2C(OH)(CH_3)CH_2CH(OCH_3)_2]_2$ (V) \rightarrow I. Окисление I приводит к β -окси- β -метилглутаровой к-те (VI), а восстановление I — к *d,l*-мевалоновой (β , δ -диокси- β -метилвалериановой) к-те (VII). К 0,25 β -атома Zn -были прибавляют немного смеси 0,2 моля II и 0,22 моля III в 70 мл абс. эфира и нагревают для начала ρ -ции, после бурной ρ -ции приливают остаток смеси, кипятят 2 часа, выливают на лед, обрабатывают смесью NH_4Cl (р-р 2 объема) и конц. NH_3 (1 объем), доводя pH до 8, извлекают эфиром *d,l*-IV, выход 30–33%, т. кип. 60–63°/0,001, n_D^{20} 1,4382 (содержит 5–8% примесей, в том числе *транс*-днен). 54,5 ммоль IV и р-р 35 ммоль $Ba(OH)_2 \cdot 8H_2O$ нагревают 2 часа при 40°, добавляя активированный уголь, через 5 мин. пропускают CO_2 , фильтрат упаривают в вакууме досуха, остаток высушивают над P_2O_5 , получают V, выход 71%, т. пл. 229–230° (разл. из сп.). При взаимодействии 2 ммоль V в 5 мл воды с 800 мг 2,4-динитрофенилгидразина в 400 мл 2 н. HCl образуется 2,4-динитрофенилгидразон β -метилглутароной альдегидокислоты (VIII), выход 90%, т. пл. 160–170° (разл.), вместо ожидаемого гидразона I. При попытке перекристаллизовать VIII из спирта образуется 2,4-динитрофенилгидразон β , β -диметилалокролина (IX), т. пл. 180–181° (из сп.). При нагревании VIII в тетрагидроэтане при 160° выход IX достигает 97%. Для получения I (в р-ре) встряхивают V с кислым ионообменником дауекс-50 (X); во избежание распада лабильной I необходимо контролировать процесс (приведены методы контроля). Изучена кинетика этого процесса. Для получения Ba -соли I встряхивают 1 ммоль V в 2 мл воды с 1,8 г X (200–400 меш.) (20 мин., в атмосфере N_2), фильтрат нейтрализуют $Ba(OH)_2$, упаривают досуха при 0°, остаток (140 мг) растворяют в 0,25 мл воды, центрифугируют, осаждают Ba -соль, добавляя 10 мл спирта. 4 ммоль 90%-ного IV в 5 мл воды, 5 мл пергидроля, 5 мл лед. CH_3COOH и 10 ммоль конц. H_2SO_4 нагревают 3 часа (100°), нейтрализуют 10 ммоль $BaCO_3$, недолго кипятят, фильтрат центрифугируют, упаривают в вакууме, извлекают ацетоном (в аппарате Сокслета) VI, выход 69–70%, т. пл. 107–108° (из ацетона- C_6H_6). Из V получают VI с выходом 49,4%. 2 ммоль V в 3 мл воды смешивают с 5 мл 2,4 н. HCl , через 5 мин. нейтрализуют 6 мл 2 н. $NaOH$, прибавляют при охлаждении к 2 ммоль KBH_4 , выдерживают 1 час при 20°, охлаждают, подкисляют 2 мл 5 н. HCl и (после насыщения $NaCl$) перемешивают 7 час. с эфиром, не содержащим пере-

кислой. Эфирный р-р (50 мл) смешивают с 2 мл CH_3OH , выпаривают, упаривают, обрабатывают CH_3OH (5×5 мл), каждый раз упаривая в вакууме. Полученный лактон VII растворяют в 3 мл воды, нейтрализуют 0,4 н. $\text{Ba}(\text{OH})_2$, нагревают до 40° , пропускают CO_2 , добавляют 1,86 ммоль 10%-ного водн. р-ра сульфата $\text{N,N}'$ -дибензилэтилендиаммония (при 40°), центрифугируют, BaSO_4 промывают водой, промывную воду объединяют с фильтратом, добавляют каплю октанола, упаривают в вакууме, остаток растворяют в 5 мл CH_3OH , выпаривают досуха, остаток растворяют в 2 мл кипящего CH_3OH , добавляют 18 мл эфира, получают дибензилэтилендиаммониевую соль VII, выход 77,5–80%, т. пл. 123–124°. При взаимодействии лактона VII, полученного из 1,04 г V, с 5 ммольями бензгидриламида образуется бензгидриламид VII, выход 50%, т. пл. 96–97° (из этилацетата-петр. эф.). А. Файнзильберг

32363. Изучение синтетических пиретроидов. Часть XI. Еще одно доказательство транс-конфигурации α,δ -диметилсорбиновой кислоты. Иноуэ, Сугита, Оно (Studies on synthetic pyrethroid. Part XI. Another evidence for the trans-configuration of α,δ -dimethylsorbic acid. Inoue Yuzo, Sugita Toshio, Ohno Minoru, Bull. Agric. Chem. Soc. Japan, 1957, 24, № 4, 222–224 (англ.))

Метилловый эфир α,δ -диметилсорбиновой к-ты (I, II к-та) превращен без обращения конфигурации в транс-мезокановую к-ту (III), что подтверждает транс-конфигурацию II, ранее установленную физ.-хим. путем (см. РЖХим, 1957, 47790). Этерификацией II (т. пл. 134–135°) действием CH_3N_2 (–15°) получен I, выход 85%, т. кип. 85–86°/7 мм, n_D^{20} 1,5242, 0,027 моля I в 5 мл CHCl_3 и 147 мл 3,5%-ной $\text{C}_6\text{H}_5\text{COOH}$ в абс. CHCl_3 выдерживают 5 дней при 0° , после обработки Na_2SO_3 получают метилловый эфир γ,δ -эпокси- α,δ -диметил- Δ^6 -тексеновой к-ты (IV), выход 84%, т. кип. 91–92°/6 мм, n_D^{20} 1,4672, 1,5 г IV обработкой 0,5 мл 5%-ной H_2SO_4 (20°, несколько часов) превращают в метилловый эфир γ,δ -диокси- α,δ -диметил- Δ^6 -тексеновой к-ты (V), выход ~100%, т. пл. 50–51° (из CH_3OH + бэл.). К 0,0079 моля V в 100 мл сухого C_6H_6 прибавляют гремы порции 0,0097 моля (CH_3COOH), Pb, смесь нагревают (50°, 2 часа и 60° , 2 часа), выход $\text{ONCSN}=\text{C}(\text{CH}_3)\text{COOCH}_3$ (VI) 75%, т. кип. 76–78°/12 мм, n_D^{20} 1,4680; 2,4-динитрофенилгидразон, т. пл. 204–204,5° (разл.; из CH_3OH). VI при действии 13,3%-ной CH_3COOH (охлаждение, 36 час.) дает $\text{HOONCSN}=\text{C}(\text{CH}_3)\text{COOCH}_3$ (VII), т. пл. 82–83° (из петр. эф.); амид, т. пл. 115,5–116,5° (из эф.-петр. эф.). VII гидролизуют охлажд. 5%-ной спирт. КОН, получают III, т. пл. 202–203° (из воды); бис-*n*-фенилфенацетилловый эфир, т. пл. 204–205° (из CHCl_3). II в разб. CH_3COOH действием 30%-ной H_2O_2 (40 час., 100°) превращают в III. Часть X см. РЖХим, 1957, 66686. Е. Цветков

32364. Изучение левулиновой кислоты и ее производных. 8. Каталитическое гидрирование δ,δ' -дилевулиновой кислоты и ее эфиров. Хаяси (Hayashi Izumi), Котэ какаку дзасси, J. Chem. Soc. Japan. Industr. Chem. Sec., 1957, 60, № 3, 282–286 (японск.)

При гидрировании диметилового эфира δ,δ' -дилевулиновой к-ты над CuCrO (260°, 77 ат, без р-рителя или 250°, 105 ат в CH_3OH) получают дилактон 3,6-диоксиктандикарбоновой-1,8 к-ты (I) и, по-видимому, тетрагидрофуран-2,5-дипропанол (II), δ -тетрагидрофурил- γ -валеролактон (III) и сим-бистетрагидрофурилтан (IV); в тех же условиях в диоксане получены II, III и IV. При 250°, 67 ат над CuCrO в спирт. р-ре дилактон I не гидрируется, а в диоксане (200° и 105 ат) образуются декантетраол-1,4,7,10, выход 35%, т. кип. 200–210°/0,35 мм; тетраацетат, т. кип. 130–135°/0,5 мм, т. пл. 72–75°; II, выход 20%, т. кип. 140–142°/0,1 мм, n_D^{20} 1,4767, d_4^{20} 1,0488; бисфенилуретан, т. пл. 107–108°

(из CCl_4). В тех же условиях, но при 250°, 114 ат из I получают II, выход 45%. Для сравнения II получают из 21,2 г фуран-2,5-дипропионовой к-ты, который восстанавливают 10 г LiAlH_4 в 1 л эфира (30°/5 час.), обрабатывают 20%-ным NaOH , разгонкой выделяют фуран-2,5-дипропанол (V), выход 70%, т. кип. 136–137°/0,2 мм, т. пл. 25–29°; бисфенилуретан, т. пл. 117–118°; при восстановлении V в эфире над Ni при 70–140°, 70 ат получают II, выход 74%. II получен также восстановлением диэтилового эфира фуран-2,5-дипропионовой к-ты в диоксане над CuCrO при 240–250°, 110 ат, выход 66%. Гидрирование дилактона I в спирте в присутствии скелетного Ni W-5 при 230° и 110 ат приводит к III, выход 20%, т. кип. 115–120°/0,5 мм, n_D^{20} 1,4722, d_4^{20} 1,095; и IV, выход 15%, т. кип. 83–85°/2 мм, n_D^{20} 1,4595, d_4^{20} 0,998. 10% I регенерируется в тех же условиях, но в диоксане получены III, выход 15%, и IV, выход 24%. III получен также при гидрировании δ -фурфуриденлевулиновой к-ты в спирте над Ni при 30–180°, выход 72%. IV приготовлен с выходом 78% гидрированием сим-дифуралетана над Ni при 30–140°. Сообщение 7 см. РЖХим, 1958, 7848.

Л. Яновская
32365. Гидрирование в присутствии коллоидального палладия. Сообщение VI. Синтез и гидрирование этиловых эфиров диметилацетиленилкарбинола и метилэтилацетиленилкарбинола. Бальян Х. В., Соловьева А. С. Сообщение VII. О гидрировании некоторых ениновых спиртов в присутствии палладия. Бальян Х. В., Тр. Ленингр. технол. ин-та им. Ленсовета, 1957, вып. 42, 5–9; 40–15

VI. При нагревании (10 час., 100°) диметилацетиленилкарбинола (I) и метилэтилацетиленилкарбинола (II) со спиртом в присутствии конц. H_2SO_4 получены соответственно их этиловые эфиры (III) и (IV); III, т. кип. 93–94°, n_D^{20} 1,4042, d_4^{20} 0,8125, и IV, т. кип. 102–105°, n_D^{20} 1,4170, d_4^{20} 0,8330. Исследовано гидрирование III и IV в присутствии коллоидального Pd в CH_3OH . Показано, что оба эфира гидрируются с почти одинаковой постоянной скоростью до эфиров предельных спиртов. Гидрирование идет строго избирательно: первые 2 атома водорода присоединяются исключительно по тройной связи. Предыдущее сообщение см. РЖХим, 1957, 30487.

VII. Описан метод колич. определения ениновых спиртов на примере диметил- (V) и метилэтилвинил-ацетиленилкарбинола (VI) путем нагревания с металлич. Na в $\text{C}_6\text{H}_{11}\text{OH}$ и поглощения выделяющегося винилацетилена щел. р-ром K_2HgI_4 . Пользуясь этим методом, установлено, что при гидрировании V и VI в присутствии коллоидального Pd (V (или VI) : H_2 = 1 : 1 моль) ~30% V (или VI) остается непрореагировавшим (см. также Назаров И. Н., Фишер Л. Б., Изв. АН СССР, Отд. хим. н., 1938, 683). Небольшие добавки (0,01–0,02% от веса V или VI) *n*-роданхлорбензола и *n*-родананилина замедляют в 2–3 раза скорость гидрирования и несколько усиливают избирательность гидрирования ениновых спиртов по тройной связи. В. Руденко

32366. Взаимодействие β -хлорвинилкетон с β -дикарбонильными соединениями. IV. Синтез виниловых эфиров β -кетоникислот. Кочетков Н. К., Кудряшов Л. И., Алеева Р. А., Ж. общ. химии, 1957, 27, № 8, 2166–2171

При взаимодействии диэтиловых эфиров алкил- (3-кеталкенил)-малоновой к-ты $\text{RCOCH}=\text{CHCR}'$ (COOC_2H_5)₂, где $\text{R} = \text{CH}_3$, $\text{R}' = \text{C}_2\text{H}_5$ (I), $\text{R} = \text{CH}_3$, $\text{R}' = n\text{-C}_3\text{H}_7$ (II), $\text{R} = \text{C}_2\text{H}_5$, $\text{R}' = n\text{-C}_3\text{H}_7$ (III), $\text{R} = \text{C}_7\text{H}_{15}$, $\text{R}' = n\text{-C}_3\text{H}_7$ (IV), с КОН в избытке CH_3OH получают метиловые эфиры α -(3-кеталкенил)-жирных к-т $\text{RCOCH}=\text{CHCH}_2\text{COOCH}_3$, где $\text{R} = \text{CH}_3$, $\text{R}' = \text{C}_2\text{H}_5$ (V), $\text{R} = \text{CH}_3$, $\text{R}' = n\text{-C}_3\text{H}_7$ (VI), $\text{R} = \text{C}_2\text{H}_5$, $\text{R}' = n\text{-C}_3\text{H}_7$ (VII),

$R = C_7H_{15}$, $R' = n-C_8H_{17}$ (VIII). Смесь конц. водн. р-ра 0,47 моля КОН, 500 мл CH_3OH и 0,12 моля I кипятят 30 мин., после удаления K_2CO_3 и отгонки 400 мл CH_3OH добавляют 200 мл воды и 70 мл 10%-ной HCl, эфиром извлекают V, выход 63%, т. кип. 122–123°/9 мм, 88–89°/4 мм, n_D^{20} 1,4624, d_4^{20} 1,0210. Аналогично из 9,7 г II и 8,1 г КОН в 150 мл CH_3OH , из 12 г III и 9,52 г КОН в 180 мл CH_3OH , из 5 г IV и 3,14 г КОН в 55 мл CH_3OH получают соответственно: 60% VI, т. кип. 105–106°/5 мм, n_D^{20} 1,4605, d_4^{20} 1,0033; 91,5% VII, т. кип. 111–112°/4 мм, n_D^{20} 1,4863, d_4^{20} 0,9924; 64% VIII, т. кип. 134–136°/0,3 мм, n_D^{20} 1,4638, d_4^{20} 0,9518. При гидрировании 9,7 г V при 18° в 50 мл спирта над 0,1 г 5%-ного Pd/BaSO₄ получают 92% метилового эфира α -этил- γ -ацетилмасляной к-ты (IX), т. кип. 91–92°/4 мм, n_D^{20} 1,4360, d_4^{20} 0,9833; семикарбазон (СК), т. пл. 140,5–141° (из 30%-ного сп.). 14 г IX кипятят 2,5 часа с р-ром 12,8 г NaOH в 50 мл воды, подкисляют 35 мл 10%-ной HCl (к-ты), получают 78% α -этил- γ -ацетилмасляной к-ты (X), т. кип. 147°/7 мм, n_D^{20} 1,4483; СК, т. пл. 131–131,5° (из 30%-ного сп.). К р-ру 18,8 г NaOH в 160 мл воды при 0–3° прибавляют 22,5 г Br₂ и при 5° 7,5 г X, перемешивают 2 часа при 18–20° и после подкисления конц. H₂SO₄ эфиром извлекают α -этилгutarовую к-ту (XI), т. кип. 174–175°/3 мм, т. пл. 49–51°; бисбензилтиурониевая соль (из 0,3 г XI в 1 мл воды, 0,15 г NaOH и 0,62 г бензилтиуроний-хлорида), т. пл. 134–135°. К р-ру 0,2 г атома Na в 100 мл спирта добавляют 0,047 моля I и оставляют на 12 час. при 18°, разлагают 200 мл воды, отгоняют 90 мл спирта, фильтрат нейтрализуют CH_3COOH , эфиром извлекают этиловый эфир α -(3-кетобутил)-масляной к-ты, выход 58%, т. кип. 93–94°/3 мм, n_D^{20} 1,4630, d_4^{20} 1,0000. Сообщ. III см. РЖХим, 1957, 60576.

А. Занина

32367. Исследование макроциклических кольцевых систем. III. Простой метод получения макроциклического диамида. Штеттер, Маркс (Zur Kenntnis der makrocyclischen Ringsysteme. III. Eine einfache Methode zur Herstellung makrocyclischer Diamide. Stetter Hermann, Marx Joachim), Liebigs Ann. Chem., 1957, 607, № 1-3, 59–66 (нем.)

Разработан простой метод получения макроциклич. диамидов общей ф-лы $CO(CH_2)_nCONH(CH_2)_mNH$ (I) с

произвольным размером кольца путем конденсации α,ω -диаминов (II) с дихлорангидридами дикарбоновых к-т (III). Метод основан на известном принципе разбавления и применения конструкции капельных воронок, обеспечивающих постоянную скорость прибавления реагентов в продолжение длительного времени (приведен рис. и описание прибора). Необходимыми условиями успешной работы являются высокая чистота реагентов и полное отсутствие CO₂ и влажности в приборе. Синтезированы 17 I, содержащих 10–21-членное кольцо с выходами, часто превышающими 70%.

При восстановлении I получены соответствующие диамины $CH_2(CH_2)_nCH_2NH(CH_2)_mNH$ (IV). К 750 мл абс.

C_6H_6 на 2 воронки прибавляют (N₂, 19–23°, 9 час.) 500 мл 0,055 M III и 500 мл 0,088 M II. Осадок и остаток из маточного р-ра сушат и из него экстрагируют C_6H_6 или очень чистым тетрагидрофураном в аппарате типа Сокслета I [перечисляются исходные II и дихлорангидрид к-ты, n, m , выход в %, т. пл. в °C (из сп. или возгонкой в вакууме)]: гексаметилендиамин (IIa), янтарной (IIb), 2, 6, 54, 289; IIa, глутаровой (IIc), 3, 6, 68,4, 256; IIa, адипиновой (IIId), 4, 6, 76,5, 245; IIa, пимелиновой (IIe), 5, 6, 77,6, 275; IIa, пробковой (IIIf), 6, 6, 74,5, 232; IIa, азелаиновой (IIIf), 7, 6, 73,5, 241,5; IIa, себацовой (IIIf), 8, 6, 73, 227; IIa, ундекадидикарбоновой, 11, 6, 74,5, 222; тетраметилендиамин

(IIb), 2, 4, 33,7, 154; IIb, IIIb, 3, 4, 35, 285; IIb, IIIb, 4, 4, 49, 295; IIb, IIIb, 5, 4, 67, 315; IIb, IIIb, 6, 4, 73, 296; IIb, IIIb, 7, 4, 73,2, 263; IIb, IIIb, 8, 4, 74,5, 287; этилендиамин (IIb), IIIb, 4, 2, 24,3, 252; IIb, IIIb, 8, 2, 78, 234. IIb очищают кипячением 2 часа с Na; IIa и IIb кипячением 12 час. над BaO (25 г на 100 г диамина) и перегонкой на колонке. III получены из к-т и SOCl₂ и очищены многократной перегонкой при 0,03 мм. Для IIIa и IIIb, применяют PCl₅ и фракционирование на колонке. 0,01 моля I и 3,8 г LiAlH₄ в 150 мл абс. эфира нагревают в автоклаве (200°, 5 час.), прибавляют при охлаждении 10 мл воды, фильтрат экстрагируют эфиром, в который пропускают HCl и получают дихлоргидрат IV, из последнего 12%-ным КОН выделяют IV и перегоняют в микроаппарате при 0,02 мм. IV получают также восстановлением I аланатом Li в кипящем тетрагидрофуране (в аппарате Сокслета, 45 час.). Растворяют 0,01 моля дихлоргидрата IV в 10 мл 12%-ного КОН, прибавляют 4,5 г n -толуолсульфохлорида, нагревают при 50° и отделяют N,N'-ди- n -толуолсульфонил-IV (IVa). Получены следующие IV [перечисляются n, m , выход в %, т. пл. в °C, т. пл. в °C дихлоргидрата (разл.), выход в % и т. пл. в °C IVa]: 2, 6, 81, 47, 222–224, 83,3, 227; 3, 6, 73,8, 14, 234–237, 85,5, 170; 4, 6, 85,5, 72, 318, 87, 175; 5, 6, 70,8, 39, 318, 87,5, 186; 6, 6, 81,2, 24, >360, 84,5, 153,5; 7, 6, 77,5, 42, 316, 88,5, 152; 8, 6, 79,5, 38, >365, 86, 123; 11, 6, 85, 45, 326, 85,3, 106; 2, 4, 73,2, масло, 208, 79, 282; 3, 4, 70, масло, 198–200, 82, 270,5; 4, 4, 84,5, 47, 222–224, 92, 226,5; 5, 4, 71, 16, 224, 91,5, 231; 6, 4, 85,5, 17, 235 (без разл.), 88,6, 199; 7, 4, 82, 15, 264, 81,7, 195; 8, 4, 81,7, 18–19, без разл. (без разл.), 85,5, 132,5; 4, 2, 73, масло, 161–162 (без разл.), 86, 281; 8, 2, 85,3, 45, 210 (без разл.), 86, 129. Сообщение II см. РЖХим, 1956, 22419. Б. Дубинин

32368. Синтез органических веществ в жидком аммиаке в присутствии едких щелочей. 1. Новый синтез с использованием диамида малоновой кислоты в жидком аммиаке. Алкилирование диамида малоновой кислоты в присутствии гидроксидов щелочных металлов. Асами, Симо. 2. Новый синтез в жидком аммиаке с использованием цианацетамида. Алкилирование цианацетамида в присутствии едких щелочей. Асами, Симо. 3. Алкилирование этилцианацетамида в жидком аммиаке в присутствии едких щелочей. Асами (Asami Ryuzo, Shimo Kotaro), Kōgō kakaku dzasshi, J. Chem. Soc. Japan. Industr. Chem. Sec., 1957, 60, № 8, 1034–1036, 1036–1038; № 9, 1138–1140 (японск.)

1. Взаимодействием диамида (I) или диэтилового эфира (II) малоновой к-ты в жидком NH₃ с эквивалентным кол-вом LiOH, NaOH, KOH, NaNH₂ или KNH₂ (перемешивание при ~20°, 2 часа) получают $[HC(CONH_2)_2]Na$, последующим действием небольшого избытка RX (X – галоген) (~20°, 20 час.) образуются с высоким выходом соответствующие $RHC(CONH_2)_2$ (III). В случае II проходит амидирование. Даны исходное в-во, щелочь, RX, III, выход в %, т. пл. в °C: I, LiOH, NaOH или KOH, $C_6H_5CH_2Cl$ (IV), III, где $R = CH_2C_6H_5$ (V), 74, 68 или 71 соответственно, 194–196; II, NaOH, NaNH₂ или KNH₂, IV, V, 30, 75 или 79 (в случае NaOH одновременно образуется диэтиловый эфир бензилмалоновой к-ты, выход 39%, т. пл. 80–85°); I, LiOH, NaOH, KOH или KNH₂, C_6H_5Br , III ($R = C_6H_5$), 75, 86, 71 или 75, 207–214; I, NaOH или KNH₂, $n-C_8H_{17}Br$, III ($R = C_8H_{17}$), 79 или 74, —; I, LiOH, NaOH, KOH, KNH₂, $n-C_4H_9Br$, III ($R = n-C_4H_9$), 77, 81, 70 или 95, 192–195. При использовании $Ca(OH)_2$ р-ция не проходит.

2. По методу, описанному в сообщении 1, цианацетамида (VI) алкилируется в жидком NH₃ в присутствии едких щелочей или амидов. Образуются $RCH(CN)CONH_2$ (VII) и $R_2C(CN)(CONH_2)$ (VIII). Даны щелочь,

РХ, выход VII в %, т. пл. в °C, выход VIII в %, т. пл. в °C (р-ция проводится при соотношении VI:щелочь:RX = 1:1:4, время металлизации 2 часа, время алкилирования 20 час., ~20°): LiOH, NaOH, KOH или K₂CO₃, IV, 18, 16, 15 или 12, 124—126, 74, 65, 59 или 66, 102—104; LiOH, NaOH, KOH или K₂CO₃, C₂H₅Br, 57, 65, 53, 42, —, VIII не образуется вовсе; NaOH или K₂CO₃, n-C₄H₉Br, 63 или 55, 112—114, 10 или 11, 150—151; LiOH, NaOH, KOH или K₂CO₃, n-C₄H₉Br, 61, 68, 60 или 44, 100—110, 15, 10, 8 или 13, 108—109. В аналогичных условиях алкилирования динитрил малоновой к-ты при использовании NaOH или K₂CO₃ образует с IV исключительно (C₆H₅CH₂)₂C(CN)₂, выход 79 и 84% соответственно, т. пл. 129—131°.

3. Изучено алкилирование этилцианацетамида (IX) в жидком NH₃ в присутствии едких щелочей. При соотношении IX:едкая щелочь:RX = 1:1:1, времени обработки щелочью 2—2,5 часа, времени р-ции с RX ~20 час. и ~20° образуются с высокими выходами C₆H₅(R)C(CN)CONH₂ (X). Даны щелочи, RX, выход X в %, т. пл. в °C: NaOH, KOH, K₂CO₃ или металлич. Na, C₆H₅CH₂Cl, 75, 78, 84 или 46, 113—115 (из сп.), NaOH, C₂H₅Br, 79, 115—117; NaOH, n-C₄H₉Br, 85, 108—110; NaOH, n-C₄H₉Br, 88, 105—107; NaOH, n-C₄H₉Br, 79, 104—105; NaOH, n-C₄H₉Br, 79, 94—96. При бензилировании этилового эфира этилциануксусной к-ты в присутствии NaOH образуется X, где R = C₆H₅CH₂ (XI), выход 75%. Строение XI подтверждено гидролизом конц. H₂SO₄ (нагревание на водяной бане) с образованием диамида этилбензилмалоновой к-ты, т. пл. 191—194°, и щел. гидролизом до этилбензилмалоновой к-ты, т. пл. 129—130°.

Л. Яновская

32369. Органический синтез в неводных средах. IV.

Синтезы в жидком аммиаке с малоновой кислотой. V. Синтезы в жидком аммиаке с циануксусной кислотой. Симо, Асами (Shimo Kotaro, Asami Ryuzo), Нихон кагаку даисси, J. Chem. Soc. Japan. Pure Chem. Sec., 1957, 78, № 6, 798—803, 803—807 (японск.).

IV. Проведено алкилирование диэтилового эфира малоновой к-ты (I) и диамида малоновой к-ты (II) в жидком NH₃ при использовании в качестве металлирующих агентов металлич. Na, NaNH₂, C₂H₅ONa, K и K₂CO₃ и получены с высокими выходами C-алкилпроизводные. Выходы зависят от природы галогенида и алкила в RX. При одинаковых R: RI > RBr > RCl. При одинаковых X: C₄H₉ > C₃H₇ > C₂H₅ >> CH₃; n-C₄H₉ >> iso-C₄H₉; n-C₄H₉ > iso-C₄H₉ >> трет-C₄H₉. Р-ция проходит при низкой т-ре и является ионной. Описан прибор для проведения р-ции. 50 г I и 50 мл жидкого NH₃ выдерживают при 15° 80 час., получают II, выход 97,4%, т. пл. 115—119°. Смешивают р-ры 0,1 моля I в 80 мл жидкого NH₃ и 0,1 г-атома Na в 40 мл NH₃, через 1 час вводят 0,11 моля C₆H₅CH₂Cl, через 20 час. при 20° получают диамид бензилмалоновой к-ты (III), выход 61%, т. пл. 215—220° (из сп.), и диамид дибензилмалоновой к-ты (IV), выход 2,8%, т. пл. 194—196° (из сп.). В тех же условиях из 16 г I с Na в 50—120 мл жидкого NH₃ получают 3,8—11,7 г III, 0,3—0,4 г IV и 7—0 г амида этилового эфира бензилмалоновой к-ты (V), с NaNH₂, NaOCS₂H₅ в 100 мл жидкого NH₃ и K₂CO₃ в 70 мл NH₃ получают 12,4, 10,6 и 4,7 г III, 0,2—0,4 г IV и 0—8,2 г V. Из 10 г I с K в 85 мл NH₃ и с K₂CO₃ в 90 мл NH₃ получают 7,8 и 7,6 г III. Из II получают (даны металлирующий агент, кол-во II в г, кол-во NH₃ в мл, выход III в %, выход IV в %): Na, 10, 140, 65,3; NaNH₂, 10, 90, 75, 4; C₂H₅ONa, 10, 70, 75, 4; K₂CO₃ (использован C₆H₅CH₂J), 5, 60, 77, 0; K₂CO₃, 5, 70, 79, 3. Из 5 г II в 60—70 мл NH₃, при использовании K₂CO₃, за 20—24 часа при алкилировании получают RCH(CONH₂)₂ (даны RX, выход конечного продукта в %, т. пл. в °C): CH₃J, 25, 215—217 (из воды); C₂H₅Br, 75, 209—211 (из воды);

n-C₃H₇Cl, n-C₃H₇Br или n-C₃H₇J, 71, 74 или 95, 181—183 (из сп.); iso-C₃H₇Cl, iso-C₃H₇Br или iso-C₃H₇J, 44, 61 или 85, 247—250 (из сп.); n-C₄H₉Br или n-C₄H₉J, 95 или 87, 192—195 (из сп.); iso-C₄H₉Br или iso-C₄H₉J, 67 или 65, 190—194 (из сп.); трет-C₄H₉Cl, 0. Предыдущее сообщение см. РЖХим, 1957, 71793.

V. Изучена р-ция бензилирования посредством C₆H₅CH₂Cl этилового эфира циануксусной к-ты (VI), амида циануксусной к-ты (VII) и динитрила малоновой к-ты (VIII) в жидком NH₃ аналогично, описанному в сообщении IV. При использовании соотношения VI—VIII: металлирующий агент, 1:1, образуются предпочтительно дибензилные производные. Из VI получены амид монобензилциануксусной к-ты (IX) с небольшим выходом, т. пл. 128—130°, амид дибензилциануксусной к-ты (X), т. пл. 160—163°, и этиловый эфир бензилциануксусной к-ты (XI), т. кип. 158—159°/1 мм. Даны металлирующий агент, выход X в %, выход XI в %, время р-ции 20 час.: Na, 38,22; NaNH₂, 40, 34; K₂CO₃, 49, 24; K₂CO₃ (1,5 часа), 58, 17. Из VII получают в основном X и иногда немного IX (даны металлирующий агент, выход X в %, выход IX в %): Na, 48,0 (за 20 час.); Na, 54, 0,2 (здесь и далее р-ция ведется 1 час), 39,0; C₂H₅ONa, 65, 0,5; K₂CO₃, 70, 0,6. При ведении р-ции в C₆H₆ (80,8—30 час.) получен X с выходом 19—21%. При увеличении соотношения VII: металлирующий агент до 3:1 образуется IX, выход 38% (Na, 20 час.) или 43% (K₂CO₃, 20 час.), в последнем случае одновременно образуется немного X. Из VIII получен динитрил дибензилмалоновой к-ты, т. пл. 130—131°, выход при ведении р-ции 20 час. 76% (с Na), 84% (с K₂CO₃), 95% (с K₂CO₃, при использовании C₆H₅CH₂J). Алкилирование VII в жидком NH₃ приводит к C-моноалкил и C-диалкилпроизводным VII, различия в выходах при применении бром или йод-алкилов не было. При алкилировании 0,054 моля VII в 60—70 мл жидкого NH₃ с K₂CO₃ при обычной т-ре в течение 20 час. получены RCH(CN)CONH₂ (XII) и R₂C(CN)CONH₂ (XIII) (даны галогенид, выход XII в %, т. пл. в °C, выход XIII в %, т. пл. в °C): C₂H₅Br, 42, 105—108; n-C₃H₇Br или n-C₃H₇J, 55 или 54, 116—118, 11 или 13, 149—151; iso-C₃H₇J, 79, 124—125, 0; n-C₄H₉Br или n-C₄H₉J, 44 или 53, 124—125, 13 или 16, 116—119; iso-C₄H₉J, 23, 90—92, 14, 129—130.

Л. Яновская

32370. Геометрическая изомерия хлорбутенонитрилов и соответствующих им амидов. II. Стратен, Брэйланте (L'isomerie géométrique des chlorobutenitriles et de leurs amides II. Straeten P. van der, Bruylants A.), Bull. Soc. chim. belges, 1957, 66, № 5—6, 345—366 (франц.).

Конденсацией CH₂ClCH=CHCl (I) с NaCN получена смесь цис-(II) и транс-хлорвинилацетонитрилов (ClCH=CHCH₂CN), которая при омылении дает легко разделяемые цис-(III) и транс-хлорвинилацетамиды (IV) (ClCH=CHCH₂CONH₂). Алкильная перегруппировка II приводит к образованию цис-(V) и транс-γ-хлоркотононитрилов (VI), омыление которых дает III и транс-γ-хлоркотононамид (VII). Конфигурация II, V и VI установлена на основании анализа молекулярных рефракций и ИК-спектров; III, IV и VII — на основании кривых т-р плавления бинарных смесей и ИК-спектров. Дегидратацией с POCl₃ 1,3-дихлорпропанола-2 (получен из глицерина, выход 66—70%, т. кип. 70—73°/14 мм) синтезирован I, выход 50—55%, т. кип. 104—112°. В смесь 500 мл насыщ. р-ра NaCl, 20 г CuCl, небольшого кол-ва Cu и 20 мл конц. HCl (85%) добавляют р-р 53 г NaCN до pH 3,5, добавляют 330 г I и за 5—6 час. еще р-р NaCN, поддерживая pH 3—4, выход II 78—85%, т. кип. 60—66°/10 мм, n_D²⁰ 1,4624, n_D²⁰ 1,4602, n_D³⁰ 1,4558, n_D¹⁶ 1,4592, n_D²⁰ 1,4570, n_D³⁰ 1,4526, d₄¹⁵ 1,13310, d₄²⁰ 1,12772, d₄³⁰ 1,11702. Приготовленную при т-ре —5° эквимольную смесь II и конц. H₂SO₄ остав-

ляют на 8 дней, эфиром извлекают смесь амидов, из которой раскристаллизацией из C_6H_6 и сублимацией выделяют III, т. пл. 72–73° и IV, т. пл. 117–117,4°, эвтектич. смесь содержит 75% III и плавится при 60°. 450 г II перемешивают (1 час, 80°) с р-ром 0,5 г Na в 100 г фенола, последний вымывают щелочью, выделяют V, выход 25%, т. кип. 55,1–55,3°/10 мм, и VI, выход 65%, т. кип. 71–71,2°, для V n_D^{20} 1,4742, n_D^{20} 1,4718, n_D^{30} 1,4668, n_D^{15} 1,4705, n_D^{20} 1,4681, n_D^{30} 1,4632, d_4^{15} 1,12258, d_4^{20} 1,11714, d_4^{30} 1,10626; для VI n_D^{15} 1,4826, n_D^{30} 1,4808, n_D^{20} 1,4758, n_D^{15} 1,4787, n_D^{20} 1,4764, n_D^{30} 1,4718, d_4^{15} 1,13055, d_4^{20} 1,12520, d_4^{30} 1,11454. Гидролизом VI получают VII, т. пл. 135–135,5° (из бал.). Ч. I см. Bull. soc. chim. belges, 1950, 59, 436. И. Котляревский

32371. Тиосемикарбазоны кетокислот. I. α,β -тиосемикарбазоны ацетокислотного эфира и их преобразования. Белжецкий, Урбанский (O tiosemikarbazonach ketokwasów. I. α,β -tiOSEMIKARBAZONY ETSRU ACETYLCOOTOWEGO I ICH PRZEMIANY. Belzecki i Czesław, Urbaniski Tadeusz), Roczn. chem., 1956, 30, № 3, 781–787 (польск.).

Изучалась р-ция $CH_3COC(=NOH)COOC_2H_5$ (I) с $NH_2NHCSNH_2$ (II). К 0,3 моля $CH_3COC(=NOH)COOC_2H_5$ в 80 мл лед. CH_3COOH добавляют за 3 часа при $t < 10^\circ$ и перемешивании 0,3 моля $NaNO_2$ в 30 мл воды, разбавляют 300 мл воды, извлекают эфиром, получают I, выход неочищ. 15 г, при перегонке в вакууме выпаривается. Аналогично из $CH_3C(=NNHCSNH_2)CH_2COOC_2H_5$ (III) (получен с выходом 83%, т. пл. 94–95°) синтезируют тиосемикарбазон I (IV), выход 30%, т. пл. 161–162° (разл.; из сп. и воды), который получают также из I и II (по 0,1 моля) в 100 мл горячей воды с выходом 95%. III при р-ции с NH_3 циклизуется до $CH_3C=NN(CSNH_2)COCH_2$ (V), выход 68%. 0,1 моля IV

растворяют при 40–50° в конц. NH_4OH , охлаждают до 0°, осадок растворяют в 200 мл воды при ~40°, подкисляют разб. HCl , получают $CH_3C=NN(CSNH_2)COC(=NOH)$ (VI), выход 59%, т. пл. 180–182° (разл.; из сп.); VI получают также с выходом 30% при нитрозировании V (см. синтез I). К р-ру 0,2 моля II в 40 мл 25%-ной H_2SO_4 + 250 мл воды добавляют 0,1 моля I, нагревают 1 час (т-ра бани 100°), охлаждают, фильтруют, осадок извлекают горячей водой, затем спиртом, получают $CH_3C=NN(CSNH_2)COC(=NNHCSNH_2)$ (VII), выход 28%, т. пл. 208° (разл.; из $CH_3CONHCSNH_2$ воды); аналогично при гидролизе и циклизации IV или гидролизе VI в присутствии эквимолярных кол-в II получают VII, выход 22 и 49%. J. Wolf

32372. Исследование в области производных двухосновных карбоновых кислот. Сообщение XVIII. Диалкиламиноалкиловые эфиры 2,2-диметилглутаровой кислоты. Миджолн А. Л., Миджолн О. Л., Бабин П. А., Докл. АН АрмССР, 1957, 25, № 3, 125–131 (рез. арм.).

Для испытания курарепоподобной активности взаимодействием хлорангидрида β,β -диметилглутаровой к-ты (I) с аминоспиртами синтезированы диэфиры общей ф-лы $(ROCOCH_2)_2C(CH_3)_2$ (II). 8 г к-ты и 26 г PCl_5 смешивают при 0°, через 12 час. кипятят (6–8 час.), разгонкой выделяют I, выход 87%, т. кип. 103–106°/12 мм. Смесь 8,7 г I и 9 г диметиламиноэтанола в 50 мл безводн. C_6H_6 (0°) через 12 час. кипятят (8 час.), поташем выделяют II. Аналогично получены II (приведены R, выход в %, т. кип. в °C/мм, n_D^{20} , d_4^{20} , т. пл. в °C оксалата, йодметилата и йодэтилата): $(CH_3)_2NC_2H_4$, 45,8, 142–144/2, 1,4545, 1,0140, 128–130, 168–171, 119–121; $(C_2H_5)_2NC_2H_4$, 51,8, 156–158/1, 1,4575, 0,9870, 96–98, —, 122–124; $(CH_3)_2N(CH_2)_3$, 40, 139–140/0,5,

1,4584, 0,9982, —, 181–182, —; $(C_2H_5)_2N(CH_2)_3$, 31, 205–208/3, 1,4600, 0,9786, 119–121, —, —; $(CH_3)_2NCH_2CH(CH_3)$, 40, 156–157/2, 1,4496, 0,9747, 128–132, 190–192, —; $(C_2H_5)_2NCH_2CH(CH_3)$, 51,5, 152–154/1, 1,4535, 0,9677, —, —; $(CH_3)_2NCH_2CH_2CH(CH_3)$, 26,0, 163–164/1, 1,4530, 0,9836, 107–109, 110–113, —; $(CH_3)_2NCH_2CH_2CH(CH_3)$, 41,6, 174–176/1, 1,4608, 0,9745, 79–80, —; 92–93; $(CH_3)_2NCH_2C(CH_3)_2CH_2$, 57,1, 167–168/1, 1,4540, 0,9757, 104–107, 230–232, —; $(C_2H_5)_2NCH_2C(CH_3)_2CH_2$, 36, 182–184/1, 1,4590, 0,9630, —, —, —; $(CH_3)_2NCH_2CH(CH_3)CH(CH_3)$, 46,3, 175–176/1,5, 1,4597, 0,9758, 122–125, —, —; $(C_2H_5)_2NCH_2CH(CH_3)CH(CH_3)$, 62,7, 183–185/1, 1,4568, 0,9558, —, —, —; $[(CH_3)_2NCH_2CH(CH_3)]_2$, 65, 193–194/3, 1,4588, 0,9748, 184–185, 224–226, —; $[(C_2H_5)_2NCH_2CH(CH_3)]_2$, 42, 195–196/0,5, 1,4601, 0,9580, —, —. Сообщение XVII см. РЖХим, 1958, 14351.

И. Котляревский
32373. Каталитическое аминирование органических соединений. VI. Аминирование сложных эфиров кислот алифатического ряда. Козлов Н. С., Панаева Н. И., Ж. общ. химии, 1957, 27, № 12, 3208–3210. 30–40 г сложного эфира $RCOOR'$ (I) пропускают со скоростью 10–20 капель в 1 мин. в струе NH_3 под давл. 1–10 ат над нагретым до 250–400° катализатором Al_2O_3 , катализатор подкисляют HCl (1:3); с водяным паром отгоняют нитрилы RCN (II). Остаток подщелачивают и отгоняют с водяным паром смесь первичных, вторичных и третичных аминов (A), которые разделяют разгонкой. При давл. 1 ат выход II и A незначителен, образуется большое кол-во газообразных непредельных продуктов. Исследовано аминирование следующих I при 370° (приведены R и R', выход II и A в % на взятый I): CH_3 , C_2H_5 , 69,1, 77,1; CH_3 , $iso-C_4H_9$, 63,1, 68,5; CH_3 , $iso-C_5H_{11}$, 69,1, 72,2; C_2H_5 , C_3H_7 , 60,4, 67,3; C_2H_5 , C_4H_9 , 61,9, 74,4; C_3H_7 , C_2H_5 , 43,5; C_3H_7 , C_4H_9 , 53,8, 67,5. Предыдущее сообщение см. РЖХим, 1957, 47853.

И. Цветкова
32374. Антивирусные соединения. III. Производные β -аминомолочного альдегида. Райт, Линкольн, Хейнзелман (Antiviral compounds. III. Derivatives of β -aminolactaldehyde. Wright John B., Lincoln Edward H., Heinzelman R. V.), J. Amer. Chem. Soc., 1957, 79, № 7, 1690–1694 (англ.). Производные β -аминомолочного альдегида обладают высокой антивирусной активностью по отношению к вирусам болезни Ньюкаста (НК) и инфлюэнции (ИФ) в эмбриональных яйцах. Антивирусные соединения получены р-цией аминов с диэтилацеталем глицидного альдегида (I) и расщеплением образующихся аминоацеталей с помощью HCl (к-ты). Аминоацетали не активны против НК и ИФ. Ниже приведены аминоацетали общей ф-лы $>NCH_2CH(OH)CH(OC_2H_5)_2$ (перечисляются заместители в β -положении, выход в %, т. кип. в °C/мм, n_D^{20}): CH_3NH (II), 64, 110/13, т. пл. 56° (из петр.-эф.), —; $(CH_3)_2N$ (IIIa), 73, 100–101/12, n_D^{20} 1,4292; C_2H_5NH (IVa), 79, 117–119/13, т. пл. 54,5–55,5° (из петр.-эф.), —; $(C_2H_5)_2N$ (Va), 92, 73–74/0,45, n_D^{20} 1,4336; $(iso-C_3H_7)_2N$ (VIa), 73, 129,5–130,5/12, n_D^{20} 1,4357; $n-C_4H_9NH$ (VIIa), 81, 138/12, n_D^{20} 1,4413; $(n-C_4H_9)_2N$ (VIIIa), 84, 158–158,5/14, n_D^{20} 1,4376; $(C_6H_{13})_2N$ (IXa), 89, 138,5–142,5/0,5, n_D^{20} 1,4428; 2-пирролидинметиламино (Xa), 33, 149–151/2,1; пирролидино (XIa), 71, 88–90/0,5, n_D^{20} 1,4522; пиперидино (XIIa), 89, 143–145/13,5, n_D^{20} 1,4550; 1-бензимидазолил (XIIIa), 53, —, т. пл. 92,5–94° (из петр.-эф.-ацетона, 500:1). Р-цией пиперазина, а также CH_3NH_2 с I с последующим расщеплением образующихся тетраацеталей (XIVa и XVa) получены дихлоргидрат 1,4-пиперазин-бис-(2-оксипропионового альдегида) и дихлоргидрат N-метил-3,3'-имино-бис-(2-оксипропионового альдегида) (XIVb и XVb). Ниже приведены антивирусные соединения ф-лы $>NCH_2CH(OH)CHO \cdot HCl$ (перечисля-

ЮСЯ: заместитель в β -положении, выход в %, т. пл. в °C, активность против НК, против ИФ, причем В отсчитает 50—100%, У 10—50% и М < 10% сохранившихся ян): $(\text{CH}_3)_2\text{N}$, (IIIб), 69, 121,5—123,5 (из сп. этилацетата) В, У; $\text{C}_2\text{H}_5\text{NH}$ (IVб), 78, 155,5 (испр.), В, —; $(\text{C}_2\text{H}_5)_2\text{N}$ (Vб), 57, 130—131 (из сп. этилацетата), В, У; $(\text{iso-C}_3\text{H}_7)_2\text{N}$ (VIб), 29, 200 (разл., из CH_3OH -эф.), В, У; $n\text{-C}_4\text{H}_9\text{NH}$ (VIIб), 87, 187 (разл.); У, —; $(n\text{-C}_4\text{H}_9)_2\text{N}$ (VIIIб), 40, 179—181 (с разл., испр.) В, —; $(n\text{-C}_6\text{H}_{13})_2\text{N}$ (IXб), 20, 148—150 (разл.); 2-пиридилметиламино (Xб), 34, 151,5—153,5 (испр., из $\text{iso-C}_3\text{H}_7\text{OH}$ -ацетона), М, М; пиперидино (XIб), 64, 156—157 (из сп. этилацетата), У, У; 1-бензимидазолил (XIIб), 51, 154,5 (испр.), У, У; XIVб, 36, 131,5—132,5 (разл., испр.), В, У; XVб, —, 105 (разл.), В, —. Антивирусные соединения вводились в кол-ве 85% от максимально допустимой дозы. Vб и VIб наиболее активны. IIIб, Vб и XIIб существуют в виде мономеров, IVб, VIб, VIIб, VIIIб, IXб и XIVб, вероятно, в виде димеров. 12,2 моля I, 980 г $(\text{C}_2\text{H}_5)_2\text{NH}$ (10%-ный избыток) и 10 мл CH_3OH кипятят 1,5 часа, выделяют перегонкой Va. Аналогично получают VIa, VIIa (нагревают 2,5 часа при 120—130°), IXa (нагревают 2 часа, 100°), XIa и XIIa (в обоих случаях охлаждают льдом при смешении реагентов). К 0,5 моля $(\text{CH}_3)_2\text{NH}$ в 200 мл CH_3OH добавляют при охлаждении 0,5 моля I, выдерживают 1 час в холодильнике, 3 часа при 20°, кипятят 1 час, получают IIIa. К 1,5 моля 25%-ного водн. CH_3NH_2 и 50 мл CH_3OH прибавляют за 3 часа 0,52 моля I при т-ре ниже 55° (охлаждение!), кипятят 1 час, перегонкой выделяют II; кроме II, образуется немного XVa. Если берут 0,404 моля CH_3NH_2 и 76 г I, получают 79% XVa, т. кип. 155°/0,6 мм, n_D^{20} 1,4460, и лишь 14,4% II. Аналогично II получают IVa (берут 33%-ный водн. $\text{C}_2\text{H}_5\text{NH}_2$) и VIIa (безводн. $n\text{-C}_4\text{H}_9\text{NH}_2$, 3 мл CH_3OH , кипятят 2 часа). 0,1 моля 2-бромпиридина и 0,2 моля II нагревают 12 час. при 100° и 24 часа при 125°, добавляют 200 мл воды, извлекают эфиром Xa. 0,3 моля бензимидазола и 0,3 моля I в 100 мл спирта нагревают 3,5 часа (100°), получают XIIIa. 0,5 моля IIIa в 150 мл 10%-ной HCl нагревают 2 часа (100°), концентрируют в вакууме, получают IIIб. Аналогично получают VIIб, XIб и XIIб. К 2 молям Va прибавляют 1214 мл 4 н. HCl, выдерживают 2 дня при 20°, упаривают в вакууме (60—70°/1 мм), остаток обрабатывают ацетоном и высаживают Vб этилацетатом и эфиром из спирта. 0,14 моля Va в 30 мл 6 н. HCl оставляют на 12 час. при 20°, упаривают в вакууме, следы воды удаляют в виде азеотропа с толуолом, получают димер (?) Vб, т. пл. 165° (разл., из CH_3OH -эф.). К 0,3 моля VIa прибавляют 75 мл 6 н. HCl, оставляют на 12 час., получают VIб. Так же из VIIa получают VIIб. К 7 г Xa добавляют 47,6 мл 1 н. HCl в 200 мл воды, выдерживают 3 дня при 20°, обесцвечивают с углем, упаривают в вакууме (т-ра ниже 40°), получают Xб. 0,066 моля XIIIa прибавляют к 7,13 г конц. HCl в 19,2 мл воды, нагревают 30 мин. (100°), выдерживают 2 недели в атмосфере N_2 , получают XIIIб. 0,05 моля IXa в 500 мл 0,1 н. HCl выдерживают 1 неделю при 20°, нагревают 2 часа (100°), получают IXб. 0,256 моля IVa в 0,512 моля конц. HCl и 53 мл воды выдерживают 3 дня при 20°, получают IVб. Р-цией Va с $(\text{CH}_3\text{CO})_2\text{O}$ получен ацетат Va, выход 80%, т. кип. 99—101°/2,5 мм, n_D^{20} 1,4281. 0,6 моля I, 0,2 моля гексагидрата пиперазина и 10 мл CH_3OH нагревают 1 час (100°), оставляют на ночь, отгоняют до 90°/1 мм, остаток кристаллизуют, получают XIVa, выход 22,5%, т. пл. 87—88° (из петр. эф.; испр.). Из 16,9 г XIVa и 35 мл 3 н. HCl (1 час, 55°) получают XIVб. К 5,2 г XVa прибавляют 50 мл 1,1 н. HCl, оставляют на 3 дня, упаривают в вакууме, получают XVб. Сообщение II см. РЖХим, 1958, 28698. А. Файнзильберг

32375. Химия карбонилсульфида. Ферм (The chemistry of carbonyl sulfide. Ferm Robert J.), Chem. Revs, 1957, 57, № 4, 621—640 (англ.)
Обзор. Библи. 169 назв.

32376. О действии сернистого ангидрида на диазосоединения. I. Додекагидродиаэтилстильбен. Хессе, Рейхольд (Über die Einwirkung von Schwefeldioxyd auf Diazoverbindungen. I. Dodekahydrodiäthylstilben. Hesse Gerhard, Reichold Ernst), Chem. Ber., 1957, 90, № 10, 2101—2105 (нем.)

Для получения новых фармакологич. активных в-в синтезирован додекагидро- α,β -диэтилстильбен (I). Гексагидропропиофенон (II) превращен в азин II (III), а III — в гидразон II (IV). При 20° IV через 2—3 дня заметно диспропорционирует в III и NH_2NH_2 . Действием HgO IV окислен в этилциклогексилдиазометан, который без выделения превращен в 1,1-диоксо-2,5-диэтил-2,5-дициклогексил-1,3,4-тиадиазолин (V). Последний при отщеплении SO_2 легко давал III. При сильном нагревании из V получено немного I. Смесь 0,5 моля II, 0,3 моля $\text{NH}_2\text{NH}_2 \cdot \text{H}_2\text{O}$ и 50 мл спирта кипятили 40 час., получен III, выход 72%, т. кип. 126—128°/0,05 мм. При нагревании 0,05 моля III и 0,075 моля NH_2NH_2 (40 час., 165°) образовался IV, выход 82%, т. кип. 65—68°/0,05 мм. К 150 мл петр. эфира при 0° в атмосфере N_2 прибавлено 0,08 моля IV и 3 мл 8%-ного р-ра KOH в абс. спирте и затем 0,16 моля HgO ; через 20—45 мин. смесь центрифугировали, над поверхностью р-ра при охлаждении пропускали SO_2 ; остаток после упаривания растерли с 20—25 мл CH_3OH , через 2 дня при т-ре —15° выделяли V, выход 36%, в двух изомерных формах, т. пл. 111—112° и 89—90° (из CH_3OH). При нагревании до 180° и хроматографировании на Al_2O_3 V превратился в III. Разложением 0,5 г V при 240° с выделением SO_2 и N_2 получен I, выход 9,6%, т. возг. 75—80°/12 мм, т. пл. 76—77°. Овоинирование I в CHCl_3 с последующей обработкой 2 н. HCl (1 час, 100°) дает 82% II, выделенного в виде 2,4-динитрофенилгидразона.

А. Берлин
32377. О действии сернистого ангидрида на диазосоединения. II. Этиленсульфон. Хессе, Рейхольд, Маджмудар (Über die Einwirkung von Schwefeldioxyd auf Diazoverbindungen. II. Äthylensulfon. Hesse Gerhard, Reichold Ernst, Majmudar Suresh), Chem. Ber., 1957, 90, № 10, 2106—2113 (нем.)

Взаимодействием CH_2N_2 и SO_2 получен мономерный этиленсульфон (I) наряду с небольшим кол-вом $(\text{CH}_3\text{O})_2\text{SO}$ (II), образовавшимся за счет влаги. Восстановление I действием LiAlH_4 в диоксане при 20° привело к полиэтиленсульфиду, а окисление $\text{C}_2\text{H}_4\text{S}$ действием $\text{C}_6\text{H}_5\text{COOH}$ в CHCl_3 или 30%-ной H_2O_2 дало лишь полиэтиленсульфон. Из I и $\text{Ba}(\text{OH})_2$ получена Ва-соль-1-оксиэтил-2-сульфиновой к-ты (III). Строение I подтверждено ИК-спектром. Рассмотрен механизм р-ции. Над поверхностью высушенного KOH р-ра 18,2 г CH_2N_2 в 525 мл эфира (из 55 г нитрозометилмочевины) при —10° 2 часа пропускали SO_2 ; получено 1,3 г II, т. кип. 45°/40 мм, и 53% I, т. кип. 64°/0,3 мм. К р-ру 4 г I в 20 мл воды при 20—25° прибавлен р-р 8 г $\text{Ba}(\text{OH})_2$ в 100 мл воды; через 1 час в р-р пропустили CO_2 , фильтрат упарили, остаток растворяли в воде и осаждали III спиртом при —15°, выход 71%, разлагается при >50° на C_2H_4 и BaSO_3 . А. Берлин

32378. Синтез некоторых производных тиоуксусной кислоты. I. Трихлоротиоуксусная кислота. Шёберг (Syntheses of some thiolacetic acid derivatives. I. Trichlorothiоacetic acid. Sjöberg Bertil), Acta chem. scand., 1957, 11, № 6, 945—949 (англ.)

Взаимодействием $(\text{CCl}_3\text{CO})_2\text{O}$ (I) с H_2S получена CCl_3COSH (II). Строение II установлено ИК-спектром II в р-ре CS_2 . ИК-спектр II без р-рителя указывает

на содержание небольшого кол-ва изомерной формы CCl_3CSOH . 300 г CCl_3COOH и 130 г P_2O_5 нагревают 10 час. при 210° , декантируют и перегоняют, выход I 73%, т. кип. $93-97/8$ мм, $105^\circ/12$ мм, n_D^{20} 1,4857, d_4^{20} 1,6900. При 40-часовом насыщении 183 г I в 1 мл пиридина H_2S (20°) получают 56% II, т. кип. $40^\circ/4$ мм, n_D^{20} 1,5300, d_4^{20} 1,6136.

И. Котляревский
32379. Исследования фотохимических реакций присоединения. IV. Присоединение тиоуксусной кислоты к пропаргильному спирту и некоторым пропаргильным эфирам. Ямагиси, Танака, Хосино (Untersuchungen über die photochemischen Additionsreaktionen. IV. Die Anlagerungen von Thioessigsäure an Propargylalkohol und einige Propargylester. Yamagishi Kazuo, Tanaka Toyosuke, Hoshino Toshio), Bull. Chem. Soc. Japan, 30, № 5, 455-458 (нем.)

Облучение УФ-светом (24 часа, 20°) смеси 1 моля пропаргилацетата (I) с 2 молями тиоуксусной к-ты (II) в присутствии небольшого кол-ва азо-бис-(нитрилциклогексилкарбоновой к-ты) или азо-бис-(нитрилизомасляной к-ты) приводит к образованию продуктов присоединения II к I, а именно к 3-ацетоксипропен-1-илтиоацетату (III), выход 9%, т. кип. $95-97/3$ мм, n_D^{18} 1,5115, и 2,3-диацетилтиопропилацетату (IV), выход 64%, т. кип. $92-95/10-2$ мм, n_D^{18} 1,5181. 10 г IV нагревают (6 час., 60°) с 50 мл 1%-ного р-ра HCl (газа) в CH_3OH , продукт 2 часа встряхивают с 1 н. NaOH, подкисляют, получают 64% 2,3-дитиопропанола (V), т. кип. $85-90/1$ мм; V получают также нагреванием IV с фенилгидразином (VI), выход 75%, и омылением 2,3-диацетилтиопропанола (VII). При нагревании III с VI в спирте получают фенилгидразон 2-оксипропиальдегида, т. пл. $119-120^\circ$ (из бал.-петр. эф.); 5 г альдегида получено при нагревании 10 час. до 100° 10 г акролеина с 14 г воды, т. кип. $70-75/10$ мм, n_D^{20} 1,4900. Присоединением к III этилмеркаптана получают 37% 2-этилтио-3-ацетоксипропилацетата (VIII), т. кип. $110-115/1$ мм, n_D^{20} 1,5091. При присоединении II к пропаргильному спирту (IX) получают 10% 3-оксипропен-1-илтиоацетата (X), т. кип. $57/10-2$ мм, n_D^{18} 1,5280, и 63% VII, т. кип. $85-90/10-2$ мм, n_D^{20} 1,5159. Присоединение II к пропаргилборату (получен отгонкой воды от смеси 56 г IX, 22,7 г борной к-ты и 200 мл C_6H_6 , выход 71%, т. кип. $68-69/2$ мм, $79-81/4$ мм, n_D^{18} 1,4564) с последующим омылением приводит к X. Приведены УФ-спектры III, IV и VIII. Предыдущее сообщение см. РЖХим, 1957, 57135.

И. Котляревский
32380. Синтез на основе тиолацетатов. I. Синтез алкансульфохлоридов. Бордуэлл, Хьюз (Synthesis from thiolacetates. I. Synthesis of alkanesulfonyl chlorides. Bordwell F. G., Hewett William A.), J. Organ. Chem., 1957, 22, № 8, 980-981 (англ.)

Взаимодействием CH_3COSH (I) с 4-метилпентеном-1 (II), 2-метилпентеном-2 (III) и циклогексеном (IV) синтезированы соответствующие тиолацетаты. Присоединение I к олефинам происходит исключительно против правила Марковникова. Окислительным хлорированием полученных тиолацетатов синтезированы соответствующие сульфохлориды. Отсутствие при этом перегруппировок доказано идентичностью продукта омыления 1-этил-2-метилпропилтиолацетата (V) (V тиолацетат) и продукта восстановления 1-этил-2-метилпропансульфохлорида (VI) (VI сульфохлорид). При освещении (100 вт) 2 моля I медленно прибавляют к 4 молям III. Перемешивают и освещают еще 1 час, перегоняют, получают V, выход 96,2%, т. кип. $70^\circ/13$ мм, n_D^{20} 1,4603, 1,92 моля V и 2,5 л водн. спирта (1:1 по объему), содержащего 10% КОН, кипятят 1 час, нейтрализуют CH_3COOH , извлекают пентаном

1-этил-2-метилпропантиол (VII), выход 90,5%, т. кип. 135° , n_D^{25} 1,4467; 2,4-динитрофенилсульфидное производное VII (получение см. Bost R. W. и др., J. Amer. Chem. Soc., 1932, 54, 1985), т. пл. $60-60,5^\circ$ (из абс. сл.). Из 2,38 моля II и 1,59 моля I аналогично V получают 4-метилпентилтиолацетат-1 (VIII), выход 93,5%, т. кип. $89^\circ/16$ мм, n_D^{25} 1,4575. Из IV синтезируют циклогексилтиолацетат (IX), выход 92,5%, т. кип. $77^\circ/5,8$ мм; этим же методом получают 2-фенилпропилтиолацетат-1 (X), выход 90%, т. кип. $105-107/1,8$ мм. 0,12 моля V в воде хлорируют при 0° по методу, известному ранее (Douglass, Johnson, J. Amer. Chem. Soc., 1938, 60, 1486), выделяют VI, выход 62%, т. кип. $70-75/2$ мм, n_D^{25} 1,4651. 0,05 моля VI в 25 мл безводн. эфира прибавляют к 0,15 моля LiAlH_4 в 200 мл безводн. эфира, кипятят 2 часа, выделяют VII, выход 30%. Аналогично VI синтезируют: из 20 г VIII 4-метилпентансульфохлорид-1, выход 77%, т. кип. $84^\circ/2,5$ мм, n_D^{25} 1,4550; из IX — циклогексансульфохлорид, выход 72%, т. кип. $70^\circ/0,5$ мм, n_D^{25} 1,4958; из X — 2-фенилпропансульфохлорид-1, выход 54%, т. кип. $126^\circ/2$ мм.

Е. Караулова
32381. Перегруппировка 1,2-диоксиметиленициклопропана, аналогичная пинаколиновой перегруппировке. Дарби, Луц (Pinacollike rearrangement of a cyclopropane-1,2-dimethylene glycol. Darby Robert A., Lutz Robert E.), J. Organ. Chem., 1957, 22, № 11, 1353-1355 (англ.)

При обработке транс-1,2-ди-(дифенилоксиметил)-циклопропана (I) SOCl_2 (нагревают 20 мин. при 100°) с целью получения транс-1,2-ди-(дифенилхлорметил)-циклопропана или при кипячении в CH_3COOH (кипятят 1 мин.) происходит перегруппировка, аналогичная пинаколиновой, и образуется 1,2,5,5-тетрафенилпентен-4-он-1 (II), выходы соответственно 61 и 75%, т. пл. $131,5-132,5^\circ$ (из бал.-лигр. или абс. сл.). При нагревании 5 мин. I при $200-210^\circ$ он возвращается неизменным. Строение II доказано образованием бензофенона (выход 32%) и $\text{C}_6\text{H}_5\text{COOH}$ (выход 64%) при окислении II KMnO_4 в водн. $\text{C}_6\text{H}_5\text{N}$ и окислением CrO_3 в смеси водн. CH_3COOH и CHCl_3 , при котором получена β-бензоил-β-фенилпропионовая к-та (III), выход 0,9 г (из 5 г II), т. пл. $163-165^\circ$ (из водн. сл.). К р-ру $\text{C}_6\text{H}_5\text{Li}$ (из 0,9 г Li и 5,3 мл $\text{C}_6\text{H}_5\text{Br}$) в 50 мл эфира за 30 мин. прибавляют р-р 5 г 1,2-дибензоилциклопропана в 250 мл эфира и получают I, выход 77%, т. пл. $169,5-171,5^\circ$ (из бал.-лигр.). При использовании $\text{C}_6\text{H}_5\text{MgBr}$ (вместо $\text{C}_6\text{H}_5\text{Li}$) выход I 33%. К р-ру 0,5 г Na в 15 мл абс. спирта постепенно прибавляют 5 г дезоксибензоина, а затем 4,2 г $\text{BrCH}_2\text{COOC}_2\text{H}_5$, кипятят 5 час., отгоняют р-ритель, остаток кипятят 30 мин. с р-ром 1,5 г NaOH в 25 мл спирта и получают III, выход 55%. Приведены ИК- и УФ-спектры II.

В. Андреев
32382. Термическая димеризация аллена в 1,2-диметиленициклобутан. Бломквист, Вердол (Thermal dimerization of allene to 1,2-dimethylenecyclobutane. Blomquist A. T., Verdol Joseph A.), J. Amer. Chem. Soc., 1956, 78, № 1, 109-112 (англ.)

Изучена термич. димеризация (ТД) аллена (I) в 1,2-диметиленициклобутан (II) и изучены его свойства. I, полученный с выходом 80% дробромированием 2,3-дибропропена-1 (Hurd C. D. и др., J. Amer. Chem. Soc., 1930, 52, 1143), несмотря на тщательное фракционирование содержит все же следы 2-бромпропена (III). При ТД I в ранее описанных условиях (Лебев С. В., ЖРФХО, 1913, 45, 1357) получена смесь (выход ~5%, т. кип. $55-60^\circ$, n_D^{25} 1,4322), содержащая 29% II и следы III. При ТД при $500-510^\circ$ в пирексовой трубке со стеклянной насадкой (время контакта ~8 сек.) выход II 41%, т. кип. $73-74^\circ$, n_D^{25} 1,4652; в этом случае II также содержит следы III. При ТД

в тех же условиях, но с карборундовой насадкой выход II ~30%. II с малеиновым ангидридом (IV) в C_6H_6 в присутствии 2,5-ди-трет-бутилгидрохинона (16 час. кипячения) образует ангидрид бицикло-[4,2,0]-октен-1(6)-дикарбоновой-3,4 к-ты (V), выход 80%, т. пл. 77—78° (из гексана). Взаимодействие II с IV в тех же условиях, но при 150° в запаянной трубке (5 час.) приводит к небольшому кол-ву V и диангидриду $\Delta^{4a, 8a}$ -октагидронафталинтетракарбоновой-2,3,6,7 к-ты (VI) диангидрид, VII к-та), т. пл. 245° [из $(CH_3CO)_2O$]; тетраметилловый эфир VII, т. пл. 133—134°. Получение VI при нагревании V с IV в C_6H_6 (12 час. при 150°) указывает на то, что возникновение VI идет через промежуточное образование V. VI образуется также при непосредственном нагревании I с IV (40 час. при 150°). II термически очень устойчив и не превращается в 2-винил-бутадиен-1,3 даже при 500—600° как в отсутствие, так и в присутствии CH_3COOH . Приведен УФ-спектр II. Т. Итальянская 32383. Перекиси циклоалканов. Сарвани и (Peguydes cyclaniques. Szarvasi Etienne), *Chimie et industrie*, 1957, 78, № 5, 480—482 (франц.; рез. англ., исп.).

Действием H_2O_2 на циклогексанон (I) получены перекиси 1-гидропероксициклогексана (II), 1-гидропероксициклогексанола (III), циклич. тример перекиси I (IV) и перекиси циклогексанидена (V), существование которой оспаривалось ранее (Dilthey и др., *J. prakt. Chem.*, 1940, 154, 219). II—V могут быть получены таким путем в производственных масштабах. Из 0,5 моля I в 1 моле CH_3COOH и 1 моля 34%-ной H_2O_2 при 40° (6 час.) получена II, выход 46,5%, т. пл. 82—82,5° (из этилацетата). Из I в 0,25 моля CH_3COOH в равном объеме воды и 0,5 моля 34%-ной H_2O_2 при 40° синтезирован III, выход 81%, т. пл. 77—78° (из этилацетата). Из р-ра 0,5 моля I в 3 молях CH_3COOH , содержащей 1 г конц. H_2SO_4 , и 0,5 моля 34%-ной H_2O_2 при 40° (6 час.) получена V, выход 55—65%, т. пл. 70—72° (из сп.). Из р-ра 0,5 моля I в равном объеме $(CH_3CO)_2O$, содержащем 0,5 г окиси молибдена, и 0,5 моля 54%-ной H_2O_2 образуется IV, выход 21%, т. пл. 91—92° (из этилацетата). Приведен обзор способов получения II—V. В. Дашунии

32384. Конденсация альдольного типа. IV. Взаимодействие циклогексанола с спиртовыми растворами щелочей. Плешек, Мунк (Kondensaci reakce aldolového typu IV. Reakce cyklohexanolu s alkalickými roztoky alkalických hydroxydů. Plešek Jaromír, Munk Petr), *Chem. listy*, 1957, 51, № 4, 633—638 (чешск.); Сб. чехосл. хим. работ, 1957, 22, № 5, 1596—1602 (нем.; рез. русск.).

Показано, что под действием спирт. р-ров щелочей циклогексанон (I) превращается в соединения ряда бицикло-[1,3,3]-нонанона-9, образующихся в результате конденсации двух молекул I с одной молекулой альдегида, возникающего при окислении спирта (р-ритель) за счет одновременного восстановления I в циклогексанол (II) (по типу р-ции Меервейна — Понддорфа). При 12-часовом кипячении 98 г I, 40 г NaOH в 300 мл CH_3OH и 60 г воды наряду с циклогексанилциклогексаноном (III) (выход 15 г) образуется 2,3-циклогексанобицикло-[1,3,3]-нонанол-2-он-9 (IV), выход 1,4%, т. пл. 171—172° (из бзл.); семикарбазон (CK), т. пл. 201—202° (разл.; из бзл.). Строение IV подтверждено встречным синтезом: а) 45 г метиленисциклогексанола (V) оставляют стоять (24 часа при ~20° и 24 часа при -10°) с р-ром 20 г КОН в 200 мл CH_3OH , выход IV 62%; б) 60 г I кипят 3 часа с 17,5 г N,N' -метиленисциперидина и образовавшийся V оставляют стоять с р-ром 5 г КОН в 100 мл CH_3OH , выход IV 8%. Конденсация I с формалином в присутствии метанольного р-ра

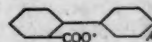
КОН приводит не к IV, а к в-ву состава $C_{10}H_{18}O_2$, т. пл. 193° (из хлф.), строение которого не установлено. Кипячение I с водно-спирт. р-ром КОН приводит к 2,3-циклогексано-4-метилбицикло-[1,3,3]-нонанол-2-ону-9 (VI), выход 24%, т. пл. 162° (из CH_3OH); кроме VI, в этом случае выделен II, выход 13%. VI получен также конденсацией I с CH_3CHO в присутствии водно-спирт. р-ра КОН или метанольного р-ра КОН (выход 24 и 9% соответственно) и при кипячении (12 час.) III с водно-спирт. р-ром NaOH, выход 4%. При нагревании с $(CH_3CO)_2O$ и CH_3COONa VI не изменяется, а при нагревании с $(CH_3CO)_2O$ в присутствии конц. H_2SO_4 дегидратируется, образуя 2,3-циклогексано-4-метилбицикло-[1,3,3]-ноненон-9 (VII) (с неизвестным положением двойной связи), более чистый образец которого с выходом 75% получен при действии HCl-газа на бензольный р-р VI; VII, т. кип. 110—111°/1 мм, n_D^{20} 1,5242. Гидрирование VII в CH_3OH над 5%-ным Pd/Al_2O_3 приводит к 2,3-циклогексано-4-метилбицикло-[1,3,3]-нонанолу-9, т. кип. 105—106°/1 мм, n_D^{20} 1,5135. При действии на VII HCl-газа образуется, по-видимому, соответствующий хлоркетон, который при обработке р-ром КОН дает VI, выход 27%. Кипячение I с NaOH в водн. C_6H_5OH (12 час.) приводит к 2,3-циклогексано-4-этилбицикло-[1,3,3]-нонанол-2-ону-9, выход 24%, т. пл. 167,5—168° (из CH_3OH); CK, т. пл. 200° (из бзл.). Сообщение III см. РЖХим, 1958, 25086. Jan Kovář

32385. Получение циклогексанкарбоновой кислоты и ее эфиров. Ха Бинь-линь, Биллман (Ho Ping-lum, Billman J. H.), Хусюэ сюэбао, *Acta chim. sinica*, 1957, 23, № 1, 4—8 (кит.; рез. англ.).

При гидрировании (над PtO_2 , Pt-чернью, коллоидальной Pt, Pd-чернью, скелетным Ni и др.) бензойной к-ты (I), метилового эфира I (II), и этилового эфира I (III) получают циклогексанкарбоновую к-ту (IV), метиловый IV и этиловый эфир IV соответственно. Выход неочищ. продуктов (по кол-ву поглощенного H_2) ~100%; после перегонки 80—85%. Только в случае PtO_2 и при определенном кол-ве р-рителя поглощается теоретич. кол-во H_2 . Влияние р-рителя в случае III в этаноле более значительно, чем в случае II в CH_3OH . Кол-во катализатора при гидрировании II и III влияет на скорость процесса, но не на выход. Резюме авторов

32386. Электролиз пергидродифеновых кислот по Колбе. Овербергер, Кабасакальян (Kolbe electrolyses of perhydrodiphenic acids. Overberger C. G., Kabasakalian Peter), *J. Amer. Chem. Soc.*, 1957, 79, № 12, 3182—3185 (англ.).

Главным продуктом электролиза транс-анти-транс-пергидродифеновой к-ты и ее транс-син-транс-изомера в безводн. CH_3OH (методику см. РЖХим, 1957, 50861) является транс-лактон 2-(1'-оксициклогексил)-циклогексанкарбоновой к-ты (транс-I), выход ~45%, т. пл. ~99—99,5°. Аналогично из цис-син-цис-пергидродифеновой к-ты получен цис-I, т. пл. 55—56°. Строение транс-I подтверждено встречным синтезом



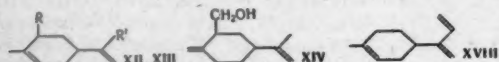
из этилового эфира транс-2-бромциклогексанкарбоновой к-ты и циклогексанола с Mg в присутствии $HgCl_2$ в тетрагидрофуране, а строение цис-I — встречным синтезом следующими двумя методами: а) конденсацией метилового эфира β -(1-оксициклогексил)-пропиоловой к-ты с бутадиеном по Дильсу — Альдеру при 200° получен лактон 2-(1'-оксициклогексил)-циклогексадиен-1,4-карбоновой-1 к-ты (II), выход 68%, т. пл. 96—97° (из петр. эф.), восстановлением которого

го над Pt (из PtO_2) получен лактон 2-(1'-оксициклогексил)-циклогексен-1-карбоновой-1 к-ты (III), выход 89%, т. пл. 79–80° (из петр. эф.); дальнейшее гидрирование III над скелетным Ni (150°, 100 ат) приводит к *цис*-I, выход 82%; б) 2-(1'-оксициклогексил)-циклогексанон (см. Colonge, Bull. Soc. chim. France, 1934, [5], 1101) при действии спирт. KCN и лед. CH_3COOH образует в-во, являющееся, по-видимому, имидоэфиром (продукт внутримолекулярной циклизации соответствующего циангидрина), которое (без выделения) при кипячении 3 часа с водой превращается с выходом 89% в смесь *транс*-лактона 2-(1'-оксициклогексил)-1-оксициклогексанкарбоновой к-ты (*транс*-IV) (содержание в смеси ~20°, т. пл. 159–161°) и жидкого *цис*-лактона (*цис*-IV). *Цис*-IV (0,233 моля) при действии 50 мл $SOCl_2$ в 150 мл C_6H_5N (100°, 12 час.) дает лактон 2-(1'-оксициклогексил)-циклогексен-6-карбоновой-1 к-ты (V), выход 72%, т. пл. 71–72° (из петр. эф.), который при гидрировании над скелетным Ni (150°, 100 ат) превращается в *цис*-I, выход 75%. Аналогично *транс*-IV (0,0089 моля) с 4 мл $SOCl_2$ в 10 мл C_6H_5N переходит в лактон 2-(1'-оксициклогексил)-циклогексен-1-карбоновой-1 к-ты, выход 90%, т. пл. 79–80° (из петр. эф.), который при гидрировании над скелетным Ni также дает *цис*-I. Как *цис*-I, так и *транс*-I при действии CH_3ONa в безводн. CH_3OH превращаются в смесь из 90% *цис*-I и 10% *транс*-I, на основании чего авторы считают *цис*-изомер более устойчивым, чем *транс*-I. *Транс*-I при восстановлении $LiAlH_4$ дает *транс*-2-(1'-оксициклогексил)-1-оксиметилциклогексан (*транс*-VI), выход 90%, т. пл. 92,5–93° (из пентана), который при окислении $KMnO_4$ превращается в *транс*-I. Аналогично *цис*-I при восстановлении $LiAlH_4$ переходит в *цис*-VI, выход 98%, т. пл. 117–118° (из гексана). Авторы предполагают, что I получается при электролизе через радикал (A). Приведены УФ-спектры II, III и V.

32387. Термическая конденсация циклических олефинов с формальдегидом. Бломквист, Вердол, Адами, Волинский, Филлипс (Thermal condensation of cyclic olefins with formaldehyde. Blomquist A. T., Verdol Joseph, Adams Claire L., Wolinsky Joseph, Phillips Donald D.), J. Amer. Chem. Soc., 1957, 79, № 18, 4976–4980 (англ.).

Изучена конденсация CH_2O с циклогексеном (I), α -пиненом (II), *d*-лимоненом (III) и 1-метилциклогексеном (IV). I с CH_2O в $CH_3COOH-(CH_3CO)_2O$ (86 час. при 175–180°) образует ацетат 2-оксиметилциклогексана (V) (выход 9%, т. кип. 108–122°/38–45 мм, n_D^{25} 1,4555–1,4598) и незначительное кол-во выходящего продукта (VI), т. кип. 120–130°/1–10 мм. Омыление V привело к 2-оксиметилциклогексану (VII) [т. кип. 184–187°/760 мм, n_D^{25} 1,4825, d_4^{25} 0,9697; *n*-нитробензоат, т. пл. 49–50° (из сп.); фенилуретан (FV), т. пл. 61–63° (из гексана); α -нафтилуретан, т. пл. 87–88° (из гексана)], ацетилизацией которого $(CH_3CO)_2O$ в C_6H_5N получен чистый образец V, т. кип. 104–107°/35 мм, n_D^{25} 1,4564, d_4^{25} 0,9870. Омыление VI привело к спирту (т. кип. ~134°/2–8 мм, n_D^{25} 1,4960), который при гидрировании (поглощалось 75% H_2 , рассчитанного по одну двойную связь) переходил в насыщ. спирт (т. кип. 110,5–

логексан [выход 86%, т. кип. 176–178°/760 мм, n_D^{25} 1,4618; кислый фталат (KF), т. пл. 115–116° (из гексана)], а также превращением VII в известную циклогексен-2-илуксусную к-ту (VIII), которое осуществлялось следующим путем. VII нагреванием с PBr_3 переводят в 2-бромметилциклогексен (т. кип. 73–78°/20–25 мм, n_D^{25} 1,5182–1,5250), который с KCN дает нитрил VIII, превращающийся после омыления метанолным р-ром NaOH в VIII, т. кип. ~134°/12 мм, n_D^{25} 1,4807. Конденсация II с CH_2O (9 час. при 175–180°) приводит к 2-метил-3-оксиметил-6,6-диметилбицикло-[3,1,1]-гептану (IX), выход 12%, т. кип. 62–62,8°/0,1 мм, n_D^{20} 1,4958, d_4^{25} 0,9755, $[\alpha]_D^{16}$ –16° (с 4,4; сп.); KF, т. пл. 144–144,5° (из гексана), $[\alpha]_D^{22}$ –22,4° (с 1,2; сп.). Строение IX подтверждено ИК-спектром, образованием CH_2O при озонолизе IX и гидрированием IX над Pt (из PtO_2) в 2,6,6-триметил-2-оксиметилбицикло-(3,1,1)-гептан, выход 72%, т. кип. 76–78°/0,2 мм, n_D^{25} 1,4847, d_4^{25} 0,9659, $[\alpha]_D^{15}$ –15,7° (с 8,7; сп.); KF, т. пл. 139,5–141° (из гексана), $[\alpha]_D^{11}$ –11,9° (с 3,9; сп.). Конденсация III с CH_2O (10 час. при 180°) приводит к неразделимой смеси ненасыщ. спиртов, названной «гомолимоненолом» (X), выход 31%, т. кип. 97°/2,2 мм, n_D^{25} 1,4988, d_4^{25} 0,9517, $[\alpha]_D^{55}$ 50°; ацетат (XI), т. кип. 95–100°/1,4 мм, n_D^{25} 1,4775, d_4^{25} 0,9691, $[\alpha]_D^{53}$ 4°; 3,5-динитробензоат, т. пл. 78–79° (из сп.); KF, т. пл. 60,6–61,6° (из гексана), $[\alpha]_D^{45}$ 5° (с 1,5; сп.); 3-нитрофталат, т. пл. 134,5–135,5° (из бал.), $[\alpha]_D^{38}$ 9° (с 0,64; сп.); ФУ, т. пл. 55,5–57° (из гексана), $[\alpha]_D^{59}$ 5° (с 1,66; гексан). X состоит, по-видимому, из спиртов строения (XII R = H, R' = CH_2OH), (XIII R = CH_2OH , R' = H) и (XIV), причем XII является главным компонентом, а XIII и XIV содержатся в значительно меньших кол-вах (содержание XIV < 10%). Присоединение 1 моля H_2 к X над Pt (из PtO_2) протекает очень быстро и приводит к «дигидролимонену» (XV) (т. кип. 99–103°/1,5 мм, n_D^{25} 1,4838, d_4^{25} 0,9310, $[\alpha]_D^{47}$ 5), а присоединение второго моля H_2 , приводящее к «тетрагидролимонену» [т. кип. 104–107°/4,1 мм, n_D^{25} 1,4680, d_4^{25} 0,9110, $[\alpha]_D^{24}$ 2,4 (с 4; сп.)], идет значительно медленнее. При окислении XV хромовой к-той образуется сложная смесь, из которой выделены 2,4-динитрофенилгидразон (ДНФГ) α,β -ненасыщ. альдегида (XVI), т. пл. 187–188°, и ДНФГ альдегида, не имеющего сопряженных двойных связей (XVII), т. пл. 90–95°. Пиролиз XI при 500–510° приводит к легко полимеризующемуся триену вероятного строения (XVIII), т. кип. 70–73°/10 мм, n_D^{25} 1,5017. Конденсация IV с CH_2O в $CH_3COOH-(CH_3CO)_2O$ (12 час. при 165°) приводит с выходом 54% к смеси (XIX) 2-ацетоксиметил-1-метиленициклогексана (XX) и 3-ацетоксиметил-2-метиленициклогексана (XXI) (т. кип. XIX 95–106°/20 мм, n_D^{20} 1,4660–1,4682), состоящей из 36% XX и 64% XXI. Омыление XIX приводит к смеси соответствующих спиртов, т. кип. 113–114°/28 мм, n_D^{20} 1,4882. Гидрирование XIX над Pt (из PtO_2) приводит к 2-ацетоксиметил-1-метиленициклогексану, т. кип. 113–114°/24 мм, n_D^{20} 1,4498, а пиролиз XIX – к смеси 1,2-диметиленициклогексана (XXII) и 3-метил-2-метиленициклогексана (XXIII). Наличие XXII и XXIII подтверждено ИК-спектром и образованием при озонолизе смеси этих диенов адипинового и глутарового к-т. Р-цией с малеиновым ангидридом, который дает аддукт только с XXII, и титрованием C_6H_5COOH установлено, что смесь содержит 50–55% XXII и 45–50% XXIII. XXII не образуется из XX, так как при нагревании XX с $CH_3COOH-(CH_3CO)_2O$ (12 час. при 160°) он не изомеризуется в XXI. Запасный образец VIII получен следующим образом: 2-бромциклогексен конденсируют с На-малоновым эфиром, образовав-



117°/0,85 мм, n_D^{25} 1,4850), образовавший небольшое кол-во ФУ с т. пл. 156–158,5°. Строение V подтверждено гидрированием VII в известный оксиметилцик-

м.м., n_D^{20} (из бал.) известную реакцию с CH_3O (т. кип. 88—89°). Предложен механизм конденсации CH_2O с циклич. олефинами, протекающий во всех случаях через промежуточное плоскостное 6-членное циклич. соединение, образованное CH_2O и циклич. олефином. Приведены ИК-спектры IX, XVIII, XIX, смеси XXII и XXIII и УФ-спектры XVI—XVIII, XXII и смеси XXII и XXIII.

32388. Реакция дезароматизации. Синтез спиро[5:5]-ундекадиен-1,4-он-3. Предварительное сообщение. Дрейдинг (Eine Desaromatisierungsreaktion. Synthese von Spiro-[5:5]-undecadien-(1,4)-on-(3). Vorläufige Mitteilung. Dreiding Andre S., Helv. chim. acta, 1957, 40, № 6, 1812—1814 (нем.; реф. англ.).

При нагревании до 170° 0,00156 М р-ра К-соли 5-(n -оксифенил)-1-бромпентана (I) в $\text{трет-С}_4\text{H}_9\text{OH}$ в результате внутримолекулярного алкилирования образуется спиро[5:5]-ундекадиен-1,4-он-3 (II) [выход 88% (определено спектроскопически), т. пл. 83,5—84,5; 2,4-динитрофенилгидразон, т. пл. 161—162°], идентичный с заводским образцом, синтезированным ранее (РЖХим, 1955, 18678). При нагревании 0,0068 М р-ра I наряду с II получают небольшое кол-во полимера диэфира (III) состава $[-(\text{CH}_2)_5-\text{C}_6\text{H}_4\text{O}-]_x$ ($x = 2$ и более), т. пл. 93,5—95,5°. I (т. пл. 34,5—35,5°) синтезируют по схеме: n -метоксифенил-альдегид \rightarrow метиловый эфир 5-(n -метоксифенил)-пентадиен-2,4-овой к-ты (IV) (т. пл. 122,5—123°) \rightarrow метиловый эфир 5-(n -метоксифенил)-пентанкарбоновой к-ты \rightarrow 5-(n -метоксифенил)-пентанол \rightarrow I. Приведены УФ-спектры I—IV и ИК-спектры II и III.

С. Кустова

32389. О двух стереоизомерных 3-метилнорборнеолах. Бекман, Мецгер (Über zwei stereoisomere 3-Methylnorborneole. Beckmann Siegfried, Metzger Rolf), Chem. Ber., 1957, 90, № 8, 1559—1563 (нем.).

Ранее (РЖХим, 1957, 26946) описан синтез экзо-(I)- и эндо-(II)-апокамфенилонов (3-метилноркамфор), исходя из 3-метил-(экзо)-бицикло-[4,2,2]-гептен-5-карбоновой-2-(эндо) (III) и 3-метил-(эндо)-бицикло-[4,2,2]-гептен-5-карбоновой-2-(экзо) (IV) к-т, причем, хотя и было известно, что заместители в III и IV находятся в транс-положении друг к другу, конфигурация их относительно эндометиленового мостика не была строго доказана. Правильность приписанного ранее III и IV строения установлена методом йод-лактонизации (РЖХим, 1955, 23609): 3,04 г III, 120 мл 0,5 н. р-ра NaHCO_3 и р-р 10,2 г I_2 и 19,9 г KJ в 60 мл воды встряхивают 24 часа, выделяющееся маслообразное в-во растворяют в CHCl_3 , промывают р-рами $\text{Na}_2\text{S}_2\text{O}_3$ и NaHCO_3 и получают лактон 3-метил-(экзо)-5-йод-6-окси-(эндо)-бицикло-[4,2,2]-гептанкарбоновой-2-(эндо) к-ты, выход 98%, т. пл. 55° (из бал. лигн.), который при нагревании (5 час.) с Zn -пылью в спирте обратно образует исходную III, выход 81%. При аналогичной обработке IV дала 3-метил-(эндо)-5-йод-6-оксибицикло-[4,2,2]-гептанкарбоновую-2-(экзо) к-ту, выход 95%, т. пл. 171° (из CH_3OH). Ранее (см. 1-ю ссылку) было осуществлено восстановление III и IV в 2-оксиметил-(эндо)-3-метил-(экзо)-бицикло-[4,2,2]-гептан [кислый 3-нитрофталат (КНФ), т. пл. 198° (из бзл. или водн. CH_3OH)] и соответственно 2-оксиметил-(экзо)-3-метил-(эндо)-бицикло-[4,2,2]-гептан [кислый фталат (КФ), т. пл. 212° (из бзл. или водн. CH_3OH)], дегидратированные затем в экзо-(V)- и

эндо-(VI)-изосантены, которые озонированием превращались в I и II. Разработана улучшенная методика озонирования: через р-р 20 г V в 60 мл CH_3OH при -70° 6 час. пропускают сухой O_3 и получают озонид (выход 75,5%), для разложения которого реакционную смесь при -50° осторожно выливают в р-р 55 г KJ в 150 мл CH_3OH и 50 мл CH_3COOH и получают I, выход 74%, т. кип. 71°/18 мм; семикарбазон (СК), т. пл. 186°; 2,4-динитрофенилгидразон (ДНФГ), т. пл. 166—167° (из этилацетата или CH_3OH -этилацетата). Аналогично из VI приготавливают II, выход 71,5%, т. кип. 59,5—60°/8 мм; СК, т. пл. 203° (разл.); ДНФГ, т. пл. 179—180° (из этилацетата или CH_3OH -этилацетата). При восстановлении как I, так и II, Na в спирте, вероятно, вследствие енолизации образуется один и тот же более устойчивый 3-метил-(экзо)-норборнеол-(эндо) (апокамфенилол) (VII), выходы соответственно 80% (неочищ.), 30% (чистый) и 87% (неочищ.), 20—30% (чистый), т. кип. 82—83°/11 мм, т. пл. 22°; КФ, т. пл. 131—132° (из бал. лигн.); КНФ, т. пл. 151° (из бзл.). Восстановление I LiAlH_4 приводит к VII (выход 87%), а II — к 3-метил-(эндо)-норборнеолу-(эндо) (VIII), выход 95%, т. кип. 80—81°/12 мм, т. пл. 81°; КФ, т. пл. 127° (из бзл.-биз.); КНФ, т. пл. 143° (из бзл.). Конфигурация OH-групп в VII и VIII выведена на основании пространственных закономерностей восстановления LiAlH_4 кетонов ряда камфоры (РЖХим, 1957, 63611).

В. Андреев

32390. Строение аддуктов циклопентадиена с метакриловой кислотой и некоторыми ее производными. Мик, Трапп (Structures of the adducts of cyclopentadiene and methacrylic acid and some of its derivatives. Meek John S., Trapp Walter B.), J. Amer. Chem. Soc., 1957, 79, № 14, 3909—3912 (англ.).

Показано, что взаимодействие метакриловой к-ты (I) с циклопентадиеном (II) (нагревание от 10 до 45 мин. в CH_3COOH при 93°, либо 2,5 часа при 150—157° в толуоле в присутствии n -трет-бутилпирокатахина) приводит к 2-метилбицикло-[2,2,1]-гептен-5-карбоновой к-те (III) с преимущественным экзо-расположением COOH -группы, выход экзо-III ~ 46%, т. пл. 79—81° (из 50%-ной CH_3COOH); эндо-изомер образуется 27—29%, т. пл. 94—95° (из 50%-ной CH_3COOH). Для доказательства строения экзо-III и эндо-III из них получают лактоны. При действии 10 мин. 75%-ной H_2SO_4 при 25° на экзо-III образуется лактон, содержащий 5-членное лактонное кольцо, выход 42%, т. пл. 125—126° (из водн. сп.). Из эндо-III через 40 мин. образуется тот же лактон с выходом 10%. При действии бромной воды при 10° на содовый р-р эндо-III получают бромлактон (IV) (выход 66,5%, т. пл. 74—75°), а из экзо-III в аналогичных условиях получают бромгидрин, выход 73%, т. пл. 150—151,5° (из ацетона-птр. эф.). Действие р-ра Br_2 в птр. эфире на содовый р-р экзо-III приводит к дибромиду (V), выход 21%, т. пл. 198—199°. При обработке эндо-III I_2 в щел. р-ре образуется йодлактон (VI), т. пл. 83—86°, в то время как экзо-III в этих условиях не реагирует. Щел. гидролиз IV и VI приводит к 2,6-лактону 2-метилбицикло-[2,2,1]-5,6-диэно-оксигептанэндокарбоновой-2 к-ты (VII), выход 71,7% (из IV) и 73% (из VI), т. пл. 129—130° (из воды). Амид I при нагревании 4—5 час. с I при 120° в р-ре CH_3OH дает лишь один изомер амида 2-метилбицикло-[2,2,1]-гептен-5-карбоновой-2 к-ты (VIII) с экзо-расположением CONH_2 -группы, выход 12,6%, т. пл. 154—155° (после возгонки). VIII получают также при последовательной обработке экзо-III SOCl_2 [выход хлорангидрида экзо-III 76%, т. кип. 57°/4,5 мм, n_D^{20} 1,4950, n_D^{25} 1,4929, d_4^{25} 1,1266] и NH_4OH . При не-

дельном стоянии при 20° из метакрилхлорида и II образуется смесь *эндо*- и *экзо*-хлорангидридов, из которой при гидролизе 10%-ным водн. р-ром КОН получают смесь 60% *эндо*-III и 40% *экзо*-III. Взаимодействие метилакролена (IX) с II приводит к аддукту с преимущественным *эндо*-расположением СНО-группы, причем кол-во *эндо*-изомера увеличивается с увеличением продолжительности нагревания и т-ры. При взаимодействии 10 час. IX и II при 170° образуется 2-метил-2-формил-1,2,3,4,5,8,9,10-октагидро-1,4,5,8-диметанофталин, т. кип. 170—178°/50 мм, n_D^{20} 1,5242, d_4^{20} 1,0718; 2,4-динитрофенилгидразон, т. пл. 218—219° (из сп.). Приведены ИК-спектры IV, V и VII.

Н. Куллетская
32391. Окисление алициклических соединений, сопровождающееся раскрытием цикла. Сообщение 1. Получение двуосновных кислот C_{10} из декалина. Сообщение II. Получение двуосновных кислот C_9 и C_8 из циклогексанон- и циклопентанопропионовых кислот. Кьюзоли, Миниши, Кулико (Ricerche sulla apertura ossidativa di sistemi aliciclici. Nota I. Acidi bibasici C_{10} derivati dalla decalina. Nota II. Acidi bibasici C_9 e C_8 da acidi cicloesanon e ciclopentanopropionici. Chiusoli Gian Paolo, Minisci Francesco, Quilico Adolfo), Gazz. chim. ital., 1957, 87, № 1, 90—99; 100—108 (итал.).

I. С целью получения двуосновных к-т и изучения продуктов их конденсации с диаминами исследовано окисление декалина (I), 9,10-окталина (II) и декалон-1 (III) воздухом и O_2 под давлением и в присутствии Со-, Сг- и Мп-солей органич. к-т. При окислении I (смесь *цис*- и *транс*-изомеров) O_2 или воздухом в качающемся автоклаве в присутствии катализаторов или в отсутствие их при 10 ат и 110° образуется оксидекалин, кетоны и не растворимые в воде к-ты (наряду с их лактонами и эфирами) неустойчивого строения, из которых выделена γ -(2-оксоциклогексил)-масляная к-та (IV) в виде семикарбаона (СК), т. пл. 189°. При окислении II с помощью O_2 при ~20° и 5 ат получается значительное кол-во перекисей; при 60° образуется окталон-1, а при 120° — окталидион-1,5 [т. пл. 110—114° (из эф.-птр. эф.); диоксим, т. пл. > 300°], который при гидрировании над Pt поглощает 1 моль H_2 . III (92 г) при окислении O_2 (5 ат, 80°) в присутствии 0,5 г Со-соли толуидовой к-ты (V) дает 54 г IV, т. пл. 64°. При окислении водн. суспензии III (20 г) воздухом в присутствии нафтената Со (85°, 70 ат) получается IV, выход 5,2 г; если окисление проводить при 100—110°, то наряду с IV образуется немного δ -кетосебаценовой к-ты (VI), т. пл. 116°; СК, т. пл. 179°. При окислении водн. суспензии IV воздухом (80 ат, 100°) в присутствии V получена VI с выходом 49% (считая на прореагировавшую IV); выход VI повышается до 68% при окислении IV с помощью H_2O_2 в присутствии 10%-ного NaOH при 25°. Na-соль VI при гидрировании над скелетным Ni (130°, 100 ат, 5 час.) превращается с колич. выходом в δ -оксисебаценовую к-ту (VII), т. пл. 103° (из этилацетата), которая при плавлении или при нагревании с к-той образует δ -лактон. Этот лактон наряду с себаценовой к-той получается, если гидрирование проводить 2 часа при 140° и затем 8 час. при 270°. Если же гидрирование VI (15 г) проводить в присутствии 30%-ного водн. NH_3 (140°, 100 ат), то образуется лактам δ -аминосебаценовой к-ты, выход 2 г, т. пл. 146—148° (из бzl.-сп.). Взаимодействием VII с гексаметилендиаминном (VIII) в абс. спирте получена соль, т. пл. 150°, которая при нагревании до 220° (1 час) и затем при 250° (2 часа) образует продукт поликонденсации VII и VIII. Аналогично из VI и VIII по-

лучается соль, т. пл. 152—153°, также превращающаяся в продукт поликонденсации.

II. Изучено окисление β -(2-оксоциклогексил)-пропионовой к-ты (IX) и ее нитрила, а также β -(2-оксоциклопентил)-пропионовой к-ты (X) воздухом и H_2O_2 с образованием двуосновных к-т C_9 и C_8 . Исследованы превращения этих к-т при восстановлении и восстановительном аминировании. IX и X синтезированы через их нитрилы, которые получены из циклогексанона и циклопентанона (XI) и $CH_2=CHCN$. Окислением нитрила IX (30 г) воздухом (6 час., 100°, 90 ат) в присутствии 0,5 г V получено 13 г (неочищ.) γ -кетосебаценовой к-ты (XII), т. пл. 108°; СК, т. пл. 180° (разл.). При окислении IX в аналогичных условиях XII образуется с выходом 56%, а при окислении с помощью H_2O_2 (т-ра $\leq 30^\circ$) с выходом 84%. При гидрировании Na-соли XII (из 10 г к-ты) над скелетным Ni (130°, 100 ат, 6 час.) образуется 9 г лактона γ -оксисебаценовой к-ты (XIII), т. кип. 193—194°/0,16 мм, т. пл. 53°. При гидрировании Na-соли XII (из 20 г к-ты) в более жестких условиях (130°, 150 ат, 3 часа, затем 270°, 220 ат, 6 час.) получено 2,5 г азеланиновой к-ты (XIV) и 15 г XIII. При восстановительном аминировании Na-соли XII в присутствии 30%-ного водн. NH_3 над скелетным Ni (140°, 120 ат, 6 час.) получается лактам γ -аминосебаценовой к-ты, т. пл. 145,5—146,5° (из воды или бzl.). Гидрированием Na-соли XII (из 20 г к-ты) в щел. среде над скелетным Ni (270°, 1 час) получена смесь, состоящая из XIV и β -(2-карбоксициклопентил)-пропионовой к-ты (XV) (смесь *цис*- и *транс*-изомеров). Нагреванием смеси *цис*- и *транс*-XV до 160° получена *транс*-XV, т. пл. 101,5°. Щел. р-р соли XII (из 15 г к-ты) при 270°, (5 час.) в атмосфере N_2 превращается в β -(циклопентен-1-ил)-пропионовую к-ту (XVI) [выход ~4 г, т. пл. 64° (из воды)], строение которой доказано окислением $KMnO_4$ в γ -кетопропионовую к-ту (XVII). Авторы считают, что XV и XVI получают через промежуточно образующуюся β -(2-карбоксициклопентен-1-ил)-пропионовую к-ту, которая при гидрировании превращается в XV, а при декарбоксилировании в XVI. При взаимодействии 250 г XI с 25 г $CH_2=CHCN$ при 60° с последующим омылением 10%-ным NaOH образуется 8 г X [т. пл. 47°; СК, т. пл. 212—216° (из CH_3OH)], окислением которой H_2O_2 при ~20° получена XVII, т. пл. 130—132° (из воды). Из XII (10,1 г) и VIII (5,8 г) в абс. спирте получена соль, т. пл. 140°, которая при нагревании (1 час при 220° и 2 часа при 250° в токе N_2) превращается в продукт поликонденсации XII с VIII. Аналогично из XIII (9,3 г) и VIII (5,8 г) в $CHCl_3$ получена соль, т. пл. 179°, которая превращается в тех же условиях в продукт поликонденсации с т. пл. 158°.

В. Дашуни
32392. Синтез 2-метилдекалидиона-1,6. Бхатчария, Банерджи (Synthesis of 2-methyldecalin-1, 6-dione. Bhattacharyya Bidyut Kamal, Banerjee Amalendu), Sci. and Culture, 1957, 23, № 1, 45 (англ.).

Описанным ранее методом (РЖХим, 1957, 11679) синтезирован 2-метилдекалидион-1,6 (I). Метилловый эфир β -(1-карбокси-6-кетокциклогексил)-пропионовой к-ты (т. кип. 170—180°/5 мм), приготовленный присоединением метилакрилата к этиловому эфиру циклогексанокрбонной-2 к-ты, путем расщепления 6-членного кольца с последующими гидролизом и этерификацией превращен в триметиловый эфир гетантрикарбонной-1,3,7 к-ты (II), т. кип. 150—155°/0,8 мм. Циклизация II по Дикману с последующим метилированием привела к метиловому эфиру β -(2-кето-3-метил-3-карбметоксикциклогексил)-пропионовой к-ты (т. кип. 135—140°/0,7 мм), при бром-

ровании которого выделены два производных (кристаллич. с т. пл. 78° и жидкое), при дегидробромировании давших один и тот же метиловый эфир β -(2-кето-3-метил-3-карбметоксидиклогексен-6-ил)-пропионовой к-ты (III), т. кип. 130–135°/0,4 мм, n_D^{25} 1,4772. При гидролизе III получена β -(2-кето-3-метилдиклогексен-6-ил)-пропионовая к-та (IV) (т. пл. 88°), метиловый эфир которой после конденсации по Михаэлю с малоновым эфиром или циануксусным эфиром дал соответственно метиловый эфир β -(2-кето-3-метил-6-дикарбметоксиметилдиклогексен-6-ил)-пропионовой к-ты (т. кип. 190–195°/2 мм) и метиловый эфир β -(2-кето-3-метил-6-карбметоксидианометилдиклогексен-6-ил)-пропионовой к-ты (V), т. кип. 180–190°/1 мм. Обработка V HCl-к-той и последующая этерификация привели к метилово-эфир β -(2-кето-3-метил-6-карбметоксиметил)-пропионовой к-ты (т. кип. 155–160°/1 мм, n_D^{20} 1,4695), который после циклизации по Дикману и последующей обработки HCl-к-той дал I, т. пл. 79°; моносемикарбазон, т. пл. 214° (разл.); бис-2,4-дигидрофенилгидразон, т. пл. 220° (разл.). Строение I доказано восстановлением $LiAlH_4$ в 2-метилдекалиндиол-1,6 (т. пл. 179–180°), при дегидратации и дегидрировании давших 2-метилнафталин. Приведены УФ-спектры III и IV. В. Андреев

32393. Некоторые производные 5-метокси-8-метил- и 5-метокси-6,8-диметилтетралона-1. Коккер, Кросс, Вильямсон (Some compounds from 5-methoxy-8-methyl- and 5-methoxy-6:8-dimethyl-1-tetralones. Cocker Wesley, Cross B. E., Williamson W. R. N.), J. Chem. Soc., 1957, Sept., 4146–4147 (англ.). Конденсация 5-метокси-8-метилтетралона-1 (I) с диэтилоксалатом при 5–7° в присутствии твердого C_6H_5ONa приводит к этиловому эфиру 5-метокси-8-метил-1-оксо-2-тетрагидрооксисилой к-ты (II), выход 3,1 г (из 5,1 г I), т. пл. 70–70,5° (из петр. эф.). Аналогично из 5-метокси-6,8-диметилтетралона-1 (III) получают этиловый эфир 5-метокси-6,8-диметил-1-оксо-2-тетрагидрооксисилой к-ты (IV). При нагревании с измельченным стеклом II (175–180°, 1,5 часа) и IV (150–170°, 6,5 часа) превращаются соответственно в этиловый эфир 5-метокси-8-метилтетралон-1-карбонной-2 к-ты (V), т. пл. 76–76,5° (из сп.), и этиловый эфир 5-метокси-6,8-диметилтетралон-1-карбонной-2 к-ты (VI), т. пл. 84,5–85,5° (из сп.). Бромирование I в эфире (10°, 1 час) приводит к 2-бром-5-метокси-8-метилтетралону-1 (VII), т. пл. 75–76° (из петр. эф.), из которого кипячением с диметиланилином получают 5-метокси-8-метилтетралон-1 (VIII), т. пл. 72–72,5° (из петр. эф.); пикрат, т. пл. 154–156° (из C_6H_6); карбанилат, т. пл. 176–178° (из лигр.). При кипячении VII с диэтиловым эфиром метилмалоновой к-ты и C_6H_5N (30 мин.) получают (5-метокси-8-метил-1-оксо-2-тетрагидро-)-пиридинийбромид, т. пл. 258° (разл.). I с C_6H_5CHO в 5 н. NaOH дает 2-бензилиден-5-метокси-8-метилтетралон-1, т. пл. 80,5–90,5°. III при действии сухого HCl в CH_3CHO дает 2-этилиден-5-метокси-6,8-диметилтетралон-1 (IX), т. кип. 165°/4 мм. Приведены УФ-спектры V, VI, VIII и IX. В. Бархаш

32394. Химия азуленов. Сэто (Seto S.), Kaga, Chemistry (Japan), 1957, 27, № 9, 439–444 (японск.). Обзор. Библ. 66 назв.

32395. Диспропорционирование алкилбензолов. В. Взаимодействие этилбензола с ксилолами. Мак-Коли, Хофф, Стейн, Купер, Лин (Disproportionation of alkylbenzenes. V. Ethylbenzene interaction with xylenes. McCaulay D. A., Hoff M. C., Stein Norman, Couper A. S., Lien A. P.), J. Amer. Chem. Soc., 1957, 79, № 21, 5808–5809 (англ.). При взаимодействии этилбензола (I) с *o*-(II), *m*-(III) или *p*-(IV)-ксилолами в присутствии HF и 1,1–1,5 ммоль BF_3 в результате изомеризации ксиолов и

миграции C_2H_5 -группы I, в зависимости от условий р-ции, образуются различные продукты. При 0–20° и продолжительной р-ции 1–1,5 часа из I и II образуются главным образом 1,2-диметил-4-этилбензол и C_6H_6 ; I и III или IV в аналогичных условиях дают C_6H_6 и 1,3-диэтилбензол, при более высоких т-рах (до 65°) или увеличения продолжительности р-ции II и IV изомеризуются в III и во всех случаях образуется смесь 1,3-диметил-5-этилбензола, C_6H_6 и III. При всех условиях большая часть I (60–99%) возвращается неизмененной. Сообщение IV см. РЖХим, 1958, 28633. Л. Шукля

32396. Диметилдифенилы. Джонсон (The dimethyldiphenyls. Johnson E. A.), J. Chem. Soc., 1957, Sept., 4155–4156 (англ.).

С целью изучения влияния алкильных заместителей в дифениле на УФ-спектр и на поведение в-в при газо-жидкостной распределительной хроматографии синтезирован ряд диметилных производных дифенила (ДПД). ДПД получены в основном конденсацией ариллития с циклогексаноном или метилциклогексаноном с последующими дигидратацией и дегидрогенизацией. Дегидрогенизация проведена при 190–200° при помощи смеси S и Pd/C. ДПД обработаны Na и перекристаллизованы из спирта. Получены следующие ДПД (перечисляются положения CH_3 -групп, т. кип. в °C/мм, т. пл. в °C, n_D^{20} , d_4^{20}): 2,2', —, 19,5–20,2, 1,5752, 0,9906; 3,3', 150/18, —, 9,5, 1,5946, 0,9993; 4,4', —, 120,7–121,5, —, 2,3', 135/13,5, —, 1,5810, 0,9933; 2,4', 137/12,5, —, 1,5826, 0,9924; 3,4', 153/15, 14,5–14,8, 1,5968, 0,9978; 2,3, 141/14, 41,8–42,3, —, 2,4, —, 1,5844, 0,9947; 2,5, 140/14,5, —, 1,5819, 0,9931; 2,6, 132/16,5, —, 1,5745, 0,9907; 3,4, —, 29,2–29,7, 1,6036, 1,0087; 3,5, —, 22,3–22,8, 1,5952, 0,9990. Приведены УФ-спектры синтезированных ДПД. П. Аронович

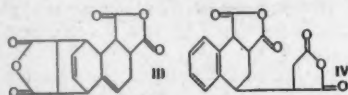
32397. Изомеризация *цис*-стильбена, катализируемая селеном. Фицпатрик, Орчин (Selenium-catalyzed isomerization of *cis*-stilbene. Fitzpatrick J. D., Orchin Milton), J. Organ. Chem., 1957, 22, № 10, 1177–1179 (англ.).

Показано, что *цис*-стильбен (I) изомеризуется при 200–210° в присутствии селена в *транс*-стильбен (II). В отсутствие селена образуется 2–3% II. На основании кинетич. исследований авторы предполагают, что в условиях р-ции происходит диссоциация $Se_2 \rightleftharpoons 2Se$. Изомеризация I в II является гомогенной р-цией псевдо-первого порядка и протекает с образованием π -комплекса между I и Se_2 по следующему механизму: $I + Se_2 \rightleftharpoons I \cdot Se_2 \rightleftharpoons II \cdot Se_2 \rightleftharpoons II + Se_2$. В данном случае не может иметь место превращение π -комплекса в σ -комплекс, предложенное для объяснения изомеризации олеиновой к-ты в элаидиновую к-ту (см. РЖХим, 1958, 28640). К 8 г I прибавляют при 210° в атмосфере He 0,024 г селена и перемешивают, отбирая через каждые 10 мин. пробы и определяя в них содержание I и II по УФ-спектрам. После 1 часа нагревания смесь содержит 66% II. Приведены данные кинетич. измерений. П. Аронович

32398. Сопряжение двойной связи с ароматическим ядром. XXXI. О бисаддуктах замещенных стиролов и маленового ангидрида. Лора-Тамайо, Перес-Осorio (Conjugación de un doble enlace con un nucleo aromatico. XXXI. Sobre los bisaductos de estirenos sustituidos y anhídrido maleico. Lora-Tamayo M., Pérez Ossorio José R.), An. Real. soc. esp. fis. y quim., 1957, B53, № 9–10, 641–650 (исп.; рез. англ.).

При конденсации стирола (I) с маленовым ангидридом (II) получают два бисаддукта, которым приписано строение эндоэтиленовое (III) и тетралиновое (IV) (см. РЖХим, 1956, 19103). Конденсация анетолола (V), *o*-метоксипропенилбензола (VI), пропенилбензола

(VII) и *o*-метоксистерола (VIII) с II приводит каждый раз только к одному бисаддукту. Изучение УФ-спектров этих бисаддуктов показывает, что они имеют строение аналогичное IV; содержание в них бисаддуктов строения III во всяком случае не превышает 5%. Из α -броманетола (IX) и *o*-метокси-(α -промпропенил)-бензола (X) с II получены моноаддукты, претерпевающие ароматизацию с образованием ангидрида 3-метил-7-метоксинафталиндикарбоновой-1,2 к-ты (XI) и ангидрида 3-метил-5-метоксинафталиндикарбоновой-1,2 к-ты (XII) соответственно. Образование бисаддуктов не проходит через стадию моноаддукта, имеющего строе-



ние тетралина. Это видно из того, что специально полученный не по р-ции Дильса — Альдера ангидрид 1,2,3,4-тетрагидронафталиндикарбоновой-1,2 к-ты не конденсируется с II. По-видимому, р-ция идет через первоначальный моноаддукт, имеющий строение 1,2,3,9-тетрагидронафталина. Бисаддукты получают нагреванием компонентов в C_6H_6 при 100° 35—45 час. в присутствии пикриновой к-ты (XIII). Приведены д-ны, его вес в г, вес II в г, объем C_6H_6 в мл, вес XIII в г и выход бисаддукта в %: I, 37,5, 75, 50, 5, 46; V, 106, 150, 100, 10, 22; VI, 40, 57, 40, 4, 52; VII, 15, 27, 20, 2, 2,2; VIII, 8, 12, 10, 0,85, 15. Бисаддукт из I разделяют экстракцией тетрагидрофураном или кипячением с водой, выделяют III, т. пл. 268° (из $(CH_3CO)_2O$), и IV, т. пл. 203° (из тетрагидрофурана); тетракарбоновая к-та, т. пл. 176° (из воды). Бисаддукт из V имеет т. пл. 241—242° (из этилацетата), кипячение его с водой дает деметоксилированную к-ту, т. пл. 265—270° (из воды); ангидрид, т. пл. 287—288°; бисфенилимид, т. пл. 285—286°. Бисаддукт из VI, т. пл. 242—243° (из тетрагидрофурана); бисаддукт из VII, т. пл. 235—236° (из этилацетата); бисаддукт из VIII, т. пл. 251—253° [из $(CH_3CO)_2O$]; тетракарбоновая к-та, т. пл. 238—239° (из воды). 20 г дибромиды V обрабатывают 70 мл 2 н. спирт. КОН при 55° 0,5 часа, выливают в воду и получают IX, т. кип. 151—153°/12 мм. 40 г VI в 200 мл эфира бромруют при охлаждении 48 г брома, получают *o*-метокси-(α,β -дибромпропил)-бензол, т. пл. 55—56°, из которого аналогично IX получают X, т. кип. 143—144°/15 мм. 47 г IX, 28 г II и немного гидроксинаола кипятят в 150 мл толуола 36 час., отгоняют толуол и остаток извлекают петр. эфиром. Получают XI, т. пл. 217—218° (из этилацетата); фенилимид, т. пл. 203°. Аналогично получают XII, т. пл. 213°. Приведены кривые УФ-спектров бисаддуктов из I и V—VIII. Сообщение XXX см. РЖХим, 1956, 64880.

32399. Некоторые метильные производные *n*-кватерфенила. Гилман, Уэйнерт (Some methyl derivatives of *p*-quaterphenyl. Gilman Henry, Weir Eugene A.), J. Amer. Chem. Soc., 1957, 79, № 9, 2281—2283 (англ.)

С целью использования производных *n*-кватерфенила в качестве скнтилляторов, применяемых в виде р-ров, синтезированы 2-метил (Ia), 3-метил (Ib) и 4-метил (Iв)-*n*-кватерфенил и 2,2'-диметил (IIa), 3,3'-диметил (IIб) и 4,4'-диметил (IIв)-*n*-кватерфенил. Растворимость I и II в их тетра- или октагидропроизводных в толуоле повышается параллельно понижению их т-ры плавления. К р-ру 0,04 моля *n*-терфенил-4-лития (III) в 130 мл эфира прибавляют р-р 0,042 моля 2-метилциклогексана (IVa) в 60 мл C_6H_6 , кипятят 30 мин., гидролизуют разб. HCl, прибавляют 150 мл C_6H_6 , от верхнего слоя отгоняют р-рители, пока т-ра не достигнет 60°, прибавляют 60 мл

смеси $ZnCl_2 + HCl$ (см. Crawford H. M., Nelson H. B., J. Amer. Chem. Soc., 1946, 68, 134), кипятят 2 часа, бензольный р-р промывают р-ром $NaHCO_3$, выделяют 4-(*o*-метилциклогексен-1-ил-1)-*n*-терфенил (Va), выход 43%, т. пл. 184—185° (из б-л.-сп.). В тех же условиях р-цией III с 3-метил (IVб) и 4-метил (IVв)-циклогексаном получают 4-(*m*-метилциклогексен-1-ил-1)-*n*-терфенил (Vб), выход 49%, т. пл. 200° (разл.; из б-л.), и 4-(*p*-метилциклогексен-1-ил-1)-*n*-терфенил (Vв), выход 32%, т. пл. 208° (разл.; из б-л. и возгонкой при 200°/0,1 мм). 0,01 моля Va, 0,02 моля хлоранила (VI) и 50 мл ксилола кипятят 12 час., прибавляют 150 мл петр. эфира, фильтруют, осадок обрабатывают 50 мл горячего этилацетата, фильтруют, фильтраты соединяют, промывают 5%-ным р-ром NaOH и выпаривают досуха, выделяют Ia, выход 38,7%, т. пл. 172—173° (из б-л.-сп. и возгонкой при 160°/0,1 мм), растворимость в толуоле (PT) 26 г/л. Так же получают Ib, выход 62%, т. пл. 245—246° (из б-л.), PT 3 г/л. 0,005 моля Vв, 0,01 моля VI и 25 мл ксилола кипятят 8 час., разбавляют петр. эфиром, из осадка извлекают гидрохлоранил горячим спиртом, затем извлекают Ib толуолом, выход 38%, т. пл. 328—330° (из толуола и возгонкой при 210°/0,01 мм), PT 1,2 г/л. К р-ру 0,025 моля 4,4'-дилитийдифенила (VII) (получение см. Gilman H. и др., J. Amer. Chem. Soc., 1940, 62, 2327) в 50 мл C_6H_6 + 50 мл эфира прибавляют за 30 мин. р-р 0,051 моля IVa в 50 мл C_6H_6 , кипятят 3 часа, гидролизуют разб. HCl и дегидратируют, как описано для Va; выход 4,4'-ди-(*o*-метилциклогексен-1-ил)-дифенила (VIIa), 18%, т. пл. 108,5—109° (из сп.). В тех же условиях конденсацией VII с IVб и IVв получают 4,4'-ди-(*m*-метилциклогексен-1-ил)-дифенил (VIIб), выход 39%, т. пл. 149—150° (из сп.-б-л.), и 4,4'-ди-(*p*-метилциклогексен-1-ил)-дифенил (VIIв), выход 26%, т. пл. 225° (разл.; из б-л.). 0,004 моля VIII, 0,016 моля VI и 25 мл ксилола кипятят 12 час.; выход IIa 44%, т. пл. 150—151° (из сп. и возгонкой при 120°/0,01 мм), PT 36 г/л; выход IIб 24%, т. пл. 214—215° (возгонкой при 210°/0,01 мм), PT 6,3 г/л; выход IIв 58%, т. пл. 338—340° (из толуола и возгонкой при 210°/0,01 мм), PT 0,2 г/л. П. Аронович

32400. О взаимодействии арилкарбинолов с соединениями, содержащими подвижные водородные атомы. Гинзбург О. Ф., Zinātn. raksti. Latv. Univ. Уч. зап. Латв. ун-т, 1957, 15, 95—108. Обзорный доклад. Библ. 45 назв. Ср. также РЖХим, 1957, 65986; 1958, 4631.

32401. Синтез *n*-ксилола. Котляревский И. Л., Занина А. С., Ж. прикл. химии, 1957, 30, № 9, 1356—1361

n-Ксилол (I) синтезирован при ароматизации смеси 2,5-диметилгексодиенов (II) и 2,2,5,5-тетраметилтетрагидрофурана (III) над $MgO/Cr_2O_3/Al_2O_3$ (2:18:80), которая получена дегидратацией 1,1,4,4-тетраметилбутандиола-1,4 (IV). Образующиеся при гидрировании II 2,5-диметилгексен (V) и 2,5-диметилгексан (VI) дают неочищ. I с несколько меньшим выходом. 1,1,4,4-тетраметилбутин-2-диол-1,4 (VII) получен с выходом 95% (т. кип. 195—200°, т. пл. 90—94°) при перемешивании 30 мин. 15 г порошкообразного КОН, 50 мл эфира, 8,2 г 2-метилбутин-3-ола-2 (т. кип. 100—102°) и 5,8 г ацетона с последующим разложением 30 мл воды. 200 г VII гидрируют при 80—4 атм и 20° в 170 мл спирта над 3 г свежесогнанного Ni, выход неочищ. IV 100%, т. пл. 75—76°. При перегонке 200 г IV с 5 г 98%-ной H_3PO_4 получают смесь II и III с выходом 92%, т. кип. 102—112°. Пропускание этой смеси над 70 мл катализатора при 500° и скорости подачи в-ва 16,8 г в 1 час приводит к I, выход 66,2%, т. кип. 127—134°/728 мм, т. пл. 12,5—13,6° n_D^{20} 1,4955. Так же получают I из V (500—510°, 15,7 г/час) с вы-

ходом 52% и на VI (550°, 8,4 г/час на 50 мл катализатора) с выходом 57,2%. И. Котляревский

32402. К вопросу синтеза гербицидов. V. Изучение скорости конденсации фенолятов и хлорфенолятов натрия с натриевой солью хлоруксусной кислоты в водной среде. Экштейн, Цепенко, Гороховский, Собутка, Защинская (Z zagadnień otrzymywania środków chwastobójczych. V. Badania nad szybkością kondensacji fenolanów i chlorofenolanów sodowych z chlorooctanem sodowym w środowisku wodnym. Eckstein Z., Ciepieńko W., Grochowski E., Sobótka W., Zaszczuńska B.), Przem. chem., 1957, 13, № 7, 390—393 (польск.; рез. русск., англ.)

Изучалась проводимая в водн. среде р-ция $\text{ClCH}_2\text{COONa} + \text{NaOC}=\text{CRCH}=\text{CR}'\text{CR}''=\text{CH} \rightarrow \text{CH}=\text{CR}'\text{CR}''=\text{CHCR}=\text{COCH}_2\text{COONa}$ на примерах (приводятся R,

R', R''): H, H, H; CH₃, H, H; Cl, Cl, H; Cl, H, Cl; Cl, Cl, Cl; CH₃, Cl, H. Р-ция контролировалась определением содержания Cl⁻ в смеси. Установлено, что оптимальное время и т-ра р-ции 30—60 мин. и 105—107°. Добавление насыщ. р-ра NaCl увеличивает скорость р-ции и выход продукта. Добавление MgCl₂ в случае 2,5-дихлорфенолята Na уменьшает выход продукта. Сообщение IV см. РЖХим, 1958, 15574. Т. Амбруш

32403. О превращении ксиленолов на алюмосиликатном катализаторе. 1. Превращение 1,3,5-ксиленола. Ворожцов Н. Н. м.л., Лисицын В. Н., Ж. общ. химии, 1957, 27, № 7, 1770—1773

При пропускании смеси 4,31 моля 1,3,5-ксиленола (I) и 24,4 моля C₆H₆ над алюмосиликатным катализатором при 400° (34 цикла по 3 часа каждый, время контактирования 37,1 сек.) получали: неизмененного C₆H₆ 92,3% от загрязненного, фенолов 26,1% и нейтр. в-в (НВ) 42,4%. Разгонкой фенолов и исследованием УФ-спектров фракций установлено наличие фенола, о-, м- (II) и п-крезолов. НВ содержит толуол, м-, о- и п-ксилолы, псевдокумол (III) и дурол. При окислении фракции, содержащей III, наряду с тримеллитовой к-той получена 1,3,5-бензолтрикарбоновая к-та, т. пл. 364°; триметилловый эфир, т. пл. 141—144°. Пропусканием 0,29 моля I над тем же катализатором при 350° (2 часа 40 мин., время контактирования 94,7 сек.) получено 49,8% фенолов и 17,2% НВ. Содержание II в фенолах ~ 59,6%. В НВ содержится м-кислот. Р-ция является каталитич., так как I не изменяется при пропускании через кварцевую трубку (т-ра 400°, время контакта 178 сек.). В. Антонов

32404. Синтез 1,2,4-ксиленола и мезитола. Шуйкин Н. И., Викторова Е. А., Эриванская Л. А., Ли В. В., Вестн. Моск. ун-та. Сер. матем., механ., астрон., физ., химии, 1957, № 3, 141—143

1,2,4-ксиленол (I) и мезитол (II) синтезированы гидрированием 4-метил-2-диэтиламинометилфенола (III) и 4,6-диметил-2-диэтиламинометилфенола (IV). При получении IV был выделен II, образующийся, по-видимому, путем метилирования I. К р-ру 0,5 моля п-крезола в 25 мл CH₃OH прибавляют при 60—70° одновременно 44 г диэтиламина и 70 г 29%-ного водн. р-ра CH₂O, перемешивают 3 часа и перегонкой выделяют III, выход 83%, т. кип. 115—116°/5 мм, n_D²⁰ 1,5150, d₄²⁰ 0,9736. Аналогично из I получают IV с выходом 77%, т. кип. 142—143°, n_D²⁰ 1,5148, d₄²⁰ 0,9682, в II, выход ~ 12%, т. кип. 86,5°/3 мм, т. пл. 71—72° (из изопентана). III гидрируют над скелетным Ni при 80 ат и 160°; выход I 60%, т. кип. 83—84°/7 мм, т. заст. 22—23°; производное оксуксусной к-ты (POV), т. пл. 141—141,5°. В тех же условиях из IV получают II, выход 84%, т. кип. 95—96°/10 мм, т. пл. 71—72°, POV, т. пл. 150,5—151°. П. Аронович

32405. Пространственный фактор в реакциях электрофильного замещения ароматических углеводородов. Сообщение 2. Назаров И. Н., Семеновский А. В., Изв. АН СССР. Отд. хим. н., 1957, № 10, 1229—1234

В продолжение прошлой работы (см. сообщение I, РЖХим, 1958, 17781) изучено влияние строения радикала в бензольном ядре на направленность р-ции хлорметилирования (ХМ). В условиях, аналогичных описанным (см. ссылку выше), осуществлено ХМ C₆H₅R (Ia R = n-C₃H₇, б R = n-C₄H₉, в R = изо-C₄H₉, г R = цикло-C₆H₁₁). Установлено, что увеличение длины цепи R нормального строения приводит к росту стерич. препятствий в орто-положении при переходе от C₆H₅CH₃ (Id) к Ia. При дальнейшем удлинении цепи экранирующее действие n-R на орто-положение ароматич. ядра не возрастает после R = n-C₃H₇. Установлено также, что в р-ции нитрования стерич. воздействие n-R не обнаруживается уже после C₆H₅C₂H₅ (Ie), причем при ХМ для любого I соответствующее кол-во орто-изомера всегда значительно меньше, чем при нитровании. Это объясняется большей по сравнению с +CH₂OH проникающей способностью катиона +NO₂ в затрудненное орто-положение вследствие его меньшего объема. Состав полученных смесей устанавливался окислением CrO₃ в среде CH₃COOH, а для продуктов ХМ также окислением разб. HNO₃. Для продуктов ХМ найден следующий изомерный состав (приводятся исходный углеводород, содержание в смеси орто-изомера в %; остальное — пара-изомер): Ia, 21,5; Ib, 21,5; Ic, 16; Id, 51,7; Ie, 30; изо-C₆H₅C₃H₇ (Iж), 15; трет-C₆H₅C₄H₉ (Iа); то же для мононитропроизводных: Ia, 56; Ib, 57; Id, 67,5; Ie, 55,6; Iж, 39,5; Ia, 11,8. В смесь 80 мл конц. HCl, 20 г параформа (II) и 60 г Ia 25 час. при ~55° пропускают HCl, экстрагируют эфиром и после отгонки Ia получают смесь RC₆H₄CH₂Cl (III), где R = o- и п-C₃H₇, выход 74% (на Ia, вошедший в р-цию), т. кип. 94—97°/10 мм. В аналогичных условиях получают другие III (приводятся исходный I, выход соответствующего III в %, т. кип. в °C/мм): Ib, 76, 105—109/7; Ic, 65, 107—110/10; Id, 72, 147—151/8. В смесь 40 г Ir, 10 г II, 16,5 г H₂PO₄, 33 мл CH₃COOH и 46 мл конц. HCl 25 час. при 75—80° пропускают HCl, выход смеси III 93%, т. кип. 130—133°/3 мм. Аналогично из Iж выход III 61%, т. кип. 92—94°/8 мм. 2,5 г смеси III (R = n-CH₃) (IIIa), 15 г CrO₃, 45 мл воды, 45 мл CH₃COOH и 15 мл конц. H₂SO₄ нагревают до начала окисления, по окончании которого кипятят 1 час; выход п-C₆H₄(COOH)₂ (IV) 67% (идентифицирована в виде диметиллового эфира, т. пл. 141—142°), что соответствует 78,5% содержания пара-изомера в смеси. Смесь 70 мл 20%-ной HNO₃ и 4 г IIIa нагревают в автоклаве (200°, 1,5 часа), отдают 2,6 г IV, упаривают и получают 0,4 г о-C₆H₄(COOH)₂ (анилид, т. пл. 208—210°), суммарный выход к-т 77%. Аналогично обоими способами окислены другие III. 30 г Ia нитруют при 25—30° смесью 32 мл конц. H₂SO₄ и 25 мл HNO₃ (d 1,42), выливают в воду, экстрагируют эфиром, выход смеси RC₆H₄NO₂ (V) (R = n-CH₃) (Va) 82%, т. кип. 112—120°/8 мм. В аналогичных условиях получают другие V (приводятся исходный I, выход V в %, т. кип. в °C/мм): Ib, 89, 107—115/4; Ic, 94, 100—108/4. Смесь 2 г Va окисляют 13 г CrO₃ в 30 мл воды, 30 мл CH₃COOH и 10 мл конц. H₂SO₄, выход п-NO₂C₆H₄COOH 39,6%, что соответствует 44% пара-изомера. Аналогично проводят окисление других V.

Ю. Волькенштейн

32406. Синтез и хлорметилирование некоторых эфиров фенола и орто-крезола. Ароян А. А., Титаниян С. Г., Изв. АН АрмССР, Сер. хим. н., 1957, 10, № 4, 283—289 (рез. арм.)

Синтезирован ряд простых эфиров типа: $C_6H_5OCH_2CH_2OR$ (I), $o-CH_3C_6H_4OCH_2CH_2OR$ (II), $o-CH_3C_6H_4OCH_2CH_2Br$ (III) и $o-CH_3C_6H_4OCH_2CH_2Cl$ (IV) и изучено их хлорметилирование. Наличие CH_2CH_2O -группы в алифатич. части эфиров фенола и *o*-крезола не затрудняет их хлорметилирование, тогда как введение галоида в алифатич. часть затрудняет их хлорметилирование. (РЖХим, 1956, 64874). 100 мл спирта, 0,6 моля КОН и 0,5 моля *o*-крезола (V) нагревают до растворения КОН, приливают 1 моль $ClCH_2CH_2Cl$ и кипятят 25–30 час., получают III, выход 45,7%, т. кип. 91–92°/7 мм, n_D^{20} 1,5280, d_4^{20} 1,1085. Кипятят 5 час. 93 г $BrCH_2CH_2Br$, 41,7 г V и *p-p* 15 г NaOH в 50 мл воды, получают IV, выход 53,6%, т. кип. 100–104°/7 мм. Смесь RONA (из 100 мл RОН и 0,3 г атома Na) и 0,2 моля $C_6H_5OCH_2CH_2Br$ нагревают 5–6 час., получают I. Приведены R, выход в %, т. кип. в °C/мм, n_D^{20} , d_4^{20} : C_3H_7 , 58,3, 112–113/9, 1,4950, 0,9878; *изо*- C_4H_9 , 57,2, 107–108/9, 1,4958, 0,9947; C_4H_9 , 60,1, 122–123/9,5, 1,4930, 0,9857; *изо*- C_4H_9 , 55,8, 117–118/9,5, 1,4930, 0,9704; *изо*- C_5H_{11} , 56,0, 130–131/9,5, 1,4880, 0,9700. Аналогично из RОНa и IV получают II (данные те же): CH_3 , 62,2, 93–94/7, 1,5052, 1,0119; C_2H_5 , 55,5, 98–99/7, 1,4994, 0,9882; C_4H_9 , 53,8, 116–117/7, 1,4970, 0,9852; *изо*- C_4H_9 , 56,7, 110–111/7, 1,4940, 0,9753; *изо*- C_5H_{11} , 50,4, 125–126/7, 1,4900, 0,9547. 0,1 моля II, 30 мл конц. HCl и 30 мл C_6H_6 при 0–1° насыщают HCl (газ) и добавляют 8 мл 40%-ного CH_2O , 40 мл HCl и через 2 часа при 20° выделяют 2- CH_3 -4- $ClCH_2C_6H_4OCH_2CH_2R$ (данные те же): Cl, 62,5, 133–135/8, т. пл. 29–31°; Br, 60,2, 148–149/8, 1,5658, 1,4105; CH_3O , 71,5, 135–137/9, 1,5320, 1,4347; C_2H_5O , 70,4, 139–140/9, 1,5220, 1,4026; C_4H_9O , 72,5, 153–154/7,5, 1,5170, 1,0723; *изо*- C_4H_9O , 71,2, 151–153/7,5, 1,5139, 1,0646; *изо*- $C_5H_{11}O$, 69,5, 159–170/7,5, 1,5108, 1,0387. 0,1 моля I, 50 мл HCl и 30 мл C_6H_6 насыщают HCl при 0–1°, добавляют 12 мл CH_2O и через 3 часа при 20° получают *п*- $ROCH_2CH_2OC_6H_4CH_2Cl$ (данные те же): C_3H_7 , 71,4, 150–152/9, 1,5230, 1,0915; *изо*- C_4H_9 , 72,2, 146–148/9, 1,5210, 1,0843; C_4H_9 , 75,5, 153–155/8, 1,5144, 1,0726; *изо*- C_4H_9 , 78,3, 142–143/7,5, 1,5094, 1,0527; *изо*- C_5H_{11} , 76,4, 151–152/7, 1,4990, 1,0353. Н. Беликова

32407. Некоторые новые производные β,β,β -трихлор- α -*бис*-(4-оксифенил)-этана. Тройна, Губачек (Některé nové deriváty β,β,β -trichlor- α -bis-(4-hydroxyphenyl) ethanu. Trojina Milan, Hubáček Jaromír, Chem. listy, 1957, 51, № 4, 752–755 (чешск.); Сб. чехосл. хим. работ, 1957, 22, № 4, 1162–1166 (нем.; рец. русск.).

В поисках новых инсектицидов синтезированы в-а общей ф-лы $(4-NO_2-3-R-5-R'C_6H_2)_2CHCl_2$ (I). Конденсацией 0,604 моля $CCl_3C_6H_4O \cdot H_2O$ с 1,211 моля фенола в лед. CH_3COOH (40 мл) + конц. H_2SO_4 (165 г) 2 часа при 20° получают I ($R = R' = H$) (Ia), выход 92,8%, т. пл. 202° (не испр.) (из CH_3OH -бал., 2:3) (Elbs K., J. prakt. Chem., 1893, 47, 44). 0,2 моля Ia сульфатируют конц. H_2SO_4 (270 г) при 60° 2 часа, разбавляют водой и получают I ($R = H, R' = SO_3H$) (Ib), выход 71%, т. разл. 134° (из азеотропной HCl), получены также Na и Ba-соли. При нитровании 0,01 моля Ib *p*-ром $NaNO_2$ (0,02 моля) в 25 мл воды и конц. H_2SO_4 (20 мл) 12 час. при 20° получают I ($R = NO_2, R' = SO_3H$) (Ic), выход 62%, т. пл. 174° (из разб. HCl), при перегревании взрывается. При нитровании 0,01 моля Ib дымящей HNO_3 (22 мл, d 1,52, 2 часа при 0°) отщепляется сульфогруппа и образуется I ($R = R' = NO_2$) (Id), выход 84%, т. пл. 252° (из лед. CH_3COOH). При бромировании 0,01 моля Ib в воде (200 мл) при 50° получают I ($R = R' = Br$) (Id), выход 84,5%, т. пл. 140–141° (из лед. $CH_3COOH-HCOOH$, 3:2). При нагревании 0,01 моля I с 12%-ным водн. *p*-ром NaOH (120 мл) 2–2,5 часа на водяной бане отщепляется HCl и получают соответствующие $(4-OH-3-R-5-R'C_6H_2)_2C=CCl_2$ (II) в виде ди-

на-солей или фенолятов, водн. *p-p* которых подкисляют HCl (к-той) (далее приводятся исходное в-во, выход II в % и т. пл. в °C): Ia, 35, 210 (разл.; из 20%-ного сп.), Ib, 72 (соль); Ic, 80 (соль); Id, 83, 163,5–164,5 (из 40%-ного сп.); I ($R = NO_2, R' = H$), 92, 127,5–128,5° (из лед. CH_3COOH). Путем дегалогирования 0,01 моля Ib в 10 мл воды при помощи 10 г Fe-порошка и 10 мл CH_3COOH (24 часа, ~100°) с последующим подщелачиванием фильтрата Na_2CO_3 получают *бис*-Na-соль 4,4'-диоксистилбен-3,3'-дисульфокислоты, выход 54,3%. Все т-ры плавления, кроме отмеченных, исправлены. J. Kubeta

32408. Реакции ненасыщенных соединений. Часть XIII. Окисление 1,1-диарилолефинов окислом хрома. Хиккинботтом, Мусса (Reactions of unsaturated compounds. Part XIII. The oxidation of 1:1-diarylelefins by chromic oxide. Hickinbottom W. J., Moussa G. E. M., J. Chem. Soc., 1957, Oct., 4195–4198 (англ.).

В продолжение прошлой работы (см. часть XII, РЖХим, 1956, 35773) окислением $(n-RC_6H_4)_2C=C(CH_3)_2$ (I) (где всюду $a R = H$, $b R = CH_3$, $c R = Br$, $d R = Cl$) и $(C_6H_5)_2C=C(CH_3)CH(CH_3)_2$ (II) в $(CH_3CO)_2O$ (III) при помощи CrO_3 получены соответствующие 1,2-эпоксипроизводные (IV–VIII), наряду с незначительным кол-вом продуктов расщепления; при окислении II получено также небольшое кол-во ненасыщ. альдегида, образовавшегося, по-видимому, в результате окисления α -метиленовой группы. При действии на IV–VIII 43%-ной H_2SO_4 на холоду лишь IV и V постепенно превратились в соответствующие гликоли, остальные эпоксипроизводные не изменились даже после 3 дней. При действии на I и II CrO_3 в 65%-ной H_2SO_4 происходит окислительное расщепление по двойной связи без каких-либо перегруппировок. Р-ция окисления протекает, по-видимому, через промежуточный продукт присоединения CrO_3 к I и II по двойной связи. Ia–g синтезированы дегидратированием $(n-RC_6H_4)_2C(OH)CH(CH_3)_2$ (IXa–g). Ia получен нагреванием IXa со фталевым ангидридом (X) (выход Ia 50%), с III (выход 60%) или при стоянии несколько дней (~20°) смеси 40 г IXa, 50 г пиридина и 42 г $POCl_3$ с последующим выливанием на лед, экстрагированием эфиром и перегонкой, т. кип. 114°/1,6 мм, n_D^{20} 1,586. Ib, т. пл. 50° (из CH_3OH), получен насыщением HCl (газом) IXb (т. пл. 95°) в эфирном *p-re* с последующей обработкой полученного продукта пиридином. Аналогично получено 125 г Ig (т. кип. 132°/0,2 мм, т. пл. 71–72°) из 290 г Ig (т. пл. 115°), синтезированного из 135 г $(CH_3)_2CHCOOC_2H_5$ (XI) и 500 г *n*- BrC_6H_4Cl и 70 г Mg. Из 100 г XI и *n*- BrC_6H_4MgBr (из 500 г *n*- BrC_6H_4 и 60 г Mg) получен неочищ. IXв, перегонка которого в вакууме дала Ib, выход 52 г, т. кип. 174°/0,7 мм, т. пл. 97° (из сп.). Кипячение несколько часов 205 г $(C_6H_5)_2C(OH)CH(CH_3)CH(CH_3)_2$ (XII) с 600 г X привело к II (94,4 г), т. кип. 168–170°/15 мм, n_D^{15} 1,5740. 15 г CrO_3 в 80 мл III добавляли за 30 мин. при охлаждении к 20 г Ia в 100 мл III; через 3 часа выливали на 1,5 л воды и льда и эфиром экстрагировали 14,4 г IV, т. кип. 102–112°/0,7 мм, т. пл. 64° (из сп.). Аналогично из 20 г Ib в 100 мл III (после добавления за 80 мин. 11 г CrO_3 в 420 мл III смесь оставляли на 12 час.) получено 13 г V, т. кип. 139–142°/1,5–1,7 мм, т. пл. 58–59° (из сп.). Окислением 15 г Ib в 150 мл III 5,2 г CrO_3 в 80 мл III получено 10 г VI, т. кип. 177–178°/1,2 мм, т. пл. 94–95° (из сп.). Аналогично из 20 г Ig получено 6 г VII, т. кип. 148–150°/0,65 мм, т. пл. 57–58°, а из II получено VIII, т. пл. 93°. XII (240 г), т. кип. 198–200°/15 мм, n_D^{17} 1,564, получен из 147,5 г $CH_3CH(CH_3)CH(CH_3)COOC_2H_5$ (XIII) и C_6H_5MgBr (из

480 г C_6H_5Br и 75 г Mg). XIII, т. кип. 188° , n_D^{20} 1,4120, синтезирован из $(CH_3)_2(изо-C_3H_7)C(COOC_2H_5)_2$, т. кип. $142-146^\circ$, n_D^{20} 1,4023. Г. Крюкова

32409. Получение гидроперекиси *n*-цимола. I. Оптимальные условия температуры и концентрации катализатора при получении гидроперекиси α,α,n -триметилбензила. Алеман, Инфьеста, Гарсия-Блаирси (Hidroperoxidacion del *p*-cimeno. I. Condiciones óptimas de temperatura y concentración de catalizador en la preparación del hidropéroxido $\alpha-\alpha'$ -dimetil-bencilo [? Ped.] Alemán J., Ynfiesta J. L., García Blairzy C.), An. Real soc. esp. fis. y quim., 1957, 53, № 6, 453—460 (исп.; рез. англ.)

Детально изучен процесс окисления *n*-цимола (I) воздухом (1 мл/мин) в присутствии перекиси бензола в качестве инициатора до гидроперекиси *n*-цимола (II). В качестве катализатора был испытан нафтакат магния (III). Рассмотрение р-ции показывает, что III, кроме облегчения основного процесса, способствует разложению II для алкокси-радикала. Вследствие этого следует избегать большого времени р-ции и применять малые кол-ва III. Технически приемлемые условия: 0,0—0,05% III и т-ра $90-130^\circ$. Оптимальные условия р-ции: 120° без III; в этих условиях за 2 часа получается почти чистая II с выходом 8% от теории в час. В. Беликов

32410. Окисление *n*-диалкилбензолов. III. Образование моно- и дигидроперекиси из *n*-втор-бутилпропилбензола. Цукуми, Одайра (Tsutsumi Shigeru, Odaira Yoshinobu), Нэйрбэ кэйсайси, J. Fuel Soc. Japan, 1957, 36, № 362, 535—540 (японск., рез. англ.)

При жидкофазном окислении *n*-втор- $C_4H_9C_6H_4CH_3$ (CH_3)₂ при 95° образуются *n*-втор- $C_4H_9C_6H_4C(CH_3)_2OOH$ (I), т. кип. $89-90^\circ/0,05$ мм, и дигидроперекиси (II), т. пл. $78-90^\circ$; в качестве инициатора применяют $(C_2H_5CO)_2O_2$, I или II. Установлено, что окисление *изо*- C_4H_9 -группы идет легче, чем окисление *втор*- C_4H_9 -группы. II при действии $Fe_2(SO_4)_3$, разб. H_2SO_4 или $Na_2S_2O_8$ дает соответственно: *n*-диатилбензол, гидрохинон и *n*-(CH_3)₂C(OH) C_6H_4 C(OH)(CH_3) C_2H_5 . I в тех же условиях дает соответственно: *n*- $CH_3COC_6H_4CH_3$ (CH_3) C_2H_5 , *n*-НОС- $C_4H_9CH_2C(CH_3)_2C_2H_5$ и *n*-(CH_3)₂C(OH) C_6H_4 CH(CH_3) C_2H_5 (III). I при р-ции с III дает (*n*-втор- $C_4H_9C_6H_4C(CH_3)_2O$)₂, т. кип. $>100^\circ/0,002$ мм. Строение I и II подтверждено приведенными данными ИК-спектров. Сообщение II см. РЖХим, 1957, 26755.

Т. Амбруш

32411. Конденсация эфиров фенолов с алифатическими альдегидами. Сообщение VIII. Конденсация 1-метокси-2-этоксibenзола (этилгваякола) с формальдегидом. Аркилео, Гарофано (Condensazione di eteri fenolici con aldeidi alifatiche. Nota VIII. Condensazione dell'1-metossi-2-etossi-benzolo (etilgваяcola) con aldeide formica. Arcoleo Antonio, Garofano Torquato), Ann. chimica, 1957, 47, № 10, 1142—1162 (итал.)

При конденсации 1-метокси-2-этоксibenзола (I) с избытком CH_2O получается 1,2-4,5-7,8-10,11-13,14-16,17-гекса-(4'-этокси-5'-метоксibenза)-циклооктадекан (II). Окисление II рассчитанным кол-вом $Na_2Cr_2O_7$ приводит к 9,18-дикетопроизводному II (III). Наличие в II и III 18-членного цикла подтверждено сравнением их УФ-спектров с УФ-спектрами аналогичных соединений, описанных в предыдущих сообщениях. Положение этокси- и метоксигрупп в II доказано окислительным расщеплением II с образованием дилактона α,α -диокси-4,5'-диметокси-5,4'-диэтоксидифенилметандикарбоновой-2,2' к-ты (IV) и 2,6-диметокси-3,7-диэтоксидифенилметана (V) и встречным синтезом IV, V и других возможных продуктов окисления II. 3-метокси-4-

этокситолуол (VI) с CH_2O дал 2,2'-диметил-4,4'-диметокси-5,5'-диэтоксидифенилметан (VII). При окислении VII вычисленным кол-вом окислителя получается 2,2'-диметил-4,4'-диметокси-5,5'-диэтоксibenзофенон (VIII), а при избытке окислителя образуются дилактон α,α -диокси-4,4'-диметокси-5,5'-диэтоксидифенилметандикарбоновой-2,2' к-ты (IX) и 2,7-диметокси-3,6-диэтоксидифенилметан (X). Строение IX подтверждено декарбокислированием в 4,4'-диметокси-5,5'-диэтоксibenзофенон (XI) с последующим восстановлением по Клемменсену в 4,4'-диметокси-5,5'-диэтоксидифенилметан (XII). При восстановлении изованилиннового альдегида (XIII) получен 2-метокси-5-метилфенол. Конденсация XV с CH_2O привела к 2,2'-диметил-4,4'-диэтокси-5,5'-диметоксидифенилметану (XVI), окисление которого привело к дилактону α,α -диокси-4,4'-диэтокси-5,5'-диметоксидифенилметандикарбоновой-2,2' к-ты (XVII) и X. При действии на VI $Zn(CN)_2$ и $AlCl_3$ получен 2-метил-4-метокси-5-этоксibenзальдегид (XVIII), окисленный в соответствующую к-ту (XIX). Хлорангидрид XIX при конденсации с XV дал 2,2'-диметил-4,5'-диметокси-5,4'-диэтоксibenзофенон (XX), окисление которого привело к IV и V. Строение V подтверждено синтезом его из хлорангидрида 3-метокси-4-этоксibenзойной к-ты (XXI) и VI; полученный при этом 2-метил-4,5'-диметокси-5,4'-диэтоксibenзофенон (XXII) при окислении дал V. В качестве первичного продукта конденсации I с CH_2O выделен 4,5'-диметокси-5,4'-диэтоксидифенилметан (XXIII), что подтверждает принятое для II строение. Строение XXIII подтверждено окислением его в 4,5'-диметокси-5,4'-диэтоксibenзофенон (XXIV). К 15,2 г I в 35 мл лед. CH_3COOH понемногу прибавляют 10 мл 40%-ного формалина и затем при охлаждении льдом р-р 5 мл 98%-ной H_2SO_4 в 15 мл лед. CH_3COOH , через 2 часа прекращают охлаждение и оставляют на 24 часа. После выливания на лед получают 15 г (неочищ.) II, т. кип. $275-280^\circ/10^{-4}$ мм, т. пл. $171-172^\circ$ (из сп.). К кипящему р-ру 3 г II в 25 мл лед. CH_3COOH прибавляют р-р 2 г $Na_2Cr_2O_7$ в 10 мл воды, получают 2,5 г III, т. пл. $169-170^\circ$ (из CH_3OH); бис-2,4-динитрофенилгидразон, т. пл. $193-194^\circ$ (из CH_3COOH). Кипятят 24 часа 2 г амальгированного Zn, 0,3 г III и 0,5 мл конц. HCl в 15 мл лед. CH_3COOH , получают 0,25 г II. 5 г III в 20 мл CH_3COOH окисляют $Na_2Cr_2O_7$ в CH_3COOH , получают 0,15 г V, т. пл. $299-300^\circ$ (из CH_3COOH). Р-р хромовых солей осаждают 20%-ным КОН, фильтрат подкисляют и кипятят, получают 0,25 г IV, т. пл. $245-246^\circ$ (из сп.). К р-ру 8,3 г VI в 25 мл CH_3COOH при охлаждении льдом прибавляют 2 мл конц. H_2SO_4 и 8 мл 40%-ного формалина, получают 8 г VII, т. пл. $65-66^\circ$ (из CH_3OH). 3,44 г VII окисляют $Na_2Cr_2O_7$ в CH_3COOH при кипячении, получают VIII, выход 2,9 г, т. пл. $141-142^\circ$ (из CH_3COOH). Окисление 3,44 г VII избытком $Na_2Cr_2O_7$ в CH_3COOH аналогично II дает 0,1 г X, т. пл. $253-254^\circ$ (из CH_3COOH), и 1,8 г IX, т. пл. $261-262^\circ$ (из сп.). Кипятят 1 час 0,1 г IX, 3 мл хинолина и 0,3 г порошка меди, разбавляют $CHCl_3$, промывают к-той, отгоняют $CHCl_3$, остаток кипятят с 2%-ным КОН и получают XI, т. пл. $140-141^\circ$ (из CH_3OH). 0,2 г XI восстанавливают по Клемменсену и получают 0,12 г XII, т. пл. $67-68^\circ$ (из сп.). Для доказательства того, что конденсация VI с CH_2O происходит в пара-положение к CH_2O -группе, осуществлена конденсация 3-метокси-4-этокситолуола (XXV) и VI с CH_2O и CH_3CHO . К р-ру 3 г VI в 15 мл лед. CH_3COOH при охлаждении льдом с солью прибавляют 2 мл конц. H_2SO_4 и затем 2 мл CH_3CHO в 5 мл CH_3COOH , получают 2,5 г 2,2'-диметил-4,4'-диметокси-5,5'-диэтоксидифенилметана, т. пл. 101° (из сп.). Аналогично из 7 г XXV и CH_2O получают 5,35 г 2,2'-диметил-4,4'-диметокси-5,5'-диэтоксидифенилметана

(XXVI), т. пл. 138° (из водн. сп.); диацетильное производное, т. пл. 153—154° (из сп.); 2,2'-диметил-4,5,4',5'-тетраметоксибензилметан, т. пл. 124° (из сп.). Этилирование XXVI диэтилсульфатом приводит к VII. Конденсация 3,45 г XXV с CH_3CHO аналогично VI приводит к 2,2 г 2,2'-диметил-4,4'-диметокси-5,5'-диоксидифенилэтана, т. пл. 149—150° (из водн. сп.); диацетильное производное, т. пл. 147—148° (из сп.); 2,2'-диметил-4,5,4',5'-тетраметоксибензилметан, т. пл. 101—102° (из CH_3OH). К смеси 150 г амальгированного Zn и 80 мл конц. HCl прибавляют р-р 15,2 г XIII в 50 мл спирта и 150 мл конц. HCl с такой скоростью, чтобы смесь кипела, нагревают еще 30 мин. и извлекают C_6H_6 6,2 г XIV, т. кип. 78—79°/4 мм. Этилированием XIV диэтилсульфатом получают XV, конденсация которого с CH_3O по методу получения VII приводит к XVI, т. пл. 71—72° (из CH_3OH). При окислении XVI аналогично получению IX и X получают XVII, т. пл. 163—164° (из сп.) и X. Охлажд. смесь 24 г VI, 120 мл C_6H_6 и 36 г $\text{Zn}(\text{CN})_2$ насыщают HCl, добавляя 45 г AlCl_3 , после окончания р-ции охлаждают и насыщают HCl, получают 9,2 г XVIII, т. кип. 140°/4 мм. Кипятят 10 мин. смесь влажной Ag_2O (из 12 г AgNO_3), 14 г KOH в 200 мл дистил. воды и 12 г XVIII и выделяют 4 г XVIII и 7,5 г XIX, т. пл. 183°. Кипятят 8 час. 3 г хлорангидрида XIX и 3 г AlCl_3 в 20 мл CS_2 , оставляют на 12 час. и получают 4,5 г XX, т. пл. 126—127° (из CH_3OH). Аналогично из XXI и VI готовят XXII, т. пл. 135—136° (из сп.); 2,4-динитрофенилгидразон, т. пл. 176—177 (из CH_3COOH). К 15,2 г I в 50 мл 70%-ной H_2SO_4 при охлаждении льдом за 30 мин. прибавляют 3 мл 40%-ного формалина. Выделяют 4,75 г I, 0,67 г II и 3,2 г XXIII, т. пл. 175—180°/10—4 мм, т. пл. 68—69° (из CH_3OH). Окислением XXIII $\text{Na}_2\text{Cr}_2\text{O}_7$ в CH_3COOH получают XXIV, т. пл. 125—126° (из CH_3OH). Приведены УФ-спектры II, III и ранее полученных аналогичных продуктов. Сообщение VII см. РЖХим, 1958, 21387.

В. Беликов

32412. Исправления к статье: Гал, Шимонь, Токар «Роль галлоидоалкоголятов алюминия при восстановлении по Меервейну — Поиндофу — Верлею. II. Восстановление α -бромкетонных при помощи смеси изопропилата алюминия и хлоризопропилата алюминия» (Helyesbítés. Gál György, Simonyi István, Tokár Géza), Magyar kém. folyóirat, 1956, 62, № 3, 112 (венг.).

К РЖХим, 1956, 61476.

32413. Химические и биологические опыты с псевдоредуктонами и их производными. Эйлер, Хассельквист (Chemische und biologische Versuche mit Pseudo-Reduktionen und Derivaten derselben. Euler Hans von, Hasselquist Hans), Arkiv kemi, 1957, 11, № 5, 419—422 (нем.).

Изучены р-ция $\text{C}_6\text{H}_5\text{COCH}(\text{OH})\text{COCOC}_6\text{H}_5$ (I) с NH_4OH и биол. активность I. При действии 12%-ного р-ра NH_4OH на I образуется NH_4 -соль, которую нагревают 2 часа при ~90°, нейтрализуют HCl (к-та) до pH 4, фильтруют в кипячении с ацетоном извлекают 2-окси-3,5-дифенилпирразин (II), т. пл. 272—273°. II не восстанавливает реактив Тильмана. Бромдифенилал, синтезированный ранее (Fritz V., Ber., 1895, 28, 3032), очень медленно восстанавливает реактив Тильмана в щел. р-ре. Приведена кривая УФ-спектра II.

П. Аронович

32414. Синтез 2'-окси-3' (и 5')-ацетил-4,4'-диметоксикалькенов. Мацуура, Мацуура (Matsuura Shin, Matsuura Akira), Якугаку дзасси, J. Pharm. Soc. Japan, 1957, 77, № 3, 330—331 (японск.; реф. англ.).

2'-окси-4,4'-диметоксикалькон (I) реагирует с CH_3COCl по р-ции Фриделя — Крафта при ~30° с образованием 2'-окси-3'-ацетил-4,4'-диметоксикалькона (II),

а при ~15° с образованием 2'-окси-3'-ацетил-4,4'-диметоксикалькона (III). Перегруппировка ацетата I по Фрису приводит к образованию II независимо от т-ры р-ции. II при конденсации с анисовым альдегидом (IV) дает 2'-окси-3'-(4-метоксицинаммил)-4,4'-диметоксикалькон (V), который получают и при конденсации метилового эфира 2,4-диацетилрезорцина (VI) (РЖХим, 1954, 35955) с IV. Из III при конденсации с IV получают 2'-окси-4,4'-диметокси-5'-(4-метоксицинаммил)-калькон (VII) РЖХим, 1958, 17925). Из 2,8 г I и 1 г CH_3COCl с 2,5 г AlCl_3 (вносят в 2 приема) в 40 мл нитробензола, после 4 суток стояния при 30° и разложения разб. HCl получают II, выход 11,5%, т. пл. 145,5° (из сп.). При 15° получают III, выход 9,2%, т. пл. 171,5° (из сп.). Из 5 г ацетата I в 50 мл нитробензола с 4 г AlCl_3 получают II, выход 2%. Из 1 г VI и 1 г IV в 10 мл спирта с 4 г 50%-ного водн. KOH получают V, выход 73%, т. пл. 171° (из разб. CH_3COOH). Аналогично получают V из II, выход 53%, а из III образуется VII, выход 88,2%.

Н. Шварц

32415. Новые 4,6-диарилсалициловые кислоты. Часть 3. Хансон (Nouveaux acides 4,6-diarylsalicyliques (3e partie). Hanson G. A.), Bull. Soc. chim. belges, 1957, 66, № 11-12, 654—660 (франц.).

Конденсацией 4'-метил-(I), 2-метокси-4'-метил-(II), 4-метокси-4'-метил-(III) и 4-диметиламино-(IV) хальконов с $\text{CH}_3\text{COCH}_2\text{COOC}_2\text{H}_5$ (V) синтезированы этиловые эфиры 3,5-диарилциклогексен-2-он-1-карбоновых-6-ит (VI). Ароматизацией последних и последующим омылением эфиров получены 4,6-диарилсалициловые кислоты (VII). К 10 мл 10%-ного NaOH прибавляют 12,5 г $2\text{-CH}_3\text{OC}_6\text{H}_4\text{CHO}$ и 12,5 г $4\text{-CH}_3\text{C}_6\text{H}_4\text{COCH}_3$ в 50 мл спирта и размешивают 30 мин. при 20°, получают II, выход 71%, т. кип. 261°/18 мм. Аналогично синтезируют I, III и IV. К 5 мл 10%-ного NaOH прибавляют 25 мл спирта, 2 г I и 1,2 г V, нагревают 30 мин. на водяной бане и разбавляют водой, получают VI (арил = 3- $\text{CH}_3\text{C}_6\text{H}_4$ и 5- C_6H_5) (VIa), выход 71,7%, т. пл. 102° (из сп.). Аналогично получают следующие VI (указаны арил в положении 3 и 5, выход в %, т. пл. в °C): $4\text{-CH}_3\text{C}_6\text{H}_4$, $2\text{-CH}_3\text{OC}_6\text{H}_4$, 49, 104 (из сп.); $4\text{-CH}_3\text{C}_6\text{H}_4$, $4\text{-CH}_3\text{OC}_6\text{H}_4$, 62, 157 (из сп.); C_6H_5 , $4\text{-(CH}_3)_2\text{NC}_6\text{H}_4$ (VIb), 49, 125—125 (из сп.). К 1,6 г VIa в 15 мл CS_2 прибавляют 0,8 г Br_2 в 10 мл CS_2 , упаривают, обрабатывают при т-ре ~100° небольшим кол-вом пиридина и разбавляют водой, получают этиловый эфир VII ($4\text{-n-CH}_3\text{C}_6\text{H}_4$, 6- C_6H_5) (VIIa), некристаллизующееся масло. Аналогично получают этиловые эфиры VII ($4\text{-n-CH}_3\text{C}_6\text{H}_4$, 6- $\text{o-CH}_3\text{OC}_6\text{H}_4$), выход 50%, т. пл. 127° (из сп.), и VII ($4\text{-n-CH}_3\text{C}_6\text{H}_4$, 6- $\text{n-CH}_3\text{OC}_6\text{H}_4$). При ароматизации VIb получено соединение неустоявшегося строения. К VIIb в 15 мл спирта прибавляют 1,5 г KOH в 25 мл воды, кипятят 6 час., разбавляют водой и подкисляют HCl, получают VII ($4\text{-n-CH}_3\text{C}_6\text{H}_4$, 6- C_6H_5) (VIIa), выход 65%, т. пл. 208° (разл.; из сп.). Аналогично получают VII ($4\text{-n-CH}_3\text{C}_6\text{H}_4$, 6- $\text{o-CH}_3\text{OC}_6\text{H}_4$) (VIIb), выход 8%, т. пл. 192° (разл.; из сп.), и VII ($4\text{-n-CH}_3\text{C}_6\text{H}_4$, 6- $\text{n-CH}_3\text{OC}_6\text{H}_4$) (VIIc), выход 32,7%, т. пл. 195° (разл.; в толуоле). К 20 мл конц. H_2SO_4 прибавляют при 20° 2 г VIIa, оставляют на 30 мин. и обрабатывают льдом, получают 3- $\text{n-толил-1-оксифлуоренон}$ (IX), выход 64%, т. пл. 162° (из сх. + пиридин). К 0,95 г IX и 1 мл 100%-ного $\text{N}_2\text{H}_4 \cdot \text{H}_2\text{O}$ в 30 мл $\text{HOCH}_2\text{CH}_2\text{OH}$ прибавляют 1 г Na, кипятят 4 часа, разбавляют водой и подкисляют 1 н. HCl; получают 3- $\text{n-толил-1-оксифлуорен}$, выход 100%, т. пл. 166° (из 60%-ного сп.). При действии H_2SO_4 на VIIb и VIIc получают продукты из сульфирования. В последнем случае образуется также небольшое кол-во соответствующего флуоренона. Часть 2 см. РЖХим, 1958, 7909.

А. Трапп

32416. Синтез смешанных ацилинов. IV. Пространственное влияние ароматических ядер на реакцию

гил-4-х-
тата I
но от т-
идом (IV)
етонска-
ции моно-
(РЖХИ,
IV полу-
инамоли-
е I и I
в 40 мл
и раство-
%, т. пл.
2%, т. пл.
робенола
и I в IV
получают
(Англо-
III обра-
Швейц
гм. Часть
licylique
n. belgen

одистого метилмагния с цингидринами аромати-
ческих альдегидов. Кадзи (Kaji Kenji), Яку-
гаку дзасси, J. Pharm. Soc. Japan, 1957, 77, № 8,
651—654 (японск.; реф. англ.)
с, м-н $\text{BrC}_6\text{H}_4\text{CHONCSN}$ при р-ции с CH_3MgI (I)
образуют соответствующие $\text{BrC}_6\text{H}_4\text{CHONCSOCH}_3$ (II) и
 $\text{BrC}_6\text{H}_4\text{CHONCH}_3$ (III) (приведены выход в %, т. кип.
в °C/мм последовательно о-, м- и п-II и III): о-II, 36,3,
127—131/5, семикарбазон (СК), т. пл. 181°; м-II, 31,5,
143—145/6 (т. пл. 53—53,6°), СК, т. пл. 194,5; п-II, 24,
154—155/9 (т. пл. 61—62°), СК, т. пл. 201,5°; о-III, 15,3,
115—120/5, фенилуретан (ФУ), т. пл. 78—79°; м-III,
20,8, 125—131/6, СК, и т. пл. 233°; п-III, 28,1, 122—124/7.
ФУ, т. пл. 101°. Из сравнения с р-циями между I и
 $\text{C}_6\text{H}_5\text{CHONCSN}$, а также $\text{CH}_3\text{OC}_6\text{H}_4\text{CHONCSN}$ (см. сооб-
щение III, РЖХИ, 1957, 66059), видно, что атом Br
в ароматич. ядре способствует образованию II, по-
трудняет образование III. Примерно аналогичные
результаты получаются при р-ции I с цингидридами
фурфура и тиофенальдегида-2, выделены $2\text{-CH}_3\text{CO-}$
 CHONCSN , выход 20,6%, т. кип. 91—92°/9 мм; СК
т. пл. 187° и $2\text{-CH}_3\text{CHONCSN}$, выход 12,6%, т. кип.
62—66°/10 мм (СК $\text{CH}_3\text{COC}_6\text{H}_4\text{H}_2\text{O}$, т. пл. 149,5°), а также
 $2\text{-CH}_3\text{COCCHONCSN}$, выход 11,3%, т. кип. 110—
111°/7 мм; СК, т. пл. 180° и $2\text{-CH}_3\text{CHONCSN}$, выход
33,9%, т. кип. 80—83°/7 мм (СК $\text{CH}_3\text{COC}_6\text{H}_4\text{H}_2\text{S}$, т. пл.
100—101°). В. Скородумов

32417. Расщепление на антиподы и реакции третич-
ных спиртов: две дисамещенные гликолевые кисло-
ты и соответствующие дисамещенные гликоли.
Дейвис, Эбейд, Кенъон (The resolution and
reactions of tertiary alcohols: two disubstituted gly-
colic acids and the corresponding disubstituted gly-
cols. Davies Alwyn G., Ebeid F. M., Kenyon
J.), J. Chem. Soc., 1957, July, 3154—3157 (англ.)
Из 4-метоксибензиловой к-ты (Ia) и бензилметил-
гликолевой к-ты (Ib) получены оптически активные
гликоли $n\text{-CH}_3\text{OC}_6\text{H}_4\text{C}(\text{C}_6\text{H}_5)(\text{OH})(\text{CH}_2\text{OH})$ (IIa) и $\text{C}_6\text{H}_5\text{CH}_2\text{-}$
 $\text{C}(\text{CH}_3)(\text{OH})\text{CH}_2\text{OH}$ (Ib) двумя путями: 1) расщепле-
нием $d\text{-I}$ на антиподы через алкалоидные соли с по-
следующим восстановлением LiAlH_4 до II, или 2) вос-
становлением $d\text{-I}$ до $d\text{-II}$ с последующим расщепле-
нием через алкалоидные соли кислых фталатов. По-
лучение одинакового вращения в обоих случаях под-
тверждает оптич. чистоту гликолей II и показывает,
что нет никаких спец. трудностей для расщепления
третичных спиртов. Действием KVO_3 на 4-метокси-
бензоин получена Ia, выход 92,5%, т. пл. 148—149°.
Ее этиловый эфир (30 г), т. кип. 170—172°/0,5 мм, при
действии 2,5 г LiAlH_4 в эфире дал IIa, выход 91,7%.
т. пл. 101—102° (из лигр.) (при получении IIa вос-
становлением LiAlH_4 Ia выход составляет 75%). 50 г
IIa, 35 г фталевого ангидрида, 100 г пиридина нагре-
вали 3 часа при 60—65°; после добавления равного
объема ацетона, подкисления разб. HCl , выливания на
лед, кристаллизации из C_6H_6 получено 74 г кислого
фталата IIa (IIIa), т. пл. 141—142°. Аналогично из
40 г IIb, т. пл. 55—56° (из циклогексана), получен из
цингидрина бензилметилкетона, т. кип. 108—
110°/0,05 мм, с последующим омылением до Ib, т. пл.
97—99°, восстановленной LiAlH_4 и 50 г 3-нитрофта-
левого ангидрида в 65 г пиридина (0,5 часа при 50°)
получено 70 г кислого 3-нитрофталата IIb (IIIb), т. пл.
171—173°. Из р-ра 80 г IIIa, 80 г бруцина в 160 мл
ацетона через ~24 часа выпадает 88 г осадка (A), ко-
торый после 2 перекристаллизаций из ацетона дал
50 г чистой бруциновой соли (+)-IIIa, т. пл. 74—75°.
Из нее разложением HCl получено 24,6 г (+)-IIIa,
т. пл. 136—137° (из бз.), $[\alpha]_D^{20} + 6,31^\circ$, $[\alpha]_{5461}^{19} + 8,30^\circ$
(с 5,145; пиридин), $[\alpha]_D^{20} - 2,83^\circ$, $[\alpha]_{5461}^{19} - 3,10^\circ$
(с 5,305; CH_3COON). Из фильтрата после отделения
осадка A подкислением HCl выделен (—)-IIIa, оптич.

от примеси менее растворимого $d\text{-IIIa}$ перекристал-
лизацией из C_6H_6 . 4 г (+)-IIIa растворены при нагре-
вании в 8 мл 3 н. NaOH , получено 2,1 г (+)-IIa, т. пл.
101—102° (из эф. + лигр.), $[\alpha]_D^{20} + 20,3^\circ$, $[\alpha]_{5461}^{19} + 24,9^\circ$
(с 4,315; пиридин). Из (—)-IIIa получен соответствен-
но (—)-IIa. Аналогично проведено расщепление IIIb
стрихнином, получены (+)- и (—)-IIb, т. пл. 67—68°,
 $[\alpha]_D^{20} + 23,8^\circ$, $-23,3^\circ$, $[\alpha]_{5700}^{19} + 27,8^\circ$, $-26,9^\circ$, $[\alpha]_{5461}^{19} + 29,4^\circ$,
 $-28,7^\circ$ (с 3,140; 3,053; вода). Из р-ра 70 г $d\text{-Ia}$, 90 г
цинхонина в 300 мл ацетона через 2 часа выпал оса-
док, он после 8 перекристаллизаций из спирта разло-
жен HCl , получено 16 г (+)-Ia, т. пл. 148—149° (из
бз.), $[\alpha]_D^{20} + 1,2^\circ$, $[\alpha]_{5461}^{19} + 1,7^\circ$ (с 5,76; диоксан); из
фильтрата к-той выделена нечистая (—)-Ia, 1,8 г по-
следней с 2,75 г бруцина в 6 мл ацетона дали бруци-
новую соль (—)-Ia (т. пл. 195—198°), из которой раз-
ложением HCl получена (—)-Ia, т. пл. 147—148° (из
бз.), $[\alpha]_D^{20} - 1,2^\circ$, $[\alpha]_{5461}^{19} - 1,35^\circ$ (с 5,52; диоксан).
40 г (+)-Ia восстановлены 3,3 г LiAlH_4 в эфире, полу-
чено 7 г (—)-IIa, т-ра плавления и $[\alpha]$ которого совпа-
дают с полученным через $d\text{-IIIa}$. Аналогично прове-
дено расщепление Ib (60 г) бруцином (132 г) в аце-
тоне (270 мл), получены 24,2 г (+)-Ib, т. пл. 118—
119,5°, $[\alpha]_D^{20} + 17,0^\circ$, $[\alpha]_{5461}^{19} + 20,1^\circ$ (с 5,595; диоксан), и
из фильтрата 12,6 г (—)-Ib. Восстановление (+)-Ib
 LiAlH_4 дало (+)-IIb. В. Потанов

32418. Окисление галловой кислоты и ее эфиров до
аконитовой кислоты. Робертс, Расселл (Oxidation
of gallic acid and gallic acid esters to aconitic
acid. Roberts E. A. H., Russell G. R.), Chemistry
and Industry, 1957, № 49, 1598—1599 (англ.)

При окислении галловой к-ты и галлата (—)-эпи-
галлокатекина щел. H_2O_2 наряду со щавелевой, мало-
новой и янтарной к-тами получается аконитовая к-та
(I), т. пл. 195°. Р-цию проводят по модифицирован-
ному методу (NaOH вместо KOH), предложенному для
расщепления пурпурогаллана (Haworth, Hobson, J.
Chem. Soc., 1951, 561). Разделение I и янтарной к-ты
при помощи хроматографии на бумаге не удается.
Сходные результаты получены при окислении галлата
теофлавина (эфирный экстракт из черного чая).

В. Скородумов

32419. Вещества, действующие на центральную нерв-
ную систему. Сообщение 1. Производные этилфенил-
малоновой кислоты. Фуско, Теста (Sostanze
attive sul sistema nervoso centrale. Nota 1—Derivati
dell'acido etil-fenilmalonico. Fusco R., Testa E.),
Farmaco. Ed. scient., 1957, 12, № 10, 823—835 (итал.;
рез. англ.)

Для исследования действия на центральную нерв-
ную систему синтезирован структурный аналог α,α -
дисамещ. глутаримидов 5-этил-5-фенилтетрагидро-1,3-
оксазиндион-2,4 (I). При омылении диэтилового эфи-
ра (II) этилфенилмалоновой к-ты (III) получена
смесь III, моноэтилового эфира III (IV) и этилового
эфира α -фенилмасляной к-ты (V). III получается
с хорошим выходом при омылении 5-этил-5-фенилбар-
битуровой к-ты (VI): Хлорангидрид IV (VII) пере-
веден в амид IV (VIII), последний при омылении дал
моноамид III (IX), однако попытки циклизации его
не увенчались успехом. При восстановлении VII
 NaBH_4 получен этиловый эфир (X) DL- α -этилтропо-
вой к-ты (XI). Попытки получения XI окислением
2-этил-2-фенилпропандиола-1,3 или его моноацетиль-
ного производного KMnO_4 не удалось. XI расщеплена
на право-(XIa) и лево-(XIb) вращающие антиподы.
Карбаминный эфир XI (XII) через хлорангидрид пе-
реводит в I. Эта р-ция осуществлена также с XIa и
XIb, причем происходит обращение знака вращения
и из XIa получается лево-(Ia), а из XIb право-(Ib)-
вращающий изомер I. При действии на I $\text{C}_6\text{H}_5\text{Br}$ полу-
чено N-н-бутильное производное I (XIII). Ацетильное

производное XI через хлорангидрид и амид переведено в α -этил- α -фенил- β -оксипропионамид (XIV); аналогичная р-ция проведена исходя из XIa, обращения знака при этом не происходит. К р-ру 125 г КОН в 1430 мл 89%-ного спирта и 690 мл воды прибавляют 411 г II, оставляют на 100 час. при 20°, нейтрализуют до pH 7, отгоняют спирт, разбавляют водой, подщелачивают и извлекают эфиром. Из эфирного р-ра получают 35 г V и 41 г II. Водн. р-р подкисляют, извлекают эфиром, эфир отгоняют, из остатка извлекают петр. эфиром 15 г α -фенилмасляной к-ты (XV) и HCl (к-та) из содового р-ра высаживают 202 г IV, т. пл. 94–96°; в маточном р-ре содержится 20 г III. Кипятят 30 мин. р-р 20 г VI в 240 мл 30%-ного NaOH и при 10° подкисляют CH_3COOH , получают 7,5 г III, т. пл. 153–155° (разл.), диамид, т. пл. 224–228° (из водн. сп.). Кипятят 2 часа р-р 32 г IV в 25 мл SOCl_2 , получают 27 г VII, т. пл. 39–40°, т. кип. 133–135°/2,5 мм. При пропускании NH_3 в р-р 23 г VII в 130 мл эфира получают 17 г VIII, т. пл. 78–79°. Кипятят 150 мин. 23 г VIII с р-ром 15 г Na в 200 мл абс. спирта, получают 4 г IX, т. пл. 117–119°. К р-ру 15 г NaBH_4 в 150 мл диоксана прибавляют р-р 68 г VII в 300 мл диоксана, кипятят 150 мин., разлагают ледяной водой при $t < 25^\circ$ и выделяют 39 г X, т. кип. 140–145°/2–3 мм, карбамат, т. пл. 83–85°. Кипятят 6 час. р-р 120 г X в 2 л 10%-ного NaOH, извлекают эфиром при 10°, подкисляют, вновь извлекают эфиром, второй экстракт упаривают и обрабатывают петр. эфиром. Получают 21 г XV и 75 г XI, т. пл. 94–96° (из бал.-петр. эф.). К р-ру 70 г XI и 116,8 г основания хинина в 290 мл абс. спирта прибавляют 290 мл воды и через 24 часа отфильтровывают хининовую соль XIa, которую перекристаллизуют из 580 мл 50%-ного спирта, выход 68 г, т. пл. 133–134°, $[\alpha]_D^{20} -135,7^\circ$ (с 2; сп.). Обработка соли р-ром NaOH дает 19 г XIa, т. пл. 80–81°, $[\alpha]_D^{20} +11,50^\circ$ (с 2; сп.). Фильтрат от хининовой соли XIa упаривают досуха, остаток обрабатывают 50%-ным NaOH и извлекают эфиром, эфир отгоняют, остаток растворяют в воде, р-р охлаждают и выпавшее масло кристаллизуют из C_6H_6 -петр. эф. Получают 5,8 г XIb, т. пл. 80–81°, $[\alpha]_D^{20} -11,2^\circ$ (с 2; сп.) (по ИК-спектру содержит примесь XI). Из водн. р-ра выделяют еще 23 г XIb, содержащего по меньшей мере 40% XIa. К р-ру 30 г XI в 100 мл безводн. CHCl_3 при 0° прибавляют 17,55 г NaOCN и пропускают 3 часа ток безводн. HCl, причем т-ру доводят до $\sim 20^\circ$. Через 30 мин. разбавляют вдвое CHCl_3 , промывают и получают 31 г XII, т. пл. 169–170° (из очень разб. сп.). Кипятят 1 час 33 г XII и 50 мл SOCl_2 , упаривают, остаток прибавляют при $t < 45^\circ$ к 150 мл безводн. пиридина и через 45 мин. выливают на лед, фильтруют, растворяют в эфире и получают 16 г I, т. пл. 130–132° и еще 5 г неочищ. I. Аналогично из XIa получают Ia, т. пл. 99–100°, $[\alpha]_D^{20} -152,5^\circ$ (с 4; сп.), и из XIb получают Ib, т. кип. 185–190°/2 мм, т. пл. 99–100°, $[\alpha]_D^{20} +154,9^\circ$ (с 0,5; сп.). XI ацетилируют $(\text{CH}_3\text{CO})_2\text{O}$, получают ацетильное производное XI, т. кип. 230–234°/3–5 мм, т. пл. 72–73°, которое при обработке SOCl_2 дало хлорангидрид, т. кип. 132–134°/3 мм, т. пл. 34–36°. Последний переведен в амид ацетильного производного XI (XVI), т. пл. 90–92°. Аналогично из 9,7 г ацетильного производного XIa получают 8,35 г хлорангидрида (т. кип. 150–155°/1,5 мм), из которого готовят 7 г правоповорачивающего изомера XVI, т. пл. 76–77°, $[\alpha]_D^{20} +28,9^\circ$ (с 2,1%; абс. сп.). 5 г XVI кипятят 30 мин. с р-ром 5 г КОН в 100 мл 50%-ного спирта, получают 3,5 г XIV, т. пл. 82–84° (из бал.-петр. эф.). Аналогично получают правоповорачивающий изомер XIV, т. кип. 170–175°/0,5 мм, $[\alpha]_D^{20} +22,4^\circ$ (с 0,85; абс. сп.). При действии на XIV NaOCN и HCl получается карбамат, ко-

торый не удается очистить. Кипятят 5 час. смесь 5 г I, 50 мл безводн. ацетона, 2,55 г K_2CO_3 и 3,8 г $\text{C}_6\text{H}_5\text{MgBr}$, фильтруют, упаривают и получают 2,7 г XIII, т. кип. 125–130°/1–1,5 мм.

32420. О фенилпропаргилденмалоновой кислоте и соответствующих ей α -пиронах. Кастаньер, Пекуаль (Acerca del ácido fenilpropargilidenmalónico y las α -pironas con el relacionadas. Castañer Juan, Pascual José), An Real soc. esp. fis. y quim., 1957, B53, № 9-10, 651–658 (исп.; рез. англ.). При конденсации фенилпропаргилевого альдегида (I) с малоновой к-той получается не 6-фенил- α -пиронкарбоновая 3-к-та (II) (см. Kalf J., Res. trav. chim., 1927, 46, 594), а фенилпропаргилденмалоновая к-та (III). Строение III доказано следующим путем. При гидрировании III получается γ -фенилпропилмалоновая к-та (IV), которая при декарбоксилировании дает δ -фенилвалериановую к-ту (V). Метилирование III CH_2N_2 приводит к диметилвому эфиру III (VI), который получается по Клайзену (Ber., 1903, 36, 3864) конденсацией I с $\text{CH}_2(\text{COOCH}_3)_2$. Однако при действии HCl в спирте происходит циклизация III и образуется этиловый эфир II (VII). Метилловый эфир II (VIII) получается при действии H_2SO_4 на VI. VII получают также при конденсации ацетофенона (IX) с диэтильным эфиром этоксиметилмалоновой к-ты (X). Циклизация III при помощи H_2SO_4 или нагревание гидрохлорида III дают II. При взаимодействии этилового эфира бензоилуксусной к-ты (XI) с X сразу наступит циклизация и образуется диэтиловый эфир 6-фенил- α -пирондикарбоновой-3,5 к-ты (XII). При декарбоксилировании II, VII, VIII и XII получается 6-фенил- α -пирон (XIII). При попытке конденсации оксиметилмалонового эфира (XIV) с IX или XI происходит самоконденсация XIV с образованием триэтилового эфира бензолтрикарбоновой-1,3,5 к-ты (XV). 10,5 г I и 9 г $\text{CH}_2(\text{COOH})_2$ в 60 мл CH_3COOH оставляют на 100 час. при 20°, получают 3,1 г III. При нагревании 9 час. на водяной бане 25 г I, 20 г $\text{CH}_2(\text{COOH})_2$ и 42 г CH_3COOH получают 27 г III, который плавится при 180°, застывает при дальнейшем нагревании и вновь плавится при 218° (из водн. сп.). 5 г III гидрируют над 5%-ной PtO_2 в 50 мл абс. спирта, получают IV, т. пл. 97° (из бал.), нагревание которой 10 мин. при 200°/20 мм дает V, т. пл. 59° (из эф.). 2 г III обрабатывают эфирным р-ром CH_2N_2 и получают 1,5 г VI, т. кип. 115°/0,05–0,01 мм, т. пл. 44–46°. III растворяют в конц. H_2SO_4 и через 12 час. разбавлением получают II, т. пл. 168–169° (из бал.-эф.). 2 г III кипятят 3,5 часа с 50 мл конц. HCl и 45 мл диоксана, получают 2 г III·HCl, т. пл. 168–169°; после расплавления этого продукта получается II. 5 г III кипятят 3 часа с 135 мл конц. HCl и 100 мл спирта, получают 4,2 г VII, т. кип. 180–200°/0,01 мм, т. пл. 105–106° (из эф.). 1 мл пиридина прибавляют при 0° к смеси 6 г $\text{CH}_2(\text{COOCH}_3)_2$ и 6 г I, выдерживают смесь во льду 4–5 час. и 2 дня при 20°, получают 7 г VI; обработка VI конц. H_2SO_4 дает VIII. Приготовляют $\text{C}_6\text{H}_5\text{MgBr}$ из 22 г $\text{C}_6\text{H}_5\text{Br}$, 4,86 г Mg, 102 мл C_6H_6 и 36 мл эфира. Полученный охлажден. льдом р-р понемногу прибавляют к охлажден. р-ру 24 г IX в 66 мл C_6H_6 . Полученную реакционную смесь в свою очередь понемногу прибавляют к р-ру 43,2 г X в 66 мл C_6H_6 , кипятят 1,5 часа, подкисляют 2 н. H_2SO_4 и получают 15 г VII. IX конденсируется с X также в присутствии NaOH или этилата триметилабензиламмония, но с худшими выходами. Омыление VII 10%-ным КОН дает II с выходом 34%. При метилировании II CH_2N_2 с колич. выходом получают VIII, т. пл. 109° (из эф.). При кипячении II с H_2SO_4 4 часа получается XIII. 38,4 г XI конденсируют с X аналогично IX и получают с выходом 65% XII, т. пл. 91–93° (из эф.). Кипячение VII, VIII или XII с водо-

месь 5 г I, 2 г C₆H₅Br, II, т. кип. 110°. Белое кристаллическое вещество, mp 110°. При конденсации XIV с IX или XI в присутствии NaOH или этилата триметилбензиламмония получают XV, т. пл. 135—138°. В. Беликов

32421. Исследование реакции бензоилазида с галоид-матилорганическими соединениями. Починюк В. Я., Помпа В. П. (Дослідження реакції бензоїлазиду з галоїдматилорганічними сполуками. Починюк В. Я., Помпа В. П.), Наук. зап. Київськ. ун-ту, 1957, 16, № 15, 129—132 (укр.; рез. русск.). При р-ции C₆H₅CON₃ (I) с RMgX (II) образуются RCOC₆H₅ (III), где R = CH₃ (IIIa), C₂H₅ (IIIб), C₆H₅ (IIIв), C₆H₁₃ (IIIг), изо-C₃H₇ (IIIд), и 1—3% C₆H₅CONH₂ (IV). В случае II (R = изо-C₃H₇, X = Br) (IIIa) выход IV резко повышается, но IIIд не получается. Образование C₆H₅CONHNH = NR (ср. Bertho A., J. prakt. Chem., 1927, 116 (2), 101), не наблюдается. К р-ру II из 4 г Mg и 19 г C₆H₅I при охлаждении по каплям прибавляют 8 г I в 50 мл эфира, кипятят 1 час, обычным путем выделяют 0,1 г IV и IIIa, выход 48%. Аналогично получают III (приводятся кол-ва I, II и Mg в г, в-во, выход в %): 8, 14, 3,5, IIIб, 48; 3,4, 8, 1,6, IIIв, 41; 4, 8, 1,6, IIIг, 81. Из 8 г I, 16 г IIIа и 3,2 г Mg выделяют IV с выходом 60%. В. Скородумов

32422. Получение α-этил-м-нитрокоричной кислоты. Сви́рская, Ланге (Otrzymywanie kwasu alfa-etylo-m-nitrosynapionowego. Świrski A., Lange J.), Przem. chem., 1956, 12, № 5, 288—290 (польск.; рез. русск., англ.).

Описан синтез м-NO₂-C₆H₄CH=CH(C₂H₅)COOH (I) по р-ции Перкина конденсацией м-нитробензальдегида (II) с C₂H₅COONa (III) и (C₂H₅CO)₂O при 120—140°, выход 76,5—81%, т. пл. 140—141°. При конденсации II с III и (CH₃CO)₂O при 140° образуется нитрокоричная к-та (выход 95%, т. пл. 197—198°), при 95° получен I, выход 18%. В р-р 0,1 моля II в 0,2 моля метилпропилактона пропускают сухой HCl (0,05 моля), встряхивают 24 часа, промывают водой, получают м-NO₂-C₆H₄CH=CH(C₂H₅)COCH₃ (IV), выход 65%, т. кип. 163—165°/3 мм, 180—182°/8 мм, 205—207°/12 мм, т. пл. 72—73°; 2,4-динитрофенилгидразон, т. пл. 238—240°. Р-р 0,1 моля IV в 200 мл спирта обрабатывают р-ром NaClO при 20°, подкисляют и получают I, выход 80%, т. пл. 139—140° (из сп.). Подобным же образом из II и метилэтилкетона получена α-метил-м-нитрокоричная к-та, выход 60%, т. пл. 198—200°. С. Войткевич

32423. Реакции 2,4-динитрофторбензола, особенно с ароматическими аминсоединениями. 4. Испытание 2,4-динитрофенильных соединений на чистоту. Брэйнигер, Шпангенберг (Umsetzungen mit 2,4-Dinitrofluorbenzol, insbesondere mit aromatischen Aminoverbindungen. 4. Reinheitsprüfung von 2,4-Dinitrophenylverbindungen. Bräuniger H., Spangenberg K.), Pharmazie, 1957, 12, № 8, 491—494 (нем.).

Разработан способ хроматографирования на бумаге различных 2,4-динитрофенильных соединений (ДФ — соединения). Применение фильтров, содержащих ~50% HCONH₂, и проявление смесью CHCl₃ и C₆H₆ (1:1) оказалось пригодным только для ДФ-сульфамидов. Приведены сульфамидный остаток в ДФ-сульфамидах и величина R: сульфанилмочевина (I), 0,15; сульфанилгуанидин (II), 0,2; N'-ацетилсульфаниламид (III), 0,45; сульфаниламиддиметилпиримидин (IV), 0,59; сульфаниламид (V), 0,885 сульфанил-мочевина (VI), 1,0; этиловый эфир п-аминобензойной к-ты (VII), 1,0. Более широкое применение имела бумага, ацетилированная смесью 10 ч. (CH₃CO)₂O и 16 ч. C₆H₅N (48 час., 20°), и проявление 80%-ным CH₃OH. Получены ДФ-амины; приведены соответствующий амин и величина R_f: фенилендиамин, 0,225;

II, 0,40; VI, 0,40; сульфаниламидометилтиазол, 0,41; бензиламин, 0,425; аминометилбензолсульфонамид, 0,465; I, 0,47; V, 0,47; α-нафтиламин, 0,49; фенилтиазол, 0,50; VII, 0,51; анелин, 0,52; изопропилсульфанилмочевина, 0,55; сульфаниламидометилтизоксазол, 0,55; III, 0,56; изопропиламин, 0,625; IV, 0,635; диэнобутиламин, 0,68; п-аминосалициловая к-та, 0,69; фениловый эфир ДФ-салициловой к-ты, 0,51; 2,4-динитро-анизол, 0,625; 2,4-динитрофторбензол, 0,69; 2,4-динитро-фенол, 0,71. Также предложен способ колич. определения NO₂-групп путем восстановления 30—60 мг в-ва в лед. CH₃COOH 0,1 н. р-ром SnCl₂ с обратным титрованием 0,1 н. р-ром I₂. Сообщение 3 см. РЖХим, 1958, 21408. А. Берлин

32424. 2,4-динитрохлорбензол. Хирве, Мерчант (2,4-dinitrochlorobenzene. Hirwe S. N., Merchant J. R.), Current Sci., 1957, 26, № 10, 318—319 (англ.). 2,4-динитрохлорбензол получают по упрощенному способу постепенным прибавлением 156 г NaNO₂ к 56 г C₆H₅Cl в 200 мл конц. H₂SO₄ при < 50° и нагреванием ~ 6 час. при 95°, выливают на лед и промывают водой, выход 98 г, т. пл. 51°.

В. Скородумов
32425. Восстановление гидразингидратом в присутствии скелетного Ni-катализатора. II. Восстановление ароматических нитросоединений в промежуточные продукты. Ферст, Мур (Reductions with hydrazine hydrate catalyzed by Raney nickel. II. Aromatic nitro compounds to intermediate products. Furst Arthur, Moore Richard E.), J. Amer. Chem. Soc., 1957, 79, № 20, 5492—5493 (англ.).

Восстановление ароматич. нитросоединений N₂H₄·H₂O (I) в спирте и в присутствии скелетного Ni (II) приводит в зависимости от конц-ии I к различным продуктам р-ции: при малых конц-иях I — к аминам, при более высоких — к промежуточным азос- и гидразосоединениям. Азобензол (III) не был выделен, так как скорость восстановления азо- в гидразосоединения намного выше скорости образования азо- из нитросоединений. C₆H₅NO (IV) восстанавливается в C₆H₅NH₂ (V) при действии одного I, возможно, через промежуточный фенилтиразин, 0,18 моля 100%-ного I и 0,081 моля C₆H₅NO₂ (VI) в 15 мл спирта хорошо встряхивали сначала с небольшим кол-вом II при 35°, затем с добавочным кол-вом II, через 1—3 часа добавили воду и отфильтровали гидразобензол (VII), выход 75%, т. пл. 125—127° (из сп.). Аналогично получен VII с выходом 90% (время р-ции 15 мин.) из азоксибензола (VIII) и с выходом 100% (10 мин.) из III. Аналогично из 0,081 моля VI и 0,18 моля I в 5 мл спирта в присутствии II (~ 35°) с последующим добавлением воды и помещением в охлаждающую смесь получен VIII, выход 65%, т. пл. 35—36° (из сп.). В тех же условиях из 0,073 моля о- или п-NO₂-C₆H₄CH₃ и 0,18 моля I в 25—30 мл спирта в присутствии II (0°, 12 час.) получены соответственно 2,2'-диметил-VIII, выход 39%, т. пл. 57,5—58,5° (из разб. сп.), и 4,4'-диметил-VIII, выход 42%, т. пл. 70—71° (из разб. сп.). 9,3 ммоль IV в 25 мл спирта обрабатывают 0,5 моля I, упаривают до ~ 2 мл, добавляют воду и экстрагируют эфиром; эфир отгоняют, к остатку добавляют 1,5 мл конц. HCl и получают 95% V·HCl, т. пл. 196—198° (из сп.). Сообщение I см. РЖХим, 1954, 25226.

Г. Крюкова
32426. Разложение дифенохинон-(4,4')-бис-диметил-аммония в водной среде. Ганусек, Матрка (Rozklad difenochinon-(4,4'-bis-dimethylimonia ve vodném prostředí. Hanousek Vítězslav, Matřka Miroslav), Chem. listy, 1957, 51, № 2, 341—348 (чешск.); Сб. чехосл. хим. работ, 1957, 22, № 5, 1464—1472 (нем.; рез. русск.).

Изучалось самопроизвольное разложение сульфата дифенхинон-(4,4')-бис-диметиламмония (I) в кислой

и щел. среде. В обоих случаях р-р I после стояния (48 час.) и подщелачивания кислого р-ра фильтровался; в фильтрате обнаружен CH_2O . Осадок обрабатывался $n\text{-CH}_3\text{C}_6\text{H}_4\text{SO}_2\text{Cl}$ в $\text{C}_6\text{H}_5\text{N}$, после чего был выделен $n\text{-}[\text{C}_6\text{H}_4\text{N}(\text{CH}_3)_2]$ (II) и смесь в-в, из которой хроматографией на Al_2O_3 выделены $n,n'\text{-(CH}_3)_2\text{NC}_6\text{H}_4\text{-C}_6\text{H}_4\text{N}(\text{CH}_3)_2\text{SO}_2\text{C}_6\text{H}_5\text{CH}_3$ (III) и $n,n'\text{-}[\text{C}_6\text{H}_4\text{N}(\text{CH}_3)_2\text{SO}_2\text{C}_6\text{H}_5\text{CH}_3]$ (IV). Выходы CH_2O , II, III и IV (III и IV на петозилированные продукты) в % соответственно в кислой среде: 50,5, 32,5, 14,0, 12,0; в щел. среде: 37,5, 44,0, 8,5, 6,0. На основании полученных результатов, а также значений окислительно-восстановительных потенциалов N-метил- и N,N-диметилбензидина, II, $n,n'\text{-(C}_6\text{H}_4\text{NHCH}_3)_2$ (V) и $n,n'\text{-(CH}_3)_2\text{NC}_6\text{H}_4\text{C}_6\text{H}_4\text{NHCH}_3$ (VI), которые равны соответственно 0,92, 0,90, 0,87, 0,86, 0,86 е и которые определяют потенциометрич. титрованием $\text{Ce}(\text{SO}_4)_2$, предлагается следующий механизм распада I: I ароматизируется отнятием электронов из метильной группы с одновременным отщеплением протона. Образовавшийся катион нейтрализуется OH^- -ионами в N,N,N'-триметил-N'-оксиметилбензидин, который далее разлагается на VI и CH_2O ; VI окисляется за счет I до дифенохинон-(4,4')-метилдидиметилммония (VII), причем из I образуется II. VII разлагается на CH_2O и V, который, в свою очередь, вероятно, окисляется до дифенхинон-(4,4')-бисметилмидида; продуктов распада последнего выделить не удалось. $n,n'\text{-(CH}_3)_2\text{NC}_6\text{H}_4\text{C}_6\text{H}_4\text{NHSO}_2\text{C}_6\text{H}_5\text{CH}_3$ или N-тозилбензидин (VIII) метилируют $(\text{CH}_3)_2\text{SO}_4$ в р-ре NaOH, получают III, выход соответственно 87 и 79%, т. пл. 156—157° (из сп.). 9,5 г III и 8 г фенола кипятят 8 час. с 180 мл 45%-ной HBr, получают VI, выход 76%, т. пл. 99—101° (из сп.); N-ацетилпроизводное, т. пл. 187° (из сп.). При метилировании N-ацетилбензидина (IX) или N'-ацетил-VIII (X) при помощи $(\text{CH}_3)_2\text{SO}_4$ получают соответственно $n,n'\text{-CH}_3\text{CONHC}_6\text{H}_4\text{C}_6\text{H}_4\text{N}(\text{CH}_3)_2$, выход 53%, т. пл. 224—225° (из сп.), или $n,n'\text{-CH}_3\text{CONH}(\text{C}_6\text{H}_4)_2\text{N}(\text{CH}_3)_2\text{SO}_2\text{C}_6\text{H}_5\text{CH}_3$, выход 88%, т. пл. 168—169° (из сп.). При обработке $n,n'\text{-(CH}_3)_2\text{N}(\text{C}_6\text{H}_4)_2\text{NH}_2$ или IX $\text{C}_6\text{H}_5\text{N}$ $n\text{-CH}_3\text{C}_6\text{H}_4\text{SO}_2\text{Cl}$ (24 часа, ~20°) получают соответственно N',N'-диметил-VIII, выход 92%, т. пл. 206—207° (из абс. сп.), или X, выход ~100%, т. пл. 231—233° (из сп.), который гидролизом (кипятят 8 час. с 1,25 н. NaOH) превращают в VIII, выход ~100%, т. пл. 163—168° (из сп.). Все т-ры плавления исправлены. А. Емг

32427. Периодатное окисление N-глюкозидов. Х. Изучение окисления анилинов йодной кислотой (3). Танабаэ (Tanabe Hiroya), Якугаку даэсси, J. Pharm. Soc. Japan, 1957, 77, № 8, 867—871 (японск.; рез. англ.)

Произведено исследование 2,5-($\text{C}_6\text{H}_5\text{NH}$) $_2$ -4- $\text{C}_6\text{H}_5\text{N}=\text{C}_6\text{H}_2=\text{NC}_6\text{H}_5$ (I) и 2,5-($\text{C}_6\text{H}_5\text{NH}$) $_2$ -4- $\text{O}=\text{C}_6\text{H}_2=\text{O}$ (II) при помощи хроматографии на бумаге; для I получены хорошие результаты, но для II не удалось получить достоверного значения R, или найти характерной цветной р-ции. Этот результат можно применить для обнаружения I в продуктах окисления анилина (ПОА) действием HJO_4 ; наличие II установлено возгонкой; найден также азобензол. Предпринято систематич. разделение ПОА. Выделены 2,5-($\text{C}_6\text{H}_5\text{NH}$) $_2$ -4- $\text{O}=\text{C}_6\text{H}_2=\text{NH}$ (выход 85%) и 2- NH_2 -5- $\text{C}_6\text{H}_5\text{NH}$ -4- $\text{O}=\text{C}_6\text{H}_2=\text{NC}_6\text{H}_5$ или 2- $\text{C}_6\text{H}_5\text{NH}$ -2- NH_2 -4- $\text{O}=\text{C}_6\text{H}_2=\text{NC}_6\text{H}_5$ (15%), а также неизученные в-ва с т. пл. 203—205° (разл.) (9%) и >360° (6%). Содержание пигментов в ПОА незначительно. Сообщение IX см. РЖХим, 1958, 18056.

В. Скородумов

32428. Получение производных n-алкиланилина. Асахара, Такаги, Ватанабэ, Kogé kagaku daэсси, J. Chem. Soc. Japan. Industr. Chem. Sec., 1956, 59, № 5, 578—581 (японск.)

Получены n-алкиланилины с алкильной цепью $\text{C}_8\text{—C}_{12}$. Конденсацией их с окисью этилена (I) подготовлен ряд поверхностноактивных в-в. 0,462 моля додецилового спирта, 0,462 моля анилина, 0,14 моля хлоргидрата анилина, 0,32 моля ZnCl_2 нагревают с отгонкой воды при 230° 5 час. и при 270° 10 час., обрабатывают 40%-ным NaOH, нагревают при 70° 4 часа, извлекают петр. эфиром, разгонкой выделяют n-доциланилин, выход 32%, т. кип. 186—191°/5 мм, т. пл. 28°; аналогично получены (в-во, выход в %, т. кип. в °C/мм): n-октиланилин (II), 27, 145—149/5 (н-п) 1,4950, d_4^{20} 0,9128; n-дециланилин, 29, 165—170/5 (т. пл. 21°). Приведен ИК-спектр II. Через 0,01 моля n-алкиланилина при 160° проводят ток I (скорость 6 г/час), получают полимеры с различным соотношением I: n-алкиланилин. Приведены графики поверхностной активности полученных в-в относительно концентрации. Л. Яновская

32429. Синтез антрапиловой кислоты из o-нитроэтилбензола. Лесьяк, Шиттек (Synteza kwasu antranilowego z o-nitroetylobenzenu. Lesiak T., Schitteck W.), Przem. chem., 1957, 13, № 8, 456—457 (польск.; рез. русск., англ.)

В поисках путей промышленного использования $o\text{-C}_6\text{H}_4\text{C}_6\text{H}_4\text{NO}_2$ (I) разработаны методы превращения его в антрапиловую к-ту (II). Смесь 50 г Fe-стружки, 250 мл воды и 30 мл HCl (d 1,18) перемешивают 10 мин. при 80°, добавляют 151 г I, за 2,5 часа добавляют 150 г Fe (90°), через 1,5 часа (95—100°) подщелачивают 30 г NaOH в 50 мл воды, получают $o\text{-H}_2\text{NC}_6\text{H}_4\text{C}_6\text{H}_4\text{NH}_2$, выход 80%, который превращают в ацетилпроизводное (РЖХим, 1956, 58005) с выходом 93%. 0,2 моля последнего в 1,5 л воды, содержащей 15 г MgSO_4 , окисляют, добавляя за 4 часа при нагревании (т-ра бани ~95°) 70 г KMnO_4 , нагревают 1 час, фильтруют, упаривают до 30 мл, выливают в смесь воды и конц. HCl, получают ацетил-II, выход 76%, которая при омылении дает II, выход 87% или 49,2% на I. II получают также окислением I (HNO_3 , d 1,37) до $o\text{-O}_2\text{NC}_6\text{H}_4\text{COOH}$, выход 78%, и восстановлением последней ($\text{Sn} + \text{HCl}$) до II, выход 41% или 32% на I. Т. Амбруш

32430. Синтез рацемического N-метилдраналина. Сайто, Кавадзу, Кугита, Киносита (Saito Seiichi, Kawazu Mitsutaka, Kugita Hiroshi, Kinoshita Hachiro), Якугаку кэнкю, Japan. J. Pharmacy and Chem., 1957, 22, № 4, 410—412 (японск.; рез. англ.)

Осуществлен синтез хлоргидрата (XГ) рацем. N-метилдраналина (I): $3,4\text{-(CH}_3\text{O)}_2\text{C}_6\text{H}_3\text{COCH}_2\text{Br} \rightarrow 3,4\text{-(CH}_3\text{O)}_2\text{C}_6\text{H}_3\text{COCH}_2\text{N}(\text{CH}_3)_2$ (т. кип. 154—157°/6 мм; XГ, т. пл. 206—207°) $\rightarrow 3,4\text{-(HO)}_2\text{C}_6\text{H}_3\text{COCH}_2\text{N}(\text{CH}_3)_2\text{HCl}$ (II), т. пл. 231—232° (разл.), или $3,4\text{-(HO)}_2\text{C}_6\text{H}_3\text{COCH}_2\text{Cl} \rightarrow \text{II}$; или $3\text{-HO-4-CH}_3\text{OC}_6\text{H}_3\text{COCH}_2\text{Cl} \rightarrow 3\text{-HO-4-CH}_3\text{OC}_6\text{H}_3\text{COCH}_2\text{N}(\text{CH}_3)_2\text{HCl}$, т. пл. 220—221° (разл.), $\rightarrow \text{II}$. Гидрированием II над PtO_2 получают I, т. пл. 160—162°.

В. Скородумов

32431. Синтез некоторых жирно-ароматических хлоралкиламинов. Рапп Л. Б., Корнев К. А., Упр. хим. ж., 1957, 23, № 5, 637—641

В поисках в-в, активных против новообразований, синтезирован ряд $\text{RYN}(\text{CH}_2\text{CH}_2\text{Cl})_2\text{HCl}$ (I), где R = арил, Y = CH_2 , CH_2CH_2 или CH_2CHCH_3 ; нагреванием RYX (II) с $\text{NH}(\text{CH}_2\text{CH}_2\text{OH})_2$ (III) получают $\text{RYN}(\text{CH}_2\text{CH}_2\text{OH})_2$ (IV), которые действием SOCl_2 (V) превращают в I. ~0,2 моля II, R = 4- $\text{CH}_3\text{C}_6\text{H}_4$, Y = CH_2 , X = Br, и 0,3 моля III нагревают 25—30 час. при ~100°, обрабатывают водой, извлекают эфиром IV, R = 4- $\text{CH}_3\text{C}_6\text{H}_4$, Y = CH_2 (IVa), выход 76,2%, т. кип. 185°/6 мм, n_D^{20} 1,5350, n_D^{25} 1,5335, d 1,0643. Аналогично получают IV (приводятся R, Y, X, кол-во II и III в молях, время нагревания в часах, выход IV в %).

т. кип. в °С/мм. или т. пл. в °С): 2-CH₃C₆H₄, CH₂, Br, ~0,2, ~0,3, 25—30, 74, 183—186/5—6 (*n*_D²⁰ 1,5381); 4-ClC₆H₄, CH₂, Br, 0,08, 0,17, —, 77,2, 199—203/4—5 (*n*_D²⁰ 1,5491); 2,4,6-(CH₃)₃C₆H₂, CH₂, Cl, 0,06, 0,18, 38, 92,1, 215—220/8; 2,4,5-(CH₃)₃C₆H₂, CH₂, Cl, 0,075, 0,225, 30, 22,5, 198—210/6; 4-C₂H₅OC₆H₄, CH₂, Cl, 0,058, 0,177, 45, 93, 230—235/8; тетрагидронафтил-6, CH₂, Cl, 0,11, 0,476, 25, 94,7, 225—227/6; 6-хлор-1,3-бенздиоксанил-8, CH₂, Cl, 0,027, 0,156, 26, 86, 90 (из бэл.); C₆H₅, CH₂CH₂, Cl, 0,25, 0,97, 18,5, 71, 222—224/12; 4-C₂H₅OC₆H₄, CH₂CH₂, Cl, 0,08, 0,26, 25, 78, —; а также N,N,N',N'-тетра-(β-оксиптил)-9,10-диаминометилантрацен (из 0,0073 моля дихлорометилантрацена и 0,208 моля III, 3 часа), выход 87,9%, т. пл. 168—169° (из C₂H₄Cl₂). 0,1 моля сульфата C₆H₅-CH₂CH(CH₃)NH₂ нагревают с 0,21 моля NaOH и 70 мл воды, извлекают эфиром и выделяют 0,185 моля C₆H₅-CH₂CH(CH₃)NH₂, выход 92%, который нагревают 43 часа с 0,925 моля SiCH₃CH₂OH, 0,259 моля CaCO₃ и 500 мл воды при ~100°, фильтрат подщелачивают и эфиром извлекают C₆H₅CH₂CH(CH₃)NHCH₂CH₂OH (VI), т. кип. 167—180°/3 мм, *n*_D²⁰ 1,5203, *d* 1,057, и IV, R = -C₆H₅, Y = -CH₂CH(CH₃), выход ~60%, т. кип. 190—210°/3 мм, *n*_D²⁰ 1,5303, *d* 1,064; при нагревании 27 час. получается главным образом VI, 0,08 моля IVа в 100 мл CHCl₃ приливают постепенно к 0,21 моля V в 100 мл CHCl₃, кипятят 3—4 часа, отгоняют р-ритель, получают I, R = 4-CH₃C₆H₄, Y = CH₂, выход 94,7%, т. пл. 148—148,5° (из ацетона). Аналогично получают I (перечисляются R, Y, выход в %, т. пл. в °С): 2-CH₃-C₆H₄, CH₂, 99,5, 146—147; 4-ClC₆H₄, CH₂, 97, 145,5—146,5; 2,4,6-(CH₃)₃C₆H₂, CH₂, 63, 154; 2,4,5-(CH₃)₃C₆H₂, CH₂, 84, 167; тетрагидронафтил-6, CH₂, 79,7, 167; 6-хлор-1,3-бенздиоксанил-8, CH₂, 65, 154; C₆H₅, CH₂CH₂, 62,4, 116—117; 4-C₂H₅OC₆H₄, CH₂CH₂, 77, 98—99; C₆H₅, CH₂CH(CH₃), —, 179—180, одновременно получают C₆H₅CH₂CH(CH₃)-NHCH₂CH₂Cl·HCl, т. пл. 135,5° (из ацетона), общий выход 61%. В. Скородумов

32432. Изыскание новых амёбцидов. Часть I. Качру, Патхак (Search for new amoebicides. Part I. Kachru C. N., Pathak B.), J. Indian Chem. Soc., 1957, 34, № 8, 611—618 (англ.)

В поисках новых амёбцидных в-в, близких по строению к фрагментам эметина, синтезированы 2-RCH₂-4,5-(CH₃)₂C₆H₂CH₂CH₂NH₂ (I, всюду а R = H, б R = -CH₃, в R = C₂H₅, г R = C₆H₅, д R = C₆H₄) по схеме: 3,4-(CH₃)₂C₆H₂COR (IIа—д) → 3,4-(CH₃)₂C₆H₂CH₂R (IIа—д) → 2-RCH₂-4,5-(CH₃)₂C₆H₂CH₂CHO (IVа—д) → 2-RCH₂-4,5-(CH₃)₂C₆H₂CH₂CH=CHCOOH (Va—д) → 2-RCH₂-4,5-(CH₃)₂C₆H₂CH₂CH₂COOH (VIа—д) → амиды VIа—д (VIIа—д) → Ia—д. 120 г вератрола, 100 г C₂H₅COCl, 400 мл CS₂ и 100 г ZnCl₂ кипятят 4 часа; р-ритель отгоняют, остаток обрабатывают водой и выделяют IIв, выход 35,7%, т. кип. 157—159°/4 мм, т. пл. 58° (из сп.); семикарбазон (СК), т. пл. 193° (из сп.). Так же получены IIг—д [перечислены выход в %, т. кип. в °С/мм, т. пл. в °С (из сп.), т. пл. СК в °С]: IIг, 36,6, 160—165/4, 54, 135; IIд, 49, 150/1, —, 178. Восстановлением по Клемменсену IIв—д превращают в IIIв—д (даны выход в %, т. кип. в °С/мм): IIIв, 66,6, 112—114/4; IIг, 69, 112—115/4; IIд, 77, 134—136/2. 60 г IIIа, 60 г Zn(CN)₂ и 22 мл C₆H₆ обрабатывают HCl-газом при 0° 1 час, прибавили 75 г AlCl₃ и пропустили HCl-газ еще 3 часа при 0° и 2 часа при 55°; через ~16 час. смесь разложили льдом и выделили IVа, выход 40%, т. кип. 120—122°/4 мм, т. пл. 76°. Так же из IIIб—д синтезированы IVб—д [перечислены выход в %, т. кип. в °С/мм, т. пл. 2,4-динитрофенилгидразона в °С (из сп.), т. пл. СК в °С (из сп.)]: IVб, 44, 155—160/9, —, —; IVв, 158—160/4, 185, 187; IVг, 71, 195—197/6, 206, 144; IVд, 30, 168—170/2, 210, 134—135. При нагревании смеси 15 г IVа—д, 15 г малоновой к-ты, 30 мл пиридина и 1 мл пиперидина (6 час., 100° и 1 час, кипяче-

ние) образовались следующие Va—д (даны выход в %, т. пл. в °С (из разб. сп.): Va, 89,2, 153; Vб, 82, 164—165; Vв, 83,3, 155; Vг, 95, 114; Vд, 77, 95—96. Восстановлением избытком 3,5%-ной Na/Hg Va—д превращены в VIа—д (даны выход в %, т. пл. в °С (из разб. сп.): VIа, 86—84—85; VIб, 75, 55—56; VIв, 88, 68; VIг, 89, 58—59 (из петр. эф.); VIд, 94, 70—72. При пропускании NH₃-газа через VIа—д (2 часа, 200°) получены VIIа—д (даны выход в %, т. пл. в °С (из воды): VIIа, 63, 144—145; VIIб, 65, 162; VIIв, 85, 110; VIIг, 75, 105; VIIд, 60, 58—60 (из разб. сп.). Смесь 5 г VIIа—г и 100—200 мл 0,5 н. NaOCl перемешали до растворения, нагрели (2 часа, 100°), добавили 30 г КОН и нагрели еще 1 час получили Ia—г [перечислены выход в %, т. кип. в °С/мм, т. пл. хлоргидратов °С (р-ритель), т. пл. пикрата в °С (р-ритель)]: Ia, 20, 160—162/6, 178 (этилацетат), 186 (разб. сп.); Ib, 23, 160—162/3, 193—194 (этилацетат), 190—191 (сп.); Ic, 51, 160—162/4, 235—237 (этилацетат-сп.), 177 (разб. сп.); Id, 28, 195/10, 157 (сп.), 152—153 (сп.). К 5 г VIIд, 10 мл CH₃OH и р-ра CH₃ONa (из 0,8 г Na и 30 мл CH₃OH) прибавили 2,6 г Br₂, кипятили 0,5 часа, после нейтрализации CH₃COOH р-ритель отогнали, а остаток обработали 25%-ным NaOH; Id выделен в виде хлоргидрата, выход 30%, т. пл. 123—124° (из сп.); пикрат т. пл. 162—163° (из разб. сп.). А. Берлин

32433. Изучение синтетических анальгетиков XI. Синтез 2-карбетокси-3,3-дифенилаллиламинов. XII. Синтез 1-карбетокси-3,3-дифенилаллиламинов. Сугимото, Сигэмацу (Sugimoto Norio, Shigematsu Noboru), Якугаку дзасси, J. Pharmac. Soc. Japan, 1957, 77, № 8, 927—928; 929—930 (японск.; рез. англ.)

XI. При продолжении поисков новых анальгетиков (см. сообщение X, РЖХим, 1957, 51298) синтезированы ряд (C₆H₅)₂C=C(COOC₂H₅)CH₂R (I) и (C₆H₅)₂C=C(COOC₂H₅)CH(CH₃)R (II), где R — остаток диалкиламина или остаток N-содержащего гетероцикла, действием 1,05 моля N-бромсукцинимиды (III) в CCl₄ на 1 моль (C₆H₅)₂C=C(COOC₂H₅)CH₂R, где R = H или CH₃, в присутствии перекиси бензоила (IV) с последующим действием соответствующих аминов. Приводятся I или II, R, выход в %, т. кип. в °С/мм, соль, т. пл. в °С соли: I, N(CH₃)₂, 86,2, 166—167/1, пикрат (ПК), 145—147 (из сп.); I, N(C₂H₅)₂, 91, 170—175/1, хлоргидрат (ХГ), 125—127 (из ацетона); I, NC₅H₁₀, 78, 190—195/1, ПК, 152—154 (из сп.); I, NC₄H₉O, 84,3, 193—198/1, ПК, 139—141 (из сп.); I, NC₄H₉NCH₃, 77,7, 192—196/1, дипикрат (ДПК), 223—224 (из CH₃COOH); II, N(CH₃)₂, 69,1, 168—170/1, ПК, 162—164 (из CH₃OH); II, N(C₂H₅)₂, 64,1, 168—173/1, ХГ, 105—107 (из ацетона); II, NC₅H₁₀, 68,3, 182—184/0,8, циклонолат (ПЛ), 193—195 (из сп.); II, NC₄H₉O, 50,5, 202—205/1,5, ПК, 196—198 (из сп.); II, NC₄H₉NCH₃, 47,6, 198—203/1, ДПК, 254—255 (из CH₃COOH).

XII. Аналогично из 1 моля (C₆H₅)₂C=CHCH₂-COOC₂H₅ и 1,05 моля III в присутствии IV в CCl₄ с последующим действием соответствующего амина получают (C₆H₅)₂C=CHCHRCOOC₂H₅ (приводятся R, выход в %, т. кип. в °С/мм, соль, т. пл. соли в °С): N(CH₃)₂, 74,4, 185—190/0,5, ПЛ, 173—175 (из сп.); N(C₂H₅)₂, 72,5, 182—187/0,3, —, —; NC₅H₁₀, 77, 207—212/0,5, ПК, 144—146 (из сп.); NC₄H₉O, 71,2, 230—235/1,5, ПЛ, 203—205 (из сп.); NC₄H₉NCH₃, 70,6, 205—208/0,5, ДПК, 250—251 (из сп.). В. Скородумов

32434. К вопросу о синтезе динитрофенилглицина. Сиднев П. И., Косолапов В. Т., Сб. научн. тр. Куйбышевск. индустр. ин-та, 1957, вып. 7, 59—65. Усовершенствован способ получения 2,4-(NO₂)₂C₆H₃-NHCH₂COOH (I) (Abderhalden E., Blumberg P., Z. phys. Chem., 1910, 65, 318). К 1 молю 2,4-(NO₂)₂C₆H₃Cl, 1,02 моля NH₂CH₂COOH в 22,8 моля воды при 95—98°

приливают 2,06 моля 20%-ного NaOH, выдерживают 80 мин. при 95–98°, охлаждают до ~20°, осадок растворяют в 5-кратном кол-ве воды при 80°, фильтрат приливают к 5–10%-ной H₂SO₄ при 65–70°, охлаждают, получают 86% неочищ. I, т. пл. 203° (из сп., после перекристаллизации Na-соли из двойного кол-ва воды и разложения H₂SO₄). Получены Na-, NH₄-, Ca- и Pb-соли I. В. Скородумов

32435. Реакции ароматических диазосоединений с непредельными соединениями. Домбровский А. В., Уч. зап. Черновицк. ун-т, 1956, 20, 99–136. Обзор. Библ. 48 назв. См. РЖХим, 1958, 4551.

32436. Исправления к статье: Финошин М. Я., Гириня Г. П., Мамаев В. П. «Электросинтез о- и п-метоксифенилгидразинов», Ж. общ. химии, 1957, 27, № 7, 2020

К РЖХим, 1957, 15326.

32437. Антиспазмодики. X. α,α-Дифенил-γ-аминоамиды. Мофферт, Аспергрэн. XI. N-однозамещенные α,α-дифенил-γ-аминоамиды. Мофферт, Аспергрэн, Спитер. XII. N,N-двухзамещенные α,α-дифенилтретичноамиды. Мофферт, Аспергрэн (Antispasmodics. X. α,α-Diphenyl-γ-amino amides. Moffett Robert Bruce, Aspergren Brooke D. XI. α,α-Diphenyl-γ-amino-N-monosubstituted amides. Moffett Robert Bruce, Aspergren Brooke D., Speeter M. E. XII. α,α-Diphenyl-tertiaryamino-N,N-disubstituted amides. Moffett Robert Bruce, Aspergren Brooke D.). J. Amer. Chem. Soc., 1957, 79, № 16, 4451–4457; 4457–4462; 4462–4465 (англ.)

X. В поисках антиспазмодиков (см. сообщение IX, РЖХим, 1958, 17931) из C₆H₅C(R)(CN)C_nH_{2n}NR₂ (I) получен ряд солей, четвертичных солей (ЧС) и N-оксидов (ОК) аминозамещ. амидов C₆H₅C(R)(CONH₂)_nH_{2n}NR₂ (II), где R — арил или изо-C₃H₇, NR₂ — остаток третичного амина или гетероцикла. 0,5 моля (C₆H₅)₂CHCN (III) медленно прибавляют к 0,6 моля LiNH₂ в 900 мл толуола, кипятят 4 часа, прибавляют сухой 2-(2-метилпирролидил-1-1)-этилхлорид (IV) [из 0,5 моля хлоридрата (ХГ) IV] в 500 мл толуола, кипятят 18 час., по охлаждении прибавляют 300 мл воды, органич. слой экстрагируют разб. HCl, водн. р-р промывают эфиром, подщелачивают, экстрагируют C₆H₆, перегонкой выделяют I, R = C₆H₅, C_nH_{2n} = —CH₂CH₂, NR₂ = 2-метилпирролидил-1-(2-МП — радикал) (Ia), выход 70,3%, т. кип. 173°/0,2 мм, n_D²⁵ 1,5600; ХГ, т. пл. 189–191° [из изо-C₃H₇ОН (V)]. Аналогично получают I (даны R, C_nH_{2n}, NR₂, выход в %, т. кип. в °C/мм, n_D²⁵, т. пл. ХГ в °C): C₆H₅, CH₂CH₂, 2,2-диметилпирролидил-1 (2,2-ДМП — радикал), 78, —, —, 209–211; C₆H₅, CH₂CH₂, 2,5-ДЖП, 79, 170/0,12, 1,5538, 177–179 (из V); C₆H₅, CH₂CH₂, 2,2,4-триметилпирролидил-1 (ТМП — радикал), 35, 150/0,05, 1,5473, 188–190 [из этилацетата (VI)]; выход ХГ без выделения основания (ОС) 72%; C₆H₅, CH₂CH₂, NC₅H₁₀, —, —, —, бромметилат (БМ), т. пл. 205,5–207,5 [из CH₃ОН + CH₃СОС₂H₅ (VII)]; C₆H₅, CH₂CH₂, 2,6-диметилпирролидил-1, 58, 170/0,005, 1,5568, —; C₆H₅, CH₂CH₂CH₂, NC₄H₉, 68 (ХГ), —, —, 157–158 (из VII); 3-ClC₆H₄, CH₂CH₂, 2,2-ДМП, 56, 160/0,025, 1,5619, —; CH(CH₃)₂, CH₂CH₂, N(C₂H₅)₂, 45, 112/0,02, 1,5002, 167–169 (из сп. + VI). Получены также неочищ. I, R = C₆H₅, C_nH_{2n} = —CH₂С(CH₃)₂, NR₂ = NC₄H₉, т. кип. 174/0,03, неочищ. I, R = 4-ClC₆H₄, C_nH_{2n} = —CH₂CH₂, NR₂ = 2,2-ДМП (Speeter и др., J. Amer. Chem. Soc., 1950, 72, 1659), выход 55%, т. кип. 170°/0,1 мм, и неочищ. I, R = CH(CH₃)₂, C_nH_{2n} = —CH₂CH₂, NR₂ = 2,6-ДМП (NaNH₂ вместо LiNH₂), выход 44%, т. кип. 120°/0,015 мм, 0,22 моля Ia (или соли Ia), 126 мл конц. H₂SO₄ и 12,6 мл воды

нагревают 4 часа при ~100°, охлаждают, выливают на лед, сильно подщелачивают NH₄ОН, получают II, R = C₆H₅, C_nH_{2n} = —CH₂CH₂, NR₂ = 2МП (IIa), выход 74%, т. пл. 142–144° (из V); ХГ, т. пл. 207–209° (из VII); кислый сульфат (КС), т. пл. 185–187° (из сп.); БМ, т. пл. 231–233° (из CH₃ОН + V) 0,061 моля II, R = C₆H₅, C_nH_{2n} NR' = —CH₂CH₂NC₅H₁₀ (IIb) (Bockmühl, Ehrhart, Liebig's Ann. Chem., 1948, 561, 52) в ~1 л CH₃ОН и 35 мл 30%-ной H₂O₂ встряхивают 3 дня, разрушают избыток H₂O₂ встряхиванием с Pt/C 5 час, выпариванием фильтрата при < 50° в вакууме получают ОК IIб · 1,5 H₂O, выход 98%, т. пл. 70–75°, ОК II, т. пл. 167,5–168,5° (из ацетона). Аналогично получают II (приводятся R, C_nH_{2n}, R' или NR', выход в %, т. пл. в °C, производное, выход в %, т. пл. в °C): C₆H₅, CH₂CH₂, пирролидил-1, —, —, КС, 77, 115–118 (из VII), БМ, 75, 228–230 (CH₃ОН + V); C₆H₅, CH₂CH₂, 2,2-ДМП, 72, 164–165 (из V), сульфат, 83, 173–174 (из сп. + VII), БМ, 87, 231–233 (из сп.), ОК, 33, 146,5–148 (из V + VII + эф.); C₆H₅, CH₂CH₂, 2,5-ДМП, 66, 129–131 (из водн. V), ХГ, —, 222–224 (из сп. + VI), БМ, 95, 231–235 (из сп. + VI + VII); C₆H₅, CH₂CH₂, ТМП (IIв), 82, 124–126 (из водн. V), ХГ, —, 221–223 (из сп. + VII), БМ, 96, 225–228 (из баз.); C₆H₅, CH₂CH₂, NC₅H₁₀, —, —, БМ, 87, 216–216,5 (из V + VI) и 177,5–178,5 (из тетрагидрофурана); C₆H₅, CH₂CH₂, 2-метилпирролидил-1, —, —, ХГ, 55, 208–210 (из сп. + VII), БМ, 95, 209–210 (из баз.); C₆H₅, CH₂CH₂, 2,6-диметилпирролидил-1, —, —, ХГ, —, 225–227 (из VII), БМ, 93 (в расчете на ХГ), 224–225 (из V); C₆H₅, CH₂CH₂, CH(CH₃)₂, —, —, КС, —, 178–180 (из V + эф.); C₆H₅, CH₂CH(CH₃), CH₃, —, —, ОК (H₂O) (из 0,05 моля ОС и 10 мл 30%-ной H₂O₂ в 190 мл CH₃ОН), 75, 152–154 (из водн. V), бромгидрат ОК (из 0,04 моля ОК в 50 мл CH₃ОН и 0,041 моля 48%-ной HBr), 83, 156–158,5 (из VII + VI); C₆H₅, CH(CH₃)₂, CH₃, —, —, БМ (H₂O), 78, 194–196 (из CH₃ОН + V); C₆H₅, CH₂С(CH₃)₂, NC₄H₉, —, —, ХГ, 40 (в расчете на III), 220–240 (из CH₃ОН + V), БМ, 55, 167–168 (из сп.); C₆H₅, CH₂CH₂CH₂, NC₄H₉, 75, 125–127 (из V), ХГ, 100, 217–219 (из сп. + VII), БМ, 100, 215–218 (из VII); C₆H₅, CH₂CH₂CH₂, C₂H₅, 73 (в расчете на I), 210–211 (из V), БМ, 87 (в расчете на ХГ), 187–188 (из VII); 3-ClC₆H₄, CH₂CH₂, 2,2-ДМП, 54, 156–157,5 (из сп.), ХГ, 83, 218–220 (из CH₃ОН + V), БМ, 83, 226–228 (из сп.); 4-ClC₆H₄, CH₂CH₂, 2,2-ДМП, 68, 140–142 (из сп.), ХГ, 79 (из сп. + VI), БМ, 60, 226–228 (из VII); CH(CH₃)₂, CH₂CH₂, 2,6-ДМП, —, —, ХГ, —, 226–228 (из V), БМ, 82 (в расчете на ХГ), 178–180 (из VII); CH(CH₃)₂, CH₂CH₂, C₂H₅, —, —, ХГ, —, 174–176 (из сп. + VII), БМ, —, 164–166 (из сп. + VI). Пропускают HCl через р-р соответствующего аминоалкоголя в C₆H₆, прибавляют SOCl₂, кипятят 2 часа, получают ХГ 2-(2,2,4-триметилпирролидил-1)-этилхлорида, выход 98%, т. пл. 164–166° (из V); ХГ; 2-метил-2-(пирролидил-1)-пропихлорида, выход 96%, т. пл. 145–147° (из сп. + VI), и ХГ 3-(пирролидил-1)-пропихлорида, выход 88%, т. пл. 140–142° (из V + VI). Из 2 молей 3-ClC₆H₄CH₂CN, 2,2 моля Br₂ и 2 молей AlCl₃ в 936 мл C₆H₆ аналогично III (Синтезы органич. препаратов, М., Изд-во ин. лит., 1953, т. 4, стр. 222, получение 3-ClC₆H₄CH(C₆H₅)CN, выход 50,6%, т. кип. 143–148°/0,25 мм, т. пл. 50–52° (из V). IIв обладает высокой антихолинергич. активностью (АХА) и умеренной антисекреторной активностью (АА). II, R = —CH(CH₃)₂, менее активны, чем II, R = C₆H₅. Введение Cl в ароматич. ядро в мета- или пара-положение уменьшает спазмолитич. активность (СА). Соединения с аминогруппой при δ-С-атоме имеет очень слабую СА. Введение двух CH₃-групп к γ-С-атому несколько усиливает СА. В общем, БМ обладают более сильными

СА и АА, чем соли третичных аминов. ОК менее токсичны, чем соответствующие им П, но и менее активны.

XI. Получен ряд солей, ЧС и ОК монозамещ. аминок-амидов общей ф-лы $(C_6H_5)_2C(CONHR)C_nH_{2n}NR'_2$ (VIII), где R — алкил, алкенил, циклоалкил или алкилгетероциклич. система. VIII синтезированы двумя методами. Метод А. К 0,5 моля $(C_6H_5)_2C(COCl)CH_2CH(CH_3)N(CH_3)_2 \cdot H_2SO_4$ (IX) в 600 мл C_6H_6 при охлаждении прибавляют 78 г CH_3NH_2 в 300 мл C_6H_6 , вымывают т-ру до $\sim 20^\circ$ за 4 часа, кипятят 30 мин., органич. слой промывают водой, извлекают разб. HCl, водн. р-р подщелачивают, получают VIII, R = CH_3 , $C_nH_{2n} = CH_2CH(CH_3)$, R' = CH_3 , выход 89,2%, т. пл. 168—169° (из V), ХГ, т. пл. 217—219° (из сп. + VI), БМ, т. пл. 190—192° (из бал.), ОК, выход 90%, т. пл. 147—148,5° (из CH_3OH + VI). К 0,61 моля $NH_2CH_2CH_2NC_4H_9$ (X) в 250 мл C_6H_6 за 30 мин. ($\sim 0^\circ$) прибавляют 0,2 моля IX, размешивают 2 часа при $\sim 20^\circ$, кипятят 15 мин., промытый водой фильтрат извлекают разб. HCl, после промывания эфиром кислый экстракт подщелачивают, извлекают C_6H_6 , удаляют р-ритель, остаток растворяют в VI, прибаленном спирт. HCl выделяют ди-ХГ VIII, R = $CH_2CH_2NC_4H_9$, $C_nH_{2n} = CH_2CH_2$, R' = CH_3 , выход 62%, т. пл. 160—163° (из сп. + VI). Метод Б. 0,205 моля $(C_6H_5)_2C(CONH_2)CH_2CH_2NC_4H_9$ (X), 0,205 моля NaNH₂ и 500 мл толуола кипятят 2,5 часа, но охлаждении медленно добавляют 0,205 моля CH_2Br в 100 мл толуола, размешивают 1 час, разбавляют водой, органич. слой извлекают разб. HCl, подщелачивают, экстрагируют C_6H_6 , удаляют р-ритель, остаток растворяют в VII, спирт. HCl выделяют ХГ VIII, R = CH_3 , $C_nH_{2n} = CH_2CH_2$, R' = C_2H_5 , выход 23%, т. пл. 185—187° (из сп.), 0,32 моля $(C_6H_5)_2CHCONHCH(CH_3)_2$ (XI) и 0,32 моля NaNH₂ в 700 мл толуола кипятят 3 часа, прибавляют при кипении 0,33 моля $ClCH_2CH_2N(C_2H_5)_2$ в 400 мл толуола, кипятят 20 час., после промывания водой извлекают разб. HCl, промывают толуолом, подщелоченный экстракт извлекают C_6H_6 , остаток после удаления р-рителя растворяют в VII, спирт. HCl выделяют ХГ $(C_6H_5)_2CHON[CH(CH_3)_2]CH_2CH_2N(C_2H_5)_2$, т. пл. 180—182° (из диоксана), БМ, т. пл. 76—78° (из VI) и 161—163° (из VII). Методами А и Б получают VIII (приводятся R, C_nH_{2n} , R' или NR'₂ метод, выход ОС, соли или производного в %, т. пл. в °C): CH_3 , CH_2CH_2 , $CH(CH_3)_2$, Б, ХГ, —, 202—204 (из VII + эф.); CH_3 , CH_2CH_2 , 2-МП, Б, ХГ, —, 195—198 (из VII + сп.); CH_3 , CH_2CH_2 , 2,2-ДМП, Б, ХГ, 73, 214—216; йодметилат, 98 (на отиц. ХГ), 122—125 (из бал.); CH_3 , $CH(CH_3)CH_2$, CH_3 , Б, ХГ, 64, 248—250 (из сп. + VI); CH_3 , (d)- $CH_2CH(CH_3)$, CH_3 , А, ОС, 89, 114—116 (из водн. V), $[\alpha]^{25}_D + 100^\circ$ (с 1; CH_3OH), ХГ, 95, 223—224 (из сп. + VI), $[\alpha]^{25}_D + 66^\circ$ (с 1,5; CH_3OH), БМ, 96, 184—186 (из VII), $[\alpha]^{25}_D + 28^\circ$ (с 1,5; CH_3OH), ОК, —, 154—155 (из VI); CH_3 , (l)- $CH_2CH(CH_3)$, CH_3 , А, ОС, 95, 116—117 (из водн. V), $[\alpha]^{25}_D - 98^\circ$ (с 0,7; CH_3OH), ХГ, 98, 221—223 (из сп. + VI), $[\alpha]^{25}_D - 64^\circ$ (с 0,7; CH_3OH), БМ, 100, 181—182 (из VII), $[\alpha]^{25}_D - 29^\circ$ (с 1; CH_3OH); C_2H_5 , $CH_2CH(CH_3)$, CH_3 , А, ОЕ, 84, 133—135 (из V), ХГ, 86, 197—198 (из VI), БМ, 98, 176—178 (из V); $CH(CH_3)_2$, $CH_2CH(CH_3)$, CH_3 , А, ОС, 48, 116—118 (из циклогексана), ХГ, 90, 216—218 (из сп. + VII), БМ, —, 155—158 (из VI + эф.); аллил, $CH_2CH(CH_3)$, CH_3 , А, ОС, 84, 99—101 (из водн. V), ХГ, 72, 167—170 (из сп. + VI), БМ, 98, 187—169 (из V); C_4H_9 , $CH_2CH(CH_3)$, CH_3 , А, БМ, 76, 175—177 (из V + эф.); циклогексил, $CH_2CH(CH_3)$, CH_3 , ОС, —, 94—97 (из водн. V), ХГ, —, 188—191 (из VI), БМ, —, 130—135 (из VI + эф.); C_6H_5 , $CH_2CH(CH_3)$, CH_3 , А, ОС, —, 169—171 (из CH_3OH), ХГ, —, 243—244,5 (из сп.); CH_2CH_2OH , $CH_2CH(CH_3)$, CH_3 , А, ОС, 77, 149,5—151,5 (бал. + C_6H_{12}),

ХГ, 77, 198—201 (из сп. + VI), БМ, 94, 170—171 (из V + VI); NH_2 , $CH_2CH(CH_3)$, CH_3 , А, ОС, —, 156—158 (из VI); CH_3 , $CH_2CH_2CH_2$, C_2H_5 , А, ХГ (из $(C_6H_5)_2C(COON)CH_2CH_2CH_2N(C_2H_5)_2 \cdot H_2SO_4$, через хлорангидрид и свободный аминокамид, которые не кристаллизуются), 68, 178—180 (из сп. + VI), БМ, 65, 180—192 (из VII); CH_3 , $CH_2CH_2CH_2$, NC_4H_9 , А, ОС, 63 (из КС соответствующей к-ты через неизолированный хлорангидрид), 122—124 (из C_6H_{12}), ХГ, 77, 147—149 (из сп. + VII), БМ, 98, 236—240 (из VII); CH_3 , CH_2CH_2 , 2,2-ДМП, Б, ОС, 26, 121—123 (из C_6H_{14}), 0,5 моля (+)- $(C_6H_5)_2C(CN)CH_2CH(CH_3)N(CH_3)_2$, 175 мл конц. H_2SO_4 и 107 мл воды нагревают 5 час. при 160°, выливают в лед, получают (+)- $(C_6H_5)_2C(COON)CH_2CH(CH_3)N(CH_3)_2 \cdot H_2SO_4$ ((+)-XII), выход 94%, т. пл. 195—198°, $[\alpha]^{25}_D + 74^\circ$ (с 1; CH_3OH); ОС, т. пл. 219—221° (разл.), $[\alpha]^{25}_D + 115^\circ$ (с 1; CH_3OH), 0,265 моля (+)-XII, 120 мл $SOCl_2$ и 150 мл C_6H_6 кипятят 45 мин., выход (+)-IX 95%. Аналогично (+)-XII и его проза-водным получают (—)-XV, выход 81%, т. пл. 195—198°, $[\alpha]^{25}_D - 76^\circ$ (с 1; CH_3OH); ОС, т. пл. 219—221° (разл.), $[\alpha]^{25}_D - 111^\circ$ (с 1; CH_3OH), ХГ, т. пл. 228—230°, $[\alpha]^{25}_D - 90^\circ$ (с 1; CH_3OH); хлорангидрид, выход 96%, а также $(C_6H_5)_2C(COON)CH_2CH(CH_3)NC_4H_9 \cdot H_2SO_4$, выход 82%, т. пл. 180—185° (разл.; из сп. + эф.). К 12 молям HNC_4H_9 (XIII) прибавляют 2,44 моля $BrCH_2CH_2NH_2 \cdot HBr$ при $< 10^\circ$, избыток XIII отгоняют, к остатку прибавляют 6 молей NaOH в 240 мл воды, из органич. слоя выделяют X, выход 80%, т. кип. 164—167°, n^{25}_D 1,4672, 0,074 моля $(C_6H_5)_2C(COOC_2H_5)CH_2CH_2N(C_2H_5)_2$ и 1,53 моля CH_3NH_2 в 75 мл гликоля нагревают 15 час. при 200°, выделяют 1-метил-3-дифенилпирролидон-2, т. пл. 144—146° (из бал. + C_6H_{12}). Из $(C_6H_5)_2CHCOOH$ (XIV) р-цией с $SOCl_2$, а затем с $(CH_3)_2CHNH_2$ в C_6H_6 получают ХГ, выход 70%, т. пл. 158—159° (из бал.). VIII и их ЧС не показывают заметной АХА и СА. Соли VIII обладают активностью, подобной активности окситоцина (ОА), и (или) диуретич. активностью (ДА); ЧС, напротив, неактивны.

XII. Получен ряд солей, ЧС и ОК диазамещ. аминок-амидов общей ф-лы $(C_6H_5)_2C(CONR_2)C_nH_{2n}NR'_2$ (XV). 0,226 моля $(C_6H_5)_2CHCON(CH_3)_2$ (XVI), 0,25 моля NaNH₂ и 500 мл толуола кипятят 3 часа, медленно прибавляют безводн. р-р 2-(2,2-диметилпирролидил-1)-этилхлорида (XVII) (из 0,226 моля ХГ XVII) в 300 мл толуола, кипятят 2 часа, промывают водой, экстрагируют разб. HCl, водн. р-р подщелачивают, извлекают C_6H_6 , из органич. р-ра выделяют XV, R = CH_3 , $C_nH_{2n} = CH_2CH_2$, NR'₂ = 2,2-ДМП, выход 52%, т. пл. 110—112° (из гексана), ХГ, т. пл. 205—207° (из VI), БМ $\cdot H_2O$, выход 77%, т. пл. 200—202° (из V + эф.), ОК, выход 13%, т. пл. 158—162° (из V). Аналогично получают другие XV (приводятся R или NR'₂, C_nH_{2n} , R' или NR'₂, выход ОС, соли или производного в % [для ОС — в расчете на $(C_6H_5)_2CHCONR_2$, для солей — на ОС], т. пл. в °C): CH_3 , CH_2CH_2 , CH_3 , ОЕ, 23, 97—99 (из гексана), ХГ, 89, 228—230 (из V + эф.), БМ, 69, 225—227 (из V + эф.); CH_3 , CH_2CH_2 , C_2H_5 , ХГ, 46 (на XVI), 164—186 (из ацетона), БМ, 82 (на ХГ), 177—179 (из V + эф.); CH_3 , CH_2CH_2 , $CH(CH_3)_2$, ОС, —, 74—76 (из пентана), ХГ, 64, 205—207 (из сп. + VI), БМ, 79, 188—190 (из VII); CH_3 , CH_2CH_2 , NC_4H_9 , ОС, 66, 142—144 (из V), ХГ, 63, 197—199 (из сп. + VII), БМ, 80, 190—192 (из VI); CH_3 , CH_2CH_2 , 2,2,4-ТМП, ОС, 46, 102—104 (из C_6H_{12}), ХГ, 55, 218—220 (из сп. + VI), БМ, 86, 195—197 (из VII); CH_3 , CH_2CH_2 , NC_5H_{10} , БМ, 93, 205—207 (из VII); C_2H_5 , CH_2CH_2 , NC_5H_{10} , ХГ, —, 172—174 (из VI), БМ, 40, 123—125 (из VI); $CH(CH_3)_2$, CH_2CH_2 , C_2H_5 , ОС, —, 72—74 (из пентана), ХГ, 55, 211—213 (из VII), БМ, 81 (для гидрата), 181—183 (из VII + эф.) (моногидрат, т. пл. 129—132°); $CH(CH_3)_2$, CH_2CH_2 ,

2,2,4-ТМП, ХГ·Н₂O, 51, 228—230 (из VI), БМ, 86 (на XVI), 226—228 (из VII); NC₆H₅, CH₂CH₂, C₂H₅, ХГ, —, 212—214 (из VII), БМ, —, 174—176 (из бэл.); NC₆H₅, CH₂CH₂, C₂H₅, ХГ, 56 (на (C₆H₅)₂CHCONC₆H₅), 225—227 (сп. + VII), БМ, 75 (на очис. ХГ), 195—197 (из VII); NC₆H₅, CH₂CH₂, NC₆H₅, БМ, 82 (на XVI), 202—204 (из сп. + VI); CH₃, NR' = dl-CH₂CH(CH₃)N(CH₃)₂, ХГ, —, 199—201 (из VI), БМ·Н₂O, —, 161—163 (из VI), бромгидрат ОК, 69 (на ХГ), 116—119 (из V + эф.); CH₃, NR' = dl-CH₂CH(CH₃)N(CH₃)₂, ХГ, 52 (на (C₆H₅)₂C(COCl)CH₂CH(CH₃)N(CH₃)₂·H₂SO₄ (XVIII), 192—194 (из сп. + VI), [α]_D²⁰ + 59° (с 1; CH₃OH), БМ·Н₂O, 49 (на XVIII), 157—159 (из VI), [α]_D²⁰ + 7° (с 1; CH₃OH); CH₃, NR' = l-CH₂CH(CH₃)N(CH₃)₂, ХГ, 58 (на XVIII), 191—193 (из сп. + VI), [α]_D²⁰ — 63° (с 0,6; CH₃OH), БМ, 54 (на XVIII), 155—157 (из VII), [α]_D²⁰ — 6° (с 1; CH₃OH); CH₃, CH₂CH₂CH₂, C₂H₅, ХГ, 65 (на (C₆H₅)₂C(COCl)CH₂CH₂CH₂NH(C₂H₅)₂·H₂SO₄, 155—158 (из V + эф.), БМ, 73 (на очис. ХГ), 165—166 (из сп. + VI). Из XIV р-ней с SOCl₂ и затем с NC₆H₅ в C₆H₆ получают (C₆H₅)₂CHCONC₆H₅, выход 84%, т. пл. 163—165°. Аналогично синтезируют (C₆H₅)₂CHCON[CH(CH₃)]₂, выход 60%, т. пл. 53—55°. XV обладают слабой АХА, но подобно VIII имеют ОА и (или) ДА.

В. Скородумов

32438. Новые аналептики. 1-бензгидрил-2-алкил-2-тиоизомеричины. Уинтроп, Сибильская, Гейвин, Грант (New analeptics. 1-benzhydryl-2-alkyl-2-thioisopseudoureas. Winthrop Stanley O., Sybulska Stella, Gavin Gregory, Grant Gordon A.), J. Amer. Chem. Soc., 1957, 79, № 13, 3496—3500 (англ.)

Получены C₆H₅CHRNHO(=S)NHR' (I), (C₆H₅)₂CHNHC(=NH)SR (II), (C₆H₅)₂CHNHC(SCH₃)=NR (III) и C₆H₅CHRNHC(=NH)SR' (IV). Кипятили 4 часа 3,56 моля (C₆H₅)₂CHNH₂·HCl и 3,9 моля NH₄CNS в 3 л толуола и получили с выходом 60% (C₆H₅)₂CHNHC(SH)=NH (V). К 2,83 моля V в 6 л ацетона и 6 л эфира добавили 4,15 моля CH₃J. Через 1 час при 20° получено 75% йодгидрата (ИГ) II [R = CH₃ (IIa)], т. пл. 178—180° (из *изо*-C₃H₇OH). Так же из V и CH₃Cl (80°, 16 час.) получен хлоргидрат (ХГ) IIa, выход 81%, т. пл. 196—197° (разл.; из сп.-эф.). Из V и (CH₃)₂SO₄ при кипячении в CH₃OH 3 часа получен метилсульфат IIa, т. пл. 130—132° (из *изо*-C₃H₇OH). IIa, т. пл. 161—162° (из бэл.); бромгидрат (БМ), т. пл. 198—199°; кислотный сульфат, т. пл. 202—203°; ацетат, т. пл. 144—145°; малеат, т. пл. 164—165°. Аналогично из V и галогенных алкидов синтезированы соли других II (приведены R, соль, выход в %, т. пл. в °C): C₂H₅, ИГ, 73, 145—147; C₃H₇, ИГ, 74, 150—151; *изо*-C₃H₇, ИГ, 63, 185—186; C₄H₉, ИГ, 75, 160—161; CH₂C₆H₅, ХГ, 77, 168—172; CH₂CH₂OH, БГ, 71, 179—182; CH₂CH₂CH₂OH, БГ, 76, 129—131; CH₂CH₂OCH₂CH₃, ИГ, 95, 121—123; CH₂COOH, БГ (15 мин., 20°), 97, 162—163; CH₂CH₂N(CH₃)₂, ди-ИГ, 10, 189—191; CH₂CH₂N(C₂H₅)₂, ди-ХГ (кипение в изопропанол 48 час.), 50, 176—178; CH₂CH₂N(C₃H₇-*изо*)₂, ди-ХГ, 74, 205—208. Из солей II выделены II (приведены R, т. пл. в °C, выход в %): C₃H₇, 75—77, 89; C₄H₉, 77—79, 98; CH₂C₆H₅, 94—97, 55; CH₂CH₂CH₂OH, 107—108, 64; CH₂CH₂N(C₃H₇-*изо*)₂, масло, 60. При взаимодействии V с ClCH₂COOC₂H₅, ClCH₂CO-NH₂, ClCH₂CHO и ClCH₂COSCH₃ произошла циклизация в тиазолидины. Аналогично получены соли IV (приведены R, R', соль, выход в %, т. пл. в °C): *n*-ClC₆H₄, CH₃, ИГ, 67, 134—136; *n*-CH₂C₆H₄, CH₃, ИГ, 63, 133—134; *n*-CH₂OC₆H₄, CH₃, ИГ, 93, 152—153; *n*-ClC₆H₄; CH₂CH₂OH, БГ, 68, 140—141; *n*-CH₂C₆H₄, CH₂CH₂OH, БГ, 69, 108—110; *n*-CH₂OC₆H₄, CH₂CH₂OH, БГ, 60, 119—120; H, CH₃, ИГ, 81, 103—108. При кипячении 5 дней 0,39 моля *o*-хлорбензгидрилхлорида, 0,39 моля NH₄CNS и 75 мл C₆H₆ выделено 46% *o*-хлорбензгидрилдиизоцианата,

т. кип. 186—189°/1,5 мм, который действием спирта р-ра NH₃ (16 час., 20°) превращен в I, R = *o*-ClC₆H₄, R' = H, выход 99%, т. пл. 172—173°. Последний при метилировании CH₃J дает с выходом 90% ИГ IV, R = *o*-ClC₆H₄, R' = CH₃, т. пл. 165—167°. Из NH₄CNS и ХГ *n*-хлорбензгидриламина с выходом 46% синтезирован ИБ, R = *n*-ClC₆H₄, R' = H, т. пл. 175—176°, а из *n*-метоксibenзгидриламина — I, R = *n*-CH₂OC₆H₄, R' = H, выход 52%, т. пл. 178—179°. К р-ру 0,15 моля (C₆H₅)₂CHNCS (VI) в 500 мл спирта добавили 7,4 мл 85%-ного N₂H₄ и выделили 22 г 1,6-дibenзгидрил-2,4-дитиодимочевины, т. пл. 194—195° (разл.; из CH₃CN). Если брать избыток N₂H₄, то получается с выходом 70% бензгидрилтиосемикарбазид, т. пл. 150—152° (разл.; из CH₃CN). Также из VI с аминами получены: I, R = C₆H₅, R' = CH₂CH₂OH, выход 43%, т. пл. 130—131°; I, R = C₆H₅, R' = CH₂CH₂N(C₂H₅)₂, выход 77%, т. пл. 109—110°. Из VI и (CH₃)₂NH в водн. спирте (70 час., 20°) синтезирована 1-бензгидрил-3,3-диметил-2-тиомочевина (VII), т. пл. 131—132° (из *изо*-C₃H₇OH). Взаимодействием CH₃J с IIa получен ИГ III, R = CH₃, выход 97%, т. пл. 173—174°. Получены также III, R = CH₂CH₂OH; ИГ, выход 85%, т. пл. 174—176°; III, R = CH₂CH₂N(C₂H₅)₂; ди-ХГ, выход 33%, т. пл. 156—157°; III, R = NH₂; ИГ, выход 79%, т. пл. 172—173°. Метилирование VII посредством CH₃J приводит к ИГ 1-бензгидрил-2,3,3-триметил-2-тиоизомеричины, т. пл. 148—150° (разл.; из *изо*-C₃H₇OH); основание, т. пл. 55—57° (1-бензгидрил-3,3-диметилтиомочевина имеет т. пл. 194—195°). Из VII с ClCH₂COSCH₃ образуется 1-бензгидрил-3,3-диметил-2-(α-ацетонил)-2-тиоизомеричина; ХГ, т. пл. 136—137° (из CH₃CN). ХГ бензгидрилметиламина и NH₄CNS в ксилоле через 3 часа при 133° образуют 1-бензгидрил-1-метил-2-тиомочевину, т. пл. 193—195° (из *изо*-C₃H₇OH). Аналогично получены: 1-бензгидрил-1,2-диметил-2-тиоизомеричина; ИГ, т. пл. 175—176° (разл.; из *изо*-C₃H₇OH-эф.); 1-(β,β-дифенилэтил)-тиомочевина, т. пл. 203—204° (из сп.), и 1-(β,β-дифенилэтил)-2-метил-2-тиоизомеричина; ИГ, т. пл. 139—141° (из *изо*-C₃H₇OH-эф.). Некоторые соли III, в особенности ИГ III, R = H, действуют как аналептики. Активность уменьшается, если CH₃-группа при 8 замещается на радикалы с большей цепью. Введение заместителя в одно фенильное ядро понижает или вовсе уничтожает активность.

А. Кост

32439. Мочевина и некоторые ее производные.

Часть IV. Некоторые ароматические и алифатические дитиоформамидины. Курцер, Сандерсон (Urea and related compounds. Part IV. Some aromatic and aliphatic dithioformamidines. Kurzer Frederick, Sanderson Phyllis M.), J. Chem. Soc., 1957, Nov., 4461—4469 (англ.)

При окислении *o,o'*-дизамещ. арилтиомочевин в нейтр. р-рителях образуются с хорошими выходами соли соответствующих дитиоформамидинов. Так при окислении 2,6-диметилфенил-(I) или 2,4,6-трибромфенил-(II) тиомочевин теоретич. кол-вом Br₂ в CHCl₃ получены дигидраты симм-бис-(2,6-диметилфенил)-(III) и симм-бис-(2,4,6-трибромфенил)-(IV)-дитиоформамидинов, устойчивых только в виде солей, гидролизующихся в нейтр. р-рах и вполне стабильны в присутствии минер. к-т. При окислении I в разб. р-ре HBr 6%-ной H₂O₂ при 0° также получается с 75%-ным выходом дибромгидрат (ДБГ) III; если эта р-ция проводится в кипящей смеси спирта с конц. HCl, то образуются 3,5-ди(2,6-диметилфенил)-2,4-диамино-1,2,4-тиадиазолидин (V), выход 4%, т. пл. 226—228° (разл.; из ацетона-CH₃OH); тозилат, т. пл. 257—259° (из ацетона), и N,N'-ди-(2,6-диметилфенил)-гуанидин (VI), выход 12%, т. пл. 98—99°; пикрилат (ПК), т. пл. 170—172° (из сп.), большая же часть I десульфурится в 2,6-диметилфенилмочевину; тозил-

лат, т. пл. 131—132° (из ацетона-сп.); применение 30%-ного р-ра H_2O_2 повышает выход V до 8—15%, а выход VI до 25—30%. Оба способа окисления применяются к получению алифатич. дитиоформамидинов $RR'NC(=NH)SSC(=NH)NRR'$ (VIIa — г, где a R = CH_3 , R' = H; б R = C_2H_5 , R' = H; в R = R' = CH_3 ; г R = R' = C_2H_5). Строение III подтверждено его восстановлением Zn и HCl в спирт. р-ре в исходный I, выход 93%. 0,5 моля 2,6-диметиланилина в 0,5 л 1,5 н. HCl и 1 моль тиоцианата аммония (VIII) нагревают 1 час при 100°, упаривают досуха, нагревают 8 час. при 100° и получают I, выход 89%, т. пл. 202—204° (из сп.). К 0,15 моля 2,4,6-триброманилина (IX) в 150 мл тельного C_2H_5Cl добавляют 0,75 моля VIII, кипятят 4 часа и получают II, выход 34—41%, т. пл. 240—242° (разл.; из ацетона), или смесь 0,1 моля C_6H_5COCl и 0,11 моля VIII в 50 мл ацетона кипятят 5 мин., приливают 0,1 моля IX в 150 мл ацетона, кипятят 45 мин., смешивают с 0,75 л ледяной воды, продукт отделяют, кипятят 6 мин. с 180 мл 3 н. NaOH, смешивают со льдом, р-р подкисляют и отделяют II, выход 65—75%. В р-р 0,25 моля диметил- или диэтил-цианамиды в 35 мл C_6H_5N и 0,25 моля $N(C_2H_5)_3$ пропускают H_2S (2 часа, 60°), разбавляют петр. эфиром и отделяют N,N-диметил- [выход 72%, т. пл. 162—163° (из воды)] или N,N-диэтил- [выход 56%, т. пл. 101—102° (из воды)]-тиомочевин. К охлажд. взвеси 0,02 моля I в 35 мл $CHCl_3$ приливают по каплям 0,01 моля Br_2 в 10 мл $CHCl_3$, отгоняют при 20° р-ритель, остаток растворяют в воде, приливают насыщ. р-р 0,02 моля NaBr и отделяют ДБГ III, выход 80%, т. пл. 129—130° (разл.; из сп.-HBr); дитозилат III, т. пл. 116—117° (разл.); дипикрат (ДПК) III, т. пл. 92—94° (разл.), растворяют в смеси CH_3OH -ацетон (1:2), приливают по каплям воду и отделяют безводн. ДПК, т. пл. 105—107° (разл.). Аналогично получают (указаны в-во и т. пл. в °C): IV, ДБГ 160—162 (разл.); VIIa, ДБГ 204—205, ДПК 119—120 (разл.); VIIб, ДБГ 185—187 (разл.), ДПК 120—121 (разл.); VIIв, ДБГ 209—210 (разл.), ДПК 104—105 (разл.); VIIг, ДПК 109—110 (разл.). Часть III см. РЖХим, 1954, 48017. Л. Щукина

32440. Синтез и свойства шести изомерных тиоксенолов. Барткус, Хотеллинг, Ньюэрт (Synthesis and properties of the six thioxenol isomers. Bartkus E. A., Hotelling E. B., Newirth M. B., J. Organ. Chem., 1957, 22, № 10, 1185—1186 (англ.))

В результате взаимодействия диазотированных ксиллинов с этилксантогенатом К и последующего гидролиза получены тиоксенолы общей ф-лы $(CH_3)_2C_6H_3SH$ (I) (перечислены положения CH_3 -групп, выход в %, т. кип. в °C/50 мм): 2,3, 58, 132,2; 2,4, 48, 127; 2,5, 55, 126,3; 2,6, 47, 122; 3,4, 63, 132,5; 3,5, 54, 127,5. При пропускании воздуха через р-р 1 г I в 25 мл воды. NH_3 образовались перекристал. из водн. $iso-C_3H_7OH$ дисульфиды общей ф-лы $[(CH_3)_2C_6H_3S_2]$ (перечислены положения CH_3 -групп, т. пл. в °C): 2,3, 99—99,5; 2,4, —; 2,5, 46,5—48; 2,6, 102,5—104; 3,4, 50—51; 3,5, —. Смесь 2,7 г I, 1,44 г $CH_2=CHCOOH$, 1,2 г NaOH и 25 мл воды кипятили 1 час; выделены следующие перекристал. из гексана β-(диметилфенилтио)-пропионовые к-ты общей ф-лы $(CH_3)_2C_6H_3SCH_2CH_2COOH$ (обозначения те же): 2,3, 94—95; 2,4, 81—82; 2,5, 101,5—102,5; 2,6, 90—91; 3,4, 70—71; 3,5, 65,5—66,5. А. Берлин

32441. Разрыв C—S-связи при окислении тиола. Кола (Cleavage of C—S bond during oxidation of thiol Cole E. R., Chemistry and Industry, 1957, № 46, 1511 (англ.))

При окислении 4- $NO_2C_6H_4SH$ (I) в щел. р-ре нерасщепляемый продукт р-ции (выход 80%) состоит из смеси 2 молей $(4-NO_2C_6H_4)_2S$ (II) и 1 моля $(4-NO_2C_6H_4)_2S_2$ (III). Образование II, сопровождаю-

щееся разрывом C—S-связи и окислением S-атома до сульфита и сульфата, вызывает повышенный расход O_2 (до 3-кратного кол-ва, требуемого для получения III). Наличие II устанавливают пробой смешения (т. пл. 135—137°) и окислением CrO_3 до $(4-NO_2C_6H_4)_2SO_3$, т. пл. 252—253°. Легкость образования II автор объясняет наличием NO_2 -группы и предлагает ионный механизм окисления I до II и SO_2 .

В. Скородумов

32442. Расщепление п-окси- и п-алкоксибензилсульфидов и дисульфидов галогеноводородными кислотами. Гирер, Алфредссон (Über die Spaltung von p-Hydroxy- und p-Alkoxybenzylsulfide und disulfiden durch Halogenwasserstoffsäuren. Gierer Josef, Alfredsson Bo, Chem. Ber., 1957, 90, № 7, 1240—1250 (нем.))

Ди-(п-окси- или п-алкоксибензил)-сульфиды и дисульфиды при действии конц. HCl (к-ты) или смеси к-т (смесь А), приготовленной из 160 мл конц. HJ, 160 мл конц. HCl и 45 мл 50%-ной H_3PO_4 , нагреваемой 1 час в токе N_2 , гладко расщепляются на п-окси- или п-алкоксибензилгалогениды (I) и H_2S , а п-окси- или п-алкоксибензилалкил (или арил)-сульфиды дают I и алкил- (или арил) меркаптаны (II). Алифатич. насыщ. сульфиды, дисульфиды и меркаптаны в аналогичных условиях не расщепляются, незамен. в ядре дибензилсульфиды и дисульфиды расщепляются с незначительной скоростью. H_2S или II отдувают N_2 и определяют пометрич. титрованием. 191 мг ванилилэтилсульфида (III), 5 мл смеси А и 8 г фенола (р-ритель) нагревают в токе H_2 , C_2H_5SH улавливают в виде $(C_2H_5S)_2Hg$ (160 мг) 5%-ным р-ром $Hg(CN)_2$. Аналогично из вератрилэтилсульфида (IV) получают 181 мг $(C_2H_5S)_2Hg$, 127 мг ванилилфенилсульфида (V) разлагают 30 мл смеси А и реакционную массу перегоняют 30 мин. с водяным паром, из дистиллата после окисления р-ром I_2 получают дифенилдисульфид, т. пл. 58°. 230 мг 3,5,3',5'-тетраметил-4,4'-диоксидибензилсульфида (VI) нагревают 30 мин. с 20 мл смеси А в токе N_2 , выделяют 53 мг мезитола (VII), т. пл. 68—69° (из 50%-ного CH_3OH). 3,5-диметил-4-оксисбензилсульфидный спирт частично восстанавливается смесью А в VII, который идентифицирован в виде 2,4,6-триметилфеноксисуксусной к-ты, т. пл. 139,5—141°. Приведены кривые кинетики расщепления диванилил- (VIII) и дивератрилсульфидов (IX) и соответствующих дисульфидов (X, XI) конц. HCl и смесью А. 0,57 г 3- $CH_3O-4-NO$ (или CH_3O - $C_6H_4SCH_2CH_2SCH_2COONa$ за 1 час нагревания с 40 мл конц. HCl в токе H_2 расщепляются на 94% (окисление продуктов р-ции иодом дает дитиогликолевую к-ту). Соответствующие β- и γ-производные не расщепляются. 197 мг дивератрилового эфира переведены действием HCl (газа) в абс. бензоле в вератрилхлорид (XII), выход 91%, т. пл. 48—49,5°. IX в таких условиях не расщепляется. VIII и IX получены по описанному методу (РЖХим, 1955, 34442). Синтез VI осуществлен нагреванием $(CH_3)_2-4-NO_2C_6H_3CH_2OH$ в р-ре $Na_2S + H_2S$ 8 час. при 100° под давлением, выход 63%, т. пл. 97—97,5°. 3,7 г диннаибромиды в 50 мл абс. спирта действием 2,6 г $Na_2S \cdot 9H_2O$ в 70 мл абс. спирта (5 дней) переведены в 2,67 г диннаибромидсульфида, т. пл. 33—34°, аддукт с $HgCl_2$, т. пл. 112—113° (разл.). VIII с $(CH_3CO)_2O$ в C_6H_5N (1:1) дает диацетат, выход 73%, т. пл. 116—117,5°. Аналогично получены ацетат III (IIIa), диацетат VI, т. пл. 128,5—129°, диацетат X, т. пл. 151—152°. Диацетат III переведен окислением 30%-ной H_2O_2 в лед. CH_3COOH (2 недели, ~20°) в сульфоксид, выход 72%, т. пл. 188°. Аналогично получены 3,5,3',5'-тетраметил-4,4'-диацетоксидибензил- и диннаибромидсульфоксиды; выход 93 и 57%, т. пл. 235—237°, 203° соответственно. 1,54 г 3- $CH_3O-4-NO_2C_6H_3CH_2OH$ (XIII) переведены нагреванием 26 час. при 105° в

автоклав с 5 мл C_2H_5SH и 20 мл 1/15 М Na_2HPO_4 в III, выход 63%, т. кип. 100–130°/0,1 мм. Из 0,78 г XIII, 0,55 г тиофенола и 60 мл 1/15 М Na_2HPO_4 в 60 мл абс. спирта нагреванием 6 час. при 100° в автоклаве под N_2 получено 0,47 г V, т. пл. 92–93° 3- $CH_3O-4-CH_3COO-C_6H_4CH_2SC_2H_5 \cdot HgCl_2$, и 392 мг неочищ. IIIa в 3 мл спирта с 2 мл 25%-ного спирта. $HgCl_2$ дают IIIa $\cdot HgCl_2$, выход 615 мг. IV получен р-цией 0,93 г XII в 6 мл абс. C_6H_6 с р-ром 0,12 г Na и 1 мл C_2H_5SH в 20 мл спирта, выход 64%, т. кип. 140°/0,1 мм. Аналогично получены сульфиды (3,4-диметоксифенил)-этил-, т. кип. 170°/0,1 мм, 2,4-динитрофенилгидразон (ДНФГ), т. пл. 186–187°; (3,4-диметоксифенил)-фенил-, выход 97%, т. пл. 72–73°; ДНФГ, т. пл. 186–187°; циннамилэтил-, выход 82%, масло, аддукт с $HgCl_2$, т. пл. 90,5–91,5°, и циннамилфенил-, т. пл. 76,5–77,5°. Ди-(3,4-диметоксифенил)-сульфид (XIV) получен действием 1,5 г $Na_2S \cdot 9H_2O$ в 70 мл абс. спирта на 2,6 г ω -бромацетоватрона в 50 мл абс. спирта, выход 81%, т. пл. 134,5–136°. Подобным образом синтезирован бис-(α -метил-3-метокси-4-ацетоксифенил)-сульфид, выход 77%, масло. 0,8 г XIV восстановлены 0,26 г $NaBH_4$ в 40 мл спирта до 0,47 г ди-[β -окси- β -(3,4-диметоксифенил)-этил]-сульфида, масло. [β -Окси- β -(3,4-диметоксифенил)-этил]-фенилсульфид, выход 87%, т. пл. 80–81°, и ди-[α -метил- β -окси- β -(3-метокси-4-оксифенил)-этил]-сульфид, выход 66%, получены аналогично. XI получен из X метилированием $(CH_3)_2SO_4$, выход 94%, т. пл. 81–82°.

32443. Реакция сульфинилхлоридов с цинком. Бернард (The reaction of sulphinyl chlorides with zinc. Barnard D.), J. Chem. Soc., 1957, Nov., 4673–4675 (англ.)

Реакция между Zn и $RSOCl$ (I) где R — алкил или арил, приводит к тиоловым эфирам сульфоновых к-т RSO_2SR (II). Последние могут образоваться в результате перегруппировки первоначально возникающих неустойчивых дисульфоксидов $RSOSOR$. Предложен также свободно-радикальный механизм р-ции, согласно которому два сульфинильных радикала $RSO\cdot$ превращаются в результате переноса кислорода в свободные радикалы $RSO_2\cdot$ и $RS\cdot$ или в ионы $RS-O_2$ и RS^+ , попарное объединение которых приводит к II. Смесь 44 г $C_6H_5SO_2Cl$, 63 г безводн. Na_2SO_3 и 300 мл воды взбалтывают 2 часа при pH 8–9 (р-ция среды поддерживается периодич. прибавлением 50%-ного р-ра NaOH), подкисляют при 0° 60%-ной H_2SO_4 до начала выпадения $C_6H_5SO_2H$ (III) отделяют осадок Na_2SO_4 , фильтрат прибавляют 40 мл воды и подкисляют до полного выделения III, выход 23 г, т. пл. 83–84°. Суспензию 12 г III в 50 мл абс. эфира обрабатывают при 0° 14 мл $SOCl_2$, прибавляют 25 мл C_6H_6 , отгоняют р-ритель и избыток $SOCl_2$ при 10 мм и повторяют эту операцию с равным объемом C_6H_6 , получают I (R = C_6H_5) (Ia), выход ~100%. При перегонке Ia в глубоком вакууме происходит иногда разложение продукта (со взрывом!). Аналогично получают I (R = C_2H_5) (Ib), т. кип. 47,5–48,5°/11 мм, n_D^{20} 1,4978. Р-р Ia в 50 мл абс. эфира прибавляют при ~20° к суспензии 6 г Zn-пыли в 50 мл эфира и оставляют на ~12 час., получают II (R = C_6H_5), выход 96%, т. пл. 37,5–38,5° (из сип.-пегр. эф., 1:10). Аналогично из 12,9 г Ib получают 7,12 г 88-ного II (R = C_2H_5), т. кип. 70°/0,02 мм, n_D^{20} 1,4998. При р-ции Ia с Zn-пылью в присутствии (4- ClC_6H_4) $_2$ выделен 4- $ClC_6H_4SSC_6H_5$.

32444. Сульфирование фенола. Домбровский А. В., Денисенко В. П., Уч. зап. Черновицк. ун-т, 1956, 21, 78–80

Фенол (I) сульфруется комплексным соединением диоксана с SO_2 (II) только в орто-положение. Строение 2- $HOC_6H_4SO_3H$ (III) доказано переводом в пирокатехин щел. плавлением. К 0,11 моля I в 10,34 г

$C_2H_5Cl_2$ при < 22° прибавляют по каплям II, притокленный из 8,8 г SO_2 и 7,68 г диоксана (Домбровский А. В., Ж. общ. химии, 1952, 22, 2139), размешивают с 25 г $BaCO_3$ и 100 мл воды, фильтрат упаривают и высушивают в вакууме над H_2SO_4 , выход III 91%.

32445. 4-карбокисбензолсульфамид (n-сульфамидо-бензойная кислота). Кельгор (4-Karboksybenzolsulfonamid (p-Sulfamidobenzoesyre)). Kjeldgaard Kai), Farmac. tid., 1957, 67, № 37, 481–483 (датск. рез. англ.)

Окислением 70 г n-толуолсульфида (I), т. пл. 136–138°, действием $K_2Cr_2O_7 + H_2SO_4$ получено 53 г n-сульфамидобензойной к-ты (II). I синтезирован действием H_2O_2 на 100 г хлорамина Т, выход I 78 г. 42 г II, т. пл. 275,9° (разл.), получено также восстановлением 20 г n-карбокисбензолсульфохлорида Zn в щел. среде.

32446. Арилсульфонильные производные 2,4-диаминотолуола. Хшонцевская, Котлер, Мечниковская-Столярчик, Удор, Пизонь (Pochodne arylosulfonylowe 2,4-dwuaminotoluenu. Chrzaszczewska A., Kotler J., Miecznikowska-Stolarczyk W., Odor G., Pizon S.), Acta chim. Łódzkie towarz. nauk., 1956, 2, 79–85 (польск.; рез русск., англ.)

Изучена р-ция ацилирования 2,4-диаминотолуола (I) при помощи m- $O_2NC_6H_4SO_2Cl$ (II) с целью получения моноацильных производных, могущих служить исходными для синтеза светопрозрачных красителей. Установлено, что при конденсации I и II в присутствии в-в, связывающих HCl (C_6H_5N , Na_2CO_3 , CH_3COONa), образуется почти исключительно 2,4-(m- $O_2NC_6H_4SO_2NH$) $_2C_6H_3CH_3$, т. пл. 155–156°, независимо от соотношения I:II и от р-рителя. Найдены условия получения из I и II 2-(3'- $O_2NC_6H_4SO_2NH$)-4- $H_2NC_6H_3CH_3$ (III) и 2- H_2N-4 -(3'- $O_2NC_6H_4SO_2NH$) $C_6H_3CH_3$ (IV). Для подтверждения строения IV он восстановлен до амина (V) который получен также встречным синтезом. Красители, полученные сочетанием IV с различными диазотированными аминами или сочетанием диазотированного V с Аш- или гимма-кислотой обладают низким качеством. Диазотирование V проводят при t-ре < 0° в большом избытке к-ты (во избежание немедленного сочетания с остающимися в р-ре V). К 0,45 моля I в 200 мл CH_3OH прибавляют 0,19 моля II при < 40°, перемешивают 3 часа, по охлаждению добавляют воду до помутнения, фильтруют (р-р A), осадок растворяют в 20%-ной HCl , осаждают $NaHCO_3$, получают IV, выход 80%, т. пл. 166–167° (из воды). Из р-ра A через несколько дней кристаллизуется III, т. пл. 156–157°. К кипящей смеси 0,36 г-атома Fe-опилок, 200 мл 50%-ного CH_3OH и 0,17 моля лед. CH_3COOH прибавляют по каплям 0,065 моля IV в 100 мл CH_3OH , кипятят 2 часа, нейтрализуют 20 г $NaHCO_3$ в 100 мл воды, фильтруют горячим, отгоняют ~75% CH_3OH , прибавляют 500 мл воды, нейтрализуют HCl (н-рой) получают V, выход 58%, т. пл. 142–143° (из воды). 0,25 моля n-толуидина в 250 г конц. H_2SO_4 при < 0° нитруют смесью 16 г конц. HNO_3 и 34 г конц. H_2SO_4 через 40 мин. выливают на лед, осадок разлагают 15 г Na_2CO_3 , получают 2- $O_2N-4-H_2NC_6H_3CH_3$, выход 67%, т. пл. 78° (из воды). К 0,1 моля последнего в 300 мл воды, содержащей 10 г CH_3COONa , при 50–60° порциями прибавляют 0,096 моля II, выдерживают 1 час, получают 2- NO_2-4 -(3'- $NO_2C_6H_4SO_2NH$) $C_6H_3CH_3$ (VI), выход 81%, т. пл. 124–125° (из сип.). 0,03 моля VI в 100 мл CH_3OH восстанавливают (см. восстановление IV), получают V, выход 72%.

32447. Синтез n-аминобензолсульфонилбутилмочевин, n-толуолсульфонилбутилмочевин и других соединений, обладающих гипноглическими дей-

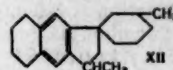
стием Грыглеский (Synteza *p*-aminobenzenosulfonylobutylomocznika, *p*-toluenosulfonylobutylomocznika oraz innych związków o działaniu hipoglikemicznym. Gryglowski Ryszard), Dissert. pharmas. PAN, 1957, 9, № 3, 205—241 (польск.; рез. русск., англ.)

Синтезированы в-ва, применяемые при лечении диабета, $\text{R-C}_6\text{H}_4\text{SO}_2\text{NHCONHC}_6\text{H}_5$, где $\text{R} = \text{CH}_3$ (I) и $\text{R} = \text{NH}_2$ (II), и их аналоги. К 500 г 15%-ного p-PrCOCl_2 в толуоле добавляют при $t = -5$ до -10°C за 3,5 часа 225 г $\text{m-C}_4\text{H}_9\text{NH}_2$, через 1 час фильтруют, р-ритель отгоняют в вакууме, остаток растворяют в 100 мл абс. спирта, упаривают до 0,5 объема, добавляют 50 мл воды, получают $(\text{C}_4\text{H}_9\text{NH})_2\text{CO}$, общий выход 63,8%, т. пл. $73-75^\circ$ (из эф.-петр. эф.). Продукт перегоняют в токе сухого HCl , затем в токе светилитного газа, получают $\text{m-C}_4\text{H}_9\text{NHCOSCl}$ (III), выход 66,9%, т. кип. $114-116^\circ$. Аналогично получают (изо- $\text{C}_3\text{H}_7\text{NH})_2\text{CO}$, выход 79,1%, т. пл. 193° (из сп.), и изо- $\text{C}_3\text{H}_7\text{NHCOSCl}$ (IV), выход 64,5% т. кип. 85° . 15 г Na -соли $\text{p-CH}_3\text{C}_6\text{H}_4\text{SO}_2\text{NH}_2$ (V, *o*-изомер VI), 11,25 г III и 40 мл абс. C_6H_6 нагревают 4 часа, р-ритель отгоняют, остаток извлекают кипящей водой, вытяжку подкисляют 10%-ной HNO_3 , осадок вновь экстрагируют водой, из объединенных остатков получают I, выход 70,5%, т. пл. $128-129,5^\circ$ (из абс. сп.). Кипятят 2 часа 36 г $\text{Na}_2\text{S} \cdot 9\text{H}_2\text{O}$, 4,8 г S в 150 мл спирта и 31,5 г $\text{p-ClC}_6\text{H}_4\text{NO}_2$ в 50 мл спирта, через 12 час. ($\sim 0^\circ$) фильтруют, осадок растирают с 50 мл спирта, фильтруют, извлекают кипящей конц. CH_3COOH , получают $(\text{p-O}_2\text{NC}_6\text{H}_4\text{S})_2$ (VII), выход 64,3%, т. пл. 181° (из ацетона). Смесь 30,8 г VII, 92,8 г конц. HCl , 57,2 г C_6H_6 и 42,2 г 47%-ной HNO_3 нагревают 30 мин. при 55° , затем 1 час при 60° , органич. слой упаривают до 0,5 объема, фильтруют, добавляют 50 мл петр. эфира, получают $\text{p-O}_2\text{NC}_6\text{H}_4\text{SO}_2\text{Cl}$, выход 48%, который превращают в Na -соль $\text{p-O}_2\text{NC}_6\text{H}_4\text{SO}_2\text{NH}_2$. К 5 г последней в 10 мл абс. C_6H_6 добавляют за 1 час при нагревании 3,31 г III в 10 мл абс. C_6H_6 , кипятят 12 час., отгоняют C_6H_6 , остаток извлекают кипящим абс. спиртом, вытяжки упаривают до 10 мл, получают *n*-нитроаналог II, выход 19,4%, т. пл. $169-170^\circ$. 1 г последнего в 50 мл спирта восстанавливают над 0,2 г 5%-ного Pd/C (6 час., 2,5 ат H_2 , на холоду), получают II, выход 94,4%, т. пл. 142° (из 50%-ного сп.). 5 г VI, 3,84 г III и 20 мл абс. C_6H_6 нагревают 10 час., упаривают досуха, кипятят с 20 мл абс. спирта, охлаждают до -5° (2 часа), фильтруют осадок извлекают кипящей водой, получают орто-аналог I, выход 25%, т. пл. $165,5^\circ$ (из сп.). Смесь 5 г V, 3,45 г IV и 10 мл абс. C_6H_6 нагревают 6 час., упаривают досуха, извлекают кипящим абс. спиртом, упаривают до 100 мл, получают $\text{p-CH}_3\text{C}_6\text{H}_4\text{SO}_2\text{NHCONHC}(\text{CH}_3)_2$ (VIII), выход 61,2%, т. пл. 146° (из абс. сп.). Аналогично из VI и IV получают орто-аналог VIII, выход 18,1%, т. пл. $173,5^\circ$ (из 70%-ного сп.). При конденсации 38,5 г KNCS с 50 г $\text{m-C}_4\text{H}_9\text{NH}_2 \cdot \text{HCl}$ в 50 мл воды (нагревают 30 мин.) получают бутилмочевину, выход 67,7%, т. пл. 96° (из бэл.). Т. Амбруш

32448. Полициклические ароматические углеводороды. Часть IV. Синтез некоторых производных 4-метил-1,2-бензантрацена. Ганди, Чандер, Виг, Мухерджи (Polynuclear aromatic hydrocarbons. Part IV. Synthesis of some 4-methyl-1,2-benzanthracene derivatives. Gandhi R. P., Chander K., Vig O. P., Mukherje S. M.), J. Indian Chem. Soc., 1957, 34, № 3, 163—168 (англ.)

Синтезированы 1',4-диметил (I)-, 2',4-диметил (II)-, 3',4-диметил (III)- и 4,5,8-триметил (IV)-1,2-бензантрацен. I—III получены конденсацией 2-аллил-*X*-метилциклогексанола (V), где всюду $\text{X} = 6$, $\text{X} = 5$ и $\text{X} = 4$, с тетралином (VI) в присутствии AlCl_3 с последующим восстановлением образовавшегося 2-

[8-метил- β -(тетралил-6)-этил]-*X*-метилциклогексанола (VII) до 2-[8-метил- β -(тетралил-6)-этил]-*X*-метилциклогексанола (VIII), циклизации VIII в Y', 2',4-диметил-1,2,3,4,5,6,7,8,1',2',3',4'-додекагидро-1,2-бензантрацен (IX) и дегидрированием IX до I—III. Аналогично из 2-аллилциклогексанола (X) и 1,4-диметил-VI (XI) получен IV. Предложено, что при циклизации соответствующих циклогексанола типа VII возможно образование как додекагидробензантраценов типа VIII, так и соответствующих спирапов типа (XII) или одновременно обоих (ср. J. Amer. Chem. Soc., 1934, 56, 959), дающих при дегидрировании одни и те же соответствующие производные бензантрацена (ср. РЖХИМ,



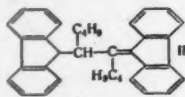
1954, 16281; 1956, 28988). Показано, что VIIa циклизуется исключительно в IXa, не образуя XII, так как дегидрирование XII благодаря стерич. препятствию CH_3 -группы должно было бы сопровождаться перегруппировкой и образованием III вместо I, что опровергается экспериментом. К 100 г VI постепенно 80 мин., 55°) добавляли одновременно 17,5 г AlCl_3 и 1 г Va, через 5 час. ($0-5^\circ$) разлагали HCl и эфиром экстрагировали VIIa, выход 48%, т. кип. $200-205/5$ мм. 7 г VIIa в 40 мл $(\text{CH}_3)_2\text{CHOH}$ (XIII) восстанавливали (изо- $\text{C}_3\text{H}_7\text{O}$), Al (XIV) (из 2,5 г Al), перегонкой выделили VIIa, выход 85%, т. кип. $212-215/6$ мм. 5 г VIIa обработали 7 мл конц. H_2SO_4 ($0-5^\circ$), получили 64% IX, Y = 1', т. кип. $177-180/3$ мм, 2 г которого нагревали 4 часа при $300-320^\circ$ с 0,2 г 30%-ного Pd/C извлекли эфиром. После отгонки эфира из остатка выделили I в виде пикрата (ПК), т. пл. 147° (из сп.); из ПК получен I, выход 68%, т. пл. 161° (из бэл.-сп.). Аналогично из 12 г Vb, 120 мл VI и 21,4 г AlCl_3 получили VIIb, выход 49%, т. кип. $205-208/4$ мм; из 10 г Vв, 100 мл VI и 18 г AlCl_3 образуется VIIв, выход 80%, т. кип. $195-200/5$ мм, $n_D^{20} 1,5672$, и из 15 г X, 35 г XI и 26,8 AlCl_3 получен 2-[8-метил- β -(1,4-диметилтетралил-6)-этил]-циклогексанон (XV), выход 36,5%, т. кип. $200-205/2$ мм. По предыдущему восстановлением 7 г VIIb (или VII в или XV) в 35 мл XIII действием XIV получены соответственно VIIb, выход 85%, т. кип. $200-202/4$ мм; VIIв, выход 85%, т. кип. $209-212/5$ мм, $n_D^{20} 1,5360$, и 2-[8-метил- β -(1,4-диметилтетралил-6)-этил]-циклогексанол, выход 83%, т. кип. $210-215/6$ мм. Из соответствующих циклогексанола аналогично IX, Y = 1', получены IX, Y = 2', выход 66,6%, т. кип. $182-185/5$ мм, IX, Y = 3', выход 80%, т. кип. $175-177/3$ мм, $n_D^{20} 1,5712$, и 4,5,8-триметил-1,3,4,5,6,7,8,1',2',3',4'-додекагидро-1,2-бензантрацен, выход 63,7%, т. кип. $175-178/5$ мм. Дегидрированием этих соединений аналогично I получены (даны в-во, выход в %, т. пл. в $^\circ\text{C}$): II, 70, 181 (из бэл.-сп.), ПК, т. пл. $151-152^\circ$ (из сп.); III 73,2, 145—146 (из бэл.-сп.), ПК, т. пл. $179-180^\circ$ (из сп.); IV, 73,7, 74—75 (из бэл.-сп.). Va, выход 86,8%, т. кип. $82-85/7$ мм, получен гидролизом 5%-ным KOH (4 часа, $50-55^\circ$) 2-аллил-2-формил-6-метилциклогексанола (XVI), а Vв — гидролизом 2-аллил-2-формил-4-метилциклогексанола (XVII) выход 88%, т. кип. $95-98/8$ мм; 2,4-динитрофенилгидразон (ДНФГ), т. пл. 85° (из сп.). NaNH_2 (из 4 г Na) в 100 мл C_6H_6 постепенно добавляли ($5-10^\circ$) к 20 г 3-метилциклогексанола, через час (20°) нагревали 3 часа на паровой бане и добавляли ($0-5^\circ$) 32 г $\text{CH}_2 = \text{CHCH}_2\text{J}$ (XVIII); через 1 час кипятили 8 час., разлагали водой, эфиром экстрагировали Vb, выход 51,6%, т. кип. $85-90/5$ мм; ДНФГ, т. пл. $132-133^\circ$ (из этилацетата-сп.). К $\text{C}_2\text{H}_5\text{ONa}$ (3,3 г Na, 10 мл абс. спирта и 200 мл C_6H_6) прилили по каплям 20 г 2-формил-

6-метилциклогексанона, через ~12 час. добавили 26 г XVIII, через 1 час нагревали при ~100° 8 час., обрабатывали водой и из бензольного слоя перегонкой выделили XVI, выход 62,2%, т. кип. 90—95°/7 мм. 16 г 2-формил-4-метилциклогексанона (XIX) и 4,5 г К в 200 мл *iso*-C₄H₉ОН оставляли на ~12 час., добавляли 22 г XVIII, через 1 час кипятили 8 час. при ~100°, выход XVII 70%, т. кип. 110—115°/5 мм. К C₂H₅ONa (из 7 г Na) в 200 мл C₆H₆ добавили 30 г HCOOC₂H₅, через 2 часа добавили 23 г 4-метилциклогексана в 50 мл C₆H₆, через 6 час. выделили XIX, выход 60%, т. кип. 90°/5 мм. Часть III см. РЖХим, 1957, 41103.

Г. Крюкова

32449. Реакции 9-хлорметилефлуорена с бутил- и фениллитием. Кертин, Флинн, Найстром, Ричардсон (Reaction of 9-chloromethylenefluorene with butyl- and phenyllithium. Curtin D. Y., Flynn E. W., Nystrom R. F., Richardson W. H.), Chemistry and Industry, 1957, № 44, 1453—1454 (англ.)

При р-ции 9-хлорметилефлуорена (I) с C₄H₉Li в эфире (4 часа, 26°) образуются 9-пентилденфлуорен,



выход 7%, и в-во, выход 46%, для которого по данным УФ-спектра и р-ции предположено строение (II). C₆H₅Li при р-ции с I (6,5 часа, 0°) дает только кумулен.

Л. Щукина

32450. Некоторые реакции 3,3-бис-(хлорметил)-оксэтана. Кемпбелл (Some reactions of 3,3-bis(chloromethyl) oxetane. Campbell Tod W.), J. Organ. Chem., 1957, 22, № 9, 1029—1035 (англ.)

Показано, что при р-ции 3,3-бис-(галлоидометил)-оксэтана [3,3-бис-(галлоидометил)-триметиленоксида (Ia R = Cl, б R = Br, в R = J)] с нуклеофильными реагентами получают в-ва типа CH₂CH₂OC(CH₂R)CH₂R'

(Па—э). Некоторые из образующихся II превращаются затем в спиранные соединения (III). При р-ции Iб с Na₂S, Iа с O(CH₂CH₂SH)₂ и диоксаспирогептана (IV) с терефталойлхлоридом образуются только полимеры; Iа и Iв дают сополимеры. Iа получен по известному способу (РЖХим, 1956, 65171), т. кип. 101°/27 мм, 65°/5 мм; Iб — см. Govaert F. и др. Naturw. Tijdschr. Belg., 1940, 22, 73), т. кип. 125°/23 мм. Iв получен 15,5 г Iа и 35 г NaJ в 150 мл CH₃COC₂H₅ (кипение 24 часа), выход 89% т. пл. 50° (из циклогексана). Полимеры из Iб и Iв получены аналогично полимерам из Iа, т. пл. 220 и 290°. Сополимеры Iа и Iв получены при различном соотношении компонентов 3,05:1,00; 1,02:2,00; 2,00:1,00; 1,08:1,00; т. пл. в °C: 163, 240, 185 и 210 соответственно. 10 г Iа и 7 г NaCN в 25 мл спирта кипятят 24 часа и получают IIа (R = R' = CN), выход 40%, т. пл. 76,5°. Na-малоновый эфир (из 53 г малонового эфира (V) и 7,6 г Na в 200 мл спирта) добавляют к кипящему р-ру 50 г Iа и 100 г V в 100 мл спирта; перегонкой выделены 31 г III, т. кип. 105—107°/4,4 мм. Из 50 г Iа в 250 мл жидкого NH₃ (80°, 8 час.) выделен монохлоргидрат IIб (R = R' = NH₂); р-р последнего в 50%-ном CH₃ОН насыщают HCl и отделяют дихлоргидрат (ДХГ) IIб, выход 55—75%, т. пл. 249. ДХГ IIб обрабатывают насыщ. р-ром K₂CO₃ и отделяют IIб, т. кип. 75,5°/0,5 мм; дибензоат IIб, т. пл. 168—169°; фенилуретан, т. пл. 164—165° (из сп.). 0,2 моля Iа в 150 мл спирта и 0,4 моля Na₂S₂O₃·5H₂O в 100 мл воды кипятят ~16 час., разбавляют равным объемом спирта и отделяют IIв·3H₂O (R = R' = S₂O₃Na) (ди-соль Bunte), выход 57 г (из 85%-ного спирта). При гидро-

лизе IIв разб. HCl, а также гидролизе неочищ. продукта р-ции 15,5 г Iа и 49,6 г Na₂S₂O₃·5H₂O, были выделены, вероятно, 2,3,4-тритиа-8-оксаспиро-[5,5]-нонан (VI), т. кип. 115—120°/2,5 мм, т. пл. 90—91° (из CH₂Cl₂-C₆H₁₄) и полимеры. Образование VI приписано р-ции IIв с S, выделяющейся из Na₂S₂O₃ в кислой среде. К горячему р-ру 20 г NaSCN в 250 мл ацетона добавляют 31 г Iа в 100 мл ацетона и кипятят 2 суток,



перегонкой выделены Iа, 5,9 г IIг (R = Cl, R' = SCN), т. пл. 81,8—82,1° (из абс. сп.), т. кип. 115°/4,5 мм, n_D²⁰ 1,5298, и 2,5 г IIд (R = R' = SCN), т. пл. 81,8—82,1° (из абс. сп.). При большем соотношении NaSCN:Iа образуется только IIд. К 31 г Iа и 11 г C₆H₅SH (VII) в 200 мл абс. спирта добавляют 2,3 г Na в 50 мл спирта, кипятят 3 часа и выделяют 11 г Iа и 23 г IIе (R = Cl, R' = SC₆H₅), т. кип. 144°/1,3 мм. Аналогично поводят р-цию при соотношении Iа:VIII:Na = 15,5 г:22 г:4,6 г; продукт р-ции растворяют в 100 мл CH₃COOH, добавляют 50 мл 30%-ной H₂O₂ (3 часа ~20°, 2 часа 100°), выливают в воду и отделяют IIж (R = R' = SO₂C₆H₅), выход 49,5 г, т. пл. 150—159,5° (из абс. сп.). 11,5 г Na растворяют в 500 мл абс. спирта (Na), р-р насыщают H₂S, добавляют еще 11,5 г Na, а затем 77,5 г Iа, кипятят 24 часа и отделяют 2-окса-6-тиаспиро-[3,3]-гептан (VIII) выход 20%, т. кип. 60°/3 мм. VIII (7,5 г) окисляют H₂O₂ в CH₃COOH до сульфона (IX), выход 4,7 г т. пл. 161—162° (из CH₃OH), дающего полимер с т. пл. ~220°. В присутствии BF₃ в р-ре SO₂ при -50° 15,5 г Iа и 34 г C₆H₅N₃ нагревают 20 час. на водяной бане, кристаллич. массу обрабатывают щелочью и экстрагируют C₆H₆ и получают IIз (R = R' = NC₆H₅), выход 8 г, т. кип. 145°/3 мм; динитрат, т. пл. 180—185°. 0,5 г Iа и 0,45 г C₆H₅COCl нагревают 16 час. при 110° в запаянной трубке и получают β,β-трис-(хлорметил)-этилбензоата (X), выход 0,86 г, т. пл. 77° (из водн. CH₃OH). X получен также из (ClCH₂)₃CCSHOH и C₆H₅COCl в C₆H₅N. Из Iб и C₆H₅COBr получают β,β,β-трис-(бромметил)-этилбензоат, выход 77%, т. пл. 99,5—100° (из C₆H₁₄). Описано получение V (т. кип. 170—172°) из дихлорпентаэритрита. Приведены ИК спектры всех полученных соединений.

И. Левин

32451. Исследования расщепления фуранового кольца. I. Образование левоулиновой кислоты из фурфуролового спирта. Биркофер, Дунц (Untersuchungen über die Aufspaltung des Furanringes. I. Lävulin-säurebildung aus Furfurylalkohol. Birkofer Leonhard, Dutz Rudolf, Liebigs Ann. Chem., 1957, 608, № 1—3, 7—17 (нем.))

Метилированием фурфуролового спирта (I) метанольного р-ра HCl получены метиловый эфир (MЭ) I, 4,5-диметокси-4,5-дигидросильван (II), 2,4,5-триметокситетрагидросильван (III), MЭ левоулиновой к-ты (IV) и диметилацеталь α-метоксилевоулинового альдегида (V). Строение V доказано окислением в β-ацетилакриловую к-ту. При каталитич. воздействии H⁺ V превращен в IV в β-ацетилакролен (VI). Кипятят в атмосфере N₂ 17 мл CH₃COCl, 142 мл I и гидрохинона в 1840 мл абс. CH₃OH, по охлаждению добавляют ~68 мл 4 н. р-ра CH₃ONa в CH₃OH (рН 7) и перегонкой получают MЭ I, т. кип. 130°, n_D²⁰ 1,4532; IV, т. кип. 78—80°/11 мм, n_D²⁰ 1,4231, и V, т. кип. 94—95°/11 мм, n_D²⁰ 1,4247. Кипятят фракцию с т. кип. 75—78°/11 мм с 12%-ным KOH, экстрагируют эфиром и получают II, т. кип. 58—61°/12 мм, n_D²⁰ 1,4440, и III, т. кип. 74,5°/12 мм, n_D²⁵ 1,4241. К р-ру 2 г 2,4-динитрофенилгидразина (VII) в 20 мл конц. H₂SO₄ и 130 мл

воды добавляют 1 г V в 50 мл воды и получают бис-2,4-динитрофенилгидразон (ДНФГ) α-метоксибензальдегида (VIII), т. пл. 221° (разл.; из этилацетата). Аналогично из V и VIII в безводн. среде получают бис-ДНФГ VI (IX), т. пл. 271° (из $C_6H_5NO_2 \cdot C_6H_5C_6H_4OH$), и ДНФГ IV, т. пл. 141°. В водн. среде II и III с VII дают VIII, а в безводн. — IX. Кипятят 10 мин. 7,5 г V с 150 мл 0,025 н. H_2SO_4 , по охлаждению добавляют 37,5 мл 0,1 н. KOH (рН 7) и Ag_2O (из 30 г $AgNO_3$), размешивают 15 час., нагревают до кипения, смесь фильтруют горячей, фильтрат подкисляют разб. HCl, кипятят 10 мин. и выделяют β-ацетилакриловую к-ту, т. пл. 122—124° (из бэл.-лигр.). Р. Журин

32452. Исследования расщепления фуранового кольца. II. Диметилацеталь 2-метокси-4-оксивалерианового альдегида и продукты его превращения. Биркофер, Дуц (Untersuchungen über die Aufspaltung des Furanringes II. 2-Methoxy-4-hydroxy-valeraldehyd dimethylacetal und seine Umlagerungsprodukte. Birkhofer Leonhard, Dutz Rudolf), Liebings App.-Chem., 1957, 608, № 1—3, 17—21 (нем.).

Гидрированием диметилацетала (ДА) α-метоксибензальдегида (I) получен ДА 2-метокси-4-оксивалерианового альдегида (II), который действием H+ последовательно превращен в 4,5-диметокситетрагидросильван (III) и 4-метокси-5-окситетрагидросильван (IV) и (транс-элиминирование CH_3OH) в γ-валеролактон (V). Пиролизом IV (цис-элиминирование CH_3OH) получен 4,5-эпокситетрагидросильван (VI), который также переведен в V. Р-р 30 мл I в 40 мл CH_3OH гидрируют над скелетным Ni, фильтруют и получают II, т. кип. 105—106°/11 мм, n_D^{20} 1,4302; 1,4-дифталевый эфир, т. пл. 83° (из лигр.). Дают стоять 7 дней под N_2 при 20° 15 мл II в 150 мл 0,5 н. H_2SO_4 , добавляют р-р $NaHCO_3$ (рН 7), насыщают NaCl, экстрагируют эфиром и получают III, т. кип. 52°/12 мм, n_D^{20} 1,4200, и IV, т. кип. 93—94°/11 мм, n_D^{20} 1,4412. Нагревают 4,5 часа при 155° 9 мл IV с безводн. $CaCl_2$, по охлаждению под N_2 добавляют 5 мл абс. эфира и получают VI, т. кип. 40°/12 мм, n_D^{20} 1,4299. Нагревают 3 часа при 98° 59,4 мг IV с 0,5 мл 0,5 н. H_2SO_4 , разбавляют водой в 50 раз, добавляют 0,1 н. KOH, нагревают 45 мин. до кипения, через ~12 час. избыток KOH оттитровывают 0,1 н. H_2SO_4 и получают V, выход 69,1%. Аналогично из VI получают V, выход 40,1%. Р. Журин

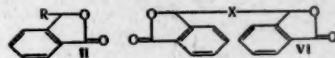
32453. Изучение оксидигидрофуранов. VI. Взаимодействие 5,5-диметил-2,4-дифенил-2-оксидигидрофурана-2,5 с 2,4-динитрофенилгидразином. Венус-Данилова Э. Д., Павлова Л. А., Фабрицы А. Ж. общ. химии, 1957, 27, № 9, 2423—2429

В продолжение предыдущей работы (см. сообщение V, РЖХим, 1957, 30597) изучено взаимодействие 5,5-диметил-2,4-дифенил-2-оксидигидрофурана-2,5 (I) с 2,4-динитрофенилгидразином (II) в различных условиях. При воздействии спирт. р-ра II на I в присутствии H_2SO_4 получена сернокислая соль 2,4-динитрофенилгидразиногидразона (ГГ) 2-метил-3,5-динитропентен-3-ол-2-она-5 (III). Уксуснокислый р-р II с I дает ГГ III, а взаимодействие II с I в присутствии HCl (к-ты) приводит к 2,4-динитрофенилгидразону (ДНФГ) III. Показано, что полученные в-ва способны к частичным взаимным превращениям. Приведены спектры поглощения полученных в-в. К р-ру 0,4 г I (т. пл. 101°) в 10 мл спирта приливают р-р 0,4 г II и 2 мл конц. H_2SO_4 в 3 мл воды и 10 мл спирта, через 2 часа осадок промывают водн. спиртом и водой до отсутствия SO_4^{2-} в промывных водах и получают ГГ III, т. пл. 156—157° (разл.). Перекристаллизацией ГГ III из спирта с небольшим кол-вом этилацетата или из лед. CH_3COOH получают ДНФГ III, т. пл. 167—168° (разл.). Если осадок, полученный описан-

ным методом, промывают сухим спиртом, затем абс. эфиром, то получают сульфат ГГ III, т. пл. 178—179° (разл.). К р-ру 2,5 г I в 50 мл спирта прибавляют р-р 2,5 г II в 125 мл спирта и 2,5 мл конц. HCl, через 20 мин. осадок промывают водой до отсутствия в промывных водах Cl^- и получают ДНФГ III, выход 76%. К р-ру ДНФГ III в спирте прибавляют р-р II, нагревают несколько минут до кипения и по охлаждению отделяют сульфат ГГ III. Нагревают 2 часа до кипения смесь 1,5 г ДНФГ III, 8 г $SnCl_2 \cdot 2H_2O$, 25 мл конц. HCl и 25 мл воды, через 24 часа осадок промывают водой, фильтрат разбавляют до 150 мл, олово осаждают электролизом, фильтрат упаривают и получают солинокислую соль 1,2,4-триаминобензола, выход 0,8 г. К р-ру 0,9 г I в 40 мл 80%-ной CH_3COOH приливают 45 мл насыщ. р-ра II в 75%-ной CH_3COOH и через 24 часа отделяют изомер ГГ III (IV), выход 68—76%, т. пл. 162—163° (разл.). Кипятят IV с лед. CH_3COOH и получают ДНФГ III. К р-ру 0,25 г IV в 15 мл спирта прибавляют 3 мл воды и 2 мл H_2SO_4 , смесь 3 мин. нагревают, фильтруют, оставляют на ~16 час. и получают сульфат ГГ III. Р. Журин

32454. Реакции фталальдегидной кислоты. Уилер, Янг, Эрли (Reactions of phthalaldehydic acid. Wheeler D. D., Young D. C., Erley D. S.), J. Organ. Chem., 1957, 22, № 5, 547—556 (англ.).

Изучены р-ции о-формилбензойной к-ты (I) со спиртами, тиоспиртами, аминами, амидами, сульфонидами, мочевиной и ее производными, карбаматами и ангидридами к-ты I и ее 3-замещ. фталиды существуют в таутомерной форме лактона (II R = OH). I и II (R = OH) имеют одинаковые хим. свойства и отличаются высокой реакционной способностью, приведе-



ны их ИК-спектры, *n*-Формилбензойная к-та (III) получена фотохлорированием *n*-ксилола до смеси пента- и гексахлор-*n*-ксилолов, из которой дистилляцией выделена фракция с т. кип. 160—162°/10 мм и т. пл. 43—45° (из сп.); последующим кипячением с HCl, содержащей 10% $FeCl_3$, получена III, выход 43%, т. пл. 240°; оксим, т. пл. 215—216°. 1 моль I в 300 мл спирта кипятят 7 час., охлаждают и выливанием в холодную воду получают 3-этоксифталид, выход 73%, т. пл. 64—65° (из петр. эф.). Смесь 2,5 моля I и 1,25 моля этиленгликоля нагревают 2 часа при 140—145°/15 мм, затем 1 час при 210° и по охлаждению получают 3,3'-этилендиоксифталид, т. пл. 86—89°. Смесь 0,2 моля 1-додецилтиолового спирта и 0,2 моля I кипятят при 105—115° 2 часа, выливают в воду и получают 3-н-додецилтиофталид, выход 99%, т. пл. 36—38°. Р-р 0,25 моля I и 0,25 моля $C_6H_5NH \cdot HCl$ в 125 мл воды нагревают 30 мин. при 95° и получают 3-анилинофталид (IV), выход 81%, т. пл. 180—181° (из водн. ацетона). Р-р 0,5 моля I в 100 мл теплого ацетона добавляют к теплomu р-ру 0,5 моля анилина в 100 мл ацетона и после нагревания получают IV, выход 94%, 0,3 моля I в 60 г 25%-ного водн. р-ра диметиламина (0,3 моля) нагревают 1 час до 95°, получают 3-диметиламинофталид, выход 77%, т. пл. 89—90°. 0,2 моля I и 0,2 моля дифениламина в 150 мл C_6H_6 нагревают 4 часа и получают 3-дифениламинофталид, выход 58%, т. пл. 137—138°. В охлажд. р-р 0,2 моля *n*-октиламина в 100 мл C_6H_6 небольшими порциями добавляют 0,4 моля I, нагревают 2 часа при 100° и получают 3,3'-октил-иминодифталид, выход 84%, т. пл. 109—110°. Смесь 1 моля I и 1 моля ацетамида нагревают до 120° 30 мин. и получают 3-ацетамидофталид, выход 72%, т. пл. 218—220°. Смесь 0,43 моля I и 0,43 моля бензолсульфамида нагревают 3 часа до 130°, после охлаждения до

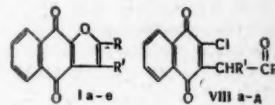
100° и выливания в воду выделяют 3-бензосульфамидо-фталид, выход 62%, т. пл. 178–180° (из сп.). Р-р 0,4 моля метилмочевины в 50 мл горячей воды добавляют к р-ру 0,4 моля I в 250 мл воды и по охлаждению получают 3-(3-метилуреидо)-фталид, выход 97%, т. пл. 229–230°. Р-р 0,5 моля этилкарбамата и 0,5 моля I в 250 мл бутанона-2 кипятят 4 часа, р-ритель отгоняют и выделяют этиловый эфир 3-оксофталанкарбаминной к-ты, выход 74%, т. пл. 171–172°. Смесь 0,6 моля $(\text{CH}_3\text{CO})_2\text{O}$ (V) и 0,5 моля I нагревают 3 часа при 140–160° и по охлаждению получают фталид-ацетат, выход 96%, т. пл. 62–63°. Нагреванием смеси 0,4 моля I, 0,45 моля $\text{C}_6\text{H}_5\text{COOH}$ и 0,45 моля V (150–200°, 2,5 часа), получают фталидбензоат, выход 48%, т. пл. 129–130° (из сп.). Получены следующие замещ. II (указаны R, выход в % и т. пл. в °C): $\text{CH}_2=\text{CHCH}_2\text{O}$, 70, —; $(\text{CH}_3)_2\text{CHO}$, 69, 61–62; $\text{C}_3\text{H}_7\text{O}$, 61, 32–33; $(\text{CH}_3)_3\text{CO}$, 62, 77–79; цикло- $\text{C}_6\text{H}_{11}\text{O}$, 73, 79–81; $\text{C}_6\text{H}_5\text{CH}_2\text{O}$, 79, 47–50; $n\text{-CH}_3(\text{CH}_2)_6\text{CH}_2\text{O}$, 93, —; $\text{C}_{10}\text{H}_{21}\text{O}$, 95, 65–66; $\text{CH}_3\text{CH}_2\text{CH}(\text{CH}_3)\text{S}$, 91, 47–48; $n\text{-ClC}_6\text{H}_4\text{S}$, 79, 120–121; $\text{C}_6\text{H}_5\text{S}$, 77, 102–103; 1,1,2,2- $\text{CH}_2\text{CH}_2\text{C}(\text{CH}_3)_2\text{C}(\text{CH}_3)_2\text{S}$, 52, 65–66; $\text{C}_{16}\text{H}_{33}\text{S}$, 77, 68–69; $\text{O}(\text{CH}_2\text{CH}_2)_2\text{N}$, 99, 127–128; $(\text{CH}_3)_3\text{CNH}$, 84, 134–136; 2,4,5- $\text{Cl}_3\text{C}_6\text{H}_2\text{NH}$, 80, 209–210; $o\text{-ClC}_6\text{H}_4\text{NH}$, 85, 170–171; $m\text{-NO}_2\text{C}_6\text{H}_4\text{NH}$, 74, 227–229; $n\text{-OHC}_6\text{H}_4\text{NH}$, 93, 181–183; $n\text{-H}_2\text{NSO}_2\text{C}_6\text{H}_4\text{NH}$, 97, 262–264; $o\text{-HOOC}_6\text{H}_4\text{NH}$, 93, 214–212; $\text{C}_6\text{H}_5\text{CH}_2\text{NH}$, 99, 86–89; $\text{C}_6\text{H}_5\text{N}(\text{CH}_3)$, 93, 158–159; $n\text{-CH}_3\text{COC}_6\text{H}_4\text{NH}$, 97, 246–247; $\text{C}_6\text{H}_5\text{N}(\text{CH}_2\text{CCl}=\text{CH}_2)$, 85, 120–121; $o\text{-C}_2\text{H}_5\text{OOC}_6\text{H}_4\text{NH}$, 70, 163–164; $\beta\text{-C}_{10}\text{H}_{19}\text{NH}$, 91, 208–209; $n\text{-C}_2\text{H}_5(\text{CH}_2)_4\text{OC}_6\text{H}_4\text{NH}$, 93, 200–202; $\text{C}_6\text{H}_5\text{NHN}(\text{C}_6\text{H}_5)$, 70, 196–198; CH_3CSNH , 42, 180–182; $\text{C}_6\text{H}_5\text{CCl}_2\text{CONH}$, 47, 169–171; $n\text{-BrC}_6\text{H}_4\text{SO}_2\text{NH}$, 94, 211–212; $\text{C}_6\text{H}_5\text{CONH}$, 89, 175–177; $\text{C}_6\text{H}_5\text{CH}_2\text{CONH}$, 75, 223–225; $\text{CH}_3(\text{CH}_2)_2\text{CONH}$, 69, 134–133; NH_2CONH , 96, 243–244; $\text{C}_6\text{H}_5\text{NHCONH}$, 99, 213–215; $\text{C}_6\text{H}_5\text{NHCONH}$, 88, 217–218; $\text{C}_6\text{H}_5\text{CH}_2\text{NHCONH}$, 50, 214–215; $\text{C}_6\text{H}_5\text{COO}$, 96, 72–74; $n\text{-C}_6\text{H}_{13}\text{COO}$, 96, 47–48, и 3,3'-замещ. дифталиды (VI) (указаны X, выход в % и т. пл. в °C): $\text{OCH}_2\equiv\text{CCH}_2\text{O}$, 78, 144–147; $\text{OCH}(\text{CH}_3)\text{CH}(\text{CH}_3)\text{O}$, 66, 188–190; NH , 57, 209–210; $\text{N}(\text{CH}_3)$, 78, 231–233; $\text{N}(\text{CH}_2\text{CH}_2\text{Br})$, 77, 163–171; $\text{N}(\text{CH}_2\text{CH}_2\text{OH})$, 88, 185–187; $\text{N}(\text{CH}_2\text{CH}=\text{CH}_2)$, 87, 153–154; $\text{N}(\text{CH}_2\text{CH}_2\text{OCH}_3)$, 64, 140–141; $\text{N}(\text{CH}(\text{CH}_3)\text{CH}_2\text{CH}_3)$, 81, 218–220; $n\text{-NHC}_6\text{H}_4\text{NH}$, 93, 258–261; N -цикло- C_6H_{11} , 36, 188–190; $\text{N}(\text{CH}_2\text{C}_6\text{H}_5)$, 37, 140–141; $(\text{C}_6\text{H}_5)_2\text{NCH}_2\text{CH}_2\text{N}(\text{C}_6\text{H}_5)$, 70, 152–153; $n\text{-NHC}_6\text{H}_4\text{CH}_2\text{C}_6\text{H}_4\text{NH}$, 91, 190–192; $(\text{C}_6\text{H}_5\text{CH}_2)_2\text{NCH}_2\text{NCH}_2\text{C}_6\text{H}_5$, 85, 172–173; $\text{N}(\text{C}_2(\text{CH}_3)_4\text{CH}_3)$, 86, 91–92.

Ц. Гельфер

32455. Реакции нафтохинонов с малоновым эфиром и его аналогами. IV. Синтез 2,3-дизамещенных 4,5-фталонилфуранов. Прайт, Райс (Reactions of naphthoquinones with malonic ester and its analogs. IV. A synthesis of 2,3-disubstituted-4,5-phthaloylfurans. Pratt Ernest F., Rice Rip G.), J. Amer. Chem. Soc., 1957, 79, № 20, 5489–5491 (англ.).

В продолжение предыдущей работы (см. сообщение III, РЖХим, 1957, 60594) изучен синтез 2,3-дизамещ. 4,5-фталонилфуранов (Ia–e). Кипятием бензоилацетонитрила (II) с 2,3-дихлорнафтохиноном-1,4 (III) или с 2-окси-3-бромнафтохиноном-1,4 (IV) и $\text{C}_6\text{H}_5\text{N}$ в спирте получен Ia. Аналогично из ацетил-(V) или бензоилацетона (VI) и III в присутствии трибутиламина (VII) получают Ib и Ic. Циклизацией 3-(α-диано-α-бензоилметил)-2-хлорнафтохинона-1,4 (VIIIa) и его аналогов (VIIIб–д) в присутствии VII получают Ia–д. Строение Ib и Ic доказано омылением их до 2-окси-3-ацетонил- (IX) и 2-окси-3-фенацилнафтохинона-1,4 (X) соответственно. IX циклизуется в 2-метил-[1,2-б]-фуранафталенидион-4,5 (XI), который изомеризуется в Ie (выход 63%, т. пл. 246–247°). К смеси 0,5 г III и 0,5 г II в 25 мл абс. спирта прибавляют 5 мл VII (или $\text{C}_6\text{H}_5\text{N}$), кипятят 4 часа и через ~16 час.

(~0°) выделяют Ia, выход 0,39 г (0,51 г), т. пл. 252–253° (из 1-нитропропана). Аналогично из 0,5 г III, 0,5 г VI и VII получают Ib, выход 0,088 г, т. пл. 252,5–253,5° (из этилацетата); из 0,5 г III, 4 мл V и VII образуется Ic, выход 0,083 г, т. пл. 202–203° (из этилацетата); из 0,5 г IV, 0,5 г II и $\text{C}_6\text{H}_5\text{N}$ (16 час.) получают Ia, выход 0,2 г. Из III и II, V, VI или дибензоилметана по описанному способу (Michel F., Ber., 1900, 33, 2402) получают соответственно VIIIa, выход 49%, т. пл. 182,5–183,5° (из этилацетата), VIIIб, VIIIв, т. пл. 81,5–82,5° (из CH_3OH), и VIIIг, выход 26%, т. пл. 182,5–183,5° (из сп.). По приведенному выше способу из 0,5 г VIIIa и $\text{C}_6\text{H}_5\text{N}$ получают Ia; из VIIIб и VII образуется Ib; VIIIв и VII дают Ic; из VIIIг и VII



I, VIII: а R = C_6H_5 , R' = CN; б R = CH_3 , R' = COCH_3 ; в R = CH_3 , R' = COC_2H_5 ; г R = C_6H_5 , R' = COC_2H_5 ; д R = CH_3 , R' = COOC_2H_5 ; Ie R = CH_3 , R' = H

получают Ig, выход 0,12 г, т. пл. 231–231,5° (из этилацетата-птр. эф.); из VIIIд и VII образуется Id, выход 0,059 г, т. пл. 163–163,5° (из этилацетата-птр. эф.). К кипящему р-ру 0,3 г Ia в 20 мл смеси $\text{C}_6\text{H}_5\text{N}$ с $(\text{CH}_3\text{CO})_2\text{O}$ (1:1) прибавляют за 15 мин. 1 г 2a, кипятят 1 час, р-р декантируют в 250 мл воды и через ~16 час. отделяют 2-фенил-3-циано-4,9-диацетокси-нафто-[2,3-б]-фуран, выход 59%, т. пл. 272,5–273,5°. Аналогично из Ib получают 2-метил-3-ацетил-4,9-диацетокси-нафто-[2,3-б]-фуран, выход 85%, т. пл. 187–188° (из сп.). Кипятят 1 час смесь 0,53 г Ib и 53 мл 1%-ного р-ра NaOH, подкисляют разб. HCl и через ~16 час. отделяют IX, выход 79%, т. пл. 177–177,5° (из этилацетата-птр. эф.). Аналогично из Ic получают IX, выход 21%; из 0,15 г Ig и 25 мл 1%-ного р-ра NaOH (24 часа) — X, выход 0,01 г, т. пл. 182,5–183,5° (из водн. сп.). IX по указанному выше способу циклизуют в XI, выход 66%, т. пл. 164–164,5°. Приведены УФ-спектры Ia–д.

32456. Псевдотропны типа α- и γ-пирона, тиа- и тиатропны и соответствующие бензопроизводные. 2,3-6,7-дибензотропотион-1. Майер (Pseudo-Tropone von Typ der α- und γ-purone, Thia- und Thiathionone und entsprechender Benzoderivate. 2,3:6,7-Dibenzo-tropothion-(1). Mayer Roland), Chem. Ber., 1957, 90, № 10, 2362–2369 (нем.).

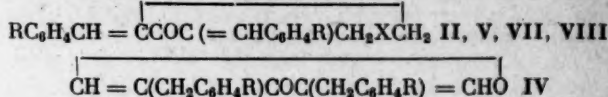
Основываясь на том, что замена этеновой группировки $\text{C}=\text{C}$ кислородом O или серой S не меняет числа электронов, способных к мезомерии, автор показал наличие псевдоароматич. свойств и жестичленных аналогов тропона (I) — α- (II) и γ-пионов (III), а также у синтезированных им тиатро- (IV), тиа- (V), тиа-III (VI), 2,3-бензотиатро-III (VII), 2,3-бензо-1-тиа-III (VIII), тиаксантиона (IX) и тио-IX (X). Дибензотропотион (XI) не имеет псевдоароматич. свойств и ведет себя как ненасыщ. соединение. 5-карбокситро-II декарбоксилируют по известному методу (Reichmann H. U., Liebigs Ann., Chem., 1891, 264, 305) и получают II, выход 24%, т. кип. 102–103°/20 мм, т. пл. 8–9°, n_D^{20} 1,5298 d_4^{20} 1,1972; пикрат, т. пл. 106–107° (из сп.). 2,6-дикарбокси-III декарбоксилируют в присутствии порошка Cu и получают III, выход 60%, т. кип. 91–91,5/9 мм, т. пл. 32,5–32,6°, пикрат, т. пл. 130,2–130,3°. 40 г тиациклогексана при нагревании насыщают в 10 приемов порошком S, нагревают голым огнем, дистиллят экстрагируют эфиром и сублимируют (100°/4 мм), или хроматографируют на

Al_2O_3 (из циклогексана с добавкой спирта), или очищают через соединение с 85%-ной H_2SO_4 , и получают IV, выход 20–28%, т. пл. 53–53,9°. Теплый р-р 50 г IV в воде осаждают водн. р-ром $HgCl_2$, осадок промывают водой, 30 мин. кипятят с 1 н. р-ром соды и выделяют V, выход 8%, т. кип. 105–106°/3 мм, т. пл. 18–20°. 12,8 г IV обрабатывают р-ром соды по известному методу (Arndt, Aron, Rev. Fac. Sci. Univ. Istanbul, 1948, сер. A, 13, 57), экстрагируют $CHCl_3$, перегоняют в вакууме и получают VI, т. кип. 104–105°/4 мм, т. пл. 45,5–46°. 40 г 2,3-бензо-1-тиациклогексена-2 нагревают с избытком S, сублимат экстрагируют $CHCl_3$, сублимируют в вакууме (135°/6 мм) и получают VII, выход 16%, т. пл. 105,5–106°. Из 20 г VII получают соединение с $HgCl_2$, разлагают его кипячением р-ром соды или нагревают VII 30 мин. со спирт. КОН, подкисляют (под тягой!) и получают VIII, т. пл. 78,9–79° (из петр. эф.). Циклизуют эквимолекулярные кол-ва тиофенола и антралиновой к-ты (Graebe C., Schultess O., Liebigs Ann. Chem., 1891, 263, 8), применяя вместо H_2SO_4 полифосфорную к-ту, и получают IX, выход ~70%, т. пл. 210,5–210,7°. 21,2 г IX, амальгамированный Zn (из 220 г Zn-пыли, обработанной 110 мл 5%-ного р-ра $HgCl_2$) и 450 мл конц. HCl кипятят 30 час., перегоняют с паром, извлекают эфиром, сублимируют (115°/14 мм) и получают 2,3-5,6-дibenzo-1-тиациклогексаниен-2,5 (тиаксантен) (XII), выход ~60%, т. пл. 127,5–127,7°. Из 2 г XII аналогично VII (сублимируют при 120°/14 мм) получают X, очищают через соединение с 90%-ной H_2SO_4 , выход ~65%, т. пл. 172–175°, или сплавляют 2 г IX и 2 г P_2S_5 5 мин. при 160°, обрабатывают, как указано выше, и получают X, выход 70 мг. 2,3-6,7-дibenzo-1 (XIII) получают из 40 г 2,3-6,7-дibenзоциклопентадиен-2,6-она-I (Ireihb, Klinkhammer, Chem. Ber., 1951, 84, 671) (бромирование при 130° на свету), выход 14,5 г, т. пл. 89–89,3° (из CH_3OH). 1 г XIII и 4 г P_2S_5 растирают, нагревают 10 мин. при 120°, экстрагируют горячим циклогексаном, хроматографируют в темноте на Al_2O_3 и получают XI, выход 0,5 г, т. пл. 98–98,5°. Все 4-ры плавления исправлены. Л. Виноград

32457. Изомеризация γ -пиров. Замещенные 3,5-дibenзил-4Н-пираноны-4. Леонард, Чаудхури (γ -pyrones by isomerization. Substituted 3,5-dibenzyl-4Н-pyran-4-ones. Leonard Nelson J., Choudhury Debabrata, J. Amer. Chem. Soc., 1957, 79, № 1, 156–160 (англ.))

Конденсацией ароматич. альдегидов с тетрагидро-4Н-пираноном-4 (I) в присутствии ацетата пиперидина или КОН получены 3,5-дibenзилдентетрагидро-4Н-пираноны-4 (IIa–ж) и 3,5-(α -нафтилиден)-тетрагидро-4Н-пираноны-4 (IIa), изомеризованные нагреванием в диэтиленгликоле (III), содержащем Pd/C, в 3,5-дibenзил-4Н-пираноны-4 (IVa–ж) и 3,5-ди-(α -нафтил)-4Н-пираноны-4 (IVa); дибензилдентетрагидро-4Н-пираноны-4 (IVa) в аналогичных условиях не удалось превратить в соответствующие IV. Строение IIa–ж и IVa–ж подтверждено анализами, цветными р-циями, данными ИК-спектров к превращением VIb в 1-метил-3,5-ди-(n -метилбензил)-пиридон-4 (VI) при действии спирт. р-ра NH_4SCN . Аналогичные II 3,5-дibenзилдентетрагидро-4Н-1-тиапираноны-4 (VIIa–ж) и 3,5-ди-(α -нафтилен)-тетрагидро-4Н-1-тиапиранон-4 (VIIa), синтезированные конденсацией тетрагидро-4Н-1-тиапиранона-4 с соответствующими альдегидами, или не реагируют в описанных условиях, или разлагаются; окислением VIIa, г, ж, з получены также неизомеризующиеся сульфоны (VIIIa–г) и 3,5-ди-(α -нафтилен)-тетрагидро-4Н-1-тиапиранон-4-диоксид-1,1 (VIIId). Р-цией VIIa с NH_4 в CH_3COOH в присутствии перекиси бензола получено содержащее бром в-во, т. пл. 220–220,5°. Определены ИК-спектры VIIa–з и VIIIa–е и

УФ-спектры IVa, VIIa и VIIIa. I, т. кип. 70–72°/18 мм, n_D^{20} 1,4594, получен гидрированием над скелетным Ni



II X = O; IIa, IVa R = H, 6 R = n -CH₃, в R = n -изо-C₃H₇, г R = n -OCH₃, д R = n -OC₂H₅, е R = 3,4-(OCH₃)₂, ж R = 3,4-CH₂O₂; V X = O, а R = 2,3-(OCH₃)₂, б R = m -CH₃, в R = n -(CH₂)₂N, г R = n -NO₂; VII X = S, а R = H, 6 R = n -CH₃, в R = n -изо-C₃H₇, г R = n -OCH₃, д R = 3,4-(OCH₃)₂, е R = n -(CH₂)₂N, ж R = n -NO₂; VIII X = SO₂, а R = H, 6 R = n -CH₃, в R = n -изо-C₃H₇, г R = n -OCH₃, д R = n -NO₂

γ -пирона. Конденсируют I и RCHO в присутствии водно-спирт. р-ра КОН (см. Borsche W., Ber., 1915, 48, 682) и получают (здесь и далее указано в-во, выход в % и т. пл. в °C): IIa, 58, 185 (из сп.-хлф.); IIб, 50, 182–184 (из сп.-хлф.); IIг, 42, 178,5 (из сп.-хлф.). 0,02 моля n -изопропилбензальдегида, 0,01 моля I, 30 мл спирта, 1 мл CH_3COOH и 2 мл пиперидина кипятят 3 дня и отделяют IIв, 69, 150–151 (из сп.); аналогично получают IIд, 56, 190–191 (из сп.-хлф.); IIе, 58, 180–181 (из сп.-хлф.); IIж, 55, 214–216 (из CH_3OH -хлф.); IIз, 58, 203,5–204,5 (из сп.); Va, 50, 113 (из сп.); Vб, 33, 101–102 (из сп.); Vв, 42, 228–229 (из диметилформамида (IX); Vг, 60, 272–273 (из IX); VIIa, 76, 150–151 (из сп.); VIIб, 75, 196–197 (из сп.); VIIв, 31, 159,5 (из сп.); VIIг, 92, 183,5–184,5 (из сп.-хлф.); VIIд, 67, 165–166 (из сп.-хлф.); VIIе, 77, 256–257 (из сп.-хлф.); VIIж, 77, 224–225 (из ацетона-хлф.); VIIз, 75, 191,5–192,5 (из сп.-хлф.). Смесь 0,5 г IIд, 0,15 г 10%-ного Pd/C и 15 мл III кипятят 1 час, р-р разбавляют водой и извлекают эфиром IVд, 80, 103–104 (из гексана); аналогично получают IVa, 25, 68,5 (из петр. эф.); IVб, ~100, 110 (из петр. эф.); IVв, 33, 74,5–75,5 (из сп.); IVг, 90, 68–69 (из петр. эф.); IVе, 80, 118,5–119,5 (из гексана); IVж, 88, 138–139 (из сп.-гексана); IVз, 96, 154–155 (из сп.-хлф.). 0,5 г IVб, 0,5 г NH_2CH_3 и 6 мл абс. спирта нагревают 14 час. при 160° и выделяют VI, выход 97%, т. пл. 236–237° (из сп.). 2 г VIIa–г, ж или з, 20 мл CH_3COOH и 3 мл 30%-ной H_2O_2 кипятят 10 мин., продукт кристаллизуют из CH_3COOH и получают VIIIa, 89, 198–199, VIIб, 73, 197–198; VIIIв, 80, 167–168; VIIIг, 64, 186–187; VIIIд, 95, 233,5–234,5; VIIIе, 86, 231–232. Д. Витковский

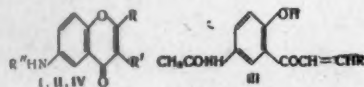
32458. (\pm)-3,4-дигидро-6,8-диметокси-3-метилизокумарин. Логан, Ньюболд ((\pm)-3:4-dihydro-6:8-dimethoxy-3-methylisocoumarin. Logan W. R., Newbold G. T., Chemistry and Industry, 1957, № 45, 1485–1486 (англ.))

Взаимодействием р-ра 2-карбокситетрагидро-3,5-диметоксибензилметилкетона в 10%-ном $NaHCO_3$ с водн. р-ром $NaBH_4$ (30 мин., 15°), после чего смесь подкислена, продукт извлечен $CHCl_3$ и очищен хроматографированием на Al_2O_3 , синтезирован (\pm)-3,4-дигидро-6,8-диметокси-3-метилизокумарин, т. пл. 102–103,5° (из бал. петр. эф.), ИК-спектр которого идентичен с метиловым эфиром природного (–)-3,4-дигидро-8-оксид-6-метокси-3-метилизокумарина. Л. Щукина

32459. Халконы и родственные соединения, производные 2-оксис-5-ацетаминиацетона. II. Флавоны и флавонолы. Равал, Шах (Chalcones and related compounds derived from 2-hydroxy-5-acetaminiaacetophenone. II. Flavones and flavonols. Raval A. A., Shah N. M., J. Organ. Chem., 1957, 22, № 3, 304–306 (англ.))

Описан синтез 6-ацетинофлавонов (Ia–г) и 6-ацетинофлавонолов (IIa–г) путем окисления халконов (IIIa–г), производных 2-оксис-5-ацетаминиацето-

фенона, SeO_2 и H_2O_2 соответственно. Гидролизом Ia—г получены 6-аминофлавоны (IVa—г). Кипятят 12 час. смесь 0,5 г IIIa и 0,5 г SeO_2 в 15 мл $\text{iso-C}_5\text{H}_{11}\text{OH}$ при 160—170° и выделяют 0,3 г Ia, т. пл. 174° (из сп.). 6-часовым кипячением смеси 0,5 г Ia в 25 мл спирта и 20 мл 10%-ной H_2SO_4 получают 0,2 г IVa, т. пл. 192°;



I—IVa $\text{R} = \text{C}_6\text{H}_5$, б $\text{R} = n\text{-C}_6\text{H}_4\text{OCH}_3$, в $\text{R} = 3,4\text{-C}_6\text{H}_3(\text{CH}_3)_2$, г $\text{R} = m\text{-C}_6\text{H}_4\text{OH}$; I R' = H, R' = CH_3CO ; II R' = OH, R' = CH_3CO , IV R' = R' = H

диэтилное производное IVa, т. пл. 256—258° (из сп.). Аналогично получены следующие I и IV (приведен исходный III, I, т. пл. в °C, IV, т. пл. в °C, т-ра плавления диэтильного производного IV в °C): IIIб, 16, 255 (из баш.), IVб, 147—148 (из сп.), 270 (из сп.); IIIв, 1а, 130 (из сп.), IVв, 180 (из сп.), 280 (из сп.); IIIг, 1г, 260 (из сп.), IVг, 300 (из сп.), 270 (из сп.). К р-ру 0,5 г IIIa в 20 мл спирта прибавляют 20 мл 5%-ного р-ра NaOH и затем при охлаждении 5 мл 16,5%-ного р-ра H_2O_2 , через 2 часа при 0° и 24 часа при 20° получают 0,2 г IIa, т. пл. 278° (из CH_3COOH). Аналогично получены следующие II (приведен исходный III, II, т. пл. в °C) IIIб, IIб, 257° (из CH_3COOH); IIIв, IIв, 272—273° (из CH_3COOH); IIIг, IIг, >300° (из CH_3COOH). Попытка омыления IIa—г H_2SO_4 или AlCl_3 не дала результатов. Сообщение I см. РЖХим, 1957, 74423. Т. Краснова

32460. Алифатические нитросоединения. XXIV. Реакция 5-нитро-1,3-диоксанов. III. Попытки алкилирования производных 5-нитро-1,3-диоксана. Экштейн, Урбанский (O nitrozwiązkach alifatycznych. XXIV. Reakcje 5-nitro-1,3-dioksanów. III. Próby Alkylowania pochodnych 5-nitro-1,3-dioksanu. Eckstein Zygmunt, Urbański Tadeusz), Roczn. chem., 1956, 30, № 4, 1163—1174 (польск.; рез. англ.)

Получены два стереоизомера 5-нитро-5-(*n*-нитробензил)-2-фенил-1,3-диоксана (Ia, б) при р-ции 5-нитро-2-фенил-1,3-диоксана с *n*-нитробензилхлоридом (II) в среде CH_3ONa : Ia, т. пл. 117—118°, и Ib с т. пл. 183—184°. Ia получен также из 5-нитро-5-оксиметил-2-фенил-1,3-диоксана. Аналогично получен 5-нитро-5-(*n*-нитробензил)-2,2-диметил-1,3-диоксан (III), т. пл. 197—198°, при р-ции 5-нитро-2,2-диметил-1,3-диоксана или 5-нитро-5-оксиметил-2,2-диметил-1,3-диоксана с II и CH_3ONa . 2-нитро-2-(*n*-нитробензил)-1,3-пропандиол, т. пл. 86—87° (IV) получен гидролизом Ia, Ib и III в спирте-води. HCl. 2-нитро-2-(*n*-нитробензил)-1,3-диэтоксипропан получен в результате р-ции IV с $(\text{CH}_3\text{CO})_2\text{O}$ в сухом NC_5H_5 , т. пл. 94—94,5°. 2-нитро-2-(*n*-нитробензил)-1,3-ди-(*n*-нитробензоилокси) - пропан получен из III при р-ции с хлорангидридом *n*-нитробензойной к-ты в сухом NC_5H_5 , т. пл. 187—188°. При р-ции IV с ацетоном в CHCl_3 и в присутствии одной капли конц. H_2SO_4 получается продукт с т. пл. 196,5—198°, тождественный в-вам, получаемым при р-ции с III. Продукт, полученный при р-ции III с $\text{C}_6\text{H}_5\text{CHO}$, т. пл. 164—185°, не показывал депрессии т-ры плавления с 16. При р-ции III с CH_2O и бензиламином получен 5-нитро-5-(*n*-нитробензил)-3-бензилтетрагидрооксазин-1,3 (V), т. пл. 138,5—139°. Такое же соединение получено при р-ции III с *N*-оксиметилбензиламином. Среда продуктов гидролиза V идентифицирована CH_2O и хлоргидрат 2-нитро-2-(*n*-нитробензил)-3-(*N*-бензил)-пропаноламина (VI), т. пл. 152—153° (разл.); основание, т. пл. 112—114°. Сообщение XXIII см. РЖХим, 1958, 7957. J. Wolf

32461. Алифатические нитросоединения. XXV. Реакции производных 5-нитро-1,3-диоксанов. IV. Продукты сочетания с диазосоединениями. Экштейн, Урбанский (O nitrozwiązkach alifatycznych. XXV. Reakcje pochodnych 5-nitro-1,3-dioksanów. IV. O produktach sprzegania ze związkami dwuazoniowymi. Zakład Syntezy Organicznej Polskiej Akademii Nauk, Warszawa, Katedra Technologii Organicznej II Politechniki, Warszawa. Eckstein Zygmunt, Urbański Tadeusz), Roczn. Chem., 1956, 30, № 4, 1175—1187 (польск.; рез. англ.)

Как установлено ранее (Eckstein Z., Urbański T., Roczn. Chem., 1952, 26, 571), водород при атоме углерода, связанном с нитрогруппой 5-нитро-1,3-диоксанов (I), является подвижным и указанные соединения дают р-ции, характерные для вторичных нитропарафинов. Р-ции сочетания производных I с диазотированными арилами в водно-спирт. среде в присутствии KOH подтверждают это наблюдение. Получены

23 соединения типа $\text{R}^n\text{R}^m\text{COCHRC}(\text{NO}_2)(\text{N}=\text{NR}^m)\text{CHRO}$. В случае применения для р-ции сочетания производных 5-нитро-5-оксиметил-1,3-диоксана получены идентичные соединения. Это кристаллич. соединения от желтого до ярко-красного цвета. В случае 5-нитро-5-(4-хлорбензоило)-2-фенил-1,3-диоксана, 5-нитро-5-(6-нафтило)-2-фенил-1,3-диоксана и 5-нитро-5-(4-нитробензоило)-2,2,4,6-тетраметил-1,3-диоксана получены для каждого соединения по два изомера, отличающиеся т-рой плавления и кристаллографич. структурой. 5-нитро-5-(арило)-2,2-диметил-1,3-диоксаны при гидролизе в водно-спирт. HCl дают ацетон и 2-нитро-2-(арило)-1,3-пропандиол (II). Эти соединения при нагревании в спирте подвергаются превращениям и образуют в-ва с более высокой т-рой плавления. Циклизация II при действии $\text{C}_6\text{H}_5\text{CHO}$ в присутствии минер. к-ты ведет к циклич. ацеталам с более высокой т-рой плавления. Производные II обладают функцией активной группой. J. Wolf

32462. О конденсации 2-ацетаминоацетилтиофена и формальдегида. Этторе, Векки, Пелицца (Über die Kondensation von 2-Acetaminoacetylthiophen und Formaldehyd. Ettore Renato, Vecchi Alberto, Pelizza Giuseppina), Z. Naturforsch., 1957, 12b, № 7, 479—480 (нем.)

Установлено, что при конденсации 2-ацетаминоацетилтиофена с CH_2O образуются DL-2-(α -ацетамино- β -оксипропионил)-тиофен (I), т. пл. 113°, и небольшое кол-во DL-2-(α -ацетамино- α -оксиметил- β -оксипропионил)-тиофена (II), т. пл. 167°, которому ранее (см. Dann O. и др., Z. Naturforsch., 1952, 7b, 344) неправильно приписывалось строение I. I и II растворимы в воде, в CH_3COOH II растворим хуже, чем I. Смешанная т-ра плавления I и II ~148°. Оба соединения ацетилируются $(\text{CH}_3\text{CO})_2\text{O}$ в пиридине. Л. Лукашина

32463. Тиенилгидразин и его производные. Яковлев В. И., Сб. научн. тр. Куйбышевск. индустр. ин-та, 1957, вып. 7, 21—27

При диазотировании комплексной соли (KC) солинокислого тиениламина и SnCl_4 и восстановлении продукта холодной смесью $\text{SnCl}_2 \cdot 2\text{H}_2\text{O}$ и HCl получается KC хлоргидрата (XI) тиенилгидразина и SnCl_4 , $(\text{C}_6\text{H}_5\text{SNHNH}_2 \cdot \text{HCl})_2\text{SnCl}_4$ (I), выход 70%, т. пл. >170° (разл.; из воды), из которой р-ром щелочи может быть выделен тиенилгидразин (II), т. кип. 132—138°/10 мм, n_D^{20} 1,6325, d_4^{20} 1,2092; при нагревании I с р-ром глюкозы образуется ее озаон с II. Л. Щукина

32464. Перхлорат 1-тианафталиния. Лютрингаус, Энгельхард (1-Thianaphthalinium-perchlorat. Lüttringhaus Arthur, Engelhard Norbert), Naturwissenschaften, 1957, 44, № 22, 584—585 (нем.)

1-тиохроманон-4 восстановлен аланатом Li до 1-тиохроманола-4 (I), т. пл. 68—69°. I при нагревании с P_2O_5 в вакууме дает 1-тиохромон-3 (II), выход 72%. УФ-спектр II подобен спектру 1-метил-2-фенил-1,2-дигидрохинолина. II с SO_2Cl_2 в абс. эфире дает желтый осадок (на воздухе, отщепляя HCl, переходит в красное в-во), который тотчас вносят в 70%-ную $HClO_4$, через день добавляют эфир, выпадает перхлорат 1-тианафталина (III), т. пл. 219—220° (разл.; из лед. CH_3COOH); УФ-спектр: в лед. $CH_3COOH + HClO_4$, λ_{max} 258, 335 и 360 мμ; не растворим в неполярных р-рителях; с KJ в спирте осаждается $KClO_4$, не обесцвечивается бромом в лед. CH_3COOH ; гидролизуетс водой. 6,7-диметоксипроизводное III, полученное аналогично, имеет более основной характер, не гидролизуетс водой.

И. Цветкова

32465. Химия 1,4-диаминобутадиенов-1,3. П. Новый синтез N-замещенных пирролов. Фегли, Бортник, Мак-Кивер (Chemistry of 1,4-diamino-1,3-butadienes 2. A new synthesis of N-substituted pyrroles. Fegley Marian F., Bortnick Newman M., McKeever Charles H.), J. Amer. Chem. Soc., 1957, 79, № 13, 4144—4146 (англ.)

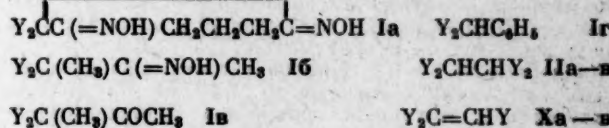
Найдено, что 1,4-бис-(диметиламино)-бутадие-1,3 (I) при р-ции с первичными аминами RNH_2 в присутствии каталитич. кол-ва к-ты дает 1-R-замещ. пирролы (II). При этом первоначально образуются продукты присоединения, вероятно, 1-R-2,5-бис-(диметиламино)-пирролидин (III), $(CH_3)_2NCH(NHR)CH_2CH_2CH(NHR)N(CH_3)_2$ и $(CH_3)_2NCH(NHR)CH_2CH_2CH(NHR)N(CH_3)_2$, находящиеся в равновесии с исходными в-вами. При смешении 0,1 моля I с 0,1 моля $C_6H_5NH_2$ в присутствии 6 капель лед. CH_3COOH наступает экзотермич. р-ция. Смесь охлаждают так, чтобы т-ра была < 60°, и, когда все затвердеет, отфильтровывают III ($R = C_6H_5$) (IIIa), т. пл. 71—73° (из петр. эф.). IIIa нестойк и разлагается при хранении (~ 20°). Реакционную смесь, полученную как указано выше, обрабатывают 1 г K_2CO_3 и перегоняют при атмосферном давлении (АД); выход II ($R = C_6H_5$) 5%, т. кип. 220—225°, т. пл. 60—61° (из петр. эф.). Исследование УФ-спектра эквимолекулярной смеси I и $C_6H_5CH_2NH_2$ показало, что 85% I вступило в р-цию, однако выделить продукт присоединения в чистом виде не удалось. В ряде случаев II удается получить только при применении в качестве катализатора конц. HCl. К смеси 0,75 моля циклогексиламина и 0,53 моля I прибавляют 9 капель CH_3COOH и 5 капель конц. HCl и нагревают в токе N_2 ($70 \pm 5^\circ$, 4 часа), пропуская выделяющийся газ через 2,8 н. HCl. Затем прибавляют 1 г K_2CO_3 и после разгонки получают II ($R =$ циклогексил), выход 70,5%, т. кип. 62—63°/1 мм, n_D^{20} 1,5111. В некоторых случаях для удаления избытка RNH_2 реакционную смесь перед перегонкой растворяют в эфире и обрабатывают разб. HCl. Синтезированы следующие II [приведены значения В, кол-во молей I и RNH_2 , взятых в р-цию, продолжительность р-ции в часах, т-ра в °C, кол-во выделившегося $(CH_3)_2NH$ в молях, выход II в %, т. кип. в °C/мм, n_D^{20}]: CH_3 , 0,57, 3,2, 5,5, 27—44, —, 46, 114 (АД), 1,4855 (при 23,5°); $n-C_4H_9$, 0,33, 1,04, 4, 47—90, 0,7, 64, 170—171 (АД), 1,4730; $(CH_3)_2C$, 0,5, 1, 9,5, 30—45, 1,1, 16, 74—79/42, 1,4722; $(CH_3)_3C$, $(CH_3)_2$, 0,1, 0,23, 2, 50—70 (и 30 мин. при 90°), 0,2, 66, 58—59/1,5, 1,4790; $(CH_3)_3CCH_2CH(CH_3)CH_2CH_2$, 0,1, 0,22, 3, 50—70 (и 1 час при 80—90°), 0,17, 67, 93—94/4,3, 1,4686; $n-C_{12}H_{27}$, 0,11, 0,2, 5, 55—80, 0,21, 47, 172—174/1, — (твердое в-во); $CH_2=CHCH_2$, 0,25, 0,53, 5, 27—60, 0,5, 67, 63/36, 1,4933 (при 23°); $NH_2CH_2CH_2$, 0,5, 0,5, 5,5, 60, 9,7, 30 50/1, 1,5188 [одновременно получен α,β-ди-(пиррил-1)-этан, выход 24%, т. пл. 107,5—108°]; $NH_2(CH_2)_6$, 0,35, 0,4, 2, 30 (и 1,75 часа при 80°), 0,6, 17, 91—120 (АД), 1,4920; $HOCH_2CH_2$, 0,3, 0,51, 6,5, 30—65,

> 0,3, 38, 210—215 (АД), 1,5162; $CH_2=CHOCH_2CH_2$, 0,25, 0,57, 4,5, 55—65, 0,46, 57, 100/20,5, 1,5000; $HOCH_2CH_2NHCH_2CH_2$, 0,60, 0,88, 14, 50, 0,94, 48, 109—113/65, 1,5218; γ-(морфолинил-4)-пропил, 0,25, 0,46, 7, 53, 0,47, 75, 162,5—163/19,5, 1,5092; β-(имидазолидин-2-ил-3)-этил, 0,14, 0,23, 0,5, 68, 0,28, 50, 198/4 [т. пл. 114—115,5 (из петр. эф.)], —; $C_6H_5CH_2$, 0,6 [вместо I здесь взят 1,4-ди-(морфолинил-4)-бутадие-1,3], 1, > 6, 70, 1,1, 42,5, 67—68/0,35, 1,5655 (при 24°). Для получения II по этому методу пригодны RNH_2 с константой основности $K_b \geq 10^{-7}$. При р-ции I с NH_3 образовались лишь полимерные в-ва. Сообщение I см. РЖХим 1958, 21354.

Г. Враз

32466. Об аутоокислении и расщеплении многоатомных производных пиррола. Трипиррилетилени. Трейбс, Рейтсам (Über die Autoxydation und Spaltung mehrkerniger Pyrrolderivate — Tripyrryläthylene. Treibs Alfred, Reitsam Franz), Chem. Ber., 1957, 90, № 5, 777—786 (нем.)

В продолжение прошлых работ (РЖХим, 1956, 50736; 1957, 74604) исследованы р-ции трипиррилетанов (Ia—г) и тетрапиррилетанов (II а—в). Конденсацией 1,3-дизонитрозоциклогексана-2 (III) с 2,4-диметил-3-карбетокси-пирролом (IV) получен Ia, конденсацией $CH_3COC(=NOH)CH_2$ (V) с IV получен Ib, диалетил с IV получен Ic. Бензил дает с IV мезо-(2,4-диметил-3-карбетокси-пиррил-5)-бензойн (VI). Из 2,4-диметил-пиррола и $CH_3COC(N=OH)COCH_3$ получен 2,2,4,4-тетра-(2,4-диметилпиррил-5)-3-изонитрозоэпентан (VII). Получение этих соединений гладко протекает только без доступа воздуха и в присутствии минер. к-ты как катализатора. При пропускании воздуха мезо-заместители отщепляются и вместо Ia—в и VI образуется ди-(2,4-диметил-3-карбетокси-пиррил-5)-метен (VIII). Отщепление не происходит лишь у VII, который превращается в синий краситель (IX), не выделенный в чистом виде. Указанные р-ции объясняются склонностью пирролов к аутоокислению, причем эта склонность изменяется параллельно основности. При действии к-ты без доступа воздуха Ia—в отщепляют одно пиррольное ядро и образуют замещ. трипиррилетилени (Xa—в). При расщеплении Ia наряду с Xa получается IV, при расщеплении Ib образуются Xb и



Y всегда $NHCR'-CRCR'-C$; Ia—г, IIa, Xa R— $COOC_2H_5$, R'— $R'-CH_2$; Ib, Xb R— $R'-CH_2$, R'— $COOC_2H_5$; IIв, Xв R— $COCH_2CH_3$, R'— CH_2 , R'— C_2H_5 .

2,3-диметил-4-карбетокси-пиррол (XI). Окисление воздухом IIa приводит к образованию VIII. Сопоставление показывает, что Xb и Xв идентичны соединениям, полученным ранее из соответствующих II действием $FeCl_3$ и $AlCl_3$ (Fischer H. и сотр., Liebigs Ann. Chem., 1925, 444, 238; 1926, 447, 52). Фишер ошибочно рассматривал эти соединения как замещ. тетрапиррилетилени, образовавшиеся в результате дегидрирования II. В действительности $FeCl_3$ и $AlCl_3$, как кислые реагенты, катализируют расщепление II и приводят к X. 2 ммоль IV и 1,3 ммоль III в 5 мл спирта нагревают с 0,05 мл HBr (к-ты) (60°, 10 мин.), выход Ia < 10%, т. пл. 251° (взрывообразное разл.; из сл.). 1 моль V и 2 ммоль IV растворяют в 50 мл спирта, прибавляют 0,07 мл конц. HBr, нагревают 10 мин. и приливают воду, выход Ib 93%, т. пл. 202° (из хлф.-петр. эф.). Из 1 ммоль $CH_3COC(=NOH)COCH_3$ и 4 ммоль 2,4-ди-

метилпирирола аналогично Ia получают VII, выход 51–56%, т. пл. 235° (из CH_3OH). 0,2 г VII кипятят 20 мин. с 5 мл лед. CH_3COOH . После прибавления 1 мл HBr (к-ты) и воды осаждается IX, т. спекания 230°. Из-за неустойчивости основание не удалось выделить из этой соли. Из 1 ммольа диацетила и 2 ммольа IV подобно Ia синтезируют Iв, выход 40%, т. пл. 189° (из хлф.); из 1 ммольа бензила и 170 мг IV получают VI, выход 52%, т. пл. 201° (из хлф.). 0,01 моля V при пропускании тока воздуха кипятят с 0,02 моля IV в 6 мл спирта, содержащего 1 мл конц. HBr. Выход бромгидрата VIII 34%, т. пл. 225° (из сп.-хлф., 1:1); VIII, т. пл. 185°. Аналогичным образом VIII получают из диацетила, бензила и его α - и β -монооксидов. При кипячении Ig с р-ром HBr в спирте в токе чистого N_2 в-во не изменяется. 0,02 моля Ig нагревают до кипения с 30 мл CH_3OH и 2 мл конц. HBr в токе N_2 , прибавляют 0,4 г Br_2 в CH_3OH и кипятят 2 часа. Из р-ра удается выделить $\text{C}_6\text{H}_5\text{CHO}$ и VIII. 2 г IIa суспендируют в 20 мл спирта и при пропускании воздуха кипятят 20 мин. с 1 мл HBr (к-ты); из р-ра выделено 1,4 г бромгидрата VIII. Суспензию 10 г IIa в 100 мл спирта и 12 мл HBr (к-ты) нагревают до кипения в токе абс. N_2 , через 35 мин. р-р упаривают до $\frac{1}{3}$ объема и оставляют на 12 час. при 0°. Выкристаллизовывается Ха, выход 5,1 г (неочищ.), т. пл. 245° (из хлф.-пептр. эф.). Из маточного р-ра наряду с Ха выделяют IV, т. пл. 73°. Прогидризовать Ха над Pd/C не удалось. Для синтеза IIб 0,7 г XI конденсируют с 60 мг гликоксила (XII) в 2 мл спирта при кипячении с 0,2 мл HBr (к-ты), выход IIб 72% (неочищ.), т. пл. 251° (из хлф.-пептр. эф.). Суспензию 2 г IIб в 50 мл спирта кипятят 3 часа с 5 мл конц. HBr, фильтруют, нейтрализуют конц. NH_4OH , упаривают наполовину и выделяют Xб, выход 55%, т. пл. 230° (из сп.). Маточный р-р извлекают эфиром и после хроматографирования вытяжки на Al_2O_3 получают XI. Для доказательства строения Xб получен из 1 ммольа XI и 1 ммольа XII в 5 мл спирта при кипячении (5 мин.) с 0,5 мл конц. HBr. 0,5 г 4-метил-2-этил-3-пропионилпирирола недолго кипятят с 0,5 мл 30%-ного р-ра XII и 0,1 мл конц. HCl в 3 мл спирта, получают IIв, т. пл. 221° (из сп.; после сушки в вакууме при 100°). 1 г IIв растворяют в 5 мл спирта, прибавляют 0,5 мл конц. HCl и кипятят 5 мин. Из фильтрата после нейтр-ции прибавлением конц. NH_4OH выделяют Xв, выход 79%, т. пл. 209° (из сп.; после сушки в вакууме при 120°). Восстановить Xв действием Na в спирте не удалось. При длительном нагревании в вакууме до 130–140° IIв расщепляется и в результате возгоняется 4-метил-2-этил-3-пропионилпирирол, т. пл. 98°; в остатке обнаружен Xв.

Г. Браз

32467. Замещенные гидразиды β -(2-метилиндолил-3)-пропионовой кислоты. Миджоян А. Л., Татевян Г. Т., Эмекджян С. П., Изв. АН АрмССР, Сер. хим. н., 1957, 10, № 4, 291–298 (рез. арм.).

Взаимодействием $\text{C}_6\text{H}_5\text{NHNH}_2$ (I) с $\text{CH}_3\text{CO}(\text{CH}_2)_3\text{COOH}$ (II) в присутствии спирта синтезирован этиловый эфир β -(2-метилиндолил-3)-пропионовой к-ты (III, к-та IV), из которого получен гидразид IV (V). Конденсацией V с ароматич. альдегидами и изатинном получены гидразоны $\text{RCH}_2\text{CH}_2\text{CONHN}=\text{R}'$ (VI), где R — 2-метилиндолил-3. Смесь 17 г II, 18,9 г хлоргидрата I, 95 мл абс. спирта и 10 мл конц. H_2SO_4 кипятят 3,5 часа, отделяют осадок, фильтрат разбавляют 300 мл воды, извлекают эфиром III, выход 72,2%, т. кип. 188–190°/5 мм, d_4^{20} 1,0999, n_D^{20} 1,5620; пикрат, т. пл. 84–85° (из сп.). При кипячении (2 часа) смеси 10,2 г III с 36 мл 10%-ного р-ра КОН в CH_3OH получают IV, выход 90% (неочищ.), т. пл. 138° (из бzl.). К кипящему р-ру 42 г III в 250 мл абс. спирта прибавляют 32 г Na, нагревают до растворения последнего (т-ра

бани 140°), разбавляют 200 мл воды, отгоняют спирт и извлекают эфиром 3-(2-метилиндолил-3)-пропанол, выход 40,7%, т. кип. 190–192°/4 мм; пикрат, т. пл. 94–95° (из сп.). Из водн. щел. р-ра выделяют 18,2 г IV. Смесь 40 г III, 40 г, 85%-ного $\text{NH}_2\text{NH}_2 \cdot \text{H}_2\text{O}$ и 160 мл CH_3OH кипятят 12 час., отгоняют ~100 мл CH_3OH и разбавляют 300 мл воды, получают V, выход 88,9%, т. пл. 66–67° (из водн. CH_3OH); хлоргидрат, т. пл. 197–198° (разл.; из сп.). Смесь ~0,014 моля V, 0,014 моля альдегида и 60 мл 50%-ного спирта кипятят 3 часа и получают следующие VI [указаны R', выход в %, т. пл. в °C (из сп.)]: $\text{C}_6\text{H}_5\text{CH}$, 64, 148; $2\text{-OH-C}_6\text{H}_4\text{CH}$, 95,6, 159–160; $3\text{-CH}_3\text{O-4-OH-C}_6\text{H}_3$, 78,3, 219; $4\text{-(CH}_3)_2\text{NC}_6\text{H}_3\text{CH}$, 72,9, 201–202; $2\text{-HOOC-CH}_2\text{OC}_6\text{H}_3$, 73,4, 227–228 (разл.); остаток изатина, 76,4, 244–245 (разл.).

А. Трапани

32468. Письмо в редакцию. Суворов Н. Н., Ж. общ. химии, 1957, 27, № 8, 2310

Сообщается, что метод синтеза замещ. γ -(3-индолил)-масляных к-т циклизацией фенилгидразонов этиловых эфиров δ -формилвалериановой к-ты, найденный автором с сотрудниками (см. РЖХим, 1954, 16301, 48066; 1955, 40147), использован Буллоком и Хондом (РЖХим, 1957, 68854) без ссылки на оригинальные работы. Указывается, что последние авторы получили более низкие выходы аналогичных в-в.

В. Антонов

32469. Удобный синтез β -(индолил-3)-DL-молочных кислот. Гортакровский, Армстронг (Convenient synthesis for β -(3-indolyl)-DL-lactic acids. Goratowski Melvin J., Armstrong Marvin D.), J. Organ. Chem., 1957, 22, № 10, 1217–1220 (англ.).

Конденсацией грамина (Ia), 5-метокси-(Iб) или 5-бензилокси-(Iв)-граминов с ацетоксималоновым эфиром (II) и гидролизом образующихся продуктов получают β -(индолил-3)-(IIIa), β -(5-метоксииндолил-3)-(IIIб) и β -(5-бензилоксииндолил-3)-(IIIв)- α -окси- α -карбокси-пропионовые к-ты, декарбоксилированные в β -(индолил-3)-(IVa), β -(5-метоксииндолил-3)-(IVб) и β -(5-бензилоксииндолил-3)-(IVв)-DL-молочные к-ты. Гидрированием в спирте над Pd/C IVв превращена в некристаллизующуюся β -(5-оксииндолил-3)-DL-молочную к-ту, R_f 0,28 [изо- $\text{C}_3\text{H}_7\text{OH}$, NH_4OH , H_2O (8:1:1)]. При аналогичной последовательности р-ций из II и N,N-диметилбензиламина в толуоле в присутствии Na или из II и $\text{C}_6\text{H}_5\text{CH}_2\text{Cl}$ в спирте в присутствии $\text{C}_2\text{H}_5\text{ONa}$ получается с незначительными выходами (2–10%) DL- β -фенилмолочная к-та. К слабо кипящему р-ру 0,5 моля малонового эфира в 0,2 л CH_3COOH постепенно добавляют 0,49 моля $(\text{CH}_3\text{COO})_2\text{Pb}$, нагревают 1,5 часа при 100–105°, отгоняют CH_3COOH , приливают 0,3 л воды и извлекают эфиром II, выход 65%, т. кип. 137–138°/17 мм, n_D^{20} 1,4200. Смесь 0,1 моля Ia, 0,15 моля II, 0,07 г Na и 150 мл толуола кипятят ~20 час. в атмосфере N_2 , р-р смешивают с 0,3 л воды, содержащей 15 мл конц. HCl, продукт извлекают эфиром, гидролизуют кипящим водно-спирт. р-ром NaOH, р-р подкисляют и извлекают дихлорэтиленом (V) IIIа, выход 45%, т. пл. 165° (из $\text{CH}_3\text{COOH-V}$). Аналогично из Iб, в получают IIIб, выход 65%, т. пл. 154° (из $\text{CH}_3\text{COOH-V}$), и IIIв, выход 51%, т. пл. 140° (разл.; из $\text{CH}_3\text{COOH-V}$). Смесь 0,01 моля IIIа–в, 0,1 моля хинолина и 0,1 г порошка Cu нагревают в атмосфере N_2 при 145, 170 или 200° соответственно и выделяют IVа, выход 75%, т. пл. 146–147° (из V); IVб, выход 72%, т. пл. 128–129° (из $\text{CH}_3\text{COOH-V}$), или IVв, выход 92%, т. пл. 124–125° (из V).

Д. Витковский

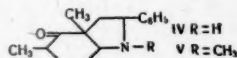
32470. Некоторые опыты с дииндолилами. Фасех, Харли-Мейсон (Some experiments with di-indolyls. Faseeh S. A., Harley-Mason John), J. Chem. Soc., 1957, Sept., 4141–4142 (англ.).

« β -Дииндолил» (I), т. пл. 207–208°, образующийся при кипячении 3,3'-дииндолила (II) с HBr (см. Oddo,

Raffa, Gazzetta, 1939, 69, 562), при действии HNO_2 превращается в описанное ранее (см. Schmitz — Dumont и др. Liebigs Ann. Chem., 1933, 504, 1) оксимизопропиловое, т. пл. 243° (разл.), что позволяет приписать строение 2,3-динидолила (III). II окисляется PbO_2 в кипящем этилацетате при нагревании 3,3'-динидолинилиден; III и 2,2'-динидолил, т. пл. $308-310^\circ$ (из этилацетата), получающийся нагреванием (1 час, $280-290^\circ$) смеси ди-о-толилоксиамида и NH_2Na , окисляются PbO_2 в неидентифицируемые продукты.

Д. Витковский
32471. Доказательство наличия высокой энергии у промежуточных соединений в синтезе индолов по Фшсеру. Новый класс гидриноидов. Карлин, Карлсон (Evidence for a high energy intermediate in the fischer indole synthesis. A new class of hydroindoles. Carlin Robert B., Carlson D. Peter), J. Amer. Chem. Soc., 1957, 79, № 13, 3605—3606 (англ.)

2,6-диметилфенилгидразон ацетофенона нагревают с безвод. ZnCl_2 в р-ре $\text{C}_6\text{H}_5\text{NO}_2$ (130° , 1 час) и выделяют несколько соединений, в том числе 2-фенил-4,7-диметилиндола (I), выход 4%, т. пл. $65,5-66,5^\circ$, и 3а, 4, 7, 7а-тетрагидро-2-фенил-3а,5-диметил-(3Н)-псевдоиндолов-4 (II), выход 33%, т. пл. II $\cdot \frac{1}{2}\text{H}_2\text{O}$ $92-101^\circ$; оксим, т. пл. 230° (разл.); пикрат, т. пл. 224° (разл.); хлоргидрат, т. пл. 214° (разл.). Для доказательства строения I синтезировали из 2,5-диметилфенилгидразона ацетофенона, а II превращали в 2-(β-фенилэтил)-2,6-диметилциклогексанон (III) (т. кип. $143^\circ/1-2$ мм, n_D^{20} 1,5205; оксим, т. пл. $115-116^\circ$); III образуется

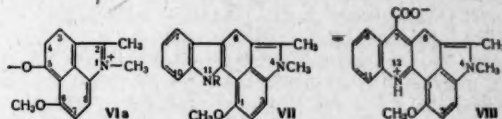


также из 2,6-диметилциклогексанона. ИК-спектр II (в хлф.) 2,72, 6,02 и 6,22 м, последняя полоса в кислых р-рах расщепляется на 6,12 и 6,24 м; УФ-спектр II имеет полосы 242 мμ (ε 21 500), расщепляющуюся в кислых р-рах на 242 и 273 мμ (ε 10 500 и 16 500). При гидрировании II над Pt (из PtO_2) образуется продукт гидрирования (IV) в виде смеси стереоизомеров, т. пл. $56,5-58^\circ$ и $92,5-93,5^\circ$; оксимы, т. пл. $162-164^\circ$ и $177-179^\circ$. Обработка обоих IV CH_2O и HCOOH приводит к одинаковому N-метил-IV (V), ИК-спектр которого указывает на наличие в нем двух форм (выделена одна, т. пл. $42-44^\circ$; оксим, т. пл. $138-140^\circ$). Водн. р-р йодметилата V пропускают через амберлит IRA-400 и выделяют гидроокись, которая при нагревании ($120^\circ/0,001$ мм) превращается в 2-(β-диметил-аминно-β-фенилэтил)-2,6-диметилциклогексанон (VI); йодметилат, т. пл. $158-213^\circ$ (разл.). VI обрабатывают 30%-ной H_2O_2 и выделяют N-окись-VI (пикрат, т. пл. $133-134,5^\circ$), разлагающуюся при $100^\circ/15-20$ мм до 2-(β-фенилвинил)-2,6-диметилциклогексанона (VII). Гидрирование VII над Pt (из PtO_2) в р-ре абс. CH_3OH дает III.

И. Леви
32472. Строение и свойства некоторых полициклических индолов и хинолинопроизводных. Часть IX. Производные 1,3,4,5-тетрагидро-5-оксобенз[cd]-индола. Манн, Тетлоу (The structure and properties of certain polycyclic indole- and quinolino-derivatives. Part IX. Derivatives of 1:3:4:5-tetrahydro-5-oxobenz[cd]indole. Mann Frederick G., Tetlow A. J.), J. Chem. Soc., 1957, Aug., 3352—3366 (англ.)

В развитие прежних работ (см. часть VIII, РЖХим, 1958, 1541) изучался синтез 1,3,4,5-тетрагидро-1,2-диметил-5-оксобенз[cd]-индола (I) для исследования его свойств. Выход I, полученного по схеме: 1,2-диметилиндола (II) → 3-(β-цианэтил)-II (III) → 3-(β-карбокситил)-II (IV) → I, оказался незначительным. Вследст-

вие этого по той же схеме из 5-метокси-II (V), у которого положение 4 активировано, синтезировали 6-метокси-I (VI). Р-ры VI в к-тах содержат его полярную форму (VIa). Существование последней подтверждается наличием у VI основных свойств, выражающихся в способности образовывать нестойкий хлоргидрат (XI). При циклизации фенилгидразона (ФГ) и несимметричного метилфенилгидразона (МФГ) VI образуются соединения, выделяемые только в виде солей. Судя по данным ИК-спектров, эти соединения являются не ожидаемыми индолами, т. е. замещ. 6,11-дигидро-4Н-индоло-4[3,ab]-карбазолами (VIIa R = H, б R = CH_3), а изомерными индолинами. Однако, в связи с не вполне ясным положением одного из атомов Н и по соображениям номенклатурного характера, им припи-



сано строение VIIa и VIIb соответственно. VI при р-ции Пфитцингера дает темно-красную 4,6-дигидро-1-метокси-4,5-диметилиндола-3[4,bc]-акридинкарбоную-7 к-ту в виде биполярного иона (VIII). При нагревании с конц. HCl VIII превращается в хлоргидрат 4,7-дигидроизомера (IX). Декарбоксилирование VIII и IX приводит соответственно к 4,6-дигидро-1-метокси-4,5-диметилиндола-3[4,bc]-акридину (X) и его 4,7-дигидроизомеру (XI). В отличие от описанных ранее изомерных пар подобных оснований (см., напр., РЖХим, 1956, 32510), X и XI не превращаются друг в друга при нагревании с к-тами или возгонке и при окислении дают не идентичные, а изомерные соединения — 6-оксо-X (Xa) и 7-оксо-XI (XIa). В связи с структурным сходством с лизергиновой к-той соединения VIII, IX, X и XI испытаны на мышах в качестве противораксительных средств при отеках, вызванных яичным альбумином, причем XI проявил небольшую активность. Смесь 5 г II, 3,4 г $\text{CH}_2=\text{CHCN}$, 1,7 г $(\text{CH}_3\text{COO})_2\text{Cu}$ и 1,7 г порошка Cu нагревают в трубке ($120-130^\circ$, 12 час.), фильтруют, нейтрализуют р-ром K_2CO_3 и извлекают CHCl_3 III, выход 51%, т. пл. $108-109^\circ$ (из водн. сп.). 9,2 г II и 9,2 г пропиолактона нагревают 3 часа при 150° , извлекают эфиром, фильтруют и экстрагируют из эфирного р-ра 10%-ным р-ром КОН IV, выход 51%, т. пл. $153-154^\circ$ (из водн. сп.). IV получают также при кипячении III с 10%-ным р-ром КОН. 3 г IV, 125 мл $(\text{CH}_3\text{CO})_2\text{O}$ и 0,02 г KCN кипятят 20 час., удаляют $(\text{CH}_3\text{CO})_2\text{O}$ и получают ангидрид IV, т. пл. $117-118^\circ$ (из сп.). Спирт. маточный р-р упаривают, кипятят остаток с 5%-ным NaOH (15 мин.) и извлекают эфиром масло, из которого получают 2,4-динитрофенилгидразон (ДНФГ) I, моноэтанолят, т. пл. $237-239^\circ$ [разл.; определение произв. дилось в запаянном вакуированном капилляре (ЭК)]. Для получения 1-этил-2,5,7-триметилиндола (XII), у которого положение 4 должно быть заметно активированным, 121 г 2,4-диметиланилина (XIII) смешивают с 109 г $\text{C}_2\text{H}_5\text{Br}$, выдерживают 3 дня и получают N-этил-XIII (XIV) в виде бромгидрата, выход 57%, т. пл. $151-152^\circ$ (из ацетона), т. кип. XIV $57,5^\circ/0,4$ мм. 110 мл XIV смешивают с HCl (к-той), нитрозируют при охлаждении р-ром NaNO_2 и извлекают эфиром N-нитрозо-XIV, выход 85%. К эфирному р-ру последнего прибавляют LiAlH_4 в эфире и после восстановления получают 2,4-(CH_3) $_2\text{C}_6\text{H}_3\text{N}(\text{C}_2\text{H}_5)\text{NH}_2$, выход 69%, т. кип. $73^\circ/0,4$ мм, который действием ацетона превращают в 40%-ной CH_3COOH в гидразон, выход 96%. Попытки превратить этот гидразон в XII не удалось. К 1845 г п-анизидина в 1 л CH_3OH приливают 1425 мл

$(\text{CH}_3)_2\text{SO}_4$ так, чтобы р-р слабо кипел, нагревают 2 часа при 100° , отгоняют CH_3OH , остаток обрабатывают 750 г NaOH в 1,5 л воды, растворяют полученное масло в конц. HCl , прибавляют лед и нитрозируют р-ром NaNO_2 при t -ре $< 10^\circ$; выход $n\text{-CH}_3\text{OC}_6\text{H}_4\text{N}(\text{NO})\text{CH}_3$ 31%, т. пл. $42\text{--}44^\circ$ (неочищ.). Нитрозамин восстанавливают LiAlH_4 как выше и получают $n\text{-CH}_3\text{OC}_6\text{H}_4\text{N}(\text{CH}_3)\text{NH}_2$ (XV), выход 30%, т. кип. $139\text{--}142^\circ/13$ мм. При работе в большем масштабе 166 г нитрозамина в 320 мл лед. CH_3COOH прибавляют за 3–4 часа к смеси 480 г Zn -пыли с 600 мл 50%-ного спирта при $10\text{--}20^\circ$, через 1 час нагревают до 60° , фильтруют, сильно подщелачивают, извлекают эфиром и вытяжку фракционируют, выход XV 49%. 152 г XV, 80 мл ацетона и 5 мл CH_3COOH нагревают 2 часа, образовавшийся гидразон кипятят 2 часа с 1,5 л спирта, насыщ. HCl , выливают в 10 л воды и получают V, выход 37%, т. кип. $434\text{--}137^\circ/0,3$ мм, т. пл. $76,5\text{--}77,5^\circ$ (из сп.). Конденсацией $n\text{-CH}_3\text{OC}_6\text{H}_4\text{NCH}_3$ с $\text{BrCH}_2\text{COCH}_3$ при 50° в присутствии NaHCO_3 получен $n\text{-CH}_3\text{OC}_6\text{H}_4\text{N}(\text{CH}_3)\text{CH}_2\text{COCH}_3$ (XVI), т. кип. $175^\circ/12$ мм, который при нагревании с $n\text{-CH}_3\text{OC}_6\text{H}_4\text{NCH}_3$ в присутствии следов HCl (к-ты) дал 5-метоксис-1,3-диметиллиндол, т. пл. $59\text{--}60,5^\circ$ (из сп.). 87,5 г V, 36 мл $\text{CH}_2=\text{CHCN}$, 30 мл CH_3COOH и 5 г CuCl кипятят 6 час., выливают в NH_4OH и отделяют 3-(β -цианэтил)-V (XVII), выход 84%, т. пл. $124,5\text{--}125,5^\circ$ (из сп.). 10 г V нагревают с 5 мл пропиолактона (150° , 4 часа), обрабатывают как при получении IV и выделяют 3-(β -карбоксиэтил)-V (XVIII), выход 6,7 г, т. пл. $119\text{--}120,5^\circ$ (из 50%-ного сп.). 114 г XVI в 500 мл спирта кипятят 7 час. с 120 г NaOH в 1,2 л воды, спирт отгоняют, подкисляют и получают XVII, выход 96%. 20 г XVII, 100 мл конц. H_2SO_4 и 100 мл H_3PO_4 нагревают 30 мин. при $165 \pm 5^\circ$, выливают в воду и отфильтровывают 6-окси-I (XVIII), выход 4,3 г, т. пл. $142\text{--}144^\circ$ (из сп.); водн. р-р извлекают CHCl_3 и из вытяжки р-ром Na_2CO_3 экстрагируют 3-(β -карбоксиэтил)-5-окси-II, выход 23%, т. пл. $147\text{--}149^\circ$ (из воды), который циклизуется в указанных выше условиях в XVIII. Действием $(\text{CH}_3)_2\text{SO}_4$ 3-(β -карбоксиэтил)-5-окси-II превращается в XVII, а при р-ции с ацетоновым р-ром $n\text{-CH}_3\text{C}_6\text{H}_4\text{SO}_2\text{Cl}$ в щел. р-ре дает 5-тозилное производное, т. пл. $199\text{--}200,5^\circ$. Из XVIII получают следующие производные: ФГ, т. пл. $238\text{--}239^\circ$ (ЭК; капилляр опущен в прибор при 300° ; из бал.); 6-ацетил-XVIII, т. пл. $157,5\text{--}158^\circ$ (из сп.); ФГ, т. пл. $224,5\text{--}225,5^\circ$ (ЭК, при 219°); 6-тозил-XVIII, т. пл. $208\text{--}209^\circ$ (из сп.); ДНФГ, т. пл. 265° (ЭК, при 255° , из ксилола); хлоргидрат, полученный действием спирт. р-ра HCl на XVIII, очень неустоек. В связи с наличием водородной связи $\text{—OH}\cdots\text{O}=\text{C}$, подтвержденным ИК-спектром, XVIII метилируется только при применении большого избытка $(\text{CH}_3)_2\text{SO}_4$: 23,6 г XVIII растворяют в 600 мл теплого ацетона и попеременно прибавляют по 10 мл 30%-ного р-ра NaOH и 7 мл $(\text{CH}_3)_2\text{SO}_4$ до прекращения выделения осадка; всего расходуется ~ 10 молей $(\text{CH}_3)_2\text{SO}_4$. Р-р разбавляют 1 л воды и удаляют ацетон, т. пл. VI $144\text{--}145^\circ$ (из сп.); ФГ, т. пл. $150\text{--}150,5^\circ$ (из сп.); МФГ, т. пл. $131\text{--}132^\circ$ (ЭК, при 127° , из сп.). При пропускании в бензольный р-р VI безводн. HCl выделяется неустойчивый темно-красный ХГ VI. По данным ИК-спектра этот ХГ содержит НО-группу (образовавшуюся в результате протонирования атома О в VIa) и не содержит $\equiv\text{NH}^+$ -группы. При прибавлении спирт. HCl к спирт. р-ру VI с последующим упариванием в вакууме получается бурый порошок с т. пл. 207° (из ацетона + спирт. HCl) не установленного строения. 2 г ФГ VI в 15 мл спирта смешивают с 15 мл насыщ. спирт. р-ра HCl , кипятят 3 часа, выдерживают ~ 12 час. при 0° и получают 1 г ХГ VIIa, т. пл. 296° (ЭК, при 285°); йодгидрат VIIa, т. пл. 304° (разл.; ЭК, при 300°);

тиоцианат, т. пл. 279° (ЭК, при 275°); пикрат, т. пл. $240\text{--}241^\circ$ (ЭК, при 230°). Аналогично VIIa из 1 г МФГ VI (кипение, 5 час.) синтезируют ХГ VIIb, который выделяют из сконцентрированного реакционного р-ра прибавлением ацетона, выход 0,45 г, т. пл. 343° (ЭК, при 340°); йодгидрат VIIb (гемигидрат), т. пл. 341° (ЭК, при 339°); перхлорат, т. пл. 314° (ЭК, при 310°); свободное основание быстро изменяется на воздухе. 4,5 г VI, 3,3 г изатина, 10 мл 40%-ного р-ра KOH и 40 мл спирта кипятят 30 час., прибавляют воду и CH_3COOH и извлекают CHCl_3 ацетат VIII, который выделяют из сконцентрированных вытяжек прибавлением петр. эфира; при кристаллизации из смеси спирта с ацетоном ацетат диссоциирует и превращается в свободную VIII, выход 5,8 г, т. пл. 190° (ЭК, при 150° , из сп.-ацетона). Из р-ров VIII в 10%-ном р-ре NaOH выделяют Na-соль VIII, 1 г VIII при 0,001 мм постепенно нагревают до 300° и получают X, выход 44%, т. пл. $156\text{--}158^\circ$ (ЭК, при 150° , из сп.); осторожное нагревание ацетата VIII при 15 мм также приводит к X. ХГ X очень гигроскопичен; йодгидрат, т. пл. $196\text{--}197^\circ$ (разл.; при 194° из водн. сп.); кислый сульфат, т. пл. 232° (ЭК, при 230° , из водн. сп.). При окислении действием KMnO_4 в ацетоне X превращается в Ха, выход 50%, т. пл. $220\text{--}223^\circ$ (ЭК, при 215° , из бал.). Ха не дает ДНФГ, йодгидрат Ха, т. пл. $296\text{--}298^\circ$ (ЭК, при 290° , из водн. сп.). К р-ру 3,8 г VIII в 130 мл теплой воды прибавляют 30 мл конц. HCl , нагревают 20 мин. и получают ХГ IX, выход 78%, т. пл. $160\text{--}170^\circ$ (ЭК, из разб. HCl), повторно плавится при 235° . Декарбоксилирование 1 г ХГ IX при $280\text{--}300^\circ/0,001$ мм приводит к XI, выход 78%, т. пл. $239\text{--}240^\circ$ (ЭК, при 238° , из бал.); йодгидрат моногидрат, т. пл. $310\text{--}311^\circ$ (ЭК, при 305° , из сп.). Изомеризовать X при кипячении с разб. HCl и получить этим путем XI не удалось. XI аналогично X окислен в XIa, выход 10%, т. пл. $305\text{--}308^\circ$ (ЭК, при 280° , из $\text{CH}_3\text{OCH}_2\text{CH}_2\text{OH}$ с предварительной возгонкой в вакууме). XIa не дает ДНФГ, йодгидрат гемигидрат гигроскопичен, т. пл. $336\text{--}338^\circ$ (ЭК, при 330°). Приведены кривые УФ-спектров 1,3,4,5-тетрагидро-5-оксобензо-[cd]-индола, VI, VIII, IX, X, Ха, XI, XIa и XVIII и частоты в ИК-спектрах ХГ VI, VIIa–b, VIII, Ха и XVIII.

32473. Синтез некоторых новых бисчетвертичных аммониевых солей с ожидаемым действием на холинореактивные системы. Вассерман Х. М., Zinātnisko rakstu krājums. Rīgas med. inst., Об. научн. работ. Рижск. мед. ин-т, 1956, вып. 5, 23–36. Для изучения связи между хим. строением и фармакологич. действием на холинореактивные системы, исходя из фурфурола (I), синтезированы две серии бисчетвертичных аммониевых солей (БАС) с общими ф-лами: $-\text{J}(\text{CH}_2)_5>\text{N}^+(\text{R})(\text{CH}_2)_n(\text{R})\text{N}^+(\text{CH}_2)_5\text{J}^-(\text{A})$ и $-\text{J}(\text{CH}_2)_4>\text{N}^+(\text{R})(\text{CH}_2)_n(\text{R})\text{N}^+(\text{CH}_2)_4\text{J}^-(\text{B})$ следующим общим методом: 0,03 моля пиперидина (II) или пиролидина (III) нагревают (запаянная трубка, 100° , 6 час.) соответственно с 0,01 моля $\text{J}(\text{CH}_2)_4\text{J}$ или $\text{J}(\text{CH}_2)_5\text{J}$ в 2,5 мл абс. спирта. Перечисляются значения n , R и т. пл. в $^\circ\text{C}$ (из сп.) для серии A: 4, CH_3 263–265 (IV); 5, CH_3 252–256; 4, C_2H_5 228–229; 5, C_2H_5 218–220; 4, $\text{изо-C}_3\text{H}_7$ 201–202; 5, $\text{изо-C}_3\text{H}_7$ 192–193; 4, $n\text{-C}_4\text{H}_9$ 224; 5, $n\text{-C}_4\text{H}_9$ 192–194; 4, $\text{изо-C}_4\text{H}_9$ 236; 5, $\text{изо-C}_4\text{H}_9$ 218–221; 4, $(\text{CH}_3)_2\text{CHCH}_2$ 252; 5, $(\text{CH}_3)_2\text{CHCH}_2\text{CH}_2$ 266–268; 4, $\text{CH}_2\text{C}_6\text{H}_5$ 204 (V); 5, $\text{CH}_2\text{C}_6\text{H}_5$ 198 (VI); 4, α -фурилметил, 164–166; 5, α -фурилметил, 178; 4, $(\text{CH}_2)_2\text{OH}$ 168–169; 5, $(\text{CH}_2)_2\text{OH}$ 172–174; 4, $(\text{CH}_2)_4\text{OH}$ 233; 5, $(\text{CH}_2)_4\text{OH}$ 184–185; для серии B: 4, CH_3 275–276; 5, CH_3 292 (VII); 4, C_2H_5 211–214; 5, C_2H_5 248–250; 4, C_4H_9 248; 5, C_4H_9 221–222; 4, $(\text{CH}_3)_2\text{CHCH}_2\text{CH}_2$ 262–264; 5, $(\text{CH}_3)_2\text{CHCH}_2\text{CH}_2$ 270; 4, $\text{CH}_2\text{C}_6\text{H}_5$ 190–192 (VIII); 5, $\text{CH}_2\text{C}_6\text{H}_5$ 168–170 (IX); 4, α -фурилметил, 188–190; 5, α -фури-

метил-, 200—201; 4, C_6H_5 , —; 5, C_6H_5 , —; 4, $n-C_6H_4CH_3$, —; 5, $n-C_6H_4CH_3$, —; 4, $(CH_2)_2OH$, 172—174; 5, $(CH_2)_2OH$, 168—170. Исключение составляет дийодистый пиридин-3,6-бис-(этоксиперидиний) (X), который получен метилированием соответствующего бистретичного амина. Наиболее активными в-вами являются VII и IV. V—VI и VIII—IX проявляют, помимо ганглиоблокирующего действия, также и папариноподобное. Необходимые для синтеза БАС третиные амины получены: 1) Методом Кларка $(CH_3)_3N > NH + HCOOH + HCOH \rightarrow (CH_3)_3N > NCH_2R$. К 0,5 моля 85%-ной $HCOOH$ прибавляют по каплям 0,2 моля II, 0,23 моля I, нагревают ($\sim 100^\circ$, 2 часа и 140—145°, 3 часа), охлаждают, добавляют 25%-ной $HCOH$, перегоняют с водяным паром, получают 2-фурфурил-II, выход 62%, т. кип. 93°/11 мм. N-фурфурил-III, выход 68%, т. кип. 30—34°/6 мм. N-бензил-III, выход 70%, т. кип. 112°/8 мм; пикрат, т. пл. 128°. 2) Циклизацией 1,4-дигалогидбутанов с первичными аминами. По 0,05 моля $C_6H_5NH_2$ и 1,4-дибромбутана с 0,3 г $ZnCl_2$ нагревают ($\sim 100^\circ$, 6 час.), охлаждают, прибавляют 10%-ный р-р NH_4OH , получают N-фенил-III, выход 60%; т. кип. 132°/10 мм. N-метил-III; хлораурат, т. пл. 216°. 3) Алкилированием II и III соответствующими галоидалькилами. Эквимолекулярные кол-ва III и $Cl(CH_2)_2OH$ нагревают в трубке ($\sim 100^\circ$, 12 час.) и выделяют N-(2-оксипропил)-III, выход 80,1%, т. кип. 80—84°/20 мм; N-(2-оксипропил)-II (при 140—150°), выход 65%, т. кип. 128—130°/18 мм. Пропусканием тетрагидрофурана (полученного из I) с NH_3 над Al_2O_3 получают III (Al_2O_3 промотировали 5%-ной окисью титана, что повысило выход до 65—68%). 3,6-дихлорпиридазин (XI) получен по схеме: I + малеиновый ангидрид \rightarrow пиридазиндион-3,6 \rightarrow XI. 0,05 моля N-оксипропил-II (XII) в 10 мл абс. ксилола с 0,05 моля Na нагревают при 145° до растворения, прибавляют по каплям 0,025 моля XI в 10 мл ксилола, нагревают (145°, 8 час.) и выделяют основание, т. кип. 132°/6 мм, которое метилируют CH_3I и получают X, выход 41,5% (считая на XII), т. пл. 238—239° (из абс. сп.). М. Линькова

32474. Определение 1-метил-4-амино-N'-фенил-N'-(2-тенил)-пиперидина («Сандостен» фирмы Сандоз). Блажек, Стейскал (Die Bestimmung von 1-Methyl-4-amino-N-phenyl-N-(2-thenyl)-piperidin. (Sandosten — Sandoz). Blazek J., Stejskal Z.D., Pharmazie, 1957, 12, № 7, 409—410 (нем.).

Описано 2 метода колич. определения 1-метил-4-амино-N'-фенил-N'-(2-тенил)-пиперидина (I) в продажном препарате. Весовой метод основан на осаждении I при 70° кремневольфамовой к-той (II) в 2%-ной HCl , состав осадка 4I·II, точность $\pm 3,5\%$. Второй метод — полярометрич. титрование I посредством II (катод — ртутнокапельный электрод, анод — насыщ. каломелевый электрод), для определения берут 25—50 мг I, состав осадка 2I·II ($SiO_2 \cdot 12WO_3 \cdot 2(C_{17}H_{22}N_2S \cdot C_6H_5O_6)$), точность $\pm 3—3,5\%$. Кратко изложены методики работы по обоим методам.

С. Гурвич

32475. Изучение синтеза гидразида никотиновой кислоты. I. Прямая конденсация изоникотиновой кислоты с гидразингидратом. Шу Кай-кун (Hsu Kai-kun), Юсюэ сюэбао, Acta pharmas. sinica, 1957, 5, № 1, 23—27 (кит.; рез. англ.). См. РЖХим, 1957, 74447.

32476. Синтез 2-замещенных солей дегидрохинолизины. Несмеянов А. Н., Рыбинская М. И., Докл. АН СССР, 1957, 116, № 1, 93—96

Реакцией на холоду в токе N_2 эфирных р-ров α -пиктолидита и диметилацеталей ацето- или бензоил-ацетальдегидов, разложением водой образующихся продуктов и последующей циклизацией их кипящей

конц. HBr , синтезированы бромиды 2-метил-(I) (выход 27%, т. пл. 156—158°) и 2-фенил-(II) (выход 22,4%, т. пл. 150—153°)-2-схохинолизины (1H, 2H), дегидратированные кипячением с $(CH_3CO)_2O$ в бромиды 2-метил-(выход 98%, т. пл. 185—186°) и 2-фенил-(III) [выход 21%, т. пл. 193—194° (гидрат)]-дегидрохинолизины. При аналогичной р-ции диметилацетала пропаноацетальдегида получен непосредственно бромид 2-пропилдегидрохинолизины, выход 31,2%, т. пл. 133—135°. II превращен в перхлорат [т. пл. 145—146° (из CH_3OH)], а III — в перхлорат [т. пл. 168—169,5° (из воды)] и пикрат [т. пл. 168—170° (из CH_3OH)] соответствующих оснований. I гидрирован в спирте над Pt-чернью в 2-метилхинолизины; бромгидрат, т. пл. 221—223°; пикрат, т. пл. 154—156° (из сп.). Л. Шуккина

32477. Синтетические маточные средства. I. Синтез и реакции (индолил-3)-(пиридил-2)-карбинолов и 2,3-(2,3'-индоло)-гексагидрохинолизинов. Бейдер, Орошник (Synthetic oxytocics. I. Synthesis and reactions of 3-indolyl-2'-pyridylcarbinols and of 2,3-(2,3'-indolo)-hexahydroquinolizines. Bader Henry, Oroschnik William, J. Amer. Chem. Soc., 1957, 79, № 21, 5686—5689 (англ.).

Действием 2-пиридил-Li (I) на 3-индолальдегид (II) синтезирован (индолил-3)-(пиридил-2)-карбинол (III). При каталитич. восстановлении III получены (индолил-3)-(пиридил-2)-карбинол (IV) и 2-скатилпиперидин (V). Последний по видоизмененной р-ции Пикте — Шпенгlera превращен в 2,3-(2,3'-индоло)-гексагидрохинолизин (VI) и в 1'-оксиметильное производное VI (VII). Аналогично из IV синтезирован 9-оксин (VIII). Соединения VI, VIII и йодметилат VI (VIa) не оказывают значительного стимулирующего действия на мускулатуру матки. К р-ру I (из 1 моля 2-бромпиридина (IX) и 1,25 моля $n-C_4H_9Br$ в 1,3 л безводн. эф.) при $-18+4^\circ$ (постепенно прибавляют 0,5 моля II и перемешивают при -18° еще 1,5 часа, выход III 81,1%, т. пл. 160—161° (из воды). Аналогично из 5-хлор-IX получен (индолил-3)-(5-хлорпиридил-2)-карбинол (X), выход после очистки дробной кристаллизацией из CH_3OH , $CHCl_3$ и из воды 23,2%, т. пл. 166—167° (из воды и из бэл.). 0,116 моля III гидрируют при 3 ат в 40 мл лед. CH_3COOH и 120 мл абс. спирта над 0,65 г Pt (из PtO_2), фильтрат выливают в р-р 30 г $NaOH$ в 2 л воды и отделяют маслянистый V, затвердевающий при 0° , выход 51,6%, т. пл. 156—156,5° (из бэл.); хлоргидрат, моногидрат, т. пл. 78—82° (из $iso-C_3H_7OH$ -бэл.эф.). Бензольный маточный р-р после кристаллизации V упаривают и прибавлением циклогексана выделяют симм-простой эфир IV, выход 30%, т. пл. 119,5—121,5° (из циклогексана). Из водно-щел. р-ра, из которого выделен неочищ. V (см. выше), извлекают эфиром IV, выход 3,5%, т. пл. 200—201,5° (из ацетона). К 0,02 моля V в 20 мл $CHCl_3$ прибавляют при 0° 0,02 моля хлораля, кипятят 1 час, упаривают, остаток растворяют в 80 мл смеси C_6H_6 -безводн. эфир (1:1), р-р прибавляют к 0,02 моля $LiAlH_4$ в 40 мл эфира, кипятят 6 час. и получают 1-метил-2-скатилпиперидин, выделенный в виде хлоргидрата, выход 64%, т. пл. 222,5—226,5° (из $iso-C_3H_7OH$ -бэл.); основание, т. пл. 109—110° (из циклогексан-пептр. эф.). 0,03 моля V постепенно прибавляют при 0° к 3,5 г 98%-ной $HCOOH$, приливают 2,7 г 37%-ного формалина и 4 мл воды, кипятят 13 час., выливают в 300 мл 3%-ного р-ра $NaOH$ и получают VI, выход 55%, т. пл. 218—219° (из бэл. и бэл.-циклогексана); хлоргидрат, т. пл. 236,5—238,5° (из воды). 1 г VI в 200 мл C_6H_6 и 10 мл спирта оставляют на 3 дня с небольшим избытком CH_3I , выход VIa 67%, т. пл. 277°. 0,03 моля V, 22,5 мл 37%-ного формалина и 20 мл $iso-C_3H_7OH$ нагревают 5 час. в трубке при 140—150°,

выливают в 1 л воды, подщелачивают и выделяют VII, выход 50%, т. пл. 180,5° (плавится повторно при 213—214°); хлоргидрат, т. пл. 218—219° (разл.; из $\text{iso-C}_6\text{H}_7\text{OH-bzl-эф.}$). К 0,6 г IV в 2 мл воды приливают 0,3 мл HCOOH , затем 0,3 мл 37%-ного формалина, выдерживают 3 дня при ~20° и после прибавления 10%-ного р-ра NaOH выделяют VIII, т. пл. 234—236° (из $\text{iso-C}_6\text{H}_7\text{OH}$). Приведены положения полос в УФ-спектре (λ_{max} и ϵ) III—VIII, X, скатола, 3-оксиметилиндола и 2,3-диметилиндола. Г. Браз

32478. О 4-аминохинолинах. II. Некоторые 4-аминохинолинилхинолины. Чаттерджи (A note on 4-amino quinolines. II. Some 4-amino quinolyl quinolines. Chatterjee A. K.), Sci. and Culture, 1957, 23, № 2, 109—110 (англ.)

Кипячением (6—40 час.) замещ. 4-хлорхинолинов с эквивалентным кол-вом 8-аминохинолинов в спирте синтезированы потенциально противомаларийные (в скобках указаны т. пл. в °C) 2,8-диметил-[172 (из сп.)], 2,6-диметил-[160 (из сп.)], 2-метил-6-хлор-[212 (из сп.)], 2-метил-8-хлор-[150 (из 50%-ного сп.)] и 2-метил-6-бром-[211 (из сп.)]-4-(8'-хинолиламино)-хинолины, а также 2-метил-6-бром-[271 (из хлф.)], 2,6-диметил-[238 (из сп.)], 2,8-диметил-[246 (из хлф.)] и 2-метил-6-хлор-[268 (из CH_3COOH)]-4-(6'-хлор-8'-хинолиламино)-хинолины. Сообщение I см. РЖХим, 1957, 8049.

Л. Щукина

32479. Синтезы производных 4-бензилхинолина. I. Нитрование 4-бензилхинолина. Номото (Synthesis of 4-benzylquinoline derivatives. I. Nitration of 4-benzylquinoline. Nomoto Keizo), Pharmac. Bull., 1957, 5, № 4, 297—300 (англ.)

Конденсацией 4-хлорхинолина (I) и фенилацетонитрила в спирте в присутствии NH_2Na (16 час., при ~20°, затем кипячение 10 час.) получен α -(хинолил-4)- α -фенилацетонитрил, гидролизованный конц. H_2SO_4 в соответствующий амид, т. пл. 269° (из $\text{C}_6\text{H}_5\text{OH}$), превращенный 5-часовым кипячением с 60%-ной H_2SO_4 в 4-бензилхинолин (II), т. кип. 198°/2 мм, 150—153°/0,004 мм, сульфат, т. пл. 197°, пикрат (ПК), т. пл. 171—173°, хлоргидрат, т. пл. 175—177°. II нитруется смесью конц. H_2SO_4 и HNO_3 при 30° в 4-(*n*-нитробензил)-хинолин, т. пл. 135,5°, окисляющийся р-ром KMnO_4 в $n\text{-C}_6\text{H}_5\text{NO}_2$ и восстановленный Sn и HCl в 4-(*n*-аминобензил)-хинолин, т. пл. 130—132°, превращенный диазометодом в 4-(*n*-бромбензил)-хинолин, т. кип. 167°/0,2 мм, ПК, т. пл. 188°, перхлорат, т. пл. 151,5—152,5°, синтезированный также конденсацией *n*-бромфенилацетонитрила (III) и I в присутствии NH_2Na (см. выше). 3 г *n*-бромбензальдегида, 2 г роданина, 15 мл CH_3COOH и 4 г CH_3COONa кипятят 1,5 часа, продукт (т. пл. 237—238°) растворяют в горячем 8%-ном р-ре NaOH, подкисляют HCl , отделяют тиокетокислоту, т. пл. 185°, которую смешивают с р-ром NH_2OH (из 3 г $\text{NH}_2\text{OH} \cdot \text{HCl}$) в 20 мл спирта, нагревают 30 мин., отгоняют р-ритель, остаток растворяют в 5 мл 5%-ного р-ра NaOH, подкисляют, продукт кипятят 30 мин. с $(\text{CH}_3\text{CO})_2\text{O}$ и выделяют III, т. кип. 145—150°/3—4 мм.

Л. Щукина

32480. Синтез некоторых производных хинолина и изохинолина. Тани, Ишибаси (Tani Chiaki, Ishibashi Ken-ichi), Якугаку дзасси, J. Pharmac. Soc. Japan, 1957, 77, № 3, 293—295 (японск.; рез. англ.)

С целью исследования эстрогенных свойств из йодметилата (Ia) и йодэтилата 6-метоксифенила (16) синтезированы 1-метил-(II) и 1-этил-2-*n*-ацетоксифенил-6-ацетокси-1,2,3,4-тетрагидрохинолины (III), а из 2-*n*-метоксифенил-*N*-*m*-метоксифенилбутирамида (IV) 1-(α -этил-*n*-оксбензил)-3,4-дигидроизохинолинол-6 (V) и 1-(α -этил-*n*-оксбензил)-1,2,3,4-тетрагидроизохинолинол-6 (VI). Из Ia и б с *n*-метоксимагний-

бромфенилом по Гриньяру получают 1-метил-(VII) и 1-этил-2-*n*-метоксифенил-6-метоксифенила (VIII), при восстановлении которых Na в спирте получают 1-метил-(IX) и 1-этил-2-*n*-метоксифенил-6-метоксифенил-тетрагидрохинолины (X), последние в результате омыления HBr и ацетилирования дают II и III. При действии POCl_3 на IV замыкается дигидроизохинолиновый цикл и образуется 1-(α -этил-*n*-метоксифенил)-6-метоксифенил-3,4-дигидроизохинолин (XI), который при обработке HJ дает V, а при восстановлении Zn в CH_3COOH 1-(α -этил-*n*-метоксифенил)-6-метоксифенил-тетрагидроизохинолин (XII). Последний при действии HJ дает VI. Из 1 г Ia получают 0,8 г VII, т. пл. 101—102° (из CH_3OH). VIII, т. пл. 79—80° (из CH_3OH). 1 г VII восстанавливают 6 г Na, 50 мл спирта, получают 0,7 г IX, т. пл. 71—72° (из CH_3OH), X, т. пл. 84—85° (из CH_3OH). 0,3 г IX кипятят 2 часа в 10 мл HBr (*d* 1,38), отгоняют HBr в вакууме и остаток кипятят 2 часа с 10 мл $(\text{CH}_3\text{CO})_2\text{O}$, 0,1 г CH_3COONa , получают 0,2 г II, т. пл. 99—100° (из разб. CH_3OH). III, т. пл. 145° (из CH_3OH). Из 1 г *m*-метоксифениламина и 1,4 г хлорангидрида 2-*n*-метоксифенилмасляной к-ты в CHCl_3 с избытком 5%-ного NaOH (0—5°) получают 1,6 г IV, т. пл. 60° (из разб. CH_3OH). 1 г IV кипятят 3 часа с 10 мл POCl_3 , отгоняют POCl_3 в вакууме, обрабатывают водой и NH_4OH , получают XI; пикрат, т. пл. 151—152° (из разб. ацетона). Р-р 0,7 г XI в 3,5 мл CH_3COOH кипятят 2 часа с 20 мл HJ (*d* 1,72). После отгонки к-ты и подщелачивания получают 0,3 г V, т. пл. 154—155° (из сп.). 0,5 г XI кипятят 5 час. с 1,5 г Zn-пыли, 20 мл 50%-ной CH_3COOH , после обработки NH_4OH получают 0,3 г XII; пикрат, т. пл. 196—197° (из разб. ацетона). 0,5 г XII обрабатывают HJ так же, как XI, получают 0,2 г VI, т. пл. 104—105° (из разб. CH_3OH).

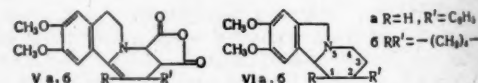
Н. Швецов

32481. Реакция Дильса — Альдера для диеновых систем, содержащих азот. I. Реакция 1-стирил-6,7-диметокси-3,4-дигидроизохинолина с малениновым ангидридом. II. Реакция 1-циклогексенил-3,4-дигидро-6,7-диметоксиизохинолина с малениновым ангидридом. Томимацу (Tomimatsu Yoschio) Якугаку дзасси, J. Pharmac. Soc. Japan, 1957, № 1, 7—40; № 2, 186—190 (японск.; рез. англ.)

I. Реакция Дильса — Альдера для диеновых систем, содержащих азот ($\text{C}=\text{C}-\text{C}=\text{N}$ или $\text{N}=\text{C}-\text{C}=\text{N}$ вместо более широко исследованной системы $\text{C}=\text{C}-\text{C}=\text{C}$) изучена на примере 1-*R*-6,7-диметокси-3,4-дигидроизохинолина (I), где *R* — непредельный остаток: а *R* = $\text{C}_6\text{H}_5\text{CH}=\text{CH}$, б *R* = $\text{CH}_2=\text{CH}_2$, в *R* = $\text{CH}_2(\text{CH}_2)_7$ —

$\text{CH}=\text{C}$, г *R* = $\text{CH}_2(\text{CH}_2)_3\text{CH}(\text{C}_6\text{H}_5)\text{CH}$, д *R* = $\text{CH}_2(\text{CH}_2)_7$ — $\text{CH}(\text{COOH})\text{CH}$. В качестве диенофила был использован

малениновый ангидрид (II). В данном случае диеновый синтез должен был привести к получению производного хинолизина. В качестве исходных диенов были избраны Ia, гораздо более доступный по синте-



зу чем Ib, а затем Iv (см. сообщение II). Ia был получен из 3,3 г гомовератриламина (III) с 3 г $\text{C}_6\text{H}_5\text{CH}=\text{CHCOCl}$ р-цией Шоттен — Баумана (с 10%-ным р-ром Na_2CO_3 ; выход 3,4-(CH_3O) $_2\text{C}_6\text{H}_3(\text{CH}_2)_2\text{NHCOSCH}=\text{CHC}_6\text{H}_5$ (IV) 5,5 г, т. пл. 127° с последующей циклизацией IV действием POCl_3 (120—130°, 2 часа), т. пл. пикрата Ia 188—189° (разл.). Конденсация 3 г Ia с 1,5 г II привела к образованию ангидрида (Va), выход 18%, т. пл.

пикрата 218—220° (разл.). Из 1,2 г Va с помощью гидрирования (0,1 г PtO₂, 71 мл H₂) и гидролиза (20 мл 5%-ного р-ра КОН) было получено 3,4-дикарбокси- (3,4)-производное VIa (VII). Путем декарбоксилирования (200—210°, хинолин, Cu) VII было превращено в VIa, выход 0,5 г из 1,3 г VII, т. пл. 2 VIa · H₂PtCl₆ (VIII) 128—129° (разл.). Для сравнения VIII был синтезирован из равномолекулярных кол-в III и β-фенил-глутарового ангидрида в присутствии 10%-ного р-ра Na₂CO₃; при этом получается 3,4-(CH₃O)₂C₆H₃(CH₂)₂NHCOCH₂CH(C₆H₅)CH₂COOH (выход 87,3%, т. пл. 158—160°), который действием (CH₃CO)₂O был превращен в 3,4-(CH₃O)₂C₆H₃(CH₂)₂NCOCH₂CH(C₆H₅)CH₂CO (IX), вы-

ход 62%, т. пл. 159—162°; электролитич. восстановление IX по Таффелю (Pb-электроды, 6—7 а на 100 см², 20—25°) привело к получению 3,4-(CH₃O)₂C₆H₃(CH₂)₂N(CH₂)₂CH(C₆H₅)CH₂CO с выходом 76%; нагреванием с

POCl₃ (120—130°) в нем был замкнут 3-й цикл с образованием хлористого 1,2,3,4,6,7-гексагидро-9,10-диметокси-2-фенилбензо-[а]-хинолизиния (X), т. пл. пикрата 211—212° (разл.). В результате гидрирования λ (0,1 г PtO₂, 35 мл H₂) был получен VIII. Сопоставление УФ-спектров VIII, полученных обоими способами, подтвердило их идентичность.

II. Взаимодействие Iv с II, проведенное в тех же условиях, как и р-ция получения Va, привело к образованию Vb, который был выделен и охарактеризован в виде пикрата. С целью установления подлинного строения Vb и окончательного доказательства того, что оно, как и Va, представляет собой производное бензохинолизина было осуществлено гофмановское расщепление Vb путем трехкратного восстановления, омыления и действия CH₃I; при этом было достигнуто отщепление (CH₃)₃N и выделение нейтр. в-ва; из которого в результате окисления была получена 6-этилвератровая к-та (XI), что подтверждает наличие бензохинолизина в основе строения исходного Vb. Таким образом было установлено, что диеновая система C=C—C=N, у которой группировка C=N является составной частью дигидрозохинолинового кольца в положении 1,2, может участвовать в р-ции Дильса—Альдера. Из 4 г III и 3,2 г CH₂(CH₂)₃CH=

—CCOCl был получен в присутствии 10%-ного р-ра

Na₂CO₃ 3,4-(CH₃O)₂C₆H₃(CH₂)₂NHCOC=CH(CH₂)₃CH₂,

выход 82%, т. пл. 71—72°; при нагревании с POCl₃ при 130° он был превращен в Iv, выход 75%, т. пл. пикрата 178—179° (разл.). Из 3 г Iv и 1,6 г II получили Vb, выход 23%, т. пл. пикрата 206—207° (разл.). Гидрирование 3,2 г Vb (0,1 г PtO₂), омыление 3%-ным р-ром КОН и взаимодействие с 1,2 г CH₃I в спирте привело к образованию йодметилата 3,4-дикарбокси-VIb (XII), выход 1,9 г, т. пл. 188—189°. Его расщепили в положении 4,5 путем нагревания с AgON (выход 31%), гидрировали 0,5 г расщепленного в-ва (0,05 г PtO₂) и затем обработали 0,3 г CH₃I при 100—110°, выход йодметилата 1,2-дигидро-N-метил-Ir 0,4 г, т. пл. 167—174°. Дальнейшее гофмановское расщепление полученного в-ва привело к образованию 3,4-(CH₃O)₂-6-C₆H₅-C₆H₄CH-U + (CH₃)₃CHCH(C₆H₅)(CH₂)₃CH₂I— т. пл. 165—

172°, а затем N(CH₃)₃ и в-ва, которое в р-ции с 2%-ным р-ром KMnO₄ при 40—50° превратилось в XI с т. пл. 142°. Из р-ции расщепления XII удалось также получить путем окисления продукта р-ции 2%-ным р-ром KMnO₄, пикрат 1,2-дигидро-N-метил-Ir (XIII) с т. пл. 152—153°; XIII был также синтезирован из 5 г N-метил-III и 3,9 г транс-гексагидрофталевого

ангидрида, с последующей циклизацией образовавшегося в этой р-ции 3,4-(CH₃O)₂C₆H₃CH₂CH₂N(CH₃)COCHCH(COOH)(CH₂)₃CH₂ (выход 82%, т. пл. 128—130°)

действием POCl₃, а затем NaI и, наконец, обработкой полученного при этом йодметилата Id (выход 78,4%, т. пл. 201—202°) AgCl, сопровождающейся гидрированием над Pt; выход на последней стадии 52%.

Е. Головинская

32482. Строение α-бромацетил-N-ацетил-9,10-дигидроакридина. Сарджант (Structure of α-bromoacetyl-N-acetyl-9,10-dihydroacridine. Sargent Lewis J.). J. Organ. Chem., 1957, 22, № 11, 1494—1496 (англ.).

Синтезированный ранее α-бромацетил-N-ацетил-9,10-дигидроакридин (I) (см. Sargent L. J., Small L. F., J. Organ. Chem., 1948, 13, 447) восстановлен в спирте в присутствии CH₃COONa и Pd/C в некристаллизующийся α, N-диацетил-9,10-дигидроакридин (II); семикарбазон, т. пл. 150—153° (из CH₃OH), гидролизованный горячим спирт. р-ром КОН в α-ацетил-9,10-дигидроакридин (III), т. пл. 174,5—176°, восстановленный по Кижнеру в α-этил-9,10-дигидроакридин, т. возг. 105°/0,1 мм, т. пл. 127—129°, который окислен K₂Cr₂O₇ в H₂SO₄ в 3-этилакридин (IV); перхлорат, т. пл. 176—178°, чем показано строение I и всех полученных в-в. Иначе III окислен K₂Cr₂O₇ в 3-ацетилакридин, т. пл. 135—136,5° восстановленный по Кижнеру в IV, II может быть получен с незначительным выходом ацилированием N-ацетил-9,10-дигидроакридина CH₃COBr по Фриделю—Крафтсу.

Л. Щукина

32483. О замещенных в положении 9 производных 8-нитро- и 2-метокси-8-нитроакридина. Екунди, Пател (Über in 9-Stellung substituierte 8-Nitro-und 2-Methoxy-8-Nitroacridine. Yekundi K. G., Patel S. R.), Chem. Ber., 1957, 90, № 11, 2448—2450 (нем.).

Взаимодействием 3'-нитро-4-метоксидифениламинокарбонной-2 к-ты (I) с POCl₃ получена смесь, из которой выделен 2-метокси-8-нитро-9-хлоракридин (II), превращенный далее в 9-[(δ-диэтиламино-α-метилбутил)-амино]-(III), 9-фенокси-(IV) и 9-амино-2-метокси-8-нитроакридин (V). Смесь 7 г 2-Br-5-CH₃OC₆H₃COOH, 5 г 3-O₂NC₆H₄NH₂, 5 г безводн. K₂CO₃, 30 мл C₆H₁₁OH и небольшого кол-ва Si-порошка кипятят 5 час., отгоняют с паром, фильтруют и подкисляют HCl (к-той); получают I, т. пл. 225° (из CH₃COOH). Смесь 8 г I и 24 мл POCl₃ нагревают 2 часа при 130°, выливают в смесь NH₄OH и льда, сухой осадок кипятят с 50 мл CCl₄ и остаток очищают дробной кристаллизацией из толуола; получают 0,7 г II, т. пл. 247°. К горячему р-ру 1 г II в 5 мл фенола прибавляют 0,5 г (C₂H₅)₂NCH₂CH₂CH₂CH(C₆H₅)NH₂ нагревают (110°, 2 часа), обрабатывают 10%-ным р-ром NaOH, декантируют, остаток промывают водой, извлекают 100 мл 5%-ной CH₃COOH, вытяжку обрабатывают избытком NH₄OH, извлекают эфиром и эфирный р-р обрабатывают спирт. р-ром HCl; получают дихлоргидрат III, т. разл. 192° (из сп.-ацетона). 1 г II в 5 мл фенола нагревают (110°, 1 час), обрабатывают 10%-ным р-ром NaOH; получают IV, т. пл. 185°. К р-ру 1 г II в 5 мл фенола прибавляют 0,2 г (NH₃)₂CO₃ и нагревают 1 час при 110°; получают V, т. пл. 295° (из сп.); хлоргидрат, т. пл. > 300°. Аналогично вышеуказанному из 8-нитро-9-хлоракридина получают: 8-нитро-9-[(δ-диэтиламино-α-метилбутил)-амино]-акридин; диникрат, т. разл. 245° (из сп.-ацетона); 8-нитро-9-феноксикаридин, т. пл. 214° (из водн. сп.), и хлоргидрат 8-нитро-9-аминоакридина, т. разл. 292°.

А. Травин

32484. Нитрование некоторых фенил- и тинилипразолов. Сообщение I. Паррини (Nitrazione di alcuni fenile-tienil-pirazoli. Nota I. Parrini Valerio), Ann. chimica, 1957, 47, № 9, 929—950 (итал.).

Исследованы продукты нитрования 1-фенил-3,5-

диметил-(Ia), 5-фенил-3-метил-(Ib), 1,5-дифенил-3-метил-(Ic), 1,3,5-трифенил-(Iг) и 5-фенил-3-метил-1-(2,4-динитрофенил)-(Id)-пиразолов и 5-тиенил-3-метил-(IIa), 5-тиенил-1-фенил-3-метил-(IIb), 5(3)-тиенил-3(5)-фенил-(IIв), 5(3)-тиенил-1,3(5)-дифенил-(IIг), 3,5-дитиенил-(IIд), 3,5-дитиенил-1-фенил-(IIе) и 5(3)-тиенил-3(5)-фенил-1-(*n*-нитрофенил)-(IIж)-пиразолов. При нитровании Ia—в смесь H_2SO_4 (d 1,84) с равным объемом HNO_3 (d 1,48) (30 мин., 50–60°) образуются соответственно 1-(*n*-нитрофенил)-3,5-диметил-(IIIa) (т. пл. 154–156° (из сл.)), 5-(*n*-нитрофенил)-3-метил-(IIIб) (т. пл. 195° (из сл.)) и 1,5-ди-(*n*-нитрофенил)-3-метил-(IIIв) (т. пл. 181–184° (из CH_3COOH)) 4-нитропиразолов. Строение IIIa подтверждено синтезом в аналогичных условиях из 1-(*n*-нитрофенил)-3,5-диметилпиразола. IIIб окислен кипящим р-ром $KMnO_4$ в 5-(*n*-нитрофенил)-4-нитропиразолкарбоновую-3 к-ту, т. пл. 184–185° (из сл.), полученную также нитрованием 5-фенилпиразолкарбоновой-3 к-ты. IIIв окисляется р-ром $KMnO_4$ в n - NO_2 - CH_3COOH . Попытки получения IIIб, в циклизацией *n*-нитробензоилацетона с $N_2H_4 \cdot H_2O$ без р-рителя или с $NH_2NHC_6H_4NO_2$ в CH_3COOH не увенчались успехом, так как при этом вместо ожидаемых пиразолов образуются метил-(*n*-нитрофенил)-кетазин, т. пл. 199–201° (из CH_3COOH), и *n*-нитрофенилгидразон *n*-нитроацетона, т. пл. 174–177° (из диоксиана) соответственно. При нитровании при 75° Iг получают динитропроизводное, т. пл. 244–249° (из CH_3COOH), неустановленного строения, и тринитропроизводное, т. пл. 218–222° (из CH_3COOH), являющееся, вероятно, 1,3,5-три-(*n*-нитрофенил)-пиразолом. Id нитруется при 80° в в-во, которому приписано строение 5-(*n*-нитрофенил)-3-метил-1-(2,4-динитрофенил)-пиразола, т. пл. 216–221°. Па при нагревании (15 мин., 80°) с той же нитрующей смесью дает моонитропродукт, т. пл. 102–122° (из бал.), а при 0–5° (30 мин.) — 3-метил-4-нитро-5-(*n*-нитрофенил)-пиразол, т. пл. 168–173° (из CH_3COOH), окисляющийся $KMnO_4$ в 3-метил-4-нитропиразолкарбоновую-5 к-ту, т. пл. 185° (из воды); IIб нитруется при 50° в 1-(*n*-нитрофенил)-3-метил-4-нитро-2,2'-динитрофенилпиразол, т. пл. 155–157° (из сл.), образующийся в тех же условиях из 1-(*n*-нитрофенил)-3-метил-5-тиенилпиразола (IV); IIв в зависимости от температурных условий р-ция дает два 3-нитропроизводных, т. пл. 238–240° (из CH_3COOH) и 238–241° (из CH_3COOH); IIг при 15–20° образует динитропроизводное, т. пл. 175–181° (из CH_3COOH); IIд, е при 0–30° дают 3-нитропроизводные, т. пл. 130° (из сл.) и 230° (из сл.). IIж нитруется при 20–30° в динитропродукт, т. пл. 115–121° (из сл.), а при 60–70° — в 4-нитропроизводное, т. пл. 128–131° (из CH_3COOH). Па, т. пл. 118–123° (из лигр.), IIб, т. кип. 180°/20 мм, в IV, т. пл. 100–102° (из сл.), синтезируются нагреванием (20 мин., 100°; 2 часа, 100° или 1 час, 175° соответственно) теноилацетона (V) с $N_2H_4 \cdot H_2O$, $NH_2NHC_6H_5$ или $NH_2NHC_6H_4NO_2$; IIв, т. пл. 181–183° (из сл.), IIг, т. пл. 108–110° (из сл.), и IIж, т. пл. 137–142° (из CH_3COOH), — нагреванием 2-теноилбензоилметана (VI) с теми же производными гидразина, причем в последнем случае получается также *n*-нитрофенилгидразон 1-фенил-3-(2-тиенил)1,3-пропандиона, т. пл. 114–115° (из сл.); IIд, т. пл. 190–192° (из сл.), и IIе, т. пл. 188–190° (из сл.) — кипячением дитеноилметана с $N_2H_4 \cdot H_2O$ или $NH_2NHC_6H_5$. При нитровании V и VI смесью H_2SO_4 и HNO_3 при –40° образуются соответственно 2-(*x,x'*-динитротеноил)-ацетон, т. пл. 62°, Si -соль, т. пл. 212–213° (разл.), и 2-(*x,x'*-динитротеноил)-4-нитробензоилметан, Si -соль, т. пл. 225° (разл.).

Д. Витковский

32485. Реакции раскрытия-замыкания цикла в ряду гетероциклических соединений. V. Скорость превра-

щения β -ацетиллиндола в 4-(*o*-аминофенил)-3-метилпиразол в зависимости от условий опыта. VI. Влияние хлоргидрата гидразина и некоторых щелочных реагентов на вызываемое действием гидрата гидразина превращение β -ацетиллиндола в 3-метил-4-(*o*-аминофенил)-пиразол. VII. Превращение гидразона β -ацетиллиндола в пиразол. VIII. Образование 3(5)-(*o*-аминофенил)-пиразола и 3(5)-(*o*-аминофенил)-5(3)-метилпиразола при действии гидразинхлората на 4-оксикинолин и 2-метил-4-оксикинолин. IX. Действие гидразина, фенилгидразина и гидроксидов на 2-метилхромон. Альберти (Reazioni di apertura-chiusura nucleare nella serie eterociclica. Nota V. Sull'andamento delle reazioni di trasformazione pirazolica dei β -acetilindoli in funzione delle condizioni sperimentali. Nota VI. Effetti esplicati dal cloridrato di idrazina e da alcuni agenti alcalini sulla trasformazione pirazolica dei β -acetilindoli operata dalla idrazina idrata. Nota VII. Sulla trasposizione pirazolica dell'idrazone del β -acetilindolo. Nota VIII. Sulla formazione del 3(5)-(o. aminofenil)-pirazolo e del 3(5)-(o. aminofenil)-5(3)-metilpirazolo per azione dell'idrazina idrata sulla 4. ossichinolina e sulla 2. metil-4. ossichinolina. Nota IX. Azione dell'idrazina, della fenilidrazina e dell'idrossilamina sul 2. metilcromone. Alberti Carlo, Gazz. chim. ital., 1957, 87, № 6, 736–750, 751–761, 762–771, 772–780, 781–788 (итал.)

V. Превращение β -ацетил-(I) или β -ацетил- α -метил-(II)-линдолов при действии $N_2H_4 \cdot H_2O$ в 3-метил-(III) и 3,5-диметил-(IV)-4-(*o*-аминофенил)-пиразолов соответственно не идет или почти не идет при 100°; повышение т-ры р-ции до 175–180° в этиленгликоле или до 155–160° в спирте ускоряет р-цию до 3 час. и повышает выход продуктов до почти теоретич., причем необходим не менее, чем 4-кратный избыток $N_2H_4 \cdot H_2O$. В C_6H_5N или в пиперидине р-ция не идет. Показано, что р-ция проходит через промежуточную стадию образования гидразонов или кетазинов I, т. пл. 280–282° (из сл.), и II, т. пл. 263–265° (из сл.).

VI. При вызываемом действии $N_2H_4 \cdot H_2O$ превращении I или II в III и IV добавка к реакционной смеси $N_2H_4 \cdot HCl$ в кол-ве $\sim 0,1$ – $0,2$ моля по отношению к I и II оказывает благоприятное влияние на р-цию, делая возможным снижение т-ры до 150–165° и уменьшение кол-ва $N_2H_4 \cdot H_2O$ до 1–2 молей. Добавка же к реакционной смеси KOH или C_2H_5ONa в кол-ве до 1 моля по отношению к I и II вызывает резкое снижение выходов продуктов реакции.

VII. Показано, что гидразон I (V гидразон), т. пл. 260–270°, с почти колич. выходом превращается в III при нагревании (3 часа, 155–160° или 170–180°) в этиленгликоле в присутствии 1–3 молей $N_2H_4 \cdot H_2O$, причем образуются также следы β -этиллиндола (VI). При нагревании V в аналогичных условиях в присутствии 0,25 моля KOH выход III достигает 80%; при больших кол-вах KOH выход III снижается и появляются заметные кол-ва VI и кетазина I (VII); в присутствии 3 молей C_2H_5ONa в тех же условиях выход III равен 66–72%; снижение т-ры во всех случаях уменьшает выход III. При одновременном присутствии $N_2H_4 \cdot H_2O$ и KOH или C_2H_5ONa выход III снижается до 10–25%. Применение $N_2H_4 \cdot HCl$ в кол-ве 0,1–0,4 моля на 1 моль V вместо $N_2H_4 \cdot H_2O$ также снижает выход III до 20–35%, а при увеличении кол-ва $N_2H_4 \cdot HCl$ получают неидентифицируемые продукты. Смесь $N_2H_4 \cdot HCl$ и CH_3COONa не дает благоприятных результатов. При 3-часовом кипячении в ксилоле или C_6H_6 V превращается в VII; в этиленгликоле — в VII, выход 60%, и III, выход 40%, в кинолине образуются следы III; в CH_3COOH возвращается неизмененный V и могут быть обнаружены лишь следы III.

VIII. При действии N_2H_4OH на 4-окси-(VIIIa), 4-хлор-(VIIIb), 4-гидразино-(VIIIв), 2-метил-4-окси-, 2-метил-4-хлор- или 2-метил-4-гидразинохинолины в результате превращений, аналогичных описанным ранее (см. РЖХим, 1955, 55129), образуются 3-о-аминофенил-(IXa) или 5-метил-3-(о-аминофенил)-(IXб)-пиразолы. Строение IXa подтверждено дезаминированием в 3-фенилпиразол, т. пл. 78°, пикрат, т. пл. 177—178° (из сп.), синтезированный циклизацией фенилгидразона бензоилацетальдегида, или окислением 3-(о-гидразинофенил)-пиразола (X) $CuSO_4$ в CH_3COOH . 0,02 моля VIIIa, б или в и 0,18 моля N_2H_4OH нагревают 5 час. при 160—165°, продукт растворяют в разб. HCl, подщелачивают NH_3 и получают IXa, выход ~100%, т. пл. 125° (из воды), пикрат, т. пл. 191—192° (из CH_3OH), дихлоргидрат (XГ), т. пл. 244—245° (из абс. сп.), дихлоргидрат (ДХГ), т. пл. 249—250°. Аналогично получают IXб, выход 52—92,5%, т. пл. 122° (из воды), пикрат, т. пл. 176—177° (из CH_3OH), ХГ, т. пл. 249—250° (из абс. сп.), ДХГ, т. пл. 258—259°. 2 г IXa в 20 мл лед. CH_3COOH диазотируют р-ром 1 г $NaNO_2$, подщелачивают 10%-ным р-ром NaOH и отделяют бензотриазинопиразол, выход 84%, т. пл. 163°, который восстанавливают $SnCl_2$ и конц. HCl в X, выход 85%, т. пл. 183° (из сп.).

IX. 2-метилхромон (XI) при 2-часовом кипячении в этиленгликоле или CH_3COOH с 1 молем N_2H_4OH превращается с 92%-ным выходом в 3-(о-оксифенил)-5-метилпиразол (XII), т. пл. 134—135° (из лигр.); пикрат, т. пл. 194° (из сп.), бензоилирующий C_6H_5COCl при 20° в 1-бензоил-5-(о-бензоилоксифенил)-3-метилпиразол, т. пл. 96° (из CH_3OH). При 3-часовом кипячении XI в спирт. р-ре с 1 молем $C_6H_5NHNH_2$ и конц. р-ром 1 моля $C_6H_5NHNH_2 \cdot HCl$ или с 1 молем $NH_4OH \cdot HCl$ и конц. р-ром 1 моля KOH получают соответственно 1-фенил-3-(о-оксифенил)-5-метилпиразол (XIII), выход ~100%, т. пл. 192—193° (из сп.); пикрат, т. пл. 175—176° (из сп.); бензоильное производное, т. пл. 98° (из бзн.), и 3-(о-оксифенил)-5-метил-изоксазол (XIV), т. пл. 220°. Строение XII—XIV подтверждено синтезами из о-оксисбензоилацетона и $N_2H_4 \cdot H_2O$, $C_6H_5NHNH_2$ или NH_2OH в горячем спирте. По-видимому, в этих р-циях, как и при аналогичных превращениях 3-ацетилпиррола, имеет место образование промежуточных гидразона, фенилгидразона и оксимы XI. Сообщение IV см. РЖХим, 1958, 21488.

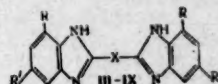
Д. Витковский

32486. Реакции раскрытия-замыкания цикла в ряду гетероциклических соединений. Х. Действие гидразингидрата на 2,4,5-триметил-3-ацетилпиррол. Альберти (Reazioni di apertura-chiusura nucleare nella serie eterociclica. Nota X — Azione dell'idrazina idrata sul 2,4,5-trimetil-3-acetilpirrolo (I). Alberti C.), Fattaso. Ed. scient., 1957, 12, № 7, 606—609 (итал.; реф. англ.).

При действии гидразингидрата (II) на 2,4,5-триметил-3-ацетилпиррол (I) пиррольное кольцо размыкается и образуется с одновременным замыканием пиррольного цикла имин 3-[4-(3',5'-диметилпиразолил)-бутанона-2, который при гидролизе дает 3-[4-(3',5'-диметилпиразолил)-бутанон-2 (IV). 18 г I и 6 г II нагревают 3 часа при 160—165°, обрабатывают водой и разб. HCl до pH 5,5—6,0, получают ~6,3 г неочищ. III, т. пл. 127—128° (из бзн.), 2 г III в 10 мл спирта в 20 мл 10%-ной HCl кипятят 1 час, получают IV, т. пл. 87—88° (из бзн.); семикарбазон, т. пл. 234—235° (из CH_3OH); 2,4-динитрофенилгидразон, т. пл. 127—129° (разл.).

С. Завьялов
32487. Синтез бис-бензимидазолов. Ван, Жюлье (Synthesis of bis-benzimidazoles. Wang Lillian Li-Yen, Joullie Madeleine M.), J. Amer. Chem. Soc., 1957, 79, № 21, 5706—5708 (англ.).

При взаимодействии некоторых о-фенилендиаминов с различными двуосновными к-тами янтарной (I), $HOOC(CH_2)_nCOOH$, где $n = 4, 6$ и 8, $(CHONCOOH)_2$, $S(CH_2CH_2COOH)_2$, а также с ангидридами I (II) и фталевой к-т синтезированы бис-бензимидазолы III X = $(CH_2)_2$, IV X = $(CH_2)_4$, V X = $(CH_2)_6$, VI X = $(CH_2)_8$, VII X = $(CHON)_2$, VIII X = $(CH_2)_2S(CH_2)_2$, IX X = $o-C_6H_4$; перечислены в-во, R, R', метод синтеза (см. ниже), выход в % и т. пл. в °C: III, H, CH_3 (IIIa), A, 30, 265—268 (из водн. сп.); III, H, NO_2 (IIIb), B, 31, 290—293 (из $(CH_2OH)_2$); III, H, Cl, A, 36, 270—273; III, H, C_2H_5O (IIIв), B, 42, 225—228; III, NH_2 , Cl (IIIr), B, 35, 256—258; IV, H, CH_3 , B, 45, 235—236; IV, H, NO_2 , B, 35, 267—269; IV, H, Cl, B, 29, 276—278; IV, H, NH_2 , B, 38, 175—225 (разл.), дихлоргидрат, т. пл. 292—296°; IV, NO_2 , Cl (IVa), A (130°, 5 час.), 25, 288—290 (разл.; из $(CH_2OH)_2$); IV, NH_2 , Cl (IVb), B, 25, 247—250 (разл.); V, H, CH_3 , A, 28, 221—223; V, H, NO_2 , B, 30, 243—245; V, H, Cl, B, 33, 204—207; V, NO_2 , Cl, A, 10, 282 (разл.); VI, H, CH_3 , A, 40, 226—228; VI, H, Cl, A, 40, 208—210; VII, H, H,



B, 44, 245 (разл.); VII, H, CH_3 (VIIa), B, 42, 218—221; VII, H, C_2H_5O (VIIb), B, 35, 222—225; VII, H, Cl, B, 39, 218 (разл.); VII, H, NO_2 , B, 30, 250—255 (разл.; из $(CH_2OH)_2$ -воды); VIII, H, H, B, 33, 200; IX, H, Cl, A, 20, 365 (разл.; из $HCON(CH_3)_2$). Метод А: смесь 0,05 моля 3,4-диаминотолуола и 0,025 моля I прибавляют при 100° к 30 мл полифосфорной к-ты, перемешивают (150°, 3 часа), охлаждают, разбавляют водой, выдерживают (~12 час.), фильтруют, осадок экстрагируют горячим разб. NH_4OH в остатке IIIa. Метод Б: 0,05 моля 4-нитро-о-фенилендиамина, 0,025 моля I (или II) кипятят 10 час. с 50 мл 4 н. HCl, охлаждают, отделяют дихлоргидрат IIIb, который экстрагируют горячим разб. NH_4OH и получают IIIb. Выходы по этим методам примерно равные. Для синтеза высших гомологов авторы рекомендуют метод А; иногда, напр., в случае VIIa, в этом методе применяют в качестве катализатора конц. H_2SO_4 . Показано, что взаимодействие 2-аминбензимидазола (X) с CS_2 приводит не к бис-(2,2'-бензимидазолил)-тиомочевине (Crippa и др., Gazz. chim. ital., 1935, 65, 38), а к этиловому эфиру N-бензимидазолилтиокарбонной к-ты (XI). Р-р 9,1 г 3-амино-4-нитрофенола в 50 мл 4 н. HCl гидрируют над 1 г 5%-ного Pd/Al_2O_3 , фильтруют, прибавляют 2,5 г II и 2 мл конц. H_2SO_4 , далее методом Б получают IIIв. Аналогично синтезируют IIIr, IVa, IVb и VIIb. Попытка превращения 3-нитро-5-хлор-о-фенилендиамина в III (R = NO_2 , R' = Cl) методами А и Б была безуспешна; методом А (150°, 5 час.) выделена (7-нитро-5-хлор-2-бензимидазолил)-пропионовая-3 к-та, выход 45%, т. пл. 240—242° (из водн. сп.). 13,3 г X, 40 мл CS_2 и 30 мл абс. спирта кипятят 50 час. и выделяют XI, выход 40%, т. пл. 202°.

Р. Глушков

32488. Синтез производных пиридазина. VIII. Нуклеофильное замещение 3,6-дихлор-4-метилпиридазина. Такахаши (Synthesis of pyridazine derivatives. VIII. Nucleophilic substitution of 3,6-dichloro-4-methylpyridazine. Takahashi Noboru), Pharm. Bull., 1957, 5, № 3, 229—234 (англ.).

В р-ции замещения 3,6-дихлор-4-метилпиридазина (I) соответственно с гидразингидратом (II), NH_3 , NaOH, CH_3ONa или KSH получают монозамещ. I. Положение CH_3 -групп в этих соединениях доказано с помощью встречных синтезов. Приведены кривые

УФ-спектров. 10 г I и 10 мл 80%-ного р-ра II нагревают ($\sim 100^\circ$, 1 час) и отделяют 0,4 г 3-гидразино-5-метил-6-хлорпиридазина, т. пл. 193° (из сп.); при упаривании фильтрата получают 8,9 г 3-гидразино-4-метил-6-хлорпиридазина, т. пл. 149° (из сп.). Р-р I в 50 мл спирта р-ра NH_3 нагревают ($135-140^\circ$, 8 час. в автоклаве), отгоняют летучую часть, остаток экстрагируют этилацетатом, хроматографируют на Al_2O_3 , получают 0,6 г 3-амино-4-метил-6-хлорпиридазина, т. пл. $111-113^\circ$, и 3,5 г 3-амино-5-метил-6-хлорпиридазина, т. пл. 188° . 5 г I и 100 мл 5%-ного р-ра NaOH кипятят 3 часа, подкисляют 50%-ной CH_3COOH , отделяют 3,46 г 4-метил-6-хлор-3-пиридазинола (III), т. пл. 148° (из сп.) и из маточного р-ра выделяют 0,72 г 5-метил-6-хлор-3-пиридазинола (IV), т. пл. 227° (из сп.). К р-ру 50 мл CH_3OH и 5 г I прибавляют 50 мл 30%-ного р-ра NaOH , выделяют 2,8 г III и 1,44 г IV. 10 г III, 300 мл CH_3OH , 5 мл 28%-ного NH_4OH гидрируют с 2 г Pd/C , выделяют 7,1 г 4-метил-3-пиридазинола (V), т. пл. 134° (из CH_3OH и сп.). Аналогично из 2 г IV, 50 мл CH_3OH , 0,5 г Pd/C и 1 мл 28%-ного NH_4OH получают 1,4 г 5-метил-3-пиридазинола (VI), т. пл. $152,5^\circ$. V кипятят 0,5 часа с 2,5 экв POCl_3 , отгоняют избыток POCl_3 в вакууме, остаток выливают на лед, подщелачивают разб. NaOH , экстрагируют CHCl_3 3-хлор-4-метилпиридазин, т. пл. $46,5-47,5^\circ$ (из CH_3OH). Аналогично из VI получают 3-хлор-5-метилпиридазин, т. пл. 139° . Смесь 3 г III и р-р KSH , полученный из 5,6 г KOH , нагревают (140° , 6 час.) в запаянной трубке, выделяют 6-меркапто-4-метил-3-пиридазинол (VII), т. пл. 187° (разл.). VII и 3-метокси-4-метил-6-меркаптопиридазин растворяют в метанольном р-ре CH_3ONa (из 1,1 экв Na), прибавляют 1 экв CH_3J , кипятят 1 час, выделяют 4-метил-6-метилтио-3-пиридазинол, т. пл. 104° (из сп. и бал.), и 3-метокси-4-метил-6-метилтиопиридазин, т. пл. 58° (из сп. и бал.). Из 3-метилтио-4-метил-6-хлорпиридазина и CH_3ONa получают 3-метилтио-4-метил-6-метоксипиридазин, т. пл. 100° . Смесь IV и избыток 80%-ной HCOOH нагревают ($\sim 100^\circ$, 1-2 часа). IV также нагревают с $(\text{CH}_3\text{CO})_2\text{O}$, избыток $(\text{CH}_3\text{CO})_2\text{O}$ разлагают водой. Оба р-ра подщелачивают 20%-ным р-ром NaOH , экстрагируют C_6H_6 или этилацетатом 7-метил-, т. пл. 158° (из CH_3OH) и 3,7-диметил-6-хлор-симм-триазол-[4,3-b]-пиридазин (VIII), т. пл. 180° (из CH_3OH), 8-метил (т. пл. 107°), 7-метил-(т. пл. 158°), 3,8-диметил-6-хлор-симм-триазол-[4,3-b]-пиридазин (т. пл. 135°), и VIII соответственно нагревают с избытком 80%-ного р-ра II 1 час, получают 8-метил-, т. пл. 258° (из CH_3OH), 7-метил-, т. пл. 242° (из CH_3OH), 3,8-диметил-, т. пл. 256° (из CH_3OH), и 3,7-диметил-6-гидразино-симм-триазол-[4,3b]-пиридазин, т. пл. 243° (из CH_3OH) соответственно. Сообщение VII см. РЖХИМ, 1957, 63537.

Ю. Розанова

32489. Изучение химии лекарственных веществ в гетероцическом ряду. Сообщение 19. Пиридазин. X. Производные цианпиридазина с болеутоляющим действием. Шмидт, Дрюэ (Heilmittelchemische Studien in der heterocyclischen Reihe. 19. Mitteilung. Pyridazine X. Cyan-pyridazin-Derivate mit analgetischer Wirkung. Schmidt P., Druet J.), Helv. chim. acta, 1957, 40, № 6, 1749-1756 (нем.; реэ. англ.)

Синтезированный 1,3,4-триметил-5-цианпиридазон-6 (I), структурно родственный алкалоиду рацинину (1-метил-4-метокси-5-цианпиридон-6), обладает в 2-3 раза большим обезболивающим действием (ОД), чем пирамидон. Показано, что из полученных пиридазонов типа $\text{RNN}=\text{CR}'\text{CR}''=\text{CR}'''\text{CO}$ (II) высокие

ОД имеют лишь в-ва, где $\text{R}'''=\text{CN}$, $\text{R}=\text{CH}_3$, а R' и

R'' — алкилы. Из синтезированных пиридазонов типа $\text{N}=\text{C}(\text{CH}_3)\text{C}(\text{CH}_3)=\text{C}(\text{CN})\text{CR}=\text{N}$ (III) только

III ($\text{R}=\text{OCH}_3$) (IIIa), изомерный I показывает ОД подобное активности I. Из 25 г II ($\text{R}=\text{H}$, $\text{R}'=\text{R}''=\text{CH}_3$, $\text{R}'''=\text{CN}$) в 85 мл 2 н. NaOH и 21 г $(\text{CH}_3)_2\text{SO}$ (прибавление при 0° 10 мин. и выдержка 30 мин. при $\sim 20^\circ$) выделяют II ($\text{R}=\text{R}'=\text{R}''=\text{CH}_3$, $\text{R}'''=\text{CN}$) (IIa), выход 66%, т. пл. $115-116^\circ$ (из толуола). Аналогично получены следующие II (перечисляются R , R' , R'' , R''' , т. пл. в $^\circ\text{C}$): C_2H_5 , CH_3 , CN , $64-66^\circ$; CH_3 , CH_3 , C_6H_5 , CN , $187-188^\circ$; CH_3 , C_6H_5 , CN , $211-212^\circ$; CH_3 , H , CN , $131-132^\circ$; CH_3 , R' , $\text{R}''=(\text{CH}_2)_3$, CN , $130-131^\circ$; CH_3 , R' , $\text{R}''=(\text{CH}_2)_3$, CN , $107-108^\circ$; CH_3 , CH_3 , CONH_2 , $286-287^\circ$. IIa омыляют 80%-ной H_2SO_4 (140° , 10 час.) и выделяют при pH 3 II ($\text{R}=\text{R}'=\text{R}''=\text{CH}_3$, $\text{R}'''=\text{COOH}$) (IIb), т. пл. $109-110^\circ$. Аналогично получены II (перечисление прежние): CH_3 , C_6H_5 , C_6H_5 , COOH , 222° ; C_6H_5 , C_6H_5 , C_6H_5 , COOH , $285-286^\circ$. IIb при нагревании (220° , 10 мин.) дает II ($\text{R}=\text{R}'=\text{R}''=\text{CH}_3$, $\text{R}'''=\text{H}$), т. пл. $92-93^\circ$. Метилловый эфир IIb (IIв) (CH_3OH , H_2SO_4 , 100° , 1 час), т. пл. $59-60^\circ$. 2,1 г CH_3ONa , 3,9 г IIa и 2,7 г $\text{CH}_3\text{COOC}_2\text{H}_5$ после экзотермич. р-ции (охлаждение) выдерживают (20° , 3 часа и 70° , 0,5 часа) и выделяют при pH 2 II ($\text{R}=\text{R}'=\text{R}''=\text{CH}_3$, $\text{R}'''=\text{COCH}_2\text{COOH}$), т. пл. $148-150^\circ$ (из толуола), который при 200° переходит в II ($\text{R}=\text{R}'=\text{R}''=\text{CH}_3$, $\text{R}'''=\text{COCH}_3$), т. пл. $98-99^\circ$ (из лигр.). Из эфирного р-ра CH_2MgI и IIa (прибавление по каплям при 0° и нагревание 3 часа) выделяют II ($\text{R}=\text{R}'=\text{R}''=\text{CH}_3$, $\text{R}'''=\text{C}(\text{=NH})\text{CH}_3$), т. пл. $83-84^\circ$ (из петр. эф.). 20 г IIa, 100 мл спирта, насыщ. NH_3 , и 100 мл спирта, насыщ. H_2S , нагревают (запаянная трубка, 110° , 3 часа) и отделяют II ($\text{R}=\text{R}'=\text{R}''=\text{CH}_3$, $\text{R}'''=\text{CSNH}_2$), т. пл. $213-214^\circ$ (из сп.), который с хлорацетоном в спирте (кипение 6 час.) дает II ($\text{R}=\text{R}'=\text{R}''=\text{CH}_3$, $\text{R}'''=4\text{-метилтиазолил-2}$), т. пл. $152-153^\circ$ (из петр. эф.). К р-ру 3,5 г $\text{NH}_4\text{OH}\cdot\text{HCl}$ и 8,2 г IIa в 250 мл абс. спирта прибавляют при $\sim 0^\circ$ р-р $\text{C}_2\text{H}_5\text{ONa}$ (из 1,45 г Na и 100 мл спирта) размешивают 10 час., фильтрат упаривают и получают II ($\text{R}=\text{R}'=\text{R}''=\text{CH}_3$, $\text{R}'''=\text{C}(\text{=NOH})\text{NH}_2$), т. пл. $187-189^\circ$ (разл.; из бал.). Кроме того получены (метод не указан) II (перечисляются R , R' , R'' , R''' , т. пл. в $^\circ\text{C}$): H , CH_3 , CH_3 , CN , $212-213^\circ$; $\text{CH}_2\text{NC}_6\text{H}_{10}$, CH_3 , CH_3 , CN , $111-113^\circ$; $\text{CH}_2\text{NC}_6\text{H}_9$, CH_3 , CH_3 , CN , $159-161^\circ$; H , R' , $\text{R}''=(\text{CH}_2)_3$, CN , $238-239^\circ$; H , R' , $\text{R}''=(\text{CH}_2)_3$, CN , $207-209^\circ$; $\text{C}_2\text{H}_4\text{N}(\text{C}_2\text{H}_5)_2$, C_6H_5 , C_6H_5 , CN , $95-96^\circ$. Из 3,4-диметил-5-цианпиридазона-6 и POCl_3 (100° , 1 час) выделяют при pH 7 III ($\text{R}=\text{Cl}$), т. пл. $79-80^\circ$ (из лигр.). Смесь CH_3ONa (из 2,6 г Na и 150 мл CH_3OH) и 16 г III ($\text{R}=\text{Cl}$) размешивают 3 часа, упаривают в вакууме досуха, прибавляют 100 мл воды и CHCl_3 выекают III ($\text{R}=\text{OCH}_3$), т. пл. $93-94^\circ$ (из лигр.). Аналогично получены следующие III (перечисляются R , т. пл. в $^\circ\text{C}$): OC_2H_5 , $76-78^\circ$; $\text{OCH}(\text{CH}_3)_2$, т. кип. $138-140^\circ/0,1$ мм; SCH_3 , $66-67^\circ$; NH_2 , $162-164^\circ$; NC_6H_{10} , $77-78^\circ$; $\text{NHC}_2\text{H}_4\text{N}(\text{C}_2\text{H}_5)_2$, $52-54^\circ$. Сообщение 18 см. РЖХИМ, 1958, 25213.

Б. Дубинин

32490. Прямое N-метилирование 5,5-диэтилбарбитуровой кислоты. Кельгор (Direkte N-metylering af 5,5-diaetylbarbitursyre. Kjeldgaard Kai), Farmas. Tid., 1956, 66, № 19, 234-235 (датск.)

Описанное получение 5,5-диэтил-N-метилбарбитуровой к-ты (I) прямым метилированием 5,5-диэтилбарбитуровой к-ты (II). К смеси 92 г II, 23 г MgO и 300 мл воды ($\sim 100^\circ$) постепенно добавлено 75 г диметилсульфата; получен I, выход 33%, т. пл. $154,5^\circ$ (из сп.).

Л. Песня

32491. Реакции формамида. VIII. Новый синтез примидина. Бредерек, Гомпер, Морлок

(Formamid-Reaktionen, VIII. Eine neue Pyrimidinsynthese. Broderick Hellmut, Gompfer Rudolf, Morlock Gerhard), Chem. Ber., 1957, 90, № 6, 942—952 (нем.)

Из β-дикарбонильных соединений или их Na-солей, β-кетоацеталей, β-алкокси-α,β-ненасыщ. карбонильных соединений и их ацеталей, β-амино-, β-диалкиламино-, β-ацетокси- и β-хлор-α,β-ненасыщ. кетонов получают при нагревании (150—200°) с HCONH₂ с хорошим выходом пиридин, незамещ. в положении 2. Этим методом легко доступен также незамещ. пиридин (I). β-кетонитрилы и β-кетозэфиры дают 4-амино-I и 4-окси-I соответственно. Принимается, что β-иминокетон RC(=NH)CH₂COR' (II) является промежуточным в-вом для получения 4,6-дизамещ. I из RCOCH₂COR', RC(OCOR')=CHCOR', RC(OR')=CHCOR', RC(OR')=CHC(OR')₂R', RC(ONa)=CHCOR' и RC(NR₂)=CHCOR'. II либо прямо с HCONH₂, или через промежуточное образование с NH₂ аминокетимина RC(NH₂)=CHC(=NH)R', замыкаются в RC=NCH=NCR'=CH (III). Получение III проводят

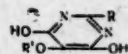
прибавлением по каплям компонента к нагретой смеси HCONH₂, HCOONH₄ или NH₄Cl, добавлением щелочи и экстракции продукта р-рителем (перечисляются компонент, кол-во граммов HCONH₂ в скобках дополнительные в-ва, время прибавления компонента в часах, т-ра р-ции в °C, R, R', выход в %, т. кип. в °C/мм): 20 г 1-метокси-1,3,3-триэтоксипропан, 100 г (20 г HCOONH₄ + 2 мл воды), 6, 180—190 (и последующее нагревание 2 часа), Н, Н, 65, 124—126/760; 10 г диэтилацетата β-этоксикарбонильна, 100 г (5 г NH₄Cl + 3 мл воды), 2, 180, Н, Н, 20, —; 20 г диметилацетата β-кетомасляного альдегида (в 50 г HCONH₂), 80, (10 г NH₄Cl + 3 мл воды), 5, 180—190 (последующее нагревание 2 часа), CH₃, Н, 70, —; 12 г метил-(β-диметиламиновинил)-кетона (в 30 г HCONH₂), 100 (15 г HCOONH₄ + 2 мл воды), 5, —, CH₃, Н, 40, —; 6 г ацетилацетальдегиденол-этилового эфира (в 10 г HCONH₂), 80 (10 г HCOONH₄, 2 мл воды), 2, 180, CH₃, Н, 40, —; 36 г метил-(β-хлорвинил)-кетона, 110, 6, 180, CH₃, Н, 40, —; 36 г этил-(β-хлорвинил)-кетона, 100 (2 мл воды), 6, 180 (последующее нагревание 1 час), C₂H₅, Н, 55, 89—90/75, n_D²⁰ 1,4928; пикрат, т. пл. 85—87 (из CH₃OH); 20 г пропионил-(β-хлорвинил)-кетона, 120, 6, 180, n-C₃H₇, Н, 60, 94—95, n_D²⁰ 1,4883; пикрат, т. пл. 88—89°; 36 г изобутил-(β-хлорвинил)-кетона, 120, 7, 180, изо-C₄H₉, 60, 116—117/86, n_D²⁰ 1,4820, 20 г ацетилацетона (в 30 г HCONH₂), 80, (2 мл воды), 6, 180—190 (дополнительное нагревание 2 часа), CH₃, CH₃, 35, 158—162/760 (при кипячении 4 часа 15 г имида ацетилацетона в 120 г HCONH₂, выход 25%); 10 г моноэтилимид ацетилацетона (в 20 мл HCONH₂), 80 (20 г HCOONH₄ + 3 мл воды), 4, 180, CH₃, CH₃, 25, —; 15 г метил-(β-хлор-β-тильвинил)-кетона в равном объеме петр. эфира (получен добавлением CH₃COCl к бутилацетилену, выход 48%, т. кип. 92—96°/14 мм), 100 (20 г HCOONH₄), 5, 180—190, CH₃, n-C₄H₉, 60, 99—100/17, n_D²¹ 1,4848; 15 г Na-производного бензоилацетальдегида, 100 (15 г HCOONH₄ + 3 мл воды) 3, 180—190° (дополнительное нагревание 2 часа), C₆H₅, Н, 38, —; 10 г бензилвинилацетата, 100 (10 г HCOONH₄ + 2 мл воды), 5, 180, C₆H₅, Н, 45, —; 10 г фенил-(β-диметиламиновинил)-кетона, 100 (10 г HCOONH₄ + 2 мл воды), 3, 180 (и еще 2 часа), C₆H₅, Н, 65, — (аналогично из 12 г фенил-(β-диэтиламиновинил)-кетона, выход 60%); 5 г фенил-(β-хлорвинил)-кетона, 80 (нагревание 160—170°, 8 час.), —, —, C₆H₅, Н, 38, —; 24 г бензоилацетона (IV), 80 (кипчение 3 часа), —, —, CH₃, C₆H₅, 29, 148—158/12 (или из 8 г IV и 9 г HCONH₂ в 35 мл бутилгликоля + 20 мг Na₂SO₄ в трубке 220—240°, 8 час., выход 60%); 18 г

Na-производного IV в 80 мл HCONH₂, 80 (20 г NH₄Cl), 3, 190 (и еще 2 часа), CH₃, C₆H₅, 35, — (из имида IV при кипячении, выход 36%; из ацетимиды IV выход 25%); 23 г метил-(β-метокси-β-фенилвинил)-кетона, 100 (25 г HCOONH₄ + 3 мл воды), 2, 190 (и еще 2 часа), CH₃, C₆H₅, 20%, — (также из фенил-(β-этокси-β-метилвинил)-кетона, выход 40%); 26 г метил-(β-хлор-β-фенилвинил)-кетона (получен добавлением CH₃COCl к фенилацетилену, выход 50%, т. кип. 145—150°/12 мм), 100, 6, 180 (и еще 1 час), CH₃, C₆H₅, 60, —; 23 г этил-(β-хлор-β-фенилвинил)-кетона (получен из CH₃CH₂COCl и C₆H₅C≡CH, выход 37%, т. кип. 155—160°/12 мм, n_D²⁰ 1,5765), 100, 5, 180 (и еще 1 час), C₂H₅, C₆H₅, 42, 162—165/12 (из пропионилацетофенона при кипячении в HCONH₂, выход 22%); пикрат, т. пл. 185—187° (из CH₃OH); 27 г пропионил-(β-хлор-β-фенилвинил)-кетона (из CH₃CH₂COCl и C₆H₅C≡CH, выход 70%, т. кип. 165—170°/12 мм, n_D²⁰ 1,5670), 100, 6, 170—180 (и еще 1 час), C₂H₅, C₆H₅, 175—177/20, n_D²⁰ 1,5842; пикрат, т. пл. 164—166° (из CH₃OH); 20 г дибензоилметаненолметилэфир + немного CH₃OH, 100 (25 г HCOONH₄ + 3 мл воды), 4, 190, C₆H₅, 30, 180—190/0,01, т. пл. 102—103° (из петр. эф.); хлоргидрат, т. пл. 196°; пикрат, т. пл. 168—169° (из 16 г дибензоилметана (V) и 120 г HCONH₂ при кипячении 6 час., выход 32%); 18 г n-нитро-V, 100 (кипчение 5 час.), —, —, C₆H₅, n-O₂NC₆H₄, 20, 200/0,01, т. пл. 157—159° (из сл.); 48 г 2-ацетилциклогексанона, 120 (3 мл воды), 6, 180—190 (и еще 2 часа), CH₃, 5,6-тетраметилена, 25, 125—135/12—15, т. пл. 62—66° (из сл. и петр. эф.); пикрат, т. пл. 152—153° (из CH₃OH); 26 г 2-формилциклогексанона в 50 г HCONH₂, 100, 3, 180 (и еще 2 часа), 4,5-тетраметилена, 30, 108—112/15; пикрат, т. пл. 106—108° (из CH₃OH); 5 г β-амино-β-фенилпропионитрила, 100 (кипчение 1 час.), —, —, NH₂, C₆H₅, 55, —, т. пл. 226—228° (из кислоты); при кипячении с NaNO₂ в HCl (к-те) дает 4-окси-6-фенил-I, т. пл. 272—274°; при кипячении с (CH₃CO)₂O дает 4-ацетамидо-6-фенил-I, т. пл. 196—198° (из кислоты). 10 г бензоилуксусного эфира в 140 г HCONH₂ нагревают (210—220°, 8 час.) при пропускании NH₃ и водой осаждают немного 4-окси-6-фенил-I. 16 г IV в 60 г HCONH₂ (150—160°, 5 час.) дают имид IV, выход 52%, т. пл. 143° (из воды). Из 16 г V аналогично получают β-аминобензальацетофенон, выход 50%, т. кип. 170—180/0,05 мм, т. пл. 84—96° (из разб. сл.). Сообщение VII см. РЖХим, 1958, 1298.

Б. Дубинин

32492. 5-оксипиридин. I. Синтез 2-замещенных 4,5,6-триоксипиридинов. Чжан Пан, У Шао-лань (Chang Pang, Wu Shao-lan), Хуасюэ сюэбао, Acta chim. sinica, 1956, 22, № 6, 542—556 (кит.; рез. англ.)

Синтезированы 2-замещ. 5-О-бензил-4,5,6-триоксипиридин (Ia—д) конденсацией бензилосималонового эфира (II) с производными амидина. Алкоголизом бензилосималононтрила получен этиловый эфир бензилосималоновой к-ты, который конденсацией с (COOC₂H₅)₂ по Клайзену с последующим пиролизом превращен в II. Скелетным Ni Iг десульфирован в Ie. На воздухе Ia окисляется в 5-бензилокси-5-оксипиридин. Гидрогенолизом ряда I получены соот-



I R' = C₆H₅CH₂, а R = OH, б R = NH₂, в R = CH₃, г R = SH, д R = SC₂H₅, е R = H; III R' = H, а R = OH, б R = H, в R = NH₂, г R = CH₃.

ответствующие 4,5,6-триоксипиридины (IIIa—г). Отмечается ароматич. характер 5-оксигруппы в III.

Р. Журич

32493. 5-оксипиримидины. II. Синтез 2-замещенных 5,6(4)-дихидропиримидинов. Чжан Пан, Цзян Гуй-цзи (5-hydroxypyrimidines. II. Synthesis of 2-substituted 5,6(4)-dihydroxypyrimidines. Chang Pang, Chiang Kwei-che), Чжунго кэсюэ, Scientia sinica, 1957, 6, № 2, 293—301 (англ.).

С целью изучения физиологич. действия синтезированы различные 2-замещ. 5,6(4)-дихидропиримидины (I). При конденсации этилового эфира α -бензилокси- β -оксиакриловой к-ты (II) с различными производными амидина получают соответствующие 2-замещ. 6(4)-окси-5-бензилоксипиримидины (III). Обессеривание 2-тиол-III (IIIa) или 2-этилтио-III скелетного Ni дает 2-незамещ. III. При гидрогенолизе III получают I. Ароматич. характер 5-оксигруппы в I отражается в цветных р-циях с FeCl_3 , $\text{Ba}(\text{OH})_2$, фосфоро-молибденовой к-той и особенно аналогично аскорбиновой к-те) в обеспечивании р-ра 2,6-дихлорфенолидофенола. Следовательно I обладают восстановительным действием. К р-ру CH_3ONa (из 2,8 г Na и 10 мл CH_3OH) в 100 мл абс. эфира прибавляют ($\sim 20^\circ$, 2 часа) 20 г этилового эфира бензилоксипикусовой к-ты и 14 г HCOOC_2H_5 , перемешивают более 4 час., через 2 дня прибавляют 40 мл воды и затем 12 мл разб. CH_3COOH и из эфирного слоя выделяют II, выход 79%, т. кип. 128—130°/1 мм и 149°/4 мм, n_D^{20} 1,5200. К р-ру $\text{C}_2\text{H}_5\text{ONa}$ (из 0,92 г Na и 30 мл спирта) прибавляют 1,2 г мочевины и затем ($\sim 20^\circ$, 1 час) 4,5 г II, нагревают ($\sim 100^\circ$, > 4 час.), выделяют 2-окси-III (IIIb), выход 70%, т. пл. 283° (разл.; из 20%-ной CH_3COOH). Аналогично из II и амидинов получают следующие III (перечисляются исходные амидины, заместитель III, выход в %, т. пл. в $^\circ\text{C}$, из р-рителя): гуанидинитрат, NH_2 (IIIв), 78, 243 (разл.), 20%-ная CH_3COOH ; хлоргидрат ацетамидина, CH_3 (IIIг), 93, 186, вода; тиомочевина (или бромгидрат 8-этилзотиомочевины), SH, 92, 225—226 (разл.); спирт. К р-ру 0,5 г IIIa в 15 мл 10%-ного NaOH прибавляют 2 мл $\text{C}_2\text{H}_5\text{Br}$, нагревают ($\sim 100^\circ$, 3 часа), подкисляют разб. HCl, получают 2-этилтио-III, выход 53,6%, т. пл. 189—190° (из сп.). 0,7 г IIIa растворяют в 7 мл конц. NH_4OH с 20 мл воды, прибавляют 1,5 г скелетного Ni при кипении, кипятят 2 часа, получают III, выход 83%, т. пл. 98—99°. 0,5 г IIIb в 30 мл 5%-ного NaOH гидрируют 50 мл H_2 в присутствии PdO ($\sim 20^\circ$, 30 мин.), получают 2-окси-I, выход колич., т. пл. 310° (разл.; из воды). Аналогично получают следующие I (перечисляются исходный III, заместитель у I, выход в %, т. пл. в $^\circ\text{C}$): IIIв, NH_2 , 100, не плавится до 340°; IIIг, CH_3 , 100, 312—313 (разл.); незамещ. III, H, 100, 268—269 (разл.).

Ю. Розанова

32494. Серусодержащие производные пиримидина. II. Синтез производных изотиомочевины. Хориuti, Сава (Horiuchi Mahiko, Sawa K. Joshiro), Якугаку двасси, J. Pharm. Soc. Japan., 1957, 77, № 5, 493—496 (японск.; рез. англ.).

Конденсацией производных тиомочевины, $\text{HSC}(\text{=NH})\text{NHR}$, с хлоргидратом 2-метил-4-амино-5-хлорметилпиримидина получены в-ва общей ф-лы $\text{CH}=\text{NC}(\text{CH}_3)=\text{NC}(\text{NH}_2)=\text{CCH}_2\text{SC}(\text{=NH})\text{NHR}$ (Ia R = C_6H_5 , б R = $\text{C}_6\text{H}_5\text{CH}_2$, в R = CH_3 , г R = NH_2); приводят I. т. пл. в $^\circ\text{C}$: а, 188; Ia $\cdot 2\text{HCl} \cdot \text{CH}_3\text{OH} \cdot 0,5\text{H}_2\text{O}$, т. пл. 154°, дишкрат, т. пл. 164°; б, 157; Ib $\cdot 2\text{HCl} \cdot \text{CH}_3\text{OH}$, 216, дишкрат $\cdot 2\text{H}_2\text{O}$, т. пл. 110°; в, 128; Iv $\cdot 0,5\text{H}_2\text{CO}_3$, 128; Iv $\cdot 2\text{HCl} \cdot \text{CH}_3\text{OH}$, 212; Ig $\cdot 3\text{H}_2\text{O}$, 134—135; Ig $\cdot 2\text{HCl}$, 207, дишкрат, т. пл. 169°. При нагревании водн. р-ров Ia—г, нейтрализованных NaHCO_3 образуется бис-(2-метил-4-амино-5-пиримидилметил)-сульфид, т. пл. 289°; хлоргидрат, т. пл. 292°; пикрат, т. пл. 266°. Окисление 30%-ной H_2O_2 щел. р-ров Ia—г приводит к бис-(2-метил-4-амино-5-пиримидилметил)-дисульфиду, т. пл. 251°;

хлоргидрат, т. пл. > 300°; пикрат, т. пл. 224—225°. При нагревании Ia, в в HCl (к-та) образуется 7-метил-4Н-пиримидо-[4,5-d]-м-тиазин-2(1H), т. пл. 248°; хлоргидрат, т. пл. 270°; пикрат, т. пл. 220°. В тех же условиях из Ib, г получены соответственно 2-метил-4-амино-5-пиримидилметилбензилтиокарбамат, пикрат, т. пл. 195°, и 2-метил-4-амино-5-пиримидилметилтиокарбамат (II), т. пл. 185° (с 0,5; вода), II $\cdot 2\text{HCl} \cdot \text{CH}_3\text{OH}$, т. пл. 205—206°. Все т-ры плавления с разложением. Сообщения I см. РЖХим, 1957, 77138.

П. Соков

32495. Химиотерапия филляриидоза. Аналоги диэтилкарбамазина (1-диэтилкарбамил-4-метилпиперазина), полученные из 2,4'- и 4,4'-дипиперидила, гомопиперазина и 4-аминопиперидина. Брукс, Терри, Уокер (The chemotherapy of filariasis. Analogues of diethylcarbamazine (1-diethylcarbamoyl-4-methylpiperazine) derived from 2:4'- and 4:4'-dipiperidyl, homopiperazine, and 4-aminopiperidine. Brookes P., Terry R. J., Walker James), J. Chem. Soc., 1957, July, 3165—3172 (англ.).

В связи с химиотерапией филляриидоза из незамещ. 2,4'- (I) и 4,4'- (II)-дипиперидилов, гомопиперазина и 4-аминопиперидина синтезированы некоторые их N- и N'-производные, в том числе из замещенного I $\text{CH}_2(\text{CH}_2)_2\text{NRCH}(\text{CH}_2)_2\text{NR}'\text{CH}_2\text{CH}_2$, где а R = H, R' = $\text{COOCH}_2\text{C}_6\text{H}_5$; б R = CH_3 , R' = H; в R = H, R' = CH_3 ; г R = COC_2H_5 , R' = H; д R = CH_3 , R' = $\text{COOCH}_2\text{C}_6\text{H}_5$; е R = CH_3 , R' = $\text{C}(\text{S})\text{NHCH}_2\text{CH}=\text{CH}_2$; ж R = CH_3 , R' = $\text{C}(\text{=NH})\text{NH}_2$; з R = CH_3 , R' = CONHC_6H_5 ; и R = CH_3 , R' = $\text{CON}(\text{C}_2\text{H}_5)_2$; к R = CONHC_6H_5 , R' = CH_3 ; л R = CH_3 , R' = $\text{COOCH}_2\text{C}_6\text{H}_5$; м R = CH_3 , R' = COCl и аналоги диэтилкарбамазина (III) и изучена их противогельминтная активность (ПГА). При действии $\text{C}_6\text{H}_5\text{CH}_2\text{COCl}$ (IV) на I получен Ia, метилирование которого CH_2O и HCOOH и последующее удаление $\text{C}_6\text{H}_5\text{CH}_2\text{COO}$ -группы обработкой HBr привело к Ib. Серией р-ций из Ia синтезирован Iv. Из Ib при действии $\text{ClCOOC}_2\text{H}_5$ (V), $\text{CH}_2=\text{CHCH}_2\text{NCS}$ (VI), $\text{HN}=\text{C}(\text{SCH}_3)\text{NH}_2$ (VII) и $\text{C}_6\text{H}_5\text{NCO}$ соответственно синтезированы Id—Iz. Последовательная обработка Ib избытком SOCl_2 и $(\text{H}_5\text{C}_2)_2\text{NH}$ привела к Iв, тогда с 1 молем SOCl_2 был выделен карбонил-1,1'-бис-(1-метил-2,4'-дипиперидил) (VIII). Аналогично из Iв синтезирован Iк; синтез из Iв других изомеров Ib авторам не удался, очевидно, из-за возникающих пространственных затруднений. Аналогично I приготвлены следующие замещ. I $\text{CH}_2\text{CH}_2\text{NR}(\text{CH}_2)_2\text{CHCH}(\text{CH}_2)_2\text{NR}'\text{CH}_2\text{CH}_2$, где а R = $\text{COCH}_2\text{C}_6\text{H}_5$, R' = H; б R = $\text{COOCH}_2\text{C}_6\text{H}_5$, R' = CH_3 ; в R = CH_3 , R' = H; г R = CH_3 , R' = $\text{CON}(\text{C}_2\text{H}_5)_2$, и $\text{H}_3\text{C}-\text{N}(\text{CH}_2)_2\text{NRCH}_2\text{CH}_2$ (IX), где а R = H, б R = $\text{CON}(\text{C}_6\text{H}_5)_2$, в R = $\text{SO}_2\text{N}(\text{C}_2\text{H}_5)_2$. При обработке IXa $\text{ClCON}(\text{C}_6\text{H}_5)_2$ (X) и $\text{ClSO}_2\text{N}(\text{C}_2\text{H}_5)_2$ (XI) соответственно получены IXб и IXв. Аналоги III, соответствующие ф-ле $\text{CH}_2\text{CH}_2\text{NR}(\text{CH}_2)_2\text{CHNRR}'$ (XII), где а R = R' = CH_3 , R'' = H;

б R = R' = CH_3 , R'' = $\text{CON}(\text{C}_2\text{H}_5)_2$; в R = CH_3 , R' = R'' = H; г R = CH_3 , R' = COOC_2H_5 , R'' = H; д R = $\text{CH}_2\text{C}_6\text{H}_5$, R' = R'' = H; е R = $\text{CH}_2\text{C}_6\text{H}_5$, R' = R'' = CH_3 ; ж R = H, R' = R'' = CH_3 ; з R = COOC_2H_5 , R' = R'' = CH_3 ; и R = R' = CH_3 , R'' = COOC_2H_5 ; к R = $\text{COON}(\text{C}_2\text{H}_5)_2$, R' = R'' = CH_3 , синтезированы различными путями. Все XII обладают меньшей ПГА, чем III. 8,4 г I в 50 мл CH_3OH при pH 5,2 обрабатывают (45—60 мин.) порциями $(0,5 \times 20)$ 85%-ного р-ра 8,5 г IV в толуоле, поддерживая pH добавлением б и NaOH, приливают 100 мл воды и выделяют после прибавления конц. HCl 1,1'-дипиперидилкарбонил-I, из маточного р-ра при pH 12 выделяют 12,2 г Ia; пикрат, т. пл. 231—232° (из $\text{HCON}(\text{CH}_3)_2$ -эф.). 6 г Ia и 2,3 г

100%-ной HCOOH кипятят 4 часа с 3 мл 35%-ного CH_2O , прибавляют эквивалентное кол-во HBr и выделяют пикрат I, т. пл. 217° (из сп.). Р-р 8 г бромгидрата Ia в 20 мл 33%-ного р-ра HBr в лед. CH_3COOH выдерживают 1 час и эфиром высаживают 5,6 г дихлоргидрата Iб, т. пл. 300° (разл.; из CH_3OH -этилацетата); дихлоргидрат (XIII), т. пл. 318–320° [разл.; из CH_3OH -этилацетата (ЭА)]. 2,55 г XIII обрабатывают избытком 50%-ного NaOH, экстрагируют C_6H_6 , сухой экстракт кипятят 6 час. с 1,1 г Na_2CO_3 и 1,1 г V, получают 2,1 г Id, т. кип. 128–131°/0,01 мм; пикрат, т. пл. 168–190° [разл.; из HCON(CH_3)₂-эф.]. Iб (получен из 2,55 г XIII) кипятят 90 мин. в 20 мл спирта с 1 г VI, получают 2,47 г Ie, т. пл. 128° (из бал.-петр. эф.). Из Iб и VII в 65%-ном спирте (кипение 3 часа, подкисление 2 н. H_2SO_4) получают тетрагидрат сульфата Im, т. пл. > 350° (из CH_3OH -ЭА). 1,82 г Iб в 10 мл абс. C_6H_6 и 1,2 г $\text{C}_6\text{H}_5\text{NCO}$ (кипение 1 час.) дают Iз, т. пл. 166–167° (из хлф.-петр. эф.). К р-ру 9,9 г COCl_2 в 48 мл толуола, охлажденному смесью CO_2 и ацетона, прибавляют 14,6 г HN(C_2H_5)₂, фильтрат выдерживают ~ 20°, 12 час., перегоняют X, выход 55%, т. кип. 45–47°/0,5 мм или 186–189°/760 мм. К 10 г COCl_2 в 70 мл абс. толуола постепенно при т-ре ~ 0° приливают р-р 3,65 г Iб в 40 мл абс. толуола, отделяют хлоргидрат Iм, выход 71%, т. пл. 211–213° (разл.; из диоксана). Если берут небольшой избыток COCl_2 и обрабатывают (C_6H_5)₂NH, то выделяют VIII, т. пл. 208–209° (из бал.-петр. эф.). 84,7 г XIII и 100 мг N(C_2H_5)₃ в 4 мл абс. CHCl_3 обрабатывают 42 мг X в CHCl_3 , через 12 час. упаривают, добавляют эфир, к фильтрату прибавляют 72 мг лимонной к-ты в 5 мл эфира и на центрифуге отделяют сесквицитрат I и т. пл. < 55°, который получают также из HN(C_2H_5)₂ в абс. толуоле и хлоргидрата Iм в толуоле. К 3 г Ia и 1 г Na_2CO_3 в абс. C_6H_6 по каплям прибавляют $\text{C}_6\text{H}_5\text{NCO}$, кипятят 1 час и получают 4 г 1-бензоил-Iа, гидрирование которого (120°, 35 ат, 12 час.) в абс. спирте над 5%-ным Pd/C приводит к Ig, при метилировании 9 г Ig (CH_2O , HCOOH) получают 7,5 г 1'-метил-Iг; пикрат, т. пл. 172–173° [из HCON(CH_3)₂-эф.]. Из 7,5 г 1'-метил-Iг в 20%-ной HCl (кипение 6 час.) выделяют 4,7 г Iв; цитрат, т. пл. < 85°. Из Iв и $\text{C}_6\text{H}_5\text{NCO}$ в абс. C_6H_6 (кипение 1 час) выделяют в виде цитрата Iж, т. пл. 65–85° (из сп.-эф.). К р-ру 8,4 г II в 100 мл CH_3OH приливают конц. HCl до pH 3 и аналогично Ia, выделяют 8,3 г IIа; пикрат, т. пл. 156–158° (из сп.). Аналогично Iм из IIа получают IIб; хлоргидрат, т. пл. 198–200° (из CH_3OH -ЭА). При обработке IIб 33%-ным р-ром HBr в лед. CH_3COOH получают IIв, выход 78%; дихлоргидрат, т. пл. 306–308° (из CH_3OH -ЭА). На действии COCl_2 переводят в хлоргидрат 1-метил-4,4'-дипиридил-1'-карбонилхлорида, выход 50%, т. пл. 288–290° (из диоксана), 2,8 г которого с HN(C_2H_5)₂ дают 2,2 г IIг; сесквицитрат, т. пл. ~ 100° (из CH_3OH -ЭА). Из 0,23 г IXа и 0,2 г N(C_2H_5)₃ в абс. CHCl_3 и 0,27 г X (~ 20°, 18 час.) выделяют 0,35 г IXб; цитрат, т. пл. 110–112° (из $\text{C}_6\text{H}_5\text{OH}$ -эф.); пикрат, т. пл. 137–138°. Аналогично из дихлоргидрата моногидрата 1-метилпириперазина и XI получают 1-диэтиламиносульфонил-4-метилпириперазин; цитрат, т. пл. 151°, и из IXа получают IXв, выход 90%; цитрат, т. пл. 161–163° (из $\text{C}_6\text{H}_5\text{OH}$). Р-р 8,2 г хлоргидрата оксима 1-метилпириперазона-4 в 100 мл абс. спирта обрабатывают р-ром $\text{C}_6\text{H}_5\text{ONa}$ (из 1,45 г Na и 50 мл спирта), фильтруют, нагревают, обрабатывают 11,5 г Na и выделяют 2,9 г XIII; дихлоргидрат, т. пл. 242–244° (из CH_3OH -этилацетата). Из последнего и N(C_2H_5)₃ в CHCl_3 действием V при т-ре ~ 0° получают XIIг, т. пл. 65–67° (из петр. эф.). 1,13 г 1-метилпириперазона-4, 0,96 мл 33%-ного CH_3NH_2 в 10 мл спирта гидрируют (~ 20°, 3 часа) над 0,2 г Pt (из PtO_2), получают 1 г XIIа, дихлоргид-

рат (DXГ), т. пл. 252–254° (из CH_3OH -ЭА). Из последнего и V синтезируют XII и, выход 82%; цитрат, т. пл. 153–155° (из $\text{C}_6\text{H}_5\text{OH}$); из DXГ XIIа и X получают XIIб, выход 80%; цитрат, т. пл. 164–165° (из $\text{C}_6\text{H}_5\text{OH}$). Из 22,6 г хлоргидрата 1-бензилпириперазона-4 (XIV) и 7 г $\text{NH}_2\text{OH} \cdot \text{HCl}$ в 70 мл абс. пиридина (~ 100°, 3 часа) отделяют 11,5 г оксима XIV, т. пл. 223–225° (из сп.); оксим, т. пл. 126–128° (из хлф.-петр. эф.). 9,6 г оксима XIV превращают в 6,8 г XIIд; дихлоргидрат, т. пл. 275° (из CH_3OH -этилацетата). 6,8 г XIIд обрабатывают CH_2O и HCOOH, прибавляют конц. HCl, упаривают, выделяют 7,3 г дихлоргидрата XIIе, т. пл. 305–308° (из CH_3OH -ЭА), 5,8 г которого в 200 мл CH_3OH гидрируют (100°, 25 ат, 20 час.) над 1,5 г 5%-ного Pd/C, получают 3,5 г DXГ XIIж, т. пл. 297–298° (из CH_3OH -ЭА). Из 1 г последнего и 1,5 г N(C_2H_5)₃ в абс. CHCl_3 и 0,55 г V выделяют 1 г XIIз; пикрат, т. пл. 128–130° (из HCON(CH_3)₂-эф.). Аналогично из 1 г XIIж и 0,68 г X получают 1,1 г XIIк, т. кип. 110–112°/0,5 мм.

Р. Глушков

32496. О некоторых замещенных пуринах, обладающих антибластическим действием. Ди-Пако, Соннино-Тауро (Su alcune purine sostituite a presunta azione antiblastica. Di Pasco Gianfranco, Sonnino Tauro Celesio), Ann. chimica, 1957, 47, № 6, 698–704 (итал.)

Синтезированы обладающие антибластич. действием 6-(ди-β-хлорэтил)-(I) и 2,8-дихлор-6-(ди-β-хлорэтил)-(II)-аминопурины, а также 1,3-диметил-2,6-дикето-7-(ди-β-хлорэтил)-аминоэтилпурин (III). Для получения I и II кипячением 6-хлор- или 2,6,8-трихлорпуринов с водн. р-ром диэтианоламина (IV) синтезированы 6-(ди-β-оксипропил)-(т. пл. 205° (из воды)) и 2,8-дихлор-6-(ди-β-оксипропил)-(т. пл. 205–206°)-аминопурины, превращенные нагреванием с SOCl_2 в I, т. пл. 245° (разл.; из сп.), и II, т. пл. 240° (из сп.). III синтезирован конденсацией теофиллина с $\text{CH}_2\text{ClCH}_2\text{OH}$ в кипящем разб. р-ре NaOH в 1,3-диметил-2,6-дикето-7-(β-оксипропил)-пурин, т. пл. 160° (из CH_3OH), из которого действием SOCl_2 в C_6H_6 (кипение 3 часа) получен 1,3-диметил-2,6-дикето-7-(β-хлорэтил)-пурин, т. пл. 120–123° (из абс. сп.), конденсированный (48 час., 120°) с IV в спирт. р-ре в 1,3-диметил-2,6-дикето-7-(ди-β-оксипропил)-аминоэтилпурин, т. пл. 157° (из сп.), превращенный кипячением с SOCl_2 в III, т. пл. 89° (из сп.). Иначе III получен кипячением (10 час.) 4,3 г β-производного 1,3-диметил-2,6-дикетопурина с 4,1 г β,β',β''-трихлортриэтиламина в 25 мл абс. спирта.

Д. Витковский

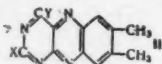
32497. 6-урейдопурины, новый класса производных пурина. Хубер (6-Ureido-purine, eine neue Klasse von Purin-Derivaten. Huber G.), Angew. Chem., 1957, 69, № 20, 642–643 (нем.)

Аденин образует с RNCO пуринов (I), замещ. у $\text{C}_{(6)}$ остатком NHCONHR. Если $\text{R} = \text{C}_6\text{H}_5$, реагирует 1 моль RNCO и получается 6-фенилурейдо-I (R , 0,67 в водн. $\text{C}_6\text{H}_5\text{OH}$ (II)). В случае $\text{C}_6\text{H}_{11}\text{NCO}$ и $\text{C}_6\text{H}_5\text{OOCNCO}$ (III) реагируют 2 моля RNCO; вероятнее всего при этом образуются соответствующие дизамещ. ($\text{C}_{(6)}$ и $\text{N}_{(9)}$) I, однако нельзя исключить и возможность замещения I у $\text{C}_{(6)}$ остатком — NHCON(R)CONHR (перечисляются R, R', р-ритель): C_6H_{11} , 0,87, II; $\text{C}_6\text{H}_5\text{OOCNCO}$, 0,52, II. При действии спирт. р-ра КОН происходит расщепление и образование 6-циклогексилурейдо-I (R , 0,79 в II) и К-соли 6-карбоксиметилурейдо-I (R , 0,33 в 60%-ном $\text{C}_6\text{H}_5\text{OH}$). Аналогично реагирует с III 2',3'-изопропилиденаденозин; у него происходит замена H в NH_2 у $\text{C}_{(6)}$ и OH у $\text{C}_{(9)}$ остатками — CONHCH₂COOC₂H₅ (R , 0,86 в II). Омыление 10%-ной CH_3COOH приводит к отщеплению изопропилиденового остатка (R , 0,82 в II), а спирт.

р-ром КОН омыляются, кроме того, обе эфирные группы (R дикарбоновой к-ты 0,30 в 60%-ном C_6H_5OH).

Е. Головинская

32498. Синтез дезоксиналоксазинов (бензооптеридинов). Бардос, Олсен, Эйкодзи (Synthesis of deoxyalloxazines (benzopteridines). Bardos Thomas J., Olsen Donald B., Enkoji Takashi, J. Amer. Chem. Soc., 1957, 79, № 17, 4704—4708 (англ.))
При конденсации димера 4,5-диметил-о-бензохинона (I, мономер Ia) с некоторыми 5,6-диаминопиримидинами (ДП) синтезированы следующие 2,4-дизамещенные бензооптеридины (II а X=Y=OH; б X=OH, Y=NH₂; в X=NH₂, Y=OH; г X=Y=NH₂; д X=SH,



Y=NH₂; е X=H, Y=NH₂; ж X=NH₂, Y=H; з X=NH₂, Y=CH₃); перечислены II, метод конденсации (см. ниже), выход в % и р-ритель в кристаллизации: а, А, 68, CH_3COOH ; б, Б, 90, водн. $HCOOH$; в, А, 66, водн. $HCOOH$; г, А, 66, $HCON(CH_3)_2$; д, Б, 100, пиридин; е, Б, 88, $HCON(CH_3)_2$; ж, Б, 86, пиридин; з, Б, 75, пиридин. Авторы считают, что лучшие выходы II в конденсации I с ДП являются результатом предшествующего деполимеризации I взаимодействия 2 молей ДП с 1 молем I; худшие результаты при конденсации Ia с ДП (выход II 10—15%) объясняются высоким окислительным потенциалом Ia. Суспензию 22,6 г 2-фенилазо-4,5-диметилфенола в 300 мл спирта гидрируют (2,72 ат Н₂) над 2 г скелетного Ni; рассчитанным кол-вом Н₂ выделяют 2-амино-4,5-диметилфенол (III), выход 88%, т. пл. 173—175° (из толуола). Смесь 7,4 г III в 0,5 л воды и 13 мл конц. H_2SO_4 выливают в р-р 12 г $K_2Cr_2O_7$ в 0,5 л воды и $CHCl_3$ экстрагируют Ia, выход 40%, т. пл. 95°. 6 г Ia растворяют при нагревании в 20 мл лед. CH_3COOH , прибавляют 80 мл воды, выдерживают (~20°, 8 дней), отделяют ~4 г I, т. пл. 178—180° (из *изо*- C_6H_5OH). Синтез II: А) р-р 1,5 ммоль I в 10 мл воды и 1 мл 10%-ного NaOH смешивают с аналогично приготовленным р-ром 3 ммоль ДП (сульфата или бисульфита), выдерживают (~20°, 3 дня), получают II. Для осаждения IIа и IIв необходима нейтр-ция р-ра HCl (к-той); Б) р-р 1,5 ммоль I в 20 мл спирта смешивают с р-ром нейтрализованного 10%-ным NaOH 3 ммоль сульфата ДП в 100 мл воды, при pH 7 смесь нагревают (~100°, 4 часа), выдерживают (~20°, 1—3 дня), отделяют II; В) к кипящему р-ру 1,8 ммоль ДП (сульфата или бисульфита) в 15 мл воды прибавляют р-р 1,8 экв I (т. е. 0,9 ммоль I или 1,8 ммоль Ia) в 5 мл лед. CH_3COOH , кипятят 2 часа, выдерживают (~20°, ~12 час.) и нейтрализуют конц. NH_4OH . Для УФ-спектров II характерны два пика при 260 и 360 мμ. Р. Глушков

32499. Новые синтезы флавазола. Хензеке, Дозе, Дитрих (Neue Flavazol-Synthesen. Henseke G., Dose Waltraut, Dittrich K.), Angew. Chem., 1957, 69, № 13—14, 479—480 (нем.)

Найдено, что фенилгидразоны хиноксалинальдегида и бензохиноксалинальдегида в CH_3COOH с $C_6H_5NHNH_2$ с высоким выходом дегидрируются в соответствующие флавазолы. С выходом 95% получается флавазол также при нагревании фенилгидразона 2-оксихиноксалил-3-(1,2,3-триокси)-пропилкетона в 0,01 н. NaOH. Наличие боковой цепи в положении 3 способствует циклизации.

М. Линькова

32500. Синтезы в области канцерогенных соединений. XVI. Амины и азосоединения — производные антрацена. Ван-Хове (Synthesen dans le domaine des composés cancérogènes. XVI. Composés aminés et azoïques dérivant de l'anthracène. Van Hove L.),

Bull. Soc. chim. belges, 1957, 66, № 7—8, 413—437 (франц.; рез. англ.)

В продолжение исследований канцерогенных производных антрацена, бис-(9,10-диметилантрацил-2-амино-), 2-метиламиноантрацен (IV), а также 2-фенилазо-, 2-п-толилазо- и 2-(*n*-диметиламинофенилазо)-антрацены (Va—v) и 9,10-диметилантрацены (Vla—v). I получен ацетилированием при 20° 9,10-диметилантрацена избытком $(CH_3CO)_2O$ в C_6H_6 в присутствии $SnCl_4$ в 2-ацетилное производное, выход 88%, т. пл. 165,4—165,8° (из бзл.), восстановленное по Хуанг-Миллоу в 2-этил-9,10-диметилантрацен, выход 85%, т. пл. 87—88° (из сп.), окисленное кипячением с $NaOCl$ в CH_3OH в 9,10-диметилантраценкарбоновую-2 к-ту, т. пл. 275—277° (из сп.), и превращенное по Шмидту нагреванием 2 часа при 60°, а затем 3-часовым кипячением с избытком NaN_3 в CCl_3COOH в 2-ацетиламино-9,10-диметилантрацен (VII), выход 79%, т. пл. 265—266° (из C_6H_5Cl). Гидролизированный спирт. р-ром HCl в I, выход 94%, т. пл. 173—173,5° (из циклогексана). II, т. пл. 89—89,5° (из петр. эф.), получен кислотным гидролизом N-метил-N-ацетил-2-амино-9,10-диметилантрацена, т. пл. 161,5—162,2° (из сп.), синтезированного из VII и $(CH_3)_2SO_4$ в ацетоне в присутствии КОН; III, т. пл. 247,5—248,5° (из бзл.) — кипячением I с CH_3COOH . IV, т. пл. 120,5—121° (из циклогексана), хлоргидрат (XГ), т. пл. ~253°, — гидролизом N-ацетил-т. пл. 181,2—181,8° (из бзл.-петр. эф.) или N-тозил-т. пл. 178,2—178,6° (из сп.)-N-метил-2-аминоантраценов, синтезированных метилированием $(CH_3)_2SO_4$ или CH_3I N-ацетил- или N-тозил-т. пл. 187,4—187,8° (из сп.)-2-аминоантраценов. Va—v и Vla—v — нагреванием 2-аминоантрацена (VIII) или I с $C_6H_5NO_2$, *n*- $CH_3C_6H_4NO_2$ или *n*- $(CH_3)_2NC_6H_4NO_2$ в присутствии щелочей; Vb и Vlv синтезированы также: а) сочетанием хлористого антрил-2- или 9,10-диметилантрил-2-диазониев с диметиланилином (IX), причем образуются также с незначительным выходом соответствующие 3-арилфтофеназины (Xa—v) и (XIa, б) и б) окислением 9,10-дигидро-(XIIa) и 9,10-диметил-9,10-дигидро-(XIIб)-2-(*n*-диметиламинофенилазо)-антраценов, полученных сочетанием IX с соответствующими диазосоединениями. К смеси 200 мг VIII и 0,5 мл $C_6H_5NO_2$ добавляют при 180° 140 мг КОН, нагревают 15 мин. при 180°, плав растирают с водой, отгоняют с паром $C_6H_5NO_2$, продукт растворяют в C_6H_6 , хроматографируют на Al_2O_3 и вымывают Va, выход 19%, т. пл. 201—201,5°, и Xa, выход 43%, т. пл. 223—224° (из бзл.-циклогексана). Аналогично получают (указаны т. пл. в °C): Vб, 230—231 (из бзл.-петр. эф.); Xб, 226—228 (из бзл.-циклогексана); Vв, 270—272; Xв, 253—255; Vla, 164—164,5 (из бзл.-петр. эф.); XIa, 188—188,5; VIб, 187—188; Vlv, 256—257, и XIIб, 273,5—274,5. Восстанавливают I Na в амилловом спирте и получают 2-амино-9,10-диметил-9,10-дигидроантрацен (XIII), т. пл. 106,5—107,5° (из петр. эф.). 0,63 г XIII в 10 мл спирта и 10 мл конц. HCl диазотируют при 0° 20%-ным р-ром $NaNO_2$, прибавляют немного мочевины, приливают 0,33 мл IX в 3 мл HCl (1:1), затем конц. р-р 20 г CH_3COONa , смесь оставляют на 48 час. в холодильнике, продукт растворяют в C_6H_6 , хроматографируют на Al_2O_3 и вымывают XIIб, выход 0,81 г, т. пл. 119,5—121,5° (из сп.). Аналогично получают XIIa, т. пл. 170—171°. 1 ммоль XIIa, б и 1,05 ммоль хлоранила в 10—25 мл кислоты кипятят 12—24 часа, р-р концентрируют, разбавляют петр. эфиром, хроматографируют на Al_2O_3 и выделяют Vb или Vlv. Сообщение XV см. РЖХим, 1958, 7959.

Л. Щукина

32501. Синтезы в области канцерогенных соединений. XVII. Гетероциклические соединения, производные антрацена. Мартин, Ван-Хов

ve (Syntheses dans le domaine des composés con-
cernés. XVII. Composés hétérocycliques dérivant de
l'anthracène. Martin R. H., Van Hove L.), Bull.
Soc. chim. belges, 1957, 66, № 7-8, 438-451 (франц.;
реф. англ.)

В качестве возможных канцерогенов синтезированы
антра-(1,2)-имидазол (I), 2'-метилантра-(1,2)-имидазол
(II), антра-(1,2)-триазол (III) и 2'-фенил-(IV) и
2'-фенил-9,10-диметил-(V)-антра-(1,2)-триазолы. I, т.
пл. 284-285° (из сп.); пикрат, т. пл. 300° (из C_6H_5OH),
и II, т. пл. 253-254° (из CH_3OH); пикрат, т. пл. 295°
(разл.), получены: а) 3-часовым кипячением хлор-
гидрата 1,2-диаминоантрацена (VI) со смесью $HCOOH$
или CH_3COOH и 4 н. HCl и последующей обработкой
р-ра NH_4OH при 0°; б) восстановлением 1-фенилазо-
2-аминоантрацена (VII) Zn -пылью и $HCOOH$ или
 CH_3COOH (кипчение 30 мин.) и 3-часовым нагрева-
нием полученного р-ра с 4 н. HCl ; в) восстановлением
1,2-имидазол- или 2'-метил-1,2-имидазолантрахи-
нонов Zn -пылью и 80%-ной CH_3COOH в C_6H_5N . III,
т. пл. 306-307° (из сп.), синтезирован обработкой
холодного уксуснокислого р-ра VI 20%-ным р-ром
 $NaNO_2$ и нагреванием полученного р-ра при 50°
1,5 часа; IV, выход 90%, т. пл. 193-194° (из бзл.-сп.),
и V, т. пл. 184-185° (из CH_3COOH), получены 2-часо-
вым кипячением VII или 1-фенилазо-9,10-диметил-2-
аминоантрацена (VIII) с $CuSO_4$ в смеси C_6H_5N с во-
дой (1:1); VI, т. пл. 260° (разл.), — восстановлением
VII Zn и CH_3COOH ; при восстановлении VII в спир-
товой среде 20%-ным р-ром $Na_2S_2O_4$ образуется со-
единение 2 молей VI с 1 молей $NaHSO_3$, реагирую-
щее аналогично VI и ацетилирующееся $(CH_3CO)_2O$
в C_6H_5N в диацетат VI, т. пл. 269-270° (из сп.). VII,
т. пл. 160-160,5° (из бзл.-пел. эф.); ацетат, т. пл.
222-223° (из бзл.-пел. эф.), получен с 92%-ным вы-
ходом сочетанием 2-аминоантрацена с $C_6H_5N_2Cl$ в
 C_6H_5N при 0-10°. Сочетанием 2-амино-9,10-диметил-
антрацена с $C_6H_5N_2Cl$ в водно-спиртовой среде синте-
зирован VIII, выход 80%, т. пл. 169-169,5° (из бзл.-
пел. эф.), который не удалось превратить в соответ-
ствующий диамид. При получении VII и VIII обра-
зуются с незначительным выходом IV и V. При пере-
кристаллизации пикрата II из C_6H_5OH выделен пик-
рат (т. пл. 306°) неидентифицированного в-ва.

Л. Щукина

32502. Реакции 2,2'-дифенил-5,5'-диметил-4,4'-ди-
триазола. Джамманко, Фабра (Comportamen-
to reattivo del 2,2'-difenile-5,5'-dimetile-4,4'-ditriazolo.
Giammanco Lorenzo, Fabra Iole), Gazz.
chim. ital., 1957, 87, № 7-8, 837-844 (итал.)

2,2'-дифенил-5,5'-диметил-4,4'-дистриазол (I) не из-
меняется при действии конц. HNO_3 , но нитруется в
течение 3 дней холодной смесью (1:1) HNO_3 (d 1,52)
и конц. H_2SO_4 в 2,2'-(гексанитродифенил)-5,5'-дими-
тил-4,4'-дистриазол (II), т. пл. 325° (разл.; из диокси-
ана); при нагревании (6 час., 100°) I с той же смесью
н-т образуется 2,2'-(гексанитродифенил)-5,5'-диокси-
4,4'-дистриазол (III), т. пл. 245° (разл.; из диоксиана).
Строение II и III подтверждается тем, что при нитро-
вании 2,2'-дифенил-5,5'-дикарбокси-4,4'-дистриазола
(IV) также получается гексанитропроизводное IV, т.
пл. 245° (из диоксиана). Горячий хлороформный р-р
 Br_2 бромнрует I в 2,2'-дибромдифенил-5,5'-диметил-
4,4'-дистриазол (V), т. пл. 306-308° (из диоксиана),
нитрующийся на холоду в 2,2'-тетранитропроизводное
V, т. пл. 350° (из $C_6H_5NO_2$), а при 100° — в 2,2'-дибром-
тетранитродифенил-5,5'-диокси-4,4'-дистриазол, т. пл.
236° (из диоксиана).

Д. Витковский

32503. Триазины. XIX. Некоторые реакции сим-
триазина с гидразином и его органическими произ-
водными. Грундман, Крейцбергер (Triazine.
XIX. Some reactions of s-triazine with hydrazine

and its organic derivatives. Grundmann Chri-
stoph, Kreutzberger Alfred), J. Amer.
Chem. Soc., 1957, 79, № 11, 2839-2843 (англ.)

сим-Триазин (I) при действии безводн. N_2H_4 (II)
превращается в дигидразон 1,2-диформилгидразина
(III), который конденсируется с ацетоном в бис-изо-
пропилиддигидразон 1,2-диформилгидразина (IV), а
с $(CH_3CO)_2O$ образует 1,2-диацетил-1,2-дигидро-1,2,4,5-
тетразин (V), возможное строение в-ва как 4-диаце-
тиламино-1,2,4-триазола исключается несходством
синтезированного последнего в-ва с V. В известных
условиях III разлагается с образованием 1,2,4-триазо-
ла (VI) и 4-амино-VI (VII), последний переведен в
4-диацетиламино-VI (VIII). I с 1,1-диметил-(IX) и 1-
метил-1-фенилгидразином (X) дает соответственно
 $(CH_3)_2N=N=CHNHN(CH_3)_2$ (XI) и N^3 -метилфенилформ-
амидразон $C_6H_5N(CH_3)N=CHNH_2$ (XII). Взаимодей-
ствие I с замещ. в ядре фенилгидразинами приводит
к соответствующим формазанам $R'N=NC(R)=NNHR'$
(XIII а) $R = H$, $R' = C_6H_5$; б) $R = H$, $R' = n\text{-}BrC_6H_4$;
в) $R = H$, $R' = n\text{-}NO_2C_6H_4$; то же справедливо для
гомологов 2,4,6-триметил-I (XIV) и 2,4,6-трифенил-I
(XV), дающим формазаны XIII ($R = CH_3$, $R' = C_6H_5$)
(XIIIг) и XIII ($R = R' = C_6H_5$) (XIIIд). I, реа-
гируя с семикарбазидом (XVI), тиосемикарбазидом
(XVII) и аминогуанидином (XVIII), образует
3-окс-(XIX), 3-меркапто-(XX) и 3-амино-1,2,4-триа-
зола (XXI). 4,5 г I в 50 мл абс. эфира и 8 г II (при-
бавление по каплям) оставляют на 12 час. и под азо-
том выделяют III, выход 80%, т. пл. 122-123°
(разл.); хлоргидрат (пропусканием сухого HCl в CCl_4 -
р-р III), т. пл. 74-76° (разл.); из III с пикриновой
к-той получают пикрат N_2H_4 , при бензоилировании
III — NN' -добензоилгидразин. При гидролизе III
конц. HCl из продуктов разложения выделяют только
дихлоргидрат N_2H_4 . 3,2 г III кипятят 3 часа в 70 мл
абс. ацетона и выделяют 2,4 г IV, т. пл. 113° (из аце-
тона без доступа воздуха и влаги). 10,5 г III нагре-
вают в 40 мл $(CH_3CO)_2O$ (100°, 2 часа), избыток анги-
трида отгоняют в вакууме и выделяют 3,9 г V,
т. пл. 149-150° (из ацетона). 10,5 г III разлагают,
выдерживают 5 дней в вакууме без доступа света,
образовавшееся масло подвергают возгонке
(140°/1 мм) и выделяют VI, выход 38,4%, т. пл. 120-
121° (из сп.); из остатка на пористой тарелке отде-
ляют VII, выход 14,5%, т. пл. 82-83° (из сп.); пи-
крат, т. пл. 197-198°. 10 г VII в 100 мл $(CH_3CO)_2O$
нагревают (100°, 2 часа), отгоняют избыток анги-
трида в вакууме и выделяют (0°, 14 дней) VIII, выход
9,2 г, т. пл. 129-131° (из ацетона). Смешивают 1 экв
I и 6 экв IX и после р-ции нагревают (100-115°,
1 час), выход XI 85%, т. кип. 73°/9 мм, n_D^{20} 1,4664;
аналогично из I и X выделяют XII, выход 72%, т. пл.
103-104° (из этилацетата). Смесью I и фенилгидрази-
на (XXII) выливают на большую поверхность и
оставляют в контакте с воздухом на 14 дней, выход
XIIIа 83,6%, т. пл. 119-120° (из водн. и абс. CH_3OH);
ацетильное производное, т. пл. 189°. Аналогично из
I и n -бром-XXII выделяют XIIIб, выход 81%, т. пл.
114-115° (из лед. CH_3COOH), и из I и n -нитро-XXII
получают XIIIв, выход 67%, т. пл. 104-105° (из бзл.;
размывается при 94-95°). Смесью 1 г XIV и 5,3 г
XXII нагревают (150-190°, 30 мин.) и далее анало-
гично XIIIа выделяют 2,3 г XIIIг, т. пл. 122-123°
(из сп.). Из 5 г XV и 10,5 г XXII (190°, 2 часа) после
экстракции кипящим спиртом выделяют 4 г неизмен-
енного XV и из спирт. р-ра выделяют 1,4 г XIIIд,
т. пл. 174-175° (из сп.). Смесью 2,9 г I и 8 г XVI по-
мещают в баню, нагретую до 100°, выдерживают
5 мин. при t -ре > 120° и горячим спиртом извлекают
XIX, выход 18,7%, т. пл. 234-235° (из сп.). Аналогич-
но из I и XVII получают (190°) XX, выход 63,4%,

т. пл. 215–216° (из воды). I вводят в р-цию с XVIII, выделенным из сульфата действием водн. р-ра $\text{Ba}(\text{OH})_2$ с последующим упариванием фильтрата в вакууме, т-ра р-ции 210°, выход XXI 47,4%, т. пл. 158–159° (из этилацетата). Сообщение XVIII см. РЖХим, 1958, 17970.

С. Гурвич
32504. Производные ω -(2,4-диамино-1,3,5-триазил-6)-алкилкарбоновых кислот. III. Взаимодействие N'-фенилбигуанида с малоновым эфиром. Соколова С. В., Соколова В. Н., Магидсон О. Ю., Ж. общ. химии, 1957, 27, № 4, 1021–1028

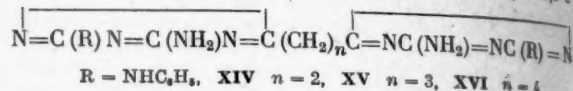
При исследовании конденсации N'-фенилбигуанида (I) с $\text{CH}_2(\text{COOC}_2\text{H}_5)_2$ (II), $\text{CH}_2(\text{COOC}_2\text{H}_5)\text{COCl}$ (III), $\text{CH}_2(\text{COOK})\text{COOC}_2\text{H}_5$ (IV) и $\text{CH}_2(\text{CN})\text{COOC}_2\text{H}_5$ (V) установлено, что взаимодействие I со II приводит к 2-амино-4-фениламино-1,3,5-триазилуксусной-6-к-те (VI), ее этиловому эфиру (VII), метилен-бис-(2-амино-4-фениламино-1,3,5-триазину-6) (VIII) и 2-фенилбигуанидино-4,6-диоксопиримидину (IX). Аналогично проходит р-ция I с III с преобладанием VI и VII. При конденсации I с IV и V получен VI и нитрил VI (X) соответственно. Омыление последнего и VII приводит к VI, моногидрат которой неустойчив и при декарбоксилировании (1 час, 130–150°) образует 2-амино-4-фениламино-6-метил-1,3,5-триазин. Строение IX подтверждено его синтезом из 2-цианамино-4,6-диоксопиримидина и анилина и совпадением кривых ИК-спектров. Приведены кривые ИК-спектров VI и X. 10 г I, 9 мл II, $\text{C}_2\text{H}_5\text{ONa}$ (из 0,5 г Na и 20 мл спирта) кипятят 5 час., упаривают в вакууме, остаток растирают с 20 мл 1 н. NaOH, осадок кристаллизуют из 80%-ного спирта, выделяют VIII, выход 9,2%, т. пл. 274–275°, и затем VII, выход 22,7%, т. пл. 119–120°. Из щел. фильтрата при pH 6 выделяют IX, выход 34,7%, т. пл. 259–260° (из воды), и VI (разделение р-ром NaHCO_3), выход 14,4%, т. пл. 239–240° (разл.; из 75%-ного сп.). 25 г I в 150 мл абс. спирта с 24 г IV в 100 мл CH_3OH кипятят 5 час., получают К-соль VI, выход 45%, т. пл. 256–260° (из сп.). При переосаждении VI из щел. р-ра выпадет моногидрат, т. пл. 100–102° (разл.) и вторично 178–180°, в вакуум-экспекторе над P_2O_5 теряет воду, т. пл. 239–240° (разл.). 6 г I, 5 мл V в 25 мл CH_3OH (~20°, 30 час.) дают X, выход 50%, т. пл. 152–153° (из воды). Метилловый эфир VI (из 2 г Ag-соли, 1 г CH_3I в 50 мл CH_3OH), выход 43%, т. пл. 121–122° (из 75%-ного CH_3OH). 0,2 г VII с 10 мл 19%-ного р-ра NH_3 в CH_3OH (~20°, 19 дней) дают амид VI, выход 61%, т. пл. 203–204° (из 75%-ного CH_3OH), который получают также из X и 87%-ной H_2SO_4 , выход 46,3%. Из VII в спирте и $\text{N}_2\text{H}_4 \cdot \text{H}_2\text{O}$ получают гидразид VI, выход 80%, т. пл. 215–216° (из сп.). Сообщение II см. РЖХим, 1957, 74462.

М. Линькова

32505. Производные ω -(2,4-диамино-1,3,5-триазил-6)-алкилкарбоновых кислот. IV. Производные пропионовой, масляной, валериановой и капроновой кислот. Соколова С. В., Соколова В. Н., Магидсон О. Ю., Ж. общ. химии, 1957, 27, № 7, 1968–1978

Конденсацией N'-фенилбигуанида (I) с хлорангидридами моноэтиловых эфиров янтарной (II), глутаровой (III), адипиновой (IV) и пимелиновой (V) к-т синтезируются этиловые эфиры β -(2-амино-4-фениламино-1,3,5-триазил-6)-пропионовой (VI, к-та VII), γ -масляной (VIII, к-та IX), δ -валериановой (X, к-та XI) и ϵ -капроновой (XII, к-та XIII) к-т соответственно. Скорость р-ции и выход VI, VIII, X и XII, а также устойчивость VII, IX, XI и XIII, по отношению к декарбоксилированию увеличивается у высших гомологов. Изучение ИК-спектров к-т показало, что последние существуют как в виде внутренних солей, так и в виде свободных к-т, причем по мере удлинения алкильной

цепи кислотные свойства и способность к внутримолекулярному солеобразованию понижается. При конденсации I с соответствующими II–V диазирами двусосновных к-т наряду с эфирами ω -(2-амино-4-фениламино-1,3,5-триазил-6)-алкилкарбоновых к-т имеет место образование побочных бис-(2-амино-4-фениламино-1,3,5-триазил-6)-алканов (XIV–XVI). К 10 г I в 70 мл дioxана и 14 мл 40%-ного NaOH при 60° постепенно добавляют 6,5 г янтарного ангидрида, выдерживают 2 часа, из осадка разб. HCl (pH 5) выделяют VII, выход 46,5%, т. разл. 219–220° (из воды). Смесь 9,5 г I, 15 мл $(\text{CH}_3\text{COOC}_2\text{H}_5)_2$, 50 мл абс. спирта и $\text{C}_2\text{H}_5\text{ONa}$ (из 0,5 г



Na и 15 мл спирта) кипятят 10 час., фильтруют, осадок обрабатывают водой и отделяют нерастворившийся XIV, выход 20%, т. пл. 269–270° (из 75%-ного сп.); из водн. р-ра при pH 5 выделяют VII, выход 7,2%, т. разл. 217–219°; при упаривании спирт. маточного р-ра получают VI, выход 37,5%, т. пл. 131–132° (из 75%-ного сп.). 15 г I, 10,7 г безводн. Na_2CO_3 и 200 мл абс. толуола обрабатывают (60–65°) р-ром 15 мл N в 50 мл абс. толуола, кипятят 20 час., прибавляют (80°) 50 мл горячего абс. спирта, фильтруют, частично упаривают, отделяют VI, выход 42%. К 45 г I, 45 г безводн. K_2CO_3 и 500 мл абс. толуола по каплям прибавляют (65–68°) р-р 46,5 г $\text{ClOC}(\text{CH}_2)_2\text{COOCH}_3$ (XVII) в 200 мл абс. толуола, кипятят с отделением воды (5 мл) 17,5 часа и выделяют метилловый эфир VII (XVIII), выход 55%, т. пл. 122–124° (из 75%-ного сп.); из водн. р-ра при pH 5 получают VII, выход 5%. Из VII и р-ра NH_3 в CH_3OH получают амид VII, выход 83%, т. пл. 225–226° (из 50%-ного сп.). VI и $\text{N}_2\text{H}_4 \cdot \text{H}_2\text{O}$ в спирте (~100°) дает гидразид VII (XIX), выход 78,7%, т. пл. 192–193° (из сп.). К 35 мл $\text{NH}(\text{C}_2\text{H}_5)_2$ в 100 мл абс. C_6H_6 при 20° по каплям прибавляют 20 г XVII в 30 мл C_6H_6 , выдерживают (50°, 1 час), из фильтрата выделяют $(\text{C}_2\text{H}_5)_2\text{NCO}(\text{CH}_2)_2\text{COOCH}_3$ (XX), выход 72,6%, т. кип. 145–146°/12 мм. Аналогично получают $(\text{C}_2\text{H}_5)_2\text{NCO}(\text{CH}_2)_2\text{COOC}_2\text{H}_5$, т. кип. 153–154°/12 мм. 7 г I, 9 г XX и 15 мл безводн. $\text{N}_2\text{H}_4 \cdot \text{H}_2\text{O}$ кипятят 5 час., упаривают, отделяют диэтиламид VII, выход 40,3%, т. пл. 142–143° (из 75%-ного CH_3OH -сп.); хлоргидрат, т. пл. 180,5–181,5° (из сп.). 10 г К-соли VII и 13 г $(\text{C}_2\text{H}_5)_2\text{N}(\text{CH}_2)_2\text{Cl}$ в 150 мл абс. C_6H_6 выдерживают (65°, 12 час) и выделяют в виде хлоргидрата 2-диэтиламиноэтиловый эфир VII, выход 55%, т. пл. > 300°. Из I и III аналогично XVIII (кипение 30 час.) выделяют VIII, выход 68%, т. пл. 106,5–108° (из 75%-ного сп.); из осадка при pH 5 выделяют IX, выход 21%, т. пл. 208,5–209,5° (из 75%-ного сп.). Из I и $\text{CH}_2(\text{CH}_2\text{COOC}_2\text{H}_5)_2$ аналогично XIV получают XV, выход 20,6%, т. пл. 234–235° (из 75%-ного сп.). Аналогично XIX, из VIII получают гидразид IX, выход 91,2%, т. пл. 208–209° (из 75%-ного сп.). К р-ру 32 г $(\text{CH}_3\text{CH}_2\text{COOC}_2\text{H}_5)_2$ в 20 мл абс. спирта добавляют $\text{C}_2\text{H}_5\text{ONa}$ (из 3 г Na и 50 мл $\text{C}_2\text{H}_5\text{OH}$), затем р-р 22 г I в 50 мл спирта, кипятят 4 часа, фильтруют, из маточного р-ра получают X, выход 25,6%, т. пл. 126–127° (из сп.); из осадка после обработки его водой выделяют XVI, выход 22,5%, т. пл. 229–230° (из 75%-ного сп.); дихлоргидрат, т. пл. 226–228°; из водн. маточного р-ра при pH 5 получают XI, выход 17%, т. пл. 206–207° (из 75%-ного сп.). Аналогично XVIII из I и IV получают X, выход 67,4%, моноацетил-X, т. пл. 155–156° (из 75%-ного сп.); диацетил-X, т. пл. 90–91° (из 50%-ного сп.). Смесь 1 г XI [хлоргидрат, т. пл. 220,5–222° (разл.; из абс. сп.)], 10 мл абс. CH_3OH и 0,5 мл конц. H_2SO_4 кипятят 4 часа и выделяют

тиловый эфир XI, выход 95%, т. пл. 122—123,5°; гидразид XI, выход 70%, т. пл. 169—170° (из 75%-ного сп.). Из 2 г X и 30 мл 19%-ного р-ра NH_3 в CH_3OH (встряхивание при 30° 1 час и выдержка ~ 20°, 20 дней) выделяют амид XI, выход 83%, т. пл. 195—196° (из 75%-ного сп.). Аналогично XVIII из I и V получают XII, выход 72%, т. пл. 87,5—89,5° (из бзл.). При кипячении 3,5 часа 4 г XII с 10 г 5%-ного р-ра NaOH в спирте получают XIII, выход 87%, т. пл. 177,5—178° (из 90%-ного CH_3OH); амид, выход 80%, т. пл. 164—165° (из 50%-ного CH_3OH); гидразид, выход 79%, т. пл. 194,5—196° (из 75%-ного CH_3OH).

Р. Глушков

32506. Гуанаминовые диуретики. Шапиро, Паррино, Гейгер, Кобрин, Фридман (Guana-mine diuretics. Shapiro Seymour L., Parrino Vincent A., Geiger Karl, Kobrin Sidney, Freedman Louis), J. Amer. Chem. Soc., 1957, 79, № 18, 5064—5071 (англ.)

Синтезированы гуанамины типа $\text{RR}'\text{NC}=\text{NCH}=\text{NC}(\text{NH}_2)=\text{N}$ (I). Показано, что диуретич. актив-

ность (ДА) I зависит от структуры заместителя R (при $\text{R}' = \text{H}$). Замена N на алкил, алкарил при любом R уничтожает ДА. Подробно описано влияние величины и разветвления радикала R на ДА. Наиболее активными являются I, где $\text{A} = \text{R} = \text{n-C}_5\text{H}_{11}$, б *изо*- C_5H_{11} , в $\text{n-C}_4\text{H}_9$, г $\text{C}_6\text{H}_5(\text{CH}_2)_2$; всюду $\text{R}' = \text{H}$. I и промежуточные бигуаниды $\text{RNHC}(\text{NH}_2)\text{NHC}(\text{NH}_2)=\text{NH}$ (II) получают ранее описанными методами. II, полученные из дициандиамидов (III) и хлоргидрата амина, часто не выделяют, а прямо конденсируют с HCOOC_2H_5 . Получение I д $\text{R} = \text{циклогексил}$, $\text{R}' = \text{H}$ возможно также при конденсации II ($\text{A} = \text{R} = \text{циклогексил}$) с $(\text{COOC}_2\text{H}_5)_2$. Выделенное при этом промежуточное соединение (IV) (строение не установлено) при нагревании с NaOH образует 2-амино-4-циклогексиламино-сим-триазинкарбонную-б к-ту (V), которая при декарбосилировании (210°, 10 мин.) дает Id. Полученные следующие I [перечисляются R, R' (всюду, где не указано, $\text{R}' = \text{H}$) и т. пл. в °C (из CH_3CN): CH_3 , 234—238; C_2H_5 , 195—197; $\text{CH}_2=\text{CHCH}_2$ (Ie), 148—149 (из бзл.); $\text{n-C}_3\text{H}_7$, 163—165; *изо*- C_3H_7 , 137—140; $\text{CH}_2=\text{C}(\text{CH}_3)\text{CH}_2$, 132—134 (из бзл.); $\text{n-C}_4\text{H}_9$, 140—143 (из бзл.); пикрат, т. пл. 192—195°; *изо*- C_4H_9 , 142—147 (из бзл.); пикрат, т. пл. 203—204°; *втор*- C_4H_9 , 138—139 (из бзл.); *трет*- C_4H_9 , 147—150 (из бзл.); Ia, 115—118; пикрат, т. пл. 148°; хлоргидрат, т. пл. 208—210; $\text{CH}_3(\text{CH}_2)_2\text{CHCH}_3$, 136—138; $\text{CH}_3\text{CH}_2\text{CH}(\text{CH}_3)\text{CH}_2$, 123—124; 16, 125—127; пикрат, т. пл. 185°; хлоргидрат, т. пл. 203—205°; $(\text{CH}_3)_3\text{CSCH}_2$, 168—170 (из бзл.); $(\text{CH}_3)_2\text{CHCH}_2$, 161—162; $\text{CH}_3\text{CH}_2\text{CH}_2\text{CH}_2$, 158—160; $\text{n-C}_6\text{H}_{13}$, 120—122; *изо*- C_6H_{13} , 129—130; Ib, 120—121; $\text{n-C}_8\text{H}_{17}$, 121—122; *трет*- C_8H_{17} , 115—117; $\text{C}_6\text{H}_5\text{CH}_2\text{CH}_2$, 110—112 (из CH_3OH -воды); $\text{n-C}_9\text{H}_{19}$, 106—110; $\text{n-C}_{10}\text{H}_{21}$, 104—106; $\text{n-C}_{12}\text{H}_{25}$, 110—113; $\text{n-C}_{14}\text{H}_{29}$, 97—101; $\text{n-C}_{16}\text{H}_{33}$, 80—87; $\text{n-C}_{18}\text{H}_{37}$, 108—109; $\text{CH}_3\text{BrCH}_2\text{CH}_2$, 115 (присоединением Br_2 к Ie в C_6H_6 ; из $(\text{CH}_3)_2\text{CHOH}$ -эф.); $\text{CH}_2\text{O}(\text{CH}_2)_2\text{CH}_2$, 113—117 (из бзл.); $(\text{CH}_2)_4 > \text{CH}$, 161—162; $(\text{CH}_2)_4 > \text{SCH}_2$, 141—143; $(\text{CH}_2)_4 > \text{CH}(\text{CH}_2)_2$, 148—149; $(\text{CH}_2)_5 > \text{SCH}_2$, 159—162; $\text{n-CH}_2\text{CH} < (\text{CH}_2)_4 > \text{CH}$, 230—232; $(\text{CH}_2)_5 > \text{CH}(\text{CH}_2)_2$, 162—164; $\text{n-CH}_2\text{CH} < (\text{CH}_2)_4 > \text{SCH}_2$, 135—136; $(\text{CH}_2)_4 > \text{CH}(\text{CH}_2)_3$, 133—137; $(\text{CH}_2)_5 > (\text{CH}_2)_4$, 145—148; $(\text{CH}_2)_6 > \text{CH}$, 142—144; d-борнил, 164—166; dl-борнил, 172—175; dl-фенхил, 78—80; $\text{C}_6\text{H}_5\text{CH}_2$, 180—183 (из $\text{n-C}_3\text{H}_7\text{OH}$); 4- $\text{ClC}_6\text{H}_4\text{CH}_2$, 198—201; $\text{C}_6\text{H}_5\text{CHCH}_3$, 142—144 (из бзл.); 4- $\text{ClC}_6\text{H}_4\text{CHCH}_3$, 166—169; Ig, 159—161 (из этилацетата-гексана); пикрат, т. пл. 181—183°; хлоргидрат, т. пл. 185—186°; диацетил, т. пл. 150—151°; 2- $\text{ClC}_6\text{H}_4(\text{CH}_2)_2$, 179—181; 4- $\text{ClC}_6\text{H}_4(\text{CH}_2)_2$, 173—176; 2,4- $\text{Cl}_2\text{C}_6\text{H}_3(\text{CH}_2)_2$, 195—198;

3,4- $\text{Cl}_2\text{C}_6\text{H}_3(\text{CH}_2)_2$, 184—186; 4- $\text{BrC}_6\text{H}_4(\text{CH}_2)_2$, 192—197; 3,4- $(\text{CH}_3\text{O})_2\text{C}_6\text{H}_3(\text{CH}_2)_2$, 155—156; $\text{C}_6\text{H}_5(\text{CH}_2)_3$, 125—128; $\text{C}_6\text{H}_5(\text{CH}_2)_4$, 98—100; $\text{CH}_3\text{CH}_2\text{CH}_2\text{CH}_2\text{CH}_2$, 137—138; $\text{C}_6\text{H}_5(\text{CH}_2)_5$, 115—118; $(\text{C}_6\text{H}_5)_2\text{CH}$, 196—197; $\text{CH}_3\text{C}_6\text{H}_4\text{CH}_2\text{CH}_2\text{CH}_2$, 89—91 (из ацетона-гексана); $(\text{C}_6\text{H}_5)_2\text{CHCH}_2$, 165—167; CH_3CH - β -нафтил, 164—166; α -нафтил $(\text{CH}_2)_2$, 211—212; фурфурил, 162—165; C_6H_5 , 235 [из диоксана (VI)]; 4- ClC_6H_4 , 259 (из VI); 4- BrC_6H_4 , 263—264 (из VI); 4- JC_6H_4 , 251—253 (из VI); 4- FC_6H_4 , 145—148; 4- $\text{NH}_2\text{SO}_3\text{C}_6\text{H}_4$, 265 (из CH_3OH -воды); 4- $\text{C}_2\text{H}_5\text{COOC}_6\text{H}_4$, 219—221; 2- $\text{C}_2\text{H}_5\text{C}_6\text{H}_4$, 194—196; $\text{C}_6\text{H}_4\text{CH}_2\text{C}_6\text{H}_4$, 217 (из $\text{n-C}_3\text{H}_7\text{OH}$); β -нафтил, 233—238; 3-хинолил, 291—292; пикрат, т. пл. 269°; $\text{n-C}_4\text{H}_9$, CH_3 , 118—120; *изо*- C_4H_9 , CH_3 , 158—160; $\text{n-C}_5\text{H}_{11}$, CH_3 , 120—122; *изо*- C_5H_{11} , CH_3 , 137—138; $(\text{CH}_2)_5 > \text{CH}$, CH_3 , 172—174; $(\text{CH}_2)_5 > \text{CH}$, C_2H_5 , 148—150; C_6H_5 , CH_3 , 185—187; C_6H_5 , C_2H_5 , 178—180 (из бзл.); C_6H_5 , $\text{C}_6\text{H}_5\text{CH}_2$, 185—186. 0,2 моля хлоргидрата циклогексилamina, 0,2 моля III нагревают (150—160°, 30 мин.), получают IIa·HCl, выход 43,5%, т. пл. 225—227° (из воды). К CH_3ONa (из 0,1 моля Na и 80 мл CH_3OH) прибавляют 0,1 моля IIa·HCl и 0,1 моля HCOOC_2H_5 , оставляют на 18 час. при ~ 20°, прибавляют 50 мл воды и через несколько дней получают Id, выход 52%, т. пл. 162—164° (из CH_3Cl); пикрат, т. пл. 205—207°; моноацетил, т. пл. 206—207° (из $\text{n-C}_3\text{H}_7\text{OH}$); монопропионил, т. пл. 197—198° (из CH_3CN); хлоргидрат, т. пл. 212—214° (из $(\text{CH}_3)_2\text{CHOH}$). Эквимолекулярные кол-ва IIa·HCl и III сплавляют, суспендируют в 200 мл $(\text{CH}_3)_2\text{CHOH}$, прибавляют CH_3ONa (из 1,0 моля Na в 200 мл CH_3OH) и 500 мл $(\text{CH}_3)_2\text{CHOH}$, через 48 час. к фильтрату прибавляют 1,1 моля $(\text{COOC}_2\text{H}_5)_2$ и выделяют (10°, 12 час.) IV, выход 45,5%, т. пл. 211° (разл.; из CH_3CN). 9,48 г IV в 150 мл воды растворяют с 1 экв 1,0 н. NaOH при 50°, фильтрат нейтрализуют 1 экв 1 н. H_2SO_4 , получают V, выход 74%, т. пл. 204—207° (разл.; сушат в вакууме при 110°). 0,1 моля $\text{n-C}_2\text{H}_5\text{OOCCH}_2\text{NH}_2\cdot\text{HCl}$ и 0,1 моля III в 35 мл пиридина кипятят 3 часа, получают II·HCl ($\text{R} = \text{C}_2\text{H}_5\text{OOCCH}_2$), выход 59,5%; основание (с 1 экв водн. NaOH при 75°), т. пл. 172—173° (разл.; из CH_3CN). 2,9 г 3-аминохоллина, 1,7 г III, 1,8 мл HCl в 8 мл $\text{n-C}_3\text{H}_7\text{OH}$ кипятят 1,5 часа, получают II·HCl ($\text{R} = \text{хинолил-3}$), выход 73%, т. пл. 212—215° (из CH_3CN); основание, т. пл. 187° (разл.; из CH_3CN); дипикрат, т. пл. 240° (разл.; из воды). Приведены данные УФ-спектров ряда I.

М. Линькова

32507. Соли иминотетразолиния. Идентификация сульфокислот. Хербст, Стоун (Iminotetrazolinium salts. Identification of sulfonic acids. Herbst Robert M., Stone K. G.), J. Organ. Chem., 1957, 22, № 10, 1139—1142 (англ.)

При обработке эквимолярным кол-вом винной к-ты (I) некоторых 1-алкил-4-бензил-5-иминотетразолинов (II) получают комплексы дитартрат моногидратов II (IIa). 1-н-октил-4-н-нитробензил-5-иминотетразолин (III) образует кислый тартрат III (IIIa) (в присутствии 2 молей I), который служит самонадикатором при определении I в IIa. Моногидрат дитартрата 1-н-октил-4-бензил-5-иминотетразолиния (IIb) предлагается как реагент для колич. определения ароматич. и алифатич. сульфокислот и их солей, с которыми он образует нерастворимые сульфаты. 0,076 моля 1-н-октил-5-аминотетразола (IV) и 0,09 моля $\text{C}_6\text{H}_5\text{CH}_2\text{Cl}$ нагревают при 120—130° 7 час., растворяют в 50 мл спирта, разбавляют 500 мл воды, отгоняют спирт и избыток $\text{C}_6\text{H}_5\text{CH}_2\text{Cl}$, из полученного хлоргидрата выделяют II (алкил-н-октил) (IIв) избытком 10%-ного р-ра NaOH, экстрагируют C_6H_6 , отгоняют р-ритель в вакууме, растворяют в 150 мл сухого этилацетата (V), прибавляют 0,15 моля I и 5 мл воды, нагревают до кипения, выделяют IIb, выход 92%, т. пл. 78—79°. Аналогично из IV и $\text{n-ClC}_6\text{H}_4\text{CH}_2\text{Cl}$ получают моногид-

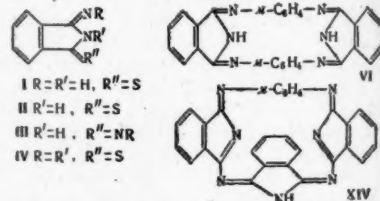
рат дитартрата 1-н-октил-4-н-хлорбензил-5-иминотетра-
волинния (VI), т. пл. 88–89°, а также IIa (перечис-
ляются алкил, т. пл. в °C): *n*-нонил, 80–82; *n*-децил,
70–72. Из 0,05 моля IV, 0,058 моля *n*-NO₂C₆H₄CH₂Cl и
0,1 моля I в V получают 25 г IIIa, т. пл. 153–155°.
К р-ру 0,005 моля C₆H₅SO₃Na в 150 мл теплой воды
прибавляют 0,005 моля 0,25 М р-р IIb, выделяют бен-
золсульфонат IIb, выход 82%, т. пл. 129° (из 50%-ного
сп.). Аналогично из соответствующих сульфокислот
или их Na-солей и 0,25 М р-ра IIb получают соответ-
ствующие сульфонаты IIb (перечисляются исходная
сульфокислота, выход сульфоната в %, т. пл. в °C,
р-ритель): *n*-NO₂C₆H₄SO₃H, 95, 171–172, 30%-ный
спирт; Na-соль нафталин-2,6-дисульфокислоты, 98,
253–254, 50%-ный спирт; сульфаниловая к-та (VII),
65, 154–155, вода; дигидрат 5-сульфосалициловой
к-ты, —, 150–151 и 169–170, 50%-ный спирт; метан
(VIII), 74, 116–117, C₆H₆-птр. эфир или C₆H₆-гексан;
этан, —, 98–99, C₆H₆-птр. эфир или C₆H₆-гексан;
2-пропан, —, 108–110, C₆H₆-птр. эфир или C₆H₆-гек-
сан; 1-бутан, —, 125, V-циклогексан; 3-метил-1-
бутан, —, 132–133, V; *n*-толуол, —, 172–173, водн.
спирт; 2,4-диметилбензол, —, 91–92, C₆H₆-птр. эфир
или C₆H₆-гексан; 2,5-диметилбензол, —, 102–103, вода;
n-хлорбензол, —, 159–160, водн. спирт; 2,4-дихлорбен-
зол, —, 134–135, водн. спирт; *n*-бромбензол, —, 162–
163, водн. спирт; *n*-фенол, —, 114–115, водн. спирт;
m-нитробензол, —, 138–139, водн. спирт; *o*-аминобен-
зол, —, 134–135, водн. спирт; *m*-аминобензол, —, 107–
108, C₆H₆-птр. эфир или C₆H₆-гексан; *m*-сульфобензой-
ная к-та, —, 200–201, водн. спирт; *m*-бензолдисуль-
фокислота, —, 143–144, C₆H₆; 4,4'-бифенилдисульфо-
кислота, —, 244–245, водн. спирт; *dl*-10-камфора, —,
146–147, V-циклогексан, *d*-10-камфора, —, 144–145,
V-циклогексан; 2-нафталин, —, 146–147, водн. спирт;
4-амино-1-нафталин, —, 131–132, C₆H₆; 4-ацетамидо-1-
нафталин, —, 148–149, водн. спирт; 1,5-нафталинди-
сульфокислота, —, 213–214, водн. спирт; 2,7-нафталин-
дисульфокислота, —, 210–211, водн. спирт. Из
0,005 моля VI (VIa) и 0,005 моля VIII в 10 мл воды
получают метансульфонат VIa, выход 91%, т. пл.
126–128° (из бэл., добавлением гексана). Из 0,01 моля
VI в 50 мл теплой воды и 0,01 моля VII в 300 мл
теплой воды получают сульфанилат основания VI,
выход 72%, т. пл. 159–161° (из 30%-ного водн. аце-
тона).

Ю. Розанова

32508. Гетероциклические имины и амины. Часть
VIII. Идентификация «о-цианотиобензамид» как
1-имино-3-тиоизоиндолина и его превращение при
действии аминов в макроциклы и промежуточные
продукты. Багьюли, Элвидж (Heterocyclic im-
ines and amines. Part VIII. Identification of «o-cyano-
thiohenzamide» as 1-imino-3-thioisoindoline, and its
conversion with amines into macrocycles and interme-
diates. Baguley M. E., Elvidge J. A.), J. Chem.
Soc., 1957, Febr., 709–719 (англ.)

Изучение р-ций, а также ИК- и УФ-спектров про-
дукта присоединения (III) 1 моля H₂S к *o*-C₆H₄(CN)₂
показывает, что III представляет собою не *o*-циано-
тиобензамид, как указывалось ранее (Drew, Kelly, J.
Chem. Soc., 1941, 630), а 1-имино-3-тиоизоиндоллин (I).
При взаимодействии I с ароматич. аминами р-ция в
зависимости от условий происходит по одной
или по двум экзотич. функциональным
группам с образованием соответственно соединений
типа (II) или (III), тогда как с первичными алифа-
тич. аминами реагируют как экзотич., так и вхо-
дящая в цикл иминогруппы с образованием соедине-
ний типа (IV). При конденсации II с *m*-C₆H₄(NH₂)₂
(V) образуется бензольный макроцикл (VI). Однако
с 2,6-диаминопиридином (VII) I дает только 1-(2-ами-
нопиридил-6)-имино-3-тиоизоиндоллин (VIII). 1-имино-

3-метилтиоизоиндоллин (IX) легко реагирует по
CH₃S-группе и образует с V *m*-ди-(1-имино-3-тиоизоиндо-
лиденамино)-бензол (X), а с VII — 2,6-ди-(1-имино-
3-тиоизоиндололиденамино)-пиридин (XI). Конденса-
цией X с V получают VI, конденсацией XI с VII в бо-
лее жестких условиях — симметричный пиридиновый
аналог VI (XII), из X и диниминоизоиндолина (XIII) —
макроцикл (XIV). При р-ции XI с V вместо ожидае-
мого несимметричного макроцикла удалось выделить
только XII, а при конденсации XI с VII образуется
VI наряду с XII. При взаимодействии X с 2,7-диамино-
нафталином образуется симметричный нафталиновый
аналог VI (XV). Эти наблюдения показывают, что
экзотич. NH-группы в X и XI сравнительно мало
реакционноспособны. По-видимому, амины расщеп-
ляют X и XI с образованием состоящих из двух введен-
ных соединений, аналогичных VIII, которые затем под-
вергаются аутоконденсации и дают симметричные макро-
циклы. Тонкую суспензию *o*-C₆H₄(CN)₂ в спирте пере-
мешивают 9 час. с водн. р-ром Na₂S, предварительно
насыщ. H₂S, и получают I, т. разл. 218° (из сп.). Хлор-
гидрат, полученный пропусканием HCl (газа) в кипя-
щий р-р I в C₆H₆, плавится > 360°; при растворении
в воде хлоргидрат I гидролизует и дает I. При на-
гревании I с 2 н. HCl (100°, 4 мин.) образуется моно-
тиофталмид. Окисление I 30%-ной H₂O₂ в водно-
спирт. щел. р-ре приводит к 1-имино-3-оксоизоиндо-
лину (XVI). 8,1 г I в 75 мл спирта и 25 мл 2 н. NaOH
разбавляют 75 мл воды, прибавляют при 0° 15 мл
(CH₃)₂SO₄ и через 5 мин. приливают 200 мл воды; вы-
ход IX 77%, т. пл. 98–100° (из водн. сп.). При на-
гревании с 2 н. HCl IX гидролизует и превращается
в фталмид (XVII). 0,32 г I кипятят 12 час. с 0,18 г
анилина (XVIII) в 50 мл спирта и получают II (R =
C₆H₅), выход 43%, т. пл. 209° (из сп.). При взаимо-
действии 4 г I с 4,7 г 2-аминопиридина (XIX) (24 часа)
в 200 мл кипящего спирта образуется II (R = пири-
дил-2) (IIa) выход 39%, т. пл. 175° (из сп.). IIa по-
лучают также при постепенном прибавлении (3 часа)
0,89 г дитио-XVII к кипящему р-ру 0,47 г XIX в 25 мл
спирта с последующим кипячением (1 час.). Горю-
чую реакционную смесь отфильтровывают от 0,08 г
дитио-β-изоиндоли (XX) и из фильтрата выделяют
IIa, выход 38%. 0,32 г I и 0,37 г XVIII в 50 мл спир-
та кипятят 12 час., упаривают и выделяют III (R =
C₆H₅), выход 93%, т. пл. 122–123° (из птр. эф.).
0,32 г I и 0,37 г XIX в 20 мл бутанола кипятят 4 часа,
упаривают и получают III (R = пиридил-2), выход



41%, т. пл. 165–170° (из сп.). 0,35 г IX и 0,18 г XVIII
в 3 мл CH₃OH оставляют на 24 часа и отфильтровы-
вают 1-имино-3-фенилтиоизоиндоллин, выход 60%,
т. пл. 202–204° (разл.; из CH₃OH). К 1,6 г I в 75 мл
2 н. NaOH прибавляют 0,73 г C₄H₉NH₂ в 10 мл спирта.
Через несколько часов выделяется масло, затверде-
вающее при 0°; выход 1-имино-3-бутилиминоизоиндо-
лина 35%, т. пл. 162–163° (разл.; из бэл.). 4,05 г I
и 9 мл C₄H₉NH₂ в 65 мл CH₃OH кипятят 3 часа, упарив-
вают до 25 мл и отделивают выкристаллизовавшийся
IV (R = R' = C₄H₉) (IVa), выход 31%, т. пл. 61°
(из CH₃OH). IVa при окислении щел. р-ром H₂O₂ в
CH₃OH превратился в 1-бутилимино-2-бутил-3-оксоизо-

агрирует по
3-изонидо-
ди-(1-имидо-
Конденс-
с VII в бо-
пиридиновый
ина (XIII)-
есто оксиде-
сь выделят-
и образуется
2,7-диамино-
фталлиновый
ывають, что
тельно мало
расщепля-
вух звенет
тем подвер-
чные макро-
спирте пере-
дварительно
з сп.). Хлор-
за) в кини-
растворении
I. При на-
уется моно-
2 в водно-
изонидо-
2 н. NaOH
и 0° 15 мл
л воды; вы-
). При на-
еверщается
тас. с 0,18 г
ют II (R=
При взаимо-
X) (24 часа)
(R = пир-
п.). На по-
ии (3 часа)
KIX в 25 мл
тас.). Гор-
от 0,09 г
выделяют
50 мл спир-
т III (R=
петр. эф.).
тят 4 часа,
-2), выход

18 г XVII
фильтровы-
ход 60%,
I в 75 мл
мл спирта.
затверде-
ноизонидо-
4,05 г I
са, упари-
ывающий
т. пл. 61°
м H₂O в
3-оксано-

идолин (XXI), т. пл. 33,5—34° (из водн. CH₃OH), который при гидролизе кипячением с 2 н. HCl дал N-бутил-XVII. 8,5 г IVa кипятят 10 мин. с 100 мл 2 н. HCl и плавляют CHCl₃, образовавшийся 1-оксо-2-бутил-3-тиоизоиндолин (XXII), выход 5 г, т. кип. 102—103°/0,1 мм, n_D²⁰ 1,6294, т. пл. 29—29,5° (из петр. эф.). При окислении XXII в CH₃OH щел. р-ром H₂O₂ получен N-бутил-XVII. 2,35 г XXII кипятят с 2 мл C₄H₉NH₂ в 30 мл спирта до прекращения выделения H₂S (~2 час.), упаривают, остаток растворяют в C₆H₆, хроматографируют на Al₂O₃ и получают XXI. При кипячении 0,74 г дитио-XVII с 0,36 г C₄H₉NH₂ в 20 мл спирта (1 час) получают XX, выход 59%, и из упаренного фильтрата выделяют IVa, выход 15%, 1,6 г I и 2,14 г C₆H₅CH₂NH₂ в 50 мл CH₃OH кипятят 15 мин., упаривают до 25 мл и осадок кристаллизуют из CH₃OH; получают в-во неуставленного строения с, т. пл. 205° и из маточного р-ра выделяют IV (R = R' = C₆H₅CH₂), выход 38%, т. пл. 108°. 3,24 г I и 4 мл морфолина в 100 мл CH₃OH кипятят 24 часа, осадок промывают смесью 2 н. NaOH и спирта (1:1) получают ди-(3-морфолино-1-изонидолиниден), выход 27%, 1,6 г I и 1,1 г V в 50 мл спирта кипятят 2 часа и отфильтровывают образовавшийся VI, выход 23%, т. пл. 368—372° (из сп.). 3,2 г I и 4,3 г VII в 50 мл спирта кипятят 6 час. и выделяют из фильтрата VIII, выход 41%, т. пл. 243° (из C₆H₅NO₂). 3,5 г IX и 1,08 г V в 25 мл CHCl₃ оставляют на 48 час. и отфильтровывают X, выход 21%, т. пл. 268° (разл., тригидрат, из CH₃OH). Из хлороформного маточного р-ра после упаривания выделяют VI. При кипячении X с 2 н. HCl образуется XVII. Р-р 1,76 г IX и 0,54 г VII в 25 мл CHCl₃ выдерживают 48 час. и после упаривания получают XI, выход 31%, т. пл. 243° (разл., гидрат, из CH₃OH). При нагревании гидрата XI с 2 н. HCl образуется XVII. 0,3 г X и 0,1 г V в 25 мл спирта кипятят в течение ночи; выход VI 40%, 0,36 г X и 0,11 г VII в 15 мл бутанола кипятят 4 часа и из сконцентрированного р-ра выделяют XII, выход 38%, т. пл. 336—338° (из C₆H₅NO₂). 0,18 г X и 0,1 г XIII в 25 мл спирта кипятят 12 час. и получают XIV, выход 49%, т. пл. 356—360° (из C₆H₅NO₂). 0,73 г XI и 0,22 г V в 20 мл бутанола кипятят 4 часа, упаривают, остаток растворяют в 30 мл горячего C₆H₅NO₂ и прибавляют р-р 0,5 г (CH₃COO)₂Ni в миним. кол-ве HCONH₂; выделяется Ni-производное XII, выход 0,45 г, т. пл. 364—366° (из C₆H₅NO₂). 0,67 г X и 0,22 г VII в 50 мл бутанола кипятят 4 часа, через ~12 час. отфильтровывают осадок, растворяют в кипящем C₆H₅NO₂ и осаждают, как выше, Ni-производное XII, выход 0,31 г (неочищ.). Из бутанольного фильтрата реакционного р-ра после упаривания и кипячения остатка с 2 н. HCl (10 мин.) получают 0,17 г VI. 0,73 г X и 0,4 г 2,7-диаминонафталина в 50 мл спирта кипятят 24 часа; выход XV 0,59 г, т. пл. 510° (разл.). Приведены положения полос (λ_{max} и ε) в УФ-спектрах соединений I, IVa, IX, X, XI, 1-метилимино-2-метил-3-оксоизонидолина, частоты в ИК-спектрах I и IX и частоты в спектре поглощения XX. Часть VII см. РЖХим, 1958, 24452. Г. Браз 32509. Некоторые N-замещенные β-хлорпропионамиды. Кочетков Н. К., Дудыкина Н. В., Ж. общ. химии, 1957, 27, № 5, 1399—1402

Для выяснения зависимости антиконвульсивной активности N-замещ. β-хлорпропионамидов от их строения ацилированием соответствующих аминов хлорангидридом β-хлорпропионовой к-ты (I) синтезированы N-(α-тенил)-(II), N-(изоксазол-3-метил)-(III), N-метил-N-бензил-(IV), N-фенил-N-бензил-(V), N-(β-фенил-этил)-(VI) и N-бензгидрил-(VII)-β-хлорпропионамиды; при аналогичной р-ции β-аминометиламина (т. кип. 75—78°/4 мм, n_D²⁰ 1,5510; хлоргидрат (XG), т. пл. 165—167° (из абс. сп.); дихлоргидрат, т. пл. 221—223°

(из абс. сп.), полученного с 15—40%-ным выходом гидрированием нитинонитрила над скелетным Ni в спирте, образуется в-во неуставленного строения. β-Фенилэтиламин, выход 64,5%, т. кип. 65—70°/5 мм, n_D²⁰ 1,5290, синтезирован гидрированием цианистого бензила; бензгидрилами (VIII) и α-тенилами (IX)—р-цией дифенилбромметана или α-хлорметилтиофена (X) с уротропином (XI). Получение N-метил-бензиламина, выход 80%, т. кип. 62—63°/6 мм, n_D²⁰ 1,5210, и изоксазол-3-метиламина, выход 42%, т. кип. 60—61°/4 мм, n_D²⁰ 1,4890 см. Späth E., Bruck J., Ber., 1937, 70, 2446. В р-р 15 г тиофена в 60 мл дихлорэтана пропускают (15 мин.) HCl, вносят 7 г параформа, продолжают пропускать HCl сначала при 2—10°, затем без охлаждения и отгоняют X, выход 47%, т. кип. 53—55°/6 мм, n_D²⁰ 1,5605. К р-ру XI в 125 мл CHCl₃ добавляют при 50—70° 14,5 г X, на следующий день полученный осадок нагревают с 150 мл смеси спирта и конц. HCl (3:1), р-р концентрируют, подщелачивают и извлекают эфиром IX, выход 41%, т. кип. 49—50°/4 мм, n_D¹⁹ 1,5660. Аналогично получают VIII, выход 40,9%; XG, т. пл. 286—287°. К 0,1 моля амина в 30—40 мл воды, содержащей несколько мл спирта; при 3—8° приливают по каплям одновременно 0,103 моля I и 0,105 моля NaOH в 10 мл воды, перемешивают 1 час и выделяют [указано в-во, выход в % и т. пл. в °C (из сп.)]: II, 75,5, 100—101; III, 73, 76—78; IV, 76, т. кип. 95—96°/0,05 мм, n_D²⁰ 1,5430; VI, 72, 58—59,5, или VII, 60, 173—175. К р-ру 36,8 г бензиламина в 70 мл CHCl₃ добавляют при 30—40° 12,7 г I, перемешивают 2 часа при 20°, от р-ра отгоняют р-ритель и получают V, выход 82%, т. пл. 64—65° (из сп.).

Д. Витковский

32510. Строение и свойства оксазолонов. Кильдешева О. В., Линькова М. Г., Кнузянц И. Л., Изв. АН СССР, Отд. хим. н., 1957, № 6, 719—729

Изучалось строение ненасыщ. оксазолонов с алкильными и алкирильными заместителями в положении 2. Рассмотрение литературного материала и собственные исследования авторов показали, что существует два типа ненасыщ. оксазолонов — истинные оксазолы $RCH=CN=C(CH_2C_6H_5)OCO$ (I) и псевдоокса-

золы $RCH_2C=NC(=CHC_6H_5)OCO$ (II) и что образование

их не зависит от способа получения, а зависит только от заместителей в положениях 2 и 4 оксазолонового кольца. При этом всегда реализуется структура с наиболее сопряженной системой, напр., при R = H или Br II, но не I, а при R = O-, S- или N-алкилах I, но не II. При исследовании свойств (IIa R = Br) было найдено, что IIa реагирует с нуклеофильными реагентами по-разному, в зависимости от степени их нуклеофильности. Так, в р-ре CH₃OH идет присоединение пиперидина (III) в положение 4,2' (1-4-присоединение), при этом промежуточно образующийся насыщ. оксазолон расщепляется с образованием метилового эфира α-пиперидин-α-фенацетиламино-β-бромпропионовой к-ты (IV). С C₂H₅SH (V) в присутствии K₂CO₃ IIa реагирует аналогично с образованием α,β-дистилтило-α-фенацетиламинопропионовой к-ты (VI), что подтверждает псевдоструктуру IIa. Строение IV и VI подтверждено синтезом; α,β-дистилтило-α-фенацетиламинопропионовая к-та с III, с последующим диазометилированием, образует IV, а с V—VI. Однако IIa с III в р-ре эфира в присутствии CH₃COOH (уменьшение нуклеофильности III) реагирует с образованием $CHBr=C(NHCOCH_2C_6H_5)CON < (CH_2)_5$ (VII). В отличие от III и V CH₃OH в присутствии K₂CO₃ атакует не пятый, а второй атом углерода, и с расщеплением оксазолонового кольца образуется К-соль промежуточной к-ты $BrCH_2C(COOH)=NC(OCN_3)=CHC_6H_5$, которая вследствие особенности структуры циклизуется в

2-метоксн-3-фенил-4-бромпириролинкарбоновую-5 к-ту (VIII). Последняя при нагревании легко теряет молекулу CH_3OH , с 2 н. NaOH отщепляет HBr , превращаясь соответственно в 3-фенил-4-бромпирирол (IX) и 2-метоксн-3-фенилпириролкарбоновую-5 к-ту (X). При действии на IX Br_2 в CHCl_3 образуется, при замещении карбоксильной группы, 3-фенил-4,5-дибромпирирол (XI). Строение VIII и IX подтверждено также данными УФ- и ИК-спектров. Данные УФ-спектров подтверждают псевдоструктуру IIa. К 1,3 г IIa в 6 мл абс. CH_3OH прибавляют 0,6 мл III в 6 мл CH_3OH и сразу отфильтровывают IV, выход 80%, т. пл. 106° (разл.). К 0,26 г IIa в 5 мл абс. эфира прибавляют 0,18 мл лед. CH_3COOH и 0,17 мл III в 2 мл абс. эфира, через 30–40 мин. промывают 2 н. HCl и выделяют 0,15 г VII, т. пл. 105–106° (из эф.). 1,3 г IIa в 25 мл абс. CH_3OH с 0,35 г K_2CO_3 перемешивают 30–40 мин., упаривают при 20°, растворяют в 20 мл воды, фильтрат подкисляют 2 н. H_2SO_4 , получают VIII, выход 52%, т. пл. 138–140° (пересаживанием) при внесении в прибор, нагретый до 135°. Метилловый эфир (действием CH_3N_2), т. пл. 151–152° (из эф.). VIII кипятят в воде 5–7 мин. и получают IX, т. пл. 168–170° (из этилацетата); метилловый эфир, т. пл. 133–134° (из эф.). 0,6 г VIII в 2 мл 2 н. NaOH составляют на 72 часа при ~20°, получают X, выход 74%, т. пл. 295° (пересаживанием); метилловый эфир, т. пл. 159–160° (из эф.), который со спирт. HCl образует хлоргидрат, т. пл. 125° (разл.). К 0,2 г IX в 5 мл CHCl_3 прибавляют 10%-ный р-р Br_2 в CHCl_3 (1 моль), фильтрат упаривают в вакууме, остаток растирают с р-ром NaHCO_3 , получают XI, т. пл. 144–146° (из эф.). М. Линькова

32511. Пиролиз 5,5-дизамещенных 3-нитрозооксазолидонов-2. Ньюман, Уэйнберг (Pyrolysis of 3-nitroso-5,5-disubstituted-2-oxazolidones. Newm a n Melvin S., Weinberg Alan E.), J. Amer. Chem. Soc., 1957, 79, № 11, 2814–2819 (англ.)

Описан пиролиз $\text{RR'COCON}(\text{NO})\text{CH}_2$ [Ia R = R' = C_6H_5 ; б R = C_6H_5 , R' = CH_3 ; в R, R' = $(\text{CH}_2)_5$] и показано, что соотношение и характер продуктов распада зависит от т-ры р-ции и р-рителя. Так Ia без р-рителя при 120, 153, 168 и 185° дает в % 5,5-дифенил-оксазолидон-2 (II) 57, 51, 40, 18, $\text{C}_6\text{H}_5\text{C}\equiv\text{CC}_6\text{H}_5$ (III), 16, 20, 23, 32, $(\text{C}_6\text{H}_5)_2\text{C}=\text{CH}_2$ (IV) 15, 21, 26, 40 и $\text{C}_6\text{H}_5\text{COC}_6\text{H}_5$ (V) 5, 5, 6, 6 соответственно. Кроме того, образуются вода, N_2 , NO , N_2O и CO_2 . Аналогичные результаты были получены в р-рителях: *n*-ксилоле 80% II и 18% *n*- $\text{CH}_3\text{C}_6\text{H}_4\text{COOH}$, кумоле 80% II и 22% $\text{C}_6\text{H}_5\text{COCN}_3$ (VI) и в IV 87% II и 10% V, при этом III не образуется. Наибольшие выходы II в этих условиях объясняются легкостью последних трех р-рителей к отдаче N радикалу II, однако при проведении пиролиза Ia в кумоле соответствующего димера выделено не было. Предложен механизм образования продуктов распада, которыми являются II–IV. Образование V происходит, вероятно, вследствие окисления IV NO, образующимся при разложении. При пиролизе Ib без р-рителя при 153 и 185°, а также в $\text{C}_6\text{H}_5\text{NO}_2$ и кумоле при 153° выделены в %: 5-метил-5-фенил-оксазолидон-2, 64, 50, 61, 88; VI 7, 8, 7, 28, $\text{C}_6\text{H}_5\text{C}\equiv\text{CC}_6\text{H}_5$, 6, 7, 7, —; $\text{C}_6\text{H}_5(\text{CH}_3)\text{C}=\text{CH}_2$ 5, 10, —, — и $\text{C}_6\text{H}_5\text{CH}=\text{C}=\text{CH}_2$ 6, 8, 6, — соответственно. Последний выделен в виде 2,4-динитрофенилоазона 1-фенилпропандиона-1,2, т. пл. 263–264°, и образование его трудно объяснить. Пиролиз Iv в этих условиях приводит к единственному продукту — незамещ. при N оксазолидону (Iv, H вместо NO) (от 57–90%). При этом в $\text{C}_6\text{H}_5\text{NO}_2$ и $\text{C}_6\text{H}_5\text{COCN}_3$ в незна-

чительном кол-ве был выделен циклогексанон (1,4–2,1%). Пиролиз I показал, что выход соответствующих оксазолидонов в равных условиях увеличивается от Ia к Iv и что пиролиз Ib в основном сходен с Ia.

32512. Оксазоловые цианиновые и мероцианиновые красители и промежуточные продукты для них. Часть II. Промежуточные продукты, полученные из дезиламинов (1,2-диарил-2-оксоэтиламинов). Джефрис (Oxazole cyanine and merocyanine dyes, and intermediates. Part II. Intermediates derived from diarylamines (1:2-diaryl-2-oxoethylamines). Jeffreys R. A.), J. Chem. Soc., 1957, Aug., 3396–3402 (англ.)

1,2-диарил-2-оксоэтиламины $\text{R}''\text{COCHR}'\text{NHR}$ (I) обра-

зуют с CSCl_2 4,5-диарил-2-тиоксазолины $\text{R}''\text{C}=\text{CR}'\text{NRCSO}$

(II), с CS_2 — 4,5-диарил-2-тиотиазолины $\text{R}''\text{C}=\text{CR}'\text{NRCSS}$ (III) и с CH_3COCl — соли 4,5-диарил-2-метилоксазоли-

$\text{R}''\text{C}=\text{CR}'\text{N}+\text{R}=\text{C}(\text{CH}_3)\text{O}\cdot\text{X}^-$ (IV). Действием $(\text{CH}_3)_2\text{SO}_4$ II переведены в сульфометилаты 2-метилтиоксазо-

лины $\text{R}''\text{C}=\text{CR}'\text{N}+\text{R}=\text{C}(\text{SCH}_3)\text{O}\cdot\text{X}^-$ (V), а III превращены в *n*-толуолсульфонаты 2-метилтио-4,5-диарил-

тиазолины $\text{R}''\text{C}=\text{CR}'\text{N}+\text{R}=\text{C}(\text{SCH}_3)\text{S}\cdot\text{X}^-$ (VI). Из IV и V синтезированы оксазоловые монометинцианины

$\text{YCR}''=\text{CR}'\text{NRC}=\text{CH}(\text{CH}=\text{CH})_n$ $\text{C}=\text{N}+\text{R}^+\text{CR}'=\text{CC}_6\text{H}_4\cdot\text{X}^-$ (VII Y = Z = O, $n = 0$), которые не удалось улучшить обработкой $\text{C}_5\text{H}_{11}\text{ONO}$ солей 2-метилоксазоли-

Из VI получены аналогичные оксазолтиазоловые VII V = O, Z = S, $n = 0$) (VIII) и тиазоловые VII (Y = Z = S, $n = 0$) (IX) красители. Из V синтезиро-

ван также ряд мероцианинов $\text{YCR}''=\text{CR}'\text{NRC}=\text{CH}(\text{CH}=\text{CH})_n=\text{CCONR}^+\text{CSZ}$ (X $n = 0$), а из IV — соли 2,2'-

анилиновинил-4,5-диарил-оксазолины $\text{OCR}''=\text{CR}'\text{N}+\text{R}=\text{C}\cdot\text{CH}=\text{CHNHC}_6\text{H}_5\cdot\text{X}^-$ (XI) (синтез XI см. часть I, J. Chem. Soc., 1952, 4828); XI превращены в сим-три-

метинцианины VII (Y = Z = O, $n = 1$) (XII) и диметинмероцианины X ($n = 1$) (XIII). Полученные VII почти бесцветны ($\lambda_{\text{макс}} \approx 385 \text{ м}\mu$), $\lambda_{\text{макс}}$ VIII $\approx 415 \text{ м}\mu$,

$\lambda_{\text{макс}}$ IX $\approx 440 \text{ м}\mu$; многие из VII–IX флуоресцируют в твердом состоянии и в р-ре, особенно в УФ-свете.

Наблюдается батохромный сдвиг $\lambda_{\text{макс}}$ при переходе от VII–IX к XII (120–140 мμ) и увеличение ε в соответствии с данными для бензоксазоловых и других цианинов. Многие из синтезированных красителей являются сильными фотосенсибилизаторами; красители с

высшими алкилами менее эффективны. Кипятят 4 часа 21,2 г бензоина, 30 мл 70%-ного водн. $\text{C}_2\text{H}_5\text{NH}_2$ и 1 г $\text{C}_2\text{H}_5\text{NH}_2\cdot\text{HCl}$ (через 2 часа добавляют еще 15 мл водн. $\text{C}_2\text{H}_5\text{NH}_2$), р-р подщелачивают 1 н. Na_2CO_3 и

экстрагируют эфиром, из которого осаждают сухим HCl хлоргидрат (XГ) I (R = CH_3 , R' = R'' = C_6H_5), выход 49%, т. пл. 236° (из сп.-эф.). Аналогично синте-

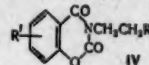
зированы XГ I (R = CH_3 , R' = R'' = C_6H_5), выход 43%, т. пл. 240° (из 4-метоксibenзоина) I (R = C_6H_5 , R' = C_6H_5 , R'' = $n\text{-CH}_3\text{OC}_6\text{H}_4$), R'' = $n\text{-CH}_3\text{OC}_6\text{H}_4(\text{C}_6\text{H}_5)$ (смесь изомеров) (Ia). Прочие XГ I (синтез см. J. Amer. Chem. Soc., 1948, 70, 2015; 1949, 71, 478) (перечислены R, R' = R'', здесь и ниже даны выходы в %, т. пл. в °C): C_4H_9 , C_6H_5 , 33, 229 (из сп.-эф.); $n\text{-C}_{18}\text{H}_{37}$, C_6H_5 , 90, неочищ.; C_4H_9 , $n\text{-CH}_3\text{OC}_6\text{H}_4$, 68, 204 (из CH_3OH -эф.); $n\text{-C}_{12}\text{H}_{25}$, $n\text{-CH}_3\text{OC}_6\text{H}_4$, 64, неочищ. Р-р I в 600 мл CHCl_3 (из 0,1 моля XГ) обрабатывают 0,1 моля CSCl_2 (охлаждение, затем 30 мин. при ~20°) и выделяют II (перечислены R, R' = R'' = C_6H_5 , выход в % и т. пл. в °C): C_2H_5 , 53, 163 (из CH_3OH); C_4H_9 , 20, 145 (из лигн.);

$n\text{-C}_4\text{H}_9$, 90, масло (неочищ.); C_6H_5 , 48, 226 (из $\text{C}_6\text{H}_5\text{NO}_2$ - оп.). Ia превращен в смесь изомерных II ($\text{R} = \text{C}_2\text{H}_5$) (выход 32%), хроматографированных на Al_2O_3 (в лигн.-бэл.) с $\text{R}' = n\text{-CH}_3\text{OC}_6\text{H}_4$, $\text{R}'' = \text{C}_6\text{H}_5$, т. пл. 180° , и с $\text{R}' = \text{C}_6\text{H}_5$, $\text{R}'' = n\text{-CH}_3\text{OC}_6\text{H}_4$, т. пл. 145° (обе из бэл.-петр. эф.). Сплавляют II с 1,5 моля $(\text{CH}_3)_2\text{SO}_4$ (100° , 0,5—1 час), V без очистки переводят в красители. Смесь 0,1 моля XI I ($\text{R} = \text{C}_2\text{H}_5$, $\text{R}' = \text{R}'' = \text{C}_6\text{H}_5$), 0,13 моля CS_2 и 0,2 моля КОН (в 12 мл воды) в 100 мл спирта кипятят 1 час и разбавляют водой. Выход III ($\text{R} = \text{C}_2\text{H}_5$, $\text{R}' = \text{R}'' = \text{C}_6\text{H}_5$) 57%, т. пл. 132° (из бэл.-петр. эф.). Аналогично получен III с $\text{R} = \text{C}_4\text{H}_9$, $\text{R}' = \text{R}'' = \text{C}_6\text{H}_5$, выход 90%, т. пл. 139° (из бэл.-петр. эф.). Сплавлением с 1,1 моля $n\text{-CH}_3\text{C}_6\text{H}_4\text{SO}_3\text{CH}_3$ (130° , 1 час) III переводят в VI, применяемые без очистки. Кипятят 3 часа 0,1 моля XI I с 0,1 моля CH_3COCl в 120 мл $(\text{CH}_3\text{CO})_2\text{O}$, упаривают в вакууме, остаток растворяют в спирте и выливают в водн. р-р NaClO_4 или KJ и отделяют IV (даны R, X, $\text{R}' = \text{R}'' = \text{C}_6\text{H}_5$, кроме оговоренных): CH_3 , ClO_4 , 46, 156 (из сп.-эф.); C_2H_5 , ClO_4 , 62, 152 (из CH_3OH -эф.); C_4H_9 , J, 77, 179 (из сп.-эф.); $n\text{-C}_4\text{H}_9$, J, 63, 130 (из CH_3OH -эф.); $n\text{-C}_{12}\text{H}_{25}$, ClO_4 ; $n\text{-C}_{18}\text{H}_{37}$, ClO_4 , оба неочищ.; C_6H_5 , J, 60, 266 (из CH_3OH -эф.); C_4H_9 , $\text{R}' = \text{R}'' = n\text{-CH}_3\text{OC}_6\text{H}_4$, ClO_4 , 83, 181 (из CH_3OH -эф.); $n\text{-C}_{12}\text{H}_{25}$, $\text{R}' = \text{R}'' = n\text{-CH}_3\text{OC}_6\text{H}_4$, ClO_4 , 85, 120 (из этилацетата-лигн.). Кипятят 10 мин. 0,01 моля V (или VI) с 0,01 моля IV (или соответствующей соли тиазола) и 0,01 моля $(\text{C}_2\text{H}_5)_3\text{N}$ в спирте или $\text{C}_6\text{H}_5\text{N}$ (по 20 мл) и в случае некристаллизующихся красителей р-р выливают на водн. KJ или NaClO_4 . Получены VII—IX (приведены R = R³ для VII и R, R³ для VIII—X; $\text{R}' = \text{R}^2 = \text{R}^4 = \text{C}_6\text{H}_5$, кроме оговоренных): VII, C_2H_5 , ClO_4 , 15, 281 (разл.; из $\text{C}_6\text{H}_5\text{N-CH}_3\text{OH}$ -эф.); $n\text{-C}_4\text{H}_9$, ClO_4 , 21, 184 (из CH_3OH -эф.); C_6H_5 , J, 30, > 330 (из $\text{C}_6\text{H}_5\text{N}$ -эф.); C_2H_5 , ClO_4 , $\text{R}' = n\text{-CH}_3\text{OC}_6\text{H}_4$, $\text{R}^2, \text{R}^4 = \text{C}_6\text{H}_5$, 22, 277 (из водн. $\text{C}_6\text{H}_5\text{N}$) (из IV с $\text{R} = \text{C}_2\text{H}_5$, $\text{R}' = n\text{-CH}_3\text{OC}_6\text{H}_4$, $\text{R}'' = \text{C}_6\text{H}_5$, X = $n\text{-CH}_3\text{C}_6\text{H}_4\text{SO}_3$ и V с $\text{R} = \text{C}_2\text{H}_5$, $\text{R}' = \text{R}'' = \text{C}_6\text{H}_5$); VIII, C_2H_5 , C_2H_5 , J, 21, 273 (из сп.-эф.); C_2H_5 , C_4H_9 , ClO_4 , 24, 254 (из $\text{C}_6\text{H}_5\text{N}$ -эф.); IX, C_2H_5 , C_4H_9 , ClO_4 , 33, 279 (разл.; из $\text{C}_6\text{H}_5\text{N-CH}_3\text{OH}$). Кипятят 0,25 часа по 0,01 моля V, 3-алкилазолидона-4 (AA) и $(\text{C}_2\text{H}_5)_3\text{N}$ в 25 мл спирта и добавляют несколько капель воды, получают X (перечислены AA, R, R³; $\text{R}' = \text{R}^2 = \text{C}_6\text{H}_5$ и Y = O, кроме оговоренных): 3-замещ. тиазолидон-4 (XIV) (Z = S), C_2H_5 , C_2H_5 , 64, 179 (из бэл.-петр. эф.); C_2H_5 , CH_2COOH , 30, 257 (из бэл.-петр. эф.); C_4H_9 , $\text{CH}_2\text{COOC}_2\text{H}_5$, 28, 139 (из бэл.-петр. эф.); $n\text{-C}_4\text{H}_9$, C_2H_5 , 49, 106 (из сп.); C_6H_5 , $\text{CH}_2\text{COOC}_2\text{H}_5$, 74, 331 (из $\text{C}_6\text{H}_5\text{N-CH}_3\text{OH}$); C_2H_5 ($\text{R}' = \text{C}_6\text{H}_5$, $\text{R}^2 = n\text{-CH}_3\text{OC}_6\text{H}_4$), CH_2COOH 42, 250 (разл.; из $\text{C}_6\text{H}_5\text{N}$ -петр. эф.); C_2H_5 ($\text{R}' = \text{C}_6\text{H}_5$, $\text{R}^2 = n\text{-CH}_3\text{OC}_6\text{H}_4$), C_2H_5 , —, 180 (из бэл.-эф.); C_2H_5 ($\text{R}' = n\text{-CH}_3\text{OC}_6\text{H}_4$, $\text{R}^2 = \text{C}_6\text{H}_5$), C_2H_5 , 37, 205 (из бэл.-петр. эф.); Y = S, R = C_4H_9 , $\text{R}^3 = \text{CH}_2\text{COOH}$ (из VI с R = C_4H_9 , $\text{R}' = \text{R}^2 = \text{C}_6\text{H}_5$), 38, 266 (из $\text{C}_6\text{H}_5\text{N-CH}_3\text{OH}$); 3-этил-2-тиооксазолидон-4 (XV) (Z = O), C_2H_5 , C_2H_5 , 31, 177 (из бэл.-петр. эф.); 1,3-диэтил-2-тиогидантоин (XVI) (Z = NC_2H_5), C_2H_5 , C_2H_5 , 14, 182 (из лигн.). Синтезированные XI (перечислены R, $\text{R}' = \text{R}''$, X): $n\text{-C}_4\text{H}_9$, C_6H_5 , J, 87, 182 (из CH_3OH -эф.); $n\text{-C}_{12}\text{H}_{25}$, C_6H_5 , ClO_4 , 69, 127 (из этилацетата-петр. эф.); $n\text{-C}_{18}\text{H}_{37}$, C_6H_5 , ClO_4 , 62, 131 (из CH_3OH -эф.); C_6H_5 , C_6H_5 , J, 62, 260 (из CH_3OH -эф.); C_4H_9 , $n\text{-CH}_3\text{OC}_6\text{H}_4$, ClO_4 , 88, 224 (из сп.-эф.); $n\text{-C}_{12}\text{H}_{25}$, $n\text{-CH}_3\text{OC}_6\text{H}_4$, ClO_4 , 54, 169 (из CH_3OH). XII синтезированы кипячением (0,25—0,5 часа) IV, XI и $(\text{CH}_3\text{CO})_2\text{O}$ (по 0,01 моля) с 0,02 моля $(\text{C}_2\text{H}_5)_3\text{N}$ в 20 мл спирта. Перечислены R = R³, $\text{R}' = \text{R}^2 = \text{R}^4$, X, т. пл. $^\circ\text{C}$ (из CH_3OH -эф.): C_4H_9 , $n\text{-CH}_3\text{OC}_6\text{H}_4$ ($n\text{-CH}_3\text{OC}_6\text{H}_4$ вместо C_6H_5 в положении 5), ClO_4 , 67, 203; $n\text{-C}_4\text{H}_9$, C_6H_5 , J, 75, 219; C_6H_5 , C_6H_5 , J, 50, 301. Промежуточные при синтезе XII $n\text{-CH}_3\text{CO}$ -производные XI выделить или синтезировать из XI и $(\text{CH}_3\text{CO})_2$ не удалось. Аналогично

X синтезированы следующие XIII из XI, AA, $(\text{CH}_3\text{CO})_2\text{O}$ (по 0,01 моля) и 0,02 моля $(\text{C}_2\text{H}_5)_3\text{N}$ в 25 мл спирта (перечисление см. при X; $\text{R}^3 = \text{C}_2\text{H}_5$, кроме оговоренного): XV (Z = O), C_4H_9 , ($\text{R}' = \text{R}'' = n\text{-CH}_3\text{OC}_6\text{H}_4$), 40, 142 (из бэл.-петр. эф.); C_4H_9 , C_6H_5 , 85, 209 (из бэл.-петр. эф.); $n\text{-C}_4\text{H}_9$, C_6H_5 , 68, 103 (из водн. сп.); C_6H_5 , C_6H_5 , 56, 250 (из бэл.-петр. эф.); XIV (Z = S), C_6H_5 , C_6H_5 , $\text{R}^3 = \text{CH}_2\text{COOC}_2\text{H}_5$, 35, 244 (из бэл.-петр. эф.); XVI (Z = C_2H_5), C_4H_9 , $n\text{-CH}_3\text{OC}_6\text{H}_4$, 41, 186 (из бэл.-петр. эф.); C_6H_5 , C_6H_5 , 73, 247 (из бэл.-петр. эф.); $n\text{-C}_4\text{H}_9$, C_6H_5 , 87, 140 (из водн. сп.). Для всех в-в $\lambda_{\text{макс}}$ сняты в CH_3OH . А. Точилкин

32513. Пиридилэтилированные бензоксазиндионы. Шапиро, Роз, Фридман (Pyridylethylated benzoxazinodiones. Shapiro Seymour L., Rose Ira M., Freedman Louis), J. Amer. Chem. Soc., 1957, 79, № 11, 2811—2814 (англ.)

1,3-бензоксазиндионы-2,4 (I), полученные из амиды салициловой к-ты (II) или его производных и $\text{ClCOO-C}_6\text{H}_5$, легко пиридилэтилируются 2-винил-, 5-этил-2-винил- и 4-винилпиридинами (III) в отсутствие катализатора и р-рителя с образованием N-пиридилэтил-I (IV) (здесь и далее а R-пиридил-2, 6 R-5-этилпиридил-2, в R-пиридил-4). Для сравнения другим методом получены N-(β -фентил)-I (V) и N-(β -3,4-диметоксифенил)-этил-I (VI). Гидролиз IV водн. щелочью при $\sim 20^\circ$ является удобным методом синтеза N-пиридилэтилированных II типа $o\text{-HOC}_6\text{H}_4(\text{R}')\text{CONH-CH}_2\text{CH}_2\text{R}$ (VII). Строение IV подтверждается образованием 2-(2-аминоэтил)-пиридина (VIII) при гидролизе VIIa ($\text{R}' = \text{H}$) HCl (к-той) или IVa ($\text{R}' = \text{H}$) горячей щелочью. Описаны N-пиридилэтилированные имида общей ф-лы $\text{XCH}_2\text{CH}_2\text{R}$ (IX), полученные из фенобарбитала, сахарина, сукцинимиды и теofilлина. Фармакологич. исследование показало, что IVa, в ($\text{R}' = \text{H}$) показывают противосудорожную активность (на животных), сравнимую с данными тридона. Болеутоляющее действие IVb, в ($\text{R}' = 8\text{-CH}_3$) в 2—3 раза выше, чем II. Йодметилаты IVb ($\text{R}' = 6\text{-OH}$ и 7-OH) обладают большей противовоспалительной активностью, но и большей токсичностью, чем бутозолидин. К суспензии 0,2 моля 5-бром-II в 100 мл NC_5H_5 и 60 мл CH_3CN прибавляют (5° , 20 мин.) 0,22 моля $\text{ClCOOC}_2\text{H}_5$, отгоняют 120 мл дестилата (т-ра в остатке 122°), кипятят 1 час, охлаждают, обрабатывают 300 мл воды + 10 мл конц. HCl и отделяют 6-бром-I, выход 95,3%, т. пл. 286° (из 2-метоксипропанола (X)). Получены следующие I (перечисляются положение заместителя, исходный II, выход в %, т. пл. $^\circ\text{C}$): 6-Cl, 5-хлор-II, 64, 280 (из X); 8-CH₃, 3-метил-II, 81, 210—212



[из $n\text{-C}_4\text{H}_9\text{OH}$ (XI)]; 6- C_6H_5 , 5-фенил-II (т. пл. $173\text{—}176^\circ$), 75, 258—259 (из $\text{HCON}(\text{CH}_3)_2$); 8- C_6H_5 , 3-фенил-II (т. пл. $144\text{—}145^\circ$), 91, 232—234 (из XI); 6-ОН, 5-окси-II, 88, 303—305 (из NC_5H_5 -гексана); 7-ОН, 4-окси-II (т. пл. $234\text{—}235^\circ$), 91, 310 (из XI). Смесь 0,033 моля 6-хлор-I и 25 мл III нагревают до плавления и затем 2 часа при 150° , охлаждают, декантируют избыток III и осадок промывают гексаном, выход IVb ($\text{R}' = 6\text{-хлор}$) 97%, т. пл. $215\text{—}216^\circ$ (из X); йодметилат, выход 67%, т. пл. $183\text{—}185^\circ$ (из CH_3CN). Аналогично получены следующие IVa (перечисляются R' , выход в %, т. пл. в $^\circ\text{C}$, выход в %, и т. пл. в $^\circ\text{C}$ йодметилата): H, 64, 122 (осажден NaOH из кислого р-ра); 53, 215—218 (из CH_3OH и этилацетата (XII)), хлоридрат, т. пл. $202\text{—}205^\circ$; 6-Cl, 58, 154—155 (из XII), 74, 212—218 (из CH_3CN); 6-Br, 29, 161—165 (из XII), 85, 218—221 (из CH_3CN); 8-CH₃, 45, 132—133 (из XII- C_6H_4), 92, 230—235 (из CH_3CN); 8- C_6H_5 , 75, 166—168 (из XI),

89, 194—198 (из CH_3CN -XII); 6-OH, 32, 202—205 (из XI), 96, 231—233 (из диметилформамида (XIII)-XII); 7-OH, 74, 217—219 (из XI), 75, 243—245 (из XIII). Получены следующие IVb: H, 75, 130—132 (из XII- C_6H_{14}), 58, 217—220 (из сп.); 6-Cl, 39, 154 (из XII- C_6H_{14}), —, —; 6-Br, 48, 155—157 (из XII), 52, 190—192 (из CH_3CN); 8- CH_3 , 57, 97—98 (из XII- C_6H_{14}), 88, 224—228 (из CH_3CN); 6- C_6H_5 , 63, 163—164 (из XII), 87, 178—181 (из CH_3CN -XII); 8- C_6H_5 , 68, 139—142 (из XI), 83, 211—213 (из CH_3CN -XII); 6-OH, 55, 192—194 (из XI), 72, 210—213 (из XIII-XII); 7-OH, 57, 186—188 (из XI), 76, 200—204 (из XIII-XII). Получены следующие IVв: H, 68, 155—156, 60, 192—194 (из сп.); 6-Br, 69, 229—230 (из XI), 56, 190—193 (из CH_3CN); 8- CH_3 , 76, 181—183 (из XI), 82, 190—200 (из CH_3CN); 6- C_6H_5 , 73, 170—171 (из XI), 95, 214—215 (из CH_3CN); 8-OH, 57, 158—160 (из XI), 89, 191—192 (из CH_3CN -XII); 6-OH, 73, 260 (из XIII), 81, 210—212 (из XIII-XII); 7-OH, 67, 260 (из XIII), 79, 208—210 (из XIII-XII). Из смеси 15,2 г метилового эфира салициловой к-ты и 20 мл β -фенэтиламина отгоняют летучие в-ва до 104° (внутри массы), при охлаждении получают N-(β -фенэтил)-II, выход 92,5%, т. пл. 94—95° (из эф.), который при циклизации с $\text{ClCOOC}_2\text{H}_5$, как описано выше, дает V, выход 59%, т. пл. 163—165° (из XII- C_6H_{14}). Аналогично из β -(3,4-диметоксифенил)-этиламина получают N-[β -(3,4-диметоксифенил)-этил]-II, выход 19%, т. пл. 110—111° (из CH_3CN -эф.), и VI, выход 52%, т. пл. 173—175° (из XI). 5,3 ммоль IVв ($\text{R}' = 8\text{-C}_6\text{H}_5$) в 50 мл 5%-ного р-ра NaOH размешивают до растворения осадка (2 часа), подкисляют HCl и прибавляют избыток NaHCO_3 , получают VIIв ($\text{R}' = 3\text{-C}_6\text{H}_5$), выход 93,2% (66% очищ.), т. пл. 180—182° (из XII- C_6H_{14}). Аналогично из соответствующих IV получены VII [перечисляются R' , для а выход в % и т. пл. в °C (из XII- C_6H_{14}), то же для б, то же для в]: H, 43, 114—115, 49, 107—108, 53, 105—106; 3- C_6H_5 , 63, 140, 58, 113—114. Из VIIa ($\text{R}' = \text{H}$) в 20%-ной HCl (кипячение 16 час.) выделяют дихлоргидрат VIII, выход 56%, т. пл. 182—188°. Получены следующие IX (X — остаток сукцинимид) (перечисляются для а выход в % и т. пл. в °C, то же для б, то же для в): 71, 109—111 (из XII- C_6H_{14}), йодметилат, выход 91%, т. пл. 212—218 (из CH_3CN), 43, 101—102 (из XII- C_6H_{14}), 16, 124—126 (из XII). Ранее описанным методом (Kirchner, Cavalito, пат. США 2498497) в присутствии основного катализатора получены: IXa (X — остаток теофиллина), выход 57%, т. пл. 122—124° (из CH_3OH); йодметилат, выход 60%, т. пл. 212—214° (из CH_3OH); IXв (X — остаток теофиллина), выход 65%, т. пл. 175—177° (из сп.); IXa (X — остаток фенобарбитала), выход 10%, т. пл. 143—146° (из XII- C_6H_{14}) и IXa (X — остаток сахарина), выход 38%, т. пл. 145—148° (из CH_3OH).

B. Дубинин

32514. Синтез 2-оксахинолизида [октагидропиридо-2,1-с)-оксазин]. Ринк, Эйх (Synthese des 2-Oxachinolizidins [Octahydropyrido-(2.1.c)-oxazin]. Rink Melanie, Eich Hubert), Naturwissenschaften, 1957, 44, № 22, 584 (нем.).

На-производное 2-пиридилкарбинола с $\text{ClCH}_2\text{COO}-\text{C}_6\text{H}_5$ дает (2-ликопил)-2-карбэтоксиметилэфир (I), т. кип. 99—101°/0,07 мм; пикрат, т. пл. 84—85,5°. I восстанавливают над PtO_2 до (2-пипеконил)-2-карбэтоксиметилового эфира, который при перегонке циклизуется в 2-окса-4-кетоксинолизида (II), т. кип. 95—98°/0,07 мм. II при восстановлении LiAlH_4 превращается в 2-оксахинолизин, т. кип. 78—80°/15 мм; пикрат, т. пл. 209,5—210,5°.

И. Цветкова

32515. Изучение мезонных соединений. III. Реакции 3-фенил-4-бромсиднона. Като, Ота (Studies on meso-ionic compounds. III. Reactions of 3-phenyl-4-bromosydnone. Kato Hiroshi, Ohta Masaki),

Bull. Chem. Soc. Japan, 1957, 30, № 3, 210—213 (англ.).

3-Фенил-4-бромсиднон (I), полученный бромированием 3-фенилсиднона (II), обладает заметным окислительным действием. I с Na-солью *n*-тиокрезола (III) образует ди-*n*-толилдисульфид (IV) и II. С NaHS или Na_2S I также восстанавливается в II с выделением 8. 1 моль $\text{N}_2\text{H}_4 \cdot \text{H}_2\text{O}$ в спирте не изменяет I, но избыток его восстанавливает I до II. Атом Br не удается удалить из I действием $(\text{C}_2\text{H}_5)_2\text{NH}$ и скелетного Ni, но Zn + водн. CH_3COOH размыкают кольцо I по N-N-связи с образованием NH_4 -соли N-фенилглицина, идентифицированной переводом в N-нитрозо-N-фенилглицин. Обработка I тиомочевинной (V) приводит к 4-бис-(3-фенилсиднонил)-сульфиду (VI). I реагирует с Mg практически только в присутствии CH_3J , причем продукт р-ции при гидролизе дает II. К суспензии I в H и 2 г NaHCO_3 в 30 мл эфира добавляют 1 г Br_2 и через короткое время отделяют I, выход 78%, т. пл. 141° (разл.; из сп.). В 20 мл абс. CH_3OH растворяют 0,1 г Na, 0,5 г III и 1 г I, оставляют на 12 час. и выделяют 0,4 г IV и 0,15 г II. Р-р I и V (по 1 г) в 20 мл спирта кипятят 6 час. и через 12 час. отделяют 0,2 г VI, т. пл. 164—165° (из ацетона и сп.). Суспензию, содержащую 0,5 г I, 0,22 г Mg и 1 г CH_3J в 10 мл абс. эфира, перемешивают 3 часа, добавляют воду и выделяют 0,47 г II. Сообщение II см. РЖХим, 1958, 8017. С. Гурвич

32516. Изучение мезонных соединений. IV. Подготовка и нитрование 3-фенилсиднона. Хасемото, Ота (Hashimoto Mutsuko, Ohta Masaki), Нихон какаку дзасси, J. Chem. Soc. Japan. Pure Chem. Sec., 1957, 78, № 1, 181—183 (японск.). Смесь 10 г $\text{C}_6\text{H}_5\text{N}(\text{NO})\text{CH}_2\text{COOH}$ и 15 г $(\text{CH}_3\text{CO})_2\text{O}$ оставляют на 3 дня, получают 3-фенилсиднон (I), выход 50%, т. пл. 134—135° (из лигр.). Изучено нитрование I различными способами. Наилучший выход (41—43%) нитропроизводного, т. пл. 140° (разл.), получен при добавлении к р-ру 3,2 г I в 50 мл конц. H_2SO_4 порошка 6,1 г KNO_3 при т-ре от -7 до -8° с последующим перемешиванием 15 мин., или при добавлении к р-ру 3,2 г I в 40 мл конц. H_2SO_4 6 мл конц. HNO_3 при -5° с последующим перемешиванием 10 мин. I не нитруется смесью HNO_3 с лед. CH_3COOH или $(\text{CH}_3\text{CO})_2\text{O}$ при т-ре от -6 до -7° и ~ 20°. Внесение I в смесь $\text{HNO}_3-\text{H}_2\text{SO}_4$ дает низкие выходы. Л. Яновская

32517. Термическое разложение 1,2,4-оксадиазолонов-5. Новый синтез бензимидазолов. Баккетти, Алеманья (Decomposizione termica di 1-2,4-ossadiazoloni-5. Una nuova sintesi di benzimidazoli. Bacchetti Tullio, Alemagna Andreina), Atti Accad. naz. Lincei. Rend. Cl. sci. fis., mat. e natur., 1957, 22, № 5, 637—641 (итал.).

При нагревании 4-фенил-(Ia), или 4-*n*-хлорфенил-(Ib)-3-фенил-1,2,4-оксадиазолонов-5 выше т-р их плавления (210—240°) наблюдается выделение CO_2 и образование с хорошими выходами 2-фенил-(IIa) и 2-фенил-5(6)-хлор-(IIb)-бензимидазолов; 4-*n*-толил-(Iв) и 4-*m*-толил-(Iг)-3-фенил-1,2,4-оксадиазолоны-5 в аналогичных условиях дают один и тот же 2-фенил-5(6)-метилбензимидазол (IIв). Ia, т. пл. 166—167° (из сп.); Ib, т. пл. 156° (из сп.); Iв, т. пл. 163°, и Iг, т. пл. 139—140°, синтезированы с выходами 85—89% конденсацией соответствующих $\text{RC}_6\text{H}_4\text{C}=\text{N}(\text{NHC}_6\text{H}_5)$ и $\text{SClCOOC}_2\text{H}_5$ в CHCl_3 в присутствии Na_2CO_3 . Ia — г постепенно нагревают до 210—240°, продукт перегоняют или кристаллизуют из $\text{C}_6\text{H}_5\text{NO}_2$ и получают IIa, выход 90%, т. пл. 292°; IIб, выход 76%, т. пл. 210° или IIв, выход 66%, т. пл. 240°. Д. Витковский

32518. Синтезы циклических азотистых соединений из аминокислот. II. Синтезы тиазола и его производных из L-цистеина. III. Синтезы производных 9H-пирид-[3,4-б]-индола из L-триптофана. IV. Син-

темы 2-арилпиридина из 5-аминопентановой кислоты. Муракоши (Murakoshi J. samu), Якутаку двасси, J. Pharm. Soc. Japan, 1957, 77, № 5, 490—493, 548—551 (японск.; рез. англ.).

II. Конденсирующий агент (I), полученный нагреванием (~100°, 2 часа) полифосфорной к-ты (30 г P_2O_5 в 20 мл 85%-ной H_3PO_4) и 0,33—0,26 ее кол-ва $POCl_3$ нагревают (150—160°, 2 часа) с этиловым эфиром N-ацетил-, N-бензоил-, N-фенилацетил-, и N-формил-L-цистеин, получают соответственно 2-метил-, 2-фенил-, 2-бензилтиазолы и тиазол с выходом 4, 20, 10 и 1%. Подобная обработка диэтилового эфира диацетил-L-цистеина в присутствии $SnCl_2$ приводит к 2-метилтиазолу с малым выходом. Механизм р-ции предполагается тождественным образованию изохинолинового кольца из фенилаланина (см. сообщение I, РЖХим, 1958, 28794).

III. Смесь I и этилового эфира ацетил-, фенилацетил-, L-триптофана нагревают (140—150°, 1 час), выделяется CO, получают 1-метил- и 1-бензил-9H-пирид-[3,4-b]-индол, выход и т-ра плавления пикратов 20%, 263—264° (разл.) и 10%, 235—236° (разл.) соответственно. Р-ция с бензоильным производным не увенчалась успехом. Механизм р-ции см. сообщение I.

IV. При сухой перегонке ароматич. ацильных производных 5-аминопентановой к-ты (получена перегруппировкой Бекмана из циклопентаноксима) с натронной известью (II), BaO, NaNH₂ и Zn-пыль выделяются частично гидрированные 2-арилпиридины, вода, NH₃ и горючий газ; дегидрированием смеси легко получают 2-арилпиридины. Из 5-бензоиламинопентановой к-ты (III) получен 2-фенил-3,4,5,6-тетрагидропиридин (выход в %, соответственно с конденсирующим в-вом, 50, 30, 12 и 3), из которого дегидрированием (170—180°, 4—5 час., Pd-чернь, в присутствии сафрала) получен 2-фенилпиридин, выход 90—95%. При сухой перегонке III образуется смесь (7—8 вес. %), содержащая дифенил-, ацетофенон и бензонитрил. Сухая перегонка 5-(o- и n-толуиламидо)-пентановой к-ты с II приводит к 2-толилгидропиридинам, выход 40%, из которых дегидрированием получают соответствующие 2-толилпиридины.

П. Соков
32519. Синтезы цианиновых красителей конденсацией n-диэтиламинобензальдегида с некоторыми гетероциклическими соединениями. Часть VII. Доджа, Бенерджи (Synthesis of cyanine dyes by the condensation of p-diethylaminobenzaldehyde with appropriate heterocyclic compounds. Part VII. Doja M. Q., Banerjee J. C.), J. Indian Chem. Soc., 1957, 34, № 8, 599—605 (англ.).

Изучены свойства йодметилатов общей ф-лы

$[n-(C_6H_5)_2NC_6H_4CH=CHCHSC(R)=C(R')NCH_3]+J^-$ (I). Для экстрачувствительности (ЭС) красителя заместители в положении 5 более эффективны сравнительно с положением 4, в котором ЭС меняется в зависимости от ряда: $n-JC_6H_4 > n-BrC_6H_4 > n-ClC_6H_4 > n-CH_3C_6H_4 > C_6H_5 > CH_3$. Конденсацией йодметилата

замещ. тиазола $CH_3CHSC(R)=C(R')N+CH_3J^-$ (II) диэтиламинобензальдегидом (III) в абс. спирте (IV) в присутствии пиридина (V) впервые получены I [приводятся значения R, R', кол-ва II и III в г, IV в мл, число капель V, продолжительность кипячения в часах, выход в %, и т. пл. в °C (из CH_3OH): H, n- $CH_3C_6H_4$, 0,7, 0,4, 1,0, 4, 12 (осаждают эфиром), 60, 184; H, n- ClC_6H_4 , 0,6, 0,4, 10, 4, 24 (выпаривают при ~100°, остаток промывают эфиром), 30, 160 (из лед. CH_3COOH и затем CH_3OH); H, n- BrC_6H_4 , —, 0,2, 10, 2, 18, 17, 198; H, n- JC_6H_4 , 0,9, 0,4, 10, 4, 2, 37,5, 214; CH_3 , C_6H_5 , 1, 0,2, 10, 4, 5, 65, 201 (или получают так же, как I, где R = H и R' = n- ClC_6H_4); C_6H_5 , C_6H_5 , 0,4, 0,2, 5, 2, 2, 37, 218. II (R = CH_3 , R' = C_6H_5) получают на-

греванием в запаянной трубке (~100°, 48 час.) 1 моля 4-фенил-2,5-диметилтиазола с 1,5 моля CH_3J , т. пл. 181° (из IV). Приведены данные по изменению окраски р-ра красителя в спирте (1:50 000) при титровании 0,01 н. HCl, и области ЭС в А. Часть VII см. РЖХим, 1957, 908.

П. Соков
32520. Получение S-замещенных o- и n-аминотиофенолов. Применение к новому синтезу 2-фенилбензотиазолов. Ланц, Мингассон, Деларю (Préparation d'ortho- et de paraaminothiophénols substitués dans leur groupe thiol. Application à un nouvelle synthèse des phényl-2 benzothiazoles. Lantz Robert, Mingasson Georges, Delarue Henri), Bull. Soc. chim. France, 1957, № 10, 1201—1203 (франц.).

Описано получение водн. р-ров аминотиофенолятов (I), пригодных для многих синтезов. При действии на I алкил- и арилреагентов получают соответствующие S-замещ. аминотиофенолы; при ацилировании реагируют SH- и NH₂-группы. Приведен новый синтез 2-фенилбензотиазола (II) и 5-Cl-II. Кипятят 456 г 100%-ного $N_2S \cdot 9H_2O$ (III) и 32 г S в 1200 мл воды, без нагревания, прибавляют (0,5 часа) 157,5 г o- $ClC_6H_4NO_2$ (IV), слабо кипятят еще 2 часа; отгоняют с паром o- $H_2NC_6H_4Cl$ и фильтруют теплый р-р o-I. Аналогично получены р-ры n- $H_2NC_6H_4SNa$, 4-Cl-2- $H_2NC_6H_4SNa$ [из 2,5- $Cl_2C_6H_3NO_2$ (V)], 4- CH_3O -2,5-(H_2N)₂ C_6H_3SNa (VI) [из 2-Cl-4- $HCONH$ - (или CH_3CONH)-5- CH_3O - $C_6H_3NO_2$]. В I [из 76 г n- $ClC_6H_4NO_2$ (VII)] прибавляют (15—20°, N_2) 63 г $(CH_3O)_2SO_2$, отделяют 53 г n- $H_2NC_6H_4SCH_3$. Аналогично получают 12,5 г n- $H_2NC_6H_4SCH_3$ (из 23,4 г VII) и o- $H_2NC_6H_4SCH_3$ (из IV). В I (из 63 г IV) прибавляют (3 часа), доводя т-ру до 80—90°, 45 г $C_6H_5CH_2Cl$ (VIII) (проба с Pb^{2+}); отгоняют примеси с водяным паром, отделяют 71 г o- $H_2NC_6H_4SCH_3C_6H_5$ (IX). Аналогично к I (из 192 г V) прибавляют (2 часа) 100 г VIII; доводят т-ру до 80° и отделяют 185 г 2- NH_2 -4- $ClC_6H_3SCH_2C_6H_5$ (X). Прибавляя 1 экв VIII к р-ру VI, получают 4- CH_3O -2,5-(NH_2)₂ $C_6H_3SCH_2C_6H_5$. Аналогично получены 4- $H_2NC_6H_4SCH_2C_6H_5$, 4- $NH_2C_6H_4SCH_2C_6H_5$ -n, 4- $NH_2C_6H_4SCH_2C_6H_5$ -изо, 4- $NH_2C_6H_4SCH_2C_6H_5$ -втор и 4- $NH_2C_6H_4C_6H_{11}$ (из $C_6H_{11}Br$). Нагревают (200°, 4 часа и затем 250°, 1 час) смесь 21 г S и неочищ. IX; удаляют S, промывая смесь (0,5 часа) кипящим 40%-ным водн. р-ром III, получают II, выход 61%, т. кип. 205—210°/13—14 мм, т. пл. 112—113° (из сп.). Нагревают (250°, 3 часа) 12,8 г S и 50 г неочищ. X, получают 41,2 г 5-Cl-II, т. кип. 200—210°/5 мм, т. пл. 137°.

П. Соков
32521. Поиски химиотерапевтических средств для *Mycobacterium tuberculosis*. XV. Синтез и противобактериальная активность 2-салицилденгидразонотиазолидона-4 и родственных соединений (8). Танияма, Танака, Утида (Taniyama Yuozo, Tanaka Yukio, Uchida Homare), Якутаку двасси, J. Pharm. Soc. Japan, 1957, 77, № 2, 210—211 (японск.; рез. англ.).

Синтезированы производные $RNCOCH_2SC=NN=CH-C_6H_4OH$ -o (I), замещ. в положении 3 различными остатками (здесь и далее во всех ф-лах а R = CH_3 , 6 R = C_6H_5 , в R = $C_6H_4OCH_3$ -n) с целью исследования их активности против туберкулеза (приведены данные для *Mycobacterium tuberculosis*). Исходными в-вами для получения I служили производные $S=C(NHR)NHNH_2$ (II), в свою очередь синтезированные при участии CH_3NH_2 , $C_6H_5NH_2$ и n- $CH_3OC_6H_4NH_2$. Конденсация II с $ONHSC_6H_4OH$ -o приводит к образованию $S=C(NHR)NHN=CHC_6H_4OH$ -o (III); в результате взаимодействия III с $ClCH_2COOC_2H_5$ были получены I: IIIa, т. пл. 207° (разл.), выход Ia 88%, т. пл. 221°; IIIб, т. пл. 205° (разл.), выход Ib 64%, т. пл. 270°; IIIв, т. пл. 192° (разл.), выход Iv 85%, т. пл. 257°.

(разд.). Наиболее активно I с ($R = H$). Сообщение XIV см. РЖХим, 1958, 28822. Е. Головчинская

32522. Синтез аминоклизотиоурониевых солей и их превращение в меркаптоалкилгуанидины и тиазолины. Дозэрти, Шапира, Бернетт (Synthesis of aminoalkylisothiuronium salts and their conversion to mercaptoalkylguanidines and thiazolines. Doherty David G., Shapira Raymond, Burnett W. T., Jr), J. Amer. Chem. Soc., 1957, 79, № 24, 5667—5671 (англ.)

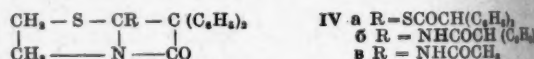
С целью поисков защитных средств против лучевой болезни синтезированы 2 группы солей аминоклизотиоуринов: $[R,R',R''N(CH_2)_nSC(NH_2)=NH_2]^+ \cdot 2X^-$ (I) и $[H_2NCH_2CH_2SC(NHR)=NHR']^+ \cdot 2Br^-$ (II). Установлено, что I ($n = R' = R'' = H$, $n = 2, X = Br$) превращается в нейтр. среде (pH 7—8) в $[HSC(NH_2)NHC(NH_2)=NH_2]^+ \cdot X^-$ (III), т. е. претерпевает интра-трансгуанилирование (ИТГ). Кипячение Ia при pH 3,5 (собственное pH 1) сопровождается выделением NH_3 (р-ция катализируется CO_2) и образованием бромгидрата 2-аминотиазолина (IV) с высоким выходом. Аналогичные р-ции претерпевает I ($6 R = R' = R'' = H$, $n = 3$, $X = Br$). Рассмотрен возможный механизм превращения Ia или Ib в III и в IV и высказано предположение о существовании неустойчивого промежуточного и-ва $HN(CH_2)_2SC(NH_2)_2$, которое, размы-

кая кольцо, превращается в III или, отщепляя NH_3 , дает IV. ИТГ не имеет места для I, если оба H у NH_2 -группы замещены алкилами или циклом, а также если $n = 4$; в этом случае I неустойчиво в нейтр. среде; замещение одного H не препятствует ИТГ. Получение I и II лучше всего проводить в абс. $iso-C_3H_7OH$ или в смеси абс. спирта и этилацетата (V); р-ция идет лучше с бромидом, чем с хлоридом. Все превращения I и II в III и IV изучены с помощью ионообменной техники. Синтезированы следующие конденсацией аминоклизотиоуронидов с $SC(NH_2)_2$ (перечисляются R, R', R'', n, X, т. пл. в °C): H, H, H, 2, Br, 193—194; H, H, H, 3, Br, 144—145; H, H, H, 4, Br, 187—188; H, H, H, 2, Cl, —; H, H, H, 3, Cl, —; CH_3 , H, H, 2, Cl, 164—166; CH_3 , CH_3 , H, 2, Cl, 181—183; CH_3 , CH_3 , CH_3 , 2, Br, 120—122; C_2H_5 , C_2H_5 , C_2H_5 , 3, Br, 218—220; C_2H_5 , C_2H_5 , H, 2, Cl, 196—197; CH_3 , CH_3 , CH_3 , 3, Br, 194—195; C_2H_5 , C_2H_5 , H, 3, Br, 195,5—197,5; C_2H_7 , H, H, 2, Br, 103—106; C_2H_7 , H, H, 3, Br, 134—135; C_6H_5 , H, H, 2, Br, 217—218; CH_3CO , H, —, 2, Cl, 193—194; $(CH_2)_4$, H, 2, Cl, 179—181; $(CH_2)_4$, H, 3, Cl, 223—224; $(CH_2)_4$, H, 4, Cl, 206—207; $(CH_2)_5$, H, 2, Cl, 226—227; $(CH_2)_5$, H, 3, Cl, 202—204; $(CH_2)_5$, H, 4, Cl, 174—173; $CH_2CH_2OCH_2CH_2$, H, 2, Cl, 239—240; $CH_2CH_2OCH_2CH_2$, CH_3 , H, 3, Cl, 221—223; $CH_2CH_2OCH_2CH_2$, H, 4, Cl, 192—194. Исходные хлориды для синтеза I, содержащих пирролидин, пиперидин и морфолин, получают алкилированием последних действием $Cl(CH_2)_nOH$ ($n = 2, 3, 4$) и обработкой образовавшихся аминокислот $SOCl_2$ в $CHCl_3$ при 20°. Получены следующие циклич. амины (перечисляются аминокислоты, их выход в % и т. кип. в °C/20 мм, выход в % и т. пл. в °C полученных из них хлоргидратов хлоридов): 2-(1-пирролидинил)-этанол-1, 83, 85, 75, 173—174; 3-(1-пирролидинил)-пропанол-1, 73, 110, 82, 142—143; 4-(1-пирролидинил)-бутанол-1, 67, 122, 60, 111—113; 2-(1-пиперидинил)-этанол-1, 86, 95, 77, 231—232; 3-(1-пиперидинил)-пропанол-1, 74, 115, 71, 208—209; 4-(1-пиперидинил)-бутанол-1, 68, 126, 70, 162—163; 2-(4-морфолинил)-этанол-1, —, —, 80, 182—183; 3-(4-морфолинил)-пропанол-1, 76, 130, 76, 168—169; 4-(4-морфолинил)-бутанол-1, 61, 140, 68, 151—152. Нагревают смесь 7,6 г $LiAlH_4$ в 300 мл эфира с 32,2 г $C_6H_5O(CH_2)_2CN$ в 200 мл эфира, разлагают водой при 0°, добавляя 500 мл 20%-ного водн. р-ра $KOOC-$

$(CHON)_2COONa$, из эфирного р-ра выделяют $C_6H_5O(CH_2)_2NH_2$ (VI); р-р VI в C_3H_7OH насыщают HBr , выход VI $\cdot HBr$ 86,5%, т. пл. 159—160; кипятят 6 час. 37 г VI $\cdot HBr$ с 100 мл 48%-ного р-ра HBr , выпаривают в вакууме досуха, выход $Br(CH_2)_2NH_2 \cdot HBr$ 85,5%, т. пл. 146—146,5° (из сп.-V). $Cl(CH_2)_nNRR' \cdot HCl$ ($n = 2$ или 3, R и R' = H, CH_3 или C_2H_5) получают пропусканием HCl в р-р $HO(CH_2)_nNRR'$ в C_3H_7OH и нагреванием $HO(CH_2)_nNRR' \cdot HCl$ с $SOCl_2$ в $CHCl_3$ или в C_6H_6 . Из $HO(CH_2)_2NHC(CH_3)_2$ ($n = 2$ и 3) получают $Br(CH_2)_2NHC(CH_3)_2 \cdot HBr$, выход 80%, т. пл. 188—189°, и $Br(CH_2)_3NHC(CH_3)_2 \cdot HBr$, выход 82%, т. пл. 190—191°. К 40,2 г $Br(CH_2)_2NBr$ ($n = 2$ или 3) в 20 мл толуола прибавляют 12 г триметил- или триэтиламина при 0°, нагревают (40°, 12 час., под давлением), нагревают лигроином или эфиром $Br(CH_2)_nN + R_3Br$, выход $Br(CH_2)_2N + (CH_3)_3Br$ 70,5%, т. пл. 208° (из сп.). Р-р 76,1 г $SC(NH_2)_2$ в 400 мл $iso-C_3H_7OH$ кипятят 20 мин. с 205 г $Br(CH_2)_2NH_2 \cdot HBr$, выделяется Ia, выход 82%, т. пл. 193—194°. Кипятят р-р 28,1 г Ia в 100 мл воды 30 мин. или в спирте 16 час., выпаривают в вакууме, получают IV, выход 85%, т. пл. 175—176°. Синтезированы следующие II конденсацией $Br(CH_2)_2NH_2 \cdot HBr$ с $SC(NHR)NHR'$ (перечисляются R, R', т. пл. в °C): CH_3 , H, 214—215; C_2H_5 , H, 141—144; $CH_2=CHCH_2$, H, 102—105; CH_2 , CH_2 (из этилентомоцины), 121—125; C_6H_5 , H, 221—222; C_2H_5 , C_2H_5 , 152—154; C_4H_9 , C_4H_9 , 135—137; $C_6H_5CH_2$, $C_6H_5CH_2$, 118—119.

32523. О получении β-лактамов присоединением кетенов к Δ²-тиазолину и основаниям Шиффа. Пфлегер, Егер (Über die Darstellung von β-Lactamen durch Anlagerung von Ketenen an Δ²-Thiazoline und Schiff'sche Basen. Pfleger Robert, Jäger Alfred), Chem. Ber., 1957, 90, № 11, 2460—2470 (нем.)

Показано, что 2-меркапто-(I) и 2-аминотиазолин (II) не реагируют с кетеном (III) и фенил-III (IIIa). Напротив дифенил-III (IIIb) с I и II, а также с их ацильными производными образует тиазолидин-β-лактамы (IVa—v). 2-Фенил-5,5-диметил-4-карбометокситиазолин с IIIb не реагирует даже при 200°. Исследованы р-ции III, IIIa, б с основаниями Шиффа типа $RC_6H_4CH=NC_6H_5$ (V) и $C_6H_5CH=NC_6H_4R$ (VI) для выяснения влияния природы и положения заместителей на выход β-лактамов. Показано, что в отличие от неполярных групп полярные заместители оказывают значительное влияние на р-цию, меньшее значение имеет их положение в кольце (V или VI). Паразитным является то, что из хлорпроизводных только метасоединения образуют β-лактамы, причем р-ция идет бурно уже при ~20°. Подобным образом реаги-



рует V, где $R = N(CH_3)_2$ -n. Р-р 0,6 г I и 0,97 г IIIb в 13 мл чистого этилацетата встряхивают в атмосфере N_2 20 мин. (подогревают, если р-ция не начинается) и через 12 час. отделяют IVa, выход 68%, т. пл. 182° (из этилацетата). IVa при нагревании с р-ром NaOH в водн. CH_3OH дает дифенилуксусную к-ту (VII), выход 90%; с I, а с анилином (100%, 2 мин.) образует анилин VII, выход 98%. В условиях синтеза IVa с 0,34 г II и 1,28 г IIIb (5 мин.) получают 2-(дифенилацетамидо)-тиазолин, выход 37%, т. пл. 193° (из ацетона), который с IIIb (по 3 ммоль) в 17 мл C_6H_6 (~20°, 12 час.) дает IVb, выход 44%, т. пл. 125° (из этилацетата). 2-ацетамидотиазолин и IIIb в C_6H_6 дают IVв, выход 54%, т. пл. 147° (из этилацетата-петр. эф. 1:1). При расщеплении IVв NaOH выделяют VII, вы-

ход 91%, а анилином анирид VII, выход 90%. V и III6 (по 4,1 ммоль) нагревают при 70–80° почти до обесцвечивания массы, растирают ее с 10 мл смеси эфир-петр. эфир (1:1) и отделяют $C_6H_5NCH(C_6H_5R)C-$

$(C_6H_5)_2CO$ (VIII) [перечисляются R (тот же, что у исходного V), выход в %, т. пл. в °C]: $o-CH_3$, 52, 168 (из 80%-ного CH_3OH); $m-CH_3$, 63, 107,5 (из 80%-ного ацетона); $p-CH_3$ (р-цию проводят в 7 мл C_6H_6 при ~20°, 1 час), 72, 171 (из 80%-ного ацетона); $o-CH_3O$, 30, 236 (из 70%-ного пиридина); $m-CH_3O$ (при 150°, 10 мин.), 21, 204 (из 70%-ного пиридина); $m-Cl$ (экзотермич. р-ция), 71, 176,5 (из $iso-C_3H_7OH$) (IX); $n-(CH_3)_2N$ (в C_6H_6 , 20°, 12 час), 67, 173,5 (из 70%-ного IX). VIII, где $R = n-CH_3O$, $o-Cl$, $n-Cl$, $o-$, $m-$, $m-NO_2$ не получены даже при 150–200°. Смещение VI и III6 при ~20° приводит к следующим $RC_6H_5NCH(C_6H_5)C-$

$(C_6H_5)_2CO$ (X): $o-CH_3$ (растирают с этилацетатом при 0°), 72, 165 (из лед. CH_3COOH); $m-CH_3$, 69, 166,5; $n-CH_3$ (в эфире, 48 час.), 21, 169 (из лед. CH_3COOH); $o-CH_3O$ (в этилацетате при охлаждении), 55, 150 (из IX); $n-CH_3O$, 16, 204 (из бал.-петр. эф., 1:1); $m-Cl$ (экзотермич. р-ция), 98, 183; X, где $R = o-Cl$, $n-Cl$, $o-$, $m-$, $m-NO_2$ не получены даже при 150–200°. Диацетил-данил с III6 в этилацетате (кипение 3 часа) дает 1,3,3,4-тетрафенил-5,6-диметил-2-оксо-1,2,3,4-тетрагидропиразин, выход 61%, т. пл. 187°. Анид изовалерианового альдегида и бензальбензиламин не реагируют при ~200°. Р-ции с IIIa. К бензальанилину и диазо-ацетофенону (по 10 ммоль) в 30 мл абс. C_6H_6 добавляют 0,75 г сухого Ag_2O , нагревают (40–50°, 4 часа с пропусканием N_2), отгоняют C_6H_6 , выдерживают 48 час. и получают 1,3,4-трифенилазетидин-2 (XI), выход 35%, т. пл. 133° (из IX). Аналогично из соответствующих V получают следующие $C_6H_5NCH(C_6H_5R)-$

$CH(C_6H_5)CO$: $o-CH_3$, 21, 138; $m-CH_3$, 20, 129; $n-CH_3$, 14, 117,5 (растирают с петр. эф.; из IX); $o-CH_3O$, 25, 124 (из лед. CH_3COOH); $m-CH_3O$, 29, 136 (из петр. эф.; из CH_3OH); $m-Cl$, 13,5, 131 (из 80%-ного IX); $n-(CH_3)_2N$ (при 45°), 90, 153 (из IX). V ($R = o-Cl$, $n-Cl$, $o-$, $m-$, $m-NO_2$) не реагируют при 80°, а I и II даже в присутствии BF_3 , $AlCl_3$, $ZnCl_2$ и $FeCl_3$. Аналогично XI из соответствующих VI получают следующие RC_6H_5NCH-

$(C_6H_5)CH(C_6H_5)CO$: $o-CH_3$, 12, 143 (из этилацетата); $m-CH_3$, 15, 133 (из IX); $n-CH_3$, 15, 180 (из этилацетата-петр. эф.); $o-CH_3O$, 5 (из-за разложения основания Шиффа), 139 (из IX); $n-CH_3O$, 19, 156 (из IX); $m-Cl$, 28, 123 (из IX). Анид бензофенона дает 1,3,4,4-тетрафенилазетидин-2, выход 42%, т. пл. 153° (из IX), циннамальанилин образует 1,3,4-трифенил-3,4-дигидропиридон-2, выход 32%, т. пл. 107°, а данил диацетил-1,3,4-трифенил-5,6-диметил-2-оксо-1,2,3,4-тетрагидропиразин, выход 47%, т. пл. 122° (из IX). VI ($R = o-$, $n-Cl$, $o-$, $m-$, $m-NO_2$) не реагируют при 80°. В 10 ммоль V при 180–200° пропускают 1 час III, через 2 недели массу растирают с эфиром-петр. эфиром (1:1) и отделяют $C_6H_5NCH(C_6H_5R)CH_2CO$: $o-CH_3$, 11,5, 134 (из 80%-ного CH_3OH); $m-CH_3$, 12, 87 (из 80%-ного сп.); $n-CH_3$, 22, 109 (из петр. эф.); $o-CH_3O$, 30, 106; $m-CH_3O$, 16, 96; $m-Cl$, 32, 148 (из IX); $n-(CH_3)_2N$ (кристаллизуется сразу), 62, 155,5 (из IX). Аналогично из VI и III получают $RC_6H_5NCH(C_6H_5)CH_2CO$: $o-CH_3$,

(несколько недель), 7, 107 (из CH_3OH); $m-CH_3$, 18, 91 (из петр. эф.); $n-CH_3$, 13, 126; $o-CH_3O$, —, —; $n-CH_3O$ (кристаллизуется сразу), 19, 86 (из петр. эф.); $m-Cl$, 34,

97 (из CH_3OH). Циннамальанилин в этих условиях дает 1,4-дифенил-3,4-дигидропиридон-2, выход 69%, т. пл. 87° (в-во в CH_3OH) освещают углем, прибавляют петр. эф., кипятят 1 час и фильтрат охлаждают, а при р-ции с данилом диацетил продукт не выделен. Б. Дубинин 32524. 5-[индолил-(3)-метиле]-роданин, три изомерных 5-[пиридил-(2,3, или 4)-метиле]-роданина и их применение в качестве органических реактивов. Ней (5-[Indolyl-(3)-methylene]-rhodanine und die drei isomeren 5-[Pyridyl-(2, 3 bzw. 4)-methylene]-rhodanine sowie ihr Verhalten als organische Reagenzien. Neu Richard, Chem. Ber., 1957, 90, № 11, 2638–2643 (нем.)

Взаимодействием роданина (I) с 3-индолальдегидом (II), $4-(CH_3)_2NC_6H_4CHO$, 2-, 3- и 4-пиридиальдегидами синтезированы роданины, замещ. в положении 5 следующими двухвалентными радикалами: индолил-(3)-метиле-(III), $4-(CH_3)_2NC_6H_4CH-$ (IV), пиридил-(2)-метиле-(V), пиридил-(3)-метиле-(VI) и пиридил-(4)-метиле-(VII). К р-ру 4,9 г I и 5 г II в 45 мл CH_3OH прибавляют 10 мл лед. CH_3COOH , нагревают 2,5 часа при ~100° и выливают в 250 мл воды, получают III, выход 73,1%, т. пл. 282°. В условиях, близких к описанным, получают IV, выход 88,7%, т. пл. 275–280° (из сп.); V (~100°, 7 час), выход 87,6%, т. пл. 253–258° (из CH_3OH); VI (в присутствии безводн. CH_3COOK), выход 82%, т. пл. 285–288° (из CH_3OH), и VII (в присутствии безводн. CH_3COONa), выход 95%, т. пл. 295–305° (из бутанола). Цветные р-ции указанных производных I с ионами тяжелых металлов позволяют открыть следующие миним. кол-ва последних (указаны кол-ва Au, Ag, Cu^+ , Cu^{2+} , Hg^{2+} в γ): III, 0,013, 0,107, 1,27, 0,031, 0,1; IV, 0,013, 0,107, 1,27, 0,031, 0,02; V, —, 2,14, 0,127, 0,031, 0,2; VI, —, 0,107, 0,127, 0,062, 0,02; VII, —, 0,214, 0,127, 0,062, 0,2.

А. Травин

32525. Синтез 2-метилнафто-[2,3]-тиазола и его производных. Цуноо, Иноуэ, Фудзивара (Tsunoo Liyunzo, Inoue Isaburo, Fujiwara Mituto), Нихон сясин гаккай кайси, J. Soc. Scient. Photogr. Japan, 1955, 18, № 2-3, 71–74 (японск.; рез. англ.)

1-бром-2-тиоацетонафталид (I) в результате окисления $K_3Fe(CN)_6$ при 25° дает 4-бром-2-метилнафто-[2,3]-тиазол (II). При дебромировании II Zn получают 2-метилнафто-[2,3]-тиазол (III). Последний при расщеплении KOH превращается в 2-меркапто-3-аминонафталин, который окисляется H_2O_2 до 3,3'-диаминодинафтилдисульфида-2,2' (IV). При обработке CS_2 IV дает 2-меркаптонафто-[2,3]-тиазол (V). V метилируют CH_3J и получают 2-метилмеркаптонафто-[2,3]-тиазол (VI). Нагревают 33 г 1-бром-2-ацетонафталида и 16 г P_2O_5 7 час. при 110°, подщелачивают и нейтрализуют CO_2 , получают 21 г I, т. пл. 140–142° (из CH_3OH). К р-ру 28 г I в 200 мл 8%-ного NaOH за 1 час при 25° добавляют 132 г $K_3Fe(CN)_6$ в 300 мл воды, 100 мл CCl_4 , получают 15 г II, т. кип. 224°/7 мм, т. пл. 105° (из сп.). К смеси 14 г II, 30 г Zn-пыли и 160 мл спирта при кипении добавляют 100 мл конц. NH_4OH и нагревают 4–7 час., получают III, выход 70–80%, т. кип. 184–186°/5 мм, т. пл. 105–106° (из лигр.). 5 г III нагревают под давлением при 160° с 12 г KOH в 30 мл спирта 3 часа, продукт р-ции обрабатывают H_2O_2 в водн. KOH, получают 4 г IV, т. пл. 193° (из сп.). 5 г IV нагревают с 30 мл CS_2 в 100 мл спирта под давлением 3 часа при 120–130°, получают 4,6 г V, т. пл. 221°, который растворяют в 50 мл 5%-ного NaOH, добавляют 5 г CH_3J в 40 мл спирта и нагревают при 100°, получают VI, т. пл. 123–125° (из сп.). Н. Швецов

32526. Синтез 2-тиахинолизидина [октагидропиридо-(2,1-с)-тиазина]. Ринк, Рим Хоо Кван (Synthese

des 2-Thiachinolizidins [Octahydropyrid-(2,1,c)-thiazin]. Rink Melanie, Liem Hoo Gwan, Naturwissenschaften, 1957, 44, № 21, 559 (нем.)

При присоединении $\text{HOCH}_2\text{CH}_2\text{SNa}$ к хлоргидрату пиперидилхлорида получается с почти колич. выходом (пиперидил-2)-2-оксиэтилтиоэфир, т. кип. 105—106°/0,2 мм; реинекат, т. пл. 141—142°, превращающийся при действии HBr и последующем нагревании с $\text{C}_2\text{H}_5\text{ONa}$ в 2-тиахинолизидин, выход 70—75%, т. кип. 107—108°/14 мм; пикрат, т. пл. 217—220° (разл.); йодметилат, т. пл. 280—281°; перхлорат (ПХ), т. пл. 141—142°, окисляющийся мононафталевой к-той или H_2O_2 в 2-хинолизидинсульфон, т. пл. 165—166° (из сп.); ПХ, т. пл. 196—198°. Л. Щукина

32527. Влияние тетрагидрофурана на металловывающие ферроцена буталитием. Мейо, Шоу, Рауш (Effect of tetrahydrofuran on the lithiation of ferrocene. Mayo D. W., Shaw P. D., Rausch M., Chemistry and Industry, 1957, № 42, 1388-1389 (англ.))

Исследовано металловывание ферроцена (I) $\text{C}_5\text{H}_5\text{Li}$ (II) в смеси тетрагидрофурана (ТГФ) и эфира (1:1). Наилучший результат получен при взаимодействии 6 молей II с 1 молем I (5 час., 25°), выход монолитийферроцена 43%, дилитийферроцена, 35% (по результатам карбоксилирования), выход 91% (по использованному I). Приведены результаты опытов в других условиях и кривые зависимости выхода от продолжительности р-ции. Показано, что с повышением т-ры р-ция ускоряется, но ускоряется и взаимодействие II с ТГФ. Н. Волькенгау

32528. Об ассоциации литийорганических соединений жирного ряда в растворах углеводородов. Пиотровский К. Б., Ронина М. П., Докл. АН СССР, 1957, 115, № 4, 737—739

Растворы алифатических соединений Li в углеводородах находятся в форме $(\text{LiR}_2)\text{-Li}^+$, что криоскопически показано на примере $\text{C}_2\text{H}_5\text{Li}$ (I) в C_6H_6 (0,04—0,4 моля I на 1000 г C_6H_6), $\text{C}_4\text{H}_9\text{Li}$ (II) в C_6H_6 (0,03—0,55 моля II на 1000 г C_6H_6) и II в циклогексане (0,03—0,35 моля II на 100 г C_6H_{12}). Ф. Величко

32529. Металлирование с помощью натрийорганических соединений. Бенкесер, Фостер, Сов, Нобис (Metalations with organosodium compounds. Benkeser Robert A., Foster Donald J., Sauve Dale M., Nobis John F.), Chem. Revs, 1957, 57, № 5, 867—894 (англ.)

Обзор. Выбл. 94 назв.

32530. Соединения цинка с имидазолами. Вейтцель, Фреддорф (Zink-Imidazol-Verbindungen. Weitzel Günther, Fretzdorff Anna-Maria), Hoppe-Seyler's Z. physiol. Chem., 1956, 305, № 1, 1—20 (нем.; рез. англ.)

Из имидазола (I), 1-метил-I (II), 2-метил-I (III), 4(5)-метил-I (IV), 1,3-диметил-I (V), бензимидазола (VI), 2-метил-VI (VII), 2-этил-VI (VIII), N-метил-VI (IX), гистамина (X) и уроканиновой к-ты (XI) получены Zn-содержащие комплексы или соли. В зависимости от условий образуются смешанные соли (в-ва А) с замещением 1 атома Н в исходном циклич. соединении (ИЦС) на ZnOCOR , продукты замещения 2 атомов Н в 2 ИЦС атомом Zn (в-ва Б), комплексы ИЦС с ZnX_2 (2:1) (в-ва В) за счет координационной связи Zn с пиридиновыми атомами N, в-ва типа 2 I · $\text{ZnCl}_2 \cdot (\text{HCl})_2$ (в-ва Г). Рассматриваются вопросы о пространственной конфигурации полученных Zn-соединений и об их возможной биологич. роли. Из 2 ммольей ZnCl_2 и 4 ммольей I в буферной среде с pH 9,5 или на 10 ммольей I, 3 ммольей глицина и 10 ммольей моногидрата диглицината Zn, или же из 3 ммольей I, 1,5 ммольей $\text{Zn}(\text{OH})_2$ получено в-во типа Б. Аналогично получены в-ва Б из III, IV, VI, VII, X, XI. К р-ру 4 г ZnCl_2 прибавляют HCl при pH 3,5—4,

затем прибавляют 10 ммольей I и выделяют в-во типа В. Аналогично получены в-ва В из I (с CH_3COO) $_2\text{Zn}$ (XII), II (с ZnCl_2), V (с ZnCl_2), III (с ZnCl_2), VI (с ZnCl_2), VII (с ZnCl_2), VII (с XII), VIII (с ZnCl_2), VIII (с XII). К р-ру 4 ммольей I в конц. HCl прибавляют р-р 2 ммольей ZnCl_2 в абс. спирте, выделено в-во Г, т. пл. 192—193° (из сп.-эф.). Аналогично получены другие в-ва Г [указаны ИЦС, т. пл. в °С (из сп.-эф.)]: II, 135—136; IX, 182—183; X (состав I · X · 2HCl · ZnCl_2), ~ -10°. К р-ру 2 ммольей I в 3 мл воды прибавляют водн. р-р 2 ммольей $(\text{C}_2\text{H}_5\text{COO})_2\text{Zn}$, добавляют 1 н. NaOH до pH 7 и отделяют в-во типа А. Аналогично из VI получены А, где R = CH_3 , C_2H_5 , C_5H_{11} , C_7H_{15} , $\text{C}_{11}\text{H}_{23}$, $\text{C}_{15}\text{H}_{31}$, $\text{C}_{17}\text{H}_{35}$. Из XI также продукт замещения 2 атомов Н на Zn.

Я. Комиссаров

32531. К изучению арилборных кислот. IV. Нитрование некоторых арилборных кислот и свойства бор-углеродной связи. Тупсеелль (Zur Kenntnis der Arylborsäuren. IV. Nitrierung einiger Arylborsäuren und Eigenschaften der Bor-Kohlenstoff-Bindung. Torssell Kurt), Arkiv kemi, 1957, 10, № 5, 513—521 (нем.)

С целью изучения ориентирующего влияния $\text{B}(\text{OH})_2$ -группы, а также с целью сравнения прочности $\text{C-B} <$ связи в различных $\text{ArB}(\text{OH})_2$ (I), проведено нитрование ряда I. Из $o\text{-CH}_3\text{C}_6\text{H}_4\text{B}(\text{OH})_2$ (II) при обработке смесью HNO_3 и H_2SO_4 при т-ре от -40 до -45° образуется $2\text{-CH}_3\text{-3,5-(NO}_2)_2\text{C}_6\text{H}_3\text{B}(\text{OH})_2$ (III). При нитровании $m\text{-CH}_3\text{CONHC}_6\text{H}_4\text{B}(\text{OH})_2$ (IV) дымящей HNO_3 получена $3\text{-CH}_3\text{CONH-6-NO}_2\text{C}_6\text{H}_3\text{B}(\text{OH})_2$ (V), наряду с небольшими кол-вами $3\text{-CH}_3\text{CONH-2-NO}_2\text{C}_6\text{H}_3\text{B}(\text{OH})_2$ (VI) и $3\text{-CH}_3\text{CONH-4-NO}_2\text{C}_6\text{H}_3\text{B}(\text{OH})_2$ (VII). $\alpha\text{-C}_{10}\text{H}_7\text{B}(\text{OH})_2$, 2-тиенилборная к-та и $n\text{-CH}_3\text{O-C}_6\text{H}_4\text{B}(\text{OH})_2$ расщепляются при нитровании. Эти результаты, а также полученные ранее данные по нитрованию ряда других I, показывают, что $\text{B}(\text{OH})_2$ -группа направляет NO_2 -группы в мета-положение при нитровании в среде HNO_3 и в орто- и пара-положения при нитровании в CH_3COOH . Ориентирующее действие $\text{-B}(\text{OH})_2$ -группы заметно слабее ориентирующего влияния COOH- и NHCOCH_3 -групп. Заместители первого рода (NH_2 , CH_3) снижают, а заместители второго рода повышают прочность связи $\text{Ar-B} <$. При попытке синтеза $n\text{-(CH}_3)_2\text{NC}_6\text{H}_4\text{B}(\text{OH})_2$ (VIII) по р-ции между $n\text{-(CH}_3)_2\text{NC}_6\text{H}_4\text{Li}$ (IX) и $(\text{C}_4\text{H}_9\text{O})_2\text{B}$ (X) установлено, что основным продуктом р-ции является $[n\text{-(CH}_3)_2\text{NC}_6\text{H}_4]_2\text{BOH}$, выделенная в виде ее амнозитилового эфира (XI). К-та VIII образуется при отщеплении от XI в присутствии воды молекулы $(\text{CH}_3)_2\text{NC}_6\text{H}_5$. К охлажд. от -40 до -45° смеси 12 мл HNO_3 (d 1,50) и 18 мл конц. H_2SO_4 при перемешивании добавлено 5 г II. Т-ра смеси осторожно повышена до -15°. Через час реакционный р-р разбавлен 200 мл воды. Выход III 75%, листочки, т. пл. 142° (из воды), после плавления теряет воду, затвердевает и снова плавится при 205—210°. 200 мг III нагревал 10 мин. с 6 мл 0,1 н. AgNO_3 . По охлаждению получено 87% $2,4\text{-(NO}_2)_2\text{C}_6\text{H}_3\text{CH}_3$, т. пл. 69—70°. При гидрировании III в присутствии скелетного Ni получен $2\text{-CH}_3\text{-3,5-(NH}_2)_2\text{C}_6\text{H}_3\text{B}(\text{OH})_2$ (XII), выход 81%, т. разл. 163°. К теплоту р-ру 0,2 г XII в 4 мл лед. CH_3COOH добавлен 1 мл $(\text{CH}_3\text{CO})_2\text{O}$. Р-рители удалены, $2\text{-CH}_3\text{-3,5-(NHCOCH}_3)_2\text{C}_6\text{H}_3\text{B}(\text{OH})_2$ перекристаллизован из воды, т. разл. > 340°. Р-р 26,5 г $m\text{-NO}_2\text{C}_6\text{H}_4\text{B}(\text{OH})_2$ в 150 мл спирта гидрирован при 20° в присутствии скелетного Ni. Реакционный р-р отфильтрован, разбавлен 50 мл воды, упарен в вакууме и смешан со 100 мл $(\text{CH}_3\text{CO})_2\text{O}$. После нагревания 15 мин. при 80° р-р сконцентрирован в вакууме. Выход IV 69%, т. пл. ~ 250° (из воды). К 15 мл HNO_3 (d 1,50) при -40 до -45° добавлено 3 г IV, через 15 мин. р-р

разбавлен 200 мл воды. Неочищ. V (3,5 г) экстрагирован кипящим ксилолом (3 × 25 мл). Выход V 69%, т. пл. 193—196°. В результате расщепления V разб. р-ром AgNO_3 получен $n\text{-NO}_2\text{C}_6\text{H}_4\text{NHCOCH}_3$, т. пл. 211—212°. К смеси 15 мл $(\text{CH}_3\text{CO})_2\text{O}$ и 0,7 мл HNO_3 (d 1,50) при -15° добавлено 2 г IV. Через 15 мин. после растворения IV р-р разбавлен 70 мл воды. Осадок отфильтрован, высушен и экстрагирован кипящим ксилолом (4 × 30 мл). Остаток 0,3 г V. Осадок, полученный по охлаждению фильтрата, растворен в 11 мл горячего $\text{CH}_3\text{COOC}_2\text{H}_5$. При медленном охлаждении получено 0,4 г VI, спекается при 140—150°, т. разл. $\sim 195^\circ$. Р-р упарен досуха. Остаток 0,3 г VII, желтые иголки, т. разл. 220—230°. Расщепление VI и VII разб. AgNO_3 дает $o\text{-NO}_2\text{C}_6\text{H}_4\text{NHCOCH}_3$, т. пл. 91—92°. 0,25 г I нагревали 7 мин. с 3 мл 2 н. HCl . Р-р нейтрализован 6 н. NaOH до pH 4—6. Выделено 0,12 г $3\text{-NH}_2\text{-6-NO}_2\text{C}_6\text{H}_3(\text{OH})_2 \cdot 0,5\text{H}_2\text{O}$, т. разл. 250—255° (из воды). 0,30 г IV кипятили 10 мин. с 5 мл 2 н. HCl . Р-р нейтрализован Na_2CO_3 и смешан с 0,3 г безводн. Na_2CO_3 и 0,25 г $\text{ClCOOC}_2\text{H}_5$. Получена $m\text{-C}_6\text{H}_4\text{OCONH-C}_6\text{H}_4\text{V}(\text{OH})_2$, т. пл. 202—203°. К р-ру 11,5 г X в 25 мл эфира при -70° добавлен р-р IX (10 г $n\text{-(CH}_3)_2\text{N-C}_6\text{H}_4\text{Br}$, 0,9 г Li и 100 мл эфира). На следующий день реакционная смесь обработана 25 мл льда и 20 мл 6 н. HCl . Водн. р-р нейтрализован 5 н. NaOH и смешан с 2 мл $\text{HOCH}_2\text{CH}_2\text{NH}_2$. Выделено 6 г XI, т. пл. 130—145°. После перекристаллизации XI из смеси (спирт-вода, 3:2), затем из C_6H_6 , получен 1,1 г VIII, т. пл. 270—275°. Сообщение III см. РЖХим, 1958, 14552. В. Вавер

32532. Борорганические соединения. Сообщение 17. О взаимодействии аминных комплексов эфиров диарилборных кислот и литийароматических соединений. Синтез несимметричных бортриаролов. Михайлов Б. М., Вавер В. А. Изв. АН СССР. Отд. хим. н., 1957, № 7, 812—817

При взаимодействии $(\text{C}_6\text{H}_5)_2\text{B}(\text{OC}_5\text{H}_{11}\text{-изо}) \cdot \text{C}_6\text{H}_5\text{N}$ (I), $(\text{C}_6\text{H}_5)_2\text{B}(\text{OC}_4\text{H}_9\text{-изо}) \cdot \text{C}_6\text{H}_5\text{N}$ (II) и $(\text{C}_6\text{H}_5)_2\text{B}(\text{OC}_4\text{H}_9\text{-н}) \cdot \text{C}_6\text{H}_5\text{N}$ (III) соответственно с $\alpha\text{-C}_{10}\text{H}_7\text{Li} \cdot (\text{C}_6\text{H}_5)_2\text{O}$ (IV), $n\text{-CH}_3\text{C}_6\text{H}_4\text{Li}$ (V) и $o\text{-CH}_3\text{C}_6\text{H}_4\text{Li}$ (VI) были получены $(\text{C}_6\text{H}_5)_2\text{B}(\alpha\text{-C}_{10}\text{H}_7) \cdot \text{C}_6\text{H}_5\text{N}$ (VII), $(\text{C}_6\text{H}_5)_2\text{B}(\text{C}_6\text{H}_4\text{-CH}_3\text{-н}) \cdot \text{C}_6\text{H}_5\text{N}$ (VIII) и $(\text{C}_6\text{H}_5)_2\text{B}(\text{C}_6\text{H}_4\text{CH}_3\text{-о}) \cdot \text{C}_6\text{H}_5\text{N}$ (IX). Из $(\alpha\text{-C}_{10}\text{H}_7)_2\text{B}(\text{OC}_4\text{H}_9\text{-изо}) \cdot \text{C}_6\text{H}_5\text{N}$ (X) и $\text{C}_6\text{H}_5\text{Li}$ (XI) и VI были синтезированы соответственно $(\alpha\text{-C}_{10}\text{H}_7)_2\text{B}(\text{C}_6\text{H}_5) \cdot \text{C}_6\text{H}_5\text{N}$ (XII) и $(\alpha\text{-C}_{10}\text{H}_7)_2\text{B}(\text{C}_6\text{H}_4\text{CH}_3\text{-о}) \cdot \text{C}_6\text{H}_5\text{N}$ (XIII), а из $(n\text{-BrC}_6\text{H}_4)_2\text{B}(\text{OC}_4\text{H}_9\text{-изо}) \cdot \text{C}_6\text{H}_5\text{N}$ (XIV) и VI — $(n\text{-BrC}_6\text{H}_4)_2\text{B}(\text{C}_6\text{H}_4\text{CH}_3\text{-о}) \cdot \text{C}_6\text{H}_5\text{N}$ (XV). Аналогично реагируют с AgLi и аммакаты эфиров диарилборных к-т. Так из $(\text{C}_6\text{H}_5)_2\text{B}(\text{OC}_4\text{H}_9\text{-изо}) \cdot \text{NH}_3$ (XVI) и V был получен $(\text{C}_6\text{H}_5)_2\text{B}(\text{C}_6\text{H}_4\text{CH}_3\text{-н}) \cdot \text{NH}_3$ (XVII), а из $(n\text{-ClC}_6\text{H}_4)_2\text{B}(\text{OC}_4\text{H}_9\text{-изо}) \cdot \text{NH}_3$ (XVIII) и XI — $(n\text{-ClC}_6\text{H}_4)_2\text{BC}_6\text{H}_5 \cdot \text{NH}_3$ (XIX). Пиридинат VIII был превращен в $(\text{C}_6\text{H}_5)_2\text{BC}_6\text{H}_4\text{CH}_3\text{-н}$ (XX) при обработке его 30%-ной H_2SO_4 (основное ограничение данного способа — быстрый распад образующегося Ar_2B в кислой среде). $(\alpha\text{-C}_{10}\text{H}_7)_2\text{BC}_6\text{H}_5$ (XXI) и $(\alpha\text{-C}_{10}\text{H}_7)_2\text{BC}_6\text{H}_4\text{CH}_3\text{-о}$ (XXII) были получены при пиролизе XII и XIII. Пиридинат XIII был разложен также р-ром $\text{C}_6\text{H}_2(\text{NO}_2)_3\text{OH}$ (XXIII). После хроматографии продуктов р-ции на Al_2O_3 был выделен XXII. Аммакаты XVII и $(\text{C}_6\text{H}_5)_3\text{B} \cdot \text{NH}_3$ (XXIV) были гладко превращены в Ar_2B при обработке их р-ром сухого HCl в абс. эфире. К р-ру I (из 0,04 моля $(\text{C}_6\text{H}_5)_2\text{B}(\text{OC}_5\text{H}_{11}\text{-изо})$, 0,04 моля $\text{C}_6\text{H}_5\text{N}$ и 10 мл абс. эфира) прибавлена без охлаждения суспензия 0,042 моля кристаллич. IV (см. Михайлов Б. М., Чернова Н. Г., Докл. АН СССР, 1951, 78, 489) в 50 мл эфира. После 4 час. кипячения реакционный р-р упарен до $\frac{1}{5}$ первоначального объема и разбавлен CH_3OH . Выход VII 57,5%, т. пл. 175—180° (разл.). В р-цию взято 0,03 моля II и 0,03 моля V. После 3 час. кипячения

реакционная смесь упарена и разбавлена вода. CH_3OH (1:1). Получено 77% VIII, т. пл. 156—158° (из водн. сп.). В тех же условиях из 0,004 моля III и 0,005 моля VI получено 87% IX, т. пл. 177—178° (из водн. ацетона); из 0,03 моля X и 0,035 моля XI образуется 91% XII с т. пл. 215—217° и из 0,015 моля X и 0,0153 моля VI получено 77% XIII с т. пл. 203—205°. К р-ру 5 ммолей XIV прибавлено 5 ммолей VI. После 3 час. кипячения р-р упарен, остаток разбавлен 10 мл 90%-ного CH_3OH . Выход XV 72%. К взвеси 0,024 моля XVI в 30 мл абс. эфира без охлаждения при перемешивании добавлен р-р 0,03 моля V. После 4 час. кипячения реакционная смесь обработана NH_3 , затем водой. Эфирный слой упарен, остаток разбавлен смесью 15 мл воды и 5 мл CH_3OH . Выход XVII 53%, т. пл. 189—191°, т-ра спекания 140—150° (разл.; из бэл.). Аналогично из 0,25 моля XVIII и 0,25 моля X было получено 42,5% XIX, т. пл. 213—215° (из сп.). 0,01 моля VIII, 20 мл эфира и 15 мл 30%-ной H_2SO_4 размешивали 5 мин. Эфирный слой отделен, подсушен K_2CO_3 . По удалении р-рителя выделено 49% XX, т. кип. 170—173°/3 мм. В колбу с саблеобразным приемником помещено 0,014 моля XII. В результате 10—15 мин. нагревания содержимого в вакууме при 175—185° выделено 87,5% $\text{C}_6\text{H}_5\text{N}$ (из лопушки), 0,5 г C_{10}H_8 и 2,2 г неочищ. XXI с т. кип. 230—240°/2 мм. После перекристаллизации неочищ. XXI из смеси C_6H_6 -петр. эфира получено 45% XXI с т. пл. 146—148°. В тех же условиях из продуктов пиролиза 0,01 моля XIII выделено 88,5 г $\text{C}_6\text{H}_5\text{N}$ и после 2 перегонки 2,10 г XXII с т. кип. 197—199°/0,08 мм. К горячему р-ру 8,6 ммолей XIII в 80 мл C_6H_6 прибавлен р-р 1,96 г XXIII в 20 мл C_6H_6 , $\text{C}_6\text{H}_5(\text{NO}_2)_3\text{OH} \cdot \text{C}_6\text{H}_5\text{N}$ (XXV) отфильтрован, промыт C_6H_6 и высушен. Получено 95,5% XXV с т. пл. 165—166° (из сп.). Р-р XXII пропущен через колонку 15 × 150 мм с Al_2O_3 . Из фильтрата выделено 82% XII с т. кип. 196—199°/0,08 мм. К р-ру 0,014 моля XVII в 5 мл сухого ацетона добавлен эфирный р-р 0,016 моля сухого HCl . Р-р XX отфильтрован от NH_4Cl . Выход XX 2,88 г, т. кип. 171—172°/3 мм. Аналогично из 3,7 ммолей XXIV в результате обработки его эфирным р-ром 4 ммолей HCl было получено 0,47 г $(\text{C}_6\text{H}_5)_3\text{B}$ с т. пл. 136—138°. Сообщение 16 см. РЖХим, 1957, 77149. В. Вавер

32533. Борорганические соединения. Сообщение 18. Новый метод синтеза диарилборных кислот. Михайлов Б. М., Вавер В. А., Изв. АН СССР, Отд. хим. н., 1957, № 8, 989—991

$(\text{изо-C}_4\text{H}_9\text{OBO})_3$ (I) и $(\text{цикло-C}_6\text{H}_{11}\text{OBO})_3$ (II) (см. РЖХим, 1956, 892) реагируют с $\text{C}_6\text{H}_5\text{MgBr}$ (III), $\alpha\text{-C}_{10}\text{H}_7\text{MgBr}$ (IV), $n\text{-CH}_3\text{C}_6\text{H}_4\text{MgBr}$ (V) и $o\text{-CH}_3\text{C}_6\text{H}_4\text{MgBr}$ (VI), гладко образуя соответствующие Ar_2BOH , которые могут быть выделены как таковые или в виде их производных. К р-ру 0,2 моля III без охлаждения при перемешивании добавлен бензольный р-р 0,03 моля I. Смесь кипятили 1 час и гидролизовали 200 мл 3,5%-ной HCl . Р-рителю и $\text{изо-C}_4\text{H}_9\text{OBO}$ (VII) удалены из эфирной вытяжки продуктов р-ции в вакууме при 35—40°. Остаток выдержан 15—20 мин. при 90°/8 мм и разбавлен смесью 20 мл $n\text{-C}_6\text{H}_{14}$ и 10 мл эфира, получено 8,3% $(\text{C}_6\text{H}_5\text{BO})_3$, т. пл. 190—193°. Фильтрат упарен и разбавлен 25 мл $\text{изо-C}_6\text{H}_{12}$, выход $[(\text{C}_6\text{H}_5)_2\text{BO}]_2\text{O}$ 51,6%, т. пл. 130—131° (из бэл. + $\text{изо-C}_6\text{H}_{12}$). В тех же условиях в результате обработки продуктов р-ции 0,1 моля III и 0,015 моля II 5 мл $\text{HO}(\text{CH}_2)_2\text{NH}_2$ в 30 мл 60%-ного спирта выделено 62% $(\text{C}_6\text{H}_5)_2\text{BO}(\text{CH}_2)_2\text{NH}_2$, т. пл. 190—191° (из сп.). К суспензии 0,1 моля IV в 100 мл эфира прибавлен бензольный р-р 0,015 моля I. Синтез проведен в описанных выше условиях. Остаток после удаления р-рителей и VII разбавлен 25 мл $\text{изо-C}_6\text{H}_{12}$. $(\alpha\text{-C}_{10}\text{H}_7)_2\text{BOH}$ перекристаллизована из смеси C_6H_6 и $n\text{-C}_6\text{H}_{14}$ (1:5),

выход 76,6%, т. пл. 114—115°. Аналогично из 0,4 моля V и 0,0514 моля I выделено 41% ($n\text{-C}_3\text{H}_7\text{C}_6\text{H}_4\text{BO}(\text{CH}_2)_2\text{NH}_2$) (VIII), листочки, т. пл. 174,5—176° (из сл.), и 21,2% $n\text{-C}_3\text{H}_7\text{C}_6\text{H}_4\text{B}(\text{OC}_4\text{H}_9\text{-изо})_2$, т. кип. 127—128°/5,5 мм, n^{20}_D 1,4761, d^{20}_4 0,9106 (из фильтрата от VIII после обработки его разб. HCl и этерификации $n\text{-C}_3\text{H}_7\text{C}_6\text{H}_4\text{B}(\text{OH})_2$ VII). В р-цию взято 0,2 моля VI и 0,03 моля I, смесь продуктов р-ции после гидролиза проэтерифицирована VII, выделено 21% $o\text{-CH}_3\text{C}_6\text{H}_4\text{B}(\text{OC}_4\text{H}_9\text{-изо})_2$, т. кип. 111—115°/3 мм, и 42% ($o\text{-CH}_3\text{C}_6\text{H}_4\text{BO}(\text{C}_4\text{H}_9\text{-изо})_2$, т. кип. 151—153°/2,5 мм, n^{20}_D 0,5432, d^{20}_4 0,9701.

В. Вавер
32534. Борорганические соединения. Сообщение 19. Синтез алкилбордихлоридов. Михайлов Б. М., Щеголева Т. А. Изв. АН СССР, Отд. хим. н., 1957, № 9, 1080—1085

При действии 2 экв. PCl_5 на ($n\text{-C}_6\text{H}_{13}\text{O}$)₂BR, где $R = \text{C}_2\text{H}_5$ (I), C_3H_7 (II) или $\text{изо-C}_3\text{H}_7$ (III), образуются соответственно $\text{C}_2\text{H}_5\text{BCl}_2$ (IV), $n\text{-C}_3\text{H}_7\text{BCl}_2$ (V) и $\text{изо-C}_3\text{H}_7\text{BCl}_2$ (VI) (см. РЖХим, 1956, 74972; 1957, 8097). Из ($n\text{-C}_4\text{H}_9\text{O}$)₂BC₂H₅ (VII) и 1 экв. PCl_5 получен $\text{C}_2\text{H}_5\text{B}(\text{OC}_4\text{H}_9)_2$ (VIII), из которого при дальнейшей обработке PCl_5 также образуется IV, но р-ция протекает медленнее. $\text{C}_2\text{H}_5\text{B}(\text{OC}_6\text{H}_{13})_2$ (IX), синтезированный из эквимольных кол-в I и PCl_5 , диспропорционируется при нагревании в вакууме на IV и I. К р-ру 1,5 моля (CH_3O)₃B (X) в 400 мл эфира при т-ре от —65 до —75° постепенно прибавляют р-р $\text{C}_2\text{H}_5\text{MgBr}$ (из 1,5 моля $\text{C}_2\text{H}_5\text{Br}$), размешивают 3 часа, через 12 час. (—65°) прибавляют разб. HCl, остаток после отгонки эфира нагревают с 30 мл $n\text{-C}_4\text{H}_9\text{OH}$ (здесь и далее при описании синтезов перечисляются выход в %, т. кип. в °С/мм, d^{20}_4), выделен VII, 53, 70—71/7, 0,8224. В тех же условиях из 1,5 моля X и 1,5 моля $\text{изо-C}_3\text{H}_7\text{MgCl}$ получен $\text{изо-C}_3\text{H}_7\text{B}(\text{OC}_4\text{H}_9\text{-н})_2$ (XI), 50, 78—78,5/7, 0,8187. Из смеси 0,3 моля VII и 0,75 моля $n\text{-C}_6\text{H}_{13}\text{OH}$ (XII) медленно отгоняют $n\text{-C}_4\text{H}_9\text{OH}$, избыток XII удаляют в вакууме, выделен I, 83,5, 130—131/9, 0,8302. Аналогично из 0,28 моля $\text{C}_3\text{H}_7\text{B}(\text{OC}_4\text{H}_9\text{-н})_2$ (см. пред. реф.) и 0,64 моля XII получен II, 80, 130—131/7, 0,8283, а из 0,33 моля XI и 0,83 моля XII получен III, 72, 125—126/6, 0,8258. К 0,15 моля VII постепенно прибавляют 0,15 моля PCl_5 , выделено 14,5 г $\text{C}_4\text{H}_9\text{Cl}$, 13,2 г POCl_3 и VIII, 78, 49—52/30, 0,9030. К 0,13 моля I добавляют 0,26 моля PCl_5 , нагревают 30 мин., получен IV, 50, т. кип. 49—51°. К 0,12 моля VIII постепенно при нагревании прибавляют 0,12 моля PCl_5 , нагревают еще 4 часа, выход IV 40%. К 0,22 моля I прибавляют в течение 45 мин. 0,22 моля PCl_5 , выделено помимо I 3,4 г IV, 31 г POCl_3 , 16,6 г $n\text{-C}_6\text{H}_{13}\text{Cl}$ и неочищ. IX. При дальнейшей перегонке IX снова образуется IV и I. К 0,12 моля II добавляют при нагревании 0,24 моля PCl_5 , кипятят еще 1 час, выход V 73,5%, т. кип. 73—75°. В тех же условиях из 0,14 моля III и 0,22 моля PCl_5 получено 70% VI, т. кип. 70,5—73°.

В. Вавер

32535. Борорганические соединения. Сообщение 20. N-замещенные фенилдиаминбора и B-фенилбозолы. Михайлов Б. М., Аронович П. М. Изв. АН СССР, Отд. хим. н., 1957, № 9, 1123—1125

Взаимодействием $\text{C}_6\text{H}_5\text{BCl}_2$ (I) с этиламино (II), анилином (III) и диэтиламино (IV) получены соответственно $\text{C}_6\text{H}_5\text{B}(\text{NHC}_2\text{H}_5)_2$ (V), $\text{C}_6\text{H}_5\text{B}(\text{NHC}_6\text{H}_5)_2$ (VI) и $\text{C}_6\text{H}_5\text{B}(\text{N}(\text{C}_2\text{H}_5)_2)_2$ (VII). При р-ции I с II, кроме V, образуется B-трифенил-N-триэтилбозол (VIII), который может быть также получен из V. Нагревание VI приводит к гексафенилбозолу (IX). К р-ру 0,92 моля II в 60 мл C_6H_6 прибавляют за 20 мин. при т-ре от —30 до —20° 0,2 моля I в 30 мл C_6H_6 , перемешивают 2 часа при ~20°, из фильтрата после удаления C_6H_6 отделяют VIII (3,5 г) и выделяют V, выход 33%, т. кип. 97—98°/3 мм, n^{20}_D 1,5120, d^{20}_4 0,924; из

остатка после перегонки получено 2 г VIII, общий выход VIII 21%, т. пл. 205—207° (из бал.-петр. эф.). V нагревают 2 часа при 190—210° и выделяют VIII, выход 17,3%. К смеси 0,32 моля III и 30 мл C_6H_6 прибавляют за 30 мин. при 5—25° 0,08 моля I в 15 мл C_6H_6 , перемешивают 2 часа при ~20°, к остатку после отгона р-рителя из фильтрата прибавляют изопентан и выделяют VI, выход 54,7%, т. пл. 83,5—85,5° (из гексана-изопентана). 0,025 моля VI нагревают 1,5 часа при 260—270°, прибавляют 10 мл C_6H_6 и кипятят 2 часа; выход IX 31,7%, т. пл. > 360°. К р-ру 0,204 моля IV в 50 мл эфира прибавляют за 15 мин. при —70 до —60° 0,05 моля I в 8 мл эфира, перемешивают 15 мин., выход VII 14,1%, т. кип. 70—72°/0,2 мм. V—VII быстро гидролизуются и окисляются; VIII и IX не изменяются на воздухе.

П. Аронович

32536. Борорганические соединения. Сообщение 21. Новые методы синтеза производных бозолов. Михайлов Б. М., Кострома Т. В., Изв. АН СССР, Отд. хим. н., 1957, № 9, 1125—1127

При пропускании NH_3 в эфирные р-ры $\text{AgB}(\text{OC}_4\text{H}_9)_2$ (I), где $\text{Ag} = \text{C}_6\text{H}_5$ (I), $n\text{-C}_3\text{H}_7$ (II), $o\text{-C}_6\text{H}_4$ (III), образуются соответствующие B-триарилбозолы (IV—VI) и эквимольные кол-ва $\text{AgB}(\text{OC}_4\text{H}_9\text{-изо})_2$ (VII—IX). По-видимому, первоначально образуются $\text{AgB}(\text{OR})\text{NH}_2$, которые затем симметризируются до $\text{AgB}(\text{OR})_2$ и $\text{AgB}(\text{NH}_2)_2$; циклизация последних приводит к B-арилбозолам. IV получен также обработкой $\text{C}_6\text{H}_5\text{BCl}_2$ (X) NH_3 в кипящем безазола. $\text{C}_6\text{H}_5\text{B}(\text{OC}_4\text{H}_9\text{-изо})\text{NHC}_2\text{H}_5$ и $o\text{-C}_{10}\text{H}_7(\text{OC}_4\text{H}_9\text{-изо})\text{NHC}_2\text{H}_5$ (РЖХим, 1957, 77149) при 270—300° также диспропорционируются с образованием B-трифенил-N-триэтилбозола (XI) и B-три- o -нафтил-N-триэтилбозола (XII). В описанных условиях (РЖХим, 1957, 8007) из 0,27 моля VIII и 48,6 г PCl_5 получено 87,3% II, т. кип. 113—115°/8 мм, n^{20}_D 1,5017, d^{20}_4 0,9919. В р-р 0,088 моля I в 30 мл эфира пропускают 1 час NH_3 . Из фильтрата р-ритель удаляют в вакууме, из остатка выделено 2,85 г IV и 79% VII, т. кип. 124—125°/9 мм; остаток после отгонки VII промывают C_6H_6 , получен еще 1 г IV, общий выход 86,5%, т. пл. 181—182,5° (из смеси бал.-изо- C_5H_{12}). В тех же условиях из 0,047 моля II получено 79,7% VIII и 83% V, т. пл. 189—190° (из бал.-изо- C_5H_{12}), а из 0,077 моля III 84,2% IX, т. кип. 172—174°/8 мм, и 84,9% IV, т. пл. 185—187°. Бензольный р-р 0,0415 моля X обрабатывают NH_3 30 мин. при 20° и 30 мин. при 80°, из фильтрата выделено 96% IV, т. пл. 180—182°. К эфирному р-ру 0,162 моля I при —70° добавлено 0,33 моля $\text{C}_2\text{H}_5\text{NH}_2$, из фильтрата удален эфир, остаток выдержан 3 часа при 270°, получено 79% VII, т. кип. 127—128°/11 мм, и 72,6% XI, т. пл. 205—206°. Аналогично из продуктов р-ции между 44 ммоль III и 88 ммоль $\text{C}_2\text{H}_5\text{NH}_2$ с нагреванием полученного промежуточного аминобозора при 300—305° выделено 53% IX, т. кип. 174—175°/11 мм, и 53% XII, т. пл. 269—271°.

В. Вавер

32537. Получение перекисей бора аутоокислением. Эйбрахам, Дейвис (Preparation of boron peroxides by autoxidation. Abraham M. H., Davies A. G.), Chemistry and Industry, 1957, № 50, 1622—1623 (англ.)

При окислении разб. р-ра $(\text{C}_4\text{H}_9)_3\text{B}$ в циклогексане поглощается 1,2 моля O_2 и образуется продукт, содержащий 1,06 моля перекиси. При окислении (трет- $\text{C}_4\text{H}_9)_3\text{B}$ (I) H_2O_2 $(\text{CH}_3)_3\text{C}$ -группа на 79—82% изомеризуется в $\text{изо-C}_4\text{H}_9$. Действием O_2 в очень разб. р-ре на I получена $\text{C}_4\text{H}_9\text{B}(\text{OOC}_4\text{H}_9)_2$ (II). Щел. гидролизом II получена $(\text{CH}_3)_3\text{COOH}$, выделенная в виде $(\text{CH}_3)_3\text{COO-C}(\text{C}_6\text{H}_5)_3$ с т. пл. 71°. Аутоокисление ингибируется пропиламином, но не водой, что подтверждает первоначальное возникновение координационной связи

между О и В, с последующей нуклеофильной миграцией алкильной группы от В к О: $RB(OOR)_2 \rightarrow (RO)_2B(OOR)$. С. Иоффе

32538. Парофазное хлорирование метилсиланов.

Чэнь Яо-цзю, Чэнь Шань-мэй, Ван Бао-жэнь (Chen Jao-Tso, Chen San-Mei, Wang Pao-Jen), Хуасюэ сюэбао, Acta chim. sinica, 1957, 23, № 2, 124—129 (кит.; рез. англ.).

При фотохим. парофазном хлорировании (ФПХ) $(CH_3)_nSiCl_{4-n}$ (I) и $(CH_3)_nSi(CH_2Cl)Cl_{3-n}$ (II), не содержащих Si—Cl-связей, замещение двух атомов H на Cl происходит у различных атомов С. Силаны с Si—Cl-связью хлорируются до гем-дихлорсоединений, что, по-видимому, объясняется влиянием Si—Cl-связи, затрудняющей хлорирование CH_3 -группы и способствующей дальнейшему хлорированию CH_2Cl -группы. Проведены следующие р-ции (указаны исходный силан, n , продукты р-ции, их т. кип. в °C и содержание в реакционной массе в %): I, 2, II ($n=1$), 121—124, 56; I, 3, II ($n=2$), 113—114, 70, $(CH_3)_2Si(CH_2Cl)SiCl_3$ (III), 146—147, 6,3, $CH_3(CH_2Cl)_2SiCl_2$ (IV), 172—178, 2,3; I, 4, II ($n=3$), 97—98, 34; II, 1, II ($n=1$), 146—152, 30, $(ClCH_2)_2SiCl_2$, —; II, 2, III, —, 36,4, IV, 166—172, 3,3; II, 3, $(CH_3)_3SiCHCl_2$, 132—135, 27,5, $(CH_3)_2Si(CH_2Cl)_2$, 156—160, 42,1. Из хлоралканов при ФПХ получены следующие продукты (перечисляются хлоралкан, далее, как выше): $(CH_3)_3CCl$, $(CH_3)_2CClCH_2Cl$ (V), 103—105, 67,8; V, $(CH_3)_2CClCH_2Cl$, 144—147, 7,9, $(CH_2Cl)_2CClCH_3$, 162—163, 35,9; $ClCH_2CCl(CH_3)CHCl_2$, 187—192, 11.

Ф. Величко

32539. Синтез и свойства моно-, ди- и три- n -толилалкилсиланов. Наметкин Н. С., Тончиев А. В., Гу Чан-ли, Леонова Н. А., Докл. АН СССР, 1957, 115, № 1, 107—109

К ArLi (здесь и далее $Ar = n-C_6H_5$) (из 94 г ArBr) прибавляют 54,5 г $(CH_3)_3SiCl$, нагревают 8 час., выделен ArSi(CH_3)₃ (здесь и далее при описании в-в перечисляются выход в %, т. кип. в °C/мм, n^{20}_D , d^{20}_4): 71, 190—193/756, 1,4908, 0,8651. Аналогично из 34 г ArBr и 38 г $(C_4H_9)_3Si(OC_2H_5)$ (нагревание 10 час.) получен ArSi(C_4H_9)₃, 73, 154—156/5, 1,4922, 0,8706. Нагреванием 10 час. C_2H_5Li (из 21,8 г C_2H_5Br) и 12 г ArSi(OC_2H_5)₂ получен ArSi(C_2H_5)₃, 56,6, 92—93/3, 1,5025, 0,8897. Из C_6H_7Li (из 44,3 г C_6H_7Br) и 23 г ArSiCl₃ (I) (нагревание 10 час.) получен ArSi(C_6H_7)₃, 43,2, 124—122/4, 1,4952, 0,8764; из 6,5 г Li, 53,8 г $iso-C_6H_{11}Br$ и 17,7 г I (нагревание 8 час.) — ArSi(C_6H_{11} - iso)₃, 41, 148—150/2, 1,4862, 0,8649. К ArLi (из 425 г ArBr) прибавляют 129 г $(CH_3)_2SiCl_2$, смесь нагревают 8 час., выделен Ar₂Si(CH_3)₂, 67, 128—130/2, 1,5520, 0,9700. Аналогично получены следующие Ar₂Si (перечисляются R, выход в %, т. кип. в °C/мм, n^{20}_D , d^{20}_4): C_2H_5 , 78,6, 145—147/3, 1,5520, 0,9643; C_3H_7 , 32,7, 170—180/4, 1,5428, 0,9382 [из $(C_3H_7)_2Si(OC_2H_5)_2$]; C_4H_9 , 71,2, 194—195/5, 1,5375, 0,9400 [из $(C_4H_9)_2SiBr_2$]. При нагревании смеси ArMgBr (из 180 г ArBr), $iso-C_4H_9$ -MgBr (из 140 г $iso-C_4H_9Br$) и 85 г SiCl₄ (10 час.) получен $(Ar)_2Si(C_4H_9-iso)_2$, 16, 174—176/3, 1,5345, 0,9485. Взаимодействие $iso-C_6H_{11}Li$ (из 32,5 г $iso-C_6H_{11}Br$) и 20 г $(Ar)_2SiCl_2$ (нагревание 8 час.) приводит к Ar₂Si($C_6H_{11}-iso$)₂, 39, 180—182/2, 1,5308, 0,9304. К CH_3MgI (из 56 г CH_3I) прибавляют 50 г Ar₂SiOC₂H₅, нагревают 10 час. при 100°, выделен Ar₂SiCH₃, 39,5, 197—200/4, —, т. пл. 91,5—92,5°. Аналогично получен Ar₂SiC₂H₅ (указан выход в %, т. кип. в °C/мм, т. пл. в °C): 53, 190—192/2, 72; Ar₂SiC₃H₇, 33,1, 206—208/4; 54,5—55; Ar₂SiC₄H₉, 50,4, 214—216/4, 47,5—48; Ar₂Si(C_4H_9-iso), 43, 197—199/3, 68—69; Ar₂Si($C_6H_{11}-iso$), 43,5, 205—207/3, 49—50°. Исходные Ar₄—Si(OC_2H_5)₄ получены из Si(OC_2H_5)₄ и ArMgBr (перечисляются n , т. кип. в °C/мм, т. пл. в °C, n^{20}_D , d^{20}_4): 1, 194—195/3, 50—50,5, —, —; 2, 150—152/4, —, 1,5262,

1,0148; 3, 115—117/7, —, 1,4664, 0,9832. Ar(C_6H_7)₃SiO- C_2H_5 выделен из продуктов р-ции при синтезе Ar₂Si(C_3H_7)₂, 21,7, 96—100/2, 1,4897, 0,9139. ArSi(C_4H_9-iso)₂(OC₂H₅)₂ получен взаимодействием $iso-C_4H_9Li$ (из 45 г $iso-C_4H_9Br$) с 22 г ArSi(OC_2H_5)₂ (нагревание 10 час.), 38,8, 137—138/8, 1,4892, 0,9089. Г. Моцарев

32540. О некоторых закономерностях хлорирования кремнеорганических соединений. Миронов В. Ф., Пономаренко В. А., Изв. АН СССР, Отд. хим. н., 1957, № 2, 199—206

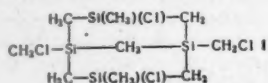
Изучено фотохим. хлорирование (ХЛ) кремнеорганич. соединений Cl₂ и SO₂Cl₂ в описываемом приборе с непрерывным удалением монохлорпроизводных из зоны р-ции на примерах хлорирования CH_3SiCl_3 (I) и $(CH_3)_2SiCl_2$ (II). Действием Cl₂ на 300 г I при облучении (до т-ры 110—112° в реакторе, 22 часа) получен $ClCH_2SiCl_3$ (здесь и далее при описании в-в перечисляются выход в %, т. кип. в °C/мм, n^{20}_D , d^{20}_4): 53, 118/743, 1,4535, 1,4441; побочно образуется $Cl_2CHSiCl_3$, —, 143,5/747, 1,4714, 1,5518. ХЛ в этих условиях 1893 г II (до 112°, 80 час.) получен $ClCH_2(CH_3)SiCl_2$ (III), 80, 121/750, 1,4495, 1,2842; побочный продукт — $Cl_2CH(CH_3)SiCl_2$ (IV), —, 148,5/750, 1,4700, 1,4116. При ХЛ II до 126° выход III достигает 88%, ХЛ II до 150° приводит к IV. В аналогичных условиях проведено ХЛ следующих соединений (перечисляются исходный силан, продолжительность ХЛ в часах, конечная т-ра реакционной смеси в °C, выход монохлорида в %): $(CH_3)_3SiCl$, 8, 110, 77; $C_2H_5SiCl_3$, 17, 136, 86; $C_2H_5SiHCl_2$, 58, 140, 55; $(C_2H_5)_2SiCl_2$, 51,5, 160, 76; $(C_2H_5)_3SiCl$, 23,5, 190, 81; $C_6H_5SiCl_3$, 35, 160, 89; $(CH_3)_2CHSiCl_3$, 70, 148, 80; $iso-C_4H_9SiCl_3$, 28, 174, 77; $Cl_2SiCH_2SiCl_3$ (V), 17, 208, 0; $Cl_3SiCH_2CH_2SiCl_3$ (VI), 22, 221, 94; $C_6H_5SiCl_3$, 42, 226, 83; $ClCH_2Si(CH_3)_3$, 20, 135, 88; $ClCH_2CH_2SiCl_3$ (VII), 53, 174, 92,5; $CH_3CHClSiCl_3$ (VIII), 18, 151, 88,5. Выходы монохлорпроизводных при ХЛ $(C_2H_5)_3Si$, V и VI действием SO₂Cl₂ соответственно составляют: 50, 7 и 40%. Для выделенных в-в перечисляются т. кип. в °C/мм, n^{20}_D , d^{20}_4 : $ClCH_2(CH_3)_2SiCl_3$, 114/752, 1,4368, 1,0862; $ClCH_2Si(CH_3)_3$, 97,3/740, 1,4180, 0,8791; $Cl_2CHSi(CH_3)_3$, 133/730, —, —; $(ClCH_2)_2Si(CH_3)_3$, 160/730, —, —; VII, 151,7/751, 1,4652, 1,4239; VIII, 136,5/747, 1,4545, 1,3912; $CH_3CHClSiHCl_2$, 115—116/760, 1,4484, 1,2614; $CH_3CHClSi(Cl)C_2H_5$, 41,5/9, 1,4578, 1,2017; $ClCH_2CH_2Si(Cl)C_2H_5$, 60,5/9,5, 1,4678, 1,2174; $CH_3CHClSiCl_2(C_2H_5)_2$, 79,5—80/27,5, 1,4562, 1,0406; $ClCH_2CH_2SiCl_2(C_2H_5)_2$, 97—97,5/27,5, 1,4639, 1,0555; $CH_3CHClSi(C_2H_5)_3$, 194,6/750, 1,4535, —; $CH_3CH_2CHClSiCl_3$, 157/740, —, —; $CH_3CHClCH_2SiCl_3$, 162/744, 1,4600, 1,3410; $Cl(CH_2)_2SiCl_3$, 178,4/750, 1,4668, 1,3590; $(CH_3)_2CClSiCl_3$, 151/750 (т. пл. 110°), —, —; $ClCH_2CH(CH_3)SiCl_3$, 164/744, 1,4670, 1,3520; $(CH_3)_2CHCHClSiCl_3$, 161—164/760, 1,4668, 1,2665; $(CH_3)_2CClCH_2SiCl_3$, 179,5/740, 1,4660, 1,3110; $ClCH_2CH(CH_3)CH_2SiCl_3$, 192/740, 1,4680, 1,3114; $Cl_3SiCHClSiCl_3$, 210,5—211,2/757, 1,4916, —; $Cl_2SiCCl_2SiCl_3$, 227,5/756, 1,5010, —; $Cl_2SiCHClCH_2SiCl_3$, 225/737, 1,4915, 1,5774; $Cl_2CHCH_2SiCl_3$, 175/740, 1,4800, 1,5201; $ClCH_2CHClSiCl_3$, 181/760, 1,4850, 1,5156; $CH_3CCl_2SiCl_3$, 151,8/745, —, —; $ClC_6H_4SiCl_3$ (IX) (орто-изомер), 240,5/742,5, 1,5510, 1,4629; м-IX, 230,5/738, 1,5421, 1,4384; п-IX, 232,5/745,5, 1,5418, 1,4316. ХЛ метилсиланхлоридов и $(CH_3)_3Si$ действием Cl₂ в описанных условиях приводит к монохлорпроизводным с более высокими выходами, чем при жидкофазном ХЛ. Ориентирующее влияние SiCl_n-группы ($n=1-3$) проявляется в уменьшении скорости ХЛ алкильной группы, связанной с Si, и в увеличении кол-ва β-хлорпроизводных с увеличением n . Фотохим. ХЛ $C_6H_5SiCl_3$ при 200° приводит к смеси о-, м- и п-IX в соотношении 1:2,5:1.

Г. Моцарев

32541. Циклический кремнийуглеродород из $(CH_3)_3SiCl$. Фриц (Ein cyclischer Silicium-Kohlenwas-

serstoff aus $(\text{CH}_3)_3\text{SiCl}$. Fritz G.), Z. Naturforsch., 1957, 12b, № 2, 123 (нем.)

Распад $(\text{CH}_3)_3\text{SiCl}$ при 800° приводит к ряду в-в, в том числе к кристаллич. в-ву $\text{C}_9\text{H}_{20}\text{Cl}_4\text{Si}_4$ (I), которое возгоняется в высокомолекулярном вакууме. Р-ры I не восстанавливают AgNO_3 и не выделяют H_2 при обработке их щелочами. Из 4 атомов Cl в I только 2 гидролизуются в водно-спирт. среде. I приписано циклич. строение.



Г. Мочарев

32542. Органические соединения циркония. Часть I. Реакция хлороксида циркония с мандальной кислотой. Часть II. Реакции хлороксида циркония с мандально-кислым натрием. Капур, Мехротра (Organic compounds of zirconium. Part I. Reaction of zirconyl chloride with mandelic acid. Part II. Reactions of zirconyl chloride with sodium mandelate. Kapoor R. N., Mehrotra R. C.), J. Scient. and Industr. Res., 1957, B16, № 7, B300—B303, B304—B306 (англ.)

I. Кондуктометрически показано, что при постепенном прибавлении 0,05 M мандальной к-ты (I) к 0,05 M ZrOCl_2 (II) сначала образуется растворимый $\text{ZrO}(\text{C}_6\text{H}_7\text{O}_3)_2$ (III), с избытком I дающий нерастворимый $\text{Zr}(\text{C}_6\text{H}_7\text{O}_3)_4$ (IV). При нагревании смеси конц. р-ров I и II III гидролизуются до $\text{Zr}(\text{OH})\text{O}(\text{C}_6\text{H}_7\text{O}_3)$ (V). В присутствии HCl при общей ее конц-ии 0,4 M выделяется III; в 2,4 н. р-ре с избытком I осаждается IV. Образование V связано с гидролизом II до $\text{ZrO}(\text{OH})\text{Cl}$ (VI), степень гидролиза II в 0,05 M р-ре достигает 75%. В присутствии HCl вместо VI образуется Zr^{4+} , дающий IV.

II. При постепенном прибавлении 0,5 M Na-соли I к 0,05 M II вначале осаждается V, переходящий затем в III с выделением NaOH, который растворяет III по схеме Файгеля (Feigl F., Chemistry of Specific, Selective and Sensitive Reactions, 1949, № 4, 213—215). Твердые IV и V также растворяются в р-рах NaOH при нагревании.

32543. Новый метод синтеза диэфиров ортофосфорной кислоты. Шабрие, Мохаммед Селим (Nouvelle méthode de préparation des diesters de l'acide orthophosphorique. Chabrier Pierre, Mohammed Selim), C. r. Acad. sci., 1957, 244, № 22, 2730—2732 (франц.)

$\text{CH}_3\text{OPO}(\text{OR})_2$ (I) с $(\text{CH}_3)_3\text{N}$ на холоду в C_6H_6 , ацетоне или спирте дают соли $(\text{CH}_3)_3\text{NPO}(\text{OR})_2$ (II), которые в водн. или водно-спирт. р-ре на кислых ионообменных смолах превращаются в $\text{HPO}(\text{OR})_2$ (III). С увеличением мол. веса R р-ция затрудняется. Соли III образуются р-цией II с солями Pb. Исходные I получены с хорошим выходом взаимодействием $\text{CH}_3\text{OPOCl}_2$ с RONa или с RON в присутствии $\text{C}_6\text{H}_5\text{N}$. Синтезированы следующие II (указаны R, т. пл. в $^\circ\text{C}$): CH_3 , 245; C_2H_5 , 170; C_3H_7 , 132; *изо*- C_3H_7 , 128; *н*- C_4H_9 , 242; *н*- C_5H_{11} , 173; *н*- $\text{C}_{10}\text{H}_{21}$, 242; C_6H_5 , 210; $\text{C}_6\text{H}_5\text{CH}_2$, 185.

32544. Синтез замещенных амидов фосфорной кислоты. Ли Ши-з, Чжан Чжи-пин (Li Shi-zh, Chang Chi-Ping), Хуасюэ сюэбао, Acta chim. sinica, 1957, 23, № 2, 99—104 (кит.; рез. англ.)

Кипячением 3 часа 1 моля RNHPOCl_2 (I) (из $\text{RNH}_2 \cdot \text{HCl}$ и POCl_3) с 2 молями безводн. HCOOH (II) в абс. р-рителе синтезирован ряд $\text{RNHPO}(\text{OH})_2$ (III) для изучения их ферментативных свойств. Ниже даны R, выход в % и т. пл. в $^\circ\text{C}$ для I и III соответственно: C_2H_5 , 80, 93—94, 80, 276—277; *н*- C_6H_{13} , 80,

107—108, 83, 259; *н*- $\text{NO}_2\text{C}_6\text{H}_4$, 81, 155—156, —, —, *н*- $\text{NH}_2\text{SO}_2\text{C}_6\text{H}_4$, 98, 230—231, 41, 233—242; *н*- $\text{CH}_2\text{C}_6\text{H}_4$, 94, 108—111, 90, 250—252; *о*- $\text{CH}_3\text{OC}_6\text{H}_4$, 83, —, 99, 136; $\text{C}_6\text{H}_5\text{CH}_2$, 85, —, 70, 165—170; *а*- C_{10}H_7 , 90, —, 94, 230—235; *н*- HOOC_6H_4 , 85, 240—241, —, 239. III (R = *н*- HOOC_6H_4) получен взаимодействием 5 ммоль *н*- $\text{OOC}_6\text{H}_4\text{NH}_2$ (IV) (т. кип. 165—168 $^\circ$) и 15 ммоль II, выход 1 г; р-ция I с II в этом случае не проходит, так же как р-ция I (R = *н*- $\text{NO}_2\text{C}_6\text{H}_4$) с II. IV синтезирован с выходом 82% действием PCl_5 на *н*- $\text{HOOC}_6\text{H}_4\text{NH}_2 \cdot \text{HCl}$.

32545. Ступенчатое алкоксилирование фенолового эфира дихлорфосфорной кислоты. Матисон, Расселл (The stepwise alkoxylation of phenyl phosphorodichloridate. Mathieson D. W., Russell D. W.), J. Pharmacy and Pharmacol., 1957, 9, № 9, 612—624 (англ.)

При взаимодействии $\text{C}_6\text{H}_5\text{OPOCl}_2$ (I) с 1 экв RON и пиридина (II) в петр. эфире при 5° образуются $\text{C}_6\text{H}_5\text{OPOCl}(\text{OR})$ (III). Р-ция I с 2 экв RON и II в ацетонитриле при 5° приводит к $\text{C}_6\text{H}_5\text{OPO}(\text{OR})_2$. Получить смешанные диалкилфенилфосфаты из III и RON не удалось. Гидролизом III или кипячением с анилином в CHCl_3 III превращены в следующие в-ва (перечислены выход в %, т. кип. в $^\circ\text{C}/\text{мм}$, n_D^{20} , d_4^{20}): $\text{C}_6\text{H}_5\text{OP}(\text{O})\text{OC}_{11}\text{H}_{23}(\text{NHCC}_6\text{H}_5)$, 59, —, —, т. пл. 51—51,5; $\text{C}_6\text{H}_5\text{OP}(\text{O})\text{OC}_4\text{H}_9(\beta\text{-NHCC}_6\text{H}_5)$, 59, —, —, т. пл. 93—93,5; $\text{C}_6\text{H}_5\text{OP}(\text{O})\text{OC}_3\text{H}_7(\text{NHCC}_6\text{H}_5)$, 36, —, —, т. пл. 77—77,5; $\text{C}_6\text{H}_5\text{OP}(\text{O})\text{OC}_4\text{H}_9(\text{OC}_4\text{H}_9)$, 58, 125/0,1, 1,4740, 1,053; $\text{HOP}(\text{O})\text{OC}_{11}\text{H}_{23}(\text{OC}_{11}\text{H}_{23})$, 72, —, —, т. пл. 53,5—54; $\text{Pb}[\text{OPO}(\text{OCH}_3)_2]_2$, 15, —, —, т. пл. 141—142; $\text{C}_6\text{H}_5\text{OP}(\text{O})\text{OC}_{11}\text{H}_{23}(\text{OC}_{11}\text{H}_{23})$, 73, —, 1,4691, (17,5), 0,979. Получены следующие неочищ. в-ва (указан выход в %): $\text{C}_6\text{H}_5\text{OP}(\text{O})\text{OC}_{11}\text{H}_{23}\text{Cl}$, —; $\text{C}_6\text{H}_5\text{OP}(\text{O})\text{OC}_4\text{H}_9\text{Cl}$, —; $\text{C}_6\text{H}_5\text{OP}(\text{O})\text{OC}_3\text{H}_7\text{Cl}$, —; $\text{C}_6\text{H}_5\text{OP}(\text{O})\text{OC}_4\text{H}_9\text{OH}$, 98; $\text{C}_6\text{H}_5\text{OP}(\text{O})\text{OC}_3\text{H}_7\text{OH}$, 77; $\text{C}_6\text{H}_5\text{OP}(\text{O})\text{OC}_3\text{H}_7\text{OH}$, —; $\text{HOP}(\text{O})\text{OC}_4\text{H}_9$, 84; $\text{C}_6\text{H}_5\text{OP}(\text{O})\text{OC}_3\text{H}_7$, т. кип. 92,5/0,1 мм; $\text{HOP}(\text{O})\text{OC}_3\text{H}_7$, 98; $[\text{C}_6\text{H}_5\text{OP}(\text{O})\text{OC}_{11}\text{H}_{23}]_2\text{O}$, 66; $\text{C}_6\text{H}_5\text{OP}(\text{O})\text{OC}_4\text{H}_9\text{OAc}$, 59; $[\text{C}_6\text{H}_5\text{OP}(\text{O})\text{OC}_3\text{H}_7]_2\text{O}$, 43. Приведены кривые скорости взаимодействия I с RON .

32546. Органические фосфаты. I. Синтез циклических 1,2-диолфосфатов. II. Изучение гидролиза некоторых циклических фосфатов. Укита, Нагасава, Ириэ (Organic phosphates. I. Synthesis of 1,2-diol cyclic phosphates. II. Studies on hydrolysis of several cyclic phosphates. Ukita Tyunosin, Nagasawa Kinzo, Irie Nasachika), Pharmac. Bull., 1957, 5, № 2, 121—126, 127—132 (англ.)

I. Для сопоставления хим. и ферментативных свойств получены $\text{OSCH}_2\text{RCH}_2\text{R}'\text{OP}(\text{O})\text{OH}$ (I), где $\text{R} = \text{CH}_2\text{OH}$, $\text{R}' = \text{H}$ (II); $\text{R} = \text{CH}_3$, $\text{R}' = \text{H}$ (III); $\text{R} = \text{R}' = \text{H}$ (IV) и $\text{R} = \text{R}' = \text{CH}_3$ (V), выделенные в виде Ва-солей. I синтезированы дегидратацией $\text{RCH}(\text{OH})\text{CH}_2\text{R}'\text{OPO}(\text{OH})_2$ (VI) при помощи дициклогексилкарбодимида (VII) или $(\text{CF}_3\text{CO})_2\text{O}$, или же взаимодействием 1,2-диола с POCl_3 в пиридине. Определены значения R_f для полученных в-в при хроматографии на бумаге. 4,5 г глицерофосфата растворяют в 50 мл CH_3CN и 5 мл пиридина, добавляют 5,5 г VII, через 48 час. разбавляют водой до 100 мл, отделяют дициклогексилмочевину, к фильтрату добавляют $\text{Ba}(\text{OH})_2$ до pH 9 и центрифугируют, насыщают CO_2 , центрифугируют и упаривают фильтрат в вакууме ниже 30° , получено 1,45 г белого порошка, из которого после хроматографирования выделена Ва-соль II (перекрист. из разб. спирта). Смесь 2 г 1,2-эпоксипропана, 12 г K_2HPO_4 и 50 мл воды нагревают 10 час. при 110—120 $^\circ$, после нейтр-ции $\text{Ba}(\text{OH})_2$ и удаления его избытка действием CO_2 упаривают в вакууме при 50—60 $^\circ$, а

фильтрату прибавляют 5 объемов спирта, к выделяющемуся белому порошку добавляют 100 мл воды и 20 мл ионообменной смолы и нагревают 75 мин. при 100°, получена VI ($R = CH_3$, $R = H$) (VIa), полученную также в виде циклогексиламиновой соли (ЦС), т. пл. полуhydrата 169—172° (разл.; из водн. ацетона) из смеси 2,27 г Ag_3PO_4 в 15 мл эфира, 1 мл 90%-ной H_3PO_4 и 2 г 1-йодпропанола-2 в 20 мл эфира. К смеси 1 моля VIa, 8 мл CH_3CN , 2,5 мл пиридина и 0,1 мл воды добавляют р-р 1,1 моля VII в 5 мл CH_3CN , через 1 час (~20°) после отделения VIa растворяют в 25 мл $iso-C_3H_7OH$ и насыщают NH_3 , полученную аммонийную соль III превращают в Ва-соль III, выход 54%. III получают также из 1 моля пропандиола-1,2 в 60 мл пиридина добавлением (~20°, 20 мин.) 1 моля $POCl_3$ в 90 мл пиридина, перемешивают 1 час, через 30 мин. (~20°) фильтрат упаривают в вакууме при 50—60°, добавляют суспензию 30 г Ag_2O в 200 мл охлажд. воды, фильтруют и экстрагируют фильтрат эфиром, полученную смесь пиридиновых солей III, VIa и $CH_3CH(OPO_3H_2)CH_2OH$ (VIb) разделяют, пропуская NH_3 через р-р в 200 мл $iso-C_3H_7OH$; растворимую NH_4 -соль III (выход 57%) превращают в Ва-соль III, нерастворимую смесь NH_4 -солей VIa и VIb превращают в смесь Ва-солей, которые разделяют через ЦС. Из 2,2 г $C_6H_5NHOCH_2CH_2OPO_3H_2$ в 65 мл CH_3CN и 1 мл воды при действии 1,6 г VI в 5 мл CH_3CN и последующей обработке Ва(OH)₂ получено 500 мг Ва-соли IV. Из 0,1 моля бутандиола-2,3 в 60 мл пиридина и 0,1 моля $POCl_3$ в 60 мл пиридина (1 час, -15°; 1 час, ~20°) получена действием NH_3 растворимая в $iso-C_3H_7OH$ NH_4 -соль V, которую превращают в Ва-соль V; из нерастворимой в $iso-C_3H_7OH$ NH_4 -соли получена $CH_3CH(OH)CH(CH_3)OPO_3H_2$ Ва, превращенная в ЦС, т. пл. 217—219°.

II. Изучен кислотный (КГ) и щел. (ЩГ) гидролиз II—III и определена устойчивость к гидролизу при различных pH при 30° II—V. Продукты гидролиза определялись окислением KJO_4 и хроматографией на бумаге. При КГ (0,1 н. HCl, 37°) и ЩГ (0,1 н. NaOH, 37°) II уже через 1 час исчезает и образуется смесь α-(VIII) и β-(IX)-глицерофосфатов. В случае КГ содержание VIII возрастает с увеличением продолжительности гидролиза и достигает через 96 час. постоянного значения 80%. При этом происходит миграция фосфорильной группы с превращением IX в VIII, по-видимому, через промежуточный $OSN(CH_2OH)CH_2OR$.

(OH)₂. В случае ЩГ образуются ~45% VIII и ~55% IX, соотношение которых не меняется со временем, что указывает на отсутствие миграции фосфорильной группы. Сделан вывод, что VIII, образующийся наряду с IX при ЩГ глицерофосфорилхолина (X), возникает из IX, а не из α- или β-X. Как при КГ, так и при ЩГ III образуется только α-1,2-пропандиолфосфат, не превращающийся β-изомер (150 час., 37°). При pH 3,5—9,5 II—V при 30° не гидролизуются. При pH 2,5 (8 час.) происходит постепенный гидролиз. В присутствии 0,1 н. NaOH II—III полностью разлагаются за 48 час., IV за 24 часа, V более устойчив и разлагается за 24—72 часа на 50%.

С. Иоффе
32547. Синтезы диглицеромонофосфорных кислот реакцией 2-глицерофосфата с 1-эпихлоргидрином или 1- и 2-моноклоргидрином. Стокс, Вандендриессе (The synthesis of diglyceromono-phosphoric acids by the reaction of 2-glycerophosphate with 1-epichlorohydrin or 1- and 2-monochlorohydrin. Stockx J., Vandendriessche L., Bull. Soc. chim. belges, 1956, 65, № 11—12, 928—936 (англ.; рез. франц.).

Исследована р-ция ди-Na-соли 2-глицерофосфорной к-ты с 1-эпихлоргидрином, 1- и 2-моноклоргидрином в этиленгликоле. Подробно разработан метод выделения продуктов р-ции. Хроматографированием, окислением

HJO_4 вымытых фракций и колич. определением неорганич. Р показано, что во всех случаях образуется главным образом моно-Na-соль 1,2'-диглицеромонофосфорной к-ты наряду с 2—4% 1,1'-изомера и, возможно, незначительным кол-вом 2,2'-изомера. Обсуждается возможность образования последних путем изомеризации 1,2'-продукта через стадию циклич. триэфира (см. также РЖХим, 1957, 51430). Я. Нехлин

32548. Новый метод получения эфиров фосфорной кислоты. Окисление эфиров фосфористой кислоты. Димрот, Плох (Eine neue Darstellungsmethode für Ester der Phosphorsäure. Oxydation von Estern der phosphorigen Säure. Dimroth Karl, Ploch Rudolf, Chem. Ber., 1957, 90, № 5, 801—814 (нем.).

Окислением $(RO)_2P$ (Ia—в, здесь и далее в $R = ClC_2H_4$, 6 $R = C_2H_5$, в $R = C_2H_4OCH_2C_6H_5$), $(RO)_2PON$ (II) и $ROP(OH)_2$ (III) водн. р-ром $KMnO_4$ получены соответственно $(RO)_2PO$ (IV), $(RO)_2P(O)OH$ (V) и $ROP(O)(OH)_2$ (VI). II и III получены гидролизом I. При окислении OC_2H_4OPOR (VII) образуются $(RO)-$

$(OH)P(O)(OC_2H_4OH)$ (VIII). Гидролизом VII ($R = H$) получен $HOC_2H_4OP(OH)_2$ (IX). К р-ру 5 г Ia в 60 мл эфира добавляют р-р 2,5 г $KMnO_4$ в 100 мл воды, через 20 мин. (~20°) р-ритель удаляют в вакууме, выход IVa 43%, n_D^{20} 1,4655. 15 г Ib окисляют 9,45 г $KMnO_4$ в 50 мл воды (20°, 45 мин.), выход IVb 10,9%. Ib получен из 92 мл $HOC_2H_4OCH_2C_6H_5$, 48 мл C_6H_5N и 16 мл PCl_3 в 160 мл эфира, выход 10 г, т. кип. 195°/0,05 мм, n_D^{20} 1,5360. Окислением 5 г Iv 1,69 г $KMnO_4$ (нагревание 35 мин. при 180°/15 мм) получен IVv. IIa получен р-цией 2,5 г Ia в 10 мл диоксана с 30 мл 0,1 н. H_2SO_4 через 50 мин. при охлаждении льдом с солью добавляют 1,64 г $KMnO_4$, Va выделяют в виде Fe^{3+} -соли, выход 80%. Р-р 3,32 г Ib в 20 мл диоксана при 0° размешивают 2 часа с 20 мл 0,1 н. H_2SO_4 и далее 1 час при -10° с 2,35 г $KMnO_4$, Vb выделен в виде Al-соли. Аналогично получена Fe^{3+} -соль Vv. Приведены данные о титровании Ia 0,1 н. NaOH (образуется смесь IIa и IIIa). Изучен гидролиз $ClCH_2CH_2OH$ (X) в 0,1 н. NaOH с образованием окиси этилена (при 65° проходит на 100% за 5 мин.). За 18 час. при 20° в 0,1 н. NaOH Ia гидролизуются до IIIa и X. Ia с избытком 1 н. NaOH (12 час., 80—90°) гидролизуются с образованием 3 экв Cl⁻ и поглощением 5 молей NaOH. Р-р 40 г Ia в 75 мл воды размешивают 25 мин. при 45° с 3 каплями H_2SO_4 и добавляют 40 мл 20%-ного р-ра $FeCl_3$, выход Fe-соли IIIa 75%, из которой действием р-ра NH_3 получена NH_4 -соль IIIa, выход 83%. Из NH_4 -соли IIIa и 0,1 н. NaOH получена Na-соль IIIa. Аналогично получены Fe^{3+} -, NH_4 - и Na-соль IIIb. К р-ру 10 г NH_4 -соли IIIa в 70 мл воды добавляют р-р 3,5 г KOH в 50 мл воды, нагревают 20 мин. при 50°, добавляют р-р 6,5 г $KMnO_4$, после добавления р-ра 1,2 г KOH в 30 мл воды MnO_2 отделяют центрифугированием, выход гигроскопичной ди-K-соли VIa колич. Аналогично получена ди-K-соль VIb из NH_4 -соли IIIb. VII ($R = H$) получен из 3,2 г $OSNCH_2CH_2OPCl$ (XI) и 0,45 мл воды в диоксане. Р-р

1,82 г VII ($R = H$) в 30 мл воды нагревают 30 мин. при 45° и выделяют IX в виде Ва-соли (с 2 молями воды). 2 г VII ($R = H$) нейтрализуют 1,04 г KOH в 40 мл воды и добавляют р-р 1,96 г $KMnO_4$ в 70 мл воды при -10° (1,5 часа), добавляют 0,35 г KOH в 10 мл воды и выделяют ди-K-соль VIII ($R = H$). VII ($R = CH_2CH_2Cl$) получен из 12,65 г XI и 8,05 г X в диоксане (р-ритель удаляют в вакууме). VIII ($R = CH_2CH_2Cl$) и VIII ($R = CH_2CH_2OH$) выделены в виде K-соли, VIIIb в виде Fe-соли. Для VII ($R = CH_2CH_2OH$) т. кип. 134—136°/12 мм. В. Гиларов

32549. Реакции эфиров тиофосфорной кислоты с галогенами. Стерлинг (The reactions of phosphoro-

thiolates with halogens. Stirling C. J. M.), J. Chem. Soc., 1957, Aug., 3597—3604 (англ.)

$(C_2H_5O)_2POSR$ (Ia, б; здесь и далее а R = C_2H_5 , б R = $=C_6H_5CH_2$) в воде, суспензии при 0—5° энергично реагируют с Cl_2 или Br_2 с образованием $(C_2H_5O)_2POOH$ (S-бензилтиуроиневая соль, т. пл. 153—154°), RSO_2X (выделены $C_2H_5SO_2Br$, т. кип. 81—83°/13 мм, n_D^{25} 1,5005; $C_2H_5SO_2Cl$, т. кип. 76—79°/22 мм, n_D^{25} 1,4472; *n*-толуилдид, т. пл. 79—80°; $C_6H_5CH_2SO_2Cl$ (II), т. пл. 93°, и $C_6H_5CH_2SO_2Br$, т. пл. 78,5°) и RX . При недостатке Cl_2 образуются RSO_2H (III), превращенные в сульфоны $C_6H_5SO_2R$ (IVa, б). Из Iб получен также $C_6H_5CH_2SSO_2CH_2C_6H_5$ (V), т. пл. 107°; действием анилина и насыщ. р-ра $NaHCO_3$ переведенный в $C_6H_5CH_2SO_2NHC_6H_5$, т. пл. 103°. При частичном хлорировании Iб в смеси с *n*- $ClC_6H_4CH_2SO_2H$ (VI) в тех же условиях получен *n*- $ClC_6H_4CH_2SO_2CH_2C_6H_5$ (VII). $C_6H_5COSCH_2C_6H_5$ (VIII) образует при действии Cl_2 дибензилдисульфид (IX), IIIб и V. Действием Cl_2 на IX в воде получен V. Галогенирование IIIб приводит к смеси $C_6H_5CH_2X$ (X) и $C_6H_5CH_2SO_2X$, которые нестойки и разлагаются с выделением X. Действием воды р-ра Na_2SO_3 на II получена IIIб, выход 45%, т. пл. 59—60,5°; IVб, т. пл. 150°; IVa, т. пл. 84°. Аналогично синтезирована VI, т. пл. 104° (из эф.). IIIб не разлагается при нагревании в воде (100°, 30 мин.). Действием 2 молей Cl_2 или Br_2 на 1 моль Iб в CCl_4 при 20° получены RSX , идентифицированные по продуктам присоединения к этилену или циклогексену (после окисления выделены $C_6H_5CH_2SO_2CH_2CH_2Cl$, т. пл. 97°, и бензил-2-хлорциклогексилсульфон, т. пл. 108—109°). С избытком Cl_2 в отсутствие воды из I образуются $RSCl_2$. В аналогичных условиях из V образуется смесь II и $C_6H_5CH_2SCL$ (XI). Действием 2 экв Cl_2 в CCl_4 на VIII получены с последующим пропусканием этилена C_6H_5COCCL и $C_6H_5CH_2SCH_2CH_2Cl$, т. кип. 148—153°/13 мм, n_D^{25} 1,5712; *N*-*n*-толуолсульфонилсульфидимин, т. пл. 134°. К 55,2 г $(C_2H_5O)_2PHO$ прибавляют р-р C_2H_5ONa (из 9,2 г Na и 300 мл спирта), затем 12,8 г S при охлаждении и, наконец, 44 г C_2H_5Br , кипятят 2 часа, перегонкой фильтрата выделено 44 г Ia, т. кип. 78,5—79°/1,3 мм, n_D^{25} 1,4570. Аналогично получен Iб, т. кип. 130°/0,2 мм, n_D^{25} 1,5229. *n*- $ClC_6H_4CH_2SO_2Cl$, т. пл. 93—94°, синтезирован действием Cl_2 на воду. р-р хлоридата S-*n*-хлорбензилтиурония. К 1,1 г SO_2Cl_2 в 30 мл CCl_4 прибавляют по каплям при —30° 2 г IX в 20 мл CCl_4 , нагревают до 20°, прибавляют 2 г VI и затем 25 мл воды, из органич. слоя выделен *n*- $ClC_6H_4CH_2SO_2SCH_2C_6H_5$, т. пл. 118° (из сл.). К р-ру XI (из 20 г IX) в 150 мл CCl_4 прибавляют 18 г IIIб в 150 мл CCl_4 , перемешивают в вакууме, получено 30 г V. К 40 г C_2H_5SH и 40 г $C_6H_5CH_2SH$ в 300 мл CCl_4 прибавляют при 0° избыток 10%-ного р-ра Br_2 в CCl_4 , получено 17 г $C_6H_5CH_2SSC_6H_5$, т. кип. 75°/0,1 мм, n_D^{25} 1,5820. Ф. Величко

32550. Получение и токсичность некоторых алкилтиофосфатов. Мак-Айвор, Мак-Карти, Грант (Preparation and toxicity of some alkyl thiophosphates. McIvor R. A., McCathy G. D., Grant G. A.), Canad. J. Chem., 1956, 34, № 12, 1819—1832 (англ.)

Проведены и исследованы различные методы получения тетраалкилтиофосфатов $(RO)_2P(O)OR$ (S) $(OR')_2$ (I). Из $(RO)_2P(O)H$ (II) в C_2H_5N с S_2Cl_2 (т-ра < 5°) получить I (R = C_2H_5) не удалось (разлагается при перегонке) (РЖХим, патентный сб. 1, 1958, 100517). Из $(RO)_2POCl$ (III), C_6H_5N и H_2S получают I только при R = R' = C_2H_5 или *n*- C_3H_7 (РЖХим, 1954, 37700). Из $(RO)_2PSOH$ (IV) и III с $(C_2H_5)_3N$ получают неочищ. I с содержанием I 90—95% (лучший метод, А) (РЖХим, 1955, 26260). Из $(RO)_2PSCl$ (V) и $(RO)_2POONa$ (VI) (с небольшим кол-вом C_2H_5N) или из IV и $C_6H_{11}N=C=NCH_3$ (VII) чистого I получить не удалось. При нагревании $(C_2H_5O)_2P(O)SCN$ с Na-солью I

(R = C_2H_5) получают вместо I $(C_2H_5O)_2PO$ и $NaSCN$. При нагревании $(C_2H_5O)_2POOH$ и $(C_2H_5O)_2PS$ получить I не удалось. Следы к-т или солей (напр., $(C_2H_5)_3N \cdot HCl$) вызывают разложение I при т-ре > 80°. Рассмотрены возможные продукты разложения. Все I имеют в ИК-спектре поглощения связей $P=O$ (1290 cm^{-1}), $P-O-P$ (950 cm^{-1}). $P=S$ (770—835 cm^{-1}) (подробно о спектрах см. РЖХим, 1957, 36847) $(C_2H_5S)_2PO$ (VIII) и $(C_2H_5S)_3PS$ (IX) получают из C_2H_5SNa и $POCl_3$ или $PSCl_3$. IX при т-ре 120—130° отщепляет S, давая $(C_2H_5S)_3P$ (X). Описано получение $(изо-C_3H_7O)_2P(S)(CH_3)(CH_3)(OC_3H_7-изо)$ (XI). Попытки получить в-ва со связью $P-S-P$ из $(RO)_2PSSH$ (XII) (R = C_2H_5) и VII, Na-соли XII и V или III (R = C_2H_5) оказались неудачными (при перегонке в 2 последних случаях выделен только $(C_2H_5O)_2P(S)(C_2H_5S)PS$ (XIII)). Остаток при перегонке не обнаруживает поглощения, характерного для связи $P-S-P$. Токсичность I оказалась ниже описанной в литературе (РЖХим, 1954, 37700). Перечисляются для I R, R', выход неочищ. I по методу А, LD_{50} в мг/кг для мышей при введении внутривенным (ВВ), внутримышечным и внутривенным: CH_3 , CH_3 , 85, 1,4, —, —; CH_3 , C_2H_5 , 72, 1,0, —, —; C_2H_5 , CH_3 , 66, 1,8, —, —; C_2H_5 , C_2H_5 , 100, 0,94, 0,5, 0,3; *n*- C_3H_7 , *n*- C_3H_7 , 94 (в расчете на PCl_3), 7,93, 4,41, 3,25; *изо*- C_3H_7 , *изо*- C_3H_7 , 72 (в расчете на PCl_3), 25, —, —; *n*- C_4H_9 , *n*- C_4H_9 , 91, 60, —, —. II получают при прибавлении 0,5 моля PCl_3 в равном объеме C_6H_6 к 1,5 моля спирта в 150 мл C_6H_6 при т-ре < 10°. Для получения III к реакционной смеси добавляют 0,5 моля SO_2Cl_2 (т-ра < 10°). Перечисляются для II и III R и выходы в %: CH_3 , 87, 100; C_2H_5 , 83, 85; *n*- C_3H_7 , 93, 96; *изо*- C_3H_7 , 87, 100; *n*- C_4H_9 , 86, 94. К смеси 0,5 моля II (R = C_2H_5) и 0,5 моля S в сухом эфире добавляют 0,5 моля $(C_2H_5)_3N$, нагревают смесь до растворения S и подкисляют конц. HCl (к-той). Из эфирного р-ра выделяют неочищ. IV (R = C_2H_5), выход 100%, n_D^{25} 1,4678. При получении XII по описанному методу (Fletcher J. H. и др., J. Amer. Chem. Soc., 1950, 72, 2461) после добавления спирта C_6H_6 удаляют, добавляют р-р соды при т-ре ~ 20° в атмосфере N_2 и экстрагируют эфиром. Из эфирного р-ра выделяют XIII и $(C_2H_5O)_2P(S)SP(S)(OC_2H_5)SP(S)(OC_2H_5)_2$, т. пл. 47°. VI (R = CH_3 и C_2H_5) получают из 1 моля $(RO)_2PO$ и 1 моля $NaOH$ в 80%-ном спирте (3—4 часа). Воду и спирт удаляют в вакууме, добавляют 150 мл C_6H_6 , суспензию упаривают и промывают эфиром, выход колич. VI (R = *n*- C_3H_7 , *изо*- C_3H_7 и *n*- C_4H_9) получают при нагревании III с водой до растворения III. Р-р упаривают для удаления HCl и нейтрализуют 0,1 в. $NaOH$ до pH 9. IV — очень гигроскопична. К смеси 0,25 моля II и 0,25 моля S в эфире добавляют по каплям 0,25 моля $(C_2H_5)_3N$ и 0,25 моля III, осадок отделяют, упаривают в вакууме и продукт очищают или хроматографией на бумаге или пропусканием р-ра в $CHCl_3$ через колонку с Al_2O_3 . I очищают мол. перегонкой. К 9,42 г V добавляют 8,8 г VI (R = *веде* C_2H_5) и 5 капель C_2H_5N и перемешивают 17,5 час. Выход продукта 80% (т-ра перегонки < 75°, LD_{50} 1 мг/кг для мышей ВВ), который по данным хроматографич. анализа состоит из $[(C_2H_5O)_2PO]_2O$ (25%), I (R = R' = C_2H_5) (62%) и $[(RO)_2PS]_2$ (XIV) (R = C_2H_5) (13%). При выстигивании увеличивается выход XIV. При добавлении 0,1 моля $POCl_3$ к C_2H_5SNa (из 0,3 моля C_2H_5SH и 0,3 моля Na) получают VIII, выход 75%, т. кип. 124,5°/3 мм, n_D^{25} 1,5664. Выход IX 61%; при перегонке получают X. К р-ру $CH_3P(O)(OC_3H_7-изо)Cl$ в C_6H_6 с примесью CH_3PSCl_2 добавляют смесь C_2H_5N и воду. Осадок отделяют, р-ритель удаляют, остаток растворяют в C_6H_6 и промывают водой. Для XI т. кип. 170°/1 мм, n_D^{25} 1,5244. В. Гилларов

и NaSCN. S получить (C₂H₅)₂N- > 80°. Расп. Все I сей P=O -835 см⁻¹ (57, 36847). Получают из 0-130° от-получению (X). на (RO)I V или III перегоняют (C₂H₅O)₂ не обнару- P-S-R. литератур- I R, R', е для мн- 1,4, —, —, C₂H₅, расцете на в расцете —. II по- вном объ- при т-ре еси добав- ляются для H₂, 83, 86; K смеси ом эфиры сь до рас- Из эфир- выхода тисанному Soc., 1950, ляют, до- фере N₂ и ляют XII —, пл. 47°. (RO)₂PO и . Воду и C₂H₅N, суе- од кол-ц. при на- р упари- NaOH 0,25 моля м 0,25 мо- т, упари- матогра- Cl₂ через K 9,42 г эль C₂H₅N 0% (т-ра Б), кото- стоит на (62%) и лших Я 0,1 моля (для Na) м.м., n_D²⁰ учают X. примесью кол отде- в C₂H₅ м.м., n_D²⁰ Гилларов

32551. Исследования в ряду производных алкилфос- финистых и диалкилфосфиновых кислот. V. Эфиры и амиды диалкилфосфиновых кислот и их биологи- ческая активность. Разумов А. И., Мухачева О. А., Законникова И. В., VI. Галогидроангидри- ды и алкилированные амиды алкилалкоксифосфино- вых кислот. Разумов А. И., Мухачева О. А., Маркович Е. А., Ж. общ. химии, 1957, 27, № 3, 754—757; № 9, 2389—2394 См. РЖХим, 1957, 26894.

32552. О смешанных эфирах трет-(1,1,1-трихлор)-бу- тил-1-трихлорметилциклогексил-1-фосфористой кис- лоты. П. Абрамов В. С., Хайруллин В. К., Ж. общ. химии, 1957, 27, № 5, 1365—1369 В продолжение изучения р-ций диалкилхлорфосфи- тов (RO)(R'O)PCl (I) (R и R' — третичные радикалы) со спиртами (см. сообщение I, РЖХим, 1958, 11374) в I [здесь и далее R = (CH₃)₂C(CCl₃), R' = C(CCl₃)-

(CH₃)₂CH₂] получены смешанные эфиры (RO)(R'O)- (R'O)P (II). Для II перечисляются R'', выход в %, т. кип. в °C/мм., т. пл. в °C (перекрист. из эфира), n_D²⁰, d₄²⁰. CH₃, 74,8, 181—182,5/2, 58—60, 1,5316, 1,4540; C₂H₅, 85,1, —, 86—87,5, —, —; n-C₃H₇, 76,5, 190—192/3, 44—46, 1,5235, 1,3940; n-C₄H₉, 76,0, 192—194/1, —, 1,5200, 1,3674; изо-C₄H₉, 62,0, 189—191/2, —, 1,5230, 1,3742. I по- лучен из ROPCl₂ (III) и R'ON или R'OPCl₂ (IV) и RON в присутствии C₂H₅N. Из II получены комплексы с CuCl (1:1). Перечисляются для комплексов R'', т. пл. в °C, соотношения CHCl₃ и CH₃OH при перекристалли- зации: CH₃, 143—144,5, 1:5; C₂H₅, 159—160, 1:3; C₂H₇, 151, 1:4; C₄H₉, 138—139, 1:3; изо-C₄H₉, 161—163, 1:10. При р-ции I с изо-C₃H₇ОН образуется (RO)(R'O)P(O)H (V), с фенолом I не реагирует. При р-ции I с C₂H₅ОН или трет-C₄H₉ОН выделить индивидуальных продуктов не удалось. К смеси 41,2 г PCl₃, 65,3 г R'ON в 250 мл эфира добавляют 23,7 г C₂H₅N при 8° и смесь переме- шивают 2 часа при 20°, выход IV 72%, т. кип. 129—130°/1 мм., т. пл. 55—56°, n_D²⁰ 1,5528, d₄²⁰ 1,5091. 158 г III, 126 г R'ON и 53,2 г C₂H₅N в 500 мл эфира нагре- вают 4 часа, выход I 58,5%, т. кип. 181—182/2 мм., n_D²⁰ 1,5422, d₄²⁰ 1,5046. При р-ции III с 2 молями R'ON в тех же условиях получить ROP(OR')₂ не удалось, выход I 75%. К смеси 31,85 г IV, 17,75 г RON в 100 мл диоксана добавляют по каплям 7,9 г C₂H₅N и нагрева- ют до 70—90° 3 часа, выход I 30,5%. При омлении I водой образуется V, выход 95%, т. пл. 67—99° (из C₂H₅N). Для получения II к р-ру 0,05 моля R'ON и 0,05 моля C₂H₅N в 150—200 мл эфира добавляют 0,05 моля I в 30—50 мл эфира при т-ре < 5°, через 1—2 часа смесь кипятят 30 мин. В. Гилларов

32553. Исследования в области полициклических со- единений. XIV. О синтезе антрахинон-1-арсоновой и -1-фосфоновой кислот по диазметоду. Лукин А. М., Петрова Г. С., Ж. общ. химии, 1957, 27, № 8, 2171—2174

Для выяснения значения стойкости солей диазония в природы аниона в них при их применении в каче- стве исходных продуктов для синтеза изучены выхо- ды AgAsO(OH) (I) (Ag здесь и далее α-антрахинонил) и AgP(O)(OH)₂ (II) из одинаково стойких AgN₃X (III), где X = HSO₄, Cl, BF₄. Приведены выходы в % для I и II соответственно: 65, 17,5, 23; 6,6, 9,9, 60. Получе- ны Na- и NH₄-соли II. Последняя является хорошим осадителем для Th в ацетатном буфере с pH 3,5—4,4 (чувствительность р-ции 4 γ Th в 5 мл). К пасте, по- лученной при пересадении 11,8 г AgNH₂ из конц. H₂SO₄, добавляют 100 мл 40%-ной HBF₄ и диазотируют р-ром 7 г NaNO₂, III (X = BF₄) отфильтровывают при 0° и промывают эфиром, выход 15,5 г. К смеси 80 мл CH₃COOC₂H₅ и 0,096 моля PCl₃ добавляют 0,044 моля III

(X = BF₄) и 1 г Cu₂Br₂ и нагревают 2 часа при 60—85°, через 12 час. добавляют 12 мл воды, размешивают 1 час и CH₃COOC₂H₅ отгоняют с паром. Выход II 60%. Сообщение XIII см. Ж. общ. химии, 1950, 20, 2219.

В. Гилларов

32554. Синтез ароматических соединений сурьмы. VII. Получение п-фторфенилпроизводных сурьмы. Брукер А. Б., Ж. общ. химии, 1957, 27, № 8, 2223—2226

К р-ру 28,5 г SbCl₃ и 21,2 г CuCl₂ в разб. HCl прибав- ляют (3 часа, ~20°) 16 г RNHNH₂ (здесь и далее R = n-C₆H₄), отфильтровывают R₂Sb(O)OH (I), вы- ход 14—16%, к фильтрату через 4 часа приливают насыщ. на холоду р-р NH₄Cl в конц. HCl, осадок раз- лагают водой, получают RSb(O)OH (II), выход 15%. II с NH₄Cl образует двойную соль. При растворении I в теплой HCl (1:1) образуется R₂SbCl₂ (III), т. пл. 100°, и затем 149—150°. В р-р III в HCl (1:1) пропуска- ют SO₂ в присутствии KI при 50° 50 мин., получают R₂SbCl (IV), т. пл. 55°. Сходным образом из II синте- зирован RSbCl₂ (V), т. пл. 46—47°. Действием 5%-ного NH₄OH на р-р IV в спирте получают (R₂Sb)₂O, т. пл. 85°. Аналогично из V получают RSbO; ацетат, т. пл. 120—121°. Сообщение VI см. РЖХим, 1958, 4672.

Ф. Величко

32555. Получение 2-фторэтилового эфира этиленгли- коля. Зинovieв Ю. М., Кулакова В. Н., Собо- ровский Л. З., Ж. общ. химии, 1957, 27, № 9, 2558—2559

2-Фторэтиловый эфир этиленгликоля (I) получен обработкой FCH₂CH₂OH (II) металлич. Na. Одновремен- но почти количественно образуются NaF и H₂ по схе- мам: 2 II + 2 Na → 2 NaOCH₂CH₂F (III) + H₂; 2 II + + 2 III → 2 I + 2 NaF. К 34,71 г II прибавлено 2 г Na (охлаждение льдом), выделено 21,4 г II и 7,99 г I, вы- ход по II 71,5%, по Na 85%, т. кип. 169—171°, d₄²⁰ 1,1216, n_D²⁰ 1,4070.

Ю. Зинovieв

32556. Анионотропная перегруппировка замещенных перфторпропенон. Дяткин Б. Л., Герман Л. С., Кнуляниц И. Л., Докл. АН СССР, 1957, 114, № 2, 320—322

CF₂=CFCF₂X (I) при X, обладающем подвижной электронной парой, неустойчивы и перегруппировыва- ются в соответствующие CF₂CF=CFX (II). Скорость перегруппировки растет в ряду I (X = Cl) (Ia) < I (X = OCH₃) (Ib) < I (X = N(C₂H₅)₂) (Iв). Взаимодей- ствием 0,35 моля Ia с CH₃ONa (из 0,2 моля Na) в CH₃OH при т-ре от —10 до —15° получен (здесь и да- лее при описании синтезов перечисляются выход в %, т. кип. в °C/мм., n_D²⁰, d₄²⁰): 52, 38,5/760, 1,3000, 1,3683. Действием Br₂ на Iб синтезирован CF₂BrCFBrCF₂OCH₃ (III), 82, 136/764, 1,4090, 2,1136. 10 г III, 4 мл конц. H₂SO₄ и 4 г стекла в порошок нагревают (5 час., 105°), получен CF₂BrCFBrCOOCH₃ (IV), 77, 70,5/28, 1,4380, 2,0598. Из IV и NH₃ в спирте синтезирован CF₂BrCFBr- CONH₂, т. пл. 61,5—62,5° (из гексана). При хранении Iб изомеризуется в Iб6, —52—52,5/760, 1,3045, 1,3605. Iб6 превращен с выходом 87% в CF₂CFBrCFBrOCH₃, 134/736, 1,4040, 2,0510, гидролизованный в CF₂CFBrCOO- CH₃, 56, 101—108/760, 1,3592, —. Взаимодействием 0,1 моля Ia с 0,15 моля (C₂H₅)₂NH (эфир, —30°, 2 часа) синтезирован Iв6, 47, 56—59/49, 1,3715, —. При гидро- лизе Iв6 образуется CF₂CFHCON(C₂H₅)₂, —, 67,5—68/5, 1,3938, —. Действием Br₂ в CH₂Cl₂ с последующей обра- боткой водой Iв6 превращен в CF₂CFBrCON(C₂H₅)₂, 61, 98—99/23, 1,4200, 1,5042.

Ф. Величко

32557. Получение монофторуксусной кислоты и ее Ca-, Ba- и Ag-солей. Филиппс (The preparation of monofluoroacetic acid and of Ca-, Ba- and Ag-mono- fluoroacetates. Phillips M. A.), Manufact. Chemist, 1957, 28, № 7, 328—329 (англ.)

К р-ру 1 кг CH_3FCOONa в 3 л воды добавляют 275 мл конц. H_2SO_4 разб. до 30%-ного р-ра, охлаждают до 5°, через несколько часов отфильтровывают Na_2SO_4 , выход CH_3FCOOH (I) 90%, т. кип. 167–169°. К р-ру 616 г $\text{CH}_3\text{FCOONH}_2$ в 1,5 л воды добавляют 360 г $\text{Ca}(\text{OH})_2$ (порциями по 30–40 г) и горячей водой доводят объем до 3 л, кипятят 1,5–2 часа, выход Ca -соли I 96,5%. К 200 мл р-ра 77 г I в воде добавляют (60°) 100 г BaCO_3 , упаривают фильтрат в вакууме, добавляют 3 объема спирта, выход Ba -соли I 95%. К кипящему 4%-ному водн. р-ру 4 г I добавляют 5,8 г Ag_2O , выход Ag -соли I 90%, чувствительна к свету, обладает фунгицидным и бактерицидным действием. С. Иоффе

32558. Производные диметиламиноазобензола, содержащие фтор. Ягупольский Л. М., Маренец М. С., Ж. общ. химии, 1957, 27, № 5, 1395–1399

Синтезированы $n\text{-(CH}_3)_2\text{NC}_6\text{H}_4\text{N}=\text{NC}_6\text{H}_4\text{R}$ (I), где R — группа, содержащая $\lambda_{\text{макс}}$ I тем более сдвинуто в сторону длинных волн, чем более электроположительны R. Окислением $n\text{-CH}_3\text{CONHC}_6\text{H}_4\text{SCH}_3$ 30%-ной H_2O_2 в CH_3COOH получен $n\text{-CH}_3\text{CONHC}_6\text{H}_4\text{SO}_3\text{CH}_3$ (II), выход 71%, т. пл. 185–186°. Кипячением II с 15%-ной HCl синтезирован $n\text{-NH}_2\text{C}_6\text{H}_4\text{SO}_3\text{CH}_3$, выход 83%. Восстановлением $n\text{-NO}_2\text{C}_6\text{H}_4\text{SeCH}_3$ действием SnCl_2 в HCl при 60–70° получен $n\text{-NH}_2\text{C}_6\text{H}_4\text{SeCH}_3$, т. кип. 103–105°/5 мм, ацильное производное, т. пл. 99–100°. Ниже даны R, выход в % и т. пл. в °C I, синтезированных азосочетанием диазотированного $\text{RC}_6\text{H}_4\text{NH}_2$ с диметиланилином: CH_3S , 83, 175–176; CF_3S , 80, 169–170; CH_3SO_2 , 60, 223–224; CF_3SO_2 , 82, 175–176; CF_3O , 75, 131–132; CF_3 , 75, —; CH_3Se , 80, 175–176. Синтезирован также $n\text{-(CH}_3)_2\text{NC}_6\text{H}_4\text{N}=\text{NC}_6\text{H}_4\text{CF}_3$ (III), выход 50%, т. пл. 120°. III почти полностью обесцвечивается к-той, так как CF_3 ввиду большого объема и значительной электроотрицательности препятствует присоединению протона к $-\text{N}=\text{N}-$, и соль образуется по $(\text{CH}_3)_2\text{N}$ -группе. Проведены данные о $\lambda_{\text{макс}}$ и ϵ I и III в спирте и в спирте + HCl сравнительно с I (R = H, OCH_3 , CH_3 , NO_2) и III, содержащих вместо CF_3 группы CH_3 и NO_2 .

Ф. Велычко

32559. Исследования гетероциклических соединений, содержащих йод. I. Получение солей 3,6-динитродибензпиродия и их свойства. Хуан Вэнь-куй (Studies on heterocyclic compounds containing iodine. I. The preparation of 3,6-dinitro-dibenzopyridonium salts and their properties. Hwang Wen-kuei), Чжунго кэсюэ, Scientia sinica, 1957, 6, № 1, 123–129 (англ.); Хуасюэ сюэбао, Acta Chem. sinica, 1956, 22, № 4, 262–268 (кит.; рез. англ.)

При обработке 4,4'-динитродифенилметана (I) $(\text{JO})_2\text{SO}_4$ получают бисульфат 3,6-динитродибензпиродия (II), строение которого подтверждается окислением KMnO_4 в 2-йод-4-нитробензойную к-ту (III) и получением при термич. разложении йодида II (IIa) 2,2'-дийод-4,4'-динитродифенилметана (IV), переходя-



щего при восстановлении Sn в HCl в 2,2'-дийод-4,4'-диаминодифенилметан, т. пл. 145° (из сп.). Дифенилметан с $(\text{JO})_2\text{SO}_4$ образует полимерное в-во, т. пл. 210–212°. 4 ммоль J_2 , 12 ммоль NaJO_3 и 50 мл конц. H_2SO_4 перемешивают ~ 0,5 часа, медленно прибавляют 20 ммоль I (т. пл. 183–184°), перемешивают ~ 1 часа, выливают в 300 мл льда-воды и отделяют II, выход 86,2%, т. пл. 217,5° (разл.; из 85%-ной HCOOH -ацетона). Р-р NaCl , NaBr , KJ или KSCN в HCOOH прибавляют к р-ру II в 85%-ной HCOOH , получают следующие соли основания II [перечисляются соли, т. пл. в °C (разл.; из 85%-ной $\text{HCOOH})$]: хлорид, 211,5;

бромид, 217,5; Na , 164; тиоцианат, 167–167,5; пикрат, 183–184, выход 96,3%. 3,75 ммоль II, 34 ммоль KMnO_4 , 120 мл воды и 2 мл 10%-ного NaOH кипятят, выливают III, выход 28%, т. пл. 145–146° (из баз.). 6 г II нагревают до полного разложения, получают IV, выход 60%, т. пл. 158–159° [из этилацетата (V)]. Немного II, 2 мл 10%-ного NaOH и 3 мл V или пиридина встряхивают при ~ 20°, появляется красное голубовато-зеленое окрашивание, которое при подкислении одной каплей 6 н. H_2SO_4 или при стоянии на воздухе переходит в коричнево-желтое, при подщелачивании 10%-ным NaOH снова переходит в голубовато-зеленое. Другие соли II дают такие же цветные р-ции.

Ю. Розанова

32560 К. Химия пиридина. Ферлес, Пизба (Chemie pyridinu. Ferles Miloslav, Jizba Josef (Prace CSAV Sek. chem. 21). Praha, CSAV, 1957, 618 s., 71 Kts) (чешск.)

32561 К. Химия металлоорганических соединений. Рохов, Херд, Льюис (The chemistry of organometallic compounds. Rochow Eugene G., Hurd Dallas T., Lewis Richard N., New York, Wiley; London, Chapman and Hall, 1957, Vii, 344 pp., ill., 68 sh.) (англ.)

32562 Д. Синтез и свойства простых виниловых и этилвиниловых эфиров, содержащих циклические радикалы. Красильникова Г. К. Автореф. дисс. канд. хим. н., Ин-т орган. химии АН СССР, М., 1957

32563 Д. Исследование синтеза винилтолуола. Бодаренко А. В. Автореф. дисс. канд. хим. н., Ярославск. технол. ин-т, Ярославль, 1956

32564 Д. N-(β-меркаптоэтил)-ариламины в синтезе соединений ряда 3-арилтиазолидина. Дятловская С. В. Автореф. дисс. канд. хим. н., МГУ, М., 1957

32565 Д. К вопросу получения 2-меркаптобензтиола. Иванов В. А. Автореф. дисс. канд. хим. н., Моск. гор. пед. ин-т, М., 1957

32566 Д. Исследования в области арилалкилсульфонов. Гу Чан-ли. Автореф. дисс. канд. хим. н., Моск. нефт. ин-т, М., 1957

32567 Д. Свойства amino- и оксипроизводных пиридинов и синтез некоторых пиридиноимидазолонов. Антонович Е. Г. Автореф. дисс. канд. хим. н., МГУ, М., 1957

См. также разделы Промышленный органический синтез и Промышленный синтез красителей: Соединения алифатич. 34028, 34035, 34054, 34425, 34440, 34466, 34728, 34729; ароматич. 31423, 33965, 34422, 34540; гетероциклич. 34550; 11806Бх; элементоорганич. 34427

ПРИРОДНЫЕ ВЕЩЕСТВА И ИХ СИНТЕТИЧЕСКИЕ АНАЛОГИ

Редакторы Л. Д. Бергельсон, М. М. Богвицкий, А. Д. Кузовков, В. В. Некрасов, И. В. Торгов, Л. М. Уткин, В. В. Шпанов

32568. Этилиденпроизводные метилалдопиранозидов. Ханиман, Стенинг (Ethylidene derivatives of methyl aldopyranosides. Honeymann John, Stening Theo. C.), J. Chem. Soc., 1957, July, 3316–3317 (англ.)

Смесь 30 г метилгликозида с 125 мл 1,1-диметоксэтана и 1,3 мл конц. H_2SO_4 встряхивают 2–3 часа, нейтрализуют твердым K_2CO_3 , упаривают в вакууме и кристаллизуют этилиденные производные из эфира-

пектр. эфира. Этим способом синтезированы: 3, 4(2)-этилден-α-D-метилфукопиранозид, выход 39%, т. кип. 69°/0,05 мм, т. пл. 84°, $[\alpha]_D^{25} + 153^\circ$ (с 1; хлф.); 2,3-этилден-α-L-метилпиранопиранозид (I), выход 37%, т. кип. 76°/0,2 мм, т. пл. 53°, $[\alpha]_D^{25} - 44,9^\circ$ (с 0,4; хлф.); 4-н-толуолсульфонат I, т. пл. 81° (из CH_3OH), $[\alpha]_D^{25} + 14,8^\circ$ (с 0,8; хлф.); 2,3; 4,6-диэтилден-α-D-метилманнозид, выход 66%, и 4,6-этилден-α-D-метилманнозид, выход 13%, т. пл. 116–117° (из CCl_4).

А. Лютенберг

32569. Препаративное получение 2-дезоксид-Д-рибозы. Хардеггер, Шелленбаум, Хувилер, Цюст (Präparative Herstellung der 2-Desoxy-D-ribose. Hardegger E., Schellenbaum M., Huviler R., Züst A.), Helv. chim. acta, 1957, 40, № 6, 1815–1818 (нем.).

Предложен препаративный способ получения 2-дезоксид-Д-рибозы (I) из 3-мезил-Д-глюкозы (II); I образуется при щел. расщеплении II с хорошим выходом. I получают также из 3-мезил-1,2; 5,6-диизопропилден-Д-глюкозы (III) и из 3-тозилдиизопропилден-Д-глюкозы (IV). К р-ру 51,6 г II в 200 мл воды (45–55°) при размешивании прибавляют (2 часа) 350 мл 1 н. NaOH (рН 9, до фенолфталеину), р-р упаривают, приливают 200 мл CH_3OH , отфильтровывают $\text{CH}_3\text{OSO}_3\text{Na}$ и к фильтрату прибавляют р-р 18,6 г $\text{C}_6\text{H}_5\text{NH}_2$ (V) в 150 мл CH_3OH и 70 мл воды; через 15 час. (0°) выход анилида 2-дезоксид-Д-рибозы (VI) 49%, т. пл. 172–173° (разл.), $[\alpha]_D + 171^\circ$ (с 1; $\text{C}_6\text{H}_5\text{N}$). Из VI получают (РЖХим, 1955, 23808) I с выходом 95%, т. пл. 78–82° (из этилацетата). Р-р 260 г III и 57 г конц. H_2SO_4 в 4,4 л 50%-ного CH_3OH кипятят 100 мин., по охлаждению нейтрализуют 2 н. NaOH и сгущают в вакууме (45°) до 800 мл; в течение 5 час. (50–60°) прибавляют 1025 мл 1 н. NaOH и сгущают дальше; к остатку прибавляют 400 мл CH_3OH , фильтруют и прибавляют 70 г V и 200–300 мл воды; через 18 час. (0°) выход VI 45%. 12,5 г IV, 200 мл 50%-ного CH_3OH и 2,2 г конц. H_2SO_4 кипятят 4 часа, дальше как при I, выход VI 20%.

А. Юревич

32570. Получение гликаминов. Каган, Ребенсторф, Хейнцельман (The preparation of glycamines. Kagan Fred, Rebenstorf M. A., Heinzelman Richard V.), J. Amer. Chem. Soc., 1957, 79, № 13, 3541–3544 (англ.).

Гликамины, один из которых — галактамин (I) необходим для синтеза пантотеновой к-ты, получают в больших кол-вах редуктивным алкилированием NH_2 или гидрогенолизом N-бензилгликаминов. Очистка продуктов проводится через основания Шиффа (изучено действие 8 альдегидов). 50 г галактозы (II) и 30 г бензиламина (III) растворяют в 15 мл воды (60°), прибавляют 50 мл CH_3OH , по охлаждению вносят 3,2 г PtO_2 , доводят объем CH_3OH до 500 мл и гидрируют при 40–50°, 1,5–3,2 ат, 15 час.; разбавляют 1,5 л CH_3OH и выделяют N-бензилгалактамин (IV), выход 64%, т. пл. 157–159° (из CH_3OH), $[\alpha]_D - 6^\circ$; при гидрогенолизе IV с Pd/C (50°, 2–3,2 ат, 1,5 часа в сп.) получают I, выход 77%, т. пл. 143–145°, $[\alpha]_D - 1^\circ$. 150 г II в 400 мл жидкого NH_3 гидрируют с Ni Ренея (85°, 120 ат, 4 часа), после удаления NH_3 растворяют в 750 мл воды и перемешивают 10 мин. с 103 г о- $\text{C}_6\text{H}_4(\text{OH})\text{CHO}$ (V); выход салицилденгалактамина (VI), промытого эфиром, 66–77%; при гидрировании I в водн. NH_3 (55°, 15 ат, 16 час.) выход VI 54–57%, т. пл. 200–202° (из CH_3OH). При промывке технич. VI эфиром отделяется растворимый N,N'-бис-салицилдендиамин, выход < 3%, т. пл. 126–128° (из сп.), при гидролизе дает V и этилендиамин, который, вероятно, образуется расщеплением углеродной цепи частично образовавшегося 1,2-дидезоксиаминодильцита (VII). 145,5 г VI суспендируют в смеси 1 л воды и 90 мл конц. HCl и при сильном перемешивании

нагревают на кипящей бане 15 мин., V вывлекают 3×125 мл CH_2Cl_2 , водн. слой выпаривают в вакууме досуха, остаток растворяют в воде и р-р пропускают через анионит JR-410 (ОН-форма), промывают водой до рН 7–8, сгущают в вакууме до 200 мл, осаждают 4 объемами спирта, выход I 85% (63% на II), т. пл. 145–148°. Даже в присутствии большого избытка жидкого NH_3 одновременно с I образуется дильцит (до 12%). Бензилденгалактамин, выход 61%, т. пл. 192–193°, при гидролизе паром в атмосфере N_2 дает I, выход 91%, т. пл. 146–148°. Если смесь II и III обрабатывать без выделения IV, то получается циклогексилметилгалактамин, выход 76,3% (неочищ.), т. пл. 135–136° (из воды), $[\alpha]_D - 6^\circ$. Гидрогенолиз смеси II и III со смешанным Pt-Pd-катализатором в спирте приводит к D-(-)-дидильцитиламину, выход 76,7% (неочищ.) (в жидком NH_3 меньше 10%, в водн. NH_3 до 20%), т. пл. 202–204° (из воды), $[\alpha]_D - 9^\circ$; хлоргидрат, т. пл. 240–241°. Частичное образование VII предположено только на основе данных потенциометрич. титрования. Получены N-бензилгликамины (исходный сахар, выход в %, т. пл. в °C, выход и т. пл. салицилденового производного в %): L-арабиноза, 64, 122–123, 60, 187–188; D-глюкоза, 68 (неочищ.), 138–139; D-рибоза, 46, 102–103, 25, 126–128; D-ксилоза, масло, —, 26, 131–133. Приведена таблица условий и результатов р-ции NH_3 с II, с Ni и Co Ренея. Уд. вращение определено в воде, с 1–4°, 23°.

В. Зеленкова

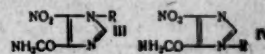
32571. Синтезы аминсахаров. IX. Синтетический α-D-гулозамин. Кун, Киршенлор, Бистер (Synthetisches α-D-Gulosamin. Aminosucker-Synthesen. IX. Kuhn Richard, Kirschenschlohr W., Bister Waltraut), Angew. Chem., 1957, 69, № 1–2, 60–61 (нем.).

Синтезирован α-D-гулозамин (1), выделенный ранее (РЖХим, 1958, 18057) как продукт разложения антибиотиков стрептотрицина и стрептолина В. D-ксилоза с анилином и HCN образует нитрил N-фенил-D-идоаминовой к-ты, выход 85%, т. пл. 118° (из сп.), $[\alpha]_D^{25} - 168^\circ$ (с 1; абс. сп.), и нитрил N-фенил-D-аминогулоновой к-ты, выход 15%, т. пл. 109–111° (из сп.), $[\alpha]_D^{25} + 167^\circ$ (с 1; абс. сп.). Каталитич. полугидрированием последнего получен I в виде хлоргидрата, выход 55%, $[\alpha]_D^{25} + 34^\circ$ (3 мин.) → -19° (4 часа; с 1; вода). Сообщение VIII см. РЖХим, 1958, 1410.

В. Зеленкова

32572. Синтез 5-амино-1-(β-D-рибофуранозил)-глиоксалино-4-карбоксамида. Баддиль, Бьюкенен, Стюарт (Synthesis of 5-amino-1-(β-D-ribofuranosyl)-glyoxaline-4-carboxamide. Baddiley J., Buchanan J. G., Stewart J.), Proc. Chem. Soc., 1957, May, 149 (англ.).

Синтезирован 5-амино-1-(β-D-рибофуранозил)-глиоксалино-4-карбоксамида (I), выделенный из E. coli (см. РЖХимБх, 1957, 17608). Ag-или Hg-соль метилового эфира 5-нитроглиоксалино-4-карбоновой к-ты (II) обрабатывают 2,3,5-три-бензонил-β-D-рибофуранозилхлоридом (кипящий ксилол), р-р хроматографируют на



Al_2O_3 , выделяют смесь N₁- и N₂-2,3,5-три-бензонилрибофуранозидов II, из которых после обработки р-ром NH_3 в CH_3OH выделяют смесь (III) и (IV) (R = β-D-рибофуранозил). Чистый III, выделенный противоточным распределением, восстанавливают каталитически до I (выделен в виде пикрата). I идентичен с природным препаратом.

З. Шабарова

32573. Синтез глюкогенкина. Земплер, Мештер, Моцар (A glükogenkinanin szintézise. Zempler, Mészter, Móczár)

lén Géza, Mester László, Mócsár Elemér), Magyar tud. akad. Kém. tud. oszt. közl., 1956, 7, № 3—4, 363—365 (венг.)

Синтезированы глюкогенквинин (7-метокси-5,4'-диоксифлаво-5-глюкозид) (I), найденный ранее (Ohta, Nishikawa, J. Pharmac. Soc. Japan, 1947, 67, 40) в *Prunus serrulata*. Авторы исходили из флаванон-5-глюкозида (сакуранина) (II), который они синтезировали ранее (см. Ber., 1942, 75, 1432). Ацелированием II (в пиридине $(CH_3CO)_2O$) получен пентаацетат II (III), т. пл. 198° (из сп.). Бромированием III получен 3-бромсакуранинпентаацетат (IV), т. пл. 172—174° (из сп.). Омылением IV, при одновременном отщеплении HBr, получен I, т. пл. 272—273° (из сп.). С получением I авторы считают завершенным синтез тех флавановидных глюкозидов, у которых сахар находится в отношении к карбонильной группе в орто-положении, а OH-группа, находящаяся в пара-положении, метилирована. Синтез подтверждает предложенное ранее (см. ссылку выше) строение I. C. Розенфельд

32574. О фенолгликозидах. Сообщение 8. О разложении салициламидгликозидов щелочами и кислотами. Вагнер (Über die Zersetzung der Salicylamidglykoside in Laugen und Säuren. 8. Mitteilung „Über Phenolglykoside“. Wagner Günther), Pharmaz. Zentralhalle, 1957, 96, № 8—9, 488—495 (нем.)

Исследована скорость расщепления 0,1%-ных р-ров салициламидгликозидов сахар — OC_6H_4CONRR' — при 80° в 0,1 н. и 1 н. NaOH (KOH) и HCl. Ход р-ции определяли фотометрически после добавления Fe^{3+} . Установлено, что салицилдиметиламидгликозиды (СДМАГ) ($R = R' = CH_3$) значительно устойчивее монозамещ. и незащ. салициламидгликозидов (САГ). Найдены следующие величины констант скоростей мономолекулярной р-ции К (перечисляются углеводный остаток гликозида, $K \cdot 10^4$ САГ в 0,1 н. HCl, $K \cdot 10^4$ САГ в 0,1 н. NaOH, $K \cdot 10^4$ СДМАГ в 1 н. HCl, $K \cdot 10^4$ СДМАГ в 1 н. KOH): β -D-глюкопиранозид, 1,1, 1,2, 1,1, 0,32; β -D-галактопиранозид, 3,2, 2,2, 2,4, 1,6; β -D-ксилопиранозид, 17,0, 6,4, 16,0, 4,7; α -L-арабиопиранозид, 9,2, 11,0, 9,0, 8,4. Различия в скоростях р-ции объясняется меньшей кислотностью аглюкона салицилдиметиламида сравнительно с моно- и незащ. амидами, а также неодинаковой скоростью омыления соответствующих амидных группировок до $COOH$ -группы. Предыдущее сообщение см. РЖХим, 1958, 28886. В. Векслер

32575. Структура молекулы амилозы. Холло, Сейтли (Die Molekülstruktur von Amylose. Hollo J., Szejtli J.), Zucker- und Süßwaren-Wirtsch., 1957, 10, № 13, 520—522 (нем.)

Краткий обзор работ. Библ. 16 назв.

32576. Структура лишенина. Пит, Уилан, Роберте (The structure of lichenin. Peat Stanley, Whelan W. J., Roberts J. G.), J. Chem. Soc., 1957, Sept., 3916—3924 (англ.)

Лишенин (I), выделенный из исландского мха и освобожденный от изолишенина, дал при кислотном гидролизе целлобиозу и ламинарибиозу в отношении 7,5:1, а также целлотриозу (II), 4- β -ламинарибиозидоглюкозу, 3- β -целлобиозидоглюкозу и глюкозу. Таким образом, неразветвленная полисахаридная цепь I содержит как β -1 \rightarrow 3, так и β -1 \rightarrow 4 связи. Аналогичным способом установлена идентичность I из исландского мха с I, выделенным из овса. Предполагается, что биосинтез I происходит путем полимеризации остатков β -II посредством 1 \rightarrow 3 связей. А. Лютенберг

32577. Структура углеводов клубней топинамбура. Шнейдер, Конти (Die Struktur der Kohlenhydrate von Topinamburknollen. Schneider F., Conti F.-W.), Stärke, 1956, 8, № 11, 269—271 (нем.)

На основе рассмотрения работ 1933—1952 гг. при-

ведены 6 возможных структурных ф-л для инулина, после обсуждения которых дана наиболее вероятная ф-ла, состоящая только из цепи α -фруктозы с сахарозой. В топинамбуре присутствуют также инулиды, отличающиеся от инулина длинной фруктозной цепью. При гидролизе сока топинамбура наряду с глюкозой и фруктозой образуются несколько дисахаридов, называемых ангидридами дифруктозы, три структурные ф-лы которых приводятся. При других условиях гидролиза образуются кроме того дигетеролевулозаны, структурная ф-ла которых характеризуется присутствием пиранозного кольца. Методом хроматографии на бумаге показано, что при слабом гидролизе инулина при 80° разб. HCl образуются ангидриды дифруктозы. При энергичной инверсии инулина, с применением более конц. к-ты, наряду с этими продуктами образуются и дигетеролевулозаны. Н. Баканов

32578. Некоторые аспекты химии фруктозанов. Херст (Some aspects of the chemistry of the fructosans. Hirst E. L.), Proc. Chem. Soc., 1957, July, 193—204 (англ.)

Обзор. Библ. 33 назв.

32579. Полный синтез изопреноидных спиртов. Назаров И. Н., Гусев Б. П., Гунар В. И., Изв. АН СССР, Отд. хим. н., 1957, № 10, 1267—1270

Последовательным повторением р-ций конденсации кетонов с ацетиленом при 0—20°, в присутствии порошка KOH, при 5—8 ат (см. РЖХим, 1955, 28836; 1957, 26693, 60514) селективного гидрирования в присутствии Pd/CaCO₃, изомеризации третичных винильных спиртов в первичные действием газообразных HCl или HBr с последующей обработкой галоидированных ацетатов калия в диметилформамиде и омылением ацетатов (без выделения промежуточных продуктов) получены линалоол (I), гераниол (II), нерол (III), неролидол (IV), фарнезол (V), геранилиналоол (VI), геранилгераниол (VII) и фитол (VIII). II и III разделяются путем хроматографирования на Al_2O_3 и вымыванием III петр. эфиром и метанолом. Кетоны получены конденсацией хлоридов или бромидов из третичных этиленовых спиртов с натрийацетоуксусным эфиром с последующим щел. омылением. Последовательно получены (даны в-во, выход в %, т. кип. в °C/мм., n_D^{20} , d_4^{20}): метилгептенон (IX), 60 (через хлорид), 75 (через бромид), 75,5—76/25, 1,4404, 0,8516; дегидролиналоол, 92, 82—83/10, 1,4632, 0,8788; I, 96, 80—82/10, 1,4622, 0,8664; II, 109—110/9, 1,4760, 0,8806; III, 103—105/9, 1,4744, 0,8762 (общий выход II + III 55% (через бромид)); геранилацетон, 57 (через хлорид), 58 (через бромид), 57 (пиролизом ацетата I), 64 (пиролизом смеси I-ацетоуксусный эфир (X)), 133—135/20, 1,4664, 0,8696; дегидрогеранилол, 93, 117—119/0,6, 1,4798, 0,8886; IV, 96, 94/0,18, 1,4784, 0,8752; V, 60 (через бромид), 126—127/0,5, 1,4870, 0,8886; фанезилацетон, 56 (через хлорид), 60 (пиролизом ацетата неролидола), 63 (пиролизом смеси IV с X), 143—144/0,42, 1,4810, 0,8904; дегидрогеранилиналоол, 89, 144—145/0,3, 1,4892, 0,8952; VI, 91, 144—146/0,32, 1,4874, 0,8858; VII, 73, 162—164/0,32, 1,4948, 0,8922; метилгептанон (гидрированием IX с Pt), 86, 47—48/7, 1,4135, —; 3,7-диметилпентан-1-ол-3, 87, 70—71, 1,4391, —; 3,7-диметилпентан-1-ол-3 (XI), 90, 68—69/6, 1,4390, —; 9,10-дигидрогеранилацетон, 41 (пиролизом ацетата I), 60 (пиролизом смеси XI и X), 60 (через хлорид), 74 (через бромид), 75—77/1, 1,4481, —; тетрагидрогеранилацетон, 90, 95—97/4, 1,4388, —; 3,7, 11-триметилдодецен-1-ол-3, 89, 124—126/6, 1,4490, —; 3,7, 11-триметилдодецен-1-ол-3 (XII), 94, 98—99/2, 1,4490, —; 9,10,13,14-тетрагидрофарнезилацетон, 49 (пиролизом ацетата XII), 65 (пиролизом смеси XII и X), 49 (через бромид), 120—124/1, 1,4547, —; гексагидрофарнезилацетон, 95, 115/0,96

1,4430, —; дегидроизофитол, 90, 122/0,06, 1,4543, 0,8525; изофитол, 94, 121/0,06, 1,4546, 0,8459. Л. Яновская 32580. О синтезе линалоола. Томукаси, Корё, 1957, № 45, 12—16 (японск.)
Обзор. Библ. 14 назв.

32581. Новый полный синтез фитола. Лукеш, Зобачова (Nová totální syntéza fytolu. Lukeš Rudolf, Zobáčová Alena), Chem. listy, 1957, 51, № 2, 330—335 (чешск.); Сб. чехосл. хим. работ, 1957, 22, № 5, 1649—1654 (нем.; рез. русск.)

Из левулиновой к-ты (I) и бромистого изогексила (II) синтезирован гексагидрофарнезиллацетон, из которого ранее был получен фитол (см. Fischer F. G., Löwenberg K., Liebigs Ann. Chem., 1929, 475, 183). Из изокaproновой к-ты и спирта было получено кипячением 8 час. с CaCl_2 и HCl (к-той) 80% этилового эфира, т. кип. 59°/18 мм, который при восстановлении Na в спирте дал 69% изогексильного спирта (III), т. кип. 149—151°. Насыщением III HBr при 100—120° (т-ра бани) получен II, выход 76%, т. кип. 142—144°. От реактива Гриньяра из II с Mg (кипчение 30 мин.) отогнан эфир, остаток растворен в C_6H_6 и прибавлен по каплям к бензольному р-ру этилового эфира I при 15—20°. После перемешивания 30 мин. при 0° и 12 час. стояния при 20° получен лактон 2,6-диметил-6-оксиктанкарбоновой-8 к-ты, выход 47%, т. кип. 108—109°/1 мм, давший при стоянии с HCl (газом) в спирте этиловый эфир 2,6-диметил-6-хлороктанкарбоновой-8 к-ты, выход 96%. Из последнего был без дальнейшей очистки отщеплен HCl нагреванием (1 час, 180°, 2,5 часа, 200—210°) с образованием этилового эфира 2,6-диметил-6-карбоновой-8 к-ты (IV) выход 92%, т. кип. 90—92°/1 мм. Гидрированием IV над $\text{Pd}/\text{Al}_2\text{O}_3$ в спирте при нормальном давлении и т-ре был получен этиловый эфир 2,6-диметил-6-октанкарбоновой-8 к-ты, который был без дальнейшей очистки восстановлен при помощи LiAlH_4 в эфире (12 час., 20°) до 2,6-диметил-6-оксидан-9, выход 86%, т. кип. 119—120°/13 мм. Из последнего был действием HBr (газа) при 120° получен 2,6-диметил-9-бромнонан, выход 61%, т. кип. 103—104°/11 мм. Полученный из него реактив Гриньяра дал с этиловым эфиром γ -ацетилмасляной к-ты при вышеприведенных условиях лактон 2,6,10-триметил-10-оксидридеканкарбоновой-13 к-ты, выход 75%, т. кип. 143—148°/0,08—0,09 мм. Стоянием 12 час. со спирт. HCl (газом) был получен этиловый эфир 2,6,10-триметил-10-хлортридеканкарбоновой-13 к-ты, выход 96%, давший при нагревании до 200—210° в течение 1,5 часа этиловый эфир 2,6,10-триметил-10-карбоновой-13 к-ты, выход 75%, т. кип. 144—145°/1,5 мм. Гидрированием с $\text{Pd}/\text{Al}_2\text{O}_3$ в спирте получен этиловый эфир 2,6,10-триметилтридеканкарбоновой-13 к-ты, который без очистки был подвергнут гидролизу путем кипячения с KOH в водн. спирте с образованием свободной к-ты, т. кип. 154—155°/1,5 мм. Хлорангидрид приведенной к-ты, полученный действием SOCl_2 при р-ции (12 час., 20°, 1,5 часа, 100°) в бензольном р-ре с этиловым эфиром этоксиангидрида малоновой к-ты (из малоновой эфира, этилового спирта и магния в среде C_6H_6 , кипчение 2 часа) и нагреванием 4,5 часа продукта с пропионовой к-той и с H_2SO_4 , образовал 2,6,10-триметилпентадеканон-14, выход 75%, т. кип. 132—134°/1 мм, n_D^{20} 1,4453, n_D^{25} 1,4434; семикарбазон, т. пл. 70° (из CH_3OH). Jan Kovář 32582. Строение дендроласина. Куликко, Пьюцци, Паван (The structure of dendrolasin. Quilico A., Piozzi F., Pavan M.), Tetrahedron (Internat. J. Organ. Chem.), 1957, 1, № 3, 177—185 (англ.)

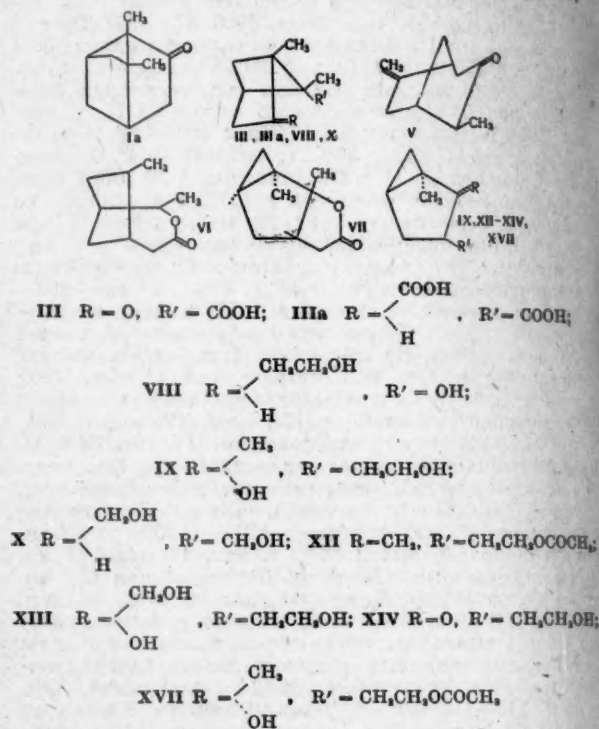
Установлено, что дендроласин (I), выделенный из муравьев *Lasius (Dendrolasius) fuliginosus* Latr., является β -(4,8-диметилнонадиен-3,7-ил)-фураном. Каталитич. гидрированием I получены пергидродендроласин (II) и тетрагидродендроласин [β -(4,4-диметилнонадиен)-фуран] (III). При окислении I с 1 г воды KMnO_4 (кипчение 1 час) обнаружены ацетон и янтарная к-та (IV), а при озонировании в этилацетате — ацетон (в виде димерной перекиси), левулиновый альдегид и IV. Присутствие тетрагидрофуранового кольца в II подтверждено сравнением ИК-спектров II, β -н-гептилтетрагидрофурана (V) и β -изобутилтетрагидрофурана (VI). Масло, извлеченное из насекомых с помощью петр. эфира, подвергают перегонке с паром. Из дистиллата эфиром экстрагируют масло, из которого при разгонке в вакууме выделяют 75% оптич. недеятельного I, т. кип. 148—150°/16 мм, n_D^{20} 1,4860, d_4^{25} 0,9108. 3 г I гидрируют с PtO_2 в лед. CH_3COOH до II, т. кип. 159°/15 мм, n_D^{20} 1,4484, содержащего, судя по ИК-спектру, небольшие примеси гидроксильных соединений и ацетатов. II получают также гидрированием I над скелетным Ni или 10%-ным Pd/C в спирте. При гидрировании 2 г I с 0,2 г 10%-ного Pd/C и 0,2 г 5%-ного Pd/BaSO_4 в спирте получают III, т. кип. 160°/5 мм, n_D^{20} 1,4585. III получают также гидрированием I в спирте над Pt по Вильштеттеру, хранящейся в течение года. Приведены кривые ИК-спектров I—III, V, VI и кривые УФ-спектров I и III. Л. Бергальсон 32583. Присоединение азотной кислоты к непредельным соединениям ряда камфана. Тойвонен (Anlagerung von Salpetersäure an ungesättigte Verbindungen der Camphanreihe. Toivonen Heikki), Suomen kem., 1956, 29, № 7—8, B146 (нем.)

При обработке 1 моля норборнилена (I) 8 молями конц. HNO_3 (20°, 9 час.) образуется β -(эзо)-норборнилитрат, выход ~ 100%, дающий при восстановлении β -норборнеол. В тех же условиях камфан (II) дает (с вагнеровской перегруппировкой) изоборнилитрат, образующий при восстановлении изоборнеол. Циклогексен присоединяет HNO_3 значительно медленнее, чем I и II, с образованием смеси в-в, состоящей в основном из циклогексилнитрата (III). При действии HNO_3 на α -(эндо)-дегидронорборнеол получают оксинитрат; при проведении р-ции 5 дней в присутствии гидразингидрата (IV) получают динитрат, дающий при восстановлении бицикло-[1,2,2]-гептандиол-2-(эндо), 5 (или 6)-(эзо), т. пл. 172°. III образуется также при действии конц. HNO_3 на циклогексанол в присутствии IV. Л. Бергальсон 32584. Фотохимические реакции. VII. Внутримолекулярная циклизация карбона в карвонкамфору. Бюхи, Голдман (Photochemical reactions. VII. The intramolecular cyclization of carvone to carvoncamphor. Büchi G., Goldman I. M.), J. Amer. Chem. Soc., 1957, 79, № 17, 4741—4748 (англ.)

Подтверждено, что карвонкамфора (I), образующаяся при освещении карбона (II) солнечным светом, имеет ф-лу (Ia) (Ciamician G., Silber P., Ber., 1908, 41, 1928). I содержит 2 C— CH_3 -группы и, судя по ИК-спектру (1717 cm^{-1}), кольцо циклопентанона. Кетокислота (III), образующаяся наряду с дикарбоновой к-той (IIIa) при окислении I (Sernagiotto E., Gazz. chim. ital., 1917, 47, 153; 1918, 48, 52), обменивает 2H-атома на D (после превращения COOH в COOD) и содержит CH_2 -группу рядом с карбониллом (1429 cm^{-1}). Пиролиз I при 470° приводит к 4-аллил-2,3-диметилциклопентен-2-ону-1 (IV). При контакте с активированной Al_2O_3 I переходит частично в изокарвонкамфору (V). При окислении I посредством $\text{C}_6\text{H}_5\text{CO}_2\text{H}$ получают изомерные лактоны (VI) и (VII), образующие при восстановлении с LiAlH_4 изомерные диолы (VIII) и (IX). Последние неидентичны с диолом (X), полученным восстановлением (LiAlH_4) ангидрида IIIa (XI). При контакте с силикагелем (SG) VI переходит в VII. Кипчение IX с $(\text{CH}_3\text{CO})_2\text{O}$ в $\text{C}_6\text{H}_5\text{N}$ приводит к непредельному моноацетату (XII), перехо-

дающему при окислении с OsO_4 в триол (XIII), расщепляющийся под влиянием HIO_4 с образованием CH_2O и оксикетона (XIV). При дегидратации в кислой среде VIII и IX переходят в 1,3-диметил-4-этилбензол (XV). Обсуждаются механизмы фотоциклизации II и р-ции превращения VIII и IX в XV. Строение всех описанных в-в подтверждено ИК-спектрами. Р-р 250 г II в 2,5 л спирта подвергают действию солнечного света (6,5 месяцев). По описанному методу (см. ссылку выше) выделяют неизмененный II и I, выход 9,4%, т. пл. 101–104° (очищают хроматографированием на СГ, вымывают петр. эф.- CHCl_3 , затем возгонка), $[\alpha]^{25}_D$ 86,9° (с 1,02; сп.); семикарбазон, т. пл. 239–240° (разл.; из сп.); оксим, т. пл. 124,8–125,2° (из водн. сп.). Смесь 2,64 г I, 0,53 г KOH и 7,53 г KMnO_4 в 400 мл воды нагревают 2,5 часа при 100°, непрореагировавшую I отгоняют с паром, продукт р-ции хроматографируют (в C_6H_6) на СГ. Смесь CHCl_3 -этилацетат (4:1) вымывают III, выход 40%, т. пл. 197–198° (из бал.), а этилацетатом — IIIa, выход 19%, т. пл. 177,5–178° (из воды), 0,565 г IIIa, 0,565 г KOH и 0,593 г KMnO_4 в 30 мл воды нагревают 30 мин. на паровой бане. Хроматографированием продукта р-ции на СГ (вымывают CHCl_3 -этилацетатом) выделяют III, выход 70%. 80 мг IIIa и 1,5 мл $(\text{CH}_3\text{CO})_2\text{O}$ кипятят 2 часа, $(\text{CH}_3\text{CO})_2\text{O}$ отгоняют в вакууме и выделяют XI, выход 93%, т. пл. 170–171° (из гексана). Метилловый эфир III (XVI) $(\text{CH}_3)_2\text{N}_2$ в эфире, 20°, 30 мин., $[\alpha]^{25}_D$ 1,4655; семикарбазон XVI, т. пл. 224,5–225° (разл.; из CH_3OH). 100 мг XI восстанавливают LiAlH_4 (1,3 ммоль) в эфире (кипчение 1,5 часа) до X, выход 55%, т. пл. 162–163° (из гексана). Р-р 270 мг I в петр. эфире адсорбируют на 30 г Al_2O_3 (активность I), выдерживают 12 час., эфиром вымывают неизмененную I, выход 18%, и затем V, выход 43%; семикарбазон, т. пл. 208,5–209,5°. Этилацетатом вымывают неидентифицированное масло, выход 20%. В кислой среде I дает неидентифицированные смеси непредельных кетонов. 118 мг I восстанавливают LiAlH_4 (1,3 ммоль) в эфире (кипчение 5 час.) до смеси эпимерных карвонборнеолов, т. пл. 168–171° (из гексана, затем возгонка). 62 мг I в 1 мл *n*-гексана пропускают при 468–470° в атмосфере N_2 через трубку со стеклянной насадкой. Получают IV; семикарбазон, т. пл. 172–174° (разл.; из сп., затем возгонка). 1 г I, 1,91 г $\text{C}_6\text{H}_5\text{CO}_2\text{H}$ и 10 мг *n*- $\text{CH}_3\text{C}_6\text{H}_4\text{SO}_3\text{H}$ в 36 мл C_6H_6 выдерживают 4 дня в темноте, продукт р-ции хроматографируют (в гексане) на Al_2O_3 . Гексаном вымывают непрореагировавший I (0,19 г), а этилацетатом — VII, выход 60%, т. пл. 65–65,5° (из петр. эф.). Аналогично, но при применении эквимолекулярного кол-ва $\text{C}_6\text{H}_5\text{CO}_2\text{H}$ (24 часа), из 3,3 г I получают неочищ. VI, выход 68%, т. пл. 49–71°. При окислении в отсутствие *n*- $\text{CH}_3\text{C}_6\text{H}_4\text{SO}_3\text{H}$ (5 дней) 1,12 г I дают VI с выходом 78% (неочищ.), т. пл. 55–77°. 140 мг VI адсорбируют на СГ, смесь петр. эфир- CHCl_3 (4:1), вымывают VII, выход 95% (неочищ.). 100 мг VII восстанавливают LiAlH_4 (1,3 ммоль) в эфире (кипчение 12 час.) до IX, т-ра плавления I 100–101° (из эф.). В тех же условиях 135 мг VI дают VIII, т. пл. 133–133,5° (из бал.). 363 мг IX ацетилируют ($\text{C}_6\text{H}_5\text{N}$, $(\text{CH}_3\text{CO})_2\text{O}$, 20°, 12 час.) до моноацетата IX (XVII), n^{25}_D 1,4703. В тех же условиях VIII дает диацетат, n^{25}_D 1,4620. 100 мг IX, 1,23 мл $(\text{CH}_3\text{CO})_2\text{O}$ и 0,45 мл $\text{C}_6\text{H}_5\text{N}$ кипятят 5 час., продукт р-ции хроматографируют на СГ. Смесь гексан- CHCl_3 (6:1) вымывают XII, выход 47%, n^{25}_D 1,4755. CHCl_3 вымывают XVII, выход 31%. При применении больших кол-в IX выход XII составляет 71%. 17,8 мг XII гидрируют с PtO_2 в спирте (1,5 часа) до дигидропропадиона XII, выход 83%. Р-р 0,764 г XII и 1 г OsO_4 в $\text{C}_6\text{H}_5\text{N}$ выдерживают 17 дней при 20°, $\text{C}_6\text{H}_5\text{N}$ отгоняют в вакууме, добавляют 12 мл спирта, 12 мл C_6H_6 , 7 г маниита и р-р 7 г

KOH в 12 мл воды и 22 мл спирта, кипятят 7 час., продукт р-ции хроматографируют (в CHCl_3) на Al_2O_3 . CHCl_3 вымывают XIII, выход 90%. 213 мг XIII в 10 мл воды обрабатывают при 0° насыщ. р-ром NaHCO_3 (2 мл) и р-ром 470 мг метапериодата Na в 12 мл воды, перемешивают 12 час., продукт р-ции хроматографируют (в петр. эф.-эф., 2:1) на Al_2O_3 , тем же р-рителем вымывают XIV, выход 85%, n^{25}_D 1,4870. 198 мг IX и 5 мл 20%-ной H_2SO_4 кипятят 10 мин., продукт р-ции хроматографируют (в эф.) на СГ. Эфиром вымывают масло (60 мг), которое, судя по результатам газовой хроматографии, состоит из 3 компонентов в отношении 7:2:1. Аналогично, но при 2-часовом кипячении,



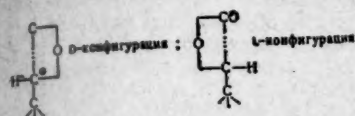
из 559 мг смеси VIII и IX (т. пл. 82–101°) получают XV; тринитропроизводное, т. пл. 126,8–129° (из сп.). Восстановлением 2,4-диметилацетофенона по Клемменсену синтезируют XV, n^{25}_D 1,5008. Приведены данные об ИК-спектрах всех полученных в-в и об УФ-спектрах I, III, IX, XIV, XVI. Сообщение VI см. РЖХим, 1958, 21572.

Л. Бергельсон
 32585. О терпенах. LXXVIII. Лактоное правило Хадсона — Клайна и его применение в химии терпенов. Сикора, Романюк (O terpenach. LXXVIII. Hudsonovo laktonové pravidlo a jeho aplikace v chemii terpenů. Sýkora Vladimír, Romanůk Miroslav, Chem. listy, 1957, 51, № 2, 326–329 (чешск.); Сб. чехосл. хим. работ, 1957, 22, № 6, 1909–1913 (нем.; рез. русск.).

Применено правило Хадсона — Клайна (см. Hudson C. S., J. Amer. Chem. Soc., 1910, 32, 338; РЖХим, 1955, 28774) для определения конфигурации сесквитерпеновых лактонов на основании их оптич. мол. вращения. В качестве в-в для сравнения предложены легко доступные диолы, полученные из терпеновых лактонов путем восстановления при помощи LiAlH_4 , соответствующие окиси и углеводороды с тем же скелетом, как исходные лактоны. Установлено, что санталид-5,12 а ($MD +63^\circ$, т. пл. 150–151°), санта-

т 7 час.
на Al_2O_3
в 10 мл
NaHCO₃
мл воды.
агрогра-
ф-рителем
ме IX и
укт р-ции
ымыают
а газовой
отноше-
ниячени.

мид-5, 12 с ($MD + 248^\circ$) (см. РЖХим, 1957, 11823), алан-
толоид-5, 12 ($MD + 34^\circ$, т. пл. 148°), изотетрагидро-
алантолактон ($MD + 90^\circ$, т. пл. 137°) и гексагидроде-
гидрокостулактон ($MD + 110^\circ$) имеют D-конфигурацию,



а саванолоид-5, 12 в ($MD - 64^\circ$) (см. ссылку выше),
β-тетрагидроалантолактон ($MD - 53^\circ$) и гуайанолид из
матрицина имеют L-конфигурацию. Сообщение
LXXVII см. РЖХим, 1957, 54490. Jagoir Kucera

3586. О терпенах. LXXIX. О строении артабсина,
прохазмазуленогенного вещества из полыни горькой.
Героут, Дольш, Шорм (O terpenach. LXXIX.
O strukture artabsinu, prochamazulenogenní látky z
pelyňku pravého. Herout Vlastimil, Dolejš
Ladislav, Sorm František), Chem. listy,
1957, 51, № 3, 572—578 (чешск.); Сб. чехосл. хим.
работ, 1957, 22, № 6, 1914—1920 (англ., рез. русск.)

На основании продуктов гидрирования и окисле-
ния, их р-ций и ИК-спектров авторами приписана
артабсину (I), прохазмазуленогенному в-ву из полыни
горькой (*Artemisia absinthium* L.) (см. РЖХим, 1955,
34560), вероятная структура 1-оксигуайдиен-2,4(10)-
олида-8,12. Однако нельзя совершенно исключить и

структуру 4-оксигуайдиен-1,3-олида-8,12 (РЖХим,
1957, 37762). Гидрированием 2,13 г I в 10 мл спирта
над 0,17 г PtO_2 и хроматографированием на 170 г
 Al_2O_3 в C_6H_6 получено 1,63 г 1-оксигуайен-4(10)-олида-
8,12 (дигидроартабсин) (II), т. пл. $133,5-134^\circ$ (из изо-
пропилового эф.), $[\alpha]_D^{20} - 130^\circ$ (с 1,71; все а в хлф.).

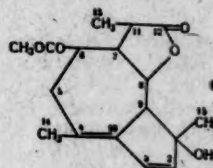
Омылением 150 мг II в 5 мл лед. CH_3COOH
(30 мин., 15°) и гидрированием продукта над 50 мг
 PtO_2 получено 110 мг оксиксидолактона (III), т. пл.
 100° (из сп.-изопропилового эф.). Окислением 33 мг
III 50 мг CrO_3 в 2 мл лед. CH_3COOH (12 час., 20°) был
получен из нейтр. фракции кетооксидолактон (IV)
 $C_{12}H_{18}O_4$, т. пл. 145° (из изопропилового эф.), выход
20 мг. Гидрированием 5,66 г I в 10 мл лед. CH_3COOH
над 692 мг PtO_2 и хроматографированием на 450 г
матр. эфир- C_6H_6 (20%) было выделено 50 мг гуайан-
олида-8,12 (V), т. пл. 90° (из петр. эф.), из маточных
р-ров получено перегонкой при $148-150^\circ/1,2$ мм 550 мг
мисла $C_{12}H_{18}O_4$, $n_D^{20} 1,5009$, $d_4^{20} 1,0485$, $[\alpha]_D^{20} - 13,2^\circ$;
в C_6H_6 -фракции получено 290 мг 1-оксигуайанолида

8,12 («с») (тетрагидроартабсин «с») (VI «с»), т. пл. 136°
(из изопропилового эф.), $[\alpha]_D^{20} + 30,5^\circ$ (с 3,1), из сле-
дующих C_6H_6 -фракций получено 510 мг VI «б», т. пл.
 $138-159^\circ$ (из сп.-изопропилового эф.), $[\alpha]_D^{20} - 8,9^\circ$
(с 3,38), из фракции C_6H_6 -эфир (20%) выделено 2,2 г
VI «а», т. пл. $108-109^\circ$ (из сп.-изопропилового эф.),
 $[\alpha]_D^{20} - 0^\circ$. VI «а», «б» и «с» не окисляются CrO_3 в
 CH_3COOH . Дегидратацией 100 мг VI «а», 150 мг $SOCl_2$
в 1,5 мл пиридина (15 час., 0° и 2 часа, 20°) получено
70 мг гуайен-?-олида-8,12 (VII), т. кип. $128-129^\circ/1,2$ мм.
Окислением 1 г I, 1,5 г $KMnO_4$ в р-ре 100 мл ацетона,
1 мл воды и 1 мл CH_3COOH (1,5 часа, 20°) получено из
матр. фракции 320 мг 2,3,4-триокси-1,4-оксидогуайан-
олида-8,12, т. пл. 188° (из сп.-изопропилового эф.),
при окислении которого $NaJO_4$ в воде образуется
 $HCOOH$. Приведены ИК-спектры IV, V, VI, «а», «б»,
«с» и VII. Jagoir Kucera

3587. О терпенах. LXXX. О строении матрицина,
гуайанолида из ромашки аптечной (*Matricaria chamomilla* L.).
Чекан, Героут, Шорм (O terpe-
nach. LXXX. O strukture matricinu, guajanolidu z
hořmáňku pravého (*Matricaria chamomilla* L.). С-

kan Zdeněk, Herout Vlastimil, Sorm
František), Chem. listy, 1957, 51, № 4, 756—763
(чешск.); Сб. чехосл. хим. работ, 1957, 22, № 6,
1921—1929 (нем., рез. русск.)

Авторами доказано, что матрицин (I) — прохазмазу-
ленное в-во из ромашки аптечной (*Matricaria chamomilla* L.),
является по-видимому 1-окси-6-ацетоксигуай-
2,4(10)-диен-2,4(10)-олидом-8,12. Уже в предыдущих
сообщениях было доказано на основании ИК- и УФ-
спектров, что I содержит оксигруппу, γ-лактон, ацет-
оксильную группу и две сопряженные двойные связи
(см. РЖХим, 1955, 16437, 35386). Гидрированием
I над Pt (из PtO_2) в лед. CH_3COOH получены два
стереоизомерных продукта гидрогенолиза — 6-ацет-
оксигуайанолиды-8,12 (IIa, б) с т. пл. $115,5^\circ$ и 123° ,
что свидетельствует о том, что оксигруппа в I связа-
на с атомом углерода, соседним с двойной связью.
Гидрированием I на PtO_2 в спирте был получен
1-окси-6-ацетоксигуайанолид-8,12 (тетрагидроматри-
цин) (III) наряду с небольшим кол-вом дигидроматри-
цина (IV). На дает при омылении при помощи



K_2CO_3 в CH_3OH соответствующий 6-оксигуайанолид-
8,12 (V). Аналогично был из III синтезирован 1,6-ди-
оксигуайанолид-8,12 (VI). При омылении этого в-ва
 $NaOH$ и подкислении был получен исходный продукт.
Ацетилированием VI с помощью $(CH_3CO)_2O$ в C_6H_5N
был получен III. V окисляли CrO_3 в лед. CH_3COOH
в 6-кетогуайанолид-8,12 (VII); таким образом было
доказано, что ацетильная группа связана со вто-
ричной оксигруппой. Действием этандитиола на VII
был синтезирован этилентикеталь, после обессери-
вания при помощи скелетного Ni давший жидкий
ранее неизвестный гуайанолид (VIII). При восста-
новлении VIII с помощью $LiAlH_4$ образуется гуайан-
диол-8,12 (IX), который при дегидрировании при
помощи Se дал артемазулен (X), что является дока-
зательством замыкания лактонного цикла между
углеродами C(8) и C(12). Восстановлением III при по-
мощи $LiAlH_4$ в эфире был получен лактол (XI). Ожи-
даемый тетрол (XII) был обнаружен только в не-
большом кол-ве в маточных р-рах (при помощи
хроматографии на бумаге). XII был синтезирован
восстановлением III при помощи $LiAlH_4$ при повы-
шенной т-ре в N-этилпиперидине. XI дает при дегид-
рировании с помощью Se X, тогда как XII дает в
тех же условиях смесь X и линдеразулена (XIII).
Возникновение XIII наряду с X из XII является дока-
зательством положений ацетоксильной группы при
C(6). III устойчив по отношению к CrO_3 в лед.
 CH_3COOH на холоду, тогда как VI в тех же
условиях дает 1-окси-6-кетогуайанолид-8,12 (XIV),
что является доказательством того, что свободная
оксигруппа в I третичная. Дегидратацией XIV эфиром
 BF_3 или $HCOOH$ был синтезирован кето-
гуайен-1(9)-олид-8,12 (XV), двойная связь которого
не сопряжена ни с лактонным, ни с кетонным кар-
бонилем, как это показывают ИК- и УФ-спектры. XII
не изменяется даже после 70-часового воз-
действия HJO_4 . На основании обсуждения УФ- и ИК-
спектров и всех эксперим. результатов I была при-
писана вышеприведенная ф-ла. IIa, б, т. пл. $115,5^\circ$,
 $[\alpha]_D^{20} - 6,5^\circ$ (с 10,1; все а в хлф.); т. пл. 123° ; $[\alpha]_D^{20}$

—0,0° (с 4,3). III, т. пл. 183—184°, $[\alpha]_D^{20} +12,5^\circ$ (с 6,8); IV, т. пл. 166,5—168°, $[\alpha]_D^{20} -20,5^\circ$ (с 11,1), выделен из маточных р-ров после кристаллизации III. IV можно гидрированием над PtO_2 в лед. CH_3COOH превратить в III. V, т. пл. 157° (из диизопропилового эфи. петр. эф.), получен из 289 мг IIa и водно-метанольного р-ра K_2CO_3 (стойание 48 час.), выход 221 мг. Также из 1,1 г III получено 0,85 г VI, т. пл. 138,5—140° (из диизопропилового эф.-ацетона), $[\alpha]_D^{20} +33,0^\circ$ (с 0,91). VII (218 мг), т. пл. 111—112° (из водн. сп.), был получен из 223 мг V и 66 мг CrO_3 в лед. CH_3COOH (стойание 48 час. при 0°), выход 218 мг. Этилентокеталь VII, т. пл. 145—146° (из сп.), синтезирован из 147 мг VII и 0,5 г этилдитиола в присутствии 0,5 г эфирата BF_3 (стойание 20 мин.), VIII, т. кип. 130—135°/0,4 мм (баня), $[\alpha]_D^{20} -52,6^\circ$ (с 3,5), d_4^{20} 1,0525, получен из 153 мг предыдущего соединения кипячением 8 час. с 2 мл скелетного Ni в диоксане, выход 100 мг. IX, т. пл. 95—97°, $[\alpha]_D^{20} -16,7^\circ$ (с 4,3), синтезирован из 62 мг VIII восстановлением $LiAlH_4$ в эфире, выход 62 мг. При дегидрировании IX Se (10 мин., 280—300°) образуется X. XI, т. пл. 148—152° (из диизопропилового эф.-ацетона), $[\alpha]_D^{20} +80,3^\circ$ (с 0,92), получен из III восстановлением $LiAlH_4$ в эфире. Восстановление 300 мг III 1,2 г $LiAlH_4$ в кипящем N-этилпиперидине (4 часа) привело к XII, выход 245 мг, т. пл. 138—139° (из диизопропилового эф.-ацетона), $[\alpha]_D^{20} -11,9^\circ$ (с 0,84). Дегидрированием XII Se получают смесь X и XIII (1:1), т. пл. 103—105° (из сп.); тринитробензолат, т. пл. 150—152°. Последнее было доказано при помощи хроматографии на бумаге, R_f для X 0,75 (при применении 45%-ной H_3PO_4), а для XIII 0,30. XIV, т. пл. 187,5—189° (из диизопропилового эф.-ацетона), синтезирован из 300 мг VI и 83 мг CrO_3 в лед. CH_3COOH (48 час., 0°), выход 268 мг. XV, т. пл. 100—101° (из диизопропилового эф.), получен из 300 мг XIV и 5 мл эфирата BF_3 (стойание 15 мин.), выход 226 мг. Для исследования хода р-ций деградации был разработан метод нисходящей хроматографии на бумаге в системе диизопропиловый эфир—вода. Обнаружение проводили насыщ. р-ром $SbCl_5$ в $CHCl_3$, к которому добавляли 20% $SOCl_2$. Пятна были видны лучше всего после нагревания хроматограммы до 90—100°. Значения R_f : I 0,64, III 0,63, VI 0,25, XI 0,29, XII 0,23, XIV 0,52, XV 0,74.

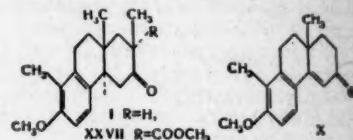
L. Novotný
32588. Стереохимия сantonина и родственных ему веществ. Хуан Минь-луи, Чжоу Вэй-шань Яосюэ сяобао, Acta Pharm. Sinica, 1956, 4, № 1, 73—95 (кит.; реэ. англ.)

Обзор, касающийся вопросов относительной и абс. конфигурации сantonина, β-сantonина, артемиана, гипосantonина и десмотропосantonина, рассмотренных в работах Хуан Минь-луи и сотр. (J. Amer. Chem. Soc., 1943, 65, 1780; 1944, 66, 1954; 1948, 70, 449, 611) и группы японских химиков (Mitsuhashi, J. Pharm. Soc. Japan, 1951, 71, 1115; Abe и др., Proc. Japan Acad., 1952, 28, 425; РЖХим, 1956, 25836, 50939). Библ. 26 назв.

C. Ананченко
32589. Стероиды и родственные соединения. I. Синтез 1,2,3,4,9,10,11β,12α-октагидро-7-метокси-2α,8,11β-триметил-3-кетофенантрена. Робинсон (Steroids and related compounds. I. Synthesis of 1:2:3:4:9:10:11β:12α-octahydro-7-methoxy-2α:8:11β-trimethyl-3-oxophenanthrene. Robinson M. J. Temple, Tetrahedron, 1957, 1, № 1/2, 49—66 (англ.))

1,2,3,4,9,10,11β,12α-октагидро-7-метокси-2α,8,11β-триметил-3-кетофенантрен (I) синтезирован несколькими путями, исходя из 6-метокси-5-метилтетралона (II). При окислении II (Martin, Robinson, J. Chem. Soc., 1943, 491) получают 6-метокси-5-метил-1-тетралон (III), выход 66%, т. пл. 110—112°. 33,2 г III

кипятят 2 часа в атмосфере N_2 с CH_3ONa (из 11,5 г Na) и 125 мл $CO(OCH_3)_2$ (IV); охлажд. р-р обрабатывают 200 мл CH_3OH и 40 мл CH_3J , размешивают 12 час. при ~20° и 30 мин. при кипении и получают 6-метокси-2-карбометокси-2,5-диметил-1-тетралон (V), выход 85%, т. пл. 86—89° (из петр. эф.). V (40,0 г) при кипячении 4 часа с 90 мл 12 н. HCl в 150 мл CH_3COOH и 30 мл воды дает 6-метокси-2,5-диметил-1-тетралон (VI), выход 98%, т. пл. 111—113°. К суспензии 15,0 г VI в 150 мл трет- C_4H_9OH , содержащей трет- C_4H_9OK (из 1,5 г K), прибавляют при 30° в токе N_2 р-р 5,0 г $CH_2=CHCN$ в 5 мл трет- C_4H_9OH , размешивают 4 часа и выделяют 2-(2'-цианэтил)-6-метокси-2,5-диметил-1-тетралон (VII), выход 92—95%, т. пл. 96—98° (из CH_3OH). VII (16,25 г) при кипячении 1 день с 10 г KOH в 100 мл водн. CH_3OH (1:1) дает 2-(2'-карбометоксиэтил)-6-метокси-2,5-диметил-1-тетралон (VIII), т. пл. 86—91° (из разб. CH_3COOH), VIII, т. пл. 92—93°; метиловый эфир (IX), выход 92—95% (на VII), т. пл. 101—102,5° (из CH_3OH). Смесь 2,3 г IX, CH_3ONa (из 50 г Na), 150 мл метилацетата и 50 мл эфира упаривают за 12 час. в атмосфере N_2 остаток выдерживают 2 часа при 80° и затем кипятят



18 час. в 300 мл $HCOOH$; продукт р-ции кипятят 1 час с 10 г $NaOH$ в 50 мл воды и 200 мл CH_3OH и разбавлением смеси водой выделяют 1,2,3,9,10,11-гексагидро-7-метокси-8,11-диметил-3-кетофенантрен (X), очищ. от VIII промывкой горячей водой, выход 82%, т. пл. 157—159° (из сп.); 2,4-динитрофенилгидразон (ДНФГ), т. пл. 239—241° (разл.; из этилацетата); семикарбазон, т. пл. 262—266° (разл.; из CH_3COOH). При применении трет- C_4H_9OK и трет-бутилацетата получается лишь перегидрификация IX с образованием трет-бутилового эфира VIII, т. пл. 117—119° (из CH_3OH). Из VI и йодметилата 1-диэтиламинобутана-3-X получен с выходом 1%. Осуществить гидрокислирование X у C_2 действием SeO_2 и $Pb(OAc)_2$ не удалось. При бромировании 0,256 г X 0,160 г Br_2 в 3 мл CH_3COOH в присутствии 0,20 г CH_3COONa образуется 1,2,3,9,10,11-гексагидро-6(7)-бром-7-метокси-8,11-диметил-3-кетофенантрен (XI), выход 80%, т. пл. 162,6—164° (из CH_3OH); ДНФГ, т. пл. 200—211° (разл.; из этилацетата). XI при дальнейшем бромировании (т-ра 50°) дает 1,2,3,9,10,11-гексагидро-6(7), x-дибром-7-метокси-8,11-диметил-3-кетофенантрен, выход 45%, т. пл. 148—151°; ДНФГ, т. пл. 250—252° (из этилацетата). Бромирование 1,02 г X 2,0 г Br_2 (85—90°, 2 часа) приводит к 1,2,3,9,10,11-гексагидро-2,8(7), x-трибром-7-метокси-8,11-диметил-3-кетофенантрению, выход 5%, т. пл. 195—197° (из бал.-петр. эф.). К суспензии 3,07 г X в 80 мл трет- C_4H_9OH , содержащего трет- C_4H_9OK (из 1,0 г K), прибавляют в токе N_2 5 мл трет- C_4H_9ONO ; смесь выдерживают 1 день при 30° и обычным образом выделяют 1,2,3,9,10,11-гексагидро-7-метокси-8,11-диметил-2-оксимино-3-кетофенантрен (XII), выход 87%, т. пл. 274° (разл.; из CH_3COOH). Гидролизовать оксиминогруппу в XII не удалось. 1,02 г X кипятят 4 часа с CH_3ONa (из 0,3 г Na) в IV, непрерывно добавляя и отгоняя IV (20—30 мл) и получают 1,2,3,9,10,11-гексагидро-7-метокси-2α-карбометокси-8,11β-диметил-3-кетофенантрен (XIII), выход 92%, т. пл. 170—173° (из бал.-петр. эф.); ДНФГ, т. пл. 219—221° (из этилацетата). XIII (из 5,12 г X) при кипячении 12 час. с 10 мл CH_3J дает смесь 1,2,3,9,10,11-

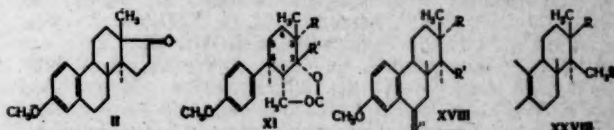
гексагидро-7-метокси-2а-карбометокси-2β,8,11β-триметил-3-кетифенантрена (XIV, к-та XV) и его 2β-эпи-мера (XVI), разделенную кристаллизацией из CHCl_3 - CH_3OH (1:5); XIV, выход 72%, т. пл. 192,5–194°; XVI, выход 12%, т. пл. 161–164° (из бал.-петр. эф.). При бромировании XIV аналогично X получают 6-бром-замещ. XIV, т. пл. 190–192° (из сп.). 0,72 г XIV кипятят ~24 часа с 1,0 г NaOH в 25 мл CH_3OH и 5 мл воды и получают 1,2,3,9,10,11β-гексагидро-7-метокси-2а,8,11β-триметил-3-кетифенантрен (XVII), выход 95%, т. пл. 160,5–162,5° (из CH_3OH); ДНФГ, т. пл. 222–224° (из этилацетата). Если р-цию прервать через 12 час., то из р-ра выкристаллизовывается тригидрат Na-соли XV (XVIII), выход 12%. XVI и XVIII при щел. гидролизе дают XVII. К р-ру 0,51 г X в смеси 10 мл диоксана, 10 мл эфира, 2 мл спирта и 150 мл жидкого NH_3 прибавляют за 20 мин. 0,2 г Li и получают 1,2,3,4,9,10,11β,12а-октагидро-3β-окси-7-метокси-8,11β-диметилфенантрен (XIX), выход 40%, т. пл. 154–157° (из CH_3OH); ацетат, т. пл. 93–94° (из CH_3OH). XIX получен также при гидрировании 0,51 г X в 40 мл CH_3OH при ~20° в присутствии 0,25 г 5%-ного Pd/ SrCO_3 , выход 60%. При восстановлении 1,0 г X 0,3 г NaBH_4 в водн. CH_3OH (30°, ~12 час.) получают 1,2,3,9,10,11β-гексагидро-3β-окси-7-метокси-8,11β-диметилфенантрен (XX), выход 82–86%, т. пл. 150–161° (из CH_3OH). XX (0,80 г) при гидрировании в спирте в присутствии 0,8 г 5%-ного Pd/ SrCO_3 (~20°) дает XIX, выход 99%. Р-р 0,51 г X в 5 мл $\text{C}_6\text{H}_5\text{CH}_3$ и 15 мл эфира прибавляют к 0,040 г Li в 50 мл жидкого NH_3 и размешивают 4 часа; полученную смесь 1,2,3,4,9,10,11,12β-октагидро-7-метокси-8,11-диметил-3-кетифенантрена (XXI) и его 12а-эпи-мера (XXII) растворяют в 5 мл кипящего CH_3OH , содержащего следы HCl; при охлаждении из р-ра выкристаллизовывается диметилкеталь XXII (XXIII), выход 50%, т. пл. 145–147°. XXIII при кипячении с $n\text{-CH}_3\text{C}_6\text{H}_4\text{SO}_3\text{H}$ в ацетоне дает XXII, выход 85%, т. пл. 140–141°; ДНФГ, т. пл. 221–223° (из этилацетата). Смесь XXI и XXII разделена кристаллизацией из CH_3OH и механич. разборкой кристаллов; XXI, т. пл. 99–101°. XXII получают также окислением 0,5 г XIX 0,5 г CrO_3 в $\text{C}_6\text{H}_5\text{N}$ (~20°, 12 час.), выход 80%. XXII (0,50 г) при кипячении 4 часа с CH_3ONa (из 0,2 г Na) и 15 мл IV дает 1,2,3,4,9,10,11β,12а-октагидро-8-метокси-2а-карбометокси-8,11β-диметил-3-кетифенантрен (XXIV), выход 98%, т. пл. 150–151° (из CH_3OH). Р-р 4,73 г XIV в 80 мл тетрагидрофурана и 100 мл CH_3OH обрабатывают при 50° KBN, (3,0 г в 10 мл воды), смесь выдерживают 30 мин. при 50° и 12 час. при ~20° и выделяют 1,2,3,9,10,11β-гексагидро-3β-окси-7-метокси-2а-карбометокси-2β,8,11β-триметилфенантрен (XXV), выход 90%, т. пл. 182–184° (из хлф.- CH_3OH). При гидрировании XXV (аналогично XX, т-ра 50–60°) получают 1,2,3,4,9,10,11β,12а-октагидро-3β-окси-7-метокси-2а-карбометокси-2β,8,11β-триметилфенантрен (XXVI), выход 85%, т. пл. 200–202° (из хлф.- CH_3OH). Р-р 0,30 г XXIV в 10 мл CH_3OH обрабатывают CH_3ONa (из 0,3 г Na) и 2,5 мл CH_3J и смесь выдерживают 12 час. при 20°; при кристаллизации продукта р-ции из CHCl_3 - CH_3OH (1:4) получают 1,2,3,4,9,10,11β,12а-октагидро-7-метокси-2а-карбометокси-2β,8,11β-триметил-3-кетифенантрен (XXVII, 2а-эпи-мер XXVIII), выход 55%, т. пл. 173–175° (из CH_3OH); из маточного р-ра выделяют XXVIII, т. пл. 168–169,5°. XXVII получают также при окислении 2,65 г XXVI, 2,5 г CrO_3 в $\text{C}_6\text{H}_5\text{N}$ (сначала при 30°, затем 36 час. при ~20°), выход 94%. XXVII (1,0 г) при кипячении 16 час. с 5 мл 10 н. HCl в 12,5 мл CH_3COOH и 2,5 мл воды дает I, выход 85%, т. пл. 126–128° (из CH_3OH); ДНФГ, т. пл. 198–202° (из этилацетата); при щел. гидролизе XXVII (аналогично XIV) выход

I 90–95%. Р-р 0,54 г XVII в 5 мл $\text{C}_6\text{H}_5\text{CH}_3$ и 10 мл эфира прибавляют к 0,04 г Li в 100 мл жидкого NH_3 , через 2 часа добавляют 0,02 г Li и смесь выдерживают 4 часа; продукт р-ции кипятят 3 часа с 2 мл $(\text{CH}_3\text{OH})_2$ и 0,02 г $n\text{-CH}_3\text{C}_6\text{H}_4\text{SO}_3\text{H}$ в 50 мл C_6H_6 , непрерывно отгоняя воду с добавляемым C_6H_6 (~400 мл); остаток после упаривания полученного р-ра перекристаллизовывают из смеси эфира и CH_3OH и получают этиленкеталь I (XXIX), выход 50%, т. пл. 100–102°; при гидролизе в-ва, выделенного из маточного р-ра, получают 1,2,3,4,9,10,11β,12β-октагидро-7-метокси-2ε,8,11β-триметил-3-кетифенантрен, выход 10%, т. пл. 137–140° (из CH_3OH). XVII восстанавливают аналогично XIV KBN, (т-ра 30°), продукт р-ции (выход 30%, т. пл. 160–163°) гидрируют при 20° в CH_3OH в присутствии 5%-ного Pd/ SrCO_3 и получают 1,2,3,4,9,10,11β,12β-октагидро-7-метокси-3β-окси-2а,8,11β-триметилфенантрен (XXX), выход 22%, т. пл. 162–163° (из хлф.- CH_3OH). XXX при окислении аналогично XIX дает I, выход 70%. Для X, XII–XIV, XVI, XVII–XX и XXV приведены данные УФ-спектров, а также описаны цветные р-ции, наблюдающиеся при действии кислотных реагентов. Для ряда в-в рассмотрена взаимосвязь между пространственным строением и стереоселективностью гидрирования.

В. Коптюг

32590. Полный синтез эстрона и 14-изоэстрона. Джонсон, Кристмансен, Айрленд (A total synthesis of estrone and 14-isoestrone. Johnson William S., Christiansen Robert G., Ireland Robert E.), J. Amer. Chem. Soc., 1957, 79, № 8, 1995–2005 (англ.)

Осуществлен полный синтез *dl*-14-изоэстрона (I) и метилового эфира *dl*-эстрона (II). К размешиваемому р-ру 196 г анизол в 653 мл безводн. $(\text{CHCl}_3)_2$ прибавляют при 0° 425,6 г AlCl_3 и затем 231,2 г $\text{CH}_3\text{OCO}(\text{CH}_2)_5\text{COCl}$, реакционную массу размешивают 3,5 часа при 0° и оставляют на 12 час., продукт р-ции метилируют кипячением ~12 час. с 153,6 г CH_3OH и 4,8 мл конц. H_2SO_4 в 480 мл $\text{C}_2\text{H}_4\text{Cl}_2$ и получают метиловый эфир γ-анизоилмасляной к-ты (III, IV – к-та), выход 77%, т. пл. 52–54° (из эф.-петр. эф.). III конденсацией Штоббе и последующим омылением переводят (см. Johnson W. S. и др., J. Amer. Chem. Soc., 1950, 72, 2395) в 5-*n*-анизил-6,7-дикарбоксигептен-5-



XI, XVIII, XXII, XXVIII, R – COOCH_3 , R' – $\text{CH}_2\text{COOCH}_3$, XVII R' – O: XXII R' – H

овую к-ту (V), т. пл. 163°. Положение двойной связи в V подтверждается образованием IV (выход 1,15 г, т. пл. 138–140°) при окислении V KMnO_4 при 5° в р-ре K_2CO_3 . V восстанавливают сплавом Ni и Al в р-ре NaOH (см. ссылку) и полученную 5-*n*-анизил-6,7-дикарбоксигептановую к-ту (54 г) переводят кипячением 81 час с 48 г CH_3OH , 4 мл конц. H_2SO_4 и 150 мл $\text{C}_2\text{H}_4\text{Cl}_2$ в триметилловый эфир (VI), выход 91%, т. кип. 196–206°/0,35 мм, n_D^{25} 1,5040 (при метилировании CH_2N_2 , т. кип. 208–212°/0,8 мм, n_D^{25} 1,5022). Р-р 79,8 г VI и 2 мл CH_3OH в 100 мл абс. C_6H_6 прибавляют за 1 час к кипящей суспензии 11,62 г NaN в 400 мл абс. C_6H_6 (атмосфера N_2); после выделения 90% H_2 (3–4 часа) смесь охлаждают до 0°, обрабатывают 5 мл CH_3OH для разложения NaN и 85 мл CH_3J , размешивают 30 мин. при 0°, оставляют на 12 час. и затем кипятят 2 часа еще с 35 мл CH_3J ;

продукт р-ции кристаллизуют из эфира (0°) и получают метиловый эфир 6β-п-анизил-3α-карбометокси-2-кето-3β-метилциклогексануксусной-1α к-ты (VII, к-та VIII), выход 36%, т. пл. 95—95,5° (из петр. эф.). Маточный р-р упаривают и из остатка (38 г) после частичного омыления действием NaOH (124 мл 0,969 н. р-ра в 400 мл CH₃OH, ~20°, 1 неделя) выделяют VIII, выход 7%, т. пл. 178—180°, и 6β-п-анизил-3β-карбометокси-2-кето-3α-метилциклогексануксусную-1α к-ту (IX), выход 29%, т. пл. 141—142° (из бал.-петр. эф.). При циклизации VI (77,6 г) в присутствии избытка NaN (20,4 г) и последующем метилировании образуется метиловый эфир 6β-п-анизил-3-карбометокси-2-кето-1,3-диметилциклогексануксусной-1 к-ты (?), выход 15 г, т. кип. 200—210°/0,5 мм, т. пл. 66,8—67,6° (из петр. эф.); к-та, т. пл. 140—140,8° (из бал.-петр. эф.). 0,5 г VII омыляют действием NaOH (1,5 мл 1 н. р-ра) в 20 мл CH₃OH (~20°, 1 неделя) и получают VIII, выход 0,425 г, т. пл. 181—183° (из CH₃OH). При кипячении 1 г VIII 48 час. с 12,5 мл (CH₃CO)₂O и 5 мл CH₃COCl получают лактон енольной формы VIII, выход 62%, т. пл. 117—117,4° (из CH₃OH). Смесь 13 г VII, 12 г Zn-фольги, 0,3 г йода, 6 мл BrCH₂COOCH₃ (X), 250 мл абс. C₆H₆ и 250 мл абс. эфира размешивают при 70° в атмосфере N₂, периодически прибавляя Zn-фольгу (5 раз по 6 г через 1 час) и X (2 раза по 3 г через 2 часа), охлаждают до 0° и комплексе разлагают CH₃COOH; из продуктов р-ции (а) дробной кристаллизацией из эфира выделяют лактон 6β-п-анизил-3α-карбометокси-2β-карбометоксиметил-2α-окси-3β-метилциклогексануксусной-1α к-ты (XI), выход 29%, т. пл. 112,5—113° (из петр. эф.), и метиловый эфир 6β-п-анизил-3α-карбометокси-2α-карбометоксиметил-2β-окси-3β-метилциклогексануксусной-1α к-ты (XII, к-та XIII), выход 28%, т. пл. 101,2—101,9° (из петр. эф.). XII (3,49 г) при нагревании 4 часа при 100° в 10 мл 98—100%-ной HCOOH превращается в лактон XIII (XIV), выход 94%, т. пл. 136,5—137° (из петр. эф.). Р-р 5,85 г XI в 200 мл CH₃OH кипятят 1 час (или выдерживают 1 неделю при ~20°) с 16 мл 0,969 н. NaOH и получают метиловый эфир 5β-п-анизил-2α-карбометокси-6α-карбоксиметил-2β-метилциклогексилден-1-уксусной к-ты (XV), выход 77%, т. пл. 121,1—121,9° (из бал.-петр. эф.); метиловый эфир XV, т. пл. 75,2—75,8° (из петр. эф.). В аналогичных условиях (кипчение 1,5 часа) из XIV образуется XV, выход 40%, и XIII, выход 9%, т. пл. 181,3—182,8° (разл.; из CH₃OH). XV получен также непосредственно из смеси (а) с выходом 39%. 4,10 г XV гидрируют при 20° в 110 мл спирта над 0,5 г 30%-ного Pd/SrCO₃ и получают 6β-п-анизил-3α-карбометокси-2α-карбометоксиметил-3β-метилциклогексануксусную-1α к-ту (XVI), выход 79%, т. пл. 173,8—174,3° (из бал.); метиловый эфир, т. пл. 115—115,5°, и 2β-эпимер XVI (XVII), выход 5%, т. пл. 126—126,4° (из бал.-петр. эф.), разделенные кристаллизацией из C₆H₆. Р-р хлорангидрида XVII (из 0,3 г XVII и 0,5 мл SOCl₂ в 5 мл CH₂Cl₂ в присутствии C₆H₅N, ~20°, 2 часа) в 5 мл CH₂Cl₂ прибавляют за 5 мин. к суспензии (0°) 0,38 г AlCl₃ в 10 мл CH₂Cl₂; реакционную массу размешивают 2 часа при 0° и 2 часа при ~20°, разлагают конц. HCl и выделяют метиловый эфир 2α-карбометокси-9-кето-7-метокси-2β-метил-1,2,3,4,4аа,9,10,10аβ-октагидрофенантренуксусной-1β к-ты (XVIII, 1α-эпимер XIX), выход 77%, т. пл. 104,2—104,6° (из CH₃OH). Аналогично из XV получают метиловый эфир 2α-карбометокси-9-кето-7-метокси-2β-метил-1,2,3,4,4аа,9,10,10аβ-октагидрофенантрилиден-1-уксусной к-ты (XX), выход 88%, т. пл. 147,8—148,4° (из CH₃OH); 2,4-динитрофенилгидразон, т. пл. 270,4—271,2° (разл.; из хлф.-этилацетата). XX (0,8 г) при гидрировании при ~20° в этилаце-

тате над 0,2 г 30%-ного Pd/SrCO₃ дает метиловый эфир 2α-карбометокси-9-окси-7-метокси-2β-метил-1,2,3,4,4аа,9,10,10аβ-октагидрофенантренуксусной-1β к-ты (XXI), выход 56%, т. пл. 113,5—115° (из CH₃OH); бензоат, т. пл. 133,2—133,8° (из CH₃OH). XXI (0,25 г) при окислении по Оппенгауэру 3 мл циклогексанона и 0,3 г (изо-C₃H₇)₃Al в толуоле превращается в XVIII, выход 0,188 г. При гидрировании 0,125 г XVIII при 20° в 20 мл CH₃COOH в присутствии 0,1 г 30%-ного PdCl₂ и 0,1 мл 60%-ной HClO₄ получают метиловый эфир 2α-карбометокси-7-метокси-2β-метил-1,2,3,4,4аа,9,10,10аβ-октагидрофенантренуксусной-1β к-ты (XXII, к-та XXIII), выход 93%, т. пл. 99,6—99,9° (из CH₃OH). Аналогично из XX получают метиловый эфир 2α-карбометокси-7-метокси-2β-метил-1,2,3,4,4аа,9,10,10аβ-октагидрофенантрилиден-1-уксусной к-ты (XXIVа), выход 76%, т. пл. 112—112,2° (из CH₃OH). Полученное ранее (Anner G., Miescher K., *Helv. chim. acta.*, 1949, 32, 1957) в-во с т. пл. 113—115° (XXIVб) оказалось геометрич. изомером XXIVа. При гидрировании 0,699 г XXIVа в 50 мл этилацетата при 20° над 0,5 г 30%-ного Pd/SrCO₃ получают XXII, выход 0,586 г (то же при гидрировании XXIVб). Аналогично превращению XVII → XVIII → XXI из XVI через XIX (выход 94%, т. пл. 153,6—154° (из CH₃OH)) получают метиловый эфир 2α-карбометокси-7-метокси-2β-метил-1,2,3,4,4аа,9,10,10аβ-октагидрофенантренуксусной-1β к-ты (XXV, к-та XXVI), выход 84%, т. пл. 89,5—90° (из CH₃OH). При циклизации XVI действием безвод. HF или по Фриделю — Крафту в C₆H₆ образуется полимерная форма XIX, выход 30% и 57%, т. пл. 145,4—145,8° (из CH₃OH); оксим, т. пл. 158—158,8° (из CH₃OH). XXV (0,81 г) при кипячении 16 час. с 2,55 мл 0,969 н. NaOH в 20 мл CH₃OH превращается в XXVI, выход 73%, т. пл. 167—167,8° (из CH₃OH). Р-р хлорангидрида XXVI (из 0,25 г XXVI) в 2 мл C₆H₆ обрабатывают (0°, 16 час.) эфирным р-ром CH₂N₂ (из 2 г N-нитрозометилмочевин) и р-ригель отгоняют, к р-ру остатка в 15 мл CH₃OH прибавляют при 55° за 1 час 0,35 г сухого Ag₂O, кипятят 1 час, добавляют 0,15 г Ag₂O и кипятят еще 2 часа; продукт р-ции омыляют кипячением с 5 мл 50%-ного р-ра КОН в 5 мл CH₃OH и получают 2-(2α-карбоксо-8-метокси-2β-метил-1,2,3,4,4аа,9,10,10аβ-октагидрофенантрен-1α)-пропионовую к-ту (XXVII), выход 0,142 г, т. пл. 233,5—234,5°. Аналогично из XXII через XXIII [выход 75%, т. пл. 175,8—176,6° (из CH₃OH)] получают метиловый эфир di-гомомарианоловой к-ты (XXVIII), выход 0,194 г (из 0,328 г XXIII), т. пл. 224,2—226,8° (из этилацетата). При пиролизе 0,077 г XXVII в 0,08 г PbCO₃ (300°/0,05 мм, 20 мин.) образуется метиловый эфир I (XXIX), который отгоняют при 200°/0,05 мм, выход 79%, т. пл. 120,6—121° (из CH₃OH), 2,4-динитрофенилгидразон, т. пл. 267,5—268,5° (разл.; из хлф.-этилацетата). Аналогично из XXVIII получают II, т. пл. 143,2—144,2° (из CH₃OH). XXIX (0,07 г) при нагревании (205—210°, 40 мин., N₂) с 1,5 г C₆H₅N · HCl дает I, выход 90%, т. пл. 215,8—216,8° (из CH₃OH). Проведено изыскание других путей синтеза VII. При конденсации 20 г III с 37,2 г (CH₃COOCH₂)₂ в 200 мл абс. C₆H₆ при 40° в присутствии 10,56 г NaN получают 6-п-анизил-3-карбометокси-2-кетогексен-6-уксусную-1 к-ту (XXX), выход 58%, т. пл. 168—168,6° (из этилацетата). При проведении р-ции в трет-C₄H₉OH в присутствии 2 экв. трет-C₄H₉OK (~20°, 7 дней) выход XXX 49%; при применении экв. трет-C₄H₉OK в кипящем трет-C₄H₉OH из III образуется 6-п-анизил-2-кетогексен-6-уксусная-1 к-та, выход 48%, т. пл. 135—137°; метиловый эфир (XXXI), т. пл. 93—93,5° (из этилацетата-петр. эф.). Превращение XXX в VII, выход 36% (см. Turner D. L., *J. Amer. Chem. Soc.*, 1951, 73, 1284). Тетрагидро-

метилового
2-метил-
усной -16
из CH_3OH ;
XI (0,25 г)
огексанона
я в XVIII.
III при 20°
ного Pd/C
вый эфир
4,4,4а,9,10,
XXII, к-та
из CH_3OH .
ир 2а-кар-
3,9,10,10а-
(XXIVа),
полученное
ста., 1940,
оказалось
рировании
над 0,5 г
586 г (то
чно пре-
ерез XIX
получают
2-метил-
усной -1а
89,5—90°
м безводн.
уется по-
%, т. пл.
158,8° (из
16 час.
сражает-
из CH_3OH).
в 2 мл
ром
р-тель
обавляют
тит 1 час,
аса; про-
50%-ного
карбокси-
агидрофе-
од 0,142 г,
ез XXIII
получают
(XXVIII),
4,2—228,8°
XXVII и
тся метил-
ают при
из CH_3OH),
7,5—268,5°
из XXVIII
н). XXIX
н., N_2 с
5,8—216,8°
утей спл-
(CH_3COO -
ни 10,56 г
етацикло-
%, т. пл.
ии р-ции
ет- $\text{C}_6\text{H}_5\text{OK}$
имелени
из III об-
ксусная-1
ый эфир
етр. эф.).
и. Turner
трагидро-

мгидрированный эфир XXX (из 25,44 г XXX и 33,6 г дигидропрана) при метилировании (1,92 г NaH, 114 г C_6H_6 , ~20°) в C_6H_6 и последующем омылении дает 6-а-анилил-3-карбометокси-2-кето-3-метилциклогексен-6-уксусную-1 к-ту (XXXII), выход 73%, т. пл. 129,5—130,5° (из бал.-петр. эф.). При гидрировании XXXII при ~20° в спирте над Pd/C получают γ -лактон 6-а-анилил-3-карбометокси-2-оксис-3-метилциклогексен-6-уксусной-1 к-ты (XXXIII), выход 49%, т. пл. 109—110,5° (из эф.-петр. эф.), и IX, выход 27%, разделенные хроматографией. При гидрировании метилового эфира XXXII при ~20° в абс. CH_3OH над Pd/C и последующем омылении продукта р-ции IX получен с выходом 85%. XXXII (1,6 г) переводят кипячением 3,5 часа с 8 мл CH_3COCl в 20 мл (CH_3CO)₂O в лактон диенольной формы (XXXIV), выход 69%, т. пл. 132—134,5° (из бал.-петр. эф.), при гидрировании которого при ~20° в C_6H_6 над Pd/C получают лактон енольной формы 6 β -а-анилил-3 β -карбометокси-3 α -метил-2-кетоциклогексануксусной-1 к-ты (XXXV), выход 94%, т. пл. 127,6—128,5° (из бал.-петр. эф.). XXXV (0,28 г) при частичном омылении дает IX, выход 0,24 г. Смесь 0,5 г XXXIV, 0,16 мл 37,5%-ного р-ра H_2O_2 и 2 мл 100%-ной HCOOH встряхивают 7 час. при ~20°; продукт р-ции омыляют действием $n\text{-CH}_3\text{C}_6\text{H}_4\text{SO}_3\text{H}$ в CH_3OH при ~20° и получают лактон енольной формы 6-а-анилил-3-карбометокси-5,6-диокси-2-кето-3-метилциклогексануксусной-1 к-ты, разделенный кристаллизацией из этилацетата и хроматографией на SiO_2 на два стереоизомера: XXXVIa, т. пл. 172,4—173,3°, и XXXVIb, т. пл. 148—150°. Приведены данные УФ-спектров для IX, XV, XXIVa, XXV, XXXI—XXXVIa, б и ИК-спектров для XI—XIV, XXII, XXIV, XXV, XXX, XXXI, XXXIII, XXXV, XXXVIa. Все т-ры плавления исправлены. В. Коптюг 32591.

Метилловый эфир 14-изоэстрона и его идентичность продукту полного синтеза. Джонсон, Джонс (14-isoestrone methyl ether and its identity with totally synthetic material. Johnson William S., Johns William F.), J. Amer. Chem. Soc., 1957, 79, № 8, 2005—2009 (англ.)

Строение dl-14-изоэстрона, полученного в предыдущем сообщении (см. пред. реф.), подтверждено встречным синтезом его метилового эфира (I), исходя из метилового эфира эстрона (II). Р-р 5,96 г II и 1 г $n\text{-CH}_3\text{C}_6\text{H}_4\text{SO}_3\text{H} \cdot \text{H}_2\text{O}$ (III) в 90 мл изопропилацетата перегоняют на колонке так, чтобы через 14 час. в колбе осталось 50 мл р-ра, продукт р-ции хроматографируют на 90 г флорекса и вымыванием петр. эфиром выделяют ацетат енольной формы II (IV), выход 5,8 г, т. пл. 114,5—115° (из петр. эф. и CH_3OH). IV (0,77 г) при бромировании 0,427 г Br_2 в 45 мл CCl_4 при 0° в присутствии 0,5 г безводн. K_2CO_3 дает метилловый эфир 16-бромэстрона (V), выход 91%, т. пл. 176—177° (из CH_3OH); в тех же условиях, но в отсутствие K_2CO_3 из IV образуются II, V (выход 57%) и метилловый эфир 2(?)-, 16-дибромэстрона (VI), т. пл. 236—238° (из CH_3OH). 0,690 г V кипятят 30 час. с 6 мл (CH_3OH)₂ и 0,12 г III в 30 мл толуола, непрерывно удаляя воду, и получают этиленкеталь V (VII), выход 0,505 г, т. пл. 198—200° (из CH_3OH). VII (0,835 г) при кипячении 16 час. в атмосфере N_2 с $\text{трет-C}_4\text{H}_9\text{OK}$ (из 0,40 г K; следы $\text{трет-C}_4\text{H}_9\text{OH}$ удалялись отгонкой с ксилолом) в 40 мл ксилола дает этиленкеталь метилового эфира 15,16-дегидроэстрона (VIII, кетон IX), выход 75%, т. пл. 125—126° (из CH_3OH). 80 мг VIII обрабатывают 4 мг III в 6 мл ацетона и 1 мл воды (~20°, 1 час) и получают IX, выход 68%, т. пл. 180—181° (из эф. и $\text{изо-C}_3\text{H}_7\text{OH}$). При гидрировании IX (25 мг) при ~20° в спирте над 10%-ным Pd/C образуются II, выход 22 мг. 61 мг IX кипятят 15 мин. с 40 мг III в 3 мл C_6H_6 и из продуктов р-ции

хроматографией на 6 г флорекса (вымывание смесью петр. эф. и C_6H_6) выделяют метилловый эфир 14,15-дегидроэстрона (X, кристаллизуется с 0,5 H_2O), выход 52%, т. пл. 103—104° (из разб. CH_3OH и петр. эф.), и метилловый эфир 15,16-дегидро-14-изоэстрона (XI), выход 20%, т. пл. 101—102° (из разб. CH_3OH). При попытке изомеризовать IX (40 мг) действием NaOH (2 капли 5%-ного р-ра) в 2 мл CH_3OH (~20°, 15 мин.) получен метилловый эфир 15-метоксиэстрона, выход 50%, т. пл. 132—133° (из эф.). При кипячении 30 мг VIII 2 часа с 50 мг III в 20 мл ацетона образуется метилловый эфир 8,9-дегидро-14-изоэстрона (XII), выделенный хроматографией на SiO_2 (вымывание петр. эф.- C_6H_6 1:1), выход 11%, т. пл. 107—109° (из CH_3OH). 0,026 г X гидрируют в 15 мл спирта при ~20° над 0,15 г 10%-ного Pd/C и получают I, очищ. кристаллизацией из CH_3OH , выход 18 мг, т. пл. 114—115°, $[\alpha]_D^{20} +156^\circ$ (с 1,02; хлф.). XI (9 мг) в этих же условиях также дает I, выход 7 мг. Проведение синтеза I, исходя из диацетата енольной формы эстрона (XIII), осложняется сольволизом ацетоксигруппы в получаемых в-вах. XIII получен из эстрона (1 г) в условиях превращения II в IV, выход 0,87 г, т. пл. 149—151° (из CH_3OH), и переведен бромированием в CCl_4 при 0° в ацетат 16-бромэстрона, выход 76%, т. пл. 168—170° (из CH_3OH). Приведены данные УФ-спектров для I, V, VI, IX—XI и данные ИК-спектров для IX—XII. В. Коптюг 32592.

Исследования в области стероидов. VII. Исследование витамина D и родственных соединений. VI. Синтез и свойства дигидротакхистерина. Влирвут, Вестерхоф, Бейсман, Хавинга (Investigations on sterols. VII. Studies on vitamin D and related compounds. VI. The synthesis and properties of dihydrotachysterol. Vliervoet J. L. J. van de, Westerhof P., Buisman J. A. Keberling, Havinga E.), Recueil trav. chim., 1956, 75, № 9—10, 1179—1186 (англ.)

Восстановление холекальциферола Na и спиртом приводит к смеси, из которой выделены дигидровитамин D_2 I и дигидровитамин D_3 II (I). Выделить из этой смеси дигидротакхистерин₂ (II) в кристаллич. виде не удалось. Для получения II такхистерин₂ (III) восстанавливают Li в жидком NH_3 (—60°) и продукт р-ции хроматографируют на Al_2O_3 . Петр. эфиром вымывают фракцию с $\lambda_{\text{макс}}$ 251 мμ (ε 997), которая легко дает 4-фенилбензоат II (IV), т. пл. 107—108° (из ацетона- CH_3OH , 3:1). Омылением IV получают II, т. пл. 101—102,5° (из водн. CH_3OH). III приготавливают следующим образом: 8 г 7-дегидрохолестерина облучают 18 час. в атмосфере N_2 УФ-светом с λ 2537 Å; с помощью комплекса с дигитонином и последующей обработкой 3,5-динитро-4-метилбензоилхлоридом выделяют 2,6 г 3,5-динитро-4-метилбензоата III (V), т. пл. 137—138° (из эф.- CH_3OH , 2:1), который омыляют в III. При испытании на способность повышать содержание Са в плазме крови III оказался примерно в 2 раза более активным, чем дигидротакхистерин₂ (VI) (при приблизительно одинаковой токсичности). Приведены данные об УФ-спектрах II, IV и V; кривые УФ-спектров I, II, V, VI и дигидровитамина D_2 II. Предыдущие сообщения см. РЖХим, 1957, 11841; 1958, 32607.

Г. Сегаль 32593.

Исследования в области стероидов. VIII. Некоторые ранее неизвестные продукты облучения эргостерина. Вестерхоф, Бейсман (Investigations on sterols. VIII. Some hitherto unknown irradiation products of ergosterol. Westerhof P., Buisman J. A. Keverling), Recueil trav. chim., 1956, 75, № 9—10, 1243—1251 (англ.)

При облучении УФ-светом (260—280 мμ, 45°, 150 мин., ток N_2) эргокальциферола (витамина D_3) в спирте получают смесь (I, смесь), из 8 г которой выделяют

0,8 г аллофаната супрастерина-1, т. пл. 223—226° (разл.), $[\alpha]_D^{25} -39,3^\circ$ (хлф.). Из 5,3 г I приготавливают 3 г 3,5-динитро-4-метилбензоата супрастерина-11 (II, стерин), т. пл. 170—172° (из ацетона); 3,5-динитробензоат II (III), т. пл. 140—141° (испр., из эф.-CH₃OH). Из маточного р-ра после выделения III получают (при —25° из петр. эф.) 0,2 г 3,5-динитробензоата в-ва Линсера (IV), т. пл. 135—137° (из эф.-CH₃OH) (Linsert O., Chem. Abstrs, 1936, 30, 2326). Аналогичное облучение (14,5 часа) эргостерина приводит к смеси, названной «токсистерином», которую разделяют хроматографированием на Al₂O₃. Петр. эфиром вымывают продукт, из которого получают 3,5-динитробензоат токсистерина-А (V, стерин), т. пл. 171,5—172° (испр., из ацетона-CH₃OH; 3:2); V имеет $\lambda_{\text{макс}}$ (в см.) 250,5 мк (E 543). 4-Фенилазобензоат токсистерина-А' (VI, стерин) имеет т. пл. 125,5—126,5° (из ацетона-CH₃OH при —25°). V и VI имеют одинаковые ИК-спектры. Из маточного р-ра от VI выделяют также 4-фенилазобензоат токсистерина-В (VII, стерин), т. пл. 121—122° (из ацетона-CH₃OH). При обработке J₂ в циклогексане с одновременным облучением дневным светом V изомеризуется в в-во с $\lambda_{\text{макс}}$ 257,5; 285 мк; приведены кривые УФ-спектров IV, V и VII данные об ИК-спектрах V и VII.

Г. Сегаль

32594. 19-норхолестерин и 7-дегидро-19-норхолестерин. Веллюз, Гоффине, Варнан, Амьяр (Nor-19 cholestérol et dehydro-7 nor-19 cholestérol. Velluz Léon, Goffinet Bernard, Warrant Julien, Amiard Gaston), Bull. Soc. chim. France, 1957, № 10, 1289—1291 (франц.)

Описано получение 19-норхолестерина (I) и 7-дегидро-19-норхолестерина (II), исходя из $\Delta^{1,3,5,10}$ -19-норхолестатриенола-3 (III), приготовленного ароматизацией $\Delta^{1,4,6}$ -холестатриенона-3 с последующим гидрированием двойной связи у C₍₆₎ (Romo, Rosenkranz, J. Organ. Chem., 1950, 15, 1289). Метилловый эфир III (IV) восстанавливали Li в жидкой NH₃ и после гидролиза получали Δ^4 -19-норхолестенон-3 (V). Ацетат енола V (VI) при восстановлении дает I. Продукт бромирования VI при обработке смесью LiBr-Li₂CO₃ дегидробромируется в $\Delta^{4,6}$ -19-норхолестадиенон-3 (VII), енолацетат которого (VIII) восстанавливают во II. 10 г IV восстанавливают 10 г Li в смеси 1 л жидкого NH₃ и 800 мл эфира. После испарения NH₃ разбавляют 1 л воды, экстрагируют эфиром и р-р образовавшегося метилового эфира в 150 мл CH₃OH и 10 мл конц. HCl кипятят 30 мин. в атмосфере N₂. По охлаждении разбавляют 50 мл воды, обрабатывают, как обычно, хроматографируют на Al₂O₃ и получают V, выход 62%, $[\alpha]_D +49^\circ$. Смесью 1 г V, 20 мл (CH₃CO)₂O, 8 мл CH₃COCI и 0,8 мл пиридина кипятят 2,5 часа в атмосфере N₂ и выделяют VI, выход 90%, т. пл. 98—99° (из сп., в присутствии гидрохинона), $[\alpha]_D^{20} 102 \pm 2^\circ$. К кипящему р-ру 0,5 г VI в 10 мл тетрагидрофурана, 10 мл CH₃OH и 10 мл воды прибавляют 1,5 г KBr, и кипятят 2 часа, получают I, выход 40%, т. пл. 109—110° (из CH₃OH), $[\alpha]_D^{20} -15 \pm 2^\circ$; 3,5-динитробензоат $\frac{1}{2}$ C₆H₅, т. пл. 189—190° (из C₆H₅-CH₃OH), $[\alpha]_D +25 \pm 2^\circ$. К суспензии 2 г VI в 30 мл CH₃COOH и 10 мл коллидина добавляют в течение 30 мин. 8,6 мл 10%-ного р-ра Br-CH₃COOH. Через 15 мин. выливают в р-р 50 г NaHCO₃ в 200 мл воды и 100 мл эфира, эфирный р-р промывают, сушат и добавляют к смеси 2 г LiBr в ~25 мл HCON(CH₃)₂ и 2 г Li₂CO₃. Эфир отгоняют, кипятят 40 мин. в атмосфере N₂, по охлаждении выливают в смесь 100 мл воды и 10 мл CH₃COOH и экстрагируют эфиром VII, выход 64%, масло. Ацетилирование VII, аналогично V, дает VIII, выход 83%, т. пл. 95—96° (из сп., в присутствии гид-

рохинона), $[\alpha]_D^{20} +37 \pm 2^\circ$. Восстановление VIII с помощью KBr (см. выше) приводит к II, который при обработке 3,5-(NO₂)₂C₆H₃COCI в C₆H₆ в присутствии пиридина образует 3,5-динитробензоат II (IX), выход 62%, т. пл. 190—191° (из бал.-сп.), $[\alpha]_D^{20} +185 \pm 2^\circ$. Омыление IX K₂CO₃ в смеси C₆H₅-эфир-CH₃OH в атмосфере N₂ приводит к II, выход 80%, т. пл. 122—123° (из CH₃OH) $[\alpha]_D^{20} +221 \pm 4^\circ$. Приведены кривые УФ-спектров II, эргостерина и люмистерина. Все $[\alpha]_D$ определены в CHCl₃ (с 1).

М. Бурмистрова

32595. Желчные кислоты и стероиды. IX. Дибромирование некоторых 7-кетостероидов. Такеда, Кемэно (Bile acids and steroids. IX. Dibromination of some 7-oxosteroids. Takeda Ken'ichi, Komeno Taichiro), Pharmac. Bull., 1956, 4, № 6, 432—437 (англ.)

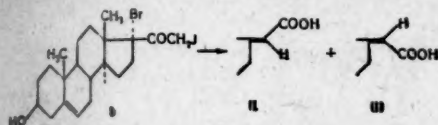
С целью уточнения строения дибромидов некоторых 7-кетостероидов авторы осуществили дибромирование ацетата и бензоата холестанол-3 β -ола-7 (I, кетол). На основании данных ИК и УФ-спектров и некоторых хим. р-ций установлено, что при этом образуются 6,6-гемдибромиды. Осуществлено также дибромирование метилового эфира 3 α ,12 α -диацетокси-7-кетохолановой к-ты (II). К р-ру 4 г I в 40 мл CCl₄ в присутствии нескольких капель эфира BF₃ добавляют 2,9 г Br₂, оставляют на 3 дня при 20° и после обработки получают 6,6-дибромид (III) ацетата I, выход 3,7 г, т. пл. 183—185° (разл.; из ацетона), $[\alpha]_D^{20} +13,6^\circ$ (с 0,88125; CHCl₃). Аналогичное бромирование 5 г бензоата I в CHCl₃ дало 6,6-дибромид бензоата I (IV), выход 5 г, т. пл. 163—165°. К р-ру 2 г II в 40 мл CH₃COOH в присутствии нескольких капель эфира BF₃ добавляют 1,4 г Br₂, нагревают 20 час. при 50° и после обработки получают 6,6-дибромид II в смеси с монобромидом (V), т-ра плавления смеси 149—151° (разл.; из CH₃OH). Кипячение смеси 2 г III и 900 мг CH₃COOAg в лед. CH₃COOH (6 час.) приводит к 6-бромиду ацетата холестерина (VI), выход 500 мг, т. пл. 171—173° (из CH₃OH-ацетон). Аналогично из IV (500 мг) получен 6-бромид бензоата холестерина (VII), выход 200 мг, т. пл. 213—215° (из CH₃OH-CHCl₃). Выделено обратно 200 мг IV. Кипячение 5 г IV с 17 мл пиридина (10 мин.) также дало VII, выход 3,5 г. Аналогичная обработка 400 мг V привела к 6-бромиду Δ^5 -II (VIII), выход 100 мг, т. пл. 230—232° (из ацетона), а III (500 мг) в этих условиях дал 6-бром- $\Delta^{3,5}$ -холестадиенон-7 (IX), выход 250 мг, т. пл. 153—155° (из ацетона), $[\alpha]_D^{20} +28,6^\circ \pm 4,6^\circ$ (с 0,8334; CHCl₃). Кипячение III с 10%-ным р-ром AgNO₃ в пиридине (10 час.) или CH₃COOAg в CH₃COOH дало (после обработки CH₃OH-кон) IX, выход 50%. При нагревании IV и VI с коллидином (135°, 4—6 час.) получен IX с выходом 60 и 55% соответственно. Дегидробромирование I и VII с коллидином в атмосфере CO₂ (185—190°, 2 часа) дало после хроматографирования над Al₂O₃ (вымывание петр. эф. и C₆H₆) IX, выход 500 мг, и незначительное кол-во $\Delta^{1,3,5}$ -холестатриенона-7, т. пл. 118—120°. Р-р 200 мг VII в спирте кипятят 3 часа с 1 г Zn-пыли, получают бензоат 7-кетохолестерина, выход 100 мг, т. пл. 162—164 и 180°. При нагревании 500 мг IX с 16 мл 5%-ного р-ра HBr в CH₃COOH в течение 6 час. при 100° получен после хроматографирования над Al₂O₃ (вымывание петр. эф.) $\Delta^{3,5}$ -холестадиенон-7, т. пл. 110—112°. Для всех соединений приведены данные ИК- и УФ-спектров. Сообщения VIII см. РЯХМ, 1958, 14637.

И. Заречная

32596. Перегруппировка Фаворского в ряду беременности. Цис-транс-изомерия некоторых 17,20-дегидропроизводных. Ромо, Ромо-де-Вивар (The Favorskii rearrangement in the pregnane series. cis—

trans isomerism in some 17,20-dehydro derivatives. Romo J., Romo de Vivar A., J. Amer. Chem. Soc., 1957, 79, № 5, 1418—1423 (англ.)

Обработка ацетата 17α-бром-21-йод-Δ⁵-прегненол-3β-она-20 (I) метанольной щелочью привела к Δ⁵-прегнадиен-3β-овой-21 к-те (II), транс-Δ^{5,17(20)}-прегнадиен-3β-овой-21 к-те (III), а также метиловому эфиру II (IIa) и метиловому эфиру III (IIIa). При наличии в I загрязнений (по-видимому, ацетата 17α,21-трибром-Δ⁵-прегненол-3β-она-20 (IV)) образовывалась также 20-бром-Δ^{5,17(20)}-прегнадиен-3β-овой-21 к-та (V). Изомеризация II привела к III, а гидрированием как II, так и III, получена одна и та



же Δ⁵-прегненол-3β-овая-21 к-та (VI). Восстановлением V Zn получена смесь II и III. Окисление по методу Оппенгауэра превратило II и V соответственно в Δ^{5,17(20)}-прегнадиен-3-овую-21 к-ту (VII) и 20-бром-Δ^{5,17(20)}-прегнадиен-3-овую-21 к-ту (VIII). Восстановлением II получен Δ^{5,17(20)}-прегнадиен-3β,21 (IX), окисленный в Δ^{5,17(20)}-прегнадиен-3β-аль-21 (X). Восстановление VI превратило его в Δ⁵-прегненидиол-3β,21 (XI), а из V в подобных условиях получен 20-бром-Δ^{5,17(20)}-прегнадиенидиол-3β,21 (XII). Гидратация 3-ацетата 17α-пропаргил-Δ⁵-андростендиол-3β,17β (XIII) в присутствии HgCl₂ дала 3-ацетат 17α-ацетонил-Δ⁵-андростендиол-3β,17β (XIV), который при действии к-ты был превращен в транс-21-метил-Δ^{5,17(20)}-прегнадиен-3β-он-21 (XV). Кипячение 60 г I в водно-метанольном KOH (2 часа) и разделение на кислотную и нейтр. фракции привели к 4,22 г III, т. пл. 253—255° (из CH₃OH), [α]_D²⁰ —83,4° (сп.), IIIa, т. пл. 188—190°, [α]_D²⁰ —83°; ацетат IIIa (IIIb), т. пл. 159°, [α]_D²⁰ —87°, и 1,53 г II, т. пл. 265—267° (из CH₃OH), [α]_D²⁰ —36,7°. Из 2 г II с помощью CH₃N₂ в CH₃OH получено 1,51 г IIa, т. пл. 169—171° (из ацетона-C₆H₁₄), [α]_D²⁰ —48°, а ацетилированием IIa с помощью (CH₃CO)₂O и C₆H₅N (1 час, 100°) получен ацетат IIa (IIb), т. пл. 165—167° (из ацетона-C₆H₁₄), [α]_D²⁰ —47°. При использовании неочищ. I, кроме того, получено 560 мг V, т. пл. 274—276° (из CH₃OH), [α]_D²⁰ —32,7° (сп.); метиловый эфир V (Va), т. пл. 156° (из ацетона-CH₃OH), [α]_D²⁰ —41°; ацетат Va (Vb), т. пл. 192—193° (из CHCl₃-эф.). Из маточных р-ров кислотной фракции путем метилирования, ацетилирования и хроматографирования выделено еще 2,4 г IIIa и 1,77 г IIb. Из нейтр. фракции выделено 1,15 г IIIa и после ацетилирования 800 мг IIb и 3 г смеси IIb и IIIb. Кипячение с CH₃ONa (3 часа) превратило 175 мг IIa в 102 мг IIIa, т. пл. 184—187°, [α]_D²⁰ —88°. 900 мг IIb гидрировали в этилацетате и CH₃COOH на PtO₂, получено 815 мг ацетата метилового эфира VI (VIa), т. пл. 131—132° (из ацетона-CH₃OH), [α]_D²⁰ —67°; 900 мг IIIb в тех же условиях дали 760 мг VIa. Бромированием 20 г ацетата Δ⁵-прегненол-3β-она-20 в CHCl₃ и CH₃COOH (2 часа, 20°) получено 34,5 г ацетата 5,6,17α,21,21-пентабромпрегненидиол-3β-она-20, т. пл. 203—205° (из CHCl₃-CH₃OH), [α]_D²⁰ —61°, который (13 г) при обработке NaI в C₆H₆ и спирте (24 часа, 20°) дал 6,8 г ацетата 17α,21,21-трибром-Δ⁵-прегненол-3β-она-20 (XVI), т. пл. 185—187° (из CHCl₃-CH₃OH), [α]_D²⁰ —70°. При кипячении 4 г XVI с KOH в водн. CH₃OH (2 часа) получено 2 г V, т. пл. 274—276°, [α]_D²⁰ —34°. Восстанов-

ление 700 мг Vb Zn в спирте (80°, 9 час.) привело к 30 мг IIb, т. пл. 151—156° (из эф.), [α]_D²⁰ —79°, 110 мг IIb после хроматографирования, т. пл. 163—166°, [α]_D²⁰ —47°, и 190 мг IIIb, т. пл. 153—155°. Окислением 300 мг IIa по Оппенгауэру циклогексаном и Al(изо-C₆H₇O)₃ в CH₃C₆H₅ (1 час кипячения) получено 180 мг VII, т. пл. 139—140° (из C₆H₁₄), [α]_D²⁰ +140°. Аналогичная обработка 500 мг Va привела к 330 мг VIII, т. пл. 207—208° (из ацетона-CH₃OH), [α]_D²⁰ +87°. Кипячение 500 мг IIa с LiAlH₄ в тетрагидрофуране и эфире (15 мин.) позволило получить 320 мг IX, т. пл. 211—213° (из ацетона-эф.), [α]_D²⁰ —76,8°; диацетат, т. пл. 128—129° (из CH₃OH), [α]_D²⁰ —61°. 1 г IX окисляли MnO₂ в CHCl₃ (8 час.) в 250 мг X, т. пл. 178—180° (из эф.-C₆H₁₄), [α]_D²⁰ —106°. Аналогичное восстановление 1 г VIa привело к 680 мг XI, т. пл. 205—207° (из CH₃OH), [α]_D²⁰ —63°; диацетат, т. пл. 116—117° (из ацетона-CH₃OH), [α]_D²⁰ —51,7°. При восстановлении 700 мг Va с LiAlH₄ получено 500 мг XII, т. пл. 242—243° (из CH₃OH), [α]_D²⁰ —51°; диацетат, т. пл. 135—136° (из CH₃OH), [α]_D²⁰ —31°. Кипячение 1,5 г XIII с HgCl₂ в водн. C₆H₅NH₂, C₆H₆ и CH₃OH (3 часа) привело к 1,12 г XIV, т. пл. 195—197° (из ацетона-эф.), [α]_D²⁰ —71°. Из 660 мг XIV при кипячении с HCl-к-той в CH₃OH (1 час) получено 500 мг XV, т. пл. 171—172° (из ацетона-эф.), [α]_D²⁰ —70°; ацетат XV (XVa), т. пл. 191—193° (из CHCl₃-CH₃OH), [α]_D²⁰ —65°. Гидрированием 1 г XVa с Pd/C в этилацетате получено 780 мг 21-метил-Δ⁵-прегненол-3β-она-21, т. пл. 156—158° (из этилацетата-CH₃OH), [α]_D²⁰ —50°. 1 г XIV при кипячении с K₂CO₃ в CH₃OH (1 час) дал 825 мг Δ⁵-андростендиол-3β-она-17, т. пл. 147—148°, [α]_D²⁰ —3°; ацетат, т. пл. 169—171°, [α]_D²⁰ —1,3°. Все [α]_D²⁰ определены в CHCl₃ при 23°. В статье приведены УФ-спектральные характеристики полученных соединений.

А. Камерницкий

32597. Окисление стероидов микроорганизмами. IV. 16α-гидроксилирование 9α-фторгидрокортизона и 9α-фторпреднизолона с помощью *Streptomyces roseochromogenus*. Тома, Фрид, Бонанно, Грабович (Oxidation of steroids by microorganisms. IV. 16-hydroxylation of 9-fluorohydrocortisone and 9-fluoroprednisolone by *Streptomyces roseochromogenus*). Thoma Richard W., Fried Josef, Bonanno Salvatore, Grabowich Paul, J. Amer. Chem. Soc., 1957, 79, № 17, 4818 (англ.)

Окислением 1 г 9α-фторгидрокортизона в водн. среде, содержащей соевую муку, глюкозу, соевое масло и CaCO₃ с помощью *Streptomyces roseochromogenus* (4—7 дней, 25°) получен 9α-фтор-16α-оксигидрокортизон (I), выход 50%, т. пл. 250—252° (из сп.), [α]_D²⁰ +97° (с 0,99 в пиридине). Аналогично из 1 г 9α-фторпреднизолона получен 9α-фтор-16α-оксипреднизолон (II), выход 20%, т. пл. 248—250° (из сп.), [α]_D²⁰ +71° (с 0,35; в ацетоне), диацетат II (IIa), т. пл. 170—180°, [α]_D²⁰ +28° (с 0,38; в CHCl₃). Окисление диацетата I с помощью CrO₃ и H₂SO₄ в ацетоне привело к диацетату 9α-фтор-16α-оксикортизона, т. пл. 215—217°, [α]_D²⁰ +94° (с 0,35; в CHCl₃). Подобная обработка IIa позволила получить диацетат 9α-фтор-16α-оксипреднизона, т. пл. 204—206°, [α]_D²⁰ +90° (с 0,41; в CHCl₃). Превращение I во II осуществлено с выходом 65% с помощью *Mycobacterium rhodochrous* (5 час.) в среде, содержащей экстракт дрожжей, триптон, C₆H₁₂ и глюкозид калыция. Приведены спектральные характеристики полученных соединений. Сообщение III см. РЖХим, 1955, 52021.

А. Камерницкий

32598. Микробиологическое превращение стероидов. 2β-гидрокселирование. Херцог, Джентлс, Хершберг, Карвахаяль, Саттер, Чарний, Шафнер (Microbiological transformation of steroids. 2β-hydroxylation. Herzog Hershel L., Gentles Margaret Jevnik, Hershberg E. B.,

Carvajal Fernando, Sutter David, Charney William, Schaffner Carl P.), J. Amer. Chem. Soc., 1957, 79, № 14, 3921—3922 (англ.)

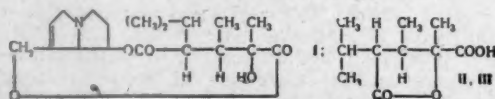
При инкубации 600 мг Δ^4 -прегненидиол-17 α ,21-диона-3,20 (I) с культурой *Streptomyces* неизвестного вида, выделенной из почвы (28°, 48 час.) получено 35 мг Δ^4 -прегнентриол-2 β ,17 α ,21-диона-3,20 (II), т. пл. 225,5—228° (разл. из ацетона- C_6H_{14}), $[\alpha]_D^{25} -58^\circ$, выделен в двух модификациях с различными ИК-спектрами. Обработкой II $(CH_3CO)_2O$ и пиридином получен 21-диацетат II (IIa), т. пл. 218—219°, $[\alpha]_D^{25} +9^\circ$, и 21-ацетат II (IIb), т. пл. 234—235°, $[\alpha]_D^{25} -24^\circ$. Обработка Zn и CH_3COOH превратила IIa в 21-ацетат I. Все $[\alpha]_D^{25}$ определены в диоксане при 25°. Приведены спектральные характеристики II, IIa и IIb. А. Камерницкий

32599. Алкалоиды китайского лекарственного растения Ли-Лу, *Veratrum* spp. Чжу Жэнь-хун, Ван Ю-хай (Chu Jen-hung, Wang Yuhai), Хуасюэ сюэбао, Acta chem. sinica, 1956, 22, № 4, 299—304 (кит.; рез. англ.)

Из китайского лекарственного растения Ли-Лу (одного из видов *Veratrum*) выделены два новых алкалоида: тямбуллимин $C_{27}H_{43}ON$ (I), т. пл. 172—174°, $[\alpha]_D^{25} -99,3^\circ$ (с 6,44; CH_3OH); хлоргидрат, т. пл. 302°, бромгидрат, т. пл. 306°, йодметилат, т. пл. 244°; тямбуллиминин $C_{24}H_{31}O_3N$ (II), т. пл. 231°, $[\alpha]_D^{25} +24^\circ$ (с 1; CH_3OH), хлоргидрат, т. пл. 215°, бромгидрат, т. пл. 226°, тиоцианат, т. пл. 227°, пикрат, т. пл. 201°, йодметилат, т. пл. 224° (разл.). Метод их разделения основан на различной растворимости их бромгидратов. I дает белый осадок с дигитонином, что указывает на присутствие β -ОН-группы. При гидролизе II с 2%-ной HCl или 2%-ным $KOH-CH_3OH$ получено в-во, хлоргидрат, т. пл. 192°. Из растения Ли-Лу, растущего в другом районе Китая, выделено в-во состава $C_{12}H_{21}O_3$, т. пл. 172°, бромгидрат, т. пл. 196°.

Чэнь Чан-бай 32600. Строение никанина. Юнусов С. Ю., Плетханова Н. В., Докл. АН УзССР, 1957, № 5, 13—16 (рез. узб.)

Продолжено изучение никанина (I) (РЖХимБх, 1958, 7427). При действии спирт. р-ра KOH на изониканиновую к-ту (II) и на ее метиловый эфир получена никаниновая к-та (III). При нагревании III со спирт. р-ром $NaOH$ образуется II. Авторы предполагают, что II и III являются геометрич. изомерами. II и III при окислении образуют 2,3 моля CH_3COOH и ацетон, следовательно, содержат группы CH_3-C-CH_3 и $2C-CH_3$.

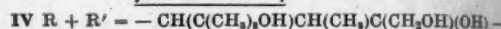
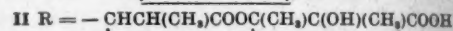
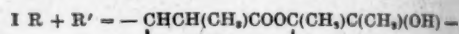
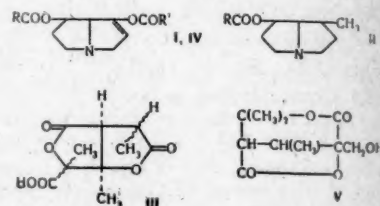


При восстановлении метиловых эфиров II и III $LiAlH_4$ получены триоксисоединения, $C_{10}H_{22}O_3$ (соответственно IV, V). IV, т. пл. 66°, $[\alpha]_D^{25} -10,8^\circ$; V, жидкое в-во, $[\alpha]_D^{25} -6,8^\circ$. При окислении IV и V HJO_4 расходуется моль окислителя и отщепляется CH_2O . Продукт р-ции дает йодоформную р-цию, т. е. содержит группу $CO-CH_3$. II и III являются γ -лактонами. На основании полученных данных предложены ф-лы II и III. При каталитич. восстановлении I в разб. HCl с Pt из PtO_2 получена III и ретропеканол (VI); при гидрировании I с Pt из PtO_2 в спирте получено в-во с т. пл. 156°, из которого после обработки р-ром к-ты выделены III и VI. В результате обработки I $SOCl_2$, последующего каталитич. восстановления продукта р-ции в омыления был получен VI. Это указывает на то, что в I вторичноспиртовая группа VI этерифицирована, по-видимому, карбоксильной группой, образующей в II и III лактон. Разрыв этой эфирной связи при каталитич. восстановлении I связан с внутримолекулярной пере-

группировкой, приводящей к расщеплению молекулы I на VI и II (или III), содержащих γ -лактонную группу. Продукт ацетилирования I (VII) подвергал каталитич. гидрированию, получена аминокислота $C_{10}H_{19}O_4N$ (VIII) с т. пл. 194—195°, в которой вторичноспиртовая группа аминоспирта оставалась этерифицированной. Омыление VIII приводит к III, VI и CH_3COOH . Приведена ф-ла I.

32601. Строение грантианина и скелератина. Предполагаемый биогенезис кислот в алкалоидах рода *Senecio* и *Crotalaria*. Адамс, Джантурко (The structures of grantianine and scleratinine. A suggested biogenesis of the acids in the alkaloids from *Senecio* and *Crotalaria* species. Adams R., Gianturco M.), J. Amer. Chem. Soc., 1956, 78, № 17, 4458—4464 (англ.)

Обсуждено строение грантианина (I) и тетрагидрогрантианина (II). Предложены новые ф-лы I и II (ср. Adams R., J. Amer. Chem. Soc., 1942, 64, 571), выведенные на основании данных ИК-спектра и сравнений с триходесмином. II, т. пл. 242—242,5°, $[\alpha]_D^{25} -56,8^\circ$ (с 1,53; 50%-ная CH_3COOH); пикрат, т. пл. 195—196°. Предложена ф-ла дилактона грантианиновой



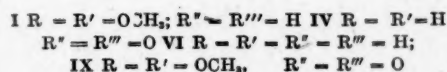
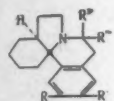
к-ты (III). В результате критич. обсуждения работы Ваала об алкалоиде скелератине (IV) (Wall H. L., Onderst J., Vet. Sci. and Animal Ind., 1945, 17, 131), предложены новые ф-лы IV, скелератионовой к-ты $HOOCCH[COH(\text{CH}_3)_2]CH(\text{CH}_3)C(\text{CH}_2\text{OH})(\text{OH})COOH$ и ее дилактона (V). Сделан общий вывод, что при каталитич. восстановлении только те пирролидиновые алкалоиды претерпевают переэтерификацию с раскрытием эфирной группы, у которых кислотная часть является производной замещ. глутаровой к-ты. Авторами высказано предположение о возможных путях биогенезиса нециновых к-т $C_{(5)}$, $C_{(6)}$, $C_{(7)}$, $C_{(8)}$ и $C_{(10)}$ и ретропекана в растениях. А. Данилова

32602. Новый синтез миозмина. Бейерман (Een nieuwe synthese van myosmine. Beuerman H. G.), Chem. weekbl., 1957, 53, № 38, 508—509 (гол. См. РЖХим, 1957, 51401.)

32603. Синтез в области алкалоидов *Erythrina*. Часть I. Синтез гексагидроапоэризонтрина. Белло (Synthesis in the field of the *Erythrina* alkaloids. Part I. The synthesis of hexahydroapoerysotrine. Belleau B.), Canad. J. Chem., 1957, 35, № 7, 651—662 (англ.)

Осуществлен синтез гексагидроапоэризонтрина (I), продукта превращения алкалоида эризонтрина. Конденсация $C_6H_5CH_2COCl$ с гексагидроиндолом (II) приводит к кетоамиду (III), который циклизуется под действием смеси $P_2O_5-H_3PO_4$ в 8-кетоэризонтрина (IV). Строение IV доказано окислением его до 4-нитрофталевого ангидрида (V). $LiAlH_4$ восстанавливает IV в эризонтрина (VI). Аналогичным образом, исходя из

гомовератрилхлорида (VII), через 2-(2'-гомовератрилхлорид)-циклогексанон (VIII) и 2,3-диметокси-8-кетогригнин (IX) получен *dl*-I, давший при расщеплении с помощью дибензоилвинной к-ты (X) (—)I. Синтез I стереоспецифичен: образуется исключительно *транс*-изомер. Попытка получить I более простым путем — циклизацией 1-гомовератрил-2,3,4,5,6,7-гексагидроиндола (XI) — не удалась. Автор объясняет различные результаты циклизации III и XI поляризующим влиянием СО-группы, соседней с N-атомом, и предлагает проведенный синтез как общий путь к тетрагидрохинолиновым производным, недоступным по методу Пикта — Шпенгера. Предложенный способ применен для получения 1,1-пентаметилен-3-кето-1,2,3,4-тетрагидрохинолина (XII) конденсацией $C_6H_5-CH_2-CONH_2$ с циклогексаноном (XIII) в присутствии $P_2O_5-H_3PO_4$. Исходный II получен следующим образом: 2-хлорциклогексанон (XIV) конденсируется с $CNCH_2COOC_2H_5$, давая этиловый эфир α -циан-2-кетогексануксусной к-ты (XV); омылением и декарбоксилированием последний превращается в 2-кетогексануацетонитрил (XVI), этиленкеталь (XVII) которого восстанавливается $LiAlH_4$ в II. Другие способы получения II — восстановление 2-(2'-нитроэтил)-циклогексанона (РЖХим, 1953, 353) и гидролиз продукта конденсации 2-бромэтилфталимида (XVIII) и 2-карбэтоксигексанона (XIX) — дали худшие результаты. Строение II подтверждено получением из него циклооктагидроиндола (XX) при гидрировании со скелетным Ni. К р-ру *трет*- C_4H_9OK (из 20,8 г К и 500 мл



трет- C_4H_9OH) прибавляют 88,5 г XIX, *трет*- C_4H_9OH заменяют на абс. толуол, кипятят 20 час. со 133 г XVIII, выливают в воду, из толуольного слоя выделяют непрореагировавший XVIII (38 г), остаток кипятят 15 час. со 100 мл CH_3COOH и 250 мл конц. HCl и выделяют II, выход 37%, т. кип. 70–72°/14 мм; пикрат, т. пл. 132–133° (из CH_3OH). К р-ру C_2H_5ONa (из 56 г Na и 1,5 л спирта) прибавляют 275 г $CNCH_2COOC_2H_5$, заменяют спирт на C_6H_6 , кипятят 4 часа с 248 г XV, выделяют XV, выход 66%, т. кип. 158–160°/2 мм. К р-ру 604 г XV в 1,2 л абс. спирта прибавляют за 3–4 часа при –15° р-р 116 л NaOH в 150 мл воды, смесь обрабатывают холодным р-ром 116 г конц. H_2SO_4 в 1 л воды, отфильтровывают Na_2SO_4 , фильтрат концентрируют, экстрагируют эфиром, остаток после отгонки эфира декарбоксилируют при 170°, получают XVI, выход 63%, т. кип. 137–139°/10 мм, т. пл. 25–26°. 231 г XVI, 108 г $HOCH_2CH_2OH$ и 1 г $n-C_3H_7SO_3Na$ в 0,5 л C_6H_6 кипятят 2 часа с водоотделителем и выделяют XVII, выход 95%, т. кип. 138–140°/10 мм. 36 г XVII кипятят с 12 г $LiAlH_4$ в 300 мл абс. тетрагидрофурана, 5 час., получают II, выход 68%. II получен также гидрированием со скелетным Ni в абс. спирте как XVII, выход 65%, так и XVI, выход 53%. 132 г II в 5 мл абс. спирта гидрируют с 10 мг Pt из PtO_2 , выделяют XX; пикрат, т. пл. 135–137° (из бэл.). 7,3 г гомовератрилбромида и 3,6 г II нагревают при 100° несколько минут, полученный продукт разлагают избытком щелочи и выделяют XI, выход 5 г, т. кип. 165–170°/0,4 мм. К 3,08 г II в 20 мл 7,5%-ного водн. NaOH при 0° прибавляют 4,65 г $C_6H_5CH_2COCl$, получают III, выход 80%, т. пл. 53–54° (из гексана). 5 г III нагревают при 100° с р-ром 25 г P_2O_5 в 25 г 85%-ной H_3PO_4 , 15–20 час., разбавляют водой и $CHCl_3$, экстра-

гируют IV, выход 60%, т. пл. 132–133° (из этилацетата). Р-р 500 мг IV в 40 мл HNO_3 (d 1,42) кипятят 20 час., HNO_3 отгоняют в вакууме, экстрагируют эфиром, к остатку после отгонки эфира добавляют $(CH_3CO)_2O$ и выделяют V, выход 51 мг, т. пл. 116–119° (из абс. эф.). 2 г IV в 150 мл абс. эфира восстанавливают 1 г $LiAlH_4$ (кипчение 5 час.) в VI, выделенный в виде хлоргидрата, выход 1,72 г, т. пл. 275° (разл.; из ацетона); пикрат, т. пл. 184–185° (из CH_3OH); йодметилат, т. пл. 201–203° (из этилацетата-ацетона). Р-р VII (из 10 г 3,4-диметоксифенилуксусной к-ты) в 50 мл абс. C_6H_6 прибавляют к смеси 7,3 г II, 50 мл C_6H_6 и 50 мл 12%-ного водн. NaOH, получают VIII, выход 93%, т. пл. 89–90° (из этилацетата-эф.). Циклизация VIII аналогично III (3 часа при 100°) приводит к IX, выход 71%, т. пл. 158–159° и 147–148° (из этилацетата-эф.). Восстановлением 5,10 г IX 2,5 г $LiAlH_4$ в 155 мл абс. тетрагидрофурана (кипчение 4 часа) получен *dl*-I, выделенный в виде хлоргидрата, выход 3,10 г, т. пл. 225–227° (разл.; из ацетона); пикрат, т. пл. 186–189° и 170–172° (из CH_3OH). Обработкой 0,713 г основания *dl*-I 0,934 г X в этилацетате получен дибензоилтарtrat (—)I, выход 492 мг, т. пл. 133–133,5° (из ацетона); (—)I, $[\alpha]_D^{25} -43 \pm 3^\circ$ (сп.); пикрат, т. пл. 205–207° (из CH_3OH). 6 г $C_6H_5CH_2CONH_2$, 4,5 г XIII и 140 г смеси $P_2O_5-H_3PO_4$ (1:4), нагревают при 100° 10 час., обрабатывают, как обычно, и выделяют XII, выход 3,2 г, т. пл. 176–178° (из CH_3OH).

Л. Нейман

32604. Производные теofilлин-7-малоновой и теofilлин-7-молочной кислот. Алипранди, Какаче, Монтефинале (Derivati degli acidi teofillin-7-malonico e teofillin-7-lattico. Aliprandi B., Casace F., Montefinale G., Farmaco. Ed. scient., 1957, 12, № 9, 751–757 (итал.; рез. англ.))

Описан синтез диэтилового эфира теofilлин-7-малоновой к-ты (I), теofilлин-7-молочной к-ты (II) и некоторых отвечающих им амидов и солей. На производное теofilлина в спирте кипятят несколько часов с избытком броммалонового эфира, выделяют I, выход 70%, т. пл. 83–85° (из петр. эф.). Аналогично, исходя из 8-бромтеofilлина, получают диэтиловый эфир 8-бромтеofilлин-7-малоновой к-ты, т. пл. 114° (из петр. эф.). Смесь I и избыток конц. р-ра соответствующего амина в спирте выдерживают 3–4 дня, получают диамиды теofilлин-7-малоновой к-ты [приведены исходный продукт (NH_3 или амин), т. пл. диамида в °C]: NH_3 , 285 (разл.; из воды); CH_3NH_2 , 251–252 (из сп.); $C_2H_5NH_2$, 208 (из сп.); $C_6H_5CH_2NH_2$, 224–225 (из сп.); $HOCH_2CH_2NH_2$, 209 (разл.; из сп., гидрат); $HO(CH_2)_3NH_2$, 184 (из ацетона); $(C_2H_5)_2NCH_2CH_2NH_2$, 112 (из петр. эф.); $(CH_3)_2N(CH_2)_3NH_2$, 137 (из петр. эф.); $(C_2H_5)_2N(CH_2)_3NH_2$, 113–114° (из петр. эф.). Смесь Na-производного I и большой избыток CH_2Br в спирте кипятят 24 часа, выделяют диэтиловый эфир теofilлин-7-метилмалоновой к-ты, т. пл. 75° (из петр. эф.), который при омылении разб. HCl 1:1 (кипчение несколько часов) дает теofilлин-7-пропионовую-2 к-ту, т. пл. 200–205° (из сп.). Аналогично, исходя из I и $BrCH_2CH=CH_2$, получают теofilлин-7-пентаеновую-2(4) к-ту, т. пл. 241° (разл.; из сп.). К р-ру 0,1 моля теofilлина и 0,1 моля NaOH в 150 мл воды добавляют 0,1 моля Na-соли рацемич. 3-хлормолочной к-ты, кипятят 3 часа, выделяют II, т. пл. 219° (из *трет*-бутанола). При действии избытка CH_3N_2 в эфире на II получают метиловый эфир II, т. пл. 133° (из сп.-эф.). Смесь 5,5 г II, 10,7 мл спирта + 1 мл конц. H_2SO_4 кипятят 24 часа, получают этиловый эфир II, т. пл. 149° (из сп.). При нагревании (120°, несколько часов) в запаянной трубке со спирт. р-рами аминов II дает соответствующие амиды [приведены исходный продукт (NH_3 или амин), т. пл. в °C амида]: NH_3 , 227,5 (из сп.);

$C_2H_5NH_2$, 171 (из сл.). При обработке II спирт. р-ром амина получаются соли II (приведены исходный амин, т. пл. в °C соли — 1 моль амина на 2 моля II): $(CH_2NH_2)_2$, 189 (из сл.); $(C_2H_5)_2NCH_2CH_2NH_2$, 152,5 (из ацетона). С. Завьялов

32605. Окислительное расщепление эфиров астаксантина. Гранго, Шардено (Coupure oxydante des esters de l'astaxanthine. Grangaud René, Charadenot Paulette), C. r. Acad. sci., 1957, 244, № 24, 2983—2985 (франц.)

При действии 200 мг V_2O_5 на р-р 1 мг эфиров транс-астаксантина (3,3'-диокси-4,4'-дикето-β-каротина) в 50 мл петр. эфира + 50 мл ацетона (24 часа, 0°) происходит расщепление молекулы по центральной двойной связи; судя по данным УФ-спектров, при этом образуются: 5,6-эпоксид альдегида C_{20} (I), гидратная форма изомерного альдегида (II) с фураноидной структурой кислородного гетероцикла и немного третьего продукта р-ции (III). В этих же условиях из β-каротина образуются: 5,6-эпоксид ретицена (IV) и гидратная форма его фураноидного изомера (V). Значения $\lambda_{\text{макс}}$ (мк): I и IV 330 (петр. эф.); II и V 276 (хлф.), III 404.

Е. Будницкая

32606. Реакция β-каротина с N-бромсукцинимидом. Образование и превращения некоторых полиеновых кетонов. Петрачек, Цехмейстер (Reaction of β-carotene with N-bromosuccinimide: the formation and conversions of some polyene ketones. Petracek F. J., Zechmeister L.), J. Amer. Chem. Soc., 1956, 78, № 7, 1427—1434 (англ.)

При дегидрировании β-каротина (I) действием N-бромсукцинимидом (БСИ) с последующим отщеплением НВг в $CHCl_3$, содержащем 0,1—40% спирта (оптимум 1%), наряду с небольшими количествами 3,4,3',4'-бисдегидро-β-каротина (II) и ретро-бисдегидрокаротина (III) образуются 4-кето-β-каротин (IV), 4-кето-3',4'-дегидро-β-каротин (V) и 4,4'-дикето-β-каротин (VI), причем V является основным продуктом р-ции. Общий выход кристаллич. полностью транс-продуктов 20—25% от I. Аналогично спирту изменяют направление р-ции дегидрирования I (см. РЖХим, 1955, 26335, 1956, 29154, 1957, 54522) также CH_3OH и $C_6H_5CH_2OH$; наоборот, C_6H_5OH и CH_3COOH неэффективны. При одновременном дегидрировании и окислении 4-окси-β-каротина (VII), а также при дегидрировании IV образуется V. Из IV и V действием $LiAlH_4$ получен 4-окси-3',4'-дегидро-β-каротин (VIII), который в кислой среде легко превращается в II и III с общим выходом 60%. При действии на IV БСИ в описанных условиях IV остается неизменным. При гидролизе комплекса V с BF_3 образуется 4-кето-4'-окси-β-каротин (IX). Этерификация IX в кислой среде ведет к образованию 4-кето-4'-этоксид-β-каротина (X); при взаимодействии IX с БСИ образуется VI. Восстановлением VI и IX ($LiAlH_4$) получен 4,4'-диокси-β-каротин (XI). Образование C_{40} -группы при превращении XI в V и в X под влиянием к-т возможно объясняется промежуточным образованием 4'-карбониевого иона. Взаимодействие БСИ с I в присутствии спирта, по-видимому, протекает по схеме: $I \rightarrow 4,4,4'$ -трибром-I $\rightarrow 4,4$ -диэтоксид-4'-бром-I $\rightarrow V$. Для VI и некоторых других полиеновых кетонов не соблюдается положение Больмана (Ber., 1951, 84, 860) с тем, что в спектре дикарбоновых соединений положение максимума определяется уже присутствием одной >CO-группы. Провитаминная активность: I 100%, VI 0%, II 43%, VIII 16%, V 17%. Пигменты хроматографировались преимущественно на известняк-целит (2:1), частично на MgO-известняк-целит (3:1:1) и на $CaCO_3$ -целит (2:1) с вымыванием ацетоном. В-ва характеризовались коэф. распределения (KR) между гексаном, насыщ. 95%-ным CH_3OH , и 95%-ным CH_3OH ,

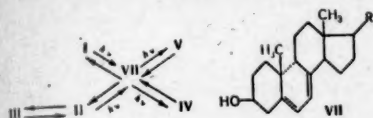
насыщ. гексаном. К р-ру 100 мг I в 10 мл технич. $CHCl_3$ (—18°, ток N_2) приливают р-р 100 мг БСИ в 10 мл технич. $CHCl_3$, через 30 сек. добавляют 200 мг N-фенилморфолина (ФМ), перемешивают 2 мин., кипятят 15 мин., разбавляют 40 мл гексана, встряхивают с 0,1 н. HCl, из верхнего слоя выделяют продукты р-ции: III, т. пл. 205—206°, KR 100:0; «дегидрокаротин II» (РЖХим, 1957, 54522); IV, т. пл. 175—178° (из бал.- CH_3OH), KR 97:3; оксим, т. пл. 203—206°; V, т. пл. 192—194° (из бал.- CH_3OH), KR 92:8; оксим, т. пл. 200—201° (из бал.- CH_3OH); VI, т. пл. 213—214° (из хлф.-сп.), KR 50:50; моно-2,4-динитрофенилгидразон, т. пл. 250°; ди-2,4-динитрофенилгидразон, т. пл. > 300°. Из VIII в $CHCl_3$ без спирта обработкой при 0° посредством БСИ и ФМ (как описано для I) получена смесь cis- и транс-V, общий выход 63%. Из IV в тех же условиях выход изомеров V 50%, а из 33 мг VII общий выход V 11 мг. К р-ру 22 мг XI в 10 мл чистого $CHCl_3$ прибавляют 15 капель насыщ. р-ра HCl-газа в чистом $CHCl_3$, выдерживают 30 мин., выделяют 3 мг V; аналогично V получен из IX и из X. Из 30 мг IX в $CHCl_3$ без спирта действием БСИ и ФМ (как V из VIII) получен VI, выход 16 мг. Из X в тех же условиях образуется 4-кето-4'-этоксид-3',4'-дегидро-β-каротин (XII), выход 1—2 мг из 16 мг X, т. пл. 209—210° (из хлф.-сп.), KR 44:56; в присутствии спирта из X (3,6 мг) получено лишь 0,6 мг VI. К р-ру 33 мг V в 33 мл $CHCl_3$ (без спирта) прибавляют 3,3 мл $BF_3 \cdot (C_2H_5)_2O$, через 2 мин. выливают р-р в 400 мл смеси ацетон-вода (1:4), извлекают 60 мл гексана, выделяют IX, выход 6 мг, т. пл. 164—167° (из хлф.-гексана), KR 34:66. К р-ру 50 мг VI в 100 мл смеси C_6H_6 -эфир (1:9) прибавляют 100 мг $LiAlH_4$ в 100 мл эфира, через 15 мин. избыток $LiAlH_4$ разлагают, получают XI, выход 90%, т. пл. 146—148° (из CH_2Cl_2 -гексана), KR 22:78; диэтерат XI, т. пл. 142—143° (из бал.- CH_3OH), KR 86:14. В тех же условиях из 10 мг IX образуется 5 мг XI. К р-ру 5 мг XI в 8 мл 95%-ного CH_3OH прибавляют каплю р-ра HCl в $CHCl_3$, через 7 мин. выделяется диметиловый эфир XI, выход 1 мг, т. пл. 153—154°. Аналогично из 25 мг VIII (с 99,5%-ным CH_3OH) получен метиловый эфир VIII, выход 6 мг, т. пл. 142—144° (из бал.- CH_3OH), KR 99:1, а из 25 мг IX в абс. спирте — 10 мг X, т. пл. 154—156° (из хлф.-сп.). Из 50 мг V с 5 мл $BF_3 \cdot (C_2H_5)_2O$ (как IX из V, но с последующим вымыванием смеси в абс. спирт) также образуется транс-X, выход 8 мг, т. пл. 156—158° (из бал.- CH_3OH); он не получен (как V из XI, но в присутствии спирта) из 40 мг XI и из 40 мг IX, выходы X соответственно 4 и 6 мг; в последнем случае выделено также 3 мг V. Из 50 мг V в 100 мл смеси C_6H_6 + эфир (1:9) действием $LiAlH_4$ в эфире получают VIII, выход 30 мг, т. пл. 174—175° (из бал.- CH_3OH или хлф.-сп.), KR 80:20; диэтерат VIII, т. пл. 131—133° (из бал.- CH_3OH), KR 94:6. Приведены кривые и данные спектров IV, V, VI, VIII, XI в УФ- и видимой области и данные спектров II, III, IX и XII. Все т-ры плавления исправлены.

Л. Фельдштейн

32607. Исследования витамина D и родственных соединений. V. Подтверждение схемы, предложенной для фотохимических превращений провитаминов D, выяснение, в частности, места нахождения в этой схеме превитамин D. Хавинга, Верлок, Курут (Studies on vitamin D and related compounds. V. Corroboration of the scheme proposed for the photochemical conversion of the provitamins D, in particular with regard to the place of the previtamins D. Havinga E., Verloop A., Koevoet A. L.), Reueil trav. chim., 1956, 75, № 4, 371—377 (англ.)

На основании экспер. данных показано, что при облучении УФ-светом (265—280 мк) смеси радиоактивного эргостерина (I) и неактивного превитамина D

(II) в условиях, описанных ранее (см. сообщение IV, РЖХим, 1957, 77200), получена смесь, состоящая, в основном, из фракций витамина D₂ (III) и тахистерина₂ (IV) наряду с небольшим кол-вом люмистерина₂ (V), разделенных предварительной обработкой дигитонином и использованием разной скорости конденсации этих в-в с малеиновым ангидридом (VI). Найдено, что III и IV заметно отличаются по уд. активности (соответственно 2260 и 634 имп/мин. на 1 мг) и что II не является главным промежуточным продуктом при образовании IV и V из I. Поэтому сделан вывод, что схемы, предложенные ранее для этого процесса (РЖХим, 1956, 16237) неверны. Из того, что уд. активность IV значительно ниже, чем у I, выведено, что IV может образоваться не только из I, но и из II. Это подтверждает



обратимость фотохим. процессов. Исправлены также константы скорости р-ции динитробензоатов II и III с VI, неверно вычисленных Веллюзом; исправленные величины соответственно равны $1,6 \cdot 10^{-2}$ и $1,3 (\pm 0,2) \cdot 10^{-2}$ мл/ммоль/мин. На основании анализа смеси, УФ-контроля за ходом р-ции и измерения уд. активностей выделенных фракций предложена новая схема этих фотохим. процессов, которые, вероятно, протекают через одно и то же возбужденное промежуточное состояние (VII), находящееся, возможно, в триплетной форме. VII, очевидно, представляет собой смесь 6,7-транс- и 6,7-с-с-структур, которые могут перейти либо обратно в стероидную систему с образованием I и V, либо в II и IV с последующим переходом II в III. Г. Сегаль

32608. О фотонизомеризации провитамина D. Инхоффен (Zur Photo-Isomerisierung der Provitamine D. Inhoffen H. H.), Naturwissenschaften, 1956, 43, № 17, 396—397 (нем.)

Схема фотонизомеризации провитамина D (I) под влиянием УФ-света, предложенная Хавингом (см. пред. реф.), подвергается критике. Автором показано, что при облучении кварцевые трубки прибора сильно разогреваются (до ~ 50°). Температурный фактор, который не учел Хавинга, может играть при фотонизомеризации существенную роль, так как образующийся в качестве промежуточного в-ва прекальциферол (II) при 80° на 85% превращается в витамин D. В схеме Хавинга не учтены также побочные р-ции (напр., превращение II в тахистерин). Не доказано предположение Хавинга, согласно которому различные фотохим. р-ции при облучении I проходят с равными скоростями. Г. Сегаль

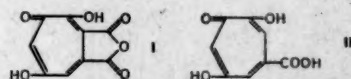
32609. Новое в разделении оптических антиподов пантолактона. Синтез D (+)-пантотената кальция. Каган, Хейнцельман, Уэйсблат, Грейнер (A novel resolution of pantolactone the synthesis of D (+)-calcium pantothenate. Kagan Fred, Heinzelman Richard V., Weisblat David I., Greiner Ward), J. Amer. Chem. Soc., 1957, 79, № 13, 3545—3549 (англ.)

D (-)-галактанин (I), очич. через салицилиден- или бензилиденпроизводные (РЖХим, 1958, 32570), при сплавлении (100°, 4 часа) с избытком D (-)-пантолактона (II) образует (+)N-D-дулциламид D-2,4-диокс-3,3-диметилмасляной к-ты (III), выход 68%, т. пл. 117—118° (из абс. сп.), $[\alpha]_D + 11^\circ$. Аналогично из I и L (+)-II, в абс. спирте (кипение, 12 час.) получен энантиомер III в виде α-формы (α-IV), т. пл. 122—123° (из сп.), $[\alpha]_D - 33^\circ$; в других опытах получена β-форма (β-IV),

т. пл. 162,5—165° (из водн. сп.), $[\alpha]_D - 30^\circ$, менее растворимая в горячем спирте. Для разделения рацемата II 100 г его растворяют в 500 мл абс. спирта, отгоняют 100 мл р-рителя, оставшийся р-р кипятят с 70 г I (17,5 часа, атмосфера N₂), по охлаждению кристаллизуется β-IV. Фильтрат упаривают в вакууме, остаток растворяют в 200 мл воды и посредством CH₂Cl₂ извлекают избыток II (50 г), оставшуюся смесь, по удалении воды, растворяют в спирте с отгонкой части его (для высушивания); после введения затравки β-IV (30°, 4 часа) кристаллизуется не β-IV, а чистый III. Общий выход (в скобках оптич. чистота): III, 70% (96%), IV 80% (93—98%). При применении в качестве затравки α-IV выходы и чистота продуктов ниже. При нагревании с 6%-ной HCl (100°, 3 часа) III и IV дают соответственно D (-)-II и L (+)-II, причем регенерируется 96—97% I в виде хлоргидрата. Биологически неактивный L (+)-II рацемизируется сплавлением с Na₂PO₄·10H₂O (160°, 18 час.) или с порошком легкоплавкого стекла (195°, 16 час.); можно рацемизировать и непосредственно IV нагреванием с CH₃ONa в сухом CH₃OH в автоклаве (100°, 2 часа). Для синтеза Ca-соли D (+)-пантотеновой к-ты (V соль), 200 мл перегнанного метилцеллюлозольва кипятят с 87,3 ммоль Ca (1 час, атмосфера N₂), охлаждают до 35°, вводят 0,175 моля β-аланина (VI) и через 1 час 0,194 моля D (-)-II, перемешивают 2 часа, к черному р-ру добавляют целит, фильтруют, вводят затравку V, через 7 час. (35°) выход V 87—94%. При взаимодействии D (-)-II в абс. спирте с VI, адсорбированным на аннионите с последующим промыванием р-ром CaCl₂, кроме V, выход 15%, получена смешанная Ca-соль пантотеновой и 2,4-диокс-3,3-диметилмасляной к-т C₁₂H₂₇NO₅Ca, выход 49%, т. пл. 226—230° (разл.), $[\alpha]_D + 21^\circ$, биол. к-та. активность 67% от активности V. В. Некрасов

32610. Стипитатоновая кислота — аналог пуберулоновой кислоты из *Penicillium stipitatum* Thom. Сигал (Stipitonic acid: an analogue of puberulonic acid from *Penicillium stipitatum* Thom. Segal W.), Chemistry and Industry, 1957, № 30, 1040—1041 (англ.)

Из продуктов, образуемых *Penicillium stipitatum* Thom, выделен новый трополон C₈H₆O₆, т. пл. 237—237,5°, названный стипитатоновой к-той (I). Хим. и спектроскопич. изучение показало, что I относится к стипитатовой к-те (II) так же, как пуберулоновая к-та (III) относится к пуберулольной к-те (IV). При нагревании водн. р-ра I отщепляется 1 экв CO₂ с образованием II подобно превращению III в IV. При ацетилировании продукта гидролиза I получено диацетильное



производное II, т. пл. 172° (разл.), идентичное описанному образцу. I образует продукт конденсации с о-фенилендиаминном подобно III. ИК-спектр I указывает на наличие ангидридной и отсутствие карбоксильной групп. I в р-ре NaOH купулируется с диазотолудином, что указывает на отсутствие заместителя в 5-положении трополонового ядра. Предложена ф-ла строения I. М. Рабинович

32611. Исследования биохимии микроорганизмов. 99. Продукты обмена *Aspergillus versicolor* (Vuillemin) Tiraboschi. Беркиншоу, Хаммади (Studies in the biochemistry of micro-organisms. 99. Metabolic products of *Aspergillus versicolor* (Vuillemin) Tiraboschi. Birkinshaw J. H., Hammady I. M. M.), Biochem. J., 1957, 65, № 1, 162—166 (англ.)

Из сухого мицелия некоторых штаммов *Asp. versicolor* экстракцией петр. эфиром выделили стеригмато-

цистин $C_{10}H_{12}O_6$ (I), выход (неочищ.) 1,2–5,7%, т. пл. 247° (из амилацетата, затем возгонка), $[\alpha]_D^{20} -398^\circ$ (с 1; хлф.), содержит CH_3O - и две HO -группы, при сплавлении с KOH образует резорцин и CH_3COOH , при перегонке с Zn -пылью — антрацен. Диацетат I, т. пл. 228–229° (из CH_3OH), $[\alpha]_D^{22} -237^\circ$ (с 3,8; сп.); монометилловый эфир I, т. пл. 271–272° (из CH_3OH), $[\alpha]_D^{22} -459^\circ$ (с 1; сп.); моноэтиловый эфир I, т. пл. 261–262° (из сп.), $[\alpha]_D^{20} -443^\circ$ (с 1; сп.). При действии Br_2 -воды I образует в-во $C_{10}H_{10}O_7Br_2$ (II), т. пл. 181–182° (разл.; из сп.). Кипячением I с 25%-ным спирт. р-ром KOH (36 час.) получили оптически неактивный изомер I — изостеригматоцистин (III), т. пл. 234° (из n -бутанола). Диацетат III, т. пл. 197–198° (из сп.); метилловый эфир III, т. пл. 162–163° (из хлф. + петр. эф.). Последующей экстракцией мицелля эфиром выделили в-во $C_{17}H_{18}O_6$ (IV), выход (неочищ.) 0,4–1,2%, т. пл. 233–234° (из хлф.), $[\alpha]_D^{22} -178^\circ$ (с 0,37; сп.). Окраска с р-ром $FeCl_3$ в спирте: I — светло-зеленая, III — зеленая, IV — красная. При обработке мицелля CH_3OH получили d -маннит. Приведены данные УФ-спектров I–IV. Сообщение 98 см. РЖХимБх, 1958, 1818.

М. Запромёттов

32612. Исследования биохимии микроорганизмов.

100. Продукты обмена *Penicillium atroveneretum* G. Smith. Часть I. Атровенетин — новый кристаллический пигмент. Нилл Рейстрик (Studies in the biochemistry of micro-organisms. 100. Metabolites of *Penicillium atroveneretum* G. Smith. Part I. Atroveneretin, a new crystalline colouring matter. Neill K. G., Raistrick H.), Biochem. J., 1957, 65, № 1, 166–176 (англ.)

Из высушенного мицелля трех штаммов *Pen. atroveneretum* экстракцией (петр. эф., затем эф.) выделили кристаллич. пигмент атровенетин $C_{19}H_{18}O_6$ (I), выход 7–8%, т. пл. 295° (разл.; после возгонки), $[\alpha]_D^{21} +154^\circ$, $[\alpha]_D^{21} +116^\circ$ (с 0,486; диоксан), образует устойчивый борацетат, хлоргидрат I, т. пл. 285–286° (разл.; из CH_3COOH и HCl); перхлорат I (+2 H_2O), т. пл. 230° (разл.; из этилацетата); триацетат I, т. пл. 187–188° (из CH_3OH), $[\alpha]_D^{22} +104^\circ$, $[\alpha]_D^{22} +84^\circ$ (с 1,0; CH_3COOH). Из I и CH_2N_2 образуется монометилловый эфир Ia (II), т. пл. 262–263° (из ацетона), $[\alpha]_D^{21} +224^\circ$, $[\alpha]_D^{21} +176^\circ$ (с 0,504; хлф.). Диацетат II, т. пл. 218–219° (из CH_3OH), $[\alpha]_D^{22} +105^\circ$, $[\alpha]_D^{22} +101^\circ$ (с 0,501; диоксан). Диэтиловый эфир II, т. пл. 129–130° (из CH_3OH), $[\alpha]_D^{21} +128^\circ$, $[\alpha]_D^{21} +104^\circ$ (с 0,497; сп.). Из I и $(CH_3)_2SO_4$ получен монометилловый эфир (Ib), т. пл. 226–227° (из CH_3OH). Одновременно с II образуется желтый триметилловый эфир (III), т. пл. 168–169° (из CH_3OH), $[\alpha]_D^{21} +124^\circ$, $[\alpha]_D^{21} +122^\circ$ (с 1,036; CH_3OH -хлф.). Na-соль III, т. пл. 344° (разл.; из CH_3OH). Феррихлорид III $C_{22}H_{24}O_6 \cdot HFeCl_4$, т. пл. 148° (разл.); моноацетатперхлорат III $C_{24}H_{26}O_7 \cdot HClO_4$, т. пл. 185° (разл.; из CH_3OH), $[\alpha]_D^{22} +148^\circ$, $[\alpha]_D^{22} +132^\circ$ (с 0,5; CH_3COOH). Вместе с III образуется его оранжевый изомер (IV), т. пл. 178–179° (из CH_3OH), $[\alpha]_D^{22} +138^\circ$, $[\alpha]_D^{22} +112^\circ$ (с 0,505; сп.). Феррихлорид IV, т. пл. 151–152°. Из III и CH_3I получены тетраметилловый эфир Ia, т. пл. 141–143° (из водн. CH_3OH), $[\alpha]_D^{21} +156^\circ$, $[\alpha]_D^{21} +126^\circ$ (с 1,0; сп.), и тетраметилловый эфир Ib, т. пл. 186–187° (из петр. эф.). I устойчив к щел. (1 н. KOH , кипячение 48 час.) и кислотному (2 н. H_2SO_4 , кипячение 11 час.) гидролизам и к сплавлению с KOH . Действием $LiAlH_4$ из III получено в-во $C_{22}H_{24}O_5$, т. пл. 145–146° (из CH_3OH), $[\alpha]_D^{26} +276^\circ$, $[\alpha]_D^{26} +206^\circ$ (с 1,00; сп.); из IV — изомер, т. пл. 203–204° (из CH_3OH), $[\alpha]_D^{20} +200^\circ$, $[\alpha]_D^{20} +156^\circ$ (с 1,00; диоксан). Обработкой I щел. р-ром H_2O_2 получили в-ва: $C_{15}H_{16}O_7$, т. пл. 188° (из бzl.-петр. эф.), по-видимому, двусосновая к-та, и $C_{12}H_{16}O_7$, т. пл. 151–152° (после возгонки, по-видимому, трехососновая к-та).

При окислении I конц. HNO_3 выделили в-во $C_{15}H_{14}O_8N_4 \cdot H_2O$ (V), т. пл. 239–240° (из разб. водн. HCl). Монометилловый эфир V, т. пл. 251° (из этилацетата). Из III при окислении $KMnO_4$ образуется в-во $C_{22}H_{24}O_6$, т. пл. 306–307° (из CH_3OH), при окислении CrO_3 — в-во $C_{19}H_{18}O_6$, т. пл. 277–278° (из водн. CH_3COOH), образует оксим, т. пл. 221° (из этилацетата). Перегонкой I с Zn -пылью получен пиреп. Приводятся данные УФ-спектров полученных в-в, а также герквеинона, портерквеинона и ксантогерквеина (VI). Синтезированы: тетраацетат VII, т. пл. 217°; пентаацетат пор-VI, т. пл. 235–236° (оба из этилацетата); гексаацетат пор-VI, т. пл. 109–110° (из петр. эф.). По-видимому, I идентичен с дезоксиногерквеиноном и является производным 9-оксинеринафенона-1. М. Запромёттов

32613. Изучение гомомицина. IV. Строение гомомицина. Намики, Исоно, Андзай, Судзуки (Studies on homomycin. IV. The structure of homomycin. Namiki Mitsuo, Isono Kiyoshi, Andai Kentaro, Suzuki Saburo), J. Antibiotics, 1957, A10, № 1, 36–37 (англ.)

В молекуле гомомицина (I) содержатся остатки сахара, 3,4-диокси- α -метилкоричной к-ты (II) и 4,5-О- (или 5,6-О-) метил-нео-инозамина-2 (III). Действием $C_2H_5SH + HCl$ из I получены: $CH_2(C_2H_5)_2$, меркаптал сахара $C_{12}H_{22}O_2S_3$, т. кип. 180–185°/2 мм, и кристаллич. в-во $C_{16}H_{21}NO_8$ (IV), т. пл. 257–258° (разл.). После кислотного гидролиза IV выделены нео-инозамин-2 (ср. РЖХим, 1957, 48124, 74574) и II; диметилловый эфир II, т. пл. 142–143°; диметоксиметилловый эфир II $C_{15}H_{18}O_4$, т. пл. 60–62°. При гидролизе I действием 1 н. $NaOH$ (100°) образуется III, гипроскопичен; получен тетраацетат III и N-ацетат III, аморфные, как и III. Сообщение III см. РЖХим, 1957, 69006. В. Некрасов

32614. Константы кислотности тетрациклиновых антибиотиков. Стивенс, Мураи, Брунингс, Вудуорд (Acidity constants of the tetracycline antibiotics. Stephens C. R., Murai K., Brunings K. J., Woodward R. B.), J. Amer. Chem. Soc., 1956, 78, № 16, 4155–4158 (англ.)

Описанным ранее методом (Regna P. P. и др. J. Amer. Chem. Soc., 1951, 73, 4211) определены термодинамич. константы диссоциации окситетрациклина (I), хлортетрациклина (II) и тетрациклина (III). Значения pK_a в различных областях pH связаны с определенными группировками в молекулах антибиотиков (в скобках приводятся значения pK_a соответственно для хлоргидратов I, II и III в водн. р-рах при 25°): pK_{a_1} (3,27; 3,30; 3,30) приписана системе $-COC(CONH_2)=CON$ в кольце A; pK_{a_2} (7,32; 7,44; 7,68) — группировке $-NH(CH_2)_2+$; pK_{a_3} (9,11; 9,27; 9,69) — фенольный β -дикетосистеме при C_{10} , C_{11} и C_{12} колец B, C и D. В нейтр. р-рах I, II и III находятся преимущественно в виде биполярного иона. Для хлоргидрата диметил-I значения pK_a 7,5 и 9,4; УФ-спектр этого эфира изменяется в 0,1 п. щелочи. Значения pK'_a в 50%-ном водн. р-ре $HCON(CH_3)_2$: I (амфотерный) 8,0; 9,8; нитрил I 7,0; 9,7; III (амфотерный) 8,3; 10,2; нитрил III 7,2; 10,1.

В. Некрасов

32615. Синтез грамицидина С. Швицер, Зибер (Die Synthese von Gramicidin S. Schwizer R., Sieber P.), Helv. chim. acta, 1957, 40, № 3, 624–639 (нем.; рез. англ.)

Синтетическим путем получен грамицидин C(I) идентичный природному. Синтез I подтверждает ранее установленную для него структуру циклич. декапептида — цикло-L-валил-L-орнитил-L-лейцил-D-фенилаланил-L-пролил-L-валил-L-орнитил-L-лейцил-D-фенилаланил-L-пролил-L-хлоргидрат метилового эфира пентапептида-L-

валил-8-N-н-тозил-L-орнитил-L-лейцил-D-фенилаланил-L-пролина (II) был получен по азидному методу, а необходимые для синтеза II метиловый эфир арбобензокси (кбз)-L-валил-8-N-н-тозил-L-орнитина (III) и хлорид метилового эфира L-лейцил-D-фенилаланил-L-пролина (IV) получены с применением активированных пролина (см. РЖХим, 1958, 28969). Из II и трифенилхлорэфира получают метиловый эфир тритил-L-валил-8-N-н-тозил-L-орнитил-L-лейцил-D-фенилаланил-L-пролина (V). Омыление V дает тритил-L-валил-8-N-н-тозил-L-орнитил-L-лейцил-D-фенилаланил-L-пролин (VI), который вводят в р-цию с метиловым эфиром пентапептида (II) при помощи 1-циклогексил-3-[2-морфолинил-(4)-этил]-карбодимидом (VII). Полученный метиловый эфир тритил-L-валил-8-N-н-тозил-L-орнитил-L-лейцил-D-фенилаланил-L-пролина (VIII) омылялся до тритилдекапептида (IX). IX превращался в *n*-нитрофениловый эфир тритилдекапептида (X). Осторожное отщепление тритильной группы от X при помощи трифторуксусной к-ты (XI) дает *n*-нитрофениловый эфир L-валил-8-N-н-тозил-L-орнитил-L-лейцил-D-фенилаланил-L-пролил-L-валил-8-N-н-тозил-L-орнитил-L-лейцил-D-фенилаланил-L-пролина (XII). Внутримолекулярной циклизацией XII получен синтетич. 8-N-н-тозилтрамидин C (XIII). Действием Na в жидком NH₃ XIII превращен в I, выделенный в виде дихлоргидрата. Синтетич. и природный I обнаруживают одинаковую активность по отношению к 19 штаммам микроорганизмов. Кристаллич. форма, ИК-спектры, порошкограммы и R_f 0,95 в 4 системах р-рителей совпадают для обоих препаратов. К 9 и хлоргидрата этилового эфира D-фенилаланина и 10,7 и триэтиламина (XIV) в 50 мл тетрагидрофурана прибавлено 15 г *n*-нитрофенилового эфира кбз-L-лейцина. Через 5 час. р-р вылит в 400 мл воды при 0°, в осадке этиловый эфир кбз-L-лейцил-D-фенилаланина (XV). Выход XV 84%, т. пл. 106° (из бэл.-петр. эф.). Омыление XV дало кбз-L-лейцил-D-фенилаланин (XVI), выход 96%, т. пл. 64–66°. 11,44 г XVI при охлаждении смешаны с 23 г хлорацетонитрила и 11,5 мл XIV, через 45 час. (~20°) смесь обработана 500 мл 2 н. HCl, осадок растворен в эфире с добавлением этилацетата, р-р промыт NaHCO₃ и водой. После отгонки р-рителя получен цинаметиловый эфир кбз-L-лейцил-D-фенилаланина (XVII). Выход 94%, т. пл. 102–103° (из бэл. и петр. эф.). Смесь 11,18 г XVII, 4,2 г хлоргидрата метилового эфира L-пролина, 6,5 мл тетрагидрофурана, 8 мл XIV и 0,2 мл лед. CH₃COOH выдержана 67 час. при ~20°, прибавлен 1 мл воды и через 45 мин. добавлением воды осаждено масло, которое затем экстрагировано эфиром, экстракт промыт разб. NaOH, HCl и водой. Полученное после отгонки р-рителя в-во растворено в CH₃OH и очищено фильтрованием через Al₂O₃. Выход метилового эфира кбз-L-лейцил-D-фенилаланил-L-пролина (XVIII) 67%. 6,54 г XVIII в 65 мл CH₃OH н 12,5 мл 1 н. HCl гидрировали над 650 мг 10%-ной Pd/C. Выход IV 71%, т. пл. 240 (разл.; из сп. и эф.), $[\alpha]^{25}_D = 38 \pm 4^\circ$ (с 0,72; CH₃OH). Аналогично XV из *n*-нитрофенилового эфира кбз-L-валина и метилового эфира 8-N-н-тозил-L-орнитина с 67% выходом получен III, т. пл. 144–145° (из ацетона и эф.). 100 мг II в 1,5 мл CHCl₃ обработано 100 мг трифенилхлорметана и 5 каплями XIV, через 5 час. (~20°) р-р упарен, остаток промыт смесью эфира и петр. эфира (1:1), затем растворен в этилацетате, р-р промыт р-ром винной к-ты, водой и упарен. Выход V 97%, т. пл. 123,5–125,5° (из бэл. петр. эф.). К 0,615 г V в 23 мл диоксана прибавлено 9 мл 0,5 н. NaOH и 1,5 мл CH₃OH до образования прозрачного р-ра. Р-р выдерживался при 36–38° 1 час, диоксан отогнан до сильного помутнения р-ра, последний вылит в р-р 0,7 г лимонной к-ты в воде при 0°. После экстракции этилацетатом и отгон-

ки р-рителя получено 0,503 г VI (стеклообразного в-ва), которое подробно не характеризовалось. К 500 мг II в 5 мл этилацетата прибавлено 0,5 мл XIV, фильтрат упарен в вакууме досуха и остаток растворен в 5 мл этилацетата. К р-ру прибавлено 580 мг VI и 155 мг VII (р-цию можно провести в ацетонитриле, применяя 1,3-дипциклогексилкарбодимид). Спустя 7 час. при 20° прибавлен этилацетат и р-р промыт HCl, NH₄OH, водой на холоду. После отгонки р-рителя и пересаживания из C₆H₆ эфиром получено 835 мг VIII, выход 80%, т. пл. 140–142°, $[\alpha]^{25}_D = 67^\circ \pm 3^\circ$ (с 0,7 CH₃OH). 800 мг VIII в 70 мл диоксана обработаны 11 мл 0,5 н. NaOH и 3 мл CH₃OH при 37° в течение 2 час., затем смесь вылита в 900 мл воды при 0° и подкислена лимонной к-той. Через 2,5 часа осадок отфильтрован. Получено 600 мг IX, выход 76%, т. пл. 133–134°. Для подтверждения структуры IX проведено удаление тритильной группы и получившийся декапептид введен в р-цию с фтординитробензолом. Гидролизат полученного динитрофенилдекапептида содержит все 5 аминокислот и динитрофенил-L-валин. 540 мг IX и 500 мг ди-*n*-нитрофенилсульфата растворены в 5 мл NC₅H₅; через 5 час. при 20° р-р упарен, остаток растворен в этилацетате, промыт р-ром винной к-ты и водой, после упаривания остаток многократно обработан смесью эфира и петр. эфира (1:1). В остатке 500 мг X 92% чистоты. 500 мг X растворено в 10 мл XI. При –5–0° прибавлено 10 мл воды. Через 15 мин. (–5°) выпавший трифенилкарбинол отфильтрован, фильтрат охлажден до –80° и лиофилизирован. Остаток тщательно промыт эфиром. Получено 400 мг XII. Р-р 390 мг XII в 10 мл диметилформамида и 3 каплях лед. CH₃COOH прибавлен по каплям (4 часа, перемешивание, 55°) к 75 мл NC₅H₅. После 1 часа стояния при 55° р-р упарен, остаток экстрагирован смесью петр. эфира и эфира (1:1), затем эфиром при кипячении. Нерастворившееся в-во растворено в смеси *iso*-C₃H₇OH = CH₃OH = H₂O (1:1:1). Р-р профильтрован через колонку с сильноосновным анионитом мерк-I, затем через колонку сильноокислого катионита мерк-III. К фильтрату при 45° медленно прибавлена вода, осадок отфильтрован. Получено 170 мг XIII 80% чистоты (выход 41%). Р-р XIII в смеси C₆H₆ = CHCl₃ (9:1) пропущен через колонку Al₂O₃, фильтрат отброшен, в-во алкировано CHCl₃ и этилацетатом. Получено 92,2 мг XIII, выход 28%, т. пл. 318° (разл.; из 65%-ного сп.). Вместо хроматографии на Al₂O₃ XIII может быть очищен противоточным распределением в системе CCl₄-85%-ный CH₃OH (1:1). Т. пл. 319 (разл.), $[\alpha]^{25}_D = 186,3 \pm 10^\circ$ (с 0,669; CH₃COOH). 30 мг хлоргидрата природного I в 5 мл NC₅H₅ обработано 200 мг *n*-толуолсульфохлорида. Через 5 час. при 40° р-р упарен, остаток промыт смесью эфира и петр. эфира (1:1), затем водой. После хроматографии на Al₂O₃ и перекристаллизации из 65%-ного спирта получен XIII, т. пл. 319° (разл.), $[\alpha]^{25}_D = 182,5 \pm 10^\circ$ (с 0,596; лед. CH₃COOH). 140 мг синтетич. XIII суспендировано в 80 мл жидкого NH₃. Прибавлен Na (70 мг) до исчезающего голубого цвета, избыток Na разрушен NH₄Cl и прибавлено еще ~200 мг NH₄Cl для образования хлоргидрата I. После удаления р-рителя остаток быстро высушен в вакууме и обработан 1 н. HCl. После многократного пересаживания 1 н. HCl из спирта или противоточного распределения в системе CHCl₃=CH₃OH = 0,01 н. HCl (10:7:3) получен синтетич. I, выход 70–90%, т. пл. 278–279 (разл.), $[\alpha]^{25}_D = 289 \pm 10^\circ$ (с 0,43; в 70%-ном сп.). Природный I имеет т. пл. 277–278 (разл.). Депрессии с синтетич. I не дает.

В. Степанов

32616. Дезаминирование амидов кислот и аминокислот редкоземельными металлами. Бамаи, Трапман, Ротер (Desaminierung von Säureami-

den und Aminosäuren durch seltene Erdmetalle. Baumann E., Trappmann H., Rother A.), Naturwissenschaften, 1957, 44, № 7, 232 (нем.)

Изучен новый случай каталитич. разложения C—N-связи, что ранее было показано на пептидах (РЖХимБх, 1958, 2829). Хроматографией на бумаге исследовали каталитич. действие лантана (I), церия-III (II) и церия-IV (III) на аспарагин и другие аминокислоты при 70° и pH 8,6. Под действием I и лучше II дезамидируются аргинин и серин, а аспарагин дезамидируется с образованием аспарагиновой к-ты. III практически не действует. Лизин, валин, изолейцин, тирозин и триптофан к действию в этих условиях I, II и III устойчивы. Р. Костяновский

32617. Синтез некоторых аминокислот и родственных соединений. Часть I. Махаджани, Рай (Synthesis of some amino-acids and related products. Part I. Mahajan P. B., Ray J. N.), J. Indian Chem. Soc., 1956, 33, № 7, 455—458 (англ.)

Предложен метод синтеза α-аминокислот, β-оксис-α-аминокислот и производных 3-аминокумарина конденсацией $\text{CH}_2=\text{NCH}_2\text{CN}$ (I) с различными альдегидами. Изучена конденсация I с фенолами по схеме: $\text{ArH} + \text{I} \xrightarrow{\text{ArH}} \text{ArCH}_2\text{NCH}_2\text{CN} \xrightarrow{\text{ArH}} \text{ArCH}_2\text{Ar}$. К р-ру 1,5 г параформа в спирте прибавляют несколько капель р-ра $\text{C}_2\text{H}_5\text{ONa}$, 30 мл р-ра 3 г I и остальной р-р $\text{C}_2\text{H}_5\text{ONa}$ (всего из 1,15 г Na) (50—60°, 10 мин.) через 12 час. (40°) подкисляют CH_3COOH и упаривают в вакууме; выход $\text{CH}_2=\text{NCH}(\text{CN})\text{CH}_2\text{OH}$ 2,5 г, т. пл. 64° (из абс. сп.), его растворяют в миним. кол-ве воды, нагревают при 100° с 2 экв 10%-ной H_2SO_4 и обрабатывают BaCO_3 . Выход — серина 2 г. Аналогично из 3,4 г I в 30 мл абс. спирта и 2,2 г паральдегида получают $\text{CH}_2=\text{NCH}(\text{CN})\text{CH}(\text{OH})\text{CH}_3$, который гидролизуют HCl при ~100° до DL-треонина, выход 70%. Из I и л-анисового альдегида получен $\text{CH}_2=\text{NC}(\text{CN})=\text{CHC}_6\text{H}_4\text{OCH}_3$, выход 70%, т. пл. 126° (из 80%-ного сп.), а из него гидролизом 15%-ной HCl при 100° — α-амино-β-(*n*-метоксифенил)-акриловая к-та (осаждена при pH 5,5); восстановлением последней 2,5%-ной амальгамой Na получен L-тирозин, выход 60%. Аналогично из I и пипероналя получены $\text{CH}_2=\text{NC}(\text{CN})=\text{CHC}_6\text{H}_4\text{O}_2\text{CH}_3$ = 3,4, выход 80%, т. пл. 220° (из бзл.), α-амино-β-(3,4-метилendioксифенил)-акриловая к-та, т. пл. 127° (из воды); и α-амино-β-(3,4-метилendioксифенил)-пропионовая к-та, т. пл. 238° (из воды). Из вератрового альдегида получены $\text{CH}_2\text{NC}(\text{CN})=\text{CHC}_6\text{H}_4\text{OCH}_3$ (OCH₃)₂-3,4, т. пл. 172°; α-амино-β-(3,4-диметоксифенил)-акриловая к-та, т. пл. 143° (из водн. сп.). 6,1 г салицилового альдегида и 3,4 г I в лед. CH_3COOH насыщают HCl при 0° и через 12 час. осадок гидролизуют HCl. Щелочью осаждают 3-аминокумарин, т. пл. 127—128° (из водн. сп.); выход ацетильного производного 5,6 г, т. пл. 201°. Аналогично из *o*-метоксисалицилового альдегида получен 8-метоксиаминокумарин, выход 60%, т. пл. 201°; из β-резорцилового альдегида — 7-окси-3-аминокумарин, выход 60%, т. пл. > 260°. К 5 г *n*-крезола в конц. водн. р-ре 2 г KOH прибавляют 3,2 г I в 25 мл абс. спирта (pH 9), кипятят 1 час, сгущают в вакууме, подкисляют CH_3COOH , выпавшее масло отделяют, гидролизуют HCl и получают *n*-НОС₆H₄CH₂NHCH₂COOH · HCl, т. пл. 243°. Аналогично из *m*-крезола получен мета-изомер с т. пл. 209°. 1,7 г I, 3,6 г β-нафтола и 1,4 г KOH в 20 мл спирта кипятят 2 часа. Через 12 час. фильтрат подкисляют CH_3COOH и получают β,β'-диокси-α,α'-динафтилметан, т. пл. 203°; диацетат, т. пл. 215°. При проведении той же р-ции при pH 9 (6 час., 80°), подкислении и гидролизе 15%-ной HCl получают 2-окси-1-гомонафтиламиноуксусную к-ту, т. пл. 223°. С. Аваева

32618. Синтезы α-аминокислот. Сообщение VIII. Конфигурация анилидов α-амино-β-оксимасляной

кислоты. Эрхарт, Хенниг (Synthesen von α-Aminosäuren, VIII. Mitteilung: Die Konfiguration der α-Amino-β-hydroxybuttersäure-anilide. Ehrhart Gustav, Hennig Ingeborg), Chem. Ber., 1956, 89, № 9, 2124—2131 (нем.)

Восстановлением анилидов α-оксимино- и α-фенилазоацетоуксусной к-ты Zn в CH_3COOH получены анилиды α-ацетиламиноацетоуксусных к-т, гидрирование которых на скелетном Ni приводит к производным аллотреонина (I) и треонина (II). Непосредственное восстановление исходных в-в на скелетном Ni приводит главным образом к производным I. Осуществление превращения анилида I (III) и *n*-фенетида I (IV) в производные II (ср. Elliot D. F., J. Chem. Soc., 1950, 62). К 100 г анилида α-оксиминоацетоуксусной к-ты в 300 мл лед. CH_3COOH и 100 мл $(\text{CH}_3\text{CO})_2\text{O}$ прибавляют 100 г Zn-пыли, через 1 час (30—40°) постепенно прибавляют 3 л воды и перемешивают несколько часов. Осадок кипятят с CH_3OH . Из фильтратов выделяют анилид α-ацетиламиноацетоуксусной к-ты (V), выход 75 г, т. пл. 153° (из CH_3OH). Аналогично из 500 г *n*-фенетида α-оксиминоацетоуксусной к-ты получают 465 г *n*-фенетида α-ацетиламиноацетоуксусной к-ты (VI), т. пл. 164—165° (из CH_3OH). Из *n*-фенетида ацетоуксусной к-ты получают *n*-фенетид α-фенилазоацетоуксусной к-ты (VII) (см. Bülow C., Neber P., Ber., 1912, 45, 3736), выход 100%, т. пл. 126° (из сп.). Аналогично получен N-метил-α-фенетид α-фенилазоацетоуксусной к-ты (VIIa), т. пл. 133—135° (из 50%-ного сп.). Восстанавливают 50 г VII в 600 мл лед. CH_3COOH и 118 мл $(\text{CH}_3\text{CO})_2\text{O}$ 33 г Zn-пыли (см. V), выход VI 34 г. Нитрозируют 68 г анилида ацетоуксусной к-ты в 136 мл лед. CH_3COOH 30 г NaNO_2 через 15 мин. прибавляют 1 кг льда, 180 мл конц. H_2SO_4 и 80 г Zn-пыли. Через 1 час фильтрат перемешивают 30 мин. с 60 г хлорангидрида фенилуксусной к-ты и 360 г CH_3COONa . Выход анилида α-фенацетиламиноацетоуксусной к-ты (VIII) 45 г, т. пл. 158—160° (из CH_3OH). Аналогично из 127,5 г *n*-фенетида ацетоуксусной к-ты получают 102 г *n*-фенетида α-фенацетиламиноацетоуксусной к-ты (IX), т. пл. 174° (из сп.). 75 г V в 500 мл CH_3OH гидрируют над скелетным Ni при 100° и 100 ат H_2 . Выход анилида N-ацетилаллотреонина (X) 42%, т. пл. 202° (из сп.). Анилид O, N-диацетилаллотреонина, т. пл. 201° (из сп.). Гидрированием 45 г VIII над скелетным Ni в 80%-ном CH_3OH при 50° получают анилид N-фенацетилаллотреонина (XI), выход 38 г, т. пл. 218°. Аналогично гидрируют VI (60° и 100 ат), выход *n*-фенетида N-ацетилаллотреонина (XII) 58%, т. пл. 205°. Выход *n*-фенетида N-ацетилтреонина (XIII) 42%, т. пл. 174°. *n*-Фенетид O, N-диацетилаллотреонина, т. пл. 212° (из сп.). *n*-Фенетид N-фенацетилаллотреонина (XIV) получают гидрированием IX, т. пл. 222—223°. 20 г X кипятят с 40 мл HCl (1:1), фильтруют, прибавляют K_2CO_3 до pH 8 и экстрагируют CH_2Cl_2 III, т. пл. 103—104° (из этилацетата). 24 г XI кипятят 15 мин. с 120 мл HCl (1:1), разбавляют 200 мл воды, фильтруют, экстрагируют эфиром, водн. р-р подщелачивают K_2CO_3 и экстрагируют эфиром III. 20 г XIII кипятят 45 мин. с 50 мл пропанола и 100 мл HCl (1:1), упаривают и подщелачивают NaOH; выход IV 11 г, т. пл. 114—115°. Аналогично из 25 г XII получают 17 г IV. 70 г VII гидрируют в 1 л 85%-ного CH_3OH над скелетным Ni, р-р упаривают и обрабатывают 2 н. HCl. Фильтрат подщелачивают 2 н. NaOH до pH 8; выход IV 73%. Аналогично из VIIa получают N-метил-*n*-фенетид I. 15 г III кипятят 90 мин. с 90 мл 48%-ной HBr, фильтрат упаривают в вакууме до сиропа, растворяют в небольшом кол-ве воды, подщелачивают до pH 8 и экстрагируют эфиром. Водн. слой обрабатывают спиртом, выход I 61%, т. пл. 245°. Анало-

гично получают I из IV (выход хуже). 25 г III нагревают с 25 г хлоргидрата бензиминоэфира при 100°. После окончания выделения газа в-во растирают с водой, затем со спиртом и получают анидид эритро-5-метил-2-фенилоксазолинкарбоновой-4 к-ты (эритро-XV), т. пл. 118° (из сп.). Аналогично из 63 г IV получают 56 г *n*-фенетидид эритро-5-метил-2-фенилоксазолинкарбоновой-4 к-ты (эритро-XVI), т. пл. 143° (из сп.). 5 г эритро-XVI кипятят 30 мин. с 2 н. HCl; выход хлоргидрата *n*-фенетидида О-бензоилаллотреонина 3 г, т. пл. 193° (из сп.); последний при кипячении 3 часа с HCl (1:1) превращается в IV. *n*-Фенетидид О, *N*-дидецилтреонина, т. пл. 182—183° (из сп.). 3 г эритро-XV обрабатывают 60 мл спирта и 4 мл *p*-ра C₂H₅ONa (11,5 г Na в 300 мл спирта) 5 мин. при 10—15°, выливают в 600 мл воды. Эфиром экстрагируют *трео*-XV, который кристаллизуют петр. эфиром из *p*-ра в этилацетате, т. пл. 75—80° (из сп.). 40 г эритро-XVI, 600 мл спирта, 50 мл диметилформамида и 70 мл *p*-ра C₂H₅ONa (см. выше) встряхивают при 15—20° до растворения и выливают в воду, выход *трео*-XVI 38 г, т. пл. 106° (из сп.). То же превращение можно осуществить действием щелочи в водн. спирте. 42 г *трео*-XVI кипятят 2,5 часа с 200 мл конц. HCl и 300 мл воды, прибавляют 200 мл CH₂Cl₂, подщелачивают 5н. NaOH и экстрагируют CH₂Cl₂ *n*-фенетидид II, выход 13 г, т. пл. 121° (из этилацетата). *n*-Фенетидид II получают также омылением XIII HCl. Сообщение VII см. РЖХим, 1957, 11865. С. Аваева

32619. Тозил- α -аминокислоты. II. Применение хлорангидридов для синтеза пептидов в щелочной среде. Бичам (Tosyl- α -amino acids. II. The use of the acid chlorides for peptide synthesis in the presence of aqueous alkali. Beecham A. F.), J. Amer. Chem. Soc., 1957, 79, № 12, 3262—3263 (англ.)

На примере взаимодействия хлорангидрида тозил-L-валина (I) с глицином (II) изучались оптимальные условия образования пептидов из тозилированных хлорангидридов аминокислот в щел. среде. Удовлетворительного выхода тозил-L-валилглицина (III) получено не было, так как при pH < 8 I гидролизует, при pH > 8 идет расщепление I (см. сообщение I, РЖХим, 1958, 18136). Наибольший выход III (36—38%) получают при прибавлении *p*-ра I в диоксане к водн. *p*-ру II при pH 8—9 (NaOH или избыток MgO). Не расщепляющиеся в щел. среде хлорангидриды тозил-L-пролина (IV) и тозил-DL-глицина (V) легко дают пептиды соответственно с L-оксипролином (VI) и L-пролином (VII). Благодаря более слабому индукционному эффекту CH₃-группы по сравнению с (CH₃)₂CH— хлорангидрид тозил-DL-аланина (VIII) расщепляется менее энергично, чем I; при сливании бензольного *p*-ра VIII и щел. *p*-ра II образуется тозил-DL-аланилглицин (IX) с выходом 80%. При замене VIII хлорангидридом тозил-L-лейцина (X) пептида не образуется, в основном идет расщепление X. К *p*-ру 0,01 моля II в 20 мл воды, содержащему 1 г MgO (pH 10,5), при охлаждении и встряхивании прибавляют 0,01 моля I в 20 мл диоксана. Суспензию встряхивают 10 мин. и оставляют на 20 мин. Фильтрат (pH 8) подкисляют, выделившийся в виде масла III закристаллизуют эфиром, растворяют в водн. NaHCO₃ и подкисляют. Получают 1,06 г III, т. пл. 173,5—174,5°. К *p*-ру 0,01 моля VI в 20 мл 1 н. NaOH прибавляют 0,01 моля IV и смесь встряхивают 20 мин. при охлаждении. После подкисления 10 мл 1 н. HCl получают 3,4 г тозил-L-пролил-L-оксипролина, т. пл. 224—224,5° (осажден к-той из *p*-ра NaHCO₃), $[\alpha]^{20}_D$ — 198° (с 1; в 0,5 н. KHCO₃). К *p*-ру 0,05 моля VII в 100 мл 1 н. NaOH и 100 мл диоксана прибавляют порциями при перемешивании 0,05 моля V. Через 18 час. подкисляют HCl до pH 6 и упаривают до 30 мл, тозилглицил-L-пролин (XI) при стоянии кристал-

лизуется. Выход XI 8,2 г т. пл. 183—184° (переосажден к-той из *p*-ра NaHCO₃), $[\alpha]^{27}_D$ — 71° (с 1; в 0,5 н. KHCO₃). Встряхивают 16 час. 0,01 моля VIII в 80 мл C₆H₆ с 0,01 моля II в 20 мл 1 н. NaOH. Водн. слой нагревают до 90°, подкисляют 10 мл 1 н. HCl. Получают 2,35 г IX, т. пл. 149—150°. Р. Грачева

32620. Разделение на оптические антиподы этилового эфира DL-аланилглицина при помощи дибензоил-D-винной кислоты. Лоссе (Racematspaltung des DL-Alanylglycin-äthylesters mit Dibenzoyle-D-weinsäure. Losse Günter, Chem. Ber., 1957, 90, № 7, 1279—1282 (нем.))

Описано получение оптически чистых антиподов аланилглицина и этилового эфира аланилглицина расщеплением рацемич. этилового эфира аланилглицина (I) с дибензоил-D-винной к-той (II). Показана применимость полученных пептидов для синтеза высокомолекулярных оптически активных пептидов. *p*-р 14 г I в 45 мл абс. спирта слили при ~20° с *p*-ром 15 г II ($[\alpha]^{20}_D$ — 110° (с 0,9; сп.), мол. соотношения II:I:2:1. Через 24 часа (~20°) отделили кислую соль этилового эфира L-аланилглицина дибензоил-D-винной к-ты (III), выход 13,5 г, т. пл. 181—182°, $[\alpha]^{20}_D$ — 65° (с 0,26; сп.). III стояла 15 мин. (~20°) с 0,37 н. Ba(OH)₂. Нейтр-цией 0,37 н. H₂SO₄ получен *p*-р L-аланилглицина (IV) (сульфат). После обработки *p*-ра сульфата IV 0,37 н. Ba(OH)₂, фильтрования, упаривания в вакууме и высасывания ацетоном получен IV, выход 83%, оптич. чистота 86%, т. пл. 232—234° (переосаждение из воды ацетоном), $[\alpha]^{21}_D$ + 48,3° (с 1,10; вода). Маточный *p*-р от III упарили в вакууме и высадили эфиром кислую соль этилового эфира D-аланилглицина-D-винной к-ты (V), $[\alpha]^{20}_D$ от —50 до —55° (с 0,4; сп.). V гидролизovali Ba(OH)₂ аналогично III. Получен D-аланилглицин с оптич. чистотой 40—50%, т. пл. 233—235° (из водн. ацетона), $[\alpha]^{20}_D$ — 46,6° (с 1,02; вода). Аналогично проводили разделение на оптич. антиподы 22,0 г I с помощью II в мол. отношении 1:1, выход III 33,5 г, т. пл. 188—189° (из сп.-эф.), $[\alpha]^{21}_D$ — 64° (с 0,23; сп.). Этиловый эфир L-аланилглицина (VI) (хлоргидрат) получен пропусканием HCl в спирт. *p*-р III и высасыванием абс. эфиром. VI выделен из хлоргидрата *p*-ром аммиака в CHCl₃ в присутствии Na₂SO₄. К III при охлаждении приливали небольшой избыток *p*-ра NH₃ в CHCl₃. После осаждения аммонийной соли II добавлением K₂CO₃ и трехкратного кол-ва CHCl₃, фильтрат VI обрабатывали K₂CO₃ и активированным углем, выход VI 80—90%, $[\alpha]^{20}_D$ + 3,2° (с 14; сп.). Из V (аналогично VI из III) получен этиловый эфир D-аланилглицина (VII). Метод применим и к основным солям эфиров аминокислот дибензоил-D-винной к-ты, VI и VII использованы для синтеза оптически активных L-аланил-L-аланилглицина, D-аланил-D-аланилглицина, L-лейцил-L-аланилглицина.

В. Светлаева

32621. Получение оптически активных эфиров простейших аминокислот из DL-соединений путем расщепления рацемата дибензоил-D-винной кислоты. Лоссе, Ешкейт (Gewinnung der optisch aktiven Ester einfacher Aminosäuren aus den DL-Verbindungen durch Racematspaltung mit Dibenzoyle-D-weinsäure. Losse Günter, J. Schickel Hans), Chem. Ber., 1957, 90, № 7, 1275—1278 (нем.)

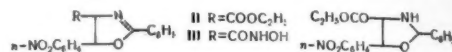
Описано получение D и L-эфиров аминокислот из дибензоилтарtrate эфиров аминокислот. Расщепление тарtrate проводили в эфире карбонатом калия, или лучше, действием спирт. *p*-ра HCl с выделением хлоргидратов эфиров. В опытах с эфирами лейцина и валина лучшие результаты получены при работе с кислыми тартатами. Диастереоизомеры дибензоил-D-тарtrate эфиров фенилаланина, валина и аланина получали по ранее описанному методу (РЖХим, 1954, 43042). Для получения дибензоил-D-тартата этилового эфира

D-фенилаланина (I) (выход 90%, т. пл. 138—140°, $[\alpha]^{21}_D - 69,39^\circ$) и дибензоил-D-тарtrate этилового эфира L-фенилаланина (II) (выход 80%, т. пл. 150—152°, $[\alpha]^{20}_D - 40,70^\circ$) смешивают 10 г этилового эфира D,L-фенилаланина и 10 г дибензоил-D-винной к-ты (III) [т. пл. 89—90°, $[\alpha]^{20}_D - 110,4^\circ$ (с 0,548, сп.)] (Butler C. L., Cretcher L. H., J. Amer. Chem. Soc., 1933, 55, 2605) в 72 мл абс. этанола и оставляют для кристаллизации на 2 часа при 21°. 8 г I смешивают с 8 мл абс. этанола и несколько минут пропускают сухой HCl, выделившуюся III отделяют и к холодному р-ру приливают 250—300 мл эфира. Выделяется хлоридат этилового эфира D-фенилаланина с выходом 85%, т. пл. 153—154°, $[\alpha]^{20}_D + 6,85^\circ$ (с 2,336; вода). Аналогично из II получают хлоридат этилового эфира L-фенилаланина с выходом 91%, т. пл. 154°, $[\alpha]^{22}_D - 7,32^\circ$ (с 3,140; вода). 12 г этилового эфира D,L-валина и 15,7 г III смешивают со 170 мл абс. этанола и оставляют на 24 часа при 21°. В I фракции (т. пл. 186°, $[\alpha]^{21}_D - 79,0^\circ$) и 2 фракции (т. пл. 183°) выделяется кислый дибензоил-D-тарtrate этилового эфира L-валина (IV), 3 фракция (из маточного р-ра), т. пл. 170°, $[\alpha]^{22}_D - 64,30^\circ$. Встряхивают 7 г IV и 25 мл насыщ. р-ра K_2CO_3 в эфире. Эфирный р-р сушат и перегоняют, выход этилового эфира L-валина 67%, т. кип. 68°/10 мм, $[\alpha]^{22}_D + 24,98^\circ$ (с 4,924; сп.). Из 3 фракции аналогично получают эфир валина с т. кип. 69—70°/12 мм, $[\alpha]^{20}_D + 7,15^\circ$ (с 19,02; сп.). Этиловый эфир D-валина, выход 65%, т. кип. 65°/10 мм, $[\alpha]^{20}_D - 16,10^\circ$ (с 30,42; сп.), выделяют из остатка после отделения 3 фракции. Смесь 6,55 г бензильного эфира D,L-аланина и 7,2 г III в 50 мл этанола оставляют на 48 час. при 21°, выделяют 5,7 г дибензоил-D-тарtrate бензильного эфира D-аланина (V) с т. пл. 146—148°, $[\alpha]^{22}_D - 48,13^\circ$, и 5,5 г дибензоил-D-тарtrate бензильного эфира L-аланина (VI) с т. пл. 124—126°, $[\alpha]^{21}_D - 58,30^\circ$. Из V со спирт. р-ром HCl получают хлоридат бензильного эфира D-аланина с выходом 86,5%, $[\alpha]^{22}_D + 8,52^\circ$ (с 4,34; 0,1 н. HCl). Аналогично из VI получают хлоридат бензильного эфира L-аланина с выходом 81%, $[\alpha]^{20}_D - 4,58^\circ$ (с 2,402; 0,1 н. HCl). 11,8 г этилового эфира D,L-лейцина (т. кип. 84—86°/12 мм) смешивают с р-ром 13,9 г III в 145 мл абс. спирта. Вскоре начинает кристаллизоваться кислый дибензоил-D-тарtrate этилового эфира L-лейцина (VII). Через 24 часа получают 3,9 г VII с т. пл. 188°, $[\alpha]^{20}_D - 72,9^\circ$ (с 0,192; сп.). Эфиром высаживают еще 9 г VII. После упаривания выделяют 5,2 г кислого дибензоил-D-тарtrate этилового эфира D-лейцина (VIII) с т. пл. 151°, $[\alpha]^{20}_D - 53,2^\circ$ (с 0,460; сп.). Обработкой HCl в спирте из VII и VIII получают соответственно хлоридат этилового эфира L-лейцина, выход 89%, т. пл. 133°, $[\alpha]^{21}_D + 18,2^\circ$ (с 1,538; сп.). Оптич. чистота ~100%, и хлоридат этилового эфира D-лейцина, выход 89%, $[\alpha]^{19}_D - 15,33^\circ$ (с 1,924; сп.). Оптич. чистота 83,5%. Е. Чаман

32622. Некоторые реакции эритро- и трео-β-н-нитрофенилсерина. Уайнер (Some reactions of erythro- and threo-β-nitrophenylserine. Wagner Arthur F.), J. Amer. Chem. Soc., 1957, 79, № 12, 3240—3245 (англ.)

Этиловый эфир эритро-α-бензамидо-β-окси-β-н-нитрофенилпропионовой к-ты (эритро-I) при действии тозилхлорида превращается в результате S_N1 р-ции в 4-карботокси-5-н-нитрофенил-2-фенил-2-оксазолин (II). II с NH_4OH образует 4-карбогидроксамидо-5-н-нитрофенил-2-фенил-2-оксазолин (III), который при действии HCl превращается в этиловый эфир эритро-α-бензамидо-β-хлор-β-н-нитрофенилпропионгидроксамовой к-ты (IV). IV в свою очередь при действии щелочи образует I. I при р-ции с $SOCl_2$ обменивает OH на Cl с сохранением конфигурации, причем образует-

ся этиловый эфир эритро-α-бензамидо-β-хлор-β-н-нитрофенилпропионовой к-ты (V). При действии $SOCl_2$ на трео-I происходит N → O миграция ацила, сопровождающаяся обращением конфигурации у β-углеродного атома. В результате образуется хлоридат этилового эфира эритро-α-амино-β-бензоилокси-β-н-нитрофенилпропионовой к-ты (VI). Авторы считают, что превращение трео-I в VI протекает через 1,2-цис-циклизацию в оксазолидин (VII) с последующим обращением конфигурации у β-углеродного атома при раскрытии цикла VII. Обсуждается влияние конфигурации на лег-



кость циклизации производных эритро- и трео-изомеров β-н-нитрофенилсерина в соответствующие оксазолони. К суспензии 0,017 моля хлоридата этилового эфира эритро-β-н-нитрофенилсерина (эритро-VIII) в 50 мл воды и 50 мл $CHCl_3$ прибавляют 0,043 моля ацетата Na и 0,018 моля бензоилхлорида, встряхивают 2 часа и подкисляют конц. HCl, выход I 60%, т. пл. 158,5—160,5° (из сп.). К р-ру 0,028 моля I в 40 мл безводн. C_5H_5N прибавляют при охлаждении 0,028 моля тозилхлорида. Через ~12 час. (~20°) р-р выливают в 100 мл 10%-ного $NaHCO_3$ и экстрагируют хлороформом. Р-рителю отгоняют в вакууме, остаток растирают с 100 мл абс. эфира и упариванием эфирного р-ра выделяют II, выход 45%, т. пл. 88—91° (из сп.). К р-ру 1 г $NH_4OH \cdot HCl$ в 25 мл спирта прибавляют 13,8 г 1,16 н. р-ра CH_3ONa в CH_3OH и фильтрат прибавляют к р-ру 0,012 моля II в 50 мл спирта. Затем при 0° прибавляют 10 мл 1,16 н. р-ра CH_3ONa в CH_3OH . Через 1 час (~20°) р-р упаривают в вакууме до 20 мл, прибавляют 50 мл воды и 14,2 мл 0,99 н. HCl. Выпадает III, выход 60%, т. пл. 201—203° (разл.; из диоксана-эф.). К суспензии 2 ммоль III в 6 мл безводн. диоксана прибавляют 2 мл 1,09 н. р-ра HCl в безводн. диоксане и нагревают 5 мин. при ~100°, выпадает IV, выход 28%, т. пл. 182—183° (разл.; из изопропанола). Суспензию 0,5 г IV в 5 мл спирта титруют при кипячении 0,99 н. NaOH до постоянной окраски фенолфталеина, охлаждают, прибавляют 10 мл воды и 1 мл 0,99 н. HCl и перемешивают; выпадает III, выход 120 мг, т. пл. 194° (разл.; из сп.). 1 г I растворяют при охлаждении в 3 мл $SOCl_2$ и через 3 часа (~20°) р-р упаривают в вакууме, прибавляют эфир и вновь упаривают. Остаток растирают с эфиром и получают V, выход 650 мг (неочищ.), т. пл. 122—124° (из сп.-эф.-петр. эф.). V получен также из II. К 0,5 г II в 10 мл безводн. диоксана прибавляют 1,9 мл 0,776 н. HCl в диоксане, упаривают в вакууме, прибавляют эфир и вновь упаривают. Остаток кристаллизуют из спирта-эфира-петр. эфира, растворяют в $CHCl_3$, промывают водой и упаривают в вакууме. Выход V 140 мг, т. пл. 121—124° (из сп.-эф.-петр. эф.). Суспензию 49 г этилового эфира трео-α-ацетамидо-β-ацетокси-β-н-нитрофенилпропионовой к-ты в 500 мл 2,5 н. HCl нагревают 2,5 часа при 100° и упаривают в вакууме. Остаток высушивают в вакууме, растворяют в 250 мл спирта и р-р насыщают сухим HCl. Через ~12 час. (~20°) р-р упаривают в вакууме, выход трео-VIII 40 г. К р-ру 40 г трео-VIII в 30 мл воды прибавляют 28 г ацетата Na, 19,2 г бензоилхлорида и 300 мл $CHCl_3$, смесь встряхивают 2 часа и экстрагируют $CHCl_3$. Из экстрактов упариванием в вакууме получают трео-I, выход 11 г, т. пл. 136—138° (из сп.). 4 г трео-I и 4 г безводн. $CaSO_4$ прибавляют к 25 мл $SOCl_2$; через 3 дня фильтруют и упаривают в вакууме. После обработки остатка эфиром получают VI, выход 1,9 г (неочищ.), т. пл. 197° (разл.; из сп.). Для доказательства конфигурации VI

смесь 900 мг VI и 15 мл 2,5 н. HCl нагревают до 100°, добавляют спирт до гомогенного р-ра и нагревают еще 2 часа. Р-р упаривают в вакууме, остаток промывают горячим C_6H_6 , растворяют в спирте и пропускают ток сухого HCl. Через ~ 12 час. (~20°) упариванием в вакууме получают хлоргидрат этилового эфира эритро- α -амино- β -окси- β -н-нитрофенилпропионовой к-ты (IX), выход 170 мг, т. пл. 188° (разл.; из сп.). 40 мг IX, 28 мг ацетата Na, 19 мг бензилхлорида, 4 мл воды и 4 мл $CHCl_3$ встряхивают 2 часа, прибавляют 20 мл $CHCl_3$, подкисляют 2,5 н. HCl и хлороформный слой упаривают в вакууме; выход эритро-I 18 мг, т. пл. 158—160° (из сп.). Приведены частоты ИК-спектров эритро- и тетро-I—VI. С. Азаева

32623. Об аминокислотах, N-ацилированных порфиринокислотами и о некоторых функциональных производных порфиринов и форбинов из ряда красящих веществ крови и листьев. Лауч, Герман, Пазедаг, Пратер (Über durch Porphyrincarbonsäuren N-acylierte Aminosäuren und über einige funktionelle Derivate von Porphyrinen und Phorbinen der Blut- und Blattfarbstoffreihe. Lautsch Willy, Gehrmann Winfried, Pasedag Rudolf, Prater Klaus), Chem. Ber., 1957, 90, № 4, 470—481 (нем.)

Описано получение аминокислот, N-ацилированных порфиринокислотами к-тами ряда красящих в крови и листьях, азидным, хлорангидридным методами и методом смешанных ангидридов. Для получения замещ. полипептидов, могущих служить моделями дыхательных ферментов, синтезированы функциональные производные порфиринов и форбинов. Р-р 400 мг мезопорфириндиазида и 5 г метилового эфира глицина (I) в 10 мл C_6H_5N нагревают 1 час до 70°, отгоняют р-ритель и избыток I в вакууме, остаток растворяют в лед. CH_3COOH , р-р выливают в 2 л эфира, CH_3COOH отмыкают водой, выделяется мезопорфирин-бис-(глицилметилэфир) (II); часть II, растворенную в эфире, экстрагируют 0,15%-ной HCl, обрабатывают экстракт CH_3COONa , осадок промывают водой, сушат над P_2O_5 ; II т. пл. 261° (из C_6H_5N и CH_3OH). Аналогично применяя для экстракции 0,25%-ную HCl, получают мезопорфирин-бис-(D,L-аланилметилэфир) (III), т. пл. 278°. К р-ру 200 мг мезопорфирина (III) в 10 мл C_6H_5N прибавляют 3 г свежеприготовленного этилового эфира N-карбонилглицина (IV), кипятят смесь 2 часа, р-ритель и избыток IV отгоняют в вакууме, остаток растворяют в лед. CH_3COOH , выливают р-р в 1 л эфира, отмыкают CH_3COOH , экстрагируют мезопорфирин-бис-(глицилэтиловый эфир) (V) 0,1%-ной HCl, обрабатывают CH_3COONa , выход V 15%, т. пл. 265° (из C_6H_5N + CH_3OH). Аналогично, применяя для экстракции 0,2%-ную и 5%-ную HCl, получают мезопорфирин-бис-(D,L-аланилметилэфир), выход 5%, и мезопорфирин-бис-(D,L-фенилаланилметилэфир) (VI), выход 7% соответственно. 200 мг III обрабатывают $POCl_3$, к полученному хлорангидриду в ацетоне при 40° прибавляют 5 г метилового эфира DL-валина, подкисляют р-р лед. CH_3COOH , выливают в 1,5 л эфира, отмыкают CH_3COOH водой, эфир отгоняют, растворяют остаток в смеси C_6H_5N - $CHCl_3$ (1:6), р-р пропускают через колонку с основной Al_2O_3 , элюат упаривают, прибавляют CH_3OH , получают мезопорфирин-бис-(D,L-валилметилэфир), т. пл. 284°. Аналогично получены мезопорфирин-бис-(D,L-лейцилметилэфир), т. пл. 279°; мезопорфирин-бис-(D,L-изолейцилметилэфир), т. пл. 274°; тетраметилэфир мезопорфирина-бис-(L-глутаминовой к-ты) (VII), т. пл. 218°, а также VI. 100 мг эфира мезопорфирина-бис-аминокислоты растворяют при нагревании в 75 мл диоксана, кипятят с 20 мл насыщ. р-ра КОН в CH_3OH , растворяют осадок K-соли

в CH_3COOH , экстрагируют эфиром, эфирный р-р экстрагируют разб. HCl, после обработки кислого р-ра CH_3COONa получают свободную мезопорфирин-бис-(D,L-аминокислоту) (VIII). 195 мг VII кипятят 15 мин. с 15 мл 16%-ного р-ра HBr в лед. CH_3COOH , разбавляют 600 мл воды, высаживают свободную порфиринаминокислоту CH_3COONa , сушат, растворяют в лед. CH_3COOH , прибавляют свежеприготовленный р-р $(CH_3COO)_2Fe$ в лед. CH_3COOH , получают комплексную соль Fe^{3+} , экстрагируют р-р эфиром, отмыкают CH_3COOH водой, эфирный р-р упаривают, растворяют остаток в лед. CH_3COOH , упаривают, после прибавления эфира получают гемин; выход 150 мг. Обрабатывая р-р K-соли VIII в CH_3COOH р-ром $(CH_3COO)_2Fe$ в лед. CH_3COOH , получают после обычной обработки комплексные Fe-соли VIII. Комплексносвязанное Fe определяют спектрофотометрически, каталитич. активность препаратов изучают манометрич. методом Варбурга, применяя в качестве субстрата р-р 20 мг D,L-аденина в смеси 7,5 мл фосфатного буфера (рН 7,3) с 0,2 мл C_6H_5N . К р-ру 100 мл пирропорфирин-6-акриловой к-ты (IX) и 0,074 мл $(C_2H_5)_3N$ в 40 мл абс. ацетона прибавляют при 10° 0,051 мл этилового эфира хлормуравьиной к-ты, оставляют на 20 мин. при 10°, насыщают при охлаждении сухим NH_3 , отгоняют р-ритель, остаток растворяют в лед. CH_3COOH , экстрагируют эфиром, CH_3COOH отмыкают водой, получают диамид IX. Выход 39%, призм. с т. пл. > 360° (из C_6H_5N - CH_3OH). УФ-спектр идентичен спектру диметилового эфира IX. Аналогично из 100 мг протопорфирина (X) получают 45% протопорфириндиамида (XI), ромбич. пластинки, т. пл. > 360°. УФ-спектр XI идентичен спектру X. Из 100 мг мезопорфирина (XII) получают 80 мг (80%) мезопорфириндиамида (XIII), иглы, т. пл. > 360°. УФ-спектр XIII идентичен спектру XII. Нагревают 100 мг метилового эфира филопорфирина с 50 мл насыщ. на холоду р-ра NH_3 в спирте 10 час. до 120° (в автоклаве). После обработки HCl и эфиром получают 5% γ -филопорфириндиамида (XIV). 500 мг филопорфирина обрабатывают, как при получении XIII, выход XIV 400 мг, кристаллы с металлич. блеском (из ацетона-хлф.). В тех же условиях получают моноамид монометилового эфира X, выход 4%, призм.; УФ-спектр идентичен таковому X. Моноамид монометилового эфира XII кристаллизуется в виде игл, выход 3%. К р-ру 600 мг феофорбид-а (XV) и 2,37 мл $(n-C_4H_9)_3N$ (XVI) в 30 мл $CHCl_3$ прибавляют 0,3 мл этилхлорформата, извлекают 2 л эфира, избыток XVI экстрагируют 10%-ной HCl, непрореагировавший XV извлекают 5%-ной Na_2CO_3 , после упаривания получают 100 мг смешанного ангидрида (XVII) XV и этилкарбоната (темно-зеленый порошок). В р-р 100 мг XVII в $CHCl_3$ пропускают NH_3 1 час, выливают в 1 л эфира, экстрагируют сначала 5%-ной HCl, затем 11%-ной HCl, вновь берут в эфир извлеченное 11%-ной HCl в-во, после отгонки эфира получают амид XV, выход 60 мг, иглы с т. пл. 253—255° (из ацетона). Р-р 800 мг XV в 10 мл абс. C_6H_5N нагревают 9 час. на водяной бане (70—90°) с 5 мл метилового эфира N-карбонил-L-лейцина (т. кип. 108—115°/29 мм), оставляют на 12 час., выливают в 3 л эфира, промывают 5%-ной HCl до обесцвечивания водн. слоя, промывают водой, сушат Na_2SO_4 , фильтруют, упаривают до 30—35 мл, прибавляют 50 мл петр. эфира, осадок растворяют в $CHCl_3$, после 2-кратной хроматографии на основной Al_2O_3 , упаривания и прибавления CH_3OH получают 50 мг метилового эфира феофорбид-а-L-лейцина, голубые кристаллы, т. пл. 173°. Из 2 г мезохлорина-е₆ получают 600 мг естественного аналитич. метилового эфира мезофиллохлорина (XVIII), призм. с т. пл. 168° (из ацетона- CH_3OH), $[\alpha]_D^{20}$ —460° (с 0,203;

ацетон). Из 400 мг филогемина получают 80—100 мг синтетич. метилового эфира мезофиллохлорина (XIX), иглы с т. пл. 173° (из ацетона-CH₃OH). XIX получают также из XVIII, т. пл. 169—170°, депрессии нет. Приведены ИК-спектры и дебаграммы XVIII и XIX.

Ю. Швачкин

32624. Оксипрессин — синтетический амид октапептида, обладающий свойствами гормона. Качественные (Oxypressin, a synthetic octapeptide amide with hormonal properties. Katsoyannis Panayotis G.), J. Amer. Chem. Soc., 1957, 79, № 1, 109—111 (англ.)

Синтезирован циклич. пептид — дисульфид L-цистеинил-L-тирозил-L-фенилаланил-L-глутамил-L-аспарагинил-L-цистеинил-L-пролил-L-лейцилглицинамида: цист-тир-

фенал-глут (NH₂)-асп (NH₂)-цист-прол-лейц-глинц (NH₂) (I),

содержащий циклич. пептапептидный остаток того же строения, что и циклич. часть в вазопрессине и боковую цепь ту же, что и в окситоцине. Поэтому I назван оксипрессинном. I обладает окситотич. депрессорной (на птицах) и прессорной активностью, хотя и меньшей, чем окситоцин и вазопрессин, но в ином соотношении (1:2,25:0,15). Суспензию 0,2 ммоль S-бензил-N-карбобензоксид-L-цистеинил-L-тирозил-L-фенилаланил-L-глутаминил-L-аспарагина и 0,2 ммоль S-бензил-L-цистеинил-L-пролил-L-лейцилглицинамида в 0,7 мл диэтилфосфата и 0,15 мл тетраэтилпирофосфата нагревают 1 час при 90°, охлаждают и прибавляют воду. Осадок обрабатывают р-ром NaHCO₃, промывают водой, суспендируют в 20%-ном спирте и перемешивают 20 мин., добавляя триэтиламин до pH 9. Получают 160 мг неочищ. S-бензил-N-карбобензоксид-L-цистеинил-L-тирозил-L-фенилаланил-L-глутаминил-L-аспарагинил-S-бензил-L-цистеинил-L-пролил-L-лейцилглицинамид (II), т. пл. 196—201°. После повторной обработки в спирте р-ре триэтиламина и пересадки эфиром из р-ра в HCON (CH₃)₂, т. пл. 210—212°. [α]_D²⁵ — 48,1° (с 0,8; HCON (CH₃)₂). 200 мг II в 50 мл жидкого NH₃ восстанавливают при кипении, разлагая избыток 35 мг NH₄Cl. После выпаривания NH₃ остаток растворяют в 500 мл 0,1%-ной CH₃COOH, прибавляют NH₄OH до pH 6,7 и пропускают 1 час воздух, не содержащий CO₂; эту операцию повторяют несколько раз. Р-р упаривают в центробежном испарителе, лиофилизируют и очищают противоточным распределением в системе втор-бутанол—0,1%-ная CH₃COOH. Степень чистоты контролируют по цветной пробе Фолина [Lowry O. H. и др. J. Biol. Chem., 1951, 193, 265] и по биол. активности. После 900 переносов получают I, полностью очищ. от неактивных примесей (коэф. распределения 0,48); его выделяют упариванием в центробежном испарителе при t-ре < 30° и лиофилизируют; выход 135 мг, [α]_D²⁵ — 33° (с 0,57; 0,1 н. CH₃COOH). I и окситоцин обладают одинаковой подвижностью при электрофорезе. С. Аваева

32625. D,L-серилглицил-D,L-аланилглицил-D,L-аланилглицин. Цан, Шнабель (D,L-Seryl-glycyl-D,L-alanyl-glycyl-D,L-alanyl-glycin. Zahn Helmut, Schnabel Eugen), Liebigs Ann. Chem., 1957, 604, № 1—3, 62—75 (нем.)

Из рацемич. аминокислот азидным методом синтезировали и выделили 4 рацемата (A, B, C, D) D,L-серилглицил-D,L-аланилглицил-D,L-аланилглицина (I). Рентгенограммы и ИК-спектры I сходны с данными для кристаллич. пептида, выделенного из фибрина шелка. Приведено описание приготовления фибрина шелка, гидролиза химотрипсином, и исследования полученного гексапептида с помощью N → O миграции под действием H₂PO₄. Азид, полученный из 12,7 г гидразида карбобензоксид (кбз) D,L-серина, смешивают с 5 г этилового эфира глицина в 30 мл абс. эфира и оставляют на

24 часа в холодильнике и на 24 часа при ~20°. Выход этилового эфира кбз-D,L-серилглицина (II) 66%, т. пл. 84—85°. Из 10,5 г II и 4 мл гидразингидрата в 40 мл спирта через 24 часа (20°) получают гидразид кбз-D,L-серилглицина (III), выход 90%, т. пл. 188—190°. На 15 г III в смеси с 10 мл конц. HCl, 20 мл лед. CH₃COOH и 250 мл воды при —3° и 5 г NaNO₂ получают азид, из которого (после промывания и сушки) действием 7 мл этил. эфира D,L-аланина (IV) получают этиловый эфир кбз-D,L-серилглицил-D,L-аланина (V), выход 50%, т. пл. 135—137° (из CH₃OH). V обычным методом превращают в гидразид (VI), выход 62%, т. пл. 187—189° (из водн. CH₃OH). Для синтеза бензильного

эфира глицил-D,L-аланилглицина (VII) р-р 6,6 г IV в 40 мл пиридина при 0° постепенно смешивают с 2,3 мл PCl₃ и 10 мл пиридина. Через 30 мин. (~20°) прибавляют 13,1 г кбз-глицина и нагревают 3 часа при ~100°.

Отгоняют пиридин, дважды экстрагируют горячим этилацетатом (50 и 30 мл), промывают экстракт 0,5 н. HCl, 5%-ным р-ром NaHCO₃, водой. После упаривания остаток растворяют в этилацетате и осаждают петр. эфиром. Полученный этиловый эфир кбз-глицил-β-аланина [выход 75%, т. пл. 53—55° (из водн. CH₃OH)] в спирте превращают в гидразид [выход 85%, т. пл. 174—176° (водн. CH₃OH)], который затем описанным для V методом превращают в азид и сочетают с бензильным эфиром глицина, выход кбз-производное VII (VIII) 73%, т. пл. 165—166° (из метанола). 10 г VIII встряхивают 20 мин. с 20 мл 33% р-ра HBr в лед. CH₃COOH и высаживают 300 мл абс. эфира бромгидрат (Br)

VII, т. пл. 194—195° (абс. сп. +эф.). Бензильные эфиры рацематов B и D получают при стоянии этилацетатного р-ра смеси азид (полученного из 4,4 г VI) и VII (выделенного из 10 г Br триэтиламина) (4 дня — в холодильнике и 1,5 дня при 20°). Бензильный эфир рацемата B (IX) выкристаллизовывается с выходом 27%, т. пл. 234—238° (из водн. метанола, 2:1). Из маточного р-ра получают бензильный эфир рацемата D с т. пл. 178—180° (из метанола). Бензильные эфиры рацематов A (X) и C (XI) синтезированы из азид кбз-D,L-серилглицина (полученный из 4 г гидразида) и бензильного эфира D,L-аланилглицил-D,L-аланилглицина (XII) в СНCl₃. Из реакционной смеси кристаллизуется X, выход 4,5%, т. пл. 306—307° (разл.; из диметилформамида). XI

получают из маточного р-ра, выход 13,5%, т. пл. 201—204° (из водн. метанола, 4:1). Из IX гидрированием получают I B, т. пл. 320° (разл., темнеет при 250°), R_f 0,04 в втор-бутанол-HCOOH-H₂O (75:15:10) и 0,90 в фенол-вода (8:2). Из этилового эфира кбз-аланилглицина кипячением в спирте с 80% гидразингидратом получают гидразид [выход 77%, т. пл. 155—156° (из воды)], который через азид конденсируют с IV и получают этиловый эфир кбз-D,L-аланилглицил-D,L-аланина (выход 61%, т. пл. 149—151° (из метанола), взаимодействие с гидразином эфир трипептида превращают в гидразид [выход 81%, т. пл. 176—178° из сп.] и затем сочетают (через азид) с бензильным эфиром глицина, образуется кбз производное XII (XIII) (выход 55%, т. пл. 155—162°). При многократной кристаллизации XIII разделяют на два рацемата: XIII A, т. пл. 170—172°, и XIII B, т. пл. 156—157°. Из гидразида кбз-L-аланилглицина и бензильного эфира L-аланилглицина получают бензильный эфир кбз-L-аланилглицил-D,L-аланилглицина (XIV), выход 87%, т. пл. 202—204° (из метанола), [α]_D²⁵ — 20,5° (с 1; метанол). Аналогично получают бензильный эфир кбз-D-аланилглицил-D,L-аланилглицина (XV), выход 40%, т. пл. 204—205°, [α]_D²⁵ + 20,3° (с 1; метанол). При кристаллизации равной смеси XIV и XV получают рацемат XIII A.

Е. Чаман

32626. Строение офтальмовой кислоты. Уэйли (The structure of ophthalmic acid. Waley S. G.), Proc. Chem. Soc., 1957, Jan., 25 (англ.)

Выделенная из хрусталика глаза теленка офтальмовая к-та (I) оказалась трипептидом — γ -глутаминил- α -аминобутирилглицином. При полном гидролизе найдены глутаминовая к-та (II), α -аминомасляная и глицин. Свободная NH_2 -группа принадлежит II, свободная COOH -группа глицину. Скорость переноса при электрофорезе на бумаге для модельных γ -пептидов II оказалась почти вдвое больше, чем для соответствующих α -пептидов. Скорость переноса I того же порядка, что и для γ -пептидов II, откуда следует, что в I содержится γ -пептидная связь. Произведен синтез I. N-карбобензоксис (кбз)-L- α -аминомасляная к-та обработана хлороугольным эфиром и полученный смешанный ангидрид конденсирован с этиловым эфиром глицина. После омыления и гидрирования получен L- α -амино-n-бутирилглицин (III). Конденсация N-кбз- γ -L-глутамидаза с III с последующим гидрированием приводит к I. Сравнение природного и синтетич. I путем хроматографии на бумаге, электрофореза на бумаге и по рентгенограмме порошков оставляет мало сомнений в том, что оба в-ва идентичны. Отмечается, что I гомоморфна глутатиону. См. также РЖХимБх, 1958, 2828. Е. Каверзнева

32627. Поли-(DL-лейцилглицилглицин) и некоторые поли- α -аминокислоты. Лившиц, Цилька, Боренштейн, Франкель (Poly-(DL-leucylglycylglycine) and some poly- α -amino acids. Liwischitz Y., Zilkha A., Borensztain H., Frankel Max), J. Organ. Chem., 1956, 21, № 12, 1531—1532 (англ.)

Хлорангидраты хлорангидридов аминокислот (I) или пептидов полимеризуются при нагревании в высоком вакууме при 115—200°. Длина цепи (n — число аминокислотных остатков) образующихся полипептидов зависит от чистоты мономера и достигает в случае DL- α -амино-n-масляной к-ты 45л, L-пролина 6л и DL-лейцилглицилглицина 5л. I получены по методу Фишера (Ber., 1905, 38, 2914). Метод Левина (РЖХим, 1955, 14106) не привел к положительным результатам. Предыдущее сообщение см. РЖХим, 1955, 31776.

Ю. Швачкин

32628. Конденсация метиловых эфиров пептидов с различной длиной цепи. Брунн-Лёйбе, Шрамм (Kondensation von Peptidmethylestern verschiedener Kettenlänge. Brunn-Leube Inge, Schramm Gerhard), Chem. Ber., 1956, 89, № 9, 2045—2055 (нем.)

Изучена конденсация метиловых эфиров (МЭ) пептидов глицина и аланина, содержащих от 3 до 8 аминокислотных остатков, МЭ глицилглицилаланина (I), МЭ глицилглицилаланилглицина (II), МЭ глицилглицилаланилглицилглицина (III), МЭ глицилглицилаланилглицилглицилаланина (IV), МЭ глицилглицилаланилглицилглицилаланилглицина (V), МЭ глицилглицилаланилглицилглицилаланилглицилглицина (VI). Продукты р-ции переводились в 2,4-динитрофенильные производные (ДНФП), которые разделялись хроматографией на бумаге и идентифицировались по ИК-спектрам. Скорость конденсации падает в ряду I > II > III > IV \approx V \approx VI. Пептид с наибольшей длиной цепи (25 аминокислотных остатков) получен при конденсации III. Ниже перечисляются исходный МЭ и выход (%) полученных МЭ пептидов, в скобках указано число аминокислотных остатков n в пептидной цепи (при 110° и 0,01 мм за 90 мин.): I, 28 (6), 13 (9), 5 (12), 2,7 (15), 0,4 (18); II, 21 (8), 5,3 (12), 1,1 (16); III, 21 (10), 5 (15), 1,2 (20), 0,3 (25); IV, 8 (9), 5,8 (12); V, 5,8 (14), 2,0 (21); VI, 3 (12), 6,8 (16); и за 24 часа: II, 26 (8), 11 (12), 2,6 (16), 1,1 (20). Уве-

личение продолжительности нагревания повышает выход продуктов конденсации. В случае III после 24 час. обнаружено образование дикетопиперазина и исчезновение пептида с $n = 25$. Образование из IV пептида с $n = 9$ и из VI пептида с $n = 12$ (полуторная степень полимеризации) объясняется, по-видимому, расщеплением молекул исходного МЭ пептида пополам и конденсацией образовавшихся остатков с исходным МЭ пептида. Лабильность средней пептидной связи в IV и VI не связана с характером чередования аминокислот (в IV связь аланил — глицил, в VI глицил — глицил); показано, что МЭ аланилглицилглицилаланилглицилглицина (разрывающаяся связь глицил — аланил) также образует пептид с $n = 9$. Исходные пептиды получены следующими методами. Метод А. К р-ру 21,6 г карбобензоксис (кбз)-глицилглицина (VII) в 100 мл безводн. ацетона и 23,2 мл трибутиламина прибавляют при т-ре —15° и перемешивании 19 г бензилхлорформата. Через 50 мин. вносят 14,4 г аланина в 160 мл 1 н. NaOH, перемешивают 2 часа при охлаждении и 2 часа при ~20° и прибавляют 60 мл 1 н. NaOH (рН 7—8). Ацетон отгоняют в вакууме; р-р экстрагируют эфиром, упаривают в вакууме и подкисляют до рН 3; выход кбз-глицилглицилаланина (VIII) 57%, т. пл. 184° (из сп.). При проведении первой стадии р-ции в диметилформамиде (65 мин.) образуется симметричный ангидрид кбз-глицилглицина, т. пл. 158°. Образования его можно избежать, если вести р-цию 5 мин. Гидрированием VIII на Pd-черни в CH_3OH -лед. CH_3COOH получен глицилглицилаланин (IX), выход 93%, т. пл. 216—217°. IX получают также действием на VIII фосфоний йодида в 80%-ной CH_3COOH . Метод Б. 0,04 моля хлорангидрата МЭ аланина растворяют при нагревании в 70 мл абс. пиридина и прибавляют при 0° и перемешивании 0,02 моля PCl_5 в 20 мл пиридина. Смесь перемешивают 0,5 часа, прибавляют р-р 0,04 моля VII в 30 мл пиридина и нагревают 3 часа при ~100°. Пиридин отгоняют в вакууме и остаток обрабатывают этилацетатом с небольшим кол-вом воды и экстрагируют этилацетатом (10 \times 100 мл). Этилацетатный р-р промывают разб. HCl и 10%-ным NaHCO_3 и сушат. Прибавлением петр. эфира осаждают МЭ VIII, выход 74,5%, т. пл. 97°. 0,015 моля МЭ VIII в 45 мл 1 н. HBr в лед. CH_3COOH встряхивают 25 мин. при 50°, прибавляют 270 мл абс. эфира. Р-р охлаждают 1 час при т-ре —15°, осадок этерифицируют 1 н. HBr в CH_3OH и осаждают эфиром, бромидируют I, выход 96%, т. пл. 176—178° (из CH_3OH -эф.). 0,5 г бромидрата I в 8 мл абс. CH_3OH обрабатывают при 0° CH_3ONa (из 37,4 мг Na) 0,5 часа и упаривают в вакууме, получают I. По методу Б получены МЭ кбз-глицилглицилаланилглицина, выход 42%, т. пл. 166°, бромидрат III (шерекристаллизован осаждением эфиром из р-ра в CH_3OH при т-ре около —80°), выход 81%, и III. Кбз-глицилглицилаланилглицилглицин (X) получен из VIII, трибутиламина, октилхлормуравьиного эфира и глицилангидрида по методу А, выход 68%, т. пл. 192°. Обработкой X в водн. CH_3OH эфирным р-ром CH_2N_2 , получают МЭ X (выпадает при т-ре —15°), выход 70%, т. пл. 200°. Из МЭ X, как описано для МЭ IX, получают бромидрат III, выход 82%. Аналогично из VIII и IX по методу А получают кбз-глицилглицилаланилглицилглицилаланин (XI), выход 25,4%, т. пл. 214°. Из XI и CH_2N_2 получают МЭ XI, выход 87%, т. пл. 178°, и затем бромидрат IV, выход 78%. Аналогично из X и аланилглицина (в диметилформамиде) получают кбз-глицилглицилаланилглицилглицилаланилглицин, выход 36%, т. пл. 203°, его МЭ, выход 71%, т. пл. 238°; бромидрат V (в-во гигроскопично и плохо растворимо в CH_3OH), выход 72%, т. пл. 128° (разл.). Из X и аланилглицилглицина получают кбз-глицил-

глицилаланилглицилглицилаланилглицилглицин, выход 24%, т. пл. 206°, его МЭ, выход 83%, т. пл. 240°, бромгидрат VI (гигроскопичен), выход 80%. Р-р 0,3 ммоль бромгидрата МЭ пептида в 2 мл CH_3OH встряхивают с 0,9 ммоль 2,4-динитрофторбензола (XII) в 2 мл CH_3OH и 0,03 ммоль $\text{Ca}(\text{OH})_2$ и 2 мл воды 2 часа при 0°. Осадок растворяют в CH_3OH , фильтрат упаривают в вакууме, прибавляют эфир, выпавший осадок встряхивают с этилацетатом и водой и экстрагируют этилацетатом. Упариванием вытяжек и прибавлением петр. эфира осаждают ДНФП соответствующих МЭ пептидов. Получены ДНФП следующих в-в (перечисляются выход %, т. пл. °C): I, 58, 176; II, 80, 218; III, 67, 218; IV, —, 204; V, —, —; VI, 66, —. ДНФП III—VI не растворимы в этилацетате; они очищены перекристаллизацией из CH_3OH -эфира. 0,3 ммоль бромгидрата МЭ пептида в 2 мл CH_3OH омывают встряхиванием с 0,45 ммоль $\text{Ca}(\text{OH})_2$ в 2 мл воды (4 часа, ~20°), прибавляют при 0° 0,9 ммоль XII в 2 мл CH_3OH и встряхивают еще 2 часа. Затем прибавляют 200 мл CH_3OH и 20 мл воды, фильтруют и отгоняют в вакууме CH_3OH . Водн. р-р экстрагируют эфиром и упаривают в вакууме. Растворением остатка в CH_3OH и осаждением эфира получают ДНФП пептида; его очищают хроматографией на бумаге и вымывают водой. Получены ДНФП следующих пептидов (перечисляются выход %, т. пл. °C): глицилглицина, 64, 200; IX, 69, 205; глицилглицилаланилглицина 82, 195; глицилглицилаланилглицилглицина 85, 232; глицилглицилаланилглицилглицилаланина 70, 229; глицилглицилаланилглицилглицилаланилглицина, —, 208; глицилглицилаланилглицилглицилаланилглицилглицина 87, —. 0,3 ммоль МЭ пептида нагревают 1,5 часа при 0,01 мм и 110°, растворяют в 2 мл CH_3OH и 2 мл воды и встряхивают 4 часа с 0,3 ммоль $\text{Ca}(\text{OH})_2$. Затем встряхивают 1 час с 0,9 ммоль XII в 2 мл CH_3OH . Осадок растворяют в 150 мл CH_3OH и 50 мл воды, р-р фильтруют и CH_3OH отгоняют в вакууме. Оставший водн. р-р экстрагируют эфиром и высушивают при замораживании. Полученную смесь ДНФП пептидов разделяют хроматографией на бумаге из бутанола—лед. CH_3COOH —воды, 40:40:50 (для низших пептидов) или бутанола—пиридина—воды, 65:35:65 (для высших). По ИК-спектрам и их интенсивности определяют длину цепи (РЖХим, 1956, 9985) выделенных хроматографией пептидов и их выход. Приведены значения R_f в указанных системах для I—VI, их ДНФП и кбз-производных, а также для ДНФП и кбз-производных соответствующих пептидов. С. Аваева 32629. Полипептиды. Часть II. Синтез некоторых защищенных пептидов цистеина и глицина. Хупер, Райдон, Скофилд, Хитон (Polypeptides. Part II. The preparation of some protected peptides of cysteine and glycine. Hooper K. C., Rydon H. N., Schofield J. A., Heaton G. S.), J. Chem. Soc., 1956, Aug., 3148—3156 (англ.)

Синтезированы L-цистеинил-L-цистеин (I) и бензило-вые эфиры (БЭ) S-бензил-N-карбобензоксипептида (кбз)-L-цистеинил-S-бензил-D-цистеина (II), БЭ S-бензил-N-кбз-L-цистеинил-S-бензил-L-цистеина (БЭ III), БЭ S-бензил-N-кбз-L-цистеинилглицил-S-бензил-L-цистеина (БЭ IV), БЭ S-бензил-N-кбз-L-цистеинилдиглицил-S-бензил-L-цистеина (V), БЭ S-бензил-N-кбз-L-цистеинилтриглицил-S-бензил-L-цистеина (VI) БЭ S-бензил-N-кбз-L-цистеинилтетраглицил-S-бензил-L-цистеина (VII), а также ряд других производных этих пептидов. В суспензию 1,5 г S-бензил-L-цистеина (VIII) в 50 мл сухого диоксана пропускают при 70° ток SOCl_2 , который прекращают через 50 мин. после растворения остатка. Избыток SOCl_2 удаляют током сухого N_2 , р-р упаривают при 40° в токе N_2 , выход N-карбоксихидрида VIII 95%, т. пл. 104°

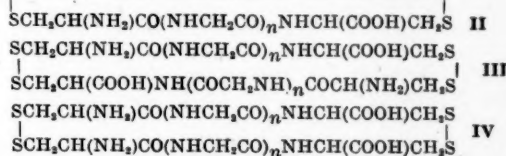
(из эф.). Р-р 24 г последнего в 120 мл $\text{C}_6\text{H}_5\text{CH}_2\text{OH}$ нагревают при 50° с р-ром 5 г HCl в 50 мл $\text{C}_6\text{H}_5\text{CH}_2\text{OH}$ до прекращения выделения газа, оставляют на ~12 час. и упаривают в вакууме; остаток обрабатывают эфиром; выход хлоргидрата БЭ VIII 86%, т. пл. 134° (из сп.-эф.). 10 г VIII кипятят ~12 час. с 200 мл $\text{C}_6\text{H}_5\text{CH}_2\text{OH}$ и 9,75 г моногидрата $n\text{-CH}_3\text{C}_6\text{H}_4\text{SO}_3\text{H}$ в аппарате Дина и Старка. Прибавлением 200 мл петр. эфира осаждают тозилат БЭ VIII, выход 93%, т. пл. 159° (из сп.). Из S-бензил-D-цистеина через N-карбоксихидрид получают хлоргидрат БЭ S-бензил-D-цистеина, т. пл. 126°, $[\alpha]^{25}_D + 29,0^\circ$ (с 1,00; вода). В охлажд. р-р 1,8 г гидрида S-бензил-N-кбз-L-цистеина (гидрида IX) (т. пл. 135°) в 50 мл 50%-ной CH_3COOH и 5 мл 2 н. HCl вводят р-р 0,35 г NaNO_2 в 5 мл воды. Образовавшийся азид экстрагируют эфиром и смешивают с эфирным р-ром БЭ VIII (из 1,7 г хлоргидрата или 2,3 г тозилата, 25 мл эфира, 0,7 г $(\text{C}_2\text{H}_5)_3\text{N}$ и 10 мл воды). Через ~12 час. (0°) выход БЭ III 90%, т. пл. 129—130° (из бал.-петр. эф.), $[\alpha]^{25}_D - 45,0^\circ$ (с 1; ацетон). Аналогично получают II, выход 81%, т. пл. 128—129° (из ацетона-эф.). $[\alpha]^{25}_D + 2,5^\circ$ (с 1; ацетон). К р-ру 10,35 г IX в 40 мл CHCl_3 и 3,26 г $(\text{C}_2\text{H}_5)_3\text{N}$ прибавляют при 0° 3 мл $\text{ClCOOC}_2\text{H}_5$ и через 10 мин. (0°) охлажд. р-р 10,13 г хлоргидрата БЭ VIII в 40 мл CHCl_3 и 3,03 г $(\text{C}_2\text{H}_5)_3\text{N}$, через 10 мин. при 0° и 45 мин. при 60° р-р упаривают в вакууме, остаток растворяют в эфире, промывают и упаривают, выход БЭ III 57%, т. пл. 127° (из эф.). Р-р I в БЭ III в 10 мл CH_3COOH насыщают HBr , выдерживают 1 час при 60° и выливают в 50 мл абс. эфира, затем прибавляют 50 мл петр. эфира, осадок растворяют в теплом водн. диоксане и обрабатывают пиридином, выход III 62%, т. пл. 170—171°, $[\alpha]^{20}_D - 18,0^\circ$ (с 0,81; CH_3COOH); бромгидрат при обработке пиридином в водн. спирте дает в 3,6-ди(бензилтометил)-2,5-дикетопиперазин, выход 61%, т. пл. 174—175°, $[\alpha]^{25}_D - 59,5^\circ$ (с 2,52; CH_3COOH). 5,7 г БЭ III в 250 мл жидкого NH_3 обрабатывают 1,9 г Na , прибавляют 5,5 г NH_4Cl и упаривают под N_2 . Экстракцией горячим абс. спиртом извлекают I, выход 49%, т. пл. 150—152° (разл.). Сочетанием азиды IX с хлоргидратом этилового эфира (ЭЭ) VIII (как при синтезе БЭ III) получают ЭЭ III, выход 82%, т. пл. 103° (из бал.-петр. эф.); при получении из IX выход 39%. 860 мг IX в 5 мл тетрагидрофурана (ТГФ) и 252 мг $(\text{C}_2\text{H}_5)_3\text{N}$ обрабатывают 5 мин. при 0° 271 мг $\text{ClCOOC}_2\text{H}_5$, затем прибавляют суспензию 530 мг VIII в 50 мл 50%-ного водн. ТГФ и 252 мг $(\text{C}_2\text{H}_5)_3\text{N}$. Через 2 часа (при ~20°) смесь упаривают в вакууме досуха, обрабатывают 2 г HCl и экстрагируют этилацетатом III, выход 51%, т. пл. 145—146° (из водн. сп., затем из бал. и сп.). К р-ру 3 г IX в 15 мл CHCl_3 и 1,25 мл $(\text{C}_2\text{H}_5)_3\text{N}$ прибавляют при охлаждении 0,84 мл $\text{ClCOOC}_2\text{H}_5$ и через 15 мин. 0,93 мл тиофенола. Через 1 час при ~20° и 30 мин. при 50° р-р упаривают, остаток обрабатывают водой и петр. эфиром, получают фениловый тиоэфир IX (X), выход 79%, т. пл. 100° (из сп.). 1,4 г X в 20 мл ТГФ прибавляют к 0,8 г VIII в 5 мл 1 н. NaOH , добавляют CH_3OH до гомог. р-ра, кипятят 10 час. и упаривают в вакууме. Оставший водн. р-р экстрагируют эфиром, подкисляют и экстрагируют этилацетатом, выход III 100%, т. пл. 147° (из сп.), $[\alpha]^{20}_D - 39,0^\circ$ (с 0,2; сп.). 3 г N, N'-ди-кбз-L-цистеина в 5 мл $\text{C}_6\text{H}_5\text{CN}$ и 1,65 мл 1-этилпиперидина обрабатывают 1,4 мл $\text{C}_6\text{H}_5\text{COCl}$ (15 мин. при 0° и 20 мин. при ~20°), затем прибавляют при встряхивании р-р 2,52 г VII в 12 мл 1 н. NaOH и еще 12 мл 1 н. NaOH и встряхивают ~12 час. Осадок экстрагируют эфиром в аппарате Сокслета, остаток растворяют в спирте, прибавляют разб. HCl и воду; осадок пересаждают водой в CH_3COOH , выход N, N'-ди-кбз-L-цистеинил-бис-(S-бензил-L-цистеина) 47%, т. пл. 120°, $[\alpha]^{20}_D - 53,0^\circ$ (с 0,13; сп.).

1 г IX в 10 мл CHCl_3 и 0,5 мл $(\text{C}_2\text{H}_5)_3\text{N}$ обрабатывают 0,4 мл $\text{ClCOOC}_2\text{H}_5$ и р-ром ЭЭ глицина (из 0,4 г хлоргидрата и 0,5 мл $(\text{C}_2\text{H}_5)_3\text{N}$) в 20 мл CHCl_3 , через 1 час при $\sim 20^\circ$ и 15 мин. при 60° р-р промывают 2 н. HCl , насыщ. р-ром NaHCO_3 , водой и упаривают, выход ЭЭ S-бензил-N-кбз-L-цистеинилглицина (XI) 72%, т. пл. 94° (из водн. сп.), $[\alpha]^{20}_D - 39,6^\circ$ (с 4,32; диоксан). При попытке получить XI через гидразид IX образовался ЭЭ L-N-(2-бензилтио-1-кбз-аминоэтил)-карбомилглицина, выход 46%, т. пл. 157° (из сп.). Кипячением XI с $\text{N}_2\text{H}_4 \cdot \text{H}_2\text{O}$ в спирте (5 час.) получают гидразид, выход 80%, т. пл. 142° (из сп.), $[\alpha]^{24}_D - 18,1^\circ$ (с 0,17; сп.). 5 г этого гидразида в 60 мл 50%-ной CH_3COOH и 5 мл конц. HCl обрабатывают при 0° 10 мл 10%-ного р-ра NaNO_2 ; образовавшийся азид экстрагируют эфиром, промывают р-ром NaHCO_3 , высушивают и смешивают с эфирным р-ром БЭ VIII (из 4,2 г хлоргидрата и 2 мл $(\text{C}_2\text{H}_5)_3\text{N}$ при 0°); через ~ 12 час. отфильтровывают БЭ IV, выход 99%, т. пл. 161° , $[\alpha]^{20}_D - 34,7^\circ$ (с 2,58; диоксан). Аналогично из ЭЭ VIII получают ЭЭ IV, выход 81%, т. пл. $125-126^\circ$. 5 г X в 50 мл ТГФ кипятят 6 час. с 0,85 г глицина в 11,5 мл 1 н. NaOH и небольшим кол-вом CH_3OH . ТГФ отгоняют в вакууме, водн. р-р экстрагируют эфиром и подкисляют. Экстракцией этилацетатом выделяют S-бензил-N-кбз-L-цистеинилглицин (XII), выход 69%, т. пл. $153-154^\circ$ (из сп.), $[\alpha]^{20}_D - 11,4^\circ$ (с 2,6; сп.). 600 мг XII превращают в фениловый тиоэфир, выход 68%, т. пл. 102° (из сп.), $[\alpha]^{20}_D - 14,5^\circ$ (с 0,24; сп.), который сочетают с 250 мл VIII; выход IV 21%, т. пл. $148-150^\circ$ (из сп.-петр.эф.). Из VIII и фенилового тиоэфира кбз-глицина (как при получении III) синтезирован N-кбз-глицил-S-бензил-L-цистеин (XIII), выход 75%, т. пл. 117° , $[\alpha]^{19}_D - 65,0^\circ$ (с 0,08; сп.). Из N-кбз-глицина и ЭЭ VII через смешанный ангидрид с $\text{ClCOOC}_2\text{H}_5$ получен ЭЭ XIII, выход 54%, т. пл. 80° (из эф.), $[\alpha]^{19}_D - 34,5^\circ$ (с 0,43; сп.). Аналогично получены БЭ XIII, выход 53%, т. пл. 97° , $[\alpha]^{20}_D - 22,0^\circ$ (с 0,18; сп.), и ЭЭ N-фталилглицил-S-бензил-L-цистеина (из фталилглицина и VIII), выход 67%, т. пл. 165° (из сп.), $[\alpha]^{20}_D - 29,0^\circ$ (с 0,1; сп.). Из I и X и 0,4 г хлоргидрата глицилглицина (как при получении III) синтезирован S-бензил-N-кбз-L-цистеинилглицилглицин (XIV), выход 31%, т. пл. $129-130^\circ$ (из сп.-петр.эф.), $[\alpha]^{20}_D - 9,4^\circ$ (с 0,21; сп.); его фениловый тиоэфир, выход 72%, т. пл. $105-106^\circ$ (из сп.), $[\alpha]^{20}_D - 5,8^\circ$ (с 0,51; сп.). 3,6 г IX в 35 мл CHCl_3 и 1,8 мл $(\text{C}_2\text{H}_5)_3\text{N}$ обрабатывают при охлаждении 1,2 мл $\text{ClCOOC}_2\text{H}_5$ и затем 1,2 г хлоргидрата ЭЭ глицилглицина (XV) (15 мин. при 20° и 1 час при 60°), выход ЭЭ XIV 86%, т. пл. 114° (из водн. сп.), $[\alpha]^{20}_D - 12,9^\circ$ (с 3,21; сп.). Аналогично получен метиловый эфир XIV, выход 21%, т. пл. 110° (из бэл.-эф.). ЭЭ XIV получают также конденсацией азиды IX с XV (выход 81%) и р-цией XV и PCl_5 в пиридине с IX (3 часа кипячения), выход 64%. Р-цией ЭЭ XIV с $\text{N}_2\text{H}_4 \cdot \text{H}_2\text{O}$ (20° , 12 час.) получен гидразид XIV, выход 82%, т. пл. 164° (из водн. сп.). Из 2,5 г гидразида XIV и 2,2 г хлоргидрата БЭ VIII получают V (аналогично синтезу БЭ III), выход 73%, т. пл. 175° (из ацетона-петр.эф.). Аналогично получен соответствующий ЭЭ, выход 47%, т. пл. 135° (из сп.-петр.эф.). 1,7 г IX в 20 мл CHCl_3 и 0,7 мл $(\text{C}_2\text{H}_5)_3\text{N}$ обрабатывают 0,5 мл $\text{ClCOOC}_2\text{H}_5$ и 1,3 г хлоргидрата ЭЭ диглицилглицина в 20 мл CHCl_3 и 0,7 мл $(\text{C}_2\text{H}_5)_3\text{N}$ (15 мин. при $\sim 20^\circ$ и 1 час при 50°), выход ЭЭ S-бензил-N-кбз-L-цистеинилдиглицилглицина (XVI) 75%, т. пл. 120° (из хлф.-эф.), $[\alpha]^{20}_D - 2,2^\circ$ (с 4,6; диоксан). XVI получен также из азиды IX, выход 45%. Обработкой XVI гидразингидратом (12 час. при $\sim 20^\circ$) получен гидразид XVI, выход 82%, т. пл. 196° (из водн. сп.), превращенный далее в азид, р-ция которого с хлоргидратом БЭ VIII дала VI, выход 53%, т. пл. $157-158^\circ$, $[\alpha]^{20}_D - 30,6^\circ$ (с 2,89; диоксан). 2,4 г БЭ

тозилата VIII в 20 мл пиридина и 0,5 мл PCl_5 кипятят 2 часа с 1,4 г N-кбз-глицилглицина в 20 мл пиридина; выход БЭ N-кбз-диглицил-S-бензил-L-цистеина (XVII) 38%, т. пл. 100° (из сп.-петр.эф.). XVII получен также конденсацией БЭ VIII с гидразидом N-кбз-глицилглицина, выход 18%. В р-р 700 мг XVII в 28 мл CH_3COOH пропускают ток HBr и эфиром осаждают бромгидрат БЭ диглицил-S-бензил-L-цистеина (750 мл), который обычной конденсацией с азидом XIV превращают в VII, выход 39%, т. пл. $205-206^\circ$ (из водн. сп.), $[\alpha]^{20}_D - 29,7^\circ$ (с 1,10; пиридин). 3 г фенилового тиоэфира N-кбз-глицилглицина в 50 мл ТГФ прибавляют к 1,7 г VIII в 8 мл 1 н. NaOH , ТГФ отгоняют в вакууме, водн. р-р экстрагируют эфиром и подкисляют. Выпавший осадок отделяют от масла обработкой этилацетатом, из которого выделяют дополнительное кол-во в-ва; выход N-кбз-диглицил-S-бензил-L-цистеина 78%, т. пл. $161-162^\circ$ (из водн. сп.). В суспензию I в БЭ N-кбз-диглицилглицина (получен по методу смешанного ангидрида из БЭ глицина и N-кбз-глицилглицина, выход 59%, т. пл. 148° (из водн. сп.)) в 15 мл CH_3COOH пропускают 30 мин. ток HBr и прибавляют 50 мл эфира. Через 2 часа при 0° осадок отделяют, растворяют в 5 мл воды, прибавляют 0,5 мл $(\text{C}_2\text{H}_5)_3\text{N}$ и экстрагируют этилацетатом БЭ диглицилглицина, к нему прибавляют этилацетатный р-р азиды XIV (из 1,2 г гидразида); через ~ 12 час. выход БЭ S-бензил-N-кбз-L-цистеинилтетраглицилглицина, 16,5%, т. пл. 207° (из водн. целло-сольва). Аналогично из 4,5 г гидразида XIV и 2 г ЭЭ диглицилглицина получен ЭЭ S-бензил-N-кбз-L-цистеинилтетраглицилглицина, выход 66%, т. пл. $198-199^\circ$. Часть I см. РЖХим, 1957, 57668. С. Аваева

32630. Полипептиды. Часть III. Определение некоторых пептидов цистеина и глицина. Хитон, Райдон, Скофилд (Polypeptides. Part III. The oxidation of some peptides of cysteine and glycine. Heaton G. S., Rydon H. N., Schofield J. A.), J. Chem. Soc., 1956, Aug., 3157-3168 (англ.).

Производные пептидов общей ф-лы $\text{C}_6\text{H}_5\text{CH}_2\text{OCONHCH}(\text{CH}_2\text{SCH}_2\text{C}_6\text{H}_5)\text{CO}(\text{NHCH}_2\text{CO})_n\text{NHCH}(\text{CH}_2\text{CH}_2\text{C}_6\text{H}_5)\text{COOCH}_2\text{C}_6\text{H}_5$, где $n = 0-4$, действием Na в жидком NH_3 превращены в пептиды $\text{HSCCH}_2\text{CH}(\text{NH}_2)\text{CO}(\text{NHCH}_2\text{CO})_n\text{NHCH}(\text{CH}_2\text{NH})\text{COOH}$ (I, $n = 0-4$) и изучено окисление воздухом 0,1%-ных или 1%-ных водн. р-ров I при pH 8,5. Строение продуктов окисления устанавливалось переводом их в N-2,4-динитрофенильные производные, последующим гидролизом и идентификацией полученных в-в хроматографией и электрофорезом на бумаге. В продуктах окисления I обнаружены мономеры (II) и димеры антипараллельного строения (III); не обнаружено димеров параллельного строения (IV), об образовании которых сообщалось ранее (РЖХимБх, 1956, 104). Кол-во образующегося II воз-



растает с увеличением n от 0 до 4. Ниже перечисляются n исходного I, выходы II и III (в %): 0, —, 20; 1, —, 80; 2, 15, 20; 3, 40, 55; 4, 90, —. При окислении I ($n = 2$) выделено также 25% тримера антипараллельного строения. Авторы указывают, что 20-членный цикл II ($n = 4$) сходен с 20-членными циклами в окситоцине, инсулине и вазопрессине. С. А. 32631. Полипептиды. Часть IV. Самоконденсация эфиров некоторых пептидов глицина и пролина. Райдон, Смит (Polypeptides. Part IV. The self-condensation of the esters of some peptides of gly-

cine and proline. Rydon H. N., Smith P. W. G.), J. Chem. Soc., 1956, Sept., 3642—3650 (англ.)

Синтезируются этиловые эфиры (ЭЭ) глицилпролина (ЭЭ I), пролилглицина (ЭЭ II), диглицилпролина (ЭЭ III), глицилпролилглицина (ЭЭ IV), пролилглицилглицина (ЭЭ V), триглицилпролина (ЭЭ VI) и пролилглицилглицина (ЭЭ VII) и изучена их самоконденсация при нагревании или действии $N(C_2H_5)_3$ или NH_3 . Главным продуктом самоконденсации ЭЭ I и ЭЭ II является глицилпролилгидрид (3,6-диоксо-1,2-пирролидинопиразин) (VIII), ЭЭ I циклизуется быстрее, чем ЭЭ II, что объясняется более благоприятной конформацией в случае ЭЭ I. ЭЭ III—V при самоконденсации образуют сложную смесь продуктов, из которой выделены VIII и 2,5-дикетопиразин (IX). ЭЭ VII не вступает в самоконденсацию ни при нагревании, ни под действием спирт. р-ра $N(C_2H_5)_3$. 9,5 г фенилового тиозфира N-карбобензоксид (кба)-глицина в 50 мл тетрагидрофурана (ТГФ) обрабатывают р-ром 4,6 г хлоргидрата DL-пролина в 31 мл 2 н. NaOH, прибавляют CH_3OH , кипятят 4 часа и упаривают. Р-р остатка в воде экстрагируют эфиром и подкисляют, выход N-кба-DL-I 80%, т. пл. 123° [из этилацетата (ЭА)]. 6 г N-кба-DL-I в 100 мл CH_3OH обрабатывают ~12 час. скелетным Ni (1 г), фильтруют, прибавляют 2 мл воды и 2 мл CH_3COOH и гидрируют над Pd-чернью (3 часа). Эфиром осаждают DL-I, выход 89%, т. пл. 186° (разл.). 1,7 г DL-I дважды обрабатывают 1 н. р-ром HCl в абс. спирте и упаривают, выход хлоргидрата ЭЭ I 96%, т. пл. 137° (разл.; из сп.-эф.). Аналогично получены N-кба-L-I, выход 68%, т. пл. 155°; L-I, выход 85%, т. пл. 184°; ЭЭ L-I (не кристаллизуется). К 9 г N-кба-DL-пролина в 25 мл $CHCl_3$ и 5 мл $N(C_2H_5)_3$ прибавляют при 0° 3,5 мл $ClCOOC_2H_5$ и через 15 мин. смесь 5,1 г хлоргидрата ЭЭ глицина, 5 мл $N(C_2H_5)_3$ и 25 мл $CHCl_3$. Через 30 мин. при ~20° и 10 мин. при 50° промывают водой, 1 н. HCl и 0,5 н. $NaHCO_3$ и упариванием получают ЭЭ N-кба-DL-II, выход 94%, т. пл. 59—60° (из эф.-петр. эф.). 8,2 г ЭЭ N-кба-DL-II обрабатывают 26 мл 1 н. NaOH и 10 мл ацетона (1 час, ~20°). Р-р упаривают, подкисляют и экстрагируют ЭА N-кба-DL-II, выход 80%, т. пл. 125° (из ЭА). Гидрированием 3 г N-кба-DL-II на Pd-черни в 100 мл 50%-ного водн. CH_3OH и 1,5 мл CH_3COOH получают DL-II, выход 86%, т. пл. 223—224° (разл.; из водн. CH_3OH). Этерификацией DL-II спирт.р-ром HCl получают хлоргидрат ЭЭ DL-II, выход 85%, т. пл. 95—96° (из сп.-эф. + HCl). Аналогично получены ЭЭ N-кба-L-II, выход 98%, не кристаллизуется; N-кба-L-II, выход 65%, т. пл. 125° (из воды); моногидрат L-II, выход 84%, т. пл. 236° (разл.), $[\alpha]^{17}_D - 19,8^\circ$ (с 4; вода), хлоргидрат ЭЭ L-II, выход 87%, т. пл. 119—120° (из сп.-эф.), $[\alpha]^{22}_D - 39,5^\circ$ (с 2,4; вода). 2,66 г N-кба-глицилглицина в 10 мл ТГФ и 1,4 мл N-этилпиридина обрабатывают при 0° 1 мл $ClCOOC_2H_5$ и через 15 мин. прибавляют 1 мл тиофенола. Через 4 часа (~20°) упариванием фильтрата получают фениловый тиозфир N-кба-глицилглицина (X), выход 70%, т. пл. 117° (из бэл.). 3,6 г X в 40 мл ТГФ обрабатывают р-ром 1,15 г L-пролина в 10 мл 1 н. NaOH, прибавляют CH_3OH и кипятят 4 часа. Р-р упаривают, экстрагируют эфиром и подкисляют, выход N-кба-L-III 82%, т. пл. 137° (из ЭА). Обработкой N-кба-L-III скелетным Ni в CH_3OH (12 час.) и гидрированием на Pd-черни (с CH_3COOH) получают L-III, который кристаллизуют прибавлением CH_3OH , выход 96%, моногидрат, т. пл. 205—206° (разл., из водн. сп.), $[\alpha]^{22}_D - 92,9^\circ$ (с 2,1; вода). Этерификацией L-III спирт HCl получают ЭЭ L-III, выход 87%, т. пл. 112—114° (из сп.-эф.). 2,09 г N-кба-глицина в 10 мл сухого $CHCl_3$ и 1,35 мл $N(C_2H_5)_3$ обрабатывают при 0° 1 мл $ClCOOC_2H_5$ и через 10 мин. р-ром 2,36 г хлоргидрата ЭЭ L-II, 10 мл $CHCl_3$ и 1,35 мл $N(C_2H_5)_3$. Через 2 часа (~20°)

как обычно выделяют ЭЭ N-кба-L-IV, выход 90%, не кристаллизуется. Омылением ЭЭ N-кба-L-IV получают N-кба-L-IV, т. пл. 143—144° (из ЭА). Гидрированием 3,37 г N-кба-L-IV на 0,2 г Pd-черни в 60 мл спирта и 1,5 мл 10 н. HCl получают хлоргидрат ЭЭ L-IV, выход 89%, т. пл. 214° (разл.; из сп.), $[\alpha]^{25}_D - 104,0^\circ$ (с 1,52; вода). Аналогично получены ЭЭ N-кба-DL-IV, выход 70%, т. пл. 133,5° (из ЭА); DL-IV, выход 85%; дигидрат, т. пл. 245° (разл.; из водн. CH_3OH); хлоргидрат ЭЭ DL-IV, выход 91%, т. пл. 213° (разл.; из сп.). Обработкой 8,6 г N-кба-L-пролина в 25 мл $CHCl_3$ и 4,7 мл $N(C_2H_5)_3$ сначала 3,3 мл $ClCOOC_2H_5$ и затем 6,8 г хлоргидрата ЭЭ глицилглицина в 25 мл $CHCl_3$ и 4,7 мл $N(C_2H_5)_3$ получают ЭЭ N-кба-L-V, выход 87%, т. пл. 120° (из хлф.-эф.). Гидрированием 1,95 г N-кба-L-V в 75 мл спирта и 1 мл 10 н. HCl над 0,3 г Pd-черни получают хлоргидрат ЭЭ L-V (пересаживают эф. из р-ра в сп.). Последний действием NH_3 в $CHCl_3$ превращают в ЭЭ L-V, выход 86%, т. пл. 109° (из петр. эф.-хлф.). Действием $N_2H_4 \cdot H_2O$ на ЭЭ N-кба-L-V в спирте получают гидразид N-кба-L-V, выход 96%, т. пл. 117—118° (из хлф.-эф.). Гидрированием 3,8 г последнего на Pd-черни в 80 мл спирта, 10 мл воды и 2 мл 10 н. HCl получают гидразид L-V, очищенный «де-аидитом FF», т. разл. 135—140°, т. пл. 184—187° (из сп.). 3,6 г X в 40 мл ТГФ обрабатывают 1,7 г L-I в 10 мл 1 н. NaOH, прибавляют CH_3OH и кипятят 4 часа. Р-р упаривают, экстрагируют эфиром, подкисляют и выпаривают досуха в вакууме. Экстракцией ацетоном выделяют N-кба-L-VI, выход 100%, не кристаллизуется. Гидрированием N-кба-L-VI получают L-VI, выход 54%; полуидрат, т. пл. 246° (разл.; из водн. CH_3OH), $[\alpha]^{24}_D - 78,5^\circ$ (с 1,2; вода). Суспензию 3,2 г N-кба-диглицилглицина в 100 мл $CHCl_3$ и 1,35 мл $N(C_2H_5)_3$ обрабатывают при 0° 1 мл $ClCOOC_2H_5$ и затем 1,8 г хлоргидрата ЭЭ L-пролина в 20 мл $CHCl_3$ и 1,35 мл $N(C_2H_5)_3$. Через ~12 час. из фильтрата выделяют ЭЭ N-кба-L-VI, выход 62%. Гидрированием ЭЭ N-кба-L-VI в 1 н. р-ре HBr в CH_3COOH и осаждением эфиром получают бромидат ЭЭ L-VI, выход 16%, т. пл. 179—181° (из водн. сп. и водн. сп.-эф.), $[\alpha]^{25}_D - 60,0^\circ$ (с 2,2; вода). Аналогично получены ЭЭ N-кба-DL-VI, выход 82%; бромидат ЭЭ DL-VI, выход 43%, т. пл. 241° (разл.; из водн. сп.-эф.). 5 г N-кба-L-пролина в 15 мл $CHCl_3$ и 2,7 мл $N(C_2H_5)_3$ обрабатывают при 0° 2 мл $ClCOOC_2H_5$ и через 10 мин. суспензией 5 г хлоргидрата ЭЭ диглицилглицина в 60 мл $CHCl_3$ и 2,7 мл $N(C_2H_5)_3$ (30 мин. при ~20° и 10 мин. при 50°), получают ЭЭ N-кба-L-VII, выход 95%, т. пл. 108—109° (из ЭА). Гидрогенолизом последнего получают хлоргидрат ЭЭ L-VII, выход 82%, т. пл. 188° (разл.; из сп.), $[\alpha]^{14}_D - 14,0^\circ$ (с 1,7; вода); действием р-ра NH_3 в $CHCl_3$ переведен в ЭЭ L-VII, т. пл. 161—162° (осажден эфиром из хлф.). При нагревании ЭЭ L-I (получен из хлоргидрата действием р-ра NH_3 в $CHCl_3$) за ~12 час. в вакууме превращается в L-VIII, т. пл. 213°. При нагревании ЭЭ L-I при 105°/10⁻³ мм 15 час. получают L-VIII с выходом 46%, т. пл. 213°; из ЭЭ DL-I за 16 час. выход DL-VIII 85%, т. пл. 173° (из сп.); из ЭЭ L-II за 15 час. выход L-VIII 56%; из ЭЭ DL-II выход DL-VIII 70%. При обработке ЭЭ L-II 1 н. спирт. р-ром $N(C_2H_5)_3$ (2 недели, ~20°) выход L-VIII 71%; из ЭЭ DL-II аналогично получают 75% DL-VIII. Нагревание ЭЭ L-III (из 750 мг хлоргидрата) 7 дней при 100° в вакууме в м-крезоле дает 20 мг VIII и 20 мг IX. Из ЭЭ L-IV за 15 час. при 105°/10⁻³ мм получено 25% L-VIII; из ЭЭ DL-IV за 15 час. при 100°/10⁻³ мм — 10% DL-VIII. При кипячении ЭЭ DL-IV 8 дней в спирте выход DL-VIII 40%.

32632. Изучение полипептидов. IX. Синтез пептидов, содержащих основные аминокислотные остатки, родственных кортикотропину и интермедию. Гоф

ман, К. Шварц, Synthesis, 1958, 1, 1644 (англ.).

и L-глутам, содержащих остатков, котропина (терминала). дов. Во все дена гидро I и I ги разовании аминокисл эфир L-ф 0° с 3 мл шивают и (кба)-L-гн апетате. эфир кба- т. пл. 161 в 3 мл CH_3 30 мин. р гистицил- 228° (из в L-фенила с III нал при 5°, п слой лед- гидрирую в вакуум дил-L-фе (разл.), [20 мл го- рата, чер ход 70%. кба-L-фе 2,5 н. р- 40° и 45 кууме и вают эф- творяют К водн. ная форм упарива- дают L- т. пл. 14 Р-р 11 г этилацет- вают ещ 4,5 г гид- ляют 1 н рН 4—5, осаждаю алаинил $[\alpha]^{25}_D -$ в 2,5 н. 50° и 30 прибавл- русуют а (ацетате- вают в гистици- 78%, т. Гидрир-

ман, Каппелер, Фурленмейер, Вунер, Шварц, Томпсон (Studies on polypeptides. IX. Synthesis of peptides containing basic amino acid residues, related to corticotropin and intermedin. Hofmann Klaus, Kappeler Heini, Furlenmeier Andreas E., Woener Miriam E., Schwartz Eleanor T., Thompson Thomas A.), J. Amer. Chem. Soc., 1957, 79, № 7, 1641—1644 (англ.)

Синтезированы L-гистидил-L-фенилаланил-L-аргинин (I) и L-глутамил-L-гистидил-L-фенилаланил-L-аргинин (II), содержащие ту же последовательность аминокислотных остатков, что и полипептидные цепи гормонов — кортикотропина и меланоцитстимулирующего фактора (интермедина). Получен также ряд родственных дипептидов. Во всех случаях гомогенность пептидов подтверждена гидролизом и колич. хроматографией на бумаге. I и II гидролизуются лейцинаминопептидазой с образованием аквимолекулярной смеси соответствующих аминокислот. Суспензию 0,5 г хлоргидрата метилового эфира L-фенилаланина в 8 мл эфира встряхивают при 0° с 3 мл 50%-ного р-ра K_2CO_3 . Эфирный слой высушивают и к нему прибавляют р-р азид карбобензоксика (кбз)-L-гистидина (III) (из 606 мг гидразида) в этилацетате. Через 12 час. (охлаждение) выпадает метиловый эфир кбз-L-гистидил-L-фенилаланина (IV), выход 67%, т. пл. 161—163° (из эф. CH_3OH). К р-ру 675 мг IV в 3 мл CH_3OH прибавляют 1,6 мл 1 н. NaOH. Через 30 мин. р-р нейтрализуют 1 н. HCl, выпадает кбз-L-гистидил-L-фенилаланин (V), выход 93%, т. пл. 227—228° (из воды). V получают также конденсацией 1,98 г L-фенилаланина в 60 мл воды и 1,84 мл триэтиламина с III (из 5,46 г гидразида). Смесь встряхивают 45 час. при 5°, прибавляют 1 н. NaOH и подкислением воды. слой лед. CH_3COOH получают V, выход 57%. 1,6 г V гидрируют в лед. CH_3COOH над Pd. Р-р упаривают в вакууме и прибавлением спирта осаждают L-гистидил-L-фенилаланин (VI), выход 92%, т. пл. 255—258° (разл.), $[\alpha]^{25}_D + 33,8^\circ$ (с 2,6; 1 н. HCl). К 2 г IV в 20 мл горячего CH_3OH прибавляют 0,66 г гидразингидрата, через 12 час. (~20°) выпадает гидразид V, выход 70%, т. пл. 201—202° (из диоксана-петр. эф.). 5 г кбз-L-фенилаланилнитро-L-аргинина растворяют в 20 мл 2,5 н. р-ра HBr в лед. CH_3COOH ; через 15 мин. при 40° и 45 мин. при ~20° (под N_2) р-р упаривают в вакууме и прибавляют эфир. Выпавший осадок промывают эфиром, высушивают в вакууме над КОН, растворяют в 40 мл воды и экстрагируют этилацетатом. К водн. р-ру прибавляют 8 г амберлита IR-4B (апетатная форма) и встряхивают до удаления Br. Фильтрат упаривают в вакууме и прибавлением абс. спирта осаждают L-фенилаланилнитро-L-аргинин (VII), выход 85%, т. пл. 140—150° (разл.), $[\alpha]^{21}_D + 22,5^\circ$ (с 8,9; вода). Р-р 11 г VII в 200 мл воды, 4,6 мл триэтиламина и этилацетатный р-р III (из 9,08 г гидразида) встряхивают еще 24 часа при 5°, прибавляют еще р-р III (из 4,5 г гидразида) и встряхивают еще 24 часа при 5°. Прибавляют 1 н. NaOH, водн. слой подкисляют лед. CH_3COOH до pH 4—5, осадок растворяют в 10%-ном р-ре NH_4OH и пересаждают лед. CH_3COOH ; выход кбз-L-гистидил-L-фенилаланилнитро-L-аргинина (VIII), 63%, т. пл. 222—223°, $[\alpha]^{25}_D - 13,8^\circ$ (с 8,5; лед. CH_3COOH). 2,5 г VIII растворяют в 2,5 н. р-ре HBr в лед. CH_3COOH , через 30 мин. при 50° и 30 мин. при ~20° р-р упаривают в вакууме и прибавлением эфира осаждают бромгидрат, который высушивают в вакууме, растворяют в воде, экстрагируют этилацетатом и обработкой амберлитом IR-4B (апетатная форма) освобождают от Br. Р-р упаривают в вакууме и прибавлением спирта осаждают L-гистидил-L-фенилаланилнитро-L-аргинин (IX), выход 78%, т. пл. 110° (разл.), $[\alpha]^{25}_D + 23,2^\circ$ (с 1,9; 1 н. HCl). Гидрированием VIII над Pd в лед. CH_3COOH получают

I, выход 89%, т. пл. 120—140° (разл.; пересаживают эфиром из спирт. р-ра), $[\alpha]^{25}_D + 3,0^\circ$ (с 2,8; вода). Р-р 604 мг VI в 20 мл воды и 0,31 мл триэтиламина встряхивают 40 час. при 5° с 50 мл этилацетатного р-ра азид кбз-L-глутамина (X) (из 936 мг гидразида), прибавляют 7 мл 1 н. NaOH, водн. слой экстрагируют этилацетатом и подкисляют лед. CH_3COOH до pH 4—5. При охлаждении (12 час.) выпадает кбз-L-глутаминил-L-гистидил-L-фенилаланин, выход 69%, т. пл. 208—210° (разл.), $[\alpha]^{24}_D - 31,0^\circ$ (с 0,9; 1 н. HCl). 1,39 г IX в 50 мл воды и 0,42 мл триэтиламина встряхивают 8 час. при -5° с 150 мл этилацетатного р-ра X (из 1,28 г гидразида), прибавляют 10 мл воды и 20 мл этилацетата и встряхивают еще 16 час. Затем прибавляют насыщ. р-р NaHCO₃ до растворения осадка, водн. слой экстрагируют этилацетатом и подкисляют лед. CH_3COOH до pH 4—5. Выпавший осадок высушивают в вакууме, растворяют в 2,8%-ном NH_4OH и пересаждают лед. CH_3COOH , получают кбз-L-глутаминил-L-гистидил-L-фенилаланилнитро-L-аргинин, выход 61%, т. пл. 170° (разл.), $[\alpha]^{29}_D - 4,7^\circ$ (с 1,1; лед. CH_3COOH). К р-ру 1,85 г γ -бензилового эфира кбз-L-глутаминовой к-ты в 30 мл сухого диоксана при охлаждении и перемешивании прибавляют 1,32 мл три-н-бутиламина и затем 0,53 мл хлоруглеродного эфира, перемешивают еще 20 мин. и при сильном охлаждении (лед с солью) прибавляют р-р 2,5 г IX в 10 мл воды и 0,77 мл триэтиламина и затем диоксан до гомогенного р-ра. Р-р перемешивают 20 мин. при охлаждении и 1 час при ~20°, подкисляют 5 мл лед. CH_3COOH и упаривают в вакууме до малого объема. Прибавлением воды и охлаждением (12 час.) осаждают γ -бензиловый эфир кбз-L-глутаминил-L-гистидил-L-фенилаланилнитро-L-аргинина (XI), который очищают пересаживанием из р-ра в CH_3OH эфиром и затем 2 раза водой, выход 57%, т. пл. 185—187° (разл.), $[\alpha]^{29}_D - 2,4^\circ$ (с 1,7; лед. CH_3COOH). 1,3 г XI в 20 мл лед. CH_3COOH гидрируют над губчатым Pd 4,5 часа, добавляют свежий катализатор и гидрируют еще 4,5 часа. Р-р упаривают в вакууме и прибавляют абс. спирт, выпавший осадок растворяют в 3—5 мл воды, фильтруют, упаривают до 1 мл в вакууме и прибавлением абс. спирта осаждают II, выход 93%, т. пл. 200—205° (разл.), $[\alpha]^{26}_D - 5,0^\circ$ (с 1,97; вода). Сообщение VIII см. РЖХим, 1958, 21630. С. Аваева 32633. Синтез 9- β -D-рибофуранозилпури-5'-фосфата и его поведение в водной щелочи. Маграт, Браун (The synthesis of 9- β -D-ribofuranosylpurine-5'-phosphate and its behavior toward aqueous alkali. Magrath David I., Brown George Bosworth), J. Amer. Chem. Soc., 1957, 79, № 12, 3252—3255 (англ.)

Осуществлен синтез 9- β -D-рибофуранозилпури-5'-фосфата (I) фосфорилированием 2':3'-O-изопропил-иден-9- β -D-рибофуранозилпурина (II) дибензилфосфохлоридом (III) с последующим удалением бензильных и изопропилиденовой групп. Наряду с I из реакционной смеси выделены N₄-(5'-фосфо)-рибофуранозильные производные 4,5-диаминопиримидина (IV) и 4-амино-5-формамидопиримидина (V). I устойчив по отношению к 0,1 н. HCl (48 час., 24°), но легко расщепляется 0,1—0,2 н. NaOH (24 часа, 24°) до IV и V. V превращается в IV при действии 0,2 н. NaOH (48 час., 24°). I и II (высушен над P_2O_5 в вакууме) растворяют в безводн. пиридине (5 мл), охлаждают (сухой лед-ацетон), добавляют III (из 2,17 г дибензилфосфата и 1,44 г N-хлорсукцинимида), колбу закрывают и оставляют на 5 час. в полумороженном состоянии и затем на ~12 час. в холодильном шкафу; добавляют р-р безводн. CH_3COONa (4 г) в 10 мл воды, встряхивают (1,5 часа), упаривают в вакууме досуха (<30°), растирают с $CHCl_3$ (~100 мл); хлороформные вытяжки встряхивают два раза с охлажд. 5%-ным

р-ром NaHCO_3 (25 мл и 10 мл), с водой (3×25) высушивают над Na_2SO_4 , упаривают в вакууме досуха, добавляя $\text{C}_2\text{H}_5\text{OH}$ (3×10 мл), остаток растворяют в небольшом кол-ве CH_3OH , фильтруют и упариванием в вакууме выделяют 2':3'-О-изопропилиден-9-β-D-рибофуранозилпуриин-5'-дибензилфосфат (VI) в виде масла, выход 1,69 г (после высушивания при 0,22 мм, 30°, 2 часа). VI гидрируют в 60%-ном водн. $\text{C}_2\text{H}_5\text{OH}$ (50 мл) (~50 мин.) при ~20° под давлением над 10% Pd/C (160 мг); фильтрат упаривают в вакууме до 5 мл, добавляют воду (до 30 мл), оставляют на 48 час. при 24°, добавляют NH_4OH до pH 7, упаривают в вакууме досуха, добавляя $\text{C}_2\text{H}_5\text{OH}$ (3 раза), оставляют в вакуум-экскаторе над P_2O_5 (2 дня), растворяют в 10 мл смеси $\text{n-C}_4\text{H}_9\text{OH}-\text{CH}_3\text{COOH}-\text{H}_2\text{O}$ (50:20:35), пропускают через целлюлозную колонку и промывают этим же р-рителем. Первые порции элюата (~230 мл) отбрасывают и собирают фракции по ~18 мл. I находится во фракциях 34—41, IV и V во фракциях 49—58. Фракции 34—41 упаривают в вакууме досуха, добавляя CH_3OH , оставляют в вакуум-экскаторе на ~12 час. (P_2O_5), выход I 0,50 г. I растворяют в 10 мл воды, добавляют разб. NH_4OH до pH 7, пропускают через Дауэкс-50 (H+), промывают водой; фракции, поглощающие УФ-лучи, упаривают в вакууме (<25°), остаток растворяют в воде (10 мл), добавляют холодный 7%-ный р-р $\text{Ba}(\text{OH})_2$ до pH 8—9, упаривают в вакууме до 5—10 мл. После повторного пропускания через Дауэкс-50 (H+) выделяют упариванием р-ра в вакууме I, выход 26,5%, т. пл. 140—150° (разл.). IV и V выделяют аналогично и разделяют с помощью хроматографии на бумаге. Приводятся значения R для I, IV и V в различных системах р-рителей. Приводятся УФ-спектры.

З. Шабарова

32634. Изучение действия кислоты и щелочи на некоторые пурины и пуриновые нуклеозиды. Гордон, Уэлики, Браун (A study of the action of acid and alkali on certain purines and purine nucleosides. Gordon Milton Paul, Weliky Virginia S., Brown George Bosworth, J. Amer. Chem. Soc., 1957, 79, № 12, 3245—3250 (англ.).

При нагревании пурина (I), 9-d-рибопиранозилпурина (II) и 9-β-d-рибофуранозилпурина (III) с 25%-ным водн. р-ром $\text{n-C}_4\text{H}_9\text{SO}_3\text{H}$ (IV) (100°, 4 часа) происходит выделение HCOOH , образующейся за счет частичного отщепления 8-C (в р-р вводился I-8-C¹⁴). При длительном нагревании (12 час.) I с IV образуются ~2 моля HCOOH , NH_3 (1,9 моля) и глицин. Предполагают, что при распаде I образуются 4,5-диаминопиримидин (V) и 4-аминоимидазол-5-альдегид. Аденозин и гуанозин устойчивы к действию IV. При действии разб. щелочи (~20°) III расщепляется до N₄-рибофуранозного (VI) и N₄-рибопиранозного (VII) производных V, из которых при действии пикриновой к-ты образуется V. Распад III до VI и VII протекает через их N₅-формильные производные. Имидазольное кольцо в рибофуранозильных производных 6-метил-(VIII) и 6-хлорпурина (IX) и в II также неустойчиво к действию разб. щелочи (~20°). I-8-C¹⁴ получают из гипоксантин-8-C¹⁴. VIII и II получают методом Давола и Лови (J. Amer. Chem. Soc., 1951, 73, 1650) соответственно из 6-метилпурина и I. Выход VIII 21%, т. пл. 209—210° (из сп.). Выход II 13%, т. пл. 250—252° (из $\text{n-C}_4\text{H}_9\text{OH}$). Приводятся спектры поглощения в УФ для II, VIII и IX.

З. Шабарова

32635. Пиримидиновые нуклеозиды. II. Синтез 1-β-арабинофуранозилтимина («спонготимидина»). Фокс, Юн, Бендич (Pyrimidine nucleosides. II. The synthesis of 1-β-D-carbinofuranosylthymine («spongothymidine»). Fox Jack J., Yung Nai-

shun, Bendich Aaron, J. Amer. Chem. Soc., 1957, 79, № 11, 2775—2778 (англ.).

Строение нуклеозида «спонготимидина» (I), выделенного ранее из губки, доказано превращением 1-β-рибофуранозилтимина в 1-(5-трифенилметил-β-D-рибофуранозил)-тимин (т. пл. 155°), затем (без выделения промежуточных в-в) введением *n*-толуолсульфогруппы к C₍₂₎, действием NH_3 в водн. CH_3OH (обращение C₍₂₎) и гидролизом H_2SO_4 получен 1-β-D-арабинофуранозилтимин, который оказался идентичным с I по т-ре плавления, УФ-спектрам, $[\alpha]$ и поведению при окислении NaIO_4 . Сообщение I см. РЖХим, 1958, 8159.

Н. Сидорова

32636. Фосфолипиды. Часть II. Устойчивость некоторых производных 2-аминоэтилфосфата. Браун, Осборн (Phospholipids. Part II. The stability of some derivatives of 2-aminoethyl phosphate. Brown D. M., Osborne G. O., J. Chem. Soc., 1957, June, 2590—2593 (англ.).

Взаимодействием $\text{C}_6\text{H}_5\text{CH}_2\text{OCONH}(\text{CH}_2)_2\text{OH}$ (I) с $\text{ClPO}(\text{OC}_2\text{H}_5)_2$ (II) получают $\text{C}_6\text{H}_5\text{CH}_2\text{OCONH}(\text{CH}_2)_2\text{OPO}(\text{OC}_2\text{H}_5)_2$ (III). Гидрирование III в присутствии Pd/C приводит через промежуточный $\text{NH}_2(\text{CH}_2)_2\text{OPO}(\text{OC}_2\text{H}_5)_2$ (IV) к $[\text{CH}_2\text{CH}_2\text{N}+\text{H}_2]-\text{OPO}(\text{OC}_2\text{H}_5)_2$ (V) и

полимерным аминам, что обнаружено с помощью хроматографии и электрофореза на бумаге. Образование V происходит по схеме (A), причем обратная



р-ция V → IV незначительна. Обработка этиленмина (VI) $\text{OHPO}(\text{OC}_2\text{H}_5)_2$ (VII) в различных условиях не привела к ожидаемому $\text{NH}_2(\text{CH}_2)_2\text{OPO}(\text{OC}_2\text{H}_5)_2$ (VIII), а лишь к полимеру VI. Нагреванием (50°, 10 мин.) бромгидрата VIII с 1 н. Na_2CO_3 , получают смесь VII и небольшого кол-ва $(\text{OH})_2\text{PO}(\text{OC}_2\text{H}_5)_2$; без нагревания образуется $\text{OHPO}(\text{OC}_2\text{H}_5)_2 \cdot \text{NH}_2 \cdot (\text{CH}_2)_2\text{OPO}(\text{OC}_2\text{H}_5)_2$ т. пл. 130° (из сп.), не дает депрессии в смеси с синтетич. образцом. В соединениях типа III вицинальная NH_2 -группа не способна к образованию циклич. фосфорамидатов. Метилирование $\text{NH}_2(\text{CH}_2)_2\text{OPO}(\text{OH})_2$ эфирным р-ром CH_2N_2 дает $\text{NH}_2(\text{CH}_2)_2\text{OPO}(\text{OCH}_3)_2$, что обнаружено хроматографией на бумаге (пропанол-2 + 1%-ный водн. $(\text{NH}_4)_2\text{SO}_4$). Смесь 3,6 г II в 5 мл CHCl_3 и 3,6 г I, 1,85 г $\text{C}_6\text{H}_5\text{N}$ в 20 мл сухого холодного CCl_4 выдерживают 1 час (0°), затем 18 час. при ~20°. Получают 5,5 г III, 2,32 г III в 40 мл водн. спирта (4:1) гидрируют (760 мм) в присутствии 0,43 г 10%-ного Pd/C и 0,1 г Pd/O, выделяют V и полимерные амины. Часть I см. РЖХим, 1958, 4728.

Г. Воробьева

32637. Жир южно-африканских сардин. 6. Выделение и структура докозагексаеновой кислоты из жира южно-африканских сардин. Уиткут (South African pilchard oil. 6. The isolation and structure of a docosahexaenoic acid from South African pilchard oil. Whitcutt J. M., Biochem. J., 1957, 67, № 1, 60—64 (англ.).

Установлена структура докозагексаеновой к-ты (I), т. пл. от -44,5 до -44,1°, n_D^{20} 1,5017, ИЧ 440, выделенной из жира южно-африканских сардин через Li-соль и комплекс с мочевиной по известному методу (РЖХимБх, 1957, 3939). Восстановление I над Pd/ BaSO_4 приводит к докозановой к-те, идентифицированной также по рентгеновскому спектру. Окисление I (см. сообщение 5, РЖХимБх, 1958, 4777) приводит к малоновой (II) и янтарной (III) к-там. Оксирирование I (РЖХим, 1955, 16609) дает II и глутаровую к-ту с небольшой примесью III. Отсутствие в УФ-спектре поглощения в области ниже 240 м

указывает на отсутствие $-C=C-C=O$ и конъюгированных $C=C$ -связей. ИК-спектр в интервале с 1370—1500 cm^{-1} имеет отчетливую полосу 1395 cm^{-1} , указывающую на отсутствие транс-конфигураций и концевой $=CH_2$. Щел. изомеризация не изменяла системы двойных связей. В результате этих исследований I приписывается структура сполна цис-н-докозагексаен-4,7,10,13,16,19-овой к-ты. Приведены кривые УФ- и ИК-спектров I и УФ-спектра I после щел. изомеризации. А. Краевский

32638. Исследование по использованию земляники. V. Очистка каллистифина и действие неорганических соединений на растворы каллистифина. Акута (Akuta Saburo), Хакко когаку дзасси, J. Ferment. Technol., 1957, 35, № 2, 61—67, 6 (японск.; рез. англ.)

Насыщенный NaCl земляничный сок экстрагируют бутанолом. Экстракт центрифугируют, упаривают в вакууме и осаждают безводн. эфиром. Полученный каллистифин (I) очищают через пикрат. HCl (к-той) выделяют хлорид I и кристаллизуют из CH_3OH . Из 8,5 г замороженной земляники получают 225 мг хлорида I. Установлено, что красная окраска р-ров I лучше всего сохраняется при низких pH и становится наиболее светлой при pH 6,5. Чем выше pH, тем быстрее пигмент обесцвечивается. С повышением pH усиливается синий оттенок р-ра. Добавление к р-ру I ионов Al^{3+} оказывает наиболее благоприятное влияние на прозрачность р-ра. Действие Na лучше, чем K, а Fe и Cu усиливают синий оттенок. При изучении влияния анионов на стойкость р-ров I установлено, что действие SO_4^{2-} лучше, чем Cl^- . После добавления NaH_2PO_4 и KNH_4PO_4 при хранении р-ра I в течение 50 дней замечено лишь незначительное изменение окраски. Фосфаты Na и K усиливают как красную, так и синюю окраски р-ра, которые в процессе хранения быстро исчезают. Ионы двух- и более валентных металлов, напр. Fe, Cu, Ca, Mg и Al, образуют комплексные соли с I и осаждают его. K и Na не образуют комплексных солей и поэтому I остается в р-ре. Несмотря на то, что соли Al понижают pH р-ра, они осаждают I. Приведены подробная схема получения I в чистом виде и кривые электрофотометрич. определений. Сообщение IV см. РЖХим, 1958, 16093.

Г. Челпанова

32639. Химия высших грибов. Часть VII. Одиссовая кислота и одиссин. Бу'Лок, Джонс, Лиминг (Chemistry of the higher fungi. Part VII. Odysic acid and odysin. Bu'Lock J. D., Jones E. R. H., Leeming P. R.), J. Chem. Soc., 1957, March, 1097—1101 (англ.)

Установлено строение одиссовой к-ты (I) и одиссина (II), выделенных ранее наряду с немотиновой к-той (III) и немотином (IV) из культуральной среды гриба *Basidiomycete* B. 841. (РЖХим, 1956, 65095); I является 4-оксидодекадиен-5,6-диин-8,10-овой к-той, а II — ее лактоном. Выход I 30 мг/л и II — 5 мг/л культуральной жидкости; I аморфна, $[a]^{20D} +300^\circ$ (с 0,25), pK_a 4,90 (вода), метиловый эфир I (МЭ-I) масло; II также аморфен, $[a]^{20D} +360^\circ$ (с 0,2). При действии H_2SO_4 на р-р I в диоксане (4 дня, 20°, в темноте) образуется II, $[a]^{20D} +345^\circ$ (с 0,24). Взаимодействием I в эфирном р-ре с 0,1 н. NaOH получена изо-I, $CH_3(C\equiv C)_3CH_2CH_2OH(CH_2)_2COOH$ (V), т. пл. 128—130° (из эф.-пентана, -40°); из нее как II из I образуется лактон (VI); триморфен, т. пл. 64°, 73—74°, 93—98° (из CH_2Cl_2 -пентана), $[a]^{20D} -2^\circ$ (с 0,5). Из II (как V из I) получен одиссин-A, $CH_3(C\equiv C)_3CH=CH(CH_2)_2COOH$ (VII), выход 60%, содержащий транс-формы ~ 75%, т. разл. 185—195° (из CH_2Cl_2 -пентана, -80°); VIII образуется также при действии K_2CO_3 на р-р VI в диоксане, МЭ транс-VII, т. пл. 61,5—64,5° (из н-пентана,

-70°), получен и синтетически. Обсуждается биогенезис I. Приведены данные УФ-спектров I—IV, VI—VII, лактона изо-III, IV-A, МЭ транс-VII, МЭ IV-A и ИК-спектров I, II, VI, VII, МЭ VII. Часть VI см. РЖХим, 1957, 77217.

Д. Чернышева

32640. Химия высших грибов. Часть VIII. Группы ацетиленовых соединений из *Polyporus anthracophilus*. Бу'Лок, Джонс, Тернер (Chemistry of the higher fungi. Part VIII. A series of acetylenic compounds from *Polyporus anthracophilus*. Bu'Lock J. D., Jones E. R. H., Turner W. B.), J. Chem. Soc., 1957, Apr., 1607—1617 (англ.)

В эфирных экстрактах мицелия базидиального гриба *P. anthracophilus* и культуральной жидкости обнаружено 13 ацетиленовых производных n-декана и n-октана, содержащих двойные связи с исключительно транс-конфигурацией при них. Декадиен-2,8-диин-4,6-овая-1 к-та, т. е. транс-транс-матрикариевая к-та (I), т. пл. 175—177° (из ацетона-петр. эф.); ее метиловый эфир (МЭ I), т. пл. 62—63° (из водн. сп. или петр. эф.); декадиен-2,8-диин-4,6-диовая-1,10 к-та (II), т. разл. 200°, и ее диметиловый эфир (ДМЭ II), т. пл. 106,5—110° (из сп.); декадиен-2,8-диин-4,6-ол-1, т. е. транс-транс-матрикариактол (III), т. пл. 105,5—106,5° (из водн. сп. или петр. эф.); 10-оксидецен-2-диин-4,6-овая-1 к-та (IV), т. пл. 154—156° (из водн. сп.), и ее метиловый эфир (МЭ IV), масло; октадиен-2,6-ин-4-диовая-1,8 к-та (V, не выделена) и ее диметиловый эфир (ДМЭ V), т. пл. 117—119,5° (из петр. эф.); децен-2-диин-4,6-диовая-1,10 к-та (VI, не выделена) и ее диметиловый эфир (ДМЭ VI), т. пл. 56,5—58° (из петр. эф.); сложный эфир I и III $C_{20}H_{30}O_2$ (VII), т. пл. 125—127,5° (из сп.); смешанный сложный эфир I и IV $C_{21}H_{30}O_4$ (VIII), т. пл. 92—94° (из петр. эф.). Обнаружено также присутствие еще 4 аналогичных в-в; судя по спектрам, это: децендиинол, метиловый эфир оксидекадиендиновой к-ты и два различных метиловых эфира доцендиновых к-т. Кроме того, выделены значительные кол-ва эбуриковой и дигидроэбуриковой к-т и немного в-ва с т. пл. 138—147°, близкого к эргостерину. При восстановлении МЭ I посредством $LiAlH_4$ (при т-ре смеси твердого CO_2 + ацетон) образуется III. К подкисленному HCl водн. р-ру CuCl и NH_4Cl (pH 3,5) добавляют метиловый эфир транс-пентен-2-ин-4-овой-1 к-ты, пентин-4-ол-1 и H_2O_2 , подкисляют; из продукта р-ции хроматографией на Al_2O_3 выделяют ДМЭ II и МЭ IV. Из транс-пентен-2-ин-4-ола-1 (IX) и дигидропирана (+ HCl, 20°, 16 час.) получают тетрагидропиранильный эфир IX, т. кип. 45—47°/0,15 мм, n_D^{18D} 1,4889, который действием $LiNH_2$ превращен в транс-транс-октадиен-2,6-ин-4-диол-1,8 (см. РЖХим, 1958, 11188), т. пл. 80—81,5° (из эф.-петр. эф.); диол окисляют MnO_2 в CH_2Cl_2 , затем 8 н. CrO_3 в ацетоне и полученную к-ту превращают в ДМЭ V. Р-р МЭ IV в ацетоне окисляют 8 н. CrO_3 , полученную к-ту метилируют, получают ДМЭ VI. Действием $SOCl_2$ I превращают в хлорид (X), который при р-ции с III в абс. пиридине образует VII. Аналогично синтезируют VIII из X и IV. Приведены кривые УФ-спектров МЭ I, ДМЭ II, III, МЭ IV, VII и VIII, данные УФ-спектров всех выделенных в-в и данные ИК-спектров МЭ I, ДМЭ V и ДМЭ VI. Т-ры плавления исправлены.

А. Лютеберг

32641. Образование равновесной смеси криптона и его β,γ -ненасыщенного изомера. Соффер, Уиллистон (Equilibration of cryptone and its β,γ -unsaturated isomer. Soffer Milton D., Williston Anne C.), J. Organ. Chem., 1957, 22, № 10, 1254 (англ.)

При кипячении «DL-криптона», т. е. 4-изопропилциклогексен-2-она-1 (I), с коллидином (K) + бромгидрат K (20 мин., атмосфера N_2) образуется такая же

смесь I с его Δ^3 -изомером (II), какая получается при отщеплении HBr от 2-бром-4-изопропилциклогексана-1 кипячением его с K (РЖХим, 1956, 58199). Приведены данные УФ-спектров I, II и их смеси.

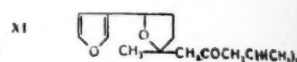
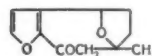
Р. Топштейн

32642. Химическое изучение черной гнили батата. XIV. Действие на ипомеамарон уксусного ангидрида и связь между ипомеамароном и ипагоном. XV. Синтез ипомеамарона и родственных веществ. (3). Синтез (\pm)-ипомеамарона. Кубота, Мацуура (Kubota Takashi, Matsuura Tetsuo), Нихон кагаку дзасси, J. Chem. Soc. Japan. Pure Chem. Sec., 1957, 78, № 3, 385—395 (японск.)

XIV. С целью выяснения связи между ипомеамароном (I) (см. сообщение XIII, РЖХим, 1958, 8169) и ипагоном (II) ($[\alpha]_D -25,1^\circ$) (см. РЖХим, 1955, 2183) изучено ацетилирование I ($[\alpha]_D +28,06^\circ$). При кипячении (17 час.) 29 г I с 90 мл $(\text{CH}_3\text{CO})_2\text{O}$ и 12 г безводн. CH_3COONa получено 26 г продукта, т. кип. $146^\circ/0,002$ мм, $[\alpha]_D +15^\circ$ (сп.); 25 г этого продукта вновь кипятят (27 час.) с 400 мл $(\text{CH}_3\text{CO})_2\text{O}$ и 12 г CH_3COONa и получают 12,9 г ацетил-I (III), т. кип. $115-118^\circ/0,008$ мм, $140-145^\circ/0,015$ мм (после очистки через производное с реактивом Жирара Р (ПЖ)), $n_D^{20} 1,4970$, $n_D^{25} 1,4928$ (после очистки через ПЖ), $[\alpha]_D 0^\circ$, характеризован УФ-спектром. При кипячении (1,5 часа) спирт. р-ра III с 1,712 н. NaOH образуется (\pm)-I, т. кип. $91-93^\circ/0,002$ мм, $n_D^{25} 1,4842$; семикарбазон (СК), т. пл. $109-110,5^\circ$; ИК-спектр (\pm)-I идентичен ИК-спектру (+)-I. На основании полученных данных, идентичности ИК-спектров СК (+)-I (т. пл. $132-133^\circ$) и II (т. пл. $132-133^\circ$), образования СК (\pm)-I при совместной кристаллизации равных кол-в СК (+)-I и II из CCl_4 и сравнения результатов озонирования (+)-I и II по литературным данным принято, что (+)-I и II являются зеркальными изомерами, т. е. II является (-)-I.

XV. Осуществлен синтез (\pm)-I. 200 г β -фуранкарбонной к-ты (IV) кипятят 4 часа с 600 мл безводн. спирта и 60 мл конц. H_2SO_4 , получают этиловый эфир (ЭЭ) IV (IVa), выход 89,5%, т. кип. $93-95^\circ/35$ мм. К 200 г IVa добавляют 15 г Na и при нагревании постепенно 91 г этилацетата (ЭА), затем вводят по мере расходования еще 77 г Na и 459 г ЭА (6 час.), на другой день добавляют 200 мл C_6H_6 , кипятят 2 часа, вводят еще 30 мл ЭА и кипятят 1 час, получают ЭЭ β -фурилуксусной к-ты (V), выход 49,2%, т. кип. $113-116^\circ/4$ мм, $n_D^{25} 1,4915$. К взвеси 16,4 г Na в 60 мл толуола и 500 мл C_6H_6 добавляют 130 г V, после окончания экзометрич. р-ции вводят еще 400 мл C_6H_6 , кипятят 6 час. и затем добавляют за 25 мин. 148 г ЭЭ β -бромметилкритоновой к-ты, кипятят 9 час., получают ди-ЭЭ 2-метил-4-(β -фурил)-бутен-1-дикарбонной-1,4 к-ты (VI), выход 79,6%, т. кип. $145-148^\circ/10^{-2}$ мм, характеризован ИК-спектром; СК, т. пл. $199-200^\circ$ (из сп.). VI омыляют и декарбоксилируют кипячением (2 часа) с 180 мл лед. CH_3COOH , 5 мл конц. H_2SO_4 и 30 мл воды, выделяют 2-метил-4-(β -фурил)-бутен-1-карбоновую-1 к-ту (VII), выход 34%, т. пл. $103-104^\circ$ (из CCl_4), одновременно получают 11,8 г нейтр. продукта, т. кип. $136-139^\circ/10^{-2}$ мм, $n_D^{25} 1,5280$; СК, т. пл. $144-145^\circ$ (из сп.), гидролиз нейтр. в-ва аналогично VI дает также VII. Этерификация VII эфиром р-ром CH_2N_2 дает метиловый эфир VII (VIII), т. кип. $102-103^\circ/10^{-2}$ мм, $n_D^{25} 1,5160$, характеризован ИК-спектром. 40 г VIII восстанавливают в 100 мл изопропанола изопропилом Al (из 13,2 г Al и 150 мл изопропанола) кипячением в течение 13 час. с отгонкой, обрабатывают льдом и HCl (к-та), извлекают эфиром, полученный оксифир нагревают 1 час на водяной бане с 200 мл спирта и р-ром 10,8 г NaOH в 150 мл воды, упаривают в вакууме, подкисляют HCl

по конго, извлекают эфиром, разгонкой выделяют α -(α -метил- α')- β -фурил-(тетрагидрофурил)-уксусную к-ту (IX), выход 78%, т. кип. $121-123^\circ/10^{-2}$ мм, $n_D^{25} 1,4990$; метиловый эфир (IX, CH_2N_2 , эф.), т. кип. $87-89^\circ/10^{-2}$ мм, $n_D^{25} 1,4820$, характеризован ИК-спектром. Хлорангидрид IX (X) получен обработкой Na или Ag-соли IX оксалилхлоридом в C_6H_6 (в присутствии пиридина (в случае Na-соли) сперва при охлаждении, затем при $\sim 20^\circ$ (1,5 часа), потом при нагревании (50° , 30 мин. в случае Na-соли или 60° , 30 мин. и 80° , 30 мин. в случае Ag-соли). К (изо- $\text{C}_4\text{H}_9\text{MgBr}$) (из изо- $\text{C}_4\text{H}_9\text{MgBr}$ (26 г изобутильбромида и 4,6 г Mg в 100 мл эфира) и 17,4 г CdCl_2) в 100 мл C_6H_6 добавляют X (из 16,1 г IX) в 50 мл C_6H_6 , кипятят 20 мин.,

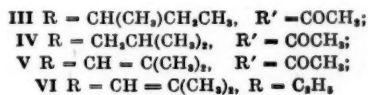
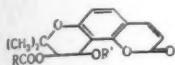


разлагают ледяной водой, удаляют C_6H_6 , извлекают эфиром, промывают р-ром соды, разгонкой выделяют 7,6 г фракции с т. кип. $105-145^\circ/0,01$ мм, при ее охлаждении выделяется кетон $\text{C}_{11}\text{H}_{20}\text{O}_3$ (XI), выход 46%, т. пл. $103-104^\circ$ (из CCl_4); СК, т. пл. 239° (из сп.); 2,4-динитрофенилгидразон, т. пл. $223-224^\circ$ (из сп.-3A), из маточного р-ра после отделения кетона выделяют (\pm)-эпипомеамарон (XII), выход 13%, т. кип. $99-103^\circ/0,01$ мм, $n_D^{25} 1,4910$; СК, т. пл. $104-106^\circ$ (из CCl_4 , петр. эф.), характеризован ИК-спектром, при обработке спирт. р-ра СК XII щавелевой к-той выделяют вновь XII, т. кип. $92-95^\circ/10^{-2}$ мм, $n_D^{25} 1,4812$, ИК-спектр отличается от ИК-спектра I. Ацетилирование XII посредством $(\text{CH}_3\text{CO})_2\text{O}$ и CH_3COONa (кипячение 17 час.) привело к III, который при щел. омылении дал (\pm)-I. Л. Яновская

32643. Строение самидина, дигидросамидина и виснагина. Смит, Хозанский, Биутер, Ватмелен (Constitution of samidin, dihydrosamidin and visnagin. Smith Eric, Hosansky Norman, Bywater W. G., Tamelen Eugene E. van), J. Amer. Chem. Soc., 1957, 79, № 13, 3534—3540 (англ.)

Из семян *Ammi visnaga* L. после выделения келлина (I) и виснагина (II) получено (ср. Samaan, Quart. Journ. Pharm. Pharmac., 1945, 18, 83) масло («виснаган» (B), очищенное экстракцией 80%-ным спиртом из пентана и обработкой в эфире HCl-газом с удалением осаждающихся оксониевых соединений. Хромофированием 3 кг очищ. B ($[\alpha]_D +22^\circ$) на SiO_2 с вымыванием пентаном + эфир (приведены детали работы и данные УФ-спектров фракций) получены (приводятся выход в г, т. пл. в $^\circ\text{C}$ и $[\alpha]_D$): в-во RJ-860, 24, 285—287 (из сп.), $+69^\circ$; «желтое в-во», 10, 176—178 (из CH_3OH), —; виснагин $\text{C}_{21}\text{H}_{24}\text{O}_7$ (III), 160, 84—86 (из эф. + гексан), $+9^\circ$ (с 2,0), $+38^\circ$ (с 1,0; диоксан); дигидросамидин $\text{C}_{21}\text{H}_{24}\text{O}_7$ (IV), 5, 117—119 (из 90%-ного CH_3OH), $+19^\circ$ (с 1,0), $+63^\circ$ (с 2,0; диоксан); самидин $\text{C}_{21}\text{H}_{22}\text{O}_7$ (V), 250, 135—137 (из сп.) $+26^\circ$ (с 1,0), $+100^\circ$ (с 1,0; диоксан); висаминиол (ср. РЖХим, 1955, 29073) 215 г и II 110 г. Из них III, IV и V при опытах на изолированных органах обнаружили сильное сосудорасширяющее действие; сравнительная активность: I = 1, хлоргидрид папаверина = 2,5, B = 2,5, IV = 5, III = 10. Действием на 5 г V 1 н. NaOH в спирте (комнатная т-ра, 45 мин.) получают CH_3COON и в-во $\text{C}_{21}\text{H}_{24}\text{O}_6$ (VI), выход 3 г, т. пл. $91-93^\circ$ (из 80%-ного CH_3OH), $+99^\circ$ (с 0,9). При кипячении III, IV, V или VI с 2 н. NaOH в спирте (1,5 час.) образуются: в-во $\text{C}_{16}\text{H}_{18}\text{O}_5$ (VII), выход 40% (из V), т. пл. $161-162^\circ$ (из эф. + пентан), $[\alpha]_D -59^\circ$ (с 0,9) и одновременно из III $\text{CH}_3\text{CH}_2\text{CH}(\text{CH}_3)\text{COOH}$, из IV $(\text{CH}_3)_2\text{CH}_2\text{CH}_2\text{COOH}$ и из V $(\text{CH}_3)_2\text{C}=\text{CHCOOH}$. Ацетат

VII, т. пл. 170—172° (из водн. CH_3OH), $[\alpha]_D -40,8^\circ$ (с 0,6). При гидрировании V с PtO_2 в спирте образуется IV. Гидрированием VII с Pd/C получен дигидро-VII, т. пл. 125—127° (из этилацетата + гексан), $[\alpha]_D -11^\circ$. При гидролизе V кипячением с NaOH (или



HCl в CH_3OH образуется в-во $\text{C}_{15}\text{H}_{16}\text{O}_5$ (VIII), выход 44%, т. пл. 158—159° (из эф. + пентан), $[\alpha]_D +14^\circ$ (с 1,04); ацетат VIII, т. пл. 147—149° (из CH_3OH), $[\alpha]_D +18,4^\circ$ (с 1,29). Действием на VII HCl -к-ты (d 1,70) на холоду, а также кипячением V с водн. р-ром NaOH получен диол $\text{C}_{14}\text{H}_{14}\text{O}_5$ (IX), т. пл. 180—182° (из ацетона), $[\alpha]_D +13^\circ$ (с 0,7); диацетат IX, т. пл. 161—163°, $[\alpha]_D -27^\circ$ (с 0,69). При дегидратации IX кипячением с CH_3COOH + конц. HBr (к-та) образуется кетон $\text{C}_{14}\text{H}_{12}\text{O}_4$ (X), т. пл. 156—157° (из этилацетата), $[\alpha]_D 0^\circ$ (с 2,0). По-видимому, VII идентичен с этилгеллактоном, VIII — с метилгеллактоном, а IX — с келлактоном (ср. РЖХим, 1956, 65120). Сплавлением V с NaOH + KOH (230°) получена 3-метил- β -резорциловая к-та. Предложены структурные ф-лы для III, IV и V. Приведены данные УФ-спектров III, IV, V, VI, VII, VII', IX, X, дигидро-VII, ацетатов VII, VIII и IX, 7-метоксикумарина и дигидроксантотоксина.

В. Некрасов

32644. Удобный метод получения хлорида цианидина из (+)-катехина и (-)-эпикатехина. Гангули, Сешадри, Субраманиан (A. convenient method of preparation of cyanidin chloride from (+) catechin and (-) epicatechin. Ganguli A. K., Seshadri T. R., Subramanian P., Proc. Indian Acad. Sci., 1957, A46, № 1, 25—28 (англ.).

Из 1 г пентаацетата (-)-эпикатехина кипячением с N -бромсукцинимидом + $(\text{C}_6\text{H}_5\text{COO})_2$ в CCl_4 получено, по-видимому, 4-бромпроизводное $\text{C}_{25}\text{H}_{23}\text{O}_{11}\text{Br}$ (I), выход 0,65 г, т. пл. 80°; с тем же выходом получено аналогичное бромпроизводное (II) из пентаацетата (+)-катехина. При кипячении 0,65 г I с водой + CH_3COONa + ZnCl_2 с последующей обработкой водн. р-ром пикриновой к-ты и 8%-ным спирт. р-ром конц. HCl (к-ты) образуется хлорид цианидина (III), выход 0,25 г; исходя из 0,65 г II, выход III 0,3 г. Из 0,25 г I обработкой одним лишь спирт. р-ром HCl (к-ты) также получен III, выход 0,07 г. При применении метода Робинсон (Robinson, Mrs., J. Chem. Soc., 1937, 1157) выход пикрата цианидина 0,45 г из 0,65 г I.

Д. Чернышева

32645. Превращение флавонолов в антоцианидины. Кинг, Уайт (The conversion of flavonols into anthocyanidins. King H. G. C., White T.), J. Chem. Soc., 1957, Sept., 3901—3903 (англ.).

Восстановительное ацетилирование флавонолов $[\text{Zn}$ -пыль + CH_3COONa + $(\text{CH}_3\text{CO})_2\text{O}$, кипячение] приводит к окрашенным аморфным ацетатам невыясненной структуры (приведены возможные ф-лы), в которых число CH_3CO -групп на одну меньше возможного. При обработке этих восстановленных ацетатов (ВА) горячей HCl (к-той) образуются соответствующие антоцианидины (АЦ). Метод, по-видимому, является общим для получения АЦ из флавонолов с выходом до 57%. При гидролизе ВА действием KOH в водн. спирте ($\sim 20^\circ$) выход АЦ ниже. Приводятся флавонолы и т-ра плавления полученного из него ВА: кверцетин (I), 80—100°; робинетин, 110°; физетин, 85—105°; кемферол, 92—100°. Приведены данные УФ-спектров I, пентаацетата I и ВА из I.

Р. Топштейн

32646. Составные части *Casimiroa edulis* Llave et Lex. III. Структура казимироина. Мейзельс, Зондхеймер (The constituents of *Casimiroa edulis* Llave et Lex. III. The structure of casimiroin. Meisels Alex, Sondheimer Franz), J. Amer. Chem. Soc., 1957, 79, № 23, 6328—6333 (англ.).

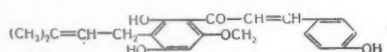
Казимироин (I), изучавшийся ранее (см. сообщение II, РЖХим, 1957, 71824), является 1-метил-4-метокси-7,8-метилendioксикарбостирилом. В конц. HCl (к-те) I дает казимироинол (II) — 1-метил-4-окси-7,8-метилendioксикарбостирил. Кипячение I со спирт. р-ром KOH , а также этилированием II, получен казимироин (III), т. е. 1-метил-4-этоксис-7,8-метилendioксикарбостирил. При кипячении 2 г I с 4 г LiAlH_4 в 300 мл тетрагидрофурана (7 час.) с последующей обработкой р-ра разб. H_2SO_4 (0°) образуется 1-метил-4-кето-7,8-метилendioксис-1,2,3,4-тетрагидрохинолин (IV), выход 1,41 г, т. пл. 108—109° (из ацетон-гексана); в тех же условиях, но без обработки H_2SO_4 , получен, по-видимому, 1-метил-4-метоксис-7,8-метилendioксис-1,2-дигидрохинолин (V), кристаллич., ближе не исследован. Из насыщ. HCl -газом р-ра 0,3 г IV и 0,3 мл анисового альдегида в 3 мл ледяной уксусной к-ты через 2 дня (0°) после разбавления водой выпадает 3-анилидизен-IV, $\text{C}_{19}\text{H}_{17}\text{NO}_4$ (VI), выход 295 мг, т. пл. 135—138° (из CH_2Cl_2 - CH_3OH). Повторной обработкой LiAlH_4 IV (0,4 г) превращен в 1-метил-4-оксис-7,8-метилendioксис-1,2,3,4-тетрагидрохинолин (VII), выход 0,32 г. Окислением 1 г I посредством 30%-ной H_2O_2 в 10%-ном р-ре NaOH (30°, 24 часа) получена 3,4-метилendioксис-N-метилантрахиноловая к-та (VIII), выход 0,37 г, т. пл. 180—181° (разл.; из ацетон-гексана), возгоняется при 115—130° (т-ра бани)/0,08 мм; метиловый эфир VIII (МЭ VIII) получен действием CH_3N_3 , т. пл. 91° (из ацетон-гексана). Действием CH_3COCl в $\text{C}_6\text{H}_5\text{N}$ МЭ VIII превращен в N-ацетат, $\text{C}_{12}\text{H}_{13}\text{NO}_5$ (IX), т. пл. 91—92° (из эф.). Из 0,2 г VIII действием LiAlH_4 получен 2-метиламино-3,4-метилendioксисбензиловый спирт (X), выход 175 мг, т. пл. 94—95° (из эф.-гексана). При нагревании VIII с $(\text{CH}_3\text{CO})_2\text{O}$ (30 мин., 75°) образуется II, выход мал. Из 100 мг VIII нагреванием с Cu -порошком (200—205°, 10 мин.) получен 2,3-метилendioксис-N-метиланилин (XI), выход 59 мг, т. кип. 115—120° (т-ра бани)/0,08 мм, n_D^{20} 1,5765. Из 6-аминопицеронилловой к-ты действием $(\text{CH}_3)_2\text{SO}_4$ + NaOH получают 6-метиламинопицеронилловую к-ту (XII), т. пл. 183—184° (разл.; из CH_3OH); МЭ XII, т. пл. 122° (из ацетон-гексана). Нагреванием с Cu XII превращена в 3,4-метилendioксис-N-метиланилин (XIII), т. кип. 100—105° (т-ра бани)/0,07 мм, n_D^{20} 1,5791. Кипячением 6 г 3-нитропицерокатехина и 15 г CH_2I_2 с р-ром 1,8 г Na в 50 мл абс. спирта (20 час., атмосфера N_2) получен 2,3-метилendioксиснитробензол, выход 0,94 г, т. пл. 118° (из CH_3OH), который гидрированием с Pd/C в лед. CH_3COOH (16 час., 23°, 2 ат) превращен в 2,3-метилendioксисанилин, т. кип. 100—105° (т-ра бани)/0,09 мм; метилированием его получен XI. Приведены данные ИК- и УФ-спектров III, IV, VII, VIII, XII, ИК-спектров V, IX — XI, XIII, МЭ VIII, МЭ XII и УФ-спектра VI.

А. Краевский

32647. Ксантогулом, новый природный халкон. Верзеле, Стокс, Фонтейн, Антеunis (Xanthohumol, a new natural chalcone. Verzele M., Stockx J., Fontijn F., Anteunis M.), Bull. Soc. chim. belges, 1957, 66, № 7—8, 452—475 (англ.); Experientia, 1957, 13, № 3, 105—106 (англ.; реф. франц.).

Ксантогулом (I) и изоксантогулом (гумуллол) (II), $\text{C}_{21}\text{H}_{22}\text{O}_5$, выделенные из хмеля (содержание $\sim 0,2\%$), являются изомерами: I — халкон, II — флаванон. Они взаимопревращаются при щел. обработке на холоду (с 2—5%-ным р-ром NaOH I → II, с 30%-ным NaOH

II → I, 5–40 мин.); II превращается в I также при кипячении с HF в CH_3OH (80 час.). I, т. пл. 172° (из 50%-ного сп.); пикрат, т. пл. 107°; 2,4-динитрофенилгидразон, т. пл. 185–190° (оба разлагаются при кристаллизации); моно-2,4-динитрофениловый эфир, т. пл. 200–201° (из бэл.); диметиловый эфир, т. пл. 126–127° (из водн. CH_3OH). При гидрировании в CH_3OH с PtO_2 I образует тетрагидропроизводное (III), т. пл. 156–157°; ди-*n*-нитробензоат III, т. пл. 183–183,5° (из бэл.); 3,5-динитробензоат (ДНБ) III, т. пл. 219–220° (из бэл.). Дигидро-I «А» (из дигидро-II действием 20%-ного NaOH), т. пл. 200–201°, дигидро-I «Б» (из I действием Zn в CH_3COOH), т. пл. 145° (из водн. CH_3OH). II, т. пл. 198° (из водн. CH_3COOH), т. пл. 150–155° (гидрат, из водн. ацетона); хлоргидрат,

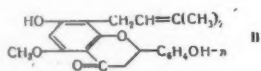


т. пл. 121–123°; оксим, т. пл. 193°; *n*-нитрофенилгидразон, т. пл. 142°; ди-*n*-нитробензоат, т. пл. 200° (из бэл.); оксим ди-ДНБ-II, т. пл. 151° (из CH_3COOH); монометиловый эфир, т. пл. 172–173°; диметиловый эфир, т. пл. 174–175°. При гидрировании II с PtO_2 образуется дигидро-II, т. пл. 178°; гидрат, т. пл. 125°. При кипячении (1 час) с 20%-ным NaOH из I (или II) образуются 1 моль *n*-НОС₆H₄CHO, 1 моль CH_3COOH и 1 моль монометилового эфира изопентанилфтороглюцина (IV), т. пл. 54–55°; ди-ДНБ, т. пл. 157° (из бэл.-петр. эф.); дигидро-IV, т. пл. 100°; ди-ДНБ, т. пл. 174°. Приведены кривые УФ- и ИК-спектров I, II, IV и дигидро-IV.

С. Давыдова

32648. О цвете и структуре ксантогумола. Верзеле (Oven de kleur en de structuur van het xanthohumol. Verzele M.), Meded. Vlaamse chem. verenig., 1957, 19, № 2, 25–29 (флам.).

Обсуждено строение ксантогумола (I), желтого пигмента хмеля, по данным измерений УФ-спектра в кислой и щел. среде. В последней I превращается



в изоксантогумол (II). Приводятся ф-лы I (см. пред. реф.) и II, установленные в результате описываемого исследования.

Л. Песин

32649. О гликозидах горчичных масел. Сообщение XIV. К вопросу о структуре гликозидов горчичных масел. Шульц, Вагнер (Beitrag zur Struktur der Senfölglycoside. XIV. Mitt. Über Senfölglycoside (1). Schultz O.-E., Wagner W.), Arzneimittel-Forsch., 1956, 6, № 11, 647–650 (нем.; рез. англ.).

Из глюкоиберина на катионите удаляется К и образуется очень сильная к-та. Получены тетраацетаты (ТА) ряда гликозидов горчичных масел (ГГМ), пентаацетат глюкоарапиферина и гептаацетат глюкоматронидина (I). ИК-спектры всех ацетатов близки между собой (приведены данные). Судя по спектрам, ГГМ не содержат связи $>\text{C}=\text{N}-$; наличие группы $-\text{OSO}_2\text{OK}$ подтверждается. Приведены кривые ИК-спектров I, ТА глюкобертероина, $\text{CH}_3\text{OSO}_2\text{OK}$ и ТА бензилтиоуретангликозида. При гидрировании ТА глюкозида бензилгорчичного масла со скелетным Ni ИК-спектр не изменяется. Сообщение XIII см. РЖХимБх, 1958, 11298.

Л. Аксанова

32650. Производные гетероауксина. II. Некоторые замещенные 2-метилиндолуксусные-3 кислоты. Стивенс, Ашби, Дауни (Derivatives of heteroauxin. II. Some substituted 2-methyl-3-indoleacetic acids. Stevens Frank J., Ashby Eugene C., Dow-

ney William E.), J. Amer. Chem. Soc., 1957, 79, № 7, 1680–1682 (англ.).

Описан синтез 5-бром-(I), 5-фенил-(II), 5-метил-(III) и 4,5-бенз-(IV) 2-метилиндолуксусных-3 к-т и их производных. Смесь 0,02 моля I, 135 мл *iso*-C₃H₇OH, 25 мл толуола и 1 мл H_2SO_4 кипятят 2 часа, отгоняют спирт, выливают на 200 г льда и экстрагируют эфиром (50 мл × 3), получают изопропиловый эфир I (V), выход 82%, т. пл. 103–103,5° (из водн. CH_3OH). Аналогично получают: метиловый эфир I (VI), выход 95%, т. пл. 99–100° (из водн. CH_3OH); этиловый эфир I (VII), выход 77%, т. кип. 198–202°/0,8 мм, т. пл. 83,5–84° (из эф.-петр. эф.); бутиловый эфир I (VIII), выход 82%, т. пл. 101–102° (из водн. CH_3OH). Смесь 0,1 моля леулиновой к-ты (IX), 0,1 моля 4-BrC₆H₄NHNH₂·HCl, 125 мл *iso*-C₃H₇OH и 10 мл H_2SO_4 кипятят 8 час., выливают на лед, экстрагируют эфиром, затвердевший остаток после отгонки эфира промывают петр. эфиром, растворяют в спирте, разбавляют при кипячении водой и охлаждают, получают V, выход 15%. Аналогично получают: VIII, выход 36%; VII, выход 25%; этиловый эфир IV (X), выход 13%, т. пл. 135–136° (из водн. сп.); этиловый эфир III (XI), выход 67%, т. кип. 201–206°/5 мм, т. пл. 37–38°. Р-р 11 ммоль VI в 50 мл CH_3OH , насыщ. NH_3 при 0°, нагревают в автоклаве 80 час. при 100° и упаривают, получают амид I, выход 67%, т. пл. 160–161° (из водн. CH_3OH и CH_3OH). Смесь 0,091 моля 4-C₆H₄NHNH₂·HCl, 0,108 моля изопропилового эфира IX, 250 мл *iso*-C₃H₇OH и 20 мл H_2SO_4 кипятят 20 час. и выливают на лед, получают изопропиловый эфир II (XII), выход 64%, т. пл. 149–150° (из сп.). Аналогично получают бутиловый эфир II, выход 17%, т. пл. 76–76,5°. Смесь 98 ммоль XII, 60 мл CH_3OH и 0,5 мл H_2SO_4 кипятят 5 час., выливают на лед, экстрагируют эфиром, вытяжку упаривают, остаток растворяют в 100 мл CH_3OH , насыщ. NH_3 при 0°, нагревают в автоклаве 120 час. при 100° и упаривают, получают амид II, выход 53%, т. пл. 180–181° (из сп.). Р-р 0,044 моля XII и 0,044 моля КОН в 100 мл CH_3OH кипятят 3 часа, упаривают до 50 мл, добавляют 150 мл воды и подкисляют 6 н. HCl до pH 4, получают II, выход 64%, т. пл. 155–156° (из водн. сп.). Аналогично из X и XI получают IV, выход 80%, т. пл. 189–191° (разл.; из ацетона-хлф.), и III, выход 82%, т. пл. 177–178° (разл.; из CH_3OH). Р-р 0,043 моля XI в 35 г $\text{C}_4\text{H}_9\text{OH}$ и 0,5 мл H_2SO_4 кипятят несколько часов, получают бутиловый эфир III, выход 67%, т. кип. 163–165°/0,5 мм. Сообщение I см. РЖХим, 1955, 23733.

Ю. Волькенштейн

32651. Изучение состава коры Engelhardtia formosana Hay. I. Два кристаллических вещества, выделенных из коры. Тсукамото, Томинага. II. Строение агликона В. Томинага. III. Синтез рацемического агликона В. Томинага. IV. V. Гликозиды А и В. (1) Томинага. (2) Томинага, Накада. VI. Изомеризация и изомеры энгелдинина. (1) Томинага (Tsukamoto Takeo, Tomimaga Toshio, Nakada Fujinori), Якугаку дзасси, J. Pharmac. Soc. Japan, 1953, 73, № 11, 1172–1175, 1175–1179, 1179–1182; 1955, 75, № 11, 1399–1404; 1956, 76, № 1, 54–55; № 12, 1385–1387 (японск.; рез. англ.).

I. Экстракция сухой коры 70% $\text{C}_2\text{H}_5\text{OH}$ дает 5,66–7,56% гликозида (I), т. пл. 177–180° и 0,10–0,11% гликозида, т. пл. 295–296°; гидролиз I дает L-рамнозу и 2 агликона: C₁₅H₁₀O₆, т. пл. 276–277° (II) и т. пл. 231–232°; тетраацетат I, т. пл. 182°; триметиловый эфир II C₁₅H₇O₃(OCH₃)₃ (III), т. пл. 146°; моноацетат III, т. пл. 170°; тетраметиловый эфир II C₁₅H₇O₂(OCH₃)₄, т. пл. 157° (получен с большим избытком CH_2N_2 или $(\text{CH}_3)_2\text{SO}_4$ и 30%-ным КОН при 20°).

Доказано (по т-ре плавления смешанной пробы), что II является 3,4',5,7-тетраоксифлавоном (кемпферолом). 5,7-диокси-3,4'-диметоксифлавоны с CH_2N_2 дает 5-окси-3,4',7-триметоксифлавоны, т. пл. 146—147°; ацетат, т. пл. 170°, дальнейшее метилирование $(\text{CH}_3)_2\text{SO}_4$ и KOH дает 3,4',5,7-тетраметоксифлавоны, т. пл. 157°, идентичный с III.

II. В-во $\text{C}_{15}\text{H}_{12}\text{O}_6$, т. пл. 231—233° (агликон В) (IV) дает тетраацетат $\text{C}_{15}\text{H}_8\text{O}_6(\text{COCH}_3)_4 \cdot \text{H}_2\text{O}$, т. пл. 50°; пентаацетат $\text{C}_{15}\text{H}_7\text{O}_6(\text{COCH}_3)_5$, т. пл. 200°; монометилловый эфир $\text{C}_{16}\text{H}_{11}\text{O}_5(\text{OCH}_3)$, т. пл. 171—172°; диметилловый эфир, т. пл. 189—190°; триметилловый эфир (V), т. пл. 60°; тетраметилловый эфир (VI), т. пл. 50°, и тетрабензоат, т. пл. 130°. Окисление горячего водн. р-ра IV кислородом воздуха дает $\text{C}_{15}\text{H}_{10}\text{O}_6$, т. пл. 276—277°, дегидрирование V Pd-чернью и коричной к-той или с эквимолекулярным кол-вом щелочи в CH_3OH дает 3-окси-4'-5,7-триметоксифлавоны, т. пл. 145°. Спирт. р-р KOH с VI дает α -метоксисапонин. Следовательно IV является 3,4',5,7-тетраоксифлавоном.

III. 2 г кемпферола и 17 г Na_2CO_3 в 200 мл кипящей воды обрабатывают 53,7 г 66,9%-ного $\text{Na}_2\text{S}_2\text{O}_4$, смесь нагревают 15 мин., разбавляют 250 мл воды, охлаждают, добавляют 200 мл разб. HCl (1:4), оставляют смесь на 4 часа, отфильтровывают осадок, фильтрат экстрагируют эфиром (3 раза по 200 мл), эфир упаривают, остаток растворяют в 50 мл горячей воды, очищают с углем, выделяют 0,2 г dl-3,4',5,7-тетраоксифлавоны (VII), т. пл. 231—232° (из воды). 1 г IV в 50 мл конц. HCl и 50 мл воды кипятят 15 мин., выливают в 400 мл воды, экстрагируют эфиром, выделяют 0,45 г VII. 2,5 г 2'-окси-4,4',6'-триметокси- α -метоксисапонина (VIII) в 375 мл 95% спирта, 15 мл HCl (d 1,15) и 37 мл воды кипятят 6 час., удаляют спирт, добавляют 250 мл воды и р-р встряхивают с эфиром и эфир затем с 5%-ным NaOH, остаток из эфирного слоя обесцвечивают углем в ацетоне, добавляют петр. эфир, оставляют на 12 час. при 0°, выделяют 0,7 г 2,4,6-триметокси-2-(4-метоксibenзил)-кумараноны (IX), т. пл. 127°. NaOH-слой подкисляют разб. HCl, выделяют 1,1 г 2-НО-аналог IX, т. пл. 158—159° (из сп.). 2- CH_3COO -аналог IX (X), т. пл. 135—136°, 0,5 г X в 4 мл $(\text{CH}_3\text{CO})_2\text{O}$ оставляют на 12 час. с 2 каплями конц. H_2SO_4 , выливают в ледяную воду, экстрагируют эфиром, эфирный экстракт промывают разб. NaOH и водой, упаривают, остаток обрабатывают CH_3OH , выделяют 4,4',6'-триметокси-2-бензилиденкумараноны (XI), т. пл. 166—167°. Из маточного р-ра XI выделяют X, 1,0 г VII в 7 мл 16%-ного NaOH и 20 мл CH_3OH выдерживают 12 час. при 0° с 2,7 мл 15% H_2O_2 , добавляют 40 мл воды, смесь подкисляют H_2SO_4 , фильтруют, высушивают, встряхивают с эфиром. Эфирный р-р промывают 5%-ным NaOH, упаривают, выделяют 0,17 г XI, т. пл. 166—167°. При перекристаллизации нерастворимой в эфире части получено 0,14 г 3-окси-4,5,7-триметоксифлавоны, т. пл. 150—153° (вспенивается при 135°).

Chem. Abstrs, 1954, 48, № 21, 12740—12741. K. Kitsuta

IV. Найдено, что гликозиды А (XII) в В (XIII), выделенные из коры *Engelhardtia formosana*, относятся к ряду флавонона (XIV) и флавонона (XV). Метилирование XII диазотетаном и гидролиз продукта р-ции приводят к смеси 3,5-диокси-7,4'-диметоксифлавоны, т. пл. 179—180°, и 3,5-диокси-7,4'-диметоксифлавоны, т. пл. 189—190°; при аналогичной р-ции с избытком CH_2N_2 получены соответственно 3-окси-5,7,4'-триметоксифлавоны, т. пл. 145—146°, и 3-окси-5,7,4'-триметоксифлавоны (XVI), т. пл. 60° (неочетливо). Высказано мнение (подтверждаемое анализом), что XII представляет собой смесь 3- L -рамнозидов кемпферола (XVII) и 3,5,7,4'-тетраоксифлавоны (XVIII), которому соответствует агликон (XIX). XVIII, которому присвоено название энгели-

тина, выделен из 70%-ного спирт. р-ра XII после поглощения XVII на угле, т. пл. 176—177° $[\alpha]^{25}_D -11 \pm 1^\circ$ (сп.). При гидролизе XIII, т. пл. 295—296°, $[\alpha]^{25}_D -81,24 \pm 1,24^\circ$ (сп.), получены L -рамноза и рацемич. XIX, т. пл. 231—232°. После метилирования XIII избытком CH_2N_2 и гидролиза продукта р-ции получен XVI. Высказано мнение, что XIII (которому присвоено название изогенгелитина) является стереоизмером XVIII. Приведены кривые поглощения в УФ-спектре, подтверждающие флаваноловую природу XIII и XVIII.

А. Травин

V. Хроматографией на бумаге XII выделены XVIII и XVII, $\text{C}_{21}\text{H}_{20}\text{O}_{10} \cdot 2\text{H}_2\text{O}$, т. пл. 172—174°. Свойства XVII за исключением кристаллизационной воды, аналогичны свойствам афзеллина (*Acta Phytochim.*, 1943, 13, 99). При кристаллизации смеси XVII и XVIII получают в-во, идентичное XII. Таким образом XII представляет собой смешанные кристаллы.

VI. XIII и XVIII не поддаются обычному дегидрированию во флаванонидные гликозиды. Дегидрирование их можно провести по спец. методу (РЖХим, 1956, 36036) с применением J_2 и CH_3COONa . При этом образуется небольшое кол-во XVII из XVIII и из XIII. При нагревании с 10%-ной пиридиновой водой и холодной щелочью XVII остается инертным и полностью регенерируется. Однако при аналогичной обработке структурно родственного XVIII получают XIII и на хроматограмме на бумаге получают новое пятно, дающее положительную флаванонидную р-цию. При аналогичной обработке XIII получают XVIII и то же самое новое пятно на хроматограмме на бумаге.

Г. Челпанова

32652. Фармакогностическое исследование растительного сырья, содержащего кумарины и их производные. I. Фурукумарины из видов *Heracleum* в Японии. II. Об ацилкумарине, недавно выделенном из японских видов *Angelica*. Фудзита, Фуруя (Fujita Mitititi, Furuya Tsutomu), Якугаку дзасси, J. Pharmac. Soc. Japan, 1956, 76, № 5, 535—537, 538—542 (японск.; рез. англ.).

I. Из эфирного экстракта корней *Heracleum lanatum* Michaux var. *nipponicum* (Kitag.) Naga, полученного во время цветения, выделили пимпинеллин (I), изопимпинеллин (II), изобергаптен (III) и сфондиллин (IV). 1 кг корней экстрагируют петр. эфиром, получают экстракт и остаток (А). Экстракт фильтруют, осадок (Б) экстрагируют C_6H_6 , получают растворимую и нерастворимую в C_6H_6 фракции; из первой выделяют 0,8 г I, из второй 0,25 г II; упаривают фильтрат и получают 0,2 г IV. А экстрагируют эфиром. Получают 0,4 г IV, 0,2 г I и 0,05 г II. Фильтрат после отделения Б упаривают и экстрагируют C_6H_6 . Из растворимой фракции выделяют 2 г I, а из нерастворимой фракции 1,2 г III. Бергаптен и умбеллиферон (V) разделяют с помощью хроматографии на бумаге. Однако эти фурукумарины не были обнаружены в листьях. Зрелые плоды дают 3 в-ва, исключая III, IV и V. Сфондиллин, описанный ранее (Späth, Simon, Monatsh. Chemie, 1936, 67, 344), как компонент *H. Sphondylium*, не обнаружен. УФ-спектры этих фурукумаринов дают $\lambda_{\text{макс}} \sim 250$ и 308 мμ.

II. Из эфирного экстракта корней *Angelica schischido* Koidz. выделен новый кумарин, ангеликоид $\text{C}_{16}\text{H}_{16}\text{O}_5$ (VI), т. пл. 130°; семикарбазон, т. пл. 177° (разл.); гидразон гидразида ангеликоновой к-ты (продукта разложения лактонного цикла VI), т. пл. 212—213°; «трибромид» VI, $\text{C}_{16}\text{H}_{15}\text{O}_5\text{Br}_3$, т. пл. 193° (разл.). При действии 30%-ного KOH VI образует ацетон и ацетил-5,7-диметоксикумарин; при щел. расщеплении — флороглюцин и с конц. H_2SO_4 — 5,7-диметоксикумарин (VII). Дигидро-VI, т. пл. 152°, под действием конц. H_2SO_4 образует VII и изовалериановую

к-ту. I и продукты щел. распада дают отрицательные р-ции Эмерсона и Джибса, что свидетельствует о наличии боковой цепи в положении 6. На основании сказанного авторы полагают, что VI представляет собой 5,7-диметокси-6-(3,3-диметилакрилоил)-кумарин. Содержание VI в родственных растениях определяли с помощью хроматографии на бумаге. Из других исследованных видов *Angelica* VI найден лишь в *A. ursina* (Rupr.) Maxim. Л. Михельсон

32653. Строение кордицеповой кислоты из *Cordyceps sinensis* (Berkeley) Saccardo, Чаттерджи, Сринивасан, Маити (*Cordyceps sinensis* (Berkeley) Saccardo: structure of cordycepic acid. Chatterjee R., Srinivasan K. S., Maiti P. C.), J. Amer. Pharmac. Assoc. Scient. Ed., 1957, 46, № 2, 114—118 (англ.)

Приводится ботанич. характеристика гриба *C. sinensis*, паразитирующего на гусеницах некоторых мотыльков и применяемого в китайской медицине. Из гриба, обезжиренного петр. эфиром, извлекают 95%-ным спиртом изомер хинной к-ты 1,3,4,5-тетраоксициклогексанкарбовую к-ту или кордицеповую к-ту (I), выход 7%, т. пл. 168°, $[\alpha]_D^{20} + 6,8^\circ$ (вода). Тетраацетат I, т. пл. 126° (из водн. сп.), $[\alpha]_D^{20} + 29,5^\circ$ (сп.); тетрабензоат I, т. пл. 151° (моногидрат, из смеси хлф.-сп.-вода). Лактон или эфиры I получить не удалось. В смесь I с ацетоном вводят сухой HCl-газ до растворения I, получают ацетонилпроизводное I, $C_{11}H_{14}O_6$ (II), т. пл. 56° (из петр. эф.), которое легко взаимодействует с CH_2N_2 , образуя ацетонилпроизводное метилового эфира I, т. пл. 132° (из бzl.). По-видимому, HO-группы молекулы I при C_3 , C_4 и C_5 находятся в транс-положении по отношению к COOH-группе. В. Некрасов

32654. Обнаружение СНО-группы в порфирине. Николаус, Мангони (Riconoscimento del gruppo —CHO nelle porfirine. Nicolaus Rodolfo Alessandro, Mangoni Lorenzo), Ricerca scient., 1957, 27, № 6, 1865—1867 (итал.; рез. англ., нем., франц.)

Предложен микрометод обнаружения СНО-группы в порфирине, основанный на схеме превращений: $—CHO \rightarrow —CH=NOH \rightarrow —CN$. Пример: 50 мг диформилдейтеропорфирина «IX» обрабатывают в пиридине избытком $NH_4OH \cdot HCl + Na_2CO_3$, к реакционной смеси добавляют $(CH_3CO)_2O$ и окисляют полученный нитрил (без очистки) с помощью $KMnO_4$; смесь продуктов окисления подвергают хроматографии на бумаге и идентифицируют 3-метил-4-цианпирролдикарбовую-2,5 к-ту (I), R_f 0,74 (бутанол- CH_3COOH -вода, 4:1:5), 0,53 (спирт-33%-ной NH_4OH -вода, 20:1:4). Синтез I: 2-карбэтоксис-3,5-диметил-4-цианпиррол действием SO_2Cl_2 и Br_2 в CH_3COOH превращают в 2-карбэтоксис-3-метил-4-цианпирролдикарбовую-5 к-ту, т. пл. 262—263° (разл.); омылением ее щелочью получена I, т. пл. 264—265° (разл.; из CH_3OH). Диметилловый эфир I (с CH_2N_2), т. пл. 135—137° (из лигр.). Ср. РЖХим, 1958, 28770. Л. Песин

32655. О красящих веществах ягод черной бузины. Рейхель, Штро, Рейхвальд (Über die Farbstoffe der schwarzen Holunderbeere. Reichel Ludwig, Stroh Hans-Hartwig, Reichwald Werner), Naturwissenschaften, 1957, 44, № 17, 468 (нем.)

Хроматографией на бумаге показано, что в ягодах черной бузины (*Sambucus nigra*) содержится 4 красящих в-ва. Разделение производилось на колонке из целлюлозы, проявление 0,25%-ной HCOOH, очистка — через Pb-соли; продукты через пикраты переводились в хлориды. Выделены: 1) хризантемин (I); пикрат, т. пл. 168—170° (разл.), 2) в-во, названное самбуцини-

анином (III); пикрат, т. пл. 179° (разл.); хлорид II кристаллизуется с 4 молекулами воды; частичный гидролиз II конц. HCl (к-той) (~20°, 3 часа) привел к I и ксилонизе; при полном гидролизе к-той или эмульсионном получены цианидин, глюкоза и ксилоза. При гидролизе метилированного II получают в-во, идентичное продукту гидролиза метилированного I; отсюда следует, что II является β-3-цианидинпримверозидом (ср. Kar-Ter P., Widmer R., Helv. chim. acta, 1927, 10, 80). В. Векслер

32656. К изучению d-галлокатехина. Майер, Бауни (Zur Kenntnis des d-Galocatechins. Mayer Walter, Bauni Günther), Liebigs Ann. Chem., 1958, 611, № 1—3, 264—268 (нем.)

Из ацетонового экстракта свежей коры *Quercus sessiliflora* и *Castanea vesca* хроматографированием на эфире на влажном SiO_2 -геле (РЖХим, 1957, 62585), кроме d-катехина, выделен d-галлокатехин (5'-окси-d-катехин) $C_{15}H_{14}O_7$ (I); дигидрат, выход 0,05%, т. пл. 185—188° (из воды); безводный, т-ра плавления та же, $[\alpha]_D^{20} + 14,6^\circ$ (в ацетоне-воде, 1:1), 0° (в сп.); гексаацетат I, т. пл. 141—143° (из сп.), $[\alpha]_D^{20} + 31,0^\circ$ (в ацетоне), +38,7° (в $C_2H_2Cl_4$), $[\alpha]_D^{20} + 57,8 + 41,2$ (в $C_2H_2Cl_4$); пентаметилловый эфир I (с CH_2N_2), т. пл. 160—162° (из CH_3OH), $[\alpha]_D^{20} - 3^\circ$ (в ацетоне), -12,7° (в $C_2H_2Cl_4$), $[\alpha]_D^{20} + 57,8 - 13,6^\circ$ (в $C_2H_2Cl_4$). Приведены данные УФ-спектров I, эпигаллокатехина и их гексаацетатов. Ю. Волькенштейн

32657. О фенольном основании из *Coptis japonica*. Тани, Такао (Tani Chiaki, Takao Naga), Якугаку дзасси, J. Pharmac. Soc. Japan, 1957, 77, № 7, 805—806 (японск.; рез. англ.)

Гидрирование фенольного основания (I), выделенного из *Coptis japonica*, дало тетрагидроэторрицин, т. пл. 213—214°, не идентичный тетрагидроколумбамину, т. пл. 220°. На основании этого для I принято строение яторрицина, а не колумбамина, как считалось ранее (J. Chem. Soc. Japan. Pure Chem. Sec., 1926, 46, 299). Помимо I выделены незначительные кол-ва другого фенольного основания, продукт восстановления которого имеет т. пл. 272°. Л. Яновская

32658 К. Химия антибиотиков. Цой Сам Ер. АН КНДР. 1955, 270 стр. 80 вон. Синкан госе 1955, № 6, 27 (кор.)

32659 Д. Исследование алкалоидов типа фagarинов в *Rutaceae africanas*. Палмер (Recherches sur quelques *Rutaceae africanas* à alcaloïdes du genre Fagara. Palmer Keith Henry. Thèse, doct. Univ. Paris, Fac. pharm. Paris, GOTTSCHO, 1956, 95 p., ill.) (франц.)

32660 Д. Обмен ацил- и гликозилперхлоратов с производными сахаров. Фабер (Umsetzungen von Acyl- und Glykosylperchloraten mit Zuckerderivaten. Faber Gerhard. Diss., Dokt. Naturwiss., Techn. Hochsch. Stuttgart, 1957, 46 S.) (нем.)

32661 Д. Перегруппировки глюкозенов и глюкалей. Иммель (Umlagerungsreaktionen von Glykosen und Glykalen. Immel Günther. Diss., Dokt. Naturwiss., Techn. Hochsch. Stuttgart, 1956, 75 S., ill.) (нем.)

См. также: Углеводы и родств. соед. 31466, 34127; 12223Бх. Терпены 33596, 33598, 33599; 12423Бх. Алкалоиды 11889Бх. Витамины 33590, 33602; 12049Бх. Антибиотики 12284—12286Бх; 12381Бх. Аминокислоты и белки 33591, 33592; 11815Бх, 11816Бх, 11833Бх, 11898Бх, 11901Бх, 11906Бх. Др. природн. в-ва 31445; 12428Бх, 12435Бх, 12436Бх, 12550—12552Бх.

РЕФЕРАТИВНЫЙ ЖУРНАЛ ХИМИЯ

Рефераты 32662—33398

№ 10

25 мая 1958 г.

III

ХИМИЧЕСКАЯ ТЕХНОЛОГИЯ. ХИМИЧЕСКИЕ ПРОДУКТЫ И ИХ ПРИМЕНЕНИЕ (Часть 1)

ОБЩИЕ ВОПРОСЫ

Редакторы В. И. Елинек, Н. А. Ширяева

32662. Сотрудничество между социалистическими странами в области развития химической промышленности. Флореску (Colaborarea dintre țările socialiste în domeniul dezvoltării industriei chimice. Florescu M.), Probl. econ. (Romin.), 1957, 10, № 6, 3—17, 179 (рум.; рез. русск., франц.)
32663. Пути снижения себестоимости продукции в химической промышленности РНР. Опришан (Căile reducerii cheltuielilor de materiale în industria chimică. Oprișan Em.), Probl. econ. (Romin.), 1957, 10, № 9, 51—65, 153—154 (рум.; рез. русск., франц.)
32664. Основные условия дальнейшего развития химической промышленности [Югославия]. Гайич (Primarni uslovi za dalji razvoj hemiske industrije. Gajić Stevan), Tehnika, 1957, 12, № 2, Hem. ind., 11, № 2, 27—28 (сербо-хорв.; рез. нем.)
- Отмечается недостаток специалистов-химиков и в связи с этим необходимость быстрого развития хим. наук. В. Елинек
32665. Реконструкция химической промышленности НР Сербии. Гайич (Rekonstrukcija hemiske industrije NR Srbije. Gajić Stevan), Tehnika, 1957, 12, № 7, Hem. ind., 11, № 7, 107—110 (сербо-хорв.; рез. русск.)
32666. Будущее [европейской] химической промышленности. Орсо́ни (L'industria chimica e l'avvenire. Orsoni Bartolomeo), Chimica e industria, 1957, 39, № 10, 841—848 (итал.; рез. англ., нем., франц.)
32667. Химическая промышленность Италии в 1956 году. Моранди (Die italienische chemische Industrie im Jahre 1956. Morandi Luigi), Chem.-Ztg., 1957, 81, № 24, 839—842 (нем.)
32668. Химия и химическая промышленность в Канаде. Смит (Chemistry and the chemical industry in Canada. Smith H. Greville), Chem. in Canada, 1957, 9, № 11, 58, 60, 62; Chemistry and Industry, 1957, № 48, 1552—1556 (англ.)
- Исторический обзор. Н. Ширяева
32669. Уравнение связи между результатами химического анализа исходного сырья и получаемого продукта. Мазель М. И., Ермоленко Н. Ф., Докл. АН БССР, 1957, 1, № 2, 57—60

ПРОЦЕССЫ И АППАРАТЫ ХИМИЧЕСКОЙ ТЕХНОЛОГИИ

Редакторы В. А. Жужиков, Б. Г. Лукьянов, В. Г. Фастовский

32670. Системы зернистый материал — жидкость. 2. Свойства псевдооживленных систем, их перемещение и разделение. Ито, Кагаку корё, Chem. Ind (Japan), 1957, 8, № 2, 63—67 (японск.)
32671. Исследование многоступенчатого каталитического процесса при перекрестном токе в системах газ — жидкость и жидкость — жидкость. III. Коэффициент расхода в поле действия центробежных сил. Иосида, Такамацу, Такахаси, Сига, Сёдзи, Тацута, Кёто дайгаку когаку кэнкюдзё ихо, Bull. Engng Res. Inst. Kyoto Univ., 1956, 10, 30 (японск.)
- Исследовано влияние отношения толщины стенки к диаметру отверстия на коэф. расхода при истечении жидкости из вращающегося цилиндрич. сосуда. Сообщение II см. РЖХим, 1957, 68003. М. Гусев
32672. Учет влияния неизотермичности потока при ламинарном течении капельных жидкостей в трубах. Сидоров Э. А., Ж. техн. физики, 1957, 27, № 2, 327—330
- Изменение физ. свойств жидкостей с т-рой является одной из причин расхождения теоретич. и опытных данных по распределению скоростей и т-р при ламинарном течении жидкостей в трубах. Дано решение методом последовательных приближений ур-ний движения и теплообмена в пограничном слое цилиндрич. труб при ламинарном течении в трубах капельных жидкостей с учетом изменения их вязкости при изменении т-ры. Получены ур-ние для скорости потока при неизотермич. движении в трубе и ур-ние, определяющее среднее значение потока тепла через единицу поверхности стенок трубы на определенном участке длины от входа. И. Слободяник
32673. Новые пути улучшения работы механических пылеуловителей. II. Зольбах (Neue Wege zur Verbesserung der mechanischen Staubabscheidung II. Solbach Werner), Tonind.-Ztg., 1956, 80, № 17—18, 298—303 (нем.)
- Сообщение I см. РЖХим, 1957, 70650.
32674. Сепаратор. Мацуяма, Кэмикару эндзингирингу, Chem. Engng, 1956, 1, № 4, 52—54 (японск.)
- Описан сепаратор, предназначенный для классификации твердых частиц аэрозолей размером менее 100 меш. Основной частью сепаратора является верти-

См. также: Материалы майского Пленума ЦК КПСС 31307, 31308. Применение радиоизотопов 31620, 31621

кальный цилиндрич. ротор с узкими продольными щелями, при вращении которого более крупные частицы аэрозоля отбрасываются из потока газа центробежной силой к стенкам аппарата, а более мелкие — проникают вместе с потоком газа сквозь щели внутрь ротора и удаляются из него.

М. Гусев
32675. Электрофильтры «котрель» для очистки газов от капель серной кислоты. Фурукава, Комэдзи, Сангё кикай, 1957, № 78, 22—29 (японск.)

32676. Гидродинамические способы разделения неоднородных систем. 1. Ито, Кагаку когё, Chem. Ind. (Japan), 1957, 8, № 3, 64—67 (японск.)

Дана краткая характеристика различных гидродинамич. способов разделения. Рассмотрены процессы разделения под действием гравитационных и центробежных сил.

М. Гусев
32677. Агрегация суспензий полиэлектролитами. Кузькин С. Ф., Небера В. П., Бюл. цветн. металлургии, 1957, № 13, 10—14

Рассмотрено влияние небольших добавок поверхностно-активных в-в на скорость осаждения при хим. обогащении руд редких и радиоактивных металлов. Увеличение скорости осаждения при добавлении поверхностно-активных в-в, являющихся электролитами, объяснено уменьшением толщины двойного электрич. слоя на поверхности частиц под действием электролита и связанной с этим коагуляцией частиц. Приведены сравнительные таблицы скоростей осаждения при добавлении карбоксиметилцеллюлозы, поливинилового спирта, полиалгината натрия, хлорного железа и сепарана 2610. Отмечено, что наиболее эффективными в-вами оказались обработанные определенным образом полимеры некоторых соединений — полиэлектролиты, особенно сепаран 2610.

Т. Малиновская
32678. Эффективность классификации в двухступенчатой гидроциклонной установке. Йосиока, Хотта, Мидзутани (Yoshioka Naoya, Hotta Yutaka, Mizutani Tsutomu), Karaku когаку, Chem. Engng (Japan), 1957, 21, № 1, 32—37 (японск.; рез. англ.)

Проведено исследование работы гидроциклонов (ГЦ) с целью повышения их эффективности. Предполагается установить три ГЦ. При этом поступающая на классификацию суспензия подается в ГЦ первой ступени, который непосредственно соединен с двумя ГЦ второй ступени. ГЦ второй ступени присоединены к трубопроводам, отводящим продукты классификации из ГЦ первой ступени. Такое объединение ГЦ дает возможность получать 2 или 3 фракции, при этом эффективность классификации повышается на 11—19% по сравнению с классификацией в одном ГЦ.

Ю. Скорецкий
32679. Метод определения фильтрационных констант при фильтровании с образованием осадка. Сэ-яну, Ибэнеску, Тудосе (Metodă pentru stabilirea comportării unei suspensii cu precipitat mult în filtrare. Săveanu Teodor, Ibănescu I., Tudose Radu), Bul. Inst. politehn. Iași, 1956, 2, № 3—4, 129—138 (рум.; рез. русск., франц.)

32680. Определение постоянных при непрерывном фильтровании на вращающихся вакуум-фильтрах. Сато, Ямадаки, Кагаку когаку, Chem. Engng (Japan), 1957, 21, № 6, 391—393 (японск.)

Отмечено, что значения уд. сопротивления осадка r_w , определяемые при помощи лабор. листового фильтра, соответствуют практич. данным, полученным на вращающихся вакуум-фильтрах. Указано, что для определения сопротивления фильтровальной ткани с оставшимся на ней слоем осадка b_w целесообразно проводить опыты непосредственно на вращающемся вакуум-фильтре. Описан способ графич. определения величин

r_w и b_w при постоянных числе оборотов барабана, разности давлений, т-ре и конц-ии суспензии. Приведен график зависимости производительности вращающегося вакуум-фильтра от числа его оборотов в 1 мин. М. Гусев
32681. Вакуум-фильтры непрерывного действия. Тамура, Сангё кикай, 1957, 7, № 82, 12—15 (японск.)

32682. Фильтры Свитланда. Корни, Сангё кикай, 1957, 7, № 82, 28—31 (японск.)

32683. Конструкция и характеристика листовых вращающихся фильтров (автофильтров). Ниси, Сангё кикай, 1957, 7, № 82, 32—33 (японск.)

32684. Листовые фильтры SY, работающие под давлением. Сангё кикай, 1957, 7, № 82, 34—36 (японск.)

32685. Барабанные вакуум-фильтры. Като, Сангё кикай, 1957, 7, № 82, 37—39 (японск.)

32686. Фильтры со слоем вспомогательного фильтрующего вещества. Цуцуми, Сангё кикай, 1957, 7, № 82, 40—42 (японск.)

32687. Ленточные фильтры. Асидзава, Сангё кикай, 1957, 7, № 82, 43—46 (японск.)

32688. Выбор насосов для жидких металлов. Хаммитт (Considerations for selection of liquid metal pumps. Hammit F. G.), Chem. Engng Prog., 1957, 53, № 5, 249—253 (англ.)

Рассмотрена возможность снижения веса и стоимости насосов для перекачивания жидких металлов, применяемых на атомных электростанциях. Показаны преимущества быстроходных центробежных насосов, заключающиеся в том, что с увеличением числа оборотов насоса при постоянной производительности вес его и стоимость понижаются обратно пропорционально квадрату числа оборотов. Естественным пределом увеличения числа оборотов насоса служит наступление явления кавитации и эрозии лопаток при определенной скорости вращения рабочего колеса. При проектировании насосов для перекачивания жидких металлов максим. число оборотов принимают в соответствии с ур-нием $S = NVQ/H^{1/4}$, где S — уд. скорость всасывания, H — высота всасывания в м перекачиваемой жидкости, N — число оборотов в 1 мин., Q — производительность насоса в л/мин. S принимается равной 28 500. Ур-ние не учитывает свойств перекачиваемой жидкости и дает заниженное число оборотов насоса, что приводит к излишнему увеличению их веса и стоимости. Отмечено, что в ряде случаев даже при величинах S более 57 000 явления кавитации не наблюдалось. Делается вывод о необходимости проведения исследований по изучению явления кавитации при перекачивании жидких металлов, что позволит выпускать более быстроходные насосы. В. Реутский

32689. Вихревые насосы для химической промышленности. Кадзивара, Эндзин то сангё кикай, Engine and Industr. Machine, 1957, 3, № 8, 91—98 (японск.)

32690. Новый насос «аэропмпа» для перемещения кислот и корродирующих жидкостей. — («Aeromp». Nuovo dispositivo per il movimento di acidi e liquidi corrosivi.), Ingegneria chim., 1957, 6, № 5, 23—25 (итал.)

32691. Особенности работы насосов при параллельном включении. Лашо (Problèmes posés par la marche des pompes en parallèle. Lachaux Y. de), Chaleur et ind., 1957, 38, № 387, 251—264 (франц.)

32692. Политропическое сжатие смесей воздуха и водяных паров. Шрёдер (Die polytrope Verdichtung von Luft-Wasserdampf-Gemischen. Schröder Hans Joachim), Brennstoff-Wärme-Kraft, 1958, 10, № 1, 12—17 (нем.; рез. англ., франц.)

32693. Получение вакуума и его применение в химической промышленности. Бахман (La production

du vide et son emploi dans l'industrie chimique. Brachman Pierre), Indicateur industr., 1957, 38, № 668, 1, 3, 5 (франц.)

32694. Эффективные теплопроводности гранулированных материалов. Кимура, (Kimura Makoto), Кагаку когаку, Chem. Engng (Japan), 1957, 21, № 8, 472—480 (японск.; рез. англ.)

Изучена эффективная теплопроводность (ЭТ) гранулированных материалов (дробленый уголь, кальцит, кварцит, слепиновая дробь, нафталин) и их смесей в жидкостях (вода, этиловый спирт, р-р KCl, ртуть) и газах (воздух, H_2 , CO_2). Получено теоретич. ур-ние $\lambda_e/\lambda_s = (1-c)/[1-d](\lambda_f/\lambda_s) + 1/(d+h_f \cdot d_p/\lambda_f)] + c(1 + h_f \cdot d_p/\lambda_s)$, где λ_e — ЭТ слоя гранулированного материала, ккал/м час град; λ_s — теплопроводность гранулированного материала в отсутствие среды, ккал/м час град; λ_f — теплопроводность среды, ккал/м час град; $c = 1 - \varepsilon^{1.3}$; ε — доля пустот; d_p — диаметр гранул, м; h_f — коэф. теплоотдачи излучением, ккал/м² час град; d — константа, изменяющаяся в зависимости от ε и λ_f/λ_s .

32695. Эффективная теплопроводность слоя насадки. Кунин, Кагаку когаку, Chem. Engng (Japan), 1956, 20, № 10, 564—566 (японск.)

Даны сведения о влиянии т-ры на эффективную теплопроводность слоев, состоящих из стеклянных, фарфоровых и металлич. шариков, а также гранул катализатора, при наличии и отсутствии взаимного перемещения твердых частиц. М. Гусев

32696. Свободная тепловая конвекция ртути в замкнутых круглых трубах. Смирнов А. Г., Ж. техн. физики, 1957, 27, № 10, 2373—2380

Исследована свободная тепловая конвекция ртути в замкнутых стеклянных трубах, установленных вертикально или наклонно, при стационарных тепловых режимах. Установка состояла из запаянной с обоих концов стеклянной трубы (Т), заполненной ртутью; в нижней части Т размещался электронагреватель, в верхней — холодильник. Гидродинамич. изменения режимов фиксировались методом регистрации т-р с помощью термопар, расположенных по длине Т несколькими ярусами. Установлено, что при постоянной тепловой нагрузке характер гидродинамич. режима определяется величиной температурного градиента и критерием Релея Ra. При наклоне трубы 10 и 30° получены 3 участка с различным распределением т-ры: 1-й (прилегающий к нагревателю) и 2-й (прилегающий к холодильнику) с экспоненциальным изменением т-ры и 3-й (средний) с линейным изменением. 1-му участку соответствует турбулентная конвекция, среднему — ламинарная (крит. режим) и 2-му — мол. теплопроводность. Р. Артым

32697. Теплоотдача к турбулентному потоку жидкого металла, движущегося по каналу некруглого сечения. Хартнетт, Эрвин (Nusselt values for estimating turbulent liquid metal heat transfer in noncircular ducts. Hartnett James P., Irvine Thomas F., Jr.), A. I. Ch. E. Journal, 1957, 3, № 3, 313—317 (англ.)

Предложен метод расчета теплоотдачи, основанный на применении ур-ния $Nu = (2/3) Nu_s + 0,015 Re^{0.8}$, где правая часть которого соответственно характеризует передачу тепла мол. теплопроводностью и турбулентным перемешиванием. Значения Nu определены в результате решения при заданных граничных условиях (ГУ) ур-ния энергии для потока с постоянным значением скорости по всему сечению канала. Приведены результаты решения для 3 видов ГУ и различных каналов — прямоугольного, щелевид-

ного, треугольного, клинообразного, эллипсоидального. Для случая кольцевой щели теоретич. значения Nu сопоставлены с эксперим. данными и показано их соответствие в пределах 20%.

32698. Теплоотдача к турбулентному потоку свинцово-висмутовой смеси, движущейся в кольцевом канале. Сибан, Кейси (Heat transfer to lead-bismuth in turbulent flow in an annulus. Seban R. A., Casey D. F.), Trans. ASME, 1957, 79, № 7, 1514—1516. Discuss., 1517—1518 (англ.)

Исследована теплоотдача (Т) от нагреваемой трубы из нержавеющей стали к турбулентному потоку расплавленной эвтектич. смеси Pb-Bi, движущейся внутри трубы или по кольцевым каналам, образованным нагреваемой трубой и размещенным внутри нее металлич. стержнем с отношением диам. 1,3 и 1,7. Тепловая нагрузка была постоянной, т-ра стенки трубы измерялась термопарами; т-ра жидкости по длине трубы изменялась линейно. Критерий Re изменялся в пределах 400—1600. Эксперим. значения коэф. Т для расплавленной смеси Pb-Bi оказались ниже теоретич., полученных на основе предположения о равенстве коэф. турбулентного обмена тепла и кол-ва движения. Не обнаружено влияния на Т величины отношения диаметров. Хорошее совпадение теоретич. и эксперим. данных для смеси Pb-Bi имеет место при отношении коэф. турбулентного обмена, меньшим 1; в этом случае теория теплообмена, развитая применительно к движению жидких металлов по трубам, может быть распространена и на кольцевые каналы. Р. Артым

32699. О коэффициенте теплоотдачи нитрит-нитратного сплава в условиях турбулентного режима. Дудикова Е. П., Тр. Моск. хим.-технол. ин-та им. Д. И. Менделеева, 1957, вып. 24, 448—451

Исследована теплоотдача от горячей стенки к нитрит-нитратному сплаву (ННС) (53% KNO_3 , 40% $NaNO_2$, 7% $NaNO_3$) в условиях интенсивного турбулентного режима в системе с принудительной циркуляцией ННС. Опытным участком служил горизонтальный толстостенный цилиндр внутренним диам. 10 мм, длиной 114 мм, нагреваемый снаружи электронагревателем. Опыты выполнены в интервале тепловых нагрузок 129 000—1 180 000 ккал/м² час и т-р 190—500°. Т-ры стенок цилиндра и ННС измерялись термопарами. Физ. свойства взяты для средних т-р опыта. Данные представленные зависимостью $Nu = 0,024 Re^{0.8} Pr^{0.37}$, действительной для $Re = 8,10^3 \div 8,10^4$ и $Pr = 29,3 \div 7,02$.

А. Каган

32700. Теплоотдача к двухфазному потоку воздуха и воды в вертикальной трубе. Асакава, Като (Asakawa Bunzo, Kato Yasuo), Яманаси дай-гаку когакубун канкю хококу, Repts Fac. Engng Yamanashi Univ., 1957, № 8, 43—49 (японск.; рез. англ.)

Исследована теплоотдача к двухфазному потоку воздуха и воды в вертикальной медной трубке диам. 25 мм на участке длиной 300 мм при скоростях воды 0,61—20,4 см/сек и воздуха 0—15 м/сек. Коэф. теплоотдачи h могут быть определены на основании критерияльных ур-ний: а) для пузырькового режима течения ($u_m < 15$ см/сек): $(hd/k) = 0,015 (c_p \mu_f / k)^{1/2} (d^3 \rho^2 g / \mu_f^2)^{1/2} \times (u_1^2 / gd)^{0,07} u_m^{0,22}$; б) для «поршневого» режима ($15 < u_m < 300$ см/сек): $(hd/k) = 0,027 (c_p \mu_f / k)^{1/2} \times (d^3 \rho^2 g / \mu_f^2)^{1/2} (u_1^2 / gd)^{0,07}$, где d — внутренний диаметр трубок; k — теплопроводность жидкости (Ж); c_p — теплоемкость Ж; μ_f — вязкость Ж; ρ — уд. вес Ж; g — ускорение силы тяжести; u_1 — фактивная скорость Ж, отнесенная к сечению пустой трубы; u_m — средняя фактивная скорость газа, отнесенная к сечению пустой трубы. Ю. Петровский

32701. Теплоотдача между вертикальной трубкой и воздушно-жидкостной смесью. Като (Kato Yasuo), Яманаси дайгаку когакубу кэнкю хококу, Repts Fac. Engng Yamanashi Univ., 1957, № 8, 31—36 (японск.; рез. англ.)

Эксперим. исследована теплоотдача от стенки к воздушно-жидкостной смеси, образующейся при продувании жидкости (вода, толуол, *n*-бутиловый спирт), размещенной в трубках с внутренним диам. $d = 0,025 + 0,115$ м, воздухом со скоростью 1—150 см/сек. В области интенсивной турбулентности при скоростях воздуха 15—150 см/сек опытные данные описываются эмпирич. ур-нием $ad/\lambda = 0,47(d^3 \rho^2 g / \mu^2)^{0,31} \cdot (C_p \mu / \lambda)^{1/4}$, где a — коэф. теплоотдачи, отнесенный к эффективной поверхности нагревания, ккал/м² час град; λ — коэф. теплопроводности жидкости, ккал/м час град; ρ , C_p и μ — уд. вес, кг/м³, теплоемкость, ккал/кг град, и вязкость жидкости, кг/м час; g — гравитационная постоянная, м/сек². А. Ровинский

32702. Теплоотдача при конденсации паров индивидуальных органических жидкостей и их бинарных смесей. Прессберг, Тодд (Heat transfer coefficients for condensing organic vapors of pure components and binary mixtures. Pressburg Bernard S., Todd James B.), A. I. Ch. E. Journal, 1957, 3, № 3, 348—352 (англ.)

Исследована теплоотдача при конденсации паров бензола, толуола, ацетона, метанола, этанола, *n*-пропанола, изопропанола и их бинарных смесей на поверхности медного горизонтального стержня диам. 100 мм и длиной 900 мм при атмосферном давлении. Для индивидуальных жидкостей значения коэф. теплоотдачи h (ккал/м² час град) удовлетворительно согласуются с теорией Нуссельта и выражаются ур-нием: $h/\Phi = 1,51 Re^{0,333}$, где $\Phi = (k^3 \rho^2 g / \mu^2)^{0,333}$, k — коэф. теплопроводности конденсата (ккал/м час град); ρ — уд. вес конденсата, кг/м³; g — ускорение силы тяжести, м/сек²; μ — вязкость конденсата, кг/м час. Для паров бинарных смесей значения h располагаются между соответствующими значениями h для отдельных компонентов. Установлено, что h смеси при $\Delta t = \text{const}$ изменяется линейно с составом. Р. Артым

32703. Капельная конденсация. 1—3. Эдамм, Кикай-но кэнкю, Sci. Mach., 1957, 9, № 8, 921—926; № 9, 1057—1060; № 10, 1179—1183 (японск.)

Исследован процесс капельной конденсации водяного пара на плоских металлич. поверхностях, покрытых слоем несмачиваемой водой в-ва, в зависимости от тепловой нагрузки, скорости и давления конденсирующегося пара. М. Гусев

32704. Теплоотдача при кипении. Татибана, Кагаку когаку, Chem. Engng (Japan), 1957, 21, № 2, 101—106 (японск.)

Приведены эксперим. данные по пузырьковому и пленочному кипению жидкостей, а также по кипению жидкостей, движущихся внутри трубок. М. Гусев

32705. Теплообмен при кипении водоаммиачного раствора. Филаткин В., Холодильн. техника, 1957, № 4, 23—29

Исследована теплоотдача при кипении воды, аммиака и их р-ров в большом объеме на горизонтальной стальной трубке диам. 28 мм и длиной 450 мм при давлении $P = 5 + 14$ атм. Нагревание трубки осуществлялось размещенным внутри нее электрич. нагревателем. Тепловая нагрузка q изменялась в пределах $(1 + 25) \cdot 10^3$ ккал/м² час. Т-ры стенки трубы, жидкости и пара определялись копель-хромелевыми термометрами. Переход от "естественной" конвекции к пузырьковому кипению (ПК) происходил при $q = 5000$ ккал/м² час. Значения коэф. теплоотдачи a отображаются ур-ниями вида: $a = Aq^n$, где A и n —

константы. Значения a для водоаммиачных р-ров ниже, чем a для чистых жидкостей, и проходят через минимум в области конц-ий аммиака $\xi = 0,2 + 0,41\%$. Уменьшение a для р-ров объясняется перестройкой пограничного слоя у поверхности нагревания, связанной с обеднением жидкости в пограничном слое легковлетучим компонентом и повышением ее т-ры. Приведены расчетные ур-ния и номограмма, позволяющие определить a в зависимости от q , P и ξ . Р. Артым

32706. Исследование образования пены в процессе теплопередачи при пузырьковом кипении. 1. Хира-но, Нисикава (Hirano Fujio, Nishikawa Kaneyasu), Кюсю дайгаку когаку, Technol. Repts Kyushu Univ., 1957, 30, № 1, 34—37 (японск.)

32707. Конвективный теплообмен при плавлении и затвердевании гомогенной среды. (Теоретическое решение для пластин). Ткачев А. Г., Докл. от СССР 9-му Междунар. конгрессу холода. М. Госторгиздат, 1957, 91—98

Дано теоретич. решение задачи для случая, когда тепло передается через пластину. Предполагалось, что при плавлении образующаяся жидкость с постоянной скоростью поступает в пограничный слой, при затвердевании жидкости из пограничного слоя с постоянной скоростью переходит в твердую фазу. Показано влияние процессов плавления и затвердевания, а также физ. свойств жидкости на величину коэф. теплоотдачи при свободном и вынужденном движении жидкости. Полученные теоретич. закономерности подтверждены опытами по плавлению льда в воде, твердого этиленгликоля в жидком и по затвердеванию воды. Р. Артым

32708. Применение аминов для интенсификации теплоотдачи. Филден (Filming amines as an aid to heat transfer. Fielden T. B.), Chem. and Process Engng, 1957, 38, № 12, 463—464 (англ.)

Рассмотрено применение аминов в пром-сти для интенсификации теплообмена и для устранения коррозии. Применение основано на свойстве аминов образовывать на металлич. поверхности ориентированную мономолекулярную пленку. Наличие пленки, не смачиваемой водой, позволяет осуществить стабильную капельную конденсацию, что резко интенсифицирует теплоотдачу. Устраняется также непосредственный контакт металлич. поверхности с O_2 и CO_2 , что предотвращает коррозию. Показано, что осуществление стабильной капельной конденсации и отсутствие термич. сопротивления, обусловленного коррозией, приводит к увеличению коэф. теплоотдачи в 3,5 раза. Р. Артым

32709. Применение жидких металлов в качестве теплоносителей. 1. Слейд (Liquid metals for industrial heating and cooling. Part 1. Slade Frank H.), Mach. Lloyd Overseas Ed., 1957, 29, № 23, 96—97, 99, 101—102 (англ.), 98, 100 (исп.)

Даны сведения о коэф. теплоотдачи, затратах на перекачивание, коррозионном действии. Р. Артым

32710. Методика исследования теплообмена альфа-калориметрами в котлах с нестационарным газовым потоком. Санд-Ходжаев А. В. С. А., Научнотехн. информ. бюл. Ленинград. политех. ин-та, 1957, № 9, 51—59

Приведены конструкции и характеристики компактных малоинерционных альфа-калориметров из дюралюминия диам. 12 мм и из железа диам. 16 мм, прогревающихся за 5—6 мин. Описана методика измерения локальных значений коэф. теплоотдачи в паровых котлах при различных расположениях трубных пучков и режимах газовых потоков с применением воздушного или водяного охлаждения альфа-калориметров. А. Ровинский

32711. Оптимальные скорости газов в теплообменниках с перегородками. Вязовов В. В., Гиммельбрандт Г. Н., Каганский И. М., Сб. научн. тр. Ереванск. политехн. ин-та, 1957, № 16, 105—120

Изложен метод расчета оптимальных скоростей газовых потоков в кожухотрубных теплообменниках с поперечными перегородками при миним. общих расходах (амортизационные и эксплуатационные).

Ю. Петровский

32712. Определение поверхности теплообмена в случае, когда конечная разность температур теплоносителя и одного из хладагентов равна нулю. Гельперин И. И., Минскер К. С., Ж. техн. физики, 1957, 27, № 9, 2143—2148

Рассмотрена работа теплообменника (Т), в котором прямой поток среды (С) охлаждается обратным потоком той же С и дополнительным потоком другой С; при этом разница между т-рами прямого и одного из обратных потоков на холодном конце Т равна нулю. Составлена система дифференциальных ур-ний, описывающая изменение т-р отдельных потоков; интегрирование этих ур-ний позволило получить расчетные ур-ния для определения т-р в любой точке Т.

А. Ровинский

32713. Влияние загрязнения теплообменных поверхностей на количество передаваемого тепла. — (Does fouling of heat-exchanger surfaces always mean poorer performance?—), Brit. Chem. Engng, 1957, 2, № 12, 674—676 (англ.)

Показано, что отложения загрязнений на теплообменных поверхностях при определенных условиях могут привести к интенсификации теплопередачи при сохранении весовых кол-в протекающих в-в. Это объясняется уменьшением свободного сечения и соответствующим возрастанием линейной скорости потоков, что, однако, во всех случаях приводит к увеличению сопротивления теплообменника. Выведены ур-ния и составлены графики применительно к кожухотрубным и пластинчатым теплообменникам, позволяющие рассчитать теплопередачу при наличии слоя загрязнения.

Ю. Петровский

32714. Устройство для нагревания, обезвоживания и высушивания инфракрасными лучами. — Пурасуттикусу, Japan Plastics, 1957, 8, № 3, 40—42 (японск.)

32715. Процесс охлаждения и увеличения влажности воздуха и нагревания воды в адиабатических условиях в насадочной колонне. Инацу мн, Кагаку когаку, Chem. Engng (Japan), 1957, 21, № 7, 450—451 (японск.)

32716. Радиационные нагревательные трубы и их роль в современных промышленных печах. Литтершейдт (Die Entwicklung und die Bedeutung des Strahlheizrohrs im modernen Industrieofenbau. Litterscheidt Walter), Gaswärme, 1956, 5, № 12, 426 (нем.)

Приводятся данные о распределении т-ры по поверхности радиационных U-образных труб. Данные получены на эксперим. установке, исключающей влияние формы нагревательного пространства и взаимного лучистого обмена между трубами. Распределение т-ры по поверхности труб при двух значениях теплового потока (5330 и 14 400 ккал/м² час) более равномерно, чем указано в статье Хельфerta (РЖХим, 1957, 67971)

Э. Нигин

32717. Составление оребренных и гладких труб. Хобсон, Уйбер (Compare finned and plain tubes. Hobson Merk, Weber James H.), Petrol. Refiner, 1957, 36, № 5, 239—242 (англ.)

Выполнено расчетное сопоставление 4 теплообменных элементов типа «труба в трубе» с различными внутренними трубами (Т): гладкой, с спиральными

поперечными ребрами, с продольными прямыми ребрами и с оребрением в виде цилиндрич. стержней, нормальных к поверхности. Принято, что внешняя поверхность внутренней Т омывается воздухом со средней т-рой 38° под давл. 1,05 ата. Оценка эффективности Т произведена по величине $hA/\Delta p$, где h — коэф. теплоотдачи омываемой поверхности; A — поверхность теплоотдачи на единицу длины Т; Δp — мощность, затрачиваемая на преодоление сопротивления на участке, равном единице длины Т. Установлено, что в рассматриваемом элементе наиболее эффективны Т с поперечными ребрами, затем Т с продольными ребрами, гладкие Т и наименее эффективны Т со стержневым оребрением.

Ю. Петровский

32718. Замечания по статье: Бенеш Ладомери «Воздухоподогреватели, использующие теплоту дымовых газов». Надь, Агоштон (Hozzászólás. Benes és néhai dr. Ladoméry «A füstgázok hőszűgázásán alapuló léghevítők» c közleményéhez. Nagy Istvan, Agoston Fülöp), Magyar energiagazd., 1955, 8, № 2, 78—79 (венг.)

См. РЖХим, 1956, 14998.

32719. Новая система охлаждения холодильников. Кобулашвили Ш. Н., Докл. от СССР 9-му Международн. конгрессу холода М., Госторгиздат, 1957, 22—35

Предложена новая конструкция испарительной батареи из трех оребренных труб с внутренней естественной циркуляцией жидкого хладагента, при которой питание двух верхних труб осуществляется жидкостью, перебираемой из нижней трубы. Выполнены опыты на стеклянной батарее с трубами длиной от 4 до 25 м для изучения структуры двухфазного потока вода — воздух. При скорости воздуха 0,017—0,54 м/сек структура смеси соответствовала пузырьковому режиму. Для труб длиной 9—25 м установлена зависимость между кол-вом перебираемой воды G_m , л/мин, кол-вом воздуха, подаваемого в нижнюю трубу G_e , л/мин, и превышением Z одного конца нижней трубы над другим, мм; $G_w = (12,99 - 0,0975 Z) + (7,689 + 0,02 Z) [1 - e^{-\omega(G_e - 20)}] - 0,00144 (40 - G_e) (G_e - 20)$, где $\omega = 0,66 [1 - e^{-(5,15 - 0,386Z)}]$. Ур-ние справедливо также для аммиачных испарителей; в этом случае при тепловых нагрузках порядка 40 ккал/час на 1 пог. м трубы $G_e = 2,3 L$, где L — длина нижней трубы, м. Оптимальные условия переборки жидкости имеют место при уклоне нижней трубы 0,004. Опыты при кипении фреона-11 показали полную аналогию между процессом движения смеси вода — воздух и паро-жидкостной смеси фреона-11.

А. Ровинский

32720. К проблеме применения бромированных углеводородов в качестве холодильных агентов. Бадилькес И. С., Докл. от СССР 9-му Междунар. конгрессу холода М., Госторгиздат, 1957, 50—59

Рассмотрена возможность применения бромированных углеводородов в холодильной технике. Основные термодинамич. свойства и соответствующие характеристики (в частности, объемная холодопроизводительность) этих холодильных агентов получены с помощью теории термодинамич. подобия свойств холодильных агентов. Отмечена возможность применения $F = 12B1$ (CF_3ClBr) для турбокомпрессорных агрегатов при низких т-рах кипения, для поршневых компрессоров при высоких т-рах конденсации, для произ-в, нуждающихся в одновременном получении холода и тепла.

Р. Артым

32721. Холодильные агенты и их смеси с маслами. Лёфлер (Kältemittel und Öl — Kältemittelgemische. Löffler H. J.), Kältetechnik, 1957, 9, № 41, 358—360 (нем.)

Обзор работ по определению свойств холодильных агентов и их смесей с маслами (1955—1957 гг.)

Р. Артым

32722. Характеристика напряжений, возникающих во льду при его соприкосновении с поверхностью различных материалов. Эскин, Фонтен, Унцелл (Strength characteristics of ice in contact with various kinds of surfaces. Eskin S. G., Fontaine W. E., Witzell O. W.), Refrig. Engng, 1957, 65, № 12, 33—38, 52 (англ.)

32723. Явление температурного реверса в вихревой трубе. Мартыновский В. С., Алексеев В. П., Докл. от СССР 9-му Междунар. конгрессу холода. М., Госторгиздат, 1957, 74—79

В определенных условиях наблюдается явление температурного реверса (ТР) в вихревой трубе, при котором холодный и горячий концы трубы меняются ролями. Исследован ТР на двух моделях трубы при работе с воздухом, давление которого перед соплами составляло 5 атм. Установлено, что ТР наступает для модели 1 при отношении диаметров диафрагмы ($d = 5,6$ мм) и трубы ($D = 9,0$ мм), равном $\alpha_R = 0,622$, а для модели 2 ($d = 12,3$ мм; $D = 16,0$ мм) $\alpha_R = 0,770$. Измерение скоростей в пяти нормальных сечениях горячего конца показало неоднородность распределения скоростей в различных сечениях, что подтверждает объяснение эффекта температурного разделения газа изменением профиля скоростей при движении вихря к дросселю. Перемена знака градиента угловой скорости газовых слоев является предпосылкой для ТР. Ю. Петровский

32724. Исследование выпарных аппаратов. Урагути (Uraguchi Yuzo), Нихон сию гаккайси, Bull. Soc. Salt Sci., Japan, 1957, 11, № 3, 167—168 (японск.) Исследована возможность повышения коэф. теплопередачи при выпаривании с целью уменьшения разности т-р в выпарных аппаратах, работающих с термомкомпрессией пара. М. Лусев

32725. Выпарные установки в химической промышленности. Блэк (Evaporating plant in the chemical industry. Black John), Brit. Chem. Engng, 1958, 3, № 1, 18—19 (англ.)

32726. Исследование циркуляции внутри котлов. — (Boiler circulation theory research. —), Chem. Ind. and Engng, 1957, 9, № 5, 26—30 (англ.)

Описана эксперим. установка, состоящая из циркуляционного контура высокого давления и измерительной аппаратуры, предназначенная для исследования влияния давления и циркуляции паро-водяной смеси при различных давлениях, включая крит. Р. Артым

32727. Процессы тепло- и массообмена в паре, содержащем воздух. Боснякович (Austauschvorgänge beim lufthaltigen Dampf. Bosnjakovic F.), Kylv. tekn. tidskr., 1957, 16, № 3, 142—146 (нем.)

В мол. i — ϕ диаграмме, где i —энтальпия, а ϕ —мол. доля пара, рассмотрены процессы испарения воды в паро-воздушную смесь и конденсации пара из этой смеси для общего случая подвода или отвода тепла. Р. Артым

32728. Метод расчета числа единиц переноса. Онда, Сада (Onda K., Sada), Kagaku kogaku, Chem. Engng (Japan), 1957, 21, № 8, 498—500 (японск.; рез. англ.)

Предложен метод аналитич. определения числа единиц переноса в процессах массообмена, характеризующихся значительными изменениями состава взаимодействующих фаз. Из приведенного примера следует, что результаты расчета отличаются менее чем на 1% от полученных графич. интегрированием.

Ю. Петровский

32729. Дистилляция и ректификация. Пари (Distillation — rectification. Paris A.), Ind. chim., 1957, 44, № 483, 298—305 (франц.)

Кратко изложены основные вопросы техники дистилляции и ректификации: равновесие жидкости и пара (идеальные и реальные р-ры); непрерывная ректификация бинарных, трех- и многокомпонентных смесей; периодич. ректификация; фракционированные испарение и конденсация; экстрактивная и азеотропная дистилляция; основные конструкции контактных тарелок.

Ю. Петровский

32730. Изменение в распределении компонентов в ректификационной колонне в связи с изменением состава поступающей смеси. З. Писида, Такамацу, Андзай, Мацумото, Иман, Икэда, Кёто дайгаку когаку кэнкюдзё ихо, Bull. Engng Res. Inst. Kyoto Univ., 1956, 10, 31—32 (японск.) Сообщение 2 см. РЖХим, 1957, 67981.

32731. Расчет колонны для четкой ректификации. Кигути, Риджуэй (Check list for superfractionator design. Kiguchi S. T., Ridgway R. L.), Petrol. Refiner, 1956, 35, № 12, 179—184 (англ.)

Рассматриваются методы расчета, контроля работы и исчисления стоимости колонн для четкой ректификации, когда требуемое число теоретич. тарелок равно 50 и более. Даны графики зависимости стоимости колонн от диаметра и числа тарелок, а также различные схемы их автоматич. регулирования, в том числе схема с применением анализатора состава головной фракции. С. Розеноер

32732. Графические методы расчета периодической ректификации бинарных смесей. Кребе (Grafiske metoder til fastlaeggelse af diskontinuerlig fraktionering ved destillation af en binaer stoffblanding. Krebs B.), Kemisk, 1957, 38, № 9, 67—74 (датск.) Обзор. К. Герцфельд

32733. Автоматический расчет фракционирующих колонн. Ридел (Automatic rating of fractionators. Reidel John C.), Oil and Gas J., 1957, 55, № 18, 103—108 (англ.)

Описано применение счетных машин для расчетов фракционирующих колонн методом Льюиса и Матсона; выполнены расчеты колонн для ректификации лагрина, выделения этилбензола. С. Розеноер

32734. Исследование коэффициента полезного действия колпачковой тарелки. Йосида, Такамацу, Кинюти, Кёто дайгаку когаку кэнкюдзё, ихо Bull. Engng Res. Inst. Kyoto Univ., 1956, 10, 32—33 (японск.)

Приведена эксперим. зависимость высоты, эквивалентной единице переноса, от отношения нагрузок по пару и жидкости. М. Лусев

32735. Работа насадочных колонн. 4. Влияние свойств газа, температуры и давления на коэффициенты массоотдачи в газовой фазе. Шулман, Марголис (Performance of packed columns. 4. Effects of gas properties, temperature, and pressure on gas-phase mass transfer coefficients. Shulman H. L., Margolis J. E.), A. I. Ch. E. Journal, 1957, 3, № 2, 157—161 (англ.)

Приводятся результаты опытов по определению влияния т-ры, давления и физ. свойств газа на коэф. массоотдачи. Опыты проводились в колонне диам. 100 мм, высотой 150 мм, имевшей слой насадки (Н) высотой 64 мм из седел Берля размером 12 мм, изготовленных из нафталина. Для создания устойчивого гидравлич. режима под нафталиновыми седлами размещался один ряд такой же Н из фарфора. Через Н с различной скоростью подавались воздух, CO_2 или фреон-12. Кол-во испарившегося нафталина определялось взвешиванием. Полученные данные, а также результаты других опытов, описываются ур-нием: $[(K_d M_T P_{\text{вм}}) / G] [\mu / (\rho D_V)]^{0.36} = 1,195 / D_p G / [\mu(1-\epsilon)]^{0.36}$, где K_d — коэф. массоотдачи в газовой фазе, кг моль / час м² ат; M_T — средний мол.

вес газа; $P_{\text{вм}}$ — среднее парц. давление инертного газа в газовой фазе, ат; G — весовая скорость газа, кг/м²·час; μ — вязкость газа, кг/м·сек; ρ — уд. вес газа, кг/м³; D_v — коэф. диффузии рассматриваемого в-ва в газ, м²/час; D_p — диаметр шара, имеющего такую же поверхность, как элемент насадки, м; ϵ — доля свободного объема насадки, м³/м³. (Часть III см. A. I. Ch. Journal, 1955, 1, 247).

32736. Ректификация бинарных смесей. VIII. Экспериментальное исследование ректификации смесей амиллового и изоамиллового спиртов. Окон-Гарсия, Мато-Васкес (Rectificación de mezclas binarias. VIII. Dispositivo experimental para el estudio de la mezcla alcohol amílico activoalcohol isoamílico. Osón García J., Mato Vázquez F.), An. Real. soc. esp. fis. y quim., 1957, 53, № 6, 461—468 (исп.; реза. англ.)

Исследована эффективность насадочной адиабатич. колонны с внутренним diam. 46 мм и высотой 950 мм, заполненной насадкой из колец Рашига размером 6,4 × 6,4 мм, при ректификации смесей амиллового и изоамиллового спиртов при полном возврате флегмы. Установлено, что высота насадки, эквивалентная единице переноса, уменьшается по мере увеличения конц-ии амиллового спирта в исходной смеси, т. е. увеличивается по линейному закону по мере возрастания наклона кривой равновесия. (Часть VII, см. РЖХим, 1957, 3279).

32737. Работа колонны с хордовой насадкой при неравномерном орошении. Маллин (Grid — packed towers under liquid maldistribution. Mullin J. W.), Brit. Chem. Engng, 1957, 2, № 11, 603—609 (англ.)

На основании теоретич. соображений установлено влияние неравномерности орошения насадки (Н) на эффективность ее работы в условиях массообмена при определяющем сопротивлении переносу в-ва на стороне газа. Степень неравномерности орошения (М) определяется отношением потоков жидкости, протекающих через два определенных сечения Н (напр., для цилиндрич. колонны рассматриваются кольцевое сечение, прилегающее к стенкам, где протекает большее кол-во жидкости, и круглое сечение в центральной части). Построены графики, показывающие ухудшение разделительного действия Н (уменьшение числа единиц переноса N) при $M = 1,5$; 2,0 и 3,0, $N = 1 + 20$ и $(mG/L) = 0 + 3,0$, где m — наклон линии равновесия; (L/G) — наклон рабочей линии (L — поток жидкости; G — поток газа или пара). При $(mG/L) > 1,0$ даже при малых M происходит резкое уменьшение N . Для проверки сделанных выводов выполнено исследование влияния М на эффективность хордовой Н в условиях испарительного охлаждения воды в колонне квадратного сечения со стороной 450 мм; в колонне установлены 26 деревянных решеток, каждая из которых образована 16 планками толщиной 6,3 мм, высотой 32 мм и длиной 445 мм, причем планки смежных решеток располагались под прямым углом. Вода подавалась через 4 независимые распределителя. Установлено, что при $M = 1$ коэф. массоотдачи пропорционален величине $G^{0,90}$ при $M = 2$ — величине $G^{0,79}$ и при $M = 3$ — величине $G^{0,69}$. Полученные данные хорошо согласуются с теоретич. выводами. Хордовая Н позволяет приблизиться к $M = 1$ и обладает малым сопротивлением.

32738. Расчет ситчатых тарелок. Лейбсон, Келли, Буллингтон (How to design perforated trays. Leibson I., Kelley R. E., Bullington L. A.), Petrol. Refiner, 1957, 36, № 2, 127—133 (англ.)

Изложен метод расчетного определения основных размеров ситчатых ректификационных тарелок, в соответствии с которым площадь отверстий определяется

таким образом, чтобы слой светлой жидкости в переливном стакане не превышал половины расстояния между тарелками.

32739. Экспериментальные значения к. п. д. тарелок и сопоставление их с расчетными величинами. Рапш, Стерба (Measured plate efficiencies and values predicted from single — phase studies. Rush F. E., Jr., Stirba Clifford), A. I. Ch. E. Journal, 1957, 3, № 3, 336—342 (англ.)

Определены значения к. п. д. Мэрффри, отнесенные к паровой фазе, для ситчатых тарелок (СТ), установленных в ректификационных колоннах diam. 450 и 150 мм. СТ имели отверстия diam. 3,2 мм, расстояние между которыми равно 9,5 мм; свободное сечение СТ составляло 6,7 и 5%. На СТ ректифицировались при полном возврате флегмы смеси: уксусная к-та — вода и метил-изобутилкетон — вода при атмосферном давлении, а также анилин — нитробензол при абс. давл. 5 мм рт. ст.; для второй смеси основное сопротивление переносу в-ва сосредоточено в жидкой фазе, а для остальных — в газовой фазе. Эксперим. значения коэф. массоотдачи сопоставлялись с расчетными, определенными по методу Герстера и др. (Gerster J. A., Bonnet W. E., Hess I., Chem. Engng. Progr., 1951, 47, 523); для систем с определяющим сопротивлением переносу на стороне газовой фазы отмечено хорошее соответствие эксперим. и расчетных данных, а в отношении систем с определяющим сопротивлением на стороне жидкой фазы расчетные значения дают лишь приближенное представление об эффективности СТ. Основной причиной расхождений эксперим. и расчетных значений является смещение жидкости в направлении ее движения по СТ.

32740. Характеристика и применение ректификационных колонн с ситчатыми тарелками. 1. Камэи, Коану гасу кёкайси, J. Soc. High Pressure Gas Ind., 1957, 21, № 5, 167—172 (японск.)

32741. О коэффициенте разделения смесей при испарении в высоком вакууме. Малюсов В. А., Малофеев Н. А., Жаворонков Н. М., Докл. АН СССР, 1957, 116, № 4, 660—663

По данным исследования мол. дистилляции смеси ди-бутилфталат-дибутилазелаат (I—II) в многоступенчатой кубе (РЖХим, 1957, 33268) определены значения коэф. разделения для идеальных α_m и реальных α_p смесей в интервале t -р 60—120° и найдено, что при низких t -рах $\alpha_m > \alpha_p$, но с повышением t -ры $\alpha_m/\alpha_p \rightarrow 1$. Отмечено малое изменение α_m/α_p с увеличением конц-ии I; значение этого отношения при 80—100° близко к величине $(M_2/M_1)^{0,5} \approx 1,04$, где M_2 и M_1 — мол. веса II и I. Измерены также α_m и α_p для системы ди-2-этилгексилфталат (III)-ди-2-этилгексилсебацат (IV) в тензиметре с падающей струей и найдено, что полученные значения α_m совпадают с данными Хикмана и Тревоя для системы III—IV (Hickman K. C. D., Trevo D. J., Industr. and Engng Chem., 1952, 44, № 8, 1882, 1903), а данные по α_p несколько ниже. Для системы III—IV наблюдается аналогичная зависимость α_m/α_p от t -ры совпадение значений α_m и α_p наступает в области t -р 150—160°.

32742. Исследование кинетики поглощения углекислого газа растворами соды в колонке с насадкой. Кишиневский М. Х., Уч. зап. Кишиневск. ун-т, 1957, 27, 141—148

Исследована абсорбция CO₂ р-рами соды в колонке diam. 40 мм, высотой 270 мм с насадкой из стеклянных колец размером 9 × 9 мм, высота слоя которых составляла 175 мм. Изучено влияние на скорость абсорбции t -ры и конц-ии р-ра, парц. давления CO₂ и расхода газа. T -ра и конц-ия р-ров подбирались таким образом,

чтобы вязкость поглотителя сохранялась постоянной во всех опытах и равной 1,2 *спуз*. Анализ эксперим. данных показал, что они хорошо согласуются с ур-нием, полученным автором (см. РЖХим, 1955, 7195).

Ю. Петровский

32743. Влияние поверхностноактивных веществ на скорость абсорбции и десорбции ацетилена водой. Еленков, Божов, Докл. Болг. АН, 1957, 10, № 1, 25—28 (рез. нем.)

Исследовано влияние некаля (натриевая соль изобутил-β-нафталенсульфокислоты) и ОП-10 (полиэтиленгликолевый эфир изооктилфенола) на скорость абсорбции и десорбции ацетилена водой. Установлено, что эти в-ва снижают скорости абсорбции и десорбции; при этом скорость абсорбции зависит только от скорости абсорбента, т. е. определяющее значение имеет сопротивление на стороне жидкости.

А. Каган

32744. К определению высоты насадочных колонн при абсорбции, сопровождающейся химическими реакциями. Кишиневский М. Х. Мочалова Л. А., Ж. прикл. химии, 1957, 30, № 9, 1386—1390

Выведено ур-ние для вычисления высоты H насадочной колонны при абсорбции, сопровождающейся хим. р-циями, для случая, когда конц-ию абсорбента можно считать постоянной по H колонны. Такие условия существуют при большой плотности орошения и малой скорости газа в колонне. Вывод ур-ния основан на соотношениях, сформулированных в работе Кишиневского (см. РЖХим, 1955, 7195). Для проверки ур-ния выполнены опыты по поглощению CO_2 р-рами Na_2CO_3 в колонне диам. 38 мм с насадкой из стеклянных колец размером $12 \times 9 \times 0,7$ мм, высота слоя которых равнялась 170 мм. Плотность орошения составляла $20,6 \text{ м}^3/\text{час м}^2$, а расход газа $185 \text{ см}^3/\text{мин}$. Аналогичные опыты проведены также в колонне со слоем насадки $H = 300$ мм. Показано, что H колонны, определенная на основании выведенного ур-ния, хорошо совпадает с фактич. H .

Ю. Петровский

32745. Исследование процесса хемосорбции CO_2 растворами NaOH и KOH в насадочной колонне. Касаткин А. Г., Кафаров В. В., Слободяник И. П., Тр. Моск. хим.-технол. ин-та им. Д. И. Менделеева, 1957, вып. 389—404

Исследован процесс хемосорбции с системами CO_2 — NaOH и CO_2 — KOH в насадочной колонне диам. 125 мм, заполненной кольцами Рашига диам. 8—20 мм на высоту $H = 0,25 \div 1$ м. Конц-ия щелочи в орошающем р-ре изменялась в пределах 0,1—1,2 н, т-ра жидкости составляла $17\text{—}19^\circ$. Для оценки скорости процесса сорбции введено понятие коэф. эквивалентности α , представляющего отношение кол-ва абсорбирующегося газа (ϵ / час), которое содержится в G (кг / час) газовой смеси, поступающей в колонну, к кол-ву газа, которое может, по стехиометрич. соотношению поглотить L (кг / час) р-ра. Установлено, что возрастание L оказывает большее влияние на скорость абсорбции G_A , чем изменение G ; при определенных значениях G и L возникает режим развитой свободной турбулентности (режим эмульгирования), при котором осуществляется оптимальный режим массообмена. Исследована зависимость G_A от L , α , начальной конц-ии р-ра N_n , H , эквивалентного диаметра насадки d_n и предложено ур-ние для определения G_A в режиме эмульгирования: $G_A = 0,619 L d_n^{-0,585} H^{0,8} \alpha^{0,9} N_n^{1,16}$. Опытные данные в области $0,25 < (L'/L_{\text{эм}})$, $(G'/G_{\text{эм}}) < 0,83$ описываются ур-нием $G_A'/G_{A\text{эм}} = 0,18 + 0,43 (L'/L_{\text{эм}})$; при $(L'/L_{\text{эм}}) > 0,83$ справедливо ур-ние $G_A'/G_{A\text{эм}} = 2,63 (L'/L_{\text{эм}}) - 1,63$, где G_A' и $G_{A\text{эм}}$ — скорости абсорбции в данном режиме и в режиме эмульгирования;

L' и G' — скорости р-ра и газа в данном режиме и $L_{\text{эм}}$ и $G_{\text{эм}}$ в режиме эмульгирования.

А. Ровинский

32746. Исследование периодической экстракции. Робу (Contribuții la cunoașterea mecanismului extracției diferențiale succesive). Robu I. V., Rev. chim., 1957, 8, № 9, 566—571 (рум.; рез. русск., франц., нем., англ.)

Выполнено теоретич. исследование процесса периодич. экстракции, осуществляемого в ряде последовательно соединенных экстракторов (р-р, подвергаемый экстракции, не перемещается, а р-ритель последовательно проходит экстракторы).

З. Хаймский

32747. По поводу метода расчета кристаллизаторов для нафталиновых фракций, предложенного В. М. Тамариным. Вольфсон Б. Н., Пац В. М., Коос и химия, 1957, № 8, 63—64

Критикуется метод расчета барабанных кристаллизаторов, предложенный В. М. Тамариным (РЖХим, 1957, 59774) и отмечается, что рассчитанная продолжительность кристаллизации \sim вдвое больше фактической.

В. Каган

32748. Исследование массообмена при растворении твердой фазы в жидкости. Гзовский С. Я., Плано-новский А. Н., Хим. пром-сть, 1957, № 6, 363—365; Тр. Моск. ин-та хим. машиностр., 1957, 43, 43—52

Исследован массообмен при растворении в дистил. воде щавелевой к-ты, нанесенной равномерным слоем толщиной 2—3 мм на внутреннюю поверхность труб из молибденового стекла диам. 10—12 мм. Конц-ия к-ты в р-ре определялась методом электропроводности. Скорость жидкости составляла $0,627\text{—}2,242 \text{ м/сек}$, чему соответствует $Re = 5300 \div 15000$; значения диффузионного критерия $Pr_D = 724 \div 801$. Опытные данные выражаются критериальным ур-нием: $Nu_D = 0,00062 Re^{1,15} Pr_D^{0,54}$, где Nu_D — диффузионный критерий Нуссельта.

Ю. Петровский

32749. К вопросу о тепловом расчете контактных сушильных устройств. Красников В. В., Тр. Моск. технол. ин-та пищ. пром-сти, 1957, вып. 7, 64—70

Результаты исследования процесса контактной сушки отливок из целлюлозы показывают, что термич. сопротивление контактного слоя R_k , обусловленное фазовым превращением в материале, начинает проявляться при т-ре греющей поверхности $t_{гр} \sim 100^\circ$, быстро растет при увеличении т-ры до 106° , а затем рост R_k несколько замедляется. Получена зависимость для определения потока тепла q в первом периоде сушки $q = \lambda_0 (t_{гр} - t_k) / \delta_k$, где λ_0 — эффективный коэф. теплопроводности влажного материала, учитывающий массообмен; δ_k и t_k — толщина и т-ра контактного слоя отливки. Ур-ние может быть также применено для определения зависимости λ_0 от $t_{гр}$, когда q может быть сравнительно легко найдена другими путями. См. РЖХим, 1957, 68002.

А. Ровинский

32750. Метод расчета непрерывно действующих сушилок с замкнутой циркуляцией. Главер, Мосс (A method of design of continuous through-circulation dryers. Glover H. C., Moss A. A. H.), Trans. Inst. Chem. Engrs, 1957, 35, № 3, 208—218 (англ.)

Исследован процесс сушки органич. пастообразных в-в в форме цилиндрич. стержней диам. 1,5—5 мм нагретым воздухом в вертикальной сушильной камере диам. 190 мм. Изучено влияние размеров образца, скорости и влажности воздуха на процесс сушки. Даны ур-ния динамики процесса в стадиях постоянной и падающей скорости сушки.

Н. Кондуров

32751. Исследование процесса сушки порошков и гранулированных твердых материалов инфракрасными лучами в период падающей скорости сушки. Яги, Куни, Окада, Тоябэ (Yagi Sakae, Kunii Daizo, Okada Shoji, Toyabe Ryo), Кагаку когаку, Chem. Engng (Japan), 1957, 21, № 8, 486—491 (японск.; рез. англ.)

Экспериментально исследован процесс сушки порошков и гранулированных материалов в неподвижном слое при одновременном облучении ИК-лучами и обдувании потоком воздуха. Сушке подвергались речной песок (диаметр частиц $d = 0,14 \div 0,7$ мм), железный порошок ($d = 0,009 \div 0,13$ мм), древесный порошок ($d = 0,16$ мм) и цемент ($d < 0,043$ мм). Толщина слоя составляла 7—61 мм, т-ра воздуха изменялась в интервале 5—35°, скорость воздуха 1,14—1,34 м/сек, интенсивность ИК-радиации 4400—9000 ккал/м²·час. Найдено, что фактором, определяющим кинетику процесса в период падающей скорости сушки, является теплопроводность обрабатываемого материала. Приведены диаграммы, показывающие изменение влагосодержания и т-ры по высоте слоя, скорость сушки, влияние d . А. Ровинский

32752. Сушка органических продуктов нагретым воздухом. Циглер (Schonende Trocknung organischer Güter mit Warmlufttrocknern. Ziegler Lutz), Chem.-Ing.-Techn., 1957, 29, № 7, 466—468 (нем.; рез. англ., франц.)

Рассмотрены сушилки, в которых без местных перегревов может быть осуществлена сушка нагретым воздухом термолабильных органич. в-в. А. Каган

32753. Определение веса в процессе сушки вымораживанием под вакуумом. Нэи, Йосимото, Тиба, Синку когё, Vacuum Engng, 1957, 4, № 5, 154—156 (японск.)

32754. Об основных химических процессах. Суда, Кагаку когё, Chem. Ind. (Japan), 1957, 8, № 8, 713—716 (японск.)

Дано определение и характеристика основного хим. процесса, в качестве примера которого рассмотрен процесс дегидратации при проведении р-ции нитрования и этерификации в лаборатории и на полупромышленной установке. М. Гусев

32755. Основные положения и практические примеры расчета реакторов. Жинье (Données générales sur les calculs des réacteurs, tirées de quelques exemples pratiques. Gignier J.), Génie chim., 1957, 78, № 2, 33—45 (франц.; рез. англ., исп.)

На практич. примерах показано, что трубчатые реакторы могут быть рассчитаны путем решения системы ур-ний, включающих, помимо ур-ний материального баланса, ур-ний теплопередачи, также ур-ния кинетики. При этом вместо изменения конц-ии во времени t принимают изменение конц-ии вдоль пути реакционной трубы, пройденного реагирующей смесью за t . Константы кинетич. ур-ний определяют экспериментально. В случае протекания нескольких р-ций их скорости суммируются. Общее кинетич. ур-ние имеет вид

$$V_R/F = \int_0^x \frac{dx}{r} \quad (x - \text{степень превращения основного реагента, } V_R - \text{реакционный объем, } F - \text{расход реагирующей смеси, } r - \text{скорость р-ции, определяемая из кинетич. ур-ния}).$$

З. Хаимский

32756. Устойчивость работы и чувствительность химических реакторов. Часть II. Влияние параметров на чувствительность трубчатого реактора. Билу, Амундсон (Chemical reactor stability and sensitivity. II. Effect of parameters on sensitivity of empty tubular reactors. Bilous Olegh, Amundson Neal R.), A. I. Ch. E. Journal, 1956, 2, № 1, 117—126 (англ.)

Указывается, что расчет распределения т-ры и конц-ии в реакторе был произведен при помощи счетной машины REAC. Отмечается, что расчеты подтвердили теоретич. предположения о существовании таких режимов работы реактора, при которых производительность наиболее чувствительна к изменениям рабочих условий. Предложен метод определения этих режимов. Указывается, что небольшие колебания в конц-ии поступающих в-в или в т-ре могут передаваться по реактору с возрастанием или с затуханием в зависимости от режима его работы. По аналогии с электр. системами показано, что при наличии рециркуляции в-в имеет место неустойчивость процесса.

С. Крашенинников

32757. Процесс измельчения твердых тел. Влияние способа измельчения с рециркуляцией измельчаемого материала на тонину помола. Танака, Сэмэно (Tanaka, Cement and Concrete, 1957, № 128, 14—17 (японск.))

32758. Изучение эксплуатационных данных шаровых мельниц. Джингезян (A study of operating data from ball mills operating in Quebec, Ontario, Manitoba, and British Columbia. Djingheuzian L. E.), Canad. Mining and Metallurg. Bull., 1957, 50, № 544, 504—513. Discuss., 514—518 (англ.)

Изучались эксплуатационные данные, полученные от различных фирм, использующих на своих предприятиях шаровые мельницы. Для анализа этих данных использовалось понятие о так называемом индексе работы, введенном Бондом (Bond F. C., The third theory of comminution, Trans., A. I. M. E., 1952), показывающем относительное снижение сопротивления материала в испытуемом интервале размеров частиц, а также относительную механич. эффективность различных процессов измельчения и машин. Индекс работы определяется из ур-ния: $W_i = W \sqrt{R_r} \times \sqrt{p/1000} \times$

$\times (R_r - 1)^{-1/2}$, где W — потребляемая мощность в кат-час/т, R_r — степень измельчения, p — размеры зерен готового продукта в μ . Была установлена зависимость между индексом работы и различными переменными, характеризующими работу шаровой мельницы (диаметр шаровой мельницы, диаметр шаров, степень измельчения). Установление этих зависимостей позволило найти аналитич. связь между некоторыми из наиболее важных переменных (напр., между формой футеровки и износом шаров). Было также найдено, что износ шаров в мельнице прямо пропорционален индексу работы, а также показано, что с увеличением степени измельчения увеличение износа шаров происходит по экспоненциальной кривой. В. Реутский

32759. Вычисление объема жидкости в частично заполненных сосудах. Цилль (Inhaltsberechnung teilweise gefüllter Behälter. Zill F.), Technik, 1957, 12, № 12, 803—805 (нем.)

32760. Упаковка и транспортирование материалов. Марьянович (Unutrašnji transport i ambalaža. Marjanović Slavko), Tehnika, 1957, 12, № 2, Prehranbena ind., 11, № 2, 21—24 (серб.-хорв.; рез. англ.)

32761 К. Примеры и задачи по курсу процессов и аппаратов химической технологии. Изд. 2-е. Павлов, Романков, Носков (Exerciții și probleme la cursul de rocese și aparate din tehnologia chiea. Ed. 2-a. Pavlov K. F., Romankov P. G., Noskov A. A. Trad. din limba rusă. București, Ed. techn., 1957, 564 p., il., 24,70 lei) (рум.)

Перевод. См. РЖХим, 1956, 5858.

32762 К. Насосы и их применение. Тен (Les pompes et leurs applications. Thin Daniel. Paris, Ed. Eyrolles, 1955, 255 p., ill., 2300 fr.) (франц.)

Подробнее см. РЖХим, 1957, № 21, стр. 397.

32763 К. Руководство по сжатому воздуху. Составлено Институтом сжатого воздуха и сжатых газов в США. Перев. с англ. (Manuel de l'air comprimé. Ouvrage réalisé par l'Institut de l'air et des gaz comprimés des Etats-Unis. Trad. de l'angl. Paris, Ed. Eyrolles, 1957, 469 p., ill., 5780 fr.) (франц.) Подробнее см. РЖХим, 1957, № 21, стр. 397.

32764 К. Вентиляторы и их применение. Тен (Les ventilateurs et leurs applications. Thin Daniel. Paris, Ed. Eyrolles, 1956, 152 p., ill., 1510 fr.) (франц.) Подробнее см. РЖХим, 1957, № 21, стр. 397.

32765 К. Внешний тепло- и массообмен в процессе конвективной сушки. Смольский Б. М. Минск, Белорусск. ун-т, 1957, 205 стр., илл.

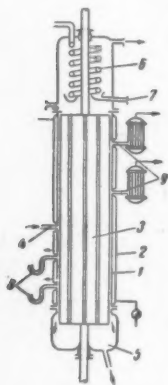
32766 П. Контактная трубчатая печь. Ямм, Зоммер (Ausgestaltung von Kontaktöfen mit Sonderrohren. Jamm Wilhelm, Sommer Wilhelm) [Mannesmann Akt.-Ges.]. Пат. ФРГ, 944451, 14.06.56 Предложено применять бесшовные трубы с внутренними продольными желобками или ребрами, что улучшает теплопередачу и предотвращает разложение реагирующих в-в. В. Жужиков

32767 П. Способ сжигания под слоем жидкости (Procédé et appareil pour l'utilisation de la combustion immergée) [Submerged Combustion Cny of America]. Франц. пат. 1097030, 28.06.55 [Chaleur et Industrie, 1956, 37, № 371, D82 (франц.)]

Предлагается осуществлять сжигание топлива под слоем жидкости на установке, состоящей из трех частей: 1) сосуда, в котором происходит горение под слоем жидкости, что сопровождается образованием неконденсирующихся газов, которые барботируют через слой жидкости, нагревают ее и увлекают в сепаратор; 2) сепаратора, где происходит отделение неконденсирующихся газов от нагретой жидкости; 3) устройства для сбора нагретой жидкости в возвратную часть ее в сосуд. Ю. Петровский

32768 П. Устройство для ректификации многокомпонентных смесей. Бюхе (Vorrichtung zur Rektifikation von Mehrstoffgemischen. Büche Walter) [Badische Anilin- & Soda-Fabrik A.-G.]. Пат. ФРГ № 957119, 31.01.57

Предложена конструкция ректификационного аппарата, состоящего из цилиндрич. испарителя 1 с греющей рубашкой 2 и охлаждаемым ротором 3. Жидкость по внутренней поверхности 1 стекает вниз тонкой пленкой противотоком пару. Конденсат, образующийся на 3, отбрасывается на внутреннюю поверхность 1. Исходная смесь подается через 4 в среднюю часть 1. Высококипящий компонент отбирается из нижней части 5, а низкокипящий конденсируется на наружной поверхности конденсатора 6 и отбирается по трубе 7. При разделении многокомпонентной смеси фракции отбираются в виде жидкости через гидравлич. затворы 8 или по трубам 9 в виде пара. 3 состоит из центральной втулки и продольных лопастей (на рис. не показаны) из теплопроводного материала, угол наклона которых к направлению радиуса отличается от прямого. Такая конструкция 3 обеспечивает отбрасывание жидкости на 1 не в виде капель, как это имеет место в аппаратах с цилиндрич. 3, а в виде пленки. Для уменьшения вредного влияния вторичного потока пара от стенки 1 к середине 3 рекомендуется лопасти делать наклон-



ными по отношению к оси 3. Большое кольцевое сечение между 1 и 3 обеспечивает большую производительность при малом гидравлич. сопротивлении; аппарат пригоден также для высоковакуумной дистилляции.

32769 П. Метод рекуперации тепла при дистилляции и регенерации отработанных жидкостей (Perfectionnement apporté aux dispositifs récupérateurs de chaleur, notamment dans les installations de distillation ou de régénération) [Heurtey et Cie]. Франц. пат. 1122157, 3.09.56

Предложен метод рекуперации тепла дистилляционных или регенерационных установок, нагреваемых паром. Для охлаждения конденсатора применяется циркуляционная вода, после чего она поступает в резервуар (Р), паровое пространство которого соединено с инжектором на линии свежего пара, направляющегося на нагревание куба колонны. В Р создается пониженное давление с интенсивным испарением и охлаждением воды. Пар низкого давления из Р смешивается со свежим паром в инжекторе и используется для нагревания куба. Таким способом рекуперируется до 25% тепла, выделяемого в конденсаторе. З. Хаимский

32770 П. Дегазация жидкостей (Perfectionnement à l'extraction de gaz dissous dans des liquides) [Soc. An. des Manufactures des Glaces et Produits Chimiques de Saint-Gobain, Chauny & Cirey]. Франц. пат. 1126524, 26.11.56

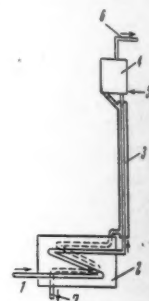
Предложена схема дегазации жидкостей нагреванием, отличающаяся использованием тепла, уносимого дегазированной жидкостью (Ж). Насыщ. газом Ж по 1 поступает через теплообменники 2 и 3 в сосуд 4, куда по 5 вводится греющий пар; при кипении из Ж выделяется газ, который отводится по 6. Дегазированная Ж проходит через 3 и 2 и отводится по 7. Относительное размещение 2 и 4 обеспечивает гидростатич. напор Ж, препятствующий выделению газа из нагреваемой Ж в 2, что улучшает условия теплообмена в 2 и 3. З. Хаимский

32771 П. Способ и устройство для извлечения смесивающихся с водой растворителей из газообразных или парообразных продуктов. Рудбах (Verfahren und Vorrichtung zur Gewinnung von wasserlöslichen Lösungsmitteln aus gas- oder dampfförmigen Mitteln. Rudbach Wolfgang) [Metallgesellschaft A.-G.]. Пат. ФРГ 944666, 21.06.56

При выделении летучих р-рителей (спирты, эфиры) из смесей методом адсорбции с последующей десорбцией водяным паром предложено направлять образующуюся смесь водяных паров и р-рителя в куб ректификационной колонны для использования тепла водяных паров при ректификации.

32772 П. Метод и аппаратура для непрерывного взаимодействия жидкой и твердой фаз при монобмене. Спиес, Зенк (Ion exchange method and apparatus for continuous inter-action of liquids and solids. Spiess Newton E. Jr, Zenk Martin J.) [National Dairy Research Labs, Inc.]. Пат. США 2744066, 1.05.56

Приведена схема непрерывной установки из 4 последовательно включенных колонн (К): экстракционной, промывной, регенерационной, промывной, а также конструкция К с винтовыми направляющими, обеспечивающими перемещение материала. Ионнообменная смола направляется в нижнюю часть жидкой К и поступает на направляющие. Движение смо-



ны вверх от водом. Часть в 1 сек. с а по лотку, и тельно по

32773 П. Аппарат для жидкостной экстракции. Николс, Хейл (Apparatus for liquid extraction. Nicols Heil) [Soc. An. des Manufactures des Glaces et Produits Chimiques de Saint-Gobain, Chauny & Cirey]. Франц. пат. 1126524, 26.11.56

кальные в таком обр нижней ст ней кром наивает 5 на 10, обр прохода жидкость, движется скоростью кую жидк да колено жидкость жидкость дующий н Т, ота по щую Т. **32774 П.** для (C bert A 26.06.56 Установ смесей ор тем, что удалении смесь орг действующ также по ния част кристалл чающаяся аппарат жующийся до с кр (150 от/ кристалл ходит че та 2. В н

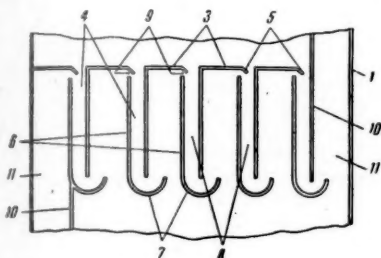
17 Зака

ды вверх обеспечивается вибратором с механич. приводом. Частота вибрации материала от 6 до 60 циклов в 1 сек. с амплитудой 0,8—8 мм. Смола выходит из К по лотку, и указанным способом движется последовательно по замкнутому циклу через все 4 К.

Н. Кондуков

32773 П. Аппарат для осуществления контакта между жидкостями. Хилл (Liquid-liquid contacting device. Hill Goosch) [Phillips Petroleum Co.]. Пат. США 2759800, 21.08.56

Аппарат для эффективного противоточного контактирования несмешивающихся жидкостей разной плотности с последующей сепарацией их, напр. в процессах экстракции и очистки масел, имеет ряд контактных тарелок (Т), смонтированных в цилиндрич. корпусе 1. Плоскость Т образуется горизонтальными плитами 2, имеющими вертикальные пластины 4 и на-



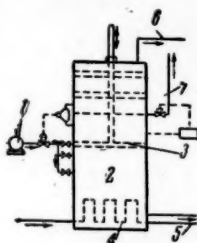
клонные козырьки 5. Под 5 укреплены другие вертикальные пластины 6 с полукруглыми изгибами 7; таким образом щелевидные каналы 8 между 4 и 6 в нижней своей части изгибаются на 180°. Между верхней кромкой 6 и 3 имеются щели 9, над которыми нависает 5. К крайней пластине 6 приваривается стенка 10, образующие вместе со стенкой 1 канал 11 для прохода жидкости с одной Т на другую. Тяжелая жидкость, напр. р-ритель, заполняет весь аппарат и движется сверху вниз, прохода с достаточно большой скоростью через щели между 5 и 4, эжектирует легкую жидкость через 9 и перемешивается с ней. Пройдя колено канала 8, жидкости сепарируются: тяжелая жидкость стекает на нижележащую тарелку, а легкая жидкость поднимается вверх и эжектируется в следующий канал этой же Т. Пройдя все каналы данной Т, она попадает в 11 и поднимается на вышележащую Т.

А. Ровинский

32774 П. Установка для очистки кристаллов. Финдлай (Crystal purification apparatus. Findlay Robert A.) [Phillips Petroleum Co.]. Пат. США 2752230, 26.06.56

Установка непрерывного действия для разделения смесей органич. в-в путем кристаллизации отличается тем, что в ней применяется спец. приспособление для удаления маточного р-ра из кристаллов. Исходная смесь органич. в-в подается в один из попеременно действующих сосудов (на рис. не показаны), куда также подается жидкий хладагент. За счет испарения части хладагента происходит понижение т-ры и кристаллизация компонентов исходной смеси. Получающаяся пульпа насосом 1 непрерывно подается в аппарат 2, к стенкам которого плотно прилегает движущийся воздушно-поступательно поршень 3 — кольцо с крестовиной, к которым прикреплена сетка (150 отв/см²). При движении 3 происходит уплотнение кристаллов; выделяющийся из них маточный р-р проходит через сетку поршня 3 в верхнюю часть аппарата 2. В нижней части аппарата 2 имеется нагреватель-

ный элемент 4, который обеспечивает расплавление кристаллов компонента с более высокой т-рой кристаллизации. Этот компонент в жидком виде отводится



из 2 по трубе 5. Компонент с более низкой т-рой кристаллизации отбирается при подъеме 3 по трубе 6. Охлаждение в 2 происходит за счет испарения остальной части хладагента, пары которого выходят по трубе 7, сжимаются компрессором и, пройдя холодильники и сборник (на рис. не показаны), в виде конденсата возвращаются в цикл. Описанный метод может быть применен, напр. для разделения м- и п-ксилов. 50%-ная смесь ксилолов с т-рой 28° смешивается с этаном, имеющим т-ру —20°. Образующаяся после испарения части этана пульпа с т-рой —50° подается в колонну для очистки кристаллов. Из нижней ее части отбирается 99,5%-ный п-ксилол. Маточный р-р поступает на дистилляцию для удаления этана, после чего получается 90%-ный концентрат м-ксилола.

В. Коган

32775 П. Способ работы сушильной установки. Хейес (Drying oven and operation thereof. Hayes Cletus T.) [Oxy-Catalyst, Inc.]. Пат. США 2743529, 1.05.56

Отходящие топочные газы при 200—250° поступают из сушилки в камеру, где производится сжигание их горючих составных частей в присутствии катализатора. Из камеры газы при 525—600° возвращаются в сушилку, причем т-ра их перед поступлением в сушилку может быть снижена добавлением свежего воздуха; избыточное кол-во газов отводится в котел-утилизатор. Заданная кон-ция горючих составных частей в газах поддерживается автоматически изменением числа оборотов дымососа, что приводит к увеличению кол-ва подсосываемого свежего воздуха.

Т. Колач

32776 П. Устройство для выгрузки катализатора. Банке (Catalyst unloader. Banks Daniel B.) [Sun Oil Co.]. Пат. США 2766002, 9.10.56

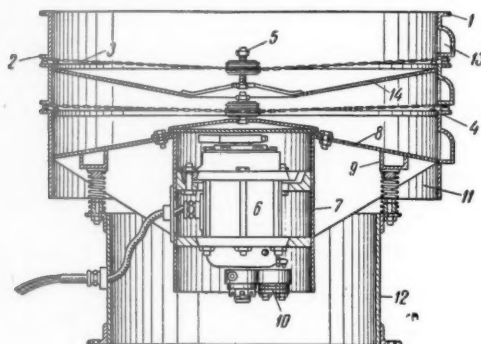
Описано устройство для выгрузки порошкообразного катализатора (К), которое обеспечивает безопасность процесса и предупреждает потери К. Нижняя часть реакционного аппарата вертикальной трубой соединена с наклонным цилиндром, каналом, установленным на передвижной раме. К из аппарата поступает в нижележащий конец канала и перемещается по нему шнеком к противоположному концу, из которого К выгружается через сильфонное устройство, в контейнер. После поступления в контейнер определенного кол-ва К происходит автоматич. замена заполненного контейнера на пустой. Скорость выгрузки К регулируется заслонкой, находящейся в вертикальной трубе.

Б. Сумм

32777 П. Устройство для просеивания. Миллер, Матьюсон, Мейнцер (Screening mechanism. Miller Robert P., Mathewson Frank, Meinzer Harry). Пат. США 2753999, 10.07.56

Описано устройство (У) для разделения гранулированных и порошкообразных материалов на несколько фракций с частицами требуемого размера. У состоит из нескольких цилиндрич. секций 1, кол-во которых равно числу отбираемых фракций. Секции соединяются с помощью фланцев 2, между которыми закрепляются сита 3, изготовляемые из проволоки или эластичной ткани. С помощью резиновых колец 4 и натяжных винтов 5 сито придается форма усеченного конуса с наклоном 10—19 мм/м. Внутри нижней секции находится электромотор 6, помещенный в цилиндрич. кожух 7, закрепленный на конич. перего-

родке 8. К кожуху приварены ребра жесткости 9. На обоих концах вала мотора закреплены несбалансированные грузы 10, вес которых и взаимное расположение в плане могут изменяться. У установлено на пружинах 11, закрепленных на верхнем фланце опорной колонны 12, нижний фланец которой служит для прикрепления У к фундаментной плите. Просеиваемый материал поступает в верхнюю секцию и частицы, диаметр которых превышает размер отверстий верхнего сита, отводятся по каналу 13. При вращении



мотора происходит непрерывное встряхивание всех сит, ускоряющее процесс просеивания. Просеянные частицы с помощью конич. перегородки 14 сыплются на центральную часть нижележащего сита. Описана также конструкция узла крепления сит, позволяющая значительно уменьшить их износ. Б. Сумм

См. также: Смесители 33245. Фильтры 34159. Измерение т-р в холодильной технике 32796. Дробилки 33248. Опытная установка для экстракции и дистилляции 33680. Трубопроводы из пластмасс 34408

КОНТРОЛЬНО-ИЗМЕРИТЕЛЬНЫЕ ПРИБОРЫ. АВТОМАТИЧЕСКОЕ РЕГУЛИРОВАНИЕ

Редакторы А. М. Дробиз, Н. Я. Феста

32778. Новые приборы, применяемые в системах автоматического регулирования (в химической промышленности). О н о, Бэссацу кагаку когё, 1957, 1, № 1, 159—170 (японск.)

32779. Применение измерительных приборов в цементной промышленности. И с о б з, Бэссацу кагаку когё, 1957, 1, № 1, 92—107 (японск.)

32780. Контрольно-измерительное и регулирующее оборудование для нефтехимической промышленности. У о р ш о у (Electronic instrumentation and control equipment for the petro-chemical industries. Warshaw N. C.), Brit. Petrol. Equipm. News, 1957, 6, № 2, 53—58 (англ.)

Основным элементом системы электронной передачи и автоматич. регулирования, разработанной фирмой Evershed and Vignoles Ltd, является датчик, предназначенный для преобразования перемещения измерительного элемента в пропорциональный этому перемещению электрич. ток. При этом перемещение чувствительного элемента закручивает измерительную пружину датчика, а усилие этой пружины компенсируется втягивающим усилием катушки электромагнита обратной связи. Достижение баланса определяется по размыканию контактов датчика, которые управляют сеточной цепью электронного усилителя, в анодной цепи которого включены выходная нагрузка и ка-

тушка обратной связи. При установке в датчике постоянного магнита втягивающее усилие катушки обратной связи линейно, и выходной ток пропорционален перемещению чувствительного элемента. При установке электромагнита усилие изменяется пропорционально квадрату перемещения, и выходной ток пропорционален корню квадратному из перемещения. Последнее применяется для сглаживания шкал дроссельных расходомеров. Так как токи, протекающие через датчик, незначительны, его можно считать искробезопасным. Приведены принципиальные схемы применения указанных датчиков для поплавковых регуляторов уровня, мембранных дифманометров, сифонных и геликоидальных манометров и счетно-решающего устройства для автоматич. внесения в показания расходомеров поправок на давление и т-ру газа. Для целей автоматич. регулирования разработано спец. устройство, позволяющее получать издромное регулирование и предвращение. В этом электронном устройстве применены катодные повторители и спец. контура связи, обеспечивающие возможность плавной установки диапазона дросселирования в пределах от 5 до 325%, времени издрома — от 3 до 1800 сек. и времени предвращения — от 0 до 3 мин. При этом время издрома определяется RC-контуром в сеточной цепи выходного катодного повторителя, а время предвращения — таким же контуром в цепи катодной лампы. Имеются также спец. преобразователи — позиционеры для перехода на гидравлич. или пневматич. регулирующие клапаны. Спец. устройство разработано для дистанционного измерения уровня жидкостей в хранилищах. Точность измерения 2,5 мм при шкале 48 м. И. Илюв

32781. Электрооборудование химических заводов и автоматическое регулирование. Ин д з, Китама, Дэнки кэйсан, 1957, 25, № 8, 1295—1300 (японск.)

32782. Техника измерения и регулирования в нефтепереработке. Киттель, Кундт (Meß- und Regeltechnik in der Erdölverarbeitung. Kittel Alfred, Kundt Werner), Erdöl und Kohle, 1957, 10, № 10, 678—683 (нем.)

Описание основных методов измерения уровня жидкости, т-ры, давления, расхода, плотности, а также датчиков-преобразователей для пневматич. передачи показаний. Показывается область применения различных модификаций регуляторов. Приводятся примеры применения каскадного регулирования. Указывается на целесообразность применения новейших типов пневматич. беспружинных приводов двухстороннего действия, позволяющих значительно увеличить перестановочные усилия, и исполнительных механизмов с пневматич. мотором. Последние позволяют оставлять регулирующий орган в рабочем положении при истощении давления воздуха. В особо ответственных случаях в линию сжатого воздуха к регулируемому клапану устанавливают аварийные защитные клапаны, сбрасывающие давление из этой линии при аварии, в результате чего клапаны принимают положение безопасности. И. Илюв

32783. О конструировании и применении взрывобезопасных контрольно-измерительных и регулирующих приборов. Г е м (Über den Bau und die Verwendung von explosionsgeschützten Meß- und Regelgeräten. G e h m K.-H.), Regelungstechnik, 1957, 5, № 11, 421—424 (нем.; рез. англ.)

Предлагаемая работа представляет дополнение к указанию VDE 0171/9,57 и VDE 0169/9,57 о конструировании и применении контрольно-измерительных и регулирующих приборов во взрывоопасных производственных условиях. Особое внимание обращено на требования к видам защиты электрич. цепей. Даются указания по обеспечению взрывобезопасности в сле-

мах, использующих такие элементы, как конденсаторы, фотосопротивления, фотоэлементы, селеновые выпрямители, транзисторы, термоэлементы, электронные лампы и т. д.

32784. Вычислительные машины в производственном учете. Херши, Шварц (Computers in management cost accounting. Hershey R. L., Schwartz C. R.), Chem. Engng Progr., 1957, 53, № 7, 333—337 (англ.)
Описывается применение вычислительных машин для учета произ-ва на хим. з-дах.

32785. Измерение и регулирование уровня жидкости термисторами. Собл (Measurement and control of liquid level by thermistors. Soble A. B.), Chem. Engng Progr., 1957, 53, № 9, 444—446 (англ.)

Приведена простейшая схема сигнализации положения уровня жидкости при помощи термисторов. Для этой цели последовательно и параллельно термисторам включены лампы накаливания. Ток, проходящий через термисторы, нагревает их, в результате чего их сопротивление падает. При погружении термистора в жидкость происходит охлаждение термистора и лампы, включенная последовательно с ним, гаснет, а включенная параллельно — загорается, тем самым сигнализируя прохождение уровня через заданную точку. Применив следящую систему, можно, пользуясь изменением сопротивления термистора, устанавливать его сервомотором на линии уровня жидкости и отсчитывать уровень по положению барабана этой следящей системы. Включив последовательно с термисторами электромагнитные клапаны, можно автоматически регулировать уровень, закрывая клапан входа жидкости (при повышении уровня) или клапан выхода (при понижении уровня). Для повышения эффективности работы схемы в нее включены также металлич. сопротивления, которые при погружении в жидкость уменьшают свое сопротивление.

32786. Контроль и регулирование заполнения резервуаров с помощью погружных электродов. Кребс (Überwachung und Steuerung von Tankinhalten mit Tauchelektroden. Krebs Walter), Schiffbautechnik, 1957, 7, № 8, 473—474 (нем.)

Для дискретного контроля и двухпозиционного регулирования уровня жидкости в стационарных резервуарах и резервуарах, транспортируемых на судах, предлагается применять погружные электроды. Погружной электрод вводится в резервуар через сальниковое уплотнение таким образом, чтобы весь его стержень (за исключением контактирующей с жидкостью головки) находился в герметичной трубе из диэлектрика. В качестве материала для контактной головки рекомендуется применять свинец. Напряжение питания схемы 12 в. Другим электродом является корпус резервуара. Замыкание электродов происходит через рабочую жидкость. Автором отмечается, что питание схемы следует производить переменным током, так как в противном случае вследствие электролиза жидкости может образоваться взрывоопасная смесь (особенно в закрытых резервуарах), которая дает вспышку при искрении в момент замыкания (размыкания) электрода. Приводятся схемы регулирования и сигнализации уровня в цистернах.

32787. Измерения уровня тяжелой воды в атомном реакторе. Вейль, Фридрих (Problèmes de la mesure du niveau d'eau lourde dans un réacteur nucléaire. Weill Jacky, Friedling Georges), Automatisme, 1956, 1, № 9, 315—321 (франц.)

Кратко рассмотрены общепринятые методы измерения уровня жидкости. Последние, однако, не пригодны для измерения уровня тяжелой воды в атомном реакторе ввиду следующих особых требований к методу измерения: а) высокая точность ($\pm 0,5$ мм) при пределе измерения 0—2 м и большой протяженности ли-

ний телепередачи; б) надежная работа при почти полном отсутствии обслуживания; в) полная автоматизация процесса измерения; г) взрывобезопасность. Предложена схема нового уровнемера, контактного типа, измерительное устройство которого состоит из щупа, следящего за уровнем жидкости и подвешенного на нерастяжимой нити, наматываемой на барабан. Последний приводится во вращение реверсивным двигателем постоянного тока, управляемым электронным реле с магнитным пускателем. Положение щупа передается реостатными датчиками измерительному прибору. Погрешность схемы вместе со вторичным прибором не превышает $\pm 0,5$ мм.

32788. Измерение скорости потока, разности уровней и удельного веса. Велдхейзен (Measuring rate of flow, level difference and specific weight. Veldhuizen F.), Philips Serv. Sci. and Ind., 1956, 3, № 4, 68—73 (англ.; рез. франц., нем.)

Описана конструкция и области применения датчика разности давлений фирмы Philips, представляющего собой мембранный дифманометр с электрич. дистанционной передачей с помощью проволочных тензодатчиков.

32789. Приборы для измерения расхода. Кумз, Де Паскуале (Flow measuring devices. Combes J. J., De Pasquale M. J.), Automation, 1957, 4, № 9, 47—60 (англ.)

Приводятся основные требования к расходомерам и области их применения. Кратко описаны с указанием основных достоинств и недостатков расходомеры: а) переменного перепада (диафрагмы, сопла, трубки Вентури, трубки Пито, расходомерные трубки); б) переменного сечения (ротаметры); в) магнитные; г) объемные (с вращающимся поршнем, с поступательным движением поршня, дисковые, коловратные); д) переливные; е) дозирующие насосы; ж) турбинные; з) с использованием эффекта Кориолиса; и) жирокопич.; к) термич.; л) ультразвуковые; м) радиоактивные (по методу меченых атомов). Из дроссельных расходомеров наиболее интересны расходомерные симметрич. трубки, позволяющие измерять расход переменного направления и с малой потерей давления. Расходомеры, использующие эффект Кориолиса, обладают большим быстродействием, линейной характеристикой и возможностью работы с газами, жидкостями, сыпучими материалами, а также с пулями. Расходомер с внешней нагревательной катушкой, в котором измеряется кол-во энергии, подводимой к нагревателю для того, чтобы поддерживать постоянную разность т-ры между точками до и после нагревателя, обладает такими же достоинствами и, кроме того, не вносит никаких изменений в измеряемый расход, не требует контакта с измеряемой средой и пригоден для измерения пульсирующих расходов.

32790. Измерение расхода с помощью дроссельных устройств и поплавковых расходомеров постоянного перепада. Хардебек (Staurandmessungen mit Schwimmerströmungsmessern. Hardebeck Carl), Maschinenmarkt, 1957, 63, № 93, 7—8 (нем.)

Если к импульсным линиям диафрагмы, сопла или трубки Вентури присоединить через маленькую диафрагму поплавок расходомер постоянного перепада (ротаметр), получим измеритель расхода с равномерной шкалой. При измерении расхода газов такой прибор измеряет объемный расход вне зависимости от давления в трубопроводе. Диафрагма в линии ротаметра выбирается такого размера, что при миним. расходе через основную диафрагму перепад на ней немного больше перепада на ротаметре. Такой метод измерения особенно пригоден для целей дистанционной передачи и регулирования. При длинных импульсных линиях их сечение выбирается достаточно боль-

шим, чтобы перепадом давления в них можно было пренебречь.

32791. Расходомер. Мацусиро, Симода (Mat-sushiro Masamitsu, Shimoda Yasuo), Кэйсоку, J. Soc. Instrum. Technol., Japan, 1956, 6, № 11, 529—532 (японск.; рез. англ.)

Описаны принцип действия и конструкция расходомера нового типа. Потеря давления в расходомере и влияние вязкости жидкости на его показания ничтожны. Расходомер пригоден для измерения потока жидкости, содержащей взвешенные частицы.

32792. История и принцип действия магнитного расходомера. Бабкок (History and operating principles of the magnetic flow meter. Babcock Russell H.), J. New England Water Works Assoc., 1957, 71, № 3, 243—250 (англ.)

Приводится описание конструкции и принципа действия и основная ф-ла магнитного расходомера. Отмечается, что в случае применения 8-дюймового расходомера жидкость должна иметь проводимость не менее 50 $\mu\text{мо}$, иначе при отсутствии потока в линии имеет место значительный дрейф нуля. К преимуществам магнитного расходомера относится его малое гидравлич. сопротивление, большая чувствительность, экономичность и пригодность к измерению жидкостей, содержащих много твердых в-в, на основании чего прибор применяется в областях бумажного произ-ва, обработки сточных вод и шламов.

32793. Измерение расхода в открытых каналах. Кьюсик (Open channel flow measurement. Cusick S. F.), Sewage and Industr. Wastes, 1957, 29, № 9, 1078—1082 (англ.)

Для измерения расхода в открытых каналах используются переливами или лотками Паршалля. В обоих случаях ур-ние расхода имеет вид: $Q = KwH^n$, где Q — объемный расход жидкости; w — ширина лотка или перелива; K и n — постоянные коэф., зависящие от геометр. размеров. Приведены значения этих коэф. для различных форм перелива (прямоугольной, треугольной с 90 и 60° и трапецидальной) и для лотков различной ширины. Трапецидальная форма перелива является видоизменением прямоугольной, и небольшие скосы краев перелива компенсируют изменение коэф. расхода за счет изменения формы струи у краев. Прямоугольные переливы применяются для диапазонов измерений от 0—1 до 0—40 $\text{м}^3/\text{мин}$. Треугольные — от 0—0,55 до 0—8 $\text{м}^3/\text{мин}$. Лотки — от 0 до 0,55 $\text{м}^3/\text{мин}$ и более. Приведены основные геометр. размеры этих устройств. Особое внимание уделяется подходу струи к месту сужения. Измерение возникающего повышения уровня производят в спец. колодце, соединенном с переливом посредством соединительной трубы. Расстояние от выходного отверстия этой трубы до сужения должно быть ≥ 1 м. В качестве вторичного прибора рекомендуется поплавковый уровнемер с диапазонами измерения 0—150 и 0—750 мм.

32794. Методы калибровки газовых счетчиков большой производительности. Часть I. Вада, Хосака, Кимура, Такакура (Wada Isao, Hosaka Kozi, Kimura Yuichi, Takakura Tsukasa), Тэо кэйрё кэнтэйсё хококу, Rept. Centr. Inspect. Inst. Weights and Measures, Tokyo, 1957, 6, № 1, 425—434 (японск.; рез. англ.)

Исследование метода калибровки газовых счетчиков большой производительности с помощью газгольдера и мокрого газового счетчика показало, что точность, достигаемая этим методом, зависит только от точности мокрого газового счетчика. Было найдено, что т-ра газа в барабане отличалась от т-ры воды, за исключением тех случаев, когда т-ра газа измерялась в непосредственной близости от выходного отверстия бара-

бана или средние значения т-р газа и воды измерялись при скорости газового потока, не превышающей 50 $\text{м}^3/\text{час}$.

32795. Регистрирующий термометр высокой чувствительности. Фуруя, Камогари (Furuu Naomichi, Kamogari Motohiko), Яманаси дайгаку когакубу кэнкю хококу, Repts Fac. Engng Yamanashi Univ., 1956, № 7, 11—14 (японск.; рез. англ.)

Для регистрации т-ры с высокой чувствительностью (до 0,01°) в качестве чувствительного элемента применен термистор, включенный в мостовую схему. Небаланс моста усиливается электронным и магнитным усилителями и подается на регистрирующий прибор.

32796. Измерение температур в холодильной технике. Целль (Temperaturmeßprobleme in der Kältetechnik. Zell Hans Georg), Kälte, 1957, 10, № 9, 356 (нем.)

Обсуждаются преимущества использования в промышленных условиях полупроводниковых термометров сопротивления типа «Термофил» для измерения т-р в интервале (—50) — (—160°).

32797. Счетчик потери тепла стенками холодильников. Каммерер (Kälteverlustzähler für Kühlhäuser. Cammerer Fr. C.), Kältetechnik, 1957, 9, № 11, 354—357 (нем.; рез. англ., франц.)

Для измерения потерь тепла через стенки холодильных камер разработан спец. прибор (П), измеряющий т-ру или разность т-р при помощи термопар. В П применен фотокомпенсационный усилитель, на выходе которого включены счетчик (С) и милливольтметр. В качестве С лучше всего подходит электролитич. С, обладающий высокой степенью точности даже при самых малых токах. Однако для облегчения обслуживания П в нем установлен моторный С. Для уменьшения погрешности при малых токах к С приложено постоянное смещение, выводящее С на линейный участок его характеристики. При этом из показаний С следует вычитать постоянную величину. В П замонтирован С времени (емк. до 10 000 час.). Диапазон измерения П от 2 до 15 $\text{ккал}/\text{м}^2 \text{ час}$. Измеряемая т. а. д. с. до 5 мв. Точность компенсатора 1%, счетчика 0,2%, милливольтметра 1,5%. При этом при потерях тепла от 25 000 до 50 000 $\text{ккал}/\text{м}^2$ в год погрешность измерения составит 1000 $\text{ккал}/\text{м}^2$.

32798. Возможности автоматизации производственных анализов. Фурман (Möglichkeiten der Automatisierung bei der Betriebsanalyse. Fuhmann H.), Chemiker-Ztg, 1957, 81, № 20, 678—680 (нем.)

Приводятся основные требования к автоматич. анализаторам и схемы с краткими описаниями анализаторов типа «Силикометр» и «Хромолюкс С». Первый анализатор представляет собой автоматич. титратор с тремя дозаторами для подачи титруемой, титрующей и индикаторной жидкостей. Определение конечной точки титрования производится фотоэлектрич. колориметром. Второй прибор предназначен для определения микроконцентраций газовых примесей. Анализируемый газ проходит через смеситель, где протекает соответствующий реактив, изменяющий свою окраску под действием измеряемого компонента. Окрашенная жидкость фотометрируется в автоматич. фотоэлектрич. колориметре. Прибор обладает высокой избирательностью и может быть применен для определения SO_2 , O_3 , H_2S и Cl_2 .

32799. О некоторых приборах для автоматич. Везер (Über einige Meßgeräte für Automatik-Verfahren. Ein Beitrag zur INTERKAMA. Waeser Bruno), Seifen-Öle-Fette-Wachse, 1957, 83, № 23, 688—690 (нем.; рез. англ., франц., исп.)

Фирма Sigrist & Weiss A. G. выпустила фотоколориметр для определения цветности, мутности и конц-

жидкостей, тому метод, прибора автоматизированной, болей ковет, го типа и у, Фирма Ер, реограмм, Прибор рот, 352 об/мин., нечтении, л, ает точно, уменьшени, иметр вып, (вискоз). Эт, винилацета

32800. Ме

Кобунси,

32801. По

созимет

мура

Yoshi

(Japan),

С целью

место при

созиметр

ный В, сос

ренного и

ветственно

разуют к

Внешний

М, увлека

углу закр

вого зайч

определе

— t_0^2), где

внутренн

ло оборот

гружения

внутренне

суются с

стей с ма

лучшие р

32802. I

Гоша

rie. Ga

№ 11, 7

При ра

основным

тельного

р-ра; б)

которые

меряемол

лей; г) о

нировки

исполнен

лятые к

KCl и с

Наилучш

вой шай

приводи

щаемого

метров

тролиро

32803.

нос-5»

кэнкю

50—52

Приве

жидкостей, газов и паров. Прибор работает по нулевому методу. В оптич. канал сравнительной кюветы прибора автоматически вводится диафрагма так, что интенсивности света в этом канале и на выходе из рабочей кюветы равны. Прибор имеет шкалу барабанного типа и устройства для регистрации и сигнализации. Фирма Erprecht A. G. выпустила прибор для снятия реограмм тиксотропных жидкостей («Реомаг» 15). Прибор ротационного типа с 16 скоростями от 0 до 352 об/мин. и набором сменных стаканчиков и накопителей. Наличие фиксированных скоростей позволяет точно определять вязкость при возрастании и при уменьшении скорости вращения. Аналогичный вискозиметр выпущен фирмой Gebr. Naake K. G. («Ротависко»). Этим прибором исследовались свойства поливинилацетатного латекса с умягчителями и без них.

И. Ихлов

32800. Методы измерения влажности. Кобаяси, Кобунси, 1957, 6, № 65, 416—421 (японск.)

32801. Исследование конического ротационного вискозиметра. Накагава, Окуда, Сихо, Йосимура (Nakagawa Y., Okuda S., Shiho H., Yoshimura S.), Kagaku kōgaku, Chem. Engng (Japan), 1957, 21, № 6, 351—357 (японск.; рез. англ.). С целью исключения граничного эффекта, имеющего место при использовании цилиндрич. ротационного вискозиметра (В), был сконструирован конич. ротационный В, состоящий из двух коаксиальных конусов внутреннего и внешнего с углом раскрытия Θ_0 и Θ_1 соответственно. Конусы расположены острием вниз и образуют кольцевой зазор, увеличивающийся кверху. Внешний конус вращается мотором. Крутящий момент M , увлекающий внутренний конус, определяется по углу закручивания нити с помощью зеркала и светового зайчика, проектируемого на шкалу. Вязкость η определяется из ур-ния: $M = 8\pi^2 N t_1^2 V_0 N \eta / 3 H t_1 (t_1^2 - t_0^2)$, где $t_1 = \lg \Theta_1$, $t_0 = \lg \Theta_0$, V_0 — окружная скорость внутреннего конуса у периферии основания, N — число оборотов внешнего конуса в сек, h — глубина погружения внутреннего конуса в жидкость, H — высота внутреннего конуса. Опытные данные хорошо согласуются с теоретически вычисленными как для жидкостей с малой η , так для жидкостей с большой η . Наилучшие результаты достигнуты при $h = H$.

З. Х.

32802. Промышленное применение потенциометрии. Гоша (Industrielle Anwendungen der Potentiometrie. Gauchat Ch. L.), Chem.-Ingr-Techn., 1957, 29, № 11, 701—708 (нем.; рез. англ., франц.)

При работе рН-метров в производственных условиях основными проблемами являются: а) защита сравнительного электрода от проникновения измеряемого р-ра; б) защита стеклянного электрода от отложений, которые оседают на электрод и изолируют его от измеряемого р-ра; в) механич. защита стеклянных деталей; г) обеспечение высокой изоляции и хорошей экранировки соединительного кабеля. Показаны примеры исполнения и применения рН-метров, помещенных в литые корпуса, со спец. напорным сосудом для р-ра КСl и с механич. очисткой стеклянного электрода. Наилучшая очистка получается при помощи резинового шайбы, одеваемой на стеклянный электрод. Шайба приводится в колебательное движение от кулачка, вращаемого мотором. Для облегчения эксплуатации рН-метров разработаны спец. приборы, позволяющие контролировать изоляцию кабеля и работу усилителя.

И. Ихлов

32803. Магнитный газоанализатор на кислород «Магно-5». Оно (Ono Hironori), Дзёрику гидзюку кэнкюсё сёхо, J. Techn. Res. Lab., 1956, 6, № 4—5, 50—57 (японск.; рез. англ.)

Приведены результаты испытаний прибора.

Г. Людмирская

32804. Элементы и линии связи техники регулирования. Зюсс (Bausteine und Übertragungswege der Regelungstechnik. Süß R.), Energie (BRD), 1957, 9, № 10, 400—406 (нем.)

Рассмотрены основные типы автоматич. регуляторов. Приведены принципиальные схемы некоторых типов регуляторов и сравнительные качества пневматич., электропневматич., гидравлич., электрогидравлич. и электрич. регуляторов.

И. Ихлов

32805. Пневматические компенсационные регуляторы. Крецшмер (Pneumatische Kraftvergleichsregler. Kretschmer Fr.), Regelungstechnik, 1957, 5, № 9, 316—319 (нем.)

Рассматриваются принцип действия и схемы нескольких пневматич. усилителей давления в интервале от 50 до 2000 мм вод. ст. В зависимости от параметров усилителей коэф. усиления может быть от 1 до 1000. Приводятся описание и структурная схема пневматич. компенсационного регулятора и подробно излагается порядок операций при включении его в схему регулирования с установкой требуемых по динамич. характеристикам процесса пределов пропорциональности, времени изотропа и величины предвращения. Отмечается важность правильного выбора величины проходного сечения и рабочей характеристики регулирующего клапана на качество процесса регулирования. Для изменения характеристики клапана в зависимости от требований процесса автором предлагается изменять профиль плунжера и окон в золотнике, а также устанавливать байпасы.

М. Людмирский

32806. Примеры автоматического регулирования в химической промышленности. Арая, Бэсацу какаку корё, 1957, 1, № 1, 200—206 (японск.)

32807. Регулирование процессов получения растворов. Яйсле (Die Wärmeregulierung des Lösebetriebes. Jaisle Josef), Kali und Steinsalz, 1957, 2, № 4, 138—141 (нем.)

Описана схема автоматич. регулирования т-ры в произ-ве хлористого калия. В качестве теплоносителя используется обратный пар паровых турбин. Для улучшения динамики процесса регулирования в регулирующем автоматич. компенсационном мосте с падающей дужкой используется термич. обратная связь.

М. Людмирский

32808. Автоматизация в бумажном производстве. Кетчум, Седжвик (The trend is toward automation. Ketchum L. D., Sedgwick P. W.), Canad. Chem. Process., 1957, 41, № 9, 118, 120, 122, 124 (англ.)

Рассматриваются схемы и преимущества автоматизации в массных отделах.

И. Ихлов

32809 П. Датчик для измерения уровня или удельного веса жидкостей. Лери (Dispositif de mesure de niveaux ou de densités de liquides. Lery Jean-Marie-Pierre). Франц. пат. 1125540, 31.10.56

Датчик состоит из гибкого резервуара (резиновый мешочек, сильфон и пр.), заключенного в перфорированный защитный кожух и соединенного в верхнем конце с вертикальной трубкой. Датчик, наполненный электропроводной жидкостью, фиксируется в сосуде, в котором измеряют уровень, при этом высота электропроводной жидкости в трубке будет соответствовать статич. напору в точке расположения измерительного резервуара. Для определения уровня жидкости в трубке можно использовать спираль, находящуюся по оси трубки, и измерять сопротивление витков, не замкнутых жидкостью, или другие электрич. методы. В трубке также можно поместить любое число элементов, дающих импульс, который может быть использован для сигнализации и других целей. Датчик можно укрепить на поплавке и использовать для измерения уд. веса.

З. Хаимский

32810 П. Электрический микроанометр (Micromanomètre électrique) [Cie pour la Fabrication des Compteurs et Matériel d'Usines à Gaz]. Франц. пат. 1126505, 26.11.56

Датчик микроанометра состоит из двух параллельных мембран, образующих замкнутую полость, заполненную непроводящей жидкостью. Против центра каждой мембраны расположена пара катушек, плоскости витков которых параллельны мембране. С внутренней стороны в центре мембраны прикреплены две металлич. пластины, приближение которых под действием внешнего давления к паре катушек изменяет их взаимную индукцию. Измеряемая разность давления подается на внешние стороны мембран. Измерительные катушки включены в мостик Уитстона, питаемый переменным током (1000 гц), каждое плечо которого представляет собой колебательный контур, настроенный на частоту питания, и состоит из одной измерительной и одной регулировочной катушек, включенных последовательно, и конденсатора, включенного параллельно всему плечу. Катушки одной пары включены в противоположные плечи. В измерительную диагональ моста включены усилитель и измерительный прибор. Регулировка моста осуществляется изменением частоты источника, что особенно выгодно при необходимости изменения чувствительности схемы или измерения небольших пульсаций большого давления. При измерении пульсирующего расхода на выходе усилителя включается детектор. Для изменения чувствительности прибора можно также менять коэф. усиления усилителя. Прибор может измерять разности давлений порядка долей мм вод. ст.

З. Хаимский

32811 П. Автоматическое регулирование подвода тепла в аппаратах разделения жидкостей. Стэнли, Уикс (Liquid contacting apparatus with automatic heat control. Stanley Clyde P., Weeks Richard W.) [Phillips Petroleum Co.]. Пат. США 2762761, 14.09.56

Предлагается система автоматич. регулирования процессов фракционирования по плотномеру. Плотномер весового типа включается между соответствующими тарелками аппарата и управляет подачей тепла (пара) для поддержания постоянной плотности жидкости на данной тарелке аппарата. Регулирование пневматическое.

И. Ихлов

32812 П. Прибор для определения точки росы. Хартман (Dew point tester. Hartmann William A.) [Phillips Petroleum Co.]. Пат. США 2758470, 14.08.56

Предлагается прибор для определения точки росы углеводородов, в частности паровой фазы сжиженного нефтяного газа. Точка росы газа определяется по показаниям термометра в момент помутнения зеркальной поверхности.

И. Ихлов

32813 П. Система детектирования инфракрасных лучей, стабилизированная импульсами. Скарстром (Pulsed stabilized infra-red detection system. Skarstrom Charles W.) [Esso Research and Engng Co.]. Пат. США 2758215, 7.08.56

Газоанализаторы ИК-излучения с негативной фильтрацией и лучеприемником в виде термостолбика весьма чувствительны к колебаниям т-ры. Предлагается стабилизация такого газоанализатора путем периодич. прерывания тока излучателей. При этом на лучеприемник попадает пульсирующее излучение. Применяв усилитель переменного тока, можно исключить медленные флуктуации и этим самым стабилизировать работу газоанализатора. Для повышения стабильности на входе усилителя включен последовательно конденсатор, а между выходом и входом усилителя включена цепочка RC обратной связи, чем значительно снижают

ся помехи. При включении на выходе усилителя балансирующего сервомотора, управляющего заслонкой в одном из оптич. каналов, получают компенсационную схему высокой стабильности.

И. Ихлов

См. также: Толщиномер для металлических покрытий 33159. Радиоактивный уровнемер 33839. Плотномеры для жидкостей 34109. Влагомер для торфа 33800. Газоанализаторы 32292. Автоматический титратор 32286, 32305. Применение счетных машин для расчета ректификационных колонн 32733. Автоматизация гальванических цехов 33161. Аналитический контроль производств в азотной пром-сти 33061. Автоматизация обжига керамических изделий 33247. Автоматизация целлюлозно-бумажного производства 34674. Автоматическое регулирование концентрации бумажной массы в жидком потоке 34677. Контроль pH в бумажном производстве. Автоматическое регулирование на сахарных заводах 34111. Автоматическое регулирование процесса производства сыра 34302

КОРРОЗИЯ. ЗАЩИТА ОТ КОРРОЗИИ

Редактор И. Я. Клинов

32814. Коррозия. Каваками, Нихон киндзюу гаккайси, J. Japan. Inst. Metals, 1957, 21, № 4, A133—A135 (японск.)

32815. Упрощенная теория коррозии. Спеллер (Una teoria semplificata della corrosione. Speller F. N.), Pitture e vernici, 1957, 13, № 5, 335—339 (итал.)
Описан механизм коррозии металлич. конструкций, а также меры предотвращения ее. Приводятся примеры практич. применения описанной теории.

Я. Лаппи

32816. Общие соображения по теории коррозии. Пьонтелли (Aspects généraux de la théorie de la corrosion. Piontelli R.), Corros. et anticorros., 1957, 5, № 9, 241—243. Discuss., 243 (франц.)

Автор представляет в математич. форме основные положения теории коррозии и дает определения для катодной защиты без приложения тока и с током ивне для условий, в которых практически нет коррозии, определяемых при анодных сопротивлениях пассивности металла, при катодных — как отсутствие воздействия вследствие катодного рассеяния.

Т. Шалаева

32817. О текстуре в железной окалине. IX. Электронографическое исследование текстур в слое гематита на разных этапах окисления железа в воздухе. Архаров В. И., Борисов Б. С., Физ. металлов и металловедение, 1957, 4, № 1, 76—83

Проведенное систематич. электронографич. исследование текстур в оксидных пленках, образующихся при окислении Fe при 300—900° и выдержках от 5 мин. до 48 час., показало, что после образования первичной пленки $\gamma\text{-Fe}_2\text{O}_3$ образуется слой гематита. Рост слоя гематита идет на его внутренней стороне за счет диффузии кислорода извне и сопровождается накоплением напряжений, обуславливающих фазовый самонаклеп, который и вызывает рекристаллизацию, в результате которой зерна гематита укрупняются. Уточнение гематита обуславливает возможность образования слоя магнетита между металлом и слоем гематита. При т-рах выше нижней температурной границы устойчивости вюстита между металлом и слоем магнетита может образовываться вюстит. Происходящая перестройка поверхностного слоя гематита открывает возможность усиленной диффузии Fe в наружном направлении. Всем этим изменениям соответствуют оп-

ределенные текстуры. Приводится истолкование всех наблюдаемых изменений с точки зрения преобладающего значения диффузии кислорода на ранних стадиях окисления и преобладающего значения диффузии металла после перестройки $\alpha'' \rightarrow \alpha'''$ в поверхностной зоне гематитового слоя. Отмечается большое значение самонаклепа образующихся кристалликов. Часть VIII см. РЖХим, 1957, 56573. И. Левин

32818. Коррозионное растрескивание болтов из высокопрочного материала при воздействии сероводорода. Уоррен, Бекман (Sulfide corrosion cracking of high strength bolting material. Warren Donald, Beckman G. W.), Corrosion, 1957, 13, № 10, 33—48 (англ.)

Болты (Б) из стали 4140 состава (в %): С 0,41, Cr 0,87, Mo 0,12, Mn 0,80, Si 0,20 и S 0,06 испытывались в H_2S-H_2O (I) при 20—120° и 1—17 атм в течение 3000 час. Б вставлялись в отверстия, просверленные в стальной полосе или в отдельные муфты. Эти полосы и муфты просверливались также в поперечном направлении для доступа агрессивной среды к Б. Гайки затягивались для создания различных нагрузок. Последние измерялись по удлинению Б или по сжатию муфты. Б предварительно подвергались термообработке с целью придания твердости от $R_c - 20$ до $R_c - 55$. Склонность к коррозионному растрескиванию (СРК) оказалась тем больше, чем больше твердость Б, чем больше нагрузка и пластич. деформация и чем ниже т-ра испытания. В отсутствие пластич. деформации при твердости ниже $R_c - 27$ не происходит разрушения Б, даже при нагрузках, приближающихся по величине к пределу текучести. При повышении твердости выше $R_c - 27$ понижается соответственно предельная величина нагрузки, ниже которой не происходит СРК Б. Предварительная пластич. деформация снижает предельную величину твердости, при которой возникает СРК Б с $R_c - 27$ до $R_c - 22$ и усиливается эта СРК при $R_c - 27$ —33. Повышение т-ры испытания от 40 до 120° сильно уменьшает СРК. Изменение давления от 1 до 17 атм мало влияет на этот процесс. Продолжительность испытания до наступления растрескивания сильно уменьшается с увеличением твердости. При увеличении нагрузки и пластич. деформации она также уменьшается, но в меньшей степени. Испытание металлич. защитных покрытий показало, что Cd, Zn, Pb, Cr и латуни не защищают от СРК в среде I. Достаточную защиту дает гальванопокрытие никелем толщиной 125 м. Добавка в жидкую фазу замедлителей коррозии (тетраэтиленпентамина и «Дуомина Т») снижает, но не устраняет СРК. Сплавы: инконель, инконель-X, R-монель-металл и отожженная сталь 316 (18/8 с Mo) совершенно не подвержены СРК в среде I.

Ю. Аронсон

32819. Сопротивление межкристаллитной коррозии зоны сварки нестабилизированной стали типа 18-8. Немец (Odporność na korozję międzykrystaliczną połączeń spawanych z niestabilizowanych stali typu 18-8. Niemiec Józef), Hutnik (Polska), 1957, 24, № 9, 356—363 (польск.)

Общие соображения о причинах возникновения межкристаллитной коррозии (МК) в пришовной зоне сталей типа 18-8 и тех же сталей, легированных 1,5—2,5% Mo. Отмечается роль нагрева при 650°. Указывается, что склонность к МК является одним из показателей свариваемости металла. Описываются данные определения МК сварных образцов 4 марок нестабилизированных сталей: а) в кипящем 10%-ном р-ре $CuSO_4 \cdot 5H_2O + 10\% H_2SO_4$; продолжительность испытания 100 час; б) 10%-ном р-ре $HNO_3 + 3\% NaF$, т-ра 80°, продолжительность 2 часа. После испытания образцы изгибались на 90°. Наличие трещин в месте изгиба

являлось браковочным признаком. Установлено: 1) водяное охлаждение в процессе сварки значительно уменьшает склонность пришовной зоны к МК; 2) для сталей, содержащих до 0,07% С, водяное охлаждение полностью ликвидирует склонность к МК; 3) во всех случаях шов не проявлял склонности к МК; 4) метод нагрева образцов в р-ре HNO_3 с NaF является более эффективным, чем метод кипячения в сернокислом р-ре $CuSO_4$. Однако в первом случае имеет место разброс точек и несовпадение результатов испытания. Поэтому рекомендуется 2-й метод для определения склонности к МК. Ф. Сломаянская

32820. Активирование продуктов коррозии в первичных системах охлаждения ядерных силовых установок. Егер (Aktivierung von Korrosionsprodukten im primären Kühlsystem von Kernkraftanlagen. Jaeger Th.), Maschinenbautechnik, 1957, 6, № 9, 495—505 (нем.)

Рассмотрены проблемы, связанные с возникновением индуцированной активности загрязнений, содержащихся в средах, охлаждающих реактор. Проведен обзор возможных источников излучения в реакторе во время его остановки. При применении в качестве конструкционных материалов нержавеющей и углеродистых сталей кратковременная активность охлаждающей среды вызывается содержащимися в ней продуктами коррозии. Большая часть активности вызывается наличием Mn^{56} с периодом полураспада в течение 2,6 часа. Источниками длительной активности являются Fe^{59} с периодом полураспада 45 дней и Co^{60} с периодом полураспада в течение 5,3 года. Приведены ур-ния, позволяющие рассчитать равновесную концентрацию загрязнений в охлаждающей среде, кол-во их на стенках системы и требуемую производительность системы очистки во втором цикле. М. Кристалл

32821. Нержавеющие стали. II. Внедрение нержавеющей стали. Барю (Les aciers inoxydables. II. Mise en oeuvre des aciers inoxydables. Barut V.), Rev. text., 1957, 56, № 3, 186—193 (франц.)

Рассматриваются вопросы, связанные с применением нержавеющей стали в текстильной пром-сти. Предпочтение отдается сталям аустенитного класса из-за легкости их деформации на холоду, хотя твердость их значительно возрастает вследствие наклепа. Увеличение содержания Ni способствует пластичности стали. Стали, легированные Ti и Nb, и сталь 18-8, легированная Mo, обрабатываются труднее, чем нелегированные углеродистые стали. Аустенитно-ферритные стали не способны к глубокой вытяжке. Рассмотрены особенности сварки сталей мартенситного, ферритного и аустенитного классов и необходимые при этом меры предосторожности. Приведены принципы различных технологич. процессов сварки (дуговая, в атмосфере аргона, атмосфере водорода, точечная, контактная без обмазки электродов и др.). Приведены соображения по пайке нержавеющей сталей Sn, Cu-Ag-припоями и сварке латуны. Показано, что нержавеющая сталь, нагретая до т-ры выше 600°, теряет пассивность, так как на поверхности ее образуется окалина. Окисный слой после термообработки или сварки должен быть, во избежание коррозии во влажном воздухе или в воде, удален с поверхности деталей. Это достигается при т-рах, близких к кипячению, в смеси водн. р-ров NaOH и $KMnO_4$ с последующим травлением в смеси HNO_3 и HF (к-ты) в течение 20 мин. при 60° или при этой т-ре в смеси H_2SO_4 и HNO_3 с последующей пассивацией в HNO_3 в течение нескольких минут при 10—20°. Этот же метод применим и для сталей аустенитного класса. Не рекомендуется полировка поверхностей деталей, предназначенных для эксплуатации в коррозионноактивных средах, особенно для листов стали, ранее подвергавшихся

спец. обработке. Предыдущее сообщение см. РЖХим, 1957, 76126. И. Шварц

32822. Снижение себестоимости в результате антикоррозионных мероприятий. Дерунге (Controlled corrosion cuts costs. Derungs W. A.), Petrol. Refiner, 1956, 35, № 9, 319—322 (англ.)

Рассматриваются вопросы борьбы с коррозией оборудования нефтеперерабатывающих заводов, вызываемой сернистыми нефтями. Предложена схема нейтр-ции, состоящая в инъекции в поток поступающей нефти 3%-ного р-ра NaOH в смеси в 1 вес.% сырой нефти в кол-ве, установленном предварительным анализом. При этом нейтрализуется от 98 до 99% HCl (к-та) совместно с небольшим кол-вом H₂S. Для нейтр-ции паров H₂S, содержащих небольшое кол-во HCl, инжектируют 3%-ный р-р аммиака, который при нагревании выделяет газообразный NH₃, взаимодействующий с газообразными к-тами. Процесс контролируется pH водн. конденсата, который должен поддерживаться в пределах 7—8. Т-ра процесса 300°. В результате промышленного испытания предложенной схемы составлена таблица рекомендуемых конструктивных материалов.

32823. Коррозия в виде каверн на транспортных судах для перевозки сырой нефти. Беккер, Дик (Lochfraß in Rohöltransportschiffen. Becker Gerhard, Dick Walther), Schiff und Hafen, 1957, 9, № 6, 510—518 (нем.)

Приводится описание коррозионных разрушений стенок танков главным образом каверн различной формы с отложенными продуктами коррозии около них. Приводится диаграмма, показывающая область содержания различных элементов в стали (Al, Cr, Cu, N, O₂, Mo, Sn, V, Ti), при которой наиболее вероятно образование каверн. Описываются испытания, проведенные для определения коррозионного действия сырой нефти при различном содержании воды, кислорода и морской воды, в присутствии и в отсутствие кислорода. Рассматриваются результаты испытаний, проведенных для определения влияния на коррозию состояния поверхности металла и, в частности, наличия прокатной окатины. В результате проведенных испытаний установлено, что основными факторами, вызывающими коррозию танков, являются совместное действие кавитации и кислородной коррозии. Рекомендуется осуществлять такую конструкцию грузовых отделений танков и палубных люков, при которой возможность образования каверн в танках уменьшается до минимума. В частности, люки должны быть расположены в танках так, чтобы расстояние между соплами промывочных наконечников и стенками, днищем и несущими частями танков было ≥ 2 м. Кроме того, т-ра воды и давление струи должны поддерживаться на возможно более низком уровне.

32824. Коррозионные свойства некоторых почв Молдовы. Савенку, Голгоциу, Лука, Линде, Букур, Хынку (Acțiunea corozivă a câtorva soluri din Moldova. Savencu Simion, Golgoțiu Tiberiu, Luca Angela, Linde Julieta, Bucur Ana, Hîncu Iancu), Bul. Inst. politehn. Iași, 1956, 2, № 3—4, 101—104 (рум.; рез. русск., франц.)

Приведена сравнительная характеристика агрессивности различных почв района Яссы по отношению к железу, чугуну и свинцу. Электрохим. измерения показали, что коррозия в условиях опытов носит исключительно электрохим. характер. Наименьшая коррозия наблюдается у стали, затем у чугуна и наибольшая — у свинца. Агрессивность лесных почв ниже, чем солончаковых.

32825. Новые пути защиты железа от коррозии в почвах. Маркович (Neue Wege des Korrosions-

schutzes von Eisen in Böden. Markovic T.), Werkstoffe und Korrosion, 1957, 8, № 10, 596—602 (нем.)

Указывается, что агрессивность почвы (П) определяется главным образом ее физ. свойствами, в частности содержанием воды и доступом кислорода, и что при насыщении П водой коррозия металла должна резко замедлиться из-за создания сплошного водяного слоя, препятствующего доступу воздуха к поверхности металла. Приводятся общие ф-лы зависимости агрессивности П от отдельных факторов: содержания воды, кислорода, концентрации водородных ионов и омич. сопротивления. Анализ этих ф-л позволяет использовать их для установления возможных новых путей защиты Fe в подземных условиях, а именно: защита трубопроводов при помощи Zn-анодов с одновременным обеспечением выгодного соотношения вода — П; защита стальных конструкций в П путем создания искусст. элемента дифференциальной аэрации, в котором аэрированный стальной электрод будет анодом; защита металла насыщением П водой с повышением эффективности такой защиты при помощи замедлителей коррозии. Дается предлагаемая схема защиты подземного трубопровода протяженным Zn-анодом с добавочным увлажнением. Приводимый расчет показывает, что для дополнительного увлажнения П нужно добавлять в течение года ~ 374 т воды на 1 км. При втором предложенном методе защиты в качестве защищаемого анода применяется стальной лист, помещаемый на уровне водяного слоя, перекрывающего П. Применение замедлителей должно сопровождаться также насыщением П водой.

32826. Коррозия корпуса корабля. Причины и предотвращение. Петракки (Corrosione esterna degli scafi. Cause e prevenzioni. Petracchi Gerardo), Riv. marittima, 1957, Suppl. tecn., 176 p., ill. (итал.)

32827. Коррозия и защита корпусов судов. Мор (Corrosione e protezione degli scafi. Mor E.), Pitture e vernici, 1957, 13, № 7, 461—462 (итал.)

Общие соображения о коррозии подводной части корпусов морских судов. Рассматривается характер физ. и биологич. воздействий на поверхность корпуса движущегося судна.

32828. Коррозия заклепок из Al-Mg-сплавов. Уголи (Ribattini corrosi di lega Al-Mg. Hugony E.), Riv. mecc., 1957, 8, № 162, 15 (итал.)

Приведены результаты исследования заклепок (З) из Al-Mg-сплава, взятых со спасательной шлюпки, корпус которой был изготовлен из сплава Al с содержанием 3,5% Mg. З содержали $\sim 6\%$ Mg, т. е. выше максимально допустимого предела (5,5%). Разрушение З объясняется повышенным содержанием Mg, а также тем, что они не были термически обработаны. Рекомендуется применение З из сплавов, содержащих 3,5% Mg, и отжиг их при 360° после изготовления.

32829. Защита от коррозии, вызываемой рассолами. Маренж (La prévention des corrosions par les saumures. Maringe A.), Rev. prat. froid, 1957, 12, № 139, 20—24 (франц.)

Отмечается, что основными причинами коррозии оборудования холодильными рассолами (Р) являются аэрация, загрязнение Р и блуждающие токи. Присутствие в Р кислорода или CO₂ вызывает коррозию поверхности, свободной от жидкости. Для борьбы с коррозией применяют способ принудительного введения пузырьков воздуха в Р, усиливающих движение жидкости. В случае загрязнения Р образуются осадки или пористые отложения, в которых аккумулируется газ. Устранение этого явления осуществляется фильтрацией Р перед загрузкой и систематич. промывкой баков для Р. Для устранения вредных влияний блуждающих токов нужно тщательно изолировать друг от друга

аммиачную и рассольную линии и отдельные их участ-

Т. Фабрикант

32830. Коррозия аустенитной нержавеющей стали в серной кислоте. Фелпс, Врилэнд (Corrosion of austenitic stainless steels in sulfuric acid. Phelps E. H., Vreeland D. C.), Corrosion, 1957, 13, № 10, 21—26 (англ.)

Исследована скорость коррозии (СК) в H_2SO_4 семи марок Cr-Ni-стали, из которых 6 с содержанием (в %): Cr 17,8—19,2, Ni 9,0—13,4 с добавками Mo, Nb, Ti и без них, а одна с содержанием Cr 24,8 и Ni 22,0; при концентрации H_2SO_4 0,1—96% и 25—80°. Испытания проводились с пропусканием через к-ту воздуха или очищ. от O_2 азота. Результаты испытания показали, что в зависимости от условий испытания сталь находится либо в пассивном, либо в активном состоянии и СК ее либо ничтожна, либо очень велика. Переход из пассивного состояния в активное происходит довольно резко при относительно малом изменении конц-ии и т-ры. При 30° и пропускании воздуха все испытанные стали пассивны, при вытеснении воздуха азотом пассивность сохраняется при конц-ии к-ты до 1% и выше 80%. При более высоких т-рах область пассивного состояния сокращается. Измерения потенциалов показали, что в пассивном состоянии потенциал стали положительнее, в активном отрицательнее насыщ. каломельного электрода. Однако совпадение между СК и величинами потенциалов при конц-ии к-ты > 30% неполное.

Ю. Аронсон

32831. Применение титана, циркония и тантала для предотвращения коррозии. Ласби (Titanium, zirconium and tantalum for control of corrosion. Lusby William E., Jr), Corrosion, 1957, 13, № 10, 56—60 (англ.)

Общие сведения о коррозионной стойкости Ti, Zr, Ta в областях их применения и способах обработки. За последние 10 лет наибольшее применение нашел Ti. Меньше всего используется Ta, который частично вытесняется Zr, в частности для работы с HCl (к-та).

Ю. Аронсон

32832. Применение платины, палладия и серебра в химической аппаратуре. Уорик (Noble metals in chemical engineering. Platinum, palladium, and silver. Warwick I. J.), Chem. Age, 1957, 78, № 1994, 501—502 (англ.)

Наиболее часто применяется Ag, значительно реже, в особо жестких условиях — Pt, когда это возможно Pt заменяется на Pd. Приводятся примеры изготовления целлюлозосеребряной аппаратуры, футеровки серебром, изготовления аппаратуры из мягкой стали, плакированной серебром, и применения гальванич. покрытий из Ag на деталях сложной конфигурации. Высокая точка плавления Pt и стойкость ее к окислению используется для изготовления Rh-Pt-сплава для термопар и нагревателей для высокотемпературных лабор. печей. Из благородных металлов изготавливают также нерастворимые аноды для некоторых электрохим. процессов.

В. Лукинская

32833. Проблема коррозии на химических заводах. 2. Защита при помощи цветных металлов. Химсуэрт, Хайне (Corrosion problems in chemical factories. 2. Non-ferrous metals as protectives. Himsuworth F. R., Hines J. G.), Chem. Age, 1957, 77, № 1963, 331—332 (англ.)

Рассмотрены условия применения Al, Cu, Ni, Pb, Ag, Ti в некоторых сплавах на их основе в агрессивных средах, а также вопросы защиты стали путем покрытия ее более стойкими металлами и сплавами. Затронуты и вопросы применения замедлителей коррозии и катодной защиты, а также вопросы целевой коррозии, контакта разнородных металлов, коррозионной

усталости и коррозионного растрескивания. Сообщение 1 см. РЖХим, 1957, 73393.

И. Левин

32834. Испытание антикоррозионных свойств материалов (о применении титана). Хасэгава, Сасагута, Кэйкиндзоку дзидай, 1957, № 276, 25—35 (японск.)

32835. Средства для борьбы с коррозией. Донохью (Materials to combat corrosion. Donohue D. A.), Petrol. Engr, 1957, 29, № 4, C22—C24 (англ.)

Приводится характеристика металлов, наиболее пригодных для изготовления теплообменников (конденсаторов), подвергающихся воздействию NaCl или соленой воды, H_2S , органич. к-т и др. Для высоких т-р и давлений рекомендуется применение легированных сталей, от малохромистых до нержавеющей в зависимости от т-ры. В последнее время все большее применение находит Al.

Я. Лаппи

32836. Современные методы удаления окалины. Василевский (Współczesne metody usuwania żądry. Wasilewski Eugeniusz), Budown. okręt., 1957, 2, № 8, 194—195 (польск.)

Приводятся обзорные данные по травлению, применению замедлителей коррозии и пескоструйному очищению поверхности металла для окраски.

Ф. Сломаянская

32837. Очистка и удаление ржавчины со стали. II. Этерен-Панхейзер (Die Reinigung und Entrostung von Stahl (II). Oeteren-Panhäuser K. A. van), Metalloberfläche, 1957, 11, № 3, 89—96 (нем.)

Описана технология очистки поверхности стальных изделий от ржавчины, грязи, старой краски (пескоструйванием, пастами, травлением и обработкой изделий с помощью препаратов, содержащих фосфорную к-ту). Описано устройство компрессоров, применяемых для пескоструйной очистки, способы сушки песка. Меры по охране труда. Сообщение I см. РЖХим, 1957, 65222.

М. Кристаль

32838. Методы химического удаления ржавчины. Лукман (Prüfung und Beurteilung der Verfahren für chemische Entrostung. Luckman Herbert), Seifen-Öle-Fette-Wachse, 1957, 83, № 17, 491—494 (нем.; рез. англ., франц., исп.)

Рассматриваются различные виды ржавчины, условия возникновения и методы ее удаления хим. способом. Очистка от ржавчины производится путем обработки корродированного железа при комнатной т-ре р-рами H_2SO_4 , HCl, H_3PO_4 , $H_2C_2O_4$ и HF с присадками и без них. Скорость удаления ржавчины р-рами H_2SO_4 невелика; HCl и H_3PO_4 действуют более интенсивно. Оптимальная конц-ия р-ра HCl 10—14%, H_3PO_4 10—15%. HCl приводит к несколько большей потере основного металла, чем H_3PO_4 , за счет взаимодействия образующегося $FeCl_3$ с Fe (по схеме: $2FeCl_3 + Fe = 3FeCl_2$). Основное преимущество H_3PO_4 состоит в том, что после обработки поверхности отпадает необходимость в ее тщательной промывке, поскольку остатки неотмытой к-ты образуют фосфат железа, не вызывающий последующей коррозии. $H_2C_2O_4$ целесообразно применять в смеси с $Al_2(SO_4)_3$ в связи с растворимостью оксалата железа в р-рах солей Al. Положительное влияние оказывают также небольшие добавки HCl или H_2SO_4 . HF в качестве средства, удаляющего ржавчину, применяется редко, преимущественно в тех случаях, когда наряду с ржавчиной необходимо удалить песок с поверхности отливок.

Л. Хилькевич

32839. Способ травления химически стойких хромоникелевых и Cr-Ni-Mo-сталей. Науман, Карнус (Ätzverfahren zur Unterscheidung von chemisch beständigen Chrom-Nickel- und Chrom-Nickel-Molybdän-Stählen. Naumann Friedrich Karl, Carius Wolfhard), Arch. Eisenhüttenwesen, 1957, 28, № 10, 641—644 (нем.)

Приводится описание опытов по подбору режимов травления с целью получения разной травимости проволоки, содержащих и не содержащих Mo. Применение смеси состава 1 ч. HCl (уд. в. 1,19), 1 ч. H₂O и 1 ч. p-ра 30 г/л K₄Fe(CN)₆ при 50° позволяет отличать проволоку из стали типа X18H9, легированной Mo, от проволоки Cr-Ni-стали, не легированной Mo, благодаря резко окрашенному ферроцианиду на поверхности проволоки, не содержащей Mo.

В. Шехтман

32840. Кислотное травление нержавеющей стали. Фудзита, Киндзоку, Metals, 1957, 27, № 10, Suppl., 83—89 (японск.)

32841. Электролитический метод быстрого удаления окислов. Нисимаки, Утияма, Киндзоку, Metals, 1957, 27, № 10, Suppl., 64—68 (японск.)

32842. Обезжиривание и кислотное травление поверхности металлов. Осикири, Киндзоку, Metals, 1957, 27, № 10, Suppl., 76—82 (японск.)

32843. Перспективы применения белой жести. Хор (The future of tinplate. Hoare W. E.), Nat. Lithographer, 1957, 64, № 3, 93—94 (англ.)

Описано применение Sn для покрытий. Л. Уваров
32844. Наружная коррозия емкостей из луженой жести. Фоскетт (La corrosione esterna dei contenitori in banda stagnata. Foskett A. C.), Ind. conserve, 1957, 32, № 2, 111—114 (итал.)

Обзор факторов, влияющих на скорость внешней коррозии емкостей из луженой жести. Рассматриваются коррозия, связанная с технологией изготовления, описаны условия хранения, меры предупреждения коррозии (замедлители коррозии, защитная упаковка и др.). Библ. 54 назв. Я. Лапин

32845. Флюс, применяемый при нанесении алюминиевых покрытий. Ониси, Дои, Киндзоку, Metals, 1957, 27, № 10, 815—819 (японск.)

32846. Предварительное флюсование при горячей оцинковке. Баблик, Беглолавы (Prefluxing beim Feuerverzinken. Bablik H., Behlolaу M.), Metalloberfläche, 1957, 11, № 10, 343—345 (нем.)

Рассматриваются следующие факторы. 1. Влияние подготовки изделия под покрытие на кол-во образующегося в цинковальной ванне (ЦВ) гартцинка (ГЦ). Установлено, что после травления и промывки на поверхности металла остается пленка влаги, которая в присутствии кислорода воздуха реагирует с этой поверхностью. Образующиеся соли железа при флюсовании переходят в ЦВ, причем из 1 г Fe образуется 25 г ГЦ. Чем больше скорость выгрузки листов из ванн, тем больше жидкости остается на поверхности металла. Чем длительнее травление, тем больше солей Fe на поверхности металла. Если после травления в HCl (к-та) изделия в течение 10 мин. остаются на воздухе, то на 1 м² поверхности их образуется 0,4 г Fe, и при дальнейшей оцинковке кол-во ГЦ в ЦВ увеличивается на 10 г/м². Кол-во образующегося в ЦВ ГЦ зависит также от кол-ва Fe в ванне травления и т-ры травильных р-ров. Большое значение имеют т-ра и метод сушки изделий. Лучше всего проводить сушку при 70°. При сушке на воздухе необходимо учитывать агрессивность его. Промывка водой не растворяет образующихся на поверхности металла основных солей и окислов. 2. Предварительное флюсование. Приводятся данные по кол-ву получаемого Fe (в г/м² поверхности) при применении различных методов предварительной обработки образцов в: 1) течение 10—90 мин. в 50%-ном p-ре NH₄Cl-ZnCl₂; 2) 10—120 мин. в 50%-ном p-ре ZnCl₂, содержащем 11% NH₄Cl; 3) 10—120 мин. в 50%-ном p-ре ZnCl₂; 4) 10—120 мин. в 40% p-ре NH₄Cl; 5) 10—120 мин. после протирки влажным, твердым напатырем и т. п. Ф. Сломанская

32847. Сохранение возможности пайки посеребренных изделий при хранении. Кейль (Die Erhaltung

der Lötbarkeit versilberter Teile bei der Lagerung. Keil A.), Metalloberfläche, 1957, 11, № 10, 334—335 (нем.)

Пайка (П) серебряных изделий после их складского хранения затрудняется вследствие образования на поверхности покрытия налета сернистого серебра, так как последний не растворяется применяемыми при П канифольными пастами. Опыты по разработке мер защиты Ag от потускнения проводились с Ag-проволоками: 1) обезжиренными без дополнительной обработки; 2) пассивированными в p-ре 6,5 г K₂Cr₂O₇ + 2,5 г КОН + 20 г Na₂CO₃ + 0,5 г KCN в 500 мл воды, продолжительность пассивации 2 мин., контакт с Al-проволокой, т-ра p-ра 90—100°; 3) защищенными 40%-ным p-ром парафина в трихлорэтилене, 4) 50%-ным p-ром канифоли, 5) цапон-лаком, 6) полиуретановыми смолами, 7) очень тонким слоем Au. Образцы 4 мин. обрабатывались 10%-ным p-ром сернистого калия (I) и затем загружались на 30 сек. в расплавленную (200°) эвтектоидную смесь Sn-Pb. Установлено: 1) незащищенные образцы сильно темнеют при I, П невозможно, как в случае применения канифольной пасты, так и в случае применения флюсов; 2) пассивация защищает от I, П возможна только с флюсами; 3) покрытия канифолью и парафином не защищают от I, П возможна даже при применении флюсов; 4) покрытие цапон-лаком защищает от I, П возможна только при применении флюсов; 5) покрытие полиуретановым лаком защищает от I и возможна непосредственно П. Отмечается нежелательность применения для П легкоплавких составов типа Pb—Sn—Cd, так как возможен перегрев ванны. Указывается, что размягчение полиуретанового покрытия происходит при 300°, выше этой т-ры лак обугливается; 6) покрытия тонким слоем золота полностью защищают от I и хорошо паяются. Ф. Сломанская

32848. Антикоррозионные свойства и жаропрочность чугуна с алюминиевым покрытием. Нода, Киндзоку, Metals, 1957, 27, № 9, 705—710 (японск.)

32849. Нанесение антикоррозионных покрытий на металлы распылением. Нагасака, Киндзоку, Metals, 1957, 27, № 9, 692—696 (японск.)

32850. Оксидные покрытия черного цвета на стали: контроль качества покрытия. Досс (Black oxide coatings on steel: quality tests. Doss J.), Electroplating and Metal Finish., 1957, 10, № 9, 289—290 (англ.)

Приведены результаты исследования 3 способов контроля качества оксидных пленок (ОП), полученных в результате обработки полированных и оксеструенных образцов углеродистой стали в p-ре состава (в ч.): NaOH 2, NaNO₃ 1 и небольшой добавки NaCN. Испытания защитных свойств ОП методами наложения бумаги во влажной камере и методом капли (К) с применением 1, 2, 3, 5, 10 и 25% p-ра лимонной к-ты или 25% p-ра лимоннокислого аммония не обнаружили различия в степени коррозии различного качества ОП. Испытания 1, 2, 3, 5 и 10%-ным p-ром H₂C₂O₄ показали, что нанесение на вороненую сталь (0,2 мм) 3%-ного или 5%-ного p-ра H₂C₂O₄ обеспечивает хорошие, воспроизводимые результаты. Защитные свойства пленки определяются изменением окраски К жидкости и продолжительностью от момента нанесения К. Светлая К при нанесении на покрытие хорошего качества приобретает черный или коричнево-черный цвет в течение 3—8 мин.; при нанесении на покрытие плохого качества изменение окраски от черного до светло-серого наступает через 30—90 сек. На покрытии среднего качества время изменения окраски от черного до темно-серого составляет 1—3 мин. Контроль качества ОП методами К с применением H₂C₂O₄ заменяет обычно применяемые получасовые испытания в солевом тумане.

А. Рейхштадт

32851. Покрытие Reindl H. (англ.)

В последние годы Sn и другие стойкие материалы обладают высокой прочностью и устойчивостью к коррозии. В последние годы Sn и другие стойкие материалы обладают высокой прочностью и устойчивостью к коррозии. В последние годы Sn и другие стойкие материалы обладают высокой прочностью и устойчивостью к коррозии.

32852. Металлические покрытия Metalle

Metalle, 1957, 10, 147. Рассмотрены различные методы нанесения металлических покрытий на различные материалы.

32853. Сталь Metalle, 1957, 10, 147.

32854. Антикоррозионные покрытия Metalle, 1957, 10, 147.

32855. Железные покрытия Metalle, 1957, 10, 147.

32856. Медные покрытия Metalle, 1957, 10, 147.

32857. Никелевые покрытия Metalle, 1957, 10, 147.

32858. Цинковые покрытия Metalle, 1957, 10, 147.

32859. Хромированные покрытия Metalle, 1957, 10, 147.

32860. Платиновые покрытия Metalle, 1957, 10, 147.

32861. Золотые покрытия Metalle, 1957, 10, 147.

32862. Серебряные покрытия Metalle, 1957, 10, 147.

32863. Медно-никелевые покрытия Metalle, 1957, 10, 147.

32864. Медно-хромовые покрытия Metalle, 1957, 10, 147.

32865. Медно-цинковые покрытия Metalle, 1957, 10, 147.

32866. Медно-никель-хромовые покрытия Metalle, 1957, 10, 147.

32851. Покрытия. Рейндл (Coatings and finishes. Reindl H. J.), Mech. Engng, 1957, 79, № 8, 730—732 (англ.)

В последнее время металлич. покрытия (Zn, Ag, Cu, Ni, Sn и другие) наносятся в высоком вакууме. Износостойкие покрытия наносятся из карбида вольфрама и обладают твердостью почти алмаза. Al-покрытия наносятся путем погружения металлич. деталей в ванну с расплавленным Al. Диффузионное покрытие, получаемое из порошкообразной, жидкой или газообразной среды, обладает свойствами покрывающего металла. Анодирование также придает металлу стойкость к износу и защищает от коррозии. Широко применяются также фосфатные покрытия, улучшающие адгезию краски к поверхности. В комбинации с маслами или восками они дают прекрасную защиту от коррозии. Хорошую коррозионную стойкость дают хроматные покрытия на Al. К новым типам покровных эмалей и лаков относятся эмали и лаки на основе эпоксидных и полиуретановых смол и хипалона. Эти покрытия обладают прекрасной хим., абразивной и погодостойкостью, а также эластичностью, хорошей адгезией ко многим материалам. Покрытия на основе хипалона обладают, кроме того, стойкостью к солнечному свету и эластичностью при низких т-рах. Для покрытий нашли также применение акриловые и виниловые смолы, латексные краски, силиконовые праймеры, полифтористоводородные дисперсии. По праймеру наносятся также пластизолы на основе поливинилхлорида.

Т. Фабрикант

32852. Методы химической защиты и облагораживания металлических поверхностей. Бродт (Chemische Verfahren zum Schutz und zur Veredlung von Metalloberflächen. Brodt R.), Ind.-Anz., 1957, 79, № 94, 1473—1475 (нем.)

Рассматриваются процессы фосфатирования, хроматной пассивации, электрохим. и хим. оксидирования. Приведено краткое описание фотовани для хим. обработки труб перед протяжкой, а также комбинированного агрегата для подготовки стальных, цинковых и алюминиевых поверхностей под лакокрасочное покрытие и установки для пассивации мелких и больших изделий.

Ж. Ковалева

32853. Стальные листы с эмалевым и керамическим антикоррозионным покрытием. Охара, Киндзоку, Metals, 1957, 27, № 9, 715—718 (японск.)

32854. Антикоррозионная защита металлических и бетонных поверхностей аппаратов Бакмана. Рейнман А. И., Финкельштейн М. И., Иоффе Р. П., Хим. пром-сть, 1957, № 6, 373—375

Испытания, проведенные Ленинградской конторой «Лакокраспокрытие» по защите аппаратов Бакмана на Охтенском з-де, показали, что наилучшую защиту (через 10 месяцев эксплуатации покрытие находится в удовлетворительном состоянии) дает асбовиниловое покрытие толщиной 7—8 мм, высушенное при 100°. Срок службы гребков при этом увеличивается в 5 раз. Для защиты деталей, работающих в менее жестких условиях, можно применять асбовиниловое покрытие естественной сушки при 18—20°, а для защиты бетонных поверхностей — комплексное покрытие на основе 2 слоев эмали ДП на железном сурике, 3 слоев асбовиниловой массы с соотношением лака этиноль к асбесту 3:1 и 2 слоев лака этиноль.

Т. Фабрикант

32855. Железобетон в бромной промышленности. Герман Ф. Ф., Бетон и железобетон, 1957, № 9, 372—373

Отмечается, что аппараты из железобетона для поглощения брома (I) из бром-воздушной смеси, для восстановления бромного железа в бромистое, а также нутч-фильтры для кристаллизации хлорного железа и др. хорошо оправдали себя на практике. Аппарат

для поглощения I железными стружками имеет внутренний диам. 4 м, внешний 4,24 м, высота его 6 м. Т-ра среды 60—200°. Армирование стен осуществлено прутками диам. 10 мм. Активность цемента 300 кг/см². Железнение цементом активностью 400 кг/см². Срок выдерживания до пуска в эксплуатацию не менее 28 дней, иначе бетон разрушается бромистым железом. Один из таких аппаратов работает с 1952 г. без следов разрушения бетона. Аппарат для поглощения I известковым молоком (5—8% активной CaO) изготовлен из 4 царг с толщиной стенок 200, 160, 120 и 80 мм. Царги — из бетона на портланд-цементе марки 300. Диаметр вертикальной арматуры 25 мм. Вверху и внизу к арматуре приварены рамки из уголка 75 × 75, служащие фланцами для соединения при сборке. В эксплуатации не обнаружено следов коррозии бетона, как и у других железобетонных аппаратов, применяющихся в бромной пром-сти.

Ю. Аронсон

32856. Трубы из термопластов. Эллиотт (Thermoplastic materials for pipe. Elliott P. M.), Corrosion, 1957, 13, № 10, 49—55 (англ.)

Основные термопластич. массы, применяемые для изготовления труб: полиэтилен, смесь сополимеров акрилонитрила, ацетилбутират целлюлозы, поливинилхлорид и поливинилиденхлорид. Полиэтилен вследствие его стойкости к низким т-рам применяется главным образом для изготовления трубопроводов для холодной воды, для труб в скважинах, в спринклерах, для крупных ирригационных систем, для охлаждающих и нагревательных змеевиков. Соплимеры акрилонитрила, обладающие превосходной хим. стойкостью и высокой т-рой разложения, применяют для трубопроводов в нефтедобывающей, хим. и металлургич. пром-сти, для транспортировки натурального газа, питьевой воды и пр. Ацетилбутират целлюлозы применяется в нефтяной и газовой пром-сти. Поливинилхлорид, обладающий большой прочностью, хорошей хим. стойкостью и устойчивостью к старению, применяется на хим. з-дах, в нефтедобывающей пром-сти, для хранения натурального газа и для агрессивной и чистой воды. Поливинилиденхлорид применяется для изготовления труб и для обкладки металлич. труб.

Т. Фабрикант

32857. Применение продуктов «Бондер». Черма (Le applicazioni dei «Bonder». Cerna P. de), Metallurgia ital., 1957, 49, № 5, 377—378 (итал.)

Под названием «Бондер» разработана серия хим. продуктов, назначение которых обеспечить надежное сцепление в-ва органич. характера с металлами, за счет хим. р-ций с основным металлом. Поверхность этих продуктов имеет капиллярное строение и высокую пористость. Для увеличения коррозионной стойкости применяются антикоррозионные масла, лаки, воск, которые вводятся в пористые слои продуктов «Бондер».

Я. Ланин

32858. Обработка поверхности и отделка легких металлов. Органические покрытия по алюминию. Уэрник, Пиннер (Surface treatment and finishing of light metals. Organic finishing of aluminum. Wernick S., Pinner R.), Organ. Finish., 1957, 18, № 8, 15—23, 27 (англ.)

См. также РЖХим, 1957, 12478

32859. Некоторые синтетические эластомеры в борьбе против коррозии. Вутетакис (Certains élastomères de synthèse dans la lutte contre la corrosion. Voutetakis E. S.), Corros. et anticorros., 1957, 5, № 9, 244—252 (франц.)

Рассматриваются два вида эластомеров, применяемые с целью защиты от коррозии: полихлоропрен, известный под названием неопрен, и хлорсульфированный полиэтилен — хайпалон (X). Покрытия на основе неопрена наносятся кистью или распылением. Композит

зиции на основе конц. неопрена наносятся на поверхность мастерками. Покрывают из неопрена применяют для защиты гребных винтов морских судов от действия морской воды, для защиты металлич. емкостей при транспортировке коррозионных продуктов, деревянных емкостей, а также для защиты вентиляторов от паров к-т и т. д. Для покрытий из X, наносимых кистью, конц-ия должна быть 40—45%, включая 20—35% пигмента. Для покрытий, наносимых распылением, рекомендуется конц-ия 25—30%. Для предупреждения появления клейкости пленки рекомендуется добавлять в лак небольшие кол-ва смазывающих в-в, напр. стеариновой к-ты до 1%, и стабилизатора против УФ-лучей. Лучшими стабилизаторами являются модифицированные бензофеноны. Невулканизованные пленки обладают относительно слабой стойкостью. После вулканизации стойкость значительно повышается. Для вулканизации применяется смесь из окиси или соли металла, органич. к-ты и ускорителя, содержащего S. Из солей лучшей является малеат свинца, из органич. к-т — гидрогенизованные производные канифоли. Некоторые типы синтетич. смол дают хорошие модификации с X: добавка 25—100 ч. фенольной смолы на 100 ч. X улучшает адгезию X к металлу. Основным недостатком этих модифицированных красок является уменьшение цветостойкости. Известны краски, содержащие смесь X и полиэтилена.

Т. Фабрикант

32860. Некоторые наблюдения относительно контроля защитных битумных покрытий на трубопроводах, укладываемых в грунт. Измерение электропроводности. Бальди (Alcune osservazioni sul controllo di rivestimenti bituminosi dei tubi da interrare. La prova conduttometrica. Baldi F.), Metallurgia ital., 1957, 49, № 5, 377—340 (итал.; рез. франц., англ., нем.)

Описан способ контроля качества битумного покрытия трубопроводов перед укладкой их в почву, основанный на кондуктометрич. измерении электропроводности. Испытание проводится в условиях, соответствующих рабочим. Такой способ контроля весьма удобен как для разработки технологии нанесения покрытий, так и для оценки качества готовых изделий. Возникновение тока, превышающего 0,5 мА, служит показателем наличия дефектов в покрытии.

Я. Лапин

32861. О некоторых замедлителях коррозии алюминия. Де-Анджелис, Каруньо (Su alcuni inibitori della corrosione dell'alluminio. 1) Ambiente acido in presenza di acido tannico o di colofonia. De Angelis G., Carunchio V.), Metallurgia ital., 1957, 49, № 5, 349—354 (итал.; рез. франц., англ., нем.)

Рассматривается воздействие на Al кислой среды в присутствии дубильной к-ты и канифоли, служащих замедлителями коррозии (ЗК) в 1 н. HCl (к-та). Оба эти в-ва показали хорошее тормозящее действие, обеспечивая защиту на 99 %. Опыты велись при 25,50 и 75°, конц-ия ЗК составляла 0,0035—7,08%. Потеря в весе составила от 11,73 мг/см² год, без применения ЗК до 0,20 мг/см² год при ЗК — 7,08%.

Я. Лапин

32862. Цианамид кальция — замедлитель коррозии железа в водных растворах. Павликовский, Полло, Венгель (Azotniak jako czynnik opóźniający proces korozji żelaza w roztworach wodnych. Pawlikowski Stefan, Pollo Iwo, Wegiel Jerzy), Zesz. nauk. Politechn. slaskiej, 1957, № 12, 107—128 (польск.; рез. русск., нем.)

Исследования Краковского нефтяного ин-та по изучению влияния цианамид кальция (I) на скорость коррозии (СК) и изменение необратимого электродного потенциала (II) железа (0,3% C) в дистил. и водопроводной водах и ряде солевых р-ров с учетом

условий подземной коррозии показали, что: 1) СК в дистил. воде значительно больше, чем в водопроводной; 2) в обеих водах добавление к ним 4% I в 5—10 раз уменьшает СК; 3) СК и замедляющее действие I в р-рах CaSO₄, CaCl₂ и Ca(OH)₂ проявляются различно. Наибольшее замедление отмечается в р-ре CaSO₄; 4) кривые, характеризующие СК-время испытаний (40 суток), во всех случаях имеют ступенчатый характер. Определение изменения II во времени показало, что в р-рах 0,1% NaCl, 0,1% KCl, 0,1% CaCl₂, 1% MgSO₄, 0,1% CaHCO₃ и в водн. вытяжке торфа имеет место разблагораживание П. При добавлении к этим р-рам 4% I П образцов разблагораживается во времени и СК очень невелика. Предполагается, что замедление СК в воде и большинстве солевых р-ров при добавлении к ним I обусловлено гидролизом последнего и повышением щелочности р-ров.

Ф. Сломанская

32863. Влияние продуктов гидролитического разложения цианамид кальция на замедление процесса коррозии железа в водных растворах. Павликовский, Полло, Шиманский (Wpływ produktów hydrolytycznego rozkładu cyjanamidu wapniowego na opóźnienie procesu korozji żelaza w roztworach wodnych. Pawlikowski Stefan, Pollo Iwo, Szymański Jerzy), Zesz. nauk. Politechn. slaskiej, 1957, № 12, 129—140 (польск.; рез. русск., нем.)

Изучение влияния добавок цианамид кальция (I) и продуктов его гидролиза на изменение значения необратимого электродного потенциала (II) и коррозии (K) железа в: 1) дистил. воде; 2) водопроводной воде, 1,5%-ном р-ре меламина, 2%-ном р-ре (H₂CN)₂, 2,5%-ном р-ре мочевины и 3%-ном р-ре I показало, что начальный П (через сутки) и конечный П (через 37 суток) в средах 1—5 имеют близкие значения: начальный П — 0,37—0,42 в, конечный П — 0,52—0,55 в. В 6-й среде П почти не меняется (0,30—0,31 в). Соответственно в 1—5 начало K отмечено через 10—24 часа, а в 6 — через 102 суток, причем в этом случае на образцах образуется осадок CaCO₃. Приводятся данные определений П железа как функции изменения pH р-ров, содержания в них I и продуктов гидролиза при 18, 40 и 70° в течение 30—90 суток. Высказывается предположение, что из всех образующихся при гидролизе I продуктов только Ca(OH)₂ является замедлителем K. Поскольку, однако, Ca(OH)₂ взаимодействует с CO₂ воздуха, необходимо ограничить возможность р-ции ее с коррозионной средой.

Ф. Сломанская

32864. О подборе замедлителей коррозии путем испытаний в воспроизводимых естественных условиях. Фридман, Дравникс, Хершман, Чили (Selection of rust inhibitors to meet service requirements. Freedman A. J., Dravnieks A., Hirschmann W. B., Cheney R. S.), Corrosion, 1957, 13, № 2, 19—24 (англ.)

Отмечая важность ускоренных лабор. методов оценки эффективности замедлителей коррозии (ЗК) в условиях, возможно ближе воспроизводящих естественные, авторы рекомендуют 3 типа испытаний — в динамич. (поток жидкости), статич. условиях (спокойная жидкость) и в условиях влажной атмосферы. Это делает возможным, как полагают авторы, обойтись без более продолжительных натурных испытаний. Детально рассмотрен предложенный Дравниксом и Каталди (РЖХим, 1955, 17889) кондуктометрич. способ определения скорости коррозии, не требующий снятия с продуктов, в применении к оценке эффективности ЗК в различных условиях.

А. Шатаев

32865. Применение двойных концентрических труб для борьбы с коррозией на буровых скважинах. Хиллегейст (Dual concentric tubing strings designed for corrosion control. Hillegeist Per-

гу R.), W (англ.)
Описана д природного концентриче вают замедл трубы от ра 32866. Кат kytelse. II 492—496 (Р Обзор Ра связи с про защиты. Опи потенциалов (почве), реко водится при трубопровод Zn, Al, Cu-с янными ано фитовые ма установк: и т. д. Сооб 54 назв.

32867. Кат гальваниче dică cu al metan. Н 309—313 (Описывает 1700 м Zn-а почвы по т 20 см/м и л до 41—45 и алась в ст 1:1. Трубо ния защитв среднего со мощи Zn-а защита стал

32868. Эко водийей с protection Pipes and Рассматри щиты газон чение ряда кривые, по защиты нач 12—14 лет и лие годы а 32869. Кор и ее пре (Die Korr legierung Schutz. Н 9, № 9, 74 Результат защиты (К риен K3 в между дви практически том часто и может дост валу. Для Zn-анодом контакты и 12 угольни потенциало снижалась необходимо ту равност 5 месяцев

ru R.), World Oil, 1957, 145, № 5, 228—230, 232—233 (англ.).

Описана двойная буровая скважина для добычи природного газа. В кольцевое пространство между концентрически расположенными трубами впрыскивают замедлитель коррозии, успешно защищая трубы от разрушения.

В. Левинсон
32866. Катодная защита. II. Аруп (Katodisk beskyttelse. II. Arup Hans), Ingeniøren, 1955, 64, № 23, 492—496 (датск.).

Обзор. Рассматриваются практич. мероприятия в связи с проектированием и применением катодной защиты. Описана техника измерения (определения потенциалов, блуждающих токов и сопротивления в почве), рекомендуются материалы для анодов и приводится пример расчета установки катодной защиты трубопровода. В качестве анодов предлагаются Mg, Zn, Al, Cu-сплавы и др. Постоянными или полупостоянными анодами могут быть также угольные или графитовые материалы. Дается схема проектирования установки: размеры и размещение анодов, стоимость и т. д. Сообщение 1 см. РЖХим, 1956, 2776. Библ. 51 назв. М. Голомбик

32867. Катодная защита газопровода при помощи гальванических анодов. Хамерак (Protecția catodică cu anodi solubili aplicată la o conductă de gaz metan. Hașerak M.), Petrol și gaze, 1957, 8, № 6, 309—313 (рум.; рез. русск., нем., франц., англ.).

Описывается защита газопровода диам. 5,5 и длиной 1700 м Zn-анодами 99,9%-ной чистоты. Сопротивление почвы по трассе было в основном в пределах 10—20 ом/м и лишь на последних 3 участках повышалось до 41—45 и даже 140 ом/м. Установка анодов осуществлялась в спец. заливке из гипса и глины в пропорции 1:1. Трубопровод имел битумную изоляцию. Измерения защитных потенциалов показали, что в почвах среднего сопротивления (вплоть до 20 ом/м) при помощи Zn-анодов может быть достигнута катодная защита стального трубопровода. В. Притула

32868. Экономика катодной защиты на газовой разводящей сети. Вильсон (The economics of cathodic protection applied to gas services. Wilson C. L.), Pipes and Pipelines, 1957, 2, № 2, 21—23, 31 (англ.). Рассматривается вопрос об экономич. эффекте защиты газовых разводов, подверженных коррозии в течение ряда лет, электрохим. способом. Приводятся кривые, показывающие, что применение катодной защиты начинает приносить реальную экономию через 12—14 лет после своего осуществления, а в последующие годы экономия быстро возрастает. В. Притула

32869. Коррозия судовых винтов из медных сплавов и ее предупреждение катодной защитой. Хасбах (Die Korrosion von Seeschiffspropellern aus Kupferlegierungen und ihre Verhütung durch kathodischen Schutz. Hasbach Erich), Schiff und Hafen, 1957, 9, № 9, 747—751 (нем.).

Результаты исследования эффективности катодной защиты (КЗ) больших винтов показали, что критерием КЗ винтов является напряжение, создающееся между движущимся валом и корпусом судна. Однако практически электрич. связь между Zn-анодом и винтом часто нарушается и тогда указанное напряжение может достигать 300 мВ при положительном полюсе на валу. Для восстановления нарушенной связи между Zn-анодом и винтом устанавливались шлифованные контакты в виде угольных щеток. При установке 12 угольных щеток, каждая площадью 2 см², разность потенциалов между корпусом судна и валом винта снижалась до 5 мВ. В то же время для поддержания необходимого действия КЗ достаточно поддерживать эту разность даже в 20 мВ. Обследование винта через 5 месяцев показало хорошее действие КЗ. Дальней-

шие испытания на коррозию моделей винтов из Al-бронзы и спец. Cu-сплава проводились при скорости вращения винтов в 4000 об/мин в условиях погружения в воду с 4% NaCl. Разность потенциалов в месте скользящего контакта щетки, соединенной с Zn-анодом и осью винта, поддерживалась на уровне 10 мВ. Через 3½ месяца все винты, находившиеся под КЗ, не подверглись коррозии, а на поверхности их образовался защитный слой, состоящий в основном из карбонатов кальция и натрия. Контрольные образцы, не имевшие защиты, были сильно разрушены. В. Притула

32870. Катодная защита морских прибрежных конструкций. Массад, Холмс (Cathodic protection of offshore structures. Massad A. H., Holmes B. G.), Petrol. Engr, 1957, 29, № 5, B-73—B-74, B-76, B-80 (англ.).

Для защиты оснований морских скважин применяют 3 способа в зависимости от расположения отдельных зон конструкций. Верхние части оснований, подверженных атмосферной коррозии, обычно окрашивают. Для зоны забрызгивания часто применяют облицовку монель металлом. Для подводных поверхностей осуществляют катодную защиту. Так как на основаниях не имелось источников постоянного тока, для катодной защиты были применены Mg-аноды, уложенные на дно океана. При расчетной плотности защитного тока в 21,5—43 мА/м² создаваемый защитный потенциал должен был быть в пределах от —0,80 до —1,0 в. Практически были получены пределы от —0,80 до —0,92 в по насыщ. каломельному электроду. Начальный выход тока из каждой группы из 4 анодов был 14 а, но после образования защитного известкового слоя он уменьшался до 9 а. На центральных сепараторных платформах вместе с соединительными сливными линиями была применена катодная защита с наложенным током. Так как изоляция труб была высокого качества, достигнутые защитные потенциалы находились в пределах от —0,82 до —0,96 в по насыщ. каломельному электроду. На другой платформе, сделанной также из стальных и железобетонных свай и стальных связей, была также применена катодная защита наложенным током, в которую были включены и соединительные трубопроводы. Общая площадь защищаемой стальной поверхности была примерно равна 3710 м². Для питания защиты применяли выпрямитель с напряжением 10 в и выходом тока 150 а. Заземление состояло из 20 анодов из высококремнистого чугуна. Морские соединительные линии общим протяжением 77,2 км защищались Mg-анодами, расположенными на интервалах в 610 м. В. Притула

32871. Нужна ли катодная защита? Столберг (Cathodic protection needed? Stolberg Ernest M.), Plant Engng, 1957, 11, № 5, 136—138 (англ.).

Для защиты от коррозии трубопроводов крупных централизованных котельных установок в Балтиморе были проведены измерения потенциалов в ряде точек на линиях с целью установления эффективности катодной защиты. Для приварки контрольных выводов к трубопроводу применяли спец. метод, названный «Колдвелдинг», представляющий собой разновидность термитной сварки. Применяемое для этой сварки оборудование состоит из графитовых форм с пороховым зарядом в верхней части, при воспламенении которого спец. сплав на трубопроводе обеспечивает приварку провода. После двухнедельных замеров потенциалов трубопроводов было установлено, что опасность заметной коррозии для них не имеется. В. Притула

32872. Аноды из свинцового сплава испытаны при выходе тока до 215 а/м². Морган (Lead alloy an-

des tested up to 20 amp. sq. ft. Morgan J. H.), Corrosion, 1957, 13, № 7, 128, 130 (англ.)

Описаны испытания новых анодов для систем катодной защиты с наложенным током. Был испытан Pb-сплав с 8% Sb, который в обычной морской воде при D в 215 а/м^2 покрывался коричневым перекисным слоем, что уменьшало разрушение анода до $0,9 \text{ кг/а}$ в год. В это же время Британское Адмиралтейство проводило испытания Pb-сплава CX3 в лабор. условиях в морской воде, пресной воде, песке и иле на небольших образцах при D 10,7—215 а/м^2 . Испытания показали, что сплав CX3 может успешно применяться при D 10,7—215 а/м^2 , так как образование защитного слоя обеспечивало почти полное прекращение разрушения анода. При больших D наблюдалось разрушение защитного слоя и увеличение разрушения анода. По некоторым данным можно считать, что наименьшее разрушение имеет место при D в 107 а/м^2 . В. Притула

32873. Коррозия обсадных труб. Титтерингтон (How corrosion attacks well casing. Titterington Y. W.), Oil and Gas J., 1957, 55, № 21, 136—138, 140 (англ.)

Обсадные трубы нефтяных скважин можно предохранить от коррозии катодной защитой. Описываются два метода определения величины защитного тока — по кривым падения потенциала по глубине ствола и по измерениям потенциала в верхней части скважины. С. Гудков

32874. Сравнение различных способов испытаний на коррозию под напряжением латунных изделий при длительном хранении. Хельсинг, Лиснер, Раск, Стрём (Verschiedene Spannungskorrosionsprüfverfahren für Messingteile verglichen mit einer Langzeitlagerung. Helsing S., Lissner O., Rask S., Ström B.), Werkstoffe und Korrosion, 1957, 8, № 10, 569—573 (нем.)

Результаты исследования, проводившегося с целью выяснения наличия связи между данными, полученными при испытаниях латуни М 72 на коррозию под напряжением (КПН) в аммиаке (I), в р-ре азотнокислой ртути (II) и при длительном хранении при нормальных атмосферных условиях, показали, что как при испытаниях в р-ре II, так и при испытаниях с погружением изделий в р-р I, содержащий 1% свободного NH_3 и 1,7 г/л Cu, и при испытаниях в паровой фазе над 0,2%-ным р-ром I могут быть получены воспроизводимые данные зависимости между временем до разрушения образца, вызванного КПН, и величиной остаточных напряжений. Установлено также что для проведения испытаний в II изделий с толщиной стенки 0,4 мм достаточно 15 мин. и 24 часа для испытаний в р-ре I или 7 дней в парах I. Наиболее чувствительным способом испытаний, выявляющим наличие напряжений в гильзах, даже после отжига при 325° , является испытание в р-ре I. С помощью таких испытаний, как погружение изделия в р-ре I, с достаточной достоверностью может быть предсказано поведение латунных изделий при длительном хранении в атмосферных условиях.

М. Кристаль

32875. Коррозия алюминия в щелочной среде. Влияние концентрации. Макрам (Contribution à l'étude de la corrosion de l'aluminium en milieu alcalin. Effet de la concentration. Makram Helmy), C. r. Acad. sci., 1957, 245, № 13, 1060—1062 (франц.)

Метод, позволяющий количественно определить скорость коррозии Al в среде (NaOH) в пределах концентрации от Н до $\frac{1}{10}$ Н, состоит в измерении потенциала Si-пластинки, покрытой Al-фольгой. Скачок потенциала от потенциала Al к потенциалу Si показывает скорость растворения Al. Кривые потенциал — время позволяют определить длительность коррозионного

процесса. Изучение скорости коррозии Al этим методом показало, что длительность коррозионного процесса обратно пропорциональна концентрации р-ра и коррозии Al в р-рах NaOH является р-цией первого порядка.

32876. Поверхность цинка после различных видов предварительной обработки. Хубер, Ласке (Die Oberfläche von Zink nach verschiedenartiger Vorbehandlung. Huber K., Laske D.), Metalloberfläche, 1957, 11, № 7, 217—225 (нем.)

С помощью электронномикроскопич. и электроннографич. методов исследовано состояние поверхности чистейшего Zn после выдержки в течение различных промежутков времени в чистом воздухе при различных t -рах (20 — 350°), в воздухе, содержащем примеси HCl и NH_4Cl , в атмосфере чистого O_2 при 350° , в H_2O , содержащей и не содержащей O_2 , в р-рах Na_2CO_3 , HCl, H_2SO_4 , HNO_3 и р-рах, применяемых для хим. полирования Zn. Почти во всех случаях на поверхности Zn образуются пленки, состоящие из ZnO (это справедливо для кристаллич. части этих пленок). В зависимости от условий и состава среды пленки имеют различную, но воспроизводимую и характерную структуру. П. Шиголов

32877 К. Коррозия химической аппаратуры и антикоррозионные материалы. Изд. 2-е. Клинов И. И. Перев. с русск. (Coroziunea aparaturii chimice și materiale anticorrosive. Ed. 2-a. Klinov I. I. Trad. din limba rusă. București, Ed. tehn., 1957, 496 p., il., 21,80 lei) (рум.)

32878 К. Борьба с коррозией танкеров. Притула В. А. М., «Моск. транспорт», 1957, 151 стр., илл., 5 р. 10 к.

32879 П. Метод защиты от коррозии. Клейн (Rostschutzverfahren. Klein Hans) [Badische Anilin- & Soda-Fabrik A.-G.]. Пат. ФРГ 962032, 18.04.57

Патентуется способ защиты от коррозии в воде, влажной атмосфере или в почве, заключающийся в присоединении к фосфатированным изделиям неапатированного прокорродированного железного изделия или куска железа. Последние могут быть также защищены от коррозии и другими менее эффективными методами или окислительным. Приводятся примеры применения методов и схемы соединений.

32880 П. Метод и приспособление при частичном нанесении гальванических покрытий на баки для горючего. Шпилер, Кролл (Verfahren und Vorrichtung zum teilweisen Galvanisieren von Brennstoffbehältern. Spiller Franz, Kroll Johann) [Auto Union G.m.b.H.]. Пат. ФРГ 959777, 14.03.57

Патентуется приспособление для изоляции отдельных, не подлежащих покрытию, участков баков для горючего. Приспособление особо рекомендуется при нанесении гальванич. покрытий на баки мотоциклов. Оно представляет собой укрепляемую на баке пластмассовую ленту с косыми прорезями, предназначенными для стекания электролита. Ф. Сломьянская

32881 П. Покрытие внутренних стенок стальных труб свинцом. Танака, Японск. пат. 4263, 15.07.54

Рекомендуется устройство для покрытия внутренних стенок стальных труб свинцом. Стальную трубу помещают в расплавленный свинец в горизонтальном положении на глубину $\frac{2}{3}$ ее диаметра и начинают вращать вокруг своей оси, спустя некоторое время ее еще раз полностью погружают в расплавленный металл, после чего извлекают оттуда, удаляют излишек свинца и направляют для охлаждения. Этот метод дает возможность получить покрытие необходимой толщины и на требуемую длину трубы. З. Завьялов

32882 II. Футеровка резервуаров с применением отдельных элементов в виде полос. Зудаш (Auskleidung von Behältern unter Verwendung von streifenförmigen Einzelteilen. Sudasch Erich) [Gutehoffnungshütte Sterkrade A.-G.]. Пат. ФРГ 1000015, 13.06.57

Патентуется способ футеровки резервуаров отдельными полосами футеровочного материала (ФМ). Сплошной защитный слой футеровки создается путем заполнения щелей между отдельными полосами ФМ промежуточными элементами такой же толщины, как и основные полосы ФМ и заваркой в 2 слоя.

М. Кристалль

32883 II. Способ покрытия поверхностей стеклянными плитками. (Procédé pour revêtir des surfaces, et plus particulièrement les murs et le sol, avec des plaques de verre et revêtement obtenu par ce procédé) [Revetlux]. Франц. пат. 1108017, 9.01.56

Способ покрытия поверхностей в особенности стен и пола стеклянными плитками, отличается тем, что на одну из сторон стеклянной плитки наносится краска, состоящая главным образом из кальцита и казеина; на этот слой после его высушивания наносится второй (изолирующий) слой, состоящий из водн. эмульсии цемента и казеина, который также высушивается. Перед укладкой на плитку наносится быстросохнущее вяжущее в-во на основе цемента, кальцита и казеина, позволяющее закрепить плитку на поверхности.

Т. Шалаева

32884 II. Антикоррозионное покрытие внутренних и наружных стенок железных труб. Фудзимура. Японск. пат. 8591, 25.11.55

Асбцементные трубы покрывают с внешней стороны слоем цемента и вставляют внутрь железных труб (внутренний диаметр железных труб должен соответствовать наружному диаметру асбцементных труб). Железные трубы затем при помощи спец. установки вращают вокруг оси с большой скоростью. В результате центробежной силы асбцементные трубы плотно прилегают к внутренним стенкам железных труб. Затем наружные стенки железных труб также покрывают в несколько слоев асбестом, замешанным на цементе, и для лучшего сцепления асбцемент с металлом пропускают и через вальцы.

В. Зломанов

32885 II. Способ защиты от коррозии алюминия или алюминиевых сплавов. Альтенполь, Брокманн (Verfahren zum Schutze von Aluminium oder Aluminiumlegierungen vor Korrosion. Altenpohl Dietrich, Broockmann Karl) [Aluminium-Walzwerke Singen G.m.b.H.]. Пат. ФРГ 965715, 13.06.57

Патентуется способ защиты от коррозии Al и Al-сплавов лаком с низкой вязкостью, нанесенным поверх окисной пленки (ОП), представляющей собой кристаллич. бемит ($Al_2O_3 \cdot 1H_2O$) (Б) и обеспечивающей хорошее сцепление лака с основным металлом. Различными методами можно получить ОП, состоящую из легкорастворимого пористого Б толщиной 0,1–5 μ или ОП, состоящую из слоя труднорастворимого γ_1 — Б толщиной $\geq 0,3 \mu$ и поверх нее слоя толщиной 0,2–3,7 μ γ_2 — Б. ОП может быть получена также обработкой в дистил. или умягченной воде (до 2,5 немецких градусов жесткости) при t -ре $> 80^\circ$ в течение > 2 , предпочтительно 10 мин. Пленка Б может быть получена также при обработке металла или сплава в водопроводной воде с pH между 7 и 11 при 80° в течение ≥ 2 , предпочтительно 10, мин. Указывается на необходимость травления и обезжиривания Al перед созданием ОП.

М. Кристалль

32886 II. Способ предотвращения коррозии в газовой фазе. Марш (Method of reducing vapor

zone corrosion. Marsh Glenn A.) [The Pure Oil Co.]. Пат. США 2755166, 17.07.56

Патентуется способ предотвращения коррозии верхних частей нефтяных резервуаров, подвергающихся действию газовой фазы, путем применения летучего замедлителя коррозии аммиака, источником которого служат насыщ. р-ры NH_4NO_3 (I), NH_4SCN (II) или их смесь в жидком NH_3 . Такой р-р помещается в спец. контейнере внутри резервуара. Для приготовления насыщ. р-ров на 1 г жидкого NH_3 рекомендуется 3,9 г I, 3,6 г II или 1,4 г I + 4,0 г II. Возможны и другие соотношения I и II в случае применения смешанного р-ра. Скорость испарения NH_3 можно регулировать изменением площади зеркала контейнера, а также изменением соотношения I и II в смешанном р-ре.

А. Шаталов

32887 II. Замедлители коррозии и содержащий их состав. Сейбол, Филдс, Карл (Corrosion inhibitors and compositions containing the same. Sabol Albert R., Fields Ellis K., Karl Robert E.) [Standard Oil Co.]. Пат. США 2749311, 5.06.56

Патентуется состав замедлителя коррозии (ЗК) Ag и Ag-сплавов смазочными материалами, содержащими соединения S и P. Приготовление ЗК: меркаптан (I), $HCOOH$ (II) и 2,5-димеркапто-1,3,4-тиодиазон (III) в мол. соотношении 1:1:1 до $(3+x):(1+x):x$, где $x = 1$ или > 10 выдерживается в течение 2–12 час. в зависимости от t -ры, которая варьирует от 0 до 100° . В качестве катализатора могут быть взяты сухой Cl_2 , HCl , безводн. H_2SO_4 , хлориды Zn, Cd. Р-ция проводится в р-ре в диоксане, этиленгликоле, эфире или другом индифферентном р-рителе. Взамен I могут применяться его алифатич. или ароматич. производные, предпочтительно с 6–20 атомами C. Состав продукта р-ции отвечает ф-ле $C_{11}H_{17}S_4N_2$. Предполагается, что структура зависит от состава исходной смеси. Постоянным элементом предположенных структурных ф-л является группа $-S-C=NN=C(-S)-S$.

Рекомендуемый состав, будучи введен в кол-ве 0,25–5%, служит эффективным ЗК Ag и Ag-сплавов основными смазочными маслами типа полибутиенов, полипропиленов или др. полимеров, употребляемых в двигателях внутреннего сгорания и обычно содержащих небольшие добавки соединений, в состав которых входит S и P. Введением таких соединений к основному смазочному материалу в кол-ве 0,01–5,0% рекомендованы как очищающее средство. В их числе указаны нейтрализованные продукты взаимодействия P_2S_5 с полимеризованными неперелетными углеводородами и дано описание некоторых способов их получения.

Н. Шаталов

32888 II. Замедлители коррозии и содержащие их композиции. Фильдс, Скэнли, Линск (Corrosion inhibitors and compositions containing same. Fields Ellis K., Scanley Clyde S., Linsk Jack). Пат. США 2719126, 27.09.55

Патентуется смазка, в особенности пригодная для двигателей внутреннего сгорания усовершенствованных конструкций, не действующая на Ag, сплавы Ag, Cu, Pb и защищающая их от действия S. Состав смазки: масло натуральное или синтетич. с добавками полисульфидных производных 2,5-димеркапто-1,3,4-тиодиазола (I) (0,02–10%, лучше 0,25–5%) и других в-в (необязательно) — антиокислителей, антикоррозионных и т. д. I является вновь открытым замедлителем коррозии по отношению к указанным металлам и их сплавам, что было доказано спец. испытаниями. Подробно описаны исходные продукты и методики получения добавки полисульфидных производных I.

Г. Райцын

32889 П. Растворимые масла. Крёниг, Хинш, Зейден, Енсе (Soluble oils. Kroenig Walter, Hinsch Walter, Zijden Martinus J. van der, Jense Willem Frederik) [Shell Development Co.]. Пат. США 2732345, 24.01.56

Предлагается однофазный маслорастворимый препарат, большую часть которого составляет минер. масло, а меньшую (до 10%), но эффективно задерживающую коррозию — маслонерастворимый нитрит щел. металла, напр., NaNO_2 . Кроме того, препарат содержит 1—10% р-рителя из группы 2-атомных алифатич. спиртов и алифатич. эмульгатора, обладающего родственными свойствами как к маслу, так и к воде и образующего эмульсии масла в воде. В качестве эмульгатора можно применять щел. (напр., натровую) соль сульфоната нефти или таллового масла; в качестве р-рителя — 2-метилпентан-2,4-диол или 2-этилгексан-1,3-диол. Отношение нитрита к диолу в пределах от 1:1 до 1:2. Препарат легко эмульгируется в воде и применим как антикоррозионный для смазки, охлаждения инструмента при резании. М. Гольдберг

32890 П. Предотвращающие коррозию растворимые пробки. Браун (Corrosion-inhibiting soluble plug. Brown John R.) [Kobe Inc.]. Пат. США 2744880, 8.05.56

Патентуется способ механич. очистки внутренней поверхности трубопроводов (Т) (главным образом нефтяных) посредством протягивания через Т растворимой, набухающей в трубе пробки (П), оказывающей абразивное действие на стенки Т. Материал П растворим в жидкости, протекающей по Т, и таким образом она не требует спец. удаления, растворяясь в процессе своего прохождения по Т. Одновременно такая П, при наличии в ее составе соответствующих в-в, может тормозить коррозию. При наличии в составе П водорастворимых отрицательно заряженных защитных в-в последние при растворении П выступают в хим. р-цию с корродирующей поверхностью анодных участков, образуя сравнительно нерастворимую защитную пленку и повышая pH воды. Фазы протекающей жидкости, что снижает склонность к коррозии. П состоит из растворимого в нефти носителя и твердой минер. составляющей, распределенной в носителе в кол-ве 35—40 ч. на 100 ч. носителя. В качестве носителя обычно применяются: нефтерастворимые пластмассы, производные синтетич. каучука, парафин в смеси с производными каучука. Твердой фазой служит CaCO_3 . Растворимая П содержит на 100 ч. носителя от 10 до 15 ч. (по весу) анодного замедлителя коррозии в виде многоосновного фосфата натрия (напр., тринатрий-фосфата), образующего защитную пленку фосфата железа. Кроме того, П содержит ~2% смачивающих в-в и 0,2% бактерицида для защиты от действия анаэробных бактерий. В. Лукинская

32891 П. Усовершенствование, относящееся к обработке поверхностей. (Perfectionnements au traitement des surfaces) [Soc. Nouvelle de Métallisation]. Франц. пат. 1126033, 13.11.56

Патентуется покрытие и метод его нанесения с целью создания нескользящей поверхности. Покрытие 3-слойное: 1-й слой состоит из тонких зерен материала, наносимых непосредственно на обрабатываемую поверхность; 2-й слой — из более крупных зерен, напр. размером в 1 мм, которые вклиниваются по крайней мере частично в 1-й слой; 3-й слой — из материала с тонкими зернами, покрывающими по крайней мере части крупных зерен 2-го слоя, не вклинившихся в 1-й. 3-й слой сцепляется с 1-м в тех точках его, которые не покрыты крупными зернами 2-го слоя. В тех случаях, когда 1-й и 3-й слои наносят из пластич. материала, 2-й слой образован из более твердого материала, напр. металла. Метод нанесения покрытия за-

ключается в том, что материалы распыляются одним или двумя металлизационными аппаратами. Во втором случае один пистолет служит для 1-го и 3-го слоев, другой — для 2-го.

См. также: Структура продуктов р-ции, окислы 31527. Механизм окисления металлов 31789. Изучение взаимодействия O_2 с Ni 31870. Окисление Cu в HCl и H_2SO_4 31882. Проницаемость политрифтормоноклорэтиленовых пленок для HNO_3 34382. Трубы из поливинилхлорида 34390, 34408. Некорродирующее смазочное масло 33938, 33946, 33948. Фосфатирование котловой воды 32918

ПОДГОТОВКА ВОДЫ. СТОЧНЫЕ ВОДЫ

Редактор М. И. Лапшин

32892. Об агрессивной углекислоте в природных водах. Шильд (Über die kalkaggressive Kohlensäure der natürlichen Wässer. Schild Ernst), Brauwel, 1957, B97, № 43—44, 749—753 (нем.; рез. англ., франц.)

Обзор по вопросу определения расчетным путем.

Н. Гаврилов
32893. Окисляемость сточных вод. Окада, Уэсуги (Okada Shigeru, Uesugi Katsuya), Химизми корё дайгаку канкю хококу, Repts Himeji Techn. Coll., 1957, № 7, 74—77 (японск.; рез. англ.)

Проведено сопоставление результатов определения окисляемости по Шульце (ОШ) и 4-часовой перманганатной окисляемости (ПО). Установлены следующие закономерности: ОШ всегда больше ПО; отношение ОШ:ПО варьирует от 1,2 до 4,5 и тем больше, чем меньше конц-ия СВ. До 10-кратного разведения СВ ПО уменьшается пропорционально разведению (с 37,3 до 3,5 мг/л), начиная с 50-кратного и до 1000-кратного разведения ПО остается практически постоянной (0,9 и 0,6 мг/л). При определении ПО основное кол-во окислителя затрачивается в течение первого часа. После 5 час. потребление окислителя становится практически незаметным. С повышением т-ры ПО возрастает.

Н. Вансберг
32894. Определение сульфитных щелоков в водоемах. Хедлунд, Вильсон (Bestämning av sulfidut i vattendrag. Hedlund Ingvar, Wilson Karin), Svensk. papperstidn., 1957, 60, № 16, 582—583 (шведск.; рез. англ., нем.)

Приведены указания по спектрофотометрич. определению конц-ии сульфитных щелоков в водах рек и озер, содержащих гуминовые в-ва. Метод основан на измерении абсорбции УФ-лучей с длиной волн 265 и 280 мμ. Точность определения ~2 мг/л. О. Ленчевский

32895. Распространение туберкулезных бактерий в сточных водах. Методы обнаруживания и обезвреживания сточных вод в процессе их очистки. Джанская (Występowanie prątków gruźlicy w ściekach, metody wykrywania i unieszkodliwianie przy oczyszczaniu ścieków. Dożańska Wiera), Roczn. Państw. zakł. hig., 1957, 8, № 3, 306—316 (польск.)

32896. Схема качественного анализа жиров и масел, выделяемых из сточных вод. Грибков, Накада (A system for the qualitative analysis of sewage greases. Gribkoff G. P., Nakada S. J.), Sewage and Industr. Wastes, 1957, 29, № 7, 821—826 (англ.)

Исследуемую пробу высушивают при 103° до постоянного веса. Сухой остаток экстрагируют 4 часа петроэфиром (нейтр. экстракт), эфир выпаривают, остаток высушивают и взвешивают. В нем содержатся растительные и минер. масла, животные жиры и свободные жирные к-ты. Для определения последних растворяют

ответственную порцию высушенного остатка титруют 0,1 н. NaOH в присутствии фенолфталеина. Результат титрования перечисляют на олеиновую к-ту (мол. в. 282). В другой навеске того же остатка определяют омыляемые в-ва, для чего смешивают ее с отмеренным объемом 4%-ного спирт. р-ра КОН и кипятят с обратным холодильником 30 мин. Избыток щелочи оттитровывают 0,5 н. HCl в присутствии фенолфталеина. Поставив одновременно слепой опыт, находят % омыляемых и (по разности) неомыляемых в-в. Для определения мыл остаток от экстрагирования петр. эфиром подкисляют HCl до pH 1 и нагревают на водяной бане 1 час. Освободившиеся жирные к-ты экстрагируют петр. эфиром, отмыывают эфирный слой дистил. водой от избытка HCl, выпаривают эфир, высушивают и взвешивают остаток. Коэф. пересчета жирных к-т на мыла 1,07. Содержание животных и растительных жиров находят, вычитая из содержания в-в, полученных при экстракции из нейтр. среды, сумму жирных к-т и неомыляемых в-в.

Н. Ваксберг
32897. Качество воды рек Чехословакии. Буличек (Jakost vody v našich tocích. Bulicek J.), Vodní hospodářství, 1957, № 8, 219—222 (чешск.; рез. русск., нем., англ.)

Дана характеристика с критич. оценкой. Рекомендованы мероприятия по предотвращению загрязнения. М. Лайшин

32898. Проблема загрязнения водотоков. Дискуссия, организованная Химической секцией Канадского технологического института в ноябре 1955 г. Введение. Пише. Контроль за загрязнением водотоков предприятиями бумажной промышленности. Джонс. Контроль за загрязнением водотоков нефтеперерабатывающими заводами. Клэр. Значение законодательства по охране водотоков от загрязнения. Керкбрайт (The problem of stream pollution. A panel discussion organized by the Chemical Section, the Engineering Institute of Canada, November, 1955. Introduction. Piché Lucien. Control of pollution by pulp and paper mills. Jones Douglas. Pollution control in a petroleum refinery. Clare H. N. The importance of stream pollution legislation. Kirkbride D. S.), Engng J., 1957, 40, № 7, 985—986, 987—988, 988—989, 989—990 (англ.)

Понятие о загрязнении водотоков и способах его определения.

Характеристика СВ бумажной пром-сти и рекомендации по их очистке с учетом производственной рентабельности.

Описание мероприятий по очистке СВ от нефти и фенолов и по нейтрализации щелочей.

Соображения по вопросу об улучшении законодательства в Канаде на основе опыта Великобритании и США. М. Губарь

32899. Загрязнение водотоков и качество воды. 1. Река Како. 2. Река Ибо. Окада, Уэсуги (Okada S., Uesugi K.), Химизэди когэ дайгаку кэнкю хохокю, Repts Himeji Techn. Coll., 1957, № 7, 70—73; 78—80 (японск.; рез. англ.)

Изучено влияние промышленных СВ на реку, вода которой характеризуется высоким хим. потреблением O_2 на протяжении ~30 км и наличием пены с запахом меркаптанов.

Приведены хим. показатели качества воды в условиях незначительного загрязнения реки СВ. М. Губарь

32900. Рациональная организация надзора за загрязнением рек. Хок (A rational program for stream pollution control. Hoak Richard D.), Industr. Wastes, 1957, 2, № 4, 88—91 (англ.)

Критический очерк. Поскольку стандарты качества речной воды имеют, по мнению автора, ограниченное значение, рекомендуется устанавливать степень очист-

ки сбрасываемых СВ с учетом в каждом отдельном случае характера использования реки и экономич. соображений.

М. Губарь
32901. Принудительное перемешивание воды в водохранилищах. Риддик (Forced circulation of reservoir waters. Riddick Thomas M.), Water and Sewage Works, 1957, 104, № 6, 231—237 (англ.)

Описан аэратор для аэрирования и перемешивания воды в водохранилище емк. ~400 тыс. м³, глубиной 8,4 м с подачей 4,3 м³/мин воздуха при мощности 8 л. с. Аэрирование применено с одновременным введением Ca(OH)₂ для повышения щелочности и улучшения процесса коагулирования воды. В результате перемешивания (1—2 раза в сутки) в течение недели устранена температурная и кислородная стратификация. После эксплуатации в течение месяца БПК₅ всей массы воды снизилось до 3 мг/л, конц-ия O_2 достигла 90% насыщения, бикарбонатная щелочность увеличилась с 15 до 35 мг/л, кол-во микроорганизмов уменьшилось на 50—80%. Подобные аэраторы могут применяться для разных целей, в частности при очистке СВ в прудах.

М. Губарь
32902. Условия, влияющие на чувствительность рыб к ядам. Уэйсс, Боттс (Factors affecting the response of fish to toxic materials. Weiss Charles M., Botts James L.), Sewage and Industr. Wastes, 1957, 29, № 7, 810—818 (англ.)

В лабор. опытах изучалось токсич. действие (ТД) зарина на рыб *Pimephales promelas*, *Lepomis cyanellus*, *Carassius auratus* в зависимости от конц-ии O_2 в воде, т-ры, длительности акклиматизации, величины рыб. В воде, насыщ. O_2 , скорость проявления ТД находится в прямой зависимости от потребления O_2 рыбами, отнесенного на 1 г их веса. Однако при низкой конц-ии O_2 ТД проявляется относительно быстрее вследствие компенсаторного ускорения дыхания. Потребление O_2 возрастает с повышением т-ры воды, поэтому до начала опытов рыб следует приучить к условиям аквариума.

М. Губарь
32903. Предотвращение испарения воды химическими методами. Даунинг, Мелбурн (Chemical conservation of water. Downing A. L., Melbourne K. V.), J. Instn Water Engrs, 1957, 11, № 5, 438—442 (англ.)

Создание поверхностной пленки цетилового спирта (I), рекомендуемое для уменьшения испарения, может понижать скорость растворения O_2 . Определение описанным ранее методом (РЖХим, 1957, 24076) коэф. массообмена (KM) O_2 показало, что снижение величины KM в присутствии пленки I может достигать 60%. На величину снижения KM влияет значение KM в исходной воде, ее характер и условия перемешивания. Высказывается опасение, что применение I может повести к возникновению анаэробных процессов в водах, богатых органич. примесями. М. Лапшин

32904. Концентрация фторидов в питьевых водах провинции Палермо. Индовина, Капотуммино, Лонго (Dosaggio del fluoro nelle acque potabili della provincia di Palermo. Indovina Renato, Capotummino Giuseppe, Longo Nicolo), Ann. chimica, 1957, 47, № 4, 433—442 (итал.)

Из 118 обследованных образцов конц-ия F⁻ найдена < 1,00 мг/л в 114 образцах; 1,00—2,00 мг/л в 3; 20,0 мг/л в 1. Определения производились ализарин-циркониевым методом.

Н. Туркевич
32905. Умягчение воды городских водопроводов. Олتمان (Softening of municipal water supplies. Aultman William W.), Water and Sewage Works, 1957, 104, № 8, 327—334 (англ.)

Рассмотрение вопроса с экономич. точки зрения. В США применяется централизованное умягчение воды на водопроводных станциях (до ~1,7 мг-экв/л) и в

домовых установках (практически до 0). Приведены данные о достигаемой экономии мыла, топлива и т. д.

А. Смирнов

32906. Водоснабжение в Доха (Катар). Хогг, Сун (Water supply for Doha, Qatar. Hogg Charles, Swan George Martin), Proc. Instn Civil Engrs, 1957, 7, Aug., 681—701. Discuss., 701—710 (англ.)

Описана станция дистилляции производительностью 600 т/сутки. Расход горючего 0,0044 л на 1 л воды.

М. Л.

32907. Снижение эксплуатационных расходов на водопроводных станциях. I. Херш. II. Лав (How to reduce operating costs at water treatment plants. I. Hirsch A. A. II. Love J. L.), Water and Sewage Works, 1956, 103, № 12, 542—546; 546—548 (англ.)

Сообщения о мероприятиях, проведенных в течение ряда лет на водопроводных станциях в Шривпорт и Лафайетт.

Г. Крушель

32908. Наблюдения над влиянием труб из пластмасс на содержание микроорганизмов в питьевой воде. Аренс, Зигерт (Weitere Untersuchungen und Beobachtungen über die Beeinflussung der Trinkwasserkeimzahlen durch Kunststoffrohre. Ahrens C. B. F. Walther, Siebert Christina), Gas- und Wasserfach, 1957, 98, № 26, 661—663 (нем.)

В водопроводной воде, пропускаемой через вновь установленные трубы из поливинилхлоридного пластика (I), заметно повышается общий счет бактерий (с 20—40 до 300—4000 в 1 мл). Через некоторое время эксплуатации (4 месяца—1,5 года) этот эффект исчезает: I перестает быть питательной средой. Аналогично ведут себя трубы из полиамидов (II). Отмечено, значительно более быстрое падение концентрации Cl_2 в воде, прошедшей через II, чем в контрольной. Требуется дальнейшее выяснение условий, при которых было бы обеспечено нормальное санитарно-гигиенич. состояние питьевой воды, проходящей через трубы из пластмасс.

Л. Песия

32909. Коагулирование взвеси с добавкой шлама. Блувштейн И., Жил.-комму. х-во, 1957, № 9, 16—17

Лабораторные опыты по обработке воды р. Клязьмы хлорной известью и $Al_2(SO_4)_3$ с добавлением и без добавления шлама из отстойников показали, что добавка $150—200$ мг/л шлама позволяет уменьшить расход $Al_2(SO_4)_3$ на 20—25% и сократить время отстаивания с 2 час. до 30 мин. Производственные испытания в зимних условиях показали, что коагулирование с предварительным хлорированием и добавлением шлама обеспечивает соответствие качества осветленной воды ГОСТ. Без добавки шлама такого осветления не достигается. Метод проверен на Горьковском горводопроводе на осветлителях ВНИИГС (где осветление производится без применения коагулятора). Производительность осветлителей увеличилась на 10—12%.

А. Смирнов

32910. Причины запахов и привкусов питьевой воды. Хок (The causes of tastes and odors in drinking water. Hoak Richard D.), Water and Sewage Works, 1957, 104, № 6, 243—247 (англ.)

В лабор. условиях показано, что при распаде растительных продуктов в воде образуется ряд фенолов (I) со специфич. запахом. Взаимодействие I с Cl_2 не происходит при $pH \sim 2,0$. При $pH > 7,7$ для предупреждения хлорфенольного запаха воды следует вводить Cl_2 в стехиометрич. соотношении к I (7:1) и выдерживать контакт ≥ 3 час.

М. Губарь

32911. Вакуумная дистилляция морской воды. Хау (Vacuum flash distillation of sea water. Howe Everett D. Paper. Amer. Soc. Mech. Engrs, 1957, № SA-92, 18 pp., ill.) (англ.)

Описана крупная дистилляционная установка для

опреснения морской воды (МВ) с одновременным произ-вом механич. энергии, использующая разность t -р Δt поверхностных и глубинных вод океана. Испаритель (И) с диаметром зеркала воды $\sim 3,6$ м имеет плоское днище и колпак в виде полусферы. Теплая МВ подавалась в И по двум трубам на уровне 500 мм выше зеркала воды и разбрызгивалась через 64 насадки. В И поддерживалось высокое разрежение, при котором МВ кипела при $\leq 35^\circ$. Образующийся пар отводился из И по вертикальной трубе диам. ~ 500 мм, в которой размещена одноколесная импульсная турбина. После турбины пар конденсировался в теплообменнике, охлаждаемом глубинной МВ. Пресная вода откачивалась насосом. Одновременно из И откачивался остаток МВ, обогащенный солями, с такой скоростью, чтобы не происходило их выпадения в твердом виде. Наибольшая Δt в опытах достигала $27,8^\circ$. Вследствие высокого содержания воздуха, освобождающегося из МВ при ее испарении и достигавшего 15% , коэф. теплоотдачи при конденсации пара не превышал 980 ккал/м² час град. Низкая эффективность конденсатора ограничивала производительность установки. Процесс должен быть организован так, чтобы на конденсатор падала подавляющая часть располагаемой Δt . Разность между t -рами МВ и паром в И, определяемая соотношением кол-в поступающей воды и образующегося пара, в большинстве опытов не превышала $2,8^\circ$. Опыты с различными насадками показали, что лучшее парообразование имеет место при турбулентном движении струек, вытекающих с большой скоростью из малых насадок. Наблюдался унос паром мельчайших капель МВ из И и засоление конденсата. Целесообразна установка в И перегородок-отбойников. Включение турбины под нагрузку целесообразно при $\Delta t \geq 15^\circ$. При малых Δt скорость и эффективность ее незначительны.

А. Ровинский

32912. Очистка жидкостей с помощью искусственных смол. Йонг (Zuivering van vloeistoffen met behulp van kunstharzen. Jong G. J. de), Chem. weekbl., 1957, 53, № 36, 485—490. Discuss. 490—491 (гол.)

Обзор. Описано применение ионитов для умягчения и обессоливания воды, а также для очистки р-ров сахаров.

О. Ленчевский

32913. Технологический расчет катионитных фильтров с неподвижным слоем. Дейвид, Пик (Process design of fixed-bed cation-exchange units. David M. M., Peak R. F.), Trend Engng Univ. Wash., 1957, 9, № 3, 20—26 (англ.)

Изложены общие основы применительно к синтетич. катионитам. Дан расчет ионитового слоя как эмпирич., так и теоретич. (по кривой проскока) методами.

А. Мамет

32914. Очистка ионитных фильтров от органических загрязнений. Ристроф (Demineralizers decontaminated. Ristroph J. D.), South. Power and Ind., 1957, 75, № 3, 56—58 (англ.)

На водоочистке электростанций Честерфилд (США), работающей по схеме коагуляция в отстойниках—осветление—Н-катионирование—ОН-анионирование, в результате повышения конц-ии органич. примесей в исходной воде существенно снизилась (\sim на 40%) обменная емкость (ОЕ) сильноосновного анионита IRA-410 (А) и ухудшилось качество обессоленной воды. Регенерация А подогретым р-ром NaOH улучшений не дала. При последовательной обработке А 10%-ным р-ром NaCl (из расчета 80 кг NaCl на 1 м³ А) и цел. р-ром гипохлорита (1%-ный р-р NaClO в 1,5%-ном р-ре NaOH; обработка производилась из расчета 10 объемов р-ра на 1 объем А) вытекавшие из фильтра р-ры были окрашены в желтый цвет и сильно пенялись. После обработки фильтр был отрегенирован утроенным кол-вом NaOH и включен в работу.

Однако креп-
лустимо вы-
(10—12 час.
NaOH ОЕ 6
чальную св-
гравнений
дена промы-

32915. Об-
ды извест-
satzpreise
Grosskess
Описан в
насыщения
дующим ос-
ная вода н-
ке до т-ры
гребателе,
Горячая в-
конич. час-
извести. С
насыщена
конц-ия Si
туратора и
1 раз в 2
фильтр на
2 суток) и
разбрызгив-
($\sim 2\%$ СО
300 мг/м³)
Подача газ-
поступаю-
сильно зат-
В абсорбе-
весьма ме-
тора и от-
воды в от-
тельно из-
ная вода и
ветствующ-
воды осуш-
антрацит.
ход промь-
установки
воды по 1
общая же-
ность 0,4
KMnO₄; S
воды: су-
1,08 мг-экв
13,1 мг/л
SiO₂ > 0,3
газов. В с-
остатка 56
кости 62.
термич. д-
одной уст-
фатиты Р
яется дл-
размерах.

32916. О-
шук И
(рез. ан-
Исследо-
в струях
деаэраци-
ных давл-
а также
ной СО₂
метра (20
струйной

Однако кремнесодержание фильтрата оказалось недопустимо высоким. В результате повторной длительной (10—12 час.) обработки А подогретым 3,5%-ным р-ром NaOH ОЕ была восстановлена и А приобрел первоначальную светлую окраску. Для удаления органич. загрязнений из осветлительных фильтров была проведена промывка их р-ром продажного продукта Zeolone.

Н. Субботина

32915. Обескремнивание добавочной питательной воды известью. Шрамек (Die Entkieselung von Zusatzspeisewasser mit Kalk. Šrámek J.), Mitt. Verein. Grosskesselbesitzer, 1957, № 49, 275—280 (нем.).

Описан новый способ обескремнивания воды путем насыщения ее известью и дымовыми газами с последующим осветлением и Na-катионированием. Исходная вода нагревается в поверхностном теплообменнике до $t \sim 50^\circ$, а затем до $80-85^\circ$ в каскадном подогревателе, который служит также воздухоудалителем. Горячая вода подводится тангенциально в нижнюю конич. часть сатуратора, где проходит сквозь слой извести. Скорость подъема $\leq 2,5$ м/час. Чем полнее насыщена вода известью, тем меньше остаточная конц-ия SiO_2 (обычно $0,3-0,4$ мг/л). Перезарядка сатуратора производится через 8—12 час. Продувка — 1 раз в 2 суток. Осветленная вода проходит через фильтр из мраморной крошки (промываемой 1 раз в 2 суток) и поступает в абсорбер каскадного типа, где разбрызгивается и насыщается дымовыми газами ($\sim 2\% \text{CO}_2$), прошедшими очистку от золы ($200-300$ мг/м³) и SO_2 ($0,2\%$). К. п. д. абсорбера $\sim 30\%$. Подача газов регулируется по величине рН воды (~ 9), поступающей в отстойнике. Эффект обескремнивания сильно зависит от полноты очистки дымовых газов. В абсорбере и отстойнике происходит выделение весьма мелкокристаллич. CaCO_3 . Конструкции сатуратора и отстойника аналогичны. Скорость подъема воды в отстойнике $5,6$ м/час. Шлам состоит исключительно из CaCO_3 (сумма примесей $< 0,1\%$). Отстоенная вода имеет рН 9,2, щелочность $0,3$ мг-экв/л (соответствующую растворимости CaCO_3). Фильтрование воды осуществляется через мраморную крошку или антрацит. Промывка фильтров — 1 раз в 2 суток. Расход промывочной воды 4—5% от производительности установки. Приведены данные о составе исходной воды по 17 установкам: сухой остаток $95-593$ мг/л; общая жесткость $0,6-8,5$ мг-экв/л; карбонатная жесткость $0,4-5,8$ мг-экв/л; окисляемость $10-250$ мг/л KMnO_4 ; SiO_2 $5,0-22,0$ мг/л. Состав обескремненной воды: сухой остаток 112 мг/л; общая жесткость $1,08$ мг-экв/л; щелочность $0,39$ мг-экв/л; окисляемость $13,1$ мг/л KMnO_4 ; SiO_2 $0,3-0,7$ мг/л; Mg и Fe 0. Конц-ия $\text{SiO}_2 > 0,3$ мг/л обусловлена недостаточной очисткой газов. В среднем наблюдается снижение (в %): сухого остатка 50; HCO_3^- 81; окисляемости 67; общей жесткости 62. После Na-катионирования вода подвергается термич. деаэрации и подается на питание котлов. На одной установке имеет место Н-ОН-ионирование (вофатиты Р и МД). Обработанная вода успешно применяется для питания котлов с давл. $64-100$ атм при размерах добавка $> 50\%$, во многих случаях — 100% .

А. Мамет

32916. О механизме деаэрации воды в струях. Гришук И. К., Теплоэнергетика, 1957, № 4, 40—44, 2 (рез. англ.).

Исследованы особенности механизма деаэрации воды в струях на полупромышленной установке со сменной деаэрационной колонкой. Опыты проводили при разных давлениях, плотностях орошения, нагревах воды, а также при разных исходных конц-ях O_2 и свободной CO_2 . Испытаны 4 типа колонок одинакового диаметра (203 мм), но отличающиеся высотой насадки, струйной части колонки и другими конструктивными

особенностями. Показано, что вертикальная струя воды, падающая в паровой или паро-газовой среде, обладает эжектирующей способностью, вследствие чего она обогащается газами, содержащимися в конденсирующемся паре. Это явление усиливается с повышением плотности орошения и нагрева воды; оно имело место при длине водяной струи 290 и 600 мм и давлениях пара 1,5, 2,5 и 4,0 ат. Установлено, что в паровом пространстве перед насадкой деаэрация воды в струях сравнительно мало эффективна.

А. Мамет

32917. Подготовка питательной воды для котлов высокого давления во второй пятилетке. Вюнш (Uprava parápacej vody pre vysokotlakové kotly v druhej päťročnici. Wünsch Jozef), Strojoelektrotechn. časop., 1957, 8, № 4, 284—294 (словацк.; рез. русск., нем.).

Перспективный обзор.

М. Л.

32918. О практике фосфатирования котловой воды. Михельсон В. И., Энерг. бюл., 1957, № 9, 22—25

Изложены основные положения фосфатирования котловой воды и описаны методы дозирования реагента. Плунжерный насос-дозатор фирмы Милтон-Рой (производительность 30 л/час, напор 44 атм, регулирование хода поршня в пределах $0-76$ мм) и 2 насоса той же конструкции, изготовленные в мех. мастерской станции, бесперебойно работают 3 года. При эпизодич. подаче большого кол-ва фосфата используется обычный напорный дозатор-вытеснитель.

А. Мамет

32919. Значение измерения водорода при эксплуатации котлов высокого давления. Ульрих (Ziele und Grenzen der Wasserstoffmessung im Hochdruckkesselbetrieb. Ulrich E.), Mitt. Verein. Grosskesselbesitzer, 1957, № 49, 252—259 (нем.).

В результате коррозионных процессов, в частности при взаимодействии перегретого водяного пара с Fe, выделяется водород. Более целесообразным, чем определение конц-ии H_2 в паре, является определение водородного числа ($\omega_{\text{эфф}}$), характеризующего уд. выделение H_2 и тем самым интенсивность коррозии: $\omega_{\text{эфф}} = QN/F_{\text{об}}\tau$, см³/м² час, где Q — общее кол-во H_2 , образующегося в котле, см³; $F_{\text{об}}$ — общая площадь окисления, м²; τ — время контакта с паром, час.; N — производительность котла, т/час.. Водородное число для какой-либо конкретной точки может быть выражено как $\omega' = (dQ/dF_{\text{об}})N/\tau$, см³/м² час. Эффективное водородное число определяется как интеграл:

$$\omega'_{\text{эфф}} = 1/F_{\text{об}} \int_0^{F_{\text{об}}} \omega' dF. \text{ Определение водородного чис-}$$

ла позволяет сделать некоторые выводы о коррозионных процессах, протекающих в паро-водяном тракте. Однако обычно трудно точно судить о корродируемой площади и поэтому трудно правильно оценить опасность в данном конкретном случае. Даны рекомендации по размещению пробоборников пара по тракту для возможно более точной идентификации места, захваченного коррозией, и описана методика определения H_2 в паре. Приведены ф-лы и эксплуатационные графики, позволяющие оценить изменение водородного числа во времени, толщину окисной пленки различного состава при различной т-ре и другие характеристики.

О. Мартынова

32920. Обессоленная вода в эксплуатации котлов. (Vollentsalztes Wasser im Kesselbetrieb.), Mitt. Verein. Grosskesselbesitzer, 1957, № 49, 233—237 (нем.).

На основании опыта эксплуатации паровых котлов при питании ей опыта эксплуатации паровых котлов при питании их химически обессоленной водой (ОВ). ОВ обладает исключительно низким солеосодержанием, меньшим, чем у дистиллята испарителей и конденсата турбин. Аналитич. определение сухого остатка ОВ требует

спец. предосторожностей и особой методики. Единственным надежно определяемым показателем качества ОВ является электропроводность, которая на многих установках $< 0,1 \text{ м ом}^{-1} \text{ см}^{-1}$. Конц-ия SiO_2 и Na^+ 0,01—0,03 мг/л, остальных ионов — измеряется тысячными долями мг/л. Конц-ия органич. в-в незначительна. ОВ не агрессивна по отношению к металлу не препятствует образованию защитной пленки Fe_3O_4 и не вызывает разрушения последней. Не зафиксировано ни одной аварии, непосредственно связанной с применением ОВ. Переход на ОВ часто выявляет наличие скрытых неплотностей в котлах, что требует постепенности при его осуществлении. Как старые так и новые паровые котлы (барabanные и прямоточные) после длительной работы на ОВ находятся в отличном состоянии. Отмечена длительная эксплуатация котла Бенсона с давл. 100 атм при 100%-ном питании его ОВ, вместо ранее применявшегося конденсата паропрообразователей. Другой котел Бенсона 110 атм длительно работал с добавком ОВ 2—5%. А. Мамет

32921. Автоматическое регулирование нормы качества котловой воды. Пинни Н. А., Сб статей по энергетике. М., Металлургиздат, 1957, 271—277

При постоянном в течение длительного времени солесодержании питательной воды, или при незначительных колебаниях его, можно применить схемы регулирования солесодержания котловой воды только по расходу питательной воды или пара, без корректирования продувки котла по солемеру. При значительных периодич. изменениях солесодержания питательной воды необходимо применять второй регулятор продувки, действующий в зависимости от изменений солесодержания котловой или питательной воды. Для поддержания установленного соотношения между расходами питательной и котловой воды следует блокировать питательный клапан и клапан продувки. При повышенных нагрузках котла нужно соответственно подбирать профиль иглы продувочного клапана или ставить на обводе периодически включаемый (при высоких нагрузках) второй регулирующий клапан. А. Мамет

32922. Строительные элементы установок для полного обессоливания воды. Ханниг, Хёмиг (Bauelemente von Vollentsalzungsanlagen. Hannig H., Hömig H. E.), Mitt. Verein. Grosskesselbesitzer, 1957, № 49, 237—251 (нем.)

Приведены указания по компоновке и проектированию установок. О. Ленчевский

32923. Использование и эффективность химической обработки воды для градирен.— (Water utilization and treatment efficiency of Gulf Coast cooling towers.—), Corrosion, 1957, 13, № 8, 527t—530t (англ.)

Приведены данные по 49 градирням 16 предприятий нефтеперерабатывающей и хим. пром-сти шт. Техас. О. Ленчевский

32924. Рекарбонизация дымовыми газами воды, идущей на охлаждаемые элементы металлургических агрегатов. Олейник Е. Д., Погорелый В. П., Сб. статей по энергетике. М., Металлургиздат, 1957, 246—260

Описан опыт работы установок. М. Л.

32925. Условия безнакипного режима работы конденсаторов. Немет, Декан (A kondenzátor vízkörmének üzemének feltételei. Németh Éva, Dékán János), Magyar energiagazd., 1956, 9, № 11—12, 454—460 (венг.)

Изучался вопрос изменения состава циркуляционной воды на ТЭЦ. Исходя из представлений об углекислотном равновесии и учитывая скорость кристаллизации CaCO_3 , авторы приводят графики, позволяющие определить предельно допустимую жесткость охлаждающей воды, при которой накипь не образуется, а так-

же подсчитать кол-во образующейся накипи при повышенной жесткости. Даны два примера расчета. Д. Пюшени

32926. Повышение надежности и экономичности работы дизельных электростанций. Панин В., Жилкоммун. х-во, 1957, № 9, 10—11

Описана обработка воды в замкнутых системах охлаждения быстроходных дизелей смесью Na_2PO_4 и хлебного крахмала (в соотношении 6:1) или $\text{K}_2\text{Cr}_2\text{O}_7$. Рекомендуется применение в ряде случаев двухконтурной системы охлаждения (в первом, замкнутом контуре — дистиллат; во втором — обычная вода). Описана также установка с радиаторным охлаждением. А. Мамет

32927. Обработка воды гипохлоритом для предотвращения биологических обрастаний. Спрингс (Hypochlorination for slime control. Springs James D.), Power, 1957, 101, № 6, 102—104 (англ.)

Изложены результаты двухлетнего опыта эксплуатации 2 электростанций при обработке охлаждающей воды конденсаторов турбин гипохлоритом. Первоначально применялась обработка воды Cl_2 (по 12 мин. каждые 2 часа; конц-ия остаточного Cl_2 0,5 мг/л). Хлоропоглощение воды в среднем ~ 6 мг/л. При одинаковом режиме хлорирования расходы на гипохлорит натрия оказались значительно большими, чем на Cl_2 . Изменение режима (30 мин. через 24 часа при избытке 5—10 мг/л Cl_2) сделало применение гипохлорита экономически более выгодным, чем Cl_2 , при более удобной эксплуатации. А. Мамет

32928. Мокрое сжигание органических промышленных вод. Шмидт (Die Naßverbrennung organischer Abwässer. Schmidt Erwin), Oesterr. Wasserwirtsch., 1957, 9, № 8-9, 186—191 (нем.)

Мокрое сжигание (МС) представляет собой быстрый процесс непрерывного сжигания органич. в-в (находящихся в СВ в любом дисперсном состоянии, при любых разбавлениях) до CO_2 и H_2O с помощью O_2 воздуха при высоких т-ре и давлении. В качестве примера рассмотрено МС сульфитных щелоков, которые перегреваются острым паром до 150° и закачиваются в реактор под давл. в 100 атм. Одновременно под тем же давлением непрерывно подается воздух. Т-ра в реакторе повышается до 270—300°. Паро-газовая фаза после отделения от обработанной СВ подводится к турбинам для воспроизводства энергии, затраченной на процесс МС. Затрата энергии резко растет с повышением т-ры процесса, в связи с этим в Швеции считается наиболее целесообразным вести МС при 225° в сочетании с обугливанием 50% твердой фазы. Для понижения рабочего давления в реакторе рекомендуется максимально возможный отбор из него пара что можно осуществить, если теплота сгорания расходуется исключительно на превращение жидкости в пар. В этом случае резко снижается парц. давление образующихся газов (N_2 , CO_2). В сравнении с обычными способами упаривания и сжигания щелоков, при которых регенерация тепла составляет 40%, возврат тепла при МС достигает 85—90%. Метод свободен от других недостатков обычных способов: инкрустации в топках, образования известковой пыли в циклонах, необходимости больших конц-ий шлама. МС может с успехом применяться для сжигания других разб. отходов, в частности для бытовых СВ. С. Конюхов

32929. Деаминирование аминокислот водорослей Nitzschia thermalis и Scenedesmus bijugatus. Сэуберт (Amino acid deamination by Nitzschia thermalis and Scenedesmus bijugatus. Saubert Synove), S. Afric. J. Sci., 1957, 53, № 13, 335—339 (англ.)

На последних стадиях процесса биохим. очистки СВ наблюдается накопление водорослей *N. thermalis* (I) и *S. bijugatus* (II). Чистые культуры I и II, выделе-

ные на СВ, культивировались в стерильных условиях на питательной среде, содержащей в качестве единственного источника N различные аминокислоты. За 2-месячный период наблюдений до 80% органич. N было переведено водорослями в свободный NH_3 .

Е. Дианова

32930. Изменение биохимического потребления кислорода под влиянием некоторых органических и минеральных веществ. Соломон, Чоарэ-Кополович, Штерихелль (Variatii ale consumului biochimic de oxigen datorite unor substanțe organice și minerale. Solomon I., Cioară-Copolovici E., Sternhell H.), Igiena, 1957, 6, № 1, 72—79 (рум.). Прибавление к природной воде лактозы и пептона ($1-100 \text{ мг/л}$) способствует увеличению БПК; более сильное влияние оказывает пептон. Соли тяжелых металлов в конц-ях $0,05-10 \text{ мг/л}$ снижают БПК: Ва, Мп и Fe на 50—75%; Pb, Cd, Cr, Zn и Co в 2—3 раза; Ag и Cu в 4 раза; Hg в ≥ 10 раз. В конц-ях $< 1 \text{ мг/л}$ соли Cu повышают БПК.

А. Лопушанский

32931. Станция аэрирования производительностью 7600 $\text{м}^3/\text{сутки}$. Ле-Ван (Fairless Steel Mill—Fairless Hills—New" 2-MGD activated sludge plant. Le-Van Howard A., Jr), Wastes Engng, 1957, 28, № 7, 338—341, 344 (англ.).

Описана новая станция для очистки СВ (Моррисвилл, Пенсильвания), рассчитанная на обслуживание 17 500 человек при норме 378 л на человека в сутки. СВ содержит дробленый мусор и характеризуются: БПК, 364 мг/л ; pH 6,9—7,9; грубодисперсные примеси 100 мг/л . Преаэраторы рассчитаны на 0,5 часа, первичные горизонтальные отстойники на 1,5 часа, вторичные — на 2,5 часа (удаление осадка механич.), аэротенки — на период аэрирования 10 час., илоуплотнители — на 5 час. Осадок из метантенков подается на иловые площадки (норма $0,17 \text{ м}^2$ на человека). Очищ. СВ хлорируются. Эффект очистки: БПК₅ 18 мг/л , грубодисперсные примеси 8 мг/л , остаточный Cl_2 $0,6 \text{ мг/л}$.

В. Разнощик

32932. Модернизация перегруженной станции биохимической очистки сточных вод. Ли (Modernization of an overloaded sewage treatment plant. Lee Lester D.), Public Works, 1957, 88, № 9, 149—150 (англ.).

Заменено устаревшее оборудование. Условно чистые воды пром-сти, перегружавшие станцию, отведены непосредственно в водоем.

В. Разнощик

32933. Механизация станции очистки сточных вод малой производительности. Хефлинг (Even a «miniature» plant can be mechanized and flexible. Hefling A. W.), Wastes Engng, 1956, 27, № 12, 638—639, 659 (англ.).

Описаны очистные сооружения поселка Тьюрон имеющего 700 жителей.

Г. Крушель

32934. Проект станции очистки сточных вод, периодически затопляемой при разливах реки. Лавлесс (Novel design of pre-aeration plant anticipates periodic river flooding. Loveless Roger W.), Wastes Engng, 1957, 28, № 6, 282—285 (англ.).

Станция расположена в пойме р. Огайо и может периодически затопляться при разливах (статистически 1 раз в 15 лет). В состав сооружений станции входят: преаэратор, рассчитанный на 45 мин., имеющий секцию, в которую, при необходимости, можно добавлять коагулянты; первичные отстойники с расчетным временем пребывания 1 час 35 мин.; метантенки, осадок из которых после обезвоживания на вакуум-фильтрах сжигается. СВ после хлорирования сбрасываются в р. Огайо.

С. Конобеев

32935. Станция очистки сточных вод для условий холодного климата. Смит, Лейба (Cold weather waste treatment plant. Smith R. L., Leibe H. C.), Public Works, 1957, 88, № 5, 139—140 (англ.).

32936. Работа станции очистки сточных вод на газе метантенков.— (Energy independence of sewage works.—), Oil Engine, 1957, 25, № 288, 128—129 (англ.).

Подробно описано силовое оборудование вновь построенной станции в Стаффорде (США). А. Симкип **32937. Установки для очистки бытовых сточных вод коммерческих баз.** Райт (Sewage treatment for shopping areas. Right C. E.), Public Works, 1957, 88, № 5, 106—107, 235—236 (англ.).

Описаны проекты 2 установок. Одна из них расположена на глубине 4,2 м, занимает площадь $14 \times 24 \text{ м}$ и рассчитана на средний расход СВ $3,7 \text{ л/сек}$. СВ, пройдя решетки, подаются пневматич. эжекторами на первичный отстойник, совмещенный с метантенком. Для удаления жира в схему включен флотатор. С первичного отстойника СВ поступают на биофильтры. В часы отдыха при миним. нагрузке осуществляется рециркуляция для поддержания активности биофильтра. Осадок из метантенка подается насосами в цистерны и периодически вывозится.

С. Конобеев

32938. Подземное распространение радиоактивных стоков. Оркатт, Рифай, Клейн, Кауфман (Underground movement of radioactive wastes. Orcutt R. G., Rifai M., N. E., Klein G., Kaufman W. J.), Sewage and Industr. Wastes, 1957, 29, № 7, 791—804 (англ.).

С целью установления возможности выпуска радиоактивных СВ в поглощающие горизонты проведено исследование закономерностей снижения конц-и содержащихся в СВ примесей в результате их распространения в грунтах. Для условий отсутствия обмена ион теоретически выведено ур-ние: $c/c_0 = [1 - \text{erf}(1 - V/vf) \cdot (D_m V / Lvf)^{-1/2}]$, где c_0 и c — исходная и конечная конц-и примеси; V — пройденный объем; L — длина пройденного пути; vf — объем пор среды; D_m — константа дисперсии, зависящая от эффективного диаметра, коэф. равномерности и формы частиц. Приведены графики зависимости c/c_0 от V/vf при различном D_m/L . Получено хорошее соответствие эксперим. и расчетных данных. При наличии обмена ионов рассматривается зависимость c/c_0 от безразмерного параметра $T = c_0(V - vf)/q_\infty \rho_b v$ (где q_∞ — предельная конц-я иона в твердой фазе при данной c_0 ; v и ρ_b — факторы, учитывающие объем и плотность среды) для различных значений параметра емкости слоя $s = k(vf/R)$ (где k — константа скорости, R — объемная скорость течения). Отношение средней линейной скорости движения F какого-либо иона к средней скорости движения жидкости ρ дано ур-нием: $F/S = 1/(1 + q_\infty \rho_b / c_0 f)$. Эксперим. определение (при помощи Ca^{45}) обменной емкости различных реликтовых песков показало, что она колеблется в пределах $0,3-13,0 \text{ мг-экв. на } 100 \text{ г}$. Константы равновесия в системах Ca/Sr для различных сред изменяются в пределах $0,98-1,68$; в системе $\text{Ca/Na} = 5,3$. Низкое значение pH снижает обменную емкость по Sr и Ca и уменьшает величину константы равновесия.

О. Мартынова

32939. Проблема очистки сточных вод от газификации бурого угля. Лоренц (Abwasserprobleme der Braunkohlenchemie. Lorenz Karl. Abhandl. Dtsch. Akad. Wiss. Berlin. Kl. Chem., Geol. und Biol., 1957, № 1, 27 S., ill.) (нем.).

Обзор. Библ. 10 назв.

М. Л.

32940. Обесфеноливание сточных вод. Шервуд (Allontanamento dei fenoli dalle acque di scarico di raffineria. Sherwood P. W.), Riv. combust., 1957, 11, № 6, 380—389 (итал.).

Обзор. Библ. 10 назв.

М. Л.

32941. Результаты исследования доочистки нефте-содержащих стоков на опытной установке Москов-

ского нефтеперерабатывающего завода. Монгайт И. Л., Родзиллер И. Д., Водоснабжение и сан. техника, 1957, № 7, 19—23

Приведены данные, характеризующие работу установки за 1955 г. СВ могут быть эффективно очищены химически и фильтрованием через кварцевый песок. Флотация воздухом не дала высокого эффекта. Рекомендуется следующая схема очистки: пескочувка, нефтеловушка, земляной пруд-отстойник, кварцевые фильтры. С. Конобеев

32942. Разрушение озонем фенолов, содержащихся в сточных водах нефтяной промышленности. Неговский (Ozone method for destruction of phenols in petroleum waste waters. Niegowski S. J.), Sewage and Industr. Wastes, 1956, 28, № 10, 1266—1272 (англ.)

Описаны опыты по окислению фенолов (Ф) O_3 в чистых р-рах и в СВ. В чистых р-рах лучшие результаты получены при pH 11,4: для снижения конц-ии Ф со 100 до 0,05 мг/л требуется 180 мг/л O_3 . При работе со СВ на 1 ч. Ф требуется 1,5—10 ч. O_3 . Скорость р-ции прямо пропорциональна конц-ии реагирующих в-в.

Б. Краснов

32943. Обработка сточных вод по способу Корби.— (The Corby effluent treatment process plant.—), Water and Sanit. Engr, 1957, 6, № 5, 210—211 (англ.)

СВ сульфатного цеха коксохим. з-да в Авеню (расход ~ 850 м³/сутки), содержащие $CaCl_2$, $CNS-$ (230 мг/л), $S_2O_3^{2-}$ (150 мг/л), фенолы (750—1000 мг/л) и имеющие pH 9—10, окисляемость ≤ 4000 мг/л, подвергают следующей обработке: 1) отстаивание в течение 8 час.; 2) охлаждение; 3) фильтрование на печеных фильтрах; 4) подкисление HCl; 5) последовательное фильтрование через 3 ионитных фильтра, на которых удаляются $S_2O_3^{2-}$ и $CNS-$ (фильтры регенерируются р-ром NH_3 : из отработанного регенерирующего р-ра избыток NH_3 отгоняется, а остаток концентрируется до объема $\approx 1\%$ от исходных СВ); 6) фильтрование через угольные фильтры для удаления одноатомных фенолов и смоляных к-т; фильтры регенерируются C_6H_6 ; остающиеся после отгонки C_6H_6 фенолы и к-ты подвергаются переработке на спец. установке. Фильтрат после угольных фильтров нейтрализуется известью. Он бесцветен, нетоксичен и может быть сброшен в канализационную систему. М. Лапшин

32944. Обработка сточных вод в Авеню.— (Effluent treatment at Avenue.—), Coke and Gas, 1956, 18, № 211, 475—476 (англ.)

См. предыдущий реферат.

М. Л.

32945. О работе биостанции Шекинского газового завода. Гончарова Н. А. В сб.: Очистка пром. сточн. вод. М., Гос. изд-во лит. по стр-ву и архитект., 1957, 32—34

Биохимическая очистка СВ, осуществляемая в аэротенках-смесителях (время пребывания СВ 8—10 час; интенсивность аэрирования 10—12 м³ воздуха на 1 м² поверхности аэротенка; кол-во активного ила 2—4 г/л) после предварительной экстракции фенолов и пропуска СВ через угольные фильтры, характеризуется следующими показателями: снижение БПК с 150—400 до 10—30 мг/л, летучих фенолов с 40—60 до 0,07—0,2 мг/л. Конц-ия нитратов в очищ. СВ 13—80 мг/л. Очищ. СВ подаются на гидрозоолоудаление. М. Лапшин

32946. Проблемы очистки сточных вод предприятий металлообрабатывающей промышленности.— Очистка сточных вод от обработки металлов. Алле. Сточные воды цехов травления металлов и гальванопокрытий. Нуазетт (Problemes poses par l'epuration des eaux residuaires d'ateliers de traitement des metaux.— Traitement des eaux residuaires du travail des metaux. Allais G. Eaux residuaires de decaperies et de galvanoplastie. Noisette G.), Assoc.

franc. étude eaux. Reunion du 2 mai 1957. Paris, 1957, I—III; 1—8. Discuss. IV—VII; 1—4 (франц.)

Вступительная статья к докладам на коллоквиуме Ассоциации.

Современное состояние вопросов: сокращения расхода СВ, оборотного использования воды, очистки Cr , CN -содержащих и кислых СВ, иллюстрированное конкретными примерами.

Практич. указания по анализу, токсичности и очистке СВ. М. Лапшин

32947. Обработка сточных вод, содержащих цианиды. Джонсон (Cyanide plating waste disposal. Johnson D. R.), Metal Finish., 1957, 55, № 6, 85—86. Discuss., 87 (англ.)

В лабор. условиях получены сравнительные данные по разложению цианидов Cd кипячением в течение 48 час. при 105° то же — в присутствии Na_2CO_3 (100 г/л); то же при аэрировании р-ра воздухом, а также в присутствии катализаторов — железного и медного порошков. Лучшие результаты получены в опытах, в которых к 1 л р-ра $Cd(CN)_2$ по каплям прибавлялся к 1 л нагретого до 127—150° р-ра, содержащего 600 г/л NaOH, при одновременном аэрировании. Кипячение продолжалось 28 час. до момента, когда весь р-р цианида был прилит к щелочи. За 24 часа конц-ия цианидов снизилась со 100 до $\sim 3,5$ г/л. С. Конобеев

32948. Применение ионитов в металлургии и аналитической химии редких металлов (I). Гэлэцэну (Utilizarea schimbătorilor de ioni în metalurgia chimică și chimia analitică a metalelor rare (I). Gălățeanu I.), Rev. chim., 1957, 8, № 1, 15—19 (рум.; рез. русск. нем.)

Для выделения Mo из СВ (конц-ия Mo 0,2—0,8 г/л) гидрометаллургич. пром-сти рекомендуется анионит (А), получаемый конденсацией 3 молей формальдегида с 1 молем меланина при 80—90° и pH 6. Фракция А крупностью 0,2—0,3 мм обрабатывают р-ром H_2SO_4 и дают набухнуть в воде. Обменная емк. 4 мг-экв. на 1 г сухого А. В лабор. условиях опыты проводились с р-ром, содержащим (г/л): $Mo(6+)$ 0,6, SO_4^{2-} 27; $Cl-$ 28; ClO_3- 0,9; SiO_2 0,03; Ca^{2+} 12; $Na+$ 21; pH 8—8,5. Наилучшие результаты получены при подкислении р-ра до pH 2—3. При скорости фильтрования 10 м³ на 1 м² А в 1 час до момента проскока через 1 м² А может быть профильтровано 160 м³ р-ра. Для десорбции MoO_4^{2-} через А (после промывки его водой) пропускать р-р NH_4OH (20 г/л) в кол-ве 5 м³/м² А, со скоростью 5 м³/м² А в 1 час. Средняя конц-ия Mo в аммиачном р-ре 55 г/л. Регенерация А производилась пропуском через него 4,5 м³ р-ра H_2SO_4 (20 г/л) на 1 м² А. Возможно извлечь 180—200 кг MoO_3 1 м² А. Б. Манолев

32949. Обработка сточных вод цехов гальванических покрытий путем химического осаждения и вакуум-фильтрования. Смолл, Граулих (Plating waste disposal by precipitation and vacuum filtration. Small H. M., Graulich W. C.), Industr. Wastes, 1957, 2, № 3, 75—78 (англ.)

Сброс СВ, содержащих $CN-$, в пруды не разрешает вопроса их обезвреживания, в связи с опасностью загрязнения почвы и рек при затоплении в паводок. Единственным целесообразным способом является хим. обработка СВ с последующим обезвреживанием 1% осадка на вакуум-фильтрах. При 16 час. работы в сутки на 100 м³ осадка требуется 32 м² площади фильтрования. С. Конобеев

32950. Рациональные методы нейтрализации сернокислых стоков травильных отделений. Брук-Левинсон Г. Л. В сб.: Очистка пром. сточн. вод. М., Гос. изд-во лит. по стр-ву и архитект., 1957, 170—175 Изучалась зависимость кол-ва осадка (О), образующегося при нейтр-ции, от степени разбавления тра-

вильных р-ров промывной водой. Совместная нейтр-ция (с применением 10%-ного известкового молока) приводит к значительному увеличению объема О. Меньшие объемы получаются при раздельной обработке СВ и последующем их смешении. Увеличение степени разбавления сопровождается повышением влажности О (с 93 до 98%) и изменением скорости осаждения (при совместной обработке и скорости протока 0,2 мм/сек выпадает 12% О, а при скорости 1,2 мм/сек — 2% при раздельной обработке соответственно 60 и 32%). Для сокращения объема О (в 2,5—3 раза) рекомендуется сухое дозирование извест. О при этом имеет влажность ≤ 60 —65%, не требует обезвоживания и может использоваться для изготовления гипсовых изделий и для других целей. Для освобождения промывных СВ от продуктов нейтр-ции рекомендуется пропуск их через осветлитель со взвешенным слоем (задержание до 65—97% О). По сравнению с простым отстаиванием объем О сокращается в 2—3 раза. Лучшие результаты получены на целевом осветлителе.

П. Кандзас
32951. Обратное водоснабжение на заводе по производству медной проволоки. Перк (Water conservation and reclamation system for a copper wire mill. Pirk G. W.), Sewage and Industr. Wastes, 1957, 29, № 7, 805—809 (англ.)

Сообщается об успешном опыте введения оборота воды. СВ подщелачиваются NaOH до pH 9,5—10,5. При этом происходит быстрая коагуляция мелкодисперсной окиси меди, которая задерживается в отстойнике. Конц-ция Cu снижается до 45 мг/л. В результате осуществления указанного мероприятия резко снизилось потребление воды из городского водопровода. За год выделено из отходов ~ 450 т Cu.

М. Лапшин
32952. Борьба с загрязнением водоемов. (An answer to stream pollution.—), Text. Inds, 1957, 121, № 7, 71—73 (англ.)

Описаны мероприятия, осуществленные на одной текстильной ф-ке с целью предотвращения загрязнения водоема. Технологич. процесс ряда цехов изменен таким образом, чтобы снизить кол-во примесей, сбрасываемых со СВ. Не представилось возможным осуществить это для СВ цехов отбелки и обработки. Замена в последнем крахмалсодержащих продуктов на синтетич. продукты, имеющие малое БПК, слишком дорога. Проведено разделение СВ на конц. и разб. Последние направляются в пруды и далее сбрасываются в реку. Конц. СВ (из них 4 м³ в сутки от цеха крашения) подвергаются биохимич. очистке в аэрогенках спец. конструкции, разделенных продольной перегородкой на 2 отделения (впуск СВ производится вдоль боковой продольной стенки). В 1-м отделении СВ аэрируются при интенсивном перемешивании; во 2-м активный ил отстаивается, а осветленная СВ собирается лотком, расположенным сверху у противоположной продольной стенки. Конструкция обеспечивает надлежащее созревание организмов в сооружении. При расходе СВ на каждый из 2 аэротенков ~ 82 м³/сутки и расходе воздуха 5,6 м³/мин БПК₅ СВ снижается с 1000 до 50 мг/л. Сооружения рассчитаны на прием СВ с pH до 12.

С. Конобеев
32953. Очистка сточных вод заводов сухой перегонки древесины. Крысинский Б. В., Горчакова Е. В., Гидролизная и лесохим. пром-сть, 1957, № 6, 3—5

Разработан метод очистки СВ, содержащих: фенолы, сложные эфиры, органич. к-ты, спирты, альдегиды, кетоны, фурановые соединения, производные пирана, углеводороды и углеводы. СВ характеризуются высокой окисляемостью (до 64000 мг/л О₂) и большим расходом Br₂ (до 60000 мг/л). Сущность метода заключается в окислении органич. примесей О₂ воздуха под

давлением до 100 атм, при т-ре до 250° с одновременным получением уксуснокислого Na. Процесс проводится в присутствии Na₂CO₃, вводимого перед очисткой в кол-ве, необходимом для нейтр-ции органич. к-т как уже содержащихся в СВ, так и образующихся при окислении. В зависимости от режима, примеси могут окисляться или до CO₂, или до органич. к-т. Уксусная и муравьиная к-ты образуют с Na₂CO₃ натриевые соли и свободную CO₂. Упариванием СВ после окисления получают технич. CH₃COONa. Конденсат без дополнительной очистки может быть спущен в водоем. Приводятся данные о влиянии т-ры, давления, характера и кол-ва щел. реагента и р-ции среды на степень окисления. Отмечается, что существующие методы экстракции или конденсации (с формальдегидом) не обеспечивают полную очистку СВ. Применение биохим. методов вызывает необходимость предварительной очистки СВ от смол и масел, а также значительного разбавления, что резко увеличивает стоимость очистки.

П. Кандзас
32954. Проблемы, связанные с поступлением в водотоки сточных вод бумажной промышленностью. Шен (Sur les problèmes que pose le déversement dans les rivières des liqueurs résiduelles papetières. Chene M.), Res. pathol. gén. et physiol. clin., 1957, 57, № 689, 967—975 (франц.)

Дана характеристика СВ, кратко описаны способы их утилизации и очистки.

М. Губарь
32955. Борьба с загрязнением водоемов целлюлозно-бумажной промышленностью. Бейкон (Pollution control by the northwest pulp and paper industry. Bacon Winton W.), Paper Mill News, 1957, 80, № 30, 12—13 (англ.)

32956. Исследование БПК сульфитных щелоков, барды и сточных вод от их переработки. Мейнк (Untersuchungen über den biochemischen Sauerstoffbedarf der Sulfitaubleuge und Sulfitschlempe von Zellstoffabriken. Meinck Fritz), Das Papier, 1955, 9, № 13-14, 327—332 (нем.)

Автором экспериментально установлено, что людской эквивалент сульфитных щелоков, образующихся при выработке 1 т целлюлозы, соответствует 3500 человек при варке еловой и 8500 человек при варке буквой древесины. Переработка сульфитных щелоков на спирт снижает нагрузку на водоем на 25—30%. Использование для получения дрожжей — на ~ 50%. БПК сульфитных щелоков не подчиняется урнию мономолекулярной р-ции. Указывается, что людской эквивалент, несмотря на свое важное значение, является лишь одним из многих факторов, характеризующих загрязнение водоемов СВ.

М. Белецкая
32957. Биохимическое потребление кислорода общего стока производства сульфатной целлюлозы. Грир, Гиллеспи, Трасселл (Biochemical oxygen demand of total effluent from full-bleach kraft mill. Greer B. A., Gillespie R. E., Trussell P. C.), Tappi, 1956, 39, № 8, 599—603 (англ.)

Проведены систематич. параллельные определения БПК (для 5—20 суток при разбавлении стандартной и морской водой), ХПК, сухого остатка и потери при прокаливании. Средние значения этих показателей (в мг/л): БПК₂₀ (при разбавлении стандартной водой) 135; БПК₂₀ (при разбавлении морской водой) 157; ХПК 228; сухой остаток 1119; потеря при прокаливании 424. Отмечено изменение константы скорости БПК от 0,106 до 0,095 для 5 и 15 суток. Расчет величины БПК по другим показателям (с использованием коэф. корреляции) дает большие отклонения и поэтому не рекомендуется.

М. Лапшин
32958. Новый способ анаэробной очистки сточных вод мясокомбинатов. Петрашек (New era in treatment of packinghouse waste opens with successful

start of anaerobic unit at Wilson plant. Pietraszek Gregory), Nat. Provisioner, 1957, 137, № 2, 18—20, 23—25, 39—40, 42 (англ.)

На основании опытов по анаэробному сбраживанию СВ, проведенных на полупроизводственной установке, была построена и пущена в эксплуатацию станция, состоящая из усреднителя, отстойника, двух камер сбраживания (КС), одна из которых снабжена дегазатором, и двух сепараторов для отделения жидкой фазы от анаэробного ила. Устройство дегазатора в КС обеспечило большую однородность сбраживаемой смеси. Концентрация анаэробного ила в КС поддерживалась в пределах 12—15 г/л, при этом ил из сепаратора возвращался в КС в соотношении 1:3 (к находящемуся в КС), 0,6% избыточного ила (от объема возвратного) сбрасывалось в пруд. Надъёмная жидкость, выходящая из сепаратора, имела БПК₅ 65 мг/л, конц-ия грубодисперсных примесей 92 мг/л (в исходных СВ соответственно 1558 и 964 мг/л). Время пребывания СВ в КС 14,3 часа, в сепараторе 5,8 час. Средняя нагрузка на КС ~ 26 кг БПК на 1 м³ в сутки. Оптимальная т-ра 35°.

С. Конобеев
32959. Новое и старое в обработке сточных вод боен. Стеффен (The new and the old in slaughter house wastes treatment processes. Steffen A. J.), Wastes Engng, 1957, 28, № 8, 401—404 (англ.)

СВ предприятий небольшого масштаба рекомендуются, после предварительного отстаивания, периодически напускать (50—150 м³/м² в сутки) на песчаные фильтрующие площадки, с высотой слоя песка 0,6—0,9 м, крупностью 0,2—0,5 мм на гравийном подстилающем слое. В результате фильтрования БПК СВ снижается на 85—95%. Можно также применять обработку гипохлоритом кальция (из расчета 620 мг на 1 кг живого веса скота) или сульфатом Al (дозы 1125—2250 мг/л СВ). Снижение БПК составляет 60—70%. Для предприятий с производительностью > 4,5 т живого веса в сутки рекомендуются песчаные фильтрующие площадки и биофильтры. При кратности рециркуляции 4,5—5 и начальном БПК 720—750 мг/л эффект снижения БПК достигает 95%. Можно применять анаэробное сбраживание; продолжительность 12 час.; остаточное БПК₅ 50 мг/л. При большом разбавлении в водоеме можно ограничиться отстаиванием и разложением органич. примесей в септиктанках, снижающих БПК на 78—93% (остаточное БПК 100—300 мг/л). Наиболее экономичный и простой способ — поля орошения с предварительным пропуском СВ через сита. Скорость фильтрации ~ 0,5 см в мин. Высота слоя напуска 0,4—0,6 м в сутки. С. Конобеев

32960. Обзор важнейших методов очистки сточных вод молочных заводов. Том (Przegląd ważniejszych metod unieszkodliwiania mleczarskich wód odpływowych. Thom Rudolf), Przegl. mleczarski, 1957, 5, № 8-9, 23—26 (польск.)

32961. Исследования образования осадка и выделения газа в каналах Амстердама в 1929—31 гг. Мунс (Untersuchungen über den Schlamm und die Gasbildung in den Amsterdamer Grachten in den Jahre 1929 bis 1931. Moens N. L. Wibaut-Isebreec), Hydrobiologia, 1957, 9, № 1, 13—24 (нем.; рез. англ.) В результате спуска СВ в каналах старого города образовались залежи осадка, ежегодный прирост которого составляет 1 см. Летом при повышении т-ры > 10° начиналось разложение осадка с выделением газа, состоящего преимущественно из CH₄. Зимой газ не выделялся. Описан аппарат для отбора и учета кол-ва газа, устанавливаемый в канале. Л. Гюнтер

32962. Применение хлоргидрата алюминия для обезвоживания осадка бытовых сточных вод. Кранделл (Aluminium chlorhydrate in sewage sludge dewatering. Crundall S. W. F.), J. and Proc. Inst.

Sewage Purific., 1956, № 4, 397—399. Discuss., 399—403 (англ.)

Отмечаются преимущества применения хлоргидрата алюминия (I) для ускорения процесса дренирования и подсушивания на иловых площадках (сокращение времени до 50%). Процент сухого в-ва в кондиционированном осадке (после 39 суток) 22,7, в некондиционированном 15,0. Применение I позволило осуществлять непрерывную работу вакуум-фильтров в течение 4 месяцев (длительность работы лимитируется сроком службы нейлоновой фильтрующей ткани). При дозе I 0,5% (в пересчете на Al₂O₃) с 1 м² фильтра можно получить 3 т кока в неделю. С. Конобеев

32963. Аэробное сбраживание и обработка осадков. Саймонс (Anaerobic digestion and solids handling. Symons James M.), Water and Sewage Works, 1957, 104, № 7, 319—324 (англ.)

Краткое содержание докладов на конференции в Нью-Йорке, состоявшейся 24—26 апреля 1957 г. М. Д.

32964. Опыт ускоренного сбраживания осадка сточных вод в Колумбусе (США Огайо). Блоджетт (Accelerated sludge digestion experience at Columbus, Ohio. Blodgett James H.), Sewage and Industr. Wastes, 1956, 29, № 7, 926—931 (англ.)

В течение 2 лет успешно проводились опыты по ускоренному сбраживанию осадка с перемешиванием его путем рециркуляции газа. Загрузка по сухому в-ву достигала 4,64 кг/м³ объема метантенка в сутки (против 1,49 кг/м³ при обычной практике); время пребывания осадка сократилось до 14—17 суток (вместо 30). Выход газа достигал 0,378 м³/кг органич. в-в загрузки, распад органич. в-в 39,2%. Для отделения иловой жидкости и уплотнения осадка требуется добавочный резервуар на каждые 2—4 первичных метантенка. Осадок, сброженный ускоренным способом, легче коагулируется и обеспечивает большую производительность вакуум-фильтров. Л. Гюнтер

32965. Изучение скоростного сбраживания осадка сточных вод. Заблэцкий, Корниш, Адамс (Increased — rate sludge digestion studies. Zablatzky H. R., Cornish M. S., Adams J. K.), Sewage and Industr. Wastes, 1956, 28, № 10, 1299—1303 (англ.)

При расширении станций очистки СВ значительная экономия может быть получена в результате перевода метантенков (М) на высокие нагрузки при условии подачи в них густого осадка и интенсивного его перемешивания. 4 М емк. 4,5 тыс. м³ каждый эксплуатировались по 3-ступенчатой схеме, с нагрузкой на 1-й ступени 1,7 кг/м³ объема М при т-ре 33° и тщательном перемешивании, на 2 и 3 ступенях обогрев и перемешивание не производились. На 1-й ступени распад органич. в-в достигал 57,3%, выход газа 397 м³/г. Концентрация взвешенных в-в (ВВ) в отстойной иловой воде из 3-й ступени 850 мг/л. 3-я ступень необходима для лучшего отделения сухого в-ва от иловой воды, снижения ее БПК и конц-ии ВВ. Достигнутое сокращение рабочего объема М на 25% не является пределом. Л. Гюнтер

32966. Теория и практика анаэробного щелочного брожения осадка сточных вод. Кифер (Die anaerobe alkalische Schlammfäulung in Theorie und Praxis. Kiefer Wolfgang), Neue DELIWA-Z., 1957, № 1, 9—14 (нем.)

В процессах анаэробного брожения (АБ) участвуют 2 группы микроорганизмов: факультативные анаэробы (I) и облигатные анаэробы (II). I осуществляют кислую фазу АБ (распад углеводов, жиров, белков до органич. к-т, их солей и спиртов с одновременным образованием H₂S, H₂ и больших кол-в CO₂), II — щелочную (образование CH₄, CO₂ и др.). II более чув-

ствительны к внешним условиям: требуют строго анаэробных условий, темноты, pH 7,0—7,5, концентрации органич. в-в $< 2000 \text{ мг/л}$ (по CH_3COOH), $\text{N } 100 \text{ мг/л}$. Обычно АБ ограничивается достижением технич. предела ображивания, составляющего 90% практич. гра-лици брожения и зависящего от содержания органич. в-ва в свежем осадке. Рекомендуется рассчитывать рабочий объем I метантенка по ф-ле: $I = 10 \cdot S$, где S — суточная загрузка свежего осадка (1,33—4 кг органич. в-ва на 1 м³ объема метантенка). Предельный объем метантенков 8000—10000 м³. Л. Гюнтер

32967 П. Способ и аппаратура для установления постоянного соотношения расходов двух жидкостей при изменении расхода одной из них (Procédé pour assurer un débit de liquide à un autre débit, suivant une loi prédéterminée, et appareil utilisé) [C. Chabal et Cie (Soc. en commandite par actions)] Франц. пат. 4123338, 20.09.56

Для пропорционального дозирования р-ров реагентов в обрабатываемую воду, при изменяющемся расходе последней, предлагается следующее устройство. Обрабатываемая вода поступает в канал через перепускные отверстия, теряя часть напора, измеряемую разностью уровней H до и после перегородки. В канал помещен стакан, соединенный в нижней части с потоком воды вне канала. В стакан погружена подвижная трубка, нижнее отверстие которой, при помощи поплавка, поддерживается на уровне воды в канале. В трубку вдувается под небольшим давлением (20—30 см вод. ст.) газ, нерастворимый в воде и в дозируемом р-ре, который барботирует через слой воды H в стакане. Давление газа отвечает измеряемому напору H . Дозируемый р-р поступает через клапан поплавок-ного регулятора уровня в бак под находящийся в нем колокол. Вне колокола на уровне клапана в баке находится калиброванное дроссельное отверстие, через которое вытекает в обрабатываемую воду дозируемый р-р. Под колокол через трубку входит газ из описанного выше устройства под давлением H и вытесняет соответствующую часть р-ра из под колокола в пространство над дросселем. Скорость вытекания р-ра через дроссель точно соответствует давлению H и меняется вместе с ним. Постоянное соотношение объема дозируемого р-ра и объема обрабатываемой воды равно s/S , где s — сечение дроссельного отверстия, S — сумма сечений перепускных отверстий в перегородке канала. К. Ваксберг

32968 П. Система обработки воды. Чоффи (Water treating system. Cioffi Vincent R.) [Bogue Electric Manufacturing Co.]. Пат. США 2753302, 3.07.56

Предложена конструкция вертикального обессоливающего фильтра, загруженного смесью катионита и анионита с различной плотностью. Фильтр разделен горизонтальной перегородкой на верхнюю и нижнюю камеру, соединенные центральной трубой, концы которой расширяются близ верхнего и нижнего дна фильтра. Каждая камера снабжена подводом воды, регенерационного р-ра и стоком, а верхняя камера — также подводом воздуха. В рабочем состоянии иониты находятся только в верхней камере; нижняя камера служит для регенерации анионита. При обратной промывке водой перед регенерацией анионит (имеющий меньшую плотность) уносится через соединительную трубу в нижнюю камеру, после чего катионит и анионит одновременно обрабатываются соответствующими регенерирующими р-рами (к-та, щелочь) и промываются водой, каждый в отдельности. Затем анионит пере-давливаясь водой по соединительной трубе из нижней камеры в верхнюю, где иониты перемешиваются с помощью сжатого воздуха. А. Мамет

32969 П. Метод обработки катионита. Колман (Method for treating cation exchange material and cation exchange material resulting therefrom. Coleman William B.) [Victor Chemical Works]. Пат. США 2749306, 55.06.56

Для удаления из катионитов солей железа и применения их для обезжелезнения воды предложено обрабатывать катионит р-рами пиро-, поли- и метафосфатов, кислых фосфатов щел. металлов или смеси этих соединений. Р-р должен иметь pH 4,0—10,5 (предпочтительнее 8,2—9,5). Приведены примеры применения триполифосфата и кислого пирофосфата натрия.

А. Мамет

32970 П. Аппарат для обработки воды. Уитлок, Даймонд (Water treatment apparatus. Whitlock Robert A., Jr. Dymond James E.) [Aquamatic Inc.]. Пат. США 2755246, 17.07.56

Предложена конструкция двух многоходовых крапов, позволяющая осуществить все операции по регенерации ионитов и обессоливание воды в фильтре совместного Н-ОН-ионирования.

А. Мамет

32971 П. Подогрев морской воды. Акселрад (Sea water heating. Axelrad Bernard A.) [Freeport Sulphur Co.]. Пат. США 2756207, 24.07.56

Рекомендуется вести подогрев соленой воды, включая морскую, в ступенчатых теплообменниках. Путем подбора т-ры подогрева и гидравлич. режима для каждой ступени в значительной мере исключается образование твердой накипи и достигается выделение солей жесткости преимущественно в форме легкоподвижного шлама. В зависимости от общей конц-ии солей определяется наивысшая допустимая т-ра подогрева. Скорость воды в теплообменниках 1,5—3,0 м/сек. Количество ступеней подогрева — до 5.

О. Ленчевский

32972 П. Уменьшение накипеобразования в паровых котлах. Юрсич (Reduction of scale in steam boilers. Jursich Myron J.) [National Aluminate Corp.]. Пат. США 2749305, 5.06.56

Для уменьшения накипеобразования (на ~ 80—90%) предлагается обрабатывать котловую воду с pH 9—11 полимерами о-нитрофенола, в качестве которых рекомендуются 6,6'-дигидроокси-5,5'-динитро-3,3'-диметилдифенилметан; 2,6-ди-(2-гидроокси-3-нитро-5-метилбензил)-п-крезол; 4,4'-дигидроокси-3,3'-динитробифенил; смесь нитротетрагидрооксидифенилметанов (рецепты получения приводятся). Рекомендуемые дозы 8—35 мг/л. Наиболее эффективно предотвращается образование карбонатной накипи. Метод применим для котлов с давл. 7—105 атм.

А. Мамет

32973 П. Септик-тенк с фильтром. Вернь (Perfectionnements aux fosses septiques avec filtres. Vergnes Maurice-Antoine). Франц. пат. 4120747, 11.07.56

Предлагается в нижней части септик-тенка располагать фильтрующий элемент, через который СВ из септической камеры поступают в канализационную сеть. Агрегат представляет собой единый блок, выполненный из железобетона.

Н. Ваксберг

32974 П. Способ очистки и одновременной нейтрализации промышленных кислых сточных вод. Кухарский (Sposób oczyszczania i jednoczesnej neutralizacji kwaśnych ścieków przemysłowych. Kucharzski Józef) [Instytut Chemii Ogólnej]. Польск. пат. 39650, 20.02.57

Предложен способ очистки СВ с помощью шлама и известкового молока. Шлак задерживает грубодисперсные и сорбирует органич. примеси СВ, а содержащееся в нем железо нейтрализует к-ты. Скорость фильтрования СВ и степень измельчения шлама регулируют так, чтобы конц-ия Fe^{3+} в СВ составляла 150—300 мг/л. При последующем прибавлении известкового молока

до pH 8,5 происходит выпадение хлопьевидного $\text{Fe}(\text{OH})_3$. С. Яворовская
 32975 П. Метод обесфеноливания сточных вод. Гей, Герц (Verfahren zur Entphenolung von Abwässern. Geu Werner, Goerz Rolf). Пат. ГДР 12726, 11.02.57

Для регенерации р-рителей, применяемых при обесфеноливании СВ (преимущественно кислородсодержащих органич. соединений с ограниченной растворимостью в воде, напр., бутилацетата), рекомендуется отгонять их в виде азетропной смеси с водой. Остатки р-рителя отделяются от фенола обычным способом. Ц. Роговская

32976 П. Устройство для удаления фенолосодержащих сточных вод путем вспыскивания их в газовую топку. Бёдер (Einrichtung zur Beseitigung phenolhaltiger Abwässer durch Einspritzen in heiße Brenngase. Boeder Ludwig) [Klöckner-Humboldt-Deutz A.-G.]. Пат. ФРГ 945713, 12.07.56

Приведена схема устройства, нижняя часть которого представляет собой газогенератор, верхняя — камеру сгорания. Газогенератор окружен воздушной камерой, снабженной внизу патрубком для входа воздуха, а сверху — соплами для выпуска его в камеру сгорания. Крышка камеры сгорания имеет двойные стенки. От наружной стенки отходит патрубок для выпуска фенольной воды, которая посредством сопла разбрызгивается внутри камеры сгорания. В середине крышки находится вентиляционное отверстие для вывода отходящего газа. Газогенератор может работать на горючем низкого качества, напр., на пыли каменного или бурого угля. Ц. Роговская

См. также: Анализ: Mg^{2+} 32170, 32171; Ca^{2+} 32172; Fe 32185; CO_2 32189; PO_4^{3-} 32190; SO_4^{2-} 32192; фенол 32239. Св-ва примесей: гидраты O_2 34147; гидролиз Fe^{3+} 31845; константа гидролиза Fe^{3+} 34149; гидролиз фосфатов Ca 32006; гидролиз алюмината Na 32004. Плотность воды 31614. Физ.-хим. основы технологии: коагуляция полиэлектролитами 31937; влияние ОН на коагуляцию суспензий 31928; газоудаление 32770; предотвращение пенообразования 33944. Внутрикотловые процессы: капельная конденсация 32708. Иониты: методы получения 34409; селективные 31917, 34410; механизм ионного обмена 31915; прочность связи ионов 31916. Утилизация и удаление отходов: атомных установок 33041; сахарных э-дов 34093; сульфитных щелочков 34659. Реагенты: разложение гипохлоритов 31757, 31803. Подготовка воды: мукомольное произ-во 34126

ТЕХНИКА БЕЗОПАСНОСТИ. САНИТАРНАЯ ТЕХНИКА

Редакторы Н. Ф. Кононов, И. В. Саноцкий

32977. Основы техники безопасности на химических заводах. Сакикава, Сайкин-но кагаку когаку 1955. Токио, 1955, 105—119 (японск.)

32978. Техника безопасности и меры по предотвращению аварий на заводах. Таканаси, Кагаку когё, Chem. Ind. (Tokyo), 1955, 6, № 10, 886—889 (японск.)

32979. Основные вопросы профилактики промышленных дерматозов в химической промышленности. Долгов А. П., Сов. медицина, 1957, № 7, 9—14
 Заболеваемость промышленными дерматозами (Д) составляет ~ 50% всех профессиональных заболеваний и отравлений. В целях профилактики Д, возникающих при применении новых в-в в текстильной пром-сти, произ-ве искусств. смол и лаков, синтетич. каучука и резины и др., необходимы: правильная ранняя диагностика экзем с учетом явлений сенсибилизации (капельные тесты), изучение отрицательного влия-

ния факторов производственной среды на заболевание, разработка и внедрение моющих средств для устранения профессиональных загрязнений и производственного окрашивания кожи, не наносящих повреждения коже, продуманная разработка составов защитных мазей и паст и др. Т. Бржевская

32980. Техника безопасности на пороховых заводах. Ямамото, Кагаку когё, Chem. Ind. (Tokyo), 1955, 6, № 10, 896—899 (японск.)

32981. К вопросу о профессиональных заболеваниях в производстве взрывчатых веществ. Гроссдорфер (Zur Frage der Berufskrankheiten in der Sprengstoffindustrie. GroBdorfer Karl), Explosivstoffe, 1957, 5, № 9, 199—202 (нем.)

Приведены состав, свойства, получение и применение альпинита, донарита, целонита, инициирующих взрывчатых в-в. Описана токсикология нитрогликоля, нитроглицерина, динитробензола, тринитротолуола, тетранитрометиланилина, триметилентринитроамин и др. Согласно законодательству, к работе с нитроглицеролами не допускаются лица с органич. заболеваниями сосудов, гипотонией, функциональными нарушениями кровообращения (пульс < 50 или > 100, систолич. давл. < 100, диастолич. > 90 или < 60, пульсовое давл. ≤ 30, поражения сердечной мышцы, выявляемые на электрокардиограмме). К. Никонова

32982. Техника безопасности в резиновой промышленности. Паджет (Safety in the rubber industry. Paget R. F.), Trans. and Proc. Instn Rubber Ind., 1957, 33, № 4, P147—P156 (англ.)

Анализируются причины несчастных случаев, связанные преимущественно с недостаточным инструктажем работающих, использованием женского и детского труда. Рассмотрены несчастные случаи, происшедшие также от плохого общего и местного освещения, неудачной планировки предприятия и конструкции оборудования и недостаточно продуманной спешдежды. М. Монастырская

32983. Заболевания в меховой промышленности. Неймейстер (Gesundheitsschäden im Rauchwarengewerbe. Neumeister Klaus), Pelzgewerbe, 1957, 8, № 4, 141—143 (нем.)

В меховой пром-сти возможны отравления мышьяком, аллергия. заболевания (бронхиальная астма, вызванная урсолом; экземы, вызванные урсолом, бигроматом калия и др. в-вами), а также заражения сибирской язвой. Описана клиника этих поражений. Подчеркнута малая распространенность профессиональных заболеваний в меховой пром-сти. К. Никонова

32984. Проблема индивидуальной защиты при работе с открытыми радиоактивными материалами. (Zagadnienie ochrony osobistych przy pracy z nieosłoniętymi materiałami promieniotwórczymi.—), Ochrona pracy, 1957, 12, № 9, 31—34 (польск.; рез. русск.)

Описаны различные виды защитной одежды для работы с открытыми радиоактивными материалами (палаты и комбинезоны из хлопчатобумажной материи, комбинезоны, нарукавники, фартуки, шлемы из пластика, пневмокомбинезон ЛП-1, разработанный в институте гигиены труда и профессиональных заболеваний АМН СССР и др.) и способы ее очистки (замачивание в 1—2%-ных р-рах азотной к-ты, 2—4-кратная стирка при t-ре 80—90° и кипячение в содово-мыльных р-рах, 5—6-кратное полоскание с постепенным понижением t-ры от 80° до 20—30° для хлопчатобумажной одежды и мытье в р-ре мыла или порошка «Новость» с последующей обработкой разбавленными к-тами для одежды из пластика). Т. Бржевская

32985. Использование бетона для защиты от излучения стационарных ядерных реакторов. Экранирование реакторов. Егер (Používání betonu k ochráně proti záření stabilních jadrových reaktorů. Stínění

реактору. Stinēni reaktoru. Jaeger Thomas), Ingen. stavby, 1957, 5, № 9, 463—469 (чешск.; рез. русск., нем., англ.)

Для экранирования ядерных реакторов наиболее эффективным является бетон, в состав которого входят вместо песка и гравия BaSO_4 , $2\text{Fe}_2\text{O}_3 \cdot 3\text{H}_2\text{O}$, Fe_3O_4 , обладающие высокой способностью связывать воду, с добавлением $2\text{CaO} \cdot 3\text{B}_2\text{O}_3 \cdot 5\text{H}_2\text{O}$ для поглощения нейтронов без эмиссии жесткого γ -излучения. Приводятся ф-лы и расчеты экранирования ядерных реакторов.

Т. Бржевская

32986. Манипулятор (устройство для работы с радиоактивными веществами на расстоянии). Сибата, Кикай гидзюцу, Mech. Engng, 1957, 5, № 1, 124—127 (японск.)

32987. О перископах (для работы в зоне радиоактивности). Кодзава, Кэмикару эндзиниярингу, Chem. Engng, 1957, 2, № 2, 138—145 (японск.)

32988. Применение цветомера для определения содержания йода в воздухе. Березина Т. А., Гигиена и санитария, 1957, № 11, 88—90

Методика колориметрич. определения йода в воздухе при помощи цветомера ЦЗ-А имеет следующие положительные стороны: а) возможность определения сравнительно малых кол-в — до 0,001 мг йода на 1 мл р-ра; б) отсутствие субъективного влияния исследователя, чем повышается точность и надежность определения; в) сокращение времени при большом кол-ве анализов и упрощение перечислений их относительных величин в абсолютные. Резюме автора

32989. Вопросы техники безопасности при гипохлоритной и хлорной отбелке. Янг (The hazards of chlorination and hypochlorite bleaching Young Homer G.), Pulp and Paper Mag. Canada, 1956, 57, № 9, 196, 201—202, 204—205 (англ.)

Обсуждаются меры защиты персонала от вредного действия жидкого хлора, NaOH и NaOCl в процессе отбелки целлюлозы.

Л. Михеева

32990. Вопросы техники безопасности при отбелке перекисями. Янковский (Safety and peroxide bleaching. Jankowski Anthony), Canad. Pulp and Paper Ind., 1956, 9, № 4, 148, 150—152 (англ.)

Сведения о физиологич. действии основных реагентов, применяемых при перекисной отбелке (Na_2O_2 , H_2O_2 , SO_2), и по технике безопасности при обращении с ними.

А. Яшунская

32991. Фильтр для предотвращения отравления парами ртути. У Юань-яо, Чжунхуа вэйшэн цзачжэ, 1955, 3, № 4, 274—275 (кит.)

32992. Ускоренный метод определения анилина в воздухе. Чань Чу-лян, Чжунхуа вэйшэн цзачжэ, 1957, 5, № 6, 375—376 (кит.)

32993. Оценка опасности воздействия озона и окислов азота. Стокингер (Evaluation of the hazards of oxides of nitrogen. Stokinger Herbert E.), Arch. Industr. Health, 1957, 15, № 3, 181—190 (англ.)

Экспериментально установлено, что смертельными конц-иями O_3 при однократном 4-часовом воздействии для мышей является 3,8 мл/м³, для крыс — 4,8 мл/м³, хомячков — 10,5 мл/м³. Не подтверждено существование представления о том, что токсичность O_3 в значительной степени обуславливается оксидами азота, которые могут сопровождать O_3 . Физ. нагрузка, алкоголь, молодой возраст и дыхательные инфекции увеличивают вредное действие O_3 . Введение витамина С и некоторых в-в, снижающих окислительную способность O_3 , уменьшают или устраняют токсич. эффект O_3 . Приводится обсуждение указанных факторов с точки зрения оценки возможной опасности O_3 -содержащих аэрозолей для городского населения и промышленных рабочих. Библ. 18 назв. Л. Еловская

32994. Сообщение о случае двухчасового воздействия высоких концентраций озона. Гризуолд, Чеймберс, Мотли (Report of a case of exposure to high ozone concentrations for two hours. Griswold S. Smith, Chambers Leslie A., Motley Hurley L.), Arch. Industr. Health, 1957, 15, № 2, 108—110 (англ.)

Один из авторов подвергался воздействию озона в конц-ции 1,5—2 мг/м³ в течение 2 час. Исследуемый жаловался на сухость во рту, боли сжимающего характера за грудиной, одышку, тошноту, заметное нарушение речи. После опыта отмечалось состояние крайней усталости. Спустя 2—3 дня появился кашель с прозрачной мокротой. Усталость и кашель длились ~ 2 недели. В результате воздействия озона на 13% снизилась жизненная ёмкость легких, удлинилось время выдоха, уменьшилась максим. ёмкость вдоха. Подчеркнута необходимость изучения влияния на человека городских аэрозолей и их отдельных составных частей с целью разработки предельно допустимых конц-ий.

Л. Еловская

32995. Отравление окисью углерода. Гюльцов (Die Kohlenoxydgasvergiftung. Gülzow M.), Z. ärztl. Fortbild., 1957, 51, № 20, 838—841 (нем.)

Описана патофизиология, 3 клинич. формы и терапия интоксикаций СО. Подчеркнута необходимость гигиенич. оценки условий труда в каждом случае отравления, а также определения СО в крови пострадавшего. Профилактика СО-интоксикаций в основном должна идти по технич. линии: снижение содержания СО в выхлопных газах путем реконструкции карбюраторов, уменьшение выброса СО от дизельных двигателей, улучшения условий труда на отдельных предприятиях и др.

К. Никонова

32996. Индикатор окиси углерода. Фукс (CO-Anzeiger. Fuchs H.), Nachrichtentechnik, 1957, 7, № 6, 273 (нем.)

Прибор состоит из стеклянной трубки диам. 6 мм, на концах которой имеются распределители, предназначенные для равномерного распределения газа по слою насадки. Насадка представляет собой гранулированный желтый силикагель, пропитанный кремнекислым Мо, к которому в качестве катализатора добавлен сульфат Pd. При наличии в продуваемом воздухе СО желтый силикагель окрашивается в зеленый цвет определенного оттенка, причем интенсивность и тон окраски пропорциональны конц-ии СО. С помощью контрольных таблиц эталонной окраски можно определить СО от 0,005 до 0,1 об.%. М. Людмирский

32997. Исследование содержания свинца в воздухе, вызываемое применением этилированного бензина. Преис (Untersuchungen über die Bleigehalte der Luft, verursacht durch bleihaltiges Autobenzin. Preis H.), Z. Präventivmed., 1957, 2, № 11, 397—408 (нем.; рез. англ.)

В Цюрихе в течение 1948—1955 гг. проводились исследования загрязнения воздуха Pb в результате применения для автотранспорта бензина, содержащего соединения Pb. Найдено, что размеры частиц Pb составляют от 100 мк до 2 мк. Частицы размером 100 мк оседают в течение 80 мин., а размером < 5 мк в течение 10 дней. Показано, что степень загрязнения воздуха Pb пропорциональна интенсивности автомобильного движения.

Я. Дозорец

32998. Отравление свинцом. Белл (Lead poisoning. Bell Alan), Safety (Austral.), 1957, 1, № 5, 6—8 (англ.)

Считают, что безвредной конц-ией Pb в воздухе рабочих помещений при 8-часовом рабочем дне является конц-ия 0,15 мг/м³. Рекомендуются следующие мероприятия профилактики отравлений Pb: периодич. медицинские осмотры (с анализами крови и мочи), за-

мена Pb менее токсичным материалом, полная герметизация производственного процесса, устройство эффективной местной и общеобменной вентиляции, анализы воздушной среды, применение респираторов и соблюдение правил личной гигиены. Г. Заева

32999. Распространение хронической свинцовой интоксикации на аккумуляторных фабриках и фабриках свинцовых красок. Эгли, Гранжан, Марме, Капп (Die Verbreitung der chronischen Bleivergiftung in Akkumulatoren- und Bleifarbenfabriken. Egli R., Grandjean E., Marmet J., Kapp H.), Schweiz., med. Wochenschr., 1957, 87, № 37, 1171—1174 (нем.; рез. англ.)

При обследовании состояния здоровья 94 рабочих примерно у половины из них была обнаружена хронич. Pb-интоксикация (у 46 человек выявлены объективные симптомы отравления: тремор, свинцовая кайма, мышечная слабость; у $\frac{1}{3}$ обследованных — анемия, у $\frac{2}{3}$ — повышенное содержание Pb в крови, Pb и порфирина — в моче; в 15% случаев содержание базофильнозернистых эритроцитов превышало 1%). Предлагают предельно допустимой конц-ей порфирина в моче считать 0,6—0,8 мг/л, превышение ее свидетельствует о наличии Pb-интоксикации. Рекомендуется проводить периодич. медицинские осмотры работающих в Pb не реже 1 раза в 6 месяцев с определением содержания Pb в крови и моче; рабочих с анемией или симптомами хронич. Pb-интоксикации, а также имеющих стойкое повышение содержания Pb в моче или крови переводить на другую работу, систематически осуществлять контроль за конц-ей Pb в воздухе рабочих помещений. К. Никонова

33000. Определение соединений свинца в воздухе методом амперометрического титрования. Григорова Л. П., Гигиена и санитария, 1957, № 11, 94—95. Установлена пригодность метода и разработана схема обработки проб для анализа на Pb растворимый, нерастворимый и общий. Резюме автора

33001. Аллергические контактные экземы, вызванные средствами для защиты дерева, содержащими хроматы. Бербо́м (Allergisches Kontakt-Ekzem durch chromathaltige Holzschutzmittel. Behrbohm Peter), Berufsdermatosen, 1957, 5, № 6, 271—283 (нем.; рез. англ., франц.)

Приведен хим. состав содержащих хроматы (X) смесей (С) для пропитывания древесины в целях защиты ее от древесного гриба и животных паразитов; технология пропитывания. Сообщается о 15 случаях экзем, возникших при контакте со С у плотников, штукатуров, работающих на транспортировке лесоматериалов и др. Содержание X в р-рах С составляло 1,4—4,5%. Аллергич. проба с X калия и аммония у всех заболевших была положительной. Полагают, что повышенная чувствительность к X может возникнуть также при работе с содержащим X цементом. Контакт со С способствует возникновению «цементных» экзем. Рекомендуют при работе со С пользоваться перчатками, а при разбрызгивании С в закрытых помещениях — средствами защиты органов дыхания. Библи. 47 назв. К. Никонова

33002. Образование ароматических углеводородов при неполном сгорании. Тейббенс, Томас, Мукан (Aromatic hydrocarbon production related to incomplete combustion. Tebbens Bernard D., Thomas Jerome F., Mukai Mitsugi), Arch. Industr. Health, 1956, 14, № 5, 413—425 (англ.)

Установлено, что жидкие топлива при неполном сгорании способны образовывать ароматич. многоатомные углеводороды, продемонстрированы условия их образования. Приведен сравнительный хроматографич. анализ продуктов, образующихся при сгорании натурального газа, бутана, бутена-1, ацетилен и бутадие-

на. Выделено ≥ 16 различных ароматич. углеводородов, 8 из которых обладают карциногенной активностью. Полное сгорание газообразного топлива не сопровождается образованием указанных продуктов. Н. Кулагина

33003. Условия работы в цехе очистки коксового газа от сероводорода Макеевского коксохимического завода. Лев Ц. Д., Сообщ. Гос. союз. ин-та по проектир. предприятий коксохим. пром-сти, 1956, вып. 17, 52—57

Приведены обязательные мероприятия по технике безопасности. См. также РЖХим, 1957, 61033.

33004. Рак у работников коксовых заводов. Рид, Бак (Cancer in coking plant workers. Reid D. D., Buck Carol), Brit. J. Industr. Med., 1956, 13, № 4, 265—269 (англ.)

Сравнение смертности от рака и других причин среди рабочих коксовых з-дов Национальной угольной пром-сти в 1949—1955 гг. со смертностью рабочих других промышленных объединений показало, что смертность от рака работников коксовых з-дов в целом не повышена за исключением небольшого повышения смертности от рака легких среди мужчин, работающих у печей. Обсуждаются причины несоответствия указанных фактов и результатов предшествовавших обследований состояния здоровья той же отрасли пром-сти. И. Романова

33005. Количественные колебания пировиноградной кислоты в моче шахтеров. Идзути (Izuchi Tada shi), Фукуока игаку дзасси, Fukuoka acta med., 1957, 48, № 5, 547—593 (японск., рез. англ.)

Для определения состояния здоровья шахтеров у них производился анализ мочи на содержание пировиноградной к-ты (I), а также р-ция Савада (PC). Моча собиралась дважды с интервалами в 1 час после введения рабочим 5 мл 20%-ного р-ра фруктозы. Установлено, что содержание I в первой порции мочи и кол-во положительных PC (минимум положительной р-ции 0,060 мл I) увеличилось в 20% случаев у практически здоровых подземных (ПР) и наземных рабочих, употреблявших накануне спирт. напитки; в 30% случаев у ПР — при работе в глубоких шахтах при высоких т-рах; в 18% — ПР после ночной смены. Исследования показали, что уровень I в первой порции мочи и число положительных PC значительно снижались в летнее время у ПР, предъявлявших жалобы, которым за 30 мин. до взятия фруктозы вводили внутривенно алинамин (по сравнению со здоровыми ПР, не получавших этого в-ва). Рекомендовано регулярное (1 раз в неделю) колич. определение содержания I в моче шахтеров в качестве надежного метода ранней диагностики профессиональных заболеваний. Н. Шумская

33006. Заболевания, обусловленные динитрилом тетраметилантарной кислоты, в производстве пенопласта. Рейнль (Erkrankungen durch Tetramethylbernsteinsäuredinitril bei der Schaumstoffherstellung. Reinl Walter), Arch. Toxikol., 1957, 16, № 6, 367—380 (нем.)

Описаны результаты определения на животных токсичности азизобутиронитрила (I), применяемого в качестве порообразующего средства в произ-ве пенопласта, и продукта его распада — динитрила тетраметилантарной к-ты (II). Приведены: описание условий технологич. процесса, гигиенич. характеристика условий труда; результаты обследования состояния здоровья 16 работающих, клинич. картина поражений II (судорожные припадки, слабость, головная боль, рвота, усиленное слюнообразование и др.), 4 истории болезни. После улучшения условий труда число жалоб уменьшилось. Рекомендовано: замена I нетоксичными

в-лами, оборудование эффективной приточно-вытяжной вентиляции, проведение регулярных медицинских осмотров работающих. Считают, что существует опасность отравлений для лиц, занятых последующей обработкой и хранением пенопласта. Изготовление цыновок и детских игрушек из этих материалов недопустимо.

К. Никонова

33007. О вредности [производства] пластмасс и профилактики. Покобори, Курасима, Пурасу-тикусу, Japan Plast., 1957, 8, № 8, 29—38 (японск.)

33008. Статистический обзор силикоза в керамической промышленности. Опельт (Statistische Übersicht über die Silikose in der keramischen Industrie. Opelt F.), Staub, 1957, № 51, 569—585 (нем.; рез. англ., франц.)

Краткий обзор за 1953 г. Наибольшую заболеваемость в фарфоровой промышленности объясняют малой текучестью рабочих. Приведен статистич. материал по силикозу в различных отраслях керамич. пром-сти с учетом возраста заболевших, возраста их при вступлении на первую пылевую работу и времени развития заболевания (разность первых 2 показателей). Время развития заболевания дает представление о степени опасности работы. Керамич. пром-сть характеризуется длительным временем развития заболевания (31—43 лет), оно короче в профессиональных группах, работающих в условиях более интенсивного воздействия пыли, а также у лиц, вступивших на пылевую работу в более позднем возрасте, при этом имеет значение предшествовавшая работа в условиях воздействия пыли, не содержащей Si.

К. Никонова

33009. Как следует оценивать опасность силикоза: по времени контакта или по времени развития? Опельт (Beurteilung der Silikosegefahr nach der Expositionszeit oder Entwicklungszeit? Opelt F.), Zbl. Arbeitsmed. und Arbeitsschutz, 1957, 7, № 6, 145—150 (нем.)

Считают, что степень опасности работ, связанных с воздействием Si-пыли, следует оценивать по времени развития заболевания (ВРЗ), т. е. по числу лет от вступления на первую пылевую работу до установления заболевания силикозом. Оценка во времени контакта с Si легко приводит к неправильным выводам. Приведены средние значения ВРЗ силикозом для различных отраслей керамич. пром-сти. Показано, что ВРЗ короче у рабочих, подвергавшихся наиболее интенсивному воздействию пыли (заготовщики, работающие на размоле и др.), а также у лиц, вступающих на пылевую работу в более позднем возрасте. Приведены таблицы.

К. Никонова

33010. Острый силикоз у формовщиков (клинико-анатомическое наблюдение). Гали, Минетт, Перрен, Рош, Треппо (La silicose aiguë des sableurs. A propos d'une observation anatomo-clinique. Galy P., Minette A., Perrin L. F., Roche L., Treppoz M.), Semaine hôpitaux Paris, 1956, 32, № 15, 828—836 (франц.; рез. англ., исп.)

Описан редкий случай острого силикоза у формовщика в возрасте 29 лет, работавшего с песком до болезни в течение 18 месяцев. Смерть последовала через 19 месяцев. Клинич. диагноз туберкулеза оказался ошибочным, так как лечение стрептомицином и кортизоном не дало положительных результатов. При анатомич. исследовании определен диффузный альвеолярный фиброз; эмфизема легких отсутствовала. Библ. 54 назв.

С. Яворовская

33011. Проблемы борьбы с промышленными запахами. Кистлер (Probleme der Bekämpfung industrieller Gerüche. Kistler Jules), Chem. Rundschau, 1957, 10, № 22, 513—516 (нем.)

Установлено, что распространение запахов аналогично распространению потока газа в атмосфере и за-

висит от скорости диффузии, направления и скорости ветра и др. атмосферных условий. Ощущение запахов у животных и людей индивидуально и пока не поддается объективному контролю приборами. Изучение свойств запахов показало, что: 1) слабые запахи могут подавляться сильными; 2) смесь двух и более запахов может иногда взаимно нейтрализовать восприятие каждого в отдельности; 3) некоторые запахи, приятные в малых дозах, неприятны в больших; 4) ощущение постоянных запахов со временем притупляется и т. д. Описана установка по борьбе с трупным запахом, состоящая из газохода, электрофильтра «Трион», осевого вентилятора и трубы, в которую подается форсункой жидкость с приятным или нейтрализующим запахом. Максим. удаление пыли из газа способствует уменьшению запаха, поэтому газ очищается в электрофильтре, улавливающем частицы размером до 0,2 м.

Я. Дозорец

33012. Проблемы борьбы с загрязнениями воздуха и их решение. Мейсон (Air pollution problems and their cure. Mason J. B. M.), Heat. and Air Treatm. Engr, 1957, 20, № 7, 172—175 (англ.)

Указаны основные источники загрязнения воздуха (промышленные и бытовые топки, транспорт и др.) и меры борьбы с ними (улучшение топлива, модернизация топок, оборудование по обеспыливанию выбросов, удалению из них вредных в-в и др.). Отмечена важность опубликования закона об охране атмосферного воздуха.

Т. Соловьева

33013. Проблема отбора проб при изучении загрязнения атмосферы. Ави (Le problème des prélèvements représentatifs dans le cadre de la pollution atmosphérique. A v u A.-P.), Rev. pathol. gén. physiol. clin., 1956, 56, № 681, 1409—1434 (франц.; рез. англ., исп.)

Обсуждаются методы оценки степени загрязнения атмосферы, происхождение и хим. природа загрязнений, их возможная вредность и меры борьбы с ними.

Д. Подгаецкая

33014. Некоторые аналитические и клинические методы, применяемые при изучении атмосферных загрязнений. Лотер (Some analytic and clinical methods in the study of atmospheric pollution. Lawther P. J.), Instrum. Practice, 1957, 11, № 6, 611—615. Discuss. 615 (англ.)

Рассмотрены пути изучения вредных последствий воздействия загрязненного воздуха на человеческий организм. Указано, что степень загрязненности воздуха города приблизительно может определяться по кол-ву дыма и SO₂. Описаны хим. методы определения SO₂ (с перекисью Pb, титриметрические). Приведена кривая колебаний кол-ва SO₂ и дыма в воздухе в течение дня. Рекомендуются использование биологич. объектов (растений, животных, человека) для оценки загрязненности окружающей среды. Указано, что в клиниках Лондона больные хронич. бронхитами в спец. дневниках отмечали свое самочувствие в зависимости от различной погоды и вида тумана. Отмечена попытка найти связь между ухудшением состояния этих больных, метеорологич. факторами и загрязненностью воздуха. Библ. 11 назв.

Т. Соловьева

33015. Некоторые свойства однополярно заряженных аэрозолей. Гордиев (Some properties of unipolarly charged aerosols. A review. Gordieyeff V. Alexander), Arch. Industr. Health, 1956, 14, № 5, 471—481 (англ.)

Описаны устройства для получения заряженных частиц аэрозолей (ЧА). При вдыхании отрицательно заряженных ЧА отмечено падение кровяного давления, уменьшение частоты пульса и дыхания, увеличение реабазы и хроноксии. Положительно заряженные частицы вызывают противоположный эффект. Приве-

дено описание и планировка комнаты для лечения электрозаряженными ЧА заболеваний легких и дыхательных путей. Считают, что отрицательно заряженные электроаэрозоли биологически полезны, положительно нейтральны или даже вредны. Г. Заева

33016. Кинетика перехода двуокиси кремния в раствор из различных пылей, встречающихся в шахтах Донбасса. Лоевский М. Л., Ярым-Агаева Н. Т., Тр. и материалы. Донец. н.-и. ин-т физиол. труда, 1957, 5, 74—80

Наибольшая скорость перехода двуокиси кремния из исследованных пылей в р-р наблюдалась в 1-й период растворения. В этот же период наблюдались и наибольшие различия в скоростях растворения исследованных пылей. Скорость растворения «инертной» пыли в дистил. воде и в р-ре Рингер-Локка больше, чем скорости растворения кварца. Резюме авторов

33017. Определение свободной двуокиси кремния в присутствии силикатов в промышленных выбросах и атмосферной пыли. Полежаев Н. Г., Гигиена и санитария, 1957, № 11, 91—94

Ускоренный метод основан на разрушении свободной SiO_2 специально разработанным составным плавлением и извлечении ее из пробы щел. р-рителем при сохранении в пробе силиката. Резюме автора

33018. Эффективность мер по снижению концентрации пыли на предприятиях производства огнеупоров. Габор, Надудвари, Бэйцан (Eficiența măsurilor de reducere a gradului de prăfuire într-o întreprindere de cărămizi refractare. Gabor S., Nadudvary G. H., Băitan S.), Igiena, 1957, 6, № 3, 259—265 (рум.)

Описан старый технологич. процесс произ-ва огнеупоров с обработкой материалов в сухом виде, при котором конц-я пыли в рабочих помещениях превышала в 10 и более раз допустимую. При введении процесса с мокрой обработкой материалов (помол, транспортировка, прессование и т. д.), конц-я пыли снижается до допустимой. З. Хаимский

33019. Об улавливании пыли из газа обжигательной печи. Яги, Усун (Kagaku kogaku, Chem. Engng (Japan), 1956, 20, № 4, 210—214 (японск.)

33020. Развитие автоматизации как фактор безопасности. Леви (Le développement des dispositifs automatiques, facteur de sécurité. Levy J. P.), Silicates industr., 1957, 22, № 4, 219—227 (франц.)

На основании статистики несчастных случаев в произ-ве строительной и тонкой керамики по отдельным стадиям технологич. процессов делаются заключения о целесообразности автоматизации этих стадий в определенной очередности. В. Полляк

33021. Основные проблемы, связанные с пожарами и взрывами на заводах. Китагава, Караку когё, Chem. Ind. (Tokyo), 1955, 6, № 10, 890—895 (японск.)

33022. Противопожарное оборудование химических заводов. Асикура, Караку когё, Chem. Ind. (Tokyo), 1955, 6, № 10, 912—916 (японск.)

33023. Приспособления для спасения людей при пожаре. Шульце (Geräte zur Rettung brennender oder verätzter Personen. Schulze J.), Zbl. Arbeitsmed. und Arbeitsschutz, 1957, 7, № 5, 109—112 (нем.)

Описаны средства для спасения пострадавших при пожарах (покрывала, душевые установки, ванны) и требования, предъявляемые к ним. При ожогах к-тами и щелочами рекомендуют: при загрязнении больших поверхностей пользоваться душевыми установками и ваннами, для нейтр-ции небольших кол-в этих в-в иметь у опасных рабочих мест сосуды с нейтрализующими р-рами (0,5% р-р NaHCO_3 , 0,5—1% р-р борной или уксусной к-ты), при поражении глаз пользоваться глазными душами или фонтанчиками (описано устройство). Все средства должны располагаться в легко до-

ступных местах и снабжаться соответствующими указателями (цветная окраска, надписи). К. Никонova

33024. Тушение горящей нефти. Суга, Караку аси-хи, BOKC, 1955, 15, № 5, 66—67 (японск.)

33025. Канифоль. Фаркаш (Colofoniul. Farcaş Ioan), Paşa contra incendiilor, 1957, № 6, 14—15 (рум.)

Описание технологич. процесса произ-ва канифоли; перечень противопожарных мероприятий и средств пожаротушения. З. Хаимский

33026. Взрыв в сушильной печи лакокрасочного цеха. Вилькен (Trockenofenexplosion in einer Lackiererei. Wilken Diedr.), Industrie-Lackier-Betrieb, 1957, 25, № 3, 76—77 (нем.)

Описан взрыв в сушильной печи, происшедший при сушке в ней покрытий, в состав которых входила синтетич. смола с т. воспл. $> 21^\circ$. В. Шемякин

33027. Вопросы техники безопасности при работе с жидким кислородом. Огава, Караку когё, Chem. Ind. (Tokyo), 1955, 6, № 12, 1110—1114 (японск.)

33028. Кондиционирование воздуха на фармацевтических заводах. Три системы, соответствующие особенностям производства. Накамура, Кодзе канри, Factory Manag., 1957, 3, № 4, 29—31, 32 (японск.)

33029. К вопросу аэрации горячих насосных нефтеперерабатывающих заводов. Кузьмина Д. В., Информ. бюл. Моск. н.-и. ин-т санитарии и гигиены, 1957, № 6—7, 84—88

На нефтеперерабатывающих з-дах вследствие летучести нефтепродуктов в рабочие помещения поступают пары токсичных углеводородов. Кол-во паров достигает 1000—2000 г/час на единицу оборудования. Одновременно выделяется значительное кол-во тепла от неизолированных поверхностей аппаратуры и трубопроводов, что создает комбинированное воздействие на обслуживающий персонал газо- и тепловыделений. Основным способом проветривания помещений горячих насосных является их аэрация. Необходимый воздухообмен помещения определяется по ф-ле: $L = Q_W / c(t_{ux} - t_n)$ кг/час, где L — величина воздухообмена, кг/час; Q_W — кол-во тепловыделений, ккал/час; c — уд. теплоемкость воздуха ккал/град; t_{ux} — т-ра уходящего воздуха; t_n — т-ра наружного воздуха. Для определения t_{ux} пользуются отношением $A = t_{pz} - t_n / t_{ux} - t_n$, где t_{pz} — т-ра рабочей зоны. Величина A определяется опытным путем и составляет 0,4—0,6. И. Лева

33030. Международная конференция по отоплению, вентиляции и кондиционированию воздуха, состоявшаяся 27, 28 и 29 мая 1957 г. Техническое сообщение, касающееся проблем отопления и кондиционирования. (II). — (Journées internationales de chauffage, ventilation et conditionnement de l'air 27, 28 et 29 mai 1957. Communications techniques relatives aux problèmes du chauffage et du conditionnement (II). — Ann. Inst. techn. bâtim. et trav. publics, 1957, 10, № 119, 1123—1245 (франц.)

33031. О различительной окраске оборудования в химической промышленности [Япония]. Инамурэ, Караку когё, Chem. Ind. (Tokyo), 1955, 6, № 10, 917—919 (японск.)

33032 К. Защита от излучений. Прайс, Хортон, Спинни (Radiation shielding. Price B. T., Horton C. C., Spinney K. T. London — New York — Paris, Pergamon Press, 1957, 350 pp., ill.) (англ.)

33033 С. Холодильные установки. Основные положения техники безопасности при строительстве и монтаже оборудования (Kälteanlagen. Sicherheitsteck-

nische Grundsätze für Bau, Ausrüstung und Aufstellung). Стандарт ФРГ, DIN 8975; 1957

Нормы на холодильные агенты, их свойства и распределение по степени опасности. Строительные конструкции, аппаратура, трубопроводы и арматура. Рабочее и пробное давление для испытаний коммуникаций и оборудования. Рабочие инструкции.

Я. Дозорец

33034 П. Пульверизатор для распыления химикатов. Фишер (Chemical spray gun. Fisher Emery J.). Пат. США 2747934, 29.05.56

Пульверизатор (П) предназначен для распыления на потолки и стены измельченного порошкообразного или волокнистого звукоизоляционного материала с одновременной подачей в поток клеящего состава. В пульверизатор подается под давлением пар, который увлажняет в потоке сухой изоляционный материал, предотвращая пыление и облегчая обволакивание частиц клеящим составом.

Ю. Скорецкий

33035 П. Порошкообразные вещества для борьбы с пожарами. Швальб (Trockenlöschpulver zur Bekämpfung von Flamm- und Glutbränden. Schwalb Karl) (Total Kommanditgesellschaft Foerstner & Co.). Пат. ФРГ 1000693, 19.06.57

Для тушения пожаров предлагаются составы, содержащие 40—60% NaHCO_3 , 20—30% продуктов конденсации органич. азотсодержащих в-в (цианамид,

гуанидина, триизоцианата) с формальдегидом, 12—23% NH_4 - или Na-солей фосфорных к-т и 2% стеариновой к-ты или ее алюминиевой соли.

М. Фишбейн

33036 П. Приспособление для перекачки жидких веществ. Лишани (Transfer system. Lisciani Constantine) [The Protectoseal Co.]. Пат. США 2764317, 25.09.56

Предлагается переносное устройство для безопасной перекачки из резервуаров жидких легко воспламеняющихся или взрывоопасных в-в. Устройство состоит из насоса, снабженного телескопич. всасывающим патрубком, пламягасителем, редуктора для регулирования давления внутри резервуара и держателя, с помощью которого устройство прикрепляется к резервуару.

М. Фишбейн

См. также: Бетоны для защиты от радиоактивных излучений 33350. Токсичность паратона 33626. Гигиенич. оценка с.-х. продуктов, обработанных ДДТ и гексахлораном 33634. Гигиенич. оценка с.-х. продуктов, обработанных метафосом 33637. Новые пути улучшения работы механич. пылеуловителей 32673. Вентиляторы и их применение 32764. Придание невоспламеняемости текстильным материалам и целлюлозной массе 34775. Обработка изделий из волокон с целью придания им огнестойкости 34803. Гашение пламен пылеобразными в-вами 31779. Предупреждение самовозгорания торфа 33770

ХИМИЧЕСКАЯ ТЕХНОЛОГИЯ. ХИМИЧЕСКИЕ ПРОДУКТЫ И ИХ ПРИМЕНЕНИЕ (Часть 2)

ХИМИКО-ТЕХНОЛОГИЧЕСКИЕ ВОПРОСЫ ЯДЕРНОЙ ТЕХНИКИ

Редакторы В. И. Елинек, В. Д. Матвеев

33037. Радиохимия в Нидерландах. Кой (Radiochemistry in the Netherlands. Kooi J.), Atomics, 1957, 8, № 8, 309—311 (англ.)

Обзор. Рассмотрены состояние и перспективы развития радиохимии в Голландии. Указаны исследования, связанные с проектированием ядерных реакторов, с эксплуатацией циклотрона для получения радиоизотопов. Изучались эффект Зиларда — Чалмерса, химия At, изотопный обмен между соединениями S, радиационно-хим. явления. При помощи циклотрона в Голландии получают ~20 изотопов и значительно большее число изотопов получают из мишеней, облучаемых в Норвегии (до пуска мощного голландского реактора).

В. Левин

33038. Применение ионного обмена в ядерной технике. Роланд (Contributions of ion exchange to nuclear technology. Roland L. D.), Chem. and Process Engng, 1957, 38, № 9, 367—371 (англ.)

Обзор. Применение ионного обмена в ядерной технике для: очистки U при его извлечении из руд в виде анионного комплекса; деминерализации воды, используемой для охлаждения ядерного реактора, регенерации облученного U, очистки воды от радиоактивных загрязнений и разделения Zr и Hf.

В. Левин

33039. Ядерное горючее. Мелия-Тена (Combustibles nucleares. Meliá Tena C.), Asero y energia, 1956, 13, № 76, 44—47 (исп.)

Обзор. Рассмотрены различные виды ядерных топлив, их свойства, получение и возможности использования в реакторах. Библ. 6 назв. В. Щекин

33040. Химическая переработка ядерного горючего. Николс, Спенс (Chemical processing of nuclear fuels. Nicholls C. M., Spence R.), Trans. Instn Chem. Engrs, 1957, 35, № 6, 380—393 (англ.)

См. РЖХим, 1957, 77538; 1958, 21963.

33041. Извлечение урана из отбросных водных растворов. Клаус, Дайкстра, Томпсон (Uranium recovery from aqueous wastes. Clouse R. J., Dykstra J., Thompson B. H.), Chem. Engng Progr., 1957, 53, № 2, F65—F69 (англ.)

Описана установка для извлечения U, обогащенного U^{235} , из рециркулирующих промывных и отбросных р-ров з-да газо-диффузионного обогащения. В системе, служащей для обработки рециркулирующих потоков, азотнокислый р-р (рН 0,1—0,4), содержащий 0,3—2,0 г/л U и различные (Al, Ca, Cu, Fe, Mg, Mn, Ni, Sn и Ti) примеси, поступает (после доведения его уд. в. до 1,3—1,4, добавлением $\text{Al}(\text{NO}_3)_3$) со скоростью ~380 л/час в вертикальные пирексовые смесители-экстракторы высотой 8200 и диам. 75 мм. В экстракторах происходит смешение с органич. р-рителем (20% трибутилфосфата и 80% варола), вводимым противотоком со скоростью ~100 л/час. После разделения смеси в горизонтальных отстойниках, расположенных под экстракторами, водн. фазу, содержащую 0,002% U, возвращают в произ-во, а из органич. фазы $\text{UO}_2(\text{NO}_3)_2$ рекстрагируют в таких же пирексовых смесителях водой. Водн. р-р $\text{UO}_2(\text{NO}_3)_2$ концентрируют до уд. в. 1,35—1,45, обезвоживают и обезвоженный продукт прокачивают до UO_3 и U_3O_8 . В главной системе, предназначенной для полного выделения U и рассчитанной на производительность ~4,5 кг U в час, процесс выделения осуществляется аналогичным образом. Отбросный р-р предварительно концентрируют. Экстракцию и рекстракцию осуществляют

при соотношении фаз 1:1. После рекстракции р-р упаривают до содержания U 300 г/л и подают в барабанную сушилку. Высушенный продукт прокалывают во вращающейся печи при $\sim 700-1100^\circ$. Прокаленные окислы передаются в систему фторирования, производительностью $\sim 1,8$ кг/час по UF_6 . В этой системе после предварительной просушки при $\sim 480^\circ$ U_2O_3 и UO_3 фторируют при $\sim 570^\circ$ 98%-ным F_2 . Из газообразных продуктов р-ции UF_6 выделяют в серии цилиндрич. конденсаторов, охлаждаемых до низкой т-ры. Выбрасываемые в атмосферу газы содержат $< 10-4\%$ U. Основное оборудование установки выполнено из нержавеющей стали; конструкция элементов установки исключает возможность накопления крит. массы U^{235} . Л. Херсонская

33042. Плутоний и его сплавы. Багли (Plutonium — and its alloys. Bagley K. Q.), Nuclear Engng, 1957, 2, № 20, 461—468 (англ.; рез. франц., нем., исп.)

Обзор. Области применения и способы получения Pu. Физ. свойства металла, особенности его переработки, взаимодействие с другими материалами, опасность работы с Pu. Диаграммы состояния двойных систем Pu с Ni, Pb, Os, Th и Fe, Pu в ядерных реакторах. Библ. 27 назв. Л. Херсонская

33043. Ионнообменное извлечение плутония из отработанного ядерного горючего. Эйкин (Ion exchange recovery plutonium from irradiated fuels. Aikin A. M.), Chem. Engng Progr., 1957, 53, № 2, F82—F85 (англ.)

На полувзаводской установке производительностью ~ 55 кг U в день изучен и освоен процесс ионнообменного выделения Pu и U из отработанного ядерного горючего. Установка заключена в бетонный блок размерами $5,5 \times 10 \times 3,5$ м. Каждую операцию производят в изолированной ячейке с дистанционным управлением. Pu адсорбируют в 4-валентном состоянии из витратных р-ров на сильнощел. анионитной смоле (С). Процесс ведется в колонках (К) высотой 915 и диам. 100 и 200 мм. Максим. поглощательная способность (ПС) достигнута при 7,5—8 н. HNO_3 ; при скорости потока $0,75$ мл/мин $см^2$ ПС составляет 1—3 г/л С. Присутствие U снижает ПС С по Pu, однако даже в 1 М (по U) р-ре получения удовлетворительные результаты. Потери Pu (в основном в виде 6-валентного) с выходящим из К р-ром 0,5—1,2%. Частично адсорбированный на СУ и продукты распада (ПР) удаляют промывкой 8—10 н. HNO_3 при скорости вытекания из К элюата 1,5—3,3 мл/мин $см^2$. 15-кратная (к объему К) промывка обеспечивает достаточно полное удаление U и ПР, после чего 0,15—0,5 М р-ром $NH_4OH \cdot HNO_3$ десорбируют Pu. При этом элюат в кол-ве 2 объемов К пропускают со скоростью 0,37—0,75 мл/мин $см^2$. Для улучшения разделения цикл повторяют (содержание Pu и U в элюате после первого цикла составляет соответственно 1,0 и 1,5 г/л). После 2-го цикла р-р содержит 1,5% U, 0,3% Fe (к общему кол-ву Pu) и 1,5 мкюри Zr-Nb⁹⁵ на 1 г Pu. Пропускание р-ра через К с силикагелем обеспечит дополнительное снижение конц-ии ПР. Между циклами 3-валентный Pu адсорбируют из элюата на катионитной смоле, извлекая его потом 7,5 н. HNO_3 . Элюент после 1-го цикла может быть также сконцентрирован упариванием с последующим окислением Pu до 4-валентного. Технология экономически эффективна при переработке небольших кол-в ядерного горючего и может в этом случае соперничать с хим. экстракционными методами. Л. Херсонская

33044. Особенности и типы атомных реакторов. Окамото, Кагаку, Chemistry (Japan), 1957, 12, № 7, 523—528 (японск.)

33045. Получение и переработка искусственных радиоэлементов. Констан (La préparation et la manipulation des radioéléments artificiels. Constant René), Ind. chim. belge, 1957, 22, № 10, 1151—1160 (франц.; рез. флам., англ., нем.)

Описаны ядерные р-ции, используемые для приготовления радиоизотопов (РИ), метод расчета активности, образующейся при облучении, подготовка аппаратуры к облучению, способ обогащения РИ при помощи эффекта Зиларда — Чалмерса. Затронуты вопросы биолитич. защиты от излучения. Указаны потребности основных РИ в Бельгии с 1948 г. по 1-е полугодие 1956 г. Бельгийское предприятие по производству РИ в Моле готовится начать выпуск ряда РИ. Для получения J^{131} облучают Te^{130} в растворимой форме. P^{32} получают по р-ции из S^{32} , причем для отделения Р от S используют способность Р диффундировать из тонкоизмельченной S при $95,5^\circ$. P^{32} извлекают водой, содержащей смачивающий агент. Выход $P^{32} \geq 80\%$. S^{35} и Cl^{36} получают из облученного нейтронами KCl. S^{35} в р-ре HCl получают при помощи ионного обмена; затем $H_2S^{35}O_4$ отделяют от HCl, содержащей Cl^{36} , дистилляцией. Приведены фотографии герметич. установок для получения Au^{198} , P^{32} и $S^{35} + Cl^{36} + K^{42}$. В. Левин

33046. Разложение растворов нитрата тория под действием излучения. Бойл, Малман (Radiation-induced decomposition of thorium nitrate solutions. Boyle J. W., Mahlman H. A.), Nucl. Sci. and Engng, 1957, 2, № 4, 492—500 (англ.)

Исследовано действие γ -излучения, быстрых нейтронов и осколков деления U на р-ры $Th(NO_3)_4$ (50—700 г/л Th). Измерено также тепловое расширение и изменение упругости пара для этих р-ров в интервале т-р до 300° . Облучение р-ров производилось в кварцевых ампулах и в облицованных Pt-атомклавах. Для предотвращения гидролиза в р-р вводили HNO_3 или $Be(NO_3)_2$. После облучения определяли N_2 , O_2 , H_2 , N_2O , NO_2 и ион NO_2^- . Во всех случаях выход H_2 уменьшался, а выход N_2 возрастал с увеличением конц-ии $Th(NO_3)_4$. Выход NO_2^- зависел в основном от конц-ии нитрата. По мнению авторов, N_2 образуется в результате непосредственного действия излучения на NO_3^- , причем независимо от образования NO_2^- . Библ. 9 назв. В. Левин

33047 П. Способ извлечения урана из руд. Блейк (Process of recovering uranium from its ores. Blake Robert A.) [The United States of America as represented by the United States Atomic Energy Commission]. Пат. США 2750254, 12.06.56

Патентуют способ обогащения U-руд, содержащих 3,30—3,40% U_3O_8 и получаемых в виде отходов процесса цианидного извлечения Au и Pt. Руду выщелачивают H_2SO_4 , и из р-ра осаждают U сульфидами, гидросульфидами щел. металлов или H_2S . В частности, в качестве осадителя рекомендуют Na_2S . Полученную пульпу сульфидов 4- и 6-валентного U и неразложившейся руды флотировать с сульфидными коллекторами: алкил-ксантатами щел. металлов (амил- и гексил-ксантаты K, соли щел. металлов, этил-, изопропил-, бутил- и цетил-ксантатов) и алкил-меркаптанами (лаурил- и октил-меркаптан). Л. Херсонская

33048 П. Способ выделения ванадия и урана из руд. Мак-Лейн (Process for recovering uranium and vanadium from ores. McLean Daniel Chalmers) [United States of America as represented by the United States Atomic Energy Commission]. Пат. США 2756122, 24.07.56

Грубо размолотую (—40, —20 меш) руду (напр. карнитит), содержащую U и V, выщелачивают H_2SO_4 .

Из полученного р-ра, в который переходит практически весь U и 10—15% V, выделяют U при pH < 1,5. Выделение U можно, в частности, осуществлять монообменными смолами. Богатый V (~0,85% V_2O_5) остаток от выщелачивания смешивают с галоидной солью (напр., NaCl), брикетуют и подвергают хлорирующему обжигу при t-ре ~ 850°. Обжиг ведут без перемешивания; предварительное брикетирование уменьшает величину поверхности обжигаемого продукта, соприкасающейся с окружающей атмосферой в условиях обжига. Обожженный продукт охлаждают в условиях обжига. При t-ре > 40°, для чего используют часть (25—50%) маточного р-ра, получаемого после выделения U и содержащего ~ 0,2 г/л V_2O_5 . Остальная часть этого р-ра возвращается в цикл на выщелачивание руды. Выщелачивание обожженного продукта ведут при pH < 1,9 (1,0—1,5), корректируя р-р добавлением к-ты. Богатый V р-р отделяют от осадка. Из такого р-ра V выделяют обычными методами. Данный способ особенно целесообразен для руд, содержащих большое кол-во известняка. Л. Херсонская

33049 П. Извлечение соединений урана и ванадия из кислого раствора. Лундквист (Recovery of uranium and vanadium compounds from acid solution. Lundquist Adolph Q.) [Union Carbide and Carbon Corp.]. Пат. США 2749214, 5.06.56

Для раздельного выделения V и U из кислого р-ра, загрязненного Fe (~0,4%), Al (~5,5%), P (~0,15%) и As (~0,75%) и содержащего ~1,75% U и ~1,90% V, считают соответственно на U_3O_8 и V_2O_5 , в этот р-р вводят ионы Fe^{3+} (напр., $Fe_2(SO_4)_3$) из расчета, чтобы их суммарное кол-во было достаточным для связывания всего V; затем р-р нагревают до t-ры ниже t-ры его кипения (напр., 30°) и с помощью сильных окислительных агентов (Cl_2 , $NaClO_3$) V переводят в V_2O_5 (на 1 вес. ч. V требуется 1/6 вес. ч. $NaClO_3$). Доводя щел. агентов (NH_4OH , Na_2CO_3) pH до 2,2—3,5, осаждают и отфильтровывают $FeVO_4$. Продукт содержит 29,5% V и 0,62% U, считая на V_2O_5 и U_3O_8 соответственно. Фильтрат делят на 2 порции. К 1-й порции добавляют, если это необходимо, ионы Al^{3+} с тем, чтобы их общего кол-ва в р-ре было достаточно для связывания всех примесей. Такой р-р добавляют в горячий или теплый конц., в частности 25%-ный р-р Na_2CO_3 , до нейтр. р-ции по фенолфталеину. Выпадающий осадок (~8,5% Al, ~1% P, ~0,5% As) отделяют от фильтрата, в котором остается 0,97% U и 0,005% V, в пересчете на U_3O_8 и V_2O_5 . К этому фильтрату добавляют 2-ю порцию р-ра, полученного после отделения $FeVO_4$, для снижения избыточной концентрации бикарбоната до 0,5—2% (1%), считая на CO_2 . К смеси затем добавляют ионы Fe^{3+} ($FeSO_4$), осаждают вместе с примесями остаток V в виде $Fe_3(VO_4)_2$. Этот осадок (содержащий ~1,79% V_2O_5 и ~4,40% U_3O_8) отделяют и используют для дальнейшего извлечения V и U. Фильтрат подкисляют H_2SO_4 до прекращения выделения CO_2 и осаждают щел. агентами (NH_4OH) (NH_4) $_2$ U_2O_7 . Отфильтрованный и высушенный осадок содержит ~88% U_3O_8 , 0,26% V_2O_5 , 0,25% P и 0,03% As. Извлечение U из исходного р-ра ~99,5%.

Л. Херсонская
33050 П. Очистка перекиси урана. Ричардсон, Смит, Роббинс (Purification of uranium peroxide. Richardson Clarence L., Smith Sanford B., Robbins Gordon B.) [United States Atomic Energy Commission]. Пат. США 2764470, 25.09.56

Для получения $UO_4 \cdot 2H_2O$ (I) с низким содержанием фторидов сырой материал, загрязненный фторидами, тщательно промывают при 10—70° и pH 0,1—2,0 (0,7—1,0) водн. р-ром к-ты (HNO_3 , H_2SO_4). Промывание производят при энергичном перемешивании в те-

чение достаточного периода времени (12—20 час.). Кол-во водн. р-ра к-ты берут 3—6-кратное от веса UO_4 . Нерастворенный I отделяют от жидкости; последнюю для выделения растворенного I частично нейтрализуют до pH 2,5—3,9, выпавший осадок I отделяют. Пример. 260 ч. сырого UO_4 (содержащего 150 ч. I и 4,4 ч. неорганич. фторидов) смешивают (в сосуде из хромоникелевой стали с мешалкой) с 10 ч. 30%-ной H_2O_2 (II) и 360 ч. H_2O ; затем добавляют (доводя pH до 0,9) ~90 ч. 60%-ной HNO_3 . Перемешивают массу при 30—35° в течение 12 час., отделяют от жидкости на фильтр-прессе как I, промывают 120 ч. холодной воды, сушат и получают 135 ч. I, содержащего 0,4 ч. F. Фильтрат вместе с промывной водой нагревают до 40°, добавляют к нему 9 ч. 30%-ной II и частично нейтрализуют (до pH 1,8—2,0) ~75 ч. 30%-ного р-ра NaOH. Выпавший осадок немедленно отфильтровывают. Осадок содержит 15 ч. I и 0,6 ч. F. Осадок промывают водой и очищают от F вышеуказанным способом. Из оставшейся жидкости выделяют $NaNO_3$. В. Матвеев
33051 П. Способ растворения двойных [цирконий-урановых] сплавов. Федер, Ларсон, Эванс (Method of dissolving binary alloys. Feder Harold M., Larson Robert P., Evans Harold) [United States of America as represented by the United States Atomic Energy Commission]. Пат. США 2758024, 7.08.56

Патентуют способ растворения (P) двойных Zr-U-сплавов, обеспечивающий перевод обоих компонентов сплава в р-р с одинаковой скоростью. Сплав, содержащий < 20 (2) вес.% Zr, погружают в р-р, содержащий в 1 л (в молях): HNO_3 7—15(11), HF 0,02—0,5 (0,3) и $Al(NO_3)_3$ 0,5—1,5 (0,75). P проводят при 90—100°. На 1 кг сплава требуется ~4 л р-ра; продолжительность P образца весом 60 г ~ 10 час. HF (к-та) может быть успешно заменена $(NH_4)_2SiF_6$ с конц-ней ~ 0,1 M. Метод позволяет использовать для P аппаратуру из нержавеющей стали.

Л. Херсонская

ЭЛЕМЕНТЫ. ОКИСЛЫ.

МИНЕРАЛЬНЫЕ КИСЛОТЫ, ОСНОВАНИЯ, СОЛИ

Редакторы В. И. Елинек, В. Д. Матвеев, Н. А. Ширяева

Серная кислота, сера и ее соединения

33052. Взаимная растворимость жидкой двуокиси серы и воды. Бутчер, Хансон (Miscibility of liquid sulphur dioxide and water. Butcher K. L., Hanson C.), Chemistry and Industry, 1957, № 46, 1509—1510 (англ.)

Исследована система SO_2 — H_2O . При повышении t-ры от 16 до 65° содержание SO_2 в жидкой фазе увеличивается с 24,9 до 28,31%. Результаты для низких t-р сравниваются с результатами других исследователей. Библ. 6 назв. Г. Рабинович

33053. Некоторые данные о вязкости абсорбентов, применяемых при обогащении сернистых газов. Авербух Т. Д., Серебренникова М. Т., Тр. Уральского н.-и. хим. ин-та, 1957, вып. 4, 105—108

Приведены данные о кинематич. и динамич. вязкости окиснохромового абсорбента (р-ров основных сульфат-сульфитов Cr) при t-рах 30, 50 и 100°. Для сравнения определены также вязкости р-ров основного сульфата Al, сульфит-бисульфита NH_4 (I), ксиллина. Вязкости всех абсорбентов значительно уменьшаются при повышении t-ры и при 100° практически одинаковы. Из полученных данных установлено, что при одинаковых гидродинамич. условиях

коэф. скорости абсорбции и десорбции SO_2 должны быть приблизительно равны, за исключением более высокого коэф. скорости абсорбции для абсорбента I.

Г. Рабинович

33054. Очистка башенной кислоты и извлечение селена. Йосимура (Yoshimura Zenji), Рюсан, J. Sulphuric Acid Assoc. Japan, 1957, 10, № 10, 399—404 (японск.; рез. англ.)

Для очистки башенную к-ту (получаемую на з-де в Саганосеки) обрабатывают H_2S в башне с насадкой. Осадок As_2S_3 и Se отфильтровывают вместе с Se, PbSO_4 и SiO_2 , суспендированными в к-те. Фильтрацию производят на фильтре «Ультра». Затраты на очистку с избытком компенсируются стоимостью извлекаемого Se даже на маленьком з-де, производящем в день 20 т H_2SO_4 . По качеству очищ. к-та равноценна контактной.

Л. Херсонская

33055 П. Способ получения элементарной серы из газов, содержащих сероводород. Пиппиг (Verfahren zur Gewinnung von elementarem Schwefel aus schwefelwasserstoffhaltigen Gasen. Pippig Heinz). Пат. FRG 965578, 13.06.57

Способ, в котором H_2S поглощается из газа щел. или NH_3 -р-ром, содержащим органич. переносчик O_2 (оксисбензолы или другие циклич. оксисоединения), отличается тем, что для уменьшения образования тиосульфата, тионата или сульфата окисление поглощенного р-ром H_2S в воздухе или O_2 проводят при 20—25°, охлаждая р-р предварительно или во время окисления. Выход S повышается до 85—90% и выше. Т-ра абсорбции имеет меньшее значение, однако целесообразно поддерживать ее $\leq 25^\circ$.

Г. Рабинович

33056 П. Способ получения серы каталитическим окислением сероводорода газами, содержащими кислород или двуокись серы (Framgangsmaåte til framstilling av svovel ved katalyttisk omsetning av svovelvannstoff med surstoffeller svoveldioksydholdige gasser) [Metallgesellschaft A.-G.]. Норв. пат. 85311, 12.04.55

Для получения S из H_2S последний каталитически окисляют O_2 или SO_2 в двух последовательно установленных контактных печах, работающих — 1-я при т-ре выше, а 2-я — ниже т-ры насыщенных паров S. При падении активности катализатора вследствие отложения на нем S во 2-й печи, работающей при 80—250°, газовый поток переключают и печи меняют местами, повышая т-ру 2-й печи до т-ры 1-й печи (350—450°), а т-ру 1-й печи снижают вырыскиванием воды или впуском водяного пара. При восстановлении SO_2 автоматич. регулятором поддерживают мол. отношение $\text{SO}_2 : (\text{CO} + \text{COS} + \text{H}_2 + \text{H}_2\text{S} + 0,5\text{CS}_2) = 1:2$.

К. Герцфельд

33057 П. Рафинирование порошка самородной серы. Танака [Хоккайдо но кабусики кайся]. Японск. пат. 1654, 8.03.56

К порошку самородной S с зернами < -4 меш добавляют 3% (от веса S) воды и 0,5—10% (от веса S) глинистого шлама или бентонита. Массу тщательно перемешивают 10 мин. в шнековом смесителе и формируют в виде шариков, цилиндров или эллипсоидов diam. 7—8 см; затем сушат на воздухе или при слабом нагревании. Полученные шарики или цилиндры загружают в печь и нагревают при 500—600°. Кристаллизационная вода, находящаяся в глине, испаряется, и отформованные куски S и глины приобретают большую пористость, что способствует лучшему равномерному их обжигу и более активному и полному переходу S в газообразное состояние. Благодаря этому возможно значительно увеличить производительность печей, так как при таком методе обжига серы в каждую печь может быть загружено 9 т руды про-

тив 4 т при загрузке руды в порошкообразном состоянии. Расход угля на проведение одного цикла 1,0 т.

В. Зломанов

33058 П. Уменьшение вязкости серы. Симор, Паско (Sulfur composition. Seymour Raymond B., Pascoe Walter R.) [The Atlas Mineral Products Co. of Pennsylvania]. Пат. США 2707685, 3.05.55 [Chem. Abstr., 1955, 49, № 19, 13610 (англ.)]

Сера и ее смеси с различными в-вами становятся менее вязкими при 120—200° при добавлении 0,01—1% 2-меркаптобензотиазола (I). При добавлении 1% I вязкость S при 200° уменьшается с 40 000 до 200 сантиу.

Г. Швиндлерман

Азотная промышленность

33059. Проектирование установок для применения жидкого азота. Гейдж, Лавди (How to design for liquid nitrogen. Gage Robert M., Loveday Paul E.), Refrig. Engng, 1957, 65, № 3, 60—63, 116, 118, 120, 122 (англ.)

Обзор. Области применения жидкого N_2 . Посадка сопряженных деталей при охлаждении жидким N_2 , разделение и очистка газов, бактериологич. техника и др. Цистерны, переносные сосуды и трубопроводы. Конструкционные материалы, термоизоляция, потери холода и испарение жидкого N_2 при хранении. Автоматич. контроль, физ. свойства, техника безопасности.

Г. Рабинович

33060. О скорости инверсии нитрата натрия и получении окис азота высокой концентрации. Атрощенко В. И., Седашева Е. Г., Тр. Харьковский политехн. ин-та, 1957, 13, 31—36

Процесс инверсии NaNO_2 азотной к-той исследован в колонке непрерывного действия diam. 34 мм, высотой 3 м, с насадкой керамич. кольцами, при 60—100°, избытке HNO_3 15—40%, плотности орошения 4,8—19,8 м³/м² час и времени пребывания р-ра в колонке 13—33,5 сек. Установлена возможность проведения инверсии при 100°, что обеспечивает большую скорость р-ции и получение конц. NO . Скорость р-ции увеличивается также при увеличении избытка HNO_3 . Библ. 14 назв.

Г. Рабинович

33061 К. Аналитический контроль производства в азотной промышленности. Вып. 5. Контроль процесса очистки газа активированным углем (Гос. н.-и. и проекти. ин-т азот. пром-сти). М., Госхимиздат, 1957, 100 стр., илл., 4 р. 20 к.

33062 С. Гидразисульфат чистый (Siran hydrazinu čistný). Чехосл. стандарт, CSN 661810; 1957 (чешск.). Стандарт на очищ. $\text{NH}_2 \cdot \text{NH}_2 \cdot \text{H}_2\text{SO}_4$. В. Елинин

33063 П. Получение синильной кислоты. Кронахер, Дихтль (Verfahren zur Herstellung von Blausäure. Kronacher Hermann, Dichtl Walter). Пат. FRG 956675, 24.01.57

Усовершенствован каталитич. способ получения HCN из газообразных реагентов. В качестве контактного материала патентуется Al_2O_3 , полученная при быстром нагревании расплавленной соли Al , в частности нитрата, до 500—700°, предпочтительно 600°, причем в процессе нагревания над поверхностью расплава пропускают сильный ток N_2 . Газовый поток обеспечивает получение крупнозернистого прочного катализатора с малым насыщенным весом (напр., 0,177). Изменения насыщенного веса достигаются добавлением к расплаву Al -соли 3—8% солей тяжелых металлов, в частности Cd , Th , Zn или их смесей. При использовании такого катализатора существенно увеличи-

вается пропускная способность аппарата и одновременно снижается степень разложения NH_3 .

Л. Херсонская

33064 П. Аппарат для получения цианистого водорода из углеводородов, аммиака и воздуха на расположенных в газовом потоке контактных сетках из благородного металла, в частности из платины и ее сплавов. Шмидт, Гейсс, Хаберль (Vorrichtung zur Herstellung von Cyanwasserstoff aus Kohlenwasserstoffen, Ammoniak und Luft an im Gasstrom angeordneten Kontaktmetallen aus Edelmetall, besonders Platin und seinen Legierungen. Schmidt Walter, Geiß Walter, Haberl Karl) [Chemische Werke Hüls A.-G.]. Пат. ФРГ 956941, 24.01.57. Для предупреждения выделения углерода, разрушающего контактные сетки, края сеток прикрепляют с помощью тонких проволок или иголок, вставленных в общий держатель к узкой решетчатой подкладке, изготовленной из неактивного жароупорного металла, напр. из Cr-Ni-стали. Подкладка жестко соединена со стенками контактного аппарата таким образом, что газы проходят свободно через всю поверхность сеток. Приведена схема.

Г. Рабинович

33065 П. Способ получения гидразинкарбоната. Фрутигер (Verfahren zur Herstellung von Hydrazin-carbonat. Frutiger) [Fritz Frutiger]. Швейц. пат. 311799, 15.02.56.

Гидразинкарбонат (I) экстрагируют из водн. р-ра органич. р-рителем, не смешивающимся с водой, или смесью нескольких р-рителей, напр., ароматич. амином (анилином, толуидином, ксидином), высшим алифатич. амином (триизобутиламин) или спиртом (изоамиловым), в нескольких колоннах, в которые снизу подают более легкий р-ритель, а сверху — р-р I. Из экстракта при добавлении CO_2 предпочтительно при $t \leq 100^\circ$ под давл. ≤ 15 атм, осаждают I, после отделения которого р-ритель возвращают в цикл.

Г. Рабинович

Содовая промышленность

33066. Из опыта эксплуатации карбонизационных колонн. Босенко И. И., Ривный В. С., Хим. пром-сть, 1957, № 5, 309.

Опыт работы славянского содового комбината показал, что охлаждение аммиачного рассола перед поступлением на орошение 1-го промывателя газа колонн позволило достигнуть хороших показателей в работе карбонизации даже при сравнительно низкой конц-ии CO_2 в газе, подаваемом на карбонизацию. В этом случае парц. давление аммиака в р-ре, поступающем на 1-й промыватель газа колонн вследствие предварительного охлаждения жидкости, снижается. Одновременное увеличение конц-ии аммиака в аммиачном рассоле до 105 нормальных делений (вместо 98—99 нормальных делений) позволяет сохранить высокую конц-ию аммиака в аммиачном рассоле, поступающем в рабочие колонны. Это определило увеличение кол-ва связанного аммиака в жидкости, выходящей из колонн.

Н. Ширяева

33067 С. Сода кристаллическая техническая (Uhličitan sodný krystalický technický (Soda krystalová)). Чехосл. стандарт, ČSN 653111: 1957 (чешск.). Стандарт на $\text{Na}_2\text{CO}_3 \cdot 10\text{H}_2\text{O}$ марки «технич.», преимущественно для хозяйственного применения.

В. Матвеев

33068 С. Поташ кристаллический технический (Potas hydrátová technická). Чехосл. стандарт, ČSN 652578: 1957 (чешск.). Стандарт на $\text{K}_2\text{CO}_3 \cdot 1,5\text{H}_2\text{O}$.

В. Елинек

Остальные элементы, окислы, минеральные кислоты, основания, соли

33069. Номограмма для определения плотности водных растворов сернистого натрия. Дейвис (Nomogram: densities of aqueous solutions of sodium sulphide. Davis D. S.), Chem. and Process Engng, 1957, 38, № 11, 443 (англ.).

Дана номограмма для определения содержания Na_2S (0—18%) в водн. р-рах при 20 — 95° . Г. Рабинович

33070. Приготовление свободно-сыпучей столовой соли. Финч (The making of free-flowing table salt. Finch G. I.), J. Scient. and Industr. Res., 1956, A15, № 12, 539—542 (англ.).

Исследованы причины, вызывающие повышенную гигроскопичность столовой соли (СС) связанные, в частности, с примесями других гигроскопичных солей. Установлено, что наименьшей гигроскопичностью обладают кристаллы (К) сферич. формы. Разработана методика получения свободно-сыпучей СС, состоящей из таких однородных К. После предварительной упарки очищ. рассола в открытых или вакуумных кристаллизаторах из него получают сферич. К, строго контролируя скорость их роста по всем плоскостям кристаллизации. Продукт крупностью — $0,4 + 0,2$ мм нагревают в атмосфере, содержащей пары парафина в кол-ве, достаточном для образования на К мономолекулярного физиологически инертного покрытия. Указанным способом Центральный ин-т исследования солей (Индия) получают в один прием 13,5 кг свободно-сыпучей СС. Процесс кристаллизации соли может быть непрерывным.

Л. Херсонская

33071. Получение хлористого натрия из морской воды на Дальнем Востоке. Данишевская А. И., Сообщ. о научно-исслед. работах членов Приморск. отд. Всес. хим. о-ва им. Д. И. Менделеева, 1957, вып. 3, 89—103.

Обзор. Библ. 33 назв.

Н. Ширяева

33072. О переработке морской воды в условиях холодного климата. Ахумов Е. И., Kagaku kogō sērē, 1957, 25, № 1, 24—30 (японск.).

Перевод см. РЖХим, 1957, 23724.

33073. Метод конденсации вымораживанием. Окабэ (Okabe Toyohiko), Nihon sio-gakkaishi, Bull. Soc. Salt Sci., Japan, 1957, 11, № 4, 180—184 (японск.; рез. англ.).

Исследовалась работа вакуумной установки (потребляемая мощность 5 л.с.) для удаления воды методом вымораживания из рассолов NaCl крепостью 3—10° Бэ; составлен тепловой баланс, определена эффективность метода и другие данные, необходимые для расчета оборудования. Охладитель сконструирован в виде вращающегося барабана, в котором испарялся CH_3Cl ; для отделения соли установлены сепараторы. Метод вымораживания дает почти 3-кратное сокращение расхода энергии, уменьшение габаритов оборудования и снижает коррозию аппаратов по сравнению с дистилляцией. Расход энергии составлял 15 вт-ч на 1 л извлекаемой воды; в установке мощностью 100 л.с. расход энергии может быть снижен до 12 вт-ч на 1 л воды. Библ. 10 назв. А. Ровинский

33074. Скорость испарения при концентрировании морской воды на установке типа «Сидзэка». Сато, Кусуми, Хаясикоси (Sato Koremasa, Kusumi Hiroshi, Hayashikoshi Katsumi), Nihon-sio gakkaishi, Bull. Soc. Salt Sci., Japan, 1957, 11, № 2, 88—91 (японск.; рез. англ.).

33075. Гидрохимический щелочный способ переработки нефелиновых пород. Пономарев В. Д., Сажин В. С., Цветн. металлы, 1957, № 12, 45—51. Обзор. Способы разложения нефелиновой породы. Схема гидрохимич. способа. Нефелиновый концент-

рат обрабатывают обратным щел. р-ром вместе с известью в автоклаве. Остаток (первый шлак) после выщелачивания отделяют от алюминатного р-ра, промывают и направляют на вторую автоклавную обработку водой с целью извлечения щелочи. Шлак после 2-й обработки, состоящий в основном из SiO_2 и CaO отделяют от щел. р-ра и промывают, он может служить сырьем для получения цемента. Алюминатный р-р, полученный в результате первичной обработки нефелина, упаривают и кристаллизуют из него твердый $\text{Na}_2\text{O} \cdot \text{Al}_2\text{O}_3 \cdot 2.5\text{H}_2\text{O}$ (I). Маточный щел. р-р после кристаллизации I поступает снова на выщелачивание. Твердый I растворяют в H_2O и из полученного р-ра выкучиванием выделяют $\text{Al}(\text{OH})_3$, который прокаливают на глинозем. Извлеченная из нефелина щелочь выводится из процесса в виде каустика. р-ра. Преимущество этого способа: высокое извлечение глинозема — 90–92%, щелочей 85–90%; ликвидация высокотемпературного процесса спекания. Библ. 9 назв. Н. Ширяева

33076. Способ прямого получения йодидов щелочно-земельных металлов из йода. Гоштылек, Кра-тохвил (Přímý způsob výroby jodidů žiravých zemin z jodu. Hošťálek Zdeněk, Kratochvíl Jaroslav), Chem. průmysl, 1956, 6, № 12, 485–489 (чешск.; рез. русск., англ.)

Исследован способ получения йодидов щел.-зем. металлов прямой р-цией между J_2 , металлич. Fe и карбонатом щел.-зем. металла согласно ур-нию: $3\text{CaCO}_3 + 2\text{Fe} + 3\text{J}_2 + 3\text{H}_2\text{O} = 3\text{CaJ}_2 + 2\text{Fe}(\text{OH})_3 + 3\text{CO}_2$. Разработана технология промышленного произ-ва CaJ_2 . Преимущества нового метода состоят в снижении потерь J_2 , лучшем использовании Fe и значительном сокращении процесса. Метод может быть использован для получения других растворимых йодидов металлов, причем карбонат можно заменить соответствующей окисью или гидроокисью. Библ. 11 назв. И. Елинек

33077. Промышленное использование барита и вопросы, связанные с его обогащением в РНР. Попа, Ион, Туллиу (Utilizarea industrială a baritei și problema preparării ei în R.P.R. Popa Teodor, Ion Ioan, Tulliu Dumitru), Rev. minelor, 1957, 8, № 7, 342–347 (рум.; рез. русск., англ., нем., франц.)

Изложены результаты работ, проведенных Румынским институтом по исследованию минералов в 1953–1957 гг., по разработке метода обогащения местных баритов хим. состава (в %): BaSO_4 50–52, CaCO_3 36–38, SiO_2 5–6, CuSO_4 0,8–1. Предлагается технологич. схема обогащения (испытанная в производственном масштабе), заключающаяся в флотации с однократной переочисткой первичного концентрата. При этом извлекают из сырья 46 вес.% барита и получают концентрат, содержащий 94–95% BaSO_4 . В качестве реагентов используется Na_2SiO_3 и высший спирт, содержащий больше 16 атомов C в цепи. Метод прост в осуществлении и не требует применения разнообразных дорогостоящих реактивов, применяемых для аналогичных целей в других странах. Я. Матлис

33078. Получение гидроокиси бария путем взаимодействия сернистого бария и окиси цинка. Какабадзе В. М., Чачанидзе И. П., Тр. Груз. политехн. ин-т, 1957, № 2(50), 90–103 (груз.; рез. русск.)

33079. Новое о поведении калия в глиноземном производстве. Лабути Г. В., Меламед Р. И., Тр. Всес. н.-п. алюмин.-магн. ин-та, 1957, № 40, 144–150. При обработке каолина смешанными калийно-натриевыми р-рами в условиях умеренных режимов (т-ра 95–98°; время 1–2 часа) К-алюминатные р-ры в отличие от соответствующих Na-р-ров практи-

чески не образует алюмосиликата в осадке. С увеличением времени обработки разница в степени образования К-алюмосиликатов (I) и Na-алюмосиликатов (II) сглаживается, что позволяет заключить о более медленном выпадении в осадок I. Повышение т-ры ускоряет выпадение I; при 205° и 2-часовой обработке кол-во его в осадке достигает той же предельной величины, что и для II. Кинетика выпадения I остается замедленной, т. к. в этих условиях II выпадает в том же кол-ве за несколько минут. Таким образом можно рассчитывать на возможность организации «калийного» щелочного гидрохимич. способа извлечения глинозема из кремнистых легко вскрываемых видов сырья без заметных потерь щелочи. Содержание К в рабочих р-рах при этом должно составлять не менее 50% от суммы щелочей (считая на Na_2O). Н. Ширяева

33080. Получение высокопроцентного концентрата окиси церия из отработанного полирита. Тер-Шамаонов Г. А., Докл. Моск. с.-х. акад. им. К. А. Тимирязева, 1957, вып. 30, ч. I, 228–231

Разработана схема извлечения технич. CeO_2 из отработанного полирующего порошка — полирита. Отработанный полирит растворяют при нагревании и перемешивании в конц. HNO_3 в присутствии небольшого кол-ва H_2O_2 . Из р-ра нитратов редкоземельных элементов (РЗЭ) осаждают сульфаты РЗЭ горячим насыщ. р-ром Na_2SO_4 . Полученный плотный кристаллич. осадок состава $x\text{PZ}_2(\text{SO}_4)_y\text{Na}_2\text{SO}_4 \cdot z\text{H}_2\text{O}$ отделяют и обрабатывают конц. р-ром NaOH . Осадок гидроокисей отфильтровывают от р-ра Na_2SO_4 , возвращаемого в цикл. Гидроокиси РЗЭ сушат на воздухе при 110–120°, одновременно окисляя Се. В сухом порошке до 90% Се присутствует в виде CeO_2 . Этот порошок обрабатывают 10%-ной HNO_3 до pH 3–5, при котором большая часть 3-валентных РЗЭ переходит в виде нитратов в р-р, а $\text{Ce}(\text{OH})_3$ остается в осадке. Полученный концентрат содержит 85–90% CeO_2 , 10–15% других РЗЭ и $\leq 0,1\%$ Fe_2O_3 . Р-р нитратов РЗЭ пригоден для раздельного извлечения La, Pr и Nd. Л. Херсонский

33081. Извлечение титана из шлаков. Федосеев И. Я., Пименова Е. Г., Тр. Воронежск. ун-та, 1956, 40, 39–43

Проведены опыты по алюминотермич. выделению Ti в виде низкопроцентного ферро-титана из шлака (III) следующего состава (в %): Al_2O_3 46,1, TiO_2 34,0, CaO 13,0, Fe_2O_3 4,3; SiO_2 2,6. При различных весовых соотношениях III и Fe_2O_3 и примерно одинаковом теоретич. кол-ве Al извлечение Ti составило 47–50%; остальной Ti оставался в III в виде различных окислов. Введение в шихту избытка Al повышало извлечение Ti; 70%-ный (от теоретич.) избыток Al обеспечивал максим. извлечение на 89,6%, дальнейшее повышение кол-ва Al извлечения Ti не улучшало. При большом избытке Al значительная часть его переходила в ферро-титан. С целью снижения вязкости III и уменьшения распыления в нем металла были испытаны добавки карбонатов Na и Ca. CaCO_3 , как и Na_2CO_3 , значительно снижал выход Ti и способствовал его удержанию в III в виде титанатов Na и Ca. Л. Херсонский

33082. Развитие производства фосфора в США и возможности его производства в Аргентине. Хикетир (Evolucion de la industria del fosforo en E.U.N.A. y sus posibilidades en la Republica argentina. Hickethier Carlos F.), Industria y quimica, 1957, 18, № 2, 95–99 (исп.)

Обзор. Произ-во фосфора в США, начиная с 1937 по 1956 гг. Использование P для произ-ва удобрений, H_3PO_4 , в военной и оптич. пром-сти и т. п. Кол-во электрочасов для произ-ва P. В 1955 г. США произ-

водили 265 800 т Р, из части которого получали 180 000 т 50%-ной H_3PO_4 . Приведена предполагаемая производительность по Р азов США до 1960 г. Отмечена необходимость организации произ-ва Р в Аргентине электротермич. методом с общей производительностью установок до 15 т Р в день. И. Крауз

33083. Получение мышьяка из сульфидных мышьяковистых руд. Агладзе Р. И., Гаприндашвили В. Н., Мзареулишвили Н. В., Тр. Ин-та металла и горн. дела. АН ГрузССР, 1957, 8, 155—161

33084 С. Аппараты для растворения поваренной соли (Rozprouštěcí solné nádrže tlakové). Чехосл. стандарт, ČSN 77480: 1957 (чешск.)

33085 С. Калий хлористый технический (Chlorid draselný technický). Чехосл. стандарт, ČSN 652517: 1957 (чешск.)

33086 С. Сульфат бария для фармацевтических целей (Siran barnatý pro farmaceutické účely). Чехосл. стандарт, ČSN, 685354: 1957 (чешск.)

33087 П. Способ получения перекиси водорода. Шмидт (Verfahren zur Herstellung von Wasserstoffperoxyd. Schmidt Hans Werner) [Kali-Chemie A.-G.]. Пат. ФРГ 957566, 7.02.57

H_2O_2 получают дистилляцией кислых персульфатных р-ров в аппаратах, греющие трубы которых, выполненные из графитированного угля, пропитаны легкогидролизуемыми жидкими или растворимыми соединениями Si. В качестве таких соединений применяются, в частности, тетраэтоксисилан, галогенсиланы или р-ры жидкого стекла или их смеси. В пропитывающий состав добавляют термоустойчивую связку типа силиконов. Гидролиз соединений Si проводится, напр., в атмосфере водяного пара, содержащего HCl. Операции пропитки и гидролиза повторяются до тех пор, пока труба не станет газонепроницаемой. Л. Херсонская

33088 П. Способ и аппаратура для концентрирования перекиси водорода. Холмс, Годфри (Verfahren und Vorrichtung zur Konzentration von Wasserstoffperoxyd. Holmes William Raymond, Godfrey Charles Stanley) [Laporte Chemicals Ltd.]. Пат. ФРГ 960627, 28.03.57

Концентрируемый р-р H_2O_2 (I) подают снизу в 1-ю вертикальную трубу (Т), куда параллельным током вводят горячий пар, содержащий I. Выходящую из верхней части Т паро-жидкостную смесь разделяют в спец. сепараторе (С). Часть сконцентрированного р-ра I выводит из цикла, другую часть объединяют с р-ром, питающим 1-ю Т. Пар из С вводят снизу во 2-ю вертикальную Т, куда также снизу поступает вода или р-р I, менее конц., чем питающий 1-ю Т. После 2-го С часть обогащенного I р-ра вводят снизу в 1-ю Т или объединяют с питающей ее жидкостью, а другую часть возвращают во 2-ю Т. Пар из 2-го С конденсируют. Конденсат можно использовать для питания 2-й Т. Обе Т имеют одинаковые размеры, их высота в 10 (предпочтительно в 50) раз больше диаметра. Конц. р-р I, выведенный из цикла после 1-го С, поступает в пленочный выпарной аппарат. Выходящую из него паро-жидкостную смесь разделяют в соответствующем С. Часть р-ра I, покидающего этот С, используют как готовый продукт, другую часть — возвращают в выпарной аппарат. Пар, обогащенный I, поступает из этого С на питание 1-й Т. Пример. 42,4 кг 4,46%-ного р-ра I подают в 1-ю Т, куда поступает нагретый до 110° пар из С выпарного аппарата. 6,25 кг 28,2%-ного р-ра I из указанного С являются готовым продуктом. Пар из С после 1-й Т поступает во 2-ю Т, в нижнюю часть которой подаются 11 кг конденсата — 0,09%-ного р-ра I. Выход конц.

р-ра I 92%. Аппаратура изготавливается из нержавеющей стали, стекла или алюминия. Л. Херсонская

33089 П. Усовершенствование производства серпистого натрия восстановлением сульфата. Лефрансуа (Perfectionnement a la fabrication du sulfure de sodium par réduction du sulfate. Lefrançois Robert) [Manufactures de produits Chimiques du Nord (Etablissements Kuhlmann)]. Франц. пат. 1125600, 2.11.56

При восстановлении Na_2SO_4 горючим газом (напр., H_2) в последнем добавляют инертный газ (N_2) в кол-ве, достаточном для предупреждения воспламенения горючего газа. Р-цию проводят при 650—710°, предпочтительно в псевдооживленном слое. Инертный газ после конденсации паров H_2O возвращают в цикл с добавлением горючего газа. Пример. 100 вес. ч. технич. Na_2SO_4 , содержащего 0,47% H_2SO_4 и 0,15% NaCl, смешивают с 0,3% Fe_2O_3 (катализатора для восстановления) и 10% воды с т-рой 40—50° и массу гранулируют. К 54,4 г гранул добавляют 5% Na_2S (ранее полученного) и восстанавливают Na_2SO_4 в псевдооживленном слое смесью $N_2:H_2$ (10:1) при 630—705°. Газы из реактора направляют в циклон, холодильнич. конденсатор (при 20°), скруббер (для поглощения образующегося H_2S) и возвращают в цикл с добавлением H_2 . Через 2 часа получается гранулированный 98,9%-ный Na_2S . Г. Рабинович

33090 П. Производство тиосульфата натрия из сульфата натрия и серы в присутствии катионитных поверхностноактивных органических бромидов. Левенсон (Manufacture of sodium thiosulphate from sodium sulfite and sulfur in presence of cationic surface active organic bromides. Levenson Gerald Isaac Pasternak) [Eastman Kodak Co.]. Пат. США 2763531, 18.09.56

Р-цию между Na_2SO_3 и S проводят в водн. р-ре в присутствии катионитного поверхностноактивного агента [октилпиридинбромид, цетилапиридинбромид и додецилапиридинбромид (I)] при т-ре между 85° и т-рой кипения р-ра. Процесс протекает быстро и может быть непрерывным. Аналогичный способ пригоден для получения тиосульфатов других металлов, а также тиоселенатов. Пример. 3 г Na_2SO_3 и 0,5 г тонкоизмельченной S кипятят в 20 мл H_2O , содержащей 0,002 г I. S полностью растворяется через 5 мин. (без добавления I растворение длится 20 мин.). Полученный р-р фильтруют и выкристаллизовывают $Na_2S_2O_5$. Л. Херсонская

33091 П. Аппаратура и способ приготовления фторидного раствора. Манро (Apparatus and method for providing a fluoride solution. Munroe Henry F.) [Proportioners, Inc.]. Пат. США 2749222, 5.06.56

Аппарат для приготовления р-ра, содержащего F-ионы, в частности NaF, состоит из резервуара (Р), внутри которого находится конич. камера (КК). Основание конуса КК присоединяется к днищу Р и имеет в нижней части входные отверстия, связанные с внутренним пространством Р. Верхняя часть КК с помощью трубопровода соединяется с наружной системой. Этот трубопровод, не связанный с внутренним объемом Р, проходит внутри него снизу вверх и выходит через крышку Р. На дне Р монтируется барьер (с гравием и песком), предотвращающий попадание твердого растворимого в-ва внутрь КК, но не препятствующий прохождению туда р-ра. Аппарат снабжается устройствами для поддержания постоянного уровня р-ра над растворимым в-вом и для разгрузки р-ра из Р со скоростью, определяемой необходимым временем контактирования р-ра с растворимой солью. Л. Херсонская

33092 П. Получение цианамиды кальция. Минэмура, Накадзима, Мацумото [Синзэку кагаку

когё кабусики кайся]. Японск. пат. 3914, 9.06.55 [Chem. Abstrs, 1957, 51, № 21, 17118 (англ.)]

В единой реакционной системе CaC_2 , псевдоожженный в потоке N_2 , одновременно классифицируется и превращается в CaCN_2 . Приведены 2 схемы; в обоих случаях CaC_2 подается потоком N_2 в классификационный конвертер, где разделяется на 2 фракции и одновременно нагревается до t -ры $> 1000^\circ$ и частично превращается в CaCN_2 . Мелкие частицы увлекаются потоком N_2 вверх конвертера, а грубые отводятся снизу. Каждая фракция полностью превращается в CaCN_2 в последующих конвертерах. В этом методе уменьшаются потери CaCN_2 с газовым потоком и продукт классифицируется в единой реакционной системе. Приведены 2 схемы. Г. Рабинович

33093 П. Получение цианамиды кальция. Минэмура, Дзиси [Синъэпу кагаку когё кабусики кайся]. Японск. пат. 5615, 13.08.55 [Chem. Abstrs, 1957, 51, № 22, 18506 (англ.)]

Для предупреждения перегрева CaC_2 подавали в печь вместе с продуктом промежуточной стадии в псевдоожженный слой CaC_2 , создаваемый потоком N_2 , причем происходила р-ция с нагретым N_2 . Выход составлял 97,8%. Г. Рабинович

33094 П. Извлечение кадмия в виде сульфата из пыли, содержащей окись кадмия. Лунд, Уорнс (Recovery of cadmium as sulphate from cadmium oxide containing dusts. Lund Robert E., Warnes Don E.) [St. Joseph Lead Co.]. Пат. США 2777752, 15.01.57

CdO , содержащуюся в дымах обжиговых установок цинковых прои-в, переводят в растворимую сульфатную форму обменной р-цией с сульфатами Zn , Fe и других металлов. В пыли, которая осаждается из дымов в электро- или рукавных фильтрах, эти сульфаты обычно присутствуют в кол-ве, превышающем стехиометрически необходимое для образования CdSO_4 . В противном случае в исходный материал добавляют необходимое кол-во ZnSO_4 . Пыль нагревают до 400 — 700° и выдерживают при этой t -ре до завершения р-ции. При последующем водн. выщелачивании образовавшиеся окислы сопутствующих металлов не переходят в р-р. В общем случае такой р-р содержит 40 г/л Cd и лишь 4 г/л Zn , $< 0,05 \text{ г/л Pb}$, $< 1 \text{ мг/л As}$ и $0,05 \text{ г/л Fe}$. Пример. Исходную пыль с содержанием (в %): Cd 8,2 (из них 13,6 водорастворимого; Zn 27 (из них 18,4 водорастворимого), Pb 19,7; S 12,6; сульфатной S 4,5 нагревали в многоподовой печи до 410 — 610° . В полученном продукте содержалось (в %): сульфатной S 2,5, Cd 8,6 (60,1% от этого кол-ва водорастворимого Cd) и водорастворимого Zn 0,4%. Л. Херсонская

33095 П. Получение окиси алюминия высокой чистоты. Шуман, Рабка (Verfahren zur Herstellung besonders reiner Tonerde. Schumann Georg, Rabka Josef) [Vereinigte Aluminium-Werke A. G.]. Пат. ФРГ 963602, 9.05.57

Усовершенствован способ получения сверхчистой Al_2O_3 (см. РЖХим, 1958, 25714). После концентрирования или фильтрации алюминатный р-р, нагретый до 80 — 90° , направляется в отстойники, где выдерживается в течение 16—30 час. При этом примеси, присутствующие в р-ре во взвешенном или коллоидальном состоянии, соосаждаются с выпадающим (1—2% от общего кол-ва) $\text{Al}(\text{OH})_3$. После отстаивания осветленный р-р (t -ра 70 — 75°), содержащий $0,004$ — $0,005 \text{ г/л Fe}_2\text{O}_3$ и $0,002 \text{ г/л TiO}_2$, направляется на операцию выкрутки. Осадок $\text{Al}(\text{OH})_3$ с соосаженными примесями обрабатывается фильтратами с операции выкрутки или р-рами NaOH до растворения $\text{Al}(\text{OH})_3$. Нерастворившиеся примеси выводятся из цикла вместе с красным шлаком. Л. Херсонская

33096 П. Способ повышения экстрагируемости глинозема из кальций-алюминатного шлака с пониженной в результате старения экстрагируемостью. Конради (Framgangsmåte til å øke aluminaekstraherbarheten av kalsiumaluminatslagg hvis aluminaekstraherbarhet er nedsatt p. g. a. elding. Conrad L. A.). Норв. пат. 83818, 24.04.54

Для повышения экстрагируемости (Э) Al_2O_3 из сплавов и спеков алюмината Ca , для которых первоначальная Э понижалась при хранении, эти материалы подвергают окислительному обжигу при 800 — 1200° (1000—1100°).

33097 П. Разделение трехвалентных элементов редких земель путем экстракции. Фишер, Брамекамп (Verfahren zur Trennung der dreiwertigen Seltenen Erden voneinander durch Verteilen. Fischer Werner, Bramekamp Karl-Jürgen). Пат. ФРГ 961978, 18.04.57

Дополнен способ разделения редкоземельных элементов, основанный на избирательном распределении нитратов 3-валентных катионов между водн. и кетон- или кетон-эфирной фазами (см. РЖХим, 1958, 25747). Вместо кетонов используют альдегид, смесь нескольких альдегидов или смесь альдегидов и нитронов. Л. Херсонская

33098 П. Обогащение руд, содержащих окись титана. Купер (Beneficiating titanium oxide ores. Cooper Hugh S.) [Walter M. Weil]. Пат. США 2752300, 26.06.56

Измельченную Fe-Ti руду (содержащую Ti в виде TiO_2) предварительно восстанавливают C при 1100 — 1450° (1250 — 1400°), переводя практически все окисное Fe в металл. Полученную пористую массу при 600 — 1000° (775 — 1000°) обрабатывают током сухого, не содержащего воздух хлорирующего газа пока все Fe не сублимируется в виде FeCl_2 , которое удаляют из реактора (в котором остается свободная от Fe TiO_2) и конденсируют в отсутствие влаги, а затем подают в электролизер с целью получения порошка металл. Fe . Электролитом служит расплавленная смесь равных кол-в NaCl и KCl . Выделяющийся при электролизе Cl_2 взаимодействует с H_2 , непрерывно барботирующим через ванну со скоростью, превышающей необходимую для связывания всего Cl_2 . Образующийся HCl вместе с избытком H_2 и добавочным кол-вом Cl_2 (соответствующим кол-ву H_2) возвращают в реактор для хлорирования исходного материала. В начале процесса хлорирующим агентом служит либо Cl_2 , либо HCl . Л. Херсонская

33099 П. Очистка тетрахлорида титана. Гатри (Purification of titanium tetrachloride. Guthrie William D.) [Titanium Metals Corp. of America]. Пат. США 2758009, 7.08.56

Технический TiCl_4 , загрязненный соединениями V и содержащий свободный Cl ($\sim 0,05\%$), а также AlCl_3 , SiCl_4 и COCl_2 , обрабатывают при непрерывном перемешивании газообразным H_2S . H_2S подают в TiCl_4 , нагретый до t -ры, близкой к кипению, в кол-ве, достаточном для осаждения V и других примесей; в частности, для этого требуется $\sim 0,5 \text{ вес. \% H}_2\text{S}$. Одновременно с осаждением примесей образуется S_2Cl_2 , которая растворяется в TiCl_4 . Очищ. от V TiCl_4 отделяют от осадка фильтрацией, декантацией или, в частности, дистилляцией. Затем TiCl_4 , содержащий $\sim 0,03\%$ S_2Cl_2 , обрабатывают Cl_2 , барботируя его через р-р и превращая S_2Cl_2 в SCL_2 . Cl_2 применяют в кол-ве, необходимом для окисления всей S_2Cl_2 (предпочтительно 50%-ный избыток Cl_2). От $\text{SCL}_2 \text{ TiCl}_4$ очищают фракционированной дистилляцией или ректификацией. При ректификации t -ра в кубе $\sim 136^\circ$, вверху колонны $\sim 110^\circ$. Возврат флегмы от 10:1 до 100:1 (50:1). Очистка TiCl_4 указанным методом от

S_2Cl_2 существенно снижает твердость металла, получаемого из него Mg-термич. способом.

Л. Херсонская

33100 П. Производство цирконатов и титанатов кальция, стронция или бария. Бруггер (Verfahren zur Herstellung von Zirkonaten und Titanaten des Calciums, Strontiums oder Bariums. Brugger Wilhelm) [Th. Goldschmidt A.-G.]. Пат. ФРГ 965695, 13.06.57

В качестве исходных TiO_2 - и ZrO_2 -содержащих в-в применяют органич. соединения Ti и Zr, в частности соли слабых органич. к-т или алкоголяты (тетраацетаты, бутилаты или изопропилаты). Насыщ. р-р алкоголята в соответствующем спирте либо сухой ацетат Ti или Zr тщательно перемешивают с окисью или гидроокисью Ca, Sr, Ba; при перемешивании добавляют некоторое кол-во дистил. воды до образования пастообразной массы. На каждый моль TiO_2 или ZrO_2 должно приходиться 2—4 (предпочтительно 3) моля окисла щел.-зем. металла. Пример. 80 вес. ч. $\text{Zr}(\text{OOC-CH}_3)_4$ смешивают с 56 вес. ч. CaO в присутствии 80 вес. ч. воды. Пастообразную смесь сушат при 100—120° и прокачивают при 1000—1200°. Продукт, остающийся после удаления избытка окисла щел.-зем. металла, отвечает ф-ле соответствующего титаната или цирконата; выход по TiO_2 и $\text{ZrO}_2 \approx 100\%$.

Л. Херсонская

33101 П. Способ получения кристаллов германия. Уэйнер, Стейнберг (Method of producing germanium crystals. Wainer Eugene, Steinberg Morris A.) [Sylvania Electric Products Inc.]. Пат. США 2766152, 9.10.56

Кристаллы Ge для полупроводниковых выпрямителей получают, сплавляя определенное кол-во Ge с металлом (Sn, Sb, Bi, Cd, Zn, Al, Au, Ag), хорошо смешивающимся с Ge в жидком и не смешивающимся — в твердом состоянии, при этом вышеуказанные металлы (напр., Sn) являются очищающими агентами для Ge. Сплав в защитной атмосфере или под флюсом доводят до т-ры, при которой образуется гомог. жидкая фаза. Затем т-ру снижают до точки, лежащей между ликвидусом и солидусом бинарной системы. Поддерживая эту т-ру в течение продолжительного времени (4 час.), обеспечивают выделение кристаллов Ge, после чего систему медленно охлаждают до комнатной т-ры. При этом затвердевает вся масса расплава. Контролируя конц-ию и т-ру, скорость охлаждения и степень пересыщенности расплава, можно получить кристаллы Ge нужных размеров. Выделение чистых кристаллов Ge из затвердевшей массы осуществляется с помощью селективных р-телей (напр., конц. HCl-к-та). Рекомендуют сплавы: 10 вес. % Ge и 90 вес. % Sn; 25 % Ge и 75 % Sn (изотермич. выдержка для кристаллизации Ge в обоих случаях при т-ре $\sim 650^\circ$); 10 % Ge и 90 % Zn (выдержка при 640°), 16,5 % Ge и 84,5 % Sb (выдержка при т-ре $\sim 625^\circ$). Полученные кристаллы после активации (нагрев до 500° и обработка смесью HF, HNO_3 и $\text{Cu}(\text{NO}_3)_2$) дают выпрямители, выдерживающие обратное пиковое напряжение 80 в. В качестве исходного материала для получения сплава предпочтителен Ge, полученный восстановлением GeO_2 в атмосфере H_2 при 650° . Для сплавления могут быть взяты также тройные системы: Ge—Cd—Ag; Ge—Sn—Pb; Ge—Zn—Cd; Ge—Bi—Sb; Ge—Pb—Ag. Метод экономичен и отличается простотой.

Л. Херсонская

33102 П. Способ получения фосфорномолибденовой кислоты. Хшановский (Sposób otrzymywania kwasu fosforomolibdenowego. Chrzanowski Janusz) [Fabryka Odczynników Chemicznych Przedsiębiorstwo Państwowe]. Польшк. пат. 38969, 20.02.56

Предложен способ получения фосфорномолибдено-

вой к-ты (I), основанный на кристаллизации I из водн. р-ра фосфорнокислого Na (II) и молибденовокислого Na (III), подкисленного большим избытком азотной к-ты (избыток 65%). Выделившиеся кристаллы I после охлаждения р-ра до 45—50° отфильтровывают. Фильтрат упаривают до выпадения кристаллов NaNO_3 . Затем фильтрат разбавляют, охлаждают и отфильтровывают снова выпавшие кристаллы I. Маточный р-р после отделения кристаллов используют в процессе вместо р-ра HNO_3 . С. Яворовская

33103 П. Восстановление трехоксида вольфрама углеродом в вакууме. Меттлер (Vacuum carbon reduction of tungstic oxide. Mettler John D., Jr) [Union Carbide and Carbon Corp.]. Пат. США 2763541, 18.09.56

WO_3 смешивают с размолотым C, взятым в кол-ве, несколько меньшем стехиометрически необходимого (на ~ 100 вес. ч. $\text{WO}_3 \sim 15$ вес. ч. C). Шихту помещают на графитовые противни (толщина слоя ≤ 50 мм) и быстро нагревают до т-ры $\sim 400^\circ$ при давл. < 5 (< 1) мм рт. ст. Затем т-ру повышают до 800° со скоростью 100° в час. После 2-часовой выдержки при 800° т-ру повышают до 1100 — 1200° со скоростью 15—20° в час. Т-ру 1100 — 1200° поддерживают до завершения р-ции. Охлаждение проводят в вакууме, инертной или восстановительной атмосфере. Такой режим обеспечивает получение легко измельчающихся агрегатов металлич. W. От скорости нагрева реакционной смеси зависит размер индивидуальных частиц металла; при подъеме т-ры со скоростью 15° в час средний размер частиц металла 0,7 м, при 20° в час 2,0 м.

Л. Херсонская

33104 П. Получение галоидных соединений. Уэйнер (Method of preparing halides. Wainer Eugene) [Horizons Inc.]. Пат. США 2762691, 11.09.56

Хлориды, бромиды, фториды В получают по р-ции между фторборатами K или Na и соответствующими галоидными соединениями Li, Mg или Ca. Стехиометрич. смесь безводн. перекристаллизованных реагентов брикетируют и помещают в графитовый реактор (Р). Р заполняют инертным газом и доводят т-ру в нем до 500—1000°. Сублимирующийся галогенид В конденсируют в конденсаторе, охлаждаемом водой. Из Р извлекают смесь фторидов Na (K) и Li, Mg или Ca. Эту смесь направляют на операцию получения фторбората Na или K, которую проводят в горячем водн. р-ре. Фторборат возвращают в цикл. Аналогичным способом получают галоидные соединения других металлов (Al, Fe, Nb, Ta, Sn, Mo, W), образующих комплексные фториды. При этом т-ра процесса колеблется от 600—1000° до 750—1200°. Указанный температурный режим обеспечивает проведение р-ции в твердой фазе. В некоторых случаях рекомендуют вести процесс в жидкой ванне, состоящей из расплавленных галоидных солей щел. металлов. Если исходные материалы гидратированы, их предварительно обезвоживают в вакууме, после чего вводят Ar. Выход получаемых галоидных соединений $\geq 95\%$ в случае применения солей Li и Mg и 85% в случае солей Ca.

Л. Херсонская

33105 П. Аппарат для получения фторидов. Крайль (Vorrichtung zur Herstellung von Fluoriden. Krall Friedrich) [Deutsche Gold- und Silber-Scheideanstalt vormals Roessler]. Пат. ФРГ 1001242, 11.07.57

Получение фторида из соединения соответствующего металла и HF (газ) (I) осуществляют в графитовой или угольной реакционной трубе (РТ), с индукционным обогревом. В оба конца РТ вводят I, избыток которого вместе с парами H_2O выводит через отверстие в средней части РТ. РТ помещается в устойчивую к действию I оболочку (О) из пластмассы, в

частности полифторэтиленовую, и, преимущественно, политефторэтиленовую. На наружной поверхности О помещается обмотка индуктора, действие которого распространяется на среднюю часть РТ. Заодно с О и из того же материала выполняется загрузочное приспособление для регулируемой подачи исходного материала и разгрузочный бункер для отвода фторида. О соответственно длине РТ имеет двойные стенки, в пространстве между которыми циркулирует охлаждающая вода. Между внутренней стенкой О и РТ помещается защитная труба (ЗТ) (графитовая или угольная), снабженная во избежание индукционного нагрева продольными прорезями. Длина ЗТ несколько превышает длину обмотки индуктора. Кольцевая полость, между ЗТ и внутренней стенкой О заполняется теплоизолирующим материалом, в частности CaF_2 . Такая дополнительная теплоизоляция может осуществляться с помощью нескольких concentрич. ЗТ с несопадающими прорезями. Для придания необходимой жесткости в пластмассовую О в ряде мест закладываются металлич. пластинки или полоски.

Л. Херсонская

33106 П. Отделение марганца от железа и других нежелательных компонентов руды. Носсен (Separation of manganese from iron and other undesirable ore components. Nossen Ernest Samuel). Пат. США 2737441, 6.03.56

Измельченную до крупности — 60—100 меш руду (с содержанием $\text{Mn} \sim 10\%$ и $\text{Fe} < 50\%$) селективно восстанавливают углеродсодержащим восстановителем, в частности природным или водным газом, бутаном, углеродом и т. п. В зависимости от характера руды и восстанавливающего агента процесс ведут при 300—700°. Условия процесса (характер восстановителя, т-ра, продолжительность) должны обеспечить получение неполностью восстановленного продукта, содержащего Fe в виде оксидов (не ниже Fe_3O_4). Окислы Mn при этом восстанавливаются до Mn_2O_3 и MnO . Такой продукт выщелачивают р-ром HNO_3 , H_2SO_4 или HCl (к-та), доводя в конце выщелачивания pH до постоянной величины ($\sim 2-5$). Полученный при этом р-р соответствующей соли Mn отделяют от осадка, содержащего Fe_3O_4 , SiO_2 и прочие примеси. Fe_3O_4 выделяют из осадка магнитной сепарацией. В случае выщелачивания HNO_3 (к-та) р-р нитрата Mn разлагают при повышенных т-рах в спец. аппаратуре до MnO_2 и HNO_3 . При наличии примесей, переходящих в р-р вместе с Mn, выщелачивание можно производить смесью HNO_3 и H_2SO_4 . HNO_3 берут при этом в кол-ве, необходимом только для растворения окислов Mn; после разложения $\text{Mn}(\text{NO}_3)_2$ отмыывают сульфаты примесей от MnO_2 .

Л. Херсонская

33107 П. Способ получения сульфата марганца. Скотницкий, Ешка (Sposób otrzymywania siarczanu manganawego. Skotnicki Jerzy, Jeszka Jeremiasz) [Spółdzielnia Pracy «Hydrochemia»]. Польшк. пат. 38359, 30.01.56

Предложен способ получения MnSO_4 (I) из MnO_2 (II) и H_2SO_4 (III), отличающийся тем, что к смеси II и III перед прокаливанием прибавляют растительные отбросы: опилки, торфяную муку, растительную пыль и т. п. Полученный I легко рассыпается и не требует дробления. Расход III снижается на 40%.

С. Яворовская

33108 П. Способ получения порошка никеля или железа. Ллуэлин, Симпсон, Уэст (Verfahren zur Erzeugung von Nickel- oder Eisenpulver. Llewellyn David Myers, Simpson Alexander Bowden, West DeWitt Henry) [The Mond Nickel Co. Ltd.]. Пат. ФРГ 965636, 13.06.57

Соответствующий карбонил Ni или Fe разлагают

при нагревании в присутствии газа-разбавителя, в частности 20—40% CO , и небольших кол-в в-в, которые способствуют образованию прочных кристаллич. зародышей (O_2 , галогены, озон, воздух или пары HNO_3). O_2 прибавляют в кол-ве от 0,01 до 0,06% от общего объема газовой смеси; Cl_2 — в кол-ве от 0,002 до 0,005%. Сочетание CO и способствующих образованию зародышей добавок обеспечивает получение хлопьевидного порошка с небольшой кажущейся плотностью и одновременно с пониженной склонностью к усадке при спекании. Пример: в реактор diam. 1 м при 580° подают 130 л/час жидкого карбонила Ni; кажущаяся плотность получаемого Ni-порошка составляет 0,9 г/см³, линейная усадка при спекании в H_2 22% и пористость 78%. Если к потоку карбонила добавлять 15 л/час O_2 и в реактор вводить 15 м³ CO , плотность порошка составит 0,88 г/см³, усадка 9% и пористость 86%.

Л. Херсонская

33109 П. Очистка карбонила металла. Ямамото, Саго, Исава (Мипуи кагаку когэ кабусики кайса). Японск. пат. 1067, 19.02.55 [Chem. Abstrs, 1956, 50, № 22, 17360 (англ.)]

Смесь 36,5 г CoCl_2 , 80 г 28%-ного NH_4OH , 200 мл воды, 0,7 г 30%-ного $(\text{NH}_4)_2\text{S}$ и CO под давл. 200 ат нагревали в автоклаве 5 час. при 160°. Охлажд. смесь подкисляли и дистиллировали в атмосфере N_2 под вакуумом; получали 20 г кристаллич. (иглообразной формы) $[\text{Co}(\text{CO})_4]_2$, т. пл. 49—51°.

Г. Рабинович

33110 П. Способ изготовления фотопроводящих соединений. Коллинс, Рейнолдс, Стилуэлл (Process of making photoconductive compounds. Collins Robert J., Reynolds Frederick W., Stilwell George R.) [Bell Telephone Labs, Inc.]. Пат. США 2759861, 21.08.56

Фотопроводящий слой антимолида In наносит на поверхность (П) в вакуумной камере. При вакууме $\sim 5 \cdot 10^{-6}$ мм рт. ст. производят одновременное испарение эквимолекулярных кол-в Sb и In, нагревая Sb до 1000—1300° (1100°), а In — до 650—800° (725°). Испаряемые металлы осаждаются на П, подогретой до 75—150° (100°). Скорость испарения металлов регулируют так, чтобы в 1 сек. осаждался слой в 50 Å. Образуемое на П соединение отжигают в течение 6 час. при том же вакууме и т-ре (200°) ниже точки плавления полученного соединения для получения гомог. покрытия. Аналогичным путем готовят фотосоединения на основе элементов 3-й (B, Al, Ga, In) и 5-й (N, P, As, Sb) групп периодической системы. Рекомендуют комбинации Ga и Sb, Al и Sb, In и As, Ga и As. Эти соединения имеют структуру типа цинковой обманки.

Л. Херсонская

См. также: Удаление Fe из глины 33209

УДОБРЕНИЯ

Редактор И. Л. Гофман

33111. Производство и применение аммиачной воды в качестве азотного удобрения. Ло (The production and use of ammoniacal liquor as a nitrogenous fertiliser. Law W. W.). Gas J., 1957, 292, № 4922, 363, 367—368. Discuss., 368 (англ.)

Рассматриваются условия произ-ва аммиачной воды (AB); кол-во AB, позволяющее при ее использовании как удобрения получать результаты, сходные с результатами, достигаемыми при применении $(\text{NH}_4)_2\text{SO}_4$; конц-ия и состав AB; возможности использования AB в зимнее время; применение AB в качестве удобрения для луговых трав, зерновых культур

и сахарной свеклы; гербицидные и пестицидные свойства АВ. Г. Рабинович

33112. Исследования по получению углекислого аммония для применения его в качестве удобрения. I. Стобецкий, Баранский, Ковальский (Studia nad otrzymywaniem węglanu amonu jako nawozu sztucznego. I. Stobiecki Tadeusz, Barański Andrzej, Kowalski Zygmunt), Chem. stosow., 1957, 1, № 1, 81—88 (польск.; рез. англ.)

Определены давления процесса диссоциации NH_4HCO_3 при 25—58°. Зависимость давления от т-ры выражена ур-нием $\lg P_{\text{мм}} = 12,6102 - 3230/T$. Исследована также диссоциация технич. NH_4HCO_3 . При хранении NH_4HCO_3 в различных условиях установлено значительное влияние влажности на разложение. Библ. 8 назв.

Г. Рабинович
33113. Эффект Сциларда-Чалмерса при бомбардировке фосфорных удобрений нейтронами. Шеффер, Людвиг (Szilard-Chalmers-Effekt in Neutronen-bestrahlten Phosphatdüngern. Scheffer F., Ludwig F.), Naturwissenschaften, 1957, 44, № 14, 396 (нем.)

При бомбардировке Р-удобрений и природного фосфата нейтронами одновременно с ядерной р-цией протекают хим. р-ции, в результате которых радиоактивный P^{32} получается частью в виде фосфата и частью в виде фосфита, гипофосфита и полифосфатов.

Е. Бруцкус
33114. Некоторые вопросы (производства) фосфорных удобрений. Уэки, Кагаку когё сирё, Chem. Eng'r's Digest, 1957, 25, № 4, 139—145 (японск.) Обзор. Библ. 54 назв.

33115. К вопросу о применении в качестве удобрения извести, полученной в доменном производстве. Шафницкий (W sprawie wapna pawozowego pochodzenia hutniczego. Szafnicki Józef), Chemik, 1957, 10, № 3, 69—71 (польск.)

Рассматривается вопрос о применении доменных шлаков для известкования почвы. Рекомендуется применение «самораспадающихся» шлаков (СШ), не требующих дорогостоящей операции измельчения. СШ образуется при содержании $\text{CaO} > 42\%$ и медленном охлаждении; при 675° изменяется кристаллич. структура одного из компонентов шлака — ортосиликата $2\text{CaO} \cdot \text{SiO}_2$, причем объем увеличивается на 10% и масса распадается на частицы размером в несколько м. Явление это, нежелательное при доменном производстве ввиду образования пыли, можно устранить быстрым охлаждением шлака, что способствует образованию стекловидной массы, находящейся в метастабильном состоянии и не содержащей кристаллич. зародышей. Гранулометрич. состав такого СШ (в %): $> 0,2 \text{ мм}$ 22,8, $> 0,09 \text{ мм}$ 27,6, $> 0,075 \text{ мм}$ 8,3, $> 0,06 \text{ мм}$ 8,6, $< 0,06 \text{ мм}$ 32,4. Для уменьшения образования пыли при использовании СШ в качестве удобрения рекомендуется отсев мелочи. СШ наиболее эффективен при размере частиц $\leq 0,2 \text{ мм}$. Его примерный состав (в %): CaO 47, SiO_2 33, Al_2O_3 10,7, MgO 3,6, MnO 2,5, S 2,2, Fe_2O_3 0,36, а также небольшие кол-ва Ti , V , Na , K , Cu и Cr ; спектральный анализ показал наличие следов Zn , V , Ni и P . Библ. 6 назв.

Е. Бруцкус
33116. Агрохимия. Производство и применение удобрений. Давидеску (Agrochimie. (Pregătirea și aplicarea îngrășămintelor. Davidescu D. București, Ed. agro-silvică stat, 1956, 896 p., il., 40,40 lei) (рум.)

33117. Способ снижения содержания нитрата кальция в известково-аммиачной селитре. Фольмер, Хауэрвас (Verfahren zur Herabminderung des Cal-

ciumnitratgehaltes im Kalkammonsalpeter. Vollmer Wilhelm, Hauerwas Wilhelm) [Gewerkschaft Victor]. Пат. ФРГ 963605, 9.05.57

Для улучшения физ. свойств известково-аммиачной селитры (ИС) содержание в ней $\text{Ca}(\text{NO}_3)_2$ можно понизить (напр., с 1,3%) на несколько десятых %, добавляя к расплаву NH_4NO_3 , NH_4^- или Ca -соли к-т, Ca -соли которых вступают в обменное разложение с образующимся в ИС $(\text{NH}_4)_2\text{CO}_3$, напр. $(\text{NH}_4)_2\text{SO}_4$, NH_4 -фосфат, CaSO_4 или CaHPO_4 , в кол-ве значительно меньше стехиометрич., считая на $\text{Ca}(\text{NO}_3)_2$, напр. $\sim 0,025\%$ по отношению к конечному продукту (это объясняется, по-видимому, р-цией напр. $(\text{NH}_4)_2\text{SO}_4$ с $\text{Ca}(\text{NO}_3)_2$ и последующей р-цией образовавшегося CaSO_4 с $(\text{NH}_4)_2\text{CO}_3$, причем регенерируется $(\text{NH}_4)_2\text{SO}_4$ и т. д.). Затем к расплаву добавляют измельченный известняк. Можно также перед добавлением солей насытить расплав NH_3 .

Г. Рабинович
33118. Способ получения удобрений, содержащих фосфорную кислоту, калий и азот. Бюхнер (Verfahren zur Herstellung von Phosphorsäure, Kali und Stickstoff enthaltenden Düngemitteln. Büchner Karl) [Ruhrchemie A.-G.]. Пат. ФРГ 955772, 10.01.57

Природный фосфат разлагают H_2SO_4 и (или) HNO_3 и к полученной пульпе для осаждения Ca в виде сульфата добавляют сингенит (I) ($\text{K}_2\text{SO}_4 \cdot \text{CaSO}_4 \cdot \text{H}_2\text{O}$) или аналогичную смесь сульфатов K и Ca ; часть I можно заменить $(\text{NH}_4)_2\text{SO}_4$ (в этом случае в конечном продукте увеличивается содержание N и уменьшается содержание K). Часть полученного осадка Ca -сульфата нагревают со смесью KCl и $(\text{NH}_4)_2\text{SO}_4$ для получения необходимого кол-ва I, причем сублимируется NH_4Cl , который перерабатывают известным способом. Остальной Ca -сульфат перерабатывают с помощью NH_3 в $(\text{NH}_4)_2\text{SO}_4$; последний возвращают в цикл. Р-р после отделения Ca -сульфата, содержащий KH_2PO_4 , а также KNO_3 (при разложении природного фосфата HNO_3) и NH_4NO_3 (при добавлении к пульпе $(\text{NH}_4)_2\text{SO}_4$) нейтрализуют аммиаком, выпаривают и получают N-P-K-удобрение. Пример. Смесь 312 кг влажного гипса, содержащего 120 кг воды, 160 кг KCl (95%-ного) и 140 кг $(\text{NH}_4)_2\text{SO}_4$ нагревают при 200—250° и получают 305 кг искусств. I, содержащего 1,5% Cl ; NH_4Cl сублимируется. I смешивают с суспензией 800 кг суперфосфата (содержит 144 кг водорастворимой P_2O_5) в 1500 л воды. Через 15 мин. отделяют р-р от осадка Ca -сульфата, нейтрализуют аммиаком, выпаривают и получают 320 кг удобрения, содержащего (в %): N 12, P_2O_5 45, K_2O 30.

Е. Бруцкус

ЛЮМИНЕСЦЕНТНЫЕ МАТЕРИАЛЫ

Редакторы В. Д. Матвеев, Н. А. Ширнева

33119. П. Борат магния, активированный титаном. Ранби (Titanium activated magnesium borate. Ranby Peter Whitten) [Thorn Electrical Industries Ltd]. Пат. США 2758094, 7.08.56

Новый люминесцентный материал из бората Mg , активированного Ti . Для получения такого продукта тщательно приготовленную смесь (С), содержащую окиси или соединения Mg , Ti и B , нагревают до т-ры $\geq 1075^\circ$ (1125—1225°). Исходная С должна содержать (в вес. %): пересчете на окислы: MgO 50—85 (50—70), TiO_2 5—40 (8—30) и B_2O_3 2—27 (10—27) к общему весу С. Перед нагревом С в нее могут быть добавлены в кол-ве 0,2—10 вес. % MgCl_2 , BaCl_2 , BaSO_4 или Na_2SO_4 . В качестве исходных продуктов используют MgO , MgCO_3 , $\text{Mg}(\text{OH})_2$, $\text{Mg}(\text{CH}_3\text{COO})_2$, MgTiO_3 , $\text{Mg}(\text{BO}_2)_2$, B_2O_3 и т. п. Все исходные реактивы должны быть высокой степени чистоты.

Л. Херсонская

33120 П. Люминесцирующие соли фосфорной кислоты. Уэхара, Обуцука, Томисима [Токио Сибайра дэнки кабусики кайся]. Японск. пат. 4313, 24.06.55 [Chem. Abstrs, 1957, 51, № 18, 13583 (англ.)]

Патентуется люминесцентный состав с основанием, содержащим $(1-x)\text{Sr}_2\text{P}_2\text{O}_7 \cdot x\text{Ba}_2\text{P}_2\text{O}_7 \cdot (n-y)\text{SrF}_2 \cdot y\text{BaF}_2$, где $0 \leq x < 1$; $0 \leq y \leq n$; $n = 0,01 - 0,1$. При активировании светом Hg-лампы с длиной волны 2537 Å состав дает более белую люминесценцию, чем Mg-вольфрамат.

Г. Рабинович

33121 П. Электролюминесцентный материал на основе сульфида цинка. Бютлер, Пренер (Electroluminescent zinc sulfide phosphor. Beutler Carolee Crawford, Prener Jerome S.) [General Electric Co.]. Пат. США 2755255, 17.07.56

К порошкообразному ZnS добавляют р-р нитрата Cu, в кол-ве, достаточном, чтобы конц-ия Cu была 0,3 (0,05—1) вес.% и 5 вес.% NaCl. Шихту сушат, тщательно перемешивают и прокачивают при т-ре $\sim 1100^\circ$ (1000—1200°) в атмосфере N_2 (или любого инертного газа) в течение 0,5 часа. Люминесцентный материал (ЛМ) промывают кипящей водой для удаления NaCl и затем р-ром KCN (или NaCN) для удаления избытка Cu. После этого ЛМ еще раз промывают водой, сушат и просеивают через сито 200 меш. Вместо NaCl можно применять хлориды или бромиды щел. металлов в кол-ве ≥ 5 вес.%. Cu можно вводить в виде любого нелетучего соединения, напр. CuSO_4 или CuS . ЛМ имеет зеленое или синее свечение в зависимости от конц-ии Cu. ЛМ с зеленым свечением обладает спектральным максимумом люминесценции при $\sim 5100\text{Å}$.

Б. Гугель

33122 П. Флуоресцирующий экран. Сандос, Робер (Ecran actinique fluorescent. Sandoz Maurice, Robert Adrien). Швейц. пат. 314943, 31.08.56

Флуоресцирующий экран (Э), отличается тем, что его флуоресцирующий слой содержит двойной циано-платинит Ba и Rb; время экспозиции при фотографировании с таким Э сокращается до 0,04—0,01 обычной.

К. Герцфельд

33123 П. Светящиеся составы (Luminescent materials) [General Electric Co.]. Англ. пат. 731784, 15.06.55
Электролюминесцирующий ZnS приготавливают прокачиванием при 1000—1200° в инертной атмосфере смеси ZnS, соединения Cu (конц-ия Cu 0,05—1%) и плавня, в качестве которого применяют хлориды или бромиды щел. металлов. Пример. К порошкообразному ZnS добавляют в виде р-ров $\text{Cu}(\text{NO}_3)_2$ 3% (в пересчете на Cu) и NaCl 5%. Шихту сушат, перемешивают и прокачивают $\frac{1}{2}$ часа при 1100° в атмосфере N_2 . Полученный продукт охлаждают и промывают кипящей водой для удаления плавня и р-ром KCN — для удаления избытка Cu. Вместо $\text{Cu}(\text{NO}_3)_2$ можно применять CuSO_4 или CuS .

Б. Гугель

ПРОИЗВОДСТВО КАТАЛИЗАТОРОВ И СОРБЕНТОВ

Редакторы В. И. Елинек, В. Д. Матвеев, Н. А. Ширяева

33124. Каталитическая дегидратация муравьиной кислоты. Ковалев М. П., Тр. Харьковск. политехн. ин-та, 1957, 13, 115—117

Через фарфоровую или железную трубку, помещенную в трубчатую электропечь и наполненную слоем в 12—15 см силикагеля (I), на который нанесен P_2O_5 , пропускают при 300° пары HCOOH со скоростью 60 г/час, при этом происходит распад HCOOH по схе-

ме: $\text{HCOOH} \rightarrow \text{H}_2\text{O} + \text{CO}$. Получают чистый CO без CO_2 с выходом 96—98%. Приготовление катализатора: 50—100 см³ I промывают слабым р-ром HCl (к-та), водой и высушивают, затем помещают в фарфоровую чашку, заливают 50%-ным р-ром ортофосфорной к-ты, осторожно выпаривают жидкость и прокачивают I при 300°.

Я. Данишевский

33125. Польский активированный уголь. Мартынек (Krajowy węgiel aktywny. Martyniek Mieczyslaw), Wiadom. naft., 1957, 3, № 5, 12—13 (польск.)

Проведены сравнительные лабор. и заводские опыты для оценки сорбционных свойств польского активированного угля и венгерского угля марки «Нукат В. О.». Показано, что польский уголь по физ.-мех. и сорбционным свойствам лучше венгерского; при испытаниях на газолиновом з-де его поглотительная способность оценена на 16% выше.

К. Зарембо

33126 П. Способ получения платинового катализатора на твердом носителе (Fremgangsmåde til fremstilling af en katalysator, der indeholder platin og en fast bærer) [Universal Oil Products Co.]. Дат. пат. 82547, 17.12.56

Носитель пропитывают р-ром $\text{H}_2[\text{PtCl}_6]$ (I) и алкиленполиамина с $\text{pH} \sim 5-10$ (8—10), а сам носитель получают дегидратацией гидроокисей Al, Zr, Th и Zn или гидроокислов Si и Mg с обжигом при 540—700°. Пропитанный носитель сушат при 95—260°, кальцинируют при 260—540° ($< 595^\circ$) и восстанавливают обжигом в токе H_2 при 250—540°. Пример. К свежееосажденной $\text{Al}(\text{OH})_3$ прибавляют 0,3% HF-к-ты (считая на сухой Al_2O_3), сушат 8—10 час при 170° до влажности 30%. Добавляют стеариновую к-ту (II), таблеттируют, кальцинируют 6 час. при 500° для удаления II и еще 3 часа при 650°. Таблетки пропитывают в 30%-ном водн. р-ре этилендиамина, смешанном с 10 мл 1%-ного р-ра I (смесь имеет $\text{pH} \sim 9$). Степень пропитки регулируют так, чтобы катализатор содержал 0,3% Pt : сушат 3 час. при 110° и кальцинируют 3 часа при 500°.

К. Герцфельд

33127 П. Получение зернистой активированной окиси алюминия. Кувата, Сугахара, Накадэва. Японск. пат. 7875, 28.10.55

Водный р-р основных водорастворимых солей Al, имеющих состав $\text{Al}_2\text{O}_3 \cdot \text{XSO}_3$ ($\text{X} = 1,8 - 0,8$), подготавливают до 40—100°. В результате золь, содержащийся в р-ре, вначале переходит в гель, а затем в твердое состояние. При стоянии на воздухе такой гель вновь переходит в колл. состояние. Для придания устойчивости гель выдерживают некоторое время в воде или горячей ванне. При этом происходит гидролиз, в результате которого SO_4^{2-} из геля удаляется и остается устойчивый основной $\text{Al}_2\text{O}_3 \cdot \text{XSO}_3$ в виде зерен. Затем эти зерна сразу же (не подвергая сушке) обрабатывают разб. водн. р-ром NH_4OH в течение 2 час. при 50°. При этом образуется зернистый пористый продукт, который промывают водой, просушивают, прокачивают в течение 2 час. при 500° и получают зернистый активированный Al_2O_3 с высокой степенью активности, применяемый в качестве катализатора для обезвоживания.

В. Злома

См. также: Катализатор для переработки углеводородов 33889. Регенерация катализаторов, применяемых при крекинге, реформинге и обессеривании углеводородного сырья 33891. Приготовление носителей катализаторов реформина 33892. Регенерация псевдоожженного катализатора 33894. Приготовление окиснованадиевого катализатора 33905

ЭЛЕКТРОХИМИЧЕСКИЕ ПРОИЗВОДСТВА. ЭЛЕКТРООСАЖДЕНИЕ. ХИМИЧЕСКИЕ ИСТОЧНИКИ ТОКА

Редактор М. М. Мельникова

33128. Электрохимическая промышленность и электроэнергия в Японии. Ока, Когэ кагаку дзасси, J. Chem. Soc. Japan. Industr. Chem. Sec., 1957, 60, № 4, 375—376 (японск.)

33129. Гидроэлектростанции в Квебеке, Канада. Массю (Hydroelectric power in Quebec and the Atlantic provinces. Massue Huet), J. Electrochem. Soc., 1957, 104, № 8, 531—536 (англ.)

33130. Обзор развития электрохимических источников тока. Кубеш (Přehled světového pokroku v oboru elektrochemických zdrojů. Kubeš Jaroslav), Slaboproudý obzor, 1957, 18, № 10, 733—735 (чешск.; рез. русск., англ., франц.)

Рассмотрено историч. развитие конструкций гальванич. элементов и аккумуляторов, а также батарей, основанных на использовании явления Сеебека и солнечных батарей с полупроводниками.

Из резюме автора

33131. Влияние некоторых присадок на пассивацию цинкового анода и работу щелочно-цинковых элементов. Флёров В. Н., Ж. прикл. химии, 1957, 30, № 9, 1326—1330

Изучено влияние т-ры и присадок LiOH и SiO₂ на процесс пассивации Zn в элементах воздушной деполаризации системы Zn—CuO. Описывается предполагаемый механизм старения Zn-электрода, который заключается в переходе Zn(OH)₂ в плотный осадок ZnO. Повышение т-ры ускоряет процесс, хотя при этом усиливается диффузия в слое Zn(OH)₂. Скорость старения зависит от того, какой из процессов преобладает. Присадки LiOH и SiO₂, особенно последняя, влияют на пассивацию вследствие хемосорбции в оболочку мицелл гидроокиси анодной пассивирующей пленки, задерживая переход ее в ZnO. При высоких D и низких т-рах влияние присадок становится менее заметным. Присадки также замедляют выпадение осадка гидроокиси цинка из электролита. Применение присадок LiOH и SiO₂ позволяет увеличить емкость элементов на 25—100%.

В. Герчиков

33132. Изучение электролитов сухих гальванических элементов. Часть 8. Механизм образования аммиаков цинка. Такахаши, Сасаки, Дэнки кагаку, J. Electrochem. Soc. Japan, 1957, 25, № 2, 58—63, E 13 (японск.; рез. англ.)

Для выяснения механизма образования Zn(NH₃)₂Cl₂ (I) при разряде сухих гальванич. элементов типа Лекланше измерялись при 25° константы образования I в водн. р-ре NH₄Cl (II) при разных конц-ях последнего (в вес. %): 10, 15, 20 и 25. Кол-во добавляемого ZnCl₂ составляло 5·10⁻⁴ M на 25 см³ р-ра. Получены кривые распределения моно-, ди-, три- и тетрааммиаков в р-рах II разной конц-и после добавления NH₄OH. Установлено, что образование аммиаков происходит труднее в конц. р-рах II. Объясняют это тем, что в водн. р-рах II ион Zn²⁺ находится в виде комплекса с Cl⁻, а в более конц. р-рах координационное число значительно превышает 2. Вычислены изменения свободной энергии р-ции образования аммиаков при разных условиях, а также значение теплотого эффекта р-ции: [Zn(H₂O)₆]²⁺ + 4Cl⁻ = [ZnCl₄]²⁻ + 4H₂O, равное ~ 7 ккал. Изучение спектрального поглощения при введении NH₃ в смесь водн. р-ров II и ZnCl₂ показывает, что координационно связанный ион Cl замещается NH₃. Из результатов работы следует, что электролит, содержащий сравнительно боль-

шое кол-во ZnCl₂, должен обусловить большую разрядную емкость элемента. Часть 7 см. РЖХим, 1958, 5266.

Из резюме авторов

33133. Простейший способ изготовления и хранения полуэлемента. Эйкер (A simplified method for making and maintaining half-cells. Aker Lewis P.), Corrosion, 1957, 13, № 9, 122 (англ.)

Предложен простой способ изготовления медно-сульфатного полуэлемента, предназначенного для техн. целей. Полуэлемент состоит из пластмассовой короткой трубки, закрытой снизу деревянной пробкой, и заполнен насыщ. р-ром и твердыми кристаллами CuSO₄. Электродом служит отрезок Cu-проволоки, предварительно протравленной HNO₃. Полуэлемент защищен от действия света.

А. Шаталов

33134. Сжижение хлора посредством глубокого охлаждения. Нормбергер, Кубли (Chlorverflüssigung durch Tiefkühlung. Nürmberger K., Kubli H.), Escher Wyss Mitt., 1956, 29, № 3, 20—23 (нем.)

33135. Электролитическое обезжиривание и его электрохимический механизм. Куаттроне (La sgrassatura elettrolitica ed il suo meccanismo elettrochimico. Quattrone C.), Galvanotecnica, 1957, 8, № 7, 172—178 (итал.)

Рассматривается механизм электрохим. обезжиривания (ЭО) черных и цветных металлов. Приводится рецептура и режимы ЭО для бронзы, латуни, Zn-Al-сплавов. Приведены описания конструкций ванн, неполадки, их причины и способы устранения, способы определения поверхностного натяжения р-ров для ЭО, методика определения общего содержания щелочи в р-ре. Описан процесс ЭО с одновременным осаждением слоя Cu.

Я. Лапин

33136. Оптимальные условия электролитического полирования и некоторые современные достижения в изыскании новых типов ванн. Эпельбуан (Contrôle des conditions optima de polissage électrolytique et quelques récents progrès dans la recherche de nouveaux types de bains. Epelboin I.), Galvano, 1956, 25, № 239, 28—29. Métaux (corros.—inds.), 1956, 31, № 376, 475—482 (франц.)

Рассмотрен способ изучения структуры металла при помощи электролитич. полирования без последующего травления металла, осуществляемый в ваннах на основе ионов ClO₄ (перхлорная к-та и перхлораты), а также метод нахождения оптимальных условий полирования и определения качества полировки без извлечения образцов из ванны и их обследования в процессе полирования. Оптимальные условия полирования соответствуют максим. значению модуля Z (соответствующего максим. R) при заданном напряжении. Различные режимы ванн на основе ионов ClO₄ и H₃PO₄. Оптимальное значение частоты при напряжении 1,4 в для H₃PO₄ лежит между десятками гц и несколькими кгц, для перхлоратов этот диапазон значительно шире и лежит между несколькими кгц и несколькими сотнями кгц.

В. Лукинская

33137. Применение интерферирующего контраста к изучению электрополировки поверхности. Жакке (Application du contraste interférentiel à l'étude des surfaces polies électrolytiquement. Jacquet Pierre A.), Rev. métallurgie, 1957, 54, № 9, 663—688. Discuss., 688 (франц.)

Показано применение метода интерферирующего контраста (ИК) к изучению структуры электрополированной поверхности, в частности для оценки влияния различных факторов электролиза на качество электрополировки (Э) Cu и латуни в р-рах H₃PO₄ (продолжительность Э, конц-я р-ра, напряжение на электродах). Изучено влияние пластич. деформации поверхности на качество электрополированной поверх-

ности Cu и латуни при различных условиях Э. Показано, что наилучшее качество Э для отожженной Cu получается при напряжении между 1,80 и 1,90 в (точное значение зависит от т-ры, конц-ии H_2PO_4 и Cu в р-ре), при котором различие в скорости растворения поверхностных зерен различных кристаллографич. ориентаций уменьшается до минимума. Описано изменение структуры поверхности при изменении напряжения больше или меньше оптимальных условий. Отмечается, что наилучшее состояние поверхности Cu получается не в конце площадки тока, а при напряжении $< 0,10-0,15$ в. В противоположность Cu латунь хорошо полируется в области напряжений от стадии колебаний до окончания площадки тока. Высказывается мнение, что анодное сглаживание не имеет прямой связи с макроскопич. анодным слоем и в большей мере регулируется хим. явлениями, чем физ. Отмечается, что скорость анодного растворения в оптимальных условиях Э неравномерна по поверхности, зависит от атомной конфигурации, но различие в скоростях очень небольшое, что и отличает главным образом процесс Э от хим. растворения и обычного анодного. Метод ИК рекомендуется для контроля состояния поверхности, в частности после Э перед исследованием методом электронной дифракции, как более точно вскрывающей различие в состоянии поверхности, не обнаруживаемое обычным оптич. методом, а также для микрографич. исследований. Показана применимость метода для исследования следов неоднородности хим. природы в сплавах (на примере Ni-Cr), позволяющего вскрыть некоторое разложение основы при термообработке, не обнаруживаемое нормальным оптич. микроскопом и наблюдаемое раньше лишь посредством электронного микроскопа. Метод ИК прост по конструкции и эксплуатации и позволяет вскрыть профиль поверхности порядка 20 А (на поверхности, шероховатость которой очень мала, меньше доли микрона). Библ. 26 назв.

З. Соловьева
33138. Применение электролитической полировки в промышленности. IV. Окончательная отделка буров. Танигучи, Васно (Taniguchi Kiyomi, Washio Kanichi), Сэймигу кикай, J. Soc. Precis. Mech. Japan, 1957, 23, № 1, 23—27 (японск.; рез. англ.)

Применение электролитич. полировки для отделки стальных буров позволяет не только избавиться от связанных с другими методами отделки недостатков (деформация лезвия спирали, образование окалин, окрашивание лезвия), но и увеличивает антикоррозионные свойства и остроту лезвия. Описана установка для полировки, приведены эксперим. данные и экономич. показатели. Сообщение III см. РЖХим, 1958, 8651.

Из резюме авторов

33139. Влияние ионов некоторых электролитов на процесс анодирования алюминия. Филимонович К. М., Лыков Е. П., Полякова Л. А., Буртная Н. Ф., Изв. Киевск. политехн. ин-та, 1957, 20, 140—148

Исследовалось влияние катионов Cu, Fe, Mg, Zn, Ni, Mn, Cr на процесс анодирования Al в 20—40%-ном р-ре H_2SO_4 . Анодирование осуществлялось при $D_a-1,5$ а/дм² в течение 40 мин. Вышеуказанные катионы вводили в р-р в виде сульфатов. О влиянии конц-ии катионов на процесс анодирования судили по величине изменения веса анодированных образцов и по коррозионной стойкости в 3%-ном р-ре NaCl. Установлено, что конц-ия ионов Cu в электролите не должна превышать 0,025 вес. %. Дальнейшее повышение конц-ии Cu обуславливает появление красного или черного стирающегося налета и снижение коррозионной стойкости анодированного Al. Постепенное накопление в электролите ионов Zn, Ni, Mg и Fe не влияет на качество оксидной пленки.

П. Щиголов

33140. Новые методы обработки поверхности алюминия (Neue Verfahren der Oberflächenbehandlung des Aluminiums. —), Metallwaren-Ind. und Galvanotechn., 1956, 47, № 5, № 6, 220—222, 264—267 (нем.)

Рассматриваются вопросы механич. обработки, шлифовки, полировки и хим. оксидирования Al, Al-Mg- и Al-Mn-сплавов в р-рах состава (в г/л): $Na_2SO_4 50 + Na_2CrO_4 15$; $Na_2CO_3 65 + Na_2Cr_2O_7 15$, т-ра 95—100°, время 5—15 мин. Уплотняют пленки обработкой в 1—3%-ном р-ре Na_2SiO_3 при 90° в течение 5—15 мин. Приведены рецепты и условия для хим. окраски сплавов в черный, коричневый, красный и другие цвета.

В. Зиннов

33141. Исследование вторичной структуры анодных пленок на алюминии методом окрашивания. II. Кинетика окрашивания. Скуликидис, Папатанасиу, Марангосис (Untersuchung der Sekundärstruktur von anodischen Deckschichten auf Aluminium durch Farbstoffaufnahmen. II. Kinetik der Färbung. Skulikidis Th., Papathanasiu Ch., Marangosis J., Kolloid-Z., 1957, 150, № 1, 54—60 (нем.)

Исследовалась кинетика окрашивания окисных пленок на алюминии в зависимости от т-ры красящей ванны и D_a (сообщение I см. РЖХим, 1957, 69374). Анодирование Al осуществлялось в 15%-ном р-ре H_2SO_4 при 30°, напряжении 14,5 в в течение 15 мин. Для окрашивания анодных пленок применялся 0,3%-ный р-р красителя «Огоханал RL». Зависимость кол-ва поглощенного красителя (x) в обоих слоях (x_1 — Al_2O_3 и x_2 — Al_2O_3) от времени крашения (t_a) подчиняется параболич. закону: $x^2 = K'' \cdot t_a$. Применимость этого

уравнения указывает на образование хим. соединений между красителем и Al_2O_3 . Константа скорости для слоя x_1 — Al_2O_3 пропорциональна D_a ; для слоя x_2 — Al_2O_3 этой зависимости нет. Для различных т-р красильной ванны сохраняется указанная зависимость, но константа скорости (K'') увеличивается с повышением т-ры. На кривой зависимости константы скорости от D наблюдается перелом, соответствующий прохождению кол-ва электричества, равного 8600 кул/дм². Это указывает на изменение свойств обоих слоев. Вновь было подтверждено, что лежачий на основном слое слой x_1 — Al_2O_3 является пористым и поэтому скорость поглощения красителя зависит от его общей поверхности, т. е. его толщины и, следовательно, и от D_a . В противоположность этому лежащий за ним слой x_2 — Al_2O_3 менее пористый, вследствие чего скорость поглощения красителя и зависит от его толщины и от D_a . Применимость уравнения Аррениуса для обоих слоев позволяет также определить энергию активации процесса окрашивания, скорость которого определяется не только скоростью диффузии, но и скоростью хим. р-ции между красителем и в-вом пленки.

П. Щиголов

33142. Материалы, применяемые в радио и электронной технике. 5. Электроосаждение металлов. — (Materials used in radio and electronic engineering. 5. The electrodepositon of metals. —), J. Brit. Instn Radio Engrs, 1957, 17, № 1, 35—47 (англ.)

Предыдущее сообщение см. РЖХим, 1957, 72897.

И. Ерусалимский

33143. Серебрение в нецианистых электролитах. Баташев К. П., Китайчик Б. Г., Тр. Ленингр. политехн. ин-та, 1957, № 188, 239—248

Исследовались условия, обеспечивающие получение серебряных покрытий хорошего качества в йодистых р-рах. Установленная зависимость между величиной катодного потенциала и временем электролиза позволяет судить об окончании процесса полного осаждения по скачку потенциала катода от $-0,23$ до $0,34$ в.

Методом поляризационных кривых установлено, что с повышением т-ры от 20 до 50° равновесный потенциал катода изменяется от $-0,169$ до $-0,159$ в, а предельная D возрастает от 0,94 до 1,1 a/dm^2 соответственно. Перемешивание электролита резко снижает величину поляризации. Присутствие желатины сдвигает потенциал катода в более положительную сторону и несколько понижает предельную D . Рекомендуются следующие электролиты (состав в г/л) и режимы: 1. $AgCl$ 27; KJ 400; желатина 1—2; т-ра 25°; $D_k = 0,1—0,2 a/dm^2$. 2. $AgCl$ 60; KJ 450; желатина 1—2; т-ра 60°; $D_k = 2,5—3,0 a/dm^2$. По качеству и структуре осадки Ag , полученные из йодистого р-ра, не отличаются от осадков, полученных из цианистых электролитов. РС электролита, определенная по методу Харинка и Блюма (при $K = 5$), оказалась равной 30%.

Н. Михайлов
33144. Применение сегрегации для очистки электролита. Петропавлова З. В., Бюл. цветн. металлургии, 1957, № 9, 16—19

При электролитическом рафинировании Cu примесь Ni в кол-ве ~85% переходит в р-р. С увеличением конц-ии $NiSO_4$ повышается сопротивление электролита и расход электроэнергии, ухудшается качество осадка и его состав. Для удаления $NiSO_4$ раньше часть электролита (50—55 m^3) подвергали электролизу с нерастворимыми анодами, содержание Cu при этом падало от 27,5 до 2—2,5 г/л. Р-р упаривался и отправлялся на кристаллизацию. Катодная Cu при этом не являлась товарной. Использование метода сегрегации — явление расслоения электролита по уд. весу на богатые и бедные Cu слои — позволило снизить потери Cu на 27—34 т в месяц (в пересчете на $CuSO_4 \cdot 5H_2O$), сократить продолжительность цикла обезмеживания с 2 до 12 час. и понизить конц-ию $NiSO_4 \cdot 7H_2O$ в электролите. Содержание $CuSO_4$ в верхнем слое составляет в среднем 65,08 г/л, а в нижнем 117,7 г/л. 25—28 m^3 электролита в сутки отбирается из верхней части ванны (через порог) и отправляется на обезмеживание. Состав р-ра до обезмеживания (в г/л): H_2SO_4 150,5; $CuSO_4 \cdot 5H_2O$ 65,31; после обезмеживания: H_2SO_4 173; $CuSO_4 \cdot 5H_2O$ 8,3; содержание $NiSO_4 \cdot 7H_2O$ во всех слоях ванны примерно одинаковое — около 75 г/л. Применение метода сегрегации позволило снизить содержание $CuSO_4 \cdot 5H_2O$ в р-ре, так как с уменьшением содержания Cu объем передаваемых на обезмеживание р-ров мог быть увеличен без ущерба для основного электролиза.

Н. Михайлов
33145. Медные покрытия, нанесенные контактным способом. Уэйи (Copper films by galvanic techniques. Wein Samuel), Glass Ind., 1957, 38, № 7, 383, 402 (англ.)

Обзор. Библ. 11 назв.

А. Рейхштадт
33146. Производство раствора сернокислого марганца, пригодного для электролиза, из шлама промывной фабрики в Уркуте. Хорват (Production of manganous sulphate solution fit for electrolysis from Urkút washery slimes. Horváth Z.), Acta techn. Acad. sci. hung., 1957, 18, № 3-4, 209—230 (англ.; рез. нем., франц., русск.)

Предложена технология получения сернокислого электролита, пригодного для электролитич. получения Mn . Основными операциями технологич. процесса являются: а) восстановление руды в потоке газа при 400—500° в течение 1 часа; б) охлаждение в восстановительной атмосфере; в) выпелачивание при нормальной т-ре возвратным р-ром после электролиза Mn состава (в г/л): $(NH_4)_2SO_4$ 200, своб. H_2SO_4 60, $MnSO_4$ — небольшое кол-во. В зависимости от условий выпелачивания выход Mn составлял 93,33 или 94,04%.

В. Левинсон
33147. Совместное влияние примеси марганца с железом, кобальтом и сурьмой в растворах при электролитическом осаждении цинка. Журин А. И., Пюппенен С. П., Тр. Ленингр. политехн. ин-та, 1957, № 168, 204—211

Исследовалось как отдельное, так и совместное влияние примесей Mn , Fe , Co и Sb на ВТ при электролитич. рафинировании цинка. Во всех опытах $D_k = 500 a/m^2$, т-ра 30°, исходная конц-ия $ZnSO_4$ 110 г/л. Mn вводили в виде $MnSO_4$, Fe — в виде $FeSO_4$, Co — в виде $CoSO_4$, Sb — в виде $K(SbO)C_4H_4O_6 \cdot 1/2 H_2O$. Установлено, что понижение ВТ при добавке Mn наступает вследствие окисления и восстановления ионов Mn у электродов. С применением диафрагмы увеличение конц-ии Mn до 20 г/л в катодите не влияет на ВТ. Железо вызывает понижение ВТ за счет окислительно-восстановительной р-ции и осаждения на катоде с Zn . При совместном присутствии Mn и Fe происходит ослабление их влияния за счет взаимного окисления-восстановления. Действие $Mn-Co$, $Mn-Sb$ и $Co-Sb$ более резко снижает ВТ, чем следовало ожидать, исходя из предположения о их независимом действии. Добавка 50 мг/л желатины приводит к сильному ослаблению действия примесей, в особенности Co и Sb , выделяющихся на катоде вместе с Zn и ухудшающих структуру осадка. Опыты с диафрагмой показали, что в нейтр. электролите ВТ Zn остается высоким в присутствии значительных кол-в примесей.

Н. Михайлов
33148. Нанесение электролитических покрытий на литые цинковые изделия. Часть II. Хорвик (The electroplating of zinc die castings. Part 2. Horvick Ernest), Metal. Prod. Manufact., 1957, 14, № 5, 59—61. (англ.)

Описан способ осаждения Ni и Cu -покрытий на поверхность литых Zn -изделий и влияние различных компонентов электролита и режима электролиза на качество и сцепляемость покрытия. Предыдущее сообщение см. РЖХим, 1958, 25790.

З. Соловьева
33149. Блестящее никелирование. Моргарт Р. М., Уч. зап. Черновицк. ун-т, 1956, 20, 45—58

Изучены режимы работы и качество получаемых осадков для трех электролитов блестящего никелирования, рекомендуемых в литературе. Электролит 1 (состав в г/л): $NiSO_4 \cdot 7H_2O$ 200; KCl 10; H_3BO_3 30; KF 6; 2,6—2,7 $C_{10}H_8(SO_3H)_2$ 6; $pH = 5,0—6,0$; т-ра 20—40°; $D_k = 1—4 a/dm^2$. Блеск осадков падает с увеличением толщины покрытий, и начиная с 15 μ осадки приобретают довольно большую хрупкость. Добавка 6 г/л нафталиндисульфокислоты (оптимальная конц-ия) увеличивают поляризацию на 100 мв. Электролит 2: $NiSO_4 \cdot 7H_2O$ 140; H_3BO_3 15; $NaCl$ 5; NaF 1,5; $SC(NH_2)_2$ 0,15. Добавка тиомочевны $> 0,2$ г/л вредна, так как она увеличивает хрупкость осадка. Блеск мало меняется с увеличением толщины слоя. При конц-ии тиомочевны 0,15 г/л поляризация увеличивается на 120 мв. Электролит 3: $NiSO_4 \cdot 7H_2O$ 240; $NiCl_2 \cdot 6H_2O$ 45; H_3BO_3 30; $(NH_4)_2SO_4$ 2,5; $CoSO_4 \cdot 7H_2O$ 15; $HCOONa$ 35; CH_2O (40%) 2,5; $D_k = 3—8 a/dm^2$; т-ра 50—70°. Осадки содержат 16—18% Co . Поляризация при $pH = 5,5$ и т-ре 60° (осадки не блестящие) мало отличается от поляризации при $pH = 3,8$ и т-ре 60°. Блестящие осадки получаются в интервале $pH = 3,6—4,0$.

Н. Михайлов
33150. Интенсификация процесса электролитического рафинирования никеля. Розов В. Н., Материалы Совещания по вопр. интенсифик. и усоверш. добычи и технол. переработки медно-никелевых и никелевых руд. 1956 г., М., Профиздат, 1957, 184—195

33151. Получение особо чистого катодного никеля. Ротинян А. Л., Хейфец В. Л., Материалы Совещания по вопр. интенсифик. и усоверш. добычи

- и технол. переработки медно-никелевых и никелевых руд. 1956 г. М., Профиздат, 1957, 195—203
33152. Электролиз кобальта (Опыт промышленной установки). Парамонов Л. И., Бюл. Центр. ин-та информ. М-ва цветн. металлургии СССР, 1957, № 3, 27—30
33153. Исследование водорода в хромированной стали масс-спектрометром. Леви, Консолацио (Mass spectrometric examination of hydrogen in chromium-plated steel. Levy Charles, Consolazio George A.), J. Electrochem. Soc., 1956, 103, № 11, 624—627 (англ.)
- Изучено удаление H_2 из стальных (CO) и хромированных стальных (ХО) образцов масс-спектрометрич. методом в интервале t -р 400—800° во времени. Показано, что при каждой t -ре кол-во выделяющегося H_2 асимптотически приближается к пределу, но полного выделения H_2 не происходит (даже при 20-часовом нагревании образцов при 800°). При 350° кол-во H_2 , выделяющегося из ХО, в несколько раз больше, чем из СО. Основная часть H_2 при 350° выделяется через 80 мин. после начала нагревания. Ниже 350° H_2 выделяется исключительно из ХО, а выше 490° H_2 выделяется главным образом из стали. При 550° скорость выделения H_2 практически одинакова для СО и ХО. Слой Cr толщиной 0,0076 мм не влияет на скорость диффузии H_2 из стали в этом интервале t -р.
- З. Соловьева
33154. Исследование электрохимического поведения олова. II. Растворы, содержащие ион фтора. Бертоцци, Серавалле (Ricerche sul comportamento elettrochimico dello stagno. Nota II. Soluzioni contenenti fluorioioni. Bertocci U., Serravalle G.), Metallurgia ital., 1957, 49, № 2, 95—98 (итал.; рез. англ., нем., франц.)
- Изучалась кинетика поведения Sn — анодный и катодный процессы. Исследовались фтористоводородные и хлористоводородные р-ры в отношении образования комплексных соединений F, влияния конц-ии комплексобразователя, кислотности и t -ры электролита. Было подтверждено нормальное электрохим. поведение Sn в р-рах, содержащих комплексы, в присутствии ионов F. Анодное перенапряжение р-ра и катодное перенапряжение имеют порядок нескольких десятков мВ при $D = 220$ а/м². Добавка небольших кол-в HCl к р-рам с большой конц-ией комплексов, хотя и не изменяет значения потенциала электрода, однако вводит некоторые отличия по сравнению с нейтр. р-ром и, в особенности, с р-рами, содержащими HF и HF₂. В р-рах, содержащих только HF в отсутствие Cl⁻, значения перенапряжения низки и имеют склонность к увеличению с уменьшением кислотности. Часть I см. РЖХим, 1957, 45177.
- Я. Лацин
33155. Электроосаждение из сульфаматных растворов. Часть II. Цинк. Сатхьянараяна. Рамачар (Electro-deposition from sulphamate solutions. Part II — Zinc. Sathyanarayana S., Rama Char T. L.), J. Scient. and Industr. Res., 1957, A16, № 2, 86—90 (англ.)
- Сульфамат Zn готовился таким же путем, что и сульфамат Ni (РЖХим, 1957, 64026). Буферные свойства 1 н. р-ра сульфамата цинка невелики, но резко увеличиваются при добавке 0,1 М Al₂(SO₄)₃ в интервале pH 3,5—4. Потенциал разложения 1—2 н. р-ра сульфамата цинка 2,4—2,6 в, напряжение на ванне 0,5—1,5 в. Осадки Zn имеют белый или желтоватый цвет и хорошее сцепление с основой. В качестве блескообразователей употребляют декстрин, β-нафтол и их смесь. ВТ_к = 100%; ВТ_а = 100%. РС исключительно хороша. Оптимальные условия: состав р-ра (в г/л): сульфамат Zn 250 (~1 М); Al(SO₄)₃ 35; декстрин 0,05; β-нафтол (р-р в спирте) 0,1. D_к =
- 1—6 а/дм²; pH 2,2—2,8; t -ра 25—30°. Описаны методы анализа и корректировки электролита. М. Мельников
33156. Электролитическая ячейка. Хадсуэлл, Уилкинсон, Уолдрон (A useful electrolytic cell. Hudswell F., Wilkinson K. L., Waldron J. C. Repts. Atomic Energy Res. Establ., 1957, № C/R 779, 6 pp., 6 pp. ill.) (англ.)
- Описана конструкция электролитич. ячейки для получения радиоактивного осадка на определенной поверхности с одной или двух сторон пластины или фольги. Катодный диск находится в вертикальном положении, что уменьшает прилипание к нему рыхлых частиц. Перемешивание электролита осуществляется посредством вращения Pt-анодов с двух сторон катода. Конструкция ячейки позволяет до выключения тока переместить обедненный активностью электролит в боковую камеру, а затем производить демонтаж. Ячейка позволяет получать осадки большой активности (> 1 кюри/см²) из объема 3—5 мл. Ячейка удобна для получения α-излучателей и дает очень небольшое загрязнение (< 100 имп/сек после 20 ирраций).
- З. Соловьева
33157. Методика приготовления эталонов толщин гальванических осадков. Баташев К. П., Макаренко Н. В., Тр. Ленингр. политехн. ин-та, 1957, № 188, 232—238
- Разработан струйно-электрометрич. метод измерения толщины металлопокрытий. Покрытие растворяется одним из обычно применяемых в струйном методе р-ров. Момент окончания растворения фиксируется по отклонению стрелки гальванометра (микроамперметра) в результате изменения обратной э. д. с. при быстрой смене одного электрода другим. Для снятия Cu-слоя с железа применяли р-р состава: FeCl₂ · 6H₂O 150 г/л и 150 мл HCl, уд. в 1,17. Ограничение площади образца, соприкасающейся с рабочим р-ром, осуществляется с помощью спец. приспособления. Способ позволяет повысить точность измерений до 2,5% (погрешность струйно-периодич. способа достигает 40%). Сконструирована ванна для получения равномерных покрытий на вращающемся катоде. Экранирующий катод неподвижен, катод-образец вращается со скоростью 5 об/сек. Состав электролита (в г/л): CuSO₄ · 5H₂O 200; H₂SO₄ 50; t -ра 18°; D_к = 2 а/дм². Толщина осадка Cu составляла 5—20 м. Равномерность распределения металла 97%, т. е. при толщине 10—20 м расхождение между толщинами в отдельных точках составляет не более 0,3—0,5 м.
- Н. Михайлов
33158. Определение толщины гальванических покрытий за исключением хромовых. Мюнстер (Determinazione dello spessore dei rivestimenti galvanici ad esclusione di quelli di cromo. Münster Herbert), Lab. scient., 1957, 5, № 2, 31—46 (итал.)
- Описан струйный метод определения толщины гальванич. покрытий.
- Я. Лацин
33159. Измерение толщины металлических покрытий, полученных методом распыления. Мансфорд (Measuring the thickness of sprayed metal coatings. Mansford R. E.), Electroplat. and Metal Finish., 1957, 10, № 7, 208—212 220 (англ.)
- Описано несколько типов толщешмеров, принцип действия которых основан на использовании магнитных свойств металлов.
- И. Ерусалимич
33160. Изготовление грампластин с использованием химических методов нанесения меди и никеля. Мията, Хосо гидзюцу, Broadcast. Engng., 1956, 9, № 11, 27—30 (японск.)
33161. Автоматизация процесса нанесения гальванических покрытий. Хох (Automatische Galvanisierung. Hoch Alois), Ind.-Anz., 1957, 79, № 94, 1471—1473 (нем.)

Описано автоматич. оборудование в гальванич. цехах. Приведены типы автоматов: прямолинейные, овалынные, карусельные и их назначение. К. Ж. И. 33162. Выход по току и механизм потерь металла при электролитическом получении магния. Стрелец Х. Л., Тр. Всес. алюмин.-магн. ин-та, 1957, № 39, 471—487.

Изучено влияние на ВТ_к плотности тока, межэлектродного расстояния, рабочей высоты электродов, состава электролита и его физ.-хим. свойств применительно к конструкции современных электролизеров для получения магния. Сформулирован механизм потерь магния, которые часто определяются скоростью растворения на катоде и переноса растворенного металла через прикатодный диффузионный слой и циркулирующий поток электролита к аноду, где он соединяется с хлором, но главным образом потери обусловлены растворением с поверхности отдельных шариков металла, циркулирующих с электролитом, и взаимодействием растворенного с этой поверхности магния с анодным газом. Имеет место также непосредственное взаимодействие циркулирующих в электролите мелких шариков магния с анодными газами. Приведенный механизм позволяет удовлетворительно объяснить влияние различных факторов на ВТ и факты, наблюдающиеся в практике промышленного электролиза. Библи. 16 назв. В. Зиновьев

33163. Влияние температуры на выход по току при электролизе хлористого магния. Стрелец Х. Л., Тр. Всес. алюмин.-магн. института, 1957, № 39, 488—491

Изучено влияние т-ры в области 680—800° на ВТ_к в полувыводской ванне, представляющей модель ячейки современной магниевой ванны с размерами, равными размерам ячейки промышленных ванн. Электролит (в вес. %): MgCl₂ 10, CaCl₂ 20, KCl 35, NaCl 35, D = 0,5 а/см², высота электродов 800 мм, расстояние между электродами 80 мм. Зависимость ВТ от т-ры выражается следующим эмпирич. ур-нием: ВТ = 88—0,083 (t° — 680°). Полученные данные согласуются с данными промышленной практики. В. Зиновьев

33164. Развитие технологии электролиза алюминия. Никиторов В. П., Бюл. цветн. металлургии, 1957, № 8, 43—49

Приводится анализ работы Уральского, Волховского, Днепровского и др. алюминиевых з-дов за 1946—1956 гг. Показано, что непрерывный рост производительности электролизеров и снижение расхода электроэнергии достигнуто за счет следующих мероприятий. 1. Увеличения D_а от 0,695 до 0,863 а/см². 2. Понижения криолитного отношения NaF/AlF₃ от 3,0 в 1949 г. до 2,42 в 1956 г. Добавки в электролит до 5,47% CaF₂ и 7% AlF₃. 3. Увеличения уровней металла в ванне от 19,4 до 25,8 см. 4. Снижение греющего напряжения путем уменьшения междуэлектродного расстояния. 5. Снижения частоты анодных эффектов, постоянства электрич. режима и других параметров технологич. процесса. Б. Лепивских

33165. Электролитический титан. Дин (Electrolytic titanium. Dean R. S.), Metal Ind., 1957, 90, № 9, 165—167 (англ.)

Описан процесс электролитич. рафинирования Ti в расплавленных солях. В частности, описано изменение потенциала анода из сплава Ti с O₂ и скорость его растворения в зависимости от состава сплава, электролита и т-ры. Рассматривается также приготовление электролитов и анодов для процесса рафинирования (из руд). Предыдущее сообщение см. РЖХим, 1958, 15166.

33166. Электрохимический завод в Сен-Обане (Нижние Альпы). Севен (L'usine électrochimique de

Saint — Auban (Basses — Alpes). Sevin R.), J. four électr. et inds électrochim., 1957, 66, № 2, 49—54 (франц.)

Описана технология получения и приведены схема, фотографии установки и характеристики оборудования, применяемого для получения CaC₂ и ацетилена на з-де. Предыдущее сообщение см. РЖХим, 1957, 72203. Я. Матлис

33167 К. Основы гальваностегии. Ч. 2. Изд. 3-е, переработ. и доп. Лайнер В. И., Кудрявцев Н. Т. М., Металлургиздат, 1957, 647 стр., илл. 20 р. 75 к.

33168 К. Гальванотехника. Гальваническое облагораживание металлов и гальванопластика. Изд. 14-е, полностью переработ. Ред. Краузе (Galvanotechnik. Galvan. Metallveredlung und Galvanoplastik. 14. vollst. neu bearb. Aufl. Krause Hugo. Schwäbisch-Gmünd, H. Krause, 1957, VII, 355 S., ill., 12.40 DM) (нем.)

33169 К. Руководство для гальванотехника. Практический учебник для профессионально-технических школ и для производственного персонала. Билфингер (Leitfaden für Galvaniseure. Das prakt. Lehrbuch f. Fachschule, Berufsschule, Werkstatt und Betrieb. Bilfinger Robert. Leipzig, Fachbuchverl., 1957, 426 S., 17 DM) (нем.)

33170 К. Химия в гальваностегии, особенно с точки зрения корректировки и исследования электролитических ванн. Изд. 2-е, перераб. и доп. Энгеллендер (Chemie für Galvaniseure unter besonderer Berücksichtigung der Badkorrektur und Baduntersuchung. 2. erw. und verb. Aufl. Engelländer Karlheinz. Saulgau/Wttbg, Leuze, 1957, 104 S., ill., 6.40 DM) (нем.)

33171 Д. Упрочнение электролитических железных покрытий, применяемых при ремонте машин, введением в электролит различных видов добавок. Лехикойнен М. М. Автореф. дисс. канд. техн. н., Ленингр. с.-х. ин-т, Л., 1957

33172 Д. Исследование электродных процессов при электролитическом рафинировании алюминия. Гармата В. А. Автореф. дисс. канд. техн. н., Моск. ин-т цветн. мет. и золота, М., 1957

33173 С. Угольные и графитовые электроды (Carbon and graphite electrodes). Японск. стандарт R7201, 1955

33174 С. Электролитический магний. Качество. (Manganese elettrolitico. Qualità-Prescrizioni). Итал. ст. UNI, 3814, 1956

33175 П. Гальванический элемент. Морхаус, Гликсман (Primary cell. Morehouse Clarence K., Glicksman Richard) [Radio Corp. of America]. Пат. США 2759986, 21.08.56

Патентуется гальванич. элемент (Э), анодом которого является Mg, а катодом — S. Теоретич. емкость такой пары — 79,1 а-мин/г, э. д. с. 1,90 в. Источник тока может быть изготовлен в виде сухого Э с анодом в виде стаканчика из сплава состава (в %): Mg 95,65, Al 3, Zn 1, Mn 0,2 и Ca 0,15. Катод формируется из смеси состава (в вес. ч.): порошкообразная сера 50, графит 5, ацетиленовая сажа 5. Масса замешивается на электролите — 190 г MgBr₂ на 1 л H₂O. Электроды отделены друг от друга прокладкой из гигроскопич. бумаги, пропитанной электролитом. Как замедлитель коррозии может быть добавлен хромат или бихромат Na, K, Ca, Ba. Токоотводом служит угольный стержень с металлич. колпачком, вокруг которого формируется анод. Э герметизируется картонной или пластмассовой шайбой и заливкой из смолки. Состав анодного

сплава; катодной смеси, электролита и конструктивные элементы могут меняться в широких пределах.

Б. Герчиков

33176 П. Электроподогреватель для свинцового аккумулятора. Креймер (Battery. Kramer Nelson H.). Пат. США 2761006, 28.08.56

Патентуется электроподогреватель (ЭП) для обогрева свинцовых аккумуляторных батарей (АБ), особенно стартерного типа, в арктич. условиях т-ры. ЭП состоит из нихромовой проволоки в чехле из стеклоткани, заключенной в свинцовую трубку. ЭП монтируется на L-образной подставке, горизонтальная часть которой снабжена призмами. В отверстия призм пропущен U-образно согнутый ЭП, а концы его выведены в пазах вертикальной части подставки под крышку батареи. Призмы служат опорами для электродного пакета, и ЭП, таким образом, находится в шламовом пространстве, что гарантирует от контактирования с электродами.

Б. Герчиков

33177 П. Получение окиси бериллия. Банерджи, Чакраварти (Process for the recovery of beryllium oxide. Banerjee Tarapada, Chakravarty Phani Bhushan) [The Council of Scientific and Industrial Research]. Пат. США 2749296, 5.06.56

Водный р-р двойного фторида Be и Na, полученный при переработке берилла обычным способом, помещают в катодное пространство электролизера, отделенное пористой керамич. или асбестовой диафрагмой. Анолит ~10%-ный р-р NaCl, катод и анод — графитовые стержни. Электролиз ведут при $D = 0,94 - 6,3 \text{ а/дм}^2$, оптимально $2,2 \text{ а/дм}^2$, ВТ ~85%. По окончании процесса из полученной в катодном пространстве суспензии выделяют $\text{Be}(\text{OH})_2$ 79—96%-ной чистоты.

Л. Херсонская

33178 П. Установка для получения гидрата пинакона электролитическим восстановлением ацетона. Кодо, Японск. пат. 1830, 7.04.54

Установка представляет герметически закрытый электролизер, состоящий из нескольких анодных и катодных камер. Анодные и катодные пространства отделены друг от друга перегородками. Между собой анодные (катодные) пространства соединены узкими каналами с тем, чтобы анолит (католит) свободно мог циркулировать из одного анодного (катодного) пространства в другое. С внешней стороны электролизера имеются сепараторы для разделения газов, холодильники и фильтры. В электролизере все время поддерживается постоянное давление. Дано подробное описание установки и приведены схемы ее устройства.

В. Зломанов

33179 П. Электролитический конденсатор. Росс (Electrolytic capacitor. Ross Sidney D.) [Sprague Electric Co.]. Пат. США 2759132, 14.08.56

Электролитические конденсаторы с анодами из Al, Ta, Zr или Ti с борным или серноокислотным электролитом не выдерживают т-р ~100° и выше из-за разрушения окисной пленки анода. Патентуется электролит из солей органич. к-т, который позволяет применять конденсатор при т-рах до 200°. Соли для такого электролита должны быть окислителями, адсорбироваться на поверхности анода и реагировать с вредными примесями в электролите (напр., Cl'), связывая их. Приводится ряд анионов, обладающих такими свойствами: нитраты, нитрофенолаты, нитрофенилмеркаптаны, динитро-β-нафтол, а также нитрозо и азоксигомологи указанных радикалов. Катионами могут быть Na, Ca, K и Li или органич. радикалы — амины, алкиламины и т. п. Приводится рецептура и методика изготовления нескольких электролитов. Эти соли растворяются в ди- или триэтиленгликоле, и р-ром пропитывается бумага, стекло и ткань и т. п., служащие прокладкой в конденсаторе.

В. Герчиков

33180 П. Электролитическое травление конденсаторного алюминия. Тернер (Electrolytically etched condenser electrode. Turner Terry E.) [Sprague Electric Co.]. Пат. США 2755237, 17.07.56

Патентуется способ электролитич. травления Al-фольги, отличительной особенностью которого является предварительная рекристаллизация металла в течение 2 час. при 500—600°. Травление проводится в р-ре солей галоидоводородных к-т при повышенной т-ре. Приведена схема производственной установки для электролитич. травления. Анодирование производится обычными способами. Процесс значительно повышает коэф. емкости, т. е. отношение емкости на единицу поверхности травленной фольги к емкости нетравленной.

Б. Герчиков

33181 П. Травление алюминиевой фольги для электролитического конденсатора. Сато (Nixon Джон Кабусики кайся). Японск. пат. 1830, 15.03.56

Al-фольгу (Ф) толщиной 0,1 мм (Al 99,9%) помещают в 1%-ный водн. р-р HCl (т-ра 50—60°) и в течение 10 сек. пропускают постоянный ток $D = 0,2 \text{ а/дм}^2$, затем в течение 8 сек. пропускают переменный ток $D = 0,166 \text{ а/см}^2$ и таким образом травят Ф ~5 мин. до тех пор, пока фольга не уменьшится в весе примерно на 30%. После чего Ф обычным методом монтируют в электролитич. конденсатор, в качестве прокладки используют пасту из бората аммония и этиленгликоля. Для сравнения электрич. свойств полученной патентуемым методом Ф (1) с электр. свойствами Ф (2), приготовленной обычным методом, взяли контрольный образец Ф, травление которой проводилось следующим образом: в начале через Ф пропускали в течение 5 мин. 30 сек. переменный ток $D = 0,1 \text{ а/см}^2$ до тех пор, пока Ф не уменьшилась в весе на 20%, а затем в течение 1 мин. 20 сек. — постоянный ток $D = \text{а/см}^2$, пока Ф уменьшилась в весе на 10%. Травильный р-р, т-ра р-ра и толщина те же, что и в первом случае. Установлено: Ф 1 — электролитич. емкость 17,4 мкф; потери (при 120 гц) 210 мкф/см; ток утечки 35 мка; ток утечки после нахождения в течение 25 дней без нагрузки при т-ре 60° 155 мка; уменьшение Ф в весе в результате травления 33,8%; Ф 2 — электролитич. емкость 16,1 мкф; потери (при 120 гц) 250 мкф/см; ток утечки 90 мка; ток утечки после 25 дней без нагрузки при т-ре 60° 860 мка. Уменьшение веса Ф 32,3%.

В. Зломанов

33182 П. Обработка поверхности алюминия и его сплавов. Кон (Surface treatment of aluminum and its alloys. Cohn Charles C.) [Samuel L. Cohn and Charles C. Cohn, doing business as Colonial Alloys Co.]. Пат. США 2729551, 3.01.56

Патентуется метод обработки Al или его сплавов (хим. полировка поверхности), заключающийся в том, что поверхность подвергается воздействию кислой смеси состава (в %): H_3PO_4 своб. 45—98, H_2O 2—35, HNO_3 своб. 0,5—50 при т-ре в пределах от 66° до т-ры кипения смеси.

Я. Лапин

33183 П. Окончательная электролитическая обработка зеркальной поверхности химически стойкого алюминия. Кавамура, Мияо (Йокогама кинто Кабусики кайся). Японск. пат. 2308, 29.03.56

Отшлифованный Al-рефлектор вначале промывают 10%-ным р-ром NaOH и удаляют с его поверхности грязь, затем электрополируют в водн. р-ре состава (в %): Na_2CO_3 15, NaOH 5, KF 3, Na_3PO_4 5, клей 0,03. Т-ра р-ра 70°. В качестве катода используют Pb-платинку; напряжение на ванне 6 в, $D_k = 30 \text{ а/дм}^2$. Продолжительность полирования ~10 сек. Затем рефлектор промывают водой и анодируют в водн. р-ра, содержащем 20% KHSO_4 и 0,2% KF, в течение 5 мин., напряжение тока 6 в, $D_a = 0,5 \text{ а/дм}^2$; т-ра р-ра ком-

натив. После этого рефлектор промывают р-ром NH_4OH и в течение 10 мин. обрабатывают перегретым паром под давлением 5 ат.

В. Зломанов

33184 П. Цинкование железа. Кита сиракава [Итикава Сигэси, Ямамото Кандзи]. Японск. пат. 510, 28.01.56

Вначале железо очищают от грязи, травят в к-те и затем на 3—5 сек. помещают в р-р состава (в вес. %): CuSO_4 16—20, $\text{SnCl}_2 + \text{Sn}(\text{NO}_3)_2$ 4, виноградный сахар 2, KCN 0,02, H_2O — остальное. Т-ра р-ра ~ 40°. После этого железо промывают водой. Отдельно готовится 2-й р-р, аналогичный по составу р-ру, указанному выше, но в нем $\text{CuSO}_4 : (\text{SnCl}_2 + \text{Sn}(\text{NO}_3)_2) = 1:1$. Железо, обработанное 1-м р-ром и промытое после этого водой, вновь погружают на 3—5 мин. во 2-й р-р, после чего промывают водой. В результате на поверхности железа образуется пленка Sn-Cu . Эта пленка повышает механич. прочность Zn -покрытия, способствует лучшему сцеплению Zn с Fe и повышает коррозионную стойкость оцинкованного железа. Затем железо, прошедшее выше указанную предварительную обработку, на 3 мин. погружают в р-р состава (в %): $\text{NH}_4\text{Cl} + \text{NH}_4\text{OH}$ 10, виноградный сахар 5—10, ZnCl_2 3, H_2O — остальное. Т-ра р-ра 90°. После этого железо погружают на 50 сек. в расплав $\text{Zn} + 0,2\text{—}0,1\%$ Sn и Cu при 430—460°. Оцинкованное железо обрабатывают в р-ре состава (в %): поливинил 10, полиэфир 10, фенол 3, соли фосфорной к-ты 0,05, ZnCl_2 5 и остальное — летучие р-рители (метанол и др.).

В. Зломанов

33185 П. Ванна для блестящего никелирования. Браун, Хай (Bad für elektrolytisch uttfällning av högljansande nickel samt sätt att elektrolytiskt utfälla nickel. Brown H., High L. B.) [The Udyllite Corp.]. Шведск. пат. 156058, 11.09.56

Ванна, состоящая из кислого р-ра соли Ni , отличается тем, что она содержит 0,003—0,08 г/л соединения общей ф-лы: $(\text{R}^2)_y - \text{R}^3 - \text{CHR}^4 - \text{R}^5\text{NR}^6 - (\text{R}^1)_x$, где NR^4 — хинолин, изохинолин или их CH_3 - или C_2H_5 -производные; R^5 — анион водорастворимой к-ты, напр., Cl^- или Br^- ; R^4 — H , CH_3 или C_2H_5 ; R^3 — H , NO_2 , CH_3 , CH_2F , Br или Cl ; R^2 — остаток бензола или нафталина; R^1 — галоген, а x и y — 0,1 или 2. Кроме указанного соединения, ванна содержит $\geq 0,5\%$ органич. сульфамида (II), сульфимида (III) или сульфокислоты (IV), причем смесь органич. соединений, вводимая в ванну, должна содержать от 0,003 до 0,08 г/л I и ≤ 15 г/л II, III, IV. В качестве Ni -солей применяют NiCl_2 , NiSO_4 или NiBF_4 . В качестве I хорошие результаты дают хлористые N -бензил-3- или N -бензил-1-изохинолины или хлористый или бромистый N -4-нитробензилхинолин, а в качестве II, III и IV — бензол-, o и p -толуолсульфамиды, o -бензоилсульфимид, p -бромбензол-, o -, m -, p -бензальдегид-, нафталин-моно-, ди-, три- и аллилсульфокислоты.

К. Герцфельд

33186 П. Электроосаждение хрома. Браун (Electrodeposition of chromium. Brown Henry) [The Udyllite Research Corp.]. Пат. США 2750334, 12.06.53

Процесс хромирования из р-ров CrO_3 отличается тем, что в электролит вводится насыщ. фторкарбонное сульфированное соединение в кол-ве, достаточном для значительного уменьшения образования брызг и тумана. Ф-ла соединения $\text{R}_f\text{SO}_3\text{X}$, где R_f — насыщ. фторкарбонная цепочка с 4—18 атомами C , а X — катион. К р-ру можно добавлять также ионы металлов Zn , Cu или их смеси в кол-ве 5—20 г/л, а также катализаторы: SO_3^{2-} ; F^- и фторсиликаты. В качестве добавок применяются перфторэтилциклогексансульфокислота (0,1 г/л), перфторметилциклогексансульфокислота (0,2 г/л), перфтор- n -октилсульфокислота (0,05 г/л), перфтордецилсульфокислота (0,1 г/л),

перфтор-2-метилциклогексансульфокислота (0,2 г/л), перфтордиметилциклогексансульфокислота (0,1 г/л).

З. Соловьева

33187 П. Получение металлического титана из аммонийного электролита. Осйба [Сёва дэнько кабусики кайся]. Японск. пат. 2454, 4.04.56

Хлориды титана растворяются в NH_4OH в присутствии таких солей, как NaCl , NaBr , NaNO_3 , NH_4Cl , NH_4NO_3 . Сульфат титана также растворяется в NH_4OH в присутствии указанных солей. В качестве катода могут быть использованы Ti , Zn , Pb , Cd , Hg . Учитывая, что в электролите присутствуют NaCl или другие соли щел. и щел.-зем. металлов, напряжение на ванне должно быть ниже напряжения разложения этих солей. Кроме того, D_K , если хотят получить осадок титана с пластинчатой структурой, должна быть также несколько ниже, чем D_K при электролизе H_2O . Особо следует иметь в виду, что титан с зернистой и дендритной структурой весьма легко окисляется в атмосфере, поэтому плавку его следует проводить в нейтр. атмосфере или под высоким вакуумом. Титан с мелкозернистой и пластинчатой структурой весьма устойчив, и плавка его может проводиться и в обычной атмосфере. В тех случаях, когда в качестве катода применяют Hg , амальгама титана всплывает поверх Hg и поверхность катода покрывается пленкой амальгамы, поэтому во избежание этого электролит должен все время хорошо перемешиваться. Пример: 1) 50 г TiCl_4 и 200 г сухого NH_4Cl растворяют в 1 л NH_4OH . Полученный р-р фильтруют, фильтрат помещают в катодное пространство электролизера. Та часть электролизера, которая соприкасается с электролитом, футеруется стеклом, синтетич. смолами или резиной. В качестве анода применяют графит. Анодное пространство заполняется водн. р-ром NH_4Cl и NH_4OH . В качестве катода используют Zn -пластинку. Анодное и катодное пространство отделены друг от друга диафрагмой. $D_K = 0,1\text{—}0,3$ а/дм², напряжение на ванне 6 в. ВТ $\text{Ti} = 40\text{—}50\%$.

В. Зломанов

33188 П. Электроизоляционное покрытие стали. Мацудзакэ [Токио Сибайра дэньки кабусики кайся]. Японск. пат. 2014, 26.03.55

На поверхность листовой стали, предназначенной для электротехнич. целей, наносится пленка Fe_3O_4 путем выдержки стали в течение определенного времени в атмосфере воздуха при $t\text{-ре} > 700^\circ$ или в атмосфере паров H_2O при $t\text{-ре} < 800^\circ$. На полученную пленку наносится слой фосфатов. Рекомендуется водн. р-р $\text{Ca}(\text{H}_2\text{PO}_4)_2$ (к 1 л 5—40%-ной H_3PO_4 добавляют 10—15 г Ca). Р-р должен содержать 15—20% связанной H_3PO_4 и 2—6% свободной H_3PO_4 . Наилучшим соотношением связанной и свободной H_3PO_4 считается 5:2. После нанесения на поверхность этого р-ра изделие обжигается в течение ~30 мин. при 300—700°. В процессе обжига свободная H_3PO_4 реагирует с Fe_3O_4 и образуется пленка $\text{Fe}_3(\text{PO}_4)_2$, $\text{CaH}_2(\text{PO}_4)_2$ в результате гидролиза переходит в CaHPO_4 и $\text{Ca}_3(\text{PO}_4)_2$, которые откладываются в виде пленки на слой $\text{Fe}_3(\text{PO}_4)_2$, образуя с ним прочную связь. Полученная таким образом пленка не отслаивается от основы даже в случае изгиба ее в нагретом состоянии до 180°. Она не отслаивается также и в случае длительного нагревания до 500°. Свойства пленки не изменяются также при кипячении ее в H_2O или в трансформаторном масле.

Н. Криницин

33189 П. Метод получения криолита для электролитического производства алюминия (Verfahren zur Herstellung eines Kryolith-Ofenflusses für die elektrolytische Erzeugung von Aluminium) [Aluminium-Industrie-A.-G.]. Швейц. пат. 311307, 31.01.56

Для произ-ва чистого металлич. алюминия, который

отвечал бы технич. условиям и содержал возможно меньше кремния, железа и иных примесей, требуется криолит или смесь фторидов Al и Na, а также глинозем высокой степени чистоты. Физ. методы очистки криолита (флотацией и т. д.) значительно удорожают продукт и неэкономичны при сильном загрязнении исходного криолита. Предлагается экономичный метод очистки природного криолита путем предварительного электролиза его в расплавленном виде в отдельном электролизере. Напр., в электролизере на 16 тыс. а за 24 часа очищается в достаточной степени от железа и кремния 1—1,5 т криолита.

В. Зиновьев

См. также: Бумага для конденсаторов 34717. Fe-электрод гальванич. элемента 31890. Растворимость металлич. Na в расплаве NaOH, NaBr, NaJ 31714. Электроосаждение порошка Cd 31874. Нитевой рост кристаллов на Cu-электродах 31875. Механизм осаждения: Cu 31876, Zn 31877. Электролиз расплава $TiCl_4$ 31888. Состав комплексов Cu в р-рах CuCN 31972. Электролитич. восстановление Cr^{6+} в р-ре NH_2CO_3H 32010. Определение нафталиндисульфокислоты в никелевом электролите 32225. Прибор для определения электропроводности электролитов 32277. Аппарат для измерения поглощения H_2 металлами 32287. Микроструктура анодных слоев на Sn 31531. Травление Ge и Si 31585. Анодное окисление Al, Cr, Hf, Ta, Ti, Zr, V 31879. Металлокерамич. Fe-электрод 31885. Механизм анодного выдел. O_2 31886. Окисление метанола 31887. Восстановление нитробензола и некоторых его производных 31898. Очистка сточных вод гальванич. цехов 32946, 32949, 32950

КЕРАМИКА.

СТЕКЛО. ВЯЖУЩИЕ ВЕЩЕСТВА. БЕТОНЫ

Общие вопросы

Редакторы П. П. Будников, С. И. Горелкина,
А. С. Пантелеев

33190. Некоторые вопросы, относящиеся к строению жидких шлаков со специальным рассмотрением системы $Na_2O - MnO - SiO_2$. Хей, Картер, Каби (Some problems relating to the constitution of liquid slags with special reference to the $Na_2O - MnO - SiO_2$ system. Hay R., Carter P. T., Kabi S. K.), J. Soc. Glass Technol., 1956, 40, № 196, 429T—444T (англ.)

Кратко изложены физ. методы исследования систем шлаков с особым выделением микроскопич. исследований шлаков в отраженном и проходящем свете и термич. методов. С использованием этих методов построена диаграмма термич. равновесия составов с высоким содержанием SiO_2 в системе $Na_2O - MnO - SiO_2$. Рассмотрено сравнение этой системы с аналогичными тройными системами. Характерной особенностью системы $Na_2O - MnO - SiO_2$ является образование в ней области несмешиваемости в жидком состоянии, которая по своей природе отлична от подобных областей, обычно встречающихся в силикатных системах. Приводятся причины появления областей несмешиваемости в жидком состоянии в системах шлаков; как на основную из этих причин указано на нахождение Mn^{2+} в двух различных координациях в состоянии расплава.

А. Черепанов

33191. Фазовые зависимости в системе двуокись циркония — двуокись тория. Дюве, Ло (Phase relationships in the system zirconia — thorium. Duwez P. L., Loh Eugene), J. Amer. Ceram. Soc., 1957, 40, № 9, 321—324 (англ.)

Предложена фазовая диаграмма системы $ZrO_2 - ThO_2$, исследованная рентгенографич. и дифрактометрич. методами. Плавление образцов осуществляли в фокусе солнечной печи. Для составов с содержанием $> 17,5$ мол. % ThO_2 установлено существование куб. твердого р-ра типа CaF_2 . Однако этот р-р устойчив только при высоких т-рах; после же продолжительного нагревания при 2000° и при 1350° он разлагается на тетрагональную ZrO_2 (претерпевшую при последующем охлаждении неизбежное превращение в моноклинную форму) и фазу, содержащую $\sim 99\%$ ThO_2 . С практич. точки зрения циркониево-ториевые массы представляют большой интерес вследствие их высоких т-р плавления. Однако поскольку при т-ре $< 2000^\circ$ устойчивыми фазами являются только фазы с высоким содержанием ZrO_2 или ThO_2 , неизбежны всегда полиморфные превращения ZrO_2 , обуславливающие низкую термич. устойчивость указанных составов.

А. Черепанов

33192. О исследовании структуры шлакоцементного доломитового клинкера в электронном микроскопе. Исследование доломитового клинкера. I. Тагаи (On the texture of salking-proof dolomite clinker observed by electron-microscope. Studies on dolomite clinker. (I). Tagai Hideo), Eri kenkyu. J. Ceram. Assoc., Japan, 1957, 65, № 739, 175—179 (японск.; рез. англ.)

33193. Распад ганита ($ZnAl_2O_4$) при высоких температурах. Кайнарский И. С., Сидоров Н. А., Тр. Харьковск. политехн. ин-та, 1957, 13, 149—151. Установлено, что ганит (Г) при высоких т-рах распадается на ZnO и Al_2O_3 ; на интенсивность распада Г влияет характер среды. Распад протекает медленно в окислительной среде и быстрее в сильно восстановительной среде. При распаде ZnO испаряется, а Al_2O_3 кристаллизуется в корунд. Г можно использовать в качестве огнеупорного соединения при т-рах $\leq 1500^\circ$ в окислительной среде.

Из резюме авторов

33194. Современные физико-химические методы исследования свойств и оценка качества огнеупорного сырья и материалов. Гончаров В. В., Тр. Научно-техн. о-ва черной металлургии. М-во черной металлургии СССР, 1957, 12, 46—56. Дискус. 453—460. Обзор применяемых в СССР физ., физ.-хим. микроскопич. и рентгенографич. методов, спектрального анализа и метода меченых атомов при изучении опупоров и сырьевых материалов. Библи. 54 назв.

В. Злочевский

33195. Показатели Z — Q. Доклад о характеристиках кирпичных глин. Ниппер (Die Z — Q-Werte. Ein Beitrag zur Charakteristik der Ziegeltone. Nipper Alphonse A.), Ziegelindustrie, 1957, 9, № 19, 649—655 (нем.)

Основные свойства глин в значительной степени зависят от их зернового состава. Однако оценка зернового состава только по цифровым данным седиментационного анализа не позволяет провести достаточно четкого сравнения различных глин. Принимая процентное деление зернового состава на 3 основные фракции: $> 20 \mu$, $20-2 \mu$ и $< 2 \mu$ (по Винклеру) и изображая его графически, введены показатели Z и Q, позволяющие однозначными цифровыми данными характеризовать одно из важнейших свойств глин — чувствительность их к процессу сушки. При этом Z соответствует значению, полученному при пересечении перпендикуляра с осью абсцисс, на которой расположен радиус частиц, опущенного из точки пересечения седиментационной кривой с линией, параллельной оси абсцисс и проходящей через точку, соответствующую 50% частиц, отложенную на оси ординат. Значение Z читается непосредственно в

графика. Q отражает колебания максим. и миним. значений частиц и равно половине их разности. Установлено, что $Q = 1,6(Z + 1)$. В результате исследования 20 различных глин оценку их свойств рекомендуется производить по результатам определения взаимосвязанных значений $Z - Q$, а также по содержанию частиц $> 20 \mu$. Указывается, что глины для черепицы должны отвечать следующим значениям: $Z < 6,5$; $Q < 11,5$; частиц $> 20 \mu < 33\%$. С учетом результатов этих исследований построена тройная диаграмма, отражающая разделение глин в соответствии с предъявляемыми к ним требованиями, а также позволяющая оценивать чувствительность глин к процессу сушки.

Г. Масленикова
33196. Синтез новых видов силикатов на основе кремнийорганических соединений. Крешков А. П., Дарашкевич М. Л., Тр. Моск. хим.-технол. ин-та им. Д. И. Менделеева, 1957, вып. 24, 327—332. Рассмотрен механизм взаимодействия тетраэтоксисилана, метил- и фенилтриэтоксидов, диметилдиэтоксидов, триметилдиэтоксидов с ацетатами K, Mg, In, Pb, Cd и т. п. Установлено. 1. Тетраэтоксисилан реагирует с уксуснокислыми солями металлов в спирт. р-рах с образованием полисиликатов и органич. силикатов. Присутствие ацетат-ионов благоприятно влияет на ход р-ции. 2. Метил- и фенилдиэтоксиды с уксуснокислым цинком образуют кристаллич. соединения метил- и фенилдиэтоксидов цинка, а с уксуснокислым свинцом в тех же условиях р-ции — кристаллич. соединения метил- и фенилполиэтоксидов свинца.

А. Черепанов

33797. Некоторые наблюдения, относящиеся к изменению каолинита в процессе измельчения. Вигман (Quelques observations relatives aux modifications de la kaolinite au cours du broyage. Wiegmann J.), Bull. Soc. franç. céram., 1957, № 36, 49—56, Discuss., 55—56 (франц.; рез. англ., нем.).

Изменения строения решетки каолинита (K), происходящие в процессе его измельчения, изучали на образцах отмокнутого цеттлинского каолина и глин двух марок (фракции с радиусом $< 1 \mu$) при помощи диаграмм рентгеноструктурного анализа, зафиксированных счетчиком Гейгера, и электронной микроскопии. Сухое и мокрое измельчение в течение ≤ 100 мин. проводили вручную в корундовой ступке. При мокром измельчении не происходит никаких изменений в строении K. При сухом измельчении происходят два накладываются друг на друга процесса. Небольшие механич. усилия ведут, в случае хорошо кристаллизованного K, к изменению решетки, в результате чего образуется в-во типа шамота; при значительных механич. усилиях происходит медленное размельчение зерен, без изменения решетки. Если в-во имело до начала измельчения измененную структуру типа шамота, при измельчении наблюдается только процесс размельчения зерен. Было выявлено, что наиболее чувствительными к изменению кристаллич. решетки являются грани 001.

В. Злочевский
33198. Изучение каолинов. Вискенти, Никот, Голарт-ди-Андрати (Contribuição ao estudo dos caulins. Visconti Y. S., Nicot B. N. F., Goulart de Andrade E.), Rev. brasil. quim., 1957, 43, № 259, 40, 42, 44, 46, 48 (порт.).

33199. К вопросу о взаимодействии каолина с полевошпатовым расплавом в присутствии кварца. Назаренко М. Ф., Разумова В. Л., КазССР Гылым. Акад. хабарлары, Изв. АН КазССР. Сер. горн. дела, металлургии, стр-ва и стройматериалов, 1957, вып. 3, 78—85 (рез. каз.).

В целях выяснения механизма формирования структуры фарфорового черепка в процессе обжига исследовано взаимодействие каолина с полевошпато-

вым расплавом. Исследование проводилось на двух модельных микроучастках черепка, состоящих из каолинового зерна, окруженного чисто полевошпатовым расплавом, или расплавом, содержащим зерна кварца. Образцы обжигались в закрытых шамотных капсулах при 1200, 1300 и 1400° и выдержке 2,4 и 6 час. и по завершении выдержки быстро охлаждались. Дополнительное изучение диффузии растворяющегося в-ва в расплаве было осуществлено путем окрашивания поверхности каолинового «зерна» хлористым кобальтом. Опыты показали, что скорость растворения каолина в полевошпатовом расплаве в основном зависит от скорости диффузионных процессов. В однородном полевошпатовом расплаве диффузия протекает свободно во всем объеме. В присутствии же кварцевых зерен области диффузионных процессов превращаются в ограниченные участки и диффузия замедляется. Межфазовые границы полевошпатового расплава и кварца не служат местом образования центров кристаллизации муллита. Библ. 6 назв.

В. Поляк

33200. Пластичность глин. Блур (Plasticity: a critical survey. Bloor E. C.), Trans. Brit. Ceram. Soc., 1957, 56, № 9, 423—481 (англ.).

Обзор. Библ. 72 назв.

33201. Минералогия глин в США. Грим (Clay mineralogy in the USA. Grim R. E.), Centr. Glass and Ceram. Res. Inst. Bull., 1957, 4, № 2, 91—94 (англ.).

33202. Свойства глин Западной Австралии. Кокс, Фростик, Гарретт, Вильямсон (Some characteristics of Western Australian clays. Cox R. W., Frostick A. C., Garrett W. G., Williamson W. O.), Clay Prod. J. Australia, 1957, 24, № 12, 19, 21, 23, 25, 27 (англ.).

Определяли цвет, спекаемость, состав присутствующих минералов, распределение частиц, скорость обмена основаниями, пластичность, усадку при сушке, потребность воды затворения, связующую способность.

В. Клыкова

33203. Состав минерала Hiwa или Victoria green, разновидность керамического пигмента и его способность отражать лучи спектра. Като, Канаока (Kato Etsuzo, Kanaoka Shigeto), Nagoya koré гидзюцу сикансё хококу, Repts. govt Industr. Res. Inst., Nagoya, 1957, 6, № 3, 168—171, A—20 (японск.; рез. англ.).

Составной минерал Hiwa или Victoria green зеленый — важный керамич. пигмент. Установлено, что он является уваровитом ($3\text{CaO} \cdot \text{Cr}_2\text{O}_3 \cdot 3\text{SiO}_2$) одним из членов гранатовой группы. Уваровит (У) получается путем р-ции в твердой фазе из Cr_2O_3 , CaCO_3 и SiO_2 при т-ре около 1300°. Получение У при более низкой т-ре отмечается применением различных флюсов. Цвет обожженного У изменяется в соответствии с добавленным флюсом. Флюс с сочетанием полевого шпата или CaCl_2 дает лучший желтовато-зеленый цвет. Фторид Li применяется для получения черного цвета. Разные препараты покрывают некоторые общие свойства на кривых спектра отраженных лучей, что отличает их от окиси Cr и циркон-хромовой зелени, несмотря на значительные различия в окраске у этих препаратов. Эти свойства обуславливаются присутствием У.

Из резюме авторов

33204. Исследование синтетической слюды. Нода, Гакудзюцу Гэнпо, Japan. Scient. Monthly, 1957, 10, № 3, 134—137 (японск.).

33205. Опытная установка по выплавке ильменита с применением магnezального флюса. Такимото, Танака, Корé какаку дзасси, J. Chem. Soc. Japan Industr. Chem. Sec., 1956, 59, № 3, 339—341 (японск.).

33206 С. Испытание керамического сырья, содержащего 90% и больше SiO_2 (Prüfung keramischer Roh- und Werkstoffen mit 90% oder mehr Kieselsäuregehalt). Стандарт ФРГ 51070, 1957

33207 С. Испытание керамического сырья. Химический анализ сырья, содержащего до 90% SiO_2 (Prüfung keramischer Roh- und Werkstoffe. Chemische Analyse von Roh- und Werkstoffen mit Kieselsäuregehalt unter 90%). Стандарт ФРГ 51071, 1957

33208 С. Испытание керамического сырья. Определение растворимых солей (Prüfung keramischer Roh- und Werkstoffe. Bestimmung der löslichen Salze. (Perkolatorverfahren)). Стандарт ФРГ 51100, 1957

33209 П. Способ удаления железа из глин. Кувата, Сугахара, Японск. пат. 4770, 3.08.54

Предлагается извлечение Fe из глин производить способом их обработки щел. гипосульфитами, напр. Na-гипосульфитом, во влажной среде. При этом окислы и гидраты Fe образуют легко растворяющуюся Fe-соль, что позволяет легко и эффективно удалить Fe, не изменяя свойств глин. Юн Сань Чань

33210 П. Использование дымовых газов для очистки керамического сырья. Судзуки, Томисава, Отиан [Kogé гидзюунтё]. Японск. пат. 4240, 22.06.55

Смесь отходящих дымовых газов с хлором пропускают через слой древесного угля, каменного угля, кокса или антрацита, нагретого до 600—1200°. Затем эту смесь газов пропускают через керамич. сырье (глину, кремнеземистые материалы, полевой шпат, каолин, шамот, графит, диаспор, бокситы, глинозем и т. п.) или через изделия из этого сырья, подогретые предварительно в печи до т-ры свыше 500°. В результате примеси, содержащиеся в керамич. сырье (соединения Fe, Ti и др.), вступая в р-цию с HCl, образующимся при пропускании смеси отходящих дымовых газов с хлором и водяными парами ($\text{H}_2\text{O} + \text{C} + \text{Cl}_2 = 2\text{HCl} + \text{CO}$), образуют хлориды, которые возгоняются. Такая обработка керамич. сырья позволяет удалить до 90% и более содержащихся в нем примесей. М. Гусев

33211 П. Круглый ситовой смеситель для обработки глин и т. п. Фогт, Франц (Siebrundschieker zur Aufbereitung von Ton od. dgl. Vogt Erdmann, Franz Kurt) [VEB-KEMA Keramikmaschinen Görlitz]. Пат. ФРГ 961694, 11.04.57

Предлагается смеситель с приспособлением, позволяющим обрабатывать глину паром. В. Кушаковский

См. также: $\alpha \rightarrow \beta$ превращение кварца 31682. Калориметрич. исследование $\alpha \rightleftharpoons \beta$ превращения кристобалита 31683. Электрохимич. св-ва глин 31867

Керамика.

Редакторы С. В. Глебов, С. И. Горелкина,
В. В. Клыкова

33212. Усовершенствование метода определения показателей, характеризующих обжиг сырья и масс керамической промышленности. Леман, Гацке (Entwicklung einer Methode zur Bestimmung von Kenngrößen für das Brennen von Rohstoffen und Massen der Steine-und-Erden-Industrie. Lehmann Hans, Gatzke Horst), Tonind.-Ztg, 1957, 81, № 17-18, 219—302 (нем.)

Описана новая установка для проведения комплексного дифференциального термич. анализа. Определение усадки расширения экзотермич. и эндотермич. тепловых эффектов проводится на одном образце, нагреваемом со скоростью 2,5 град/мин. или 3,9 град/мин. Макс.

сим. т-ра исследования 1500°. Образцы изготавливали прессованием под давл. 1200 кг/см² (для огнеупорных масс) и 400 кг/см² (для глинистых масс). Длина образцов 50 мм, диам. 25 мм, диаметр центрального отверстия 6 мм, средний вес образца 43 г. Образцы имели плоскопараллельные торцы. Установка состоит из трубчатой печи, в которую вставлена трубка из огнеупорной массы с внутренним диам. 30 мм. Исследуемый образец и эталон, равный по размерам образцу, последовательно зажимают в середине трубки между шайбами. Одна (подвижная) шайба соединена с приспособлением, фиксирующим изменения объема; через центральные отверстия второй (неподвижной) шайбы, эталона и образца вставляют дифференциальную термомоу. На описанной установке были получены дифференциальные термограммы и dilatометрич. кривые чистых минералов и керамич. масс. Кроме того, были исследованы гипс, известь и цемент. Установлено, что каолинит имеет три превращения: потеря молекулы каолинита ($\text{Al}_2\text{O}_3 \cdot 2\text{SiO}_2 \cdot 2\text{H}_2\text{O}$) двух молекул воды при 670°, распад метакеолина с образованием γ -глинозема при 950—1040° и образование муллита при 1220°. Кривые, снятые с галлоизита, подобны кривым, снятым с каолинита. Монтмориллонит ($\text{Al}_2\text{O}_3 \cdot 4\text{SiO}_2 \cdot \text{H}_2\text{O} \cdot n\text{H}_2\text{O}$) начинает терять внутрикристаллич. воду ($n\text{H}_2\text{O}$) в интервале т-р 150—300°. Отщепление последней молекулы воды происходит между 600—700°. Выше 800° происходит значительная усадка монтмориллонита. Иллит имеет характерное расширение до 850° и значительную усадку выше этой т-ры. Кривые ДТА и dilatометрич. кривые различных масс позволяют судить о минералогич. составе этих масс и обосновать режим сушки и обжига изделий, изготовленных из различных масс. На основании термограмм и dilatометрич. кривых, снятых со смесей каолина с полевым шпатом, построены пространственные диаграммы в координатах состав—т-ра—изменение объема (или величина теплового эффекта), показывающие изменение формы кривых и позволяющие выбрать режим обжига изделий, изготовленных из различных смесей указанных в-в. Приведен пример геометрич. построения кривой обжига на основе dilatометрич. анализа и ДТА. В. Кушаковский

33213. Влияние влажности атмосферы на процессы измельчения и просеивания твердых тел. Хедвалль (L'influence de l'humidité atmosphérique sur processus de trituration et de séparation dans les solides. Hedvall J. Arvid), Bull. Soc. chim. France, 1957, 5, № 8—9, 991—994 (франц.)

Опыты по просеиванию (П) были проведены в лаб. условиях на полевым шпате, кварце и шамоте; навески по 75 г предварительно выдерживали в эксикаторах с переменной влажностью (относительной) от 0 до 100%, затем просеивали через сита DIN 80—DIN 100 (размер зерен 0,06—0,075 мм) и DIN 60—DIN 80 (0,075—0,102 мм); максим. производительность — при П при относительной влажности 40—60%. Снижение производительности при П порошков с высокой влажностью объясняется комкованием зерен под влиянием микроскопич. оболочек воды, окружающих каждое зерно; при низкой влажности производительность снижается в связи с образованием на зернах порошков электростатич. зарядов в результате трения зерен между собой и ситом; отрицательное влияние зарядов может быть устранено путем сильной ионизации воздуха, напр., посредством радиоактивного излучения; в этом случае производительность при П достигает максим. значений и не зависит от влажности в интервале 0—80%. Опыты по измельчению (И) были проведены в производственных условиях в шаровой мельнице с циклоном на полевым шпате, с загрузкой по несколько сот кг. В результате трения при И в мельнице происходило заметное повышение т-ры, величины

которой засисела от объема и скорости продуваемого воздуха и влажности измельчаемого материала. Опыты по И при влажности 0,05—0,25% показали, что с увеличением влажности и с уменьшением т-ры производительность монотонно понижается; при влажности 0,05% производительность составляла 600 кг/час, а при 0,25% 300 кг/час; для повышения производительности необходимо во всех случаях сушить и предварительно подогревать измельчаемый материал. В опытах со значительно повышенной влажностью материала (до 1%), кол-во продуваемого воздуха было значительно увеличено; с увеличением кол-ва воздуха производительность мельницы при данной влажности материала значительно возрастает.

В. Злочевский
33214. Некоторые наблюдения над пиролизом углеводородов на поверхности керамических материалов. Беллюг (Quelques observations sur la pyrolyse d'hydrocarbures sur des matériaux céramiques. Bel-lugue J.), Matér. et techn. engins-fusées et aviat. T. 1. Paris, A. E. R. A., 1956, 394—396 (франц.)

Проведены наблюдения за изменением электропроводности керамич. образцов в процессе пиролиза углеводорода и отложения на этих образцах С. На основании полученных кривых электропроводности сделано заключение о разном характере отложения С в зависимости от вида керамики (кристаллич. или стекловидной).

В. Злочевский
33215. Получение и свойства керамических конденсаторов с малыми колебаниями температурного коэффициента. Радник (Manufacture and measurement of close tolerance temperature compensating ceramic capacitors. Rudnick Norman), IRE. Nat. Convent. Rec., 1957, 5, № 6, 72—79 (англ.)

Рассмотрены получение и свойства керамич. конденсаторов (КК) с температурным коэф. емкости от $+100 \cdot 10^{-6}/\text{град}$ до $-750 \cdot 10^{-6}/\text{град}$ и с диэлектрич. проницаемостью ϵ , превышающей ϵ слюды в 5—15 раз. КК получают литьем под небольшим давлением вакуумированного шликера на непрерывно движущуюся с малой скоростью ленту из нержавеющей стали. Состав шликера не приведен. По длине ленты последовательно расположены устройство для литья и длинная сушильная камера. Вышедшая из сушильной камеры лента-полуфабрикат толщиной от 0,1 до 1,0 мм легко отстает от ленты из нержавеющей стали и штампуется на изделия необходимой формы. Обжиг изделий производится в газоотопляемых туннельных печах. На обожженные КК наносят электроды вжиганием серебряной пасты, после чего их защищают покрытием из фенольных пластинок. Приведены детали технологии, а также особенности измерения свойств КК на мосте Шеринга.

А. Черепанов
33216. К вопросу о переводе заготовок для трубчатых конденсаторов на однократный обжиг. Дудеров Г. Н., Волкова Н., Буйнова Л., Тр. Моск. хим.-технол. ин-та им. Д. И. Менделеева, 1957, вып. 24, 199—208

Применение в качестве добавки к типовой производственной массе водорастворимой мочевиноформальдегидной смолы (МС) или МС марки МФ-17 в кол-ве 4—5%, а также поливинилового спирта (ПС) в кол-ве 1,5—2,0% дает возможность получить трубчатые керамич. заготовки, обладающие механич. прочностью и водостойкостью, которые вполне обеспечивают вставку их в свежестформованные шамотные плиты для окончательного обжига. Добавка МС или ПС дает возможность получить водонепроницаемые трубчатые заготовки с механич. прочностью на излом, превышающей на 40—70% механич. прочность образцов, прошедших утильный обжиг в случае применения добавки 4—5% МС и на 15—25% в случае применения добавки 2,0% ПС. Применение МС и ПС дает возмож-

ность проводить обжиг трубчатых конденсаторов в один прием, минуя утильный обжиг, что создает экономию в расходе топлива на обжиг заготовок минимум на 30—40%. Кол-во получаемых заготовок как по механич., так и по диэлектрич. свойствам не уступает заготовкам, полученным по обычному технологич. процессу.

Из резюме авторов
33217. Влияние некоторых технологических факторов на пьезоэлектрические свойства титаната бария. Брейджер (Effect of some ceramic techniques on the piezoelectric properties of barium titanate. Bragger E. J.), Amer. Ceram. Soc. Bull., 1957, 36, № 9, 333—336 (англ.)

Рассмотрено влияние методов изготовления, хим. добавок (вводимых при составлении шихты) и атмосферы печи на свойства поликристаллич. BaTiO_3 . Из измельченного порошка BaTiO_3 , синтезированного как прокаливанием, так и расплавлением в дуговой печи, получали для исследования поликристаллич. образцы (ПО). Добавки к основной шихте SiO_2 , MgO , Fe_2O_3 , а также избыток TiO_2 понижают пьезоэлектрич. свойства (ПС) BaTiO_3 , в то время как добавки ZrO_2 , Na_2O и Al_2O_3 в таких же кол-вах не оказывают сколько-нибудь заметного влияния на ПС. ПО BaTiO_3 , полученные обжигом в кислороде, имели плотность 99% от плотности монокристалла, рассчитанной по рентгенографич. данным. ПО BaTiO_3 , синтезированного расплавлением, обладают высокими ПС. Однако их ПС не выше ПС керамики, полученной из порошка, синтезированного прокаливанием при тщательном соблюдении технологии. Большое влияние на ПС и диэлектрич. свойства ПО BaTiO_3 , особенно при чистых исходных материалах, оказывает отношение $(\text{BaO} + \text{SrO}) : \text{TiO}_2$. При технич. исходных материалах это отношение может иметь величину ~ 1 , как в случае прокаленной, так и плавленной шихты.

А. Черепанов
33218. Радиотехническая керамика в Чехословакии. Паевский (Ceramika radiotechniczna w Czechosłowacji. Pajewski Wincenty), Tele-Radio, 1957, 2, № 10, 467—470 (польск.)

33219. Синтезирование некоторых ферритов. Кедесди, Таубер (Synthesis of some ferrites. Kedesdy Horst, Tauber Arthur), Mining Engng, 1957, 9, № 7, 784—792 (англ.)

Приводятся результаты систематич. исследования процесса образования из х. ч. окислов (Fe_2O_3 , NiO и Mn_2O_3) ферритов 3 типов: простого (NiFe_2O_4), смешанного ($\text{Ni}_{0,5}\text{Zn}_{0,5}\text{Fe}_2\text{O}_4$) и феррита со сложным процессом формирования (MnFe_2O_4) при синтезировании в воздушной атмосфере с различной скоростью последующего охлаждения и в азоте. Изучался фазовый состав (рентгеноструктурным методом), магнитные свойства и плотность. Образование никелевого и Ni-Zn -феррита начинается в интервале т-р 650—700°; однофазное состояние достигается после обжига при 1250° и выше. Параметры решетки при повышении т-ры обжига в интервале т-р 1000—1200° увеличиваются, выше — слегка уменьшаются; полное изменение не превышает 0,005 Å. На магнитные характеристики Ni -феррита атмосфера обжига заметным образом не влияет. После обжига при 1400° значение B_m достигает 2000 гс, H_c 7—10 э, μ 29,5; при более высоких т-рах обжига B_m снижается. Ni-Zn -феррит обладает наилучшими характеристиками после обжига в воздушной атмосфере с последующим медленным охлаждением. После обжига при 1400° B_m 4000 гс, H_c 0,25 э, μ 320. При обжиге смеси $\text{Mn}_2\text{O}_3\text{-Fe}_2\text{O}_3$ (мол. отношение 1:3) в атмосфере азота образование феррита начинается выше 850° и заканчивается при 1250°. В воздушной атмосфере Mn_2O_3 при т-ре $\sim 600^\circ$ окисляется до Mn_2O_4 , образующей с Fe_2O_3 в интервале т-р 600—

950° взаимные твердые р-ры, диссоциирующие при т-ре ~950°. Образование феррита начинается при т-ре ~1000° по ф-ле: $Mn_2O_3 + Fe_2O_3 = 3MnFe_2O_4 + \frac{1}{2}O_2$. Параметры решетки при образовании Mn-феррита изменяются значительно сильнее, нежели при образовании никелевого и Ni-Zn-феррита. Наилучшие магнитные свойства (B_m 3500 гс, H_c 0,88 э, μ_0 200) получают после обжига в азоте или в воздушной атмосфере с последующим охлаждением на керамич. блоке (время охлаждения 10 мин.).

Б. Сомин
33220. Жаростойкие материалы в современной технике. Францевич (Жаростойкие материалы в современной технике. Францевич И. Н.), Вісник АН УРСР, 1957, № 10, 37—44 (укр.)

Обзор по вопросам произ-ва и применения жаростойких металлов и керметов, главным образом в современной авиатехнике и атомной пром-сти. Высокие прочностные характеристики при высоких т-рах имеют керметы, т. е. композиции на основе карбидов на связке из металлов, особенно на основе карбида В и боридов Zr, Ti и Cr. Рассмотрены возможности использования жаростойких материалов для строительства самолетов для сверхзвуковых скоростей. Малый уд. в. Ti (на 40% ниже, чем у жаростойкой стали) и его высокие механич. свойства (выше, чем у стали) обещают Ti большую будущность в самолетостроении; однако жаростойкость Ti не превышает 350—450°. Многообещающими материалами для ракет-снарядов являются армированные стекловолокном или кварцевым волокном фенольные смолы, жаростойкость которых в течение 1—2 мин. достигает 1650—2750°. Рассмотрены также примеры применения керметов, карбидов, силицидов и др. в электротехнике (напр., в металлокерамич. выключателях высокого напряжения из псевдосплава W-Cu или Mo-Ag) и для атомной энергетики.

С. Глебов

33221. Кирпичный завод высокой производительности труда. Ширгал Г., Строит. материалы, 1957, № 11, 33—35

33222. Новые испытания кирпича, обожженного в туннельной печи (Нидерланды). Велден (Recente proefnemingen met Nederlandse metselstenen in een tunneloven. Velden J. H., van der), Klei, 1957, 7, № 10, 321—333 (гол.)

Критерием степени спекания кирпича (K) служила пористость K, которую определяли водопоглощением в вакууме. Обожженный K сортировали на 3 категории по величине водопоглощения: K с 32,5—34,5%, светло-серый K с 34,5—37,5% и темно-серый K с 37,5—40,0%; выход сортамента в зависимости от т-ры (1000—1100°) зоны обжига показан на диаграмме, откуда видно, что такая зависимость для туннельной печи очень близка к таковой камерной печи.

К. Герцфельд

33223. Производство пустотелых камней на новом заводе Gebr. Loehlein в Берлихингене. Розенталь (Manufacture of perforated bricks at the new brickworks Gerb. Loehlein, Berlichingen. Rosenthal E.), Claycraft, 1957, 31, № 1, 39—42 (англ.)

Описан построенный в 1956 г. в Берлихингене (ФРГ) з-д пустотелых строительных камней (ПСК) производительностью 12 млн. шт. в год. На з-де работает всего 17 рабочих (включая мастера). ПСК готовят из смеси пластичной и тощей глин, взятых в соотношении 1:1. Одной из особенностей з-да является применение нового автоматич. резательного аппарата Lingl, отличающегося тем, что в положении резания резательные проволоки направляются и натягиваются в зависимости от скорости выдавливания массы через мундштук ленточного вакуум-пресса для того, чтобы обеспечить четкую отрезку, даже при максим. скорости. В зависимости от длины камня применяют 10, 6 или 3 прово-

локи, отрезающих 14, 8 или 4 тыс. камней в час соответственно. Для обеспечения равномерного распределения т-ры и влажности по сечению туннельной сушилки осуществлена рециркуляция теплоносителя в горизонтальном и в вертикальном направлениях, благодаря чему возможно вести сушку при высокой влажности и малом объеме теплоносителя. Обжиг ПСК ведут в туннельной печи длиной 70 м, сечением $2 \times 1,8$ м при максим. т-ре 1050° для ПСК и при 1100° для облицовочных кирпичей в течение 30—40 час. З-д выпускает ПСК с горизонтальным и вертикальным расположением пустот по отношению к его основанию.

В. Злочевский

33224. 10 000 штук высококачественного кирпича в сутки с новой 97-метровой туннельной печи.— (How interstate gets 10,000 extra brick per day from new 320' tunnel kiln.—), Brick and Clay Rec., 1957, 130, № 2, 52—55 (англ.)

Описана расстановка оборудования, его обслуживание и организация контроля процесса произ-ва на одном из механизированных кирпичных з-дов.

Т. Яховская

33225. Установка для производства кирпича методом полусухого прессования. Финк Л. Е., Руссен В. И., Строит. и дор. машиностр., 1957, № 8, 22—25

Описана установка для произ-ва в колхозах и совхозах южных районов СССР пятистенного восьмидарчатого и полнотелого кирпича из глин с карьерной влажностью 10—14% методом полусухого прессования. Установка состоит из приемного бункера, пластичного питателя, дезинтегратора, транспортера, глиномешалки и пресса CM-457. Приведено описание агрегатов. Производительность установки 1000 штук кирпича в час.

С. Панич

33226. Керамические облицовочные плитки. История, сырьевые материалы и составы масс. I. Вани (Keramische Wandfliesen. I. Wanie W.), Glas-Email-Keramo-Technik, 1957, 8, № 11, 424—429 (нем.; рез. англ., франц.)

33227. Размеры и предельные отклонения фальцевой и ленточной черепицы. Попеску (Dimensiuni și abateri limita la țigle cu jgheab trase și țigle solzi trase. Popescu E.), Standardizarea, 1957, 9, № 10, 491—493 (рум.; рез. русск.)

33228. Свойства и применение материала для мощения. Эйхенбергер (Propriétés et emploi d'un matériau de revêtement. Eichenberger Robert), Matér. et techn. engins-fusées et aviat. T. 1. Paris, A. E. R. A., 1956, 301—304 (франц.)

Для мощения дорог, территориальных площадей з-дов и полов производственных помещений во Франции широко применяется клинкерный кирпич «силлифер» (C) (Silifer). Сырьем для произ-ва С служит кварцит (так называемый лесс), представляющий собой смесь из SiO_2 , $Fe(OH)_3$ и гидроалюмосиликата в коллоидальном состоянии. После измельчения, классификации и увлажнения из сырья формируют плитки $110 \times 95 \times (27 \div 40)$ мм или кирпич $210 \times 100 \times 60$ мм, которые обжигают в кассетах в туннельных печах. Готовые изделия из С серо-желтого цвета имеют аморфное строение и следующие свойства: об. в. 2 г/см^3 , коэф. расширения $12 \cdot 10^{-6}$, $\sigma_{сж} > 2000 \text{ кг/см}^2$, пористость и капиллярность нулевые, высокая морозостойкость. Поверхность С шероховатая, что обеспечивает хорошее сцепление с цементом; С химически устойчив к воздействию щелочей и всех к-т, кроме HF. С в качестве дорожного материала служит 30 лет и более.

В. Злочевский

33229. Тепловой баланс туннельных печей в кирпичной промышленности. Ридель (Der Wärmehaushalt des Tunnelofens in der Ziegelindustrie. Riedel Rudolf), Ziegelindustrie, 1957, 10, № 15, 501—507 (нем.)

Приводится тепловой баланс туннельной печи на основании четырехлетнего опыта работы. Отмечается целесообразность применения их для обжига кирпича. При проектировании нужно учитывать специфичность их работы в кирпичной пром-сти. С. Панич
33230. О будущем туннельных печей для обжига кирпича и сырого шамота в промышленности огнеупоров. Мюллер (Über die Zukunft des Tunnelofen für das Brennen von Ziegeleierzeugnissen und für das Brennen von Rohschamotte in der Feuerfest-Industrie. Müller Kurt), Ziegelindustrie, 1957, 10, № 11, 370—371 (нем.)

Сообщается о необходимости внедрения во все отрасли керамич. произ-ва туннельных печей, основными преимуществами которых являются улучшение условий труда рабочих, облегчение контроля и регулирования температурного и газового режима, возможность полной механизации, высокая производительность.

Т. Ряховская
33231. Возможности механизации работ в кольцевых печах. Восатка (Možnosti mechanisace práce v kruhových pecích. Vosátka V.), Mechanisace, 1957, 4, № 10, 349—352 (чешск.; рез. русск., англ., нем.)

Обзор. Рассматриваются транспортные устройства, применяемые в Англии, ГДР и СССР, для загрузки и выгрузки кирпича из кольцевых печей. С. Глебов
33232. Усовершенствование отбора горячего воздуха из кольцевых печей. Восатка (Zdokonalení odběru horkého vzduchu z kruhových pecí. Vosátka V.), Stavivo, 1957, 35, № 10, 398—399 (чешск.; рез. русск., англ., нем., франц.)

На кирпичном з-де Жиденице (г. Брно, Чехословакия) работниками НИИ строительных материалов и НИИ технологии и механизации строительства усовершенствовано и опробовано в эксплуатации переносное устройство (У) для отбора горячего воздуха из остывающих камер кольцевых печей, для последующего его использования в сушилке. У состоит из системы труб с коленами, рассчитанными на соединение с засасывающими аппаратами печей; отсасывающие трубы, диам. 12,5 мм, соединяются с шуропарами кольцами с песочным или асбестовым уплотнением. Вся система из 6 отсасывающих труб передвигается на легкой двухколесной тележке от двух рядков шуропара к двум следующим; перестановка У с уплотнением требует 10 мин. времени, установление теплового режима отсоса — 4 мин. У снабжено электросигнализацией для автоматич. измерения т-ры воздуха, которая у сушилки должна быть равна 150°; при снижении или превышении т-ры автомат подает звуковые и световые сигналы о нарушении режима, после чего обслуживающий персонал переставляет или регулирует У. Эксплуатация У показала, что она достаточно плотна; так, расход воздуха у сушилки оказался равным 10 670 м³/час, а в местах отсоса 11 300 м³/час.

С. Глебов
33233. Обжиг глины для получения изделий с наименьшим отклонением от размеров. Уэйгел (Calcining clays for better product control. Weigel Robert C.), Ceramic Age, 1957, 69, № 5, 14—16 (англ.)
Предварительный обжиг глины, используемых в произ-ве огнеупорного кирпича, облегчает получение более точных его размеров и степени кривизны, а также способствует улучшению общей отделки кирпича. На з-де Mexico Refractories Co. обжиг глины во вращающейся печи производят до 1370—1538°, в результате которого глины дают усадку от 8 до 15%, и теряют от 10 до 14% химически связанной воды. Обжиг ведут во вращающейся печи диам. 2,4, длиной 42,7 м, приводимой в движение электромотором мощностью 30 л. с. Производительность печи 250 т в сутки. Процесс обжига автоматизирован.

Обслуживание печи производят 2 человека. Степень обжига материала контролируется определением пористости, уд. веса и объемных измерений при нагревании до различных температур. Г. Масленникова

33234. Новые огнеупорные материалы для плавки и литья тугоплавких материалов. Самсонов Г. В., Огнеупоры, 1956, № 3, 122—135; (Nor materiale refractare folosite la topirea și furnarea metalelor greu fuzibile. Samsonov G. V.), An. Rom.-Sov. Metalurgie și constr. mașini, 1957, 11, № 1, 74—88 (рум.)

Обзор.

В. К.

33235. Огнеупорный кирпич и его химические, физические и механические свойства. Детай (La brique réfractaire et ses caractéristiques chimiques, physiques et mécaniques. Detaille H.), Rev. univers. mines, 1957, 13, № 10, 637—650 (франц.)

Путем рассмотрения диаграмм состояния системы $Al_2O_3 - SiO_2$ и $SiO_2 - Al_2O_3 - K_2O$ показано влияние примесей на образование жидкой фазы во время обжига и стеклофазы во время охлаждения, а также влияние наличия стеклофазы на физ.-мех. свойства алюмосиликатных огнеупоров (АО). Изложены результаты определения свойств 4 видов АО, изготовленных в виде образцов по пластичному методу в Национальном ин-те силикатов (Бельгия) из смеси 35% огнеупорной глины + 65% кварцита или обожженного шамота. Опытные АО содержали (I, II, III, IV соответственно) (в вес.%): Al_2O_3 15,57; 21,46; 30,17; 36,88; SiO_2 80,81; 74,02; 64,43; 56,99; $Fe_2O_3 + RO + R_2O$ 2,43; 2,83; 3,26; 3,75. Образцы АО были обожжены при 1350° с выдержкой при этой т-ре в течение 5 час. После обжига были определены следующие свойства АО: об. вес, пористость, огнеупорность, получены кривые линейного расширения до 1000° и кривые сжатия, газопроницаемость, т-ра размягчения под нагрузкой 2 кг/см², текучесть при сжатии и при изгибе при 1350° в течение 2 час., дополнительный рост или усадка при 1350° в течение 2 час., $\sigma_{сж}$, $\sigma_{изг}$ и термостойкость при нагревании до 1200° и воздушном охлаждении. Изменение свойств всех 4 видов АО, отличающихся содержанием Al_2O_3 , трактуется в зависимости от кол-ва полученной при обжиге жидкой фазы и кол-ва стекловатой фазы, образовавшейся при охлаждении. Наиболее высокие значения модуля упругости при изгибе E (51—62 тыс. кг/см²) при 650—700° наблюдались для образцов АО III и IV. В. Злочевский

33236. Повышение плотности высокоглиноземистых огнеупоров. Козинский Н. Ф., Изв. Киевск. политехн. ин-та, 1957, 20, 156—160

Изучено влияние TiO_2 на спекание высокоглиноземистых шихт в заводских условиях. Из шихты состава (в %): технич. глинозема 90,0; часовьярской глины 9,5; TiO_2 0,5 обжигом при 1450 и 1600° был получен плотноформующийся глинозем. Обожженные брикеты подвергались дроблению и помолу с последующей магнитной сепарацией. Помол плотноформующегося глинозема происходил легче, чем помол высокоглиноземистого шамота, получаемого обжигом при 1600° смеси тонкомолотого технич. Al_2O_3 80—90% и 20—10% часовьярской глины. Введение TiO_2 в шихту дало возможность получить высокоглиноземистые огнеупоры с повышенной плотностью. Среднее снижение пористости при введении TiO_2 составляло 2,65%. Обжиг плотноформующегося глинозема при 1600° обеспечивает получение изделий с высокими качеств. показателями. При этом максим. т-ра при получении плотноформующегося глинозема должна быть равной максим. т-ре обжига изделий. Г. Масленникова

33237. Исследование известковых огнеупоров. Ханада, Кимура, Такахаши, Мураками

(Hanada Mitsuo, Kimura Yoshiyuki, Takahashi Hideo, Murakami Keiichi), Ege kōkai, J. Ceram. Assoc., Japan, 1957, 65, № 738, 153—159 (японск.; рез. англ.)

В качестве сырья для изготовления известковистых огнеупоров применяли мел, известняк и доломит, содержащие соответственно 55,8, 54 и 34% CaO. Для стабилизации Ca- и Ca-Mg-клинкера вводили добавки (1—3%) титаносодержащих шлаков с высоким (71,8%) и низким (41,6%) содержанием TiO_2 . Наилучшее стабилизирующее действие обнаружил последний. Водостойчивый клинкер (BK) получен после обжига сырья с добавками при 1600° с выдержкой 20—60 мин. Хим. состав BK (в вес.%): SiO_2 1,67, Al_2O_3 0,45, Fe_2O_3 0,19, TiO_2 2,14, MnO 0,41, MgO 0,57, CaO 94,94; об. в. 3,08 г/см³, кажущаяся пористость 7,2, усадка при обжиге 38,3%. Изготовленные из BK тигли имели об. в. 2,59 г/см³, пористость 22,7%, тепловое расширение при 1000° 1,2%. Испытания показали, что тигли из BK обладают исключительно высокой шлакоустойчивостью против действия шлаков доменных печей, расплавленных фосфатных удобрений и портланд-цемента. В. Злочевский

33238. Усовершенствование технологии производства металлургического порошка и магнезитовых огнеупоров на заводе «Магнезит». Панарин А. П., Тр. Научно-техн. о-ва черной металлургии. М-во черной металлургии СССР, 1957, 12, 348—352. Дискус., 379—402

Описывается технология произ-ва, отмечаются ее недостатки и пути дальнейшего совершенствования. Предлагается: разрешить проблему механизированного обогащения сырья в тяжелых суспензиях, в первую очередь для классов 0—40 и 40—130 мм; обеспечить очистку дымовых газов при обжиге сырого магнезита улавливанием $\geq 90\%$ пыли и найти способы эффективного ее использования; механизировать и автоматизировать на действующих прессах процесс прессования; разработать и осуществить способы произ-ва магнезитовых и хромомagneзитовых изделий в необожженном виде с тем, чтобы исключить или максимально сократить обжиг. Приведена широкая дискуссия по докладу. В. Злочевский

33239. Свойства огнеупорных материалов. I. Динас. Дамен (Die Eigenschaften der feuerfesten Baustoffe. I Teil. «Silikasteine». Dahmen Josef), Euro-Ceramic, 1957, 7, № 10, 261—263 (нем.; рез. англ.)

Разбираются вопросы технологии произ-ва динаса и сырья (кварциты). Рассматриваются особенности произ-ва при использовании динаса в мартеновских или коксовых печах. Приводятся общие сведения о полиморфных превращениях SiO_2 . Н. Синельников

33240. Производство и служба многошамотного ковшевого кирпича. Кириллова Н. Н., Радина Ю. В., Саковский Д. Я., Огнеупоры, 1957, № 8, 348—354

Рассмотрены качеств. показатели и поведение в службе многошамотного ковшевого кирпича (КК), обычного и «каолинизированного», выпускаемого з-дами огнеупорной пром-сти, по данным Гисогнеупора 1956 г. Приведены характеристики качества и свойства КК, выпускаемого различными з-дами. Замена КК пластич. формования многошамотным довесила стойкость футеровки на ~40%. Стойкость футеровки ковшей и «каолинизированного» многошамотного КК еще на 20—40% выше, чем у обычного многошамотного КК, вследствие повышенного (на 4—5%) содержания в первом Al_2O_3 . Рекомендован ряд мероприятий для дальнейшего повышения стойкости многошамотного КК. В. Поляк

33241. Сравнительное изучение огнеупоров Индии по техническим условиям различных стран. Банерджи, Нанди (Comparative study of Indian refractories against specifications adopted in different countries. Banerjee J. C., Nandi D. N.), Cent. Glass and Ceram. Res. Inst. Bull., 1957, 4, № 2, 85—90 (англ.)

33242. Изучение огнеупоров для конвертеров. Фукуи, Нэду-канри сирё, 1957, № 3, 26—31 (японск.)
33243. Высокотемпературная воздушная сушка динаса. — (High temperature air drying of silica brick in newly designed oven. —), Industr. Heat, 1957, 2, № 1, 123—124, 126, 128 (англ.)

Описана конструкция туннельной печи длиной 30 м, высотой 1,8 и шириной 2,3 м. Печь предназначена для сушки динаса при 400—415°. Т. Ряховский

33244. Пластифицированные шамотные и высокоглиноземистые мертели. Цейтлин Л. А., Ракин В. П., Огнеупоры, 1957, № 11, 513—519

Исследованы рабочие свойства пластифицированных шамотных мертелей (М), используемых для ответственных участков огнеупорной футеровки теплового агрегатов, где кладка выполняется с тонкими швами. Для изготовления М использовался обожженный шмот из глины латенской ЛТ-1, кирзовской К-1 и высокоглиноземистый шмот с содержанием 15% глины. Шмот измельчался до полного прохождения через сито с размерами отверстий 0,5 мм (содержание пылевидной фракции $< 0,088$ мм — 60—75%). В качестве пластификатора использовалась химически чистая кальцированная сода и жидкий концентрат сульфитно-спиртовой барды с уд. в. 1,27. Водн. р-р пластификатора вводился в М при смешении шмота с глиной в шаровой мельнице. Установлено, что при введении пластификатора уменьшается примерно в 2 раза кол-во воды, необходимое для затворения М, снижается его усадка при сушке, пористость, огневая усадка и возрастает после обжига. Оптимальные рабочие свойства для пластифицированных М, содержащих 15% глины Ч-1, ЛТ-1 или К-1, получены при содержании добавок (в %): сульфитно-спиртовой барды (по сухому весу) 0,07—0,15, соды (по Na_2O) 0,05—0,12, что соответствует 0,09—0,20 Na_2CO_3 . Показано, что пластифицированные М отличаются меньшей газопроницаемостью и лучшей шко- и металлоустойчивостью. Произ-во пластифицированных шамотных и высокоглиноземистых М для кладки лежачей доменных печей освоено на Семилукском огнеупорном з-де. Г. Масленников

33245. О смесительных агрегатах для полусухих шамотных масс. Ларин А. П., Огнеупоры, 1957, № 4, 158—164

В результате лабор. исследований и заводских опытов проведен анализ и дана сравнительная оценка эффективности смешивания порошкообразных масс в двухвалковых, Z-образных смесителях и в шаровой мельнице как в отношении изменения зернового состава, так и в отношении влияния режима смешивания на плотность сырых и обожженных образцов и их механич. прочности. Даны рекомендации по улучшению конструкций смесителей. Т. Ряховский

33246. Об огнеупорных материалах для зоны свинания вращающейся цементной печи. Сообщение II. Корундовые огнеупоры на глинистых связках. Кав Вон До, Ким Еп Сан, Хвахак ка хвахак конг. Ж. химии и хим. пром-сти, 1957, 1, № 5, 272—281 (кор.)

Сообщение 1 см. РЖХим, 1957, 77821.

33247. Механизация и автоматизация обжига керамических изделий. I ч. Людович (Mécánisation et automatisé de la cuisson des produits céramiques (1re partie). Ludowici J. W.), Silicates industr., 1957, 22, № 7—8, 393—403 (франц.)

33248. Конусные дробилки для дробления и помола огнеупорного сырья. Слепухин А. Г., Тр. Научно-техн. о-ва черной металлургии. М-во черной металлургии СССР, 1957, 12, 424—433. Дискус., 455—472.

Применяемые на огнеупорных заводах СССР щековые дробилки для крупного дробления и трубомельницы для тонкого помола соответствуют современным требованиям; машины для среднего дробления малопроизводительны. Описываются конструкция и показатели работы (при дроблении кварцита) инерционных конусных дробилок (КД), разработанных Механобром в 1947—1952 гг. и предназначенных для среднего дробления. КД обеспечивают получение кварцита, отвечающего по зерновому составу требованиям технологии. Высокая производительность КД (при диам. 1200 мм 10 т/час, при диам. 1650 мм 30 т/час) обеспечивает рентабельность и целесообразность их установки не только для помола кварцитов, но и других твердых огнеупорных материалов (шамота, ферросилиция и высокопрочного шамота, обожженного при повышенных т-рах).

В. Злочевский

33249. Формование керамических изделий с помощью гидростатического прессования. Бест, Праудфут (Forming ceramic shapes using hydrostatic pressing. Best P., Proudfoot E.), Industr. Chemist, 1957, 33, № 391, 448—451, 456 (англ.)

Описан технологич. процесс изготовления керамич. изделий из разнообразных материалов путем гидростатич. прессования. Изделия получают различной формы с высокой прочностью и постоянной плотностью сырца. Оптимальное соотношение размеров зерен является необходимым требованием для порошков, подлежащих прессованию. В качестве пластификатора рекомендуется 10%-ный р-р метилметакрилата в этилендихлориде. Непроницаемые химически инертные эластичные формы были изготовлены из поливинилхлорида. Качество таких форм не ухудшалось после 5-кратного использования под давл. до 1750 кг/см². Засыпку и уплотнение порошка с помощью вибратора производили после жесткого закрепления внутренней и внешней форм. Во избежание ухудшения прочности сырца и уменьшения давления прессования необходимо герметично закрывать порошок в форме. Давление прессования 700—2100 кг/см². Для прессования применяли камеру Бриджмена, заполняемую жидкостью, обладающей сжимаемостью в 7% при 2100 кг/см². Изделия, отпрессованные снаружи, легко снимаются с пуансона без какого-либо нарушения их формы. Изделия, спрессованные изнутри, можно извлечь из матрицы, если опустить последнюю в кипящую воду или подвергнуть нагреванию до 100° в печи с небольшой выдержкой при этой т-ре. Описанным методом получены изделия разнообразной формы из ZrO₂, ThO₂, CaF₂, MgO, Al₂O₃, CaZrO₃ и UO₂. Главным преимуществом этого метода является высокая прочность сырца, позволяющая резать, сверлить, обтачивать на токарных станках изделия до обжига. Метод позволяет получать (в целях экономии) двухслойные изделия, внутренний слой которых представляет собой чистый материал, а внешний — загрязненный, а также термостойкие изделия с внешним пористым слоем. С помощью этого метода можно получать также пористые изделия, как мембраны, фильтры и т. п. Обжиг сформованных изделий производится либо в вакууме, либо на воздухе.

В. Кушаковский

33250. Применение противоточной мешалки Эйриха и соображения о разработке автоматических агрегатов. Эйрих (The application of Eirich Counter-Current Mix Mullers with particular consideration to the development of automatic production units. Eirich G.), J. Canad. Ceram. Soc., 1957, 26, 40—47 (англ.)

Рассмотрены вопросы применения в керамич. пром-сти противоточной мешалки (М) Эйриха, в том числе М с автоматизацией загрузочно-смесительных операций. Способ и степень автоматизации М следует выбрать в зависимости от свойств сырья и особенностей технологич. процесса. Указана примерная схема автоматизации процессов подготовки массы в М с непрерывной ее подачей на прессы: транспортер — бункеры — весовой питатель — М — круглый питатель.

В. Злочевский

33251. Гидравлическая схема управления механизмами туннельных печей и сушилок. Лебедев А., Строит. материалы, 1957, № 11, 32

33252 С. Керамические бытовые изделия (Užitková keramika). Чехосл. стандарт, ČSN № 724910, 1957 (чешск.)

33253 П. Способ удаления металлических частиц из керамической массы. Хаген (Verfahren zur Unschädlichmachung von metallischen Bestandteilen in einer keramischen Masse. Hagen Hans-Werner) [Soest-Ferrum Apparatebau G. m. b. H.]. Пат. ФРГ № 954581, 20.12.56

Способ удаления металлич. частиц (продуктов износа технологич. оборудования) из керамич. массы, отличающийся тем, что эти частицы подвергаются воздействию электромагнитного поля высокой частоты, разогревающего их до т-ры выше т-ры плавления. Нагрев может быть осуществлен индукционным или емкостным методом в коротко-ультракоротковолновом или дециметровом диапазоне, соответственно малой величине среднего размера частиц (0,1—0,01 мм). По сравнению с существующими магнитными методами извлечения железных частиц предлагаемый метод имеет то преимущество, что позволяет обезвреживать немагнитные частицы, в частности — продукты износа марганцевистой износостойкой стали. Приводятся описание и схема механизированной обработки керамич. массы ВЧ-токами.

Б. Сомин

33254 П. Получение титаната кальция. Меркер (Preparation of calcium titanate composition. Merker Leon) [National Lead Co.]. Пат. США 2751279, 19.06.56

Изготовление тонко-дисперсного высокой степени чистоты титаната кальция, используемого для получения монокристаллов, состоит в смешении р-ров сульфата Ti и сульфата Ca, выпаривании смеси до выделения SO₃, осаждении двойной соли [CaTi(SO₄)₂], фильтровании и сушке полученного осадка, и его прокаливания при повышенных т-рах до разрушения сульфата и образования титаната кальция. Р-р сульфата Ti можно получать растворением тонкоизмельченной TiO₂ в конц. H₂SO₄, содержащей сульфат аммония. Т-ра прокаливания двойной соли находится в интервале 1100—1500°.

А. Черепанов

33255 П. Материалы для магнитных сердечников из окислов металлов. Такэи, Сугимото, Окамото [Кабусики Кайся Кагаку Кэнкюсэ]. Японск. пат. 4634, 7.07.55

К смеси порошка, применяемой при изготовлении известных в настоящее время ферритовых магнитных сердечников системы Fe₂O₃—CuO—ZnO, Fe₂O₃—MnO—ZnO, Fe₂O₃—NiO—ZnO и др., добавляют 0,01—1,0 вес. % As₂O₃, Bi₂O₃, Sb₂O₃ или их смеси. Все это тщательно перемешивают, формуют и прокаливают до их спекания. Полученные таким образом магнитные сердечники обладают высокими магнитными свойствами. Примеры: 1) В смесь порошка состава (в вес. %): CuO 14,5, ZnO 19,5 и остальное Fe добавили в различных пропорциях, в пределах 0,01—1,0%, As₂O₃, Bi₂O₃ и Sb₂O₃. Всю смесь тщательно перемешали до получения однородной массы, отформовали в виде цилиндрич.

стержней и прокалили при 1050°. В результате во всех случаях получили магнитные сердечники с весьма высокими показателями начальной и максим. магнитными проницаемостями, высокой плотностью магнитного потока, большой остаточной намагниченностью и небольшой коэрцитивной силой. Лучшие результаты получены при добавлении As_2O_3 , Bi_2O_3 и Sb_2O_3 в пределах 0,01—0,7 вес. %. 2) В смесь порошка состава (в вес. %): MnO 18, ZnO 14, остальное Fe_2O_3 , добавили указанные в примере первом добавки, все это тщательно перемешали, отформовали и обожгли при 1350°. М. Гусев

33256 П. Материалы для магнитных сердечников из окислов металлов. Такэи, Сугимото, Окамото [Кабусики кайся кагаку кэнкюсё]. Японск. пат. 4379, 27.06.55

Берется смесь состава (в вес. ч.): Fe_2O_3 60—75, MnO 6—20 и ZnO 10—25. К смеси добавляют As_2O_3 , Bi_2O_3 , Sb_2O_3 от 0,05 до 1% или их смеси. Все это тщательно перемешивают и спекают при 1200—1450°. Добавки As_2O_3 , Bi_2O_3 и Sb_2O_3 увеличивают первоначальную и максим. магнитные проницаемости сердечников, повышают остаточную намагниченность и плотность магнитного потока и уменьшают коэрцитивную силу сердечников. М. Гусев

33257 П. Магнитные материалы для сердечников из окислов металлов. Такэи, Сугимото, Окамото [Кабусики кайся кагаку кэнкюсё]. Японск. пат. 2226, 31.03.55

Берется смесь (в мол. %): NiO 10—40, ZnO 12—39, окиси железа 40—60, к которой добавляют 0,01—0,1 вес. % As_2O_3 , Bi_2O_3 , Sb_2O_3 или их смесь. Кроме того, для улучшения магнитных свойств сердечников к указанной выше смеси могут быть добавлены в соответствующем кол-ве CuO , MnO , MgO , CdO , CoO , ThO , TiO , ZrO и BaO . Смесь тщательно перемешивается, формуется изделия и обжигаются при 1200—1450°. Полученные сердечники обладают высокой первоначальной магнитной проницаемостью. Добавки As_2O_3 , Bi_2O_3 и Sb_2O_3 способствуют значительному увеличению максим. магнитной проницаемости сердечников, резкому понижению коэрцитивной силы, повышают остаточную намагниченность и способствуют увеличению плотности магнитного потока при напряжении магнитного поля в 15 э и только лишь в незначительной степени уменьшают коэф. усиления по напряжению. М. Гусев

33258 П. Огнеупоры и способ их производства. Митра (Refractory and process for making same. Mitra Himansu K.). Пат. США 2759833, 21.08.56

Предложено изготавливать высокоогнеупорные изделия из шихты состава (в вес. ч.): гидросиликат Mg (дунит или серпентин) с содержанием ~42% SiO_2 и 36% MgO 1,0, аморфная MgO (магнезит или брусит) 0,325—0,49 и высокосортный хромит, вводимый в таком кол-ве, чтобы содержание Cr_2O_3 в готовом огнеупоре составляло 5—22,5%. После смешения тонкоизмельченных компонентов шихту обжигают при 1595—1680°. Огнеупоры не деформируются при 1700° под нагрузкой 2 кг/см². В. Злочевский

33259 П. Огнеупоры и способ их производства. Митра (Refractory and process for making same. Mitra Himansu K.). Пат. США 2759835, 21.08.56

Предложено использовать при произ-ве форстеритовых огнеупоров (ФО) низкоогнеупорные гидратные руды (напр., дунит или серпентин), у которых п. п. п. составляет ~12%; содержание SiO_2 ~42%, MgO 36%, мол. отношение $MgO : SiO_2 = 1,29$, огнеупорность 1400—1465°. ФО готовят из шихты, состоящей из 1 вес. ч. руды и 0,21—0,315 вес. ч. аморфной MgO (магнезит или брусит); компоненты применяют в тонкоизмельченном виде и их смесь обжигают при 1595—1680°. Огнеупоры не деформируются при 1700° под нагрузкой 2 кг/см². В. Злочевский

33260 П. Огнеупоры и способ их производства. Митра (Refractory and process for making same. Mitra Himansu K.). Пат. США 2759834, 21.08.56

Предложен способ произ-ва высокоогнеупоров из низкосортных хромитов с высоким содержанием SiO_2 , содержащих (в вес. %): SiO_2 20—43, MgO 5—13, FeO + Al_2O_3 22—27, Cr_2O_3 27—34; огнеупорность < 1580°. Шихту составляют из 1 вес. ч. хромита и 0,375—1,0 вес. ч. аморфной MgO . Смесь обжигают при 1595—1680°. Отмечено отсутствие деформации при 1700° под нагрузкой 2 кг/см²; высокая стойкость при взаимодействии с окислами Fe ; при испытании кирпичей под нагрузкой при 1450° сжатие 0,48%. В. Злочевский

33261 П. Производство легковесных теплоизоляционных огнеупоров. Накамура [Асахи сэкимэн ког кабусики кайся]. Японск. пат. 4040, 14.06.55

Диатомит, гашеную известь и асбестовое волокно размешивают с водой, доводят до кипения, разливают по формам, помещают в автоклав, где вновь нагревают водяным паром, после чего сушат. Пример. Смесь из (в вес. %): диатомита 75, $Ca(OH)_2$ 20, асбестового волокна 5, разбавляют водой (1 в. ч. на 10 в. ч. H_2O), нагревают при перемешивании до 100° 1 час, разливают по формам, пропаривают в автоклаве под давлением 3 кг/см² 3 часа, после чего изделия сушат. Свойства изделий: об. вес.—0,35 г/см³, $\sigma_{изг}$ 8,7 кг/см², коэф. теплопроводности при 100° 0,069 ккал/м час град. М. Гусев

33262 П. Огнеупоры с глазурным покрытием. Ито, Усигомэ. Японск. пат. 2182, 26.03.56

На поверхность глиноземистых нейтр. или основных огнеупоров наносится слой толщиной 0,5—3 мм основного материала, содержащего (в %): SiO_2 35—50, CaO 25—40 и MgO 10—20. Хорошо перемешанную смесь доломита, гашеной извести, Mn , дунита и глины (хим. состав в %: SiO_2 46,2, CaO 29,5, Fe_2O_3 4,4, MnO 1,0, Al_2O_3 2,7, MgO 15,0) или смесь доломита, глины, Mn и каолина (хим. состав в %: SiO_2 40,0, CaO 33,0, Fe_2O_3 5,0, MnO 3,0, Al_2O_3 3,0 и MgO 16,0) наносят в виде порошка или пасты толщиной 0,5—3,0 мм на поверхность огнеупоров, соприкасающуюся с расплавленным металлом или шлаком. Затем обжигают при 900° до расплавления глазури. Срок службы огнеупоров, покрытых глазурью, в 3—4 раза больше, чем у обычных непокрытых глазурью огнеупоров. Применяются также огнеупоры для внутренней футеровки реторт, доменных и сталеплавильных печей. М. Гусев

33263 П. Изготовление губчатого точильного камня. Хориэ. Японск. пат. 644, 31.01.56

К воде добавляют поверхностно-активный пенообразователь и тщательно перемешивают его с водой до образования пены. Отдельно берется синтетич. или натуральная смола или же другие синтетич. или натуральные высокомолекулярные в-ва, к ним добавляют портланд-цемент, гипс или другие неорганич. связующие в-ва или их смеси. К р-ру добавляют какой-либо полировальный материал, напр. карборунд. Смесь перемешивают с первой смесью, почти в равной пропорции, до получения однородной массы. К полученной массе добавляют какое-либо в-во, способствующее отвердеванию, или же оставляют в покое до полного отвердевания без добавки. Выбор отвердевающего агента и вопрос о необходимости добавления его зависят от характера связующего в-ва. Пример. На 50 см³ карбамидной смолы добавляют 300 г карборунда с размером зерен 220 меш, все это тщательно перемешивают, добавляют примерно такое же кол-во вспененного р-ра (японск. пат. 197284). Все это вновь тщательно перемешивают до получения однородной массы, к которой добавляют в качестве ускорителя отвердения 10 см³ хлористого аммония и разливают по формам. После этого оставляют на 5 час. в покое при

60°, через 5 час. вынимают из формы и получают искусств. точильный камень. М. Гусев

33264 П. Изготовление искусственного шлифовального камня. Иеигуро. Японск. пат. 645, 31.01.56

К наждачному порошку № 46 добавляют 2—10% (от кол-ва порошка) продукта первичной конденсации фенольной смолы. Всю смесь в течение нескольких минут тщательно перемешивают в меналке и зерна наждачного порошка покрываются тонкой пленкой фенольной смолы. Затем добавляют 20% связующего в-ва, содержащего, напр. (в %): полевого шпата 40, кремния 30 и глины 30. Вновь всю смесь в течение нескольких минут тщательно перемешивают и связующее в-во равномерно и прочно приклеивают к смолистой пленке, покрывающей зерна наждака. Каждое из зерен таким образом оказывается покрытым тонкой пленкой смолы с приставшим к ним связующим в-вом. Эту смесь помещают в металлическую форму и формуют под давлением. После формовки помещают в печь и обжигают при 1350—1400°. Смола выгорает и получается высококачественный искусств. шлифовальный камень. Вместо продуктов первичной конденсации фенольной смолы может быть добавлено 4—5% р-ра смолы, состоящего из 10 ч. манильского копала, 100 ч. смешанного р-рителя (смесь терпена с бензолом) и 2 ч. льняного масла или 4—5% р-ра, состоящего из 20 ч. ацетатцеллюлозы и 100 ч. смешанного р-рителя (смесь ацетона с этанолом). М. Гусев

См. также: Выращивание монокристаллов BaTiO_3 31583. Термодинамик. теории сегнетоэлектрич. св-в титаната Ва 31677. Эффективность мер по снижению концентрации пыли на предприятиях произ-ва огнеупоров 33018

Стекло

Редакторы О. К. Ботвинкин, С. И. Горелкина, С. И. Иофе

33265. Применение кремнефтористого натрия в стеклоделении. Даувальтер А. Н., Легкая пром-сть, 1957, № 8, 23—25

Кремнефтористый натрий (Na_2SiF_6) дешевле и в хим. отношении более постоянен, чем криолит. В качестве глушителя применяют Na_2SiF_6 совместно с глиноземом. Al_2O_3 можно вводить в состав стекла через природные минералы, огнеупорную глину, полевой шпат, пегматит. Соотношение Al_2O_3 : Na_2SiF_6 должно быть $\geq 1:5.5$. В заглушенные фтором стекла вводят 6—9% CaO ; можно применять также ZnO , PbO или BaO . При варке сульфатных опаловых стекол Na_2SiF_6 в кол-ве 2—3% усиливает глушение. Na_2SiF_6 может применяться в качестве кристаллизатора, напр., при варке селеновых рубинов. Na_2SiF_6 может быть применен в качестве ускорителя варки стекла, а также в качестве осветлителя. Na_2SiF_6 способствует растворению глиноземистого стекла, что уменьшает свилость стекла.

Н. Павлушкин

33266. Стекла с высоким содержанием висмута и свинца. Бреховских С. М., Стекло и керамика, 1957, № 8, 1—4

Проведено исследование стекол в системе B_2O_3 — PbO — SiO_2 и определена их поглощательная способность по отношению к γ - и рентгеновским лучам. Варка стекол проводилась в силикатной печи при 850—950°. Из расплавов с содержанием 5% SiO_2 при очень быстрой отливке и охлаждении могут еще быть получены стекла. При отливке стекла в металлич. форму быстро охлад. слои на глубину 2—3 мм образуют прозрачное слегка желтоватое стекло, а глубинные слои — закристаллизовавшуюся массу. Расплавы, содержащие 10% SiO_2 , представляют устойчивые стекла,

не кристаллизующиеся при отливке. Плотность исследованных стекол находилась в пределах 4,31—8,05 г/см³. Коэф. ослабления γ -лучей (см⁻¹) при энергии их 0,5108 Мэв составлял 0,62—1,21; при энергии 1,25 Мэв 0,27—0,51; при энергии 4,086 Мэв 0,17—0,32; при энергии 5,108 Мэв 0,17—0,33. Коэф. ослабления тепловых нейтронов 0,18—0,31. Коэф. ослабления быстрых нейтронов при энергии 2,0 Мэв 0,17—1,1; при энергии 6,0 Мэв 0,07—0,48. В результате исследования синтезированы новые составы стекол с плотностью 7—8 г/см³. Н. Павлушкин

33267. Вязкость расплавов горных пород и силикатов.

Эйлер, Винклер (Über die Viskositäten von Gesteins- und Silikatschmelzen. Euler Robert, Winkler Helmut G. F.), Glastechn. Ber., 1957, 30, № 8, 325—332 (нем.; рез. англ., франц.)

Измерена вязкость большого числа расплавов горных пород (ГП), минер. ваты, стекловолокна, технич. стекол и др. силикатов. Из числа ГП исследовались андезиты, керсантит, тефрит, базальты, оливново-базальт, а также стекла для произ-ва волокна, оконные и бутылочные стекла и искусств. силикаты типа кислых или основных шлаков. Вязкость измерялась на усовершенствованном торсионном вискозиметре с двумя коаксиальными цилиндрами. Определялись вязкости от 10 до 4000 пуаз в интервале т-р до 1500°. Из результатов измерений рассчитаны значения энергии активации вязкости, позволяющие сделать некоторые заключения о структуре соответствующих силикатных расплавов. Показано, что при содержании суммы окислов $[\text{SiO}_2 + \text{Al}_2\text{O}_3]$, превышающей 60 мол.%, величина энергии активации, а следовательно и строение силикатов, связана со значением катион-кислородного соотношения $[\text{SiO}_2 + \text{Al}_2\text{O}_3]/\text{O}$ в ат.%. При содержании суммы $[\text{SiO}_2 + \text{Al}_2\text{O}_3] > 60$ мол.% вышеуказанная зависимость исчезает, что объясняется возрастающим влиянием остальных катионов. Библ. 28 назв. В. Полляк

33268. Автоматическая установка для исследования механических свойств стекол при высоких температурах. Блемон, Де-Баст (Une installation automatique pour l'étude des propriétés mécaniques du verre aux hautes températures. Blaimont G., De Bast J.), Silicates industr., 1957, 22, № 4, 205—212 (франц.)

Описываются полностью автоматизированные приборы для измерения в интервале т-р до 600° деформации стекла под постоянной нагрузкой, а также при переменной нагрузке в зависимости от времени (определение релаксации). Приводятся фотографии приборов и схемы автоматич. управления. В. Полляк

33269. Ошибки при определении термического расширения стекол.— (Errors in the determination of thermal expansion.—), J. Soc. Glass Technol., 1956, 40, № 194, 70P—82P (англ.)

Для изучения возможных отклонений при определении коэф. теплового расширения были проведены измерения в 11 разных лабораториях. Измерялся коэф. теплового расширения платины и стекла по установленным условиям. Применялись печи горизонтального или вертикального типа с различным диаметром трубы. Удлинение образцов регистрировалось с помощью зеркальной шкалы или калибра с циферблатом. При определении теплового расширения стекла образцы шириной 0,5 см и длиной 11 см были вырезаны из листового стекла, которое тщательно отбиралось по гомогенности. Образцы затем отжигались путем выдержки при 560° в течение 1 часа и последующего охлаждения со скоростью 1 град/мин до 400°. В каждую лабораторию было послано по 2 образца. В результате измерений установлено, что внутрилабораторные отклонения составляют $0,06 \cdot 10^{-6}$, а междулабораторные $0,14 \cdot 10^{-6}$. Н. Павлушкин

33270. О качественном контроле производства стеклянных бутылок. Маргатройд (A note on the application of quality control to the manufacture of glass bottles. Murgatroyd J. B.), Centr. Glass and Ceram. Res. Inst. Bull., 1957, 4, № 1, 21—23 (англ.)

Обсуждаются вопросы качеств. контроля произ-ва бутылок машинным способом. Указывается, что качеств. контроль может дать хороший эффект, если он применяется к изделиям, уже прошедшим начальную отбраковку на произ-ве.

Н. Павлушкин

33271. Контроль состава стекла посредством измерения плотности. Шарма (Control of glass composition through density measurements. Sharma K. D.), Centr. Glass and Ceram. Res. Inst. Bull., 1956, 3, № 3, 125—129. Discuss. 129—130 (англ.)

Наиболее простым и точным способом контроля стекломассы является наблюдение за постоянством ее плотности, которую можно определять с точностью $\pm 0,0001 \text{ г/см}^3$. Обычно изменение плотности на $0,001 \text{ г/см}^3$ соответствует изменению содержания одного из компонентов на 0,1%, в то время как пределом точности хим. анализа можно считать 0,2%. Для текущего контроля произ-ва удобен иммерсионный метод. В качестве иммерсионных жидкостей используются: бромформ, пентахлорэтан, бромнафталин. Для контроля берутся куски одного и того же участка изделий, одной и той же степени отжига. Отобранные куски гомог. стекломассы служат в качестве эталона. В случае необходимости определяется абс. значение плотности и наносится на график. Отклонение в значениях плотности до $\pm 0,0030$ считается допустимым, большее отклонение является признаком значительного изменения состава. Увеличение содержания СаО весьма сильно изменяет плотность; меньшее увеличение плотности наблюдается при колебаниях в содержании Na_2O и Al_2O_3 . Приведена таблица отклонений плотности в зависимости от изменения содержания отдельных окислов в стекле обычного состава.

Н. Павлушкин

33272. Опыт применения люминесцентного индикатора для изучения поверхностных потоков стекломассы в ванной печи. Поллак В. В., Гричевская Р. И., Стабровская П. А., Тр. Всес. н.-и. ин-та стекла, 1957, вып. 37, 44—49

Исследовалась скорость прохождения стекломассы (С) от засыпного кармана до зоны температурного максимума и от заградительной лодки до машин. Для этого использовалось явление люминесценции, вызываемое активаторами свечения, напр. двуокисью церия, которая вводилась через промышленный препарат — полирит (П), представляющий собой смесь редкоземельных окислов. При изучении потоков на участке студка — выработка в С спускались куски стекла, содержащие двуокись церия. На участке движения С от загрузочного кармана до зоны температурного максимума вводилось 0,4% двуокиси церия через П. Появление люминесценции было впервые отмечено между 3-й и 4-й парами горелок через 1 час после начала поступления в печь шихты с П. Скорость движения люминесцирующей С на участке карман — 3—4 горелки $12,05 \text{ м/час}$, а на участке карман — температурный максимум $6,85 \text{ м/час}$. Проверка скорости движения С на участке заградительные лодки — машины показала, что скорость потока С составляет $\sim 1,8 \text{ м/час}$.

Н. Павлушкин

33273. Применение основных огнеупоров в насадках регенераторов стекловаренных печей. Уокер (Use of basic refractories in glass tank checkers. Walker Henry E.), Amer. Ceram. Soc. Bull., 1957, 36, № 9, 355—357 (англ.)

Приводятся результаты многолетних испытаний (16—17 лет) службы огнеупоров в насадках регенера-

тивных камер стекловаренных печей по провану оконного стекла, а также об успешном использовании в кладке регенераторов основных огнеупоров (ОО), непрерывный срок службы которых достигал в отдельных случаях от 40 месяцев до 4 лет. Основными преимуществами ОО являются длительный срок их службы, малая засоряемость насадок отдельными кусками ОО и легкость удаления последних из кладки. Недостатки: высокая стоимость, значительно больший объем насадок, чувствительность к атмосферным воздействиям, унос тягой легких частичек ОО, хим. взаимодействие с некоторыми типами огнеупора с уносимой шихтой.

А. Бережков

33274. Опыты изготовления стеклоплавильных горшков методом отливки. Голленхофер, Каня (Próby produkcji donic metodą odlewania. Gollenhofer Andrzej, Kania Krystyna), Szkło i ceram., 1957, 8, № 10, 268—271 (польск.)

На Оленегорском оптич. з-де (ПНР) были проведены лабор. опыты по отливке шамотных стеклоплавильных горшков, емк. 10 л для варки оптич. стекла из импортного сырья: каолина, обожженного шамота и боя горшков. Состав 2 использованных масс (вес. %): I и II массы, соответственно: огнеупорная глина 33, 26; шамот 23, 30; молотый бой 27, 18; каолин 12, 16; фарфоровый бой 0, 10; максим. размер зерен шамота 1,5 мм, кол-во мелочи $< 0,3 \text{ мм}$ 51—70%. Для разжижения литейного шликера, влажность 22—24%, добавляли жидкое стекло + Na_2CO_3 . Массу готовили в мешалке в течение 6 час. при 60 об/мин, выставляли 24 часа, контролировали ее вязкость вискозиметром вращения, а затем отливали из шликера горшки в разборные гипсовые формы (из 4 ч.). Через 2 сут. после отливки вынимали сердечник формы, через 3 сут. разбирали форму полностью; сушка горшков на гипсовом поддоне длилась 4 недели при 20—35°. После обжига горшков при 1300° кажущаяся пористость их составляла 12,9—14,5%. Горшки работали при плавлении оптич. стекла удовлетворительно.

С. Глазов

33275. О приэлектродных явлениях в стекле. Першиц Я., Уч. зап. Псковск. гос. пед. ин-т, 1957, вып. 4, 269—282

Анодный слой, на который действует электрич. поле, связан с подходом ионов к аноду и не может распространяться сколько-нибудь значительно в глубь диэлектрика, независимо от созданного в нем поля. В результате исследований, проведенных с различными диэлектриками, следует, что характер приэлектродных (прианодных) явлений одинаков для всех формирующихся диэлектриков, эти явления должны быть связаны с перемещением ионов, но не могут объясняться простым некомпенсированным движением катионов, а также предполагается, что в образованном слое особую роль играет кислород, выделяющийся на аноде при электролизе.

Н. Павлушкин

33276. Процесс горения и теплопередача в стекловаренной ванной печи. Саваи, Кунуги (On the combustion and heat transmission in a glass tank furnace. Sawai Ikutaro, Kunugi Masahisa), Bull. Inst. Chem. Res. Kyoto Univ., 1956, 34, № 3, 142—164 (англ.)

Приводится классификация видов пламени. С целью определения интенсивности и масштаба турбулентности диффузионного пламени исследовался процесс горения с помощью жидкостной и газовой моделей. На жидкостной модели выявлялось строение отстойной струи, т. е. имитировался процесс горения в условиях диффузионного смешивания в ламинарном и турбулентном потоках, в случае открытого пламени. Экспериментирование на газовой модели позволяло получить профили концентрации и скорости для различных расстояний от горелки и обнаружить выравнивание

действие турбулентной диффузии. В результате экспериментирования со сжиганием топлива в прямоугольной камере с раздельным подводом воздуха и газа построены профили концы H_2 , O и CO_2 , а также т-р на различном расстоянии от горелок; замечено, что зона горения располагается при максимуме кривой для CO_2 , а максимумы всех кривых удалены от стен ванны. Объясняется причина влияния избытка воздуха на длину факела. Приводится ф-ла для вычисления средней концы в любом поперечном сечении по оси продвижения фронта пламени, а также простая ф-ла для вычисления средней т-ры в вертикальных сечениях в любой точке оси движения пламени; уточняется понятие «печной т-ры» и дается пример ее вычисления. Рассматривается ф-ла для определения расхода топлива. Библ. 17 назв. В. Роговцев

33277. Некоторые аспекты явлений в области трансформации стекол. Винтер-Клейн (Certains aspects du phénomène de la transformation du verre. Winter-Klein Anieta), Verres et réfract., 1957, 11, № 2, 71—88. Discuss. 88. (франц.)

Рассматривается вопрос о том, соответствует ли изменение свойств, происходящее в области трансформации (ОТ) стекол (С), изменением структуры С или же оно может быть объяснено «фактором времени», т. е. замедленной мол. релаксацией в условиях резкого возрастания вязкости. Излагаются эксперим. и теоретич. аргументы, выдвигаемые сторонниками обеих точек зрения, и приводятся данные опытов, поставленных в целях выяснения действительной природы ОТ. Определялось изменение показателя преломления древних С, насчитывающих 2500-летнюю давность, в зависимости от т-ры; такие же измерения были проведены на спец. сваренных С аналогичного хим. состава, а также на переплавленном древнем С. Изменение показателя преломления для всех С подчиняется одинаковой закономерности, причем кривая изменения характеризуется перегибом в одной и той же области т-р. Доказано действительное наличие ОТ и превращений, протекающих независимо от «фактора времени». На ряде примеров изменения свойств (термич. эффекта, отношения теплопроводности к теплоемкости, энергий активации, уд. теплоемкости, парамагнитного резонанса) показано, что в ОТ изменяется термодинамич. равновесие С; высказывается предположение, что в ОТ прекращается вращательное движение молекул. В. Полляк

33278. Конденсация сульфата натрия и производство сульфата натрия де-Кастро (La condensation de sulfate de soude et la fabrication du verre. Peña de Castro Juan Ernesto), Verres et réfract., 1957, 11, № 2, 89—93 (франц.)

Рассматривается механизм образования налета сульфата натрия на холодильниках, помещенных в газовую зону и в выработочных частях ванн печей для произ-ва листового стекла. Выдвигается новая теория механизма образования налета: при сульфатном составе, в присутствии восстановителя — углерода, в стекломассе образуется молекулярно-дисперсный металлич. натрий, являющийся продуктом восстановления углем силикатов натрия. В области т-р 800—1000° Na^+ , присутствующий на поверхности стекломассы в зоне выработки, окисляется до перекиси Na_2O_2 и в свою очередь окисляет SO_2 по р-ции $Na_2 + O_2 \rightarrow Na_2O_2$; $Na_2O_2 + SO_2 \rightarrow Na_2SO_4$. Для устранения образования налета рекомендуется пользоваться в шихте миним. добавками восстановителя. Библ. 4 назв. В. Полляк

33279. О «лодочных» пузырях. Хольмберг (Om «dyseblåser». Holmberg Morgan), Glastekn. tidskr., 1957, 12, № 3, 75—77, 85 (норв.)

Рассматриваются причины образования поверхност-

ных «лодочных» пузырей на листовом стекле вертикального вытягивания. Особое значение приписывается железистым включениям в огнеупоре лодочек и восстановительному характеру газовой среды при их обжиге. Библ. 3 назв. В. Полляк

33280. Новые усовершенствования в производстве стеклянной посуды. Приндл (New developments in glass containers. Prindle W. R.), Glass Packer, 1957, 36, № 4, 39—41, 53 (англ.)

В процессе службы на изделии из стекла появляются различные царапины, которые приводят к сильному уменьшению прочности изделия. За последние несколько лет для защиты поверхности стеклянных изделий применяют различные органич. пленки, которые действуют подобно смазке по отношению к царапающему действию различных агентов. Так, сопротивление сжатию после абразивной обработки пивных бутылок, покрытых пленкой парафина, возрастает почти в полтора раза по сравнению с обычными бутылками, а сопротивление удару возрастает более чем в два раза. Успешно применяются для защиты поверхности стеклянных сосудов полиэтиленгликоль, полиоксидилен, моностеарат и различные кремнийорганич. соединения. Защитные покрытия используются также для поверхностного окрашивания стеклянных сосудов, которые применяются для хранения различных нестойких к облучению в-в, напр. лекарств. Под влиянием сильной радиации некоторые стекла с добавками редких земель меняют свой цвет; это явление используется в произ-ве некоторых сосудов для получения различных надписей, напр. торговых марок. Н. Павлушкин

33281. Об окрашивании стекла теллуром. Хасагава, Кавакубо (Über die Glasfärbung mit Tellur. Hasegawa Yasushi, Kawakubo Syoiti), Glastechn. Ber., 1957, 30, № 8, 332—335 (нем.; рез. англ., франц.)

Окрашивание стекла (С) Те происходит главным образом при восстановительных условиях варки и обусловлено образованием полителлуридов. Исследовалось окрашивание 2,3 и 4-компонентных С, содержащих SiO_2 , B_2O_3 , CaO , K_2O , Na_2O , а также небольшие добавки Al_2O_3 , ZnO , As_2O_3 и органич. восстановителей. Окраска определялась по 3-цветному графику и спектральному поглощению в видимой области. При сильно восстановительных условиях варки (восстановитель — металлич. Al) силикатные С окрашиваются Те в цвета от коричневого до красно-фиолетового. Максимум поглощения имеет место в области длин волн 480—490 мμ и соответствует такому же максимуму спектрального поглощения р-ра Те в конц. едком калии. Натриевые С окрашиваются Те в тона от коричневого до красно-коричневого. Наиболее действенным восстановителем для Те оказался алюминиевый порошок. Библ. 6 назв. В. Полляк

33282. Термостойкие стекла KC-16 и KC-18. Китайгородский И. И., Артамонова Н. В., Стекло и керамика, 1957, № 7, 7—8

Авторы синтезировали ряд стекол (С) в системе $CaO - Al_2O_3 - SiO_2$ с коэф. расширения в пределах $33,0 - 24,8 \cdot 10^{-7}$. Для снижения вязкости высокоглиноземистых С в их составы вводился Li_2O в кол-ве 1—1,5%. Шихта эксперим. С состояла из х. ч. материалов с применением тонкомолотого кварцевого песка (КП). С варились при 1600—1620° с выдержкой от 6 до 8 час. Лучшие С KC-16 и KC-18 были сварены в ВЧ-печи. На КП обычной зернистости при 1640° наблюдалось неполное осветление и частичный несправ, на тонкомолотом КП удовлетворительное осветление происходило при 1580°. С KC-16 и KC-18 имеют т-ру размягчения 690—710°, коэф. теплового расширения 25,6—28,4 и удовлетворительную хим. стойкость. Склонность к кристаллизации у этих С наблюдается в интер-

вале т-р 1100—1450°. С выдерживают нагрев в течение нескольких секунд от комнатной т-ры до 450°.

33283. Стекла для спайвания с низким коэффициентом расширения в системе $ZnO-B_2O_3-V_2O_5$. Дентон, Росон (Low expansion «solder» glasses in the system $ZnO-B_2O_3-V_2O_5$. Denton E. P., Rawson H.), J. Soc. Glass Technol., 1956, 40, № 194, 252T—259T (англ.)

Установлено, что стекла (С), содержащие большой процент V_2O_5 , отличаются высокой текучестью при т-ре ~ 800°. Была поставлена задача найти на основе комбинации цинкоборатных С с V_2O_5 С, пригодные для спайвания при низких т-рах со С или сплавами металлов с небольшим коэф. расширения. Исследовалась область стеклообразования в системе $ZnO-B_2O_3-V_2O_5$ методом микромасштабной плавки шихты в петле платиновой проволоки. Т-ра плавления полученных С находилась в пределах 800—1000°. Определена область стеклообразования и установлено, что добавка 20% V_2O_5 к $ZnO-B_2O_3$ С понижает т-ру деформации без заметного влияния на коэф. теплового расширения, который для этих С лежит в пределах $48-55 \cdot 10^{-7}$. Это обстоятельство было использовано для применения С для спайки со сплавом Fe-Ni. Спайка с применением суспензии или порошка одного из С происходит при 625°.

33284. Стекло упрочняет металл. Буллох, Нелсон (What glass can offer metal. Bulloch Charles E., Nelson Forrest), Steel, 1957, 141, № 8, 154—156 (англ.)

Комбинация стекла и стали увеличивает стойкость к коррозии, уменьшает истирание и удлиняет службу изделий. Возможно, скоро появятся покрытые стеклом подшипники, шестерни, кривошипы и поршни. Стекло также сообщает поверхности металла беспористость и диэлектрич. свойства. Высокое сопротивление нагреванию и непористость особо ценны для аппаратов в атомной пром-сти. Покрытие стеклом металлич. шпиль в текстильной пром-сти удваивает срок их службы. Сообщаются основные элементы технологии покрытия стеклом металлов.

33285. Сохранение рисунков на старинных стеклах Кельнского собора. Якоби (Die Konservierung alter Glasmalereien des Kölner Doms. Jacobi Richard), Glastechn. Ber., 1957, 30, № 12, 509—514 (нем.; рез. англ., франц.)

33286. Советское художественное стеклоделие. Качалов Н. Н., Энтелес Ф. С., Стекло и керамика, 1957, № 14, 1—4

33287. Эмалирование на заводе фирмы Фрижидейр (Канада). Джонсон (Porcelain enameling at Frigidaire of Canada. Johnson Fred D.), Metal Prod. Manufact., 1957, 14, № 10, 41—43, 77 (англ.)

З-д выпускает домашние холодильники, кухонные плиты, стиральные машины и т. п. Общий выпуск > 150 000 шт. в год. Возврат эмалированных изделий (И) на исправление не превышает 3%, что объясняется тщательным пооперационным контролем и удалением пыли из производственных помещений. Транспортировка И осуществляется при помощи конвейеров. Описано устройство помольного отделения. Мельницы имеются на 900, 450, 180, 45 и 10 кг. В процессе работы мельницы охлаждаются водой. Шликер из мельниц подается насосом в емкости хранения. Перед употреблением шликер пропускают через магнитное сито. Травление И в зависимости от их вида производят окунанием или пульверизацией на конвейере. Обезжиривание ведут р-ром ортосиликата натрия при т-ре, близкой к т-ре кипения. Травление производят р-ром H_2SO_4 при 77°, обработку в р-ре $NiSO_4$ при 77°, нейтр-цию в р-ре KCN при 66°. Окончательная про-

мывка производится нагретой до 99° водой, чтобы И затем быстро высушивалось. Грунтовая эмаль наносится окунанием, реже — пульверизацией; покрывная — пульверизацией, при помощи ручных пистолетов или автоматич. распылителей. Сушка И производится в конвейерных сушильных печах в течение 10 мин. при 120—150°. После сушки механически удаляют сухую эмаль вокруг отверстий, предназначенных для сборки деталей. Обжиг производят в U-образных конвейерных электрич. печах мощностью 1250 квт. Т-ра в зоне обжига 850°. И находится в печи 15—20 мин., из них в зоне подогрева и охлаждения по 3 мин. У входа и выхода, а также перед зоной обжига в печи имеются воздушные завесы. Покровную эмаль обжигают при 835°. Толщина слоя грунтовой ~ 0,075 мм, покровной эмали 0,3 мм. М. Серебрякова

33288. Контроль тонкости помола. Аффлербак (Control of sub-sieve fine grinding. Afflerbach Harry), Metal Prod. Manufact., 1957, 14, № 2, 29, 93 (англ.)

Дано описание двух рекомендуемых методов контроля степени тонкости помола эмалей. 1-й метод заключается в осаждении водн. суспензии исследуемой пробы в градуированном стеклянном цилиндре и фиксировании объема осадка в зависимости от времени осаждения. Время для проведения такого анализа очень мало и гораздо меньше времени, необходимого для проведения ситового анализа. 2-й метод состоит в следующем: исследуемую пробу засыпают на плиту, имеющую четырехугольное углубление, причем глубина с одной его стороны равна 0,127 мм и последовательно сходит до нуля с другой стороны. После срезания плоским ножом пробы с плиты в направлении от глубокой стороны до нулевой на определенном расстоянии от глубокой стороны, в зависимости от тонкости помола пробы, срезаются из углубления полностью все частицы пробы. Боковые стороны углубления градуированы, и таким образом можно фиксировать относительную степень тонкости помола. Отмечается, что рекомендуемые методы не дают точного определения частиц или их распределения по размерам, но являются достаточно надежными для осуществления контроля процессов помола. Рекомендуется 1-й метод как более точный. И. Слободяник

33289. Стекловидная эмаль для алюминия и его сплавов. Мартинес-Артола (El esmaltado vítreo del aluminio y sus aleaciones. Martínez Artola José María), Dyna, 1957, 32, № 5, 270—273 (исп.)

Исследовались эмали для алюминия на основе свинца, фосфатов и щел. стекол, содержащих F. Эмали на основе свинца имеют состав (в %): PbO 10—18, SiO_2 38—65, Li_2O 5—12, Na_2O 0—22, K_2O 0—20, TiO_2 0—11. Для получения хорошей эмали необходимо, чтобы сумма окисей Li, Na, K была 25—30% и отношение $(SiO_2 + 2TiO_2)/(LiO_2 + Na_2O + K_2O)$ колебалось в пределах 1,8—3. Эмали на основе фосфатов соответствуют ф-ле $0,5 Na_2O - 0,5 Li_2O - x Al_2O_3 - z P_2O_5 - y B_2O_3$, в которой $(x + y + z) \leq 2$, а $(x + y) > 2xz$ и ≤ 1 . Состав эмали из щел. стекла с фтором имеет 3-компонентную систему $AlF_3-NaF-CaF_2$. Наилучшие составы соответственно содержат (в %): Na_2O 20,1—20,3; K_2O 3,8—5; Li_2O 3—3; SiO_2 21,7—21,9; B_2O_3 23,8—24; Sb_2O_3 5—5; NaF 8,3—0; AlF 5,5—0; CaF_2 1—1; ZnO 5,9—6; LiF 0—8,4. Эмали используются главным образом для декоративных целей. Имеются данные о возможности использования их в строительстве, напр. для фасадных панелей, и других областях пром-сти. С. Горелкина

33290. Эмалирование алюминия. Кирри (Die Emailierung von Aluminium. Kyri H.), Mitt. Vereins Dtsch. Emailfachleute, 1957, 5, № 11, 91—93. Diskuss. 93 (нем.)

Эмалирование алюминия производится от эмали (~ практич. и во-силыка, предъявляе сти метал некоторых стали. Им Al толщин обезжирив бавкой ал хромата, ный слой. ют синтет дут до ос 16 000 ота ции. Обжиг лировани воздуха с греву над механ. механ. термостой Широко строитель уд. вес вавной с

33291. Эмалирование кузнецов (R. W., Tripp) (англ.)

На основе SiO_2 раз эмали, $NaHCO_3$ и Na_2CO_3 в количестве 10% Al 2S, по ражены ни в со лучены 0,005 мм, рекс. Д водят к ния слоя PbO 50,0, NiO 1,0, эмали с

33292. Эмалирование радикалов (Verein) (нем.)

Остаток тем бол став эм дены ве входящи (в барн) Se 11,2, также с щение у ператур поглоще

33293. Эмалирование алюминия (Emailierung von Aluminium. Kyri H.)

Эмалирование Al представляет собой новую отрасль эмалевочной пром-сти. Наиболее существенное отличие от эмалирования стали — низкие t -ры обжига эмали ($\sim 540^\circ$). В качестве эмалей для Al до сих пор практич. применение нашли только щелочно-свинцово-силикатные составы. Определенные требования предъявляются к хим. составу и качеству поверхности металла. Производят эмалирование чистого Al и некоторых его сплавов, а также алюминированной стали. Имеются сведения об эмалировании фольги Al толщиной 0,15 мм. Перед эмалированием изделия обезжиривают травлением в 6%-ном р-ре H_2SO_4 с добавкой алкилсульфоната, обрабатывают в щел. р-ре хромата, промывают и закрепляют обжигом полученный слой. При помоле эмали вместо глины добавляют боросиликаты щел. металлов. Помол ведут до остатка 0,5 мл от пробы 50 мл на сите 16 000 отс/см². Шликер наносят способом пульверизации. Обжиг можно вести в печи, позволяющей регулирование t -ры $\sim 540^\circ$. Принудительная циркуляция воздуха способствует теплообмену и равномерному нагреву изделий. Эмалированный Al обладает высокими механич. качествами, вместе с тем легко поддается механич. обработке. Покрытия отличаются хорошей термостойкостью, достаточной хим. устойчивостью. Широкое применение эмалированный Al найдет в строительном деле. Стоимость его, учитывая низкий уд. вес металла, приближается к стоимости эмалированной стали. М. Серебрякова

33291. Эмали для алюминия, устойчивые к действию кипящих слабощелочных растворов. Кинг, Даккерт, Шуль, Трипп (These aluminum enamels resist corrosion by boiling alkaline water. King R. W., Duckworth W. H., Schultz John, Tripp H. P.), Ceramic Ind., 1957, 69, № 4, 82—84 (англ.)

На основе эвтектич. состава в системе $Na_2O - PbO - SiO_2$ разработаны легкоплавкие свинцовосодержащие эмали, устойчивые к действию 0,0033%-ного р-ра $NaHCO_3$ при кипячении. Обработка р-ром велась в течение 100 час., определялись потери веса пластинок Al 2S, покрытых исследуемой эмалью. Результаты выражены как скорость коррозии в мм/год. При введении в состав эмали TiO_2 , ZrO_2 и CaO за счет PbO получены эмали, скорость коррозии которых составляет 0,005 мм/год, т. е. более устойчивые, чем стекло «пирекс». Дефекты покрытия — узоры, трещины — приводят к усиленной коррозии металла в месте нарушения слоя. Состав одной из эмалей (в вес. %): SiO_2 27,0, PbO 50,0, Li_2O 1,0, Na_2O 9,0, TiO_2 6,0, ZrO_2 3,0, CuO 3,0, NiO 1,0. Окислы Cu, Co и Ni улучшают сцепление эмали с Al. М. Серебрякова

33292. Эмаль в качестве защиты от радиоактивных загрязнений. Фильхабер (Email als Schutz gegen radioaktive Verschmutzung. Vielhaber L.), Mitt. Vereins Dtsch. Emailfachleute, 1957, 5, № 11, 93—94 (нем.)

Остаточная радиоактивность эмалевых покрытий тем больше, чем сильнее элементы, входящие в состав эмали, поглощают медленные нейтроны. Приведены величины поглощения для элементов, обычно входящих в эмаль. Наибольшим поглощением (в бари/атом) обладают: В 750, Li 67, Co 34,8, Mn 12,6, Se 14,2. Не следует вводить в состав защитных эмалей также Sb, Ti, Ni, As, Cu, Cr и Fe. Наименьшее поглощение у O, Be, F, Mg, Si. Для нескольких высокотемпературных эмалей приведены составы и величины поглощения нейтронов. М. Серебрякова

33293. Изучение источников потерь в эмалевочном производстве. Хадвигер (Die Verlustquellenforschung im Emailierwerk. Hadwiger Hans), Glas-Email-Keramo-Technik, 1957, 8, № 11, 430—431 (нем.)

Общие соображения об изучении и своевременном устранении недостатков в организации произ-ва без конкретных указаний на возможные причины их появления. Рекомендуется особо тщательное наблюдение за началом смены, периодич. обход з-да представителями администрации и т. п. М. Серебрякова

33294. Устойчивость майоликовых эмалей к выветриванию. Дитцель, Шмитт, Вегнер (Die Verwitterungsbeständigkeit von Majolika — Emails. Dietzel A., Schmitt O., Wegner E.), Mitt. Vereins Dtsch. Emailfachleute, 1957, 5, № 11, 87—90 (нем.)

На некоторых чугунных деталях, покрытых майоликовыми эмалями (Э), при хранении или эксплуатации появляется белый налет. Исследовано 25 различных Э. Пластины, покрытые Э, выдерживали 7 суток в эксикаторе над насыщ. р-ром KCl при 30° . Относительная влажность при этом составляет 84,2%, что исключает возможность конденсации. После выдерживания во влажной атмосфере образцы погружали в воду, затем р-р оттитровывали 0,01 н. HCl. Склонность Э к выветриванию характеризовали кол-вом Na_2O , выделявшимся с 1 м² поверхности. Налет удалось воспроизвести в лабор. условиях, заменяя воздух в эксикаторе на CO_2 . Э, устойчивые к выветриванию, при испытании дают < 10 мг Na_2O на 1 м², неустойчивые — > 10 мг Na_2O . В первом случае можно не опасаться появления налета даже при неблагоприятных условиях хранения изделий. М. Серебрякова

33295 П. Способ осветления стекла в ваннах печах непрерывного действия (Verfahren zum Läutern von Glas in kontinuierlichen Wannenöfen) [Mela Maschinenbau & Reparatur Hanns Stinnes]. Пат. ФРГ 959491, 7.03.57

Способ осветления стекломассы (С) в ваннах печах непрерывного действия отличается тем, что варочная и выработочная зоны печи непосредственно не соприкасаются друг с другом и зеркало С в них расположено на различных уровнях по высоте, причем осветляющаяся С по спец. обогреваемому направляющему желобу, стержню, трубе или каскадной лестнице переливается вниз тонким слоем из одной зоны в другую. Указанные направляющие могут приводиться во вращательное движение или вибрировать, благодаря чему ускоряется и облегчается осветление тонкого движущегося слоя С; кроме того, они могут служить теплообменниками, напр. рекуператорами, для предварительного подогрева воздуха. Нижний конец направляющего стержня входит на некоторую глубину С в выработочную часть печи и при своем вращении служит мешалкой, что также способствует осветлению С. А. Бережной

33296 П. Способ механизированного производства ампул с суженным концом. Дихтер (Verfahren zur maschinellen Herstellung von Ampullen mit einem verengten Spieß. Dichter Jakob). Пат. ГДР 43574, 26.07.57

Способ механизированного изготовления стеклянных ампул, корпус которых имеет одну или две суживающиеся шейки с воронкообразными концами, заключается в том, что стеклянная трубка (Т), запаянная с одного или обоих концов и движущаяся через спец. патрон, разрезается острым пламенем на две части с образованием двух донышков, одно из которых тут же разбивается сжатым воздухом, заключенным внутри Т и расширяющимся при нагревании; возникшие при разрыве кольцевые утолщения выравниваются спец. инструментом. Непосредственно перед отрезкой Т у одного или у обоих концов ее формуется суженная шейка и воронка. А. Бережной

33297 П. Способ формования изделий из стекла. Авасима, Японск. пат. 2985, 20.04.56

Для формирования изделий из стекла рекомендуется применять формы без дна. Дно в таких формах заменяется металлич. сеткой соответствующей конфигурации. В форму с сеткой вместо дна заливается обычным способом или вдувается расплавленное стекло.

М. Гусев

33298 П. Способ и аппаратура для набора стекломассы. (Sätt och anordning för anfångning av glas) [G. V. Jacobson]. Шведск. пат. 157390, 2.01.57

Приспособление для набора стекломассы отличается тем, что оно состоит из стального цилиндрич., снизу открытого толстостенного полого сосуда, который может передвигаться в вертикальном направлении и вращаться вокруг вертикальной оси, а также производить колебательные движения. В днище или стенках сосуда имеются отверстия для откачки или нагнетания воздуха и каналы для охлаждающей жидкости. Воздух откачивают или нагнетают через поперечную ось сосуда.

К. Герцфельд

33299 П. Способ производства полых стеклянных изделий. Долтон, Восс (Method of flashing glass articles. Dalton Robert H., Voss Raymond O.) [Corning Glass Works]. Пат. США 2744034, 1.05.56

Способ изготовления окрашенных полых стеклянных изделий (И), напр. электрокобл, заключается в том, что ранее сформованное И предварительно нагревается до т-ры, лежащей между т-рой исчезновения напряжений ($\eta = 4,0 \cdot 10^{14}$ н/уз) и т-рой начала размягчения (ТНР) ($\eta = 4,5 \cdot 10^7$ н/уз) данного стекла, и устанавливается своим плоским или сферич. дном горизонтально горлом вверх на вращающуюся опорную подставку, профиль поверхности которой точно соответствует форме дна И. Затем сверху через отверстие И на середину внутренней поверхности его дна подается расплавленное цветное стекло (ЦС), ТНР которого лежит значительно ниже ТНР стекла И. Коэф. термич. расширения α ЦС не должен отличаться от α стекла И более чем на $10 \cdot 10^{-7} \cdot 1/2$, η расплавленного ЦС должна быть ≤ 100 н/уз. При вращении опоры вокруг вертикальной оси жидкое ЦС под действием центробежной силы растекается от середины к краям И, равномерно покрывая при этом внутреннюю поверхность его дна слоем определенной толщины. Для обычных натриево-кальцево-силикатных стекол может применяться ЦС хим. состава (в %): PbO 75, Al_2O_3 11, B_2O_3 11 и SiO_2 3 с добавкой одного из красящих окислов: TiO_2 , V_2O_5 , Cr_2O_3 , MnO_2 , Co_2O_3 и др. ТНР этого ЦС равна 440° , $\alpha = 84 \cdot 10^{-7}$.

А. Бережной

33300 П. Способ и устройство для закалки или отжига пластин, преимущественно стеклянных. Гейфкен (Verfahren und Vorrichtung zum Köhlen oder Tempern von Platten, insbesondere Glasplatten. Geffcken Walter) [Jenaer Glaswerk Schott und Gen.]. Пат. ФРГ 953556, 6.12.56

Способ закалки или отжига стеклянных пластин (СП) отличается тем, что СП, укрепленные горизонтально в спец. рамках с помощью вертикально расположенного бесконечного конвейера (К), транспортируются в направлении, перпендикулярном к их поверхности, через шахту; при этом во время периодич. остановок К в пространство между СП вдвигаются и выдвигаются спец. элементы (Э), способные как отдавать, так и отбирать тепло. Каждый Э состоит из системы круглых каналов, расположенных по принципу противотока, соединенных между собой в одну замкнутую систему, через которую вентилятором может продуваться воздух или насосом подаваться жидкость. Для лучшего теплообмена между СП и Э последним может сообщаться колебательное движение с небольшой амплитудой.

А. Бережной

33301 П. Способ и печь для термической обработки стеклянных изделий. Фенсмарк (Verfahren und

Ofen zur Wärmebehandlung von Glaswaren. Fensmark Aksel Birch) [Rud. Schneider und Co. G. m. b. H.]. Пат. ФРГ 951163, 25.10.56

Способ термич. обработки стеклянных изделий в печи, обогреваемых топливом, содержащим S или ее соединения, отличается тем, что вблизи рабочего отверстия в печи или вне ее к сжигаемому газу подводится по спец. трубопроводу восстановитель в виде горючего газа или жидкости с целью предотвращения образования на поверхности стекла сульфатного налета.

А. Бережной

33302 П. Термическая обработка хрупких стеклянных изделий. До (Heat-treating frangible glass articles. Dawe Allen S.) [J. O. Ross Engineering Corp]. Пат. США 2754628, 17.07.56

Патентуется способ и аппаратура для равномерного охлаждения и одновременного вакуумирования нагретых до 400° разнотолщинных стеклянных изделий сложной конфигурации, напр. электронно-лучевых трубок и т. п. Способ отличается тем, что скорость охлаждения (СО) толстых и тонких частей изделия одинакова. Оборудование представляет собой тоннель (Т) с металлич. стенками длиной ~ 61 м, разделенный по длине на 50 секций, каждая из которых охлаждается воздухом, нагнетаемым сверху, проходит вниз, омывая боковые стенки Т и удаляется через спец. щели и каналы. Изделия транспортируются конвейером с пропускной способностью 60 шт. в час. Одинаковая СО различных по толщине частей изделия достигается тем, что толстостенный экран, излучающий наибольшее кол-во тепла, очень интенсивно отдает, в свою очередь, часть тепла тонкостенной части изделия, замедляя тем самым СО последнего.

А. Бережной

33303 П. Усовершенствованный способ и установка для обработки стекла (Procédé et appareil perfectionnés pour le traitement du verre) [Pittsburgh Plate Glass Co.]. Франц. пат. 1120144, 2.07.56

Предлагается усовершенствованный способ и установка для опрессовывания гнутых листов стекла с термопластич. прокладкой перед их помещением в автоклав. Патент имеет целью усовершенствование произ-ва автомобильного триплекса. Способ предусматривает: предварительное нагревание стекла с пленкой и подпрессовку на валиках, смонтированных на передвигающейся вдоль гнутого листа станине и одновременно поворачивающейся для обеспечения непрерывного контакта прессующих вальцов с криволинейной поверхностью листа. Описываются основные элементы конструкции прессующих вальцов, обеспечивающие их свободное перемещение вдоль поверхности стекла.

В. Поллак

33304 П. Оптические стекла, практически не содержащие фтора. Вейсенберг, Унгемач (Praktisch fluorfreie optische Gläser. Weissenberg Gustav, Ungemach Otto) [Jenaer Glaswerk Schott & Gen.]. Пат. ФРГ 957339, 31.01.57

Патентуются оптич. стекла (ОС), не содержащие F, и состоящие из щел. или щел.-зем. катионов, B_2O_3 и La_2O_3 и отличающиеся тем, что верхняя граница отношений указанных катионов к B_2O_3 и $\text{La}_2\text{O}_3/\text{B}_2\text{O}_3$ определяется ур-нием: $y = ax + b$, где x — отношение молей $\text{Li}/\text{B}_2\text{O}_3$, $\text{Ca}/\text{B}_2\text{O}_3$ или $(\text{Ca} + \text{Sr})/\text{B}_2\text{O}_3$, значение которого лежит между 0,1 и 1; y — отношение молей $\text{La}_2\text{O}_3/\text{B}_2\text{O}_3$ a и b — положительные константы, суммы которых в случае применения щел. катионов равны 0,4, а щел.-зем. 0,45. Для повышения n_D ОС могут содержать добавки соединений Zr, In, Y. Для стабилизации ОС, обеспечивания их или повышения хим. устойчивости могут вводиться другие добавки в кол-ве ≤ 5 вес. %.

А. Бережной

33305 П. Оптические стекла, практически не содержащие фтора. Геффкен, Рес (Praktisch fluorfreie optische Gläser. Geffcken Walter, Rehs Gerd) [Jenaer Glaswerk Schott & Gen.]. Пат. ФРГ 957338, 7.03.57

Патентуются оптич. стекла (ОС) с $n_D > 1,68$, не содержащие F_2 , ThO_2 и BeO , составы которых колеблются в следующих пределах (в вес. %): B_2O_3 36—50, ZrO_2 11, La_2O_3 28—44, CaO 5—19, причем содержание CaO или других щел.-зем. окислов не должно превышать 33% (за вычетом половины содержания La_2O_3). Часть CaO свыше 5% может быть замещена на ZrO , MgO , BaO , ZnO , CdO при общем кол-ве $\leq 6\%$ или на Li_2O до 2%. ОС могут содержать также до 9% Ta_2O_5 или Nb_2O_5 для получения очень высоких n_D и до 4% Al_2O_3 , SiO_2 , In_2O_3 , GeO_2 , WO_3 . Эти ОС отличаются малой склонностью к кристаллизации, высокой однородностью при низких т-рах варки, большим выходом годной продукции, малой стоимостью за счет уменьшения содержания дорогостоящей La_2O_3 .

А. Бережной
33306 П. Способ получения светорассеивающих стекол. Шпикерман (Verfahren zur Herstellung lichtstreuender Gläser. Spiekermann Heinz) [A.-G. der Gerresheimer Glashüttenwerke vorm. Ferd. Heye]. Пат. ФРГ 958244, 14.02.57

Светорассеивающие стекла (С) получают путем введения газовых пузырьков в расплавленное С. Преимущество этих С перед матовыми заключается в том, что они имеют гладкую поверхность, которая легко очищается от пыли. Для равномерного распределения пузырьков газа в стекломассе предлагается перед введением испаряющегося в-ва нанести его на твердую основу из материала, устойчивого к воздействию высоких т-р; такой основой является металл, проволока или сетка, которая вносится в расплав вместе с испаряющимся в-вом. В качестве испаряющихся в-в применяются жиры, масла.

В. Мейтина
33307 П. Прозрачный экран для защиты от ядерного излучения. Фицджералд, Бакман (Transparent nuclear radiation shield. Fitzgerald John V., Bachman George S.) [Pittsburgh Plate Glass Co.]. Пат. США 2747105, 22.05.56

Предложены прозрачные экраны для защиты от нейтронного, β - и γ -излучений. Экран состоит из двух слоев стекла. Один из них (ближайший к источнику излучения) представляет собой стекло, содержащее окиси Be, Li и B, обладающие способностью замедлять и поглощать нейтроны, и небольшую долю окиси Ce, препятствующей потемнению стекла под действием излучения. Примерный состав стекла (в %): BeO 10—20, Li_2O 10—20, CeO_2 0,3—2,0, остальное B_2O_3 . Второй слой состоит из тяжелого свинцово-боросиликатного стекла, хорошо поглощающего γ -лучи. Для упрощения изготовления больших экранов оба слоя стекла получают отливкой между тонкими пластинами более тугоплавкого стекла.

В. Левин
33308 П. Стекло с низкой температурой размягчения. Такаки, Аннами, Ямада (Нихон Дэнсин Дэнва Косэй). Японск. пат. 4728, 9.07.55

К смеси, состоящей из (в %): B_2O_3 3—29, PbO 70—95, ZnO 1—27, добавляют $SiO_2 < 10$, $Al_2O_3 < 5$, $BaO < 2$, $CaO < 2$ и щелочи (R_2O) < 5 . Т-ра размягчения такого стекла 343—479°, коэф. линейного расширения $7,5-125,5 \times 10^{-7}$. Примерный состав (в %): B_2O_3 9, PbO 88,2, ZnO 0,20, Al_2O_3 1,50, CaO 0,10, R_2O 1,00, Co_2O_3 2,00; т-ра размягчения 393°, коэф. линейного расширения $125,5 \times 10^{-7}$.

М. Гусев
33309 П. Способ производства узорчатого плоского декоративного стекла «мороз». Лаутенбах (Verfahren zur Musterung von Flachglas durch Eisblumendekor. Lautenbach Otto). Пат. ГДР 12624, 2.02.57

Способ произ-ва декоративно-узорчатого стекла «мороз», состоит в том, что на шероховатую после пескоструйной обработки поверхность стекла вручную или с помощью шаблона наносятся штрихи, ограничивающие «цветочный» узор. Материалом для их нанесения служит антиадгезионное в-во, напр., графит или гидрированный жир. Затем на лист стекла выливается клей, который заполняет каверны на незащищенной части поверхности; после затвердевания клея в процессе спец. тепловой обработки он отделяется от углублений в стекле, вырывая при этом отдельные его частицы, в результате чего и образуется «морозный» узор.

А. Бережной
33310 П. Стеклоплавильная печь для выработки стекловолокна. Вильямс (Glass melting furnace. Williams Steele D.). Пат. США 2754346, 10.07.56

Электрич. стекловаренная печь (П) для произ-ва стекловолокна представляет собой огнеупорную карбондугую наклонную трубу (Т)-нагреватель, через которую пропускается электрич. ток с помощью электродов, укрепленных на ее концах. Для защиты SiC от окисления П изнутри футерована высокоогнеупорной обмазкой из $ZrSiO_4$ с Al_2O_3 или с BeO . Оба конца Т закрыты огнеупорными пробками. Шихта из бункера загружается у верхнего конца Т, проходит наклонно вниз через всю Т, плавится при этом и вытекает через отверстие у нижнего конца Т по спец. каналу, подвергаясь затем распылению струей пара высокого давления. Непроваренные частицы шихты задерживаются спец. перегородкой, погруженной в стекломассу. Во избежание спекания шихты в загрузочной воронке последняя охлаждается. Нижняя половина Т (зона освещения) обогревается дополнительно при помощи индукционной катушки. Для понижения вязкости стекломассы, протекающей через выходной канал, последний обогревается с помощью второй индукционной катушки. Контроль т-ры и регулирование кол-ва подаваемого тока осуществляется автоматич. терморегуляторами.

А. Бережной
33311 П. Комплекс стекло-металл. (Complexe verre métal). [Electrovac Nacht & Co.]. Франц. пат. 1114235, 10.04.56

Конструкция электрода для вакуумной аппаратуры состоит из фриттованного порошка стекла или эмали с коэф. теплового расширения порядка $90 \cdot 10^{-7}$, заключенного в железную обойму с флянцем ($\alpha = 180 \cdot 10^{-7}$) и подвергающегося, вследствие разности коэф. теплового расширения, значительному сжатию, обеспечивающему высокую прочность детали.

В. Полляк
33312 П. Способ получения поляризующих прозрачных материалов (Fremgangsmåde til fremstilling af polariserende, gennemsigtige materialer) [Ole-Bendt Rasmussen]. Дат. пат. 82141, 18.02.57

Поляризующие материалы состоят из двоякопреломляющего основного в-ва, в котором распределена тонкодисперсная фаза оптически изотропного, прозрачного материала с показателем преломления, близким к таковому основного в-ва, которое ориентируется в определенном направлении. Отличие предлагаемого способа состоит в том, что в качестве изотропного материала применяют жидкость или пластик.

К. Герцфельд

См. также: Показатели преломления Si, Ge и модифицированного Se-стекла в ИК-области спектра 31548. Влияние окислительно-восстановительных условий на спектры поглощения и люминесценции ионов церия в стекле 31618. Нестационарные характеристики стеклянных электродов 31866. Смолы для армирования стеклопластиков 34400. Основы механизма армирования стеклопластиков 34401

Вязущие вещества. Бетоны и другие силикатные строительные материалы

Редакторы Ю. М. Бутт, А. С. Пантелева

33313. Обжиг мелкокускового известняка в газовой шахтной печи с подачей газа по поперечному сечению шахты. Эйген (Brennen von Kleinstückigem Kalkstein im Querstromschachtofen. Eigen H.), Zement-Kalk-Gips, 1957, 10, № 9, 346—354 (нем.; рез. англ., франц.)

Описана шахтная газовая печь, в которой газы в зонах подогрева и охлаждения проходят по поперечному сечению шахты в противотоке, а в зоне обжига — в прямотоке.

33314. Получение каустического доломита. Фрейденфельд Э. Ж., Zinātn. raksti. Latv. Univ., Уч. зап. Латв. ун-та, 1957, 14, 161—166

Исследовалась возможность получения магнезиального цемента на базе саулкалского доломита, обожженного при 700, 800 и 900°. Установлено, что оптимальная т-ра обжига 700°. При обжиге при более высоких т-рах вязущие свойства полученного продукта ухудшаются. Окись Mg начинает переходить в периклаз, что сопровождается возрастанием уд. веса. Кроме того, сказывается вредное воздействие образовавшейся свободной извести, кол-во которой не должно превышать 2%. Для затворения полученных цементов рекомендуется применять водн. р-ры $MgCl_2$ и $MgSO_4$ с уд. в. 1,2 (25° Bó). Приведены результаты испытаний физ.-мех. свойств.

33315. Обжиг доломита на жидком топливе. Берган (Dolomitt i oljefyringsanlegg. Bergan Per), Tekn. tidskr., 1957, 87, № 41, 981—984 (норв.)

Обзор. Библ. 5 назв.

33316. Изучение физико-химических особенностей реакции, протекающей на поверхности кварца. Яницкий, Саснаускас (Kvarco paviršiuje vykstančios hidrotėrminės reakcijos fiziniūcheminių sąvūmų tyrimas. Janickis J., Sasnauskas K.), Kauno politechn. inst. darbai, Тр. Каунасск. политехн. ин-та, 1957, 6, 155—161 (лит.; рез. русск.)

В результате исследования на поверхности кварцевых кубиков, подвергнутых гидравлич. обработке, обнаружено наличие пленки, плотно приросшей к поверхности кварца. В случае применения мергеля в поверхностном слое пленки обнаружены скопления кристаллов. Установлено, что микрорельефность кварцевой поверхности в значительной степени зависит от свойств вязущего и от технологич. факторов гидротермич. обработки. Описана методика исследования.

33317. О природе продуктов твердения автоклавных глиноизвестковых изделий. Куколев Г. В., Викарий И. М., Тр. Харьковск. политехн. ин-та, 1957, 13, 139—148

Состав продуктов, образующихся в глино-известковых изделиях при их гидротермальной обработке, изучался методом обработки навески 5%-ным р-ром HCl (I), а также последовательной обработкой I и 5%-ным р-ром соды. Кроме того, исходные материалы, а также продукты их автоклавной обработки подвергались дифференциальному термич. анализу. Подтверждено, что в продуктах твердения содержатся гидросиликаты и гидроалюминаты кальция.

33318. Влияние дисперсности массы и температуры гидротермальной обработки на процесс формирования и свойства силикатного строительного материала. Будных П. П., Петровых Н. В. Тр. Моск. хим.-технол. ин-та им. Д. И. Менделеева, 1957, вып. 24, 96—110

Скорость связывания извести в гидросиликаты про-

порциональна уд. поверхности кремнеземистой составляющей. Средняя величина скорости р-ции при т-ре гидротермальной обработки 175° составляет 500—570 мг CaO на 1 м² час. Изменение т-ры гидротермальной обработки в интервале т-р 125—200° приводит к изменению средней скорости р-ции в системе $CaO - SiO_2 - H_2O$ примерно в 1,3 раза. В целях интенсификации произ-ва рекомендуется автоклавная обработка при 180—190° (10—13 атм). Конечный состав образующегося гидросиликата приблизительно выра-

жается ф-лой: $\%CaO/SiO_2 = K_M \cdot 1,3^{(t-t_0)/10}$ So_2 , где $\%CaO$ — кол-во связанной извести, SiO_2 — доля кремнезема в исходной массе, K_M — скорость связывания извести в гидросиликат основностью «М», S_0 — уд. поверхность кремнезема, Z — время гидротермальной обработки. Прочность материала на основе однонаправленных гидросиликатов на 40—70% выше, чем у материала на основе двухкальциевых гидросиликатов. Для получения высокопрочных материалов из масс с активностью ~15% дисперсность кремнеземистой составляющей должна быть 1500—2500 см²/г.

33319. Роль окиси магнезия при изготовлении силикатного кирпича из доломитовой извести. Озолин, Эйдук, Zinātn. raksti. Latv. Univ., Уч. зап. Латв. ун-та, 1957, 14, 211—220 (лат.; рез. русск.)

Исследовалось воздействие окиси Mg, полученной из х. ч. $MgCO_3$, обожженного при т-ре 900°, на песок в гидротермальных условиях. Установлено, что в процессе запарки (8 атм, 8 час.) из 8% активной MgO только 1,97% связывается с SiO_2 . При этом образуются 2,84% растворимой SiO_2 и 2,7% химически связанной воды. Это указывает на образование гидросиликатов Mg общей ф-лы $1,17 MgO \cdot SiO_2 \cdot 1,26H_2O$. Установлено также, что изделия, приготовленные из доломитовой извести, в которой окись Mg потаскалась не менее, чем на 50%, в процессе запарки (8 атм, 8 час.) не вспучиваются и не трескаются.

33320. Рациональные технологические схемы производства строительного гипса по способу совмещенного размола и обжига. Кржеминский С. А., Сб. тр. Респ. н.-и. ин-та местных строит. материалов, 1957, № 13, 133—146

Отмечается, что для совмещенного размола и обжига гипса можно применять быстроходные ударного действия, среднеходные и тихоходные мельницы. При использовании быстроходных мельниц ударного действия для замедления сроков схватывания гипса рекомендуется вводить в систему замедлитель и устанавливать перед мельницами дополнительные теплообменные аппараты для предварительного подогрева и подсушки гипсового камня. Приведены технологич. схемы.

33321. Гидрофобизация гипса с помощью кремний-органических добавок. Юшкевич М. О., Бежинский Я. Л., Смирнова И. А., Сб. тр. Всес. н.-и. ин-та железобетон. изделий и нерудн. материалов, 1957, вып. 1, 98—107

Нанесение на поверхность гипсовых изделий силикатов натрия $[CH_3Si(OH)_2O]Na$ и $[C_2H_5Si(OH)_2O]Na$ в кол-ве 10—14 г/м² приводит к гидрофобизации поверхности без ухудшения прочностных свойств материалов. Комбинированная добавка, состоящая из 0,5% ГКЖ-94 (гидролизированный этилдиоксидсилан) и 5% (от веса гипса) низкомарочного портланд-цемента, в 10 000 раз уменьшает скорость капиллярного подсоса и надежно гидрофобизирует гипсовые изделия, ухудшая остальные свойства гипса.

33322. О механизме сцепления гипса с картоном при производстве сухой гипсовой штукатурки. Забо-

жинский Я. Л., Белов А. Д., Сб. тр. Всес. н.-и. ин-та железобетон. изделий и нерудн. материалов, 1957, вып. 1, 90—97

Сцепление гипса с картоном при изготовлении сухой гипсовой штукатурки происходит в результате проникновения в поры картона гипсового теста с его дальнейшим затвердеванием. Роль декстрина сводится к пластификации гипсового теста, что обеспечивает более свободное и полное внедрение последнего в поры картона. При последующей сушке декстрин, мигрируя к поверхностным слоям, создает в граничной зоне условия, препятствующие пересыханию кристаллов гипса и волокон картона, служащих путями перемещения влаги из сердечника сухой гипсовой штукатурки.

М. Маянц
33323. Использование лигнофосфогипса для производства вязущих веществ. Фрейденфельд Э. Ж., Zinātn. raksti. Latv. Univ., Уч. зап. Латв. ун-та, 1957, 14, 155—160

Установлено, что при обжиге лигнофосфогипса в тонком слое при t -ре 900° может быть получен высокообжиговый гипс марки 100, удовлетворяющий требованиям стандарта. Добавка 1% лигнофосфогипса к портланд-цементному клинкеру ведет к интенсификации процесса помола и позволяет получить материал, обладающий свойствами пластифицированного портланд-цемента. Недостатком полученного цемента являются удлиненные сроки схватывания, превосходящие требования стандарта.

М. Степанова
33324. Строительство в Канаде цементного завода производительностью 550 тыс. тонн в год. Троффер (Canada Cement Company builds 3,200,000 bbl. plant. Trauffer Walter E.), Pit and Quarry, 1957, 50, № 1, 73—76, 80—83, 86, 160, 163—164 (англ.)

33325. О разжижающем действии некоторых углей на цементный шлам. Мельниченко Л. Г., Папкова Л. П., Козлова Е. И., Тр. Харьковск. политехн. ин-та, 1957, 13, 159—164

Введение в цементный шлам бурого угля или торфа позволяет снизить необходимую влажность шлама на 2,5%.

М. Маянц
33326. Влияние режима охлаждения клинкера на его структуру и свойства цемента. Юнг В. Н., Бутт Ю. М., Тимашов В. В., Тр. Моск. хим.-технол. ин-та им. Д. И. Менделеева, 1957, вып. 24, 25—35

Исследовалось влияние структуры и размеров кристаллов цементных минералов на свойства цемента (Ц) и причины различной скорости гидратации кристаллич. и стекловидной фаз заводских и синтетич. клинкеров (К). Заводские К охлаждались быстро (в воде, на воздухе), медленно (4 часа на воздухе) и в рекуператорах. Установлено, что минералогич. структура К одного и того же хим. состава отличается при различных режимах охлаждения в основном различным распределением целита и белита между кристаллич. и стекловидной фазами. При медленном охлаждении наблюдается относительное увеличение размеров кристаллов алита и белита. Нормальная плотность и сроки схватывания Ц не зависят от режима охлаждения К. Увеличение скорости охлаждения повышает размоловоспособность К, а также повышает прочность Ц, особенно при низком коэф. насыщения. Различные свойства К одинакового хим. состава, но охлажденных с неодинаковой скоростью, объясняются разным содержанием в них кристаллич. и стекловидной фаз, неодинаковой величиной кристаллов цементных минералов и неодинаковым состоянием их структуры. Прочность цементных и растворных образцов размером $1 \times 1 \times 1$ см, изготавливаемых из клинкерной стекловидной фазы, незначительна ($\sim 15 \text{ кг/см}^2$).

При достаточно тонком помоле К (уд. поверхность $\sim 3000 \text{ см}^2/\text{г}$) величина кристаллов алита и белита не оказывает влияния на прочность Ц.

Г. Копелянский
33327. Кристаллообразование в процессе спекания портланд-цементного клинкера. Тимашов В. В., Тр. Моск. хим.-технол. ин-та им. Д. И. Менделеева, 1957, вып. 24, 69—80

Отмечается, что образование алита в клинкере происходит не только в расплаве между растворенными в нем C_2S и CaO , но и на поверхностях соприкосновения кристаллов белита с насыщ. известью расплавом. Скорость усвоения извести в процессе обжига клинкера определяется скоростью растворения кристаллов C_2S и CaO в расплаве, а также вязкостью и составом последнего. Клинкерный расплав склонен к переохлаждению, вследствие чего интенсивная кристаллизация его может протекать и при t -рах порядка 1200 — 1150° . Кристаллы алита и белита в зависимости от состояния своей структуры могут обладать различной гидравлич. активностью.

Резюме автора
33328. Влияние структуры известняка на процесс спекания портланд-цементного клинкера. Суликowski (Wplyw struktury wapienia na proces spiekania klinkru portlandzkiego. Sulikowski Jerzy), Cement. Wapno. Gips, 1957, 13, № 6, 117—123 (польск.)

Для исследования влияния структуры известняка на спекание клинкера были приготовлены и обожжены опытные смеси из известняка и низкоосновного клинкера, в котором вся известь была связана в виде C_2S . Образцы смесей с $\text{KH}=1$ обжигались в лабор. печи при t -ре 1300° . Степень обжига устанавливалась по наличию свободной CaO в полученном клинкере. Кол-во свободной CaO колебалось в зависимости от известняка. Эти колебания нельзя объяснить лишь размерами и формой кристаллов, составляющих структуру известняка. Они зависят от суммы индивидуальных свойств кристаллов, определяющих физ.-хим. характеристику образующейся окиси кальции, в первую очередь структуру ее поверхности и степень уплотнения частиц свободной CaO . На основе полученных данных высказывается предположение, что CaO , образующаяся при обжиге триасового известняка, обладает структурой, способствующей более быстрой реакции между известью и C_2S при появлении жидкой фазы.

Б. Левман
33329. Количественное спектрохимическое определение состава минералов в цементной промышленности. Пфрундер, Швандер (Die quantitative spektro-chemische Bestimmung der Hauptkomponenten von Mineralien der Zementindustrie. Pfrunder V. R., Schwander H.), Zement-Kalk-Gips, 1957, 10, № 10, 394—398 (нем.; рез. англ., франц.)

Описаны спектрограф фирмы Баум и Лант и его работа. Е. Штейн
33330. Влияние окислов Cr_2O_3 , P_2O_5 , V_2O_5 и BaO на физико-механические свойства портланд-цемента. Куколев Г. В., Мельник М. Т., Тр. Харьковск. политехн. ин-та, 1957, 13, 153—158

Введение в цементную сырьевую смесь 0,5—2,5% добавок окислов P_2O_5 , V_2O_5 и BaO повышает гидравлич. активность портланд-цемента. Добавка Cr_2O_3 незначительно повышает прочность. Оптимальное кол-во добавок составляет (в %): P_2O_5 0,3, V_2O_5 1,0, BaO 1,5. С повышением KH клинкера эффективность действия указанных добавок, особенно BaO , увеличивается.

М. Маянц
33331. Ускоренный метод анализа цемента. Крайван-Марьянович, Пучар (Brza analiza cementa. Krajovan-Marjanovic Vjera, Pućar Zvo-

nimir), Kemija u industriji, 1957, 6, № 9, 249—253 (серб.-хорв.; рез. англ., франц., нем.)

Метод основан на объемном определении компонентов, кроме SiO_2 , которая осаждается р-ром желатинизации. Продолжительность анализа 6 час. Из резюме автора

33332. Современные методы анализа для контроля цементной продукции. Фогель (Moderne Analysenmethoden zur Überwachung der Zementproduktion. Vogel Erich), Silikattechnik, 1957, 8, № 7, 287—290 (нем.)

CaO и MgO определяются трилонометрич. титрованием в фильтрате после осаждения SiO_2 и R_2O_3 . SiO_2 и сумма R_2O_3 определяется весовым путем. Fe_2O_3 определяется из отдельной навески трилонометрич. титрованием. SO_3 определяется из отдельной навески колориметрич. способом. Продолжительность полного анализа цемента 2—3 часа. Описаны также методы определения Ca и Mg в карбонатных и силикатных породах и шлака в рудных цементах. М. Майнц

33333. Качество норвежских цементов; твердение при нагревании и охлаждении. Рутле (Våre cementers kvalitet. Herdning i varme og kulde. Rutle Johs.), Beton. idag, 1957, 22, № 5, 139—174 (норв.; рез. англ.)

Отмечается, что в послевоенный период качество норвежских цементов неуклонно повышается. Ложное схватывание может наблюдаться, если гипс в цементе теряет слишком много кристаллизационной воды в процессе помолы. Норвежские быстротвердеющие цементы производятся из тщательно отобранных сырьевых материалов. Они обладают повышенной прочностью по сравнению со стандартными цементами.

Из резюме автора

33334. Явление ложного схватывания портланд-цемента. Сели (Le phénomène de la fausse prise dans le ciment portland. Celis R.), Silicates industr., 1957, 22, № 10, 544—546. Discuss., 546 (франц.)

Рассмотрены причины ложного схватывания цемента на основании литературных данных. Ложное схватывание вызывается полным или частичным обезвоживанием гипса после помолы клинкера. Приведены эксперим. данные автора о дегидратации тонкоизмельченного двуводного гипса в зависимости от т-ры. Двухводный гипс теряет полторы молекулы воды в температурном интервале 106—136°. Остальная вода выделяется при 156—179°. При т-ре выше 145° процесс дегидратации протекает бурно. Т-ра цемента в мельницах не должна превышать 106°. Библ. 24 назв.

И. Смирнова

33335. Ложное схватывание цемента. Кондо (Kondo Renichi), Eisei kōkaishi, J. Ceram. Assoc., Japan, 1957, 65, № 740, 211—218 (японск.; рез. англ.)

Ложное схватывание цемента при аэрации объясняется как результат действия различных факторов и связи между ними. С увеличением содержания карбонатов щел. металлов, которые могут образоваться при аэрации цемента и действуют как замедлители для гипса и одновременно как ускорители для алюминатов, ложное схватывание происходит сразу, так как схватывание гипса наступает через несколько минут после смешения. Позже оно исчезает, благодаря замедлителям, и, наконец, наблюдается быстрое схватывание благодаря ускоренной гидратации алюминатов. Критич. кол-во SO_3 в форме гипса, дающее ложное схватывание, 0,8—1,5% и изменяется не только с кол-вом и формой щел. солей, но и с кол-вом дигидрата и алюмината. Из резюме автора

33336. Производство цемента по полусухому способу.— (Cement manufacture.—), Electr. Rev., 1957, 161, № 15, 683—684 (англ.)

Описывается технологич. схема и электрооборудование нового цементного з-да в Колдоне (Англия), оборудованного печью системы Леполь. Б. Левман

33337. Огнеупорные глиноземистые цементы. Солаколу, Шербан (Cimenturi refractare aluminosae. Solacolu Șerban, Șerban Dumitru), Ind. construcțiilor și mater. constr., 1957, № 8, 465—472 (рум.; рез. русск., нем., франц., англ.)

Изложены результаты эксперим. изучения гидравлич. свойств некоторых высокоглиноземистых цементов (ВЦ) системы $\text{SiO}_2\text{—Al}_2\text{O}_3\text{—Fe}_2\text{O}_3\text{—CaO}$. Всего было составлено 22 синтетич. смеси, содержащих (в вес. %): SiO_2 3—10, Al_2O_3 37,4—79,6, Fe_2O_3 2—8, CaO 15,4—44,1. Наиболее высокий $\sigma_{\text{сж}}$ имели огнеупорные бетоны на связке из 15% ВЦ с высоким железистым модулем. В. Злочевский

33338. Возможности использования марганцовистых мареновских шлаков для производства вяжущих веществ. Фрейденфельд Э. Ж., Седмане У. Я., Уч. зап. Латв. ун-та, 1957, 14, 173—178

Для исследования были взяты мареновский шлак с модулем основности $M_0 = 1,35$ и модулем активности $M_A = 0,22$. По ГОСТу 3476-52 эти шлаки непри-

годны для произ-ва шлакопортланд-цемента из-за повышенного содержания $\text{MnO} > 5\%$. При помоле в шаровой или вибромельнице шлаки имеют после хранения образцов жесткой консистенции (1:3) во влажной среде сопротивление сжатию через 28 дней $\sim 40 \text{ кг/см}^2$ без применения спец. добавок. Полученное вяжущее может быть использовано для изготовления шлако-песчаных стеновых блоков малоэтажного строительства и для кладочных р-ров. М. Степанова

33339. О расчете трубчатых вращающихся печей. Давидсон А. М., Кузнецов Н. Н., Сб. науч. тр. Северо-Кавказск. горно-металлург. ин-та, 1957, вып. 14, 216—223

Предложена ф-ла для определения средней т-ры футеровки вращающихся трубчатых печей. М. Майнц

33340. Применение газа под высоким давлением. Постовский В., Хохлачев Б., Строит. материалы, 1957, № 7, 26—27

Описывается опыт работы сушильных барабанов и вращающихся печей Брянского цементного з-да, переведенных с твердого топлива на газообразное и работающих на газе, подаваемом под высоким давлением. Сжатие газа в форсунках, различных по своему диаметру и длине, производится без подачи первичного воздуха. Давление газа на 150-м печи составляет 3,2—3,6 атм, а на печах меньшей длины (61,0 и 47,6 м) — 3 атм. Форсунки на длинных печах должны иметь наконечники переменного сечения (переход с 50 до 35 мм). Т-ра отходящих газов в длинной печи составляет 200—250°; разрежение в пыльной камере 60 мм вод. ст.; суточный расход газа 730 тыс. м³. Среднесуточная производительность длинных печей возросла с 2158 до 2348 т. Одновременно улучшилось качество клинкера. Режим обжига является стабильным, что несомненно увеличивает стойкость футеровки. Указывается, что установка раскателей на концах форсунок вряд ли целесообразна. Столь же нецелесообразно применение первичного воздуха и отключение дутьевого вентилятора (см. также РЖХим, 1957, 69515). Г. Копелянский

33341. Определение содержания цемента в цементно-грунтовой смеси. III. Исследование некоторых факторов. Шервуд (The determination of the cement content of soil-cement. III. An investigation of some of the factors involved. Sherwood P. T.), J. Appl. Chem., 1957, 7, № 2, 596—604 (англ.)

В дополнение к известному методу определения содержания цемента в грунтоцементе путем раздельного определения кол-ва CaO в грунте, цементе и смеси применены два новых метода, сокращающие продолжительность определения: а) обработка цементно-

грунтовой смеси
ванием д
ной к-ты
применен
Сравнени
удовлетв
метод I. I
кол-ва об
довались
тельных
тельного
грунта д
стою грун
II см. J.
33342.

бетона
Р. А.,
1957, 2
Рассма
тонов от

33343.

рп он
бетона
72—89
Иссле
ние сме
свойств
ных с л
высокоп
шлаком
ставлял
имели с
нились
пропар
на осно
товилис
ков ант
гравий
использ
200 и л
33344.

ванни
Г., Ст
Прив

33345.

пласт
Beton
im B
№ 10
Обзо

бетонн
свойств
33346.

смеси
(Соп
K h a
1957,
Для

3,83 м
оошпр
для р
дел пр
гости
де це
добав
дом п
прочн
внутр
этот I
и выс

грунтовой смеси (ЦГС) к-той с последующим титрованием динатриевой солью этилендиаминтетрауксусной к-ты (I) и б) обработка ЦГС к-той с последующим применением пламеннофотометрич. анализа (ПФА). Сравнение трех методов показало, что наиболее удовлетворительные результаты в лабор. условиях дает метод I. В полевых условиях при испытании большого кол-ва образцов более эффективен метод ПФА. Исследовались также способы получения миним. представительных образцов для анализа с помощью спец. делительного прибора. Миним. навеска мелкозернистого грунта для анализа должна быть 10 г, среднезернистого грунта 25 г и крупнозернистого 50 г. Сообщение II см. J. Appl. Chem., 1951, 1, 556. В. Левман

33342. О фильтрационных свойствах облицовочного бетона. Карамян Г. А., Тер-Мартirosова Р. А., Тр. Арм. н.-и. ин-та гидротехн. и мелior., 1957, 2, 25—35

Рассматривается зависимость коэф. фильтрации бетонов от расхода цемента, вида и возраста бетона.

33343. Свойства бетонов на смешанном гипсе. Ларионова Э. М., Тр. Н.-и. ин-та бетона и железобетона Акад. стр-ва и архитект. СССР, 1957, вып. 1, 72—89

Исследованы прочностные свойства и водопоглощение смешанного гидравлич. гипса (СГГ), прочностные свойства и морозостойкость бетонов (Б), изготовленных с применением СГГ. СГГ получались смешением высокопрочного гипса с молотым гранулированным шлаком. Модули основности примененных шлаков составляли соответственно 1,16 и 0,925. Смеси гипс-шлак имели состав от 1:0,75 до 1:3. Образцы из СГГ хранились в воде и на воздухе, а также подвергались пропариванию. Для сравнения готовились образцы СГГ на основе строительного гипса. Легкие Б на СГГ готовились с применением в качестве заполнителей шлаков антрацитовых углей, в тяжелых Б использовался гравий и песок. Установлено, что СГГ могут быть использованы для приготовления тяжелых Б марок до 200 и легких Б марок 110 и 70.

33344. Крупные стеновые блоки из пеноактивизированного бетона. Терещенко В., Неклюдова Г., Строит. материалы, 1957, № 11, 31

Приведена технология изготовления и свойства.

33345. Пластмасса и бетон. Примеры применения пластмасс в строительстве. Шульц (Kunststoff und Beton. Beispiele unsichtbarer Kunststoffanwendungen im Bauwesen. Schulz H. W.), Kunststoffe, 1957, 47, № 10, 604—605 (нем.)

Обзор применения пластмасс в качестве добавок к бетонным и растворным смесям для улучшения их свойств.

33346. Исследования по подбору состава бетонной смеси для плотины Бхакра. Кхання, Пури (Concrete mix design investigations for Bhakra dam. Khanna R. L., Puri M. L.), Indian Concrete J., 1957, 31, № 8, 250—256 (англ.)

Для строительства плотины потребуется более 3,83 млн. м³ бетона (Б). Поэтому были произведены обширные исследования с целью выбора состава Б для различных частей сооружения. Определяли предел прочности Б при сжатии и изгибе и модуль упругости Б на различных заполнителях при разном расходе цемента и В/Ц. В качестве воздухововлекающей добавки была выбрана винсоловая смола. Б с расходом цемента 174 кг/м³ в годичном возрасте имеет прочность более 225 кг/см² и пригоден для кладки внутренних частей сооружения. В том же возрасте этот Б обладает прочностью на изгиб более 35 кг/см² и высоким модулем упругости 5,6 млн. кг см². В адиабатич. условиях подъем т-ры в Б составляет +6°, средний коэф. фильтрации 0,2 · 10⁻⁴ м³/м² год. Для наружных частей сооружения пригоден Б с расходом цемента 225 кг/м³, прочность его в месячном и в годичном возрасте равняется соответственно 210 и 280 кг/см².

И. Смирнова

33347. Изготовление, укладка и контроль бетона на строительстве плотины Бхакра.— (Concrete manufacture, handling and control at Bhakra dam.—), Indian Concrete J., 1957, 31, № 8, 241—249 (англ.)

Плотина Бхакра будет третьей в мире по величине, объем бетонных работ превышает 3,83 млн. м³. Приведены описание произ-ва работ и соответствующие схемы. Для дробления крупного заполнителя применяются конусные дробилки. Заполнитель рассеивается на фракции, песок подвергается обогащению при помощи гидравлич. классификаторов. Чтобы т-ра укладываемой бетонной смеси не превышала 18°, крупный заполнитель охлаждают до т-ры +6°, а также пользуются для затворения бетонной смеси охлажд. водой. Охлаждение заполнителя производится в восьми бассейнах емк. по 91 м³. Продолжительность смеси охлаждения составляет 90 мин. Бетонную смесь готовят на автоматич. бетонном з-де в бетономешалках емк. по 3,1 м³. Продолжительность перемешивания бетонной смеси 2 мин. 15 сек. Уплотнение бетонной смеси производится высокочастотными вибраторами.

33348. Установление оптимальных условий тепло-влажностной обработки бетона. Мароссеки (Bestimmung der optimalen Bedingungen der thermischen Erhärtung des Betons. Marosszeki N.), Zement-Kalk-Gips, 1957, 10, № 9, 365—368 (нем.)

Существует прямолинейная зависимость между величиной В/Ц и кол-вом градусочасов Ω , затрачиваемых на тепло-влажностную обработку бетона, выражаемая ур-нием $\Omega = (B/C - b/a)$, где a и b — коэф. При цементах (Ц) марки 600, расходе Ц в 450 кг/м³ бетона, оптимальном зерновом составе заполнителей В/Ц = 0,000196 Ω + 0,203 для образцов 20 × 20 × 20 см и 0,000196 Ω + 0,219 для образцов 7,07 × 7,07 × 7,07 см.

33349. Пропаривание бетона. Шефлер (Dampfherstellung von Beton. Schäffler Hermann), Betonstein-Ztg, 1957, 23, № 5, 305—313 (нем.; рез., англ., франц.)

Для предотвращения размывания структуры бетона (Б) горячей струей пара в момент пропаривания (П) при атмосферном давлении рекомендуется обязательное предварительное выдерживание изделий до П. Подъем т-ры должен равняться 15—20° в час. При более быстром подъеме значительно ускоряется рост прочности, но существенно уменьшается величина конечной прочности Б. Длительность П зависит от т-ры П и заданной прочности Б; при длительном П в ряде случаев наблюдается понижение прочности. Остывание изделий должно быть медленным. В США при изготовлении пропаренных пустотелых камней практикуется подсушка после П горячим воздухом при 70°, а в некоторых случаях — перегретым паром при 160°. При тонкоразмолом цемента и кварцевом песке мельче 0,2 мм прочность спрессованных при давл. 400 кг/см² р-ров состава 1:0,5 равнялась после 11 час. запарки (З) при 16 атм — 1742 кг/см² и при составе 1:6—384 кг/см². При домоле песка до 0,09 мм прочность р-ров после 10 час. З составила 2400 кг/см². Сульфатостойкость Б значительно увеличивается.

33350. Определение размеров бетонов для защиты от радиоактивных излучений. Тихань (Betonok sugárvédelmi méretezése. Tihanyi László), Mélyépítéstud. szemle, 1957, 7, № 4, 139—149, 138 (венг.)

Обзор литературных данных по методам и аппаратуре для радиоактивной защиты, применяемой в работе с изотопами, рентгеновскими, γ -лучевыми установками и т. д. Библ. 18 назв.

Д. Пюшпеки
33351. Исследование некоторых технологических и физико-механических свойств бетонов на искусственных пористых заполнителях. Евдокимов А. А. В сб.: Легкие бетоны на пористых заполнителях. М., Гос. над-во лит. по стр-ву и архитект., 1957, 102—139

Исследованы легкие бетоны (ЛБ) с межзерновой пористостью, предназначенные для конструкций наружных стен. Установлено, что созданием межзерновой пористости можно уменьшить об. вес плакобетона марки 50 до 1200—1300 кг/м^3 (в сухом состоянии) и керамзитобетона той же марки до 900—1000 кг/м^3 . Однако такие ЛБ имеют пониженную кубиковую и призматическую прочность и более низкий модуль упругости при сжатии по сравнению с плотными ЛБ. Замена части пористого песка кварцевым повышает прочность ЛБ, предназначенных для несущих железобетонных конструкций. Увеличение длительности вибрации повышает прочность ЛБ на 30—35%. Г. Копелянский

33352. Некоторые особенности подбора состава и приготовления легкого бетона на искусственных пористых заполнителях. Попов Н. А., Элинзон М. П., Спивак Н. Я., Штейн Я. Ш., Евдокимов А. А. В сб.: Легкие бетоны на пористых заполнителях. М., Гос. над-во лит. по стр-ву и архитект., 1957, 160—189

Приводятся классификация пористых заполнителей с характеристикой их свойств и классификация легких бетонов (ЛБ) по их назначению. Излагаются основные принципы подбора состава легкобетонных смесей (ЛБС) и технологии произ-ва легкобетонных изделий. Рассматриваются пути уменьшения расхода цемента и об. вес. ЛБ. Проводится технико-экономич. сравнение ЛБ, приготовленных в мешалке принудительного действия и на бегунах. Предпочтение отдается мешалкам принудительного действия, позволяющим получать значительно более легкие бетоны с меньшим расходом цемента. Г. Копелянский

33353. Определение качества легких бетонов по свойствам бетонной смеси. Новиков В. Н. В сб.: Легкие бетоны на пористых заполнителях. М., Гос. над-во лит. по стр-ву и архитект., 1957, 140—159

Экспериментально установлена возможность определения качества легкого бетона по обрабатываемости (О) бетонной смеси (БС). Под О понимается комплекс свойств, характеризующих удобство выполнения всех работ, связанных с приготовлением, транспортированием и укладкой БС. Автор рекомендует характеризовать О подвижностью (П) БС и ее расслаиваемостью (Р). П определяется с помощью конуса, погруженного в БС на определенную величину и вычисляется по ф-ле $P = v/q$, где v — объем вытесненной конусом БС в см^3 , q — вес конуса (или нагрузка на конус). Р оценивается разностью величин, характеризующих подвижность или об. вес нижнего и верхнего слоев БС, подвергнутой вибрации: $R = P_B - P_H$ или $R = A(\gamma_0 - \gamma_n)$. Из БС, характеризующейся максим. О, получается бетон, обладающий максим. пределом прочности при сжатии. Г. Копелянский

33354. Легкие бетоны на базе керамзитового щебня. Фролова А. И., Ашрабов А. Б., Тр. Среднеаз. политехн. ин-та, 1957, вып. 4, 267—272

Описаны свойства и способ приготовления керамзитобетона, приготовленного с применением керамзитового щебня. М. Майнц

33355. Влияние частичной замены портланд-цементангидратом известково-пуццолановым цементом на свойства бетонов и растворов. Тер-Мартиросо-

ва Р. А., Тр. Арм. н.-и. ин-та гидротехн. и мелior., 1957, 2, 37—41

Добавка 20% известково-пуццоланового цемента к портланд-цементу не ухудшает свойств бетонов и р-ров, применяемых в ряде объектов водно-хозяйственного строительства.

М. Майнц
33356. Зависимость между морозостойкостью цементного камня и термодинамическим потенциалом химико-минералогических компонентов микробетона. Колобов Е. М., Ж. прикл. химии, 1957, 30, № 7, 1084—1087

Термодинамический потенциал соединений, составляющих цементный камень, является важной физ.-хим. характеристикой, связывающей энергетич. свойства простых в-в, составляющих цементный камень со строительными свойствами цемента. Соответствием между изменением термодинамич. потенциала и изменением прочности в условиях замораживания — оттаивания подтверждается положение о возможности определения устойчивости соединений гидратированного цемента в условиях переменных т-р на основе термодинамич. анализа. Резюме автора

33357. Вымораживание влаги и нарушение структуры бетона, уложенного на морозе. Бужевич Г. А., Тр. Н.-и. ин-та бетона и железобетона Акад. стр-ва и архитект. СССР, 1957, вып. 1, 5—13

Приведены данные о потере влаги бетонными образцами при различных условиях хранения. М. Майнц
33358. О подборе состава бетонной смеси заданной консистенции. Довжик В. Г., Бетон и железобетон, 1957, № 10, 412—413

Изложена методика определения состава жесткой бетонной смеси. Особенностью предлагаемого метода является возможность подбора смеси заданной жесткости при проведении всего двух замесов, один из которых является контрольным. М. Майнц

33359. Изготовление цементных полов и бетонных настилов. Определение соотношения компонентов в смеси. Ротфукс (Herstellung von Zementestrichen und Hartbetonbelägen. Ermittlung des Mischungsverhältnisses-Was ist bei ihrer Herstellung zu beachten? Hohe Anforderungen werden gestellt. Rotfuchs G. G. G., Baugewerbe, 1957, 37, № 13, 446—450 (нем.))

Изложены требования к составу и условиям приготовления бетонной смеси, применяемой при изготовлении обычных цементных полов и твердых бетонных покрытий. Указывается, что добавка поливинилацетата к р-ру или бетону значительно повышает прочность сцепления между бетоном, применяемым для заделки поврежденных участков полов, и старым бетоном. М. Майнц

33360. Использование огнеупорных бетонов в наземных сооружениях для авиации. Созье (Utilisation des bétons réfractaires dans les ouvrages d'infrastructure pour l'aviation. Sauzier P. M.), Matér. et techn. engins-fusées et aviat. T. 1. Paris, A. E. R. A., 1956, 299—300 (франц.)

Приведены примеры использования во Франции огнеупорных бетонов (ОБ) на основе глиноземистого цемента с различными заполнителями для строительства наземных сооружений для авиации и управляемых снарядов. Для рабочих т-р до 900—1000° применяют ОБ, в которых заполнителем является вулканический трапп или шамот; до 1200° — шамот с содержанием 40—42% Al_2O_3 ; до 1500° — корунд. В последнем случае только верхний слой сооружения толщиной 5—6 см выполняют из ОБ с корундовым заполнителем, а остальное — с вулканическим траппом. Бетонный р-р следует составлять с возможно более высоким цементно-водным числом. Рабочая т-ра газов в местах сопряжения с покрытием ранее составляла 230°, в связи с применением турбореактивных двигателей с дожи-

том топлива т-ра повысилась до 400—450°, никаких повреждений покрытия не наблюдается. ОБ с успехом используют также в сооружении дефлекторов для опытных машин вертикального взлета; намечается применение ОБ для стартовых площадок этих машин.

В. Злочевский

33361. Расход угля при производстве железобетонных и бетонных изделий. Заунар (Zużycie węgla dla produkcji elementów żelbetowych i betonowych. Zaunars Jan), Budown. przemysł., 1957, 6, № 10, 25—29 (польск.)

Рассматриваются пути экономии угля (топлива) за счет применения пластичного шлакового и быстротвердеющего цемента в произ-ве железобетонных изделий.

Б. Левман

33362. Несколько замечаний об использовании радиоактивных изотопов. Симон (Několik poznámek k použití radioaktivních isotopů. Simon L.), Stavivo, 1957, 35, № 8, 314—316 (чешск.; рез. русск., англ., нем., франц.)

Краткий обзор возможности использования радиоактивных изотопов (РИ) в строительстве и произ-ве строительных материалов. Путем определения поглощения γ -лучей радиоактивного Co^{60} возможно исследование расположения арматуры и гомогенности структуры железобетонных конструкций. Добавка небольшого кол-ва РИ Na^{24} к портланд-цементному шламу во вращающейся печи, с последующим определением интенсивности излучения шлама в разных местах по длине печи, позволила установить, что скорость продвижения цементного шлама в зоне кальцинации наибольшая, а в зоне спекания наименьшая. Тем же способом была измерена скорость продвижения массы во вращающейся печи для обжига керамики.

С. Глебов

33363. Эффективность гидрофобизации песчаника силиконами. Ланнинг (The effectiveness of silicones as water repellents when applied to sandstone. Lanning F. C.), Trans. Kansas Acad. Sci., 1956, 59, № 4, 427—431 (англ.)

Описано действие силиконовых препаратов на 3 разновидности песчаников различных месторождений США.

Из резюме автора

33364. Влияние хлоридов и сульфатов на капиллярную адсорбцию цементных растворов. Цунэяма (Tsuneuama Gentaro), Egē kēkai, J. Ceram Assoc. Japan, 1957, 65, № 735, 40—43; Тэцуду гидэюцу кэнкю сирё, J. Railway Engng Res., 1957, 14, № 2, 47—50, 2 (японск.; рез. англ.)

Исследовалась капиллярная адсорбция образцов портланд-цементных р-ров с добавкой 20 видов хлоридов и сульфатов. Изучалось влияние хлоридов Mg , Sn^{2+} , Na , K , Cu , Mn^{2+} , Ba , Fe^{2+} , Fe^{3+} , Al и сульфатов Na , K , Cu , Zn , Al , Mn^{2+} , Fe^{2+} , Fe и Sr -квасцов. Образцы, содержащие хлориды, хранились во влажной среде при t -ре 20°, содержащие сульфаты — в воде при той же t -ре и извлекались оттуда за сутки до испытаний. Измерения величины адсорбции проводились в возрасте 7 и 28 суток прибором, сконструированным автором (РЖХим, 1955, 52637). Были также проведены испытания на прочность в возрасте 7, 28 суток и 3 месяцев. KCl и NaCl обладают наибольшим эффектом понижения адсорбции, увеличивают прочность на изгиб р-ра в возрасте до 3 месяцев, но уменьшают прочность на сжатие от 28 суток до 3 месяцев.

Из резюме автора

33365. Строительство дорог из легбетона. Рейнбог (Teerstraßenbau. Reinboth K.), Strassen und Tiefbau, 1957, 11, № 10, 575—582 (нем.)

Рассмотрены характеристика физ.-хим. свойств лег- и способы его использования в дорожном строительстве. Библ. 21 назв.

И. Смирнова

33366. О смесях нефтяных битумов с тринидадским асфальтом. Штейнхильбер, Широтт (Über Gemische von Erdölbitumen mit Trinidad-Asphalt. Steinhilber, Schirott), Bitum., Teere, Asph., Peche und verw. Stoffe, 1957, 8, № 10, 360—361 (нем.)

Изложены результаты исследований свойств асфальтобетона с применением тринидадского асфальта.

М. Маянц

33367. Вещества, увеличивающие адгезию в строительстве городских дорог на черных вяжущих. Рашиг (Haftmittel im bituminösen Straßenbau. Raschig Kurt), Strassen-Asphalt- und Tiefbau-Technik, 1957, 10, № 22, 739—743 (нем.)

Рассмотрена необходимость применения в-в, увеличивающих адгезию черных вяжущих к заполнителю. В качестве таких в-в применяются поверхностноактивные в-ва, содержащие сильно полярные группы. Рассмотрены методы определения адгезии и влияние природы каменного заполнителя и вяжущего на адгезию.

И. Смирнова

33368. Технология изготовления асфальтовых покрытий. Халмаги (Tehnologia curentă a executării imbrăcămintilor asfaltice cu subif. Halmaghi O.), Rev. transp., 1957, 4, № 2, 70—75 (рум.; рез. русск., нем.)

Субиф представляет собой тонкую дисперсию битума в известковом молоке, содержащем $\text{Ca}(\text{OH})_2$ в коллоидальном состоянии. Описана технология изготовления асфальтовых холодных смесей на основе субифа, находящих широкое применение в Румынии на строительстве сельских дорог. Перечислены требования, предъявляемые к исходным материалам, используемым для получения субифа, и дана технология нанесения асфальтовых покрытий.

Я. Матлэс

33369. Исследования в области асбестового шифера в Советском Союзе. Имамюра, Сэмэнто конкүрито, Cement and Concrete, 1957, № 128, 18—26 (японск.)

33370 К. Влияние сульфитно-спиртовой барды на цементные растворы и бетоны. Саркисян Р. Р., Ереван, АН АрмССР, 1957, 97 стр., илл., 2 р. 50 к.

33371 С. Шлак топливный для бетона (Skváry pro škvárový beton). Чехосл. стандарт 722050, 1956

33372 П. Шахтные печи для обжига известняка, доломита или магнезита с газогенераторами. Эйген (Schachtofen zum Brennen von Kalkstein, Dolomit oder Magnesit, der mit einem Gasgenerator verbunden ist. Eigen Hans) [Rheinische Kalksteinwerke G. m. b. H.]. Пат. ФРГ 963584, 9.05.57

Шахтные печи, согласно патенту ФРГ (см. патентный сборник № 1, 1957, 100152), отличаются тем, что шахта в зоне обжига подразделена по крайней мере одной вертикальной стенкой. Стенка снабжена каналами, с одной стороны соединенными с шахтой, а с другой — проходящими через наружную стену печи и предназначенными для подвода в шахту генераторного газа и большей части воздуха, требующегося для горения. Устья каналов, по которым подводится в печь воздух, устраиваются в несколько расположенных друг над другом рядов, причем расстояние между ними увеличивается сверху вниз.

Е. Штейн

33373 П. Способ циркуляции отходящих газов шахтных печей для обжига известняка и иных карбонатных пород. Эйген (Verfahren zum Umwälzen von Abgas bei Schachtföfen zum Brennen von Kalkstein oder sonstigen Karbonaten. Eigen Hans) [Rheinische Kalksteinwerke G. m. b. H.]. Пат. ФРГ 1001479, 11.07.57

Способ отличается тем, что смесь нагретого воздуха и горячих отходящих газов подается вентилятором

вместо зоны охлаждения в нижнюю часть зоны обжига шахтной печи.

33374 П. Способ придания шероховатости доломиту и известняку для улучшения их сцепления с красочным покрытием. Краутвурст (Verfahren zum Aufrauen von Dolomit- und Kalkgestein zwecks Erzielung festhaftender Farbüberzüge. Krautwurst Hans) [Dolomitwerke G. m. b. H.]. Пат. ФРГ 960078 14.03.57

Способ искусств. придания шероховатости доломиту и известняку, особенно щебню, для улучшения их сцепления с красочным покрытием отличается тем, что придание шероховатости производится хим. или термич. способами. Хим. способ заключается в обработке поверхности камня такими кислотными агентами, которые образуют новые соединения. Термич. — в нагреве камня до такой т-ры, при которой его верхние слои декarbonизируются.

33375 П. Способ изготовления строительных изделий (Verfahren zur Härtung von Bauelementen) [Badische Bau- und Kunststoff G. m. b. H.]. Пат. ФРГ 4001174, 4.07.57

Способ изготовления строительных изделий из природного или искусств. ангидрита, затворяемого водой при введении ускорителей схватывания и различных добавок, отличается тем, что отформованное изделие после начала схватывания подвергается обработке перегретым водяным паром при атмосферном или повышенном давлении.

33376 П. Материал и метод облицовки стен и потолка. Такуми. Японск. пат. 1891, 16.03.56

Берется смесь из 50 вес. ч. 50%-ной эмульсии поливинилацетата, 50 вес. ч. 20%-ного водн. р-ра поливинилового спирта, 3 вес. ч. натриевой соли алкилбензолсульфокислоты и 100 ч. воды. Смесь тщательно перемешивают и добавляют 850 вес. ч. порошка гипса. Полученная быстросхватывающаяся масса наносится на поверхность стены тонким слоем, на который плотно накладывается водонепроницаемая эластичная бумага. Когда покрытие достаточно затвердеет, бумагу удаляют. Вместо поливинилацетата и поливинилового спирта могут быть использованы полихлорвинил, сополимеры хлорвинила и ацетатвинила.

33377 П. Способ производства цемента при получении серной кислоты из гипса или ангидрита. Грисбах, Шпие (Verfahren zur Herstellung von Zement bei der Gewinnung von Schwefelsäure aus Gips oder Anhydrit. Griessbach Robert, Spies Leonhard). Пат. ГДР 13472, 15.07.57

Способ произ-ва цемента при получении серной к-ты из гипса или ангидрита отличается тем, что при корректировании состава сырьевой смеси применяются в качестве железосодержащей добавки к ангидриту или гипсу гомогенизированные топливные шлаки бурых углей, а сырьевая смесь из ангидрита, шлака и угля вводится в восстановительную печь в отформованном виде. Все кол-во потребного угля для восстановления вводится в виде буроугольного кокса.

33378 П. Проницаемая гипсовая форма. Гарднер (Permeable plaster mold. Gardner George R.) [Aluminum Co. of America]. Пат. США 2754220, 10.07.56

Патентуется способ изготовления гипсовых форм для отливки металла, обладающих такой же проницаемостью для газов, как и песчаные формы, но сохраняющих преимущества гипсовых форм. В материале формы содержится равномерно распределенные и сообщающиеся между собой воздушные включения diam. 0,5—0,33 мм. Прочность материала на сжатие составляет 35—175 кг/см². Материал состоит в основном из полностью гидратированного гипса или α-гипса. Состав шликера: 1 ч. обожженного гипса и 0,85 ч.

4%-ного водн. р-ра пенообразователя (водорастворимого сульфонированного углеводорода). И. Смирнов

33379 П. Усовершенствование составов магнезиального цемента и его использование. Чекальди (Perfectionnements aux compositions de ciment magnésien et à leurs applications. Ceccaldi Jean Colonna) [Ets. Fortin & Saunier]. Франц. пат. 1124360, 15.10.56

Патентуется способ улучшения качества магнезиального цемента путем введения абитиновой к-ты. Электропроводность цемента уменьшается, водонепроницаемость и механич. свойства улучшаются.

33380 П. Использование продуктов реакции между силицидом кальция и оксидом магния. Нагаи. Японск. пат. 8484, 21.11.55

К порошку силицида кальция добавляют порошок каустич. магнезита. Эту смесь помещают в металл. или керамич. резервуар, герметически закрывают и нагревают под вакуумом при давл. ~ 3 мм рт. ст. до 900—1200°. Образующиеся пары металл. Mg конденсируются в другом конце реактора, где нагревание не происходит и, следовательно, т-ра значительно ниже, чем в том конце, где происходит нагревание поступающей смеси. В результате получают чистый металл. Mg. В реакторе после извлечения из смеси металл. Mg, в виде его паров, остается остаток, содержащий главным образом известь и SiO₂, в небольших кол-вах Al₂O₃, Fe₂O₃ и небольшое кол-во непрореагировавшего MgO. Этот остаток используется при изготовлении гидравлич. цемента. Каустич. магнезит может быть заменен слабо обожженным при т-ре 800—900° доломитом.

33381 П. Способ производства цветоустойчивых окрашенных слоев из глиноземистого цемента с волокнистым наполнителем (Verfahren zur Herstellung von farbbeständigen Deckschichten aus faserhaltigem Tonerdezement) [Amiantus A.-G.]. Швейц. пат. 313937, 14.07.56

После удаления из свежееотформованного цементного изделия воды затворения на него наносится слой глиноземистого цемента, содержащего волокнистые наполнители. Нанесение слоя осуществляется с помощью форматных вальцов папмашин. К глиноземистому цементу добавляются замедлители схватывания, сахар, флюаты и добавки, связывающие известь. Основной портланд-цементный слой и покровный слой, содержащий глиноземистый цемент, изготавливаются в виде отдельных слоев на папмашине и соединяются после удаления воды затворения.

33382 П. Способ изготовления элементов для облицовки. Арну (Procédé de fabrication d'élément de revêtement décoratif. Arnoux Jean). Франц. пат. 1125079, 23.10.56

Патентуется способ изготовления облицовочных элементов из р-ра на глиноземистом цементе с добавкой белого цемента и красителя. Для получения гладкой и блестящей поверхности изделия дно формы изготовляют из стекла или другого полированного материала, который покрывают спец. смазкой. И. Смирнов

33383 П. Смазка, облегчающая распалубку изделий из бетона. Гутьеррес (Mélange facilitant le démoulage des pièces en béton. Gutierrez Benjamin). Франц. пат. 1124325, 9.10.56

Патентуется состав смазки (в %): масло 4, газоль 87, карбонил 5, крезол 4.

33384 П. Способ повышения сцепления между натянутой арматурой и бетоном в предварительно напряженном железобетоне. Фольмер, Тило (Verfahren zur Verbesserung des nachträglichen Verbundes zwischen vorgespannten Stählen und dem Beton bei Spannbeton. Vollmer Hans, Thilo Friedrich)

[Hans Nauenschild Chemische Fabrik K. G.] Пат. ФРГ 962594, 25.04.57

Способ отличается тем, что в инъецируемую растворную смесь вводится разжижающая добавка, состоящая из нитратов натрия и кальция, сульфитного щелока с предельным содержанием общего сахара 3%, причем в составе сахара допускается наличие до 20% глюкозы и до 10% гликозы, и алюминиевого порошка, вызывающего вспучивание растворной смеси. Кол-во газообразователя должно быть таково, чтобы была устранена усадка р-ра и обеспечено полное заполнение им каналов в конструкции. Е. Штейн

33385 П. Производство искусственного облицовочного мрамора. Табата. Японск. пат. 1491, 20.03.54

Способ заключается в попеременном нанесении цементной пасты различного цвета на тонкую эластичную пластину (резиновую или из пластмассы). Затвердевшие слои затем отделяют от пластины. М. Гусев

33386 П. Способ изготовления строительных деталей малого удельного веса. Щастный (Verfahren zur Herstellung von Bauelementen mit niedrigem spezifischem Gewicht. Stastny Fritz) [Badische Anilin- & Soda-Fabrik A.-G.] Пат. ФРГ 964217, 16.05.57

Способ отличается тем, что мелкокусковые пористые пластмассы, имеющие закрытые поры, смешиваются с водн. р-ром вяжущего, формуются, а затем затвердевают. Г. Копелянский

33387 П. Способ нанесения штукатурки (Verfahren zur Herstellung eines Verputzes) [Flaminio Ostaschudin]. Швейц. пат. 310759, 14.01.56

Кусочки стекла размером 1—3 мм смешиваются с цементом, известью-пушонкой и водой до получения пластичной массы. Масса наносится на грунт и после отвердения обрабатывается щеткой до обнажения стекла. Е. Штейн

33388 П. Способ производства раствора для наружной и внутренней штукатурки. Фукс (Verfahren zur Herstellung eines Mörtels für Wand- und Deckenputz. Fuchs Ernst). Пат. ФРГ 1000729, 27.06.57

В качестве вяжущего применяется цемент или известь, а в качестве заполнителя — искусств. песок из сланцевой глины с большим содержанием карбонатов, обожженной при 980°. Е. Штейн

33389 П. Песчаная смесь для строительного раствора. Тирстен (Sand mixture useful in making masonry mortar. Tiersten David), Пат. США 2757096, 31.07.56

Патентуется применение строительного песка, содержащего поверхностноактивные добавки, инфузорную землю и активные кремнеземистые материалы вулканич. происхождения. Песок с указанными добавками дает удобоукладываемые р-ры, обладающие повышенной прочностью, водонепроницаемостью и морозостойкостью. И. Смирнова

33390 П. Производство гибких асбесто-цементных плит. Оки [Нодзава Сэкимэн Сэмито Кабусики Кайся]. Японск. пат. 3488, 15.06.54

Берется смесь из 20% асбеста и 80% цемента, загружается в бункер. Из бункера при помощи барабана смесь подается на транспортер, который движется по роликам. Во время движения смеси по транспортеру из качающегося сита поступает асбестовое волокно, затем эта асбесто-цементная смесь в виде тонкого листа навивается на барабан. Когда на барабан навивается необходимое число слоев, последние снимают с барабана, разрезают и получают плиту нужной толщины. Плиту помещают в железную форму с металлической сеткой и прессуют под давл. 80 кг/см². М. Гусев

33391 П. Способ и установка для обогащения асбеста, в особенности отходов асбестоперерабатывающей пром-сти. Штилер, Вегнер (Verfahren und Vorrichtung zur Aufbereitung von Asbest, insbesondere Abfällen der asbestverarbeitenden Industrie. Stieler Alfred, Wegner Heinz). [Metallgesellschaft A.-G.] Пат. ФРГ 965391, 6.06.57

Способ обогащения асбеста, отличается тем, что предварительно измельченное сырье, желательно с размером частиц < 3 мм, обрабатывается (сортируется) с помощью электростатич. поля. Е. Штейн

См. также: Сто лет польской цементной пром-сти 31321. Применение измерительных приборов в цементной пром-сти 32779

ПОЛУЧЕНИЕ И РАЗДЕЛЕНИЕ ГАЗОВ

Редактор В. Г. Фастовский

33392. Производство редких газов. Велета (Výroba vzácných plynů. Veleta Jaroslav), Chem. průmysl, 1956, 6, № 11, 460—462 (чешск.)

Приведены сведения о применении и технологии получения редких газов; рассмотрено произ-во этих газов в Чехословакии. И. Елинек

33393. Жидкий озон. Петтерс (Flüssiges Ozon. Petters W. J.), Raketentechn. und Raumfahrtforsch., 1957, № 3, 78—79 (нем.)

Приведены свойства озона и указаны основные области его применения. Кратко рассмотрены результаты эксперим. работ по получению жидкого озона и длительному хранению его в спец. резервуарах. А. Ровинский

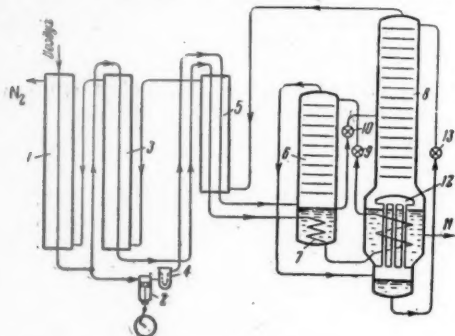
33394. Очистка аргона от кислорода и азота. Бродянский В. М., Кислород, 1957, № 3, 27—33

Приведена схема установки для очистки сырого аргона (I) от O₂ на активной меди с использованием для ее последующего восстановления смешанного городского газа; очистка I от N₂ осуществляется ректификацией с применением насоса жидкого I; производительность установки 25 м³/час очищ. газа при содержании 10% O₂ в сыром I. Описаны процессы приготовления, предварительной обработки и загрузки поглотительной массы в реакторы, а также схема регулирования и контроля процесса в реакторах по анализу газа на выходе или по изменению т-ры реакционной массы. Схема очистки от N₂ предусматривает, наряду с получением чистого I, отбор технич. продукта, содержащего 12—16% N₂. А. Ровинский

33395 П. Усовершенствование процесса разделения воздуха путем его сжижения и ректификации при низкой температуре (Perfectionnement a la séparation de l'air par liquéfaction et rectification a basse température). [L'Air Liquide (Soc. An. pour l'Etude et l'Exploitation des Procédés Georges Claude)] Франц. пат. 1126478, 23.11.56

Предложена схема транспортной установки для получения жидкого O₂, отличающаяся частичным сжижением воздуха (В), расширенного в детандере. Очищ. и сжатый до 200 кг/см² В поступает в теплообменник 1, где охлаждается до —40° обратным потоком N₂, после чего распределяется по двум направлениям: одна часть В направляется в поршневой детандер 2, где расширяется до давл. 5 кг/см², а другая часть В — в теплообменник-сжижитель 3, где охлаждается обратным потоком N₂ до т-ры ниже крит. Из 2 расширенный В через фильтр 4 поступает в теплообменник 5; туда же направляется В из 3 и обратный поток N₂ из воздуходелительного аппарата. При охлаждении в 5 происходит частичное сжижение В,

расширенного в 2; в таком состоянии В поступает в нижнюю часть колонны высокого давления 6, в которой под давл. 5 кг/см^2 происходит предварительная ректификация В с получением дистиллята, богатого N_2 , и нижнего продукта с $36 \div 38\% \text{ O}_2$. Тепло в испарителе 6 подводится за счет охлаждения В высокого давления в змеевике 7, после чего В дополнительно охлаждается в испарителе колонны низкого давления

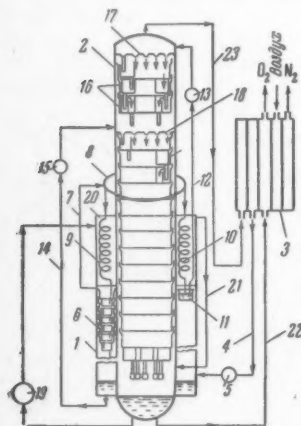


8 и с помощью дроссельного вентиля 9 поступает на орошение 6. Жидкость из 6 через дроссельный вентиль 10 вводится в среднюю часть 8, где происходит ее ректификация с получением N_2 (дистиллят) и O_2 (нижний продукт), который выводится по линии 11 в жидком виде; газообразный N_2 из 8 выводится через 5, 3 и 1, где нагревается до нормальной т-ры. Дистиллят из 6 под давл. 5 кг/см^2 конденсируется в трубках конденсатора-испарителя 12 и используется в качестве флегмы для орошения 8, для чего служит дроссельный вентиль 13.

Ю. Петровский

33396 П. Аппарат для фракционирования. Шиллинг (Fractionating apparatus. Schilling Clarence J.), [Air Products Inc.]. Пат. США 2760351, 28.08.56

Патентуется конструкция воздухоразделительного аппарата, отличающегося малой высотой и предназначенного для транспортных кислородных установок, в частности для судовых установок, работающих в условиях качки. Аппарат состоит из колонны высокого давления 1 и заключенной внутри нее колонны низкого давления 2. Сжатый и очищ. воздух (В) охлаждается в теплообменнике 3 и по линии 4 через дроссельный вентиль 5 вводится в 1, где происходит предварительное разделение В на N_2 и обогащенную O_2 жидкость, собирающуюся в нижней части 1. Ректификация В осуществляется на тарелках 6 спец. конструкции; в кольцевом пространстве, образованном корпусом 1 и внешней поверхностью 2, размещено несколько групп ректифицирующих элементов, каждая из которых питается флегмой независимо от других. Для образования флегмы газообразный N_2 по линии 7 поступает в кольцевой коллектор 8, направляющий N_2 в ряд параллельно включенных змеевиковых конденсаторов 9 и 10; число конденсаторов 9 соответствует числу групп элементов тарелок 6, так как



каждый конденсатор 9 питает флегмой отдельную группу; число конденсаторов 10 подбирается таким образом, чтобы кол-во получаемого в них жидкого N_2 , который сливается в сборник 11, было достаточно для орошения 2. Из 11 жидкий N_2 по линии 12 через дроссельный вентиль 13 подается на верх 2. Жидкость, обогащенная O_2 , из нижней части 1 по линии 14 через дроссельный вентиль 15 вводится в 2, где происходит дальнейшая ректификация В с получением O_2 и N_2 . В 2 применены секционные тарелки 16 особой конструкции с самостоятельным питанием жидкостью каждой секции; распределение жидкости осуществляется распределителями 17 и 18. Жидкий O_2 , стекающий в нижнюю часть 2, подается насосом 19 в испаритель 20, в котором размещены конденсаторы 9 и 10; здесь происходит испарение O_2 и он по линии 21 возвращается в 2. Продукционный O_2 по линии 22 направляется в 3; туда же по линии 23 поступает N_2 , выходящий из 2. Эффективность аппарата сохраняется при отклонениях его оси от вертикали в пределах 15° .

Ю. Петровский

33397 П. Аппарат для производства озона. (Appareil pour la préparation de l'ozone) [Rheno A.-G.]. Франц. пат. 1108567, 16.01.56

Конструкция отличается применением электродов конич. формы, имеющих острые выступы, что позволяет увеличить выход O_3 с 70 до 150 г/квт-ч . Выход O_3 возрастает при введении в озонатор ZnO или другого агента, стойкого к O_3 .

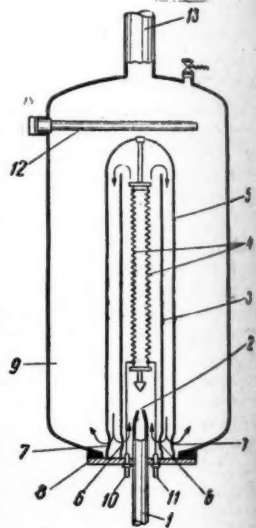
З. Хамский

33398 П. Газификация жидких газов, в частности углекислоты, методом расширения. Бецаер (Entspannung und Überführung von Flüssiggasen, insbesondere Kohlensäure, aus dem flüssigen in den gasförmigen Zustand. Betzler Martin) [Minimax A.-G.]. Пат. ФРГ 956584, 24.01.57

Предложен метод перевода жидких газов (ЖГ), в частности углекислоты, в газообразное состояние путем расширения с одновременным подводом тепла в зону расширения. ЖГ поступает через трубу 1 к расширительному соплу 2, размещенному внутри центральной трубы 3. На выходе из 2 внутри небольшой зоны происходит расширение ЖГ и переход его в газообразное состояние. Через отверстие 6 в трубе 3 в зону расширения инжектируется уже подогретый газ (Г); в результате смешения его с холодным Г предотвращается выпадение углекислоты в виде льда. ЖГ, прошедший 2 вместе с Г, поступающим через 6, поднимается по трубе 3.

В верхней части последней расположен электродогреватель 4; проходя через 4, Г нагревается и поступает в кольцевой канал, образуемый трубами 3 и 5, и движется противоточно ЖГ, идущему от 2. В нижней части кольцевого канала Г разделяется на два потока: один возвращается в зону испарения к соплу 2, другой через отверстия 7 и трубу 13 выводится из аппарата. Трубы 3 и 5 монтируются на фланце 8, через который выводятся контакты электродогревателя 10 и 11. На 8 крепится также корпус аппарата 9. Для измерения т-ры полученного газа аппарат снабжен датчиком 12.

А. Каган



РЕФЕРАТИВНЫЙ ЖУРНАЛ ХИМИЯ

Рефераты 33399—34997

№ 10

25 мая 1958 г.

IV

ХИМИЧЕСКАЯ ТЕХНОЛОГИЯ. ХИМИЧЕСКИЕ ПРОДУКТЫ И ИХ ПРИМЕНЕНИЕ (Часть 3)

ПРОМЫШЛЕННЫЙ ОРГАНИЧЕСКИЙ СИНТЕЗ

Редакторы С. З. Тайц, Б. П. Фабричный

33399. Новые химические процессы. Майор (Procédé nouveaux. Mayot Y.), Ind. pétrole, 1957, 26, № 3, 59—60 (франц.)

Краткое описание новых процессов — пиролиза жидких углеводородов в электрич. дуге в C_2H_2 и непредельные углеводороды, получения катионообменных смол сульфированием нефтяного кокса, органич. синтеза из CO и водяного пара, полимеризации этилена действием γ -лучей и окислением C_3H_8 и C_4H_{10} кислородом в альдегиды и спирты. Г. Марголина

33400. Состояние и перспективы развития проблемы синтеза основных мономеров для СК. Горин Ю. А. Хим. пром-сть, 1957, № 2, 65—70

Обзор способов синтеза основных мономеров для каучуков общего назначения. Наиболее эффективно и перспективно использование продуктов нефтедобычи и нефтепереработки (этилена, пропилена, бутана, бутиленов, изобутилена, изопентана и т. п.), получающихся в результате комплексной переработки нефтепродуктов. Важное значение имеет также природный газ, являющийся источником сырья при получении ацетилена окислительным пиролизом метана.

А. Вавилова

33401. Одновременное получение четыреххлористого углерода и перхлорэтилена из ацетилена. Терме (Production simultanée de tétrachlorure de carbone et de perchloréthylène à partir d'acétylène. Thermet R.), Chimie et industrie, 1957, 78, № 4, 351—356 (франц.; рез. англ., исп.)

$CN \equiv CH$ (I) вводят в р-цию с C_2Cl_6 и, точно регулируя т-ру и соотношение реагентов, получают заданные кол-ва перхлорэтилена (II) и CCl_4 (III). Процесс состоит из трех стадий: получение III при 650—700° по уравнению $C_2Cl_4 + 2Cl_2 \rightleftharpoons 2CCl_4$, хлорирование II при 200—250° в присутствии активированного угля: $C_2Cl_4 + Cl_2 \rightarrow C_2Cl_6$ и взаимодействие I с C_2Cl_6 при 320° и присутствии угля, пропитанного р-ром $CuCl_2$; $3C_2Cl_4 + C_2H_2 \rightarrow 4C_2Cl_4 + 2HCl$. Часть полученного II возвращается в цикл для получения III. Приведены кривые, показывающие зоны стабильности системы Cl_2 , II, C_2Cl_6 и III, при разных т-рах. Изучены термодинамика и кинетика процесса. Приведены таблицы стехиометрич. отношений реагирующих в-в во всех стадиях, таблица термодинамич. данных, расчеты констант скоростей

р-ций. Даны схема и описание работы опытной установки по произ-ву III и II.

В. Красева

33402. Парофазная гидратация окиси этилена. Гамильтон, Мецнер (Vapor phase hydration of ethylene oxide. Hamilton G. E., Metzner A. B.) Industr. and Engng Chem., 1957, 49, № 5, 838—846 (англ.)

Изучена каталитич. активность кислых ионообменных смол при парофазной гидратации окиси этилена (I) в этиленгликоль. Р-ция проводилась при 110—200°, мол. отношении водяной пар: I от 7,5 до 32 и общем давлении $\sim 1,2$ ат. Для интерпретации кинетич. данных адсорбция I на Amberlite IR-120 изучалась от 80 до 180° при 1 ат. Как сильноокислые, так и слабоокислые ионообменные смолы являются специфич. катализаторами гидратации I в паровой фазе; сильноокислые катализаторы являются более активными, чем слабоокислые. При использовании в качестве катализатора Amberlite IR-120 (диаметр частиц 0,35—0,71 мм), при 115—140° стадией, определяющей скорость р-ции, является скорость р-ции I, и скорость массопереноса продуктов р-ции в газовой фазе; распределение продуктов (РП) зависит от адсорбционного равновесия и диффузионного сопротивления газовой пленки переносу масс, а также от скорости течения масс через катализатор, РП почти не зависит от мол. отношения водяного пара к I. При более высоких т-рах стадией, определяющей скорость р-ции, является скорость адсорбции I на активных центрах катализатора и скорость массопереноса продуктов в газовой фазе; РП, очевидно, зависит от адсорбционного равновесия продуктов, от диффузионного противодействия газовой пленки переносу масс, от природы химич. р-ций; РП заметно зависит от скорости течения масс и от мол. отношения водяного пара к I. После некоторого понижения активности и кислотности катализатора в течение первого часа никаких дальнейших изменений не происходит до конца р-ции (всего 6 час.). Между 80 и 180° наблюдается три различных типа адсорбции I на сухом катализаторе: ниже 110° происходит сильная физич. адсорбция, между 110—150° наблюдается слабая хемосорбция и выше 150° сильная хемосорбция. Приводится технологич. схема и описание процесса, а также отдельная схема и описание адсорбционного аппарата. Г. Швехгеймер

33403. Производство адипиновой кислоты. Шервуд (La fabrication de l'acide adipique. Sherwood Peter W.), Chimie et industrie, 1957, 78, № 5, 483—486 (франц.; рез. англ., исп.)

Циклогексан окисляют воздухом при 130—145° в

присутствии нафтената Со в смесь циклогексанола и циклогексанола, которую окисляют при 55—85° в присутствии солей Си и V 50—60%-ной HNO₃. На 1-й стадии выход за один проход 15—20%, общий выход циклогексанола и циклогексанола с учетом других продуктов, дающих при окислении адипиновую к-ту (I), 80—85%. На 2-й стадии выход I 90—93%. На основании литературных данных перечислены мероприятия, позволяющие повысить выход I. В. Красева

33404. Ациклические органические нитропроизводные. Майор (Les dérivés nitrés organiques acycliques. Mayor Y.), Chimie et industrie, 1957, 77, № 5, 1043—1050 (франц.; рез. англ., исп.)

Обзор методов получения, хим., физ. и физиологич. свойств CH₃NO₂, C₂H₅NO₂, CH₃CH₂CH₂NO₂ и CH₃CH—(NO₂)CH₃. Указаны области их применения, а также продукты, получаемых из них. В. Красева

33405. О закономерностях образования алкилбензолов в процессе алкилирования. Плюснин В. Г. В сб.: хим. переработка нефт. углеводородов. М., АН СССР, 1956, 396—413

Выведены кинетич. ур-ния для последовательной р-ции замещения водорода в бензольном ядре алкильными группами. Применимость ур-ний проверялась эксперим. данными по алкилированию C₆H₆ пропиленом, *n*- и изобутиленами в присутствии HF. Показано, что данная р-ция является последовательной первого порядка. На основе кинетич. ур-ний для такой р-ции установлено соотношение между константами скорости образования алкилбензола при алкилировании C₆H₆ пропиленом и *n*-бутиленами, дающее количеств. характеристику реакционной способности C₆H₆ и его гомологов в зависимости от величины и разветвленности алкильных групп; выведены ур-ния, позволяющие установить состав системы в зависимости от мол. соотношения олефин: C₆H₆ при алкилировании C₆H₆ пропиленом, *n*- и изобутиленами. При алкилировании C₆H₆ пропиленом замещение идет до четырех изопропильных групп, при этом для каждого алкилбензола (за исключением последнего) имеется максимум его содержания в системе, соответствующий мол. соотношению, примерно равному числу алкильных групп в алкилбензоле. Моноизопропилбензол в чистом виде может быть получен только при большом избытке C₆H₆. Получение только ди- и триизопропилбензола невозможно. При алкилировании C₆H₆ *n*-бутиленом замещение идет до двух алкильных групп, расположенных в пара-положении. При алкилировании C₆H₆ изобутиленом часть последнего полимеризуется; полимерные продукты накапливаются в системе, начиная с молярного соотношения 0,25. С уменьшением избытка C₆H₆ кол-во полимерных продуктов нарастает примерно по прямой. Указано, что установленные закономерности образования алкилбензолов являются общими для всех катализаторов. Б. Энглин

33406. Гидрогенизация фенантрена на промышленных катализаторах. Майоров Д. М., Ж. прикл. химии, 1956, 29, № 7, 1108—1115

Исследовалась гидрогенизация фенантрена в присутствии промышленных катализаторов [железного (ЖК) и алюмомолибденового] при 400—485° и давления H₂ 80—300 атм. Установлено, что р-ция гидрирования на железном катализаторе протекает по порядку, близкому к нулевому, относительно фенантрена и продуктов его распада, и по первому, относительно H₂. Скорость р-ции можно выразить (для т-ры 450°) ур-нием: $w = k \cdot P$, где w — скорость поглощения H₂ фенантеном в мл мин/г_{кат}, k — константа скорости р-ции (в мл H₂/мин атм), P — парц. давление H₂ (в атм). Зависимость константы скорости р-ции гидрирования от т-ры выражается ур-нием: $\lg k = 11400/2,3RT + 2,2$, где 11400 — кажущаяся энергия

активации процесса. Скорость гидрирования фенантрена на алюмомолибденовом катализаторе в несколько раз больше, чем на промышленном ЖК. Авторы предполагают, что необходимость применения высокого давления H₂ (от 300 до 700 атм) на промышленных установках жидкофазной гидрогенизации вызвана низкой активностью ЖК. Опыты проводились в автоклаве из нержавеющей стали ЭЯ-1-Т. В автоклав загружали 200 г фенантрена и 20 г катализатора. Закрытый и продуваемый аппарат наполняли H₂ до необходимого давления и нагревали до 450—485° (в массе). Турбулентное перемешивание достигается применением мешалки со скоростью вращения 2800 об/мин ($R_e \approx 30000$).

Расходуемый H₂ непрерывно пополнялся из градуированного буфера, так чтобы система все время оставалась под постоянным давлением. После окончания р-ции полученную смесь быстро охлаждали до 35°. Полученный гидрогенизат разделяли на жидкую и твердую часть. Установлено, что с увеличением давления и продолжительности р-ции (от 1 до 7 ч) выход жидких продуктов увеличивается, а их уд. ме. уменьшается. Гидрогенизат, представляющий собой продукт сложного хим. состава, разгонялся в вакууме. Сульфированием фракций, полученных при разгоне продуктов гидрогенизации при 450° и давл. 300 и 150 атм, установлено, что гидрогенизаты не содержат пергидрофенантрена. Гидрогенизаты, полученные гидрированием при 450° и 300 атм в течение 7 час., содержат производные бензола. А. Дабатон

33407. Выделение фурана из контактных газов, образующихся при парофазном декарбонилировании фурфурола, при помощи органических растворителей. Кармилчик А. Я., Гиллер С. А., Изв. PSR zinātņu Akad. vēstis, Изв. АН ЛатвССР, 1956, № 8, 105—108

Фуран (I) извлекают из контактных газов, образующихся при парофазном декарбонилировании фурфурола органич. р-рителями с т-рой кипения значительно выше т-ры кипения фурана (исследованы: бензол, толуол, ксилол, этилцеллозоль, дикумилметан и фурфурол). Установлено, что лучшими из указанных р-рителей являются толуол и ксилол, обеспечивающие 97—100%-ное поглощение и возврат 92,2—95,6% фурана при отгонке. Пригодность р-рителей для поглощения фурана исследовалась пропусканием контактных газов через серию промывалок, в которые помещалось определенное кол-во р-рителя. В катализ. трубку помещалось 20 мл катализатора и после активации его H₂ пропускалась смесь паров H₂O (35 мл/час) и фурфурола (6,4 мл/час) при 450°. Продукты р-ции поступали в конденсаторы, охлаждаемые водой при 35—40°. H₂O и непрореагировавший фурфурол конденсировались, а пары фурана и газа (H₂, CO₂ и др.) направлялись в 4 последовательно соединенные ловушки с испытуемым р-рителем. В ловушки газы поступали в приемник, охлаждаемый до —60°. Установлено, что основное кол-во фурана (определяется по привесу) поглощается в первых двух ловушках, напр. для ксилола: в первой 60%, во второй 30%, в третьей 7%, в четвертой 4%. Р-рителем этилцеллозоль, фурфурол, дикумилметан хорошо поглощают фуран (соответственно в кол-ве 100, 93,5 и 70—74%), но непригодны для использования из-за плохого возврата при ректификации (соответственно 80, 73,5 и 51—64,3%), видимо вследствие образования азеотропов. Бензол непригоден вследствие летучести. Исследования проводились с целью упрощения процесса выделения фурана для его использования в таком виде или в виде р-ров для получения эндотала. А. Дабатон

33408. Новые исследования в области химии фурана в Венгрии. Бережи, Келлай, Теттаман

(Recherches récentes dans le domaine de la chimie du furane en Hongrie. Beregi L. G., Kallay F., Tettamanti K.), Chimie et industrie, 1957, 78, № 4, 347—350 (франц.; рез. англ., исп.)

Изучена возможность превращения фурфурола в производные жирного ряда. Гидрированием фурфурола в газовой фазе при 220—250° над $\text{Cu}-\text{Cr}$ на Al_2O_3 получен с хорошим выходом силван, из которого действием H_2 при 80 ат и 120—130° получен тетрагидросилван, выход 80%. Изучены условия и механизм разрыва гидрированного кольца фурана. Пока-

зано, что р-ция идет по схеме: $\text{OCH}_2(\text{CH}_2)_2\text{CH}_2 + \text{HCl} \rightarrow \text{OH}(\text{CH}_2)_4\text{Cl} \rightarrow \text{Cl}(\text{CH}_2)_4\text{Cl} + \text{H}_2\text{O}$. Кроме того, частично образуется $\text{Cl}(\text{CH}_2)_4\text{O}(\text{CH}_2)_4\text{Cl}$. Катализатором является хлоргидрат пиридина. Более продолжительное действие HCl -газа на эквимольную смесь тетрагидросилвана и хлоргидрата пиридина дает 1,4-дихлорпентан с выходом 97%. Действие NaCN на 1,4-дихлорпентан в метилцеллюлозолье или водн. спирте приводит к образованию нитрила 4-хлоркапроновой к-ты. Длительным нагреванием 1,4-дихлорпентана с NaCN получен 2-метиладиопнитрил с выходом 40%. В. Красева

33409 П. Способ экстракции изобутилена (Procédé d'extraction de l'isobutylène) [Esso Research and Engineering Co.]. Франц. пат. 1119568, 21.06.56

Из смеси газов, содержащих изобутилен (I), его извлекают двухступенчатой экстракцией H_2SO_4 . Смесь углеводородов (УВ) с 4 атомами С, состоящая из 11% *n*-бутилена-1, 10% *цис*-бутилена-2, 7% *транс*-бутилена-2, 14% I, 23% *n*- C_4H_{10} , 31% *изо*- C_4H_{10} , 2% пентана и других УВ, подают в 1-й экстрактор вместе со спиртом и экстрактом из 2-й стадии при 32—43° (лучше при 37°) и 7—10,5 ат, откуда ее направляют в сепаратор. После охлаждения отделяется верхний слой УВ, еще не совсем очищенный от I; нижний слой представляет экстракт I в H_2SO_4 . Верхний слой поступает во 2-й экстрактор, где I при 18—24° (желательно при 21°) и 3,5—10,5 ат полностью экстрагируется 65%-ной H_2SO_4 . После разделения верхний слой, свободный от I, промывают р-ром NaOH , а нижний слой направляют в 1-й экстрактор. Экстракт, обогащенный I, для очистки от других УВ вместе с водяным паром и спиртом поступает в зону очистки, где при т-ре 49° УВ, растворенные в H_2SO_4 , испаряются, а чистый экстракт, конц-ия H_2SO_4 в котором составляет 60%, поступает для разложения в среднюю часть колонны, в нижнюю часть которой подают пар. Т-ра сверху ~60°, внизу ~120°. Из колонны сверху выходит I и направляется для очистки в систему аппаратов, откуда получают 96%-ный I. Выходящую снизу 45%-ную H_2SO_4 подают в аппарат для регенерации. Приведены схема установки и описание ее работы. В. Красева

33410 П. Получение и выделение трихлорэтилена. Борднер (Production and recovery of trichloroethylene. Bordner Charles A.) [E. I. du Pont de Nemours and Co.]. Пат. США 2758139, 07.08.56

Разработан безопасный метод получения чистого трихлорэтилена (I) из тетрахлорэтана (II), содержащего I, перхлорэтилен и другие хлоруглеводороды. Такие смеси обычно получают в виде кубового остатка при отгонке I с водяным паром из продуктов обработки II известковым молоком (III). При этом процессе, особенно если смесь содержит небольшое кол-во HCl , образуется дихлорэтилен (IV), обладающий способностью к детонации, что приводит к взрывам, если его кол-во в дистиллате, получающемся при отгонке I с водн. паром, превышает 0,0115%. Для подавления образования IV при обработке $\text{Ca}(\text{OH})_2$ смесей, содержащих I, поддерживают pH 11—12 (лучше

11,0—11,5) добавкой р-ра CaCl_2 (pH ниже 11,0 замедляет скорость процесса). Кол-во CaCl_2 составляет 10—15% от веса сухого в-ва в III. Приведена серия опытов крупного масштаба по обработке смесей, содержащих ~15% I, 20%-ным избытком $\text{Ca}(\text{OH})_2$ в виде III при pH 11,3, которое поддерживалось добавкой р-ра CaCl_2 . В каждом опыте реакционную массу кипятили с обратным холодильником 2 часа, после чего 10—14 час. продолжалась отгонка с водяным паром. В дистиллате конц-ия IV колебалась в пределах 0,0008—0,0088%, т. е. была гораздо ниже предельно допустимой. Н. Дабагов

33411 П. Способ галогенирования ненасыщенных углеводородов в газовой фазе (Procédé d'halogénéation de substitution des hydrocarbures non saturés en phase gazeuse) [N. V. de Bataafsche Petroleum Maatschappij]. Франц. пат. 1110970, 20.02.56

Реакцию проводят непрерывно, поддерживая смесь в турбулентном состоянии. Компоненты р-ции вводят в реакционную зону так, чтобы предотвратить возможность взаимодействия их до полного смешения. Стенкам реактора придают плавную аэродинамич. форму без мертвых пространств. Лучше всего применять сферич. или эллипсоидальную форму, форму яйца и т. п., причем так, чтобы самый большой размер не превышал более чем в 3 раза самый малый. Необходимая т-ра р-ции обеспечивается путем теплообмена через стенки или (и) путем нагревания или охлаждения вводимых газов. Продукт р-ции обычно содержит значительное кол-во непрореагировавшего углеводорода (содержание галогена в смеси предпочтительно < 1%); после отделения его возвращают в реактор. В сферич. реактор диам. 7 см при 510°/1 ат вводят пропилен через радиально направленную вводную трубку диам. 1 мм и Cl_2 через трубку диам. 0,5 мм, расположенную в плоскости большого круга сферы перпендикулярно к вводной трубке для пропилена, причем выводное отверстие расположено в той же плоскости большого круга в точке под углом 270° от точки ввода Cl_2 . Мол. соотношение $\text{C}_3\text{H}_6 : \text{Cl}_2 = 3 : 1$. Расход Cl_2 составлял 81 г/час, расход C_3H_6 83 л/час (при 20°). Продукт р-ции содержал 79% хлористого аллила и 0,2% дихлорпропана, против 76,3% и 6,1% соответственно при применении трубчатого реактора при том же соотношении исходных в-в и том же режиме т-ры и давления. Я. Кантор

33412 П. Способ регенерации избытка хлора при замесительном хлорировании (Procédé de récupération de chlore en excès dans les chlorations de substitution) [Bozel-Maletra (Soc. Industrielle de Produits Chimiques)]. Франц. пат. 1127957, 28.12.56

Газы, выходящие из аппарата хлорирования, промывают $\text{CHCl}_3 = \text{CCl}_4$ (I) [причем образуется $\text{CCl}_3\text{CHCl}_2$ (II)] в насадочной колонне при т-ре ~20°. В случае хлорирования органич. к-т отходящие газы содержат немного хлорангидридов к-т, которые служат катализаторами р-ции присоединения Cl_2 ; при хлорировании других органич. в-в промывку I сопровождают УФ-облучением. 100 кг лед. CH_3COOH хлорируют 440 кг Cl_2 . Выходящие газы промывают при ~20° в насадочной колонне 200 кг I. При этом I циркулирует в замкнутой системе до превращения 80% I в II. Дальнейшая циркуляция смеси может привести к образованию C_2Cl_6 . HCl -газ, содержащийся в выходящей из колонны смеси I и II, поглощают водой и после разделения слоев получают чистую HCl -кислоту (~22° В6) и 295 кг смеси I, II и производных CH_3COOH . II, выделяемый из смеси известными способами, превращают в $\text{Cl}_2\text{C} = \text{CCl}_2$ термич. разложением или действием извест. В. Красева

33413 П. Получение фторолефинов. Андерсон (Process for preparing fluoroolefins from fluorocyclo-

butanes. Anderson John Lynde) [E. I. du Pont de Nemours and Co.]. Пат. США 2733278, 29.10.54
Описан новый способ получения фторолефинов пиролизом фторциклобутанов $\text{CF}_2\text{CF}_2\text{CH}_2\text{CRR}'$ (I), по

схеме



где R, R' — атом H, алкил, циклоалкил, арил, содержащий ≤ 8 атомов C, либо R и R' являются одним 2-валентным радикалом (напр. метилен, этилиден, изопропилиден и др.), причем сумма атомов C в нем ≤ 13 . Р-цию проводят в кварцевой, никелевой, платиновой или стальной трубке (диам. ~ 25 мм и длиной ~ 50 см) или в трубке из тугоплавкого стекла аналогичных размеров (трубка для улучшения теплопередачи может быть заполнена инертным материалом, напр., кварцевыми кольцами диам. 6 мм) при 600—1000° (предпочтительно 900—750°) как при повышенном, так и при пониженном давлении (предпочтительное давл. < 50 мм) и миним. времени контакта. $\text{C}_6\text{H}_5\text{CHCH}_2\text{CF}_2\text{CF}_2$ (500 ч.) пропускают через

трубку из стекла «Vycor» при 500° и давл. 4—8 мм в течение 5 час. Продукты р-ции собирают в ловушки, охлажд. жидким N_2 . Ректификацией получают $\text{C}_6\text{H}_5\text{CH}=\text{CF}_2$ (II) (109 ч.), т. кип. 58—59°/47 мм; n_D^{20} 1,4885, 1,2- и (или) 2,3-дифторнафталин, т. пл. 61—63° и небольшие кол-ва исходного соединения. Из $\text{CH}_3\text{CHCH}_2\text{CF}_2\text{CF}_2$ в кварцевой трубке при 825° и давл.

10—20 мм получены $\text{CF}_2=\text{CH}_2$, $\text{CH}_3\text{CH}=\text{CF}_2$, $\text{CF}_2=\text{CF}_2$. Из $(\text{CH}_3)_2\text{CCH}_2\text{CF}_2\text{CF}_2$ (800 ч.) при 800° и давл. 5 мм по-

лучен $(\text{CH}_3)_2\text{C}=\text{CF}_2$ (140 ч.). Из $(\text{CH}_3)_2\text{C}=\text{CF}_2$ (60 ч.) и Cl_2 (80 ч.) в запаянной трубке при 25° получен $(\text{CF}_2\text{Cl})(\text{CH}_3)\text{C}=\text{CH}_2$ (60 ч.); т. кип. 46,5°; n_D^{20} 1,3580. Из $\text{CH}_2=\text{CCH}_2\text{CF}_2\text{CF}_2$ в кварцевой трубке при 800° и

давл. 10 мм получены $\text{CF}_2=\text{C}=\text{CH}_2$ (газ при $\sim 20^\circ$) (λ_{max} 4,95) и $\text{CH}_2=\text{CF}_2$, $\text{CF}_2=\text{C}=\text{CH}_2$ с Br_2 образует $\text{CF}_2\text{BrCBr}=\text{CHBr}$, т. кип. 58—62°/2 мм, n_D^{25} 1,5410. Из $\text{C}_6\text{H}_{13}\text{CHCH}_2\text{CF}_2\text{CF}_2$ (260 ч.) при 750° и давл. 3—13 мм

получен $\text{C}_6\text{H}_{13}\text{CH}=\text{CF}_2$ (~ 8 ч.), т. кип. 118—120°; n_D^{25} 1,3845—57. Пиролиз $\text{CF}_2\text{CF}_2\text{CH}_2\text{CH}_2$ (6,5 ч.) при 800° и

давл. 1—2 мм дал исходное в-во (4,5 ч.) и газообразную смесь $\text{CH}_2=\text{CF}_2$ (85%), $\text{CH}_2=\text{CH}_2$ и $\text{CF}_2=\text{CF}_2$ (15%). Полученные соединения применяются в качестве мономеров и промежуточных продуктов в органич. синтезе (напр., при действии KCN на II образуется $\text{C}_6\text{H}_5\text{CH}=\text{CFCN}$; II димеризуется при 150° и давлении в несколько тысяч атмосфер, $\text{CF}_2=\text{C}=\text{CH}_2$ с акрилонитрилом дает $\text{CH}_2=\text{CCH}_2\text{CH}(\text{CN})\text{CF}_2$, исходное

соединение для получения фторсодержащих полимеров).

Л. Герман
33414 П. Получение галогидринов. Кебиш (Verfahren zur Herstellung von Halogenhydrinen. Kabisch Gerhard) [Deutsche Gold- und Silber-Scheidanstalt vormals Roessler]. Пат. ФРГ 1001248, 27.06.57

Галогидриды получают р-цией жидких олефинов с НХО или X_2 (X — галоген) в водн. среде. В качестве водн. среды применяют слабощелочные, слабощел. или нейтр., практически насыщ. галогидридом р-ры галогенидов щел. или щел.-зем. металлов. После отделения продукта часть водн. слоя (желательно после нейтр-ции основными соединениями щел. или щел.-зем. металлов и разбавления водой) возвращают в цикл. Уд. вес рециркулируемого водн. слоя должен

быть больше, чем уд. вес неочищ. продуктов галогенирования. 6 л стирола (I) обрабатывают Cl_2 40 час. при энергичном перемешивании в среде 120 л насыщ. хлоргидрина I (II) 25%-ного р-ра CaCl_2 . В р-цию вводят $\sim 80\%$ I. Отделяют 6,8 л неочищ. продуктов хлорирования (d 1,165), содержащих 1075 г I, 4680 г II, 1630 г стиролдихлорида и 600 г остатка. Из водн. слоя отбирают 7 л р-ра, добавляют 7 л воды, нейтрализуют известью и затем используют р-р повторно. В аналогичном опыте без применения CaCl_2 получают 6 л смеси (d 1,154), содержащей 1430 г I, 3360 г II, 1740 г стиролдихлорида и 560 г остатка. Б. Фабричн

33415 П. Получение алкиловых эфиров полиэтиленгликоля. Кано, Игараси [Такэмото юси кабуши-кайса]. Японск. пат. 8414, 21.12.54

40 г полиэтиленгликоля (I) (мол. в. 400), 40 г хлорида и 4 г NaOH или 5,6 г КОН нагревают 2 часа при 120—130°, продукт фильтруют горячим для отделения KCl или NaCl. Получают колич. выход целевого эфира I, т. пл. 28—29°. Э. Тукачнск

33416 П. Способ очистки этинильных соединений. Хануш (Verfahren zum Abtrennen von Carbonylverbindungen aus Gemischen mit in Wasser schwer oder unlöslichen oxy- oder äthergruppenhaltigen Alkylverbindungen. Hanusch Fritz), [Badische Anilin- & Soda-Fabrik A. — G.]. Пат. ФРГ 1090000, 19.06.57

Нерастворимые или малорастворимые в воде этинильные соединения, содержащие оксигруппу или простую эфирную группу, освобождают от примесей карбонильных соединений, обрабатывая смесь при t от —10 до 30° большим кол-вом сильно кислой водн. р-ра (30—35%-ная HCl или HClO_4 , H_2SO_4 конц-ией $\geq 50\%$, 40—70%-ный р-р ZnCl_2 или KHSO_4) при этом карбонильные соединения образуют осевые соединения и переходят в водн. слой, который отделяют. Карбонильные соединения выделяют разбавлением р-ра водой, высаливанием или нейтр-цией. Смесь 20 кг этинилциклогексанола с 5 кг циклогексанола (I) вносят в 400 л перемешиваемой при 50%-ной H_2SO_4 . Перемешивают 15 мин., слой разделяют. Верхний слой не содержит I. Из р-ра H_2SO_4 нейтр-цией и экстрагированием эфиром выделяют 5 кг I. Аналогично очищают 3 метилпентин-1-ол-3 с $\text{CH}_3\text{COC}_2\text{H}_5$ (II). Этинильные соединения, напр. 3-метилпентин-1-ол-3, получаемый из II и C_2H_2 , могут служить для получения лекарственных в-в. Б. Фабричн

33417 П. Способ получения производных замещенных акриловых кислот (Fremgangsmade til fremstilling af substituerede akrylsyreforbindelser) [E. Tarp Kemiske Fabrik]. Датск. пат. 81914, 21.01.57

Соединения общей ф-лы $\text{R}'\text{CH}_2\text{C}(\text{COX})=\text{CR}''$ (R' , R'' и R''' — H, алкил или арил, X — OH или алкоксил с 1—4 атомами C) получают р-цией α -алкинов общей ф-лы $\text{R}'\text{C}\equiv\text{CC}(\text{R}''')(\text{Y})(\text{R}''')$ (Y — н-лоид, окси-, диалкиламино-, триалкиламино-, или алкоксигруппа) с CO (или в-вами, отщепляющими CO в условиях р-ции) в среде воды или стирола (1—4 атома C), под давл. 5—300 ат в присутствии Ni (или в-в, отщепляющих H_2 ; ≥ 1 моля H_2 на 1 моль алкина) и катализатора — растворимых соединений Ni или Ni, напр. NiBr_2 , $\text{Ni}(\text{CO})_4$, $\text{Ni}(\text{CO})_2(\text{C}_6\text{H}_5)_2\text{P}$. Продукт р-ции в случае надобности может быть дегидрирован или дегидрирован. В автоклав помещают катализатор (Ni на гранулированном SiO_2) и при 150° вводят смесь 1 моля 1-пропинола-3, 5 молей CH_3OH и 0,02 моля NiBr_2 . Одновременно накачивают смесь CO и H_2 (1:1, по объему) до давл. 150 ат. Пост-р-ции отгоняют избыток CH_3OH , остаток перегоняют с водяным паром, органич. слой перегоняют в вакууме. Получают метилметакрилат (I), который может

ствие избытка CH_3OH не полимеризуется в условиях р-ции; вместо NiBr_2 можно применять 0,02 моля $\text{Ni}(\text{CO})_4$ (C_6H_5) $_2\text{P}_2$. В реактор при атмосферном давлении помещают 1 моль 1-пропинола-3 и 1 моль CH_3OH . При 38–42° прибавляют 0,5 моля конц. р-ра HCl и 0,25 моля $\text{Ni}(\text{CO})_4$, а затем 1 моль Zn и 2 моля конц. р-ра HCl . После растворения Zn р-р нейтрализуют Na_2CO_3 и отгоняют воду. Летучие в-ва, содержащиеся в остатке, пропускают над Al_2O_3 при 150–300°. Выделяют I, который очищают перегонкой с паром или в вакууме. Из гидроокиси 1-пропинил-3-триметиламмония и CH_3OH получают I, который отделяют от $(\text{CH}_3)_3\text{N}$, из 3-хлорпропина-2 также получают I.

Б. Фабричный

33418 П. Способ получения кислородсодержащих производных бутана. Франке, Титъен (Verfahren zur Herstellung sauerstoffhaltiger Abkömmlinge des Butans. Franke Walter, Tietjen Diedrich) [Chemische Werke Hüls A.-G.]. Пат. ФРГ 962787, 25.04.57

Диметилацеталь 3-кетомасляного альдегида (I) гидрируют под обычным или повышенным (до 300 ат) давлением при т-рах до 150° в присутствии катализаторов гидрирования (Ni , Cu и Cr на SiO_2 , Cu и Cr на SiO_2 , скелетный Ni или хромит Cu по Адкинсу) и получают 1-метоксипутанон-3, 1-метоксипутанол-3 (II) и диметилацеталь ацетальдоля (III). 20 г/час I гидрируют при 300 ат в проточной установке (емкость реактора 400 мл) с неподвижным слоем катализатора (15% Ni , 5% Cu , 1% Cr и 79% SiO_2). При 80° из 264 г I получают 190 г II (т. кип. 145°/760 мм; d_4^{20} 0,9129; n_D^{20} 1,4143). Выход 91%. С катализатором содержащим 20% Cu , 1% Cr и 79% SiO_2 при 140° из 264 г I получают 134 г III, т. кип. 86°/20 мм, d_4^{20} 0,9894, n_D^{20} 1,4200, 25 г II, 25 г метилбутилового эфира и 5 г диметилацетала масляного альдегида. Гидрирование можно проводить в автоклаве. При этом в качестве побочного продукта образуется 1-метоксипутанол-3. Получаемые в-ва могут использоваться как р-рители и промежуточные продукты.

Н. Дабагов

33419 П. Выделение чистой безводной муравьиной кислоты из ее разбавленных водных растворов. Клапрот (Verfahren zur Gewinnung reiner wasserfreier Ameisensäure aus ihren verdünnten wässrigen Lösungen. Klapproth Herbert) [Rudolph Koepf and Co. Chemische Fabrik A.-G.]. Пат. ФРГ 961532, 11.04.57

HCOOH (I) экстрагируют из ее разб. водн. р-ров. В том случае, если р-ритель не может быть отделен от I перегонкой [*изо*- $\text{C}_4\text{H}_9\text{OOSH}$ или $(\text{n-C}_4\text{H}_9)_2\text{O}$ (II)], из смеси вымораживают чистую I. В случае использования р-рителя, который может быть отогнан от безводн. I [*изо*- C_3H_7) $_2\text{O}$ (III) или $\text{n-C}_3\text{H}_7\text{OOSH}$ (IV)], смесь фракционируют, пока в ней не останется такое кол-во р-рителя (предпочтительно 10–30%), которое необходимо для растворения продуктов осмоления, образующихся за счет действия безводн. I на р-ритель при повышенной т-ре. I выделяют из оставшегося р-рителя вымораживанием; маточный р-р используют повторно. Из III, содержащего 15,2% I и 6,2% воды, отгоняют воду и III, пока конч-ия безводн. I не достигает 90%. Оставшийся р-р перемешивают при охлаждении. При 3° начинается кристаллизация безводн. I, конец кристаллизации определяют по снижению т-ры. Кристаллы отделяют от маточного р-ра и промывают небольшим кол-вом I, охлажд. до 8°. Выход 99,6%-ной I 76,5%. Безводн. р-р I в IV, т. кип. 81°, полученный обезвоживанием I азеотропной перегонкой, фракционируют, пока содержание IV в остатке не будет равно 22%. Охлаждением до 3–4° вымораживают 99,3%-ную I, выход 63%. Перегонкой смеси безводн. I с метоксипутанолформиаем (т. кип. 155°)

получают остаток, содержащий 31,5% метоксипутанолформиаем. Этот остаток охлаждают при перемешивании. При т-ре ~3° выкристаллизовывается 99,5%-ная I, выход 69%. Фракционированием смеси безводн. I с II, т. кип. 141°, получают остаток, содержащий 15% II. Охлаждением перемешиваемого остатка до 3–4° выделяют 99,6%-ную кристаллич. I, выход 87%.

Б. Фабричный

33420 П. Получение концентрированной муравьиной кислоты. Кнеппер (Verfahren zur Herstellung von konzentrierter Ameisensäure durch Zersetzung von Formiaten mit Mineralsäure. Knepper Wilhelm). Пат. ФРГ 961530, 11.04.57

Концентрированную HCOOH (I) получают разложением формиаем, суспендированных в органич. жидкостях, в которых I нерастворима, и имеющих уд. в. 1,3–1,8 (лучше 1,5–1,8) и т-ру кипения выше т-ры кипения I, напр. в хлорированных углеводородах [тетрахлорэтан, перхлорэтилен (II)], минер. к-той (H_2SO_4). Разложение ведут при такой т-ре, чтобы образующаяся I отгонялась в виде азеотропа. В реакторе с мешалкой суспендируют 3500 вес. ч. HCOONa в 6000 вес. ч. II и постепенно приливают 2650 вес. ч. конц. H_2SO_4 . Т-ра вскоре повышается до 85–90° и начинается отгоняться азеотроп I с II, который расслаивается при охлаждении. После прибавления всей H_2SO_4 от смеси отгоняют оставшуюся I. Выход 96%-ной I 98,5%.

В. Красева

33421 П. Метод получения устойчивых насыщенных жирных кислот. Логан (Method for making stable saturated fatty acids. Logan Roger L.) [Kessler Chemical Co., Inc.]. Пат. США 2727916, 20.12.55

Незамещенную алифатич. насыщ. к-ту, имеющую 9–22 атомов C, добавляют медленно небольшими порциями к расплавленной щелочи при т-ре ≤475 в инертной атмосфере.

В. Шведов

33422 П. Получение ненасыщенных карбоновых кислот, их эфиров, амидов или нитрилов. Фридрихсен (Verfahren zur Herstellung von ungesättigten Carbonsäuren deren Estern, Amiden oder Nitrilen. Friedrichsen Wilhelm) [Badische Anilin- & Soda-Fabrik A.-G.]. Пат. ФРГ 962428, 25.04.57

Насыщенные алифатич. спирты, содержащие ≥3 атомов C, вводят в р-цию с акриловой, метакриловой или малеиновой к-той, их эфирами, амидами, нитрилами или с ангидридом малеиновой к-ты при 150–400° под давлением. Р-ция идет, напр. по схеме: $\text{CH}_3\text{CH}(\text{OH})\text{CH}_3 + \text{H}_2\text{C} = \text{CHCOOH} \rightarrow \text{H}_3\text{C} \equiv \text{CHCH}_2\text{CH}_2\text{COOH}$ (I) + H_2O . Р-цию проводят в присутствии разбавителей (вода, насыщ. карбоновые к-ты, эфиры, углеводороды) и ингибиторов полимеризации [гидрохинон, пирогаллол (II) или аминофенолы]. 100 ч. акриловой к-ты (III), 250 ч. *изо*- $\text{C}_3\text{H}_7\text{OH}$ (IV), 200 ч. $\text{C}_2\text{H}_5\text{COOH}$ (V) и 1 ч. II нагревают в автоклаве, футерованном серебром, 30 мин. при 330°. Фракционированной перегонкой выделяют 49 ч. I, т. кип. 200–210°. Из 250 ч. *трет*- $\text{C}_4\text{H}_9\text{OH}$ (VI), 400 ч. III, 200 ч. V, 60 ч. воды и 1 ч. II (12 час., 200°) получают 130 ч. фракции с т. кип. 115–145°, состоящей из 82 ч. 2-метилгексен-1-овой-6 к-ты (VII), т. кип. 219°, и 48 ч. диметил-γ-валеролактона: из 250 ч. *n*- $\text{C}_3\text{H}_7\text{OH}$, 100 ч. III, 200 ч. V, 1 ч. *n*-аминофенола (VIII) (30 мин., 330°) получают 27 ч. фракции с т. кип. 95–155°/20 мм, состоящей из I и ее *n*-пропилового эфира; из 250 ч. VI, 100 ч. акрилонитрила, 200 ч. кислоты (IX) и 1 ч. II (30 мин., 300°) получают 42 ч. 2-метил-6-циангексена-1, т. кип. 184–186°; из 250 ч. амилгидрата, 100 ч. III, 200 ч. V, 1 ч. VIII (30 мин., 315°) получают 127 ч. фракции с т. кип. 120–150°/20 мм, содержащей 36 ч. 2,3-диметилгексен-1-овой-6 к-ты, т. кип. 232°, и 91 ч. метилизопропилактон, т. кип. 235–240°; из 250 ч. IV,

200 ч. малеинового ангидрида, 200 ч. V, 1 ч. II (1 час, 310°) получают 41 ч. пропенилантарной к-ты, т. кип. 135—140°/2 мм; из 400 ч. цетилового спирта, 200 ч. III, 200 ч. V и 1 ч. II (1 час, 330°, получают фракцию с т. кип. 160—270°/1 мм, которую экстрагируют разб. NaOH, подкислением экстракта выделяют 90 ч. нонадеценовой к-ты, т. кип. 190—200°/0,2 мм; из 200 ч. *n*-бутилового эфира III, 600 ч. VI, 400 ч. IX и 2 ч. II (30 мин., 300°) получают *n*-бутиловый эфир VII, т. кип. 217—227°; из 43 ч. нитрила метакриловой к-ты, 200 ч. VI, 200 ч. IX и 1 ч. II (2 часа, 310°) получают 10 ч. нитрила диметилгексеновой к-ты, т. кип. 60—66°/0,8 мм; из 172 ч. метакриловой к-ты, 500 ч. VI, 400 ч. C₆H₆, 5 ч. воды и 2 ч. II (3 часа, 300°) получают 95 ч. фракции с т. кип. 225—235°, которая состоит из примерно одинаковых кол-в 2,5-диметилгексен-1-овой-6 к-ты и изомерного ей насыщ. лактона; из 90 ч. амида III, 250 ч. VI, 250 ч. IX и 2 ч. VIII (45 мин., 330°) получают продукт с т. кип. 120—135°/0,6 мм. Перекристаллизацией из смеси гексана с этилацетатом выделяют 8 ч. чистого амида VII, т. пл. 84°. Описанные продукты могут применяться как промежуточные при получении мягчителей, пластич. масс и текстильных вспомогательных в-в.

В. Красева

33423 П. Способ получения эфиров одноосновных и многоосновных кислот из олефинов, окиси углерода и спиртов (Procédé pour la production d'esters d'acides mono- et polycarboxyliques à partir d'oléfines, oxyde de carbone et alcools) [Montecatini, Soc. Gen. per l'Industria Mineraria e Chimica]. Франц. пат. 1114332, 11.04.56

Ненасыщенные соединения, содержащие по крайней мере одну олефиновую двойную связь, вводят в р-цию с СО и спиртом, напр. CH₃OH (I) при 100—200° (130—180°) и 10—150 ат в присутствии карбониллов СО, растворимых в реакционной среде. I вводят в большом избытке, молярное отношение олефин: I должно быть 2—40 (3—8). Полученные метиловые эфиры ректифицируют. Эфиры высших спиртов получают переэтерификацией метиловых эфиров. В качестве автоклава емк. 435 л вводят 4,5 г тетракарбонила Со, 100 мл р-ра, содержащего 44,4 г циклогексена (II) и 34,7 г I и СО до создания давл. 140 ат, нагревают 7,5 час. при 165°. Отгоняют избыток I и 25,1 г II (56,5% от кол-ва, взятого в р-цию), получают 26,2 г метилового эфира циклогексанкарбонной к-ты (III — эфир) и 4 г диметилацетата циклогексилальдегида. Выход III 78%, считая на вошедший в р-цию I. Аналогично при 165° и 138 ат из 30,8 г II и 48 г I получают III, выход 81%; при 165° и 145 ат из 19,2 г II и 60 г I выход III 83%; при 165° и 55 ат из 30,8 г II и 48 г I выход III 74%. Нагреванием 34,7 г олефинов, полученных дегидратацией 2-этилгексенового спирта, при давлении СО 150 ат в присутствии 4,5 г катализатора получают 9,2 г соответствующего метилового эфира. В тех же условиях из 23,5 г II и 53 г I получают 13,5 г эфира; из 17,6 г II и 63,5 г *n*-C₄H₉OH получают выход бутилового эфира 45%.

В. Красева

33424 П. Перегонка эфиров акриловой кислоты (Distillation of acrylates.) [The Distillers Co. Ltd] Австрал. пат. 165912, 24.11.55

Мономерные метиловые или этиловые эфиры акриловой к-ты (I) или соответствующие α-алкиламещ. I перегоняют в присутствии смеси окислов азота и (или) воды. р-ра соли HNO₂ и из полученного I удаляют NO₂. Окислы азота получают действием минер. к-т (H₂SO₄, HCl) в отсутствие восстанавливающих или окисляющих агентов на соли HNO₂ и щел. (Na, Li, K) или щел.-зем. (Ba, Ca, Sr) металлов.

В. Шведов

33425 П. Получение β-бутиролактона каталитическим гидрированием дикетена. Зикст (Verfahren zur Herstellung von β-Butyrolacton durch katalyti-

sche Hydrierung von Diketen. Sixt Johann) [Wacker-Chemie G. m. b. H.]. Пат. ФРГ 957480, 7.02.57

Каталитическое гидрирование дикетена (I) проводят над Pd-катализатором (возможно, на носителе) при т-ре от 0 до —10° в присутствии р-рителя, напр. этилацетата (II). 4 моля свежеперегнанного I, содержащего 4% (CH₃CO)₂O и разб. 2-кратным кол-вом II, в присутствии 1 г Pd-черни гидрируют при встряхивании H₂ при 0°. После прекращения поглощения H₂ сливают р-р с катализатора, фильтруют и отгоняют II. В β-бутиролактон превращается ≥93% взятого I, т-ра кипения продукта 59°/14 мм. Гидрирование можно проводить под давлением. В случае применения скелетного Ni получают смесь примерно равных кол-в β-бутиролактона и масляной к-ты, которую невозможно разделить перегонкой.

Б. Фабричный

33426 П. Получение эфира α,α-диэтилацетоуксусной кислоты. Карстенс, Рёнерт (Verfahren zur Herstellung von α,α-Diäthylacetessigester. Carstens Ernst, Röhnert Helmut). Пат. ГДР 13388, 22.06.57

Эфир α,α-диэтилацетоуксусной к-ты получают этилированием ацетоуксусного эфира (I) избытком (30%) C₂H₅Br (II) в присутствии C₂H₅ONa (III), причем III прибавляют с такой скоростью, чтобы конц-ия III была <3% (лучше <2%). Р-р 204 г III в 1000 мл абс. C₂H₅OH прибавляют по каплям при перемешивании к смеси 195 г I и 450 г II при т-ре бани 40°. Скорость прибавления III в первые 5 час. составляет 100 мл/час, затем 150 мл/час. Общее время прибавления 9—10 час. Т-ру постепенно повышают с 40 до 60° так, чтобы смесь все время слегка кипела. После р-ции содержание III должно составлять 0,5—1,0%.

Б. Фабричный

33427 П. Получение солей β-аминокислот или их эфиров. Граф (Verfahren zur Herstellung von β-Amino-carbonsäureestern bzw. deren Salzen. Graf Roderich) [Farbwerke Hoechst A.-G. vormals Meister Lucius und Brüning]. Пат. ФРГ 955509, 03.01.57

Соли или эфиры β-сульфаминкарбонных к-т общей ф-лы (R)(R')C(NHSO₂OR'')CH₂COOR'', где R — органич. остаток или H, R' — органич. остаток и R'' — щел. или щел.-зем. металл или органич. остаток (о получении см. РЖХим, 1958, 5515) обрабатывают сильными к-тами (HCl, HBr, HI, H₂SO₄, H₃PO₄, NH₂SO₃H, *n*-CH₃C₆H₄SO₃H) в присутствии спиртов (CH₃OH, C₂H₅OH, C₃H₇OH, *изо*-C₃H₇OH, C₄H₉OH). Из образовавшихся солей могут быть получены свободные эфиры аминокислот добавлением щелочи. К сухой измельченной смеси эквивалентных кол-в NaCl и ди-Na-соли β-сульфамино-β-метилмасляной к-ты (смесь получена омылением 197 ч. сульфохлорида лактама β-амино-β-метилмасляной к-ты водн. р-ром 120 ч. NaOH) прибавляют 100 вес. ч. 10%-ного р-ра HCl в безводн. C₂H₅OH, смесь перемешивают 20 мин. при слабом кипении. Отсасывают NaCl, фильтрат упаривают в вакууме, сиропообразный остаток растворяют в воде, извлекают эфиром, к кислому водн. р-ру при охлаждении прибавляют конц. р-р NaOH до щел. р-ции, эфир аминокислоты экстрагируют эфиром или CH₂Cl₂. После удаления р-рителя получают ~100 вес. ч. этилового эфира β-амино-β-метилмасляной к-ты, т. кип. 69—70°/15 мм. Аналогично получают этиловые эфиры β-амино-β-фенилпропионовой, т. кип. 99—100°/0,3 мм, β-аминометилкапроновой, т. кип. 51°/0,4 мм, β-амино-β,δ,δ-триметилкапроновой, т. кип. 80°/0,6 мм и β-амино-β-этилэнантовой к-ты, т. кип. 74°/0,6 мм. Р-р 273 ч. диметилового эфира β-сульфамино-β-фенилпропионовой к-ты в 1000 ч. 15%-ного р-ра HCl в CH₃OH кипятят 4 часа. Дальнейшей переработкой, описанной выше, получают 120—140 ч. метилового эфира β-амино-β-фенилпропионовой к-ты, т. пл.

24–25°. Из диметилового эфира β -сульфамино- β,δ,δ -триметилкапроновой к-ты аналогично получают метиловый эфир β -амино- β,δ,δ -триметилкапроновой к-ты, т. кип. 57–58°/0,4 мм. Получаемые в-ва являются полупродуктами для синтеза в-в, обладающих фармакологич. действием. Б. Фабричный

33428 П. Способ предварительной обработки маслообразных лактамов. Мейер (Verfahren zur Vorbehandlung von Lactamölen. Meier Gerhard). Пат. ГДР 13123, 25.04.57

Маслообразные нейтрализованные лактамы, полученные бекмановской перегруппировкой клдич. кетоксимов, содержащие 28—31% воды, 1,4—2% $(\text{NH}_4)_2\text{SO}_4$, 0,2—0,4% NH_3 и 0,1—0,3% кетона, обрабатывают мелко раздробленным газом (воздух, N_2), при повышенной т-ре, возможно в присутствии катализаторов окисления (ацетаты Co или Mn), после чего лактамы при их дальнейшей экстракции хлоруглеводородами не образуют эмульсий, выход перегнанных лактамов повышается на 1—3%. 1000 ч. маслообразного метилкапролактама (I), полученного перегруппировкой ϵ -метилциклогексанона, промывают в широкую трубу, обогреваемую до 100°, и пропускают 100 объемов мелкораспыленного N_2 на 1 объем лактама в час. Через 3 часа отгоняется такое кол-во воды, что конц-я I с 68% повышается до 77% и I освобождается от NH_3 и кетона. Очищ. I не образует эмульсий при обработке в 5-ступенчатом экстракторе, после вакуум-перегонки I имеет KMnO_4 -число 520 сек. Выход чистого I 96% (при упаривании неочищ. I под атмосферным давлением и последующих экстракции и перегонке получают I с выходом 93%, KMnO_4 -число 340 сек.). Приведены аналогичные примеры обработки смолообразного ϵ -капролактама, выход перегнанного продукта 98—99%. KMnO_4 -число 940 сек. и 1500 сек. (в случае, если пропускание воздуха ведут в присутствии Mn -ацетата). Б. Фабричный

3429 П. Получение бициклических производных метана. Лотц (Verfahren zur Herstellung von bicyclischen Metanderivaten. Lotz Rudolf) [Vereinigte Glanzstoff-Fabriken A.-G.]. Пат. ФРГ 965240, 6.06.57

Соединения общей ф-лы $(\text{NHCOCH}_2\text{CH}_2\text{NHCH}_2\text{CH}_2\text{CONHCH})_2\text{CHR}$ (I), где R — H, CH_3 или C_6H_5 , получают реакцией ~ 1 моля CH_2O , CH_3CHO или $\text{C}_6\text{H}_5\text{CHO} \sim 2$ моля-

ми $\text{NHCH}_2\text{CH}_2\text{CONHCH}_2\text{NHCOSCH}_2\text{CH}_2$ (II) в присутствии к-ты. II получают из CH_2O , акрилонитрила, воды и HCl в газовой фазе в присутствии борфосфата, с последующей обработкой полученного $[\text{Cl}(\text{CH}_2)_2\text{CONH}]_2\text{CH}_2$ жидким NH_3 ; от образующегося $\text{Cl}(\text{CH}_2)_2\text{CONHCH}_2\text{NHCOS}(\text{CH}_2)_2\text{NH}_2$ отщепляют HCl нагреванием в вакууме. 5 г II и 1 г 30%-ного р-ра CH_2O нагревают в присутствии 1 капли конц. HCl . Моментально образуется I ($\text{R}-\text{H}$), т. пл. 155° . Аналогично получают I ($\text{R}-\text{CH}_3$), т. пл. $149-151^\circ$ и I ($\text{R}-\text{C}_6\text{H}_5$), т. пл. $210-220^\circ$. Продукты пригодны для получения пластич. масс. Б. Фабричный

34430 П. Получение динитрила адипиновой кислоты. Бургер, Даумиллер, Лутцман, Веннер (Verfahren zur Herstellung von Adipinsäuredinitril. Burger Bruno, Daumiller Günther, Lutzmann Hermann, Wenner Gotthilf) [Badische Anilin- & Soda-Fabrik A.-G.]. Пат. ФРГ 960985, 28.03.57

1,4-дихлорбутан (I) при 80–110° вводят в суспензию цианида щел. или щел.-зем. металла в смеси монопятичл. эфира гликоля с водой. Соотношение I:эфир гликоля = 1:1–1:4, соотношение эфир гликоля: вода = 1,5–25:1. К нагретой до 85° перемешивают.

ваемой суспензии 980 ч. (в пересчете на 100%-ный) технич. NaCN, содержащего ~5% воды, в смеси 2500 ч. $\text{CH}_3\text{OCH}_2\text{CH}_2\text{OH}$ (II) и 250 ч. воды в течение 4—5 час. прибавляют 1270 ч. I при 85—90°. После охлаждения отделяют NaCl (~90% от теоретич. кол-ва) и промывают его II. Соль содержит ~5,3% NaCN, который регенерируют обычным образом. От фильтрата отгоняют воду и основное кол-во II. Выпавший NaCl, содержащий ~2% NaCN, отделяют, фильтрат перегоняют в вакууме. Получают 25 ч. I, 70 ч. нитрила δ-хлорвалериановой к-ты (III), т. кип. 58—64°/1 мм, 18 ч. промежуточной кислородсодержащей фракции и 908 ч. чистого адиподинитрила, т. кип. 150°/10 мм. III и обратный I снова вводят в р-цию с NaCN. Выход адиподинитрила 87%, считая на взятый NaCN, или 92%, считая на прореагировавший I. Б. Фабричный 33431 П. Метод производства акрилонитрила. Карпентер (Method of producing acrylonitrile. Carpenter Erwin L.) [American Cyanamid Co.]. Канад. пат. 511736, 12.04.55

Жидкий этилендианигидрин подают в зону дегидратации при t -ре $160\text{--}240^\circ$, содержащую NaOOCN (I) (катализатор дегидратации) и антивспениватель (2—10 вес. %, считая на I) — соединение типа моно- и диалкиловых эфиров полиэтилен- и полипропиленгликолей (напр., монометиловый эфир полиэтиленгликоля (мол. в. 550) или трипропиленгликоля), которые растворимы в воде и имеют t . кип. $> 200^\circ$. Образующийся акрилонитрил (II) и воду выводят из реакционной зоны и выделяют II. В. Шведов

33432 П. Производство хлорциана. Хюмер, Шульц (Process for the production of cyanogen chloride. Huemer Hans, Schulz Hermann) [Deutsche Gold- und Silber-Scheideanstalt vormals Roessler]; Канадск. пат. 510335, 22.02.55

Водный р-р HCN пропускают сверху вниз в колонну противотоком к Cl_2 , вводимому снизу. Полученный ClCN промывают водой и промывные воды направляют в голову колонны, поддерживая в цикле 2—3% води. р-ра HCN; вводят эквимолекулярные кол-ва Cl_2 и свежей HCN, так что конц-я разб. HCN остается постоянной. Небольшую часть циркулирующего р-ра, соответственно кол-ву введенной воды, отбирают, отгоняют от нее HCN и ClCN и вводят их снова в процесс. Т-ра колонны 40°. Промытый ClCN может быть высушен нещел. осушителями. Приводится схема процесса.

В. Шведов

33433 П. Окисление меркаптанов до сульфокислот.
Джонсон, Вулф (Oxidation of mercaptans to sulfonic acids. Johnson Carl E., Wolff William F.). [Standard Oil Co.]. Пат. США 2727920, 20.12.55

Способ получения сульфокислот путем введения алкилмеркаптанов (I) в водн. р-р HNO_3 , содержащий абсорбированный O_2 , в присутствии каталитич. кол-ва промежуточного продукта окисления I при значительном избытке р-ра HNO_3 по отношению к I.

33434 П. Способ получения сульфоновых кислот или их солей (Procédé de préparation d'acides organiques sulfoniques ou de leurs sels) [Böhme Fettchemie G. m. b. H.] Франц. пат. 1110914. 20.02.56

С. Ш. В. П. Фрайд, Казань, 1967 г., 20 стр.

Сультоны образуют соединениями, содержащими подвижный атом Н в воде или смеси ее с органическими растворителями, предпочтительно в присутствии связывающего к-ту агента. К р-ру 0,1 моля 2,4,6-трихлорфенола в 50 ч. по объему 8%-ной водн. NaOH добавляют по частям при 35° 0,1 моля 1,3-пропансультона, быстро переходящего в р-р. После продолжительного времени из р-ра выделяется труднорастворимая в воде Na-соль 2,4,6-трихлорфеноксипропан- ω -сульфокислоты, выход 94% (теор.). Описано получение 3-хлорпропансульфоновой-1 к-ты, т. кип. 178–181°/1 мм, Na-солей фе-

нилтиопропан-, тиокарбонил-бис-тиопропан- и меркаптобензотиазол-S-пропан-ω-сульфокислот, а также получение $RCH_2CH_2CH_2SO_2Na$, где $R = (C_2H_5)_2NC(S)S-$, $(HOCH_2CH_2)_2NC(S)S-$, $NaO_3S(CH_2)_3NCH_2CH_2N[(CH_2)_3SO_3Na]CH_2CH_2$, и сульфобетайнов: $C_6H_5N^+(CH_2)_3SO_3^-$, $+NH_2=C(NH_2)S(CH_2)_3SO_3^-$, $+NH_2=C(NH_2)S(CH_2)_4SO_3^-$.

Я. Кантор

33435 П. Способ производства формальдегидсульфоксидата цинка. Янсон (Process for the production of zinc formaldehyde sulphoxylate from basic zinc formaldehyde sulphoxylate. Janson Alfons). [Badische Anilin- & Soda-Fabrik A. G.]. Пат. США 2731483, 17.01.56

Формальдегидсульфоксидат Zn (I) получают без применения повышенного давления и добавок амиака или аминов действием на основной формальдегидсульфоксидат Zn (II) сернистой к-той, причем образуются I и $ZnSO_3$ (III): $2Zn(OH)(HSO_2CH_2O) + SO_2 \rightarrow ZnSO_3 + Zn(HSO_2 \cdot CH_2O) + H_2O$. Вследствие низкой растворимости III в воде, он выпадает в осадок и может быть легко отделен. 33 вес. ч. SO_2 пропускают в суспензию 160 вес. ч. II или эквивалентного кол-ва его гидрата в 400 вес. ч. воды при т-ре 25°. Выпавший осадок отделяют и получают 71 вес. ч. III. Р-р упаривают до начала кристаллизации и отфильтровывают выпавший I (после сушки 123 вес. ч.). Маточный р-р используют для приготовления суспензии новой порции II. Получающийся III может быть использован для получения соединения с CH_2O с последующим восстановлением Zn-пылью в II, а также для получения бисульфита или гипосульфита Zn.

В. Шведов

33436 П. Очистка перхлорметилмеркаптана. Черчилл (Purification of perchloromethyl mercaptan. Churchill John W.) [Mathieson Chemical Corp.]. Канадск. пат., 511847, 12.04.55

Способ произ-ва перхлорметилмеркаптана (I) прямым хлорированием CS_2 (II) при т-ре $\sim 30^\circ$ в присутствии катализатора и без прямого облучения улучшен тем, что реакционную смесь (PC), полученную хлорированием II до полного превращения его в I и хлориды серы (XC): а) обрабатывают избыточным кол-вом свежего II и кипятят полученную смесь 1 час для превращения XC и других побочных продуктов в I и S, а затем выделяют I перегонкой; б) от PC отгоняют SCl_2 и отдельно обрабатывают остаток PC и SCl_2 свежими порциями II, как указано выше, и образовавшийся I отгоняют; в) прерывают р-цию хлорирования II после введения 2 молей Cl_2 на 1 моль II, полученную PC кипятят 1 час для превращения XC в I и S, и отгоняют I.

В. Шведов

33437 П. Получение амидов и гидразидов β-дитиокарбамил и β-меркаптокарбоновых кислот. Джансен (Preparation of beta-dithiocarbamyl and beta-mercapto carboxylic acid amides and the corresponding hydrazides. Jansen Jacob Eden) [The B. F. Goodrich Co.]. Пат. США 2709706, 31.05.55

При р-ции соединений общей ф-лы $N=C(SH)SC(R)_2$ $C(R)_2C=O$ (R—H, или алкил) с соединениями, содержащими NH-группу (NH_3 , амины и гидразины), получены соединения общей ф-лы: $H_2NC(=S)SC(R)_2C(R)_2CONR''$ (R—то же, что и выше, а группа NR'' является остатком амина или гидразина, применявшегося для р-ции).

Г. Швехгеймер

33438 П. Получение алифатических α-аминоспиртов и их производных. Муте (Procédé de préparation d'α-amino-alcools aliphatiques et de leurs dérivés. Muths) [Centre National de la Recherche Scientifique]. Франц. пат. 1122148, 3.09.56

α-аминоспирты ф-лы $R''(R')NCH(R)CH_2OH$ (R—H или алифатич. остаток с прямой или разветвленной цепью, R' и R''—алифатич., ароматич. или гидроароматич. радикалы) получают каталитич. гидрированием α-аминоальдегидов над скелетным Ni при 20° и давл. ≥ 1 ат в жидкой фазе в присутствии р-рителя, напр. спирта. К 14,3 г $(C_2H_5)_2NCH(C_2H_5)CHO$ в 100 мл спирта прибавляют 10 г свежеприготовленного скелетного Ni и гидрируют 6 час. при $\sim 20^\circ$ и 1 ат до поглощения 1900 мл H_2 ; фильтруют, отгоняют спирт и перегоняют в вакууме. Получают $(C_2H_5)_2NCH(C_2H_5)CH_2OH$, выход 80%, т. кип. 63–64°/13 мм. Гидрированием 0,1 моля α-пиперидингептанола в 100 мл спирта при 84 ат и т-ре $\sim 20^\circ$ получают α-пиперидингептанола, выход 75%, т. кип. 128–129°/11 мм. Аналогично при 1 ат получают α-пиперидинбутанола, выход 80%, т. кип. 92–93°/14 мм, d^{19}_D 0,9228, n^{19}_D 1,4618; $(C_2H_5)_2NC(CH_3)_2CH_2OH$, выход 85%, т. кип. 68–69°/13 мм, d^{20}_D 0,8794, n^{20}_D 1,4385; $(CH_3)_2NC(CH_3)_2CH_2OH$, выход 80%, т. пл. 52°; $(C_2H_5)_2NCH(C_2H_5)CH_2OH$, выход 80%, т. кип. 107–108°/12 мм, d^{14}_D 0,8511, n^{14}_D 1,4395. Исходные α-аминоальдегиды получают галоидированием соответствующих альдегидов с послед. конденсацией с аминами.

В. Красев

33439 П. Способ получения растворимых в воде продуктов конденсации мочевины с альдегидами. Шулленбург, Лейерцапф (Verfahren zur Herstellung von wasserlöslichen Kondensationsprodukten aus Harnstoff und Aldehyden. Schullenburg Wilhelm, Leyerzapf Hermann) [Deutsche Gold- und Silber-Scheideanstalt vormals Roessler]. Пат. ФРГ 965766, 19.06.57

Конденсацию проводят в две стадии, причем в первой конденсируют мочевины (I) с ненасыщ. альдегидами в кислой среде, а во второй с насыщ. альдегидами, преимущественно с формальдегидом (II) в присутствии полиметилентетрааминов [напр., гексаметилен-тетрамина (III), октаметилентетрамина (IV)] или их образующих. Свойства получаемого продукта, напр. твердость, эластичность, прочность, зависят от соотношения в-в, а также от выбора полиметилентетрамина. На 1 моль I применяют 0,1–0,2 моля ненасыщ. альдегидов, 1–2 моля насыщ. альдегидов, 0,1–0,7 молей полиметилентетрамина. Продукты р-ции устойчивы, нечувствительны к т-ре, не имеют запаха II и могут применяться как таковые или после упаривания в вакууме при 15–25 мм рт. ст. 2,95 моля I растворили в воде при нагревании в присутствии лед. CH_3COOH , установившая рН 3,9 и нагревая при 70° с 0,34 молями акролена, охлажд. продукт смешивают с 5,55 молями II (30%-ный р-р) и III в кол-ве эквивалентной 1,84 моля II, и нагревают до 85–90°. Охлажд. р-р обрабатывают NaOH до рН 7. Р-р вполне устойчив и может применяться как ашплетурное средство при отделке текстиля или после упаривания в вакууме в качестве устойчивого клея для дерева, пластмассы, бумаги; для тех же целей может служить продукт, получаемый аналогично, но с применением IV в кол-ве эквивалентном 1,88 моля II.

Г. Пик

33440 П. Метод получения ксантогенатов тиофосфорной кислоты. Ямадзак (Сэнко сэйрэн кэнкюсэй). Японск. пат. 120, 11.01.54

$(RO)_2PSCl$ (1 моль) растворяют в 1 л ацетона и при 40–60° прибавляют по каплям 1 моль $R'OC(S)SM$ и размешивают еще 30 мин. После фильтрования и прогонки ацетона получают $(RO)_2P(S)SC(S)OR_1$, выход 85%, т. кип. 85–87°/1 мм.

Г. Пик

33441 П. Получение алкилфторсиланов. Енкен (Verfahren zur Herstellung von Alkylfluorsilanen. Jenken Herbert) [Kali-Chemie A.-G.]. Пат. ФРГ 965328, 6.06.57

Неорганич. фториды Si (SiF_4 или Si_2F_6) вводят

р-цию с R_4Si (R — алкил) при 250—500°, под давлением. 144 г $Si(C_2H_5)_4$ нагревают при 300—350° 3 часа в автоклаве с 104 г SiF_4 . Начальное давл. 13 атм, конечное давл. 44 атм. Получают смесь, содержащую 22% $SiF_2(C_2H_5)_2$, 46,6% $SiF_2(C_2H_5)_3$, 23,9% $SiF(C_2H_5)_3$ и 7,5% $SiF_3(C_2H_5)$ по последнему в р-цию $Si(C_2H_5)_4$. Конверсия SiF_4 95%. Б. Фабричный

33442 П. Получение циклогексана. Беннетт, Пфенниг (Production of cyclohexane. Bennett Rufus B., Pfennig Reuban F.) [Esso Research and Engineering Co.]. Пат. США 2766303, 9.10.56

Метод получения циклогексана (I) с чистотой $\geq 95\%$ из смеси I и ненафтеновых углеводородов (в основном диметилпентаны и ≤ 5 —10 об. % C_6H_6), заключающийся в вымораживании (0,33—30 мин.) углеводородной фракции с т. кип. 76,5—82° (содержащей 70—88 об. % I) при т-ре от —23° до —90°, отделении I (центрифугированием или фильтрованием). Маточный р-р прибавляют к исходной фракции. Смесь, содержащую 83 об. % I, охлаждают 3,25 мин. при —29° и центрифугируют 2 мин. при скорости, обеспечивающей 750-кратное увеличение силы тяжести, получают I, выход 30 вес. %, чистота 96%. При охлаждении до —73° получают I с выходом 67 вес. % и чистотой 95%, так же повышается выход I при увеличении времени центрифугирования. При изменении т-ры вымораживания и времени центрифугирования получают (перечислены: т-ра вымораживания в °C, время центрифугирования в сек., чистота I в мол. %): —40, 120, 95,5; —29, 120, 96; —40, 600, 99; —40, 900, 99; —40, 420, 98; —29, 110, 96; —29, 110, 99; —51, 360, 96; —68, 360, 95. Полученный I можно промывать ненафтеновыми углеводородами или другими в-вами, имеющими т-ру кипения, существенно отличающуюся от т-ры кипения I (напр. C_3H_8 , C_4H_{10} , C_5H_{12} , C_2H_5OH , CH_3OH и др.). Дается технологич. схема и ее описание. Г. Швейггеймер

33443 П. Дегидрирование ненасыщенных бициклических терпенов. Пайнс (Dehydrogenation of aromatic bicyclic compounds. Pines Herman) [Universal Oil Products Co.]. Пат. США 2754339, 10.07.56

Дегидрирование ненасыщ. бициклич. терпенов, содержащих 6-членный и 3- или 4-членные циклы (α - и β -пинены, α - и β -карены, α - и β -гуйены и др.), в ароматич. соединения проводят при 100—400° (лучше 150—275°) под давлением инертного газа 0—200 атм (лучше 25 атм) в присутствии щел. или щел.-зем. металлов, а также их гидридов. Промоторами являются соединения, способные образовывать с данным катализатором металлорганич. соединения (напр., антрацен, тетралин, ацилиеновые соединения, о-хлортолуол, о-бромэтилбензол, пиридин, алкилпиридины, хинолин, изохинолин, перекиси и гидроперекиси). Дегидрирование протекает с разрывом малого цикла и образованием ароматич. углеводородов с алкильными заместителями. 68 г α -пинена нагревают 2 часа при 215—265° с 4 г Na и 1 г о-хлортолуола в 850-мл вращающемся амальгированном автоклаве под давлением N_2 (15 атм). Реакционную массу разлагают C_2H_5OH . Разгонкой верхнего слоя получают 40 г фракции, кипящей 153—171° (n_D^{20} 1,4460—1,4800). В остатке 7,0 г высококипящих соединений. Из нижнего слоя выделено 7,7 г продукта с т. кип. 145—174°. Около 42% от жидких продуктов состоит из ароматич. углеводородов (95% n -кумола и остальное 1,2,3-триметилбензол). Аналогичные результаты получены при дегидрировании β -пинена.

Н. Дабатов

33444 П. Трифторметилциклопропаны. Шукис, Фьордализи, Круа (New classes of cyclopropanes and processes of preparing them. Shukys Julius G., Fiordalisi Fernanda Misani, Croix Louise Speers) [Air Reduction Co., Inc.]. Пат. США 2766303, 9.10.56

Пат. США 2727900, 20.12.55 [Chem. Abstrs, 1956, 50, № 21, 15583i (англ.)]

Раствор 20 г CH_2N_2 в 750 мл безводн. эфира облучают УФ-светом при 0,5° и в течение 30 мин. вводят 48 г $CF_3CH=CH_2$. Смесь облучают еще 2 часа и перегоняют. Получают 5-трифторметил-2-пирозолин (I), т. кип. 144—145°, n_D^{20} 1,3870. 41 г I перегоняют через колонку с 4 г платинированного асбеста (10% Pt) и 2 г порошкообразной KOH, нагретую до 220°, и получают трифторметилциклопропан (IIa), т. кип. 21,5—22°. 0,2 моля CH_2N_2 в 350 мл безводн. эфира прибавляют к 35 г $CF_3C(CH_3)=CH_2$ (II), при облучении, и получают 5-метил-5-трифторметил-2-пирозолин (III), т. кип. 140—141°, n_D^{20} 1,3876, из которого получают вышеуказанным способом 1-метил-1-трифторметилциклопропан (IIIa), т. кип. 38—39°, n_D^{20} 1,3228. Аналогично $(CF_3CH=)_2$ дает 4,5-бис-трифторметил-2-пирозолин, т. кип. 125—131°, n_D^{20} 1,3601, и затем 1,2-бис-трифторметилциклопропан, т. кип. 37—38°. 30 г II и 22 г $N_2CHCOOC_2H_5$ нагревают в автоклаве 3 часа при 120—140°, с образованием 2-карбэтоксипроизводного IIIa, т. кип. 58°/5 мм. 62 г $CF_3CH(OH)CH_2COOC_2H_5$ и 90 г PBr_3 нагревают 2 часа до 120—130°, смесь выливают в 200 мл ледяной воды, водн. слой экстрагируют 50 мл CCl_4 . Получают 40 г $CF_3CHBrCH_2COOC_2H_5$ (IV), т. кип. 66°/17 мм, n_D^{20} 1,3947. 70 г IV по каплям прибавляют к 5,8 г $LiAlH_4$ в 500 мл безводн. эфира при 0°, смесь гидролизуют 6 н. H_2SO_4 и эфирный р-р перегоняют в вакууме. Получают 6 г $CF_3(CH_2)_2CH_2OH$, т. кип. 57—58°/33 мм, n_D^{20} 1,3516, и 25 г $CF_3CHBrCH_2CH_2OH$ (V), т. кип. 80—81°/33 мм, n_D^{20} 1,4040. 60 г V и 80 г PBr_3 нагревают 1 час до 50°, смесь выливают в 300 мл ледяной воды, водн. слой извлекают CCl_4 . Перегонкой в вакууме получают 20 г $CF_3CHBrCH_2CH_2Br$ (VI), т. кип. 55—56°/27 мм, n_D^{20} 1,4349. 20 г VI по каплям прибавляют к 10 г Zn-пыли, 8 г Na_2CO_3 , 4 г KJ и 40 г CH_3CONH_2 при 140—145°, в течение 1 часа, и получают Ia. Б. Дяткин

33445 П. Получение циклогексилгидроксиламина. Шукман (Verfahren zur Herstellung von Cyclohexylhydroxylamin durch katalytische Hydrierung von Nitrocyclohexan. Schuckmann Gustav von) [Farbenfabriken Bayer A.-G.]. Пат. ФРГ 960199, 21.03.57

Циклогексилгидроксиламин (I) получают каталитич. гидрированием нитроциклогексана (II) в присутствии р-рителя и Ag-катализатора (K), содержащего окислы Cr, Zn, Al и Mg, которые перед применением суспендируют в эфире, бензине, C_6H_6 или циклогексане и активируют нагреванием при 100—170° (120—140°) под давлением H_2 50—300 атм (150—200 атм). II вводят в находящуюся под давлением H_2 суспензию K в р-рителе, к которой предварительно добавляют небольшое кол-во гидроокиси щел. металла. Состав K (в %) Ag 12—18 (14—15), Cr 10—30 (18—22), Al 1—5 (2—3), Zn 28—38 (30—36), Mg 0,3—1. В случае применения других р-рителей, вместо $C_2H_5OC_2H_5$ K перед повторным использованием промывают CH_3OH с добавкой $\sim 1\%$ CH_3COOH . В автоклав из нержавеющей стали емк. 2 л помещают 400 г сухого эфира, 1 г NaOH и 20 г K, содержащего 14,5% Ag, 36,3% Zn, 20,5% Cr, 1,6% Al и 0,5% Mg в форме их окислов и под давлением H_2 200 атм нагревают при перемешивании до 125°. Затем в течение 20 мин. нагревают 400 г II. Из р-ра, отфильтрованного от K, выкристаллизовывается 249 г I, дальнейшей переработкой выделяют еще 14 г I, 19,5 г циклогексанонаксима, 18 г циклогексилamina, содержащего немного дициклогексилamina, и 20 г II (с примесью циклогексана). Конверсия II 95% из них 77,6% превращается в I. При проведении р-ции в C_6H_6 конверсия II 80%. Б. Фабричный

33446 П. Способ сушки оксимов. Мейер, Штриглер (Verfahren zum Trocknen von Oximen. Meier

Gerhard, Striegler Arndt). Пат. ГДР 13174, 2.05.57

Через расплавленный оксим пропускают N_2 или воздух при повышенной т-ре. Для конденсации удаляющихся паров воды и улавливания оксима и кетона применяют р-р NH_2OH -сульфата. В трубу, обогреваемую через рубашку до 100° , сверху подают 1000 ч. в час расплавленного циклогексаноноксима (I), содержащего 5,3% воды и 0,7% циклогексанона (II). I выходит из аппарата снизу, через переливную трубу. Через I продувают подогретый до $110-120^\circ$ воздух в кол-ве 100 объемн. ч. на 1 объемн. ч. I в 1 час. Выходящий воздух, содержащий воду, II и I, пропускают через скруббер, орошаемый р-ром NH_2OH -сульфата. Высушенный I свободен от II и содержит лишь 0,1–0,3% воды. При перегрушировке высушенного этим способом I требуется на 10% меньше олеума; высококачеств. капролактан получают с выходом 95–96%. Приведены примеры высушивания о-метилциклогексанон- и пинаколиноксима. Б. Фабричный

33447 П. Получение циклоктаноноксима. Мюллер, Фрис, Мецгер (Verfahren zur Herstellung von Cyclooctanonoxim. Müller Eugen, Fries Dorla, Metzger Horst). Пат. ФРГ 1001982, 11.07.57

Циклооктан (I) обрабатывают при облучении активным светом смесью NO с Cl_2 , взятых в мол. отношении 1:1–1:4; выделившийся хлоргидрат II (II – циклооктаноноксим) гидролизуют щелочью. В 250 г I при $15-17^\circ$ и облучении погруженной в I, Hg-лампой, в течение 2,5 час. барботируют смесь 750 мл/час Cl_2 и 2250 мл/час NO (объемы указаны при нормальных условиях. Затем избыток Cl_2 , NO и HCl отдувают N_2 и отсасывают хлоргидрат II. Фильтрат используют повторно. Хлоргидрат II растворяют в воде, р-р нейтрализуют NaOH. Маслообразный II вскоре кристаллизуется; т. пл. $41-42^\circ$, выход 18–19 г. Если пропускают 2300 мл/час NO и 570 мл/час Cl_2 , то в тех же условиях получают 15–16 г II, обратный I содержит немного бис-(нитрозоциклооктана) и 1-хлор-1-нитроциклооктана. В 250 г I в течение 2,5 час. при 16° и облучении пропускают 750 мл/час Cl_2 и различные кол-ва NO; получают следующие результаты (указаны мол. отношения $Cl_2:NO$ и выход II в г, считая на взятое кол-во Cl_2) 1:1, 5,2; 1:2, 11,2; 1:3, 18,5; 1:4, 15,6. Б. Фабричный

33448 П. Введение циклоалкильных заместителей в ароматические соединения. Шмерлинг (Isomeric cycloalkylation of aromatic compounds. Schmerling Louis) [Universal Oil Products Co.]. Пат. США 2727931, 20.12.55

Реакцией бензола с циклоалкилалкил- и трет-алкилциклоалкилгалогенидами в присутствии катализаторов типа $AlCl_3$, $AlBr_3$, $ZrCl_4$ при т-ре от -10° до 100° получают в результате изомеризации вторичные алкилциклоалкил ароматич. углеводороды. В. Шведов

33449 П. Способ получения дифенилметанов. Фарнем, Клосек (Procédé de préparation de diphenylméthanes. Farnham Alford Gailey, Klosek Felix Peter) [Union Carbide and Carbon Corp.]. Франц. пат. 1111253, 24.02.56

Смесь 2,2', 2,4'- и 4,4'-диоксидифенилметанов получают нагреванием в водн. среде при $25-110^\circ$ (лучше $55-75^\circ$) 1 моля CH_2O (I) (в виде формалина) с ≥ 2 молями (4–5 молей) C_6H_5OH (II) и 0,1–6 молей HCl (III) или H_2SO_4 (IV) на 1 моль II. Воду берут в кол-ве ≥ 4 молей на 1 моль к-ты; в частности, применяют 12%-ный р-р III или 45–55%-ный р-р IV. Р-ция завершается за 10–15 мин. при $25-30^\circ$ и за 5–15 сек. при $65-75^\circ$. Водн. слой, содержащий минер. к-ту и от 1 до 5% II, отделяют и нижний органический, содержащий непрореагировавший II, следы к-ты и продукт р-ции, представляющий смесь 2,2', 2,4'- и

4,4'-диоксидифенилметанов, нейтрализуют, отфильтровывают продукт р-ции и из фильтрата отгоняют непрореагировавший II, который возвращают в процесс. Водн. слой упаривают для повышения конц-ии к-ты и также используют повторно. Продукт р-ции содержит 50–65 вес.% 4,4'-изомера (V) и может быть без дальнейшей очистки использован для получения эпокси-производных действием эпихлоргидрина. Чистый V может быть выделен кристаллизацией из 40%-ной CH_3COOH (200 г продукта в 150 мл к-ты); т. пл. $156-158^\circ$. Процесс может быть периодическим или непрерывным. 39 кг/час реакционной смеси, состоящей из 100 вес. ч. II и 16 вес. ч. формалина (37%-ный I), обрабатывают при $20-30^\circ$ 70 кг/час рециркулированной 50%-ной IV и 0,27 кг/час свежей 75%-ной IV. Смесь пропускают через реактор ($55-65^\circ$, 30 сек.) и направляют в отстойник. Органич. слой (32,6 кг/час) обрабатывают 50%-ным водн. NaOH до pH 4–6 (0,5 кг/час водн. NaOH), отфильтровывают нерастворимые соли и фильтрат пропускают последовательно со скоростью 30 кг/час через теплообменник и отгоняют II (20 кг/час). Водн. слой, представляющий 47%-ную IV, упаривают до конц-ии 50%. Выход продукта р-ции 10 кг/час. Продукт содержит 68 вес.% диоксидифенилметанов (из них 50% V) с примесью 0,9% II от веса продукта р-ции. Приведена технологич. схема непрерывного процесса. Я. Кантор

33450 П. Способ галонирования боковой алкильной цепи ароматических соединений. Эндо, Миякава [Ходояга какаку когэ кабусики кайся]. Японск. пат. 5969, 26.08.55

Для ускорения р-ции и увеличения выходов галонирования ароматич. в-в в боковую цепь проводят в присутствии соединений общей ф-лы $C_6H_5(NH-CSC(NH)NHC(NH)S$ (I) в качестве катализаторов.

В частности применяют следующие катализаторы: I (R = H) (II), I (R-тиуронийхлорид) (III), $C_6H_5CCl_3$ (IV) получают введением Cl_2 со скоростью 35 г/час в 92 г кипящего толуола в присутствии I, в течение 1 часа т-ру поднимают до 130° и еще через 2 часа до 150° . В зависимости от примененного I получены следующие выходы (указаны катализатор и общая длительность хлорирования): без катализатора, 22,5 часа, 0,06 моля $C_6H_5CHCl_2$ (V), 0,80 моля IV и 20,0 г высококипящих в-в (BB); PCl_3 , 18 час., 0,05 моля V, 0,86 моля IV и 17,0 г BB; $(C_6H_5CO)_2O_2$, 21 час, 0,06 моля V, 0,81 моля IV и 21,5 г BB; III, 14,5 час, 0,03 моля V, 0,94 моля IV и 4,0 г BB. В 265 г этилбензола при облучении Hg-лампой, находящейся в расстойнике 5 см, и в присутствии катализатора при 20° в течение 40 мин. вводят 50 г Cl_2 . В зависимости от примененного катализатора получают следующие выходы α -хлорэтилбензола в мол. %: без катализатора, 35,5; 3,0 г PCl_3 , 63,8; 0,3 г II, 71,5. С. Петров

33451 П. Способ каталитического отщепления HCl из гексахлорциклогексана. Хамфрис (Verfahren zur katalytischen Chlorwasserstoffspaltung aus Hexachlorcyclohexan. Humphreys David Druce) [Ethyl Corp.]. Пат. ФРГ 949655, 27.09.56

Гексахлорциклогексан (I) нагревают при $180-350^\circ$ (лучше $220-350^\circ$), в присутствии 0,01–10% (лучше $\leq 2\%$) от веса I $n-CH_3C_6H_4SO_3H$ в качестве катализатора. Реакционная смесь содержит повышенное кол-во 1,2,4- $C_6H_3Cl_3$ (II) и 2,3,4,5,6-пентахлорциклогексана (III). Процесс может быть периодич. или непрерывным. В реактор, снабженный механич. мешалкой, термометром и перегонной колонной с последовательно включенным сосудом с водн. NaOH для поглощения HCl, загружают 100 вес. ч. сырого I и 1 вес. ч. $n-CH_3C_6H_4SO_3H$, нагревают и, по расплавлению смеси, включают мешалку. После начала выделения HCl

отфильтро-
тгоняют ит-
в процес-
ц-ни к-ты и
и содержат
ть без даль-
ния эпокси-
Чистый V
из 40%-ой
т. пл. 156-
или непре-
стоящей из-
ный I), об-
улированной
IV. Смесь
) и напри-
мас) обра-
3 (0,5 к/час
имые соли
о скоростью
тгоняют II
47%-ую IV,
дукта р-ции
кисидифени-
II от веса
схема непре-
Я. Кантор
и аликвиды
Миякава
Ипонск. пат.

ходов гало-
проводят
ы $C_6H_5(NH_2)$
гализаторов.
е катализатор
орид) (III).
скоростью
уствии I, в
еще через
инного I по-
гализатор и
гализатора,
моля IV и
ас., 0,05 мо-
 O_2 , 21 час.
т, 14,5 час.
265 г эти-
дающей ви-
изатора при
зависимости
следующим
гализатора,
С. Петрова
ения HCl и
verfahren in
aus Hax-
d Gruen)

и 180-350°
% (лучше
е катализатор
нное кол-во
алогексена-1
непрерывно
талкой, тер-
едовательно
поглощения
1 вес. %
ении смеси
ения HCl

образования заметного кол-ва флегмы в колонне, перегонку ведут с такой скоростью, чтобы т-ра в реакторе не превышала 300—350°. Кол-во отщепленного HCl определяют путем периодич. взвешивания р-ра NaOH. Полупериод отщепления (ПП) 45 мин. Т-ра паров в дефлегматоре постепенно повышается с ~182 до ~220°. ИК-анализом установлено, что дистиллат состоит из 27 вес. ч. II, 5 вес. ч. 1,2,3- $C_6H_3Cl_3$ (IV) и 13 вес. ч. III, т. е. отношение IV было выше 5:1. Аналогичные результаты получены с α - или γ -изомерами I, а также с сырой смесью изомеров, из которой был предварительно выделен γ -изомер. При нагревании 100 вес. ч. I с 3 вес. ч. Fe-порошка до 285—300° отношение II:IV составляло лишь 2,9:1 при том же ПП. При дегидрохлорировании I в отсутствие катализатора ПП составляет 63 мин. Я. Кантор

33452 П. Получение ароматических монооксисоединений из ароматических карбоновых кислот. Толанд (Process for preparing monohydroxy aromatic compounds from aromatic carboxylic acids. Toland William G., Jr., [California Research Corp.]. Пат. США 2766294, 9.10.56)

Метод заключается в окислении незамещ. или m -, o - или p -моноалкиламещ. ароматич. к-т, содержащих в ядрах <13 атомов C и имеющих один незамещ. атом C в орто-положении к карбоксилу, при 205—380° в присутствии 5—50 мол.% медного катализатора и гидролизе образовавшегося эфира фенола. В качестве исходных в-в применяют C_6H_5COOH , трет-бутилбензойные к-ты, толуиловые к-ты, нафтойные к-ты и др. При окислении в отсутствие свободного O_2 необходимо использовать стехиометрич. кол-ва Cu_2O или лучше CuO , а также солей меди, которые в условиях р-ции способны разлагаться с образованием Cu (ацетат, бензоат, карбонат Cu и др.). При окислении свободным O_2 или газами, содержащими O_2 , применяют 0,1—10% CuO , Cu_2O или солей меди. Р-цию проводят в расплаве или в р-ре (р-рителю: фениловый эфир, который образуется в р-ции; соединения, устойчивые к окислению, напр. бифенил; пергаллоидсоединения, напр. гексахлорбутадие, вода). При употреблении р-рителей медную соль берут в молярном отношении к карбоновой к-те 1:1. Окислением в водн. р-ре сразу получают фенол, причем отпадает необходимость в гидролизе. При окислении замещ. ароматич. к-т происходит перегруппировка из o - или n -замещ. к-т образуются m -замещ. фенолы, из m -замещ. к-т образуется смесь o - и n -замещ. фенолов. Скорость окисления увеличивается при проведении процесса под давлением. Смесь 61 г C_6H_5COOH , 20 г CuO и 15 мл ксилола (I) нагревают 5,5 час. при 260—296° с азеотропной отгонкой воды, охлаждают, разбавляют I, отделяют Cu (16,1 г), отгоняют I сначала при давл. 760, а под конец при 20 мм рт. ст., получают 31 г $C_6H_5COOC_6H_5$. Смесь 10 г $C_6H_5COOC_6H_5$, 8 г NaOH, 72 мл воды и 25 мл спирта кипятят 2 часа, отгоняют спирт, охлажд. остаток насыщают CO_2 , перегоняют с паром, получают 3,8 г C_6H_5OH . 82 г n -трет- $C_4H_9C_6H_4COOH$ окисляют 20 г CuO 8 час. при 288°, полученный эфир омыляют, получают m -трет- $C_4H_9C_6H_4OH$, выход 50,5%. Аналогично получают (перечислены: исходная к-та, ее кол-во в г, окислитель, его кол-во в г, т-ра окисления в °C, время окисления в часах, выход эфира в %): m - $CH_3C_6H_4COOH$, 68, CuO , 20, 260—288,9, 69, смесь (1:1)- o - $CH_3C_6H_4OH$ и n - $CH_3C_6H_4OH$; n - $CH_3C_6H_4COOH$, 68, CuO , 20, 249—293, 16, 5, 21, 1, m - $CH_3C_6H_4OH$; C_6H_5COOH , 61, $Cu(CH_3COO)_2 \cdot H_2O$, 28, 255, 18, 5; C_6H_5COOH , 61, основной карбонат меди, 27, 6, 255, 6, 15 г. 86 г α -нафтойной к-ты окисляют 20 г CuO 6 час. при 305°, продукт экстрагируют эфиром, промывают водн. р-ром $NaHCO_3$, отгоняют эфир, остаток гидролизуют 2 часа в запаянной ампуле 10%-ной H_2SO_4 при 260°, смесь нейтрализируют р-ром $NaHCO_3$, перегоняют с паром, получают β -нафтол, выход 27 мол.%, считая на α -нафтойную к-ту. Этим способом также можно окислять различные ароматич. соединения. Так из полуэфира изофталевой к-ты образуется салициловая к-та, из цианбензойной к-ты — цианфенол, из ацилбензойных к-т — ацилфенолы, из галоид- и нитробензойных к-т — соответствующие фенолы. Окислением никотиновой к-ты получают β -пиридон. Г. Швейхгеймер

33453 П. Способ получения многоатомных фенолов. Зейдель, Шульце, Балль (Verfahren zur Herstellung von Phenolen. Seidel Felix, Schulze Max, Baltz Hans) [VEB Farbenfabrik Wolfen]. Пат. ГДР 12239, 16.10.56

Многоатомные фенолы получают окислением 1,3,5-триизопропилбензола (I) O_2 при 60—90° в виде эмульсии в слабощел. среде с последующим разложением смеси моно-, ди- и тригидроперекисей минер. к-той в среде органич. р-рителей на ацетон и соответствующие фенолы (флороглюцин, 5-изопропилрезорцин и 3,5-диизопропилфенол). В смесь 500 мл разб. р-ра Na_2CO_3 (рН 8—10), 300 мл I, 1 г тригидроперекиси 1,3,5-триизопропилбензола (II) и 0,5 г эмульгатора (стеарат Na) пропускают при 85° воздух или O_2 , поддерживая рН добавками конц. р-ра Na_2CO_3 . Через 72 часа содержание активного O достигает 9,45%. После выдержки 24 часа в темноте с осадка сливают р-р соды и растворяют его в 600 мл кипящего C_6H_6 , отслоившуюся воду отделяют от горячего бензольного р-на. После охлаждения получают 113 г II с т. пл. 132°. Добавкой к фильтрату 750 мл легкого бензина получают еще 34 г смеси три- и дигидроперекиси. Чистая II имеет т. пл. 139—140° (из бал.). 50 мл конц. HCl прибавляют по каплям к р-ру 18 г II в 30 мл ацетона при т-ре $\leq 20^\circ$. После удаления в вакууме ацетона и HCl получают 7,1 г твердого остатка, который после перекристаллизации из воды дает 3,4 г флороглюцина (выход 45%) с т. пл. 200°. Аналогично, но без применения эмульгатора получают дигидроперекись I с т. пл. 97—98° (из смеси бензол-бензин, 1:3), разложением которой хлорной к-той при $< 20^\circ$ в CH_3OH получают сырой 5-изопропилрезорцин с выходом 64,7%, т. кип. 115°/0,02 мм. Двукратным переосаждением из бензола петр. эфиром получают чистый продукт с т. пл. 112—113°. Моногидроперекись I получают так же, но окисление ведут до содержания активного O 4,2%. Продукт р-ции перегоняют в глубоком вакууме, отбирая фракцию с т. кип. 95°/0,005 мм, n_D^{20} 1,5055. Разлагая этот продукт хлорной к-той в CH_3COOH , получают с выходом 81,7% 3,5-диизопропилфенол, т. кип. 139—140°/13 мм. Н. Дабагов

33454 П. Выделение фенолов. Джейкобс (Recovery of phenols. Jacobs David Ian Hutchinson) [Hercules Powder Co.]. Пат. США 2736753, 28.02.56

Дополнительное кол-во резорцина (I) и m -изопропилфенола (II), получают термич. расщеплением при 200—400°, в частности в присутствии инертного органич. р-рителя с т. кип. $> 200^\circ/760$ мм (газойля с т. кип. 100—200°/12 мм, триизопропилбензола, 1,2,4- $C_6H_3Cl_3$, метил-, изопропил-, хлор- или бромнафталина или их смесей), кубового остатка от отгонки основного колич. I из продукта кислотного расщепления дигидроперекиси m -диизопропилбензола (III). Фракцию I + II отгоняют и выделяют I кристаллизацией, маточный р-р экстрагируют водой для извлечения остаточного I, а затем разб. водн. щелочью для извлечения II, экстракт подкисляют и выделившееся масло фракционируют. Фракцию I + II можно обрабатывать водой и водонерастворимым летучим органич. р-рителем; водн. фаза содержит I, а неводн. II. Можно также экстрагировать II из полученной фракции с помощью $CHCl_3$, CCl_4 , C_6H_6 , $C_6H_5CH_3$ или $C_{10}H_7CH_3$. Р-р III

(94,2%-ной чистоты), содержащий 200 вес. ч. чистого III, подвергали кислотному расщеплению при т-ре кипения р-рителя (смесь ацетона и C_6H_6), в присутствии 20 вес. ч. обработанной к-той фуллеровой земли в качестве катализатора. После удаления катализатора и р-рителя смесь фракционировали при давл. 10 мм и получили в виде главной фракции 56,2 вес. ч. I, после чего т-ру в кубе поднимали до $\sim 200^\circ$ и получали фракцию, состоящую из I + II. Экстракцией ее C_6H_6 получено 9,5 вес. ч. II и 24,9 вес. ч. I. Приведен ряд других примеров выделения I из высококипящего остатка после расщепления III.

33455 П. Способ выделения 2,4,5-трихлорфенола. Николасен (Process for the recovery of 2,4,5-trichlorophenol. Nicolaisen Bernard H.) [Olin Mathieson Chemical Corp.]. Пат. США 2755307, 17.07.56

Сырой 2,4,5-трихлорфенол (I), полученный гидролизом 1,2,4,5-тетрахлорбензола (II) метанольной щелочью и содержащий примесь 2,4,6-трихлорфенола (III) (за счет содержания 1,2,3,4-тетрахлорбензола в исходном II), и другие загрязнения (напр., метоксифенолы) экстрагируют разб. щелочью, взятой в кол-ве, необходимом для растворения всего III и небольшой части I, остаток повторно извлекают таким кол-вом разб. щелочи, которое достаточно для перевода в фенолят почти всего I, от экстракта отгоняют примеси, летучие с паром, затем подкисляют и выделившийся I перегоняют с паром. Конц-ия р-ра фенолята, полученного в результате второй экстракции, не должна превышать 15%. Все операции проводятся при т-ре выше т-ры плавления сырой смеси фенолов. 97%-ный I (т. пл. $60-62^\circ$), содержащий 1% III и $\sim 2\%$ трихлоранизола и других примесей, экстрагируют при $> 70^\circ$ 5%-ной NaOH в кол-ве, требующемся для растворения 5% всех имеющихся фенолов. Экстракт подкисляют и получают продукт, состоящий в основном из III и примеси I. Остаток от первой экстракции обрабатывают при $\geq 70^\circ$ 5%-ной NaOH в кол-ве, достаточном для растворения 90% первоначальной загрузки (считая на I). Нерастворимый остаток отделяют, р-р очищают перегонкой с паром для улучшения цвета конечного продукта (эту операцию можно опустить), подкисляют H_2SO_4 или HCl-к-той при 60° . I отделяется в виде жидкости, которую перегоняют с паром и охлаждают. Получают кристаллич. продукт, т. пл. 65° , бесцветный в расплаве, $> 99\%$ -ной чистоты. Фенолы, получаемые при подкислении 1-го экстракта, объединяют с остатком от 2-й экстракции. Эта смесь может быть использована как сырой трихлорфенол в случаях, не требующих применения чистого изомера. Приведена схема процесса.

33456 П. Получение м-крезола или продуктов, сильно обогащенных м-крезолом. Вальтер (Verfahren zur Herstellung von m-Kresol oder an m-Kresol stark angereicherten Produkten durch Zerlegung von m-Kresol-Natriumacetat-Addukten. Walther Horst). Пат. ГДР 12822, 30.03.57

Аддукт ф-лы $2CH_3C_6H_4OH \cdot 5CH_3COONa$, осажденный из крезольной фракции, обрабатывают кислородсодержащим р-рителем с т. кип. $\leq 150^\circ$ [кетоны, эфиры карбоновых к-т, спирты или простые эфиры, напр. $(n-C_3H_7)_2O$ (I)], образовавшийся безводн. CH_3COONa отделяют и используют повторно для получения аддукта; из р-ра выделяют м-крезол (II) испарением р-рителя. 5,15 кг аддукта CH_3COONa -II перемешивают без нагревания с 6,7 кг I, через 45 мин. смесь центрифугируют. Отгонкой I получают 1,48 кг смеси, содержащей 65% II и 3,67 кг CH_3COONa .

33457 П. Выделение продуктов, обогащенных м-крезолом, или чистого м-крезола из технической смеси фенолов. Принц, Буш (Verfahren zur Gewinnung von m-kresolreichen Produkten oder reinem m-Kresol

aus technischen Phenolgemischen, die einen geringeren Gehalt als 60% an m-Kresol besitzen. Prinz Holmut, Busch Heinz). Пат. ГДР 13051, 23.04.57

Продукты, обогащенные м-крезолом (I), или чистый I, выделяют из технич. смесей фенолов, содержащих $\leq 60\%$ I, р-ней с безводн. CH_3COONa (II). К реакционной смеси после начала образования аддукта добавляют при $10-100^\circ$ разбавитель (углеводороды с 5-10 атомами C, хлорированные углеводороды, напр. CCl_4), в таком кол-ве, чтобы снизить скорость р-ции и поддерживать реакционную массу в состоянии, допускающем перекачивание и центрифугирование. 5 кг технич. смеси крезолов, содержащей 37% I, 4,5 кг безводн. II и 50 г аддукта II с I (инициатор) перемешивают при 25° , пока масса не начнет застывать (повышение т-ры). К смеси быстро прибавляют 3,7 кг CCl_4 . Через 15 час. массу центрифугируют. Из 6,8 кг аддукта разложением 10 л воды получают $\sim 4,7$ кг 70%-ного I, упариванием воды. р-ра и высушиванием остатка при 110° получают безводн. II (97% от нач. того). Аналогично из 5 кг смеси крезолов (37% I) с применением 1,99 кг бензина (т. кип. $90-140^\circ$) получают 1,02 кг 99%-ного I. Продукты, обогащенные I, применяют для получения пластич. масс, оставшуюся смесь крезолов, обогащенную п-изомером, применяют для выделения п-крезола или для получения дезинфицирующих средств, пластич. масс и пластификаторов.

33458 П. Способ очистки фенолов. Шэфер (Verfahren zur Reinigung von Phenolen. Schäfer Georg) [Chemische Werke Hüls A.-G.]. Пат. ФРГ 950838, 14.03.57

Очищенные и светостойчивые фенолы (I) получают обработкой I, выделенных известными способами, или фенольных фракций кислыми конденсирующими агентами в присутствии ароматич. углеводородов, [баз. (II), толуол (III) или ксилол], кол-во которых определяют опытным путем; после удаления или нейтрализации кислых агентов продукт р-ции перегоняют причем до, во время или после перегонки продукт обрабатывают активными глинами. Для непрерывных процессов агент наносит на пористый носитель. Т-ра и время обработки I зависит от выбора агента, сорта и чистоты материалов, при употреблении, напр. $AlCl_3$ (IV), применяют т-ру $50-150^\circ$ в то время как с активными глинами иногда необходимы т-ры до 250° . 100 г выделенной при полуокислении битуминозных углей крезольной фракции (т. кип. $197-240^\circ$, $d_{20} 1,0180$) смешивают с 200 ч. III и 1 ч. безводн. IV кипятят 3 часа с обратным холодильником, добавляют 1 ч. безводн. Na_2CO_3 и 2 ч. фуллеровой земли, размешивают, фильтруют и перегоняют; продукт (т. кип. $101-105/15$ мм, $d_{20} 1,0218$) остается бесцветным в течение 5 месяцев. Аналогично из смеси дибензилкрезолов (т. кип. $230-240/2$ мм) получают устойчивый к свету и воздуху продукт. 50 ч. крезольной фракции, 30 ч. II и 2 ч. 15%-ного р-ра BF_3 в эфире нагревают 2 часа с обратным холодильником и перегоняют. Также эффективна очистка 65%-ной H_2SO_4 с добавлением 20 об.% III при 100° в течение 2 час. 1 объемн. ч. ксилольной фракции (т. кип. $222-236^\circ$, $d_{20} 1,00$) 0,5 объемн. ч. II, 2 вес. ч. IV кипятят 2 часа, продукт промывают водой, отгоняют II, получают дистиллат, т. кип. $112-117/18$ мм, не изменяющий цвета при хранении. Р-р 100 ч. фенольной фракции в 50 ч. III нагревают с 5 ч. Тосил до 195° 3 часа, продукт при хранении не изменяет цвета.

33459 П. Удаление окрашенных примесей из органических соединений. Эрбан (Removal of color impurities from organic compounds. Urban Peter, Jr) [Universal Oil Products Co.]. Пат. США 2744038, 08.05.56

inen geringe
Prinz He-
1, 23.04.57
или чистый
содержащий
) К реакци-
двукта добав-
роды с 5-
роды, напр.
рость р-ра
стойнии, до-
вание, 5 кг
I, 4,5 кг без
перемешива-
ть (по-
ляют 3,7 кг
т. Из 6,6 кг
от ~1,7 кг
сушиванием
7% от ко-
(37% I) с
-140°) полу-
щенные I,
оставшиеся
применяют
ния дезин-
сификато-
В. Красна
фер (Ver-
äßer Ge-
DRG 958826)

(I) получа-
способами,
применяю-
родов, (бл-
рых опре-
нейтр-ции
причем до-
абатывают
ессов агент
и обработ-
стоты ма-
(V), приме-
ными гли-
0 г выде-
углей при
0180) сме-
тят 3 часа
с. безводн.
ют, филь-
(05°/15 мл,
5 месяцев.
кип. 230-
и воздуха
II и 2 ч
а с обра-
эффективн-
% III при
ной фрак-
и. ч. II
ют водой,
112-117°
P-100 ч.
5 ч. То-
изменяет
Г. Пова
з органи-
лог импр-
ter, Jr)
2744838

Алкил- и алкилалкоксифенолы освобождают от ок-
рашенных загрязнений обработкой р-ра (лучше 0,1—
2 М) в-ва в подходящем р-рителе активированным ад-
сорбентом при 40—150° в присутствии H_2 под давл.
0,35—21 атм. В качестве р-рителя используют алифа-
тич. или ароматич. углеводороды (напр. *n*-пентан,
n-гексан, циклогексан, изопентан, 2,3-диметилбутан,
 C_6H_6 , $C_6H_5CH_3$, ксилол и др.), спирты (напр., CH_3OH ,
 C_2H_5OH , n - C_3H_7OH , изо- C_3H_7OH , n - C_4H_9OH , изо- C_4H_9OH ,
трет- C_4H_9OH), простые эфиры [напр., $CH_3OC_2H_5$,
(C_2H_5) $_2O$, (изо- C_3H_7) $_2O$, $C_2H_5OC_3H_7$], сложные эфиры
(напр., CH_3COOCH_3 , $CH_3COOC_2H_5$, $HCOOC_2H_5$), гликоли
(напр., $HOCH_2CH_2OH$, $HOCH_2CH_2CH_2OH$) и другие клас-
сы соединений. Адсорбентами могут служить: силика-
гель (нагретый 0,5—6 час. при 150—350°), Al_2O_3 (на-
гретая при 200—500°), активированный уголь или дру-
гие формы С, активированные нагреванием > 150°,
спец. сорта угля, некоторые глины, активированные
обработкой *k*-тами и нагреванием до 150—500° (напр.,
сукновальная глина, кизельгур, флоридин, монтморил-
лонит и другие соединения, содержащие Si и Al);
кол-во адсорбента зависит от кол-ва примесей, конц-ии
обесцвечиваемого р-ра, т-ры, типа примесей, а также
от типа адсорбента; вообще берут 0,001—2 вес. ч. ад-
сорбента на 1 вес. ч. в-ва, подлежащего очистке. Бо-
лее легко удаляются примеси, окрашенные в желтый
или коричневый цвет, и труднее — в красный или го-
лубой цвет. Процесс можно проводить периодически
или непрерывно. Адсорбент суспендируют в р-ре ме-
ханич. перемешиванием или барботажем H_2 . 12%-ный
(по весу) р-р 2-трет- C_4H_9 -4- $CH_3OC_6H_4OH$, полученно-
го из трет- C_4H_9OH и 4- $CH_3OC_6H_4OH$ в присутствии
85%-ной H_3PO_4 , в спирте кипятят и перемешивают
30 мин. в присутствии активированного С (10 г на
100 г фенола), полученного обугливанием березы, под
давлением H_2 2,8 атм, фильтруют, фильтрат упарива-
ют досуха, получают бесцветный 2-трет- C_4H_9 -4- CH_3 -
 OC_6H_4OH . Р-р 18 вес. ч. 4-ОН-3- $CH_3OC_6H_4COOH$, полу-
ченный окислением ванилина $KMnO_4$ в воде, в 82 вес. ч.
воды кипятят в присутствии 5 объемн. ч. активирован-
ного С под давлением H_2 0,7 атм, получают бесцвет-
ный продукт.

Р. Швехгеймер
33460 П. Нордигидрогваяковая смоляная кислота.
Сугимото, Окумура [Танаба сэйяку кабусики
кайса]. Японск. пат. 4626, 26.07.54 [Chem. Abstrs,
1956, 50, № 6, 4225 с. (англ.)]

4 г $[RCH_2CH(CH_3)]_2$ (R — 3,4-метилendioксифенил) в
10 мл эфира добавляют к CH_3MgI (из 2 г Mg , 10 г
 CH_3I и 20 мл эфира), нагревают, отгоняют эфир,
остаток нагревают 3 часа в 50 мл толуола при 110°,
продукт разлагают при 0° 50 мл 10%-ной HCl , то-
луольный слой экстрагируют эфиром и обрабаты-
вают 30 мл 5%-ного $NaOH$, щел. р-р нейтрализуют
 HCl при 0°, выделившееся масло нагревают 1 час
при 205—210° с 10,5 г $C_6H_5N \cdot HCl$. Продукт выливают
в ледяную воду, экстрагируют эфиром, промывают
экстракт 20 мл 2%-ного р-ра Na_2CO_3 и обрабатывают
30 мл 5%-ного $NaOH$, щел. р-р подкисляют HCl и
экстрагируют эфиром. После удаления эфира оста-
ется 2,5 г масла, из которого перекристаллизацией из
смеси этилацетат-петр. эфир получают 1,3 г $[RCH_2$ -
 $CH(CH_3)]_2$ (R — 3,4-диоксифенил), т. пл. 184—185°.

М. Кирмалова

33461 П. Способ получения ароматических карбо-
новых кислот. Мюллер, Мейер (Verfahren zur
Herstellung von aromatischen Carbonsäuren. Mül-
ler Wilhelm, Meyer Georg) [Farbenfabriken
Bayer A.-G.]. Пат. ФРГ 960275, 21.03.57

Ароматические карбоновые к-ты получают окисле-
нием алкилсодержащих ароматич. соединений
р-ром гипохлорита в присутствии пирилозита (I) при
повышенной т-ре. После окончания окисления I от-

фильтровывают и выделяют карбоновую к-ту подкис-
лением. Указанный способ позволяет использовать
1 многократно. К р-ру 500 г 3'-хлор-4'-метилбензофе-
нонкарбоновой-2 к-ты в 1400 мл H_2O и 700 мл
50%-ного $NaOH$ добавляют 25 г I, нагревают до 70—
80° и в течение 6—7 час. прибавляют столько р-ра
 $NaOCl$ (12% акт. Cl), пока продукт, выделенный после
фильтрования и подкисления отобранной пробы,
не покажет т-ры плавления чистой 3-хлорбензофе-
нондикарбоновой-2,4' к-ты. Расход р-ра $NaOCl$
~4 л. В сосуде с мешалкой, обратным холодильни-
ком и капельной воронкой нагревают до 95—100°
смесь 68,5 г о-нитротолуола (II), 1000 мл воды, 4 г I,
10 г эмульгатора (мерзольот) и приливают в течение
20 час. смесь 1500 мл р-ра $NaOCl$ (14% акт. Cl) и
150 мл р-ра $NaOH$ (47° Be). Окончив приливание, пе-
ремешивают несколько часов при нагревании, пока
в пробе не перестанет обнаруживаться активный Cl .
Отгоняют с паром небольшие кол-ва непрореагиро-
вавшего II, обесцвечивают р-р активированным углем
и, после фильтрования, выделяют о-нитробензой-
ную к-ту (III) подкислением минер. к-той. Выход
75—80%, считая на II, вступивший в р-цию. Упари-
ванием фильтрата, из него выделяют еще 5—10 г III
к-ты. III также может быть получена при пропу-
скании Cl_2 в щел. р-р при аналогичных условиях.
Подобным способом могут быть получены бензо-
фенондикарбоновая-2,4' к-та из 4'-метилбензофено-
на и *n*-нитробензойная к-та из *n*-нитротолуола.

Н. Дагабов

33462 П. Получение терефталевой кислоты из бен-
зойнокислого калия. Рекке (Verfahren zur Her-
stellung von Terephthalsäure bzw. deren Salzen bzw.
deren Derivaten aus Kaliumbenzoat. Raescke
Bernhard) [Henkel & Cie G. m. b. H.]. Пат. ФРГ
958920, 28.02.57

Сухой C_6H_5COOK нагревают в автоклаве под да-
влением CO_2 до т-ры > 340°, в присутствии инертных
в-в (песок, металлич. опилки или стружки, K_2CO_3 ,
 K_2SO_4 , KCl) полученную соль I (I — терефталевая
к-та) в случае надобности превращают в к-ту или
ее производные. 145 г C_6H_5COOK нагревают во вра-
щающемся автоклаве 6 час. при 400—403° (на-
чальное давление CO_2 40 ат, максим. давл. 102 ат,
время предварительного подогрева 3 часа). Полу-
ченный продукт, пахнущий бензолом, растворяют в
550 мл горячей воды, р-р фильтруют и подкисляют
разб. HCl , отсасывают к-ты и промывают их холод-
ной водой. Осадок кипятят с 550 мл воды, отделяют,
промывают кипящей водой и сушат 14 час. при 120°.
Получают 28 г (18,6%) I; выпадающую при охлаж-
дении водн. экстракта C_6H_5COOH используют по-
вторно. В аналогичных условиях, но с добавкой раз-
личных инертных в-в (указано кол-во добавки на
150 г C_6H_5COOH , т-ра р-ции и выход I в %) полу-
чают следующие результаты: 75 г K_2CO_3 , 450—455°,
26,4; 6 г Fe_2O_3 , 400°, 23,2; 10 г ZnO , 400°, 12,9; 15 г Zn ,
400°, 30,9; 15 г Pb , 400°, 40; 20 г C_6H_6 , 400°, 18.

Б. Фабричный

33463 П. Способ получения терефталевой кислоты.
Рекке (Verfahren zur Herstellung von Terephthal-
säure. Raescke Bernhard) [Henkel & Cie. G. m.
b. H.]. Пат. ФРГ 949738, 27.09.56 Доп. к пат. ФРГ
936036 (см. РЖХим, 1957, 69846).

Способ получения терефталевой к-ты (I) или ее
производных нагреванием дикалиевой соли фталевой
к-ты при т-ре > 340° в присутствии CO_2 , отличается
от способа, описанного в пат. 936036, тем что в ка-
честве исходного в-ва применяют смесь фталевого
ангидрида с K_2CO_3 ; смесь может содержать инертные
в-ва (песок, металлич. порошок, металлич. стружки,
 KCl , K_2SO_4 , Na_2CO_3). В автоклав, футерованный

сталью V-4A (емк. 1 л) помещают смесь 148 г фталевого ангидрида с 140 г безводн. K_2CO_3 , затем нагревают CO_2 до давл. 50 ат. Автоклав нагревают 6 час. при 400°, наибольшее давление составляет 195 ат. После охлаждения твердый продукт р-ции экстрагируют горячей водой. Фильтраты нагревают до кипения и подкисляют разб. HCl . После охлаждения отсасывают осадок и экстрагируют его кипящей водой (2 раза по 300 мл). Остаток сушат 60 час. при 130°. Получают 105 г чистой I. Из маточных р-ров выделяют еще 3,5 г I, общий выход 65,4%. Из 5 г I получают 5,6 г диметилового эфира I, т. пл. 140—140,5°.

Б. Фабричный

33464 П. Способ получения сложных эфиров 3,4-диоксифенилалкановых кислот. Сумики, Тамура, Японск. пат. 9066, 14.12.55

Сложные эфиры 3,4-диоксифенилалкановых к-т общей ф-лы $3,4-(OH)_2C_6H_3CH_2(CH_2)_nCOOR$ (I) (R — алкил с 1—4 атомами C, $n = 2-8$) получают обработкой вератрола (II) полиангидридами или хлорангидридами полуэфиров дикарбоновых к-т, последующим восстановлением карбонильной группы, гидролизом ароматич. метоксильных групп и этерификацией карбоксильной группы. Адипиновую к-ту (III) несколько часов кипятят с избытком $(CH_3CO)_2O$, отгоняют в вакууме CH_3COOH и $(CH_3CO)_2O$ и по охлаждении кристаллизацией остатка из C_6H_6 выделяют полиангидрид III, т. пл. 64—69°. В р-р 10 г полиангидрида III и 9,3 г II в 60 мл тетрахлорэтана (IV) и 20 мл $C_6H_5NO_2$ при т-ре -10° в течение ~ 1 часа понемногу прибавляют 21 г безводн. $AlCl_3$, перемешивают 3 дня при $\leq 5^\circ$, разлагают смесью льда и HCl (к-ты) и отгоняют водяным паром, остаток растворяют в 10%-ном р-ре соды и подкислением HCl (к-той) выделяют 3 г 3,4-диметоксибензоилвалериановой к-ты (V), иглы, т. пл. 123°. Смесь 7 г V, 17 г амальгмированного Zn, 10 мл воды, 25 мл конц. HCl и 30 мл толуола кипятят 30 час., причем через каждые 5 час. прибавляют 6 мл конц. HCl , по охлаждении толуольный слой отделяют, водн. слой извлекают эфиром, смешивают толуольный и эфир. р-ры, промывают водой и отгонкой р-рителя выделяют 4,5 г 3,4-диметоксибензилкапроновой к-ты (VI), т. пл. 56—58°. Смесь 2 г VI, 25 мл H_2O , уд. в. 1,7, и 15 мл $(CH_3CO)_2O$ кипятят 30 мин. при 140°, по охлаждении разбавляют водой и извлекают эфиром, эфир. экстракт промывают р-ром $Na_2S_2O_3$ и водой и отгонкой эфира выделяют 1,6 г I (R — H, $n = 5$) (VII), т. пл. 106°. Смесь 3 г VII, 30 мл безводн. CH_3OH и 1,5 мл конц. H_2SO_4 кипятят 1,5 часа, избыток CH_3OH отгоняют в вакууме в токе CO_2 , остаток растворяют в эфире и эфир. р-р промывают небольшим кол-вом 1%-ного р-ра соды и водой, сушат Na_2SO_4 , отгоняют эфир и кристаллизацией остатка из смеси эфира с лигроином выделяют 2,7 г метилового эфира VII, иглы, т. пл. 66—67°. Аналогично получают n-пропиловый эфир VII, выход 75%, иглы, т. пл. 45,5—47,5°; изопропиловый эфир VII, выход 70%, т. пл. 30—32°; I (R — C_2H_5 , $n = 3$), т. пл. 43—45°; I (R — CH_3 , $n = 4$), т. пл. 38—40°. К р-ру 15 г II в 50 мл IV при $\leq 0^\circ$ и перемешивании понемногу прибавляют 27 г безводн. $AlCl_3$, затем по каплям приливают 19 г хлорангидрида моноэтилового эфира III (полученного из моноэтилового эфира III и $SOCl_2$), размешивают 4 часа при 0° и оставляют стоять 16 час. при 20°, разлагают смесью льда и конц. HCl (к-ты), отгоняют IV водяным паром, маслянистый остаток извлекают эфиром, экстракт промывают водой и отгоняют эфир. Содержащийся в остатке сложный эфир разлагают прибавлением 70 мл 10%-ного спирта. $NaOH$, разбавляют водой, отгоняют спирт, нейтрализуют HCl (к-той), очищают углем, фильтруют и подкислением до кис-

лой р-ции выделяют V, выход 85%. Аналогично получают 3,4-диметоксибензоилпропионовую к-ту, выход 92%, т. пл. 161—162°, и 3,4-диметоксибензоилмасляную к-ту, выход 87%, т. пл. 140—142°. I применяют в качестве антиоксидантов.

33465 П. Способ получения сложных эфиров. Бройх, Гофман, Лист (Verfahren zur Herstellung von Estern. Broich Franz, Hoffmann Gunthard, List Ferdinand) [Chemische Werke Huls A.-G.]. Пат. ФРГ 961620, 11.04.57

Непрерывное получение сложных эфиров низших алифатич. спиртов и высокоплывких ароматич. дикарбоновых к-т (терефталевой, изофталевой, изохлоромероновой и др.), нерастворимых или очень мало растворимых в этих спиртах, проводят в присутствии катализаторов этерификации (HCl , BF_3 и др.) в суспензии дикарбоновой к-ты в смеси спирта и катализатора при т-ре $\leq 60^\circ$ с таким расчетом, чтобы не доводить спирт. р-р до насыщения образующимся эфиром. Спирт. р-р, содержащий также воду и катализатор, непрерывно выводят из реактора, заменяя соответствующими кол-вами свежих спирта и катализатора. Спирт. р-р отделяют от частиц исходной к-ты фильтрованием, центрифугированием или декантацией, охлаждают, кристаллы эфира отфильтровывают, а маточный р-р после удаления воды и добавки нужного кол-ва катализатора вновь вводят в цикл. В аппарате с паровой рубашкой, нижним спуском, экстракционной гильзой из плотной стеклянной ткани и мешалкой, загружают CH_3OH (уровень которого поддерживают постоянным) и 200 вес. ч. сухой терефталевой к-ты. При перемешивании нагревают до 60° и пропускают слабый ток сухого HCl . Через 3 часа начинают непрерывно отводить CH_3OH со скоростью 400 вес. ч. в 1 час. Отходящий р-р охлаждают до 15° и выпавшие кристаллы отсасывают на нутч-филтре. Упариванием фильтрата получают дополнительное кол-во эфира, а маточный р-р обезвоживают и возвращают в цикл. В аппарат вводят каждый час 20 вес. ч. терефталевой к-ты. После 10 час. получают 225 вес. ч. (96%) чистого диметилтерефталата (т. пл. 141,5°). Аналогично получают диметилвые эфиры изохлоромероновой (т. пл. 162—163°) и хинолиновой (т. пл. 53—54°) к-т с очень хорошим выходом. Приведена технологич. схема.

Н. Дабагов

33466 П. Получение аминов и β -оксиминов. Такаги, Тосака [Мицубиси касэй когё кабусей кайся]. Японск. пат. 5171, 27.07.55

Бензальдегид и его алкоксимазещенные при нагревании с ароматич. α -аминокислотами дают β -оксимины и амины согласно схемам: $ArCHO + RR'(C_2H_5)_2COOR \rightarrow ArCH(OH)CH(NH_2)Ar + ArCH_2NH_2 + RR'CO + CO_2$ и $ArCHO + Ar'CH(NH_2)COOH \rightarrow ArCH(OH)CH(NH_2)Ar' + ArCH(OH)CH(NH_2)Ar' + ArCH_2NH_2 + Ar'CH_2NH_2 + ArCHO + CO_2$. 9 г фенилглицил (II) и 27 г пипероналя нагревают 1,5 часа при 145° подкисляют 150 мл 10%-ной HCl и отгоняют с паром C_6H_5CHO . Из остатка выпадает 8,4 г смеси 1,2-бис-(3,4-метилendioксибензил)-этанолamina с норэфедрином, т. пл. 123—140°. Из маточных р-ров после экстракции эфиром и разгонки в вакууме получают 1,2-бензиламина и 0,5 г пиперониламина. Из 5 г I и 20 мл бензальдегида аналогично получают 6,4 г д-фенилэтанолamina и 0,5 г бензиламина. Н. Швецов

33467 П. N,N'-Дипиклогексидимин 2,5-диметилбензохинона-1,4. Карсон (Quinonedimine derivatives. Carson John) [United States of America as represented by the Secretary of Agriculture]. Пат. США 2715636, 16.08.55 [Chem. Abstr., 1956, 50, № 11, 7859 e (англ.)]

50 г безводн. $C_6H_{11}NH_2$ и 15 г безводн. $(CH_3CO)_2O$ охлаждают до -10° , смешивают в атмосфере N_2 при

наружном охлаждении, выдерживают 24 часа при 5°, р-р упаривают в вакууме при $t_{\text{ре}} \leq 20^\circ$, добавляя 50 мл гексана, оставляют на ~16 час при -20° и фильтруют. Получают 11 г сырого N,N'-дициклогексил-2,5-диметил-2-оксис-5-циклогексен-1,4-диимина (I); еще 18 г этого продукта получают из фильтрата после охлаждения в течение нескольких дней смесью твердая CO_2 -ацетон. Бесцветные призмы, т. пл. $100-102^\circ$ (из гексана). 1 г I в 100 мл CH_3OH выдерживают 3 дня при 25° , охлаждают до -20° , фильтруют и получают 700 мг N,N'-дициклогексильдиимина 2,5-диметилбензохинона-1,4; желтые кристаллы с т. пл. $145,6-147^\circ \text{A}$ (в изооктане) 288 мр (ε 40,100), перегиб при 295-300 мр (ε 35,500), применим в качестве антиоксиданта. Б. Дяткин

33468 П. Получение D- или L-фенилаланина. Гейнел (Verfahren zur Herstellung von D- bzw. L-Phenylalanin. Geipel Hans). Пат. ГДР 13227, 15.05.57

N-ацетил-DL-фенилаланин (I) обрабатывают водн. или спирт. р-ром L (+)-трео-1-(n-нитрофенил)-2-аминопропандиола-1,3 (II). Выпадающую соль III (III — N-ацетил-L-фенилаланин) отделяют и разлагают. В 12,52 л воды при 90° растворяют 2,59 кг I и 2,252 кг II. Через 2 дня при $t_{\text{ре}} \sim 20^\circ$ отсасывают соль III и сушат ее на воздухе. Фильтрат подкисляют конц. HCl, через 3 дня отсасывают N-ацетил-D-фенилаланин (IV), промывают водой и сушат при 70° . Выход IV ~ 1,050 кг. Сухую соль III (2,4 кг) вносят в 6,3 л 1 н. HCl; через 3 дня отсасывают III, промывают водой и сушат при 70° . Выход III ~ 1,050 кг. Из маточных р-ров ацетильных производных прибавлением NH_3 можно выделить II. III или IV гидролизуют кипячением с р-ром 1,5 л 48%-ной HBr в 7 л воды в течение 2 час. Р-р упаривают в вакууме, оставшийся бромидат V (V — D-фенилаланин) или VI (VI — L-фенилаланин) растворяют в 10-кратном кол-ве CH_3OH , к р-ру прибавляют NH_3 до pH 6,8. Выпавший V или VI отсасывают и перекристаллизовывают. Выход V или VI 5,3 кг, т. пл. $259-261$ (не испр.). $[\alpha]_D^{20} +32^\circ$ или, соответственно, -32° (с = 2, вода). Подобное же разделение можно провести, применяя в качестве р-рителей $\text{C}_2\text{H}_5\text{OH}$ или $\text{C}_3\text{H}_7\text{OH}$. Б. Фабричный

33469 П. Получение N-монозамещенных 1-аминоинданов. Штанге, Фридрих, Аман (Verfahren zur Herstellung von N-monosubstituierten 1-Aminoindanen. Stange Karl, Friederich Herbert, Amann August) [Badische Anilin- and Soda-Fabrik A.-G.]. Пат. ФРГ 955497, 03.01.57

К р-ру первичного амина (напр., CH_3NH_2 , $\text{C}_2\text{H}_5\text{NH}_2$, $\text{iso-C}_3\text{H}_7\text{NH}_2$, $\text{C}_6\text{H}_5\text{NH}_2$, $\text{CH}_3\text{C}_6\text{H}_4\text{NH}_2$, $\text{C}_{10}\text{H}_7\text{NH}_2$, циклопентил- или циклогексиламин) прибавляют катализатор гидрирования, нагревают H_2 до 20-300 ат и при $30-200^\circ$ вводят инданон-1 (I) или р-р I в CH_3OH , $\text{C}_2\text{H}_5\text{OH}$ или циклогексане. Молярное отношение амин: I от 1:1 до 1:6. Процесс можно осуществлять непрерывно. 120 г $\text{C}_6\text{H}_5\text{CH}_2\text{CH}_2\text{NH}_2$, 30 г CH_3OH и 20 ч. скелетного Ni во вращающемся автоклаве обрабатывают при 40°H_2 (~100 ат), после чего вводят р-р 60 ч. I в 50 ч. CH_3OH , нагревают до 140° и поддерживают давл. H_2 150 ат до прекращения изменения давления. Катализатор отделяют, р-р подкисляют разб. HCl, хлоргидрат 1-N-β-фенилэтиламиноиндана отфильтровывают, фильтрат извлекают эфиром. Водн. слой упаривают досуха при 12-18 мм рт. ст. и $50-60^\circ$. Остаток объединяют с отфильтрованным хлоргидратом и растворяют в воде. Р-р подщелачивают на холоду 30%-ным NaOH, извлекают эфиром, сушат K_2CO_3 и перегонкой на колонне выделяют 171 ч. (61%) 1-N-β-фенилэтиламиноиндана, т. кип. $182-186^\circ/1$ мм. При одновременной загрузке реагентов и последующем гидрировании выход 30%. Из

102 ч. β-диметиламинопропиламина, 30 ч. CH_3OH и 20 ч. скелетной Cu (давление H_2 100 ат 40°) введением 60 ч. I в 50 ч. CH_3OH и гидрированием при 140° и 150 ат H_2 получают 74 ч. (72,5%) 1-N-β-диметиламинопропиламиноиндана, т. кип. $132-135^\circ/0,8$ мм, в присутствии скелетного Co, выход 74,5%. Из 50 ч. этаноламина, 30 ч. CH_3OH и 20 ч. скелетной Cu (давление H_2 100 ат, 40°) и р-ра 52 ч. I в 40 ч. CH_3OH гидрированием при 150 ат и 150° получают 44 ч. 1-N-β-оксипропиламиноиндана, т. кип. $143-146^\circ/1,5$ мм, выход 61,5%. Замещ. 1-аминоинданы являются полупродуктами для синтеза лекарственных в-в. В. Красева

33470 П. Получение изоцианатов. Бомер, Мотт, Пфиршке, Вольтан (Production of isocyanates. Bohme Otto, Mott Friedrich, Pffirsche Johannes, Wolltham Heinz) [Farbenfabriken Bayer A.-G.]. Канадск. пат. 516296, 6.09.55

Ароматический амин непрерывно суспендируют в инертном р-рителе, в проточной системе обрабатывают SOCl_2 при $t_{\text{ре}}$ от 0 до 10° и, пропуская снизу вверх в вертикальную или наклонную колонну, нагревают до $100-175^\circ$. От полученной смеси в следующей колонне отдувают инертным газом избыточный SOCl_2 и выделяют изоцианат. Приведена технологич. схема.

33471 П. Метод получения n-нитрофенилалкил-(или аралкил)-кетонов. Сугимото, Ивао, Какуэми [Танаба сэйяку кабусики кайся]. Японск. пат. 1482, 20.03.54

n-Нитрофенилалкил-(или аралкил)-кетоны (I) получают из n-аминофенилалкил-(или аралкил)-кетонов (II) диазотированием их и последующим разложением диазониевой соли азотистой к-той в присутствии солей или окислов тяжелых металлов. 10 г II растворяют в смеси 20,6 г 77%-ной HNO_3 и 100 мл воды, прибавляют р-р 14,2 г NaNO_2 в 30 мл воды при $t_{\text{ре}} < 5^\circ$. Полученный р-р диазониевой соли по каплям прибавляют в р-р CuNO_2 , приготовленный из р-ра 18 г CuSO_4 в 60 мл воды добавлением 18 г Na_2SO_4 и 24 г NaNO_2 ; после разложения диазониевой соли выделяют кристаллич. I. Из 10 г соответствующих II были получены: n-нитрофенилэтилкетон 5,6 г, т. пл. 90° ; n-нитрофенил-n-пропилкетон 4,5 г, т. пл. 66° ; n-нитрофенил-n-бутилкетон 3,6 г, т. пл. 31° ; n-нитрофенил-n-амилкетон 3,4 г, т. пл. 43° ; n-нитробензофенон 4,2 г, т. пл. 136° . В. Каратаев

33472 П. Получение N-(β-феноксипропил)-N-бензилэтиламина. Сугимото, Сигэмацу [Танаба сэйяку кабусики кайся]. Японск. пат. 7884, 28.10.55

Феноксиацетон (I) обрабатывают моноэтаноломином, полученный имин $\text{C}_6\text{H}_5\text{OCH}_2\text{C}(\text{CH}_3)=\text{NCH}_2\text{CH}_2\text{OH}$ нагревают с $\text{C}_6\text{H}_5\text{CH}_2\text{Cl}$, четвертичную соль (II) восстанавливают над PtO_2 или скелетным Ni, получают N-(β-феноксипропил)-N-бензилэтиламин (III). 15 г I и 6,1 г $\text{NH}_2\text{CH}_2\text{CH}_2\text{OH}$ нагревают 1 час при 100° , добавляют воды, экстрагируют C_6H_6 и остаток после отгонки C_6H_6 нагревают с 12,6 г $\text{C}_6\text{H}_5\text{CH}_2\text{Cl}$ 2 часа при 100° . Получают II, т. пл. $76-80^\circ$. Р-р II в 200 мл безводн. спирта после обесцвечивания с гидрируют над 0,3 г PtO_2 при повышенном давлении и подщелачивают NaOH. Получают III, выход 71,5%. т. кип. $190-195^\circ/3$ мм. Н. Швецов

33473 П. Получение резазурина. Раст, Эффенбергер, Зицман (Verfahren zur Herstellung von Resazurin. Rast Karl, Effenberger Heinz, Sizmann Rudolf) [Farbenfabriken Bayer A.-G.]. Пат. ФРГ 961829, 11.04.57

Резазурин (I) получают окислением резорцина при $t_{\text{ре}}$ от -5 до $+5^\circ$ в р-рителях (кетоны) 40-50%-ной HNO_3 , насыщ. нитрозными газами, а затем

конц. HNO_3 для очистки переводят в шел. р-р, из которого добавлением насыщ. р-ра CH_3COONa выделяют кристаллич. Na -соль I. К охлажд. до -15° р-ру 250 г резорцина в 4,5 л $\text{CH}_3\text{COC}_2\text{H}_5$ при t -ре $\leq 0^\circ$ постепенно прибавляют 60 мл HNO_3 насыщ. нитрозными газами. Р-р оставляют на 24 часа при t -ре -10° . Затем при t -ре $\leq 0^\circ$ прибавляют 60 мл конц. HNO_3 и оставляют на 48 час. Кристаллы отфильтровывают, промывают $\text{CH}_3\text{COC}_2\text{H}_5$ и сушат на воздухе. Выход 60–80 г. I растворяют в конц. р-ре Na_2CO_3 и постепенно добавляют насыщ. р-р CH_3COONa . Выпавшие кристаллы Na -соли I промывают полунасыщ. р-ром Na_2CO_3 или NaCl . I является индикатором при анализе пищевых продуктов (проба на редуктазу).

В. Красева

33474 П. Метод получения 5-нитрофурфурилового эфира (5-нитрофурил-2)-акриловой кислоты. Уока, Такаи [Томияма кагаку когё кабусики кайся]. Японск. пат. 7874, 29.11.54

К 60 г $(\text{CH}_3\text{CO})_2\text{O}$ при -10° добавляют по каплям 17 г HNO_3 ($d = 1,51$) и р-р 10,9 г фурфурилового эфира (фурил-2)-акриловой к-ты в 30 г $(\text{CH}_3\text{CO})_2\text{O}$, размешивают 1,5 часа при -5° и реакционную массу выливают в ледяную воду. Масло растворяют в 15 г $\text{C}_6\text{H}_5\text{N}$, фильтруют и перекристаллизовывают из спирта; получают 7 г продукта с т. пл. $145\text{--}146^\circ$.

Г. Повх

33475 П. Метод получения эфира 2-метил-5-кетопирролидин-2-карбоновой кислоты. Судзуки, Такэиси [Санко кабусики кайся]. Японск. пат. 8281, 15.12.54

$\text{HOOC}(\text{CH}_3)(\text{NH}_2)\text{CH}_2\text{CH}_2\text{COOH}$ нагревают с одно-временной отгонкой воды 2 часа при $180\text{--}200^\circ$. Получают 2-метил-5-кетопирролидин-2-карбоновую к-ту (I), т. пл. $144\text{--}145^\circ$. 20 г I, 50 мл CH_3OH , 250 мл C_6H_6 и 1 мл конц. H_2SO_4 кипятят 20 час. с удалением воды. CH_3OH и C_6H_6 отгоняют, остаток растворяют в эфире и промывают р-ром NaHCO_3 . Перегонкой получают 80% метилового эфира I, т. кип. $105\text{--}110^\circ/0,5$ мм, т. пл. $53\text{--}54^\circ$. Аналогично получают другие эфиры I (указаны радикал и т. кип. $^\circ\text{C}/\text{мм}$): C_2H_5 , $126\text{--}130/0,5$; C_4H_9 , $143\text{--}144/0,7$; C_6H_{13} , $173\text{--}174/1$; $\text{C}_{12}\text{H}_{25}$, $198\text{--}199/0,5$; $\text{C}_6\text{H}_5\text{CH}_2$, $205\text{--}210/1$.

М. Кирмалова

33476 П. Получение N-ацильных производных индол-4-ацетальдегида. Плинингер (Verfahren zur Herstellung von N-Acylderivaten des Indol-4-acetaldehyds. Plieninger Hans) [Knoll A.-G. Chemische Fabriken]. Пат. ФРГ 955506, 3.01.57

1,4-дигидро-5-ацетиламинонафталин озонируют при t -ре от 0 до -60° в инертных р-рителях, озониды восстанавливают или гидролизуют в диальдегиды и последние (их ацетали или полуацетали) конденсируют в соответствующие индолы, в присутствии щавелевой, хлоруксусной или циануксусной к-ты. Р-р 10 г 1,4-дигидро-5-ацетиламинонафталина в 1500 мл CH_3OH обрабатывают при -50° 4%-ной смесью O_3 с O_2 до поглощения теоретич. кол-ва O_3 . Голубой р-р гидрируют над Pd/C , катализатор отделяют, CH_3OH отгоняют в вакууме, остаток кипятят 15 мин. со смесью 1 г HOOCCOOH в 50 мл 50%-ного CH_3OH , экстрагируют эфиром, экстракт промывают водой и р-ром Na_2CO_3 , сушат Na_2SO_4 и упаривают. Получают 8 г масла, которое превращают в семикарбазон, т. пл. 209° , выход $\sim 70\%$ на исходный амин. В других примерах в качестве р-рителя используют метилхлорид, в котором получаемый озонид нерастворим, или используют в качестве гидролизующего агента сернистую к-ту.

В. Красева

33477 П. N-Бензил-N-(пиридил-4)-N,N'-диметилэтилендиамин, N-бензил-N-(пиридил-4)-β-(пиридил-1)-этиламин или их производные. Ота, Като

Японск. пат. 3325, 9.06.54 [Chem. Abstrs., 1956, 50, № 2, 1090a (англ.)]

2,69 г хлоргидрата $\text{C}_6\text{H}_5\text{CH}_2\text{NHCH}_2\text{CH}_2\text{N}(\text{CH}_3)_2$ и 1,14 г 4-хлорпиридина нагревают в запаянной трубке 5 час. при 180° , выливают в разб. HCl , подщелачивают NaOH , экстрагируют эфиром и выделяют перегонкой 1,05 г $\text{C}_6\text{H}_5\text{CH}_2\text{N}(\text{R})\text{CH}_2\text{CH}_2\text{N}(\text{CH}_3)_2$ (I) (R-пиридил-4), т. кип. $176\text{--}180^\circ/15$ мм; т. пл. пикрата 172° . Аналогично получают I (R-2,6-диметилпиридил-4), т. кип. $174\text{--}178^\circ/5$ мм; дибромгидрат, т. пл. 216° . 2,6 г $\text{C}_6\text{H}_5\text{CH}_2\text{NHCH}_2\text{CH}_2\text{N}(\text{R}')_2$ (R' — пиперидил), 1,42 г 4-Cl-2,6-(CH_3) $_2\text{C}_5\text{H}_2\text{N}$ и 1,3 г NaI нагревают в запаянной трубке 5 час. при 170° , обрабатывают как указано выше и получают 1,53 г $\text{C}_6\text{H}_5\text{CH}_2\text{N}(\text{R}')\text{CH}_2\text{CH}_2\text{N}(\text{R}')_2$ (R' — 2,6-диметилпиридил-4), т. кип. $175\text{--}180^\circ/5$ мм; бромгидрат, т. пл. 216° .

М. Кирмалова

33478 П. Метод получения N-метилпиперидил-4-дифенилметана. Ямада, Томинага, Мидзугути [Танабэ сэйяку кабусики кайся]. Японск. пат. 7023, 27.10.54

1,8 г N-метилпиперидил-4-дифенилкарбинола в 10 мл 10%-ной H_2SO_4 нагревают 1 час на водяной бане. Продукт выливают на смесь льда и K_2CO_3 , экстрагируют C_6H_6 и перегоняют. Получают 1,2 г N-метилпиперидил-4-дифенилметана, т. кип. $163\text{--}168^\circ/2$ мм.

Г. Повх

33479 П. Получение 2,4-диаминохиноазолина. Скрауп (Verfahren zur Herstellung von 2,4-Diaminochinazolin. Skraup Siegfried). Пат. ФРГ 958197, 14.02.57

1 ч. хиноазолина, 1 ч. NaNH_2 и 15 ч. диметиланилина нагревают 8 час. при $110\text{--}135^\circ$, после охлаждения отфильтровывают осадок, промывают его C_6H_6 и выливают в ледяную воду. Получают 1 ч. осадка, который после кристаллизации из воды или CH_3OH является чистым 2,4-диаминохиноазолином. Б. Фабричный

33480 П. 1,4-дигидразинофалазин. Фудзии, Сато [Танабэ сэйяку кабусики кайся]. Японск. пат. 6725, 20.10.54

6 ч. 2,3-дигидро-1,4-фалазиндинтиона и 20 ч. $\text{N}_2\text{H}_4 \cdot \text{H}_2\text{O}$ нагревают 4 час. при $120\text{--}135^\circ$, охлаждают и продукт отфильтровывают. Перекристаллизацией из $\text{C}_2\text{H}_5\text{OH}$ подкисленного HCl получают 5,3 ч. хлоргидрата 1,4-дигидразинофалазина, иглы с т. пл. 257° (разл.).

Г. Повх

33481 П. 2-Диалкиламино-5,5-дифенилимидазолин-4-Кейн (2-disubstitutedamino-5,5-diphenyl-4(5)-imidazolone compounds. Cain Cornelius K) Пат. США 2715633, 16.08.55 [Chem. Abstrs., 1956, 50, № 12, 8744b (англ.)]

Соединения общей ф-лы $\text{NHC}(\text{NRR}')=\text{NC}(\text{O})\text{C}$

(C_6H_5) $_2$ (I), где R и (или) R' — CH_3 , C_2H_5 , $\text{HO}(\text{CH}_2)_2$, C_6H_5 и $\text{C}_6\text{H}_5\text{CH}_2$, получают из 2-алкилоаналогов I и соответственно вторичных аминов. 5 г $\text{NHC}(\text{SCH}_3)=$

$=\text{NC}(\text{O})\text{C}(\text{C}_6\text{H}_5)_2$, 10 мл $(\text{C}_2\text{H}_5)_2\text{NH}$ и 50 мл изо- $\text{C}_4\text{H}_9\text{OH}$

нагревают 12 час. в запаянной ампуле до $170\text{--}180^\circ$, охлаждают, кристаллич. продукт отфильтровывают, промывают ацетоном, фильтрат и промывную жидкость упаривают досуха и все кристаллич. в-во перекристаллизовывают из CH_3OH . Получают 2-диэтиламино-5,5-дифенил-2-имидазолин-4, т. пл. $277\text{--}278^\circ$. Аналогично получают I (приводятся NRR'), $\text{N}(\text{CH}_3)_2$, т. пл. $356\text{--}357^\circ$, $\text{N}(\text{C}_2\text{H}_5)_2$, т. пл. $251\text{--}252^\circ$, $\text{N}(\text{CH}_2\text{C}_6\text{H}_5)_2$, т. пл. $233\text{--}235^\circ$, $\text{N}(\text{C}_6\text{H}_5)_2$, т. пл. $295,5\text{--}296^\circ$; $\text{N}(\text{CH}_3)\text{C}_6\text{H}_5$, т. пл. $306,5^\circ$.

Б. Даткин

33482 П. Способ получения дигидразинодiazинпроизводных. Цервек, Кунце (Verfahren zur Herstellung von Dihydrazinodiazinderivaten. Zerweck

Werner, Kunze Wilhelm [Cassella Farbwerke Mainkur A.-G.]. Пат. ФРГ 952810, 22.11.56
Соединения общей ф-лы I (R — ароматич. или гетероцикл. кольцо) образуются при р-ции соответствующих

вующих 1-амино-3-иминоиндолининов (II) — $\text{CC}(\text{NH}_2)=\text{NC}(=\text{NH})\text{C}-$ в форме их солей (особенно нитратов) с ≥ 3 молями гидразингидрата (III) при т-ре не выше 100°. Соли II можно не выделять, а сразу



мо после получения вводить в р-цию с III; применяют р-тител, не реагирующие с III. Так же можно, исходя из дикарбоновых к-т или их ангидридов, получать I без выделения промежуточных соединений: имидов или II. 20,8 ч. нитрата 1-амино-3-иминоиндолинина вносят при 20° в 40 ч. 80%-ного III в течение 30 мин., нагревают смесь до 95° в течение 1 часа и перемешивают 3 часа при этой т-ре, кристаллы отсасывают, промывают небольшим кол-вом холодной воды, кристаллизуют из воды, получают 10,9 ч. 1,4-дигидразинофталазина (IV); аналогично, из 21 ч. нитрата 1-амино-3-имино-4-азаиндолинина получают 1,4-дигидразино-5-азафталазин. 15 ч. фталымиды обрабатывают смесью 17,5 ч. H_2NCONH_2 , 9 ч. NH_4NO_3 и 0,05 ч. молибдата аммония в 50 ч. $\text{Cl}_3\text{C}_6\text{H}_3$, нагревают 10 час. при 170°, удаляют в-во, возогнавшееся в холодильник, при 50° добавляют 30 ч. 80%-ного III в течение 1 часа, перемешивают 1 час при 70° и 3 часа при 95°, фильтруют, в-во на фильтре промывают C_6H_6 и CH_3OH , кристаллизуют из воды, получают 10,1 ч. IV. 15 ч. ангидрида фталевой к-ты обрабатывают смесью 30 ч. H_2NCONH_2 , 16 ч. NH_4NO_3 и 0,1 ч. молибдата аммония в 40 ч. $\text{Cl}_3\text{C}_6\text{H}_3$, перемешивают 1 час при 140°, 1 час при 150°, 1 час при 160° и 16 час. при 170°, охлаждают до 50° и далее обрабатывают, как в предыдущем опыте, получают 9,5 ч. IV.

Г. Швехгеймер

33483 II. Получение N,N'-диэтанолпиперазина. Гюндель, Линден (Verfahren zur Herstellung von N,N'-Diäthanol-piperazin. Gündel Wolfgang, Linden Heinz) [Henkel & Cie. G. m. b. H.]. Пат. ФРГ 941909, 19.04.56

Доп. к пат. ФРГ 917784 (РЖХим, 1956, 26793). Способ получения N,N'-диэтанолпиперазина, отличающийся от описанного в пат. 917784 тем, что процесс ведут при повышенном давлении, желательно в атмосфере инертного газа (N_2 , H_2) и 150—270° (лучше 220—250°), что позволяет значительно сократить время р-ции и повысить выход (> 80%). Смесью 1050 ч. диэтанолamina и 30 ч. CH_3COOH после нагнетания H_2 до давл. 10 атм нагревают 8 час. при 230—235°. Получают светло-желтую, кристаллизующуюся при охлаждении массу, содержащую 720 ч. N,N'-диэтанолпиперазина, который выделяют согласно пат. 917784. Чистое в-во имеет т. пл. 133°.

Б. Фабричный

33484 II. Получение производных 3,5-диоксопипразолидина. Такайнаги, Фудзиси [Сумимото какаку когё кабусики кайся]. Японск. пат. 3226, 14.5.55

Из замещенных кетенов $\text{R}'\text{C}(\text{COOR})=\text{C}=\text{O}$ (I) или соответствующих дикетенов (Ia), где R' — алкильный, алкенильный, ароматич., алицикл. или аминоалкильный остаток, а R — алкил, при нагревании в C_6H_6 , $\text{CH}_3\text{C}_6\text{H}_5$ или ксилоле с диарилгидразинами $\text{R}''\text{C}_6\text{H}_4\text{NHNHC}_6\text{H}_4\text{R}'''$ (II), где R'' и R''' — H, CH_3 , CH_3O , $\text{C}_2\text{H}_5\text{O}$, галогид получают производные 3,5-дикетопипразолидина. 14 ч. I, R = R' = C_2H_5 , нагревают с 18,5 ч. гидразобензола (III) и 4,6 ч. Na в 100 ч.

$\text{C}_6\text{H}_5\text{CH}_3$ 10 час. при 110°, добавляют 200 ч. воды и из водн. слоя после подкисления HCl-к-той до pH 3 получают 20 ч. 1,2-дифенил-3,5-дикето-4-этилпипразолидина (IV), т. пл. 107°. Из 10 ч. Ia, R = R' = C_2H_5 , и 14 ч. III в тех же условиях получают 15 ч. IV. Из 17 ч. Ia, R = C_2H_5 , R' = C_4H_9 (V), т. кип. 159—161°/11 мм, и 18,5 ч. III с 4,6 ч. Na в 100 ч. $\text{C}_6\text{H}_5\text{CH}_3$ аналогично получают 22 ч. 1,2-дифенил-3,5-дикето-4-н-бутилпипразолидина, т. пл. 105°. В результате 10-часового нагревания 17 ч. I, R = C_2H_5 , R' = $\text{n-C}_4\text{H}_9$ с 24,4 ч. II, R'' и R''' = n-OCH_3 , и 4,6 ч. Na в 100 ч. $\text{C}_6\text{H}_5\text{CH}_3$ до 110°, после той же обработки получают 26 ч. 1,2-ди-(n-метоксифенил)-3,5-дикето-4-н-бутилпипразолидина, т. пл. 198°. Из 17 ч. V и 22,8 ч. II, R'' = H, R''' = $\text{n-OC}_2\text{H}_5$, так же получают 25 ч. 1-(n-этоксифенил)-2-фенил-3,5-дикето-4-н-бутилпипразолидина, т. пл. 81°. Из 15,4 ч. Ia, R = C_2H_5 , R' = $\text{CH}_2=\text{CH}-\text{CH}_2$ и 18,5 ч. III получают 18 ч. 1,2-дифенил-3,5-дикето-4-аллилпипразолидина, т. пл. 135°. 19 ч. Ia, R = C_2H_5 , R' = C_6H_5 , и 18,4 ч. III дают 23 ч. 1,2,4-трифенил-3,5-дикетопипразолидина, т. пл. 179°. Из 19,6 ч. Ia, R = C_2H_5 , R' = циклогексил и 18,4 ч. III в тех же условиях получают 23 ч. 1,2-дифенил-3,5-дикето-4-циклогексилпипразолидина, т. пл. 176—177°, а из 18,5 ч. Ia, R = C_2H_5 , R' = $(\text{CH}_3)_2\text{NCH}_2-\text{CH}_2-$, и 18,4 ч. III — 18 ч. 1,2-дифенил-3,5-дикето-4-диметиламиноэтилпипразолидина, т. пл. 257—258°.

Н. Швецов

33485 II. Получение четвертичных аммониевых соединений. Плётц (Verfahren zur Herstellung quaritärer Ammoniumverbindungen. Plötz Ernst) [Badische Anilin- und Soda-Fabrik A.-G.]. Пат. ФРГ 962796, 25.04.57

1,3,5-гексагидротриазины общей ф-лы (R)(R')N-

$(\text{CH}_2)_n\text{NCH}_2\text{N}(\text{CH}_2)_n\text{N}(\text{R}')(\text{R})\text{CH}_2\text{N}(\text{CH}_2)_n\text{N}(\text{R})$ (R) CH_2 (n = 2 или 3, R и R' — низший алкил, один из них может являться арилом; R и R' вместе с атомом N могут образовывать остаток алкенилимина) обрабатывают галоидангидридами жирных к-т (масляной, лауриновой, миристиновой, олеиновой или стеариновой). Р-цию проводят в отсутствие воды при охлаждении или в среде низкокипящих р-рителей (ацетон, CHCl_3 , C_6H_6 , диметилформамид, N-метилпиперидон или бутиролактон). Исходные триазины получают, напр. р-цией CH_2O с N-метил-N-этил, NN-дибутил-, N-метил-N-фенилэтилендиамин, 2-пирролидино- или 2-гексаметиленминоэтиламином или с соответствующими производными пропиламина. Р-р 70 ч. N,N',N''-трис-(пирролидинопропил)-гексагидротриазина-1,3,5 в 18 ч. CHCl_3 при 60—70° постепенно смешивают с р-ром 140 ч. хлорангидрида стеариновой к-ты (I) в 35 ч. CHCl_3 . Реакционная смесь затвердевает при охлаждении. Полученный продукт ф-лы

$[\text{CH}_2(\text{CH}_2)_3\text{NCH}_2\text{N}(\text{OCR})\text{CH}_2\text{CH}_2\text{CH}_2\text{Cl}]_n$, где R — стеарил, растворим в воде. R перемешиваемому р-ру 88 ч. N,N',N''-трис-(диметиламиноэтил)-гексагидротриазина-1,3,5 в 25 ч. CCl_4 при 50—60° постепенно прибавляют р-р 270 ч. технич. I в 60 ч. CCl_4 . С колич. выходом получают водорастворимый продукт ф-лы $[\text{RCO}-$

$\text{NCH}_2\text{CH}_2\text{N}^+(\text{CH}_3)_2\text{CH}_2\text{Cl}]_n$ (R — стеарил). В. Красева

33486 II. Способ получения циклических дисульфидов. Дейвис (Process of making cyclic monomeric disulfides. Davis Franklin O.) [Thiokol Chemical Corp.]. Пат. США 2715635, 16.08.55

Мономерные дисульфиды общей ф-лы $\text{S}(\text{CH}_2)_n-$

$\text{Z}(\text{CH}_2)_n\text{S}$ (I), где Z — O, S, $-\text{OCH}_2\text{O}$, $-\text{SCH}_2\text{S}-$, $-\text{OC}_2\text{H}_4\text{O}-$, $-\text{SC}_2\text{H}_4\text{S}-$ и $-\text{CH}_2-$, а n = 1—3, получают перегонкой с паром диспергированных в воде

полимерных полиалкиленполисульфидов, имеющих повторяющиеся звенья типа $-S(CH_2)_nZ(CH_2)_nS-$ в присутствии гидроокисей щел. и щел.-зем. металлов с последующим выделением I из дистиллата. В. Шведов 33487 П. Метод получения гидразинтиазола и его производных. Мацукава, Бан [Такэда якухин корё кабусики кайся]. Японск. пат. 8282, 15.12.54 [Chem. Abstrs, 1956, 50, № 19, 13999b (англ.)]

9,3 ч. $CH_3CONHNHCSNH_2$ (I) в 200 ч. спирта и 14 ч. $C_6H_5COCH_2Br$ перемешивают и нагревают на водяной бане. Получают 20,4 ч. бромгидрата 2-(2-ацетилгидразино)-4-фенилтиазола (II), т. пл. 230—232° (разл.), из которого при действии NH_4OH выделяют свободное основание (III), листочки, т. пл. 202°, т-ра плавления пикрата 195° (разл.). 5 ч. III и 50 ч. 10%-ной HCl короткое время нагревают, упаривают досуха и остаток подщелачивают NH_4OH , получают 3,1 ч. 2-гидразино-4-метилтиазола (IV), т. пл. 165°. 4,5 ч. I и 8,2 ч. $n-O_2NC_6H_4COCH_2Br$ в 150 ч. спирта дает 9,1 ч. 2-(2-ацетилгидразино)-4-(*n*-нитрофенил)-тиазол (V), иглы, т. пл. 230—250° (разл.). 5 ч. V, 100 ч. 10%-ной HCl и 50 ч. воды кипятят 30 мин., подщелачивают и получают 3,2 ч. 2-гидразино-4-(*n*-нитрофенил)-тиазола, т. пл. 220—222° (разл.). Из 6,7 ч. I в 100 ч. спирта и 6,7 ч. CH_3COCH_2Br образуется бромгидрат 2-(2-ацетилгидразино)-4-метилтиазола, свободное основание, т. пл. 215—217°, гидролизует 10%-ной HCl в 2-гидразино-4-метилтиазол, листочки, т. пл. 102°. Из 2,6 ч. I и 3,6 ч. CH_3COCH_2Br в 50 ч. спирта получают 2-(2-ацетилгидразино)-4-метил-5-(2-ацетоксиэтил)-тиазол, т. пл. 128—130°, который гидролизует 10%-ной HCl в 2-гидразино-4-метил-5-(2-оксиэтил)-тиазол; монопикрилат, т. пл. 220° (разл.). 6,7 ч. I и 8,2 ч. CH_3COCH_2Br в 50 ч. спирта дают 2-(2-ацетилгидразино)-4-метил-5-карботокситиазол, иглы, т. пл. 224°. Из 3,9 ч. $C_6H_5CONHNHCSNH_2$ и 4 ч. $C_6H_5COCH_2Br$ в 50 ч. спирта получают 2-(2-бензоилгидразино)-4-фенилтиазол, т. пл. 290°, который с 10%-ной HCl дает IV. При нагревании на вод. бане 6,6 ч. I, 13 ч. CH_3COCH_2Br и 120 ч. спирта с последующим нагреванием смеси с 10%-ной HCl образуется бромгидрат 2-гидразинтиазола; свободное основание неустойчиво, но при действии $CH_3COC_6H_5$ в водн. р-ре образуется 2-тиазолгидразон ацетофенона, т. пл. 152—154°.

М. Кирмалова

См. также: Материалы майского Пленума ЦК КПСС 31307, 31308. Олефины, отделение 32337. Карбоновые к-ты, выделение 33907. Монофторуксусная к-та 32557. Кремнийорганич. соединения 32538—32541, 32556. Алкилароматич. углеводороды, дезалкилирование 32347, диспропорционирование 32395. Винилтолуол, синтез 32563. 2,4-динитрохлорбензол, получение 32424. Фенол, сульфирование 32444. Трихлорфенолы, получение 33672. Антралиновая к-та, синтез 32429. Химия пиридина 32560. Меркаптобензотиазол 32565

ПРОМЫШЛЕННЫЙ СИНТЕЗ КРАСИТЕЛЕЙ

Редактор Н. А. Медзыховская

33488. Некоторые итоги и ближайшие задачи развития анилиноокрасочной промышленности СССР. Масанов Н. И., Хим. пром-сть, 1957, № 7, 403—410 Организация пром-сти, ее масштабы и ассортимент продукции. Новый ассортимент красителей, задачи для исследователей и в области новой технологии.

В. Уфимцев 33489. Азотсодержащий изолог индантрена оливково-зеленого В из ВЗ-азабензантрона. Ёкотэ, Кобаяси (Yokote Masao, Kobayashi Seino-uke), Korё какаку дзасси, J. Chem. Soc. Japan. Industr. Chem. Sec., 1955, 58, № 9, 677—678 (японск.)

Из ВЗ1-бромбензантрона (I) и 1-аминоантрахинона (II) синтезирован азотсодержащий изолог (III) индантрена оливково-зеленого В (IV) и исследованы свойства III. Смесь 0,25 г I (т. пл. 253°, испр.), 0,134 г II, 0,24 г безводн. Na-ацетата и 0,035 г безводн. $SnCl_4$ в 5,25 г $C_6H_5NO_2$ кипятят 12 час. на масляной бане разбавляют 5 мл спирта и после стояния 16 час. на холоду фильтруют, осадок обрабатывают кипящим спиртом, а затем кипящей лед. CH_3COOH для удаления растворимых примесей, кипятят с водой подкисленной HCl (к-той), фильтруют, сушат, обрабатывают 200-кратным кол-вом по весу кипящего $o-C_6H_4Cl_2$ и отделяют 0,072 г растворимых в-в от 0,144 г нерастворимого продукта конденсации (ПК). Смесь 0,144 г ПК, 8 г KOH, 6,4 г фенола и 1,6 г спирта кипятят 2 часа при 135—145°, прибавляют ~ 100 мл воды и кипятят 1 час, подкисляют HCl (к-той) и фильтруют, получают 0,142 г продукта циклизации, 0,050 г этого продукта очищают кипячением с 300-кратным кол-вом C_6H_5Cl и отфильтровывают 0,034 г III, сине-фиолетовый порошок, окрашивающий хлопковые волокна в зеленоватосиний цвет из куба по нормальному способу. Приведены кривые спектров поглощения в р-ре α -метилнафталина в области 4000—8000 Å (III, λ_{max} 6950 Å; IV, 7150 Å), спектров отражения (III, λ_{max} 493 мμ; IV, 520 мμ) и светопрозрачности по фотометру по 8-балльной шкале (III, 7—8; IV, 8).

С. Петрова 33490. Хлорзамещенные фталоцианины меди. Бонсё, Яги, Маруяма, Корё какаку дзасси, J. Chem. Soc. Japan. Industr. Chem. Sec., 1956, 59, № 1, 67—71 (японск.)

Хлорированием Cu-фталоцианина (I) в среде безводн. $AlCl_3$, фталевого ангидрида или $C_6H_5Cl_3$ или фталоцианиновой конденсацией по обычному способу с применением в качестве исходных продуктов 4-хлорили 4,5-дихлорфталевого ангидридов получают Cl-замещ. I. Определено содержание Cl, оттенок окраски и способность к кристаллизации под действием яскола полученных Cl-замещ. I. Содержание Cl в полученных Cl-замещ. I влияет на оттенок пигмента; продукт, полученный хлорированием в безводн. $AlCl_3$, окрашен в зеленый цвет.

С. Петрова 33491. Синтез красителей — производных третичных жирно-ароматических непредельных спиртов. Давкевич Б. Н., Смоланка И. В., Научн. зап. Угледорск. ун-т, 1957, 18, 3—10

Для получения аналогов трифенилметановых красителей синтезирован 1-(*n*-диметиламинофенил)-5-фенилпентадиен-1,4-он-3 (или *n*-диметиламинодобензальацетон) (I), его хлоргидрат и «кетохлорид», и на основе I получены два красителя: хлориды 1,3-ди-(*n*-диметиламинофенил)-5-фенилпентадиен-1,4-ола-3 (II) и 1-(*n*-диметиламинофенил)-3-(*n*-фениламинофенил)-5-фенилпентадиен-1,4-ола-3 (III). I при действии HCl-газа образует сине-зеленую соль, которой можно приписать хиноидное строение, тотчас же при действии воды гидролизующуюся с образованием исходного I. II и III фиксируются на хлопчатобумажной ткани с образованием сине-фиолетовых и серо-синих окрасок, которые обесцвечиваются при действии минер. к-т; в воздухе окрашенная ткань сохраняет свою окраску без изменения в течение ≥ 1 месяца. К р-ру 10 г *n*-диметиламинобензальацетона (IV) и 5,6 г C_6H_5CHO в 70 мл спирта прибавляют 6 капель конц. р-ра NaOH, нагревают 20 мин. при 80—85° (при перегреве образуется смола) и выделяют I, выход 85,5%, ярко-красный, т. пл. 155° (из сп.); окрашивает хлопчатобумажную ткань в оранжевый цвет. Р-р I и I в 18 мл сухого дихлорэтана (V) разбавляют равным объемом абс. эфира, пропускают сухой HCl-газ, отфильтровывают и промывают абс. эфиром и сушат в вакууме при H_2SO_4 сине-зеленый хлорид I. К р-ру I и I в 10 мл V

итрахинона
г (III) ис-
следованиям
пр.), 0,134 г
водн. CuCl_2
16 час. на
кипящем
для удале-
ной подкис-
рабатывают
 H_2Cl_2 и от-
нераствори-
0,144 г ПК,
ляют 2 часа
и кипятят
получают
продукт
ом $\text{C}_6\text{H}_5\text{Cl}$ и
новый поро-
зеленовато-
бу. Прием-
а-метил-
анс 6950 А;
анс 493 мг;
ометр по
С. Петрова
еди. Бон-
и, J. Chem.
и, 1, 67-71

среде бен-
или фта-
способу
тов 4-хлор-
тают Cl -ат-
ок окраски
ствием Cl -
в полу-
мента; про-
оди. AlCl_3
С. Петрова
третичных
тов. Дан-
н. зап. Ум-

вых крас-
енил)-5-фе-
дибензаль-
на осно-
3-ди-(п-де-
-3 (II) и
иофенил)-5-
ствии HCl -
можно при
действи
исходного I
ой ткани с
их окраски
тер. к-т; на
ю окраску
р-ру 10 г
г $\text{C}_6\text{H}_5\text{CHO}$
р-ра NaOH
реве обра-
ярко-крас-
красотобум-
мл сухого
емом абс.
гровывают
куме на
в 10 мл V

медленно прибавляют 0,55 г SOCl_2 и разбавлением двойным кол-вом абс. эфира выделяют темно-синий кетохлорид I, выход 92%. К смеси 10 г I и 35 г диметиланилина при перемешивании прибавляют 11,1 г POCl_3 нагревают 8 час. при 100°, нейтрализуют 18 г CaCO_3 и разбавляют 50 мл воды, диметиланилин и побочные продукты извлекают эфиром, затем II извлекают CHCl_3 и после частичной отгонки р-рителя разбавлением эфиром выделяют II, выход 20,5%, т. пл. 92,5°. К р-ру 2,5 г I и 1,7 г дифениламина в 40 мл V при перемешивании прибавляют 1,5 г POCl_3 в 15 мл V, нагревают 90 мин. при 90°, по охлаждению выливают в 50 мл воды, органич. слой промывают водой, удаляют V, остаток растворяют в CHCl_3 и разбавлением эфиром выделяют III, выход 52,5%, т. пл. 85°.

В. Уфимцев

33492. О синтезе субстантивных красителей бихинолинового ряда. Голдырев Л. Н., Ж. общ. химии, 1957, 27, № 10, 2837-2840

Разработан путь синтеза бихинолиновых красителей (А. Е. Порай-Кошиц, А. И. Куликов, Ж. общ. химии, 1938, 8, 124) превращением производных 4,4'-диаминодифенила или 4,4'-диаминодифенилметана при р-ции с ацетилацетоном и циклизации в соответствующие бихинолины (по р-ции Комба — Тернера), последующим сплавлением бихинолинов с фталевым ангидридом с образованием бихинофталенов и сульфированием последних с образованием красителей. 2,2',4,4'-тетраметил-(I) и 2,2',4,4',8,8'-гексаметил (II)-бихинолины получают по этому методу со значительно большими выходами, чем по р-ции Бейера. Анил, полученный из о-дианизидина, не циклизуется под действием H_2SO_4 . Окраска и субстантивность красителей, полученных из бихинолиновых производных, содержащих метиленовую группу, разделяющую хинолиновые кольца, понижаются. 0,05 моля бензидина и 0,11 моля ацетилацетона кипятят 2 часа на водяной бане, массу промывают разб. CH_3COOH (1:30) для удаления исходных в-в, остаток сушат при 105° и кристаллизуют из спирта, выход анила 96%. Аналогично получены анилы из следующих диаминов (в скобках указаны выходы в %): о-толидин (95), о-дианизидин (68,5), 4,4'-диаминодифенилметан (74,4, масло), 4,4'-диаминодитоллилметан (90, т. пл. 108°), 0,04 моля анила, полученного из бензидина, растворяют в 0,96 молях конц. H_2SO_4 и нагревают 1 час при 100°, выливают в воду, подщелачивают, осадок отфильтровывают, сушат и кристаллизуют из пиридина или спирта 2,2',4,4'-тетраметилбихинолин, выход 90%, т. пл. 231°. Аналогично получают (указаны выходы в % и т-ры плавления в °C): 2,2',4,4',8,8'-гексаметилбихинолин, 95, 242; 2,2',4,4'-тетраметилбихинолил-6,6'-метан, 93, 148; 2,2',4,4',8,8'-гексаметилбихинолил-6,6'-метан, 90, 142.

В. Уфимцев

33493 К. Основные процессы синтеза красителей.

Фирц-Давид Г. Э., Бланже Л. Перев. с нем. М., Изд-во ин. лит., 1957, 382 стр., илл., 28 р. 25 к.

33494 К. Применение кубовых красителей. Перев. с англ. М. Гизлепро, 1957, 356 стр., илл., 12 р. 75 к.

33495 П. Красители, их получение и применение (Nouveaux colorants, leur preparation et leur emploi) [Ciba (Soc. An.)]. Франц. пат. 1115827, 30.04.56

Моноазокрасители пиразолонового ряда получают введением в сульфамидную группу исходного пиразолонового моноазокрасителя ацильного остатка, напр., р-цией сульфамидной группы общей ф-лы SO_2NHX ($\text{X}=\text{H}$ или углеводородный остаток) с ангидридом или галоидангидридом алифатич. к-ты или β -или преимущественно α -галоидкарбоновой к-ты (β -или α -хлоркарбоновой к-ты). В частности, патентуются: а) моноазокрасители

общей ф-лы $\text{X}-\text{R}-\text{N}=\text{N}-\text{C}=\text{C}(\text{OH})-\text{N}(-\text{R}'\text{X})-\text{N}=\text{C}-\text{CH}_3$ (R и R' — бензольные остатки; один

$\text{X}=\text{H}$, другой $\text{X}=\text{SO}_2\text{NH}_2$); б) проведение р-ции в водн. среде с избытком ацилирующего реагента, напр. ClCH_2COCl . Полученные красители пригодны для крашения и печати N -содержащих природных и синтетич. материалов, напр. волокон шелка, шерсти, кожи и суперполиамидных- и суперполиуретановых изделий. В 200 вес. ч. диоксана растворяют 39,2 вес. ч. красителя м-аминобензолсульфамид (I) \rightarrow 1-(2'-хлорфенил)-3-метилпиразолон-5 (II) с прибавлением 50 объемн. ч. 30%-ного р-ра NaOH , охлаждают до 5° и в течение 30 мин. приливают р-р 22,6 вес. ч. ClCH_2COCl в 50 вес. ч. диоксана, поддерживая прибавлением CH_3COOH pH 5-6, выливают в 500 вес. ч. воды, нагревают до 50° и высаливают р-ром 100 вес. ч. NaCl , отфильтровывают и промывают 10%-ным р-ром NaCl краситель м-аминобензол-N-(хлорацетил)-сульфамид \rightarrow II, окрашивающий в чистый желтый цвет стойкий к свету, мытью и валке. Аналогичные красители получают из следующих моноазокрасителей: I \rightarrow 1-фенил-3-метилпиразолон-5 (III), 4-аминотолуол-2-сульфамид (IV) \rightarrow III, IV \rightarrow II, 2-аминоанизол-4-сульфамид \rightarrow II, анилин \rightarrow 1-(2'-хлорфенил-5'-сульфамид)-3-метилпиразолон-5. Приведены примеры аналогичной обработки ClCH_2COCl красителя анилин \rightarrow 2-нафтиламин-6-сульфамид и крашения волокон шерсти красителем I \rightarrow II.

В. Уфимцев

33496 П. Нерастворимые в воде дисазокрасители.

Вейгеле, Хусс (Disazo-dyestuffs insoluble in water. Weigle Beinholt, Huss Richard) [Farbwerke Hoechst Aktiengesellschaft vormals Meister Lucius and Brünig]. Пат. США, 2739146, 20.03.56

Патентуются нерастворимые в воде дисазокрасители общей ф-лы (I) (R — метил или этил), являющиеся пигментами, которые, благодаря высокой красящей силе, хорошей прочности к р-рителям и свету и прозрачности, особенно пригодны для окраски пластич.



масс, полиграфич. лаков, обоев и бумаги. Суспензию 50,6 вес. ч. 4,4'-диамин-3,3'-дихлордифенила в 600 объемн. ч. воды и 250 объемн. ч. 5 н. HCl бисдиазотируют при 0° 52,5 объемн. ч. 40%-ного р-ра NaNO_2 , диазобро-ст-вор фильтруют и при 30-33° приливают при перемешивании к уксуснокислой суспензии 115 вес. ч. 1-ацетонацетиламино-4-хлор-2,5-диметоксибензола при pH 5,5-4,5. По окончании сочетания суспензию нагревают острым паром до кипения и отделяют I ($\text{R}=\text{CH}_3$, красновато-желтый порошок). Аналогично при применении в качестве азосоставляющей 126 вес. ч. 1-ацетонацетиламино-4-хлор-2,5-диметоксибензола получают I ($\text{R}=\text{этил}$).

В. Уфимцев

33497 П. Способ получения металлсодержащих красителей. Риа, Вебер (Verfahren zur Herstellung neuer metallhaltiger Azofarbstoffe. Riat Henri, Weber Oscar) [CIBA A.-G.]. Пат. ФРГ 946647, 2.08.56

Металлсодержащие азокрасители получают обработкой дисазокрасителей общей ф-лы (I) (R — окси-, карбокси- или карбометоксигруппа или остаток $\text{OSO}_2\text{OR}'''$; R''' — катион; R' и R'' — остаток нафтолмо-нос-сульфокислоты, связанный с азогруппой в орто-положении к оксигруппе, причем каждый из остатков R' и R'' содержит заместители общей ф-лы $\text{NH}-\text{X}-\text{OSO}_2\text{OR}'''$, X — алкил, напр., $\text{NH}-\text{CH}_2\text{CH}_2-\text{OSO}_2-$

OR''') Ni- или Cu-отдающими реагентами. I пригодны для крашения и печати целлюлозных волокон (льна, хлопка, искусств. шелка и штапель из регенерированной целлюлозы), обладают хорошей кроющей способ-



ностью и во многих случаях дают очень яркие окраски с хорошей светостойкостью, сохраняющейся при применении несминаемой отделки. К 70 ч. пиридина при охлаждении приливают 18 ч. ClSO_3H , а затем при хорошем размешивании при 30–40° прибавляют 18 ч. порошка красителя [полученного сочетанием в щел. среде 1 моля бисдиазотированного 3,3'-диокси-4,4'-диаминодифенила (II) с 2 молями 2-(β-оксиэтиламино)-5-нафтол-7-сульфокислоты (III)], размешивают 1 час при 40° и 2 часа при 50–55°, разбавляют немного водой, подщелачивают содой, отгоняют в вакууме пиридин, краситель высаливают и отфильтровывают. Для превращения в Cu-комплекс пасту красителя растворяют в 300 ч. теплой воды и при 70° смешивают с аммиачным р-ром 10 ч. $\text{CuSO}_4 \cdot 5\text{H}_2\text{O}$, после нескольких минут размешивания при 70° высаливают NaCl, охлаждают и через несколько часов отфильтровывают Cu-комплекс, окрашивающий хлопковые волокна в очень чистый синий цвет с очень хорошей светостойкостью. Аналогично получают Cu-комплекс красителя 2-(β-оксиэтиламино)-8-нафтол-6-сульфокислота (IV) → II → IV, серо-синий. 18 ч. порошка красителя III → II → III при ~30° вносят в 150 ч. конц. H_2SO_4 , после 2 час. размешивания выливают на ледяную воду, высаливают NaCl, отфильтровывают и промывают насыщ. р-ром NaCl краситель, который переводят в Cu-комплекс, аналогично указанному выше. Аналогичные Cu-комплексы получают из красителей, полученных сочетанием 1 моля бисдиазотированного II с 2 молями следующих азосоставляющих: 2-(β-оксиэтиламино)-(V), 2-(β-оксипропиламино)-, 2-(γ-оксипропиламино)-, 2-оксибутиламино- или 2-(β,γ-диоксипропиламино)-5-нафтол-7-сульфокислоты. Cu-комплекс красителя 1-(β-оксиэтиламино)-8-нафтол-4-сульфокислота (VI) → II → VI окрашивает хлопковые волокна в зелено-синий цвет (Ni-комплекс в красновато-синий); Cu-комплекс красителя V → 4,4'-диаминодифенил-3,3'-дикарбоновая к-та → V в сине-фиолетовый цвет и красителя III → 3,3'-дигидрокарбокситоксид-4,4'-диаминодифенил → III в красновато-синий цвет. В. Уфимцев

33498 П. Металлодержащие азокрасители и способ их получения. Сюрю, Менгассон (Nouveaux colorants azoïques métallifères et procédé pour leur préparation. Bureau Robert, Mingasson Georges) [Cie Française des Matières Colorantes]. Франц. пат. 1117608, 24.05.56

Металлические комплексы азокрасителей общей ф-лы (I) (R — остаток диазосоставляющей, который



содержит в орто-положении к азогруппе комплексобразующую группу и который может содержать другие заместители, не способствующие растворению в воде; R' — H или алкил; R'' — H, алкил, замещ. или незамещ. арил; бензольное ядро A может содержать галоиды или другие заместители, не способствующие растворению в воде) получают сочетанием соответствующих составляющих и последующим переводом I в металлич. комплексы. Комплексы I пригодны непосредственно для крашения органич. р-рителей, ла-

ков и пряядильных р-ров простых и сложных эфиров целлюлозы, а из нейтр. ванны для крашения шерстяных (ШВ) и шелковых волокон, кожи, анимализированных, суперполиамидных и суперполиуретановых волокон в прочные цвета. 7,7 вес. ч. 4-нитро-2-аминофенола (II) диазотируют, нейтрализуют NaHCO_3 и немного прибавляют к р-ру 10 вес. ч. 3-оксидифениламина (III) в 150 ч. воды и 13 вес. ч. 30%-ного р-ра NaOH, краситель отфильтровывают и промывают р-ром NaCl. 1,7 вес. ч. красителя II → III кипятят 3 часа со смесью 100 ч. воды, 0,8 вес. ч. 30%-ного р-ра NaOH и 7,5 объемн. ч. хромтартрата Na, содержащего 10,4 г/л Cr, и отфильтровывают Cr-комплекс II → III, окрашивающий ШВ из нейтр. бани в темно-фиолетовый цвет. При применении того же кол-ва кобальтотартрата Na, содержащего 14,75 г/л Co, получают Со-комплекс II → III, окрашивающий ШВ в красноватый бордо (КБ) цвет. Приведены аналогичные красители (указаны диазо- и азосоставляющие и цвета окраски ШВ Cr- и Со-комплексами красителя): 5-нитро-2-аминофенол (IV), III, синий, красновато-синий; 4-сульфамидо-2-аминофенол (V), III, фиолетово-синий, КБ; V, 3-окси-2'-метилдифениламин, фиолетово-красный (ФК), красный; 5-сульфамидо-4-хлор-2-аминофенол, III, сине-фиолетовый, ФК; 4-хлор-2-аминофенол, 2-моноэтиламино-п-крезол (VI), фиолетовый, КБ; II, VI, бордо, КБ; IV, VI, сине-черный, синий; V, VI, фиолетово-синий, ФК. В. Уфимцев

33499 П. Способ получения амидов карбоновых кислот азокрасителей. Шмидт, Мозер, Фрей (Verfahren zur Herstellung neuer Carbonsäureamidderivate von Azofarbstoffen. Schmid Max, Moser Eduard, Frey Christoph) [CIBA A.-G.]. Пат. FRG 943901, 1.06.56

Амиды карбоновых к-т азокрасителей получают конденсацией по аминогруппе аминов, не содержащих групп, способствующих растворению в воде, и содержащих ≥ 2 реакционные аминогруппы, с галогенгидридами карбоновых к-т, не содержащих групп способствующих растворению в воде. При этом конденсацию по крайней мере по одной аминогруппе проводят с галогенгидридом карбоновой к-ты азосоединения, азогруппа которого связана с ароматич. ядром, содержащим группу эфира карбоновой к-ты в орто-положении к азогруппе. В частности, указано: а) применение для конденсации 1 моля преимущественно ароматич. диамина с 2 молями галогенгидрида монокрбоновой к-ты азосоединения; б) применение галогенгидридов общей ф-лы $\text{R}-\text{N}=\text{N}-\text{R}'-\text{COOH}$ [R — остаток диазосоставляющей бензольного или нафталинового ряда, содержащей группу эфира карбоновой к-ты в орто-положении к азогруппе; R' — остаток азосоставляющей, содержащей оксигруппу в орто-положении к азогруппе, преимущественно остаток 2-окси-3-нафтольной к-ты (I)]. Получаемые продукты являются пигментами, пригодными для окраски поливинильных материалов (путем вальцевания), для пигментной печати на текстильных волокнах, бумаге и тканях из стеклянных волокон (с применением связующих материалов, смол и эмульсий). При применении в тонкодисперсной форме они пригодны для крашения пряядильных масс (искусств. шелка, вискозы, простых и сложных эфиров целлюлозы, суперполиамидов и суперполиуретанов), а также для окраски лаков, р-ров и продуктов из ацетилцеллюлозы, нитроцеллюлозы, природных и искусств. смол, цветных карандашей, косметич. препаратов и слоистых пластиков. Для перевода полученных продуктов в тонкодисперсное состояние их подвергают обработке на вальцах или разминающих аппаратах. Получаемые окраски обладают очень хорошими прочностями к свету, миграции, р-рителям и нагреванию при высокой т-ре. Смесь 30,2 ч. метилового эфира антрапиловой к-ты

эфиров
перста-
лизиро-
тановых
2-амино-
O₂ и по-
ифенил-
ого р-ра
мывают
ят 3 ча-
ого р-ра
жащего
II → III,
фиолето-
обалто-
ают Со-
новатый
асители
окраски
о-2-ами-
4-сульф-
КЕ; V,
й (ФК),
III, ок-
онзотил-
е, бордо-
гово-си-
фимцев
ых кие-
й (Ver-
deriva-
Moser
.). Пат.
ют кон-
жащих
содер-
лоидан-
ш спо-
нденса-
роводят
инения,
содер-
положе-
нение
оматич.
оновой
дидов
диазо-
ряда,
в орто-
авляю-
нии к
нафтой-
пигмен-
к мате-
печати
з стек-
атериа-
нокдис-
ядиль-
слож-
эропол-
продук-
родных
препа-
ченных
ергант
х. По-
ности-
ыской
й к-ты

(IIa; к-та — II) в 300 ч. воды и 58 ч. 30%-ной HCl размешивают ~30 мин., прибавлением льда охлаждают до 0° и диазотируют приливанием 50 объемн. ч. 4 н. NaNO₂ при 0—5° ниже уровня жидкости, размешивают 30 мин., фильтруют диазораствор и при 0—10° приливают к профильтрованному р-ру 37,6 ч. I в 500 ч. воды, 28 ч. 30%-ного р-ра NaOH и 40 ч. соды, размешивают до окончания азосочетания, осадок красителя отфильтровывают, промывают водой, а затем размешивают в 1500 ч. холодной воды и подкисляют ~58 ч. 30%-ной HCl до кислой р-ции на конго, размешивают ~3 часа при 20°, отфильтровывают, промывают водой и сушат моноазокраситель IIa → I. К смеси 70 ч. этого красителя в 500 ч. C₆H₅Cl прибавляют 20 ч. SOCl₂ и нагревают 2,5 часа при умеренном кипении, по охлаждении отфильтровывают, промывают холодным C₆H₅Cl и сушат в вакууме при 70—80° полученный хлорангидрид красителя, т. пл. 205—206°. К смеси 73,7 ч. этого хлорангидрида, 2000 ч. C₆H₅Cl и 20 ч. пиридина прибавляют 10,8 ч. п-фенилендиамина (III) и кипятят ~24 часа, по окончании конденсации отфильтровывают и промывают теплым C₆H₅Cl и горячим спиртом пигмент, трудно или нерастворимый в обычных р-рителях и при вальцевании полихлорвинильных листов, окрашивающий их в интенсивный красно-коричневый цвет с хорошими прочностями к миграции и свету. Приведены примеры получения аналогичных пигментов путем перевода карбоновой к-ты моноазокрасителя в хлорангидрид и конденсации 2 молей полученного хлорангидрида с 1 молею диамина (указано строение исходного моноазокрасителя, т. пл. хлорангидрида в °C, диамина и цвет пигмента): IIa → I, —, 3,3'-дихлор-4,4'-диаминодифенил (IV), красный; метиловый эфир 5-хлор-2-аминобензойной к-ты (V) → I, 227—228, IV, красно-оранжевый; V → I, —, 3,3'-диметил-4,4'-диаминодифенил (VI), коричневый; метиловый эфир 3,5-дихлор-2-аминобензойной к-ты (VII) → I, 210—211, бензидин (VIII), красно-оранжевый; IIa → I, 2(2'-хлорфенил)-5-пиразолон-3-карбоновая к-та, 208—209, VIII, зеленовато-желтый. Указаны также следующие пигменты (приведено строение исходного красителя, диамина окраска, получаемая при вальцевании пигмента с поливинилхлоридом): IIa → I, VI, коричневатокрасный; IIa → I, 1,5-диаминонафталин (IX), коричневатокрасный; этиловый эфир II (IIb) → I, III, желтоватокрасный; IIb → I, VI, коричневатый, бордо-красный; IIb → I, IV, ало-красный; IIb → I, IX, красновато-оранжевый; V → I, VIII, желтоватый ало-красный; V → I, III, желтовато-красный; V → I, IX, синевато-красный; V → I, дианизидин (X), коричневатокрасный; метиловый эфир 4-хлор-2-аминобензойной к-ты (XI) → I, VIII, яркий ало-красный; XI → I, VI, коричневый; V → I, IV, желтовато-красный; VII → I, III, желтоватый ало-красный; VII → I, IX, желтовато-коричневый; этиловый эфир 2-нафтиламин-3-карбоновой к-ты → I, VI, коричневатый бордо-красный; IIa → I, 1-фенил-5-пиразолон-3-карбоновая к-та, VIII, красновато-желтый; IIa → I, 1-(2'-хлорфенил)-5-пиразолон-3-карбоновая к-та, VI, красновато-желтый; IIb → I, 1-фенил-3-метил-5-пиразолон-4'-карбоновая к-та, (XII), III, желтый; IIb → XII, IV, оранжево-желтый; IIb → XII, IX, зеленовато-желтый; V → XII, VIII, желтый, V → XII, VI, желтый; V → XII, IV, желтый; XI → XII, IV, зеленовато-желтый; VII → XII, VIII, желтый; n-бутиловый эфир II → XII, IV, желтый; IIa → I, ди-(n-аминобензолсульфонил)-имид, рубиново-красный; IIa → I, 1,3-диамино-4,6-диметилбензол, ало-красный; IIa → I, м-фенилендиамин, оранжевый; IIa → I, 1,4-диамино-2,5-дихлорбензол, ало-красный; IIa → I, 1,4-диамино-2,5-дизоксibenзол, желтовато-коричневый; IIa → I, 1,6-ди-(n-аминобензолламино)-гексан, желтоватый ало-красный; IIa → I, 3,3'-диметокси-4,4'-диамино-6,6'-диметилазобензол, красновато-коричневый; IIa → I, 4,11-диаминофлуо-

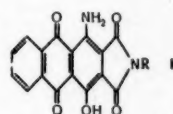
рантен, синевато-красный; IIa → I, 3,6,3',6'-тетрахлор-4,4'-диаминодифенилметан, желтовато-оранжевый; IIa → I, 2,2'-дихлор-4,4'-диаминодифенилметан, красный; IIa → I, 3,8-диаминопиррен, коричневый; IIa → I, 4,4'-диаминоазобензол, ало-красный; IIa → I, 4,4'-диаминодифенилмочевина, ало-красный; IIa → I, 4,4'-диаминодифенилсульфон, ало-красный; IIa → I, 2,8-диаминохризен, желтовато-коричневый; IIa → I, 4'-аминофениловый эфир 4-аминобензойной к-ты, красновато-оранжевый; фениловый эфир II (IIb) → I, VIII, ало-красный IIb → I, IV, ало-красный; IIb → I, III, коричневый IIa → 2-оксикарбазол-3-карбоновая к-та (XIII), VIII, коричневый; IIa → XIII, 2,4-диаминотолуол, коричневый; IIa → 5'-оксibenзо-(1',2',2,3)-карбазол-4'-карбоновая к-та (XIV), VIII, бордо-красный; IIa → XIV, III, бордо-красный; IIa → 3-оксидифениленоксид-2-карбоновая к-та (XV), IV, коричневый; IIa → XV, 4,4'-диаминодифениловый эфир, коричневый; IIa → 3-ацетоацетил-амино-4-хлорбензойная к-та (XVI), IV, желтый; IIa → XVI, III, желтый; этиловый эфир 2-нафтиламин-3-карбоновой к-ты → I, IV, красный; IIa → I, VIII, красный. В. Уфимцев

33500 П. Получение азопигментов. Струве, Ридингер (Azo pigment production. Struve William S., Reidinger Albert D.) [E. I. du Pont de Nemours and Co.]. Пат. США 2744027, 1.05.56

Нерастворимые красные пигменты получают смешением или совместным осаждением 5—75% азокрасителя 2-хлор-4-аминоанизол-5-сульфокислота (I) → 3-окси-2-нафтойная к-та (II) и 95—25% азокрасителя 2-хлор-4-аминотолуол-5-сульфокислота (III) → II (с последующим превращением в соответствующий металл. лак), а также их металл. солей или лаков или исходных компонент для их получения. Оптимальные результаты получаются при применении 15—25% I → II и 85—75% III → II. В качестве лакообразующих металлов применяются Ca или Mn. Получаемые азопигменты не обесцвечиваются в маслах, обладают повышенной красящей способностью и высокой устойчивостью к действию р-рителей и света. 16,6 ч. III и 5,9 ч. I растворяют в ~600 ч. теплой воды и 4,2 ч. NaOH, охлаждают до 0°, прибавляют р-р 7 ч. NaNO₂ в 25 ч. воды, а затем 10,6 ч. 100%-ной HCl (к-ты). 20 ч. II растворяют в 180 ч. теплой воды и 8 ч. NaOH, прибавляют 8 ч. соды, охлаждают до 15° и в течение ~30 мин. приливают полученную выше диазосуспемзию к р-ру II, нагревают до 60° и отфильтровывают Na-соль азокрасителя, которую суспендируют в ~4000 ч. воды, прибавляют р-р Na-соли смоляной к-ты в горячей воде, а затем р-р 30 ч. CaCl₂ в 150 ч. воды, кипятят 10 мин. и отфильтровывают Са-лак пигмента, более интенсивный, чем аналогичный лак I → II. Приведены еще 4 примера получения аналогичных азопигментов. В. Уфимцев

33501 П. Антрахиноновые красители и промежуточные продукты. Бер (Anthraquinone dyes and intermediates. Baer Donald R.) [E. I. du Pont de Nemours and Co.]. Пат. США 2749354, 5.06.56

Антрахиноновые красители общей ф-лы (I) (R — 3-метоксипропил, 3-этоксипропил, 2-метоксиэтил или



2-этоксипропил) получают конденсацией 1-амино-4-оксипироксина-2,3-дикарбоновой к-ты (II) или ее ангидрида с соответствующими оксалиламидами. I являются светостойкими интенсивными фиолетовыми до синих красителями для полиэфирных волокон

(напр., для дакрона), а также при превращении в четвертичные аммониевые соли — для крашения акрилонитрильных волокон (напр., для орлона). При смешении I с известными зеленовато-синими красителями получают смеси, пригодные для получения темно-синих и настоящих синих тонов. 2 ч. ангидрида II и 1 ч. 3-метоксипропиламина в 6 ч. $C_6H_5NO_2$ нагревают 2 часа при 120° , по охлаждении до 25° прибавляют 16 ч. CH_3OH , осадок отфильтровывают и промывают 6 ч. CH_3OH , получают нерастворимый в воде I ($R = CH_2CH_2CH_2OCH_3$), окрашивающий полиэфирные волокна в сине-фиолетовый цвет. В. Уфимцев

33502 П. Кубовые красители и их получение (Colorants de cuve et leur préparation) [Cassella Farbwerke Mainkur A.-G.]. Франц. пат. 1110692, 15.02.56

Кубовые красители получают конденсацией бензотиазолкарбоновых к-т с 3,4-фталил-2-аминоакридоном (I). Эти красители окрашивают растительные волокна в синий цвет с очень хорошими прочностями к свету и погоде и не корродируют волокна. К суспензии 34 кг I в 300 кг $C_6H_4Cl_2$ при $130-150^\circ$ прибавляют р-р 30 кг хлорангидрида 2-фенилбензотиазол-6-карбоновой к-ты, нагревают до 200° и кипятят ~ 6 час., по охлаждении отфильтровывают и промывают краситель, окрашивающий из фиолетового куба в синий цвет. 22 кг бензотиазол-6-карбоновой к-ты обработкой $SOCl_2$ превращают в хлорангидрид и конденсируют с 34 кг I, получают краситель, окрашивающий из фиолетово-красного куба в синий цвет. Аналогичные красители получают с применением для конденсации 2-метил-, 2-дифенил- или 2-фурилбензотиазол-6-карбоновых к-т. В. Уфимцев

33503 П. Способ получения цианиновых красителей.

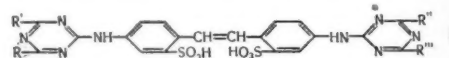
Ринтелен, Ристер (Verfahren zur Herstellung von Cyaninfarbstoffen. Rintelen Harald v., Rister Oskar) [Agfa A.-G., für Photofabrikation]. Пат. ФРГ 947185, 9.08.56

Цианиновые красители (K) общей ф-лы $R^1(R^2)N-C(SR^3)=C(SR^4)-C(SR^5)=C(SR^6)A$ (R^1 и R^2 — алкил, арил, аралкил или часть циклич. системы; R^3 — алкил, арил, или аралкил; R^4 и R^5 — H, алкил, арил или аралкил; $n = 0, 1, 2$ или 3; A и B — составные части 5- или 6-членного кольца или две незамкнутые в кольцо группы, из которых по крайней мере одна обладает отрицательным характером, напр., CO, CS, CN и т. п.) получают р-цией соединений общей ф-лы $[R^1(R^2)N-C(SR^3)(SR^4)X^-]$ [X^- — анион, напр., Cl^- , Br^- , J^- , NO_3^- , $CH_3SO_3^-$, SCN^- ; R^1 , R^2 , R^3 , R^4 — алкил, арил, аралкил (одинаковые или разные) или R^1 и R^2 — часть циклич. системы], с в-вами, содержащими реакционные метильные или метиленовые группы. Красители пригодны в качестве сенсibilизаторов для галлоид-серебряных эмульсий, фильтровых красителей, а также в качестве промежуточных продуктов синтеза роданинов. 26,4 г метилового эфира N-тетраметилендитиокарбаминовой к-ты и 21 г диметилсульфата нагревают 15 мин. при 100° , по охлаждении приливают 30 мл 25%-ного р-ра $NaClO_4$ и отфильтровывают перхлорат диметилмеркапто-N-тетраметиленаминокарбония (I), т. пл. 145° . К р-ру 2,7 г I и 1,4 г N-этилроданина в 15 мл пиридина прибавляют 1,5 мл $N(C_2H_5)_3$, конденсируют 3 часа при 45° (или без пиридина 15 мин. при 70°) и разб. CH_3OH (3:1) осаждают К, т. пл. 118° , λ_{max} (в бэл.) 418 мμ, максимум сенсibilизации (MC) 453 мμ. К р-ру 2,7 г I и 1,8 г N-этил-5-этиленроданина в 20 мл пиридина прибавляют 1,5 мл $N(C_2H_5)_3$, конденсируют 4 часа при 45° и разб. CH_3OH (3:1) осаждают К, т. пл. 142° , λ_{max} (в CH_3OH) 496 мμ, MC 552 мμ. 5 г метилового эфира N-диметилдитиокарбаминовой к-ты и 3,6 мл диметилсульфата на-

гревают 2 часа при 25° и 15 мин. при 50° , получают плав, содержащий метилсульфат диметилмеркапто-N-диметиламинокарбония; плав вместе с 7 г N-этил-5-этиленроданина и 4,5 мл $N(C_2H_5)_3$ в 25 мл пиридина конденсируют 3 часа при 45° и прибавлением CH_3OH выделяют К, т. пл. 165° , λ_{max} (в бэл.) 463 мμ, MC 548 мμ. 4 г метилового эфира N-метил-N-фенилдитиокарбаминовой к-ты и 3,8 г метилового эфира n-толуолсульфокислоты нагревают 1 час при 100° , плав вместе с 2,8 г N-этилроданина, 25 мл пиридина и 3 мл $N(C_2H_5)_3$ конденсируют 5 час. при 45° и прибавлением разб. CH_3OH (3:1) выделяют краситель, т. пл. 109° , λ_{max} (в бэл.) 403 мμ, MC 455 мμ. Смесь 5,5 г I, 3 г N-этилоксалидон-4-тиона-2, 15 мл пиридина и 3 мл $N(C_2H_5)_3$ конденсируют 5 час. при 45° и прибавлением разб. CH_3OH (2:1) выделяют К, т. пл. 107° , MC 417 мμ. 3,5 г метилового эфира пентаметилендитиокарбаминовой к-ты и 2,6 мл диметилсульфата нагревают 30 мин. при 80° , плав вместе с 2,6 г N-этил-5-этиленроданина, 20 мл пиридина и 3 мл $N(C_2H_5)_3$ конденсируют 4 часа при 45° и осаждают водой К, т. пл. 107° (из CH_3OH), λ_{max} (в CH_3OH) 498 мμ, MC 556 мμ. Смесь 2,75 г I, 1,75 г 1-фенил-3-метилпиразолон-5, 10 мл пиридина и 1,5 мл $N(C_2H_5)_3$ конденсируют 3 часа при 45° и осаждают водой К, т. пл. 155° . Смесь 2,75 г I, 10 мл пиридина, 1 г $CNCH_2COOCH_3$ и 1,5 мл $N(C_2H_5)_3$ конденсируют 4 часа при 45° и осаждают водой К, т. пл. 111° . 16 г метилового эфира N-тетраметилендитиокарбаминовой к-ты и 10 г диметилсульфата нагревают 15 мин. при 100° , к плаву прибавляют 15 г 5-изопропилиден-N-этилроданина и при 70° постепенно прибавляют 15 мл $N(C_2H_5)_3$, нагревают 30 мин. при 70° , по охлаждении плав обрабатывают ~ 100 мл кипящего C_6H_6 и отделяют нерастворимый осадок, по охлаждении выкристаллизовывают К, т. пл. $125-127^\circ$, λ_{max} (в CH_3OH) 484 мμ, MC 538 мμ. В. Уфимцев

33504 П. Способ получения производных 4,4'-диаминотистилбен-2,2'-дисульфокислоты. Аккерман [Ciba Ltd]. Японск. пат. 6142, 25.09.54

Производные 4,4'-диаминотистилбен-2,2'-дисульфокислоты общей ф-лы (I) ($R = H$, алкил, оксипалкил, диалкиламиноалкилен или остаток гетероциклич. амина;



R' , R'' и R''' — аминогруппа, остаток первичного или вторичного амина с ≥ 2 атомами C, оксипалкил, диоксипалкил или остаток гетероциклич. амина с > 1 гетероатомом в кольце) получают р-цией 2 молей хлористого цианура (II) или бромистого цианура а) с 1 молей 4,4'-диаминотистилбен-2,2'-дисульфокислоты (III) или ее растворимой в воде соли, б) с 1—4 молями алкиламина, диалкиламина, оксипалкиламина, бис-(оксипалкил)-амина, N,N' -диалкилалкиленамина или гетероциклич. амина, в) с 0—3 молями NH_3 , первичного или вторичного амина; причем общее кол-во в-в, указанных в б) и в) составляет 4 моля. В частности, патентуются I, у которых R и $R''' = NHC_2H_5$, а $R' = R'' =$ одновременно фениламино- или о-хлорфениламиногруппа. 72,7 ч. Na_2 -соли 4,4'-бис-(2-этиламино-4-хлортриазил-1,3,5-амино-6)-стильбен-2,2'-дисульфокислоты, полученной из 2 молей II и 1 моля III, растворяют в 700 ч. воды и при $35-40^\circ$ при перемешивании прибавляют 51 ч. о-хлоранилина, нагревают 2 часа до 80° и перемешивают 8 час. при $80-90^\circ$ прибавлением конц. р-ра соды, поддерживая щел. р-цию, охлаждают до $15-20^\circ$, прибавлением NaCl высаливают, отфильтровывают и промывают р-ром NaCl 101 ч. Na_2 -соли 4,4'-бис-[2-этиламино-4-(о-хлорфениламино)триазил-1, 3, 5-амино-6]-стильбен-2, 2'-дисульфокислоты

(IV). 9 ч. 2,4-ди-(моноэтиламино)-6-хлортриазина, полученного из 1 моля II и 2 молей $\text{NH}_2\text{C}_2\text{H}_5$ в безводн. CH_3OH , и 1 ч. лаурилового спирта суспендируют в 150 ч. воды, прибавляют водн. р-р 9,2 ч. III, нейтрализованный NaOH , нагревают до 80° и размешивают 10 час. при $85-90^\circ$, нейтрализуя образующуюся HCl прибавлением р-ра 2,6 ч. соды в 29 ч. воды, высаливают NaCl , охлаждают, фильтруют и промывают р-ром NaCl , получают Na_2 -соль 4,4'-бис-[2,4-ди-(моноэтиламино)-триазил-1,3,5-амино-6]-стильбен-2,2'-дисульфокислоты. I пригодны в качестве оптически отбеливающих средств для текстильных волокон, бумаги, мыла и других изделий. Приведены примеры отбеливания неокрашенной шерсти в ванне, содержащей 0,05 г IV и 1,25 г HCOONa , при модуле ванны 1:40 в течение 30 мин. при $40-45^\circ$, после чего шерсть промывают и сушат, и приготовления стирального порошка следующего состава (в %): мыла 33,3, кальцинированной соды 11, Na-пирофосфата 14, Na-пербората 7, Mg -саликата 3, IV 0,04 и воды 31,66. С. Петрова

См. также: Физ. св-ва аминазокрасителей 32316. Оксазоловые цианиновые и мероцианиновые 32512. Цианиновые, синтез 32519

ЛЕКАРСТВЕННЫЕ ВЕЩЕСТВА. ВИТАМИНЫ. АНТИБИОТИКИ

Редактор Н. А. Медзыховская

33505. Актуальные теоретические вопросы изучения лекарственных препаратов. Сообщение I. Надор (Aktuelle theoretische Fragen der Arzneimittelforschung (I. Mitt.). Nádor K.), Pharmaz. Ind., 1956, 18, № 11, 515—519 (нем.)

В статье обсуждаются вопросы нахождения зависимости между хим. строением и фармакологич. действием.

О. Магидсон

33506. Применение УФ-облучения в фармацевтической и пищевой промышленности. Заутер (Anwendungsmöglichkeiten der UV-Strahlung in der pharmazeutischen und Nahrungsmittel-Industrie. Sauter E.), Fette, Seifen, Anstrichmittel, 1955, 57, № 5, 354—362 (нем.)

Обобщение теоретич. и практич. работ в области УФ-облучения в целях стерилизации. Наиболее существенная длина волны 265 мμ (для *Bacterium coli* 254 мμ). Поэтому УФ-лампы должны испускать лучи с длиной волн 240—300 мμ. Наиболее подходящими для этой цели являются ртутные лампы низкого давления. На основе выполненных экспериментов изложены принципы проектирования установок УФ и применения их в фармацевтич. (пенициллин, стрептомицин, кетгут) и пищевой пром-сти. Г. Шураев

33507. Об упаковке фармацевтических продуктов и химикатов в пластмассовую бумагу. Шох, Кеттенбах (Über das Verpacken von Chemikalien und Pharmazeutika in kunststoffbeschichteten Papieren. Schoch Walter, Kettenbach Fritz), Pharmaz., Ind., 1956, 18, № 11a, 497—500 (нем.)

Описано применение пластмассовой бумаги (I) для упаковки и ее преимущества. I готовят покрытием бумаги под давлением пленкой из полиэтилена, поливинилхлорида, поливинилиденхлорида, стирол-бутадиена, эфиров акриловой к-ты. I непроницаема для воды и водяного пара, обладает низким весом и низкой стоимостью. I годится для массовых и отдельных упаковок, в частности для упаковки каждой таблетки отдельно.

Л. Михельсон

33508. Новое в американской технике упаковок. Штёкхерт (Neues aus der amerikanischen Ver-

packungstechnik. Stoeckhert K.), Pharmaz. Ind., 1956, 18, № 11a, 504—506 (нем.)

О различных видах упаковок: стеклянной, бумажной, из целлофана и пластмассы, а также в виде аэрозолей; о затворах и разных особенностях, связанных с упаковкой, в частности, медикаментов.

Л. Михельсон

33509. Новые достижения в области упаковки в виде аэрозолей. Генци (Neue Entwicklungen auf dem Gebiete der Aerosol-Packungen. Genzsch Erwin O.), Pharmaz. Ind., 1956, 18, № 11a, 500—503 (нем.)

О значении аэрозолей (I), в частности, терапевтич. практике. О ряде продуктов, применяемых в виде I в США и об аппаратуре для наполнения I под давлением. В 1955 г. в Европе в целом было произведено от 20 800 000 до 24 420 000 млн. упаковок I, в США 25 млн. упаковок.

Л. Михельсон

33510. К замене сульфида натрия тиацетамидом (ТАА) при исследовании лекарственных препаратов. Хейссерман, Фриц (Zum Ersatz des Natriumsulfids durch Thioacetamid (TAA) bei der Arzneimitteluntersuchung. Häusserman Helmut, Fritz Elisabeth), Arch. Pharmazie, 1956, 289/61, № 11, 663—672 (нем.)

Ввиду нестойкости обычно применяемого для определения тяжелых металлов р-ра Na_2S , проведено сравнительное изучение с 2%-ным р-ром ТАА. Выяснено, что ТАА может заменить Na_2S при определении металлов группы As в солянокислой среде, а остальные — в аммиачной. В уксуснокислой — результаты неудовлетворительны. Чувствительность ТАА для отдельных металлов такая же, как и для Na_2S . ТАА как в р-рах, так и в чистом виде длительно не изменяется. Образующие им сульфиды металлов медленно выпадают, поэтому имеют лучшую кристаллич. форму и легче отфильтровываются.

О. Магидсон

33511. Метод контроля процесса производства анальгина. Коеи (Метод за контрол на технологичния процес на аналгина. Коеи В.), Фармация (София), 1955, 5, № 5, 23—27 (болг.)

33512. Синтетические слабительные средства. Фергусон (Synthetic laxative drugs. Ferguson N. M.), J. Amer. Pharmac. Assoc. Scient. Ed., 1956, 45, № 9, 650—653 (англ.)

Приведены результаты изучения слабительного действия нескольких синтетич. полиоксантирахиноновых глюкозидов и их аглюконов. Их действие сравнивали с действием стандартного порошка сенны. Прибавлением смеси очень малых кол-в KOH с $\text{Mg}(\text{OH})_2$ можно сильно повысить слабительное действие некоторых синтетич. глюкозидов.

Л. Михельсон

33513. Колориметрический агглютинационный метод определения дубильных веществ (в лекарственных средствах). Гштирнер, Бопп, Хопман (Über eine kolorimetrische Agglutinationsmethode zur Bestimmung von Gerbstoffen. Gstirner F., Bopp A., Hopmann H.), Arch. Pharmazie, 1956, 289/61, № 4, 188—196 (нем.)

Ввиду несовершенства определения дубильных в-в (ДВ) в лекарственных формах с помощью хромированного кожного порошка описан метод определения ДВ колориметрированием суммы окрашенных соединений ДВ и не ДВ (фенолов и т. п.) с фосфорновольфрамовой к-той, осаждением ДВ суспензией красных кровяных шариков (ККШ) в изотонич. р-ре крови (после дефибрирования крови и удаления сыворотки) и колориметрированием не ДВ в р-ре после отделения ККШ. Таннин, не являясь однородным ДВ, не может служить надежным стандартом; в качестве последнего авторы предлагают акакатехин, т. пл. 194° , легко растворимый в этилацетате, ацетоне, метаноле, спирте и воде при 40° , трудно в холодной воде и эфире и не-

растворимый в CHCl_3 и C_6H_6 ; пентаацетат акакатехина, т. пл. 158—160°. Подробно описана методика, позволяющая определять истинные и терапевтич. активные ДВ.

Ю. Вендельштейн

33514. О составе алкалоидов в корне белладонны различного происхождения. Фокас, Штейнгер (Über die Alkaloidzusammensetzung von Radix Belladonnae verschiedener Herkunft. Phokas G., Steinnegger E.), Pharmazie, 1956, 11, № 10, 652—653 (нем.)

При хроматографич. исследовании алкалоидов в корне белладонны различного происхождения (из Болгарии, Греции, Югославии, Кашмира и Швейцарии) найдено, что во всех образцах главным алкалоидом является гиосциамин и побочными — апотропин, скополамин, белладоннин, кускиггрин (I) и хелларадин (II). Образцы из Греции и особенно из Кашмира отличаются повышенным содержанием I и II.

33515. Опыты по использованию отходов опиума при производстве морфия. Камедулски (Општи за оползотворяване на отпадъците при производството на морфин от опиум. Камедулски В.), Фармация (София), 1955, № 4, 23—25 (болг.)

33516. Устойчивость витаминов группы В в фармацевтических продуктах. Уокс, Норрис (Stability of B vitamins in pharmaceutical products. Wokes F., Norris F. W.), J. Pharmacy and Pharmacol., 1956, 8, № 11, 895—905. Discuss., 905—906 (англ.)

При хранении в течение 3—8 лет при t -рах ~ 20 и 37° и изоляции от воздуха и при хранении в прохладном темном и сухом месте активность витамина B_1 , рибофлавина, никотиновой к-ты, витамина B_6 , пантотеновой к-ты, биотина, фолевой к-ты и витамина B_{12} в сухих витаминных концентратах и поливитаминных препаратах уменьшается на протяжении длительного времени лишь в незначительной степени.

33517. Пенициллин и его новые лекарственные формы. Господинова (Пенициллинът и неговите нови лекарствени форми. Господинова В.), Природа (София), 1955, № 4, 37—41 (болг.)

33518. Определение антибиотиков, содержащихся в мазях, приготовленных на силиконовой основе. Казадно, Тимбаль (Sul dosaggio degli antibiotici contenuti in pomate a base di siliconi. Casadio S., Timbal M. T.), Boll. chim. farm., 1956, 95, № 10, 419—421. Discuss., 421—423 (итал.)

Химические, колориметрич. и спектрофотометрич. методы дали такие же удовлетворительные результаты, как и микробиологич. анализы антибиотиков, содержащихся в силиконовых мазях, в случае применения в качестве р-ителей петр. эфира или трихлорэтилена вместо этилового эфира. Петр. эфир дает лучшие результаты, чем трихлорэтилен. Только антибиотик неомицин не удалось извлечь количественно даже с помощью петр. эфира. Подометрич. метод определения бензилпенициллина во всех типах мазей не дает удовлетворительных результатов. Помимо вышеупомянутых, микробиологич. способ колич. определения в мазях проверен для следующих антибиотиков: ди-гидрострептомицин сульфат, стрептомицин сульфат, тетрациклин хлоридат, хлорамфеникол, бацитрадин. Определения их производили в силиконовой и вазелиновой мазях.

Л. Михельсон

33519. Исследование местного лекарственного сырья *Saraca Indica*. Часть III. Ачари, Лал (Investigation on indigenous drugs. Saraca Indica. Part III. Achari G., Lal S. V.), Indian Pharmacist, 1955, 10, № 9, 248—252 (англ.)

Экстракцией петр. эфиром коры *Saraca Indica* выделено белое аморфное в-во, плавящееся при 79° и разлагающееся при 130°. В-во не содержит галоида, S, P и N. При сжигании обнаружено C 74,75%, H 10,75%

и O_2 (по разности) — 14,50%. Из эфирного экстракта коры выделено в-во, плавящееся при 105° и разлагающееся при 180°. Оно показывает р-ции стеринного кольца. Содержит C 70,23%, H 4,27% и O_2 25,50%.

Л. Гольдберг

33520. О приготовлении препарата тусиол. Христов (Относно приготвянето на препарата Tussiol. Христов К.), Фармация, 1955, 5, № 1, 37—40 (болг.)

В состав препарата входит экстракт *Herba Thymis serpylli*, эфедрин, этилморфин и сироп.

33521. Изучение устойчивости лекарственных препаратов. 10. Обесцвечивание инъекционных растворов морфина автоклавированием. Мерх (Studier over laegemidlers holdbarhed. 10. Undersøgelser over misfarvningen of morfininjektionsvaeske ved autoklavering. Mørch Jørgen), Dansk tidsskr. farmaci, 1956, Suppl. № 2, 212—222 (датск.; рез. англ.)

Инъекционный р-р морфина по добавлении 1% 0,1 н. HCl можно автоклавировать и появляющаяся окраска составляет лишь 50% окраски, получаемой при применении метода Датской Фармакопей 1948 (100° в течение 1 часа). Дальнейшее большее уменьшение окраски получают прибавлением 0,01% двунагнетной соли этилендиаминтетрауксусной к-ты, но еще не выяснено является ли эта добавка благоприятной при хранении в течение длительного времени. Сообщение 9 см. РЖХим, 1957, 67322.

Л. Михельсон

33522. Применение поверхностноактивных веществ в фармацевтических препаратах. I. Влияние Твин 20 на противогрибковую активность эфиров α -оксибензойной кислоты в растворимых препаратах (I). Аоки, Камата, Йосино, Мацудзаки (Aoki Masaru, Kamata Akira, Yoshino Yoshioka Issei, Matsuzaki Toichiro), Якугаку дайсё, J. Pharm. Soc. Japan, 1956, 76, № 8, 939—943 (японск.; рез. англ.)

Наблюдаются случаи, когда добавление противогрибковых средств к препаратам, содержащим неонные поверхностноактивные в-ва, не предотвращает появления плесени. Для выяснения причин этого явления изучено влияние Твин 20 (I) на растворимость эфиров (метилового, этилового, пропилового и бутилового) α -оксибензойной к-ты (II) и их действие против *Aspergillus niger*; при этом учитывалось соотношение между гидрофильно-липофильными свойствами II и способностью I к мицеллообразованию. Найдено, что I улучшает растворимость II, но при этом противогрибковое действие последних уменьшается. Отношение между растворимостью и активной конц-ей для каждого II почти постоянно и падает с уменьшением числа атомов C в эфирном радикале.

33523. Стерилизация, стабильность и токсичность инъекционных растворов конго красного. Сомерс, Уиттет (The sterilisation, stability and toxicity of Congo red injections. Somers G. F., Whittet T. D.), J. Pharmacy and Pharmacol., 1956, 8, № 12, 1019—1025. Discuss., 1025—1026 (англ.)

Раствор конго красного (I) готовили растворением красителя в воде для инъекций при нагревании и фильтровали через стеклянный пористый фильтр. Р-р подвергался испытанию на стерильность, стойкость при хранении и токсичность; исследовалось влияние автоклавирования, обработки паром, фильтрации, длительного воздействия воздуха, различных pH. Установлено, что р-ры I можно автоклавировать, обрабатывать паром или фильтровать через непроницаемый для бактерий фильтр. Р-ры стойки ~ 20° в течение ≥ 7 месяцев; хранение в холодильнике не рекомендуется. Важное значение имеет pH р-ра. Кислые р-ры обладают опасной токсичностью, и авторы рекомендуют более щел. предел, чем pH 7, как указано в Фармакопее.

экстракта
разлагаю-
еринного
5,50%.

Гольдберг
ол. Хри-
a Tussiol
1, 37—40

ba Thymi
K. T.
ных пре-
х раство-
(Studier
elser over
d autokla-
f. farmaci,
i.)

1% 0,1 н.
и окраска
при при-
100° в те-
чение
натриевой
еще не
ятной при
Сообщение
Михельсон
вещества
е Твин 20
м-оксиде-
татах (II).
худшая
oshioka
ку дааса,
939—943

отивогриб-
неомыные
ет появле-
явления
сть эфиров
утилового)
е против
отношение
ами II и
идено, что
противо-
и. Отноше-
ицей для
нышением
В. Травин
окисность
Сомерс,
toxicity of
Whittet
8, № 12

створении
ревания и
льтр. Р-ры
стойкость
ь влияние
ации, для
I. Установ-
обрабатыва-
аемый для
не ≥ 7 ме-
мендуется.
р-ры об-
еявляются
армакогно

США. Прибавление NaCl повышает токсичность р-ров, которые становятся нестойкими. Нельзя ингибировать р-р I, если он не светлый и не прозрачный. Все три р-ра, подвергавшиеся изучению, обладали пирогенностью в пределах, допускаемых Британским фармацевтич. кодексом 1954 г.

Л. Михельсон

33524. Устойчивость витамина D₂ (кальциферола) в водных растворах. Фукс, Вихтль (Die Haltbarkeit von Vitamin D₂ (Calciferol) in wässrigen Lösungen. Fuchs L., Wichtl M.), Pharmazie, 1956, 11, № 10, 624—628 (нем.)

Водные р-ры, содержащие 0,25% витамина D₂ (I), 5% Твин 20 (II), Твин 40, Твин 60 или Твин 80 и 6,25% спирта и сохраняемых без доступа света при 18—22° и 4°, исследовались спектрофотометрически с интервалами в 1 месяц. Через полгода содержание I уменьшилось во всех препаратах на 50—70%. Наиболее устойчивыми оказались р-ры, содержащие II.

А. Травин

33525. Изучение стабильности витамина B₁₂ в инъекционных растворах комплекса В. Блиц, Эйген, Гансберг (Studies relating to the stability of vitamin B₁₂ in B-complex injectable solutions. Blitz Milton, Eigen Edward, Gunsberg Ephraim), J. Amer. Pharm. Assoc. Scient. Ed., 1956, 45, № 12, 803—806 (англ.)

В продажных препаратах р-ров комплекса В для инъекций витамин B₁₂ (I) оказывается нестабильным, вследствие разрушающего влияния на I тиамин (II) и никотинамида (III), особенно в препаратах, содержащих 25 или 90 мг II и соответственно 100 или 90 мг III, когда практически весь I разрушается по прошествии 3 месяцев хранения при ~20°.

А. Труфанов

33526. Изучение причин улаживания некоторых порошкообразных рецептурных смесей, содержащих пирамидон и аспирин. Колушева, Морозова (Проучване причините за улажняване на някои прахообразни рецептурни смеси съдържащи пирамидон и аспирин. Колушева А., Морозова А.), Фармация (София), 1955, № 3, 20—26 (болг.)

33527. Изучение структурно-механических свойств маэобразных продуктов, употребляемых в медицинской практике. Сообщение I. Определение эффективной вязкости. Кутумова Е. Н., Аптеч. дело, 1956, 5, № 6, 11—15

Для определения эффективной вязкости (ЭВ) некоторых материалов, употребляемых в составе основы для мазей, пользовались автоматич. капиллярным вискозиметром типа АКВ-2, применяемым для концентрированных смазок в нефтяной пром-сти (см. ГОСТ 7163, группа Б 39). Этим методом исследованы вязкостные свойства ряда серий свиного сала очищенного, вазелинов медицинских натурального и искусственного, ланолинов безводного и водного. Исследования проводились при 5, 20 и 37°. Товарные образцы сала свиного по вязкости отличаются друг от друга при 20° в 1,9—2,75 раза, а при 37° — в 1,5—165,9 раза. Вязкость вазелина медицинского может определяться по ГОСТ 3582-52 только в расплавленном состоянии при 0°. ЭВ ланолинов безводного и водного превосходит, особенно при 37°, ЭВ сала свиного и вазелина в 10 и более раз, достигая при 20° 502,2 и 724,5 пуаз, а при 37° 30,2 и 22,9 пуаз. Определялась также ЭВ славов персикового масла с маслом какао, приближающаяся к ЭВ свиного сала.

Л. Михельсон

33528. Эмульгатор для лечебных эмульсий и мазей. Угрюмов П. С., Мед. пром-сть СССР, 1956, № 4, 15—18

Предлагаемый автором эмульгатор (I) представляет собой 15%-ный р-р Na-солей сернокислых эфиров высокомолекулярных спиртов (II) в таких же II. Главный компонент I для медицинских эмульсионных

мазей состоит из цетилсульфата Na и октадецилсульфата Na; алкильный радикал может быть и другим, но с числом атомов C от 16 до 18. Этот компонент получают р-цией сульфатирующих агентов с II и последующей нейтр-цией кислот эфиров NaOH. Второй компонент I берется в 7-кратном кол-ве по отношению к первому. Это II с числом C от 16 до 18. II получают из кашалотового жира, спермацета и синтетич. путем: окислением парафинов и гидрированием образовавшихся жирных к-т или эфиров. Для получения эмульсии (Э) I расплавляют при 70° и прибавляют необходимое кол-во воды, предварительно нагретой до 70°. После размешивания и охлаждения получают гомог. мазь почти без запаха. Для предохранения от высыхания и образования на поверхности твердой корки к Э добавляют глицерин. Э консервируют нипагином, тимолом, салициловой к-той и др. в конц-ии от 0,15 до 0,5%. I улучшает всасываемость Э и распределяемость лекарственных в-в. На основе I разработаны методы получения Э синтомицина, стрептоцида, тазана, омаина и ундецина. Синтомициновая Э выпускается в промышленном масштабе. В эксперим. части описано проведение этерификации, нейтр-ции, регулирования pH, определения эмульгирующей способности. Дана характеристика I (т. пл. 50—60°, pH эмульсии I с водой 6,2—6,9).

Л. Михельсон

33529. Водорастворимые основы для суппозитория и мазей. Глузман М. Х., Дашевская Б. И., Оницев П. И., Безрук П. И., Мед. пром-сть СССР, 1956, № 4, 14—15

В качестве основы для медицинских свечей, мазей, пиллоль, глобуль и покрытий готовых дражированных форм в медицинской практике широко используются продукты различной степени полимеризации окиси этилена. Авторами разработан метод получения и очистки полиэтиленоксидов (I) с различными т-рами плавления. Установлено, что полимеризация, осуществляемая в автоклаве в присутствии различных кол-в воды, гликоля ди- и триэтиленоксидов и катализируемая щелочью, приводит к образованию продуктов различной степени полимеризации и плавкости. Технич. продукт, содержащий щелочь, очищается монообменной смолы — катионитом КУ-1. Полное устранение окраски достигается обработкой активированным углем. Фармакологич. испытание I показало отсутствие токсич. действия. При ректальном введении I не препятствуют всасыванию сердечных гликозидов. Клинич. наблюдения подтвердили пригодность применения I в качестве основы для суппозитория. Л. Михельсон

33530. Суппозитории (Основы и оценка их качества). Благовидова Ю. А., Аптеч. дело, 1956, 5, № 6, 35—42

После обзорной части, описывающей состав и свойства суппозитория (I), требования, предъявляемые к их качеству фармакопейми, автор приводит результаты проведенного им сравнительного определения т-ры плавления масла какао (II), его славов с воском (III) и трех основ, полученных с з-да, следующих составов (в %): 1) парафин 8, саломас техн. 7, гидрожир 85; 2) парафин 9, саломас техн. 7, гидрожир 84; 3) парафин 18,5, II 28, гидрожир 53,5. Отмечены расхождения т-р плавления при определении по методу Ф VIII и технич. условиям для пластыря, для славов II с III (разница в 2—6°). При славвах II с 5%, 5,5% и 10% III получены резкие расхождения (8—18°). Определялась также для сравнения т-ра плавления в широком капилляре, заполненном жиром и прикрепленном к термометру свободным концом вниз. За момент плавления принималось сползание жира в нижний конец капилляра. Метод рекомендуется для определения т-ры плавления готовых I. Для этой цели успешно используется и термометр Убеллоде. Для

оценки твердости сплавов II и заводских основ определялся коэф. пенетрации. Расплавленные и вылитые в формы образцы выдерживали при $\sim 20^\circ$ сутки и 2 суток, а перед определением ≥ 1 часа в водяной бане при 20° . Установлено, что коэф. пенетрации увеличивается с добавлением к II 1, 2 и 3% III, вследствие, видимо, образования эвтектики. Сплавы с 6,5 и 10% III имеют коэф. пенетрации, близкий к коэф. пенетрации чистого I. Определение коэф. пенетрации для заводских основ не согласуется с определением твердости их по Осминину.

Л. Михельсон

33531. Приготовление медицинских пенициллиновых свечей. Трандафилов, Кожухаров, Христов (Приготовлены на пенициллинови свещички. Трандафилов Тр., Кожухаров П., Христов К.) Фармация (София), 1955, 5, № 2, 32—34 (болг.)

33532. Опыты быстрого изготовления драже с малым временем распада. Аве, Фрйденштейн (Versuche zur Schnellfertigung von Dragees mit niedrigen Zerfallszeiten. Awe Walther, Freudenstein Hans-Jörg, Dtsch. Apoth.-Ztg, 1956, 96, № 43, 1020—1024 (нем.).

См. также РЖХим., 1957, 32301.

А. Травин

33533. Применение молочного порошка в качестве добавки к таблеточной массе. Аве, Гельбрехт (Die Verwendung von Milchpulver als Zusatzstoff zu Tablettenmassen. Awe W., Gelbrecht H.), Pharmaz. Ind., 1956, 18, № 11, 540—544 (нем.).

Обычно к таблеточной массе при ее изготовлении прибавляют тальк (I) как средство, регулирующее «текучесть», способствующее скольжению и противодействующее склеиванию. Приведены противопоказания с медицинской точки зрения к применению I для вышеуказанных целей. На основании проведенных опытов установлена пригодность нежирного молочного порошка (II) как заменителя I в качестве регулятора «текучести» и как противосклеивающего средства, однако, II не заменяет I в отношении придания скользких свойств. Таблетки, приготовленные с II, по стойкости не отличаются от таблеток с I. Таблетки с II лучше дозируются, чем с I и отличаются большей твердостью, но благодаря этому также и более трудной распадаемостью, особенно в случае применения превышенного давления. При слишком мягкой таблеточной массе необходимо добавлять $\sim 0,5\%$ скользкого средства (стеариновую к-ту, жирно-кислую соль, как напр., стеарат магния и др.). Лишь в исключительных случаях требуется 1,5%.

Л. Михельсон

33534. Новая качественная реакция для фенилсемикарбазида и применение ее для его количественного определения. Колушева, Константинова (Новая качественная реакция за фенилсемикарбазида и приложенияе й за количественно му определене. Колушева А., Константинова Е.), Фармация (София), 1955, 5, № 5, 19—23 (болг.).

Реакция основана на образовании интенсивного красного окрашивания при взаимодействии $C_6H_5-NHNHCONH_2$ с Na_2CO_3 в водн. р-ре.

Г. Р.

33535. Статистический подход к аналитическому контролю и стандартизации таблеток. Роджерс (Some statistical aspects of the analytical control and standardisation of tablets. Rogers A. R.), J. Pharmacy and Pharmacol., 1956, 8, № 12, 1103—1114. Discuss., 1114—1116 (англ.).

Обзор и обсуждение. Библ. 52 назв.

Л. М.

33536. Применение понообменных смол при анализе медицинских препаратов. I, II. Количественное определение глюконата кальция. Ватанабэ (Watanabe H. y. o.), Нихон кагаку дзассия, J. Chem. Soc. Japan. Pure Chem. Sec., 1955, 76, № 1, 4—6 (японск.). I. Катионообменная смола амберлит IR-120 (Na-типа

30—50 меш.) в кол-ве 1—4 г помещалась в бюретку емк. 25 мл и через нее пропускался р-р глюконата кальция, после чего производилось промывание дистил. водой. Фильтраты титровались 0,1 н. NaOH в присутствии фенолфталеина, 1 мл 0,1 н. NaOH соответствует 22,42 мг $Ca(C_6H_{11}O_7)_2 \cdot H_2O$. Установлено соотношение между кол-вами смолы, р-ра глюконата кальция и промывными водами. Точность метода $\pm 1,0\%$. Необходимое время — 10—50 мин.

II. При введении в р-р глюконата Ca таких стабилизаторов как цитрат или NH_4Cl получают завышенные данные анализа. Введение H_3BO_3 или тиосульфата в качестве стабилизатора делает проведение анализа невозможным.

Г. Кивман

33537. О визуальном контроле ампул. Санделл (Den visuella kontrollen vid ampullframställning. Sandell Erik), Dansk tidsskr. farmaci, 1956, Suppl. № 2, 254—266 (шведск.; рез. англ.).

Обзор исследовательских работ, проведенных в Фармацевтич. ин-те Стокгольма и посвященных вопросу зрительного контроля инъекционных р-ров в ампулах. Библ. 8 назв.

Л. М.

33538. Методика испытаний зубоорачебных восков. Реберг (Ein Beitrag zur Frage der Prüfmethodik zahnärztlicher Wachse. Rehberg Hans-Joachim), Dtsch.-zahnärztl. Z., 1955, 10, № 21, 1428—1436 (нем.).

Описаны результаты применения методов испытания обыкновенных восков к воскам зубоорачебным. Были произведены испытания на текучесть, пластичность, твердость, растяжение и сжатие и способность к кристаллизации. Установлено, что текучесть не является характерным признаком для зубоорачебных восков. Исследование остальных свойств восков показало, что подходящим критерием для суждения о качестве является деформация, кривые которой хорошо воспроизводимы. Измерения деформации при сжатии показали, что макс. сжатие происходит при $40-60^\circ$. Способность к кристаллизации зубоорачебные воски не обнаружили.

Г. Шурев

33539. Применение пламенной спектроскопии в анализе лекарственных веществ. 2. Лекарственные вещества, содержащие соли щелочных металлов. Дорш, Ролле, Косте. 3. Определение кальция. Дорш, Косте (Application de la spectrophotometrie de flamme à l'analyse des médicaments. 2e note: Les médicaments renfermant des sels de métaux alcalins. Dorche J., Rollet M., Costet C. M-lle. 3e note. Le dosage du calcium. Dorche J., Costet C., Mlle), Ann. pharmac. franc., 1955, 13, № 4, 288—297; 1956, 14, № 11, 669—677 (франц.).

Определения кальция в облатках, суппозиториях и в гранулах, содержащих различные соли Ca и щел. металлов, показало, что определение Ca этим методом является более сложным, чем определение щел. металлов, и требует, в частности, более высокой т-ры. Сообщения 1 см. РЖХим., 1957, 45892.

А. Травин

33540. Анализ эликсира аминокислотной кислоты титрованием в неводной среде. Милленд, Блейк (The assay of aminoacetic acid elixir by nonaqueous titration. Meland Gordon, Blake M. I.), Amer. Pharm. Assoc. Scient. Ed., 1956, 45, № 10, 672—674 (англ.).

Эликсир аминокислотной к-ты (I) определяют в CH_3COOH (II), применяя в качестве титрующего р-ра 0,1 н. р-р хлорной к-ты в II. Метод сравнивается с методом N. F. X, основанным на применении формального титрования. Обсуждаются возможные источники ошибок. Способом неводн. титрования определяется $99,10 \pm 0,19\%$ I. За 1,5 часа удается сделать 4 определения, исключая вычисления. Приводятся подробности методики.

Л. Михельсон

33541 П. Эфиры, содержащие основные радикалы (Verfahren zur Herstellung eines neuen basischen Aethers) [Cilag Akt.-Ges.]. Швейц. пат. 297262—297267, 17.05.54 [Chem. Zbl., 1955, 126, № 39, 9196—9197 (нем.)]. Восстанавливают смесь 1-(*n*-метоксифенокси)-2-оксопропана (I) и CH_3NH_2 , или CH_3NO_2 , или CH_2O и получают 1-(*n*-метоксифенокси)-2-метиламинопропан, т. кип. 150—152°/14 мм; он может быть также получен гидрированием смеси I и метилбензиламина в присутствии скелетного Ni в автоклаве при 70—75° и 100 атм, хлоргидрат, т. пл. 104—105°. Аналогично получают: 1-(*n*-метоксифенокси)-2-этиламинопропан, т. кип. 156—158°/14 мм, хлоргидрат, т. пл. 128—129°; 1-(*o*-метилфенокси)-2-метиламинопропан, т. кип. 124—127°/14 мм, хлоргидрат, т. пл. 101—102°, пикрат, т. пл. 135—136°, 1-(*o*-метилфенокси)-2-этиламинопропан, т. кип. 130—133°/14 мм, хлоргидрат, т. пл. 136—137°; 1-(3',5'-диметилфенокси)-2-метиламинопропан, т. кип. 139—142°/14 мм; хлоргидрат, т. пл. 150—151°; 1-(*m*-оксифенокси)-2-метиламинопропан, разлагается при кипении, хлоргидрат, т. пл. 157—158°. Промежуточные продукты и лекарственные препараты. О. Магидсон

33542 П. Способ приготовления основных эфиров. Реппе, Шлихтинг, Вестфаль, Аман (Verfahren zur Herstellung von basischen Athern. Reppe Walter, Schlichting Otto, Westphal Franz, Amann August) [Badische Anilin- & Soda Fabrik A.-G.]. Пат. ФРГ 941908, 19.04.56. Вещества ф-лы (циклооктил)-CH(R)X (I) вводят в р-цию с *n*-ами ф-лы $\text{Y}-(\text{CH}_2)_n\text{NR}'\text{R}''$ (II) и получают соединения ф-лы (циклооктил)-CH(R)-O— $(\text{CH}_2)_n\text{NR}'\text{R}''$; в ф-лах R может быть H, циклоалкильным или фенильным радикалами, а также алкил-, алкокси- и галоидзамещ. последнего; R' и R'' — одинаковые или разные алкильные группы или образуют вместе с атомом N гетероциклич. кольцо, которое может содержать атом O; *n* = 2, 3 и 4; X и J могут быть группы OH, ONa или галоид. Для связывания образующейся к-ты применяют K- или Na-алкоголяты карбинолов ф-лы II или NaNH_2 , гидраты окселей или карбонаты щел. и щел.-зем. металлов, а также четвертичные органич. основания, как пиридин или диметиламин. Соли I обладают местноанестезирующими и болеутоляющими свойствами и менее вредны для организма, чем ранее полученные близкие по составу в-ва. 40 г фенилциклооктилкарбинола (III) и 5 г Na в 160 мл сухого ксилола (IV) нагревают 12 час.; затем добавляют еще 300—350 мл IV и р-р отделяют от непрореагировавшего Na. К р-ру прибавляют при перемешивании и 30—40° 25 г β-диэтиламиноэтилхлорида (V), повышают т-ру до 90—100° и нагревание продолжают 10 час. Охлажд. продукт р-ции разбавляют эфиром, промывают водой и извлекают 10%-ным р-ром HCl; солянокислый р-р после извлечения эфиром нейтр. части охлаждают льдом и сильно подщелачивают р-ром NaOH. Выделившееся масло извлекают эфиром, эфирный экстракт промывают конц. р-ром K_2CO_3 и сушат над твердым K_2CO_3 . После отгонки эфира и разгонки остатка в вакууме получают 45 г β-диэтиламиноэтилового эфира III; т. кип. 156—157°/1 мм. При пропускании сухого HCl в р-р полученного эфира в абс. эфире получают соответствующий хлоргидрат, т. пл. 103—104° (из бзл. + циклогексан). Аналогично получают β-диметиламиноэтиловый эфир III; т. кип. 147—149°/1 мм; хлоргидрат, т. пл. 142—143°; β-пирролидилэтиловый эфир III; т. кип. 165—169°/0,8 мм; хлоргидрат, т. пл. 130—132°. β-пиперидилэтиловый эфир III, т. кип. 175—177°/0,6 мм; хлоргидрат, т. пл. 152—153°. Аналогичные эфиры получают из циклооктилкарбинола (VI). На 42 г VI берут 100 мл IV и 8,3 ч. Na; т-ра р-ции 160—170°, продолжительность 6 час., после чего добавляют 300 мл IV и нагревают еще 2 часа. К полу-

ченному охлажд. р-ру прибавляют 50 г V при 20—25°, и затем смесь нагревают 8 час. при 90—100°. Получают 62 г β-диэтиламиноэтилового эфира VI, т. кип. 95—100°/0,6 мм, хлоргидрат, т. пл. 111—112°. Аналогично получают: β-диметиламиноэтиловый эфир VI, т. кип. 96—102°/0,5 мм; хлоргидрат, т. пл. 155—157°; β-пирролидилэтиловый эфир VI, т. кип. 124—130°/0,7 мм; β-пиперидилэтиловый эфир VI, т. кип. 126—130°/0,2 мм. VI может быть получен каталитич. гидрированием циклооктилового альдегида (VII), т. кип. 74—77°/4 мм. III получают р-цией VII и $\text{C}_6\text{H}_5\text{MgBr}$, т. кип. 128—130°/0,2 мм. VII получают из циклооктена при действии смеси CO и H_2 , т-ре 100—140° и давл. 200 атм, в присутствии скелетного Ni-Co-катализатора. С. Корэ **33543 П.** Способ получения эфиров дифенилметилкарбинола основного характера (Verfahren zur Herstellung von neuen basischen Aethern substituierter Diphenyl-methyl-carbinole) [Asta-Werke A.-G.]. Австр. пат. 182391, 25.06.55 [Chem. Zbl., 1956, 127, № 11, 3109 (нем.)]

Карбинол общей ф-лы $n\text{-ClC}_6\text{H}_4\text{-C}(\text{OH})\text{CH}_3\text{-C}_6\text{H}_5$ вводят в р-цию с соединением ф-лы: $\text{XCH}_2\text{CH}_2\text{R}$, где X — галоид, а R — диметиламино-, диэтиламино- или пиперидильный остаток. 32 г Mg и 130 г ClC_6H_5 нагревают на масляной бане до образования $\text{C}_6\text{H}_5\text{MgCl}$, которое затем растворяют в 1 л абс. эфира; к р-ру прибавляют 155 г *n*-хлорацетофенона и через 15 час. все выливают в смесь 200 г NH_4Cl со льдом, извлекают эфир, сушат над Na_2SO_4 , эфир отгоняют, а оставшийся карбинол прибавляют к суспензии 45 г NaNH_2 в 500 мл толуола. К смеси прибавляют затем 125 г β-диметиламиноэтилхлорида и кипятят 3 часа. После обработки полученной массы выделяют [1-(*n*-хлорфенил)-1-фенилэтил]-β-диметиламиноэтиловый эфир, т. кип. 150—155°/0,05 мм, хлоргидрат, т. пл. 128°. Аналогично получают: β-диэтиламиноэтиловый эфир, т. кип. 142—147°/0,02 мм, хлоргидрат, т. пл. 138°; β-пиперидиноэтиловый эфир, т. кип. 168—171°/0,05 мм, хлоргидрат, т. пл. 175°. Эти эфиры обладают высоким антигистаминным действием. О. Магидсон

33544 П. Диарилацетонитрилы, замещенные радикалами основного характера. Рушиг, Шмитт (Verfahren zur Herstellung von basisch substituierten Diarylacetonitrilen. Ruschig Heinrich, Schmitt Karl) [Farbwerke Hoechst A.-G. vormalig Meister Lucius & Brüning]. Пат. ФРГ 959097, 28.02.57. Являющиеся промежуточными продуктами при синтезе лекарственных в-в диалкиламиноалкилпроизводные диарилацетонитрилов ф-лы $\text{R}^1\text{C}_6\text{H}_4\text{C}(\text{CN})[\text{CH}(\text{R}^2)\text{CH}_2\text{NR}^3\text{R}^4]\text{C}_6\text{H}_4\text{R}^5$ (I), где R^1 и R^2 — H, Cl, Br или OCH_3 , R^3 — H или низший алкил, R^4 и R^5 — низшие алкилы, получают р-цией соответствующих диарилацетонитрилов с ацетальными α-галоидальдегидами и взаимодействием полученных продуктов с диалкилформамидами в присутствии HCOOH и небольшого кол-ва минер. к-ты. В р-р 386 г дифенилацетонитрила (II) в 1,3 л толуола вносят при 30—35° и перемешивании 90 г NaNH_2 ; после снижения т-ры смесь кипятят 2 часа, пропуская N_2 , прибавляют при 50° 485 г $\text{CH}_3\text{CH}(\text{Br})\text{CH}(\text{OC}_2\text{H}_5)_2$, кипятят 4 часа, охлаждают и промывают водой; из толуольного слоя получают диэтилацеталь γ,γ-дифенил-γ-циан-β-метилпропионового альдегида (III, альдегид IV), выход 80%, т. кип. 140—150°/0,1 мм, т. пл. 55—56°. Р-р 323 г III в 560 мл $\text{HCON}(\text{CH}_3)_2$ смешивают с 85 мл 85%-ной HCOOH и 33 мл конц. HCl, нагревают при 155° 20 час., упаривают в вакууме и остаток извлекают смесью 350 мл эфира, 230 мл 2н. HCl и 1,75 л H_2O ; к водн. слою прибавляют ~ 80 мл 2 н. NaOH до pH 4,5—4,6, встряхивают с эфиром, фильтруют с C и прибавляют 175 мл конц. NH_4OH ; получают I ($\text{R}^1 = \text{R}^2 = \text{H}$, $\text{R}^3 = \text{CH}_3$, $\text{R}^4 = \text{R}^5 = \text{CH}_3$), выход 79%, т. пл. 67—68° (из петр. эф.); I получают также

кипячением р-ра 194 г III в 600 мл диоксана 30 мин. с 150 мл 2 н. HCl, упариванием и извлечением эфиром; полученный IV (выход хороший, т. кип. 140—150°/0,3 мм) в кол-ве 25 г в 25 мл CH₃OH гидрируют с избытком (CH₃)₂NH в CH₃OH при небольшом давлении с Pd, фильтруют и упаривают; остаток растирают с эфиром, извлекают разб. HCl и кислый р-р подщелачивают NH₄OH.

А. Елина
33545 П. Получение анестетически действующих основных замещенных амидов карбоновых кислот. Эрхарт, Рушиг, Штейн, Аумюллер, Тер (Verfahren zur Herstellung von anästhetisch wirksamen basisch substituierten Carbonsäureamiden. Ehrhart Gustav, Ruschig Heinrich, Stein Leonhard, Aumüller Walter, Ther Leopold) [Farbwerke Hoechst A.-G. vormals Meister Lucius & Brüning]. Пат. ФРГ, 954420, 20.12.56

Обладающие анестезирующим действием соединения общей ф-лы Hal, NH₂-C₆H₄NHCO(CH₂)_xNHR, [фенил замещен в 2 и 3 или в 2 и 6 местах NH₂-группой и галогидом (Cl или Br), а R-алкил, x = 1 или 2] получают ацилированием нитрогалогидаминобензола галоидалкилатич. аминокислотой, содержащей первичную или вторичную NH₂-группу (в случае применения аминокислоты к-ты с первичной NH₂-группой продукт моноалкируют) и тогда получаемое нитросоединение восстанавливают или ацилируют галоидангидридом алифатич. галоидкарбоновой к-ты (в обоих случаях карбоновая к-та содержит ≤ 3 атомов C) и образующийся галогенациламид взаимодействует с первичным амином и полученное нитросоединение восстанавливают. Смесь из 1-амино-2-нитро-6-хлорбензола, 150 мл бензола и 35 г хлорацетилхлорида кипятят 2 часа. Выкристаллизовывается 50 г 1-(хлорацетил-амино)-2-нитро-6-хлорбензола, т. пл. 164—165°. 120 г этого соединения оставляют на ночь с 360 мл бутиламина. Отгоняют избыточный бутиламин, остаток растворяют в эфире и взбалтывают с водой. Эфирный р-р отделяют и эфир отгоняют. Остаток растворяют в этилацетате и р-р нейтрализуют спирт. HCl. Из спирта и ацетона получают хлоргидрат 1-(бутиламиноацетил-амино)-2-нитро-6-хлорбензола, т. пл. 193° (из сп. ацетона), 40 г этого соединения растворяют в 300 мл CH₃OH и гидрируют при 35° H₂ со скелетным Ni. Остаток после выпаривания, хлоргидрат 1-(бутиламиноацетил-амино)-2-амино-6-хлорбензола, т. пл. 178° (из водн. сп.).

П. Завлин
33546 П. Способ получения галоидированных амидов салициловой кислоты. Шулер (Verfahren zur Herstellung eines halogenierten Salicylsäurearylamids. Schuler Leonhard) [Knoll A.-G. Chemische Fabriken]. Пат. ФРГ 945446, 12.07.56

На смесь эквимол. кол-ва 5-бромсалициловой к-ты (I) и 4-хлоранилина (II) действуют SOCl₂ желательно в присутствии связывающих галоидоводород в-в. К 22 г гомог. смеси I (полученной действием Br₂ на р-р салициловой к-ты в бромистом этилене, содержащем HBr) с 13 г II и 12 г диметиламина (III) в 30 мл сухого бензола при перемешивании прикапывают 10 мл SOCl₂ и кипятят 30 мин. при 100°. После отгонки в вакууме бензола и избытка SOCl₂ промывают HCl к-той и р-ром NaHCO₃, получают 32,8 г п-хлоранилина 5-бромсалициловой к-ты, т. пл. 239—240°, (из сп. или бутанола). Вместо III можно применять C₅H₅N. Средство против грибковых заболеваний кожи.

О. Магидсон

33547 П. Новые производные п-аминосалициловой кислоты и способ их получения. Амьяр (Nouveaux dérivés de l'acide para-aminosalicylique et leurs procédés de fabrication. Amiard G.) [Les laboratoires français de chimiothérapie]. Франц. пат. 1108140, 9.01.56

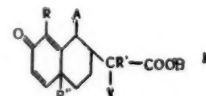
Патентуется в качестве противотуберкулезного сред-

ства метилен-бис-(N-бензил-п-аминосалициловой к-ты) (I), получаемая конденсацией N-бензил-п-аминосалициловой к-ты (II) с CH₂O. Растворяют в 100 мл абс. спирта 21 г Na-соли п-аминосалициловой к-ты, прибавляют 7 г K₂CO₃ и 12 мл C₆H₅CH₂Cl, кипятят 7 час. и оставляют при 20° на 12 час. Разбавляют 60 мл H₂O, удаляют остатки C₆H₅CH₂Cl извлечением эфиром и подкислением разб. HNO₃ водн. р-ра, получают 18 г II, т. пл. 205—206° (из абс. спирта, с разложением). Р-р в 80 мл H₂O 12 г II и 11 г NaCO₃ обрабатывают при 20° 10 мл 30%-ного формалина и оставляют в темноте на 15 час., подкисляют 17 мл 50%-ной CH₃COOH, выпавший осадок кристаллизуют из 35 мл H₂O, растворяют в 80 мл 10%-ного р-ра NaCO₃ и осаждают CH₃COOH; получают 8,2 г (65%) кристаллич. I. Растворяют 0,84 г последнего в 7 мл 0,5 н. NaOH + 10 мл H₂O при 40°, фильтруют и выливают в р-р 0,5 мл CH₃COOH в 17 мл H₂O, получают 0,6 г (71%) очищенного I, т. разл. 260°.

О. Магидсон

33548 П. Способ получения оптически активной 2-кето-10-алкил-2,5,6,7,8,10-гексагидронафтил-7-уксусной кислоты и ее замещенных. Абэ, Харукава, Исигава, Мики, Цуно, Тога [Такода Якухин кабусики Кайся]. Японск. пат. 5175, 27.07.55

Указанные в-ва общей ф-лы (I) (R — H или алкил; R' — алкил; R'' — H, алкил, арил или аракил; A — H, окси-, алкокси- или алкоксигруппа; Y — H, алкил, карбоксильная группа или ее функциональные производные) получают разделением DL-I обычным путем с оптически активными соединениями. К р-ру 0,23 г DL-α-(2-кето-1,10-диметил-8-окси-2,5,6,7,8,10-гексагидронафтил-7)-пропионовой к-ты (т. пл. 178°, разл.) в небольшом кол-ве CH₃OH, прибавляют р-р 0,23 г брүцины в CH₃OH, затем эфир до начала помутнения, фильтруют, к фильтрату прибавляют петр. эфир, и получают пристояниинахо-



луду брүциновую соль D-изомера + 2H₂O, т. пл. 109° (из эф.—петр. эф.). [α]_D²⁵ (в сп.) + 36,0°. Прибавляют 10 мл 3%-ной HCl и эфир, встряхивают, эфирный слой промывают водой, сушат и упариванием выделяют D-изомер, т. пл. 176° (из разб. CH₃OH), [α]_D²⁵ (в сп.) + 5,0°. Аналогично из 0,5 г DL-α-(2-кето-1,10-диметил-8-окси-2,5,6,7,8,10-гексагидронафтил-7)-пропионовой к-ты (DL-α-сантониновая к-та, разл.) и 0,5 г брүцины в CH₃OH получают гигроскопичную брүциновую соль L-изомера, т. пл. 118°, разложением которой 3%-ной HCl и извлечением эфиром выделяют L-изомер. (L-α-сантониновая к-та), т. пл. 147° (разл.), [α]_D²⁵ (в сп.) — 25,1°. При нагревании этого L-изомера происходит замыкание лактонного кольца с образованием α-сантонины, т. пл. 172° (из CH₃OH). Из 10 г DL-(2-кето-1,10-диметил-2,5,6,7,8,10-гексагидронафтил-7)-метилмалоновой к-ты (II; т. пл. 192°, разл.) и 10 г брүцины в CH₃OH получают 15 г брүциновой соли L-изомера, [α]_D¹⁸ (в сп.) + 8,4°, разложением которой 5%-ным р-ром NaOH, извлечением брүцины CHCl₃ и подкислением HCl (к-той) выделяют 4 г L-изомера, призм, т. пл. 190° (разл. из CH₃OH), [α]_D¹⁸ (в сп.) — 10,0°. Из 2 г II и 2 г хинина в CH₃OH получают хининовую соль L-изомера, т. пл. 179—181° (разл. из CH₃OH), [α]_D¹⁷ (в сп.) — 104,3°, разложением которой 3%-ной HCl и извлечением эфиром выделяют 0,5 г L-изомера; фильтрат от хининовой соли L-изомера подщелачивают 5%-ным NaOH, извлекают хинин CHCl₃ и подкислением шел. р-ра и кристаллизацией из CH₃OH выделяют 0,5 г Δ-изомера, [α]_D¹⁵ (в сп.) + 9,5°. Из 1,9 г лактона

DL-(2-кето-1,10-диметил-8-окси-2, 5, 6, 7, 8, 10-гексагидро-нафтил-7)-метилмалоновой к-ты (т. пл. 190°, разл.) и 3,2 г бруцина в CH_3OH получают 0,6 г бруциновой соли L-изомера, т. пл. 134—138° (разл. из CH_3OH), разложением которой 10%-ным NaOH, извлечением бруцина эфиром и подкислением HCl (к-той) выделяют 0,2 г L-изомера, т. пл. 213° (разл.). 1,2 г II растворяют в 0,36 г NaHCO_3 и 8 мл воды, прибавляют р-р 0,72 г хлоргидрата хинина в 5 мл теплой воды, отделяют выпадающую в форме масла хининовую соль L-изомера, декантируют воду. р-р, несколько раз промывают холодной водой, масло растворяют в CH_3OH и кристаллизацией выделяют 0,6 г хининовой соли L-изомера, т. пл. 179—181° (разл.), $[\alpha]_D^{25}$ (в сп.) — 104,3°, разложением которой 3%-ной HCl и извлечением эфиром выделяют L-изомер, т. пл. 190°, $[\alpha]_D^{25}$ (в сп.) — 9,5°.

С. Петрова

33549 П. Способ получения оксалилкамидов гентизиновой кислоты. Как (Verfahren zur Herstellung von Gentisinsäureoxyalkylamiden. Huck John L., jun.) [Hoffman-La Roche Inc.]. Пат. ФРГ 882248, 6.07.53 [Chem. Zbl., 1955, 126, № 18, 4213 (нем.)]

Указанные амиды ф-лы: 2,5-(OH) $_2$ C $_6$ H $_3$ CONH-X-OH (X—2-валентный алифатич. остаток, содержащий ≥ 2 атомов С возможно, с заместителями) получают р-цией алкильного эфира гентизиновой к-ты (I) с β -оксалилкамином при 50—180°. Метилловый эфир I в бензол + моноэтанолламин в атмосфере N_2 дает β -оксалилкамид I, т. пл. 145—148°. Аналогично: β -оксипропиламид I, т. пл. 141—142°; 1,1-диметил-2-оксипропиламид I, т. пл. 179—180°; β , β , β -триоксипропиламид I, т. пл. 191—192°. Полученные в-ва способствуют растворению лактофлавина, являются бактерицидными средствами и промежуточными продуктами.

О. Магидсон

33550 П. Новые ртутные производные диоксипропана. Шольц, Уэрнер (Verfahren zur Herstellung neuer quecksilberhaltiger Dioxipropanverbindungen. Scholz Caesar R., Werner Lincoln H.), [CIBA Akt.-Ges.]. Пат. ФРГ, 946539, 02.08.56

Патентуется способ получения диуретич. препаратов общей ф-лы R-Hg-R' (I), где R—остаток теофиллина (II) или радикалы $\text{HOOC}(\text{CH}_2)_n$ S— (напр., $n=1$) и $\text{NON}_2\text{C}(\text{CHON})_n \text{CH}_2-\text{S}-$ ($n=2-5$) и R'— $\text{CH}_2\text{CHONCH}_2\text{OH}$, в котором γ -оксигруппа этерифицирована полиоксикалканом (III) или полиоксиксоалканом (IV) и β -оксигруппа этерифицирована алифатич. спиртом или связана с С-атомом III или IV в виде диоксанового цикла. Растворяют в 20 мл воды и 85 мл ацетона (А) 20 г ди-А-ксилита (V), подщелачивают р-ром 32 г NaOH в 32 мл воды, прибавляют за 3 часа при 75° к р-ру 16,6 г аллилбромид в 25 мл А, отгоняют р-рителем, к остатку прибавляют 200 мл воды, нейтрализуют 16 мл конц. H_2SO_4 в 50 мл воды и извлекают эфиром (4 раза по 100 мл); получают 3-О-аллил-V (VI), т. кип. 94—96°/0,05 мм. Р-р 7,1 г VI в 50 мл воды и 1,5 мл конц. H_2SO_4 кипятят 3 часа, нейтрализуют 20 г BaCO_3 , фильтрат обрабатывают эфиром и упаривают досуха; получают 3-О-аллилксилит (VII). Аналогично ди-А-глюкозу (VIII) превращают последовательно в 3-О-аллил-VIII и 3-О-аллилглюкозу (IX), т. пл. 133—136°. К р-ру 6,6 г $\text{CH}_2=\text{CHCH}_2-\text{O}-\text{CH}_2\text{CHONCH}_2\text{OH}$ в 10 мл воды прибавляют р-р 16 г $(\text{CH}_3\text{COO})_2\text{Hg}$ в 30 мл воды, оставляют на ~12 час. при ~20°, упаривают, растворяют в абс. спирте, фильтруют и упаривают досуха; получают 6-ацетоксиртутметил-2-окси-метил-п-диоксан (X). Аналогично из VII, 6-О-аллилсорбита, IX и 3-О-аллиманнита (XI) получают соответственно: 6-ацетоксиртутметилпроизводные 2-оксиметил-3-(1',2'-диоксил-этил)-(XII) и 2-(1',2',3',4'-тетраоксипропил)-(XIII)-п-ди-

оксана и меркурированные производные IX (XIV) и XI (XV), строение которых не указано. При аналогичной р-ции в CH_3OH , спирте или этиленгликоле (вместо воды) из XI получают соответственно 3-О-(2'-метокси-3'-ацетоксиртутпропил)-D-маннит (XVI) и его 2'-этоксид-(XVII) и 2'-(β -оксиэтоксид)-(XVIII)-аналоги. К р-ру 8,18 г X в 20 мл А прибавляют р-р эквивалентного кол-ва 1-тиосорбита (XIX) в 10 мл CH_3OH и упаривают в вакууме при глубоком охлаждении; получают 2-оксиметил-6-[D-глюко-пентаоксигексил-(1')-меркаптортутметил]-п-диоксан (XX). Аналогично р-цией XIX с XII, XIII, XIV, XV, XVI, XVII, XVIII и 3-О-(2'-окси-3'-ацетоксиртутпропил)-D-маннитом получают следующие I: 3-(1',2'-диоксил-этил)-XX, 2-(1',2',3',4'-тетраоксипропил)-аналог XX, п-диоксановое производное α -[D-глюко-пентаоксигексил-(1)-меркаптортут]- β , γ -диоксипропана, γ -оксигруппа которого этерифицирована D-глюкозой в положении 3, 2,3-бис-(1',2'-диоксил-этил)-6-[D-глюко-пентаоксигексил-(1)-меркаптортутметил]-п-диоксан (XXI) [наряду с 3-(1',2',3'-триоксипропил-XX (XXII)], α -[D-глюко-пентаоксигексил-(1)-меркаптортут]- β -метокси- γ -[D-манно-пентаоксигексил-(3)-окси]-пропан (XXIII) и его β -этоксид- и β -(β -оксиэтоксид)-аналоги. К р-ру 2,15 г XVI в 15 мл воды прибавляют 0,685 г II, по растворении II фильтруют, упаривают в вакууме досуха и обрабатывают А; получают α -[1,3-диметилксантил-(7)-ртуть]-аналог XXIII. Аналогично получают: из XV и 1-меркапто-2,3-диоксипропана-6-(2',3'-диоксипропилмеркаптортутметил)-аналоги XXI и XXII; из 6-О-(2'-окси-3'-ацетоксиртутпропил)-D-сорбита и 1 тиоксилита- α -[D-ксило-тетраоксигексил-(1)-меркаптортут]- β -окси- γ -[D-глюкопентаоксигексил-(1)-окси]пропан. К р-ру 1,85 г 3-О-(2'-окси-3'-ацетоксиртутпропил)-глюкозы в 5 мл воды прибавляют р-р 0,335 г $\text{HSC}_2\text{H}_4\text{COOH}$ (XXIV) в 2 мл воды и 2,65 мл н. NaOH, фильтрат упаривают в вакууме и остаток обрабатывают А; получают Na-соль α -(карбоксиметилмеркаптортут)- β -окси- γ -[D-глюко-1-формилтетраоксипентил-(2)-окси]-пропан, т. разл. 60—75°. Аналогично из XV и XXIV получают Na-соли 6-карбоксиметилмеркаптортутметиланалогов XXI и XXII.

А. Травин

33551 П. Способ получения п-окси- α -алкиламиноацетофенона. Арнольд (Způsob přípravy p-hydroxy-alpha-alkylamino-acetofenonu. Arnold Zdeněk). Чехосл. пат., 83629, 5.05.55

п-Окси- α -алкиламиноацетофенона п-R'R''NCH $_2$ CO-C $_6$ H $_4$ -OH (R'R''—H или алкил), получают конденсацией алкиламиноацетонитрила и фенола в присутствии безвод. AlCl_3 при 50—200° (лучше 100°); после охлаждения реакционную смесь разлагают льдом; выделившийся продукт р-ции фильтруют, промывают подходящим р-рителем и сушат. 106,6 г хлоргидрата монометиламиноацетонитрила при умеренном нагревании вводят в р-цию с 700 г безвод. AlCl_3 и размешивают в течение 2 час. при 100°. Затем добавляют 104 г фенола и т-ру смеси поддерживают в течение еще 2 час. при 110—115°; расплавленную смесь охлаждают и затем разлагают льдом. Выделенный хлоргидрат п-окси- α -метиламиноацетофенона после отсасывания промывают ацетоном и сушат. Выход 75—85% от теории. Продукт обладает действием, близким к действию адреналина.

И. Елинек

33552 П. Способ получения тиогидразонов (Fremgangsmåde til fremstilling af thiohydrazoner) [Aktieselskabet «Ferrosan»]. Датск. пат. 79771, 29.08.55

Обладающие лечебными свойствами тиогидразоны общей ф-лы R'C(=S)NHN=CHR' [R'—алифатич., ароматич. или гетероциклич. группа, которая может содержать заместители OH-, OR-, NH $_2$ -, NHCOR или NR $_2$ -группу (R—алифатич., ароматич., карбоциклич. или гетероциклич. группа), R''—карбоциклич. группа, которая может иметь те же заместители, что и R', при-

чем, если обе группы R' и R'' являются фенилами, то по крайней мере одна из них должна содержать заместители, получают р-цией тиогидразидов общей ф-лы R'CSNHNH₂ с альдегидами ф-лы R''CHO. Р-р 3,2 г п-ацетиламинобензальдегида (I) в 100 мл кипящей воды прибавляют к р-ру 3,0 г тиобензгидразид в 100 мл кипящей воды. Выпадает тиобензгидразид I, т. пл. 168—170° (из 50%-ного сп.), выход 90%. 1,4 г 2-фурантиокарбоксигидразид в 100 мл кипящей воды прибавляют к р-ру 1,5 г I в 100 мл кипящей воды. При охлаждении выпадает 2-фурантиокарбоксигидразид I, т. пл. 197° (из сп.), выход ~ 90%. К р-ру 3,5 г 2,4-дихлорбензальдегида и 3,3 г фенилтиоацетгидразид в 50 мл кипящего спирта прибавляют 50 мл воды. При охлаждении выпадает тиофенилацетгидразид 2,4-дихлорбензальдегида, т. пл. 152° (из 50%-ного сп.), выход ~ 95%. Конденсацией соответствующих альдегидов и тиогидразидов, проводимой в воде или водн. спирте, получают тиобензгидразид салицилового альдегида, т. пл. 155°, — 2-метоксибензальдегида, т. пл. 144°, — анисового альдегида, т. пл. 84°, — 3-оксibenзальдегида, т. пл. 158°, — 4-нитробензальдегида, т. пл. 109°, — 4-диметиламинобензальдегида, т. пл. 125°, — 4-сукцинилиамидобензальдегида, т. пл. 176° (с разл.), — 1-нафталальдегида, т. пл. 126°, и — 2-нафталальдегида, т. пл. 132°; тиофенилацетгидразид I (т. пл. 207°), — 4-нитробензальдегида (т. пл. 171°), — 2-карбоксибензальдегида (т. пл. 167°), — 1-нафталальдегида (т. пл. 160°), 4-метокситиобензгидразид I (т. пл. 172°), 4-ацетиламинотиобензгидразид I (т. пл. 160° с разл.) и 2-окситиобензгидразид I (т. пл. 195°). Тиобензгидразид 2,4-динитробензальдегида оказывает фунгистатич. эффект, а остальные обладают туберкулостатич. действием и могут применяться в качестве промежуточных продуктов.

Б. Фабричный

33553 П. Способ получения новых диацелированных гидразинов. (Verfahren zur Herstellung neuer diacylierter Hydrazine) [F. Hoffmann — La Roche und Co. A. G.]. Австр. пат. 182710, 25.07.55 [Chem. Zbl., 1956, 127, № 11, 3110 (нем.)]

Смешанный ангидрид общей ф-лы: (NHR')_n — (R) — CO — O — COR'' (R — остаток α-аминокислоты без CO и NH₂-групп, R' — ацил, R'' — алкокси, алкил или арил, n = 1 или 2) вводят в р-цию с гидразидом изоникотиновой к-ты или ее α-CH₃-замещенным. В случае, если R' — карбобензоксик, карбоаллилокси, карбонафтометилокси, то их подвергают гидрогенолизу. В 200 мл хлороформа суспендируют 19 г N-ацетилметениона, прибавляют 11,2 мл (C₂H₅)₃N и при 0° прикапывают с защитой от влаги в течение 10—15 мин. 9,6 мл ClCOOC₂H₅, разбавленного небольшим кол-вом хлороформа, и через 10 мин. вносят 13,6 г гидразид изоникотиновой к-ты. Смесь перемешивают без охлаждения 2 часа. После обработки реакционной массы получают 1-изоникотинил-2-(N-ацетилметенил)-гидразин, т. пл. 203—204°, выход 2 г. Описаны следующие гидразины (Г): 1-(2'-метилпиридил-4'-карбонил)-2-(N-ацетилметенил)-Г, т. пл. 156—158°; 1-изоникотинил-2-(N-карбобензоксиглицил)-Г, т. пл. 159—160°; — 2-глицил-Г, т. пл. 212—214°; — 2-(α-аланил)-Г, т. пл. 199—200°; — 2-(1-α-аланил)-Г · 2HCl, т. пл. 230—234° [α]_D + 24,8° (с 1; H₂O); — 2-(dl-лейцил)-Г · 2HCl, т. пл. 220—224°; — 2-(1-лизил)-Г · 3HCl, т. пл. 260—265°, [α]_D + 37,4° (с 1; H₂O). Эти гидразины обладают хорошим химиотерапевтич. действием против туберкулезных бактерий. О. Магидсон

33554 П. Способ получения тиогидразидов (Fremgansmåde til fremstilling af thiohydrazider) [Aktieselskabet «Ferrosan»]. Датск. пат. 79776, 29.08.55

Тиогидразиды, обладающие бактериостатич. и противогрибковыми свойствами, общей ф-лы RCSNHNH₂ (R — алифатич., карбоциклич. или гетероциклич. радикал, который может содержать заместители — OH,

OR, NH₂, NOCOR или NR', где R' — алифатич., карбоциклич. или гетероциклич. группа), получают р-цией соединений общей ф-лы RCSSH с водн. р-ром N₂H₄. Р-р C₆H₅CH₂MgCl, приготовленный из 5 г Mg и 25 г C₆H₅CH₂Cl в 100 мл эфира, прибавляют при перемешивании к охлаждаемому льдом р-ру 20 г CS₂ в 50 мл эфира. Через 2 часа р-р выливают на лед, прибавляют 100 мл 4 н. HCl, эфирный слой встряхивают 2 раза с 50 мл 10%-ного водн. р-ра N₂H₄, водн. р-р подкисляют CH₃COOH и экстрагируют эфиром. Упариванием экстракта выделяют C₆H₅CH₂CSNHNH₂, т. пл. 71° (из воды). Описано получение гидразидов 2-фурантиокарбоновой к-ты, т. пл. 135°; 2-окситиобензойной к-ты, т. пл. 102°; 2-пирролтиокарбоновой к-ты, т. пл. 122°; тиобензойной к-ты, т. пл. 71°. Упомянуты гидразиды 4-окситиобензойной, т. пл. 126°, 4-ацетиламинотиобензойной, т. пл. 234°; 2-тиофенттиокарбоновой, т. пл. 153°; 3-метокси-4-окситиобензойной, т. пл. 148°; 4-диметиламинотиобензойной, т. пл. 170°; тиопропионовой, 3-индолтиокарбоновой, т. пл. 173°, и 2-пиридинтиокарбоновой к-ты.

Б. Фабричный

33555 П. Способ получения диаммониевого соединения (Verfahren zur Herstellung einer Diammoniumverbindung) [J. R. Geigy A.-G.]. Швейц. пат. 304183, 1.03.55 [Chem. Zbl., 1955, 126, № 39, 9145 (нем.)]

Кипячением 1,2-дибромэтана с 2-диэтиламиноэтилмеркаптаном и NaNH₂ в толуоле получают 1,2-бис-(2'-диэтиламиноэтилмеркапто)-этан, т. кип. 132—133°/0,1 мм, а из него р-цией с C₂H₅J в ацетоне — 1,2-бис-(2'-триэтиламинийэтилмеркапто)-этан дийодид, т. пл. ~ 220°. Лекарственный препарат. О. Магидсон

33556 П. Четвертичные диаминодиалкилсульфиды (Procédé pour la préparation de nouveaux sulfures de diammoniodialcoyle quaternaires) [Roche Products Ltd]. Франц. пат. 1056115, 24.02.54 [Chem. Zbl., 1955, 126, № 33, 7728 (нем.)]

Вводят в р-цию соединения ф-лы R'R''N(R^X)_nCH₂CH(CH₃)Y с в-вами ф-лы ZCHCHN(R^X)_nR^{R'} (R', R'', R³, R⁴ и R⁵ — низшие алкилы, n = 0 или 1, X — галогид, Y и Z — галогид и SH-группа). К смеси 6,9 г 2-диэтиламиноэтанттиола и 8 мл спирта прибавляют в атмосфере N₂ р-р 1,5 г Na в 50 мл спирта и прикапывают затем 8 г 2-хлор-1-диметиламинопропана в 25 мл спирта, кипятят 1 час, оставляют на 15 час. и выделяют 1,5-бис-(диметиламино)-2-метил-3-тиапентан, масло, т. кип. 63°/0,1 мм, n_D²⁰ 1,4783; 1,9 г этого соединения в 10 мл бензола смешивают при 0° с 2,9 г CH₃J в 5 мл бензола. После того как реакционная смесь наполовину затвердеет, оставляют на 24 часа при 15°, разбавляют эфиром и получают 2-метил-3-тиапентан-1,5-бис-(триметиламмониййодид), т. пл. 25°. Относительно нетоксичный ганглиоблокирующий препарат. О. Магидсон

33557 П. Способ получения сульфонамидов. Фоккенел, Киммиг, Дорн (Verfahren zur Herstellung von Sulfonamiden. Von Kennel Josef, Kimmig Josef, Dohrn Max) [Schering A.-G.]. Пат. ФРГ 957841, 7.02.57.

Указаны в-ва общей ф-лы RSO₂NHC=NN=C(2)8

(R — фенил, содержащий в пара-положении к сульфонамидной группе amino- или другую группу, способную превращаться в нее. Z — алкильный заместитель в тиазольном цикле) получают а) действием на сульфонамиды ф-лы RSO₂NH₂ 5-галогид-2-алкил-1,3,4-тиадиазолом, б) р-цией сульфоновых к-т, содержащих остаток R или их производных, особенно галогидангидридов с 5-аминозамещ. 2-алкил-1,3,4-тиадиазолами в присутствии конденсирующих в-в и (или) катализаторов. Даны примеры получения N-(n-аминобензолсульфонил)-5-амино-2-этил-1,3,4-тиадиазола (Z = C₂H₅) по двум способам: а) 21,4 г n-ацетиламинобензолсуль-

гич., карбо-
ают р-цией
ром N_2H_4 .
Mg и 25 г
перемешив-
S₂ в 50 мл
привавляют
ают 2 раза
подкисля-
париванием
пл. 71° (из
грантикар-
йной к-ты,
т. пл. 122°;
гидразид
инотрибен-
т. пл. 155°;
4-димети-
ловой, 3-ли-
нтикарбо-
Фабричных
о соедине-
аммоний-
т. 304185,
нем.)
аминотиа-
т. 1,2-бис-
ни. 132-
тоне — 1,2-
андийодид,
Магидсон
сульфиды
sulfures Ltd.
1955, 12,

R⁹X) n CH₂
R⁴ (R¹, R²,
X — гало-
6,9 г 2-ди-
бавляют в
прикаша-
тропана в
15 час. в
т-3-тиапен-
1,9 г этого
0° с 2,9 г
акционная
24 часа
2-метил-3-
т. пл. 25°.
ощий пре-
Магидсон
ов. Фон
zug Het-
l Josef
ing A.G.]

NN=C(Z)S

к сульфон-
у, способ
меститель
и на суль-
тер-1,3,4-ти-
державши
тиодангид-
изолами в
катализи-
нобензол-
Z = C₂H₅)
инзолсуль-

фонамида, 14,9 г 5-хлор-2-этил-1,3,4-тиодиазола (полученного диазотированием 5-амино-2-этил-1,3,4-тиодиазола в HCl, т. пл. 97—98°), 13,8 г K₂CO₃ и 0,5 г Cu нагревают 2 часа до 210—220°. Выпадающая после охлаждения масса обрабатывается 500 мл кипящей воды и продукт, находящийся в р-ре в виде К-соли, выделяют к-той т. пл. 176°. Ацетильное производное омыляют многочасовым нагреванием с 6-кратным кол-вом 2 н. КОН до 90°, выход 15 г (52,8%), т. пл. 185°. б) нагреванием суспензии 1 моля 2-этил-5-амино-1,3,4-тиодиазола в 300 мл C₅H₅N с 1 молем хлорангидрида *n*-ацетиламинофенилсульфонокислоты 1 час на водяной бане. После охлаждения и добавления 1 л воды в-во осаждают 500 мл 2 н. HCl, отсасывают, промывают водой и для отщепления CH₃CO-группы нагревают 2 часа с 500 мл 2 н. HCl и продукт выделяют ацетатом Na: т. пл. 184° (из сп.). Даны примеры получения по способу б) в-в с Z = CH₃ из 2-метил-5-аминотиодиазола и хлорангидрида *n*-ацетиламинобензолсульфоновой к-ты, т. пл. 202° (из 96%-го сп.), Z = C₃H₇ из 2-пропил-5-аминотиодиазола и хлорангидрида *n*-ацетиламинофенилсульфоновой к-ты, т. пл. 164° (из сп.), Z-изо-C₃H₇ из 2-изо-пропил-5-аминотиодиазола и хлорангидрида *n*-ацетиламинофенилхлорсульфонокислоты, т. пл. 192° (из сп.), Z = C₄H₉ из хлорангидрида 4-карбозоксисульфаниловой к-ты и 2-н-бутил-5-амино-1,3,4-тиодиазола, т. пл. 186° (из сп.), Z-изо-C₄H₉ из хлорангидрида 4-карбозоксисульфаниловой к-ты и 2-изо-бутил-5-амино-1,3,4-тиодиазола, т. пл. 225°. Z = (C₂H₅)₂CH₃ из хлорангидрида 4-карбозоксисульфаниловой к-ты и 2-диэтилметил-5-амино-1,3,4-тиодиазола, т. пл. 230°; Z = *n*-C₆H₁₃ из хлорангидрида 4-карбозоксисульфаниловой к-ты и 2-гексил-5-аминотиодиазола, т. пл. 185° (из сп.). Полученные в-ва могут найти применение как лекарственные средства, в частности соли этих в-в с щел. металлами в виде водн. р-ров с pH 7 могут быть использованы для внутривенных и внутримышечных введений. Г. Либерман

33558 П. Трифенолы. Бивер, Шумард, Стоффел (Trisphenols. Beaver David J., Shumard Roland S., Stoffel Paul J.) [Monsanto Chemical Co.] Пат. США 2735872, 21.02.56

Трифенолы общей ф-лы *n*-CH₃-C₆H₄-(*o*-OH, *m*-X)CH₂-*n*-C₆H₂-(*o*-OH, *m*-R)CH₂-*n*-C₆H₄-(*o*-OH, *m*-X)-CH₃-*n* (I) (X — галогид, R — длинноцепной алкил, напр., нонил) обладают антисептич. свойствами и используются в жидких или твердых моющих композициях в кол-ве 0,5—10% (лучше 1—3%) веса детергента. Смешивают 14,0 г 2,6-диметилол-*n*-нонилфенола, 28,8 г 4-хлор-*o*-крезола и ~ 2 мл конц. HCl. Масса разогревается до 105° и образуется вязкое темное масло, которое перемешивают 24 часа при 30°; добавляют гептан и фильтруют. Остаток на фильтре промывают водой и кристаллизуют из гептана. Получают I, где R — *n*-нонил, X — Cl, т. пл. 138,5—139,5°. Аналогично получают I, где R — *n*-нонил, X — Br. И. Шалавина

33559 П. Способ получения нового циклогексанола (Verfahren zur Herstellung eines neuen cyclohexanols) [Ciba A.-G.]. Швейц. пат. 299105, 02.08.54 [Chem. Abstrs. 1956, 50, № 8, 5737 (англ.)]

6,4 г хлоргидрата 2-циклогексиден-1-(пиперидинопропил)-циклогексанола в 160 мл спирта гидрируют рассчитанным кол-вом H₂ в присутствии 0,5 г PtO₂, отделяют катализатор, отгоняют спирт в вакууме, остаток обрабатывают р-ром K₂CO₃ и эф., получают 2-циклогексил-1-(3-пиперидинопропил)-циклогексанола, т. кип. 152—153°/0,07 мм, хлоргидрат (из эф. р-ра с HCl), т. пл. 231—233°, сильный спазмолитик. О. М.

33560 П. Метод получения парааминобензолсульф-(3,4-диметилбенз)-амидина. Миядзак, Фудзисава, Дэгути [Фудзисава якухин когё кабусики кайсэ]. Японск. пат. 4273, 15.07.54

Сплавливают совместно парааминобензолсульфамид (I) и 3,4-диметилбензамидин (II) или проводят р-цию между ними нагреванием в органич. р-рителях. Пример: 16 г I и 14 г II (т. пл. 101°) плавят при 130—140° на масляной бане до выделения газообразного NH₃, через 4 мин. прекращают нагревание, охлаждают, промывают последовательно слабым р-ром щелочи, водой и эфиром, получают 24 г сырых кристаллов указанного в-ва, т. пл. 217° (из CH₃OH). Или исходные I и II нагревают 20 мин. в 30 мл кислоты на масляной бане до выделения газообразного NH₃, и далее проводят операции, описанные в 1-м примере. А. Фрадкин

33561 П. Способ получения нового фуранового соединения. (Verfahren zur Herstellung einer neuen Furanverbindung) [Ciba A.-G.]. Швейц. пат. 300195, 16.09.54 [Chem. Abstrs. 1956, 50, № 8, 5759 (англ.)]

Нагревают 2 часа 19 г N-(тетрагидро-2-фурилметил)-фенетиламина (I) с 11,5 г 80%-ной HCOOH и 15 г 40%-ного CH₂O при 90—100°, охлажд. р-р подкисляют 2 н. H₂SO₄, извлекают эф., сушат, отгоняют и выделяют 2-[(N-фенетил)метиламинометил] — тетрагидрофуран (II), т. кип. 110—112°/0,05 мм; I готовят 2-часовым нагреванием 12 г фенетиламина и 16,5 г 2-(хлорметил)-тетрагидрофурана при 120° в присутствии избытка KHC₂O₄, растворением охлажд. смеси в 2 н. H₂SO₄, извлечением эф., подщелачиванием водн. слоя NaOH, извлечением эф., отгонкой высушенного экстракта и перегонкой I, т. кип. 111—117°/0,02 мм. II имеет специфич. действие на сердечный ритм. О. Магидсон

33562 П. Производные пиридина. Уайзлог, Лос-Бернштейн (Pyridine derivatives. Wiselogle Frederick Y., Losee Kathryn A., Bernstein Jack), [Olin Mathieson Chemical Corp.]. Пат. США 2758116, 07.08.56

1-Ацилокси-2-пиридинтионы ф-лы ROCONCH=CHCH=CH—C=S (I), где R — алкил с 1—12, 17 и 18 атомами C, алкенил с 2—8, 10, 11 и 17 атомами C, пентадиенил, гелтадецилдиденил, гептадекатриенил, этинил, пропирил, октирил, ундецирил, бутенирил и др. (причем пиридиновое кольцо может содержать ≤ 4 заместителей: низший алкил, низший алкоксил или галогид) получают р-цией соответствующих 1-окси-2-пиридинтионов, и галогидангидридов (лучше хлорангидридов) или ангидридов алифатич. к-т ф-лы RCOOH в присутствии органич. или неорганич. оснований, напр. C₅H₅N, водн. NaOH. Р-р 5,5 г 1-окси-2-пиридинтиона (II) в 25 мл (CH₃CO)₂O нагревают 10 мин. на водяной бане, выливают на 200 г льда и оставляют на 0,5 часа, периодически перемешивая. Осадок отфильтровывают и получают 2,5 г 1-ацетокси-2-пиридинтиона (III), т. пл. 86—87° (из CH₃COOC₂H₅—C₆H₁₄). К р-ру 25,4 г II в 300 мл абс. C₅H₅N прибавляют при 20—25° 15,7 г CH₃COCl, нагревают 2 часа при 80—90°, охлаждают, осадок отфильтровывают, фильтрат концентрируют в вакууме до объема 100 мл и выливают на 700 г льда. Осадок отфильтровывают, получают 12 г III. Аналогично из II и C₂H₅COCl [или (C₂H₅CO)₂O] получают 1-пропокси-2-пиридинтион; из 1-окси-5-бром- и 1-окси-5-метил-2-пиридинтионов получены 1-ацетокси-5-бром- и 1-ацетокси-5-метил-2-пиридинтионы. Р-цией II со стеароилхлоридом (т. кип. 144—146°/2 мм) синтезирован 1-стеароилокси-2-пиридинтион, т. пл. 51—53°, выход 75%; р-цией II с лауроилхлоридом и миристоилхлоридом получены соответствующие I. Из 25,4 г II и 26,1 г сорбоилхлорида получено 23 г в-ва с т. пл. 82—84°, перекристаллизация которого дала 8 г 1-сорбоилокси-2-пиридинтиона, т. пл. 93—94°. 5 г ундецилоилхлорида прибавляют к р-ру 3,17 г II в 30 мл 1 н. NaOH, смесь встряхивают 2,5 часа, экстрагируют эфиром; из эфирного экстракта получают 2 г 1-ундецилоилокси-2-пиридин-

тиона, т. кип. 153—155°/2 мм. I являются активными противомикозными и бактерицидными в-вами.

И. Шалавина

33563 П. Метод получения производных пиримидина. Исикава, Акита [Такэда якухин когё кабусики кайся]. Японск. пат. 1839, 7.04.54

2-Метил-4-амино-5-цианпиримидин (I) смешивают с NH_3 , $(\text{NH}_4)_2\text{CO}_3$, низшим спиртом, нагревают в присутствии катализатора (Ni), гидролизуют под давлением и получают 2-метил-4-амино-5-аминометилпиримидин (II). Пример. В 60 г I добавляют 150 г NH_3 и 450 мл CH_3OH , берут в качестве катализатора 20 г высокоактивного Ni и 3 часа при 120—125° под давлением (начальное 113 атм, конечное 83 атм при 19°) пропускают H_2 . Отфильтровывают катализатор, концентрируют в вакууме, фильтрат и получают 60 г студенистого II. Выход 98%.

А. Фрадкин

33564 П. Способ получения 2-метил-4-амино-5-ацетаминотил- (или -5-аминометил-) пиримидина. Томита, Уео, Такэда, Такаидзава, Маэда (Verfahren zur Herstellung von 2-Methyl-4-amino-5-acetaminomethyl- (bzw. -5-aminomethyl-) pyrimidin. Tomita Masao, Uyeo Shojiro, Takeda Kenichi, Takamizawa Akira, Maeda Ryozo) [Shionogi & Co. Ltd]. Пат. ФРГ 937057, 09.08.56

Получение 2-метил-4-амино-5-ацетиламинометилпиримидина (I) и его дезацетильного производного (II) основано на р-ции транс- α -алкоксиметил- β -алкокси-пропионитрила (III) с ацетамидином (IV) или ацетимидозэфиром (V) и NH_3 . При этом сначала образуется 2,7-диметил-5,6-дигидропиримидо- [4,5- α -пиримидин, который при гидролитич. расщеплении превращается в I. Кислотным или щел. гидролизом из I получают II. Р-цию осуществляют в р-рителе и в присутствии щел. конденсирующих средств. В метанольном р-ре *цис*-аналог III превращается в III и реагирует с IV по указанной выше схеме. К р-ру CH_3ONa (из 8 г Na и 90 мл абс. CH_3OH) прибавляют 33,5 г хлоргидрата IV, размешивают 30 мин. при 20°, нейтрализуют и нагревают до 65—67°; в теплый р-р медленно вносят 49 г III (α -алкил = β -алкил = CH_3) (IIIa), кипятят 2 часа, отделяют NaCl, отгоняют CH_3OH , остаток нагревают 1 час на водяной бане с р-ром 1 г NaOH в 30 мл воды, подкисляют CH_3COOH до pH 6,8 и оставляют стоять; получают I, выход 60%, т. пл. 203—204° (из воды; 0,5 молекулы кристаллизационной воды); пикрат, т. пл. 199—200° (разл.); хлоргидрат, т. пл. 235° (разл.). Аналогично получают I, применяя вместо IIIa его β -этоксигидрат (IIIb), α -бензилокси- β -этоксигидрат (IIIc) и *цис*-аналоги; выходы I составляют соответственно 60%, 58% и 60%. При применении IIIa в присутствии $\text{C}_2\text{H}_5\text{ONa}$ выход I достигает 80%. К р-ру $\text{C}_2\text{H}_5\text{ONa}$ (из 14 г Na и 140 мл спирта) прибавляют 14 г хлоргидрата V и 10 г IIIb, размешивают 2 часа при охлаждении и 2 часа при 40°, прибавляют 0,2 г Na, отделяют NaCl, отгоняют в вакууме р-ритель, остаток обрабатывают C_6H_6 , нерастворившуюся часть растворяют в 30 мл CH_3OH , насыщают при охлаждении NH_3 , отгоняют CH_3OH и остаток обрабатывают 2 часа при 40° 10 мл 10%-ного р-ра NaOH; получают I, выход 4,4 г. Смесь 5 г I, 200 мл спирта и 15 мл 20%-ной HCl нагревают на водяной бане и пропускают газообразный HCl; получают хлоргидрат II, т. пл. 265° (разл.).

А. Травин

33565 П. Способ получения производных тетрагидропиримидиндиона-4,6. (Fremgangsmåde til fremstilling af tetrahydropyrimidin-4,6-dionderivater) [Imperial Chemical Industries Ltd]. Датск. пат. 79485, 4.07.55

Сублимированием 2-алкоксигексагидропиримидин-

дионов-4,6 ф-лы $(\text{R}^1)(\text{R}^2)\text{CCON}(\text{R}^3)\text{CH}(\text{OR}^4)\text{NHC}=\text{O}$, где $\text{R}^1\text{R}^2\text{CCON}(\text{R}^3)\text{CH}(\text{OR}^4)\text{NHC}=\text{O}$, где R^4 — алкил, алкенил, содержащий ≤ 3 атомов C, R^2 — алкил или алкенил,

содержащий ≤ 3 атомов C, R^3 — H или алкил, имеющий ≤ 4 атомов C, R^4 — алкил, при остаточном давлении ≥ 100 мм рт. ст. получают соответствующие Δ^2 -тетрагидропиримидиндионы-4,6. 50 г 2-этоксигексагидропиримидиндиона-4,6 сублимируют при остаточном давлении 100 мм рт. ст. и 180°, получают 40 г 5-фенил-5-этилтетрагидропиримидина, т. пл. 145—120°. Продукты обладают противосудорожным действием.

Б. Фабричный

33566 П. Способ получения производных гексагидропиримидиндиона-4,6 (Fremgangsmåde til fremstilling af heksahydropyrimidin-4,6-dionderivater) [Imperial Chemical Industries Ltd]. Датск. пат. 80353, 2.04.56

Обладающие противосудорожным действием в-ва об-

щей ф-лы $[\text{C}_6\text{H}_2(\text{X})(\text{Y})\text{Z}](\text{R})\text{CCON}(\text{R}^1)\text{CH}_2\text{NHC}=\text{O}$, где атомы H бензольного ядра находятся при атомах C, соседних с атомом C, связанным с пиримидиновым циклом, X и Y — H или галогид, Z — галогид, R — алкил или алкенил, содержащий ≤ 3 атомов C, R^1 — H или алкил, содержащий ≤ 4 атомов C, получают восстанов-

лением в-в общей ф-лы $[\text{C}_6\text{H}_2(\text{X})(\text{Y})\text{Z}](\text{R})\text{CCON}(\text{R}^1)$

$\text{C}(\text{R}'')=\text{NCO}$, где R'' — H или группа BR''' ($\text{B}=\text{O}$ или S, R''' — H или алкил); если R'' является атомом H, в-ва можно применять в виде их алкоколятов. 2 г 2-метокси-5-(*n*-хлорфенил)-5-этилгексагидропиримидиндиона-4,6 (I) нагревают 1 час с 50 г HCONH_2 . Смесь охлаждают, прибавляют 50 мл воды, фильтруют и получают при охлаждении 5-(*n*-хлорфенил)-5-этилгексагидропиримидиндион-4,6 (II) (из сп.), т. пл. 303°. I суспендируют в 125 мл CH_3OH , прибавляют 5 г Zn-пыли и 20 мл 2 н. HCl. Смесь перемешивают 10 мин. при 50° и фильтруют. Фильтрат доводят до р-ции прибавлением 32%-ного водн. NaOH, нагревают 3 мин. при 50—55°, охлаждают, разбавляют водой и получают II, т. пл. 301—302°.

Б. Фабричный

33567 П. Способ получения производных гексагидропиримидиндиона-4,6 [Fremgangsmåde til fremstilling af heksahydropyrimidin-4,6-dionderivater] [Imperial Chemical Industries Ltd]. Датск. пат. 80516, 13.02.56

Обладающие противосудорожным действием произ-

водные гексагидропиримидиндиона-4,6 общей ф-лы $\text{R}^1\text{R}^2\text{CCON}(\text{R}^3)\text{CH}_2\text{NHC}=\text{O}$, где R^1 — моноциклич. карбоциклич. группа или алкенил, имеющий ≤ 3 атомов C, R^2 — алкил или алкенил, имеющий ≤ 3 атомов C, R^3 — H или алкил, содержащий ≤ 4 атомов C, получают восстановлением соединений общей ф-лы

$\text{R}^1\text{R}^2\text{CCON}(\text{R}^3)\text{CH}(\text{OR}^4)\text{NHC}=\text{O}$, где R^4 — алкил, алкенил или аларкил. 2 г 2-этоксигексагидропиримидиндиона-4,6 в 250 мл спирта перемешивают 1 г скелетного Ni 5 час. при 50 ат H_2 и 90°. Смесь охлаждают до 75°, фильтруют. Фильтрат упаривают и охлаждают. Выпавший 5-фенил-5-этилгексагидропиримидиндион-4,6 (I) отфильтровывают и сушат, т. пл. 286°. Тот же продукт получают из соответствующих других алкоксипроизводных. Описано получение I с применением различных восстановителей (формамида, 98%-ной водн. HCOOH , их смеси; Zn, 50%-ной CH_3COOH и HCl-кислоты), а также 5-фенил-1-метил-5-этилгексагидропиримидиндиона-4,6, т. пл. 185—186°, 5- Δ^2 -циклогексенил-5-этилгексагидропиримидиндиона-4,6, т. пл. 268° и 5-фенил-5-метил-гексагидропиримидиндиона-4,6, т. пл. 296°.

Б. Фабричный

33568 П. Метод производства 4-диметил(дизтил)-аминоацетиламиноантипиринов. Такахаши, Огуи [Нихон синьяку кабусики кайся]. Японск. пат. 368, 23.06.54

На аминоантипирин действуют α -галогенацетилгалогенидом и получают 4- α -галогенацетиламиноантипирин,

который конденсируют с диметил- или диэтиламиноом и получают 4-а-диметил- (или диэтил)-аминоацетиламиноантипирин. Пример. Получение 4-хлорацетиламиноантипирин (I). В 24 г сульфата 4-аминоантипирин добавляют избыточное кол-во конц. водн. NH_3 и экстрагируют хлороформом, обезвоживают хлороформом, удаляют хлороформ, и нагревают на бане для удаления NH_3 . Далее к остатку добавляют р-р 12 г ClCH_2COCl в хлороформе, добавляют 25 г безводн. K_2CO_3 и при встряхивании 3 часа оставляют при $\sim 20^\circ$; удаляют хлороформ, к остатку добавляют воды и получают 20 г I, т. пл. 198° (из CH_3OH). Подобным образом получают следующие соединения: 4-а-бромпропионаминоантипирин, т. пл. 206° ; 4-а-бром-N-бутириламиноантипирин, т. пл. 208° ; 4-а-бром-N-валериламиноантипирин, т. пл. 185° ; 4-а-бромизовалериламиноантипирин, т. пл. 205° ; 4-диметиламиноацетиламиноантипирин, т. пл. 151° ; 4-а-диэтиламиноацетиламиноантипирин, т. пл. 111° ; 4-а-диметиламинопропионаминоантипирин, т. пл. 176° ; 4-а-диэтиламинопропионаминоантипирин, т. пл. $79-80^\circ$; 4-а-диметиламино-N-бутириламиноантипирин, т. пл. 168° ; 4-а-диэтиламино-N-бутириламиноантипирин, т. пл. 119° ; 4-а-диметиламино-N-валериламиноантипирин, т. пл. 130° ; 4-а-диэтиламино-N-валериламиноантипирин, т. пл. 80° ; 4-а-диметиламиноизовалериламиноантипирин, т. пл. 186° ; 4-а-диэтиламиноизовалериламиноантипирин, т. пл. 177° . Болеутоляющие и жаропонижающие средства. А. Ф.

33569 II. 2-(Арилсульфамидо)-1,3,4-триазины (Verfahren zur Herstellung neuer 2-(Arylsulfonamido)-1,3,5-triazine) [Österreichische Stickstoffwerke A.-G., Австр. пат. 183758, 10.11.55 [Chem. Abstrs, 1956, 50, № 11, 7885 (англ.)]

Патентуются 4,6-дизамещ. 2-арилсульфамидотриазины, в которых арил-фенил, замещ. преимущественно в пара-положении на NH_2 , алкиламино, NO_2 , ациламино, CN , а в 4 и 6 положениях имеющих алкил- или алкоксигруппу. Обрабатывают 19,4 г Na-соли сульфаниламида (I) и 17,2 г 2,4,6-триметокси-1,3,5-триазина (II) 100 мл CH_3OH , содержащими 0,23 г Na, смесь кипятят 24 часа, р-ритель выпаривают, остаток растворяют в воде, подщелачивают содой, выпадает 3 г I; при нейтр-ции маточного р-ра получают 20—21 г гидрата 2-сульфаниламидо-4,6-диметокситриазина, т. пл. $137-141^\circ$ (из водн. CH_3COOH), безводн. форма, т. пл. $170-175^\circ$. При прибавлении 0,23 г Na в 20 мл CH_3OH и 1,72 г II к 2,14 г 4- $\text{CH}_3\text{CONHC}_6\text{H}_4\text{SO}_2\text{NH}_2$ (III) и 6-часовом кипячении смеси, отгонке р-рителя, прибавлении к остатку 30 мл H_2O выпадает 1,45 г II, из фильтрата при подщелачивании получают 1,25 г III; при подщелачивании маточного р-ра образуется 0,4 г 2-N⁴-ацетилсульфаниламидо-4,6-диметокситриазина (IV), т. пл. $209-211^\circ$. Растворяют 3,29 г IV в 15 мл абс. CH_3OH , содержащего 0,23 г Na, фильтруют, прибавляют эфир — количественно выпадает Na-соль IV, которая дает 30%-ный р-р в H_2O с pH 7. В 7 мл горячего абс. CH_3OH растворяют 1,645 г IV и прибавляют горячий р-р 0,94 г 4- $\text{CH}_3\text{NHC}_6\text{H}_4\text{SO}_2\text{NH}_2$ (V), при охлаждении и прибавлении эфира осаждают V-соль IV, т. пл. $173-174^\circ$, которая дает 1,7%-ный р-р в воде с pH 7 и обладает бактерицидной активностью. Прибавляют к 15,5 г IV 6 г $(\text{C}_2\text{H}_5)_2\text{NH}$ (VI) в 25 мл H_2O , затем 100 мл $\text{C}_2\text{H}_5\text{OH}$ и смесь оставляют при низкой т-ре — получают VI-соль IV, которая растворима в $\text{H}_2\text{O} \geq 30\%$. Или 3,11 г безводн. IV в 60 мл горячего абс. $\text{C}_2\text{H}_5\text{OH}$ обрабатывают 2 г измельченной безводн. фталевой к-ты (VII), смесь кипятят 2 часа, выпавший осадок (72%) перекристаллизовывают из CH_3COOH и пересаживают из $\text{NaHCO}_3 = \text{HCl}$. Получают VII-соль IV, т. пл. $214-218^\circ$ (разл.).

О. Магидсон

33570 II. Способ повышения растворимости пуриновых оснований. Риттер, Кунш (Verfahren zur

Steigerung der Wasserlöslichkeit von Purinbasen. Ritter Ludwig, Kunsch Heinz) [HEFA G. m. b. H., Chem.-pharm. Fabrik]. Пат. ФРГ 937725, 12.01.56

Для указанных целей к пуриновому основанию прибавляют монобензиловый эфир фталевой, масляной, бензойной, никотиновой, миндальной, яблочной, лимонной, молочной, аминокислотной, янтарной и других к-т. Напр., вносят в 600 мл воды 220 г кофеина и 282 г монобензилфталевого эфира и устанавливают затем желаемый pH. Повышение растворимости этим способом распространяется также на теofilлин, диоксипропилтеofilлин, оксизетилтеofilлин и др. О. Магидсон

33571 II. Приготовление инъекционных растворов.

Судзуки, Мидзугути [Мидзугути Дзюн].

Японск. пат. 6900, 27.09.55

Указанные р-ры, свободные от вредного побочного действия на организм, готовят введением в инъекционный р-р в-в, имеющих в своей структуре CO -группу, конъюгированную с двойной $\text{C}=\text{C}$ -связью, и удалением образовавшихся соединений из указанных в-в с пирогенными примесями, входящими в инъекционный р-р. Такими соединениями могут быть нингидрин, 2,6-дихлорхлоринимид (I) и др. Констатировать отсутствие пирогенных примесей после обработки инъекционных р-ров можно с помощью спектрографа или полярографа. Пример: в 500 мл 20%-ного р-ра глюкозы добавляют 0,1 г I при $28-30^\circ$, ведут р-цию в течение 3 час., иногда встряхивая, еще 3 часа держат при $76-80^\circ$ до легкого посинения р-ра, вводят 1 г активированного С, через 30 мин. фильтруют при 40° и получают прозрачный инъекционный р-р глюкозы. А. Фрадкин

33572 II. Получение водных растворов труднорастворимых в воде лекарственных веществ. Эрхарт, Кросс (Verfahren zur Herstellung wäßriger Lösungen von in Wasser schwer löslichen Arzneimitteln. Ehrhart Gustav, Kross Walter) [Farbwerke Hoechst A.-G. vormals Meister Lucius & Brüning]. Пат. ФРГ 940060, 08.03.56

Для получения водн. р-ров труднорастворимых в воде лекарственных в-в, напр. прогестерона и дезоксикортикостерона, к р-ру добавляют в-ва типа 1,2-диметил-3-фенилпиразолона-(5) (I). Р-ры I близки по своему pH к нейтр. точке, поэтому пригодны для инъекций. 10 г 1-фенил-2,3-диметил-4-диметилпиразолона-(5) после прибавления 10 г I растворяются в 60 объемах ч. воды; 5 г диэтилаллилацетамид (II) и 25 г I растворяют в воде до 60 объемах ч. и получают 8%-ный р-р, в то время как обычная растворимость II составляет 1:120; 25 мг прогестерона растворяют в 5 мл 50%-ного водн. р-ра I при нагревании. При охлаждении р-р не кристаллизуется, стабилен и годен для инъекции; аналогично получают р-ры дезоксикортикостерона и кортизона. Е. Зиллер

33573 II. Бактерицидный и вяжущий препарат. Бер (Keimtötende und hauthärtende Mittel. Bähr Johann) [Elfriede Ella Bähr, geb. Sohnadt]. Пат. ФРГ 939949, 08.03.56

В качестве указанного препарата предложены продукты конденсации альдегидов (CH_2O , CH_3CHO и др.) с оксальдегидами или кетонами, имеющими < 8 атомов С. К смеси 100 г альдоля и 400 г 36%-ного формалина прибавляют за 3 часа при 50° и при размешивании 100 г известкового молока (30 г $\text{Ca}(\text{OH})_2$ и 70 г воды), фильтруют, отгоняют 40 г формалина и 200 г воды и прибавляют по охлаждению 15 г NaHSO_3 ; получают ~ 450 г водн. р-ра препарата, который применяют для лечения грибковых заболеваний кожи (смесь 100 г препарата с 100 мл воды) и солнечных ожогов (смесь 100 г препарата с 2 г тилозы и 10 г полиэтиленхлорида). К смеси 72 г $(\text{C}_2\text{H}_5)_2\text{CO}$ и 450 г формалина медленно прибавляют при $70-90^\circ$ и при размешивании 20 г этаноламина, оставляют на 4 часа при охлаж-

дении и прибавляют 52 г NaHSO_3 ; полученный препарат смешивают с 25 г Na-соли полиакриловой к-ты и 30 г додецилового спирта и в таком виде применяют для лечения эпидермофитии и успокоения зуда.

А. Травин

33574 П. Способ превращения бактериостатических веществ в гелеобразное состояние. Буш (Verfahren zur Überführung von bakteriostatisch wirkenden Stoffen in Gelform. Busch Josef), Пат. ФРГ 944750, 21.06.56

Загущенные препараты пенициллина, стрептомицина (I) и других бактериостатич. в-в получают взаимодействием их с хлоргидратом бис-(2-метил-4-аминохинолил)-6-карбамида (II) и другими аналогичными соединениями хинолинового ряда. В 100 мл 1%-ного р-ра II вводят при помощи шприца под умеренным давлением суспензию 1 млн. ед. новоцилина (III) в 5 мл воды; через несколько часов образуется прозрачный гель. К 1 мл того же р-ра II каплями прибавляют суспензию III (300 тыс. ед.) в 1,5 мл воды; наряду с небольшим кол-вом нерастворимого соединения II с III, образуется гель, в котором взвешено значительное кол-во III; тиксотропные свойства суспензии позволяют вводить ее в шприц через тончайшие иглы. Р-р I любой конц-ии вводят в виде слоя в нижнюю часть р-ра II, и жидкости смешивают посредством внезапного толчка; при этом мгновенно образуется гель. Быстрое образование геля имеет место также при введении р-ра I или *n*-аминосалициловой к-ты в р-р II при помощи шприца.

А. Травин

33575 П. Способ получения болеутоляющего средства, применяемого в ветеринарии. Кларк, Парри, Роз (Förfarande för framställning av veterinära bedövningsmedel. Clark G. H., Parry H. B., Rose F. L.) [Imperial Chemical Industries Ltd]. Шведск. пат. 149857, 3.05.55

100 г 2-(β -нафтокси)-этанола диспергируют в воде, содержащей диспергирующее в-во и 5—75 г одного или нескольких производных свободной барбитуровой к-ты

общей ф-лы $(R)(R')\text{CCONHC}(=X)\text{N}(R'')\text{CO}$, где R и R' — углеводородные остатки, R'' — H или углеводородный остаток, X — O или S.

Б. Фабричный

33576 П. Способ получения пригодных для инъекций препаратов сложного фенилового эфира *n*-аминосалициловой кислоты (Fremgangsmåde til fremstilling af et injicerbart præparat af fenylesteren af *p*-aminosalicylsyre) [Lovens Kemiske Fabrik ved A. Kongsted]. Датск. пат. 80223, 5.12.55

Фениловый эфир *n*-аминосалициловой к-ты (I, эфир) измельчают так, что ≥ 80 вес. % I имеет размер частиц $\geq 5 \mu$, эти частицы покрывают тонким слоем поверхностноактивного в-ва (ПАВ), напр. эфиром полиоксиэтиленгексита с жирной к-той, и суспендируют в водн. среде. Покрывание частиц производят, смачивая их р-ром ПАВ в р-рителе, который затем удаляют испарением. К водн. среде добавляют в-во, повышающее вязкость, и буферное в-во, поддерживающее pH среды в пределах 5,5—6,5. 500 г I, размолотого в сиец, мельнице до вышеуказанной величины частиц, смешивают с таким же объемом равных кол-в полиоксиэтиленсорбитмоноолеата и эфира; к полученным кристаллам после их высушивания на водяной бане прибавляют 5 г упомянутого твердого ПАВ. Обработанные таким образом кристаллы суспендируют в стерилизованной среде следующего состава: Na-карбоксиметилцеллюлоза 5 г, Na-(этилмеркур)-тиосалицилат 0,3 г; изотонич. фосфатным буферным р-ром (pH 6) объем доводят до 1,5 л. Кристаллы, полученные, как указано выше, можно суспендировать также и в среде следующего состава: Na-алгинат 8,0 г, N-(этилмеркур)-тиосалицилат 0,3 г, полиэтиленгликоль-400-моностеарт 0,3 г, полиэти-

ленгликоль-400-дистеарт 0,3 г изотонич. фосфатным буферным р-ром объем доводят до 1,5 л. Цифра «400» указывает приблизительный мол. вес полиэтиленгликоля, применяемого для получения взятых стеаратов.

Б. Фабричный

33577 П. Лекарственное средство против шистозомиаза (Treatment of schistosomiasis) [Burroughs Wellcome & Co. (Aust.) Ltd]. Австр. пат. 167319, 12.04.56

Фармацевтический препарат для лечения шистозомиаза содержит в качестве активного компонента 4,4-бис-(*n*-диметиламинофенокси)-бутан, 1,6-бис-(*n*-диметиламинофенокси)гексан или их соли, наряду с нейтральными составными частями.

Л. Михальский

33578 П. Способ получения присыпки для ран, содержащей антибиотики. Вебер (Verfahren zur Herstellung eines antibiotischen Wundpuders. Weber Helene, geb. Wolf). Пат. ФРГ 945863, 19.07.56

Один или несколько белковоподобных антибиотиков, устойчивых к высоким т-рам (субтилин, тиротрицин, грамицидин и др.), адсорбируют на органич., способном к набуханию, носителе (производные целлюлозы, эфиры полигалактуроновой к-ты, полимеризаты пирролидина, трагант или желатина) и путем высушивания полученной массы превращают в стабильный комплекс. 10 кг эфира полигалактуроновой к-ты смешивают таким кол-вом стерильного фильтрата культуры *Bac. subtilis*, которое по своему антибиотич. действию на золотистый стафилококк отвечает 12 г очищенного сухого субтилина. После сушки массу перемалывают в порошок и нагревают до т-ры, убивающей споры. Таким же образом 10 кг гликолята целлюлозы обрабатывают спирт. р-ром 10 г тиротрицина. Л. Михальский

33579 П. Способ приготовления массы для пилляжа. Холле, Хуммель (Verfahren zur Herstellung einer Pillingrundmasse. Holle Kurt, Hummel Otto) [Zellstoffabrik Waldhof]. Пат. ФРГ 944501, 21.06.56

Смесь 10 кг сухих дрожжей *Torula* и 50—100 л воды нагревают короткое время при 80—90°, отделяют экстракт на сепараторе, повторяют ту же операцию еще раз и упаривают объединенный экстракт; получают 3,8 кг 75%-ного концентрата. Аналогично, кипячение 10 кг дрожжей с 100 л CH_3OH (или спирта) или с 100 г смеси CH_3OH (или спирта) и воды (1:1) получают соответственно 2,75 кг 80%-ного и 3,4 кг 75%-ного экстракта. Полученный тем или другим способом экстракт смешивают (в кол-ве 10 кг) с 30 кг сухих дрожжей *Torula* и 160 л воды и высушивают на вальцовый или распылительной сушилке. При получении экстракта дрожжи могут быть подвергнуты плазмолизу или аутолизу. При извлечении дрожжей высокопроцентным CH_3OH или спиртом из экстракта может быть выделен эргостерин.

А. Травин

33580 П. Антисептический клейкий материал для зубной практики. Хит, Лоренс, Колар (Antiseptic dental plate adhesive. Heath Clifford I., Lawrence Carl A., Kolar Hugo R.) [James I. Younghusband]. Канадск. пат. 512814, 10.05.55

Указанный герметизирующий материал состоит из 0,25 8-оксинолина, 36% фармакопейного (Ф)-вазелина (Фармакоп., США), 12,5 ч. Ф. минер. масла, 1,5 ч. безвредной красной краски, 48,8% камеди карайя и небольшого кол-ва ароматизирующего в-ва; в другом варианте состав содержит: 0,033—3% 8-оксинолина, 26—51% Ф. вазелина, 35—60% Ф. камеди карайя и столько же обычной камеди карайя. Ф. минер. масла добавляют в достаточном кол-ве, чтобы обеспечить клейкому продукту полутвердую пастообразную консистенцию.

Л. Михальский

33581 П. Производные N-изобутильморфина. Кларк (N-isobutylmorphine compounds. Clark)

Robert L.) [Merck & Co., Inc.] Пат. США 2741614, 10.04.56

Взаимодействием норморфина (I) с *изо*-C₄H₉J (II) получают N-изобутил-I (III), который при ацилировании ангидридами карбоновых к-т превращают в 3,6-диацетил-III (IV), 3,6-дипропионил-III и 3,6-дибутирил-III. Предложен также способ получения солей III и его диацильных производных с соляной, бромистоводородной, серной, уксусной, винной, лимонной и другими к-тами. Смесь 6 г I, 2,68 г NaHCO₃, 4,05 г II и 100 мл *n*-C₃H₇OH кипятят при размешивании 24 часа, фильтруют, упаривают досуха в вакууме, извлекают CHCl₃ (остается небольшое кол-во нерастворившегося в-ва), профильтрованную вытяжку упаривают досуха и остаток растирают с эфиром; получаемый при этом кристаллич. продукт объединяют с остатком после извлечения CHCl₃ (см. выше) и извлекают 8 час. эфиром в аппарате Сокслета; получают III, т. пл. 209—210° (из абс. сп.), [α]_D²⁵ — 140°. Р-р 1,5 г III в 20 мл абс. спирта подкисляют р-ром HCl (газ) в спирте и прибавляют 30 мл эфира; получают хлоргидрат III, который очищают кристаллизацией из CH₃OH. Смесь 1,5 г III и 10 мл (CH₃CO)₂O кипятят 1,5 часа, упаривают досуха в вакууме, прибавляют ~ 3 г льда и подщелачивают NH₄OH; получают IV, который очищают кристаллизацией из абс. спирта.

А. Травин

33582 П. N-Замещенные производные дигидронорморфина. Кларк (N-substituted dihydronormorphine compounds. Clark Robert L.) [Merck & Co., Inc.] Пат. США 2741612, 10.04.56

Взаимодействием дигидронорморфина (I) с галоидными алкилами получают N-*n*-пропил-I (II), N-изобутил-I (III), N-аллил-I (IV) и N-металлил-I (V). Синтез II и III осуществлен также каталитич. гидрированием соответственно N-аллил-(VI) и N-металлилнорморфина (VII). При ацилировании II—V ангидридами карбоновых к-т получают соответствующие 3,6-диацетил-, 3,6-дипропионил- и 3,6-дибутирилпроизводные. Предложен также способ получения солей II—V и их 3,6-диацильных производных с соляной, бромистоводородной, серной, уксусной, винной, лимонной и другими к-тами. Препараты являются антагонистами морфина. Смесь 4 г I, 1,28 мл CH₂=CHCH₂Br, 1,79 г NaHCO₃ и 50 мл абс. спирта кипятят при размешивании 17 час., отгоняют р-ритель в вакууме, остаток дважды извлекают CHCl₃, вытяжку упаривают досуха, остаток растворяют в CH₃OH и хроматографируют на Al₂O₃; адсорбат элюируют CH₃OH, элюат упаривают и остаток растворяют в спирте. р-ре газообразного HBr; получают бромгидрат IV (IVa), т. пл. 263—265° (из сп.), [α]_D²⁵ — 113° (с = 0,5, в абс. сп.). Водн. р-р IVa подщелачивают NH₄OH и извлекают эфиром; получают IV, т. пл. 179—180° (из этилацетата), [α]_D²⁵ — 170° (с = 1, в сп.). Р-р 0,7 г IV в 10 мл (CH₃CO)₂O нагревают ~ 2,5 часа при ~ 100°, упаривают почти досуха в вакууме и остаток растворяют в теплом спирте. р-ре винной к-ты; получают тартрат 3,6-диацетил-IV, т. пл. 107—113° (полугидрат, из сп.), [α]_D²⁵ — 76° (с = 0,78, в абс. сп.). Р-р 15,5 г VI в 150 мл 50%-ной CH₃COOH гидрируют над 0,75 г PdCl₂ при 25—35° и давл. ~ 3 атм и фильтрат подщелачивают NH₄OH; получают II, т. пл. 231—232° (из этилацетата), [α]_D²⁵ — 150° (с = 0,4, в абс. сп.); хлоргидрат, т. пл. 147—149° (моногидрат, из абс. сп.), [α]_D²⁵ — 113,5° (с = 1,5, в абс. сп.). Смесь 6 г норморфина, 2,68 г NaHCO₃, 2,3 мл CH₂=C(CH₃)CH₂Cl и 100 мл абс. спирта кипятят при размешивании 74 часа, фильтруют, упаривают в вакууме, остаток дважды извлекают CHCl₃, вытяжку упаривают досуха и растирают с эфиром; твердый осадок растворяют в смеси ацетон-CH₃OH (1:1), обрабатывают углем и фильтрат упаривают; получают VII, т. пл. 216°. Р-р 325 мг VII в 20 мл 50%-ной CH₃COOH гидрируют над 0,1 г PdCl₂ при 25°

и давл. ~ 3 атм; после обычной обработки получают III, т. пл. 194—195° (из абс. сп.), [α]_D²⁵ — 156° (с = 0,99, в сп.).

А. Травин

33583 П. N-Замещенные производные дезоксиноркодеина. Кларк, Пфистер (N-substituted desoxynorcodeine compounds. Clark Robert L., Pfister III Karl) [Merck & Co., Inc.] Пат. США 2741610, 10.04.56

Взаимодействием дезоксиноркодеина (I) с галоидными алкилами получают N-*n*-пропил-I (II), N-изобутил-I, N-аллил-I (III) и N-металлил-I. Исходными в-ми для синтеза II и III могут служить также N-*n*-пропил- и N-аллилноркодеин (IV); при их р-ции с арилсульфохлоридами образуются соответствующие 6-арилсульфонилпроизводные норкодеина, которые с LiAlH₄ превращаются в дезоксисоединения. Предложен также способ получения солей N-замещ. производных I с соляной, бромистоводородной, серной, уксусной, винной, лимонной и другими к-тами. Препараты являются антагонистами морфина. К нагретому до кипения р-ру 7,8 г BrCN в 25 мл CHCl₃ прибавляют за 1 час при размешивании р-р 19 г дезоксикордеина в 45 мл CHCl₃, кипятят 4 часа, прибавляют по охлаждению 400 мл эфира, фильтруют и упаривают в вакууме до небольшого объема; получают N-циан-I (V), т. пл. 149—150° (из этилацетата), [α]_D²⁵ — 130° (с = 0,75, в абс. сп.). Смесь 33 г V, 128 мл лед. CH₃COOH, 45 мл конц. HCl и 900 мл дистил. воды нагревают 90 час. при 90°, обрабатывают активированным С, подщелачивают NH₄OH и извлекают эфиром; получают I, т. пл. 85—86° (из эф.), [α]_D²⁵ — 59° (с = 1,2, в абс. сп.). Смесь 4 г I, 1,78 г NaHCO₃, 2,52 г *n*-C₃H₇J и 50 мл абс. спирта кипятят при размешивании 24 часа, фильтруют, упаривают в вакууме и остаток извлекают эфиром; получают II, который превращают в бромгидрат, т. пл. 281—283°, [α]_D²⁵ — 34° (с = 0,8, в сп.). Смесь 35 г норморфина (VI), 7,95 г CH₂=CHCH₂Br и 350 мл CHCl₃ нагревают 3,5 часа при 110° в запаянной трубке, фильтруют, твердый осадок извлекают CHCl₃, вытяжку упаривают в вакууме, остаток растирают с 75 мл эфира, выдерживают 2 часа при 0°, фильтруют, твердый осадок извлекают 15 час. эфиром в аппарате Сокслета, вытяжку упаривают в отсутствие воздуха до начала кристаллизации и оставляют на 15 час. при 0°; получают N-аллил-VI (VII), т. пл. 208—209°. К р-ру 1 экв C₆H₅(CH₃)₂NOH (полученному смешением эквивалентных кол-в фенилтриметиламмонийхлорида и C₂H₅ONa в спирте и фильтрацией NaCl в спирте прибавляют 1 экв VII, отгоняют до т-ры 120° в парах, прибавляют по охлаждению 1,2 экв CH₃COOH, отгоняют с паром, дистиллят подщелачивают р-ром NaOH и извлекают CHCl₃; получают IV. К охлажденному до —10° р-ру 3,25 г IV в 3,2 мл C₆H₅N прибавляют 2,2 г 4-CH₃C₆H₄SO₂Cl в 2,2 мл C₆H₅N, оставляют на 4 часа при 0°, выливают в 110 мл воды, содержащей 1,5 г NaHCO₃, декантируют, смолообразный остаток промывают водой и извлекают CHCl₃. Вытяжку (промытую водой, р-ром NaHCO₃ и водой) упаривают в вакууме, остаток растворяют в эфире и к р-ру прибавляют избыток р-ра HBr (газ) в спирте; получают бромгидрат 6-(*n*-толуолсульфонил)-IV (VIII, основание), т. пл. 145—146° (из CH₃OH); р-р последнего в воде подщелачивают и извлекают эфиром; получают VIII, т. пл. 110—111°. К р-ру 0,6 г LiAlH₄ в 30 мл очищ. тетрагидрофурана (IX) прибавляют р-р 2 г VIII в 20 мл IX, кипятят 4 часа, прибавляют 50 мл эфира, обрабатывают водой, фильтруют, твердый осадок растворяют в эфире, высушивают MgSO₄ и упаривают; получают III, т. пл. 75—77° (из эф.), [α]_D²⁵ — 98° (с = 1, в абс. сп.).

А. Травин

33584 П. Соединения теofilлина с производными щелочноземельных металлов и жирными кислотами.

Отто, Гергели (Verfahren zur Herstellung von neuen Theophyllin-Erdalkali-Fettsäure-Verbindungen. Otto Walter, Gergely Gerhard). Австр. пат. 183761, 10.11.55 [Chem. Abstrs, 1956, 50, № 11, 7851 (англ.)]

Обрабатывают теофиллин (I) или его соли при 20–100° насыщ. или ненасыщ. жирными к-тами с 12–18 атомами С или такими компонентами, которые могут образовать жирные к-ты, и щел.-зем. соединениями в присутствии р-рителей или диспергирующих средств. Растворяют 180 г I, 280 г олеиновой к-ты, 80 г NaOH при перемешивании в воде и прибавляют 100 г $MgCl_2$ в малом кол-ве воды, смесь при непрерывном перемешивании нагревают до начала кипения и оставляют охлаждаться. Получают аморфный осадок, содержащий 13,3% N. Аналогично из стеариновой к-ты, I и CaO или лауриновой к-ты, I и MgO получают соединения состава $R_2X.XY_2$ и RXY , где R — теофиллиновая группа, X — щел.-зем. ион, Y — анион жирной к-ты.

О. Магидсон

33585 П. Способ получения амина ряда лизергиновой кислоты (Verfahren zur Darstellung eines Amins der Lysergsäurereihe) [Sandoz A.-G.]. Швейц. пат. 299597, 16.08.54 [Chem. Abstrs, 1956, 50, № 8, 5781 (англ.)]

Прибавляют 1 г эргокристина в 15 мл этилморфолина (I) в течение 10 мин. при 70° к 1 г $LiAlH_4$ (II), суспендированному в 50 мл I, перемешивают 2 часа, отгоняют II в вакууме, избыток II разрушают влажным эфиром, прибавляют 20 мл воды, отделяют эфирный слой, водн. слой извлекают 3 раза по 100 мл эфира, соединенные эфирные вытяжки сушат над KOH, отгоняют р-ритель, остаток 0,9 г вымывают $CHCl_3$, содержащим 0,5% спирта. По отгонке р-рителя остается 0,4 г полиамина, который после перекристаллизации из 10 мл ацетона образует прямоугольные чешуйки чистого полиамина ф-лы $C_{35}H_{49}N_5$, т. пл. 144°, $[\alpha]_D^{20} -24^\circ$ ($c = 0,3$, C_5H_5N), который дает синюю р-цию Келлера, характерную для производных дигидролизергиновой к-ты. Применяется как ценный фармацевтич. полупродукт.

О. Магидсон

33586 П. Получение спиртов (ряда витамина А) (Producing alcohols) [N. V. Philips Gloeilampenfabrieken]. Австрал. пат. 167315, 12.04.56

Патентуется способ получения спиртов, имеющих ф-лу $R[CH=CHC(CH_3)=CH]_nCH_2OH$ (I), где R — 1,1,3-триметилциклогексен-2-ил-2, $n = 1$ или 2, из галоидангидридов к-т $R[CH=CHC(CH_3)=CH]COR'$ (II), где R — тот же радикал и $R' =$ галоид. Для превращения II в I пользуются обычными методами превращения галоидангидридов к-т в первичные спирты. А. Травин

33587 П. Метод получения новых производных витамина В₁. Мацукава, Маки [Такэда якухин когэ кабусики кайся]. Японск. пат. 1484, 20.03.54

Патентуется получение производных витамина В₁ с алкильными или арилалкильными эфирами алкил- или арилалкилтиосульфокислот. Пример: на 50 мл 50%-ного спирта берут 0,5 г аллилового эфира аллиотиосульфокислоты и 1 г витамина В₁, поддерживают pH 8 (р-р NaOH) и при 60° отгоняют в вакууме спирт. Оставшийся водн. р-р несколько раз экстрагируют эфиром, экстракт сушат, отгоняют эфир и получают производное витамина В₁, т. пл. 132–133° (из бэл.), не изменяющееся от O₂, не расщепляющееся в кишечнике и хорошо усваиваемое.

А. Фрадкин

33588 П. Очистка и разделение витаминных групп В₁₂ адсорбционной хроматографией. Берихауэр, Фридрих (Reinigung und Trennung von Vitaminen der В₁₂-Gruppe durch Adsorptionschromatographie. Bernhauer Konrad, Friedrich Wilhelm) [Aschaffenburg Zellstoffwerke A.-G.]. Пат. ФРГ 951162, 25.10.56

Концентраты, получаемые по пат. ФРГ 922126 и 941150 (РЖХим, 1957, 5936, 64612), делят на колонне с Al_2O_3 , причем проявление хроматограммы производят в присутствии цианидов или HCN при pH 6–8, а вымывающей жидкостью служат ацетон, диметил и другие, к которым прибавляют воду в кол-ве, возрастающем по мере проявления. Витамины вносят в адсорбционную колонну в виде препаратов на казеинуре или порошке целлюлозы. Приведены кривые хода адсорбции и разделения компонентов.

О. Магидсон

33589 П. Способ получения стабильного соединения витамина К₅ (Verfahren zum Herstellen einer haltbaren Verbindung des Vitamins K₅) [Nordmark-Werke G. m. b. H.]. Швейц. пат. 294889, 16.02.54 [Chem. Zbl., 1955, 126, № 33, 7734 (нем.)]

Ацетилизированием OH и NH_2 в 1-окси-2-метил-4-аминонафталине (витамин К₅) получают 1-ацетокси-2-метил-4-ацетиламинонафталин, т. пл. 194° (из 50%-ного спирта).

О. Магидсон

33590 П. Способ получения пиридоксина (Fremgangsmäde til fremstilling af pyridoxin) [A/S Sadolin & Holmblad]. Датск. пат. 80971, 14.05.56

Соединения общей ф-лы $OCH(OR)C(CH_2OR) =$

$=C(CH_2OR)C(OR)CH(CH_3) \cdot NHR''$, где R — алкил или циклоалкил, содержащий ≤ 6 атомов С, R', R'' и R''' — H или ацил, подвергают в случае надобности омылению щелочью, а затем гидролизу и конденсации в кислой среде. Смесь 2-(α-ацетиламиноэтил)-3,4-бис-(ацетоксиметил)-2,5-диметокси-2,5-дигидрофурана (2,5-диметокси-2,5-дигидрофуран — I), 2-(α-ацетиламиноэтил)-3-ацетоксиметил-4-оксиметил-I, 2-(α-ацетиламиноэтил)-3-оксиметил-4-ацетоксиметил-I и 2-(α-ацетиламиноэтил)-3,4-бис-(оксиметил-I) [эта смесь получается, напр., при электролизе спирт. р-ра 2,5 г 2-(α-ацетиламиноэтил)-3,4-бис-(ацетоксиметил)-фурана в присутствии NH_4Br] омыляют кипячением с 8,5 мл 3 н. NaOH до 2-(α-аминоэтил)-3,4-бис-(оксиметил)-I и 1,81 г полученного в-ва кипятят 30 мин. с 15 мл 1 н. HCl, смесь упаривают досуха в вакууме, остаток кристаллизуют из 99%-ного спирта. Получают 1,31 г хлоргидрата

пиридоксина ф-лы $HCl \cdot N=C(CH_3)C(OH)=C(CH_2OH) \cdot$

$C(CH_2OH)=CH$, выход 82%, т. пл. 207–209°.

Б. Фабричный

33591 П. Способ получения гидрированных формилптереновых кислот. Брокман, Рот (Verfahren zur Herstellung von hydrierten Formylpterinsäuren. Brockman John A., jun., Roth Barbara) [American Cyanamid Co.]. Пат. ФРГ 941848, 19.04.56

В доп. к пат. 910892 (РЖХим, 1957, 100846) гидрированные формилптереновые к-ты (I), напр. тетрагидро-N¹²-I или их амиды действием щел. средств в водн. среде при pH 10–13 при 80–100° перегруннируют в щел. соль тетрагидро-N⁷-I (II) или в их производные и из них выделяют свободные I через Са-соли. Перед осаждением Са-соли II или ее аминокислотного амида их растворяют в щелочи при pH 8, к р-ру прибавляют водорастворимую Са-соль, отфильтровывают примеси, выпавшие в виде Са-солей, и из фильтрата выделяют осаждением требуемую Са-соль. Пример. 100 г птерилглутаминовой к-ты в 650 мл 90%-ной HCOOH нагревают 1 час при 40–50°. По охлаждении до ~20° прибавляют 5 г аскорбиновой к-ты и 3 г окиси платины и гидрируют смесь до поглощения ею 2 молей H₂. Отделяют фильтрованием от катализатора и фильтрат оставляют стоять 64 часа. Выливают в 9000 ч. воды, содержащей 1400 ч. NaHCO₃. Полученный р-р (~10 000 г) содержит, как показали биол. испытание, 16 ч. в-ва с активностью цитро-

ворум-фактора. Прибавляют NaOH до получения pH, равным 12; нагревают р-р 1 час при 95°, охлаждают и уксусной к-той нейтрализуют до pH 7. После этого р-р содержит 41 ч. в-ва с указанной активностью.

Л. Михельсон

33592 П. 5-Формил-5,6,7,8-тетрагидроптероиновая кислота, ее амиды и способ их получения. Шайв (5-formyl-5,6,7,8-tetrahydropteroic acid and amides thereof and method of preparing same. Shive William) [Research Corp.]. Пат. США 2741608, 10.04.56

Патентуется указанная к-та (I) и ее производные, в которых остаток I соединен пептидной связью с глутаминовой к-той (II) или с группой молекул II (от 1 до 8), связанных по типу полипептидов. Эти соединения получают формилированием и каталитич., хим. или электрохим. восстановлением соответствующих производных птероиновой к-ты, причем обе операции осуществляют одновременно или в две стадии при указанной выше или обратной последовательности. Смесь 1 г фолевой к-ты (III), 2 мл HCOOH и 3 мл (CH₃CO)₂O нагревают 1 час при ~40° и упаривают в вакууме; полученную таким образом неочищ. 5-формил-III (IV), суспендируют в 4 мл воды, прибавляют 4 г аскорбиновой к-ты (V), нейтрализуют твердой содой до pH 7,3, гидрируют над Pt (из 0,2 г PtO₂) при 3 атм до поглощения 1 моль-экв. H₂, фильтруют и нагревают 1 час в автоклаве при 120°; полученный р-р препарата в отличие от III, метил-III и IV стимулирует рост *Leuconostoc citrovorum*. Р-р 2,5 г III в 50 мл HCOOH гидрируют над Pt (из PtO₂) до поглощения 2 моль-экв. H₂, фильтрат упаривают досуха в вакууме при ~20°, остаток растворяют в 50 мл 20%-ного р-ра V при pH 7 и нагревают 1 час в автоклаве; хроматографией на «флоризиле» выделяют 1,3 г активного в-ва в твердом виде, которое растворяют в небольшом кол-ве воды и хроматографируют на «магнезоле», обработанном р-ром CaCl₂; получают 0,2 г Ca-соли препарата. Р-р 0,5 г IV в 50 мл воды гидрируют в присутствии 2 г V при pH 7 над Pt (из PtO₂), нагревают 1 час в автоклаве, к фильтрату добавляют 60 мл спирта и хроматографируют последовательно на Al₂O₃ и крахмале; выделяют 5,5 мг активного в-ва. Активное в-во получают также при хим. и электрохим. восстановлении IV: 1) к смеси 0,1 г IV, 0,4 г V и 8 мл воды прибавляют Na₂CO₃ до растворения IV, вносят 0,4 г Na₂S₂O₄, прибавляют воды до объема 10 мл, подкисляют разб. HCl до pH 3,5 и нагревают 50 мин. в автоклаве при 120° и давл. ~1 атм; 2) к суспензии 0,1 г IV и 0,4 г V в 10 мл абс. спирта прибавляют 50 мг Na, нагревают 1 час при 60–80°, кипятят 20 мин., разбавляют равным объемом воды, нейтрализуют до pH 7,2 и нагревают 1 час в автоклаве при 120° и давл. ~1 атм; 3) к суспензии 0,1 г IV и 0,4 г V в воде добавляют Na₂CO₃ до pH 4, вносят 0,1 г NH₄Cl и 0,05 г Zn-пыли и оставляют на 2 часа при ~20°; 4) р-р 0,05 г IV и 0,2 г V в 50 мл разб. NH₄OH подвергают действию тока в электролизере с ртутным катодом и платиновым анодом при напряжении 8 в и силе тока ~25 ма, подщелачивают анолит разб. р-ром NH₄OH; через 2 часа катодит нейтрализуют V и нагревают 1 час в автоклаве при 120° и давл. ~1 атм. Р-р 200 γ 5-формилптероиновой к-ты и 2000 γ V в воде нейтрализуют Na₂CO₃, разбавляют водой до 2 мл, гидрируют 2 часа над 1 мг Pt (из PtO₂) при ~20° и давл. ~2 атм и нагревают 1 час в автоклаве при 120° и давл. ~1 атм; получают I. Аналогично из 5-формил-N-птероил-α-глутамилглутаминовой к-ты получают смесь моноглутамил- и ди-α-глутамил-I, а из 5-формил-N-птероил-ди-(γ-глутамил)-глутаминовой к-ты — смесь моноглутамил-, ди-α-глутамил- и три-α-глутамил-I. Р-р 886 мг птероилглутаминовой к-ты в 50 мл 98%-ной HCOOH гидрируют над 0,1 г Pt (из

PtO₂) при ~20° и давл. ~3 атм до поглощения 2 моль-экв. H₂, прибавляют 10 мл (CH₃CO)₂O, оставляют на 1 час при ~20°, фильтрат упаривают, остаток растворяют в 50 мл 0,1 н. NaOH и оставляют на 24 часа при ~20°; получают Na-соль 5,6,7,8-тетрагидро-IV.

А. Травин

33593 П. Способ получения амида никотиновой кислоты. Лустиг (Process for the preparation of nicotinamide. Lustig Otto). Пат. США 2752355, 26.06.56

Эфиры никотиновой к-ты (к-та I) вводят в р-цию с конц. NH₄OH при 10–50° в присутствии Al. Смесь 1000 г конц. NH₄OH, 220 г изопропилового эфира I и 9 г гранулированного Al перемешивают 12–18 час. при 15–25°, фильтруют и упаривают; получают амид I, выход почти количественный, т. пл. 131–133°. Для указанной цели могут быть также использованы метиловый, этиловый, пропиловый, бутиловый, амиловый, циклогексильный, тетрагидрофурупиловый и другие эфиры I с одноатомными спиртами.

А. Елина

33594 П. Диалкиламиноалкильные эфиры диарилзоникотиновых кислот. Криммел (Dialkylaminoalkyl esters of diarylisonicotinic acids. Krimmel Carl Peter) [G. D. Searle and Co.]. Пат. США 2739152, 20.03.56

Патентуются соединения общей ф-лы $C=C(Ar')N=$

$=C(Ar)CH=C-COOANRR''$, где Ar и Ar' — арилы

с 6–8 атомами C, A — алкиленовый радикал с 2–8 атомами C, NRR' — диалкиламиногруппа или N-содержащий насыщ. гетероцикл, соединенный с A через атом N. Кипятят 5 час. 90 г 2,6-дифенилизоникотиновой к-ты (I) в 1600 мл безводн. изо-C₃H₇OH с 45 г β-диэтиламиноэтилхлорида, фильтруют горячим и дают остыть, отделением выпавшего осадка, промыванием и высушиванием при 100° получают хлоргидрат β-диэтиламиноэтилового эфира I, т. пл. 198–200°. Нагревают 100 г I и 492 г SOCl₂ при 100° 30 мин., отгоняют в вакууме избыток SOCl₂, остаток растворяют в 880 мл горячего бензола, к р-ру прибавляют 57 г γ-ди-н-пропиламинопропанола и нагревают короткое время, осадок отделяют, промывают 440 мл холодного бензола, высушивают при 100° и получают хлоргидрат γ-ди-н-пропиламинопропилового эфира I, т. пл. 194–196°. Получаемые аминоэфиры могут быть превращены в соли неорганич. и сильных органич. к-т, а также четвертичных аммониевых оснований. Соединения эти расширяют сосуды и обладают антибиотич. и амебоцидным действием.

О. Магидсон

33595 П. Способ получения метиловых эфиров изоникотиновой кислоты (Verfahren zur Herstellung des Isonicotinsäurenmethylesters) [F. Hoffmann-La Roche and Co. A.-G.]. Швейц. пат. 302905, 17.01.55 [Chem. Zbl., 1955, 126, № 39, 9199 (нем.)]

Гидрируют метиловый эфир 2,6-дихлоризоникотиновой к-ты в ~95%-ном CH₃OH в присутствии CH₃COOK и Pd/C или скелетным Ni при 40 атм. H₂; т. кип. 96–97°/14 мм; выход 90%.

О. Магидсон

33596 П. Способ получения 7-дегидрохолестерина. Шальтергер (Verfahren zur Herstellung von 7-Dehydrocholesterin. Schaltegger Hermann) [Dr. A. Wander A.-G.]. Пат. ФРГ 956509, 17.01.57

Эфиры 7-бромхолестерина (I) вводят в р-цию с NH₃ в инертном р-рителе с последующим омылением эфирной группы. К 20 л кипящего ксилола при одновременном пропускании NH₃ прибавляют за 2,5–3 часа р-р 6 кг 81,5%-ного бензоата I в 8 л ксилола; пропускание NH₃ начинают еще до прибавления р-ра I и следят за тем, чтобы NH₃ был в избытке на протяжении всего процесса. Отделяют NH₄Br, фильтрат упаривают в вакууме и остаток кристаллизуют из

этилацетата; из трех одинаковых опытов получают 13,8 кг 83%-ного 7-дегидрохолестерин-бензоата (II) (68,3%). В опыте при омылении II, приготовленного почти в аналогичных условиях из 20 г I, получено 13 г смеси стероидов, содержащей (по спектрометрич. определению) 60,5% 7-дегидрохолестерина. А. Елина

33597 П. Соединения прегнана (Pregnane compounds) [Ciba A.-G.]. Австрал. пат. 201203, 12.04.56

Для получения терапевтически активных 11,12-дегидросоединений ряда прегнана последние, содержащие в одном из положений 11 или 12 группу OH, а в другом положении из вышеупомянутых — атом галогена, обрабатывают металлом II группы периодической системы элементов в присутствии к-ты или спирта. Л. Михельсон

33598 П. Способ получения аллопрегнан-3 β ,17 α -диол-диона-11,20, его эфиров и промежуточных продуктов. Розенкранц, Патаки, Дьерасси (Process for preparation of allopregnane-3 β ,17 α -diol-11,20-dione and esters thereof and intermediates therefor. Rosenkranz George, Pataki John, Djerassi Carl) [American Syntex. Inc.]. Пат. США 2733240, 31.01.56

Эфиры аллопрегнан-3 β ,17 α -диолдиона-11,20 (I) и низших алифатич. к-т и бензойнокислые эфиры обрабатывают H₂O₂ в щел. среде для образования соответствующих 16 α ,17 α -оксидосоединений, которые с HBr дают соответствующие 16 β -бром-17 α -оксидосоединения, обрабатываемые дебромирующим в-вом, в качестве которого используют скелетный Ni или H₂ в присутствии Pd/CaCO₃. Предложен способ получения ацетата 16 α -17 α -оксидоаллопрегнан-3 β -ол-диона-11,20 (II), основанный на обработке ацетата Δ^{16} -аллопрегнен-3 β -ол-диона-11,20 (III) с помощью H₂O₂ в щел. среде. Патентуется также способ получения 3-ацетата 16 α -бром-I обработкой ацетата II с помощью HBr и способ получения 3-ацетата I обработкой скелетным Ni или H₂ в присутствии Pd/CaCO₃, а также 3-ацетата 16 β -бром-I. Р-р 5 г 22-изоаллоспиростан-3 β -ол-она-11 в 20 мл (CH₃CO)₂O нагревают 8 час. в запаянной трубке при 196°. Р-р выливают в воду и экстрагируют эфиром, промывают NaHCO₃ и водой до нейтр. р-ции, сушат над Na₂SO₄ и упаривают досуха. 4,45 г диацетата $\Delta^{20(22)}$ -аллофуростен-3 β ,26-диол-она-11 получают в виде желтого масла. Не очищая, его растворяют при нагревании в смеси из 45 мл CH₃COOH, 36 мл (ClCH₂)₂ и 15 мл воды. Р-р охлаждают до 15° и обрабатывают по каплям при механич. перемешивании р-ром 1,35 г CrO₃ в 2,1 мл воды и 21 мл CH₃COOH. После стояния в течение 2 час. при ~20° р-р выливают в воду и отделяют слой (ClCH₂)₂. Водн. слой экстрагируют хлороформом и объединенные вытяжки промывают несколько раз водой, сушат над Na₂SO₄ и упаривают досуха. Остаток растворяют в смеси 50 мл C₆H₆ и 200 мл гексана и хроматографируют в колонке с 2,50 г Al₂O₃. Фракции, элюированные бензол-эфиром (30:20 и 40:10), объединяют и упаривают досуха. После обработки смесью эфир-пентана получают в остатке 1,7 г кристаллич. ацетата III с т. пл. 184—185,5°. Р-р 2,47 г III в 300 мл CH₃OH охлаждают до 10°; приливают туда одновременно по каплям 30%-ный водн. р-р H₂O₂ и 20 мл 5%-ного р-ра NaOH, смесь оставляют на ночь в холодильнике. Быливают смесь в воду, собирают остаток, промывают и сушат на воздухе. Перекристаллизацией из CH₃OH с последующим ацетилированием (CH₃CO)₂O в р-ре C₂H₅N получают с колич. выходом ацетат II, с т. пл. 236—238°, [α]_D +76° (хлф.). Описано получение 3-моноацетата I, т. пл. 167—170°, [α]_D +9° (хлф.); I, т. пл. 273—274°. Л. Михельсон

33599 П. Способ получения Δ^7 -андростен-3 β ,17 β -диола (Procédé de préparation du Δ^7 -androstène-3 β ,17 β -diol)

[American Cyanamid Co.]. Швейц. пат. 301958, 1.12.54 [Chem. Zbl., 1955, 126, № 39, 9148 (нем.)]

Восстановлением ди-ацетата 5,7-андростадие-3 β ,17 β -диола в уксусном эфире H₂/PtO₂ получают 7-андростен-3 β ,17 β -диол, т. пл. 193—195°, [α]_D^{27,5} -28,4°, [α]_D^{27,5} Hg -36,9° (абс. сп.) α Hg/ α D 1,30, диацетат, т. пл. 117—119°. Стероидные гормоны с действием кортизона. О. Магидон

33600 П. Способ получения оксикетона (Verfahren zur Herstellung eines Oxyketons) [Ciba A.-G.]. Швейц. пат. 300277, 16.09.54 [Chem. Abstrs, 1956, 50, № 8, 5792 (англ.)]

3,11-Диоксо-21-ацетокси-17(20)-прегнен перемешивают с 0,2 моля H₂O₂ в трет-бутиловом спирте с последующим сильным облучением проходящим светом в течение 64 час. и прибавлением OsO₄ в трет-C₄H₉OH в течение первых 16 час. Затем прибавляют CH₃CO₂ (I), смесь встряхивают 6 час. с водн. р-ром Na₂SO₄, разбавляют водой, экстрагируют несколько раз с помощью I. Экстракт сушат Na₂SO₄, упаривают; остаток растворяют в C₆H₅N, прибавляют (CH₃CO)₂O, р-ритель отгоняют в вакууме через 16 час. при ~20°; остаток растворяют в I, р-р промывают 1 н. HCl, 0,5 н. NaHCO₃ и водой, сушат с помощью Na₂SO₄, отгоняют I. Остаток хроматографируют над Al₂O₃, применяя бензол, смесь бензол-эфир, эфир и смесь эфир-ацетон. Получают 3,11,20-триоксо-17 α -окси-21-ацетокси-прегнан, т. пл. 232—234°, [α]_D²³ 87 \pm 4° (с 0,524, (CH₃)₂CO). Л. Михельсон

33601 П. Пенициллиновые соединения и способ их получения. Мюктер, Янсен (Penicillin compounds and a method of making same. Mueckter Heinrich, Jansen Erich) [Chemie Gruenenthal G. m. b. H.]. Канадск пат. 512709, 10.05.55

Патентуется пенициллиновая соль диалкиламнио-алкильного эфира о-окси- или о-йод-п-аминобензойной к-ты (в частности употребляют пенициллин G и диэтиламиноэтиловый эфир о-окси-п-аминобензойной к-ты), а также соли стрептомицина, или дигидрострептомицина, оксидострептомицина, оксидигидрострептомицина, маннозидострептомицина, или их смесь. Последние имеют противотуберкулезную активность, превосходящую в несколько раз активность стрептомицина, и дают эффективную конц-ию стрептомицина в крови на более длительное время, чем равное кол-во стрептомицина. О. Магидон

33602 П. Способ получения N,N'-дизамещенной алкилендиаминовой соли пенициллина. Брус, Эдуарде, Апат, Элиас, Меррион, Барнетт, Шоу (Verfahren zur Herstellung eines N,N'-disubstituierten Alkylendiaminsalzes des Penicillins. Bruce William Fausst, Edwards Charles David, Apat Joseph Clarence, Elias William Frank, Merrion Howard Joseph, Barnett John Oswald, Shaw Daniel Leonhard, jun) [American Home Products Corp.]. Пат. ФРГ 947838, 23.08.56

Получают N,N'-дибензилэтилендиамин-дипенициллин (I) кристаллизацией из избытка формамида (II); выпадающие в форме пластинок кристаллы растирают до 150 μ и добавляют соответствующий носитель, напр., нетоксичную соль карбоксиметилцеллюлозы. К 2 л II прибавляют 37 г N,N'-дибензилэтилендиамина и нейтрализуют 18,5 г CH₃COOH. Р-р нагревают до 50° и прибавляют при перемешивании 100 г К-пенициллина-G в 300 мл 50%-ного водн. II, медленно разбавляют 650 мл H₂O, охлаждают до 5°, отделяют кристаллы, промывают водой, ацетоном, эфиром и сушат в вакууме. Получают I с насыпным весом 2,5 мг/мл. Если II содержит NH₃, нейтрализуют II к-той до рН 6,8. Полученный в форме игл I, неудобный для инъекций, перекристаллизацией из II может быть превращен

1958, 1.12.54

джен-38, 478

от 7-андро

D -28,4°

диацетат,

действием

Магидсон

(Verfahren

G.J. Швейц.

50, № 8

еремешива-

те с посме-

трет-СН₃ОНают СН₃CO

о раз с по-

О, р-ритель

20°; остаток

5 н. NaHCO₃

ют I. Оста-

ция бензол,

етон. Полу-

гидрохлорид

CO).

Михельсон

способ их

illin compo-

Mueckter

Gruenenthal

ликламино-

обенозойной

ин G и ди-

обенозойной

и дигидро-

гидростреп-

их смесь

активность,

ть стрепто-

эптомидина

вное коло-

O. Магидсон

енной ала-

ус, Эду-

Барнетт,

N'-disubsti-

ns. Bruce

de David,

William

Barnett

ard, jun)

ФРГ 947826

пенициллин

да (II); ви-

растируют

и поселят

целлюлозы

пендиамин

вают до 3°

К-пеницил-

но разво-

деляют кри-

м и сушат

м 2,5 мл

той до рН

для инфе-

ить препара-

щен в пластинчатую форму: 25 г игольчатого I растворяют в 500 мл II при 60° и к р-ру медленно приливают при перемешивании 150 мл Н₂O, охлаждают до 0°, получают квадратные или прямоугольные короткие пластинки.

О. Магидсон

33603 П. Получение прозрачных водных растворов дигидрострептомицина. Сокол (Production of haze-free aqueous solutions of dihydrostreptomycin and article therefor. Sokol Herman) [American Cyanamid Co.]. Пат. США 2733185, 31.01.56

Предложено готовить большие кол-ва кристаллич. сульфата дигидрострептомицина (I) осаждением из водн. р-ра при помощи СН₃ОН и дозированное кол-во сухого кристаллич. I, хранившегося вне соприкосновения со стеклом, переносить в стеклянный сосуд, внутри покрытый силиконом; по прибавлении туда воды получают прозрачный водн. р-р I, не дающий мути, в отличие от р-ра I в стекле без силиконового покрытия.

Л. Михельсон

33604 П. Получение стрептограммина (Herstellung von Streptogramin) [Merck & Co., Inc.]. Пат. ФРГ 945470, 12.07.56

Патентуется новый антибиотик стрептограмин (I), приблизительно отвечающий ф-ле C₂₆H₃₃N₃O₇, т. пл. ~155°, [α]_D²⁵ -134°, продуцируемый *Streptomyces gramineofaciens*. Способ основан на аэробной ферментации среды, содержащей 0,8% глюкозы, 0,28% триптона (энзиматич. экстракта казеина), 0,24% K₂HPO₄, 0,2% KH₂PO₄, 0,2% экстракта дрожжей, 0,1% мононатриевой соли глутаминовой к-ты, 0,083% NaCl, 0,05% соевого пептона (диализованного экстракта соевой муки) и 0,0002% MnCl₂; pH среды 6,7—6,8. Небольшое кол-во почвы, зараженной микроорганизмом, вносят в 250 мл среды и взбалтывают 4 дня при 25°; 10 мл культуры переносят в 2 л той же среды и после взбалтывания в течение 3 дней при 25° 360 мл культуры переносят в 12 л среды, которую выдерживают при размешивании (1750 об/мин) и аэрации (1/4 объема воздуха в мин.) 24 часа при 25°. Культуру переносят в 600 мл среды, ферментируют 48 час. в тех же условиях (размешивание при 120 об/мин), переносят 48 л в 2400 л среды и продолжают ферментацию в тех же условиях еще 48 час., когда конц-ия I в культуральной жидкости достигает 170 ед/мл или 17,7 мкг/мл. Культуральную жидкость отделяют от мицелия, извлекают ацетатом (1/3 объема) в противоточной системе, экстракт промывают последовательно (по 1/3 объема) фосфатным буфером с pH 9, ацетатным буфером с pH 3,5 и водой, упаривают в вакууме до ~4 л и прибавляют тройной объем лигнрина; получают 200 г неочищ. I, из которого готовят 10%-ный р-р в СН₃ОН, обрабатывают р-р 1%-ным р-ром фосфатного буфера с pH 7, выдерживают р-р 18—24 часа при 5°, фильтруют, упаривают до 0,1 объема в вакууме; получают 90 г чистого I. Подробно охарактеризовано бактериостатич. действие I на ряд микроорганизмов.

А. Травин

33605 П. Получение актиномицинов. Шмидт-Кастнер, Боне (Herstellung von Actinomycinen. Schmidt-Kastner Günter, Böhne Arnold) [Farbenfabriken Bayer A.-G.]. Пат. ФРГ, 944395, 14.06.56

При ферментативном получении актиномицинов (А) предложено применять в качестве составной части питательной среды: а) аминокислоты, содержащие ≥2 атомов С и их производные; б) оксикислоты, кетокислоты, аминокислоты и другие в-ва, способные в условиях ферментации превращаться в соответствующие аминокислоты; в) олигопептиды. В присутствии в-в группы «а», «б» или «в» избирательно образуются известные А в иных соотношениях, или образуются новые А. При ферментации среды, содержащей на 1 л воды 20 г глицерина, 5 г KNO₃, 5,8 г dl-валина (I),

1 г K₂HPO₄, 2 г NaCl, 1 г CaCO₃, 1 г MgCO₃ и 0,01 г FeSO₄, получают смесь актиномицинов С₁ (II), С₂ (III) и С₃ (IV), причем главным продуктом является II. При ферментации среды приблизительно того же состава, но свободной от I (на 1 л воды 20 г глицерина, 10 г KNO₃, 1 г K₂HPO₄, 2 г NaCl, 0,05 г MgSO₄ и 0,01 г FeSO₄), главными продуктами являются III и IV. Приведены примеры ферментации с применением 15 других аминокислот или их смесей.

А. Травин

33606 П. Устойчивые, активные растворы или суспензии антибиотиков. Мюктер (Verfahren zur Herstellung von haltbaren und gut wirksamen Lösungen bzw. Suspensionen von antibiotischen Mitteln. Mückter Heinrich) [Chemie Grünenthal G. m. b. H.]. Пат. ФРГ, 946179, 26.07.56

В доп. к пат. ФРГ 942534 (РЖХим, 1958, 22498) патентуется превращение р-ров или суспензий антибиотиков, предпочтительно пенициллина (I) или препаратов I, и экстрактов растений в рыхлый сухой порошок, предпочтительно лиофильной сушкой (при т-рах от 0° до -40°) и превращение сухих препаратов в р-ры или суспензии перед употреблением. Высушивание можно проводить также в вакууме при т-рах выше 0°, но не превышающих 90°. Примеры. а) 800 мг оксипрокаи-И и 4 мл водн. р-ра эхинацина (II) растирают до величины частиц 5—20 м и высушивают в вакууме при т-ре не выше 40°, получая рыхлый порошок. б) 400 мг очень тонко кристаллич. оксипрокаи-И и 2 мл водн. р-ра II растирают, высушивают при 40° в вакууме, полученный продукт размешивают 2 мин. при нагревании до 60—65°, водн. р-р снова высушивают в вакууме при 40° и получают порошок, легко растворимый в воде. в) К р-ру 1 г оксипрокаи-И в 30 мл спирта прибавляют 30 мл ацетона и 5 мл водн. р-ра II, органич. р-рители удаляют в вакууме при 20°, прибавляют 50 мл бензола и перегонкой его в вакууме удаляют остатки воды.

Ю. Вендельштейн

33607 П. Способ получения проазуленов в концентрированном или чистом состоянии. Шталь (Verfahren zur Gewinnung von Proazulen in konzentrierter oder reiner Form. Stahl Egon) [Dr. Egon Stahl, Nordmark-Werke G. m. b. H.]. Пат. ФРГ 944580, 21.06.56

Растительный материал экстрагируют СНCl₃ при низкой т-ре и упаривают экстракт в вакууме. К 1 кг тысячелистника (*Achillea millefolium*) прибавляют 5—6 л СНCl₃, выдерживают 5—10 мин. при ~20°, сливают р-ритель, отжимают растительный материал, объединенный экстракт фильтруют и упаривают в атмосфере N₂ до 50 мл при 30—35°/200 мм. Для получения чистого препарата упаривание доводят до конца при возможно более глубоком вакууме и низкой т-ре. Получают проазулен в виде маслообразной, легко осмолющейся жидкости желтого цвета.

А. Травин

33608 П. Способ получения серологически переносимых белковых препаратов в качестве заменителей плазмы (Verfahren zur Herstellung von als Blutplasmastreckmittel dienenden serologisch verträglichen Proteinderivaten) [Charles R. Knox Gelatine Co., Inc.]. Пат. ФРГ 945650, 12.07.56

Указанные заменители образуются при обработке желатины (I), сывороточного альбумина, глобулина или глобина ангидридами янтарной (II), цитраконовой (III), итаконовой (IV), аконитовой и малеиновой к-т или хлорангидридами янтарной (V) и фумаровой (VI) к-т. К 3 л 6%-ного р-ра I (со средним мол. в. 36000), подщелоченного при 36° конц. р-ром NaOH до pH 9, прибавляют постепенно при размешивании 60 г измельченного II, поддерживая pH смеси 8,5—10; по окончании р-ции подкисляют до pH 2,7 (132 мл конц. HCl), маслообразную фракцию растворяют при pH 4,5—5 в 2 л дистил. воды, подкисляют до pH 2,5—3,

прибавляют 584 г NaCl и отделяют коагулят, возможно свободный от NaCl. Получают 105 г очищ. аддукта (выход на I 58,3%); последний растворяют в стерильной воде, лишенной пирогенных свойств, добавляя NaOH до pH 7. Получаемый из этого р-ра готовый препарат должен содержать 3% белкового в-ва и 0,9% NaCl при pH 7,3. Для приготовления р-ров более высокой конц-ии водн. р-р аддукта снова высаливают, растворяют и подвергают диализу, доводя содержание NaCl до 0,9%. Вместо высаливания и диализа осаждение аддукта может быть произведено при помощи CH_3OH , спирта *изо*- $\text{C}_3\text{H}_7\text{OH}$ или ацетона. В условиях, близких к описанным выше, получают аддукты I (с мол. в. 20 000—25 000) с III, IV, V и VI. А. Травин

33609 П. Выделение из мышечного вещества миозина без актина. Сент-Джорджи (Recovery of actin-free myosin from muscle material. Szent-Gyorgyi Albert E., Szent-Gyorgyi Andrew G.) [Armour and Co.] Канадск. пат. 513652, 14.06.55

Мышечную ткань, содержащую актин (I) в тесном сочетании с полимеризованным актином (II), а также аденозинтрифосфат (III), обрабатывают р-ром, удаляющим III, и далее р-ром KJ для извлечения I и II с одновременной необратимой деполимеризацией II. Для экстракции I и II берут соль щел. металла: йодистые K или Na или их тиоанаты. Л. Михельсон

33610 П. Способ получения пористых белковых материалов (Procedimento per la produzione di materiale spugnoso proteico) [Istituto Sieroterapico Milanese Serafino Belfanti]. Швейц. пат., 296.838, 01.05.54 [Chem. Zbl., 1955, 124, № 39, 9145 (нем.)]

Желатиновые р-ры после образования геля охлаждают до $t < 0^\circ$ и обработкой растворяющими воду средствами, преимущественно 95%-ным спиртом, обезвоживают и получают подводящие средства для медикаментов. Л. Михельсон

См. также: Лек. в-ва: органич. 32372, 32374, 32376, 32419, 32430—32433, 32437, 32438, 32447, 32473, 32475, 32477, 32478, 32480, 32489, 32493, 32495, 32506, 32509, 32513, 32521, 32522, 32557, 32624, 33427, 33457. Алкалоиды 32529. Природные в-ва: животного происхождения 12115Бх; растительного происхождения 32588; 12278Бх, 12424Бх, 12437Бх. Витамины 32592, 11839Бх, 12049Бх, 12054Бх, 12057Бх, Гормоны 12090Бх, 12130Бх, 12131Бх. Антибиотики 32614, 32615, 32658; 12285Бх, 12290Бх, 12381Бх. Анализ 32226, 32227; 11839Бх, 11845Бх, 11850Бх, 11886Бх, 12289Бх

ПЕСТИЦИДЫ

Редакторы Ю. А. Баскаков, Н. Н. Мельников

33611. Программа опрыскивания плодовых культур. Тейлор (A fruit-spraying programme. Taylor C. B.), Gardeners Chronicle, 1957, 141, № 2, 32—33 (англ.)

Указаны календарные сроки применения пестицидов против вредителей и болезней яблони, груши, сливы, малины, смородины, крыжовника и земляники, приуроченные к соответствующей фазе развития растения. Л. Бочарова

33612. Производные фенотиазина, замещенного в положении 10-, и N-замещенные производные дифениламина. Алмаши, Щербан (Derivați 10-substituiți ai fenotiazinei și N-substituiți ai difenilaminei. Almași I., Șerban N.), Studii și cercetări chim. Acad. RPR Cluj, 1956, 7, № 1-4, 141—149 (рум.; рез. русск., франц.)

Конденсацией равномолекулярных кол-в фенотиазина (I) и паразамещенных бензолсульфохлоридов в среде безводн. $\text{C}_6\text{H}_5\text{N}$, по ранее описанному методу,

(Bernstein H. I., Rothstein L., J. Amer. Chem. Soc., 1944, 66, 1886) получены следующие 10-арилсульфонил-фенотиазины (II) (указаны арил, т. пл. в $^\circ\text{C}$ и р-ритель, взятый при перекристаллизации): C_6H_5 , 129,—; $n\text{-CH}_3\text{OC}_6\text{H}_4$, 170—171, сп. + бэл.; $n\text{-JC}_6\text{H}_4$, 186—187, абс. сп.; $n\text{-CH}_3\text{C}_6\text{H}_4$, —; $n\text{-BrC}_6\text{H}_4$, 169—170, абс. сп.; $n\text{-ClC}_6\text{H}_4$, 153—154, абс. сп.; $n\text{-FC}_6\text{H}_4$, 172, абс. сп.; $n\text{-NCC}_6\text{H}_4$, 176—177, абс. сп. Аналогично (вместо I взяты дифениламин) синтезированы N-арилсульфонилдифениламины (III) (те же показатели): C_6H_5 , 129,—; $n\text{-CH}_3\text{OC}_6\text{H}_4$, 124—125, абс. сп.; $n\text{-JC}_6\text{H}_4$, 157, абс. сп.; $n\text{-BrC}_6\text{H}_4$, 153—154, абс. сп.; $n\text{-FC}_6\text{H}_4$, 131, абс. сп.; $n\text{-NCC}_6\text{H}_4$, 193,5, абс. сп. II и III являются инсектицидами контактного и кишечного действия, активными при малых конц-иях. III активны также в качестве синергистов инсектицидов. З. Ханмский

33613. Сравнение препаратов для втирания, применяемых в Айове с целью борьбы с малой короной и обыкновенной жигалками. Раун, Кейси (A comparison of back rubber formulations for controlling horn and stable flies in Iowa. Raun Earle S., Casey Don J.), J. Econ. Entomol., 1956, 49, № 3, 395—397 (англ.)

На пастбищах, в местах скопления животных во время отдыха, к столбам или деревьям подвешивали наты, обернутые мешковиной, пропитанной 5,7 л р-ра инсектицида. Животные терлись о такие подвески и наносили таким образом инсектицид на спину и боковые части тела. Применяли концентраты 5 препаратов, содержащих (в %): бутоксипропиленгликоль (I) 40 + ДДТ 20 + метилнафталин (II) 40; ДДТ 20 + II + минер. масло; I 40 + метоксихлор (III) 16 + II 44; III 16 + II 84; I 50 + III 5 + II 40,6 + алкиларилполиалкиленгликоль 4,4. Все концентраты, кроме последнего, перед употреблением разбавляли дизельным топливом в 4—5 раза. Все изученные препараты уничтожали 94,2—99,9% *Siphona irritans* (L.) и были неэффективными в борьбе с *Stomoxys calcitrans* (L.). В. Унтербергер

33614. Влияние предпосевного опудривания семян турнепса гексахлораном и ДДТ в борьбе с крестоцветными блошками на урожай корней турнепса. Рудакова В. П., Бюл. научно-техн. информ. Н.И.И.Т. с. х. сев.-вост. р-нов нечерноземн. полос, 1957, № 2-3, 46—47

Для защиты всходов турнепса (Т) от крестоцветной блошки опудривают семена (С) дустами ДДТ и ГХЦГ из расчета 300—500 г 12%-ного ГХЦГ или 500 г 5%-ного ДДТ на 1 кг С. ДДТ и ГХЦГ не только снижают поврежденность вредителями, но и стимулируют рост и развитие растений, увеличивают урожай зеленой массы и корней Т на 58—172 ц с 1 га. Наилучший эффект дает обработка ГХЦГ в дозе 500 г на 1 кг С. И. Мильштейн

33615. Защита запасов зерна с помощью опилок, пропитанных линданом. Флойд, Ньюсом (Protection of stored corn with lindane-impregnated sawdust. Floyd E. H., Newsom L. D.), J. Econ. Entomol., 1956, 49, № 6, 753—757 (англ.)

Зерно и места его хранения обрабатывались опилками, содержащими 5% линдана (I), 1%-ным дустом I и 5%-ным дустом ДДТ. I и ДДТ в дозах 1—10 и 7 мг/кг соответственно эффективны в борьбе с вредителями зерна в течение 10—13 месяцев. I более токсичен для рисового долгоносика, чем для зерновой моли. Применение опилок с высокой степенью абсорбции в качестве носителя дает возможность готовить препараты I любой конц-ии. Б. Акимов

33616. Малярия. Ипенлант (Malaria. Ypé lanti G.), Rhodesian Farmer, 1957, 27, № 41, 49, 51 (англ.)

Эффективными способами борьбы с комарами—

Chem. Soc.
сульфонил-
С и Р-
С₆H₅,
186—187,
70, абс. сп.;
абс. сп.; л-
тесто I вант
фонилдифе-
129, л-
7, абс. сп.;
1, абс. сп.;
инсектици-
активными
в качестве
3. Хамиски
ния, приме-
ной короной
и (A com-
controlling
rle S. Ca-
6, 49, № 3.

гных во вре-
спивали на
5,7 л р-ра
подвески и
иную и бы-
ты 5 преи-
иленглиноль
: ДДТ 20 +
(III) 16 + II
алкилариа-
м, кроме то-
и дизельным
параты унич-
и были на-
trans (L.)
Унтербергер
ания семян
е с кресто-
й турнепса.
информ. Н.-
мн. полос.

рестоцветной
ДДТ и ГХЦГ
500 г 5%-
ного снижают
лируют рост
кай зеленой
илучший эф-
а 1 кг С.
Мильштейн
цью опил-
сом (Prok-
ated sawdust,
on. Entomol.

вались опил-
ным дустом
зах 1—10 г
рье с вред-
более токс-
рновой мол.
абсорбции
овить вред-
Б. Акимов
laria. Урб.
№ 41, 48, 49.

переносчиками малярии в условиях Африки являются обработки стен жилищ ДДТ, дильдрином и ГХЦГ. Дильдрин и ДДТ в связи с абсорбцией их шламом, из которого построены жилища, быстро теряют активность. ГХЦГ также абсорбируется шламом, но, обладая фунгицидным действием, токсичен более длительный период. Даются рекомендации по чередованию применяемых препаратов в случае появления устойчивых к пестицидам рас комаров. Л. Бочарова

33617. Авианоприскивания инсектицидами остаточного действия для борьбы с переносчиками малярии группы *Anopheles punctulatus* в Голландской Новой Гвинее. Метселар (A pilot project of residual-insecticide spraying to control malaria transmitted by the *Anopheles punctulatus* group in Netherlands New Guinea. Metselaar D.), Amer. J. Trop. Med. and Hyg., 1956, 5, № 6, 977—987 (англ.)
Водооемы, строения и прилегающие участки опрыскивали 5%-ной суспензией смачивающегося порошка ДДТ и в ряде случаев при обработке жилищ — 5%-ным р-ром ДДТ в керосине. Вследствие остаточного действия препарата на следующий год зараженность переносчиками малярии значительно снизилась, но полного уничтожения инфекции не получено. Л. Бочарова

33618. Понижение концентрации опрыскиваемой жидкости при обработке крупного рогатого скота. Брейтуэйт, Хемстед (The exhaustion of cattle spray-race fluid. Braithwaite D. P., Hemsted W. R. T.), E. Afric. Agric. J., 1956, 22, № 2, 88—91 (англ.)
Для устранения понижения конц-ии 0,25%-ной эмульсии 75%-ного масляного концентрата токсафена за счет оседания и для сокращения расхода эмульсии разработан метод опрыскивания крупного рогатого скота с рециркуляцией эмульсии. При этом достигается 10-кратная экономия эмульсии по сравнению с методом купания. Для поддержания конц-ии эмульсии на одном уровне после обработки каждых 100 голов скота необходимо к эмульсии добавлять 0,28 л концентрата токсафена.

Б. Акимов
33619. Борьба с морковным долгоносиком, повреждающим петрушку. Симел (Control of the carrot weevil attacking parsley. Semel Maurie), J. Econ. Entomol., 1957, 50, № 2, 183—184 (англ.)

Эмульсии дильдрина и гентахлора эффективны против долгоносика *Listronotus oregonensis* Lec. при опрыскивании поверхности почвы; токсафен и хлордан значительно менее эффективны. Е. Гранин

33620. Уничтожение вредителей газонов. Гринфилд (Controlling turf pests. Greenfield I.), Gardeners Chronicle, 1957, 141, № 11, 292—293 (англ.)

Указаны хим. меры борьбы с основными вредителями газонов. Против вредной долгоножки *Tipula paludosa* в весенний или осенний период в вечернее время рассеивают смесь отрубей с парижской зеленью 25:1 (25 г смеси на 1 м²). Также эффективна смесь отрубей с масляными концентратами ДДТ и альдрина. Против долгоножки рекомендуют опыливание 5%-ными дустами ДДТ, ГХЦГ и альдрина (33,9 г/м²). Применение этих препаратов против жука *Phyllorpertha horticola* вызывает гибель только части жуков в связи с их редким появлением на поверхности почвы. На песчаной почве ГХЦГ может быть достаточно эффективным при применении в сухую безветренную погоду через 1 неделю после начала выхода первых самок жука. При борьбе с личинками мухи *Dilophus febrilis* положительные результаты дает арсенат Pb и ДДТ (33,9 г/м²). Для уничтожения совки *Agrotis exclamationis* применяют ДДТ и ГХЦГ (17—33,9 г/м²).

Л. Бочарова
33621. Действие гранулированного дильдрина и гентахлора на популяцию взрослых долгоносиков

на красном клевере. Хансен, Дорси (Effects of granular dieldrin and heptachlor on adult weevil populations in red clover. Hansen H. L., Dorsey C. K.), J. Econ. Entomol., 1957, 50, № 2, 224 (англ.)

Против долгоносиков ранней весной применяли гранулированные дильдрин и гентахлор (I) (доза 0,56 кг/га) и концентрат эмульсии I (0,42 кг/га по действующему началу). Все препараты уменьшали популяцию *Sitona hispidula* F. и *Hypera nigrostris* F. более чем на 90%. Против *H. meles* F. гранулированные инсектициды не эффективны, а эмульсия I снижала численность долгоносиков на 71,3%. Полагают, что эффективность гранулированных препаратов против *S. hispidula* и *H. nigrostris* обусловлена контактом насекомых с гранулами, находящимися на поверхности земли, в момент откладки яиц. Е. Гранин

33622. Борьба с рисовым стеблевым бурлящим при помощи эндрина. Сенгупта, Раут (Control of rice stem borer with endrin. Sengupta G. C., Rout G. D.), J. Econ. Entomol., 1957, 50, № 2, 221 (англ.)

В борьбе с *Schoenobius incertulas* Walk. проводили двухкратное опрыскивание растений риса эмульсиями эндрина в дозах 0,145, 0,213 и 0,425 кг/га по действующему началу. Первые две дозировки эндрина достаточны для защиты риса от повреждений; доза 0,425 кг/га наиболее эффективна. Е. Гранин

33623. Борьба с почвенными насекомыми на турнепсе. Стоун, Фоли (Control of soil insects on turnips. Stone M. W., Foley F. B.), J. Econ. Entomol., 1957, 50, № 2, 143—145 (англ.)

Для борьбы с червем *Hylemya elicrura* (Rond.), проволочником *Limonius californicus* Mann. и личинками хрущей в течение 1954—1956 гг. испытаны дильдрин (I), эндрин (II), гентахлор (III), изодриин (IV), альдрин (V), токсафен (VI) и ДДТ. Обработка проведена за 1—21 день до посева турнепса путем опрыскивания почвы эмульсиями (135 л/га) с последующим дискованием на глубину 15—18 см. Наилучший и продолжительный эффект (в течение 18 месяцев) получен от I при дозах 2,58—3,7 кг/га по действующему началу: II и III в подобных, а V в несколько больших дозах, дали только хозяйственно приемлемый эффект (<5% поврежденных корней); IV, VI и ДДТ в дозах 10,1—12,3 кг/га мало эффективны. Е. Гранин

33624. Борьба с капустной корневой мухой в парниках. Лайт, Мортон (The control of cabbage root fly in seedbeds. Light W. I. St. G., Moreton B. D.), Plant Pathol., 1957, 6, № 3, 109 (англ.)

Для борьбы с *Erioischia brassicae* Bonche в парниках альдрин (I) и дильдрин (II) вносили в почву на глубину 5—7 см разбросным способом перед посевом семян. 1,25%-ные дусты I и II в дозе 2,24 кг/га снижали кол-во поврежденных растений, несколько лучшие результаты получены с I. Столь же эффективным оказалось внесение 1,25%-ных дустов I, II и диптерекса в рядок в дозе 0,56 кг/га. Н. Гольшин

33625. Фосфорорганические инсектициды. Неклессова И. Д., Изв. Казанск. фил. АН СССР. Сер. хим. н., 1957, № 4, 7—41

Обзор. Библ. 134 назв.

Ю. Баскаков

33626. Паратион (E-605). Калоянова (Паратион E-605). Калоянова Ф. П.), Съврем. мед., 1957, 8, № 5, 68—74 (болг.)

Обзор. Хим. и физ. свойства паратиона, механизм действия, пути проникновения в организм, токсичность для теплокровных. Острые и хронич. отравления паратионом, лечение и профилактика. Н. Гольшин

33627. Борьба с люцерновым долгоносиком с помощью гранулированных инсектицидов в штате Виргиния. Мьюка (Alfalfa weevil control with

granulated insecticides in Virginia. Muka Arthur A.), J. Econ. Entomol., 1957, 50, № 2, 216—218 (англ.)

Против люцернового долгоносика *Hypera postica* Gyll. испытаны гранулированные препараты альдрина (I), дильдрина (II), паратиона (III), линдана (IV) и гентахлора (V). Участки люцерны обработаны однократно. Процент снижения кол-ва личинок долгоносика по сравнению с контролем был следующим (в скобках указаны нормы расхода действующего начала в кг/га): при применении препаратов зимой: I (1,68) 13; II (1,12) 43,4; III (2,8) 31,5; IV (2,24) 33,4; V (1,68) 85,4; при применении препаратов весной (нормы расхода те же): I, 66,6; II 51,5; III не эффективен; IV 53,9; V 98,8.

Е. Гранин
33628. Опрыскивание с целью уничтожения овода. Мак-Лаган (Spraying to control Warble fly. MacLagan D. Stewart), Agriculture (Engl.), 1957, 63, № 12, 564—567 (англ.)

Обзор. Методы борьбы с оводами видов *Hypoderma*, применяемые в Великобритании, СССР, Германии и США. Библ. 16 назв.

Л. Бочарова
33629. Инсектициды избирательного действия и баланс популяций *Arthropoda*. Риппер (Selective insecticides and the balance of arthropod populations. Ripper W. E.), Agric. Chemicals, 1957, 12, № 2, 36—37, 103, 105 (англ.)

Обзор. Приводятся причины появления устойчивых форм насекомых в связи с применением инсектицидов, а также характеристика физиологич. и экологич. избирательности действия пестицидов и устойчивости к ним растений. Затронуты вопросы экономии применения пестицидов.

Л. Бочарова
33630. Химический метод борьбы с личинками на корнях ранней капусты. Кинг, Форбс, Нобл (Chemical control of root maggots in early cabbage. King K. M., Forbes A. R., Noble M. D.), Proc. Entomol. Soc. Brit. Columbia, 1957, 53, Febr., 28—34 (англ.)

Против личинок капустной мухи *Hylemya brassicae* на ранней капусте испытаны $HgCl_2$ (I), $HgCl$ (II), альдрин (III), гентахлор (IV), ГХЦГ, ДДТ, хлордан, дильдрин, паратион и токсафен. Способы обработки: погружение в р-ры или эмульсии препаратов корня и стебля растения перед высадкой в грунт; полив, опыливание или опрыскивание почвы у основания растений в течение 2 дней после их высадки. Наиболее эффективными оказались способы: 3-кратный полив I (1:1600) в дозе ~ 90 мл на 1 растение, 3-кратное опыливание 4%-ным II (45 кг/га), 2-кратное опыливание 10%-ным IV и однократное опыливание 1—2,5%-ным III, а также погружение растений перед высадкой в эмульсии III и IV, опрыскивание почвы III и IV.

Л. Бочарова
33631. Устойчивая к ДДТ плодовая жорка. Сообщение об опытах по борьбе с плодовой жоркой в 1955—1956 г. Смит, Ломейер (DDT-resistant codling moth. A report on the 1955—56 control trials. Smith L. C., Lohmeyer V. K.), J. Dept Agric. S. Australia, 1956, 60, № 4, 185—186, 185—187 (англ.)

Против плодовой жорки (II), устойчивой к ДДТ, испытаны малатион (I) (0,05 и 0,025%), диазинон (II) (0,025 и 0,05%), паратион (III) (0,025%) и тонкодисперсный фенотиазин (IV) (0,12%). Проведено 10 обработок эмульсией II (0,025%) с интервалом в 14 дней, начиная через неделю после начала лета бабочек II. IV применяли 5-кратно после 6 обработок 0,05%-ной эмульсией II. Все испытанные препараты оказались эффективными против II, устойчивой к ДДТ. Кол-во плодов, не пораженных II на вариантах с применением I, равнялось 98,3 и 96,4%, II 87,1 и 93,1%, III 95,4% и IV 98,0%. В связи с опасностью остатков

инсектицидов на плодах рекомендуется применять I и II в 1-ю половину и III во 2-ю половину лета.

Л. Бочарова
33632. Борьба с рисовым мучнистым червецом *Ripseria oryzae* Gr. в дельте Танджоре штата Мадрас. Анантанараянан, Эйбрахам (The control of the rice mealy bug — *Ripseria oryzae* Gr. in the Tanjore Delta of the Madras State. Anantanarayanan K. P., Abraham E. V.), Madras Agric. J., 1957, 44, № 2, 47—54 (англ.)

Изучалась эффективность в борьбе с *Ripseria oryzae* Gr. эмульсий ГХЦГ, гексидола 950 RR (I), фолдидола (II), ВФРО (III), систокса (IV), эндрина (V) и паратиона (VI). С целью уничтожения *R. oryzae* и предотвращения их инвазии извне обрабатывали сеянцы за неделю перед пересадкой и участки зараженных растений. Для опрыскивания сеянцев в питомнике применяли ГХЦГ (0,1%), II (0,05 и 0,025%), IV (0,15%) и V (0,04%), а также испытан 10%-ный dust ГХЦГ. Лучшие результаты дал II (0,05%). Зараженные участки опрыскивали ГХЦГ (0,2%), I (0,1—0,2%), II (0,05%), III (0,5%), IV (0,15%), V (0,04%) и VI (0,1%). Наиболее эффективны II и IV.

Л. Бочарова
33633. Борьба с гусеницами совки *Heliothis zea* (Boddie) методом авиаопрыскивания на юго-западе Канзаса. Де-Пью (Control of corn earworm in sorghum heads by aerial spraying in southwestern Kansas. DePew Lester J.), J. Econ. Entomol., 1957, 50, № 2, 224—225 (англ.)

Авиаобработка полей сорго фосфорином, ДДТ, малатионом, эндрином и паратионом в дозах 0,56, 2,24, 1,12, 0,56 кг/га соответственно вызвали 95-, 83-, 81-, 74- и 71%-ную гибель гусениц совки *Heliothis zea* (Boddie) при учете через 1 день после обработки в 100-, 92-, 89-, 94- и 86%-ную гибель через 4 суток.

А. Седм
33634. Гигиеническая оценка пищевых сельскохозяйственных культур, обработанных ДДТ и гексахлораном. Русин Н. М., Андропова Г. П., Информ. бюл. Моск. н.-и. ин-та санитарии и гигиены, 1957, № 4-5, 81—82

Картофель, овощи, плоды и ягоды, обработанные ДДТ и ГХЦГ в вегетационный период (методы, дозы и сроки, принятые в с.-х. практике) не обладают токсич. свойствами для животных, но приобретают неприятные посторонние вкус и запах, что делает их непригодными для питания. Зерновые культуры, обработанные ГХЦГ, не приобретают постороннего вкуса и не обладают токсич. свойствами. При экспертизе указанных выше продуктов рекомендуют пользоваться их органолепич. свойствами.

И. Мильштейн
33635. Остатки пестицидов на растениях. Деккер (Pesticide residues on plants. Decker George C.), Agric. Chemicals, 1957, 12, № 2, 39—40, 97, 98 (англ.)

На потерю токсичности остатков пестицидов влияют метеорологич. условия, форма применения препарата, его токсичность, устойчивость к гидролизу, летучесть, доза пестицида и интенсивность роста растений. Наибольшее влияние оказывают последние 3 фактора. Установленные в лабор. условиях на основании летучести препаратов порядок устойчивости инсектицидного действия хлорированных углеводородов (лидан < альдрин < гентахлор < хлордан < дильдрин < токсафен < метоксихлор < ДДТ) сохранялся и в полевых условиях, когда проводили обработку зрелых листьев и рост растений был незначительный.

А. Седм
33636. Инсектицидные остатки при борьбе с проволочником. Вудуэрт, Лейн (Insecticide residues in wireworm control. Woodward Charles F., Leine Merton C.), J. Econ. Entomol., 1957, 50, № 2, 222—223 (англ.)

В лабораторно-полевых опытах установлено, что гептахлор (2,24 и 4,48 кг/га) действует на личинок средних и старших возрастов проволочников наиболее эффективно и продолжительно; несколько уступает ему дильдрий (в тех же дозах); оба препарата в дозе 4,48 кг/га эффективны в течение 2 лет. Менее продолжительно действуют альдрий (3,36 и 6,72 кг/га), ДДТ (11,2 и 22,4 кг/га) и хлордан (4,48 и 8,96 кг/га). Против вновь отродившихся личинок все инсектициды (кроме ДДТ и альдрина в меньших дозах) эффективны в течение 1½ лет.

Е. Гранин
33637. Гигиеническая оценка продовольственных сельскохозяйственных культур, обработанных метафосом. Русин Н. М., Андронов Г. П., Васильева О. И., Информ. бюл. Моск. н.-и. ин-та санитарии и гигиены, 1957, № 4-5, 75-80

Для определения остатков метафоса (I) 150-200 г измельченного продукта питания экстрагируют эфиром 2 часа, эфир упаривают до объема 10-15 мл, добавляют 50 мл воды, выпаривают остаток эфира, прибавляют 1-2 мл 30%-ной H₂O₂ и 1 мл 15%-ного водн. р-ра NaOH или KOH, смесь кипятят 1 час с обратным холодильником, переносят в мерную колбу на 100 мл, добавляют 4,5-5 мл 10%-ного р-ра ZnSO₄ и воды до метки. Кол-во I определяют колориметрически по содержанию паранитрофенолята K или Na в полученном р-ре. Пищевые продукты, обработанные дозами I в 15-20 раз, превышающими дозы, применяемые в с.-х. практике, через 2 недели после обработки имеют горький вкус, но при скормлении мышам, крысам и кроликам не оказывают на них токсич. действия. Приведены данные по токсичности I для крыс и мышей.

И. Мильштейн
33638. Токсичность трех фосфорорганических инсектицидов в холодной воде для промысловой рыбы. Гофман (Toxicity of three phosphorus insecticides to cold water game fish. Hoffman Robert A.), Mosquito News, 1957, 17, № 3, 213 (англ.)

Паратион и дитерекс, эффективные в борьбе с личинками москитов в конц-ии 0,01 и 0,2 мг/л, безвредны для рыб в конц-ии 0,05-1 и 1-10 мг/л соответственно. Фосфрин в конц-иях 0,05, 0,1, 0,5 и 0,1 мг/л вызвал полную гибель форели через 72 и 4 часа, 80, 30 и 15 мин. соответственно и в конц-ии 1 мг/л не был токсичен для личинок москитов.

А. Седых
33639. Фумигация почвы. VI. Распределение дибромэтана по окружающей от точки инъекции. Колл (Soil fumigation. VI. The distribution of ethylene dibromide round and injection point. Call F.), J. Sci. Food and Agric., 1957, 8, № 10, 591-596 (англ.)

Определяющим фактором распределения дибромэтана (I) вокруг места инъекции в различных видах почв является диффузия. Вычислена конц-ия I в зависимости от времени на различном расстоянии от места инъекции. Часть V см. РЖХим, 1957, 74898.

К. Швецова-Шиловская
33640. Пестицид-дитан Z-78. Йо Хао-Жань, Нун-е кэсюэ тунсюнь, 1957, № 11, 655-657 (кит.)

Ю. Баскаков
33641. Токсическое действие ионов металлов на споры грибов. Миллер, Мак-Каллан (Toxic action of metal ions to fungus spores. Miller Lawrence P., McCallan S. E. A.), J. Agric. and Food Chem., 1957, 5, № 2, 116-122 (англ.)

Изучено тормозящее действие на прорастание спор *Neurospora sitophila* (Mont), *Monilinia fructicola* (Wint.), *Alternaria oleracea* Milbraith, *Aspergillus niger* van Tiegh и *Venturia pyrina* Aderh Ag¹¹⁰, Hg²⁰³, Cd¹¹⁵, Co (взяты в виде нитратов), Zn⁶⁵ (взяты в виде ZnCl₂) J¹³¹ (взяты в виде KJ), а также Cu и Ni (взяты в виде ацетатов). Ag¹¹⁰ полностью подавляет прорастание спор после контакта в течение 1 мин. Активность Ag¹¹⁰ не снижается хлоридами, в то время как йодиды и бромиды тормозят

действие Ag¹¹⁰ в значительной степени. Cu, Zn⁶⁵, Cd задерживают прорастание спор только после нескольких часов контакта с ними. Около 75% содержащих Zn спор прорастают в присутствии Zn⁶⁵, обменивая нерадиоактивный Zn на Zn⁶⁵ в течение 1 мин. Установлено, что испытанные в-ва способны к более быстрому передвижению в клетках грибов, чем предполагалось раньше.

Е. Андреева
33642. Успехи в борьбе с пятнистостью листьев банана в Северном Квинсленде. Понт. (Progress in banana leaf spot control in North Queensland. P. ont W.), Queensl. Agric. J., 1957, 83, № 6, 317-326 (англ.)

При опрыскивании растений под высоким давлением (17 атм) с интервалом в 4 недели хорошие результаты в борьбе с *Cercospora musae* получены с водн. суспензиями хлорокиси Cu (I), I + смачивающаяся S и с бордосской смесью (3-2-40) (II); менее эффективны: закись Cu, приготовленная домашним способом, тирам, цирам, цинеб (III). В качестве лечащих фунгицидов смесь II + светлое масло (1-160) + малахитовая зелень (1:10 000) превосходит по эффективности смеси II + смачиватель, II + казеинат Ca, II + смачиватель + 1% мочевины. Ежедневная обработка бананов аэрозолями (размеры частиц 5-100 м) суспензий I и III в масле при норме расхода 23,5 л/га эффективнее, чем аналогичные обработки с интервалом в 2 недели или обработки водн. суспензиями препаратов. Н. Голяшин

33643. Мучнистая роса яблони. 2. Борьба с мучнистой росой яблони с середины мая до середины июля. Хей (Apple mildew. 2. Mid-May to mid-July is the vital time. Hey G. L.), Grower, 1957, 47, № 14, 865, 867, 869 (англ.)

Для борьбы с мучнистой росой яблони рекомендуют применять каптап, известково-серный отвар и S. Применение препаратов целесообразно проводить 5-6 раз в мае - июне. Приведены система мероприятий и нормы расхода фунгицидов в соответствии с климатич. условиями, периодом развития болезни и фазой развития яблони. Сообщение I см. РЖХим, 1958, 26261.

Е. Андреева
33644. Исследование возникновения плесени на окрашенных поверхностях и мер борьбы с ней. VII. Сравнительное испытание некоторых фунгицидов в борьбе с *Mucor hiemalis* на окрашенных поверхностях. VIII. Сравнительное испытание некоторых фунгицидов в борьбе с *Aspergillus niger*. IX. Сравнительное испытание некоторых фунгицидов в борьбе с *Penicillium Glaucum* и *Rhizopus nigricans*. X. Сравнительное изучение роста плесени на некоторых видах окрашенных поверхностей. Тэрамото, Йосии, Кавани. Когэ какаку дзасси, J. Chem. Soc. Japan. Industr. Chem. Soc., 1956, 59, № 6, 650-652; 652-654; 1957, 60, № 6, 713-716; 716-719 (японск.)

Часть VI см. РЖХим 1958, 19076.
33645. Опыт химической борьбы с сорняками в посевах зерновых культур. Стойчев (Досвід хімічної боротьби з бур'янами на посівах зернових культур. Стойчев О. О.), Бюл. сільськогоспод. інформ., 1957, № 1, 27-30 (укр.)

Применение 2,4-Д для борьбы с сорняками в посевах овса, проса и кукурузы. С. Кукаленко

33646. Влияние задерживания гербицидного раствора растениями овса на состояние посевов люцерны. Доршнер, Бакхолц (Interception of herbicidal sprays by oats and its relation to alfalfa stands. Dorschner K. P., Buchholtz K. P.), Weeds, 1957, 5, № 4, 342-349 (англ.)

Овес, к которому была подсеяна люцерна, обрабатывался триэтаноламиновой солью 2,4-Д (I) в дозах 1,12, 0,56 и 0,28 кг/га. Обработка проводилась при достижении овсом высоты 20, 30 и 45 см. Задерживание р-ра гербицида листовой овса увеличивалось при обработке

в фазах от 15 до 45 см высоты. В фазе 45 см высоты овес задерживал 33—50% р-ра I. Наименьший ущерб люцерне наносился, когда овес имел высоту 30 см. В эту фазу проростки бобовых не имеют еще большой листовой поверхности. В обычных условиях I в дозе 0,28 кг/га уменьшает стояние люцерны на 66% по сравнению с необработанными деланками. Л. Стонов

33647. Водные растения в бассейне Бокаро, на которых обитают личинки малярийного комара, и уничтожение этих растений гербицидами. Neogy B. P., Kachroo P., Biswas K., Indian J. Malariol., 1957, 11, № 2, 191—212 (англ.)

Дикотокс (этиловый эфир 2,4-Д) (I), хлороксон (80%-ная соль 2,4-Д) (II) и CuSO_4 (III) применяли для борьбы с прибрежной, полупогруженной и погруженной растительностью, на которой обитают личинки малярийного комара. В дозе 756 кг/га I уничтожал в течение 3—6 недель *Polygonum tomentosum*, *Monochoria vaginalis*, *Sphaeranthus indicus* и *Scirpus articulatus*. II в дозе 2,8 кг/га уничтожал *Jussiaea repens*, *Alternanthera sessilis*, *Causulia axillaris*, *Kyllinga monoccephala*, *Sphaeranthus indicus*, *Grangea madaraspata*, *Monochloria vaginalis*, *Scirpus articulatus*, *Polygonum tomentosum*. III (18,0 кг/га) уничтожал *Monochoria vaginalis*, *Jussiaea repens*, *Scirpus articulatus* и плавающий сорняк *Cladophora glomerata*. Травы и погруженная растительность устойчивы ко всем изученным гербицидам. Вторичные почки на *Polygonum* появляются через 2—3 недели после обработки его I и II. Л. Стонов

33648. Борьба с папоротниками с помощью гербицидов. Симпфендорфер (Control of bracken fern by weedicides. Simpfendorfer K. J.), J. Austral. Inst. Agric. Sci., 1957, 23, № 3, 243—245 (англ.)

Для борьбы с папоротником этиловый эфир 2,4-Д и бутоксиэтиловый эфир 2,4,5-Т эффективны только в дозах 11,2—16,8 кг/га. Р-ы этих гербицидов в дизельном топливе действовали слабее. ХлорИФК и гидразид малеиновой к-ты неактивны. NaClO_3 в дозе 152,4 кг/га уменьшал кол-во листьев папоротника. Действие гербицидов продолжалось только в течение 1 сезона. Л. Стонов

33649. Вымывание монурона из песчаных почв в Стране Озер. Часть I. Действие количества, интенсивности и частоты искусственного дождя. Апчерч, Пире (The leaching of monuron from Lake-land sand soil. Part I. The effect of amount, intensity, and frequency of simulated rainfall. Upchurch R. P., Pierce W. C.), Weeds, 1957, 5, № 4, 321—330 (англ.)

На поверхность песчаных монолитов вносили монурон (I) в дозе 44,8 кг/га. После обработки искусств. дождем монолиты разбирали и почву из 6 горизонтов (0—5, 5—10, 10—20, 20—25, 25—50 и 50—90 см) анализировали на содержание I. Искусств. дождь (10 см), повторенный 8 раз с интервалом 30 мин., вымывает из почвы на глубину > 5 см 72% I и > 50 см 8% I. Дождь в кол-ве 25 см вымыл 89% I ниже 5 см и 51% ниже 50 см. Интенсивность дождя в интервале 0,15—10 см за одну обработку мало влияла на кол-во I, передвигающегося на глубину до 5 см. Более частые обработки искусств. дождем способствовали более быстрому передвижению I из верхних горизонтов (особенно когда дождь повторялся чаще чем через 24 часа). Менее частые обработки позволяют большому кол-ву влаги испариться с поверхности почвы. Л. Стонов

33650. Борьба с сорняками в провинции Судана Ге-зире. Томс (Weed control in the Sudan Gezira.

Tomms A. M.), Empire Cotton Grow. Rev., 1957, 34, № 4, 280—287 (англ.)

Для борьбы с сорняками в пару применяются монурон (I), диурон (II), фенурон (III) и симазин (IV). Сыть круглую и свиной поражают I (2,24 кг/га) и II (0,56—1,12). IV в дозе 2,24 кг/га уничтожает свиной, но не действует на сыть, сохраняя свое действие в почве 1 год. Урожай хлопка увеличивался на 300 кг/га при применении I в дозе ≤ 5,6 кг/га. В условиях Судана I, II и III можно применять за 2 года до посева хлопчатника. Л. Стонов

33651. Борьба с сорняками кукурузы. Олдрич (Weed sprays in corn. Aldrich Richard J.), Crops and Soils, 1957, 10, № 1, 9—11 (англ.)

В качестве довсходовых гербицидов против однолетних сорняков кукурузы рекомендуются N,N-дихлорлорacetамид и 2,3,6-трихлорбензойная к-та, последние долго сохраняют свою токсичность в почве, более эффективна против двудольных сорняков, однако вредит кукурузе, когда применяется в дозах, необходимых для поражения однолетних трав. Смесь этих двух гербицидов эффективна против всех сорняков. Амид 2,4-Д в сухой почве проявляет гербицидные свойства лучше, чем 2,4-Д и более устойчив в почве. Хорошо поражает сорняки, не вредя кукурузе, симазин. В кукурузе, находящейся в фазе 1—2 листьев, однолетние сорняки хорошо поражают диносеб, монурон и диурон. Далапон поражает сорняки при опрыскивании ниже листьев кукурузы, достигшей 60—75 см. Для уничтожения пырея далапон вносят осенью под перепахку поля. Л. Стонов

33652. Результаты опытов по довсходовому применению гербицидов на египетском хлопчатнике в Судане. Пфейффер, Берли (Experimental results with preemergence herbicides on Egyptian cotton in the Sudan. Pfeiffer R. K., Burleigh R.), Empire Cotton Grow. Rev., 1957, 34, № 4, 269—279 (англ.)

Посевы хлопчатника после посева обрабатывались NH_4 -солью диносеба (I), 16%-ным р-ром пентахлорфенола (II) в масле, смачивающимся порошком монурона (III) и р-ром хлорИФК (IV) в масле. Наиболее эффективен I в дозах 6,72—13,44 кг/га, который вызывает за 3 недели гибель 90% сорняков. II действует несколько слабее. Действие III нарастало со временем, достигая максимума к 2—4 неделям. Прорастание и развитие хлопчатника протекало нормально при дозах I и II ≤ 10,08 и 8—15 кг/га соответственно. В противоположность данным американских исследователей, III даже в дозе 0,56 кг/га вызывал 30%-ную, а в дозах 1,12 и 2,24 кг/га — 80—85%-ную гибель растений хлопчатника. III является хорошим средством для поражения сорняков в пару и последующей культуре не вредит. IV в оптимальной дозе 6,72 кг/га подавляет сорняки и не повреждает хлопчатник. Урожай хлопчатника повышался при применении I, II и IV. Л. Стонов

33653. Химическая борьба с сорняками на гладиолусах. Уолц (Chemical weed control for gladioli. Woltz S. S.), Proc. Amer. Soc. Hort. Sci., 1957, 69, 549—555 (англ.)

Для довсходовой борьбы с сорняками гладиолусов применялись: октон (I), крэг I (2,4-дихлорфенокси-этилсульфат натрия) (II), смесь 50% II и 50% хлорИФК (III), аланан 5 (50% N-1-нафтилфталаминовой к-ты и 50% N-1-нафтилфталамида) (IV) в дозах 13,44, 4,48, 8,96 и 6,72 кг/га соответственно. После появления всходов применялись те же гербициды в тех же дозах, кроме I, замененного смесью III + трихлорбензойной к-ты (V) (4,48 + 5,6 кг/га). Все гербициды довсходового применения хорошо подавляли сорняки, не поражая сыть и свиной. Ни один гербицид не уменьшил кол-ва цветов. II, III, IV умень-

шали кол-во клубнелуковиц, II и IV снижали их вес. II и III эффективны после появления всходов. Рекомендуются для применения: I в дозе 8,96 кг/га до появления всходов; II — до и после появления всходов в дозе 4,48 кг/га. Л. Стонов

33654. Действие некоторых гербицидов на пастбищные травы. Мак-Калейб, Джонс (Effect of several herbicides on pasture grasses. McCaleb J. E., Jones D. W.), Proc. Soil and Crop Sci. Soc. Florida, 1956, 16, 294—296 (англ.)

Наиболее эффективным гербицидом для многолетних пастбищных трав (свиной, ковровой травы, бахчи) является далапон (I) (14,28—50,4 кг/га). CCl_3COONa (20,16—67,2 кг/га) и аминотриазол (5,6—16,8 кг/га) обладают более избирательным действием (поражают только ковровую траву). Монурон (5,6—56 кг/га) эффективен в качестве гербицида сплошного действия. Эрбон (44,8—134,4 кг/га) действует подобно I, но в более высоких дозах. Л. Стонов

33655. Довыходная борьба с сорняками в посевах сои. Индик (Pre-emergence weed control in soybeans. Indyk Henry W.), Weeds, 1957, 5, № 4, 362—370 (англ.)

Смеси изопропилового эфира 2,4-Д + $\text{C}_6\text{Cl}_5\text{ONa}$ (I) (1,12 + 14 кг/га) и I + β -хлораллилдиэтилдитиокарбамата (II) (11,2 + 4,48 кг/га) наиболее эффективны в борьбе со всеми сорняками сои. I (28 кг/га) также хорошо поражает однодольные и двудольные сорняки, не нанося ущерба урожаю сои. N,N-диаллилхлорацетамид и II в дозе 8,96 кг/га лучше других уничтожали однодольные сорняки. Удовлетворительные результаты получены с алканоламиновой солью 4,6-динитро-о-втор-бутилфенола (6,72—8,96 кг/га). 2-метил-4-хлорфеноксимасляная к-та, Na-соль нафтилфталаминовой к-ты и небурон (дозы по 4,48 кг/га), а также амид 2,4-Д и трис-(2,4-дихлорфеноксиптил)-фосфат (2,24 кг/га) удовлетворительно поражали сорняки, но в некоторых случаях снижали урожай соевых бобов. Л. Стонов

33656. Лабораторный метод испытания препаратов, токсичных для погруженных водных растений. Хадсон, Хадсон (A laboratory test for screening chemicals for toxicity to submerged aquatic plants. Hudson M. S., Hudson Bee), Weeds, 1957, 5, № 4, 371—373 (англ.)

На растения *Ceratophyllum demersum* и *Anacharis densa*, пересаженные из водоемов и выращенные на питательном р-ре в банках емк. 1 л, действуют определенными конц-иями изучаемых в-в. Эталонном служит арсенит Na, поражающий эти растения в конц-ии 2—3 мг/л. Из изученных 200 в-в только метилрозанилхлорид и 1-хлор-2,4-динитробензол оказались активными в конц-иях ≤ 1 мг/л. Л. Стонов

33657. Действие некоторых гербицидов на нитрификацию в почве в лабораторных условиях. Хейл, Халчер, Чанпелл (The effects of several herbicides on nitrification in a field soil under laboratory conditions. Hale M. G., Hulcher F. H., Chappell W. E.), Weeds, 1957, 5, № 4, 331—341 (англ.)

Методом почвенной фильтрации изучалось влияние хлорИФК (I) и монурона (II) на рост и нитрифицирующую способность почвенных микроорганизмов. Степень превращения $\text{NH}_4(+)$ в нитрат-ион при насыщении почвы р-ром NH_4Cl (почва содержала различные конц-ии I и II) подавлялась I прямо пропорционально его конц-ии, но не изменялась в присутствии II. II в конц-ии 8 мг/л полностью подавлял рост нитрификаторов. Нитрификационная способность подавлялась на 90 и 50% при введении соответственно I (16 мг/л) и II (0,4 мг/л). I, II, 2,4,5-трихлорфенокси-а-пропионовая к-та и $\text{C}_6\text{Cl}_5\text{ONa}$ сильно подавляли дыха-

ние почвы, зараженной нитрифицирующими бактериями. Конц-ии гербицидов, подавляющие дыхание почвы на 50%, оказывают малое или никакого действия на нитрификацию в почве. Л. Стонов

33658. Предупреждение прорастания колосов ячменя с помощью МН-30. Ямадзак, Ватанабэ, Ногэ гидзюцу, 1957, 12, № 3, 119—120 (японск.)

33659. Действие сульфата дигидрострептомицина на рост первичных корней и coleoptилей пшеницы и проростков сои. Саррайе, Молинари (Accion del sulfato de dihidroestreptomicina. Sobre el crecimiento de la raiz primaria y del coleoptilo del trigo y del talluelo de la soja. Sarraile Jose M., Molinari Amelia E.), Rev. Fac. agron., 1956, 32, № 1, 61—65 (исп.)

Семена пшеницы и сои помещали в чашки Петри, содержащие 10—6—1%-ные р-ры сульфата дигидрострептомицина (I). Через 111 час. прорастания определяли длину проростков. Для роста первичных корней пшеницы наиболее благоприятной была область конц-ий от 10—4% до 10—2% I. При конц-иях $> 10—2\%$ рост корней сильно тормозился. Рост coleoptилей превышал контроль уже при конц-ии $5 \times 10—2\%$ I, причем стимулирующее действие сохранялось до самой низкой из изученных конц-ий I (10—6%). Рост проростков сои тормозился 0,5—1%-ными р-рами I, был равен контролю в присутствии 0,05—0,25%-ных р-ров I и стимулировался I при конц-иях I 10—6—10—2%.

А. Верещагин

33660. Предварительное изучение возможности использования гибберелловой кислоты в сельском хозяйстве. Бенвенути (Ricerche preliminari sulla possibilità di impiego dell'acido gibberellico nel campo agrario. Benvenuti A.), Agric. ital., 1957, 57, № 8, 341—365 (итал.; рез. франц.)

Растения обрабатывали 1—15 мл 0,01%-ного р-ра гибберелловой к-ты (I) или концентратом I в ланолиновой пасте. Обработка I 20—30-дневных проростков семян картофеля вызвала удлинение стеблей и хлороз листьев. Свежесобранные клубни картофеля под влиянием ежедневного нанесения воды. р-ров I уже через 10 дней выходили из состояния покоя и образовывали длинные побеги. I вызывала также ускорение прорастания клубней, вышедших из состояния покоя. Обработка I растений картофеля в течение всего периода вегетации привела к образованию у них большего числа более мелких клубней, причем вес клубней на 1 растение был несколько ниже, чем в контрольном опыте без обработки. У помидор обработка I, помимо вытягивания стеблей и хлороза листьев, вызывала изменение формы плодов. Ускорение роста в длину при периодич. орошении р-ром I наблюдали также в опытах с кукурузой. Орошение молодых початков перед цветением вызвало появление частичной стерильности (череззерницы). В колосьях пшеницы число стерильных колосков у растений, обработанных I, составляло 15—20%. Обработка I кормовых растений (люцерны, клевера и др.), вызывала усиление роста в длину, снижение содержания сырого белка и повышение содержания клетчатки; содержание липидов, экстрактивных в-в и солевых элементов не изменялось. Число листьев на 1 растение после опрыскивания р-ром I не изменялось. Опрыскивание р-ром I ускорило выгонку ряда декоративных растений. Свежесобранные луковицы лука, обработанные I, ускоряли прорастание. У тыквы обработка I вызывала снижение урожайности на 30% по сравнению с контролем. На прорастание семян I не влияла. I может найти практич. применение для снятия состояния покоя, а также в культуре декоративных растений.

А. Верещагин

33661 К. Сельскохозяйственные инсектициды, фунгициды и гербициды. Петрашку, Бонтия (Insecticide, fungicide și erbicide agricole. Petrascu Sever, Bontea Vera. București, Ed. agro-silvică stat., 1957, 80 p., 2 lei) (рум.)

33662 П. Способ получения чистого γ -ГХЦГ. Миглиц, Хенниг, Шольц (Verfahren zur Gewinnung von reinem Gamma-Hexachlorcyclohexan. Mieglicz Karl-Heinz, Hennig Bruno, Scholz Hans). Пат. ГДР 13441, 29.06.57

Для получения чистого 100%-ного γ -ГХЦГ (I) продукт после первой кристаллизации технич. ГХЦГ из CH_3OH помещают в аппарат с гладкой поверхностью (эмаль, стекло, фарфор), подвергают кристаллизации в присутствии в-в, препятствующих кристаллизации примесей (эфир фталевой и фосфорной к-т, высшие гликоли). К технич. ГХЦГ (13% I) прибавляют 1,3 л CH_3OH , перемешивают 2 часа при 30°, осадок отделяют, фильтрат охлаждают 2 часа при т-ре -10° и получают 120 г 96–100%-ного I. 1 кг 96–100%-ного I перемешивают 2 часа при 30° с 10,2 л маточного р-ра от предыдущей кристаллизации, смесь фильтруют, добавляют 700 г триэтиленгликоля, помещают в эмалированный сосуд, охлаждают 2 часа при т-ре -10° при перемешивании, выход I 915 г, т. пл. 112–113°.

И. Мильштейн

33663 П. Приготовление картона для получения инсектицидного дыма. Талер (Verfahren zur Herstellung eines Kartons zur Erzeugung insektiziden Rauches. Thaler Erwin) [Nigrin-Werke Carl Gentner]. Пат. ФРГ 965455, 6.06.57

Картон (K) изготавливают из неорганич. наполнителя и горючего волокна и обрабатывают последовательно ацетоновым р-ром γ -ГХЦГ (I) и вода. р-ром кислородсодержащего соединения. Толстую бумагу, содержащую 20,5% кизельгура (II), пропитывают 25%-ным ацетоновым р-ром I и 10%-ным р-ром NaNO_3 . Состав полученного K (в %): целлюлоза (III) 52,5, II 13,6, I 17, NaNO_3 16,9. Аналогично получают K, содержащий (в %): III 48,5, II 23,2, I 14,5, NaNO_3 (NH_4NO_3) 13,8.

И. Мильштейн

33664 П. Способ получения новых производных тиофосфорной кислоты (Nouveaux dérivés de l'acide thiophosphorique et leur procédé de préparation) [Soc. des Usines Chimiques Rhône-Poulenc]. Франц. пат. 1126437, 22.11.56

Способ получения новых инсектицидных и акарицидных производных тиофосфорной к-ты общей ф-лы: $\text{R}^1\text{O}(\text{R}^2\text{O})\text{P}(\text{S})\text{R}^4\text{C}_6\text{H}_4\text{SO}_2\text{R}^3$ (I), где R^1 и R^2 — одинаковые или различные низшие алкилы, R^3 — низший алкил, замещ. OH или галогеном или фенилом, незамещ. или замещ. галогеном, алкилом или алкоксилем или NO_2 , R^4 — S или O; группа SO_2R^3 может находиться в *n*-, *o*-, или *m*-положении, а остальные положения могут быть заняты алкилом, алкоксилем, галогеном или NO_2 . I получают взаимодействием хлортиофосфата общей ф-лы: $\text{R}^1\text{O}(\text{R}^2\text{O})\text{P}(\text{S})\text{Cl}$ с фенолом или тиофенолом общей ф-лы $\text{HR}^4\text{C}_6\text{H}_4\text{SO}_2\text{R}^3$. K суспензии 13,8 г K_2CO_3 (II) в метилэтилкетоне прибавляют 17,2 г метансульфонил-4-фенола и в течение 10 мин. 18,9 г диэтилхлортиофосфата, смесь перемешивают 10 мин., нагревают 5 час. при 50° и добавляют 50 мл воды; органич. слой сушат, фильтруют, концентрируют при 60–70°/20–30 мм, остаток растворяют в 100 мл C_6H_6 , промывают 10%-ным II, сушат, отгоняют р-ритель и после нагревания при 70–80° на 1 мм получают в остатке 29 г метансульфонил-4-фенилдиэтилтиофосфата (III); к смеси 1 г III в 5 мл ацетона (IV) + 2 мл $\text{C}_6\text{H}_5\text{CH}_3$ + 1,5 г эмульгатора добавляют IV до общего объема 10 мл и р-р эмульгируют водой, получа

0,05%-ную эмульсию III; IV можно заменить формамидом.

33665 П. Способ уничтожения вредителей (Verfahren zur Schädlingsbekämpfung) [Ciba A.-G.]. Швейц. пат. 311106, 31.01.56

Для борьбы с вредными насекомыми применяют в-ва общей ф-лы $\text{RX}(\text{R}^1\text{Y})\text{P}(=\text{Z})\text{Z}^1(\text{CH}_2)_n\text{CH}(\text{CH}_2)_m\text{Z}^2\text{R}^2[(\text{CH}_2)_n\text{Z}^3\text{R}^3]$ (I), где R, R^1 , R^2 и R^3 — алкил, арил, аларкил или гетероциклич. остаток, причем R и R^1 и соответственно R^2 и R^3 могут входить в циклич. радикал, X и Y — O, S, NH, NR; Z, Z^1 , Z^2 , Z^3 — O или S; *n*, *n'* и *n''* — целые числа. Примеры I: $(\text{C}_2\text{H}_5\text{O})_2\text{P}(\text{O})\text{SCH}_2\text{CH}(\text{OC}_2\text{H}_5)_2$, $(\text{C}_2\text{H}_5\text{O})_2\text{P}(\text{S})\text{SCH}_2\text{CHCH}_2\text{OC}(\text{CH}_3)_2\text{O}$, $(\text{C}_2\text{H}_5\text{O})_2\text{P}(\text{O})\text{SCH}_2\text{CHCH}_2\text{OC}(\text{CH}_3)_2\text{O}$, $(\text{C}_2\text{H}_5\text{O})_2\text{P}(\text{O})\text{SCH}(\text{CH}_2\text{SCH}_3)_2$, $(\text{C}_2\text{H}_5\text{O})_2\text{P}(\text{S})\text{OCH}(\text{CH}_2\text{SCH}_3)_2$, $(\text{C}_6\text{H}_5\text{O})_2\text{P}(\text{O})\text{OCH}(\text{CH}_2\text{SCH}_3)_2$, $\text{OCH}(\text{CH}_3)\text{CH}_2\text{OP}(\text{S})\text{OCH}(\text{CH}_2\text{SCH}_3)_2$, $\text{OCH}(\text{CH}_3)\text{CH}_2\text{OP}(\text{S})\text{CH}_2\text{CHCH}_2\text{OC}(\text{CH}_3)_2\text{O}$, $[(\text{CH}_3)_2\text{N}]_2\text{P}(\text{O})\text{SCH}(\text{CH}_2\text{SCH}_3)_2$.

I применяют в виде р-ров, суспензий, эмульсий, dust-ов самостоятельно и в комбинациях с другими инсектицидами и фунгицидами. Эмульсия смеси 2 ч. Ia, 1 ч. неионогенного смачивателя, эмульгатора и 7 ч. диэтилгликоля обладает системным действием. Опрыскивание астр 2,5%-ной водн. эмульсией препарата вызывает полную гибель листовых тлей. А. Гранов

33666 П. Способ уничтожения стойких вредителей древесины, а также их яиц и личинок в деревянных предметах. Беренц, Технау, Болле (Verfahren zur Abtötung besonders widerstandsfähiger Holzschädlinge sowie deren Eier und Larven in Holzgegenständen. Behrenz Wolfgang, Technau Gerhard, Bolle Wolfram) [Farbenfabriken Bayer A.-G.]. Пат. ФРГ 962375, 18.04.57

Для защиты изделий из дерева (старинной мебели, скульптур) от точильщиков применяют $\text{CH}_3\text{SO}_3\text{F}$ (I). Изделия из дерева покрывают мешком из полиамидных смол и вносят I в дозе 4 г/м³; через 8 час. все насекомые, их личинки и яйца погибают. Лакированные поверхности и стекло не повреждаются.

А. Гранов

33667 П. Средства для отпугивания насекомых, содержащие эфиры пиридиндикарбоновых кислот, и метод их применения. Леонард (Compositions containing esters of pyridine dicarboxylic acids as insect repellents and method of using. Leonard Nelson J.) [Phillips Petroleum Co.]. Пат. США 2757120, 31.07.56

Эфиры 2,5-(I), 2,6-(II), 2,4-(III), 2,3-(IV) пиридиндикарбоновых к-т — диэтиловые (а), ди-*n*-пропиловые (б) и ди-*n*-бутиловые (в) — являются эффективными средствами для отпугивания насекомых, в частности мух и комаров, и действуют сильнее, чем такие репелленты, как индалон и смесь 2-фенилциклогексанола и 2-циклогексилциклогексанола (флотский репеллент). Указанные эфиры применяют чаще всего в виде 0,5%-ных (и более концентрированных) р-ров в ацетоне, керосине и других углеводородных р-рителях путем опрыскивания или нанесения кистью на обрабатываемую поверхность: норма расхода 0,1–1,1 г/м². На оконные стекла, опрысканные р-рами Ia и Ib, в течение суток не садилась ни одна муха; через месяц на эти стекла садилось мух на 95% меньше, чем на неопрысканные. Ia, Ib, Iv, и Ia, Ib при испытаниях показали равную активность; почти так же действовали IIIa и IIIб; действие IVa и IVб было несколько слабее. Характерно, что не все изученные эфиры отпугивают насекомых; так диметиловый и диизопропиловый эфиры I даже при высоких концентрациях такой способности не проявили. Г. Швиндлерман

33668 П. Фунгицид. Москва (Prodotto anticrittogamico. Mosca Americo). Швейц. пат. 322144, 31.07.57

Фунгицидный препарат содержит 65% солей Al, напр., нитрата, хлорида, сульфата или калиевых квасцов, 35% бентонита, следы метиленового голубого, и применяется в виде 0,75—2,0%-ной водн. дисперсии.

К. Герцфельд

33669 П. Уничтожение вредных видов грибов. Дифенбах, Нюслеин (Bekämpfung schädlicher Pilzarten. Diefenbach Ernst, Nüsselein Josef) [Farbwerke Hoechst A.-G. vormalis Meister Lucius & Brüning]. Пат. ФРГ 1000631, 27.06.57

Для борьбы с фитопатогенными грибами применяют 0,5—1%-ные dustы или р-ры, содержащие Cu-соли моно- и диэфиров фосфорных к-т и их сернистых аналогов, а также фосфонистых, фосфоновых и амидофосфорных к-т. Примеры (указаны в-во, конц-ия в %, форма применения, название грибка, подавление роста спор в %): Cu-соль фенилфосфорной к-ты (I), 0,005, р-р, *Fusicladium dentriticum*, 100; I, 0,01, р-р, *Botrytis cinerea*, 96; Cu-соль бис-(4-нитрофенил)-фосфорной к-ты, 0,005, р-р, *Sclerotinia fructicola*, 98; Cu-соль 4-нитрофенилфосфорной к-ты, 0,005, *Macrosporum sarcinaeforme*, 100; Cu-соль пентахлорфенилфосфорной к-ты, 0,005, р-р, *S. fructicola*, 100; Cu-соль бис-(2,4-дихлорфенил)-фосфорной к-ты, 0,005, р-р, *Alternaria*, 100; Cu-соль дианилида фосфорной к-ты, 0,005, р-р *M. sarcinaeforme*, 100; Cu-соль бензолфосфоновой к-ты, 0,005, водн. суспензия, *B. cinerea*, 96; Cu-соль диметилтиофосфорной к-ты (50%-ный препарат), 0,01, суспензия, *S. fructicola*, 100; Cu-соль фенилтиофосфорной к-ты (50%-ный препарат), 0,01, суспензия, *A. tenuis*, 100; Cu-соль фенилфосфонистой к-ты, 0,000775, р-р, *A. tenuis*, 100. Бордоская смесь и хлорокись Cu дают аналогичный эффект во всех случаях только при конц-ии Cu 0,005%.

А. Гранов

33670 П. Гербицид и способ его получения. Барроне (Preparat och förfarande för reglering av växters utveckling. Barrons K. C.) [The Dow Chemical Co.]. Шведск. пат. 157083, 4.12.56

Гербицидный препарат, применяемый до всхода культур, содержит диспергатор и гликоль бис-монобромацетат (I) общей ф-лы: $RCH(OOCCN_2Br)CH_2OOCCN_2Br$, где R — H, или CH_3 ; в качестве I применяют р-ры этилен- или пропиленгликоль-бис-монобромацетатов в конц-ии ≥ 3 г/л воды и дозировке $\geq 3,3$ кг/га, лучше 3,3—7,7 кг/га. Для удаления листьев хлопчатника достаточно опрыскивания эмульсией I в конц-ии 30 г/л и в кол-ве 95 л/га.

К. Герцфельд

33671 П. Гербицидный состав. Маури, Шлезингер (Herbicide composition. Mowry David T., Schlesinger Arthur H.) [Monsanto Chemical Co.]. Пат. США 2745729, 15.05.56

Аллиловый эфир фталевой к-ты при предвсходовом применении в виде эмульсий эффективен против бобовых и злаковых растений. Для приготовления эмульсии диаллиловый эфир фталевой к-ты (I) растворяют в органич. р-рителе и р-р смешивают с водой в присутствии эмульгатора (смесь полиалкиленгликолевого производного и алкилбензолсульфоната). Хорошие результаты получают при содержании I в эмульсии от 0,1 до 2%. I можно применять в виде dustов и смачивающихся порошков и в смеси с инсектицидами и фунгицидами. Метиловый эфир фталевой к-ты, аллиловые эфиры N-метилкарбаминной и тиокарбаминной к-т и аллилсульфид неактивны против бобовых и злаковых растений, хотя последний значительно повреждает злаки.

К. Бокарев

33672 П. Метод приготовления трихлорфенолов, обогащенных 2,4,5-изомером. Уайдигер (Method of making trichlorophenol mixtures which are rich in

the 2,4,5-isomer. Widiger Alexander H.) [The Dow Chemical Co.]. Пат. США 2756260, 24.07.56

Путем хлорирования 3,4-дихлорфенола (I) Cl_2 -газом при 15—130° в присутствии катализатора — $FeCl_3$, $AlCl_3$ (1 вес.%) или металлич. Fe или Al (стенки сосуда) получают смесь, состоящую из 47—56% 2,4,5-трихлорфенола (II), 38—46%, 2,3,4-трихлорфенола (III), иногда с примесью тетрахлорфенола (до 15%) и непрореагировавшего I (до 11%); при оптим. т-ре — 75—130° получены смеси с содержанием 52—56% II и 46—44% III. I хлорируют непосредственно или в присутствии тетрахлорэтлена или CCl_4 ; образующийся HCl должен свободно удаляться из реакционного сосуда. Смесь хлорфенолов используют при синтезе гербицидных препаратов.

Г. Швиндлерман

См. также: Инсектициды: синтез 32323, 32363, 32407, 32550; произ-во 33436; анализ 34214, 34215; токсикология 12013Бх. Бактерициды и фунгициды: синтез 32557; выделение из растений 12438Бх; действие 12280Бх; предохранение древесины 33981, 33982, 33984, 33985, 34002; пищевых продуктов 34325, 34335. Регуляторы роста: синтез 32402, 32468, 32469, 32650; выделение из растений 12432Бх; произ-во 33455; действие почвенных бактерий 12196Бх; действие на растения 12470—12476Бх.

ДУШИСТЫЕ ВЕЩЕСТВА. ЭФИРНЫЕ МАСЛА. ПАРФЮМЕРИЯ И КОСМЕТИКА

Редактор В. Н. Белов

33673. Развитие промышленности эфирных масел в Индии и Пакистане. Садогал (Développement de l'industrie des huiles essentielles en Inde et au Pakistan. Sadgopal), Inds parfum. et cosmét., 1957, 12, № 11, 365—375 (франц.)

История развития индийской пром-сти эфирных масел (ЭМ), роль научных исследований и современное состояние произ-ва ЭМ. Данные о природных сырьевых источниках, выработке и экспорте скипидара, канифоли, санталового, лимонграссового, пальмарозового, джиджерграссового, эвкалиптового, ветиверного, линалоевого и гераниевого масел, масла листьев корицы, лайма, ажгонового, лимонного и апельсинового масел, экспорте семян, аниса, кориандра, черного тмина, укропа, куркума и пряностей (кардамон, корица, гвоздика, имбирь, перец), импорте камфоры, синтетич. душистых в-в, камфорного, гвоздичного, укропного, эвкалиптового, лавандового, лимонного, розового, мятного масел, масла какао и др. Рассмотрены способы получения ЭМ, планы развития пром-сти ЭМ в Индии и состоянии произ-ва ЭМ в Пакистане.

С. Кустова

33674. Сообщение об изучении некоторых югославских эфиромасличных растений и эфирных масел. Туцаков (Contributo allo studio di alcune piante aromatiche ed essenze jugoslave. Tucakov Jovan), Riv. ital. essenze profumi, piante offic., olii veget., saponi, 1957, 39, № 9, 471—487 (итал.)

Изложены результаты работ по изучению лекарственных и эфиромасличных растений Югославии, ведущихся в Белградском ин-те адриатич. культур, Белградском ин-те по исследованию ароматич. и медицинских растений, ин-те фармакогнозии Белградского ун-та, Федеральной комиссии по стандартизации и других учреждениях. Приведен список 129 эфиромасличных растений Югославии, принадлежащих к 38 различным семействам. Даны карты географич. распространения эфиромасличных растений в различных районах страны и главных районов произ-ва

эфирных масел. Указаны места размещения произ-ва эфирных масел перегонкой и приведена конструкция аппарата. Подробнее описана культура важнейших возделываемых эфиромасличных растений — шалфея, розмарина и перечной мяты, а также приведены биологич. и хим. данные по 8 диким эфиромасличным растениям.

А. Верещагин

33675. Химический состав мятного масла *Mentha piperita* из растений, произрастающих в Джамму и Кашмире. Чаудхри, Сингх, Ханда (Chemical composition of *Mentha piperita* oil from plants raised in Jammu and Kashmir. Chaudhry S. S., Singh Het, Handa K. L.), Indian J. Pharmacy, 1957, 19, № 3, 74—75 (англ.)

Изучен хим. состав мятного масла, выделенного из сухих листьев и цветков растений, произрастающих в речных долинах Джамму и Кашмира. Выход масла 0,8% от веса обработанных листьев и цветочной кроны. Установлено, что масло содержит (в %): ментил-ацетат 20,0, свободный ментол 55,8, ментон 9,1 и 15,1 углеводородов (пинен, лимонен, кадинен и некоторые неидентифицированные терпены).

В. Рабинович

33676. Лавровое масло *Myrcia acris* (Порто-Рико). Гарсия-де-Мартинес-Надаль (Puerto Rican bay oil, *Myrcia acris*. Garcia de Martinez Nadal Noemi), Amer. Perfumer and Arom., 1957, 70, № 3, 51—55 (англ.)

Изучен состав терпеновой части (ТЧ) лаврового масла *Myrcia acris* (Порто-Рико). Хроматографированием на Al_2O_3 выделены α -пинен, мирцен, дипентен, *d,l*-фелландрен, *d*-фелландрен и цинеол-1,8. Обработкой масла КОН не достигнуто полного выделения фенолов. Установлено, что абсорбционная способность на Al_2O_3 бициклич. углеводородов выше, чем моноциклич. и алициклич. и возрастает с увеличением числа двойных связей в молекуле.

С. Кустова

33677. Гераниевое масло Бельгийского Конго. Нейринкс, Стрюэлленс (Geranium-oliën uit Belgisch-Congo. Neirinckx G., Struelens H.), Bull. agric. Congo Belge, 1957, 48, № 5, 1123—1135 (флам.; рез. франц.)

Обзор литературных данных о составе африканского, испанского, французского, корсиканского и индийского гераниевых масел, физ. свойствах, содержании к-т, сложных эфиров, спиртов, цитронеллола (I) и др., а также аналитич. данных авторов о содержании I, выделении его перегонкой из масла гераней 672, 690, 692, 693. Установлено, что потеря I при перегонке не превышает 2%. Приведены графики изменения т-ры кипения, выходов, n_D^{20} и $[\alpha]_D^{20}$ при перегонке масла, а также выходов отдельных фракций. Библ. 19 назв.

С. Кустова

33678. О дубовом мхе. Мюллер (Concerning oakmoss. Facts and opinions. Müller Pierre), Soap, Perfum. and Cosmetics, 1957, 30, № 12, 1295—1297 (англ.)

Рассмотрены значение экстрактов дубового мха (ДМ) в парфюмерии, применение бензола и петр. эфира для получения экстрактов, способы отделения хлорофилла и смол (~50%) и получения экстрактов с устойчивым запахом и цветом, сведения о составе кристаллич. части экстракта, не имеющей запаха (~25%), и составе пахнущей части (~25%) (~4% атроворина, ~4% эвернинового альдегида (I), легко окисляющегося в эверниновую к-ту (II), 1% хлорантракорина, немного фарнезола и гераниола). Абс. масло ДМ, по мнению автора, вместо I содержит этиловый эфир II. Приведены описание аппаратов для получения экстрактов ДМ и схемы их расположения.

С. Кустова

33679. Определение цинеола в эфирных маслах. Ос, Звавинг (Over de cineolbepaling in vluchtige

Oliën. Os F. H. L. van, Zwaving J. H.), Pharmas. weekbl., 1956, 91, № 22, 805—809 (гол.; рез. англ.)

Изучен метод Коккина (Cocking T. T., Perfum. Essent. Oil Rec., 1927, 18, 765, 254) с применением цинеола и *o*-крезола высшей чистоты. Т-ра застывания чистого комплекса цинеола с *o*-крезолом 56,5°, но для практич. применения можно пользоваться величиной 55,2°. Приведены результаты применения метода в 9 различных лабораториях при испытании одного и того же образца масла. Изучено влияние примесей спиртов, сложных эфиров и кетонов в искусственно приготовленном масле розмарина. Для масел нормального состава метод является достаточно точным. Описан метод, предложенный Голландией для Международной организации стандартизации. В. Уфимцев

33680. Опытная установка для экстракции и дистилляции. Турнер (Une usine pilote d'extraction et distillation. Tournaire G.), Parfums, cosmét., savons, 1956, № 130, 101—102 (франц.)

Для проверки лабор. работ предложена опытная установка для переработки различного растительного сырья. Установка может служить для экстракции сырья различными р-рителями при т-ре окружающей среды и т-ре кипения р-рителя; для отгонки с водяным паром и вакуум-дистилляции эфирных масел; для непрерывной когобации дистилляционных вод и др. Аппарат изготовлен из нержавеющей стали, содержащей молибден. Он может быть экстрактором и перегонным кубом и снабжен двумя комплектами различных сеток для переработки тонкоизмельченного и неизмельченного сырья. Установка имеет все необходимые контрольно-измерительные приборы. Вся установка с оборудованием (насосы, моторы и др.) компактно размещена в металлич. основе. Имеется площадка для обслуживания. Разгрузка аппарата производится при помощи системы блоков. С. Корс

33681. Душистые вещества в текстильной промышленности и производстве моющих средств. Бервейн (Duftstoffe in der Textil- und Wäscherei-Industrie. Bergwein K.), SVF Fachorgan Textilveredlung, 1957, 12, № 10, 665—667 (нем.)

Обзор применения душистых в-в в указанных отраслях пром-сти. Л. Шуаев

33682. Факторы, влияющие на устойчивость отдушки на коже. Уэллс (Facteurs influençant la persistance des parfums sur la peau. Wells F. V.), Ind. parfum. et cosmét., 1957, 12, № 11, 354—360 (франц.)

Изучена устойчивость запаха некоторых душистых в-в при их нанесении на живую кожу. Найдено, что наиболее устойчивы запахи: метилниоилацетальдегида, эвгенола и родственных ему фенольных производных; особенно же устойчив запах цитронеллола. Нанесение на кожу водн. пленки восстанавливает запах и делает его более устойчивым.

Е. Смольянинов

33683. Отдушки и политен. Возможность применения отдушенного политена в промышленности дезодорантов. Бассири (Perfumes and polythene. Possibility of using perfumed polythene in the industry of deodorizers. Bassiri T.), Perfum. and Essent. Oil Rec., 1957, 48, № 11, 549—552 (англ.)

Показана нецелесообразность применения контейнеров из политена для душистых в-в и готовых композиций, так как последние просачиваются сквозь стенки, часто наблюдается изменение запаха душистых в-в, а иногда полное или частичное их осмоление; деформируются и размягчаются стенки флаконов. Перечислены испытанные душистые в-ва. Показана возможность отдушивания изделий из политена и применения их в качестве дезодорантов.

Е. Смольянинов

33684. Мыльные отдушки. Датт (Soap perfumes. Dutt S.), Indian Soap J., 1957, 23, № 1, 3—9 (англ.).
Описаны мыльные отдушки (цветочные, фруктово-цветочные, пряные, бальзамич. и фантазийные) и приведен перечень применяемых в мыльных отдушках душистых в-в и эфирных масел с указанием их стойкости в мылах. Кратко дан состав мыл.

Е. Смольянинова

33685. Физико-химические основы определения запаха мыла. Сфирас (Problemi fisico-chimici nella profumazione dei saponi. Sfiras J.), Riv. ital. essenze profumi, piante offic., olii veget., saponi, 1957, 39, № 8, 396—401 (итал.).

Описан сконструированный автором аппарат для выделения из мыла содержащихся в нем душистых в-в. Описаны результаты изучения запаха мыл различного состава.

А. Верещагин

33686. Неионные поверхностноактивные агенты и их применение в косметических препаратах. Мур, Белл (Non-ionic surface-active agents and their utilisation in cosmetic preparations. Moore C. D., Bell Maurice), Soap, Perfum. and Cosmetics, 1956, 29, № 8, 893—896 (англ.).

Характеристика неионных поверхностноактивных агентов, состав и приготовление косметич. препаратов, в которых они применяются.

Г. Молдованская

33687. Перспективы использования ланолина. Колберт (Lanolin and its forward look. Colbert Irving), Amer. Perfumer and Arom., 1957, 70, № 1, 44—45 (англ.).

Подробно описаны главные составные части ланолина. Рассмотрены свойства некоторых производных ланолина, получаемых гидрогенизацией или заменой водорода в свободных гидроксильных группах оксифиров (имеющихся в значительных кол-вах в ланолине) ацилами. Такие и подобные производные по своим свойствам в значительной степени отличаются от исходных продуктов и служат основой для создания разнообразных косметич. препаратов. Приведен перечень основных косметич. продуктов, в рецептуру которых входят ланолин и его производные.

С. Светов

33688. Жидкий ланолин. Лауэр, Кресси (Liquid lanolin. Lower E. S., Cressey S.), Drug and Cosm. Ind., 1957, 81, № 4, 450—451, 550—551 (англ.).

Рекомендуется применять в косметич. препаратах жидкий ланолин (нейтр. эфиры ланолина), которым можно полностью заменить ланолин в косметич. препаратах (применение последнего не исключается), в частности для тех, в которых за счет ланолина появляется «клейкость». Приведены рецептура косметич. препаратов, содержащих жидкий ланолин (детские масла, жидкий грим, препараты для волос, лосьоны, губные помады (вместо касторового масла) и др. См. также РЖХим, 1958, 2396).

Е. Смольянинова

33689. Силиконы как средства, защищающие кожу. Форман, Нильсен, Вистрём (Silikon som hudskyddande medel. Forsman Anders, Nilzén Ake, Wikström Kjell), Farmac. revy, 1956, 55, № 2, 24—29 (шведск.).

33690. Исследование антисептического действия косметических препаратов, содержащих эфирные масла. Часть II. Косметические кремы. Коккини, Ровести (Esperienze di antisepti cutanea in prodotti di bellezza attraverso costituenti di olii essenziali. Nota II.—Latti per cosmesi. Cocchini Aldo., Rovesti Paolo), Riv. ital. essenze profumi, piante offic., olii veget., saponi, 1956, 38, № 7, 346—347 (итал.).

Исследовалось антисептич. действие эфирных масел, применяемых для изготовления косметич. продуктов, на стафилококках, *B. Coli* и плесени. Наличие 0,5%

фенолов (карвакрол), 0,3% альдегидов (цитраль), 0,5% спиртов (линалоол), 0,25% эфиров (линалилацетат) задерживает развитие бактерий, но не препятствует росту плесени. Наличие полиоксизетиленов сильно препятствует антисептич. действию. Часть I см. РЖХим, 1957, 28495.

Л. Фрейдкин

33691. Гормоны фруктов. Ривера (Hormo-fruits Rivera Silvio), Amer. Perfumer and Arom., 1957, 69, № 5, 40—41 (англ.).

Гормоны фруктовых и растительных соков оказывают положительное действие на оживление и омолаживание кожи.

Н. Соловьева

33692. Растительные треоны в косметике. Ровести (Les tréphones végétales en cosmétique. Rovesti Paolo), Parfum. mod., 1956, 48, № 54, 92—95 (франц.).

Найдено, что треоны (Т) дрожжей, оплодотворенной завязи высших растений, проросших семян злаков и бобовых, выделенные в максимально конц. состоянии (метод выделения описан), примененные в бентонитовых масках, активизирует клеточный метаболизм кожных покровов (истощенная и старая кожа). Наилучший результат дали Т, выделенные из проросших семян злаков, затем Т, выделенные из оплодотворенной завязи растений и, наконец, Т, выделенные из дрожжей. Т растворимы в воде, полностью диализируются, не осаждаются 95%-ным спиртом, осаждаются при щел. рН абс. спиртом, растворимы в 90%-ной CH_3COOH ; не вызывают раздражения кожных покровов. Растительные Т более стойки и лучше сохраняются, чем животные; они являются биокатализаторами, действующими как стимуляторы клеточного размножения в кожных покровах.

Е. Смольянинова

33693. К образованию пигмента меланина у людей. Либс (Zur Melaninpigmentierung beim Menschen. Liebe H. G.), Kosm. Monatsschr., 1957, 6, № 9, 3—4 (нем.).

Дано морфологич. и хим. объяснение образованию пигмента меланина у людей и изменение его под действием биохим. факторов.

И. Милованова

33694. Система. амин — тиогликоля — аммиак. Хейлинггеттер, Комароми (Das System Amin — Thioglykolat — Ammoniak. Heilinggötter R., Komaromy R.), Parfum. Kosmetik, 1957, 38, № 10, 565 (нем.; рез. англ., франц.).

Указано на необходимость замены аммиака (I) при приготовлении тиопрепаратов другими щел. в-вами, менее вредными для волос и оказывающими размягчающее действие. При нейтр-ции тиогликолевой к-ты I заменяют моноэтаноламином, триэтаноламином, едким натром и другими и прибавляют I после нейтр-ции для создания щел. среды. Приведены различные системы тиогликолевых р-ров.

И. Милованова

33695. Действие щелочей на тиогликоловую кислоту. Рюмеле (Die Einwirkung von Alkalien auf die Thioglykolsäure. Ruemele T.), Parfum. und Kosmetik, 1957, 38, № 6, 325, 326, 329 (нем.; рез. англ., франц.).

Потенциометрическим титрованием определено влияние NH_4OH , NaOH , KOH , $\text{Sr}(\text{OH})_2$ и $\text{Ca}(\text{OH})_2$, используемых в произ-ве депиляториев и средств холодной завивки волос, на тиогликоловую к-ту (I). Определены рН 0,1 н. р-ра I при добавлении 0,1 н. р-ра щелочей (р-р $\text{Ca}(\text{OH})_2$ — 0,4 н. по CaO) и показано, что нейтр-ция р-ров I наступает при рН 6,5 (NH_4OH , $\text{Sr}(\text{OH})_2$), 7,9 (NaOH), 7,75 (KOH) и 7,8 ($\text{Ca}(\text{OH})_2$). Установлено, что до нейтр-ции рН р-ров I увеличивается быстрее при добавлении $\text{NaOH} < \text{Ca}(\text{OH})_2 < \text{KOH} < \text{Sr}(\text{OH})_2 \leq \text{NH}_4\text{OH}$, а после нейтр-ции — при добавлении $\text{Sr}(\text{OH})_2 < \text{KOH} < \text{NaOH} < \text{NH}_4\text{OH} < \text{Ca}(\text{OH})_2$. Приведены кривые титрования.

С. Кустова

33696. Толкование и применение измерений текучести. Уэлтман (Interpretations and applications of flow measurements. Weltmann Ruth N.), J. Soc. Cosmetic Chemists, 1956, 7, № 6, 599—618 (англ.)

Изучена текучесть кремов, зубных паст и других материалов при различных условиях при помощи вискозиметров капиллярного и ротационного типов. Найдено, что текучесть зависит от физ. и хим. изменений в процессе произ-ва и что это свойство может применяться для характеристики и контроля материалов.

И. Вольфензон

33697. Новое приспособление и методы, улучшающие измерение степени распыления образца. Рут (New device and methods improves spray pattern measurement. Root Morris J.), Soap and Chem. Specialties, 1957, 33, № 7, 47 (англ.)

Описывается простой и быстрый метод качественной оценки распыляемых аэрозолей, основанный на ударе брызг о бумагу, предварительно обработанную смесью талька с красителем, причем, последний переходит в р-р аэрозоля и абсорбируется. Размер окрашенных пятен прямо пропорционален размеру частиц жидкости при ударе о бумагу. Приводится описание прибора и ф-ла для расчета кол-ва разбрызгиваемого материала.

А. Вавилова

33698. Вопросы упаковки для аэрозольных препаратов. Генцш (Abpackungsmöglichkeiten in Aerosolform. Genzsch Erwin O.), Seifen-Öle-Fette-Wachse, 1957, 83, № 2, 40 (нем.)

Описаны различные аппараты и машины, применяемые в аэрозольной промышленности для заполнения сосудов аэрозолями.

Л. Шулов

33699 К. Эфирные масла. Климек (Olejki eteryczne. Klimek Romuald. Warszawa, Wydawn. Przem. Lekkiego i Spożywc., 1957, 484 s., il., 70 zł) (польск.)

33700 П. Приготовление гвайазулена дегидрированием с серой соединений терпенового ряда. Стилман, Линдсет (Preparation of quiazulene by sulfur dehydrogenation of terpene-type compounds. Steelman Sanford L. Lindseth Frank J.) [Armour and Co.], Пат. США 2734931, 14.02.56

Дегидрированием гвайола (I) и гвайена (II), парфениола, аромадендрена, ледола и α -гурьена с S (аморфной или кристаллич.) получают гвайазулен (III). Смесь 35 г гвайевой смолы (IV) (около 70% I), 70 г парафина и 15 г S нагревают 1—1,5 час. при 185—190°/100 мм, отгоняют III при 150—180°/8—15 мм и очищают как обычно. Выход 8—9 г; пикрат, выход 20,1%, т. пл. 123—124°. Если берут 35 и 140 г парафина или проводят р-цию без него, выход III, соответственно, равен 15,5, 20,6 и 10—11%. При дегидрировании смеси II с парафином (1:2) выход III 20%. Заменяв парафин воском Dee Tee, т. пл. 60—63°, из 35 г IV получают 2,6 г III.

С. Кустова

См. также: Содержание эф. масла: в листьях лавра 12445Бх, во мхах 12446Бх, в мелиссе 12447Бх. Парфюм. ф-ка «Новая заря» за 40 лет Сов. власти 31311, Алексеевский эфиромаслоэкстракционный Комбинат за 40 лет 31312. Терпены 32585—32587

ФОТОГРАФИЧЕСКИЕ МАТЕРИАЛЫ

Редактор В. С. Чельцов

33701. Физическое созревание аммиачных фотографических эмульсий. Малиновский (Физическое зреление на аммонийных фотографических эмульсиях. Малиновский И.), Изв. Българ. АН Отд. физ.-матем. и

техн. н. Сер. физ. 1957, 6, 329—365 (болг.; рез. русск., англ.)

Процесс физ. созревания (ФС) аммиачных эмульсий исследовали на эмульсии, по свойствам близкой к крупнозернистой AgBr-эмульсии, применяемой в произ-ве фотографич. материалов. При исследовании зависимости среднего размера зерен от продолжительности ФС показано, что кривая процесса ФС не отвечает линейной зависимости, вытекающей из теоретически рассчитанного уравнения $1/N = 1/N_0 + kt$, где N — число зерен в единице объема эмульсии, t — время, а имеет S-образную форму. 1-й участок кривой соответствует росту крупных кристаллов за счет растворения более мелких зерен, 2-й — реактому изменению скорости увеличения размеров зерен за счет коалесценции (К) отдельных зерен в более крупные агрегаты. Исследовалось влияние на скорость ФС концентрации желатин, аммиака, KBr, KJ, а также сорта желатин. В условиях ФС в аммиачной среде адсорбционные желатиновые слои разрушаются, теряют свои защитные свойства и дают возможность протекать процессу К. Форма кривой ФС зависит от концентрации той желатин, которая присутствует при осаждении AgBr. Процесс К начинается раньше и протекает интенсивнее при удалении из желатин ингибиторов и сенсibilizаторов. Предполагается, что в-ва, содержащие лабильно связанную серу, адсорбируются на зернах AgBr и, таким образом, более эффективно препятствуют их К.

Т. Ткаченко

33702. Дисмутация тиосульфата до сульфида в присутствии солей серебра (III). Дюранте, Пурадье (Dismutation du thiosulfate en sulfure en présence de sels d'argent (III). Duranté Monique, m-me, Pouradier Jacques), Sci. et Ind. Photogr., 1957, 28, № 5, 194—195 (франц.)

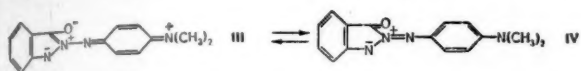
При взаимодействии тиосульфата (I) с солями Ag происходит дисмутация I с образованием Ag_2S и Na_2SO_4 . Изготовлены два образца I, меченные радиоактивной S^{35} , и полученные первый 2-часовым кипячением серного цвета, меченого S^{35} , с р-ром Na_2SO_3 , а второй кипячением обычного серного цвета с р-ром меченого Na_2SO_3 . Дисмутация этих образцов I взаимодействием их р-ров с р-рами $AgNO_3$ показали, что при первом способе получения I радиоактивным оказался только осадок Ag_2S , тогда как при втором способе получения I радиоактивностью обладал почти исключительно Na_2SO_4 упаренного фильтрата. Это показывает, что атомы S в I неравноценны, между ними происходит обмена и Ag_2S образуется только за счет атомов присоединенной к сульфиту натрия элементарной серы. Сообщение II см. РЖХим, 1958, 26318.

Н. Спасокукоцкий

33703. Ацилиндазолон. I. Изучение процесса цветного проявления с ацилиндазолонами. Еннен (Acylindazolone, I. Mitteil.) Zur Kenntnis der Farbwirkung mit Acylindazolonen. Jennes J. I., Meded. Vlaamse chem. verenig., 1956, 18, № 3, 43—50 (нем.)

Описаны хим. сущность процесса цветного проявления (ЦП) и возможный механизм р-ции продукта окисления диалкил- n -фенилендиамин (I) с производными пиразолона (5), а также индазолон (II). Автор предполагает, что при р-ции II с катионом хинондиамин происходит превращение 5-членного кольца в 6-членное и получается лейкосоединение, образующее при окислении краситель (K) ряда бензтриазола, который затем претерпевает перегруппировку и образует K, могущий существовать в двух мезомерных формах (III, IV). Алкильные и фенильные группы II в положениях 1 и 2 препятствуют р-ции ЦП. I, содержащие o -метильный остаток, не реагируют с II. При наличии в положениях 1 и 2 II легко отщепля-

дихлора ацильных групп при ЦП образуются обычные пурпурные К. II с карбоксигруппой в положении 1 образует оранжевый К. Автор высказывает мнение,



что в данном случае происходит образование лейко-соединения с 5-членным кольцом и последующее расширение кольца с образованием катиона К производного бензотриазона (4). Наличие сульфамидной группы в положении 5 повышает подвижность COOR-группы, которая отщепляется при ЦП, в результате чего образуется пурпурный К индизолового ряда. Дано описание эксперим. части. Библ. 21 назв. И. Соловьева

33704 П. Способ и аппарат для непрерывного изготовления фотографических эмульсий. Криванек (Procédé et dispositif pour la fabrication en continu d'émulsions photographiques. Krivanek Ladislav). Франц. пат. 1111027, 21.02.56

Для непрерывного изготовления фотографич. эмульсий (Э) р-ры солей вводят в трубчатый аппарат, состоящий в соответствии со стадиями изготовления Э из секций для эмульсификации, физ. созревания и др. Все операции изготовления Э проводятся при перемешивании. Р-ры желатины с галогенными солями и р-р AgNO_3 из 4 сосудов при помощи помп поступают в необходимых кол-вах в реакционный приемник, в котором поддерживается т-ра 40—70° горячей водой, циркулирующей в рубашке аппарата. Во 2-й секции аппарата при той же т-ре проводится физ. созревание Э. В следующей секции Э промывается при помощи диффузии в теплую воду, при этом поддерживается давление, попеременно большее или меньшее давления окружающей среды. Промытая Э поступает в секцию хим. созревания, в которую из отдельного сосуда вводится добавочный р-р желатины с химически активными в-вами. В последней секции в Э вводятся стабилизаторы, сенсibilизаторы, дубители и поверхностноактивные в-ва. После фильтрации Э поступает на поливную машину. Во 2-м варианте способа Э после физ. созревания охлаждается, студенеется и измельчается. Пример. Для изготовления позитивной Э применяют длинный трубчатый аппарат из нержавеющей стали, в который поступают при помощи 2 помп р-р желатины и KBr и р-р AgNO_3 следующего состава: А. KBr 700 г, KJ 50 г, желатина 3240 г, воды 20 л, т-ра 47°. Б. Вода 19 л, AgNO_3 1020 г, NH_4OH до осветления р-ра, т-ра 32°. В рубашке аппарата циркулирует вода (50°). Перед окончанием процесса к смеси прибавляют необходимое кол-во 3-го р-ра состава: 40%-ный р-р HCON 40 мл, денатурированный спирт 400 мл, 5%-ный р-р хромовых квасцов 900 мл, CH_3COOH в кол-ве для нейтр-ции NH_4OH , вода 7,7 л, т-ра 20°. Скорость поступления Э ~ 2 л в 1 мин., что достаточно для поливной машины шириной 660 мм. В течение 4 час. изготавливают 450 м рулонной фотобумаги. К. Мархилевич

33705 П. Процессе получения изображений с помощью переноса и необходимые материалы. Ланд (Photographic processes for producing prints by transfer and products useful in connection therewith. Land Edwin H.) [Polaroid Corp.]. Пат. США 2740715, 3.04.56

См. англ. пат. 739027, РЖХим, 1958, 26338

33706 П. Способ нанесения защитного слоя на фотографический отпечаток. Стейл (Method of applying a protective coating over a photographic print. Staehle Henry C.) [Eastman Kodak Co.]. Пат. США 2751315, 19.06.56

При нанесении защитных слоев на поверхность

негативов и отпечатков достигается улучшение свойств поверхности. Фотографич. материал с изображением накладывают на поверхность пластинки, покрытую тонкой гидрофобной пленкой из водн. кол. дисперсии некоторых полимеров. Затем отпечаток отделяют; на поверхности слоя остается прозрачный слой полимеров. Могут быть применены сополимеры метил-, этил-, пропил- и бутилакрилатов, напр. *n*-бутилакрилата и изопропилакрилата с одним мономером из группы в-в, к которой относятся стирол, акрилонитрил, метакриламид, *N*-метилметакриламид, *N*-этилметакриламид и *N*-изопропилакриламид. Особенно пригодны водн. дисперсии сополимеров состава: *N*-метилметакриламид 4%, *n*-бутилакрилат 48%, акрилонитрил 48%, *N*-метилметакриламид 8%, *n*-бутилакрилат 46%, акрилонитрил 46%; *N*-метилметакриламид 8%, *n*-бутилакрилат 36,8%, акрилонитрил 55,2%, *N*-метилметакриламид 12%, *n*-бутилакрилат 44%, акрилонитрил 44%. Пример. Полимер латекс (40%-ный по весу сополимер этилакрилата и акрилонитрила 50:50) 250 мл, полимер латекс (20%-ный по весу сополимер *n*-бутилакрилата, метакриламида и стирола 59:16:25) 80 мл, бутиловый спирт 2 мл, толуол 14 мл, уксусная кислота 9 мл. Органич. р-рители поглощаются при перемешивании в течение 12 час. В состав защитного слоя для цветных изображений может быть для повышения сохраняемости включено в-во, поглощающее УФ-лучи. Предпочтительнее вводить это в-во в эмульсионный слой и затем наносить защитный слой. Р-р 1 г 2-фенилимино-3-фенил-4-кетто-5-(2'-сульфобензаль)-тиазолидина в 6 мл метилэтилкетона и 40 мл воды наносит на цветной отпечаток, избыток удаляют и сушат. Может быть прибавлен голубой и пурпурный красители для компенсации желтоватого оттенка. К. Мархилевич

33707 П. Способ получения репродукций, в особенности печатных клише, с помощью диазосоединений (Processes for making reproductions especially printing plates with the application of diazo compounds) [Kalle & Co. A.-G.]. Англ. пат. 732544, 29.06.55

Репродукции, в особенности печатные клише, получают нанесением на пластину светочувствительного слоя, содержащего нерастворимый в воде 2-диазофенол-1 или 1-диазофенол-2 бензольного или нафталинового ряда. После экспозиции светом изображение проявляют при помощи органич. р-рителей или их смеси в присутствии воды или солей, а также без них. Позитивное изображение получают с негатива оригинала, а негативное изображение — с позитива оригинала. Слой с указанными компонентами могут длительно храниться без света и пригодны для немедленного применения. Al -пластину с зернистой структурой при вращении покрывают 1%-ным р-ром $\text{N,N'$ -ди-(бензохинон-3',4'-диазид-3'-сульфонил-1')-4,4'-диаминодифенила (I) в $\text{HOCH}_2\text{CH}_2\text{OCH}_3$, слой сушат и экспонируют под оригиналом светом дуговой лампы. Освещенные участки пластины приобретают красновато-коричневую окраску. Неразложившееся диазосоединение с неосвещенных участков удаляют тщательной промывкой 65%-ным спиртом, а затем изображение кратковременно обрабатывают 1%-ной H_3PO_4 . С негатива оригинала получают позитивное изображение, имеющее сродство к жирной типографской краске. Методы получения диазофенолов: $\text{N,N'$ -ди-[*N*-(бензохинон-3',4'-диазид-3'-сульфонил-1')-*n*-аминобензол-сульфонил]-*o*-фенилендиамин получают р-цией бензоказолона-5-сульфохлорида с $\text{N,N'$ -ди-(4'-аминобензол-сульфонил-1')-*o*-фенилендиамин в диоксане с пиридином в кол-ве, достаточном для связывания образующегося HCl , расщеплением оксазолонного кольца NaOH и диазотированием продукта. Аналогично при применении бензидина, вместо указанного *o*-фенилен-

диамина, получают I или из 7-метилбензоксазолон-5-сульфохлорида и 4,4'-диаминодифенилметана — N,N'-ди-(6"-метилбензохинон - 1"2"-диазид-2"-сульфонил-4")-4,4'-диаминодифенилметан. N,O-ди-(бензохинон-1"2"-диазид-2"-сульфонил-4")-4-окси-4'-аминодифенил получают конденсацией бензохинон-1,2-диазид-2-сульфохлорида-4 с 4-амино-4'-оксидифенилом в диоксане в присутствии пиридина и длительной обработкой продукта р-ции водой. О-(нафтохинон-1,2-диазид-2-сульфонил-5)-гликоль получают нагреванием соответствующего сульфохлорида с гликолем. О,О'-ди-(5"-метилбензохинон-1"2"-диазид-2"-сульфонил-4")-4,4'-диоксидифенилсульфон получают р-цией 5-метилбензохинон-1,2-диазид-2-сульфохлорида-4 с 4,4'-диоксидифенилсульфоном при наличии соды. Аналогично получают N-этил-β-нафтиламид, β-нафтиловый эфир, дигидрохиноновый эфир, 9,4'-дихлорфениловый эфир, 2,4,4'-триоксидифениловый эфир и 5-бензоиламино-1-нафтиловый эфир нафтохинон-1,2-диазид-2-сульфокислоты-5. В. Уфимцев

33708 П. Производные пиразолона и их применение в качестве компонент при цветном проявлении (Pyrazolone derivatives and their use as colour couplers in colour photographic development) [Kodak, Ltd.] Англ. пат. 737105, 21.09.55

В качестве цветных компонент применяют производные пиразолона ф-лы $X-CONH-D-N-N=C-$

$-(NHCOZ)-CH_2-CO$ (I), где D — n-фениленовая

группа; X — арил; Z — алкил, аралкил или арил. I получают ацилированием 1-нитроарил-3-аминопиразолона (5), восстановлением NO_2 -группы и ацилированием 2-й NH_2 -группы или сначала восстановлением NO_2 -группы и одновременным ацилированием обеих NH_2 -групп. Пример. 1-4'-[3"-(4"-трет-амилфенокси)-бензамино]-фенил-3-[3"-(4"-трет-амилфенокси)-бензамино]-пиразолон (5) получают прибавлением 3-(4'-трет-амилфенокси)-бензоилхлорида к р-ру 1-n-аминофенил-3-аминопиразолона (5) в C_6H_5N . Аналогично получают 1-{4'-[3"-(4"-трет-амилфенокси)-X-хлорсульфонилбензамино]фенил}-3-[3"-(4"-трет-амилфенокси)-X-хлорсульфонилбензамино]пиразолон (5). 1-{4'-[3"-(4"-трет-амилфенокси)-X-хлорсульфонилбензамино]фенил}-3-{2',4'-ди-трет-амилфенокси}-ацетаминопиразолон (5) получают обработкой р-ра 1-(4'-аминофенил)-3-(2',4'-ди-трет-амилфенокси)-ацетаминопиразолона (5) в диоксане р-ром 3-(4'-трет-амилфенокси)-X-хлорсульфонилбензоилхлорида в диоксане при наличии хинолина. Аналогично получают 1-[4'-(3"-хлорсульфонилбензамино)-фенил]-3-лауроиламинопиразолон (5), 1-[4'-(2"-сульфобензамино)-фенил]-3-стеароиламинопиразолон (5), 1-[4'-(3"-хлорсульфонилбензамино)-фенил]-3-стеароиламинопиразолон (5), 1-[4'-(3"-сульфобензамино)-фенил]-3-[γ-(2',4'-ди-трет-амилфенокси)-бутирамино]-пиразолон (5) и 1-[4'-(3"-сульфобензамино)-фенил]-3-(2',4'-ди-трет-амилфенокси)-ацетаминопиразолон (5). 1-n-аминофенил-3-аминопиразолон (5) получают восстановлением водн. суспензии 1-n-нитрофенил-3-аминопиразолона (5) (II) H_2 в присутствии Раней-Ni. II получают нагреванием этилового эфира моноимидомалоновой к-ты и n-нитрофенилгидразина в C_6H_5N . 1-(4'-нитрофенил)-3-(2',4'-ди-трет-амилфенокси)-ацетаминопиразолон (5) синтезируют ацилированием II 2,4-ди-трет-амилфеноксиацетилхлоридом в сухом диоксане и нитрогруппу восстанавливают H_2 в присутствии Раней-Ni в бензоле. 3-(4'-трет-амилфенокси)-X-хлорсульфонилбензоилхлорид получают кипячением X-хлорсульфонил-4-трет-амилфенокси-3-бензойной к-ты (III) с PCl_5 . III получают прибавлением 4'-трет-амилфенокси-3-бензойной к-ты (IV) малыми порциями к охлажд. хлорсульфоновой к-те. IV синтезируют нагреванием смеси m-бромбензойной к-ты, n-трет-амил-

фенола, NaOH и порошка медной бронзы. Эти компоненты можно вводить в галлойдосеребряные эмульсии или цветные проявляющие р-ры.

33709 П. Способ получения желтых маскирующих изображений для пурпурных негативов, получаемых цветным проявлением в фотографических слоях с цветными компонентами. Бургардт, Рекцигель, Валь (Verfahren zur Erzeugung von gelben Maskenbildern für purpurfarbige nach dem Verfahren der farbigen Entwicklung in Farbkomponenten enthaltenden photographischen Schichten hergestellte Bilder. BURGARDT Lothar, RECKZIEGEL Erich, WAHL OTTMAR) [Agfa A.-G. für Photofabrikation], Пат. ФРГ 950617, 11.10.56

Для компенсации вредного поглощения пурпурных красителей в синей зоне спектра в фотографич. галлойдосеребряных слоях с пурпурными негативными изображениями получают желтые позитивные маскирующие изображения (МИ). Для получения МИ неиспользованные в процессе проявления цветные компоненты превращают в желтые красители действием альдегидов ряда пиррола, индола, карбазола или их производных, напр. анилов. Образующиеся желтые красители не поглощают лучей зеленой зоны и не дают эффекта перемаскирования. Примеры. 1. Экспонированный материал, содержащий в среднем (зеленочувствительном) слое пурпурную компоненту 1-(4'-фенокси-3"-сульфонил)-3-гептадецилпиразолон (5) проявляют в диэтил-n-фенилендиаминовом проявителе, промывают и обрабатывают 0,5%-ным слабощел. р-ром м-метоксанила 2-карбоксиндол-3-альдегида (I); затем отбеливают, фиксируют и промывают. В результате обработки в слое, содержащем пурпурный негатив, образуется желтое позитивное маскирующее изображение. Вместо р-ра I могут быть применены 0,5-10%-ные слабощел. р-ры m-диметиламиноанила N-этилкарбазол-3-альдегидсульфокислоты или m-оксанила α-пирролальдегида. 2. Экспонированный материал, содержащий в верхнем, несенсибилизированном слое пурпурную компоненту пиразолонового ряда, а в среднем — желтую компоненту, после цветного проявления и промывки обрабатывают 0,5-10%-ным щел. р-ром м-сульфанила N-этилкарбазол-3-альдегида (II), затем отбеливают, фиксируют и промывают. В верхнем слое наряду с пурпурным изображением образуется желтое маскирующее изображение. Можно также применять щел. р-ры сульфанила 1-метил-2-фенил-3-альдегида или m-оксанила 2,4-дифенилпиррол-3-альдегида. Для получения сульфокислоты N-этилкарбазол-3-альдегида конденсируют N-этилкарбазол с формилметиланилином в присутствии $POCl_3$ при 30-35°, а затем при 40-45° и выливают в воду. Образовавшийся N-этилкарбазол-3-альдегид после перекристаллизации из спирта (т. пл. 81°) сульфатируют олеумом при 0° и очищают осаждением HCl из метанольного р-ра.

33710 П. Светочувствительные галлойдосеребряные слои для получения корректированного цветного четкого изображения. Виттум, Хердл (Lichtempfindliche photographische Silberhalogenid-Emulsionsschicht zur Herstellung eines farbberichtigten Farbteiles. Wittum Paul Wendel, Herdle Rebecca Jean Arnold) [Eastman Kodak Co.], Пат. ФРГ 924966, 10.03.55

Фотографические эмульсионные слои одновременно содержат окрашенную компоненту (I) и бесцветную компоненту (II), которые в процессе цветного проявления (ЦП) образуют с продуктами окисления проявляющего в-ва один и тот же краситель, поглощающий преимущественно в одной спектральной зоне и дополнительно в другой зоне. Поглощение I соответствует дополнительному поглощению образующегося при ЦП

красителя. Пример. 7 г *n*-(*n*'-трет-бутилфенокси)-анилида 1,2-оксинафтойной к-ты (II) и 3 г *n*-(*n*'-трет-бутилфенокси)-анилида 1-окси-4-(*o*-метоксифенилазо)-2-нафтойной к-ты (I) растворяют в 22,5 г три-*o*-крезилфосфата и полученный р-р смешивают с 40 мл 2%-ного р-ра желатин, содержащего 1,5 г триизопропилнафталинсульфоната. Смесь пропускают многократно через кол. мельницу и добавляют к 1000 мл расплавленной сенсibilизированной к красным лучам галоидосеребряной эмульсии. Получаемый фотографич. слой после ЦП образовывал сине-зеленое изображение. Аналогично получают эмульсию, содержащую 7,5 г 4,6-дихлор-5-метил-2-(*n*'-трет-амилфеноксиацетамин)-фенола и 2,5 г *n*-(*n*'-трет-бутилфенокси)-анилида 1-окси-4-фенилазо-2-нафтойной к-ты. В качестве I, образующих сине-зеленое изображение, даны 4-*n*-трет-амилфенокси-фенилазо-5-*n*'-амилфенилсульфамино-1-нафтол и *n*-(*n*'-трет-бутилфенокси)анилид 1-окси-4-(*o*'-метоксип-*n*'-нитрофенилазо)-2-нафтойной к-ты. Для получения пурпурного изображения применяют смесь 7 г 1-фенил-3-пентадецил-4-*n*-ацетаминифенилазопирозолона (5) и 3 г 1-фенил-3-пентадецил-4-*n*-ацетаминифенилазопирозолона (5). Применяют проявитель состава: на 1 л воды 2 г 2-амино-5-диэтиламинотолуолхлоргидрата, 2 г Na_2SO_3 , 20 г $\text{Na}_2\text{CO}_3 \cdot \text{H}_2\text{O}$ и 2 г KBr, и обычные кислот дубящий фиксаж и отбеливающий р-р.

И. Соловьева
33711 П. Цветные компоненты производные поливинилсульфамидов. Минск (Polyvinyl sulfonamide color couplers. Minsk Louis M.) [Eastman Kodak Co.] Пат. США 2759816, 21.08.56

Недиффундирующие полимерные цветные компоненты (ПК) ф-лы $\text{—CH}[\text{C}_6\text{H}_4(\text{SO}_2\text{NHR})]\text{—CH—}$, где R — группа, образующая краситель, получают взаимодействием хлорангидридов полимерных сульфослоот с компонентами, содержащими свободную аминогруппу. Примеры. ПК (I; R — *n*-бензоилацетаминифенил) получают прибавлением 4,5 г *n*-аминобензоилацетанилида и 5 мл $\text{C}_5\text{H}_5\text{N}$ к 3,3 г поливинилбензоилсульфохлорида, диспергированному в 33 мл диметилформамида и размешиванием массы при нагревании на водяной бане в течение 1,5 часа. I выделяют выливанием в разб. HCl и очищают кипячением с активным углем в водно-уксусной среде. Выход 4,5 г. ПК (R — 2-окси-3,5-дихлор-4-метилфенил) получают аналогично I из 2-амино-4,6-дихлор-5-метилфенола и очищают обработкой абс. $\text{C}_2\text{H}_5\text{OH}$. ПК [R — *n*-(3-бутироиламинопирозолонил-1)фенил-] получают аналогично I из 1-(*n*-аминофенил)-3-бутироиламино-5-бензоилокси-пирозола, очищают растворением в ацетоне и кипячением с углем и осаждают выливанием в эфир. Для омыления 5-бензоилоксигруппы в-во нагревают на водяной бане с разб. NaOH. 1 г растворяют в 40 мл р-ра NaOH, нейтрализуют р-р и смешивают с галоидосеребряной эмульсией, содержащей 9% желатин и 3% Ag. Проявитель содержит в 1 л воды, 2 г 2-амино-5-диэтиламинотолуолхлоргидрата, 2 г Na_2SO_3 , 20 г Na_2CO_3 и 2 г KBr. ПК и образующиеся из них красители устойчивы к диффузии и действию тепла и света.

И. Соловьева

33712 П. Фотографический процесс окрашивания изображений с применением солей железа и серебра. Мартинес (Procédé photographique de coloration par utilisation de fer et d'argent. Martinez Michele Pasquale Luigi). Франц. пат. 111128, 22.02.56

Цветные изображения получают в желатиновых слоях, содержащих в качестве сенсibilизатора соли Fe^{3+} , превращающиеся под действием УФ-лучей в соли Fe^{2+} . Последующее введение в слой Ag-солей позволяет получить видимое Ag-изображение, так как соли Fe^{2+} действуют как проявитель. Ag-изображение превращают в окрашенное изображение отбеливанием и

цветным проявлением или другими цветными фотографическими способами. Вместо желатинового слоя можно применять слой регенерированной целлюлозы. Пример. Пленку со слоем желатин погружают на 1 мин. в р-р из 100 мл дистил. воды и 15 г $\text{NH}_4\text{Fe}(\text{C}_2\text{O}_4)_2$ или р-р из 100 мл дистил. воды, 10 г желатин, 15 г $\text{NH}_4\text{Fe}(\text{C}_2\text{O}_4)_2$, 2,5 г $(\text{NH}_4)_2\text{C}_2\text{O}_4$, 0,05 г $(\text{NH}_4)_2\text{CrO}_4$ и сушат в течение 1 мин. в токе теплого воздуха. На пленку печатают изображение с полученного за зеленым светофильтром негатива (H) интенсивным светом, богатым УФ-лучами (1—3 сек. в зависимости от интенсивности света и плотности H). Экспонированную пленку погружают на 30 сек. в р-р: 100 мл воды, 2 г AgNO_3 , NH_4OH до растворения, 0,15 г Na_2SO_3 и 0,1 г буры. Пластинку промывают 1 мин., фиксируют в течение 1 мин. в 15—20%-ном р-ре тиосульфата и промывают 4 мин. Серебряное изображение отбеливают в течение 1 мин. в р-ре, содержащем 100 мл воды, 7 г $\text{K}_3\text{Fe}(\text{CN})_6$ и 7 г $\text{K}_2\text{C}_2\text{O}_4$ и промывают 2—4 мин. Пленку проявляют цветным проявителем состава: к 100 мл водн. р-ра, содержащего 2 г Na_2CO_3 , 0,5 г Na_2SO_3 , добавляют 2 мл 5%-ного р-ра диэтил-*n*-фенил-лендиаминна солянокислого в CH_3OH , 2 мл 2%-ного р-ра *n*-нитробензиланида в смеси (1:1) ацетона и CH_3OH . В течение 2—5 мин. образуется пурпурное цветное изображение. Пленку промывают в течение 2 мин., отбеливают 2 мин. в р-ре, промывают, фиксируют в 15%-ном р-ре тиосульфата и промывают 4 мин. Устранив влагу с поверхности слоя пленки, снова погружают пленку в сенсibilизирующий р-р с солями Fe^{3+} и сушат. На повторно сенсibilизированную пленку с пурпурным изображением печатают совмещенное изображение с цветоделенного негатива, полученного за красным светофильтром и аналогично получают голубое изображение цветным проявлением с 2 мл 5%-ного р-ра Na-фенилфенола в CH_3OH в проявителе. Применяя при печати негатив, полученный за синим светофильтром, и в качестве компоненты в проявителе 2 мл 5%-ного р-ра ацетоацетанилида в CH_3OH , получают желтое изображение, совмещенное с пурпурным и голубым изображениями.

Л. Крупенин

33713 П. Фотомеханическая репродукция. Грешам (Photomechanical reproduction. Gresham Donald Charles) [McCorquodale Co., Ltd]. Пат. США 2715578, 16.08.55

Для изготовления растровых позитивов в производстве растровых негативов для автографии и биметаллич. литографич. печати при фотографировании оригинала высококонтрастный фотографич. материал экспонируют через полутонный растр и проявляют скрытое растровое изображение до $\gamma \geq 2,5$ черно-белым проявителем, дающим только Ag-изображение. Непроявленное изображение в слое для процесса обращения освещают с той стороны, с которой фотографировался оригинал. Вторично фотографич. слой проявляют в цветном проявителе с первичным ароматич. амином в качестве проявляющего в-ва (I) в присутствии цветной компоненты, образующей с продуктами окисления I окрашенное изображение из красителя одновременно с образованием позитивного Ag-изображения. После удаления Ag и Ag-солей из слоя получают цветное изображение с $\gamma \geq 2,5$.

Л. Крупенин

33714 П. Фотомеханическое изготовление клише для офсетной печати (Photogravure printing surface) [Gravure Enterprises, Inc.]. Англ. пат. 706689, 7.04.54
Орнаментные клише для офсетной печати изготавливают фотографированием на светочувствительный слой (I) оригинала и тонкого офсетного скрещенного раstra (P), имеющего 12 линий в 1 мм P. Проявленную пленку применяют для изготовления клише. P печатают на I, а затем на экспонированный I краской печатают изображение оригинала: I снова экспон-

нируют через красочное изображение, которое затем удаляют растворением в бензоле. С проявленного негатива печатают позитив (П). Для получения клише П накладывают на гальванически обработанную поверхность цилиндра из меди или хрома и подвергают травлению р-ром хлористого железа. Л. Крупенин

33715 П. Фотографический материал для автотипии. Ю. Л. Маурер (Photographic material for making halftones. Yule John A. C., Maurer Richard E.) [Canadian Kodak Co., Ltd]. Канадск. пат. 518204, 8.11.55

Фотографический материал для автотипных растровых изображений состоит из подложки и нанесенного на нее галоидосеребряного эмульсионного слоя (I), внутри которого распределены полученные при помощи эффекта Клайдена элементы автотипного растра. В I с $\gamma \leq 4$ образуются десенсибилизированные участки с $\gamma \geq 2$ и гиперсенсибилизированные участки. Способ получения в I элементов автотипного растра с центрами высокой чувствительности и угловыми участками малой чувствительности состоит в 2-кратном экспонировании I через резкое изображение автотипного растра для создания волнообразного распределения экспозиции в слое. При экспонировании угловых участков применяют короткое освещение лампой-выскачкой высокой интенсивности для десенсибилизации по Клайдену, а для гиперсенсибилизации центров растра применяют длительную экспозицию светом малой интенсивности. В результате в I образуются от 3 до 8 уровней светочувствительности в виде волнообразных зон с однородной светочувствительностью внутри зоны. Л. Крупенин

33716 П. Изготовление фотомеханических клише. Коле (Production photomechanical printing plates. Coles D. H.). Англ. пат. 730639, 25.05.55

Фотомеханические клише изготавливают нанесением изображения нефотографич. путем на отделяемый слой ткани спец. бумаги-дуплекс (I), переносом ткани и закреплением ее на новой белой подложке-носителе (II) (напр., баритированной бумаге), удалением первой подложки I и пропитыванием II составом, делающим ее прозрачной. Ткань приводят в контакт со светочувствительным слоем на Al-пластинке и экспонируют светом. После обработки слоя и пластинки (проявления, травления, промывки, лакировки) получают клише. Способ не требует применения стемочной камеры и процесса обращения для обработки и удобен для хранения оригиналов на основе I или дубликатов клише. Л. Крупенин

См. также: Фотохимия солей серебра 31830. Скрыт. изобр. 31589. Фотограф. эмульсии 31829, 31831, 31927. Сенсибилизир. красители 32512, 32519, 33503. Фотограф. св-ва материала 31832, 31833. Цветная фотография 31762

ВЗРЫВЧАТЫЕ ВЕЩЕСТВА. ПИРОТЕХНИЧЕСКИЕ СОСТАВЫ. СРЕДСТВА ХИМИЧЕСКОЙ ЗАЩИТЫ

Редактор М. С. Фишбейн

33717. Взрывчатые вещества для подводных взрывов. Пелтонен (Räjähdyksineen laadun vaikutuksesta vedenalaisessa räjähdyksessä. Peltonen P.), Suomi merellä, 1956, № 1, 31—37 (финск.)
Обзорная статья. Библ. 8 назв. К. Т.

33718. Ракетный двигатель и ракетный порох. Хоборг (Kruetraketmotorer och raketkrut. Håborg Ake), Tekn. tidskr., 1956, 87, № 12, 241—247 (шведск.)
Обзор. Библ. 9 назв. К. Т.

33719 К. Обзор иностранных промышленных взрывчатых веществ. Ассенов В. А. М., Углетехнадт, 1957, 55 стр., ил., 1 р. 90 к.

33720 П. Способ обработки кислых органических нитросоединений. Энокссон (Method of processing acid nitrated organic products. Enoksson Bertil Petrus) [Nitroglycerin Aktiebolaget]. Пат. США 2736742, 28.02.56

Для удаления остатка нитрационной смеси из сырых органич. ВВ (например, нитроглицерина и т. п.) предлагается, вместо промывки сырого продукта нитрацией водой, ведущей к потере отмываемой HNO_3 , содержание которой в сыром продукте достигает до 15 вес.%, а также части ВВ вследствие гидролиза, нейтрализовать к-ту обработкой сырого продукта смесью (р-ром) NH_4NO_3 (I) и нейтрализующего агента — NH_3 (II) или органич. основания, в частности мочевины (III), анилина, гуанидина, нафтамина или гексаметилентетрамина. Во избежание потерь II рекомендуется растворить его в I при $t \leq 20^\circ$. Предпочтительно применение продажного кристаллич. I и безводн. газообразного или жидкого II с тем, чтобы содержание воды в готовом продукте было $< 1,5\%$. Не рекомендуется применение II в кол-ве выше потребного для нейтр-ции к-ты, органич. же основание, в частности III, желательно применять в некотором избытке, что повышает стойкость ВВ при хранении; к тому же теплота нейтр-ции органич. основанием ниже, чем с II. Рекомендуется применять органич. основания в виде расплавленной, предпочтительно эвтектич. смеси с I, причем, в целях снижения t -ры плавления смеси, до 50% I в смеси с II или органич. основанием можно заменять другим нитратом, в частности NaNO_3 (IV). В случае применения III, наиболее низкой t -рой плавления обладает эвтектич. смесь из 47,5% I, 45% III и 7,5% IV. Рекомендуется сырой продукт нитрации, до обработки нейтрализующей смесью, смешивать с равным по весу кол-вом I; в этом случае можно держать t -ру нейтр-ции на уровне $< 30^\circ$. Смесь 1000 г I с 1000 г сырого нитроглицерина, содержащего 9,4% HNO_3 , обрабатывали в смесителе смесью из 140 г I и 140 г 20%-ного р-ра II в I; при этом t -ра смеси повысилась до 28° . После желатинизации полученной суспензии добавкой 30 г нитроцеллюлозы и смешивания с 200 г древесной муки получено ВВ с бризантностью на 42% выше, чем у чистого тротила. Приведен ряд других примеров с применением других нейтрализующих смесей. Я. Кантор

33721 П. Метод непрерывного производства нитроцеллюлозы, смоченной спиртом. Мацумото, Японск. пат. 4442, 19.07.54

Патентуется установка для смачивания и обезвоживания нитроцеллюлозы спиртом, где центрифуги заменены приспособлением с двумя вращающимися в противоположных друг другу направлениях шнеками. Вследствие низкой скорости вращения шнеков уменьшаются потери спирта. Кроме того, такое устройство дает возможность добиться хорошего перемешивания массы, что способствует получению однородной по своему составу нитроцеллюлозы; дает возможность экономить рабочую силу и сократить производственные расходы. Приведены чертежи и дано подробное описание установки. М. Гусев

33722 П. Способ получения бездымного пороха со сферическими зернами. Коке (Process of making spherical powder grains. Cox Gilbert R.) [Olin Mathieson Chemical Corp.]. Пат. США 2715574, 16.08.55

Нитроцеллюлозный порох с плотностью 1,6 получают путем осаждения нитроцеллюлозы из ее р-ра в смеси

воды с каким-либо органич. р-рителем. Напр., растворяют 65 ч. нитроцеллюлозы в смеси 900 ч. воды и 380 ч. метилэтилкетона, приливают 35 ч. гуммиарабика в 190 ч. воды, перемешивают, отфильтровывают выпавший зернистый осадок и высушивают.

Б. Шемякин

33723 П. Электрокапсюль-детонатор. Шатель-де-Брансьон (Amorce électrique pour détonateurs. Chatel de Brancion Paul-Marie-Léon-Jacques). Франц. пат. 1114035, 6.04.56

Патентуется устройство электродетонатора низкого напряжения для патронов взрывчатых в-в, применяемых в горнорудной пром-сти.

М. Фишбейн

33724 П. Взрывная машинка (Perfectionnements aux explosifs de mines) [Ets Davey Bickford Smith et Cie (Soc. An. Française) et M. François Urban]. Франц. пат. 1121179, 24.07.56

Приводится описание взрывной электрич. машинки для паления шпуров в шахтах и на карьерах.

М. Фишбейн

33725 П. Способ изготовления терочной поверхности для спичек, стойкой к действию воды (Procédé d'obtention de surfaces de frottoirs, pour allumettes, résistant à l'eau) [Badische Anilin- et Soda-Fabrik Akt. ges.]. Франц. пат. 1120316, 4.07.56

Рекомендуется применять для изготовления терочной поверхности в качестве вяжущего дисперсии высокополимерных в-в (поливинилацетат или -пропионат, эфиры полиакриловой к-ты, полистирол и т. п. соединения). Смешивают в шаровой мельнице 44 кг красного Р, 26 кг MnO_2 и 10 кг S с 35 кг воды, 0,5 кг аммиачной воды плотностью 0,910 и 0,2 кг низкополимеризованной акриловой к-ты. Затем прибавляют 20 кг дисперсии 100 кг полимеризованного стирола в 90 кг воды и 9 кг аммиачной воды плотностью 0,910. После этого при сильном перемешивании приливают 50 кг дибутилфталата. Через полчаса перемешивание прекращают и оставляют полученную массу в покое для созревания, на что обычно требуется ~ 24 час. Приведены также и другие примеры.

М. Фишбейн

33726 П. Камни для зажигалок на базе окислительных и восстановительных веществ. Ротенбургер, Мозер (Kontaktz ünder auf der Basis Oxydations- und Reduktionsmittel. Rothenburger Helmuth, Moser Hans Hanno) [Hans Hanno Moser]. Пат. ФРГ 965928, 27.06.57

Для изготовления камней для зажигалок, более прочных, чем получаемые на базе перекиси марганца, применяют такие окислительные в-ва как фторное серебро, перекись серебра и другие с примесью волокнистых материалов (целлюлозы, асбеста и др.). Напр., в суспензию 3 г окиси серебра в 100 г воды добавляют 0,5 г железа с полупирофорными свойствами, тщательно перемешивают, затем медленно добавляют 0,7 г волокнистой целлюлозы. По получении гомогенной массы отфильтровывают избыток воды и остаток формируют в небольшие цилиндрики.

Г. Диккер

33727 П. Дымообразующие вещества. Вирмон (Baucherzeugerkörper. Virmond Alexander). [Pyrotag Alexander Virmond. Fabrikation pyrotechnischer Artikel]. Пат. ФРГ 953416, 29.11.56

Для получения периодич. испускаемого дыма (в рекламных курящих фигурах, игрушках, напр. паровозах, котлах) применяют стержень или шпур, состоящий из внешней тлеющей оболочки и горючей сердцевины. После зажигания сначала сгорает оболочка, освобождая сердцевину и поджигая ее, затем горит сердцевина, давая дым, и тухнет, дойдя до оболочки, которая одновременно зажигается от сердцевины и начинает тлеть, чем обеспечивается периодичность испускания дыма. Для изготовления сердцевины

применяют целлулоид, а для оболочки бумагу, пропитанную селитрой.

Г. Диккер

ПЕРЕРАБОТКА ТВЕРДЫХ ГОРЮЧИХ ИСКОПАЕМЫХ

Редакторы И. Ф. Богданов, М. О. Хайкин

33728. Новые графические методы классификации углей Китая. Чжуан Цянь-дин (Chwang Chien-ting). Дзисе гунчэн сюэбао, Chinese J. Mech. Engng, 1956, 4, № 1, 85—118 (кит.; рез. англ.)

Предложены новые графич. методы классификации углей: а) путем нанесения на абсциссу выхода летучих в-в в расчёте на горючую массу (V^r), а на ординату коэф. β' , равного $2,35 (H^r - 0,125 O^r) / C^r$; б) нанесением на абсциссу C^r и на ординату $H^r - 0,125 O^r$; в) нанесением на абсциссу V^r и на ординату $(O^r + N^r) / H^r$. Статья содержит большое число таблиц с характеристиками китайских и советских углей и диаграммы классификации углей.

У. Андрос

33729. К вопросу о классификации бурых углей. Лиснер, Гёбель (Zur Klassifikation der Braunkohlen. Lissner A., Göbel W.), Bergbautechnik, 1955, 5, № 5, 237—241 (нем.)

33730. Теплотворность и химический состав углей. Драйден, Гриффит (Calorific value and the chemical constitution of coal. Dryden I. C. C., Griffith M.), Fuel, 1955, 34, Suppl. April, 36, 47 (англ.)

33731. Содержание общей серы и ее различных форм в углях Гусино-озерского месторождения. Гаханов Ф., Кузьмина А. К., Уч. зап. Бурят-Монг. гос. пед. ин-та, 1956, вып. 10, 55—61

Определено содержание общей, пиритной, сульфатной и органич. S в пробах угля из отдельных шахт. Установлено, что содержание общей S в изученных углях колеблется от 0,49 до 1,13%, т. е. они относятся к малосернистым. Большая часть S находится в пиритной и органич. формах, а содержание сульфатной S $\leq 0,1\%$.

А. Шахов

33732. Изменение теплопроводности и температуропроводности при нагревании углей. Агроскин А. А., Химия и технол. топлива и масел, 1957, № 12, 57—64

Обзор исследований по определению теплопроводности углей; разработана методика определения коэф. температуропроводности углей при высоких т-рах, основанная на процессе нагрева — охлаждения образца угля в среде с постоянной скоростью. На основе обобщения результатов работ других исследователей и эксперим. данных автора показано наличие общей зависимости между значениями коэф. теплопроводности и температуропроводности и т-рой, характеризующейся в первом случае изменением λ (ккал/м·час·град) от 0,08—0,12 до 0,21—0,25 в измельченных углях и от 0,16—0,20 до 0,44 в целиках, в температурном интервале 0—1000°, а во втором случае — увеличением $\alpha \cdot 10^4$, м²/час от 4—5 до ~ 17 при изменении т-ры от 0 до 800°. Библ. 10 назв.

А. Шахов

33733. Влияние окисления на воздухе на пластические свойства углей, определяемых пластометром Гизелера. Рис, Пиррон, Берсак (Effects of air oxidation on the plastic properties of coals as measured by the Gieseler plastometer. Rees O. W., Pieron E. D., Bursack K. F.), Trans. Illinois State Acad. Sci., 1955, 47, 97—98 (англ.)

33734. Исследование окисленного угля методом абсорбции в инфракрасной области. Адамс, Питт (Examination of oxidized coal by infra-red absorption methods. Adams W. N., Pitt G. J.), Fuel, 1955, 34, № 3, 383—384 (англ.)

Окислялся образец битуминозного угля в различных условиях: при 140° в течение 20 час. в атмосфере воздуха; при 200° в течение 5 1/2 час. в атмосфере воздуха; при 200° в течение 5 1/2 час. под вакуумом. Для исходного и окисленных образцов угля были определены спектры поглощения света в инфракрасной области. Показано, что основное изменение состава угля при окислении состоит в образовании ароматич. карбоновых к-т, хотя не исключена также возможность образования фенолов. Авторы приводят схему предполагаемого механизма образования к-т. Предыдущее сообщение РЖХим, 1958, 9190.

И. Рожков
33735. О скорости экстракции матовых углей. В. Челах, Бартошка (O rychlosti extrakce voskového uhlí. Včelák Vladimír, Bartoška Josef), Paliva, 1955, 35, № 4, 109-114 (чешск.; рез. русск., нем.).

33736. Вязкость расплавленной золы бурых углей. Энделль (Viskosität von Braunkohlenslacke. Endell J.), Silicates industr., 1955, 20, № 11, 405-409 (нем.; рез. франц.).

Исследованы свойства золы бурых углей прирейнской области. Основное отличие ее — более высокое содержание CaO (50%) и Fe₂O₃ (15-25%). Такие золы обладают низкой вязкостью и энергично взаимодействуют с огнеупорной футеровкой. Кроме того, даже при незначительном охлаждении они быстро затвердевают. Эти неблагоприятные свойства зол устраняются, в известной степени, благодаря наличию или добавке глины и песка, которые удлиняют интервал плавления. Описаны методики определения вязкости зол и результаты определений вязкости с добавкой примесей.

В. Злочевский
33737. Рентгенометрическое исследование зольности энергетических каменных топлив. Бушин В. В., Научн. зап. Ужгородск. ун-т, 1955, 12, 64-70.

Атомы металлов, входящих в состав золы угля, хорошо поглощают рентгеновские лучи. Интенсивность прошедших лучей зависит только от кол-ва этих атомов, и, следовательно, от зольности (З) угля. Сравнивая интенсивность проходящих лучей через стандартный образец угля, с заранее известной З, и через испытуемый образец, определяли З последнего. Рекомендован режим работы рентгеновской трубки: напряжение 18,75 кВ; анодный ток 5,5 мА, общая мощность трубки 103 Вт. Определенная рентгенометрич. способом З меньше З, найденной стандартным методом, на 0,11%. Метод фотометрирования пленки, обычно используемой в рентгентехнике, заменен регистрацией фотоэлементом интенсивности свечения прошедших через уголь лучей.

У. Андрес
33738. Коллоидальные топлива. Шарп (Colloidal fuels. Review № 146. Sharpe G. C. H.), Monthly Bull. Brit. Coal Utilis. Res. Assoc., 1955, 19, № 3, 97-106 (англ.).

33739. Развитие способов и техники переработки каменного угля. Кревелен (Steinkohleveredlung und Verfahrenstechnik. Krevelen D. W. van), Brennstoff-Chemie, 1956, 37, № 5-6, 65-70 (нем.).

Обзор развития промышленной переработки угля с начала прошлого столетия до наших дней. В основе современных представлений о процессах лежат принципы обмена массой на границе фаз или раздела, энергией (теплом) и импульсами. Эти процессы могут быть охарактеризованы безразмерными критериями массообмена, теплообмена и гидромеханики. Подобия. Дана таблица критериев указанных обменных процессов, объединяющая их в единую систему. Библ. 8 назв.

Г. Стельмах
33740. Некоторые вопросы энергохимического использования топлива. Брилиньский Б. М., Научн. зап. Львовск. политехн. ин-т, 1957, вып. 39, 175-180.

Рассматривается вопрос о целесообразности технич.

переработки твердых топлив, получаемых при этом продуктов в качестве хим. сырья и использовании летучего остатка от переработки в качестве энергетич. топлива — вместо непосредственного сжигания таких топлив в промышленных топках. Устанавливается возможность замены мазута, сжигаемого в парокотельных, генераторным газом, полученным из антрацита, газового угля, золочевского бурого угля, кускового торфа или щепы.

Н. Гаврилов
33741. Химическая характеристика торфяного фонда Литовской ССР. Видмантас Ю. П., Химия и технол. топлива и масел, 1957, № 10, 10-14.

Промышленный торфяной фонд Литовской ССР составляет ~ 200 тыс. га с запасом сырой массы ~ 4,5 · 10⁹ м³ при средней глубине ~ 3 м. Торфяной фонд состоит на 53% из низинных, 41% верховых и 5-6% переходных видов. Приводятся (по литер. данным) закономерности изменения группового состава торфа, результатов сухой перегонки торфа месторождений Эжерелей и состава полученных дегтей по глубине залегания. Библ. 13 назв.

В. Загребельная
33742. Динамика качественных показателей кускового торфа. Белокопытов И. Е., Торф. пром-сть, 1957, № 6, 4-7.

За последние 10 лет теплота сгорания горючей массы торфа изменялась в пределах 5554-5578 ккал/кг по гидроторфу и 5523-5579 ккал/кг по экскаваторному торфу (ЭТ). Влажность гидроторфа в 1947-1956 гг. колебалась от 29,1 до 41,6%, а ЭТ в пределах 28,9-41,3%. Крайние пределы зольности ЭТ не превышали 8,0-9,4%. Некоторое повышение влажности кускового торфа в последние годы вызвано преимущественно введением механизации процессов при его уборке. Содержание мелочи в среднем кусковом торфе обычно не превышает 42%. Ближайшие задачи торфяной пром-сти: улучшение технологии процесса сушки и снижение кол-ва мелочи при уборке готового торфа.

В. Загребельная
33743. Улучшить качество фрезерного торфа по влажности. Самсонов Н. Н., Торф. пром-сть, 1957, № 6, 12-16.

Рассматривается влияние влажности торфа на его себестоимость. Расчетным путем показана экономичность поставок фрезерного торфа повышенной влажности и намечаются пути повышения его качества путем создания машин по пневматич. уборке фрезерного торфа, добычи, гранулированного торфа, очистки и углубления осушительной сети, а также регулирования водоприемников.

В. Загребельная
33744. Работы по хранению угля, проведенные ЦНИИ МПС за период 1951-1952 гг. Беляев В. А., Изв. АН Каз.ССР. Сер. хим., 1956, № 9, 101-108.

Испытаны различные способы герметизации угля в штабелях (Ш). Битумные покрытия практически устраняют попадание воздуха и влаги к внутренним частям Ш; не наблюдается разогревания и размыкания ливнями, что происходило при покрытии угольной мелочью. Ш, уложенные на ледяном основании, из-за неравномерного таяния льда дали трещины и были разобраны. Рекомендовано применение больших Ш.

Н. Гаврилов
33745. Селективная и петрографическая подготовка угля на французских и западногерманских коксохимических заводах. Тейницкий (Selektivní a petrografická příprava uhlí ve francouzských a západoněmeckých koksovárnách. Tejnický V.), Paliva, 1957, 37, № 9, 324-329 (чешск.).

Селективная подготовка угля, заключающаяся в избирательном дроблении петрографич. компонентов и додробливанием дюрита и минер. включений, приводит к резкому улучшению качества кокса, увеличению остатка + 40 мм в микум-барабане с 78-79 до 83-84%

и позволяет ввести в шихту до 60% газовых и длинношаменных углей. В случае многокомпонентных шихт рекомендуется раздельное дробление хорошо- и плохоископающихся компонентов. Избирательное дробление позволяет одновременно повысить насыпной вес шихты на 5—7%. Этот метод успешно внедрен на ряде коксохим. з-дов.

В. Загребельная
33746. Успехи петрографической и селективной подготовки углей для коксования. Бурстлейн (Nouveaux progrès dans la préparation pétrographique et sélective des charbons en vue de leur cokéfaction. Burstlein E.), Mines, 1955, 10, № 5, 517—532 (франц.)

Описание способа углеподготовки Бурстлейн-Лонгви и последние усовершенствования способа. Н. Гаврилов
33747. Установки для дробления и смешения углей. Берман (Kohlen-Mahl- und Mischanlagen. Wehrmann Fritz), Cas- und Wasserfach, 1955, 96, № 3, 75—78 (нем.)

33748. Обезвоживание угля в центрифугах. Топорков В. Я., Кокс и химия, 1957, № 9, 14—18

Обезвоживание мелкого концентрата в центрифугах УВ-1 снижает влажность до 8,3—10,6% при производительности 30—35 т в час, в лучшем случае до 7,3% при производительности 40—45 т в час. Для улучшения работы центрифуги на Енакиевской ф-ке обеспечено равномерное питание ее путем установок скребков на транспортере на расстоянии 300 мм друг от друга, очистка отверстий сит осуществляется промывкой технич. водой во время каждой остановки, высота порогов между рядами сит установлена 12—15 мм, а также проведены другие мероприятия. Отмечается, что несмотря на указанные усовершенствования, центрифуги УВ-1 нуждаются в модернизации. М. Пасманик

33749. Термическая сушка мелкого угля. Джуды, Уолшберн (Thermal drying of fine coal. Judy G. L., Washburn H. L.), Mining Engng, 1957, 9, № 10, 1150—1152 (англ.)

Сделано сопоставление стоимости работы и обслуживания установок разных типов для термич. сушки мелкого угля, применяемых на обогатительных ф-ках.

А. Шахов

33750. О производительности труб-сушилок для угля. Кнауф (Die Leistung der Röhrentrockner. Knauf R.), Bergbautechnik, 1955, 5, № 7, 338—345 (нем.)

33751. Обогащение угля. Даути (Coal preparation plant. Doughty F. T. C.), Mining J., 1957, Annual Rev., 121, 123 (англ.)

Рассмотрены способы и практич. целесообразность обогащения углей в Англии. Н. Лапидес

33752. Автоматизация процесса обогащения угля. Дитрих (Mechaniczna przeróbka węgla w dobie automatyzacji. Dietrich, Janusz), Przegl. górniczy, 1957, 13, № 7—8, 377—379 (польск.)

Приводятся соображения по автоматизации процесса обогащения угля в отсадочных машинах, суспензионных сепараторах, классификации на грохотах, внутризаводского транспорта на обогатительной ф-ке, погрузки в вагоны, а также водношламового х-ва.

У. Андрос

33753. Предварительное окисление угля. Буайе (Controlled oxidation of coal. Boyer A. F.), Chem. Engng Coal Ind. London — New York — Paris, Pergamon Press, 1957, 3—17. Discuss., 17—24 (англ.)

Освещен опыт работы во Франции установок производительностью 100 кг и 6 т угля (У) в час по предварительному окислению воздухом У с высоким содержанием летучих в-в при произ-ве полукокса, брикетов и кокса. Исследования по полукоксу показали, что предварительное окисление коксующихся У в псевдоожигном слое (индекс вспучивания уменьшился с 7,5 до 2,5) при нагреве их горячими (т-ра 450—600°)

газами показали, что при этом, по сравнению с неокисленными У, происходит снижение плотности загрузки, увеличение выхода полукокса и снижение выхода смолы (с 22,3 до 12,9% при 550°). Лабор. исследованиями (снятие кривых потери веса окисляемой навеской У в зависимости от времени и т-ры) установлено, что в начальной стадии скорость увеличения веса соответствует ур-нию Аррениуса; энергия активации соответствует 15,2 ккал/моль. Отмечено влияние окисления на спекаемость У, а также на свойства кокса (уменьшение тенденции кокса к графитации при 2000° и падение анизотропии при 1000°) и др.

Д. Цикарев

33754. Окисление углей в псевдоожигном слое. Дженкинс (Fluidized oxidation of coal. Jenkins G. I.), Chem. Engng Coal Ind., London — New York — Paris, Pergamon Press, [1957], 25—31. Discuss., 31—39 (англ.)

На опытной установке производительностью 1 т угля в час (Англия) проведено окисление углей (У) в псевдоожигном слое с целью устранения вспучивания и слипаемости брикетов, полученных из этого У, при дальнейшей карбонизации. Процесс проводился в колоннах диам. 61 см. С помощью вводимой в реактор смеси дымового газа с предварительно нагретым воздухом У нагревали до 200°, после чего т-ра в реакторе поднималась до 250—450°. Затем У охлаждался смесью воды и воздуха до 80°. Для У с содержанием летучих в-в ~17% достаточная степень окисления достигалась при расходе воздуха ~0,02 м³ на кг У; при этом экзотермич. эффект р-ции составляет ~50 ккал/кг. Показано, что в пределах 12—40 мин. кол-во поглощенного O₂ — функция т-ры и не зависит от времени.

Д. Цикарев

33755. Горячее брикетирование угля. Грегори (Hot briquetting. Gregory D. H.), Chem. Engng Coal Ind. London — New York — Paris, Pergamon Press, 1957, 56—71. Discuss., 72—74 (англ.)

Освещен опыт применения горячего брикетирования (ГБ) при произ-ве угольных брикетов в Англии. ГБ является промежуточной стадией между двумя термообработками угля: предварительным нагревом и карбонизацией брикетов. Приведено краткое описание и результаты исследования двух процессов произ-ва брикетов: 1) ГБ с применением давл. ~310 кг/см² при т-рах ~300° предварительного нагретого и окисленного угля с добавкой 3—4% пека и карбонизация полученных брикетов при т-ре ~650°; 2) ГБ при 400—440° полукокса, полученного при 400—650°, с добавкой в качестве связующего угольно-пековой смеси и карбонизация брикетов при 650°. Показана возможность применения в обоих процессах вальцевых прессов из обычной стали при равновесной т-ре вальцов 150—170°. Добавка 4% пека к углю с содержанием летучих в-в от 18 до 39,5% заметно снижает т-ру начала размягчения и повышает текучесть угля; т-ра разложения остается постоянной. Показано, что важнейшими параметрами при ГБ являются степень окисления угля, кол-во добавленного пека и т-ра брикетирования. С увеличением степени окисления возрастает потребность в добавке пека и повышается миним. т-ра брикетирования.

Д. Цикарев

33756. Исследования по коксованию брикетов в Западной Германии. Реринк (Investigations into the carbonization of briquettes in Germany. Reerink Wilhelm), Chem. Engng Coal Ind., London — New York — Paris, Pergamon Press, [1957], 40—51. Discuss., 51—55 (англ.)

Обзор работ в области брикетирования углей и угольно-рудных смесей и карбонизации брикетов (В) в ФРГ. Указано на удачное разрешение проблемы со связующим разработкой спец. пека, представляющего

смесь пека и дистиллата каменноугольной смолы с добавкой определенного кол-ва кристаллич. ароматич. соединений. Связующее в жидком виде при t -ре 145—150° вводится в брикетированную смесь; применение его устраняет необходимость сушки исходного материала. Получаемые угольно-рудные Б могут быть использованы в низкосахтных доменных печах без предварительной термообработки. Отмечено, что применение в вагранках формованного кокса, полученного карбонизацией брикетированной смеси коксовой мелочи с битуминозными углями и добавкой 7—8% смолы и пека, позволяет снизить кол-во кокса в загрузке на 30% и повысить выплавку более, чем на 35%. При карбонизации Б на движущейся решетке процесс осуществляется с низкими капитальными затратами, при высокой производительности и термич. к. п. д., равном к. п. д. современных коксовых печей. Для исследования процесса брикетирования сооружается эксперим. установка производительностью 5—15 т Б в час, которая оборудуется несколькими типами современного прессового, дробильного, рассеивающего и сушильного оборудования. Д. Цикарев 33757. 6-я сессия Технологической комиссии по использованию угля Европейского объединения углей и стали. I. Центральная лаборатория угля в Гелене. Кревелен. II. Коксохимические заводы. Вас. III. Коксовый завод Моритс. Печь с подвижной стенкой. Экс. Опыт производства искусственного антрацита. Кардаун. IV. Коксовый завод Эмма. Заутер, Хамм. V. Горно-геологический исследовательский центр. Крийгсман. VI. Опытная станция по изучению горения. Организация и основные результаты исследований. Хаббард. VII. Коксовый завод чугуно- и сталелитейных заводов. Некоторые итоги статистического изучения работы доменных печей. Делден, Бостер (Commission technique internationale de la valorisation du charbon de la Communauté Européenne du Charbon et de l'Acier. (6-ème session du 20 au 22 mars 1957). I. Le laboratoire central des mines d'état. Recherches sur la houille. Krevelen D. W. van. II. Les usines chimiques des mines d'état. L'industrie chimique des mines d'état. Waes J. P. M. van. III. La cokerie Maurits. Exposé sur le four à paroi mobile. Ex J. Essais de fabrication d'antracite synthétique aux mines d'état. Kardaun G. IV. La cokerie Emma. Sauter M., Hamm G. G. H. V. Le centre de recherches minières des mines d'état. Krijgsman C. VI. La station expérimentale d'étude des flammes. L'organisation et l'activité de la fondation de recherches internationales sur les flammes. Hubbard E. H. VII. La cokerie de la Société royale néerlandaise des hauts fourneaux et aciéries. Delden P. van. Quelques aspects de l'étude statistique du comportement du haut fourneau. Boster M. P.), Ann. mines Belgique, 1957, № 7, 585—626 (франц.)

Доклады, представленные в комиссию при посещении ею национализированных предприятий и научных учреждений в Голландии в марте 1957 г. А. Тяжелова 33758. Определение теплот процесса коксования в калориметре для коксования. Пипер (Die Bestimmung der Verkokungswärme im Verkokungs-Kalorimeter. Pieper Paul), Brennstoff-Chemie, 1956, 37, № 15—16, 239—244 (нем.)

Продолжено изучение процесса коксования в спец. калориметре для коксования. Исследована взаимосвязь между временем коксования (ВК) и теплопроводностью (ТП) шихты. Для коксовых углей с содержанием 9—10% влаги и 7% золы ТП лежала в пределах 0,55—0,60 ккал/м·час·град. Опыты показали, что высокий насыщенный вес шихты и увеличение крупности зерен увеличивает ТП, уменьшение влажности снижает ее,

хотя ВК при этом не снижается. Автор считает, что калориметр пригоден для определения не только теплоты коксования, выхода кокса, ВК и ТП, но и теплоемкости в-в при различных t -рах и что на основании полученных в нем данных может быть составлен предварительный тепловой баланс коксовой печи. Приведено также определение теплового эффекта превращения BaCO_3 в BaO при 1050°. Предыдущие сообщения см. РЖХим, 1957, 61412.

33759. Применение радиоактивных изотопов при исследовании движения газов в коксовых печах. Хинин И. М., Яремчук В. А., Куприенко И. Г., Кокс и химия, 1957, № 10, 20—25

Описывается методика промышленных исследований движения газов в коксовых печах с помощью радиоактивных изотопов. Для исследования распределения газов вдоль регенераторов с помощью α -ионизационного прибора и определения скорости потоков в отопительных каналах применено α -радиоактивное вещество для изучения распределения газов по длине регенераторов с помощью счетчиков Гейгера — Мюллера и методом отбора проб использован изотоп S^{32} . Описана методика исследования рециркуляции газов в отопительных каналах и способы изучения смещения газа и воздуха в отопительных каналах.

33760. Измерение выходов сырого коксового газа из батарей коксовых печей. Пуллен (Measuring by-product yield of coke ovens. Pullen F. R.), Instrum. and Automat., 1955, 28, № 12, 2123—2125 (англ.)

33761. О температурном режиме и процессе обезвоживания сырой высокотемпературной смолы в условиях ее непрерывной разгонки. Шуба (O temperaturze i procesie odwodnienia wysokotemperaturowej smoly surowej w urządzeniach do ciągłej destylacji. Szuba Jerzy), Koks, smoła, gaz, 1957, 2, № 4, 149—153 (польск.; рез. русск., англ., нем.)

Лабораторными опытами однократной отгонки при t -рах до 140° воды из смол при содержании ее до 7% показано, что идентичные по свойствам смолы, но отличающиеся по содержанию остаточной воды, имеют одинаковую t -ру однократного обезвоживания; при содержании воды до 5% она равна ~125°. Найденная зависимость между необходимой t -рой в трубчатой печи и обводненностью смолы, а также степенью ее обезвоживания в трубах печи: при влажности смолы 3—5% для доведения этой влажности до 0,5—0,6% смолу надо нагревать в печи до 140—150°.

33762. Об азеотропном обезвоживании высокотемпературной каменноугольной смолы. Шуба, Аншеячек (O azeotropowym odwadnianiu wysokotemperaturowej smoly węglowej. Szuba Jerzy, Anshejczek Bohdan), Zesz. nauk. Politechn. slaskiej, 1957, № 12, 81—91 (польск.; рез. русск., англ.)

На лабор. установке определена t -ра кипения смеси каменноугольной смолы и воды различной состава; на основе полученных данных определены условия азеотропного обезвоживания смолы. Тепловой баланс процесса обезвоживания показывает, что внедрение разработанной схемы при суточной переработке 250 т сырой смолы дает экономию 192 380 ккал/час.

33763. Опыт классификации угольных смол на новых теоретических основах. Юркевич, Невядомский, Росинский (Próba klasyfikacji smol węglowych w oparciu o nowe podstawy teoretyczne. Jurkiewicz J., Niewiadomski T., Rosiński S.), Koks, smoła, gaz, 1957, 2, № 4, 129—132 (польск.; рез. русск., англ., нем.)

В основу классификации угольных смол положен критерий $N = C_w / 3H_w$, где C_w и H_w — содержание в вес. % углерода и водорода в смоле по данным элементарного анализа. Показано, что по этому критерию

рию смолы, полученные при сухой перегонке (коксовании, газификации) твердых топлив (каменных и бурых углей, торфов, дерева), могут быть разделены на группы. Предложено производить оценку качества смол по показателю $A_N = N \cdot 100$, поскольку критерий N определяет степень ароматизации смолы, содержащей в ней пека и т. д. По данным анализа смол 15 видов, а также пеков и кокса, полученного из пека, вычислены значения N и построены классификационные диаграммы. К. З.

33764. Прочность брикетов и коксбрикетов из бурого искусственно окисленного угля. Гумаров Р. Х., Кривовяз И. М., Уз. ССР Фанлар Акад. докладла. Докл. АН УзССР, 1957, № 7, 33—37 (рез. узб.) Прочность брикетов и коксбрикетов, изготовленных из окисленного в жестких условиях угля (140° , 15—400 час.) повышается с 20 до 32 кг/см² для брикетов и с 95 до 130 кг/см² для коксбрикетов (после 225 час.). При изготовлении из угля, окисленного в низкотемпературных условиях, наблюдается снижение прочности коксбрикетов и незначительно брикетов. В жестких условиях окисления преобладает накопление концевых полярных групп за счет окисления боковых групп; в низкотемпературных условиях преобладает, по-видимому, окисление высококонденсированного ароматич. ядра. Г. Стельмах

33765. К вопросу о непрерывной сернокислотной очистке бензола. Коляндра Л. Я., Кокс и химия, 1957, № 9, 47—51

Эффективное проведение сернокислотной очистки сырого бензола требует миним. времени контакта, что снижает кол-во образующейся кислой смолки, уменьшения расхода H_2SO_4 и улучшения степени очистки фракции; это достигается за счет улучшения перемешивания. На Днепропетровском з-де исследован аппарат, заимствованный из нефтеперерабатывающей пром-сти, — дисперсионный смеситель, в котором смесь многократно циркулирует, меняя направление. При сравнительных (с обычным моечным аппаратом периодич. действия) опытах получены следующие показатели: кислой смолки 0,1% вместо 1%; бромное число 0,22—0,38 вместо 0,4—0,5; время контакта 35—52 сек. вместо 2—7,5 час. М. Пасманик

33766. Изменения качества каменноугольного толуола при длительном хранении. Ильин Д. А., Минин М. М., Чернецов П. П., Тр. Центр. и.и. лабор. Гл. упр. гос. материальн. резервов при Сов. Мин. СССР, 1956, вып. 4, 172—178

Исследованиями, проведенными на толуоле (Т) различных з-дов с разных баз и в различных климатич. зонах СССР, показано, что Т может храниться > 3 лет, причем изменения в его составе не выходят из пределов требований ОСТ 10464-39. Несмотря на кондиционность Т по ОСТ, примесь активной S может оказывать коррозирующее действие на металл резервуара и способствует окислению Т и увеличению в нем кол-ва смол. Установлена необходимость внесения в ОСТ требования на отсутствие в составе Т активных S-соединений. А. Шахов

33767. Производство нафталина с температурой плавления 78° . Вулхаус (The manufacture of naphthalene of crystallizing point 78° . Woolhouse T. G.), J. Appl. Chem., 1957, 7, № 11, 574—583 (англ.) Описаны результаты исследования промышленных методов выделения нафталина (I) с т-рой кристаллизации 78° . Показано, что при прямой перегонке нафталиновой фракции выход I резко снижается в том, случае, когда в сырье содержатся фенолы, даже в кол-ве до 1%. Метод перегонки имеет тот недостаток, что получаемый I содержит значительное кол-во S-соединений. Рекомендуется метод центрифугирования с промывкой водой на центрифуге. Обсуждаются

различные методы кристаллизации для получения крупных кристаллов при статич. условиях и с перемешиванием.

Н. Лапидес
33768. Пути улучшения технологии производства нафталина. Гофман М. В., Раукас М. М., Харлампович Г. Д., Кокс и химия, 1957, № 4, 45—47

Рекомендовано предварительное получение широкой фракции ($170-300^\circ$ или $170-280^\circ$) с дальнейшей промывкой и четкой ректификацией ее на мощной колонне. Для подвода дополнительного кол-ва тепла часть нижнего продукта колонны пропускают через трубчатый подогреватель. Высокое содержание в смоле тионафенов затрудняет получение нафталина 97—98%-ной чистоты. Для окисления в фталевый ангидрид пригоден 80—90%-ный продукт. М. Пасманик

33769. Удаление отложений нафталина из газопроводов с помощью растворителей. Данец, Начинский, Регульская (Usuwanie osadów naftalenowych z przewodów gazowych przy pomocy rozpuszczalników. Daniec Eugeniusz, Naczynski Jerzy, Regulaska Hanna), Gaz, woda, techn. sanit., 1957, 31, № 8, 287—293 (польск.) Лабораторными и эксплуатационными опытами показано, что смесь сольвент-нафты с трикрезолом в соотношении 9:1 полноценно заменяет тетралин как при улавливании нафталина (Н) из газового потока, так и при удалении отложений Н с внутренней поверхности труб. Смесь рекомендуется вводить в газовый поток в виде слегка перегретых паров (с т-рой $> 200^\circ$) на участке между компрессорами и газовыми холодильниками; расход р-рителя такой же, как тетралина. На основе годичного опыта применения нового р-рителя на одном из газопроводов рекомендуется заменить им импортируемый тетралин. Отмечается целесообразность сбора на газопроводах выпадающего конденсата р-рителя и Н для отгонки Н и регенерации р-рителя. К. З.

33770. Изоляция караванов фрезерного торфа сырой торфяной крошкой с целью снижения процесса самовозгорания при хранении. Ладутько В. Ф., Торф. пром-сть, 1957, № 6, 9—12

Наложение изоляционного слоя на караван осуществляется одновременно с уборкой сырого торфа. Для проверки толщины и влажности слоя в четырех поперечных сечениях каравана закладываются шурфы; укатование слоя производят при помощи металлических катков. При отгрузке торфа потребителям изоляционный слой обычно удаляют. В. Загребельная

33771. Комплексное использование бурых углей СССР. XI. Физические свойства и компонентный состав буроугольных смол, получаемых при полукоксовании с твердым теплоносителем — полукоксом. XII. О полукоксовании экстрагированного бурого угля. Кузнецов В. И., Боброва А. А., Укр. хим. ж., 1955, 21, № 5, 664—668; № 6, 800—803 XII. Для выяснения влияния предварительного экстрагирования бурого угля на выход и состав продуктов его полукоксования производилось экстрагирование битуминозного бурого угля одного из месторождений УССР ацетоном, спирто-бензолом (1:1), спирто-дихлорэтаном (1:3), дихлорэтаном, бензином «калоша»; исходный и экстрагированный угли подвергались полукоксованию в алюминиевой реторте, и полученные первичные дегти исследовались по общепринятой методике. Показано, что предварительное экстрагирование угля снижает выход дегтя вдвое и сопровождается понижением содержания в нем парафина. Сделаны выводы о первичных источниках дегтеобразования при полукоксовании угля; установлено, что экстрагирование с последующим полукоксованием дает возможность использовать $1/3$ горючей массы угля

в виде горного воска и первичного дегтя, а при одном полукоксовании используется только $\frac{1}{4}$ ее. В дегте экстрагированного угля содержится значительное кол-во фенолов и жидких углеводородов. Поэтому полукоксование экстрагированного бурого угля представляет промышленный интерес. Часть X см. РЖХим, 1957, 31838. В. Кельцев

33772. Комплексное использование бурых углей УССР. XIII. О смолах полукоксования землистого бурого угля УССР с твердым теплоносителем — полукоксом. Кузнецов В. И., Говорова Р. П., Фаденчева А. Г., Кигель Т. Б., Черных М. К., Укр. хим. ж., 1955, 21, № 6, 804—809

Приведены результаты полукоксования бурого угля в лабор. печи с внутренним обогревом, с применением в качестве теплоносителя нагретого до 700° полукокса. Показано, что полученная смола отличается повышенным выходом бензиновой фракции (16—19%) и непредельных углеводородов (19%) и пониженным (23—35%) выходом парафиновой фракции — по сравнению со смолой, полученной при полукоксовании с газовым теплоносителем (соответственно 6, 14 и 48%). Это объясняется большей глубиной крекинга первичных продуктов разложения при применении твердого теплоносителя. В. Кельцев

33773. Комплексное использование бурых углей УССР. XIV. О некоторых методах очистки парафина из буроугольной смолы. Кузнецов В. И., Кигель Т. Б., Укр. хим. ж., 1956, 22, № 1, 118—121

Показано, что лучшие результаты очистки сырого твердого парафина (полученного из парафиновой фракции смолы полукоксования) дихлорэтаном получаются при соотношении 4:1 и нагревании до 50°; в парафине-кристаллизате остается 9—10% примесей масляно-смолистого характера, которые удаляются при нагревании до 75° с тонкоизмельченной отбелкой глиной. Такая очистка не дает совершенно чистого парафина даже при соотношении глины и парафина 1:1 при длительной обработке (20 час.). Очистка парафина-кристаллизата серной к-той в кол-ве 2—2,5 вес. % от обрабатываемого продукта производилась в 2 стадии; время обработки 1—3 часа, т-ра 115—118° при непрерывном перемешивании. После серной к-ты парафин обрабатывается глиной для удаления остатков смол и окисью кальция для нейтрации к-ты. Выход чистого твердого парафина (от сырого) 68% и мягкого 33%; т-ра затвердевания соответственно 53 и 46°. В. Загребельная

33774. Опыты гидрогенизационной очистки фракций буроугольной смолы. Биртлер, Скибик (Versuchsergebnisse und Betriebserfahrungen mit der hydrierenden Mitteldruckraffination von Braunkohlenteerprodukten. Birtler Richard, Szkibik Christian), Freiburger Forschungsh., 1955, A, № 36, 42—57 (нем.)

Показана возможность рафинирования буроугольной смолы и дизельной фракции из нее гидрогенизацией над контактом 5436 (10—12% MoO_3 на $\gamma\text{-Al}_2\text{O}_3$) при парц. давл. H_2 30—40 ат. Б. Энглин

33775. Промышленная переработка смол полукоксования углей. Сабатье (Industrial treatment of tar obtained by low-temperature carbonization. Sabatier J. L.), Chem. Engng Coal Ind. London—New York—Paris, Pergamon Press, [1957], 122—128. Discuss., 128—131 (англ.)

Описание технологии переработки низкотемпературной смолы на непрерывнодействующей установке в Мариано (Франция) и характеристика получаемых продуктов. Смола подвергается разгонке на 5 фракций и пек на непрерывнодействующей колонне на 27 теор. тарелок с трубчатой печью. Максим. т-ра на выходе из трубчатки 380° при давл. 4 кг/см². Сырые фенолы

с т-рой кипения до 230° подвергаются разгонке в вакууме 200 мм на непрерывнодействующей установке, состоящей из 6 колонн. Отдельные фракции подвергаются повторной разгонке на колонне на 60 теор. тарелок при давл. 6 мм. Из сырых фенолов получают (в %) фенолов 14; о-крезола 9; смеси м- и л-крезолов 25; ксиленолов 50. Приведены примеры возможного использования продуктов фракционирования, напр. получение триарилфосфатов путем этерификации ксиленолой фракции, алкилциклогексанола и алкилциклогексанола путем каталитич. гидрогенизации ксиленолов, изобутилфенолов и пр. Д. Цикарев

33776. Исследование полукоксования в псевдоожиженном слое. Петави, Фок (A study of semicarbonization in a fluidized bed. Peuytavy A., Foch P.), Chem. Engng Coal Ind. London—New York—Paris, Pergamon Press, 1957, 75—89. Discuss., 90—99 (англ.)

Доклад об опыте работы во Франции установок по полукоксованию в псевдоожиженном слое углей с выходом летучих в-в 31—35%. На установке производилось 1 т угля в час имеется камера для предварительного нагрева и окисления (при необходимости) угля, более совершенная система газоочистки и рециркуляция газов. Шахтная печь снабжена испалкой, сообщающей дополнительное движение карбонизируемому углю. Обогрев внутренних за счет сгорания части угля. Приведен материальный баланс работы установки на 100 кг/час. Путем сравнения полукокс, полученных во вращающейся печи (время нагрева 30 мин.) и в псевдоожиженном слое показано, что свойства и форма частиц зависит не от конечной т-ры, а от скорости нагревания. Д. Цикарев

33777. Исследование смол полукоксования угля в псевдоожиженном слое. Уотсон, Вильямс (The study of tars obtained in fluidized carbonization. Watson G. H., Williams A. Fowler), Chem. Engng Coal Ind. London—New York—Paris, Pergamon Press [1957], 100—118. Discuss., 118—121 (англ.)

Детальное исследование смолы (С) и водн. конденсата, полученных при полукоксовании при 650° в псевдоожиженном слое некоксуемого угля с выходом летучих в-в ~42%. Бензольный р-р С экстракцией разделен на фенолы (~20%), основания (~3%) и нейтр. масла (45,5%). Остаток, нерастворимый в бензоле, но растворимый в спирте, 13,5%. Фенолы разделялись ректификацией. Нейтр. масла хроматографически методом на колонке с Al_2O_3 с элюированием петр. эфиром, бензолом, спиртом и смесью спирта с хлф. Полученные фракции подвергали фракционной разгонке и исследовали с помощью УФ- и ИК-спектроскопии. Показано, что в С (включая водн. р-р), полученной из 1 т угля, содержалось в г (в скобках в вод. р-ре) фенолов 675 (453), крезолов 3400 (770), широкатехина 860 (1630). Нейтр. масла (70% имели т. кип. > 350°), содержали ~10% парафинов и циклопарафинов. Остаток состоял из углеводородов (20%) и кислородных соединений (30%). Даны схемы разделения и состав отдельных фракций. Д. Цикарев

33778. Роль отдельных компонентов торфяного дегтя в образовании высококалорийного газа. Реброу В. Д., Тр. Моск. торф. ин-та, 1957, вып. 5, 221—233

При пиролизе генераторного торфяного дегтя в отдельных компонентах этого дегтя в аналогичных условиях (т-ра 685°, скорость питания 45 г/час) выявлена основная роль парафинов и восков в образовании газа и особенно непредельных углеводородов в нем, причем суммарное кол-во газа, полученное из всех выделенных компонентов, не превышало 75% от соответствующего выхода при пиролизе дегтя в целом. Для получения газа с наибольшим выходом непредельных соединений можно ограничиться пиролизом лишь углеводородной части дегтя. Н. Гаврилов

33779. Частичное окисление воздухом урансодержащего черного сланца Четануга. Кинней, Шварц (Partial air oxidation of Chattanooga uraniferous black shale. Kinney C. R., Schwartz Donald), Industr. and Engng Chem., 1957, 49, № 7, 1125—1130 (англ.)

Сланец Четануга (США) содержит (в %): кремне-кислых соединений 60; пирита 15; различных минералов 5, органич. массы с низким содержанием С и Н—20 и <0,01 U. При окислении сланца воздухом при 150—300° получены с выходом 18% (при 200°) гуминовые к-ты, всестороннее исследование которых показало, что они обладают хиноидной структурой и аналогичны к-там, полученным из угля.

В. Загребельная

33780. Полукоксование эстонских сланцев в опытной шахтной печи. Караваев Н. М., Сенянский В. М., Химия и технол. топлива и масел, 1957, № 4, 22—28

Приводятся результаты полукоксования эстонского сланца при 445, 470 и 485° в опытной шахтной печи производительностью 60 кг в сутки. Полукоксование сланца велось по принципу внутреннего обогрева с многократной прямоточной циркуляцией теплоносителя (парогазовых продуктов полукоксования) с использованием в ряде случаев дополнительного крекинга парогазовых продуктов. Оптимальная т-ра циркулирующего теплоносителя 445°; при этой т-ре получен более высокий выход дегтя, чем в туннельной печи (соответственно 24,3 и 22,5%), при этом содержание в нем фракций до 320° на 14,7, а бензиновой фракции на 45% выше, чем в туннельной печи. При опытах не наблюдалось спекания и заивания сланца. Приводится схема опытно-промышленной шахтной печи, производительностью 350 т в сутки сланца, с многократной принудительной прямоточной циркуляцией теплоносителя; отмечаются ее преимущества по сравнению с обычными туннельными и шахтными печами.

Б. Энглин

33781. Исследование процессов первичных термических превращений основных составляющих средних фракций сланцевой смолы. Сообщение I. Зеленин Н. П., Чернышева К. Б., Тр. Всес. н.-н. ин-та по переработке сланцев, 1956, вып. 5, 237—252

Изучено термич. разложение органич. к-т и нейтр. кислородных соединений, выделенных из фракции 180—325° сланцевой генераторной смолы, при нагревании навески 100 г в автоклаве емк. 250 мл в атмосфере N₂ при 150—350° в течение 90 мин. Разложение начиналось при 200—250°. В воду, кокс и газ переходило до 10% исследуемых в-в. Приведены характеристики продуктов разложения и состав газа.

Б. Энглин

33782. Оптимальные параметры процесса каталитической переработки легких фракций сланцевой смолы. Корв М. И., ENSV Teaduste Akad. toimetus. Tehn. ja füüs.-matem. teaduste seer., Изв. АН ЭССР. Сер. техн. и физ.-матем. н., 1957, 6, № 1, 90—95 (рез. эст., англ.)

В первой ступени процесса 2-ступенчатой каталитич. переработки легкого масла туннельных печей (катализатор 10% ZnCl₂) оптимальной т-рой является 100—125°, продолжительность нагрева контролируется по бромному числу полимеризата. Для фракции 205—325° оно должно быть 60—68. Для получения смазочного масла и дизельного топлива хорошего качества во второй ступени процесса полимеризации т-ра должна быть 100—125°, кол-во AlCl₃ 8—9%, продолжительность р-ции 1—3 часа. При работе со смесью катализаторов применяют по 5% ZnCl₂ и AlCl₃, поддерживая т-ру 140° и продолжительность процесса 3 часа. В первом случае качество получаемых масел

несколько лучше, во втором — легче отделение полимеризата от комплекса и меньше стоимость катализатора.

М. Пасманик

33783. Продукты переработки горючего сланца в качестве связующих добавок в литейном производстве. Круусамяги А. Х., Тр. Таллинск. политехн. ин-та, 1957, А, № 112, 1—24

33784. Современный газогенератор для газификации угля. Шёберль (Ein moderner Gaserzeuger zur Vergasung von Kohle. Schöberl H.), Gaswärme, 1957, 6, № 10, 326—328 (нем.)

Описываются технологич. особенности газогенератора «Демаг» с шахтой диам. 2,6—3,0 м. К. п. д. при газификации длиннопламенного угля 71,3%, сырого бурого угля — 68,0%, соответственно теплота сгорания газа 1665 и 1280 ккал/м³ (паровоздушное дутье). Загрузочное устройство с двумя колоколами автоматизировано. Механич. уплотнение топливного слоя позволяет газифицировать сильно спекающиеся угли. Производительность генератора по газу до 120 000 м³/сутки.

В. Загребельная

33785. Получение газа из торфа и древесных отходов. Производственные опыты по газификации. Науке (Gaserzeugung aus Torf- und Holzfällen. Betriebserfahrungen bei Vergasungsversuchen. Nauke W.), Holz-Zbl., 1956, 82, № 100, 1233—1236 (нем.)

Приведены результаты опытов Ганноверского торфяного ин-та по газификации торфа и древесных отходов в газогенераторах системы Weda небольшой производительности (диам. 1,2 м). Показано, что коэф. газификации (КГ) торфа при влажности 29,4% составляет 70—75%, а при влажности 42,1% КГ снижается до 65%; для древесных отходов КГ ниже на 5%; теплотворность получаемого газа 1400—1500 ккал/м³. Приведены соображения о возможности повышения эффективности работы установок с такими газогенераторами и о широкой их перспективности для произ-ва генераторных газов из торфяных и древесных отходов.

В. Кельцев

33786. Подземная газификация угля в Польше. Дзюникровский (Podziemne zgazowanie węgla w Polsce. Dziunikowski Kazimierz), Wiadom. górnicze, 1955, 6, № 4, 102—105 (польск.)

33787. Усовершенствованный одоризатор с непосредственным впрыском жидкости в газовый поток. Ньюби, Уилби (Improved type of direct liquid injection odorizer developed. Newby A. B., Wilby F. V.), Gas Age, 1957, 119, № 12, 35—37, 54—55 (англ.)

Разработана усовершенствованная конструкция приспособления для непосредственной подачи жидкого одоранта (О) из большинства О, выпускаемых пром-стью, в газовую сеть со скоростью, пропорциональной скорости газового потока. Электрич. интегральный измеритель расхода регулирует работу 2 соленоидных клапанов нового прибора. Одоризатор может быть точно отрегулирован, скорость подачи О можно контролировать в любой момент работы. Регулировка скорости подачи О зависит исключительно от известных и подающихся контролю факторов, без предварительной калибровки. Значительное число одоризаторов этого типа находилось в эксплуатации ~2 лет. Приведена принципиальная схема одоризатора.

Л. Пашковская

33788. Термическая обработка горючих материалов газовым пламенем или нагревательными горелками. Мани (Opération thermique sur des matières combustibles par brûleurs à gaz à ravonnement et à haute température, et par action directe de flammes. Man C. P.), Usine belge, 1956, 33, № 1478, 8—11 (франц.)

Краткое описание схем приборов и установок для поверхностной термич. обработки (сушки, нагрева)

горючих материалов путем прямого воздействия газового пламени или лучеиспусканием. К. 3.

33789. Исследование окисления ассамского угля. Реакция декарбоксилирования. Рой (Studies on the oxidation of Assam coal: decarboxylation reaction. Roy M. M.), J. Appl. Chem., 1957, 7, № 11, 626—629 (англ.)

Ассамский уголь (Индия) с содержанием летучих в-в 46,1%, измельченный до 100 меш, подвергнут окислению в автоклаве при 250° и давл. O_2 57 ат в течение 3 час. Загрузка: 200 г угля, 7500 мл воды, 500 г NaOH. Образовавшиеся к-ты (выход 48—50% на уголь) экстрагировали метилэтилкетон, который затем отгонялся. Декарбоксилирование к-т производили в токе N_2 смесью безводн. $CuSO_4$ и хинолина в соотношении 5:1:13 при подъеме т-ры в течение 2 час. до 150° и затем в течение 5 час. до 250°, после чего смесь выдерживали при этой т-ре 4 часа. Среди продуктов декарбоксилирования идентифицированы: нафталин, α - и β -метилнафталины, дифенил, фенантрен, толуол, бензол, бензойная к-та, 2-гидроксидифенил-2'-карбоновая к-та, 4-фенилпиридин, тиобензойная к-та и бензофенон. Н. Лапидес

33790. Гидрогенизация угля под давлением при 800°. Хайтшу, Андерсон, Шлезингер (High pressure hydrogenating coal at 800°C. Hiteshue R. W., Anderson R. B., Schlesinger M. D.), Industr. and Engng Chem., 1957, 49, № 12, 2008—2010 (англ.)

Приводятся результаты опытов гидрогенизации битуминозных углей при 800° и давл. 420 ат в трубчатом реакторе диам. 40/20 мм и длиной 180 см с молибдатом аммония в качестве катализатора (1% Mo и 0,8% H_2SO_4 на сухой беззолый уголь). За 15 мин. при скорости H_2 70 л/час на 1 г угля степень конверсии угля составила 90,3%. При этом получено 11,4% (от веса сухого беззольного угля) жидких продуктов и 69,3% углеводородного газа, состоящего в основном из CH_4 . Анализ жидких продуктов с помощью масс-спектрографа показал наличие в них бензола и его гомологов (C_7 — C_{10}), нафталина, тетралина и метил-индола. Н. Лапидес

33791. Продукты гидрирования бурых углей. II. Выделение и идентификация первичных и вторичных оснований с помощью 4,4'-дихлордифенилди-сульфимид. Рунге, Пфайффер (Inhaltsstoffe der hydrierten Braunkohle, II. Isolierung und Identifizierung primärer und sekundärer Basen mit Hilfe von 4,4'-Dichlor-diphenyl-disulfimid. Runge Franz, Pfeiffer Fritz), Chem. Ber., 1957, 90, № 9, 1757—1760 (нем.)

Выделенные из масла жидкофазной гидрогенизации бурых углей основания разогнаны на 1°-ные фракции. Во фракциях до 177° найдены только вторичные амины. Смесь их переведена в нитрозоамины, последние восстановлены $Sn + HCl$ (к-та) и амины разделены фракционированным осаждением с 4,4'-дихлордифенилди-сульфимидом (I) и идентифицированы в виде солей с I. Первичные и вторичные амины из фракций >177° выделены ацетангидридом и после омыления разделены осаждением с I. Идентифицированы в масле следующие основания: пиперидин, α - и β -пиперидины, анилин, 1,2,4-, 1,3,2-, 1,3,4-, 1,3,5-, 1,2,3- и 1,4,2-ксилидины; o -, m - и p -толуидины; α - и β -нафталины и 1,2,3,4-тетрагидрохинолин. Приготовление I: р-р 10,7 г NH_4Cl в 280 мл H_2O смешивают с р-ром 93 г 4-хлорбензолсульфохлорида в 80 мл ацетона, охлаждают до 0—3° и по каплям приливают 30%-ный р-р NaOH до pH 8. Поднимают т-ру до комнатной, добавляют NaOH до щел. р-ции, отгоняют ацетон, отсаживают Na-дисульфимид и перекристаллизовывают из

воды. Выход 70,2 г; т. пл. 298°. Действием HCl (к-ты) выделяют I. Сообщение I см. РЖХим, 1956, 7670.

33792. Коксование остаточных продуктов гидрогенизации угля. Сюч (Hazai szenek kíméletes hidrogénezési termékeinek kokszosítása. Szűcs Miklós), Magyar tud. akad. Kém. tud. oszt. közl., 1956, 8, № 1, 77—89 (венг.)

Гидрогенизации подвергались венгерские угли различных месторождений в смеси с сырым крезолон в соотношении 1:2; процесс проводился во вращающемся автоклаве при т-рах 350—400° и давл. H_2 40—100 ата. Остаток после гидрогенизации отделялся от смолы и подвергался коксованию при 700°. Выход кокса тем больше, чем мягче были условия, в которых осуществлялась гидрогенизация, и чем ниже было парц. давление H_2 . Вместо сырого крезола можно применять также смолу коксования. А. Хаусманн

33793. Очистка водяного газа триэтанолламином. Лопатин К. И., Аскинази З. М., Блинер Л. Г., Петров Е. М., Лосева Т. К., Севастьянов И. Ф., Маслоб.-жир. пром-сть, 1956, № 4, 12—13

Описаны результаты применения триэтанолламина (I) для очистки водяного газа от H_2S и CO_2 . Оптимальное соотношение между высотой и диаметром scrubбера — 5, оптимальные условия при заполнении scrubбера керамич. кольцами Рашига размером 25 × 25 мм: конц-я рабочего р-ра 1 моль I на 1 л; т-ра 40—50°; расход р-ра 5,5—6,5 л/м³. Регенерация р-ра производится при 150°. О. Сладкова

33794. Упрощенные расчеты процесса сжигания австрийских углей. Швакхёфер (Vereinfachte Verbrennungsrechnung für österreichische Kohlen. Schwachhöfer Wilhelm), Maschinenbau und Warmwirtschaft, 1956, 11, № 3, 73—79 (нем.)

Обычные ф-лы для расчета кол-ва воздуха для сжигания угля не применимы к австрийским углям вследствие значительного колебания содержания в них золы (5—30%) и влаги (4—50%). На основе обработки эксперим. данных по сжиганию образцов углей предложены ур-ния для расчета низшей теплотворной способности, миним. кол-ва воздуха и кол-ва продуктов сгорания. Приведен пример расчета и дано номограмма. Г. Стельмах

33795. Сжигание буроугольной пыли в промышленных топках. Нейман (Braunkohlenstaub als Brennstaub für die Industrie. Neumann W., Bergbautechnik, 1955, 5, № 6, 282—290 (нем.)

33796. Влияние минеральных веществ на результаты анализа угля. Мелецкий (Wpływ substancji mineralnej na przeliczanie analizy węgla. Mielecki Tadeusz), Gospod. węglem, 1955, 4, № 4, 73—78 (польск.)

33797. Установление расхождений между результатами анализа при исследовании теплотворности именных углей. Франк (Bestimmung des Meßspieles bei Heizwert — Untersuchungen von Steinkohle. Frank B.), Brennstoff — Wärme — Kraft, 1955, 7, № 7, 289—293 (нем.)

33798. Дифференциально-термический анализ сжигающихся углей. Гласс (Differential thermal analysis of coking coals. Glass H. D.), Fuel, 1955, 34, № 3, 253—268 (англ.)

33799. Определение нафталина в городском газе пикратным методом I. Диссоциация пикрата нафталина. II. Поправка на индекс. III. Дополнительные замечания. Мотт, Моулсон (The determination of naphthalene in town gas by the picrate method. I. The dissociation of naphthalene picrate. II. The index correction. III. Miscellaneous observations. Mott

R. A. Moulson I.), J. Appl. Chem., 1957, 7, № 10, 546—562 (англ.)

Специальными опытами установлено, что «проскок» нафталина (I) при определении его пикратным методом обусловлен диссоциацией пикрата. Для поправки на потерю I предложена эмпирич. ф-ла. Рекомендовано для снижения диссоциации пикрата применять 0,02 н. р-р пикриновой к-ты. Найдено, что конц-я I в газе сильно изменяется по времени и от т-ры окружающей среды. Для внесения поправки на индекс разработан метод определения последнего р-ром JCl в лед. CH_3COOH с выдержкой 20 мин. на свету. Дано сравнение различных методов определения I.

Н. Лапидес

33800. Прибор для экспрессного определения влажности торфа. Ершов В. Н., Торф. пром-сть, 1957, № 6, 22—24

Сконструирован прибор-влажномер для быстрого определения влажности торфа, основанный на применении термоэлектрич. метода и состоящий из датчика, стрелочного гальванометра со шкалой, градуированной в значениях влажности, и аккумулятора. Влажомер может быть использован для измерения влажности проб торфа и для определения ее непосредственно в штабеле или в залежи. Точность определения абсолютной влажности торфа $\sim 1,5\%$.

В. Загребельная

33801 Д. Сжигание бедных газов. Аветисянц Л. Б., Автореф. дисс. канд. техн. н., Моск. ин-т хим. машиностр., М., 1957

33802 С. Методы анализа и испытаний угля и кокса. Часть I. Общая влага угля (Methods for the analysis and testing of coal and coke. Part I. Total moisture of coal). Англ. стандарт, B. S. 1016, part I, 1957 (англ.)

33803 С. Определение механической прочности кокса микром-методом (барабанная проба). (Stanovení pevnosti koksu zkouškou micum). Чехосл. стандарт 441327, 1957 (чешск.).

33804 П. Способ обезвоживания находящейся в жидкой смеси с твердым материалом. Ридель (Verfahren zum Entwässern ruhender Feststoff-Flüssigkeitgemische. Riedel Erich) [Hein, Lehmann & Co. A.-G. Eisenkonstruktionen, Brücken- und Signalbau]. Пат. ФРГ 958281, 14.02.57

Способ обезвоживания твердого материала (особенно угольной мелочи) в спец. башнях с предварительной и последующей ступенями обезвоживания, в которых вода отводится в первую очередь переток через верхний край и через отвод вниз и далее во второй ступени удаляются остатки жидкости, отличающийся тем, что в этой последней вода удаляется также испарением путем пропуска через башню осушающих газов, напр. воздуха в подогретом состоянии. Приводятся схемы аппаратуры.

Н. Гаврилов

33805 П. Способ углеподготовки для коксования (Process of treating coal) [Coal Industry (Patents), Ltd]. Англ. пат. 731944, 15.06.55

Для приготовления угольных смесей с улучшенной коксующей способностью рядовой уголь, антрацит или уголь, подвергнутый частичному окислению или удалению летучих, смешивают с коксующимся углем в таком соотношении, чтобы показатель спекаемости смеси по английскому стандарту находился между 5 и 6. Пример. Паровичный уголь с показателем спекаемости 13 размалывают и нагревают на воздухе 20 мин. при 370° , затем составляют смесь с добавкой 40% необработанного угля и 7% пека. Смесь брикетируют и подвергают коксованию.

М. Пасманик

33806 П. Сухая перегонка топлив для получения высококалорийного газа (Distillation des produits carbonés pour obtenir du gaz à haut pouvoir calorifique) [Soc. de Technique Industrielle]. Франц. пат. 1123010, 17.09.56

В верхнюю часть вертикальной камеры для сухой перегонки вводят топливо, предпочтительно сухое и подогретое, с размером частиц 0—1 или 0—2 мм, при одновременном вводе сюда же перегретого до т-ры $1000\text{—}1300^\circ$ газа сухой перегонки или водяного пара или их смеси, прошедших предварительно регенератор (РГ) или рекуператор (РК). Процесс карбонизации частиц топлива протекает за 1—2 сек.; полученные полужоки и смесь газов отводятся из нижней части камеры. Применение РГ или РК позволяет получить газ с теплотворностью $4500\text{—}5000$ ккал/м³. Для регулирования или повышения т-ры флюидированного топлива в верхнюю часть камеры можно вводить небольшое кол-во горячих дымовых газов, но с таким расчетом, чтобы теплотворность вырабатываемого газа оставалась достаточно высокой. Предлагаемый способ нагрева газа может быть применен также в иных системах камер для сухой перегонки в псевдоожиженном состоянии, в частности в камерах с подачей горючего газа в нижнюю их часть в кол-ве, достаточном для поддержания твердых частиц топлива в состоянии суспензии в газовой среде.

Н. Гаврилов

33807 П. Способ повышения выхода газа при сухой перегонке топлив. Лейте, Мертенс, Мейер (Verfahren zur Erhöhung der Gasausbeute bei der Entgasung von Brennstoffen. Leithe Fritz, Mertens Carl, Meyer Wilhelm) [Dr. C. Otto & Comp. G. m. b. H.]. Пат. ФРГ 966005, 4.07.57

Содержащие водяной пар горячие газы сухой перегонки топлива с применением кокса в качестве теплоносителя пропускают до их охлаждения через расположенную отдельно реакционную камеру (РК), где они встречаются с опускающимся противотоком к газам мелкозернистым коксом. Газы могут затем проходить через подогреватель и возвращаться в РК, куда можно подавать тяжелые масла. Полученный в результате крекинга масла газ, после выделения из него ценных углеводородов, добавляется к газу, поступающему в РК. Для подогрева газов можно использовать физич. тепло кокса, выходящего из печей.

Н. Гаврилов

33808 П. Способ переработки конденсата, выделенного из газов сухой перегонки. Гёбель, Шмитт (Verfahren zur Verwertung des bei der Kühlung von Destillationsgasen anfallenden Kondensats. Goebel Max, Schmitt Hubert) [Dr. C. Otto und Comp. G. m. b. H.]. Пат. ФРГ 953999, 13.12.56

Конденсат из газов сухой перегонки угля предложено подавать в испарительную установку, из которой испарившаяся составная часть поступает в зону горения камеры сухой перегонки или газогенератора, а неиспарившаяся часть полностью или частично применяется для обогрева испарительной установки, представляющей собой котел, работающий на отработанном тепле, или паровой котел с прямым обогревом.

Н. Гаврилов

33809 П. Способ устранения отложений кокса при термической перегонке. Шоссиг (Verfahren zur Vermeidung der Koksabscheidungen bei der spalten-De Distillation. Schossig Walter). Пат. ГДР 12265, 18.10.56

При перегонке смолы, в особенности буроугольной или буроугольных масел в трубчатых печах, предложено для устранения коксообразования удалять из паро-газового потока, прошедшего оросительную аппаратуру, склонные к вторичным р-циям конденсации тяжелые углеводороды, заставляя их конденса-

роваться в специально устанавливаемом отделителе перед входом потока в колонку. Дана схема. Н. Гаврилов
33810 П. Способ производства кокса для промышленности искусственных формованных углей (электроудов). Эхтерхофф, Хейнце (Verfahren zur Herstellung von Koksen für die Kunstkohlenindustrie. Echterhoff Heinrich, Heinze Gerald) [Bergwerksverband zur Verwertung von Schutzrechten der Kohlentechnik G. m. b. H.]. Пат. ФРГ 958278, 14.02.57

Свежеприготовленная масса, полученная смешением сажистого шлама (СПШ), содержащего 20—75% воды, с твердыми углеводородами в качестве связующих в-в, нагревается до 900—1400°. Перед добавкой связующего СПШ может быть обработан в смесителе маслами, а также предварительно обезвожен в центрифугах. По желанию к СПШ добавляется в определенном кол-ве малозольный уголь (содержащий <1% золы), природный графит, электрографит, ретортный графит, антрацит, особого качества кокс. Коксование свежеприготовленной массы может производиться в обычных камерных коксовых печах. Пример: 60 ч. СПШ с 30—40% воды смешивают с 40 ч. пека с точкой размягчения по Кремер—Сарнов $\sim 140^\circ$, размоленного до зерен <1 мм; время перемешивания при применении противоточной мешалки Эйриха 15 мин. Свежеприготовленная масса нагревается 24 часа при 1000° в камере коксовой печи. Получается твердый, блестящий, неостраившийся сажистый кокс. Н. Гаврилов

33811 П. Способ обезцвечивания альдегидами дистиллятов смоляных оснований. Кемп (Process of decolorizing tar base distillates with aldehyde. Kemp Woodrow E.) [Koppers Co., Inc.]. Пат. США 2744857, 8.05.56

Способ обезцвечивания и очистки одноядерных низкокипящих оснований смолы, имеющих пиридиновое ядро, с т. кип. $\sim 115^\circ$, обработкой приблизительно стехиометрич. кол-вом альдегида, имеющего <12 атомов С (муравьиный, уксусный, пропионовый, бензойный или толуиловый). Альдегид образует с примесями высококипящие продукты р-ции, которые отделяются от оснований при последующей дистилляции. Перед дистилляцией к смеси добавляется некоторое кол-во бензола, достаточное для образования азеотропной смеси бензола с водой. Пример. Смесь оснований смолы коксования угля, содержащая пиридин, пикколиин; смесь пирролов, лутидины, анилина и коллидины в кол-ве 2212 вес. ч. смешивается с 3 вес. % (от исходной смеси) 40%-ного формальдегида и 350 ч. бензола и подвергается дистилляции при атмосферном давлении на колонне с 24 теоретич. тарелками при т-ре наверху колонны, достаточной для отгонки азеотропной смеси бензол-вода; после чего проводится дистилляция оснований при рефлюксном отношении 10:1. В. Кельцев

33812 П. Очистка газовых смесей от углекислого газа и сероводорода (Decarbonation and desulphurizing gaseous mixtures) [Vetrocoke Soc. Per Azioni]. Англ. пат. 278738, 27.04.55

Очистку газа от CO_2 , H_2S производят р-рами неорганич. щел. соединений, напр. карбонатов Na или K, под давлением и при 60—85°. Р-ры регенерируют при атмосферном давлении путем контакта с отработанными парами или горячими газами, предварительно нагретыми и увлажненными горячими жидкостями. Е. Покровская

33813 П. Способ очистки газа от смолы. Фукс, Венце (Verfahren zur Reinigung teerhaltiger Gase. Fuchs Walter, Wenzel Werner) [C. Otto & Co.-G. m. b. H., KO—WE Niederschachtofen G. m. b. H.]. Пат. ФРГ 939828, 1.03.56

Газ, содержащий смолу в виде пара или тумана, с т-рой 600—700° пропускают над неметаллич. многокомпонентным катализатором, напр. смесью кокса и монтмориллонита, на котором происходит расщепление смолы в перманентные газы. Смолы, оставшаяся неразложившейся, удаляется из газа охлаждением и промывкой или превращается в низкокипящие жидкие углеводороды пропусканием над высокоактивным металлич. катализатором. Оба вида катализаторов могут применяться в псевдооживленном состоянии. Н. Гаврилов

33814 П. Газоочистная установка (Installation d'épuration de gaz) [Gottfried Bishoff G. m. b. H.]. Франц. пат. 1120024, 28.06.56

Установка для извлечения S из коксовых газов, в которой каждая очистная башня представляет собой конструкцию из корзин (расположенных одна над другой в форме башни, предпочтительно цилиндрической), заполненных, газоочистной массой и поддерживаемых центральным перфорированным трубопроводом, служащим для подвода и распределения газа; указанная конструкция покрыта колоколом, при подъеме которого можно обновлять очистную массу. Поступивший через центральный трубопровод газ после прохода через корзины с очистной массой возвращается по пространству между колонной корзины и боковой стенкой колокола в сеть. Для подъема колокола служит мостовой кран. Н. Гаврилов

33815 П. Прибор для определения точки размягчения твердого каменноугольного пека. Зяя (Przyrząd do oznaczania punktu mięknięcia paku twardego. Ziaja Jan) [Zakłady Koksochemiczne «Zabotne»]. Польш. пат. 38272, 1.12.55

Прибор состоит из металлич. шкафа с асбестовой теплоизоляцией, под которым находится газовая горелка, в верхнюю крышку шкафа вставлен термометр со шкалой до 200°. На глубину погружения термометра по обе его стороны помещаются 2 открытые с обеих сторон стеклянные трубки длиной 100 мм, diam. $6 \pm 0,2$ мм. Трубки заполняются образцом твердого пека, к которому добавляется по 5 г ртути. При нагревании шкафа со скоростью 1 град/мин пек размягчается и ртуть из стеклянных трубок выливается в стоящую под ними фарфоровую чашечку. Наблюдения ведутся через 2 застекленных окошка, имеющих в двух параллельных стенках. Т-ра, при которой ртуть падает в чашечку, считается точкой размягчения пека. У. Аядрес

См. также: Материалы майского Пленума ЦК КПС 31307, 31308. Происхождение углей 32090, 32091. Переработка углей 32007, 32747. Сточные воды углепереработки 32939, 32943, 32944. Техника безопасности на коксохим. з-дах 33003—33005. Анализ газов 32148

ПЕРЕРАБОТКА ПРИРОДНЫХ ГАЗОВ И НЕФТИ. МОТОРНОЕ И РАКЕТНОЕ ТОПЛИВО. СМАЗКИ

Редакторы И. М. Руденская, М. О. Хайкин

33816. Состояние нефтяной промышленности в различных странах. Като, Heat Engng, Нацу-кари с-рё, 1957, № 1, 4—9 (японск.)

Обзор.

33817. Развитие нефтепереработки в Канаде. Унбер (Canadian refining has growing plans. Weber George), Oil and Gas J., 1957, 55, № 3, 135—138, 141 (англ.)

Краткий обзор состояния и перспектив роста нефтепереработки (в основном, по выпуску топлив) в Канаде. С увеличением объема нефтепереработки к концу 1958 г. намечается выпуск высокосортного автобензина

с октановым числом 100 (по исследовательскому методу). Ю. Коган

33818. Исследование твердых углеводородов масляных фракций сураханской обыкновенной нефти. Мирджавадова М. М. Элими эсэрлер. Азерб. ун-в. Уч. зап. Азерб. ун-т, 1957, № 7, 29—34 (рез. азерб.).

Описаны результаты выделения посредством карбамида и исследования твердых парафиновых углеводородов масляных фракций сураханской нефти.

Р. Ошер
33819. Нефтеперерабатывающий завод в Йорктуане (США). Мерк (Process integration and flexibility feature Amoco's Yorktown plant. Mirk Douglas A.), World Petrol., 1957, 28, № 8, 64—69 (англ.).

Описание з-да, перерабатывающего 5570 м³/сутки нефти по топливному варианту; получаемые продукты: бензин различных сортов, керосин, печное топливо, ожиженный нефтяной газ, кокс и проч. Комплекс установок включает каталитич. крекинг в псевдоожиженном слое (ортофлю), гидроочистку, реформинг (ультраформинг), каталитич. полимеризацию и др. В комбинированной установке отдельные секции могут отключаться без остановки работы остальных секций. Описано направление основных потоков, водо- и энергоснабжение.

Ю. Коган
33820. Общая программа производства химических продуктов в Японии на базе нефтяного сырья. Токухиса (Tokuhisa Hiroshi), Юки госэй кагаку кёкайси, J. Soc. Organ. Synth. Chem., Japan, 1956, 14, № 8, 488—494 (японск.).

33821. Роль нефтехимии в экономике Франции. Эшар (La pétrochimie dans l'économie française de demain. E. Chard J.), Bull. Assoc. franç. techniciens pétrole, 1957, № 123, 199—215 (франц.).

Рассматривается уд. вес продуктов нефтехимич. синтеза в общем объеме произв. органич. продуктов, вырабатывающихся химич. пром-стью, капиталовложения в нефтехимич. пром-сть, необходимость расширения поисковых работ по нефти и природному газу и т. д.

М. Пасманик
33822. Седиментация в эмульсиях типа «вода в нефти». Типман, Ходжсон (Sedimentation in emulsions of water in petroleum. Tipman Edward, Hodgson Gordon W.), J. Petrol. Technol., 1956, 8, № 9, 91—93 (англ.).

Проводились измерения скорости падения стальных шаров различного диаметра при т-рах 20—80° в 5 образцах безводн. нефтепродуктов, из которых три были загрязнены механ. примесями, и в приготовленных из них эмульсиях с различным содержанием воды. Как в опытах с нефтепродуктами, так и в опытах с эмульсиями показано, что для систем с числом Рейнольдса < 1 наблюдается совпадение измеренной скорости падения шаров с вычисленной по закону Стокса; необходимая для расчета величина вязкости определялась на стандартном капиллярном вискозиметре. Выведена зависимость вязкости эмульсии типа «вода в нефти» от вязкости безводн. нефтепродукта. Для очищ. минер. масел ф-ла имеет вид: $n = n_0(1 + C + 14C^2 + 8C^3)$, для сырой загрязненной нефти $n = n_0(1 + C + 14C^2 + 26C^3)$, где n — вязкость эмульсии, n_0 — вязкость безводн. нефтепродукта, C — объемная конц-ия дисперсной фазы. Библ. 7 назв.

Е. Соколова
33823. Константы равновесия метана и углеводородов различных групп в бинарных системах. Савина Я. Д., Великовский А. С., Газ. пром-сть, 1957, № 2, 26—30

Определены константы равновесия (КР) в бинарных системах метан-бензол, метан-толуол, метан-циклогексан, метан-2,2,3-триметилбутан при т-рах 40—150° и

давлении от 20 ат до критич. Показано, что КР углеводородов с одинаковой упругостью паров в смеси с СН₄ зависят от их строения, напр., при 200 ат и 40° КР для 2,2,3-триметилбутана равна 0,156, циклогексана — 0,065 и бензола — 0,024. Полученные КР позволят более точно производить расчеты сепарации, абсорбции, компрессии и других процессов переработки газов.

Н. Кельцев
33824. Исследование однократного испарения тюленовской нефти. Панков, Абрашев (Исследования вверху однократного испарения на тюленовской нефти. Панков Г., Абрашев Г.), Техника промышленности, 1957, 6, № 7, 29—31 (болг.).

На установке и по методике, принятым в СССР, проведены лабор. опыты по однократному испарению тюленовской нефти. Даны результаты 15 разгонок при различных т-рах и остаточных давл. 6—10 мм рт. ст., а также определений фаз-хим. характеристик полученных дистиллятов. Показано, что при 470° может быть получено до 75% дистиллята, пригодного для выработки топлив и смазочных масел. Полученные данные могут служить основой для разработки технологич. схем и проектирования нефтеперерабатывающего з-да.

К. З.
33825. Современное состояние промышленных процессов каталитической полимеризации легких углеводородов. Часть I.— (Recent progress in refinery catalytic polymerization of light hydrocarbons. Part I.—), Oil in Canada, 1956, 8, № 33, 20, 22, 24 (англ.).

Краткий обзор процессов каталитич. полимеризации олефинов С₃—С₄ для получения компонентов моторных топлив и проч.

Е. Соколова
33826. Исследование активности, стабильности и структурных изменений магнийсиликатных катализаторов в зависимости от условий синтеза и состава в реакции крекинга. Данилова Н. А., Химия инст. эсэрлери. АзербССР Элимлер Акад., Тр. Ин-та химии. АН АзербССР, 1957, 16, 5—26 (рез. азерб.).

Изучены свойства магнийсиликатных катализаторов (МСК) в зависимости от условий синтеза и состава при р-ции крекинга тяжелых нефтяных дистиллятов и газойлей балаханской нефти. Выход бензина при крекинге тяжелой фракции достигал 20—41 вес.%, а дизельного топлива (ДТ) 34—35 вес.%. Введение Al в состав МСК повышает его ароматизирующую способность. Получен МСК, позволяющий при незначительном выходе бензина получить 46,5 вес.% малоароматизированного ДТ и представляющий интерес для переработки тяжелого дистиллятного сырья с целью получения автобензина и ДТ.

Ю. Коган
33827. Конструкция бензиновой установки в районах с резкими колебаниями температуры. Тейлор (How weather affects design of a natural-gasoline plant. Taylor J. B.), Oil and Gas J., 1955, 54, № 4, 76—78 (англ.).

Приводится описание абсорбционной бензиновой установки в Тиога (вблизи канадской границы), местности с резкими температурными колебаниями в течение года от —30 до —40° зимой и 38, 43° летом.

Н. Кельцев
33828. Опыт «обратной продувки» для сокращения цикла работы установки. Калли (Try 'back slumping' for faster turnarounds. Cully T. R.), Petrol. Process., 1956, 11, № 11, 149—150 (англ.).

На нефтеперерабатывающем з-де в Монреале применяется новый способ опорожнения катализатора из аппаратуры и трубопроводов каталитич. крекинга в псевдоожиженном слое, который сокращает время выгрузки, требует меньшей рабочей силы и снижает потери катализатора.

С. Розеноер
33829. Обработка тифена и тифана смесью уксусной кислоты и перекиси водорода. Окиа, Кам-

бара, Kori какаку дзасси, J. Chem. Soc. Japan. Industr. Chem. Sec., 1956, 59, № 5, 547—549 (японск.)
Было найдено, что тиофен и тиофан, содержащиеся в нефтяных фракциях, легко окисляются при обработке этих фракций смесью перекиси водорода и лед. уксусной к-ты. Приводятся подробная характеристика образующихся продуктов р-ции. См. также РЖХим, 1957, 9316. В. Каратаев

33830. Предотвращение осадкообразования в тяжелых топливах с помощью присадок. Карле (Evidence that additives solve fuel oil sludge problems. Carls William H.), Plant, 1956, 14, № 6, 64—66 (англ.)

Показана целесообразность применения присадок к тяжелым топливам, особенно остаточным, для предотвращения осадкообразования; приведены электронные микрофотографии, полученные при исследовании топлив различной стабильности без присадок и с присадками. Кратко описаны методики оценки эффективности противокислительного и диспергирующего действия присадок к тяжелым топливам, а также их способности удалять образовавшиеся осадки. А. Вишер

33831. Каталитическая газификация тяжелых топлив. Гаскюэль (Gazéification catalytique des fuels lourds. N 2. Gascuel L.), Pact, 1957, 11, № 2, 140—142 (франц.)
См. РЖХим, 1957, 52226. Г. Марголина

33832. Коксование остатков тюленовской нефти для получения беззольного кокса и дистиллята. Герасимов, Каншев, Стоянова (Коксуване на остатъци от тюленовския нефт за получаване на безпепелен кокс и коксов дистилат. Герасимов М., Каншев Кр., Стоянова М.), Минно дело, 1957, 12, № 4, 72—77 (болг.)

Проводились лабор. опыты коксования гудрона тюленовской нефти в стальной реторте с электрообогревом, при 450—550°. Показано, что при т-ре 500° получается 18 вес. % кокса, по содержанию S и зольности отвечающего требованиям, предъявляемым к электродному коксу, полученный дистиллят при разгонке дал (в вес. % на гудрон): бензина (до 200°) 15,5, керосиновой фракции (200—350°) 36,0 и котельного топлива (выше 350°) 19,0. Сделан вывод, что гудрон тюленовской нефти является ценным сырьем для произ-ва беззольного кокса и жидких топлив. К. З.

33833. Первая установка для сжигания пылевидного кокса. Котен (First plant designed to burn fluid coke. Cauthen W. C.), Electr. World, 1957, 147, № 1, 60—62 (англ.)

Получаемый на нефтеперегонном з-де кокс с размером частиц 66% < 200 меш, зольностью 0,5% и теплотой сгорания 7800 ккал/кг при помощи пневмотранспорта подается в бункера ТЭЦ емкостью по 1000 т при каждом из 3 котлов, вырабатывающих пар с давл. 90 ат и т-рой 450°. Кокс осушается в пылевидном состоянии после размола в мельницах; к.п.д. котлоагрегата 86%; расход тепла 2540 ккал/квт-ч.

В. Мокршанский
33834. Использование измельченного нефтяного кокса для полного сжигания на нефтеперерабатывающем заводе. Брендлер (Pulverized coke fires clean in first refinery use. Brendler Joe), Oil and Gas J., 1957, 55, № 44, 142—143 (англ.)

В котельной одного из американских нефтезаводов сжигается 160 т/сутки нефтяного кокса, измельчаемого до прохождения 77 и 95% через сита, соответственно, 325 и 50 меш. Способность кокса к измельчению определяется индексом 70 по Хардгроу и является промежуточной между аналогичными показателями для каменных углей (95—100) и антрацитов (22—60). Форсушки переоборудованы как для совместного, так и для

раздельного сжигания кокса, нефти или газа. Для обеспечения хорошего горения кокса расходуется 40—45% вспомогательного топлива (нефть, газ); т-ра в топках доходит до 1300°, причем достигается полное сгорание без дыма. А. Шахов

33835. Сжигание в котельных установках. Казати (Combustion en calderas. Casati Jorge), Tecnica e industria, 1956, 34, № 505, 1796—1797 (исп.)

Рассматриваются вопросы максим. повышения к.п.д. при применении жидких легких или тяжелых топлив в котельных установках. Обсуждается влияние на к.п.д. образования коксоотложений на трубах, коэф. избытка воздуха и излучения пламени. Приводится диаграмма потерь тепла в зависимости от т-ры отходящих газов и содержания в них CO₂.

Ю. Ветошкин

33836. Исследование растворимости в ацетоне отдельных групп углеводородов масляных фракций. Суешина О. Г., Чернотуков Н. И., Химия и технол. топлива и масел, 1957, № 10, 14—21

Исследовалась растворимость в ацетоне (А) дистиллята автола 10 из смеси бакинских нефтей (БН) и концентрата сураханской парафинистой отборной нефти (СН) при т-ре от -70° до критич. для БН при отношениях БН:А = 1:6 и СН:А = 1:4. При т-ре, близкой к т-ре кипения А, опыты велись в автоклаве. Выделенные фракции разделялись на части нафтено-парафиновую (НП) ароматич., десорбируемую на октаном и бензолом, и смолы. Были построены кривые, выражающие кол-во групп углеводородов, осаждаемых А. НП могли быть выделены полностью, остальные группы на 50—60%. Часть ароматич. углеводородов и смол удерживалась А при очень низких т-рах. При т-ре, близкой к критич. для А, происходит выделение смол и полициклич. нафтеновых и ароматич. углеводородов. Исследование растворимости нафтенов и ароматич. углеводородов, выделенных из БН и СН в А и метилэтилкетоне (МЭК) и различных смесях их с толуолом (Т) показало, что для сохранения в масле нафтенов и ароматич. углеводородов смеси А и Т не имеет существенного преимущества перед чистым МЭК. Опыты депарафинизации автолового дистиллята туймазинской нефти смесями МЭК-бензол-Т и А-бензол-Т с исследованием состава выделенного гача показали превосходство первой смеси (т-ра плавления гача на 11° выше, содержание ароматич. углеводородов в гаче на 5,4% ниже). Е. Покровский

33837. Очистка среднего масла жидкофазной гидрогенизацией нефтяных остатков. Гофман (Chemische Reinigung von Sumpfpfasemittelöl aus der Hydrierung von Erdölrückständen. Hofmann Paul), Erdöl und Kohle, 1956, 10, № 4, 222—225 (нем.)

Изучена эффективность очистки среднего масла пелочами, к-тами и отбеливающими землями. Дан перечень идентифицированных фенолов и оснований.

Е. Покровский

33838. Получение белых вазелинов и церезинов с помощью гидроочистки. Ланда, Мостецкий (O přípravě bílých vaselin a cerosinů rafinační hydrogencí. Landa Stanislav, Mostecký Jiří), Chem. průmysl, 1957, 7, № 8, 393—397 (чешск.; русск., англ., нем., франц.)

Проведены лабор. опыты по очистке вазелинов и церезинов методом гидрогирования. Сырьем служили церезины, петролатум и низковязкие парафинистые дистилляты; опыты вели в автоклаве и проточном аппарате при т-рах 300—360° и давл. 30—100 ат, в присутствии 10—20% (от веса сырья) катализатора Wb. Показано, что высококачеств. продукты могут быть получены однократным гидрогированием при строго установленной т-ре процесса, имеющей значительный

большее значение, чем давление. Даются технологич. показатели процесса. Библ. 60 назв. К. З. 33839. Радиоактивный прибор для определения поверхности раздела. Рисен (Audio signal announces interface arrival. Resen F. Lawrence), Oil and Gas J., 1955, 54, № 27, 104—105 (англ.)

Для установления уровня раздела при последовательной перекачке изобутана и газового бензина использован радиоактивный прибор, работающий на принципе измерения плотности потока. Источник излучения и чувствительный элемент закреплены снаружи трубопровода при помощи зажима. В чувствительном элементе находятся два разделенных газовой прослойкой и отличающихся по электронной характеристике проводника. При ионизации газовой прослойки возникает ток, сила которого пропорциональна степени ионизации и, таким образом, интенсивности облучения. Импульс, получаемый от элемента после преобразования и усиления, поступает на регистрирующий прибор и к звуковому сигналу. Приведена принципиальная схема включения чувствительного элемента, а также краткое описание трех методов калибровки прибора. Первый основан на заполнении трубопровода жидкостями постепенно возрастающей плотности, второй — на использовании эталонов и третий — на лабор. измерениях плотности протекающих потоков.

Т. Мухина

33840. Сбор и обработка поступающего из скважин природного газа. Диллон (Gathering and processing natural gas. Dillon J. M.), Engng J., 1957, 40, № 9, 1265—1269, 1272 (англ.)

Природные газы до поступления к потребителю, как правило, требуют предварительной обработки для удаления примесей и извлечения ценных побочных продуктов. Газ и сопутствующие ему жидкие продукты при помощи коллекторного трубопровода подаются на центральную установку, где сначала отделяются в сепараторах жидкие компоненты, а затем для удаления S-соединений и CO₂ обрабатывают газ водн. р-ром моноэтаноламина. Содержащиеся в газе легкие углеводороды: пропан, бутан и газолин отделяются путем экстракции, либо вымораживанием: для удаления воды газ пропускают через слой силикагеля. Из кислых газов после серочистки выделяется S в качестве побочного продукта.

Л. Пашковская

33841. Жидкий метан. Технические данные. Мерсьель (Le méthane liquide. Données techniques. Mériel Yves), Energies, 1957, № 170, 1—4; № 171, 1—4 (франц.)

Использование жидкого CH₄ имеет ряд преимуществ: сокращение объема по сравнению с газом в 610 раз. Он используется вместо бензинов, имеет высокое октановое число (125), его цена близка к цене бензина, но расход меньше (9,9 л вместо 15,7 л). Для сжижения применяют процесс Линде, при котором расходуется 0,24 м³ газа для сжижения 1 м³. По процессу Клода расход энергии больше (0,30—0,34 м³ на 1 м³), но капиталовложения ниже (1750 франков на 1 м³ в сутки вместо 3500—3700 франков). Стоимость сжижения CH₄ может быть различна. В СССР и США CH₄ по газопроводам поступает с места добычи в район использования и проблемы транспорта его не существует, но для хранения вблизи от места потребления предпочтительны подземные резервуары с жидким CH₄, так как в этом случае занимаемый им объем гораздо меньше. Расход энергии для превращения жидкости в газ составляет 0,06 кВт·ч на 1 м³. Перевозку жидкого CH₄ предполагается осуществлять в танкерах типа нефтеналивных, но стоимость их будет в 2—3 раза выше, т. к. уд. в. CH₄ примерно в 2 раза меньше уд. веса нефти. Необходимо также соблюдать ряд условий во избежание перехода CH₄ в газообраз-

ное состояние. Необходимо отметить, что ввиду малой стоимости CH₄ каждый отдельный случай его применения надо рассматривать особо.

М. Пасманик

33842. Использование шахтного метана. Левин А. М., Гречуха Г. М., Газ. пром-сть, 1957, № 8, 31—34

Обзор работ по дегазации угольных пластов и использованию шахтного метана, добыча которого в странах Западной Европы в 1954 г. составила 400 млн. м³, в паровых котлах, на коксохим. и металлургич. заводах, в качестве моторного топлива, для газоснабжения городов и поселков. Библ. 9 назв. Г. Марголина 33843. Сжижение природного метана. Барбер, Хаселден (The liquefaction of naturally occurring methane. Barber N. R., Haselden G. G.), Trans. Instn Chem. Engrs, 1957, 35, № 2, 77—86 (англ.)

Приведены схемы установок различных конструкций для сжижения природного газа и CH₄, содержащегося в дренажных рудничных газах. Рассматриваются режим работы и потребление энергии для разных циклов сжижения, а также вопросы, связанные с очисткой газов. Проведено сравнение эксплуатационных расходов для разного типа установок и даны рекомендации по выбору установки для сжижения.

Л. Пашковская

33844. Одоризация газа в системе нефтепромыслового управления Сахалиннефть. Мальцев А. В., Газ. пром-сть, 1957, № 8, 21

Краткое сообщение о конструкции сооруженных нефтепромысловым управлением Сахалиннефть одоризационных установок капельного типа и показателях их работы.

Г. Марголина

33845. О конверсии метана при повышенном давлении. Кацобашвили Я. Р., Брун-Цеховой А. Р., Химия и технол. топлива и масел, 1957, № 11, 53—58

Применение давления при конверсии CH₄ с водяным паром, являющегося промышленным способом получения H₂ и синтез-газа, снижает расходы на компрессию H₂ и дает возможность глубже использовать тепло продуктов конверсии. Приведен расчет равновесного состава газа конверсии CH₄ с водяным паром, в интервале t-р 527—827° под давл. до 30 ат и соотношениям пар:газ от 2:1 до 8:1. Показана целесообразность конверсии CH₄ под давлением для снижения эксплуатационных затрат. Библ. 7 назв. Ю. Коган

33846. Крупные промышленные установки для производства ацетилена по кислородному способу. Бартоломе (Probleme großtechnischer Anlagen zur Erzeugung von Acetylen nach dem Sauerstoff-Verfahren. Bartholomé E.), Dechema Monogr., 1955, 24, № 283—292, 39—57 (нем.)

См. РЖХим, 1957, 78037.

33847. Детонация и детонационная стойкость топлив для двигателей внутреннего сгорания. Рифкин, Уолкэйт (New knock ideas aid engine-fuel studies. Rifkin E. B., Walcutt C., SAE Journal, 1957, 65, № 7, 30—35 (англ.)

Высказываются соображения о детонации в двигателях, имеющие целью рациональное обоснование взаимосвязи между требованиями двигателя и качеством топлива. Основные положения базируются на анализе периода задержки воспламенения (ПЗВ) топливо-воздушных смесей и максимумов t-ры и давления в двигателе. «Мягко» работающий двигатель сильно повышает детонационную оценку топлива, так как его конструкция обеспечивает высокие t-ру и давление отходящего газа. Детонация зависит от ПЗВ, характеризующегося «химич.» октановым числом (ОЧ) топлива, и от температурных градиентов отходящего газа, зависящих от конструкции «механич.» ОЧ двигателя. Чувствительность топлива к детонации мо-

жет варьировать в широком интервале ОЧ, в зависимости от метода оценки; экспериментально изучена чувствительность к детонации топливно-воздушных смесей и ее зависимость от т-ры, давления и конструкции двигателя. Тетраэтилсвинец проявляет свойства антидетонатора, разлагаясь до т-ры самовоспламенения топлива; скорость его распада зависит только от т-ры, а ПЗВ от т-ры и давления. А. Некрасов

33848. Детонационная стойкость топлив и требования двигателей к этому параметру. Керли, Терстон (The knocking behavior of fuels and engines. Kerley R. V., Thurston K. W.), Petrol. Engr., 1956, 28, № 6, C40—C41 (англ.)

Приводятся номограммы, устанавливающие зависимость между результатами определения детонационной стойкости топлив моторным и исследовательским методами и данными оценки детонационной стойкости соответствующих топлив на автосиловом двигателе в дорожных условиях. Показано влияние числа оборотов и опережения зажигания на требования двигателя к детонационной стойкости топлив. Указывается на возможность использования номограмм также для установления влияния других элементов конструкции двигателя и режима работы на требования его к детонационной характеристике топлив. А. Вишпер

33849. Самовоспламенение топлив в бомбе постоянного объема. Эллиот, Херн, Тримбл (Autoignition of fuels in a constant-volume bomb. Elliott M. A., Hurn R. W., Trimble H. M.), Proc. Amer. Petrol. Inst., 1955, Sec. 3, 35, 361—373 (англ.)

В бомбе постоянного объема (300 мл) определялись миним. т-ры воспламенения и задержки зажигания (ЗЖ) индивидуальных углеводородов и дизельных топлив с воздухом в интервале т-р 260—274° при давл. 17,5—45,5 кг/см². ЗЖ определялась как время между началом быстрого впрыска горючего и началом подъема давления в бомбе. Влияние соотношения между горючим и окислителем на ЗЖ неодинаково при разных т-рах опыта. При низких т-рах, если это соотношение превышает стехиометрическое, ЗЖ уменьшаются, при высоких т-рах увеличиваются. При т-рах выше 427° с повышением давления ЗЖ уменьшаются. Для ряда горючих при т-рах, близких к миним. т-рам самовоспламенения, с увеличением давления ЗЖ увеличиваются. При некоторых определенных т-рах зависимость ЗЖ от давления отсутствует. Т-ра, отвечающая нулевой зависимости от давления, зависит от структуры молекулы горючего и соотношения между горючим и окислителем. Как правило, с увеличением т-ры ЗЖ уменьшаются. Величина температурной зависимости ЗЖ неодинакова для различных углеводородных структур. ЗЖ углеводородов с разветвленными цепями, по-видимому, менее чувствительны к изменениям т-ры, чем ЗЖ парафинов и нафенов. При увеличении длины цепи парафинов, олефинов и алкилнафенов, при введении в нафеновый углеводород метильной группы и при насыщении олефиновой связи ЗЖ уменьшаются. При увеличении разветвленности цепи ЗЖ возрастают. У изоктана и циклогексана сравнительная легкость воспламенения меняется с т-рой. Влияние структуры молекулы на ЗЖ может существенно изменяться при изменении условий опыта. У триптана и изоктана в узких температурных пределах наблюдается увеличение ЗЖ, при поднятии т-ры. За некоторыми исключениями миним. т-ры самовоспламенения различных горючих могут быть расположены в ряд, который можно составить на основании данных по ЗЖ. Сопоставление ЗЖ, измеренных в бомбе с цетановыми числами (ЦЧ) тех же топлив, показало, что для топлив, в состав которых входят углеводороды различной структуры, ЗЖ не всегда однозначно совпадают с ЦЧ. Так, сопоставляя ЗЖ раз-

ных горючих, измеренные при 593°, с ЦЧ этих же горючих можно видеть, что при увеличении ЦЧ ЗЖ уменьшаются. Сопоставление с ЦЧ ЗЖ, измеренных при 315°, показало, что для некоторых дизельных топлив при увеличении ЦЧ увеличивается ЗЖ. Предсказание на основании ЦЧ характеристик самовоспламенения топлив может быть ошибочно в тех случаях, когда условия определения т-ры самовоспламенения заметно отличаются от условий определения ЦЧ в двигателе. Проведенное в бомбе исследование скорости тепловыделения за период времени, предшествующий самовоспламенению, показало, что характер этого тепловыделения весьма неодинаков у разных горючих и, кроме того, зависит от начальной т-ры бомбы. Л. Пашковский

33850. Обеспечение бездетонационного сгорания топлива в двигателе путем изменения его конструкции. Инок, Чандлер (Anti-knock rating is improved mechanically. Enoch O., Chandler J. M.), Petrol. Engr., 1956, 28, № 5, C-40, C-43—C-44, C-47 (англ.)

Рассматривается возможность снижения требований к детонационной стойкости топлива путем изменения конструкции двигателя и условий его работы (установки более позднего зажигания, обогащения топливно-воздушной смеси), а также использования получаемого эффекта для повышения мощности двигателя за счет соответствующего увеличения степени сжатия. А. Вишпер

33851. Испарение топлива и задержка воспламенения при сгорании в дизеле. Эль-Вакил, Майерс, Уехара (Fuel vaporization and ignition lag in diesel combustion. El Wakil M. M., Myers P. S., Uyehara O. A.), SAE Trans., 1956, 64, 712—726. Discuss. 726—729 (англ.)

Анализ явлений, имеющих место в двигателе Дизеля (Д) за время периода задержки воспламенения (ПЗВ). Показано, что условия испарения распыленного топлива граничат с условиями испарения отдельной капли и условиями адиабатич. насыщения между периферией и центром впрыска. Приведены расчетные и эксперим. данные для ряда индивидуальных углеводородов, объясняющие механизм испарения и образования горючей смеси для отдельной, не связанной с другими каплями и ряда влияющих друг на друга капель. Рассматриваются условия, связанные с замедлением полета отдельной капли, теплопередачей от воздуха к капле и уменьшением массы капли при испарении. Рассматриваются факторы, влияющие на величину т-ры точки росы и на физ. ПЗВ для отдельной капли, т. е. на время, необходимое для образования вокруг капли стехиометрич. смеси паров горючего с воздухом, нагретой до т-ры самовоспламенения. Указывается, что при испарении взаимовлияющих друг на друга капель устанавливается термодинамич. равновесие или иначе условия адиабатич. насыщения (АН). Показано влияние давления, начальной т-ры воздуха и горючего и степени летучести топлива на т-ру АН. Сопоставляются расчетные и эксперим. данные для бомбы и Д. Приведены данные, показывающие длительность физ. и хим. ПЗВ. Основные выводы: 1. Условия АН очень быстро достигаются в ядре впрыска. При увеличении расстояния от центра впрыска состав топливно-воздушной смеси становится беднее, а т-ра смеси соответственно более высокой и АН достигается медленнее. 2. Для горючих, имеющих разную вязкость и летучесть, скорость достижения условий АН на разных расстояниях от ядра впрыска неодинакова. 3. В условиях АН нелетучие горючие по сравнению с летучими имеют разные или лучшие условия для образования смеси, обладающей нужным для самовоспламенения и быстрого сгорания соотношением т-ры и состава смеси. 4. Поглощение

тепла летучими горючими по сравнению с нелетучими идет не так быстро, как можно предвидеть по разнице в их летучести. 5. Физ. ПЗВ является существенной частью общего ПЗВ; он может быть таким же или большим, чем хим. ПЗВ. 6. Продолжительность вырыска имеет существенное значение для работы Д. 7. Хотя для разных горючих имеются некоторые различия в отношении теплоприхода и характера расхода струи, основная разница между горючими с разными цетановыми характеристиками заключается в неодинаковом характере выделения хим. энергии на ранних стадиях р-ции. 8. Для одного и того же топлива хим. и физ. ПЗВ и работающем Д меньше, чем в бомбе, даже в том случае, когда рабочая т-ра бомбы выше, чем в Д. В дискуссии рассматривается влияние присадок, явления крекинга и др. Л. Пашковская 33852. О ракетных топливах. Хикита (Hikita Tsutomu), Юки гоэй какаку кёкайси, J. Soc. Organ. Synth. Chem. Japan, 1955, 13, № 7, 329—332 (японск.)

33853. Применение боранов в ракетных топливах. Эделштейн (The revolution in rocket fuels. Edelstein Harold M.), Mag. Wall Str. and Business Analyst, 1957, 100, № 6, 350—352, 372—374 (англ.) Рассматриваются возможность применения боранов и преимущества их перед углеводородными топливами. Бораны легче углеводородов, сгорают с гораздо большей скоростью и замерзают при более низких т-рах. При использовании их в качестве добавок к топливу JP-4 можно увеличить тягу ВРД на 40%. Теплоотворность боранов на 50% выше теплоотворности топлива JP-4. При разработке новых высокоэффективных топлив для ЖРД возникает проблема создания не только горючего с высокой теплоотворностью, но и соответствующего окислителя; перспективными являются окислители, содержащие F и Cl. Сообщается, что произ-во боранов организовано на опытных установках, и называются фирмы, занимающиеся работами по боранам. И. Рожков

33854. Влияние соединений бора на процесс сгорания. Хьюз, Фей, Сабо, Тьюпа (Effect of boron compounds on combustion processes. Hughes E. C., Fay P. C., Szabo L. S., Tupa R. C.), Industr. and Engng Chem., 1956, 48, № 10, 1858—1862 (англ.)

Показано, что добавление к бензину 0,004% летучего, растворимого в бензине соединения бора (СВ) на 25—50% предотвращает преждевременное воспламенение рабочей смеси в двигателе. На основании анализа газов, отобранных перед воспламенением рабочей смеси, высказано предположение, что указанный эффект связан с уменьшением кол-ва соединений с карбонильной группой, образующихся в предпламенный период. СВ способствует уменьшению образования отложений на выпускных клапанах и головке поршня на 20—40%. Показано также, что добавка СВ к бензину приводит к повышению т-ры, при которой отложения вызывают преждевременное воспламенение. Содержание С в составе отложений на головке цилиндра при работе двигателя на бензине, содержащем и не содержащем СВ, остается одинаковым. А. Вишпер

33855. Наблюдения о нарушениях нормальной реакции в зарядах твердого ракетного топлива. Грин (Observations on the irregular reaction of solid propellant charges. Green Leon, Jr), Jet Propuls., 1956, 26, № 8, 655—659; Amer. Rocket Soc. (Preprints), 1955, № 260, 18 pp. (англ.)

Понимание термина «нестабильное горение», касающегося нарушений нормальной р-ции в ракетных двигателях, работающих на твердом топливе, различно у конструкторов реактивных двигателей и исследователей-теоретиков. Подтверждается, что ВЧ-колебания

давления определенной амплитуды могут иметь место во внутренних полостях заряда во время внешне «стабильной» работы двигателя. Автор предлагает механизм процесса, качественно объясняющий, как колебания газовой фазы могут вызвать повышенные скорости разложения твердой фазы. Скорость горения топлива согласно уравнению Аррениуса является функцией т-ры поверхности с учетом времени задержки р-ции. Нелинейное увеличение средней скорости горения может быть вызвано рядом причин. 1. Граничный слой, контролирующий скорость теплообмена между горячим потоком и более твердой поверхностью, может на мгновение утончиться при увеличении параллельной скорости, сопутствующей прохождению поперечной волны. 2. Если мгновенная скорость локальной теплопередачи сразу увеличивается, т-ра поверхности на мгновение t возрастает, а это вызывает последующее увеличение скорости разложения топлива в последующий момент $t + \tau$. 3. Увеличенный поток газа от отступающей поверхности увеличивает пограничный слой, снижает скорость теплопередачи, способствуя эндотермич. фазовому обмену, охлаждающему поверхность, и таким образом опять стимулирует увеличение потока тепла в последующий момент. Таким образом, если период параллельной скорости (или теплопередачи) и время задержки р-ции разложения правильно связаны между собой, периодич. изменения т-ры поверхности могут поддерживаться за счет локальных «избытков» тепла, передающегося поверхности, при прохождении (на данном участке) максим. амплитуды скорости, вызывающей местный «избыток» выделяющегося газа, сгорающего в течение следующей максим. амплитуды давления. Хотя средняя т-ра поверхности не обязательно меняется, нелинейная природа зависимости аррениусовской скорости может вызвать увеличение средней скорости горения. Движение акустич. волны поддерживается р-цией горения в газовой фазе независимо от р-ции разложения твердой фазы. Только в том случае, когда время задержки р-ции в твердой фазе и частота акустич. колебаний должным образом совпадают, могут создаться «резонансные» условия и получается увеличение средней скорости горения.

Л. Пашковская

33856. К вопросу определения структурно-группового состава масел. Сидляронок Ф. Г., Жердева Л. Г., Потанина В. А., Химия и технол. топлива и масел, 1957, № 12, 22—31

Сопоставлены результаты и дан критич. анализ определения структурно-группового состава, рассчитанного наиболее распространенными методами, для масел и фракций полициклич. ароматич. соединений, выделенных при адсорбционном разделении экстрактов, полученных при селективной очистке остаточного сырья. В качестве эталонного метода для сравнения был принят метод каталитич. гидрирования по Флюгтеру — Ватерману и Ван-Вестену. Показано, что при расчете структурно-группового состава моторных масел наряду с последним методом с одинаковым успехом могут быть использованы прямой метод Ван-Неса и Ван-Вестена, метод Флюгтера и Ватермана без гидрирования и метод $n-d-M$. Метод Динсли и Карлтона дает более близкое к результатам, полученным по эталонному методу содержание ароматич. колец, чем другие методы. Р. Ошер

33857. Зависимость физико-химических и эксплуатационных свойств смазочных масел от углеводородного состава и приемистость их к присадкам. Кулиев А. М., Кулиев Р. Ш., Алиев М. И. В сб.: Хим. состав и эксплуатацион. свойства смазочных масел, М., Гостоптехиздат, 1957, 24—46

Исследован углеводородный состав узких масляных

фракций и товарных масел из бакинских нефтей и показано, что физ.-хим. и эксплуатационные свойства масел зависят от их углеводородного и структурного состава. Нафтенно-парафиновые углеводороды (НПУ), выделенные из различных нефтей, близки по свойствам; они имеют низкую стабильность против окисления, но хорошие вязкостно-температурные свойства. Ароматич. углеводороды (АУ) масляных фракций нефтей различны по природе и оказывают на качество смазочных масел большее влияние, чем НПУ. Смоли и АУ парализуют действие депрессатора АзНИИ и присадки азини-циатим-1, а также антиокислителей. НПУ имеют хорошую приемистость к депрессаторам и антиокислительным присадкам.

Г. Марголина
33858. Назначение, преимущества и свойства универсальных моторных масел. Грофф (Utilité, caractéristiques et désignation des huiles moteurs dites «multigrade», Groff Jean), J. Soc. ingrs automob., 1956, 29, № 2, 57—66, № 5, 206—208 (франц.)

Рассматриваются принципы классификации универсальных (всесезонных) масел (УМ) типа SAE 10 w/30 и др. Приводится характеристика вязкостных присадок паратон, акрилойд 150, акрилойд 710 и сантодекс, применяемых для загущения основы УМ, причем отмечается, что в процессе эксплуатации свойства УМ изменяются в результате деструкции вязкостной присадки; это может привести к снижению эффективности содержащейся в масле моющей присадки. В дискуссии обсуждаются вопросы применения УМ: влияние разжижения УМ топливом на работу двигателя, возможность оценки степени старения УМ и проч. Библ. 34 назв.

А. Виппер
33859. Влияние содержания кислорода в атмосфере на смазку шарикоподшипников, работающих при высокой температуре. Немет, Андерсон (Effect of oxygen concentration in atmosphere on oil lubrication of high-temperature ball bearings. Nemeth Z. N., Anderson W. J.), Lubricat. Engng, 1956, 12, № 5, 327—330 (англ.)

Приведены результаты исследования работы шарикоподшипников (d 20 мм) на турбинном масле в условиях т-р 290—455° при 2500 об/мин. Опыты проводились в атмосфере с различным содержанием кислорода (0—21%), причем подача масла к подшипникам изменялась в пределах 0,09—0,45 г/мин. Установлена возможность обеспечения работы подшипников при т-рах до 455°, если подача масла превышает критич. величину, равную кол-ву масла, расходуемого в результате испарения, термич. разложения и окисления.

А. Виппер
33860. Некоторые вопросы смазки авиационных газовых турбин. Дейвид, Хьюз, Рис (Some lubrication problems of aviation gas turbines. David V. W., Hughes J. R., Reece D.), J. Inst. Petrol., 1956, 42, № 395, 330—335. Discuss., 335—336 (англ.)

Рассматриваются требования к маслам для авиационных газовых турбин. Показано, что при увеличении скорости вращения вала газотурбинного двигателя прочность пленки, образуемой синтетич. маслами, а также синтетич. и минер. маслами с противозадирными присадками, снижается. Прокачиваемость синтетич. и минер. масел при низких т-рах и сопротивление проворачиванию вала в период запуска определяются главным образом вязкостью указанных масел. Поэтому, несмотря на сравнительно высокую т-ру застывания минер. масел, можно применять их даже при т-рах порядка —30°, а при более низких т-рах (—50°) следует пользоваться синтетич. маслами.

А. Виппер
33861. Циркуляционные масла. Мак-Кьюэн, Кларк, Уитман, Страусс, Кайт (Circulating oils. McKewen J. S., Clark M. S., Weet-

man B., Strauss K., Kite W. H.), South Pulp and Paper Manufacturer, 1956, 19, № 10, 55—56, 58—60, 62 (англ.)

Рассматриваются условия работы масел, применяемых в циркуляционных системах смазки: турбинных, автомобильных, промышленных масел и др.; сформулированы требования к этим маслам. Перечислены типы применяемых присадок и кратко описан механизм их действия.

А. Виппер
33862. Присадки к нефтепродуктам. Часть II. Рэдлеску (Aditivii pentru produsele petrolifere (II). Rădulescu G. A.), Petrol și gaze, 1955, 6, № 3, 384—388 (рум.; рез. русск.)

Часть I см. РЖХим, 1957, 31955.

33863. Применение диверсифицированного молибдена в металлообрабатывающей промышленности. Джост (Applications of molybdenum disulphide in the iron and steel industry. Jost H. P.), Iron and Coal Trades Rev., 1956, 173, № 4615, 1063—1075 (англ.)

Приводятся данные о произ-ве MoS_2 (I), его свойствах, структуре и применении в качестве смазочного материала. Указывается, что эффективность I зависит от его чистоты, степени помола и способа употребления. Для получения оптимального эффекта необходимо применять 99,3%-ный или еще более чистый I с частицами размером $\leq 150 \mu$. Описываются различные способы нанесения I на трущиеся поверхности.

А. Виппер
33864. Применение коллоидного графита в качестве смазочного материала. Новотный (Die Kolloid-graphit-Schmierung. Novotny K.), Fertigungstechnik, 1957, 7, № 1, 28—30 (нем.)

Указывается на целесообразность использования колл. графита в качестве смазочного материала не только в период приработки трущихся деталей различных машин, но и при эксплуатации этих машин для повышения надежности работы. Обсуждается возможность применения колл. графита для смазки высокооборотных механизмов. Показано, что добавка 0,2—2% графита к маслу приводит к уменьшению трения на 20—30% и позволяет уменьшить подачу масла к трущимся деталям на 50%.

А. Виппер
33865. Влияние ядерной реакции на смазочные материалы. Кинг, Райс (The effects of nuclear radiation on lubricants. King J. A., Rice W. L.), Lubricat. Engng, 1957, 13, № 5, 279—283 (англ.)

Изучалось влияние гамма-излучения при т-ре окружающего воздуха на стандартные смазочные материалы различных типов: консистентные смазки, машинные масла и гидравлич. жидкости на основе нефтяных и синтетич. продуктов. Интенсивность облучения составляла 1×10^6 рентген, доза радиации $\sim 1 \times 10^8$ рентген. Установлено, что облучение оказывает влияние на структуру и стойкость к окислению консистентных смазок и изменяет вязкость и окислительно-коррозионные характеристики машинных масел и гидравлич. жидкостей, напр., жидкость на основе хлорфенилсилокона затвердела после облучения. Стойкость к радиации не является характерной для какого-либо определенного класса смазок — в каждом классе встречались устойчивые и неустойчивые представители. Полученные данные являются ориентировочными.

Л. Пашковский
33866. Точность показаний самопишущего газометра калориметра Кутлер — Хаммера при работе с газами высокой теплотворной способности. Эйсмэн, Поттер (Accuracy of the Cutler — Hammer recording calorimeter when used with gases of high heating value. Eisman John H., Potter Edwin A.), Res. Nat. Bur. Standards, 1957, 58, № 4, 213—215 (англ.)

Определялась точность данных, получаемых на самопишущем газовом калориметре Кутлер — Хаммера при определении теплотворной способности высококалорийных газов. Показано, что при тщательном соблюдении соответствующих условий работы и калибровки точность показаний калориметра составляет 0,25%.

Л. Пашковская

33867. Новый хроматографический экспресс-метод определения битуминозных веществ в УФ-свете. Кийдя (O nouă metodă cromatografică rapidă pentru analiza substantelor bituminoase în lumii ultraviolete. Cîndea C.), Rev. minelor, 1957, 8, № 9, 416—418 (рум.; рез. русск., англ., франц., нем.)

Описан метод быстрого определения битуминозных в-в в гудронах, горных породах и проч., даже при незначительном их содержании.

А. Нагаткина

33868. Определение содержания непредельных углеводородов в сыром бензоле и бензольных фракциях. Файнгольд С. Г., Заводск. лаборатория, 1957, 23, № 12, 1425—1426

Определение содержания непредельных углеводородов в сыром бензоле или в смеси фракций с преобладающим содержанием бензола производится путем обработки 92—92,5% H_2SO_4 с последующей отгонкой бензола. Разработанный метод прост, дает хорошую воспроизводимость результатов, согласующихся с результатами, получаемыми по методу с полухлористой серой; продолжительность анализа 50—60 мин.

А. Нагаткина

33869. Определение железа в отработанном смазочном масле. Мандрыка Н. В., Калущкая Н. П., Заводск. лаборатория, 1957, 23, № 12, 1430

Разработана методика быстрого и точного определения Fe в отработанном масле, состоящая в экстрагировании Fe из бензинового р-ра масла разб. HCl (1:1). Приводятся описание методики и получаемые результаты.

А. Нагаткина

33870. Поведение бедных маслом парафинов и масел при термическом капиллярном анализе. Лауэр (Das Verhalten ölärmer Paraffine und Öle bei der Thermischen Kapillaranalyse. Lauer F. J.), Fette, Seifen, Anstrichmittel, 1957, 59, № 3, 140—142 (нем.; рез. англ. франц., исп.)

Исследовалось влияние жидких продуктов в твердом парафине, а также природа последнего на часовую высоту подъема (ВП) при термич. капиллярном анализе. При разбавлении парафина, содержащего менее 1% масла, бензином ВП постепенно возрастает и при 70% содержании бензина достигает 16,08 см (для парафина 13,45 см). При дальнейшем разбавлении бензином ВП снижается, до 5,48 см для бензина. По мнению автора, наличие максимума в ВП свидетельствует о крекинге парафина в условиях анализа. При добавлении 5% парафинового масла, петр. эфира, вазелина ВП парафина изменяется незначительно. При увеличении т-ры с 80 до 110° ВП повышается. На значение ВП существенное влияние оказывает молекулярная структура парафина. Сопоставление значений ВП с т-рой затвердевания (ТЗ), вязкостью (ν), произведением ТЗ на ν парафинов, а также с содержанием в них масла (до 1%) показало, что ВП парафина обратно пропорционально произведению ТЗ на ν . Содержание масла до 1,0% на ВП парафина не оказывает влияния. Приведенные данные по значениям ВП для различных растительных и минер. масел в атмосфере воздуха и CO_2 позволяют судить о термич. стабильности их молекул, что дает возможность быстро определять степень старения техник. масел на практике.

Б. А. Энглин

33871. Основы методики определения влияния смазочных материалов на заедание поршней в двухтактных двигателях. Дайсон (Mise au point d'une méthode d'essai permettant de déterminer l'influence des

lubrifiants sur le grippage des pistons dans les moteurs 2 temps à essence. Dyon A.), Rev. Inst. franç. pétrole, 1956, 11, № 11, 1489—1495 (франц.; рез. англ., исп.)

Разработана методика, позволяющая оценить влияние качества масла на заедание поршня в цилиндре двухтактного двигателя. Для лучшей воспроизводимости результатов испытаний рекомендуется прекращать опыт до того, как наступит заедание поршня и судить о результате испытания по т-ре, при которой снижение числа оборотов коленчатого вала (в результате повышенного трения поршня о стенки цилиндра) достигает определенной величины. Показано, что эта т-ра, как правило, всего на 5—10° ниже т-ры, при которой наступает заедание поршня.

А. Вишпер

33872. Основы метода эксплуатационной оценки смазочных материалов для сверхвысоких давлений, предназначенных для гипонидных передач. Тьерри, Дюко, Сусленский (Contribution à une méthode d'essai de lubrifiants extrême — pression à l'aide de ponts hypoides français. Thierry J., Ducos R., Sulsenschi F.), Rev. Inst. franç. pétrole, 1956, 11, № 6, 849—859 (франц.)

Изложены результаты исследований, имевших целью разработку методики оценки противозносных свойств смазочных масел, в эксплуатационных условиях. Установлено, что измерение т-ры масла при испытании, используемой в качестве критерия оценки противозносных свойств, позволяет более легко дифференцировать различные по качеству масла, чем оценка состояния поверхности трущихся деталей гипонидной передачи после испытания.

А. Вишпер

33873. Доклад о работе в области изоляционных масел постоянного подкомитета технического комитета № 10 международной электротехнической комиссии. — (Rapport sur les travaux du sous-comité permanent du comité d'études № 10: huiles isolantes. Publ. Internat. Electrotechn. Commiss., 1955, № 74, 13 p., ill.) (франц., англ.)

Доклад посвящен разработке единой методики оценки стабильности изоляционных масел. Приведены краткие данные о полученных результатах, а также описание прибора для определения стабильности и принятой подкомитетом методики. Сущность последней заключается в том, что 25 г масла, через которое пропускается кислород со скоростью 1 л в час в течение 164 час., выдерживается при 100° в присутствии катализатора (медная проволока), после чего определяется кислотное число масла и содержание в нем осадка. Методика предназначается для оценки качества свежих масел без присадок.

А. Вишпер

33874 К. Приборы для измерения количества жидких нефтепродуктов и техника их проверки. Павловский А. Н. М. Стандартгиз, 1957, 148 стр., илл., 6 р.

33875 К. Сокращение потерь нефтепродуктов с промышленными сточными водами нефтеперерабатывающих заводов. Дадашев Х. К., Григорян Э. В., Агамирова С. И. Баку, Азнефтеиздат, 1957, 138 стр., илл., 3 р. 10 коп.

33876 К. Технология и механизация производства нефтебитумов. Гусейнов Д. А., Фарамазов С. А., Баку, Азнефтеиздат, 1957, 186 стр., илл. 7 р. 40 к.

33877 Д. Извлечение углеводородов C_2 и C_3 из промышленных и природных газов методом непрерывной адсорбции. Георгиев Ц. О. Автореф. дисс. канд. техн. н., Моск. хим.-технол. ин-т им. Д. И. Менделеева, М., 1957

33878 С. Нефтепродукты. Технические условия на топлива для двигателей, работающих по циклу Отто,

бензин для технических целей и осветительный керосин (Mineralöle. Qualitätsrichtlinien für flüssige Treibstoffe für Ottomotoren, für Benzin für technische Zwecke und für Leuchtpetrol). Швейц. стандарт 81161, 1956 (нем., франц.)

33879 С. Бензины — растворители (Technické benziny). Чехосл. стандарт 656540, 1956 (чешск.)

33880 С. Масло машинное D-14 (Motorový olej D 14). Чехосл. стандарт 656648, 1957 (чешск.)

33881 С. Нефть и нефтепродукты. Определение цвета по Сейболту очищенных нефтепродуктов (Pétroles et dérivés. Détermination de la couleur saybolt des produits pétroliers raffinés. Франц. стандарт M 07—003, 1956 (франц.)

33882 С. Испытание жидких топлив. Определение бромного числа (Prüfung flüssiger Brennstoffe. Bestimmung der Bromzahl). Стандарт ФРГ 51774, 1957 (нем.)

33883 С. Определение фактических смол в моторных топливах (Gommes actuelles). Бельг. стандарт 52074, 1956 (франц., флам.)

33884 С. Масла смазочные. Потенциометрический метод определения кислотного числа (Císlu kyselosti potenciometricky). Чехосл. стандарт 656233, 1956 (чешск.)

33885. П. Нефтяной резервуар с остоем для воды. Хенигман (Oil tank water drainer. Henigman Frank). Канадск. пат. 514748, 19.07.55

Комбинация резервуара для хранения жидкости с уд. в. <1 с установкой для остоя воды состоит: из отстойника (О), имеющего верхнюю стенку, расположенную ниже уровня дна хранилища; первого трубопровода (Т₁), нижний конец которого соединен с О значительно выше дна О и ниже верха его, и верхний конец, связанный с хранилищем, примыкающий к его дну; второго трубопровода (Т₂) со смотровым стеклом, один конец которого соединен с верхом О, и противоположный конец, открывающийся в хранилище над верхним концом Т₁; спускового трубопровода (СТ), имеющего конец для выпуска, расположенный внутри О, и отверстие, примыкающее ко дну О и значительно ниже уровня нижнего конца Т₁; отстойник закрыт и открывается лишь для упомянутых трубопроводов; СТ выходит из О и самая верхняя часть его смежна с уровнем дна хранилища; имеется устройство для выключения тока жидкости через СТ; вода, содержащаяся в хранилище, спускается под собственной тяжестью через Т₁ и заполняет нижнюю часть О, остальная часть которого заполняется другой жидкостью из хранилища; эта жидкость затем вытесняется из О в хранилище через Т₂ по мере заполнения О водой; регулирующее приспособление открывается для вывода воды из О.

Г. Ф. Марголина

33886 П. Приспособление для электростатического обезвоживания и обессоливания нефтей. Граве (Verfahren und Vorrichtung zur elektrostatischen Entwässerung und Entsalzung von Erdölen. Grave Georg) [Metallgesellschaft A.-G.]. Пат. ФРГ 947414, 16.08.56

Предложен способ электростатич. обезвоживания и обессоливания нефтей в электростатич. поле высокого напряжения с помощью противоположных электродов локально вводимой вниз водно-нефтяной смеси. Отделяемые, поступающие вниз массы воды непосредственно тормозятся, при этом образующийся над тормозным слоем эмульсионный слой сам по себе может разделиться и затем отводиться. Удаляемые сверху массы очищ. масла также непосредственно тормозятся и при этом отфильтровываются. Приспособление для электростатич. обезвоживания по данному способу состоит в том, что в нижней части пространства для электростатич. обработки ниже ввода эмульсии распределен

тормозной слой (ТС). Другой слой (предпочтительно из мелкодробленого гравия) размещен над электростатич. полем. Сверху ТС устанавливаются желоба или воронки с отводами для удаления эмульсионного слоя. Приведены схема и подробное описание дегидрататора. Б. Энглин

33887 П. Устройство для непрерывной дистилляции тяжелых, высоковязких жидкостей. Курланд, Гроскинский, Ютнер (Vorrichtung zur kontinuierlichen Destillation schwerer hochviskoser Flüssigkeiten. Curland Erich, Grosskinsky Otto, Jüttner Bernhard [Bergwerksverband zur Verwertung von Schutzrechten der Kohlentechnik G. m. b. H.]. Пат. ФРГ 950397, 11.10.56

Устройство для непрерывной дистилляции высоковязких жидкостей в колонне, состоящей из двух труб, концентрически вставленных друг в друга, в которых жидкость под вакуумом может дистиллироваться от внутренней поверхности внешней трубы к внешней поверхности внутренней трубы. На поверхности дистилляции имеются винтообразные канавки, выполненные в виде многоходовых нарезок и представляющие замкнутые параллельные круги, соединенные между собою противоположными, вертикальными разрезами. Между охлаждающей трубой и поверхностью дистилляции устанавливаются конич. или аналогичные вставки. Поверхности, снабженные канавками, в виде заменяемых труб вставлены в кожух. Расстояние между охлаждающей трубой и поверхностью дистилляции составляет максимум 60 мм. Труба для удаления остатка снабжена обогревом. Эта аппаратура пригодна для дистилляции нормальных остаточных масел, а также для продуктов, содержащих большой высокомолекулярный остаток (~45% с мол. в. 1750). Пример: совершенно черный смолистый продукт, имеющий вязкость 200 Э при 30° и т. пл. 16° дает при 450° и давл. 1 мм рт. ст. 83% дистиллята и 13% остатка. Приведены схема и описание устройства. Б. Энглин

33888. П. Реформинг бензинов. Морель, Гроссе (Verfahren zur Umformung von Benzenen. Morell Jacques Carus, Grosse Aristid von) [Universal Oil Product Co.]. Пат. ФРГ 936885, 22.12.55

Предлагается способ реформинга бензинов или бензиновых фракций, содержащих парафины и нафтены в паровой фазе при 500—600° и атмосферном или несколько повышенном давлении с катализаторами, которые состоят из огнеупорных носителей, в частности Al₂O₃, и окисей металлов 6 группы, в частности Cr₂O₃, отличающийся тем, что применяется прокаленный гранулированный и формованный катализатор, состоящий из указанного носителя с 10 вес. % окислов элементов левой части 6 группы периодической системы. При получении катализатора последние мокрым способом наносятся на огнеупорный носитель (Al₂O₃ или MgO), предварительно активированный и предпочтительно полученный из гидратов окисей или карбонатов Al и Mg осаждением и последующим прокаливанием в присутствии газов. Пары бензина подвергаются воздействию катализаторов менее 20 лет. Б. Энглин

33889 П. Процесс переработки углеводородов и катализатор для этого процесса. Хензель, Зиглар (Hydrocarbon conversion process and catalyst therefor. Haensel Vladimir, Ziglar John W.) [Universal oil products Co.]. Пат. США 2759897, 21.08.56

Патент предусматривает условия переработки углеводородов, в частности каталитический реформинг бензина, в присутствии Pt-катализатора, получаемого: а) путем смешения р-ра соединения Pt (I) с Al₂O₃ (II); б) путем смешения NH₄OH и I с прокаленным II и р-ром, содержащим галонд (III); в) путем смешения III и II. Состав прокаливает при 540—760° и затем смешивают с I; г) путем смешения II с I и NH₄OH.

д) путем осаждения II из $AlCl_3$ отмычки Cl^- до содержания его менее 0,1% и добавления III. Во всех случаях I добавляют в таком кол-ве, чтобы готовый катализатор содержал 0,01—10 вес. % Pt, а при добавлении III 0,1—8 вес. % галогенида от веса II (в пересчете на сухое в-во) (для F 0,1—3%, для Cl 0,2—5%). Подготовленный состав прокалывают при 370—590° в увлажненном воздухе (0,01578 кг H_2O на 1 кг сухого воздуха).

М. Пасманик

33890 П. Способ конверсии углеводородов. Анхорн, Стюарт, Морроу (Hydrocarbon conversion process. Anhorn Victor J., Stewart Meredith M., Morrow Wallace E.) [Gulf Research & Development Co.]. Пат. США 2758958, 14.08.56

Способ гидроформинга лигроина при т-ре 455—510° (425—595°), под давлением H_2 7—70 kg/cm^2 и конц-ии H_2 17,8—178 mM^3 на 100 л сырья. Катализатором служит MoO_3 на активированной Al_2O_3 . Для повышения активности катализатора его предварительно нитруют, так чтобы $\geq 25\%$ Mo находилось в виде нитрида; это осуществляется путем контактирования катализатора в течение 1—5 час. с парами нитрующего агента (напр., NH_3) при 370° (480—540°). Такая обработка катализатора обеспечивает значительное улучшение октанового числа получаемого бензина: 96,2 вместо 91,5.

М. Пасманик

33891 П. Способ регенерации катализаторов. Шульц (Verfahren zur Regenerierung von Katalysatoren. Schulze Walter Adolph) [Phillips Petroleum Co.]. Пат. ФРГ 940848, 29.03.56

Регенерация катализатора (K), применяемого при каталитич. крекинге, реформинге и обессеривании углеводородного сырья, состоит в удалении углеродистых и других горючих отложений с поверхности K. Предварительно K обрабатывается перегретым паром с т-рой 440—550° для удаления летучих углеводородных продуктов, затем через реактор пропускают смесь перегретого пара и воздуха (с содержанием $O_2 \leq 10\%$) при т-ре 440—550° до воспламенения горючих отложений, после чего прекращают подвод горячего воздуха и перегретого пара и начинают циркуляцию газов регенерации через реактор и холодильник с помощью газодувки. Необходимый для выжигания отложений на K воздух подается в поток циркулирующих газов в кол-ве, обеспечивающем поддержание конц-ии O_2 в смеси, поступающей в реактор, от 2 до 10%. Т-ра газового потока на входе в реактор поддерживается на уровне 440—500°, а в слое K 670—720°. Часть газов регенерации выводится из системы для поддержания постоянного объема и давления циркулирующих газов. По мере затухания р-ции горения охлаждение циркулирующих газов уменьшают. Для очистки K от окислов C прекращают циркуляцию и пропускают через K воздух, нагретый до 440—500°. Дополнительная очистка K производится продувкой перегретым паром с т-рой 440—550° (удаление O_2 и следов окислов C). Описаны режимы регенерации K обессеривания и реформинга, приведена схема.

Е. Соколова

33892 П. Приготовление носителей и катализаторов реформинга. Гутцейт (Catalyst supports and process for preparing the same. Gutzeit Carlos L.) [Socony Mobil Oil, Co., Inc.]. Пат. США 2735801, 21.02.56

Приготовления Si -катализатора для реформинга лигроина на носителе с мол. соотношением $SiO_2 : Al_2O_3$, равным от 10 : 90 до 30 : 70. Носитель получают совместным осаждением гидроокисей Si и Al при pH 9,5—11,5. Смесь выдерживают 4—24 часа, промывают водой, сушат и прокалывают. Пример. К 14 л воды при перемешивании добавляют последовательно 1014 мл 5,3 М р-ра $NaAlO_2$ (по отношению к $NaOH$

6,9 М), 102,5 мл р-ра Na_2SiO_3 с конц-ией по отношению к SiO_2 4,29 М и к $NaOH$ 6,44 М и 1100 мл 6 н HNO_3 , pH смеси 9,6. Осадок через 24 часа промывают водой и для удаления оснований 0,1 М р-ром $Al(NO_3)_3$, сушат при 80—85° и прокалывают 2 часа при 600°. Соотношение $SiO_2 : Al_2O_3 = 14 : 86$, уд. поверхность 274 m^2/g . Для приготовления катализатора полученный носитель с помолом ~60 меш с добавкой 10% гидрированного растительного масла формуют в таблетки и прокалывают 4 часа при 600°. Затем пропитывают ~4 М р-ром хромовой к-ты, взятой в кол-ве ~50% от объема носителя и прокалывают 2 часа при 600°. Пропитка р-ром KNO_3 (если требуется) проводится повторно. Реформинг проводят при 480—565° и давлении до 4,5 ат.

М. Павловский

33893 П. Процесс и аппарат для переработки жидких углеводородов. Уэш (Liquid hydrocarbon conversion method and apparatus. Wesh Anthony J.). [Socony Mobil Oil Co.]. Пат. США 2732331, 24.01.56

Процесс переработки жидких высококипящих углеводородов (У) в более низкокипящие контактированием У в вертикально удлиненном реакторе (Р) с компактным толстым слоем гранулированного материала (ГМ), инертного или катализатора. Горячий ГМ поступает в верх Р, образуя там сплошной слой, спускается, обходя при этом в верхней части Р свободное газовое пространство (СП), образует в нижней части Р сплошной слой (НС) и выводится снизу Р. Вокруг и сверху СП при помощи вертикальных цилиндров или конич. перегородок (ВП) устроено несколько концентрич. проходов (КП) для ГМ, нижние концы ВП повышаются по мере приближения к центру и, за исключением ВП, ближайшей к стенке Р, эти концы загнуты по направлению периферии Р, так что ГМ на выходе из КП сдвигает кокс с выступающей нижней части внешней ВП данного КП. Благодаря большей ширине периферийного КП по сравнению с другими КП и ограничению прохода ГМ через эти другие КП при помощи, напр., сужения КП на их нижних концах вследствие разной конусности соседних ВП или загиба нижних концов ВП, или установки на входах в КП перегородок с отверстиями (которые могут регулироваться), большая часть потока ГМ проходит в виде сплошной массы через периферийный КП, а под остальными КП образуется СП (напр., в виде конуса), ограниченное снизу верхом НС, через которое падает в виде дождя ГМ, прошедший внутренние КП. В СП под центральным КП установлено сопло, через которое распыляются У, преимущественно конусом распыления вниз. Под СП может быть установлена наклонная к центру перегородка, напр. конусная, с центральным отверстием, под которым могут быть установлены отдельные боковые перегородки, напр. в виде воронок, направляющие поток ГМ из верхней части Р в центральную часть НС, при этом верх НС может ограничиваться отдельными вертикальными цилиндрич. перегородками, опускающимися все ниже по мере удаления от центра и так, что угол между направлением их нижних концов и горизонтально больше угла покоя ГМ. Дополнительно к У в Р могут вводиться для конверсии и углеводородные пары, напр. в пространство между верхом СП и указанной наклонной перегородкой. Пары продуктов конверсии выводятся из Р, преимущественно снизу.

А. Равикович

33894 П. Метод непрерывного превращения углеводородов и регенерации псевдооживленного катализатора. Кит (Verfahren zur kontinuierlichen Umwandlung von Kohlenwasserstoffen und zur Regenerierung des dabei verwendeten, fluidisierten Katalysators. Keith Percival Cleveland) [Hydrocarbon Research, Inc.]. Пат. ФРГ 965796, 19.06.57

Метод непрерывного превращения углеводородов (тяжелых высокосернистых смолистых нефтяных масел) в бензин, газойль и т. п. и регенерации применяемого в процессе псевдооживленного катализатора (К) (боксит) в реакторе и регенераторе поддерживается давл. 11—55 ат (предпочтительно 18—45 ат); углистые отложения на К удаляются обработкой при 870—1370°, предпочтительно при 930—1100°, регенерирующим газом, состоящим из O_2 (степень чистоты не менее 90 об. %) и пара, взятых в мол. отношении 1:1,5—1:5, предпочтительно 1:2—1:3. Образующаяся при регенерации газовая смесь поступает в реактор и используется для превращения углеводородов при давл. H_2 от 2,4—13,6 ат, предпочтительно 5,25—10,5 ат, при т-ре 450—600°, предпочтительно 480—565°; при этом регенерированный К переносится газом из регенератора в реактор, а из него затем вновь возвращается в регенератор.

Г. Марголина

33895 П. Переработка углеводородных жидкостей при кратковременном контактировании с твердыми телами. Браун (Short-time contacting of fluids with solids in hydrocarbon conversion. Brown James W.) [Esso Research and Engineering Co.]. Пат. США 2759880, 21.08.56

Тяжелые углеводородные остатки крекируют, смешивая их с горячими частицами кокса (ЧК) размером 35—325 меш, подогревающих остатки до т-ры крекирования, и смесь (С) пропускают со скоростью 1,5—12 м/сек вертикально снизу вверх по узкому спиральному пути (СП) реактора (Р) со временем пребывания в Р образующихся газообразных продуктов (ГП) крекинга ~1 сек. За счет центробежной силы, развивающейся при проходе С через витки спиралей, ЧК отделяются от ГП и концентрируются на периферийных участках СП, а относительно разб. суспензия ЧК в ГП поднимается по осевой части СП и выводится из него со скоростью 12—13 м/сек, благодаря чему время пребывания в Р периферийно-концентрированных ЧК в 2—10 раз больше, чем ГП с разб. суспензией ЧК. Примерные т-ры в Р при крекировании на получение жидких топлив 538—649° и при хим. переработке на ароматич. или олефиновые углеводороды 649—816°. Пример. Р, длиной 15 м и диам. 1,5 м, разделен на 5 секций по 2,1 м, каждая из которых имеет 3,5 оборота спиральной перегородки. Р перерабатывает 4000 т/сутки остатка вакуумной перегонки нефти (d_{16}^{16} 0,99—1,02, кокса по Конрадсону 10—20%, начальная т. кип. ~482°), который загружается с т-рой ~371° пятью равными потоками, под каждую из секций, на распыление расходуется 2% пара. ЧК, размером 100—200 м, нагреваются до ~816° и подаются в кол-ве 7,5 т/мин под каждую из секций с 3% пара для аэрации и регулирования. Т-ра в Р ~704°, давл. ~0,7 ат. Вывод ГП с ЧК осуществлен над каждой секцией. Время пребывания ЧК в Р в 5—10 раз больше, чем для ГП. Приложены схемы разных устройств. Р. А. Равинович

33896 П. Каталитический процесс конверсии углеводородов в подвижном слое, имеющем разные температуры. Берг (Process for hydrocarbon conversion with the use of a moving bed of catalysts at different temperature levels. Berg Clyde H. O.) [Union Oil Co. of California]. Пат. США 2759879, 21.08.56

Поток сырья (С) в жидкой или паровой фазе, напр. углеводородного продукта, бензина (Б), и поток твердого гранулированного в-ва (ТВ), напр. алюмосиликатного катализатора (К), контактируют противоточно в вертикальном реакторе (Р); преимущественно ТВ поступает в Р сверху, опускается и выводится снизу, а С поступает снизу Р, поднимается и выводится сверху Р. Потоки ТВ и С, вводимые в Р, нагреваются до разных т-р (напр., К до 371—649° и Б до 149—371°, но

выше его конечной т-ры кипения, или К до 149—371° и Б до 371—649°); скорости обоих потоков регулируют так, чтобы их теплоемкости были примерно равны, причем в Р отсутствуют другие тепловые потоки и, в случае жидкого С, не допускают его испарения, благодаря чему в верхней и нижней половинах Р устанавливаются разные т-ры с резким температурным перепадом посередине. В частности, процесс пригоден для конверсии (в том числе крекинга) углеводородов и Б, содержащих N и S). Так, если т-ра вводимого Б ниже К, то К охлаждается в нижней части Р и адсорбирует здесь N-соединения, вместе с которыми он выводится снизу Р; затем К отпаривают и регенерируют выжиганием; если т-ра вводимого К ниже Б, то К в верхней части Р адсорбирует N-соединения и выносит их в нижнюю часть Р, нагретую Б до т-ры крекинга, где происходит их десорбция и частичное крекирование, после чего они возвращаются с потоком Б обратно в верхнюю часть Р, и так они циркулируют до полного крекирования с выделением NH_3 ; К в последнем случае перед регенерацией не отпаривают. Регенерированный К перед поступлением в Р можно гидратировать продувкой паром.

А. Равинович

33897 П. Способ контактирования газа и жидкости и аппаратура для этого процесса. Хартман, Уэлл (Gas-luguid contact process and apparatus. Hartmann Leonhard T., Wethly Franz) [Allie Chemical and Dye Corp.]. Пат. США 2750173, 12.06.56

Предложен способ и аппарат для контактирования газа (напр., коксового) и жидкости. Аппарат состоит из вертикальной колонны с входом газа и выходом жидкости в нижней части и с выходом газа и входом жидкости в верхней части. Колонна разделена по высоте на несколько смежных контактных камер (КК), через которые последовательно проходит газ и жидкость. Каждая КК имеет: 1) круглое отверстие для входа газа в нижней части КК; 2) решетчатую тарелку, установленную выше ввода газа и имеющую поперечные щели, которые перекрыты в центральной части тарелки так, чтобы газ не проходил через центральную часть тарелки; 3) форсуночное устройство для ввода жидкости в верхней части КК, создающее конич. струю, направленную вниз и расширяющуюся от центра к стенкам колонны; 4) отражательную конструкцию усеченно-конич. формы, имеющую открытый верхний конец ниже форсуночного устройства; 5) желоб для сбора жидкости (кроме нижней КК), расположенный ниже решетчатой тарелки и имеющий в центре трубопровод, оканчивающийся форсункой для подачи жидкости в расположенную ниже КК. Дана схема аппарата.

В. Кельце

33898 П. Превращение нафтенных в высшие ароматические углеводороды. Блу, Холм (Conversion of naphthenes to higher aromatics. Blue Richard W., Holm Vernon C. F.) [Phillips Petroleum Co.]. Пат. США 2755318, 17.07.56

Процесс переработки нафтенных (Н) в ароматич. углеводороды с большим мол. весом, чем исходные, с 5—6 атомами С в цикле и минимум 6 атомами С в молекуле. Разбавителем служат олефины с 3—6 атомами С. Смесь Н и олефинов при атмосферном давлении и т-ре 300—500° контактируют с твердым катализатором: алюмосиликатом, алюмосиликатом, активированным окисями Zr, Ti или Th. Отношение Н к олефину от 1:1 до 1:10. Весовое отношение сырья к катализатору (в час) от 0,1 до 10. При ректификации продуктов р-ции ароматич. углеводороды выделяются в надкубового остатка. 1,2,4-триметилбензол получается в упомянутого сырья на алюмосиликатном катализаторе при т-ре 350—475° и весовом отношении сырья к катализатору (в час) от 0,5 до 5. 1,2,4-триметилбензол

получается также из метилциклогексана или циклогексана с разбавителем — изобутиленом, и из метилциклопентана или метилциклогексана с разбавителем пропиленом при t -ре 350—475°.

С. Розеноер
33899 П. Процесс и установка для производства горючих газов (Procédé et installation pour la production de gaz combustibles) [Heinrich Koppers G. m. b. H.] Франц пат. 4116350, 7.05.56

Патентуется процесс получения горючего газа из смеси газообразных или жидких углеводородов, O_2 (или обогащенного им воздуха) и (иногда) H_2O , CO_2 (или их смеси), вводимой в реактор с высокой t -рой и там воспламеняющейся преимущественно за счет теплового излучения. Процесс отличается тем, что с потоком смеси углеводородов с O_2 (1-я смесь) вводят в реактор также смесь измельченного твердого горючего материала с O_2 (из расчета полного сгорания) таким образом, что углерод 2-й смеси сгорает полностью или частично, образуя белое пламя, тепловое излучение которого ускоряет воспламенение 1-й смеси. Для образования 2-й смеси используют твердое топливо, частично или почти полностью освобожденное от летучих в-в, в частности, напр. сажу, образующуюся в указанном процессе; к этому топливу могут быть добавлены, для повышения интенсивности излучения, в мелко раздробленном состоянии нелетучие или трудно летучие неорганич. в-ва, напр. зола, окислы металлов, в частности щел.-зем., или их аналогов. Реактор установки для ведения этого процесса снабжен центральной трубой, через которую вводится в реактор 2-я смесь: эта труба окружена второй трубой, предназначенной для введения 1-й смеси. Процесс отличается пониженным сажеобразованием, расходом O_2 и t -рой выходящего газа.

В. Шекин
33900 П. Конверсия углеводородного сырья на твердых частицах в псевдооживленном состоянии. Кребс, Кимберлин (Conversion of hydrocarbon oils with the use of fluidized solid particles. Krebs Robert W., Kimberlin Charles N. Jr) [Esso Research and Engineering Co.] Пат. США 2732330, 24.01.56

Предлагается способ получения дистиллятных фракций из тяжелого остаточного углеводородного сырья контактированием его в условиях коксования с плотной турбулентной массой мелких частиц, напр. кокса, при 455—565°, поддерживаемых в псевдооживленном состоянии подаваемым снизу газом. Нагрев теплоносителя производится выжигом осадившегося кокса.

М. Павловский

33901 П. Двухступенчатая конверсия углеводородов на инертных и каталитических частицах. Джаниг, Барр (Conversion of hydrocarbons in two stages with inert and catalyst particles. Jahnig Charles E., Barr Frank T.) [Esso Research and Engineering Co.] Пат. США 2731395, 17.01.56

Предложен метод получения углеводородных продуктов из тяжелого остаточного нефтяного сырья коксованием в присутствии плотного высокотурбулентного псевдооживленного слоя тонкоизмельченных твердых частиц при t -ре 480—700°, которая поддерживается, благодаря удалению коксовых частиц, сжиганию части их и возвращению нагретых частиц в зону коксования.

М. Павловский

33902 П. Процесс коксования в псевдооживленном слое с отмучиванием кокса. Мозер (Elutriating-burner in fluid coking processes. Moser John F., Jr) [Esso Research and Engineering Co.] Пат. США 2734852, 14.02.56

Предлагается улучшенный метод коксования тяжелых нефтяных остатков, содержащих неспаряющиеся при обычном давлении компоненты. Углеводородное сырье контактирует в псевдооживленном слое

с тонкоизмельченным коксом в зоне коксования, где поддерживается t -ра $> 454^\circ$. Удаляемый из зоны коксования кокс поступает в зону, разделенную на два сегментообразных отделения: отмучивающее отделение, где происходит отмучивание коксовой мелочи, и отделение, где происходит горение. М. Павловский
33903 П. Способ производства пека из нефтяных остатков. Кол, Сикорд, Селцер, Уэнделл (Process for the production of pitch from petroleum residues. Cole Harvey M., Secord Robert N., Seltzer Kenneth P., Wendell Charles B., Jr) [Godfrey L. Cabot, Inc.] Пат. США 2763602, 18.09.56

Способ получения пека, содержащего $\geq 8\%$ углеводородов, нерастворимых в нитробензоле, $\geq 20\%$ углеводородов, растворимых в нитробензоле, но нерастворимых в ацетоне, и имеющего точку размягчения $< 120^\circ$. Нефтяные остатки, характеризующиеся отношением Н:С порядка 1—1,15, со средним мол. в. 300—400 перегоняют при перемешивании, отбирая погон со средней скоростью 0,2—0,4% в минуту от объема исходной загрузки и непрерывно возвращая остальную часть погона в загрузку. Перегонку ведут до уменьшения загрузки на 50—60% от исходного объема. Остаток представляет собой пек, качество которого при применении его для электродов дает лучшие результаты, чем обычно применяемые пеки.

М. Пасманик

33904 П. Способ получения неслипающегося нефтяного кокса. Рейнтжес (Process for making petroleum coke non-agglutinating. Reintjes Harold) [Godfrey L. Cabot, Inc.] Пат. США 2755234, 17.07.56

Для превращения обычно слипающегося нефтяного кокса в не слипающийся его нагревают до 370—420° и поддерживают при этой t -ре в течение 2—4 час., пропуская горячие инертные газы с примесью 1—6 об. % O_2 или воздуха. Газы вводят при t -ре 400—560° и пропускают с такой скоростью, чтобы t -ра на выходе была 315—425°. Выведенные газы отделяют от захваченной ими пыли, частично пропускают их опять через зону нагрева и в соответствующих отношениях подмешивают к O_2 -содержащему газу. По окончании процесса кокс охлаждают и выгружают. М. Пасманик

33905 П. Обессеривание углеводородных продуктов при помощи окиснованадиевого катализатора в присутствии нафтен. Эйри, Кимберлин (Desulfurization of hydrocarbon oils with vanadium oxide catalyst in the presence of naphthenes. Arey William F., Jr, Kimberlin Charles N., Jr) [Esso Research and Engng Co.] Пат. США 2760906, 28.08.56

Каталитическое обессеривание углеводородных продуктов (УП), содержащих гетероцикл. S, производят контактированием при 399—510° (давление, напр., > 1 ат) паров УП в присутствии паров нафтенных углеводородов (НУ), которые могут содержаться в УП или добавляться извне, с катализатором (К), приготовленным путем пропитки соединением V сухого алюмогеля и последующего нагрева для перевода соединения V в окись V и активирования К. В К может содержаться $\sim 10\%$ V_2O_5 . При контактировании НУ, выделяющийся за счет дегидрогенизации НУ, гидрирует S-содержащие гетероциклы, расщепляя их, и S удаляется в виде H_2S . Напр. Для получения К к 5%-ной водн. взвеси Al_2O_3 , полученной гидролизом Al-амилата, добавили избыток CH_3COOH , полученный гелем высушили при 121° и превратили в порошок. 1000 г порошка пропитали дважды р-ром 85,2 г NH_4 -метаванадата в 1400 г горячей H_2O , сушили в паровом шкафу после каждой пропитки и затем нагревали при 454° в течение 12 час. Тяжелый лигроин, содержащий 0,66% тиофеной S и 40 об. % НУ, пропустили через слой К со скоростью 0,5 л/л К в час при

427° и 14 атм. После промывки щелочью в продукте осталось 0,17% S.

33906 П. Способ обессеривания углеводородных дистиллятов. Дипенбрук, Лехнер, Цербе (Verfahren zur Entschwefelung von Kohlenwasserstoffölen. Diepenbruck Otto Peter, Lechner Werner, Zerbe Carl) [N. V. De Bataafsche Petroleum Maatschappij]. Пат. ФРГ 956439, 17.01.57

Углеводородные дистилляты (бензины) обрабатываются вначале диспергированным щел. металлом (величина частиц < 50 м, в частности < 25 м) при t-ре выше 120°, предпочтительно при 250—300°, в течение 5—100 мин. (15—60 мин.), а затем в одну или несколько ступеней 96—98%-ной серной к-той, взятой в кол-ве ~5 вес. %, при 10—40°. Дистиллят, обработанный диспергированным щел. металлом (Na), может предварительно фракционироваться, после чего фракции и остаток обрабатываются серной к-той. Кол-во взятого для обработки металла должно составлять 50—60% теоретич., по отношению к общему содержанию S в дистилляте. Конц-ия щел. металла в дисперсии составляет 5—50 вес. %, предпочтительно 25—40%. После обработки дистиллята диспергированным металлом содержание связанной S в виде меркаптанов и дисульфидов составляет менее 0,004 вес. %, в частности менее 0,002%.

33907 П. Способ получения лигроина улучшенного качества обработкой хромитом или молибдатом меди. Аннабл, Хейнс, Лукас (Method for producing naphthas of improved characteristics by treating them with copper chromite or copper molybdate. Annable Weldon Grant, Haines Robert M., Lucas Kenneth) [The Pure Oil Co.]. Пат. США 2755226, 17.07.56

Для получения из сильно корродирующего лигроина продукта, выдерживающего пробу по ASTM на коррозию, при перегонке лигроин подвергают каталитич. обессериванию в паровой фазе при 371—426°. Усовершенствование процесса в том, что его проводят в течение времени, достаточного для снижения содержания меркаптанной S в продукте до 0,025 вес. %, после чего продукт контактируется с $\text{Cu}(\text{CrO}_2)_2$ или $[\text{Cu}(\text{MoO}_4)_2] \cdot \text{H}_2\text{O}$, нанесенными на инертном носителе (8—10%) при t-ре 204—206° (232°) в основном при атмосферном давлении и объемной скорости 1,0.

33908 П. Способ удаления диалкилсульфидов из углеводородных жидкостей при помощи адсорбента, пропитанного хлористой медью. Сайнс, Роч (Process for removing alkyl sulfides from hydrocarbon fluids with adsorbent impregnated with cuprous chloride. Cines Martin R., Roach James T.) [Phillips Petroleum Co.]. Пат. США 2760908, 28.08.56

Углеводородный продукт для удаления содержащихся в нем диалкилсульфидов контактируют в жидком состоянии с адсорбентом — силикагелем (С), высушенным после предварительной промывки разб. HCl или H_2SO_4 и пропитки хлористыми, бромистыми, муравьинокислыми, уксуснокислыми солями закисной или окисной Cu . Промывку С к-той можно совместить с пропиткой, применяя р-ры соли Cu с к-той. Пример: 23 ч. С были взболтаны с 200 ч. р-ра H_2SO_4 , имевшего рН 1,5, и пропитаны р-ром, содержавшим 6 ч. CuCl . 70 ч. метилциклогексана, содержавшего 0,194% S в виде диэтилсульфида, взбалтывали 0,5 часа при комнатной t-ре с 29 ч. высушенного адсорбента: в метилциклогексане осталось 0,00% S; при промывке С 3 н. HCl и той же пропитке 0,011% S.

33909 П. Обработка углеводородных дистиллятов фенилендиаминовым ингибитором, аминокислотой карбоновой кислоты и кислородом. Ченисек (Treatment of hydrocarbon distillates with a phenylene dia-

mine, a carboxylic acid salt of an amine and oxygen. Chenisek Joseph A.) [Universal Oil Products Co.]. Пат. США 2737472, 6.03.56

Обработка производится с целью более быстрого и эффективного удаления активных S-соединений из углеводородных дистиллятов (УД). Она заключается в контактировании (К) УД с окислителем (напр., воздухом), обессеривающим ингибитором (И), предпочтительно типа фенилендиамина (напр., N,N'-ди-втор-бутил-п-диамином (Д)) и солью (П), полученной из карбоновой к-ты, в частности поликарбоновой, предпочтительно содержащей 30—50 атомов С, и амина, в том числе алкиленполиамина или алкилалкиленполиамина (напр., алкилпропилендиамина, алкил которого содержит предпочтительно 12—20 атомов С). Для лучшей защиты от коррозии предпочтительно добавлять П. К лучше вести в присутствии щелочи, напр. NaOH . УД после К может выдерживаться при 10—66° до удаления активных S-соединений. Можно добавлять I 0,0001—1% на УД и П в кол-ве не менее 30% от I. Примеры: 400 мл крекинг-бензина, к которому было добавлено 0,0240% меркаптанной S, и 40 мл 1%-ного р-ра NaOH заливались в сосуды, которые закрывались пробками с капиллярами. Через 2 дня хранения содержания меркаптанной S (%) было: в контрольном образце 0,0210, в образце, содержащем 0,005% Д 0,0102, а в образце, содержащем 0,005% Д и 0,0025% П 0,0004; была взята кислая П, приготовленная из «Дюмин Т» — смеси алкилалкилендиаминов, алкил которых содержит 12—20 атомов С, и «к-ты VR-1» — смеси многоосновных к-т с 30—50 атомами С.

33910 П. Процесс для получения лигроина, лишенного запаха. Брем, Том (Process for preparing an odorless naphtha. Brehm Allen E., Tom Theodore B.) [Standard Oil Co.]. Пат. США 2756185, 24.07.56

Предлагается способ получения лигроина без запаха, применяемого в качестве р-рителя в проназе красок, лака и др. Сырьем служит лигроин, не содержащий олефинов, ароматики, элементарной S и H_2S , в частности продукт сернокислотного алкилирования пропилена, бутиленов или амиленов изобутаном или изопентаном, а также продукт полимеризации пропилена, бутиленов или амиленов. Из исходного сырья отбирается фракция 163—218°, которая обрабатывается 96—100%-ной H_2SO_4 , 15—75 кг на м³ фракции. Кислый гудрон отделяется от очищ. лигроина, который затем двукратно в неподвижном состоянии промывается водой, подаваемой в виде орошения. Кол-во воды в каждой ступени от 5 до 50% объема лигроина. После отделения лигроина от промывной воды производится 3-я промывка при хорошем контактировании лигроина с водой; вода отделяется, и лигроин нейтрализуется водн. р-ром щелочи. После отделяемой щелочи очищ. лигроин еще раз промывается водой. Приведена схема процесса.

33911 П. Разделение углеводородов с разной степенью непредельности и их производных. Горин (Separation of hydrocarbons and hydrocarbon derivatives having different degrees of carbon-carbon unsaturation. Gorin Everett) [Socony Mobil Oil Co., Inc.]. Пат. США 2759918, 21.08.56

Смесь двух n-алифатич. соединений с ≥ 6 атомами С в цепи, из которых одно (C1) имеет большую степень насыщенности, чем второе (C2), фракционируют, контактируя с мочевиной (I) в условиях образования C1 кристаллич. комплекса (KK) с I, причем C2 в этих условиях труднее образует KK и отделения KK от проконтактированной смеси. C1 и C2 могут быть углеводороды, напр. парафин и моноолефин с двойной связью, расположенной ближе к центру цепи С. Т.

ким образом можно фракционировать смесь *n*-октана (II) и *n*-октана-1 (III) (или *n*-тетрадекана (IV) и *n*-тетрадецена), при этом после разложения КК получают продукт с большим содержанием II (или IV), чем в исходной смеси. Пример. (объемн. ч.) 20 смеси равных объемов III и *n*-октана-2 взбалтывали при 25° с 150 насыщ. водн. р-ра I, после 16 час. отстоя отфильтровали КК и разложили его H₂O, получили 13,5 продукта, содержавшего 69 об. % III. Даны также примеры фракционировки смесей: II и III, II и *n*-октана-2, *n*-бутилстеарата и *n*-бутилолеата, ди-(*n*-гексил)-сукцината и ди-(*n*-гексил)-малеата. Приводятся примерные технологич. схемы.

А. Равикович

33912 П. Метод и аппаратура для низкотемпературного разделения и стабилизации жидких углеводородов из природного газа высокого давления. Ларенс, Хейс (Method and apparatus for low temperature separation and stabilization of liquid hydrocarbons from high pressure natural gas. Laurence Lawton L., Hayes Charles W.) [Black. Sivalls and Bryson, Inc.] Пат. США 725337, 29.11.55

Для получения стабилизированных жидких углеводородов из природного газа высокого давления, в газ инжектируют ингибитор (II) гидратообразования (гликоль) для абсорбции влаги и водяных паров, после чего, при охлаждении потока, из газа выделяется конденсат (K). Смесь K и II вводят в среднюю часть стабилизационной колонны низкого давления. Жидкость, собирающаяся внизу колонны, нагревается в результате отбора части ее из 2-й точки, пропуска через выносной нагреватель и возвращения в 3-ю точку, расположенную ниже 2-й; горячие пары поднимаются вверх противотоком стекающей смеси II и K, в результате чего получается стабильный углеводородный продукт.

Н. Кельцев

33913 П. Кристаллические комплексы мочевины и алкилмоногалогенидных соединений с прямой цепью. Горин (Crystalline complexes of urea and straight chain alkyl monohalides. Gorin Everett) [Socony Mobil Oil Co. Inc.] Пат. США 2759919, 21.08.56

Получение кристаллич. комплекса мочевины и алкилмоногалогенидного соединения с прямой цепью (I), состоящего из атомов C, H и галоида, присоединенного не к концевому атому C в цепи. I может быть фторидом, хлоридом, бромидом или йодидом, содержащими ≥ 7, 18, 20, 24 атомов C в цепи соответственно.

М. Пасманик

33914 П. Экстракция углеводородных фракций. Слотер, Мак-Коли, Лин, Джонсон (Extraction of hydrocarbon oils. Slaughter John I., McCaulay David A., Lien Arthur P., Johnson Carl E.) [Standard Oil Co.] Пат. США 2762750, 27.02.56

Процесс обработки углеводородных фракций (УФ), напр. смазочного масла или фракции с пределами кипения 130—205°, с целью выделения экстрагируемых компонентов из группы полиалкилбензолов, многоатомной ароматики или органич. S-соединений, состоит в контактировании при *t*-ре ниже ~50° (иногда ниже ~260°) УФ, содержащей по меньшей мере один из указанных компонентов, с 5—1000 об. % (считая на УФ) H₃PO₄, содержащей 71—80 (иногда 60—83) вес. % P₂O₅ (вместо H₃PO₄ можно взять монофтор- или дифторфосфорную к-ту) и BF₃ в кол-ве, обеспечивающем парц. давление его в контактной зоне 3,5—210 ат. Образующиеся фазы — рафината и более тяжелую экстракта разделяют и затем из последней удаляют экстрагированные компоненты и BF₃. Контактное разделение можно проводить в присутствии углеводородного разбавителя, инертного к фосфорной к-те и BF₃. Иногда в УФ содержится смесь полиалкилбензолов, из которых часть переходит в экстракт, а часть остается в

рафинате. В том случае, когда УФ представляет собой нефтяную фракцию, кипящую в пределах 130—205° и содержащую триалкилбензолы, из экстракта извлекается лишь полиалкилбензол, замещ. в 1,3,5-положениях алкильными группами. Дана схема.

Г. Марголина

33915 П. Стабилизация котельных топлив. Бьютер, Голдтуэйт (Stabilization of fuel oil. Beuther Harold, Goldthwait Richard G.) [Gulf Research & Development Co.] Пат. США 2755229, 17.07.56

Патентуется способ стабилизации стандартного котельного топлива № 6 с вязкостью при 50° 95—700 сст, получаемого из свободных от лигроиновых фракций вакуумных остатков от перегонки различных нефтей, с числом Конрадсона не ниже 18, уд. весом ниже 1,0 и вязкостью при 100° не ниже 1300 сст. Эти остатки подвергают легкому термич. одноступенчатому крекингу в условиях, обуславливающих образование ~9% бензина. После отгонки легких продуктов, включая лигроин, добавляют дистиллятные нефтепродукты, или продукт, идущий на повторный крекинг до получения стандартного топливного масла, и прибавляют некрекированные нефтяные остатки в кол-ве ~50% (на всю смесь), обеспечивающие повышение вязкости при хранении в течение года не более как на 20%.

Е. Покровская

33916 П. Метод очистки сырого бензола обработкой его серной кислотой, нейтрализацией и перегонкой в присутствии гудрона, добавляемого к битуму для его размягчения. Лав (Method for finishing crude benzene by treating with sulfuric acid, neutralizing and distilling in the presence of a flux oil. Love Robert M.) [Esso Research and Engng Co.] Пат. США 2753387, 3.07.56

Для очистки сырого бензола, содержащего 95% бензола (Б), 4,5% непредельных соединений и 0,5% парафиновых углеводородов, его смешивают с конц. H₂SO₄ при соотношении 8,56 кг 30%-ной H₂SO₄ на 100 л сырого Б. При этом образуется кислый гудрон, который отделяют и тщательно смешивают Б, обработанный к-той с 1—10 М р-ром едкой щелочи при *t*-ре 129—184° в течение 20—30 мин. Щел. р-р отделяют от Б, который перегоняют, вводя в нижнюю часть зоны дистилляции кислый гудрон с начальной *t*-рой кипения, превышающей *t*-ру кипения Б не более, чем на 38,5° и находящейся в интервале *t*-р, не превышающей 55° (93—121°), в кол-ве 2—10% (5%) от веса сырого Б. При этом получают головку ~4%, содержащую пары воды, кубовые остатки — гудрон и выше кипящие соединения, и основной погон, содержащий 99,8%-ный Б.

М. Пасманик

33917 П. Применение окиси углерода для регенерации кислот из их солей. О'Коннор, Стейц (Use of carbon monoxide for regeneration of acids from their salts. O'Connor Buell, Steitz Alfred, Jr) [Stanolind Oil and Gas Co.] Пат. США 2742490, 17.04.56

Для выделения карбоновых к-т, получаемых при синтезе жидкого топлива, их нейтрализуют водн. р-ром едкой или углекислой щелочи и обрабатывают в противотоке СО при 150—250° и парц. давлении СО 35—105 ат в присутствии р-рителя к-т, не смешивающегося с водой. СО берут в избытке против стехиометрич. кол-ва. Выделившиеся свободные к-ты извлекают р-рителем и выводят из экстрактора. Образовавшийся формиат подвергают термич. разложению на карбонат, СО и H₂.

Э. Левина

33918 П. Связывающая парафиновая композиция. Миллс (Adhesive wax composition. Mills Ivor W.) [Sun Oil Co.] Пат. США 2746910, 22.05.56

Связывающая парафиновая композиция состоит из

55—95 ч. микрокристаллич. парафина с т. пл. $> 80^\circ$ и адгезией < 20 г и 5—45 ч. полимера, полученного при обработке крекинг-бензина глиной и имеющего бромное число > 100 , йодное число > 150 и т. размягч. $> 52^\circ$. Кол-во полимера должно быть достаточным для существенного повышения адгезии (> 100 г). Пример. Исходный парафин был хрупким, мелкокристаллич., с т. пл. 89° , пенетрацией 5 при 25° и адгезией ~ 7 г. Была приготовлена смесь из 80 вес. % парафина и 20% твердого углеводородного полимера, имеющего т. размягч. 65° , пенетрацию 26 при 46° , т. всп. 232° , т. воспл. 243° , бромное число 135, йодное число 242, число омыления 7,4. Смесь была эластичной, нехрупкой с т. пл. 88° и адгезией 160 г.

Г. Марголина

33919 П. Битумная композиция, содержащая аэрогель. Хардман (Asphalt containing an aerogel. Hardman Harley F.) [The Standard Oil Co.] Пат. США 2759842, 21.08.56

Битумная композиция с повышенной температуростойчивостью, представляющая собой в основном смесь нефтяного битума, 1—20 вес. % окисла металла в виде аэрогеля (напр., SiO_2), 1—25%, считая от веса аэрогеля, алифатич. многоатомного спирта с 2—6 группами OH (напр., три- или полиэтиленгликоля).

М. Пасманик

33920 П. Битумная композиция, содержащая аэрогель. Хардман, Хьюз, Витч (Asphalt containing an aerogel. Hardman Harley F., Hughes Everett C., Veatch Franklin) [The Standard Oil Co.] Пат. США 2759843, 21.08.56

Битумная композиция, состоящая в основном из смеси битума — кубового остатка от перегонки, либо неполностью окисленного битума с числом пенетрации при $25^\circ > 100$ и 1—20 вес. % аэрогеля (напр., SiO_2 -аэрогеля), обеспечивающего снижение числа пенетрации до 70—80 при 25° .

М. Пасманик

33921 П. Битум и метод его получения. Биделл, Эванс, Фрай (Asphalt and method of producing the same. Bedell Harold L., Evans Roy T., Fry Walter C.) [Socony Mobil Oil Co. Inc.] Пат. США 2762757, 11.09.56

Для получения синтетич. модификации битума, обладающего низкой, широко меняющейся при нагревании вязкостью, высокой термич. стабильностью, нагревают при $455\text{—}480^\circ$ в течение 3—5 мин. смесь прямогонного битума ($\sim 10\text{—}40$ вес. %) и газойля ($\sim 90\text{—}60$ вес. %), содержащего ~ 25 вес. % ароматик. После отгона легких фракций получают битум с т-рой размягчения $55\text{—}65^\circ$ по методу кольца и шара; такой битум имеет широкое применение для приготовления водонепроницаемой бумаги, покрытий для изоляционных волокон, эмульсий для угольных брикетов и др.

Г. Марголина

33922 П. Битумные композиции. Крус, Калиновский (Asphalt compositions. Crews Lowell T., Kalinowski Mathew L.) [Standard Oil Co.] Пат. США 2759839; 2759841, 21.08.56

Предложены неводн. композиции, применяемые для покрытия мостовых и проезжей части дороги и не разрушаемые водой. В основном они состоят из битумов, жидких битумов или обычного твердого асфальта. В некоторых случаях к ним добавляют минер. компонент. Кроме того, в состав входит 0,25—5% маслорастворимого третичного амина $\text{R-N} = (\text{R}'\text{O}_{x(y)}\text{H})_2$, в частности $\text{R-N} = [(\text{CH}_2\text{CH}_2\text{O})_{x(y)}\text{H}]_2$, где R — алкил, содержащий ≥ 8 (18) атомов C, напр. производное кокосового масла, олеомаргарина, соевого масла, R' — алкиленовый радикал (этилен или пропилен), x и y — показатели, сумма которых составляет от 2 до 5. Аналогичная композиция (пат. США

№ 2759841), в основном состоящая из битума с добавлением 0,25—5% маслорастворимого агента, увеличивающего прочность покрытия. Он может принадлежать к группе: 1) смеси нелетучих карбоновых к-т (I), мол. в. 300—1300, получаемых в виде побочного продукта при произ-ве себаценовой к-ты р-цией ридонолевой к-ты, ее сложных эфиров или солей с щелочью и 2) водорастворимого, свободного от амидов продукта смеси I и алифатич. полиамина (II), в частности алкиленполиамина, содержащего 2—8 (2—16) атомов C, и амина ф-лы $\text{RNH}(\text{CH}_2)_3\text{NH}_2$, где R — алкилрадикал с 10—18 атомами C. I и II реагируют при отношении хим. экв. от 1:0,5 до 1:2 и т-ре до 130° в течение максимумально 1 часа, затем т-ру снижают до 84° . II может быть алкиленполиамином, содержащим ≥ 2 атомов N первичного амина, алкилендиамином, этилендиамином, диэтилентриамином, триалкилентетраамином, триэтилентетраамином.

М. Пасманик

33923 П. Битумная мастика и способ ее приготовления. Пенсон (Mastic et son procédé de fabrication. Pinçon Arthur-Joseph-Jean-Baptiste). Франц. пат. 1111458, 27.02.56

Для улучшения когезионных свойств битумокаучуковой композиции, применяемой при дорожных работах (заполнение температурных швов и др.), в смесь нефтяного битума и деструктурированного каучука вводят при 100° анилин с формалином и фурфурол с фенолом, а также подходящий катализатор. Образующийся в смеси комплексный сополимер (~ 10 вес. %) придает композиции желательную консистенцию. Пример. Полумягкий нефтяной битум нагревают до 120° и в него вводят 5 вес. % каучука, предварительно частично деструктурированного нагреванием 5 час. при 250° . При т-ре смеси 90° в нее вводят анилин с формалином, а затем фурфурол с фенолом в присутствии катализатора.

М. Лурье

33924 П. Метод получения газовых смесей, пригодных для производства синтез-газов или для расщепления углеводородов, в соединении с методом кальцинирования. Бауман (Verfahren zur Herstellung von Gasgemischen, die zur Erzeugung von Synthesegasen oder zur Spaltung von Kohlenwasserstoffen verwendbar sind, in Verbindung mit einem Calciniervorverfahren. Baumann Friedrich). Пат. ФРГ 956676, 24.01.57

Метод получения газовых смесей, пригодных для произ-ва синтез-газов или для расщепления углеводородов, в соединении с методом кальцинирования, в частности NaHCO_3 , отличающийся тем, что над подлежащим кальцинированию материалом пропускают обычным способом, в случае надобности, подогретые газы. Состав газа путем добавки O_2 , N_2 , CO_2 и т. п. подбирается так, что получающаяся в результате газовая смесь без всяких изменений может быть использована на синтез-газ, предназначенный для получения углеводородов или для расщепления углеводородов. Пример. В опытную электропечь при 12° загружают 100 г NaHCO_3 и пропускают 82 л 98%-ного O_2 при $175\text{—}184^\circ$. Через 6 час. весь NaHCO_3 превращается в Na_2CO_3 . Отходящий газ содержит (в %): 12,1 CO_2 , 11,7 H_2O , 74,8 O_2 , 1,4 N_2 . При добавлении к нему CO_2 получается смесь, пригодная для получения синтез-газа с высоким содержанием окислов углерода. При добавлении паров H_2O можно получить нормальный водяной газ.

Л. Пашковская

33925 П. Усовершенствование выделения и извлечения кислых газов из газовых смесей (Perfectionnements à la séparation et à la récupération de gaz acides de mélanges gazeux) [Vetrocoke (S. p. A.)] Франц. пат. 1126215, 19.11.56

Процесс для выделения газов с кислотным характером (CO_2 , H_2S) характеризуется применением щел.

Р-ра для поглощения к-ты и последующей регенерации его. Р-р должен содержать хотя бы одно N-содержащее соединение типа протенинов, аминокислот, или их производных в таком кол-ве, чтобы щелочь была в избытке (стехиометрич. соотношение должно быть не менее 1,5); минер. щел. соли, щел. моно- или полифеноляты, аминоспирты (этаноламин и др.). В качестве способствующих процессу агентов могут применяться H_2BO_3 ; органич. и неорганич. соли Zn, Se, Te, Al, As^{3+} ; SiO_2 и другие соединения амфотерного характера. При работе с повышенным давлением содержание аминосоединений в р-ре можно уменьшить. Отработанный р-р регенерируют, нагревая его ниже его точки кипения. Примеры. Газ с 28% CO_2 сжимают до 12 атм и противотоком обрабатывают р-ром, содержащим 200 г/л K_2O и 15 г/л гликоля при 70—75°. Содержание CO_2 в отходящем газе 0,15—0,4%. Отработанный р-р регенерируют при 85—95°, получая чистый CO_2 , и р-р снова пускают в работу. При том же давлении можно применить р-р 200 г/л K_2O , 5 г/л гликоля и 5 г/л H_2BO_3 и т-ру 55—60°. Результаты очистки те же. При промывке газа, содержащего 2,5% CO_2 и 0,3% H_2S (12 атм), р-ром Na_2CO_3 (50 г/л Na_2O) и гликоля (15 г/л) получают газ, свободный от H_2S с 0,05% CO_2 . При атмосферном давлении газ, содержащий 2% CO_2 и 0,8% H_2S , после промывки р-ром Na_2CO_3 (100 г/л Na_2O) и 15 г/л гликоля содержит 0,8—1% CO_2 и 0,05% H_2S . При промывке в аналогичных условиях газа с 10% CO_2 р-ром (50 г/л Na_2O и 70 г/л гликоля) остаточное содержание CO_2 составляет 0,5%.

М. Пасманик

33926 П. Способ и реактор для производства ацетилена. Пихлер, Червенак (Production of acetylene and reactor therefor. Pichler Helmut R., Chervenak Michael C.) [Hydrocarbon Research, Inc.] Пат. США 2765358, 2.10.56

Предложен способ получения C_2H_2 р-цией газообразных углеводородов с O_2 при т-ре > 1370° в реакционной зоне, с предварительным нагревом газовой смеси до высокой т-ры без преждевременного воспламенения смеси при нагреве и без проскака пламени из реакционной в сместьную зону. Углеводороды и O_2 (конц-ия $\geq 90\%$) смешиваются в соотношении 0,45—0,65 моля O_2 на моль C в углеводородах при т-ре < 316°; нагреваются при прохождении с большой скоростью (30—100 м/сек) через трубки с сечением ≤ 12 мм до 590—760° и выходят через пористую огнеупорную перегородку в свободный объем реакционной зоны, где смесь воспламеняется и происходит р-ция образования C_2H_2 . Пример. Смесь, состоящая из 57 м³/час природного газа и 34 м³/час O_2 , проходит через 18 нагреваемых снаружи трубок с внутренним диам. 7 мм и длиной 3 м и нагретая до 700° выходит через алундовую перегородку толщиной 25 мм в цилиндрич. реакционную зону диам. 127 и длиной 115 мм. Проницаемость перегородки ~ 36 м³/м²·мин, сопротивление ~ 100 мм рт. ст. Скорость газовой смеси в нагревательных трубках 100 м/сек при 700°. Состав получаемого газа в об. %: H_2 5,4; CO 25; C_2H_2 9,1; высшие ацетилены 0,4; CH_4 6; высшие углеводороды 0,6; CO_2 3,5; O_2 + N_2 1. Приведена схема реакционного устройства.

В. Кельцев

33927 П. Аппарат для получения ацетилена. Цан (Acetylenentwickler. Zahn Otto) [Atuogenwerk Sigrus G. m. b. H.] Пат. ФРГ 958329, 14.02.57

В аппарат для получения C_2H_2 с автоматич. шламоотделителем автоматически подаются карбид и вода. Выделяющийся в горизонтально расположенной камере газификации C_2H_2 отводится в газосборник с колпаком. Особенности конструкции: части аппарата — шахта, через которую поступает карбид, камера газификации, газовый колпак, крышка и погружа-

емая трубка, служащая для прохода газа, а также для создания газового затвора, вмонтированы в котел, служащий в качестве резервуара и водяного затвора. При падении давления в шахте газ направляется обратно из газосборника через отводную трубку, и в трубке погружения образуется водяной затвор, препятствующий свободному выходу газа при открывании резервуара с карбидом. Таким образом высота шахты не зависит от давления газа. Дана схема аппарата.

Г. Марголина

33928 П. Выделение ацетилена из газов. Александер (Separation of acetylene gases. Alexander Wayne E.) [Monsanto Chemical Co.] Пат. США 2762453, 11.09.56

Патентуется процесс выделения C_2H_2 (I) из разб. газовых смесей (напр., смесь (в мол. %) C_2H_2 8,7; CH_4 4,4; CO 26,0; CO_2 4,0; H_2 54,5, аргон и полимеры ацетилена 2,4). Газовую смесь компримируют (напр., до 7 ат) и промывают O_2 -содержащим органич. р-рителем, хорошо растворяющимся в воде, кипящим выше, чем вода (напр., диметилформамидом, содержащим 1% воды) и растворяющим I. Уменьшают давление р-ра, при этом отгоняют неацетиленовые газы; остающийся р-р, содержащий I, вводят в первую из ступеней десорбции, поддерживаемых под уменьшенным давлением; давление в каждой последующей ступени ниже, чем в предыдущей. При переходе р-ра из первой ступени десорбции последовательно во все другие с более низкими давлениями имеет место увеличение газов, выделившихся в каждой ступени сильной струей пара с большой скоростью и затем поступление ее в р-р, содержащийся в ближайшей ступени десорбции с более высоким давлением; при этом по крайней мере часть пара конденсируется. I уходит из первой ступени десорбции; р-ритель, в основном свободный от I, удаляют из десорбера с самым низким давлением. Приведены: схема процесса и перечень 13 патентов с 1922 по 1952 г.

Г. Марголина

33929 П. Способ производства сажи (Procédé de production de noir de carbone) [Columbian Carbon Co.] Франц. пат 1111108, 22.02.56

Предложено при получении сажи выстреливанием углеводорода (У) в поток окисляющего газа, нагретого до т-ры более т-ры разложения У и проходящего удлиненную реакционную камеру с образованием суспензии сажи, вводить в указанный поток вспомогательный газообразный У (метан) в кол-ве $\sim 25\%$ от кол-ва первоначального У.

Г. Марголина

33930 П. Метод выделения углеводородных паров. Хартман, Линч, Эллиотт (Method for the recovery of hydrocarbon vapors. Hartman Robert F., Lynch Edward H., Elliott Laverne P.) [California Research Corp.] Пат. США 2765872, 9.10.56

Метод выделения паров легких углеводородов (У) из резервуара, содержащего эти пары в смеси с воздухом. Выделяют смесь паров с воздухом из резервуара и насыщают ее У контактированием в зоне насыщения (ЗН) жидким потоком жидких в нормальных условиях У (напр., бзн.); компримируют образовавшуюся насыщ. смесь под давл. 3,5—70 атм (7—21) и контактируют ее в контактной зоне (КЗ) с жидким потоком У (бзн.); выделяют из КЗ головную газовую фазу, относительно свободную от паров У, и выпускают в атмосферу, без ее существенного загрязнения; остатки из КЗ представляют собой поток жидких У, обогащенных У из компримированной смеси. Метод может быть несколько изменен: после контактирования смеси воздух-У в ЗН с жидким потоком бензина удаляют из ЗН головную фракцию воздуха-пар, насыщ. У, и остаточную бензиновую фракцию. Головную фракцию пропускают в газгольдер, из которого непрерывно уводят насыщ. смесь воздух-пар.

и компримируют ее под давл. 3,5—70 атм (7—21); компримированную смесь пропускают в КЗ, где она контактируется с жидким бензином; из КЗ непрерывно выделяют головную газовую фазу в атмосферу. Часть бензиновой остаточной фракции из ЗН уходит в КЗ (абсорбер), чтобы контактировать с компримированной смесью пар-воздух. Метод предлагается для избежания загрязнения атмосферы углеводородными парами, выделяющимися из резервуаров при их заполнении бензином. Г. Марголина

33931 П. Реакции диспропорционирования углеводородов с $AlCl_3$ с целью получения бензиновых компонентов. Конн (Disproportionation reactions with aluminum chloride. Conn William K.) [Sun Oil Co.] Пат. США 2751423, 19.06.56

Способ превращения C_3H_8 (I) в изотуглеводороды с большей молекулой состоит в р-ции 1—10 молей I и 1 моля изопарафинов, имеющих ≥ 5 атомов C, один из которых третичный (изо- C_5H_{12} , 2- и 3-метилпентана, 2,2,4-триметилпентана и их гомологов с числом C атомов в цепи 6—8, а также керосиновых фракций нефти, содержащих $\geq 50\%$ изопарафинов), в присутствии 2—100% (лучше 5—50%) $AlCl_3$ (считая на вес углеводородов) при 50—200° (90—150°) и давления, необходимом для поддержания реагентов в жидкой фазе (14—140 ат), в течение 15 мин.—4 час. I может употребляться как таковой или в газовой смеси, напр. в виде природного газа, содержащего I в более высокой концентрации, CH_4 и C_2H_6 в р-цию не вступают. Возможно использование I в смеси с C_4H_{10} (II), с $n-C_4H_{10}$, который в процессе р-ции изомеризуется в II. Конц-ия I в смесях должна быть $\geq 50\%$. Небольшие кол-ва олефинов ($< 2\%$) не мешают р-ции; ароматич. углеводороды не должны присутствовать в кол-ве $> 1\%$ от веса парафинов. Смесь 10,4 ч. $AlCl_3$, 100 ч. I, 74,4 ч. изо- C_5H_{12} и 59 ч. II перемешивают 2 часа при 100° и повышенном давлении. Выделяют 173 ч. смеси I и II (кол-во II возрастает не менее чем на 25% по сравнению с его кол-вом, взятым в р-цию; кол-во I соответственно уменьшается), 20,8 ч. изо- C_5H_{12} , 8,3 ч. C_6H_{14} , 6,25 ч. C_7H_{16} , 19,4 ч. октанов (в основном, не вступивший в р-цию изо- C_8H_{18}) и 7,6 ч. более высококипящих углеводородов. Если необходимо, в реакционную массу вводят HCl в качестве активатора ($< 10\%$ от веса $AlCl_3$). И. Шалавина

33932 П. Метод сведения к минимуму требований к октановым характеристикам топлив для двигателя. Бартлсон (Method of minimizing the octane demand of an engine. Bartleson John D.) [The Standard Oil Co.] Пат. США 2751285, 19.06.56

Отложение загрязнений на частях двигателя при его эксплуатации приводит к увеличению требований к октановым характеристикам топлив для двигателя. Предложено прибавлять к бензину, этилированному или неэтилированному, продукты взаимодействия трехфтористого бора с кислородсодержащими органич. соединениями. Примерами таких продуктов являются эфиры типа $BF_3 \cdot O(CH_3)_2$, $BF_3 \cdot 2O(C_2H_5)_2$ и др. Указанные продукты добавляют к топливу в виде р-ров в органич. р-рителях, напр. в одноатомных спиртах $C_1—C_6$. Р-ритель является только носителем для активного в-ва. Дозировка последнего в расчете на бензин составляет 0,01—5 вес. %. Т. Мухина

33933 П. Аппарат, эксплуатируемый совместно с двигателем внутреннего сгорания. Харрингтон (Apparatus for operating internal combustion engines. Harrington James R.) [Frank J. Schraeder, Jr.] Пат. США 2749223, 5.06.56

Патентуется аппарат, снабжающий двигатель внутреннего сгорания карбюрированной смесью, состоящей из горючих паров, полученных из сырой нефти (Н) с помощью тепла выхлопных газов двигателя.

Усовершенствование заключается в использовании испарителя сырой Н, представляющего емкость (Е), заполненную беспорядочно расположенной массой кусков материала (М) (напр., кокса) с развитой поверхностью. Расположение Е таково, что Н проходит через нее самотеком. Через Е и М проходит труба (Т), отдающая тепло, с выпускным отверстием на конце, связанном с выходом выхлопных газов. Имеется кожух с удлиненной камерой (К) для подогрева Н. Противоположный конец Т выходит из испарительной Е и проходит через К для подогрева Н. Трубка, подающая Н и связанная с топливным баком, служит для равномерной подачи Н в подогревательную К, откуда подогретая Н через выпускную трубку поступает в Е. Н непрерывно самотеком проходит через нагретую массу М, благодаря чему образуется фракция бензиновых паров (БП). Предусмотрено устройство (напр., с клапаном) для выпуска из Е остатков нефти, а также устройство (напр. с клапаном) для подачи (определенного кол-ва) БП из Е вместе с подмешанным (в определенном кол-ве) воздухом по всасывающий трубопровод двигателя для всасывания в цилиндры двигателя. Предусмотрено устройство с регулирующим клапаном для входа воздуха в Е (напр., в нижней части Е), чтобы частично облегчить всасывание двигателем. Испарение может производиться при атмосферном давлении. В Е могут поддерживаться необходимые парц. давления и т-ры. Подогретая Н может поступать в Е через разбрызгивающее устройство (РУ), расположенные в Е. БП перед смешиванием с воздухом и подачей во всасывающий трубопровод могут поступать в отдельную Е. Испарительная Е может устанавливаться вертикально и иметь внутри у нижнего конца поддерживающую перегородку; куски кокса в этом случае располагаются внутри Е между этой перегородкой и разбрызгивающим устройством. Приводятся 4 схемы и их описание. М. Павловский

33934 П. Жидкое топливо для реактивного двигателя. Кармоди (Liquid propellant. Carmodity Don R.) [Standard Oil Co.] Пат. США 2753683, 10.07.56

Патентуется смесь (С), состоящая в основном из 60—72 об. % белой или красной дымящей HNO_3 (I) (безводн. или содержащей ≤ 5 вес. % воды) и 40—28 об. % CH_3NO_2 (II). Т-ра замерзания С ниже —73°. По варианту предлагается С практически безводн. I и по крайней мере одного из следующих нитропарафинов: II, $C_2H_5NO_2$ (III) и $C_3H_7NO_2$ (IV). Т-ра замерзания С ниже —54°. Составы С (в об. %): II 15—50 и I 85—50, III 20—45 и I 80—55, IV 25—35 и I 75—45. Предлагается также схема реактивного двигателя (РД) с однокомпонентным топливом. В камеру (К) сгорания двигателя подается С, состоящая в основном из 15—50 об. % II и 85—50 об. % практически безводн. I. С зажигают в К с помощью воспламеняющего средства. Продукты сгорания выпускаются из К через сопло, расположенное в выпускном конце К. Для РД с двухкомпонентным топливом при т-ре порядка —50° предлагается вводить в К сгорания по отдельности в практически одновременно 3-этил-3-тиофосфит и окислитель, состоящий в основном из 15—50 об. % II, остальное — в основном практически безводн. I. Приведены характеристики воспламенения С и график т-ра замерзания С — состав, а также схема подачи окислителя и топлива в К сгорания двигателя. М. Павловский

33935 П. Окислитель для ракетных топлив. Пайно (Oxidizing agent. Pino Manuel A.) [California Research Corp.] Пат. США 2749317, 5.06.56

Окисляющий агент для использования в ракетной технике представляет собой смесь, состоящую из азотной к-ты конц-ией ≥ 95 вес. %, HNO_3 , или из дымя-

шей HNO_3 и 2–30 об. % алкансульфонокислоты с 1–5 атомами С (метансульфонокислота, этансульфонокислота или смесь ≥ 2 алкансульфонокислот с 1–5 атомами С в молекуле). Г. Марголина

33936 П. Углеводородные композиции. Лусбринк, Соьер (Hydrocarbon oil compositions. Lusebrink Theodore R., Sawyer Webster M., Jr) [Shell Development Co.], Пат. США 2765221, 02.10.56

Для уменьшения утечки жидких углеводородов через целлюлозные прокладки предлагается добавлять к топливу, кипящему немного ниже 315° , присадку, представляющую собою смесь C_1 – C_7 -диалкилполисилоксана (I) с вязкостью при 25° 0,65–60 000 сст (растворимость 1 вес. % в толуоле) и Р-соединения (II), имеющего ф-лу P(X)a(OR)b(R)c , где X O или S, R-одновалентный радикал, включающий C, H, и Cl (не более 1 атома Cl и C_1 – C_{10}), a-целое число от 0 до 1 включительно, b и c целое число 0–3 включительно; сумма b и c равна 3. Весовое отношение II к I от 10:1 до 1000:1. Концентрация I и II в жидком углеводороде от 0,00001 до 0,05 вес. % и от 0,00001 до 1 вес. % соответственно. В варианте патента в бензине содержится 0,00005–0,01 вес. % I с вязкостью при 25° 10–60 000 сст и 0,001–0,5 вес. % II. М. Руденко

33937 П. Композиция смазочного масла (Composition d'huile re graissage) [Standard Oil Development Co.], Франц. пат. 1124444, 10.10.56

Композиция (K) масла предназначается для смазки двигателей (Д) внутреннего сгорания с высокой степенью сжатия (СЖ), преимущественно для бензиновых Д со СЖ $> 7:1$. К состоит из минер. смазочного масла (СМ) и ≥ 2 присадок (П) разного действия. Для уменьшения нагарообразования в камере сгорания Д, снижающего требуемое октановое число бензина, СМ и комбинация П подбираются с низким числом осмоления (ЧО), чтобы К имела также низкое ЧО, напр. ≤ 20 , предпочтительно < 10 ; ЧО определяют как смолистый осадок в мг от сжигания 5 г К при помощи направленного на К бездымного (водородного) пламени до конца сгорания, СМ применяют, преимущественно, очищенное дистиллятное, не содержащее фракций с т. кип. $> 315^\circ$ ($> 300^\circ$) при 10 мм рт. ст. и имеющее ЧО < 10 . Предпочтительные П: вязкостные — олефиновые полимеры с мол. в. 5000–50 000, напр. полиизобутилены с мол. в. 10 000–25 000; детергентные — нейтрализованные (частично или полностью) фосфоросернистые углеводороды, полученные из углеводородов с ЧО < 10 (напр., из полиизобутилена с мол. в. 300–30 000 и нейтрализованных основанием Ва или К, гуанидином или его производным), металл. соли алкилфенолсульфидов, нефтяные сульфаты щел.-зем. металлов; антикоррозионные-металлич. соли диалкилдитиофосфатов, терпены, обработанные P_2S_5 , фосфоросернистые. Бензин для Д должен иметь, предпочтительно, ЧО < 40 мг на 200 г.

А. Равикович

33938 П. Композиция некорродирующего смазочного масла. Ландис (Noncorrosive lubricating oil composition. Landis Phillip S.) [Socoby Mobil Oil Co., Inc.], Пат. США 2758087, 7.08.56

Композиция состоит из минер. смазочного масла (М) и 2 присадок: 1) продукта р-ции (ПР) (моли) 1 P_2S_5 и 2–10 олефинов (I) с мол. в. 135–450 при 100–250° в течение 1–10 час. (в ПР $> 25\%$ I), в кол-ве, достаточном для ингибирования окисления М; 2) Zn-таллата (II) в кол-ве 100–200 ч. Zn на 1000 ч S присутствующего ПР. II предотвращает коррозию Cu в присутствии ПР. Как I можно применять додецен-1; фракцию, полученную при парофазном крекинге парафинового масла, содержащую $\sim 97\%$ I и имеющую бромное число ~ 86 , т-ру кипения в пре-

делах 196 – 273° и мол. в. ~ 180 ; полимербензин (Б) с бромным числом ~ 121 , т-рой кипения в пределах 176 – 333° и мол. в. ~ 200 . Пример. Для получения ПР (з) 720 Б нагревали с 66,6 P_2S_5 6 час. при 190 – 200° , ПР разогнали до 150° при 1 мм рт. ст., получили в остатке 260 ПР, содержавшего 7% Р и 16% S. II получен перемешиванием 2 часа при $\sim 165^\circ$ под атмосферой N_2 1500 парафинового масла (з) (вязкость 22 сст при 38°), 1500 таллового масла «Факойль CS» сольвентной очистки (масло содержало $\sim 50\%$ жирных к-т и $\sim 45\%$ смоляных к-т, имело кислотное число 160–180 и йодное число 150–170) и 200 ZnO; отогналось 32 г H_2O . ПР отфильтровали и получили 3110 50%-ного р-ра II, содержавшего 5,3% Zn. М селективной очистки (вязкость ~ 41 сст при 38°) с добавкой 1% ПР при нагревании с Cu-пластинкой 24 часа при 100° вызвало почернение пластинки, тогда как при дополнительной добавке 165 ч. Zn в виде II на 1000 ч. S ПР дало светлую пластинку. А. Равикович

33939 П. Смазочные масла для высоких давлений. Фишер, Брандт (Hochdruckschmiermittel. Fischer Karl A., Brandt Eduard) [Deutsche Erdöl — A.-G.], Пат. ФРГ 960754, 28.03.57

Смазочные масла для высоких давлений состоят в основном из минер. масла, к которому добавлено ~ 5 вес. % маслорастворимого продукта взаимодействия галогенного соединения Мо с аминами общей ф-лы $(\text{R}_{1,2,3})_3$, в котором атом Мо непосредственно связан с атомом N и где R_1 , R_2 и R_3 — арил-, арилалкил-, алифатич. части радикалов содержат минимум 6 атомов C; R_1 и R_2 могут представлять собой водород. Пример. К 1 молю молибдентрихлорида, суспендированного в толуоле, постепенно добавляют 2 моля дифениламина и смесь кипятят в течение нескольких часов; коричневый продукт р-ции фильтруют и р-ритель отгоняют. Остаток, представляющий собой темно-серый порошок, нагревают в вакууме до 120° для удаления следов р-рителя; полученный продукт содержит 16,8% Мо. Г. Марголина

33940 П. Комплексная смазка, содержащая гидрированное касторовое масло. Моруэй (Complex grease containing hydrogenated castor oil. Morway Arnold J.) [Esso Research and Engng Co.], Пат. США 2738328, 13.03.56

Патентуется смазка, состоящая в основном из минер. смазочного масла ($\sim 80\%$ по весу) и загустителя, представляющего собой смесь мыльно-солевого комплекса (K) (8–35% по весу) и неомыленного гидрированного касторового масла (ГМ) ($\sim 2\%$ по весу). Соотношение ГМ и K в загустителе должно быть в пределах от 1:4 до 4:1, предпочтительно от 1:2 до 2:1. K представляет смесь соли щел.-зем. металла, предпочтительно Ca, низкомолекулярной, монокарбонной к-ты, предпочтительно уксусной, с 1–6 атомами C и соли того же металла высокомолекулярной карбонной к-ты, содержащей 12–30 атомов C (предпочтительно 12–22) в молекуле напр. гидрированные к-ты рыбьего жира. ГМ, придающее смазке особую мягкость, приготавливается путем полного гидрирования касторового масла и является высокопластичным воскообразным соединением без запаха и вкуса (главная составная часть его — 12-оксистеариновая к-та). Метод приготовления смазки заключается в смешивании низкомолекулярной к-ты, напр. уксусной, высокомолекулярной к-ты, напр. гидрированной к-ты рыбьего жира и щел.-зем. основания, напр., $\text{So}(\text{OH})_2$, с минер. смазочным маслом и нагревании всей смеси до т-ры 230 – 290° для дегидратации указанной смеси и образования K, после чего смесь подвергают охлаждению до т-ры $\sim 180^\circ$ и добавляют ГМ. Затем при охлаждении до 120° добавляют антиоксидант: $\sim 0,5\%$ фенил-α-

нафтиламина. Для приготовления смазки могут употребляться другие стандартные загустители, напр. полиэтилен; могут быть добавлены также агенты, придающие липкость, клейкость (полибутен).

М. Землянухина

33941 П. Смазочные масла с присадкой. Кликкер, Стивенс (Lubricant compositions. Klicker James D., Stevens Donald R.) [Gulf Research & Development Co.] Пат. США 2760935, 28.08.56

Как моющую присадку к смазочному маслу добавляют металл. соль нафтенлоксипропионовой к-ты, напр. соль Ca, Ba, Zn, Ni или Pb. Пример. К смеси 1908 г нафтенных к-т (т. кип. 155—171° при 0,3 мм рт. ст. и мол. в. 250—272) с эквимолекулярным кол-вом NaOH в 5 л H₂O добавили при ~30° и перемешивании эквимолекулярное кол-во лактона β-оксипропионовой к-ты. После стояния в течение ночи к смеси добавили равный объем H₂O, нагрели до кипения и смешали с водн. р-ром 497 г CaCl₂. Выпавшую Ca-соль (I) нафтенлоксипропионовой к-ты растворили в гексане, промыли H₂O и удалили р-ритель под вакуумом. Получили янтарно-окрашенную полутвердую I. Минер. масло (вязкость 45 сст при 99°), содержащее 9,4% I и 0,76% золы (CaO), испытывали на одноцилиндровом дизеле Лаусона: после 216 час. работы юбка поршня была чистой и не наблюдалось пригорания колец.

А. Равикович

33942 П. Гидрофобные смазочные материалы на основе окиси кремния, содержащие 1,3-диолы в качестве агентов, предупреждающих желатинирование. Блаттенбергер (Hydrophobic silica base lubricants containing 1,3-diols as anti-gelation agents. Blattenberger John W.) [Sun Oil Co.] Пат. США 2752310, 26.06.56

Патентуется консистентная смазка, состоящая из смазочного масла с диспергированным в нем в кол-ве 5—15% загустителем колл. SiO₂, с добавкой в качестве агента, препятствующего желатинированию смазки при нагревании, 2,5—10% алифатич. диола с боковой цепью в положении 2, напр. 2-метилпентадиола-2,4 или 2,2-диэтилпентадиола-1,3.

Е. Покровская

33943 П. Способ диспергирования маслонерастворимых твердых присадок в минеральных маслах. Оберрайт (Method for incorporating oil-insoluble, solid addition agents in mineral oils. Oberright Edward A.) [Socony Mobil Oil Co., Inc.] Пат. США 2758085, 7.08.56

Для диспергирования в минер. масле (М) нерастворимое в нем твердое в-во, применяемое как присадка, в виде окиси или гидрата окиси металла II периодической системы (напр., ZnO или CaO), измельчают до размера частиц ≤ 45μ и затем смесь 10—90% этого в-ва и 90—10% связующего парафинового продукта (парафина, пчелиного воска, спермацета, и т. п.) таблетуют. Пример. Для получения частиц размером ≤ 45μ Ca(OH)₂ измельчили и просеяли через сито 325 меш, полученный порошок перемешивали 0,5 часа с разогретым чешуйчатым парафином с т. пл. ~ 52°; полученные из смеси таблетки содержали 31% Ca(OH)₂. При испытании на двигателе Лаусона пенсилванского M SAE-20 добавка в него 1% Ca(OH)₂ в виде таблеток повышала чистоту поршня с 65 до 80 оценочных единиц (полная чистота 100). Добавка в то же M 0,5 ZnO в таблетках (40% ZnO) при испытании на том же двигателе повышала чистоту поршня с 77 до 82 и снижало коррозию Cu-Pb-подшипников в ~ 5 раз.

А. Равикович

33944 П. Способ предотвращения пенообразования. Монсон (Process for inhibiting foam. Monson Louis T.) [Petrolite Corp.] Пат. США 2748086; 2748089, 29.05.56

По патенту 2748086 для предотвращения и уменьшения пенообразования в водн. и неводн. средах в процессах нефтепереработки, очистки природных газов и других предлагается использование антипенной присадки в кол-ве не более 1%, представляющей собой эфир алкилдикислоты и полиалкиленгликоля, в котором отношение дикислоты к полиалкиленгликолю составляет от 1,1 до 2,0; алкильные группы содержат от 2 до 3 атомов C, а мол. вес равен от 1500 до 4000, а также от 1000 до 10 000. В частности предлагается использование эфиров алкилдикислот (дигликолевой, малеиновой, адипиновой и щавелевой) и полипропиленгликоля; соотношение между к-той и полипропиленгликолем в полученном продукте должно быть от 1,1 до 2,0, а мол. вес от 1500 до 4000. Получение антипенной присадки производится этерификацией полиалкиленгликолей дикарбоновыми к-тами, или их ангидридами. Процесс протекает при нагревании в интервале t-р 100—275° в присутствии в качестве катализаторов серной к-ты, толуолсульфонисоты, сульфо-β-камфорной к-ты и др. Если реагенты кипят при низкой t-ре, процесс проводится в автоклаве. При t-ре кипения компонентов ~ 200° процесс проводится при атмосферном давлении. В качестве примера получения антипенной присадки может служить этерификация при нагревании ~ 100° в течение 10 час. полиэтиленгликоля с мол. в. ~ 1300—1600 с малеиновым ангидридом в присутствии 1,5 г n-толуолсульфокислоты. Для практич. целей присадка вводится в кол-ве от 0,001 до 0,1%.

Для той же цели по патенту 2748089 предлагается добавка в кол-ве ≤ 1% антипенной присадки, представляющей собой оксикаликированный и ацилированный триэтанолламин или его полимер, у которого один атом H группы OH замещен по крайней мере в одном случае ацильным радикалом монокарбоновой к-ты с 8—32 атомами C. Оксикаликирование проводится окисью пропилена или же смесью окиси пропилена с окисью этилена, при этом мол. вес полученного продукта должен быть по крайней мере 273, но не более 4000; половина продукта по весу обязательно должна состоять из оксипропиленовых групп C₃H₄O. В частности также считается, что замещающий ацил может быть радикалом ненасыщ. алифатич. к-ты, имеющей 18 атомов C, а также ацильным радикалом таллового или касторового масла. Ацилирование триэтанолламина, напр., производится касторовым маслом или рицинолевой к-той при 180—250° в течение 10—25 час. Ацилирование полимера триэтанолламина производится в тех же условиях. Полимер триэтанолламина получается при 200—250° в течение времени от 5 до 20 час. Оксикаликирование ацилированного триэтанолламина осуществляется в автоклавах при добавке ароматич. р-рителя в присутствии 50%-ного р-ра NaOH при 110—115°. На практике присадка добавляется в кол-ве 0,0001—0,1%.

В. Зрелов
33945 П. Присадки к смазочным материалам. Фишер, Брандт, Пильграм (Zusatzstoffe zu Schmiermitteln. Fischer Karl A., Brandt Eduard, Pilgram Kurt) [Deutsche Erdöl-A.G.] Пат. FRG 960755, 28.03.57

Противознозные присадки к смазочным маслам, представляющие собой производные ариалкоксифторфосфорнокислых эфиров тиотионофосфорных к-т, а также их соли или сульфиды. Присадки добавляются к минер. маслам в кол-ве 0,5—10 вес.% (на масло). Пример: при добавлении к смазочному маслу 3% симметрич. тетрасульфида 0,0-бис-(хлорпропил (2)-3-дибутокси-тиотионофосфорнокислого) эфира тиотионофосфорной к-ты получают масло, выдерживающее при испытании на машине Виланда нагрузку 1100 кг/см², причем износ вала составляет 0,071 мм

(масло без присадки выдерживает нагрузку до 250 кг/см² при износе 0,18 мм). Е. Покровская

33946 П. Антикоррозийная присадка к смазочным маслам. Филдс, Уотсон (Lubricant. Fields Ellis K., Watson Roger W.) [Standard Oil Co.]. Пат. США 2760932, 28.08.56

Как присадку к минер. смазочным маслам (М) применяют не содержащий практически олефинов продукт р-ции (ПР) при 93—232° Р-сульфида, напр. Р₂S₅, и фракции (Ф) с т-рой кипения в интервале 93—343°, получаемой из углеводородной части продукта гидрирования СО и содержащей ≥60% (60—90%) углеводородов и значительное кол-во окисленных соединений, карбоксильных, гидроксильных и карбонильных. Ф может иметь узкие пределы кипения, в интервале т-ры кипения от n-гексана до n-эйкозана. Ф может быть промыта щелочью. В М добавляют (можно в виде конц. масляных р-ров) 0,001—10% ПР или 0,001—10% ПР и 0,001—10% нейтрализованного продукта р-ции Р-сульфида и полибутилена. Пример. Смесь (з) из 140 Ф С10, промытой щелочью, и 66 Р₂S₅ перемешивали 2 часа при 149—163° в атмосфере N₂, получили 194 профильтрованного ПР в виде светло-коричневого подвижного масла, содержавшего 6,72% Р и 16,74% S. ПР в М действует как антикоррозийная присадка и ингибирует коррозию Ag, Cu и Pb.

А. Равикович
33947 П. Присадки к смазочным маслам. Хофф, Уотсон, Филдс (Lubricants. Hoff Melvern C., Watson Roger W., Fields Ellis K.) [Standard Oil Co.]. Пат. США 2758089, 7.08.56

Присадку (П) для сверхвысоких давлений получают путем р-ции при т-ре от -4° до +93° между 1) соединением Мо или V, способным в условиях р-ции переходить в окись, 2) H₂O₂ и 3) не нейтрализованным продуктом (НП) р-ции Р-сульфида с углеводородами, напр. Р₂S₅ с сополимером бутилена и изобутилена; на 1 ч. Мо-V-соединения берут 1—40 НП и 0,05—4H₂O₂. Можно применять сульфиды и окиси Мо и V или соли молибденовой и ванадиевой к-т со слабыми основаниями, с константой диссоциации ≤ 1 × 10⁻³. П добавляется к минер. смазочному маслу в кол-ве 0,05—15% на смесь. Пример. НП получили нагреванием (в ч.) 85 полиизобутилена (средний мол. в. 780, вязкость 219 сст при 99°) и 15 Р₂S₅ 6 час. при 204°, продукт р-ции гидролизовали паром при 204°, развели маслом до 60%-ной конц-ии и профильтровали. К перемешиваемой смеси из 332 60%-ного НП, 175 C₆H₆ и 19 МоО₃ прилили по каплям в течение 2 час. 72 30%-ного H₂O₂, в результате экзотермич. р-ции т-ра поднялась до 43—52°; смесь затем нагревали 2 часа с обратным холодильником, слили р-с осадка и отогнали H₂O и C₆H₆. Получили 350 ч. П, содержавшей 4,86% Мо и 1,87 Р. При испытании на машине трения Олмен смазочное масло с 1% П выдерживало нагрузку 8,2 кг, тогда как без П не выдерживало 3,6 кг.

А. Равикович
33948 П. Ингибитор ржавления в минеральном масле. Матушак (Rust inhibitor. Matuszak Alfred Henry) [Esso Research and Engineering Co.]. Пат. США 2759894, 21.08.56

Как присадку к минер. смазочному маслу, ингибирующую ржавление, добавляют 0,1—10% (на смесь) маслорастворимого продукта (П), получаемого р-цией между эквимолекулярными кол-вами хлористого олеила (I) и триметилоламинометана (II) (CH₃OH)₃CNН₂ в присутствии достаточного кол-ва пиридина (III) для связывания выделяющегося при р-ции HCl (50—60° в течение ≥ 15 мин.), III и солянокислый III удаляют из продукта р-ции. Пример. К 30,3 г II и 400 г III при 50—60° и при перемешивании в токе N₂ добавили 72,5 г I в течение 15 мин. Из реакционной смеси отогнали III нагревом до ~80° при давл.

~160 мм рт. ст. и остаток р-ции в 250 г толуола, промыли от HCl и удалили толуол перегонкой при давл. 20 мм рт. ст., в остатке получили темно-красный прозрачный П. Мидконтинентское масло с вязкостью 25 сст при 99°, содержащее 1% П, испытывалось 8 час. на одноцилиндровом двигателе авиационного типа (5,7 л, с., 2400 об/мин); после испытания стальной цилиндр двигателя выдерживался во влажной камере с переменной т-рой 22—32° и относительной влажностью 94—53% (имитация тропич. климата): через 10 суток поржавело 2,5% площади цилиндра, тогда как при испытании на том же масле без П — 45%.

А. Равикович
33949 П. Присадки, понижающие температуру застывания смазочных масел. Холлидей (Modified polymeric pour point depressants. Hollyday William C.) [Esso Research and Engineering Co.]. Пат. США 2749312, 5.06.56

Присадка, добавляемая к минер. маслу в кол-ве, напр., 0,001—10 вес.% (на смесь), является продуктом р-ции (ПР) 1) алифатич. моноамина с 6—20 атомами С (первичного вторичного или третичного, или их смесей) и 2) полимера хлористого винила или сополимера (СП) хлористого винила и винилацетата, имеющих общую ф-лу (CH₂CHCl)_x — (CH₂CHZ)_y —, где Z — Cl или [CH₂C(O)O—], x и y — целые числа. При р-ции выделяется HCl и ПР содержит виниламиновые группы [—CH₂C(NHR)CH—]. ПР имеет мол. в 3000—100 000 и маслорастворим. Пример. Смесь 300 мл CH₃OH (I), (з) 30 продажного СП, содержащего ~50% Cl, и 90 смеси первичных алкилмоноаминов со средним мол. в. 200, в которых алкилы получены из к-т кокосового масла, нагревали 15 час. с обратным холодильником, затем I выпарили, остаток нагревали 1 час при 149° и после охлаждения растворили в гексане, р-р промыли 20%-ным NaOH, гексан выпарили и остаток проэкстрагировали I. Из экстракта получили 68 непрореагировавших аминов и 1,9 СП, выход ПР, нерастворимого в I, 35; ПР содержал 3,34% N и 14,2% Cl. Добавка 0,02% ПР к мидконтинентскому маслу SAE-20 понизила его т. заст. с -9° до -26°.

А. Равикович
33950 П. Присадки для стабилизации запаха смазочных масел. Бартлсон, Олфорд (Odor stabilized lubricating oil additives. Bartleson John D., Alford Harvey E.) [The Standard Oil Co.]. Пат. США 2744068, 1.05.56

Метод приготовления присадки для стабилизации запаха смазочных масел состоит в образовании присадки путем взаимодействия минер. смазочного масла (напр., селективной очистки SAE 10) с 2—10% Р₂S₅ (напр., 3,75%) при 120—230° (150°) в течение 0,5—10 час. (5 час.); в обработке присадки 0,25—5,0% (~1%) чешуйчатой КОН, содержащей ~15% воды, в течение 0,5—5 час. (1 часа) при 65—205° (120°); в последующей обработке SO₂ под давлением в присутствии небольшого кол-ва воды (~0,25%) для поглощения SO₂ ~1,9 вес.% для придания присадке стойкости к выделению H₂S.

Г. Марголина
33951 П. Синтетическое смазочное масло. Матушак, Бартлетт, Морзуэй (Synthetic lubricating composition. Matuszak Alfred H., Bartlett Jeffrey H., Morway Arnold J.) [Esso Research and Engineering Co.]. Пат. США 2757139, 31.07.56

Патентуется смазочное масло с т. заст. < 2°, т. всп. > 191° и вязкостью 2—13 сст при 99°, состоящее из эфира RCOOR¹, где R и R¹ — алкилы, один из которых имеет 8—18 атомов С и прямую цепь, а другой 12—28 атомов С, из которых 4—14 находятся в одной главной боковой цепи. Пример. Смесь из 121,2 г спирта C₁₆, полученного димеризацией спирта с разветвленной цепью C₈ оксо-синтеза, 115 г жирных к-т

кокосового масла, 1,2 г катализатора — NaHSO_4 и 75 г толуола нагревали с обратным холодильником 90 мин. при $140-161^\circ$, при этом отогналось 9 мл H_2O ; продукт р-ции разбавили 200 г гексана, промыли 2%-ным водн. р-ром Na_2CO_3 , H_2O и перегнали, получили 188 г эфира с т. кип. $185-195^\circ/0,05$ мм рт. ст., который имел: вязкость 3,51 ссг при 99° , 2623 при -40° , индекс вязкости 128, т. заст. -51° и т. всп. 218° .

А. Равикович

33952 П. Консистентная смазка, содержащая избыток гидроокисей щелочных металлов, для работы в широких температурных пределах. Дилуэрт, Эккерт, Конпок (Wide temperature range alkali metal grease containing excess alkali metal hydroxides. Dilworth John P., Eckert George W., Corpross William J.) [The Texas Co.], Пат. США 2755247, 17.07.56

Консистентная смазка для работы в широком температурном интервале для шарикоподшипников характеризуется высокой т-рой каплепадения, хорошей стабильностью к окислению и хорошими низкотемпературными качествами. Состав (%): мыло щел. металлов 15—25, минер. масло 60—80, едкая щелочь 1,7—2,3. Способ приготовления смазки: смешение мылообразующего продукта (йодное число 90—130) с минер. маслом, добавка к смеси едкой щелочи в стехиометрич. кол-ве, требуемом для омыления, плюс избыток 1,7—2,3% в готовой смазке; омыление смеси, нагрев до $249-288^\circ$, поддержание этой т-ры в течение 2,5—5 час., слив смазки при 260° , быстрое охлаждение и перетирание охлажд. смазки. В частности, применяют Na-мыла смеси менаденового жира и гидрированных жирных к-т рыбьего жира в отношении 3:1. Варианты состава смазки: добавление от 0,25 до 4% соли нефтяной сульфокислоты и 1—10% дифениламина или стеарата алюминия. Последние добавляют при 260° перед охлаждением готовой смазки.

С. Розеноер

33953 П. Способ и устройство для удаления воздуха из консистентных смазок. Хаузер (Verfahren und Vorrichtung zum Entlüften von Schmierfett. Hauser Paul) [Fryma-Maschinenbau G. m. b. H.], Пат. ФРГ 960758, 28.03.57

Для удаления воздуха из консистентной смазки она в виде нитей пропускается через вакуум-камеру (К). Последняя имеет форму трубы, к верхней части которой присоединена воронка, к суженной части — фланец. В поперечном сечении К имеется пластина с отверстиями, через которые продавливается консистентная смазка. Пластину можно менять и передвигать вдоль К. Пластина поддерживается на подвешенных в К болтах с нарезками, вместе с которыми может двигаться в осевом направлении и выниматься из К. Приведена схема устройства.

Г. Марголина

33954 П. Метод и аппаратура для анализа углеводородных газов. Хатчинс, Миллер (Method of and apparatus for analyzing hydrocarbon gases. Hutchins Joseph W., Miller Elmer C.) [Phillips Petroleum Co.], Пат. США 2765409, 2.10.56

Анализируемую смесь углеводородных газов пропускают через колонку (К) с твердым сорбентом. Компоненты смеси селективно адсорбируются в К, вследствие чего в выходящем из К газовом потоке (ГП) они появляются в порядке возрастания числа атомов С в молекуле. Состав газа определяется сравнением изменения интенсивности луча радиации (ЛР), пропускаемого через ГП, с кривыми, полученными этим же методом для смесей известного состава или с теоретич. кривыми. Предлагается в качестве ЛР использовать ИК-лучи. Определение состава смеси можно вести по времени, необходимым для последовательного насыщения сорбента компонентами анализируемой смеси; конец насыщения сорбента компонентом определяется

также с помощью ЛР по появлению этого компонента в ГП. Метод может быть дополнен замером т-ры в верхней части К. Предлагается также природный газ, после удаления из него CO_2 , H_2S и H_2O , пропускать через К с постоянной скоростью ступенями. При появлении в ГП индивидуального компонента подача газа прекращается, а сорбент отгоняется для определения углеводородных компонентов, сорбированных на нем. Анализироваться могут природный газ, газы крекинга, не содержащие непредельных углеводородов.

С. Гуднов

См. также: Материалы майского Пленума ЦК КПСС, 31307, 31308. Общие вопросы 31335, 31337. Происхождение нефти 32092, 32093. Битумы 32860. Переработка нефти 32731, 32733, 32738. КИП 32780, 32782. Коррозия 32822, 32823, 32835, 32867, 32886—32890. Химич. процессы в двигателях 32241. Сточные воды нефтепереработки 32936, 32941, 32942. Техника безопасности на нефтеперерабат. з-дах 33024, 33029. Анализ газов 32187. Ядерное горючее 33039, 33040, 33043

ЛЕСОХИМИЧЕСКИЕ ПРОИЗВОДСТВА. ГИДРОЛИЗНАЯ ПРОМЫШЛЕННОСТЬ

Редактор А. П. Хованская

33955. Кислотные группы в древесине. Тимелл (The acyl groups in wood. Part I. The formyl group. Timell T. E.), Svensk papperstidn, 1957, 60, № 20, 762—766 (англ.; рез. шведск., нем.)

Исследовано 14 образцов древесины разных пород на содержание ацетильных и формильных групп параллельно двумя методами. По методу Фрейденберга и Гарднера образец кинят со спирт. р-ром р-толуол-сульфоновой к-ты, образующийся этиловый эфир уксусной к-ты отгоняют в титрованный р-р щелочи (зат-й в избытке) и по расходу щелочи на омыление эфира определяют кол-во образовавшейся уксусной к-ты (оттитровывание избытка щелочи 0,1 н. HCl р-ром). По методу Whistler'a и Jeanes'a образец древесной муки, высушенный над P_2O_5 в вакууме, нагревают с р-ром метилта Na в абсолютно безводн. CH_3OH . Определение муравьиной к-ты проводят с HgCl_2 . Содержание ацетильных групп в древесине при определении по обоим методам одинаково. При кислотом омылении определяют большие кол-ва муравьиной к-ты. Некоторые древесины (необработанные) не содержат вовсе или содержат очень малые кол-ва формильных остатков в виде эфиров. Муравьиная к-та образуется из углеводов при действии на них к-т и оснований.

А. Закощников

33956. Распределение экстрагируемых кислот в ольхе (*Alnus incana*), сосне (*Pinus silvestris*), ели (*Picea excelsa*) и можжевельнике (*Juniperus communis*). Периль, Маннер (On the location of the acid extractives of the alder (*Alnus incana*), pine (*Pinus silvestris*), spruce (*Picea excelsa*) and juniper (*Juniperus communis*). Perila Olaci, Manner P. aavo), Paperi ja puu, 1956, 38, № 10, 499-503 (англ.)

Срезы указанных древесин толщиной 0,02 мм высушивали над P_2O_5 и погружали на 24 часа в 1,5% водн. р-р лактата Bi , затем промывали водой, обрабатывали в продолжение 6 дней эфиром (висмутовые соли смоляных к-т растворимы в эфире) и окрашивали суданом III (методика описана). Этим методом возможно определять миним. конц-ии каприловой, пальмитиновой и линолевой к-т (соответственно 0,006, 0,003 и 0,002 мг/мм³). В древесине ольхи и можжевельника жирные к-ты отлагаются главным образом в клетках сердцевинных лучей, в древесине ели и сосны — в клетках смоляных каналов.

Н. Рудакова

33957. Экстрактивные вещества из ядровой древесины калифорнийского кедр *Libocedrus decurrens*. III. Открытие нового фенольного эфира, либоцедрола и его *p*-метокситимол-комплекса. Заварин, Андерсон (Extractive components from incense — cedar heartwood (*Libocedrus decurrens* Torrey). III. Occurrence of libocedrol, a new phenol ether, and its *p*-methoxythymol addition complex. Zavarin Eugene, Anderson Arthur B.), J. Organ. Chem., 1955, 20, № 6, 788—796 (англ.).

Либоцедрол ($C_{22}H_{30}O_4$, т. пл. 87—88°), изолированный из ядровой древесины ароматного кедр, содержит одну фенольную группу, две группы ОСН₃ и один эфирный кислород. Оптически неактивен. Он окисляется $Fe_2(SO_4)_3$ в хинон (т. пл. 95—96°), содержащий один метоксил, легко окисляющийся перекисью водорода в щел. среде в *p*-метокситимол. Часть II см. РЖХим, 1957, 39445. М. Чочиева

33958. Экстрактивные вещества древесины. Часть 3. Ядровая древесина *Pinus pumila* Regel. Кондо, Ито, Миёси (Kondo Tamio, Ito Hiroyuki, Miyoshi Tomozo), Нихон ногай какаку кайси. J. Agric. Chem. Soc. Japan, 1955, 29, № 2, 110—112 (японск.; рез. англ.).

Из указанной древесины выделены: хризин, тектохризин, пиноцембрин, монометиловый эфир пиносиллина и монометиловый эфир дигидроиносиллина.

Э. Тукачинская

33959. Экстрактивные вещества древесины. Часть 4. О компонентах ядра древесины *Aesculus turbinata* Blume. Кондо, Фурудзава. (Kondo Tamio, Furuzawa Nobue), Нихон ногай какаку кайси. J. Agric. Chem. Soc. Japan, 1955, 29, № 12, 952—954 (японск.; рез. англ.).

При исследовании компонентов ядровой древесины *Aesculus turbinata* Blume были выделены и идентифицированы β -ситостерин и глюкозид фраксин. С помощью хроматографии на бумаге были обнаружены эскулетин, фраксетин (продукты расщепления глюкозидов эскулина и фраксина) и глюкоза.

В. Высотская

33960. Состав углеводов десяти североамериканских пород древесины. Таймелл (Carbohydrate composition of ten North American species of wood. Timmell T. E.), Tappi, 1957, 40, № 7, 568—572 (англ.).

Исследовался состав углеводов древесины осины (*Populus tremuloides*), бука (*Fagus grantifolia*), березы (*Betula papyrifera*), красного клена (*Acer rubrum*), бальзамич. пихты (*Abies balsamea*), восточного белого кедр (*Thuja occidentalis*), гемлока (*Tsuga canadensis*), сосны (*Pinus banksiana*), ели (*Picea glauca*) и лиственницы (*Larix laricina*). В древесине лиственных пород найдено 1% галактана. 45—47% глюкоза, 2—3% маннана, 0,5% арабана и 16—25% ксилана. В древесине хвойных соответственно (в %): 1—2, 45—47, 8—13, 1—1,5 и 4—7 тех же углеводов. Содержание «чистой» α -целлюлозы в холоцеллюлозе из лиственных пород ~41 и из хвойных 41—45%. Холоцеллюлоза осины содержит макс. кол-во α -целлюлозы (53,0%). Сахара определяли спектрографически. В гидролизатах из всех пород древесины имеются моно- и биуроновые к-ты, также следы метилуриновых к-т. В березе содержатся 3 уриновые к-ты — D-галактуроновая, 4-О-метил-D-глюкуроновая и 2-О-(4-О-метил-D-глюкуронозил)-D-ксилоза. Содержание уринов у всех пород одинаково (3—4%). А. Закощиков

33961. Химический состав древесины ново-зеландской сосны *Pinus radiata*. I. Суммарный анализ и предварительное изучение гемицеллюлоз. Браш, Уайз (The chemistry of New Zealand grown *Pinus radiata*. I. Summative analyses and preliminary studies on the hemicelluloses. Brasch Donald J.,

Wise Louis F.), Tappi, 1956, 39, № 8, 581—588 (англ.).

При экстракции двух образцов древесины *Pinus r. афром* и смесью спирта и бензола извлечено ~2% в-в от веса древесины, при последующей экстракции холодной водой извлекается ~0,5—0,6% экстрактивных в-в. Методом хроматографии в них обнаружены *l*-арабиноза и *d*-галактоза, содержащиеся в древесине в виде арабогалактана, а также глюкоза, фруктоза и сахароза. Остаток после экстракции содержит (в %) (определение по методам Тарпи): золы ~0,2, ацетильных групп ~1,4, лигнина ~26,5, α -целлюлозы ~54,7 и гемицеллюлоз ~16,3. При помощи хроматограмм, полученных по нисходящему методу, в гемицеллюлозах обнаружена к-та В, являющаяся 4-О-метил-D-глюкуроновой к-той, и к-та С, являющаяся 3- α -(4-О-метил-D-глюкуронозил)-D-ксилозой. К-та Д является 2- α -(4-О-метил-D-глюкуронозил)-D-ксилозой. К-та Е при гидролизе с разб. HCl дает ксилозу, 4,0-метил-D-глюкуроновую к-ту и Д. Следовательно к-та Е, по-видимому, является альдотри- или альдотетрауриновой к-той, связанной глюкозидной связью со вторым атомом ксилозы. К-та А является лактоном или каким-либо другим продуктом дегидратации альдоуриновой к-ты.

А. Закощиков

33962. Связь между окраской и содержанием железа в древесине дуба из района Шпессарт. Верман (Beziehungen zwischen Farbe und Eisengehalt von Traubeneichenholz aus dem Spessart. Wehrmann J.), Holz Roh- und Werkstoff, 1957, 15, № 8, 325—327 (нем.; рез. англ.).

Образцы тщательно измельчали, соблюдая предосторожности во избежание попадания частиц тяжелых металлов, озоляли, в р-ре золы содержание металлов определяли фотометрически. Кол-во Fe, в 18 исследованных образцах дуба разной окраски, 1,0—2,1, Mn 37—41, Cu 0,7—1,3 мг/кг. Ясно выраженной связи между цветом древесины и содержанием в ней Fe не обнаружено.

Н. Рудакова

33963. Сорбция щелочи лигнином, холоцеллюлозой и древесиной ели. Скритон, Мейсон (Sorption of alkali on spruce lignin, holocellulose and wood. Screaton R. M., Mason S. G.), Svensk papperstidn., 1957, 60, № 10, 379—387 (англ.; рез. шведск., нем.).

Сорбцию лигнином (Л) ели NaOH, KOH и LiOH из водн. р-ров изучали с помощью измерения изотерм сорбции, теплот сорбции и набухания при комнатной т-ре. Л был выделен из еловой древесины периодатным способом. При малых конц-ях щелочей до 9% LiOH, до 6,5% NaOH и до 10,5% KOH (по весу) все три щелочи сорбировались приблизительно в одинаковых кол-вах, при более высоких конц-ях три изотермы расходились. Суммарные теплоты сорбции и набухания имели такую же общую тенденцию. Изучена также сорбция и теплота сорбции NaOH древесины ели и холоцеллюлозой. И в том и в другом случае результаты сорбции соответствовали изотерме адсорбции Фрейндлиха, но данные по теплотам указывали на более сложный процесс. При низких конц-ях NaOH кол-во сорбируемой щелочи и теплота сорбции больше для Л и холоцеллюлозы, чем для цельной древесины.

В. Высотская

33964. Химия лигнина (1943—1954). Гаррис (Highlights in the chemistry of lignin, 1943—1954. Harris Elwin E.), Forest Prod. J., 1955, 5, № 1, 26—31 (англ.).

Обзор. Библ. 79 назв.

Э. Т.

33965. О механизме цветной реакции лигнина. IV. Цветная реакция по Кроссу-Бивену лигнина из древесины твердых пород. Мигита, Накано, Окада, Охаси, Ногутти (Migita Nobuhiko, Na-

kano Junzo, Okada Tatumi, Ohashi Goro, Noguchi Masao), Нихон рингаккайси, J. Japan Forest Soc., 1957, 37, № 1, 26—34 (японск.; рез. англ.)

Для изучения механизма р-ции синтезированы и испытаны 5-хлорванилин, 6-хлорванилин, 5,6-дихлорванилин, 4-хлорпирогаллол, 4,5- или 4,6-дихлорпирогаллол, метиловый эфир 4,5- или 4,6-дихлорпирогаллола-1, метиловый эфир трихлорпирогаллола, метиловый эфир монохлоргалловой к-ты, метиловый эфир дихлор-4-метилгалловой к-ты, дихлорспиреневая к-та, дихлортриметилгалловая к-та и дихлор-2,3,4-триокси-5,6-дихлорацетофенон, трихлорпирогаллол, дихлоргалловая к-та, метиловый эфир дихлоргалловой к-ты. Показано, присутствием каких групп и элементарных звеньев обуславливается цветная р-ция лигнина. Предыдущее сообщение см. Bull. Tokyo. Univ. Forests, 1952, 43, 139.

Э. Тукачинская
33966. Рациональное использование древесины. Калниньш А. И., Latv. PSR Zinātņu Akad. vēstis, Изв. АН ЛатвССР, 1957, № 10, 147—152

Указаны основные направления использования древесины и древесных отходов.

А. Хованская
33967. Изменения выходов продуктов при сухой перегонке дерева в зависимости от качества исходного материала и от системы конденсации. Сурна, Калниньш (Koksnes sausās pārtvaices produktu iznākumu izmaiņas atkarībā no izejmateriāla kvalitātes un kondensācijas sistēmas. Surna J., Kalniņš A.), Mežsaimniecības Problēmu Inst. raksti. LatvPSR Zinātņu Akad., Тр. Ин-та лесохоз. проблем. АН ЛатвССР, 1957, 13, 33—47 (лат.; рез. русск.)

Отходы фанерных з-дов являются наиболее подходящим сырьем для з-дов сухой перегонки в Латвии. Непрерывная работа последовательно включаемых реторт с внутренним обогревом увеличивает выход продуктов и интенсивность пирогенетич. разложения древесины. Длительность процесса сухой перегонки и расход топлива увеличиваются с увеличением влажности обугливаемой древесины, а выход ценных продуктов пиролиза древесины снижается. Улавливание жидких продуктов пиролиза древесины облегчается при введении рациональной системы конденсации (применение для циркуляции паровозов двухступенчатого вентилятора, спец. скрубберов с наклонными полками). Наибольшее кол-во летучих к-т образуется, когда т-ра отходящих из реторт газов достигает 200—240°, растворимой смолы — 200—280°, метилового спирта и осадочной смолы ~350°.

А. Хованская
33968. О составе смолистых продуктов термического разложения ксилана. Сергеева, Гроскауфманис, Эрнш (Par ksilāna termiskās sadāles darvas produktu sastāvu. Sergejeva V., Groskaufmanis A., Erinš P.), Mežsaimniecības Problēmu Inst. raksti. LatvPSR Zinātņu Akad., Тр. Ин-та лесохоз. проблем. АН ЛатвССР, 1957, 13, 49—56 (лат.; рез. русск.)

Вещества эфирорастворимой части смолистых продуктов термич. разложения ксилана фракционировали под вакуумом на колонке высотой 250 мм и диам. 4 мм, наполненной металлич. спиральной проволокой на узкие фракции. Каждую из полученных фракций вновь фракционировали с применением метода хроматографич. адсорбции. Получены кривые УФ-спектров поглощения. Установлено, что в смоле, образующейся при термич. разложении ксилана, имеются одноатомные фенолы и ароматич. углеводороды, как с насыщенными, так и с ненасыщенными боковыми цепями; ароматич. карбоновых к-т смола не содержит.

А. Хованская
33969. Улавливание низкокипящих продуктов пиролиза древесины в пенном аппарате. Катунин

В. Х., Гуляев Б. Н., Гидролизная и лесохим. пром-сть, 1957, № 4, 8—10

Пенный аппарат улавливает водой метанол и асп-тон при содержании их в парогазовых смесях до 4 г/м³. К.п.д. полки аппарата достигает 0,97—0,98. При пенном способе обработки парогазов, содержащих метанол и ацетон, применяется невысокая степень орошения абсорбентов. В произ-ве формалина и при сухой перегонке древесины можно использовать двух- и трехполочные пенные аппараты, обладающие вследствие высокого к.п.д. почти небольшим сопротивлением газовому потоку (≤ 120 —180 мм вод. ст.).

А. Х.
33970. Получение метанола высокой степени чистоты из технического древесного спирта. Ремизов В. Л., Хуаскоэ шницзе, 1955, № 9, 447 (кит.). Перевод. См. РЖХим, 1956, 30858.

Э. Т.
33971. О фракционном и химическом составе пиролизной сосновой смолы. Петрович И. А., Уч. зап. Гомельского гос. пед. ин-та 1957, вып. 5, 181—198

Проведена вакуумная (2—3 мм) фракционированная разгонка трех различных образцов сосновой смолы. Начальная т-ра кипения смолы 150—163°, конечная т. кип. 400—438°; выход смоляных масел 63—79%, остаток 17,88—33,96%, потеря 1,7—3,1%. Состав дистиллята (в %): к-т 33,5—43,2; фенолов 7,8—14,8, нейтр. в-в 42,5—47,7. До 224° фенолов отгоняется 2,95%, в пределах 224—369° ~10,8%; при этих же т-рах нейтр. в-в отгоняется соответственно ~4,8 и 21,5%; к-т ~2,27 и ~2,13%. В остатке смоляные к-ты составляют ~26,3%.

А. Хованская
33972. Получение антиокислителя из пиролизной сосновой смолы и его стабилизирующие свойства. Петрович И. А., Уч. зап. Гомельск. гос. пед. ин-та, 1956, вып. 3, 197—208

Описана предложенная автором схема получения антиокислителя и смазочных масел из сосновой смолы. Выход антиокислителя составляет 17—18% от исходной сырой смолы.

А. Хованская
33973. Теория отбора проб и ее применение в лесохимии. Снесарев К. А., Гидролизная и лесохим. пром-сть, 1955, № 7, 8—10

33974. Точность определения влажности свежесрубленной древесины при помощи электрического детектора. Мак-Алистер, Майерс (The accuracy of an electric moisture detector in green wood. McAlister Robert H., Myers Robert L.), J. Forest. Prod. Res. Soc., 1954, 4, № 6, 417—421 (англ.)

33975. О некоторых реакциях окисления при использовании скипидара. Бхусан, Захир (Some oxidation reactions in turpentine utilization. Bhusan Bharat, Zaheer Husain S.), Chem. Age India, 1955, 6, № 1, 65—69 (англ.)

33976. Экстрактные вещества южной смолистой древесины. Уокан, Раш, Хейвуд (The extractives of southern gum woods. Walkup Joan H., Rush R. I., Haywood Gerald), Tappi, 1956, 39, № 6, A190—A193 (англ.)

В экстрактах, полученных путем последовательной обработки воздушно-сухих опилок *Liquidambar styraciflua*, *Nyssa sylvatica*, *Nyssa equatica*, этиловым эфиром и этиловым спиртом, содержатся к-ты, имеющие более чем одну двойную связь, но к-ты типа абietиновой отсутствуют. Разработана схема определения содержания свободных и связанных к-т, нейтр. в-в и неомыляемых.

Н. Руданов
33977. Проблема влажности и степени измельчения осмола в процессе экстракции. Сивек (Zagadnienie wilgotności i stopnia rodrobnienia karpiny w procesie ekstrakcji. Siwek Kazimierz), Przem. drzewny, 1957, 8, № 7, 20—24 (польск.). Изучено в лабор. и заводских условиях влияние

аппаратах неравномерно и это влияет на полноту вытеснения ГЛ из внешних пор гидролизующего материала и на выход сахара. Введен показатель, названный коэф. вытеснения, характеризующий конструкцию гидролизатора в отношении полноты вытеснения ГЛ из внешних пор гидролизующего материала и выхода сахара. Рекомендуется уменьшение отношения высоты аппарата к диаметру, что позволит увеличить скорость выдачи ГЛ без снижения выхода сахара.

А. Хованская
33991. Фракционирование ацетилксилана из ржаной соломы. Никитин Д. М., Уч. зап. Смоленского гос. пед. ин-та, 1957, вып. 4, ч. 1, 131—132

Диацетилксилан (кол-во замещенных ОН-групп на 100 элементарных звеньев γ -200) разделен на 12 фракций. Фракции гидролизуются и гидролизаты исследованы хроматографич. методом. Все выделенные фракции содержат ксилан, арабинозу и глюкуроновую к-ту.

А. Х.
33992. Соединение глюкозы с сернистой кислотой. Поляк, Жендовский (Łączenie glikozy z kwasem siarkawym. Polak Feliks, Rzędowski Wiesław), Przem. spożywczy, 1957, 11, № 6, 255—258 (польск.; рез. русск., англ., франц.)

Установлено, что скорость связывания H_2SO_3 (I) с глюкозой зависит от степени нейтр-ции к-ты и достигает наибольшей величины при нейтр-ции на 1 моль I 1 моля NaOH. Если степень нейтр-ции выше чем 1 моль NaOH на 1 моль I, связывания I с глюкозой не происходит.

А. Хованская
33993. Изучение углеводов, содержащихся в отработанном сульфитном щелоке. Часть I. Определение углеводов в отработанном сульфитном щелоке методом хроматографии на бумаге. Toda, Хамада (Toda Hisaaki, Hamada Tadahira), J. Japan. Techn. Assoc. Pulp and Paper Ind. Сипа гикёси, 1957, 11, № 7, 429—432, 443 (японск.; рез. англ.)

Определение проводили колориметрич. методом Somogyi после проявления бумажной хроматограммы. Лучшие результаты были получены, когда применяли щелока, предварительно нейтрализованные $Ca(OH)_2$; при этом находящаяся в щелоке свободная лигно-сульфоновая к-та превращается в Са-соль, которая хуже растворяется в р-рителе и в процессе проявления остается вблизи начальной линии. Эта методика обеспечивает получение на хроматограмме компактных и четко разделенных пятен. При определении уроновых к-т и полисахаридов рекомендуется обработка щелока какой-либо ионообменной смолы. Э. Т.

33994. Гидролиз целлюлозосодержащих материалов малыми количествами концентрированной серной кислоты. Одинцов П. Н., Бейнарт И. И. Latv. PSR Zinātņu Akad. vēstis, Изв. АН ЛатвССР, 1957, № 9, 87—93

Приведены результаты опытов с применением в процессе гидролиза статич. сжатия, динамич. нагрузки, длительности растирания древесины в механич. мельнице, числа пропусков массы в вальцевом аппарате ВГС и влажности древесины. Установлено, что при уменьшении в процессе гидролиза целлюлозосодержащих материалов кол-ва жидкой фазы скорость осахаривания падает, роль механич. воздействия увеличивается. С увеличением механич. сжатия или динамич. нагрузки кол-во продуктов гидролиза увеличивается. Наибольшее механич. воздействие наблюдается при комбинировании ударных и стирающих усилий. Древесина разной влажности гидролизуеться при малом модуле или менее конц. исходной H_2SO_4 с хорошими выходами продуктов гидролиза при одновременном интенсивном механич. истирании материала. А. Х.

33995. Гетерогенная деструкция целлюлозосодержащих материалов малыми количествами концентри-

рованной серной кислоты. Одинцов П. Н., Калниньш А. И., Бейнарт И. И., Latv. PSR Zinātņu Akad. vēstis, Изв. АН ЛатвССР, 1957, № 7, 55—60 (рез. лат.)

Установлено, что разрушение морфологич. структуры древесных частиц, как и активирование макромолекул целлюлозы при помощи вибрационного помола, ускоряет процесс гидролиза малыми кол-вами к-ты (модуль 1:0,3) и приводит почти к количеств. выходу сахаров. На единицу к-ты получаются 4 ед. сахара (модуль 1:0,1). Дальнейшее расщепление полисахаридов порошкообразной массы до водорастворимых продуктов, наблюдаемые при хранении ее при $\sim 20^\circ$ и предпочтительнее при 80° , указывает, что р-ция протекает через окисные соединения, распадающиеся при этом быстро с разрывом глюкозидного мостика. Гидролиз малыми кол-вами H_2SO_4 в основном проходит одинаково как для древесины хвойных, так и лиственных пород.

А. Хованская
33996. Гидролиз целлюлозосодержащих материалов небольшими количествами серной кислоты. Одинцов П. Н., Калниньш А. И., Бейнарт И. И., Калнина В. К., Гидролиз. и лесохим. пром-сть, 1957, № 8, 3—6

См. пред. реферат РЖХим, 1958, 33995.

33997. Получение гидролизатов с высокой концентрацией сахара. Питный, Одинцов (Augstas cukuru koncentrācijas hidrolyzātu iegūšana. Putnīgs M., Odincovs P.), Mežsaimniecības Problēmu Inst. raksti. LatvPSR Zinātņu Akad.; Тр. Ин-та лесохим. проблем. АН ЛатвССР, 1957, 13, 9—14 (лат.; рез. русск.)

Проведен гидролиз целлюлозы и еловой древесины 75%-ной H_2SO_4 с последующим использованием сернокислотного р-ра для разложения апатита. Полученный в виде темной густой массы гидролизат разбавляли и применяли для разложения апатита в таком кол-ве, чтобы соотношение твердой и жидкой фаз составляло 1:3,2; 1:2,4 и 1:2,2. В связи с разбавлением конц-ии сахара ниже той, которая необходима для получения кристаллич. глюкозы, использованы оборотные р-ры, остающиеся после промывки лигно-фосфогипса. В этом случае фильтрат содержит 11—17% сахаров, 1% H_2SO_4 и 19—20% H_3PO_4 , что позволяет получать из этих р-ров кристаллич. глюкозу. Находящиеся в гидролизатах продукты реверсии сахаров наиболее полно инвертируются при нагревании гидролизата при 120° в течение 5 мин.

А. Хованская

33998. Очистка и кристаллизация нейтраллизатов, полученных при гидролизе целлюлозы и древесины концентрированной серной кислотой. Питный, Одинцов (Koksnes celolignīna un koksnes neitralizātu attīrīšana un kristalizācija. Putnīgs M., Odincovs P.), Mežsaimniecības Problēmu Inst. raksti. LatvPSR Zinātņu Akad.; Тр. Ин-та лесохим. проблем. АН ЛатвССР, 1957, 13, 19—31 (лат.; рез. русск.)

Разработаны режимы очистки и кристаллизации нейтраллизатов, полученных из гидролизатов, использованных для разложения апатита. При очистке нейтраллизатов, получаемых из целлюлозы (ЦЛ), первая очистка проводится с активированным углем или коллактивитом; вторая очистка на ионообменниках. При очистке нейтраллизатов, получаемых из древесины, первые две очистки аналогичны описанным для ЦЛ; затем очищ. нейтраллизат упаривается до 30—35%-ной конц-ии сухих в-в и очищается с активированным углем и ионитами. Для кристаллизации глюкозы (I) из сиропов, получаемых при гидролизе ЦЛ, доброкачественность (Д) их должна быть ≥ 90 —92 ед., а конц-ия 72—73%; для сиропов, полу-

Н. Кан-
R Zinat
7, 55—60

структуры
промолеку-
ла, уско-
к-ты (мо-
в. выходу
ед. сахара
полисахар-
створимых
при ~ 20°
что р-ция
распадаю-
козидного
в основ-
хвойных,
Хованская
материалов
ты. Оди-
рт И. Н.,
пром-сть,

концентра-
(Augustas
Putniga
blemu Inst.
а лесохоз.
(лат.; реэ.

вой древе-
пользованием
ита. Полу-
лизат раст-
в таком
идкой фаз-
е разбавле-
необходима
пользованы
вики лигно-
содержит
Н₂Р₂О₅, что
длич. глю-
реверсии
и нагрева-
ни.

Хованская
гализатор,
а и древе-
гой. Пут-
in koksnes
Putniga
blemu Inst.
а лесохоз.
(лат.; реэ.

гализации
е, исполь-
истке ней-
(ЦЛ), пер-
углем или
бенниках.
из древе-
анным для
аается до
ся с акти-
гализации
гидролизе
жна быть
цов, полу-

аемых при гидролизе древесины, требуется Д 82—83 ед., а конц-ия 74—75%. Из сиропа при исходном продукте ЦЛ получена I с Д 97,5—98,6 ед., а из древесины Д 97,2—98,4 ед. Выход I составлял 20—22% от абсолютно сухой древесины. А. Хованская 33999. О непрерывном гидролизе лигноцеллюлозных остатков ксилозного производства. Сычев Н. А., Автономов В. Л., Ж. прикл. химии, 1957, 30, № 4, 582—585

Проведены опыты непрерывного гидролиза лигноцеллюлозных остатков от ксилозного произ-ва путем дополнительного перевода их в «технич. гидроцеллюлозу». Установлено, что при гидролизе остатков, обработанных дополнительно соответствующим образом к-той, за 1 мин., при конц-ии катализатора 0,7%, получается до 35% редуцирующих в-в, считая на исходное сырье. Следовательно, превращение лигноцеллюлозных остатков в «технич. гидроцеллюлозу» значительно интенсифицирует процесс последующего их гидролиза. При проведении «непрерывного» процесса осахаривания путем пропускания суспензии материала через трубчатые гидролизеры сахароразрушение сведется практически к нулю. А. Хованская 34000. Применение клеевого вещества из промыш-

ленных отходов. Барамбойм Н. К., Краморенко В. И., Легкая пром-сть, 1957, № 3, 44—45 В качестве клеящего в-ва испытан концентрат сульфитно-спиртовой барды (отход сульфитно-спиртового произ-ва). Основные его недостатки как клея — низкая прочность в воздушно-сухом состоянии и малая водостойкость. А. Хованская

34001. Исследование фенолов, получаемых при термическом разложении гидролизного лигнина. Панасюк В. Г., Ж. прикл. химии, 1957, 30, № 7, 1049—1056 Исследованы методом хроматографии фенолы, выделенные из сухоперегонной смолы лигнинов (Л) в кол-ве 1% для Л древесной и 2% для Л хлопковой шелухи. Во всех фракциях до 225° обнаружено 9 различных фенолов и их эфиров. Среди фенолов из Л древесины преобладают гваякол (выход > 2% по отношению к весу лигнина). Среди фенолов Л хлопковой шелухи преобладают крезолы (наибольшее кол-во м-изомера). Из смолы вакуум-термич. процесса выделены те же фенолы, что и из сухоперегонной смолы. См. часть II, РЖХим, 1958, 26601. А. Хованская

34002 С. Испытание проникновения консервирующих средств в древесину (Essai de pénétration des produits de protection du bois). Франц. стандарт, X 41-509, 1956 (франц.)

34003 П. Обработка древесной стружки. Канад. Японск. пат. 5348, 30.07.55

Патентуется хим. способ обработки упаковочной древесной стружки. В латекс (натуральный или искусств.) добавляют вулканизирующий агент, ускоритель вулканизации, коагулятор, если необходимо, противостаритель, наполнитель, пластификатор, пенящее средство, краситель и т. д. и обрабатывают стружку. Р-р пропитывает стружку, которую после затвердевания р-ра вулканизируют. Обработанная этим способом стружка становится эластичной, теряет хрупкость и ломкость и используется как упаковочный материал. Кроме того, после пропитки она долго сохраняет воду и, следовательно, может использоваться как увлажняющий материал при перевозке и хранении рассады или побегов. Пример. На 100 г латекса (содержание каучука 60%) берут 6 г р-ра (состоящего из 250 ч. серы, 100 ч. ускорителя, 100 ч. противостарителя, 50 ч. TiO₂, 550 ч. 5%-ного р-ра казеина), 5 г пенообразующего средства (7,5%-ный р-р олеата аммония), энергично смешивают и вспенивают, добавляют 3 г р-ра цинковых белил (500 ч. бе-

лил, 500 ч. 5%-ного р-ра казеина), размешивают, вводят 4 г коагулятора (150 ч. фторосиликата натрия, 40 ч. бентонита, 810 ч. воды), тщательно перемешивают, разливают на горизонтальной поверхности, погружают топки нарезанную стружку (50—100 г) в р-р, извлекают и оставляют на 10—15 мин. до коагулирования состава, 1 час нагревают на пару, вулканизируют, промывают в воде и сушат. А. Фрадкин

См. также: Развитие химии древесины 31309. Терпены 32585—32587. Исследования лигнина 34996, 34997; 12444Бх. Выделение муравьиной к-ты из разбавл. р-ров 33419. Получение конц. муравьиной к-ты 33420. Выделение фенолов и крезолов 33454, 33456, 33457. Техника безопасности на з-дах, вырабатывающих канифоль, 33025. Очистка сточных вод з-дов сухой перегонки древесины 32953. Разрушение лигнина и целлюлозы грибами 12444Бх. Строительство дорог из дегтебетона 33365. Способ уничтожения вредителей древесины 33666. Использование сульфитно-спиртовой барды при приготовлении цементных р-ров и бетона 33370. Заболевание у человека, вызван. некоторыми консервантами древесины, 33001. Использование лигнофосфогипса для произ-ва вяжущих в-в 33323

ЖИРЫ И МАСЛА. ВОСКИ.

МЫЛА. МОЮЩИЕ СРЕДСТВА. ФЛОТОРЕАГЕНТЫ

Редактор А. А. Зиновьев

34004. Сообщение Комитета литературных обзоров. 23-й годичный обзор литературы по жирам, маслам и детергентам. II. Пискер (Report of the literature review committee. 23rd annual review of the literature on fats, oil, and detergents. II. Piskur M. M.), J. Amer. Oil Chemists' Soc., 1957, 34, № 6, 264—293 (англ.)

Часть I см. РЖХим, 1958, 15845.

34005. Мировое производство оливкового масла в 1957 г. Коппола (La production mondiale d'huile d'olive en 1957. Coppola G.), Oléagineux, 1957, 12, № 11, 669—673 (франц.)

Описано состояние произ-ва оливкового масла (тоннаж, стоимость) в 1956—1957 гг. в Испании, Италии, Греции, Португалии, Тунисе, Алжире, Марокко, Ливии, Турции, Сирии, Ливане, Иордании, Израиле, Кипре, Иране, Франции, Югославии, в США и в Аргентине. Е. Смольянинова

34006. О работе семейноочистительных цехов на хлопко-маслоэкстракционных заводах. Иванов В. А., Маркман А. Л., Говор В. М., Маслоб.-жир. пром-сть, 1957, № 9, 4—5

При очистке хлопковых семян на Уч-Курганском маслоэкстракционном з-де в семенах остаются около половины органич. и минер. примесей и от 1/3 до 1/2 пустых семян. Изучение эффекта очистки на Янгй-Юльском маслозаводе показало, что при очень малых значениях исходной общей засоренности семян (С%) кол-во удаляемых при очистке примесей (ΔС%) наибольшее (ΔС/С = 1), но при более высокой начальной С отношение ΔС/С колеблется от 0,43 до 0,72, причем маслянистость сорных отходов составляет 13—19%. Недостаточная колич. и качеств. очистка семян на существующих агрегатах требует разработки новых конструкций очистительных машин. При отсутствии на з-дах лихтерного цеха и при схеме переработки хлопковых семян без шелушения и отделения шелухи достаточно установить простейшее очистное устройство в сырьевом складе или на линии транспортировки семян из склада в произ-во, но необходимо обеспечить безупречную работу магнитных сепараторов. Остаю-

щиеся в семенах органич. примеси, несколько увеличивая выход шрота, практически не снижают его качества; масличность этих примесей снижается в шроте до 1% и тем самым общий выход масла повышается.

Г. Фрид
34007. Изменения в ядрах арахиса, пораженных насекомыми. Кадкол, Пингале, Свами-натхан (Changes effected by insect infestation in groundnut kernels. Kadkol S. B., Pingale S. V., Swaminathan M.), Food Sci., 1957, 6, № 2, 30 (англ.)

Ядра арахиса с личинками насекомых *Corcyra cephalonica*, *Necrobia rufipes*, *Oryzaephilus surinamensis* и *Tribolium castaneum* хранили в джутовых мешках при 26–29° и относительной влажности 52–58%. Масло, полученное из арахиса, 20% ядер которого поражено насекомыми, мутно и содержит части насекомых. Через 6 месяцев 62,6% ядер поражено *C. cephalonica*. Содержание жира уменьшилось с 49,6 до 46%, тиамин — с 10,8 до 7,4 μg . В здоровых ядрах через 6 месяцев тиамин содержался 9,9 μg . Кислотность жира увеличилась с 0,87 до 3,7%. Содержание общего N возросло с 4,03 до 4,2%.

А. Кононов

34008. К вопросу хранения экспеллерных жмыхов перед экстракцией. Лесюнс А. А., Коваленко Н. П., Масл.-жир. пром-сть, 1957, № 9, 13–14

Проведены опыты хранения в 9-м слоях высоко-масляного подсолнечного жмыха, полученного по схеме (I): «форпресс ЛЦ — экспеллер ЕП» и по схеме (II): «форпресс Коваленко — экспеллер ЕП». Жмых складировался в неизменном виде и для предварительного охлаждения он увлажнялся распыленной водой в транспортном шнеке; кроме того, он охлаждался по пути его транспортировки к складам (300 м). Максим. т-ра складирования жмыха I — 40°, а жмыха II — 45°. Хранение жмыха I — 31 день, а жмыха II — 40 дней. Установлено, что в указанных условиях складирования и хранения жмыха не происходит его самовозгорание и его качеств. показатели существенно не изменяются (незначительное увеличение влажности, кислотности и перекисного числа масла в нем).

Г. Фрид

34009. Жарение хлопковой мезги в присутствии щелочи на опытной установке. I. Влияние толщины лепестка, влажности, продолжительности и температуры жарения. Кинг, Кнёпфлер, Хофпайр, Мак-Кортни (Pilot plant development of the alkali cooking process for cottonseed meats. I. Effect of flake thickness and of time, temperature, and moisture content during cooking. King W. H., Knoepfler N. B., Hoffpauir C. L., McCourtney E. J.), J. Amer. Oil Chemists' Soc., 1957, 34, № 1, 27–30 (англ.)

На опытной установке проверен способ жарения хлопковой мезги в присутствии щелочи и исследовано влияние различных факторов на качество шрота и масла. Семена влажностью 9–10% выдерживают в закрытом сосуде 24 часа, затем подвергают гудле-рованию с отбором фракции, содержащей < 2% шелухи, измельчают на 5-вальцовом станке и увлажняют до 12–13%. Приготовленный лепесток толщиной 0,13; 0,23 и 0,35 мм выдерживают в закрытом сосуде 4 часа, а затем к нему добавляют некоторое кол-во чистой шелухи для обеспечения содержания протеина в шроте ~46%. Эту смесь в жаровне емк. ~7 кг подогревают до 56° и затем добавляют 0,02 н. водн. р-ра NaOH в кол-ве, достаточном для обеспечения желативной для опытов начальной влажности (18, 24 и 31°) и pH 8,0–8,4. После перемешивания (5 мин.) т-ру быстро поднимают до 82, 93 или 101° и при каждой из этих т-р выдерживают мезгу в течение 45 и 60 мин. По окончании жарения мезгу с влажностью 11–13%

выгружают и пропускают через сито 6,25 мм; в результате аэрации влажность снижается до 8–10%. Экстракцию производят гексаном. Установлено, что: 1) содержание свободного госсипола (I) и остаточного жира в шроте, а также содержание I в неочищ. масле снижаются с уменьшением первоначальной толщины лепестка и достигают миним. величины при толщине лепестка 0,13 мм; 2) толщина лепестка не оказывает существенного влияния на растворимость азота в шроте и на содержание свободных жирных к-т или нейтр. жира в неочищ. масле; 3) повышение т-ры и начальной влажности мезги и увеличение продолжительности жарения способствует снижению растворимости азота и содержания I в шроте; 4) для достижения содержания I в шроте < 0,04% необходима высокая (> 18%) начальная влажность выжариваемой мезги. При начальной влажности мезги 24–31% содержание I в масле $\leq 0,010\%$; 5) исследованные факторы не оказывают существенного влияния на содержание нейтр. жира в неочищ. масле; 6) способ жарения в присутствии щелочи обеспечивает более низкую цветность рафинированного и отбеленного масла по сравнению с обычным способом жарения, причем цветность рафинированного масла и потери при рафинации ниже при более высокой начальной влажности выжариваемой мезги.

Г. Фрид

34010. Анизотропные жидкие модификации масла какао. Заксе, Заксе (Anisotrope flüssige Modifikationen der Kakaobutter. Sachße M., Sachße G.), Fette, Seifen, Anstrichmittel, 1957, 59, № 8, 644–646 (нем.)

Исследована микроструктура масла какао в поляризованном свете при различных увеличениях. Для выращивания кристаллов различных полиморфных модификаций глицеридов масла созданы спец. условия: расплавленное при 40° масло выдерживают между предметным и покровным стеклами при 20°; в этом случае кристаллизуются α - и β_1 -модификации и образуются зародыши β_2 -модификации. Нагревание полученного препарата до 30° приводит к плавлению нестабильных α_1 - и β_1 -модификаций и стимулирует переход их в стабильную β_2 -модификацию. После подобного 2- и 3-кратного плавления образуется стабильная модификация. Приведены микрофотографии модификаций масла какао.

М. Антокольский

34011. Фотоколориметрическое определение цветности растительных масел и продуктов их переработки. Халимова У. Х., Маркман А. Л., УзССР Фанлар Акад. ахбороти. Химия фанлари сер. Изв. АН УзССР. Сер. хим. н., 1957, № 3, 99–106 (рез. узб.)

Предлагается заменить метод определения цветности кунжутного, соевого и подсолнечного масел по йоду объективным фотоколориметрич. методом. Построены эмпирич. кривые зависимости окраски от цветных чисел по йодометрич. шкале, применяемой в маслостроительной пром-сти и по йодометрич. шкале, применяемой в лакокрасочной пром-сти. На основе этой эмпирич. зависимости построены таблицы взаимного перевода чисел по йодометрич. шкалам и показателей реохорда фотоколориметра. Рекомендуется ввести в ОСТ и ТУ на растительные масла, а также на полуфабрикаты и продукцию лакокрасочной пром-сти показатели цветности в единицах реохорда фотоколориметра взамен показателей, выраженных в йодных цветных числах.

Г. Фрид
34012. Фотоколориметрическое определение цветности хлопкового масла. Халимова У. Х., Маркман А. Л., Изв. АН УзССР. Сер. хим. н., 1957, № 1, 77–86 (рез. узб.)

Предлагается применение фотоколориметра для определения цветности хлопкового масла (ХМ) взамен

в резуль-
8—10%
ено, что:
гачегоно
щ. масле
толщины
толщине
казывает
ь азота
к т или
не т-ры
родолжи-
раствори-
достиже-
ма высо-
риваемой
-31% со-
дованные
ания на
3) способ
ет более
деленного
жарения,
и потери
ачальной
Г. Фрид
и масла
Modifica-
he G.),
644—646
в полири-
Для вы-
морфных
ец. усло-
от между
; в этом
и обра-
ние полу-
лавлению
мулирует
о. После
ется ста-
тографии
окольная
е цвет-
перере-
А. Д.,
пери сер-
99—106
ия цвет-
го масел
методом
окраски
меняемой
кале, при-
нове этой
звизимого
казателей
и ввести
на полу-
пром-сти
фотоколо-
в йодной
Г. Фрид
е цвет-
и Мари-
1957, № 2
етра для
М) взаи-

аппаратов, работающих на основе визуальных мето-
дов — тинтометра Ловинбонда и цветомера ВНИИЖа.
Путем параллельных определений цветности большого
числа образцов ХМ указанными методами установлено
наличие прямолинейной зависимости между показате-
лями реохорда фотоколориметра (R), показателями
тинтометра Ловинбонда (L) и цветомера ВНИИЖа (W).
На основе полученных данных, обработанных спосо-
бом наименьших квадратов, выведены усредненные
уравнения связи между указанными показателями для
отбеленных и неотбеленных ХМ: $R = 3,595L - 8,55 =$
 $= 3,7W - 13,37$ и $W = 0,955L + 1,33$; по этим уравнениям
построены таблицы перевода одних показателей
в другие. Рекомендуется ввести в стандарт следующие
нормы цветности рафинированного ХМ: для высшего
сорта $L = 8$, $W = 9$, $R = 20$, для 1-го сорта $L = 10$,
 $W = 10,8$ и $R = 27$, для 2-го сорта $L = 16$, $W = 16,6$
и $R = 48$, для рафинированного недезодорированного
масла $L = 12$, $W = 12,8$ и $R = 34$.

Г. Фрид
34013. О госсиполе и влиянии его на результаты
определения цветности хлопкового масла. Берар-
ди, Фрамpton (Note on gossypol and its relation
to color fixation in cottonseed oil. Berardi
Leah Castillon, Frampton Vernon L., J.
Amer. Oil Chemists' Soc., 1957, 34, № 8, 399—401
(англ.))

К гидравлич. шнекомпрессовым и экстракционным
хлопковым маслам с содержанием 0—0,07% госсипола
(I), а также к очищ. трипеларгонию и этилацетату
добавляли разные кол-ва I и по истечении некоторого
времени определяли содержание его в указанных про-
дуктах. Установлено, что через час «исчезает» значи-
тельная часть I. Предполагается, что при добавлении
I первоначально происходит р-ция перэтерификации:
 $I + \text{триглицериды} \rightarrow \text{диглицериды} + \text{эфирные жиры}$
и I; полученные эфиры имеют желтую окраску
и такой же спектр поглощения в УФ-области при
325—400 мμ, как и I. Вторичные р-ции в хлопковом
масле приводят к образованию красно-окрашенных
продуктов, не удаляемых обычными методами шел-
лафикации и отбелки. При добавлении I к рафиниро-
ванному, отбеленному и дезодорированному хлопко-
вому маслу, которое хранилось на холоду и не под-
вергалось действию воздуха, и после последующей
выдержки образцов при 37 и -32° оказалось, что
через 63 дня из образца масла, выдержанного при
 -32° , извлекается 95,5% добавленного I, причем
имеет место небольшое повышение цветности масла,
а из образца, выдержанного при 37°, не извлекается
~40% добавленного I при заметном повышении
цветности масла.

Г. Фрид
34014. О качестве масла из кунжута и арахиса, вы-
ращенных в РНР. Филипеску (Calitate uleiului
din susanul și alunele de pămint cultivate în R. P. R.
Filipescu H.), An. Inst. cercetări agron., 1957, 24,
№ 5, 593—601 (рум.; рез. русск., франц.)

Исследованы физ.-хим. свойства масла из арахиса
и кунжута урожая 1952 и 1953 гг., выращенных в
придунайской, южнодобруджской и банатской степях
РНР. Найдено, что эти масла в засушливые, теплые
годы с продолжительной осенью и при хороших усло-
виях хранения семян по своим качествам мало отли-
чались от масел, полученных из арахиса и кунжута,
выращенных в обычных районах разведения этих ра-
стений.

А. Марин
34015. Реакция Фительсона для обнаружения чайно-
го масла в оливковом масле. Бигони (La reazione
di Fitolson per la ricerca dell'olio di tè nell'olio di
oliva. Bigoni Giuseppe), Olii, miner., grassi e
saponi, colori e vernici, 1957, 34, № 10, 458 (итал.)

Показано, что р-ция Фительсона для обнаружения
чайного масла в оливковом масле дает удовлетвори-

тельный результат только при содержании чайного
масла $> 15\%$.

А. Верещагин

34016. Самопроизвольное повышение кислотности
пальмового масла. Дезасси (L'acidification de
l'huile de palme. Desassis André), Oléagineux,
1957, 12, № 8—9, 525—534 (франц.)

Обсуждены пути и стадии самопроизвольного по-
вышения кислотности пальмового масла как находя-
щегося в плодах, так и после выделения его в произ-
водственных условиях. Гидролиз жировых в-в мякоти
пальмового плода до обработки в автоклаве происхо-
дит под действием заключенной в околоплоднике
активной липазы и под влиянием развивающихся на
плоде микроорганизмов. Косвенно, но заметную роль
играют способ сбора, хранения, степень зрелости пло-
дов и степень их повреждения, поскольку поврежден-
ные от удара или других причин плоды особенно
подвержены загрязнению микроорганизмами. В про-
цессе произ-ва пальмового масла в присутствии вла-
ги происходит автокаталитич. гидролиз, в особенно-
сти при повышенной т-ре. Сначала (до кислотности
10%) гидролиз протекает по р-ции: триглицериды +
+ вода \rightarrow диглицериды + свободные жирные к-ты, а
далее (до кислотности в пределах 10—20%) гидролиз
идет по р-ции: диглицериды + вода \rightarrow моноглицери-
ды + свободные жирные к-ты. Более высокой кислот-
ности соответствует полное расщепление триглицери-
дов, при котором уже появляется свободный глицерин.
Влагосодержание масла в 0,25% может привести к
выделению 3,5% свободной пальмитиновой к-ты, одна-
ко современная техника дает возможность понизить
влагосодержание масла до 0,08—0,04%. Такое содер-
жание влаги значительно ограничивает и энзиматич.
гидролиз в процессе транспортировки масла.

Г. Фрид

34017. Определение содержания нейтрального жира
в маслах повышенной кислотности. Минутилли
(Determinazione del grasso neutro in oli ad elevata
acidità. Minutilli Federico), Rassegna chim.,
1957, 9, № 3, 15—16 (итал.)

Для удаления кислых компонентов масла пропускают
через хроматографич. колонки с нейтр. Al_2O_3 , стан-
дартизованной по Брокману. Для поглощения 1,5 г
олеиновой к-ты из оливкового масла необходимо 40 г
 Al_2O_3 . Сначала колонку промывают 20—30 мл эфира,
а затем пропускают р-р 1—1,5 г кислого оливкового
масла в 25 мл эфира; нейтр. жир элюируют 200—250 мл
эфира. После отгонки эфира учитывают вес содержа-
щегося в элюате масла. Остаток омыляют, образовав-
шиеся мыла переводят в к-ты, подкисляя H_2SO_4 ,
экстрагируют эфиром из водн. фазы и снова про-
пускают через колонку. Вес остатка, содержащегося
во 2-м элюате, составляет кол-во неомыляемых в-в
масла; разность веса 1-го элюата и веса остатка дает
содержание в масле нейтр. жира.

А. Верещагин

34018. Общий обзор химических методов анализа жи-
ровых веществ. Андре (Vue d'ensemble sur les
méthodes chimiques d'analyse des corps gras. André
Emile), Oléagineux, 1957, 12, № 8—9, 507—514
(франц.)

Краткие сведения по истории возникновения и раз-
вития различных методов хим. анализа жиров — опре-
деления кислотного числа, числа омыления, йодного
числа, разделения насыщ. и ненасыщ. жирных к-т.
Отмечены трудности получения истинных значений
определяемых показателей.

Г. Фрид

34019. Выход твердых продуктов присоединения бро-
ма при бромировании линолевой и линоленовой
кислот в зависимости от условий опыта. Францке,
Итрих (Über die Ausbeuten an festen Brom-Addi-
tionsprodukten bei der Bromierung von Linol- und
Linolensäure in Abhängigkeit von den Versuchsbedin-

gungen. Franzke G., Ittrich G.), Fette, Seifen, Anstrichmittel, 1957, 59, № 8, 594—599 (нем.; рез. англ., франц., исп.)

Изучено влияние различных факторов (т-ры, интенсивности освещения, р-рителя, способа бромирования, продолжительности р-ции, величины навески) в процессе бромирования линолевой и линоленовой к-т на выход тетра (I) - и гексабромстеариновой (II) к-т. Показано, что при снижении т-ры р-ции до -20° (р-ритель петр. эф.) значительно повышается выход I или II. Дальнейшее снижение т-ры незначительно изменяет выход I или II, а при т-рах около -40° и ниже их выход даже уменьшается. При бромировании линоленовой к-ты (в эфире) повышение выхода II со снижением т-ры р-ции графически выражается в виде прямой. Из всех исследованных р-рителей эфир обеспечивает лучший выход II. Оптимальные условия бромирования: добавление к навеске 0,8—0,9 г брома в течение 20 мин., т-ра р-ции -25° , кол-во р-рителя 25 мл. После добавления брома к смеси жирных к-т целесообразно оставить смесь при дневном свете (1 час), а затем выдержать в холодильнике (2 часа). Дано описание уточненной методики одновременного определения тетра- и гексабромных чисел.

Г. Фрид

34020. Определение азота в образцах муки масличных семян, 1955—1956 г. Перрен (The analysis of nitrogen in the Smalley Oilseed Meal Series, 1955—56. Perrin C. H.), J. Amer. Oil Chemists' Soc., 1957, 34, № 8, 409—411 (англ.)

Колич. определение азота в образцах муки масличных семян производилось модифицированным методом Кельдаля (применение бюретки с весовыми показаниями кол-ва вытекающего реагента при установлении титра р-ров и при всех остальных титрованиях, использование спец. сконструированного дистилляционного стеклянного аппарата, отказ от применения цинка, применение миним. избытка щелочи). Установлено, что содержание азота, определяемое этим методом, на $\sim 0,06\%$ больше, нежели при применении официального метода американского о-ва химиков-жировиков. Метод проверен с положительным результатом путем определения содержания азота в химически чистых аммонийных солях и сопоставления с его теоретич. содержанием в этих солях.

Г. Фрид

34021. Ускоренный метод определения масла в мякоти, выжимках и шроте оливок. Брес, Венсан (Méthode rapide pour le dosage de l'huile dans les pates, margines et grignons d'Olives. Brès C., Vincent L. M.), Oléagineux, 1955, 10, № 8—9, 559—564 (франц.)

34022. Получение стерина из отходов от рафинации рапсового масла. Невядомский (Die Gewinnung der Sterine aus Raffinationsabfällen des Papsöles. Niewiadomski H.), Olii miner. grassi e saponi, colori evernici, 1957, 34, № 9, 420—422 (нем.; рез. итал., франц., англ., исп.)

Установлены изменения в содержании стерина (I) по стадиям рафинации рапсового масла. Найдено в осадках, получаемых при гидратации масла $\sim 2,4$, в соапстоке 9,2, в отбельной земле 1,0 и в конденсате (от дезодорации) 0,2% I от их содержания в масле до рафинации. Для получения I из соапстока его обрабатывают H_2SO_4 , затем омыляют 15%-ной NaOH, высаливают мыло, высушивают остаток в вакууме и экстрагируют ацетоном. Экстракт растворяют в 95%-ном этаноле, нагревают на водяной бане до удаления половины р-рителя. Из остатка I кристаллизуется при $\sim 20^{\circ}$. Его вторично кристаллизуют. Этим методом получают $\sim 57,6\%$ стерина соапстока в кристаллич. виде.

А. Емельянов

34023. Современная технология жиров и жиропродуктов. XV. Получение сырья из морских животных. Кауфман, Тиме (Neuzeitliche Technologie der Fette und Fettprodukte XV: Die Rohstoffe — Gewinnung aus Seetieren. Kaufmann H. P., Thiem J. G.), Fette, Seifen, Anstrichmittel, 1955, 57, № 7, 514—521 (нем.)

Часть XIV см. РЖХим, 1958, 19390.

34024. Доклад подкомитета по исследованию устойчивости жиров Комитета по анализу жиров 1956 г. метод активного кислорода для определения устойчивости жиров. — (Report of the fat stability subcommittee of the Fat Analysis Committee — 1956: active oxygen method for determining fat stability.—), J. Amer. Oil Chemists' Soc., 1957, 34, № 8, 394—398 (англ.)

Исторический обзор развития и применения метода активного кислорода и пропись, предлагаемая подкомитетом в результате эксперим. проверки. Метод основан на измерении времени (в час.), потребного для образования в образце жира (масла) определенного кол-ва перекисей (125 м-экв) при продувании через него воздуха в установленных условиях.

А. Емельянов

34025. Химические изменения в пищевом масле в процессе его термического окисления. Джонсон, Куммеров (Chemical changes which take place in an edible oil during thermal oxidation. Johnson O. C., Kummerow F. A.), J. Amer. Oil Chemists' Soc., 1957, 34, № 8, 407—409 (англ.)

Изучены хим. изменения рафинированного кукурузного масла в процессе его нагревания в течение 24 час. при 200° и скорости аэрации 150 мл на 1 кг масла в минуту. Показано, что: 1) термич. окисление масла протекает в 2 фазы: в первой фазе (в период 12—16 час.) происходит снижение йодного числа (ИЧ) и быстрое увеличение карбонильного числа (КЧ), а вторая фаза (по истечении 16 час.) характеризуется более медленным снижением ИЧ, небольшим снижением КЧ и быстрым повышением вязкости масла; 2) при термич. окислении (200° , 24 час.) содержание линолевой к-ты снижается с 53 до 30%, а содержание мононенасыщ. к-т повышается с 26 до 29,9%; это указывает на то, что только одна двойная связь линолевой к-ты вступает в р-цию окисления; 3) при термич. окислении при 120° и указанной скорости аэрации резко повышается содержание перекисей, но они термически нестойки, вследствие чего перекисные числа образцов, обработанных при 160 и 200° , значительно ниже; 4) увеличение скорости аэрации от 0 до 2400 мл на 1 кг масла в минуту при 200° (24 часа) сопровождается более заметным изменением масла, но это не оказывает влияния на тип и двухфазный характер окислительных р-ций.

Г. Фрид

34026. 32 пряности как антиоксиданты. Чипаул (32 spices gaged as antioxidants. Chipault J. R.), Food. Engng, 1957, 29, № 4, 134, 137 (англ.)

Испытано антиокислительное действие 32 пряностей (II) и их экстрактов (петр. эф. и этиловым сп.) в свином жире и продуктах, его содержащих. Очень слабым антиоксидантом оказался имбирь, очень сильными — розмарин и шалфей, 21 II увеличивала время хранения свиного жира менее чем на 100%. Действие экстрактов аналогично действию самих II. Кроме душицы, розмарина, шалфея и тимьяна, II теряют антиокислительное действие при печении. В эмульсии типа «масло в воде» активность большинства II выше, чем в свином жире.

Г. Молдованский

34027. Из опыта работы Московского гидрогенизационного завода. Шорин А. П., Зеликсон Т. И. Масл.-жир. пром-сть, 1957, № 9, 33—35

жиропр-
технолог
stoff—Ge
Thieme
57, № 7,

ую усто-
ов 1956 г.
ния усто-
subcom-
1956: active
ility.—J.
394—398

ения мето-
аемая под-
ерки. Ме-
потребо-
а) опреде-
продукта
ловых.
Емельянов
масле в
жонсон,
take place
Johnson
Chemists'

о кукуруз-
в течение
на 1 г
окисление
(в период
того числа
ого числа
) характе-
небольшой
ности ма-
) содержа-
а содержа-
29,9%; эти
связь ла-
ия; 3) при
к скорости
реакции, по
перекисные
200°, значи-
рации от 0
° (24 часа)
м масла, во
ный харак-
Г. Фрид

Чипауэлл
ult J. R.),

2) пряностей
ым сп.) и
Очень силь-
валя время
б. Действи-
Кроме дру-
яряют анти-
эмульсия
ства П и
лдованным
гидрогени-
сон Т. Л.

При непрерывной гидрогенизации жиров предлага-
ют передачу жира из автоклавов производить по пе-
релинным патрубкам, вместо внутренних газлифтов.
При этом повышается производительность линии до
5-6 т/час, сокращается расход катализатора, водо-
рода, электроэнергии.

Н. Близняк
34028. Изучение селективного гидрирования жиров
и масел (II). Гидрирование Na-линолеата. Ха с и м о-
то (Hashimoto Tetsutarō), Tokō kogō sikan-
сё хококу, Repts Govt Chem. Industr. Res. Inst., To-
kyo, 1956, 51, № 6, 235—238 (японск.; рез. англ.).
Na-линолеат гидрировали со скелетным Ni в водн.
сре при $t_{ре} \sim 20^\circ$ и давл. 1 *ата*. На различных ста-
диях гидрирования производили анализы. Образова-
ние структурных и геометрич. изомеров определяли
при помощи ИК- и УФ-спектров. Показано, что про-
цесс протекает очень неселективно, с образованием
насыщ. к-т уже в начальной стадии р-ции. Кол-во
ненасыщ. жирных к-т с конъюгированными двойными
связями было незначительным. При йодном числе про-
дукта 90—70 кол-во *транс*-изомера наибольшее и со-
ставляет больше половины всего кол-ва октадеце-
новых к-т. Приведены таблицы и графики. В. Красева

34029. О железе в медно-никелевом катализаторе.
Тютюнников Б. Н., Новицкая И. И., Маслоб.-
жир. пром-сть, 1957, № 9, 21—22

Показано, что при гидрогенизации масел в присут-
ствии медно-никелевого катализатора, содержаще-
го >3% железа, кислотность саломаса повышается и
понижается производительность катализатора.

Н. Близняк
34030. Опыт производства пищевой углекислоты при
непрерывном карбонатном омылении жиров. Бес-
пятых М. П., Полстаной В. И., Свиляр К. П.,
Маслоб.-жир. пром-сть, 1957, № 4, 28—31

Описана технологич. схема получения пищевой угле-
кислоты из CO_2 , выделяющегося в процессе карбонат-
ного омыления расщепленных жиров при нейтр-ции
свободных жирных к-т посредством Na_2CO_3 . CO_2 перед
компримированием очищается при помощи адсорб-
торов (заполненных активированным древесным углем
марки АГОСТ 4453-48). Выход CO_2 (конц. 98—99%) —
6% от веса расщепленного жира.

Н. Близняк
34031. О непрерывных методах расщепления жиров.
Беспятых М. П., Тр. Харьковск. политехн. ин-та,
1957, 13, 105—110

Изучены составы жировых и водн. фаз в процессе
расщепления жира с контактом Петрова (К). Пока-
зано, что при непрерывном способе расщепления жира
и встречном потоке реагентов целесообразно К вво-
дить в исходный жир перед расщеплением. Описана
принципиальная схема технологич. процесса непре-
рывного расщепления жиров с К, которая может при-
меняться также для безкатализаторного расщепления
жиров.

Л. Шулов
34032. Прямая этерификация кислых жиров. Вит-
ка (L'esterificazione diretta dei grassi acidi. Wittka
F.), Olii miner., grassi e saponi, colori e vernici, 1957,
34, № 8, 374—381 (итал.; рез. англ., нем., франц.)

Рассмотрены преимущества понижения кислотности
жиров методом прямой этерификации по сравнению с
методами нейтр-ции жиров. Указано, что прямой эте-
рификации не поддаются окисленные к-ты, а приме-
нение ее к темно-окрашенным жирам, не очищаемым
рафинированием, не эффективно. Проведению этери-
фикации сильно мешают загрязнения, обычно присут-
ствующие в маслах, полученных путем экстракции.
Рассмотрены некоторые методы очистки жиров перед
этерификацией.

А. Верещатин
34033. Исследование состава некоторых нейтральных
продуктов окисления парафина. Д р и м у ш, К л а н г,
Манасе (Contribuții la studiul compoziției unor pro-

duse neutre de la oxidarea parafinei. Drimuș I.,
Klang M., Manase I.), Studii și cercetări chim.,
1955, 3, № 3—4, 265—273 (рум.; рез. русск.,
франц.)

Исследуемые нейтр. продукты получены окислением
парафина (П) воздухом при $113 \pm 3^\circ$ до кислотного
числа (КЧ) 70 с последующим омылением 30%-ным
р-ром NaOH; непрореагировавший П отделился в виде
жирного слоя, составляющего первый неомыляемый
продукт (I); из мыльного р-ра отстоялся водяным
паром диспергированный П, составляющий второй
неомыляемый продукт (II). Окисленный П, I и II, КЧ
70; 0 и 1; число омыления (ЧО) 125, 9 и 10; эфирное
число (ЭЧ) 55; 9 и 9; гидроксильное число (ГЧ) 19;
23 и 70, соответственно, выход (в г на 100 г окислен-
ного П): I 50, II 13. Экстракция спиртов проводилась
2-кратным объемом метилового спирта. Получен
экстракт из I с выходом 4,5%, КЧ 0, ЧО 20, ГЧ 153.
Из II получены два экстракта с выходом 20 и 7%, КЧ
2—3 и 0,1, ЧО 35 и 13, ГЧ 200 и 165—172, соответствен-
но. При дистилляции первого экстракта получены
фракции с т. кип. 90—170° и 170—220° с выходом 45,5
и 42,0%, КЧ 4 и 3, ЧО 41,6 и 27, ГЧ 192 и 184, соот-
ветственно. После предварительного омыления и
экстракции эфиром (выход 80%) из первого экстракта
получены фракции с т. кип. 90—170° и 170—210° с
выходом 51 и 24%, КЧ 0, ЧО 5 и 2, ГЧ 226—208. Вто-
рой экстракт дает при дистилляции фракции с т. кип.
80—170° и 170—210° с выходом 32 и 53%, КЧ 0, ЧО 32
и 10, ГЧ 180 и 127. Применение разб. метилового спир-
та увеличивает ГЧ, однако резко снижает выход
экстракта.

Г. Маркус
34034. Идентификация жирных кислот при помощи
их функциональных производных. Лефор (Identi-
fication des acides gras par les dérivés fonctionnels.
Lefort D.), Oléagineux, 1957, 12, № 11, 685—690
(франц.)

Описаны способы идентификации жирных к-т (ЖК)
по т-рам плавления, кипения, застывания, кислотному
числу и получению хотя бы одного функционального
производного с т. пл. >50°, а в некоторых случаях
определение УФ-спектра подходящего производного
ЖК. Приведены для насыщ. к-т C_4 — C_{18} , C_{20} , C_{22} и для
ω-ундециленовой, олеиновой, линолевой и эруковой
к-т: т-ра плавления, т-ра застывания, т-ра плавления
солей ЖК; эфиров ЖК и их производных; амидов и
гидразидов ЖК и мол. коэф. поглощения некоторых
производных ЖК.

Е. Смольянинова
34035. Глицерин.— (Glycerine.—), Australas. Manu-
facturer, 1957, 42, № 2160, 40—41, 43—44 (англ.)

Краткие сведения о способах произ-ва и применении
глицерина.

А. Е.
34036. О восках, содержащихся в soapстоках рисо-
вого масла. Цутиа, Мамуро, Токё когё сикансё
хококу, Repts Govt Chem. Industr. Res. Inst. Tokyo,
1957, 52, № 1, 4—7, i (японск.; рез. англ.)

Из жира, полученного обработкой soapстоков рисо-
вого масла слабым р-ром H_2SO_4 , извлекают ацетоном
воск (кислотное число 2,31, число омыления 147,8, йод-
ное число по Вийсу 70,0), содержащий олеиновую,
линолеовую и линоленовую и, по-видимому, пальмитино-
вую, стеариновую и бегеновую к-ты. Кроме того, выде-
лена кристаллич. к-та с т. пл. 91,5—92,1° и числом
нейтр-ции 120,8 ($C_{31}H_{62}O$, т. пл. 92,8°, число нейтр-ции
120,3), однако вопрос об ее индивидуальности не выяс-
нен. Выделен также спирт с т. пл. 91,8—92,5° и аце-
тильным числом 101,0, соответствующий ф-лам $C_{34}H_{70}O$
(ацетильное число 104,6) или $C_{33}H_{74}O$ (99,4). Признано
также присутствие низших гомологов.

А. Емельянов
34037. Диэлектрические свойства шерстяного воска
и некоторых его производных. Кук, Драйден,
Микинс (The dielectric properties of wool wax and

some derivatives. Cook J. S., Dryden J. S., Meakins R. J.), Austral. J. Appl. Sci., 1956, 7, № 4, 371—378 (англ.)

Измерены диэлектрич. проницаемость и диэлектрич. потери шерстяного воска (В) в диапазоне частоты от 5 гц до 9 Мгц. Показано, что при простой очистке В можно получить продукт с диэлектрич. проницаемостью, равной 3,2 и малыми диэлектрич. потерями при промышленных и звуковых частотах. Некоторые производные В также имеют малые диэлектрич. потери при промышленных частотах и несколько большие величины диэлектрич. проницаемости, чем сам В. Установлено, что как сам В, так и его производные (кетены, вторичные спирты и углеводороды, получаемые обработкой кислотной фракции неочищ. В) можно использовать для пропитки бумажных конденсаторов. Жидкие фракции ацетатов спиртов, получаемых из спиртовой фракции В, можно использовать в произ-ве конденсаторов с жидкой пропиткой. С. Светов

34038. Подготовка восковых паст и получение восковых веществ из них. Престинг, Вальтер, Фельдмейер, Флемминг (Zur Vorbereitung und Gewinnung des Wachskörpers aus Wachspasten. Presting W., Walther G., Feldmeier G., Flemming R.), Seifen-Öle-Fette-Wachse, 1957, 83, № 21/1, 636—641 (нем.; франц., англ., исп.)

Указано, что для определения качества средства ухода за кожей, обувью и кожей необходима хорошо разработанная методика колич. анализа, в частности разделения восковых в-в (В) и р-рителя. Описано обычное получение В из паст отгонкой р-рителя с водяным паром и указаны недостатки этого метода. Для улучшения метода рекомендована спец. аппаратура (даны чертежи) и приведены результаты испытаний. На этой аппаратуре получены удовлетворительные и воспроизводимые результаты. Г. Шураев

34039. Изменение свойств эмульсионных мастик для пола. Розенбаум, Бок, Кларк (Property changes of emulsion floor polishes. Rosenbaum Robert, Bock Ralph, Clark Robert E.), Soap and Chem. Specialties, 1957, 33, № 8, 83—84, 87, 89, 107 (англ.)

Продажные мастики с добавлением эмульгирующего полиэтилена (I) с низким мол. весом в виде 12%-ной эмульсии в кол-ве 10—30 об.% сохраняют глянец при обработке поверхностей, устойчивы при замораживании и оттаивании, имеют повышенное сопротивление скольжению (при 28°) и лучшую полируемость. В 3 из 6 случаев повышалась водоустойчивость. Производили также испытания на загрязнение, сцепление с кожей и резиной и на износ при истирании. Из приведенных таблиц результатов испытаний следует, что в 5 из 6 случаев добавка 10, 20 и 30% низкомолекулярного I улучшает качества мастик. А. Вавилова

34040. Влияние состава аминов в рецептуре мастики для полов на ее водоустойчивость. Фрампп, Риддик (Water resistance and amine content in floor wax. Frump John A., Riddick John A.), Industr. and Engng Chem., 1957, 49, № 1, 65—67 (англ.)

Для исследования скорости высыхания мастики и прочности образующихся пленок к воздействию воды испытаны 8 видов мастик, в рецептуру которых, помимо восков и эмульгируемой смолы, входит обычно применяемая в качестве эмульгатора смесь олеиновой к-ты и амина [морфолин (I), 2-амино-2-метил-1-пропанол (II), 2-амино-1-бутанол (III), моноэтаноламин (IV), моноизопропаноламин (V), 2-амино-2-метил-1,3-пропандиол (VI), 2-амино-2-этил-1,3-пропандиол (VII) и триэтаноламин (VIII)]. Показано, что уменьшение с течением времени содержания аминов в пленках мастики не находится в прямом отношении с летучестью

свободных аминов. Улетучиваемость аминов не является главной причиной водоупорности пленок: напр., пленки, содержащие одноатомные аминспирты, становились водоустойчивыми. Испытания не подтвердили высказывавшейся ранее теории об образовании при высыхании пленок сложных эфиров олеиновой к-ты и аминспиртов. С. Светов

34041. Производство мыла в вакууме. Фок (Production de savon sous vide. Fock Milos), Bull. afric., 1957, 12, № 110, 12—13 (франц.)

Описано произ-во мыла по методу Маццони, с сушкой и охлаждением в вакууме, что дает возможность мгновенно понижать т-ру ниже т-ры затвердевания мыла. При этом значительно улучшается качество мыла (пенящая способность, растворимость, твердость, содержание β -кристаллич. фазы $\sim 100\%$, сохранение первоначальной щелочности) и может быть значительно уменьшено кол-во кокосового масла. Указано, что этим методом можно получать хорошие мыла на основе смеси животного жира с жидкими растительными и животными жирами. По этому методу получают мыла с содержанием жирных к-т (ЖК) 35—78%, мыльную стружку с содержанием 82% ЖК, мыльный порошок с 84% ЖК, а также изготовляют прозрачные мыла без добавления спирта, сахара и других ингредиентов. Кратко описан процесс и приведена аппаратурная схема. Сделано заключение, что пенящаяся способность мыла зависит не от кол-ва ЖК, а главным образом от метода обработки мыла. Подчеркнута экономичность данного процесса. Е. Смольянинова

34042. Наполнение хозяйственных мыл. Люринг (Das ist bei Wertfüllungen in Konsumseifen zu beachten? Lüring W.), Seifen-Öle-Fette-Wachse, 1957, 83, № 12, 332—333 (нем.)

34043. Производство туалетного мыла. Коатти (La fabbricazione dei sapone bas da toletta. Coatti Guido), Riv. ital. essenze profumi piante offic., olii veget., saponi, 1957, 39, № 8, 428—431 (итал.)

Дана подробная пропись получения туалетного мыла. А. Верещагин

34044. О плесневении хозяйственного мыла. Гурмелев А. П., Богданов В. М., Тр. Центр. н.-и. лабор. Гл. упр. гос. материальн. резервов при Сов. Мин. СССР, 1956, вып. 5, 63—66

Описаны вид и форма плесени (П) на 60%-ном мыле при хранении его. Установлено, что П относится к роду *Catenularia* и развивается при щел. р-ции (рН 8,0). Причины появления П не выяснены. Высказано предположение, что источником П является тара. Мыло с П рекомендуется немедленно реализовывать.

Г. Шураев
34045. Исследование гигроскопичности и отпотевания мыл. Дефромонт, Лури, Сисле, Валье (Etude sur l'hygroscopicité et le ressuage des savons. Defromont C., Loury M., Sisley J. P., Vallée J.), Rev. franc. corps gras, 1957, 4, № 8—9, 417—426 (франц.)

Отпотевание (О) обусловлено миграцией ионов на поверхность мыла вследствие нарушения равновесия осмотич. давления. Чтобы избежать О, необходимо свести до минимума содержание солей и свободной щелочи. Мыла, приготовленные нейтр-цией дистилл. жирных к-т до почти нейтр. р-ции, очень устойчивы к О. Механич. обработка мыла повышает его устойчивость к О. О происходит при относительной влажности $> 87\%$. Набухание мыла в условиях высокой относительной влажности может происходить без О. Ф. Неволин

34046. Вязкости неводных растворов магниевых солей каприновой и лауриновой кислот. Бос, Диксиг (The viscosities of nonaqueous solutions of magnesium caprate and laurate. Bose A. N., Dixit V.)

gendra K.), J. Amer. Oil Chemists' Soc., 1957, 34, № 8, 386—388 (англ.)

Вязкости (В) р-ров Mg-солей каприновой и лауриновой к-т в ароматич. углеводородах и алифатич. спиртах определяли при различных конц-ях и т-рах для выяснения влияния этих факторов на величину мицелл указанных мыл. Вследствие незначительной растворимости этих мыл при $\sim 20^\circ$ р-ры приготовили при 70° (р-ры в бэл. при 50°); В определяли модифицированным методом Скарпа, успешно примененным для определения В пересыщ. р-ров. Показано, что: 1) график зависимости величины $\log V$ от $1/T$ (T —абс. т-ра) выражается прямой линией для всех р-ров указанных мыл, из чего можно заключить о незначительности влияния их мицелл с изменением т-ры; 2) относительная В незначительно изменяется с изменением т-ры, что указывает на незначительное взаимодействие молекул р-рителя и растворенного в-ва, а также на то, что изменение т-ры не оказывает существенного влияния на степень ассоциации молекул мыл; 3) величина мицелл изменяется с увеличением конц-ии мыл.

Г. Фрид

34047. Расширение производства синтетических моющих средств. Швейсхеймер (Montée irrégulière des détergents. Schweisheimer W.), Parfums, cosmét., savons, 1957, № 139, 39—41 (франц.)

Рассмотрена динамика развития произ-ва и потребления синтетич. моющих средств в США с 1947 по 1967 г. Приведены данные о кол-ве рабочих и служащих, занятых в пром-сти синтетич. моющих средств.

Ф. Неволлин

34048. Производство алкиларилсульфонатов (сульфополамин) на основе полимеров пропилена. Благолюбов И. Ф., Потоловский Л. А., Долодугин А. И., Химия и технол. топлива и масел, 1957, № 8, 4—13

Обзор произ-ва алкиларилсульфонатов (сульфополамин) (I) в США, Японии и ряде европейских стран. Приводятся принципиальная схема и основные показатели синтеза I, а также их физ.-хим. и моющие свойства. Освещаются перспективы произ-ва I в СССР.

А. Вавилова

34049. Поверхностноактивные и моющие средства ДС-РАС из нефтяных дистиллятов. Средин В. В., Химия и технол. топлива и масел, 1957, № 8, 34—41

Описывается получение и применение (повышение нефтедобычи, флотореагенты, моющие средства) детергента советского (I) и рафинированных алкиларилсульфонатов (II). Приведены таблицы результатов испытаний I и II, составы стиральных порошков на основе II, а также принципиальная схема получения I—II, разработанная проектным ин-том Ленгипрогаз, совместно с з-дом «Нефтегаз» и Ин-том нефти; отмечается низкая себестоимость произ-ва I т 100%-ного II.

А. Вавилова

34050. Высокоэффективные жидкие детергенты. Мак-Катчен (Heavy duty liquid detergents. McCutcheon John W.), Soap and Chem. Specialties, 1957, 33, № 8, 43—46, 111, 113 (англ.)

Отмечены преимущества жидких детергентов (удобство в применении, быстрая растворимость в горячей и холодной воде, возможность введения спец. ингредиентов в больших конц-ях без опасности образования пятен на белье) и недостатки (для одинаковой стирки потребность по весу в 2 раза больше (включая вес упаковочной банки), вдвое больше стоимость жидких детергентов с сильным моющим действием по сравнению с порошковыми).

А. Вавилова

34051. Новые продукты. — (Produits nouveaux.), Rev. franc. corps gras, 1956, 3, № 1, 67—70 (франц.)

Кратко описаны новые хим. продукты, их свойства и области применения с указанием фирм-производи-

телей (новые синтетич. р-рители смол, красителей и некоторых органич. в-в, термостойкие краски на базе бутилтитаната, бумага, пропитанная мылом с отдушкой и применяемая при мытье рук в школах, госпиталях, заводах и т. п., различные производные таллового масла, новый вид антисептика на базе четвертичных аммониевых соединений, новые средства, обладающие пептизирующими, смачивающими и диспергирующими свойствами). Подробно описаны получение и свойства различных эмульгаторов на базе сорбита.

Г. Фрид

34052. Катионноактивные вещества. Линкольн (Cationic surface-active agents. Lincoln P. A.), J. Soc. Cosmetic Chemists, 1957, 8, № 4, 222—232 (англ.)

Обзор основных катионноактивных в-в. Главным образом эти соединения применяются в качестве бактерицидов (в конц-ии 50—500 ч. на 1 млн.; в спец. случаях для дезинфекции конц-ия повышается до 0,5—1%) и в качестве фиксаторов красителей в текстильной пром-сти.

Ф. Неволлин

34053. Диэтиленгликолевые эфиры жирных кислот. Шнейдер (Diäthylenglykol-Fettsäureester. Schneider R.), Fette, Seifen, Anstrichmittel, 1957, 59, № 10, 876—878 (нем.)

Обзор. Дана характеристика физ.-хим. и физиологич. свойств диэтиленгликолевых эфиров жирных к-т, представляющих собой неионогенные поверхностноактивные в-ва, нестойкие против щелочей и сильных к-т. Приведены различные способы синтеза этих эфиров, методы идентификации и применение для различных целей в косметич., фармацевтич., текстильной, кожевенной, мыловаренной и других отраслях пром-сти. Библ. 60 назв.

Г. Фрид

34054. Химия продуктов конденсации лауриновой кислоты и диэтанолamina. Кролл, Надо (The chemistry of lauric acid diethanolamine condensation products. Kroll Harry, Nadeau Herbert), J. Amer. Oil Chemists' Soc., 1957, 34, № 6, 323—326 (англ.)

Наличие активных функциональных групп в диэтаноламине (I) обуславливает сложность р-ций в процессе образования продуктов его конденсации с лауриновой к-той (II), широко применяемых в косметике и в произ-ве синтетич. моющих средств. Р-ция II с избытком I при $160—180^\circ$ протекает через следующие стадии: 1) сначала образуется ди-(оксизтил)-амид II (III), который в результате термич. перегруппировки переходит в амидоэфир (IV); 2) при воздействии второй молекулы II из IV получается амидоэфир (V), который перегруппировывается в амидодиэфир (VI). Последний дает с II амидодиэфир (VII); 3) V, VI и VII реагируют с I с образованием III, который и обладает высокими поверхностноактивными свойствами, обеспечивающими его практич. применение.

Г. Фрид

34055. Эмульгаторы из группы гидрофильных, поверхностноактивных веществ. II. Эмульгаторы с неионогенной структурой. Стейскал (Emulgátory ze skupiny hydrofilních, povrchově aktivních látek II. Emulgátory se strukturou neionogenní. Stejskal Josef), Ceskosl. farmac., 1956, 5, № 10, 611—616 (чешск.)

Даны краткая характеристика и классификация неионогенных поверхностноактивных в-в. Указаны области их применения и физиологич. действие. Часть I см. РЖХим, 1958, 12681.

Ю. Ромаков

34056. Неионные поверхностноактивные вещества, полученные полимеризацией алкилфенола с окисью этилена. Клони, Мейхью (Alkylphenol-ethylene oxide nonionic surfactants. Cloney J. M., Mayhew R. L.), Soap and Chem. Specialties, 1957, 33, № 8, 52—54, 109—111 (англ.)

Приведена р-ция получения продукта полимеризации алкилфенола (I) с окисью этилена (II); описано приготовление I; дан подробный анализ экономич. факторов, влияющих на конечную стоимость продукта при произ-ве неионных поверхностноактивных в-в полимеризацией I и II; стоимость оборудования, операции, процентное содержание II. Описаны свойства этих детергентов, исходя из их структуры, а также их применение в зависимости от процентного содержания в них II и преимущества продуктов полимеризации с I, имеющими большой мол. вес. А. Вавилова

34057. Мытье бутылок. Дебрюссель, Декан (Considerations sur le lavage des bouteilles. Desbruyelles J., Descamps H.), Brass. et malter. Belg., 1957, 7, № 3, 100—104 (франц.)

См. также РЖХим, 1958, 2750.

34058. Детергенты в хлебопекарной промышленности. Райт (Detergents in the bakery. Wright W. A.), Australas. Baker and Millers' J., 1957, 60, № 7, 27—28 (англ.)

Рассмотрены вопросы применения детергентов (Д) в хлебопекарном произ-ве и выбор соответствующих Д в зависимости от природы загрязнения, материала очищаемой поверхности, метода ручного или механич. применения Д, жесткости воды и стоимости Д.

34059. Действие моющих средств на кожу. Штюпель (Über die Wirkung von Waschmitteln auf die Haut. Stüpel H.), Seifen-Öle-Fette-Wachse, 1957, 83, № 21/1, 604—609 (нем.; рез. англ., франц., исп.)

Описаны методы исследования и приведен перечень моющих средств (МС) в порядке возрастающего действия МС на кожу. Отмечено, что для суждения о действии МС на кожу необходима комбинация многих методов и статистич. их толкование. Щелочность мыл, в особенности туалетных, при нормальном применении не оказывает вредного влияния на здоровую кожу, что не относится к нейтр. синтетич. МС в кусках. Приписываемое последним обезжиривающее действие на кожу во многих случаях объясняется растворением экстрактивных в-в кожи.

Г. Шураев

34060 К. Руководство по технологии производства растительных масел. Получение и рафинирование масел. Бабачев, Мутафчиев (Технологично ръководство за растително-маслената индустрия. Добив и рафинация на маслата. Бабачев Н., Мутафчиев К. София, Наука и изкуство, 1956 (1957), 296 стр., ил., 9.70 лв.) (болг.)

34061 К. Технология переработки жиров. Тютюников, Науменко, Товбин (Tehnologia prelucrării grăsimilor. Tiutiunnikov B. N., Naumenko P. V., Tovbin I. M. București, Ed. tehn., 1957, 595 p., ил., 22,60 lei) (рум.)

34062 Д. Исследование маслоотжимных шнековых прессов. Руб Д. М. Автореф. дисс. канд. техн. н., Моск. технол. ин-т пищ. пром-сти, М., 1957

34063 П. Метод рафинации жиров гидратацией. Джулиан, Айвсон (Hydration method of refining glyceride oils. Julian Percy L., Iveson Herbert T.) [The Glidden Co.], Пат. США 2752378, 26.06.56

Подлежащий рафинации жир подвергают сначала неполной щел. рафинации при 70—80°, применяя водн. р-р Na_2CO_3 , после чего частично нейтрализованный жир обрабатывают при 10—20° небольшим кол-вом (1,35% от веса масла) водн. р-ра NaOH , содержащим небольшое кол-во разрушающего эмульсию агента (бораты щел. металлов, пирофосфаты, силикаты, оксалаты). Обработка производится в течение 3—20 мин. при сильном перемешивании, после чего

эмульсию быстро проводят через центрифугу. В результате получают хорошо очищ. нейтр. масло (или животный жир), а в водн. р-ре — soapstock, стеринны и небольшое кол-во жира. Пример: 19 л сырого неочищ. соевого масла, содержащего 0,66% свободных жирных к-т, нагревают и при 70—80° добавляют 15%-ный водн. р-р Na_2CO_3 в кол-ве, превосходящем в 1,5 раза теор. необходимое для понижения кислотности масла до ~0,25%. Полученную смесь сильно перемешивают в течение 3 мин., после чего освобождают от воды и CO_2 нагреванием при 93—100° в вакууме, охлаждают до 70° и вновь гидратируют путем сильного перемешивания с 4% воды при 70° в течение 15 мин. После этого масло быстро центрифугируют; более легкая фракция, выходящая из центрифуги, представляет собой частично очищ. почти безводн. масло, содержащее 0,19% свободных жирных к-т и практически все содержащиеся в исходном масле стеринны. Масло охлаждают до 15° и к нему добавляют при интенсивном перемешивании 1,35 вес. % р-ра, содержащего 5% буры и 11% NaOH . Образовавшуюся эмульсию центрифугируют, в результате чего получают нейтр. масло. Более тяжелая фракция содержит (в %): воду 40, мыло 41, стеринны 7, соевое масло 8,2, неомыляемые 3,8.

Г. Марголина

34064 П. Способ щелочной рафинации масел. Жилль, Шосс (Procédé de raffinage alcalin des huiles. Gilles Louis, Chausse Henri). Франц. пат. 1119201, 18.06.56

Способ щел. рафинации масел состоит в обработке масел смесью едкой щелочи и буры при энергичном перемешивании в присутствии большого кол-ва воды при т-ре > 100°. Для нейтр-ции 1000 кг арахисового масла с кислотностью 5% применяется смесь 75 л воды, 13,5 л NaOH (36° Bé) и 25 кг буры; р-ция протекает при сильном перемешивании и нагревании при 106° в течение 1 часа. После декантации получают 900 кг легко осветляемого нейтр. масла и soapstock, который после разбавления водой и добавления сильной к-ты до слабокислой р-ции разделяется на четыре слоя, а именно: водн. слой, содержащий некоторые примеси, мыло, коагулированные слизистые в-ва и 40—60 кг слегка окрашенного нейтр. масла с кислотностью < 10%.

Г. Фрид

34065 П. Рафинация неочищенных моноглицеридов жирных кислот. Миллер (Refining fatty acid monoglyceride. Miller Ralph) [The Chemical Foundation, Inc.], Пат. США 27599954, 21.08.56

Для получения фракции, обогащенной моноглицеридами жирных к-т из смеси глицерина, моно-, ди- и триглицеридов, обрабатывают ее сжиженным углеродом (напр., пропаном — газообразным при обычной т-ре и давлении) в соотношении 10:1 (по весу) сначала при ~49—60°, затем при критич. т-ре р-рителя (~71—85°). Получают две несмешивающиеся жидкие фазы различного уд. веса: в фазе с меньшим уд. весом содержится часть р-рителя и начальной смеси с большим содержанием ди- и триглицеридов; в фазе с большим уд. весом — остаток р-рителя и начальной смеси с большим содержанием моноглицеридов. Отделяют одну фазу от другой.

А. Емельянов

34066 П. Способ непрерывного разделения высших жирных спиртов и мыл (Fremgangsmåde til kontinuert udvinding i ren tilstand af alifatiske alkoholer med mindst 6 kulstofatomer i molekylet, der foreligger i blsning med vandopløselige sæber, der er dannet under alkoholernes fremstilling) [Soc. An. d'Innovations Chimiques dite: Sinnova ou Sadic.], Датск. пат. 79667, 08.08.55

Патентуется способ непрерывного разделения высших спиртов (напр., получаемых восстановлением коксового, пальмового, спермацетового и других масел)

и мыл, с которыми они совместно находятся в водн. р-ре. Р-ритель (Р), который растворяет спирты и в котором мыло менее растворимо, чем в воде, подают в нижнюю часть башни, где он вступает в контакт с водн. р-ром, содержащим спирты. В верхнюю часть башни подают воду. Р с перешедшими в него спиртами отбирают из верхней части башни, а водн. р-р — из нижней. В качестве Р берут бензол, толуол, амилловый спирт, кетоны и т. д. Е. Гаврина

34067 П. Способ перестерификации непищевых масел и жиров. Барский (Verfahren zur Umesterung von nicht zu Nahrungszwecken dienenden Ölen Fetten. Barsky George) [E. F. Drew & Co. Inc.]. Швейц. пат. 313371, 31.05.56

Для выделения из масел и жиров низкомолекулярных жирных к-т путем вытеснения их высокомолекулярными предлагается нагревать смесь, состоящую из обрабатываемого жира и высокомолекулярных жирных к-т, до 250—300° в вакууме в присутствии катализатора (окиси металла) в кол-ве ≤ 5 вес. % от веса жира. Пример: 850 г масла бразильского ореха смешивают с 150 г смеси высших жирных к-т. К смеси добавляют 10 г ZnO и нагревают ее при ~260—270° в вакууме. Исходное масло перестерифицируется при этом на 70%. В отгоне находятся главным образом каприловая и каприновая к-ты. А. Емельянов

34068 П. Способ выделения насыщенных жирных кислот, содержащихся в твердых жировых веществах (Verfahren zur Abtrennung von gesättigten Fettsäuren aus solche enthaltenden festen Produkten fettartiger Konsistenz) [The Humko Co.]. Швейц. пат. 311216, 31.01.56

Заянтован способ отделения насыщ. жирных к-т (ЖК) от ненасыщ. ЖК, глицеридов, неомыляемых, смоляных, красящих и других в-в без применения фракционированной дистилляции или ее комбинации с кристаллизацией из соответствующих р-рителей. Способ применим для выделения насыщ. ЖК из частично или полностью гидрированного таллового масла, рыбьего жира или жиров наземных животных, из гидрированной смеси ЖК, полученных при расщеплении жиров, при очистке продажной стеариновой к-ты и т. д. В основу способа положено превращение исходного материала в мелкие частички, которые затем обрабатывают жидким органич. р-рителем, не растворяющим насыщ. ЖК, после чего они отделяются от экстракта. При этом необходимо: 1) максим. проникновение р-рителя внутрь отдельных частичек для лучшего растворения тех в-в, от которых отделяются насыщ. ЖК и 2) устранение возможности распада этих частичек во время или после их обработки р-рителем. Для этого необходимо наличие определенного соотношения экстрагируемых и неэкстрагируемых составных частей обрабатываемого материала. При большом содержании в нем экстрагируемых в-в частички его при обработке р-рителем крошатся, не обеспечивается равномерное проникновение р-рителя в экстрагируемую массу и происходит образование полуколл. состояния, при котором затрудняется отделение твердого остатка от экстракта. В этом случае следует к исходному материалу добавить соответствующее кол-во неэкстрагируемых в-в, напр. насыщ. ЖК. При малом содержании экстрагируемых в-в в исходном материале возникает трудность проникновения р-рителя внутрь отдельных частичек и не обеспечивается полнота экстракции. В этом случае следует к исходному материалу добавить достаточное кол-во экстрагируемых в-в, напр. часть выделенных при предыдущей экстракции в-в после отгонки р-рителя из экстракта. В качестве р-рителей применяют преимущественно жидкие углеводороды алифатич. ряда. Можно также применять ароматич. или циклич. углеводороды и их смеси с али-

фатич., хлорированные углеводороды, фурфурол, тиофен, одноатомные спирты, эфиры и смеси этих р-рителей. Экстракция должна протекать при равных объемах р-рителя и исходного материала так, чтобы в экстракт перешло $> 7\%$ насыщ. ЖК. Т-ра экстракции $< 27^\circ$. Г. Фрид

34069 П. Пищевой продукт из растительных масел для намазывания на хлеб. Джонс, Ланкастер (Edible spreads from vegetable oils. Jones Edwin P., Lancaster Earl B.) [United States of America as represented by the Secretary of Agriculture]. Пат. США 2754213, 10.07.56

Смешивают 70—90% растительных масел (напр., 80—90% хлопкового или соевого салатного масла), 9—30% моноглицеридов жирных к-т (напр., 9—12% дистил. моноглицеридов полностью гидрогенизированного свиного жира или 9—19% дистил. моностеарата глицерина), 0,1—2% фосфатидов (напр., 0,1—0,4% фосфатидов соевых бобов) и небольшое кол-во соли, ароматич. в-в, антиоксидантов и витаминов при т-ре выше т-ры плавления смеси ингредиентов и быстро охлаждают смесь до т-ры образования микрокристаллов (напр. до $\sim 24^\circ$). Охлажд. смесь выдерживают при 32—38° в течение 3—48 час. А. Емельянов

34070 П. Смеси глицеридов, обладающие специфическими свойствами, и способ их получения. Фьюдж, Викнер, Маркли (Glyceridic mixtures exhibiting unique properties and process for their production. Feuge Reuben O., Vicknair Earl J., Markley Klare S.) [United States of America as represented by the Secretary of Agriculture]. Пат. США 2745749, 15.05.56

При ацилировании смеси глицеридов, состоящей преимущественно из моностеаратов, смешанных с монопальмитатами, до достижения гидроксильного числа (ГЧ) в пределах 15—200 и остаточного содержания моноглицеридов (МГ) 0,1—30%, можно получить твердый пластичный, либо жидкий пищевой жир, причем продукт с наибольшей пластичностью получается при миним. остаточном содержании в нем МГ. Для ацилирования непрерывным или периодич. способом при атмосферном, а также при повышенном или пониженном давлении, могут применяться к-ты, их ангидриды или галоидные ацилы, причем выбор ацилирующего средства оказывает влияние на т-ру плавления, пластичность и другие свойства ацилированной смеси глицеридов. Предпочтительно применение ацилов низкомолекулярных к-т, в частности уксусной, пропионовой и масляной. Твердые ацилированные смеси глицеридов по текстуре и на ощупь подобны парафину, но значительно более пластичны; они водонепроницаемы и устойчивы против плесени. Ацилированные смеси могут применяться в качестве защитных покрытий для мясных продуктов, сыра, конфет, мороженого и др. Патентная ф-ла предусматривает: 1) ацилирование смеси глицеридов, содержащей $\geq 50\%$ МГ (моностеарата, монопальмитата или их смесей), посредством незамещ. насыщ. предельной к-ты с 2—4 атомами С до ГЧ 15—200 и остаточного содержания МГ в ацилированной смеси 0,1—30%. Р-ция может быть приостановлена добавлением горячей воды к реакционной смеси. В качестве ацилирующего средства может быть применен уксусный ангидрид; 2) получение пластичного состава путем ацилирования вышеуказанной смеси глицеридов до ГЧ 37—170 и остаточного содержания в ней МГ 0,1—20%; 3) получение пластичного состава путем ацилирования вышеуказанной смеси до ГЧ 35—70 и содержания МГ 0,1—30%; 4) получение жидкой смеси глицеридов с ГЧ 15—35 и содержанием МГ 0,1—30%; эта смесь может применяться для предохранения пищевых продуктов; 5) получение стойкого против окисления т-ры жидкого

жира, представляющего собой ацилированную смесь глицеридов с ГЧ ~ 20 и с содержанием $\sim 0,1\%$ МГ.

Г. Фрид

34071 П. Композиции для предохранения веществ от вредного действия ультрафиолетовых лучей. Глейм (Compositions for the stabilization of substances against the detrimental action of ultraviolet radiation. Gleim William K. T.), [Universal Oil Products Co.], Пат. США 2740761, 3.04.56

Патентуются новые композиции и методы применения их для предохранения различных в-в от вредного действия УФ-лучей. Композиции, способные поглощать УФ-лучи с длиной волны от 2000—4000 Å, содержат (в вес.%) 5—55 4-метилкумарина (I), 20—70 4-метил-7-оксикумарина (II) и 25—75 4-метил-6,7-диоксикумарина (III). Соотношения указанных производных кумарина подбирают так, чтобы композиция поглощала 99% УФ-лучей. Даны спектры р-ров I, II, III и смеси 1 вес. ч. I, 1 вес. ч. II и 3 вес. ч. III в 95%-ном спирте, показывающие, что при конц-ях р-ров 0,1—1,0 вес. % через слой толщиной 0,3 мм проходит $< 1\%$ УФ-лучей. Приведены величины поглощения различных смесей I, II и III. Установлено, что смесь этих соединений должна содержать $\geq 5\%$ I, $\geq 20\%$ II и $\geq 25\%$ III, чтобы 1%-ные р-ры этих смесей в органич. р-рителе при толщине 0,3 мм пропускали $\leq 1\%$ УФ-лучей. Наиболее эффективна смесь, состоящая из 1 вес. ч. I, 1 вес. ч. II и 3 вес. ч. III. Композиции предохраняют каротин от УФ-лучей. Напр., при хранении люцерны ее опрыскивают р-ром смеси производных кумарина в разб. спирте. Эти смеси можно также употреблять в виде водн. эмульсий, применяя для эмульгирования детергенты или другие поверхностно активные в-ва, а также суспензии в неполярной суспендирующей среде, полученные с помощью неионогенных детергентов. Смеси производных кумарина эффективны при содержании их в эмульсиях от 0,01 до 1 вес. %, что позволяет опрыскивать ими большие поля с технич. культурами. Спирт. р-ры или суспензии указанной смеси в ланолине или вазелине можно добавлять в кремы и лосьоны от загара в кол-ве 0,1—5 вес. %. Этими р-рами или эмульсиями можно пропитывать ткани для предохранения их от обесцвечивания УФ-лучами, упаковочные материалы для хранения в-в, подвергающихся порче под влиянием УФ-лучей, а поверхность прозрачных сосудов для хранения покрывать тонким слоем смеси производных кумарина. Напр., в воск для приготвления вощеной бумаги добавляют смесь 1 ч. I, 1 ч. II и 3 ч. III. В композиции из производных кумарина можно добавлять в-ва, способные дезактивировать каталитич. действия металлов (железа, меди, никеля и др.), окислы и соли которых повышают окисление и прогоркание пищевых и других продуктов. В качестве дезактиваторов применяют: оксимы салицилового альдегида и о-оксиацетофенона, салицилальбутиламин, салицилальтаноламин, 1,2-ди-(салицилальамино)-пропан и др., в кол-ве 0,1—2% от веса композиции. Для покрытия упаковочных материалов для пищевых продуктов в качестве окислительного ингибитора применяют 2-трет-алкил-4-алкоксифенолы (2-трет-бутил-4-метоксифенол). Для покрытия упаковочных материалов, предназначенных для хранения не пищевых продуктов, в состав композиции могут быть введены в качестве окислительных ингибиторов соединения типа крезола, бутилфенола, фенилендиамина и аминфенола, а также пропилгаллат, 2,4-диметил-6-трет-бутилфенол, 2,6-ди-трет-бутил-4-метилфенол, 2,2-диметил-6-трет-бутил-5-оксикумарин, нордигидрогуаретовая к-та и др.

С. Корэ

34072 П. Извлечение воска из рисовых отрубей. Поминский, Вилкс, Иве (Rice wax extraction.

Pominski Joseph, Vix Henry L. E., Eaves Paul H.), [United States of America as represented by the Secretary of Agriculture], 2759956, 21.08.56

Для извлечения воска из рисовых отрубей их смешивают с водой (14—35% по весу) и полученную смесь подвергают нагреванию (15—17 мин., 77—113°), в результате чего ее влагосодержание уменьшается до $\sim 5\%$. Нагретые отруби обрабатывают при 21—104° р-рителем (т. кип. 38—104°) и полученную горячую мисцеллу, содержащую извлеченный воск, охлаждают до образования несмешивающейся с р-рителем обогащенной воском фазы (ВФ), которую отделяют центрифугированием. Процесс может быть проведен и путем смешения отрубей, нагретых до влагосодержания $\sim 5\%$, с р-рителем (т. кип. 39—93°) при т-ре 1,7—15,5° для селективной экстракции (до 90—98%) заключенного в них масла, после чего отделяют масляную мисцеллу, а остаток смешивают со свежей порцией р-рителя при 21—104°. Горячую обогащенную воском мисцеллу охлаждают до образования несмешивающейся с р-рителем ВФ, которую отделяют центрифугированием. Предусматриваются также и другие варианты обработки р-рителями рисовых отрубей. При всех перечисленных процессах охлаждение горячей обогащенной воском мисцеллы производят со скоростью 2—4° в мин.

Г. Фрид

34073 П. Воскообразные вещества из углеводородов, содержащих конденсированные пятичленные кольца, или из их производных. Рёлен (Wachsstoffe aus kondensierte Fünfferringe enthaltenden Kohlenwasserstoffen oder deren Abkömmlingen. Roelen Otto) [Ruhchemie A.-G.], Пат. ФРГ 946836, 9.08.56

Предложены в качестве воскообразных в-в (В) с т. пл. $> 100^\circ$ углеводороды с конденсированными 5-членными кольцами, особенно продукты полимеризации циклопентадиена или его полимеров и их гидрированные производные, содержащие кислород или азот как по отдельности, так и в смесях с В природными или синтетич., особенно с твердыми парафинами, полученными при каталитич. гидрировании. Для получения В осуществляют известным методом полимеризацию циклопентадиена или его полимеров, напр., длительным нагреванием при 150—250° или в присутствии катализаторов. Так получают смесь ненасыщ. углеводородов, углеродный скелет которых состоит из расположенных в ряд 5-членных колец, причем оба крайних кольца имеют по одной двойной связи. В некоторых случаях выгодно эти двойные связи насытить водородом в условиях каталитич. гидрирования под давлением, напр. в присутствии Ni. Ненасыщ. углеводороды, имеющие 4 или больше конденсированных 5-членных циклов, применяют как В, насыщ. димер с т. пл. 77° и другие насыщ. полимеры циклопентадиена являются ценными компонентами В. В смесях с другими В в зависимости от взятых колич. соотношений компонентов получают В с повышенной или пониженной т-рой плавления. Соответствующим подбором условий полимеризации можно получить продукт с требуемой т-рой плавления или неплавящиеся полимеризаты.

Л. Михельсон

34074 П. Способ и аппарат для регенерации воска. Мак Дональд (Dewaxing methods and apparatus. McDonald Dan), Пат. США 2746862, 22.05.56

Способ экстрагирования воска органич. р-рителями из покрытых или пропитанных им материалов (главным образом отходов вощеной бумаги) состоит в следующем: бумагу непрерывно подают и последовательно погружают в несколько отделенных друг от друга подогреваемых ванн с р-рителем (напр., перхлорэтилен, трихлорэтилен, хлористый этилен, тетрагидроэтан, пентагидроэтан). Ванны помещены в камере, полностью изолированной от внешнего воздуха и запол-

Евее
presented
08.56

их сме-
лученную
77—113°),
нашается
при 21—
ую горя-
хла, охла-
-рителем
отделяют
проведен
агосодер-
при т-ре
90—98%)
ают мас-
свежей
ашенную
я несме-
ют цент-
и другие
убей. При
горячей
со скоро-
Г. Фрид

одородов,
е кольца,
toffe aus
enwasser-
Otto)

-в (В) с
ванными
олимери-
и их гид-
род или
природ-
арафина-
ни. Для
одом по-
лимеров,
° или в
месь не-
которых
х колец,
двойной
двойные
тич. гид-
тви Ni
ыше кон-
т как В,
олимеры
понента-
т взятых
В с по-
Соответ-
и можно
ния или
ихельсон
и воска
аппара-
22.05.56

рителями
ов (глав-
ит в сле-
дователь-
от дру-
перхлор-
трахлор-
ере, по-
и запо-

ненной парами р-рителя и азеотропной смеси его с водой. Т-ру ванны поддерживают на уровне между т-рами кипения азеотропной смеси и чистого р-рителя. Бумажную массу из каждой ванны перед погружением в следующую лопастями конвейера поднимают над уровнем ванны, при этом с массы стекает р-р. Свежий р-ритель непрерывно поступает в последнюю из серии ванн и движется в остальные ванны навстречу потоку бумаги. Бумагу из последней ванны, через гидравлич. затвор из р-рителя, подают во вторую закрытую камеру, заполненную перегретым паром р-рителя, в атмосфере которого из уже освобожденной от воска бумаги удаляется р-ритель. Из второй камеры бумагу перемещают в третью через резервуар с водой, подогретой до т-ры между точками кипения азеотропной смеси и воды; в этом резервуаре бумага освобождается от остатков оставшегося в ней р-рителя путем образования с водой азеотропной смеси и испарения ее. Пары из второй и третьей камер удаляются и затем конденсируются. Патентом предусматривается и аппарат, осуществляющий описанный процесс, типовой образец которого дается соответствующими чертежами и описанием. С. Светов

34075 П. Способ изготовления мыла с добавлением силиконового масла. Нисиго, Оно. Японск. пат. 8432, 21.12.54

5700 кг высолонного ядрового мыла смешивают с эмульсией, полученной из 800 мл 10%-ного водн. р-ра поливинилового спирта (мол. в. 800), 2,5 л сесквиэтарата сорбитана, 3 л ализаринового масла и 5 л силиконового масла (полиметилсилоксан, вязкость 1000 сст) в 1,2 л петр. эфира. Указано, что полученное мыло не растрескивается и не размягчается чрезмерно при мытье. Е. Гаврина

34076 П. Процессы и аппараты для формования мыла. Бьерр (Procédés et appareils de boudinage du savon. Bierre Maurice-Adolphe). Франц. пат. 1121099, 20.07.56

Патентуется конструкция целотезы, в которой выходящие из решетки элементарные «колбаски» имеют т-ру поверхностного слоя выше т-ры затверд. данного мыла, что достигается нагревом мыла, проходящего через отверстия решетки. Этот же эффект может быть достигнут продавливанием мыла через решетку, общая площадь отверстий которой составляет 0,8—1,3 площади диафрагмы целотезы. Указано, что такая обработка позволяет получать нерастрескивающиеся куски мыла. Приведены схемы целотезы и решетки. Ф. Неволин

34077 П. Мыльные порошки (Soap powders) [Unilever, Ltd]. Англ. пат. 734090, 27.07.55

Патентуется приготовление быстро растворяющихся и дающих устойчивую пену мыльных порошков, к которым добавляют 5—20% неполных эфиров глицерина и жирных к-т с 8—20 атомами С. Частицы неполных эфиров глицерина могут либо обволакивать частички порошка, либо находиться в виде отдельных частичек. К мыльному порошку можно прибавить 5—20% Na_2HPO_4 , в этом случае кол-во неполных эфиров глицерина и жирных к-т можно уменьшить до 2%. Ф. Неволин

34078 П. Процесс приготовления моющих средств в форме брусков (Procédé de fabrication de produits de lessivage en briques) [Metallgesellschaft A.-G.]. Франц. пат. 1110253, 10.02.56

Приготовление имеющих заданную форму моющих средств из синтетич. продуктов (алкилсульфаты, алкиларилсульфонаты) представляет трудности, так как при употреблении они теряют свою форму. Установлено, что эфиры фосфорных к-т, особенно ортофосфорной к-ты, пригодны в качестве добавок при изготовлении моющих средств в форме брусков. П р и м е

ры. Состав моющего средства (в %): 1) Na- или смесь Na- и K-солей жирных к-т (ЖК) растительных масел 23; ЖК кокосового масла 14,5; пальмового масла 38; монооктодецилфосфорной к-ты 20; дидодецилфосфорной к-ты 3 и смоляных к-т 1,5; 2) соли: ЖК растит. масел 10; моноизододецилфенилфосфорной к-ты 13; ЖК пальмового масла 38,5; монооктодецилфосфорной к-ты 20; гликолята целлюлозы 3; смоляных к-т 1,5; 3) арахидного мыла 30, мыла из стеариновой к-ты 33 и продукта, полученного из 700 вес. ч. полиэтиленгликоля с 155 вес. ч. хлорокси фосфора с последующим омылением водой и нейтр-цией посредством NaOH, 33. Ф. Неволин

34079 П. Получение моющих составов из высокомолекулярных полимеров (High molecular weight polymer detergent compounds and method of making the same) [Wyandotte Chemicals Corp.]. Англ. пат. 731603, 8.06.56

Присоединения путем полимеризации цепи из окиси пропилена к соединению с одним или более реакционноспособных атомов Н (напр., пропиленгликоль, глицерин, сахароза, этилендиамин, ацетамид), получают полимер со средним мол. в. 900, реагирующий далее с окисью этилена. Полученный продукт содержит 20—90 вес. % оксиэтиленовых групп и обладает моющими свойствами. Окись пропилена быстро вводят в р-р NaOH в пропиленгликоле, нагретый до 120°, в атмосфере N_2 . После охлаждения, нейтр-ции и фильтрации получают продукт со средним мол. в. 1620. Добавляя NaOH и проводят такую же р-цию с окисью этилена, что повышает мол. вес до 2680. Ю. Васильев

34080 П. Процесс приготовления твердых или полутвердых композиций, содержащих твердые или жидкие моющие средства. Краус, Краус (Procédé de préparation de compositions solides ou semi-solides contenant un solide ou liquide en dispersion, tel qu'un détersif. Kraus Alfred, Kraus Hanus). Франц. пат. 1121446, 14.08.56

Патентуется способ приготовления твердых или полутвердых композиций моющих средств с использованием для этой цели лактата Ca (I). П р и м е р. 1. Нагревают при 95° до полного растворения 16 ч. гидратированного I ($5\text{H}_2\text{O}$) и 25 ч. воды. Прибавляют 23 ч. крахмала и продолжают нагревание до разрушения гранул крахмала. Понижают т-ру на несколько градусов и добавляют 36 ч. товарного «типола», содержащего 83% активного в-ва. Охлаждение смеси приводит к постепенному ее отвердеванию. Полученный продукт имеет блестящую поверхность и ведет себя при употреблении, как обычное туалетное мыло. 2. Приготавливают смесь (в ч.): лаурилсульфата 65, глицерина 0,4, трагаканта 1,7, безводи. I 4,5, воды 29. Композиция затвердевает в процессе перемешивания и формируется в виде кусков. Ф. Неволин

34081 П. Процесс приготовления пасты из поверхностноактивного вещества, предназначенной для сушки распылением (Procédé de préparation d'une dispersion d'un produit tensio-actif destiné à être séché par atomisation) [Sinnova ou Sadic]. Франц. пат. 1121649, 22.08.56

Часто пасты поверхностноактивных в-в до наполнения их минер. солями и сушки приходится длительно хранить при различных т-рах. Обычно такие пасты во время хранения расслаиваются на фазы (жидкую и пастообразную). Способ приготовления гомог., устойчивых при хранении, паст состоит в интенсивной механич. обработке исходной пасты с помощью быстроходных мешалок, турбомешалок, ультразвуковых установок. В процессе обработки рекомендуется замешивать небольшие кол-ва воздуха, что увеличивает устойчивость пасты. Такая обработка может быть проведена в процессе нейтр-ции синтетич. сульфопроизводных

или после нее. Обработка может производиться периодич. или непрерывным методом. Ф. Неволли

34082 П. Моющие композиции. Файк, Ситон (Detergent compositions. Fike Elmer A., Seaton William H.) [Monsanto Chemical Co.]. Пат. США 2744874, 8.05.56

Конц. водн. р-ры синтетич. моющих средств (МС) при хранении выделяют осадок, а твердые МС пылят. Патентуются композиции МС, не имеющие этих недостатков. 1. Моющая композиция, содержащая алкилбензолсульфонат Na (I) с алкильной цепью в 9—16 атомов С, 0,5—5% соединения структуры $R-CH_2O-(C_2H_4O)_nH$ (II), где R — 5-членный гетероцикл. радикал, содержащий 4 атома С и атом кислорода, $5 \leq n \leq 15$. 2. Моющая композиция, содержащая I, 0,5—5% в-ва $OSCH_2-CH_2-CH_2-CH-CH_2O(C_2H_4O)_nH$, $5 \leq n \leq 20$. 3. Моющая композиция в порошкообразной форме, содержащая 35—65 ч. I, 65—35 ч. сульфата Na, 0,5—5% II. 4. Моющее средство, состоящее из р-ра I и 1—10% в-ва ф-лы $RO(R'O)H$, где RO — остаток после удаления водорода из карбинола, замещ. 5-членным гетероцикл. радикалом, содержащим 4 атома С и один атом кислорода, R' — алкиленовая группа с 2—4 атомами С и $5 \leq n \leq 20$. Ф. Неволли

34083 П. Конденсат окиси этилена с отработанным пальмовым маслом. Кейс (Alkylene oxide condensate of discard palm oil. Case Everett N.) [Sincclair Oil and Gas Co.]. Пат. США 2745855, 15.05.56

Патентуются продукты, полученные конденсацией (ПК) отработанного (при лужении листовой стали) пальмового масла (I) с окисью алкилена (II), имеющей 2 или 3 атома С, с вес. отношением II к I = 2:2,5; ПК I с окисью этилена (III) с вес. отношением III к I = 0,5—1,75, и ПК с приблизительно равными кол-вами III и I. Предложенный конденсат служит для полного разделения эмульсий воды в масле и применяется как в чистом виде, так и в смеси с другими обычными дезэмульгаторами. Пример: загружают в реактор (Р) с мешалкой 265,7 кг I и 1,7 кг конц. р-ра КОН (катализатор), нагревают до 162°, эвакуируя воздух из Р для снижения содержания атмосферного $O_2 < 0,1\%$ (по объему); если это невозможно, Р продувают инертным газом (азотом, метаном, этаном, пропаном, бутаном) и вводят 12,7 кг III (осторожно следя, чтобы давление в Р не превышало 5,4—6,1 атм); по завершении р-ции (падение давления до 1,02 атм) добавляют вторую порцию III и нагревают до 180°, затем прекращают нагревание и поддерживают т-ру 180—190° и давл. 5,4—6,1 атм. Перемешивание производят в течение всей операции. После добавления 252,4 кг III и завершения р-ции удаляют из Р 207 кг ПК, затем вводят еще 21,8 кг III и удаляют 207 кг ПК и, наконец, вводят 10,4 кг III и удаляют остальную ПК. Всего добавляют 284,7 кг III к 335 кг I. 3 порции ПК имеют отношение III к I соответственно 0,75, 0,85 и 0,95. Общее время р-ции, исключая время для достижения т-ры начала р-ции, ~4 часа. Нагревание реакционной массы до 180—190° может производиться как за счет тепла, выделяющегося при р-ции, так и из посторонних источников (перед введением III). А. Вавилова

34084 П. Этенокси-N-моноэтаноламиды таллового масла. Карне, Бут (Ethenoxy-N-monoethanolamides of tall oil. Carnes Joseph J., Booth William T., Jr) [American Cyanamid Co.]. Пат. США 2744888, 8.05.56

Патентуются новые неионные поверхностноактивные в-ва — этенокси-N-моноэтаноламиды (I), смеси к-т таллового масла (ТМ), содержащего 80—20 вес. % жирных к-т (в частном случае 40—60%) с 16—18 атомами С, 20—75 вес. % абиетиновой к-ты (II) (в част-

ном случае 30—60% II) и 5—10% неомыляемых (производные I содержат 4—25 этенокси групп в молекуле), а также способ получения названного соединения нагреванием неочищ. или рафинированного ТМ с избытком (сравнительно с эквимолекулярным ТМ) 3—10% моноэтаноламина (III) при т-ре кипения смеси (~200°) с одновременной конденсацией и удалением воды, нагреванием при той же т-ре после прекращения выделения воды до снижения содержания к-т в продукте р-ции (считая на II) до <3%, отгонкой в вакууме избытка III и пропусканием окиси этилена (IV) в реакционную массу в присутствии щел. катализатора при 100—150° до введения 4—50 молей (в частном случае 8—50 молей) на 1 моль N-моноэтаноламида к-ты ТМ. В примерах описаны опыты получения по указанному способу I из разных образцов ТМ при разных кол-вах реагентов, разных т-рах и продолжительности обработки, а также внешний вид и характеристики исходных и получаемых продуктов. Н. Эвергетова

34085 П. Гидроксилирование растительных масел и их производных. Джулиан, Айвсон, Радлов (Hydroxylation of vegetable oils and products thereof. Julian Percy L., Iveson Herbert T., Radlove Sol B.) [The Glidden Co.]. Пат. США 2752376, 26.06.56

Способ получения производных растительных масел с высокими поверхностноактивными свойствами состоит в том, что масло, содержащее по крайней мере одну ненасыщ. жирную к-ту или ненасыщ. продукт масла или смесь того и другого масла [соевое (натуральное или продуктое) масло, хлопковое и льняное продукты масла, арахисовое, кукурузное, сафлоровое, подсолнечное и т. п. масла], обрабатывают при т-ре несколько выше 70° р-ром H_2O_2 с конц-ией $\geq 70\%$ в присутствии водорастворимой низкомолекулярной оксикарбоновой к-ты (молочная (I) или винная к-та или смесь этих к-т в кол-ве 0,25—0,55 молей на гидроксильную группу, вводимую в исходный глицерид). При этой обработке происходит гидроксилирование исходного глицерида, причем гидроксильные группы вводятся по месту двойной связи без разрушения глицеридной структуры обработанного масла, а ИЧ снижается по меньшей мере на 20 ед., достигая величины ≥ 15 (предпочтительно между 15 и 30). Примеры. 1. 129 г рафинированного соевого масла (ИЧ 132,5) и 30 г 85%-ного р-ра I нагревают при перемешивании при 90—100°, после чего к смеси добавляют каплями в течение 3 час. 48 г 90%-ной H_2O_2 и продолжают нагревание 2,5 часа, затем массу дистиллируют под вакуумом до получения сухого вязкого продукта с ИЧ 22,7 и кислотным числом (КЧ) 19,5; 2. 454 г соевого масла (ИЧ 133), 72 г 85%-ной I и 136 г 27,5%-ной H_2O_2 перемешивают в аппарате со стеклянным дефлегматором и нагревают в течение 8,5 час. при 85—95° под вакуумом. Полученный светло-желтый дистиллят (498 г) имеет ИЧ 104 и КЧ 25,6; 3. 258 г продукта в течение 11 час. при 100—110° хлопкового масла (до снижения ИЧ с 109 до 94,5) нагревают с 57,4 г 85%-ной I до 78° и добавляют 62,3 г 90%-ной H_2O_2 . По окончании экзотермич. р-ции смесь нагревают (1 час) при 85—90°, затем массу охлаждают, промывают и высушивают под вакуумом на водяной бане. Полученный продукт (282,5 г) имеет ИЧ 25,6 и КЧ 13,1.

34086 П. Способ мытья тканей. Зелле (Verfahren zum Waschen von Textilien. Selle Hans-Dieter) [VEB Chemische Fabrik Grünau]. Пат. ГДР 13313, 21.06.57

Продукты конденсации белковых в-в с жирными к-тами, имеющими 8—22 атомов С, обладают невысоким моющим действием. Патентуется способ, пови-

обладающий их моющую способность, состоящий в полной или частичной замене цел. или аминных соединений этих продуктов конденсации магниевыми соединениями. Для этого к 1000 г полученного обычным методом конденсата, нейтрализованного щелочью, добавляют при перемешивании при 50—60° 50 г кристаллич. $MgCl_2$.

Ф. Неволлин
34087 II. Средство для чистки в форме тампона, пропитанного поверхностноактивным веществом. Макс, Сандере (Impregnated scouring pad. Maxcy William J., Sanders Herbert L.) [General Aniline & Film Corp.]. Пат. США 2733214, 31.01.56

Патентуется усовершенствованное средство для чистки алюминиевых поверхностей, представляющее собой стальное волокно, пропитанное не содержащей мыла смесью, состоящей из 150 вес. ч. Na-соли олеилсульфоната (I) и 850 вес. ч. кукурузного декстрина (II). Могут быть применены аналогичные поверхностно-активные в-ва общей ф-лы RCO_2Y , где R — алифатич. углеводородная цепь, содержащая 11—17 атомов C, блокированных простой или сложной эфирной связью. $Y = O(CH_2)_2SO_3Na$, SO_3Na или $N(CH_3)(CH_2)_2SO_3Na$. Пример. 850 вес. ч. II равномерно распределяют в 1500 вес. ч. воды. Смесь нагревают до 85° на паровой бане, выдерживают при этой т-ре ~ 10 мин., в течение которых II набухает, и затем прибавляют при перемешивании 150 вес. ч. I. Полученной горячей композицией заливают стальное волокно, помещенное в металлич. форму. Сформированное чистящее средство подсушивают при 85°. В состав композиции вместо I могут быть введены в том же кол-ве Na-соль олеилметилтаурина или лаурилнатрийсульфат. В состав спец. композиций дополнительно вводят различные синтетич. водорастворимые, стабилизирующие и красящие в-ва, а также средства, предохраняющие от коррозии и плесени. Напр., распределяют 650 вес. ч. II в 1500 ч. мочевины в 1500 ч. воды. К приготовленной в указанных выше условиях смеси прибавляют 30 ч. I, 120 ч. алкилфенилполиглицеролевого эфира, 10 ч. $NaNO_2$, 0,7 ч. красителя диазо-бриллиант-скарлет 3G, 0,7 ч. диамино-скарлет 3BA и 2 ч. пентахлорфенола.

Т. Кефели

См. также: Развитие Андийского масложиркомбината за годы Сов. власти 31313. 50-летие Миллеровского масложирэкстракционного з-да 31314

УГЛЕВОДЫ И ИХ ПЕРЕРАБОТКА

Редактор М. С. Гарденин

34088. Влияние неорганических и органических соединений на вязкость. Фримлова, Мирчев (Vliv anorganických a organických sloučenin na viskozitu. Fřimlová Zdenka, Mirčev Atanas), Listy cukrovarn., 1957, 73, № 10, 220—225 (чешск.; рез. русск., нем.)

Изучались изменения вязкости чистых р-ров сахарозы в зависимости от присутствия неорганич. и органич. соединений. Показано, что соли NH_4Cl , KCl и KBr понижают вязкость р-ров сахарозы. Прочие неорганич. соединения повышают их вязкость, причем максим. действие обнаружили $NaOH$ и Na_2CO_3 . Соединения Na повышают вязкость более, чем соединения K. Соли Ca также увеличивают вязкость. Наоборот, органич. в-ва на увеличение вязкости действуют незначительно. В большинстве опытов найдено соотношение между влиянием различных соединений на вязкость р-ра сахарозы и их патокообразующими свойствами.

Н. Баканов

34089. На сахарных заводах Дании и Голландии. Епишин А. С., Сахарная пром-сть, 1956, № 10, 52—59

Приводятся сведения о состоянии сахарной пром-сти Дании. Рассмотрены вопросы, касающиеся свеклосеяния, сахаристости свеклы, технологич. схема, потери сахара в произ-ве, расходы топлива, известняка, штаты и затраты рабочей силы. Даны показатели работы за 1955 г. 8 датских з-дов из 9 имеющихся. См. также РЖХим, 1957, 70368.

Г. Бенин

34090. Производство сахара. III. Куоколу (Fabricação do açúcar. III. Cuocolo Miguel Romêu), Rev. brasileira guim., 1953, 36, № 214, 233—236 (порт.)

Предыдущее сообщение см. РЖХим, 1956, 60068

34091. Затруднения фильтрации в сахарном производстве в 1956/57 г. Вейрих, Яношфи (Szűrés nehézségek az ácsi Cukorgyárban az 1956/57-es üzemiévben. Weinrich Bódog, Jánosfy Károly), Cukoripar, 1957, 10, № 9—10, 184—187 (венг.; рез. русск., нем.)

Причиной затруднений в фильтрации соков была порча свеклы из-за многократного заморозания и оттаивания, причем большую роль играло образование продуктов жизнедеятельности микроорганизмов (в том числе поступающих с возвратной водой на диффузию). Развитие микроорганизмов в заводских соках локализовалось усиленной дезинфекцией. Фильтрация облегчалась при увеличенной дозе извести (свыше 0,5%) на холодную предфекацию и возврате ≥ 25 —30% нефильтрованного сока 1-й сатурации в диффузионный сок.

Г. Таращанский

34092. Вопросы теплового хозяйства диффузионной установки. Краузе (A diffúziós telep hőgazdálkodási kérdései. Krause Gyula), Cukoripar, 1955, 8, № 4, 71—73; 5, 93—96; 118—120 (венг.)

Описаны процессы, проходящие при работе диффузионной установки (ДУ), исследована работа идеальной ДУ, потребности воды для ДУ; исследовано тепловое х-во ДУ и рассмотрен расчет калоризатора.

М. Г.

34093. Возврат диффузионных вод на диффузионную батарею для вторичного использования. Петшиковский, Годвод, Заремба (Zawracanie wód dyfuzyjnych na baterię dyfuzyjną w świetle praktyki całokampanijnej. Pietrzykowski Tadeusz, Godwód Stanisław, Zareba Zbigniew), Gaz. cukrown., 1957, 59, № 6, 157—162 (польск.)

В 1955 г. исследована работа сахарного з-да с вторичным использованием диффузионной воды (ДВ), а также воды из прессов (ВП). Описана технология работы, дан полный баланс водяного х-ва з-да, приведены исчерпывающие данные, характеризующие работу отдельных станций, состав сточных вод и качество продукта. ДВ и ВП очищались на фильтре Рольффофа. Испытан также декантатор, который дает лучший эффект очистки, но требует добавки антисептика, в-в (иначе снижается pH). Кроме этого ВП добавочно очищались дефекационными. Вторичное использование ДВ и ВП уменьшает расход чистой воды и потери сахара; работа аппаратуры и качество продукта не ухудшаются, но увеличивается кол-во мелассы и наблюдается коррозия насосов.

Я. Штейнберг

34094. К теории первой сатурации. Бурнанек, Дурдик (Přispěvek k teorii I. saturace. Buriánek Josef, Durdík František), Listy cukrovarn., 1957, 73, № 10, 225—226 (чешск.; рез. русск., нем.)

Описаны определения с применением прибора Варбурга конц-ии связанной CO_2 в соках 1-й сатурации.

Установлено и показано графически, что конц-ия CO_2 на 1-й сатурации достигает максимума дважды, при наличии извести в соке присутствует комплексное соединение CO_2 и $\text{Ca}(\text{OH})_2$, находящееся в неравновесном состоянии, что зависит от т-ры и конц-ии р-ра. С ростом кол-ва связанного CO_2 увеличивается вязкость р-ра и уменьшается скорость его фильтрации; эти дефекты сока могут быть устранены применением средств, снижающих кол-во связанного CO_2 , что ограничивает образование комплексных соединений. Комплексные соединения находятся и в соке последней сатурации.

Н. Баканов

34095. Непрерывная фильтрация сока 1-й сатурации. Виг (Az 1. szűrési és szűrés folyamatos szűrése. Vigh Albert), Cukoripar, 1957, 10, № 9—10, 179—181 (венг.; реэ. русск., нем.)

Приведены результаты испытаний на 3-де Мезехедш установки для непрерывной фильтрации сока 1-й сатурации (состоящей из 1 отстойника-грязесгустителя и 1 вакуум-фильтра), показавшей хорошие результаты, особенно при горячей прогрессивной преддефекации, с возвратом части нефильтрованного сока 1-й сатурации в сырой сок. Установка действовала бесперебойно и при переработке порченной свеклы. Дана схема.

Г. Таращанский

34096. Исследование процесса непрерывной варки утфеля в аппарате инженера Може. Петшиковский, Ничке (Badania procesu gotowania cukrzycy w sposób ciągły w aparacie patentu inż. Morze. Pietrzykowski Tadeusz, Nitschke Zygmunt), Gaz. cukrown., 1957, 59, № 4, 103—106 (польск.)

Исследована работа аппарата для непрерывной варки утфеля. Дана схема и описана технология работы. Результаты пробных варок сравнены с результатами переработки того же сырья на периодич. аппаратуре. Непрерывная варка не дает сахара с требуемыми кристаллами, окраска утфеля увеличивается на 100%, производительность аппаратуры уменьшается в два раза, продолжительность центрифугирования увеличивается, выход белого сахара — до 40%. Конструкция аппаратуры должна быть доработана.

Я. Штейнберг

34097. Тепловой баланс варки утфеля. Грубишек (Tepelná bilance varu cukroviny. Hrubíšek Josef), Listy cukrovarn., 1957, 73, № 10, 227—232 (чешск.; реэ. русск.)

Описана методика и результаты исследования варки утфеля и подробный расчет материального и теплового балансов. Показано, что на нагрев сиропа расходуется 21,2% всего тепла; потери в конденсаторе составляют 17,2%, а потери на лучеиспускание и при пропарке достигают 2%. Расход пара (640 кал/кг) на выпаривание 1 кг воды определен в 1,11 кг. Установлена норма расхода пара 0,9 кг на 1 кг сахара.

Н. Баканов

34098. Разделение сахаров на угольных колоннах по градиенту элюции. Джермин (The separation of sugars on carbon columns by gradient elution. Jermin M. A.), Austral. J. Chem., 1957, 10, № 1, 55—78 (англ.)

Выяснено влияние различных факторов на извлечение сахаров из костяного угля. В зависимости от конц-ии водн. р-ров органич. в-в, применяемых в качестве десорбентов, можно без особых трудностей достигнуть при известных условиях разделения целлолиглюкозидов из р-ров кислотного гидролиза целлолозы. Опыты проводились с р-рами сахарозы, лактозы, меллибозы, целлобиозы и другими сахарами. Установлено, что десорбция сахаров, адсорбированных костяным углем, органич. в-вами, растворенными в воде, по градиенту конц-ии объясняется тем, что сахар и органич. молекула десорбента являются простыми

конкурентами для одной и той же активной поверхности.

34099. Современное состояние сушки и брикетирования жома и других кормов в сахарной промышленности. Чигал, Чиж (Dnešní stav sušení o brketování vyloučených řízků a jiných krmiv v cukrovarnictví. Čihál Karel, Číž Karel), Listy cukrovarn., 1957, 73, № 11, 249—255

Обзорная статья о теоретич. основах процессов сушения, методах сушки и хим. состава сухого жома (чистого и в смеси с мелассой). Описаны схемы производства, конструкции и характеристики аппаратов для сушки и брикетирования отходов сахарного производства, приведены тепловые показатели сушилок. Библ. 59 назв.

Н. Баканов

34100. О сушке зерна на сахарных заводах. Дума (Czy suszyć ziarno w cukrowniach? Duma Zdzisław), Przegl. zboż.-młynarski, 1957, 1, № 4, 3—8 (польск.)

Установлено, что применение, в случае необходимости и для использования оборудования вне сезона, барабанных сушилок жома типа Бютнера экономически целесообразно. Пропускная способность сушилок 6,5—9,6 т/час в зависимости от исходной влажности зерна (3) и т-ры газов. Рекомендуется сушить 3 только до 13—14%-ной влажности. Дальнейшее снижение влажности 3 на 1% потребовало бы повышения т-ры нагрева 3 на 8,3° и соответствующего повышения т-ры газов на 41,5°, что связано со значительным повышением расхода топлива и опасностью снижения качества показателей 3. Нагрев 3 при сушке до 56° несколько повышает степень всхожести 3, снижение которой наблюдается только при повышении т-ры нагрева 3 > 60°. Нагрев 3 до ~60° оказывает положительное действие на хлебопекарные свойства 3. При нагреве 3 до 90° не происходит никаких структурных изменений алевронового слоя 3. Сушка 3 на барабанных сушилках для жома способствует частичной очистке 3 от посторонних примесей.

Г. Ошмян

34101. Метод выращивания кристаллов сахарозы в лабораторных условиях. Герасименко А. А., Головин П. В., Абрамова М. А., Сахарная пром-сть, 1957, № 11, 71

По разработанной новой методике ~0,5 л 72—75%-ного р-ра сахарозы в открытой колбе емк. 1 л выдерживают 5—6 дней. Полученные кристаллы < 0,1 мм на нити нарастают до 0,4—0,8 г в течение 10—14 дней, при ~20°, в р-ре 68,3—68,6%-ной сахарозы в колбах емк. 50 мл. Окончательное наращивание проводили 10—12 час., зажимая кристалл между концами стальной дугообразной проволоки.

М. Гарденин

34102. Определение рафинозы и других сахаров в потоке методом хроматографии на бумаге. Гольцфарб Р. И., Коваль В. Г., Тр. Киевск. фил. Всес. н.-и. ин-та спирт. и ликеро-водочн. пром-сти, 1956, вып. 3, 103—115

Описаны работа по выбору несложного способа качеств. определения рафинозы путем изучения методов восходящей, нисходящей и радиальной хроматографии. Уточнен углеводный состав мелассы, в частности наличие в ней рафинозы и трисахаридов, которые в отдельных случаях не обнаруживаются кислотно-инверсионным методом. Определены р-риты и проявили для качеств. определения сахаров изучено влияние конц-ий их р-ров на результаты определений. Применение способа радиальной хроматографии ускоряет качеств. определения сахаров до 8—10 час.

М. Гарденин

34103. Микробиологическое испытание сахарных сиропов с помощью молекулярных мембранных фильтров. Колман, Бендер (Microbiological examination of liquid sugar using molecular membrane filters

Coleman Mary Catherine, Bender C. R.), Food Technol., 1957, 11, № 7, 398—403 (англ.)

Описаны конструкция молекулярных мембранных фильтров и работа с ними при исследовании проб сахарных сиропов на зараженность их микрофлорой. Применение мембранных фильтров позволяет определить кол-во микроорганизмов в сахарном р-ре в течение 28 час., в то время как по обычному методу требуется 4—5 дней. Определения проводились в сиропах, выпускаемых в США сахарорафинадными заводами для кондитерской, хлебопекарной, безалкогольной и других отраслей пром-сти.

Г. Бенин

34104. Влияние гликоль-расщепляющих реагентов на коричневые продукты, выделенные из тростниковосахарной мелассы диализом. Бинкли (The action of glycol-splitting reagents on the dialysed browning products from cane final molasses. Binkley W. W.), Internat. Sugar J., 1957, 59, № 703, 178—180 (англ.)

Окисление с помощью метапероксида натрия коричневых продуктов (меланоидинов), выделенных путем диализа мелассы одного из тростниковосахарных заводов Флориды (США), позволило идентифицировать первичные и вторичные р-ции, протекающие при таком окислении, и высказать предположение, что гексозные остатки меланоидинов имеют фуранозную структуру.

Г. Бенин

34105. Стандартный метод определения влажности сахара-рафинада надо уточнить. Кац В. М., Сахарная пром-сть, 1957, № 11, 79

При предварительном измельчении для получения средней пробы теряется часть влаги и образец рафинада для анализа является частично подсушенным, что подтвердил проведенный опыт. Ставится вопрос об уточнении методики; одновременно отмечается необходимость исправления ф-лы для определения влажности, где пропущен уд. вес испытываемого р-ра.

М. Гарденин

34106. Расчет и конструкция экспериментального трехвального пресса. Крофорд (The design and construction of an experimental three-roller mill. Crawford W. R.), Chem. Ind. and Engng, 1957, 8, № 6, 28—31 (англ.)

Описана эксперим. установка с трехвальцовым прессом для определения условий, необходимых для максим. извлечения сахара из сахарного тростника (Т). Стальной ленточный транспортер подает Т в небольшой дезинтегратор, из которого Т направляется в сыпательный бункер и с определенной скоростью ссыпается на ленту второго транспортера, подающего Т в приемный бункер пресса, наклоненный под углом 55°. Вальцы пресса (диам. 450 мм, длина 30 мм) вращаются примерно с такой же скоростью, что и приводные барабаны второго транспортера. Приводной механизм позволяет изменять окружную скорость вальцев в пределах 5—16,5 м/мин.

Б. Сумм

34107. О работе фильтрпрессов. Ландри (Filter press operations. Landry J. T., Jr.), Internat. Sugar J., 1957, 59, № 707, 309—310 (англ.)

На тростниковосахарном з-де Терребонн (США) взамен вакуум-фильтров для фильтрации грязевой суспензии из отстойников Дорра были установлены 8 обычных фильтрпрессов (по 20,2 м²) с толщиной рам 37 мм. Потери сахара в грязи стали (по весу тростника) 0,153%, вместо 0,379% при вакуум-фильтрах, что перекрывало увеличенный расход на рабочую силу (5 человек в смену) и дополнительные затраты на фильтрпрессный холст.

Г. Бенин

34108. Техническое усовершенствование оборудования для сахарных заводов. Шкрабал (Technický vývoj ve strojním zařízení cukrovarů. Škrábal Miroslav), Průmysl potravin, 1957, 8, № 8, 425—430 (чешск.; рез. русск., англ., франц., нем.)

Обзорная статья об усовершенствовании оборудования, изготовляемого в Чехословакии для сахарной пром-сти, в области механизации работ по хранению сахарной свеклы и готовой продукции, фильтрации на вакуум-фильтрах, автоматич. центрифуг и непрерывнодействующих диффузионных батарей, выпарных установок с тепловыми насосами и др. Даны чертежи новой аппаратуры.

Н. Баканов

34109. Измерение и регулирование удельного веса. Эдль (Měření a regulace specifické váhy. Edl Jago-slav), Listy cukrovarn., 1957, 73, № 10, 7—12, (чешск.)

Изложена теория и описаны аппараты для непрерывного измерения плотности (уд. веса) жидкостей поплавковыми, пневматич. (простыми и дифференциальными), манометрич. и сравнительными плотнотометрами. Даны схемы установок приборов и некоторые их константы.

Н. Баканов

34110. Требования к монтажу спаренных диффузионных батарей. Герус Г. М., Сахарная пром-сть, 1957, № 9, 24—25

Для наиболее полного использования мощности двух батарей (Б) следует обеспечить каждую Б индивидуальными мойкой, элеватором, весами, свеклорезками, стружечным транспортером и насосом барометрич. воды. Допустима установка двух одинаковых Б при общих мойке, элеваторе, весах и свеклорезках. Не следует устанавливать Б различной емкости. М. Гарденин

34111. Автоматизация технологических процессов. Шарейко (Automatyzacja procesów technologicznych. Szarejko Roman), Gaz. cukrown., 1957, 59, № 10, 257—260 (польск.)

Описаны способы регистрации и автоматич. регулирования производственных процессов на сахарных з-дах ФРГ и Франции: т-ры и откачки сока при периодич. диффузии, предварительной и основной дефекации, 1-й и 2-й сатураций и периодич. центрифугирования. Приведены схемы автоматич. регулирования т-ры диффузии, откачки сока и 1-й и 2-й сатураций по показателям рН или по кол-ву сока и рН. Обсуждены возможные пути автоматизации процессов на сахарных з-дах ПНР.

Г. Опшнян

34112. О связи в работе силовых установок и испарительных станций сахарных заводов. Эрченти (Erőtelep és pároló állomás kapcsolási módjai. Erőcsényi István), Cukoripar., 1956, 9, № 1, 9—12 (венг.)

Разобраны схемы работы теплоэлектрогенераторов, работающих с противодавлением и с использованием отходящего пара для обогрева в выпарке. М. Г.

34113. Автоматическая упаковка в маленькие пакеты (Automatische Verpackung in Kleinpäckungen. Fr. H.), Z. Zuckerind., 1957, 7, № 11, 552—553 (нем.)

Даны краткие описания с фотоснимками автоматич. установок для упаковки: сахарного песка в двойные пакеты, кускового сахара в простые картонные пакеты с контролированием веса, для разделки и упаковки кускового сахара в картонные коробки весом 1 кг, заверточно-упаковочной машины для кускового сахара ранжированного и бесформенного, а также для кофе и сахарной пудры.

Г. Таращанский

34114. Новые возможности промышленного использования сахара и мелассы. Никель (Nowe możliwości przemysłowego użytkowania cukru i melasy. Nikiel Stanisław), Przem. spożywczy, 1957, 11, № 10, 421—424 (польск.)

Обзор современных достижений в области использования сахара и мелассы в качестве сырья для обработки различных продуктов хим. пром-сти. Библ. 16 назв.

Г. Опшнян

34115. Химические производные сахара и их промышленное применение. Дюбур (Les dérivés chimiques

du sucre à l'usage industriel. Dubourg J.), Alcool et dérivés, 1957, № 73, 3, 5—10 (франц.)
См. также РЖХим, 1957, 78619. Г. Т.

34116. Крахмал. — (Stärke — Wesen und Wirkung. —), Wäscherei — Techn. und — Chem., 1957, 10, № 12, 874, 876, 878 (нем.)

Популярная обзорная статья по физ.-хим. свойствам крахмала с описанием различных его видов и модификаций. Н. Б.

34117. Химия крахмала. Никуни (Nikuni Ziro), Караку то когё, Chem. and Chem. Ind., 1957, 10, № 10, 591—596 (японск.)

34118. К вопросу о получении депрессирующих растворов крахмала. Горловский С. П., Обогащение руд, 1957, № 1, 41—43

Обзорная статья о физ.-хим. свойствах крахмала и его деривативов, применении крахмала и декстрина для обогащательных флотационных процессов. Библ. 15 назв. Н. Баканов

34119. Производство искусственного меда и сиропа в Германской Демократической Республике. Токарев Л. И., Хлебопек. и кондитерск. пром-сть, 1957, № 11, 41—42

Рецептуры, кондиции и технология приготовления искусств. меда в ГДР. Основной ингредиент меда — инвертированный минер. к-тый сироп свекловичного сахара. А. Кононов

34120. Модифицированная анилинхлоридная проба для обнаружения технического инвертного сахара в меде. Митра, Чаттерджи (A modified aniline chloride test for the detection of technical invert sugar in honey. Mitra S. N., Chatterji R. K.), Sci. and Culture, 1957, 23, № 2, 97—98 (англ.)

К 6 мл разбавленного 2 ч. дистил. воды 1 ч. меда добавляют 4 мл свежеприготовленного р-ра из 10 мл анилина и 3 мл соляной к-ты, уд. в. 1,125. Перемешивают 30 сек. встряхиванием и оставляют на 1 час. Верхний створоченный слой анилина приобретает окраску: от фальсифицированного меда — красную; от натурального — белую или слабую тускло-желтоватую; от натурального перегретого — грязно-шоколадную; от фальсифицированного перегретого — темную с красным оттенком. Проба позволяет отличать натуральный мед от фальсифицированного технич. инвертным сахаром, даже если мед потемнел от нагрева. А. Кононов

34121 П. Очистка растворов фруктозы нонитами. Кушинг, Дейвис (Ion exchange purification of fructose solution. Cushing Ira B., Davis Raymond V.) [Abbott Laboratories]. Пат. США 2753279, 3.07.56

Очистка р-ров фруктозы, полученных путем окисления многоатомных спиртов (напр., маннитола, с применением для брожения *Acetobacter suboxydans* NRRLB-72), состоит в том, что р-р фруктозы после брожения пропускают через сильно кислотный катионит и высоко основной анионит, и очищ. р-р выдерживают 15—60 мин. при $\sim 100^\circ$ или 30 мин. при 114° и пропускают сперва через анионит, а затем через катионит, чтобы кислотность р-ра была бы $\sim 3,5$ pH. Фруктоза, полученная кристаллизацией из р-ра, очищ. по этому способу, при последующей стерилизации ее р-ров (для медицинских целей) не дает окрашенных в-в. В качестве сильно кислотных катионитов могут быть применены: Amberlite IR-112, IR-120, IR-100; Dowex 50, Wafatite K, Duolite C-3 и C-10. Из высокоосновных анионитов рекомендуется применять одну из следующих марок: Amberlite IRA-400, IRA-410, Dowex 1-X8, 2, Duolite 2, A-42, и Permutit S-1. Г. Бенин

34122 П. Грязесгуститель (Epaississeur de jus) [Cie. de Fives-Lille pour Constructions Mécaniques et Entreprises]. Франц. пат. 1118866, 12.06.56

Установка для сгущения содержащихся в жидкости взвешенных загрязнений, в частности грязи сатурационного сока, представляет собой герметически закрывающийся горизонтальный цилиндрич. котел, в центре которого проходит горизонтальный вращающийся полый вал, на котором насажены пустотелые металлич. диски, разделенные внутри на несколько секторов. Каждый сектор соединен каналом с находящимися вне котла распределительными головками, соединяющими сектора с трубопроводами для отвода чистого сока и подвода сжатого воздуха для продувки секторов дисков. На диски натянута фильтровальная ткань. Сок под давлением подает в нижнюю часть котла. Приставшая к холсту на дисках грязь снимается спец. ножами и падает в устроенное сбоку корыто, из которого по мере сгущения удаляется через нижнее отверстие с помощью двойного шнека. Аппарат снабжен приборами для автоматич. контроля и регулирования взаимосвязанных кол-ва поступающего грязного сока и соответствующего вывода сока со сгущенной до установленной плотности грязью, а также для регулирования давления поступающего в аппарат сока и противодействия сжатого воздуха для продувки дисков. Г. Таращанский

34123 П. Процесс производства крахмала, окисленного до карбоксилов (Procédé de fabrication d'oxy-amidons carboxylés) [Soc. d'Electro-Chimie, d'Electro-Metallurgie et des Acieries Electriques d'Ugine]. Франц. пат. 1127509, 18.12.56

Окисленный до карбоксилов крахмал (К), обладающий постоянной вязкостью и устойчивостью, получают обработкой суспензий К водн. р-рами хлористоводородных солей щел. металлов в кислой среде. Кол-во хлоридов по отношению к К берут 5—30% по весу так, чтобы конц-ия их в смеси составляла 10—70 г в 1 л воды. Обработку ведут при т-ре, исключаяющей растрескивание зерен К ($\sim 50^\circ$), и в слабокислой среде при pH 4,5—5,5, когда еще не происходит разрушения цепочек по α -глюкозидной связи молекулы К. Обработку продолжают 5—20 час. После употребления (для целей пропитки, шпихтования, апретирования и загустки красок) такой дериват К удаляется промывкой слабой щелочью. Пример: 500 л крахмального молока, содержащего 100 кг сухих в-в, смешивают с 6,25 л технической 40%-ной уксусной к-ты и с 25 кг NaCl в закрытом резервуаре и при перемешивании нагревают 10 час. при 50° ; затем фильтруют, обезвоживают, промывают водой и сушат при низкой т-ре. Н. Баканов

34124 П. Кислотная и термическая обработка крахмальных паток и продукты, получаемые в результате таковой. Фетцер (Acid-heat treatment of starch syrups and the resulting products. Fetzger Walter R.) [Standard Brands Inc.]. Пат. США 2767109, 18.10.56

Для получения из кукурузных паток и сахара стойких, некристаллизующихся продуктов, содержащих редуцирующих в-в $> 62\%$ и декстрина 53—22%, сшитая на сухое в-во, обычную патоку 28—47° Вё нагревают до 77,5—149° в присутствии к-ты, при pH 0,5—2,0 до тех пор, пока удельное вращение ее не снизится минимумом на 5° , но не ниже чем до 65° . Получившийся продукт нейтрализуют хим. средствами или на ионообменнике до pH 4—5. Пример: 22 мл (4,0 г) конц. H_2SO_4 смешивают с равным кол-вом воды и с 2 л кукурузной патоки 45° Вё, имеющей 44,2% редуцирующих в-в (РВ). Смесь, имеющая pH 1,0, нагревают на парафиновой бане при атмосферном давлении до 135° и кипятят 4,5 час. при 115,6—118,3°. После такой обработки патока получается прозрачная, янтарного

jes) [Cie-
les et En-

в жидко-
грязи са-
метнически
котел, в
вращаю-
устотельно
несколько
с находя-
головами,
для отвода
продукции
ровальная
ую часть
грязь сни-
сбоку ко-
ется через
ека. Ал-
контроля и
гупающего
ка со сгу-
о, а также
в аппарат
в продукту
ращающий
окислени-
ation d'oxy-
d'Electro-
d'Ugine]

(К), обла-
дностью, по-
ми хлори-
стой среде.
ут 5—30%
составляла
ре, исклю-
и в слабе-
е происхо-
связи мо-
час. После
хитования,
дериват К
Пример:
00 кг сухих
ной уксус-
варе и при
50°; затем
ой и сушат
Н. Баканов
ботка крах-
е в резуль-
nt of starch
t Walter
109, 16.10.56
ахара стой-
содержащих
—22%, счи-
7° Вé нагре-
рН 0,5—2,0
е снизится
олучивший
или на
м (4,0 г)
и воды и с
2% редуци-
нагревают
давления до
После такой
янтарного

и имеет содержание РВ 41,1%, а удельное вращение ее снижается с 150° до 89,7°. При изменении количества к-ты и воды, плотности исходной патоки, времени и степени нагревания, можно получить конечный продукт с возрастанием РВ и другими пределами снижения удельного его вращения. Н. Баканов

34125 П. Процесс выделения белков и витаминов из крахмальной соковой воды. Грейтхаус, Смит, Робинсон, Хейдел (Process of separating proteins and vitamins from starch waste water. Great-house Lucien H., Smith Burns Ashby, Robinson Helen M., Haydel Chester H.) [United States of America as represented by the Agriculture]. Пат. США 2744014, 1.05.56

Процесс извлечения белков (Б) и витаминов из соковой воды, получаемой при переработке батата, состоит в удалении крахмала так, чтобы его оставалось в воде $\leq 0,2\%$, в доведении содержания ионов кальция в воде в растворимом виде минимум до 0,1 мол. ион/л, в обработке воды к-той до рН, соответствующего изотоничности. точке растворимости Б, в нагревании смеси до 75—100° для коагуляции Б и витаминов и отделении образовавшегося коагулята. Пример. 2500 кг батата, содержащего ~36 кг Б и 119 г каротена (в бетакarote), обрабатывали для получения крахмала обычным способом по щел. методу (при рН 9); соковая вода, выделенная на центрифуге, отстаивалась для осаждения крахмала до содержания его $< 0,2\%$, обрабатывалась 2,5 н. HCl до рН 3,8 и нагревалась до 80° с перемешиванием в течение 20 мин. После отстоя образовавшийся шлам Б и витаминов обезвоживался на вакуум-фильтре. Получившаяся паста, богатая белками и провитамином А, использовалась как кормовое средство. Описанным путем извлекается из содержащихся в батате 60% Б и 70% каротена. Н. Баканов

34126 П. Способ удаления горьких веществ из замочной воды при обработке зерна. Клинга, Лангнер (Verfahren zum Entbittern von Quellwasser aus der Naßverarbeitung von Getreide. Klinga Johann, Langner Gerhard) [Organchemie G.m.b.H.]. Пат. ФРГ 957544, 07.02.57

Для удаления горьких в-в из замочной воды (ЗВ), полученной при переработке в крахмал зерна (напр., кукурузы), ЗВ, предварительно нейтрализованную известью, смешивают с аммиаком, аммонийными солями или аммиаками (метиламином, триметиламином и их солями); смешивать можно как со слабоконц., так и сгущенной ЗВ. Очищ. от горьких в-в сгущенную ЗВ высушивают в смеси с отходами переработки зерна или с другими кормами. ЗВ можно высушивать на распылительной сушилке. Пример. 1000 л кукурузной ЗВ плотностью 5° Вé смешивают с 10 л аммиака (уд. в. 0,91) и сгущают в вакуум-аппарате до 50° Бр. Концентрат высушивают в смеси с кукурузной meal, полученной при ее переработке, причем для смешивания берут ингредиенты поровну. После высушивания смесь имеет 11,5% влаги и до 24% белков. На 100 л сгущенной ЗВ (с 50% сухих в-в) берут 40 л аммиака. Смесь ЗВ с различными кормами содержит до 38% белков в сухом продукте. Н. Баканов

34127 П. Реакция перегруппировки N-гликозидов. Ходж (Method for conducting the amadori rearrangement of N-glycosides. Hodge John E.) [United States of America as represented by the Secretary of Agriculture]. Пат. США 271523, 9.08.55

Метод внутримолекулярной перегруппировки глюкозидамина, из альдозной формы в кетозную действие на глюкозидамин в некисл. среде активным метиленовым соединением, в котором активный атом Н связан с атомом С в α -положении по отношению к несп. связи. А. Кононов

См. также: Ферментативный синтез и расщепление крахмала 12404Бх.

БРОДИЛЬНАЯ ПРОМЫШЛЕННОСТЬ

Редакторы А. М. Емельянов, Г. А. Новоселова.

34128. Сбраживание глюкозы термофильными дрожжами. Логинова Л. Г., Васильевская М. М., Тр. ин-та микробиол. АН СССР, 1955, вып. 4, 100—106

34129. Полунепрерывный способ производства хлебопекарных дрожжей. Стухлик (Polokontinuitný spôsob výroby pekarskeho drozdia. Stuchlik V.), Kvasný průmysl, 1955, 1, № 5, 100—101 (словац.)

34130. Плесневые грибы в современной броидильной промышленности. Старка (Plisně v moderním kvasném průmyslu. Strka Jiří), Vesmír, 1955, 34, № 5, 154—155 (чешск.)

34131. Возможность повышения выхода спирта на заводах, перерабатывающих мелассу. Дыр, Крумфанзл (O možnosti zvyšování výtěžku alkoholu v libovarech zpracovávajících melasu. Dyr J., Krumphanzl V.), Kvasný průmysl, 1955, 1, № 8, 181—183 (чешск.; рез. русск., нем., англ., франц.)

34132. Значение устройства заливного чана спиртового завода для соложения зерна. Вольневич (Kadź zalewna w gorzelni — podstawa dobrego słodowania ziarna. Wolniewicz Michał), Przem. rolny PYR, 1957, 2, № 6, 22—24 (польск.)

Усовершенствованный металл. заливной чан, в который вместо мешалки и подачи воздуха из компрессора введено сопло, дал хорошие результаты. При хорошем соложении зерна получена экономия.

З. Фабинский

34133. Выходы спирта при спиртовом брожении в производстве. Лопес-Мартинес-де-Тода (Rendimientos técnicos de las fermentaciones alcohólicas. Lopez Martinez de Toda Jesus), Semana vitivinica., 1957, 12, № 554, 4, 5, 16 (исп.)

Теоретически из 100 г глюкозы образуется при спирт. брожении 51,13 г спирта. Фактические выходы в произ-ве всегда меньше вследствие образования побочных продуктов брожения, ассимиляции части спирта непосредственно дрожжами и испарения части спирта. Выведен коэф., равный числу г глюкозы в сусле, нужному для образования в получаемом продукте 1° спирта. При теоретич. выходе 51,13 г спирта из 100 г глюкозы этот коэф. равен 15,53. При меньших выходах он больше. Нормальный коэф. для произ-ва 16,90—17,26. На разных винодельч. предприятиях для красных вин найден коэф. 16,13—17,03 и для белых 15,78—16,10. Для кооперативных предприятий он несколько меньше.

Н. Простосердов

34134. К вопросу расчета пружины контрольного снаряда. Копылова А. М., Бюл. научно-техн. информ. Всес. н.-и. ин-т спирт. и ликеро-водоч. пром-сти, 1957, № 3, 28—36

34135. Применение спектроскопии в инфракрасной области при анализе спиртов. Шпехт (Ultrarotspektroskopische Methoden zur Erkennung von Spiriten. Specht Hermann), Branntweinwirtschaft, 1957, 79, № 19, 409—419 (нем.)

Изложены основы спектроскопич. анализа (СА) в применении к спиртам. Выявлено, что методами СА возможно обнаруживать в-ва конц-ией $\geq 1\%$, что заметно превышает обычную конц-ию отдельных примесей спирта, подлежащих определению. Разработан метод концентрирования примесей спирта с одновременным удалением из анализируемой пробы этанола и воды, которые обладают относительно большими спектрами поглощения в ИК-области, что затрудняет

СА примесей спирта. 300 мл анализируемого 96%-ного спирта с 325 мл воды и 325 мл 66,5%-ного р-ра $\text{CaCl}_2 \cdot 6\text{H}_2\text{O}$ обрабатывают в течение 8 час. смесью дважды перегнанного CS_2 и 30 мл свежеперегнанного эфира, сливают р-ритель, вторично взбалтывают пробу со 100 мл того же р-рителя. Экстракт упаривают до ~20 мл, причем в отгон последовательно переходят при т-ре 41,35° тройная азеотропная смесь 1,09% H_2O , 6,55% этанола, 93,36% CS_2 , при 42,4° бинарная смесь 9% этанола и 91% CS_2 и, наконец, при 46° чистый CS_2 , а в остатке от отгона остаются примеси спирта без следов этанола и воды. Описанным способом примеси спирта экстрагируются не в одинаковой степени, однако это не отражается на результатах СА полученного экстракта в ИК-области, которые позволяют определить качество и происхождение анализируемого спирта. Получены положительные результаты распознавания методами СА в ИК-области спирта-сырца, полученного из патоки и гидролизатов древесины; синтетич. спирта из этилена; различных видов спирта-ректификата и спирта высшей очистки. Приведены характерные для каждого из перечисленных спиртов ИК-спектры. Г. Ошмян

34136. Рентабельность бардосушения. Кильп (Wirtschaftlichkeit der Schlemmetroeknung. Kilp W.), Alkohol-Ind., 1957, 70, № 21, 515—518 (нем.)

Приведены расчеты затрат топлива и труда на сушку барды на современных установках спиртовых заводов, перерабатывающих крахмалистое сырье. Указывается, что сушка экономически оправдана только при условии, если стоимость сухой барды не превышает стоимости кормов, равноценных по питательности сухой барде. Г. Ошмян

34137. Изменения содержания аминов и аминокислот в ходе производства сака. II. О количественных изменениях в содержании аминокислот в процессе подготовки мороми. Умэцу (Umetu Masahiro), Хакко когаку дзасэн, J. Ferment. Technol., 1957, 35, № 8, 320—325, 29—30 (японск.; рез. англ.)

Хроматографией на бумаге идентифицированы в мороми (основная бражка для приготовления сака) следующие аминокислоты: глутаминовая к-та, глицин, тирозин, аланин, аргинин, лейцин, изолейцин и пролин. В меньшем кол-ве обнаружены: цистин, триптофан, метионин. Их содержание возрастает в процессе брожения мороми и достигает максимума к моменту добавления спирта и воды, но уменьшается после окончания брожения мороми. Определение проводилось путем сравнения размеров пятна и интенсивности его окраски с концентрационной шкалой пятен тех же аминокислот. Указаны р-рители и проявители для аминокислот. Сообщение I см. РЖХим, 1958, 15947. Г. Валушко

34138. Исследования методов определения малых количеств метилового спирта и выявление его содержания в сырье, полуфабрикатах (спиртах, наливках) и водках. Вуйцицкая, Душик, Бялобжеская (Badania nad metodami oznaczania małych ilości alkoholu metylowego oraz charakterystyka półfabrykatów (spirytusów, nalewów owocowych) i wódek gatunkowych pod względem zawartości w nich alkoholu metylowego. Wójcicka U., Duszyk H., Białobrzęska A.), Przem. spożywczy, 1957, 11, № 8, 361 (польск.)

Рекомендуется уточненный метод определения метанола в сырье, полуфабрикатах и готовых изделиях спирта. произ-ва при содержании его в пределах от 0,03 до 2 об.% в пересчете на безводн. этанол. В бесцветные пробирки на 25 мл с плоским дном и притертой пробкой берут по 5 мл анализируемых и типовых р-ров, доведенных предварительно до 10%-ной крепости спирта; добавляют по 2 мл р-ра KMnO_4

(30 г KMnO_4 и 150 мл 85%-ного H_3PO_4 в 1 л воды), смешивают, выдерживают 10 мин.; добавляют по 2 мл р-ра щавелевой к-ты (50 г в 1 л H_2SO_4 (1:1)), смешивают и после полного обесцвечивания добавляют по 5 мл реактива Шиффа (в 1 л реактива содержится 4,5 г основного фуксина, 9,6 г $\text{Na}_2\text{S}_2\text{O}_5$ и 40 мл 6 н. HCl . Реактив должен быть обесцвечен воздействием активированного угля в течение ≤ 225 сек.), взбалтывают и выдерживают закрытые пробирки 1 час, после чего сравнивают окраску анализируемых и типовых р-ров. В исследованных образцах водок Польши содержание метанола ≤ 0,25 об.%. Г. Ошмян

34139. Изучение кислотного гидролиза семян *Pinus angustifolia*. Борцани, Долес, Итинози, Азбукерке (Estudo da hidrólise ácida do pinhão. Borzani Walter, Dolos José M., Itinose Sadame, Albuquerque Lúcia M. C.), Engenharia, 1956, 14, № 159, 276—278 (порт.)

Изучены условия гидролиза семян *Pinus angustifolia*, используемых для произ-ва особого сорта водки. 1 кг семян смешивают с 3 л 0,15 н. HCl и автоклавируют при 2 атм (134°) в течение 2,5 час., фильтруют, добавляют 1,5 л воды, перемешивают в течение 1 часа, добавляют NH_4OH до pH 5, вносят 10 г/л прессованных дрожжей для сбраживания глюкозы и арабинозы, образовавшихся при гидролизе. Спиртовое брожение ведут в обычных условиях. Г. Новоселова

34140. Определение спирта в напитках, богатых эфирными маслами. Штраусс (Beitrag zur Alkoholbestimmung in äth.-ölreichen Spirituosen. Strauß Vera), Brantweinwirtschaft, 1957, 79, № 20, 446—448 (нем.)

Выявлено, что при добавлении к 40%-ному спирту 0,05, 0,1 и 0,2% померанцевого масла пикнометрически определяемая крепость спирта повышается соответственно на 0,06, 0,16 и 0,22%. При определении спирта в напитках, содержащих ≤ 0,2% эфирных масел, по официальной методике ФРГ, предусматривающей вымывание масел петр. эфиром (I), можно ограничиться применением 10 мл I на каждые 100 мл анализируемой жидкости и пользоваться поправкой в 0,1 об.% для компенсации потерь спирта с I. Г. Ошмян

34141. Накопление уксусного альдегида при производстве этилацетата путем брожения. Баба, Хасе, Осима (Baba Tameji, Hayashi Mitsunori, Oshima Masayuki), Хиросима дайгаку когакубу кэнкю кококу, Bull. Fac. Engng, Hiroshima Univ., 1956, 5, № 3, 345—352 (японск.; рез. англ.)

Изучен ход сбраживания паточной или спирт. среды дрожжами *Candida pelliculosa* var. *acetatethera*. За 24 часа до определения уксусного альдегида (I) задавали в исследуемую среду ~10 мл 5%-ного р-ра Na_2SO_4 , что мало отражалось на жизнедеятельности дрожжей. В паточной среде содержание этилацетата (II) достигает 917—1184 мг на 100 мл на 4—7-й день брожения, а I 253 мг на 100 мл на 5-й день, после чего содержание I, II и этанола (III) быстро снижается. В спирт. среде (~2,8% III) содержание III быстро падает на 3-й день, и III исчезает на 6-й день брожения. Содержание I достигает 180 мг на 100 мл и быстро падает с исчезновением III. Аналогичное явление наблюдается для II, содержание которого достигает 836 мг на 100 мл на 4-й день брожения. Предполагают, что I является продуктом окисления III в ходе образования II. Г. Ошмян

34142. Статистические методы контроля. Харви (Statistical methods of control. Harvey J. V.), Austral. Brew. and Wine J., 1955, 73, № 11, 14, 16, 18, 20 (англ.)

Описаны статистич. методы контроля и преимущества их применения в пивоваренной пром-сти.

Н. Простосердова

1 л воды), бавляют по SO_4 (1:1), ания добав- тива содер- S_2O_5 и 40 мл ечен воздей- ≤ 225 сек.), е пробирке ализируемых азачах водок Г. Ошмян семия Pinus инози, A. pinhão, B. inose Sa- Engenharia,

angustifolia, водки. 1 кг токлавируют руют, добав- е 1 часа, до- рессованных биноксы, обра- жение ведут Новоселова х, богатых zur Alkohol- n. Strauß 20, 446—448

ному спирту ометрически тся соответ- ении спирта х масел, по- вающей вы- граничиться анализируе- в 0,1 об. Г. Ошмян

при произ- Баба, Ха- shi Mitsu- има дайгаку G, Hiroshima з. англ.)

спирт. сре- acetætheria. льдегида (I) %-ного р-ра деятельности этилацетата

4—7-й день ь, после чего снижается. III быстро день броже- а 100 мл и гичное явле- орного дости- я. Предпола- я III в ходе

Г. Ошмян я. Харви у J. V.), Av- 14, 16, 18, 20

и преимуще- сти. простосердова

34143. Оценка качества ячменной урожая 1957 г. по результатам микросоложения и производственным показателям. Вельхёнер (Die Verarbeitung der neuen Braugersten nach Ergebnissen aus der Kleinvermälzung und Praxis. Wellhoener H. J.), Brauwelt, 1957, В97, № 90, 1854—1855 (нем.)

Обсуждаются качеств. особенности пивоваренных ячменей ФРГ урожая 1957 г. На основании микросоложения ячменя рекомендован следующий режим соло- жения для произ-ва: степень замочки 43—46%, т-ра воды при замочке 11°, время соложения 8—9 дней при т-ре рашения 12—15°. Сушку зеленого солода прово- дят при умеренных т-рах с тем, чтобы отсушку было возможно вести при 85°. Средние данные солодов из ячменя урожая 1957 г.: экстрактивность 79,5%, ско- рость осахаривания 10—15 мин., кол-во белков (на сухое в-во) 11%; сусло в большинстве случаев опале- сцирующее. П. Буковский

34144. Отбор проб и анализ хмеля в пивоваренном производстве. II. Изменения влажности хмеля при отборе проб и измельчении как функция относитель- ной влажности воздуха и условий работы. Мейль- гор (Probenahme und Analyse des Hopfens in der Brauerei. II. Änderungen des Feuchtigkeitsgehaltes von Hopfen während der Probenahme und des Mahlens als Funktion der relativen Luftfeuchtigkeit und der Arbeitsbedingungen. Meilgaard Morten), Brauwelt, 1957, В97, № 90, 1851—1853 (нем.)

Проведены исследования (с 4 сортами хмеля (X)) влияния различных факторов на величину влажности X, определяемую в сушильном шкафу. Установлена зависимость влажности X от разницы относительной влажности окружающего воздуха и равновесной влаж- ности X, от времени выдержки измельченной пробы и кол-ва соприкасающегося с ней воздуха, от разницы т-ры пробы и помещения, в котором производится ана- лиз. В результате исследований предложен способ от- бора проб, выделения и измельчения образцов X без изменения содержания воды. Сушку образцов произ- водят в течение 1 часа при 106°. Сообщение 1 см. РЖХим, 1957, 73163. А. Емельянов

34145. Содержание витаминов в австрийском пиве. V. Содержание витамина В₆. Клаусхофер (Der Vitamingehalt österreichischer Biere. V. Der Gehalt an Vitamin В₆. Klaushofer H.), Mitt. Versuchsstat. Gärungsgew., 1957, 11, № 9—10, 98—100 (нем.)

В 10 образцах австрийского пива определено содер- жание витамина В₆ биологич. методом (с приме- нением *Neurospora sitophila* «pyridoxinless» № 299 ATCC 9276). Среднее содержание для 7 образцов ($\mu\text{g}/100$ мл) 70,4; среднее для 3 спец. образцов 70,7. Полученные результаты сравниваются с данными анализа пива других стран. Сообщение IV см. РЖХим, 1957, 75884. А. Емельянов

34146. Горячий розлив пива и других газированных напитков. Кайзер (Heißabfüllung von Bier und an- deren kohlensäurehaltigen Trinkflüssigkeiten. Kai- ser Bruno), Brauwelt, 1957, В97, № 99—100, 2021—2025 (нем.; рез. англ., франц.)

На пивоваренных з-дах в Баварии и Гамбурге ис- пытана аппаратура для розлива пива по новому мето- ду. Пиво пастеризовали в пластинчатом пастеризаторе при постоянном давлении и т-ре 60—70° и без охлаж- дения подавали на розливной автомат, где наливали в горячую, только что вышедшую из бутыломоечной машины бутылку, которую сразу же укупоривали. Розлив проходил при противодавлении, создаваемом CO_2 . Заполнение бутылки пивом с равномерным рас- пределением струи по стенкам; плавный, без толчков, налив, чистая и гладкая поверхность стенки бутылки, и качеству которой вообще предъявляются высокие требования, — основные условия при использовании

этого способа. Термич. бой посуды $\leq 0,2—0,3\%$. Стой- кость пива заметно повышена. П. Буковский

34147. Научно-исследовательский институт по вино- градарству. Будапешт. — (A szőlészeti kutató intézet, Budapest.—), Kísérletügyi közl., 1956(1957), 50, № 1, 320—332 (венг.; рез. русск., нем., франц.)

Обзор деятельности ин-та в области виноградарства, виноделия, методов анализа вин и использования от- ходов. Г. Н.

34148. Элитные партии вина 1956 г. — новое достиже- ние в выяснении технологических качеств болгар- ских сортов винограда. Павлов (Произведените през 1956 г. елитни партиди вина — нов принос за уясняване технологическите качества на нашите ви- нени сортове грозде. Павлов Димо), Лозарство и винарство, 1957, 6, № 3, 31—41 (болг.)

Технологическое испытание различных сортов вино- града в Болгарии показало возможность получения вин различного типа: столовых вин с остаточным саха- ром из Димят и Красного муската (с настоем на ме- ге 8—15 ч.), а также из сортов Гымза и Мавруд, де- сертных вин типа Малаги из сорта Мавруд и типа Кагор из сорта Широка мелнишка лоза. Кроме того, возможно получение полусладких вин, технология которых кратко описана. И. Скурхин

34149. Урожай винограда 1956 года в Рейнхессене и его переработка с учетом новейших научных дости- жений в области энохимии. Унферцатт (Der 1956 er in Rheinhessen und seine Behandlung unter Berücksichtigung neuer Ergebnisse der weinchemi- schen Forschung. Unverzagt), Dtsch. Wein-Ztg., 1957, 93, № 11, 173, 174, 176, 178, 180 (нем.)

Приведены данные хим. анализа сусла в ходе созре- вания винограда 1956 г., а также данные анализа приготовленных из него опытных образцов вин. Не- смотря на очень неблагоприятные метеорологич. усло- вия года, низкий уд. вес сусла и высокую кислотность, можно получить хорошие вина при условии правиль- ного ведения технологич. процессов. Н. Простосердова

34150. Производство белых сухих вин во Франции. Ренжад (Vinification des vins blancs secs en Bor- delais. Ringeade Daniel), Pharmac. rural, 1957, 4, № 15, 372—373 (франц.)

Описана технология приготовления белых сухих вин. Во избежание побурения сусла виноград до его дроб- ления обрабатывают бисульфитом. Прессование про- изводится на ручных, гидравлич. и горизонтальных прессах; применение прессов непрерывного действия запрещено. В те годы, когда оно разрешено, кислот- ность снижают введением CaCO_3 для облегчения. яб- лочно-молочного брожения и смягчения вина; для вина, полученного из здорового винограда, первую переливку затягивают до конца ноября, чтобы закон- чилось это брожение. В готовых винах необходимо поддерживать конц-ию 20—30 мг/л свободного SO_2 . Г. Валушко

34151. Содержание пиридоксина в винах Бордо. Пено, Лафуркад (Teneurs en pyridoxine des vins de Bordeaux. Peynaud E., Lafourcade S., Mlle), Ann. Inst. nat. rech. agron., 1957, Е6, № 3, 301—312 (франц.)

При сравнительном применении *Saccharomyces carlsbergensis*, *S. oviformis* и *S. fructuum* для микробио- логич. определения витамина В₆ (I) в винах первые признаны более пригодными. В ходе созревания вино- града происходит накопление I, достигает максимума за 8—15 дней до полного созревания, а затем идет не- большое уменьшение. 17 сусел содержали свободного I 0,16—0,53 мг/л, в среднем 0,32 мг/л, а общего I 0,42 мг/л. При брожении на различных расах дрожжей установлено, что *S. ellipsoideus* сильно потребляет I в

первые 48 час. брожения, а затем содержание его в бродящем сусле медленно повышается и через 15 дней достигает первоначального значения. *Kloeckera apiculata* потребляет в начале брожения меньше I, но затем содержание его уже не увеличивается, а *Torulasporea rosei* уменьшает содержание I в ходе всего брожения; те и другие не способны к синтезу I, в отличие от остальных дрожжей *Candida pulcherrima* и *Torulopsis bacillaris* могут увеличивать содержание I в бродящем сусле примерно в 4 раза. Присутствие гребней уменьшает содержание I. В кожице и семенах I больше, чем в мякоти, поэтому прессовые вина богаче I. Белые вина содержат в среднем (в мг/л): свободного I 0,31, общего 0,44; красные вина — свободного 0,35, общего 0,47. Старение вин в бочках и бутылках не влияет на содержание I. Обработка бентонитом, углем, инфузорной землей резко снижает содержание I. Г. Валушко

34152. Место винных дрожжей в систематике. Галъ-ан (Position des levures du vin dans la systématique. Galz y P.), Ann. Inst. nat. rech. agron., 1955, E4, № 4, 417—425 (франц.)

Отмечена сложность классификации винных дрожжей, вызванная обилием открытых видов и субъективизмом систематиков. Делается попытка систематизировать имеющиеся классификации, а также объяснить изменения в систематике дрожжей, внесенные отдельными авторами. При составлении классификаций все авторы исходят из изучения характера размножения, формы и числа спор, т-ры спорообразования, формы клеток, характера осадка, газообразования, сбраживания сахаров и других в-в. Библ. 19 назв.

И. Бурцева

34153. Гидролиз пектина некоторых плодов при спиртовом брожении. Браверман, Лифшиц (Pectin hydrolysis in certain fruits during alcoholic fermentation. Braverman J. B. S., Lifshitz A.), Food Technol., 1957, 11, № 7, 356—358 (англ.)

В модельных р-рах сахарозы, содержащих различные кол-ва пектина (до 7,5%), не образовывался метанол (I) после брожения с *Saccharomyces cerevisiae*. При предварительном культивировании грибов *Aspergillus niger* или *Penicillium glaucum* на субстрате содержание I после брожения увеличивалось пропорционально содержанию пектина до $\geq 0,5\%$. Появление I в винах объясняют действием этих грибов, имеющих на винограде. Брожение при pH < 2 практически не дает I. Дальнейшее увеличение pH до ≥ 7 резко повышает выход I. Нагревание р-ра пектина до 115° не вызывает деметоксилирования и лишь при 120° образуются следы I.

И. Скурихин

34154. Влияние активаторов, продуцируемых плесневыми грибами, на брожение сусла. Минарик (Vplyv plesňových aktivátorov na kvasenie muštu. Minárik Erich), Biológia, 1957, 12, № 6, 454—459 (словацк.; реэ. русск., нем.)

Изучено влияние активаторов брожения из *Aspergillus niger*, *Botrytis cinerea* и *Penicillium notatum* на брожение виноградного сусла при внесении 0,5 г/л препарата. В присутствии активаторов брожение ускоряется особенно сильно в начальных фазах. К 9 дню брожения сусла с сахаристостью 245,5 г/л образцы с активаторами и контрольные содержали соответственно спирта 113,0—113,8 и 104,2 г/л, остаточного сахара 2,4—3,2 и 25,6 г/л и летучих к-т 0,65—0,76 и 1,14 г/л. При брожении сусла с сахаристостью 388,8 г/л на 13 день образцы с активаторами и контрольные содержали соответственно спирта 110,8—102,7 и 73,2 г/л, сахара 152,0—174,0 и 236,1 г/л, летучих к-т 1,69—1,59 и 1,90 г/л. Особенно выгодно применение таких активаторов при брожении высокосахаристых виноградных и плодовых соков, где кроме повышения скорости сбра-

живания и более низкой концентрации летучих к-т достигается более глубокое сбраживание субстрата.

И. Скурихин

34155. Яблочно-молочное брожение в винах Австралии. Форнакон (The occurrence of malo-lactic fermentation in Australian wines. Fornachon J. C. M.), Austral. J. Appl. Sci., 1957, 8, № 2, 120—129 (англ.)

В сезон 1953—1955 гг. исследовали 317 образцов молодого сухого австралийского вина. В 46% образцов установлено яблочно-молочное брожение (ЯМБ). На 84 образцов спиртованного вина оно обнаружено только в 3. Кроме спиртуозности на него большое влияние оказывает pH: из вин с pH < 3,21 ЯМБ обнаружено в 6% образцов, с pH 3,21—3,40 в 22%, с pH 3,41—3,60 в 39%, с pH 3,61—3,80 в 71%, с pH > 3,80 в 85%. На ЯМБ сильно влияет SO₂: у вин с < 120 мг/л SO₂ найдено ЯМБ в 61% образцов, с 120—150 мг/л SO₂ в 38%, > 150 мг/л SO₂ в 21%. Сульфитация вина при переливках приостанавливает ЯМБ при меньших дозах, чем до брожения сусла. Отмечено благоприятное влияние дрожжевого осадка на ЯМБ. При хранении вина с дрожжевой гущей в течение < 4 недель найдено ЯМБ в 25% образцов, в течение 4—8 недель в 36%, в течение 8—12 недель в 56%, в течение > 12 недель в 80%. Не обнаружено зависимости ЯМБ от сорта винограда. Меньшая устойчивость высокосахаристого винограда к ЯМБ объясняется, по-видимому, его меньшей кислотностью. Из вин, подвергшихся ЯМБ, выделено и охарактеризовано 28 видов бактерий ЯМБ, главным образом лактобациллы и 4 микрококка. Наличие ЯМБ в винах с низкой кислотностью нежелательно, так как вызывает его порчу.

И. Скурихин

34156. Побочные брожения десертных вин. Симон (Las fermentaciones secundarias en los vinos dulces. Simon M. L.), Semana vitivinica., 1957, 12, № 545, 4—5, Repr. Vinos, Viñas y frutas. (порт.)

В Анжуйских винах крепостью ~ 11°, содержащих 20—40 г остаточного сахара, наблюдали при наличии 30—50 мг свободного SO₂ нормальное старение и отсутствие побочных брожений при условии розлива вина в бутылки без фильтрации через асбест.

К. Герцфельд

34157. Значение усовершенствованного способа заквашивания вина газообразным SO₂. Фаркаш (Výnam zdokonaleného spôsobu sirení vína plynným kyslíčnikom siričitým. Farkaš Ján), Kvasný průmysl, 1957, 3, № 7, 155—158 (словацк.; реэ. русск., нем., англ., франц.)

Рассмотрены значение SO₂ в виноделии, дозы SO₂ при сульфитации вина и сусла (15 мг/л оч. сл., 30—сл., 50—ср., 75—с., и 100—оч. с.) и способы сульфитации: серным фитилем, р-ром SO₂, газообразным SO₂ из баллона или из ампул. Описан дозатор SO₂ и других газообразных консервантов и р-ров, принцип которого основан на измерении высоты поднятия алюминиевого поплавка в градуированной стеклянной трубке 200 × 12 мм. Дозировку производят по длительности пропускания консерванта через дозатор при определенном положении поплавка. Предварительно производят градуировку прибора.

И. Скурихин

34158. Об исследовании муты спиртных напитков. Бронн (Über die Untersuchung von Spirituosen-trübungen. Bronn W.), Brau- und Weinwirtschaft, 1957, 70, № 16, 347—348, 350—354 (нем.)

Рассмотрены причины появления муты при выдержке спирт. напитков в стеклянной таре из-за наличия: неорганич. в-в, солей органич. к-т, эфирных масел, сивушного масла, дрожжевого масла, терпенов, смол, жиров, декстринов, дубильных в-в, пектинов, белков, красителей и побочных продуктов приготовления са-

к-т доста-
та.

И. Скурихин
нах Австр-
malo-lactic
ognachon
2, 120—128

образцов мо-
3% образцов

(ЯМБ). На
обнаружено

ого большое
< 3,21 ЯМБ

40 в 22%, с
71%, с рН

O₂: у вин с
цов, с 120—

Сульфитация
ЯМБ при

а. Отмечено
ка на ЯМБ.

и в течение
з, в течение

ль в 56%, в
то зависимо-

стойчивость
сияется, по-
з вин, под-

авано 28 ви-

обацилы и
вкой кислот-

его порчу.

И. Скурихин
н. Симон

vinos dulces.
12, № 545,

содержащих
ри наличии

рение и оти-
и розлива

сест.

Герцфельд
пособа заку-

каш (Vuz-
lupnút ku-

ny prímuz,
русс., нем,

и, дозы SO₂

оч. сл., 30—

особы суль-

зообразным

затор SO₂ и

ов, принци-

пнятия алю-

стеклянной

по длитель-

озатор при

варительно

И. Скурихин

наличие

ных масел,

енов, смол,

нов, белка,

овления са-

харного холера. Описаны способы идентификации компонентов муты по внешним признакам и качеств. анализом осадка, выделенного из напитка центрифугированием при ~ 400 об/мин. Г. Ошмян

34159. Установка пластин в фильтрах. Майер (Das Beschicken des Filters mit Schichten. Mayer M.), Dtsch. Weinbau, 1957, 12, № 7, 175—176 (нем.)

Описана техника фильтрации для осветления и обесцвечивания вина (подбор фильтровальных пластин, сборка фильтра и пр.). Н. Простосердова

34160. Мгновенная пастеризация. Вальвассори (Contributo allo studio della lamporizzazione dei vermut. Valvassori Sergio), Riv. viticolt. e enol., 1957, 10, № 2, 49—62 (итал.)

Опытную мгновенную пастеризацию (лампоризацию) вермута проводили при 85—105° в течение 20—180 сек. Найдено, что лампоризация не только не ухудшает органолептич. свойств вермута, но, по-видимому, улучшает их, ускоряя созревание. Замечено значительное увеличение содержания нестойких коллоидов и выпадение их в осадок. В связи с ускорением созревания вермута содержание летучих эфиров увеличивается. При нагревании вермута до 105° в течение 40 сек. окислительные ферменты полностью инактивируются, что предохраняет вино от кассы. Лампоризация вызывает активацию защитных коллоидов. Прилагаемые микрофотографии коллоидов при увеличении 1:40 000 показывают изменения их структуры при лампоризации. Н. Простосердова

34161. Значение окислительно-восстановительного потенциала вина. Методы его изменения. Дейбнер (Potentiel oxydoréducteur des vins: son importance, sa signification; tendances actuelles de la technique de sa mesure. Deibner Léonce), Inds aliment. et agric., 1957, 74, № 4, 273—283 (франц.)

Обзор современного состояния изучения окислительно-восстановительного потенциала в виноделии. Библи. 64 назв. И. Скурихин

34162. Изменение окислительно-восстановительного потенциала в процессе приготовления вин различного типа. Дейбнер (Modifications du potentiel oxydoréducteur au cours de l'élaboration des vins de différents types. Deibner L.), Ann. Inst. nat. rech. agron., 1957, E6, № 3, 313—345 (франц.)

Обзор работ по изучению Eh сусел и вин. Рассмотрены превращения Eh в сусле и при брожении, при произв-ве белых и красных вин, игристых вин (бутылочных и акратофорных), хереса, мадеры, калифорнийского хереса, получаемого нагреванием в течение нескольких месяцев вина в присутствии воздуха при 50—60°, изменения Eh при термич. обработке в присутствии воздуха. Рассмотрено влияние на Eh других факторов (O₂, металлов). Библи. 51 назв. И. Скурихин

34163. Изменения окислительно-восстановительного потенциала в процессе созревания вин. Дейбнер (Evolution du potentiel oxydoréducteur au cours de la maturation des vins. Deibner L.), Ann. Inst. nat. rech. agron., 1957, E6, № 3, 347—362 (франц.)

Рассмотрены изменения Eh вина на различных стадиях созревания. Обсуждается изменение Eh при естественном созревании столовых и игристых вин, хересов, портвейнов, а также при термич. обработке столовых, крепких и десертных вин при различных т-ре и продолжительности воздействия. Нет никакой связи между низким Eh вина и его высоким качеством. Рассмотрена связь между Eh и стадиями созревания вина. Библи. 29 назв. И. Скурихин

34164. Влияние различных способов обработки на окислительно-восстановительный потенциал вин при их выдержке. Дейбнер (Effet de différents traite-

ments sur le potentiel oxydoréducteur des vins au cours de leur conservation. Deibner Léonce), Ann. Inst. nat. rech. agron., 1957, E6, № 3, 363—373 (франц.)

Обзор литературы. Рассмотрено изменение Eh вина при различных способах обработки, в том числе изменение Eh под действием солнечного света (уменьшение), аэрации (постепенное нарастание, макс. на 8 день), сульфитации (уменьшение пропорционально добавленному SO₂), холода, перемешивания, оклейки, таннизации, обработки желтой кровяной солью, при пастеризации, фильтрации, розливе и при комбинированной обработке вина (теплом, холодом, оклейкой и т. д.). Библи. 29 назв. И. Скурихин

34165. Снижение кислотности вина. Фогт (Der Abbau der Säure im Wein. Vogt), Dtsch. Wein-Ztg, 1957, 93, № 6, 84—85 (нем.)

34166. Закупоривание вин под вакуумом и с применением пластмасс. Детре (Du bouchage des vins sous vide au bouchage plastique appliqué aux vins. Detrez René), Rev. vinicole, 1957, 8, № 73, 25—27 (франц.)

Чтобы избежать окисления вина и ухудшения вкуса, а также разрушения аскорбиновой к-ты, рекомендуют закрывать бутылки с вином на спец. машинах, создающих в надвинном пространстве практически абс. вакуум (99,5%). Ввиду очень медленного окисления такие вина долгое время остаются молодыми. Бутылки с вином закупоривают полиэтиленовыми колпачками, на которые надевают и обжимают алюминиевые или оловянные капсулы или металл. колпачки. Все операции производятся на одном автомате. Г. Валушко

34167. Коньяк и водка. Гроссман (Cognac and brandy. Grossman Harold J.), Spirits, 1957, 24, № 2, 33—37 (англ.)

Рассмотрено развитие произ-ва коньяка и виноградных и плодово-ягодных водок. Н. Простосердова

34168. Органолептическая оценка качества вин. 1. Стандарты качества и системы подсчета и оценки. Филиппелло (Organoleptic wine-quality evaluation. I. Standards of quality and scoring vs. rating scales. Filipello F.), Food Technol., 1957, 11, № 1, 47—51 (англ.)

Методами парного предпочтения и парного сравнения установлены стандарты качества вин (бургундское и херес). Н. Простосердова

34169. Оценка качества вин с точки зрения соответствия стандарту. Котик (Posuzování vín vzhledem k normě jakosti. Kotík A.), Kvasný průmysl, 1955, 1, № 8, 175—178 (чешск.; рез. русск., нем., англ., франц.)

34170. Способ определения натуральности вина. Ребелей (Ein Weg zur Erkennung der Naturreinheit von Weinen. Rebelein Hans), Umschau, 1957, 57, № 10, 295—297 (нем.)

Предложено определять соотношение между кол-вами побочных продуктов брожения — глицерина (I), 2,3-бутиленгликоля (II) и спирта (III). Определение их кол-в I и II не дает надежных результатов ввиду их значительного варьирования. На основании теоретич. анализа хода брожения и образования побочных продуктов рекомендуется ф-ла: $I \times II/III = K$. диоксиацетон/глицериновый альдегид. Для большинства натуральных вин $K = 7 \cdot 10^{-6} - 9 \cdot 10^{-6}$. При искусств. подсахаривании вина до брожения (улучшенные вина) K снижается до $0,5 \cdot 10^{-6}$. Низкое значение K может иметь натуральное вино из незрелого винограда, в котором фруктозы меньше, чем глюкозы. И. Скурихин

34171. Инозит в винограде и вине. Его микробиологическое определение. Пено, Лафуррад

(L'inositol dans les raisins et dans les vins. Son dosage microbiologique. Peynaud E., Lafourcade S., M-lle), Ann. Inst. nat. rech. agron., 1955, E4, 381—396 (франц.)

Разработан метод определения мезоинозита (I) в вине, основанный на зависимости между конц-цией I и интенсивностью роста культуры дрожжей *Kloeckera apiculata*, кол-во I определяют графически по стандартной для данной культуры кривой, выражающей зависимость величины оптич. плотности среды от содержания в ней I. Могут быть использованы также *Saccharomyces cerevisiae*, *Saccharomyces carlsbergensis*, *Kloeckera brevis* и др. Кол-во I не изменяется в процессе брожения, при различных обработках вина и не зависит от способа виноделия. Кол-во инозита уменьшается при длительной выдержке вин в бутылках. Полное исчезновение инозита объясняют результатом деятельности молочно-кислых бактерий. Установлена динамика накопления инозита в винах в период созревания винограда. В созревшем винограде содержится от 330 до 640 мг/л I. Анализом большого кол-ва вин Бордо установлено среднее содержание I в белых винах 497 мг/л, в красных 334 мг/л. Библ. 31 назв. И. Бурцева

34172. Подразделение и идентификация ароматических веществ в отгонах вин. Сообщение I. Подразделение и идентификация свободных и этерифицированных жирных кислот. Фрей, Вегенер (Trennung und Identifizierung von Aromastoffen in Weindestillaten. I. Mitteilung. Trennung und Identifizierung von freien und veresterten Fettsäuren. Frey A., Wegener D.), Z. Lebensmittel-Untersuch. und Forsch., 1956, 104, № 2, 127—136 (нем.)

Образец белого французского вина был перегнан на аламбике с огневым подогревом, а затем на аламбике с паровым обогревом. Отгон вторичной перегонки был подразделен на 3 головных фракции по 2 л, 13 средних фракций по 20 л и 6 хвостовых фракций по 20 л. В каждой фракции определяли содержание эфиров (Э) и свободных к-т (СК) непосредственно и в пересчете на безводн. спирт фракции. В головных погонах (1,5%) содержатся 9% Э и 2% СК, в средних погонах (67,5%) — 78% Э и 41% СК, а в хвостовых погонах (31%) — 13% Э и 57% СК общего содержания Э и СК во всем отгоне. ~80% исходных СК остаются неперегнанными в барде. Качеств. состав СК и этерифицированных к-т (ЭК) изучали методом хроматографии на бумаге с использованием в качестве р-рителя смеси бутанола аммиака и воды (80:6:14), а в качестве проявителя 0,04%-ного р-ра бромтимолового голубого. Исследуемый образец омыляли кипячением 1 час (с обратным холодильником) с небольшим избытком 1 н. NaOH, отгоняли спирт, получая 20 мл остатка, добавляли эквивалентное 1 н. NaOH кол-во 1 н. H₂SO₄, извлекали к-ты трехкратным последовательным взбалтыванием с эфиром, испаряли эфир при ~20°, растворяли к-ты в 0,2—0,3 мл спирта с расчетом получения 1%-ного р-ра исследуемых к-т, наносили на бумагу и разделяли к-ты (от C₁ до C₁₀) радиальной хроматографией. Предварительной нейтр.-цией перегонаемого образца до его омыления отделяли СК от ЭК и производили раздельно их качеств. анализ описанным путем. Установлено, что к-ты C₂ и C₄ содержатся в головных фракциях в основном в виде ЭК, в последующих фракциях начинают преобладать СК, особенно для к-ты C₄. К-та C₃ содержится преимущественно в виде СК. Следы к-ты C₅ обнаружены только начиная с 2-й половины средних фракций в виде СК. К-та C₆ обнаружена во всех фракциях в виде СК и ЭК в примерно равных кол-вах. К-ты > C₆ обнаружены во всем отгоне в обоих видах, а в хвостовых фракциях преимущественно в виде ЭК. В головных фракциях пре-

обладают эфиры к-т C₂ и C₄, тогда как в хвостовых фракциях преобладают эфиры к-т C₅—C₁₀ и свободная к-та C₄.

34173. Исследование факторов, влияющих на точность показаний эбулиоскопа. Паунович (Прилог изучавањ у фактора који утичу на тачност ебулиоскопа. Пауновић Радослав), Зб. радова Пољопривредног фак. Ун-т Београду, 1956, 4, № 1, 15—30 (сербо-хорв., рез. нем.)

При сравнении данных, получаемых при измерении содержания спирта в вине, если данные по эбулиоскопу больше, чем по пикнометру, они могут быть сближены более тщательным отмериванием объема испытуемого вина, если же показания эбулиоскопа меньше показаний пикнометра, следует сделать новую градуировку шкалы эбулиоскопа. Разница в конструкции отдельных эбулиоскопов также может отражаться на точности их показаний. При внимательной и осторожной работе эбулиоскопом можно получить точность, вполне достаточную для практич. целей.

Н. Простосердова

34174. Микроэлементы в составе вин. Тарантола, Бернаскони-Бьянко-Криста (I microelementi nei vini. Tarantola Clemente, Bernasconi Bianco-Crista Angela), Riv. viticolt. e enol., 1957, 10, № 1, 24—32 (итал.)

Исследовано содержание Zn в разных суслах и в винах из них. Для определения Zn в винах рекомендуют метод Фишера и Леопольди. (Zeitsch. anal. Chemie, 1936, 107, 241). Содержание Zn в вине по сравнению с содержанием в виноградном сусле уменьшается в процессе брожения на 36—56% в зависимости от расы дрожжей. Большая или меньшая герметичность приемника заметного влияния не оказывает. Образование ZnS за счет восстановления H₂S также снижает содержание Zn в винах. В 25 образцах вин разного происхождения и возраста найдено 0,45—5,6 мг/л Zn. В белых винах Zn меньше, чем в красных.

Н. Простосердов

34175. Колориметрическое определение добавленных к вину минеральных веществ. Джентилини (Su un procedimento colorimetrico atto a svelare la presenza di acidi minerali liberi nel vino. Centilini L.), Riv. viticolt. e enol., 1957, 10, № 3, 83—88 (итал.)

Для обнаружения прибавления к вину минер. к-т рекомендуют метод, основанный на р-ции с KJ. Свободные минер. к-ты, реагируя с KJ, образуют HJ и выделяют свободный йод. HJ восстанавливает Fe²⁺ в Fe³⁺, выделяющийся йод дает с крахмалом синее окрашивание, интенсивность которого определяют колориметрически. Другие методы, напр. метод Квартароли, дают ошибочные результаты при очень малом или очень большом содержании минер. к-т или для гипсованного вина.

Н. Простосердов

34176. Определение калия в винах. Аустервейл (Determination of potassium in wines. Austerweil G. V.), Chemistry and Industry, 1955, № 30, 952 (англ.)

Описан метод определения калия осаждением магниевой солью гексанитродифениламина (I) и колориметрич. или весовым определением образовавшейся калиевой соли I.

Н. Простосердова

34177. О содержании микроорганизмов в бутылках при их упаковке в охлаждательном канале стекольного завода. Шандерль (Über den Keimgehalt direkt am Kühlkanal in der Glashütte verpackter neuer Weinflaschen. Schanderl H.), Dtsch. Wein-Ztg., 1957, 93, № 10, 155—156, 158, 160 (нем.)

Исследован способ сохранения стерильности винных бутылок. При упаковке еще теплых бутылок, поступающих из охлаждающего канала стекольного завода прямо в картонные хорошо закрывающиеся коробки,

хвостовых свободная Г. Ошмян х на точ ч (Прилог ост ебулюпова Польо № 1, 15—30

измерения абукоскобыть сближема испькопа меньаать повую конструк отражать стельной и получить ич. целей. остосердова антола, microele, Bерна iv. viticult.

услугах в х рекоман. anal. Чепо сравне еньшается имости от метичность ст. Образо аже сниж ви раз 5—5,6 ме/а гых.

остосердов бавленных лини (Su are la pre- entilini -88 (итал.) минер. к-т с К. Свот Н и вы ает Fe⁴⁺ лом синее пределяют егод Квар ень малом т или для остосердов ервейаль Auster- 955, № 30,

ниме маг и колори овавшейся стосердова бутылках е стеколь Keimgehalt verpackter sch. Wein-

ти винных ок, посту- ного з-д а коробки,

кол-во находящихся в них микроорганизмов ничтожно и совершенно безопасно при заполнении их вином, даже содержащим сахар. Если же горячие бутылки закрывать герметич. пробками, то в них без всякой дальнейшей обработки можно разливать даже виноградный сок. Бутылки же, обработанные в моечных машинах, особенно со щетками, как показали исследования, содержали значительное кол-во очень вредных для вина микроорганизмов. Н. Простосердова 34178. Московский завод шампанских вин. Асма-ров Ш. Х., Виноделие и виноградарство СССР, 1957, № 7, 60—61

34179. Новые правила производства, характеристики и оценки плодово-ягодных вин и продуктов их переработки. Винклер (Die neuen Richtlinien für die Herstellung, Kennzeichnung und Beurteilung von Obst- und Fruchtweinen und weiterverarbeiteten Erzeugnissen. Winkler Gerhard), Industr. Obst- und Gemüseverwert., 1957, 42, № 4, 65—66 (нем.)

34180. Основные правила производства, характеристики и оценки плодово-ягодных вин и продуктов их переработки. — (Richtlinien für die Herstellung, Kennzeichnung und Beurteilung von Obst- und Fruchtweinen und weiterverarbeiteten Erzeugnissen. —), Industr. Obst- und Gemüseverwert., 1957, 42, № 3, 41—43 (нем.) Приведен текст принятых в Баварии новых правил по произ-ву, характеристике и оценке плодово-ягодных вин и продуктов из них. Н. Простосердова

34181. О плодовых напитках и лимонадах с искусственным помутнением. Бенк (Über künstlich getrübbte Fruchtsaftgetränke und Limonaden. Benk E.), Flüssiges Obst, 1957, 24, № 8, 10—11 (нем.) Обсуждается вопрос о допустимости произ-ва напитков, имитирующих напитки, приготовленные из натуральных мутных соков. Для создания тонкодисперсной муты (эмульсии) используют бромированные масла (арахисное, кунжутное, маковое, оливковое), в качестве эмульгаторов — растительные камеди (арабийская камедь), трагант, а также синтетич. полиэтиленмоностеарат гликоля. П. Буковский

34182 К. Химическая технология сельскохозяйственных продуктов. Том 1. Виноделие. Ротини (Technologie chimico agrarie. Vol. 1: Enologia. Rotini O. T. Pisa, U. Giardini, 1956, 211 p., ill., 2000 L.) (итал.)

34183 Д. Исследование изменений крахмала солода в процессе спиртового производства. Лосякова Л. С. Автореф. дисс. канд. техн. н., Киевск. технол. ин-т пищ. пром-сти, Киев, 1957

34184 Д. Осветление пивного сусла в отстойных аппаратах и влияние его взвесей на процесс брожения. Великая Е. И. Автореф. дисс. канд. техн. н. Киевск. технол. ин-т пищ. пром-сти, Киев, 1957

34185 Д. Исследование процесса извлечения виноградного сусла центробежными силами. Яковлев П. М. Автореф. дисс. канд. техн. н., Краснодарск. ин-т пищ. пром-сти, Краснодар, 1957

34186 С. Производство нормального бутылочного спирта путем брожения (*n*-butylalkohol kvasný). Чехосл. стандарт, CSN 661214, 1957 (чешск.)

34187 П. Аппаратура для получения этилового спирта-ректификацией непосредственно из бражек (Appareillage pour l'obtention d'alcool éthylique à partir de vin) [Lepage, Urbain et Cie]. Франц. пат. 1126377, 21.11.56

Для сокращения расхода пара на ректификацию перегонку в бражной колонне (К) ведут под давл. $\sim 1,5$ кг/см²; полученные спирт. пары крепостью

$\sim 30\%$ и т-рой $\sim 115^\circ$, направляют в подогреватель ректификационной К, работающей под давл. 0,16—0,2 кг/см²; конденсат пара направляют с помощью насоса в эспирационную К; несконденсировавшуюся часть пара ($\sim 20\%$ исходного пара) направляют в подогреватель эспирационной К, откуда ее конденсат присоединяется к основному потоку конденсата, питающего эспирационную К; эфирно-альдегидную фракцию отбирают обычным способом, а эспират направляют в ректификационную К; люттерную воду с т-рой 105—106° можно направить непосредственно в генератор пара, почти полностью обеспечивая потребность в паре для всей перегонной установки, или в теплообменник; барду из бражной К с т-рой $\sim 125^\circ$ можно направить в подогреватель обезвоживающей К, откуда она вытекает с т-рой $\sim 90^\circ$ и может быть использована для предварительного подогрева бражек. Все К оборудованы регуляторами давления. Предусмотрен вариант работы с эспирацией бражек до их поступления в бражную К, когда спирт. пары, минуя эспирационную К, направляются из бумажной К в ректификационную. Рекомендуемый способ ректификации обеспечивает сокращение расхода пара почти в 2 раза. Г. Ошмян

34188 П. Способ производства очищенного спирта. Такаха си. Японск. пат. 6026, 20.09.54

Из спирта-сырца удаляют компоненты с низкой точкой кипения, конц. жидкость или ее пары поступают в колонну для удаления метанола, затем — в экстракционную, в ректификационную колонну и колонну для окончательной очистки. Пример: 94%-ный спирт-сырец из батата по 40 кг/час подается в колонну для удаления метанола, где осуществляется многократная (> 40 раз) перегонка. Отходы на данном этапе (0,2 кг/час) составляют: метанола 46%, эфиров 6%, альдегидов 1%, диацитила 0,3%, воды 3%, этилового спирта 45,5%, к-т немного. Очищенная от этих примесей жидкость поступает в экстракционную, а затем в ректификационную колонну, где происходит отгонка эфиров и аминов, после чего жидкость подают в колонну для окончательной очистки. А. Фрадкин

34189 П. Способ получения глицерина из продуктов брожения. Цендер (Method of recovering glycerine from fermentation products. Zender Justin) [Glycerine Corp. of America, Inc.]. Пат. США 2759889, 21.08.56

Глицерин (I) извлекают из барды диализом с применением гидрофильных полупроницаемых мембран, вдоль поверхностей которых циркулируют противотоком с одной стороны бражка, а с другой стороны р-р спирта, растворимого в воде. Бражку, полученную спиртовым или глицериновым сбраживанием паточного, крахмалистого или других сусел, предварительно перегоняют, а полученную барду сгущают упариванием до содержания в ней I $\sim 8\%$ или подвергают диализу непосредственно без предварительного упаривания, что экономически менее выгодно. Для диализа применяют спирты с 1—3 атомами С или их смесь. С повышением растворимости спирта в воде возрастает кол-во извлекаемых одновременно с I солей и других примесей барды. Напр., эффективна смесь равных частей этанола и вторичного бутанола. В качестве материала для мембран наилучшим оказался целлофан. Оптимальная т-ра диализа 28—32°. Извлекаемый описанным способом I достаточно чист и может быть использован непосредственно после отгона спиртов, которые повторно используют для извлечения I. Пример. Барду, сгущенную до содержания 7,6% I, подвергают диализу с применением 91%-ного изопропилового спирта в условиях непрерывного противоточного движения в течение 3,25 часа. Полученный диализат содержит 3,32% I (что

соответствует 99,2% I барды) и только следы неорганич. солей. Спирта требуется в 1,6 раз больше, чем барды.

Г. Опшмян
34190 П. Производство пива и других подобных напитков. Суминоэ. Японск. пат. 2893, 17.04.56

В полусахаренный к-той крахмал добавляют 30% солода, держат 1 час в нагретом (50—75°) состоянии, фильтруют, добавляют немного хмеля, кипятят, снова фильтруют, вводят р-р глутаминовой к-ты, дрожжи, сбраживают и газифицируют. Пример: к 100 г крахмала добавляют 300 см³ воды и 1 г конц. H₂SO₄, кипятят 20 мин. под давл. 2,2 атм, нейтрализуют CaCO₃, фильтруют, добавляют воды и концентрируют до 11° по Баллингу. На 300 см³ полученной жидкости добавляют 7 г размоленного солода, перемешивают, нагревают до 60°, выдерживают 1 час и фильтруют. На 300 см³ р-ра добавляют 0,6 г хмеля, кипятят и фильтруют. На 300 см³ фильтрата вводят 0,9 см³ р-ра глутаминовой к-ты, толченых пивных дрожжей, помещают в бро-дильный чан и при 25° сбраживают 1 неделю, помещают в хранилище, охлаждают и газифицируют.

А. Фрадкин

34191 П. Устройство для спуска сусла и метод спуска сусла в пивоваренном производстве. Мец (Apparatus for and method of drawing off the wort in making beer. Metz Augusto Z.). Пат. США 2758030, 7.08.56

Для отделения сусла от гущи затора сифонированием верхнего, отстоявшегося слоя, вместо обычного процеживания через слой гущи, предложено устройство, приключаемое к заторному чану, состоящее из системы сифонов, всасывающие концы которых снабжены фильтрующими цилиндрами. Длинное колено сифона оканчивается в сборнике, откуда сусло поступает в котел для дальнейших операций. Для приготвления и спуска сусла в заторном чане оборудованном описанным устройством солод и другие крахмалистые материалы загружают в чан через открытые люки в крышке чана и в круглом листе, поддерживающем сифоны, находящемся в верхнем положении. Через дно чана впускают воду требуемой т-ры, вращая с большой скоростью лопасти смесителя. По завершении осахаривания добавляют новую порцию горячей воды и прекращают перемешивание. Через 30 мин. концы сифонов опускают в верхний слой отстоявшегося сусла и приводят сифоны в действие. С понижением уровня сусла сифоны опускают до соприкосновения поддерживающего их круглого листа с гущей. В конце сифонирования начинают вращать с малой скоростью смеситель. Затем через дно чана впускают воду надлежащей т-ры до уровня выше концов сифонов. Сифоны вновь приводят в действие, не прекращая доступа в чан воды. Непрерывную работу сифонов, смесителя и впуск воды продолжают до наполнения суслом варочного котла. Даны схематич. чертежи аппарата.

А. Конов

34192 П. Производство пшпучих вин. Касе, Тамада [Тамада Хидедзо]. Японск. пат. 9145, 15.12.55

Патентуется способ использования всех элементов плодов винограда для произ-ва вина. Из сока, кожуры и отжатой мякоти винограда получают 3 сорта вина, которые обрабатывают аскорбиновой к-той, отдельно приготавливая синтетич. спирт, смешивают 3 сорта вина и спирт в определенной пропорции, выдерживают и добавляют газированную CO₂ воду. Пример. 1-й этап. Получение трех сортов виноградного вина. Обычным путем из отжатого виноградного сока получают белое виноградное вино (А). На 100 кг отходов от А добавляют 240 л р-ра сахара, содержащего к-ту, и обычным способом приготавливают красное виноградное вино (Б). Состав р-ра: 100 кг тростникового сахара растворяют в 300 л воды, добавляют 1 кг вин-

ной к-ты и нагревают. 500 г винной к-ты, 800 г яблочной к-ты, 120 г лимонной к-ты, 800 г винного камня растворяют в 130 л воды, смешивают с р-ром сахара, добавляют 50 л воды и получают 550 л р-ра. Удаляют семена, растирают кожуру и мякоть и к 100 кг массы добавляют р-р, состоящий из 50 л воды, 130 г кислого фосфата калия, 80 г кислого фосфата кальция, 40 г MgSO₄, несколько часов помешивая, пропитывают массу, добавляют 30 л 88%-ного спирта и оставляют еще на несколько часов, после чего отжимают жидкость (примерно 110 л), содержащую 30% спирта, выдерживают некоторое время, отделяют осадок от жидкости. 600 г прессованных дрожжей разводят в 2 л воды, нагревают и фильтруют. В фильтрат вводят 100 г тартрата аммония, 100 г кислого фосфата калия, 40 г кислого фосфата кальция, 60 г MgSO₄, 30 г NaCl. Полученный р-р смешивают со 180 л сахарного р-ра, содержащего к-ты (см. Б), нагревают до 20°, добавляют 20 л винных дрожжей и сбраживают. На 3—5-й день, когда брожение достигает высшей стадии, а кол-во спирта достигает 4%, ежедневно вводят по 10—12 л отжатой жидкости и осадка (всего за 7 дней вводят ~80 л), после чего осуществляют основное брожение 15—20 суток, и затем один месяц окончательное брожение, получая виноградное вино (В). Все 3 сорта вина (А, Б, В) фильтруют и добавляют 60 г аскорбиновой к-ты в 100 л спирт. р-ра, после чего выдерживают один месяц. 2-й этап. Приготовление синтетич. спирта и смешанного вина. 70 кг тростникового сахара растворяют в 150 л воды и добавляют 800 г винной к-ты, 30 кг глюкозы растворяют в 80 л воды, смешивают р-ры, добавляют 130 л 88%-ного спирта, 1,4 кг винной к-ты, 1,4 кг янтарной к-ты, 500 г лимонной к-ты, 500 г молочной к-ты, 200 г яблочной к-ты, 200 г лед. уксусной к-ты, 6 кг глицерина, 2,5 кг декстрина, 300 г пектина, 1 кг винного камня, 500 г яблочнокислого калия, 500 г фосфата калия, 500 г фосфата кальция, 500 г KCl, 300 г квасцов, 300 г NaCl, 400 г ацетальдегида, 100 г глутамата натрия, 100 г глицина, 100 г аланина, 4 л фильтрата культуральной среды винных дрожжей и 15 л настоя на коже и мякоти винограда, разводят в 100 л воды, сливают все вместе, добавляют немного воды и получают 520 л смеси. Вводят ароматич. в-ва и эфиры (20—50 см³), перемешивают, фильтруют через уголь и очищают. К полученному синтетич. спирту добавляют по 80 л вина А, В и С, размешивают и получают 760 л смешанного вина. 3-й этап. Выдерживание и созревание вина. Для созревания вина используют УКВ. Вино пропускают со скоростью 5—10 л/мин через стеклянную трубку, расположенную против графитовых электродов при 10 квт и 20 Мгц/сек. 4-й этап. Газирования. Вино разливают в бутылки (до половины), охлаждают до 0°, вводят газированную воду под давл. 3,5 атм, закупоривают, перемешивают, опрокидывая, выдерживают при определенной т-ре более 3 недель, после чего вино готово к употреблению.

А. Фрадкин

34193 П. Способ изготовления сброженных безалкогольных напитков (Verfahren zur Herstellung von Gärungsgetränken) [Otto Vosseler]. Швейц. пат. 311182, 31.01.56

Жидкость, содержащую углеводы, сбраживают в присутствии ароматизирующих растений или экстрактов из них грибом *Endomyces magnusei*, с последующим дображиванием винными дрожжами (расы Токай или др.). Кол-во спирта не превышало 0,5%. Для ароматизации предлагается использовать тонкоизмельченные смеси листьев или частей растений кустарниковых и древесных пород: лесного ореха, дуба, бука, шиповника, земляники, малины, ежевики. Напр. 0,5 кг (на 1 гл готового напитка) тонкоизмельченных сухих листьев (1 ч. буковых, 2 ч. шиповника и 2 ч.

евожики) заливают при размешивании холодной водой и настаивают в течение 1 часа. Добавляют 5 кг сахара с 0,75 г воды и все тщательно размешивают. После этого задают 100 г жидкой чистой культуры *Endomycetes taghnisei* и доливают водой до 1 л. Брожение проводят при давл. 2 атм в течение 8 дней. После этого жидкость фильтруют, добавляют 100 г дрожжей расы Токай или других и ставят на 3 дня для дображивания при атмосферном давлении при 1-5°. Сливают жидкость с осадка дрожжей, фильтруют и разливают в 0,5-л бутылки с добавлением 0,01 л сахараина.

П. Буковский

См. также: Новый гуанизин из пивных дрожжей 11904Бх. Инвертаза пекарских дрожжей 11988Бх. Активность и стабильность инвертазы в кислом р-ре 11989Бх. Значение добавок к сульфитным целлокам для ацетоно-бутилового брожения 12237Бх. Питание дрожжей 12242Бх. Изучение обмена в-в в заквасочных культурах 12259Бх. Витаминизация пива 13028Бх

ПИЩЕВАЯ ПРОМЫШЛЕННОСТЬ

Редакторы А. М. Емельянов, Г. А. Новоселова,
А. Л. Прогоревич

34194. План организации работы Института пищевой технологии США. Холл (The time has come. Hall Lloyd A.), Food Technol., 1957, 11, № 10, 8, 10, 12, 44, 16 (англ.)

34195. Влияние физических наук на технологию производства пищевых продуктов. Ли (Physicists «put fingers on promising food techniques. Lee James A.), Food Engng, 1956, 28, № 5, 58-60, 204-207 (англ.) Краткие аннотации докладов и выступлений на симпозиуме в Сан-Антонио (США), организованном Юго-западным н.-и. ин-том и Технологич. ин-том пищевой пром-сти.

С. Светов

34196. Применение излучений для стерилизации и консервирования. Видаль (L'application des radiations à la stérilisation et à la conservation. Vidal Pierre), Rev. gén. froid, 1957, 34, № 11, 1155-1161 (франц.)

Краткий историч. очерк, источники и механизм действия излучений.

А. Е.

34197. Проблема антисептиков в пищевой промышленности. Экхаут (Le problème des antiseptiques dans les industries alimentaires. Eeckhout R. G.), Petit j. brasseur, 1955, 63, № 2569, 756, 757 (франц.)

34198. Колебания весовых потерь продуктов при хранении в холодильниках. Вассонь (Diversions sur les pertes de poids en matières d'entrepasage frigorifique. Vassogne G.), Rev. prat. froid, 1957, 12, № 137, 29-31 (франц.)

В сообщениях на IX Международном холодильном конгрессе часто отсутствовали данные, без которых невозможно было сравнивать результаты отдельных опытов и устанавливать средние показатели по нормам убыли продуктов и особенно мяса при хранении их в холодильниках. Даются указания для унификации методики проведения подобных наблюдений и обработки полученных результатов.

А. Орлов

34199. Повышение питательной ценности рациона за счет добавления поликонцентратов при питании населения просом (*Panicum miliare*) и чумизой (*Setaria Italica*). Джозеф, Нараяна-Рао, Сваминатхан, Субрахманьян (Supplementary value of Indian multipurpose food to poor vegetarian diets based on Italian millet (*Setaria Italica*) and little millet (*Panicum miliare*). Joseph Kantha, Narayana Rao M., Swaminathan M., Subrahmanyan V.), Food Sci., 1957, 6, № 9, 205-206 (англ.)

Добавление к рациону 12,5% индийских или американских поликонцентратов (дешевых белковых добавок) значительно повышает питательную ценность рациона, состоящего в основном из проса и чумизы.

Т. Сабурова

34200. Таблицы химического состава и калорийности некоторых тропических пищевых продуктов. Труды секции питания Бюро научных и технических исследований заморских территорий Франция. — (Tables de composition de quelques aliments tropicaux. Travail des sections de nutrition de l'Office de la recherche scientifique et technique Outre-Mer.), Ann. nutr. et aliment., 1957, 11, № 5, 45-46 (франц.)

34201. Таблица химического состава и калорийности пищевых продуктов Того. Перисс, Ле-Берр (Table de composition des aliments du Togo. Perisse J., Le Berre S.), Ann. nutr. et aliment., 1957, 11, № 5, 70-89 (франц.)

34202. Предварительная таблица химического состава и калорийности пищевых продуктов Южного Камеруна. Бержере, Массеев (Table provisoire de composition des aliments du Sud-Cameroun. Bergeret B., Masseyeff R.), Ann. nutr. et aliment., 1957, 11, № 5, 47-69 (франц.)

34203. Влияние продуктов распада атома на пищевые продукты. Фегри (Atomkrig og mat. Faegri Knut), Naturen, 1957, 81, № 5, 265-267 (норв.)

Обсуждаются результаты исследования пищевых продуктов, оставленных в зоне взрыва атомной бомбы.

К. Герцфельд

34204. Применение органолептических испытаний при анализе пищевых продуктов. Хассельстром, Хьюитт, Конигсбейкер, Данкер (Re-aimed sensory testing aids food analysis, formulation. Hasselstrom T., Hewitt E. J., Konigsbacher K. S., Danker W. H.), Food Engng, 1956, 28, № 8, 80, 83, 95 (англ.)

Рассмотрен порядок подготовки и проведения органолептических испытаний пищевого продукта с расчленением ощущений вкуса и запаха на отдельные «оттенки» и метод оценки интенсивности каждого из них по заданной балльной шкале. Подобные испытания дополняют хим. анализ натуральных пищевых продуктов и дают указания для синтеза искусств. продуктов, имитирующих натуральные. Организация и применение таких испытаний иллюстрируются примером анализа и оценки образцов натурального черного перца и создания синтетич. его заменителей.

С. Светов

34205. Обнаружение и удаление металлических частиц в упакованных пищевых продуктах. Маунси (Detecting and eliminating metallic particles in packaged foods. Mounsey Robert C.), Package Engng, 1957, 2, № 8, 32-33, 35 (англ.)

Описан прибор для обнаружения и отбраковки (удалением с конвейера, сопровождающимся сигнализацией) упаковок, содержащих посторонние металлич. предметы. Продукты проходят через магнитное поле, которое изменяется при прохождении металлич. предмета, приводя в действие реле, выталкивающее соответствующую упаковку.

С. Светов

34206. Анализ пищевых продуктов: методы исследования, оценка качества, нормы. Часть I. Пирсон (Food analysis — techniques, interpretation and legal aspects. Part I. Pearson D.), Lab. Practice, 1957, 6, № 11, 646-648 (англ.)

Исторический обзор развития в Англии контроля качества пищевых продуктов и борьбы с их фальсификацией (учреждения, законодательство, печатные издания и методы исследования). Обзор охватывает 3 периода: до 1860 г., с 1860 г. до второй мировой войны и с 1940 г. по настоящее время.

А. Коновов

34207. Меркурометрическое определение поваренной соли в пищевых продуктах. Сушко А. М., Емельяненко З. А., Сообщ. о научно-исслед. работах членов Приморск. отд. Всес. хим. о-ва им. Д. И. Менделеева, 1957, вып. 3, 73—77

Изучение возможности применения меркурометрич. метода для определения NaCl в соленых и копченых рыбных продуктах показало, что по точности он не уступает аргентометрич. методу (среднее отклонение $\pm 0,067\%$) и применим в условиях производственных лабораторий.

34208. Сушка во взвешенном состоянии. Селецкий, Циборовский, Млодзинский, Рошак (O suszeniu zboża metodą fluidyzacji. Cibowski J., Młodziński B., Roszak J., Selecki A.), Przem. spożywczy, 1957, 11, 6, 247—253 (польск.; рез. русск., франц., нем.)

Приводится описание сушилки и опытов сушки ржи в лабор. и полупромышленной сушилке, подтверждающих целесообразность сушки во взвешенном состоянии.

З. Фабинский

34209. Кондиционеры для горячего кондиционирования зерна. Поль (Kondycjonery do gorącego kondycjonowania zboża. Pol Jerzy), Przegl. zboż.-młynarski, 1957, 1, № 4, 21—26 (польск.)

Описаны устройства и даны схемы работы различных типов кондиционеров.

З. Ф.

34210. Механизм кондиционирования зерна. Ворох (Mechanizm kondycjonowania. Woroch Stanisław), Przegl. zboż.-młynarski, 1957, 1, № 4, 15—19 (польск.)

Рассмотрено значение и способы кондиционирования зерна в процессе подготовки его к помолу.

З. Фабинский

34211. Применение инфракрасных лучей при хранении зерна. Стобецкий, Поцей (Zastosowanie promieni podczerwonych do konserwacji zbóż. Stobiecki Włodzimierz, Pocię Jan), Prace Centr. inst. ochrony pracy, 1957, 7, № 3, 14—33 (польск.; рез. англ., франц., русск.)

В результате проведенных опытов предложено производить подсушивание зерна, поступающего на хранение, с применением ИК-лучей. Приведены данные по расчету сушилки и стоимости сушки 1 т зерна, а также результаты исследований по дезинсекции зерна при сушке ИК-лучами.

А. Емельянов

34212. О проветривании зерна при хранении в элеваторах. Лысак (Wykorzystajmy pajtafske środki konserwacji zbóż. Łysak Jan), Przegl. zboż.-młynarski, 1957, 1, № 4, 6—9 (польск.)

34213. Определение и сопоставление цвета зерновых продуктов. Ренский (Okręślanie i porównywanie barwy przetworów zbożowych. Renski L.), Przegl. zboż.-młynarski, 1957, 1, № 7, 9—12 (польск.)

Рассмотрены способы и значение органолептич. определения цвета зерновых продуктов. Обращено внимание на величину пробы, освещение, угол лучей света, поверхность пробы, применение приспособлений и явления контрастности.

З. Фабинский

34214. Методика определения окиси этилена в зерне и зернопродуктах, газированных карбоксом. Русин Н. М., Информ. бюл. Моск. н.-и. ин-т санитарии и гигиены, 1957, № 10—11, 16—17

Пропиш метода (с описанием и чертежом прибора). основанного на десорбции карбокса (смесь окиси этилена и CO₂ в соотношении 1:9) с зерна током воздуха, поглощении его NaOH и р-ром уротропина и титровании 0,1 н. HCl с пересчетом на окись этилена.

А. Емельянов

34215. Простой метод обнаружения дихлорэтана и бромистого этила в обработанных ими хлебных зернах. Русин Н. М., Рабинович В. Ф., Сарки-

сянц А. С., Информ. бюл. Моск. н.-и. ин-т санитарии и гигиены, 1957, № 10—11, 18—23

Приводятся прописи методов определения в зерне дихлорэтана (I), хлорикрина (II), бромистого этила (III) и I при совместном их присутствии. Определение I основано на десорбции его с зерна током воздуха и пиролизич. разложении при 800—900° с последующим йодометрич. титрованием HCl и пересчетом на I. Чувствительность метода 0,2 мг I. Для определения II проводят пиролизич. разложение десорбированных с зерна паров II при 360°. Продукты разложения поглощаются р-ром KJO₃. Кол-во II подсчитывают по J. Определение III и I проводят по тому же принципу, но с поглощением III моноэтаноламином и титрованием роданистым аммонием.

А. Емельянов

34216. Определение влажности зерна. Сообщение III. Сушка и условия сушки. Шефер, Зейбель (Problematic und Durchführung der Feuchtigkeitsbestimmung bei Getreide. III. Mitt. Trocknung und Trocknungsbedingungen. Schäfer W., Seibel W.), Mühle, 1957, 94, № 51—52, 663—666 (нем.)

Определение влажности зерна сушкой в сушильном шкафу дает только относительные величины содержания воды, так как они зависят от многих факторов. Влияние величины частиц навески, времени и т-ры сушки подтверждено опытными данными. Потери сухих в-в при сушке поврежденного зерна находятся в прямой зависимости от степени его порчи. Применение математич. фактора сушки требует поэтому учета качеств. состояния зерна, напр. с помощью цветной р-ции. Сообщение II см. РЖХим, 1957, 62462. А. Е.

34217. Выход муки в зависимости от сорта пшеницы. Подкрайник, Шубич (Kontrola izbrašnjavanja važnijih pšenica. Podkrajinik Desanka, Šubić Nova), Proizv. i prerada brašna, 1957, 6, № 1, 12—18 (серб.-хорв.)

Приведены сравнительные данные опытных помолов 26 сортов пшеницы, характеризующие их мукомольные свойства.

З. Лебедева

34218. Цвет и зольность муки. Швайкайзер (Barwa maki a popiół. Szwaikajzer Szczęśna), Przegl. zboż.-młynarski, 1957, 1, № 7, 4—8 (польск.)

Обсуждены преимущества оценки сортности муки по цвету по сравнению с определением содержания в ней золы. Приведены сравнительные измерения цвета муки английским цветомером Кент-Джонса, советским СМ-3 и лейкометром Цейсса. Лучшие результаты получены с первым.

З. Фабинский

34219. Кислотность муки. Галено-Дельгадо (Acidez de las harinas. Galeno Delgado Adela), Rev. sanidad y asist. social, 1956, 21, № 3—4, 171—180 (исп.)

Приведено сравнительное испытание 8 методов определения кислотности муки с применением спирта, дистил. воды и смеси спирта с водой. Предложено экстрагировать 2 г муки 100 мл 95° спирта. После встряхивания и настаивания в течение 24 час. ботушку фильтруют и титруют 50 мл фильтрата 0,1 н. щел. р-ром по фенолфталеину.

Г. Логинова

34220. Промышленная сушка калифорнийского риса. Уассерман, Феррел, Браун, Смит (Commercial drying of western rice. Wasserman T., Ferrel R. E., Brown A. H., Smith G. S.), Cereal Sci. Today, 1957, 2, № 9, 251—254 (англ.)

На основании лабор. опытов сушки риса сорта Colusa 1600 с 23,6 до 13% влажности построена кривая зависимости времени сушки от т-ры воздуха с учетом качеств. показателей риса (кол-во битых зерен). Внедрение результатов этих опытов на двух промышленных сушилках увеличило их производительность без ухудшения качества риса.

А. Емельянов

34221. Ферментная обработка импортного риса (Бирманский и Тайландский рис). I. Испытание импортного риса на водопоглотельную способность при обработке ферментным раствором. Такаока, Фудзимото (Takaoaka Ken'ichi, Fujimoto Sonoko), Хакко когаку дзасси, J. Ferment. Technol., 1956, 34, № 7, 342—345, 23 (японск.; рез. англ.)

Для увеличения водопоглотельной способности бирманского и тайландского риса, его обрабатывали бактериальным препаратом α -амилазы, настаиванием или добавлением ферментного препарата при варке риса. Отмечено некоторое увеличение водопоглотельной способности риса и улучшение вкуса вареного риса после такой обработки.

Ким Су Ен

34222. Сортировка гороха на складах. Минский (Czyszczenie grochu w magazynach. Miński Józef), Przegl. zboż.-młynarski, 1957, 1, № 6, 29 (польск.)

34223. О хлебопекарном достоинстве бельгийской пшеницы урожая 1957 г. Maes (La valeur boulangère du froment indigène de la récolte 1957. Maes E.), Bull. Ecole meunerie belge, 1957, 19, № 4, 63—72 (франц.)

Отмечается низкое качество пшеницы — пониженное содержание и посредственное качество клейковины, повышенная диастатич. активность в связи с проращиванием зерна. Для улучшения хлебопекарного достоинства пшеницы рекомендуется добавление больших доз аскорбиновой к-ты (50—100 г на 1 т муки).

А. Емельянов

34224. Об опытах с аскорбиновой кислотой. Штаудт (Über Erfahrungen mit Ascorbinsäure. Staudt E.), Mühle, 1957, 94, № 51—52, 669—670 (нем.)

Обсуждается сравнительное действие бромата калия и аскорбиновой к-ты в качестве улучшителей хлебопекарных свойств муки.

А. Емельянов

34225. Производство хлеба из пшеничной и кукурузной муки. Веллозу (Estudios de panificação experimental com farinhas de trigo e arroz. Velloso Kleuyner Piuma), Rev. Brasileira quim. 1955, 39, № 231, 159, 160, 162, 164 (порт.)

34226. Влияние крупичатости муки на тестоведение при изготовлении австрийских мелких булочных изделий. Штейгер (Über Griffigkeit von Mehlen und ihrem Einfluß auf deren Backfähigkeit und Teigführung bei österreichischem Kleingebäck. Steiger R.), Brot. und Gebäck, 1957, 11, № 12, 251—254 (нем.)

О приготовлении теста из крупичатой и мягкой муки для произ-ва венских булочек.

А. Емельянов

34227. О влиянии различных факторов тестоведения на газодерживающую способность теста. Дреус, Штефан (Über den Einfluß backtechnischer Maßnahmen auf die Gashaltung des Teiges. Drews E., Stephan H.), Brot und Gebäck, 1957, 11, № 12, 254—260 (нем.)

С помощью зиматахиграфа Шопена изучено влияние т-ры, времени брожения, выходов, скорости замешивания теста, кол-ва дрожжей, добавления китового жира и лецитина на газодерживающую способность (ГУС) теста в конце брожения. Повышение т-ры пшеничного теста с 21 до 29° вызвало усиление газообразования, но не повлияло на ГУС теста. То же наблюдали и при удлинении времени брожения с 30 до 120 мин. и при повышении выходов теста (с 156 до 166). Более интенсивный замес, улучшая тестообразование, увеличивает его ГУС. Увеличение кол-ва дрожжей > 5% вызывает снижение ГУС, особенно при повышении т-ры теста. Кол-во соли сильно влияет на интенсивность брожения, менее на ГУС теста. ГУС

бессолевого теста значительно снижается. Добавление 1% китового жира не увеличило, добавление лецитина повысило ГУС. Отмечается, что с помощью зиматахиграмм, параллельно с пробными выпечками, удобно контролировать процесс приготовления пшеничного, ржаного и смешанного теста.

А. Емельянов

34228. Зависимость консистенции и вязкости теста от его влажности. Рада (Corrélation existant entre la consistance, la ténacité et la teneur en humidité des pâtes. Rada István T.), Bull. Ecole meunerie belge, 1957, 19, № 4, 56—62 (франц.)

Для измерения консистенции (К) применяли пенетромметр, рекомендованный Харбергом, пробу на разрыв проводили на нео-лаборографе (приведены описания и фотоснимки приборов). Влажность определяли сушилкой при 105° до постоянного веса. Тесто готовили из 7 образцов муки с различной влагопоглотельной способностью. Найдено, что К теста изменяется в зависимости от его влажности, причем в пределах 73—76% эта зависимость линейная. Однако по одной только К, измеренной пенетрометром, нельзя судить о качестве муки.

А. Емельянов

34229. Влияние соотношения молочной кислоты и летучих кислот на вкус хлебных изделий. Желязовская-Майор, Домбровская (Wplyw stosunku kwasów lotnych do kwasu mlekowego na smak pieczywa. Żelazowska-Major Zofia, Dąbrowska Alicja), Przegl. piekarn. cukiern., 1957, 5, № 10, 16—19 (польск.)

С увеличением кол-ва летучих к-т по отношению к молочной возрастает вкусовая кислотность хлеба.

З. Фабинский

34230. Жидкие ферментативные системы и их значение в хлебопечении. Джонсон, Миллер (Preferments. Their role in breadmaking. Johnson John A., Miller Byron S.), Baker's Digest, 1957, 91, № 3, 29—30, 32, 35, 76—77 (англ.)

Обзор исследований по изучению состава продуктов брожения жидких ферментативных систем (ЖФС), применяемых вместо опары при приготовлении теста, и влияния их на образование аромата и качество хлеба. Рассмотрены четыре типа ЖФС — Ин-та сухого молока (США), Флейшмана, сахарной и мучной, различающихся рецептурным составом (наличием или отсутствием муки, дрожжевого питания, улучшителей, обезжиренного сухого молока, буферных солей), но содержащих в одинаковых кол-вах воду, глюкозу, дрожжи, соли. Приводятся данные по сбраживаемости сахаров, рН среды, газо-, кислото- и эфинообразованию, активности амилаз и протеаз в указанных ЖФС, в зависимости от продолжительности брожения. Библи. 29 назв.

В. Базарнова

34231. Витаминизация круп и муки витаминами В и потери тиамин в хлебе и мучных кондитерских изделиях. Копнок, Карпентер, Найт (Cereal product fortification: the B vitamins, with special reference to thiamine losses in baked products. Coprock J. B. M., Carpenter B. R., Knight R. A.), J. Sci. Food and Agric., 1956, 7, № 7, 457—464 (англ.)

Обсуждены существующие нормы и способы повышения пищевой ценности пшеничной муки и риса в Англии и США. Потери тиамин (I) при выпечке хлеба, кекса и бисквитов составляют соответственно 17,3—23,3%, 22,7—33,1% и 26—29,7%, при поджаривании ломтей хлеба 13,4—31%, в зависимости от их толщины. Потеря I при брожении теста не установлена.

А. Труфанов

34232. Теоретические формы альвеограмм некоторых реологических моделей. Блоксма (A calculation of the shape of the alveograms of some rheolo-

gical model substances. Bloksma A. H.), Cereal Chem., 1957, 34, № 2, 126—136 (англ.)

Для выяснения связи формы альвеограммы (А) с реологич. свойствами теста автор, отступив от действительного положения пузыря теста, выдуваемого на альвеографе Шопена, и сделав ряд допусков, облегчающих расчет, строил теоретически идеальные модели А определенных реологич. свойств (вязких, вязко-эластичных, пластичных). А ньютоновской вязкости имела остро выраженный максимум; А максвелловского тела имела менее остро выраженный максимум. Удлинение времени релаксации при постоянной вязкости снижало высоту максвелловской А. Вне зависимости от вязкости объем пузыря, соответствующий максим. высоте кривой, увеличивался с увеличением времени релаксации. А бингамовского тела получали добавлением к ур-нию ньютоновской А члена, выражающего величину текучести. Учитывая скорость выдувания пузыря, автор полагает, что величина текучести теста, очевидно, столь незначительна, что не может повлиять на высоту А. Приведены ф-лы расчета, таблицы и графики.

В. Базарнова

34233. Современный хлебозавод в Голландии. Шмидт (Nowoczesna fabryka chleba w Holandii. Szmidt Wojciech), Przegl. piekarn. cukiern., 1957, 5, № 10, 10—13 (польск.)

Описан автоматизированный хлебозавод в Гааге, обслуживающий район города с населением 180 000 человек. З-д расположен в полуподвале и первом этаже жилого дома, горячие газы отводятся при помощи нескольких вентиляторов при отсутствии трубы. Жилцы дома не чувствуют шума вследствие применения спец. изоляционных материалов. З. Фабинский

34234. О целесообразности применения поляриметра для определения сахара при техническом контроле в хлебопекарной промышленности. Янкевич (O celowości używania polarymetru do oznaczania cukru w kontroli technicznej w piekarnictwie. Janiewicz Mieczysław), Przegl. piekarn. cukiern., 1957, 5, № 8, 19—20 (польск.)

Поляриметрич. метод определения сахара оправдывает себя при применении конц. р-ров. Р-ры сахара в хлебопекарной пром-сти очень слабы для этой цели, поэтому метод Бертрана является лучшим.

З. Фабинский

34235. Определение содержания сухих веществ обезжиренного молока в хлебе методом хроматографии на бумаге. Зентнер (The determination of non-fat dry milk solids in bread by paper chromatography. Zentner H.), Analyst., 1956, 81, № 965, 483—486 (англ.)

Для определения содержания сухих в-в молока в хлебе лактоза (I) отделялась от мальтозы с помощью хроматограммы на бумаге, применяя систему H_2O — *n*-бутанолпиридин, содержащую азотнокисл. серебро. Оптич. плотность серебряного пятна определялась на денситометре. Конц-ия I в образце хлеба определялась по эталонной номограмме, приготовленной на р-рах I определенной конц-ии на таком же листе фильтровальной бумаги (ватман № 1). Хорошие результаты получены при анализе лабор. выпечек хлеба с определенным содержанием сухого обезжиренного молока.

Н. Бойко

34236. Определение редуцирующих сахаров в мучных изделиях комплексометрическим методом по Поттерату — Эшману. Малкус, Фара (Oznaczenie cukrów redukujących w pieczywie metodą kompleksometryczną według Potterata — Eschmanna. Malkus Z., Fara M.), Przem. spożywczy, 1957, 11, № 5, 205—207 (польск.; рез. русск., франц.)

В 18 образцах хлебо-булочных изделий проведено сравнительное определение редуцирующих сахаров по

Поттерату — Эшману и Шорлю (с фелинговым р-ром) после предварительного осветления по Каренцу, показавшее пригодность 1-го метода для подобных определений.

З. Фабинский

34237. Бактериологический метод определения доброкачественности замороженных пирогов с курицей. Канале-Парола, Ордал (A survey of the bacteriological quality of frozen poultry pies. Canale-Parola Ercole, Ordal Z. John), Food Technol., 1957, 11, № 11, 578—582 (англ.)

Изучена бактериальная обсемененность изъятых из торговой сети 40 образцов замороженных пирогов с начинкой из курицы. Пироги выпущены пятью различными предприятиями. 50% образцов имели общую бактериальную обсемененность > 100.000 микроорганизмов в 1 г. 45% образцов содержали > 10 кишечных палочек в 1 г. Во всех образцах обнаружены энтерококки. Выделены 5 культур *Salmonella*. Показано, что при выпечке пирогов в течение 25—40 мин. при 219° микрофлора полностью не уничтожается. Т. Сабурова

34238. Пищевые продукты, приготовленные с применением душистых веществ. 2. Бисквит. Сиранси, Корё, 1955, № 36, 27—31 (японск.)

Описана технология, приведены рецептуры японского бисквита. Основная рецептура: пшеничной муки 100 вес. ч., сахара 50 вес. ч., сливочного масла 50 вес. ч., кукурузного крахмала 30 вес. ч., молока 30 вес. ч., NH_4OH 3 вес. ч. ванилин, лимон, апельсины. В качестве сахара применяют главным образом мальтозу, масло разрешается заменять гидроцированным растительным маслом. Часть I см. РЖХим, 1957, 6772.

Ким Су Ен

34239. Предотвращение плесневения кондитерских изделий. II. Повышенные дозы сорбиновой кислоты ухудшают вкус кекса. Ботма (Bestrijding van schimmel in bakprodukten. (II). Nodeloos hoge dosis sorbiezuur verslechtert smaak van cake. Bothma F.), Consudel, 1957, 14, № 7, 308—309 (гол.)

См. также РЖХим, 1957, 78731. Часть I см. РЖХим, 1957, 75963

К. Герцфельд

34240. Испытание эффективности упаковки бисквитов в камерах с переменной температурой и постоянной влажностью воздуха. Эйд, Холлингсхед (Testing package efficiency with a variable temperature, constant humidity cabinet. Eide Ralph W., Hollingshead Thomas E.), Biscuit and Cracker Baker, 1957, 46, № 9, 24—27 (англ.)

Описана лабор. установка для оценки и пригодности различных упаковочных материалов, для заветывания бисквитов. Установка представляет собой камеру с автоматич. регулировкой т-ры и влажности воздуха. Влажность воздуха остается постоянной, а т-ра изменяется каждые 12 час. с 21 до 32° и обратно, имитируя суточные колебания т-ры в условиях жаркого климата.

Т. Сабурова

34241. Изучение ферментации бобов какао в Венецуэле. Сообщение V. Изучение изменений углеводов бобов какао при ферментации. Платоне, Сапозникова (Estudios sobre la fermentacion de los cacao venezolanos. Contrib. V. Estudio de los hidratos de carbono del cacao en fermentacion. Platone E., Sapoznikova K.), Atti. Ist. bot. Univ. Lab. crittog. Pavia, 1955, 13, № 1—3, 145—147 (исп.)

Изучены процессы распада углеводов мякоти, пришедшей к оболочке бобов какао, в течение всего периода их ферментации. Оболочка свежих семян с мякотью содержит редуцирующих сахаров 40—50% (сухого в-ва), в процессе ферментации кол-во их значительно уменьшается и после ферментации остается ~2% сахаров. В начале ферментации снижается кол-ва редуцирующих сахаров в результате спирт. брожения и выделения сока. В период сушки редуци-

рующие сахара не только расходуются в различных брожениях (неспиртовых), но и, вероятно, идут на синтез полисахаридов. Оболочка и мякоть как свежих, так и ферментированных бобов, не содержит сахарозы, в процессе ферментации повышается содержание полисахаридов с $\sim 0,35$ до 13,5%. Свежие бобы без оболочки и мякоти не содержат редуцирующих сахаров. В процессе ферментации их кол-во увеличивается, хотя и медленно, и к концу процесса достигает 2,24—2,40%. Свежие бобы содержат 2,4—3,8% сахарозы, кол-во которой колеблется в процессе ферментации и к концу сушки близко к начальному. Кол-во полисахаридов довольно высокое в начале процесса ($\sim 15\%$) понижается в ферментированных бобах до 7,8%. Часть IV см. РЖХим, 1958, 26819. Г. Логинова

34242. Теория и практика темперирования шоколада. Кох (Chocolate tempering in theory and practice. Кох J.), Rev. internat. chocolat., 1956, 11, № 8, 344—350 (англ.; рез. нем.)

Рекомендован режим темперирования (Т) шоколадных масс. Перед Т шоколадные массы должны иметь т-ру 46—49°. Для кувертюра — фондан рекомендуется Т при 34° в течение трех часов, при 32° 40—60 мин. Для получения порошка какао красивого светлого цвета рекомендуется Т: порошок с 22% жира при 34—35°; с 17% жира при 42°; содержащего жира < 17% при т-ре < 42°. Охлаждать глазированные шоколадом изделия для создания возможности перехода масла какао в стабильную фазу рекомендуется в зависимости от способа глазировки: при ручной глазировке начинать охлаждение с 15°, при машинной с 22° (или выше) и снижать т-ру до 8—10°. Плиточный шоколад следует кристаллизовать при 6°. М. Антокольская

34243. Рефераты научных работ. Всес. н.-и. ин-т кондитерск. пром-сти, 1957, вып. 1, 1—127

Приведены рефераты следующих работ: З. И. Сергеева «Разработка рационального режима выстойки корпусов помадных конфет в крахмале». В. А. Реутов «Технологические условия процесса выстойки помадных корпусов в охлажденном крахмале и режим сокращенной выстойки размазных помадно-фруктовых корпусов конфет». В. А. Реутов «Технологический режим сокращенной выстойки фруктово-желейных и пралиново-вафельных корпусов конфет». А. И. Тюрин «Установка для ускоренной выстойки корпусов конфет». З. И. Сергеева «Технологический режим формирования помадных корпусов в резиновых формах». А. А. Цыбульский «Непрерывный процесс формирования помадных корпусов конфет в резиновых формах». М. Х. Смоляницкий «Универсальная поточная линия производства карамели». В. Н. Никифорова, А. Л. Соколовский «Влияние продуктов разложения сахаров на свойства карамельной массы». И. П. Бронштейн, М. Х. Смоляницкий «Автоматизация выгрузки карамельной массы из змеевиковых вакуум-аппаратов». Р. Я. Грейсер «Из опыта работы поточных линий». М. Х. Смоляницкий «Механизация питания заверточных машин типа КЗП-1 для карамели». «Тестомесильный агрегат непрерывного действия для производства сахарного печенья». Л. И. Токарев «Технологическая часть». О. Г. Лунии «Механическая часть», Л. И. Токарев «Непрерывный способ приготовления заварного пряничного теста». А. Г. Лунии «Ротационный механизм для формирования затяжного теста». С. А. Рапопорт «Трехзональная газовая печь системы ВКНИИ». М. М. Истомина «Конвейерная печь для выпечки мучных кондитерских изделий на предприятиях районной пищевой промышленности». А. Г. Лунии, И. Д. Ефимов «Механизация питания бисквитозавертывающих машин». Т. П. Ермакова, А. Е. Шкловская «Опытная поточная линия обработки шоколадных масс». Л. Б. Сосновский «Производство пищевого студнеобра-

зующего пектина из корзинок подсолнечника и свекловичного жома и его применение». Т. И. Чухрова «Применение целлофана для машинной заливки». Б. В. Капка «Быстрый метод определения влажности в продуктах кондитерского производства». Г. Н.

34244. Полифенолы в пищевых продуктах. Састри, Сатьянараяна, Сринивасан, Субраманиян, Субрахманиян (Polyphenols in edible materials. Sastry L. V. L., Satyanarayana M. N., Srinivasan M., Subramanian N., Subrahmanyan V.), J. Scient. and Industr. Res., 1956, (B-C)15, C78—C80 (англ.)

Методом хроматографии на бумаге определяли полифенолы в индийских плодах. Установлено, что в гуаве, гранатах, алыче преобладает галловая к-та. Лейкоантоцианы обнаружены в крыжовнике, спелой гуаве, неспелых плодах *Areca catechu*, бананах. Крыжовник содержит дельфинидин, плоды *Areca catechu* и гранаты — цианидин, и оба эти антоцианида найдены в гуаве и банане. В. Гурин

34245. Определение влажности шпината по диэлектрической постоянной. Предварительное исследование возможности быстрого и точного определения. Апперло (Bepaling watergehalte van spinazie via de diëlektrische constante. Voorlopig onderzoek naar de mogelijkheid van snelle en nauwkeurige vaststelling. Apperloo M.), Electronica, 1956, 9, № 201, 81—83 (гол.)

0,01 г шпината обливают 50 мл диоксана (I), через 10 мин. кипятят в течение 5 мин. и определяют диэлектрич. коэф. I, извлекшего всю воду, содержащуюся в шпинате. Точность способа 0,3%.

К. Герцфельд

34246. Овощи для консервирования. 14. Овощной перец и маслины. 15. Артишоки. 16. Грибы и лук. 17. Тыква и кабачки. Харди (Vegetables for the cannery. 14. Pimentos and olives. 15. Artichokes. 16. Mushrooms and onions. 17. Pumpkins and squash. Hardy Eric), Canning and Packing, 1957, 27, № 313, 6; № 314, 11; № 315, 16; № 316, 9 (англ.)

14. Описание технологии консервирования зеленого и красного овощного перца в натуральном виде и в масле и целых соленых маслин, залитых обычным рассолом или рассолом с уксусом.

15. Перед употреблением в пищу артишоки варят в соленой воде или маринуют. *Stachys tuberosa* представляют собой мелкие клубеньки, идущие в пищу как в вареном, так и в сыром виде. *Helionthus tuberosus* питательны благодаря содержанию в них инулина и присутствия $\sim 10\%$ фруктозы. Используются в супах подобно картофелю. Для лучшего сохранения цвета и аромата артишоки сначала бланшируют, а затем заливают р-ром соли.

16. Описана технология консервирования цельных залитых рассолом шампиньонов и приготовления грибного соуса, содержащего измельченные грибы и различные пряности, а также технология переработки репчатого лука, который входит в рецептуру различных супов, соусов и других овощных консервов. Мелкие луковички маринуют в целом виде, иногда в смеси с другими овощами.

17. Тыква и кабачки (*Cucurbita maxima*, *Cucurbita pepo*). Описание технологии произ-ва консервированного тыквенного пюре. В переработку допускаются только вполне зрелые тыквы. После шпарки, перед протиркой, тыкву прессуют для удаления избытка жидкой фазы. Добавляют сахар, соль, корицу, имбирь. Тыквенное пюре в горячем состоянии разливают в стеклянную или лакированную металл. тару и стерилизуют. Тыкву, нарезанную ломтиками, консервируют в сахарном сиропе с добавлением лимонного сока. Кабачки перерабатывают так же, как тыкву. Из огу-

цов изготавливают маринады в смеси с другими овощами. Сообщение 13 см. РЖХим, 1958, 26843.

Т. Сабурова

34247. Определение волокнистости спаржи путем измерения работы, затрачиваемой на разрезание стеблей. Баккингер, Крамер, Деккер, Сидуэлл (Application of work measurement to the determination of fibrousness in asparagus. Backinger George T., Kramer Amihud, Decker Robert W., Sidwell Arthur P.), Food Technol., 1957, 11, № 11, 583—585 (англ.)

При испытании волокнистости спаржи посредством режущего пресса показателем является не только максим. затрачиваемое усилие, но и длительность процесса разрезания. Полученные характерные замкнутые кривые показаний прибора наглядно отражают консистенцию спаржи на основе измерения площади, затрачиваемой данными кривыми.

Т. Сабурова

34248. Спектрофотометрическое определение окраски мякоти томатов. Берт, Норрис, Йитман (Non-destructive measurement of internal color of tomatoes by spectral transmission. Birth Gerald S., Norris Karl H., Yeatman John N.), Food Technol., 1957, 11, № 11, 552—557 (англ.)

Описание метода определения интенсивности окраски плодовой мякоти томатов, без нарушения целостности плода, посредством прибора Rephobiospect, представляющего собой саморегистрирующий спектрофотометр, предназначенный для измерения светопропускания биологич. объектов. Приведена схема прибора, фотоснимок и кривые светопропускания томатов. Полученные результаты хорошо согласуются с данными, полученными посредством колориметра Хантера.

Т. Сабурова

34249. Заболевание плодов при хранении и защита плодов от порчи. Николайзен (Erkennen und Verhüten von Lagerungsschäden. Nicolaïsen N.), Dtsch. Gartenbauwirtsch., 1957, 5, № 12, 226—229 (нем.)

Изложены основные правила хранения свежих плодов и овощей: конструкция хранилищ, температурный режим, упаковка. Рассмотрены основные виды и причины фитопатологич. и физиологич. заболеваний плодов: загар, внутреннее побурение плодов, побурение сердцевин.

Т. Сабурова

34250. Перевозка бананов из французских владений на пароходах-холодильниках. Дёллин (Transport maritime de la banane de l'Union française sous régime du froid. Deullin R.), Rev. gén. froid, 1957, 34, № 9, 951—966 (франц.)

Изложены правила и условия морских перевозок бананов. Приведены фотоснимки и описание конструкции, способа изоляции, системы вентиляции и охлаждения новейших пароходов-холодильников, используемых для перевозки бананов из французских владений во Францию. Бананы охлаждают и хранят во время перевозки при 12°. Оптимальные атмосферные условия при перевозке бананов: кислорода 12—14%, CO₂ 4—6%, этилена и других летучих органич. в-в 0%, влажность воздуха 85—95%.

Т. Сабурова

34251. Предварительная очистка лука на моечной машине. Заблоский Р. В., Консервн. и овощесуш. пром-сть, 1957, № 12, 7—8

На Севском овощесушильном з-де для предварительной очистки лука применена обычная кулачная трехкамерная моечная машина с полупогруженными билами. Преждевременное выбрасывание лука предотвращают спец. щиты, разделяющие камеры и закрывающие выбросное отверстие.

Г. Н.

34252. Физический метод определения консистенции сушеного гранулированного картофеля. Маллинс, Поттер, Вуд, Харрингтон, Олсон (A physi-

cal test for consistency of potato granules. Mullins William R., Potter A. L., Wood Elizabeth R., Harrington W. O., Olson Robert L.), Food Technol., 1957, 11, № 10, 509—511 (англ.)

Разработан метод определения консистенции картофельного пюре (изготовленного из сушеного гранулированного картофеля) путем измерения диаметра диска, образующегося из шарика, изготовленного из испытуемого концентрата, при падении с определенной высоты на гладкую поверхность. Для проведения определения 40 г испытуемого концентрата смешивают с дистил. водой до влажности 81,2%. Вес шарика 30 г, высота падения 180 см. Чем больше диаметр диска, тем нежнее консистенция пюре. Указанный метод хорошо согласуется с данными органолептич. оценки.

Т. Сабурова

34253. Консервирование кукурузы. Маттьюс (Quality at any costs is the aim of green giant. Matthews G. R.), Canada Food Inds, 1955, 26, № 11, 25, 27 (англ.)

Описан крупный консервный з-д, вырабатывающий в день 480 тыс. банок консервированной кукурузы в зернах. Технологич. процесс механизирован.

И. Гутин

34254. Технический прогресс в плодовоовощной консервной промышленности СССР. Рогачев В. И., Консервн. и овощесуш. пром-сть, 1957, № 10, 9—15

34255. Посол огурцов в дощниках. Гурка (Großraumvergärung von Gurken. Hurka Wilhelm), Lebensmittel und Ernährung, 1957, 10, № 11, 10—12 (нем.)

Описание принятого в США способа посола огурцов в дощниках емк. 7—40 т. Огурцы заливают рассолом, содержащим 8% соли, постепенно в течение 5 недель повышая конц-ию ее до 16%. Оптимальная т-ра брожения 20°. Рассмотрены случаи неправильного течения процесса брожения при посоле огурцов: развитие дрожжей, сопровождаемое газообразованием, развитие водородообразующих бактерий: плесневение рассола.

Т. Сабурова

34256. Применение чернушки и тмина при консервировании огурцов. Бжезинский, Косевская, Осинская, Сабиневич (Zastosowanie mieszanek czarnuszki i kminku w celu przedłużenia trwałości ogórków konserwowych. Brzeziński Stanisław, Kosewska Lidia, Osieńska Jadwiga, Sabiniewicz Stefan), Przem. spożywczy, 1957, 11, № 11, 470—473 (польск.; рез. русск., англ., франц., нем.)

Применение смеси чернушки (*Nigella sativa*) и тмина (1:1) в кол-ве 2,7‰ (от кол-ва рассола) значительно повышает стойкость консервированных огурцов при хранении при 18—20°.

Г. Н.

34257. О качестве грибных и ягодных консервов. Эккарт (Bericht über die siebente Qualitätsprüfung für Pilz- und Beerenkonserven. Eckart Hanns), Industr. Obst- und Gemüseverwert., 1957, 42, № 11, 221—225 (нем.)

Приведены результаты ежегодно проводимой в ФРГ оценки консервированных шампиньонов, белых грибов, лисичек, компотов и варенья из дикорастущих ягод: черники, брусники, малины, ежевики. Предыдущее сообщение см. РЖХим, 1957, 36343.

Т. Сабурова

34258. Выделение и идентификация оксиметилфурфурола из сиропа консервированных сливовых компотов. Паркинсон, Баркер (The isolation and identification of hydroxymethylfurfural from stored canned plum syrup. Parkinson T. L., Barker C. J.), J. Sci. Food and Agric, 1957, 8, № 11, 639—645 (англ.)

Изучен в УФ-области спектр поглощения сиропа консервированного сливового компота. При хранении сиропа при 37° в нем образуется оксиметилфурфурол, извлекаемый из сиропа эфиром и выделяемый в чистом

виде методом хроматографии на бумаге. Приведены полученные кривые спектра поглощения оксиметилфурфура. Кроме того, в эфирной вытяжке сиропа обнаружены хлорогеновая и изохлорогеновая к-ты.

Т. Сабурова

34259. Применение сиропа и косточек фиников. Спон (Toepassing van dadelstroop en dadelpitten. Spon W.), Casao, chocolade, suikerwerken, 1957, 25, № 9, 340—345 (гол.).

Состав сиропа из фиников (из Ирака) (в %) экстракта 77,8; инвертного сахара 68,4; сахарозы следы; кислотность 8,2; pH 4,4; d_{4}^{15} 1,380; n_{D}^{20} 1,4830; пекарское испытание показало, что сироп может заменить мед. Косточки не пригодны для получения из них активированного угля.

К. Герцфельд

34260. Развитие производства плодовых соков. (L'évolution de la fabrication des jus de fruits.), Rev. techn. ind. aliment., 1957, 4, № 42 25, 28—29, 32—33, 36—37 (франц.).

В Швейцарии 400 т плодов в год идет на изготовление сидра и соков. В 1956 г. после сбора урожая было выпущено ~ 80 тыс. гл неочищ. сока, на который имеется большой спрос. Соки хранят в эмалированных цистернах и из нержавеющей стали под давлением CO₂ (после пастеризации). Перед разливом в бутылки соки освобождают от излишка CO₂ и после центрифугирования фильтруют через фильтры Зейтца со стерилизующими пластинами. Наиболее распространена пастеризация в бутылках в течение 20 мин. при 75°. Для изготовления яблочных и грушевых концентратов после центрифугирования сок пастеризуют при 80—87°, охлаждают при 12—14° и концентрируют в течение 90 сек. В ФРГ в 1954 г. изготовлено 1100 тыс. гл яблочного сока и 175 тыс. гл яблочных соков и импортировано из Франции > 500 тыс. гл виноградного сока. Соки хранят в алюминиевых цистернах и цементных баках. Стерилизация цистерн производится летом, воздухом, пропускаемым через фильтр Зейтца. Цементные цистерны стерилизуют SO₂, вытесняя его затем стерильным воздухом. Цистерны наполняют до оттока. После розлива в бутылки соки пастеризуют, нагревая от 75 до 80° в течение 25 мин.

С. Матвеев

34261. Реакция Майларда в плодовых соках. Катаран, Родригес (La reacción Maillard en los zumos de frutas. Catalán M., Rodríguez M. P.), An. bromatol., 1957, 9, № 2, 163—177 (исп.; рез. англ.).

Изучен хим. состав осадка, образующегося при хранении при 20° осветленного сока черной смородины. Методом хроматографии на бумаге обнаружено присутствие 14 аминокислот. В начальной стадии хранения в соке обнаружено присутствие ацетона. Изучена скорость разрушения аскорбиновой к-ты при различных т-рах.

Т. Сабурова

34262. Химические основы десульфитации плодовых соков. Пильник (Le basi chimiche della desolfiorazione dei succhi di frutta. Pilnik Walter), Ind. conserve, 1957, 32, № 3, 204—207 (итал.). Перевод. См. РЖХим, 1958, 12876

34263. Результаты применения сорбиновой кислоты при производстве томатпродуктов в крупной упаковке и возможность хранения их во вскрытой таре. Паласье-Ремондо, Эрнандес-Вареа (Resultado obtenido de la aplicación del ácido sórbico a la conserva de tomate de anvasas de formato grande y la posibilidad de estabilización de condiciones una vez abierto el envase. Palacios Remondo Jesus, Hernandez Varea Eugenio), Inform. conserv., 1957, 5, № 37, 4—6 (исп.).

Добавление 0,1 ч. Na-соли сорбиновой к-ты на 1000 ч. томатной пасты или сока в жестяной упаков-

ке емк. 5 кг достаточно для хранения их в открытой таре в течение 17 суток при 12—31°, что важно для розничной торговли.

К. Герцфельд

34264. Новый способ определения количества добавленного хлористого натрия в томатном пюре. Пейчев (Нов способ за определяне на прибавение натриев хлорид в доматените пюре. Пейчев Ст.), Изв. Ин-та растениеводства. Бълг. АН., 1957, кн. 4, 135—145 (болг., рез. русск., нем.).

Кол-во добавленной к пюре соли определяют по ф-ле $\text{NaCl}\% = b - 0,0152(a - b)$, где a — содержание сухого в-ва, найденное по рефрактометру, а b — общее кол-во хлоридов, определенное титрованием.

Г. Н.

34265. Работы и исследования по молоку и молочным продуктам. (Travaux et recherches sur le lait et les produits laitiers.), Lait, 1955, 35, № 348, 502—514; № 349—350; 630—643 (франц.).

Краткие отчеты отдельных групп Национального комитета Франции по координации исследований натурального, стерилизованного, сгущенного и сухого молока, а также разработка методов исследования. Предложено внести изменения в официальное постановление о делении молока на категории по жирности, о допущении добавления других сахаров, стабилизаторов и крахмала в сгущенное молоко. Обсуждаются вопросы получения молока, его фальсификации, изучения методов определения заболевания животных бруцеллезом.

Н. Брю

34266. Применение ультрафиолетового облучения в молочной промышленности. Попов А., Молочн. пром-сть, 1957, № 7, 42—44

Обзорная статья.

А. П.

34267. Причины изменения состава молока. (Veränderungen in der Milchzusammensetzung und ihre Ursachen. K. M.), Chem. Rundschau, 1955, 8, № 19, 404 (нем.).

34268. Солодовый и пригорелый привкус молочных продуктов. Лаботс (De Afwijking «moutsmak» of «brandiger» in zuivelprodukten. Labots H.), Zuivel, 1956, 62, № 36, 763, 765 (гол.).

Обзор. Подтверждено, что солодовый и пригорелый привкусы молока обусловлены действием *Streptococcus lactis* var. *maltigenes*. на лейцин (но не изолейцин). Пастеризация молока до отрицательной р-ции на фосфатазу убивает эти микроорганизмы. Библ. 6 назв.

К. Г.

34269. Цвет молока и молочных продуктов. Слюмп (De kleur van melk en melkproducten. Slump H.), Conserva, 1956, 4, № 8, 238—239 (гол.).

Обзорная статья о причинах изменения цвета молочных продуктов (цельное, сгущенное и сухое молоко). Библ. 6 назв.

К. Г.

34270. Повышение содержания витаминов в молоке после его обработки. Кон, Томпсон (Riqueza en vitaminas de las leches después de su tratamiento. Kon S. K., Thompson S. Y.), Rev. esp. lechería, 1957, № 25, 139—140 (исп.).

Приведены таблицы содержания витаминов в свежем, пастеризованном, стерилизованном, сгущенном и сухом молоке и в сыре чеддер.

А. П.

34271. Быстро реагирующие приборы для измерения температуры. Вольтер (Schnell reagierende Temperaturmeßgeräte. Wolter Hans), Dtsch. Milchwirtsch., 1956, 3, № 6, 134—136 (нем.).

Указывается на необходимость отказа от устаревших систем термометров и применения быстро реагирующих приборов в пастеризаторах для молока и сливок.

В. Фавстова

34272. Исследование белков молока. (Onderzoekingen omtrent de eiwitstoffen in de melk.), Zuivel, 1956, 62, № 30, 608—609 (гол.).

Краткий обзор физ.-хим. методов исследования. Библи. 5 назв. К. Г.

34273. Определение количества бактерий группы *Coli-aerogenes* в молоке методом «Bacto-Strip». Галеслот (Het tellen van coli-aerogenes bacteriën in melk met behulp van bactostrips. Galesloot E.), Zuivel, 1956, 62, № 31, 633, 635 (гол.)

Определение в молоке бактерий группы *Coli-aerogenes* методом Bacto-Strip (посевом на полоски бумаги, пропитанные питательной средой с хлористым трифенилтетразолием) дало значительно заниженные данные по сравнению с посевом на стандартных средах (жидкой среде с галактозой и бриллиантовым зеленым и дезоксихоловым агаре). Наиболее заниженные данные получены для молока стойлового периода содержания коров.

К. Герцфельд

34274. Проблема нормального снабжения молоком населения тропических стран. Вейра-де-Са (El problema del abastecimiento normal de leche en los países cálidos. Vieira de Sa F.), Rev. esp. lecheria, 1956, № 21, 167—182 (исп.)

34275. Об обезжиренном молоке. Солтыс (Zagadnienie mleka odduszczonego. Soltys Wacław), Przegl. mleczarski, 1957, 5, № 8-9, 14—16 (польск.)
Дан анализ потребности в обезжиренном молоке. Отмечено, что по мере увеличения закупок молока необходимо организовать возврат обезжиренного молока поставщикам для использования его в качестве корма скота, а также излишек обезжиренного молока перерабатывать на казеин и сухое обезжиренное молоко.

З. Фабинский

34276. Устройство для промывки кефирных грибов. Березовская А., Милевич А., Молочн. пром-сть, 1957, № 12, 33

На Ленинградском молочном з-де предложено устройство, состоящее из раковины-ванночки, размером 780 × 490 × 210 мм, изготовленной из листового железа, на которую устанавливают рамку из углового железа, имеющую по углам 4 столбика с крючками. На столбики навешивают металлич. стержни, держащие кольцо для решета с кефирными грибами. Грибки промывают струей водопроводной воды из душа. Устройство улучшает качество и облегчает процесс промывки кефирных грибов, легко разбирается и дезинфицируется. Приведена схема.

А. Прогорович

34277. Производство сухого молока в Финляндии. Хиэтаранта (Synpunkter på torkmjölkstillverkningen i Finland. Hiétaranta Matti), Mejeritidskrift, 1957, 19, № 6, 163—166 (шведск.)

34278. Определение сахара в сгущенном молоке с сахаром ферментативным и другими методами. Бергман (Sukkerbestemmelse i sukret kondenseret mælk efter Holger Jørgensens gaeringsmetode og andre metoder. Bergmann A.), Konserver, 1957, 15, № 11, 121—127 (датск.; рез. англ.)

Проведено сравнительное определение содержания сахара в сгущенном молоке 8 различными методами, в том числе ферментативным методом, основанным на сбраживании сахара дрожжами и определении объема выделившегося при брожении CO₂. Указаны достоинства и недостатки отдельных методов. А. П.

34279. Изменение содержания витаминов А и С в сгущенном стерилизованном молоке. Соколов Ф., Молочн. пром-сть, 1957, № 12, 20—22

Изучение влияния отдельных стадий технологич. процесса произ-ва сгущенного стерилизованного молока (М) на стойкость витаминов А (I) и С (II) показало, что при пастеризации М потери II составляли 42,1%, I 3,2%; при сгущении М содержание II снизилось на 8,3% от первоначального содержания в сыром М, содержание I не изменилось. В про-

цессе стерилизации содержание II в среднем уменьшилось на 8,8%, I на 1,5%, при термостатной выдержке соответственно на 8,3% и 11,7%. В результате в сгущенном стерилизованном М сохранилось 32,5% II и 83,6% I от первоначального их содержания в сыром М. При хранении стерилизованного М в течение 6 месяцев при 10—15% содержание II снизилось в среднем на 42,5%, I на 10,4% от первоначального содержания. Кол-во II в 1 кг сгущенного стерилизованного М составляет 6,94 мг, I 0,335 мг.

А. Прогорович

34280. Изучение вопроса об антикоагуляции сгущенного молока. Маэно, Сайто, Арадате, Танака (Maeno Masahisa, Saito Zenichi, Aradate Fumi, Tanaka Seichi), Нихон тикусан гаккайхо, Japan. J. Zootechn., 1955, 26, № 2, 117—119 (японск.; рез. англ.)

Проведена эксперим. проверка влияния этилендиаминтетрауксусной к-ты (I) на качество сгущенного молока с сахаром при хранении. Найдено, что внесение в сырое молоко перед сгущением 4-замещ. Na-соли I в кол-ве 0,05% оказывает заметное влияние на загустевание сгущенного молока. По данным авторов, механизм процесса заключается в том, что I связывается с Са в мицелле казеина, в результате чего может предотвращаться коагуляция сгущенного молока.

В. Страхов

34281. Изыскание наиболее совершенных способов упаковок молочных консервов. Штальберг С. М., Тр. Всес. н.-и. ин-т молочн. пром-сти, 1957, вып. 17, 63—78

Для упаковок сухих молочных продуктов при крупной расфасовке рекомендуются деревянные бочки, барабаны и ящики из прессованного картона с мешками-вкладышами из полиэтиленовой пленки; при мелкой расфасовке — комбинированные банки (корпус витой бумажный, крышка и донышко металлич.) с пропиткой парафином или обклейкой внутренней поверхности кашированной или обычной фольгой, картонные коробки с мешочками из полиэтиленовой пленки. Предлагаемая тара герметична, не сообщает продукту посторонних привкусов и запахов. Вес тары на 1 кг продукта не превышает 300 г. Полиамидную пленку и лакированный целлофан можно использовать при крупной и мелкой расфасовке сухих молочных продуктов при хранении ≤ 6 месяцев при относительной влажности воздуха ≤ 80%. Для упаковки сгущенных молочных продуктов рекомендуются алюминиевые трубы емк. ≥ 200—250 г без покрытия внутренней поверхности или с покрытием лаком № 50.

А. Прогорович

34282. Триглицериды молочного жира. Сеитов З., Молочн. пром-сть, 1957, № 4, 34—35

Молочный жир свежего сливочного масла фракционировали с р-рителем (абс. этиловым спиртом) на 4 фракции. Изучение выделенных фракций показало, что летом в молочном жире жидкие глицериды составляют 62,9%, зимой 48,2%. Твердая и мажущаяся (1-я и 3-я) фракции имели белый цвет, жидкие (2-я и 4-я) ярко-желтый. 1-я фракция состоит преимущественно из глицеридов высокомолекулярных жирных к-т и имеет сравнительно высокое йодное число (ИЧ) и число летучих, растворимых в воде жирных к-т (ЧЛЖ). 2-я фракция, жидкая при ~ 20°, содержит глицериды ненасыщ. и среднемoleкулярных жирных к-т (ЧЛЖ 28,7, ИЧ 39,2, число омыления (ЧО) 227). 3-я фракция, имеющая наименьшее ИЧ (28,4), состоит главным образом из глицеридов низко- и среднемoleкулярных жирных к-т (ЧЛЖ 36,2; ЧО 232). 4-я фракция, имеющая почти в 2 раза большее ЧЛЖ, чем исходный жир, более высокое ЧО и ИЧ такое же, как во 2-й фракции, состоит в основ-

ном из глицеридов низкомолекулярных и ненасыщ. жирных к-т. Наиболее стойкой к окислению является твердая фракция (1-я), наименее стойкими — жидкие (2-я и 4-я) и полутвердая. Гидролитич. расщеплению легче всего подвергаются глицериды низкомолекулярных жирных к-т. Витамин А и каротин распределяются неравномерно, главным образом сконцентрированы в жидких фракциях. Летний молочный жир, содержащий почти в 2 раза больше витамина А (9,1 мг/кг) и в 3 раза больше каротина (4,5 мг/кг), чем зимой (5,4 и 1,5 мг/кг соответственно), оказался более стойким в хранении.

А. Прогорович
34283. Современные методы получения и использования молочного жира. Миттен, Розн (Modern methods for processing and utilizing butterfat. Mitten H. L., Roahen D. C.), Amer. Milk Rev., 1955, 17, № 6, 40—42, 44, 132—133 (англ.)

Описание непрерывного поточного процесса получения сухого молочного жира (с содержанием $\leq 0,2\%$ воды) по методу Steamery Package Mfg Co. Приведены схемы технологич. процесса произ-ва сливочного масла и сухого молочного жира.

В. Новикова
34284. Непрерывное производство сливочного масла. Гоед-Мур (Fabricación continua de la manteca. Goded Mur A.), Ion, 1956, 16, № 176, 159—165; № 177, 222—228; № 178, 277—284 (исп.)

Обзор непрерывных способов получения сливочного масла, применяемых в различных странах. Приведена сравнительная таблица свойств масла, получаемого на различных установках, фотоснимки установок и схемы их действия. Библ. 176 назв.

И. Г.
34285. Консистенция масла, выработанного поточным способом. Казанский М., Молочн. пром-сть, 1957, № 1, 7—9

Рассмотрены факторы, влияющие на консистенцию масла, и наиболее распространенные пороки, обусловленные процессом произ-ва. Для улучшения консистенции масла, вырабатываемого поточным способом, рекомендуется не допускать перегрузки маслообразователя. Скорость отвердевания масла после выхода из аппарата должна быть 40—50 сек. Т-ра масла на выходе из маслообразователя не должна превышать наиболее высокой т-ры кристаллизации жира (20—23°), а зимой приближаться к нижней точке массовой кристаллизации жира (11—12°).

А. Прогорович
34286. Простейшие способы контроля консистенции масла при поточном производстве. Никуличев П., Молочн. пром-сть, 1957, № 5, 41—42

Описание определения консистенции масла по внешнему виду при выходе из маслообразователя, по скорости его отвердевания и пробой на срез.

А. П.
34287. Новый метод улучшения качества и повышения стойкости сливочного масла. Спирк В. И., Гodelь А. Г., Шаньская И. М., Полякова Г. С., Сб. реф. научн. работ. Всес. н.-и. ин-т маслоделия и сыроделия, пром-сти, 1957, вып. 4, 8—16

Изучено качество масла, выработанного в производственных условиях с введением 3% (от веса сливок) культуры стрептококков-антагонистов (А), продуцирующих низин. Установлено значительное подавление развития гнилостных бактерий и кишечной палочки. Качество свежего масла с добавлением А не отличалось от качества контрольных образцов масла, а стойкость его выше, особенно в первый месяц хранения при 8°. Проведена выработка сухой закваски культуры А; сухая культура А сохраняет антибиотич. действие по отношению протеолитич. бактерий *Bact. coli-aërogenes*. Сухие культуры А

можно использовать в произ-ве кисломолочного масла. Разработанным хроматографич. методом анализа плазмы масла установлено, что при хранении масла при 8 и 20° наиболее часто появляются в нем дикарбоновые аминокислоты, цистин и тирозин.

А. Прогорович
34288. Факторы, влияющие на стойкость масла при хранении на холодильниках. О быстром определении пригодности масла к хранению. Пиро, Жамотт, Лакросс, Лёрё, Брие, Пиро (Das facteurs conditionnant l'aptitude du beurre à la conservation en frigo. Comment juger rapidement si un beurre convient pour le stockage? Piraux E., Jamotte P., Lacrosse R., Lheureux F., Briey Th. de, Pirot Y.), Bull. Inst. agron. et stat. rech. Gembloux, 1956, 24, № 3, 307—350 (франц.; рез. гол., англ.)

Стойкость кисломолочного несоленого масла (М) определяется содержанием Сu, величиной рН, условиями пастеризации сливок и их качеством. Менее важное значение имеет промывка зерна и сезонность. На содержание Сu в М влияет время года и рН плазмы. М, выработанное из сладких сливок, содержит меньше Сu, чем выработанное из тех же кислых или нейтрализованных сливок. Среднее содержание Сu в летнее время < 30 γ/кг. Приведены данные зависимости времени появления рыбного привкуса в масле от содержания Сu. Величина рН для М из старых сливок должна быть $\geq 4,8$ —5,0, а при большом содержании Сu в пределах 5,0—6,0. Стойкость М с малым содержанием Сu зависит в основном от эффективности пастеризации. Эффективность пастеризации определяли по нитропруссидной пробе. М, выработанное из свежих сливок, можно хранить при $-10^\circ \geq 6$ месяцев, если содержание Сu в нем < 50 γ/кг и показания нитропруссидной пробы < 1 до 1,5.

А. Гodelь
34289. Статистическое определение стойкости масла в холодильных условиях. Постольский (Próba statystycznego określenia trwałości masła w warunkach chłodniczych. Postolski Jacek), Przegl. mleizarski, 1957, 5, № 8—9, 33 (польск.)

Исследованием качества масла (1713 проб) при хранении в холодильнике при -19° установлено, что масло, выработанное летом (май, июнь, июль), лучше сохранило свои вкусовые качества.

З. Ф.
34290. Сообщение о сравнительных исследованиях масла из различных областей ФРГ. Лагони, Замхаммер (Bericht über Vergleichsuntersuchung an Butterproben aus verschiedenen Milcherzeugungsgebieten der Bundesrepublik. Lagoni H., Samhammer E.), Dtsch.-Molkerei-Ztg., 1956, 77, № 41, 1420—1421 (нем.)

34291. Состав дрожжей в масле и изучение их в целях определения вида. Гейберг С. Г., Тр. Вологодск. молочн. ин-т, 1956, вып. 14, 233—249

Изучение видового состава дрожжей, обычно развивающихся в сливочном масле, и их поведение при его длительном хранении показало, что в масле находится несколько морфологич. типов дрожжей и значительное число видов, различных по физиологич. свойствам и морфологич. признакам. Преобладают и усиленно развиваются дрожжевидные грибки, аэробные, несбраживающие сахаров, окисляющие и ассимилирующие жир, и среди них больше всего ветвистые формы, образующие упрощенный мицелий. Эти дрожжи находят в масле благоприятные условия для развития при длительном хранении. Молочные дрожжи встречаются в масле редко и только в свежеприготовленном.

А. Прогорович
34292. Вибрационный стол для упаковки масла. Костюков Н., Молочн. пром-сть, 1957, № 12, 32

Описание и схема вибрационного ударного станка, сконструированного на Ново-Шульбинском маслодельном з-де, применение которого обеспечивает плотную набивку масла, вырабатываемого на поточной линии.

34293. Вещества, влияющие на свертывание молока сычужным ферментом. III. Влияние витаминов и антибиотиков. Вакуи, Кавати (Wakui Kesami, Kawachi Saju). IV. Влияние молока, коагулированного сычужным ферментом, на перевариваемость трипсином. Вакуи (Wakui Kesami), Якугаку дзаси, J. Pharm. Soc. Japan, 1955, 75, № 5, 598—600 (японск.)

III. Добавление витамина B₁ и C ускоряет, а витамина B₂, B₁₂ и K задерживает свертывание молока. Ускорение свертывания молока витаминами B₁ и C происходит в основном из-за их кислотности.

IV. Для установления pH 6,8 молока, обработанного сычужными ферментами, требуется 3 мл 0,1 н. HCl, для молока необработанного — 5 мл. Подобное явление наблюдается по отношению к NaOH. Понижение буферности молока при свертывании сычужным ферментом объясняется глубоким изменением белков молока. Сообщение II см. РЖХим, 1958, 19707.

34294. Окраска сырного теста. Кёнен, Универ (Zur Färbung von Schiechtkäse. Koenen K., Univers E.), Dtsch. Molkeri-Ztg., 1956, 77, № 25, 829—831 (нем.)

Изучено применение хим. и растительных пищевых красителей для окрашивания сыра. Рекомендуется применение хим. красителей 16 мл, растительных — 4 мл на 100 л молока.

34295. Предупреждение крошливости сыра. — (Bestrijding van het consistentiegebrek «bros» bij kaas. —), Zuivel, 1956, 62, № 36, 760—761, 763 (гол.)

О возможности образования крошливой консистенции сыра можно судить по величине pH сырной массы в день ее изготовления: при ее малой начальной величине существует опасность образования высокой кислотности, что можно предупредить регулированием конц-ии молочного сахара. К. Герцфельд

34296. Разработка технологии производства консервных стерилизованных сыров. Крашенинни П. Ф., Лебедев К. С., Гибшман М. Р., Сб. реф. науч. работ Всес. н.-и. ин-т маслод. и сырод. пр.-сти, 1957, вып. 4, 50—58

Предложены два вида консервного стерилизованного сыра 50%-ной жирности: консервный стерилизованный ярославский, сырье — сыры голландского типа в возрасте 2,5—3 месяца; консервный стерилизованный угличский, сырье — быстро созревающий сыр в 20-дневном возрасте, для улучшения вкуса которого при его выработке к сырной массе добавляют 15—20% плавленного зрелого сыра типа дорогобужский или латвийский. Для получения стойкого при хранении сыра (≥ 1 года при 20°) рекомендована раздельная стерилизация сыра и банок: сыр после плавления при 95—98° нагревают в том же котле до т-ры стерилизации 100—105°, разливают в предварительно простерилизованные банки; заквашенные банки прогревают в кипящей воде 3 мин. Максим. уничтожение бактерий при плавлении и стерилизации и наиболее стойкий продукт получают при постоянной величине pH в пределах 5,3—5,6. pH сыра можно регулировать добавлением до 0,5% лимонной или триоксиглутаровой к-ты к динатрийфосфату перед плавлением сыра.

34297. Плесневые сыры. Пичинский (Sýry s povrchovou plísní. Jičínský Václav), Průmysl potravin, 1957, 8, № 9, 462—464 (чешск.; рез. русск., нем., англ.)

Подробное описание произ-ва сыров с плесенью на корке (камамбер, бри, невшатель), внедренного на з-дах Чехословакии. Дан обзор пороков этих сыров и причин, вызывающих пороки.

34298. Новый плавитель сыра — натриевые соли триоксиглутаровой кислоты. Шубин Е., Молочн. пр.-сти, 1957, № 4, 32—33

Натриевые соли триоксиглутаровой к-ты (I) одинаково удовлетворительно плавят сыр различных видов, разной степени зрелости и жирности и лучше других солей способствуют переходу при плавлении нерастворимых азотистых в-в сыра в растворимые. Высокую активность I можно объяснить наличием в них трех оксигрупп, которые благоприятно действуют на пептизацию белков сыра. pH плавленного сыра с I несколько выше, чем сыра с фосфатами, что положительно сказывается на его стойкости при хранении. Оптимальная доза I 2—2,5%. Оценка плавленного сыра с I на 9,7 балла выше оценки сыра с динатрийфосфатом. Дополнительные опыты плавления сыра смесью натриевых солей триоксиглутаровой и фосфорной к-т показали, что для улучшения качества плавленного сыра достаточно иметь в смеси 10—25% I.

34299. О сортировке сыра на заводах. Никитин Н., Молочн. пр.-сти, 1957, № 12, 22

34300. Контроль степени просаливания сыров. Макарьин А., Молочн. пр.-сти, 1957, № 1, 13—15

Предложена методика определения степени просаливания сыра на основании пропорциональной зависимости: $A = Bv/v$, где A — содержание соли в зрелом сыре в %, B — содержание соли в просолившемся слое в %, v₁ — объем просолившегося слоя, v — полный объем сыра. В зависимости от величины отклонения процента соли в зрелом сыре, установленного расчетом от желаемого, изменяют сроки посола. Составлены вспомогательные таблицы для контроля содержания соли в костромском, голландском и ярославском сырах. Разница между фактич. содержанием соли в зрелом сыре и расчетным не превышает $\pm 0,14\%$.

34301. Определение хлористого натрия с помощью катионитов. Подсобляев А., Молочн. пр.-сти, 1957, № 7, 41—42

Проверен катионообменный метод определения соли в сыре и масле (введенный в 1957 г. в ГОСТ), основанный на способности NaCl к ионному обмену с образующим HCl, которую титруют щелочью. Средняя квадратичная ошибка метода при анализе сыра составляет $\pm 0,0169\%$, при анализе масла $\pm 0,0236\%$. Метод полностью исключает использование AgNO₃ при анализе сыра и масла.

34302. Применение приборов теплового контроля и регулирования при производстве сыра. Соколов А. А., Сб. реф. науч. работ Всес. н.-и. ин-т маслод. и сырод. пр.-сти, 1957, вып. 4, 70—73

Изложены результаты опытного применения автоматич. приборов для регулирования т-ры пастеризации молока, дистанционного контроля т-ры в сырных ваннах, регулирования т-ры парафинирования сыра и т-ры воды в сыромоечной машине.

34303. Новые машины и их влияние на качество «коричневого» сыра. Скольтвейт (De nye brunostmaskiner og brunostkvaliteten. Skåltveit Trygve), Meieriposten, 1956, 45, № 46, 912—922 (норв.)

«Коричневый сыр» в Норвегии составляет 40—45% от общего произ-ва сыра в стране. В последнее время широко распространены пороки сыра, быстро развивающийся при хранении, — выраженный привкус винной к-ты или закваски при одновременном превращении консистенции в сухую и хрупкую. Установлено, что

причиной этого порока являются быстро развивающиеся термофильные бактерии, которыми сыр заражается при изготовлении из-за неправильного пользования новыми сыродельными машинами, в частности вакуум-аппаратами. Рекомендуется для предупреждения заражения сыра термофильными бактериями в процессе произ-ва использовать только абсолютно свежее молоко, точно соблюдать режим пастеризации, пастеризовать все компоненты сырной смеси, производить не только щелочно-кислотную, но и бактерицидную мойку пастеризаторов и всех машин, в том числе вакуум-аппаратов.

Л. Кондратьева

34304. Антибиотические свойства молочной сыворотки. Дубинский Р., Молочн. пром-сть, 1957, № 12, 34

Опыты по изучению антибиотич. действия молочной сыворотки и свернувшихся белков молока показали, что антибиотич. в-во, выделяемое молочнокислыми культурами, концентрируется в сыворотке. Антибиотич. активность (АА) сыворотки выше активности свернувшегося молока. Творог обладает некоторой АА благодаря наличию в нем сыворотки.

А. Прогорович

34305. Новое оборудование для молочной промышленности. Мушик Р., Молочн. пром-сть, 1957, № 7, 19—21

Краткое описание нового оборудования, выпускаемого а-дом «Кифройзерхютте» (ГДР): пластинчатого пастеризатора типа ПА-20/0 (производительность 5000 л/час), тоннельной флягомоечной машины МКВ (производительность 400 фляг в час), металлич. маслоизготовителя типа БФА-4/0 (производительность 5000 л/час). Приведены 3 фотоснимка.

А. П.

34306. Лабораторная и производственная оценка химических дезинфицирующих средств на молочных фермах. Клегр (Laboratory and field evaluation of chemical sterilizers for dairy farms. Clegg L. F. L., J. Appl. Bacteriol., 1955, 18, № 2, 358—373 (англ.))

34307. Задачи мясной промышленности Казахстана. Новиков В., Мясная индустрия СССР, 1957, № 6, 10—12

34308. Оглушение убойных животных электрическим током. Штефунка, Гыр, Бланка (Omgachování jatečného skotu elektrickým proudem. Štefunka František, Hypr Igor, Blanka Richard), Průmysl potravin, 1957, 8, № 9, 457—461 (чешск.; реф. русск., англ., нем.)

Обзорная статья. Библ. 24 назв.

А. П.

34309. Линия обработки свиных голов. Муравьев А., Мясная индустрия СССР, 1957, № 6, 57

Описание технологич. процесса на конвейерной линии переработки свиных голов, сконструированной и установленной на Кишиневском мясокомбинате. Производительность линии (700—800 голов в смену) может быть без существенных изменений доведена до 1500 голов. Линию обслуживают 6 рабочих.

А. П.

34310. Линия обработки слизистых субпродуктов. Алексеев Л., Мясная индустрия СССР, 1957, № 6, 54

Описание опытного образца линии для обработки слизистых субпродуктов скота, изготовленной Вологодским а-дом Мясокоммаш. Производительность линии до 400 кг/час, площадь 16 м², общая мощность 9,27 кат. Линию обслуживают 3 человека.

А. П.

34311. Приборы для определения нежности мяса. Жеребцова П., Мясная индустрия СССР, 1956, № 5, 27—28

Кратко описано устройство двух приборов. Основной частью первого прибора является нож в виде стальной ленты толщиной 0,78 мм, протянутой через щель деревянной стойки. В центре ножа находится отверстие квадратной формы с острыми краями.

Испытуемый образец мяса помещают в это отверстие. Нож приводится в движение винтовой тягой. Усилие, необходимое для разрезания образца, фиксируется стрелкой динамометра. Второй прибор состоит из двух челюстей: верхней — неподвижной и нижней — подвижной, между которыми помещают образец мяса. Подвижная челюсть соединена с линейкой, балансируемой противовесом. На линейке укреплен кастроль, в которую из расположенной над ней воронки падает свинцовая дробь. Скорость ее падения контролируется ползунком, движущимся под отверстием воронки. Под влиянием веса дробин нижняя челюсть движется в направлении к верхней и раздавливает образец мяса. Необходимое усилие и время фиксируются автоматически карандашом на вращающемся барабане, диам. 7,5 см. Барабан снабжен телехронным мотором, который работает одновременно с падением дробин и останавливается присоединением выключателя к ползунку после смыкания челюстей.

В. Долговский

34312. Совместное применение облучения и других методов обработки мяса. Шульц, Кейн, Нордан, Морган (Concomitant use of radiation with other processing methods for meat. Schultz H. W., Cain R. F., Nordan H. C., Morgan Bruce H.), Food Technol., 1956, 10, № 5, 233—238 (англ.)

Изучено действие γ -лучей на продукт при разных условиях облучения и после разных видов предварительной обработки продукта. Исследована возможность уменьшения специфич. привкусов путем применения: 1) доз облучения $< 2 \times 10^6$ ф. э. р.; 2) вакуума (660 мм вод. ст.) при закатке банок с продуктом или заполнения их N₂; 3) облучения продукта в замороженном состоянии (т-ра замораживания —29°); 4) полной или частичной варки и обезвоживания перед облучением. Опыты производились с измельченной говядиной и свиной, говяжьими сосисками и болонской колбасой, упакованными в эмалированные консервные банки, в которых оставлено свободное пространство над продуктом высотой ~19 мм. Органолептич. оценка облученных продуктов производилась по 5-балльной шкале после 2—3 недель хранения при —18° и кулинарной обработки. Установлено наличие линейной зависимости между интенсивностью специфич. привкуса в говядине и дозой облучения, удвоение которой снижало качеств. оценку вкуса на 0,225 балла, причем заметный привкус вызывался уже дозой в 124 200 ф. э. р. Не оказывали влияния на силу привкуса: интенсивность лучевого потока или время выдержки, необходимые для достижения дозы 2×10^6 ф. э. р., наличие вакуума, воздуха или азота в банке (за исключением банок с сосисками), замораживание продукта, предварительная тепловая обработка или обезвоживание его. Наличие воздуха в банках усиливало привкус в сосисках. Комбинированное действие тепла и облучения фактически может даже усилить привкус в измельченной говядине и свинине.

Г. Любовский

34313. Определение степени свежести некоторых пищевых субпродуктов (Сердце, легкие, вымя, преджелудки). Шаров В. А., Тр. Моск. вет. акад., 1956, 17, 79—86

На основании изучения биохим., микробиол. и структурных изменений, происходящих в субпродуктах при хранении, с целью изыскания лабор. методов определения их свежести, рекомендуется в комплексе с данными бактериоскопии и органолептич. исследования определять кол-во аминокислотного азота (АА), которое отражает степень распада белка. В начальной стадии разложения АА во всех субпродуктах увеличивается до 10 мг%, в последующих стадиях АА в легких и рубце достигает > 30 мг%. В сердце и вы-

мени такого резкого увеличения не отмечается. Кроме этого, для исследования сердца и вымени рекомендуется определение летучих жирных к-т и NH_3 с реактивом Несслера; для легких и рубца — определение NH_3 и окислительно-восстановительного потенциала.

В. Долговский

34314. О мороженных мясных продуктах. Уисман (How to handle frozen meats. Wiesman Clarence K.), *Refrig. Engng*, 1956, 64, № 10, 60—61, 107—108 (англ.)

Доклад на конференции Американского общества инженеров-холодильщиков (июнь 1956 г.). Мороженные мясные продукты следует транспортировать и хранить при $t_{\text{ре}} \leq -18^\circ$. Неправильная дефростация может вызвать порчу продуктов вследствие быстрого роста микрофлоры. После 24 час. оттаивания при 21° мороженных мясных продуктов, хранившихся 12 месяцев, кол-во микроорганизмов увеличивалось (в 1 г): в бифштексе с 390 до 1 400 000, в грудной части целой куриной тушки от 0 до 30, в свиной отбивной с 1300 до 8 700 000. Рекомендуется мороженные мясные полуфабрикаты подвергать тепловой кулинарной обработке без предварительного оттаивания, а крупные куски мяса и птицу дефростировать при искусств. охлаждении или в проточной холодной воде. При -18° можно хранить без ухудшения качества говядину и баранину 6, телятину и свинину 4 месяца. Эти сроки увеличиваются вдвое при -23° и возрастают с дальнейшим понижением $t_{\text{ры}}$ хранения. Библ. 11 назв.

Г. Любовский

34315. Правильные методы замораживания, хранения и транспортирования мороженной птицы и яиц. Лой (Proper methods for handling frozen poultry and eggs. Loy W. C.), *Refrig. Engng*, 1956, 64, № 9, 58—60 (англ.)

Доклад на конференции Американского общества инженеров-холодильщиков (июнь 1956 г.). Указано, что для сохранения надлежащего товарного вида мороженной птицы необходимо быстрое замораживание. Хорошие результаты получают при замораживании целых тушек в туннеле при -34° и скорости движения воздуха 18 м/мин. Фасованную птицу удобнее замораживать в контактных скороморозильных аппаратах. Для хранения птицы в течение 1 года без снижения качества необходима $t_{\text{ра}} \leq -23^\circ$. При замораживании яичного мелажа $t_{\text{ра}}$ в центре банки должна быть снижена возможно быстрее. Длительность замораживания стандартной банки емк. 13,6 кг при начальной $t_{\text{ре}}$ продукта 7° составляет 6 час. при -43° , а в морозильных камерах обычного типа доходит до 16 час. Ввиду сезонности произ-ва необходима возможность хранения яичных продуктов ≥ 1 года. Опыты показали, что при первоначальном хорошем качестве эти продукты можно хранить при $t_{\text{ре}}$ от -18° до $-20^\circ > 6$ лет.

Г. Любовский

34316. Американские методы быстрого посола мяса. Коп (Amerikaanse snelpelmethode. Koop L.), *Conserva*, 1956, 4, № 12, 368—371 (гол.)

Обзорная статья.

К. Г.

34317. Нефелометрический метод оценки качества рассолов при посоле мяса. Казда (Nefelometrické sledování jakosti láků při nakládání masa. Kazda Jindřich), *Průmysl potravin*, 1957, 8, № 9, 453—456 (чешск.; рез. русск., англ., нем.)

Метод основан на измерении яркости света, проникающего через рассол в фотоколориметре с красным фильтром, в кювете 0,5 см. Для рассолов хорошего качества яркость света превышает 89%, для рассолов подозрительной свежести, имеющих естественный запах, яркость находится в пределах 79—89%, испорченные рассолы дают яркость света $< 79\%$. Нефелометрич. данные согласуются с органолептич. свой-

ствами соленого мяса. Предполагают, что образование муты происходит вследствие размножения палочкообразных микроорганизмов, или денатурации белков, или же осаждения из рассола минер. в-в.

А. Прогорович

34318. Опрыскиватель взамен шприца. Михайленко В., *Мясная индустрия СССР*, 1957, № 6, 54

Сообщение об использовании для введения рассола в окорока реконструированного ранцевого пневматич. опрыскивателя ОРП-В с железным резервуаром. Его шланг удлинен до 3 м, вместо направляющей трубки. Использована полая игла длиной 20—25 см, соединенная с фильтром.

А. П.

34319. Влияние отдельных стадий технологического процесса приготовления окороков фермерского типа на содержание в них соли и влаги. Хейне, Шмитт (Effect of unit processes on the salt and moisture content of hams processed country style. Haynes Richard D., Schmitt H. P.), *Food Technol.*, 1956, 10, № 9, 400—402 (англ.)

Исследовано содержание соли и влаги в окороках фермерского типа после посола, промывания, подсушивания, копчения и сушки при различных способах их приготовления. Приведены средние, миним. и максим. значения содержания соли и влаги в верхнем, среднем и нижнем слое окорока на различных стадиях технологич. процесса. Установлено, что содержание соли в среднем и нижнем слое окорока оставалось низким во время посола, промывки, подсушки и составляло в среднем 1,7% (для среднего слоя) и 0,64% (для нижнего слоя) в конце подсушки. Содержание влаги изменялось незначительно.

В. Крылова

34320. Об определении коллагенсодержащих веществ в колбасных изделиях. Коттер (Zum Nachweis kollagener Substanzen in Wurstwaren. Kotter L.), *Wiener tierärztl. Monatsschr.*, 1957, 44, № 12, 705—715 (нем.; рез. англ., франц., итал.)

34321. Питательная ценность некоторых мясных консервов. Божик, Шафранский, Гох, Гулячинский. Яетшембская (Wartość odżywcza niektórych konserw mięsnych. Bożyk Zbigniew, Szafranski Kazimierz, Goch Halina, Gulczyński Zygmunt, Jastrzębska Anna), *Przem. spożywczy*, 1956, 10, № 11, 464—467 (польск.)

Исследование мясных консервов «Гуляш говяжий», «Гуляш свиной» и «Колбаса» на содержание воды, белка, жира, золы и углеводов показало, что более калорийным является «Гуляш свиной», «Гуляш говяжий» богат белком.

З. Ф.

34322. Мясокомбинат в штате Айова. (Bustling growth of efficient beef operations.—), *Nat. Provisioner*, 1956, 135, № 14, 14—17, 26, 28 (англ.)

Описание технологич. процесса и оборудования нового производственного корпуса предприятия в г. Спенсер (штат Айова, США), перерабатывающего 250—300 голов крупного рогатого скота в день. Емкость камер охлаждения мяса 500 туш. Кол-во рабочих 41 человек. Указана расстановка рабочей силы и дан план помещений с расположением основного оборудования.

Г. Любовский

34323. Некоторые новые машины и установки в мясной промышленности. Шрейбер (Některé nové stroje a zařízení v masném průmyslu. Schreiber Jiří), *Průmysl potravin*, 1957, 8, № 8, 397—400 (чешск.; рез. русск., англ., франц., нем.)

Сообщение о новой производственной линии для убоя свиней, разработанной научно-исследовательским ин-том холодильного и пищевого машиностроения (Чехословакия) и описание универсального ме-

ханизированного отделения для разрубки говяжьих и свиных туш. А. П.

34324. Элементарный состав минеральных веществ мяса промысловых рыб, моллюсков и ракообразных [дальневосточных морей]. Кизеветтер И. В., Сообщ. о научно-исслед. работах членов Приморск. отд. Всес. хим. об-ва им. Д. И. Менделеева, 1957, вып. 3, 165—196

Обзор. Библ. 156 назв.

А. П.

34325. Изучение антисептиков. VII. Испытание сохранности вареной рыбы с витамином К₃. Такака, Кавакита (Takaka Shigeki, Kawakita Hyozo), Хакко когаку дзасси, J. Ferment. Technol., 1955, 33, № 4, 173—175 (японск.; рез. англ.)

Вареная рыба (ВР), содержащая 26,6 и 53,3 мг/кг витамина К₃, сохранялась при 23—26° 40 час.; ВК, содержащая 100 мг/кг бутилового эфира *n*-оксигенозойной к-ты, хранилась 25 час. контрольный образец ВК без антисептиков — только 15 час. А. Прогорович

34326. О бомбаже рыбных баночных презервов и газообразующих процессах в них. Иванова С. И., Рыб. х-во, 1956, № 10, 77—80

Кратко изложены биохим. процессы, вызывающие накопление в банках газообразных продуктов. Установлено, что при хранении презервов сразу после изготовления при *t*-ре < 0° явлений бомбажа не наблюдается. При *t*-ре 10° презервы созревают быстрее и на 40—50-й день хранения может возникнуть негнлостный бомбаж в результате жизнедеятельности, главным образом, ароматообразующих молочнокислых бактерий. Гнлостный бомбаж наступает значительно раньше и преимущественно при *t*-ре 10°. В результате микробиологич. процессов при бомбаже обоих типов выявлены группы микроорганизмов, обуславливающих характер газообразования, и разработаны методы определения их стойкости. Пользуясь этими методами, можно своевременно определять тип бомбажа и предупреждать его развитие, а также проверять качество тузлуков бочкового и чанового посола. В. Долговский

34327. Исследование рыбных консервов, изготовленных в банках из нержавеющей стали ЭИ-457. Грживо В. С., Сюнякова З. М., Консервы и овощесуш. пром-сть, 1957, № 8, 26—29

Исследование рыбных консервов в томатном соусе, а также натуральных и в масле, изготовленных в банках из нержавеющей стали (НС) холодного и горячего проката и в комбинированных банках из НС с крышками из белой жести и банках из белой жести с крышками из НС, показало, что комбинированная тара из НС и белой жести является не пригодной для произ-ва консервов, так как комбинация этих материалов создает электрохим. условия, способствующие усиленной коррозии белой жести, полному растворению олова и последующему растворению железа с образованием бомбажа. Консервы в банках из НС ЭИ-457 имели нормальные вкусовые качества, содержание в них солей железа составляло в среднем 1 мг% (натуральная треска) — 5 мг% (султанка в томатном соусе) по сравнению с 2,7 мг% в контрольных образцах. В течение 3 лет содержание солей железа оставалось практически постоянным. Содержание солей хрома в консервах из НС в 8—9 раз превышало кол-во их в контрольных образцах и повышалось по мере увеличения срока хранения (после 4 лет хранения составляло 2,5—4,6 мг на 1 кг продукта).

А. Прогорович

34328. Обнаружение фальсификации кофе добавлением кофе, подвергнутого экстрагированию, и определение количества последнего. Померанц [De-

tection of exhausted coffee in genuine roasted coffee and estimation of the added amount. Pomeranz Y.), *Analyt. Chim. acta*, 1957, 17, № 6, 527—529 (англ.; рез. нем., франц.)

Разработан метод, основанный на ярко-желтой флуоресценции в УФ-свете в-в, содержащихся в натуральном кофе и не содержащихся в кофе, подвергнутом экстрагированию. Для грубого определения кол-ва добавленного экстрагированного кофе, 10 мг продукта равномерно распределяют на фильтровальной бумаге площадью ~320 см², на каждую частичку продукта помещают микрокаплю кипящей воды и исследуют в УФ-свете (лучше после высушивания бумаги), сравнивая с контролем известного состава.

Г. Новоселова

34329. О ферментации табака. VI. Изменение содержания органических кислот. Пирики (Über die Tabakfermentation. VI. Mitt. Die mengenmäßigen Veränderungen der organischen Säuren. Pyriki Constantin), *Ber. Inst. Tabakforsch. Dresden*, 1957, 4, № 1, 81—102 (нем.; рез. англ., русск.)

Табаки трех ботанич. сортов (Вирджиния, Берлей и Гавана), выращенные в 1954 г. в различных районах ГДР, подвергали четырем видам ферментации: редраинг в течение 55 мин. при начальной *t*-ре 82°, с последующей выдержкой в течение 27 суток в регулируемых условиях, камерная при 50° в течение 10 и 21 суток, и в бунтах (7,25 т) 53 дня. Изменения в кол-ве органич. к-т в результате ферментации незначительны, причем при первых трех методах ферментации табака имеет место снижение кол-ва органич. к-т, а при ферментации в бунтах, наоборот, повышение их содержания (особенно щавелевой к-ты). В исследуемых табаках наблюдалось небольшое снижение pH, а в отдельных случаях некоторое повышение pH после ферментации. Потеря сухого веса табака хорошо совпадает с данными, полученными ранее при ферментации местных табаков. Сообщение V см. РЖХим, 1957, 6761.

Г. Диккер

34330. Изучение консервированного хрена. III. Влияние альфа-крахмала и неионных поверхностно-активных веществ на процесс консервирования. Кодзима, Мотоёси (Kojima Misao, Motoyoshi Tomikazu). IV. Влияние срока добавления химических веществ на вкус консервированного хрена. Кодзима, Мацусита (Kojima Misao, Matsushita Bunichi), Хакко когаку дзасси, J. Ferment. Technol., 1955, 33, № 4, 162—167; № 8, 353—357 (японск.; рез. англ.)

III. Добавление α -крахмала к образцам васабизуки (консервированного хрена), хранящимся в открытых сосудах, препятствует улетучиванию аллилового горчичного масла, а добавление неионных поверхностно-активных в-в способствует улетучиванию. При хранении образцов васабизуки в закрытых сосудах уменьшение содержания аллилового масла не зависит от добавления крахмала или поверхностно-активных в-в и содержание его понижается в результате ферментативных процессов.

IV. Изучено влияние добавления желатин, альбумина, гуммиарабика, пенициллина, тетрациклина, салициловой к-ты, витамина К₃ и α -крахмала к образцам васабизуки. При добавлении указанных в-в в момент изготовления васабизуки или к готовому продукту аллиловое горчичное масло сохраняется лучше, чем в контрольных образцах. Добавление в момент изготовления более эффективно, чем добавление к готовому продукту. Наилучшие результаты дает добавление 1—2% α -крахмала. Сообщение II см. РЖХим, 1957, 13886.

Т. Сабурова

34331. Определение содержания гистамина в соевом соусе. Кадзимото, Симохиса, Морнока

(Kajimoto Yoshie, Shimohisa Masamitsu, Morioka Fijii), Игаку то сэйбугуаку, Med. and Biol., 1955, 35, № 6, 206—209 (японск.)

Установлено, что соевые соусы содержат гистамин, причем по содержанию гистамина на первом месте стоит продажный «натуральный» соус, далее следуют аминокислотные и сброженные соусы.

34332. Массовая дегустационная оценка яблочного соуса для выявления оптимального отношения количества сахара к количеству кислоты. Драйден, Хилс (Consumer preference studies on apple sauce: sugar-acid relations. Dryden E. C., Hills Claude H.), Food Technol., 1957, 11, № 11, 589—591 (англ.)

Для сохранения хорошего вкуса яблочного пюре содержание сахара в нем должно быть тем больше, чем выше кислотность. Наиболее высокую дегустационную оценку получил яблочный соус, содержащий 0,45% к-ты и 20% сахара.

34333. Анализ приностей и обнаружение примесей. Митра, Рой (Some recent progress in the analysis of spices and detection of adulterants. Mitra S. N., Roy S. C.), J. and Proc. Instn Chemists (India), 1957, 29, № 2, 85—91 (англ.)

Исследованы черный перец, желтый имбирь, кориандр, римский тмин. Семена черного перца могут содержать примесь семян азимины, что легко определить, так как семена азимины не содержат крахмала и летучих масел. Предложены новые нормы содержания в пряностях отдельных ингредиентов. В измельченном желтом имбире не наблюдали потерь летучего масла в течение 8 недель. Модифицированы методы определения минер. примесей, сырого крахмала, летучих масел в имбире, каменноугольных красителей методом окрашивания шерсти, определения примеси имбиря к другим пряностям. Разработан метод хроматографии на бумаге для отделения натурального красителя имбиря от искусств. красителей с применением р-рителя, приготовленного встряхиванием в делительной воронке 4 ч. воды, 4 ч. изобутанола и 1 ч. этанола. Смешанную органич. фазу после отстаивания и отделения от воды. фазы применяют в качестве р-рителя. Положительная йодкрахмальная проба обнаруживает примесь посторонних веществ в тмине римском и кориандре.

34334. Плесневение приностей. Грубый, Науш (Plisně v kofení. Hrubý Stanislav, Nauš Antonín), Průmysl potravin, 1957, 8, № 7, 379—380 (чешск.; рез. русск., англ., нем.)

Установлено, что все виды приностей могут подвергаться плесневению и являться источником заражения плесневыми грибами различных пищевых продуктов.

34335. Химические вещества, добавляемые к пищевым продуктам. Махон, Пагсли (Chemical additives in foods. Mahon J. H., Pugsley L. I.), Canad. Serv. Med. J., 1956, 12, № 6, 494—502 (англ.)

Обзор и классификация искусств. хим. в-в, допускаемых канадским законодательством в качестве улучшителей и консервантов пищевых продуктов. Обсуждены принципы допуска искусств. добавок к пищевым продуктам (эмульгаторов и стабилизаторов, ароматизирующих и подкрашивающих в-в), а также требования к их физ. и хим. свойствам и испытания, проводимые для определения их безвредности.

34336. Доклад о пересмотре постановления от 28 июня 1912 года по вопросу окрашивания пищевых продуктов. Трюо (Rapport concernant la révision de l'arrêté du 28 juin 1912 sur la coloration des denrées alimentaires. Trubaut R.), Rev. hyg. et méd. sociale, 1957, 5, № 7, 611—646 (франц.)

34337. Применение красителей при производстве пищевых продуктов. Нильсен (Anvendelse of far-

vestoffer i levnedsmidler. Nielsen Knud), Konserver, 1956, 14, № 7, 78 (датск.)

В Дании 2 июля 1956 г. введен в действие новый циркуляр о применении пищевых красителей. Разрешено применение индигокармина, нафтола желтого S, тартразина, параоранжа, азорубина, амаранта, пунцового 4R, красного 6B, красного FB, а также неорганич. и органич. натуральных красителей. В рыбной промышленности разрешены: для подкраски лососевых — смесь параоранжа 75—80% и пунцового 4R, кошенили 25—20% и для окраски икры смесь индигокармина 55%, тартразина 22,5% и амаранта 22,5% при дозе ~ 5 г/л. Запрещено применение для икры смесей красителей, содержащих нигрозин.

34338. Неспецифические методы определения консервантов в пищевых продуктах. Дель-Кампо (Sulla ricerca aspecifica delle sostanze antifementative negli alimenti. Risultati ottenuti mediante una modificazione del metodo batteriologico gasometrico. Del Campo Agostino), Ind. conserve, 1957, 32, № 4, 288—294 (итал.; рез. англ., нем., франц.)

Модифицирован микробиологич. метод Клёвера путем замены весового определения объемным и использования чистых культур *Saccharomyces cerevisiae* вместо хлебопекарных дрожжей. Метод очень чувствителен и позволяет определять в различных пищевых продуктах консерванты, примененные в обычных дозах.

34339. Упаковка продуктов, предназначенных для длительного хранения. Гревэр, Вилле (De verpakking van te verduurzamen of verduurzaam voedingsmiddelen. Grever A. B. G., Wille B. A.), Conserva, 1957, 6, № 6, 136—143 (гол.)

34340. Пластмассы в качестве упаковочных материалов для пищевых продуктов. Робинзон-Гёрнхардт (Kunststoffe in der Lebensmittelverpackung. Robinson-Görnhardt L.), Kunststoffe, 1957, 47, № 2, 54—58 (нем.; рез. англ., франц., исп.)

Обзор действующих в США правил в отношении допустимости применения разных видов полимеров, пластификаторов, стабилизаторов при произ-ве упаковочных материалов для пищевых продуктов. В ряде случаев применение пластмасс или отдельных компонентов пластмасс ограничено, напр. пленки из поливиниловых спиртов используют только для упаковки жиров; пластики, содержащие в качестве пластификатора диоктилфталаты, — только для пищевых продуктов, не содержащих жиров; в пределах одной и той же группы пластификаторов отдельные члены ряда могут резко отличаться по своему физиологич. действию: таковы весьма токсичный трикрезилфосфат и совершенно нетоксичный фосфат «Santizer 141».

34341. О свойствах полиэтиленовых пленок, применяемых для упаковки пищевых продуктов. Целерин (Některé poznatky o vlastnostech polyethylenové folie k balení potravin. Celerín Jan), Průmysl potravin, 1957, 8, № 9, 496—498 (чешск.; рез. русск., англ., нем.)

Приведены результаты испытаний полиэтиленовой пленки на водо- и газопроницаемость в различных условиях.

34342. Развитие применения стеклянной тары. Готтарди, Паолетти (Evoluzione ed importanza dei contenitori di vetro. Gottardi Vittorio, Paolletti Gianfranco), Ind. conserve, 1957, 32, № 4, 281—287 (итал.; рез. англ., нем., франц.)

Рассмотрены свойства стекла в качестве упаковочного материала для пищевых продуктов. Отмечен рост произ-ва стеклянной тары в различных странах.

34343. Алюминиевая фольга для упаковки. Блинд (ALU-Haushaltfolie. Blind E.), Aluminium Suisse, 1957, 7, № 3, 116—119 (нем., франц.)

Применение алюминиевой фольги для упаковки пищевых продуктов в Швейцарии. В. Гурни

34344. Контроль алюминиевой тары в пищевой промышленности. Капуано (Il controllo dei contenitori d'alluminio nell'industria alimentare. Capuano Giuseppe), Ind. conserve, 1957, 32, № 4, 277—280 (итал.; рез. англ., нем., франц.)

Рассмотрены вопросы контроля алюминиевой тары с точки зрения ее коррозионных свойств, влияния материала тары на органолепич. свойства пищевых продуктов, герметичности и механич. свойств тары. Г. Н.

34345. Оценка качества упаковки замороженных пищевых продуктов. Франклин (How do your frozen food packs rate? Franklin E. W.), Canad. Packag., 1957, 10, № 10, 136—137 (англ.)

Испытана способность большого числа разных видов тары и оберток для замороженных пищевых продуктов сохранять влажность продуктов при -18° и относительной влажности воздуха 77%. Тару заполняли зеленым горошком, обертки испытывали, завертывая в них насыщенный водой и замороженную целлюлозную губку. Коробки из картона, парафинированного или покрытого пластиком, в течение 6 месяцев предохраняют продукт от потери $>1\%$ влаги. Металлич., стеклянная и полиэтиленовая тара, а также тара из парафинированного картона с внутренним бумажным или полиэтиленовым пакетом в течение 54 недель препятствует потере заметных кол-в влаги. Бумага, плиофильм, целлофан, алюминиевая фольга, саран и другие оберточные материалы сохраняют влажность продуктов преимущественно в зависимости от свойств материала, а не от способа упаковки.

А. Кононов

34346. Эксплуатационные испытания изотермических вагонов для перевозки замороженных пищевых продуктов. Хайнде, Джонсон, Холдман (A performance test of refrigerated rail cars transporting frozen food. Hinds Russell H., Jr, Johnson Harold D., Haldeman Robert C.), Market. Res. Rept. U. S. Dept. Agric., 1957, № 182, iv, 20 pp., ill.) (англ.)

Проведены опытные перевозки на дальнее расстояние (90 час. в пути) замороженной кукурузы в трех изотермич. вагонах различного типа, два из которых были оборудованы механич. холодильными установками с холодопроизводительностью 13 100 и 8060 ккал/час при t -ре внутри вагонов $-17,8^{\circ}$ и внешней $37,8^{\circ}$; третий вагон охлаждался смесью льда с солью при объеме льда 68 т в двух торцовых бункерах. Испытания показали, что для перевозки продуктов, требующих поддержания низких t -р, должны применяться вагоны, оборудованные механич. холодильными установками, в особенности в жаркую погоду. С. Светов

34347 К. Пищевая ценность и химический состав консервов. Грживо В. С., М., Пищепромиздат, 1957, 207 стр., 7 р. 50 к.

34348 К. Промышленные печи хлебопекарного и кондитерского производства (Учебник для технол. вузов пищ. пром-сти). Шумаев Ф. Г., Маклюков И. И. М., Пищепромиздат, 1957, 354 стр., илл., 8 р. 90 к.

34349 К. Химия и технология плодоягодных и овощных соков. Тресслер Дональд К., Мейнард Джоелин А. Перев. с англ. М., Пищепромиздат, 1957, 599 стр., илл., 37 р.

34350 К. Рассольные сыры. Диланян З. Х., Волкова М. А., М., Пищепромиздат, 1957, 171 стр., илл., 6 р. 80 к.

34351 Д. Определение количественных показателей технологического процесса и расчет выхода хлеба. Щербатенко В. В. Автореф. дисс. канд. техн. н., Моск. технол. ин-т пищ. пром-сти, М., 1957

34352 С. Бобовые овощи. Горох огородный шелушенный (Hülsenfrüchte. Speiseerbsen ungeschält). Стандарт ГДР TGL, 2977, 1956 (нем.)

34353 П. Хранение зерновых продуктов. Льюис (Storage of agricultural products. Lewis Fred F.). Пат. США 2768896, 30.10.56

Для сохранения зерновых продуктов от порчи в насыпи, непосредственно на грунте, предлагается создать снизу и на поверхности насыпи водонепроницаемую пленку обрызгиванием площадки грунта и насыпи безвредными термопластичными смолами (напр., одним полиэтиленом или с 5—10% полиизобутилена). А. Емельянов

34354 П. Индикатор на оттаивание. Зопф (Thaw indicator. Zopf George W.) [Monsanto Chemical Co.], Пат. США 2762711, 11.09.56

Для обнаружения оттаивания упакованного замороженного пищевого продукта предлагается индикатор (И), изменяющий цвет при соприкосновении с водой. Таким И является реактив, получаемый обработкой глины, способной к катионному обмену (главным образом бентонитовых глин) ароматич. аминами (напр., бензидином или толуидином) одними или с альдегидами (преимущественно с формальдегидом). Для показаний оттаивания И помещают, напр., в находящуюся в соприкосновении с замороженным продуктом закрытую прозрачную капсулю вместе со льдом. В таком же виде И может быть использован для указания на повышение t -ры замороженного продукта выше определенной точки, для чего в капсулю вместе с И помещают замороженный р-р, имеющий t -ру плавления $<0^{\circ}$. Весцветный (в сухом виде) И может быть нанесен на упаковку замороженного продукта в виде напечатанной, невидимой предупредительной надписи, проявляющейся в виде цветного текста при соприкосновении с водой. Пример. 20 г обработанного к-той бентонита, содержащего Са, смешивают с 30 мл воды. К полученной густой суспензии добавляют 0,2 г (1%) бензидина, растворенного в 10 мл метилового спирта. Получают суспензию светло-голубого цвета; после добавления к ней 0,35 мл 36%-ного р-ра формальдегида суспензия приобретает зеленовато-синий цвет, достигающий максим. глубины через 15 мин. Полученную смесь после этого фильтруют и промывают 20 мл воды и 150 мл метилового спирта. Оставшаяся на фильтре масса после высушивания при 65° в течение 30 мин. приобретает светло-желтый цвет, переходящий в ярко-зеленый при смачивании водой. С. Светов

34355 П. Смесь для сдобного теста. Перкинс, Гриннел (Mélange pour pâte à croûte. Perkins, née Sibeets Eva L., Grinnel William E.). Франц. пат. 1118412, 6.06.56

Патентуется способ приготовления смеси для сдобного теста, состоящей из муки, сахара, жиров (растительных или животных), лецитина, яичных белков, дрожжей и к-ты. Тесто, приготовленное из смеси, обладает золотистой окраской, слоистостью, не увлажняется и не расслабляется. Оно может быть переработано при нормальной t -ре и в замороженном состоянии, хорошо формуется, давая при выпекании изделия хорошего качества. При $\sim 5^{\circ}$ смесь можно хранить

длительное время. Пример. Рецептury смеси: пшеничной муки 30 ч., дрожжей $\frac{1}{4}$ ч., соли $\frac{1}{2}$ ч., сахара $\frac{1}{2}$ ч., яичного сухого альбумина $\frac{1}{8}$ ч., жиров 16 ч., лецитина соевого 1 ч., лимонной к-ты $\frac{1}{4}$ ч., воды ~ 8 ч.

М. Серебряков

34356 П. Производство шоколадных изделий. Отак.п. Японск. пат. 2883, 17.04.56

В молоко или восстановленное сухое молоко вводят сахарный песок и глюкозу, какао, витаминизированный шоколад, пищевые жиры, эмульгаторы, добавляют воды, эмульгируют и сухой распылением получают порошок. К порошку добавляют воду и, регулируя т-ру, формуют шоколад. Пример. Масло-какао 5 кг, твердое пищевое масло (т. пл. 36°) 20 кг, кокосовое масло 5 кг смешивают, нагревают до 70°, добавляют при перемешивании 10 кг какао, 1 кг лецитина и 1 кг моноглицерида стеариновой к-ты. Растворяют 60 кг сахарного песка, 0,5 кг соли и 10 кг сухого молока в 100 л воды, нагревают до 70°, помешивая, вливают в массу и эмульгируют. Эмульсию при 70° сушат распылением и получают шоколад в порошок (содержание воды 1,6%). 100 кг порошка помещают в бак, размешивают при 23°, добавляют 1 л воды и формуют под давл. 140 атм.

А. Фрадкин

34357 П. Производство консервированных плодово-ягодных начинок для пирогов. Ойлер (Food product for fruit pie filling and method of canning same. Oyler James R.) [Knouse Foods Cooperative, Inc.]. Пат. США 2755190, 17.07.56

Патентуется способ произ-ва консервированных плодово-ягодных начинок из черешни, земляники, ежевики, малины, черники, яблок, персиков и др. Подготовленные плоды закладывают в банку и помещают в вакуум для удаления воздуха и газов из ткани плодов (разрежение 635—686 мм) и заливают сиропом, содержащим любой крахмал, но предпочтительно кукурузный. По выходе из вакуумной камеры банки с содержимым подвергают действию повышенного давления (1,05 атм) воздуха, азота, углекислого газа или любого инертного газа, что способствует проникновению сиропа и крахмала в поры плодов. Затем банки подвергают вакуум-укупорке (разрежение 15—25 см) и стерилизации при 88—98° в течение 7—12 мин. Варка начинки и клейстеризация крахмала осуществляются в процессе стерилизации. Крахмал может быть заменен другим загустителем: желатиной, агар-агаром, карбоксиметилцеллюлозой. Конц-ия и кол-во добавляемого в банку сиропа должны обеспечивать содержание сахара в готовой начинке ≤ 50%. В зависимости от вида плодов оптимальное содержание сахара 20,7—25,5%, крахмала 2,3—3,8%, pH сиропа 3,4—3,7.

Т. Сабурова

34358 П. Извлечение антиокислителей из лжеапельсинов. Клоптон (Extraction of antioxidant from osage orange fruit. Clopton John R.) [Texas Research Foundation]. Пат. США 2752314, 26.06.56

Мякоть лжеапельсинов сушат при 60—120° в вакууме или при атмосферном давлении, удаляя 95% первоначального содержания влаги, и измельчают в порошок. В качестве антиокислителя к пищевому продукту добавляют либо непосредственно полученный порошок, либо его вытяжку, либо остаток после удаления из вытяжки р-рителя. При получении вытяжки применяют любой р-ритель, растворяющий жиры: ацетон, эфир, диоксан, дипропиленгликоль, этанол, глицериды, жидкие растительные масла и другие, а также смеси разных р-рителей. Полученный препарат антиокислителя может быть очищен перекристаллизацией. Сухой порошок лжеапельсина добавляют к консервируемому продукту в кол-ве 0,1—1,5%, очищ. концентрат в кол-ве 0,01—0,1%, неочищ. концентрат в кол-ве 0,03—0,3%. Антиокислительные свойства препарата

повышаются при одновременном добавлении: винной, пировиноградной, фосфорной, щавелевой, l-яблочной, фумаровой, лимонной, d-изоаскорбиновой и аскорбиновой к-т.

Т. Сабурова

34359 П. Производство пищевых продуктов, содержащих активные молочнокислые бактерии, сообщающих продукту приятный запах. Мисима. Японск. пат. 9137, 15.12.55

Патентуется способ приготовления вкусного и питательного продукта из цельного или обезжиренного молока путем молочнокислого брожения. Продукт обладает ароматом, свойственным слабому спиртовому брожению, и запахом свежих фруктов. В цельное или обезжиренное молоко вносят молочные дрожжи, молочнокислые бактерии (напр., болгарскую палочку), добавляют сахар, желатинирующие в-ва (напр., метилцеллюлозу), плодовой сок, протертую плодовую мякоть или ломтики плодов (апельсин, земляника, персик, банан, яблоко, томаты, ананасы) и размешивают. Добавлением Са-карбоната доводят pH продукта до 5,0—5,5 и еще добавляют цельное или обезжиренное молоко. Массу пастеризуют, охлаждают и вторично вносят в нее молочнокислые бактерии. Т-ра брожения 30—35°, время 12—24 часа. Пример. В 1 кг обезжиренного молока вносят 10 г закваски дрожжей, состоящей из молочных дрожжей и болгарской палочки, и оставляют при 30—35° на 12 час. При окончании брожения титруемая кислотность 1,6%, содержание спирта 0,4%. Затем добавляют 140 г сахара, 4,4 г метилцеллюлозы, 120 г конц. апельсинового сока и размешивают. В массу добавляют Са-карбонат и доводят pH до 5,0—5,5, добавляют 120 г обезжиренного сухого молока, пастеризуют при 75°, быстро охлаждают, добавляют 40 г дрожжей, обеспечивающих питательную среду для болгарской палочки, разливают по небольшим сосудам и на 5 час. помещают в термостат с т-рой 37°. При титруемой кислотности 0,6—0,7% желеобразную массу переносят на хранение в холодное помещение.

В. Гужавин

34360 П. Способ консервирования готовых блюд из мяса с гарнирами в измельченном виде в консервной таре. Хеннинг (Verfahren zur Konservierung von Hauptgerichten aus Fleisch und Beigaben in getrennten Schichten eines Konservierungsbehälters. Henning Wolfgang). Пат. ФРГ 956191, 17.01.57

Для обеспечения равномерности и одинаковой длительности прогрева, независимо от состава компонентов, патентуется способ консервирования готовых блюд из мяса с гарниром в измельченном виде, заключающийся в том, что сваренное, полусваренное или сырое мясо, рыбное филе или овощи с пряностями и зеленью плотно запрессовывают в консервную тару (напр., банки), чтобы верхние и боковые плоскости были гладкими, затем жидкими или полужидкими добавками наполняют свободное пространство тары, закатывают ее и продукт стерилизуют. А. Манербергер

34361 П. Аппарат для сушки листового табака. Масуфуги. Японск. пат. 638, 31.01.56

Листовой табак помещают в сушильную камеру, снабженную форсункой, работающей на тяжелом жидком топливе. К двум соплам форсунки подведены обогревающие трубы, выходящие в сушильную камеру. С помощью клапана можно регулировать интенсивность пламени в обоих соплах и т-ру обогревающих труб и, следовательно, в разных секторах сушильной камеры. Даны 4 схемы.

А. Фрадкин

34362 П. Приготовление пищевого продукта или приправы для соев или соевого соуса. Фудзисава. Японск. пат. 4442, 28.06.55

Тертый батат, или картофель, помещают в чистую воду, отжимают и удаляют твердые частицы. Отжатую

жидкость нагревают до 60° и добавляют диастатич. ферменты. Декантацией удаляют верхний слой жидкости, сгущают и смешивают с сульфатом аммония в холодном месте. Остальную жидкость хранят при низкой т-ре. К твердым частицам добавляют немного животных и растительных белков, сульфата и карбоната аммония, нитрита натрия, пропаривают и вносят соевые бактерии, картофельную и сennую палочку, добавляют дрожжи. В массу при помешивании и подаче воздуха вливают остаток жидкости и ее конц. верхний слой. Затем добавляют пшеничную муку, крахмал, и зернистую массу нагревают паром и сушат или отделяют часть дрожжевой культуры, а остальное нагревают и сбраживают с помощью ферментов. В эту массу вливают ранее отделенную часть дрожжевой культуры, добавляют опять пшеничную муку, крахмал и после брожения нагревают паром и сушат. Пример. 225 кг бататов смешивают с речным гравием, промывают и после удаления верхнего покрова протирают. Массу помещают в воду (216 л), отжимают и отделяют твердую массу от жидкости. Жидкость нагревают до 60°, добавляют 450 г солода в порошок и выдерживают при этой т-ре 5 час. Декантацией отделяют верхний слой жидкости (~324 л), а остаток (~14,4 л) охлаждают и хранят при низкой т-ре. Верхний слой жидкости концентрируют в выпарном аппарате и добавляют 750 г сульфата аммония. В твердую массу добавляют 1875 г рыбной муки, 9,5 кг порошка выжимок куколок шелкопряда, 3 кг пшеничных отрубей и 3 кг обезжиренных бобов, 937,5 г сульфата аммония, по 18,75 г хлорида аммония и нитрата натрия, хорошо перемешивают, закладывают на 3 часа в котел для паровой варки. Затем масса созревает в течение 6 час., после чего ее охлаждают до 45°, вносят в нее соевые бактерии, перемешивают и раскатывают тонким слоем (> 4 см), пласти кладут друг на друга и выдерживают при 43°. При повышении т-ры массы > 46° ее перемешивают и охлаждают. Массу оставляют на сутки при 46°, дробят и помещают в бак с мешалкой. Заливают в бак 9 л болтушки из пшеничной муки с сахаром, добавляют дрожжи и жидкость, хранившуюся на холоде при помешивании и пропускании сжатого воздуха, каждые 15 мин. вливают по 150 г конц. р-ра (верхнего слоя) и в течение 85 час. осуществляют брожение. Отделяют 10% перебродившей

массы, а оставшуюся часть нагревают до 60°, активизируют трипсин и в течение 6 час. при 60° переводят белки в растворимое соединение. Массу охлаждают до 30° и добавляют 10% отделенной ранее перебродившей массы и по 45 кг перво- и второсортной пшеничной муки. Массу раскатывают в пласти, формируют в зерна, помещают на металлич. сетку в котел для паровой варки. Зерна разбухают и становятся пористыми, их охлаждают и сушат на воздухе.

В. Гузавин

34363 П. Добавки к пище и способ их приготовления. Баш, Росс (Food supplements and process of preparing the same. Bash Irwin Jerome, Ross Charles). Пат. США 2764485, 25.09.56

Способ приготовления добавок для пополнения недостающих витаминов и минер. в-в в пище состоит в том, что эти в-ва в необходимом составе и определенных соотношениях вносят в насыщ. р-р поваренной соли при т-ре, не вызывающей разрушения витаминов (напр., 54,4—60°). Полученную смесь впрыскивают в стерильный сосуд из материала, не реагирующего со смесью, под давлением для обеспечения однородного смешения компонентов, после чего р-р высушивают и полученный осадок измельчают. Полученный продукт из сложных по составу частиц, не распадающихся на составные части при стоянии и встряхивании, добавляют в требуемых кол-вах к пище как обычную поваренную соль. Примерное соотношение компонентов (в мг): поваренной соли 30 000, витаминов: B₁ 100, B₂ 40, B₆ 4, B₁₂ 24, С 250, ниацина 200, фолиевой к-ты 12, Са пантотената 40, Р (фосфат Са) 528, Со 0,1, Cu 0,2, Mg 2,0, К 0,05, Zn 1,5, хлорофилла 480.

С. Светов

См. также раздел *Техническая биохимия* (Выпуск Биологическая химия) и рефераты: Рост мясоконсервного произ-ва 31315. Описание мясоконсерватива 31316. Пищекомбинат им. Микояна 31317. Способы очистки сточных вод: мясоконсервативов 32958; боен 32959; молочных з-дов 32960. Белки куриного яйца и молока 11912Бх. Порча желтка куриных яиц 11941Бх. Влияние различных понов на сукциноксидазу говядины 12034Бх. Аскорбиновая к-та: в плодах стелющихся яблонь 12406Бх; в молоке холмогорских коров 13015Бх; дегидразы томатов 12408Бх. Пищевая ценность: кофе 12988Бх; фруктовых соков 12989Бх

ХИМИЧЕСКАЯ ТЕХНОЛОГИЯ. ХИМИЧЕСКИЕ ПРОДУКТЫ И ИХ ПРИМЕНЕНИЕ (Часть 4)

СИНТЕТИЧЕСКИЕ ПОЛИМЕРЫ. ПЛАСТМАССЫ

Редакторы А. А. Жданов, Н. С. Левкина

34364. Успехи в области пластмасс в 1956 г. Адамс (Materials and engineering performance evaluation in 1956. Adams C. H.), *Plastics Technol.*, 1957, 3, № 5, 383—384, 391—392 (англ.)

Отмечено, что начал выпуск кристаллич. термопластич. полимеров формальдегида «Delrin» уд. в. 1,4, с высокими технич. свойствами [предел прочности на разрыв 700 кг/см², теплостойкость (давл. 18,5 кг/см²) 100°]: выпущен в Италии полипропилен (I) (более теплостоек, чем полиэтилен низкого давления), перерабатываемый в изделия методами литья под давлением и непрерывного выдавливания; в перспективе учитывается также использование I для произ-ва волокна. Все большее развитие получает простой полиэфир на основе пентаэритрита «пентон» (II), содержащий 45% Cl и обладающий высокой размер-

ной стабильностью и термостойкостью, хорошей хим. стойкостью и низким водопоглощением. II применяют для изготовления деталей водометов, вентилях, моторов, а также волокна и упаковочных пленок. Значительный интерес представляют новые термопласты — поликарбонаты, имеющие высокую теплостойкость, прочность и прозрачность. С 1957 г. пром-сть выпускает полиметилстирол, с теплостойкостью, большей чем у полистирола.

Л. Песин

34365. Статистические таблицы и диаграммы производства пластмасс в Японии в 1956 г., Пурасутинкусу, Japan Plast., 1957, 8, № 7, 1—42 (японск.)

34366. Пластмассы и нормализация. Людвик, Новак (Plastické hmoty a normalisace. Ludvík F., Novák J.), *Normalisace*, 1957, 6, № 6, 136—137 (чешск.)

Приведена разработанная в Чехословакии 21 нормаль по пластмассам, преимущественно термореактивным.

Л. Песин

34367. Пластмассы и их применение в строительной технике. Роджерс (Evaluating plastics for building applications. Rogers Tyler S.), Publ. Nat. Acad. Sci. Nat. Res. Council, 1955, № 337, 21—24. Discuss., 25—27 (англ.)

Рассмотрены методы переработки различных типов пластмасс в изделия и целесообразность применения их в строительной практике. Л. Песин

34368. Перспективы применения пластмасс в строительстве. Бьоркстен (The future of plastics in building. Bjorksten Johan A.), Publ. Nat. Acad. Sci. Nat. Res. Council, 1955, № 337, 107—110. Discuss., 111—124 (англ.)

Одним из наиболее перспективных конструктивных материалов для строительства является стеклопластик (СП), на основе хлорполиэфирной смолы, обладающий высокой жаростойкостью и большой механич. прочностью при относительно малом уд. весе (балки из СП — в 4 раза легче железных той же прочности). Широкое применение в строительстве могут найти сотовые структуры (облегченные конструкции), полиизоцианатные пенопласты (звуко- и теплоизоляция), слоистые декоративные меламиновые пластики (отделка помещений), акриловые и стекловиниловые пластики (кровельные материалы) и др. Отмечено, что массовому применению пластмасс в строительстве препятствует их относительно высокая стоимость. Приведено обсуждение и дискуссия. Л. Песин

34369. Застекление и внутреннее освещение. Пирсон (Glazing and interior illumination. Pierson Orville L.), Publ. Nat. Acad. Sci. Nat. Res. Council, 1955, № 337, 34—43. Discuss., 44—45 (англ.)

Обзор оптич. и физ.-мех. свойств листовых акрилатов, изделий из акриловых прессматериалов, стеклопластиков на основе полиэфирных смол и виниловых пластмасс. Описаны осветительные конструкции из них. Л. Песин

34370. Смеси полимеров. Миноура, Кобунси, 1957, 6, № 64, 327—332 (японск.)

Обзор. Библ. 41 назв.

34371. Применение жирных кислот в промышленности пластмасс. Пасдуэ (Les applications des acides gras dans l'industrie des matières plastiques. Passetouet H.), Rev. franç. corps gras, 1956, 3, № 8—9, 587—593 (франц.)

Дан обзор применения к-т в произ-ве пластификаторов для поливинилхлорида, в произ-ве полиамидов, в качестве стабилизаторов для поливинилхлорида (стеаратов и лауратов Ca, Pb, Cd и Ba), а также эпоксициклованных масел, Sn-органич. соединений и др. Отмечено, что в перспективе возможно применение винилстеарата для сополимеризации с винилхлоридом. Приведены свойства поливинилхлоридного пластика, изготовленного с 9 пластификаторами, взятыми в кол-вах 43 и 66,5% к поливинилхлориду. Л. Песин

34372. Вопросы однородности при двойном растяжении пластмассовых пленок. Джулио (Il problema dell'uniformità nello stiro doppio di pellicole plastiche. Giulio E. di), Materie plast., 1957, 23, № 5, 351—354 (итал.)

Рассмотрены типичные кривые растяжения высокополимеров, устройства для растяжения и принципы растяжения пленок термопластов в двух взаимно-перпендикулярных направлениях. Л. Песин

34373. Уравнение ползучести под действием растягивающих сил для трех термопластичных материалов без наполнителей. Финдли, Кхосла (An equation for tension creep of three unfilled thermoplastics. Findley W. N., Khosla Gautam), S. P. E. Journal, 1956, 12, № 12, 20—25 (англ.)

Приведены результаты испытаний полиэтилена, полифторхлорэтилена (Kel-F) и поливинилхлорида (Geon

404) на ползучесть под действием растягивающих сил. Наблюдавшиеся деформации сравнены с теоретическими, вытекающими из уравнения ползучести: $\epsilon = \epsilon_0' \cdot \sin h \times \times (\sigma \cdot \sigma_e^{-1}) + m' \cdot t^n \cdot \sin h (\sigma \cdot \sigma_m^{-1})$, где σ — напряжение при растяжении образца за время t , ϵ — полная деформация образца за это время t и n , ϵ_0' , σ_e , m' , σ_m — константы. Деформация складывается из двух частей: не зависящей от времени или мгновенной (первое выражение правой части уравнения) и зависящей от времени (второе выражение правой части уравнения). Эксперименты показывают хорошее соответствие с теорией, выраженной уравнением. Е. Хургин

34374. О прочности на удар стеклопластиков на основе полиэфирной смолы при высоких и низких температурах. Судзуки (On the impact value of polyester resin mixed with glass fibre in high and low temperature. Suzuki Shin-ichi), J. Mech. Lab. Japan., 1956, 2, № 1, 38—39 (англ.)

Для выявления возможности применения стеклопластиков (СП) на основе полиэфирной смолы для несущих конструкций в самолетостроении исследовали прочность СП на удар в зависимости от т-ры. Приведены ф-лы расчета прочности на удар и расчеты времени, необходимого для выдерживания образцов при данной т-ре. По последней ф-ле может быть также вычислено изменение т-ры образца в течение промежуток времени между выемкой его из печи и разрушением. Данные, полученные при испытаниях (от —80 до +100°), очень хорошо согласуются с вычисленными. Прочность на удар имеет миним. значение при ~20°. С. Иофе

34375. Получение пустотелых изделий из термопластов. Кениг (Die Herstellung von Hohlkörpern aus thermoplastischen Kunststoffen. König Helmut), Zucker- und Süßwaren-Wirtsch., 1957, 10, № 12, 483—486 (нем.)

Методы изготовления пустотелых изделий, труб и др. из поливинилхлоридного пластика, жесткого поливинилхлоридного материала, полиэтилена и полистирола. Л. Песин

34376. «Моепен» — новый пластический материал. Ломбардо (Il moplen l'ultimo nato della grande famiglia delle materie plastiche. Lombardo G.), Materie plast., 1957, 23, № 6, 409—414 (итал.)

Описаны технич. свойства «моплен» (изотактич. полипропилена), выпускаемого фирмой Montecatini в Италии, и изделия из «моплен», экспонированные на миланской ярмарке в 1957 г. Л. Песин

34377. Экспозиция «моепен» в павильоне Монтекатини. Поццо, Компостелла (Il salone moplen nel padiglione della Montecatini. Pozzo R., Compostella S.), Materie plast., 1957, 23, № 6, 425—434 (итал.)

Приведена технич. характеристика «моплен» (I), а также дано описание экспозиции изделий из I на 25-й ярмарке в Милане. Отмечено, что стаканы из I выдерживают без деформации 160° в течение 1 часа (стаканы из полиэтилена низкого давления в этих условиях сильно деформируются). Л. Песин

34378. Технические свойства «моплен». Баллабио (Moplen caratteristiche tecniche. Ballabio G.), Materie plast., 1957, 23, № 6, 415—419 (итал.)

По своим технич. свойствам «моплен» (I) превосходит многие другие термопласты, в том числе полиэтилен низкого давления (II). Уд. вес, т-ра плавления, предел прочности на разрыв (кг/см^2), удлинение при разрыве (%), модуль упругости при изгибе (кг/см^2) у I и II соответственно следующие: 0,90; 0,94—0,96; 164—168°; 132—138°; 330—360; 280—300; 400—800; 700; 8000—10 000; 4000—7000. I выпускается двух типов M/1 (мол. в. 80 000), применяемый для изготовления пленок, и M/2 (мол. в. 150 000), рекомендуемый для

переработки в изделия методами литья под давлением и непрерывного выдавливания. Л. Песин

34379. Новый олефиновый полимер — полибутен. Марк, Опп (Newest olefin polymer-polybutene. Mark Dewey, Orr Allen R.), Petrol. Refiner, 1956, 35, № 12, 185—186 (англ.)

Полибутен — жидкий полимер с мол. в. 660—1520, полученный полимеризацией олефиновых фракций C_3 — C_5 в присутствии $AlCl_3$ и газообразного HCl . Полибутен применяют в качестве герметиков, клеев, для произ-ва липких лент и т. п. Л. Песин

34380. Успехи в области производства и применения полистирола. Крабтри (The success story of polystyrene. Crabtree D. R.), Rubber and Plast. Age, 1957, 38, № 6, 527—528 (англ.)

Показан рост сбыта полистирола в Англии и США за период 1950—1956 гг. и приведена характеристика современных промышленных марок полимеров и сополимеров стирола, применяемых для переработки методами литья под давлением, непрерывного выдавливания и вакуум-формования. Л. Песин

34381. Политетрафторэтилен — свойства и применение. Якобсон (PTFE utomordentliga material med «plastiskt minne». Jacobson C. H.), Plastvärlden, 1956, 6, № 10-11, 352, 355—356, 359 (шведск.)

Обзор. В. П. 34382. Проницаемость политрифторхлорэтиленовых пленок для азотной кислоты. Гарнер, Эллис, Гилл (Permeation of polychlorotrifluoroethylene films by nitric acid. Garner F. H., Ellis S. R. M., Gill J. C.), J. Appl. Chem., 1956, 6, № 9, 407—412 (англ.)

Кристаллические политрифторхлорэтиленовые пленки (ПН) проницаемы для HNO_3 через образующиеся нерегулярно расположенные микро- и видимые трещины; эти трещины были обнаружены с помощью индикаторной бумаги и микроскопич. исследования. При этом ИК-спектрография не выявила наличия продуктов хим. разрушения взаимодействием HNO_3 и полимера. При действии конц. HNO_3 на аморфные ПН образуются только микротрещины, через которые HNO_3 не проходит. Л. Песин

34383. Применение пластмасс в качестве гидроизоляционного материала. Дик (Polyplasta als Dichtungsmittel im Wasserbau. Dyck Siegfried), Wasserwirtschaft-Wassertechnik, 1956, 6, № 7, 219—226 (нем.)

Рассмотрены свойства и применение в гидротехнич. строительстве пленок поливинилхлоридного пластика. В. Пахомов

34384. Явление диффузии в прокладках из термопластов, применяемых в строительном деле. Лувский, Цёпфель (Diffusionserscheinungen an Bauwerksdichtungen aus Thermoplasten. Lufsky Karl, Zöpfel Manfred), Bauplanung und Bautechnik, 1957, 11, № 6, 261—265 (нем.)

Сравнивали водопоглощаемость и диффузию в прокладках (П) из различных сортов поливинилхлорида (ПВХ), полиизобутилена (оппанола ВА) и битуминизированных П на основе различных марок битуа. Описана методика определения коэф. диффузии П и рассмотрены процессы миграции и выщелачивания пластификаторов (ПЛ). Результаты измерений коэф. диффузии и кол-ва продиффундировавшей воды показали, что кол-ва диффундировавшей воды очень незначительны, поэтому воздействие воды на ПВХ может приводить лишь к выщелачиванию ПЛ. Из сравнения П было установлено, что трехслойные П, битуминизированные битумом В 25 и В 45, по водостойкости равны П из оппанола ВА и ПВХ пластика повышенного качества на основе суспензионного ПВХ с пониженным содержанием ПЛ и все они превосхо-

дят П из ПВХ ТМ-35 (эмульсионного ПВХ с 35% смеси ПЛ: трикрезилфосфата и мезамола) и ПВХ ТМ-40 (то же с 40% ПЛ) примерно в 10 раз. С. Шишкин

34385. Гранулированный поливинилхлоридный материал без пластификатора. Вика, Кениг (Weichmacherfreies Polyvinyl-Granulat. Wick G., König H.), Kunststoffe, 1956, 46, № 11, 533—537 (нем.; рез. англ., франц.)

Промышленность выпускает гранулят (Г) специализированных марок: для изготовления труб и профильных изделий (K-Wert 70); для переработки в изделия методом литья под давлением (K-Wert 60); для получения пленок, бутылей и др. методом выдувания (K-Wert 60) и для изготовления питьевой «соломки» (K-Wert 58—62). Г получают гранулированием эмульсионного поливинилхлорида (с зернами < 1 м) на многочервячном прессе и суспензионного поливинилхлорида (с зернами размером до 150 м) на простом червячном прессе, из легированной стали. Г имеют чечевицеобразную форму, размерами 1—2 мм. Л. П.

34386. Новый способ смешения и изготовления композиций. Пильц (Ein neues Verfahren zum Mischen und Compoundieren von Kunststoffen in einem Arbeitsgang. Pilz Peter), Kunststoffe, 1957, 47, № 2, 64—68 (нем.; рез. англ., франц., исп.)

Описан аппарат для изготовления композиций из порошков и гранул в одну технологич. операцию, работающий на принципе использования эффекта перемешивания в кипящем слое. Аппарат рекомендуется применять для смешения компонентов поливинилхлоридных композиций и их желатинизации, а также окрасивания и стабилизации порошкообразного полистилена. Л. Песин

34387. Вопросы пластификации виниловых смол. Уортман, Фрисселл (Plasticizer problems in vinyl resin studies. Wartman L. H., Frissell W. J.), Plastics Technol., 1956, 2, № 9, 583—588, 590 (англ.)

Показаны совместимость наиболее употребительных пластификаторов (П) с поливинилхлоридом и потери веса в поливинилхлоридном пластике за счет испарения П, вымывания их горючими и маслами и при сухом трении. Л. Песин

34388. К пластификации поливинилхлорида. Лёйке (Zur Weichmachung von Polyvinylchlorid. Leuchs Ottmar), Kunststoffe, 1956, 46, № 12, 547—554 (нем.; рез. англ., франц., исп.)

Вводимые в поливинилхлорид (П) пластификаторы (П) уменьшают межмолекулярные силы (МС) и тем самым повышают морозостойкость (М) материала. Для выяснения влияния отдельных П на МС рассмотрены виды МС и их природа, МС, действующие в П, строение П и строение различных П, возможные типы П, их строение и влияние на МС. Дано объяснение механизма пластификации П различных типов. Количеств. соотношение между полярными и неполярными группами в молекуле П обуславливает его совместимость с П. В зависимости от наличия групп, способных поляризоваться и неспособных, получен П двух противоположных типов: 1-й тип П, содержащий полярные и алифатич. группы (триоктилфосфат), трудно совмещается с П и сильно повышает М; 2-й тип — полярно-ароматич. строения (трикрезилфосфат), хорошо желируется с П и в меньшей степени улучшает М. Наиболее распространенные П представляют в большинстве случаев переходные типы между этими двумя. На основании рассмотренных предположений могут быть сделаны предположения о внутренней пластификации полимеров и о морозостойких П. С. Шишкин

34389. Выступление стабилизаторов при каландрировании поливинилхлоридных пластиков. Хансен,

Деннис (Vinyl stabilizers and calender roll build-up. Hansen F. R., Dennis S. F.), Rubber Age, 1955, 76, № 5, 715—716 (англ.)

При произ-ве поливинилхлоридного пластика (П), содержащего Ва—Cd-лаурат в качестве стабилизатора (С) и TiO_2 как пигмент, иногда появляются на поверхности каландровых валков отложения (О), в результате которых на П образуются пятна, разводы и слившиеся участки. Исследования показали, что О на каландре состоят в основном из С и зависят от 2 факторов: несовместимости С с пигментами и состояния металлич. поверхности, с которой соприкасается композиция. При этом установлено, что с изменением органич. радикала С и еще в большей степени катиона С можно улучшить совместимость С с композицией. Установлено также, что О можно устранить: частичной заменой Ва на менее электроположительный катион; низким соотношением Ва и Cd; добавкой Zn. В том же направлении действуют смазки кислого характера и органофосфаты, образующие пленку на металлич. поверхности валков и этим предотвращающие отложение С. Уменьшению О способствует также введение в композицию наполнителя (Al_2O_3), абсорбирующего С и не позволяющего С выступать на поверхности. Более высокие т-ры каландрирования усиливают процесс О.

Л. Песин

34390. Трубы из жесткого поливинилхлоридного пластика. Сорт, размеры, качество, испытания, обработка, монтаж. Кёлер (Polyvinylchlorid — Plastikrohre. Lieferarten Dimensionen, Eigenschaften, Prüfung, Bearbeitung, Verbindung und Verlegung. Köhler W.), Werkstoffe und Korrosion, 1957, 8, № 6, 324—329 (нем.; рез. англ., франц.)

Трубы из жесткого поливинилхлоридного пластика «Supradur FG», выпускаемые в ФРГ с наружным диам. 10—90 мм и длиной до 6 м, рассчитаны на рабочее давление до 10 ат.

Л. Песин

34391. Применение эмульсий из акриловых смол. Огата, Дзюси како, Resin Finish. and Applic, 1957, 6, № 7, 359—356, 360 (японск.)

Обзор. Библ. 44 назв.

34392. Акриловые мономеры. Их химия и области применения. Ридл (Acrylic monomers... Their chemistry and applications. Riddle E. H.), Chem. in Canada, 1957, 9, № 5, 49—54 (англ.)

Рассмотрены методы синтеза метакриловых и акриловых эфиров и преимущества метода получения метил- и этилакрилатов взаимодействием $HC\equiv CH$, CO и соответствующего спирта. Отмечено, что для промышленного произ-ва высокополимеров применяют метил-, этил-, бутил- и 2-этилгексилакрилаты и метил-, этил-, бутил-, гексил-, децилоксил-, лаурил- и стеарилметакрилаты. Рассмотрена связь между хим. составом мономеров и свойствами получаемых из них полимеров (липкость, твердость, прочность на разрыв, удлинение, водопоглощаемость, т-ра хрупкости, растворимость в органич. р-рителях). Описаны свойства и области применения полиакрилатов и полиметакрилатов, полученных полимеризацией блочной, суспензионной, в р-ре и в эмульсии. Особое внимание уделено полиакрилатам, полученным методом суспензионной полимеризации, и их применению для изготовления эмульсионных красок.

С. Шишкин

34393. Применение пластмасс для изготовления строительных материалов. Фридрих (Kunststoffe in Mineralstoffen. Friedrich K.), Seifen-Öle-Fette-Wachse, 1957, 83, № 13, 379—380 (нем.; рез. англ., франц., исп.)

Описано применение поливинилацетатных эмульсий (эмульгатор — поливиниловый спирт) в изготовлении и ремонте бетонных сооружений, в частности дорожных покрытий, изготовлении кафельных плит (напол-

нитель асбест) и др. Отмечено, что при этом свойства строительных материалов существенно улучшаются, но стоимость их заметно растет: так при применении 10—12 ч. поливинилацетата на 100 ч. цемента цена материала примерно удваивается.

Л. Песин

34394. Критические температуры, развивающиеся в полиэфирных смолах при отверждении их различными перекисями. Цивинский (Critical temperatures of a series of peroxides in polyester resins. Cywinski J. W.), Brit. Plast., 1956, 29, № 10, 377—378 (англ.)

Приведены кривые экзотермич. т-р, развивающихся в полиэфирных смолах в присутствии 12 различных перекисных соединений. Из полученных кривых определено миним. время желатинизации и миним. время отверждения смолы. Отмечено, что в присутствии перекиси циклогексанола миним. время желатинизации 3,2 мин., миним. время отверждения — 7,2 мин.

Л. Песин

34395. Свойства и промышленное применение смол, изготовленных из *Anacardium Occidentale*. Оте (The properties and industrial applications of cashew resins. Oates A. E.), Industr. Chemist, 1956, 32, № 378, 323—326 (англ.)

Жидкость скорлупы (ЖС) семян *Anacardium Occidentale* содержит 10% кардола и 90% анакардовой к-ты, способных как к р-циям полимеризации за счет двойных связей, так и к поликонденсации с формальдегидом. Полученные анакардовоформальдегидные смолы (каучукоподобные полимеры) обладают высокой щелочестойкостью; из них готовят химстойкие замазки, противостоящие действию 30%-ной HNO_3 при 20° и 10%-ной HNO_3 при 50°, а также массы для тормозных колодок. При сополиконденсации ЖС с фенолом и формальдегидом получают смолы, применяемые для произ-ва высококачественных слоистых пластиков, для усиления резины и для лаков горячей сушки. Модифицированные маслами крезольно-ЖС-формальдегидные смолы являются весьма эффективными пластификаторами для мочевиновых и меламиновых смол.

Л. Песин

34396. Модифицированные полиамидные смолы. Суонн (Modified polyamide resins. Swann G.), Plastics Inst. Trans and J., 1957, 25, № 59, 56—68 (англ.)

Обзор свойств и применения низкомолекулярных полиамидов (мол. в. 2000—4000). Библ. 12 назв.

Л. Песин

34397. Силиконы, их свойства и области применения. Снек (Silikonien ominaisuudet ja käyttöalat. Sneck Tenho), Tehostaja, 1957, 15, № 7, 22—23, 25—26, 28, 31—33 (финск.)

34398. Окрашивание поливинилхлоридных пластиков. Фулон (Einfärbung von PVC. Foulon A.), Maschinenmarkt, 1957, 63, № 44, 10—11 (нем.)

Для окрашивания поливинилхлорида в синий и зеленый цвета рекомендовано применять так называемые поливинилхлоридные пигменты НГ, выпускаемые в виде паст, затертых на пластификаторах, для окрашивания мягких материалов и в виде гранул — для окраски жестких пластиков. Пигменты НГ легко и равномерно распределяются в поливинилхлоридных композициях и отличаются чистотой тона.

Л. Песин

34399. Важность жесткости форм в инжекционном формовании. Фаррис, Мике (Importance of mold rigidity in injection molding. Farriss R. N., Meeks P. J.), Plastics Technol., 1957, 3, № 5, 371—375, 382 (англ.)

При литье деталей больших размеров (Р) или с тонкими стенками необходимо применять формы (Ф) с максим. жесткостью. Изменение Ф и Р отлитых деталей может происходить вследствие изгиба частей Ф

под большим давлением, а также из-за возможного искажения Р Ф в процессе ее изготовления. Для тонких изделий типа сосуда имеет большое значение обеспечение правильного расположения пуансона по отношению к матрице. Разобран метод проверки толщины детали и определения отклонений Р из-за смещения и изгиба пуансона. Правильный выбор сталей с соответствующей способностью закаливаться и применение надлежащей техники закалки необходимо для обеспечения достаточно высокой прочности для предотвращения раздавливания частей Ф. Изменение Р Ф часто вызывается неправильной или незаконченной тепловой обработкой для удаления напряжений в металле.

В. Лапшин
34400. Смолы для армированных стеклопластиков.

Шлибен (Resins for reinforced plastics. Schlieben Ernest), Prod. Engng, 1956, 27, № 5, 198—203 (англ.)

В настоящее время применяют более 200 смол для произ-ва армированных стеклопластиков (АСП) и, кроме того, разрабатывают новые виды смол со специфич. требованиями (для конструктивных деталей самолетов, строительных панелей, кровельных материалов, текстильных бобин и др.). Приведены характеристики основных видов смол, применяемых для изготовления АСП, условия, которым должны удовлетворять смолы, и основные особенности технологии формирования АСП в зависимости от предъявляемых к ним требований и характера применяемых смол.

С. Иофе

34401. Основы механизма армирования стеклопластиков. Аутуотер (The fundamental mechanics of reinforced plastics. Outwater J. O., Jr), Paper Amer. Soc. Mech. Engrs, 1956, № A-201, 11 pp., ill. (англ.)

На основе математич. анализа и критич. исследования механизма взаимодействия между смолой и армирующим материалом показано, что зависимость свойств армированных стеклопластиков (АСП) от адгезии между стекловолокном и смолой не дает полного объяснения механизма армирования стеклопластиков. Приведен ряд ур-ний, дающих зависимость между важнейшими механич. характеристиками АСП: усадкой смолы при отверждении, модулем упругости стекла, смолы и математич. модели АСП, пределом прочности смолы на растяжение, средним расстоянием между волокнами, диаметром волокна, давлением смолы на волокно при усадке; первоначальной адгезией смолы к волокну, коэф. трения между смолой и волокном, прочностью образца АСП на растяжение, модулем сдвига и коэф. Пуассона смолы и др. Установлено, что при усадке смолы в процессе ее полимеризации создается нормальное к волокнам, достаточно большое давление между ними и смолой, а развивающаяся при этом сила трения может обеспечить полное нагружение волокна; математически доказано, что первоначальная адгезия играет сравнительно небольшую роль в механизме армирования, а решающее значение имеет механизм, основанный на силах нормального давления и трения; это согласуется с эксперим. данными и позволяет предвидеть некоторые аномалии, наблюдаемые у АСП.

С. Иофе

34402. Влияние техники формования на длительную теплоустойчивость слоистых фенопластов. Флинт (Effect of molding technique on the long-time heat resistance of phenolic laminates. Flynt J. D.), Plastics Technol., 1956, 2, № 9, 577—582, 597 (англ.)

В связи с повышенными требованиями, предъявляемыми в последнее время авиацией к армированным пластикам (АП) и с разработкой новых модифицированных фенольных смол, наряду с новыми аппаратурами для стекловолокна и улучшенными армиру-

ющими материалами, удовлетворяющими в значительной степени этим требованиям, снова повысился интерес к фенопластам. Особое внимание уделяется различным способам формования (с применением резиновых мешков, прессование при высокой т-ре и прессование при низком давлении) армированных фенопластов, от которых зависят механич. свойства (в особенности, модуль упругости), длительная теплоустойчивость (не менее 200 час.) и гладкие, в аэродинамич. отношении, поверхности деталей из АП. Приведены данные, характеризующие влияние т-ры и времени на свойства фенольных стеклопластиков. Даны сравнительные физ.-мех. характеристики фенопластов с асбестовым наполнителем, запрессованных при высоких и низких давлениях.

С. Иофе

34403. Долговечность армированных стеклопластиков. Харен (Dauerfestigkeit glasfaserverstärkter Kunststoffe. Hogen Harro), Kunststoffe, 1957, 47, № 7, 359—368 (нем.; рез. англ., франц., исп.)

Обзор работ 1950—1957 гг. по исследованию механич. характеристик армированных стеклопластиков (АСП) при длительном статич. и динамич. нагружении, а также при периодич. приложении нагрузки. Особое внимание уделено явлениям механич. усталости АСП по сравнению с металлами. Приведены таблицы и графики, иллюстрирующие основные механич. характеристики АСП. Библи. 70 назв.

С. Иофе

34404. Усталость и кривые ползучести слоистых пластиков. Томпсон (The fatigue and creep properties of plastic laminate. Thompson A. W.), Reinforced Plast., 1957, 1, № 11, 4—9 (англ.)

Пригодность слоистых пластиков для конструктивных целей может определяться испытанием их на усталость в течение 10 млн. циклов при нагрузке, не превышающей $\frac{1}{5}$ от максим. прочности на растяжение, при условии, что пластик не растрескивается от первоначального приложения нагрузки. Пластик должен выдерживать нагрузку в $\frac{2}{3}$ от максим. величины в течение 6 недель, не показывая крива. Сравнительные усталостные испытания эпоксидных и полиэфирных стеклопластиков (СП), стали и легких сплавов показали, что наивысшей уд. усталостной прочностью (прочность/уд. вес) обладают эпоксидные СП, затем идет сталь, далее полиэфирные СП и, наконец, легкие сплавы. Падение исходной уд. прочности составляет при этом для стали 25%, для пластиков на эпоксидной и полиэфирной смолах соответственно 50—60% и 70—75%, а для легких сплавов алюминия и титана, имеющих наивысшие исходные уд. прочности, оно достигает 80—90%. При испытании на крив в течение 1000 час. полиэфирные СП сохранили 70% первоначальной прочности.

Л. Петрова

34405. Влияние долговременного нагружения на свойства слоистых стеклопластиков. Боллер (Effect of long-term loading on glass fiber-reinforced plastic laminates. Bolter K. H.), Plastics Technol., 1956, 2, № 12, 808—818, 820 (англ.)

В целях установления степени понижения прочности при длительном нагружении, по сравнению с предельной прочностью при кратковременном нагружении, описаны результаты первого года испытаний армированных слоистых стеклопластиков (АСС). Эти данные имеют большое значение для судостроения при постройке из АСС корпусов судов, палуб, перекрытий, трубопроводов и резервуаров, работающих под давлением. Основная цель исследования — получить данные напряжения — прочности на растяжение, изгиб и сдвиг для типовых АСС за 5 лет. В результате испытания 4 типов АСС [3 типа изготовлены на основе полиэфирной смолы Selectron 5003 (2 — со стеклотканью и 1 со стекломатами), 1 тип на основе эпоксидной смолы Epon 828 со стеклянной тканью]

в течение 10 000 час. при 23° и 50% относительной влажности и при 23° в воде, установлено: разрушающие напряжения уменьшаются со временем; разрушающие напряжения уменьшаются в воде с большей скоростью, чем в воздухе; деформации при растяжении подчиняются ур-нию: $\epsilon = \epsilon_0(1 + t^n)$, где ϵ — полная деформация материала при постоянном напряжении, ϵ_0 — начальная деформация, t — время в часах, n — степень, не имеющая размерности. Более точные ур-ния могут быть выведены после получения окончательных данных в течение всего намеченного периода испытаний.

С. Иофе

34406. Новые виды армированных асбопластиков и их перспективы. Лирмаут (New developments and potentialities in asbestos reinforced plastics. Learmouth G. S.), Reinforced Plast., 1957, 1, № 9, 10—15 (англ.)

Приведены сравнительные свойства волокон (стеклянных, асбестовых, α -целлюлозы и нейлона) и армированных пластиков, полученных на основе различных видов асбестовых и стекловолоконистых материалов. Сооставление этих свойств показывает, что асбестовое волокно (АВ) обладает более высоким модулем Юнга и большей гибкостью, чем стекловолокно, а асбопластик (АП) Durestos (D) дает такую же прочность, как стеклопластик (СП) из стеклоткани сатинового переплетения. D и Pyrotex (P) сохраняют > 50% первоначальной прочности и модуля упругости при 260° в течение 200 час.; имеются сведения, что в США получены СП, выдерживающие 370° в течение 200 час. Для получения хороших показателей с теплоустойчивыми фенольными смолами давление при отверждении армированных пластиков должно быть ~ 14 кг/см², при условии предварительного отверждения пропитанного материала (при 88—93°); затем отверждение происходит при 127° в течение 30 мин. для толщины стенок 3,4 мм; окончательное отверждение продолжается 24 часа при 121, 149 и 177°. Композиции с коротким АВ могут быть получены в виде формовочных паст и суспензий на основе фенольных, эпоксидных и полиэфирных смол. Изготовлены образцы D и P на основе этих смол и приведены показатели полученных АП. Получены армированные пластики путем сочетания асбестовых материалов со стекловолоконистыми. Указаны способы (формирование без давления, намотка из листа, формирование в резиновых мешках, спиральная намотка, прессование) изготовления труб из D и P.

С. Иофе

34407. Изменение веса и линейных размеров испытательных брусков из аминопластов. Гвиннер (Gewichts- und Längenänderungen von Prüfstäben aus Aminoplasten. Gwinner E.), Kunststoffe, 1956, 46, № 10, 467—471 (нем.; рез. англ., франц., исп.)

Показано на графиках изменение линейных размеров и веса стандартных брусков из прессматериалов (ПМ) состава: фенольная смола + древесная мука (ДМ), мочевиновая смола (I) + коротковолокнистая целлюлоза; I + ДМ; меламиновая смола (II) + ДМ; II + ДМ + асбест; II + обрезки стеклоткани; после различных обработок в течение 200 час. (выдержка в воде; прогрев при 30, 60, 80, 130 и 180°) с последующей выдержкой в комнатных условиях 2 года. Найдено, что наименьшие изменения претерпели бруски из ПМ на основе фенольной смолы, несколько большие — II и наибольшие — I; из наполнителей наибольшую стабильность размеров прессизделий обеспечивают обрезки стеклоткани, целлюлоза дает лучшие результаты, чем ДМ. Подогрев мочевиновых и меламиновых пластиков перед прессованием существенно уменьшает максим. изменение линейных размеров брусков: в результате 30 мин. выдержки при 80° перед прессованием изменение линейных размеров умень-

шилось на 28—68%.

Л. Песин

34408. Трубы и трубопроводы из пластмасс. Симор (Plastic ducts and conduits. Seymour Raymond B.), Publ. Nat. Acad. Sci. Nat. Res. Council, 1955, № 337, 77—90. Discuss., 91—92 (англ.)

Рассмотрены термореактивные и термопластичные смолы и стойкость их при разных т-рах к действию к-т, щелочей, солей, р-рителей и агрессивных газов. Дана оценка пластмасс, предназначенных для прои-ва труб, по сумме очков 10 показателей: стоимости, погодостойкости, жаростойкости, механич. прочности и стойкости к 6 группам агрессивных сред (оптимальное кол-во очков по каждому из этих показателей 10, сумма очков 100). Из термопластов наибольшее число очков имеют пластики на основе полифторуглеродов 89, жесткий высокопрочный поливинилхлоридный пластик 81, жесткий поливинилхлоридный пластик нормальной прочности 79, полиэтилен 78, стирольно-каучуковый пластик 74, саран 73; из термореактивных пластиков: стеклопластик (СП) на основе полиэфирно-эпоксидных смол 70, СП на основе эпоксидных и фурановых смол по 69, СП на основе фенольных смол 67 и СП на основе полиэфирных смол 66. Приведены фирменные названия пластиков, применяемых для изготовления труб, и дискуссия.

Л. Песин

34409. Высокомолекулярные нерастворимые полиэлектролиты (ионообменные смолы). Тростянская Е. Б., Пашков А. Б., Хим. наука и пром-сть, 1957, 2, № 5, 593—602

Обзор. Рассмотрены синтезы нерастворимых полиэлектролитов методом поликонденсации и р-цией полимеризации, а также применение ионообменных смол. Библ. 175 назв.

Н. Л.

34410. Изучение селективных ионитов. I. Синтез «полигексил» (калиевые ионообменные смолы). Ишибаси, Эми, Този (Ishibashi Masayoshi, Emi Kōichi, Tōei Kyōji), Нихон кагаку дзасси, J. Chem. Soc. Japan. Pure Chem. Sec., 1954, 75, № 3, 295—297 (японск.)

«Полигексил» (ПГ) получали из полипириметаминостирола (I) для приготовления которого предварительно синтезировали метанитрофенилкарбинол (Ogr. Reaction vol. 11, 195) и перегоняли при пониженном давлении в присутствии KHSO_4 и $\text{C}_6\text{H}_4(\text{CO})_2$. 15 г полученного м-нитростирола растворяли в 100 мл $\text{C}_2\text{H}_5\text{OH}$, добавляли 27 г порошкообразного олова и при перемешивании каплями добавляли 100 мл 12 н. HCl . Восстановление проводили при 50—60°. После окончания восстановления добавили 120 мл 12 н. NaOH , провели перегонку с паром, затем экстрагирование эфиром и перегонку при пониженном давлении. Продукт р-ции подмеризовали в закрытом сосуде при 200° и получали поли-м-аминостирол (II). 0,6 г II помещали в 50 мл $\text{C}_6\text{H}_5\text{NO}_2$ и после нагревания в течение 2 час. при 200°, когда продукт р-ции становился смолообразным, к нему добавляли 1,5 г $\text{C}_6\text{H}_5\text{N}(\text{NO}_2)_2$ и продолжали нагрев. Примерно через 1 час добавили 0,8 г безводн. ацетата натрия, причем добавление вели 2 часа крайне малыми порциями. В результате получили I, содержащий $\text{C}_6\text{H}_5\text{NO}_2$. Продукт р-ции несколько раз промыли теплым $\text{C}_2\text{H}_5\text{OH}$ и полностью отделили $\text{C}_6\text{H}_5\text{NO}_2$. После сушки при 100° получали 0,7 г I черного цвета. Для получения ПГ, 0,7 г I поместили в трехгорлую колбу и добавили 67 мл дымящей HNO_3 и 33 мл конц. HNO_3 , колбу поставили на водяную баню и содержимое энергично перемешивали. Нитрование шло в течение 3 час. при 50°, после чего продукт р-ции выливали в воду со льдом. Твердый продукт отфильтровывали и хорошо промывали водой. После сушки получали 0,75 г твердого в-ва темно-коричневого цвета (III). 0,4 г III и 50 мл 0,2 н. NaOH нагревали 1 час при 60°. Когда р-р NaOH становился темно-красного

цвета, его отфильтровывали, осадок хорошо промывали дистил. водой и получали твердую смолу черного цвета (IV), IV нагревали с 50 мл 0,2 н. H_2SO_4 и получали 0,15 г ПГ черно-коричневой окраски. В. Иоффе 34411. Применение клеев в производстве армированных пластиков. Бин, Гровер (Use of adhesives with reinforced plastics. Been Jerome L., Grover Martin M.), *Plastics Technol.*, 1956, 2, № 10, 650—656 (англ.)

Описаны случаи применения клеев (K) в конструкционных деталях из армированных пластиков (П) и требования к K. Приведены отдельные составы K, обеспечивающие, помимо хорошей клеящей способности, высокие физ.-мех. свойства изделий из склеиваемых П и металлов. Рассмотрены проблемы (сотовые конструкции из стеклопластиков, применение заполнителя из пенопласта и приклеивание пластин к сотам в сэндвичевых конструкциях, получение слоистых П с полихлортрифторэтиленом, изготовление слоистых плит, получение печатных схем на основе слоистых П), разрешенные путем применения новых видов K. С. Иофе 34412. Применение нового клея в деревообработке.

Андропова Н., Голубков Е., Промысл. кооперация, 1957, № 10, 25

Описаны преимущества применения карбамидного клея К-17 по сравнению с костным, мездровым и другими клеями. Клей К-17 состоит из (в вес. ч.): 100 смолы МФ-17 с содержанием 8% наполнителя; 15—28 щавелевой к-ты в виде 10%-ного р-ра; воды добавляется до получения требуемой начальной вязкости клевого р-ра. Описаны также способ приготовления клевого р-ра и применение его. Клей применяют как для горячего, так и холодного способов склеивания и фанерования древесины. Н. Л.

34413. Вопросы склеивания в производстве фанеры.

Соivio (Eräittä vanerin liimaukseen liittyviä kysymyksiä. Soivio Erkki), *Paperi ja puu*, 1957, 39, № 6, 317—325 (финск.; рез. англ.)

Рассмотрено влияние влажности, плотности шпона и др. на процесс склеивания, а также приведены технико-экономич. данные по применению в финской фанерной пром-сти клеев на основе кровяного альбумина (I), казеина и мочевиноформальдегидных смол (наполненных гидролизованной древесной мукой и вспененных с пшеничной мукой). Отмечено, что представляет интерес применение клея на основе I, модифицированного небольшим кол-вом фенольной смолы (II), состава (в. ч.): I 20, воды 68,5, щелочи 1,5, древесной муки (200 меш) 5,5, II (60%-ной) 4,5. Л. Песин 34414. Универсальные клеи для бытового применения. Хинц (Haushalts-Alleskleber. Hinz K.), *Seifen-Öle-Fette-Wachse*, 1957, 83, № 11, 314—312 (нем.; рез. англ., франц., исп.)

Кратко описаны составы универсальных клеев, состоящих из смеси полимеров. Л. Песин 34415. Пробой изоляции из высокомолекулярных изоляционных материалов. Синохара, Кимура, Кобунси, 1957, 6, № 64, 333—337 (японск.)

Обзор. Библ. 12 назв. 34416. Окраска изделий из полихлорвинилового пластика. Нейштадт И., Промысл. кооперация, 1957, № 10, 29

Разработан технологич. режим изготовления красок на циклогексаноне и рецептуры новых цветных красок. Н. Л.

34417 К. Нефть и метан — новые исходные материалы для пластических масс. I. Метан-ацетилен. II. Этан-этилен. III. Пропан-пропилен. IV. Бутан-бутилен. V. Ароматические вещества. Байер (Petrolio e metano nuove fonti per le materie plastiche. I: metano-acetilene. II: Etano-etilene. III: propano-propile-

ne. IV: Butano-butilene. V. Aromatici. Bayer Erich M. Milano, U. Hoepli, 1957, 67 p., 1200 L.) (итал.)

34418 К. Пластмассы во Франции. Официальный ежегодник по пластическим материалам (France-plastiques. Annuaire officiel des matières plastiques. 1957, 9 éd., Paris, Soc. créations éd. et product. publ., (1957), 1065, p., ill.) (франц.)

Справочные сведения о французских фирмах, производящих и импортирующих пластмассы (П) и полупродукты для них, фирмах, перерабатывающих П в изделия, изготовляющих и импортирующих оборудование для произ-ва и переработки П, данные об основных группах изделий, выпускаемых во Франции, спец. учебных заведений и курсах по П, периодич. издания по П.

Л. Песин

34419 К. Полистирол. Том I. Способ получения и свойства продуктов. Олингер (Polystyrol. T. 1. Herstellungsverfahren und Eigenschaften d. Produkte. Ohlinger H. Berlin, Göttingen, Heidelberg Springer, 1955, VIII, 155 s., 22 abb., DM 19.18) (нем.)

34420 П. Способ непрерывного получения поливинилхлорида. Смит (Procédé de préparation continue de chlorure de polyvinyle. Smith Arthur F.). Франц. пат. 1110665, 15.02.56

Винилхлорид (I) нагревают до т-ры кипения ($\sim 40^\circ$) под давлением в присутствии инициаторов, катализаторов или УФ-света с длиной волны 3600 Å. Часть I с небольшим содержанием поли-I (1 ч. на 199 ч. I) выводят из реактора, отделяют поли-I, а пары неизмененного I в смеси с вновь добавленным I в кол-ве, соответствующем образовавшемуся полимеру, возвращают в р-цию. Поли-I отделяют от I дважды. Первое отделение производит при повышенном давлении с помощью центрифуги, работающей в герметич. аппарате; жидкий I перекачивают в реактор, а шлам полимера из центрифуги направляют в циклон, где отделение I идет под атмосферным давлением. Отделенный I возвращают насосом в реактор. Аппаратура для проведения р-ции состоит из: 1) закрытого реактора для полимеризации I при повышенном давлении; 2) приспособления для подогревания жидкого I до т-ры кипения; 3) приспособления для отвода избытка тепла, выделяющегося при р-ции; 4) приспособления для непрерывного удаления из реактора смеси I и поли-I; 5) устройства для непрерывного разделения смеси; 6) устройства для непрерывного возврата I в реактор. Выход полимера за 1 час составляет 3,3% от введенного I. Приложены схема установки и чертежи отдельных узлов.

Ю. Васильев

34421 П. Соплимер 2,5-диацетоксистирола, винил-гидрохинонмоноацетата, винилгидрохинона и акриловой кислоты. Минск, Рейнольдс, Вильямс (Interpolymer of 2,5-diacetoxystyrene, vinyl hydroquinone monoacetate, vinyl hydroquinone, and acrylic acid. Minsk Louis M., Reynolds Delbert D., Williams Jack L. R.) [Eastman Kodak Co.]. Пат. США 2735837, 21.02.56

Патентуемый сополимер содержит 2,5-диацетокси-стирол, винилгидрохинонмоноацетат, ≥ 10 мол. % винилгидрохинона и ≥ 10 мол. % акриловой к-ты. Для получения сополимера указанного состава смешанный полимер из 10—90 мол. % 2,5-диацетоксистирола и 10—90 мол. % акриловой к-ты диспергируют в смеси бензола и метанола, вводят дисперсию в р-р HCl в метаноле (конц-ия ~ 12 м), добавляют метанол до про-светления р-ра и осаждают эфиром частично деацетилированный полимер.

Я. Кантор

34422 П. Виниловые эфиры N-ацил- α -аминомонокарбоновых кислот и их полимеры. Мигел, Ниман, Сауэр (Vinyl esters of N-carbacyl-alpha-mono-amino-

monocarboxylic acids, their preparation and polymers thereof. Miegel Ralph E., Niemann Carl G., Sauer John C.) [E. I du Pont de Nemours and Co.]. Пат. США 2733233, 31.01.56

Патентуются эфиры (и их полимеры) общей ф-лы $R_1CON(R'')C(R')(R)COOCH=CH_2$, где: R, R', R'' и R_1 — атомы H или углеводородные радикалы, не содержащие алифатич. ненасыщ. связей, причем 2 любых радикала (R, R' и R'') могут также представлять собой 2-валентные насыщ. алифатич. углеводородные группы, связанные в 5- или 7-членный цикл; R и R_1 в сумме содержат ≤ 20 атомов C, причем если R и R_1 — алкилы, то они содержат каждый ≤ 8 атомов C, а если R — арил и R_1 — алкил, то они содержат ≤ 20 атомов C. Эфиры получают взаимодействием C_2H_2 при 40–150° и 1,75–21 ат с соответствующей к-той. Р-ция протекает без катализатора, но лучшие выходы получают при проведении р-ции в безводн. инертной среде (диоксане, тетрагидрофуране, диметилформамиде) и в присутствии 0,5–5 мол. % (от к-ты) $HgO, HgSO_4, Hg_3(PO_4)_2$ и т. п. Так, в продукт N_2 автоклав загружают 40 ч. N-ацетил-dl-α-аминопропионовый к-ты, 6 ч. желтой HgO , 3 ч. 100%-ной H_2SO_4 и ~ 125 ч. очищ. диоксана. Автоклав охлаждают сухим льдом, эвакуируют до давл. 5 мм, вводят C_2H_2 и нагревают до 75° при непрерывном встряхивании. Давление в автоклаве поддерживают 13,3 ат в течение 5 час. После разгрузки реакционную смесь, нейтрализуют водн. Na_2CO_3 , экстрагируют эфиром и после отгонки эфира остаток перегоняют. Получают 3,7 ч. винилового эфира N-ацетил-α-аминопропионовый к-ты с т. кип. 102–110°/1,3–1,8 мм. Он полимеризуется при 80° в присутствии следов α,α'-азодизобутиронитрила, образуя светлое вязкое масло. Аналогично получены виниловые эфиры N-ацетил-C-фениламиноуксусной к-ты, N-ацетил-2-амино-4,6,6-триметилэнантовой к-ты и N-фенилацетил-1-аминоциклогексанкарбоновой к-ты (константы не приводятся). Я. Кантор

34423 П. Способ получения полимерных гидрозолей. Фаулер (Method for making polymeric hydrosols. Fowler William F.) [Eastman Kodak Co.]. Пат. США 2739137, 20.03.56

Совместимые с гидрофильными коллоидами (желатиной) гидрозоли получают полимеризацией в водн. системе смеси: а) акриламида ф-лы $CH_2=CR'CONR^2R^3$, где R' —H, галогид, алкил или CN, а R^2 и R^3 — атомы H или алкилы; б) акрилата общей ф-лы $CH_2=CR^4COOR^5$, где R^4 —H, галогид или алкил, а R^5 — алкил, цианалкил или галогеналкил; в) стирола или его алкил-, галоген-, циан-, нитро-, амина- или алкиламинопроизводного. Акрилат и акриламид присутствуют в системе каждый в кол-ве $\geq 2\%$, а вместе в кол-ве $\geq 30\%$ от общего кол-ва мономеров. Водн. среда содержит диспергирующий агент (лаурилсульфат Na), инициатор — H_2O_2 , персульфат, перборат или перацетат щел. металла в случае полимеризации при 15–30° и восстановитель (напр., смесь $NaHSO_3$ и $(NH_4)_2S_2O_8$) в случае полимеризации при 80–120°. Р-р 19,9 ч. метакриламида, 1,26 ч. лаурилсульфата Na и 0,63 ч. $K_2S_2O_8$ в 500 ч. воды нагревают на паровой бане и в течение 40 мин. в р-р вводят смесь 41,5 ч. n-бутилакрилата и 64,9 ч. стирола, после завершения полимеризации образуется белый непрозрачный гидрозоль. Продолжительность полимеризации составляет ~ 45 мин. Полученные гидрозоли в сочетании с $AlCl_3$ и Na-солью продукта присоединения пимаровой к-ты к малеиновому ангидриду используют для проклейки бумаги с целью повышения ее прочности во влажном состоянии. Я. Кантор

34424 П. Способ полимеризации органических мономеров в растворе. Чейни (Verfahren für die Polymerisierung organischer monomerer polymerisierbarer

Substanzen in Lösung. Chaney David W.) [American Viscose Corp.]. Пат. ФРГ 947113, 9.08.56

Мономеры, содержащие группу $CH_2=C<$ (производные акриловой к-ты, напр. акрилонитрил или метилакрилат), полимеризуют в присутствии растворимого в воде катализатора, причем мономер должен растворяться в воде в конц-ии $\geq 1\%$, чтобы образовывать водн. р-р, имеющий при давлении, при котором проводится полимеризация, т-ру кипения ниже точки кипения воды и точки кипения мономера. Полимеризацию проводят при кипячении с обратным холодильником, причем полимеризующийся мономер добавляет непрерывно к р-ру в таком кол-ве, что все время сохраняется одна жидкая фаза; т-ра флегмы и ее состав (при сополимеризации) в течение всего процесса сохраняются в основном постоянными. В случае сополимеризации смеси мономеров, имеющих разные упругости пара и различную скорость полимеризации, более легкокипящий мономер должен при т-ре флегмы иметь такую упругость пара и такую растворимость в воде, чтобы было отчетливо заметно изменение т-ры, если кол-во испарившегося мономера (на 1 л р-ра и на 1° повышения т-ры) составляет в среднем 0,005–0,1 молей. Это обеспечивает возможность строгого контроля процесса по изменению т-ры. Смесь мономеров добавляют в процессе полимеризации к р-ру в соотношении, соответствующем составу первоначально образовавшегося сополимера, а сополимер отводят непрерывно, по мере его образования. Способ обеспечивает получение полимеров с однородным мол. весом и сополимеров с однородным мол. весом и составом. Напр., в реакторе в 3400 мл воды растворяют 0,93 ч. стирола и 85,7 ч. акрилонитрила, нагревают до 85° и добавляют р-р 10,5 ч. $K_2S_2O_8$ в 100 ч. воды. После начала полимеризации т-ра флегмы начинают подниматься; сразу же начинают непрерывно прибавлять смесь 75 ч. стирола и 345 ч. акрилонитрила, чем прекращают повышение т-ры флегмы. Прибавление смеси продолжают с такой скоростью, которая обеспечивает постоянство т-ры (85° при атмосферном давлении) и скорости стекания флегмы. Р-ция заканчивается при окончании прибавления всей смеси, через 48 мин. М. Альбам

34425 П. Триглицидные эфиры циануровой кислоты и их полимеры. Брэдли, Мюллер (Triglycidyl cyanurate and polymers thereof. Bradley Theodore F., Mueller Albert C.) [Shell Development Co.]. Пат. США 2741607, 10.04.56

Глицидные эфиры циануровой к-ты получают смешением 1 моля цианурхлорида при т-ре 0–25° в среде инертного р-рителя с 3 молями эпоксиалканолола, добавляя к смеси достаточное кол-во неорганич. щелочи или органич. оснований (третичные амины) для связывания галогеноводородной к-ты. Напр., 55,5 г цианурхлорида смешивают с 103 г глицидола и 300 мл $CHCl_3$, охлаждают до 3°, медленно вводят при перемешивании в течение 3 час. р-р 37,5 г NaOH в 45 мл воды, перемешивают еще 1 час, добавляют 200 мл воды, фильтруют (для удаления небольшого кол-ва черной смолы), отделяют органич. слой, промывают 4 раза по 50 мл воды и отгоняют хлороформ до 110°/1 мм. В остатке получают 78 г триглицидного эфира — бесцветного вязкого продукта с эпоксидным числом 0,907 экв/100 г. Эфир полимеризуют при нагревании с 5% 2,4,6-три-(диметиламинометил)-фенола в течение 7,5 час. при 65° и 3 часа при 200°. Получают твердый термостойкий полимер. Я. Кантор

34426 П. Способ стабилизации поливинилхлорида или поливинилиденхлорида. Янковяк (Verfahren zur Stabilisierung von Vinyl- oder Vinylidenchlorid enthaltenden Polymerisaten. Jankowiak Erwin M.) [The Dow Chemical Co.]. Пат. ФРГ 950152, 4.10.56

Для стабилизации полимеров, содержащих $\geq 10\%$ винил- или винилиденхлорида, используют пирофосфаты, ортофосфаты или фосфиты щел. металлов. Тонкоизмельченный полимер или сополимер смачивают кислым водн. 0,5–6%-ным р-ром стабилизатора с pH 3,5–5, так, что полимер после обработки содержит 0,05–2 вес.% стабилизатора. Для подкисления р-ра стабилизатора применяют HCl, H₂SO₄, HNO₃, CH₃COOH, n-CH₃C₆H₄SO₃H, но предпочтительна HNO₃, которая переводит все вредные металлич. примеси в растворимые соли. Напр., эмульсионный поливинилхлорид в кол-ве 200 г после промывки обрабатывают на центрифуге 50 мл 2%-ного р-ра Na₄P₂O₇, подкисленного HNO₃ до pH 5, и продолжают центрифугирование до удаления почти всего р-ра. Обработанный полимер высушивают при 60°. Я. Кантор

34427 П. Новые органические производные олова как стабилизаторы (Nouveaux dérivés organiques de l'étain) [Soc. An. des Manufactures des Glaces et Produits chimiques de Saint-Gobain, Chauny & Cirey]. Франц. пат. 1107726, 4.01.56

В качестве стабилизаторов для поливинилгалогенидов применяют соли S-ацилтиоалкольной к-ты (I) и оловоорганич. производных общей ф-лы R₃SnXSnR₃, R₂Sn=X или [—Sn(R₂)X—]_n, где X — остаток I ф-лы —OC(=O)CH₂CH[SC(=O)R']CHC(=O)O—. В ф-лах R — алкил, напр. бутил и R' — фенил. Эти стабилизаторы получают взаимодействием галогенидов алкилолова со щел. солями I или действием оксипроизводных алкилолова на свободную I. Последнюю операцию можно осуществлять непосредственно в полимере в процессе вальцевания и желатинизации, вводя в композицию исходные в-ва. Напр., 25,4 г S-бензоилтиоалкольной к-ты точно нейтрализуют 7 г каустич. соды в 160 мл воды, добавляют 65 г монохлортрибутилолова, перемешивают 1 час. при 20°, пастообразный продукт экстрагируют 200 мл бензола и несколько раз промывают 500 мл теплой воды. Бензол отгоняют и сушат продукт в вакууме. Получают 76 г в-ва (71% теоретич.) в виде бесцветной медленно кристаллизующейся жидкости. Этот продукт применяют в качестве стабилизатора при переработке поливинилхлорида, вводя его в кол-ве 1–5% от веса полимера. В. Шекин

34428 П. Способ непрерывной агломерации древесных или целлюлозных материалов и получаемые этим способом профилированные и другие изделия. Виллиг [Procédé d'agglomération en continu de matières ligneuses ou celluloseuses et produits (profilés, laminés ou autres) obtenus. Willig Paul]. Франц. пат. 1110520, 14.02.56

Древесные опилки, льяные или пенчковые отходы пропитывают (под вакуумом) природной или синтетич. термопластич. смолой, напр. композицией состава (в вес. ч. на 600 вес. ч. целлюлозного материала): сополимер винилхлорида и винилацетата 20, диоктилфталат 2, пластификатор типа сложного эфира 2, стearат Ca 5, трихлорэтилен или C₆H₆ 121. Установка представляет горизонтальный с паровым или масляным обогревом мешатель, напр. Вернера, с червяком у дна, имеющим выход над каландрами или червячным прессом для сплошных и полых изделий. Установка имеет также насос для введения катализаторов и других в-в в массу через полый червяк, приспособление для жидкостного или воздушного охлаждения готовых изделий и связанный с мешателем аппарат для вакуумной рекуперации р-рителя. Изделия могут быть упрочнены в горячем состоянии арматурой из оплетенной проволоки, которую покрывают лаком или полиэфирной смолой. Я. Кантор

34429 П. Способ и устройство для получения формованных изделий с очень тонкими стенками из волокнистых листов, пропитанных смолой. Хан, Хес-

сель (Verfahren und Vorrichtung zur Herstellung von Formstücken extrem geringer Wandstärke aus Kunstharz. insbesondere aus mit Kunstharz imprägnierten Faserstoffblättern. Hahn Erich, Hessel Gustav) [Süd-West-Chemie G. m. b. H.]. Пат. ФРГ 948639, 6.09.56

Форма для изделия состоит из двух частей, причем верхняя часть (плита) обогревается, а нижняя, формирующая часть перфорирована и связана с пространством, в котором может создаваться вакуум. На обе части формы натянуты тонкие резиновые пленки, прикрепленные к форме, напр. с помощью резиновых шнуров, проходящих по пазам. В верхней пленке имеется отверстие, связанное со свободно проходящей через верхнюю плиту трубкой, через которую может поступать воздух. Между раздвинутыми половинами формы закладывают ткань или бумагу, пропитанную термореактивной фенол- или аминокальдегидной смолой и форму плотно закрывают. Через верхнюю пленку тепло передается к формируемому листу. Как только смола приобретет пластичность, в пространстве между нижней половиной формы и резиновой пленкой создают вакуум, благодаря чему формируемый лист вместе с обеими резиновыми пленками присасывается к нижней поверхности формы, через которую происходит охлаждение изделия. После формирования вводят воздух между верхней пленкой и отформованным изделием, форму раскрывают и отключают вакуум. В результате нижняя резиновая пленка выпрямляется и выталкивает готовое изделие. Способ позволяет формировать тонкостенные изделия без повреждения их при выгрузке из формы. М. Альбам

34430 П. Получение влагостойкого упаковочного материала. Освин (Production of moistureproof sheet wrapping material. Oswin Charles R.) [British Cellophane Ltd]. Канадск. пат. 512687, 10.05.55

Неводостойкий органич. неволокнистый материал с отдаленного вала проходит через горизонтально расположенные каландры и с помощью системы направляющих валов попадает вновь на эти же каландры, оборотной стороной наружу. В зазор между каландрами подают дисперсию, содержащую 17–65% сополимера винилиденхлорида и акрилонитрила (от 3:1 до 24:1) и имеющую вязкость ≤ 25 спуз. После вторичного прохождения листа его отделяют от листа с односторонним покрытием, причем время прохождения листа через каландры должно быть меньше времени впитывания воды листом. С. Басс

34431 П. Получение пенопластов. Киш, Ко (Expanded resin and method for making the same. Kish Steven P., Coe Lester C.) [Kish Plastic Products Inc.]. Пат. США 2733221, 31.01.56

Твердый пенопласт получают, смешивая: а) 100 ч. жидкой, отверждаемой к-той фенолформальдегидной смолы, содержащей 75–90 вес.% твердых в-в; б) 18–22 ч. водн. р-ра к-ты (напр., смеси 23–28% серной к-ты 66° Bé, 25–33% соляной к-ты 18° Bé и 2–7% 75%-ной фосфорной к-ты); в) металл, стоящий выше водорода в ряду напряжений и способный выделять газ при р-ции с р-ром к-ты в кол-ве эквивалентном выделяемому при взаимодействии 1,2–12 ч. Fe и 18–22 ч. H₂SO₄, имеющей конц-ию 66° Bé или вдвое меньше; г) 1–5 ч. смачивающего в-ва; д) 1–10 ч. разбавителя для смолы, напр. изопропилового спирта; е) 3–16 ч. инертного наполнителя (окислы металлов, напр. Fe₂O₃, древесные или искусств. волокна); ж) 2,5–4,5 ч. многоатомного спирта. Напр., смешивают (в г): 100 смолы, 7,5 изопропилового спирта, 5 Fe, 9 Fe₂O₃, 1 смачивающего в-ва; 5 нарезанного искусств. волокна, 20 водн. р-ра к-ты. Композиция отвердевает через 2 часа при 60° или через 6–7 час. при ~20°.

Продукт имеет равномерные мелкие поры и большую механич. прочность.

Ю. Васильев

34432 П. Способ ускорения реакции изоцианатов с содержащими оксигруппы соединениями при получении пенопластов. Мюллер, Хоппе (Verfahren zur Beschleunigung der Reaktion von Isocyanaten mit Hydroxylgruppen enthaltenden Verbindungen bei der Herstellung von Schaumstoffen. Müller Erwin, Hoppe Peter) [Farbenfabriken Bayer A.-G.] Пат. FRG 950151, 4.10.56

В качестве ускорителей применяют третичные амины, содержащие ≥ 1 сложноэфирной группы. Такие аминоэфиры получают этерификацией моно- или дикарбоновых к-т моно- или полиоксисоединениями, содержащими 1 или несколько атомов N. Так, 100 г полиэфира из триметилолпропана и адипиновой к-ты смешивают с 50 г толулендиизоцианата и, спустя несколько минут, вводят р-р 1 г эфира N-диэтилэтанол-аминна и адипиновой к-ты в 1,5 мл воды. Спустя непродолжительное время, масса вспенивается и через 1 час превращается в твердый материал. Я. Кантор

34433 П. Способ повышения прилипаемости пенополиуретана к облицовке. Брокхаген, Хоппе, Пафрат (Verfahren zur Verbesserung der Haftfähigkeit von Polyurethan-Hartschaumstoffen auf Deckschichten aller Art. Brochhagen Franzkarl, Hoppe Peter, Paffrath Hans-Willi) [Farbenfabriken Bayer A.-G.] Пат. FRG 947203, 9.08.56

На облицовку (предварительно обезжиренные стальные листы толщиной 0,1—0,4 мм) перед нанесением вспениваемой массы наносят тонкий слой ускорителя р-ции вспенивания — третичного амина (гексагидродиметиланилина, эфира диэтилэтанол-аминна и органич. дикарбоновой к-ты) или комплексной соли металла VIII группы периодической системы (ацетилацетоната Fe). Вспенивание может иметь место немедленно после нанесения массы или во время хранения. Я. Кантор

34434 П. Электрическая изоляция (Electrical insulation) [General Electric Co.] Англ. пат. 735532 24.08.55

Липкую ленту получают пропиткой пряжи из неорганич. (асбестовых, стеклянных или кварцевых) волокон сополимером эфиров акриловой к-ты, после чего пропитанную пряжу покрывают сначала продуктом конденсации кислого ненасыщ. полиэфира и эпоксидной смолы, а затем продуктом конденсации насыщ. неполимеризующегося полиэфира с эпоксидной смолой. Полимер для второго покрытия, получаемый по англ. пат. 732253 (РЖХим, 1957, 102724) используют в порошкообразном виде; он предохраняет ленту от сжатия при наматывании. Лента предварительно может быть ашретирована крахмалом. Для пропитки применяют, напр., р-р полиметил- или полиэтилакрилата в толуоле с последующей сушкой. Для первого покрытия используют продукт конденсации этиленгликоля с малеиновой к-той и эпоксидную смолу, полученные по англ. пат. 735531 (РЖХим, 1957, 102852). После наложения изоляции на проводник ее нагревают под давлением для придания монолитности и перевода в неплавкое состояние. А. Жданов

См. также: раздел *Химия высокомолекулярных веществ и рефераты*: Материалы Майского Пленума ЦК КПСС 31307, 31308. Общие вопросы 32666, 33345. Сырье 33413, 33429, 33457. Методы анализа 32231. Полимеризационные смолы 32908, 32299, 33683, 34075, 34166, 34340, 34341, 34686, 34695. Фенолформальдегидные смолы 31775. Мочевинформальдегидные смолы 33439, 34523, 34686, 34773, 34803, 34831. Меламиноформальдегидные смолы 34523, 34686, 34691, 34803. Кремнийорганич. соед. 33518, 33689, 34075. Пластификато-

ры 33422, 33457, 34466, 34467. Красители 33499. Ионно-обменные смолы 31923, 32143, 32912—32914, 32948, 33536. Клеи 31899. Техника безопасности 33007

ЛАКИ. КРАСКИ. ЛАКОКРАСОЧНЫЕ ПОКРЫТИЯ

Редактор М. Ф. Сорокин

34435. Краткий обзор материалов IV конгресса Федерации ассоциаций техников лакокрасочной промышленности. Рекья (Un pò di cronaca del IV Congresso F. A. T. I. P. E. C. Lucerna 23—27 sett. 1957. Recchia Emanuele), Pitture e vernici, 1957, 13, № 11, 745—753 (итал.)

34436. Смола сандарак. Вьейра (Resina de sandaraca. Vierra César Augusto), Rev. guim. pura e apl., 1954, 5, № 1-4, 1—4 (порт.)

Обзор физ.-хим. свойств смолы сандарак на основе литературных данных и выполненных анализов.

Л. Песин

34437. Алкидная смола, модифицированная камаловым маслом. Часть II. Шарма, Аггарвал (Kamala seed oil modified alkyd resins. Part II. Sharma P. G., Aggarwal J. S.), J. Scient. and Industr. Res., 1956, (B—C) 15, № 10, B608—B611 (англ.)

Жирные к-ты камалового масла (*Kamala philippinensis*) (ЖК), полученные экстракцией масла C_6H_6 и содержащие до 60% камолоеновой к-ты, не образуют высокополимеризованных модифицированных алкидных смол. ЖК пригодны для приготовления средних смол, образующих пленки более твердые, чем из тутового масла, устойчивые к действию дистил. H_2O , р-ру соли, разб. H_2SO_4 , минер. и органич. р-рителем, но разрушающиеся под действием 1%-ного р-ра NaOH. Смолы, модифицированные ЖК, превосходят промышленные образцы. Смолы из 18-окстеариновой и 1,16-гексадекандикарбоновой к-т хрупки, тверды и растворимы в C_6H_6 , смеси C_6H_6 -этиловый спирт и, частично, в C_2H_5OH . Часть I см. РЖХим, 1957, 24850.

Н. Соловьева

34438. Техника получения высокополимерных алкидов. Крафт, Роберте, Януш, Уэйсфелд («High polymer alkyd technique». Kraft William M., Roberts George T., Janusz Edward G., Weisfeld Joseph), Amer. Paint J., 1957, 41, № 28, 96—97, 100, 102, 106, 108, 110, 112, 114, 116, 118, 120 (англ.)

Описано получение алкидов с наибольшим содержанием фракции высокого мол. веса путем ступенчатой этерификации жирных к-т. Смолы получают, проводя р-цию этерификации рассчитанных кол-в многоатомного спирта и двусосновой к-ты сначала с частью необходимого кол-ва жирных к-т до получения реакционной массы с низким кислотным числом, после чего добавляют остальную часть жирных к-т и продолжают этерификацию вновь до достижения низкого кислотного числа. Вязкость этого типа алкидов выше, чем у обычно получаемых смол, цвет часто бывает светлее. Испытания свойств пленок алкидов, модифицированных жирными к-тами высыхающих масел, показали значительное увеличение скорости высыхания, повышенную щелочестойкость, гибкость, адгезию и стойкость к моющим в-вам высокополимерных алкидных смол. Водостойкость и твердость смол такие же, как у обычных алкидов.

Б. Шемякин

34439. Тиксотропные алкидные смолы. Швегман, Тримейн (Thixotrope Alkydharze. Schwegman Bernd, Tremain A.), Farbe und Lack, 1957, 63, № 6, 295—297 (нем.)

Тиксотропные алкидные смолы (I) получают на основе обычной алкидной смолы и полиамидной смолы, представляющей собой продукт конденсации ди-

меров жирных к-т масел и полиаминов. Консистенция I может меняться от почти жидкой до резиноподобной. Гелеобразование длится от секунд до многих минут. I чрезвычайно быстро распространяется в США и Англии и единственное, что несколько задерживает их развитие, — несколько высокая их цена. Описаны I, выпускаемые в настоящее время, и их свойства.

Г. Цейтлин

34440. Приготовление сильно ненасыщенных алкилвиниловых эфиров с длинной цепью и применение их для приготовления лакокрасочных покрытий. Камори, Миямори, Сакаи (Komori Saburo, Miyamori Shigeo, Sakai Chikaaki), Kōrō какаку дзасси, J. Chem. Soc. Japan. Industr. Chem. Sec., 1956, 59, № 10, 1134—1137 (японск.)

Сильно ненасыщ. спирты (I) получали путем восстановления соевого или льняного масла при помощи натрия (см. Hansley, Ind. Eng. Chem., 1947, 39, 55; 1949, 41, 1759). Затем при т-ре 180—200° и в присутствии катализатора КОН (3%) проводили р-цию между I и ацетиленом (в течение 2—3 час.) и получали алкилвиниловые эфиры (с выходом 90—95%), которые полимеризовали в р-ре *n*-гексана и в присутствии катализатора SnCl₄. При сушке полимера получали защитное покрытие, стойкое к действию к-т, воды и щелочей.

В. Иоффе

34441. Лаки на основе десмофен-десмодур. Хебермел (Les vernis à base de Desmophen-Desmodur. Hebermehl R.), Chim. peintures, 1956, 19, № 1, 23—26 (франц.)

Общие сведения о лаках и красках на основе полиуретановых смол, полученных из полиизоцианатов и гидроксилсодержащих соединений. Начало см. РЖХим, 1956, 76418.

Б. Брейтман

34442. Некоторые свойства полиуретановых электроизоляционных эмалей. Масэ, Огино, Уэки (Mase Kiyoshi, Ogino Yukio, Ueki Shinobu), Хитати хёрон, Mag. Electr. and Mech. Engrs, 1956, 38, № 8, 87—95 (японск.; рез. англ.)

Описаны свойства полиуретановых смол, полученных в процессе р-ции между различными полиизоцианатами (марки «Desmodur — A, C, DR, H, HH, M, R, T, TH, X») и полиэфирами или полиспиртами (марки «Desmophen» — 50, 200, 600, 800, 900, 1100, 1200), а также приготовление из полиуретанов электроизоляционных эмалей, отличающихся повышенной термостойкостью, водостойкостью, химстойкостью (особенно к к-там) и высокими механич. и диэлектрич. свойствами. Приведены физ.-мех. и диэлектрич. свойства этих покрытий. Указаны составные части исходных полиизоцианатов и полиэфиров или полиспиртов.

В. Иоффе

34443. Грунт горячей сушки на основе алкидно-меламиновых смол, модифицированных «пиккопалом 70». (Sottofondi per applicazione a forno a base di resine alchidimelaminiche modificate con piccopale 70.), Ind. vernice, 1956, 10, № 8, 209—212 (итал.)

Модификация алкидно-меламиновых смол смолой «пиккопал 70» (в кол-ве 10—25%) значительно увеличивает водостойкость грунта горячей сушки (напр., для автомобильных эмалей), а также стойкость его к солевым туманам.

Л. Песин

34444. Ненасыщенные полиэфирные смолы в лаках. Аллас (Dalle resine sintetiche per vernici alle resine de poliesteri non saturi. Allas Anatol), Pitture e vernici, 1956, 12, № 9, 595—603 (итал.)

Промышленность выпускает 2 типа лаков на основе ненасыщ. полиэфирных смол (I) (в состав которых входит малеиновая, фумаровая или итаконовая к-та), пластифицированных, напр. трикрезилфосфатом (диоктилфталат, диоктилсебацат и касторовое масло несовместимы с полиэфирами), и непластифицирован-

ных. В качестве инициаторов для I воздушной сушки или сушки с небольшим подогревом (до 60°) применяют перекиси дициклогексиды, циклогексанона или метилэтилкетона, а для лаков горячей сушки перекись бензоила (т-ра сушки 60—90°), перекись ди-*трет*-бутила (сушка при 120—150°) или другие менее активные перекиси, в кол-ве до 3%. В качестве активаторов используются нафтенатом Со (содержащим 1,2% Со) в кол-ве 1% или более активным диметиланилином (кол-во ~ 0,5%). С I лучше всего совмещаются литопон, ZnCrO₄, окислы Fe и селениты Cd. После введения инициаторов и активаторов время желатинизации I составляет 20—30 мин., а отверждение проходит за 1—3 часа.

Л. Песин

34445. Взаимодействие растворителей с производными целлюлозы. Мур (Cellulose derivative-solvent interaction. Moore W. R.), Paint Manufact., 1957, 27, № 1, 17—24, 33; Paint and Varnish Proc., 1957, 47, № 2, 40—48, 94 (англ.)

Обзор работ по теории взаимодействия полимера с жидкостью при образовании лакокрасочных материалов. См. также РЖХим, 1957, 60733. Библ. 26 назв.

Б. Шемякин

34446. Комбинированные лаки на основе поливинилацетата. Фулон (Kombinationslacke auf Grundlage von Polyvinylacetat. Foulon A.), Neue dtsh. Lackierer-Ztg, 1957, 8, № 5, 8 (нем.)

Краткие сведения о лаках на основе продуктов совмещения поливинилацетата с нитроцеллюлозой, хлоркаучуком, а также поливинилацетатных дисперсиях.

Г. Цейтлин

34447. Применение содержащих сульфид молибдена пленок из синтетических смол, в качестве смазывающих средств. Лонский (Kunstharzfilme mit eingebautem Molybdändisulfid als Schmiermittel. Lonsky P.), Fette, Seifen, Anstrichmittel, 1956, 58, № 7, 518—519 (нем.)

Покртия, содержащие MoS₂, окисляются только при т-ре выше 450°, а под вакуумом при т-ре выше 1100°; они устойчивы к воздействию большинства хим. в-в за исключением хлора и конц. к-т. Скользящие детали натираются мелкоизмельченным порошком MoS₂. MoS₂ добавляется к лакам, применяющимся для покрытия несмазывающихся скользящих деталей в самолетах и приборах.

В. Мазюкевич

34448. Возможность применения сухих дисперсий поливиниловых сложных эфиров в технике покрытий. Грунау (Anwendungsmöglichkeiten von Trockendispersionen der Vinylester in der Anstrichtechnik. Grunau E. B.), Farbe und Lack, 1957, 63, № 7, 345—346 (нем.)

В технике покрытий, в качестве связующего, дисперсии поливиниловых эфиров могут применяться только в двухфазной системе, или в качестве водн. дисперсий, с содержанием воды 40—50%. При транспортировке таких дисперсий это вызывает излишние расходы, по сравнению с сухими дисперсиями. Поливинилацетатные дисперсии обычно содержат ≤ 20—33% пластификатора; недостатком сухих дисперсий является склеивание частиц более пластифицированных и неполное пленкообразование менее пластифицированных дисперсий. Этот недостаток устраняется при применении поливинилацетатных дисперсий, содержащих 12—15% пластификатора и 25—30 ч. пигмента на 100 ч. синтетич. в-в, включая пластификатор; пигмент вводят путем тангенциального вдувания его в сухую струю порошка полимера, чтобы при вихреобразовании порошков достичь наиболее полного их смешивания (частицы таких сухих дисперсий не склеиваются). Рекомендуются размер частиц дисперсии 0,7—1,6 м, пигмента по возможности наименьший; из пигментов наиболее пригодна тонкодисперсная ZnO, для после-

дующего пигментирования — TiO_2 и литопон. Некоторые сополимеры, как, напр., винилацетат с виниловыми эфирами, имеющими длинные цепи, с маленнатыми или фумаратами, имеют незначительную склонность к склеиванию и такие сополимеры с размером частиц 0,9—1,1 μ или 1,0—1,3 μ особенно пригодны для сухих дисперсий. Из р-рителей можно применять гликоли, их эфиры и кетоны. Б. Шемякин

34449. О зависимости между разбеливающей способностью и укрывистостью белых пигментов. Мунк (Über den Zusammenhang zwischen Aufhellungsvermögen und Deckvermögen von Weißpigmenten. Munk Franz), Dtsch. Farben-Z., 1957, 11, № 7, 270—271 (нем.)

Обзор литературы с критич. разбором вопроса. Библ. 6 назв. Г. Цейтлин

34450. Обзор исследований в области производства рутиловых белых в Чехословацком товариществе (объединении) химических и металлургических заводов. Србек (Přehled výzkumů v oboru výroby rutilové bělohy ve Spolku pro chemickou a hutní výrobu. Srbek Josef), Chem. průmysl, 1956, 6, № 10, 397—401 (чешск.)

Обзор результатов научно-исследовательских работ, проведенных Чехословацким товариществом хим. и металлургич. з-дов в области технологии получения рутильной модификации TiO_2 . Библ. 15 назв. Л. Песин

34451. Кристаллизация органических красителей. Блэйш (Die Kristallisation organischer Farbstoffe. Bleisch G.), Farbe und Lack, 1957, 63, № 7, 341 (нем.)

Различная кристаллич. форма растворимых органич. красителей (I) может служить основой несложных способов определения, идентификации таких в-в в лакокрасочных смесях, применяемых для окраски ж.-д. транспорта. Напр., толудиновый красный, в смеси с толудиновым желтым, отчетливо определяется по длинным красным игольчатым кристаллам, наряду с плоскими кристаллами последнего. Неточные результаты получаются для I, имеющих незначительную склонность к кристаллизации. В таких случаях рекомендуется замедлить скорость разбавления, длительно отстаивать пробу — до одних суток вместо 1—2 час. — и применять более значительные кол-ва р-рителя. В качестве р-рителя пригоден хлороформ. Кол-ва I для определения могут составлять несколько мг. При анализе I в красочных составах необходимо отделять пигменты, р-р I должен быть перед кристаллизацией тщательно профильтрован для удаления самых маленных твердых частиц, которые могут явиться зародышами кристаллизации, образовывать беспорядочные агломераты и мешать определению. Б. Шемякин

34452. Современные краски и их применение. Кокер (Modern paints and their application. Coker E. E.), Sheet Metal Inds, 1957, 34, № 359, 209—211, 214; Metal. Finish. J., 1957, 3, № 27, 119—121, 126 (англ.)

Кратко описаны различные виды грунтовочных, шпаклевочных и отделочных материалов, применяемых для защиты металлич. поверхности. М. Ваньян

34453. Успехи в технике обработки поверхности. Сверд (Nya framsteg inom ytbehandlingstekniken. Sward Gunnar), Plastvärlden, 1956, 6, № 12, 452—453, 455—456, 458 (шведск.)

Приведены рецепты лакокрасочных материалов для покрытий металлич. поверхностей лаками на основе фенольных смол и китайского древесного масла, горячей и воздушной сушки, на основе виниловых смол и виниловых смол, модифицированных алкидными смолами. Л. Песин

34454. Теоретические и электрохимические основы действия цинка в красках. Д'Анс, Шустер (Theo-

retische und elektrochemische Grundlagen des Verhaltens von Zink in Anstrichsystemen. D'Ans J., Schuster H. J.), Farbe und Lack, 1957, 63, № 9, 430—434 (нем.)

Изложены электрохим. основы защиты железа цинком от коррозии, которые могут быть распространены на действие цинковой пыли в покрытиях. Установлено, что окись цинка, содержащая металлич. цинк, обладает повышенным защитным действием, сравнительно с чистой окисью цинка. Образование соединений цинка в пленке зависит от структуры пленки, а также величины и формы частичек цинка. Г. Цейтлин

34455. Попытки теоретического изучения разлагающихся лаков, используемых для защиты стенок камер сгорания. Желли (Essai d'étude théorique des vernis décomposables pour protection des parois des chambres de combustion. Gelly H.), Métaux (corros.-inds), 1957, 32, № 381, 214—223 (франц.)

Для защиты стенок камер сгорания от воздействия высоких т-р применяются разлагающиеся лаковые покрытия, которые при соприкосновении с пламенем претерпевают эндотермич. разложение и тем самым предотвращают разогрев металлич. стенок камер в течение непродолжительного времени. При использовании покрытий на основе хлорвинила или хлоридата с минер. наполнителями в виде талька, асбеста, стекляного волокна и других эти наполнители при сгорании пленкообразующего органич. материала образуют защитный скелет, который вследствие весьма низкого коэф. теплопроводности защищает в дальнейшем неразложившиеся слои лака от пламени. С помощью выведенной приближенной ф-лы построена кривая, показывающая, что толщина лакового покрытия в 2 мм способна предотвращать в течение 40 сек. разогрев стенок камеры сгорания до т-ры разложения лака (~250°). При этом т-ра горения газов принята равной 2250°.

Я. Матис

34456. Цинковая пыль в качестве пигмента в антикоррозионных покрытиях. Хохвебер (Zinkstaub als Pigment in Korrosionsschutzanstrichen. Hochweber M.), Schweiz. Arch. angew. Wiss. und Techn., 1957, 23, № 6, 169—174 (нем.; рез. франц.)

На основе критич. разбора теории и практики вопроса дан ряд практич. указаний по использованию цинковой пыли в лакокрасочных покрытиях.

34457. Маркировочные краски для дорог. Улрих (Better traffic paints mean safer highways. Ullrich R. D.), Amer. Paint J., 1957, 41, № 33, 88—89, 92, 94, 96, 101 (англ.)

Приведены некоторые составы маркировочных красок для дорог. Хорошими свойствами обладают краски на основе алкидных смол на соевом масле с введением титаната кальция, силиката магния, CaCO_3 , теолола и гексана, при добавлении стабилизатора и в-ва против оседания. Б. Шемякин

34458. Процессы окисления и пленкообразования в высыхающих маслах. Кауфман (Oxydation und Verfilmung trocknender Öle. Kaufmann H. P.), Fette, Seifen, Anstrichmittel, 1957, 59, № 3, 153—162 (нем.; рез. англ., франц., исп.)

Обзор. Библ. 55 назв. Г. Ц.

34459. Повышение высыхающей способности растительных масел посредством обработки их фурфуролом. Ригамонти, Спаккамела-Маркетти (Aumento della siccatività di oli vegetali mediante trattamento con furfurolo. Rigamonti R., Spaccamela Marchetti E.), Chimica e industria, 1957, 39, № 4, 261—264 (итал.; рез. англ., нем., франц.)

Полувсыхающие и высыхающие масла (масла виноградных косточек, рапса, хлопка, сои и льна) негравели в отсутствие воздуха в течение 8 час. до 60

и 140° в смеси с 5—30% фурфурола (I); по окончании нагревания I отгоняли с водяным паром, а масло подвергали испытанию на скорость высыхания на стеклянных пластинках, с добавлением или без добавления сиккативов. Было показано, что в результате этой обработки скорость высыхания масел повышается на 50% и более. В процессе обработки происходит частичное осмоление I, что вызывает некоторое потемнение масла. Однако такое потемневшее масло легко подвергается отбелке обычными средствами. Спектрофотометрич. методом было показано, что I вызывает изомеризацию содержащихся в жирах линолевой и линоленовой к-т в соединения с конъюгированными двойными связями. Обсуждаются также другие гипотезы, объясняющие повышение высыхающей способности масел под влиянием обработки I.

А. Верецагин

34460. Экономические пути получения высыхающих масел. Кноpf (O próbach otrzymania olejów oszczędnościowych. Knopf M.), Przem. chem., 1956, 12, № 1, 18—23 (польск.).

На основании литературных данных приводится объяснение процессов полимеризации высыхающих масел и обсуждаются проведенные автором попытки получения масел с низкой вязкостью и с малым кислотным числом, путем термич. полимеризации без продувания воздуха.

К. Butkiewicz

34461. Органические соединения алюминия в высыхающих маслах. Вейсс (Organische Aluminium-Verbindungen in trocknenden Ölen. Weiss Josef), Dtsch. Farben-Z., 1957, 11, № 7, 271—279 (нем.; рез. англ., франц.).

Обзор литературы по применению органич. соединений алюминия в масляных лакокрасочных материалах. Разобрана теория вопроса. Библ. 49 назв.

Г. Цейтлин

34462. Варка олифы «оксоль» при 200—220°. Варламов В. С., Премет Г. К., Иванова Т. М., Абкина Н. А., Стяжкина А. Г., Насибулова Ф. Н., Тр. Всес. н.-и. ин-та жиров, 1957, вып. 16, 108—109

Произведены опытные варки олифы «оксоль» из гидратированного подсолнечного масла продвух воздухом при 160, 200 и 240°. Показано следующее: 1) у масел, окисленных при указанных т-рах, не наблюдается значительной разницы в величинах кислотного и йодного чисел и числа омыления; 2) пленки олиф, изготовленных при этих т-рах, мало отличаются по твердости, обратимости и плавкости при нагревании; 3) олифы, полученные при более высокой т-ре, содержат меньше кислорода и при высыхании присоединяют его в большем кол-ве, что указывает на лучшее качество олиф; 4) цвет олиф, полученных при более высокой т-ре, соответствует технич. условиям; 5) при испытании суриковых красок по железу в везерометре установлена коррозия железа на 35, 2 и 5% для олиф, изготовленных соответственно при 160, 200 и 240°.

Г. Фрид

34463. Сравнительная оценка качества масляных олиф. Премет Г. К., Тр. Всес. н.-и. ин-та жиров, 1957, вып. 16, 87—96

Испытаны свойства пленок 27 образцов олиф и их устойчивость в везерометре и при атмосферных испытаниях. Показано следующее: 1) по механич. прочности пленок лучшими показателями обладают натуральная льняная олифа, касторовая и олифы с применением тунгового масла; 2) лучшей атмосфероустойчивостью обладают олифы — натуральная льняная полимеризованная, глифталевая, глифталевая на окисленном масле, натуральная льняная и олифы на смеси соевого и тунгового масел; 3) пониженной атмосфероустойчивостью обладают олифы «оксоль» из

полувсыхающих масел (за исключением «оксоль» рыжиковой), касторовая, оксиполимеризованная и натуральная соевая олифы; 4) наиболее высокой водостойкостью отличаются пленки глифталевой и касторовой олиф и олиф из смеси соевого и тунгового масел. Пленки натуральной льняной олифы в воде набухают. Пленки натуральной соевой олифы неустойчивы к воде. Пленки олифы «оксоль» постепенно выщелачиваются водой, сохраняя адгезию. Из олиф «оксоль» наиболее водостойка «оксоль» рыжиковая.

Г. Фрид

34464. Научные и технические проблемы в области сиккативов. Баккер (Über wissenschaftliche und technische Probleme auf Sikkativ — Gebiet. Bakker J.), Fette, Seifen, Anstrichmittel, 1957, 59, № 3, 170—173 (нем.; рез. англ., франц., исп.).

Разобрано различие процессов сушки льняного и тунгового масел, дана теория процессов, указаны некоторые практич. вопросы, связанные с использованием сиккативов.

Г. Цейтлин

34465. Поверхностноактивные вещества в лакокрасочной и смежных отраслях промышленности. Мур, Белл (Surfactants in the paint and allied industries. Moore C. D., Bell Maurice), Paint Technol., 1957, 21, № 237, 199—203 (англ.).

Поверхностноактивные в-ва (I) в лакокрасочную пром-сть были введены недавно. Описано строение, свойства и общие теоретич. основы применения I для стабилизации уменьшения поверхностного натяжения, улучшения смачиваемости, предотвращения хлопьеобразования лакокрасочных материалов, а также для получения эмульсионных красок, полировальных составов и т. п.

Д. Шемякин

34466. Реакция акрилонитрила и фумаронитрила с α- и β-олеостеаратами. Пластифицирующие свойства n-бутиловых эфиров аддуктов. Гофман, О'Коннор, Мань, Бикфорд (The reaction of acrylonitrile and fumaronitrile with alpha- and beta-oleostearates. Plastizer properties of the n-butyl esters of the adducts. Hoffmann Joan S., O'Connor R. T., Magne Frank C., Bickford W. G.), J. Amer. Oil Chemists' Soc., 1956, 33, № 9, 410—414; Paint Ind. Mag., 1957, 72, № 3, 8, 10, 15, 86—87 (англ.).

Акрилонитрил (I) и фумаронитрил (II) использовались в качестве диенофильных соединений в р-ции Дильса-Альдера с n-бутиловыми эфирами α- и β-олеостеариновых к-т. Определяли ИК- и УФ-спектры I и II и полученных продуктов р-ции (аддуктов). Аддукты испытывались в качестве пластификаторов (III) для виниловых смол и сравнивались с диоктилфталатом (IV). Установлено, что аддукты II по совместимости со смолами превосходят аддукты I, которые дали удовлетворительные результаты лишь в качестве вторичных III, т. е. добавок к другим III. Добавление I уменьшает летучесть в образцах, пластифицированных IV или повышает модуль упругости и стойкость к действию низких т-р у образцов, пластифицированных трикрезилфосфатом (V). Вместе с тем пластифицирующие свойства IV и V от добавки I не ухудшаются.

М. Гольдберг

34467. Пластификаторы на основе эпоксидных эфиров жирных кислот. Приготовление и свойства. Гринспан, Голл (Epoxy fatty acid ester plasticizers. Preparation and properties. Greenspan Frank P., Gall Ralph J.), J. Amer. Oil Chemists Soc., 1956, 33, № 9, 391—394 (англ.).

Рассмотрены способы приготовления и свойства пластификаторов из эпоксидных эфиров жирных к-т. Являясь хорошими мягчителями для виниловых смол, эпоксидные эфиры жирных к-т оказывают стабилизирующее действие на полихлорвиниловые смолы, за-

меня наполовину (а иногда полностью) дорогостоящие металлич. стабилизаторы. Приготовлены также эпоксидные пластификаторы на основе смеси моно- и диглицеридов жирных к-т.

А. Вавилова
34468. Изобутиловый спирт и его эфиры. Скартабелли (L'alcole isobutilico ed i suoi ester. Scartabelli Alessandro), Pitture e vernici, 1956, 12, № 6, 399—403 (итал.)

Показано, что качество лаков не изменяется в случае замены бутилацетата и дибутилфталата, соответственно изобутилацетатом и ди-изо-бутилфталатом. Показана экономич. и технологич. выгода этой замены.

И. Матвеева
34469. Бутиловый и изобутиловый спирты и их эфиры. Пьянтанида (Gli alcoli butilici, normale ed iso, a relativi ester. Piantanida Cesare), Pitture e vernici, 1957, 13, № 1, 41—44 (итал.)

Показано, что изобутиловый спирт и его ацетат не могут быть полноценными заменителями бутилового спирта и бутилацетата в произ-ве лаков вследствие более низкой т-ры кипения и в 2 раза большей скорости испарения (что является причиной дефектов пленки).

И. Матвеева
34470. Роль эмульгирующегося полиэтилена в мастиках для пола. Кларк (Role of emulsifiable polyethylene polymer in floor waxes. Clark Robert E.), Soap and Chem. Specialties, 1956, 32, № 9, 141—144 (англ.)

Мастики для пола высокого качества получают на основе эмульгирующегося полиэтилена с низким мол. весом и т. пл. $\sim 100^\circ$, или на основе смеси его с различными смолами. В качестве эмульгаторов добавляют амины (напр., моно-, ди- или триэтаноламин и др.). Приводятся рецептуры и технология получения различных мастик.

Л. Чернина
34471. Антикоррозионное применение эпоксидных смол. Николсон (Anti-corrosive applications of «Epikote» resins. Nicholson David H.), Corros. Technol., 1956, 3, № 1, 4—7, 18 (англ.)

Указаны способы нанесения эпоксидных покрытий, приведены примеры их использования при защите от коррозии оборудования на курорте с минер. водами, содержащими соли, радиоактивные в-ва и сернистые соединения, на з-дах по переработке свинца, при окраске внешней стороны насосов, перекачивающих 15—30%-ные р-ры NaOH, насосов и моторов, работающих в присутствии SO₂ в тропич. условиях, на пивоваренных з-дах, а также в случаях, где помимо коррозионной стойкости от покрытий требуется еще абразивостойкость.

М. Гольдберг
34472. Распылительные камеры и сушильные устройства для ремонтной окраски. Бруст (Spritz- und Trockenanlagen für den Reparaturbetrieb. Brust Otto), Industrie — Lackier — Betrieb, 1957, 25, № 7, 179—181 (нем.)

Описание известных типов оборудования. Г. Цейтлин
34473. Аэрозольное распыление защитных и малярных красок. Генцш (Sprühpäckungen für Schutz- und Anstrichmittel. Genzsch Erwin O.), Industrie-Lackier-Betrieb, 1957, 25, № 5, 119—122 (нем.)

Кратко описаны принцип действия и основные преимущества современных аэрозольных распыляющих устройств. Для распыления применяют светлые лаки на основе нитроцеллюлозы, масляных алкидных смол, винильных композиций, акриловых смол, силиконов и др., протравные составы, бронзы (алюминиевая, золотая, серебряная), различные пигментированные краски.

Г. Цейтлин
34474. Распыление полиуретанов. Форнуол (Spraying polyurethanes. Fornwall Harold C.), Paint and Varnish Prod., 1957, 47, № 4, 51—54, 109 (англ.)

Сообщается о способе нанесения нестойких, быстро желатинирующих лакокрасочных составов с помощью спец. распыляющей аппаратуры фирмы Девильблос, позволяющей смешивать составные части лака, а также катализаторы отверждения, непосредственно перед нанесением, прямо в головке распылителя.

Б. Шемякин
34475. Автоматическое оборудование для окраски окуномением и сушки. Шнейдер (Automatic dipping and drying equipment. Schneider Marvin), Organ. Finishing, 1957, 18, № 4, 13—15 (англ.)

Приведено описание автоматич. установки для нанесения покрытий способом окуномания и их сушки, снабженной непрерывной высокоскоростной конвейерной системой и занимающей небольшую площадь.

Б. Шемякин
34476. Окраска станков. Шнейдер (Lackierung von Werkzeugmaschinen bei der Alzmetall, Altenmarkt/Alz. Schneider Gg.), Industrie-Lackier-Betrieb, 1957, 25, № 12, 337—338 (нем.)

34477. Защитные покрытия для полистирола. Снайдер, Мартин, Уилкинсон, Вуд (Protective coatings for polystyrene. Snyder J. A., Martino C. F., Wilkinson J. R., Wood E. H.), Mod. Plastics, 1956, 33, № 10, 252, 254, 425 (англ.)

Для повышения атмосферостойкости изделий из полистирола рекомендуется покрывать их тонкой защитной пленкой (толщиной 2,5—12,5 м) лака на основе полиметилметакрилата, содержащего экранирующее (светофильтрующее) в-во «унивул 400» (состав в-ва не указан).

Л. Песик
34478. Инфракрасные лучи для быстрой сушки синтетических лаков. Кальперс (Infrarot — Strahlen zum Schnelltrocknen von synthetischen Lacken. Kalpers H.), Plastverarbeiter, 1957, 8, № 5, 179—181 (нем.)

Описаны устройства для сушки лаков ИК-лучами, приведены их фотоснимки.

Г. Цейтлин
34479. Обжиг пламенем как способ очистки поверхностей. Виганд (Flammzunderung als Oberflächenreinigungverfahren. Wiegand H.), Farbe und Lack, 1957, 63, № 6, 290—294 (нем.)

Способ очистки обжигом основан на том, что окалина значительно менее теплопроводна, чем сталь, и поэтому ее слой при нагревании расширяется сильнее и отскакивает. Процесс очистки зависит от строения окалины, от многочисленных факторов, определяемых практикой — разницы коэф. расширения окалины и поверхности стали, расстояния горелки от окалины и ее наклона к поверхности и скорости перемещения.

Г. Цейтлин
34480. Фосфатирующие составы, применяемые при окраске алюминия. Луфт (Fosfatanti impiegati quali sottofondi per la verniciatura dell'aluminio. Luft G.), Ind. vernice, 1957, 11, № 4, 85—88 (итал.)

Проведено сравнение эффективности различных фосфатирующих и пассивирующих составов, применяемых перед окраской Al-поверхности.

Л. Песик
34481. Объемное определение фталевого ангидрида в алкидных смолах. Бринк (Volumetric determination of phthalic anhydride in alkyd resins. Brink A.), J. Oil and Colour Chemists' Assoc., 1957, 40, № 5, 361—364 (англ.)

Метод основан на омылении алкидной смолы (П) спирт. р-ром КОН, выделении свободных эфирных к-т путем добавления отмеренного избытка стандартной к-ты, экстрагирования свободных жирных к-т с помощью CCl₄ и титровании водн. р-ра, содержащего фталевую к-ту, стандартным р-ром щелочи. Получаются результаты, воспроизводимые, но несколько завышенные сравнительно со стандартным весовым методом. Метод вполне пригоден для анализа р-ров I,

их, быстро
с помощью
евильбоса,
лака, а так
же можно по-
лучить лаки
и эмали.

Шемияки
и окраски
atic dipping
vin), Ог-
гл.)

и для ла-
их сушки,
конвейер-
лощадь.

Шемияки
ierung von
Altenmark
ier-Betrieb

ла. Снай-
(Protective
Martino
Mod. Pla-

ли из по-
гонной са-
та на осно-
вляющие
остав в-в

Л. Песин
сушки су-
— Strahlen
cken. Kal-

с, 179—181

ИК-лучам.
Г. Цейтлин
ки поверх-
ls Oberflä-
Farbe und

и, что ок-
м сталь, и
ется силь-
от строе-
и, опреде-
ления ок-
и от окис-
ости пере-
Г. Цейтлин
емые при
iegati quali
Luft G),

иных фо-
применя-
Л. Песин
ангидрид
determina-
s. Brink
7, 40, № 5

смола (I)
ириных к-т
гандартной
к-т с по-
держателем
и. Получа-
только за-
сесовым ме-
р-ров I

содержащих фталевый ангидрид, и не применим для р-ров I, содержащих другие смолы, напр., мочевино- или меламиноформальдегидные смолы, нитроцеллюлозу и т. д.

Б. Шемияки
34482. Реологические явления в лаках. Тален (I fenomeni reologici delle vernici. Talen H. W.), Pitture e vernici, 1956, 12, № 9, 605—610 (итал.)

Описаны и рассмотрены основные типы вискозиметров, применяемых в лакокрасочной технологии (ротационный, ленточный и стержневой); обсуждены результаты исследования тиксотропии лаков, проведенные рядом авторов, а также описаны методы оценки малярных свойств лаков. Библ. 14 назв. Предыдущее сообщение РЖХим, 1957, 35990.

Л. Песин
34483. Адгезия и клеевые вещества. Лонг, Уайтмарш, Юань-Вэй-лян (Adhesion and adhesives. Long J. S., Whitmarsh C., Yuan Wei-Liang), Offic. Digest., 1956, 28, № 383, 1231—1244; Amer. Paint J., 1956, 41, № 8, 112, 114, 118, 120, 122, 124, 126, 128, 130 (англ.)

Исследовали возможность использования весов Ленгмюра для измерения адгезии (А) различных в-в к гидрофильным поверхностям. Опыты проводили с тремя типами в-в: производными абиетиновой к-ты, соединениями нафталина и полярными алифатич. соединениями; различные представители каждого типа различались по характеру полярных групп (напр., —ОН, —СООН, —NH₂, —CONH₂, —CHO, —C=O и т. д.), что давало возможность определить влияние последних на величину А. Усовершенствована методика работы на весах Ленгмюра. Величина А уменьшается с повышением т-ры. А обычно повышается по мере окисления связующего или присоединения им дополнительных полярных групп. Наблюдались различия в величине А у масла, окисленного на поверхности, и у масла, через которое продували воздух при несколько повышенных т-рах. Величина А эпоксидных смол очень велика, при этом А больше у смол с небольшим мол. весом и уменьшается с увеличением мол. веса. Дан примерный расчет величины А на основе результатов проведенных измерений и приведены численные значения А для различных в-в.

С. Иофе
34484. Определение малых количеств изоцианатов в полиуретановых смолах и покрытиях. Навязская Э. А., Хим. пром-сть, 1956, № 7, 432—433

Разработан потенциометрич. метод анализа для определения малых кол-в изоцианатов (I), основанный на взаимодействии I с диэтиламинном в р-ре циклогексанона. Для связывания избытка диэтиламина добавляется 25 мл 0,1 н. р-ра HCl, избыток которого оттитровывают потенциометрическим 0,1 н. р-ром NaOH. Применяя этот метод, можно определять десятые доли мг свободного I в покрытиях, а также изучать полимеризационные процессы, происходящие в покрытиях.

Т. Кастерина
34485. Исследование основных свойств лакокрасочных покрытий. Брунт (Fundamenteel Verfonderszock. Brunt N. A.), Verfkronick, 1955, 28, № 3, 59—65 (гол.)

Обзор современных методов исследования физ.-мех. и хим. свойств лакокрасочных покрытий их теоретич. интерпретация.

Л. Песин
34486. Влияние химически загрязненной атмосферы на высыхание лакокрасочных покрытий. Ваничек, Цивин, Таборский (Vliv chemicky znečištěného ovzduší na zasychání nátěrů. Vaníček Otakar, Cívín Vladimír, Táborský Václav), Chem. průmysl, 1957, 7, № 5, 273—276 (чешск.; рез. русск., англ.)

В результате исследования скорости высыхания 14 образцов лакокрасочных покрытий в атмосфере, со-

державшей (в об.%): 0,1 SO₂, 0,001—0,002 HCl; 0,01 H₂S; 0,5 NH₃, найдено, что эти хим. загрязнения не оказывают заметного влияния на скорость высыхания масляно-алкидных эмалей (пигмент литопон + ZnO и др.), эмалей на основе смеси (2:3) хлоркаучука и масляной алкидной смолы (пигмент Zn — желтая + тальк и др.), хим. грунтовок на основе H₃PO₄ + поливинилбутираль (пигмент ZnCrO₄ + тальк), эмалей на основе сополимера винилхлорида и винилацетата (пластификатор трикрезилфосфат, пигмент — Pb-сурик); скорость высыхания покрытий масляных эмалей, пигментированных Pb-суриком, в такой атмосфере резко понижается.

Л. Песин
34487. Основы работы с жидкостями. Дейвис (Principles of fluid handling. Davis H. G.), Paint Manufact., 1957, 27, № 5, 179—180, 182 (англ.)

Рассматриваются вопросы хранения, транспортировки и измерения жидкостей соответственно предъявляемым к ним требованиям, причем это может быть ограничено не только такими жидкими в-вами, как р-рители и связующие, но и применено к другим жидким средам. Приведен краткий обзор рекомендуемого для лакокрасочных предприятий оборудования.

Б. Шемияки
34488. Количественное измерение жидких материалов при помощи счетчика с вытесняющим механизмом. Манкин (Positive displacement metering. Mankin Paul), Paint and Varnish Prod., 1957, 47, № 2, 31—34 (англ.)

Приведены схемы действия шести основных типов счетчиков с вытесняющими механизмами, и указана зависимость выбора наиболее подходящего типа счетчика от условий его применения и свойств лакокрасочных продуктов.

Б. Шемияки
34489. Указания по эксплуатации распылительных кабин с гидрофильными и лаковых сушильных камер. Эйзенман (Hinweise zur Benutzung von wasserberieselten Spritzkabinen, Trockenräumen und Lacktrockenöfen. Eisenmann Eugen), Industrie-Lackier-Betrieb, 1957, 25, № 6, 155—157 (нем.)

Приведены технич. данные указанного оборудования, выпускаемого машиностроительной фирмой Эйзенман в Штутгарте, описаны методы контроля и правила безопасной и высокопроизводительной работы.

Г. Цейтлин
34490. Каталитическое сжигание паров органических растворителей в цехах лакировки проволоки. Радо (Katalytisches Verbrennen von Dämpfen organischer Lösungsmittel in der Lackdrahtfabrikation. Rado W. A.), Draht, 1957, 8, № 6, 221—222 (англ.)

Сжигание паров преследует очистку отходящего воздуха и, одновременно, использование получаемого тепла. Каталитич. сжигание представляет собой процесс окисления при низких т-рах. Для легко испаряющихся р-рителей каталитич. р-ция идет при 200—260°, а для труднотлетучих — при 370—400°. Процесс идет в каталитич. аппарате «Элекс». Даны описание конструкции элемента и правила его эксплуатации (катализатор не указан).

Г. Цейтлин
34491. Радиоактивные изотопы и их применение в полиграфии. Рейтер (Radioaktive Isotope und ihre Anwendung in der Polygrafie. Reuter), Druck und Reprod., 1957, 6, № 5, 65—69 (нем.)

В полиграфии радиоактивные изотопы применяются для контроля равномерности распределения в-в, измерения толщины пленки, для устранения электростатич. зарядов. Описаны техника работы и меры безопасности.

Г. Цейтлин
34492 К. Краски и технология. Справочник. Графф (Farbe und Technik. Ein Handbuch. Graff Kurt Uelzel, Becker, 1957, 158 S., ill., 17.80 DM) (нем.)

34493 П. Способ получения высыхающих углеводородных масел. Блок (Verfahren zur Herstellung von trocknenden Kohlenwasserstoffölen. Bloch Herman Samuel) [Universal Oil Products Co.]. Пат. ФРГ 880299, 22.06.53 [Chem. Zbl., 1954, 126, № 21, 4945 (нем.)]

Комплексное соединение, полученное взаимодействием углеводородов со смешанным катализатором полимеризации (HF или галогениды металлов), обрабатывают несмешивающимся с ним инертным, кипящим ниже 250° р-рителем с целью полного удаления высококипящих насыщ. углеводородов. Комплексное соединение, полученное р-цией полимербензина с HF, экстрагируют петр. эфиром и непосредственно после этого гидролизуют. Полученное масло за 6 дней превращается в твердую пленку. Н. Фрумкина

33494 П. Сополимеры этерифицированных фенольных смол и соединений, содержащих винилбензольную группировку. Гаррисон (Copolymers of phenolic resin esters and compounds containing a vinyl-benzene nucleus. Harrison Stuart A.) [General Mills, Inc.]. Пат. США 273428, 17.01.56

Для получения сополимеров применяют этерифицированные высшими жирными к-тами фенолформальдегидные смолы (I) и соединения (II), содержащие винилбензольную группировку (напр., стирол, α -метилстирол, винилтолуол и т. п.). Для получения I можно брать фенол или алкил- или арилзамещ. фенолы, в которых заместитель содержит 1—8 атомов C (напр., *n*-трет-бутилфенол, или орто- или пара-замещенные фенилфенолы). I получают конденсацией, в присутствии кислых катализаторов, исходных компонентов в соотношении 2—3 моля CH_2O на 4 моля фенола (при получении смол из замещ. фенолов CH_2O можно применять в эквивалентном кол-ве или в избытке). I должны содержать 4—10 фенольных ядер в молекулах полимергомологов и должны иметь миним. кол-во свободных метилольных групп, чтобы в процессе этерификации жирными к-тами не происходило значительного увеличения мол. веса смол, за счет дальнейшей конденсации. В качестве жирных к-т можно применять смеси непредельных к-т, высыхающих или полувсыхающих масел (льняного, тунгового, периллового, ойтисикового, соевого и др.), а также отдельные фракции этих к-т или индивидуальные к-ты, выделенные из этих смесей. Этерификацию I жирными к-тами проводят при 200—275° с катализатором с таким расчетом, чтобы 70—100% гидроксильных групп в фенолах было этерифицировано. Полученный продукт этерификации сополимеризуют со II, причем кол-во II берут равным 5—40% (оптимально — 15—30%) от веса этого продукта. Получаемые сополимеры растворимы в обычных лаковых р-рителях (уайт-спирит, скипидар, толуол и т. п.) и при добавке сиккатива высыхают на воздухе, образуя прочные, водо- и щелочестойкие пленки. Пример. Фенол (4 моля) и CH_2O (2½ моля) в виде формалина нагревают до 100° в течение 10 час., в присутствии катализатора — щавелевой к-ты. Смолу обрабатывают при 310° при 0,2 мм давления, для отгонки непрореагировавшего фенола и низкомолекулярных продуктов конденсации, и этерифицируют к-тами соевого масла при 235°, беря к-ты в 25%-ном избытке и применяя трифенилфосфат в качестве катализатора. После окончания этерификации (примерно, через 10 час.) избыток к-т отгоняют при 275° и 1 мм давления. Полученный продукт (100 ч.) сополимеризуют со стиролом (20 ч.) и α -метилстиролом (10 ч.) в присутствии гидроперекиси кумола (0,6 ч.) при т-ре 160—240° в течение 3—6 час. Избыток стирола отгоняют, нагревая до 240° при 0,5 мм давления. М. С.

34495 П. Композиции и способы их получения. Уассерман (Compositions of matter and methods and steps of making and using the same. Wasserman David) [The Harver Corp.]. Пат. США 2739955, 27.03.56

Патентуется продукт алкилирования или арилирования смолы, полученной из алкилфенола (алкил- или арил-заместитель содержит 14—28 атомов C) и формальдегида и растворимой в смеси (1:1) толуола и *n*-бутанола. Напр., смесь 1200 г карданола (фенолы из анакардового масла с ф-лой $\text{m-RC}_6\text{H}_4\text{OH}$, где R-алкил с 15 атомами C), 216 г 36%-ного CH_2O и 20 г конц. NH_3 кипятят 1,5 часа и обезвоживают смолу под вакуумом (130°/20 мм). 314 г смолы растворяют в 500 мл 95%-ного спирта и 100 мл бутанола, добавляют 90 г аллилхлорида и р-р 61 г КОН в 150 мл спирта кипятят 42 часа, охлаждают до 30—40°, вводят р-р 5,6 г КОН в 20 мл спирта, добавляют 15,4 г диэтилсульфата и кипятят еще 3 часа. Далее отгоняют этанол (~500 мл), оставшийся бутанольный р-р смолы промывают трижды горячей водой порциями по 300 мл и удаляют р-ритель и воду в вакууме. Получают вязкое масло, которое высыхает на воздухе при ~20° в присутствии сиккативов и образует хорошие покрытия. А. Жданов

34496 П. Получение модифицированных алкидных смол (Preparation of modified alkyl resins) [American Cyanamid Co.]. Англ. пат. 738096, 5.10.55

Модифицированные алкидные смолы получают, нагревая поликарбонатовые к-ты или их ангидриды (фталевую, янтарную, глутаровую, себаиновую, адипиновую, пимелиновую, азелаиновую или трикарбалловую), многоатомные спирты (этилен-, диэтилен-, триметилен-, тетраметилен- или пентаметиленгликоли, арабит, адонит, маннит, сорбит, дульцит, пинакон, глицерин, пентаэритрит, дипентаэритрит), высыхающие или полувсыхающие масла (соевое, льняное, дегидратированное, касторовое, перилловое, ойтисиковое, сафлоровое), их к-ты или моноглицериды, в отсутствие заметных кол-в других полуфункциональных органич. к-т, с последующим добавлением к продукту, имеющему кислотное число < 30, смеси стирола или замещ. стирола (стирола, α -метил-, α -хлор-, α -метил-, *n*-метил-, *m*-метил-, 2,4-диметил-, 2,4,5-триметил-, *n*-этил-, α -бром-, 2,4-бром-4-этил-, *n*-изо-пропил-, *n*-хлор- или 3,4-дихлорстирола) и акрилонитрила (метил-, этил-, α -этил и α -хлоракрилонитрила) и проведением р-ции в присутствии инициаторов полимеризации (гидроперекиси кумола и трет-бутила, 2,2-бис-[трет-бутилпероксид]-бутана, перекиси ди-трет-бутил-трет-бутилпропил- и трет-бутилпентаметилатрилата) в инертном р-рителе до получения 60%-ного р-ра, имеющего вязкость 1,40—98,5 пуаз (при 25°). Общее кол-во вводимых мономеров составляет 15—60% от общего веса алкидной смолы и мономеров. Весовое соотношение стирола и акрилонитрила лежит в пределах 19:1—1:1. При модификации нагревание продолжается до получения смолы с вязкостью 3,0—36,2 пуаз. В качестве инертной жидкости могут использоваться ксилол, толуол, нефть с высокой т-рой вспышки. Напр., алкиды на основе фталевого ангидрида и глицерина нагревают совместно со стиролом и акрилонитрилом в присутствии гидроперекиси трет-бутила с обратным холодильником. При применении смол в качестве покрытий к ним могут добавляться пигменты и сиккативы-нафтенаты Co и Pb. Б. Киселев

34497 П. Сополимеры винилацетата и винилхлорида (Vinyl acetate chloride copolymers) [Imperial Chemical Industries Ltd.]. Англ. пат. 738883, 19.10.55
Синтетическая смоляная композиция для покрытий состоит из сополимера винилхлорида — винилацета-

получения
d methods
Wasser-
lat. США

арилпро-
ла (алки-
мов С) и
толуола
(фенолы
де R-ад-
го и 20 г

ют смолу
растворяют
ла, добав-
в 150 мл
-40°, вво-
ют 15,4 г
алее отго-
танольный
й порция
вакууме
т на воде
образует
А. Жаков
алкидных
s) [Ameri-
55

ачают, на-
иды (фта-
о, адипи-
карбалли-
дисти-
аметилен-
дульцит,
азирит),
(соевое,
орлиное,
оглипер-
полуфунк-
добавле-
исла < 30,
ла, с-ме-
2,4-димо-
м-4-этил-
а) и ак-
оракрило-
ви шик-
кумола и
тана, ш-
гет-бу-
до полу-
к 1,40-
к мономе-
алкидной
стирола и
1. При
получения
ве инерт-
и, толуол,
алкиды на
агрегуют-
м в при-
тным хо-
естве по-
и сикли-
Б. Киселев

илхлори-
[Imperial
3, 19.10.55
покрытий
нилацета-

та, алкидной смолы и полиизоцианатов. Сополимер содержит 5—40% винилацетата и имеет приведенную вязкость в циклогексаноне при 20° в пределах 0,2—1,25 (рекомендуется 0,4—0,7) и может быть частично гидролизован, до содержания гидроксильных групп 2—10%. Алкидная смола представляет продукт конденсации адипиновой, себадиновой, фталевой к-ты (или ее ангидрида) с глицерином, этиленгликолем, сорбитом, пентаэритритом, диэтиленгликолем, бутиленгликолем, триметилолпропаном или смесью этих в-в. В композиции могут применяться полиизоцианаты этилен-, гексаметилен-, м-фенилен- или толуилен-2,4-диизоцианат, толуол-2,4,6-триизоцианат или трифенилметан-4,4,4-триизоцианат, аддукт полиизоцианата и бисульфита, продукт р-ции полиизоцианата и сложных эфиров ацетоксусовой к-ты или фенилуретана. Покрытие получают из композиции при добавлении р-рителей (циклогексанона, метилэтикетона, метилэтилкетона, этилацетата), разбавителей (бэл., ксилола), пигментов (двуокиси, титана, окиси железа, сажи, литопона), наполнителей (наилана, баритов).

Б. Киселев
34498 П. Производство влагостойких, герметизирующих при нагревании пленок (Manufacture of moisture-proff. heatsealable films) [British Cellophane, Ltd]. Англ. пат. 731630, 8.06.55

Жидкая влагостойкая пленкообразующая композиция состоит из пленкообразующего сополимера винилиденхлорида, растворимого в органич. р-рителях, сравнительно малого кол-ва воска, растворенного в летучем органич. р-рителе (метилэтилкетоне, смесях толуола и метилэтилкетона, тетрагидрофурана или диоксана) или смеси р-рителей, содержащих в форме тонкой дисперсии также малое кол-во производных алкиламинов, имеющих в алкильном радикале 10—16 атомов С и бентонита. Сополимер может быть получен полимеризацией смеси винилиденхлорида и одного или более соединений: акрилонитрила, метакрилонитрила, винилхлорида, винилацетата, акрилата или метакрилата, цитроновой к-ты или ангидрида, итаконовой к-ты или ангидрида или мезаконовой к-ты. В качестве воска могут использоваться карнаубский, спермацетный, канделильский или пальмовый воск, гидролизованное касторовое масло, бензилстеарат, пентаэритритдистеарат или тетрастеарат и м-октадецилстеарат. Содержание воска, вводимого в композицию, равняется 0,1—5 вес.% и производных бентонита 0,5—3% от веса сухого остатка композиции.

Б. Киселев
34499 П. Способ получения пеноподобной, удерживающейся на вертикальной поверхности дерева протравы. Вейсбах (Verfahren zur Herstellung einer schaumförmigen, an senkrechten Flächen nicht ablaufenden Holzbeize. Weissbach Richard) [Gertrud Margot Weissbach, Hannelotte Buhner, Hanswerner Weissbach, Jutta Olga Weissbach, Hannelotte Weissbach]. Пат. ФРГ 954291, 13.12.56

Для получения пеноподобной протравы к сплавленной смеси воска (напр. синтетического) и смолы (напр., естественной смолы) прибавляют при размешивании водн. р-р соды в кол-ве, достаточном для омыления и образования густой массы, которую дальнейшим добавлением кипящей воды превращают в полутвердую пенистую эмульсию и добавляют в последнюю водн. протраву в виде растворенных в воде красителей и наполнителей, после чего при тщательном перемешивании добавляют водн. р-р NH_3 . Обработку дерева можно проводить смазыванием, погружением и обрызгиванием, причем протрава не стекает при вертикальном положении ствола, ложится равномерно, обработанное дерево быстро высыхает. Пример. 5,2 кг твердого (или мягкого) воска

сплавляют при 100° с 4,6 кг смолы, к сплаву при непрерывном размешивании прибавляют кипящий р-р 1,2 кг соды в 22 кг воды; полученную густую массу разбавляют 57 кг кипящей воды, прибавляют горячий водн. р-р 0,5 кг растворимого в воде красителя, напр. пигментного, и 9 кг наполнителя и при тщательном размешивании 0,5 кг водн. р-ра NH_3 .

Ю. Вендельштейн
34500 П. Состав для покрытия. Уэлш (Coating composition. Welch John B.) [Spring Packing Corp.]. Пат. США 2733170, 31.01.56

Патентуется структура покрытия, получаемого с использованием данных патентов США 1577890, 2333189 и 2523626, состоящего из чередующихся сравнительно тонких (0,089—0,10 мм) огнезадерживающих, пенообразующих красочных слоев, в состав которых входят протеин, пенообразующий ингредиент, связующее, и сравнительно толстых (3,17—15,85 мм) слоев из пластичного битумного (асфальтового) электроизоляционного материала и пробки. Применение сочетаний двух таких слоев дает результаты не получаемые с каждым патентованным составом по отдельности. Покрытия по новому способу защищают не только от огня, но и от коррозии. Способ особенно ценен для защиты нефтяных и масляных хранилищ-емкостей.

Б. Шемякин
34501 П. Копировальная металлосодержащая и гектографическая бумага. (Metal-filled carbon paper and hectographic paper) [Akt-Ges für Papier und Bürobedarf]. Англ. пат. 736745, 14.09.55

Для бесцветного компенсационного покрытия копировальных бумаг всех сортов и бумаг для гектографич. целей, которые получают на содержащей металл. (Al, бронза) пудру бумажной основе, применяют воск, естественные или искусств. смолы, шеллак, хлоркаучук или другие материалы. Б. Шемякин
34502 П. Состав для смывания китайских чернил с кальки. Гадо (Formule effaçant l'encre de Chine sur le papier calque. Gadot Marcel-Eugène). Франц. пат. 1415934, 2.05.56

Предлагаемый состав назван чайнавором и состоит из спирта (95°), камфоры, глицерина, водного р-ра аммиака.

Н. Аграненко

См. также: Материалы майского Пленума ЦК КПСС 31307, 31308. Изотактические полимеры, обзор 34905. Жиры и масла, Обзор 34004. Триглицидные эфиры циануровой к-ты 34425. Смеси полимеров 34370. Эмульсии акриловых смол 34391. Вязкость р-ров: высокополимеров 34882; трибутиратцеллюлозы 34887. ИК-анализ сополимеров 34844. Теория коррозии 32815, 32816. Защита от коррозии 32827, 32854. Подготовка поверхности 32837, 32852. Нанесение покрытий распылением 32849. Противопожарное оборудование химич. з-дов 33022. Взрыв сушилки 33026

КАУЧУК НАТУРАЛЬНЫЙ И СИНТЕТИЧЕСКИЙ. РЕЗИНА

Редактор Д. М. Сандомирский

34503. Резиновая промышленность Австралии. Блэквуд (The Australian rubber industry. Blackwood R. R.), Australas. Manufacturer, 1957, Industr. Annual, 210—211 (англ.)

Обзор. М. Л.
34504. Сушка и копчение натурального каучука. Часть I. Проектирование и работа нестационарных коптилен. Рисдон (The drying and smoking of natural rubber. Part I. The design and operation of temporary type smoke-houses. Ridson E. J.), Quart. Circ. Rubber Res. Inst. Ceylon, 1957, 33, № 1-2, 6—34 (англ.)

34505. Латексная губка и ее применение путем покрытия. Лепти (La mousse de latex, ses applications en enduction. Lepetit Francis), Rev. gén. caoutchouc, 1957, 34, № 9, 869—877, 925, 932, 933, 935 (франц.; рез. англ., нем., исп., итал.)

Нанесение латексной губки на натуральные и синтетич. ткани, резину, адгезивы и т. п. придает последним различные свойства: амортизацию ударов, смягчение, влаго- и звукопоглощение, устранение скольжения, водостойкость и т. п., что значительно расширяет области их применения. Описаны принципиальные основы получения и нанесения латексной пены прерывным и непрерывным способами и основные свойства пены (толщина, плотность, цвет) и подложки, а также указаны изделия, изготавливаемые покрытием ткани латексной пеной. Ю. Марголина

34506. Хлоркаучук. Новак, Фалдик (Chlorakautschuk. Novák R., Faldík L.), Plaste und Kautschuk, 1957, 4, № 3, 100—101 (нем.)

Перевод. См. РЖХим, 1957, 49390.

34507. Рост промышленности и теория действия антиоксидантов и антиозонантов. Ньюби (Antioxidants and antiozonants. Industrial growth and theory of function. Newby T. H.), Rubber Age, 1957, 81, № 4, 623—624 (англ.)

Обзор истории применения антиоксидантов в резиновой пром-сти и механизма взаимодействия каучука с O_2 и O_3 . М. Х.

34508. Синтетический каучук. Часть 3. Болам (Synthetic rubber—Part 3. Bolam S. E.), Plastics, 1957, 22, № 241, 419—422 (англ.)

Обзор. Часть 2 см. РЖХим, 1958, 6521.

34509. Развитие синтетического каучука в Германии. Бауман (German synthetic rubber developments. Baumann Paul), Rubber and Plast. Age, 1957, 38, № 5, 394—395, 397 (англ.)

Обзор. Библ. 10 назв.

34510. Некоторые применения неопрена. (Quelques applications du néoprène. D. N.), Officomatières plast., 1957, 4, № 40, 57—58 (франц.)

Приведены данные по диэлектрич. свойствам неопрена и применению его в произ-ве ремней, трубопроводов и покрытий. Ю. М.

34511. Масляные каучуки и их технические свойства. Технологическое оформление процесса получения масляного каучука СКС-30АМ. Калаус А. Е., Рабинерзон М. А., Захарченко П. И., Башкатов Т. В., Поляков В. В., Зайцева А. Б., Хим. пром-сть, 1957, № 6, 333—342

Описана технологич. схема непрерывного промышленного произ-ва масляного каучука СКС-30АМ (I) (содержание автола-18 14—17%) и методика определения содержания масла в I. По сравнению с серийным каучуком СКС-30А, I содержит больше свободных жирных к-т и золь, поэтому для улучшения качества I и его промывки предлагается заменить применяемый для коагуляции $CaCl_2$ другим электролитом, напр. $MgCl_2$ или $NaCl$ с соответствующей обработкой режима. Полуфабрикаты и смеси из I обладают лучшими конфекционными характеристиками. По прочностным показателям протекторные смеси из I несколько уступают смесям из СКС-30А (хотя соответствуют нормам по ТУ). Шины из I имеют лучшую ходимость, чем шины из СКС-30А на дорогах типа А, Б и В, что связано с пониженным теплообразованием в опытных шинах при многократных деформациях. Л. Золотаревская

34512. Динамические свойства бутылкаучука. Запп (The dynamic properties of butyl rubber. Zapp R. L.), Rubber Age, 1957, 81, № 2, 294—296 (англ.)

Приведены данные динамич. испытаний резин из бутылкаучука (БК). Механич. потери возрастают с

частотой и уменьшаются с т-рой. Обработка смеси БК с 50 вес. ч. канальной сажи и 1 вес. ч. ускорителя эластопара в резиносмесителе при повышенных т-рах дает резины с меньшим динамич. модулем и с пониженными механич. потерями. БК по сравнению с НК и GR-S имеет меньшую динамич. жесткость и большие механич. потери. Это свойство БК используют при изготовлении резиновых демпферов и амортизаторов. М. Хромов

34513. Термостойкие механически прочные полиорганосилоксановые резины. Андрианов К. А., Глухова А. И., Хим. пром-сть, 1957, № 6, 347—348

На основе кремнийорганич. и органич. полимеров получены новые механич. прочные, термостойкие блокполимеры. Сопротивление разрыву резин (Р) из новых блокполимеров с содержанием наполнителя 55—83% достигает 200 кг/см^2 при относительном удлинении $\sim 220\%$. При старении 10 суток при 350° сопротивление разрыву Р с содержанием наполнителя 55% сохраняется в пределах $100\text{—}140 \text{ кг/см}^2$ при относительном удлинении $\sim 150\%$. При 200° сопротивление разрыву равно $\sim 50 \text{ кг/см}^2$, относительное удлинение 150% . При 350° сопротивление разрыву Р (24 кг/см^2) соответствует прочности обычных кремнийорганич. резин при 20° . Диэлектрич. свойства Р с повышением т-ры изменяются незначительно. Л. Золотаревская

34514. Свойства полимеров пиперилена. Лившиц И. А., Ильина С. И., Рейх В. Н., Хим. пром-сть, 1957, № 6, 342—346

Проведено исследование технологич. и физ.-мех. свойств полимеров пиперилена, полученных полимеризацией в массе (каучук СКП) и в эмульсии (каучук СКП-1). В качестве ускорителя вулканизации в резиновых смесях из СКП наиболее активны комбинации алтаткса с вулкацитом AZ или каптаткса с тиурамом. Ненаполненные смеси из СКП характеризуются низким сопротивлением разрыву. Наибольший усиливающий эффект в вулканизатах СКП оказывает газома канальная сажка в кол-ве 40—60 вес. ч. на 100 вес. ч. полимера. По физ.-мех. и технологич. свойствам смеси из полимера пиперилена не уступают смесям из СКБ. Смеси из СКП-1 практически не отличаются от смесей из СКП по основным физ.-мех. и технологич. свойствам, уступая последним по эластичности вулканизатов при 20° и по качеству поверхности резиновой смеси. Л. Золотаревская

34515. Уплотнение строительных конструкций пленками из оппанола ВА. Даниэль (Bautenabdichtung mit Oppanol RA-Folie. Daniel W.), Kunststoffe, 1957, 47, № 10, 606—607 (нем.; рез. англ., франц., исп.)

Высокопрочные полиизобутиленовые пленки, нанесенные сажкой или силикатными наполнителями, полученные из Оппанола В 200, применяют для создания водонепроницаемых уплотнений при сопряжении различных строительных конструкций в туннелях, мостах, метро, жилых домах и т. п. Их легкая склеиваемость и термопластичность обеспечивает изоляцию узлов сложной конфигурации. По нормам пленки должны выдерживать давление воды 3 атм 1 час сопротивление разрыву 15 кг/см^2 , относительное удлинение 200% . М. Монастырский

34516. Влияние температуры на скорость истечения сырой резиновой смеси. Барш К. Н., Научн. тр. Моск. технол. ин-т легкой пром-сти, 1957, сб. 1, 92—100

Изучали влияние т-ры и давления на скорость истечения резиновых смесей из СКБ и СКС через каналы различного диаметра, которые удовлетворяли условию сохранения постоянства тиварианта d^3/L , где d — диаметр канала, а L — его длина. С повышением

тры от 20 до 100° скорость истечения смесей возрастает, а эффективная вязкость и предел текучести уменьшаются, при этом характер кривых скоростей истечения не меняется. Производная скорости истечения по давлению для смесей из СКБ связана с т-рой линейной зависимостью. Характер кривых зависимости скорости истечения от давления у смесей из СКБ и СКС остается одинаковым. См. РЖХим, 1957, М. Хромов 64683.

34517. О работе растяжения резины. Кусов А. Б., Каучук и резина, 1957, № 4, 5—9

Из диаграмм напряжение — деформация планиметрированием определяли работу растяжения резин. Кривые зависимости работы растяжения от деформации для разных резин налагались друг на друга в одну общую суммарную кривую, выбираемую в области координат, соответствующих мягким резинам. Перемещение кривых производили параллельно осям координат. Величины перемещения как по оси работ, так и по оси деформаций принимаются за некоторые сравнительные характеристики резин. Определяли зависимость этих характеристик от состава резин (типа каучука, содержания наполнителей и пр.), т-ры опыта, времени вулканизации и др. Исследовали также связь между напряжением, отвечающим точке перегиба на кривых напряжение — удлинение, и кривыми работы растяжения. М. Хромов

34518. Зависимость напряжение — деформация для каучуков. Мюллер (Betrachtungen zum Zug-Dehnungs-Verhalten von Kautschuk. Müller F. Horst), Kautschuk und Gummi, 1956, 9, № 8, WT197—WT205

Деформация полимеров рассматривается как совместное проявление механич. и тепловых процессов. Тепловой эффект при деформации, а также величина деформации влияют на релаксационные свойства полимеров и на последующий ход кривой напряжение — деформация. Образование шейки у пластиков при холодной вытяжке объясняется влиянием тепловых эффектов. Рост шейки происходит через зону течения и зависит от соотношения кол-ва тепла, образующегося при деформации из-за внутреннего трения, и величины рассеиваемой энергии (отводимой из зоны течения). Теплообразование от внутреннего трения увеличивается со скоростью деформации. При некоторой критич. скорости теплообразование от внутреннего трения оказывается больше рассеиваемой энергии, что ведет к повышению т-ры материала. Если последняя приближается к т-ре размягчения материала, то он подвергается пластич. течению с образованием шейки, где полимер является ориентированным. Измерения т-ры в зоне течения, напр. у поливинилхлорида или полиамидов, показывают существенное ее повышение. Величина миним. критич. скорости растяжения тем больше, чем меньше различие между т-рой растяжения и т-рой размягчения полимера. С увеличением т-ры опыта переход однородной деформации в неоднородную с образованием шейки происходит при больших напряжениях. Диаграмма напряжение — деформация для случая холодной вытяжки имеет максимум, соответствующий моменту образования шейки, после которого напряжение мало меняется. Деформация с образованием шейки в энергетич. отношении является более выгодной, так как она происходит при меньшей затрате работы на внутреннее трение и при меньших напряжениях. Рассмотрена природа и величина теплового эффекта у каучуков. Приведены данные по измерению т-ры в деформируемых полимерах с помощью самозаписывающей аппаратуры, устроенной по принципу газового термометра с электрич. компенсатором. М. Хромов

34519. Влияние молекулярного веса каучука на динамические механические свойства резин. Кувшинский Е. В., Фомичева М. М., Ж. техн. физики, 1957, 27, № 5, 1011—1028

Изучали влияние на динамич. свойства резин из СКС-30А мол. веса (МВ) каучука (42 000—620 000). Динамич. модуль и эластичность (Э) определяли на маятнике КС (РЖХим, 1957, 49414) при 20°, 60° и 100°. Для характеристики степени вулканизации резин определяли условно-равновесный модуль. Динамич. модуль при 20° и 100° мало зависит от МВ исходного каучука, лишь в области МВ < 100 000 отмечается некоторое его снижение. Э возрастает с увеличением степени вулканизации с увеличением МВ, особенно при 20 и 60°. При 100° Э мало зависит от МВ. При 20° с возрастанием степени вулканизации Э в меньшей степени увеличивается у резин из низкомолекулярных фракций (45 000), чем у высокомолекулярных (133 000). При малой степени вулканизации Э вначале возрастает с МВ, а затем не зависит от него (при 20°, МВ > 200 000 и при 100°, МВ > 300 000). Модуль внутреннего трения падает с нарастанием МВ, наиболее резко при МВ < 150 000. При больших степенях вулканизации Э с т-рой возрастает, а при малых падает. Величина максим. Э у каучуков одинакового МВ не зависит от типа ускорителя. Дано объяснение полученных результатов с точки зрения мол. структуры вулканизата. М. Хромов

34520. Влияние соотношения *цис*- и *транс*-структур на физические свойства 1,4-полибутадиенов. Краус, Шорт, Торнтон (Effect of cis-trans ratio on the physical properties of 1,4-polybutadienes. Kraus Gerard, Short J. N., Thornton Vernon), Rubber and Plast. Age, 1957, 38, № 10, 880—883, 885, 887, 889, 891—892. Discuss., 891—892 (англ.)

С помощью стереоспецифич. катализаторов было получено 9 образцов полибутадиенов (П), содержащих 96—98% связей 1,4 и различные кол-ва *цис*- и *транс*-структур (максимум соответственно 95 и 100%). Для сравнения были взяты полибутадиен эмульсионной полимеризации (ЭП) (74,7% *транс*-структуры и 18% связей 1,2), GR-S (56,5 и 13%) и НК. Изменяя дозировку S для разных образцов, получали вулканизаты, наполненные и ненаполненные с одинаковой густотой пространственной сетки и наполненные с разной густотой. С увеличением *транс*-структуры кол-во S, требуемое для получения одинаковой густоты сетки, возрастает. При содержании *транс*-структуры 72—93% образцы частично закристаллизованы уже при 25°, при 100% — напоминают по свойствам полиэтилен. Физ.-мех. свойства в интервале 36—82% *цис*-структуры почти не меняются и аналогичны свойствам ЭП и GR-S, за этими пределами напоминают НК или гуттаперчу. Эластичность постепенно растет с увеличением содержания *цис*-структуры при —10°; при —40° резко падает при 95% *цис*-структуры. Теплообразование на флексометре Гудрича уменьшается с ростом содержания *цис*-структуры. В интервале 20—80% *цис*-структуры П превосходят ЭП по низкотемпературным свойствам. Т-ра хрупкости у П с 72—93% *транс*-структуры —68—63°, у остальных образцов —85°. Сажевые вулканизаты отличаются увеличением эластичности при высоком содержании *транс*-структур (при низких т-рах) и уменьшением разницы в эластичности по сравнению с ЭП и GR-S с ростом т-ры. С ростом густоты сетки вулканизата в *цис*- и *транс*-образцах падает удлинение и теплообразование по Гудричу, растут модули и упругость, сопротивление разрыву проходит через максимум. Исследованные П превосходят GR-S, ЭП и особенно НК по сопротивлению старению, соотношение *цис*- и *транс*-структур почти не влияет на это свойство. S в сажевых вулканизатах сильно

ускоряет образование поперечных связей при старении. По озоностойкости все П хуже НК.

В. Кулезнев

34521. Новые данные по физическим свойствам каучука. Шалламах (Neuere Ergebnisse der Kautschuk-Physik. Schallamach A.), Kautschuk und Gummi, 1957, 10, № 6, WT135—WT140 (нем.)

Обзор последних работ лабораторий Британской исследовательской ассоциации производителей каучука. Рассмотрены работы автора, Мулинза, Ривлина и др. по эластичности, истиранию и сопротивлению раздиру. Кратко рассматривается механизм указанных явлений и влияние на них активных наполнителей. Библи. 11 назв.

М. Хромов

34522. Экспериментальные исследования эластичности каучука. Хайм (Cercetări experimentale privind elasticitatea cauciucului. Haim E.), Ind. uşoară, 1957, 4, № 4, 165—172 (рум.; рез. русск., нем.)

Обзор. Библи. 8 назв.

М. Хромов

34523. Усиление каучука смолами, конденсирующимися в латексе. Альфен (Rubber reinforcement by resins formed in latex. Alphen J. van), Rubber Chem. and Technol., 1957, 30, № 2, 626—638 Repr. Proc 3rd Rubber Technol. Conf., London, 1954. (1956), 670—682 (англ.)

Исследовали усиление НК и GR-S анилино-, меламина- и мочевиноформальдегидными смолами (С) при образовании последних в латексе (Л) с последующей коагуляцией. Приведена методика получения каучука (К) из Л, наполненного указанными С. Вулканизирующие агенты вводят на вальцах. В зависимости от содержания С получают каучукоподобные (30 вес. ч. С), коженподобные (30—50 вес. ч.) продукты и пресс-порошки (60 вес. ч.). Введение 20—30 вес. ч. меламина или анилиноформальдегидной С дает вулканизаты, не уступающие по свойствам сажевым (33 вес. ч. печной сажи ЕРС). Улучшаются сопротивление разрыву и истиранию, стойкость к р-рителям, несколько возрастают модуль и твердость, немного уменьшаются температуростойкость и сопротивление раздиру. Введение в смоляной К наполнителей (сажи, хайсил, мел и др.) дает более жесткие материалы. Смоляные К могут успешно применяться в шинных резинах, а при высоком содержании С — в качестве кожзамениителей. Усиление К С связано с образованием хим. связей между К и С, что подтверждается наличием р-ции CH_2O с К в Л, необходимостью конденсации С в Л, желатинированием системы после конденсации даже при малых (0,5 вес. ч.) кол-вах С. Приведены микрофотографии вулканизатов смоляных К.

И. Шмурак

34524. Улучшение связи сажа-каучук. Брендл (Improving the carbon-rubber bond. Braendle H. A.), Rubber World, 1957, 136, № 6, 835—840 (англ.)

Обзор получения сажемасляных каучуков сухим смешением в мощном резиносмесителе, а также введением дисперсии сажи в эмульсии масла в латекс. Приведена технологич. схема процесса. Библи. 60 назв.

И. Шмурак

34525. К вопросу о вулканизации каучуков без применения серы. Сообщение I. О линейных и трехмерных полимерах синтетических каучуков. Сообщение II. О реакционной способности каучуков. Сообщение III. Превращение синтетических каучуков в трехмерные полимеры под влиянием нагревания. Сообщение IV. Вулканизация каучуков перекисью бензоила и гидроперекисями. Сообщение V. Вулканизация каучуков минеральными окислителями. Жаворонок С. Г., Тр. Ленингр. технол. ин-та им. Ленсовета, 1957, вып. 42, 63—73, 74—96, 97—108, 109—122, 123—134

I. Проводили экстракцию каучуков (К) в аппарате Сокслета холодным р-рителем (CHCl_3 ; бэл.; дихлорэтан) для удаления линейных полимеров (ЛП) и определения содержания пространственных полимеров (ПП). Р-ритель из колбы отгоняли через каждые 2 часа, колбу с остатком высушивали при 70° в токе инертного газа и взвешивали. Экстракцию вели до полного извлечения ЛП. По скорости растворения в кол-ву ЛП К располагаются в ряд: СКБ с пластичностью $0,58 > \text{СКБ} > \text{пластичностью } 0,3 > \text{СКН-40} > \text{СКН-26} > \text{СКН-18} > \text{СКС-10}$, полихлоропрен $> \text{СКС-30}$. Кол-во ПП растет с увеличением степени полимеризации СК. Степень растворения НК зависит от условий пластикации. Бутилкаучук и полиизобутилен растворяются полностью в исследованных р-рителях.

II. Исследовали кинетику присоединения S (3 вес. ч.) к К (100 вес. ч.) и образования H_2S и SO_2 . К очищали 3-кратным растворением в бензоле и осаждением ацетона (СКН осаждали спиром) и сушили в вакууме при 60° . Щелочность К снижали отмывкой с $0,45\text{—}1,36\%$ до $0,19\text{—}0,22\%$. Вулканизацию (без давления) проводили в приборе с улавливанием летучих 10—100 мин. при $145 \pm 1^\circ$ и 30 мин. при t-рах от 100 до 200° . Прибор позволял определять как суммарное кол-во $\text{H}_2\text{S} + \text{SO}_2$ поглощением $0,01 \text{ н. р-ром } \text{J}_2$, так и вначале поглощать H_2S р-ром $\text{Cd}(\text{CH}_3\text{COO})_2$, а затем SO_2 р-ром J_2 . SO_2 образуется при нагревании насыщ. и ненасыщ. К, H_2S — только ненасыщенных. Наименьшее кол-во H_2S образуется в случае СКБ, наибольшее — СКН-10. НК, СКС-30, СКС-10, СКН-26, СКН-40 занимают промежуточное положение. Наибольшее кол-во SO_2 образуется в случае полихлорвинила и бутилкаучука, наименьшее — полиизобутилена и СКБ. НК, СКС, СКН, полиэтилен занимают промежуточное положение. По скорости присоединения и кол-ву связанной S К располагаются в ряд: $\text{СКН-18} > \text{СКН-26} > \text{СКН-40} > \text{СКС-10} > \text{СКБ} > \text{СКС-30} > \text{НК}$. Насыщ. полимеры связанной S не содержат. Скорость связанной S растет с уменьшением степени полимеризации К (увеличением пластичности). При этом разница кол-в связанной S на всем протяжении вулканизации постоянна. Кол-во связанной S увеличивается с повышением t-ры вулканизации. Связывание S происходит только за счет атомов Н диеновых группировок, а не второго мономера (стирол, акрилонитрил).

III. Нагревали К 20—120 мин. при 145° и 120 мин. при t-рах от 100 до 300° и определяли содержание ПП. Для СКБ с пластичностью 0,58 обнаружен индукционный период образования ПП, который отсутствует у СКБ с пластичностью 0,30. При более продолжительном нагревании СКБ полностью переходит в ПП. Для СКС и СКН содержание ПП увеличивается до $240\text{—}280^\circ$, а затем падает. При этом возрастает твердость ПП. По скорости образования и кол-ву ПП при 145° СКН располагаются в ряд $\text{СКН-18} > \text{СКН-26} > \text{СКН-40}$. Полихлоропреновые К легко превращаются в ПП (85% за 20 мин. при 145° и 88% за 120 мин.). С увеличением содержания в сополимерных К диенового компонента способность их к образованию ПП при нагревании возрастает.

IV. Определяли кол-во ПП при действии на К перекиси бензоила (I) и гидроперекисей. СКБ с 2,5—5% I при 145° превращается в ПП быстрее, чем без нее, причем с большей скоростью процесс идет у менее пластичных К. Вулканизаты с I обладают низкими физ.-мех. показателями. СКС-10 с I превращается в ПП быстрее, чем СКС-30. СКН с I вулканизируются хуже, чем без нее; полихлоропрен — практически одинаково. По скорости и кол-ву ПП, образующихся при действии на К гидроперекисей, последние располагаются в ряд: моногидроперекись дивинилпропилбензола $>$ гидроперекись трет-бутилпропилбензола $>$ гидроперекись

изопропилбензола $> I$. В случае СКС-30 гидроперекиси более активны, чем для СКН и СКН. I и гидроперекиси позволяют снизить т-ру и сократить продолжительность процесса вулканизации.

V. Превращение СКБ и СКС в ПП с PbO_2 при 145° идет значительно быстрее и без индукционного периода, причем активнее процесс идет для К более пластичных или с большим кол-вом диенового компонента. Сопротивление разрыву СКБ с PbO_2 растет, а относительное и остаточное удлинение падают с увеличением конц-ии PbO_2 от 1 до 10%. Образование ПП с PbO_2 сильно ускоряется в случае СКН (особенно СКН-40) и незначительно в случае полихлоропрена. Добавки $K_2S_2O_8$ мало влияют на скорость образования ПП для СКБ и полихлоропрена. $K_2S_2O_8$ в случае СКС-40 и СКН-26 и резинат Со в случае СКС-30 ингибируют процесс образования ПП. Хлорная известь как вулканизирующий агент менее активна, чем PbO_2 . Действие окислителей объясняется распадом их с выделением O_2 , который отщепляет атом Н от молекулы К с образованием свободных радикалов К, а также образованием окисных и перекисных соединений. Все это ведет к образованию пространственной структуры.

В. Шершнев

34526. О повторных вулканизационных структурах каучуков. Гавришук В. Я., Силиверстов Я. В., Тыняная Н. И., Тр. Ленингр. технол. ин-та им. Ленсовета, 1957, вып. 42, 135—143

Проводили вторичную вулканизацию отработанных резин без их предварительной де вулканизации. Старые резины очищали, дробили и размалывали на спец. вальцах; полученную крошку смешивали с ингибиентами и получали сплошную массу резины, которая может течь и формироваться при т-ре вулканизации. Для получения мягких резин к 100 вес. ч. старой резины добавляли (в вес. ч.) S 1,5—3, дифенилгуанидин 1; для эбонитов S 10, 20, 30, 40, дифенилгуанидин 2. Сопротивление разрыву вторичного вулканизата крошки автокамерной резины из СКС-30 достигало $90\text{--}130 \text{ кг/см}^2$, относительное удлинение было в 2 раза меньше, чем у первичного вулканизата, но не ниже, чем у регенератной смеси. Подобным образом получали третичные вулканизаты, сопротивление разрыву которых оставалось таким же, как у вторичных, а относительное удлинение снижалось. Сопротивление разрыву полубонитов с 10 вес. ч. S (вторичная вулканизация при 160°) составляло $200\text{--}240 \text{ кг/см}^2$, эбонитов с 20 вес. ч. S $400\text{--}600 \text{ кг/см}^2$. Эбониты из цветной крошки (размолотая губчатая резина) являются хорошими изоляторами (пробивное напряжение $50\,000 \text{ в/мм}$). Изделия из вторичных вулканизатов (манжеты, прокладки и др.) изготавливали формовым методом и литьем под давлением. Возможность получения вторичных вулканизатов объясняется высокой неопределенностью первичной вулканизационной структуры, подвижностью полисульфидных мостичных связей и текучестью вулканизационных структур при повышенных т-рах.

В. Шершнев

34527. Изменение электрических свойств сажевых смесей из НК во время вулканизации в прессе. Дезанж, Шассе, Тирьон (Evolution des propriétés électriques des mélanges de caoutchouc naturel et de noir de carbone pendant la vulcanisation sous presse. Desanges H., Chasset R., Thirion P.), Rev. gén. caoutchouc, 1957, 34, № 9, 893—901, 926, 932, 934, 936 (франц.; рез. англ., нем., япон., итал.)

В резинах из НК с сажей МРС (С) определяли угол потерь при низких частотах, диэлектрич. постоянную и проводимость; вулканизационные формы служили обкладками конденсатора; при этом удалось проследить за изменением электр. свойств с самого на-

чала вулканизации, когда структура смеси еще не зафиксирована. Сравнивая поведение вулканизирующихся и невулканизирующихся смесей, можно определить степень влияния вулканизации и колл. структуры С. Влияние структуры на диэлектрич. потери в случае невулканизирующихся смесей практически постоянно и обычно больше, чем в случае вулканизирующихся смесей с тем же содержанием С. Отмечены также более низкие потери в течение активной фазы вулканизации при известных условиях, связанных, по-видимому, с исчезновением ионов. При содержании $C > 10\%$ наблюдали образование ориентированной колл. структуры, и диэлектрич. свойства в этих случаях зависели от размеров образцов, так как ориентация является функцией размеров, в частности толщины формируемого образца. Когда кол-во $C \leq 10\%$, вулканизация определяет диэлектрич. свойства за счет фиксации полярной S на молекулярных цепях или за счет диссоциации некаучуковых в-в и агентов вулканизации.

Ю. Марголина

34528. Действие меди на перекисные вулканизаты. Лет-Педерсен (Copper effect in a peroxide vulcanisate. Leth Pedersen P. H.), Trans. and Proc. Instn Rubber Ind., 1957, 33/4, № 5, 178—180 (англ.)

Исследовали поглощение O_2 при 95° вулканизатами, полученными с помощью перекисей, а также изменение их сопротивления разрыву после естественного старения. В присутствии следов Cu (в виде стеарата) процесс поглощения носит автокаталитич. характер, особенно ярко выраженный для вулканизатов с перекисью дикумола. В последнем случае при комнатной т-ре вулканизаты уменьшают сопротивление разрыву вдвое через 20 дней. Аналогичные кол-ва Cu лишь умеренно влияют на вулканизаты с меркаптобензотиазолом и дифенилгуанидином. В. Кулезнев

34529. Работа резино-технических изделий на сдвиг и кручение. Лепетов В. А., Каучук и Резина, 1957, № 6, 18—22

Жесткость резино-металлич. конструкций, работающих на сдвиг, зависит от качества крепления резины к металлу. Местные отслоения резины от металла приводят к уменьшению жесткости конструкции. Рассмотрен расчет жесткости демпфера крутильных колебаний автомобильного коленчатого вала. При нормальном креплении резины к металлу получают демпферы с повышенной жесткостью, снижение которой не может быть достигнуто применением низко модульных резин. На практике уменьшения жесткости демпфера достигают неполным креплением резины к металлу. При произ-ве подобных изделий необходимо производить их конструктивный расчет, учитывая при этом возможность обеспечения нужных свойств деталей при нормальном технологич. процессе обрезинки металла.

М. Хромов

34530. Резорцинформальдегидные латексные пропитки для крепления шинного корда из синтетических волокон. Дитрик (Resorcinol-formaldehyde latex adhesives for bonding synthetic tire cords. Dietrick M. I.), Rubber World, 1957, 136, № 6, 847—851 (англ.)

Для пропитки найлонового корда применяют состав на основе латекса бутадиенстиролвинилипиридинового сополимера (I) и водорастворимой, частично конденсированной резорцинформальдегидной смолы пенаколит R 2170 (C). В композицию вводят также CH_2O , с которым далее конденсируется C в присутствии катализаторов (NaOH и (или) NH_3). Прочность связи (ПС) пропитанного корда с резиной из НК определяли по Н-методу. Изучено влияние на ПС времени созревания пропиточного состава, катализатора, pH, конц-ии CH_2O и C, привеса, типа латекса. Через 2 ча-

са после приготовления состава достигают оптимальной ПС, которая снижается лишь спустя 3 недели хранения. Оптимальный pH 8,3, что соответствует 8 вес. ч. NaOH на 20 вес. ч. С. Концентрация NH_3 на ПС не влияет. Кривая «ПС — конц-ия CH_2O » имеет максимум, соответствующий 7,5 вес. ч. CH_2O на 20 вес. ч. С. Высокую ПС обеспечивает 15—20 вес. ч. С на 100 вес. ч. сухого в-ва I. Достаточным является привес корда в 6—8%. Два последних показателя должны быть проверены динамич. испытанием из-за их влияния на динамич. свойства корда. При применении бутадиен-стирольного латекса или его смеси с I оптимальным является соотношение бутадиен:стирол = 70:30. Применение I обеспечивает ПС, превышающую прочность корда.

И. Шмурак

34531. К вопросу о росте трещин в наполненных высокополимерах. Хампе (Zum Rißwachstum bei gefüllten Hochpolymeren. Hampe Ernst August), Kautschuk und Gummi, 1957, 10, № 6, WT 141—WT 145 (нем.)

Изучали разрастание поперечных надрезов (Н) длиной 3 и глубиной 1 мм, наносимых в середине резинового образца размером $80 \times 25 \times 6$ мм, при испытании на машине Де-Маттиа. Определяли скорость роста длины и глубины Н. В процессе разрастания Н отношение его длины к глубине стремится к некоторому предельному значению (кривая Кайзера), скорость достижения которого возрастает с увеличением динамич. деформации. Отношение скоростей роста длины к глубине Н не зависит от его величины, а определяется конфигурацией Н. Скорость роста Н у НК возрастает с увеличением модуля резины, времени вулканизации и длительности хранения образцов при комнатной t-ре (увеличивается модуль). Содержание в резине S и ускорителей влияет на скорость роста Н. Введение в резину из НК противомоторов увеличивает работоспособность образцов до достижения заданной величины Н в 5 раз. Обсуждается применимость лаб. данных испытания резины на разрастание Н. Характер разрушения резины при утомлении в зависимости от вида поверхности в зоне разрастания трещины подразделяется на медленный шероховатый разрыв, гладкий фронтальный с мелко-зубчатой поверхностью и гладкий остаточный разрыв. Скорость распространения фронтального разрыва на два — три порядка больше, чем шероховатого, и на столько же меньше остаточного разрыва.

М. Хромов

34532. Испытание прибора для определения микротвердости. Моррис, Холлоуэй (Evaluation of a microhardness tester. Morris Ross E., Holloway John M.), ASTM Bull., 1957, № 222, 45—50 (англ.)

Описан прибор для определения микротвердости. Стержень, оканчивающийся шариком диам. 0,4 мм, погружают в резиновый образец под действием груза в 15,71 г. Глубину погружения определяют с помощью отсчетного микроскопа, цена деления шкалы 0,01 мм. Изучали точность, воспроизводимость и чувствительность прибора на образцах разного размера и формы. Микротвердомер сравнивали с другими приборами на резинах из НК, неопрена, бутадиенстирольного и бутадиенакрилонитрильного каучуков. Прибор дает удовлетворительную корреляцию. Наблюдается хорошая воспроизводимость результатов на образцах различной формы и размера. Прибор пригоден для определения микротвердости образцов с радиусом кривизны $\geq 0,8$ мм и толщиной (для плоских образцов) $\geq 0,4$ мм.

М. Хромов

34533. Испытательный прибор Пандукс. Эллер (The Pandux tester. Eller S. A.), Rubber Age, 1957, 81, № 3, 460—464 (англ.)

Описан портативный прибор (вес 193 г) для сравнительного определения твердости латексных губчатых резин. Испытания производят посредством установившегося прибора на плоский образец, размеры которого должны быть меньше чем $75 \times 75 \times 25$ мм (прибор можно использовать и для определения твердости образцов с кривой поверхностью). В резину вдавливают стержень, имеющий на конце плоскую цилиндрич. насадку диам. 11,5 мм и толщиной 1,6 мм. Стержень связан со спиральной пружиной и микрометром. Показания микрометра пропорциональны вдавливающей силе (чем жестче резина, тем больше показания). Отсчет глубины вдавливания стержня производится через 15 сек. после помещения прибора на образец. Прибор Пандукс обладает повышенной точностью по сравнению с методом ASTM D 1055.

М. Хромов

34534. Новый метод определения оптимальной вулканизации резиновых смесей. Петер, Хейдеман (Eine neue Methode zur Bestimmung der optimalen Vulkanisation von Kautschuk-Mischungen. Peter J., Heidemann W.), Kautschuk und Gummi, 1957, 10, № 7, 168WT—172WT (нем.)

Оптimum вулканизации устанавливают по зависимости изменения динамич. модуля сдвига, определяемого на вибраторе при частоте 0,5 кГц и амплитуде смещения 0,25 мм, от времени прогрева образца из сырой смеси при заданной t-ре. Испытывали смеси на НК, полихлоропрена и бутадиенстирольного каучука низкотемпературной полимеризации с различным содержанием саж, S и ускорителей. Наблюдается согласие в определении оптimumа вулканизации между динамич. методом и обычным методом статич. испытаний (по модулю 300%), также имеется корреляция в определении подвулканизации резины пластиометром Муни. Воспроизводимость метода удовлетворительная. Особенностью метода является то, что испытания проводятся на одном образце и достаточно быстро, однако аппарат сравнительно дорог и требует квалифицированного обслуживания.

М. Хромов

34535 К. Окисление каучуков и резины. Кузьминский А. С., Лежнев Н. Н., Зуев Ю. С., М. Госхимиздат, 1957, 319 стр., илл., 12 р. 10 к.

34536 П. Способ получения пенистой резины (Verfahren zur Herstellung von Schaumkautschuk). [Correcta-Werke G. m. b. H.] Пат. ФРГ 959226, 28.02.57. В латексной смеси, не содержащей противостарителей, в качестве агента желатинирования применяют смесь соли NH_4 и водорастворимой соли 3-валентного металла, напр. NH_4Cl и $\text{Al}_2(\text{SO}_4)_3$ или $\text{Al}(\text{NO}_3)_3$. Желатинирование осуществляют при нагревании или без него. Пример: (вес. ч. сухого в-ва) латекс 100, ZnO 3, S 2, диспергатор 0,2, этилфенилдитиокарбамат Zn 1,5, NH_4Cl 1,5, $\text{Al}(\text{NO}_3)_3$ кристаллич. 0,05, мыло 2,5.

И. Шмурак

34537 П. Третичные аминоксиды в латексной губке. Хей, Ричардсон (Tertiary amine oxides in foam rubber. Hay Robert J., Richardson Spencer M.) [The Firestone Tire & Rubber Co.] Пат. США 2755258, 17.07.56

Для получения высокопористой латексной губки вспениванием латексной смеси в нее вводят 0,25—0,5 вес. % третичных аминоксидов ($\text{R}', \text{R}'', \text{R}'''$)N—O, где 1) R' , R'' и R''' — алкил, циклоалкил или оксизамещ. алкил; 2) R' — алкил, циклоалкил или оксизамещ. алкил; R'' , R''' являются замкнутой алкиленовой цепью (напр., метилпиперидинаминоксид); 3) R' — алкил, циклоалкил или оксизамещ. алкил, R'' , R''' — алкиленовые цепи, замкнутые эфирным кислородом (напр., метилморфолинаминоксид). При этом повышаются устойчи-

[illegible]

чность латекса к действию ZnO , стойкость пены и
 улучшаются структура и свойства губки. И. Шмурак
 34538 П. Пористый материал и способ его изготовления
 (Matériau composé et procédé pour sa pro-
 duction) [Durie et Miller Ltd]. Франц. пат. 1123184,
 48.09.56

Листовой материал, в котором частицы измельченной резины, пробки или регенерата (размером 0,1—3 мм), сциментированные в виде цепочек или волокон с помощью р-ра или натурального или синтетич. латекса и необходимых ингредиентов, составляют основу губчатой структуры, создаваемой путем вспенивания. Доказанная зернистого в-ва составляет 2—14 объема. ч. на 1 объема. ч. адгезива. Пример. В смесь (в вес. ч.): ревертекс 130, дисперсия регенерата 50, S 2,5, диэтилдитиокарбамат Zn 0,75, ZnO 5, 5%-ный водн. р-р альгината Na 100, 10%-ный р-р казеина 25, кол-во воды, необходимое для достижения требуемой вязкости, вводят при перемешивании 200 ч. измельченной красной резины, вспенивают всю массу, наносят на текстильную основу обычным способом и высушивают при 95—105° во влажной атмосфере для предотвращения образования пленки на поверхности. Полученный материал применяют для подложки ковров, покрытий и т. п. Ю. Марголина

34539 П. Теплоустойкие кремнийорганические эластомеры, содержащие железную соль карбоновой кислоты в качестве стабилизатора. Талкотт (Organosilicon elastomers containing an iron salt of a carboxylic acid as a heat stabilizer. Talcott Thomas D.) [Dow Corning Corp.]. Пат. США 2759904, 21.08.56

Для получения теплоустойчивых прозрачных силиконовых резин применяют вулканизирующиеся при нагревании смеси, состоящие: а) из кремнийорганич. соединений полимера или сополимера с общей ф-лой $R_nSi_4O_{4-n}/2$ (где R — радикал органич. одновалентного углеводорода или галоидированного углеводорода, $n = 1,9-2,1$), напр. диметилсиликсан, б) из кремнеземного наполнителя, напр. прокаленной SiO_2 , в) из Fe соли карбоновой к-ты (напр., ацетат или октоат Fe) в кол-ве 0,001—0,4 вес. ч. на 100 вес. ч. полимера и г) из органич. перекиси в качестве вулканизирующего агента. Пример. На вальцах смешивают (в вес. ч.) 100 полимера диметилсиликсана с вязкостью при 25° $> 10^6$ сст и 0,12 железа в виде октоата Fe (III). В смесь вводят прокаленную SiO_2 35 и перекись бензоила 1,5; пластину вулканизуют 5 мин. при 125—130°. Продукт сохраняет эластичность и прозрачность после нагревания 16 час. при 300°. М. Лурье

34540 П. Обработка каучука. Смит (Rubber processing. Smith Frank B.) [United States Rubber Co.]. Пат. США 2760949, 28.08.56

НК или GR-S (или их смесь) смешивают на обычном оборудовании с сажей ($\geq 40\%$ на каучук) и 0,3–3 вес. ч. перекисей Zn, Mg, Ca, Sr, Ba или персульфата К. Смесь в виде листов нагревают 1–24 часа при $t_{\text{ре}} \geq 135^\circ$ (лучше при 177° , но не $> 232^\circ$ так, чтобы не ухудшить существенным образом свойства каучука) или пластицируют 5–60 мин. на обычном оборудовании при тех же t -рах до требуемого понижения величины торсионного гистерезиса вулканизата. Затем смесь пластицируют при обычных t -рах для устранения жесткости, возникшей при тепловой обработке, и вводят остальные необходимые ингредиенты, формируют и вулканизуют. Мягчители, жирные K-ты , Zn-соли жирных K-т можно вводить вместе с сажей перед нагреванием. Вулканизаты из таких смесей обладают высоким электр. сопротивлением и повышенным сопротивлением истиранию, последнее проявляется только в жестких условиях испытаний: при высоких скоростях и t -рах. Указанный эффект

снижения торсионного гистерезиса при нагревании каучуков в присутствии перекисей металлов не наблюдается в отсутствие сажи. В. Кулезнев

34541 П. Пластификация веществ, способных вулканизоваться серой, и соответствующие смеси. Хилльер (Plasticization of sulfur vulcanizable materials, and related compositions. Hillyer John C.) [Phillips Petroleum Co.]. Пат. США 2760632, 28.08.56

Пербунаи пластифицируют введением в латекс или на вальцах 1—25 вес. ч. (лучше 2—12 вес. ч.) одного или смеси сложных эфиров: тетрабутирата, тетраацетата, тетрапропионата, моноолеата, тетраолеата или лаурата эритрита; лаурата пентаэритрита; лаурата глицерина. Пластификатор не вымывается из вулканизатов, и поэтому последние можно применять в качестве уплотнителей или обкладок, соприкасающихся с маслами и топливами. Вулканизаты обладают также хорошим сопротивлением утомлению и разрыву. Возможна также пластификация аналогичным соединением НК, GR-S, бутылкаучука, неопрена, регенератов и др.

В. Кулезнев

34542 П. Получение резиновых изделий, содержащих масло, выделенное из остатка сернокислотной очистки нефти. Кудо, Симосато, Токунага, Комута [Нихон гому кабусики кайса]. Японск. пат. 5187. 27.07.55

В качестве мягчителя при составлении резиновых смесей используют масло, выделяемое обработкой остатка сернокислотной очистки нефти гашеной известью. Известь добавляют до слабощел. р-ции смеси. Из 3 кг остатка после промывания 30 л воды для удаления свободной H_2SO_4 , кипячения один час при непрерывном перемешивании с 30 л известкового молока (содержание $Ca(OH)_2$ 100 г) и последующего отстаивания получают 2,65 кг темного вязкого масла (уд. в. 1,092). На 100 вес. ч. НК добавляют (в вес. ч.): масло 25, стеариновая к-та 1, ZnO 5, ускоритель 1,5, S 3, печная сажа 50. Ю. Ермаков

34543 П. Способ повышения вязкости невулканизованного каучука. Барнхарт, Гленн (Method of stiffening unvulcanized rubber. Barnhart Robert R., Glenn Harry D.) [United States Rubber Co.]. Пат. США 2761857, 4.09.56

Для повышения вязкости резиновой смеси в нее вводят 0,01—0,1 вес. ч. на 100 вес. ч. каучука (в расчете на гидразин) дигидразинсульфата или -оксалата (I), и смесь пластицируют или оставляют для вылежки при любой т-ре, начиная от 20° и кончая т-рой, близкой к т-ре разложения каучука в течение времени, необходимого для достижения нужной пластичности. Затем в смесь вводят остальные ингредиенты. I применяют в виде смеси с инертным наполнителем (26:74); они не вызывают потемнения вулканизатов и слегка ускоряют вулканизацию, что можно компенсировать уменьшением дозировки вводимых ускорителей. I применимы для всех обычных каучуков, кроме бутилкаучука, из-за пор, образующихся при вулканизации. В случае НК и GR-S активность I выше в сажевых смесях, в случае бутадиенакрилонитрильных — в бессажевых. В. Кулезнев

34544 П. Способ получения формовых вулканизатов из натурального или синтетического каучуков или каучукоподобных веществ. Эндтер, Шулер, Вестлиннинг (Verfahren zur Herstellung von geformten Vulkanisaten aus natürlichem oder künstlichem Kautschuk oder kautschukartigen Stoffen. Endter Friedrich, Schuler Wilhelm, Westlinning Hermann) [Deutsche Gold- und Silber-Scheideanstalt, vorm. Roessler]. Пат. ФРГ 954552. 20.12.56

Обработка активных наполнителей аминами, растворяющими или реагирующими при 120–140° с 10–40% свободной или связанной S, увеличивает пластичность смесей, а также улучшает растворимость и реакционноспособность S и серосодержащих соединений в процессе вулканизации. Пример. Физ.-мех. показатели резины из НК: стандартной; наполненной 40 ч. тонкодисперсной SiO₂; обработанной пиперидинпропиламином; или пиперидинпропиламином; или N-бензилпиперидином равны соответственно: пластичность по Дефо 1500, 1150, 975, 1200; сопротивление разрыву 305, 328, 332, 331 кг/см²; относительное удлинение 712, 739, 738, 736%; модуль (300%) 59, 59, 59, 58 кг/см²; эластичность по отскоку 48, 48, 53, 52%; твердость по Шору, 73, 76, 75, 75; сопротивление раздиру, 40,3; 41,3; 49,3; 44,8 кг/см. В смесях с газовой сажей γ-пиперидинпропиламин является ускорителем вулканизации, по эффективности действия равноценным санитарюру.

И. Турский
34545 П. Способ изготовления пористой резины.

Желеховский (Sposób wytwarzania gumy porowatej. Zelechowski Ryszard) [Łódzkie Zakłady Włókien Sztucznych]. Польш. пат. 28781, 10.05.56

В качестве поробразователя применяют 10–100 вес. ч. на 100 вес. ч. каучука размолотых отходов бакелита (в состоянии резита), просеянных через сито с 1600 от/см². Вулканизация при ~150° и атмосферном давлении дает пористую резину уд. веса 0,4–1,0; при 160° и давл. ~40 кг/см² дает микропористую резину.

В. Лепетов

34546 П. Способ приготовления резиновых смесей. Менткевич (Sposób wytwarzania mieszanek kauczukowych. Miętkiewicz Adolf Mieczysław). Польш. пат. 38161, 30.09.55

Стеариновую к-ту полностью или частично заменяют талловым маслом, одним или в смеси с жиропотом или жиропотовыми к-тами.

В. Лепетов
34547 П. Ингредиенты резиновых смесей. Линтала, Линстедт (Composition of matter. Lintala Donald E., Lindstedt Paul M.) [The Goodyear Tire & Rubber Co.]. Пат. США 2753324, 3.07.56

Для приготовления непылящих гранулированных ингредиентов в качестве вяжущих в-в применяют смеси четвертичных солей NH₄, имеющие примерный состав (в %): хлористый гексадецилтриметиламмоний 6, хлористый октадецилтриметиламмоний 93, хлористый октадецилтриметиламмоний 1. В качестве агентов смачивания применяют NH₄-соли насыщ. или ненасыщ. жирных к-т, от C₁₂ до C₂₄. На 100 ч. ингредиента добавляют 0,25–2 ч. смеси и 2–4 ч. стеарата NH₄. Пример. К 100 ч. альтакса добавляют р-р 2 ч. стеариновой к-ты, 0,7 ч. 28%-ного водн. р-ра NH₃ и 2 ч. смеси в 42 ч. H₂O при 60°. Полученную массу перемешивают и шприцуют.

И. Турский
34548 П. Способ вулканизации каучука. Франке, Крафт, Плой, Хормут (Verfahren zur Vulkanisation von Kautschuk. Franke Walter, Kraft Richard, Ploi Walter, Hormuth Rudolf) [Chemische Werke Hüls A.-G.]. Пат. ФРГ 957976, 14.02.57

Полуультраускоритель меркаптопиримидин, N=C-(R')NC=C(R')N=C-S-R'', в присутствии S и ZnO обеспечивает получение вулканизатов с хорошими физ.-мех. показателями и высоким сопротивлением тепловому старению при наличии широкого плато вулканизации. R' и R'' — H или небольшой алкильный радикал, R''' — H, радикал, связанный через гетероатом (нитрофенил, оксифенил, NHR и др.), или остаток, соединенный с помощью солевой связи (атом металла, органич. основания и др.). При окислении

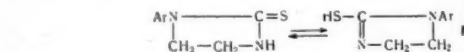
атома H в положении R''' получают дисульфиды, а при действии S₂Cl₂ на Na-соль меркаптопиримидина — полисульфиды, также являющиеся ускорителями.

В. Кулеши
34549 П. Ускорители вулканизации. Хардман (New compositions of matter. Hardman Albert F.) [The Goodyear Tire and Rubber Co.]. Пат. США 2757174, 31.07.56

В качестве ускорителей вулканизации применяют продукты присоединения CS₂ к продуктам конденсации вторичных аминов с CH₂O и фенолами, имеющие общую ф-лу: RCH₂-S-C(S)-N(R'R''), где R — остаток моноциклич. фенола (напр., крезол, ксиленол), R' и R'' — алкил, циклоалкил, арилалкил, фулфурил или тетрагидрофулфурил. R' и R'' могут быть связаны с атомом N с образованием радикалов морфоллинов или пиперидинила. Р-цию проводят при 125–175° и атмосферном давлении. Пример. Смесь из 24,5 г 3,5-ксиленола, 53 г 17%-ного водн. р-ра диметиламина и 17 г 37%-ного водн. р-ра CH₂O нагревают на паровой бане 5 час. Образующееся масло отделяют от водн. добавляя 16 г CS₂ и кипятят с обратным холодильником 2–3 часа. Образуется 21 г N,N-диметилакарбамилтиометил (3,5-ксиленола), т. пл. 150°. По эффективности ускоряющего действия полученные соединения, введенные в низких дозировках, равны ценным каптаксу (0,1–0,5 вес. ч. на 100 вес. ч. каучука).

И. Турский
34550 П. Резины, стабилизированные 1-арил-2-меркапто-2-имидазолином. Руссел (Rubbers stabilized with a 1-aryl-2-mercapto-2-imidazoline. Rousseau Philip A.) [E. I. du Pont de Nemours and Co.]. Пат. США 2751370, 19.06.56

1-арил-2-меркапто-2-имидазолины общей ф-лы (I), где Ar — фенил, n-толил или n-хлорфенил, в количестве 0,5–10 вес. % применяют в качестве противостарителей и одновременно вулканизующих агентов для НК, полихлоропрена и других диеновых полимеров. I получают из соответствующего N-арилэтилендиамина и CS₂ в спирт. р-ре под вакуумом. В комбинации с обычными аминными противостарителями защитное действие I усиливается. Пример. В смеси состава (в вес. ч.) НК 100; ZnO 5; сажа 45; стеариновая к-та 2; Zn-соль 2-меркаптобензотиазола с 1,2-ди-о-толилгуанидина 1,2; S 3 вводят 3 вес. ч. I (Ar — n-хлорфенил) и вулканизуют 30 мин. при 140°. Вулканизаты с I в 9 раз лучше сопротивлялись омовому растрескиванию, чем без I. Хорошие вулканизаты получены при замене ускорительной группы 0,5–3,0% I (Ar — фенил).



В. Шерш

34551 П. Приспособление для шероховатости эластичных материалов, напр. резиновых рожек и т. п. (Vorrichtung zum Aufrauen von elastischen Stoffen, wie Gummibahnen od. dgl.) [Romm K. G., Lemm & Co.]. Пат. ФРГ 961213, 4.04.57

Для устранения повреждений при шероховатости тонких эластичных изделий под местом обработки помещают подкладку или прокладку из упругого материала, мягкого, как нежная резина.

М. Лур
34552 П. Применение тиазолкарбоксамидов для крепления волокон к каучуку. Хилл, Килбурн (Thiazolecarboxamides for bonding fiber to rubber. Hill Rutherford B., Kilbourne Nathl W.) [Monsanto Chemical Co.]. Пат. США 2758000, 7.08.56

Вискозную или нейлоновую ткань (напр., широкую) пропускают через 10%-ный водн. р-р тиазолкарбок-

амида $S-C(SH)=N-C(R)=C(CH_2)CONH_2$ ($n=0-4$, $R-H$ или алкил с числом атомов C 4), сушат, помещают между двумя слоями резины и нагревают в форме 30 мин. при 142° . В случае 2-меркапто-4-метил-5-тиазоилкарбоксамидов статич. прочность связи увеличивается на 79% по сравнению с необработанной тканью. В. Кулезнев

34553 П. Способ вулканизации резиновых рукавов с тканевой прокладкой и пластмассовой камерой. Рештедтер (Verfahren zum Vulkanisieren von Kautschükschläuchen mit Gewebeeinlage und Kunststoffseele. Rastädter Karl) [Phoenix Gummiwerke A.-G.] Пат. ФРГ 958156, 14.02.57

Во избежание размягчения пластмассовую камеру рукавов (из полиэтилена, поливинилацетата и т. п.) во время вулканизации охлаждают, пропуская через рукав под давлением воду со скоростью 50 см/сек. Т-ра поступающей воды 60° . М. Монастырская

34554 П. Способ крепления резины к металлам (Procédé pour la soudure du caoutchouc sur les métaux) [Soc. An. des Pneumatiques Dunlop] Франц. пат. 1127785, 24.12.56

На поверхность металла накладывают слой фенол-альдегидной смолы, содержащей в-во (В), необходимое для образования полифенолальдегидной смолы (С), затем резиновую смесь из НК или СК, содержащую агенты вулканизации и в-во, конденсирующееся с В в С в условиях вулканизации, или продукт, выделяющий его, напр. гексаметиленetetрамин. Эти в-ва, а также компоненты смолы и резиновая смесь могут быть нанесены в виде р-ров в летучих р-рителях. Полифенол (напр., резорцин) применяют в кол-ве 25—200% от веса С, альдегид (напр., параформальдегид) в кол-ве 10—50% от веса резиновой смеси.

Ю. Марголина

34555 П. Способ крепления кожи к резине (Mode de liaison du cuir avec le caoutchouc) [Soc. d'Exploitation des Ets Baudou (S. A. R. L.)] Франц. пат. 1125010, 23.10.56

Для прочной связи кожи с резиной склеиваемые поверхности покрывают органич. изоцианатным соединением, в частности трифенилметантриизоцианатом, в виде р-ра в органич. р-рителе или в р-ре НК или СК, содержащем или не содержащем вулканизирующие агенты. Склеенные части вулканизируют под давлением. М. Лурье

34556 П. Способ получения воздухопроницаемого, пропитанного перевязочного материала. Шпенглер (Verfahren zur Herstellung eines luftdurchlässigen, imprägnierten Verbandstoffes. Spengler Günter) [Horst-Günter Wacker] Пат. ФРГ 963467, 9.05.57

Редкую марлю пропитывают смесью вязкого р-ра каучука с маловязкими р-рами сложных эфиров акриловой или метакриловой к-ты или поливинилхлорида. После пропитки через ткань для лучшей воздухопроницаемости пропускают воздух или воду, или влажную ткань пропускают между мелатиновыми валиками. Пример. 5%-ный р-р каучука в бензоле смешивают с 10%-ным р-ром полиакрилового эфира в бензоле, при соотношении каучука и эфира 1:1.

М. Монастырская

34557 П. Способ пластикации старой резины из натурального или синтетического каучука (Verfahren zum Plastizieren von Altstoffen aus Vulkanisaten von natürlichem oder künstlichem Kautschuk) [Polyplast Ges. für Kautschukchemie m. b. H.] Пат. ФРГ 1000598, 27.06.57

Регенерацию каучука ведут путем смешения измельченной старой резины при $30-35^\circ$ с окисленными продуктами, полученными в результате обработки при

нагревании HNO_3 фурфурольного экстракта минер. масла, выдержке в течение 2 дней с последующей обработкой 5—6 час. перегретым паром. Окисленные экстракты можно вводить в виде р-ров, водн. эмульсий, а также вместе с мягчителями, р-рителями, наполнителями и красителями. М. Монастырская

34558 П. Способ качественного определения фенил-β-нафтиламина (стабилизатора АР). Кригер (Sposób jakościowego oznaczania fenilo-beta-naftyloaminy (stabilizatora AR). Krygier Marian) [Bydgoskie Zakłady Przemysłu Gumowego] Польш. пат. 36691, 20.09.55

К спирт. р-ру исследуемого продукта прибавляют 10%-ный пиридиновый р-р нитрата Вi, кристаллик сульфосалициловой к-ты и 15%-ный р-р уксуснокислой Си. В присутствии фенил β-нафтиламина р-ра приобретает грязно-зеленую окраску, переходящую при добавлении конц. HNO_3 (2 мл) в грязно-желтую, при добавке же конц. р-ра NH_3 в голубую. В. Лепетов

34559 П. Способ качественного определения элементарной серы в резиновых смесях и в фактисе. Кригер (Sposób jakościowego oznaczania siarki elementarnej. szczególnie w mieszkach gumowych i faktysie. Krygier Marian) [Bydgoskie Zakłady Przemysłu Gumowego] Польш. пат. 36704, 1.02.56

К измельченной резиновой смеси (или фактису) добавляют несколько см³ пиридина, кристаллик гидроксида Na и тотчас подогревают. В случае присутствия элементарной S получается характерное голубое окрашивание, переходящее в темно-зеленое. В. Лепетов

См. также: Материалы майского Пленума ЦК КПСС, 31307, 31308. История 31318, 31319. Техника безопасности 32979, 32982. Привитые сополимеры НК 34975, 34976. Мономеры для СК 33400. Полибутилен, структура 43969. Изопрен, полимеризация 34970. Полихлоропрен, защита от коррозии 32859. Кристаллизация 34920. Полиизобутилен 34384, 34889, 34890, 34937. Действие агрессивных сред 34408. Диффузия р-ров СК 34900. Сажи 31940. Ускорители, определение 32210, 32210, 32233. Гуттаперча 34939

ИСКУССТВЕННЫЕ И СИНТЕТИЧЕСКИЕ ВОЛОКНА

Редактор В. И. Деревицкая

34560. Материалы всеяпонского съезда специалистов по химическому волокну (1956 г.).— Касэн гэнпо, Japan Synth. Text. Monthly, 1956, 9, № 4, 9—169 (японск.)

34561. Современные проблемы искусственного волокна. Пакшвер А. Б. Гаофэнцза тунсюнь, 1957, 1, № 2, 117—119 (кит.).
Перевод. См. РЖХим, 1958, 19976.

34562. Фабричные названия химических волокон.— (Handelsnamen der Chemiefasern in der Welt.—), Chem. Rundschau, 1957, 10, № 2, 474—476 (нем.).
Приведены фирменные названия 230 хим. волокон с указанием типа исходного полимера и фирмы, выпускающей волокно. А. П.

34563. Полимер формальдегида — сырье для новых синтетических волокон. Холл (Polymerised formaldehyde raw material for new synthetic fibres. Hall A. J.), Fibres, 1957, 18, № 8, 257—260, 271 (англ.).
Приведены сведения о получении и свойствах формальдегида (I) и его полимеров (II). Для получения II, пригодного для переработки в прочные эластичные и термостойкие волокна и пленки, I непрерывно вводится в зону полимеризации с такой же скоростью, с какой происходит его полимеризация. Напр., 100 г полиоксиметилена $HN(CH_2O)_nOH$

($n > 100$), содержащего 99,7—99,9% I и полученного при действии к-т или щелочей на р-р I, нагревают для выделения паров мономерного I, которые вводят вместе с током N_2 в энергично перемешиваемую жидкость, состоящую из 626 г пентана и 0,42 г 3-н-бутиламина в качестве катализатора (или из 800 мл нефтяной фракции, содержащей в основном октан, и 1 г октадецилдиметиламина), имеющую т-ру 25°; образующийся высокомолекулярный II высаживается в виде белого гранулированного или порошкообразного осадка. Мол. вес II измеряется по вязкости р-ра в *n*-хлороформе. В качестве катализаторов полимеризации I, кроме указанных, могут применяться и другие амины, а также арсины, стибины и фосфины. В качестве инертной жидкости при полимеризации могут служить жирные, алициклич. и ароматич. углеводороды, в особенности содержащиеся в молекулах 3—10 атомов C, напр. бутан, гексан, бензол, ксилол, метилциклогексан. Желательно также присутствие в реакционной среде диспергирующего агента, который может служить какая-либо высшая жирная карбоновая к-та, напр. олеиновая или эфиры полиэтиленгликолей. Пригодность II для переработки в волокна определяется по устойчивости пленки к двойным изгибам и термостойкости, которая характеризуется константой скорости р-ции разложения II при 222°. Переработка II в пленки производится литьем под давлением при т-ре 190—250°. Прядением из расплава при 190° с последующей вытяжкой на 600% при 160° из II могут быть получены волокна с прочностью 36 ркм и удлинением 11%. Термостойкость II повышается при добавлении до или после полимеризации стабилизаторов, напр. гидразина и его производных, гидразидов, вторичных и третичных ароматич. аминов, фенолов, мочевины и тиомочевины и их производных.

Р. Муромова

34564. Новые синтетические волокна. Фризер (Neue synthetische Fasern. Frieser Erich), Z. ges. Textilind., 1957, 59, № 18, 745—747 (нем.)

Приводятся краткие сведения о хим. строении и о свойствах тефлона (волокно из политетрафторэтилена), волокон из полиалкиленаминотриазола, и поливинилиденцианидного волокна дарлан. Для получения полиалкиленаминотриазола в качестве дикарбоновых к-т предложены: пимелиновая, пробковая, азелаиновая, себациновая и α,α' -диаминсебациновая. Наилучшие результаты получены при конденсации 1 моля себациновой к-ты с ~2 молями гидразина при 280° в атмосфере N_2 . Полиалкиленаминотриазоловые волокна по свойствам приближаются к нейлону, но имеют в 2 раза больший модуль эластичности. Тефлон отличается очень высокой т-рой размягчения, обугливается при 400°. Поливинилиденцианидное волокно дарлан по свойствам приближается к полиакрилонитриловому волокну орлон.

А. Пакшвер

34565. Применение радионуклидов в производстве волокон. Оки, Гансирёку когэ, Nucl. Engng, 1957, 3, № 8, 52—56 (японск.)

34566. Исследования в области получения новых волокон. III. Полиакрилонитриловые волокна. Холл (The search for and production of new fibres — III. Polyacrylonitrile fibres. Hall A. J.), Fibres, 1957, 18, № 3, 75—79 (англ.)

Приводятся патентные данные последних лет о получении волокон из сополимеров акрилонитрила (I), содержащих $\geq 85\%$ I, методом прядения из водн. или водн.-спирт. р-ров минер. солей или их смесей в менее конц. р-ры тех же солей, а также из р-ров в этиленкарбонате в его водн. р-р. Обсуждается растворяющая способность р-ров различных минер. солей по отношению к сополимерам. I. Для повышения свето- и теплоустойчивости сополимеров I рекомендуется введение

5—15% стабилизирующих в-в, которыми могут служить β -окси-третичные амины, напр. 1-диметиламиноэтанол и пропанол, 3-диметиламино-1,2-пропандиол; N-алкил- и N,N'-диалкил-оксиацетамиды; соединения типа $ONC_2H_4(X)NC(Y)=O$, где X — метил, этил или оксипропил, а Y — H или метил, напр., N-(2-оксипропил)-N-метилформамид, и некоторые соединения ароматич. характера. Для получения волокон из сополимеров I, хорошо окрашиваемых кислотными красителями, в качестве второго компонента в сополимеризации применяют в-ва основного характера, напр. винилпиридин, $\leq 20\%$ аминоэфира итаконовой к-ты, $\leq 12\%$ N-замещ. амида акриловой к-ты, содержащего третичный аминный азот, напр. β -диметиламиноэтилакриламид, и ряд других ненасыщ. соединений. Часть II см. РЖХим, 1958, 30997.

Р. Муромова

34567. Вискозный шелк и целлюлозные пленки. Петхачи (Rayon and cellulose film. Pethachi M. Ct.), Altech, 1956—1957, 6, 77—89 (англ.)

Краткое описание технологич. процесса получения вискозного шелка и целлофана на 3-дах искусств. волокна и Индии.

А. П.

34568. Деструкция щелочной целлюлозы молекулярным кислородом. Мюллер (Über den Abbau von alkalischer Cellulose mit molekularem Sauerstoff. Müller Hermann G.), Textil — Rundschau, 1957, 12, № 11, 622—635 (нем.)

При изучении окислительной деструкции имеет значение общее кол-во поглощенной NaOH (I), и хим. и физ. связанной I с целлюлозой, для определения которой применен метод удаления избыточного р-ра центрифугированием. Общее кол-во поглощенных I и воды ($a + w$) складывается из хим. связанных ($a_x + w$) и физ. связанных I и воды ($a_{\phi} - w_{\phi}$). Зависимость поглощенных I и воды от конц-ии р-ра I (с) выражена ур-нием: $a/w = a_x + a_{\phi}/w_x + w_{\phi} = K \cdot c$. Модуль ванны должен быть таким, чтобы разница между начальной и конечной конц-иями I была незначительной. Определены зависимость отношения a/w от конц-ии I для природной и гидратцеллюлозы, величина K — для различных целлюлозных материалов и отклонения этой величины в зависимости от т-ры в пределах 5—40°. Подсчитано кол-во хим. и физ. связанной I для конц-ий, соответствующих образованию Na-целлюлозы 1. Приведено 5 диаграмм и 8 таблиц. Р. Нейман

34569. Ксантогенирование целлюлозы в разбавленном щелочном растворе. Курияма, Мисахара, Энзомэ (Kuriyama Sutezo, Mihara Keisuke, Enome Shozo), Kōrō kagaku dзасси I. Chem. Soc. Japan Industr. Chem. Sec., 1955, 58, № 1, 73—76 (япон.)

Четыре образца целлюлозы ксантогенировали при 25° в р-рах NaOH различной конц-ии (8—14%) в течение ≤ 6 час.; измеряли изменение значения η , растворимости и степени кристалличности с течением р-ции. Полученные результаты указывают на то, что ксантогенаты с более высокой растворимостью получаются в 8—10%-ном р-ре NaOH, если целлюлозу до ксантогенирования тонко измельчить и смочить конц. р-ром NaOH.

Э. Тукачневская

34570. МХХТ — наиболее водостойкая пленка в мире. Берри (MXXT — the world's most moistureproof film. Berry Wm.), Packag. Rev., 1957, 77, № 133, 47—48 (англ.)

Описывается применение новой водостойкой пленки для упаковки пищевых продуктов — пленки МХХТ. Это обычная гидратцеллюлозная пленка (целлофан), покрытая для придания водостойкости не нитроцеллюлозным лаком, а лаком, содержащим сополимеры винилиденхлорида. При достаточно высоком содержании винилиденхлорида в сополимере пленка чрезвычайно водостойчива и непроницаема для паров

воды. Применение для тех же целей полиэтилена оказалось менее целесообразным, так как для получения пленки, непроницаемой для паров воды, требуется нанесение довольно толстого слоя полиэтилена.

А. Пакшвер

34571. Определение общего содержания серы в вискозе. Морис (Die Bestimmung des Gesamtschwefels in Viscose. Maurice M. J.), Z. analyt. Chem., 1957, 158, № 6, 410—418 (нем.)

Проведены исследования весового, ацидиметрич. (А), комплексометрич. (К) и газоаналитич. (Г) методов определения общего содержания S в вискозе. Весовой способ с окислением H_2O_2 или гипобромитом дает более низкие значения, чем А-метод по Д'анс и Иегер и примерно соответствующие результатам К определения окисленной до сульфата S по методу Флегг и Бердт. При уточнении К-метода введением повторного окисления путем сплавления с Na_2O_2 или Na_2CO_3 получается более высокое содержание сульфата. Это доказывает, что H_2O_2 количественно не окисляет в вискозе всей S до сульфата. По данным Вальденбург при окислении Na_2CS_3 кроме сульфата образуется заметное кол-во $HSCOOH$ и дитионата, который не осаждается $BaCl_2$, обуславливая заниженные результаты при весовом определении. Хорошо совпадающие результаты получаются при определении общего содержания S А-методом, уточненным (путем дополнительного окисления) К- и Г-методами. Предлагаемый Г-метод основан на восстановлении вискозы смесью HCl , HJ и H_3PO_4 , причем все содержащее S соединения, включая пертиокарбонат и полисульфид, колич. восстанавливаются до H_2S и CS_2 , которые отгоняются в соответствующие поглотители. Приводится схема прибора, описание хода анализа и значительный цифровой материал, показывающий хорошую сходимость анализов, полученных А-, основанным на окислении, измененным К- и восстановительным Г-методами. На основании полученных данных автор считает целесообразным применять надежный Г-метод определения общего содержания S в вискозе для контроля и проверки других методов, вместо общепринятого в настоящее время весового, дающего заниженные результаты.

Р. Неймаг

34572. Непрерывный метод обезвоздушивания медно-аммиачного придильного раствора. Михайлов П. В., Текстильн. пром-сть, 1957, № 10, 18—21

Описан новый способ удаления избыточного аммиака и воздуха из медно-аммиачного р-ра на непрерывно действующем эвакуаторе с подогревом острым паром. При поступлении в паровое пространство тонких струек придильного р-ра резко увеличивается поверхность испарения, тепло расходуется на активное выделение аммиака и т-ра не повышается до уровня, при котором возможно разложение р-ра. С этой целью процесс осуществляется в 3 цикла с подогревом до $10-13^\circ$ в подогревателе и охлаждением на $10-13^\circ$ — в эвакуаторе. Приводится подробное описание и схема установки, работающей на одном из действующих эдов медно-аммиачного штапельного волокна. Преимуществами рекомендуемого способа являются: значительное ускорение процесса, уменьшение в 3—4 раза кол-ва придильных баков, выравнивание параметров р-ра вследствие непрерывной эвакуации с перемешиванием.

Р. Нейман

34573. Жидкофазное ацетилирование целлюлозы с сохранением волокнистой структуры (VI). Ацетилирование хлопковой пряжи с сохранением волокнистой структуры с уксусной кислотой в качестве разбавителя. Часть VII. Свойства ацетилированной хлопковой пряжи. Сакурада, Сакагучи (Sakurada Ichiro, Sakaguchi Yasuyoshi),

Sangji Gakkaishi, J. Soc. Text. and Cellulose Ind. Japan, 1957, 13, № 6, 365—370 (японск; рез. англ.)

При ацетилировании пряжи $(CH_3CO)_2O$ в присутствии H_2SO_4 или $HClO_4$ в качестве катализатора и CH_3COOH в качестве разбавителя скорость ацетилирования значительно ниже, а разрушение волокнистой структуры значительно сильнее, чем при применении в качестве разбавителя C_6H_6 . Установлено, что при ацетилировании пряжи, предварительно пропитанной катализатором, последний постепенно растворяется в ацетилирующей смеси, вследствие чего скорость ацетилирования понижается. При добавлении свежих порций H_2SO_4 ацетилирование идет с большой скоростью и легко достигается степень замещения до 30—40 моль %. Хлопковая пряжа ацетилировалась $(CH_3CO)_2O$ с применением ацетилсерной к-ты в качестве катализатора и C_6H_6 в качестве разбавителя. При ацетилировании без натяжения пряжа дает усадку, которая увеличивается с повышением степени ацетилирования; максим. усадка $\approx 20\%$. Равномерность окраски удовлетворительная. При правильно выбранных условиях ацетилирования не наблюдается значительных потерь разрывной прочности пряжи и прочности с узелком. Растворимость в $CHCl_3$ и гигроскопичность полученной пряжи меньше, чем при парофазном ацетилировании. По-видимому, аморфные части пряжи более избирательно ацетилируются при жидкофазном ацетилировании, чем при парофазном.

Сообщение V см. РЖХим, 1958, 27220. Р. Муромова

34574. Исходные материалы и процессы обработки различных полиамидов. Фукумото (Fukumoto O.), Тоё рэён кабусики кайся сёко Scient. Repts Toyo Rayon Co., 1955, 10, № 3, 125—133 (японск.)

Библи. 43 назв.

34575. Текстильные волокна. Араи (Arai Keichi), Нихон кикай гаккайси, J. Japan Soc. Mech. Engrs, 1957, 60, № 458, 320—324 (японск.)

Обзор.

Син Мен Хен

34576. Верел — модифицированное полиакрилонитриловое волокно. Кувер, Айви, Бутен, Крофорд (Verel — Eastman's modified acrylic fiber. Coover H. W., Jr, Ivey W. R., Wooten W. C., Crawford R. T.), Text. Res. J., 1957, 27, № 9, 745—750 (англ.)

Волокно верел (В), отличающееся белизной, мягкостью и легкой окрашиваемостью, выпускается в трех видах: стабилизированное, с небольшой усадкой и с большой усадкой, в зависимости от требований потребителя. Приведены основные физ.-мех. характеристики, кривые нагрузка — удлинение, величины поглощения влаги, микросрезы и другие данные, характеризующие свойства В.

А. Пакшвер

34577. Полиакрилонитриловое волокно орлон. Хеккерт (Orlon acrylic fiber. Heckert W. W.), Text. Res. J., 1957, 27, № 9, 719—725 (англ.)

Первоначально выпущенное волокно орлон-42 окрашивалось только в светлые и средние тона. Для окрашивания в глубокие тона применялось крашение под давлением. Позднее было выпущено волокно орлон нового типа, которое окрашивается в глубокие тона при кипячении в обычных условиях. С 1957 г. выпускается волокно орлон, окрашиваемое спец. красителями «Севрон» в любые тона и обладающее заданной степенью усадки. Из этого волокна можно изготавливать изделия, отличающиеся высокой «объемностью». Прочность выкрасок превосходит прочность выкрасок теми же красителями по хлопку. Перечислены области применения волокна орлон в чистом виде и в смеси с шерстью.

А. Пакшвер

34578. Кроющая способность и некоторые термические свойства волокна дайнея. Суом (Inertness,

covering power, and thermal pliability characterize dynel. Swalm J. M.), Text. Res. J., 1957, 27, № 9, 738—744 (англ.)

Волокно дайне (Д) получается из сополимера винилхлорида и акрилонитрила (60:40) и выпраядается из ацетонового р-ра. Д окрашено в светло-кремовый оттенок. Приведены сравнительные данные для вискозного, ацетатного, полиамидного волокна и Д: кривая нагрузка — удлинение, зависимость прочности от номера волокна, жесткость и усадка при различных т-рах; приведены данные о хим. стойкости и термопластичности Д, свойства волокна, окрашенного в массе, свойства «объемной» пряжи из Д. А. Пакшвер

34579. Особенности ацетатных волокон в тканях при носке. Мацукава, Тэйдзин таймусу, 1957, 27, № 1, 9—15 (японск.)

34580. Рентгеноскопическое исследование структуры природных и химических волокон. О новейших успехах в рентгеноскопическом исследовании и результаты исследования. Нукусина, Сэнти гаккайси, J. Soc. Text. and Ind. Japan, 1956, 12, № 3, 158—165 (японск.)

34581. Определение степени полимеризации вискозного волокна в гидроксиде триметилбензиламина. Собоуэ, Фукухара, Камогава (Sobue Hiroshi, Fukuhara Setsuo, Kamogawa Hiroyoshi), Kōrō kagaku zasshi, Chem. Soc. Japan Industr. Chem. Sec., 1955, 58, № 4, 312—314 (японск.)

Вискозное волокно со степенью полимеризации (СП) 250—430 растворяли в 2,14 н. р-ре $(\text{CH}_3)_3(\text{C}_6\text{H}_5\text{CH}_2)\text{NOH}$ (I), выдерживали в атмосфере N_2 и измеряли $[\eta]$ при 20°. В ф-ле $\eta/c = [\eta] + k[\eta]^2c$, где η — уд. вязкость и c — конц-ия р-ра, постоянная Хаггинса $k = 0,43—0,46$. Значения $[\eta]$ и k изменяются с изменением конц-ии I. СП, вычисленная из ур-ния Штаудингера по вязкости в ацетоне, пропорциональна $[\eta]$ р-ра I.

Э. Тукачинская

34582. Исследование поперечного среза вискозного волокна по его окрашиванию. Като (Direct dye staining of viscose rayon cross sections and some of its applications. Kato Koichi), Text. Res. J., 1957, 27, № 10, 803—808 (англ.)

Предлагается новый метод окраски микросреза вискозного волокна р-ром прямого красителя Азия-Бриллиант-Синего с последующей промывкой окрашенного среза р-рами спирта. Полученные результаты аналогичны результатам, получаемым при окрашивании микросрезов красителями Виктория Голубой или Желтая-Виолетовой, но методика проще. Разница в структуре внешнего ориентационного слоя и внутренних слоев волокна обнаруживается благодаря различной скорости диффузии и адсорбции красителя и различному набуханию внешнего и внутренних слоев волокна. Ориентационная рубашка окрашивается значительно медленнее, а удерживает краситель при промывке значительно прочнее. При испытании различных волокон новым методом оказалось, что хлопок, волокно ВХ (спряденное на ваннах, содержащих конц. H_2SO_4) и другие волокна окрашиваются так же, как внутренние слои, тогда как мерсеризованный хлопок, волокно Шинторамомеи (спряденное на ванне из разб. H_2SO_4) и форгизан (волокно, регенерированное из ацетатного шелка) окрашиваются так же, как ориентационная рубашка. Приведены окрашенные микросрезы всех указанных волокон и подробное описание методики окрашивания микросрезов. А. Пакшвер

34583. Определение процентного состава смесок волокон. Фукагава, Такэсима, Сэнти гаккайси, J. Soc. Text. and Cellulose Inds, Japan, 1957, 13, № 4, 244—248 (японск.)

34584. Качественное распознавание полиамидных (особенно рильсан) и полиэфирных волокнистых

материалов. Штратман (Die qualitative Unterscheidung von Polyamid- und Polyester — Faserstoffen unter besonderer Berücksichtigung des Rilsan. Stratmann Maria), Z. ges. Textilind., 1957, 59, № 23, 981—982 (нем.)

В случае неокрашенных образцов в дополнение к хим. и микроскопич. анализам успешно применяется окрашивание красителями неокармин W, неокармин MS для качеств. распознавания различных полиамидных и полиэфирных волокон. Для окрашенных материалов требуется хим. анализ, который можно проводить на предметном стекле. С этой целью изучено действие на полиамидные (найлон, перлон, рильсан) и полиэфирные (терилеи, диолеи, тревира, дакро) волокна 6 н. и конц. холодной и кипящей соляной к-ты, холодной и кипящей лед. CH_3COOH , 98—100%-ной HCOOH , 80%-ного жидкого фенола, диметилформамида, р-ра хлорцинкиода, лактофенола и пр. В результате проведенных исследований дается схема выполнения анализов с целью распознавания перечисленных волокон. Рильсан во многих р-рителях ведет себя иначе, чем найлон и перлон.

Р. Нейман

34585. Переработка перлонового волокна хлопчатобумажным способом, свойства и производство волокон. Мей (Zpracování perlonové stříže bavlnářským způsobem, vlastnosti a výroba vláken. Mey Walther), Textil (Ceskosl.), 1957, 12, № 8, 286—291 (чешск.)

Сравниваются свойства волокна перлона (П), хлопка и вискозного волокна. Приводятся правила и приемы переработки П, независимо от того, вырабатывается ли пряжа из 100% П или его смеси с хлопком или вискозным волокном. Получены положительные результаты.

Б. Вольфон

34586. Структура тканей из синтетических волокон. Кониси (Konishi Y.) Касэн гэнпо, Japan Synth. Text. Monthly, 1956, 9, № 6, 39—42 (японск.)

34587. Виниловые волокна в производстве ковров. Фроже (Vinyllic fibres in the carpet industry. Froger Monsieur C.), Text. Mercury and Argus, 1957, 137, № 3585, 1027—1028, 1042 (англ.)

34588. Проклейка ниток из ацетатного волокна. Сэнти Тайдзин таймусу, 1957, 27, № 4, 2—6 (японск.)

34589. Исследование процесса придания вискозного шелка на машинах, работающих непрерывно, типа Нельсон и ВПЗ. Роснер (Studium nad przędzeniem jedwabiu wiskozowego na maszynach pracujących systemem ciągłym typu Nelson i WPB. Rosner T.), Przem. chem., 1957, 13, № 6, 354—358; № 7, 410—413 (польск.; рез. русск., англ.)

34590. Факторы, влияющие на качество пряжи и ткани из искусственного волокна. Горкий (Vliv působící na jakost umělehedvábných krepových příl a tkanin. Horký Jaroslav), Textil (Ceskosl.), 1957, 12, № 7, 251—253 (чешск.)

Рассматриваются основные факторы, влияющие на качество пряжи (П) и ткани: исходный материал, степень крутки П и технич. условия получения П. Приводятся практич. данные, указывающие на характер влияния этих факторов.

Б. Вольфон

34591. Нетканые изделия. Эллиот (Faservliesstoffe. Elliot), Reyon, Zellwolle und and. Chemiefasern, 1956, № 5, 333—334, 336—337 (нем.)

Нетканые изделия из волокнистой массы, напр. нетканые изделия, склеенные вискозой, оказываются дешевле тканей из тех же волокон и часто с успехом заменяют ткани. Особенно ценны изделия из хлопка, проклеенные различными клеями составами. Они могут быть применены для обивки окон, для замены тканей в обуви и в кожаных изделиях, для электроизоляционных целей, для фильтрации, для изготовления книжных переплетов и др. Приводятся кратко

сведения о применении нетканых изделий в различных отраслях текстильной промышленности и в технике. Предыдущую часть см. РЖХИМ, 1958, 3249.

А. Б. Пакшвер

34592 К. Волокна из синтетических полимеров. Ред. Хилл Р. Перев. с англ. М., Изд-во ин. лит., 1957, 505 стр., илл. 32 р. 55 к.

34593 К. Лекции по химии текстильной промышленности. Классификация текстильных волокон. Минеральные волокна... деструкция и другие изменения текстильных изделий. Видженци (Lezioni di chimica tessile. Classificazione delle fibre tessili. Fibre e filamenti minerali... degradazione e alterazione dei tessuti. Vigezzi Enrico, Firenze, Ed. tip. Ed. univ., 1954, 350 p.) (итал.)

34594 П. Непрерывное получение волокна из латекса кристаллического полимера. Лё-Бёф (Making continuous fibers from a normally crystalline polymer latex. Le Boeuf Edgar W.) [Dow Chemical Co.]. Пат. США 2737436, 6.03.56

Прочное волокно получают из водн. дисперсии непластифицированного, кристаллич. полимера из группы винилиден-хлорида, -бромиды, -цианида, -хлорбромиды, -хлорцианида, -бромцианида и их сополимеров с меньшим кол-вом одного из компонентов. Дисперсия готовится эмульсионной полимеризацией соответствующих мономеров и содержит 30—45 вес. % частиц полимера, аморфных в момент образования и имеющих диаметр $\leq 1000 \text{ \AA}$ (400—600 А). Полимер состоит из 80—90% $\text{CH}_2=\text{CCl}_2$ и 20—10% $\text{CH}_2=\text{CHCl}$ или 90—98% $\text{CH}_2=\text{CCl}_2$ и 10—2% $\text{CH}_2=\text{CHCN}$. Дисперсию выпускают тонкими струями на гладкую, не впитывающую поверхность, от которой образовавшееся волокно по высушиванию отделяют, нагревают до т-ры плавления в течение времени, не вызывающего его разложения, охлаждают и вытягивают для ориентации и кристаллизации. Напр., смесь 85% $\text{CH}_2=\text{CCl}_2$ и 15% $\text{CH}_2=\text{CHCl}$ полимеризуют в водн. эмульсии с 2% от веса мономера анионактивного эмульгатора, при соотношении кол-в воды и мономера 55:45. Латекс стабилизируют 2% от веса диспергированного сополимера другого анионактивного эмульгатора. Латекс уплотняют добавлением 1% от веса полимера водорастворимой метилоксипропилцеллюлозы и используют в течение суток (опыт показал, что аморфное состояние сохраняется в течение 7 суток). Латекс выпускают из трубок, подобных по конструкции авторучкам, установленным параллельно, на гладкой стеклянной поверхности. Полученные полоски латекса быстро сушат ИК-лампами, волокнистый материал отделяют от стекла, нагревают до 170°, быстро охлаждают до 25° и вытягивают в 4—5 раз. Полученное волокно имеет овальное сечение и прочность на разрыв, превышающую 1400 кг/см².

Ю. Васильев

34595 П. Способ получения высококачественного волокна приращением водных растворов поливинилового спирта. Бергмейстер, Грубер, Хекмайер, Маурер, Цёбелейн (Verfahren zur Herstellung von hochwertigen Fäden durch Verspinnen wässriger Lösungen von Polyvinylalkohol. Bergmeister Eduard, Gruber Wolfgang, Heckmaier Joseph, Maurer Luitpold, Zöbelein Hugo) [Waeger—Chemie G. m. b. H.]. Пат. ФРГ 958695, 21.02.57

Предлагается простой способ получения пригодного для прядения водн. р-ра поливинилового спирта (ПВ), не требующий необходимых в обычном процессе получения ПВ операций осаждения, высушивания и растворения. Полученный в соответствии с пат. 848415 после кислотного омыления эмульгированного в воде поливинилацетата водн. р-р ПВ доводится до pH > 6

и прядется обычным способом. Полученные нити после обработки CH_2O в присутствии NaCl и HCl или HClO_4 , при повышенной т-ре обладают высокими физ.-мех. свойствами и устойчивы при кипячении и к р-рителям. Напр., 335 кг водн. эмульсии поливинилацетата, содержащей 60% твердого поливинилацетата, смешивается с 300 кг воды, 4 кг конц. HCl, 0,05 кг NaClO_4 , 200 кг CH_3OH . При отгонке образующегося метилацетата поливинилацетат омыляется до желаемого числа омыления. После разбавления водой полученный прядильный р-р доводится примерно до pH > 6 и затем прядется известным способом. Волокно обрабатывают альдегидом и после основательной промывки пропитывают вспомогательными текстильными средствами, высушивают, получают (при желании) извитость при т-рах между 100° и 200° и нарезают.

Р. Нейман

34596 П. Метод и аппаратура для непрерывного удаления мономера из поли-ε-каприама. Кемниц (Verfahren und Vorrichtung zum kontinuierlichen Entfernen von monomeren Bestandteilen aus polymerem ε-Aminocaprolaktam. Kemnitz Walter). Пат. ГДР 12916, 25.03.57

Расплав полимера перед прядением подается в обогреваемый сосуд, где в тонком слое поступает на фильтр, соединенный с вакуумом. В случае свечного фильтра расплав может продавливаться или внутрь фильтра снаружи, или наоборот. Фильтр может иметь 2 поверхности, через которые продавливается расплав. Одновременно с удалением мономера происходит эвакуация расплава. Напр., нагнетательный насос подает полимер, содержащий 8—12% низкомолекулярных соединений, в обогреваемый сосуд, в котором находится фильтр, соединенный с вакуумом. Внутренний диаметр сосуда и внешний диаметр фильтра подобран таким образом, что расплав распределяется тонким слоем по поверхности, соединенной с насосом. Низкомолекулярные соединения отводятся от фильтра в конденсатор. Метод применим как для группового, так и для индивидуального питания фильер.

П. Волохина

34597 П. Способ получения прочной и свободной от пузырьков вискозной щетины из целлюлозы лиственных деревьев и солом. Бёрнер (Verfahren zur Herstellung von festen und bläschenfreien Viskoseborsten aus Laubholz- und Strohzellstoff. Börner Karl) [Farbwerke Hoechst A.-G. vormals Meister Lucius & Brüning]. Пат. ФРГ 964719, 29.05.57

Прядение щетины по вискозному способу из целлюлозы (I) лиственных пород, картофельной ботвы, солом сильно осложняется образованием большого кол-ва пузырьков. Предлагаемый процесс отличается тем, что приготовленная обычным путем щел. I из лиственных пород или солом сульфидируется при т-ре 22—27,5° с 9—18% CS_2 (от веса I). Прядение ведется на ванне с разб. к-той и незначительным содержанием солей. Для повышения прочности и удлинения при испытаниях с узелком свежеспряденную щетину промывают, десульфидируют, отбеливают и сушат в свободном состоянии. Напр. 5 кг буковой I замачивают в течение 2 час. в 18%-ном р-ре NaOH при 20°, отжимают до 2,5—3,0-кратного веса и затем 3 часа измельчают, причем т-ра в измельчителе повышается до 22—28°. После 15 часового созревания при 28° 13 кг щел. I (с содержанием 32% I) сульфидируются с 600 мл CS_2 в течение 3 час. В процессе сульфидирования т-ра повышается с 22° до 27,5°. Ксантогенат растворяется в 36,5 л 6%-ной NaOH и 4 л воды при т-ре 12° в течение 7 час. Затем фильтруется через неваляное сукно из поливинилхлорида. Вискоза содержит: 7,3% I, 7,7% NaOH, 1,07% S, вязкость по падению шарика 18,8 и электролитное число (ЭЧ) 72, (ЭЧ определяется титрованием $(\text{NH}_4)_2\text{SO}_4$ в присутствии мочевины с

постоянной конц-ией 15%). Прядильная ванна содержит 11,5% H_2SO_4 и 26,5% Na_2SO_4 , т-ра 50°. Фильтра с одним отверстием (диаметр отверстия 1,1 мм) при подаче насосика 34 мл/мин. Щетина наматывается на барабан. При титре 1100 денье прочность на разрыв достигает 1,1 г/денье, удлинение 12—14%, прочность с узелком 0,51 г/денье и удлинение с узелком 1—2%.

Р. Нейман

34598 П. Способ измельчения щелочной целлюлозы. Хильдебрандт (Verfahren zum Zerfasern von Alkalicellulose. Hildebrandt Friedrich) [Spinnfaser A.-G.]. Пат. ФРГ 963239, 2.05.57

Качество щел. целлюлозы влияет не только на все стадии вискозного произ-ва, но и на качество получаемого волокна. Преимуществом предлагаемого режима измельчения является возможность проще достигать желаемой степени деструкции целлюлозы и определенной вязкости вискозы. Удлиненный процесс измельчения дает лучшую гомогенизацию и набухание целлюлозных волокон, позволяет сократить предсозревание и начинать сульфидирование при более низкой т-ре с меньшим кол-вом CS_2 . Повышенная т-ра первоначальной стадии (1 час) измельчения (30—35°) достигается без подогрева. Охлаждение до ~ 20° ведется при вакууме; время измельчения при этой т-ре ≥ 10 час.; одновременно протекает процесс предсозревания.

Р. Нейман

34599 П. Способ введения пигментов в вискозные волокна или ленты (Procédé de pigmentation des fils ou rubans à base de viscose) [Manufactures de Produits Chimiques du Nord (Etablissements Kuhlmann)]. Франц. пат. 1114803, 17.04.56

Стабильные суспензии пигментов, пригодные для добавки в прядильные вискозные р-ры, получают введением пигментов в 3—6%-ный р-р гликолевого или пропиленгликолевого эфира целлюлозы в разб. (5—10%) щелочи. Напр., к 100 л водн. р-ра, содержащего 4% гликолевого эфира целлюлозы и 5% щелочи, добавляют 12,5 кг TiO_2 . Получают очень стабильную, гомог. суспензию, которую можно фильтровать или отстаивать для удаления крупных частиц пигмента. Суспензию добавляют в смеситель с вискозным р-ром непосредственно перед прядением. Аналогичным способом могут быть добавлены красители и газовая сажка.

С. Савина

34600 П. Устройство для отливки пленок и способ его изготовления. Хорбак, Пейст (Film casting device and process of making the same. Horback William B., Paist Walter D.) [Celanese Corp. of America]. Пат. США 2715584, 16.08.55

Для увеличения срока службы поверхностей пленкоотливочных барабанов (Б) и улучшения качества пленки на Б наносят простой или сложный эфир целлюлозы, регенерируют целлюлозу (I) на поверхности и для создания пространственной структуры обрабатывают диальдегидом. Напр., Б покрывают ацетатом I, содержащим 56% связанной CH_3COOH , затем покрывают четырьмя слоями аэролака, содержащего 15% этил-I и 0,6% KOH в CH_3OH . По высыхании пленку этил-I снимают, обнажая покрытие из ацетата I, регенерированное на глубину 0,11 мм. Далее на это покрытие наносят р-р (в вес. ч.) 75 глиоксала, 2,5 щавелевой к-ты и 475 воды, причем барабан совершает 10 оборотов. Продолжительность обработки 10 мин.

Э. Тукачинская

34601 П. Способ производства шлангообразных полых нитей из медноаммиачных растворов целлюлозы. Рис, Рейхле (Verfahren zur Herstellung von schlauchartigen Hohlfäden aus Kupferoxyd-Ammoniak-Cellulose-Lösungen. Ries Wilhelm, Reichle Alfred) [Farbenfabriken Bayer A.-G.]. Пат. ФРГ 961287, 04.04.57

Способ получения полых шлангообразных нитей из медно-аммиачных р-ров целлюлозы основан на том, что формирование производится на сильно щел. прядильной ванне при высокой т-ре так, что внутри образовавшейся в первую очередь оболочки нити из скоагулированного еще р-ра выделяется газообразный NH_3 , который не может продиффундировать через оболочку и раздувает ее, образуя полую шланговую нить. Напр., определенное кол-во медно-аммиачного р-ра целлюлозы, подаваемое прядильным насосиком, поступает из фильеры с поперечным сечением круглой, прямоугольной или иной формы в горячую ванну с 10%-ным $NaOH$ при 70°. Горячая щелочь находится в желобе длиной 4 м. Нить, пройдя в щелочи путь 1—2 м, раздувается; образуется шлангоподобная полая нить, которая принимается на вытягивающее устройство и обычным образом промывается к-той от меди и водой — от к-ты.

Р. Нейман

34602 П. Способ фиксации текстильных материалов из полиамидов (Procédé de fixation de textiles à base de polyamides) [Institut für Textiltechnologie der Chemiefasern]. Франц. пат. 1123469, 21.09.56

Патентуется способ фиксации полиамидных волокон на основе ϵ -капролактама обработкой водн. р-рами таких поверхностноактивных в-в, как алкилсульфаты, алкилсульфонаты, продукты конденсации окиси этилена (сапал Р), альбумина (ламенен), жирных к-т (вофалон) и др. Благодаря этому последующая фиксация изделий может проводиться при сравнительно низких т-рах, не вызывающих ухудшения свойств волокон. Напр., полиамидный шелк с круткой 1000 витков на м обрабатывается на перфорированных бобины 30 мин. при т-ре, близкой к кипению, в ванне, содержащей 20 г/л сапала Р. Затем вода удаляется под вакуумом или центрифугированием и шелк перематывается. При произ-ве трикотажа, тканей и других изделий образование сукрутич не наблюдается. После окраски изделия фиксируются насыщ. паром при давлении 1,5 атм.

С. Савина

См. также: Материалы майского Пленума ЦК КПСС 31307, 31308. Общие вопросы 34752. Полипропилен 34364, 34376, 34378. Политетрафторэтилен 34381. Целлюлоза 34631, 34632. Замасливатели ацетатного шелка 34784. Физ.-механич. св-ва волокон 34914. 34950. Идентификация волокон 34780

ЦЕЛЛЮЛОЗА И ЕЕ ПРОИЗВОДНЫЕ. БУМАГА

Редактор А. П. Хованская

34603. Целлюлоза. Мигита, Мокудзай когё, Waid Ind., 1955, 10, № 7, 22—24 (японск.)

Успехи в технологии произ-ва целлюлозы в Японии за последние 10 лет. Э. Тукачинская

34604. Финский научно-исследовательский институт целлюлозы и бумаги и его связь с промышленностью. Серлахиус (Teollisuus ja keskuslaboratorio. Serlachius R., Erik), Paperi ja puu, 1956, 38, № 1, 355—356 (финск., шведск., англ.)

34605. Подготовка инженеров целлюлозно-бумажной и смежных отраслей промышленности. Мак Брей (The scope of industrial engineering in pulp and paper and allied industries. Mak Bray I. M.), Tappi, 1956, 39, № 1, A177—A179 (англ.)

Обсуждение экономич. вопросов произ-ва и состояния подготовки кадров для пром-сти, в частности целлюлозно-бумажной с 1940 по 1950 г. М. Беленко

34606. Химическая окорка лиственных пород, произрастающих в пойме. Таммидж, Фернивал (Chemical debarking in bottomland hardwoods. Gamage John L., Furnival G. M.), South Paper and Paper Manufacturer, 1957, 20, № 9, 78, 80 (англ.)

При хим. окорке на корню ясеня, тополя, ильма, дуба и ряда других лиственных пород, произрастающих в низких местах, мышьяковистокислый натрий наносит по методу кольцевания. Независимо от сезона обработки через 3—6 месяцев кора с деревьев снимается так же легко, как в период сокодвижения.

Н. Рудакова

34607. Химическая окорка. Вильямс (Chemical debarking. Williams M. B.), Forest. Chronicle, 1955, 31, № 1, 109—110 (англ.)

34608. Древесная масса из щепы и других отходов лесопильного производства. Кинк (Tremasse av småvirke og sagbruksavfall. Kinck Hans E.), Norsk skogind., 1957, 11, № 10, 390—392 (норв.; рез. англ.)

Описан новый способ изготовления древесной массы из щепы. Исследования в лаборатор. и заводских условиях дали благоприятные результаты (уменьшение потребности в электроэнергии и рабочей силе и снижение себестоимости единицы продукции по сравнению с произ-вом древесной массы из баланса). Рекомендуются строительство небольших древесномассовых э-дов, работающих по новому способу, вблизи деревоперерабатывающих произ-в. Э. Тукачинская

34609. Изучение прочности древесной массы, полученной из древесины южной сосны. Линдберг, Мак-Лорин (Orienting studies concerning strength properties of Southern pine groundwood. Lindberg Nils J., MacLaurin D. J.), Papperi ja Puu, 1955, 37, № 8, 409—416 (англ.; рез. шведск.)

34610. Роль номограмм в целлюлозно-бумажной промышленности. Шмид (Nomogramy romáhaji výroby. Schmied J.), Papír a celuloza, 1957, 12, № 11, 253—256 (чешск; рез. русск., нем., англ.)

Многие вычисления могут быть упрощены и ускорены при помощи номограмм. Рассмотрены принципы, на основании которых могут быть составлены номограммы. В качестве примера разработана и составлена приведенная в данной работе номограмма для определения содержания α -целлюлозы.

А. Хованская

34611. Водоснабжение в целлюлозной промышленности. Винквист (Moderna metoder inom cellulosaindustriens vattenförsörjning. Winqvist Gustav), Norsk skogind., 1955, 9, № 9, 314—320 (шведск.; рез. англ.)

34612. О поведении смесей целлюлоз. Хёппнер (Ueber das Verhalten von Zellstoffmischungen. Höpner Theodor), Wochensl. Papierfabr., 1956, 84, № 24, 1020—1022 (нем.)

Физические и хим. свойства целлюлозы (Ц), получаемой при одновременной варке в автоклаве образцов различной древесины (каждый из которых окружен проволоочной сеткой) близки между собою, напр. степень полимеризации сульфатной Ц из шести сортов тропич. древесины колебалась в пределах 1240—1250 (при 140°) и 608—740 (при 170°); для Ц из зимней древесины ели 1950, из весенней — 1920. При смешивании Ц с разным морфологич. строением (с длинным и коротким, тонким и толстым волокном и т. д.) в определенных соотношениях свойства получаемой смеси обычно можно рассчитать.

Н. Рудакова

34613. Багасса, получение из нее целлюлозы и ее роль в целлюлозно-бумажной промышленности Индии. Джайн (Bagasse — its pulping and role in Indian pulp and paper industry. Jain S. C.), Indian Pulp and Paper, 1957, 12, № 3, 163—166 (англ.)

В 1960—61 г. произ-во целлюлозы (Ц) в Индии увеличилось до 540 000 т. Ц до сих пор получали из бамбука, но запасы его ограничены и поэтому замена его багассой является важнейшей задачей. Подробно

освещены вопросы хранения запасов багассы, подготовки к произ-ву Ц и различные методы произ-ва из нее Ц — периодические и непрерывные (варка с HNO_3 , кислый сульфитный способ, применявшийся до II Мировой войны на Тайване, моносульфитный метод, нейтр. сульфитный метод, натронный и сульфатный метод, механико-хим. процесс). Описан и ряд непрерывных методов: метод Помилло, используемый на э-дах на Филиппинах, в Индии, Бразилии, Нугенто-процесс (Франция), Morley-процесс (Англия), Камут (Скандинавия) и Pandia-процесс, недавно разработанный в США.

А. Закощиков

34614. Рост применения соломенной целлюлозы в бумажной промышленности. Вамощ, Мери, Лендье (Rising utilization of straw pulp in the paper industry. Vamos George, Mero Tibor, Lengyel Paul), Tappi, 1957, 40, № 7, A180—A188 (англ.)

Применение соломы (С) для произ-ва всех видов целлюлоз (Ц), в том числе и высококачеств. возрастает. Общее кол-во получаемой С выражается в 664600 тыс. т, из них в СССР 100 000 тыс. т. Средняя длина волокна у соломенной Ц 0,8—1,5 мм. Пониженное содержание лигнина, повышенное содержание пентозанов, золы, требуют при получении соломенной Ц применения более мягких условий. Высокое содержание пентозанов в соломенной Ц затрудняет обезвоживание полотна на сетке бумажной машины и прохождение мокрого полотна бумаги через первые 2 прессы бумажной машины. Рисовая С отличается от других видов С более высокой прочностью во влажном состоянии.

А. Закощиков

34615. Использование отходов лесопильного производства в сульфитно-целлюлозной промышленности. Вурц, Вурц (Sägeabfallholzverwertung in der Sulfitzellstoffindustrie. Wurcz Otto, Wurcz Erich), Das Papier, 1954, 8, № 23—24, 535—541 (нем.; рез. англ., франц.)

34616. О химизме процесса сульфитной варки древесины. — (О kemizmu procesa kuhanja drveta sulfitnim postupkom. —), Kemija u industriji, 1955, 4, № 11, 230—234 (сербо-хорв.)

Исследован процесс делигнификации древесины в процессе сульфитной варки.

З. Б.

34617. Новые данные по теории сульфитной варки и их значение для практики. Элиашберг М. Г. В сб.: Новая техника в произ-ве сульфитной целлюлозы. М.—Л., Гослесбумиздат, 1956, 5—20

См. также РЖХим, 1958, 6590

34618. Кислотная конденсация лигнина. Тищенко Д. В., Бум. пром-сть, 1957, № 12, 5—10

Обзор. Рассмотрены явления «конденсации» и «инактивации» лигнина в процессе сульфитных варок. Сопоставлена химия лигнина и химия фенольноальдегидных смол. Библ. 33 назв.

А. Х.

34619. О различной растворимости твердых лигносульфонатов при сульфитной варке целлюлозы. Розенбергер Н. А., Бум. пром-сть, 1957, № 10, 4—7

Установлено, что скорость сульфитной варки при натриевом и аммониевом основаниях возрастает, вследствие повышенной растворимости лигносульфонатов одновалентных катионов. Лигнин (Л) древесины химически взаимодействует с солями HCNS и с тиомочевинной; повышение активной кислотности р-ра и увеличение конц-ии роданидов или тиомочевины увеличивает скорость этих р-ций. Р-ции роданирования и сульфонирования Л при одновременном протекании являются конкурирующими. В зависимости от соотношения конц-ий роданистой соли и связанного SO_2 преобладает та или другая р-ция. Высказано предположение, что: 1) обе конкурирующие р-ции Л

подчиняются общим закономерностям и их скорости находятся в прямой зависимости от концентрации водородных ионов и концентрации роданистой или бисульфитной соли и 2) CNS реагирует с теми же функциональными группами Л, которые активно участвуют в р-ции сульфирования. Тиосульфат в условиях сульфитной варки реагирует с природным или частично сульфонированным Л древесины, уменьшая растворимость лигносульфонатов; действие H_2S аналогично действию тиосульфата, поэтому для уменьшения развития побочных р-ций рекомендуется применять чистую варочную к-ту и устранять ее загрязнение отработанными щелочами при сдвухах.

34620. Влияние длительности варки и концентрации SO_2 в варочной кислоте на выход сахаров в щелоке. Бутко Ю. Г., Тр. Ленингр. технол. ин-та им. В. М. Молотова, 1956, вып. 4, 120—132

Пентозаны, основную часть которых составляет ксилоза (К), переходят в р-р наиболее интенсивно, в первой стадии варки. Разрушение пентоз усиливается к концу варки. Наименее устойчива в условиях варки арабиноза, более устойчива метилпентоза и наиболее устойчива К. Образование глюкозы, а также маннозы, составляющей примерно 50% всех гексоз, происходит в течение всей варки. Максим. выход галактозы получен после 6 час. варки при 135° , при дальнейшем увеличении варки кол-во галактозы в щелоке снижается. Разрушение сахаров при увеличении продолжительности варки связано с ускорением в конце варки побочных р-ций. Повышение концентрации растворенной SO_2 в варочной к-те повышает активную кислотность и ускоряет процесс гидролиза, что приводит к увеличению выхода сахара. Оптимальная концентрация SO_2 при варке древесины 5%, при варке холоцеллюлозы 6%. Предыдущее сообщение см. РЖХим, 1956, 63350.

34621. Сульфитная варка древесины с добавкой щелочных агентов. Курима, Корэмацу, Табути (Kuriyama Sutezo, Korematsu Mikio, Tabuchi Kimitaka), Koré кагаку дзасси, J. Chem. Soc. Japan. Industr. Chem. Sec., 1954, 57, № 12, 945—947 (японск.)

Опилки красной сосны обрабатывали сульфитным р-ром, в который были добавлены различные кол-ва (до 12,6%) $NaHCO_3$, Na_2CO_3 , $NaOH$ или Na_2S при 145 или 175° в течение различного времени (до 10 час.). Определяли кол-во лигнина, CH_3O и связанной серы. Целлюлоза, содержащая ~82% α -целлюлозы, была получена (выход ~46—49%) при обработке указанной щелочи с 10% Na_2SO_3 , содержащего Na_2S (15% от р-ра) в течение 4—8 час. при 175° .

34622. Требования к вискозной целлюлозе, предназначенной для производства шинного корда. Уокер (Dissolving pulp for rayon tire cord end-use requirements. Walker Forestier), Pulp and Paper Mag. Canada, 1956, 57, № 8, 127—131 (англ.)

В качестве основных требований к вискозной целлюлозе указаны: высокая степень однородности, максим. содержание 1,4 β -полиглюкозана, при миним. содержаниях золы, экстрактивных в-в, затрудняющих процесс фильтрования вискозного р-ра и ухудшающих качество готовых изделий.

34623. Сульфитная варка с высоким выходом целлюлозы. VI. Характеристика сцепления. Показатель легкости размола. Вудс, Харт (High-yield sulphite pulping. Part VI. Cohesive ratings: and index of the ease of fiberizing. Woods J. M., Hart J. S.), Pulp and Paper Mag. Canada, 1955, 56, № 3, 171—178 (англ.)

Описан метод «Cohesive ratings», позволяющий при помощи диворазбивателя определить величину относительной мощности, потребной для размола до

одного и того же градуса двух целлюлоз, полученных с высоким выходом. Часть V см. РЖХим, 1956, 50881.

34624. Сульфитная варка с высоким выходом целлюлозы. VII. Диаграмма Росса — графический метод анализа процесса варки целлюлозы и других экстракционных процессов. Страпп (High-yield sulphite pulping. Part VII. The Ross diagram analytical guide for chemical pulping and other extraction processes. Strapp R. K.), Pulp and Paper Mag. Canada, 1955, 56, № 3, 179—185 (англ.)

34625. Отходы сортирования сульфитной целлюлозы. I. Химические свойства феноллигнина. II. Окисление нитробензолом протолигнина и сульфитного феноллигнина. Кондо, Танака (Kondo Tamio, Tanaka Jiro), Нихон рингаккайси, J. Japan. Forest. Soc., 1955, Spec. Issue, 361—363; 37, № 8, 342—345 (японск.; рез. англ.)

I. В отходах от сортирования (ОС) сульфитной (ОС-1) и сульфатной целлюлозы (ОС-2), а также в ядровой древесине (ЯД) *Pinus densiflora* определено содержание лигнина на Класону, CH_3O , S, в-в (ЭВ), экстрагируемых смесью спирта и C_6H_6 , и золы. Содержание S в ОС-1 и ОС-2 соответственно 1,02 и 0,97%. В лигнине из ОС-1, ОС-2 и ЯД после диализа (для удаления свободной S) определено содержание CH_3O и S. Путем обработки фтороглюцином и 1 н. HCl проэкстрагированных спирт-бензольной смесью ОС-1 и ЯД показано, что ОС-1 связывает меньше кол-во фтороглюцина, чем ЯД. По данным хроматографии на бумаге ЭВ ОС-1 содержат небольшое кол-во пиносильвина, его монометилового эфира и монометилового эфира дигидропиносильвина. В продуктах окисления ЭВ ОС-1 перманганатом калия обнаружена бензойная к-та.

II. Путем окисления нитробензолом в щел. среде установлено, что: а) структурной единицей лигнина из сосновой древесины и феноллигнина (из ОС) является *n*-оксифенил, б) выход ванилина из отходов сортирования (сучков) снижается до ~40% по сравнению с нормальным выходом из исходной древесины.

34626. Проблемы щелочной варки древесины. II. Преи (Probleme des alkalischen Holzaufschlusses. II. Prey V.), Österr. Chem.-Ztg., 1956, 57, № 7—8, 101—105 (нем.)

Изложены результаты исследования методом хроматографии на бумаге к-т гемицеллюлозы. Часть I см. РЖХим., 1957, 62198.

34627. Влияние добавления черных щелоков при щелочной варке на прочность и качество отбелки целлюлозы. Дин, Сол, Тернер (The role of added black liquor in alkaline pulping. Effect on pulp strength and bleaching characteristics. Dean J. C., Saul C. M., Turner C. H.), Proc. Austral. Pulp and Paper Ind. Techn. Assoc., 1956, 10, 84—98 (англ.)

См. также РЖХим, 1957, 46344

34628. К вопросу о водном и кислотном предгидролизе перед сульфатной варкой целлюлозы. Караван В. П., Олинцов П. Н., Zinātn. raksti. Latv. Univ., Уч. зап. Латв. ун-т, 1957, 14, 89—97

Степень торможения делигнификации при сульфатной варке зависит от условий предварительной обработки водой и кислотной обработки. Кислотность лигнина при жесткой обработке увеличивается, содержание метоксилов в нем изменяется незначительно. Лигнин уплотняется, общее кол-во гидроксидов, карбокилов и выход ванилина снижаются.

34629. Изучение роли восстановительно-окислительного потенциала и гемицеллюлоз в процессе сульфатной варки целлюлозы. Энквист, Хольм, Керула, Мартелини (Experiments concerning the role of redox potential and hemicellulose during sulfate cellulose digestion. Enkvist Terje, Holm

Björn, Kourula Aarre, Martelin Jarl Erik), Paperi ja puu, 1957, 39, № 6, 297—302 (англ.).

Результаты сульфатных варок (СВ) еловой древесины, из которой удалено 10,6% по весу гемицеллюлоз (ГЦ), и обычной еловой древесины, с добавлением в варочный р-р извлеченных из другого образца ГЦ, показали, что присутствие ГЦ не влияет на ход СВ. Восстановительно-окислительный потенциал (ВОП) в процессе варки целлюлозы по различным методам в начальной стадии варки изменяется параллельно с эффективностью делигнификации древесины, но растущиеся в-ва существенно снижают ВОП. Глюкоза, аскорбиновая к-та, хлористое олово, гипофосфат натрия, формиат натрия, красный фосфор и сульфат железа в качестве восстановителей в процессе СВ показали резкое ингибирующее действие (выход целлюлозы увеличивался). Пирокатехин, пирогаллол, цинк, As_2O_3 , H_2PO_4 , $NaNO_2$, гидразин — не показали в качестве восстановителей благоприятного эффекта, по сравнению с сульфидом. Отмечается более энергичное действие на делигнификацию древесины сульфидов при сульфатной варке, по сравнению с действием $NaOH$ в натронных варках и объясняется это присоединением S с реакционными группами лигнина (Л), в связи с чем молекулы Л предохраняются от конденсации в нерастворимые продукты. Л сульфатных варок более легко растворим в 96%-ном спирте, чем Л от натронных варок. Очевидно что средний мол. вес сульфатного Л меньше, чем вес Л от натронных варок.

А. Закончиков

34630. Изучение адсорбции ксилана на волокнах целлюлозы в процессе сульфатной варки. И ль н е р, Энстрём (Studies of the adsorption of xylan on cellulose fibres during the sulphate cook. Yllner Sven, Enström Barbro), Svensk papperstidn., 1957, 60, № 15, 549—554 (англ.; рез. шведск., нем.).

Адсорбция целлюлозой (Ц) ксилана (К), выделенного из холоцеллюлозы березы, протекает интенсивно при более высоких т-рах. Опыты гетерог. гидролиза (2,5 н. H_2SO_4 , 6 час. при 96°) различных Ц из березы показали, что К в сульфатной Ц в 2,5 раза устойчивее к гидролизу, чем в сульфитной Ц; в этом отношении холоцеллюлоза сульфатной варки может быть приравнена обычной сульфатной Ц. Присутствие в сульфатных Ц небольшого кол-ва уроновой к-ты (2,9% против 9—12% природного К в березовой древесине) и результаты опытов позволяют авторам предположить, что адсорбция К волокнами Ц по существу является его кристаллизацией. Предыдущее сообщение см. РИХХИ, 1956, 63370.

Ю. Вендельштейн

34631. Получение целлюлозы равномерной по молекулярному весу для получения вискозы в одном аппарате. Боннесс (Die Herstellung von Direktviskosezellstoffen engerer Polymolekularität. Bonness Hans), Zellstoff und Papier, 1957, 6, № 8, 234—239 (нем.).

Для получения вискозы в одном аппарате необходимо применять целлюлозу (Ц) высокой реакционной способности с низкой вязкостью (50 мпуаз). Присутствие фракций со степенью полимеризации (СП) < 200 неблагоприятно, так как они снижают качество волокна. Присутствие фракций с СП > 700 приводит к ухудшению фильтруемости вискозы. Ц должна иметь фракционный состав (от общего веса навески) фракции: с СП < 100 1,8%, СП от 100—200 4,2%, с СП 200—600 89,0%, с СП 600—750 5,0% и с СП > 750 0%, при средней СП 320—350. Приводятся 6 режимов сульфатной варки древесины с целью получения подобной Ц, из них 3 режима с жесткой варкой древесины (~5 час., снижение вязкости I после варки до 90—100 мпуаз) и мягкой отбелки I после варки (расход хлора ~6%). Конечная вязкость I после варки и

отбелки 50 мпуаз. Три других режима основаны на мягкой варке (1,5 до 2,5 час., снижение вязкости после варки до 150—180 мпуаз) и жесткой отбелки (расход хлора 7,0—7,5%). Вязкость готовой I также равна 50 мпуаз. Режимы отличаются между собой предварительной обработкой древесины перед варкой: предварительная запарка древесины в буферном р-ре; такая же запарка без добавления буфера; без предварительной запарки. Во всех случаях выход I из древесины 34,8—37,7%, самый низкий при предварительной запарке без буфера и наиболее высокий при такой же запарке с буфером. По равномерности I по мол. весу мягкая варка и жесткая отбелка дает более хорошие результаты. Наилучшие результаты получены при мягкой варке, жесткой отбелке и предварительной запарке без буфера, хотя выход I при этом снижается до 34,8%. Приведены кривые распределения по мол. весу.

А. Пакшвер

34632. Технические вопросы в области производства сульфатной целлюлозы для искусственного шелка. Фукуда, Сэнги гаккайси, J. Soc. Text. and Cellulose Ind., Japan, 1955, 11, № 11, 706—709 (японск.).

34633. Сульфидность как переменная величина в производстве целлюлозы из западного красного кедра: влияние отношения Na_2S к древесине на свойства целлюлозы. Кристиансен, Харт, Росс (Sulphidity as a variable in the pulping of western red cedar: the effect of the Na_2S /Wood ratio on pulp properties. Christiansen C. B., Hart J. S., Ross J. H.), Tappi, 1957, 40, № 5, 355—361 (англ.).

Проведена серия опытных варок с р-ром с постоянной активной щелочностью и изменяющейся сульфидностью. Из древесины красного кедра в этих условиях получена отбеливаемая целлюлоза с высокими показателями при удовлетворительных выходах. Скорость варки зависит как от щелочности, так и от содержания сульфида в варочном р-ре. Нежелательное влияние высокой щелочности устраняемо добавлением сульфида. Изменение добавки сульфида в пределах 3—5% незначительно влияет на результаты варки. Прибавление сульфида выше указанного кол-ва увеличивает выход и улучшает физ.-хим. свойства целлюлозы.

М. Чудаков

34634. Использование отработанного сульфитного щелока в варочном растворе при производстве крафт-целлюлозы. Манбру (Sulfitavlut som kokväska vid sulfatcellulosakokning. III. Mannbro Nils), Svensk papperstidn., 1955, 58, № 15, 525—541; № 16, 571—577 (шведск.).

Начало см. «Svensk Papperstidn», 1952, 55, 665—667

Э. Т.

34635. Ускорение промывки сульфатной целлюлозы в диффузорах. Струнников Н. А., Слятский Б. И., Бум. пром-сть, 1957, № 1, 17—22

Изучены различные схемы и варианты технологич. режима промывки целлюлозы в двухъярусных диффузорах. Наиболее выгодным автор считает режим промывки по двоярусной системе, когда верхний ярус одного диффузора промывается последовательно с верхним ярусом другого и одновременно нижний ярус одного с нижним ярусом другого.

А. Х.

34636. Лабораторные данные по получению сульфатным способом целлюлозы с большим выходом. Поппель (Citeva date privitoare la obținerea în laborator a celulozei de mare randament (C. M. R.) prin procedeeul sulfat. Poppel E.), Celuloză și hirtie, 1957, 6, № 7, 236—238 (рум.; рез. русск., нем., франц., англ.).

Варки еловой древесины проводили при 165°, в течение 145—185 мин. (общий оборот); общая конц-я щелока, считая на абсолютно сухую древесину, 20—25% (N_2S 39,3 г/л); размалывали в горячем щелоке в

шаровой мельнице. Физ. и мех. свойства полученной массы такие же, как при обычных сульфатных варках; выход 64% вместо 50%.

34637. Определение расхода щелочи и серы на различных стадиях сульфатной, натронной, сульфитной и сульфитной нейтральной варок еловой древесины. Энkvист (Determinations of the consumption of alkali and sulfur at various stages of sulfate, soda and alkaline and neutral sulfite digestion of spruce wood. Enkvist T.), Svensk papperstidn., 1957, 60, № 17, 616—620 (англ.; рез. шведск.; нем.)

Определен расход щелочи и серы на различных стадиях варки еловой древесины по различным методам. При сульфатных и натронных варках при 130—140° расход щелочи и растворение полисахаридов идут параллельно, лигнин продолжает растворяться и позже, на что щелочь дополнительно не расходуется. При сульфатной варке при 100—130° расход S в 3 раза меньше, чем при 160°, но и при 160° ~ 2/3 сульфидной S находится в черном щелоке. За 3 часа варки при 160° связывается ~1% S от веса древесины или ~4% от лигнина. При варках с р-ром, содержащим 37,5 г $\text{Na}_2\text{HPO}_4 \cdot 12\text{H}_2\text{O}$; 22 г KH_2PO_4 ; 42,9 г $\text{Na}_2\text{S} \cdot 9\text{H}_2\text{O}$, расход S возрастает до 90% от взятого кол-ва. При этом уже при 22° S потребляется больше, чем при 160° при сульфатной варке. При щел. сульфитной варке расход S мало отличается от расхода при сульфатной варке и резко возрастает при кислой сульфитной варке. Предварительная обработка древесины формальдегидом на расход S не влияет.

34638. Лабораторные данные по получению полуцеллюлозы из камыша моносульфитным способом. Кац (Studiul de laborator al unor parametri la obtinerea pastei semichimice SNS din stof. Katz S.), Celuloză și hirtie, 1956, 5, № 10, 274—277 (рум.; рез. русск., нем.)

Описана схема обработки камыша сульфитом Na, увлажненного NaHCO_3 , и характеристики полученной массы, а также влияние черных нейтр. сульфитных щелоков при их использовании в этом процессе на показатели получаемой полуцеллюлозы. А. Хованская

34639. Современное состояние отбелки целлюлозы. Хентола (Nykyinen tilanne valkaisualalla. Hentola Yrjö), Paperi ja puu, 1956, 38, № 9, 425—428 (финск.; рез. англ.)

Улучшение в области отбелки в значительной степени основывается на промышленном применении ClO_2 и перекисей. Их преимуществ особенно очевидны при отбеливании крафт-целлюлозы и древесной массы. При отбеливании сульфитных целлюлоз и полуцеллюлоз применяют в основном хлор, щелочь, гипохлорит. Только некоторые э-ды употребляют ClO_2 для сульфитной целлюлозы для улучшения ее чистоты. Наблюдается тенденция к отбелке при высоких конц-ях. Отмечается необходимость улучшения качества воды, используемой в процессе отбелки и промывки, так как загрязненность воды часто мешает увеличению степени белизны.

34640. Изучение влияния равновесия системы хлор — вода при хлорировании целлюлозы. Хентола, Стоун (A study of the influence of the equilibrium of the chlorine — water system on the course of pulp chlorination reactions. Hentola Yrjö, Stone J. E.), Tappi, 1957, 40, № 5, 396—402 (англ.)

Описаны опыты по хлорированию с изменением в широких пределах кол-ва активного хлора в р-рах, при различной конц-ии водородных ионов и хлоридов в р-ре. На основании полученных результатов сделано заключение, что конц-ия ионов хлорида не влияет заметно на р-цию хлорирования и белизну получаемой целлюлозы. По-видимому влияние конц-ии водородных ионов не объясняется влиянием на процесс отбелки

равновесной системы хлор — вода. Важность равновесия системы хлор — вода на ход р-ции хлорирования переоценена. Отношение конц-ии элементарного хлора к хлорноватистой к-те не влияет на ход р-ции при pH, когда хлор и хлорноватистая к-та являются активными компонентами р-ра. Влияние конц-ии водородных ионов на ход р-ции хлорирования объяснено взаимодействием водородных ионов с некоторыми компонентами целлюлозы.

34641. Пожелтение крафтцеллюлозы в зависимости от условий отбелки перекисью водорода. Раака, Мей, Салари, Фодераро (Reversion of kraft pulp as related to hydrogen peroxide bleach variables. Raaka C., May M. N., Solari R. J., Foderaro F. A.), Tappi, 1957, 40, № 3, 201—208 (англ.)

Изучено влияние условий отбелки на сохранение степени белизны. Обычную крафтцеллюлозу отбеливали H_2O_2 при 40—80°; в течение 2—6 час.; pH 9—11,5; конц-ия H_2O_2 0,1—1,1 г/л. Отбеленную целлюлозу выдерживали в течение 2 час. при 105° в шкафу при постоянной влажности. Степень устойчивости белизны выражали величиной K/S (K — коэф. абсорбции; S — коэф. рассеивания), получаемой после стандартных измерений степени белизны (GE) до и после испытаний в шкафу. Было найдено, что т-ра, время, pH, конц-ия H_2O_2 , за исключением конц-ии массы, влияют на сохранение белизны при хранении. Наибольшее значение имеют т-ры и время отбелки, pH и конц-ия H_2O_2 — меньше.

34642. Отбелка натронной целлюлозы — сравнение гипохлорита и двуокиси хлора. Фридман (The bleaching of soda pulp — a comparison of hypochlorite and chlorine dioxide. Freedman Herbert), Tappi, 1957, 40, № 3, A74, A76, A 78, A82 (англ.)

Изучено влияние гипохлорита кальция и ClO_2 в качестве отбеливающих агентов в последней фазе отбелки на свойства натронной целлюлозы из древесины тополя и твердых пород. Образцы массы, отбеленной ClO_2 , достигали более высоких степеней белизны по сравнению с полученными при отбелке гипохлоритом; в большей степени сохраняли физ.-мех. характеристики, свойственные небеленой массе. ClO_2 понижает сорность массы больше, чем гипохлорит кальция. Сделан вывод, что ClO_2 является более селективно отбеливающим агентом и меньше разрушает целлюлозные волокна; целлюлоза, отбеленная ClO_2 имеет лучшие показатели (садкость, вязкость, сопротивление разрыву, высокую непрозрачность бумаги).

34643. Получение двуокиси хлора по способу Columbia — Southern. Конрад, Карлсон (Preparation of chlorine dioxide by the Columbia — Southern process. Conrad Paul, Carlson Gordon), Pulp and Paper Mag. Canada, 1957, 58, № 11, 160—163

Новый процесс получения ClO_2 (I) для отбелки целлюлозы основан на восстановлении хлората Cr^{+3} и I. Для разбавления I и исключения опасности ее взрыва применяют пар. Технологич. процесс включает такие регенерацию 3-валентного хрома и удаление Na_2SO_3 . Приведены оптимальные условия р-ции и схема получения I. Предложенный процесс исключает необходимость создания больших запасов I на предприятии, требует по сравнению с другими способами получения I небольших кол-в хим. реагентов и дает минимум побочных продуктов.

34644. Механизм образования двуокиси хлора из хлората натрия. Рапсон (The mechanism of formation of chlorine dioxide from sodium chlorate. Rapson W. Howard), Tappi, 1956, 39, № 4, 554—556 (англ.)

Приводятся данные о механизме р-ции, позволяющие улучшить получение в заводских условиях ClO_2 применяемой для отбелки целлюлозы. А. Закощичев

34645. Исследования структуры целлюлозы методом алкоголиза. Корольков И. И., Шарков В. И., Гарманова Е. Н., Ж. прикл. химии, 1957, 30, № 4, 586—598

При алкоголизе размолотой целлюлозы (Ц) в различных спиртах рекристаллизация аморфной Ц практически отсутствует. При помощи метода этанолиза определено содержание аморфной фракции в различных образцах Ц. Изучено влияние т-ры на скорость рекристаллизации аморфной Ц и показано, что повышением т-ры гидролиза можно уменьшить влияние рекристаллизации на скорость гидролиза аморфной Ц и на величину выходов образующихся при этом сахаров. При гидролизе препаратов Ц, содержащих значительные кол-ва аморфной Ц, последние быстро рекристаллизуются. Определена плотность аморфной Ц. Результаты определения ее по методу плотности согласуются с результатами по методу этанолиза. А. Х.

34646. Изменение свойств целлюлозы под действием ультразвука. Яйме, Розенфельд (Eigenschaftsänderungen von Zellstoffen durch Einwirkung von Ultraschall. Jaume Georg, Rosenfeld Klaus), Das Papier, 1955, 9, № 17-18, 423—429 (нем.; рез. англ., франц.)

Комбинированная обработка ультразвуком и размолотом на мельнице Иокро обеспечивает улучшение свойств, характеризующих механич. прочность целлюлозы. Наилучшие результаты обработки волокна ультразвуком обеспечиваются при использовании суспензий с равномерным распределением в них волокон. Ультразвуковая обработка может вызвать максим. степень набухания волокна с обеспечением достижения исключительно высокой прочности бумаги. Предыдущее сообщение см. РЖХим, 1958, 27282. М. Белецкая

34647. Изменения очищенной целлюлозы под влиянием света. Абади-Момер (Altérations de la cellulose purifiée par la lumière. Abadie-Maumont F. A.), Norsk skogind., 1955, 9, № 8, 273—278; Papeterie, 1955, 77, № 9, 593, 595, 597, 599 (франц.; рез. англ., норв.)

Образцы вискозной целлюлозы (Ц) и образцы бумаги из очищ. беленой Ц облучали кварцевыми лампами Гереуса на 3,8 а. Время световой экспозиции до 96 час. Установлено, что облучение вызывает частичную деструкцию Ц, быстрое и сильное пожелтение даже наиболее чистой Ц, быстрое уменьшение прочности бумаг, затруднение этерификации Ц, снижение содержания α-Ц. М. Нагорский

34648. Термический распад целлюлозы и ее строение. Голова О. П., Крылова Р. Г. Докл. АН СССР, 1957, 116, № 3, 419—421

Образцы целлюлозы (Ц) [№ 1 и № 2 со степенью полимеризации (СП) 2800 и 1500 и № 3 СП 700] высушивали до постоянного веса при 105° в течение 6 час. и вводили в течение 30 сек. в кварцевый прибор при помощи магнитного приспособления. Через определенные интервалы термич. воздействия (5, 10, 20, 40 и 90 мин.) опыт прекращали опусканием печи. Анализировали продукт разложения на присутствие левоглоулана (I) и оставшуюся Ц. Выход I при термич. разложении Ц при одной и той же т-ре (300°) непрерывно в течение 300 мин. или стадийно, но за этот же срок составлял 44—46%. На основании полученных эксперим. данных механизм р-ции представлен следующим образом: I-й период — разрыв ценных молекул Ц с накоплением фрагментов с СП 200 (выход I в этот период 5—20%); во II периоде — последовательное хим. превращение звеньев фрагмента молекулы Ц с отрывом элементарного звена, которое благодаря внутренней изомеризации превращается в мономерное соединение — I. СП 200 сохраняется при степени распада Ц от 4 до 70—80%. А. Хованская

34649. Щелочная деструкция целлюлозы. Макелл, Ричардс, Сефтон (The alkaline degradation of cellulose. Machell G., Richards G. N., Sephton H. N.), Chemistry and Industry, 1957, № 15, 467—469 (англ.)

Хлопковую гидроцеллюлозу кипятили в 0,5 н. р-ре NaOH в отсутствие кислорода. В числе продуктов деструкции обнаружены: нелетучие нейтр. в-ва (2,5 вес.%, от общей потери веса целлюлозы), летучие нейтр. в-ва (1—2 вес.%, от потери веса целлюлозы), ряд к-т, лактоны и др. В составе нелетучих нейтр. в-в методом хроматографии идентифицированы глюкоза и целлодекстрины; найдены также другие в-ва (неидентифицированные). В нейтр. дистилляте определены пириноградный альдегид и другие карбонильные соединения (неидентифицированные). В результате гидролиза щелочеустойчивой части гидроцеллюлозы HCl с последующим удалением HCl ди-н-октилметиламином и органич. к-т ионообменной смолой, установлено (хроматографич. анализ), что концевые группы щелочеустойчивой целлюлозы представляют собой α- и β-D-глюкометасахариновые к-ты. Л. Михеева

34650. Сорбция серной кислоты хлопковым пухом. Хит (Sorption of sulphuric acid by cotton linters. Heath Merle A.), Tappi, 1957, 40, № 3, 156—158 (англ.)

Исследована сорбция H₂SO₄ из р-ра в лед. CH₃COOH при 20° хлопковым пухом (технич. продукт, предназначенный для ацетилирования) в течение 3 дней при различных конц-ях H₂SO₄ и различных отношениях жидкости к твердому в-ву. Сорбцию определяли по разности титрования р-ра ацетатом Ba до и после обработки хлопковым пухом. Приведены данные, показывающие распределение H₂SO₄ между твердой и жидкой фазой ниже предельной сорбции ~3 г H₂SO₄ на 100 г целлюлозы. Равновесие между фазами можно выразить ур-нием распределения $X = 1,2 C^{0,55}$. Ю. Вендельштейн

34651. Зависимость результатов определения функциональных групп целлюлозы от состояния ее доступности. Ант-Вуоринен, Висания (The dependence of the functional group determination results of cellulose on its state of accessibility. Ant-Wuorinen Olli, Visapää Askko), Paperi ja puu, 1956, 38, № 10, 479—488, 490; Valtion tek. tutkimuslaitos, 1956, sar 4, № 4, 1—34 (англ.)

Определяемое кол-во карбоксильных (КБ) и карбонильных (КН) групп в целлюлозе (Ц) зависит от условий обработки Ц перед определением и от вида Ц. Предварительная обработка буферным р-ром (рН 7) природной Ц способствует получению более высоких значений содержания указанных групп (56,7 мг/г КБ вместо 53,5 мг/г), последующая обработка разб. к-той снижает эти значения. Предварительная обработка разб. к-той гидрат-Ц дает заниженные результаты (соответственно 35,7 мг/г вместо 41,5 мг/г), последующая обработка буферным р-ром (рН 7) частично аннулирует это понижение. Параллельное определение КБ и КН групп после указанных обработок показывает, что изменение содержания КБ-групп не может быть обусловлено образованием или разрушением внутренних лактонных колец, поскольку содержание КН-групп изменяется в том же направлении. По-видимому разница в кол-ве определяемых функциональных групп объясняется изменением плотности упаковки целлюлозных цепей под влиянием предварительных обработок, т. е. изменением доступности Ц проникновению реагентов. Последние следы минер. к-ты, используемой для обеззоливания Ц, перед определением указанных функциональных групп могут быть удалены лишь промывкой Ц дистил. водой в атмосфере азота или обработкой буферным р-ром при рН 7. Описан

метод автоматич. титрования при определении КН-групп.

34652. Химические реакции при получении ацетилцеллюлозы. Малам, Танг (Chemical reactions in the making of cellulose acetate. Malm C. J., Tanghe L. J.), Ind. Eng. Chem., 1955, 47, № 5 995—999 (англ.)

Исследована реакционная способность первичных и вторичных гидроксильных групп целлюлозы в процессе ацетилирования целлюлозы, а также при гидролизе ацетилцеллюлозы. Скорость р-ции сульфатирования больше скорости р-ции ацетилирования, но обе р-ции предпочтительно протекают с первичными гидроксильными группами. В конце ацетилирования сернокислые группы замещаются ацетильными. П. Черкасская

34653. Изучение фосфорнокислых эфиров целлюлозы. I. Получение фосфорнокислого эфира целлюлозы обработкой фосфорной кислотой и мочевиной. Кацуура, Нонака. II. Термостойкость фосфорнокислого эфира целлюлозы. Кацуура (Katzuura Kakuji, Nonaka Shigeo), Сидзуока дайгаку когакубу канкю хококу, Repts Fac. Engng Shizuoka Univ., 1956, № 7, 99-102; 103-105 (японск.; рез. англ.)

I. Изучено влияние мол. соотношения (М) мочевины и фосфорной к-ты, степени сжатия, т-ры и продолжительности предварительной сушки на фосфорилирование целлюлозы (Ц). Существует оптимальное М, при котором получается высокоэтерифицированная Ц. При постоянном М образцы, полученные при более высокой т-ре и кратковременной р-ции менее деструктивны и отличаются высокой реакционной способностью. Скорость р-ции этерификации очень мала; образец после 3-кратной обработки содержал всего 9,03% фосфора. Все полученные образцы эфиров отличались нерастворимостью в воде и разб. водн. р-ре NaOH и волокнистой структурой; они являются двуаммач.; мостиковые связи в них не обнаружены.

II. Разложение NH_4 -соли фосфата целлюлозы (I) начинается при более низкой т-ре, чем хлопкового пуха (II), но кривая дальнейшего разложения I возрастает медленнее, чем для II. Наличие фосфатных радикалов приостанавливает сгорание волокна после удаления его из пламени. Чем выше степень этерификации, тем выше термостойкость (Т). Т фосфорнокислых эфиров Ц зависит от их степени полимеризации. Т образцов одинаковой степени этерификации тем выше, чем больше их мол. вес. Образцы с высоким мол. весом получают этерификацией при высокой т-ре и малой продолжительности р-ции. Кривые потери веса NH_4 - и Na-солей фосфорнокислых эфиров Ц резко отличаются друг от друга; NH_4 -соли обладают лучшей термостойкостью, чем Na-соли. Э. Тукачинская

34654. Изучение химии целлюлозы. Часть I. Наблюдения по образованию нитроцеллюлозы из целлюлозы. Падманабхан, Ранганатхан, Равал, Суд (Studies in cellulose chemistry. Part I. Certain observations on the formation of cellulose nitrate from cellulose. Padmanabhan T. S. A., Ranganathan S. K., Rawal T. N., Sud L. R.), J. Scient. and Industr. Res., 1957, BC16, № 9, B414—B417 (англ.)

Изучение нитрации хлопковой целлюлозы смесями HNO_3 (48 г), H_3PO_4 (50 г) и P_2O_5 (2 части) показало, что в широком диапазоне изменения отношения кислотная смесь/волокно получают нитроцеллюлозы с содержанием N $\leq 12\%$ (применяли 95% HNO_3 и 89% H_3PO_4). Содержание воды в нитрующей смеси снижали увеличением крепости H_3PO_4 , для чего добавляли P_2O_5 к H_3PO_4 , увеличивая ее конц-ию (нагревание с обратным холодильником в течение 6 час. при 120—130°) до 94,2%, содержание N увеличивалось до 12,3%; по содержанию N с увеличением крепости H_3PO_4 увеличивается медленно. Присутствие 5%-ной H_3PO_4 в

кислотной смеси обеспечивает получение растворимых нитратов целлюлозы. Четких результатов об изменении степени полимеризации целлюлозы при нитрации не получено. А. Закощич

34655. Факторы, влияющие на результаты, полученные при фракционированном осаждении нитратов целлюлозы. Таймелл (Some factors influencing the results obtained by fractional precipitation of cellulose nitrates. Timell T. E.), Svensk papperstidn., 1956, 58, № 7, 234—239 (англ.; рез. шведск.)

34656. О константе Штаудингера для нитроцеллюлозы. Окава (Okawa Teizo), Сэнъи гаккайси, J. Soc. Text. and Cellulose Ind. Japan, 1957, 13, № 6, 371—373 (японск.; рез. англ.)

Изучена зависимость величины K_m для р-ров нитроцеллюлозы (I) в ацетоне от степени нитрации и степени полимеризации (СП) I. Для I, содержащей 13,8% N (полученной нитрованием смесью HNO_3 , H_2PO_4 и P_2O_5), предложены следующие отношения: (а) при $\text{СП} \leq 600$ $[\eta] = 11 \cdot 10^{-4} P$ (конц-ия в г/д); (б) при $\text{СП} 600—3000$ $[\eta] = 0,1 + 9,2 \cdot 10^{-4} P$ (конц-ия в г/д). Для нескольких видов хлопкового пуха и древесной целлюлозы сопоставлены кривые распределения СП, рассчитанные по уравнению Штаудингера и по ф-лам (а) и (б). При высоких значениях СП эти кривые не совпадают. Э. Тукачинская

34657. На-карбоксиметилцеллюлоза в тонкой химической промышленности. Шеппард (Sodium carboxymethyl cellulose in the fine chemical industry. Sheppard R. F.), Chem. Prod., 1957, 20, № 10, 402 (англ.)

О свойствах Na-карбоксиметилцеллюлозы и ее применении. Ю. Вендельштейн

34658. Выпаривание и сжигание сульфитных щелоков с кальциевым основанием. II. Основные сведения, необходимые для упаривания осветленных щелоков. Сёгэндзи, Танно (Shogenji Tadashi, Tanno Kazuo), Tokai kogei sikenso hocho, Repts Govt Chem. Industr. Res. Inst., Tokyo, 1956, 51, № 1, 299—304 (японск.; рез. англ.)

Определены при различных т-рах показатели (плотность, вязкость, поверхностное натяжение и рН), характеризующие процесс упаривания осветленных щелоков (ОЩ) различной конц-ии с Na-основанием, полученных обработкой Na_2CO_3 сульфитных щелоков с Ca-основанием. Опыты по упариванию проведены в различных лабор. аппаратах. Значение рН при ~20, которое зависит от состава сухих в-в, но почти не зависит от конц-ии, составляет 7,6 для ОЩ, полученного обработкой Na_2CO_3 в кол-ве, в 1,2 раза большем теоретического, и составляет 8,9 для ОЩ, полученного обработкой Na_2CO_3 в кол-ве, вдвое больше теоретического. Эти значения являются умеренными как по сравнению с рН сульфатных черных щелоков (12,6, независимо от конц-ии), так и по сравнению с рН обычных отработанных сульфитных щелоков (1,5—2,6, в зависимости от условий произ-ва). В 18 опытах по упариванию максим. достигнутая конц-ия составляла >60% сухих в-в. Часть I см. РЖХим, 1957, 70261. Э. Тукачинская

34659. Восстановление аммиака из сульфитного отработанного щелока с аммониевым основанием перегонкой с окисью магния. Часть I. Влияние скорости перегонки и температуры. Самуэльсон, Шёа (Recovery of ammonia from ammonium bisulphite spent liquor by distillation with magnesium oxide. Part I. Influence of distilling rate and temperature. Samuelson Olof, Schöön Nils-Herman), Svensk papperstidn., 1956, 59, № 21, 743—746 (англ.; рез. швед., нем.)

Исследованы условия для восстановления NH_3 перегонкой аммонийбисульфитного отработанного щелока

с окисью магния. Потеря NH_3 увеличивается с уменьшением скорости перегонки. Если перегонку вести под вакуумом при 30—35°, образование связанного азота незначительно, а освобождение NH_3 при низкой т-ре медленное. Наибольший выход NH_3 получен при перегонке с паром с добавлением MgO . М. Чочиева 34660. Исследование отработанного сульфитного щелока. IV. Использование отработанного щелока для ремонта асфальтовых дорожных покрытий. Уайли, Шерман, Баблик, Райс, Диккерман, Колле (Spent sulfite liquor studies. IV. Use of spent liquor in reconditioning asphalt road surface. G. K. Collett Groff), Tappi, 36, 1953, 162—165 (англ.). Wiley A. J., Sherman Walter, Bablick George, Rice Neal, Dickerman (англ.)

Уваренный сульфитный щелок густой консистенции используют для ремонта изношенных дорожных покрытий с битуминозной одеждой. Разбитые и изношенные поверхности покрывают щелоком ($\sim 6,7 \text{ л/м}^2$). Через несколько дней дорожное покрытие затвердевает, движение транспорта при этом не прекращается. Срок службы отремонтированных этим способом покрытий > 1 года. Предыдущую часть см. Tappi, 1951, 34, 556—560. Э. Тукачинская 34661. Выделение хлористого натрия из плава. Райт (The separation of sodium chloride from precipitated salt-cake. Wright R. H.), Pulp and Paper Mag., Canada, 1956, 57, № 12, 171—173 (англ.)

Плава солей, получаемый сжиганием отработанного щелока от сульфатного произ-ва, содержит NaCl , если в произ-ве использовался баланс, доставляемый сплавом по воде, содержащей NaCl (I). Удаление I из регенерированных хим. реагентов достигается обработкой плава горячей водой, взятой в кол-ве меньшем, чем его вес, но при этом теряется 5—10% Na_2SO_4 и до 50% Na_2CO_3 . Освещена теория фазового равновесия процесса растворения многокомпонентной системы. М. Белецкая

34662. Диметилсульфоксид — побочный продукт и реактив химии древесины. Абади-Момер (Le diméthylsulfoxyde. Un sous-produit et un réactif intéressants de la chimie du bois. Abadie-Maumert F. A.), Papeterie, 1957, 79, № 8, 519—520, 531 (франц.)

Описан способ получения диметилсульфоксида (I) окислением $(\text{CH}_3)_2\text{S}$, регенерируемого из отходов сульфатцеллюлозного произ-ва в газовой фазе O_2 в присутствии окислов N с 90%-ным выходом от теоретич. I может быть использован для делигнификации древесины, растворяет нитроцеллюлозу, ацетилцеллюлозу, ксантогенаты целлюлозы с высокой степенью замещения, гемицеллюлозу, являясь во многих случаях селективным р-лителем. I применяется в смесях с SO_2 , фенолом, HCl , диметилформамидом, в качестве антифриза, добавок к дизельному топливу, ускорителя полимеризации стирола и др. Ю. Вендельштейн

34663. Оборудование для производства полуцеллюлозы. Пустельник (Aparatura do produccji mas pólchemicznych. Pustelnik Czesław), Przegl. papiern., 1957, 13, № 11, 330—344 (польск.; рез. русск., англ.)

Рассмотрено оборудование, необходимое для произ-ва полуцеллюлозы. Указано, какое из оборудования, находящееся на существующих целлюлозных з-дах, может быть использовано для нового произ-ва. А. Х. 34664. Выгрузка при высоком давлении варочных котлов сульфитной целлюлозы на заводе целлюлозы и бумаги им. «Н. Бэлческу»; испытание по выгрузке под высоким давлением варочных котлов с сульфитной целлюлозой на целлюлозном заводе им. «Н. Бэлческу». Вишой (Descărcarea sub presiune

la nivel ridicat a fierbătoarelor de celuloză sulfită la fabrica de celuloză și hirtie. «N. Bălcescu». Incercări de descărcare sub presiune la nivel ridicat a fierbătoarelor de celuloză sulfită la fabrica de celuloză și hirtie «N. Bălcescu». Vișoiu I.), Celuloză și hirtie, 1956, 5, № 8, 187—190; 1957, 6, № 1, 18—21 (рум.; русск., нем.)

Приведены изменения установки для разгрузки варочных котлов при высоком давлении, с осуществлением промывки целлюлозы в варочных котлах. Описаны результаты, полученные при испытании подобных установок, и преимущества данного способа разгрузки по сравнению со способом, применяемым в настоящее время. А. Х. 34665. Варочный котел-дезинтегратор непрерывного действия для производства полуцеллюлозы из камыша. Финкель (Hierbator dezintegrator continuu pentru paste semichimice din stof. Finkel M.), Celuloză și hirtie, 1957, 6, № 4, 128—130 (рум.; рез. русск., нем., франц., англ.)

Описан указанный агрегат и вспомогательные к нему установки для произ-ва полуцеллюлозы натронным способом при атмосферном давлении. А. Х. 34666. Применение автоматического метода титрования при изучении отношения целлюлозы к различным растворам солей. Ант-Вуоринен, Висания (Application of an automatic titration method in the study of the behaviour of cellulose towards different salt solutions. Ant-Wuorinen Olli, Visapää Asko), Paperi ja puu, 1956, 38, № 8, 327—334, 336; Valtion tekn. tutkimuslaitos Sar. 4, 1956, № 3, 27 (англ.)

Разработан новый тип аппарата для автоматич. потенциометрич. титрования, особенно пригодный для изучения процессов титрования в гетерог. системах и вблизи точки нейтр-ции. Он применяется для изучения: а) возможности определения с помощью титрования небольшого приращения кислотности в различных р-рах солей, б) способности COOH -групп целлюлозы (Ц) к связыванию оснований до pH 7. Установлено, что и природная и регенерированная Ц обладают определенной способностью связывать основания, зависящей от вида Ц. Способность COOH -групп целлюлозной цепи к присоединению катионов одинакова для катионов различных р-ров солей. Приведено подробное описание аппаратуры для автоматич. потенциометрич. титрования и методика работы. В. Высотская

34667. Определение инфракрасных спектров с использованием кювет из тефлона. Кайла и Фугельберг (Determination of infrared spectra using Teflon cuvettes. Kaila Ermo, Fogelberg B. C.), Paperi ja puu, 1957, 39, № 8, 375—376 (англ.; рез. финск.)

Водные р-ры (нейтр., щел. и кислые) углеводных составных частей древесины и целлюлоз целесообразно исследовать при помощи ИК-лучей. При исследовании рекомендуется пользоваться кюветами из тефлона (политетрафторэтилена), но не применять их только в области, близкой к 1200 см^{-1} , в которой сам тефлон сильно поглощает лучи. Кюветы из каменной соли, фтористого бария и других солей, не поглощающие ИК-лучи, непригодны для этих исследований из-за растворимости их в воде или в кислых водн. р-рах. А. Закощиков 34668. Исследование электронным микроскопом поверхности небелёных сульфатной и сульфитной еловых целлюлоз. Яйме, Хунгер (Die Oberflächen ungelichter Fichtensulfat- und Sulfitzellstoffe im elektronenmikroskopischen Bild. Jayme Georg, Hunger Günther), Holz Roh- und Werkstoff, 1955, 13, № 6, 212—215 (нем.)

34669. Спектрофотометрия в ультрафиолетовой области как средство контроля опытных варок. Фолц (Ultraviolet absorption spectrophotometry as a tool in experimental pulping. Foltz Verlin W.), Tappi, 1957, 40, № 6, A205—A207 (англ.)

При сульфитных варках, с применением натриевого основания, при помощи спектрофотометрии в УФ-части спектра определяется степень делигнификации целлюлозы при варке. Максимум адсорбции является функцией конц-ии лигнина (Л), перешедшего из целлюлозосодержащего материала в варочный щелок. При помощи этого метода можно изучать кинетику делигнификации целлюлозы и накопление производных Л в варочном щелоке. Максимум адсорбции света в УФ-области находится для Л дуба 274—275, березы 276—277, осины 274—275 и сосны 280 мк. Фурфурол, оксиметилфурфурол, таниды и Л определяются в сульфитных щелоках с ошибкой, не превышающей 1%.

А. Закощиков

34670. Спектрохимическое изучение отработанного сульфитного щелока при помощи ультрафиолетового фотометра. Синра, Араи, Номидзо (Shinra Koichiro, Arai Kuchiro, Nomizo Seishio), Kōgō kagaku dzasshi, J. Chem. Soc. Japan. Industr. Chem. Sec., 1955, 58, № 9, 708—711 (японск.)

Спектрофотометром Бекмана (СБ) определяли коэф. экстинкции (КЭ) отработанного сульфитного щелока при длинах волн 480 и 280 мк и выявляли связь между содержанием лигнина и КЭ. Для определения степени провара целлюлозы сконструирован упрощенный фильтр-фотометр; полученные данные сопоставлены с результатами, полученными с СБ. Установлено, что конечный момент варки соответствует определенной точке на графике зависимости КЭ от длины волн.

Э. Тукачинская

34671. Химический анализ целлюлоз (применительно к целлюлозе из багассы), используемых в производстве бумаж.— (Análisis químico de pulpas utilizadas en la fabricación del papel, con aplicación a la pulpa de bagazo.—), Bol. ofic. Asoc. técn. azucareros Cuba, 1956, 15, № 5, 317—320 (исп.)

Описаны методы определения лигнина и холоцеллюлозы. Начало см. РЖХим, 1957, 64912.

А. Х.

34672. Потенциометрическое определение сульфида в черных варочных щелоках крафт-целлюлозы. Алхоярви, Антони (On potentiometric determination of sulphide in kraft black liquors. Alhojärvi Juha, Anthoni Berndt), Paperi ja Puu, 1955, 37, № 12, 569—574 (англ.)

34673. Определение групп, способных к реакции с гидроксиламином в деполимеризованной целлюлозе. Сиро (Dosage des fonctions oximables de la cellulose dégradée. Syrot J.), Chim. analyt., 1957, 39, № 12, 449—453 (франц.)

Разработан способ определения карбонильных групп в целлюлозе (Ц), окисленной H_2O_2 или периодатом Na , путем колориметрич. определения N в полученных оксидах. Дополнительной деполимеризации Ц в процессе определения не наблюдается. Способ применим к мало деполимеризованной Ц, но в этом случае необходимо вводить поправку на N , содержащийся в образце перед р-цией с NH_2OH . При изучении окисления Ц H_2O_2 применением оксимного метода установлено, что при более глубоком окислении число карбонильных групп увеличивается. Образование оксимных групп защищает Ц от действия щел. агентов: степень полимеризации (СП) Ц, обработанной NH_2OH выше, чем необработанной. Исследованы оптимальные условия р-ции окисленной Ц с NH_2OH , сохраняющие СП исследуемого образца, и условия сжигания оксимов Ц H_2SO_4 . Окисленную H_2O_2 или периодатом Na Ц обра-

батывают 0,5 н. хлоргидратом NH_2OH 18 час. при 30° и рН 6,8, установленным с помощью ацетата $\text{Na}-\text{CH}_3\text{COOH}$, при конц-ии Ц в ванне 1:100. Ц промывают водой, ацетоном и сушат при 20°. Навеску образца ~0,5 г помещают в трубку для сжигения, прибавляют 15 мл конц. H_2SO_4 , запаивают и в течение 30 мин. доводят т-ру до 460°, выдерживают при этой т-ре 2—3 часа, охлаждают до 20°, осторожно вскрывают (SO_2 !), переносят в колбу, смывают водой, прибавляют 50 мл 30%-ного р-ра NaOH и отгоняют. К отгону прибавляют 5 мл реактива Несслера, доводят до 100 мл, перемешивают, оставляют на 4—5 мин. и измеряют оптич. плотность при 430 мк; содержание карбонильных групп в ммольях на 100 г Ц вычисляют при помощи приведенной градуировочной кривой. Приведены опыты, показывающие значительное понижение СП Ц при определении медного числа в окисленном продукте.

Ю. Вендельштейн

34674. Пути автоматизации целлюлозно-бумажного производства. Гранат С. С., Бум. пром-сть, 1957, № 11, 28—29

Рекомендуется комплексно автоматизировать кислотные цехи, отбельные с многоступенчатой непрерывной отбелкой, варочные (особенно работающие по непрерывной схеме), промывные с промывкой целлюлозы на вакуум-фильтрах, потоки высокоскоростных бумагоделательных машин и цехи непрерывной каустикации; использовать вычислительные машины для управления ходом процессов и телевизоры для контроля за состоянием отдельных агрегатов; применять цеховые и агрегатные щиты с мнемонич. схемами произ-ва и центральные диспетчерские щиты для координации работы цехов предприятия и создать новые типы приборов (напр., регуляторы конц-ии массы).

А. Хованская

34675. Развитие целлюлознобумажной промышленности. Михалаке (Unele aspecte ale dezvoltării industriei de celuloză și hirtie din R. P. R. Mihălache E.), Celuloză și hirtie, 1957, 6, № 8, 254—258 (рум.; рез. русск., нем., франц., англ.)

Об улучшении технологич. процессов, о производстве новых бумажных изделий и о введении в эксплуатацию современного оборудования.

А. Х.

34676. Значение капиллярности и диффузии в целлюлознобумажном производстве. Венцль (Kapillarität und Diffusion in ihrer Bedeutung für die Zellstoff- und Papiererzeugung. Wenzl Hermann F. J.), Das Papier, 1957, 11, № 19-20, 435—442 (нем.; рез. англ., франц.)

Обзор (закономерности процессов диффузии и капиллярности, пути и средства, способствующие движению жидкостей в древесине; капиллярность бумаги; использование этого свойства бумаги; мероприятия и средства, влияющие на свойства бумаги в процессе писания, печатания покрытия, использования для разных технич. целей и в качестве упаковочного материала). Библ. 59 назв.

Г. Брахман

34677. Автоматическое регулирование концентрации массы в жидком потоке. Образцов К. И., Воршилов М. С., Бум. пром-сть, 1957, № 8, 8—10

Подтверждена определенная закономерность, связывающая величину конц-ии волокна в жидком потоке с величиной сил трения, которые возникают при движении массовой суспензии. Взаимосвязь между силами трения и конц-ией массы неоднозначна и зависит от свойств и сорта волокон, т-ры массы, степени помола, наличия или отсутствия минер. наполнителей, скорости потока, степени шероховатости стенок и т. д. Описаны схема регулятора конц-ии массы, реагирующего на величину гидродинамич. напора, возникающего при прохождении жидкого потока через трубы, открытые каналы или суживающие устройства, и сле-

ма регулятора, реагирующего на величину момента сопротивления, образующегося при вращении шара, диска или лопастного винта в потоке массы.

34678. Вопросы применения теории фильтрации в целлюлозно-бумажном производстве. Гаевский Б. А., Изв. Киевск. политехн. ин-та, 1957, 20, 194—199. Выведен ряд ур-ний для процесса обезвоживания массы на сеточной части бумагоделательной машины. Для повышения скорости бумагоделательных машин рекомендуют удлинение сеточного стола, увеличение числа сосунных ящиков с постепенным повышением в них вакуума, повышение т-ры массы, увеличение ее кон-ции с одновременным улучшением дисперсности волокон в массе, уменьшение жирности помола массы, создание более прочных сеток и ликвидирование обрывов бумаги после сетки.

34679. Обезвоживание на регистровом валике. Те й лор (Drainage at a table roll. Taylor G. I.), Pulp and Paper Mag. Canada, 1956, 57, № 3, 267—273, 276 (англ.)

Показано, что распределение всасывания в зазоре зависит от интегрального ур-ния, которое решается численно. Всасывание увеличивается до максимума $1/2 \rho U^2$ (U — скорость движения сетки) и затем снижается до нуля. Далее поток разделяется на две части, одна из которых (ближе к валику) является мало стабильной. Доказан экспериментально принцип Wrist путем использования приспособления, в которое вводился поток между двумя расходящимися пористыми лентами. Подтверждено предположение, что при критич. угле между лентами, зависящем от его гидродинамич. сопротивления, направление потока должно быть обратным. При испытании модифицированного аппарата, в котором гидродинамич. условия были более сходны с условиями работы регистрового валика, было найдено, что при определенном расстоянии от точки контакта ленты поток разделяется и возникает обратный поток посередине между ними.

34680. Затруднения при образовании листа на сетке быстроходных бумагоделательных машин. Мю лер-Рид, Пауш (Schwierigkeiten bei der Bahnformation auf dem Sied schnelllaufender Papiermaschinen. Müller-Rid W., Pausch G.), Zellstoff und Papier, 1957, 6, № 10, 307—316 (нем.)

Рассмотрен процесс формирования бумаги на сетке бумагоделательной машины и факторы, вызывающие помехи при листообразовании: степень разбавления бумажной массы, условия выхода массы на сетку, угол встречи потока массы с сеткой, положение выпускной губы напорного ящика, действие регистровых валиков и др., а также гидродинамика процессов подвода волокнистой суспензии к напорному ящику, распределение потока и выпуска его на сетку машины, свойства бумажной массы, зависящие от размол и подготовки массы.

34681. Введение напряжений в бумажный лист во время сушки. Иварссон (Introduction of stress into a paper sheet during drying. Ivarsson Bertil W.), Pulp and Paper Mag. Canada, 1954, 55, № 13, 204—209; Tappi, 1954, 37, № 12, 634—639 (англ.)

Для изучения напряжений в листе бумаги (Б) в процессе ее сушки использованы представления о термодинамике напряжений в набухшем геле. Приведены данные о зависимости сорбции воды Б от давления водяного пара. Для прямого определения усадки и напряжений использован спец. прибор. Установлено, что свободная усадка Б увеличивается как с уменьшением содержания в ней влаги, так и с увеличением степени помола массы. Зависимость напряжений в Б во время сушки от содержания влаги в ней и от помола имеет тот же характер, что и зависимость усадки от

этих же факторов. Наибольшее изменение соотношения между усадкой и напряжением наблюдается при влажности от 10 до 20%. Усадка Б сильно снижает напряжение Б.

34682. Напряжения в влажном бумажном полотне на бумагоделательных машинах. Кристенсен, Баркас (Stresses exerted by water held in wet weds of paper-making fibres. Christensen G. N., Barkas W. W.), Trans. Faraday Soc., 1955, 51, № 1, 130—145 (англ.)

В результате опытов с бумажными отливками установлено, что вытекание воды из бумажной массы вызывает напряжения, стремящиеся сблизить волокна. Модуль объемной упругости целлюлозы меняется в пределах 10^5 — 10^4 дн/см², возрастая при обезвоживании массы. Построены изотермы капиллярной сорбции воды волокнами сульфитной целлюлозы при относительной влажности от 99,99% до 99,99999%.

34683. Современные вопросы технологии проклеивания бумаги. Мере, Силадьи (Az enyvezés technológiájának időszerű kérdései. Méré Tibor, Szilágyi Endre), Papír és nyomdatechn., 1955, 7, № 8, 256—260 (венг.)

34684. Использование хлорамина для устранения гниения бумажной массы. Гу Да-цы Цзаочжи гун-е, 1957, № 4, 18—19 (кит.)

34685. Покрытие бумаги синтетическими смолами. Шер (Kunststoffbeschichtete Papiere. Schär H. G.), Seifen-Ole-Fette-Wachse, 1957, 83, № 18, 517—518 (нем.; рез. англ., франц., исп.)

Описаны способы покрытий бумаги и картона, обладающих им хим. и водоустойчивость, непроницаемость к водяным парам и др.

34686. Обработка смолами японской бумаги. Уцу-ми, Ито (Utsumi Yasuji, Ito Toru) Гифу дайгаку когакубу канкю хококу Res. Repts Fac. Engng Gifu Prefect. Univ., 1956, № 6, 97—103 (японск.; рез. англ.)

Японскую бумагу (Б) изготавливают из длиноволокнистой целлюлозы; она имеет хороший внешний вид, но низкую механ. прочность во влажном состоянии, вследствие применения для ее проклейки водорастворимых в-в. С целью улучшения качества и увеличения срока службы Б проведены эксперименты по обработке Б смолами (виниловый, мочевиновый, меламиновой и др.); получены образцы Б с повышенными физ.-мех. свойствами (сопротивление разрыву, относительное удлинение). Лучшие результаты дает акриловая смола.

34687. Некоторые вопросы технологии производства высокозольной печатной бумаги и имитации мелованой. Волкова Т. П., Сб. Укр. респ. правл. Научно-техн. о-ва бум. и деревообработ. пром-сти, 1956, № 7, 47—66

Исследованы наполнители: глуховецкий, просняновский каолины, пылевский бентонит, качество и кол-во электролитов и гидрофильные добавки: натриевая соль карбоксиметилцеллюлозы, натрийзамец. бентонит для произ-ва бумаги (Б) с большим содержанием наполнителя при высокой степени его удержания. Установлено, что кол-во электролита, необходимое для осаждения наполнителя, не должно превышать миним. установленного для данных условий. В качестве наполнителя Б рекомендуется такой фракционный состав каолина, в котором содержание частиц радиусом $< 1 \mu \leq 20 \mu$ и частиц радиусом 10 — 50μ 50 — 60% . Гидрофильные добавки к суспензии каолина вызывают не только быстрое осаждение частиц в виде хлопьев, но и упрочняют структуру осадка, а таким образом механ. прочность Б. Разработана технология для выработки опытной партии Б (имитация мелованой), кото-

рая испытана по трем видам печати (высокая многокрасочная, глубокая и плоская офсетная).

А. Хованская
34688. Технология производства мелованной бумаги в Германской Демократической Республике. Никн-форова Н. С., Сб. Укр. респ. прав. Научно-техн. о-ва бум. и деревообработ. пром-сти, 1956, № 7, 73—82

Описана технология произ-ва мелованных бумаг (МБ) (произ-во мелующих композиций, их рецептуры, технология покрытия бумаги мелующим слоем). В ГДР МБ изготавливают для всех видов печати. МБ выпускают весом 60, 70, 80, 90, 100, 110 до 360 г/м². Колесования в весе 1 м² допускают ≤ 3—4 г.

А. Х.
34689. Влагостойкая плотная бумага. Сюй Цзин-вэнь. Хуасюэ шицзе, 1955, № 2, 82—84 (кит.)

34690. Изготовление влагонепроницаемой бумаги. Канэмацу. Раба дайдзесуто, Rubber Digest, 1957, 9, № 8, 86—90 (японск.)

34691. Улучшение поверхностных покрытий печатных бумаг применением полимеров. Рейх (Oberflächenveredlung von Druckpapier unter Mitverwendung von Kunststoffen. Reich J. G.), Zellstoff und Papier, 1957, 6, № 11, 337—340 (нем.)

Суспензии синтетич. смол типа меламиноформальдегидной применяют как при проклейке в массе, так и наносят на поверхность готовой бумаги (Б). Полиэтилен и поливинилхлорид применяют для улучшения свойств упаковочных Б. Поверхностная проклейка крахмалом значительно улучшается, если вместе с крахмалом наносят мочевиноформальдегидные и им подобные смолы, в кол-ве 4—6 г/м² Б. Качество офсетной Б значительно улучшается при нанесении на ее поверхность алкидных смол, стиролбутадиена и т. п. в-в, (1—2 г/м² Б). Улучшаются не только печатные свойства Б, но и их влагоустойчивость и безусадочность. Рассматриваются два способа поверхностного облагораживания печатных бумаг — Massey способ и Champion способ, различающиеся в основном конц-ней состава, наносимого на поверхность бумаги.

А. Закощиков

34692. Влияние некоторых видов крахмала на механические свойства бумаги. Машпевич, Самек (Der Einfluß einiger Stärkearten auf die mechanischen Eigenschaften von Papier. Maširevič Dj., Samec M.), Stärke, 1957, 9, № 7, 125—131 (нем.; рез. англ.)

Различия в свойствах крахмалов (К) при проклейке в массе и поверхностной проклейке готовой бумаги обуславливаются различным содержанием в них и свойствами амилозы и амилопектина, а также наличием сопутствующих в-в. Амилоза действует более благоприятно, чем препараты амилопектина. В отдельных случаях прочность бумаги увеличивается до 900%. Между изменением механич. свойств бумаги и адсорбируемостью К целлюлозой существует прямая связь.

А. Закощиков

34693. Применение триазиновых смол для производства водоустойчивых покрытий из крахмала — глины. О'Брайен (The use of a triazone resin for producing water-resistant starchclay coatings. O'Brien R. J.), Tappi, 1957, 40, № 6, 485—487 (англ.)

Для получения водонерастворимых покрытий бумаги (Б), содержащих крахмал (К) и наполнители, к р-ру К добавляют р-р (напр., меламиновой смолы в присутствии кислого катализатора: HCl, Al₂(SO₄)₃ или NH₄Cl). При нагревании в течение 1 мин. при 105° покрытие делается нерастворимым в воде, подобно казеиновым покрытиям на Б; рН р-ра при поверхностной проклейке Б 4,0—4,5. Для изготовления р-ра суспензию 20 ч. К в воде нагревают до 90°, оставляют на

10 мин., охлаждают до т-ры ~ 20°, затем добавляют 1 ч. мочевиноформальдегидной или 2 ч. меламиноформальдегидной смолы и 0,1 ч. квасцов и воду до 100 ч. Р-р стоит при 25° 2 часа, после чего может употребляться для покрытия Б.

А. Закощиков

34694. Необходимость изучения ряда факторов при введении мансового крахмала на мокрой части бумагоделательной машины. Лукас, Макдауэлл (Addition of corn starch at the wet and requires study of many factors. Lucas Daniel E., McDowell Clifford J.), Paper Trade J., 1957, 141, № 42, 22—24 (англ.)

Мансовый крахмал (К) можно применять в сыром виде, желатинизированном и после предварительной варки его со щелочью и мягчителем при 78,6—83°. В зависимости от требований к готовой продукции и композиции, К добавляют в роллы, массные насосы и на других промежуточных этапах процесса приготовления массы при конц-ии 4—5% в кол-ве 1/4—2% к весу целлюлозы. Сваренный К применяют для бумаг небольшого веса (добавляют К в напорный ящик бумагомашины), сырой — для тяжелых бумаг и картона (добавляют так же, как и желатинизированный перед напорным ящиком машины).

А. Сафьян

34695. Сравнение полиэтиленовых и полиэтиленово-парафиновых покрытий бумаги. Райс, Салливан (A comparison of polyethylene and polyethylene-wax paper coatings. Rice John C., Sullivan J., Joseph), Tappi, 1956, 39, № 11, 799—802 (англ.)

Сравниваются физ. и хим. свойства, стоимость, способы нанесения и применимость в пром-сти полиэтиленовых (П) и полиэтиленовоскоковых (ПВ) покрытий бумаги. ПВ применяют для обеспечения водонепроницаемости, устойчивости к прохождению водяного пара, щелоче- и кислотоустойчивости бумаги, а П — для жиронепроницаемости или устойчивости к прохождению р-рителей. Описан процесс нанесения ПВ с указанием трудностей в произ-ве (тщательный контроль т-ры, частая чистка прессы и др.).

А. Сафьян

34696. Новое в технологии производства бумажного заменителя гранитоля. Чуйко В. К., Бум. пром-сти, 1957, № 12, 23

Две операции, осуществляемые раньше раздельно при произ-ве бумажного заменителя гранитоля (лакировка и дубление), объединены в одну.

А. Х.

34697. Древесноволокнистые и стружечнодревесные плиты. Хинц (Holzfaser — und Spanholzplatten. Hinz K.), Seifen-Öle-Fette-Wachse, 1957, 83, № 14, 405—407 (нем.; рез. англ., франц., исп.)

Описано применяемое сырье, вспомогательные материалы, способы изготовления, свойства готовых плит и области их применения. Приведен DIN 68750 на древесноволокнистые плиты и DIN 52361-2 на стружечно-древесные.

Г. Брахман

34698. Новая бумагоделательная машина Millsprauh, увеличивающая втрое выпуск продукции. (New Millsprauh paper machine helps triple provincial's output.—), Canad. Pulp and Paper Ind., 1957, 10, № 1, 28, 30, 32, 34 (англ.)

Описана пятилетняя программа расширения бумаго-ной ф-ки Торолд Онтарио в Канаде путем установкой новой машины Millsprauh обрезной ширины 2,75 м рабочей скоростью до 300 м/мин. Подробно описано новое оборудование, установленное для этой машины.

С. Иваню

34699. Оригинальное конструктивное решение новой фильтрационной установки. Вуден (Unique structural treatment in new filter plant. Wooden Donald K.), Tappi, 1955, 38, № 6, 156A—161A (англ.)

34700. Применение стробоскопа для контроля и регулирования работы мокрой части бумагоделатель-

обавляют
микрофор-
до 100 м.
употреб-
кошников
оров при
насти бу-
да у ала
ires study
Dowell
42, 22-24

в сыром
ительной
78,6-83.
дукции и
насосы и
пригото-
1/4-2% и
для бума-
щих бум-
тона (до-
ый перед
А. Сафьян
тиленово-
ливан
ylene-wax
ivan J.
(англ.)
ность, спо-
и полети-
В) покры-
ия водонеп-
ую водонеп-
аги, а П-
к прохож-
ия ПВ с
ый кол-
А. Сафьян
бумажное
пром-ст,

раздель-
оля (лаке-
А. Х.
древесина
holzplatten
83, № 14

льные ма-
говых или
750 на де-
стружени-
Г. Браун
Millsprau
(New Mil-
ncial's of
7, 10, № 1

ния бума-
установи-
ы 2,75 м и
по описа-
и машины
С. Иван

ение нов-
nique stu-
oden De
1A (англ.)
троли и
огоделате

ной машины. Портер (Stroboscopic observations at the wet end. Porter Cover C.), Tappi, 1954, 37, № 11, 522-523 (англ.)
См. РЖХим, 1957, 78522.

34701. Жесткость бумаги. Прибор для определения жесткости. Карсон, Уэртингтон (The stiffness of paper. N. B. S. stiffness tester. Carson F. T., Worthington Vernon), Tappi, 1953, 36, № 1, 36-42; Indian Pulp and Paper, 1955, 9, № 12, 567-574 (англ.)

Описаны конструкция и принцип действия прибора для определения жесткости различных сортов бумаги. Е. Гурвич

34702. Расширение рабочих пределов прибора для определения жесткости бумаги. Уэртингтон (Extending the range of the NBS stiffness tester. Worthington Vernon), Tappi, 1954, 37, № 9, 384-387 (англ.)

В конструкцию прибора внесены изменения, позволяющие варьировать длину рабочей части проволоки крутильных весов и ширину испытываемого образца. М. Н.

34703. Изготовление и использование проекционных предметных стекол при изучении бумажного производства. Уэйнайт (The preparation and use of projection slides for the study of papermaking problems. Wainwright John W.), Pulp and Paper Mag. Canada, 1955, 56, № 2, 61-64 (англ.)

Указанные стекла применяют при характеристике волокон бумажной массы (фракционный состав) и при приготовлении увеличенных фотографий для демонстраций на докладах. М. Белецкая

34704. Требования потребителей к качеству бумаги. Голдхейм (What the converter wants from the mills. Goldheim Samuel L.), South. Pulp and Paper Manufacturer, 1957, 20, № 5, 68, 70 (англ.)

Рассмотрен вопрос улучшения качества бумаг (Б) и картона с точки зрения потребителей. Напр., неоднородность Б по толщине, весу, прочности и разрыву, продавливанию и другим показателям в одном рулоне Б создает большие осложнения при ее использовании, хотя такая Б формально может удовлетворять средним показателям и допускам. Необходимо учитывать, что усадка Б определяется не только влажностью, но и остаточными внутренними напряжениями. Отмечается особое значение разработки новых методов испытания Б и картона производителями совместно с потребителями. А. Закощников

34705. Статистическое изучение смоляной проклейки при оценке переменных факторов. II. Использование методов вариационного анализа для обработки опытных данных по смоляной проклейке. Вудинг (Statistical studies of rosin sizing evaluation variables. II. The use of variance analysis for rosin sizing test data. Wooding W. M.), Tappi, 1956, 39, № 6, 417-425 (англ.)

Применение методов вариационного анализа для изучения процессов проклейки бумаги в лабор. и производственных условиях. Приведены ф-лы, используемые при расчетах. Часть I см. РЖХим, 1956, 59903. Н. Рудакова

34706. Испытание материалов и его значение для контроля качества бумаги. Джарретт (Materials testing program vital to quality control. Jarrett D.), Paper, Film and Foil Converter, 1956, 30, № 8, 49-23 (англ.)

Приведено краткое описание методов определений, используемых при повседневном контроле и в исследовательских работах. М. Б.

34707. Методы и приборы для определения качества бумажной массы. Корда, Либнар (Metody a přístroje pro stanovení jakosti mleté papíroviny. Кор-

da J., Libnar Z.), Papír a celuloza, 1957, 12, № 11, 242-246 (чешск.; рез. русск., нем., англ.)

Дана оценка методов для определения степени помола массы и длины волокна, а также описан новый метод, разработанный в исследовательском Ин-те бумажной пром-сти. А. Хованская

34708. Контроль качества бумаги при хранении на складах. Икэда, Хэджонка, Standardization, 1957, 10, № 7, 505-509 (японск.)

34709. Контроль pH в бумажном производстве. Юй Вэй-си, Хуасюэ шицзе, 1955, № 10, 491, 492 (кит.)

34710. Контроль качества папиросной бумаги. Иси-кава, Хэджонка, Standardization, 1957, 10, № 7, 510-512 (японск.)

34711. Зависимость физических свойств прессшпана от продолжительности хранения и повышенной температуры. Трёгер (Abhängigkeit physikalischer Werte von Preßspan bei längerer Lagerung und höheren Temperaturen. Tröger Horst), Zellstoff und Papier, 1957, 6, № 9, 279-281 (нем.)

Проведены опыты хранения прессшпана при различных т-рах. Рекомендуются в существующий DIN № 57315 на прессшпан ввести показатель на термоустойчивость, который для асбестового и хлопчатобумажного прессшпана должен быть $\geq 90\%$, а для остальных сортов $\geq 80\%$. Определение должно производиться после 72-часового хранения при 130° . Г. Брахман

34712. Польские нормы на толь и сырье для его производства в сравнении с иностранными нормами. Войцеховский (Polskie normy na papę dachową i surowce do jej wyrobu w porównaniu z normami zagranicznymi. Wojciechowski Fryderyk), Mater. budowl., 1957, 12, № 8, 240-246 (польск.)

Дан анализ польских норм на различные сорта толя и технич. картона и сравнение всех показателей с соответствующими советскими, немецкими и чешскими нормами. Я. Штейнберг

34713 К. Атлас волокон для бумажного производства. Армитидж (An atlas of the commoner paper making fibres. Armitage Frank David. London, Guildhall Publ. Co., 1957, 172 pp., ill., 63 sh.) (англ.)

34714 К. Реология бумаги. Мерё (A papír reológiája. Mérő Tibor. Budapest, 1955, 61 l., 12.50 Ft.) (венг.)

34715 К. Контрольно-измерительные приборы и автоматика в целлюлозно-бумажной промышленности. Пастор (Üzemi műszerek és automatikák a papír és cellulózgyártásban. Paztor Jónő. Budapest, 1955, 117 l., 24 Ft.) (венг.)

34716 С. Испытания целлюлозы, бумаги и картона. Определение золы (Prüfung von Zellstoff, Papier und Pappe. Bestimmung der Asche). Стандарт ГДР, 3003, 1956 (нем.)

34717 С. Бумага для электролитических конденсаторов (Electrolytic condenser paper). Япон. стандарт, С 2301, 1955 (англ.)

34718 С. Изоляционная бумага для слоистых прессованных материалов (Isolierpapier für Schichtpreßstoffe). Стандарт ГДР, 2827, 1956 (нем.)

34719 С. Офсетная бумага для географических карт (Landkarten-Offsetpapier holzfrei). Стандарт ГДР, 3063, 1956 (нем.)

34720 С. Подпергамент (Pergamin). Чехосл. стандарт, 502446, 1957 (чешск.)

34721 С. Заменитель подпергамента. (Pergamenová náhrada). Чехосл. стандарт, 502445, 1957 (чешск.)

34722 С. Бумажные изделия. Технические условия. Метод определения беленой и небеленой целлюлозы

в бумажной массе (Wytwory papiernicze. Badania techniczne. Rozróżnianie włókien mas celulozowych bielonych i niebielonych). Польск. стандарт, PN-55, P-04035, 1955 (польск.)

34723 П. Способ предварительной обработки щепы аммиаком при бисульфитной варке. Борхерс (Verfahren zur Vorbehandlung von Hackschnitzeln mit Ammoniak beim Bisulfittstoffaufschluss. Borchers Eberhard) [VEB Zentrales Projektierungsbüro für die Zellstoff- und Papierindustrie]. Пат. ФРГ 964560, 23.05.57; шведск. 964560

Окружающий щепу воздух при загрузке ее в варочный котел при помощи загрузочного аппарата (под давлением воздуха) типа «Фреск» вводят через сопло аммиачную воду (АВ) или NH_3 -газ, из образующейся облака АВ NH_3 испаряется и равномерно, в кол-ве 2—5% от веса сухого дерева, распределяется между загружаемой щепой, затем в варочный котел вводят обычным способом 3—5%-ный р-р H_2SO_3 и проводят варку. При загрузке аппаратом «Фреск» NH_3 не теряется в процессе работы. Т-ру варки можно быстро повышать, не рискуя получить непровар. Выходы целлюлозы по патентуемому способу выше, чем при подаче NH_3 в варочный котел. Пример: в варочный котел емк. 150 м³ в течение 30 мин. загружают 25 т (на сухое в-во) еловой щепы с влажностью 40% через загрузочный аппарат «Фреск», одновременно вдувая через сопло 3 т АВ, содержащей 25% NH_3 . Выгрузочная часть котла, как обычно, соединена с установкой для регенерации к-ты. Котел наполняют водн. р-ром H_2SO_3 , содержащим 3,5% SO_2 , возможно быстрее поднимают т-ру до 135°, варят 7 час. и получают 13 т (абс. сухой) нормальной сульфитной целлюлозы (52% на древесину). Ю. Вендельштейн

34724 П. Получение целлюлозной массы. Росс (Production of cellulose pulp. Ross James Hamilton) [Pulp and Paper Research Institute of Canada]. Пат. США 2749240, 5.06.56

Измельченный целлюлозный материал (ЦМ) пропаривают в автоклаве для вытеснения окружающего и, частично, заключенного в ЦМ воздуха, повышают давление пара до давления, соответствующего т-ре варки ЦМ, но не менее 2 ат перед введением варочного щелока (ВЩ), накачивают ВЩ при давлении не ниже давления пара и варят пропитанный ЦМ при т-рах и давлении, принятых в произ-ве целлюлозной массы. Можно удалить ВЩ после пропитки их ЦМ и варить затем последний. ЦМ, пропитанный ВЩ или погруженный в него, варят периодически или непрерывным способом. Патентуемый способ обеспечивает быстрое и равномерное пропитывание ЦМ, вследствие чего сокращается время варки и получается однородная масса. Примеры: 1) Древесную щепу помещают в варочный котел (ВК), пропаривают до достаточного полного удаления воздуха, закрывают спускной вентиль, выпускают в ВК пар под давл. 7 ат, после чего в ВК под давлением пара, несколько превышающим давление в ВК, накачивают из сборника нагретый до 90° ВЩ (напр., р-р NaOH), причем последний предпочтительно вводят через дно ВК с таким расчетом, чтобы давление не превышало 7 ат, а в случае значительного превышения открывают спускной вентиль, не спуская давление ниже 7 ат. Погруженную в ВЩ щепу оставляют на 10 мин. при 7 ат, впуском пара в ВК удаляют избыток ВЩ, а вытесненную жидкость заполняют паром и варят 30 мин., получая равномерно проваренную и однородную массу. 2) Древесную щепу непрерывно подают в ВК, состоящий из ряда последовательно и горизонтально расположенных труб, через загрузочную воронку, в которой производят предварительное пропаривание для удаления

воздуха; щепу вводят в первую трубу ВК одновременно с паром 7 ат, постепенно перемещая щепу в следующую секцию ВК, в которую вводят ВЩ под давл. 7 ат; после пропитки щепу непрерывно подают в секцию ВК, где происходит варка, предпочтительно щепу предварительно освобождается от избытка ВЩ. Варку проводят при 7 ат, полученную массу непрерывно выгружают из ВК. Ю. Вендельштейн

34725 П. Композиция на основе производных целлюлозы (Box stay tapes) [American Siskraft Corp.]. Англ. пат. 728377, 20.04.55

Материал для линкой ленты готовят смешением этилцеллюлозы в резиномесителе, бенбери или на смеси вальцах с равным кол-вом пластификатора (50% касторового масла и 50% диоктилфталата); к смеси прибавляют 10%-ный р-р казеината аммония в таком кол-ве, чтобы содержание казеината в смеси составляло 5%, затем добавляют 5% олеиновой к-ты и, наконец, разб. водн. р-р аммиака. Получают дисперсию типа «масло в воде». Э. Тукачинская

34726 П. Получение холодного клея для шлифовальных материалов на основе производных целлюлозы. Болямахер (Zur Herstellung von Schleifmitteln geeigneter Kaltleim. Bollmacher Jutta). Пат. ФРГ 956795, 24.01.57

К растворимому стеклу (РС) и эмульсии искусст. смолы добавляют растворимые в РС, высоковязкие производные целлюлозы, напр. метилцеллюлозу (МЦ), а также наполнители, смачивающие в-ва, пластификаторы и буферы. Добавление МЦ придает устойчивость эмульсии клея, а шлифовальный материал — карбид кремния, корунд и т. п. — равномерно распределяется в эмульсии. Клей устойчив к хранению, бактериям, к нагреванию, очень вязкий, свободен от к-т и не огнеопасен. Пример: 50 ч. РС, 15 ч. каолина, 15 ч. обычно приготовленной эмульсии фенолформальдегидной смолы, 8 ч. МЦ, 6 ч. $\text{Al}_2(\text{SO}_4)_3$ и Na_2PO_4 , 3 ч. мыла и 3 ч. глицерина эмульгируют обычным способом при нагревании с помощью быстроработавшей мешалки. Ю. Вендельштейн

34727 П. Обработка отработанного сульфатного щелока. Манк (Treatment of waste sulfate liquor. Mancke Edgar B.). [Bethlehem Steel Co.]. Пат. США 2739040, 20.03.56

Отработанный сульфатный щелок (СЩ), содержащий ≥ 10 вес.% сульфата Fe^{2+} и 5—40% свободной H_2SO_4 , нагревают при 176—215° под давл. 24,5—33,6 кГ/см² в присутствии окислителя, напр. воздуха, O_2 или воздуха, обогащенного O_2 , в течение времени (от 20 до 60 мин.), достаточного для осаждения $\geq 60\%$ Fe, в виде основного Fe^{3+} -сульфата, и отделяют осадок от жидкости. Примеры. Отработанный СЩ, содержащий 10 вес.% H_2SO_4 и 13,3 вес.% сульфата закиси Fe, обрабатывают в автоклаве в течение 1 часа при 215° в присутствии воздуха и давления 33,6 кГ/см²; к концу обработки осажается ~ 90% Fe в виде легко фильтрующегося основного сульфата Fe^{3+} . В других примерах отработанные СЩ, содержащие различное кол-во H_2SO_4 и сульфата закиси Fe, обрабатывают O_2 или воздухом, обогащенным O_2 , в пределах указанных выше условий и получают осадок основной сульфат Fe в кол-ве 50—85% от исходного. Ю. Вендельштейн

34728 П. Регенерация органических кислот и их солей с помощью растворителей. Сандборн Стенгл (Solvent recovery of organic acids and salts thereof. Sandborn Lloyd T., Stengle William B.). [The Crossett Lumber Co.]. Пат. США 2750413, 12.06.56

Муравьиную (I), уксусную (II), молочную (III) и гликолевую (IV) к-ты или Na-соли названных к-т регенерируют из черных щелоков (ЧЩ) от щел. варки

целлюлозных (сульфатная и натронная) материалов обработкой концентрата ЧЩ метанолом (V). Р-р указанных солей в V фильтруют от остальных составных частей концентрата ЧЩ, осаждают из р-ра в V нежелательные примеси добавлением другого одноатомного жидкого при нормальной т-ре и давлении спирта, содержащего 3—5 атомов С, напр. *n*-бутанола (VI) или изопропанола (VII), этилацетата, бензола, диоксана или эфира, причем жидкость разделяется на 2 слоя; из верхнего слоя удаляют р-ритель, остаток обрабатывают CO_2 , отделяют от осажженных примесей, фильтрат подкисляют для осаждения примесей и превращения солей в свободные к-ты, отделяют примеси, остающиеся в водн. р-ре, к-ты отделяют друг от друга. Примеры (в вес. %): 1) 4 отдельных пробы концентрата ЧЩ, с содержанием 65% сухих в-в, смешивают с 100 мл V; каждую пробу центрифугируют, р-р декантируют и смешивают с 50 или 100 мл VI, или 50 или 100 мл VII, центрифугируют и сливают р-р с смолистого осадка, в случае применения 50 мл спиртов р-р и осадок анализируют на содержание к-т: в случае VI в р-ре содержится (в % от кол-ва к-т в концентрате ЧЩ) 72,6% II; 74,2% I и 70,3% III, в случае VII в р-ре 54,6% II; 58,5% I; 57,3% III; в осадке 7,1% II; 7,7% I и 13,4% III. При применении 100 мл спиртов из р-ра отгоняют с помощью колонки V, после чего остаток делится на 2 слоя, которые разделяют и анализируют: в случае VI в спирт. слое содержится 23% II; 9% I и 3% III, в водн. слое 54,8% II; 60,2% I и 59,8% III; в случае VII в спирт. слое 32% II, 19% I и 19% III, в водн. слое 37% II, 42% I и 33% III. В пробе, где применяли 3 мл VI на 1 г твердых в-в ЧЩ, кол-во H_2SO_4 , израсходованное на р-цию с солями органич. к-т, составляет 49% от общего кол-ва к-ты для доведения рН до 2,5. 2) 770 г концентрата ЧЩ с 65% сухого в-ва смешивают с 150 мл V, прибавляют еще 1350 мл V, нагревают до кипения, охлаждают, большую часть жидкости декантируют, остаток отсасывают, к р-ру прибавляют 1200 мл VI, смесь оставляют на ночь. Р-р сливают с отстоявшегося осадка, отгоняют V с колонкой (20 тарелок) (V используют в следующей операции), остаток разделяется на 2 слоя; водн. слой обрабатывают под небольшим давлением CO_2 до прекращения образования осадка (рН р-ра 7—8,5), который отфильтровывают; в р-ре остается 24,5% твердых в-в, содержащихся в исходном ЧЩ и соответствующих 59,56 и 50% II, I и III. При подкислении до рН 2,5 расход H_2SO_4 на выделение органич. к-т составляет 53% от общего кол-ва израсходованной H_2SO_4 . 3) Аналогично (2), но обработка CO_2 16 час. под давл. 49—56 ат; водн. слой содержит в виде Na-солей 57% II, 48% I и 51% III от исходных к-т в ЧЩ. 4) Аналогично (2), регенерировано 58,9% II, 65,2% I, 50% III и 42,4% IV от исходных в ЧЩ.

Ю. Вендельштейн

34729 П. Получение органических кислот и их солей из целлюлозных материалов. Чесли, Монтгомери, Сандборн (Production of organic acids and salts thereof from cellulose materials. Chesley Kenneth G., Montgomery Charles W., Sandborn Lloyd T.) [Crossett Lumber Co.] Пат. США 2750414, 12.06.56

Насыщенные монокарбоновые к-ты, содержащие 1—3 атома С и в которых один из атомов Н при атоме С, соединенном с COOH , может быть замещен OH -группой (напр., преимущественно муравьиную (I), уксусную (II), молочную (III) и глицериновую (IV) и их соли получают нагреванием материалов, содержащих целлюлозу (Ц) (древесные опилки (ДО), щепы, кора, солома, багасса, чистая Ц и т. п.), с водн. р-ром щелочи в замкнутой системе при 250—300° (предпочтительно при 260—280°); нерастворимые продук-

ты р-ции удаляют, р-р подкисляют и к-ты разделяют; до подкисления реакционную смесь можно в целях очистки обрабатывать р-рителями. Отношение воды к щелочи и воды к материалу, содержащему Ц, должно быть соответственно 3,5—1 и 4—1 в зависимости от условий и исходных материалов; эти отношения могут меняться в следующих пределах: 3,5—37,5 и 4—30 или 10—25 и 7—10. В качестве щелочи можно применять гидроокиси и карбонаты щел. и щел.-зем. металлов, предпочтительно Na_2CO_3 и NaOH , а также черные щелока (ЧЩ) от сульфатного произ-ва Ц. Конц-ию к-т в р-ре после р-ции можно повысить повторным применением р-ров для последующих операций. При обработке NaOH остается 6—9% нерастворимого остатка, причем из лигнина образуются ценные, но затрудняющие очистку и разделение к-т фенолы, напр., катехин; обработка Na_2CO_3 оставляет нерастворенными 26—35% исходного материала, но предпочтительна, так как продукты р-ции практически не содержат нежелательных примесей. В ряде примеров приведены результаты многочисленных опытов изучения влияния т-ры, времени варки, кол-ва и конц-ии щелочи и других факторов, показывающие: а) выходы I, II, III и IV при различных соотношениях и конц-ии NaOH при варке дубовых опилок в течение 1—2 час. при 260°; б) то же что (а), но с заменой NaOH , Na_2CO_3 ; в) результаты варок листовых ДО с ЧЩ после удаления из последних таллового мыла, причем ЧЩ содержали II, I, III и IV соответственно 8,7; 16,3; 11,1 и 9,5 г/л; параллельно с варками ДО проводили варки самих ЧЩ в аналогичных условиях; г) влияние т-ры на результаты варок ДО с ЧЩ: при 250—295° получены наиболее высокие выходы III и IV, при более высоких т-рах к-ты разлагаются (кроме II, выход которой повышается); при 320° содержание I, III и IV меньше, чем в исходных ЧЩ; д) при варке ДО дуба, сосны, сосновой коры, сосновой щепы, шпеквицы и Ц при 260° с различными кол-вами NaOH и Na_2CO_3 при различных конц-иях этих щелочей: I, II, III и IV образуются во всех случаях с колеблющимися выходами, причем наиболее наглядным является только низкое отношение IV к III при варке относительно чистой Ц; е) при повторных варках 400 г ДО при 260° в течение 1 часа с р-ром 160 г Na_2CO_3 в 3 л воды для повышения конц-ии к-т в фильтратах от нерастворимых в-в. Конц-ия после 6 повторных варок II повышается с 16,1 до 86,7 г/л, I с 30,5 до 113,6 г/л, III с 26,7 до 116,8 г/л и IV с 23,2 до 122,8 г/л; ж) результаты влияния т-ры варки 1 час 1,6 кг ДО дуба с 12 л водн. р-ра 800 г Na_2CO_3 : оптимальные выходы получены при 270° — 154,3 г I, 78 г II, 133,8 г III и 141,9 г IV; з) оптимальное кол-во Na_2CO_3 1067 г на 1,6 кг ДО, при котором получают выход 156 г I, 74 г II, 123,4 г III и 121,3 г IV; сопоставлены выходы к-т на каждые израсходованные 100 г ДО и Na_2CO_3 .

Ю. Вендельштейн

34730 П. Установка для получения нитроцеллюлозы. Кирхнер (Anordnung einer Anlage zur Herstellung versandfertiger Nitrocellulose. Kirchner Wilhelm) [Dynamit-Actien-Ges. vormals Alfred Nobel & Co.] Пат. ФРГ 966307, 25.07.57

Описана установка с приложением подробной схемы произ-ва для непрерывного получения нитроцеллюлозы, состоящая из аппаратов очистки целлюлозы, ее нитрации, предварительной промывки, варки под давлением, измельчения, окончательной промывки, стабилизации, смешения, обезвоживания и других процессов ее обработки.

М. Фишбейн

34731 П. Сортирование волокон в бумажном производстве при помощи ультразвука. Онисен [Нихон сэмбаи кося]. Японск. пат. 2151, 30.03.55

В воду, где волокна находятся во взвешенном со-

стоянии, помещают генератор ультразвука. Длинные волокна получают вращательное движение, соединяются, образуют ком, который с помощью импульсов отделяется от генератора. В противоположность этому короткие волокна остаются на месте и образуют однородную взвесь. Обработку осуществляют при частоте 10—100 кГц в течение 1—10 сек., производительность повышается в 3—5 раз. При частоте 10 кГц коагулируют волокна 0,98 мм, при 30 кГц — 0,84 мм, при 60 кГц — 0,66 мм, при 100 кГц — 0,44 мм. А. Фрадкин

34732 П. Обработка целлюлозных изделий смолами. Кавасима, Симамото [Нихон юси кабусики кайся]. Японск. пат. 2000, 24.03.55

Для придания водонепроницаемости, теплоустойчивости, хим. стойкости, мягкости, прочности, противосажаемости и несминаемости бумагу, хлопчатобумажные ткани, штапель, искусств. шелк обрабатывают водн. эмульсией, состоящей из аминокальдегидных смол в начальной стадии конденсации, этерифицированных спиртом с числом $C > 4$ и солей слабых аминокислот с числом $C > 6$. Приготовление эмульсии: лауриламинокислота к-та 3 ч., метилцеллюлоза 2 ч., вода 100 ч., меламиновая смола в начальной стадии конденсации, модифицированная бутанолом 100 ч. Примеры. 1) Обработка бумаги. На 1 кг сухой массы берут 100 л воды, помещают в нагревательный аппарат. К 1000 л взвешенной суспензии целлюлозы добавляют приготовленную эмульсию, смешанную с 6-кратным кол-вом воды (всего 20 л), и изготовляют бумагу. 2) Обработка хлопчатобумажных тканей, штапельного волокна и искусств. шелка. Эмульсию разбавляют 5-кратным кол-вом воды, в нее опускают на 5 мин. ткань, отжимают воду и сушат. 3) Приготовление состава для печатания тканей. Берут 10 ч. эмульсии и 2 ч. TiO_2 и смешивают. После печатания ткань сушат 3 мин. при 150°. А. Фрадкин

34733 П. Получение бумаги, содержащей оксигетилцеллюлозу. Эрикссон (Manufacture of paper containing hydroxyethyl cellulose. Erickson Donald Robert). Пат. США 2736653, 28.02.56

Для получения бумаги с высокой прочностью на разрыв в сухом состоянии (ПРС) негидратированные волокна целлюлозы (Ц) диспергируют в р-ре NaOH не растворимой в воде оксигетилцеллюлозы (ОЭЦ), содержащей $> 13,5\%$ этиленоксидных групп от веса Ц, содержащейся в ОЭЦ; водн. р-р NaOH применяют такой конц-ии, при которой не происходит полного растворения ОЭЦ, общее кол-во ОЭЦ, содержащейся в р-ре, составляет 0,5—2% от веса взятых для обработки волокон Ц. Из массы, адсорбировавшей клейкий р-р ОЭЦ, формируют лист, из которого стекает свободная жидкость, осаждение ОЭЦ из р-ра достигается высушиванием листа, при этом волокна Ц прочно склеиваются между собой в точках их соприкосновения. Примеры: а) чистую сульфитную Ц прибавляют при размешивании к воде с расчетом на получение 2,5%-ной суспензии Ц без значительного размола или гидратации волокон Ц, добавляют р-р ОЭЦ, которая содержит $> 13,5\%$ этиленоксидных групп от веса Ц, содержащейся в ОЭЦ. Р-р состоит из 8 ч. ОЭЦ в 100 ч. 5%-ного водн. р-ра NaOH. Р-р ОЭЦ прибавляют из расчета 2% ОЭЦ от веса сухого волокна Ц. При дальнейшем размешивании без размола или гидратации Ц на волокнах Ц отлагается клейкий р-р ОЭЦ. Не более, чем через 1,5 часа после прибавления р-ра ОЭЦ (пока р-р ОЭЦ не потерял своих клейких свойств) приступают к формированию листа на машине, предварительно разбавляя суспензию водой до образования 0,5%-ной суспензии волокон Ц, свободная жидкость стекает как обычно. ПРС полученного листа (вес 17 кг) по Эльмендорфу 114—118, без обработки р-ром ОЭЦ соответственно ~ 66. При формова-

нии листа через 2 часа после прибавления р-ра ОЭЦ ПРС ~ 98,5; б) беленую сульфатную Ц обрабатывают так же, как в «а» и получают ПРС 135,5—137 после 1,5-час. обработки р-ром ОЭЦ; 115,5 после 2-час. обработки и 81 для необработанного ОЭЦ листа; в) аналогично из смеси 55% беленой сульфитной Ц и 45% беленой древесной массы, с применением 0,5% ОЭЦ от веса сухой массы, после 1,5-час. обработки получают бумагу с ПРС 48 сравнительно с 42 для необработанной ОЭЦ; г) массу из смеси 15% небеленой сульфитной Ц и 85% беленой древесной массы обрабатывают как в а); после 90 мин. обработки ОЭЦ ПРС на 14% выше ПРС листа необработанного р-ром ОЭЦ. Отсутствие гидратации Ц по патентуемому способу, обычной при размоле Ц, устраняет разрушающее действие нагревания, обычное при сушке гидратированной Ц, и экономит стоимость и время высушивания листа. Ю. Вендельштейн

34734 П. Способ улучшения цветных бумаг (Procédé d'amélioration des papiers peints) [Soc. des Usines Chimiques Rhône-Poulenc]. Франц. пат. 1124654, 16.10.56

Цветные бумаги (Б), которые должны быть устойчивы к воде (УВ), к образованию пятен (УП) и к мытью (УМ), последовательно обрабатывают водн. р-ром триформата Al (с 3 молями кристаллизационной воды) (I), затем, предпочтительно после высушивания, водн. эмульсией органополисилоксанов (ОПС) с отношением $R:Si = 1-2,5$ (R — органич. радикал), полученной с помощью ионного эмульгатора (ИЭ), и высушивают. Обработку I проводят в процессе изготовления Б, в качестве ИЭ применяют стearаты или олеаты морфоллина или триэтаноламина (II). ОПС перед эмульгированием разбавляют органич. р-рителем, а к готовой эмульсии прибавляют 20—100% от веса ОПС титаната II. Испытания Б на УВ: при обрызгивании быстрое впитывание — 0, совершенное стекание — 100 по шкале УВ; на УП: на Б нанесят каплю чернил, через 1 мин. снимают промокательной Б и трут губкой, смоченной в воде, содержащей смазывающее в-во или р-ритель, до исчезновения пятна; изменение Б или ее окраски в этот момент отмечают по внешнему виду бумаги: «запятнана» или «незапятнана»; на УМ: Б трут губкой, смоченной водой, отмечают число протираний губкой до изменения поверхности Б, причем числа ≥ 60 считаются удовлетворительными; УМ зависит также от механич. прочности Б и прочности окраски. Примеры (в вес. ч.): 1) образцы окрашенной Б хорошего качества (УВ 0, УП 3 и УМ 2—5) пропитывают на валу р-ром I (26 г/л), сушат 30 мин. и обрабатывают эмульсией 500 ч. метилполисилоксана (МПС) (с вязкостью 300 сст/25°) в 500 ч. воды и 15 ч. олеата морфоллина (III), разбавленной водой до конц-ии 1,25 г/л; обработанную Б высушивают на воздухе, причем внешний вид ее не изменяется: УВ 90, УМ 90—115, УП — незапятнана; 2) 350 ч. МПС с вязкостью 350 сст/25° разбавляют 350 ч. бензина с т. кип. 93—114° и эмульгируют в 300 ч. воды и 20 ч. III; 175 ч. этой эмульсии разбавляют 400 ч. воды, прибавляют 425 ч. водн. р-ра, содержащего 60 ч. титаната II, и получают 1000 ч. эмульсии, содержащей 6% МПС и 6% титаната II; образцы, обработанные I и эмульсией как в (1), имеют УВ 80—90, УП — незапятнана; УМ 90—170; образцы, смазанные с обратной стороны декстрином, хорошо приклеиваются к подложке. Такие же результаты получают при обработке бумаги эмульсиями; 3) 700 объемн. ч. 50%-ного р-ра полимера МПС с отношением $CH_3:Si$, равным 1,5; содержащего связи $Si-O-Si$ и $Si-Si$, эмульгируют в бензине в 300 ч. воды с помощью стеарата морфоллина, разбавляют до 6% и прибавляют 6% титаната II. 4) 500 ч. полимера МПС

как в примере (3) в виде 70%-ного р-ра в толуоле, 333 ч. МПС с вязкостью 300 сст/25° и 100 ч. бензина эмульгируют в 266 ч. воды с помощью 20 ч. олеиновой к-ты и 6,6 ч. морфолина; эмульсию, содержащую 55,7% ОПС, разбавляют водой до 35%; 360 ч. разб. эмульсии смешивают с 120 ч. титаната II в 1520 ч. воды и получают эмульсию, содержащую 6,3% ОПС и 6% титаната II. Ю. Вендельштейн

34735 П. Способ получения растительного пергамента. Агад (Verfahren zur Herstellung von vegetabilischem Pergamentpapier. Agahd Konrad) [Heinrich Nicolaus G. m. b. H.]. Пат. ФРГ 957181, 31.01.57

Бумажное полотно (БП), в котором содержание сухого в-ва значительно ниже 94% (55—70%), после прохождения через несколько прессов (п, в случае надобности, через сушильный цилиндр) пергаментируют (П) в ванне с H_2SO_4 высоких конц-ий при низких, не превышающих 50°, т-рах (т-ра ниже, чем выше конц-ия), причем формование БП и П проводят непрерывно. При описанном способе целлюлоза (П) не приобретает необратимых гидрофобных свойств и не теряет способности смачиваться и набухать под действием H_2SO_4 . Примеры: а) БП из Ц (пригодной для П) полученное, напр., на цилиндрической бумагоделательной машине (формование на сеточном цилиндре, отпрессовывание на нескольких прессах до содержания сухого в-ва ~45%), тотчас же пергаментируют 80%-ной H_2SO_4 ~2 сек. при 17°; за П следует регенерация H_2SO_4 промывкой противотоком, удаление остатков к-ты промывкой водой и высушивание; б) БП обезвоживают до содержания сухого в-ва ~60% и тотчас П ~70%-ной H_2SO_4 ~4 сек. при ~24°. Ю. Вендельштейн

34736 П. Производство высокогигроскопичной бумаги. Юсино, Сэнда [Дзайдан ходзин норин какаку кэнкисё]. Японск. пат. 1952, 24.03.55

Патентуется способ обработки бумаги для придания ей повышенной гигроскопичности и высыхаемости. 1 мол. мочевины, 0,02—0,42 мол. меламин, 1—5 мол. формальдегида, разводят до 20%-ной конц-ии, нагревают при pH 0,2—5,5 до 40—100°, доводят конц-ию до 7,5%, стабилизируют состав, получают колл. р-р карбамидной смолы. Полученный р-р вводят в бумажную массу, либо покрывают готовую бумагу и сушат. Пример. Соединяют 1 мол. мочевины, 0,33 мол. меламин, 0,33 мол. формальдегида, с помощью NaOH доводят pH до 3,5; и перемешивают 30 мин. при 70°. Добавлением воды доводят реакционную массу до 5%-ной конц-ии, добавляют HCl до pH 3,5 и 2 часа нагревают при 70°. Затем разбавляют наполювину водой и выдерживают при т-ре ~20°. Таким образом, получают белый колл. р-р, который может храниться, не давая осадка, ~6 месяцев. Колл. р-р вводят в размельченную волокнистую суспензию (3:100), добавляют хлорид или сульфат алюминия до pH 4,5 и изготавливают бумагу. А. Фрадкин

34737 П. Обработка бумаги для написания водой. Накамура. Японск. пат. 2660, 22.04.56

Водный р-р маннана смешивают с бентонитом, добавляют 1/20—1/30 вес. ч. порошка активированного угля и силикагеля, наносят состав на поверхность бумаги. При написании кистью, смоченной в воде, получаются черные знаки, сохраняющиеся в течение 1 часа и затем исчезающие. Пример, (в а): 0,5 маннана разводят в 150 воды, добавляют 25 бентонита, 1 силикагеля, 1 порошка активированного угля, хорошо перемешивают, наносят состав на поверхность бумаги и сушат. Такая бумага очень удобна в процессе обучения школьников младших классов. А. Фрадкин

34738 П. Изготовление реактивной бумаги с применением ксантогената цинка. Курита Цунэо.

[Кабусики кайся хитати сэйсакусё]. Японск. пат. 2898, 27.04.55

Патентуется способ изготовления реактивной бумаги для фиксирования наличия Мо в металлах. В 10 мл р-ра $ZnSO_4$ (10 мг/мл) вводят р-р ксантогената калия (1%), полученный осадок фильтруют и промывают водой. Осадок растворяют в 30 мл ацетона. Р-ром пропитывают фильтровальную бумагу, сушат и разрезают. На поверхность свежееотполированного металла наносят каплю р-ра следующего состава (в объем н. ч.): H_3PO_4 (1:3—5) 1—2; H_2SO_4 (1:5—9) 1—2; оксида (15—30%) 3—5; после растворения поверхностного слоя металла реактивная бумага при соприкосновении с металлом в случае присутствия в нем Мо окрашивается в фиолетово-красный цвет. А. Фрадкин

34739 П. Способ улучшения структуры бумаги. Шер, Леви (Process of improving paper formation Schur Milton O., Levy Robert M.) [Ecusta Paper Corp.]. Пат. США 2754207, 10.07.56

Для улучшения структуры высокосортной бумаги (Б) из целлюлозы весом 8—80 г/м², в частности папиросной, содержащей 3—40%, в частности, 5—35% карбонатного наполнителя, обладающего положительным зарядом, добавляют 0,1—1% от веса наполнителя в-во, меняющее знак заряда наполнителя, напр. тетра-Напирофосфата (I), На-триполифосфата, На-гексаметафосфата или На-тетрафосфата, и приводящего к оттачиванию частиц наполнителя и целлюлозы, повышая этим дисперсность последних, а также полиозной камеди, напр. камеди карайи в кол-ве 0,01—2% от веса Б, также понижающей стремление волокон и наполнителя к агломерации. В качестве наполнителя применяют $CaCO_3$, $MgCO_3$ или обработанный CO_2 жженный доломит. Примеры. а) В ролл помещают крафт-целлюлозу из древесины сосны и пихты и размалывают при конц-ии ~6% до средней длины волокон ~1 мм и садкости ~100 мл по ШР. Когда массу направляют на сетку бумагоделательной машины, ее разбавляют оборотной водой и прибавляют $CaCO_3$ вместе с 1% I (от веса сухого наполнителя). При выпуске массы на сетку прибавляют 1%-ный водн. р-р частично деацетилизованной камеди карайи в кол-ве 0,1% сухой камеди от веса бумаги. Получаемая папиросная Б весит 20 г/м², содержит 26% $CaCO_3$ на вес сухой Б и превосходна по свойствам, включая прозрачность водяного знака и однородность структуры. б) Аналогично (а), но без добавления камеди к массе или I к наполнителю; прочность и пористость бумаги те же, что в (а), но водяные знаки относительно пятнистые, структура крапчатая. в) Аналогично (а), но без добавления камеди; улучшение водяного знака и структуры, но в меньшей степени, чем в (а). г) Измельчение до величины волокна <1 мм и садкости ниже, чем в (а); при добавлении только I получаемая Б весом 12 г/м² с содержанием 19% наполнителя обладает значительно улучшенным водяным знаком и структурой. В случае применения льняного или другого целлюлозного волокна указанные условия остаются в силе. При изготовлении других сортов Б изменяют только процентное содержание наполнителя. Ю. Вендельштейн

34740 П. Способ придания влагостойкости волокну, массе и бумаге. Така хаси [Нихон Юси Кабусики Кайся]. Японск. пат. 1000, 14.02.56

Патентуется при обработке использование восков (парафин, пчелиный воск, спермацет, амиды алифатич. ряда с длинной цепью, эфиры алифатич. ряда высокомолекулярных спиртов и др.), высыхающего масла (льняное, тунговое, олифа), металлич. мыла, смол общей ф-лы $RR'NR''X$ (R — основание алифатич. ряда с числом углерода >12; R' и R'' — H или основание алифатич. ряда; X — одноосновные к-ты с 1—3 атома-

ми С, одновосновные оксикислоты, неорганич. одноосновные к-ты или сульфаминовая к-та). В качестве металлч. мыла берут алюминиевые, цинковые и другие средние или основные соли жирных, нафтенных или смоляных к-т. В качестве смол используют карбамидную, меламиновую, кремнийорганич., дамаровую смолы. Перечисленные реагенты используют поодиночке или в комбинации; в виде непосредственно водн. эмульсий или водн. эмульсий, полученных после их разведения в р-рителях. В качестве эмульгаторов применяют стеариламинацетат, пальмитинаминпропионат, этилстеариламинацетат, метилстеариламинпропионат, и т. д. Водн. эмульсией пропитывают волокно, массу или бумагу, сушат при 80—300° или пропускают через р-р многоосновных свободных к-т, кислых и средних солей и сушат при 80—300°. Обработанный материал отличается несмазываемостью, влагостойкостью, хорошо переносит стирку, эластичен и устойчив к трению. Пример 1. 1 ч. парафина, 1 ч. стеариламинацетата в расплавленном виде смешивают с 20 ч. теплой воды; полученную эмульсию разбавляют 5-кратным кол-вом теплой воды и опускают в нее хлопковое волокно. Затем на вальках отжимают лишнюю жидкость и сушат 30 мин. при 120°. Пример 2. 2 ч. парафина, 1 ч. пчелиного воска, 1 ч. стеариламина плавят, отдельно при 60° готовят р-р 0,226 ч. лед. CH_3COOH в 50 ч. воды и, помешивая, по каплям соединяют их, получая эмульсию. Разбавляют эмульсию 10-кратным кол-вом воды и помещают в этот р-р искусств. шелк. После удаления избытка жидкости сушка 20 мин. при 130°. А. Фрадкин

34741 П. Изготовление бумаги с покрытием. Хорри. Японск. пат. 2656, 22.04.55

Производные целлюлозы, напр. ацетилцеллюлозу, этиловый эфир целлюлозы, растворяют в ацетоне, эфирах, спиртах, этилацетате, бензоле, толуоле, бензине, добавляют полиэтилен и другие смягчающие агенты, напр. касторовое масло, глицерид нафтеновой к-ты, бутилфталат, бутилстеарат, крезилфосфат, цетиловый спирт, петролатум, карнаубский воск и т. д. Приготовленный состав наносят на бумагу и высушивают. Иногда в качестве укрепляющего средства сюда же добавляют производные моносахаридов: уксуснокислый маннан, метиловый эфир крахмала, а также синтетич. фенольные смолы, поливинилацетат. Получение полиэтилена: этилен в присутствии катализатора (напр., перекиси бензоила) полимеризуют при 100—300° под давл. 500 ат. Пример. Состав для обработки бумаги в ч.): нитроцеллюлоза 30 (по уд. весу), полиэтилен 20, бутилфталат 10, касторовое масло 10, карнаубский воск 2, петролатум 5, бутилацетат 30, бутиловый спирт 20, этиловый спирт 100, этилацетат 300, бензол 300. А. Фрадкин

34742 П. Машина для рафинирования древесной массы. Ямаути. Японск. пат. 1603, 7.03.56

Размельченную массу в виде водн. суспензии смешивают с окислителем, чем приводят смолистые в-ва в состояние, удобное для легкого отделения. Массу подают в сепаратор, снабженный мешающими винтообразными лопастями, где в процессе размешивания смолистые в-ва отлагаются на металлч. сетках этих лопастей. Очищ. массу удаляют из сепаратора, в который затем подают пары р-рителя. Смолистые в-ва растворяются и удаляются из сепаратора, после чего цикл повторяется. Приложена схема аппарата. А. Фрадкин

См. также: Материалы майского Пленума ЦК КПСС 31307, 31308. Целлюлоза: популярная статья 34906; св-ва 34913, 34923; диалектич. пост. 39946; повреждение при отбелке 34770. Древесные волокнистые плиты 34407, 34428, 34429, 34538, 34367, 34368. Придание огнеупорных св-в целлюлозной массе 34775. Клеящие в-ва

при изготовл. плит 34411, 34412. Приготовление картона для получения инсектицидного дыма 33663. Определение сульфитных щелоков в водоемах 32894. Сточные воды 32898, 32899, 32954—32957. Техника безопасности пром-сти 32989, 32990

КРАШЕНИЕ И ХИМИЧЕСКАЯ ОБРАБОТКА ТЕКСТИЛЬНЫХ МАТЕРИАЛОВ

Редакторы К. М. Маркузе, А. И. Матецкий

34743. Действие моющих веществ, содержащих окислители, на хлопчатобумажную ткань. Крессиг (Einwirkung oxydativer Waschmittel auf Baumwollgewebe. Krässig H.), Melliand Textilber, 1955, 36, № 3, 265—267 (нем.)

Обсуждаются результаты микроскопич. исследования хлопковых волокон из тканей, подвергнутых воздействию моющих в-в, содержащих перекисные соединения, при набухании их (волокон) в 11%-ном р-ре NaOH и медно-аммиачном р-ре. См. РЖХим, 1957, 58741. А. Япунская

34744. Об удалении крахмальной плиты с хлопчатобумажных тканей. Бишевац (Nešto o odstranjenju škrobne šlihte sa pamučnih tkanina. Biševac Dragiša), Tekstilna ind., 1956, 4, № 9, 324 (серб.-хорв.)

Шлихтованную ткань погружают на 12 час. в р-р диастазы (2 г/л), нагретый до 50°, затем промывают и отваривают 5—6 час. в р-ре NaOH (уд. в. 1,04) под давл. 3 атм. Для возмещения начального веса ткани ее апретируют р-ром, содержащим (в кг на 1000 л) 100 талька, 6 парафина, 8 ализаринового масла, 6 глицерина, 3 воска, 3 желатины и 20 NaCl. З. Бобырь

34745. Изучение шлихтования основ из вискозного шелка. 22. Влияние термической обработки на растворимость пленки поливинилового спирта в воде. Кавадзима, Хаями (Kawajima S., Hayami T.), Тоё рээн кабусики кайся сёхо, Scient. Repts Tokyo Rayon Co., 1956, 11, № 4, 156—159 (японск.; рез. англ.)

Повышение т-ры термич. обработки снижает растворимость пленки поливинилового спирта (ПВС) в воде и увеличивает ее плотность. Полностью омыленный ПВС менее растворим в воде и обладает повышенной плотностью по сравнению с частично омыленным ПВС. Это связывается с повышенной кристаллическостью первого продукта. См. РЖХим, 1957, 64542. К. Маркузе

34746. Отбелка тяжелых хлопчатобумажных тканей. Аврамов (Избелване на тежки памучни тъкани. Аврамов Л.), Лека промишленост, 1956, 5, № 8, 9 (болг.)

Ткань отваривают на роликовой машине в р-ре NaOH с добавкой моющего продукта и отбеливают в ванне, содержащей 3 л H_2O_2 (30%-ной), 4,5 л жидкого стекла (уд. в. 1,38) и 0,25 л NaOH (уд. в. 1,36), в 250 л воды. Отбелку начинают при 40° и заканчивают при 95°. В заключение ткань промывают и отбавывают бланкофором В. З. Бобырь

34747. Способ беления хлопчатобумажных тканей широким полотном. Вуд (A proposed method of open-width bleaching for cotton piece goods. Wood P. J.), Amer. Dyestuff Reporter, 1956, 45, № 10, 277—281 (англ.)

На основе проведенных эксперим. работ рекомендуется оригинальная конструкция отбельного агрегата, в котором ткань последовательно проходит: коробку с расшлихтовывающим составом, короткий паровой канал, промывные коробки, 3 коробки с щел. р-ром, большую запарную камеру завесного типа, отделение горячей промывки, закрытую коробку с р-ром SO_2 .

несколько промывных коробок, перекисную ванну малую запарную камеру завесного типа, проходной промывной аппарат. Входные и выходные щели запарных камер имеют гидравлич. затвор, что исключает присутствие воздуха в паровом пространстве. Использование для нейтрации остаточной щелочности в ткани CO_2 взамен минер. к-т имеет своим назначением предотвратить образование гидроцеллюлозы.

К. Маркузе

34748. Белиние хлопка хлоритом натрия без специального оборудования. Браун (Baumwollbleiche mit Natrium-Chlorit ohne Spezialanlagen. Braun W. C.), Melland Textilber., 1957, 38, № 9, 1029—1030 (нем.)

Процесс рекомендуется осуществлять на плюсовке, к которой пристроена деревянная запарная камера. Ткань плюсуют р-ром (в г/л) 30 NaClO_2 , 4 смачивающего продукта и 2 CH_3COOH при 25° и pH 4, прогревают в запарке до $65-75^\circ$ и оставляют при этой т-ре на ролике на 4—6 час. По другому способу белиние осуществляют на закрытой роликовой машине. Ткани дают 4 конца в р-ре, содержащем (в г/л) 15 NaClO_2 , 2 смачивающего продукта и 7,5 этиллактата, при 100° , выкатывают на ролик и оставляют на 1 час над кипящим р-ром. В процессе белиния pH р-ра снижается с 8,5 до 6. Первый способ рекомендуется при подготовке ткани под белье, а второй — под крашение. При этом NaClO_2 полезно используется на $65-70\%$. Аппаратура должна быть изготовлена из полированной стали марки V4A или из дерева.

К. Маркузе

34749. Масляная эмульсия для джутового волокна. Максимович (Uljana emulzija za jutu. Maksimović Dragi), Tekstilna ind., 1957, 5, № 2, 41—44 (серб.-хорв.)

Рассмотрены требования, предъявляемые к эмульсии (Э), используемой в переработке джутового волокна. Описаны 2 способа получения Э; по одному из них сначала готовится густая масса из эмульгатора и небольших кол-в масла и воды, разбавляемая затем остальным кол-вом масла и воды, по другому — масло (рыбий жир) эмульгируется в содовом р-ре при нагревании до $60-71^\circ$. Для эмульгирования веретенного масла применяют К-мыло.

З. Бобырь

34750. Способ очистки щелочного мерсеризационного раствора от примесей. — Чжунго фанчжи, 1955, № 4, 36—42 (кит.)

Для очистки мерсеризационных щелоков от примесей в подогретый до 90° р-р вводят соду и известь, поддерживают указанную т-ру в течение 2 час. при перемешивании, после чего дают р-ру охладиться и отстояться. Через 10 час. верхний слой очищ. р-ра упаривают до необходимой конц-ии. Кол-во добавляемой соды должно быть не менее 15 г/кг р-ра. Указаны способы аналитич. контроля содержания Na_2CO_3 , NaOH , крахмала и Ca(OH)_2 в щел. р-ре.

А. Зоннтаг

34751. Практика термической стабилизации тканей и трикотажа из синтетических волокон. Якоб (Die Praxis des Thermofixierens von Geweben und Gewirken aus synthetischen Fasern. Jakob Hans-Georg), Reyon, Zellwolle und and. Chemiefasern, 1957, 7, № 4, 270, 272—273; № 5, 355—357; № 7, 501—504; № 8, 564—569 (нем.)

Рассмотрены методы стабилизации тканей и трикотажного полотна обработкой в горячей воде, запариванием в вакуум-автоклавах, нагреванием в ваннах с расплавленным металлом, на поверхности горячих цилиндров, горячим воздухом и ИК-лучами. Даны подробные сведения об условиях проведения термификации различных изделий из полиамидных, полиэфирных и акрилонитрильных волокон указанными способами.

К. Маркузе

34752. Достижения в области химии волокна, красителей и облагораживания тканей. Рат (Fortschritte in der Chemie der Fasern, Farbstoffe und Textilveredlung. Rath H.), Z. ges. Textilind., 1957, 59, № 6, 207—209 (нем.)

Обзор.

Н. Абрамова

34753. Турбинатор в красильно-отделочном производстве. Хейзерман, Хаблютцель (Der Turbinator in der Textilausrüstung. Häusermann J. L., Hablützel E.), Melland Textilber., 1955, 36, № 1, 65—68 (нем.; рез. англ., франц., исп.)

Результаты испытания турбинатора фирмы Maschinenfabrik Benninger A.-G. Для создания ультразвуковых колебаний в процессе крашения и других обработок текстильных материалов. Осцилирующее движение жидкости, создаваемое турбинатором с частотой от 20 до 50 колебаний в сек., способствует ее воздействию на обрабатываемый материал. Опыты крашения на роликовой машине кубовыми и прямыми красителями показали, что использование турбинатора ускоряет процесс крашения и обеспечивает лучший прокрас ткани.

О. Славина

34754. Современное направление в конструкциях паровых котлов для отбельно-красильных фабрик. Бурон (Les tendances actuelles dans la construction des chaudières destinées à la blanchisserie-teinturerie. Bouron A.), Blanch.-teint., 1957, № 48, 45—47 (франц.)

Обзор некоторых решений в области конструкции паровых котлов, направленных на удовлетворение потребностей, связанных с неравномерным расходом пара (в течение рабочего дня) на отбельно-красильных ф-ках. При использовании ряда усовершенствований и автоматизации процессов: регулирования работы топки в зависимости от расхода пара, подачи топлива, очистки топок, контроля сгорания и т. п., может быть обеспечен высокий коэф. использования горючего (80%) при среднем качестве топлива. Указаны котлостроительные фирмы, применившие отдельные виды усовершенствований.

И. Козлов

34755. Расчеты при приготовлении смесей жидкостей в отделочном производстве. Кунц (Flotten-Mischungsberechnungen in der Textilveredlung. Kunz Johannes), Textil- und Faserstofftechnik, 1955, 5, № 1, 62—63 (нем.)

Примеры элементарных способов расчета конц-ий р-ров в практике красильно-отделочного произ-ва.

О. Славина

34756. Красители для полиакрилонитрильных волокон. Хюних (Kleurstoffen voor polyacrylnitrilvezels. Hünlich R.), Tex., 1956, 15, № 1, 59—61 (гол.)

Фирмой Bayer A.-G. выпущен вспомогательный продукт «восстановитель D» (I), предназначенный к использованию при крашении акрилонитрильных волокон (AB) по Cu^{+} -ионному методу. AB, предварительно отваренные в течение 15—20 мин. при $70-75^\circ$ в ванне (содержащей 0,25—1 г аволана O и 0,5—1 г Na_2PO_4 в 1 л), обрабатывают 5 мин. при 50° в р-ре CuSO_4 , подкисленном H_2SO_4 (до pH 2,5—4), добавляют 50% требуемого кол-ва I, обрабатывают еще 5 мин., вводят р-р красителя и красят 10—15 мин. при $55-60^\circ$. Затем в течение 30 мин. ванну нагревают до 75° , добавляют остальные 50% I, красят 20 мин. при 75° , нагревают (20 мин.) до кипения и красят еще 1 час на кипу. Необходимые кол-ва CuSO_4 и I в зависимости от модуля ванны и конц-ии красителя указаны в таблице; приведен список кислотных красителей, пригодных к использованию по указанному методу и обеспечивающих получение светопрочных окрасок на AB.

В. Уфимцев

34757. Крашение неолановыми красителями. Мило-савлевич (Bojenje neolanskim bojama. Milo-

savljević Ljubomir), Tekstilna ind., 1956, 4, № 9, 322 (серб.-хорв.)

Указаны способы применения неолановых красителей в крашении шерстяных тканей, пряжи, трикотажа и валеных изделий. Даны примеры крашения с использованием неолановой соли и без нее. З. Бобырь

34758. Современные способы крашения тканей кубовыми красителями. Фаулер (Nowoczesne metody barwienia barwnikami kadziowymi. Fowler J. A.), Przem. włókienniczy, 1957, 11, № 2, 64—69 (польск.)
Суспензионный способ крашения тканей кубовыми красителями с проявлением окраски на джиггере, в зрельнике и в ванне с расплавленным металлом.

В. Маркер

34759. Опыт непрерывного крашения тканей кубовым синим красителем № 180. Жанхуа, 1955, № 3, 104—107 (кит.)

Даны сведения о технологич. процессе, производственной рецептуре и способах контроля р-ров на содержание NaOH и гидросульфита.

А. Зоннтаг

34760. Крашение трикотажа индантеновыми красителями. Вейнинг (Indanthrenfärbung auf Trikotware. Weining Karl), Melland Textilber., 1956, 37, № 9, 1069—1070 (нем.; рез. англ., франц., исп.)

Указания по проведению процесса крашения на жгутовых барках в ванне с восстановленным красителем и по 2-фазному способу.

З. Панфилова

34761. Плюсование пигментами. Кларк (Pigment padding. Clarke J. A.), Text. Manufacturer, 1957, 83, № 986, 90—92 (англ.)

Суспензионный способ крашения кубовыми красителями используется главным образом для крашения плотных тканей, трудно пропитывающихся жидкостями или обладающих повышенным сродством к лейкоформе красителей (льняные, мерсеризированные хлопчатобумажные ткани и др.). На основании производственного опыта установлены следующие оптимальные условия проведения процесса: ткань, подлежащая крашению, должна быть тщательно распахивана, отварена и равномерно высушена. Плюсование рекомендуется проводить при 50—60° на 2-вальной плюсовке с валами большого диаметра (30—45 см), средней жесткости (~68° по твердомеру), при скорости 20—30 м/мин и отжиме ткани до 60%. Плюсовая ванна должна быть миним. объема и поддерживаться на одинаковом уровне. Проявление высушенной ткани на роликовой машине следует проводить в условиях, обеспечивающих быстрое восстановление красителя (т-ра 75°, повышенные конц-ии NaOH и гидросульфита).

О. Голосенко

34762. Крашение штапельной ткани сернистыми красителями. Якимов Г. И., Соколова Н. А., Воробьева А. Н., Текстильн. пром-сть, 1957, № 10, 40—43

Выяснено, что пониженная прочность окрасок штапельных тканей сернистыми красителями к воздействию трения объясняется постепенным извлечением из красильной ванны едкого натра, сильно адсорбируемого вязким волокном. Для предотвращения этого явления рекомендовано питать ванну р-ром красителя, содержащим необходимый избыток щелочи. При крашении сернистым коричневым и черным введение NaOH, кроме того, углубляет окраску, что позволяет снизить расход красителя.

О. Голосенко

34763. О новых способах непрерывного и полунепрерывного крашения тканей из полиамидных и полиэфирных волокон. Вюрц (Über neue Methoden zum kontinuierlichen und halbkontinuierlichen Färben von Stückwaren aus Polyamid- und Polyesterfasern. Würz A.), SVF Fachorgan Textilveredlung, 1957, 12, № 7, 462—474 (нем.); Melland Textilber., 1957, 38, № 7, 777—783 (нем.; рез. англ., франц., исп.)

Равномерное окрашивание тканей (Т) из полиамидных волокон металлосодержащими красителями (типа виолонов и ортоланов) достигается по двум непрерывным способам: 1) эмульсионно-плюсовочному и 2) плюсовочному способу и применением загущенных р-ров красителей и в-в, повышающих набухание волокон и растворимость красителей (способ сезольван). Способ I. На эмульсионной мешалке при 800 об/мин. готовят эмульсию, содержащую 160 г эмульгатора (лумульсола S), 80 г уайт-спирита с т. кип. 120—180°, 240 г воды и 7 г муравьиной к-ты (90%). В полученную эмульсию типа «вода в масле», не останавливая работы мешалки, добавляют охлажд. р-р или суспензию красителя. Т плюсуется эмульсией, отжимают (до 35—37%-ного привеса), сушат и фиксируют краситель: а) 30-мин. обработкой Т в р-ре сульфата аммония (5%) и муравьиной к-ты (5%) при 100° или б) запариванием Т в течение 20 мин. при 133° (давл. 2 атм). Способ II. Краситель растворяют в водн. р-ре 40—100 г/л сезольвана НК (органич. р-рителя, способствующего набуханию волокон и растворимости красителя, смешивающегося с водой в любых отношениях) и загущают добавкой 100 г/л тексапрета С (акрилового сополимера). Т плюсуется этим р-ром при т-ре < 40°, сушат и фиксируют краситель аналогично способу I. Для полного удаления тексапрета С и поверхностно фиксированного красителя, запаренную Т промывают 30 мин. при 70—80° в р-ре 1 г/л моющего продукта (лизинтона Т) и 4% триэтаноламина. Для крашения Т из полиэфирных волокон готовят эмульсионную пасту, содержащую 80—150 г/л лумульсола и 10—60 г/л целлюлозного красителя и уайт-спирит. Т плюсуется, сушат и фиксируют краситель по термозольному способу, пропуская Т 1—2 раза через фиксационную раму при т-ре 215—220° со скоростью 10 м/мин.

Н. Абрамова

34764. О непрерывном крашении тканей из целлюлозных волокон. Смит (Expérience acquise dans la teinture à la continue des pièces de fibres cellulose. Smith Ch.), Ind. text., 1957, № 842, 67—71 (франц.)

Крашение тканей сернистыми и прямыми красителями проводят на установке, состоящей: из 2 или 3-вальной плюсовки с объемом ванны ~ 10 л (при ширине ткани 1,5 м), зрельника емкостью до 140 л ткани и проходного аппарата из 6—9 отделений. Для получения темных синих оттенков тиоловыми красителями рекомендован следующий процесс: плюсование, запаривание 30—60 сек. при 102—104°, промывка 10 сек. в холодной проточной воде, отжим, окисление в р-ре пербората Na (5 г/л) 15—30 сек. при 50°, отжим, кисловка (5 г/л лед. уксусной к-ты) при 40°, промывка теплой водой, сушка. Крашение тканей прямыми диазотировочными красителями проводят по следующему способу: плюсование р-ром красителя, запаривание 4—5 мин., промывка холодной проточной водой 15 сек., пропитка р-ром NaNO₂ (20—25 г/л) при 40° 15 сек., отжим, обработка в р-ре HCl (20 г/л к-ты уд. в. 1,2) при 40° 10—15 сек., отжим, промывка в холодной воде 1 мин., обработка проявителем (бетанафтол и др. 5—10 г/л) 30 сек. при 40°, промывка, легкая мыловка. Начало см. РЖХим, 1957, 58700.

И. Козлов

34765. Крашение целлюлозных и полиамидных волокон химическим способом с применением проционовых красителей. Тешанович (Hemisko bojenje celuloznih i poliamidnih vlakana sa Procion bojama. Tešanović Gojko), Tekstilna ind., 1956, 4, № 9, 318—321 (серб.-хорв.)

На основе данных технич. информации фирмы ICI (Англия) обсуждаются свойства проционовых красителей и практич. условия проведения процесса крашения ими тканей.

З. Бобырь

34766. Крашение изделий из смесей волокон, не содержащих шерсти. Биггинс (Das Färben von nichtwollhaltigen Fasermischungen. Biggins L.), SVF Fachroten Textilveredlung, 1956, 11, № 9, 497—502 (нем.)

Практические указания по крашению изделий, содержащих смеси хлопка, вискозных волокон или натурального шелка с ацетатным шелком или нейлоном. См. РИХХим, 1957, 58715. З. Панфилова

34767. Использование пектина из тамариновых семян в текстильной промышленности. Часть III. Применение пектина в печати. Савур (Utilization of tamarind seed «pectin» in textile industries — part III. Potentialities of pectin in printing. Savur G. R.), Indian Text. J., 1956, 66, № 785, 309—311 (англ.)

Пектин (П) из тамариновых семян может быть использован в качестве загустителя в печати тканей кубовыми красителями, индигозолями и нафтолами. Для приготовления печатных паст из красителей, осаждающих гекозозы и пентозы (входящие в состав П), рекомендуется применять смеси П с трагантиной загусткой, которые более устойчивы к осажждению. Часть II см. РИХХим, 1957, 58728. Н. Абрамова

34768. Пигменты для текстильных изделий. Джонс (Pigments for textiles. Jones George F.), Amer. Dyestuff Reporter, 1956, 45, № 9, P263—P271 (англ.)

Рассматриваются хим. состав и свойства неорганич. солей, неорганич. окислов, нерастворимых азокрасителей, кубовых красителей, металлосодержащих красителей и лаков красителей, используемых в качестве пигментов в текстильной пром-сти. З. Панфилова

34769. Пигментный способ печати кубовыми красителями. Борн (Das Küpenpigment-Druckverfahren. Born F.), Textil-Rundschau, 1956, 11, № 10, 590—594 (нем.)

При печати кубовыми красителями по 2-фазному способу применяют загустители, коагулирующиеся содой (Meupro-Gum KNG) или бурой (Meupro-Gum CRG). Эти загустители используют в комбинации с обычными загустителями типа маисового или пшеничного крахмала. Указана производственная рецептура приготовления печатных красок и проявительных ванн.

З. Панфилова

34770. О повреждении целлюлозы при обработке в нейтральной среде системой формальдегидсульфокислот Na — перекись водорода. Руснак, Борош (Über die Schädigung von Zellulose durch die Behandlung mit dem neutralen System Natriumformaldehydsulfoxylat-Wasserstoffsuperoxyd. Rusznák István, Boros Olga), Dtsch. Textiltech., 1957, 7, № 9, 522—523 (нем.)

С помощью весового, йодометрич., электрометрич. и калориметрич. метода исследовано различие окислительного воздействия лудиголя (Л) (Na-соли метанитробензолсульфокислоты) и H_2O_2 на ронгалит (Р). Показано, что окисление $P\ H_2O_2$ представляет собой быструю и сильно экзотермич. р-цию, сопровождаемую образованием бисульфатов и повреждением волокна в вытравной печати. Окислительное воздействие Л более мягкое и сопровождается образованием менее окисленных продуктов (сульфитов). Для предотвращения снижения прочности хлопка при применении нейтр. р-ра H_2O_2 для плюсования окрашенных тканей перед вытравной печатью рекомендовано введение $CaSO_3$ или $Pb(CH_3COO)_2$ в состав печатной краски. Эти соли нейтрализуют образующуюся H_2SO_4 , а выпадающий осадок $CaSO_4$ или $PbSO_4$ улучшает белизну вытравляемого узора.

И. Козлов

34771. О полутонном, идентографическом и растровом способах печати сетчатыми шаблонами. Франкен, Келлер (Über Halbton-, Identographie- und Rasterverfahren im Filmdruck. Franken Albert,

Keller Wilhelm), Melliand Textilber., 1954, 35, № 12, 1360—1362 (нем.)

Рассматриваются способы получения фотоувеличительных пленок на сетчатых шаблонах с помощью спец. препаратов, содержащих поливиниловый спирт, полиэфирные смолы, стирол и другие продукты. Начало см. РИХХим, 1957, 5979.

З. Панфилова

34772. Получение плотной и мягкой на ощупь поверхности ткани при декатировании влажным паром. Беккер (Pun i čvrst opip tkanine kod dekature s vlažnom parom. Becker Arno), Tekstil, 1957, 6, № 2, 157—165 (серб.-хорв.)

Подробно рассмотрены конструктивные особенности оборудования и режим обработки тканей на новом типе декатировочного каландра фирмы Finishtex (ФРГ).

З. Бобырь

34773. Конденсация мочевиноформальдегидных смол на целлюлозных тканях. Лосе (Die Kondensation von Harnstoff-Formaldehydkunstharz auf Cellulosegeweben. Loß Rudolf), Textil-Rundschau, 1957, 12, № 9, 502—507 (нем.)

На основе опубликованных данных рассмотрено влияние отдельных факторов (катализаторов, т-ры, вида и соотношения ингредиентов) на течение р-ции конденсации, а также влияние смол на свойства отделанной ткани.

О. Голосенко

34774. Обработка смолами тканей и штапельного волокна. Пахшвер (Обработка tkanina od celvlakna smolama. Paškver A. B.), Tekstil, 1956, 5, № 11, 1005—1007 (серб.-хорв.)

Перевод. См. РИХХим, 1957, 32213.

З. Бобырь

34775. Придание невоспламеняемости текстильным материалам и целлюлозной массе. Пастухов П. Т., Тр. Ленингр. технол. ин-та им. Ленсовета, 1957, вып. 42, 43—46

На основе проведенных исследований рекомендуется хлопчатобумажную ткань 27—30 час. пропитать при 40—50° 1,5—2%-ным р-ром альгината Na (с 2—3 прожимами плюсовочными валами) и отжатый материал обработать в течение 24—48 час. 15%-ным водн. р-ром этилендиамина при 35—50°. Целлюлозные материалы, пропитанные указанным способом и промытые в воде, не воспламеняются в муфеле (при 350—500°) и в пламени спиртовой горелки.

О. Голосенко

34776. Изучение способов получения устойчивых складок на хлопчатобумажной одежде. Рид, Мадзено, Рейнхардт, Маркезич (Studies on permanent creasing of cotton garments. Reid J. David, Mazzeno Laurence W., Jr, Reinhardt Robert M., Markezich Anthony R.), Text. Res. J., 1957, 27, № 3, 252—259 (англ.)

На основе исследовательской работы показано, что устойчивые плиссе и складки на хлопчатобумажной одежде могут быть получены обработкой материала смолами типа диметилотлциклоэтиленмочевины с добавлением термопластичных акриловых смол. Хорошие результаты достигаются при нанесении на ткань $\geq 4\%$ смол от веса волокна и при проведении полимеризации во влажном состоянии. Фиксация смол достигается проглаживанием влажного пропитанного материала горячим утюгом. Эффект отделил весьма устойчив и выдерживает > 12 стирок в мыльном р-ре при 50—60°.

Н. Абрамова

34777. Усовершенствование процессов подготовки крашения и печати хлопчатобумажных тканей. Сребров (Подобряване процесите за подготовка на памучните тъкани за постигане на по-добро багрене и печатане. Сребров В.), Лека промишленост, 1956, 5, № 7, 34 (болг.)

Отмечается, что использование текстильных вспомогательных продуктов позволяет сократить длительность отдельных процессов и повысить качество продукции.

З. Бобырь

34778. Применение УФ-ламп (типа 360 В производства КНР) для быстрого контроля дефектов крашения. Хуан Юань-хун. Жаньхуа, 1955, № 6, 234—238 (кит.)

Описан опыт применения флуоресцентного анализа для установления причин дефектного крашения. Указаны сведения о флуоресценции нафтолов ряда AS, кубовых и индигозольевых красителей, диазотолов, диазминолов и некоторых основных красителей. В качестве источника облучения могут быть использованы УФ-лампы типа 360 В, изготавливаемые в КНР. А. Зоннтар

34779. Новый способ хроматографии на бумаге дисперсных красителей. Яноушек (Neue Methode für die Papierchromatographie von Dispersionsfarbstoffen. Janousek Jaroslav), Faserforsch. und Textiltechnik, 1957, 8, № 8, 339—340 (нем.)

Для исследования однородности дисперсных красителей (ДК) способом хроматографии рекомендовано применение частично ацетилированной фильтровальной бумаги в качестве субстрата и монохлорбензола, в качестве р-рителя ДК. Метод дает возможность определить входящие в ДК компоненты и установить их колич. соотношение. Указаны условия проведения процесса ацетилирования бумаги и хроматографич. анализа ДК.

И. Козлов

34780. Химические и колористические способы идентификации текстильных волокон. Миглевский (Prilog hemisko-kolorističkoj identifikaciji tekstilnih sirovina. Miglevski Vladimir), Tekstilna ind., 1956, 4, № 9, 313—317 (серб.-хорв.)

На основе литературных данных систематизированы способы качеств. анализа и распознавания природы различных видов натуральных и искусств. волокон (шерсти, шелка, хлопка, вискозы, найлона и др.). Составлены таблицы хим. и цветных р-ций волокон с различными хим. реактивами. Указаны способы предварительной очистки волокон от загрязнений, пилиты и красителей.

З. Бобырь

34781. Метод изучения деформации ткани при смятии. Стил (A method for studying the deformation of fabrics in creasing. Steele Richard), Text. Res. J., 1957, 27, № 9, 695—700 (англ.)

Описан прибор и способ получения кривых нагрузки-деформации при смятии полосок ткани, согнутых в форму полого цилиндра. После расплющивания измеряется способность образца к восстановлению своей первоначальной цилиндрич. формы. Полученные кривые позволяют судить о жесткости, упругости, сминаемости и драпируемости ткани.

О. Голосенко

34782. Изучение структуры смешанных нитей, содержащих шерсть. Часть I. Статистические данные о беспорядочно смешанных нитях. Коплан, Клейн (A study of blended woolen structures. Part 1. Statistics of the ideal random blended yarn. Coplan Myron J., Klein William G.), Text. Res. J., 1955, 25, № 9, 743—755 (англ.)

34783. Статистический метод исследования цветных смесок в ровнице. Коплан, Клейн (Statistical tests of colour blending in rovings. Coplan Myron J., Klein William G.), J. Text. Inst. Trans., 1956, 47, № 4, 232—234 (англ.)

34784 II. Обработка волокон из органических сложных эфиров целлюлозы. Дональдсон, Уайт (Treated cellulose organic acid ester fibers. Donaldson Raymond E., White Charles Cloyton) [Eastman Kodak Co.]. Пат. США, 2743193, 24.04.56

Патентуется состав для замасливания волокон из органич. сложных эфиров целлюлозы (ацетатного шелка), главной частью которого является морфолиновая соль (I) фосфорной к-ты, неполностью этерифицированной лауриловым спиртом. Эта соль в отличие от

солей, образуемых с другими аминами, представляет собой подвижную жидкость. Кроме I в состав замасливателя входят алифатич. спирт (II) и минер. масло (III). Указанный эфир при размешивании вводят в III, добавляют морфолин (IV) и, наконец, II. В качестве II могут быть применены олеиловый, лауриловый, циклотексильный, стеариловый, цетиловый и другие спирты. Кол-ва исходных в-в: 10—40 г эфира фосфорной к-ты, 2—15 г IV, 5—15 г II и 40—70 г III. Указанный замасливатель придает волокнам хорошие антистатич. свойства, а в случае последующего плетения ацетатного шелка желатином или сополимером малеинового ангидрида и стирола содействует хорошей связности волокон и повышению устойчивости нитей к трению.

В. В. Штуцер

34785 II. Способ и аппаратура для прецизионного крашения, обеспечивающего равномерность окраски материала. Рейнхольд, Шульце, Хейльман (Präzisionsfärbverfahren zur Erzielung gleichmäßiger Farbtönen und Vorrichtung dazu. Reinhold Max Erich, Schulze Christine, Heilmann Ernst). Пат. ГДР 10250, 17.08.55

Для обеспечения однородного равномерного крашения большой партии материала сразу заготавливают рассчитанный на всю партию конц. р-р красителя, содержащий необходимые добавки. При крашении каждой отдельной части партии берут соответственный объем этого маточного р-ра и разбавляют требуемым кол-вом воды. Красильная аппаратура укомплектовывается термостатом, приборами для замера т-ры и давления, рН-метром, колориметром (для контроля красильной ванны), сосудом для приготовления красильной ванны с мешалкой и мерником для дозировки подаваемого маточного р-ра. Процесс крашения ведут при непрерывной циркуляции красильного р-ра через материал.

З. Панфилова

34786 II. Способ крашения продуктов полимеризации акрилонитрила. Флейшхауэр (Verfahren zum Färben von Polymerisationsprodukten des Acrylnitrils. Fleischhauer Richard) [Cassella Farbwerke Mainkur A.-G.]. Пат. ФРГ 953062, 29.11.56

В доп. к основному пат. 950279, по которому для получения светопрозрачных красок на акрилонитрильных волокнах применяют крашение их медными комплексными соединениями О,О'-диоксимоназокрасителей в присутствии солей Cu^{2+} и восстановителя, найдена возможность использования О,О'-диоксимоназокрасителей (содержащих одну сульфогруппу) в неметаллизированном виде, так как медные комплексные соединения этих красителей образуются в процессе проведения крашения акрилонитрильных волокон по этому способу. Пример. 10 г полиакрилонитрильного волокна обрабатывают при 60—70° в р-ре CuSO_4 (5—10% от веса волокна), добавляют 2—4% сернокислого гидроксиламина (доведенного добавлением щелочи до $\text{pH} = 5-6$) и водн. р-р 0,2—2% моноазокрасителя, полученного сочетанием 4-нитро-2-диазофенол-6-сульфокислоты с 2-нафтолом. Ванну медленно нагревают до 120°, красят волокно при указанной т-ре 1—1,5 часа, после чего промывают и мылуют. Получают глубокую окраску цвета бордо, отличающуюся высокой светопрозрачностью.

Н. Абрамова

34787 II. Крашение кубовыми красителями. Марнон (Vat dyeing process. Marmon Donald E.) [General Aniline & Film Corp.]. Пат. США 2742340, 17.04.56

Для предотвращения перевосстановления кубовых красителей в процессе высокотемпературного крашения рекомендуется вводить в красильную ванну добавку NaNO_2 . Лучшие результаты достигаются при применении смеси из NaNO_2 и соли гидроксидов, взятой в молярном соотношении от 1:2 до 4:1. При

мер. Ткань пропитывают на плюсовке суспензией индантрена синего ВРР — 100 г/л, отжимают и проявляют на агрегате Вильямса в восстановительном р-ре, содержащем в 1 л воды: NaOH 30 г, Na₂S₂O₄ 30 г, гидроксилсульфата 1,6 г, NaNO₂ 1,6 г, индантрена синего ВРР 2,1—2,2 г. Т-ра проявления 90—95°. Редокс-потенциал р-ра составляет 1025 мВ. Н. Абрамова

34788 П. Эмульсии красителей, не содержащие полимеризующихся веществ, для крашения и набивки тканей и волокон (Emulsions colorantes, sans composés polymérisables, pour la teinture et l'impression de tissus et fibres textiles) [S. A. I. C. A. (Soc. An. Italiana Colori Affini)]. Франц. пат. 1114275, 10.04.56

Для улучшения прокраса и равномерности крашения и печати тканей кубовыми и сернистыми красителями предложено применение этих красителей в форме эмульсий (Э). Э составляют из воды, жидких углеводородов, эмульгатора и красителя. Углеводороды могут быть алифатич., ароматич. ряда или смешанные, с т. кип. 60—200°; в качестве эмульгатора могут быть использованы не полимеризующиеся от т-ры хим. стойкие и легко вымываемые с ткани продукты поликонденсации окисей этилена, пропилена или бутилена со спиртами, алкилфенолами или жирными к-тами и другие продукты. Пример 1: 2 кг индантрена коричневого R замешивают с 3 кг эмульфора О (продукт поликонденсации окиси этилена с жирным спиртом), 0,25 кг некаля ВХ (Na-соль алкилнафталинсульфокислоты) и 84,75 кг воды; полученную суспензию эмульгируют при 1800—2400 об/мин в 10 кг уайтспирита с т. кип. 110—160°; хлопчатобумажную ткань плюсоуют Э, сушат и проявляют в щел. восстановительном р-ре. Пример 2: 2 кг гидрон синего В (в пасте), 2 кг эмульфора О, 0,3 кг некаля А и 69,7 кг водн. р-ра, содержащего 8 кг K₂CO₃ и 8 кг ронгалита С, хорошо замешивают и эмульгируют с 10 кг смеси углеводородов жирного ряда (с т. кип. 110—200°); приготовленную краску употребляют в прямой печати. И. Козлов

34789 П. Обработка окрашенного синтетического волокна из поливинилового спирта. Токумицу, Хирата [Курасики рэйён кабусики кайся]. Японск. пат. 539, 29.01.55

Волокна из поливинилового спирта (типа винилона) содержат свободные гидроксильные группы только во внутренней некристаллич. части. С наличием этих групп связана сорбция прямых и нафтоловых красителей. При нагревании, сушке, смачивании или глажении ткани водородные связи гидроксильных групп внешнего слоя частично разрушаются, что влечет за собою перемещение красителя в наружный слой и нарушает равномерность окраски. Исходя из этого, авторы предлагают в процессе обработки создавать такие температурные условия, которые должны заранее ослабить или нарушить водородные связи гидроксильных групп внешнего слоя и тем предотвратить изменение окраски при стирке, сушке и глажении изделий. С этой целью окрашенные и высушенные изделия из поливинилового волокна обрабатывают в следующих условиях: 1) пропаривают при т-ре 110° и давл. 1,4 атм в течение 5—20 мин.; 2) прогревают при т-ре 150° под давл. 4,7 атм; 3) нагревают в водн. р-ре Na₂SO₄ (200—400 г/л) при 100—105° в течение 10—20 мин.; 4) нагревают в р-ре глицерина (глицерина 80—100 ч., воды 20—0 ч.) при 110—130° в течение 10—20 мин. В. Гужавин

34790 П. Упрощение процесса обработки пряжи из синтетических волокон при изготовлении нитей типа «креп», «мусе» и им подобных. Бурже (Perfectionnement aux traitements fils synthétiques pour la fabrication de fils «crêpe», fils «mousse», et similaires. Bourgeois Pierre). Франц. пат. 1116981, 15.05.56

При изготовлении «креповых» нитей типа «геланка» из полиамидных волокон процесс термообработки полуфабриката заменяют процессом крашения при т-ре > 100°. При этом отпадает надобность также в проведении спец. операции крашения готовой продукции в виде мотков. Нити из полиамидного волокна с круткой в 3000 об/мин. наматывают на перфорированные упругие манжеты и в этом виде красят при т-ре > 100°. При этом происходит усадка нитей и фиксация их крутки. Затем нити перематывают на бобины, раскручивают, дублируют и дают двоянной нити легкую общую крутку. При дублировании должны соединяться одна нить с зафиксированной правой и одна нить с зафиксированной левой круткой. Устройство упругих манжет для крашения пояснено рисунком. О. Славина

34791 П. Загустка для печати по текстильным материалам (Verdickungsmittel für den Textildruck) [Diamalt A.-G.]. Пат. ФРГ 954233, 13.12.56

В загустку из муки зерен рожкового дерева (или продуктов ее переработки), применяемую для печати кубовыми красителями по суспензионному (двухфазному) способу, предлагается вводить кислые соединения бора, в частности борную к-ту и ее смесь с к-тами. Такая добавка содействует коагуляции загустки при пропуске набитой ткани через поташоноргалитный восстановительный р-р. Пример: 100 кг муки из зерен рожкового дерева смешивают с водой, 0,5 кг борной к-ты и 1 кг щавелевой к-ты и разваривают до получения загустки, 2%-ной конц-ии. Ее применяют для печати кубовыми красителями по пигментному (суспензионному) способу.

Н. Абрамова

34792 П. Способ печатания тканей из силикатных волокон и приготовления печатных красок. О'Флахан (Verfahren zum Bedrucken von Gewebe aus kiesel säurehaltigen Fasern und Druckpaste hierfür. O'Flahavan James Michael) [Owens-Corning Fiberglass Corp.]. Пат. ФРГ 957835, 7.02.57

Для получения устойчивых к стирке и химистке цветных узоров на тканях из стекловолокна их набивают водн. составом, содержащим: 1—40% крахмалопродукта (способного переходить в нерастворимое состояние при последующей обработке ткани водн. р-ром комплексного соединения вернеровского типа и альдегида, напр., глиоксала), 0,5—2% водорастворимого производного целлюлозы (напр., карбоксиметилцеллюлозы, оксиэтилцеллюлозы, метилцеллюлозы), 15—35% сополимера бутадиена и акрилонитрила в форме 30—60%-ного латекса и р-р или суспензию органич. красителя в кол-ве, достаточном для получения окраски требуемой насыщенности. Напечатанную ткань сушат при т-ре < 150°, обрабатывают упомянутым р-ром альдегида и комплексного соединения, прогревают и промывают. Пример: смешивают (объемн. ч.) 540 водн. 7%-ного р-ра крахмала в форме Na-соли его нежелатинированного производного, содержащего карбоксильные и сульфогруппы, 360 2%-ного водн. р-ра карбоксиметилцеллюлозы и 100 сополимера бутадиена с акрилонитрилом в форме 40%-ного латекса; эту пасту смешивают с необходимым кол-вом суспензии пигментного, лакового или кубового красителя и используют в печати. Набитую ткань сушат при т-ре < 150°, пропитывают 2—8%-ным р-ром альдегида (глиоксала, паральдегида, CH₂O), содержащим 1—10% стearатохромхлорида или другого комплексного соединения Cr³⁺, в котором координационно связанные кислотные группы содержат > 6 атомов С. Затем ткань сушат, прогревают при повышенной т-ре и промывают в расправленном состоянии. Полученная печать вполне устойчива к химистке и стирке. О. Славина

34793 П. Способ получения окрашенных узоров на текстильных материалах из натуральных и искусственных волокон. Микаш (Způsob barvení a vzorování textilních materiálů z přírodních a umělých vláken. Mikes Jan). Чехосл. пат. 85743, 15.08.56

Текстильный материал пропитывают светочувствительным составом, содержащим водн. р-р бихромата Na и кислотного протравного красителя, сушат и подвергают действию света через наложенный негатив. Проявление окраски происходит при стирке ткани в мыльном р-ре. Пример. Ткань из искусств. шелка пропитывают в ванне следующего состава: 2 г бихромата натрия, 1 г красителя новохромопрочного RR, 97 г воды. После сушки ткань инсолируют под негативом и затем промывают в мыльном р-ре.

В. Маркер

34794 П. Способ получения цветных крепоновых эффектов на тканях из полиамидных волокон (Procédé de production d'effets locaux de gonflement ou de retrait, couleurs, sur des tissus en superpolyamides) [Ciba Soc. An.]. Франц. пат. 1115710, 27.04.56

Способ отличается тем, что ткань печатают водн. пастой, содержащей 15–30% в-в (I), вызывающих набухание волокна, пигмент и связующие в-ва (II), не растворимые в воде. В качестве I применяют фенолы или их растворимые в воде производные; в качестве II — полимеры и сополимеры соединений, содержащих группировку $H_2C=C<$, в частности, акриловой к-ты, ее эфиров и нитрилов. Пример. Ткань из найлонового волокна набивают печатной краской, содержащей (в г/кг): 250 камеди аравийской (1:1), нейтрализованной, 150 II, 150 воды, 200 фенола и 250 бронзового порошка; набитую ткань выдерживают на воздухе 3–4 часа, промывают 30 мин. в холодной воде и сушат. При этом на ткани вокруг набивного узора образуется устойчивый к стирке эффект гофрировки. II готовят следующим образом: к р-ру 1,6 ч. α-октатедекансульфоната Na в 55 ч. воды добавляют 0,2 ч. триэтанолamina, 0,1 ч. изоктилового спирта и 2,65 ч. акриловой к-ты (100%) сюда, при 20–25° и энергичном помешивании вносят смесь 42,24 ч. изобутилакрилата, 5,28 ч. α-фенилэтилакрилата и 5,2 ч. акрилонитрила; половину полученной эмульсии нагревают при 65° в атмосфере азота, быстро добавляют р-р 0,1 ч. персульфата K в 1 ч. воды, а затем в течение часа вторую половину эмульсии, к которой также добавлен р-р 0,1 ч. персульфата K в 1 ч. воды. Т-ра самопроизвольно поднимается до ~80° и ее поддерживают на этом уровне периодич. нагреванием. После введения мономеров полимеризацию ведут при 80–85° еще в течение 2¼ часа, затем сильным током азота удаляют следы оставшихся мономеров и охлаждают до 30°. Готовая эмульсия содержит 50–51% сухих в-в.

И. Фодман

34795 П. Получение декоративных эффектов на текстильных материалах с помощью водных уксуснокислых растворов смолообразного полиамина и гексагидро-1,3,5-триакрил-С-триазины. Фирштейн, Либерман, Уикс, Юшка (Textile decorating with compositions comprising an aqueous acetic acid solution of a resinous polyamine and hexahydro-1,3,5-triacrylyl-S-triazine. Fierstein Jean C., Lieberman Emanuel R., Wicks Zeno W., Jr, Yuška Henry) [Interchemical Corp.]. Пат. США 2744035, 1.05.56

Для получения декоративных эффектов на текстильный материал наносят посредством печати или плюсования цветной пигментный состав, содержащий пигмент, диспергированный в водн. уксуснокислом р-ре (pH < 6) полиамина [содержащего >1,5% атомов N и представляющего собой продукт р-ции эпоксидной

смолы, в которой чередуются алифатич. цепи и ароматич. ядра, связанные между собой через эфирный O, с алифатич. амином (напр., этилендиамин), обладающим по крайней мере двумя атомами N и активным H] и р-ре гексагидро-1,3,5-триакрил-С-триазины (I), получаемого из акрилонитрила и CH_2O имеющего структурную ф-лу $N(COCH=CH_2)CH_2N$

$(COCH=CH_2)CH_2N(COCH=CH_2)CH_2$, причем отноше-

кол-ва полиамина и полиакрилового соединения составляет от 1:1 до 10:1. В состав дисперсии может быть введен также р-р метилцеллюлозы. Набитый или окрашенный материал сушат и подвергают нагреванию. Пример приготовления плюсовочного состава: смешивают 1,80 ч. голубого фталоцианинового красителя, 5,93 ч. полиаминицетатной соли D (II), 2,07 ч. I, 0,90 ч. диизобутилфеноксизетоксидметилбензиламмонийхлорида (III), 0,17 ч. CH_3COOH и 89,13 ч. воды. Хлопчатобумажную ткань плюсуют этим составом (70%-ный отжим), имеющим pH 4–5 и нагревают до 116° для сушки и фиксации смолы. Для повышения прочности к стирке и трению в состав дисперсии можно ввести 0,15 ч. р-ра метилцеллюлозы (с вязкостью 25 спуаз), 7,20 ч. латекса 50%-ного (из сополимера 60 ч. стирола и 40 ч. бутадиена) и 1,50 ч. n-изоктилфенилдекаполиэтиленгликоля (игепаля СА). Состав печатной краски: 1,40 ч. голубого фталоцианинового красителя, 1,85 ч. II, 1,10 ч. I, 1,0 ч. р-ра метилцеллюлозы (с вязкостью 4000 спуаз), 6,25 ч. латекса 50%-ного, 1,50 ч. игепаля СА, 0,70 ч. III, 0,05 ч. уксусной к-ты и 86,15 ч. воды.

О. Славина

34796 П. Фотохимический способ многокрасочной печати текстильных изделий. Равич (Photochemical multicolor printing of textile and the like. Ravich Leonard E.) [Brown-Allen Chemicals, Inc.]. Пат. США 2756144, 24.07.56

Для получения контрастных и полутеневых узоров на тканях (и иных материалах) 1) на нее наносят водно-ацетоновый р-р, содержащий светочувствительную диазосоль (I), Na-соль сернокислого эфира лейкокубового красителя (II) и сенсibilизатор; 2) пропитанную влажную ткань облучают через шаблон или негатив для разложения I и фиксации II на инсолированных участках; 3) обрабатывают в щел. р-ре нафтаола для образования азокрасителя на необлученных участках ткани; 4) промывают для удаления II с тех же участков ткани. В качестве сенсibilизатора II применяют водн. р-р урановых солей и сенсibilизирующих красителей. При использовании для сочетания β-нафтаола (растворимого в водно-ацетоновой смеси) он может быть непосредственно введен в состав плюсовочного р-ра. В этом случае ткань после инсоляции проявляют во влажных парах NH_4OH . Пример. К 100 мл профильтрованного 8%-ного р-ра лейкоэфира тетрабромидино в ацетоне прибавляют 2 г стойкой I n-нитро-о-анизидина, растворенной в 20 мл дистил. воды; затем добавляют 70 мл водн. р-ра, содержащего 20 г мочевины, 4 г тиомочевин и 1,5 мл сенсibilизирующего р-ра, а также р-р I β-нафтаола в 10 мл этилового спирта. Ткань пропитывают этим р-ром, накрывают шаблоном или негативом, инсолируют во влажном состоянии в лучах ртутной кварцевой лампы и фиксируют в горячих парах NH_4OH . После щел. промывки непрореагировавший II и разложившаяся I вымываются, и на ткани проявляется в синих, красных и фиолетовых тонах позитивное изображение негатива. Сенсibilизирующий р-р приготавливают растворением 1,35 г уксуснокислого урана, 1,2 г уранина, 2,21 г золина, 1,72 г пинина и 1 г аэрозоля OS в 3,78 л воды.

34797 П. Метод получения белых, полутеневых и цветных узоров на тканях из эфиров целлюлозы

Федеркиль, Мюллер (Verfahren zur Herstellung von Weiß-, Halbton- oder Bunteffekten auf Geweben aus Celluloseestern oder -äthern. Federkiel Wilhelm, Müller Gottfried) [Badische Anilin- & Soda-Fabrik A.-G.]. Пат. ФРГ 957834, 7.02.57

Ткань предварительно обрабатывают циклоалфатич. аминами, содержащими более трех атомов углерода, а также не менее одной нитрильной или эфирной группы; сушат, печатают пастами, содержащими неорганич. или органич. к-ты или их аммонийные соли или анионоактивные соединения, запаривают и красят красителями, содержащими сульфамидные или сульфогруппы, а также (или) комплексносвязанный металл. Вместо свободных аминов могут быть применены также их альдегидбисульфитные соединения или их соли. Пример 1. 100 г ткани из ацетатного шелка обрабатывают 30 мин. при 80° в 2 л воды, содержащей 4 г формальдегидбисульфитного соединения продукта взаимодействия 4,4'-диаминодициклогексилметана с акрилонитрилом. После сушки ткань печатают составом, содержащим в 1 кг пасты: 200 г бутилнафталисульфокислого Na, 350 г бритапгома и 450 г воды. Ткань сушат, запаривают 15 мин. и красят 30 мин. при 75–80° в ванне, содержащей в 2 л воды 2 г 1-амино-4-(м-дианфенил)-аминоантрахинон-2-сульфокислоты и 2 г конц. H₂SO₄. При этом на темном фоне образуется полутеневой узор. При замене бутилнафталисульфокислого Na равным кол-вом монобензилнафталисульфокислого Na получают на том же фоне белый резервный узор. Пример 2. 100 г ткани из ацетатного шелка обрабатывают при 75–80° в течение 20 мин. в эмульсии 2 г нитрила N-(спироциклогексилэтиленимино)-пропионовой к-ты в 2 л воды. Сушат и печатают пастой, содержащей (в г/кг): 50 азокрасителя из 1-амино-4-нафталисульфокислоты и β-нафтола, 50 монобензилнафталисульфокислого Na, 10 укусуной к-ты (30%), 400 бритапгома и 490 воды. Затем ткань запаривают и красят как в примере 1. При этом получают красный узор на темно-синем фоне. С. Зеликман

34798 П. Получение цветных резервов по окраскам, получаемым окислительным способом. Бендер (Procédé d'obtention de réserves colorées sous colorants d'oxydation. Binder Maurice) [Cie Française des Matières Colorantes]. Франц. пат. 1126497, 23.11.56

Способ получения резервных расцветок нерастворимыми азокрасителями по черно-анилиновому крашению отличается тем, что в состав печатной краски вводят диазоаминное соединение, нафтол, NaOH и металл. соль галоидозамещенной алифатич. к-ты (монохлоруксусной, монобромуксусной, хлорпропионовой). Присутствие последней обеспечивает возможность проявления азокрасителя вместе с черно-анилиновым фоном в нейтр. зрелище и препятствует нежелательному изменению оттенка расцветки под влиянием компонентов черно-анилинового плюса. Предложенный способ может быть также использован для расцветки черно-анилиновой печати или окрасок, получаемых из парафенилендиамина, бензидина, хризидина и иных ароматич. аминов по окислительному способу. Пример. Хлопчатобумажную ткань плюсуют р-ром, содержащим (в г/г) 90 анилиновой соли, 50 K₄Fe(CN)₆, 30 NaClO₃, 830 воды; сушат при t-ре < 50° и набивают пастой, содержащей 70 г красителя нейтротен алого RVA, 80 мл р-ра NaOH (уд. в. 1.36), 70 мл спирта, 195 мл воды (100°), 500 г загустки, 25 г ZnO и 60 г ClCH₂COOH. Ткань сушат, пропускают через нейтр. зрелище (3–7 мин.), обрабатывают 1–2 мин. в р-ре Na₂Cr₂O₇ (2 г/л), промывают, мылуют и сушат. О. Голосенко

34799 П. Применение декстранов для аппретирования текстильных материалов. Новак, Хог, Хомер (Colloidal dispersion of dextran for finishing textiles. Novak Leo J., Hogue Walter S., Homer Howard J.) [The Commonwealth Engineering Co. of Ohio]. Пат. США 2756160, 24.07.56

Для штихования пряжи, отделки тканей, подкрахмаливания белья предложено применение декстранов (высокомолекулярных полисахаридов, в которых ангидроглюкопиранозные остатки соединены преимущественно за счет α-1,6 глюкозидных связей). В отличие от крахмалов они легко растворяются или диспергируются в холодной воде, не требуя разварки. Пример. Выстиранное белье подкрахмаливают в 20%-ном водн. р-ре гидролизованного декстрана (мол. в. 100 000), отжимают и гладят горячим утюгом. Пропитанные декстрином части белья приобретают необходимую жесткость и приятный блеск. С. Светов

34800 П. Способ отделки окрашенных смешанных тканей. Рюменс, Федеркиль (Verfahren zum Veredeln von gefärbten Mischgeweben. Rümens Wilhelm, Federkiel Wilhelm) [Badische Anilin- & Soda-Fabrik A.-G.]. Пат. ФРГ 954325, 13.12.56

Отделку окрашенных тканей, содержащих полиамидные или полиуретановые волокна в смеси с волокнами из природной или регенерированной целлюлозы, производят путем обработки указанных тканей р-рами предконденсатов искусств. смол типа аминопластов в присутствии нитратов, являющихся катализаторами процесса конденсации. Для предотвращения отрицательного влияния процесса отделки на отенок красителей к указанным р-рам предлагается добавлять амины или аминонитрилы. Пример. 120 ч. диметилолмочевины растворяют в 800 ч. воды, добавляют 5 ч. 4,4'-диаминодициклогексилметана в форме эмульсии, доводят объем водой до 1000 ч. и в заключение вводят 4 ч. NH₄NO₃. Ткань, содержащую полиамидные волокна и волокна из регенерированной целлюлозы, окрашивают 1,4-ди-(метиламино)-антрахиноном, после чего пропитывают указанным р-ром, отжимают, сушат при 60° и подвергают короткой термообработке при 125°. Н. Абрамова

34801 П. Обработка текстильных материалов четвертичными аммониевыми соединениями. Пингри, Стивенс (Treatment of textile materials with quaternary ammonium compounds. Pingree Raymond A., Stevens Chester U.) [Crown Chemical Corp.]. Пат. США 2750306, 12.06.56

Способ обработки текстильных материалов (ТМ) для придания им устойчивых к стирке и химчистке водоотталкивающих свойств, состоящий в пропитке ТМ водн. дисперсией четвертичного аммониевого соединения (I), отжиме, сушке и термич. прогреве (при 150° в течение ~ 2 мин. или при 230° в течение ~ 30 сек.), отличается тем, что I получают взаимодействием при 60–75° 1 моля хлорметильного производного амида к-ты ф-лы RCONHCH₂Cl (R — насыщ. алифатич. углеводородный остаток с 9–21 атомом С), напр. хлорметилстеарида, с ~ 0,5–1,5 молями алкилнитрила (с 10–22 атомами С в цепи), напр. стеаронитрила или октадеканнитрила, последующей обработкой промежуточного продукта ~ 0,5–1,5 молями CH₂O и ~ 0,5–1,5 молями HCl (газа) в присутствии летучего органич. р-рителя при 60–75° и переводом продукта р-ции, освобожденного от большей части р-рителя в четвертичное соединение посредством его взаимодействия при 50–75° с 0,5–1,5 молями пиридина или С-алкилпиридина, содержащего ≤ 3 атомов С в алкильном остатке. Для предотвращения преждевременного разложения I к нему может быть добавлена соль сильного основания и сла-

бой к-ты. Пример. 313 г метилостеарамида эмульгируют в 600 г бензола и при сильном помешивании и т-ре 40—60° медленно барботируют 40 г HCl (газа); размешивают смесь еще 10 мин., прибавляют 265 г октадеканитрила (стеаронитрила), повышают т-ру до 65—70°, размешивают 1 час, прибавляют 34 г 95%-ного параформальдегида, медленно барботируют 36 г HCl (газ) при т-ре 65—75°; размешивают 30 мин. и снижают т-ру до 50°. После отгонки под неполным вакуумом ~500 г бензола к остатку медленно прибавляют 95 г пиридина при 65—70° и размешивают еще 30 мин. Полученный продукт при охлаждении до ~20° образует твердую однородную пасту со слабым запахом пиридина. Для обработки ткани 40 г полученного продукта диспергируют в 200 мл воды при 65° и добавляют 155 мл холодной воды и 5 г CH_3COONa . Хлопчатобумажный поплин замачивают этим р-ром, отжимают, сушат при 110° и прогревают 90 сек. при 155—160°. Затем ткань обрабатывают несколько секунд при 40° в водн. 0,1%-ном р-ре соды с добавкой 0,1% Na-лаурилсульфата (для нейтр. остатков к-ты и удаления водорастворимых продуктов разложения), тщательно промывают теплой водой и сушат при 110—120°.

О. Славина

34802 П. Матирование волокон и тканей из полиамидов. Пельц, Харбек (Verfahren zum Mattieren von Fasern und Textilien aus Polyamid. Pelz Walter, Harbeck Frieda) [VEB Filmfabrik AGFA Wolfen]. Пат. ФРГ 966369, 1.08.57

Метод матирования волокон и тканей из полиамидов, основанный на обработке их к-тами, характеризуется тем, что в качестве реагента используется р-р, содержащий бихромат калия и серную к-ту. Пример. 1. Для матирования тканей применяют р-р, в 1 л которого содержится 117 мл конц. H_2SO_4 и 75 г $\text{K}_2\text{Cr}_2\text{O}_7$. Ткань обрабатывают в этом р-ре при 20—25° в течение 10 мин., дважды промывают в проточной воде (по 10 мин.), нейтрализуют в 5%-ном р-ре Na_2CO_3 (5—6 мин.) и затем хорошо прополаскивают (10 мин.). 2. Указанное в примере 1 кол-во H_2SO_4 и $\text{K}_2\text{Cr}_2\text{O}_7$ содержится в 800 мл р-ра. Остальные условия обработки не изменяются. Волокна, обработанные по этому способу, не теряют механич. прочности и белизны и значительно лучше перерабатываются в прядении вследствие образования шероховатой поверхности.

С. Зеликман

34803 П. Обработка изделий из волокон с целью придания им огнестойкости, водонепроницаемости и антисептических свойств. Хигаси, Тонами [Тус сэнъи кабусики кайся]. Японск. пат. 8896, 6.12.55

Изделия обрабатывают в ванне, содержащей водн. р-р пентахлорфенолята натрия, начальные конденсаты мочевины или меламина с формальдегидом, эмульсию их совместных конденсатов с амидами высших жирных к-т и водн. р-р поливинилового спирта или карбоксиметилцеллюлозы; после этого изделия отжимают, обрабатывают в водн. р-ре вторичного фосфата аммония и пироборнокислого натрия. Пример. Пряжу, ткань или изделия из нее (пожарные рукава, паруса) пропитывают в ванне из 3 ч. пентахлорфенолята натрия, 18 ч. эмульсии (50%-ной) начального конденсата мочевины с формальдегидом и его совместного конденсата с амидом метилостеариновой к-ты и 1 ч. карбоксиметилцеллюлозы в 100 ч. воды. Отжатые изделия обрабатывают во второй ванне, содержащей 10 ч. вторичного фосфата аммония и 3 ч. пироборнокислого натрия, снова отжимают, сушат при 80° и прогревают 10 мин. при 130°.

В. Гужавин

34804 П. Способ нанесения покрытий на ткани. Арцт (Process for coating fabrics. Artzt William Walter) [Dualoy, Inc.]. Пат. США 2739919, 27.03.56

Патентуется способ нанесения водонепроницаемых, эластичных покрытий на очень разреженные ткани, сетку или трикотажное полотно. В качестве покрытия используют маловязкие виниловые смолы в жидком состоянии. Их предварительно наносят на поверхность гладкой несущей ленты, отверждают посредством нагревания, затем на виниловую пленку наносят термореактивный жидкий клеящий состав и прижимают к нему обрабатываемую ткань. Дублированный материал пропускают через нагревательное устройство для связывания ткани с пленкой, после чего несущую ленту отделяют от пленки, приклеившейся к материалу. В качестве несущей ленты может быть использовано гладкое бумажное полотно, покрытое слоем глинистого материала, препятствующим прочному соединению бумаги с виниловой пленкой. Если на несущую ленту предварительно нанести печатный рисунок с помощью пигментных красителей, имеющих малое сродство к бумаге, то этот рисунок окажется переведенным на покрытие обрабатываемой ткани. Дана схема оборудования, необходимого для осуществления способа.

Б. Брейтман

34805 П. Способ образования на ткани рисунков с лощеной поверхностью. Расселл, Аллен (Method of making glazed pattern fabric. Russell William W., Allen Herman C.) [Saylen Finishing Plants, Inc.]. Пат. США 2733998, 7.02.56

Для получения на ткани (Т) рисунков с лощеной поверхностью, устойчивых к стирке, хим. чистке и другим воздействиям, лощеный материал обрабатывают формальдегидом или карбамидными смолами для закрепления блеска, печатают защитным составом, образующим при нагревании смолу, и затем обрабатывают р-ром щелочи для снятия эффекта лощения с участков Т, не набитых смолой. Пример. Отбеленную хлопчатобумажную Т пропитывают водн. р-ром NaOH (уд. в. 1,30), отжимают до 100% содержания р-ра и оставляют в ненапрянутом состоянии лежать на 10 мин. Затем Т хорошо промывают, сушат на раме до остаточной влажности 10—15% и пропускают 3 раза через фрикционный каландр при т-ре металлич. вала 175° и общем давл. 40 т. После каландрирования Т 2 мин. нагревают в камере при 175°, пропитывают на плюсовке р-ром, содержащим 12% формальдегидмочевинной смолы (низкого молекулярного веса), 5% мягчителя и 0,1% изопропиламиногидрохлорида (катализатор). Пропитанную Т (отжиги 50%) сушат на раме и подвергают термообработке при 175° для затвердения смолы. После этого печатают составом, содержащим (в г/кг): 150 водн. 80%-ного р-ра меламинаформальдегидного конденсата, 650 метилового эфира целлюлозы (5%-ного водн. р-ра), 10 катализатора — 30%-ного р-ра изопропиламиногидрохлорида, 150 мягчителя и 40 воды. Нанесенную Т сушат, прогревают 2 мин. при 175°, смачивают водой, отжимают, пропитывают р-ром NaOH (уд. в. 1,30), оставляют лежать в свободном состоянии на 25 мин., тщательно промывают горячей, затем холодной водой и сушат.

Н. Абрамова

См. также: Материалы майского Пленума ЦК КПСС 31307, 31308. Ацелирование хлопковой пряжи 34578. Стrojение кератина 34849. Стrojение шелка 34930. Апцретирование и пропитка тканей 33439, 34558. Нетканые изделия 34591. Техника безопасности 32989, 32990.

КОЖА. МЕХ. ЖЕЛАТИНА. ДУБИТЕЛИ. ТЕХНИЧЕСКИЕ БЕЛКИ

Редактор О. В. Матвеева

34806. Вклад китайских ученых в химию кожевенной промышленности. Тао Янь-цзяо, Хуасюэ шидзе, 1957, № 1, 1—4 (кит.)
34807. Коллаген и растворимые компоненты шкуры. Боуэ, Эллиотт, Мосс (Collagen and the more soluble constituents of skin. Bowes J. H., Elliott R. G., Moss J. A.), J. Soc. Leather Trades' Chemists, 1957, 41, № 7, 249—266 (англ.)
- Доклад на годичном собрании Об-ва химиков кожевенной пром-сти, Лидс, 1955 г. Рассмотрены некоторые исследования состава коллагена шкуры и белков, экстрагируемых из шкуры разб. к-тами и щелочов, выполненные за предшествующие 5 лет в лаборатории Британской исследовательской ассоциации кожевенной пром-сти (см. РЖХим, 1954, 41322 и 1956, Бх 8478). Подробно описана методика исследования, приведены и обсуждены результаты. Г. Эпштейн
34808. Изучение активных групп коллагена. II. Влияние активных групп на связывание некоторых альдегидов. Бос, Джозеф (Studies on the reactive groups of collagen. II. Effect of the reactive groups on the fixation of certain aldehydes. Bose S. M., Joseph K. Thomas), J. Amer. Leather Chemists Assoc., 1957, 52, № 4, 200—207 (англ.)
- Изучалось специфич. влияние различных активных групп коллагена на связывание формальдегида, акролина и кротонового альдегида. Для опытов применяли неизмененный, дезаминированный, дезамидированный, метилированный, ацетилированный, бензоилированный и обработанный гипобромитом Na коллаген. Для изучения влияния пептидной связи на фиксирование альдегидов применяли полиамид «Ultramid 6 А», содержащий пептидные связи и не имеющих ионизирующихся групп. В кислой и нейтр. среде (опыты проводили при pH 5,1; 7,0 и 10,1) с альдегидами реагируют свободные амино- и амидогруппы; в щел. среде — группы гуанидина. В нейтр. и щел. среде гидроксильные группы также взаимодействуют с альдегидами. Пептидная связь и карбоксильные группы в первичную р-цию с альдегидами не вступают. З. Лебедева
34809. Обработка шкур в мясной промышленности США. Любовский Г., Мясная индустрия СССР, 1957, № 6, 59—60
34810. Влияние сушки замораживанием на растворимые белки бычьей шкуры. Купер (The effect of freeze-drying on the soluble proteins of bovine hide. Cooper D. R.), J. Soc. Leather Trades' Chemists, 1957, 41, № 11, 387—394 (англ.)
- Изучение влияния метода сушки на обводнение бычьей шкуры показало, что сушка замораживанием, которая должна вызывать наименьшую денатурацию белков, снижает растворимость некоторых неколлагеновых компонентов, входящих в состав основного в-ва шкуры. Результатом этого является неполное последующее обводнение шкуры, высушенной замораживанием. О. М.
34811. Применение ультразвуковых колебаний при дублинии кож. Влимерен (Ultrasonische trillingen en hun toepassing in de looierij. Vlimmeren P. J. van), Nederl. lederind., 1957, 68, № 14, 223—225; № 15, 238—240; № 16, 253—255; № 17, 269—270 (гол.)
- Обзор. Библ. 18 назв. О. М.
34812. Химические основы растительного дублиния. Шиндлер (Chemische Grundlagen der pflanzlichen Gerbung. Schindler K.), Chem. Rundschau, 1957, 10, № 20, 461—464 (нем.)

Изложены основные сведения о структуре белков, хим. составе и мол. структуре коллагена, образовании поперечных мостиков между полипептидными цепями, химии растительных дубильных в-в, а также о механизме дублиния. А. Пекшвер

34813. О взаимодействии дубящих солей с желатиной. Сообщение 5. Влияние маскирующих добавок на взаимодействие растворов сульфата хрома и железа с желатиновыми студнями. Арбузов Г. А., Старосельский П. И., Кузнецова З. И., Научн. тр. Моск. технол. ин-т легкой пром-сти, 1957, сб. 9, 3—9

Изучалось взаимодействие желатиновых студней (ЖС) с р-рами $\text{Cr}_2(\text{SO}_4)_3$ (I) и $\text{Fe}_2(\text{SO}_4)_3$ (II) с добавлением маскирующих солей (МС): к I — сульфата Na, формиата Na, оксалата K; к II — ацетата Na, лактата Na (методика — см. Сообщение IV, РЖХим, 1957, 29157). Указанные добавки к I (кроме фталата Na) уменьшают молекулярное скрепление белковых частиц дубящими комплексами, что объясняется меньшей возможностью олификации последних вследствие внедрения маскирующих анионов в их внутреннюю сферу. Скрепление тем слабее, чем больше добавлено МС и чем больше координационное средство аниона МС. При полном насыщении внутренней сферы оксалат-ионами дубящая способность почти полностью исчезает. Добавка фталата Na, наоборот, сильно повышает способность Cr-комплексов скреплять частицы ЖС; в этом случае образуются крупные комплексы с неполным насыщением координационной способности Cr. Добавки МС к II снижают способность Fe-комплексов скреплять белковые частицы ЖС, следовательно применение МС не может разрешить проблему дублиния солями Fe. Г. Эпштейн

34814. Дублиние кожи для верха обуви солями железа. Гуан Юй-цзянь, Хуасюэ шидзе, 1956, № 3, 125—128; № 4, 192—197 (кит.)

34815. Замена бихромата калия отработанными растворами парфюмерной промышленности при обработке кожи для верха обуви. Ма Се-фан, Хуасюэ шидзе, 1955, № 6, 290—291 (кит.)

34816. Дублиние подошвенных кож в среде органического растворителя. Кримен (Sole leather tanning in a solvent system. Kremen Seymour S.), J. Amer. Leather Chemists' Assoc., 1955, 50, № 4, 204—209 (англ.)

Обсуждается вопрос о целесообразности применения дублиния подошвенных кож растительными танидами в среде органич. р-рителя. Основные преимущества этого метода: значительное ускорение процесса дублиния, сокращение расхода растительных танидов и возможность замены вымываемых танидов синтетич. смолами, уменьшение расхода рабочей силы и др. Кожа может быть получена с уд. в. 0,7. И. Этингоф

34817. Жировое дублиние кожи. Тао Янь-цзяо, Чжунго цингун-е, 1957, № 14, 25 (кит.)

34818. Минеральные пигменты для кожевенных покрывных красок. Зайдес А. Л., Метлицкая Р. А., Ж. прикл. химии, 1957, 30, № 11, 1633—1641
- Изучен хим. состав, структура (рентгеновским и электронномикроскопич. методами), кроющая способность и цвет различных минер. пигментов (железо-окисные пигменты, свинцовый крок, двуокись титана), применяемых для кожевенных покрывных красок. Основные различия в поведении этих пигментов в покрывных пленках на коже связаны с формой, однородностью и размером частиц. Эти различия могут быть выявлены с помощью электронного микроскопа. Хим. и рентгенографич. методы непригодны для этих целей. О. М.

34819. Отделка кож с шлифованным лицевым слоем. Эйтель (Die Zurichtung von geschliffenen Ledern. Eitel K.), Leder, 1957, 8, № 11, 265—268; 269—272, 273—274 (нем.)

Ввиду недостатка кожи применяют верхние кожто-вары с дефектным лицевым слоем, ранее не употреб-лявшиеся. Разработаны рецепты покрывных красок, способных исправить дефекты лицевого слоя кожи. Покрывная краска должна состоять из: 1) пигмента, 2) неполимеризованного связующего материала для водн. покрывных красок, 3) полимеризованного свя-зующего, 4) пластификатора и 5) вспомогательных в-в для получения спец. эффектов. В Европе приме-няют водн. казеиновые краски. Подробно обсуждается каждое из применяемых в-в, процесс пленкообразо-вания, порядок нанесения пленки на кожу, различ-ные способы отделки. Д. Горин

34820. Цветные пятна на шкурах и кожах, образу-ющиеся под влиянием микроорганизмов. Мартен (Formation de taches colorées sur cuirs et peaux par des micro-organismes. Martin H.), Bull. Assoc. franc. chimistes inds cuir, 1956, 18, № 8, 175—194 (франц.)

Установлено, что причиной появления на шкурах, голые или продубленные кожах цветных пятен яв-ляется жизнедеятельность микроорганизмов. Их вред-ное для кожи действие проявляется только при нали-чии благоприятной для развития среды: наличия пи-тательных в-в (сахаров, продуктов распада белков и т. п.), соответствующей т-ры и влажности, рН сре-ды, присутствия некоторых минер. солей и пр. Зна-чительное кол-во минер. солей в пятнах также вызва-но жизнедеятельностью микроорганизмов. Цветные пятна на коже и голые были воспроизведены искусст-вом путем при помощи чистых культур простейших дер-момикотич. грибов из породы дрожжей и плесеней, что доказало природу происхождения этих пятен. Во избежание возникновения таких пятен рекомендуется не употреблять очень старых производственных р-ров, а также применять фунгициды. З. Лебедева

34821. О химическом контроле при хромовом дуб-лении. Ма Се-фан, Хуасюэ шицзе, 1956, № 6, 291—294; № 7, 339, 340—342 (кит.)

34822. Определение содержания окиси хрома и ос-новности хромовых дублящих соединений. Вос (De bepaling van het chroomgehalte en de basiciteit van chroomloooivochten. Vos A.), Nederl. lederind., 1957, 68, № 3, 45—47; № 4, 63—65; № 5, 79—81 (гол.)

34823. Колориметрический метод количественного определения формальдегида, связанного с коллаген-ом. Вос, Джозеф, Дас (Colorimetric methods for the quantitative estimation of formaldehyde fixed in collagen. Bose S. M., Joseph K. Thomas, Das B. M.), Tanner, 1956, 11, № 3, 23; № 4, 16—20 (англ.)

Предложенный метод дает точные результаты даже в присутствии продуктов гидролитич. разложения ко-ллагена и при очень низких конц-ях CH_2O (I). Реакти-вом служит прозрачный 10%-ный р-р хромотроповой к-ты в дистил. воде. При хранении в темной бутылке в холодильнике он пригоден в течение 2—3 дней. Ме-тодика анализа: соединение коллагена с I (напр., про-дубленную I кожу) гидролизуют 12 н. H_2SO_4 (на 1 г сухого коллагена берут 25 мл к-ты) в стеклянной аппаратуре с обратным холодильником при 100° 1 час. Промыв холодильник сверху дистил. водой, гидроли-зат разбавляют так, чтобы в 1 мл его содержалось от 0,01 до 0,10 мг I. В мерную колбу на 50 мл вносят 1 мл гидролизата, добавляют 0,5 мл р-ра хромотро-повой к-ты и при помешивании добавляют 5 мл конц. H_2SO_4 . Колбочку выдерживают 30 мин. в кипящей водн. бане, охлаждают и определяют интенсивность окраски фотоэлектрич. колориметром с зеленым све-

тофилтром № 54. Показания глухого опыта вычитают из показаний опытного р-ра. По калибровочной кривой, полученной при помощи 10 стандартных р-ров I (с конц-ей 0,01—0,10 мг/мл), находят содержание I в 1 мл разб. гидролизата. З. Лебедева

34824. Испытание адгезии покрывной пленки к коже. Велл, Галлагер, Неэр (Leather-finish-adhesion test. Vely Victor G., Gallagher Nicholas D., Neher Maynard B.), J. Amer. Leather Chemists Assoc., 1957, 52, № 11, 622—630. Discuss., 630—633 (англ.)

Применявшиеся ранее в качестве клея при указан-ных испытаниях фенольные смолы пригодны не для всех видов верхних кож. Испытано несколько новых смол, из которых наиболее пригодными оказались тер-мореактивные смеси полиамидов и сополимеры ни-тилхлорида. Эти смолы применимы для контроля про-цессов отделки, так как продолжительность испыта-ния очень мала. Отверждающиеся на холоду связу-ющие (напр., эпоксидные смолы) применимы для ис-следовательских работ, так как при этом результаты испытания не зависят от т-ры. О. М.

34825. Исследование свойств овечьих шкурок, при-меняемых для имитации меха натурн. Ника, Ба-луцел, Дерменджи, Пося, Трифан, Сесер-ман, Бэникэ, Смоляк, Негра (Cercetări adu-ра însuşirilor pieilor ovine folosite pentru producerea nutrietului. Nica Th., Băluţel I., Dermengi B., Posea Gh., Trifan R., Seserman O., Băni-că M., Smoleac A., Negrea L.), Anuarul lucră-ştiinţ. Inst. agron., 1957, 335—349 (рум.; рез. русск., франц.)

Изучены свойства шкурок взрослых ягнят с тонкой или полутонкой шерстью (18—34 μ), после обработки которых путем дубления, расчесывания, стрижки, кра-пления и глажения получают имитацию меха натурн («нутриет»). Исследованы 80 смушек улучшенной по-роды овец «спанка» с целью повышения качества сырья для получения высокосортного «нутриета». Ягнят забивают в возрасте $5\frac{1}{2}$ — $6\frac{1}{2}$ месяцев при жи-вом весе не менее 26 кг, при хорошей или вышесред-ней упитанности. Показано, что выращивание и от-бор овец, без ущерба для выработки шерсти, мяса и молока, необходимо вести, исходя из следующих уточненных средних качеств. показателей: толщина волоса 18—26 μ ; густота шерсти 4000—5600 волокон на см^2 ; равномерность и упругость шерсти и кожи, а также шелковистость и блеск волоса — хорошие; прочность волоса — $9,36 \pm 0,16$ г; удлинение $36,8 \pm 0,8\%$; толщина дермы 2,32 мм; живой вес ягнят 28,2 кг; выход мяса 48%; вес сырой кожи 3,9 кг; пла-щадь сырой кожи 70 дм^2 . Сортировка изученных шку-рок овец улучшенной породы спанка после обработ-ки выявила 57,5% шкурок I сорта, 37,5% II сорта, 3,8% III сорта и 1,2% брака. Г. Марку

34826. Исследования в области окислительного ок-рашивания меха. Бруггер, Парин (Szőrmék oxid-álás színézésével kapcsolatos vizsgálatok. Brugger Frigyes, Paris Laszlo), Bőr- és cipőtechnika, 1957, 7, № 2, 39—41 (венг.; рез. русск., нем.)

О глубине окисления образующего краситель в-ва (I) (п-фенилендиамина, фенол) судили по кол-ву обра-зующегося нерастворимого осадка. В отсутствие соли Cr глубина окисления зависит от т-ры, даже избыток H_2O_2 (II) равный 6 г-экс II на моль I, окисляет только ~ 25—50% I, аммиак увеличивает окисление. В при-сутствии солей Cr (не менее 0,05 г-экс на моль I) в-менения т-ры от 30 до 60° практически не влияют на окисление, максимум которого достигается при дей-ствии 3 г-экс окислителей на моль I. При избытке II валентность Cr не имеет значения (избыток II

4-5 экв на моль I уменьшает окисление); аммиак увеличивает дисперсность осадка. Г. Юдкович
34827. Поправка к статье: Чацкий П. И. «Взаимодействие полупродуктов и окислителей при крашении меха», — Легкая пром-сть, 1957, № 3, 57
См. РЖХим, 1957, 70586.

34828. Структурная химия дубящих соединений хрома. Конов (Kromgarvningen i den geometriskä kemins belysning. Konow R. von), Tekn. fören. Finland förhandl., 1955, 75, № 8, 161—167 (шведск.)

34829. Новое корьево сырье для растительного дубления. П. Кора *Pithecolobium dulce*. Варма, Матье, Дас (New barks for E. I. tannage. P. *Pithecolobium dulce*. Varma M. K. Udaya, Matthew E. C., Das B. M.), Bull. Centr. Leather Res. Inst., 1956, 3, № 1, 7—12 (англ.)

Изучена возможность применения коры индусского дерева *Pithecolobium dulce* (I), содержащей в среднем ~ 25% танинов, для дубления жестких кож. При применении одной I получается хорошая, но темная кожа. Применение смеси I с миробаланом (4:1 по танидам) улучшает цвет и другие органолептические характеристики кожи. Лучшие результаты получаются при дублении смесью I с корой коннам (1:1 по танидам). Кривая потенциометрич. титрования экстракта из I сходна с кривой ивового экстракта, хотя первая более пологая, так как экстракт из I содержит много солей слабых к-т и имеет сравнительно большую буферную емкость. Кора I может заменять ивовую кору в дубильных смесях. З. Лебедева

34830. Синтетические дубители. Морои (Synthetic tanning agents. Moroi Mitio), Караку-но рёнки, J. Japan Chem., 1957, 11, № 8, 594—601 (японск.)
Обзор. Библ. 27 назв. О. М.

34831. Дубление смолами из дициандиамида. Ваго, Виднер (Mügyantacszerzések diciandiamiddal. Vago György, Wiedner Laszlo), Bőr- és cipőtechn., 1957, 7, № 3, 53—57 (венг.; рез. русск., нем.)
Получен синтетич. дубитель «пластан» — продукт конденсации дициандиамида с формальдегидом, растворимый в воде и содержащий ~ 44% сухих в-в и ~ 1,6% золь. При щел. катализаторе (K) продукт конденсации при хранении застудневает, при р-ции с эквивалентным кол-вом гексаметилентетрамина вместо $\text{CH}_2\text{O} + \text{NH}_3$ золь сохраняется в течение 1 года. Увеличение конц-ии CH_2O сначала приводит к ускорению конденсации, большой избыток CH_2O стабилизирует смолу. «Пластан» по дубящим свойствам сходен с синтаном Ретинган R6. Г. Юдкович

34832. Изучение цинхонинового метода определения лигносульфонатов в смесях растительных экстрактов. Даль, Мандел (A collaborative study on the cinchonine method for determination of lignosulfonates in vegetable extract blends. Dahl Sverre, Mandel John), J. Amer. Leather Chemists Assoc., 1957, 52, № 4, 184—199 (англ.)

Подкомитет по анализу лигносульфонатов (I) ALCA изучил пригодность и точность метода осаждения I при помощи цинхонина для их колич. определения. Шесть лабораторий анализировали этим методом 12 образцов (1 растительный экстракт, 4 лигносульфоновых синтана и 7 смесей растительных дубителей, содержащих I). Статистич. анализ результатов показал, что метод недостаточно точен и не может быть применен в качестве стандартного метода ALCA. Относительная ошибка определения тем выше, чем ниже содержание I в смеси дубителей. З. Лебедева

34833. Додубливание кожевенных волокон растительного дубления при производстве кожкартона. Радиоти, Ваго, Фекете (Nővényi cserzésű rostok utáncserzése a rostműbőripar céljaira. Radnó-

ti László, Vágó György, Fekete Kálmán), Bőr- és cipőtechnika, 1957, 7, № 2, 47—50 (венг.)

Отходы кожи после удаления танинов додубливали солями Al и Cr. Напр., 10—15%-ный р-р $\text{Al}_2(\text{SO}_4)_3$ перед дублинием при 35—40° доводят содой до основности 25—30%, кожу во избежание образования Al-мыла перед жированием следует основательно промыть. Избыток $\text{Al}_2(\text{SO}_4)_3$ уменьшает прочность волокон на разрыв. Аналогичные результаты получены при додубливании 1% Cr_2O_3 . Так как додублинные волокна недостаточно прочны, для приготовления кожкартона целесообразно применять их в смеси со стружкой хромовых кож. Обработка додублинных волокон CH_2O не изменяет их механич. свойства, но увеличивает их устойчивость к поту. Г. Юдкович

34834 К. Лабораторный практикум по химии кожи, меха и дубильных экстрактов. Аверьянов Н. Н., Ленингр. технол. ин-т им. Ленсовета, Л., 1957, 180 стр., беспл.

34835 К. Производство сыромяти. Арбузов С. В., М., Гизлегпром, 1957, 171 стр., илл., 7 р. 10 к.

34836 П. Новые хромовые комплексы, способы их получения и применения. Мюллер, Пешмез, Бильгер (Nouveaux complexes chromifères, procédé pour leur fabrication et leurs applications. Muller Paul, Pechmeze Jacques, Bilger Xavier) [Cie Française des Matières Colorantes]. Франц. пат. 1115088, 19.04.56

Предложен способ получения растворимых в воде комплексных соединений хрома и продуктов конденсации оксibenзойной к-ты с альдегидами. Эти соединения получают р-цией основной соли хрома с одновалентной к-той и продуктом конденсации оксibenзойной к-ты с различными альдегидами. Эту р-цию можно проводить на волокнах кожи. Пример: в суспензию 459 ч. бихромата натрия в 1053 ч. этилового спирта при кипении добавляют 298 ч. газообразного HCl. В полученный р-р добавляют 175 ч. салициловой к-ты. Получают спирт. р-р хромового комплекса, хорошо растворимого в воде. Опоек пикелуют при pH 2,8—3 серной к-той и обрабатывают в ванне из 100% воды и 2% от веса голая (считая на Cr_2O_3) полученного хромового комплекса. Вращают 5 час., добавляют ацетат натрия до pH 4,5 и оставляют на ночь в р-ре дубителя. Нейтрализуют и обрабатывают по обычной методике. Эти хромовые комплексы можно применять для придания водонепроницаемости хлопчатобумажной ткани. Д. Горин

34837 П. Краска для крашения кожи. Саннер (Teinture pour teindre le cuir. Sanner Arthur-Jean-Marie). Франц. пат. 1120411, 05.07.56

Предлагается новая краска для покрывного крашения кожи. Краску наносят волосистой щеткой, затем распылителем. Для приготовления 1 кг краски в эмалированную посуду при тщательном перемешивании последовательно вносят 405 г пигмента Duranoplast, 10 г масла Dispersol, 435 г воды (т-ра 60°), 60 г препарата Fond Novapel D. Conc и 90 г Fond Special Ilco 213. В закрытом сосуде краска сохраняется длительное время. Д. Горин

34838 П. Непроницаемый закрепитель красителей для кожи. Саннер (Fixateur imperméable pour les teintures pour le cuir. Sanner Arthur-Jean-Marie). Франц. пат. 1120412, 5.07.56

Непроницаемый закрепитель для красителей, применяемых в кожевенном произ-ве, особенно для водн. пигментов, состоит из 350 мл бесцветного лака Neptanol, 600 мл разбавителя Neptanol, 30 мл пластификатора MOR и 20 мл технич. 95%-ного денатурированного спирта, которые смешивают в указанной после-

довательности. Закрепитель, наносимый тонким слоем на окрашенную сухую лицевую поверхность кожи кисточкой или распылением, высыхает моментально, закрепляет все виды красителей, придает коже непрозрачность и блеск. З. Лебедева

34839 И. Клеящие вещества для сушки кож наклеиванием. Шуберт (Klebstoffe für die Klebetrocknung von Leder. Schubert Rudolf) [Badische Anilin- und Soda-Fabrik A.-G.]. Пат. ФРГ 954909, 27.12.56

В качестве клея предложен р-р аммониевых солей, содержащих COOH -группу полимеров эфиров акриловой или метакриловой к-т в смеси воды и органич. смешивающегося с водой легко улетучивающегося р-рителя. Этот клей хорошо приклеивает кожу к плоскости и ликвидирует недостатки, ранее получавшиеся на этом процессе. Клей проникает в кожу и может служить грунтом для казеиновой или нитроцеллюлозной покрывных красок. В клей можно добавлять краски для получения цветного грунта. Пример: 100 ч. аммониевой соли сополимера, 80 ч. этилового эфира акриловой к-ты и 20 ч. акриловой к-ты растворяют в 100 ч. этилового спирта и 100 ч. воды и разбавляют 3700 ч. воды. Клей наносят на хромовые кожи, додубленные синтанами. Кожи сушат 5 час. при t -ре 55° . Смычка лица не производится. Приведены рецепты клея с добавкой пигментов, применяемые также в качестве основного грунта при покрывном крашении. Д. Горин

34840 П. Способ получения свободных от соли, легко растворимых сухих препаратов белков, в частности

глобулинов. Гибан, Братфис (Verfahren zur Gewinnung salzfreier, leicht löslicher Trockenpräparate von Proteinen, insbesondere Globulinen. Gibian Heinz, Bratfisch Gerhard) [Schering A.-G.]. Пат. ФРГ 959127, 28.02.57

Указанные препараты получают непосредственно из содержащих соль водн. р-ров белков с помощью сушки замораживанием. Предварительно р-р белков обрабатывают аммиаком или муравьиной к-той, которые образуют легколетучие соли, напр. $(\text{NH}_4)_2\text{CO}_3$, NH_4HCO_3 , HCOONH_4 , $\text{CH}_3\text{COONH}_4$, моно- или диалкиламмониевые соли, эти соли отделяются при сушке замораживанием при определенном рН. Пример: свежую конскую кровь взбалтывают со стеклянными шариками и центрифугированием отделяют кровяные тельца от сыворотки. 50 мл сыворотки диализируют против 20 л буферного 0,1 М р-ра $(\text{NH}_4)_2\text{CO}_3$ (рН 7,5). Затем сыворотку сушат замораживанием. При t -ре -40° возгоняется вода и после 12-час. медленного повышения t -ры до комнатной улетучивается также содержащаяся соль. Остается рыхлый практически свободный от соли сухой порошок сыворотки, который опять легко растворяется в р-ре NaCl , образуя полностью прозрачный р-р. Д. Горин

См. также: Материалы Майского Пленума ЦК КПСС 31307, 31308. Строение и св-ва белков 34850, 34872, 34881; 11910Бх, 11912Бх, 11928Бх, 11930Бх, 11939Бх, 11942Бх. Приготовление дубящих соединений хрома 32010. Заменители кожи 34505, 34538. Техника безопасности 32983.

ХИМИЯ ВЫСОКОМОЛЕКУЛЯРНЫХ ВЕЩЕСТВ

Редакторы Х. С. Богдасарьян, Ю. С. Липатов

34841. Успехи развития химии высокомолекулярных соединений в СССР. Ван Бао-жэнь, Цянь Бао-гун, Ху Я-дун, Гаофэнцза тунсюнь, 1957, 1, № 2, 97—112 (кит.)

34842. Стереизомерные органические макромолекулярные вещества. Ум (Stereoisomera organiska makromolekylära ämnen. Oom Bengt), Plastvärlden, 1957, 7, № 9, 409—410 (шведск.)

34843. Исследование разветвленной структуры поливинилового спирта методом ИК-спектроскопии. Нагаи, Сагана (Nagai Eiichi, Sagane Norio), Kōgō kagaku dzasshi, J. Chem. Soc. Japan. Industr. Chem. Sec., 1956, 59, № 7, 794—797 (японск.)

34844. Об ИК-анализе сополимеров. Иберрейтер, Крулл (Zur IR-Analyse eines Mischpolymerisates. Ueberreiter K., Krull W.), Angew. Chem., 1957, 69, № 17, 557—561 (нем.)

Разработан метод определения содержания стирольных и аценафтиленовых звеньев в сополимерах стирола с аценафтиленом при помощи ИК-спектроскопии. Анализ производился на образцах в виде пленок толщиной 0,02—0,05 мм или путем прессования порошка с КВг. Для анализа использована полоса поглощения 6,87 μ полистирола, отсутствующая в полиаценафтилене, и полоса поглощения 12,22 μ полиаценафтилена, отсутствующая в полистироле. При анализе образцов с мол. долей стирола от 0,175 до 0,975 было обнаружено, что интенсивность полосы поглощения полиаценафтилена у 12,22 μ при увеличении мол. доли стирола уменьшается, а положение максимума смещается. Ошибка в определении конц-ии аценафтилена по полосе поглощения 12,22 μ достигала 55,4% при

мол. конц-ии стирола 0,975. Построены кривые зависимости изменения интенсивности и положения полосы поглощения 12,22 μ в зависимости от состава сополимера. Содержание стирольных звеньев в сополимере, определенное спектроскопически, совпадает с колориметрич. данными. Смещение и изменение интенсивности полосы поглощения 12,22 μ , отнесенной к деформационным колебаниям атомов Н, находящихся вне кольца, перпендикулярно его плоскости, объясняется влиянием соседних стирольных звеньев. При увеличении конц-ии стирола вероятность того, что рядом с аценафтиленовым звеном будут одно и даже два стирольных звена, увеличивается, что ведет к смещению полосы поглощения 12,22 μ и уменьшению ее интенсивности. Е. Покровский

34845. Спектры в близкой инфракрасной области соединений с двумя пептидными связями и конфигурации полипептидной цепи. VI. Дальнейшее доказательство существования межмолекулярной водородной связи и оценка ее энергии. Мидзуэсима, Сэманоути, Цубои, Аракава (Near infrared spectra of compounds with two peptide bonds and the configuration of a polypeptide chain. VI. Further evidence of the internal hydrogen bonding and an estimation of its energy. Mizushima San-ichiro, Shimanouchi Takehiko, Tsuboi Masamichi, Arakawa Tetsutaro), J. Amer. Chem. Soc., 1957, 79, № 20, 5357—5361 (англ.)

Получены ИК-спектры поглощения р-ров ацетилсаркозина N-метиламида (I) и ацетил-N-метил- α -глутамицина N-метиламида (II) в CCl_4 и CHCl_3 при t -ры 30, 45 и 60° в конц-иях 0,00047—0,152 моль/л. Уста-

новлено, что при изменении т-ры интенсивность полос NH сильно изменяется даже в очень разб. р-рах, а положения максимумов полос поглощения остаются постоянными; отношение интенсивностей полос поглощения связанного NH к свободному NH уменьшается при увеличении т-ры, что связано с изменением соотношения конц-ий согнутой и вытянутой форм I. В р-ре I в CHCl_3 при конц-ии 0,01 моль/л межмолекулярная водородная связь исчезает, а отношение конц-ий согнутой формы к вытянутой гораздо меньше, чем в р-ре в CCl_4 . В р-рах II в CCl_4 внутримолекулярная водородная связь согнутой формы сильнее, чем для I, что объясняется различной свободой вращения вокруг оси N—C в согнутой форме. По изменению интенсивностей полос поглощения 3387 и 3452 см^{-1} в I в р-ре CCl_4 при изменении т-р от 30 до 60° было определено, что разность энергий ΔE между согнутой и вытянутой формами (конц-ии 0,001—0,0005 моль/л) составляет $-1,7 \pm 0,2$ ккал/моль. Эта разность энергий складывается из энергии внутримолекулярной водородной связи согнутой формы и разности энергии из-за вращения вокруг связей N—C и C—C. Часть V см. РЖХим, 1956, 49921. Е. Покровский

34846. Инфракрасные спектры полимеров. II. Инфракрасные спектры полиэтилентерефталата. Тобин (The infrared spectra of polymers. II. The infrared spectra of polyethylene terephthalate. Tobin Marvin C.), J. Phys. Chem., 1957, 61, № 10, 1392—1400 (англ.)

С целью отнесения колебательных частот полиэтилентерефталата и поли-*n*-ксилола получены ИК-спектры поглощения *n*-дихлорбензола в кристаллич. и газообразном состояниях и в р-ре. На основе отнесения колебаний *n*-дихлорбензола и литературных данных по спектрам комб. расс. были отнесены колебания диметилтерефталата, диметилтерефталата, полиэтилентерефталата и поли-*n*-ксилола. Спектр полиэтилентерефталата в кристаллич. состоянии подобен спектру аморфного полиэтилентерефталата, и, следовательно, межмолекулярные силы малы по сравнению с полиэтиленом. При охлаждении образцов некоторые линии становятся более резкими. Часть I см. РЖХим, 1957, 54584.

34847. Инфракрасные спектры фенольных смол. Причина обесцвечивания в процессе теплового затвердевания. Накамура, Когэ какаку дзасси, J. Chem. Soc. Japan Industr. Chem. Sec., 1956, 59, № 4, 453—454 (японск.)

34848. Оптические свойства и химическое строение антрацен-полистирольных пластинок. Ануфриева Е. В., Волькенштейн М. В., Котон М. М., Ж. физ. химии, 1957, 31, № 7, 1532—1541 (рез. англ.)

При исследовании УФ-спектров поглощения и спектров флуоресценции системы антрацен — полистирол, полученной путем растворения или запрессовывания антрацена в полимере, растворением антрацена в номере и совместной полимеризацией, а также р-ра антрацена в низкомолекулярном аналоге полистирола — изопропилбензоле, установлено, что при полимеризации стирола с растворенным в нем антраценом часть молекул антрацена присоединяется на концах полимерных цепей с замещением водородного атома в положении 9 молекулы антрацена радикалом цепи без разрыва двойных связей в молекуле. При этом по сравнению с системами, полученными другими способами, сильно изменяются оптич. свойства антрацена, его спектры сдвигаются в длинноволновую область и возрастает значение длительности свечения τ от $5,6 \cdot 10^{-9}$ (для свободного) до $14 \cdot 10^{-9}$ сек. (для связанного с полимером антрацена). При полимеризации стирола с 9-хлорантраценом или 9-метилантраце-

ном часть молекул замещ. антрацена присоединяется к полимерной цепи с замещением атома Н в положении 10, а при полимеризации с антраценом, замещенном в положениях 9, 10 (9,10-дифенил- и 9,10-дихлорантрацен), характер взаимодействия со стиролом изменяется; по-видимому, они не взаимодействуют со стиролом. Взаимодействием антрацена и его 9-замещенных со стиролом при полимеризации стирола объясняется ингибирующее действие этих люминофоров на полимеризацию стирола и уменьшение мол. веса образующегося при этом полимера. Приведены УФ-спектры поглощения исследованных систем в области 270—420 мμ и спектры флуоресценции 380—500 мμ при конц-иях люминофора 0,003—3%.

Е. Покровский 34849. Структура кератина пера. Кримм, Шор (Structure of feather keratin. Krimm S., Schor R.), J. Chem. Phys., 1956, 24, № 4, 922—923 (англ.)

На основе анализа рентгенографич. данных, исключая α-спирали как возможную конфигурацию полипептидных цепей в кератине (К) пера, предложена следующая модель К. Фундаментальной единицей является вытянутая спиральная цепочка с шагом 190 А и радиусом 8,0 А; на шаг приходится 64 аминокислоты. Повторяющаяся единица с шагом 190 А содержит 8 однородно расположенных пролиновых остатков. 10 таких спиралей за счет поперечных водородных связей агрегируют коаксиально, причем пролиновые остатки соседних цепочек упаковываются примерно на одном уровне. Полипептидные цепочки находятся в параллельной конфигурации на расстоянии 4,85 А друг от друга. Боковые цепи направлены извне в внутрь цилиндрич. единицы, образованной основными цепями. 7 таких цилиндров образуют сравнительно устойчивый агрегат.

С. Френкель 34850. О молекулярной конфигурации желатиниз. Вейс, Коэн (On the molecular configuration of gelatin. Veis Arthur, Cohen Jerome), J. Polymer Sci., 1957, 26, № 112, 113—116 (англ.)

Измерены интенсивность светорассеяния (по Цимму) и характеристич. вязкость иононных и солевых (0,2 М КCl) р-ров кислоторастворимой желатины свиной кожи (I) («кислотный предшественник» коллагена) и щелочнорстворимой желатины кожи телянка (II) («щел. предшественник»). Мол. вес I и II $\sim 3,3 \cdot 10^5$, z — средний радиус вращения в солевом р-ре $(r_g^2)^{1/2}$ для I и II также одинаков и ~ 450 А. Однако в иононных р-рах наблюдаются существенные аномалии как светорассеяния, так и вязкости, в особенности в р-рах II, в которых η_{sp}/c возрастает с разбавлением, а $(r_g^2)^{1/2}$ при обычном расчете по графику Цимма оказывается меньше 0. Сопоставление $[\eta]$, $(r_g^2)^{1/2}$ и 2-го вирального коэф. в двух типах р-ров приводит авторов к заключению, что: 1) I обладают более компактными структурами, чем II; 2) конфигурация макромолекул I менее чувствительна к изменениям состава р-ра; 3) эта разница между I и II может быть обусловлена различием укладки полипептидных цепей — в I внутренняя компенсация зарядов велика, т. е. за счет неэлектростатич. сил кислотные и основные группы цепочек I приведены в близкое соприкосновение, тогда как поведение II, где такая компенсация отсутствует, напоминает поведение обычного линейного полиамфолита (РЖХим, 1955, 28671).

С. Френкель 34851. Дисперсия оптического вращения простых полипептидов. II. Моффитт (The optical rotatory dispersion of simple polypeptides. II. Moffitt William), Proc. Nat. Acad. Sci. USA, 1956, 42, № 10, 736—746 (англ.)

Показано, что простые полипептиды в α -спиральной конфигурации характеризуются аномальной вращательной дисперсией; в частности, эффективные мономерные вращения поли- γ -бензил-L-глутамата и поли- α -L-глутаминовой к-ты подчиняются закону $[m] = -a_0\lambda_0^2(\lambda^2 - \lambda_0^2) + b_0\lambda_0^4/(\lambda^2 - \lambda_0^2)^2$, где a_0 зависит от природы боковой цепи и р-рителя, тогда как b_0 ($\approx -640^\circ$) и λ_0 (≈ 2100 Å) одинаковы для обоих полимеров и не зависят от р-рителя. Анализируется ротационный спектр α -спиралей и производится тщательный расчет оптич. активности. Показано, что две основные пептидные полосы при 1850 и 1500 Å могут количественно определить дисперсионный член, включающий b_0 и λ_0 . Если этот член действительно возникает за счет двух указанных полос, то, как показывают вычисления, вышеупомянутые полипептиды в р-рах типа диметилформамида существуют в виде правых α -спиралей. Часть I см. РЖХим, 1958, 23656.

С. Френкель

34852. Оптическая активность и конфигурация молекул синтетических полипептидов в разбавленном растворе. Дауни, Эллиотт, Ханби, Малком (The optical rotation and molecular configuration of synthetic polypeptides in dilute solution. Downie A. R., Elliott A., Hanby W. E., Malcolm B. R.), Proc. Roy. Soc., 1957, A242, № 1230, 325—340 (англ.)

Исследована оптич. активность ряда синтетич. полипептидов: полилейцина, полиаланина, поли- α -амино- n -масляной к-ты и поли- γ -бензилглутамата в различных р-рителях. Для всех полипептидов исследовался ряд сополимеров с различным содержанием d - и l -групп. Во многих случаях вращение, приходящееся на единицу цепи, нелинейно зависит от относительного содержания d - и l -групп. Авторы объясняют это тем, что с изменением содержания d - и l -групп изменяется относительная стабильность различных конфигураций цепи (правая спираль, левая спираль, клубок). В не очень полярных р-рителях макромолекулы с преимущественным содержанием l -групп имеют вид правых спиралей. Для мезоформ оптич. активность слабо зависит от р-рителя, что авторы объясняют компенсацией вкладов, обусловленных d - и l -группами. Исследована также дисперсия оптич. активности поли- d -лейцина в виде правой спирали. О. Птицын

34853. Статистическая теория линейных полимеров. Тэрамото (Teramoto Ei), Koré kagaku zasshi, J. Chem. Soc. Japan. Industr. Chem. Sec., 1956, 59, № 7, 746—750 (японск.)

34854. Усовершенствованный статистический метод вычисления средних размеров полимерных молекул. Уолл, Рубин, Исааксон (Improved statistical method for computing mean dimensions of polymer molecules. Wall F. T., Rubin R. J., Isaacson L. M.), J. Chem. Phys., 1957, 27, № 1, 186—188 (англ.)

Предложено усовершенствование примененного автором и сотрудниками (РЖХим, 1955, 28692; 1956, 29202; 1957, 15565; 1958, 13363) метода модельного исследования объемных эффектов в полимерных цепях. Метод состоит в генерировании и исследовании не пересекающих самих себя случайных путей с помощью электронной счетной машины. Недостаток метода — экспоненциальное убывание доли не пересекающих самих себя путей с увеличением числа шагов. Для уменьшения этого недостатка, ограничивающего длину путей, которые могут быть исследованы, авторы предлагают генерировать пути на решетках, автоматически исключающих возможность возвращений в пройденную точку через небольшое число шагов. В качестве примера рассмотрена квадратная решетка с углами $\pm 90^\circ$ между соседними шагами, причем шаги на ней генерируются по четыре одновременно и та-

ким образом, что возможность возвращения пути в пройденную точку через 4 шага автоматически исключается. Проведена проверка предложенного метода. О. Птицын

34855. Перепутывание полимерных цепей. Бьюн (Entanglements of polymer chains. Bueche F.), J. Polymer Sci., 1957, 25, № 109, 243—245 (англ.)

Предполагается, что взаимные зацепления полимерных цепочек обусловлены ближним порядком в их расположении. Произведен соответствующий статистич. расчет для куб. квазирешеточной модели цепи с углом связи 90° и четырьмя допустимыми взаимно перпендикулярными ориентациями связей. Вероятность этих ориентаций для некоторого 3-го звена в направлениях, перпендикулярных к плоскости двух предыдущих звеньев, равна S , а в плоскости этих звеньев — q , если направления 1-го и 3-го звена совпадают, и p , если они противоположны. Задача о зацеплениях сводится к расчету вероятности образования (незамкнутой) петли из четырех звеньев и оценки кол-ва таких петель в цепочке степени полимеризации N . Это кол-во равно $\sim sq^2(1-s)N$. Если эффективная длина звена равна a , то площадь петли равна a^2 , и среднее кол-во (других) звеньев, проходящих через одну петлю, равно $(Ap/M)Na^3$, где A — число Авогадро, — конц-ия полимера, M — его мол. вес. Отсюда легко сосчитать вероятность однократного спаривания петли и вычислить средний мол. вес участка цепи между двумя такими зацеплениями, $M_e = (a/A p) \cdot (M/R_0^2)^2 e^{-8}$, где $R_0^2 = Na^2$, а e — «индекс перепутывания», равный $[sq^2(1-s)]^{1/4}$. Для свободно ориентирующейся цепочки ($p = q = s$) $e = 0,33$, а большие значения e свидетельствуют о возрастающей жесткости цепочек. Расчет е был произведен для полистирола и полиметилметакрилата, и значения е оказались соответственно 0,36 и 0,48. Л. Горбачева

34856. Межмолекулярная корреляция в рассеянии света разбавленными растворами полимеров. Обрект (Intermolecular correlation in light scattering from dilute polymer solutions. Albrecht Andreas C.), J. Chem. Phys., 1957, 27, № 5, 1014—1023 (англ.)

Рассмотрено влияние межмолекулярной корреляции на угловую асимметрию интенсивности $I(\theta)$ света, рассеянного разб. р-рами полимеров. Для $I(\theta)$ автор получает выражение: $KcI^{-1}(\theta) = M^{-1}P_1^{-1}(\theta) + 2A_2Q(\theta)c + \dots$, где c — конц-ия, M — мол. вес, $P_1(\theta)$ — функция, описывающая внутримолекулярную корреляцию, $Q(\theta) = P_2(\theta)/P_1^2(\theta)$, $P_2(\theta)$ — функция, описывающая корреляцию между двумя соседними макромолекулами. Получено общее выражение для $P_2(\theta)$ в виде разложения в ряд, члены которого характеризуют вклады различных чисел контактов между сегментами молекул. В приближении, основанном на гауссовой статистике случайных блужданий, численные первые 2 члена этого ряда (учитывающие двойные контакты), что дало: $Q(\theta) = 1 - 0,296uz + \dots$, где $u = 2\pi^2 S^2 b^2 n/3$, $z = (3/2\pi b^2)^{1/2} X$, $s = 2 \sin(\theta/2)$, b — длина сегмента цепи, n — число сегментов, X — эффективный исключенный объем сегмента. Аналогичные вычисления, основанные на моделях Флори (Flory P. J., J. Chem. Phys., 1945, 13, 453) и Флори — Кригбаума (Flory P. J., Krigbaum W. R., J. Chem. Phys., 1950, 18, 1086), в которых молекула заменяется эффективной сферой с соответственно постоянной и гауссовой плотностью сегментов, дают коэф. при uz , равные соответственно 0,132 и 0,153. Полученные ур-ния для $Q(\theta)$ справедливы лишь для малых z (плохих р-рителей) и малых θ . Эти ур-ния показывают, что набухающее значение A_2 убывает с увеличением θ (так как $Q(\theta) < 1$), что согласуется с опытом. О. Птицын

34857. Оптическая анизотропия некоторых цепных молекул, содержащих бензольные кольца. Цветков В. Н., Магарик С. Я., Докл. АН СССР, 1957, 115, № 5, 911—914

Для изучения анизотропии сегмента некоторых цепных молекул, содержащих бензольные кольца, проведены динамооптич. и вискозиметрич. измерения р-ров полистирола (I), поли-*n*-трет-бутилфенилметакрилата (II), поли-1,4-диизопропенилбензола (III) и поли-4,4'-диизопропенилдифенилэтана (IV). Показано, что разность двух главных поляризуемостей статистич. сегмента (в направлении цепи и в направлении, перпендикулярном к ней) $\alpha_1 - \alpha_2$ представляет большую положительную величину для III и IV и большую отрицательную величину для I и II. Полученные данные авторы объясняют тем, что III и IV содержат фенильные ядра в цепи главных валентностей, а в известных полимерах I и II фенильные ядра присутствуют в боковых группах. Исходя из предложенной структуры для III и IV и известной структуры I и II, рассчитаны также значения разности поляризуемостей на одну связь C—C цепи, вокруг которой возможно вращение $\beta_1 - \beta_2$, которые по знаку совпадают со значениями $\alpha_1 - \alpha_2$ и подтверждают правильность предложенных структурных ф-л.

Н. Платэ

34858. Теоретический анализ связывания ионов. Уолл (A theoretical analysis of ion binding. Wall Frederick T.), J. Phys. Chem., 1957, 61, № 10, 1344—1347 (англ.)

Связывание противоионов полимерными ионами анализируется на основе полученных автором (РЖХим, 1957, 50939) численных решений ур-ния Пуассона—Больцмана для сферич. макромолекул полиэлектролитов (ПЭ). Отмечается, что захват противоионов может осуществляться двумя путями—обычным (для всех электролитов) «боковым связыванием» и путем иммобилизации нелокализованных (по отношению к определенным участкам ПЭ) противоионов во внутреннем пространстве мол. клубка. В соответствии с этим связывание ионов описывается с помощью двух параметров—относительной плотности заряда и приведенного радиуса молекулы ПЭ (r_n). При больших r_n конц-ия свободных ионов пропорциональна r_n^{-1} . В свою очередь, r_n^2 пропорционален конц-ии и заряду ионов окружающего электролита и обратно пропорционально абс. т-ре. Умеренные изменения т-ры мало влияют на электростатич. ассоциацию (т. е. внутреннюю иммобилизацию) и сильнее на «боковое связывание».

С. Френкель

34859. Теория растворов высокополимеров. Накадзима, Кагаку, 1957, Прилож. № 3, 109—134 (японск.)

Обзор. Библ. 52 назв.

34860. Приближение к теории второго вириального коэффициента в растворах высокополимеров. Кассаса (Approach to the theory of the second virial coefficient in high-polymer solutions. Casassa Edward F.), J. Chem. Phys., 1957, 27, № 4, 970—971 (англ.)

Предлагается метод изучения статистич. термодинамики р-ров полимеров, при котором точка контакта двух произвольно выбранных сегментов, принадлежащих двум разным молекулам, принимается за центр симметрии при рассмотрении одновременного взаимодействия межмолекулярных сегментов. Зависимость рассчитанного с помощью этого метода 2-го вириального коэф. от мол. веса полимера совпадает с экспериментальной.

М. Мосевичкий

34861. Модель случайных блужданий в теории второго вириального коэффициента растворов полиме-

ров. Олбрехт (Random flight model in the theory of the second virial coefficient of polymer solutions. Albrecht Andreas C.), J. Chem. Phys., 1957, 27, № 5, 1002—1013 (англ.)

Предложена теория 2-го вириального коэфф. A_2 в разб. р-рах полимеров. Теория основана на разложении общего выражения для A_2 в ряд по параметру $z = (3/2\pi l^2)^{1/2} n^{1/2} X(n - \text{число сегментов цепи, } b - \text{длина сегмента, } X - \text{эффективный исключенный объем сегмента})$, причем члены ряда характеризуют вклады различных чисел контактов между сегментами молекул. В приближении, основанном на гауссовой статистике случайных блужданий, вычислены первые 3 члена ряда и получен результат: $A_2 = (N_0 X / 2M_0^2) h(z)$, где $h(z) = 1 - 2,865z + 9,726z^2 \dots$ (N_0 —число Авогадро, M_0 —мол. вес сегмента). Учет внутримолекулярных объемных эффектов увеличивает коэф. при z^2 до величины, верхняя оценка которой составляет 15,457. Проведена грубая оценка высших членов в разложении A_2 в ряд по z . Для больших мол. весов M эта оценка дает $h(z) \approx C/z$ (C —константа). Отсюда следует, что $A_2 M / [\eta] = c' = \text{const}$, что подтверждается опытом. Грубая теоретич. оценка $c' = 1,0$; эксперим. значение $1,4 \pm 0,2$.

О. Птицын

34862. Свойства растворов разветвленных высокополимеров. Накадзима, Кагаку, Chemistry (Kyoto), 1955, 10, № 10, 67—75 (японск.)

Обзор. Библ. 26 назв.

34863. Светорассеяние в растворах полимеров. Вада (Wada Akiyoshi), Кагаку то когё, Chem. and Chem. Ind., 1957, 10, № 7, 326—332 (японск.)

Обзор. Библ. 15 назв.

34864. Теплоты смешения в системе поливинилацетат—толуол. Схюрманс, Херманс (Heats of mixing in the system polyvinyl acetate—toluene. Schuurmans H. J. L., Hermans J. J.), J. Phys. Chem., 1957, 61, № 11, 1496—1500 (англ.)

При помощи дифференциального калориметра с термометром сопротивления определены теплоты смешения в системе поливинилацетат—толуол при начальной доле полимера в р-ре ϕ 0,008—0,016 и конечной доле ϕ' 0,002—0,012. Найдено, что $\delta H/V = A(\psi - \psi') + C(\psi'^2 - \psi^2)$, где $\psi = \phi(1 - \phi)$; $\psi' = \phi'(1 - \phi')$, A и B —коэф., V —общий объем р-ра. Из полученных данных оценены коэф. A и B . Выражая теплоту разбавления как $\Delta h_1 = (\delta H / \partial N_1)_{p,T} = AV_1 \phi^2 (N_1 - \text{число молей р-рителя в р-ре, } V - \text{парц. мол. объем р-рителя})$ и подставляя это ур-ние в выражение для 2-го вириального коэф. B , даваемое теориями Флори, Хаггинса, Миллера, Гугенгейма, автор сопоставил полученные значения B с опытными.

Ю. Липатов

34865. Термодинамическое поведение растворов полимеров. Рассмотрение параметра μ . Фудзисиро (Fujishiro Ryoichi), Кагаку-но рёикки, J. Japan. Chem., 1957, 11, № 1, 3—6 (японск.)

Обзор. Библ. 37 назв.

34866. О распределении органических соединений между фазой набухшего полимера и водной фазой. II. О частично формализованном поливиниловом спирте. Мацумото, Мидзусима (Matsumoto Tsunetaka, Mizushima Kunio), Кобунси кагаку, Chem. High Polym., 1957, 14, № 149, 478—482 (японск.; рез. англ.)

Определена равновесная конц-ия уксусной и капроновой к-т в водн. фазе (I) и фазе набухшего полимера (II). Для опыта использовалась частично формализованный поливиниловый спирт, хорошо набухающий в воде. Распределение представлено ур-нием, предложенным в части I (см. РЖХим, 1957, 41332), $C_{II} = KC$

Резюме авторов

34867. Фазовое равновесие в системах, содержащих полимер. I. Равновесие набухания в тройных системах, включающих поливинилхлорид и два растворителя. Накадзима, Сибукэва (Nakajima Akio, Sibukawa Takasi), Kōgō kagaku daasshi, J. Chem. Soc. Japan. Industr. Chem. Sec., 1956, 59, № 7, 813—819 (японск.)

34868. Равновесие между поликапроамидом и водой. I. Фукумото (Equilibria between polycapramide and water. I. Fukumoto O.), Toō rōjōn kabusiki kaisa syō. Scient. Repts Toyo Rayon Co., 1957, 12, № 3, 83—87 (англ.)
См. РЖХим, 1957, 44746.

34869. Изучение давления пара раствора полимера. I. Аппаратура для измерений и некоторые результаты для поливинилацетата. Накадзима, Ямакава, Сакурада (Nakajima Akio, Yamakawa Hiromi, Sakurada Ichiro), Kōbunshi kagaku, Chem. High Polym., 1957, 14, № 147, 333—338 (японск.; рез. англ.)

Сконструирована усовершенствованная аппаратура для измерения давления пара над р-ром полимера. Измерения выполнены для систем поливинилацетат — бензол и поливинилацетат — винилацетат в области концентраций 0,3—0,9 и активности 0,23—0,29. Установлено, что константа Флори — Хаггинса χ_1 линейно уменьшается с увеличением концентрации полимера. Зависимость χ_1 от концентрации обуславливается главным образом вкладом антропийного члена. Резюме авторов

34870. Измерения молекулярных весов стандартных образцов полимеров. Доклад в Международной ассоциации чистой и прикладной химии. Сакурада, Кагаку то кōгō, Chem. and Chem. Ind., 1956, 9, № 4, 142—145 (японск.)

34871. Использование модифицированного осмометра Пиннера — Стабина для определения \bar{M}_n с использованием малого количества полимера. Харнесс (The use of a modified Pinner — Stabin osmometer to determine \bar{M}_n values on small polymer samples. Harness A. A.), J. Polymer Sci., 1957, 25, № 111, 498—500 (англ.)

Излагается метод определения среднечисленного мол. веса \bar{M}_n при использовании очень малых количеств полимера (до 0,05 г) с помощью осмометра Пиннера — Стабина (Pinner S. H., Stabin J. V., J. Polymer Sci., 1952, 9, 575). Приводятся данные по определению мол. веса фракции поливинилхлорида в тетрагидрофуране для образца весом 0,0511 г. М. Мосевитский

34872. Новые методы фракционирования белков. Высаливающее титрование и агарография. Сога, Момотани, Иноуэ, Kōgaku, Chemistry (Kyoto), 1955, 10, № 11, 45—51 (японск.)

34873. Некоторые замечания по фракционированию, вискозиметрии и определению молекулярных весов линейных и разветвленных полимеров. Мусса (Some considerations of fractionation, viscometry, and the molecular weights of linear and branched polymers. Mussa Carlo), J. Polymer Sci., 1957, 25, № 111, 441—451 (англ.; рез. франц., нем.)

Рассматриваются методы, позволяющие по данным фракционирования и вискозиметрии определять параметры соотношения между характеристич. вязкостью $[\eta]$ и степенью полимеризации x . При известных интегральной кривой распределения по характеристич. вязкостям $W([\eta])$, $[\eta]$ и среднем мол. весе M нефракционированного образца $W([\eta])$ преобразуется в $W(x)$ в предположении, что известна зависимость $[\eta] = f(x)$ (1). Вычисленный по $W(x)M$ сравнивается с определенным экспериментально. Предполагаемая зависимость (1) модифицируется до тех пор, пока оба значения M не совпадут. Зная $W([\eta])$, а также задавая

дифференциальное молекулярновесовое распределение, можно определить параметр α в ур-нии $[\eta] = Kx^\alpha$.

34874. Рекомендуемый метод для графического воспроизведения данных вискозиметрии и фракционирования. Мусса (A suggested method of plotting the data of fractionation and viscometry. Mussa C.), J. Polymer Sci., 1957, 26, № 112, 67—79 (англ.; рез. нем., франц.)

Предложен метод воспроизведения молекулярновесовых распределений (МВР) полимеров по данным фракционирования и вискозиметрии, не требующий абс. измерений мол. веса M фракций. Метод состоит в следующем. 1. Для серии полимер-гомологов предложено соотношение $[\eta] = KM^\alpha$ (1), представляемое прямой линией на $\lg - \lg$ -графике. 2. Интегральная кривая осаднения

фракций $W = \int_0^{\eta} w([\eta]) d[\eta]$ неявным образом содержит

функцию МВР (явный переход мог бы быть совершен, если бы было известно соотношение (1)). 3. Если имеются достаточно обоснованные предположения о механизме полимеризации, можно, варьируя параметр (или параметры) соответствующей аналитич. формы МВР, подбирать такое теоретич. МВР, для которого абсциссы кривой $W([\eta])$, отложенные как ординаты относительно

абсцисс МВР $W(M) = \int_0^M w(M) dM$ в $\lg - \lg$ -координатах, дают прямолинейный график. Это значит, что на графике следует откладывать эксперим. $[\eta]$ и теоретич. M , соответствующие одинаковым интегральным долям, $[\eta]$

$\int_0^{\eta} w([\eta]) d[\eta] = \int_0^M w(M) dM$. Метод расчета упрощается при введении безразмерной переменной $t = f(M/\bar{M}_n)$

(\bar{M}_n — среднечисленный мол. вес) и изображении кривой осаднения в вероятностной координатной сетке, где эта кривая выпрямляется. Рассмотрены 3 частных случая: МВР: логарифмич. нормальное распределение Кремера — Лансинга, экспоненциальное распределение и распределение Бизли, учитывающее наличие длинноцепных ветвлений, напр. в молекулах полиэтилена высокого давления. Эти распределения приведены к переменной t , интегральные доли $W(t)$ протабулированы при различных значениях соответствующих параметров. Полученные таблицы могут быть непосредственно использованы для вышеизложенного анализа данных вискозиметрии и фракционирования. Дан анализ статистич. смысла логарифмич. нормального распределения («распределение Весслау») (см. РЖХим, 1957, 11904), присущего, очевидно, всем полимерам, полученным при помощи циглеровских катализаторов. В этом распределении $t = (2^{1/2}/\gamma) \ln M/\bar{M}_n$ и $\bar{M}_n = A \exp(q\gamma)$. По-видимому, главный параметр этого МВР γ имеет смысл вероятности контакта с каталитич. участком. Параметр A имеет смысл «полимеризационного акта»; возможно, что это универсальная константа (равная $2m_0$, где m_0 — мол. вес мономера) для любых полимеров Циглера-Натта. Параметр q характеризует действие катализатора в данной системе. С. Френкель

34875. Фракционирование полиакрилонитрила. Кобаяши (Fractionation of polyacrylonitrile. Kobayashi Hidehiko), J. Polymer Sci., 1957, 26, № 113, 230—233 (англ.)

Предложен метод фракционирования полиакрилонитрила из р-ра в оксиацетонитриле путем осаднения добавлением бензола или толуола в смеси с этанолом при 35°. Толуол или бензол растворяются в р-ре полимера только в присутствии этанола. Последние фрак-

при полимера осаждаются при прибавлении избытка эфира, этанола и бензола. Фракции центрифугируются и промываются смесью бензола с этанолом. Полученные фракции с мол. весами 16 000—214 000 характеризуются отношением среднечисленного к средневесовому коэф. диффузии, равным 0,98—1,04.

Ю. Липатов

34876. Фракционирование сополимера акрилонитрил — винилиденхлорид. Нагао, Мифунэ, Kōrō Kōgaку дзасси, J. Chem. Soc. Japan. Industr. Chem. Sec., 1956, 59, № 8, 943—945 (японск.)

34877. Исследование высокополимерных акриловых производных. 3. УФ- и ИК-спектроскопическое исследование полиакрилонитрила и продуктов его омыления. Байцер, Шурц (Untersuchungen an hochpolymeren Acrylderivaten. 3. UV- und UR-spektroskopische Untersuchungen an Polyacrylnitril und seinen Verseifungsprodukten. Bayzer H., Schurz J.), J. phys. Chem. (BRD), 1957, 13, № 1-2, 30—39. Diskuss., 39 (нем.; рез. англ.)

Проведено сопоставление УФ- и ИК-спектров полиакрилонитрила и продуктов его гетерог. омыления щелочью; эти продукты имеют интенсивную окраску от желтой до красной и нерастворимы в обычных р-телях полиакрилонитрила. Сделано предположение, что возникновение окраски этих продуктов связано с появлением амидных групп, а их нерастворимость — с поперечным связыванием молекул. Часть 2 см. РЖХим, 1958, 3417.

Ю. Липатов

34878. О фракционной коагуляции фенольноформальдегидных смол растворами электролитов. Бузар, Удвархейли, Хоркай (Über die fraktionierende Koagulation der Phenol-Formaldehyd-Harze mit wäßrigen Elektrolytlösungen. Buzágh A., Udvarhelyi Katharina, Horkay F.), Kolloid-Z., 1957, 154, № 2, 130—141 (нем.)

Предложен способ фракционирования фенольноформальдегидных смол путем добавления к их р-рам в спирте или диоксане водн. р-ров нейтр. электролитов, напр. NaCl, Na₂SO₄, BaCl₂, или насыщ. водн. р-ра CO₂. При этом вместо высокодисперсной эмульсии (получающейся при добавлении чистой воды) образуется коацерват, исключаются хим. взаимодействия (возможные при коагуляции к-тами или основаниями), а при применении в качестве коагулянта CO₂ исключается и загрязнение смолы вследствие адсорбции. Коагуляция наступает при определенном содержании воды в системе, причем числа коагуляции не зависят ни от конц-ии, ни от типа примененного электролита. С увеличением кол-ва воды последовательно выделяются фракции все более низкого мол. веса и более гидрофильные; в коацерватах фракций содержание спирта на 1 г смолы последовательно понижается, но во всех фракциях оно выше, чем в исходном р-ре. Результаты фракционирования вполне воспроизводимы. Выделение коацерватов смолы по своему существу отличается как от коагуляции лиофильных золей, так и от расслоения смеси жидкостей. Авторы полагают, что процесс проходит в две стадии: 1) понижение растворимости вследствие добавки воды вызывает агрегацию молекул с образованием сольватированных водой и спиртом частиц, 2) происходящее благодаря присутствию электролита изменение структуры дисперсионной среды приводит к сливанию частичек эмульсии, не теряющих при этом своей лиофильности.

С. Гликеман

34879. Определение функции молекулярного распределения в капролактаме посредством селективного разделения на несмешивающиеся жидкие системы. Минцер, Бирнбаум (Determinarea funcției de distribuție moleculară la policaprolactamă prin repartizarea selectivă în sisteme lichide nemiscibile. Min-

ter I., Birnbaum Simona), Rev. chim., 1957, 8, № 4, 271—278 (рум.; рез. русск., нем.)

Изучено мол. распределение поликапролактама путем разделения его на 2 тройные системы при помощи смесей крезол — бензин, фенол — бензин. А. Лопманов 34880. Изменение распределения молекул по размерам при созревании щелочной целлюлозы различных масс. Мукояма, Ямада (Mukoyma S., Yamada K.), Toō рээн кабусики кайся сёхо, Scient. Repts Toyo Rayon Co., 1957, 12, № 2, 38—41 (японск.; рез. англ.)

Исследовано изменение в распределении мол. размеров хлопковой пульпы (I) и древесной пульпы (II) в процессе старения. Обсужден механизм деградации. Авторы считают, что деградация I в начальной стадии идет не по закону случая. Деградация I на глубокой стадии и II в начальной стадии происходит по закону случая.

Из резюме авторов

34881. Интерпретация гидродинамических свойств белков. Танфорд (The interpretation of hydrodynamic properties of proteins. Tanford Charles), J. Phys. Chem., 1957, 61, № 7, 1023—1024 (англ.)

Критика работы Лёба и Шерали (РЖХим, 1958, 28416).

С. Френкель

34882. Вязкость разбавленных растворов высокомолекулярных веществ. Сакурада, Кагаку, Chemistry (Kyoto), 1955, 10, № 10, 58—63 (японск.)

34883. О концентрационной зависимости вязкости растворов неразветвленных и разветвленных цепных молекул. I. Концентрационная зависимость вязкости растворов неразветвленных цепных молекул. Гофман (Über die Konzentrationsabhängigkeit der Viskosität von Lösungen unverzweigter und verzweigter Fasermoleküle. 1. Mitt. Die Konzentrationsabhängigkeit der Viskosität von Lösungen unverzweigter Fadenmoleküle. Hoffmann M.), Makromolek. Chem., 1957, 24, № 3, 222—244 (нем.; рез. англ.)

Изучено влияние взаимодействия неразветвленных макромолекул в р-ре на концентрационную зависимость вязкости. Эта зависимость непосредственно связана со значением постоянной Аррениуса $K_1 = 1/[\eta] \lim_{c \rightarrow 0} \times (d \ln \eta_r / c) / d \ln \eta_r$ ($[\eta]$ и η_r — соответственно характеристич. и относительные вязкости, c — конц-ия) в ур-нии $\ln \eta_r / c = [\eta] + K_1 [\eta] \ln \eta_r$. Для идеального р-рителя $K_1 = 0$. В этом случае действителен закон Аррениуса $\ln \eta_r = [\eta]_0 c$, где $[\eta]_0$ — значение $[\eta]$ в идеальном р-рителе. В неидеальном р-рителе $\ln \eta_r / c - [\eta] \neq 0$. Величина этой разности зависит как от природы р-рителя, так и от конц-ии; она экспоненциально уменьшается с возрастанием $\ln \eta_r$. Приводится график эксперим. зависимости $K_1 = f([\eta]_0 / [\eta])$, на котором точки, соответствующие различным полимерам и р-рителям, ложатся на одну кривую. С другой стороны, согласно Флори $[\eta]_0 / [\eta] = \alpha_0^{-3}$, где α_0 характеризует отношение размеров мол. клубка в неидеальном и идеальном р-рителях, (Flory P. J. Principles of polymer chemistry. Ithaca, Cornell Univ. Press, 1953), причем α_0 определяется значением 2-го вириального коэф. В ур-нии осмотич. давления. Из этого делается вывод, что между K_1 и B должна существовать общая функциональная зависимость.

М. Мосевичкий

34884. Исследование вязкости разбавленных растворов поливинилацетата. I. О значении константы Хаггинса k' для раствора поливинилацетата в бензоле и ацетоне. Имаи, Маэда, Мацумото. II. Концентрационный коэффициент числа вязкости раствора поливинилацетата в метаноле и толуоле. Мацумото, Имаи (Imai Kiyokazu, Maeda Umpei, Matsumoto Masakazu), Кобуси ка-

отлична от нормальной вязкости. Мерой нормального напряжения является высота жидкости в капиллярах, находящихся на разных расстояниях от оси вращения. Данные, полученные для ρ -ров разных конц-ий при разных t -рах, авторы рассматривают, пользуясь методом приведения переменных, аналогичным применяемому при анализе динамико-механических свойств. Найденное соотношение между динамич. модулем упругости как функцией частоты и влиянием скорости сдвига на свойства стационарного потока соответствует теории Ривлина, которая предусматривает логарифмич. зависимость нормальных напряжений от расстояния от оси вращения; при этом девиаторные компоненты напряжения являются функцией скорости сдвига, но не зависят от расстояния.

С. Гликман

34890. О нормальных напряжениях, кривых течения, двойном лучепреломлении в потоке и нормальных напряжениях растворов полиизобутилена. Часть I. Основные принципы. Филиппов. Часть II. Эксперимент. Бродниан, Гаскинск, Филиппов (On normal stresses, flow curves, flow birefringence, and normal stresses of polyisobutylene solutions. Part I. Fundamental principles. Philippoff W. Part II. Experimental. Brodnyan John G., Gaskins F. H., Philippoff W.), Trans. Soc. Rheology, 1957, 1, 95—107, 109—118 (англ.)

I. Подробный математич. анализ существующих теорий нормального напряжения. Показано, что все теории приводят к идентичным результатам и сводятся к следующему: нормальное напряжение проявляется в упругих телах, как в каучукоподобных, так и в ρ -рах, и является следствием конечного напряжения сдвига. Наиболее простым способом нормальное напряжение может быть описано для несжимаемых v -н, которые можно охарактеризовать одним модулем сдвига G . Абс. значение нормального напряжения не зависит от типа прибора и его размеров, причем для описания нормального напряжения надо знать только G и обратимую упругую деформацию S , которые определяются эксперим. условиями и исследуемыми образцами.

II. Исследованы упругие свойства и двойное лучепреломление ρ -ров полиизобутилена в декалине при 25° в области конц-ий 0,1—9%. Измерения производились в ротационном (при малых градиентах скорости D) и в капиллярном вискозиметрах. Приведены кривые зависимости нормального напряжения $P_{11}-P_{22}$ и напряжения сдвига τ от D , а также кривые зависимости двойного лучепреломления угла гашения χ от D в широком диапазоне значений D . Зависимость Δn от $1/2\tau/\sin 2\chi$ для всех конц-ий изображается прямой линией; таким образом, соотношение Лоджа (РЖХим, 1956, 58240) справедливо для полиизобутилена и его ρ -ров в исследованной области деформаций. Эксперим. данные показывают, что нормальное напряжение исчезает, как только вязкость ρ -ра становится постоянной при малых градиентах скорости.

С. Котляр

34891. Зависимость вязкости растворов полиметакрилата и полиакрилата натрия от молекулярного веса. Ито, Симидзу, Судзуки (Ito Hiroo, Shimizu Shoji, Suzuki Shigenari), Kōrei kakaku dzasshi, J. Chem. Soc. Japan. Industr. Chem. Sec., 1956, 59, № 8, 930—932 (японск.)

34892. Вязкость поли-2-винилпиридина в уксусной кислоте. Мукхерджи, Дас (Viscosity of poly-2-vinylpyridine in acetic acid. Mukherjee Bimal Bandhu, Das Mihir Nath), J. Indian Chem. Soc., 1957, 34, № 9, 702—708 (англ.)

При 35° измерена вязкость двух образцов поливин-

илпиридина (осмотич. мол. в. 220 000 и 288 000) в лед. и водн. CH_3COOH при конц-ях 0,01—0,1 г на 100 мл. Зависимость приведенной вязкости от конц-ии показывает резкий рост вязкости с разбавлением, характерный для полиэлектролитов. Введение воды приводит к понижению вязкости за счет увеличения кол-ва противоионов. В присутствии 0,3% уксусного ангидрида приведенная вязкость также ниже, чем в лед. у CH_3COOH , очевидно, следы воды повышают вязкость, а увеличение содержания воды понижает её. Исследованы также вязкости в присутствии различных кол-в ацетата Na и Ba и пиридина; наблюдаемая картина аналогична наблюдаемой для вязкости полиэлектролитов в присутствии посторонних электролитов.

Ю. Липатов

34893. Термическая наклонная плоскость: способ измерения вязкости пластиколей при повышенных температурах. Северс, Остин (The thermal incline: a means of measuring viscosities of plastisols at elevated temperatures. Severs E. T., Austin J. M.), Trans. Soc. Rheology, 1957, 1, 191—202 (англ.)

Для изучения повышающейся с t -рой вязкости пластиколей — ρ -ров поливинилхлорида в пластификаторах, а также других чувствительных к температурным изменениям систем предложен метод, позволяющий, пользуясь одним прибором, быстро производить эти определения в широкой области t -р. Основной частью прибора является Al-пластинка длиной ~ 75 см, нагреваемая у одного конца и охлаждаемая у другого. В перпендикулярном к температурному градиенту направлении пластинке придается некоторый наклон, после чего из жолоба на нее поступает пластизол. Скорость его течения, разная в разных частях пластинки, регистрируется визуально или фотографически. Вязкость рассчитывается по ф-ле: $\eta = [V^2 \rho g \sin \alpha (t_2 - t_1) / x_2^3 - x_1^3]$, где V — объем жидкости, x — средний путь, t — время. Зависимость вязкости от куба скорости течения допускает одновременное определение вязкости жидкости, весьма разной в разных частях прибора. По данным опыта, продолжающегося 3 мин., строится кривая температурной зависимости вязкости. Кривые имеют минимум при $40-60^\circ$, так как при низких t -рах преобладающее значение имеет понижение вязкости пластификатора, а в дальнейшем, до 160° и выше, вязкость возрастает с t -рой благодаря увеличению сольватиремости смолы.

С. Гликман

34894. Прецизионная вискозиметрия поливинилацетата в толуоле. Тейнман, Херманс (Precision viscometry of polyvinyl acetate in toluene. Tuijnman C. A. F., Hermans J. J.), J. Polymer Sci., 1957, 25, № 114, 385—401 (англ.; рез. франц., нем.)

Изучено влияние адсорбции полимера на стенках капилляра вискозиметра и сдвигающего напряжения на значения η_{sp} и характеристич. $[\eta]$ вязкости. Для ρ -ра поливинилацетата в толуоле определена толщина адсорбционного слоя при ряде конц-ий C и исправлены значения η_{sp} с учетом изменения действительного диаметра капилляра вследствие адсорбции. Кривая зависимости η_{sp}/C — C , построенная по значениям η_{sp} , в которых учтен не-newтоновский характер течения, монотонно снижается с уменьшением C , в то время как пренебрежение этим фактором приводит к аномальному подъему кривой в области низких C . Ход кривой в значительной степени зависит от сдвигающего напряжения: чем ниже последнее, тем более пологим становится спад при низких C . Кривая, экстраполированная к напряжению сдвига, равному 0, почти линейна. Соответственно от сдвигающего напряжения зависят и значения $[\eta]$.

М. Мосевицкий

34895. Влияние добавок солей на вязкость водного раствора полиакрилата аммония и его смешивае-

мость с поливиниловым спиртом. Ито, Судзуки (Ito Hiroo, Suzuki Shigenari), Kōgō kagaku dзасси, J. Chem. Soc. Japan. Industr. Chem. Sec., 1956, 59, № 8, 928—930 (японск.)

34896. Обработка данных по набуханию пленок поливинилового спирта в воде. Найто, Укида, Коминами (Naito Ryunosuke, Ukida Junji, Kominami Tsugio), Kōbunshi kagaku, Chem. High Polym., 1957, 14, № 147, 389—393 (японск.; рез. англ.)

Найдено, что степень набухания и кол-во растворенного в воде поливинилового спирта находятся в определенном соотношении, которое зависит от условий полимеризации и мол. веса образца. Поэтому, когда его структура рассматривается посредством измерения набухания пленок, целесообразно сравнивать данные по степени набухания, при условии, если растворенное кол-во равно 0. Резюме авторов

34897. Диффузия летучих продуктов разложения в толстых пленках. Льюис (The diffusion of volatile decomposition products in thick films. Lewis Charles W.), J. Polymer Sci., 1957, 24, № 107, 481—484 (англ.)

Рассматривается общий случай решения уравнения диффузии при образовании летучих продуктов разложения в толстых пленках: $\partial c / \partial t = D \partial^2 c / \partial x^2 + G$, где G — процент продукта разложения на единицу объема, когда G является функцией времени. Явная зависимость от времени $G = G_0 \exp(-\alpha t)$ определяется из измерений потери веса тонкой пленкой, когда можно пренебречь диффузией. При решении ур-ния задаются граничные условия $c(0, t) = 0$, $c(\lambda, t) = 0$ и $c(x, 0) = 0$, где λ — толщина пленки. В этом случае c можно выразить с помощью ряда Фурье. Тогда решение ур-ния принимает вид: $c = G_0 / \alpha [\cos(\lambda/2 - x)(\alpha/D)^{1/2} / \cos \lambda/2(\alpha/D)^{1/2} - 1] e^{-\alpha t} - 4G_0 \lambda^2 \sum_n [1 / n\pi (n^2 \pi^2 D - \alpha \lambda^2)] e^{-n^2 \pi^2 D t / \lambda^2} \cdot \sin n\pi x / \lambda$; (n — нечетное). В соответствии с этим сделаны замечания по результатам (Crawford J. W. C., L. Soc. Chem. Ind., 1949, 68, 201) относительно потери веса пленкой метилметакрилата. Ю. Панов

34898. Диффузия паров воды через сополимер винилхлорида и винилацетата. Кьюминс, Ролл, Ротман (Water vapor diffusion through vinyl chloride-vinyl acetate copolymer. Kumin C. A., Rolle C. J., Roteman J.), J. Phys. Chem., 1957, 61, № 10, 1290—1296 (англ.)

Исследована диффузия паров воды через пластифицированные диоктилфталатом и непластифицированные пленки сополимера винилацетата и винилхлорида (соотношение 87:13) при t -рах выше и ниже T_g -ы стеклообразования (T_g 76,5°). Найдено, что выше и ниже T_g диффузия паров воды подчиняется закону Фика и коэф. диффузии (D) не зависит от конц-ии. Растворимость паров воды в сополимере подчиняется закону Генри. Эти данные указывают на то, что механизм диффузии паров воды отличен от механизма диффузии паров органич. в-в, в которых полимер набухает. D для пластифицированного полимера (ПП) имеет более высокое значение, чем для непластифицированного полимера (НП). Выше T_g для НП D возрастает; для ПП возрастание D начинается при t -ре, которая на ~20° выше T_g . Зависимость $\lg D$ от обратной t -ры $1/T$ характеризуется для ПП и НП двумя пересекающимися прямыми линиями. Для НП ниже 70° наклон прямой соответствует энергии активации 7,7 ккал/моль, а для ПП ниже 60° — энергии активации 2,2 ккал/моль. Выше 60 и 70° наклон прямых для ПП и НП одинаков и отвечает энергии активации 19,6 ккал/моль. Различие энергий активации выше и ниже T_g связывается с тем, что, согласно опубликованным данным (РЖХим, 1955, 39909), длина элементарно-

го скачка молекулы λ в акте диффузии составляет 10А при t -ре ниже T_g и 25А выше T_g . С использованием этих значений вычислена энтропия активации диффузии ΔS . Ниже T_g ΔS имеет отрицательное, а выше T_g — положительное значение. Ниже T_g различия ΔS для ПП и НП очень велики, это объясняется тем, что при диффузии в ПП происходит меньшее изменение порядка в расположении молекул в системе. Из данных по растворимости вычислены теплота сорбции воды для НП, равная -7,9 ккал/моль, и параметр взаимодействия Флори — Хаггинса $\chi = 6,7$. Ю. Липатов

34899. Об измерении градиента концентрации в тонких пленках. Бауэр (On the measurement of concentration gradients in thin films. Bauer S. H.), J. Colloid Sci., 1957, 12, № 5, 460—464 (англ.)

Для определения коэф. диффузии низкомолекулярных в-в через тонкие пленки полимера используют радиоактивные изотопы, дающие «мягкое» излучение, напр. H^3 , S^{34} , C^{14} . Чтобы определить распределение конц-ии по толщине пленки $c(x)$ через некоторое время после начала диффузии, измеряют интенсивность излучения под разными углами к поверхности пленки с помощью счетчика с малой угловой апертурой. Выведены ур-ния для расчета $c(x)$ по угловому распределению интенсивности излучения. И. Слютин

34900. О диффузии некоторых полимеров в растворах. Крозер С. П., Уч. зап. Выборгск. гос. пед. ин-та, 1957, 2, 25—49

Измерен коэф. диффузии D p -ров полистирола (I), поливинилового спирта, полиизобутилена и синтетич. каучуков с помощью поляризационного интерферометра при разности конц-ий соприкасающихся p -ров $\leq 0,05$ г на 100 см³. Во всех случаях обнаружена зависимость D от конц-ии p -ра с и сделаны выводы о гидродинамич. свойствах молекул I, которые не имеют заметных разветвлений. Полученные результаты рассмотрены с точки зрения теорий Дебая — Буше и Куна и Кирквуда — Раземана. Рассчитаны значения радиусов эквивалентных центров сопротивления макромолекул, которые оказались близкими к значениям гидродинамич. длин сегментов. Это показывает, что при низких c передвижение растворенных молекул полимера происходит путем перемещения сегмента, при увеличении c значения не изменяются, несмотря на увеличение вязкости, что связано с возрастанием перепутывания мол. цепей, при котором перемещение происходит целыми комплексами. Н. Плат

34901. Исследование сополимеров винилацетата и маленового ангидрида с помощью диффузии и электрофореза. Данчу (Studiul unui copolimer de anhidridă maleică-acetat de vinil prin electroforeză și difuzie. Danciu E.), Studii și cercetări fiz., 1955, 6, № 4, 781—794 (рум.)

34902. Диффузия реагента во внутренние слои вискозы. Хаяма, Ямагути, Kōgō kagaku dзасси, J. Chem. Soc. Japan. Industr. Chem. Sec., 1955, 58, № 12, 984—987 (японск.)

34903. Оптическая активность раствора макромолекул в гидродинамическом поле. Тиноко (Optical activity of a solution of macromolecules in a hydrodynamic field. Tinoco Ignacio, Jr), J. Chem. Phys., 1957, 26, № 5, 1356—1357 (англ.)

Оценивается изменение оптич. активности p -ра полимеров, обусловленное ориентацией молекул в гидродинамич. поле, аналогичной ориентации во внешнем электрич. поле. С. Френкель

34904. Химия поверхностных пленок высокомолекулярных VII. Поликислоты и некоторые винильные полимеры. Хотта, Исэмура (Surface chemistry of high polymers. VII. Polyacids and some vinyl poly-

тавляет 10А.
ользованием
и диффузии
выше 7-с-
ΔS для III
м, что при
ние порядко
ных по ра
и для НР,
имеющихся
Ю. Липатов
ации в том-
ent of сол-
g S. H.), I.
(.)

молекуляр-
используют
излучение,
определение
некоторых
интенсив-
поверхности
вой аперту-
ую угловую
И. Словни
в раство-
с. пед. ин-т.

тирола (I),
и синтетич.
терфеном-
хся p-ро-
ружена за-
выводы о
не не имеют
ьтаты рас-
уше и Куна
ения ре-
ния макро-
значениям
ывает, что
е молеку-
и сегмента,
я, несмотря
арастания
еремещени
Н. Плато

пацетата
и диффузии
opolimer de
atroforeza
fiz., 1955, 6

слон высо-
дазски, I
5, 58, № 12

макромо-
ко (Optical
a hydro-
Chem. Phys.

ости p-ро
молекулу
ии за он
С. Френк
сополиме-
ные воз-
chemistry d
vinyl poly

mers. Hotta Hiroshi, Isemura Toshizo), Bull. Chem. Soc. Japan, 1957, 30, № 5, 464—469 (англ.)
Описанными ранее (РЖХим, 1955, 28607; 1956, 12543) методами сняты изотермы поверхностного давления и измерен поверхностный потенциал (момент) μ и носителей сополимера малеиновой к-ты и винилацетата (I), поли-*l*-глутаминовой к-ты (II), а также, для сравнения, некоторых неионогенных линейных полимеров и ди- и трикарбоновых к-т на поверхностях раздела вода/воздух (В/В) и масло (петр. эф.)/вода (М/В). Показано, что величина μ карбоксильных групп полимеров зависит от ориентации связи C=O. Горизонтальное расположение цепи, связанной с COOH-группой, уменьшает μ . Для сополимеров μ не может быть определен простым суммированием моментов полярных групп компонентов. При увеличении pH воды фазы до определенного значения μ поликислот резко падает из-за ионизации COOH-групп. Для I, II и полималеиновой к-ты падение μ происходит при pH 2,85; 4,25; 4,85, т. е. при pH, равном pK малеиновой, глутаминовой и изомалеиновой к-т — «мономеров» поликислот. Часть VI см. РЖХим, 1956, 15748.

И. Словни
34905. Изотактические полимеры. Мурахаси, Кагаку, 1957, Прилож. № 3, 53—64 (японск.)
Обзор. Библ. 28 назв.

34906. Целлюлоза. Престон (Cellulose. Preston R. D.), Scient. Amer., 1957, 197, № 3, 156—160, 162, 164—166, 168 (англ.)
Популярная статья.

Ю. Липатов
34907. Поликристаллическая структура и физико-химические свойства кристаллических высокополимеров. Сато, Кагаку, 1957, Прилож. № 3, 159—176 (японск.)
Обзор. Библ. 21 назв.

34908. Об интерференциях длинных периодов синтетических волокнистых веществ. Pote (Zur Frage der Langperioden-Interferenzen an synthetischen Faserstoffen. Rothe Helmut), Faserforsch. und Textiltech., 1957, 8, № 6, 244—253 (нем.; рез. русск., англ.)

При систематич. рентгеновских исследованиях подкаправленными под малым углом наряду с общеизвестными рефлексами длинных периодов обнаружены также более слабые интерференции, которые определяют периодичность в направлении, перпендикулярном оси волокна между 36 и 59 Å; эти интерференции могут быть связаны с боковыми размерами кристаллич. областей. Исследовалось влияние вытяжки, термообработки и набухания на форму и положение этих интерференций. На вальцованных препаратах того же материала впервые получены 4-точечные диаграммы.

Резюме автора
34909. Электронномикроскопическое определение больших периодов в целлюлозных волокнах и сравнение их с периодами волокон иного рода. Хесс, Маль, Гюттер (Elektronenmikroskopische Darstellung und großer Längsperioden in Zellulosefasern und ihr Vergleich mit den Perioden anderer Faserarten. Hess Kurt, Mahl Hans, Gütter Ernst), Kolloid-Z., 1957, 155, № 1, 1—19 (нем.)

Приведены результаты электронномикроскопич. исследования природных и подвергнутых хим. обработке целлюлозных препаратов: высокоориентированного вискозного волокна Кольвадур, Суперкордур, дезацетилизированного ацетатного шелка Фортизан, основного целлюлозы Модокорд X, мерсеризованных хлопка и рами, а также синтетич. волокна на основе поливинилового спирта Куралон. Для контрастирования применялось внедрение J или TI в неупорядоченные области целлюлозного материала в кол-ве 1—10% J и 7—8,3% TI от веса волокна. Все исследованные волокна характеризуются четко выраженными боль-

шими периодами в пределах 500—800 Å, а также малыми периодами в 60—200 Å в направлении длины волокна, что указывает на периодичность чередования упорядоченных и неупорядоченных областей в мицеллярных тяжах, образующих элементарные фибриллы. Наблюдаемая на снимках, как и в случае природных и осажженных из p-ра волокон протеинов, полосатость окрашенных областей объясняется наличием также бокового порядка, обусловливаемого расположением неупорядоченных и упорядоченных областей соседних мицеллярных тяжей всегда на одном уровне. Исходя из полученных результатов, авторы принимают для целлюлозы мицеллярную схему строения с периодич. чередованием упорядоченных и неупорядоченных участков, установленную для синтетич. волокон.

О. Из

34910. Электронографическое исследование полимеров. IV. Изучение изменений в структуре полифторхлорэтилена в интервале температур плавления кристаллов. Ермолина А. В., Маркова Г. С., Каргин В. А., Кристаллография, 1957, 2, № 5, 623—627

Получены электронограммы от пленок кристаллич. и расплавленного полифторхлорэтилена. Рассчитана кривая радиального распределения; из сопоставления с литературными данными (РЖХим, 1958, 16767) сделан вывод, что первые 5 максимумов на кривой радиального распределения при 1,4; 1,57; 1,75; 2,25 и 2,8 Å соответствуют внутримолекулярным расстояниям, а максимум при 5,2 Å относится к расстоянию между молекулами и указывает на их упорядоченное расположение. С целью выявления порядка, существующего в аморфном полимере, рассчитана кривая эксперим. интенсивности аморфного и кристаллич. полимера; между этими кривыми наблюдается значительное сходство; разница в высотах максимумов всего 13%. Это указывает на достаточно высокую степень упорядоченности, существующую в аморфном полимере, а не на значительную дефектность полимерных кристаллов, как можно было предположить на основе других эксперим. данных. Таким образом, полифторхлорэтилен даже в аморфном состоянии является высокоупорядоченной системой. Степень упорядоченности в кристаллич. состоянии близка к упорядоченности в аморфном состоянии, отличаясь наличием дополнительных элементов упорядоченности, возникающих в процессе кристаллизации за счет возникновения дополнительных пространственных связей; при этом порядок в расположении цепей остается примерно таким же, как в аморфном состоянии.

Ю. Л.
34911. Опыты по рассеянию рентгеновских лучей под малыми углами от волокнистых веществ и их интерпретация. Касаи, Какудо, Ватасэ (Kasai Masao, Wakudo Masao, Watase Takeo), Kōgō Kagaku Zasshi, J. Chem. Soc. Japan. Industr. Chem. Sec., 1956, 59, № 7, 786—789 (японск.)

34912. Энергия решетки кристаллического полиэтилена. Билмейер (Lattice energy of crystalline polyethylene. Billmeyer Fred W., Jr), J. Appl. Phys., 1957, 28, № 10, 1414—1418 (англ.)

Теплота сублимации линейных парафиновых цепей (из кристаллич. формы в газообразную при 0° K) рассчитана по данным о теплотах плавления, теплотах испарения и теплоемкостях твердых, жидких и газообразных углеводородов. Эта теплота сублимации, определяемая как энергия решетки кристаллич. фазы линейного полиэтилена, составляет 1,84 ккал/моль групп CH₂. Теплота плавления кристаллич. линейного полиэтилена равна 0,922 ккал/моль групп CH₂.

Резюме автора

34913. Кристалличность и теплота горения целлюлозы. Кагава, Сукан (Kawaga Ikumi, Sukai

Kiyoshi), Koré kagaku dzасси, J. Chem. Soc. Japan. Industr. Chem. Sec., 1956, 59, № 7, 797—799 (японск.)

34914. Изменение кристалличности волокон поливинилового спирта при вытягивании. Окадзима, Кобаяси (Kobayashi Yasuji), Koré kagaku dzасси, J. Chem. Soc. Japan. Industr. Chem. Sec., 1956, 59, № 7, 800—803 (японск.)

34915. Исследование структуры полиамидов, особенно найлона-6. Кеслер (Investigation into the structure of polyamides, especially of nylon-6. Kessler J. Ch. F., Jr), Plastics Inst. Trans. and J., 1957, 25, № 62, 281—310 (англ.)

Проведено феноменологич. рассмотрение проблемы образования сферолитов при кристаллизации полиамидов. Приведены снимки сферолитных образований, полученные при помощи поляризационного микроскопа для случая различным образом обработанных полиамидов (обработка при различных t -рах, охлаждение с различной скоростью и т. п.). Особое внимание уделено рассмотрению факторов, определяющих возникновение той или иной структуры в процессе произ-ва изделий из полиамидов методами инъекции расплавов, как-то: t -ры расплава, конструкции литейной машины и т. п. Рассмотрено также влияние структуры на свойства получаемых изделий.

Ю. Липатов
34916. Строение солей диаминов и дикарбоновых кислот. Карапетян С. С., Хим. наука и пром-сть, 1957, 2, № 3, 396—397

Исследованы вискозиметрически в трикрезоле (I), криоскопически и рентгенографически гексаметилендиамонийадипинат (II), -сукцинат, -азенаилат (III), -себадинат и ω -капролактан (IV). Соли нейтральны. В качестве величины, характеризующей длину цепи, использовалась приведенная вязкость $\eta_{пр} = \eta_{уд} / c$ (c — конц-ия r -ра). С повышением c увеличивается $\eta_{пр}$, при $c = \text{const}$ высшие члены гомологич. ряда солей имеют большие значения $\eta_{пр}$, чем низшие; с увеличением t -ры $\eta_{пр}$ падает. R -ры солей не подчиняются закону Рауля-Вант-Гоффа. Отсюда делается вывод, что в r -ре I соли имеют линейное строение и при увеличении c повышается степень ассоциации. У IV отсутствует линейная ассоциация. Рентгенограммы II и III показали: 1) II — моноклинные кристаллы, a $5,62 \pm 0,05$, b $15,48 \pm 0,12$, c $9,19 \pm 0,05$ Å, β $114^\circ 30'$, $n = 2$, ф. гр. P_{21}/n ; молекулы с центром инверсии; 2) III — ромбич. кристаллы, a $5,02 \pm 0,03$, b $17,81 \pm 0,11$, c $22,45 \pm 0,16$ Å, $n = 4$, ф. гр. $R\bar{3}c$, молекула обладает осью 2-го порядка. Из геометрии анализа вытекает, что кристаллы солей построены из чередующихся параллельных цепей k -ты и гексаметилендиамина, которые линейны (плоские распрямленные зигзаги).

О. Гайсинская
34917. Молекулярное движение в полиэтилене. МакКолл, Сликтер (Molecular motion in polyethylene. McCall D. W., Slichter W. P.), J. Polymer Sci., 1957, 26, № 113, 171—186 (англ.; рез. нем., франц.)

Проведено сравнительное исследование двух образцов полиэтилена: сильно разветвленного, полученного полимеризацией под давлением (I), и линейного образца, полученного методом ионного катализа (II). Главный метод изучения — ядерный магнитный резонанс. Были сняты резонансные кривые, измерена их ширина и определены вторичные моменты при t -рах от -80 до 440° К. Кроме того, измерялись дифракция рентгеновских лучей в области t -р от 300 до 400° К, диэлектрич. потери при комнатной t -ре и частоте от 10^3 до 10^8 гц и коэф. диффузии n -гексана и бензола. Показано, что кристалличность II сохраняется вплоть до t -ры плавления полимера в массе, а вращение цепей полимера, связанных в кристаллиты, является довольно ограниченным даже в области t -р, предшествующих плавлению.

Вращение цепей внутри кристаллитов у I более свободное, вероятно, вследствие дефектов решетки, возникающих при включении в область кристаллита узлов разветвления полимера. Кристалличность в I исчезает при гораздо более низких t -рах, чем во II. Наблюдается интенсивное движение сегментов цепи макромолекулы в пределах аморфной фазы I и II, хотя при данной t -ре более свободным движением обладает I. Измерение диффузии в полимерных решетках указывает на то, что аморфную фазу в полимере следует считать вязкой жидкостью, даже при t -рах значительно ниже области плавления полимера. Энергия активации и частотный фактор для движения цепей в аморфной фазе хорошо согласуются с данными, полученными ранее методами динамич. потерь и механич. релаксации.

В. Кушнер
34918. Кинетика кристаллизации ненасыщенного полиэтилендиата. Рассмотрение, основанное на росте сферолитов с двумя пространственными центрами кристаллизации. Такаянаги, Накао, Матида, Koré kagaku dzасси, J. Chem. Soc. Japan. Industr. Chem. Sec., 1956, 59, № 5, 549—561 (японск.)

34919. Кинетика роста сферолитов в высокомолекулярных. Бернетт, Мак-Девит (Kinetics of spherulite growth in high polymers. Burnett Bruce B., McDevit W. F.), J. Appl. Phys., 1957, 28, № 10, 1101—1105 (англ.)

Методом киностемки с микроскопом измерены скорости роста сферолитов в найлоне 6 и найлоне 66 при t -рах на 38 — 141° ниже t -ры плавления. Найдено, что при постоянной t -ре радиус сферолита возрастает с постоянной скоростью. Константа скорости роста G не зависит от t -ры, имея невысокие значения вблизи t -ры плавления и при комнатных t -рах и обладая максимумом в промежуточной области. Наблюдаемая зависимость размера сферолита от времени и отрицательный температурный коэф. скорости роста вблизи t -ры плавления показывают, что процесс роста является процессом, управляемым диффузией, но это очевидно, результат последовательного образования ядерных центров кристаллизации на поверхности сферолита. Предполагается, что скорость роста определяется частотой образования последовательных монослоев на поверхности растущего сферолита; при этом завершение роста монослоя протекает с большой скоростью, образование нового монослоя. На основе этого предположения может быть вычислена температурная зависимость скорости роста сферолитов, даваемая соотношением: $\lg(G/T) = \lg G_0 - A/T - BT_m/T(\Delta T)$; $A = E_D/2,3k$; $B = \pi l c_s^2 / 2,3k(\Delta h_u)$, где G_0 — константа, E_D — кажущаяся энергия активации вязкого течения, l — толщина монослоя (определяемая рентгенографически), c_s — свободная поверхностная энергия на единицу площади, Δh_u — теплота плавления на единицу объема звена цепи, T_m — t -ра плавления, $\Delta T = T_m - T$, T — t -ра опыта. Это ур-ние описывает экспериментально наблюдаемую зависимость G от T . Принимая для найлона 6 $T_m = 232^\circ$ и определенные значения для l и Δh_u , авторы вычислили значения $E_D = 17\,900$ кал/мол, $c_s = 18,1$ эрг/см². Соответствие эксперим. и теоретич. кривой и правильный порядок вычисленных величин E_D и c_s показывают, что механизм двумерного образования центров кристаллизации удовлетворительно объясняет температурную зависимость скорости роста сферолитов.

Ю. Липатов
34920. Рассеяние света в кристаллических полимерах. I. Образование и плавление кристаллической фазы в хлоропреновом каучуке. Трапезникова

ва О. Н., Смирнова Г. Е., Оптика и спектроскопия, 1957, 3, № 6, 631—637

Определены индикатрисы деполаризованной и поляризованной компонент рассеянного света от пленки из полихлоропренового каучука в процессе его кристаллизации и плавления. Показано, что на индикатрисе рассеяния в ходе кристаллизации возникают максимумы, составляющие угол 4° — 6° с направлением падающего пучка; общая интенсивность рассеяния значительно (в 15—20 раз) возрастает, форма индикатрисы становится менее вытянутой, что указывает на уменьшение размеров кристаллитов. В процессе плавления не происходит изменения формы индикатрисы и не наблюдается уменьшения боковых максимумов, рост которых характеризует увеличение содержания кристаллич. фазы. Отсутствие изменений формы индикатрисы имеет место вплоть до т-ры плавления; изменяется только общая интенсивность светорассеяния. Авторы полагают, что при плавлении изменяется не содержание кристаллич. фазы, а качество кристаллич. решетки одновременно во всех кристаллитах. Указывается, что изменение интенсивности рассеяния под каким-либо одним углом не может быть характеристикой степени кристалличности, так как рост интенсивности различен в разных направлениях; наоборот, наблюдаемое при плавлении уменьшение интенсивности рассеяния может служить мерой приближения к аморфному состоянию. Из угловой зависимости интенсивности рассеяния по ф-ле 1-го приближения для шаровых частиц (Шифрин К. С. Рассеяние света в мутной среде. М.—Л., ГИТТЛ, 1951, стр. 237) вычислены размеры рассеивающих свет частиц; эти размеры согласуются с определенными по микрофотографии размерами сферолитов.

Ю. Липатов
34921. Модель молекулы аморфных высокополимеров и переход второго рода. Ямамото, Кагаку, 1957, Прилож. № 3, 150—158 (японск.)
Обзор. Библ. 31 назв.

34922. Температуры плавления и стеклования высокополимеров. Уэмацу (Uematsu Ichitaro), Корё кагаку дзасси, J. Chem. Soc. Japan. Industr. Chem. Sec., 1956, 59, № 7, 750—756 (японск.)

34923. Температура перехода 2-го рода для триацетата целлюлозы. Накамура (Nakamura Koichi), Корё кагаку дзасси, J. Chem. Soc. Japan. Industr. Chem. Sec., 1956, 59, № 7, 830—833 (японск.)

34924. Температура перехода поливинилового спирта и поливинилпирролидона. Ито, Сэкигучи, Нэгиси (Itō Hēhachirō, Sekiguchi Ichirō, Negishi Michiharu), Корё кагаку дзасси, J. Chem. Soc. Japan. Industr. Chem. Sec., 1956, 59, № 7, 834—837 (японск.)

34925. Проблемы твердых высокополимеров. Фурукава, Кагаку, 1957, Прилож. № 3, 135—138 (японск.)

Обзор. Библ. 9 назв.

34926. Водородная связь у высокополимерных электролитов в твердом состоянии. Собоуэ, Табата (Sobue Hiroshi, Tabata Yoneho), Корё кагаку дзасси, J. Chem. Soc. Japan. Industr. Chem. Sec., 1956, 59, № 8, 983—986 (японск.)

34927. Механика высокомолекулярных соединений. Исикава, Кагаку, Chemistry (Kyoto), 1955, 10, № 10, 63—67 (японск.)

34928. Замечания по молекулярной теории вязкоупругости полимеров. Мияке (A note on the molecular theory of viscoelasticity of polymers. Miyake Akira), J. Polymer Sci., 1957, 26, № 113, 239—240 (англ.)

На основании подробного рассмотрения обобщенного ур-ния Кирквуда (РЖХим, 1954, 33985) показано,

что согласие между результатами теории конфигурационной диффузии полимерных цепей (РЖХим, 1956, 71849), основанной на этом ур-нии, и мол. теории вязкоупругости полимеров (РЖХим, 1956, 16308) не случайно, если предположить, что детерминант метрич. тензора конфигурационного пространства и коэф. диффузии $D^{\alpha\beta}$ не зависят от конфигурационной характеристики q^{α} . Автор предлагает также учитывать влияние запутывания цепей и другие гидродинамич. взаимодействия на константу трения, соответственно изменяя $D^{\alpha\beta}$.

И. Вишняков
34929. Метод определения вязко-упругих свойств высокополимеров. Курибаяси. Нагой-сирицу дайгаку якугаку-бу киё, Bull. Nagoya Univ. Pharmas. School., 1953, № 1, 6—10 (японск.)

34930. Вязко-упругие свойства поперечно-связанных волокон шелка. Токита, Канамару (Tokita Noboru, Kanamaru Kison), Корё кагаку дзасси, J. Chem. Soc. Japan. Industr. Chem. Sec., 1956, 59, № 7, 824—830 (японск.)

34931. Динамические механические свойства поли-*n*-гексилметакрилата. Чайлд, Ферри (Dynamic mechanical properties of poly-*n*-hexyl methacrylate. Child William C., Jr, Ferry John D.), J. Colloid Sci., 1957, 12, № 4, 389—399 (англ.)

Исследованы динамич. механич. свойства поли-*n*-гексилметакрилата в области частот 15—2400 гц и т-р 5—125°. Логарифмич. зависимости приведенных к 100° значений составляющих комплексной податливости J'_p и J''_p могут быть приведены к общей кривой с применением обычного фактора приведения a_T , идентичного для J'_p и J''_p , за исключением области 15—50° для J'_p и 105—125° для J''_p . Значение a_T дается ур-нием Вильямса — Ланделла — Ферри $\lg a_T = -c_1^0 (T - T_0) / (c_2^0 + T - T_0)$ с параметрами $c_1^0 = 9,80$ и $c_2^0 = 234,4$ для T_0 373,2°K. Принимая за стандартную т-ру т-ру стеклования $T_g = 268^{\circ}\text{K}$, авторы вычислили значения относительного свободного объема при T_g , $f_g = 0,025$ и коэф. термич. расширения $\alpha_f = 1,9 \cdot 10^{-4}$. Полученные данные обработаны аналогично данным по поли-*n*-бутилметакрилату (РЖХим, 1958, 10181) исходя из предположения о наличии α - и β -механизмов движения цепей. Вычисленная из температурной зависимости $a_T \beta$ кажущаяся энергия активации для β -механизма, $\Delta H = 13$ ккал/моль, т. е. с увеличением длины боковой цепи ΔH уменьшается. Спектры распределения времен релаксации и запаздывания для α -механизма аналогичны спектрам для других метакриловых полимеров, хотя с возрастанием длины боковой цепи спектр для α -механизма сдвигается в сторону более коротких времен и максимум становится шире и ниже. Из спектров распределения времен релаксации и запаздывания вычислен мономерный коэф. трения. Его логарифм равен $-5,21$ при 100° и $2,63$ при -5° . При т-рах стеклования коэф. трения для полиэтилен-, поли-*n*-бутил- и поли-*n*-гексилметакрилатов находятся в отношении 4000:13:1, хотя свободные объемы их при т-ре стеклования почти одинаковы. Это показывает, что с ростом длины боковой цепи движение молекул облегчается.

Ю. Липатов

34932. Изменение динамического упругого модуля органических стекол с температурой при двух частотах. Крофорд (The variation with temperature of the dynamic elastic moduli of an organic glass at two frequencies. Crawford S. M.), Proc. Phys. Soc., 1957, B70, № 11, 1045—1048 (англ.)

Измерен динамич. модуль сдвига и скорость распространения продольных волн в 2'-гидрокси-4,4,6,6'-метаметилфлаване при т-рах 0°—100° и частотах 4 и

20 Мгц. Установлено, что вещественная часть модуля изменяется во времени, причем релаксация происходит при более высокой t -ре при 20 Мгц. При каждой t -ре время релаксации имеет порядок периода приложенного напряжения. Вещественная часть модуля всестороннего сжатия не зависит от частоты, но изменяется с t -рой. Результаты сопоставлены с аналогичными результатами автора, полученными ранее (РЖХим, 1955, 20722; 1957, 62998). Ю. Липатов

34933. Механические свойства высокополимеров. VI.

Спектр релаксации полиметилметакрилата. VII. Релаксация напряжения при кручении полиметилметакрилата. Наканэ, Хидэсима, Иваянаги (Nakane Heinosuke, Hideshima Tetsuo, Iwayanagi Shigeo), Karaku kankyodō хококу, Repts. Scient. Res. Inst., 1956, 32, № 4, 111—114; № 5, 140—145 (японск.)

34934. Частотная и температурная области дисперсии у высокополимеров. Оноги, Уи (Onogi Shigeharu, Ui Kyuzaburo), Korō karaku dzassi, J. Chem. Soc. Japan. Industr. Chem. Sec., 1956, 59, № 7, 819—824 (японск.)

34935. Диэлектрические и динамические механические свойства поликапроамида. Кавагучи (Kawaguchi T.), Toō rēn кабусики кайся суюхо, Scient. Repts Toyo Rayon Co, 1957, 12, № 2, 48—51 (японск.; рез. англ.)

Установлена корреляция динамич. и диэлектрич. свойств поликапроамида в широком температурном интервале (от -80 до 200°). В изученном интервале t -р наблюдаются области дисперсии при -45 и 80° . Возникновение высокотемпературной области дисперсии объясняется наличием водородных связей, другая область дисперсии связывается с дипольным взаимодействием между амидными связями.

Резюме автора

34936. Вязко-упругие свойства высококонсистентного асфальта. Браун, Спарке, Смит (Viscoelastic properties of a high-consistency asphalt. Brown A. B., Sparks J. W., Smith F. M.), J. Colloid Sci., 1957, 12, № 3, 283—293 (англ.)

Экспериментально изучены ползучесть при разных нагрузках, восстановление и релаксация напряжения при разной (от 10 до 10^4 сек.) продолжительности ползучести. На основании эксперим. кривых временной зависимости ползучести и восстановления найдены значения условно-мгновенного модуля упругости ($6 \cdot 10^7$ дн/см²), истинной вязкости ($2 \cdot 10^{11}$ пуаз) и для четырех механизмов спектра времен запаздывания значения модулей конфигурационной упругости (от $14 \cdot 10^7$ до $0,7 \cdot 10^7$) и вязкости упругого последствия (от $5 \cdot 10^8$ до $2 \cdot 10^{10}$). Вычисленные из этих величин по известным ур-ниям механики высокополимеров значения ползучести, восстановления и релаксации напряжения для разных промежутков времени достаточно хорошо совпадают с результатами прямых определений. Исследование показывает, что при всей сложности реологич. свойств асфальта его поведение может быть описано так же просто, как поведение материалов, обладающих ньютоновской вязкостью и гуковской упругостью. С. Гликман

34937. О ползучести и релаксации. Гопкинс, Хамминг (On creep and relaxation. Hopkins I. L., Hamming R. W.), J. Appl. Phys., 1957, 28, № 8, 906—909 (англ.)

Показано, что ур-ния Гросса (Gross B. Mathematical structure of the theories of viscoelasticity. Paris, Hermann and Cie, 1953) $\int_0^t \phi(t-\tau)\psi(\tau)d\tau = t$, $\int_0^t \phi(t-\tau) \times \psi(t-\tau)d\tau = t$, выведенные на основании принципа суперпозиции Больцмана и связывающие функцию ползучести $\phi(t)$ с функцией релаксации $\psi(t)$, могут быть решены в численном виде относительно одной

из функций, если другая функция дана в табличной форме. Используя релаксационные данные Тобольского и Катзиффа (РЖХим, 1956, 54650) для полиэобутилена, полученные при 25° , вычисляют функцию ползучести. Проверкой совместности функции показано: 1) при $t=0$ наклон $\phi(t)$ противоположен наклону $\psi(t)$, 2) неравенство $\phi(t)\psi(t) \leq 1$ удовлетворяется во всем изученном интервале времени, 3) функция ползучести удовлетворительно приближается к независимо вычисленной асимптоте. А. Моисеев

34938. Исследования в области химической релаксации твердых высокополимеров. Кисимото, Санагакайси, J. Soc. Text. and Cellulose Inds, Japan, 1957, 13, № 8, 560—566 (японск.)

Обзор. Библ. 35 назв.

34939. Зависимость механических свойств гуттаперчи от степени структурирования и температуры. Соколова Т. И., Айходжаев Б. И., Каргин В. А., Ж. физ. химии, 1957, 31, № 10, 2340—2350 (рез. англ.)

В интервале t -р 20 — 60° исследованы механич. свойства гуттаперчи (I) в зависимости от степени ее структурирования. Последнее осуществлялось путем введения серы при 143° и 3 кг/см². Показано, что по мере увеличения содержания S в I механич. свойства I приближаются к свойствам аморфных каучукоподобных полимеров, что особенно заметно для I с содержанием связанной $4,7\%$. Поскольку такие свойства кристаллич. полимеров, как прочность, модуль, форма кривой растяжения, определяются наличием кристаллов, то значительное изменение указанных свойств связано с тем, что возникновение поперечных связей приводит к уменьшению степени кристалличности; это подтверждается кривыми микрофотографирования рентгенограмм и сорбционными данными. При повышении t -ры до t -ры плавления кристаллов (55°) для структурированной I сохраняется форма кривой растяжения, характерная для кристаллич. полимеров. Для аморфной I с содержанием $4,7\%$ при повышении t -ры не наблюдается резкого изменения механич. свойств. Таким образом, механич. свойства структурированной I определяются ниже t -ры плавления наличием кристаллов, выше t -ры плавления свойства структурированной I определяются числом поперечных связей. Исследовано также влияние поперечных связей на механич. свойства I при повторных деформациях. Установлено также, что для I, вулканизированной при 143° , находящейся в кристаллич. состоянии, при каждой t -ре имеются дозировки связанной серы, при которых характерный для кристаллич. полимеров комплекс механич. свойств сочетается с повышенным значением деформируемости. Ю. Липатов

34940. Некоторые опыты по изучению механического двулучепреломления пластических материалов. Персо, Бонне (Quelques expériences de biréfringence mécanique des plastiques. Persoz B., Bonnet J.), Cahier Groupe franç. études rhéol., 1956, 1, № 2, 6—10 (франц.)

Исследованы величина и знак двулучепреломления некоторых полиамидов и полиэфиров, возникающего под влиянием механич. нагрузки. Значения коэф. Брюстера для образцов нейлона и смолы «рильсан» положительны и убывают со временем и с увеличением t -ры при постоянном растяжении, но возрастают со временем и с увеличением t -ры при постоянной нагрузке, что объясняется обычными изменениями сил межмолекулярного взаимодействия в зависимости от внешних условий. В случае полиэфиров типа «ламинак» (сополимер стирола и фталомалеата пропиленгликоля) наблюдается инверсия знака двулуче-

преломления после снятия нагрузки при данной степени растяжения при разных t -рах, что объясняется, по мнению авторов, наличием в полимере двух фаз — малочувствительной к t -ре спитой части и линейной термочувствительной части, относящихся по-разному к внешним воздействиям.

Н. Платэ

34941. Влияние химической структуры на двойное лучепреломление высокомолекулярных веществ. Майер, Дворак (Einfluß der chemischen Struktur auf die Doppelbrechung makromolekularer Stoffe. Majer J., Dvorak J.), Kunststoff — Rundschau, 1957, 4, № 8, 345—348 (нем.)

Исследовано двойное лучепреломление в некоторых блок-полимерах и сополимерах с высоким значением эластич. модуля при нагрузках 10^4 кг/см² и 20—25°. Экспериментально определена фотоупругая постоянная K , которая связана с деформационным двойным лучепреломлением $[\Delta/\lambda]$, величиной нагрузки S и толщиной образца t следующим соотношением: $K = St/[\Delta/\lambda]_g$. Поскольку зависимость K и механич. параметров образца от средней степени полимеризации совершенно одинакова по характеру, то делается вывод, что K есть линейная функция эластич. модуля. Показано, что в случае пространственноспитых полимеров K мало зависит от густоты сетки. Более резкое влияние на K оказывает природа мономера; при наличии в нем бензольного кольца K резко уменьшается; в некоторых полиэфирах (напр., циклогексильного спирта и метакриловой к-ты), лишенных подвижных электронов, K имеет очень большую величину. Найденные эмпирич. соотношения между $|K|$, показателем преломления и поляризуемостью, отнесенной к мол. объему, имеют полуколич. характер. В случае сополимеров, каждый компонент вносит свою долю в общую величину K , согласно эмпирич. ф-ле: $K = K_1 \cdot X_1/K_2 \cdot X_2 + X_2 K_1$, где X_1 и X_2 — вес. % компонентов, а K_1 и K_2 — соответствующие постоянные. Общее теоретич. рассмотрение проблемы не выходит за рамки общего ур-ния Лоренца — Лоренца, но полученное при этом выражение для K давало величины значительно меньшие, чем это было определено экспериментально.

В. Кушнер

34942. Исследование двойного лучепреломления термически упроченных поликапролактамовых волокон. Урбанчик (Badanie dwójłomności optycznej termicznie utwardzonych monofilamentów polikaprolaktamowych. Urbańczyk G. W.), Przem. włókienniczy, 1957, 11, № 3, 115—117 (польск.)

Двойное лучепреломление (ДЛП) поликапролактамовых волокон (ПКЛВ) изучалось с помощью поляризационного микроскопа в монохроматич. свете ($\lambda_{\text{max}} = 556$ мμ). ДЛП вычислялось по ф-ле $\varphi = n \cdot \lambda / 1000d(1)$, где n — кол-во интерференционных полос, λ — длина волны монохроматич. луча в мμ, d — толщина волокна в мμ (брались волокна толщиной 260—350 мμ). Кол-во интерференционных полос определялось по Е. Ф. Гурни методом «волокно — клин» (Gurnee E. F. Praca zbiorowa — «Len, koporie, welna». Poznań, 1947). Метод не требует сложной аппаратуры и дает возможность определять величину изменения ДЛП в толще волокна. Найдено, что ДЛП поликапролактамового волокна зависит от того, как проводилось термич. упрочнение волокон. Автор делает вывод об оптич. однородности изучаемых ПКЛВ.

Э. Мадеевская

34943. Диэлектрические свойства кристаллических полиэфиров. Такаянаги, Ириэ, Тэранака (Takayanagi Motowo, Irie Fujio, Teranaka Ryoji), Koré какаку дааси, J. Chem. Soc. Japan. Industr. Chem. Sec., 1956, 59, № 7, 700—794 (японск.)

34944. Диэлектрические свойства полиэтиленгликолей при микроволновых частотах. Кондзуми (Dielectric properties of polyethylene glycols at microwave frequencies. Koizumi Naokazu), J. Chem. Phys., 1957, 27, № 3, 625—630 (англ.)

Комплексные диэлектрич. постоянные ϵ^* моно-, ди-, тетра- и гексаэтиленгликолей в жидком состоянии измерялись при частотах 1,43, 9,73, 18,7 тыс. Мгц при t -рах 5—50°. Параметры диэлектрич. релаксации для этих гликолей были рассчитаны по ϵ^* и статич. диэлектрич. постоянным ϵ_0 согласно правилу круговой дуги (Cole K. S., Cole R. H., J. Chem. Phys., 1941, 9, 314). Показано, что времена диэлектрич. релаксации τ слабо зависят от степени полимеризации P в этом ряду и равны при 20° ~ 10^{-10} сек. τ максимально для $P = 2$ слегка уменьшается при повышении P . Этот неожиданный результат, очевидно, связан с гибкостью цепочек гликолей, обусловленной внутренним вращением вокруг С—О скелетных связей, благодаря чему оказывается возможной частичная и независимая ориентация ОН-групп на концах мол. цепи в случае высших гликолей. $\lg \tau$ в пределах 20—50° является линейной функцией обратной абс. t -ры.

С. Френкель

34945. О диэлектрических свойствах пластифицированных поливинилхлоридов. Каван, Масудзава, Йосида (Kawai E., Masuzawa T., Yoshida T.), Данки гаккай дааси, J. Inst. Electr. Engrs Japan, 1956, 76, № 9, 1076—1078 (японск.)

34946. Определение диэлектрической постоянной целлюлозы, глюкозы и клеточного вещества естественной древесины в области высоких частот. Трапп, Пунгс (Bestimmung der dielektrischen Werte von Cellulose, Glukose und der Zellsubstanz von Naturholz im großen Frequenzbereich. Trapp W., Pungs L.), Holzforschung, 1956, 10, № 3, 65—68 (нем.; рез. англ.)

Изучены диэлектрич. свойства клеточного в-ва естественной древесины, целлюлозы и глюкозы в области частот 10^2 — 10^{10} гц при 20°. В исследованных образцах воздух был заменен инертными по отношению к целлюлозе в-вами с диэлектрич. постоянной (ДП), близкой к ДП клеточного в-ва (напр., парафином, воском). Установлено, что при вычислении ДП по ф-ле Ротера — Лихтенекера для смесей сосновой и буковой древесины пригодно показателю $K = 1/3$. Клеточные в-ва сосны и бука приближенно сходны по своим диэлектрич. свойствам.

Ю. Вендельштейн

34947. Феноменологическая реология высокомолекулярных соединений и молекулярная теория. Ямамото, Кагаку, 1956, 26, № 2, 59—64 (японск.)

34948. Капиллярное течение расплава полиэтилена. Фотографическое изучение разрыва расплава. Торделла (Capillary flow of molten polyethylene a photographic study of melt fracture. Tordella J. P.), Trans. Soc. Rheology, 1957, 1, 203—212 (англ.)

Для выяснения причины искажения формы и разрыва струи полимера, выдавливаемой из капиллярной трубки при давлениях и скоростях течения выше предельного, проведены опыты со спец. стеклянным реометром. Видимость формы потока достигалась введением в полиэтилен частичек наполнителя, имевших размер 25—50 меш и состоявших из композиций, в состав которых входило либо 25%, либо 1% сажи. Изучение фотографий показало, что при скоростях ниже предельной в ламинарном потоке «мягкие» частицы вытягиваются в ленты, которые утоньшаются при вхождении расплава в капилляр, а при скоростях выше предельной — разрываються. Соотношение между предельной скоростью течения, вязкостью и радиусом капилляра не соответствует критерию Рейнольдса. Это исключает объяснение явления турбулентностью. Наблюдаемые явления свидетельствуют о правильности первоначально высказанной автором гипотезы

(РЖХим, 1957, 1138) о том, что неправильность и нестационарность потока должны быть приписаны изломам и разрывам расплава при вхождении его в капилляр.

34949. Природа разрыва при растяжении. Грантфест (The nature of tensile rupture. Gruntfest I. J.), J. Polymer Sci., 1955, 18, № 90, 449—454 (англ.; реф. нем., франц.)

Сделана попытка связать разрывные свойства материалов с их упругими и вязкостными характеристиками. Найдено, что если материал несжимаем и подчиняется закону Гука, то разрывное напряжение равно модулю. Этот вывод применим к пластифицированным поливинилхлориду и полиметилметакрилату и к ацетату целлюлозы. Если напряжение S связано с удлинением l соотношением $S = a_n (l - 1)^n$, где a_n — упругая постоянная, то для разрывного удлинения $l = 1/(1 - n)$ ($n < 1$). Полученные соотношения пригодны только для случая изотермич. характера разрыва. Разброс разрывных характеристик каучуков отчасти может быть объяснен различными степенями неэкзотермичности разрыва. Т. Хазанович

34950. Радиальное распределение степени полимеризации целлюлозы в одиночной нити искусственного шелка. Окадзима, Кикутти, Ватанабэ, Kōgō Kagaku Daishi, J. Chem. Soc. Japan. Industr. Chem. Sec., 1956, 59, № 6, 704—710 (японск.)

34951. Анализ поливинилхлоридных пластмасс по инфракрасным спектрам. Хагетхорн, Кестерен (Infrared-spectraanalyse van PVC-weekmakermengsels. Hagethorn N. E. M., Kesteren J. P. I.), Plastica, 1956, 9, № 8, 448—454 (голл.; реф. англ., франц., нем.)

Изучалась применимость ИК-спектров для идентификации пластификаторов и некоторых других компонентов поливинилхлоридных пластмасс известного состава с помощью спектрофотометра Бекмана. Найдено, что в случае более сложных смесей идентификация некоторых компонентов по ИК-спектрам невозможна. Возможности анализа возрастают, если одновременно с ИК-спектрами использовать УФ-спектры. Э. Мацевская

34952. Физико-химические исследования нитроцеллюлозных клебемасс. Дерко (Badania fizyko-chemiczne lepików nitrocelulozowych. Derko Halina), Elektonika, 1956, 2, № 6-7, 254—264 (польск.)

Дается общая характеристика нитроцеллюлозных клебемасс (НЦК), применяемых при производстве электронных ламп в качестве составных частей изоляционных и эмиссионных паст и для защитных покрытий. Описывается методика измерения физ.-хим. параметров НЦК и р-рителей: уд. веса, вязкости, поверхностного натяжения, уд. сопротивления, диэлектрич. постоянной и т. д. Указывается влияние этих параметров на свойства НЦК. Э. Мацевская

34953. Об идеальных запирающих материалах. Прагер (On ideal locking materials. Prager William), Trans. Soc. Rheology, 1957, 1, 169—175 (англ.)

Исследование посвящено механике «запирающих» материалов, которые по своему поведению противоположны пластич. твердым телам. В отличие от последних, продолжающих деформироваться после достижения предельного напряжения сдвига и потому называемых «мягкими», твердые «запирающие» материалы по достижении некоторого предельного растяжения перестают деформироваться, тогда как напряжение возрастает. Рассматривается проблема о граничных условиях, при которых часть поверхности тела, состоящего из идеального запирающего материала, испытывает смещения, а остальная часть свободна от действия поверхностных сил. Даются теоремы, опре-

деляющие пределы поверхностных смещений, вызывающих запирающие. В качестве примера подробно рассматривается радиальная деформация полый сферы из идеального запирающего материала, заключающей в себе жесткую сферу, радиус которой равен внутреннему радиусу полый сферы. С. Гликман

34954. Физические свойства фтороуглеродных смол. 2. Нисиока (Nishioka Atsuo), Об. буцур, J. Appl. Phys., Japan, 1956, 25, № 12, 475—479 (японск.)

Обзор. Библ. 15 назв. Часть 1 см. РЖФиз, 1957, 4143

34955. О ценной полимеризации. Имото, Оку, Кагаку, 1957, Прилож. № 3, 13—41 (японск.)

Обзор. Библ. 60 назв.

34956. Радиационная химия высокомолекулярных соединений. Сида, Кагаку, Chemistry (Japan), 1957, 12, № 8, 623—631 (японск.)

Обзор. Библ. 40 назв.

34957. Изотактические полимеры. Натта (Isotactic polymers. Natta G.), Chemistry and Industry, 1957, № 47, 1520—1530 (англ.)

Обзор. Библ. 20 назв.

34958. Полимеризация в неводных растворах. Асаи, Кубуси, 1957, 6, № 63, 307—313 (японск.)

Обзор. Библ. 25 назв.

34959. Фотополимеризация винилбромида. II. Фотополимеризация винилбромида, растворенного в циклогексаноне, под влиянием постоянного облучения ультрафиолетовым светом. Крышевский (Fotopolimeryzacja bromku winylu. II. Fotopolimeryzacja bromku winylu rozpuszczonego w cykloheksanonie pod wpływem nieprzerwanego oświetlania światłem ultrafioletowym. Kryszewski Marian), Roczn. chem., 1957, 31, № 1, 147—164 (польск.; реф. англ.)

Дилатометрически исследована кинетика фотополимеризации (3130 Å) винилбромида (I). Мол. вес полимеров определялся вискозиметрически в р-ре α-метилнафталина. Скорость фотополимеризации I пропорциональна концентрации мономера и квадратному корню из интенсивности падающего света. Длина кинетич. цепи в основном определяется обрывом при столкновении полимерных радикалов; послесветовой полимеризации не наблюдается. Эффективность фотоиницирования близка к $I \cdot k_p / k_0^{1/2}$ при 20° составляет 0,054 (k_p и k_0 — константы скорости роста и обрыва цепи). Часть I см. РЖХим, 1956, 13103. S. Chudzyński

34960. Полимеризация под действием радиоактивного излучения. Суган, Пурасутиксу, Japan Plastics, 1957, 8, № 5, 10—15 (японск.)

Обзор.

34961. Иницирование полимеризации стирола на катоде. Ян, Мак-Юэн, Клейнберг (Initiation of styrene polymerization at a cathode. Yang John Y., McEwen William E., Kleinberg Jacob), J. Amer. Chem. Soc., 1957, 79, № 24, 5833—5834 (англ.)

Проведен электролиз NaJ в р-ре пиридина (I) в присутствии стирола (II) (Mg-электроды) и показано, что II при этом полимеризуется с образованием полимера, не содержащего N. По-видимому, иницирование р-ции в этом случае происходит за счет электронов, выделяющихся на катоде, а не за счет образующегося при электролизе металл. Na. С целью проверки этого предположения определен элементарный состав полистиролов, образующихся при добавке II в электролит после окончания электролиза и к смеси металл. Na и NaJ в пиридине. В последних двух случаях полимер содержит 0,94—1,07% N, что, по мнению авторов, связано с иницированием полимеризации анионом, образующимся при передаче электрона от металл. Na к молекуле I. А. Праведников

34962. Органические реакции при высоких давлениях. I. Полимеризация стирола. II. Полимеризация аллилацетата. Уоллинг, Пеллон (Organic reac-

tions under high pressure. I. The polymerization of styrene. II. The polymerization of allyl acetate. Walling Cheves, Pellon Joseph, J. Amer. Chem. Soc., 1957, 79, № 17, 4776—4782; 4782—4786 (англ.)

I. Исследована кинетика полимеризации стирола (I) в эмульсии при 40° и давл. 1—6000 кг/см² (эмульгатор — пальмитат К, инициатор — K₂SO₃). Принимая, что скорость эмульсионной полимеризации равна $V = k_p NM/2$, где k_p — константа скорости р-ции роста, N — число частиц в единице объема, M — конц-ия мономера (Smith W. V., Ewart R. H., J. Chem. Phys., 1948, 16, 592), авторы рассчитали изменение k_p с давлением и изменение объема при переходе из исходного состояния в переходное, равное — 11,5 см³/моль. Полученные результаты сопоставлены с имеющимися в литературе данными о полимеризации I в массе при высоких давлениях (инициатор — перекись бензоила (II)). Сделан вывод, что возрастание скорости полимеризации и во 2-м случае связано главным образом с увеличением k_p . Указывается, однако, что одновременно происходит некоторое уменьшение константы скорости р-ции обрыва; при термич. иницировании возрастание скорости р-ции, кроме того, вызвано увеличением скорости иницирования. Исследование полимеризации I в р-ре CCl₄ (инициатор — II) показало, что величина константы скорости р-ции передачи цепи через CCl₄ практически не зависит от давления. В связи с этим авторами высказано предположение о том, что при полимеризации I в «массе» при высоких давлениях (инициатор — II) мол. вес образующегося полимера определяется передачей цепи через инициатор и мономер, причем константы скоростей передачи цепи через эти соединения имеют значения, близкие к значениям при атмосферном давлении.

II. Исследована кинетика полимеризации алилацетата (III) в массе при 80° и давл. 1—8500 кг/см² (инициатор — II). При увеличении давления скорость р-ции возрастает по экспоненциальному закону (в 50 раз при давл. 8500 кг/см²). Порядок р-ции по инициатору при этом уменьшается от ~ 1 при атмосферном давлении до ~ 0,5 при давл. > 5500 кг/см², что, по мнению авторов, связано с увеличением скорости передачи цепи от аллильного радикала к молекуле III. Уменьшение скорости распада II и увеличение средней степени полимеризации образующегося полимера при увеличении давления незначительно; последнее свидетельствует о том, что скорости р-ций роста и передачи цепи через мономер возрастают в одинаковой степени.

А. Праведников

34963. Полимеризация N-винилфталимида. Чьерник, Амброж, Фрейка (Polymerace N-vinylftalimidu. Ciernik Ján, Ambrož Ludvík, Frejka Josef), Chem. průmysl, 1957, 7, № 9, 509—511 (чешск.; рез. русск., англ.)

Исследована полимеризация N-винилфталимида в этилацетате и ацетоне и определено влияние т-ры, конц-ии мономера и инициатора (перекись бензоила) на скорость р-ции. Иницирование осуществляется не только перекисными радикалами, но и термически. Общая скорость полимеризации V , конц-ия инициатора I и мономера M связаны ур-ниями: $V = KI^{1/2}$ и $V = KM^2$. Общая скорость полимеризации в среде этилацетата и ацетона значительно превышает скорость полимеризации в хлорсодержащих р-рителях.

Резюме авторов

34964. К вопросу о кинетике полимеризации трифторхлорэтилена в пентахлорэтано. Лазар, Радо (Príspevok ku kinetike polymerizácie trifluórchlóretylénu v pentachlórétane. Lázár M., Rado R.), Chem. zvesti, 1957, 11, № 7, 383—389 (словацк.; рез. русск., нем.)

Исследована кинетика полимеризации трифторхлорэтилена в р-ре пентахлорэтана при 70—90°; инициатор — перекись бензоила. Показано, что скорость р-ции возрастает линейно с конц-ией мономера. Скорость иницирования (найдена методом ингибирования) определяется мономолекулярным распадом инициатора. Высказано предположение, что р-ритель принимает участие в р-ции иницирования.

А. Праведников

34965. Эмульсионная сополимеризация винилхлорида и винилацетата. Влияние соотношения компонентов реакции на молекулярный вес сополимера и общую скорость реакции. Кучера (Vliv poměru reakčních komponent na molekulovou váhu kopolymeru a celkovou reakční rychlost kopolymerace vinylchloridu s vinylacetátem v emulsi. Kučera Miloš), Chem. průmysl, 1957, 7, № 10, 561—564 (чешск.; рез. русск., англ.)

Исследовано влияние соотношений винилхлорида (I) и винилацетата (II) на общую скорость р-ции сополимеризации и мол. вес сополимера. С увеличением содержания II в реакционной смеси общая скорость р-ции и мол. вес сополимера уменьшаются. Энергия активации полимеризации I для иницирующей системы персульфат К — персульфат гидразина равна 9,5 ккал/моль. Энергия активации при сополимеризации I — II равна 15,1 ккал/моль. Содержание Cl в сополимере, определенное экспериментально, несколько меньше, чем следует из теории. Вероятно, сополимеризация сопровождается отщеплением HCl.

Резюме автора

34966. Состав неионного эмульсионного сополимера акрилонитрила и метилакрилата. Утида, Нагао (Uchida Moriya, Nagao Hideo), Korē kaкакү дзасси, J. Chem. Soc. Japan. Industr. Chem. Sec., 1957, 60, № 5, 633—635 (японск.)

Состав сополимера не зависит от конц-ии эмульгатора, а зависит только от состава мономера.

Ли Мен-юн

34967. О суспензионной полимеризации малых капель. Кайти (Some considerations of suspension polymerization of minute droplets. Kaichi Shozo), Bull. Chem. Soc. Japan, 1956, 29, № 2, 241—245 (англ.); Сидзуока дайгаку когакубу кэнкю хококу, Repts. fac. engng shizuoka univ., 1956, № 7, 106—110 (англ.)

Предполагается, что при суспензионной полимеризации не выполняется условие равенства нулю или единице числа полимерных радикалов в капле. При этом предположении скорость и степень полимеризации увеличиваются при уменьшении размера капель.

Х. Багдасарян

34968. Влияние объемной вязкости на скорость радикальной полимеризации в жидком состоянии. Мияма (Miyama Hajime), Какакү-но рёнки, J. Japan Chem., 1957, 11, № 5, 19—23 (японск.)

Обзор. Библ. 19 назв.

34969. Комплексообразование и структура цепи при полимеризации дивинила литийбутилом. Кропачев В. А., Долгопосок Б. А., Николаев Н. И., Докл. АН СССР, 1957, 115, № 3, 516—517

Для выяснения влияния продуктов окисления металлорганич. соединений, в частности Li-органич. соединений, на структуру цепи при полимеризации бутадиена изучено влияние O₂ на структуру полибутадиена. Установлено, что введение сравнительно небольших кол-в кислорода приводит к заметному увеличению числа звеньев 1,2 в полибутадиене за счет уменьшения содержания звеньев 1,4. По-видимому, происходит образование кислородсодержащих продуктов, дающих комплексы с Li-органич. соединениями, определяющие характер роста цепи. Аналогичное действие оказывают диалкилмоносльфиды, влияние которых было

изучено при полимеризации в отсутствие O_2 . В случае применения диметилсульфида содержание звеньев 1,2 повышается с 12 до 68%, затем с увеличением длины цепи алкильной группы это влияние уменьшается. Для комплекса с алкилсульфидом принимает-

ся общая ф-ла $RM-S \begin{matrix} R' \\ R'' \end{matrix}$, где M — щел. металл,

а R , R' и R'' — алкильные группы. Исследованная добавка непосредственно связывается с металлом металлорганич. соединения, поэтому она оказывает влияние на связь углерод — металл и, в конечном счете, на структуру полимера. Н. Мотовилова

34970. Полимеризация изопрена в присутствии дисперсий лития и литийалкилов в тетрагидрофуране. Се, Келли, Тобольский (Polymerization of isoprene with lithium dispersions and lithium alkyls using tetrahydrofuran as solvent. Hsieh Henry, Kelley Donald J., Tobolsky Arthur V.), J. Polymer Sci., 1957, 26, № 113, 240—242 (англ.)

При полимеризации изопрена (I) в тетрагидрофуране (10—25 об. %) в присутствии дисперсий Li (0,3 вес. %) или $n-C_4H_9Li$, $n-C_5H_{11}Li$ и $iso-C_5H_{11}Li$ (2 вес. %) при 0° — 60° и глубине превращения 100% молекулы полимера построены исключительно из звеньев, присоединенных в положении 1,2 (21—38%) и 3,4 (79—62%). Предполагается, что промежуточные продукты при полимеризации I с Li и с Li -алкилами имеют сходную природу. Т. Гриценко

34971. Триэтилбор как инициатор виниловой полимеризации. Фурукава, Цурута, Иноуэ (Triethylboron as an initiator for vinyl polymerization. Furukawa Junji, Tsuruta Teiji, Inoue Shohhei), J. Polymer Sci., 1957, 26, № 113, 234—236 (англ.)

Акрилонитрил, метилметакрилат, винилхлорид и винилацетат в n -гексане полимеризуется в присутствии триэтилбора (I). Предполагается, что полимеризация протекает по карбанионному механизму; H_2O не разлагает I. Обсуждается возможность получения линейных полимеров регулярного («голова к хвосту») строения и проведения полимеризации в водн. суспензиях. Т. Гриценко

34972. Полимеризация некоторых фторсодержащих оксидов олефинов. Джонс, Стикни, Колман, Рауш, Лавлейс (Polymerization of some fluorine-containing olefin oxides. Jones F. B., Stickney P. B., Coleman L. E., Jr, Rausch D. A., Lovelace A. M.), J. Polymer Sci., 1957, 26, № 112, 81—88 (англ.; рез. нем., франц.)

Изучалась способность к полимеризации соединений: $CF_3CH_2CHO(CH_3)$ (I), $CF_3CH_2CHO(C_2H_5)$ (II), $CF_3CH_2CO(CH_3)_2$ (III), $C_2F_5CH_2CHO(CH_3)$ (IV), $C_2F_5CH_2CHO(C_2H_5)$ (V), $C_2F_5CH_2CO(CH_3)_2$ (VI) в присутствии катализаторов от -70 до $+140^\circ$. Катализаторы для I: $FeCl_3$, эфират BF_3 , BF_3 , KOH , $FeCl_3 \cdot 6H_2O$, $AlCl_3$, $Al(C_2H_5)_3 + TiCl_4$; для II—V: $FeCl_3$ и $AlCl_3$; для VI: $FeCl_3$. Полученные полимеры — низкомолекулярные масла. Наблюдается уменьшение склонности к полимеризации с увеличением степени замещения и сложности заместителей у ядра окиси этилена. Наибольшие выходы полимера и наибольшие мол. веса его наблюдаются при полимеризации I. При облучении γ -лучами Co^{60} ($1,5 \cdot 10^6$ рентген) и в присутствии комплекса $FeCl_3$ -окись пропилен I не полимеризуется. Т. Гриценко

34973. Кинетика полимеризации нитроэтилена. II. Изучение молекулярных весов криоскопическим методом. Вофси, Качальский (Kinetics of polymerization of nitroethylene. II. Study of molecular weights (by cryoscopic method). Vofsi D., Kat-

chalsky A.), J. Polymer Sci., 1957, 26, № 113, 127—139 (англ.; рез. нем., франц.)

Молекулярные веса полинитроэтилена, полученного в метилэтилкетоне при 20° в присутствии пиридиновых оснований, возрастают с увеличением исходной конц-ии мономера (0,445—1,630 M), мало зависят от конц-ии катализатора (0,047—0,0141 M) и его основности, возрастают с понижением t -ры от $+20$ и -20° (в ~ 2 раза). В дополнение к предложенному ранее механизму r -ции (часть I, РЖХим, 1956, 65163) рассмотрена r -ция передачи катализатора к молекуле мономера $CM^* + M \rightarrow P + CM^*$. В этом случае $1/P = k_0/k_p M + k_{пер}/k_p$, что согласуется с опытом. Графически найдено $k_p/k_0 = 1,22 \cdot 10^3$ л/моль и $k_p/k_{пер} = 17,4$. Определена величина $k_{ин}$ из ур-ния $k = k_{ин} k_p / k_0$ (k , $k_{ин}$, k_p , k_0 и $k_{пер}$ — соответственно константы общей скорости, иницирования, роста, обрыва и передачи к мономеру). Из данных по УФ-спектрам полимеров сделан вывод, что при обрыве (или передаче) цепи проходит замыкание молекулы полимера в цикл. Определена криоскопич. константа ϵ уксидинитрила (20,3 град моль $^{-1}$ л $^{-1}$). Т. Гриценко

34974. Теория образования сетки при облучении полиэфиров. Чарлзби (A theory of network formation in irradiated polyesters. Charlesby A.), Proc. Roy. Soc., 1957, A241, № 1227, 495—507 (англ.)

Высказано предположение, что высокие скорости сшивания при облучении ненасыщ. полиэфиров связаны с протеканием цепных радикальных r -ций полимеризационного типа, дана математич. обработка этой схемы. А. Праведников

34975. Привитые сополимеры полиакриламида и натурального каучука, полученные с помощью ультрафиолетового света. Остер, Сибата (Graft copolymer of polyacrylamide and natural rubber produced by means of ultraviolet light. Oster Gerald, Shibata Osamu), J. Polymer Sci., 1957, 26, № 113, 233—234 (англ.)

При облучении УФ-светом пленки из НК, содержащей бензофенон и находящейся в контакте с 40%-ным водн. р-ром акриламида, образуется привитый сополимер, что подтверждается гидрофильностью части пленки, бывшей в контакте с мономером. Эта часть пленки нерастворима ни в циклогексане, ни в воде. А. Праведников

34976. Виниловая полимеризация. XXI. Полимеризация стирола в присутствии натурального каучука. Миноура, Мори, Имото (Vinyl polymerization. XXI. Polymerization of styrene in the presence of natural rubber. Minoura Yuji, Mori Yuyoi, Imoto Minoru), Makromolek. Chem., 1957, 24, № 3, 205—221 (англ.; рез. нем.)

Исследована кинетика полимеризации стирола (I) в присутствии НК при 50° ; инициаторы — перекись бензоила (II), бис-(1-гидроксициклогексил)-перекись (III) и динитрил азодизомасляной к-ты (IV). Скорость полимеризации подчиняется ур-нию $V = [k/(1 + AR)]M^{1/2}c^{0.5}$, где M , c и R — конц-ии мономера, инициатора и каучука, K — константа, A — величина, зависящая от конц-ии мономера (при полимеризации в массе $A = 0,534$). Исходя из обычных представлений о механизме привитой полимеризации, авторы вывели ур-ние для скорости r -ции, которое находится в согласии с опытом. Из данных о влиянии НК на мол. вес образующегося при r -ции полистирола рассчитана константа передачи цепи через НК $k_{(p.)}/k_{(p.)} = (2,2-2,9) \cdot 10^{-3}$ ($k_{(p.)}$ и $k_{(пер.)}$ — константы скоростей r -ции роста и передачи цепи). Эффективность процессов, приводящих к образованию привитых полимеров (доля «привитого» полистирола) F , увеличивается при увеличении конц-ии НК и уменьшается

при увеличении концентрации I и инициатора; показано, что к аналогичным выводам приводит и кинетич. рассмотрение р-ции привитой полимеризации. Указывается, что величина F зависит от природы инициатора и увеличивается в ряду $IV < III < II$. Сообщение XVIII см. РЖХим, 1958, 10196. А. Праведников

34977. Фотохимические процессы в твердых телах. Кинетика свободнорадикальных реакций в нейлоне. Форд (Photochemical processes in solids: the kinetics of free radical reactions in nylon. Ford Roger A.), J. Colloid Sci., 1957, 12, № 3, 271—282 (англ.)

При облучении нейлона (I) УФ-светом на воздухе в его спектре появляется полоса при 2900 Å, интенсивность которой заметно увеличивается при хранении образца в темноте; повторное облучение быстро снижает интенсивность этой полосы до значения, наблюдавшегося непосредственно перед прекращением облучения. Для объяснения полученных результатов автором предложена следующая схема р-ций, протекающих при фотолизе нейлона: $A + h\nu_1 \rightarrow B + C$; $B + M \rightarrow BM \cdot$ (1); $BM \cdot + h\nu_2 \rightarrow B + M$ (2), где A — нейлон, B и C — свободные радикалы, M — молекула какого-то в-ва и BM — группы, поглощающие свет при 2900 Å. Протекание р-ции (1) в темноте приводит к увеличению интенсивности полосы при 2900 Å при хранении; р-ция (2) снижает ее интенсивность при повторном облучении. Выяснено предположение, что молекулой M в данном случае является молекула O_2 и, следовательно, группой BM — пероксид-радикал. При облучении I в вакууме наблюдается увеличение поглощения в области 2500—3000 Å, но пика при 2900 Å не наблюдается; при хранении облученного образца в темноте также происходит некоторое увеличение поглощения в указанной выше области. А. Праведников

34978. Мостиковые реакции и реакции разложения. Имото, Оива, Кагаку, Chemistry (Japan), 1957, 12, № 7, 478—481 (японск.)

Обзор за 1956 г. Библ. 41 назв. Х. Б. 34979. Действие радиации на высокополимерные соединения. Амэмия, Данно, Сайто, Ватанабэ, Инокути, Koré какаку дзасси, J. Chem. Soc. Japan. Industr. Chem. Sec., 1957, 60, № 7, 826—833 (японск.)

Обзор. Библ. 43 назв. 34980. Кинетика беспорядочной деградации полимеров. Тобольский (The kinetics of random degradation of polymers: a résumé. Tobolsky A.), J. Polymer Sci., 1957, 26, № 113, 247—251 (англ.) Дан математич. анализ изменения во времени при деградации функции распределения полимера, среднего численного и среднего весового мол. веса. Рассмотрены различные начальные распределения. Х. Багдасарьян

34981. Термическая деградация политрихлорфторэтилена. Радó, Лазар (Tepelná degradácia polytrifluórchlóretylénu. Rado Rudolf, Lazár Milan), Chem. průmysl, 1957, 7, № 8, 457—459 (словацк.; реф. русск., англ., нем., франц.)

Методом весовых потерь и изменения характеристик вязкости в зависимости от продолжительности деструкции изучен термич. распад политрихлорфторэтилена при атмосферном давлении и 340°. Предложен механизм цепной деградации, основанный на предположении о беспорядочном иницировании путем разрыва связей C—C. Развитие цепи заключается в отщеплении молекул мономера. Степень деполимеризации в основном определяется р-цией передачи цепи. Р-ция обрыва цепи протекает, вероятно, путем диспропорционирования. Из резюме авторов

34982. Исследование полимеров методом теплового баланса. VIII. Сополимер винилацетат — винилхло-

рид и монохлорацетилованный поливиниловый спирт. Цурута, Цукун, Иноуэ (Tsuruta Shiro, Tsukui Michio, Inoue Hiro), Koré какаку дзасси, J. Chem. Soc. Japan. Industr. Chem. Sec., 1956, 59, № 9, 1076—1078 (японск.)

Определены миним. т-ры разложения поливинилацетата 260° и поливинилхлорида 210°. Часть VII см. РЖХим, 1956, 71869

Лн Мен-юн 34983. Новая техника для изучения фотоокислительного разрушения полимерных пленок. Миллер (A new technique for studying photooxidative erosion of polymer films. Miller C. D.), J. Polymer. Sci., 1957, 24, № 106, 311—314 (англ.)

Исследуемые полимеры приготавливают в виде тонкой пленки на хромированных предметных стеклах для микроскопа. Изменение толщины при воздействии O_2 и УФ-излучения наблюдают интерферометрически и определяют как функцию времени, спектр отражения выше свойственного ему интервала длин волн. Пленки готовились окуномением стекол в разб. р-р полимера в летучем р-рителе. После высушивания образцы закрывались черной бумагой с соответствующими отверстиями для пропускания луча света спектрометра. Приведены кривые зеркального спектра отражения. Максимумы и минимумы можно было оценивать визуально, но точность улучшалась тогда, когда места пик определяли геометрически и на этой основе рассчитывали толщину пленок. Б. Шемякин

34984. Фотохимия полимерных пленок. Эджер-тон, Роч (Photochemistry of polymer films. Egerton G. S., Roach A. G.), Nature, 1957, 180, № 4578, 189—190 (англ.)

Целлюлозные и ацетилцеллюлозные пленки экспонировались Hg лампой низкого давления с излучением 2537 Å в токе сухого O_2 и в токе сухого N_2 в кварцевых сосудах, в которых проводились измерения оптич. плотности (ОП) по спектру. ОП более повышалась в случае N_2 , причем различие возрастало с увеличением экспозиции. У пленок из нейлона и его N-метоксиметилпроизводного ОП была больше при облучении в O_2 . Изменения других свойств полимерных пленок, по-видимому, не связаны с изменением ОП. У нейлоновых пленок ОП изменялась сильно, а пластич. свойства — очень мало; у целлюлозных пленок наблюдалось обратное явление. Изменения пластичности значительно больше при облучении в O_2 . После 270 час. облучения в O_2 ацетилцеллюлозная пленка превращалась в порошок; после 500 час. облучения в N_2 она сохраняла свойства пленки, хотя была очень ломкой. Приводятся в графич. форме данные о небольшом возрастании ОП при хранении пленок в темноте после экспонирования и о действии повторных экспонирований, которые вызывают быстрое падение ОП. Предполагается, что наблюдаемые явления связаны с образованием и рекомбинацией свободных радикалов. К. Мархилевич

34985. О механо-химических процессах при действии ультразвука на растворы полистирола. Берлин А. А., Эльцефон Б. С., Хим. наука и пром-сть, 1957, 2, № 5, 667—668

Экспериментально исследовано действие ультразвука (частота 300 кГц, интенсивность 8 Вт/см²) на р-ры полистирола. При озвучивании наблюдается деструкция и характеристич. вязкость полимера понижается. При этом возникают способные к соединению и присоединению йода макрорадикалы. Данные об ультразвуковой деструкции в атмосфере N_2 использованы для подсчета кол-ва разорванных связей и образовавшихся макрорадикалов. Озвучивание р-ров полистирола в мономере стирола, а также смеси полимера и мономера в бензольном р-ре показало возможность иницирования полимеризации возникающими при

озвучивании свободными радикалами. Присутствие воды резко активизирует этот процесс. Б. Кудрявцев

34986. Полимеризация некоторых соединений с двумя изопропенильными группами. Митин Ю. В., Глухов Н. А., Докл. АН СССР, 1957, 115, № 1, 97—99

Синтезированы 1,4-диизопропенилбензол, 4,4'-диизопропенилдифенилметан, 4,4'-диизопропенилфенилэтан. Полимеризация этих соединений проводилась в *p*-ре толуола в присутствии SnCl_4 и HCl . Во всех случаях получены полимеры, растворимые в бензоле и его гомологах, в CCl_4 и CS_2 и нерастворимые в спиртах. Очищенные переосаждением полимеры представляют собой белые порошки с мол. в. 7000—780 000. Полимеры исключительно стойки к окислительной и термической деструкции. Исследования ИК-спектров полученных в-в и 1,3,6-триметилцикланона указывают на образование линейных полимеров типа $\text{CH}_2=\text{C}(\text{CH}_3)-(\text{n}-\text{C}_6\text{H}_4)-\text{R}-(\text{n}-\text{C}_6\text{H}_4)-\text{C}(\text{CH}_3)=\text{CH}_2$, где R — атом или группа атомов, не реагирующих с катализаторами ионного типа. Н. Мотовилова

34987. Полимеризация и сополимеризация N-винилимидов янтарной, фталевой и нафталевой кислот. Николаев А. Ф., Ушаков С. Н., Изв. АН СССР. Отд. хим. н., 1957, № 10, 1235—1238

Описан синтез винилфталимида, проходящий через следующие три стадии: 1) получение β -оксипропилфталимида (I) из фталевого ангидрида и моноэтаноламина, 2) получение β -ацетоксипропилфталимида (II) действием уксусного ангидрида на I и 3) пиролиз II при t -ре $\sim 600^\circ$. По аналогичной схеме получены винилсукцинимид и винилнафталимид. Все описанные винилимиды растворимы в спиртах, кетонах, сложных эфирах, ароматич. и галоидсодержащих углеводородах, органич. *n*-тах и аминах. Они легко полимеризуются с образованием прозрачных и ограниченно растворимых продуктов с относительно высокой *t*-рой размягчения. При сополимеризации с винилацетатом, метилметакрилатом и стиролом могут быть получены продукты с разнообразными свойствами. Указаны условия проведения отдельных стадий синтеза. Определены следующие свойства: *t*-ра плавления, *t*-ра кипения при уменьшенном давлении (2—5 мм рт. ст.), бромирование и содержание N. Сообщение 2 см. РЖХим, 1956, 61745. Н. Мотовилова

34988. Полимеры и сополимеры N-1,1-дигидроперфтор алкилакриламидов. Кноблех (Polymers and copolymers of N-1,1-dihydroperfluoroalkyl acrylamides. Knobloch Fred W.), J. Polymer Sci., 1957, 25, № 111, 453—464 (англ.; рез. франц., нем.)

С целью получения эластомеров, отличающихся одновременно термостойкостью и стойкостью к маслам и топливам, изучена полимеризация и сополимеризация соединений общей ф-лы $\text{CH}_2=\text{CHCONR}_1\text{R}_2$, где R_1 — 1,1-дигидроперфторалкильная группа; R_2 — водород или нефторированная алкильная группа. В качестве исходных соединений выбраны орторированные акриламиды: N-1,1-дигидротрифторэтилакриламид (I), N-1,1-дигидрогептафторбутилакриламид (II) и N-метилное, N-этильное, N-н-бутильное и изобутильное производные последнего. Гомополимеризация, доходящая до высокой конверсии, проводилась в массе, *p*-ре или эмульсии в отсутствие O_2 ; инициаторы — перекиси бензоила или персульфата K. В случае применения твердых мономеров полимеризация проводилась при *t*-рах выше точки плавления. Все полученные полимеры представляют собой термопластичные продукты, образующие бесцветные и прозрачные пленки и практически нерастворимые в обычных органич. *p*-рителях. Для *n*-бутильного производного II определены электр. свойства до и после действия γ -излучения; образцы оставались бесцветными и про-

зрачными; снижение растворимости и увеличение хрупкости свидетельствуют о значительном структурировании. Полимеры не имеют резкой *t*-ры плавления, размягчение начинается при 100—140°. Фторированные акриламиды легко сополимеризуются с алкилакрилатами, фторалкилакрилатами, виниловыми эфирами и некоторыми диенами. Проведено фракционирование сополимеров I с *n*-бутилвиниловым эфиром и II с *n*-бутилакрилатом и исследованы вязкость и содержание N в отдельных фракциях. Авторы приходят к выводу, что указанные сополимеры имеют в основном линейную структуру. Н. Мотовилова

34989. Получение и исследование свойств трехмерных полимеров алкилакрилатов и алкилметакрилатов. Дринберг А. Я., Яковлев А. Д., Ж. прикл. химии, 1957, 30, № 8, 1204—1214

Проведена полимеризация метил-, этил-, *n*-пропил-, *n*-бутил- и *n*-октилметакрилатов и метил-, этил-, *n*-бутил- и *n*-октилакрилатов в *p*-ре толуола или уайт-спирита при 95—96° (инициатор — перекись бензоила (I)) и исследовано влияние прогрева на воздухе при 160—200° на свойства полученных полимеров (пленки толщиной 80—120 μ). При прогреве метакрилатов структурирование происходит при содержании в алкильной группе спирта, использованного для этерификации *k*-ты, трех или большего числа атомов C, аналогичные превращения в случае акрилатов наблюдаются уже при C_2 . Скорость сшивания увеличивается при увеличении длины алкильной цепи (до C_8) и увеличении мол. веса используемого полимера. При прогреве массивных изделий структурирование происходит только с поверхности образца на глубину ~ 150 μ , однако введение в полимер I, *n*-хинондиоксида, гашеной извести (3—10%) позволяет осуществить структурирование в массе. Спивание полимера приводит к увеличению содержания в нем полярных групп, о чем свидетельствуют повышение растворимости и набухание в полярных *p*-рах, и к увеличению тепло- и термостойкости. Одновременно возрастает хрупкость полимера и падает его стойкость к истиранию. А. Праведников

34990. Полимеризация неперелетных кремнийорганических соединений под давлением. IV. Моно- и дисиланы. Коршак В. В., Полякова А. М., Сахарова А. А., Петров А. Д., Миронов В. Ф., Глуховцев В. Г., Никишин Г. И., Ж. общ. химии, 1957, 27, № 9, 2445—2449

С целью дальнейшего изучения влияния характера двойной связи и ее положения по отношению к атому Si исследована способность моно- и диалкилсиланов к полимеризации. В качестве представителей моноалкилсиланов выбраны алкилвинилсиланы (II) общей ф-лы $\text{R}_2\text{SiCH}=\text{CH}_2$. Показано, что I полимеризуются значительно легче, чем алкилаллилсиланы, с образованием очень вязких масел. Характер радикала в I оказывает влияние на *p*-цию полимеризации, причем установлено положительное влияние этильных групп. На примере кремнеолефинов подтверждены общие закономерности, известные для замещ. этиленов. При этом пространственные затруднения для производных Si увеличиваются; напр., α -триметилстирол не полимеризуется даже в случае применения высокого давления, в то время как α -метилстирол под давлением образует стекловидный полимер. По тем же причинам при наличии нафтильного радикала полимеризация в твердые стекловидные продукты полностью не происходит. Из числа исследованных дисиланов склонность к полимеризации обнаружил только 1,2-бис-(триметоксисилил)-этилен; при замене метоксильной группы метильной полимеризации не наблюдалось. Изучались также кремнеолефины, содержащие галоид, причем было найдено, что атомы Cl, сдв-

занные с Si, снижают способность к полимеризации. Часть III см. РЖХим, 1957, 44792. Н. Мотовилова

34991. Полимеризующиеся производные спиртов с длинными цепями. Приготовление и характеристика сополимеров винилиденхлорида и алкилакрилатов. Джордан, Палм, Уитнауэр, Порт (Polymerizable derivatives of long-chain alcohols. Jordan Edmund F., Jr, Palm William E., Witnauer Lee P., Port William S.), Industr. and Engng Chem., 1957, 49, № 10, 1695—1698 (англ.)

Проведена совместная полимеризация винилхлорида с бутил-, октил- и октадецилакрилатами (соответственно, I, II и III) в суспензии при 50° (эмульгатор — поливиниловый спирт и $MgCO_3$, инициатор — перекись бензоила) и исследованы свойства полученных полимеров. Соплимеры, содержащие до 5% II или III и до 7,5% I, при комнатной т-ре твердые; при содержании 7,5—12% алкилакрилата получают гибкие полимеры. Прочность на разрыв и величина 100% модуля уменьшаются, а скорость изменения модуля с т-рой увеличивается по мере увеличения содержания акрилата в полимере. В случае III пластифицирующее действие боковых цепей, вследствие их кристаллизации, незначительно. Полимеры, содержащие 10—15% акрилата, растворимы во многих хлорированных р-рителях, а также в бензоле и тетрагидрофуране, причем наибольшей растворимостью обладает полимер, содержащий I. Полученные сополимеры устойчивы к действию 10%-ных р-ров NaOH и 30%-ной H_2SO_4 . Ориентация сополимера увеличивает его прочность на разрыв (особенно в случае I) и уменьшает разрывное удлинение (наибольший эффект в случае III). Увеличение длины боковой цепи в полимере снижает его диэлектрич. константу и диэлектрич. потери. А. Праведников

34992. Соплимеризация кремнийорганических мономеров. Живухин С. М., Соболевская Л. В., Тр. Моск. хим.-технол. ин-та им. Д. И. Менделеева, 1957, вып. 25, 94—100

Для выяснения способности некоторых кремнийорганич. соединений к полимеризации и сополимеризации со стиролом, метилметакрилатом и винилацетатом синтезированы тетраалюксилан при взаимодействии $SiCl_4$ с абсолютным аллиловым спиртом с последующей обработкой аллилалкоголятом Na, диметилаллил- и триметилаллилсиланами при р-ции хлористого или бромистого аллила с металлич. Mg в среде эфира и последующем взаимодействии с диметилдихлорсиланом или триметилдихлорсиланом и диметилдиалюксил- и триметилдиалюксиланами при действии аллилалкоголята Na на диметилдихлор- или триметилхлорсилан. Полимеризация проводилась в запаянных ампулах с применением перекиси бензоила в качестве инициатора как для чистых в-в, так и смесей с различным соотношением мономеров. Соплимеры представляют собой твердые каучукоподобные или стеклообразные продукты, отличающиеся от чистых полимеров испытанных виниловых производных растворимостью в различных р-рителях. Для пары мономеров диметилдиалюксилан + стирол проведены кинетич. опыты с определением по ходу полимеризации бромного числа, коэф. преломления, вязкости и др. Описаны механич. и электроизоляционные свойства тройного сополимера метилметакрилатакрилонитрилтетраалюксилан и сопоставлены с данными для полиметилметакрилата. Н. Мотовилова

34993. Синтез смол из диглицидных эфиров и N,N'-замещенных диаминов. Сорокин М. Ф., Венкова Е. С., Тр. Моск. хим.-технол. ин-та им. Д. И. Менделеева, 1957, вып. 25, 58—73

Изучена кинетика р-ции между фенилглицидным эфиром или диглицидным эфиром резорцина и некоторыми аминами и полиметиленаминами. Р-ция в

отсутствие р-рителя проходит легко при 40° и заметно ускоряется с повышением т-ры. В качестве р-рителей испытаны спирты, ацетон, диоксан и толуол. Путем измерения конц-ии глицидных эфиров во времени рассчитаны константы скорости р-ции. Р-ция бимолекулярная с температурным коэф., равным 2. Установлена зависимость между константами скорости р-ции и константами диссоциации амина. Спирты (независимо от их мол. веса) ускоряют р-цию; остальные изученные р-рители, особенно толуол, снижают ее скорость. Р-ция эфиров с первичными аминами протекает в 2 стадии с образованием сначала вторичного, а затем третичного основания, выходы которых зависят от соотношений компонентов. Диглицидный эфир имеет значительно большую реакционную способность, чем фенилглицидный эфир. Продукты р-ции были выделены в чистом виде и идентифицированы путем определения мол. веса, числа гидроксильных групп, содержания N и мол. рефракции. N,N'-дизамещенные диамины получены при взаимодействии фенилглицидного эфира с этилен- и гексаметилендиаминами в спирт. р-ре. В результате р-ции этих соединений с диглицидными эфирами образуются смолы со сравнительно низким мол. весом и низкой т-рой размягчения. Смолы растворимы в смесях некоторых р-рителей. Пленки на основе полученных смол отличаются хорошей эластичностью, твердостью, прочностью на удар, а также водо- и хим. стойкостью. Н. Мотовилова

34994. Взаимодействие фенола с гексаметилентетраамином. Получение гексафенольных смол методом сплавления. Сообщение I. Каменский И. В., Цветков В. Н., Тр. Моск. хим.-технол. ин-та им. Менделеева, 1957, вып. 25, 86—93

Конденсация фенола (I) с гексаметилентетраамином (II) проводилась путем сплавления тщательно смешанных исходных компонентов. С целью установления действительных мол. соотношений исходных компонентов в образовавшейся смоле снят материальный баланс в условиях опыта, при котором реакционная смесь нагревалась в течение 140 мин. при 100°. При исходном мол. отношении I:II, равном 1:0,3, в конечном продукте это отношение составляло 1:0,3075; содержание N в неперореагировавшем II, в летучих адсорбированных продуктах и в составе смолы равно соответственно 15,86%, 19,72% и 64,4% от общего его кол-ва. Показано, что взаимодействие I и II при нормальном давлении протекает без образования конденсационной воды. Продолжительность р-ции резко снижается с повышением т-ры. Изучение кинетики р-ции производилось путем определения изменения кол-ва свободного фенола в продуктах р-ции. Описаны также опыты получения гексафенольных смол под давлением в среде NH_3 в условиях, затрудняющих удаление летучих побочных продуктов. В результате р-ции была получена смесь кристаллов и темной маловязкой жидкости. При нагревании до 120° и нормальном давлении смесь превращалась в темные твердые термореактивные смолы, содержащие азот. Непосредственное образование смол наблюдалось только при нагревании I + II под давл. 25 атм при 100° в течение 4,5 час. при последующем подъеме т-ры до 115°. При конденсации под давлением происходило образование небольшого кол-ва воды. Определено изменение содержания N в смолах в процессе их отверждения; конечное содержание N в резинах гексафенольных смол составляло 7—8%. Резины смол, полученных при повышенном давлении, отличались повышенной водо- и щелочестойкостью от резинот смол, полученных при нормальном давлении. Н. Мотовилова

34995. Синтез полиорганосилоксаноалюмоксанов и полиорганосилоксанотитаноксанов. Андрианов

К. А., Жданов А. А., Курашева Н. А., Дулова В. Г., Докл. АН СССР, 1957, 112, № 6, 1050—1052

Описаны процессы синтеза полимеров с цепями молекул следующей структуры: $-\text{AlR}-\text{O}-\text{AlR}-$ [где $\text{R} = -\text{OSi}(\text{C}_2\text{H}_5)_3$] и $-\text{TiR}'_2-\text{O}-\text{TiR}'_2-$ [где $\text{R}' = -\text{OSi}(\text{CH}_3)_3$]. В качестве исходных в-в использованы нонаэтилатомокситрисилоксан (I) (т. пл. 159°) и додекамелиттитанокситетрасилоксан (II) (т. кип. 110°/40 мм). При нагревании I при 165—170° с продувкой влажным воздухом образуется полимер по схеме: $\text{AlR}_3 + \text{H}_2\text{O} \rightarrow \text{R}_2\text{AlOH} + (\text{C}_2\text{H}_5)_3\text{SiO}_4$; $2\text{R}_2\text{AlOH} \rightarrow \text{R}-\text{AlR}-\text{O}-\text{AlR}-\text{R} + \text{H}_2\text{O}$. Вязкость этого полимера возрастает с увеличением времени нагревания. В качестве побочных продуктов выделены гексаэтилдисилоксан и триэтилсиланол. Вероятность разветвления молекулы полимера находится в зависимости от кол-ва взятой в р-цию воды, поэтому время начала структурования полимера резко сокращается с увеличением кол-ва воды. II образует полимер при нагревании при 50° только в присутствии кислых катализаторов и при содержании воды более 1 моля на 1 моль II. В качестве побочных продуктов р-ции выделены гексаметилдисилоксан и триметилсиланол. Полученные полимеры растворимы в C_6H_6 , толуоле, хлорбензоле и смесях указанных р-рителей со спиртами, образуют на поверхности металлов твердые пленки. Т. Макарова

34996. Применение радиоактивных изотопов при исследовании лигнина. VI. Происхождение изогемициновой кислоты. Фрэйденберг, Нидеркорн (Anwendung radioaktiver Isotope bei der Erforschung des Lignins. VI. Herkunft der Isohemipinsäure. Freudenberg Karl, Niedercorn François), Chem. Ber., 1956, 89, № 9, 2168—2173 (нем.)

При действии щелочи, метилировании и окислении дегидрополимеризата (II) кониферилового спирта, полученного из кониферилового спирта (III) с $\beta\text{-C}^{14}\text{H}$ -группой, образуется изогемициновая к-та (III) с меченым карбоксилем. Меньшие кол-ва III образуются при метилировании I с помощью CH_3N_2 без предварительной щел. обработки после действия HCl на I, метилировании и окислении образуется неактивная метагемициновая к-та (IV). II был синтезирован из ацетилванилина (V). 450 мг V, 185 мг $\text{C}^{14}\text{H}_2(\text{COOH})_2$ ($2 \cdot 10^7$ имп./ммоль/мин), 2 мл $\text{C}_6\text{H}_5\text{N}$ и 2 капли $\text{C}_6\text{H}_5\text{NH}_2$ нагревали при 60° 8 час, добавили 2 мл конц. HCl и 8 мл воды. Получено 90% ацетилферуловой к-ты (VI). Из VI получен хлорангидрид (VII), выход 89%, т. пл. 147—149°. Растворили VII в смеси 5 мл C_6H_6 и 30 мл тетрагидрофурана (VIII) и восстанавливали 120 мг LiAlH_4 в 30 мл VIII до II, выход 81%, т. пл. 72°. К р-ру 150 мг активного II в 5 л воды добавили 7 г неактивного II, 1 л фосфатного буфера pH 7 и 5000 ед. (350 мг сухого в-ва) дегидразы шампиньонов и 5 дней при 15° пропускали O_2 , I отцентрифугировали, 80%, уд. активность 402 000 имп./ммоль/мин (при эквивалентном весе I 188). Из 2 г I обработкой КОН, метилированием и окислением KMnO_4 (pH 7) получены 53 мг III, т. пл. 245°, уд. активность 385 000 имп./ммоль/мин и неактивная вератровая к-та; из 1,5 г I в ацетоне после 6-кратной обработки 25 мл эфирного р-ра CH_3N_2 и окислении выделено 0,9% III, уд. активность 382 000 имп./ммоль/мин. Кипячением 10 час. 2,5 г в 25 мл CH_3OH с 3 мл конц. HCl, метилированием $(\text{CH}_3)_2\text{SO}_4$ и NaOH и окислением получено 21 мг IV, т. пл. 174°. При перегонке 500 мг I с 28%-ной H_2SO_4 образуется неактивный CH_2O . Результаты работы позволяют авторам сделать вывод о том, что структурные элементы I, являю-

щиеся источником образования изогемициновой к-ты, образованы за счет конденсации гваяциловых ядер в положении 5 с β -углеродными атомами боковых цепей II (тип дегидрокониферилового спирта). Часть этих структурных элементов имеет свободную фенольную группу, не связанную в фурановом кольце. Сообщение V см. РЖХим, 1957, 27083. А. Юркевич

34997. Изучение лигнина. XVII. Свойства некоторых 2'-оксидезоксибензоинов. Спетс (Studies on lignin. XVII. Properties of some 2'-hydroxydesoxybenzoins. Spetz Ake), Acta chem. scand., 1956, 10, № 9, 1422—1426 (англ.)

При попытке получить в качестве модельного в-ва лигнина полуацеталь, имеющий строение 2-фенилкумаранол-2 (I), из кумаранона-2 (II) и бромистого фенилмагния (III) оказалось, что вместо I образуется смесь двух в-в: 3-(о-оксифенилацетил)-кумаранон-2 (IV) и 2'-оксидезоксибензоин (V). В-во IV образуется в результате сложнойэфирной конденсации 2 молекул II под действием III, как основного катализатора, в качестве которого в другом опыте использован металл. К. При восстановлении о-оксифенила (VI) Zn также получен V. Действие III на 3,5-диметилкумаранон-2 (VII) дает $\alpha,5'$ -диметил-2'-оксидезоксибензоин (VIII). Строение V и VIII подтверждено сходством УФ-спектров V, его метилового эфира, VIII и дезоксибензоина. При действии к-ты на V образуется 2-фенилкумарон (IX). Бисульфитная варка V также приводит к образованию IX, сульфокислоты при этом не образуется. Аналогично из VIII получили 3,5-диметил-2-фенилкумарон (X). По мнению автора, результаты, полученные в работе, позволяют отрицать возможность нахождения структуры I в лигнине. Из 10 г II и III (из 7,8 г $\text{C}_6\text{H}_5\text{Br}$) в 150 мл эфира после извлечения щелочью (при pH 9) 1,5 г V, т. пл. 110—120°, маточный р-р подкислили до pH 6—7 и получили 3,5 г IV, т. пл. 150—155°. Смесь 1,6 г VI в 100 мл спирта и 5 г Zn-пыли нагрели до кипения и добавили 5 г NH_4Cl в 20 мл воды (кипение 1 час). После удаления избытка Zn и р-рителя получено 0,9 г V. Из 0,5 г V в 5 мл 2 н. H_2SO_4 и 0,5 мл $(\text{CH}_3)_2\text{SO}_4$ получен метиловый эфир V, т. пл. 61,5—62°. Из 4,6 г II в 75 мл эфира, в присутствии 1,2 г порошкообразного K получили (6 час. кипение) 2 г IV. Растворили и кипятили 0,5 г V в 2 мл CH_3COOH с 2 каплями конц. HCl, получено 0,4 г IX, т. пл. 120,5—121°. VII был получен по схеме: 2-метокси-5-метилацетофенон (XI) \rightarrow диазгидрин XI (XII) \rightarrow 2-метокси-5-метилфенилгидратроповая к-та (XIII) \rightarrow VII. Из 82 г XI, 55 г KCN в 70 мл конц. HCl и 100 мл эфира получено 100 г XII, который без очистки вводили в дальнейшую р-цию. Из 100 г XII, 100 г SnCl_2 в смеси 100 мл CH_3COOH , 100 мл HCl и 10 мл конц. HJ получили (кипение 5 час.) 18 г XII, 100 г SnCl_2 в смеси 100 мл CH_3COOH , 100 мл HCl XIII и 50 г $\text{C}_6\text{H}_5\text{NHCl}$ нагревали 2 часа при 180°, получено 12 г VII, т. пл. 39—39,5°. Из 4 г VII и III (из 3,1 г $\text{C}_6\text{H}_5\text{Br}$) в 160 мл эфира получили 1,5 г VIII, т. пл. 129,5—130°. Сообщение XVI, Svensk Papperstidn., 1952, 55, 816. А. Юркевич

См. также разделы *Каучук натуральный и Синтетический*, *Резина и Синтетические полимеры*, *Пластмассы и рефераты*: Материалы майского Пленума ЦК КПСС 31307, 31308. Физ. св-ва высокополимеров 31930, 31937. Кинетика и механизм: полимеризации 31421, 32352; поликонденсации 32351. Синтез высококомол. в-ва 34056, 34073, 34079. Природ. высококомол. в-ва 11903Бх, 12404Бх

ой к-ты,
ых ядер
боковых
спирта).
ободную
кольце.
Юркевич
некто
udies on
soxuben-
1958, 10,

ого в-ва
фенилку-
стого фе-
разуется
аранон-2
разуется
молекул

атора, в
н метал-
(VI) Zn
лукмара-
бензола
хоством
дезокс-
ся 2-фе-
ске пра-
этом ве-
диметил-
ультаты,
возмож-
з 10 г II
извлече-
120° ма-
или 3,5 г
и спирта
взвешив-
или 5 г
ле удале-
из 0,5 г V
и метило-
ми эфира,
получили
кнпятили
HCl, полу-

лучен по
циангид-
дратропо-
в 70 мл
и, который
из 100 г
Ю мл HCl
час.) 18 г
Ю мл HCl
80°, полу-
и (из 3,1 г
II, т. п.
idn., 1952,
Юркевич

и Синте-
Пласти-
енума ЦК
ров 31930,
ии 31421,
омол. в-ва
11903Бх

АВТОРСКИЙ УКАЗАТЕЛЬ

- А**
- Абзина Н. А. 34462
Абрамов В. С. 32552
Абрамова М. А. 34101
Абрашев Г. 33824
Абе 31617
Абе Я. 33548 П
Авасима М. 33297
Авербух Т. Д. 33053
Аверьянов Н. Н. 34834 К
Аветисян В. А. 32112
Аветисянц Л. Б. 33801 Д
Аврамов Л. 34746
Автономов В. Л. 33999
Агамирова С. И. 33875 К
Агладзе Р. И. 33083
Агранович В. М. 31553
Агроскин А. А. 33732
Аидай 32730
Алпнаи Т. 33308 П
Алходнаев Б. И. 34939
Анабоси 32355
Анита К. 33563 П
Аниама 32265
Анкерман Ф. 33504 П
Анута 32638
Алабышев А. Ф. 31650
Алеева Р. А. 32366
Александров В. Т. 31557
Александров Г. А. 31426
Александров К. С. 31602 Д
Алексеев В. П. 32723
Алексеев Л. 34310
Алексеев Н. Г. 32269
Алиев М. И. 31603 Д, 33857
Алиев Я. Ю. 31805, 31806
Алимарин И. П. 32128
Амения 34979
Ан В. В. 32404
Андреев Л. Н. 31804
Андрянов К. А. 34513, 34995
Андропова Г. П. 33634, 33637
Андропова Н. 34412
Антипов-Каратаев И. Н. 32095
Антонович Е. Г. 32567 Д
Антонов-Романовский В. В. 31412, 31551
- Ануфриева Е. В. 34848
Аоки 33522
Арадаг 34280
Араи 34575
Араи 34670
Аракава 31607
Арая 32806
Арбузов А. Е. 32348
Арбузов Б. А. 32343
Арбузов Г. А. 34813
Арбузов С. В. 34835 К
Ария С. М. 31957
Аронович П. М. 32535
Аронян А. А. 32406
Артамонова Н. В. 33282
Архаров В. И. 32817
Асакава 32700
Асами 32368
Асами 34958
Асами 36369
Асано 31951
Асахара 32428
Асидзава 32687
Асиура 33022
Аскинази З. М. 33793
Асмаров Ш. Х. 34178
Ассонов В. А. 33719 К
Астров Д. Н. 31570
Атрощенко В. И. 33060
Афанасьев Г. Д. 32062
Ахумов Е. И. 33072
Ашкнази М. С. 31822, 31823
Ашрабов А. Б. 33354
- Б**
- Баба 34141
Бабачев Н. 34060 К
Бабин Е. П. 33978
Бабиян Н. А. 32372
Бабочнин П. Н. 33984
Бадалбоев М. 31354
Бадильес И. С. 32720
Байчорова Р. Я. 31320
Бакакин В. В. 31941
Бакулина И. Н. 31407
Балаи И. З. 31311
Баландин А. А. 31797, 31807, 31808
Баласания С. И. 32049
Бальян Х. В. 32365
Бан К. 33487 П
Барамбойм Н. К. 34000
- Барнова Г. В. 31716
Бармаш А. 31315
Бармин Л. Н. 31889
Барта Р. 31708
Барта Ч. 31708
Бархударян М. Г. 32351, 32352
Барш К. Н. 34516
Баташев К. П. 33143, 33157
Батрак Е. Н. 31552
Бахарев В. А. 31611
Бацанов С. С. 31458
Башкатов Т. В. 34511
Баюла А. Г. 33979
Безрун П. И. 33529
Бейнарт И. И. 33994, 33995, 33996
Бенкерель А. 31334
Белов А. Д. 33322
Белова З. И. 31715
Белонопытов И. Е. 33742
Беляев А. И. 31858 К
Беляев В. А. 33744
Беляев И. Н. 31710, 31716
Беляевский И. А. 33990
Березина Т. А. 32988
Березовская А. 34276
Берлин А. А. 34985
Берсунер И. Б. 31370
Берулова Н. 31357
Беспятов М. П. 34030, 34031
Бишев Л. Л. 32104
Благовидов И. Ф. 34048
Благовидова Ю. А. 33530
Блашке Л. 33493 К
Блинер Л. Г. 33793
Блох И. М. 32204
Блувштейн И. 32909
Блюмберг Э. А. 31777
Боброва А. А. 33771
Богданов В. М. 34044
Богомаз Н. К. 32279
Бодалева Н. В. 31720
Божов И. 32743
Бокий Г. Б. 31519
Бокрис 31883
Бондаренко А. В. 32563 Д
Бонсё 33490
Борзакова С. С. 32001
- Борисов Б. С. 32817
Борисюн Ю. Г. 31310
Боровик-Романов А. С. 31570
Борода Т. А. 32124
Босенко И. И. 33066
Бочвар Д. А. 31393
Бравина В. Е. 31901
Бреховских С. М. 33266
Брилинский Б. М. 33740, 32453
Бродянский В. М. 33394
Бруевич С. В. 32105
Брукер А. Б. 32554
Брук-Левинсон Г. Л. 32950
Брун-Цеховой А. Р. 33845
Будников П. П. 33318
Бужевич Г. А. 33357
Буйнова Л. 33216
Булганова А. М. 31874
Буртная Н. Ф. 33139
Бурхонова М. 31353
Бурштейн Р. Х. 31870, 31890
Бутко Ю. Г. 34620
Бутт Ю. М. 33326
Бушин В. В. 33737
Бушинский Г. И. 32094
Быков Г. В. 31323, 31395
- В**
- Вавер В. А. 32532, 32533
Вада 32794
Вайнштейн Ф. М. 32344
Вакуи 34293
Валяшко Н. А. 31423
Ван Бао-жэнь 34841, 32538
Ван Ю-хай 32599
Варданянц Л. А. 31595
Варламов В. С. 34462
Василевская М. М. 34128
Василевский К. И. 31656
Васильев В. И. 31777
Васильева Н. В. 31805
Васильева О. И. 33637
Васно 33138
Вассерман Х. М. 32473
Ватанабе 31577
Ватанабе 32428
Ватанабе 33658
Ватанабе 34950
- Ватанабе 33536
Ватанабе 31714
Ватанабе 31938
Ватанабе 34979
Ватасэ 34911
Великая Е. И. 34184 Д
Великовский А. С. 33823
Венкова Е. С. 34993
Венус-Данилова Э. Д. 32453
Вергелесов В. А. 31886
Вергилов В. 32072
Верещагин Л. Ф. 31681
Вертушков Г. Н. 32060
Веселов М. Г. 31370
Видмантас Ю. П. 33741
Винарий И. М. 33317
Викторова Е. А. 32404
Вилесов Ф. И. 31408
Вимба С. Г. 31514
Винокурова Е. А. 33979
Вишномирский Р. М. 31884
Владимирова В. М. 32177
Волков И. И. 32107
Волкова М. А. 34350 К
Волкова Н. 33216
Волкова Т. П. 34687
Волштейн Л. М. 31994
Волькенштейн М. В. 34848
Вольфсон Б. Н. 32747
Воробьева А. Н. 34762
Воробьева О. И. 31955
Воронцов Н. Н. 32345, 32403
Вороненков В. В. 31335
Воронин Н. Н. 31953
Воронцов Е. С. 31856
Ворошилов М. С. 34677
Ворошин Е. М. 31443
Вязовов В. В. 32711
- Г**
- Гавришук В. Я. 34526
Гаевский Б. А. 34678
Галанин М. Д. 31412
Гаприндашвили В. Н. 33083
Гарманова Е. Н. 34645
Гармата В. А. 33172 Д
Гаханов Ф. Н. 33731
Геворгян Б. 31316

- Гегучадзе В. 31357
Геймберг С. Г. 34291
Гельперин И. И. 32712
Геодорович Г. И. 32081
Георгиев Ц. О. 33877 Д
Герасименко А. А. 34101
Герасимов М. 33832
Герман Л. С. 32556
Герман Ф. Ф. 32855
Герович М. А. 31886
Герус Г. М. 34110
Гзовский С. Я. 32748
Гибшман М. Р. 34296
Гиллер С. А. 33407
Гиммельбрандт Г. Н. 32711
Гинзбург О. Ф. 32400
Гюргадзе Э. 31357
Глазков Н. П. 32242
Глузман М. Х. 33529
Глухов Н. А. 34986
Глухова А. И. 34513
Глуховцев В. Г. 34990
Говор В. М. 34006
Говорова Р. П. 33772
Гогоршвили П. В. 31990
Годель А. Г. 34287
Гокарев Л. И. 34119
Голдырев Л. Н. 33492
Голова О. П. 34648
Головатый Р. Н. 31916
Головин П. В. 34101
Голубков Е. 34412
Гольдфарб Р. И. 34102
Гончаров В. В. 33194
Гончарова Н. А. 32945
Гопченко В. Г. 31888
Горбенко Ф. П. 32115, 32124
Горбунов Н. И. 32096
Горбунова Л. И. 32089
Горин Ю. А. 33400
Горловский С. И. 34118
Горохов Л. Н. 31886
Горчакова Е. В. 32953
Горшков В. И. 31915
Господинова В. 33517
Гофман М. В. 33768
Грават С. С. 34674
Гречуха Г. М. 33842
Гречушников Б. Н. 31552
Гринов В. С. 34327, 34347 К
Григорова Л. П. 33000
Григорян Э. В. 33875
Григит И. А. 32151
Гринберг А. А. 32001
Гринштейн И. М. 33999
Грицан Д. Н. 31874
Гричевская Р. И. 33272
Гришук И. К. 32916
Громов К. Я. 31632 Д
Гросс Е. Ф. 31344
Гуань Юй-цюань 34814
Гу Да-цы 34684
Гуляев Б. Н. 33969
Гумаров Р. Х. 33764
Гумилевский А. А. 31593
Гунар В. И. 32579
Гурьев А. П. 34044
Гусев В. П. 32579
Гусейнов Д. А. 33876 К
- Гу Чан-ли 32539, 32566 Д
Гу Чан-и 31959
- Д**
- Давидсон А. М. 33339
Дадашев Х. К. 33875 К
Данилевич С. И. 32044
Данилов В. Я. 32070
Данилова Н. А. 33826
Данно 34979
Данюшевская А. И. 33071
Дарашевич М. Л. 33196
Дарер Р. С. 31719
Дауальтер А. Н. 33265
Дашевская Б. И. 33529
Дашкевич Б. Н. 33491
Дейч А. Я. 31725
Денисенко В. П. 32444
Дерягин Б. В. 31942
Десятников О. Г. 31717
Даис Т. 33093 И
Диланян З. Х. 34350 К
Довжик В. Г. 33358
Дон 32845
Доладугин А. И. 34048
Долгов А. П. 32979
Долгопосок Б. А. 34969
Домбровский А. В. 32435, 32444
Домбровский Н. М. 31712
Доморацкий Н. А. 32063
Дринберг А. Я. 34989
Дрокова I. Г. 31852
Дудеров Г. Н. 33216
Дудинова Е. П. 32699
Дудинский Р. 34304
Дудыкина Н. В. 32509
Дулова В. Г. 34995
Дымова Т. Н. 31904
Дегути Е. 33560 И
Дяткин Б. Л. 32556
Дятловская С. В. 32564 Д
- Е**
- Евдокимов А. А. 33351, 33352
Евсеев А. М. 31606
Елагина Е. И. 31713
Еленков Д. 32743
Елович С. Ю. 31919
Ельцов А. В. 32315
Емельяненко З. А. 34207
Епишин А. С. 34089
Ермоленко Н. Ф. 32669
Ермолина А. В. 34910
Ерофеева М. С. 31957
Ершов В. Е. 31319
Ершов В. Н. 33800
Ершов Н. И. 31810
Есин О. А. 31856, 31889
ефендиев Ч. А. 32132
ефмэдди М. Г. 32132
- Ж**
- Жаворонков Н. М. 32741
Жаворонков С. Г. 34525
Жданов А. А. 34995
- Жемчужина Е. А. 31881
31858 К
Жердева Л. Г. 33856
Жеребцов П. 34311
Живухин С. М. 34992
Жолно-Кюри И. 31333
Журич А. И. 33147
- З**
- Забезинский Я. Л. 33321, 33322
Забелин В. А. 32085
Заблоцкий Р. В. 34251
Завгородний С. Ф. 31864, 32164
Зайкольников И. В. 32551
Зайдес А. Л. 34818
Зайцев Л. М. 31726
Зайцева А. Б. 34511
Зайцева Е. Д. 32102
Зайцева Л. Л. 31326, 31336
Занина А. С. 32401
Захарова А. И. 32360
Захарченко П. И. 34511
Звонкова З. В. 31186, 31485
Зеленин Н. И. 33781
Зелинсон Т. И. 34027
Землина О. Н. 32110
Зиновьев Ю. М. 32555
Знаменский Е. Б. 32067
- И**
- Иваницкая Л. В. 31817
Иванов А. А. 31318
Иванов А. И. 31888
Иванов В. А. 34006
Иванова В. А. 32565 Д
Иванова К. С. 32044
Иванова М. И. 31993
Иванова С. И. 34326
Иванова Т. М. 34462
Иванцов Л. М. 32252
Ивао Д. 33471 И
Иваншенин К. П. 31313
Иваняги 34933
Игараси М. 33415 И
Идзути 33005
Иевинш А. Ф. 31514, 31963
Измайлова Г. И. 31942
Икэда 31961, 32730, 34708
Ильин Д. А. 33766
Ильина Г. Д. 32360
Ильина С. И. 34514
Имаи 32730
Имаи 34884
Имамуре 31820
Имамуре 33369
Имото 34955
Имото 34978
Инаметдинов А. И. 31805
Инамуре 33031
Инацуми 32715
Инденбом В. Л. 31578
Инденбом Ф. Б. 32092
Индэ 32781
Инокити 34979
- И**
- Инобуэ 31881
Иноуэ 32525
Иноуэ 34872
Иноуэ 34982
Инубуси 32318
Ионов Н. И. 31407
Иоффе Р. П. 32854
Ирне 34943
Исава Х. 33109 И
Исибаси 32179
Исибаси 32480
Исибаси 34410
Исигуро 33264 И
Исии 32265
Исии 32683
Исинава Д. 33563 И
Исинава Х. 33548 И
Исинава 34710
Исхара 34927
Исцуна 31950
Исобе 32779
Исунов В. А. 31564
Итигава 32223
Ито 31420
Ито 31930
Ито 31937
Ито 32670
Ито 32676
Ито 33262
Ито 33958
Ито 34686
Ито 34891, 34895
Ито 34924
- И**
- Инобори 33007
Инокотэ М. 33489
Иноэда 31418
Иосида 31706
Иосида 32671
Иосида 32730
Иосида 32734
Иосида 34945
Иосии 33644
Иосинава 31714
Иосинава 31923
Иосими 32231
Иосимото 32753
Иосимуре 33054
Иосимуре 32801
Иосино И. 34736 И
Иосюка 31730
Иосюка 32678
Иосюка 33522
- К**
- Кабачник М. И. 32313
Кавабата 32226
Кавагути 34935
Кавадзима 34745
Кавадзу 32430
Каван 33644
Каван 34945
Каванами 32814
Каванити 34325
Кавамура 33183
Кавасима С. 34732 И
Кавати 34293
Кагава 34913
Каганер М. Г. 31906
Каганович Р. И. 31886
- Каганский И. М. 32718
Каден В. М. 31882
Кадава 32987
Кады 32416
Кадзивара 32689
Кадзимото 34331
Казанский М. 34285
Казарновский Л. С. 31310
Казарновский С. Н. 32350
Казас Т. С. 31659
Кайшев К. 33832
Кайкарис П. А. 32356
Кайнарский И. С. 33193
Кайти 34967
Какабадзе В. М. 33074
Канудо 34911
Канэми Х. 33471 И
Калаус А. Е. 34511
Калистру К. 31327
Калинин А. И. 33946, 33995, 33996
Калоянова Ф. П. 33636
Калуцкая Н. П. 33869
Кальнина В. К. 33904
Калюжный В. А. 32069
Камата 33522
Камбара 33829
Камедулски В. 33515
Камеский И. В. 34041
Камогава 34581
Камогари 32795
Камори 34440
Камышников И. Ф. 31864, 31865, 32279
Камэн 32740
Канамару 34930
Канаока 33203
Каная И. 34003 И
Кан Вон До 33246
Канда 31639
Кано Н. 33415 И
Канэмацу 34690
Капустинский А. Ф. 31656
Каравасев Н. М. 33750
Карамия Г. А. 33340
Карапетян Г. О. 31680
Карапетян С. С. 34940
Каргин В. А. 34941, 34939
Карнарашвили М. 31990
Карливан В. П. 34630
Кармилчич А. Я. 33460
Карниций В. А. 31865, 32279
Карпова Л. Я. 31813
Касаи 34911
Касаткин А. Г. 32740
Касуя 31545
Касэ Т. 34192 И
Като 31958
Като 32685
Като 32700, 32701
Като 33203
Като 33816
Като Т. 33477 И
Катунин В. Х. 33969
Кафаров В. В. 32740
Кахана М. М. 23087
Кац В. М. 34105

Асторский указатель

М. 32711 31882 7 2689 4331 34285 И. Л. С. И. С. Н. 31659 3832 А. 32336 И. С. 33193 М. 33078 33471 П Е. 34511 31327 А. И. 33966 96 Ф. П. 33635 Г. П. 33869 З. К. 33996 В. А. 33069 2 829 В. 33515 И. В. 34094 4581 2795 40 В. И. Ф. 1865, 32279 0 4930 203 4003 П 32346 39 3415 П 34690 И. А. Ф. Н. М. 33770 Г. А. 33330 Г. О. 31610 С. С. 34910 А. 34910 Или М. 31800 В. П. 34430 К. А. Я. 33400 В. А. 31860 2279 Я. 31813 1 А. Г. 32700 45 4192 П 3 3 3 3477 П Х. 33960 В. В. 32700 М. 23067 34105	Кацобашвили Я. Р. 33845 Кацура 34653 Качалов Н. Н. 33286 Каштанов Л. И. 31320 Кибя 32136 Кигель Т. Б. 33772, 33773 Кигое 31970 Киевветтер И. В. 34324 Кикути 32223 Кикути 34950 Кильдишева О. В. 32510 Ким Би Сан 33246 Кимура 32694 Кимура 32794 Кимура 33237 Кимура 34415 Киносита 32430 Киноути 32734 Киргинцев А. Н. 31696 Кириллова Н. Н. 33240 Кисельников В. Н. 31659 Кисимото 34938 Китагава 33021 Китаев Ю. П. 32348 Китайгородский И. И. 33282 Китайчин Б. Г. 33143 Китасиракава М. 33184 П Китама 32781 Кишиневский М. Х. 32742, 32744 Клебский А. Л. 32351, 32352 Клюковский Г. И. 32015 К Клячкин В. И. 31538 Клячко В. А. 31917 Кнуриц И. Л. 32510, 32556 Кобаяси 31418 Кобаяси 32800 Кобаяси 33489 П Кобаяси 34914 Кобулашвили Ш. Н. 32719 Ковалев М. П. 33124 Коваленко Н. П. 34008 Коваль В. Г. 34102 Ковальова А. 32115 Кодзима 34330 Кодра 31550 Коев В. 33511 Конухаров П. 33531 Ковянский Н. Ф. 33236 Ковлов В. Н. 33979 Ковлов Н. С. 32373 Ковлова Е. И. 33325 Козырев Б. М. 31841 Кондо 31861 Коларов Н. 31801 Колобов Е. М. 33356 Колосова Н. Н. 32110, 32111 Колушева А. 33526, 33534 Колундр Л. Я. 33765 Комедан 32675 Коминами 34896 Комлев Л. В. 32044 Комуро 32010 Комута С. 34542 П Кондо 33335 Кондо 33958, 33959 Кондо 34625 Кондо И. 33178 П Кониси 34586 Константинов Б. В. 32108 Константинов И. И. 32252 Константинова Е. 33534 Коптюг В. А. 32345 Копылова А. М. 34134 Корв М. И. 33782 Корель В. Г. 32075, 32077 Корнев К. А. 32431 Корольков И. И. 34645 Корф Я. А. 31317 Коршак В. В. 34990 Коремацу 34621 Косолапов В. Т. 32434 Коссовская А. Г. 32086 Костава И. 31357 Кострома Т. В. 32536 Костышина А. П. 32133 Костюков Н. 34292 Котляревский И. Л. 32401 Котов Е. И. 31903 Котон М. М. 34848 Кочетков Н. К. 32366, 32509 Космелева Г. Н. 32140 Кравцов Е. Е. 31863 Кравчинский З. Я. 32118 Краморенко В. И. 34000 Красиков Б. С. 31869 Красильникова Г. К. 32562 Д Красников В. В. 32749 Красников С. Н. 31721 Красовский Н. П. 31310 Крашенинник П. Ф. 34296 Кренцель Б. А. 31804 Крешов А. П. 33196 Кремнянский С. А. 33320 Кривовяз И. М. 33764 Кринчик Г. С. 31572 Кричмар С. И. 31860 Крозер С. П. 34900 Кропачев В. А. 34969 Кротова В. А. 32122 Круусамяш А. Х. 33783 Крылова Р. Г. 34648 Крысинский Б. В. 32953 Крюков А. И. 31822, 31823 Кубо 31449 Кубота 32642 Кубота Ц. 33127 П, 33209 П Кувата 31923 Кувшинский Е. В. 34519 Кугита 32430 Кудо Я. 34542 П Кудрявцев Н. Т. 33167 К Кудряшов Л. И. 32366 Кузькин С. Ф. 32677	Кузьмина А. К. 33731 Кузьмина Л. В. 33029 Кузьминский А. С. 34535 К Кузнецов В. И. 32140, 33771, 33772 Кузнецов В. М. 31631 Д Кузнецов Н. Н. 33339 Кузнецова З. И. 34813 Куколев Г. В. 33317, 33330 Кулакова В. Н. 32555 Кулиев А. М. 33857 Кулиев Р. Ш. 33857 Кунгурова А. В. 32201 Кунии 32695 Кунии 32751 Куприенко И. Г. 33759 Курасима 33007 Курашева Н. А. 34995 Куренков И. И. 32056 Курибаяси 34929 Куриба 31449 Курица Ц. 34738 П Курияма 34569, 34621 Кусов А. Б. 34517 Кустанович И. М. 32150 Кусуми 33074 Кутумова Е. Н. 33527 Кушаева Р. И. 32201 Кюно 31960 Кюри П. 31332 Л Лабути Г. В. 33079 Лаврушин В. Ф. 31423 Ладутко В. Ф. 33770 Лайнер В. И. 33167 К Лантратов М. Ф. 31650 Лашини Ф. С. 33987 Ларин А. П. 33245 Ларионова З. М. 33343 Лебедев А. 33251 Лебедев В. В. 32119 Лебедев В. П. 31802 Лебедев К. С. 34296 Лебедиский В. В. 31995 Лев Ц. Д. 33003 Левин А. М. 33842 Левина Р. Я. 32356 Лежнев Н. Н. 34535 К Лейе Я. Б. 32098 Лекторский Д. Н. 33984 Леммлейн Г. Г. 31598 Леонова Н. А. 32539 Лепетов В. А. 34529 Лепешков И. Н. 31720 Лепиш Л. К. 31882 Лесюис А. А. 34008 Лехнокинен М. М. 33171 Д Лившиц И. А. 34514 Линькова М. Г. 32510 Линь Чжоу-тинь 32239 Лисцын В. Н. 32403 Лиходед Л. С. 32206 Лихтер А. И. 31681 Ли Ши-э 32544 Логвиненко Н. В. 32086 Логина Л. Г. 32169, 34128 Лосевский М. Л. 33016	Лопатин К. И. 33793 Лопаткин А. А. 31802 Лосева Т. К. 33793 Лосьякова Л. С. 34183 Д Ло Цзэ-дун 31936 Лукин А. М. 32553 Луценко-Бурмакина В. А. 31868 Луценкас А. М. 31803 Лыков Е. П. 33139 Любимов Г. П. 31448 Любовский Г. 34809 Лях А. И. 32141 М Магарин С. Я. 34857 Магидсон О. Ю. 32504, 32505 Мазель М. И. 32669 Майоров Д. М. 33406 Макаренко Н. В. 33157 Макаров А. В. 31624 Макаров С. З. 31721 Макарьин А. 34300 Мани А. 33587 П Маклюков И. И. 34348 К Малесинский В. 31667 Малиновский И. 33701 Малоштан О. Р. 32000 Мальцев А. В. 33844 Малюсов В. А. 32741 Мамаев В. П. 32436 Мамелад Р. И. 33079 Мамура 34036 Мандрына Н. В. 33869 Мануйлов Л. А. 32015 К Манулкин З. М. 31324 Маренец М. С. 32558 Маринин В. А. 31835 Маркман А. Л. 34006, 34011, 34012 Марков Б. Ф. 31651 Маркова Г. С. 34910 Маркович Е. А. 32551 Мирский Я. В. 33123 Мартинюк Г. А. 31898 Д Мартис Н. Б. 33989 Мартыновский В. С. 32723 Маруяма 33490 Ма Се-фан 34815, 34821 32044 Масима 31989 Масленинников Б. М. 32188 Масонов Н. И. 33488 Масудзава 31416 Масудзава 34945 Масуфуги С. 34361 П Масэ 34442 Матида 34918 Матулис Ю. Ю. 31884 Мацудзани 33522 Мацудзани Т. 33188 П Мацунава 34579 Мацунава Я. 33487 П, 33587 П Мацумото 31938 Мацумото 32730 Мацумото 34866 Мацумото 34884 Мацумото Г. 33721 П Мацумото И. 33092 П Мацусиро 32791	Мацусита 34330 Мацуура 32414 Мацуура 32642 Мацумия 32674 Маэда 34884 Маэно 34280 Медведева Н. И. 31746 Мейнард Д. А. 34349 К Мелешко Е. П. 32121 Мелконян Л. Г. 31839 Мельник М. Т. 33330 Мельниченко Л. Г. 33325 Меньков А. А. 31955 Метлицкая Р. А. 34818 Мзагрудисвили Н. В. 33083 Мигита 33965 Мигита 34603 Мидзогути Т. 33478 П Мидзуима 34866 Мидзутани 32678 Мийси 33958 Мина А. А. 33627 Мики Т. 33548 П Микишвили Ш. М. 31711 Милевич А. 34276 Миллер А. Д. 32070 Минагути Д. 33571 П Минин М. М. 33766 Минкин В. И. 32328 Миноура 34370 Минскер К. С. 32712 Минэмура Ю. 33092 П, 33093 П Мирдинавадова М. М. 33818 Миркин И. Л. 32152 Миронов В. Ф. 32540, 34990 Мисима У. 34359 П Митин Ю. В. 34986 Мифуно 34876 Михайленко В. 34318 Михайлов Б. М. 32532— 32536 Михайлов М. А. 31792 Михайлов П. В. 34572 Михайлова М. А. 33978 Михалевская А. Д. 32044 Михара 34569 Михеева В. И. 31904 Михельсон В. И. 32918 Миягава 31473 Миядзани 31896 Миядзани М. 33560 П Миякава Т. 33450 П Мияма Н. 34968 Миямори 34440 Миямото 32331 Мино Т. 33183 Мията 33160 Миджоян А. Л. 32372, 32467 Миджоян О. Л. 32372 Могилевкина М. Ф. 31994 Мохсумов З. Р. 32097 Моисеев В. Д. 31624 Молофеев Н. А. 32741 Момотани 34872
---	---	---	--	--

- Монаков М. И. 31806
Монгайт И. Л. 32941
Моносзон М. А. 31594
Моргарт Р. М. 33149
Мори 31853, 31960
Морикона 34331
Морозова А. 33526
Морозова О. В. 33979
Морон 34830
Мотойси 34330
Мочалов Г. П. 31957
Мочалова Л. А. 32744
Мочанская Н. И. 32350
Мукояма 34880
Муминов М. 31851
Мун А. И. 31719
Муравьев А. 34309
Мураками 33237
Мураноси 32518
Мурахаси 34905
Муртазаев А. М. 31885
Мусабеков Ю. С. 31325, 31335
Мутафчиев К. 34060 К
Мутто 32127
Мухачева О. А. 32551
Мушкин Р. 34305
Мюнье Р. 31914
Мясников И. А. 31795
- Н**
- Навянская Э. А. 34484
Наган 34843
Наган С. 33380
Нагао 34876, 34966
Нагасана 32849
Нагахара 31400
Нагура 32190
Назаренко В. А. 32182
Назаренко М. Ф. 33199
Назаров И. Н. 32405, 32579
Найто 34896
Накагава 32801
Накада 32651
Накадзав Т. 33127 II
Накадаима 34859, 34862
Накадзима 34867, 34869
Накадзима Ц. 33092 II
Накамори 32005
Накамура 32223
Накамура 33028
Накамура 34923
Накамура 32239
Накамура 34847
Накамура К. 33261 II
Накамура Н. 34737 II
Наканиси 32190
Накано 33965
Накане 34933
Накао 34918
Налимов В. В. 32203
Наметкин Н. С. 32539
Наобашвили Е. М. 31817
Нассибулова Ф. Н. 34462
Небера В. П. 32677
Недлер В. В. 32181
Нейман М. В. 31746
Нейштадт И. 34416
Неклесова И. Д. 33625
- Неклюдова Г. 33344
Некрасов Б. В. 31358 К
Несмеянов А. Н. 31330, 32476
Несмеянов Ан. Н. 31630
Нешпор В. С. 31965
Ниямура 31997
Никитин Д. М. 33991
Никитин Н. 34299
Никифоров В. П. 33164
Никифорова Н. С. 34688
Никишин Г. И. 34990
Николаев А. Ф. 34987
Николаев Л. А. 31760
Николаев Н. И. 34969
Николаенко Г. Н. 31560
Никulichев П. 34286
Никун 34117
Ниси 31866
Ниси 31951
Нисиго С. 34075 II
Нисинава 32706
Нисимаки 32841
Нисимура 32239
Нисиона 34954
Новиков В. 34307
Новинов В. Н. 33353
Новицкая И. И. 34029
Новоженко З. М. 31995
Ногут 33965
Нода 32848
Нода 33204
Номидзо 34670
Нонака 34653
Норкус П. К. 31803
Ноткин Я. С. 31729
Ното 32227
Нукусина 34580
Ногиси 34924
Нои 32753
- О**
- Образцов К. И. 34677
Обуцка И. 33120 II
Огава 32231
Огава 33027
Огава 34391
Огино 34442
Огу К. 33568 II
Одайра 32410
Одинцов П. Н. 31309, 33994—33996, 34628
Ожигов Е. П. 31365
Овол Я. К. 31514
Ойва 34978
Оиси 31956
Она 33128
Она М. 33390 II
Окабе 33073
Окава 34656
Окада 31714
Окада 31866
Окада 31951
Окада 32751
Окада 32893
Окада 32899
Окада 33965
Окадзима 34914
Окадзима 34950
Окамото 33044
Окамото С. 33255 II—33257 II
- Они 34565
Окита 31939
Окита 33829
Окуда 32801
Окума 32223, 32239
Окумура К. 33460 II
Олейник Е. Д. 32924
Ольшанский Я. И. 31707
Омоте 31714
Онда 32728
Онис 32845
Онис К. 34731 II
Онишев П. И. 33529
Оно 32778
Оно 32803
Оно 34075 II
Оноги 34934
Орлова М. П. 31570
Осиба Т. 33187 II
Осикири 32842
Осима 34141
Островерхов В. Г. 32334, 32335
Остроумов Э. А. 32107
Ота 32515, 32516
Ота 33477 II
Отани С. 34356 II
Отани 31939
Отан Я. 33210 II
Оффман П. Е. 32064
Охара 32853
Охаси 33965
Опу 34955
Ояма 31928
- П**
- Павлов Д. 34148
Павлова Л. А. 32453
Павловский А. Н. 33874 К
Пакшвер А. Б. 34561, 34774
Палкин А. П. 31713
Памфилов А. В. 31712
Панарин А. П. 33238
Панасюк В. Г. 34001
Панин В. 32926
Панков Г. 33824
Панова Н. И. 32373
Панченко Г. М. 31624, 31915, 33325, 33152
Парпиев Н. А. 31519
Пастухов П. Т. 34775
Патушинская А. А. 31320
Паунович Р. 34173
Пац Б. М. 32747
Пашков А. Б. 34409
Пейчев С. 34264
Перельман А. И. 32037
Персианцева В. П. 32225
Першиц Я. 33275
Петров А. Д. 34990
Петров Е. М. 33793
Петрова Г. С. 32553
Петрович И. А. 33971, 33972
Петровых Н. В. 33318
Петропавлова Э. В. 33144
- Пилипенко А. Т. 31852
Пименова Е. Г. 33081
Пиотровский К. В. 32528
Пирогова Г. Н. 32017 Д
Плаксин И. Н. 31941
Плановский А. Н. 32748
Платаш И. Т. 31350
Плеханова Н. В. 32600
Плюснин В. Г. 33405
Погорелый В. П. 32924
Подобляев А. 34301
Полак Л. С. 31329
Полежаев Н. Г. 33017
Поляк В. В. 33272
Полотобнова Н. А. 31976
Полстяной В. И. 34030
Поляков В. В. 34511
Поляков П. М. 32204
Полякова А. М. 34990
Полякова Л. А. 33139
Полянский В. Н. 32128
Поминов И. С. 31844
Поминов И. С. 31843
Помпа В. П. 32421
Понизовский А. М. 32121
Пономарев В. Д. 33075
Пономаренко В. А. 32540
Попов А. 34266
Попов Н. А. 33352
Постовский В. 33340
Потанина В. А. 33856
Потапов В. М. 32321
Потемкин В. В. 31314
Потоловский Л. А. 34048
Поттер 31883
Починков В. Я. 32421
Пояркова Г. С. 34287
Премет Г. К. 34462, 34463
Притула В. А. 32878
Прокочник А. Ю. 31803
Прохоров В. А. 32269
Прохоров П. С. 31942
Проценко П. И. 31715
Прусаков В. Н. 31919
Пугачевич П. П. 32291
Пустовалов Л. В. 32080, 32087
Пынин Н. А. 32921
Пюнненен С. П. 33147
Пятницкий И. В. 31988, 32133
- Р**
- Рабинерзон М. А. 34511
Рабинович Б. Я. 29731, 31729
Рабинович В. Ф. 34215
Рабинович Е. А. 32113
Радина Ю. В. 33240
Разумов А. И. 32551
Разумова В. Л. 33199
Ракина В. П. 33244
Рапп Л. Е. 32431
Раукас М. М. 33768
Рахмонов А. 31354
Рашба Э. И. 31555
Ребиндер П. А. 31925
Ребров В. Д. 33778
Резниченко М. С. 32320
- Рейбман А. И. 32854
Рейх В. Н. 34514
Ремизов В. Л. 33970
Ривный В. С. 33066
Рикман Э. П. 32162
Рогачев В. И. 34254
Родзиллер И. Д. 32941
Родионова Л. М. 32067
Розенбергер Н. А. 34619
Розов В. Н. 33150
Ромадан И. А. 32846
Романова А. В. 31612
Романова И. Б. 31806
Романова Л. В. 32148
Ровина М. П. 32528
Ротинян А. Д. 33151
Руб Д. М. 34062 Д
Рудакова В. П. 33614
Русанов А. К. 32204
Русин Н. М. 33634, 33637, 34214, 34215
Руссен В. И. 33225
Рыбинская М. И. 32476
Рындич Н. А. 32206
Рябинин Ю. Н. 31691
- С**
- Сава 32494
Саввина Я. Д. 33823
Савинцев П. А. 31695
Савоненков В. Г. 32041
Саган 34843
Саго К. 33109 II
Сада 32728
Сажин В. С. 33075
Сайд-Ходжаев А. В. 32710
Сайто 32430
Сайто 34280
Сайто 34885
Сайто 34979
Сакагути 34573
Сакаи 34440
Сакакибара 31986
Сакнава 32977
Савонский Д. Я. 33330
Сакурада 34573
Сакурада 34869
Сакурада 34870
Сакурада 34882
Сакураи 31958
Саддунова В. М. 31917
Самарин А. М. 31711
Самсонов Г. В. 31965
Самсонов Н. Н. 33708
Саркисян Р. Р. 33370 К
Саркисниц А. С. 34235
Сасагути 32834
Сасаки 31958, 33132
Сато 32004
Сато 32179
Сато 32223, 32239
Сато 32227
Сато 32235
Сато 32680
Сато 33074
Сато 34907
Сато И. 33181 II
Сато Э. 33480 II
Сауков А. А. 32087
Сахарова А. А. 34990

И. 32854
4514
С. 33970
С. 33966
П. 32152
3. 34254
Д. 32941
М. 32067
Н. А.
33150
А. 32346
В. 31612
Б. 31806
В. 32188
С. 32528
Д. 33151
34062 Д
П. 33614
С. 32204
М. 33631
214, 34215
33225
Г. И. 32476
А. 32206
Н. 31681
Д. 33623
А. 31695
В. Г. 32041
3
09 П
33075
В. А. В.
573
31986
977
П. Я. 33241
573
869
870
882
958
В. М. 31817
М. 31711
В. 31965
П. Н. 33710
Р. 33570
А. С. 34215
834
8, 33132
32239
3181 П
3480 П
А. 32037
А. А. 34990

Сметославский В. 31667
Светинов С. В. 31557
Свишар К. П. 34030
Севастьянов И. Ф. 33793
Сегодяев 34658
Седашева Е. Г. 33060
Седан 32671
Седмалис У. Я. 33338
Семеновский А. В. 32405
Семинко В. А. 31310
Сенинский В. М. 33780
Сербулов Н. К. 31352
Сергиенко С. Р. 31337
Серебряникова М. Т.
Сибата 31960
Сибата 32986
Сибунава 34867
Сига 32671
Сигмацу 32433
Сигмацу С. 33472 П
Сига 34956
Сидляроном Ф. Г. 33856
Сиднев П. И. 32434
Сидоров Н. А. 33193
Сидоров Э. А. 32672
Сино 32801
Силиверстов Я. В. 34526
Симамото С. 34732 П
Симидзу 31937
Симидзу 32227
Симидзу 34891
Симо 32368
Симо 36369
Симода 32791
Симоеску К. 31327
Симосато Д. 34542 П
Симохиса 34331
Синохара 34415
Синра 34670
Сираиси 34238
Сирин В. И. 34287
Сирота Н. Н. 31644
Слепухин А. Г. 33248
Слисаренко Ф. А. 32085
Слободянин И. П. 32745
Слятинский Б. И. 34635
Смирнов А. Г. 32696
Смирнова Г. Е. 34920
Смирнова И. А. 33321
Смоляна И. В. 33491
Смольский В. М. 32765
Снесарев К. А. 33973
Соболевская Л. В. 34992
Соболь С. И. 31755
Соборовский Л. З. 32555
Собуэ 34581, 34926
Сота 34872
Соголова Т. И. 34939
Соколов А. А. 34302
Соколов Ф. 34279
Соколова В. Н. 32504,
32505
Соколова Н. А. 34762
Соколовская С. В. 32504,
32505
Соловьева А. С. 32365
Соронин М. Ф. 34993
Соронин С. И. 32085
Соседно Т. А. 32071
Спшнар Н. Я. 33352
Спиридонова В. И. 31755

Сребров Б. 34777
Средин В. В. 34049
Стабровская П. А. 33272
Станкевич И. В. 31393
Старосельская-Никити-
на О. А. 31331
Старосельский П. И.
34813
Стойчев О. О. 33645
Стоянова М. 33832
Страхов Н. М. 32079
Стрелец Х. Л. 33162,
33163
Стрельникова А. Н.
31737 Д
Стрельникова Ж. В.
31802
Струнников Н. А. 34635
Стяжкина А. Г. 34462
Стяжкина Е. Г. 32110
Суворов Н. Н. 32468
Суга 33024
Суган 34960
Сузахара Ю. 33127 П,
33209 П
Сугимото 32433
Сугимото М. 33255 П—
33257 П
Сугимото Н. 33460 П,
33471 П, 33472 П
Суда 32754
Судзуки 31930
Судзуки 31937
Судзуки 34891, 34895
Судзуки С. 33571 П
Судзуки Т. 33210 П
Судзуки Т. 33475 П
Сукан 34913
Сулава Э. 31357
Султанов А. С. 31805
Сумарокова Т. 31727
Сумики Ю. 33464 П
Суминоэ К. 34190 П
Сусанина О. Г. 33836
Суховалова В. В. 32252
Сухотин А. М. 31842
Сушко А. М. 34207
Сычев Н. А. 33999
Сэки 34588
Сэкигуги 34924
Сэкино 32190
Сэнда С. 34736 П
Сэто 32394
Сюй Гуан-сянь 31971
Сюй Цзин-вань 34689
Сюнянова З. М. 34327

Т

Табата 34926
Табата Ц. 33385
Табути 34621
Таган 33192
Танаги 32428
Танаги Э. 33466 П
Танан А. 33474 П
Танани К. 33308 П
Танакура 32794
Танамацу 32671, 32730,
32734
Такамато 31980
Танахаси 32978
Такао 32657

Танаока 34221
Танахаси 32005
Танахаси 31866
Танахаси 31896
Танахаси 31958
Танахаси 32671
Танахаси 33132
Танахаси 33237
Танахаси Н. 33568 П
Танахаси Т. 34188 П
Танахаси Э. 34740 П
Танахаси 34918
Танахаси 34943
Танахаси Е. 33484 П
Танимото 33205
Такуми И. 33376
Танада 34885
Танки 31706
Танки Т. 33255 П—
33257 П
Танасима 34583
Танада Х. 34192 П
Тамура 32681
Тамура С. 33464
Танабо 32427
Танака 32231
Танака 32521
Танака 32757
Танака Х. 32881 П
Танака М. 33057 П
Танака 33205
Танака 34280
Танака 34325
Танака 34625
Танасиенко Ф. С. 31312
Тани 32480
Тани 32657
Танигуги 33138
Танияма 31730
Танияма 32521
Танно 34658
Тао Янь-цзяо 34806
Тарутани 31978
Татарский В. Е. 31340
Татевосян Г. Т. 32467
Татсубана 32704
Тацута 32671
Теренин А. Н. 31408
Терентьев А. П. 32321
Терешенко В. 33344
Тер-Мартirosова Р. А.
33342, 33355
Тер-Шмаонов Г. А. 33080
Тетени П. 31807
Тибба 32753
Тимашов В. В. 33326,
33327
Тимофеева Е. М. 32085
Тимофеевский Д. А.
32074
Титания С. Г. 32406
Тищенко Д. В. 34618
Ткачев А. Г. 32707
Тога М. 33548 П
Тода 33993
Тонита 34930
Токумицу Х. 34789 П
Токунага С. 34542 П
Токухиса 33820
Томиама 32481
Томинага 32651
Томинага Т. 33478 П

Томиока 32226
Томисава С. 33210 П
Томисима Х. 33120 П
Томукаси 32580
Тонами Х. 34803 П
Топорков В. Я. 33748
Топчиев А. В. 31804,
32539
Торсуева Е. С. 31746
Тосака К. 33466 П
Тови 34410
Толба 32751
Трапезникова О. Н.
34920
Трейндль Л. 32176
Тресслер Д. К. 34349 К
Трещова Е. Г. 32356
Тростянская Е. Б. 34409
Тсукамото 32651
Турапов М. К. 31885
Турнельтауб Н. М. 31912
Турченко Я. И. 31355
Тынная Н. И. 34526
Тэмн А. Н. 32300
Терамото 33644
Терамото 34853
Теранана 34943
Тюрюканов А. Н. 32103
Тютюнинов Б. Н. 34029
Тяо Янь-цзяо 34817

У

Уварова Т. В. 31317
Угрюмов П. Г. 31351
Угрюмов П. С. 33528
Уи 34934
Укда 34896
Умэно 32226
Умэцу 34137
Уона Х. 33474 П
Урагуги 32724
Усигоме К. 33262
Усова Е. М. 31443
Успенский В. А. 32092
Усуи 31928
Усуи 33019
Утида 32010
Утида 32521
Утида 34966
Утияма 32841
У Цзинь-гуан 31971
Уцуми 34686
Ушаков С. Н. 34987
Ушао-лань 32492
У Юань-яо 32991
Уэки 33114
Уэки 34442
Уэмацу 34922
Уэсуги 32893, 32899
Уэхара Я. 33120 П

Ф

Фабрицы А. 32453
Фадеева А. Г. 33772
Файнгольд С. Г. 33868
Фарамазов С. А. 33876 К
Федоров И. А. 31726
Федосеев И. Я. 33081
Фельдман О. Е. 31350
Фигуровский Н. А.
31328, 31336
Филаткин В. 32705

Филимонович К. М.
33139
Филиппов Л. П. 31609
Филиппов М. С. 32044
Финк Л. Е. 33225
Финкельштейн М. И.
32854
Фиошин М. Я. 32436
Фирсанова Л. А. 31858 К
Фирсов О. Б. 31371
Фирц-Давид Г. Э.
33493 К
Флёров В. Н. 31718,
33131
Фомичева М. М. 34519
Франк-Каменецкий В. А.
31340, 31341
Францевич Н. 33220
Фрейденфельд Э. Ж.
33314, 33323, 33338
Фролова А. И. 33354
Фудавара 32525
Фудани К. 33484 П
Фудани Т. 33480 П
Фуданмото 34221
Фудамура К. 32884
Фудасица Г. 33560 П
Фудасица С. 34362 П
Фудасиро 34865
Фудита 32840
Фудита 32652
Фудитани 31943
Фузенкова А. В. 32343
Фукагава 34583
Фукуда 34632
Фукуи 33242
Фукумото 34574
Фукумото 34868
Фукусима 32153
Фукухара 34581
Фурман И. Я. 32046
Фурудзава 33959
Фурукава 34925
Фурукава 32227
Фуруи 31580
Фуруи 32652
Фуруи 32795
Фэй Дин-юань 31959

Х

Хажакян Л. В. 31763
Хайруллин В. К. 32552
Халимова Ч. Х. 34011,
34012
Хамада 33993
Хамано 31956
Ханада 33237
Ханин И. М. 33759
Харада 31416, 31597
Харламович Г. Д.
33768
Харунава Т. 33548 П
Хасимото 32516
Хасимото 34028
Хасегава 32834
Хатори 32239
Хаяма 34902
Хаями 34745
Хаяси 31734
Хаяси 32364
Хаяси 34141

Хаясинос 33074
Хвичия А. Г. 32048
Хейфец В. Л. 31869, 33151
Хигаси Н. 34803 II
Хидесима 34933
Хикита 33852
Хилл Р. 34592 К
Хираи 32005
Хирано 32706
Хирата Т. 34789 II
Хлапова А. Н. 31685
Хмарун Т. Г. 32069
Холоденко Л. П. 31677
Хорин 32682
Хорин С. 34741 II
Хориути 32494
Хорие Т. 33263 II
Хосака 32794
Хотта 32678
Хохлачев В. 33340
Хохлов Р. В. 31448
Христов К. 33520, 33531
Хрушев Н. С. 31308
Хуан Вень-куй 32559
Хуан Минь-лун 32588
Хуан Юань-хун 34778
Ху Я-дун 34841

Ц

Цагарейшвили Ш. 31357
Цахолов В. И. 31458
Цветков А. И. 31707
Цветков В. Н. 34857, 34994
Цейтлин Л. А. 33244

А

Abadie-Maumert F. A. 34647, 34662
Abel E. 31756
Abraham E. V. 33632
Abraham M. H. 32537
Achari G. 33519
Adami C. L. 32387
Adamik K. 33988
Adams C. H. 34364
Adams G. B. 31879
Adams J. K. 32965
Adams R. 32601
Adams W. N. 33734
Aditya S. 31859
Afanasyev 32062
Afflerbach H. 33288
Agahd K. 34735 II
Aggarwal J. S. 34437
Agoston F. 32718
Agranovich V. M. 31553
Ahrens C. B. F. W. 32908
Ahrens H. 31783
Ahrens L. H. 31377, 32034
Aikhodzhaev B. I. 34939
Aikin A. M. 33043
Aker L. P. 33133
Akuta Saburo 32638
Alberti C. 32485, 32486
Albrecht A. C. 34856, 34861

Цзян Гуй-цан 32493
Цидишвили Л. Д. 31990
Цой Сам Ер 32658 К
Цудан 32227
Пукуи 34982
Цуно М. 33548 II
Цуноо 32525
Цуняма 33364
Цурута 34982
Путида 31997
Путия 31853
Путия 34036
Пуцуми 32410
Пуцуми 32686
Цылев Л. М. 31711
Цянь Бао-гун 34841

Ч

Чаплыгина Е. М. 31941
Чацкий П. И. 34827
Чачанидзе И. П. 33078
Ченцова Л. Г. 31552
Черепанов А. М. 31583
Чернецов П. П. 33766
Черновская Е. Н. 32106
Черножуков Н. И. 33836
Черных М. К. 33772
Чернышева А. С. 32092
Чернышева К. Б. 33781
Чжан Пан 32492, 32493
Чжан Чжи-пин 32544
Чжоу Вэй-шань 32588
Чжуан Цянь дин 33728
Чжу Жэнь-хун 32599
Чирков А. Б. 33986
Чистяков А. Л. 31393

Чматов К. В. 32269
Чочуа Т. 31357
Чуйко В. К. 34696
Чумарев С. К. 31856, 31889
Чэнь Чу-лян 32992
Чэнь Шань-мэй 32538
Чэнь Яо-цзю 32538

Ш

Шабасева Е. А. 32089
Шайнская И. М. 34287
Шарнов В. И. 34645
Шаров В. А. 34313
Шахова М. А. 31953
Шварц Е. М. 31963
Шевченко Ф. Д. 32012
Шемкин М. М. 32314
Шефер Л. 31727
Шилов Е. А. 32335, 32344
Ширгал Г. 33221
Ширинян К. Г. 32098
Ширяев В. И. 33987
Шихаков Н. А. 31506, 31528
Шлепов В. К. 31707
Шнейдер В. А. 32225
Шолохович М. Л. 31716
Шорин А. П. 34027
Штальберг С. М. 34281
Штейн Я. Ш. 33352
Шубин Е. 34298
Шубников А. В. 31591
Шуйкин Н. И. 32404
Шу Кай-кун 32475
Шульга С. З. 32247

Шумаев Ф. Г. 34348 К
Шурмовская Н. А. 31870, 31890
Шурыгин А. И. 32252
Шустова М. Б. 32182
Шутов В. Д. 32086

Щ

Щеголова А. П. 31808
Щеголева Т. А. 32534
Щербатенко В. В. 34351 Д
Щербов Р. П. 32249, 32278

Э

Эдами 32703
Эйдус Я. Т. 31810
Эмекджян С. П. 32467
Элиашберг М. Г. 34617
Элинзон М. П. 33352
Эльцефон Б. С. 34985
Эмануэль Н. М. 31777
Эми 34410
Эндо 31989
Эндо Т. 33450 II
Эномэ 34569
Энтелис Ф. С. 33286
Эппштейн Я. В. 33990
Эриванская Л. А. 32404
Эфрос Л. С. 32315

Ю

Юй Вэй-си 34709
Юнава 31905

Юнг В. Н. 33326
Юнусов С. Ю. 32600
Юшкевич М. О. 33321

Я

Яги 32751
Яги 33019
Яги 33490
Ягупольский Л. М. 32558
Якимов Г. И. 34762
Яковлев А. Д. 34989
Яковлев В. И. 32463
Яковлев П. М. 34185 II
Ямагути 34902
Ямада 34880
Ямада 34885
Ямада С. 33478 II
Ямада Ю. 33308 II
Ямадзани 32680
Ямадзани 33658
Ямадзани Т. 33440 II
Ямакава 34869
Ямamoto 32980
Ямamoto 34921
Ямamoto 34947
Ямamoto К. 33109 II
Ямаути Т. 34742
Янь Цзянь-цунь 31971
Яо Хао-жань 33640
Яремчук В. А. 33759
Ярош П. Я. 32060
Ярым-Агаева Н. Т. 33016

Albuquerque L. 34139
Alcock K. 31967
Alderweireldt F. 31911
Aldrich R. J. 33651
Aleksiev N. G. 32269
Alemagna A. 32517
Alemán J. 32409
Alexander G. B. 31944 II
Alexander W. E. 33928 II
Alexandrov G. A. 31426
Alford H. E. 33950 II
Alfred L. C. R. 31542
Alfredsson B. 32442
Alhojärvi J. 34672
Aliprandi B. 32604
Allais G. 32946
Allard J. G. 31554
Allas A. 34444
Allen G. 31484
Allen H. C. 31436, 34805 II
Allen K. A. 31653, 31654
Allen R. L. 31744
Almaşi I. 33612
Almásy A. 32171
Alphen J. 34523
Altenpohl D. 32885 II
Alvarez-Tostado C. 32008
Amann A. 33469 II, 33542 II
Ambros D. 32222
Ambrož L. 34963

Amelinckx S. 31587
Amemiya A. 34979
Amiard G. 33547 II, 32594
Amiel S. 32039
Amundson N. R. 32756
Anand V. D. 31921
Anantanarayanan K. P. 33632
Anderson A. B. 33957
Anderson H. V. 31787
Anderson J. L. 33413 II
Anderson J. M. 31380
Anderson J. S. 31786
Anderson L. C. 32361
Anderson R. B. 33790
Anderson W. J. 33859
Anderson G. 31629
Andre E. 34018
Andrzejczek B. 33762
Anhorn V. J. 33890 II
Annable W. G. 33907 II
Anteunis M. 32647
Anthoni B. 34672
Antipov-Karataev I. N. 32095
Antonov-Romanovsky V. V. 31412, 31551
Ant-Wuorinen O. 34651, 34666
Anufrieva E. V. 34848
Anzal K. 32613
Aoki M. 33522

Apat J. K. 33602 II
Appel J. 31565
Apperloo M. 34245
Aradate F. 34280
Arai K. 34575
Arai K. 34670
Arakawa K. 31607
Arakawa T. 34845
Arbman E. 31368
Arcoleo A. 32411
Arey W. F. 33905 II
Armitage F. D. 34713 K
Armour A. G. 31764
Armstrong M. D. 32469
Arnold Z. 33551 II
Arnoux J. 33382 II
Aronovitch P. M. 32535
Arp V. 31573
Artzt W. W. 34804 II
Arup H. 32866
Asakawa B. 32700
Asami R. 32368, 32369
Ashby E. C. 32650
Ashkinazi M. S. 31822, 31823
Asmussen R. W. 31991
Aspergren B. 32437
Atanasiu G. 32101
Aten A. H. W. 31626
Aten A. H. W., Jr 32022
Atkinson B. 31772
Aubry J. 31952
Auerbach R. 31828

Aultman W. W. 32940
Aumüller W. 33545 II
Austerweil G. V. 34171
Austin J. M. 34893
Ayu A. P. 33013
Awe W. 33532, 33533
Axelrad B. A. 32971 II

В

Baas Becking L. G. M. 32100
Baba H. 31409
Baba T. 34141
Babcock R. H. 32701
Bablick G. 34660
Bablik H. 32846
Bacchetti T. 32517
Bachman G. S. 33907 II
Bachmann P. 32693
Backinger G. T. 34201
Bacon W. W. 32955
Baddley J. 32572
Bader H. 32477
Baer D. R. 33501 II
Bagley K. Q. 33042
Baglionni C. 32146
Baguley M. E. 32500
Bähr J. 33573 II
Baier E. 32047
Băiţan S. 33018
Baker E. A. 32255
Bakker J. 34464
Bakulina I. N. 31407

33326
Ю. 32600
М. О. 33321

Я

И. 34762

И. 34989

И. 32463

М. 34185 II

1902

10

3478 II

33308 II

32680

33658

33440 II

1869

1980

1921

1947

33109 II

34742

ль-цуй 31971

нь 33640

А. 33750

32060

а Н. Т.

В. 32906

33545 II

Г. В. 34170

М. 34893

33013

33532, 33530

А. 32071 II

В

ог Л. Г. II

409

141

И. 3270

34660

32846

32517

С. 33307 II

Р. 32693

Т. 34320

В. 32955

32572

2477

33501 II

Q. 33042

32146

Е. 32508

573 II

2047

33018

32255

34464

N. 31407

Balandin A. A. 31797,
31807, 31808
Baldi F. 32860
Balej J. 32198
Balkanski M. 31876,
31877
Ballabio G. 34378
Ballinger P. 32339
Balog J. 31819
Baltz H. 33453 II
Băluțel I. 34825
Bamann E. 32616
Bandyopadhyay P. 31977
Banerjee 32392
Banerjee J. C. 32519,
32341
Benerjee T. 33177 II
Bănică M. 34825
Banks D. B. 32776 II
Baranowski B. 31837,
31974
Barański A. 31974.
Baranski A. 33112
Barber N. R. 33843
Bardócz A. 32250
Bardos T. J. 32498
Bardwell J. 31776
Barkas W. W. 34682
Barker C. J. 34258
Barkhuysen F. H. C.
32129
Barnard D. 32443
Barnett J. O. 33602 II
Barnhart R. R. 34543 II
Baroody E. M. 31610
Barr F. T. 33901 II
Barrett C. S. 31515
Barrons K. C. 33670 II
Barsky G. 34067 II
Barson F. 31547
Bartholomé E. 33846
Bartkus E. A. 32440
Bartleson J. D. 33932 II,
33950 II
Bartlett J. H. 33951 II
Bartoška J. 33735
Bartz G. 31536
Barut V. 32821
Barwich H. 31625
Bash I. J. 34363 II
Bassiri T. 33683
Bastiansen O. 31410
Baudet J. 31397
Baudet J. 31467
Bauer S. H. 34899
Baumann F. 33924 II
Baumann P. 34509
Baunt G. 32656
Baus R. A. 32025
Bawn C. E. 31769
Bayer E. 31999
Bayer E. M. 34417 K
Bayzer H. 34877
Beaver D. J. 33558 II
Beck W. 32233
Becker A. 34772
Becker E. D. 31483
Becker G. 32823
Beckman G. W. 32818
Beckmann S. 32389
Bedell H. L. 33921 II
Bednas M. E. 32282

Bedreag C. G. 31376
Beecham A. F. 32619
Been J. L. 34411
Begun G. M. 31434
Behlolavy M. 32846
Behrbom P. 33001
Behrenz W. 33666 II
Bell A. 32998
Bell M. 33686, 34465
Belleau B. 32603
Bellugue J. 33214
Belzecki C. 32371
Bender C. R. 34103
Bender M. L. 31773
Bendich A. 32635
Benk E. 34181
Benkeser R. A. 32529
Bennett A. L. 31782
Bennett H. E. 31432
Bennett J. M. 31432
Bennett R. B. 33442 II
Bensey F. N., Jr 31511
Benvenuti A. 33660
Berák L. 32174
Berardi L. C. 34013
Berecz E. 31694
Beregí L. G. 33408
Berezina T. A. 32988
Berg C. H. O. 33896 II
Bergan P. 33315
Berge J. W. 34887
Bergeret B. 34202
Bergmann A. 34278
Bergmeister E. 34595 II
Bergwein K. 33681
Berliner E. 31770
Berman J. D. 32326
Bernasconi Bianco-Cris-
ta A. 34174
Bernauer K. 31996
Bernhauer K. 33588 II
Bernstein H. J. 31431
Bernstein J. 33562 II
Beroušek J. 32084
Berry L. 32083
Berry W. 34570
Bersuker I. B. 31370
Bertocci U. 33154
Best G. F. 31967
Best P. 33249
Betzler M. 33398 II
Beuther H. 33915 II
Beutler C. C. 33121 II
Beyerman H. C. 32602
Beyrich T. 32221
Bhattacharyya B. K.
32392
Bhusan B. 33975
Białobrzaska A. 34138
Bianchi D. 31429
Blicker R. H. 32299
Blickford W. G. 34466
Bleber T. I. 32353
Bliedenharn L. C. 31360
Blierre M. A. 34076 II
Biggins L. 34766
Bigoni G. 34015
Bilfinger R. 33169 K
Bilger X. 34836 II
Billing E. 31588
Billman J. H. 32385
Billmeyer F. W. 34912

Bilous O. 32756
Binder M. 34798 II
Binkley W. W. 34104
Bird R. T. H. 32273
Birkinshaw J. H. 32611
Birkhofer L. 32451, 32452
Birnbau S. 34879
Birtalan J. 31500
Birth G. S. 34248
Birthler R. 33774
Biševac D. 34744
Bister W. 32571
Blawas K. 33647
Bizette H. 31569
Bjorksten J. A. 34368
Black J. 32725
Blackwood R. R. 34503
Blalmond G. 33268
Blaine L. R. 31436
Blaise J. 31391
Blajenova A. N. 32209
Blake M. I. 33540
Blake R. A. 33047
Blanka R. 34308
Blattenberger J. W.
33942 II
Blazek J. 32474
Bleaney B. 31453
Bleisch G. 34451
Blevis B. C. 31380
Blewitt T. H. 31495
Blifford J. H., Jr 32025
Blind E. 34343
Blitz M. 33525
Bloch H. S. 34493 II
Blodgett J. H. 32964
Blokma A. H. 34232
Blomquist A. T. 32382,
32387
Bloom R. A. 31500
Bloor E. C. 33200
Blue R. W. 33898 II
Blumberg E. A. 31777
Bochvar D. A. 31393
Bock R. 34039
Bockris J. 31883
Boeder L. 32976 II
Boer J. H. 31367
Boggs L. E. 31791
Bognár J. 32163
Bohme O. 33470 II
Bohne A. 33605 II
Bolam S. E. 34508
Bolle W. 33666 II
Boller K. H. 34405
Bollmacher J. 34726 II
Bonanno S. 32597
Bonanomi J. 32294
Bonner O. D. 31922
Bonness H. 34631
Bonnet J. 34940
Bontea V. 33661 K
Bontineck W. 31587
Booth W. T., Jr 34084 II
Bopp A. 33513
Borchers E. 34723 II
Bordner C. A. 33410 II
Bordwell F. G. 32380
Borensztein H. 32627
Borin G. 32207
Born F. 34769
Börner K. 34597 II

Boros O. 34770
Bors G. 32240
Bortnick N. M. 32465
Borzani W. 34139
Bose A. N. 31934, 34046
Bose S. K. 31920
Bose S. M. 34808, 34823
Bosnjakovic F. 32727
Boster M. P. 33757
Bostrup O. 31991
Bothma F. 34239
Botts J. L. 32902
Bouchet R. 31779
Bourgeas P. 34790 II
Bouron A. 34754
Bowes J. H. 34807
Boyd R. H. 32338
Boyer A. F. 33753
Boyer J. H. 31444
Boyko E. R. 31497
Boyle J. W. 33046
Bożyk Z. 34321
Bradley T. E. 34425 II
Braendle H. A. 34524
Braithwaite D. P. 33618
Brajer E. J. 33217
Bramekamp K. J. 33097
Brandt E. 33939 II,
33945 II
Brasch D. J. 33961
Bratfisch G. 34840 II
Bratu E. A. 31665
Braun W. C. 34748
Bräuniger H. 32423
Braverman J. B. S. 34153
Brealey L. 32253
Bredereck H. 32491
Brendler J. 33834
Brés C. 34021
Bresky D. R. 32308 II
Briley T. de 34288
Brink A. 34481
Brissot J. J. 31558
Brochhagen F. 34433 II
Brockman J. A. 33591 II
Brodersen K. 31440
Brodnyan J. G. 34890
Brodt R. 32852
Broch F. 33465 II
Bronn W. 34158
Broockmann K. 32885 II
Brookes P. 32495
Brown A. B. 34936
Brown A. H. 34220
Brown C. A. 31437
Brown C. L. 32237
Brown D. M. 32636
Brown G. B. 32633
Brown G. B. 32634
Brown H. 33185 II,
33186 II
Brown H. C. 32327
Brown J. R. 32890 II
Brown J. W. 33895 II
Brown K. D. 32234
Brown W. E. 31516
Browne M. E. 31573
Bruce W. F. 33602 II
Brücke E. 32263
Bruck P. 32349
Brugger F. 34826
Brugger W. 33100 II

Brumberger H. 31745
Brun E. 31388
Brunings K. J. 32614
Brunn-Leube I. 32628
Brunt N. A. 34485
Brush S. G. 31616
Brust O. 34472
Bruylants A. 32370
Bryden J. H. 31507
Brzezinski S. 34256
Buben F. 32161
Bubeniková V. 32195
Buch K. P. 31935
Buchanan J. G. 32572
Büche W. 32768 II
Buchholtz K. P. 33646
Büchi G. 32584
Büchner K. 33118 II
Buck C. 33004
Buck M. 31461
Buck P. 31364
Buckles R. E. 31441
Bucur A. 32824
Budzinski E. E. 31642
Bueche F. 34855
Buerger M. J. 31512
Buisman J. A. K. 32592,
32593
Bulgakova A. M. 31874
Buliček J. 32897
Bullington L. A. 32738
Bulloch C. E. 33284
Bu'Lock J. D. 32639,
32640
Burbank R. D. 31511
Burch D. F. 32024
Burgardt L. 33709 II
Burger B. 33430 II
Burlánek J. 34094
Burnelle L. 31402
Burnett B. B. 34919
Burnett W. T., Jr 32522
Bursack K. F. 33733
Burstlein E. 33746
Busch G. 31616
Busch H. 33457 II
Busch J. 33574 II
Butcher K. L. 33052
Butler G. 31705
Buu-Hoi N. P. 32219
Buzágh A. 31924, 34878
Bykov I. P. 31395
Bywater W. G. 32640

C

Cacace P. 32604
Cadisch J. 32120
Cain C. K. 33481 II
Cain R. F. 34312
Call F. 33639
Callisen F. I. 31909
Calvet E. 31736 K
Cammerer F. C. 32797
Campbell T. W. 32450
Canale-Parola E. 34237
Candela G. A. 31469
Canjar L. N. 31649
Canney F. C. 32035
Capotummino G. 32904
Capuano G. 34344
Carlius W. 32839
Carlin R. B. 32471

- Carls W. H. 33830
 Carlson D. P. 32471
 Carlson G. 34643
 Carmichael L. T. 31691
 Carmody D. R. 33934 II
 Carnes J. J. 34084 II
 Carpenter B. R. 34231
 Carpenter E. L. 33431 II
 Carson F. T. 34701
 Carson J. F. 33467 II
 Carstens E. 33426 II
 Carter P. T. 33190
 Carunchio V. 32861
 Carvajal F. 32598
 Casadio S. 33518
 Casassa E. F. 34360
 Casati J. 33835
 Case E. N. 34083 II
 Casey D. F. 32698
 Casey D. J. 33613
 Castaing R. 32258
 Castañer J. 32420
 Castelliz L. 31515
 Castle J. W. 31589
 Catalán M. 34261
 Cauchois Y. 31384
 Cauthen W. C. 33833
 Cavalc L. 31508
 Ceccaldi J. C. 33379 II
 Čekan Z. 32587
 Celeryn J. 34341
 Cells R. 33334
 Cerf R. 34886
 Cerma P. 32857
 Chabrier P. 32543
 Chakravarty P. B. 33177 II
 Chalmers R. A. 32061
 Chambers L. A. 32994
 Chandler K. 32448
 Chandler J. M. 33850
 Chaney D. W. 34424 II
 Chang S. G. 31628
 Chang Chi Ping 32544
 Chang Pang 32492, 32493
 Chappell W. E. 33657
 Chardenot P. 32605
 Charlesby A. 34974
 Charney W. 32598
 Charpurey M. K. 31530
 Chasset R. 34527
 Chatel de Brancion P. M. L. J. 33728 II
 Chatterjee A. K. 32478
 Chatterjee R. 32653
 Chatterji R. K. 34120
 Chaturvedi K. C. 32251
 Chaudhry S. S. 33675
 Chausse H. 34064 II
 Chene M. 32954
 Cheney R. S. 32864
 Chenicek J. A. 33909 II
 Chen-Mei-Chio 31785
 Chen-San-mei 32538
 Chen Yao-tao 32538
 Cherepanov A. M. 31583
 Chervenak M. C. 33926 II
 Chesley K. G. 34729 II
 Chiang Kwei-che 32493
 Chihara H. 31513
 Child W. C. 34931
 Chipault J. R. 34026
 Chistyakov A. L. 31393
 Chiusoli G. P. 32391
 Chmutov K. V. 32269
 Choudhury D. 32457
 Christensen C. J. 31785
 Christensen G. N. 34682
 Christiansen C. B. 34633
 Christiansen R. G. 32590
 Christopher P. M. 31666
 Chrzanowski J. 33102 II
 Chrzaszczewska A. 32446
 Chrzaszczewski J. 32280
 Chuchmarev S. K. 31856
 Chu Jen-hung 32599
 Churchill J. 33436 II
 Chwang Chien-ting 33728
 Ciborowski J. 34208
 Ciepleńko W. 32402
 Čiernik J. 34963
 Čihalík J. 32210, 32232
 Čihal K. 34099
 Cindea C. 33867
 Cines M. R. 33908 II
 Cloara-Copolovici E. 32930
 Cioffi V. R. 32968 II
 Cipriani C. 32054
 Cissarz A. 32076
 Clavin V. 34486
 Číž K. 34099
 Čížek J. 31873
 Clare H. H. 32898
 Claringbull G. F. 32053
 Clark D. J. 31765
 Clark G. H. 33575 II
 Clark M. S. 33861
 Clark R. E. 34039, 34470
 Clark R. E. D. 32157
 Clark R. L. 33581 II—33583 II
 Clarke J. A. 34761
 Clegg L. F. L. 34306
 Cloney J. M. 34056
 Clouston J. R. 34358 II
 Clouse R. J. 33041
 Coatti G. 34043
 Cocchini A. 33690
 Coche A. 32043
 Cocker W. 32393
 Coe L. C. 34431 II
 Coghi L. 31508
 Cohen J. 34850
 Cohn C. C. 33182 II
 Coker E. E. 34452
 Colbert I. 33687
 Colclough R. O. 31484
 Cole E. R. 32441
 Cole H. M. 33903 II
 Coleman L. E., Jr 34972
 Coleman M. C. 34103
 Coleman W. 32969 II
 Coles B. R. 31567
 Coles D. H. 33716 II
 Collett G. 34660
 Collins R. F. 31855
 Collins R. J. 33110 II
 Collins T. L. 31622
 Combes J. J. 32789
 Compostella S. 34377
 Conn W. K. 33931 II
 Conrad P. 34643
 Conradi L. A. 33096 II
 Consolazio G. A. 33153
 Constant R. 33045
 Conti F. W. 32577
 Cook J. S. 34037
 Cook M. A. 31781, 31784
 Cook N. R. 31517
 Cooper D. R. 34810
 Cooper H. S. 33098 II
 Coover H. W. 34576
 Coplan M. J. 34783
 Copp J. L. 31705
 Coppoc W. J. 33952 II
 Coppock J. B. M. 34231
 Coppola G. 34005
 Corlin A. 31366
 Cornish M. S. 32965
 Cornubert R. 32325
 Costa G. 31439
 Costet C. 33539
 Coteló Neiva J. M. 32066
 Coughlin J. P. 31655
 Coulson C. A. 31406
 Couper A. S. 32395
 Couture A. M. 31761
 Cox G. R. 33722 II
 Cox R. W. 33202
 Crabtree D. R. 34380
 Craggs J. D. 31383
 Craig D. P. 31399
 Crawford J. H. 31540
 Crawford R. T. 34576
 Crawford S. M. 34932
 Crawford W. R. 34106
 Cressey S. 33688
 Crews L. T. 33922 II
 Croix L. S. 33444 II
 Cromer Don T. 31505
 Cross B. E. 32393
 Crowell T. I. 31771
 Crundall S. W. F. 32962
 Crussard C. 32258
 Cucurezeanu I. 31427
 Cullis C. F. 31752, 31753
 Cully T. R. 33828
 Cundall C. M. 31383
 Cuocolo M. R. 34090
 Curland E. 33887 II
 Curtin D. Y. 32449
 Cushing I. 34121 II
 Cusick C. F. 32793
 Cyrot J. 34673
 Cyvin S. J. 31410
 Cywinski J. W. 34394
 Das M. N. 34892
 Das T. P. 31372
 Datar M. G. 31470
 Datta S. K. 32156
 Daumiller G. 33430 II
 David M. M. 32913
 David V. W. 33860
 Davidescu D. 33116 K
 Davies A. G. 32417, 32537
 Davies J. A. 31814
 Davis D. S. 31732, 33069
 Davis F. O. 33486 II
 Davis H. G. 34487
 Davis H. M. 32287
 Davis L. E. 31867
 Davis R. V. 34121 II
 Davison W. H. T. 32268
 Dawe A. S. 33302 II
 Deal W. E. 31780
 Dean J. C. 34627
 Dean R. S. 33165
 De Angelis G. 32861
 De Bast J. 33268
 Decker G. C. 33635
 Decker R. W. 34247
 Deevey E. S. 31619
 Defromont C. 34045
 Delbner L. 34161—34164
 Delch A. Y. 31725
 Dékán J. 32925
 Dekeyser W. 31587
 Dekker A. O. 31767
 Delarue H. 32520
 Delbourgo R. 31779
 Del Campo A. 34338
 Delden P. 33757
 Demassieux N. 31962
 Dennis S. F. 34389
 Denson C. L. 31771
 Denton E. P. 33283
 De Pasquale M. J. 32789
 De Pew L. J. 33633
 Derko H. 34952
 Dermengi B. 34825
 Derungs W. A. 32822
 Deryaguin B. V. 31942
 Desassis A. 34016
 Desbruxelles J. 34057
 Descamps H. 34057
 Detaille H. 33235
 Detzer R. 34166
 Deullin R. 34250
 Deviney M. L. 31669
 Devonshire A. F. 31561
 Dichter J. 33296
 Dichtl W. 33063
 Dick W. 32823
 Dickens P. G. 31403
 Dickerman G. K. 34660
 Diculescu V. G. 31356
 Diefenbach E. 33669 II
 Dieke G. H. 31379
 Diepenbruck O. P. 33906 II
 Dietrick M. I. 34530
 Dietrych J. 33752
 Dietzel A. 33294
 Dillon J. M. 33840
 Dilworth J. P. 33952 II
 Dimroth K. 32340, 32548
 Di Paco G. 32496
 Ditttrich K. 32499
 Dixit V. K. 34046
 Dixon J. K. 31993
 Dixon J. R. 31381
 Djerassi C. 31459, 33699
 II
 Djingheuzian L. F. 32754
 Dobbener R. 31702
 Dodson V. H. 32327
 Doering W. von E. 31660
 Doherty D. G. 32522
 Dohrn M. 33557 II
 Doja M. Q. 32519
 Dolejš L. 32586
 Doles J. M. 34139
 Doležal J. 31166, 32162
 Dolgoplosk B. A. 34969
 Dolgov A. P. 32979
 Domange L. 32138
 Domenicali C. A. 31566
 Donaldson R. E. 34784 II
 Donnay G. 32057
 Donohue D. A. 32835
 D'Or L. 31827
 Dorche J. 33539
 Dorschner K. P. 33644
 Dorsey C. K. 33621
 Dose W. 32499
 Doss J. 32850
 Doughty F. T. C. 33751
 Downey W. E. 32650
 Downle A. R. 34852
 Downing A. L. 32903
 Dožanska W. 32895
 Dravnieks A. 32864
 Dreiding A. S. 32388
 Drews E. 34227
 Drickamer H. G. 31604
 Drimuş I. 34033
 Druey J. 32489
 Dryden E. C. 34332
 Dryden I. G. G. 33730
 Dryden J. S. 34037
 Dubash E. 32289
 Dubourg J. 34115
 Ducci R. 32277
 Duckworth W. H. 33291
 Ducos R. 33872
 Duffin W. J. 32058
 Duma Z. 34100
 Dunell B. A. 31679
 Durante M. 33702
 Durdik F. 34094
 Duszyk H. 34138
 Dutt N. K. 31977
 Dutt S. 33684
 Dutta A. B. 32168
 Dutz R. 32451, 32452
 Duwez P. 33191
 Dvorak J. 34941
 Dyck S. 34383
 Dykstra J. 33041
 Dymond J. E. 32970 II
 Dyr J. 34131
 Dyrsen D. 31627
 Dyson A. 33871
 Dziunikowski K. 33764
 E
 Eaves P. H. 34072 II
 Ebeid F. M. 32417
 Echard J. 33821

- 32499
34046
31933
31381
31459, 33591
L. F. 32750
31702
H. 32327
von E. 31600
G. 32522
33557 II
32519
2586
34139
31166, 32162
B. A. 34900
P. 32970
32138
C. A. 31800
E. 34784 II
32057
A. 32835
27
539
P. 33646
K. 33621
499
850
T. C. 33751
E. 32650
R. 34852
L. 32903
F. 32895
K. 32864
S. 32388
227
H. G. 31606
34033
489
A. 34332
G. 33730
J. 34037
22289
34115
277
V. H. 33291
872
J. 32058
100
31679
33702
4094
4138
31977
84
32168
451, 32451
3191
34941
83
3041
E. 32970 II
1627
871
K. - 33780
34072 II
32417
821
- Echterhoff H. 33810
Eckart H. 34257
Eckert G. W. 33952 II
Eckstein Z. 32402, 32460, 32461
Edelstein H. M. 33853
Edl J. 34109
Edwards C. D. 33602 II
Eckhaut R. G. 34197
Effenberger H. 33473 II
Egami F. 32192
Egerton G. S. 34984
Eggerer H. 32362
Eggers J. 31762
Eggert J. 31832
Egll R. 32999
Ehrhart G. 32618, 33545 II, 33572
Eich H. 32514
Eichenberger R. 33228
Eide R. W. 34240
Eiduks J. 33319
Eidus J. T. 31810
Eigen E. 33525
Eigen H. 33313
Eigen H. 33372 II, 33373 II
Eirich G. 33250
Eiseman J. H. 33866
Eisenmann E. 34489
Eitel K. 34819
Eltz E. 31783
Ekstein H. 31637
Ekwall P. 31929
Elias W. F. 33602 II
Eller S. A. 34533
Elliot 34591
Elliott A. 34852
Elliott L. P. 33930 II
Elliott M. A. 33849
Elliott N. 31468
Elliott P. M. 32856
Elliott R. G. 34807
Ellis S. G. 31585
Ellis S. R. M. 34382
Elovich S. Y. 31919
Elvidge J. A. 32508
Emanuel N. M. 31777
Emelús H. J. 31964
Emi K. 34410
Emmett P. H. 31809
Emr A. 32139
Endell J. 33736
Endo J. 31989
Endter F. 34544 II
Engelhard N. 32464
Engelländer K. 33170 K
Enkoji T. 32498
Enkvist T. 34629, 34637
Enoch O. 33850
Enoksson B. P. 33720 II
Enome S. 34569
Enström B. 34630
Entz B. 32208
Epelboin I. 33136
Erceányi I. 34112
Erickson D. R. 34733
Erickson R. E. 31441
Erin P. 33968
Erkama J. 31347
Erley D. S. 32454
Ermolenko N. F. 32669
- Ershov N. I. 31810
Erzberger P. 31954
Eslin O. A. 31856
Esklin S. G. 32722
Estok G. K. 31463
Ettorre R. 32462
Etzel H. W. 31554
Euler H. 32413
Euler R. 33267
Evans A. G. 31854
Evans B. L. 31788
Evans H. B. 33051 II
Evans R. T. 33921 II
Everest D. A. 31918
Evseev A. M. 31606
Ex J. 33757
Eyring H. 31785
Eyubi S. 32006
- F
Faber G. 32660 II
Fabra I. 32502
Faegri K. 34203
Faldik L. 34506
Falk M. 31433
Fallab S. 31996
Fara M. 34236
Farcaş I. 33025
Farhat A. 32289
Farkaš J. 34157
Farnham A. G. 33449 II
Farris R. N. 34399
Faseeh S. A. 32470
Fasella P. 32146
Paul P. 32337
Faulkner J. E. 31398
Fawcett E. 31576
Fay P. C. 33854
Farrar H. M. 33051 II
Federkiel W. 34797 II, 34800 II
Feenberg E. 31360
Feeny H. 31450
Fegley M. F. 32465
Feher G. 31386
Feigl F. 32211
Fekete K. 34833
Feldmeter G. 34038
Felsing W. A. 31669
Fensmark A. B. 33301 II
Ferenczy Z. 32171
Ferguson N. M. 33512
Ferles M. 32560 K
Ferm R. J. 32375
Ferrel R. E. 34220
Ferry J. D. 34887, 34931
Fetzer W. R. 34124 II
Feuge R. O. 34070 II
Fielden T. B. 32708
Fields E. K. 32887 II, 32888 II, 33946 II, 33947 II
Fierstein J. C. 34795 II
Figurovskij N. A. 31322
Fike E. A. 34082 II
Filippello F. 34168
Filipescu H. 34014
Filippov L. P. 31609
Filippov M. S. 32044
Finch G. I. 33070
Findlay R. A. 32774 II
Findley W. N. 34373
- Finke H. L. 31645
Finkel M. 34665
Flordallis F. M. 33444 II
Fischer K. A. 33939 II, 33945 II
Fischer M. 32073
Fischer W. 33097 II
Fisher E. J. 33034
Fitzgerald J. V. 33307 II
Fitzpatrick J. D. 32397
Fleischhauer R. 34786 II
Flemming R. 34038
Fletcher J. M. 31967
Fletcher W. H. 31434
Florescu M. 32662
Floyd E. H. 33615
Flynn E. W. 32449
Flynt J. D. 34402
Foch P. 33776
Fock M. 34041
Foderaro F. A. 34641
Foëx M. 31579
Fogelberg B. C. 34667
Foley F. B. 33623
Foltz V. W. 34669
Fontaine W. E. 32722
Fontell K. 31929
Fontijn F. 32647
Fontyn F. 32647
Forbes A. R. 33630
Forbes W. F. 31424
Ford R. A. 34977
Fornachon J. C. M. 34155
Fornwall H. C. 34474
Forsman A. 33689
Foskett A. C. 32844
Foster D. J. 32529
Foulon A. 34398, 34446
Fowler J. A. 34758
Fowler W. F. 34423 II
Fox J. J. 32635
Frampton Vernon L. 34013
Francis A. W. 31648
Frank B. 33797
Frank G. 31503
Frank H. P. 31931
Franke W. 33418 II, 34548 II
Frankel M. 32627
Franken A. 34771
Franklin E. W. 34345
Franz K. 33211 II
Franzke C. 34019
Freedman A. J. 32864
Freedman H. 34642
Freedman L. 32506, 32513
Frejka J. 34963
Fretzdorff A. M. 32530
Freudenberg K. 34996
Freudenstein H. J. 33532
Freund H. E. 31757
Frey A. 34172
Frey C. 35499 II
Fried J. 32597
Friedel J. 31537
Friederich H. 33469 II
Friedling G. 32787
Friedman H. 32025
Friedrich K. 34393
Friedrich W. 33588 II
Friedrichsen W. 33422 II
- Fries D. 33447
Frieser E. 34564
Frimlová Z. 34088
Frissell W. J. 34387
Fritz E. 33510
Fritz G. 32541
Fritz J. S. 32230
Fritz M. 31543
Froger M. C. 34587
Frömmel H. 32337
Frost G. B. 31658
Frostick A. C. 33202
Frump J. A. 34040
Fry W. C. 33921 II
Fryma-Maschinenbau G. m. b. H. 33953
Fuchs E. 33388
Fuchs H. 32996
Fuchs L. 33524
Fuchs R. J. 31787
Fuchs W. 32091, 33783 II
Fuhrmann H. 32798
Fujimoto S. 34221
Fujishiro R. 34865
Fujita M. 32652
Fujiwara M. 32525
Fukumoto O. 34574, 34868
Fukushima S. 32153
Fullinski A. 31837
Fuller C. S. 31386
Furazawa N. 33959
Furlenmeier Andreas E. 32632
Furnival G. M. 34606
Furst A. 32425
Furukawa J. 34971
Furusaki K. 32227
Furuya N. 31580, 32795
Furuya A. 32652
Fusco R. 32419
- G
Gabor S. 33018
Gadot M.-E. 34502 II
Gage R. M. 33059
Gagliardi E. 32170
Gajewski Z. 32275
Gajic S. 32664, 32665
Gál G. 32412
Galanin M. D. 31412
Gălăţeanu I. 32948
Galeno Delgado A. 34219
Galesloot E. 34273
Gall R. J. 34467
Gallagher N. D. 34824
Gallais F. 32013 K
Galy P. 33010
Galzy P. 34152
Gammage John L. 34606
Gandhi R. P. 32448
Ganguli A. K. 32644
Garcia Blairzy C. 32409
Garcia de Martinez Nadal N. 33676
Garcia Onandia A. 31722, 31723
Gardner G. R. 33378 II
Garner F. H. 34382
Garrett E. R. 32332
Garrett W. G. 33202
Garrod M. P. 32032
- Gascnel L. 33831
Gaskins F. H. 34890
Gasparić J. 32220
Gatzke H. 33212
Gauchat C. L. 32281, 32802
Gavanda L. 32286
Gavin G. 32438
Geffcken W. 33300 II, 33305 II
Gehm K. H. 32783
Gehrmann W. 32623
Geiger K. 32506
Geipel H. 33468 II
Geiß W. 33064 II
Gelbrecht H. 33533
Gellnek J. 31973
Gells P. de 32011
Gelly H. 34455
Gelperin I. I. 32712
Genchew M. 31981
Gentil V. 32211
Gentilini Z. 34175
Gentles M. J. 32598
Genzsch E. O. 33509, 33698, 34473
Georgiev K. D. 32347
Gerding H. 31430
Gere E. A. 31386
Gergely G. 33584 II
Gerovich M. A. 31886
Gerstenkorn S. 31391
Gey W. 32975 II
Gey W. A. 31689, 31690, 31782
Ghose P. 32156
Ghosh S. 31927
Giammanco L. 32502
Gianturco M. 32601
Gibian H. 34840 II
Gierer J. 32442
Gignier J. 32755
Giguère P. A. 31433
Gilbert R. E. 31521
Gill J. C. 34382
Gilles L. 34064 II
Gillespie R. E. 32957
Gillespie R. J. 31850
Gillot F. 31640
Gilman H. 32399
Gilvarry J. J. 31671—31675
Ginther R. J. 32303 II
Giulio E. 34372
Gjaldbaek J. C. 31910
Glass H. D. 33798
Gleim W. K. T. 34071
Gleitzer C. 31952
Glenn H. D. 34543 II
Glicksman R. 33175 II
Glover H. C. 32750
Glukhov N. A. 34986
Göbel W. 33729
Goch H. 34321
Goded Mur A. 34284
Godfrey C. S. 33088 II
Godwood S. 34093
Goebel E. F. 32199
Goebel M. 33808 II
Goerens P. 32266
Goerz R. 32975 II
Goffinet B. 32594

- Goland D. 31647
Goldfarb T. D. 31478
Goldheim S. L. 34704
Goldman I. M. 32584
Goldstein J. H. 31435, 31438, 31451
Goldthwait R. 33915 II
Golgothlu T. 32824
Gollenhofer A. 33274
Golova O. P. 34648
Gompper R. 32491
Goodyear J. 32058
Gorboonov N. I. 32096
Gorbunova L. I. 32089
Gordleyeff V. A. 33015
Gordon A. S. 31778
Gordon J. S. 31647
Gordon M. P. 32634
Gorin E. 33911 II, 33913 II
Gorokhov L. N. 31886
Gortatowski M. J. 32469
Gottardi V. 34342
Goubeau J. 31429
Goulart de Andrade E. 33198
Govaert F. 32647
Grabowich P. 32597
Gráf L. 32187
Graf R. 33427 II
Graff K. 34492 K
Grandjean E. 32999
Grangaud R. 32605
Grant D. F. 31526
Grant F. A. 31381
Grant G. A. 32438, 32550
Grant R. F. 31679
Graulich W. C. 32949
Grave G. 33886 II
Gray G. W. 31687, 31688
Greathouse L. H. 34125 II
Green A. L. 31772
Green L. 33855
Greenfield I. 33620
Greenspan F. P. 34467
Greenwood H. H. 31740
Greer B. A. 32957
Gregory D. H. 33755
Greiner H. 31411
Greiner W. 32609
Gresham D. C. 33713 II
Grever A. B. G. 34339
Griboff G. P. 32896
Griesbach R. 33377 II
Griffith E. J. 31969
Griffith J. S. 31401
Griffith M. 33730
Grigorova L. P. 33000
Grim R. E. 33201
Grinberg A. A. 32016 K
Grinnel W. E. 34355 II
Grishook I. K. 32916
Griswold S. S. 32994
Gritsian D. N. 31874
Grochowski E. 32402
Gross J. 33858
Gronowitz S. 32322
Groskaufmanis A. 33968
Gross E. F. 31344
Gross M. E. 31645
Großdorfer K. 32981
Grosse A. 33888 II
Grossinsky O. 33887 II
Grossman H. J. 34167
Groth W. E. 31815, 31816
Grover M. M. 34411
Gruber W. 34595 II
Grunau E. B. 34448
Grundmann C. 32503
Gruntfest I. J. 34949
Gryglewski R. 32447
Gstirner F. 33513
Gulczyński Z. 34321
Gülzow M. 32995
Gündel W. 33483 II
Gunzburg E. 33525
Guthrie W. D. 33099 II
Gutierrez B. 33383 II
Gütter E. 34909
Gutzzeit C. L. 33892 II
Guy J. 31467
Gwinner E. 34407
Haase H. W. 31701
Haberl K. 33064 II
Hablützel E. 34753
Håborg A. 33718
Hadwiger H. 33293
Haensel V. 33889 II
Hagen H. 34403
Hagen H. W. 33253 II
Hegethorn N. E. M. 34951
Hahn E. 34429 II
Hahn H. 31501—31504
Hahn O. 31346
Halm E. 34522
Haines R. M. 33907 II
Haissinsky M. 31902
Haldeman R. C. 34346
Hale M. G. 33657
Hall A. J. 34563, 34566
Hall L. A. 34194
Hall L. A. 31379
Hall W. K. 31809
Halmaghi O. 33368
Halmshaw R. 32261
Hamada T. 33993
Hamann S. D. 31774
Hamano Y. 31956
Hamerak M. 32867
Hamilton G. E. 33402
Hamm G. G. 33757
Hammady I. M. M. 32611
Hamming R. W. 34937
Hammitt F. G. 32688
Hampe E. A. 34531
Hanada M. 33237
Hanby W. E. 34852
Handa K. L. 33675
Handley R. 31699
Hannig H. 32922
Hanousek V. 32426
Hansen B. B. 31836
Hansen F. R. 34389
Hansen H. L. 33621
Hansen M. F. 31628
Hanson C. 33052
Hanson G. A. 32415
Hanson H. G. 31382
Hanusch F. 33416 II
Harada T. 31597
Harbeck F. 34802
Hardebeck C. 32790
Hardegger E. 32569
Hardman A. F. 34549 II
Hardman H. F. 33919 II, 33920 II
Hardy E. 34246
Hardy H. K. 31692
Hardy H. K. 31693
Harley Mason J. 32470
Harness A. A. 34871
Harrington J. R. 33933 II
Harrington W. O. 34252
Harris E. E. 33964
Harrison J. C. 31918
Harrison S. A. 34494 II
Hart J. S. 34623
Hart J. S. 34633
Hartman R. F. 33930 II
Hartmann L. T. 33897 II
Hartmann W. A. 32812 II
Hartnett J. P. 32697
Hartree D. R. 31392
Harvey J. V. 34142
Hasbach E. 32869
Hasegawa Y. 33281
Haselden G. G. 33843
Hashimoto M. 32516
Hashimoto T. 34028
Hasselquist H. 32413
Hasselstrom T. 34204
Hatori M. 32239
Hauerwas W. 33117 II
Hauptman H. 31488
Hauser P. 33953 II
Häusermann J. L. 34753
Hausser K. H. 31471
Häussermann H. 33510
Havas G. 31349
Havanga E. 32592, 32607
Hawes R. C. 32305 II
Hay R. 33190
Hay R. J. 34537 II
Hayami T. 34745
Hayashi I. 32364
Hayashi M. 34141
Hayashikoshi K. 33074
Haydel C. H. 34125 II
Hayes C. T. 32775 II
Hayes C. W. 33912 II
Hayes W. 31453
Haynes R. D. 34319
Haywood G. 33976
Heath C. J. 33580 II
Heath M. A. 34650
Heaton G. S. 32629, 32630
Hebermehl R. 34441
Heckert W. W. 34577
Heckmaier J. 34595 II
Hedecock N. 31679
Hedlund I. 32894
Hedvall J. A. 33213
Hée A. 32043
Hefling A. W. 32933
Heiba E. M. I. 32361
Heidemann W. 34534
Heidt L. J. 31417
Helfets V. L. 31869
Hellingötter R. 33694
Heilmann E. 34785 II
Hein R. E. 31628
Heine R. F. 32336
Heine V. 31452
Heinze G. 33810
Heinzelman R. V. 32374
Heinzelman R. V. 32570, 32609
Helbert J. R. 32234
Hellinckx M. L. 31733
Hellsing S. 32874
Helmrich H. P. 32295
Hemala M. 32084
Hemsted W. R. T. 33618
Henigman F. 33885 II
Hennig B. 33662 II
Hennig I. 32618
Hennig W. 34360 II
Henseke G. 32499
Hentola Y. 34639, 34640
Herbst R. M. 32507
Herbststein F. H. 31491
Herdle R. J. 33710 II
Herforth L. 31825
Hermans J. J. 34864, 34894
Hernandez Varela E. 34263
Herout V. 32586, 32587
Herreros O. 32051
Herrmann J. 32294
Herschbach D. R. 31475
Hershberg E. B. 32598
Hershey R. L. 32784
Herzig J. 33985
Herzog H. L. 32598
Hesford E. 31967
Hess K. 34909
Hesse G. 32376, 32377
Hesse P. R. 32193
Hessel G. 34429 II
Hewett W. A. 32380
Hewitt E. J. 34204
Hexter R. M. 31478
Hey G. L. 33643
Hey M. H. 32053
Heyns H. 31827
Hickethier C. F. 33082
Hickinbottom W. J. 32408
Hideshima T. 34933
Hieber W. 31983
Hietaranta M. 34277
Higasi K. 31409
High L. B. 33185 II
Hikita T. 33852
Hildebrandt F. 34598 II
Hill G. 32773 II
Hill R. B. 34552 II
Hillegeist P. R. 32865
Hills C. H. 34332
Hillyer J. C. 34541 II
Hilton J. 31520
Himsworth F. R. 32833
Hincu I. 32824
Hinds R. H. 34346
Hines J. G. 32833
Hinsch W. 32889 II
Hinshelwood C. 31747
Hinz K. 34414, 34697
Hirano H. 32706
Hires J. 31819
Hirsch A. A. 32907
Hirschmann W. B. 32864
Hirst E. L. 32578
Hirwe S. N. 32424
Hiteshue R. W. 33790
Hoak R. D. 32990, 32991
Hoare W. E. 32843
Hobson J. D. 32202
Hobson M. 31661, 32717
Hoch A. 33161
Hochweber M. 34456
Hodge J. E. 34127 II
Hodgson G. W. 33822
Hoeg D. F. 31773
Hoering T. 32027
Hoff M. C. 32395
Hoff M. C. 33947 II
Hoffman R. A. 33638
Hoffmann G. 33465 II
Hoffmann J. S. 34444
Hoffmann K. 32248
Hoffmann M. 34883
Hoffpaur C. L. 34000
Hofmann K. 32632
Hofmann P. 33837
Hogg C. 32906
Hogue W. S. 34790
Holland L. 31532
Holle K. 33579 II
Hollingshead T. E. 34240
Hollo J. 32575
Hollyday W. C. 33949 II
Holm B. 34629
Holm C. H. 31454
Holm V. C. F. 33898 II
Holmberg M. 33270
Holmes B. G. 32870
Holmes P. J. 31588
Holmes W. R. 33088 II
Holoway J. M. 34531
Holz E. 31722
Holz E. 31723
Holz S. 31722, 31723
Homer H. J. 34790
Hömig H. E. 32922
Honeyman J. 32568
Hooley J. G. 32264
Hooper K. C. 32629
Ho Ping-lum 32385
Hopkins I. L. 34097
Hopmann H. 33513
Höpner T. 34612
Hoppe P. 34432 II, 34433 II
Horback W. B. 34600 II
Hörhammer L. 32236
Horiuchi M. 32494
Horiuti J. 31796
Horkay F. 34878
Horký J. 34590
Hormuth R. 34548 II
Horsley G. S. 31781, 31784
Horton A. T. 32306 II
Horton C. C. 33032
Horváth Z. 33146
Horvick E. 33148
Hosaka K. 32794
Hosansky N. 32643
Hoshino S. 31563
Hoshino T. 32379
Hošťálek Z. 33076
Hotelling E. B. 32440
Hotta H. 34904
Hotta Y. 32678

Асторский указатель

- N. 32424
R. W. 33790
32900, 32910
E. 32843
D. 32202
31661, 32711
3161
M. 34456
E. 34127 II
W. 33622
31773
32027
32395
33947 II
A. 33638
G. 33465 II
J. S. 34460
K. 32248
M. 34863
C. L. 34000
K. 32632
33837
2906
S. 34799
31532
33579 II
T. E. 34240
2575
C. 33949 II
34629
31454
F. 33898 II
M. 33279
G. 32870
J. 31588
R. 33088 II
M. 34532
722
1723
1722, 31723
J. 34799
E. 32922
J. 32568
F. 32264
C. 32629
32385
L. 34937
33513
34612
34432 II,
B. 34600 II
L. 32236
32494
1796
34878
1590
34548 II
S. 31761,
32306 II
33032
33146
33148
2794
32643
31563
32379
33076
B. 32440
904
678
- Houwink R. 31899
Howe E. D. 32911
Howe J. A. 31451
Hoyos de Castro A. 31926
Hrubílek J. 34097
Hrubý S. 34334
Hsieh H. 34970
Hsu Kai-kun 32475
Hsu Kwang-hsien 31971
Hubáček J. 32407
Hubbard E. H. 33757
Hubbs J. C. 31387
Huber G. 32497
Huber K. 32876
Huck J. L. 33549 II
Hudson B. 33656
Hudson M. S. 33656
Hudswell F. 33156
Huemmer H. 33432 II
Huggins M. L. 31539
Hughes E. C. 33854,
33920 II
Hughes J. R. 33860
Hugony E. 32828
Hulcher F. H. 33657
Hummel P. 33579 II
Humphreys D. D. 33451 II
Hunger G. 34668
Hünlich R. 34756
Hunt C. 32261
Hunt M. H. 31778
Hurd D. T. 32561 K
Hurka W. 34255
Hurn R. W. 33849
Hurwic J. 31480
Huss R. 33496 II
Hutchins J. W. 33954
Hutchinson C. A. 31469
Huwylar R. 32569
Hwang Wen-Kuei 32559
Hyr I. 34308
- I
Ibănescu I. 32679
Ibbotson A. 31688
Ichikawa C. 32223
Ilínskaia A. A. 32209
Imai K. 34884
Imamura M. 31820
Imhagen K. H. 31498
Immel G. 32661 II
Imoto M. 34976
Inbody G. W. 31661
Indovina R. 32904
Indyk H. W. 33655
Inhoffen H. H. 32608
Inokuti M. 34979
Inoue H. 34982
Inoue I. 32525
Inoue S. 34971
Inoue T. 31881
Inouye K. 31940
Inouye Y. 32323, 32363
Inubashi Y. 32318
Ioanid N. 32240
Ion I. 33077
Ionov N. I. 31407
Ireland R. E. 32590
Irie F. 34943
Irie M. 32546
Irvine T. F. 32697
Isaacson L. M. 34854
- Isemura T. 34904
Ishibashi K. 32480
Ishibashi M. 32184,
34410
Isono K. 32613
Itinose S. 34139
Ito H. 31420
Ito H. 31937, 34891,
34895
Ito H. 33958
Ito H. 34924
Ito T. 34686
Itoh J. 31456
Ittrich G. 34019
Ivanova K. S. 32044
Iversson B. W. 34681
Iveson H. T. 34063 II,
34085 II
Ivey W. R. 34576
Iwayanagi S. 34933
Izmallova G. I. 31942
Izuchi T. 33005
- J
Jabłoński A. 31413
Jaccarino V. 31575
Jackson D. A. 31389
Jacobi R. 33285
Jacobs D. I. H. 33454 II
Jacobson C. H. 34381
Jacquet P. A. 33137
Jacquignon P. 32219
Jaeger T. 32820, 32985
Jaffe H. 31517
Jäger A. 32523
Jäger H. 32200
Jahnig C. E. 33901 II
Jain S. C. 34613
Jaisle J. 32807
Jakob H. G. 34751
Jamieson J. W. S. 31658
Jamm W. 32766 II
Jamotte P. 34288
Janák J. 32195
Janetzko W. 31657
Janickis J. 33316
Janikowski A. 32272
Jankiewicz M. 34234
Jankovits L. 32172
Jankowiak E. M. 34426 II
Jankowski A. 32990
Jánosfy K. 34091
Janousek J. 34779
Jansen E. 33601 II
Jansen J. E. 33437 II
Janson A. 33435 II
Janusz E. C. 34438
Jarovoy M. 32043
Jarrett D. 34706
Jastrzębska A. 34321
Jayme G. 34646, 34668
Jeffreys R. A. 32512
Jellinek O. 32163
Jenkins G. I. 33754
Lenkner H. 33441 II
Jennen J. J. 33703
Jennings P. P. 32189
Jense W. F. 32889 II
Jensen M. L. 32041
Jermyn M. A. 34098
Jeschkeit H. 32621
Jeszka J. 33107 II
- Jičínský V. 34297
Jizba J. 32560 K
Jodko C. 31799
Johansen H. A. 31879
John K. 32241
Johns T. F. 31623
Johns W. F. 32591
Johnson A. M. 31417
Johnson C. E. 33433 II
Johnson C. E. 33914 II
Johnson D. R. 32947
Johnson E. A. 32396
Johnson F. D. 33287
Johnson F. M. 31574
Johnson H. D. 34346
Johnson J. A. 34230
Johnson O. C. 34025
Johnson W. S. 32590,
32591
Joliot-Curie I. 31333
Jona F. 31563
Jones D. 32898
Jones D. W. 33654
Jones E. P. 34069 II
Jones F. B. 34972
Jones G. F. 34768
Jones E. R. H. 32357,
32358, 32639, 32640
Jong G. J. 32912
Jordan E. F. 34991
Jordan M. E. 32309 II
Joseph K. 34199
Joseph K. T. 34808,
34823
Jost H. P. 33863
Jost W. 31338
Joullé M. M. 32487
Judy G. L. 33749
Jukiewicz J. 32354
Jullian P. L. 34063 II,
34085 II
Junkes S. J. J. 32256
Jureček M. 32220
Jurkiewicz J. 33763
Jursich M. J. 32972 II
Jüttner B. 33887 II
- K
Kabasakallian P. 32386
Kabi S. K. 33190
Käbisel G. 33414 II
Kaceti L. 32215
Kachroo P. 33647
Kachru C. N. 32432
Kadkol S. B. 34007
Kaeppler H. J. 31636
Kagan P. 32570, 32609
Kaganer M. G. 31906
Kaganovich R. I. 31886
Kagawa I. 34913
Kaichi S. 34967
Kaila E. 34667
Kaiser B. 34146
Kaji K. 32416
Kajimoto Y. 34331
Kakudo M. 34911
Kalinowska A. 31824
Kalinowski M. 33922 II
Kallay F. 33408
Kalininš A. 33967
Kalpers H. 34478
Kamata A. 33522
- Kamimura H. 31404
Kamlyoshi K.-I. 31678
Kamogari M. 32795
Kamori S. 34440
Kanamaru K. 34930
Kanaoka S. 33203
Kanaoka Y. 31409
Kania K. 33274
Kaplan T. A. 31633
Kapoor R. N. 32542
Kapp H. 32999
Kappeler H. 32632
Karapetian G. O. 31618
Kardaun G. 33757
Kargin V. A. 34939
Karl R. E. 32887 II
Karle J. 31488
Kartaschoff P. 32294
Karthauss H. 32262
Kasai N. 34911
Kasansky B. A. 32347
Katchalsky A. 34973
Kato E. 33203
Kato H. 32515
Katō K. 31958
Kato K. 34582
Kato Y. 32700, 32701
Katsoyannis P. G. 32624
Katsuura K. 34653
Katz S. 34638
Kaufman S. 31932
Kaufman W. J. 32938
Kaufmann H. P. 34023,
34458
Kauq Y. 32006
Kawabata H. 32226
Kawachi S. 34293
Kawaguchi T. 34935
Kawai E. 34945
Kawakita H. 34325
Kawakubo S. 33281
Kawazu M. 32430
Kazda J. 34317
Kedesdy H. 33219
Kell A. 32847
Keith P. C. 33894 II
Keller W. 34771
Kelley D. J. 34970
Kelley R. E. 32738
Kemnitz W. 34596 II
Kemp W. E. 33811 II
Kempter C. P. 32008
Kenyon J. 32417
Kerley R. V. 33848
Kerr P. F. 32050
Kessler I. J. C. F. 34915
Kesteren J. P. I. 34951
Ketchum L. D. 32808
Kettenbach F. 33507
Keyes R. T. 31781
Keymeulen J. 31586
Khandelwal D. P. 31414
Khanna R. L. 33346
Khanolkar D. D. 31470
Khosla G. 34373
Kilba T. 32136
Kiefer W. 32966
Kielich S. 31608
Kienberger C. A. 32267
Kienitz H. 32135
Kiguchi S. T. 32731
Kikuchi R. 32223
- Kilb R. W. 31472
Kilbourne H. W. 34552 II
Kilp W. 34136
Kimberlin O. N., Jr
33900 II, 33905 II
Kimmig J. 33557 II
Kimura M. 32694
Kimura Y. 32794
Kimura Y. 33237
Kinck H. E. 34608
King B. W. 33291
King E. L. 31758
King H. G. C. 32645
King J. A. 33865
King K. M. 33630
King P. 32025
King W. H. 34009
Kinney C. R. 33779
Kinoshita H. 32430
Kip A. F. 31573
Kirchner W. 34730 II
Kirk P. L. 32237
Kirkbride D. S. 32898
Kirschlenlohr W. 32571
Kirsten W. J. 32213,
32214
Kish S. P. 34431 II
Kiss I. 31694
Kistlakowsky G. B.
31743
Kistler J. 33011
Kitagawa T. 32184
Kite W. H. 33861
Kittel A. 32782
Kjeldgaard K. 32445,
32490
Klang M. 34033
Klaproth H. 33419 II
Klaushofer H. 34145
Kleef T. A. M. 31378
Klein G. 32938
Klein H. 32879 II
Klein W. G. 34783
Kleinberg J. 34961
Kleiss I. 32241
Klemens P. G. 31546
Klicker J. D. 33941 II
Klimek R. 33699
Klinga J. 34126 II
Klinov I. I. 32877
Klir L. 32165
Klosek F. P. 33449 II
Ključnikov N. G. 32014 K
Klyne W. 31459
Knap J. E. 32293
Knauf R. 33750
Knepper W. 33420 II
Knight R. A. 34231
Knoepfler N. B. 34009
Knop J. 32149
Knopf A. 32042
Knopf M. 34460
Knox L. H. 31660
Kobayashi H. 34875
Kobayashi M. 31418
Kobayashi S. 33489
Kobayashi Y. 34914
Koblic O. 31549
Kobrin S. 32506
Koch J. 34242
Kochanovská A. 31496
Koenen K. 34294

- Koevoet A. L. 32607
Kofler A. 31697
Kofod H. 31442
Köhler W. 34390
Koide S. 31861
Koide T. 31522
Koizumi N. 34944
Kojima M. 34330
Kolar H. R. 33580 II
Komaromy R. 33694
Komeno T. 32595
Kominami T. 34896
Komlev L. V. 32044
Komuro T. 32010
Kon S. K. 34270
Kondo R. 33335
Kondo T. 33958, 33959, 34625
Kondrachoff W. 32325
König H. 32244
Konig H. 34375
König H. 34385
Konigsbacher K. S. 34204
Konishi Y. 34586
Konow R. 34828
Kool J. 33037
Koop L. 34316
Kopp O. C. 32050
Körbl J. 32139, 32159, 32161
Korda J. 34707
Korematsu M. 34621
Korngut J. 31321
Kornjev K. A. 32431
Kortüm G. 31461
Koryta J. 31891
Kosewska L. 34256
Koskikallio J. 31848
Kossovskala A. G. 32086
Köster W. 31703
Kostroma T. V. 32536
Kostyshina A. P. 32133
Kotik A. 34169
Kotler J. 32446
Koton M. M. 34848
Kotov E. I. 31903
Kotter L. 34320
Kotyk M. 32287
Kourula A. 34629
Koutecký J. 31873
Kovács P. 31834
Kowalski Z. 33112
Kracek F. C. 32057
Krächter H. 32200
Kraemer R. 32043
Krajoan-Marjanović V. 33331
Kraft R. 34548 II
Kraft W. M. 34438
Krall F. 33105 II
Kramer A. 34247
Kramer N. H. 33176
Krasikov B. S. 31869
Kräsig H. 34743
Kratovich J. 33076
Kraus A. 34080 II
Kraus G. 34520
Kraus H. 34080 II
Krause A. 31798
Krause G. 34092
Krause H. 33168 K
- Krautwurst H. 33374 II
Krebs B. 32732
Krebs K. 31390
Krebs R. W. 33900 II
Krebs W. 32786
Kreglewski A. 31664
Krejčí F. 32215
Kremen S. S. 34816
Kretzchmer F. 32805
Kreutzberger Alfred 32503
Krevelen D. W. 33739, 33757
Krichmar S. I. 31860
Kriegel H. 31825
Krijgsman C. 33757
Krimm S. 34849
Krimmel C. P. 33594 II
Krisement O. 31683
Krishnamurty B. 31838
Krivanek L. 33704 II
Kroenig W. 32889 II
Kröger C. 31657
Kroh J. 31824
Kroll H. 34054
Kroll J. 32880 II
Kronacher H. 33063 II
Kropachev V. A. 34969
Kross W. 33572 II
Krull W. 34844
Krumphanzl V. 34131
Krygler M. 34558 II, 34559 II
Krylova R. G. 34648
Kryszewski M. 34959
Kryukov A. I. 31822, 31823
Kubeš J. 33130
Kubli H. 33134
Kubota T. 32642
Kučera M. 34965
Kucharski J. 32974 II
Kugita H. 32430
Kuhn R. 32571
Kulvilla H. G. 31764
Ku Khang-ll 32539
Kumins C. A. 34898
Kummerow F. A. 34025
Kundt W. 32782
Kunil D. 32751
Kunsch H. 33570 II
Kunugi M. 33276
Kunz J. 34755
Kunze W. 33482 II
Kuribayasi K. 34929
Kuriyama S. 34569, 34621
Kurylenko C. 32260
Kurzer F. 32439
Kusumi H. 33074
Kuwaitima S. 34745
Kyri H. 33290
Kyuno E. 31960
- L**
Labes C. M. 31479
Labots H. 34268
Lachaux Y. 32691
Lacrosse R. 34288
Laffitte P. 31779
Lafourcade S. 34151, 34171
Lagoni H. 34290
Lakatos B. 31641
Lal K. 32009
Lal S. V. 33519
Lamberton A. H. 32349
Lamure J. 32011
Lancaster E. B. 34069 II
Land E. H. 33705 II
Landa S. 33838
Landel R. F. 34887
Landergren S. 32038
Landis P. S. 33938 II
Landry J. T. 34107
Lane M. C. 33636
Lange K. 32422
Langner G. 34126 II
Lanning F. C. 33363
Lanpher E. J. 32317
Lantz R. 32520
Larson A. C. 31505
Larson R. R. 33051 II
Laske D. 32876
Laskowska H. 32275
Last J. T. 31581
Lauer F. J. 33870
Laurence G. S. 31759
Laurence L. 33912 II
Lausun G. 31620
Lautenbach O. 33309 II
Lautsch W. 32623
Law W. W. 33111
Lawrence C. A. 33580 II
Lawther P. J. 33014
Lazar M. 34964, 34981
Learmouth G. S. 34406
Lebedev V. P. 31802
Le Berre S. 34201
Le Boeuf E. W. 34594 II
Lechner W. 33906 II
Ledwoch K. D. 32218
Lee J. A. 34195
Lee L. D. 32932
Leeb W. 32236
Leeming P. R. 32639
Lefort D. 34034
Lefrancois R. 33089 II
Legvold S. 31547
Lehmann H. 33212
Lehmann H. A. 31954
Lehr J. R. 31516
Lehry J. M. P. 32809 II
Leibee H. C. 32935
Leibson I. 32738
Leithe F. 33807 II
Lengyel Paul 34614
Leonard F. C. 32018
Leonard N. J. 32457, 33667
Leonova N. A. 32539
Lepetit F. 34505
Lesiak T. 32429
Leth Pedersen P. H. 34528
Leuchs O. 34388
LeVan H. A. 32931
Levenbook L. 32145
Levenson G. I. P. 33090 II
Levi H. W. 31790
Levy C. 33153
Levy J. P. 33020
Levy R. M. 34739 II
Lewis B. 31686
Lewis C. W. 34897
Lewis F. F. 34353 II
Lewis R. N. 32561 K
Lewis W. B. 31468
Leyerzapf H. 33439 II
Lheureux F. 34288
Libby W. F. 31621
Libnar Z. 34707
Lide D. R. 31477
Liebe H. G. 33693
Lieberman E. R. 34795 II
Liem Hoo Gwan 32526
Lien A. P. 32395
Lien A. P. 33914 II
Lietzke M. H. 31862
Llewelyn D. M. 33108 II
Lifshitz A. 34153
Light W. I. 33624
Li Kun 31649
Lin Chun Chia 31472
Lincolnd P. A. 34052
Lincoln E. H. 32374
Lindberg N. J. 34609
Linde J. 32824
Linden H. 33483 II
Lindenberg W. 31728
Lindquist R. H. 31750
Lindseth F. J. 33700 II
Lindstedt P. M. 34547
Linnett J. W. 31403
Linsk J. 32888 II
Lintala D. E. 34547 II
Lipousky M. D. 32309 II
Lisciani C. 33036 II
Li Si-oh 32544
Liška K. 32165
Lissner A. 33729
Lissner O. 32874
List F. 33465 II
Litterscheidt W. 32716
Litwischitz Y. 32627
Llewellyn P. M. 31453
Lloyd L. 31670
Lockhart L. B., Jr 32025
Loeulle E. 32246
Löffler H. J. 32721
Logan R. L. 33421 II
Logan W. R. 31590, 32458
Logvinenko N. V. 32086
Loh E. 33191
Lohmeyer V. K. 33631
Lombardo G. 34376
Long J. S. 34483
Longo N. 32904
Lonsdale K. 31521
Lonsky P. 32337
Lonsky P. 34447
Lopatkin A. A. 31802
Lopez Martinez de Toda J. 34133
Lora-Tamayo M. 32398
Lorentzen H. L. 31836
Lorenz J. 32123
Lorenz K. 32939
Lorenzen K. 31811
Loß R. 34773
Losse G. 32620, 32621
Losse K. A. 33562 II
Lotz R. 33429 II
Loury M. 34045
- Louvegnies M. 31391
Love J. L. 32907
Love R. M. 33916 K
Loveday P. E. 33090
Lovelace A. M. 34971
Loveless R. W. 32994
Lower E. S. 33688
Loy W. C. 34315
Luber A. A. 32090
Luca A. 32824
Lucas D. E. 34694
Lucas K. 33907 II
Lucien P. 32310 II
Luckmann H. 32838
Ludowici J. W. 33241
Ludvik F. 34366
Ludwig F. 33113
Lufsky K. 34384
Luft G. 34480
Lukeš R. 32581
Lund R. E. 33094 II
Lundquist A. Q. 33049 II
Lunenok-Burmakina V. A. 31868
Lunetskias A. M. 31800
Lüring W. 34042
Lusby W. E. 32831
Lüscher E. 32245
Lusebrink T. R. 33936 II
Lustig P. 33593 II
Lüttringhaus A. 32222, 32464
Lutz R. E. 32381
Lutzmann H. 33420 II
Luzzati V. 31489
Lyczewska J. 32116
Lynch E. H. 33930 II
Loveless R. W. 32994
Lower E. S. 33688
Loy W. C. 34315
Luber A. A. 32090
Luca A. 32824
Lucas D. E. 34694
Lucas K. 33907 II
Lucien P. 32310 II
Luckmann H. 32838
Ludowici J. W. 33241
Ludvik F. 34366
Ludwig F. 33113
Lufsky K. 34384
Luft G. 34480
Lukes R. 32581
Lund R. E. 33094 II
Lundquist A. Q. 33049 II
Lunenok-Burmakina V. A. 31868
Lunetskias A. M. 31800
Lüring W. 34042
Lusby W. E. 32831
Lüscher E. 32245
Lusebrink T. R. 33936 II
Lustig O. 33593 II
Lüttringhaus A. 32222, 32464
Lutz R. E. 32381
Lutzmann H. 33420 II
Luzzati V. 31489
Lyczewska J. 32116
Lynch E. H. 33930 II
Lynen F. 32362
Lysak J. 34212

- M
- Maarsen J. W. 31430
McAllister A. 31826
McAllister R. H. 33974
MacBrayne J. M. 34605
McCaleb J. E. 33654
McCall D. W. 34917
McCallan S. E. A. 33641
McCarthy G. D. 32550
McCauley D. A. 32395,
33914 II
McConnell H. M. 31454
McCourtney E. J. 34009
McCooy W. H. 31738 II
McCullough J. F. 31969
McCutcheon J. W. 34050
Mcdermot H. L. 31908
Mcdevit W. F. 34919
McDonald D. 34074 II
Macdonald S. G. G. 31518
McDowell C. J. 34694
McEwan I. H. 31854
McEwen W. E. 34961
McFarland R. H. 31628
Machell G. 34649
McIvor R. A. 32550
McKay H. A. C. 31967
McKay R. W. 31380
McKeever C. H. 32465
Mackenzie J. D. 31857
McKeown J. S. 33861
MacLagan D. S. 33628
MacLaurin D. J. 34609
McLean D. C. 33048 II
Madigosky W. 31450
Maeda K. 33564 II
Maeda U. 34884
Maeno M. 34280
Maes E. 34223
Magarik C. J. 34857
Magne F. C. 34466
Magnuson D. W. 31446
Magnusson E. A. 31399
Magor J. K. 32287
Magrath D. I. 32633
Mahajani P. B. 32617
Mahapatra G. 31985
Mahl H. 34909
Mahlman H. A. 33046
Mahon J. H. 34335
Maiti P. C. 32653
Majer J. 34941
Wajumdar S. 32377
Makarov A. V. 31624
Makram H. 32875
Maksimović D. 34749
Malard C. 31962
Malat M. 32142
Malcolm B. R. 34852
Mallusov V. A. 32741
Malkus Z. 34236
Mallison H. 33981
Malm C. J. 34652
Malofeev N. A. 32741
Mamuro H. 34036
Manase I. 34033
Mancke E. B. 34727 II
Mandel J. 34832
Mang O. 33985
Mangaraj D. 31859
Mangoni L. 32654
- Mankin P. 34488
Mann C. P. 33788
Mann D. E. 31477
Mann F. G. 32472
Mannbro N. 34634
Manner P. 33956
Manning P. P. 31814
Mannkopff R. 32254
Manousek O. 32186
Mansfield G. H. 32330
Mansford R. E. 33159
Manuele R. J. 32167
Maraghini M. 31880
Marangosis J. 33141
March N. H. 31542
Marcu G. 31968
Marcus R. A. 31745
Mare P. B. D. 32339
Marek J. 32084
Margolis J. E. 32735
Maringe A. 32829
Marinin V. A. 31835
Marion L. 31524
Marjanović S. 32760
Mark D. 34379
Markelich A. R. 34776
Markley K. S. 34070
Markov B. F. 31651
Markovic T. 32825
Markovitz H. 34889
Marmet J. 32999
Marnon D. E. 34787 II
Marosszeki N. 33348
Marsh G. A. 32886 II
Martelin J. E. 34629
Martell A. E. 31849
Marthin R. B. 32331
Martin H. 34820
Martin R. H. 32501
Martinet P. 32342
Martinez Artola J. M. 33289
Martinez M. P. le L. 33712 II
Martino C. F. 34477
Matrynek M. 33125
Marx J. 32367
Masdupuy E. 31966
Mase K. 34442
Mashima M. 31989
Maširević D. 34692
Maslen V. W. 31406
Mason B. J. 32031
Mason J. B. M. 33012
Mason S. G. 33963
Massad A. H. 32870
Massalski T. B. 31515
Masseyeff R. 34202
Massue H. 33129
Masuda Y. 31455
Masuzawa T. 31416
Masuzawa T. 34945
Mataga N. 31421
Mathew E. C. U. 34829
Mathews D. H. 31907
Mathewson F. 32777 II
Mathieson D. W. 32545
Mato Vázquez F. 32736
Matrka M. 32426
Matsumoto M. 34884
Matsumoto S. 31938
Matsumoto T. 34866
- Matsushiro M. 32791
Matsushita B. 34330
Matsuura A. 32414
Matsuura S. 32414
Matsuura P. 32642
Matsuzaki T. 33522
Matthews G. R. 34253
Matuszak A. H. 33948 II,
33951 II
Maurel R. 32147
Maurer L. 34595 II
Maurer R. E. 33715 II
Maurice M. J. 34571
Maxcy W. J. 34087 II
May M. N. 34641
Mayer J. R. 31660
Mayer M. 34159
Mayer R. 32456
Mayer W. 32656
Mayo D. W. 32527
Mayor Y. 33399, 33404
Mazel M. I. 32669
Mázor L. 32212
Mazzeno L. W., Jr 34776
Meador W. R. 31660
Meakins R. J. 34037
Meda F. 31445
Medvedeva N. I. 31746
Meek J. S. 32390
Meeks P. J. 34399
Mehra C. 32009
Mehrotra K. N. 31934
Mehrotra R. C. 32542
Meier G. 33428 II, 33446 II
Meijering J. L. 31692,
31693
Mellgaard M. 34144
Melnick F. 32956
Melnzer H. 32777 II
Melsels A. 32646
Meland G. 33540
Melbourne K. V. 32903
Melcher H. 34604
Meleshko E. P. 32121
Mellá Tena C. 33039
Merchant J. R. 32424
Mériel Y. 33841
Merker L. 33254 II
Mero T. 34614
Mérő T. 34683, 34714 R
Merrion H. J. 33602 II
Mertens C. 33807 II
Messery J. F. 31645
Mester J. 32573
Metselaar D. 33617
Mettler J. D. 33103 II
Metz A. Z. 341991 II
Metzger H. 33447 II
Metzner A. B. 33402
Mey W. 34585
Meyer G. 33461 II
Meyer K. 31571
Meyer W. 33807 II
Mezger R. 32389
Michalczyk J. 31480
Miecznikowska-Stolar-
czyk W. 32446
Miegel R. E. 34422 II
Miegilitz K. H. 33662 II
Mielecki T. 33796
Mieptkiewicz A. M. 34546 II
- Mifune A. 34876
Migita N. 33965
Miglevski V. 34780
Mihalache E. 34675
Mihara K. 34569
Mikeš J. 34793 II
Mikhailov B. M. 32532,
32533
Mikhalevskaya A. D. 32044
Milburn R. M. 31845
Miles K. E. 31419
Millotis J. 31975
Miller A. D. 32070
Miller B. S. 34230
Miller C. D. 34983
Miller E. C. 33954 II
Miller L. P. 33641
Miller N. R. 32311 II
Miller R. 34065 II
Miller R. P. 32777 II
Millner T. 31487
Mills I. W. 33918 II
Milosavljević L. 34757
Minárik E. 34154
Minette A. 33010
Mingasson G. 32520
Mingasson G. 33498 II
Minisci F. 32391
Minussi C. L. 32167
Minoura Y. 34976
Minsk L. M. 33711 II,
34421 II
Minsker K. S. 72712
Miński J. 34222
Minter I. 34879
Minutilli F. 34017
Mirčev A. 34088
Mirk D. A. 33819
Mitin I. V. 34986
Mitra H. K. 33258 —
33260
Mitra S. N. 34120, 34333
Mitsui T. 31563
Mitten H. L. 34283
Miyagawa I. 31473
Miyake A. 34928
Miyama H. 34968
Miyamori S. 34440
Miyamoto Y. 32231
Miyazaki S. 31896
Miyoshi T. 33958
Mizuhima K. 34866
Mizushima S. 34845
Mizutani T. 32678
Młodziński B. 34208
Móczák E. 32573
Moeller C. W. 31568
Moens N. L. 32961
Moffett R. B. 32437
Moffitt W. 34851
Mohammed S. 32543
Mohorčić G. 31582
Moiseev V. D. 31624
Molinari A. E. 33659
Mominjy J. 31827
Monaghan R. 32270
Mondin C. 32292
Monson L. T. 33944 II
Montanari F. 32324
Montefinale G. 32604
- Montgomery C. W. 34729 II
Moore C. D. 33686,
34465
Moore F. L. 32178
Moore R. E. 32425
Moore W. J. 31361 K
Moore W. R. 34445
Mooser E. 31559
Mor E. 32827
Morandi L. 32667
Moraw R. 31821
Mörch J. 33521
Morehouse C. K. 33175 II
Moreton B. D. 33624
Morgan B. H. 34312
Morgan H. W. 31435,
31438
Morgan J. H. 32872
Mori M. 31853, 31960
Mori Y. 34976
Morioka E. 34331
Morley K. A. 31493
Morlock G. 32491
Moroi M. 34830
Morrell J. C. 33888 II
Morrow W. E. 33890 II
Morway A. J. 33940 II,
33951 II
Mosca A. 33668 II
Moser E. 33499 II
Moser F. 31830
Moser H. H. 33726 II
Moser J. F. 33902 II
Moss A. A. H. 32750
Moss J. A. 34807
Mostecky J. 33838
Motley H. L. 32994
Motoyoshi T. 34330
Mott F. 33470 II
Mott R. A. 31662,
33799
Moulson I. 33799
Mounsey R. C. 34205
Moussa G. E. M. 32408
Mowry D. T. 33671 II
Moye A. J. 32230
Muckter H. 33606 II
Mueckter H. 33601 II
Mueller A. C. 34425 II
Mueller W. A. 31424
Muir I. D. 32065
Mukai M. 33002
Mukherjee A. R. 32030
Mukherjee B. B. 34892
Mukherji S. M. 32448
Mukoyama S. 34880
Müller A. 31821
Müller E. 34447 II
Müller E. 34432 II
Müller E. W. 31534
Müller F. H. 34518
Müller G. 34797 II
Müller H. G. 34568
Müller K. 33230
Müller P. 33678
Muller P. 34836 II
Müller W. 33461 II
Müller-Rid W. 34680
Mullin J. W. 32737
Mullins W. R. 34252

- Munk F. 34449
Munk P. 32384
Munroe H. F. 33091 II
Munsch G. 31394
Münster H. 33158
Murai K. 32614
Murakami K. 33237
Murakoshi I. 32518
Murgatroyd J. B. 33270
Murgatroyd R. J. 32032
Murrell J. N. 31471
Mussa C. 34873, 34874
Muto G. 32127
Muts 33438 II
Myasnikov I. A. 31795
Myers M. T. 32035
Myers P. S. 33851
Myers R. L. 33974
- N
Naczyński J. 33769
Nadeau H. 34054
Nádor K. 33505
Nadudvary G. 33018
Nagal E. 34843
Nagao H. 34876, 34966
Nagasawa K. 32546
Nagura K. 32190
Nagy I. 32718
Nail N. R. 31830
Naito R. 34896
Nakada S. J. 32896
Nakagawa Y. 32801
Nakajima A. 34867, 34869
Nakamura K. 34923
Nakamura S. 32223, 32239
Nakamura T. 31796
Nakane H. 34933
Nakanishi S. 32190
Nakano J. 33965
Nametkin N. S. 32539
Namiki M. 32613
Nanda C. 31985
Nandi D. N. 33241
Narasimha Rao D. V. G. L. 31465
Narayana Rao M. 34199
Nardelli M. 31508
Nathan H. 32114
Natta G. 34957
Naucke W. 33785
Naumann F. K. 32839
Naumenko P. V. 34061 K
Nauß A. 34334
Nausester H. K. 32205
Nazarov I. N. 32405
Nebbia L. 32228
Nedorost M. 32195
Negishi M. 34924
Negrea L. 34825
Negrini A. 32324
Neher M. B. 34824
Neill K. G. 32612
Neiman M. B. 31746
Neirincx G. 33677
Nelson P. 33284
Nemec J. 32819
Németh E. 32925
Nemeth Z. N. 33859
Neogy B. P. 33647
- Nes W. R. 32333
Nesmelanov A. N. 32476
Ness P. 31501, 31502
Nethercot A. H., Jr 31574
Neu R. 32524
Neumann W. 33795
Neumeister K. 32983
Neuworth M. B. 32440
Newbold G. T. 32458
Newby A. B. 33787
Newby T. H. 34507
Newitt E. J. 31753
Newman M. 32511
Newsom J. D. 33615
Nica Th. 34825
Nicholls C. M. 33040
Nichols W. B. 31691
Nicholson D. H. 34471
Nicolaisen B. H. 33455 II
Nicolaisen R. 34249
Nicolaus R. A. 32654
Nicot B. N. F. 33198
Niedercorn F. 34996
Niegowski S. J. 32942
Nielsen A. 31562
Nielsen K. 34337
Niemann C. 32331
Niemann C. G. 34422 II
Nierenberg W. A. 31387
Niesper A. A. 33195
Niewiadomski H. 34022
Niewiadomski T. 33763
Nigam S. S. 32359
Nilzeke N. 31512
Nikiel S. 34114
Nikolaev A. F. 34987
Nikolaev L. A. 31760
Nikolaev N. I. 34969
Nikuni Z. 34117
Nilzen A. 33689
Nishikawa K. 32706
Nishimura M. 32185
Nishimura Y. 32239
Nishiooka A. 34954
Nitschke Z. 34096
Nitta I. 31510
Nobel P. C. 31430
Nobis J. F. 32529
Noble M. D. 33630
Noguchi M. 33965
Noisette G. 32946
Nomizo S. 34670
Nomoto K. 32479
Nonaka S. 34653
Nonhebel D. C. 31768
Nordan H. C. 34312
Norkus P. K. 31803
Norris F. W. 33516
Norris K. H. 34248
Nossen E. S. 33106 II
Noto T. 32227
Novák J. 34366
Novák R. 34506
Nováková O. 31831
Novotny K. 33864
Nürnberg K. 33134
Nürnberg H. W. 31892
Nürrenbach A. 32340
Nüsslein J. 33669 II
Nyburg S. C. 31520
Nystrom R. F. 32449
- O
Oates A. E. 34395
Obermaier A. A. 32304 II
Oberright E. A. 33943 II
O'Brien R. J. 34693
Obst K. H. 31683
Ockerbloom N. E. 31849
Ocón G. J. 32736
O'Connor B. 33917 II
O'Connor R. T. 34466
Oda T. 31522
Odaira Y. 32410
Odincovs P. 33997, 33998
Odlot S. 31369
Ódor G. 32446
Oehme F. 31724
Oeser J. 31388
Oeteren-Panhäuser K. A. 32837
Offman P. E. 32064
O'Flahavan J. M. 34792 II
Ogawa M. 32231
Ogino Y. 34442
Ohashi G. 33965
Ohkita K. 31939
Ohkuma S. 32223, 32239
Ohlinger H. 34419 K
Ohno M. 32323, 32363
Ohta M. 32516
Ohtani H. 31939
Oishi Y. 31956
Oka S. 33128
Okabe T. 33073
Okada S. 31714
Okada S. 32751
Okada S. 32893
Okada S. 32899
Okajima S. 34914
Okamoto Y. 31832
Okawa T. 34656
Okuda S. 32801
Oldenberg O. 31373
Olsen D. B. 32498
Olson R. L. 34252
Omote Y. 31714
Omura I. 31409
Onda K. 32728
Ono 32803
Onogi S. 34934
Oom B. 34842
Opelt F. 33008, 33009
Oprisan E. 32663
Orchin M. 32397
Orcutt R. G. 32938
Ordal Z. J. 34237
Orgel L. E. 31401
Oroshnik W. 32477
Orr A. R. 34379
Orsoni B. 32666
Os F. H. L. 33679
Osaki K. 31510
Osborn E. F. 32052
Osborn E. M. 32189
Osborne G. O. 32636
Oshima M. 34141
Osińska J. 34256
Oster G. 34975
Ostroumov E. A. 32107
Ostrovskhov V. G. 32334, 32335
- Oswin C. R. 34430 II
Otto W. 33584 II
Ötvös L. 31460
Ouellet L. 31761
Oughton B. M. 31509
Outwater J. O. 34401
Ovenston T. C. J. 31875
Overberger C. C. 32386
Owen B. B. 31614
Owen J. 31405, 31573
Oyama T. 31928
Oyler J. R. 34357 II
Ozolinš J. 33319
- P
Pácal Z. 32036
Padmanabhan T. S. A. 34654
Paffrath H. W. 34433 II
Pagani B. 32228
Page E. S. 32061
Paget R. F. 32982
Paist W. D. 34600 II
Pajewski W. 33218
Palacios Remondo J. 34263
Pallen R. H. 31818
Palm W. E. 34991
Palmer K. H. 32659 II
Panchenkov G. M. 31624
Pant D. D. 31414
Paoletti G. 34342
Papathanasiu C. 33141
Paris A. 32729
Páris L. 34826
Párkányi C. 31895
Parker C. A. 31875
Parkinson T. L. 34258
Parodi H. 31342
Parratt L. G. 31596
Parrini V. 32484
Parrino V. A. 32506
Parry H. B. 33575 II
Parsons B. N. 31747
Partridge W. S. 31781, 31784
Pasco W. R. 33058 II
Pascual J. 32420
Pasdag R. 32623
Passedouet H. 34371
Pásztor J. 34715
Pataki J. 33598 II
Patel C. C. 31984
Patel S. R. 32483
Pathak B. 32432
Patnaik D. 31985
Paton F. 31518
Petrovský 32160, 32183
Patterson R. L., Jr 32025
Pauluzzi E. 31439
Pausch G. 34680
Pavan M. 32582
Pavela T. O. 31887
Pavlov K. F. 32761
Pawlikowski S. 32862, 32863
Payne C. J. 32053
Peak R. F. 32913
Pearson D. 34206
Pearson W. B. 31559
- Peat S. 32576
Pechmeze J. 34836 II
Peck L. 31791
Pelizza G. 32462
Pelletier S. 31847
Pellon J. 34962
Peltier D. 32329
Peltonen P. 33717
Peña de Castro J. R. 33278
Peper J. 32258, 32259
Pepinsky R. 31563
Pérez Ossorio J. R. 32391
Perila O. 33956
Perisse J. 34201
Perkins E. L. 34355 II
Perrin C. H. 34020
Perrin L. F. 33010
Person W. B. 31441
Persoz B. 34940
Perutz M. F. 31490
Pestell P. 31415
Peteghem A. P. 31872
Pethachi M. C. 34501
Petrachl G. 32826
Petracek F. J. 32800
Petraşcu S. 33661 R
Petters W. J. 33393
Peynaud E. 34151, 34171
Peytavy A. 33776
Pfeiffer F. 33791
Pfeiffer R. K. 33661
Pfennig R. F. 33442 II
Pfister III K. 33583 II
Pfleger R. 32523
Pfrirsche J. 33470 II
Pfrunder V. R. 33330
Phelps E. H. 32830
Phillibert J. 32258
Philipp H. R. 31556
Philippoff W. 34890
Phillips D. D. 32301
Phillips M. A. 32501
Phokas G. 33514
Plantanida C. 34489
Piché L. 32898
Pichler H. R. 33926 II
Piekara A. 31608
Pieper P. 33758
Pierce W. C. 33649
Pierron E. D. 33733
Pierson O. L. 34369
Piertraszek G. 32958
Pieterse A. C. 31626
Pietrulla W. 32191
Pietrzykowski T. 34006, 34096
Pilgram K. 33945 II
Pillai V. K. 32099
Pilař A. 31668
Pilnik W. 34262
Pilz P. 34386
Pimentel G. C. 31408
Pincon A. J. B. 33922 II
Pines H. 33443 II
Pingale S. V. 34007
Pingree R. A. 34801 II
Pinner R. 32858
Pino M. A. 33935 II
Piontelli R. 32816
Piozzi F. 32582
Pippig H. 33055

- 576
F. 34836 II
791
32462
31847
34962
32329
33717
Castro J. R.
32258, 32259
R. 31563
Lo J. R. 32391
33956
34201
L. 34355 II
H. 34020
F. 33010
B. 31441
34940
F. 31490
31415
A. P. 31872
M. C. 34561
G. 32826
F. J. 32606
33661 R
J. 33393
34151, 34171
A. 33776
33791
K. 33052
F. 33442 II
K. 33583 II
32523
J. 33470 II
V. R. 33329
H. 32830
J. 32258
R. 31556
W. 34890
D. D. 32307
I. A. 32531
33514
C. 34469
32898
R. 33926 II
31608
33758
C. 33649
D. 33733
L. 34369
G. 32968
C. 31620
V. 32191
ki T. 34001
33945 II
K. 32099
31668
34262
3386
G. C. 31400
J. B. 33923 II
33443 II
V. 34007
A. 34801 II
32858
A. 33935 II
R. 32816
32582
33055
- Pirk G. W. 32951
Pivot Y. 34288
Pirsch J. 31676
Plakur M. M. 34004
Pitt G. J. 33734
Pizzo S. 32446
Platohe E. 34241
Platzer N. 32007
Pleshek J. 32384
Pleninger H. 33476 II
Ploch R. 32548
Plol W. 34548 II
Plötz E. 33485 II
Plyler E. K. 31436,
32023
Pociej J. 34211
Podkrajnik D. 34217
Pogorzelska K. 31480
Pohloudek-Fabini R.
32221
Pojarlieff I. 31981
Pol J. 34209
Polak F. 33992
Polezhaev N. G. 33017
Pollo I. 32862, 32863
Pomeranz Y. 34328
Pominov I. S. 31843,
31844
Pominski J. 34072 II
Ponizovskiy A. M. 32121
Ponomarlov V. D. 33075
Pont W. 33642
Pool R. A. H. 31700
Popa I. 32240
Popa T. 33077
Popescu E. 33227
Popov A. I. 31846
Poppel E. 34636
Port W. S. 34991
Porter C. C. 34700
Posea G. 34825
Postolski J. 34289
Potter C. 31793
Potter E. A. 33866
Potter E. C. 31883
Poulet H. 31415
Pouradier J. 33702
Pozzo R. 34377
Prager W. 34953
Prat H. 31736 R
Prater K. 32623
Pratt E. F. 32455
Preis H. 32997
Prener J. S. 33121 II
Prescott F. 31362 R
Pressburg B. S. 32702
Presting W. 34038
Preston R. D. 34906
Prey V. 34626
Pfibl R. 32139, 32159,
32161
Price B. T. 33032
Price C. C. 32326
Price S. J. W. 31749
Prindle W. R. 33280
Prins J. 32294
Prinz H. 33457 II
Pritchard H. O. 31748
Prodinger W. 32154 R
Prokhorov P. S. 31942
Prokhorov V. A. 32269
Prokopchik A. Y. 31803
- Pronay A. C. 32288
Proudfoot E. 33249
Prusakov V. N. 31919
Przybylska M. 31524
Pugachevich P. P. 32291
Pugsley L. I. 34335
Pullen F. R. 33760
Pungs L. 34946
Puri B. R. 31921
Puri M. L. 33346
Pustelnik C. 34663
Putnina M. 33997, 33998
Pütter P. S. 31638
Puxeddu A. 31439
Pyatnitsky I. V. 31988,
32133
Pyriki C. 34329
- Q
Quattrone C. 33135
Quillico A. 32391, 32582
Quinkert G. 32319
Quintin M. 31847
- R
Raaka C. 34641
Rabi I. I. 31364
Rabka J. 33095 II
Rada I. T. 34228
Radlove S. B. 34085 II
Radnóti L. 34833
Rado R. 34964, 34981
Rado W. A. 34490
Rădulescu E. 31998
Radulescu G. A. 33862
Raecke B. 33462 II,
33463 II
Rai R. S. 31927
Raistrick H. 32612
Rakić S. 32076
Ralph A. S. 31424
Rama Char T. L. 33155
Ramakrishna V. 31466
Raman C. V. 31643
Ramponi F. 32297
Ranby P. W. 33119 II
Ranganathan S. K. 34654
Rank D. H. 31432
Rapaport F. M. 32209
Rapp L. B. 32431
Rapson W. H. 34644
Raschig K. 33367
Rashba E. I. 31555
Rask S. 32874
Rast K. 33473 II
Rastädter K. 34553 II
Rasumny J. 32088
Rath H. 34752
Raun E. S. 33613
Rausch D. A. 34972
Rausch M. 32527
Raval A. A. 32459
Ravich L. E. 34796 II
Rawal T. N. 34654
Rawson H. 33283
Ray J. N. 32617
Ray L. 31525
Rebelein H. 34170
Rebenstorf M. A. 32570
Recchia E. 34435
Reckzegel E. 33709 II
Reece D. 33860
- Reed G. W. 32019
Reerink W. 33756
Rees O. W. 33733
Regulska H. 33769
Reh H. 32033
Rehberg H. J. 33538
Rehbinder P. A. 31925
Rehs G. 33305 II
Reich J. G. 34691
Reichel L. 32655
Reicheld E. 32377
Reichle A. 34601 II
Reichold E. 32376
Reichwald W. 32655
Reid D. D. 33004
Reid J. D. 34776
Reid R. C. 31751
Reidel J. C. 32733
Reidinger A. 33500 II
Reinboth K. 33365
Reinold H. J. 32851
Reinhardt H. 31429
Reinhardt R. M. 34776
Reinhold M. E. 34785 II
Reini W. 33006
Reintjes H. 33904 II
Reitsam F. 32466
Remy H. 31701
Reński L. 34213
Reppe W. 33542 II
Rérat C. 31523
Resen F. 33839
Res Garrini E. 32003
Reessler N. 32158
Reusse W. 33983
Reuter 34491
Reuter A. 32241
Reuter B. 31790
Reynolds D. D. 34421 II
Reynolds F. W. 33110 II
Reynolds J. E. 31613
Rhines F. N. 31600
Riat H. 33497 II
Rice J. C. 34695
Rice N. 34660
Rice R. G. 32455
Rice W. L. R. 33865
Richard M. J. 32230
Richards G. N. 34649
Richardson C. L. 33050 II
Richardson S. A. 33980
Richardson S. M. 34537 II
Richardson W. H. 32449
Riddick J. A. 34040
Riddick T. M. 32901
Riddle E. H. 34392
Ridgway R. L. 32731
Ridson E. J. 34504
Riedel E. 33804 II
Riedel R. 33229
Ries W. 34601 II
Riester O. 33503
Riesz P. 32338
Rifai M. N. E. 32938
Rifkin E. B. 33847
Rigamonti R. 34459
Rin Chu-den 32239
Ringade D. 34150
Ringwood A. E. 31709
Rink M. 32514
Rink M. 32526
Rintelen H. 33503 II
- Ripan R. 31968, 31982
Ripper W. E. 33629
Ristroph J. D. 32914
Ritter L. 33570 II
Ritzenthaler B. A. 32304
Rivera S. 33691
Roach A. G. 34984
Roahen D. C. 34283
Robbins G. B. 33050 II
Robert A. 33122 II
Roberts E. A. H. 32418
Roberts G. T. 34438
Roberts J. G. 32576
Robinson A. E. 31875
Robinson B. K. 32285
Robinson E. A. 31850
Robinson G. W. 31646
Robinson H. M. 34125 II
Robinson M. J. T. 32589
Robinson-Görnhardt L.
34340
Robu I. V. 32746
Roche L. 33010
Rochow E. G. 32561 K
Rodriguez M. P. 34261
Roelen O. 34073 II
Rogers A. R. 33535
Rogers T. S. 34367
Röhner H. 33426 II
Rolang L. D. 33038
Rolle C. J. 34898
Rollefson G. K. 31750
Rollet M. 33539
Romaňuk M. 32585
Romo J. 32596
Romo de Vivar A. 32596
Ronina M. P. 32528
Root M. J. 33697
Rose F. L. 33575 II
Rose I. M. 32513
Roseira A. 32199
Rosenbaum R. 34039
Rosenfeld K. 34646
Rosenkranz G. 33598 II
Rosenthal E. 33223
Rosinski S. 33763
Rösler H. J. 32033
Rosner T. 34589
Ross C. 34363 II
Ross J. H. 34633
Ross R. E. 32253
Ross S. D. 31479, 33179 II
Roszak J. 34208
Roteman J. 34898
Rotfuchs G. 33359
Roth B. 33591 II
Roth H. 32216, 32233
Rothbaum H. P. 31972
Rothe H. 34908
Rothenburger H. 33726 II
Rother A. 32616
Rotini O. T. 34182 R
Rourke P. M. 31622
Roušar I. 32198
Roussel P. A. 34550 II
Rout G. D. 33622
Rovesti P. 33690, 33692
Rowland W. R., Jr
32057
Roy M. M. 33789
Roy R. 32052
Roy S. C. 34333
- Roybal M. J. 32312 II
Rubin R. J. 34854
Rudbach W. 32771 II
Rudnick N. 33215
Rüdorff W. 31440, 31973
Ruemele T. 33695
Rümens W. 34800 II
Rummel R. A. 31600
Runge F. 33791
Ruschig H. 33544 II,
33545 II
Rush F. E. 32739
Rush R. I. 33976
Russell D. S. 32282
Russell D. W. 32545
Russell G. R. 32418
Russell P. C. 31385
Russell W. W. 34805 II
Rusznák I. 34770
Rutle J. 33333
Ruxton B. P. 32083
Růžicka J. 32232
Ryan L. L. 31791
Rybnińska M. I. 32476
Rydon H. 32629, 32630,
32631
Rzędowski W. 33992
- S
Sabatier J. L. 33775
Sabiniewicz S. 34256
Sabol A. R. 32887 II
Sachße G. 34010
Sachße M. 34010
Sada R. 32728
Sadgopal 33673
Sagane N. 34843
Sage B. H. 31691
Sahama T. G. 32068
Saito O. 34979
Saito S. 32430
Saito T. 34885
Saito Z. 34280
Sakaguchi Y. 34573
Sakai C. 34440
Sakakibara E. 31986
Sakamoto Y. 31539
Sakano H. 31652
Sakurada I. 34573, 34869
Sakurai M. 31958
Salomon R. 32307
Salpeter S. J. E. W.
32256
Salzberg C. D. 31548
Samec M. 34692
Samhamm E. 34290
Samsonov G. V. 33234
Samuelson O. 34659
Sancler K. M. 31482
Sand L. B. 32052
Sandborn L. T. 34728 II,
34729 II
Sandell E. 33537
Sanders H. L. 34087 II
Sanderson P. M. 32439
Sandoz M. 33122 II
Sanghi I. 31531
Sanner A. J. M. 34837 II,
34838 II
Sano K. 31652
Santavy F. 31345
Santhamma V. 31422

- Sapoznikova K. 34241
Sargent L. J. 32482
Sarnowski M. 31974
Sarraillet J. M. 33659
Sasaki K. 31958, 33132
Sasnauskas K. 33316
Sastry L. V. L. 34244
Sathyanarayana S. 33155
Satoo B. 32223, 32239
Sato H. 32235
Sato K. 33074
Sato Y. 32227
Satten R. A. 31457
Satterfield C. N. 31751, 31800
Satyanarayana M. N. 34244
Saubert S. 32929
Sauer J. C. 34422 II
Sauerwald F. 34888
Saul C. M. 34627
Saur R. L. 32276
Sauter E. 33506
Sauter M. 33757
Sauve D. M. 32529
Saulzer P. M. 33360
Saveanu T. 32679
Savencu S. 32824
Savintzev P. A. 31695
Savonenkov V. G. 32044
Savur G. R. 34767
Sawa K. 32494
Sawai I. 33276
Sawicki E. 32316
Sawizki J. J. M. 31948
Sawyer W. M. 33936 II
Sax K. J. 32131
Sazshin V. S. 33075
Scanley C. S. 32888 II
Scargill D. 31967
Scartabelli A. 34468
Schädler H. 31683
Schaefer V. J. 32021
Schäfer G. 33458 II
Schäfer W. 34216
Schäff R. 32337
Schäffler H. 33349
Schaffner C. P. 32598
Schallamach A. 34521
Schaltegger H. 33596 II
Schänderl H. 34177
Schär H. G. 34685
Scheffer F. 33113
Schellenbaum M. 32569
Schierholz H. 31815
Schiff H. H. 31642
Schild E. 32892
Schilling C. J. 33396 II
Schindler K. 34812
Schlott 33366
Schittke W. 32429
Schleicher A. 31871
Schlesinger A. H. 33671
Schlesinger M. D. 33790
Schlichting O. 33542 II
Schlieben E. 34400
Schmerling L. 33448 II
Schmid J. 34610
Schmid H. 31339
Schmid M. 33499 II
Schmidt E. 32928
Schmidt H. W. 33087 II
Schmidt P. 32489
Schmidt W. 33064 II
Schmidt-Kastner G. 33605 II
Schmitt H. 33808 II
Schmitt H. P. 34319
Schmitt K. 31897 K, 33544 II
Schmitt O. 33294
Schnabel E. 32625
Schneider A. 31498
Schneider C. H. 31787
Schneider F. 32577
Schneider G. 34476
Schneider M. 34475
Schneider R. 34053
Schneider W. 32238
Schoberl H. 33784
Schoch W. 33507
Schoening F. R. L. 31491
Schofield J. A. 32629, 32630
Scholz C. R. 33550 II
Scholz H. 33662
Schöön N. H. 34659
Schor R. 34849
Schossig W. 33809 II
Schramm Gerhard 32628
Schreiber G. 31584
Schreiber J. 34323
Schröder H. J. 32692
Schröder S. 32130
Schubert R. 31584
Schubert R. 34839 II
Schuckmann G. 33445 II
Schulenburg W. 33439 II
Schuler L. 33546 II
Schuler W. 34544 II
Schüller A. 32055
Schulman J. H. 31554, 32303 II
Schulman R. G. 31575
Schultz H. W. 34312
Schultz J. 33291
Schultz O. E. 32649
Schultz R. 31767
Schulz H. 33432 II
Schulz H. W. 33345
Schulze C. 34785 II
Schulze J. 33023
Schulze M. 33453 II
Schulze W. A. 33891 II
Schumann G. 33095 II
Schur M. O. 34739 II
Schurz J. 34877
Schuster H. J. 34454
Schuster P. 32216
Schuurmans H. J. L. 34864
Schwab G. M. 31811
Schwackhofer W. 33794
Schwalb K. 33035 II
Schwander H. 33329
Schwartz C. R. 32784
Schwartz D. 33779
Schwartz E. T. 32632
Schwartz J. 32243
Schwegmann B. 34439
Schwelsheimer W. 34047
Schwyzer R. 32615
Scott D. W. 31645
Screaton R. M. 33963
Seaman W. 32271
Seaton W. H. 34082 II
Seban R. A. 32698
Secord R. N. 33903 II
Sedivec V. 32175
Sedgwick P. W. 32808
Segal W. 32610
Segmüller A. 31494
Seibel W. 34216
Seidel F. 33453 II
Seitz F. 31587
Seki S. 31456, 31513
Sekiguchi I. 34924
Sekino K. 32190
Selecki A. 34208
Selle H. D. 34086 II
Seltzer K. P. 33903 II
Semel M. 33619
Semenov N. N. 31739
Semenovsky A. V. 32405
Sengupta G. C. 33622
Seo T. 32185
Sephton H. H. 34649
Serban D. 33337
Serban N. 33612
Sergejeva V. 33968
Serlachius R. E. 34604
Serra M. 31880
Serravalle G. 33154
Seserman O. 34825
Seshadri T. R. 32644
Seto S. 32394
Setser D. W. 31628
Severs E. T. 34893
Sevin R. 31666
Seymour R. B. 33058 II, 34408
Sflras J. 33685
Shabaeva E. A. 32089
Shah N. M. 32459
Shapira R. 32522
Shapiro S. L. 32506, 32513
Sharma K. D. 33271
Sharma P. G. 34437
Sharpe G. C. H. 33738
Shaw D. L., Jr 33602 II
Shaw D. M. 32045
Shaw J. H. 32024
Shaw P. D. 32527
Shcheglova A. P. 31808
Shcheglova T. A. 32534
Sheppard R. F. 34657
Sheratte M. B. 31424
Sherman W. 34660
Sherrill F. A. 31495
Sherwood P. T. 33341
Sherwood P. W. 32940, 33403
Shibata M. 31960
Shibata O. 34975
Shien Nan 31770
Shigematsu N. 32433
Shigematsu T. 32184
Shiho H. 32801
Shilov E. A. 32335
Shimanouchi T. 34845
Shimizu K. 31937
Shimizu R. 32227
Shimizu S. 34891
Shimo K. 32368, 32369
Shimoda Y. 32791
Shimohisa M. 34331
Shinra K. 34670
Shive W. 33592 II
Shogenji T. 34658
Short J. N. 34520
Shugart H. A. 31387
Shukys J. G. 33444
Shuler K. E. 31742
Shulman H. L. 32735
Shumard R. S. 33558 II
Shutov V. D. 32086
Sibukawa T. 34867
Sicurella N. 32207
Sidwell A. P. 34247
Sieber P. 32615
Siegel S. 31476
Siegert C. 32908
Sillsbee H. B. 31387
Silverman S. M. 31682
Simek J. 32296
Simić M. 33982
Simon L. 33362
Simon M. 34156
Simon V. 32162
Simongi I. 32412
Simpfendorfer K. J. 33648
Simpson A. B. 33108 II
Sims A. L. 32283
Singer S. F. 32020
Singh H. 33675
Singleterry C. R. 31932
Sirokman F. 31460
Sirota N. N. 31644
Sisley J. P. 34045
Sivertz C. 31818
Slwek K. 33977
Sixt J. 33425 II
Sizmann R. 33473 II
Sjöberg B. 32378
Skältvelt T. 34303
Skarstrom C. W. 32813 II
Skatteböl L. 32357
Skirrow G. 31769
Skotnicki J. 33107 II
Škrábal M. 34108
Skraup S. 33479 II
Skulikidis T. 33141
Slade F. H. 32709
Slaughter J. I. 33914 II
Slichter W. P. 34917
Sloan R. W. 32024
Slump H. 34269
Small H. M. 32949
Smirnov A. G. 32696
Smirnova G. E. 34920
Smith A. F. 34420 II
Smith B. 32217
Smith B. A. 34125 II
Smith Ch. 34764
Smith E. 32643
Smith F. B. 34540 II
Smith F. M. 34936
Smith G. S. 34220
Smith H. G. 32668
Smith J. R. 31516
Smith J. S. 31614
Smith L. C. 33631
Smith L. L. 31922
Smith P. W. G. 32631
Smith R. D. 31766
Smith R. L. 32935
Smith S. B. 33050 II
Smith S. R. 31778
Smoleac A. 34825
Sneck T. 34397
Snyder J. A. 34477
Sobczyk L. 31462, 31840
Soble A. B. 32785
Sobol S. I. 31755
Sobotka W. 32402
Sobue H. 34581, 34925
Soffer M. D. 32641
Sogolova T. I. 34939
Solvio E. 34413
Sokol H. 33603 II
Solacolu S. 33337
Solari R. J. 34641
Solbach W. 32673
Soli G. G. 32093
Solomon I. 32930
Soltys W. 34275
Solymosi F. 32194
Somers G. F. 33523
Sommer L. 32180
Sommer W. 32766 II
Sondheimer F. 32646
Sonnino Tauro C. 32494
Soo A. 32117
Sorm F. 31345, 32584, 32587
Spaccamela Marchetti R. 34459
Spacu G. 31998
Spacu P. 31998
Spangenberg K. 32423
Sparatore E. 31396
Sparks J. W. 34936
Specht H. 34135
Spedding F. H. 31546
Speeter M. E. 32437
Speller F. N. 32815
Spence R. 33040
Spencer C. W. 31600
Spengler G. 32337, 34556 II
Sperner F. 31703
Speroni G. 31464
Spetz A. 34997
Spiekermann H. 33306 II
Spies L. 33377 II
Spless N. E. 32772 II
Spiller F. 32830 II
Spinedi P. 31698
Spinney K. T. 33032
Spiridonova V. I. 31754
Spode E. 32026
Spoon W. 34259
Springs J. D. 32927
Srámek J. 32915
Srbek J. 34450
Sreekantath G. M. 32237
Srinivasan K. S. 32658
Srinivasan M. 34244
Staats P. A. 31435, 31436
Stabenow J. 31529
Stackelberg M. v. 31888
Staehle H. C. 33706 II
Stahl E. 33607 II
Stambaugh C. K. 31568
Stange K. 33469 II
Stankevich I. V. 31393
Stanley C. P. 32811 II

- 32935
33050 II
31778
34825
3397
34477
31462, 31846
32785
31755
32402
34581, 34928
32641
I. 34939
3413
33603 II
33337
34641
32673
32093
32930
34275
32194
F. 33523
32180
32766 II
F. 32646
C. 32401
3345, 32584
Marchetti R.
1998
1998
K. 32423
31396
V. 34936
34135
H. 31546
E. 32437
N. 32815
33040
W. 31600
32387,
31703
31464
997
H. 33306 II
3377 II
32772 II
32880 II
31698
T. 33032
V. I. 31718
2026
34259
D. 32927
32915
450
G. M. 32337
K. S. 32650
M. 34244
31435, 31436
F. 31529
M. V. 31802
J. 33706 II
3607 II
C. K. 31546
33469 II
I. V. 31390
P. 32811 II
- Stárka L. 31893, 31894
Starka J. 34130
Stárková B. 31893
Stastny F. 33386 II
Staub H. H. 31388
Staudt E. 34224
Staveley L. A. K. 31700
Steckl J. 31663
Steele J. A. 32333
Steele R. 34781
Steelman S. L. 33700 II
Steffen A. J. 32959
Steffens H. 34888
Steiger R. 34226
Stein L. 33545 II
Stein N. 32395
Stein T. W. 31800
Steinberg M. A. 33101 II
Steinberger E. 33514
Steiniger R. F. 31826
Steinhilber 33366
Steltz A., Jr 33917 II
Steljskal Z. 32474
Steljskal J. 34055
Stefunka F. 34308
Stengle W. B. 34728 II
Stening T. C. 32568
Stephan H. 34227
Stephens C. R. 32614
Stern M. 31878
Sternhell H. 32930
Stetter H. 32367
Stevens C. U. 34801 II
Stevens D. R. 33941 II
Stevens F. J. 32650
Stevenson R. 31680, 31684
Stewardson E. A. 31385
Stewart J. 32572
Stewart M. M. 33890 II
Stickney P. B. 34972
Stieler A. 33391 II
Stiwell G. R. 33110 II
Stirba C. 32739
Stirling C. J. M. 32549
Stobiecki T. 33112
Stobiecki W. 34211
Stockx J. 32547, 32647
Stoeckert K. 33508
Stoffel P. J. 33558 II
Stokinger H. E. 32993
Stolberg E. M. 32871
Stone F. S. 31744
Stone K. G. 32507
Stone J. E. 34640
Stone M. W. 33623
Stoner G. A. 31444
Straeten P. P. 32370
Strakhov N. M. 32079
Stranka D. R. 31947
Strapp R. K. 34624
Stratmann M. 34584
Strauss K. 33861
Strauß V. 34140
Strelnikova Z. V. 31802
Strickler A. 32305 II
Striegler A. 33446 II
Stroh H. H. 32655
Ström B. 32874
Stroas P. H. 32131
Struelens H. 33677
Strunz H. 32073
- Struve W. S. 33500 II
Stuchlík V. 34129
Stuckes A. D. 31544
Stüpel H. 34054
Stute F. B. 31846
Subic N. 34217
Subrahmanyam V. 34199, 34244
Subramanian N. 34244
Subramanian P. 32644
Sud L. R. 34654
Sudasch E. 32882 II
Suga H. 31456
Sugimoto N. 32433
Sugita T. 32323, 32363
Suhrmann R. 31794
Suk V. 32142
Sukai K. 34913
Sulikowski J. 33328
Sullivan J. J. 34695
Sunderland R. J. 31387
Sundheim B. R. 31635
Superceanu C. 32078
Sureau R. 33498 II
Surna J. 33967
Suslenschi F. 33872
SÜB R. 32804
Sussman M. V. 31793
Sutor D. J. 31492
Sutter D. 32598
Suzuki S. 32613
Suzuki S. 34374
Suzuki S. 31937, 34891, 34895
Swalen J. D. 31475
Swalm J. M. 34578
Swaminathan M. 34007, 34199
Swan G. M. 32906
Swann G. 34396
Swärd G. 34453
Swirski A. 32422
Syburski S. 32438
Sýkora V. 32585
Symons J. M. 32963
Syrkin J. K. 31462
Szabó A. 32117
Szabo L. S. 33854
Szadecky-Kardoss G. 32171
Szafnicki J. 33115
Szafranski K. 34321
Szarejko R. 34111
Szarvasi E. 32383
Szejtli J. 32575
Szekeres L. 32197
Szent-Györgyi A. 32144
Szent-Györgyi A. G. 33609 II
Szent Gyorgui A. E. 33609 II
Szilágyi E. 34683
Szkibik C. 33774
Szmídt W. 34233
Szolcsányi P. 31812
Szuba J. 32275, 33761, 33762
Szűcs M. 33792
Szwajkajzer S. 34218
Szymanski J. 32863
- T
Tabata Y. 34926
Táborský V. 34486
Tabuchi K. 34621
Tabushi M. 32184
Taft E. A. 31556
Taft R. W., Jr 32338
Tagai H. 33192
Taguchi I. 31522
Takahashi H. 33237
Takahashi N. 32192
Takahashi S. 31896
Takahashi T. 31958, 33132
Takahayashi N. 32488
Takakura T. 32794
Takamizawa A. 33564 II
Takao N. 32657
Takaoka K. 34221
Takayanagi M. 34943
Takeda K. 32595, 33564 II
Takeda M. 34885
Takei T. 31706
Takeuchi S. 31522
Talcott T. D. 34539 II
Talen H. W. 34482
Tamelon E. E. 32649
Tanabe H. 32427
Tanaka J. 34625
Tanaka S. 32231
Tanaka S. 34280
Tanaka S. 34325
Tanaka T. 32379
Tanaka Y. 32521
Tandon S. G. 31984
Tanford C. 34881
Tanghe Leo J. 34652
Tani C. 32657
Tani G. 32480
Taniguchi K. 33138
Taniyama H. 32521
Taniyama M. 31730
Tanno K. 34658
Tarranta C. 34174
Tauber A. 33219
Taylor C. A. 31493
Taylor C. E. 33611
Taylor G. I. 34679
Taylor J. B. 33827
Taylor J. C. 31567
Tebbens B. D. 33002
Technau G. 33666 II
Teligeler C. A. 32155
Tejnický B. 33745
Temkin A. 31374
Temperley H. N. V. 31735 K
Teplitzky D. R. 31774
Teramoto E. 34853
Teranaka R. 34943
Terebová K. 32210
Terenin A. N. 31408
Terhaar C. J. 31628
Terrier C. 31569
Terry R. J. 32495
Tešnović G. 34765
Testa E. 32419
Tetard C. 32307
Tetenyi P. 31607
Tetlow A. J. 32472
Tettamanti K. 33408
- Thaler E. 33663 II
Theis M. 32170
Theodorovich G. I. 32081
Ther L. 33545 II
Thermet R. 33401
Thieme J. G. 34023
Thiery J. 33872
Thilo F. 33384 II
Thin D. 32762, 32764
Thirion P. 34527
Thom R. 32960
Thoma R. 32597
Thomas J. 31926
Thomas J. F. 33002
Thomas J. H. 31854
Thompson A. W. 34404
Thompson B. H. 33041
Thompson J. M. 32358
Thompson S. Y. 34270
Thompson T. A. 32632
Thornton V. 34520
Thurston K. W. 33848
Tichacek L. J. 31634
Tidwell E. D. 32023
Tiersten D. 33389
Tietjen D. 33418 II
Tihanyi L. 33350
Tilley C. E. 32065
Tillieu J. 31467
Timbal M. T. 33518
Timell T. E. 33955, 33960, 34655
Tinoco I. 34903
Tipman E. 33822
Titterington Y. W. 32873
Tlutunnikov B. N. 34061 K
Tobin M. C. 34846
Tobolsky A. V. 34970, 34980
Toci K. 34410
Toda H. 33993
Todd J. B. 32702
Tödt F. 32191
Toggweiler U. 31444
Toivonen H. 32583
Tokar G. 32412
Tokita N. 34930
Tokuhisa H. 33820
Toland W. G. 33452 II
Tölgyessy J. 31834
Tom T. B. 33910 II
Tomimatsu Y. 32481
Tomimaga T. 32651
Tomloka S. 32226
Tomita K. 31447
Tomita M. 33564 II
Toms M. A. 33650
Topchiev A. V. 32539
Tordella J. P. 34948
Torres G. R. 31375
Torsell K. 32531
Torsueva E. S. 31746
Tóth J. 32187
Tournale G. 33680
Toušek J. 31987
Toušková A. 31987
Tovbin I. M. 34061
Toyabe R. 32751
Trapeznikova O. N. 34920
Trapmann H. 32616
- Trapp W. 34946
Trapp W. B. 32390
Trauffer W. E. 33324
Treilbs A. 32466
Tremain A. 34439
Treppoz M. 33010
Trestianu S. 31605
Trifan R. 34825
Trimble H. M. 33849
Tripp H. P. 33291
Trnka J. 32173
Trüger H. 34711
Trojma M. 32407
Trombe F. 31579
Trömel G. 31683
Trotman-Dickenson A. F. 31749
Truby F. K. 31592
Truce W. E. 32336
Truhaut R. 34336
Trussell P. C. 32957
Tsal B. 31569
Tsuboi M. 34845
Tsubomura H. 31481
Tsuchida R. 31992
Tsuchiya R. 31853
Tsuchiya T. 34036
Tsuiji M. 32227
Tsukamoto T. 32651
Tsukui M. 34982
Tsuneyama G. 33364
Tsuruta S. 34982
Tsuruta T. 34971
Tsumumi S. 32410
Tszukuk T. 31535
Tsvetkov V. N. 34857
Tucakov J. 33674
Tudose R. 32679
Tuljman C. A. F. 34894
Tulliu D. 33077
Tully T. J. 31666
Tunoo Z. 32525
Tupa R. C. 33854
Turkeltau N. M. 31912
Turkevich A. 32019
Turner C. H. 34627
Turner R. B. 31660
Turner R. C. 31419
Turner T. E. 33180 II
Turner W. B. 32640
Tyuryukanov A. N. 32103
- U
Uchida H. 32521
Uchida M. 34966
Uchida T. 32010
Udvarhelyi K. 34878
Ueberreiter K. 34844
Ueki S. 34442
Uematsu I. 34922
Uesugi K. 32893, 32899
Ui K. 34934
Ukida J. 34896
Ukita T. 32546
Ulrich R. D. 34457
Ulrich E. 32919
Umeno K. 32226
Umetu M. 34137
Ungemach O. 33304 II
Unlver E. 34294
Unverzagt 34149

- Upchurch R. P. 33649
Uraguchi Y. 32724
Urbach F. 31830
Urban P. 33459 II
Urbańczyk G. W. 34942
Urbański T. 32371, 32460, 32461
Ursenbach W. O. 31781, 31784
Ushakov S. N. 34987
Usui S. 31928
Utsumi Y. 34686
Uyehara O. A. 33851
Uyeo S. 33564 II
Uzumasa Y. 32185
- V
Vago G. 34831, 34833
Vallée J. 34045
Valensi G. 31359
Valentini L. 31445
Valvassori S. 34160
Vamos G. 34614
Vandendriessche L. 32547
Vandewalle M. 31911
VanDolan R. W. 31689
VanHove L. 32500, 32501
Vaníček O. 34486
Van Rysselberghe P. 31879
Van Thiel M. 31483
Van Wazer J. R. 31969
Varga E. 32134
Varma M. K. U. 34829
Vasiliev V. I. 31777
Vassogne G. 34198
Vaughen J. V. 31862
Vaver V. A. 32532, 32533
Včelák V. 33735
Veatch F. 33920 II
Vecchi A. 32462
Večefa M. 32220, 32229
Verghese C. A. 32257
Veis A. 34850
Velden J. H. 33222
Veldhuizen F. 32788
Veleta J. 33392
Velloso K. P. 34225
Velluz L. 32594
Vely V. G. 34824
Verdol J. A. 32382, 32387
Vergelesov V. A. 31886
Vergnes M. A. 32973 II
Verloop A. 32607
Vermilyea D. A. 31789
Verzele M. 31911, 32647, 32648
Vesselov M. G. 31370
Vetrocoke 33925
Vicknair E. J. 34070 II
Vidal P. 34196
Videla G. J. 31964
Vieira C. A. 34436
Vieira de Sa F. 34274
Vielhaber L. 33292
Vietti-Michelina M. 32224
Vig O. P. 32448
Vigazzi E. 34593 K
Vigh A. 34095
Vilesov F. I. 31408
- Villa J. J. 31548
Vincent L. M. 34021
Virmond A. 33727 II
Visapää A. 34651, 34666
Visconti Y. S. 33198
Vişoiu I. 34664
Viswanathan K. S. 31425
Vittum P. W. 33710 II
Vix H. L. E. 34072
Vliervoet J. L. J. 32592
Vlimmeren P. J. 34811
Vlk O. 31775
Vogel E. 33332
Vogel R. 31704
Vogt 34165
Vogt E. 33211 II
Vogt O. 31615
Vol'kenshtein M. V. 34848
Volkov I. I. 32107
Vollmer H. 33384 II
Vollmer W. 33117 II
Volpi G. G. 31743
Vonkennel J. 33557 II
Vopsl D. 34973
Vorontsov E. S. 31856
Vos A. 34822
Vosátka V. 33231, 33232
Voss R. O. 33299 II
Vostrčil J. 32109
Voutetakis E. S. 32859
Vreeland D. C. 32830
Vysrčil A. 31893, 31894
- W
Wada A. 34863
Wada I. 32794
Waddington D. J. 31752
Waddington G. 31645
Wadsley A. D. 31499
Waes J. P. M. 33757
Waeser B. 32799
Wagner A. P. 32622
Wagner G. 32574
Wagner H. 32236
Wagner W. 32649
Wahl O. 33709 II
Walner E. 33101 II, 33104 II
Wainwright J. W. 34703
El Wakil M. M. 33851
Wakui K. 34293
Walcutt C. 33847
Waldron J. C. 33156
Waley S. G. 32626
Walker F. 34622
Walker H. E. 33273
Walker J. 32495
Walkup J. H. 33976
Wall F. T. 34854, 34858
Walling C. 34962
Walter P. 32274
Walther G. 34038
Walther H. 33456 II
Wand Pao-jen 32538
Wang L. 32487
Wang Yu-hai 32599
Wanie W. 33226
Ward F. N. 32035
Warnant J. 32594
Warner J. 32284
Wardes D. E. 33094 II
- Warren D. 32818
Warkshaw N. C. 32780
Wartburg R. 31832
Wartman L. H. 34387
Warwick I. J. 32832
Washburn H. L. 33749
Washio K. 33138
Wasilewski E. 32836
Wasserman D. 34495 II
Wasserman T. 34220
Watanabe N. 31714
Watanabe T. 31938
Watanabe T. 34979
Watase H. 31510
Watase T. 34911
Waters W. A. 31768
Watson E. S. 32308 II
Watson G. H. 33777
Watson R. W. 33946, II, 33947 II
Weber G. 33817
Weber H. 33578 II
Weber J. H. 31661, 32717
Weber O. 33497 II
Wedler G. 31794
Weedon B. C. 32359
Weeks R. W. 32811 II
Weetman B. 33861
Wegener D. 34172
Węgiel Jerzy 32862
Wegner E. 33294
Wegner H. 33391 II
Wehrmann F. 33747
Wehrmann J. 33962
Weigel F. 31363
Weigel R. C. 33233
Weigle R. 33496 II
Weill J. 32787
Wein S. 33145
Weinberg A. E. 32511
Weining K. 34760
Weinrich B. 34091
Weipert E. A. 32399
Weir F. M. 32196
Weisblat D. I. 32609
Weisfeld J. 34438
Weiss C. M. 32902
Weiss J. 34461
Weissbach R. 34499 II
Weissenberg G. 33304 II, 31536
Weitzel G. 32530
Welch J. B. 34500 II
Weliky V. S. 32634
Weller W. 31541
Wellhoener H. J. 34143
Wells F. V. 33682
Weltmann R. N. 33696
Wendell C. B., Jr 33903 II
Wendlandt W. W. 32137
Wenner G. 33430 II
Wenze W. 33813 II
Wenzl H. F. J. 34676
Werner L. H. 33550 II
Wernick S. 32858
Wesh A. 33893 II
West D. W. H. 33108 II
Westerhof P. 32592, 32593
Westphal F. 33542
Wetherill G. W. 32040
- Wethly F. 33897 II
Weyssenhoff H. von 31816
Westlinning H. 34544 II
Wheatley M. S. 31754
Wheeler D. D. 32454
Whelan W. J. 32576
Whitcutt J. M. 32637
White C. C. 34784 II
White E. A. D. 31686
White F. A. 31622
White J. R. 31614
White T. 32645
Whitemarsh C. 34483
Whiting M. C. 32330, 32357, 32358
Whitlock R. A. 32970 II
Whittet T. D. 33523
Wichtl M. 33524
Wick G. 34385
Wicks Z. 34795 II
Widiger A. H. 33672 II
Wiedemann E. 32298
Wiedner L. 34831
Wiegand H. 34479
Wiegmann J. 33197
Wiesman C. K. 34314
Wikner E. G. 31372
Wikström K. 33689
Wilby F. V. 33787
Wiley A. J. 34660
Wiley D. W. 31660
Wilk I. J. 32341
Wilken D. 33026
Wilkins R. G. 31947
Wilkinson J. R. 34477
Wilkinson K. L. 33156
Wille B. A. 34339
Williams A. 33777
Williams D. 32024
Williams E. F. 31933
Williams G. 31765
Williams J. L. R. 34421 II
Williams M. B. 34607
Williams S. D. 33310 II
Williamson F. S. 31758
Williamson R. B. 34889
Williamson W. O. 33202
Williamson W. R. N. 32393
Willig P. 34428 II
Williston A. C. 32641
Wilman H. 31527
Wilmshurst J. K. 31428, 31431
Wilson C. L. 32868
Wilson E. B. 31472, 31474
Wilson K. 32894
Wilson L. G. 31908
Winchester J. W. 32022
Winkler G. 34179
Winkler H. G. F. 33267
Winkler R. 31390
Winkler R. E. 31660
Winqvist G. 34611
Winsberg L. 32039
Winter R. G. 32299
Winter-Klein A. 33277
Winters B. 31450
Winthrop S. O. 32438
Wise L. E. 33961
- Wiselogle F. Y. 33562 II
Witnauer L. P. 34091
Witt H. T. 31821
Wittels M. C. 31495
Wittka F. 34032
Witzell O. W. 32722
Wójciak W. 31829
Wójcicka U. 34138
Wojciechowski F. 34712
Wokes F. 33516
Wolff W. F. 33433 II
Wolfrum G. 31701
Wolinsky J. 32387
Wollhan H. 33470
Wolniewicz M. 34132
Wolter H. 34271
Woltz S. S. 33653
Wood E. H. 34477
Wood E. R. 34252
Wood P. J. 34747
Woodberry N. T. 31933
Wooden D. K. 34699
Woodgate P. R. 31907
Wooding W. M. 34705
Woods J. M. 34623
Woodward R. B. 32814
Woodworth C. E. 33636
Woolhouse T. G. 33767
Wooner M. E. 32632
Wooten W. C. 34576
Woroch S. 34210
Worthington V. 34701, 34702
Woźniczka H. 31798
Wright C. 32937
Wright J. B. 32374
Wright R. H. 34661
Wright W. A. 34058
Wronski M. 32280
Wu Chin-kwang 31971
Wünsch J. 32917
Wünsch L. 32143
Würz A. 34763
Wurz E. 34615
Wurz O. 34615
Wu Shao-lan 32462
Wyatt P. A. H. 31670
- Y
YagI S. 32751
Yamada A. 34885
Yamada K. 34880
Yamada S. 31992
Yamada Y. 31522
Yamagishi K. 32379
Yamakawa H. 34869
Yamamoto Y. 32184
Yang J. Y. 34961
Yeatman J. N. 34248
Yekundi K. G. 32463
Yen Tsun-tsui 31971
Yilner S. 34630
Ynfesta J. L. 32469
Yoffe A. D. 31788
Yokote M. 33489
Yoneda H. 31418
Yoshida T. 31706
Yoshikawa S. 31714
Yoshimi N. 32231
Yoshimura Z. 33054
Yoshimura S. 32801
Yoshioka I. 33522

Y. 33562 II
P. 34091
31821
C. 31495
34032
W. 32722
31829
34138
ki F. 34712
33516
F. 33493 II
31701
32387
33470
M. 34132
34271
33653
34477
R. 34252
34747
N. T. 31933
K. 34699
P. R. 31987
M. 34705
M. 34623
R. B. 32814
C. E. 33636
T. G. 33767
E. 32632
C. 34576
34210
V. 34701
H. 31798
32937
B. 32374
H. 34661
A. 34058
32280
wang 31971
32917
32143
34763
34615
34615
32492
A. H. 31676
Y
751
34885
34880
31992
31522
K. 32379
H. 34869
Y. 32184
34961
N. 34248
G. 32483
sui 31971
34630
L. 32408
D. 31788
33489
31418
31706
S. 31714
32231
Z. 33054
S. 32801
33522

Yoshioka N. 32678
Yoshioka T. 31730
Younmans A. 32270
Young D. C. 32454
Young H. G. 32989
Young R. C. 31360
Young W. G. 32341
Ypsilanti G. 33616
Yuan Wei-Liang 34483
Yukawa M. 31905
Yukitoshi T. 31456
Yule J. A. C. 33715 II
Yung N. 32635
Yuska H. 34795 II

Z

Zablitzky H. R. 32965
Zak B. 32158
Zaheer H. S. 33975
Zahn H. 32625
Zahn O. 33927 II
Zapp R. L. 34512
Zaręba Z. 34093
Zaszczyńska B. 32402
Zaunar J. 33361
Zavarin E. 33957
Závětová M. 31833
Zawisza A. 32148

Zechmeister L. 32606
Zeggeren F. 31900
Zeitler V. A. 31437
Zelazowska-Major
34229
Zelechowski R. 34545 II
Zell H. G. 32796
Zemlička J. 32082
Zemplén G. 32573
Zender J. 34189 II
Zenk M. J. 32722 II
Zeno S. 31741
Zentner H. 34235

Zerbe C. 33906 II
Zerweck W. 33482 II
Zettlemoyer A. C. 31787
Z. Zhavoronkov N. M. 32741
Ziaja J. 33815 II
Ziegler L. 32752
Zieliński E. 31913
Zieliński S. 31798
Zieliński Z. 32290
Ziglar J. W. 33899 II
Zijden M. J. 32889 II
Zikmund M. 31945,
31946
Zilkha A. 32627

Zill F. 32759
Zmerli A. 31415
Zobačová A. 32581
Zoebelin H. 34595 II
Zöllner E. 32134
Zopf G. W. 34354 II
Zöpfel M. 34384
Zsako I. 31979, 31982
Zuffardi P. 32126 K
Züst A. 32569
Zvonkova Z. V. 31486
Zwaving J. H. 33679
Zwingmann G. 31704
Zýka J. 32162

УКАЗАТЕЛЬ ДЕРЖАТЕЛЕЙ ПАТЕНТОВ

Abbott Lab. 34121
Agfa Akt. Ges. für Photofab-
rikation 33503, 33709
Air Liquide 33395
Air Products Inc. 33396
Air Reduction Co., Inc.
33444
Akt. Ges. der Gerresheimer
Glashüttenwerke vorm. Ferd
Heye 33306
Akt. Ges. für Papier und Büro-
bedarf 34501
Aktieselskabet «Ferrosan»
33552, 33554
Allie Chemical and Dye Corp.
33897
Aluminium Industrie Akt.
Ges. 33189
American Aluminium Co 33378
American Calanese Corp. 34600
American Cyanamid Co. 33431,
33591, 33599, 33603, 34084,
34496
American Glycerine Corp., Inc.
34189
American Home Products Corp.
33602
American Sisalkraft Corp.
34725
American Syntex Inc. 33598
American Viscose Corp. 34424
Amiantus Akt. Ges. 33381
Aquamatic Inc. 32970
Armour and Co. 33609, 33700
Arnold Z. 33551
Arnoux J. 33382
Aschaffenburg Zellstoffwer-
ke Akt. Ges. 33588
A/S Sadolin & Holmblad
33590
Asta-Werke Akt. Ges. 33543
Atlas Mineral Products Co.
of Pennsylvania 33058
Atuogenwerk Sirius G. m. b. H.
33927
Auto Union G. m. b. H. 32880
Badische Anilin & Soda-Fab-
rik Akt. Ges. 32768, 32879,
33386, 33416, 33422, 33430,
33435, 33469, 33485, 33542,
33725, 34797, 34800, 34839

Badische Bau und Kunststoff
G. m. b. H. 33375
Bähr E. E. geb. Sohnadt
33573
Bash I. J. 34363
Baumann F. 33924
Beckman Instruments, Inc.
32305
Bell Telephone Labs., Inc.
33110
Bergwerksverband zur Ver-
wertung von Schutzrechten
der Kohlentechnik G. m. b. H.
33887
Bethlehem Steel Co. 34727
Bierre M. A. 34076
Bischoff G. G. m. b. H. 33814
Bogue Electric Manufacturing
Co. 32968
Böhme Fettchemie G. m. b. H.
33434
Bollmacher J. 34726
Bourgeois P. 34790
Bozel-Maletra Soc. Industriel-
le de Produits Chimiques
33412
Brehm A. E. 33910
British Cellophane Ltd 34430,
34498
Brown-Allen Chemicals, Inc.
34796
Burroughs Wellcome & Co
(Aust) Ltd 33577
Busch J. 33574
Bydgoskie Zakłady Przemysłu
Gumowego 34558, 34559
Cain C. K. 33481
Californian Union Oil Co.
33896
California Research Corp. 33452,
33930, 33935
Canadian Kodak Co. Ltd 33715
Carstens E. 33426
Cassella Farbwerke Mainkur
Akt. Ges. 33482, 33502,
34786
Centre National de la Recher-
che Scientifique 33438
Chabal C. et Cie 32967
Chatel de Brancion P. M. L. J.
33723

Chauny & Cirey 34427
Chemical Foundation, Inc.
34065
Chemie Grünenthal G. m.
b. H. 33601, 33606
Chemische Fabrik Akt. Ges.
33419
Chemische Fabrik Grünau 34086
Chemische Werke Hüls Akt.
Ges. 33064, 33418, 33458,
33465, 34548
Ciba Akt. Ges. 33495, 33497,
33499, 33504, 33550, 33559,
33561, 33597, 33600, 33665,
34794
Cie pour la Fabrication des
Compteurs et Matériel
d'Usines à Gaz. 32810
Cie de Fives-Lille pour Con-
structions Mécaniques et
Entreprises, 34122
Cie Française des Matières Co-
lorantes 33498, 34798, 34836
Cilag Akt. Ges. 33541
Coal Industry Ltd 33805
Cohn S. L. and Cohn C. C.,
doing business as, Colonial
Alloys Co, 33182
Coles D. H. 33716
Columbian Carbon Co. 33929
Commonwealth Engineering
Co. 34799
Conradi L. A. 33096
Corning Glass Works 33299
Correcta-Werke G. m. b. H.
34536
Council of Scientific and In-
dustrial Research 33177
Crossett Lumber Co. 34728,
34729
Crown Chemical Corp. 34801
Deutsche Erdöl-Akt. Ges.
33939, 33945
Deutsche Gold- und Silber
Schmeldeanstalt vormals Roes-
sler 33105, 33414, 33432,
33439, 34544
Diamalt Akt. Ges. 34791
Dichter J. 33296
Distillers Co. Ltd 33424

Dow Chemical Co. 33670,
33672, 34426, 34594
Dow Corning Corp. 34539
Drew E. F. & Co, Inc. 34067
Dualoy, Inc. 34804
Du Pont de Nemours E. I.
and Co. 31944, 33410, 33413,
33500, 33501, 34422, 34550
Durle et Miller Ltd 34538
Dynamit Actien Ges. vormals
Alfred Nobel & Co. 34730
Eastman Kodak Co. 33090,
33706, 33710, 33711, 34421,
34423, 34784
Ecusta Paper Corp 34739
Electroy ac Hacht and Co.
33311
Esso Research and Enginee-
ring Co. 32813, 33409, 33442,
33591, 33895, 33900—33902,
33905, 33916, 33940, 33948,
33949
Ethyl Corp. 33451
Ets Davey Blackford Smith et
Cie et M. François Urban
33724
Ets. Fortin & Saunier 33379
Ets Kuhlmann 34599
Fabryka Odczynników Che-
micznych 33102
Farbenfabriken Bayer Akt.
Ges. 33445, 33461, 33470,
33473, 33666, 34432, 34433,
34601, 34605
Farbenfabrik Wolfen 33453
Farbwerke Hoechst Akt. Ges.
vormals Meister Lucius und
Brüning 33427, 33496,
33544, 33545, 33572, 33669,
34597
Filmfabrik Agfa Wolfen 34802
Firestone Tire & Rubber Co.
34537
Fischer E. J. 33034
Fischer W. 33097
Flaminio Osta-Tschudin 33387
Freeport Sulphur Co. 32971
Frutiger F. 33065
Fuchs E. 33388
Gadot M. E. 34502
Gelgy J. R. Akt. Ges. 33555

- Geipel H. 33468
General Aniline & Film Corp. 34087, 34787
General Electric Co. 33121, 33123, 34434
Generals Mills, Inc. 34494
Gewerkschaft Victor 33117
Gey W. 32975
Gilles L. 34064
Glidden Co. 34063, 34085
Godfrey L. Cabot, Inc. 32309, 33903, 33904
Goldschmidt Akt. Ges. 33100
Goodrich B. F. Co. 33437
Goodyear Tire and Rubber Co. 34549
Gravure Enterprises Inc. 33714
Griessbach R. 33377
Gulf Research & Development Co. 33890, 33915, 33941
Gutehoffnungshütte Sterkrade Akt. Ges. 32882
Gutierrez B. 33383
Harvel Corp. 34495
Hauenschild H. Chemische Fabrik K. G. 33384
HEPA G. m. b. H. Chem-pharm. Fabrik 33570
Hein, Lehmann & Co. Akt. Ges. Eisenkonstruktionen, Brücken und Signalbau 33804
Henigman F. 33885
Henkel & Cie G. m. b. H. 33462, 33463, 33483
Henning W. 34360
Hercules Powder Co. 33454
Heurtey et Cie 32769
Hoffman-LaRoche F. & Co. Akt. Ges. 33549, 33553, 33595
Horizons Inc. 33104
Horst-Günter Wacker 34556
Humko Co. 34068
Hydrocarbon Research, Inc. 33894, 33926
Illinois Testing Labs, Inc. 32304
Imperial Chemical Industries Ltd 33565—33567, 33575, 34497
Institut für Textiltechnologie der Chemiefaseri 34602
Institut Chemji Ogólnej 32974
Interchemical Corp. 34795
I. R. C. O. Soc. d'Applications et de Recherches Industrielles et Commerciales 32310
Istituto Sieroterapico Milanese Serafino Belfanti 33610
Jacobson G. B. 33298
James L. Younghusband 33580
Jenaer Glaswerk Schott & Gen. 33300, 33304, 33305
Kali-Chemie Akt. Ges. 33087, 33441
Kalle & Co. Akt. Ges. 33707
Keramikmaschinen Görlitz 33211
Kessler Chemical Co., Inc. 33421
Kish Plastic Products, Inc. 34431
Klöckner-Humboldt-Deutz Akt. Ges. 32976
Knepper W. 33420
Knoll Akt. Ges. Chemische Fabriken 33476, 33546
Knouse Foods Cooperative, Inc. 34357
Knox B. Gelatine Co. Inc. 33608
Kobe Inc. 32890
Kodak Ltd 33708
Koepp R. und Co. 33419
Koppers Co. Inc. 33811, 33899
Kramer N. H. 33176
Kraus A. 34080
Krivaneck L. 33704
Kronacher H. 33063
Lab. française de chimiotherapie 33547
Laporte Chemicals Ltd 33088
Lautenbach O. 33309
Leeds and Northrup Co. 32301, 32302
Lehry J. M. P. 32809
Lepage, Urbain et Cie 34187
Lewis F. F. 34353
Łódzkie zakłady Włokien Sztucznych 34545
Lovens Kemiske Fabrik ved A. Kongsted 33576
Lustig O. 33593
McCorquodale Co. Ltd 33713
McDonald D. 34074
Mannesmann Akt. Ges. 32766
Manufactures de produits Chimiques du Nord 33089
Mathieson Chemical Corp. 33436
Max M. Sanchez. 32312
Meier G. 33428, 33446
Mela Maschinenbau & Reparatur H. Stinnes 33295
Merck & Co. Inc. 33581, 33583, 33604
Metallges. Akt. Ges. 32771, 33056, 33391, 33886, 34078
Metz A. Z. 34191
Mieglitz K. H. 33662
Miętkiewicz A. M. 34546
Miller R. P. 32777
Minimax Akt. Ges. 33398
Mitra H. K. 33258—33260
Mond Nickel Co. Ltd 33108
Monsanto Chemical Co. 33558, 33671, 33928, 34082, 34354, 34552
Montecatini Soc. Gen. per l'Industria Mineraria e Chimica 33423
Mosca A. 33668
Moser H. H. 33726
Müller E. 33447
National Aluminate Corp. 32972
National Dairy Research Labs. Inc. 32772
National Lead Co 33254
Nicolaus H. G. m. b. H. 34735
Nigrin Werke Carl Gentner 33663
Nordmark-Werke G. m. b. H. 33589
Nossen E. S. 33106
N. V. de Bataafsche Petroleum Maatschappij 33411, 33906
N. V. Gloeilampenfabrieken 33586
Nytroglycerin A/B 33720
Ole-Bendt Rasmussen 33312
Olin Mathieson Chemical Corp. 33455, 33562, 33722
Organchemie G. m. b. H., 34126
Österreichische Stickstoffwerke Akt. Ges. 33569
Otto C. und Co. G. m. b. H. 33807, 33808, 33813
Owens-Corning Fiberglas Corp. 34792
Oxy-Catalyst, Inc. 32775
Perkin-Elmer Corp. 32308
Perkins E. L. 34355
Petrolite Corp. 33944
Phillips Petroleum Co. 32773, 32774, 32811, 32812, 33667, 33891, 33898, 33908, 33954, 34541
Phoenix Gummiwerke Akt. Ges. 34553
Pincon A. J. J. B. 33923
Pippig H. 33055
Pittsburgh Plate Glass Co. 33303, 33307
Polaroid Corp. 33705
Polyplast Ges. für Kautschukchemie m. b. H. 34557
Prinz H. 33457
Proportioners, Inc. 33091
Protectoseal Co. 33036
Pulp and Paper Research Institute of Canada 34724
Pure Oil Co. 32886, 33907
PYROFAG A. Virmond Fabrication pyrotechnischer Artikel 33727
Radio Corp of America 33175
Reinhold M. E. 34785
Research Corp. 33592
Revetlux 32883
Rheinische Kalksteinwerke G. m. b. H. 33372, 33373
Rhenio A.-G. 33397
Roach J. T. (Por) c.m. Cines M. R. 33908
Roche Products Ltd. 33556
Romika K. G., Lemm & Co. 34551
Ross J. O. Engineering Corp. 33302
Ruhchemie Akt. Ges. Co 33118, 34073
Saint Joseph Lead Co. 33094
Sandoz M. 33122
Sandoz Akt. Ges. 33585
Sanner A. J. M. 34837, 34838
Sayles Finishing Plants, Inc. 34805
Schering Akt. Ges. 33557, 34840
Schneider R. und Co. G. m. b. H. 33301
Schossig W. 33809
Schraeder F. J., Jr 33933
Searle G. D. and Co. 33594
Shell Development Co. 33934, 34425
Shionogi & Co. Ltd 33564
Sinclair Oil and Gas. Co. 34089
Sinnova ou Sadic 34081
Skraup S. 33479
Smith A. F. 34420
Soc. Anon. d'Innovations Chimiques dite. Sinnova ou Sadic, 34066
Soc. Anon. Italiana Colori Affini 34788
Soc. Anon. des Manufactures des Glaces et Produits Chimiques de Saint-Gobain, Chauny & Crey 32770
Soc. Anon. des Pneumatiques Dunlop 34554
Soc. d'Electro-Chimie d'Electro-Metallurgie et des Actes Electriques d'Ugine 34123
Soc. d'Exploitation des Ha Baudou 34555
Soc. Nouvelle de Metallisation 32891
Soc. de Technique Industrielle 33806
Soc. des Usines Chimiques Rhône-Poulenc 33664, 34794
Socony Mobil Oil Co., Inc. 33892, 33893, 33911, 33912, 33921, 33938, 33943
Soest-Ferrum Apparatebau G. m. b. H. 33253
Spinnfaser Akt. Ges. 34594
Spółdzielnia Pracy «Hydrochemia» 33107
Sprague Electric Co. 33179, 33180
Spring Packing Corp. 34500
Stahl E., Nordmark-Werke G. m. b. H. 33607
Standard Brands Inc. 34124
Standard Oil Co. 32887, 32888, 33433, 33910, 33914, 33919, 33920, 33922, 33932, 33934, 33937, 33946, 33947, 33954
Stanolind Oil and Gas. Co. 33917
Submerged Combustion Engine of America 32767
Süd-West-Chemie G. m. b. H. 34429
Sun Oil Co. 32776, 33918, 33931, 33942
Sylvania Electric Products Inc. 33101
Terps E. Kemiske Fabrik 33411
Texac Co. 33952
Texas Research Foundation 34358
Thorn Electrical Industries Ltd 33119
Tiersten D. 33389
Tiokol Chemical Corp. 33410
Titanium Metals Corp. of America 33099

33933
Co. 33591
Co. 33939
Ltd 33564
Co. 34083
34081
ations Chi-
ova ou Sa-
a Colori

anufactures
odults Chi-
t-Gobain,
32770
eumatiques

mie d'Ele-
t des Acie-
d'Ugine

des Eln
Métallur-
Industriel

Chimiques
33664, 34731
Co., Inc.
33911, 33913,
33943
Apparatus
253
Ges. 34591
Hydro-

Co. 33176
Corp. 34500
rk-Werke G.

Inc. 34124
32887, 32888,
33914, 33916,
33932, 33934,
33947, 33950
nd Gas. Co.

ustion Coy
67
G. m. b. H.
2776, 33918

Products Inc.
Fabrik 33417
Foundation
al Industries

89
Corp. 33418
s Corp. of

Total Kommanditgesellschaft,
Foerstner & Co. 33035
Udylite Research Corp. 33180
Udylite Corp. 33185
Unilever, Ltd 34077
Union Carbide and Carbon
Corp. 33048, 33103, 33440
Universal Oil Products Co.
33126, 33443, 33448, 33459,
33889, 33899, 33909, 34071,
34493
USA the Secretary of Agri-
culture 33467, 34069, 34070,
34072, 34125, 34127

USA Secretary of Commerce
33306
USA Secretary of the Navy
32303, 32311
U. S. Rubber Co. 34540, 34543
U. S. A. the US Atomic Ener-
gy Commission 33047, 33048,
33060, 33061
Vereinigte Aluminium-Wer-
ke Akt. Ges. 33095
Vereinigte Glanzstoff-Fabri-
ken Akt. Ges. 33429
Vergues M. A. 32973

Vetrocoke Soc. Par. Astori
33812
Victor Chemical Works 33289
Vosseler O. 33103
Wacker-Chemie G. m. b. H.
33425, 34599
Walther H. 33458
Wander A. Akt. Ges. 33596
Weber H., geb. Wolf. 33573
Well W. M. 33096
Weissbach G. M., geb. Buhr,
Hannelotte Bühner, geb.
Weissbach Hanswerner

Weissbach, Jutta Olga Weis-
bach, Hannelotte Weissbach
34499
Williams S. D. 33819
Willig F. 34428
Wyandotte Chemicals Corp.
34079
Zakłady Chemiczne «Ka-
toz» 33815
Zellstoffabrik Waldhof 33570
Zentrales Projektierungsbüro
für die Zellstoff- und Papier-
industrie 34723

Авасима М. 33297
Асияки сэнзимен когё набусики
найся 33261
Дайдай джодзи порин нага-
ну кэнкаю 34736
Комгуро С. 33264
Итикава С., Иямато 33184
Кодогата кино набусики
найся 33183
Кагану кэнкаю набусики
найся 33255—33257
Когё гидзюцуинтё 33210
Когё нагану дзасен 33489
Канай Т. 34003
Кондо Т. 33178
Кубота Ц. 33127
Кувата Ц. 33209
Курасаки рэйсён набусики
найся 34789
Минагута Д. 33571
Мисима У. 34359
Масуфуту О. 34361

Минусики кэнкаю когё на-
бусики найся 33465
Минун нагану когё набусики
найся 33106
Макумото Г. 33721
Наган С. 33360
Накамүра Н. 34737
Нихон томи набусики найся
34542
Нихон дэйки набусики найся
33181
Нихон дзюва дзюва кося
33398
Нихон сэншю набусики най-
ся 33563
Нихон сэмбай кося 34731
Нихон юси набусики найся
34732, 34740
Нэшио С. 34075
Нодзава сэншю сэмбейто на-
бусики найся 33599
Ота М. 33477

Отаки С. 34988
Санто набусики найся 33475
Сёна дэйки набусики найся
33187
Сингэцу нагану когё набу-
сика найся 33023, 33098
Сумидза К. 34190
Сумитомо нагану когё на-
бусики найся 33494
Сэно сэйрон кэнкаю 33140
Табата Ц. 33385
Танахаси Т. 34438
Танада якухи когё набуси-
ки найся 33407, 33548,
33563, 33597
Таномото юси набусики най-
ся 33416
Танониси Т. 33473
Танада Х. 34192
Танабе сэншю набусики най-

ся 33460, 33471, 33472,
33478, 33480
Танака Х. 32881
Токио сэмбей дэйки набу-
сика найся 33120, 33189
Токима нагану когё набу-
сика найся 33474
Тэо сэншю набусики найся
34803
Фудзүмүра К. 33864
Фудзүсавэ С. 34892
Фудзүсавэ якухи когё на-
бусики найся 33566
Хатаи сэйсанкүс набусики
найся 34738
Ходогата нагану когё набуси-
ки найся 33460
Хонкайдо но набусики найся
33087
Хори С. 34741
Хорие Т. 33268

Технический редактор С. А. Липанов

Подписано к печати 24/V 1966 г. Тираж 4225 (в т. ч. 700 экз. отп.). Формат бумаги 84×109¹/₁₆. Бак. 376
Печ. л. 56,09 Бум. л. 47¹/₂. Уч.-изд. л. 105,2

2-я тип. Издательства АН СССР, Москва, Шубинский пер., д. 10

Цена 31 р. 50 к.

7372

Printed in the USSR

